

台灣東部海域自然資源綜合性研究 (I)

綠島海域流場、地形地質、水文與生態精密調查

計畫類別： 個別型計畫 整合型計畫

計畫編號：NSC 97-3114-M-002 -006-

執行期間： 97 年 12 月 01 日至 99 年 05 月 31 日

計畫主持人：唐存勇

共同主持人：何宗儒、王玉懷、詹森、許樹坤、溫良碩、楊燦堯、

宋聖榮、陳宏宇、宋國士、張翠玉、喬凌雲

計畫參與人員：

成果報告類型(依經費核定清單規定繳交)： 精簡報告 完整報告

本成果報告包括以下應繳交之附件：

- 赴國外出差或研習心得報告一份
- 赴大陸地區出差或研習心得報告一份
- 出席國際學術會議心得報告及發表之論文各一份
- 國際合作研究計畫國外研究報告書一份

處理方式：除產學合作研究計畫、提升產業技術及人才培育研究計畫、列管計畫及下列情

形者外，得立即公開查詢

涉及專利或其他智慧財產權， 一年 二年後可公開查詢

執行單位：國立台灣大學海洋研究所

摘要

本計畫所承諾之海洋物理、化學、生物及地質調查皆已完成。三組施放於台灣與綠島間海域的海流觀測錨碇，分析結果顯示錨碇系統相當穩定。海流觀測結果，顯示黑潮流速強且穩定，且超過 92% 的觀測資料長度的海流流速超過 50 cm/sec。因此，黑潮可視為可能的替代能源。能譜分析結果顯示，當地海域的潮汐，全日潮及半日潮相當，但全日潮流略大，然潮流流速一般皆小於 20 cm/sec。

另亦發現 5 天週期的震盪，此震盪可能與呂宋海峽內形成的黑潮不穩定有關。此外，颱風對海流的影響亦被觀測到。海流資料顯示，當莫拉克颱風侵襲台灣時，存在的與風向相反的頂風流，由經驗數值模式的輸出結果推論，此頂風流的形成與存在台灣西南海域的逆時針渦流有關。此渦流的形成則是黑潮、颱風與地形交互作用的結果。在颱風離開台灣之後，此冷渦流會向北傳遞進而增強台灣東北海域冷渦現象。此冷渦增強效應可用來解釋當莫拉克颱風離開後，台灣東北部海域魚群大量死亡的現象。另一方面，海流空間分布的調查結果顯示，穩定且強流速的黑潮存在於整個觀測海域內，甚至可達到綠島西、北部海域。水文觀測則顯示與黑潮特徵相似，且無保育類生物需要特別保護。最後，自行研發的海底地震觀測系統，已經過測試過程並已實做。此系統對未來海底地震的觀測應有助益。

Abstract

The proposed work has been done. Three moorings have been deployed in between Taiwan and Ludaο. The mooring platform was quite stable. The velocity of Kuroshio is steady and strong. Over 92% of observational duration, the speed was higher than 50cm/s. The Kuroshio could be considered as a prospective energy resource. The tidal current velocity was generally less than 20cm/s. The spectra analysis found a variance peak centered on 5-day period. The variation could relate with the baroclinic instability wave which could be generated around Luzon Strait. The impact of typhoon on Kuroshio was seen. The head-wind current velocity was observed when Typhoon Maroka hit Taiwan. We inferred that the head-wind current could relate with a cyclonic eddy southeast Taiwan by using a sophisticated numerical model. This cyclonic eddy was generated by the interaction Kuroshio, typhoon and continental boundary. After the typhoon landed Taiwan, the eddy propagated northward and enhanced the cold dome northeast of Taiwan. The latter feature provides an explanation for the massive death of fish which found northeast of Taiwan after Maroko. The shipboard Acoustic Current Profiler measurement indicates that the steady and strong Kuroshio could expand most of area west as well as north Ludaο. The hydrographic survey showed that the survey area has similar hydrographic characteristic with Kuroshio. No particular biological species need to be protected. The Ocean Bottom Seismometer system has been developed, tested, and implemented. This system should be useful for monitoring oceanic earthquake in future.

第一章 簡介

黑潮為北太平洋的一股重要的海流。其緣於由東向西的北赤道洋流受菲律賓陸地阻擋，一分為二，南向分支為民答那峨海流(Mindanao Current)，北向分支則為黑潮(Kuroshio)(e.g. Nitani 1972; Qu and Lukas 2003)。與北赤道洋流分離後的黑潮，沿著菲律賓與台灣東部海域向北流，其後沿著東海陸棚邊緣流向中緯度地區(e.g. Nitani 1972)。黑潮終年向中、高緯度地區傳輸低緯度地區的溫暖海水，除影響流經地區的氣候環境以及流經海域的溫鹽場與流速場分佈外，對於全球熱平衡或氣候變遷亦扮演著舉足輕重的角色。

台灣東部海域為黑潮流經區，過去在國家科學委員會的資助下，許多整合型計劃投注研究人力與物力於黑潮的研究上，這些計劃包括：黑潮邊緣海水交換過程 (Kuroshio Edge Exchange Process, KEEP)、世界海洋環流實驗 (World Ocean Circulation Experiment, WOCE) 以及黑潮上游海洋動力學實驗 (Kuroshio Upstream Dynamic Experiment, KUDEX) 等，對於流經台灣東部的黑潮其時、空的部分分佈特性，已具有初步的了解。

當北流的黑潮離開菲律賓陸地後，即進入呂宋海峽海域，由於地球自轉的 β 效應 (Stommel and Arons 1962)，黑潮分支會經由呂宋海峽入侵南海，直接、間接影響南海北部與台灣海峽的流場分佈。入侵南海的黑潮支流，以套流(loop current)的型式於南海北部以順時鐘方向流動，其後於台灣東南海域流出南海，與黑潮主流匯合(e.g. Liang et al. 2003)。匯流後的黑潮於台灣東南海域因受蘭嶼地形的影響，形成雙主軸的北向海流，其流幅寬約100-150公里，影響深度可達近千公尺，其後於宜蘭海脊前雙主軸合而為一(詳見Liang et al. 2003, 圖 13 與 14)。黑潮上層(約數百公尺)海流越過宜蘭海脊後，略偏東北流入沖繩海槽(Okinawa Trough)。黑潮下層海流受宜蘭海脊地形阻擋沿琉球島弧外圍流向日本(高 1998)。越過宜蘭海脊的黑潮，其主軸有季節性的擺動(Sun 1987; Tang et al. 2000)，夏天離岸較遠，當其受東海陸棚阻擋時，其主軸偏東而後轉東北沿東海陸棚流向日本，其一支由北棉花峽谷入侵東海陸棚，於東海陸棚附近形成一冷渦(Uda and Kishi 1974; Fan 1980; Wang and Chern 1988; Liu et al. 1992; Tang et al. 2000; Wu et al. 2008)。冬天黑潮近乎沿台灣東北海岸直接入侵台灣北部海域及東海陸棚，部份海洋學家認為此入侵的黑潮為冬季台灣暖流的起源，其影響可遠至東海北部(e.g. Isobe 1999)。除了季節性變化外，於台灣東部海域黑潮的北向傳輸量亦存在約100天的季節內的震盪週期(Yang et al. 1999; Jones et al. 2001; Lee et al. 2001; Zhang et al. 2001)。經檢視衛星觀測之海表高度異常(Yang et al. 1999)與數值模式推演(Zhang et al. 2001)，其推論此黑潮傳輸的季節內變化可能受存在於太平洋內向西行進的渦漩所影響。

然而，過去於台灣東部海域因無支援長期的整合型研究計畫，對於當地海洋環境進行長期且全面的監測，故對於黑潮流經台灣海域的變化，甚至基本現象缺乏瞭解，如黑潮流幅、流速等變化及機制，黑潮及其反流的行徑、雙主軸匯流成單一主軸的過程及動力機制，以及島嶼及海底地形對黑潮等影響。這些科學議題需進一步投注研究能量，以獲得深入的瞭解。

第二章 研究目的

目前對於流經台灣東部海域黑潮的海流分佈之時、空分佈特性尚未有較深入的瞭解，故本計劃將以研究黑潮於此海域的變化與特性為主要目的。然而，受限於國內海洋研究人力資源的限制，目前無法同時全面性的進行對此海域的黑潮調查與研究，故本計畫第一期(三年)將集中量測研究能量於小區域範圍。經國內海洋學家們討論後，決定以綠島附近的海流為首要觀測研究區間。其後再擴展研究範圍至宜蘭海脊與綠島之間的海域。

圖 1 為由歷史海流研究船瞬時觀測資料合成之綠島附近海域水下 50 公尺處的海流分佈，顯示黑潮受蘭嶼、綠島等阻擋後分為東、西兩股分支，其中西側黑潮分支在北緯 $22^{\circ}45'$ 附近開始轉往東北方並與東側黑潮分支再度會合。東側黑潮分支流存於較深的海域，由於缺乏船測流速無法明確得知其流幅。西側之黑潮分支，流經綠島與台灣之間，海域水深較淺且流速強，海域寬度約為 50 公里，易於觀測。故此本計畫第一年將於綠島西側佈放三組錨碇式都普勒流剖儀(Acoustic Doppler Current Profiler, ADCP)觀測系統(如圖 1, W1、W2、W3)，再配合拖曳式測流。錨碇觀測海流的目的在了解黑潮於此海域海流於各錨碇站上的時間變化，拖曳式測流目的期在有限經費下亦能對黑潮海流的分佈有所瞭解，藉此探討黑潮在此海域的時間與空間上特性分佈及變化。由於，本次計劃為國內校際分工合作，架構與其主要内容詳列於下章。

Lyudao

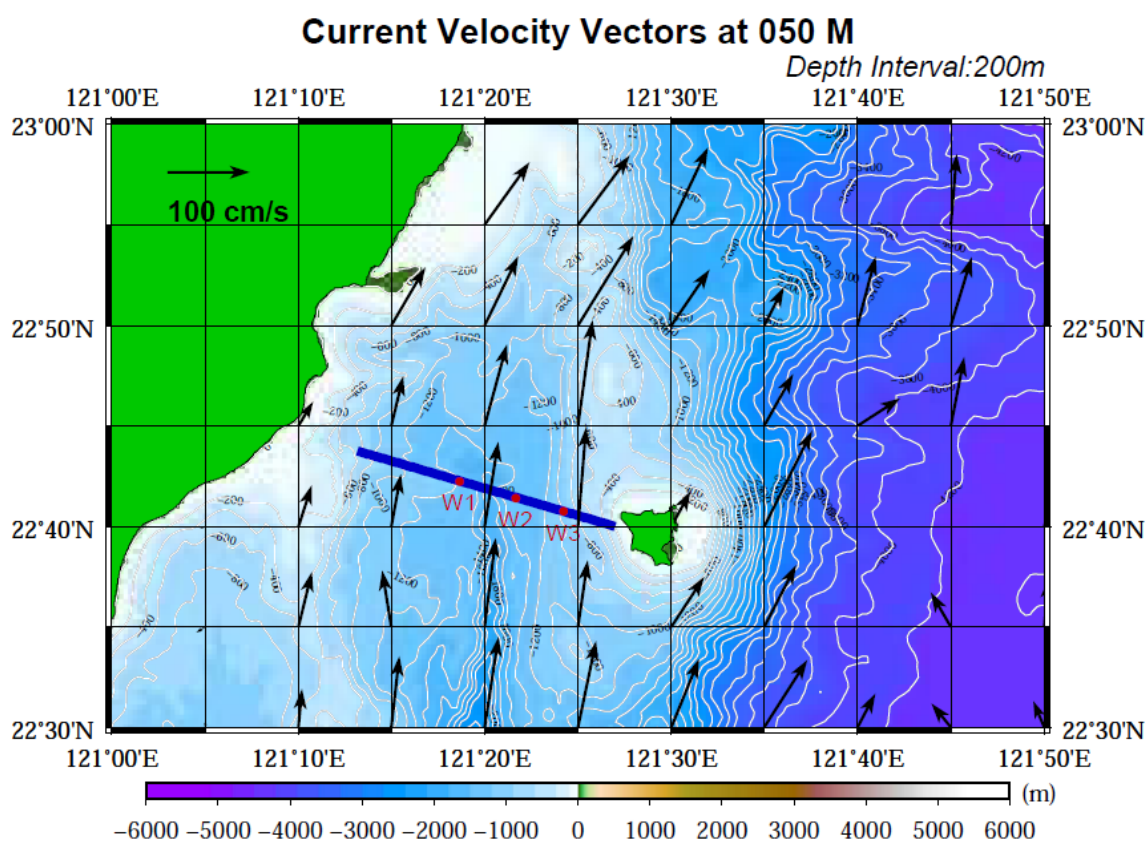


圖 1 綠島海域 50 公尺歷史海流流矢圖(全年平均)。

第三章 本計畫架構及其主要內容

計畫的執行架構，最初的設計為規劃成七個研究主軸（或稱子計畫）。除了海洋物理方面的觀測及模式外，還加入海底地形、地震構造、海底地質、水文化學及生態等領域，務使本計畫可達到一全面性的綜合研判。現將七個主軸精減至五個主軸，此五個部份分別為：

第一部份、台灣東部海域海流之觀測研究，由唐存勇（台大海洋所）、詹森（中央大學水文與海洋所）、何宗儒（海洋大學海洋環境資訊系）、王玉懷（中山大學海洋物理所）、喬凌雲（台大海洋所）等教授共同規劃執行。

第二部份、綠島海域的海底地形精密調查，由宋國士教授（台大海洋所）負責規劃執行。

第三部份、台灣東部海域地震構造研究，由張翠玉教授（台大海洋所）負責規劃執行。

第四部份、台灣東南海域海底地質調查，由楊燦堯、宋聖榮、陳宏宇（台大地質學系）及許樹坤（中央大學地球物理所）等教授，負責規劃執行。

第五部份、台灣東南海域水文化學及生態調查，由溫良碩教授及謝志豪教授（台大海洋所）負責規劃執行。

如表 1，各部分主要內容：

第一部份為東部海域的海流觀測，為解析黑潮在台灣東部的行為，將於台東至綠島海域佈放三組錨碇式都普勒流剖儀觀測系統，並輔以拖曳式測流，以獲得黑潮流場的時空分佈變化資訊。

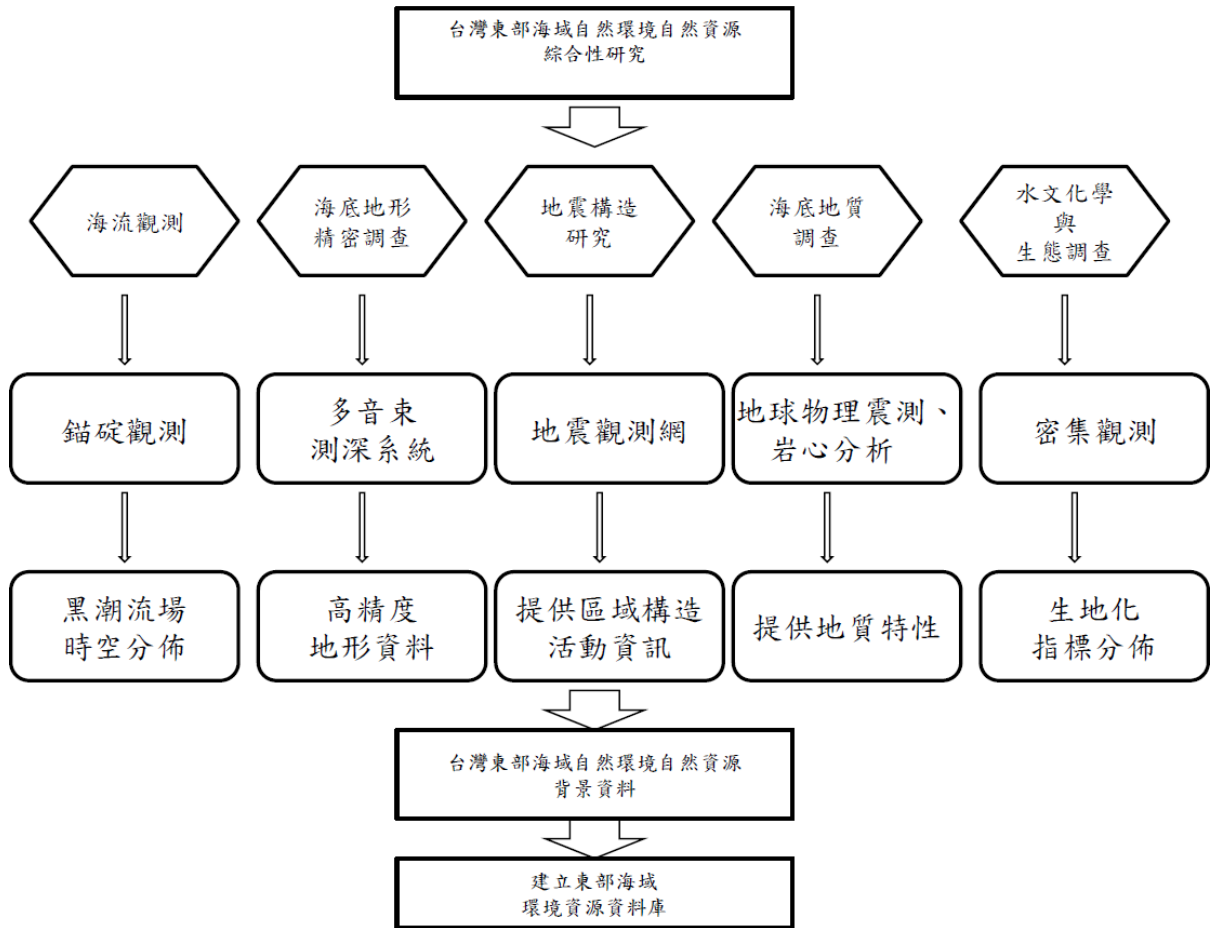
第二部份為綠島海域的海底地形精密調查，計畫將添購多音束測深系統，藉以描繪當地海域的高精度海圖，以瞭解當地的海底地形，為日後國家架設海底電纜與發電機等機具錨碇之用。

第三部份為東部海域的地震構造研究，綠島海域位於西太平洋的地震帶上，板塊運動活躍，地震所引發的海底崩塌可能會破壞海中的貴重設備，如通訊用海底電纜。本計畫將佈放自製之短週期的海底地震儀，並組成台灣東部的海域地震觀測網，觀測區域地震活動特性，解算震源參數以及研究發震機制。

第四部份為東南海域海底地質調查，本計畫將透過地球物理震測、岩心分析等，研究綠島海域的地質特性、海床的穩定條件，並探討底質沈積物與基盤之物理化學性質與力學特性、及黑潮穩定性的長期紀錄、綠島的古地震紀錄在此海域所扮演的角色。

第五部份為東南海域的水文化學與生態調查，綠島附近海域的表層海水性質為數種水團混合的結果，由於來源不同，該海域生態環境營養鹽(微量元素)來源、營養鹽(微量元素)主要過程和營養鹽(微量元素)通量變化等三方面，目前瞭解不是十分清楚。本計畫目的在於了解台東綠島之間的海水水質垂直之結構，包括溫度、鹽度、溶氧、pH、濁度、營養鹽類、葉綠素浮游植物色素等，與微量元素、浮游生物與魚類生態，沈積地化暨微生物系統在此環境的分佈。以密集的觀測頻率，了解以上各項指標季節性變化，建立連續性的背景資料。

表 1 本計畫架構



第四章 工作項目

四之一、海流觀測

為了探討台灣東部，綠島周圍海域黑潮的時間與空間分布，本計劃物理觀測部份將以錨碇與船碇式海流儀進行觀測。於黑潮的長期觀測資料方面，將佈放 3 組錨碇式都卜勒流剖儀於綠島西方一條側線上，分別觀測黑潮於此線上各錨碇測站上海流隨時間的變化情形。而於黑潮的空間分布觀測，則分別使用船碇式與拖曳式都卜勒海流儀於綠島西及西北側，規畫 24 條測線進行其空間上詳細的分布情形。為使研究能量能夠集中，將先進行西測線的錨碇佈放，由台大負責 W1、中大負責 W2 而海大負責 W3，錨碇相關位置如圖 2，中山大學則負責以拖曳式 ADCP 量測海流的空間分布。

四之二、地形精密調查

本計畫調查的區域範圍位在台東東河和綠島之間的水域，其中水深範圍可大於兩千公尺，在以前該地都缺乏精確的水深資料，甚至水深資料都很稀疏，也因此本計畫希望使用更精密的水深測量系統去量得計畫區域的水深值，用這些水深值來繪製可供學術甚至工程參考用的海下地形圖。

四之三、地震構造研究

台灣東部是板塊運動活躍的地方，從東北部的琉球隱沒帶到東南的馬尼拉隱沒帶，每年都有近百個規模大於 3.5 的地震發生，這些地震所造成的海床變形破裂或引發的山崩土石流，極有可能改變海床地形地貌，也有可能影響區域流場，或破壞架設在海中的儀器，為研究海域地質環境，以及減低研究洋流時的儀器損失，前置地震構造調查將提供最直接的區域構造活動資訊，而研究板塊構造帶的近場地震訊號，更是目前國際地震學界熱門的研究項目之一。

近年來歐美科學界開始使用海底地震儀(Ocean Bottom Seismometer, 以下簡稱 OBS)，開啟海域地震的研究，然而 OBS 的單價極高，且其於實驗佈放時無法保證儀器、資料回收，所以目前各國仍各自積極研發 OBS 的各項功能。台灣大學海洋研究所於近兩年來開始發展組裝海底地震儀，這項工作結合台灣科技大學的嵌入系統實驗室的電子專業，可依海域實驗的需要做不同的設計；目前所規劃的海底地震儀將同時裝置有熱流探針(thermo-probe)與水壓計(pressure gauge)，提供海床當地熱流以及垂直水壓值的測量，這兩項海床的觀測將提供另外的物理資訊，讓黑潮的研究更完整。

四之四、水文化學與生態調查

台灣東部海域的生物資料一直以來都很稀少，資料的空間解析力較低，不足以用作環境衝擊的評估。進行空間解析力高的生物調查將有助於未來的評估工作。本計劃之目的在於了解台東綠島之間及綠島以東，三條主要測線的海水水質垂直之結構，包括溫度、鹽度、溶氧、pH、濁度、營養鹽類、葉綠素浮游植物色素等，與微量元素、浮游生物與魚類生態，沈積地化暨微生物系統在此環境的分佈。以密集的觀測頻率，了解以上各項指標季節性變化，建立連續性的背景資料。調查計劃最終將運用觀測的研究方式，互相配合來探討綠島海域附近的環境生態系統，以提供永續經營與利用的科學基礎。

四之五、海底地質調查

另研究指出台東地區若發生地震規模超過 5 以上之地震，可產生強烈之濁流發生，攜帶大量土石濁流藉由峽谷的傳輸，具有沖毀台灣東部外海海底電纜的能力。這些強烈濁流不僅對於綠島周圍海域沉積物之分佈造成影響，亦將對未來可能在綠島外海發展之潮流發電設備造成相當程度的破壞。這些濁流傳輸的發展將可能有效地保存及記錄在綠島周圍海域之長岩心沉積物中，因此本計畫擬藉由綠島外海沉積物長岩心之採樣調查工作，來瞭解綠島外海濁流層發生的可能、濁流層之空間分佈、發生頻率與強度，並進一步探討濁流之傳輸路徑及濁流之發生對於綠島外海沉積物分佈的影響。

調查區域為綠島周圍海域及台灣至綠島之間海域。本計畫將於綠島外海，以經緯度 2 分或 5 分之距離進行採樣測站的規劃，利用箱型、6 米活塞岩心及 18 米活塞岩心沉積物採樣器進行海床沉積物岩心樣品之採集。同時，並利用綠島海岸淺水區的珊瑚、海底沈積物岩芯、岩芯沈積物中的微體化石，對下列二個問題進行研究：(1) 黑潮穩定性的長期紀錄；(2) 綠島的古地震紀錄，將有助於黑潮穩定性、及廠址性質評估等工作。

四之六、海研一號研究船修繕 - 發電機更新

本計畫經費另外支援海研一號研究船進行發電機機組更新作業，該研究船長年支援國內海上作業，因發電機已屆滿使用年限，海研一號於 98 年 10 月 9 日起已假高雄港 10 號碼頭進行船上發電機汰舊換新工程，經舊機拆除（含周邊）、新機安裝、線路連接、測試負載運轉及驗船中心驗船師安全檢驗等作業流程與項目後(圖 2~4)，並於 98 年 11 月 24 日 11 時起正式由新發電機運轉供電至「海研一號」。於發電機汰換作業完成後，再加裝一組 UPS 不斷電系統(圖 5)，配合發電機使用，降低日後發電機於海上作業時不慎跳電，對儀器設備造成之損壞；同時，對海研一號之船體及內裝設備，進行維護及裝修工程。

小結

本計畫第一年利用研究船航次期間至實驗區域進行錨錠海流觀測、基本水文量測、地質沈積物觀測、多音束測深海底精度地形掃描，針對當地海域是否能設置更多海流錨錠觀測系統與利用黑潮進行發電的可行性進行評估，本計畫之初步量測結果與分析將詳述於下節。



圖 2 「海研一號」研究船舊發電機



圖 3 全盛工程公司工程人員勘查及計畫拆除舊有發電機情形



圖 4 「海研一號」研究船新發電機(2部)



圖 5 「海研一號」研究船不斷電系統

五之一、海流觀測

第一節、錨錠觀測(海流時間上變化)

1. 初步資料分析

圖 6 為本計畫於綠島海域所佈放之三組 ADCP 錨錠(W1、W2、W3)的相關位置示意圖，圖 7~9 為 W1、W2、與 W3 的錨錠設計圖。於研究船海研一號 896B 航次(2009/4/26-2009/04/28)完成施放，並於海研一號 912B 航次(2009/09/12-2009/09/14)順利回收。三組錨錠僅 W1 站 ADCP 截至回收完畢前仍運作中，唯 W2 與 W3 因 ADCP 電池電量用盡，ADCP 僅分別量測至 6 月初與七月中。後二者電力的流失，經調查後乃此儀器韌體問題，並已得美國 RDI 公司承認此缺失及正式回函說明。各站 ADCP 之設定與所量測的海流資料已整理成資料報告，詳見附錄 1(W1 站資料報告)、附錄 2(W2 站資料報告)與附錄 3(W3 站資料報告)。

由於 W2 與 W3 僅量測約一半的時間，因此以下分析將以量測期間最為完整的 W1 站資料為主。W1 站 ADCP 量測取樣間隔為 1 小時，提供自 2009/4/27 0700 GMT 至 2009/09/12 2000GMT 期間，水深 30m 至 326m，每 4m 一層的海流時間序列資料。圖 10 為 W1 所量測的海流資料，由上而下分別為 50m、102m、150m、202、250m 與 302m，藉以初步分析整個水層由上至下的時間變化情形，灰色線代表原始資料；黑色線為經 36 小時低頻過濾的資料，圖 10 共由 6 張小圖所組成，各小圖上半部為水平流速之東西方向分量(U-component)；下半部為南北方向分量(V-component)。由圖 10 可發現，原始資料呈現明顯週期運動，可能與全日潮或半日潮有關。在 50m 處，南北方向流速較東西方向流速為大，U、V 平均值分別為 35 cm/sec 與 89 cm/sec。最大速率可達 181 cm/sec，流向為 17 度，在此以正北為 0，逆時針旋轉定義流向。隨著深度遞減，U 值也伴隨減小，水深 102m、150m、202、250m 與 302m，其平均值為 25 cm/sec、15 cm/sec、9 cm/sec、5 cm/sec 與 3 cm/sec；V 平均值也有類似遞減趨勢，在這些深度分別為 67 cm/sec、44 cm/sec、29 cm/sec、21 cm/sec 與 14 cm/sec。可發現 V 平均值約是 U 平均值 3 倍，這是因為當地位於黑潮流域。若計算平均速率，水深 50m、102m、150m、202、250m 與 302m 的海流平均速率(流向)分別為 96 cm/sec (21 度)、72 cm/sec (21 度)、46 cm/sec (19 度)、31 cm/sec (17 度)、21 cm/sec (14 度)與 14 cm/sec (10 度)，可發現於水深 150m 以上，有一股穩定且持續 50cm/s 以上海流流往北北東方向，圖 11 為 W1 站 ADCP 於 50m、150m 與 250m 所量測之海流累積向量圖，同樣可發現上層流速最強，且流向趨近北北東方向。

2. 能譜分析

從原始資料發現，存在明顯週期運動，圖 12 為選取水深 50m、102m、150m、202、250m 與 302m 的 U、V 分量自能譜(Autospectrum)，各個水深左邊代表 U 分量，右邊代表 V 分量。能譜分析發現潮汐運動在當地十分活躍，全日潮(Diurnal Tide)與半日潮(Semidiurnal Tide)能量皆明顯存在於選取的六個深度。以 U 分量而言，水深 150m 以上全日潮能量大於半日潮能量，而 150m 以下，則全日潮與半日潮能量相當，半日潮能量似乎有隨著深度增長的趨勢。V 分量的能譜分析顯示，在水深 50m 與 102m 全日潮與半日潮的能量相當，而水深 150m 以下全日潮能量大於半日潮能量。這些變化暗示著當地可能存在斜壓(Baroclinic)效應。

3. 潮流橢圓分析

圖 13 為選取水深 50m、102m、150m、202、250m 與 302m 流速資料所計算的潮流橢

圖(Tidal Ellipse)結果，負號表示順時針方向旋轉。各個水深左邊代表半日潮潮流橢圓，右邊代表全日潮潮流橢圓。潮流分析結果顯示，當地海域於觀測水層內的全日潮流與半日潮流變化皆以順時針方向為主；潮流振幅則為全日潮略大於半日潮流。半日潮流於 50m 深度之潮流振幅約為 14 cm/sec，其主軸方向為西北-東南走向；隨著深度增加，其潮流振幅遞減且其主軸方向亦以順時針方向改變，及至 302m 處時，其潮流振幅減至約 8 cm/sec，而主軸方向則約為東北-西南走向。顯示，當地半日潮流具有斜壓性質。另一方面，當地全日潮流亦顯示其振幅隨深度增加而漸減，於 50 m 處其振幅約為 18 cm/sec，及至水深 302 m 處，其振幅遞減至約 10 cm/sec。全日潮流的主軸方向亦隨深度而改變，然主軸及隨深度變化方向與半日潮不同。於上層 50 m 處，全日潮流的主軸方向以東北-西南方向為主，隨深度增加，主軸方向呈逆時針方向變化，及至下層(250m)，其主軸方向則為南-北方向。顯示，當地全日潮流亦具有斜壓性質。

由圖12的能譜分析也顯示週期100小時附近存在能量，在所選取的6個深度中皆可見，除了明顯之半日潮、全日潮能量外，能譜上也顯現有100小時附近週期能量的分佈，此低頻能量仍然不確定由何動力過程所產生，推測可能與在呂宋海峽附近生成之黑潮不穩定波 (Instability wave)有關，但也暗示當地海域流況複雜並伴隨多種時間尺度。

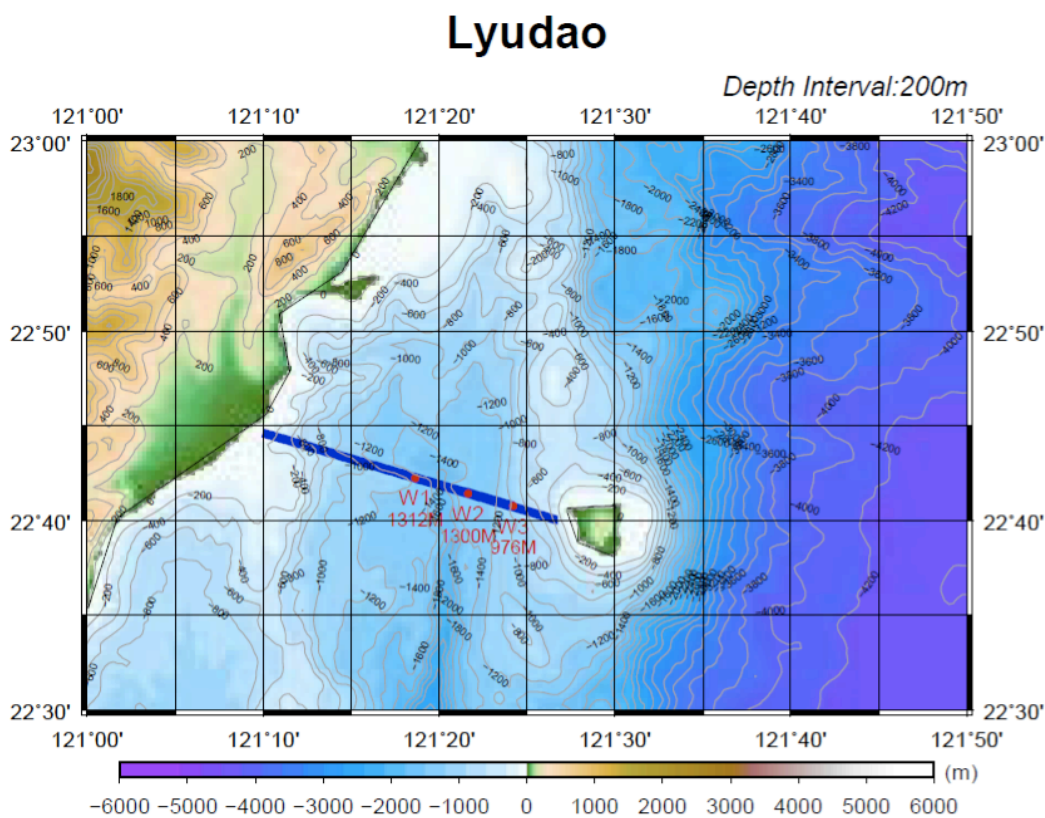


圖 6 綠島海域海潮流調查錨碇預計佈放位置圖，圖中綠島西側測站為 W1~W3，製於 2008 年 11 月。

Final Mooring Design

W1 (NTU).

Let go time/location: 2009/04/26 22:04(GMT). 121°, 17.4341 (E) 22°, 38.8623 (N)

Local depth: 1318m

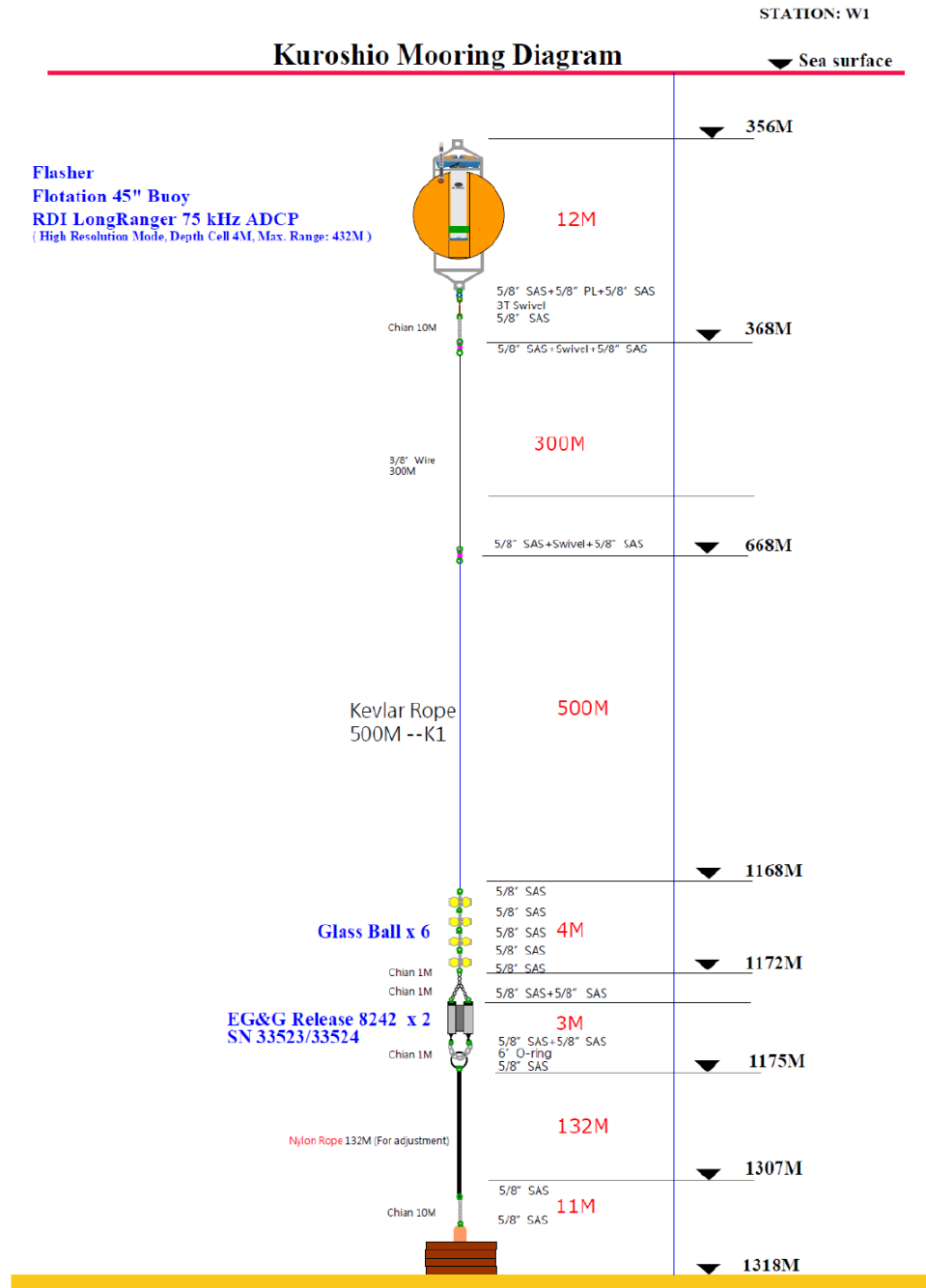


圖 7 W1 站設計圖。

Final Mooring Design

W2 (NCU)

Let go time/location: 2009/04/27 04:54(GMT). 121°, 21.8300 (E) 22°, 40.0135 (N)

Local depth: 1361m

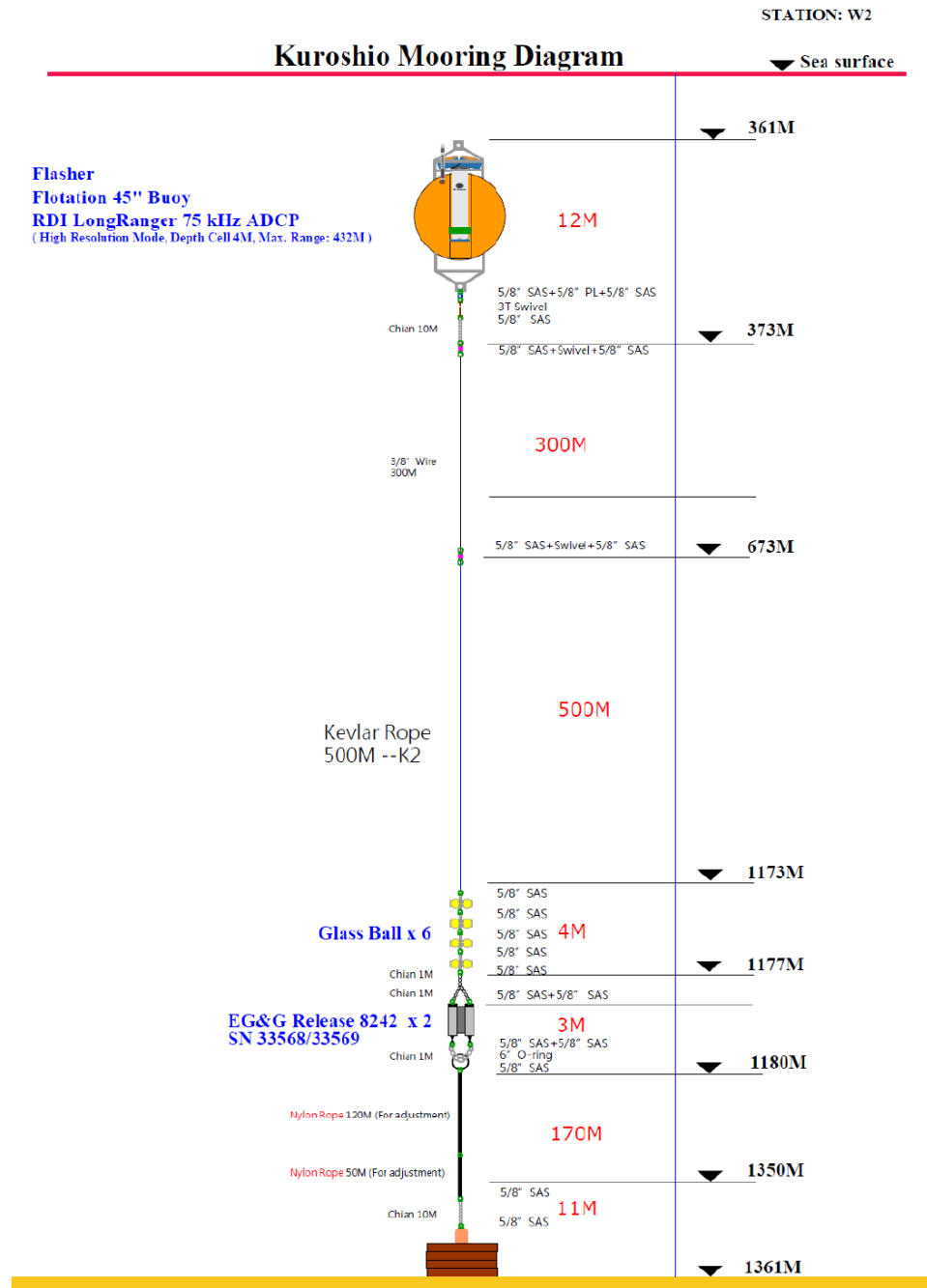


圖 8 W2 站設計圖。

Final Mooring Design

W3 (NTOU)

Let go time/location: 2009/04/27 08:08(GMT). 121°, 24.6455 (E) 22°, 38.8994 (N)

Local depth: 956m

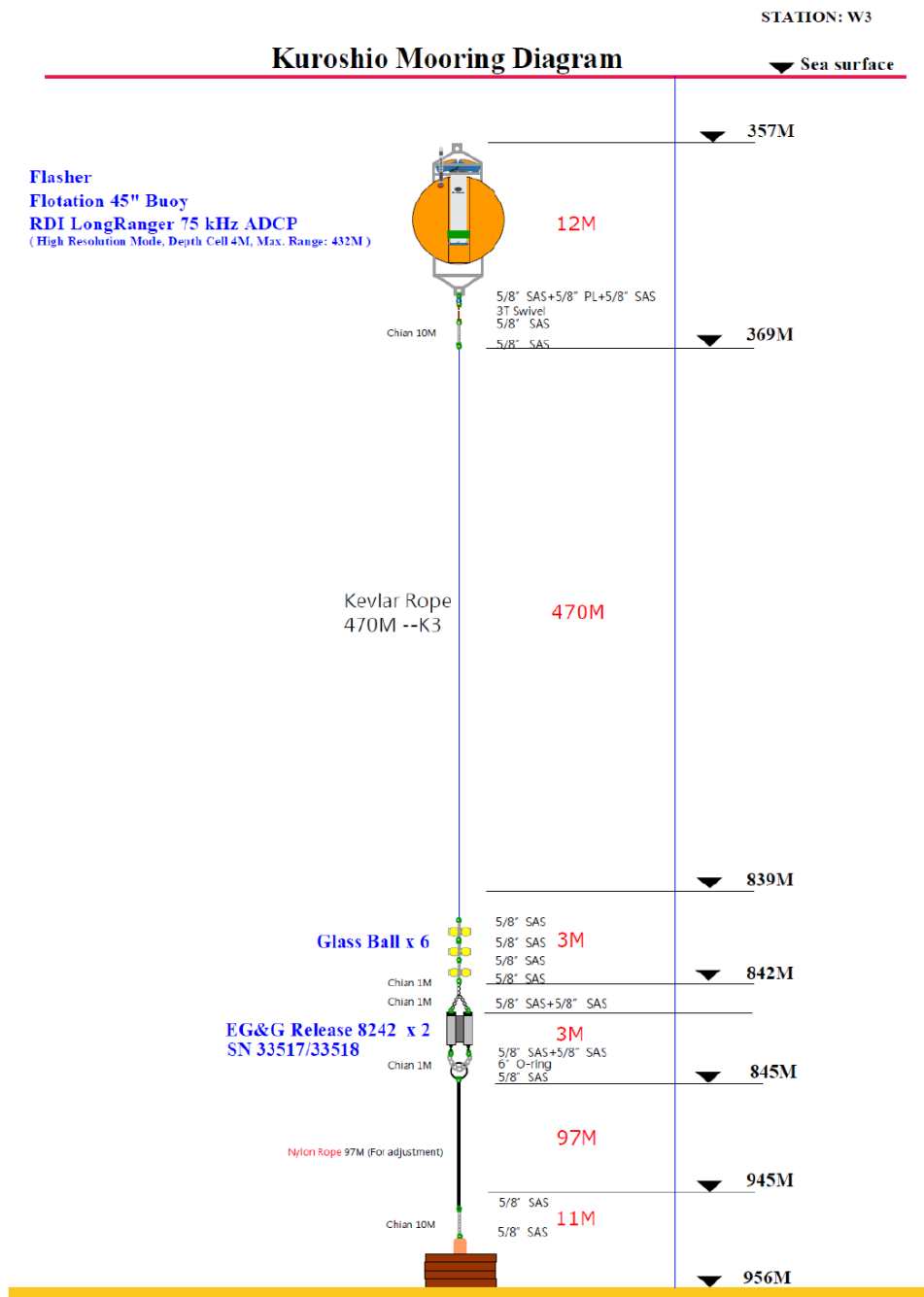
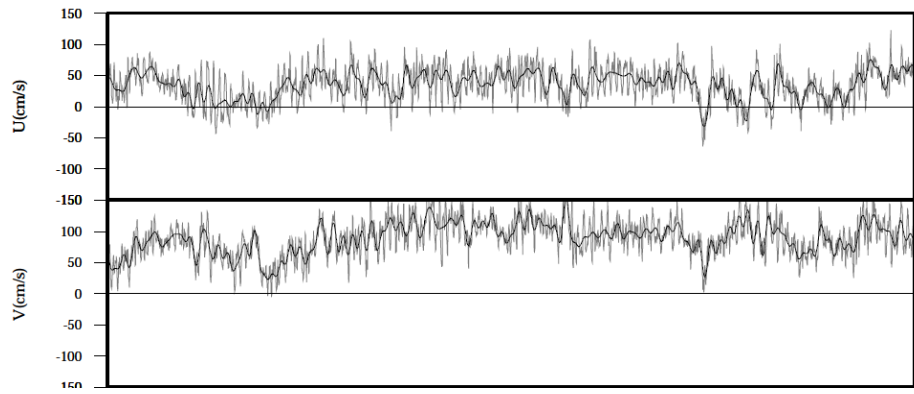


圖 9 W3 站設計圖。

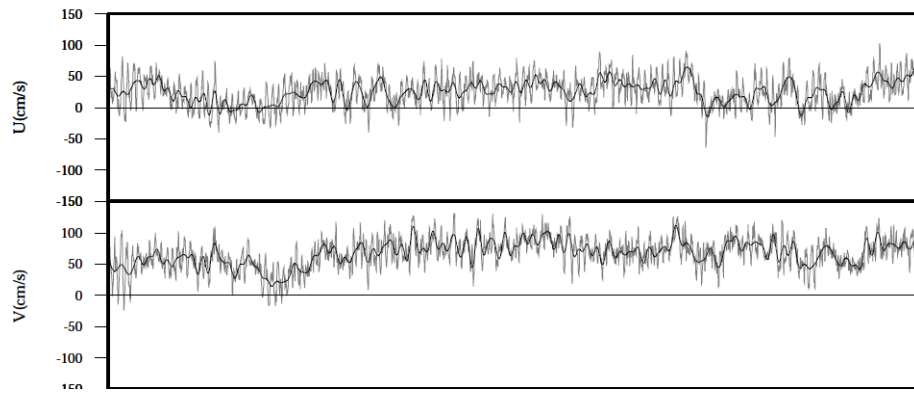
Lon : 121° 17.4341' E
Lat : 22° 38.8623' N

Station : W104
Depth : 50 M



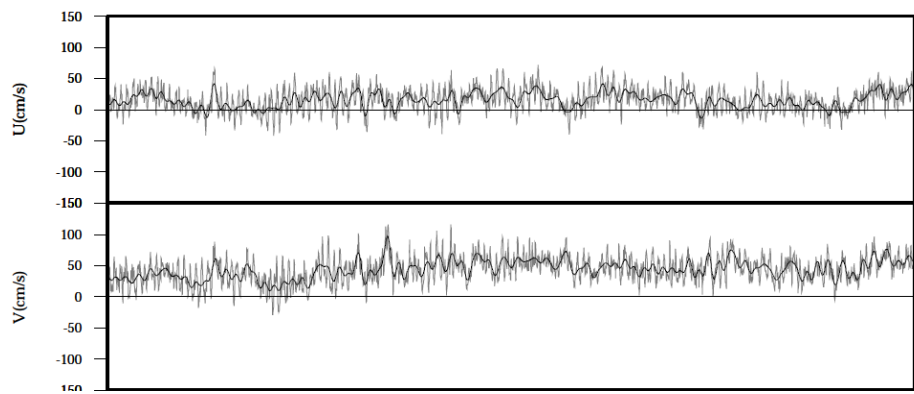
Lon : 121° 17.4341' E
Lat : 22° 38.8623' N

Station : W104
Depth : 102 M



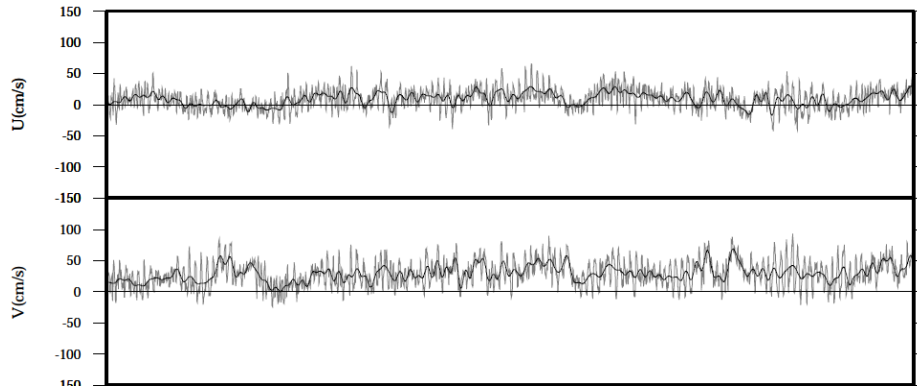
Lon : 121° 17.4341' E
Lat : 22° 38.8623' N

Station : W104
Depth : 150 M



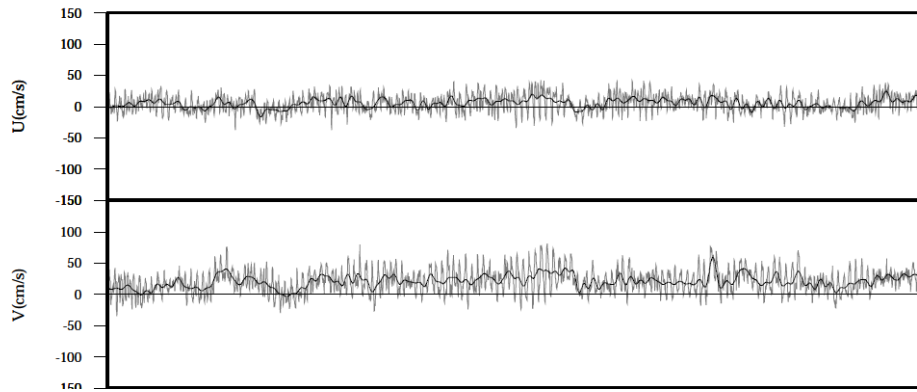
Lon : 121° 17.4341' E
Lat : 22° 38.8623' N

Station : W104
Depth : 202 M



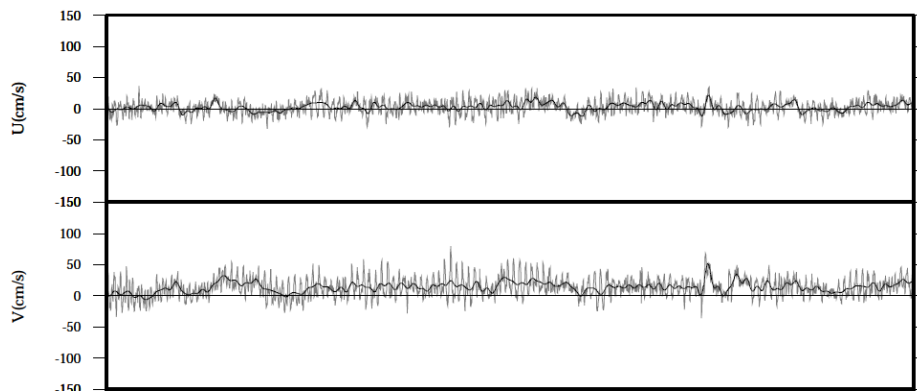
Lon : 121° 17.4341' E
Lat : 22° 38.8623' N

Station : W104
Depth : 250 M



Lon : 121° 17.4341' E
Lat : 22° 38.8623' N

Station : W104
Depth : 302 M

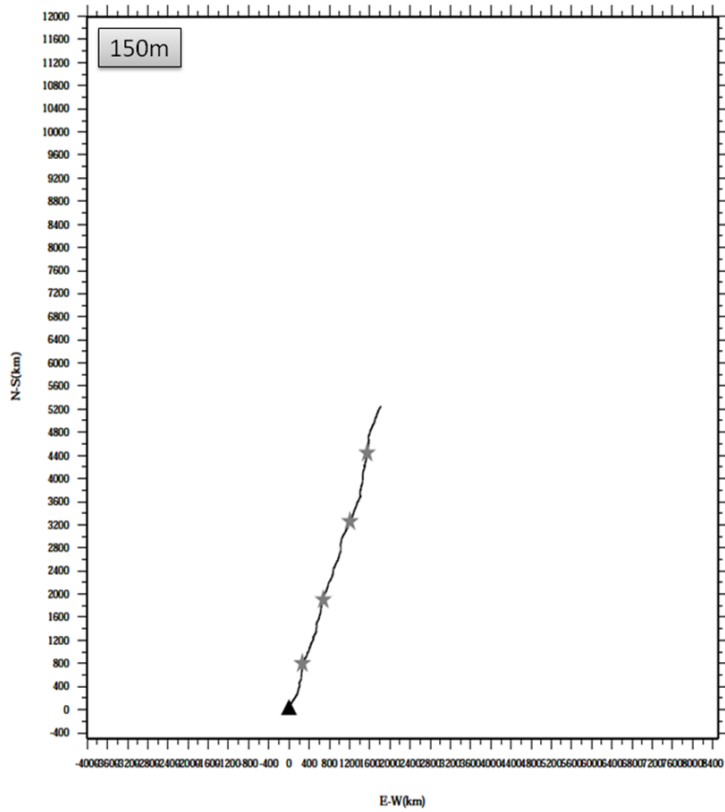
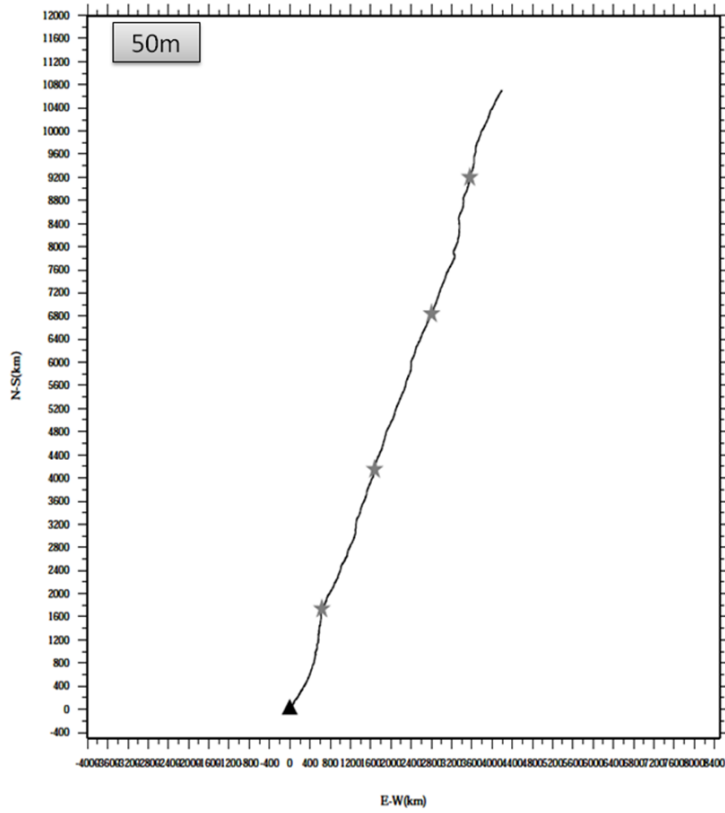


03 10 17 24 31 07 14 21 28 05 12 19 26 02 09 16 23 30 06
2009-May 2009-June 2009-July 2009-August 2009-September

light line : The original data

heavy line : The 36 hours low-pass filtered data

圖 10 W1 所量測之海流資料，依量測深度由上而下分別代表 50m, 102m, 150m, 202, 250m 與 302m。灰色線代表原始資料；黑色線為經 36 小時低頻過濾的資料。



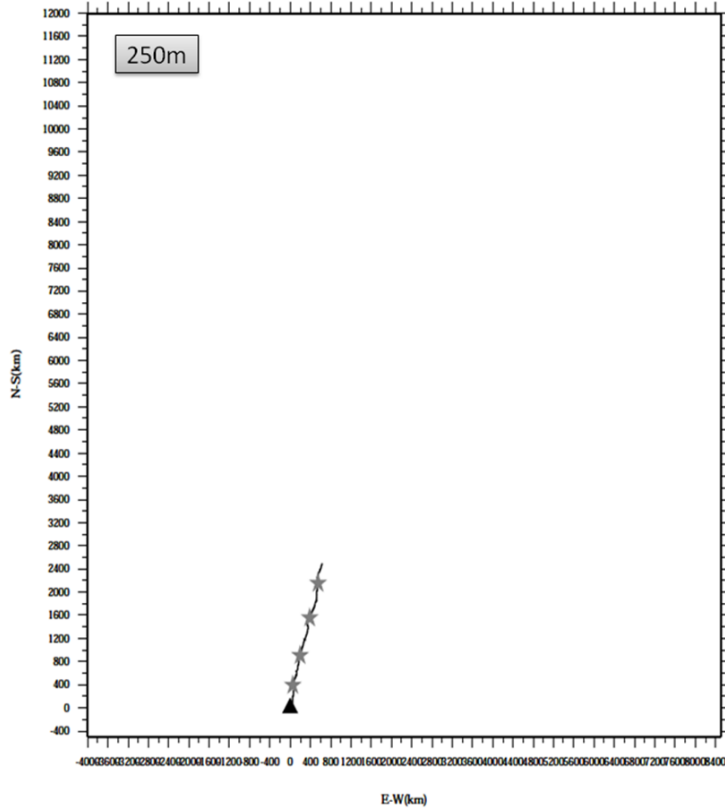


圖 11 W1 站 ADCP 於 50m、150m 與 250m 所量測之海流累積向量圖。

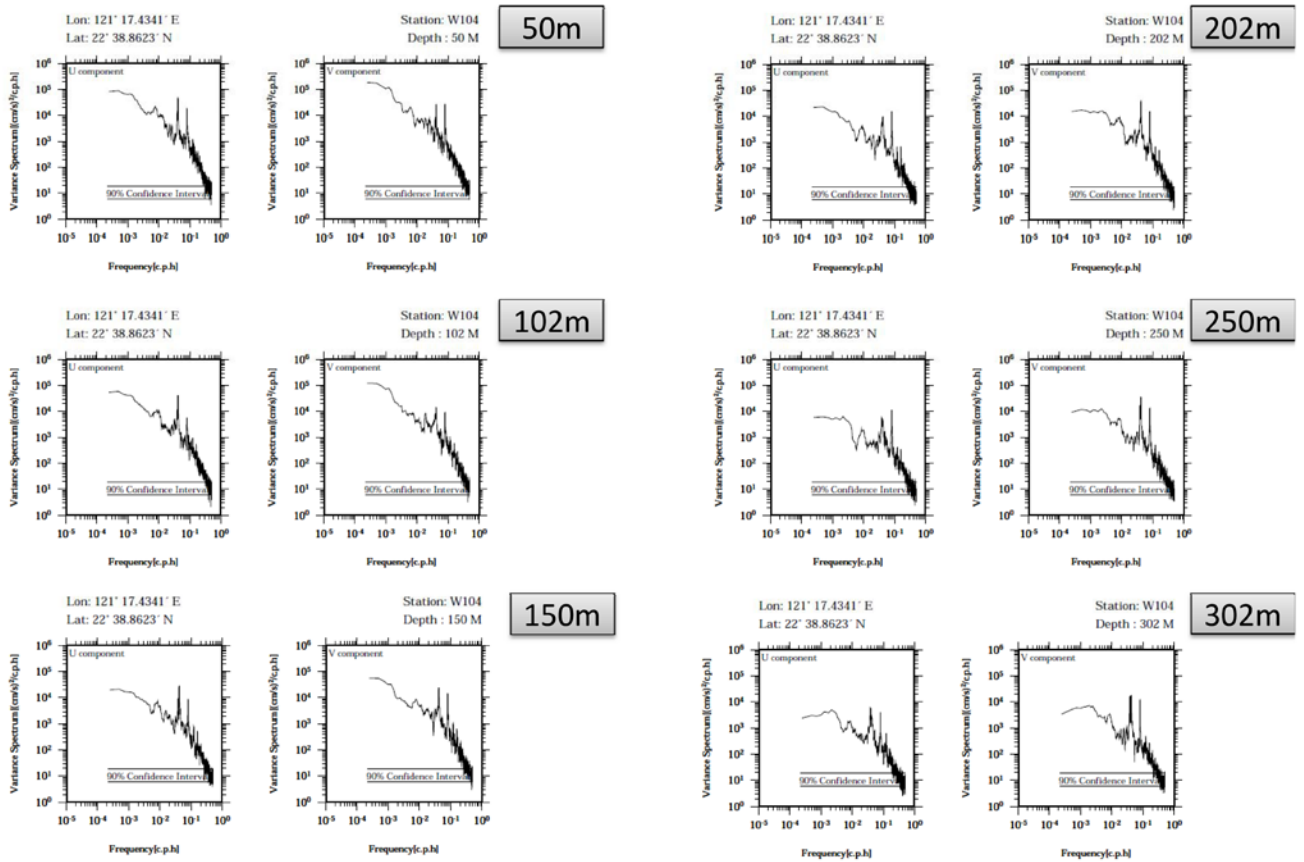


圖 12 W1 站 50m, 102m, 150m, 202, 250m 與 302m 的能譜分析結果。各個水深左邊代表 U 分量，右邊代表 V 分量。

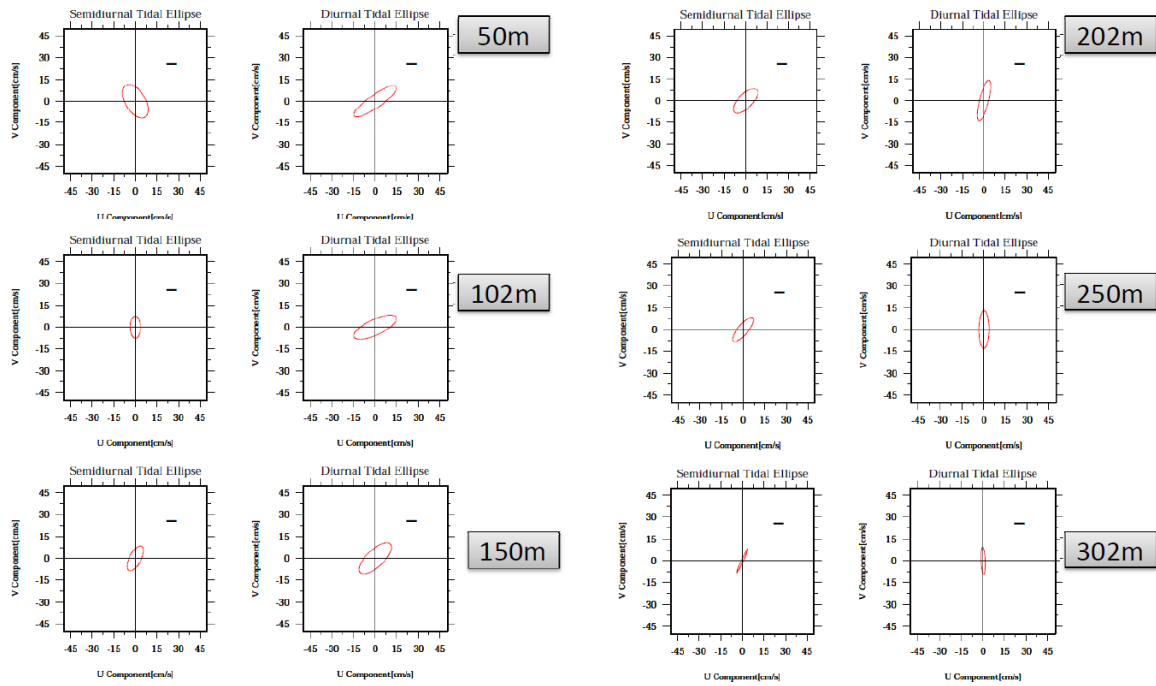


圖 13 W1 站 50m, 102m, 150m, 202, 250m 與 302m 的潮流橢圓結果。負號表示順時針方向旋轉。各個水深左邊代表半日潮潮流橢圓，右邊代表全日潮潮流橢圓。

4. 低頻海流

為顯現黑潮於該海域的時空變化，回收之資料經 36 小時低頻過濾，藉以濾除潮汐、慣性運動等高頻訊號，圖 14、圖 15 與圖 16 分別顯示 W1、W2 與 W3 站，所量測之水平流速資料。各圖上半部為水平流速之東西方向分量(U-component)；下半部為南北方向分量(V-component)。

黑潮於此區間，以北流為主，東-西向流速較弱。流速基本上穩定且快速，最大流速可逾 150cm/sec(3 節流速)，W3 流速最快，其次為 W1，而後 W2。但強弱差距有限，基本可說黑潮幾乎以水平平均的流速，流經此三錨錠測站。垂直上，黑潮流速隨深度遞減，於 100 公尺深處其流速仍可達 2 節以上，但 200 公尺以下的流速則大都低於 1 節。時間上，黑潮雖然流速穩定，但仍有明顯的隨時間的變化，其變化的時間尺度從數日至數週不定。其變化可能來自黑潮遠域帶來的變動，黑潮與地形交互作用產生的變化(如不穩定波，Instability wave)，風流相互作用產生的變化，甚至從太平洋上傳遞來的變化，如西傳的渦旋，每一變化皆有待進一步分析研究。

5. 莫拉克颱風與黑潮的交互作用

其中 W1 錨錠在莫拉克颱風侵襲台灣其間，觀測到颱風對黑潮流場所產生的變化。莫拉克颱風生成於西北太平洋，侵襲台灣前路徑為向西移動，8 月 7 日 23 時於台灣東部登陸後，行徑方向轉為西北走向。此時錨錠位置位於颱風路徑左側，為容易產生下沉流(downwelling)的區域，由流速資料發現此時亦發生負值垂直方向流速(圖 17)，同時於水深 50m~150m 處的北流消失，但於水深 150m~350m 處卻出現北流(圖 18)，東西方向流場由東流轉為西流(圖 19)，持續時間約達一天半之久，其後流場再恢復成水深 50m~150m 處維持

東北流的狀態，若以速率($\sqrt{U^2 + V^2}$)分佈對深度作圖(圖 20)，可明顯發現流場改變的情形。原本水深 150m 之上的強流區，在颱風侵襲前後其流場結構似乎受到改變，並於 150m 之下出現強流，並影響深度達水深 300m。8 月 9 日後其強流區才又回復至水深 150m 之上，造成此流場變化的原因仍不明朗，除了可能與颱風造成之下沈流有關外，當時黑潮也可能因颱風登陸產生而向西偏移，其主軸碰撞台灣陸地後所產生此下沈流，另外，也有研究指出風暴亦會於岸邊產生 edge wave 向外傳播

颱風除造成流場的改變，同時也對水深 350m 處的溫度場產生影響。颱風登陸時，該深度水溫驟升 1 °C(圖 21)。由回收錨錠時的 CTD 資料顯示，該水溫應位處水深 270m 附近，故此溫度驟升事件應和颱風導致之下沈流事件有關。但此升溫隨即持續降溫至 8 月 9 日，達到最低溫 2.98°C，此降溫可能與颱風產生之冷尾跡(cold wake)有關。由於錨錠觀測僅能限於一點，利用美國海軍實驗室(Naval Research Laboratory, NRL)發展之東亞海域現報預報系統模式(East Asian Seas Nowcast/Forecast System)針對莫拉克颱風侵襲台灣前後之周遭海域流況進行模擬(模擬結果由柯東山博士提供，圖 22)。於颱風來臨之前，台灣東岸與黑潮主軸之間存在一冷水北流，此冷水北流一路與東北海域之冷心渦漩(cold eddy)相連接(圖 22 左)；而颱風來臨時，帶來大量西太平洋溫暖海水，此溫暖海水暫時阻斷先前的冷水北流，並在綠島附近海域形成一反時針(anti-clockwise)冷心渦漩(圖 22 中)，此冷心渦漩可能與 W1 站所量測到之西向流有關。颱風通過後，此冷心渦漩開始沿著先前冷水北流的路徑往北傳遞並併入東北海域的冷心渦漩(圖 22 右)，最後東部海域再度恢復至台灣東岸與黑潮主軸之間存在一冷水北流的流況。此模式模擬結果告訴我們，劇烈的大氣變化足以暫時改變海洋表層流況，並可能使大尺度海流(如黑潮)偏離其路徑，但詳細之動力過程仍需要進一步研究。

6. 當地流場統計特性及其應用於海流發電的可行性

圖 23 與圖 24 分別為 W1 與 W3 站於水深 50 公尺的 U、V 分量相關性分析，資料區間為當地時間 4 月 27 日下午 5 點至 7 月 27 日下午 1 點 W3 站 ADCP 停止採樣為止，其 Coherence Square 顯示週期 50 小時以上低頻部分仍達 0.7 以上，其高度相關性顯示兩站點海流資訊可視為同一系統。圖 25、圖 26 與圖 27，其上半部分別為 W1、W2 與 W3 的水深 50 公尺經 36 小時低頻過濾後之流速(Speed)分佈統計直方圖(histogram)，下半部為流速的累進機率分佈圖(cumulative probability distribution)，其分析結果顯示，三站流速大於每秒 50 公分的機率為 90% 以上，且多為北流與東北流，此結果與中山大學王玉懷教授之拖曳式測流的結果大致相同(將於下節詳述)。

於台灣東岸利用黑潮發電之可能性，大致可取決於四大項：一為海流分佈、二為海流強度、三為海流穩定度而第四為周遭環境之地質條件。綜觀本次回收之觀測資料，黑潮於綠島西側保持強流之特性，海流流速經統計有超過 90% 大於適合發電的每秒 50 公分。流速流向穩定且多為北北東流。若與南方的蘭嶼海域相比，蘭嶼附近的黑潮相對較弱(海流流速經統計約僅有 41% 大於每秒 50 公分)，且流向不固定，因此綠島周遭的海流可能具備發電之潛能。

7. 海下平台經驗對未來之可能貢獻

圖 28 至圖 30 分別為 W1 站之 ADCP 所量測錨錠系統之傾斜角、旋轉角與水深變化，其可視 ADCP 錨錠系統穩定的根據，傾斜角小於 3 度且旋轉角小於 1 度，最大垂直位移僅

有 20 公尺，其顯示錨碇相對穩定。除顯示錨碇穩定，資料正確外，此亦顯示我國具有施放水下平台(platform)的能力。錨碇水下平台相對於大型工作水下平台是很小的，唯其原理/技術是相同的。海洋學界對海上/海下工作平台俱多年經驗，此經驗應可提供未來大型海上/海下工作平台參考使用。

然而，若對於設置發電機具的地點而言，本次錨碇所施放的位置並不適合佈放昂貴的設備。經多次水文量測與利用多音束測深海底精度地形掃描所得的當地海底地形，其相貌與先前參與學者的認知有很大的出入。由高解析地形資料與地震波震測結果顯示綠島西方至台東海岸一帶海底地形佈滿崩塌帶，並發現斷層存在的跡象，由回收的錨碇儀器上佈滿泥沙也暗示著當地頻繁的崩塌現象，可知當地地質條件不佳，若佈放昂貴的發電機具於此，除了需克服強流區設置機具的技術外，不穩的地質條件則需面臨崩塌與海底地震，則相對增加了許多不可預期的風險。

本計畫同時發現綠島西北方往台東一帶存在三至四座海底山丘(將於地質調查部分詳述)，經地質調查顯示該區域地質狀況較本計畫施放錨碇一帶為佳，其底部為堅硬之岩盤，這些山丘頂部相對平坦，推論為受到黑潮日積月累沖刷所致，是適合佈放錨碇或發電機具的地點。該地區地形複雜，山丘之間以峽谷相隔，強流與海底地形的交互作用所產生的流場變化牽動著未來設置發電機具的成敗。然而，對於黑潮於該區域的時空變化，目前並無長時間的觀測資料可以提供設置發電機具的參考，此為可惜之處。

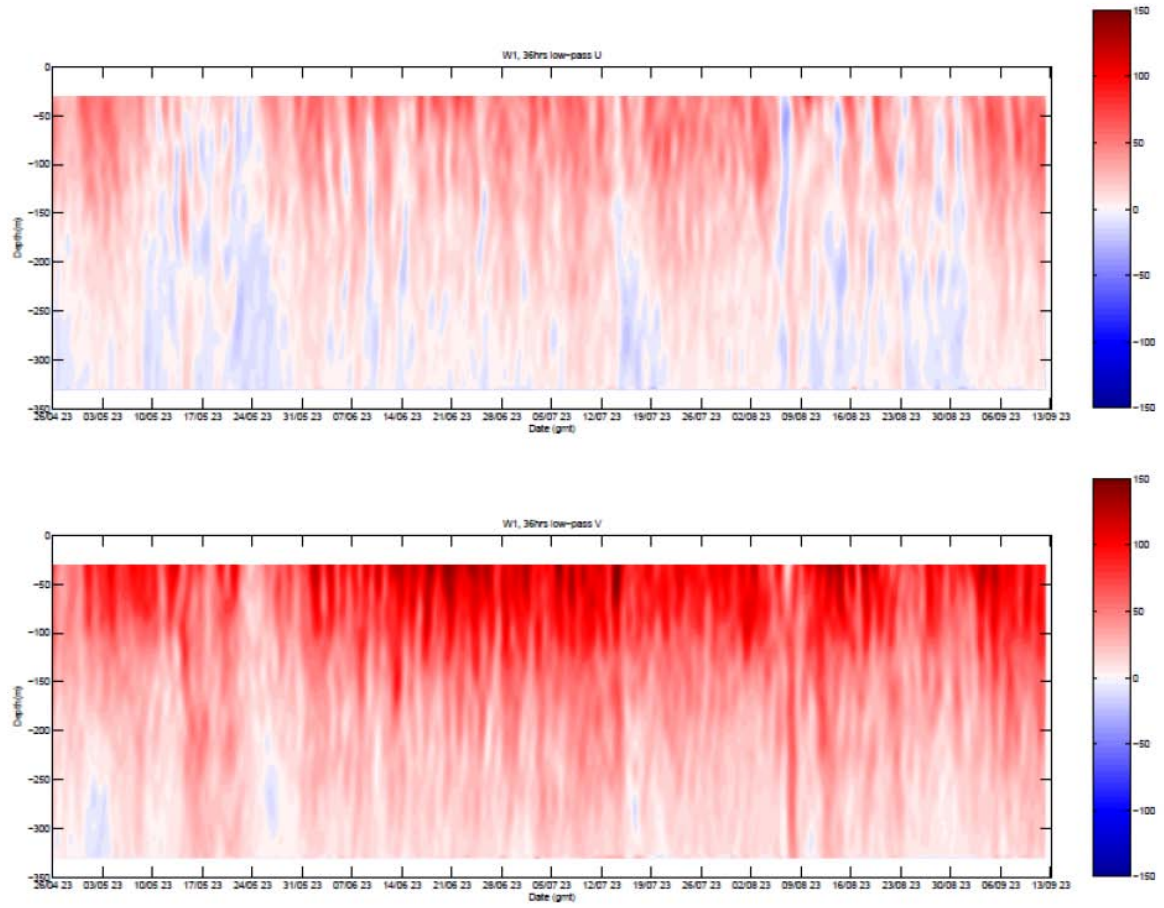


圖 14 W1 站所量測之水平流速資料，上半部為水平流速之東西方向分量(U-component)；下半部為南北方向分量(V-component)，該資料已進行 36 小時低頻過濾。

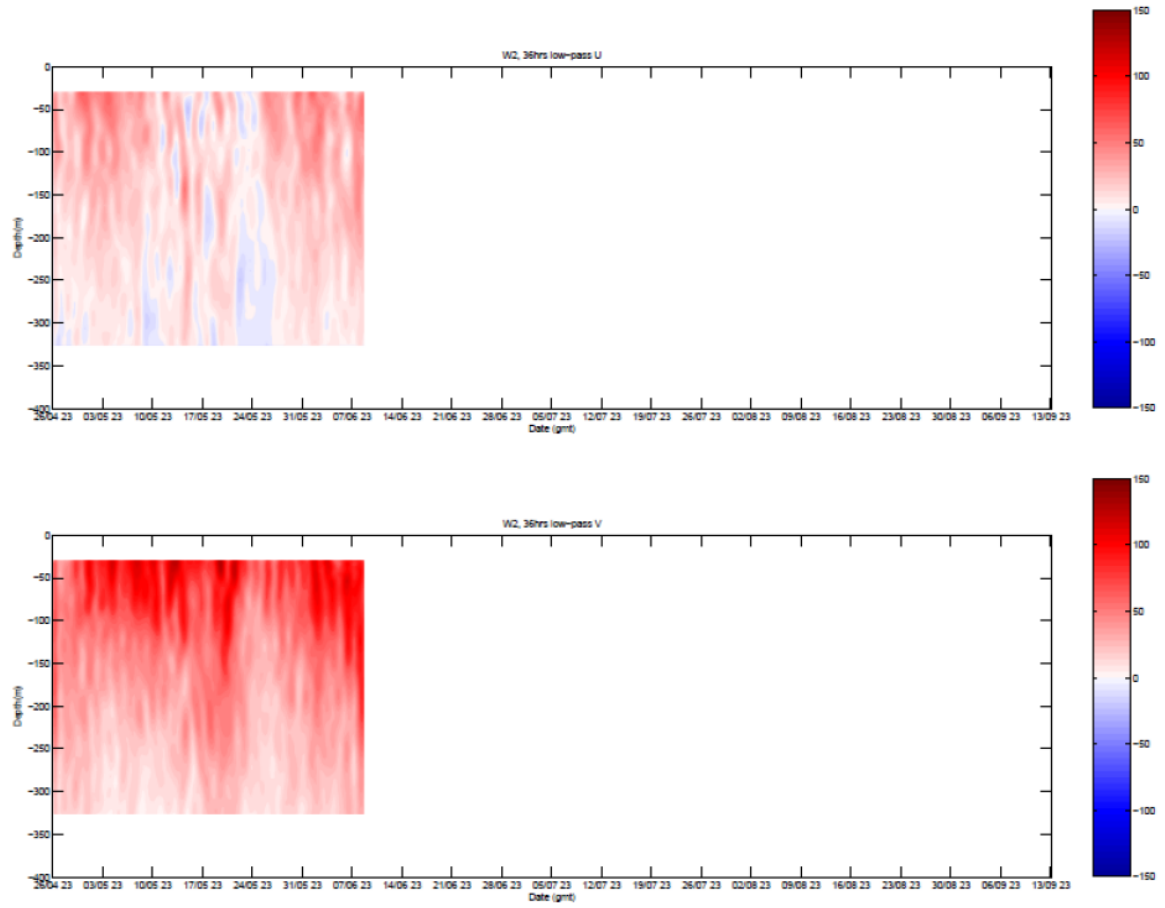


圖 15 W2 站所量測之水平流速資料，上半部為水平流速之東西方向分量(U-component)；下半部為南北方向分量(V-component)，該資料已進行 36 小時低頻過濾。

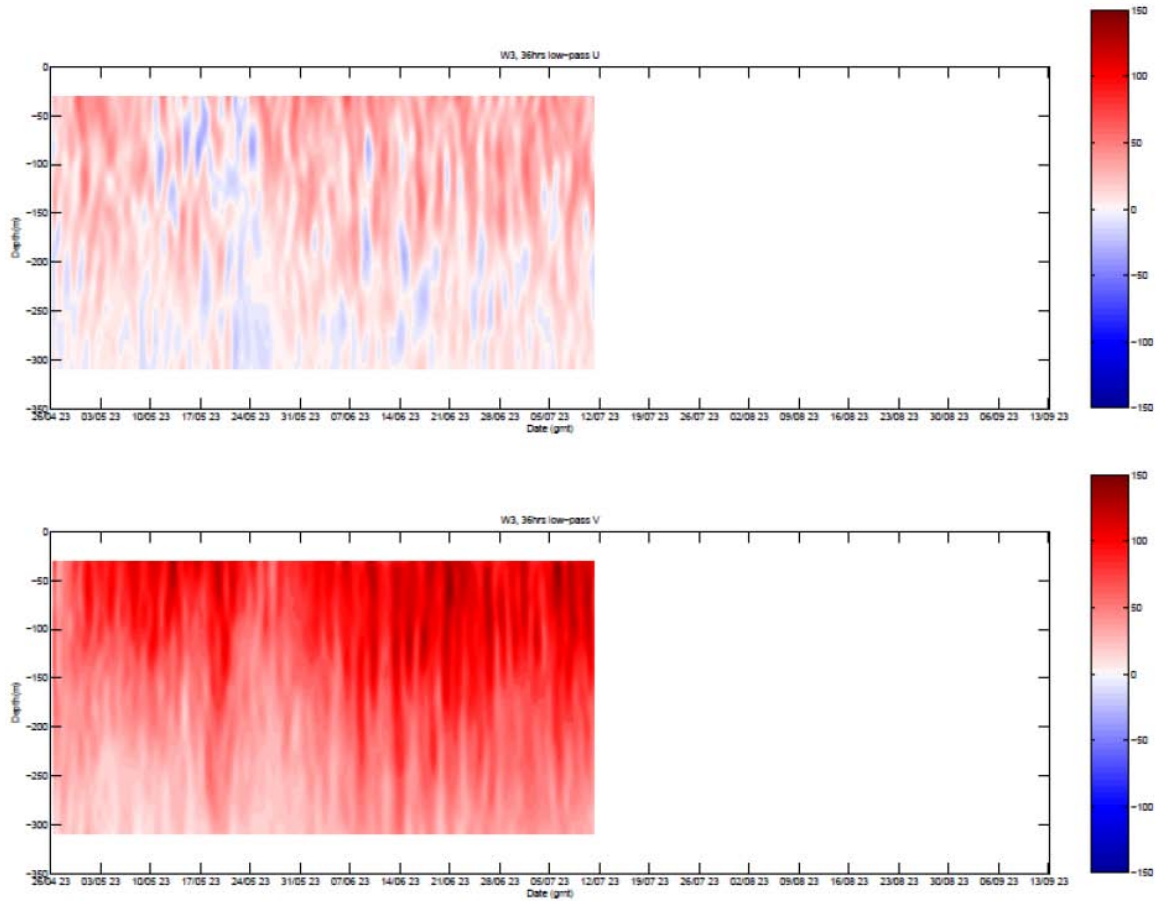


圖 16 W3 站所量測之水平流速資料，上半部為水平流速之東西方向分量(U-component)；下半部為南北方向分量(V-component)，該資料已進行 36 小時低頻過濾。

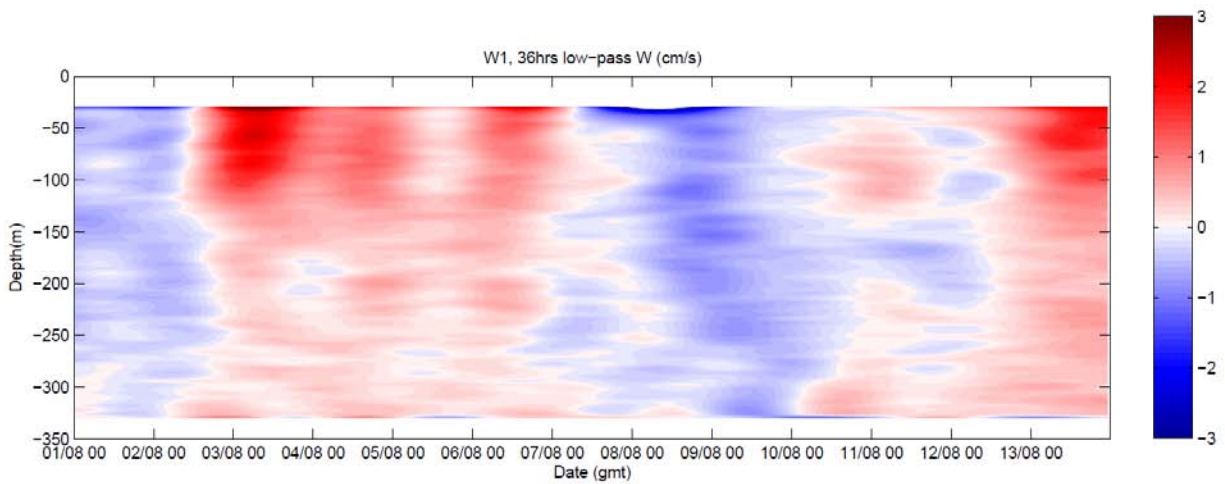


圖 17 W1 站於莫拉克颱風侵襲台灣前後所量測之垂直方向分量(W-component)，該資料已進行 36 小時低頻過濾。

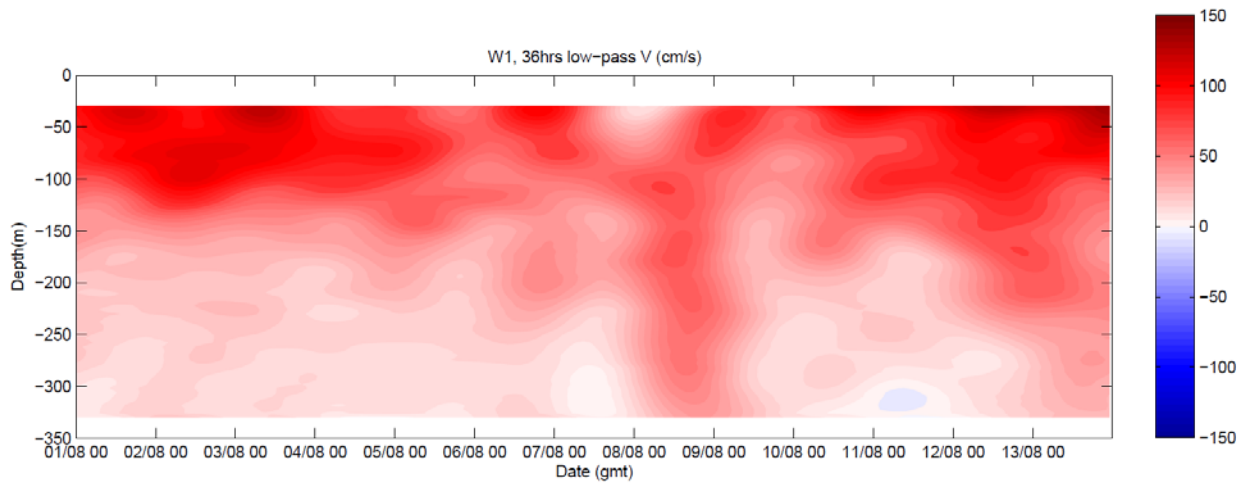


圖 18 W1 站於莫拉克颱風侵襲台灣前後所量測之南北方向分量(V-component)，該資料已進行 36 小時低頻過濾。

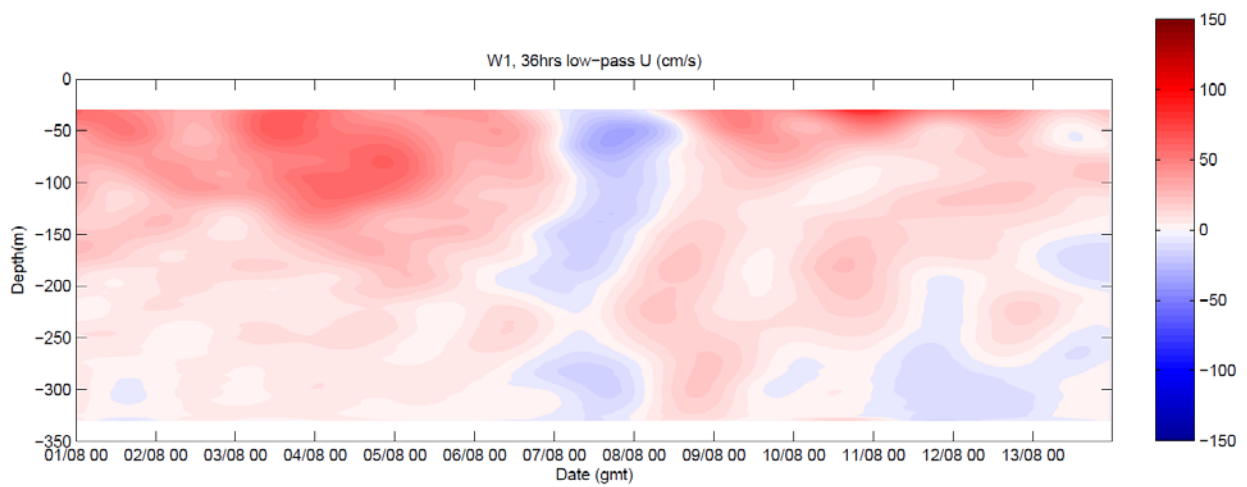


圖 19 W1 站於莫拉克颱風侵襲台灣前後所量測之東西方向分量(U-component)，該資料已進行 36 小時低頻過濾。

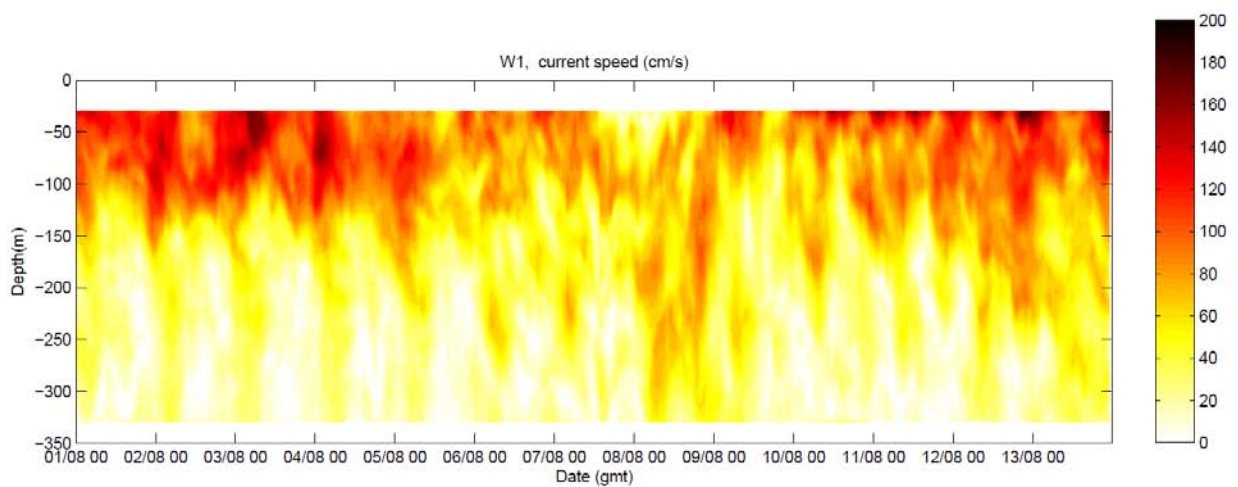


圖 20 W1 站於莫拉克颱風侵襲台灣前後所量測之速率($\sqrt{U^2 + V^2}$)分佈，該資料已進行 36 小時低頻過濾。

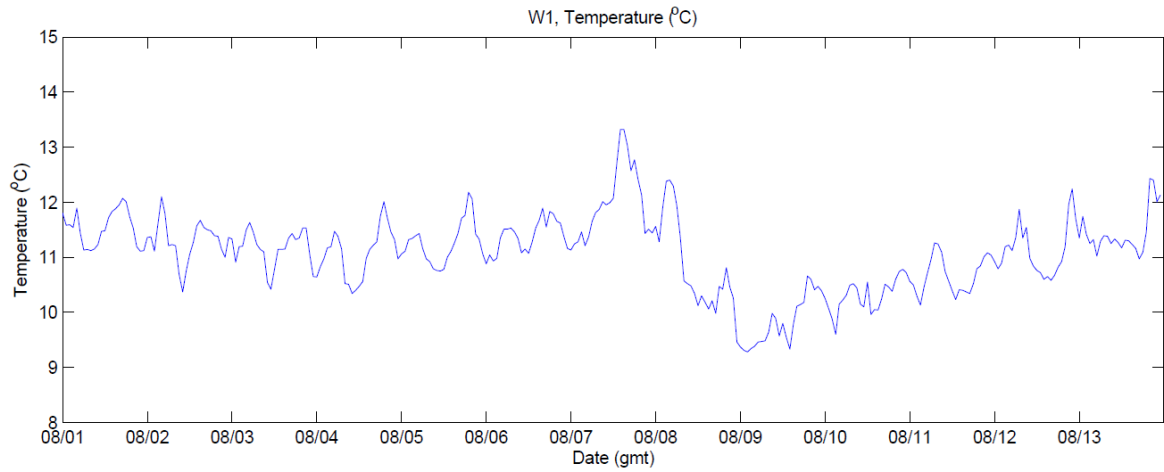


圖 21 W1 站於莫拉克颱風侵襲台灣前後，由位於水深約 350m 的 ADCP 所量測的溫度時間序列，該資料已進行 36 小時低頻過濾。

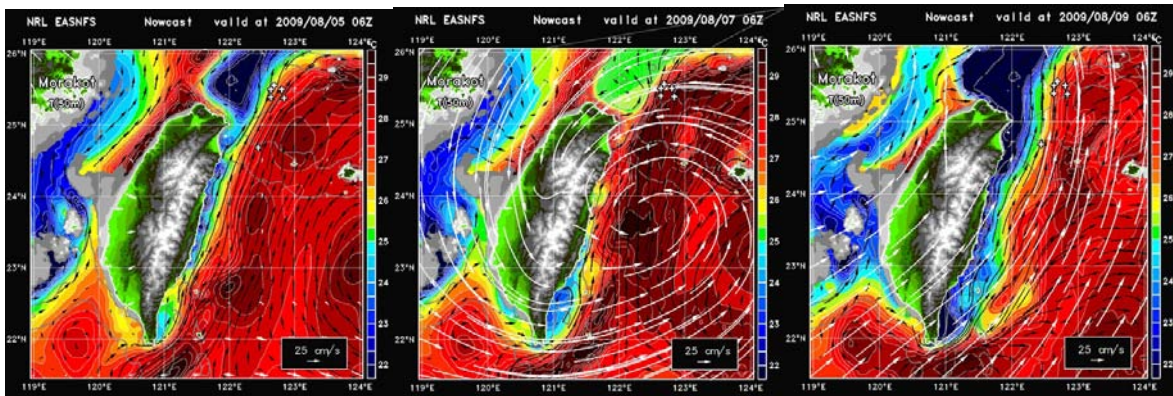


圖 22 美國海軍實驗室(Naval Research Laboratory, NRL)發展之東亞海域現報預報系統模式(East Asian Seas Nowcast/Forecast System)針對莫拉克颱風侵襲台灣前後之周遭海域流況模擬結果，左：颱風來襲前；中：颱風於台灣東岸；右：颱風通過台灣後。

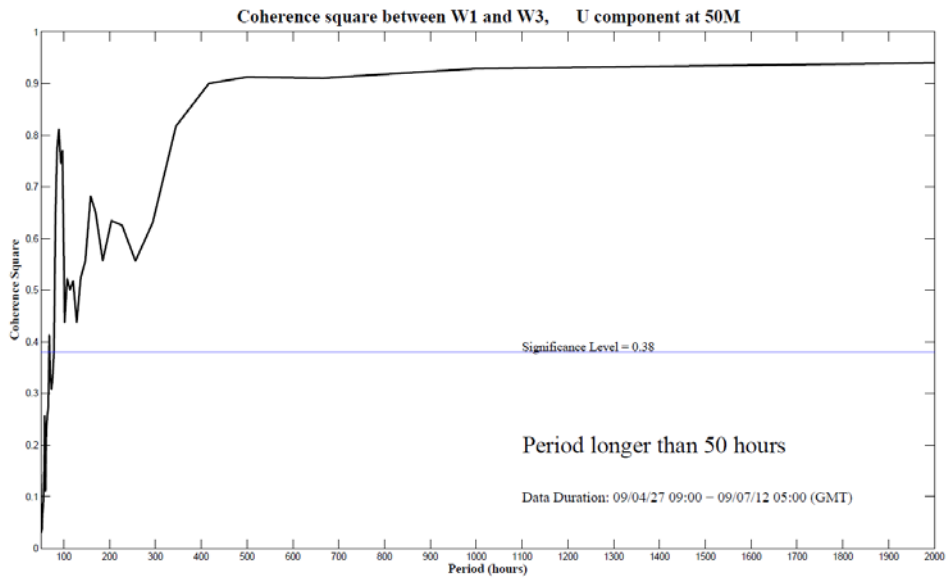


圖 23 W1 與 W3 於水深 50 公尺之 U 分量相關性分析，資料區間為當地時間 4 月 27 日下午 5 點至 7 月 27 日下午 1 點 W3 站 ADCP 停止採樣為止，其縱軸為 Coherence Square。

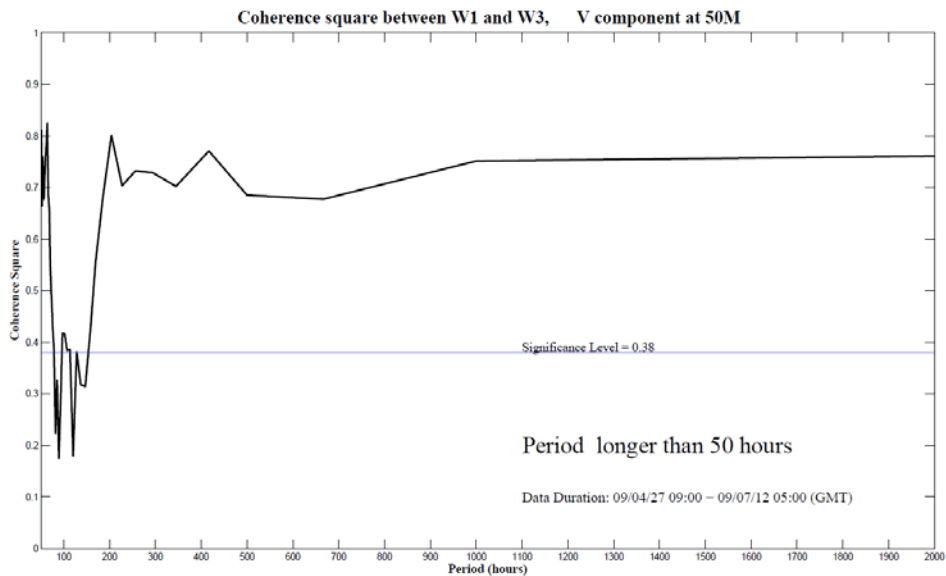


圖 24 W1 與 W3 於水深 50 公尺之 V 分量相關性分析，資料區間為當地時間 4 月 27 日下午 5 點至 7 月 27 日下午 1 點 W3 站 ADCP 停止採樣為止，其縱軸為 Coherence Square。

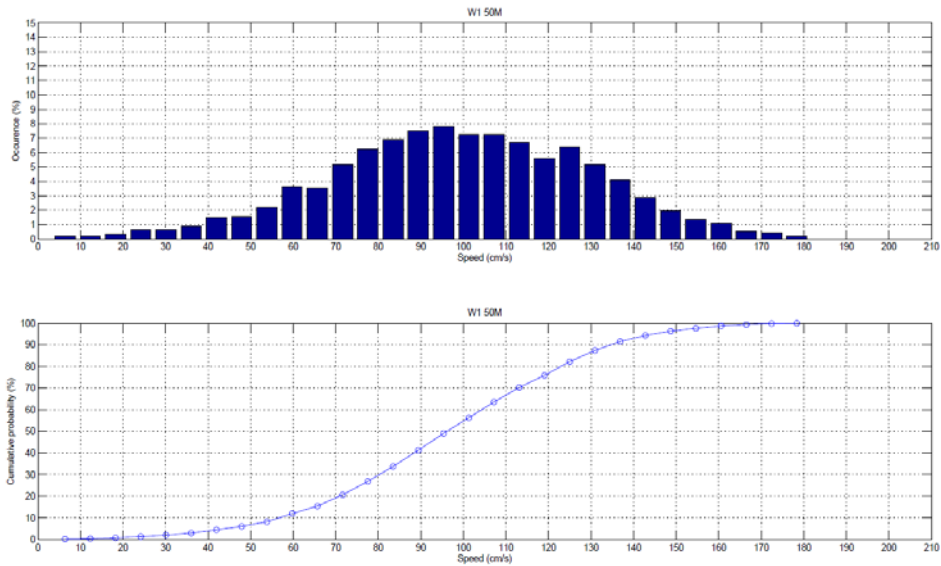


圖 25 W1 的水深 50 公尺經 36 小時低頻過濾後之流速(Speed)分佈統計直方圖(histogram)，下半部為流速的累進機率分佈圖(cumulative probability distribution)。

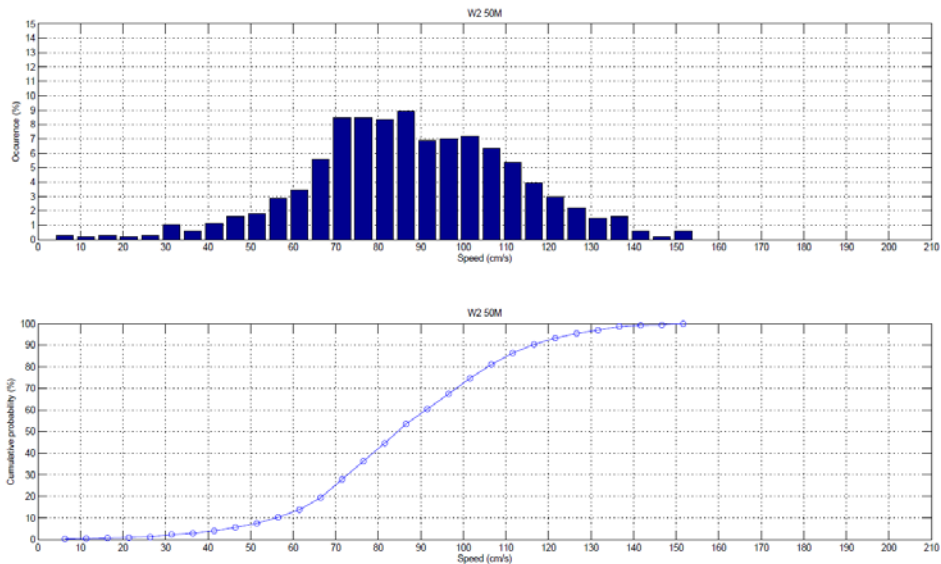


圖 26 W2 的水深 50 公尺經 36 小時低頻過濾後之流速(Speed)分佈統計直方圖(histogram)，下半部為流速的累進機率分佈圖(cumulative probability distribution)。

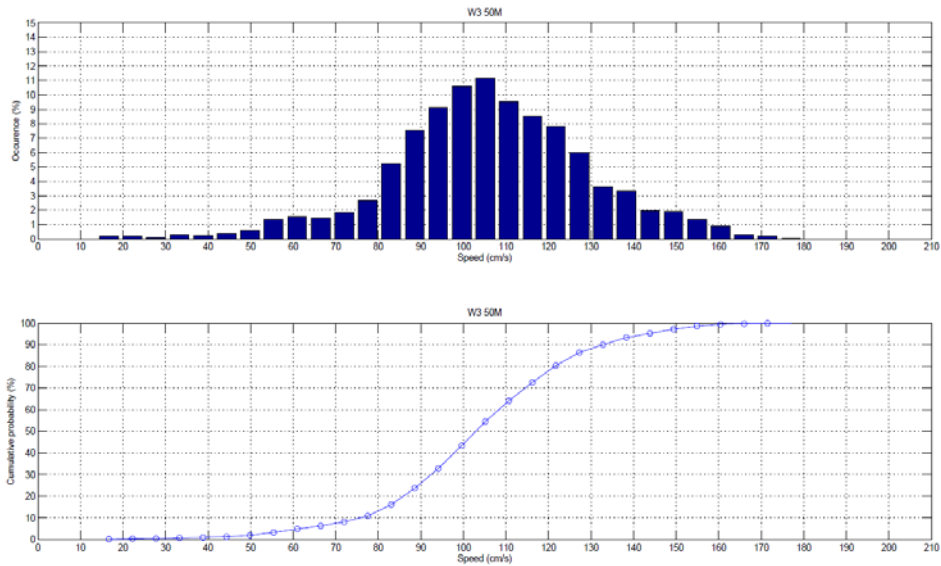


圖 27 W3 的水深 50 公尺經 36 小時低頻過濾後之流速(Speed)分佈統計直方圖(histogram)，下半部為流速的累進機率分佈圖(cumulative probability distribution)。

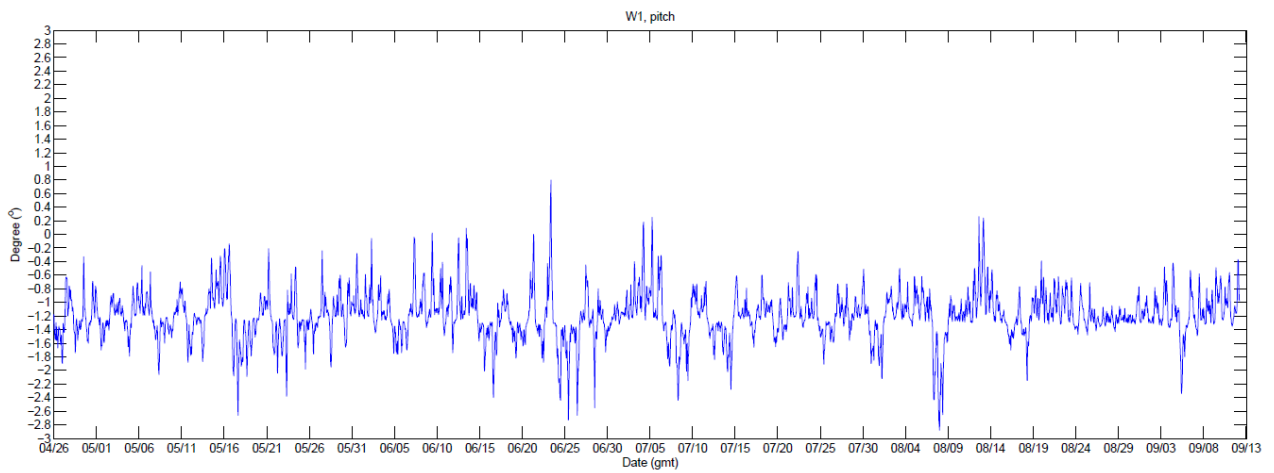


圖 28 W1 站 ADCP 上所記錄之傾斜角變化。

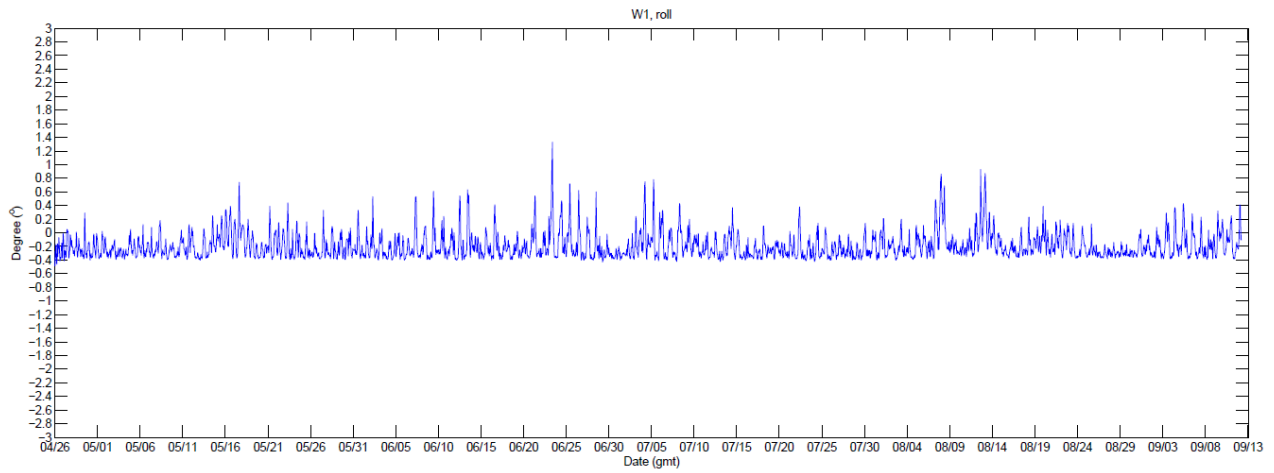


圖 29 W1 站 ADCP 上所記錄之旋轉角變化。

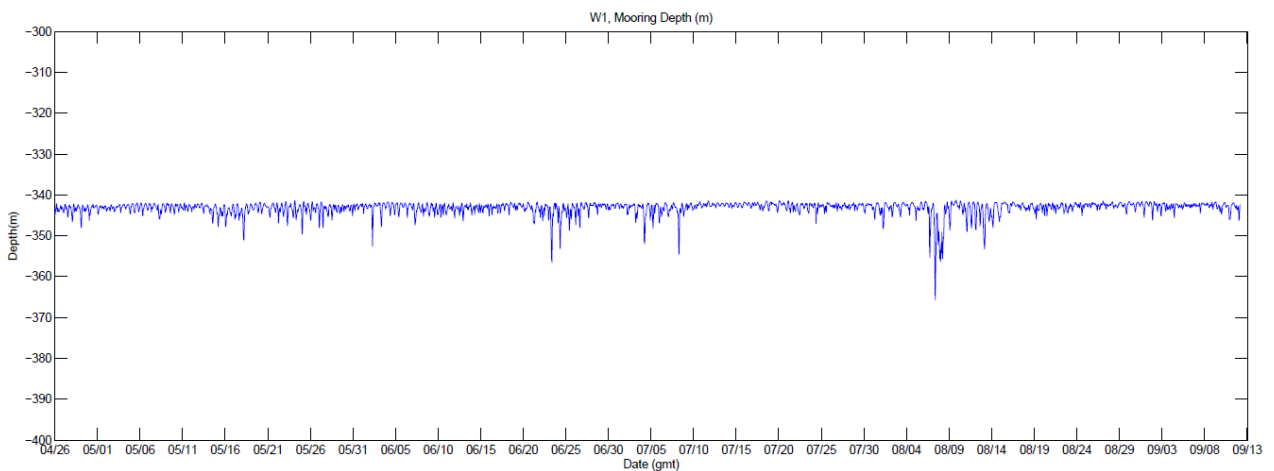


圖 30 W1 站 ADCP 上所記錄之水深變化。

第二節、拖曳式測流(海流空間上變化)

利用拖曳式都卜勒流剖儀(ADCP)，進行平面流場測繪，除了硬體設備及現場操作技術外，同時應用海潮流分析的技術(Wang et al., 2003；2004)，將觀測資料經回歸分析得到潮流與平均流之空間分佈。實際作業時，雇用漁船，以雙船作業模式進行拖曳，收集沿測線的連續海流時序資料。

使用儀器為美國 RDI 公司生產之長距型(75k Hz)都卜勒海流剖面儀(ADCP)及美國 LinkQuest 公司生產之長距型(75k Hz 和 150k Hz) 都卜勒海流剖面儀(ADCP)，將 ADCP 架設於拖曳架上，結合 GPS 及 Bottom tracking 功能進行移動式測流，可有效量測 500 公尺水深之海流垂直剖面資料。

圖 31 為拖曳式 ADCP 航跡圖，於台東至綠島間橫跨黑潮設測線拖曳 ADCP，日期為 2009/4/7~4/12 和 2009/9/15~9/17，共進行 9 天現場海流量測，每間隔 1.5 公里，共 24 條橫跨黑潮測線，涵蓋範圍東西向約 27 公里，南北向約 36 公里，每 16 公尺一層從表層至水深 500 公尺。

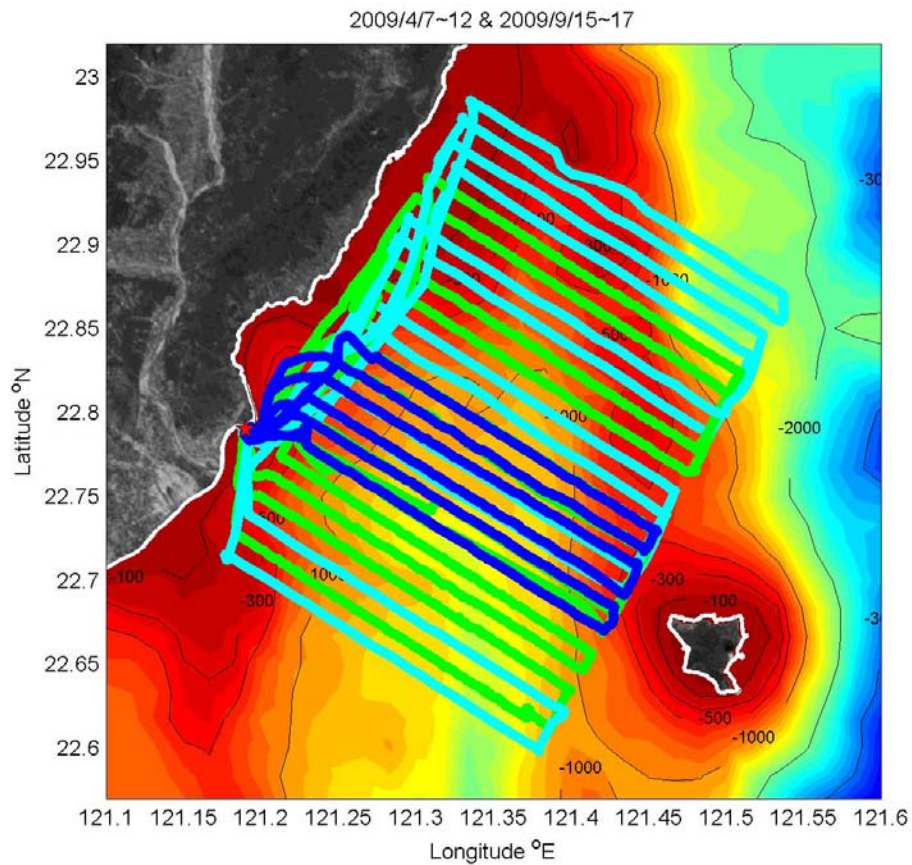


圖 31 拖曳式 ADCP 航跡圖(3 條船)。

將拖曳所得之海流資料進行空間流場平均(如圖 32)，由圖中顯示平均流場方向是受黑潮和地形影響，沿著海岸線向北流，而越往底層因受海底峽谷地形影響流向越不規則。此海域表層流速達 100 cm/s 以上，而水深超過 100 公尺後，流速開始隨深度減弱。

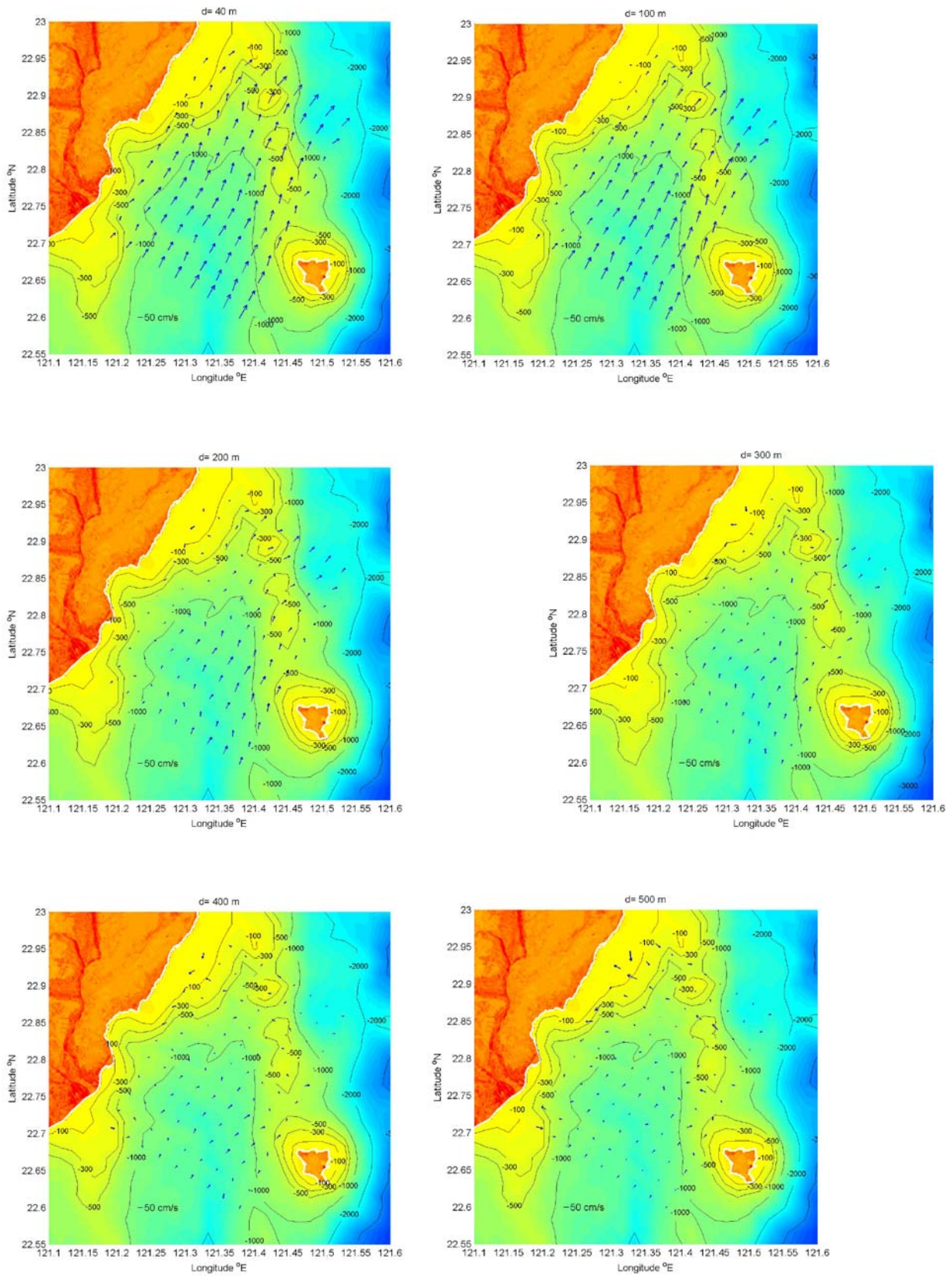


圖 32 不同深度空間流場。

將兩次作業的漲退潮時段分別此海域之流場情況，圖 33 為 4 月及 9 月拖曳作業時漲退潮的潮位變化，圖中紅、藍線分別為拖曳作業的退潮及漲潮時段。由潮位資料分別整理漲潮與退潮時流場(圖 34)，可以看到不論漲退潮時期，流場皆受黑潮作用沿著海岸線向北流，而漲潮時流速較退潮時強，且漲潮時流向較為穩定。

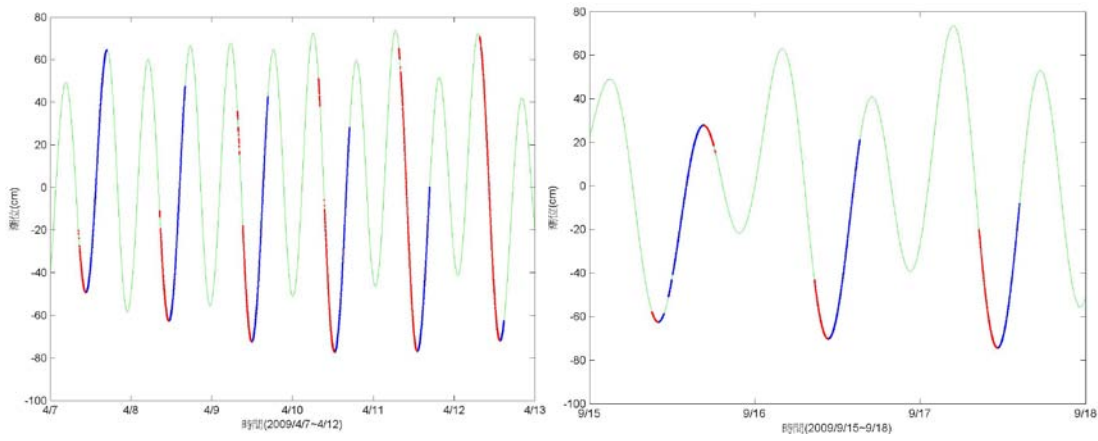


圖 33 作業時間之潮位變化。左圖為 4 月，右圖為 9 月。圖中紅線為拖曳作業時退潮時段，藍線為拖曳作業時漲潮時段。

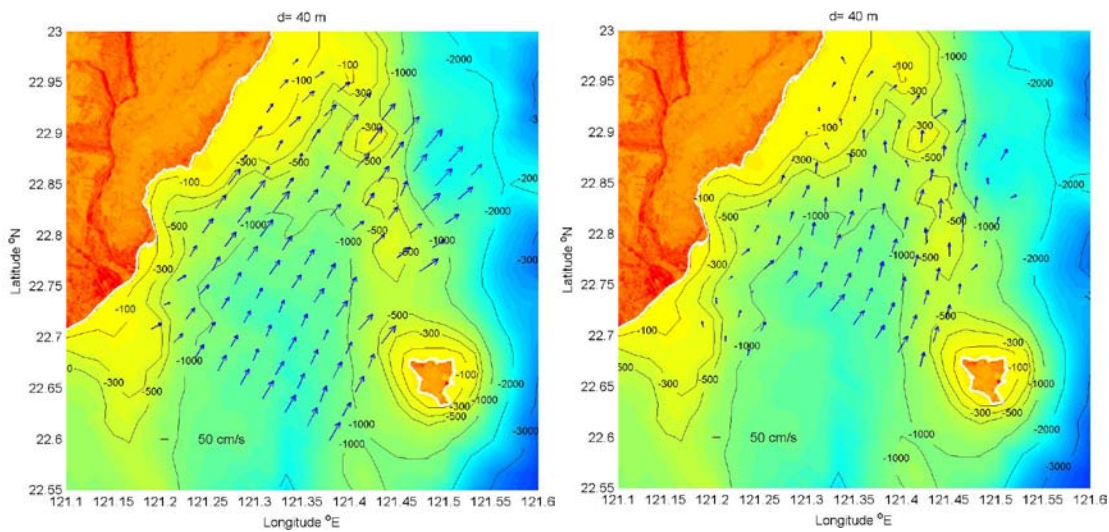


圖 34 漲退潮時期之表層空間流場。左圖為漲潮時段，右圖為退潮時段。

圖 35 為潮流橢圓與平均流之空間流場圖，由圖中顯示從表層到水深 100 公尺處，主要是受黑潮影響之向北的平均流，流速 100 cm/s 以上，水深超過 200 公尺後，潮流的影響漸超過黑潮的向北平均流，潮流多為南北往返運動，平均流皆向北流動，只有在綠島北面海脊處，潮流及平均流皆沿著海脊缺口偏向東流出此海域，水深愈深海脊造成海流偏轉的影響愈大。

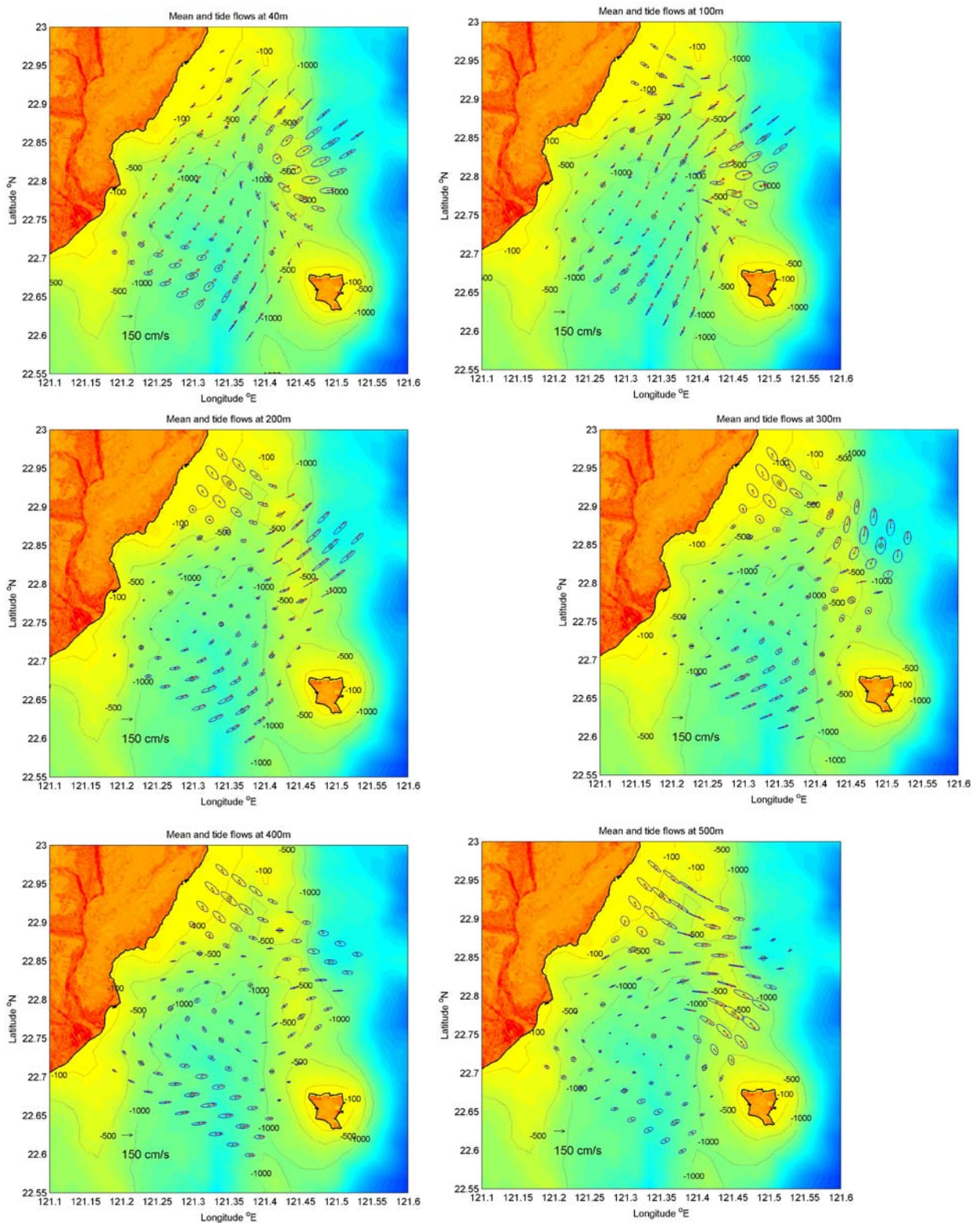


圖 35 不同深度潮流橢圓及平均流流場。藍線為潮流橢圓，紅線為平均流。

討論海流的垂直剖面狀況，選取由富岡到綠島最近距離的橫切面及中線縱切面(如圖 36)，圖 37 左圖為富岡到綠島最近距離的垂直平均海流流矢圖，此橫切面海流的流向相當一致，皆向東北流，表層流速較強，水深超過 100 公尺後，流速明顯隨深度增加而減弱，中間區域流速較兩岸略強。圖 37 右圖為觀測區域中線的垂直海流棍棒圖，圖中可以看到此橫切面海流流向皆為東北流向，在北緯 22.75 度到北緯 22.85 度之間的海流流向略偏向北，且整層流速明顯較其他位置小，可能是受到海底峽谷變淺的底層摩擦效應。當海流過了北緯 22.85 度後，水深 75 公尺至 300 公尺處的海流流速增強，可能受水深變淺，水體依據能量守恆定律，流速增加，而底層海流受海底摩擦力的影響，流速明顯減弱且流向變化較大。

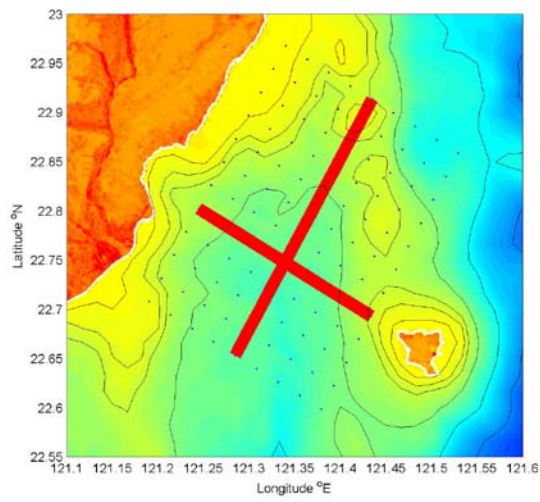


圖 36 平均流橫切點位圖

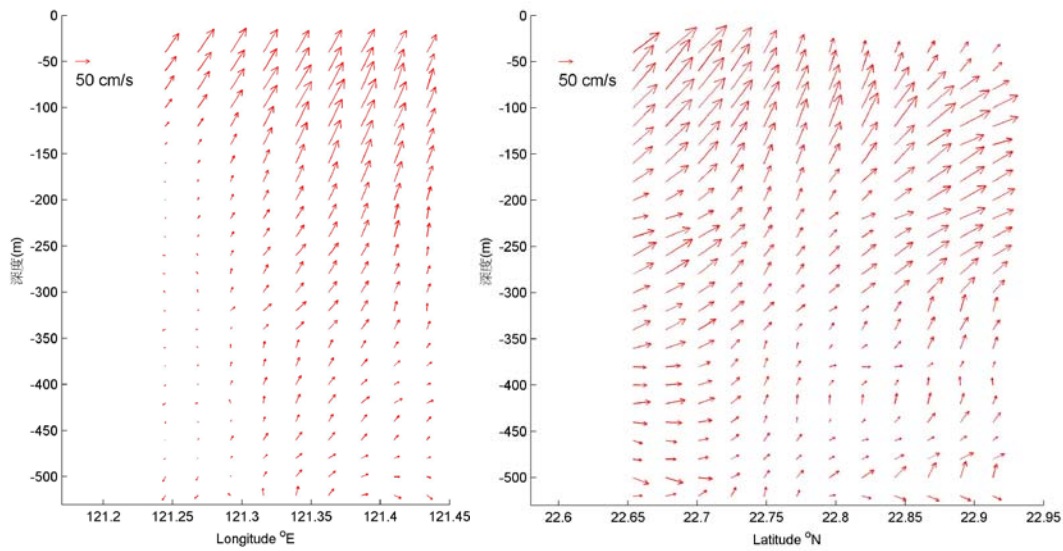


圖 37 橫切面各深度海流流矢圖。左圖為富岡到綠島橫切面各深度海流流矢圖，右圖為觀測區域中線橫切面各深度海流平均流流矢圖。

最後以流速線圖(stream line)與渦度圖(vorticity of flow)來看此海域的流場變化，圖 38 是將水深 500 公尺以上海流資料繪製出流速線，可以看到海流會受綠島北邊海脊與海底峽谷淺化影響而造成偏轉，由圖 39 渦度圖也可以看到綠島北邊海脊處各有 1 個正渦度與 1 個負渦度，也可以看出海脊影響海流的方向。

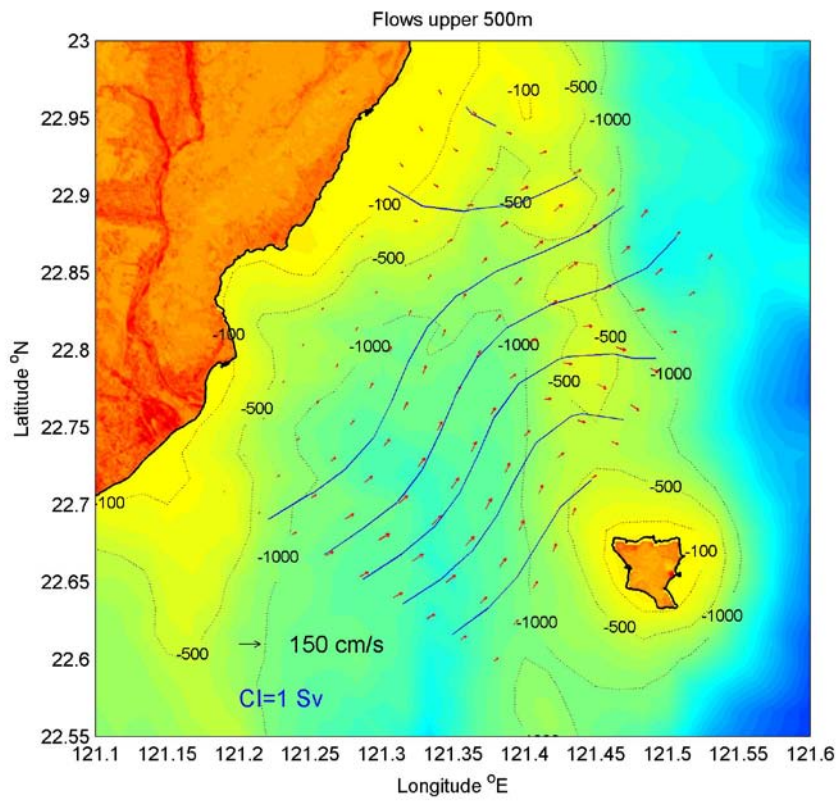


圖 38 水深 500 公尺以上海流之流速線圖。

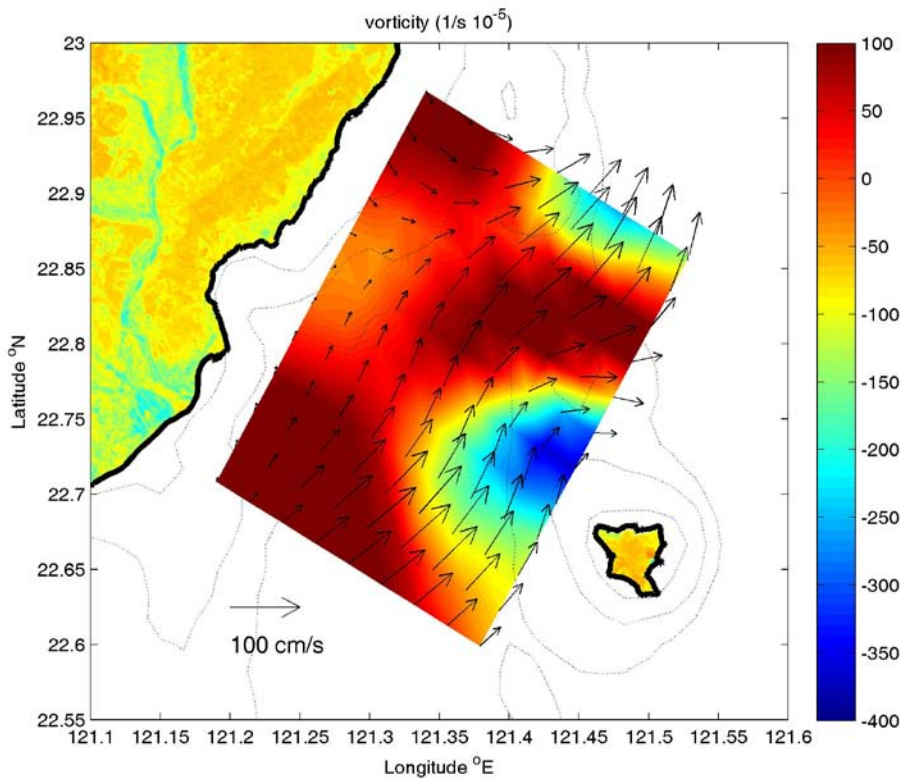


圖 39 水深 500 公尺以上海流、渦度(色階)圖。

經分析以上資料後，初步得到以下結論：

- 一、此海域表層流速達 100 cm/s 以上，而水深超過 100 公尺後，流速開始隨深度減弱。
- 二、流場受黑潮影響沿著海岸線向北流，受潮流調節，漲潮時段流速較退潮時段強，漲潮時流向較為穩定。
- 三、在綠島北面海脊處，潮流及平均流受海脊影響而沿著海脊缺口偏向東流出此海域，水深愈深海脊造成海流偏轉的影響愈大。

四、富岡到綠島間橫切面的平均流，上層 100 公尺之流速超過 100 cm/s，流向相當一致，流向東北，100 公尺深以下流速逐漸減弱，東側流速大於西側，即主要海流貼向綠島側斜坡流向東北。

五、南北向縱切面之平均流，在北緯 22.75 度到北緯 22.85 度之間海流整層流速明顯較其他位置小，可能是受到海底峽谷變淺的影響使海流造成變化。當海流過了北緯 22.85 度後，水深 75 公尺至 300 公尺處的海流流速增強，可能受水深變淺，流速增加，而底層海流受海底摩擦力的影響，流速明顯減弱且流向變化較大。

六、綠島北邊海脊處各有 1 個正渦度與 1 個負渦度，從流線也看到海流偏轉的情形，平均流通過綠島北邊海脊與海底峽谷受淺化影響而轉向。

五之二、地形精密調查

1. 資料的蒐集過程

本計畫調查的區域範圍位在台東東河和綠島之間的水域，其中水深範圍可大於兩千公尺，在以前該地都缺乏精確的水深資料，甚至水深資料都很稀疏，也因此本計畫希望使用更精密的水深測量系統去量得計畫區域的水深值，用這些水深值來繪製可供學術甚至工程參考用的海下地形圖。

調查前原擁有 SeaBeam1180 多音束測深系統，但這個系統最大的測距深度為 600 公尺，因此不足調查本區域的水下地形。也因此我們將 SeaBeam1180 系統送到德國原廠升級，升級內容包括加購一 50KHz 的音鼓一組，並在多音束主機內加入控制單元(圖 40)，使得其型號改變為 SeaBeam1050D(圖 41)，更新完成後，本系統可選擇使用 180KHz 或 50KHz 的音鼓作測深測量作業，當使用 50KHz 的音鼓作業時，測深能力為 3000 公尺，總音束寬度為 153 度，個別音束的解析力為 1.5 度 X1.5 度，每一剖面將有 126 個音束。



圖 40 SeaBeam 1050 多音束測深機主機，在本計劃作業中架設在漁船上。



圖 41 SeaBeam 1050 多音束測深系統簡介說明。

當系統完成更新後，共有以下的準備工作必須進行；

1. 將購入的音鼓依設計圖製作音鼓套具。
2. 製作音鼓桿及音鼓架(圖 42)。
3. 選購表面聲速儀。
4. 儀器組裝。
5. 現場測試。

上述工作完成後，我們在 98/5/11~98/5/17 從花蓮港洽租 T2 型漁船移到成功港組裝儀器，包括裝置音鼓架(圖 43)，測試表面聲速測量器(圖 44、圖 45)，最後在音鼓上方架設運動感應器(圖 46)以及電羅經。然後將這些周邊裝置連線到測深主機系統，利用資料蒐集軟體 HydroStar 操控測深主機及蒐集的參數(圖 47)，並利用 Hysweep 程式蒐集水深及周邊系統的蒐集資料。



圖 42 工作人員在音鼓支架安裝完成後，準備把它吊掛到碼頭旁的作業船上。

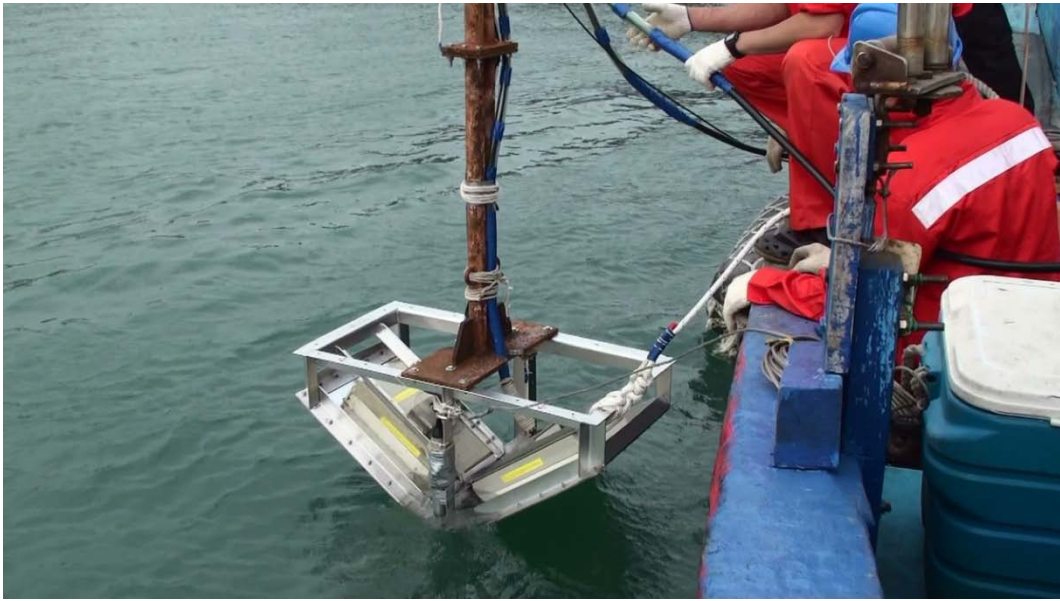


圖 43 測深機音鼓置於特製的音鼓架後，置入水中，架設於船舷邊。

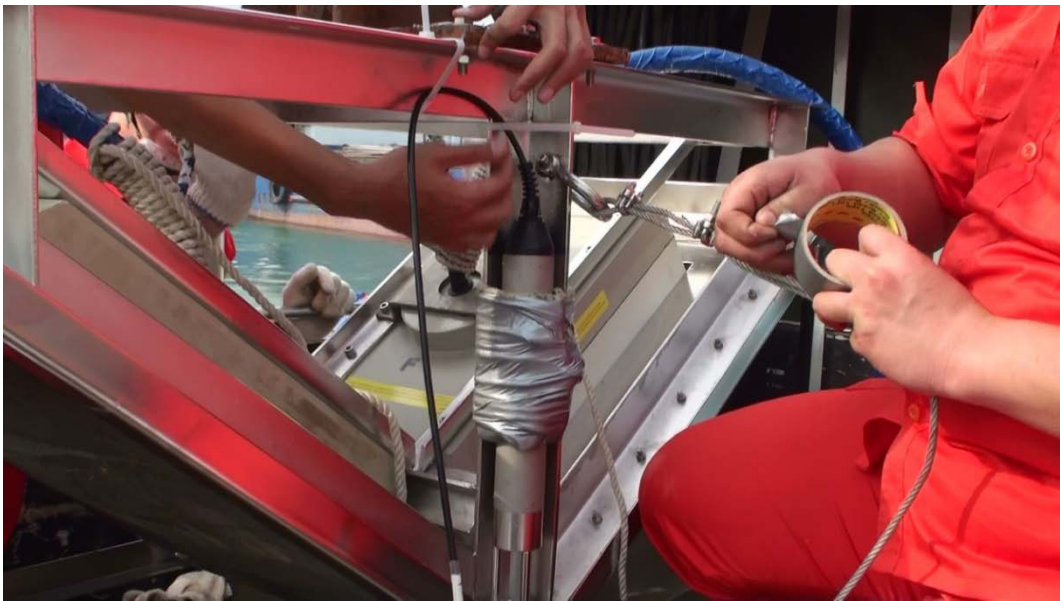


圖 44 將表面聲速計 Digibar 的感應器架設於音鼓架上。



圖 45 作業時，表面聲速計數據資料的接收畫面。

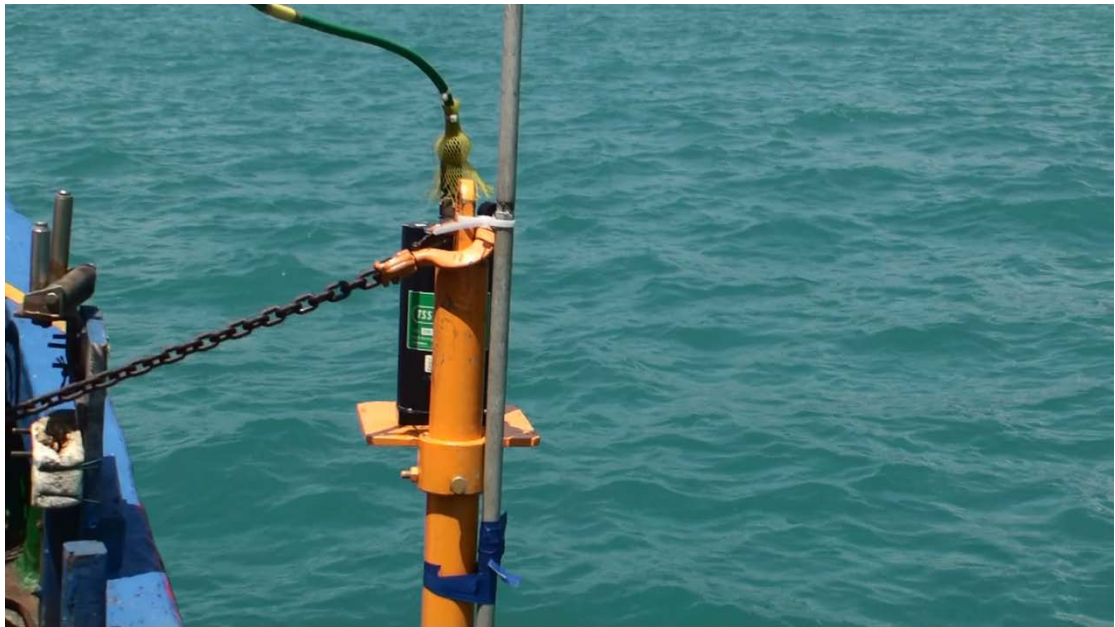


圖 46 船體姿態感應器架設於音鼓支架上，用來量測音鼓隨船移動時的變化姿態角度。

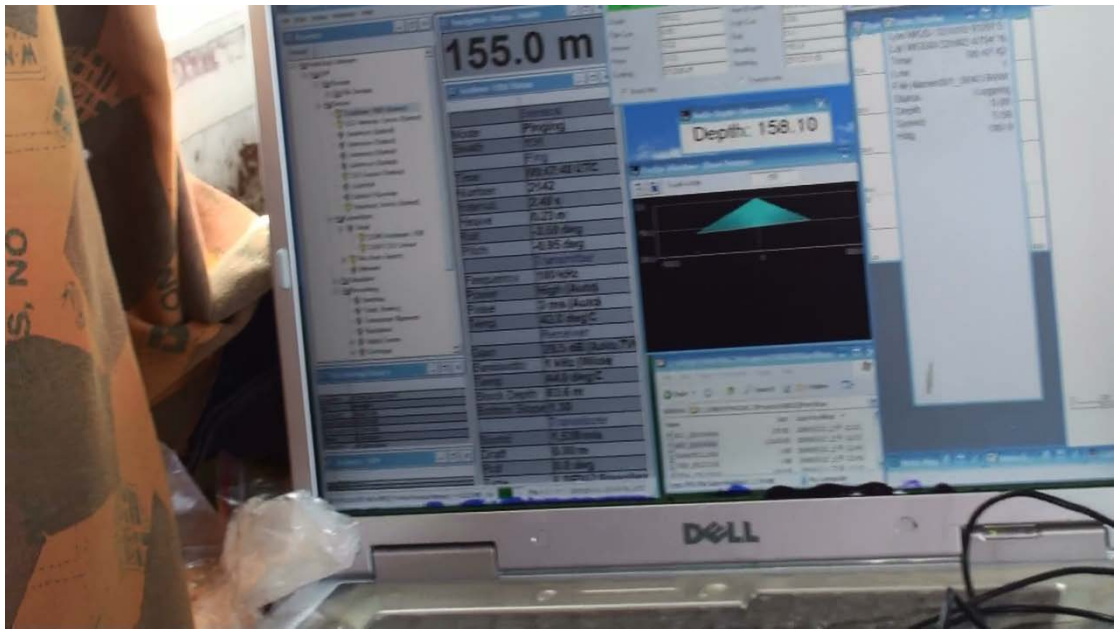


圖 47 SeaBeam 1050D 測深機作業時的監控即時畫面，畫面上顯示多音束中央音束的測值和音束的涵蓋範圍。

當系統組裝完成測試後，即可出海依照設定航線使用導航軟體進行水深測量工作，在期間我們必須每間隔六小時在特定區域測量水層的聲速剖面，這工作是由釋放 XBT(可拋棄式水層溫度剖面量測系統)來進行(圖 48、圖 49)。當水深剖面速度值利用水層溫度換算得知後，我們可以在實驗室做水深資料編輯工作時，去做水深的資料的校正工作。

為方便了解測區下海床的底質特性，本計畫在作業時也同時在測量船上裝上了 3.5KHz 反射震測剖面系統，這個系統使用了九顆 3X3 的音鼓陣列(圖 50)，資料結果可供繪製測深機中央音束所經過的海床地層剖面圖。



圖 48 作業同時，必須用 XBT 獲得水層的聲速剖面資料；照片為測量人員在發射 XBT 彈頭。

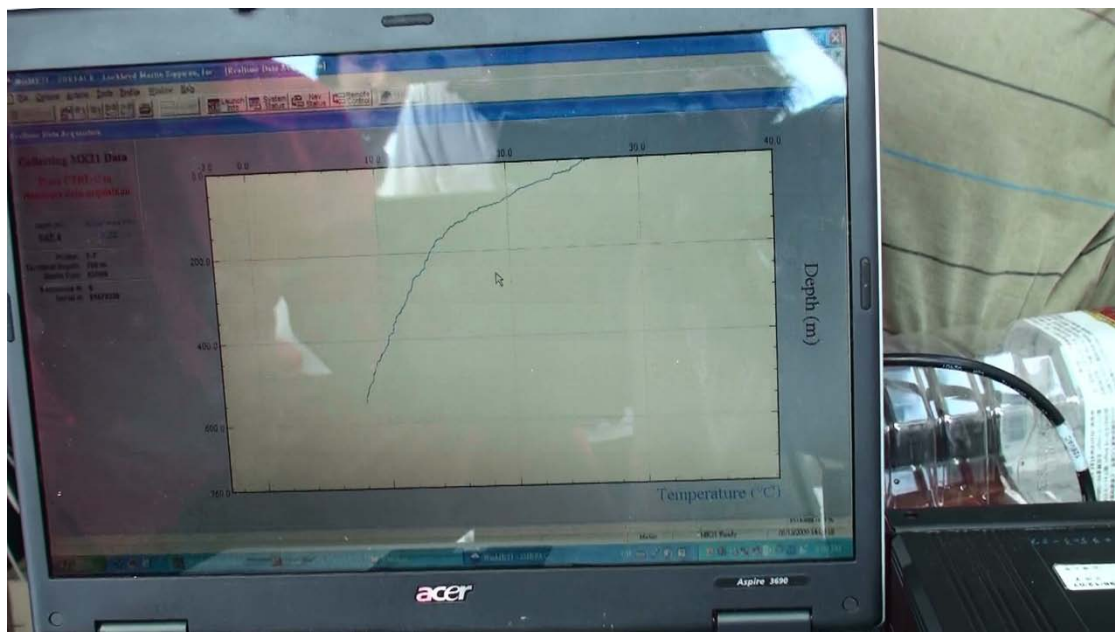


圖 49 XBT(拋棄式水層溫度量測器)所接收到的水層溫度變化剖面。



圖 50 水深量測作業時，在船側也安裝一套 3.5KHz，地層剖面音鼓陣列用來量取多音束測深中央音束下方的地層淺層剖面。

2. 研究成果

本調查經過兩個航次，第一個航次主要進行的是深水部分，第二航次主要進行的是在陸坡的淺水部分，每個航次資料蒐集的時間約一周，共進行了多音束測深作業和 3.5KHz 淺層反射震測作業兩種。

第一航次的水深資料所繪製的海底地形圖見圖 51，地形圖的區域範圍東西向 15 公里，南北向 30 公里，區域中水深最深有 2000 公尺，最淺約 100 公尺，這個區域是從綠島向北北西延伸，一直到台東成功的外海處，在地形圖上可以看到區域內有一連串的錐狀地形南北相連，我們分別把它命名為東河海脊、南東河海脊、北綠島海脊(圖 52、53)，這三個海脊相隔約 6 公里，北邊的兩個海脊較淺，南邊的海脊較深。另外我們可以看到地形圖的最南方的淺部，是從綠島向海延伸的海床，這個部分的海床我們稱之為綠島海脊。

在圖 54 中清楚顯現出東河海脊的地形，東河海脊看似一個獨立的火山錐狀體，它的表面看不到任何的沉積物層(圖 55)，在海脊的西北方約 3 公里遠處，可以看到一個溝狀地形，深度從南方向北北東方延伸並漸淺，到水深 600 公尺。這個溝狀地形寬約 1 公里，屬於所謂的三八海底峽谷的中游段。在東河海脊的頂部北邊較淺、南邊較深，頂部面積約 1~2 公里長寬，最淺的地方在海脊頂部的西北側，深度約 90 多公尺。

位在東河海脊的南邊有另外一個形貌相似的海脊，稱之為南東河海脊(圖 56)。南東河海脊的南坡和東坡較其他方向的坡度陡，從地形圖上似乎可以隱喻南東河海脊的南側被一個斷層所截斷。海脊的頂部深度較東河海脊深，面積也較寬，深度大致上在 140~160 公尺(圖 56、57)。

位在南東河海脊的南側 6 公里遠，另出現一個海脊，稱之為北綠島海脊(圖 58)，這個海脊基部較寬，當它向上延伸的時候，頂部的區域也較深，分布的較廣。較淺的脊頂，分散在三個位置，它們的頂部深度大致上是 260 公尺、190 公尺及 210 公尺。這個起伏態勢清楚的在震測剖面上呈現(圖 59)，在震測圖上，同樣的也沒有看到有清楚的沉積物覆蓋在海脊的頂部和坡上，表示這裡受到了黑潮流的影響，有任何的沉積物，都會隨流帶走，無法沉積在海床上。

從北綠島海脊向南延伸，海床可一路延伸到綠島。北綠島海脊的頂部距離綠島起碼有 12 公里遠，但是它們當中的海床也是屬於海脊基部的一部分，深度從 450 公尺到 600 公尺不等。

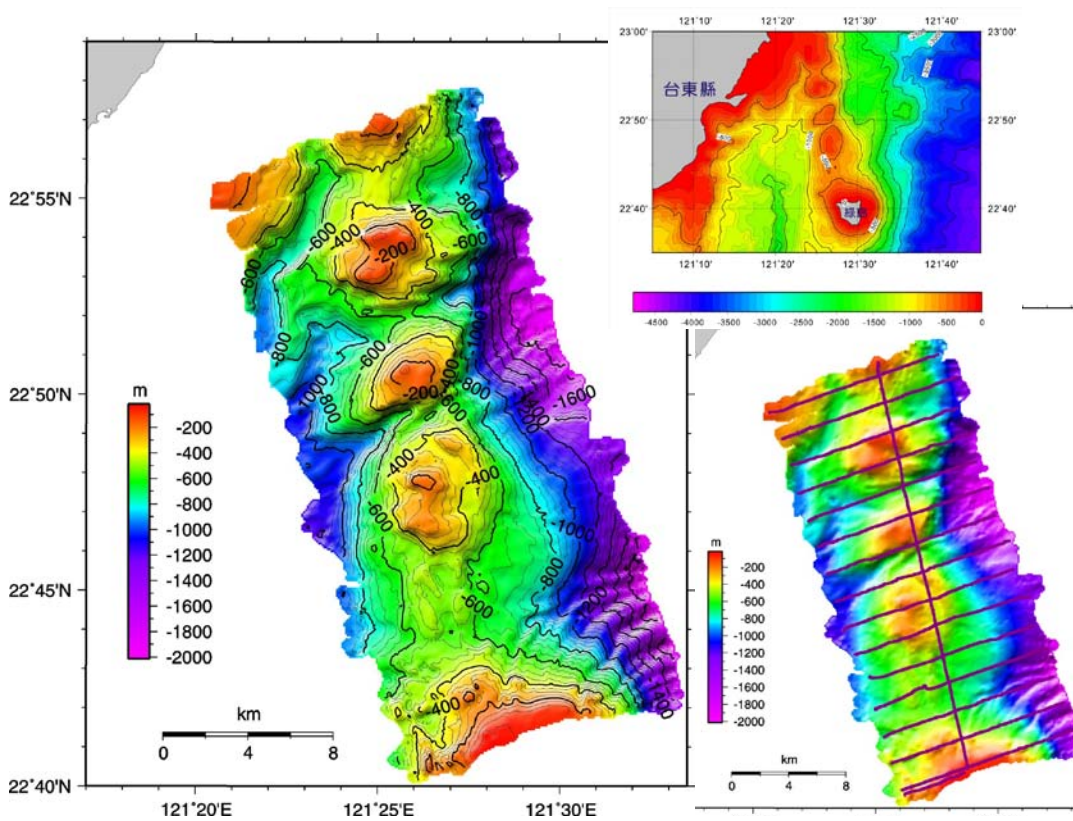


圖 51 本計畫第一次出海作業的測深成果(98/5/11~98/5/17)，右側的圖紫紅色線表示測深作業的測線位置。左邊的圖表示測值所繪出的彩色 2D 地形圖，左側的色柱表示不同的水深值，圖上的水深等深線間距為 200 公尺。圖的右上插圖為作業區域圖，本圖上的地形使用的為利用海科中心的單音束測深內插資料繪製而成，可以看出它的地形表現較本計畫之結果粗略許多。

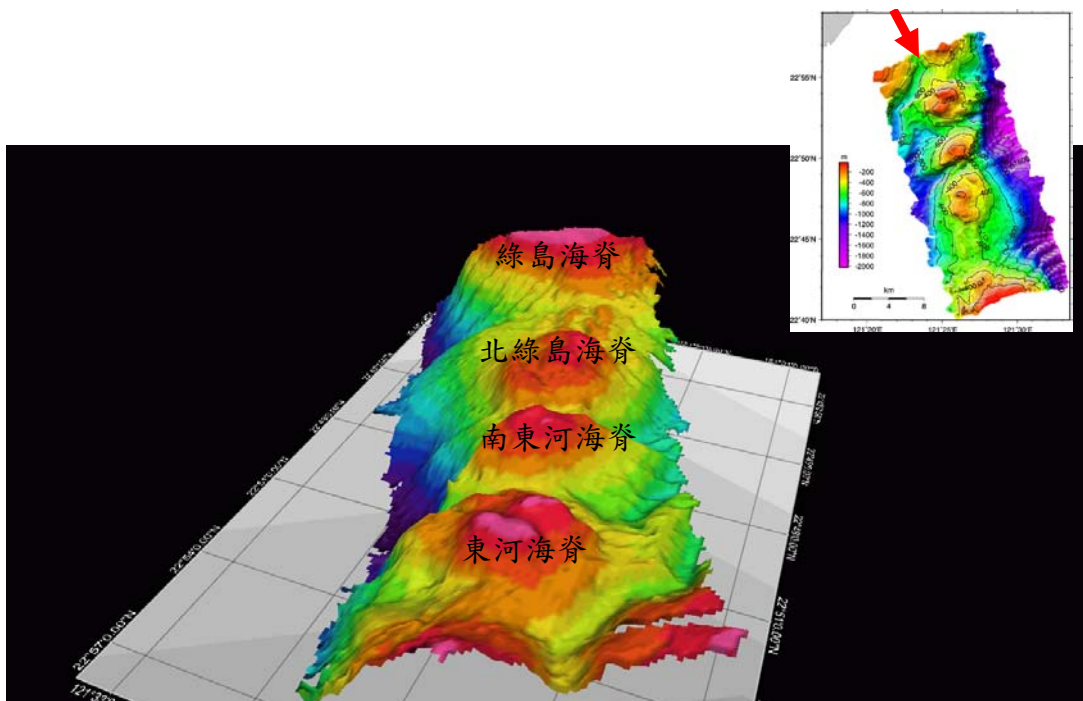


圖 52 使用 Fladermaus 軟體 3D 展示作業的成果圖，視角是從西北往東南看(見右上角插圖上的箭頭指示)。在圖上出現了三個獨立圓錐狀海脊，依其所在的地理位置分別命名為東河海脊、南東河海脊、北綠島海脊、綠島海脊。位在最南邊的高區為自綠島延伸出海的島棚區域。在本報告中，將這個區域稱之為綠島海脊。

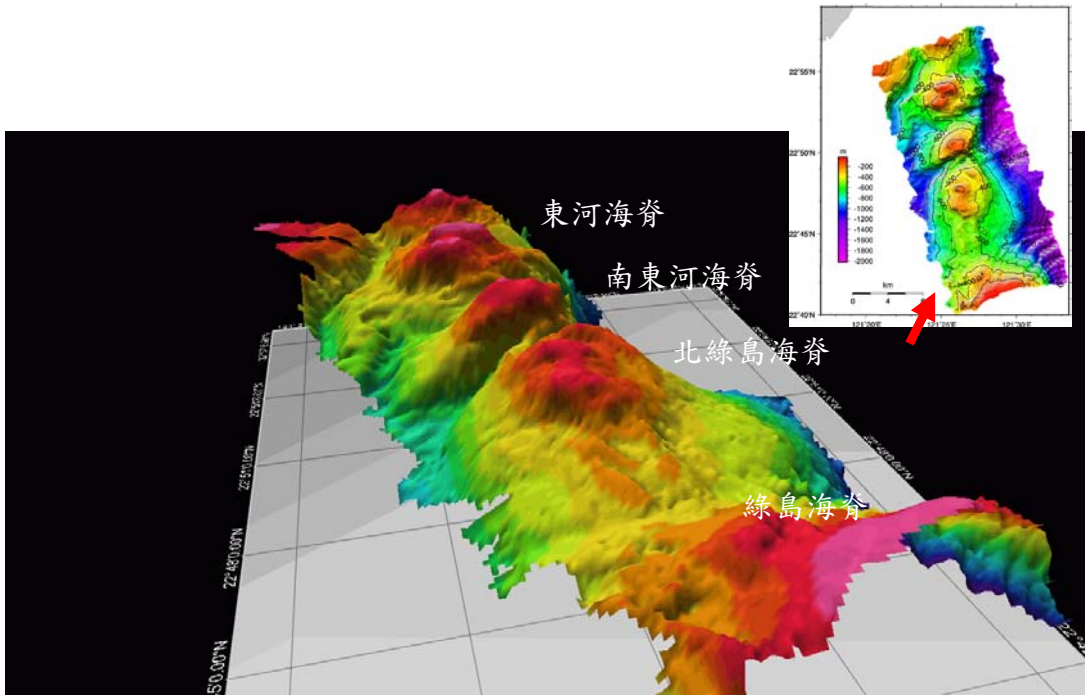


圖 53 使用 Fladermaus 軟體 3D 展示作業的成果圖，視角是從南往北看(見右上角插圖上的箭頭指示)。在圖上出現了三個獨立圓錐狀海脊，依其所在的地理位置分別命名為東河海脊、南東河海脊、北綠島海脊、綠島海脊。

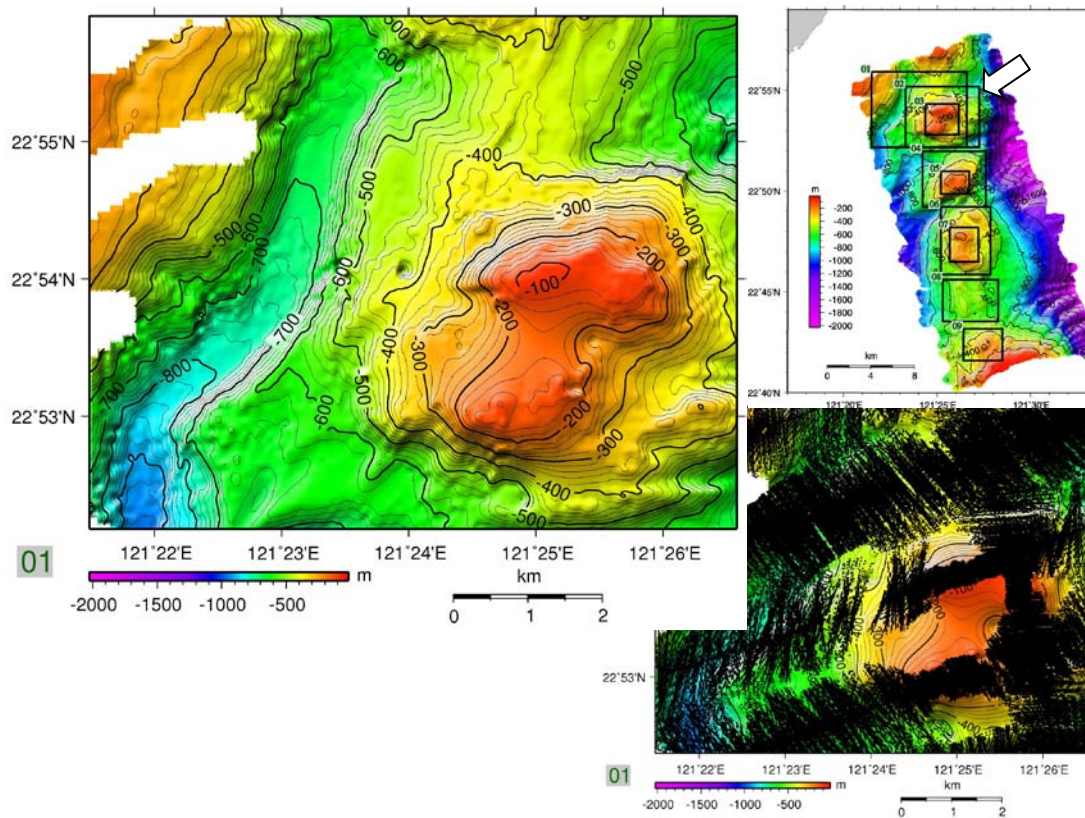


圖 54 東河海脊的 2D 地形圖。它的位置位在右上插圖箭頭所指處。右下插圖表示水深資料的分布範圍，不被黑色點覆蓋的區域表示該處沒有水深測量，故當地的水深等深線是由外圍資料內插繪製而成。

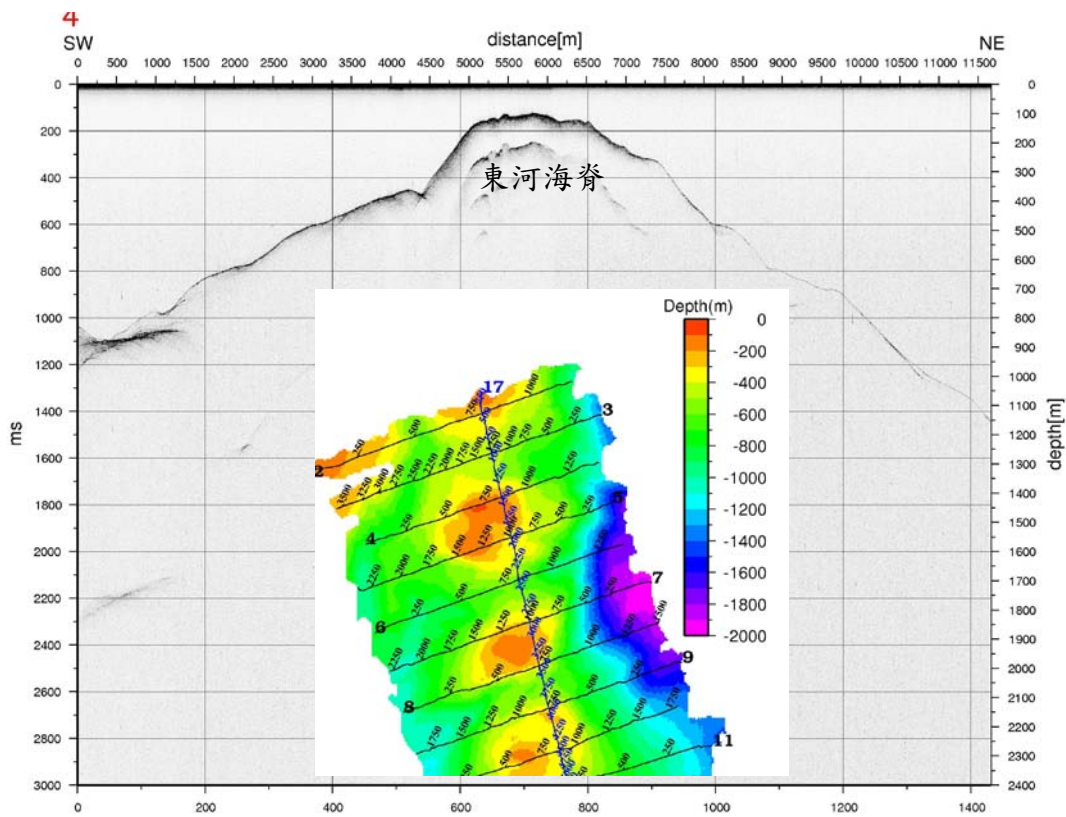


圖 55 穿過東河海脊的 3.5KHz 地層剖面圖，剖面位置請參見圖正下方的彩色圖之剖面四的位置，剖面位置圖上的數字為觸發炸點序號，這個序號出現在剖面下方的 X 軸上。

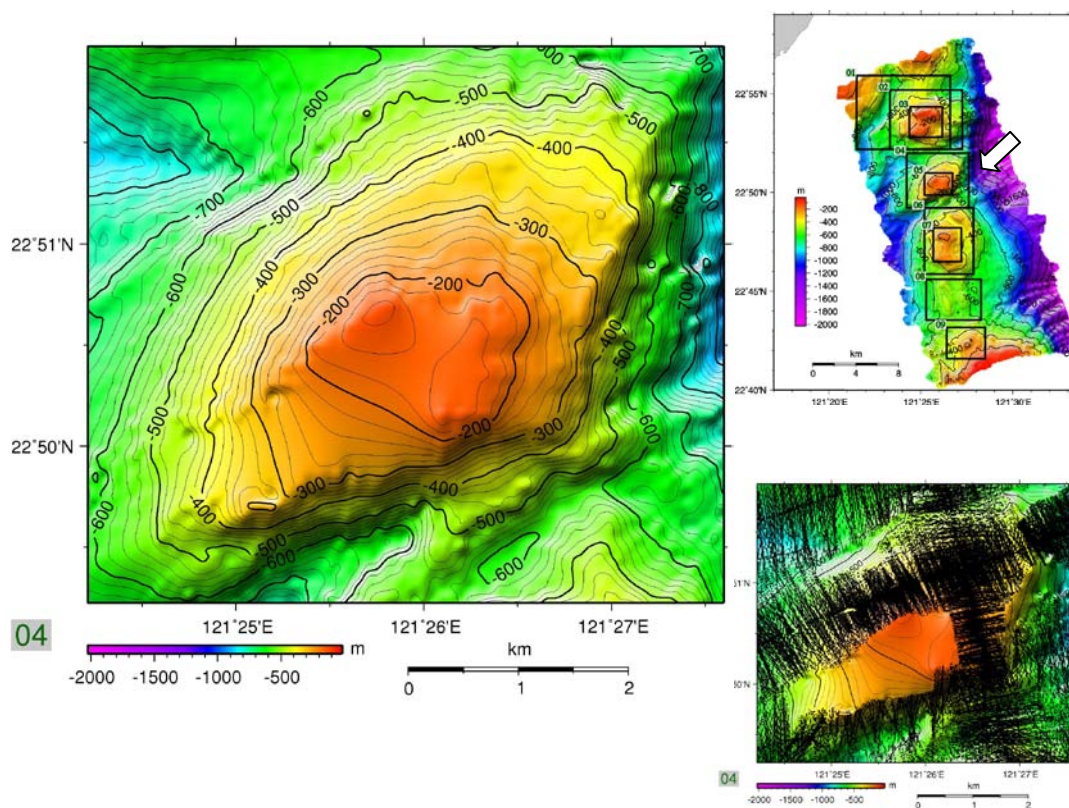


圖 56 南東河海脊的 2D 地形圖。它的位置位在右上插圖箭頭所指處。右下插圖表示水深資料的分布範圍，不被黑色點覆蓋的區域表示該處沒有水深測量，故當地的水深等深線是由外圍資料內插繪製而成。

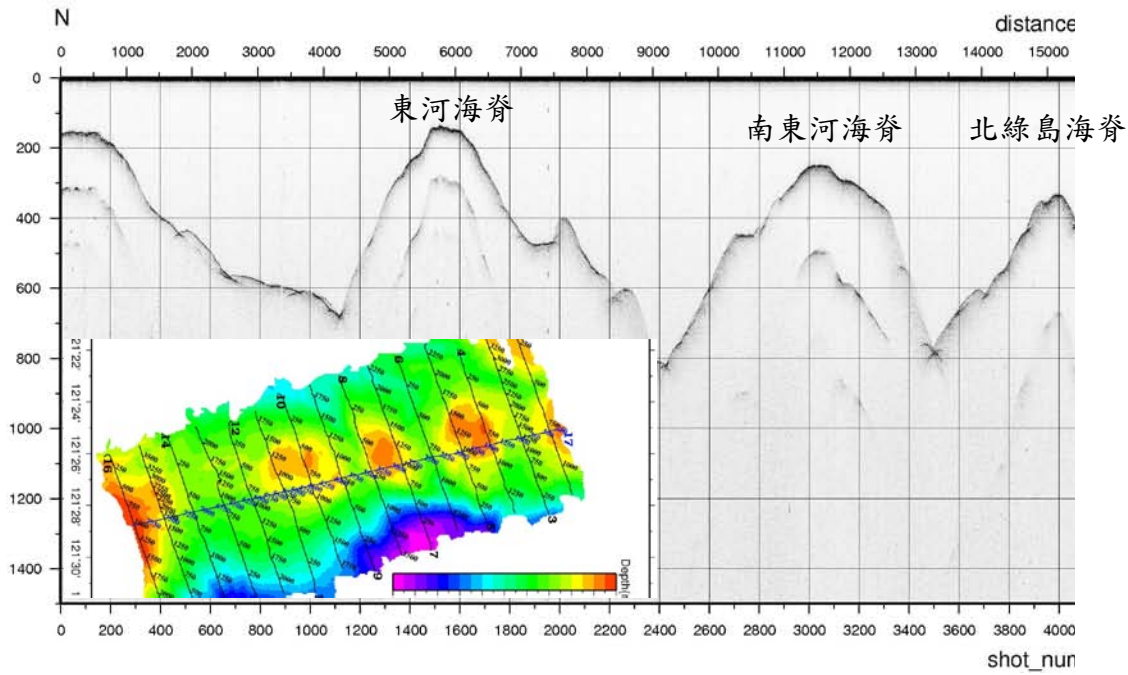


圖 57 穿過東河海脊、南東河海脊和北綠島海脊南北向的 3.5KHz 地層剖面圖，剖面位置請參見圖左下方的彩色圖之剖面 17 的位置，剖面位置圖上的數字為觸發炸點序號，這個序號出現在剖面下方的 X 軸上。

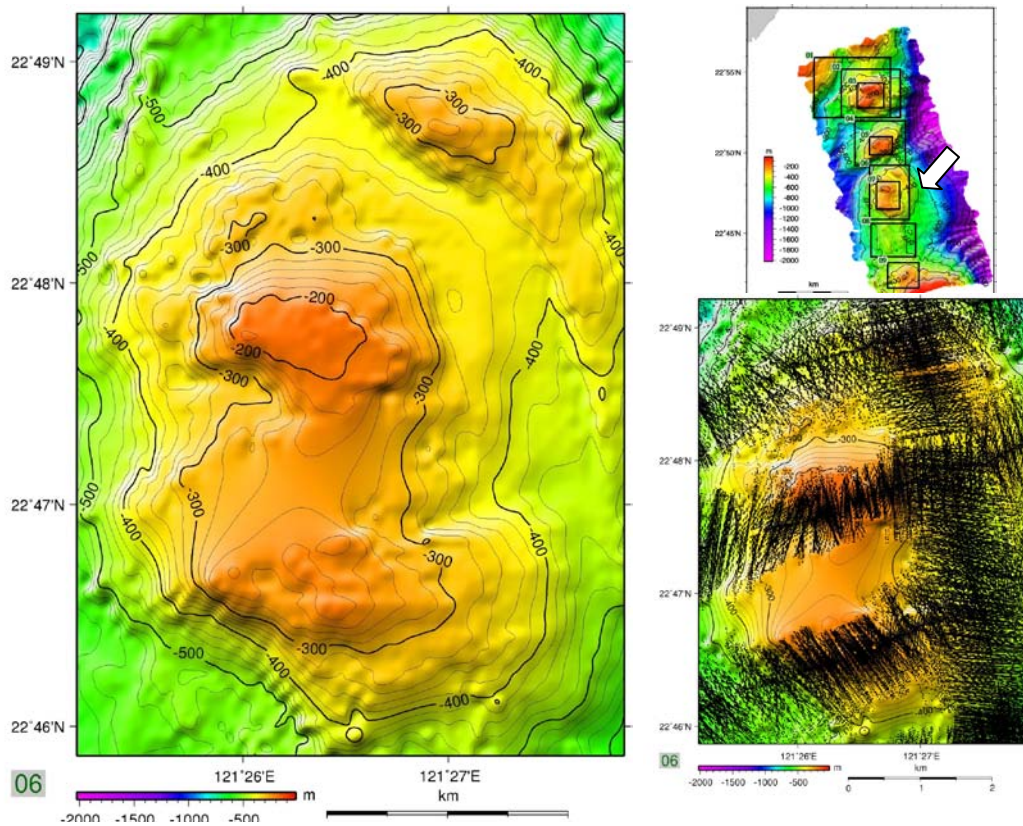


圖 58 北綠島海脊的 2D 地形圖。它的位置位在右上插圖箭頭所指處。右下插圖表示水深資料的分布範圍，不被黑色點覆蓋的區域表示該處沒有水深測量，故當地的水深等深線是由外圍資料內插繪製而成。

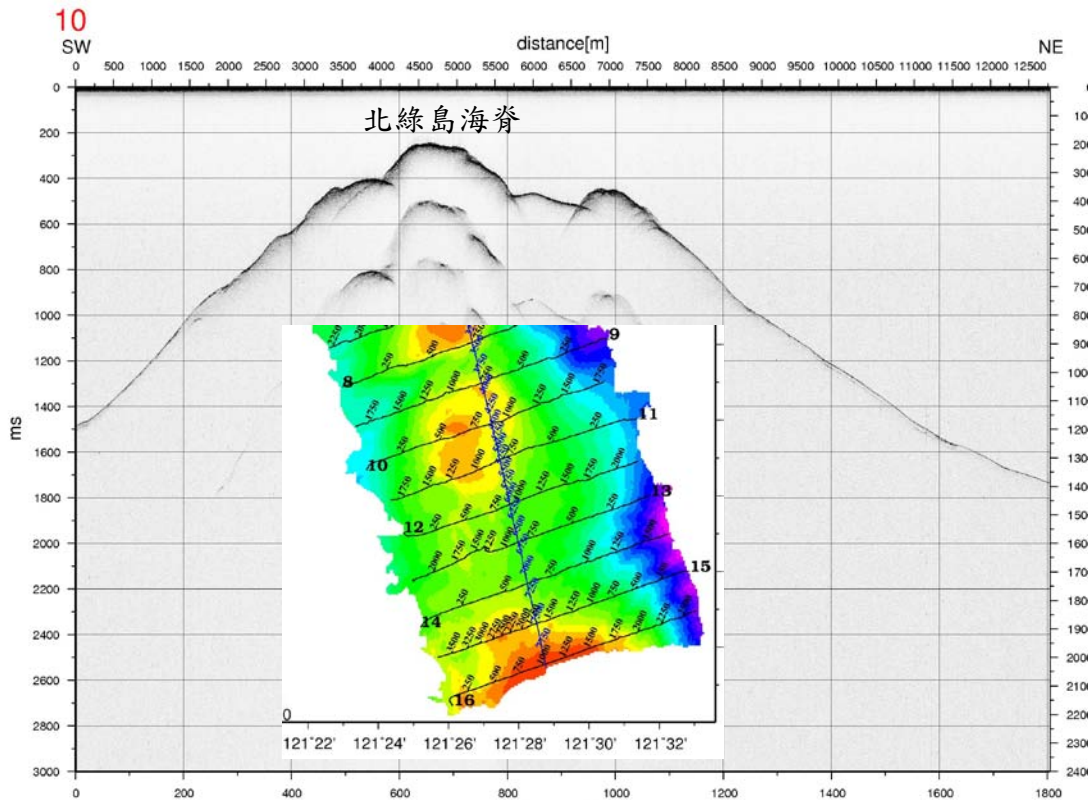


圖 59 穿過北綠島海脊東西向的 3.5KHz 地層剖面圖，剖面位置請參見圖正下方的彩色圖之剖面 10 的位置，剖面位置圖上的數字為觸發炸點序號，這個序號出現在剖面下方的 X 軸上。

由於第一航次的測深資料所顯示的地形圖，無法顯示海脊地形和近岸地形的延伸狀態，故在地形圖完成後，決定追加作業區域到近岸較淺的海床區，區域範圍請見圖 60。這個區域南北延伸約 12 公里，向西一直延伸到近岸水深約 50 公尺的位置，作業當中因所在的區域水深較淺，使用多音束測深的效率較差，航線的間距必須縮小到幾百公尺寬，其航線分布見圖 61。

依據第二航次的測深資料，我們把計畫區的近岸範圍繪製成近岸地形圖(圖 62)，因此可以看到，近岸的陸棚區，東河海脊和三八峽谷的相關位置和形貌。這個地形圖首次展現出台東成功外海的地形特徵，也第一次的展示出三八峽谷的走勢和地貌狀態。從近岸向外海延伸，較平坦的地形可一直延伸到水深約 150 公尺，也很清楚地看出這個地區的棚裂深度和位置，也座落在水深約 150 公尺處。越過大陸棚，在測區的南部跨越了三八峽谷，東河海脊遙遙相對。三八峽谷由測區的邊界向北延伸，它的源頭清楚地看到嵌在棚裂位置上，並沒有一直向近岸延伸，但是我們可以看到它有一個支流似乎一路延伸向北，和棚裂走向平行，使得我們在測區的北邊似乎可以看到有一塊陸坡被其切離而不和從陸地延伸而來的大陸棚相連接。

圖 63 是把第一航次和第二航次的結果資料合併所繪製出來的地形圖，這個區域的地形展示在圖 64 的 3D 立體地形圖上。在這兩張圖上可以清楚看到使用多音測深系統，其所展現的地形地貌解析度是比以往的資料來的高出許多，也發現了以往沒有看到的一些地形特徵，例如清楚地表現出三八峽谷的走勢和它的延伸狀態，近岸大陸棚分布的區域及深度範圍，以及清楚地展現位在成功綠島沿線中的海脊位置和它的形貌。3.5K 震測剖面也清楚顯現出在這區域的海床上，尤其在那些海脊占據的區域，都沒有沉積物覆蓋於其上。

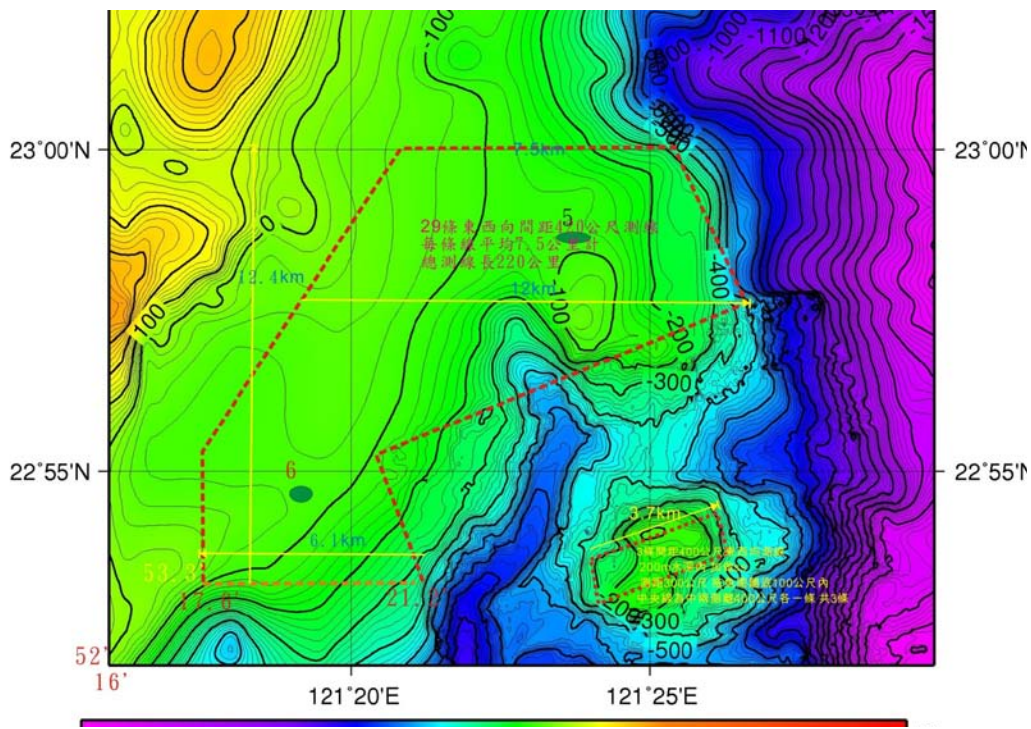


圖 60 本計畫第二航次的作業範圍(98/6/29~98/7/3)，作業區域見圖上的紅虛線框內範圍。本張地形圖在非第一航次的作業區域外都是使用海科中心單音束的內插資料繪製而成。

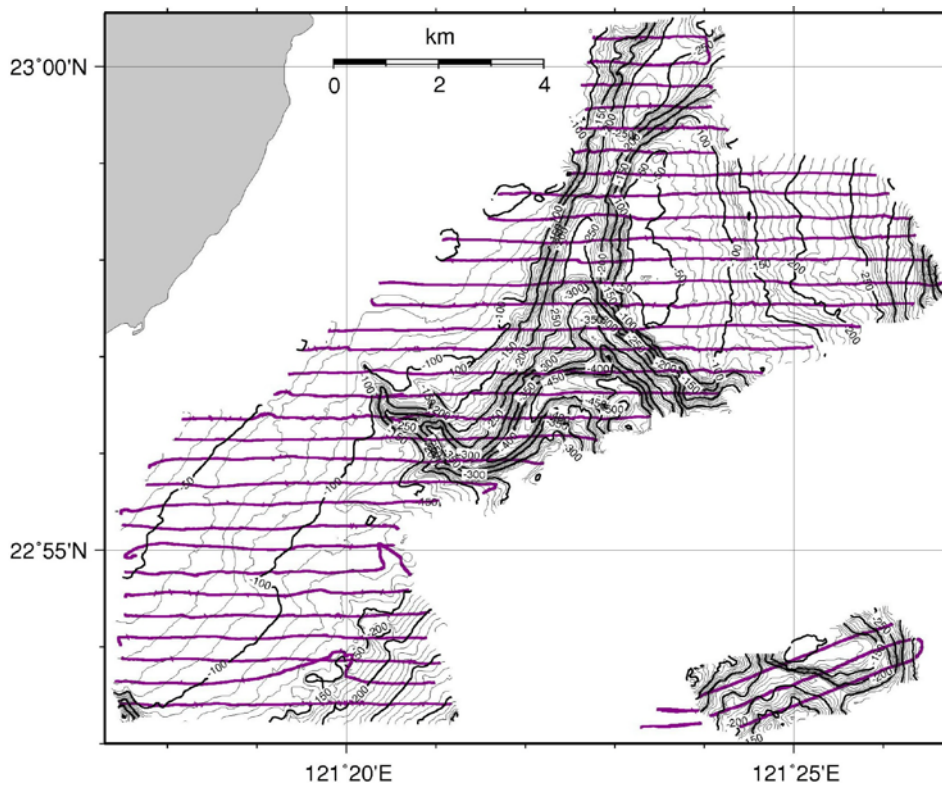


圖 61 第二航次的航線圖(紫紅色實線)和利用這個航次資料所繪製的水深等深線圖，等深線間距為 10 公尺。

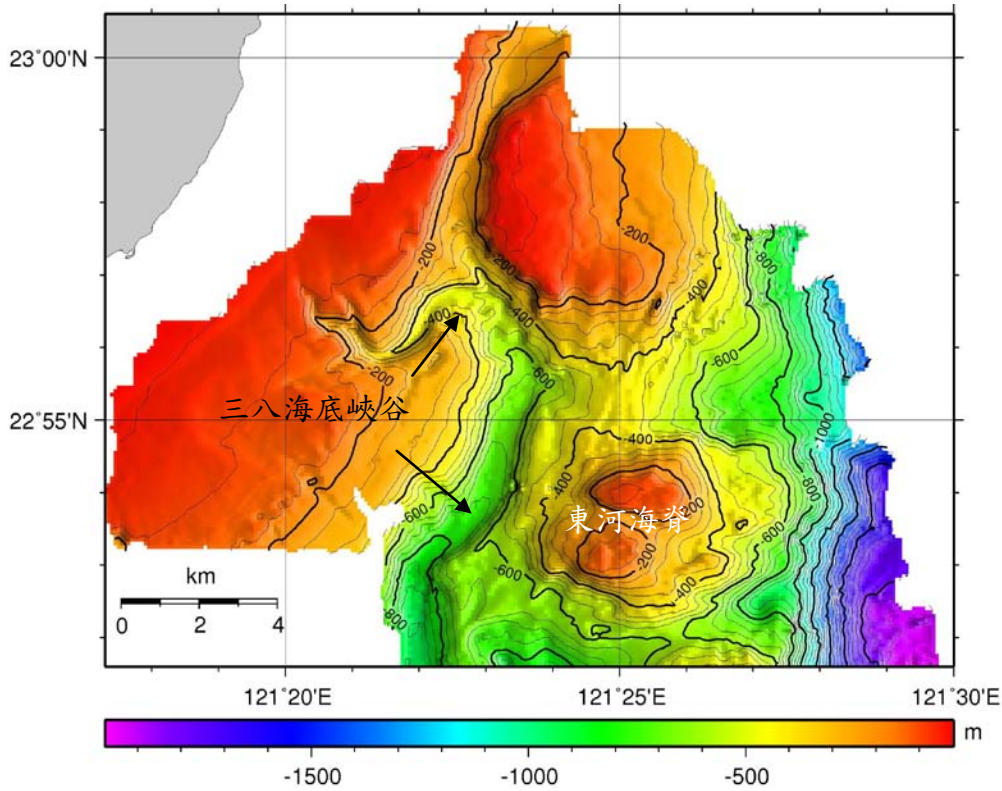


圖 62 在區域範圍內利用本調查資料所繪製出來的近岸水深地形圖，等深線間距為 50 公尺，每個顏色代表的水深範圍參見圖下方的色柱。在地形圖中指出區域範圍內的主要海底地形名稱。

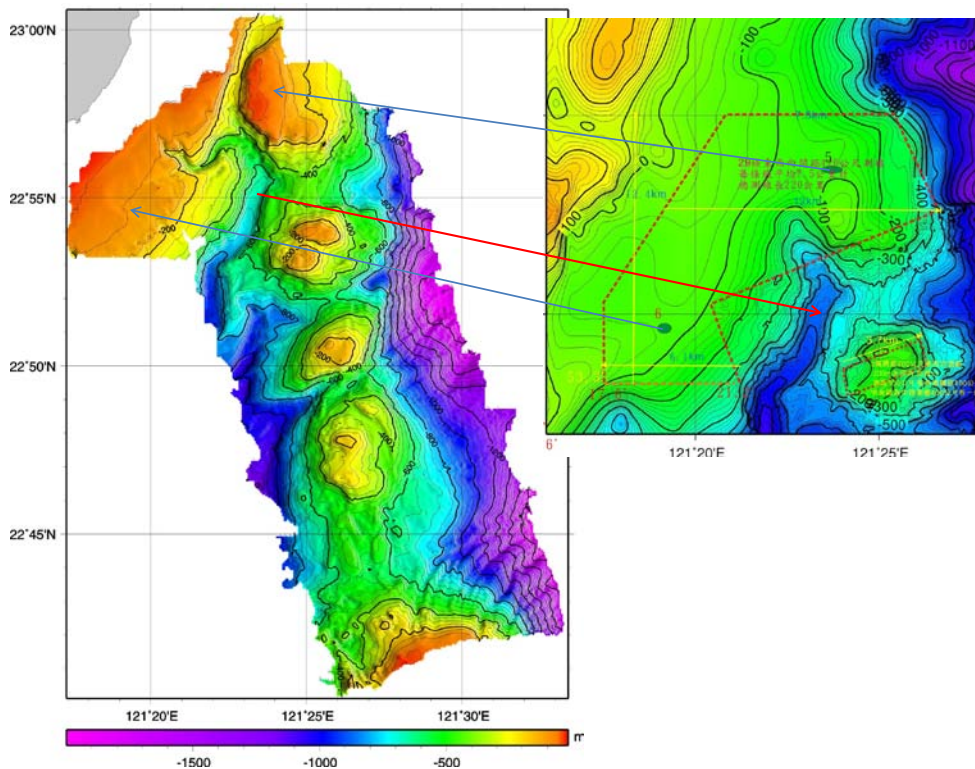


圖 63 本計畫所完成的海底地形圖，這張圖是將第一航次和第二航次所蒐集到的水深資料合併繪製而成。每個顏色代表的水深範圍參見圖下方的色柱。圖上箭頭指出利用多音束測深資料所產生解析度更高的地貌。

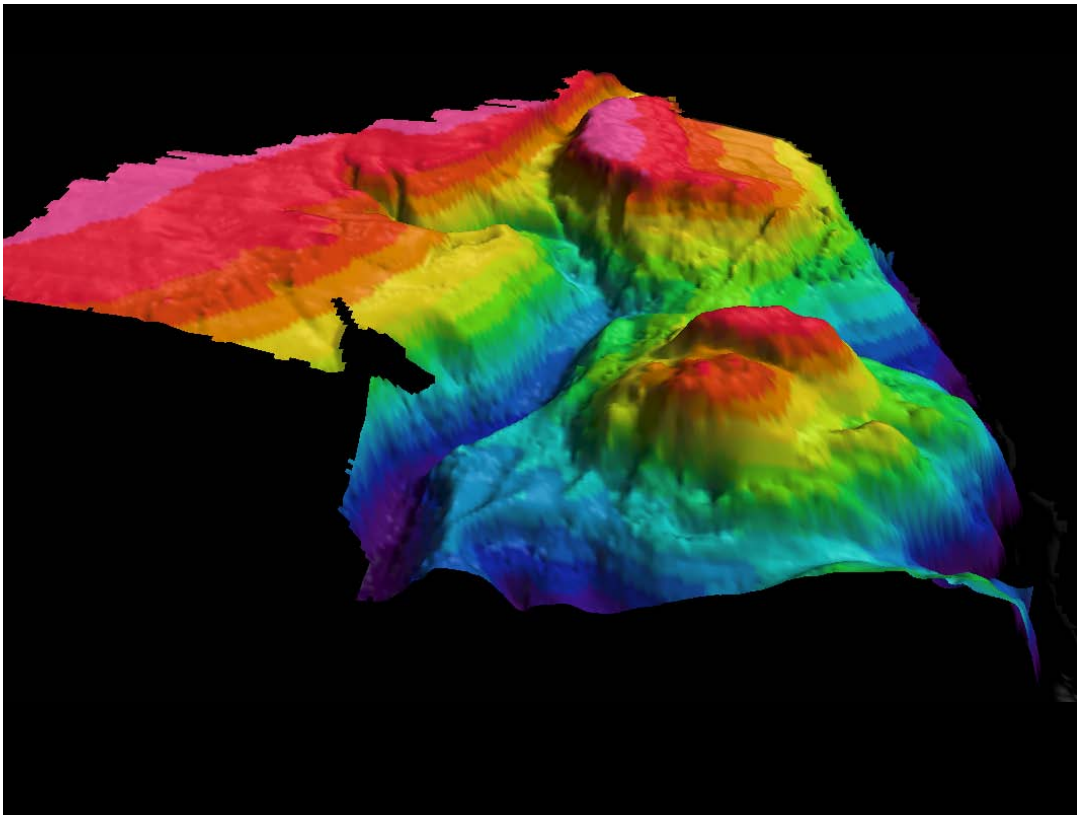


圖 64 利用 Fladermaus 將圖 23 區域內的 3D 立體地形圖。

五之三、地震構造研究

1. 計畫簡介

黑潮行經菲律賓、台灣、日本，沿途影響海域的流場、生態，其中黑潮與陸地間的距離，以台灣東部的綠島最近，而台灣東部同時也是板塊運動活躍的地方，從東北部的琉球隱沒帶到東南的馬尼拉隱沒帶，每年都有近百個規模大於3.5的地震發生，這些地震所造成的海床變形破裂或引發的山崩土石流，極有可能改變海床地形地貌，也有可能影響區域流場，或破壞架設在海中的儀器，為研究海域地質環境，以及減低研究洋流時的儀器損失，前置地震構造調查將提供最直接的區域構造活動資訊，而研究板塊構造帶的近場地震訊號，更是目前國際地震學界熱門的研究項目之一。

近年來歐美科學界開始使用海底地震儀(Ocean Bottom Seismometer，以下簡稱OBS)，開啟海域地震的研究，然而OBS的單價極高，且其於實驗佈放時無法保證儀器、資料回收，所以目前各國仍各自積極研發OBS的各項功能，確保實驗成果。有鑑於此，為落實台灣海洋科學儀器的研發能力，台灣大學海洋研究所於近兩年來開始發展組裝海底地震儀，這項工作結合台灣科技大學的嵌入系統實驗室的電子專業，可依海域實驗的需要做不同的設計；目前所規劃的海底地震儀將同時裝置有熱流探針(thermo- probe)與水壓計(pressure gauge)，提供海床當地熱流以及垂直水壓值的測量，這兩項海床的觀測將提供另外的物理資訊，讓黑潮的研究更完整。

海域地震監測以及儀器開發等牽涉到數項工程技術的支援，包括工作母船與定位聲源協調的深海作業，海下觀測系統電源（電池組）調配及更換，自製探測器的研發等。自計畫執行以來（2008.12~present），本研究與海洋研究所的貴重儀器中心幾位具有海上工作經驗、同時又深諳海洋研究相關儀器佈放和回收技術的技術人員合作，積極開發海底地震

儀，所規劃的短週期海底地震儀型號訂為IOOBS series，目前已經開發出的proto-type OBS，編號為IOOBS V1，預期在明年初完成新的海底地震儀版本IOOBS V2，相較於V1，IOOBS V2的電路設計更加穩定，且佈放時間更長，目前的IOOBS開發進度詳見下面章節描述。

雖然在有限的經費下，未能建置足夠地震研究的OBS數量，但以目前初步的儀器開發成果，可以預見未來加入適當的經費後，海域地震研究可以蓬勃展開，屆時應用OBS地震網於研究台灣東部蘭嶼、綠島之間的區域地震活動特性，解算震源參數以及研究發震機制，可以針對蘭嶼、綠島等火山島弧進行淺部結構炸測，解算淺層震波速度結構。使用海研所開發的OBS(IOOBS V2)於西南海域測試時，成功記錄到2010年3月4日的甲仙地震(ML6.4)，所錄得的地震波波型節錄部分於本報告書中，更進一步的地震波分析有可能整理成文章發表。

2. IOOBS系統/功能介紹

本計畫所開發的短週期OBS造價僅為國外OBS的一半，其軟硬體系統開發分別為：記錄系統(24-bit data logger)、地震&海洋物理訊號感應器(seismological & marine physical sensors)、回收時的釋放機制(release mechanism)、外型整體機構設計(out frame & external housing)等四個部分，各部分開情形簡述如下：

(1) 記錄系統部份(24-bit data logger)

已測試過無輸入時的雜訊紀錄，測試結果正常，目前已完成其他3組系統複製與紀錄測試；系統以GPS校時，並輸出實際誤差值；目前正在測試自行開發的系統板，如測試成功，將可更加降低系統耗電。

(2) 地震&海洋物理訊號感應器(seismological & marine physical sensors)

每套IOOBS V2規劃使用3組geophones為地震訊號感應器、1組hydrophone，以及深水型流速儀，未來每組IOOBS將有5個以上的訊號頻道。

(3) 回收時的釋放機制(release mechanism)

IOOBS V2採用錨錠釋放馬達來當作脫離時的釋放機制，與一般燃斷式的是放脫離機制相較，應該更能確保OBS與重錨脫離。目前該機制已完成多次水下測試，於淺水以及深洋均運作正常(圖65)。釋放機制包含VHF以及閃燈，本項研發中增加GPS系統於回收機制VHF模組之中(圖66)，當OBS上浮於海面時，研究船可透過VHF回傳的GPS座標得到OBS的確實位置，這項裝置在海流較強的海域將大大的提高OBS回收率。



圖65 錨錠式馬達釋放機制近照。

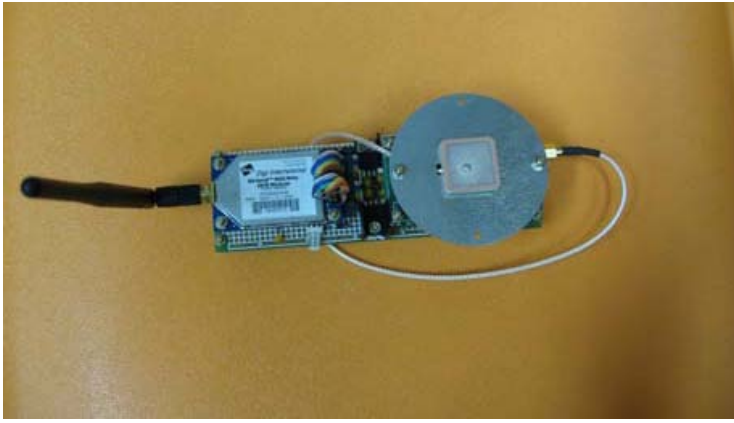


圖66 自己設計的晶片，結合VHF模組與GPS模組，使OBS能主動回傳所在位置，提高回收效率。圖X8 將IOOBS的波形走時(紅色標示)與陸地上的紀錄以震央距(Y軸座標)列出。

(4) 外型整體機構設計(out frame & external housing)

仔細計算整體浮力以及支撐強度，IOOBS V1設計為單球型(圖67)，而V2為雙球型(圖68)，V2浮球外架與地動感應器的外盒 (sensor housing) 經改良後可使IOOBS在水下工作時更穩定。

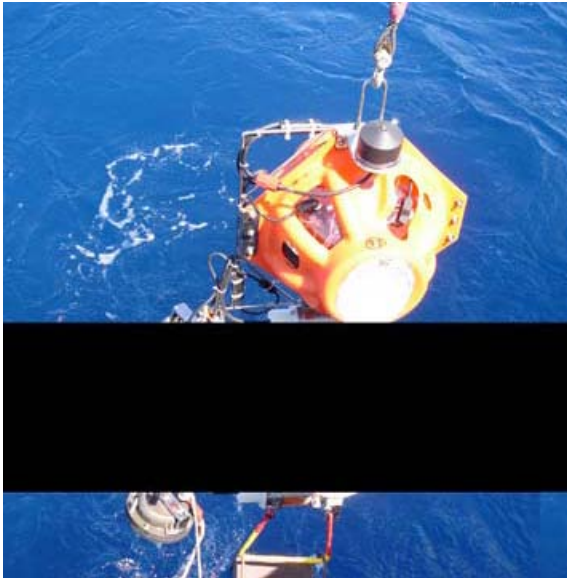


圖67 IOOBS V1採單球型設計，外接地洞感應器、釋放機制、音鼓；內部為內部為記錄系統與釋放控制系統。



圖 68 IOOBS V2 採雙球型設計，新增電源供應浮球，連續紀錄時間可達 3 個月以上。

3. 航次實驗項目

計畫執行中，所進行的儀器測試要點列舉於下：

(1) 浮球水密測試

將OBS下放至不同深度，測試玻璃浮球是否完全密封，以確保內部之系統能安全運作。

(2) 鈦製motor housing水密及抗壓測試

原本鋁製之Motor housing，容易因電位差造成腐蝕，本航次改使用鈦材質設計，一併做抗壓測試。

(3) 新製Release 控制板測試

對原先之Release board做耗電量與穩定性改良，並提供VHF/GPS模組之電源控制，接到釋放命令後與LED開始運作。這項機制相當成功。

(4) VHF/GPS模組測試

將原先之VHF上連接GPS，使OBS在release後，能夠將GPS定到的位置透過VHF發射模組傳送至船上對應至接收模組。實驗時也將一併做傳輸距離測試，目前估計最大傳輸距離為2海浬。

(5) 水下定位測試

為了增加OBS回收的效率，設計水下定位程式，利用傳本身的GPS位置與音鼓所回傳的距離以最小評方法做計算，在release之前先透過水下定位程式推估OBS的經緯度。本計劃進行多次實驗，比對實際OBS浮起位置，評估誤差的大小及原因。

(6) 記錄系統深水運作穩定性測試

記錄系統的穩定度是實驗成敗的關鍵，往往在回收後系統停止運作，除非重開電源否則無法與之溝通，或是因不明原因停止記錄，而已經記錄的資料也無法保存。

4. 海域地震紀錄

2009.12 ORI 917航次

A. 水下定位實驗

OBS水下多點定位 當地流速: 1 knot

Lon.	Lat.	Travel time(s):	OBS Lon.	OBS Lat.
120.501197	22.400020	0.086		
120.500454	22.403613	0.596		

120.502432	22.402805	0.503	120.501132	22.39965
120.503961	22.400736	0.428	120.501121	22.399652
120.502654	22.396781	0.451	120.500990	22.399573
120.496822	22.397206	0.658	120.500999	22.399574
120.496343	22.400929	0.662	120.500999	22.399560

實際佈放經緯度 120.501016 22.399583

*假設忽略水流影響(1 knot) 則經度值收斂後 經緯度定位誤差約小於3 m.

B. 主動聲源炸測訊號

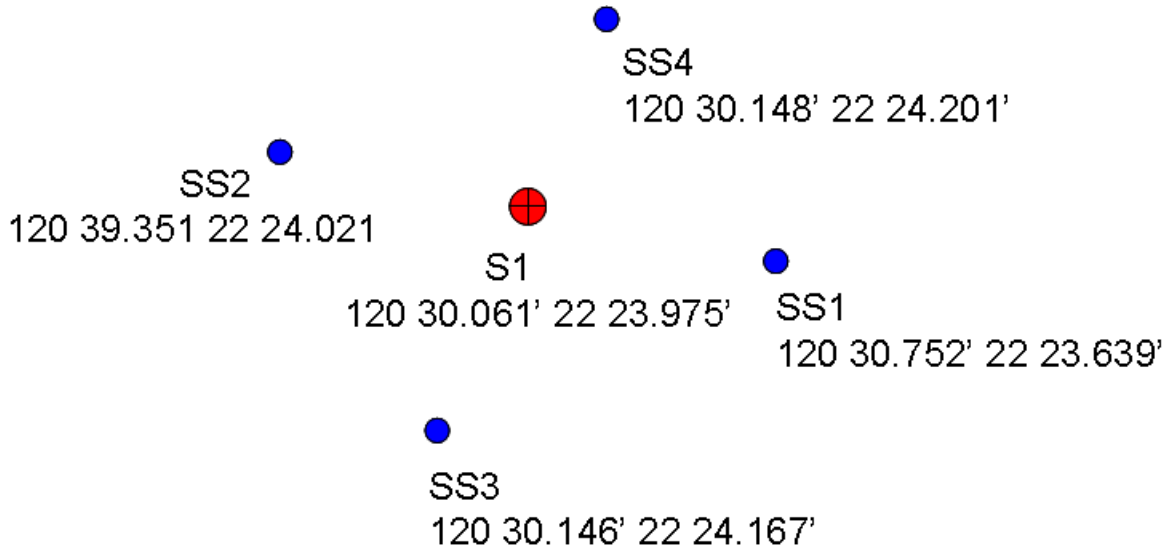


圖69 OBS佈放點(S1)以及炸測作業控制點(SS1~SS4):

開始炸測時間: 2009/12/25 04:17:18, 間隔時間: 10 sec。炸測位置如上圖所示:起始點為ss1, 第一次經過s1 上方 時間 4:45, 到達ss 時間 4:48, 到達ss3 時間 4:50, 第二次經過s1 上方 時間:4:58, 到達ss4 時間 4:59。

(Channel 4 無連接任何 sensor)。

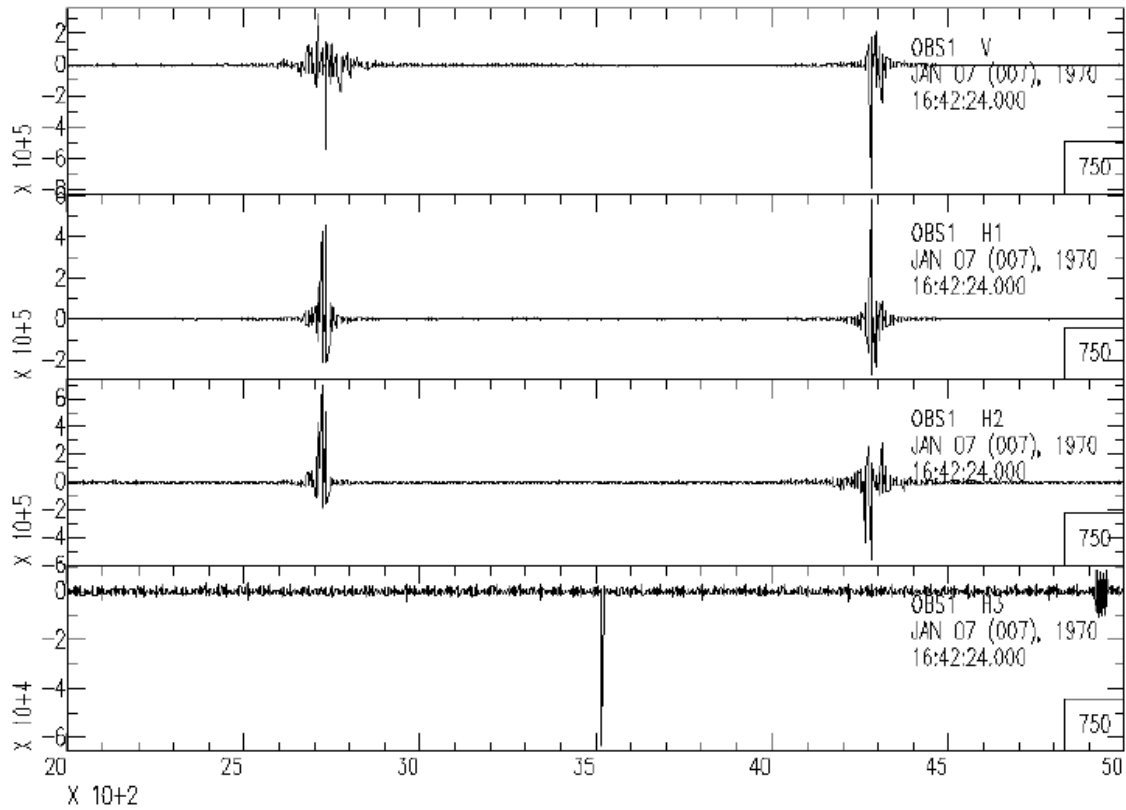


圖70 為GI-Gun 兩次經過佈放點s1 上方時，由遠而近所記錄到振幅增大的炸測訊號。

由上述資料顯示，海研所自行研發的IOOBS未來可以具體的應用於地震研究。

2010.03 甲仙地震地震波形

圖 71 為 3 套 IOOBS V2 於西南海域進行測試實驗的佈放點位，該實驗成功回收 IOOBS V2 於深水海域，實驗時間自 3 月 2 日到 3 月 11 日，期間於台灣南部發生規模 6.4 的甲仙地震，其地震波形清楚的記錄在 3 套 IOOBS V2 中，IOOBS 所記錄的震波走時與陸地上同震央距的地震測站相較(圖 72)，兩者幾乎一致，由此推論，IOOBS 佈放所在海域與陸地之速度結構相差不大。

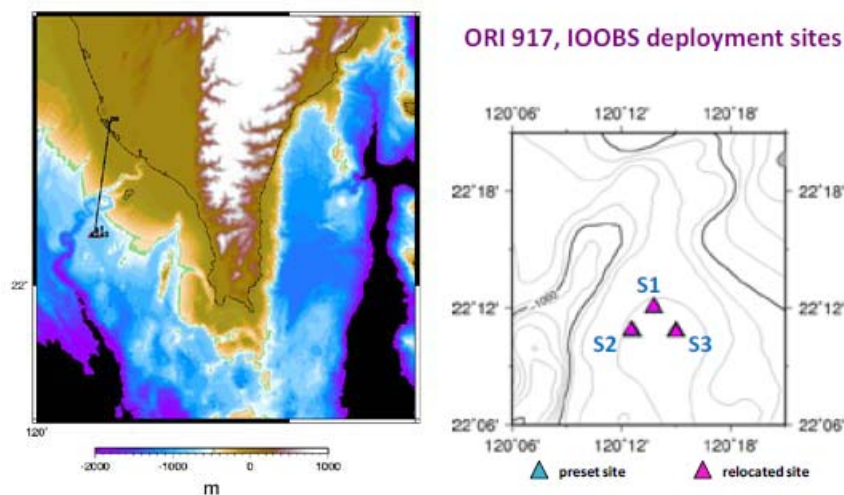


圖 71 IOOBS V2 於西南海域進行測試實驗的佈放點位。

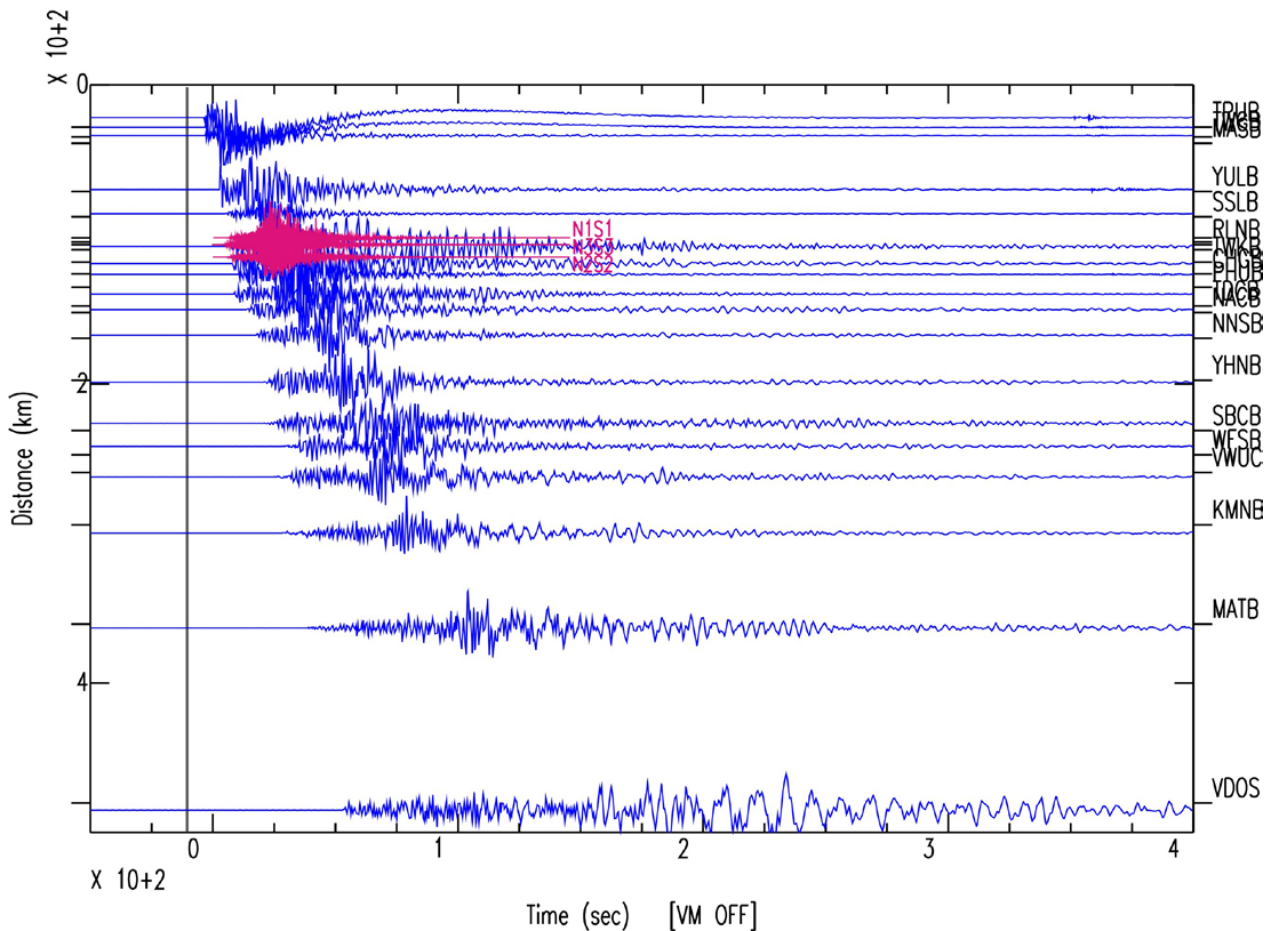


圖 72 將 IOOBS 的波形走時(紅色標示)與陸地上的紀錄以震央距(Y 軸座標)列出。

五之四、水文化學與生態調查

海洋環境與生態系統的物質循環和能量流動是動態的過程，在無外界干擾的情況下，就會達到動態平衡狀態。台灣為一個四面環海的海島，與海洋的關係非比尋常，而東岸海域更得上蒼的恩賜為豐富的生態與海洋生產地區。由於人為活動逐漸增加之際，這些直接或間接行為將會改變物質或能量進入海洋而牽動這平衡狀態。台灣海洋環境與基礎生態是否會受壓迫，是我們應正視與積極面對的問題，對於周邊海域環境變化與生態系影響的研究調查更是刻不容緩。海域使用變動會導致營養鹽與重金屬元素組成暨通量改變，這些變異因素將會改變這脆弱環境的生物族群結構暨生態，進而影響海洋資源的利用。本計劃之目的在於了解台東綠島至臺灣本島之間海域(測站如圖 73)，的水文垂直結構，營養鹽類與重金屬元素、浮游生物與魚類生態在此環境的分佈。希望以密集的觀測頻率，能了解以上各項指標季節性變化，建立連續性的背景資料。調查計劃最終將運用觀測的研究方式，互相配合來探討綠島海域附近的環境生態系統，以提供永續經營與利用的科學基礎。

1. 基本水文化學結構

台灣東部海域的表層海水基本上由強勁的黑潮推送往北，整個西太平洋的海域水團分為幾個來源 (一)極地沉降深層水、(二)來北太平洋中層水、(三)北太平洋中央水、(四)環海各河川注入水。由各測站採樣當時使用溫鹽深儀 (SBE 9/11plus CTD, Seabird Inc., USA 並加裝各式化學探針(溶氧、葉綠素、穿透率)觀測的資料顯示台東綠島至臺灣本島之間海域水

層結構相當穩定，混合層將近 100 公尺，水質清澈，海流主軸懸浮顆粒濃度非常的低但浮游植物量相對較豐，靠近島緣時透光度稍減(圖 74)。

2. 營養鹽濃度變化結構

海水中的磷酸鹽、硝酸鹽、亞硝酸鹽、銨鹽和矽酸鹽是海洋浮游植物生長繁殖所必需的成分，也是海洋初級生產力和食物鏈的基礎。這些營養鹽在海水中的含量分佈，明顯地受海洋生物活動的影響，而且這種分佈，和海水的混合作用亦有關係。近岸淺海區與大洋不同，海水營養鹽的含量分佈，不但受浮游植物的生長消亡和季節變化的影響，而且和大陸徑流的變化、溫度躍層的消長等水文狀況，有很大的關係。台東綠島至臺灣本島之間海域觀測資料顯示(圖 75)，磷酸鹽濃度範圍為 0~2 μ M、硝酸鹽濃度範圍為 0~28 μ M、矽酸鹽濃度範圍為 1~66 μ M，兩斷面垂直分佈大致相同，濃度變化與西太平洋及西菲律賓海分佈一致。

3. 重金屬元素濃度變化結構

重金屬元素，不僅是海洋生物的營養元素，但是濃度過高時卻可能對生物帶來毒性，甚至亦是它們的致命因子。重金屬元素當然更與污染物質息息相關，是研究水污染的重要環結。銀是存在於自然環境中極稀有的元素，在自然界中很少存在。它擁有獨特的光化學氧化還原反應能力，以至成為影像、醫藥及衛生工業之必用物質。鎘是一種吸收中子的優良金屬，製成棒條可在原子反應爐內減緩核子連鎖反應速率，而且在鋅-鎘電池中頗為有用，可用於製造體積小和電容量大的電池。鎘的化合物還大量用於生產顏料和熒光粉，它的鮮明的硫化物所製成的鎘黃顏料，廣受藝術家的歡迎。硫化鎘、硒化鎘、碲化鎘用於製造光電池。鎘的毒性較大，被鎘污染的空氣和食物對人體危害嚴重，日本因鎘中毒曾出現“痛痛病”，臺灣亦發生所謂“鎘米事件”。也因此銀及鎘成為人口聚集及都市發展污染的指標元素。各種水生物因在生態系食物鏈中食階不同、食性及對重金屬元素需求不同、新陳代謝過程對金屬元素的吸收和排泄不同，故在不同生物體中的重金屬蓄積程度及對重金屬毒性接受程度也不同。因此海洋中重金屬元素的生物利用量、生物富集量及食物鏈轉移受到金屬本身在水中的存在形態與水體本身的物理化學反應所控制。台東綠島至臺灣本島之間海域環境重金屬元素調查，以具環境污染及毒性較高之鎘與銀為例(圖 76)，觀測資料顯示台東綠島至臺灣本島之間海域，金屬鎘與銀水中總濃度垂直變化與西太平洋及西菲律賓海中自然狀況分佈一致。

4. 浮游植物族群變化結構

浮游植物除了在海洋食物鏈中，擁有基礎生產者的身份外，不同的氣候地理區及水文條件，浮游植物的生長分佈與優勢族群也就不同。浮游植物族群對環境變化相當靈敏，當環境發生變遷時，該地區的浮游植物族群結構也會發生變化。因此生態環境中的浮游生物族群、結構、與分配作用常是用以了解與預測自然生態循環和環境擾動與壓迫的重要環節。尤其是生命循環快又短的微生物類更是被用作為生態循環的生物指標。水體中的浮游生物不僅是能量傳送的基礎，並為生物地球化學反應的控制因素。而這些生物的生態結構與作用，為生物組成種類及作用所牽引。浮游植物依其分類所屬族群，有其特定的葉綠素和類胡蘿蔔素體組成，稱之為指紋色素(fingerprint pigments)，此一特性可作為浮游植物化學分類法之依據，亦即利用各族群指紋色素組成的不同，可得知水體中各浮游植物族群的組成及分佈比，此一方法稱為化學分類鑑定法(chemotaxonomy)，在分析上較過去生物分析方法簡單快速，目前此法已被廣泛用來做為海洋中浮游植物的化學鑑定分類方法。觀測資料結果顯示台東綠島至臺灣本島之間海域環境浮游植物族群以原核綠藻(Prymnesiophyte)為最多，其次為鈣板藻類(Prochlorophyte)(圖 77)。

5. 浮游動物族群變化結構

浮游動物的種類極多，從低等的微小原生動物、腔腸動物、櫛水母、輪蟲、甲殼動物、

腹足動物等，到高等的尾索動物。此外，也包括階段性浮游動物，如底棲動物的浮游幼蟲和游泳動物（如魚類）的幼仔、稚魚等。浮游動物在水層中的分佈也較廣。浮游動物是中上層水域中魚類和其他經濟動物的重要餌料，對漁業的發展具有重要意義。此外，還有不少種類可作為水污染的指示生物，其中以種類繁多、數量極大、分佈又廣的橈足類最為突出。在富營養化水體中，裸腹溞（*Moina*）、劍水蚤（*Cyclops*）等種類一般形式優勢種群。觀測資料結果顯示(圖 78)，綠島北方海域的浮游動物(橈足類)族群分佈結構發現三種目，21 科，25 屬，48 種；族群密度為(Density (ind./m³)) 309.8。哲水蚤目(Calanoida)中,以擬哲水蚤科(Paracalanidae)的擬哲水蚤(*Paracalanus parvus*)種類為主。劍水蚤目(Cyclopoida)中,則以大眼劍水蚤科(Corycaeidae)的駝背大眼劍水蚤(*Farranula gibbula*)種類為主。猛水蚤目(Harpacticoida),則以粗毛猛水蚤科(Miraciidae)的瘦大毛猛水蚤(*Macrosetella gracilis*)為主。綠島西方海域的浮游動物(橈足類)族群分佈結構發現三種目，16 科，20 屬，42 種；族群密度為(Density (ind./m³)) 501.7。哲水蚤目(Calanoida)中,以偽哲水蚤(Pseudocalanidae)的長尾基齒哲水蚤(*Clausocalanus furcatus*)和擬哲水蚤科(Paracalanidae)種類為主。劍水蚤目(Cyclopoida)中,則以隆劍水蚤科(Oncaeidae)的中隆劍水蚤(*Oncaea media*)種類為主。猛水蚤目(Harpacticoida),則以大吉猛水蚤科(Tachidiidae)的尖額諧猛水蚤(*Euterpina acutifrons*)種類為主。

6. 仔稚魚族群變化結構

仔稚魚的種類多樣性是很複雜的，而海洋初次級生產力的季節性變動、成魚的棲性、生活史變遷、輸送機制和行為等，都是影響此多樣性的重要因子。仔稚魚的種類組成頗為複雜，在不同區域間也有顯著差異。一般而言，在亞熱帶海域由於海洋初次級生產力的季節性變動有春秋兩個生產高峰，對應著的是春季水溫上升時期和秋季的水溫下降時期；在溫帶海域全年只有一個生產高峰，對應著春季的水溫上升時期，即所謂的春季水華；在熱帶海域生產力則是終年相當。魚類為確保仔魚有充份的餌料供應，以提高存活率，因此大都會在此生產高峰時期產卵。大多數的魚類在其仔魚階段都是行浮游生活的，仔稚魚的日齡很小，其分布域與產卵場大致相符，而大部份底棲魚類的產卵場與其成魚的棲所不遠，所以成魚的棲地也會影響仔魚的空間分布。然而，等長到稚魚期後，表層性魚類會移到較深水域的水體中表層生活，而底棲性魚類則移到沿岸的碎波帶和河口的淺水域。綠島周邊海域孕育了重要的漁業資源，發電機的興建工程可能對漁業資源產生衝擊，進而影響漁民之漁獲與收入。因此，漁業資源的變動需要謹慎的評估。初步調查發現綠島北邊海域(圖79)，仔稚魚族群密度較高為0.465 (ind./m³) 共31科43屬,以海鯧鯪科犀鯧屬(Genus *Bregmaceros*)為最多；綠島西邊海域仔稚魚族群密度為0.081(ind./m³)共19科19屬,以海鯧鯪科澳洲犀鯧(*Bregmaceros nectabanus*)數目最多。

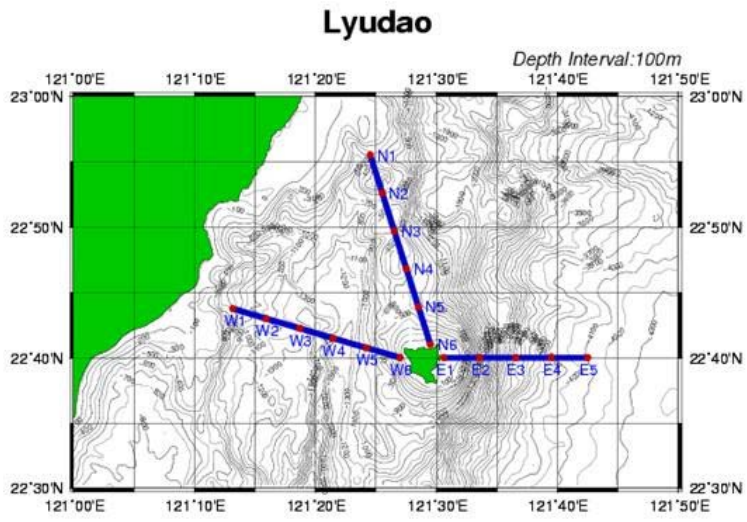
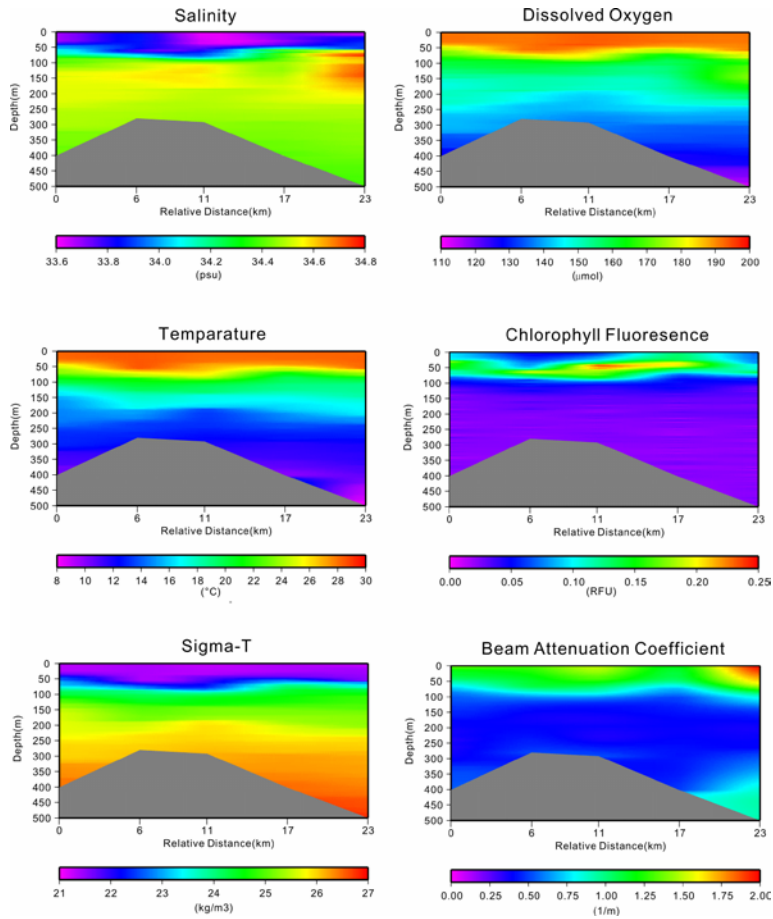


圖 73 綠島海域水文化學與生態調查測站。

(A) 北方測站斷面



(B) 西方測站斷面

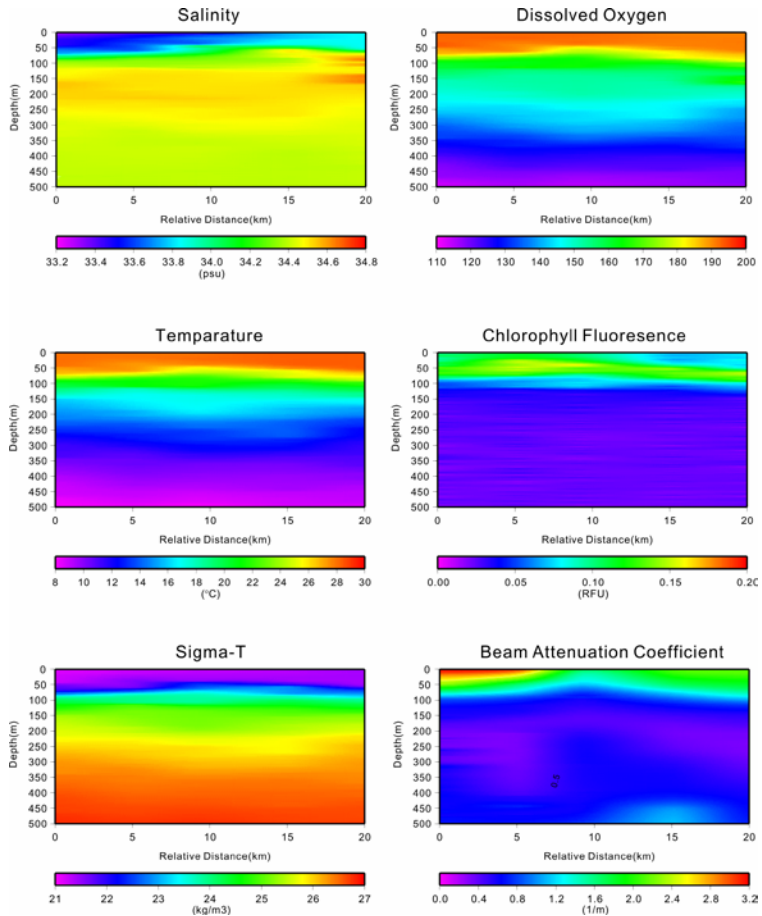


圖 74 綠島北方及西方測站水文化學斷面結構。

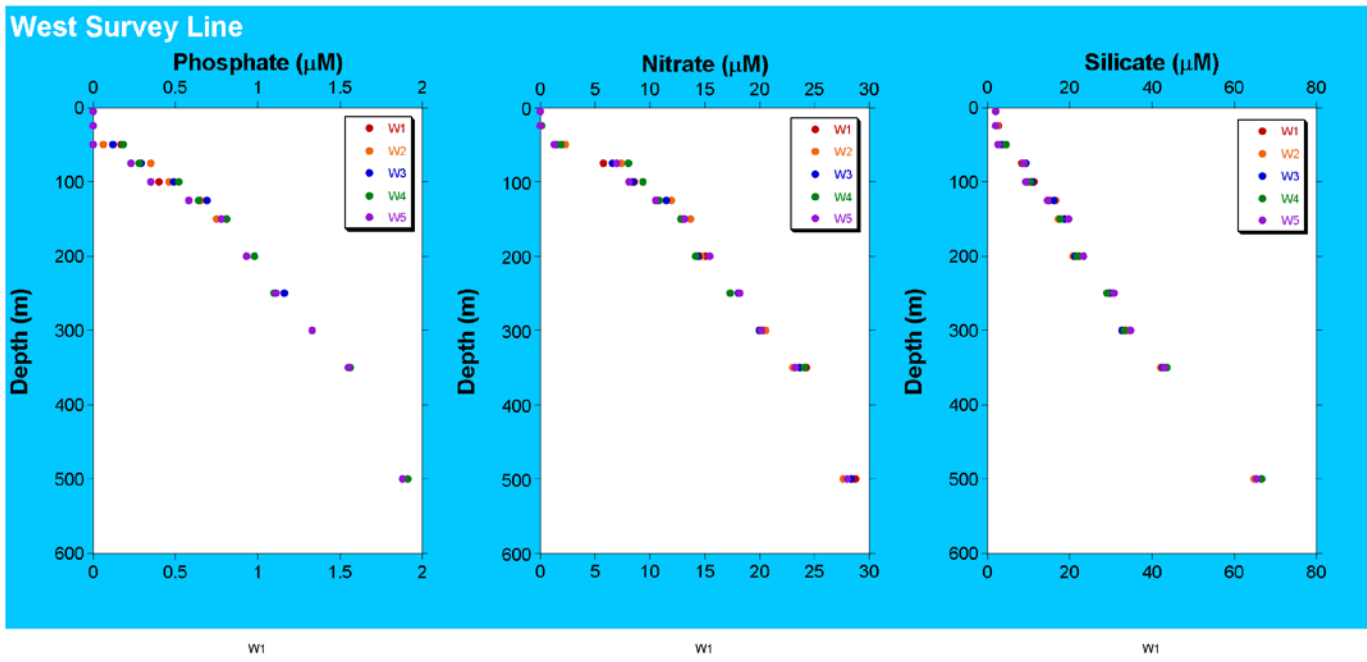
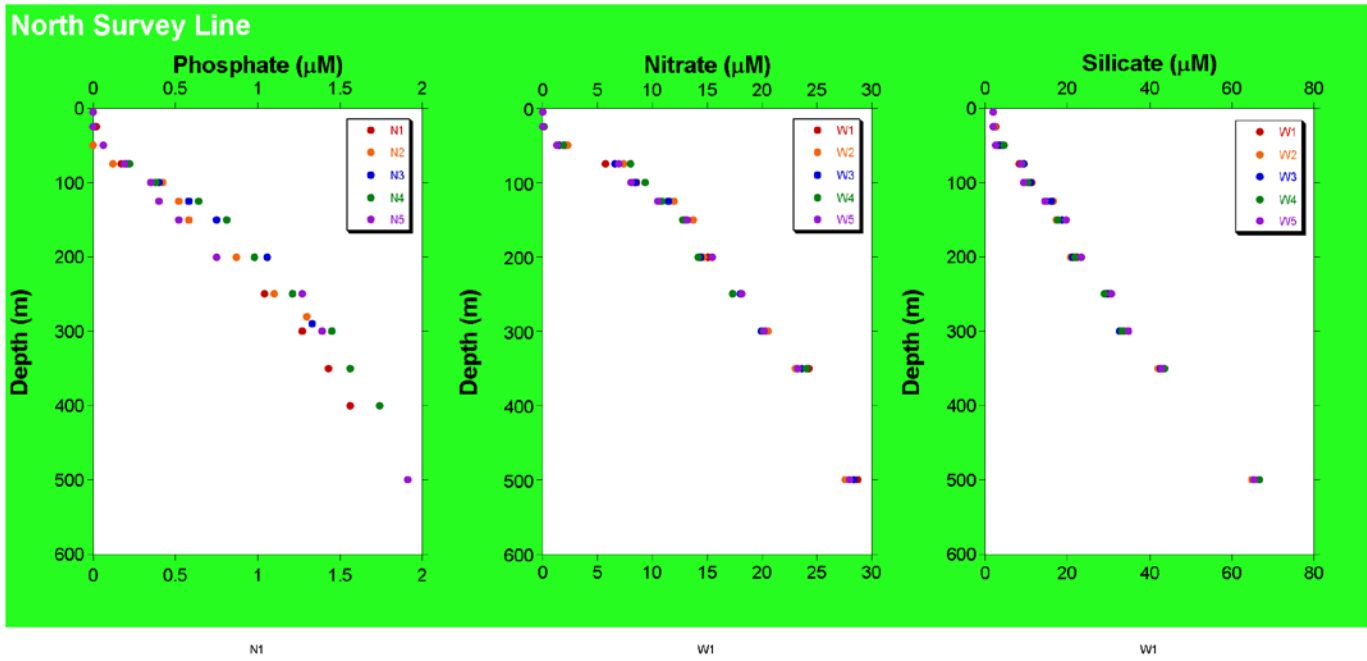


圖 75 綠島北方及西方各測站海水中的磷酸鹽、硝酸鹽、和矽酸鹽濃度垂直分佈結構。

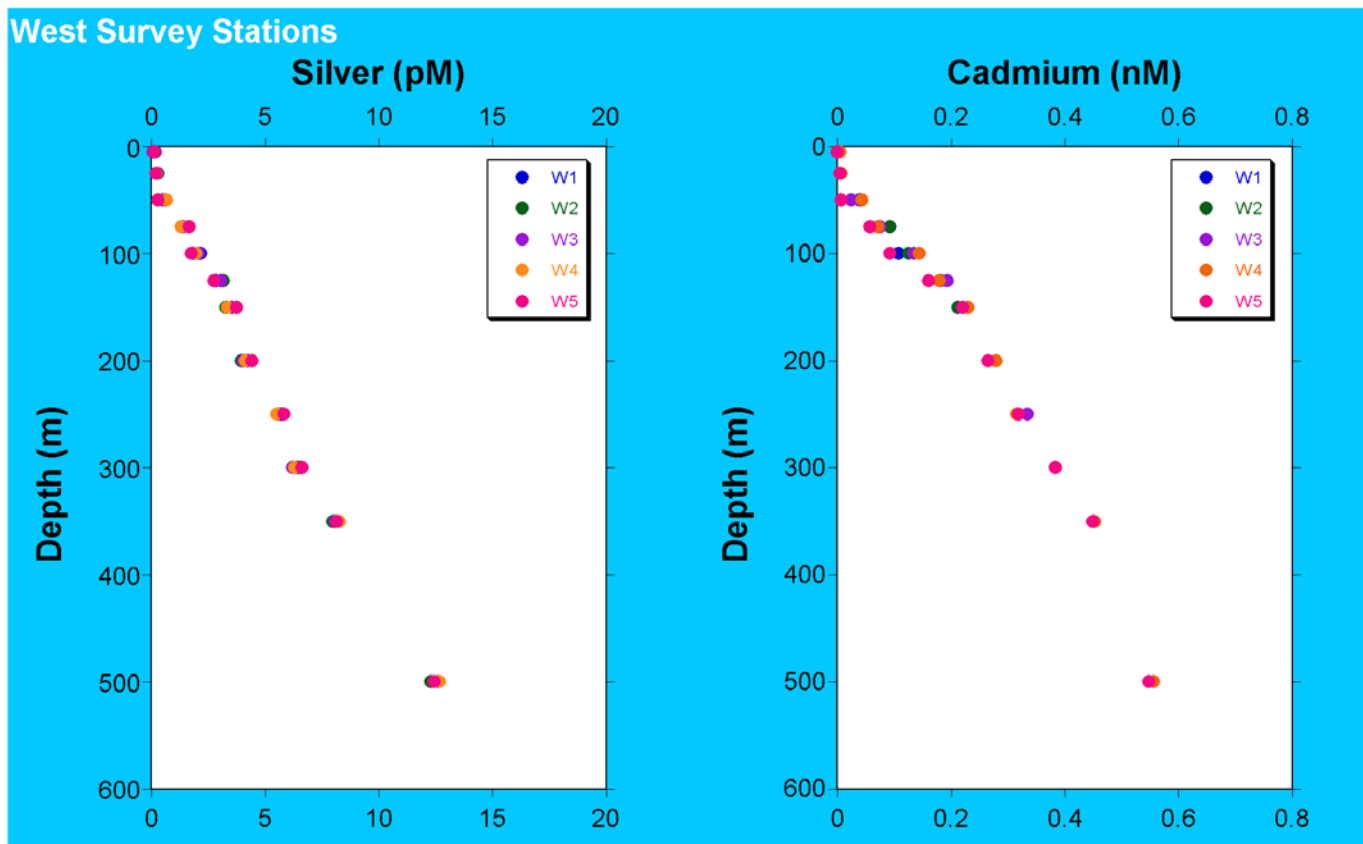
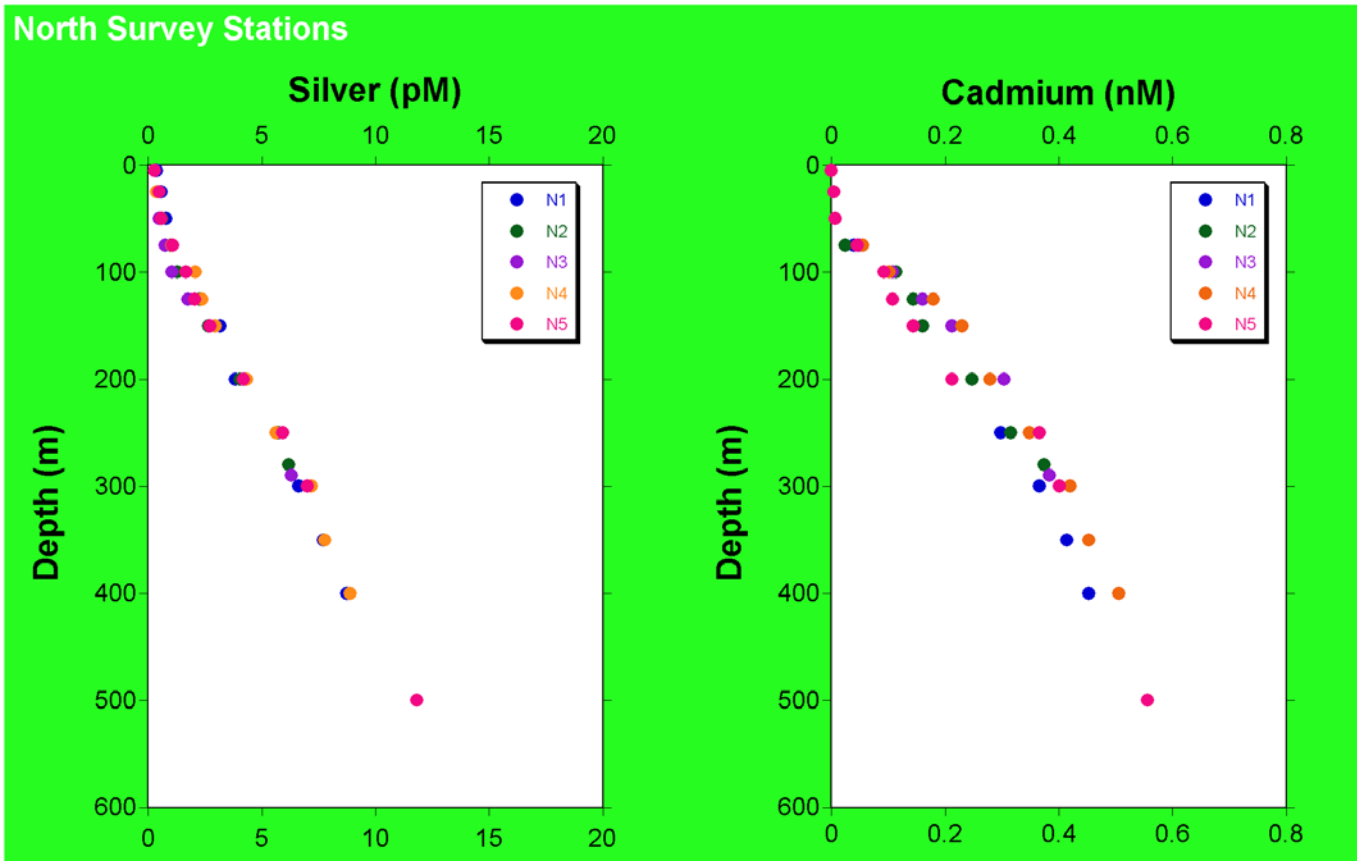
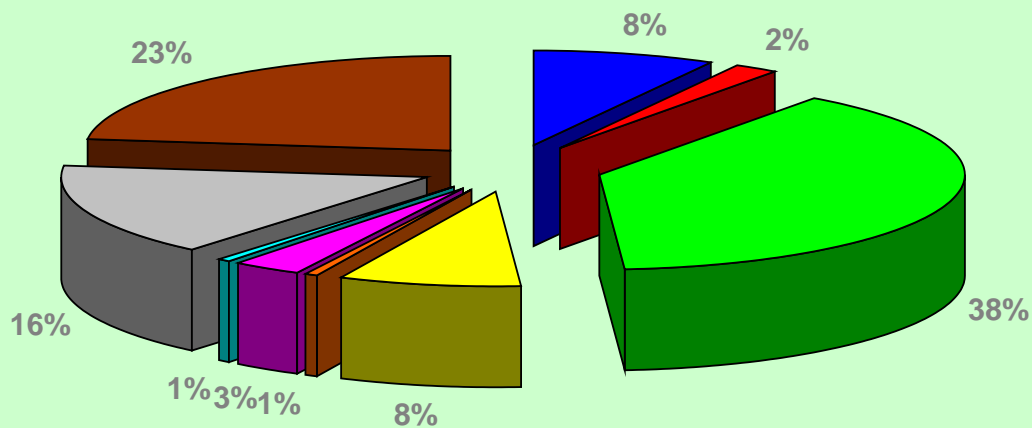
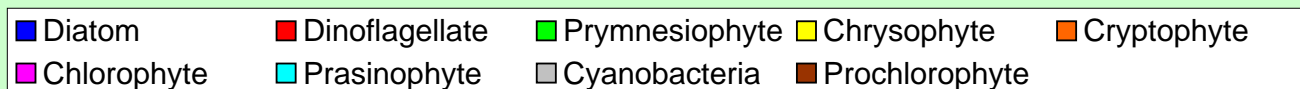


圖 76 綠島北方及西方各測站海水中的微量元素鎘與銀濃度垂直分佈結構。

North Survey Stations



West Survey Stations

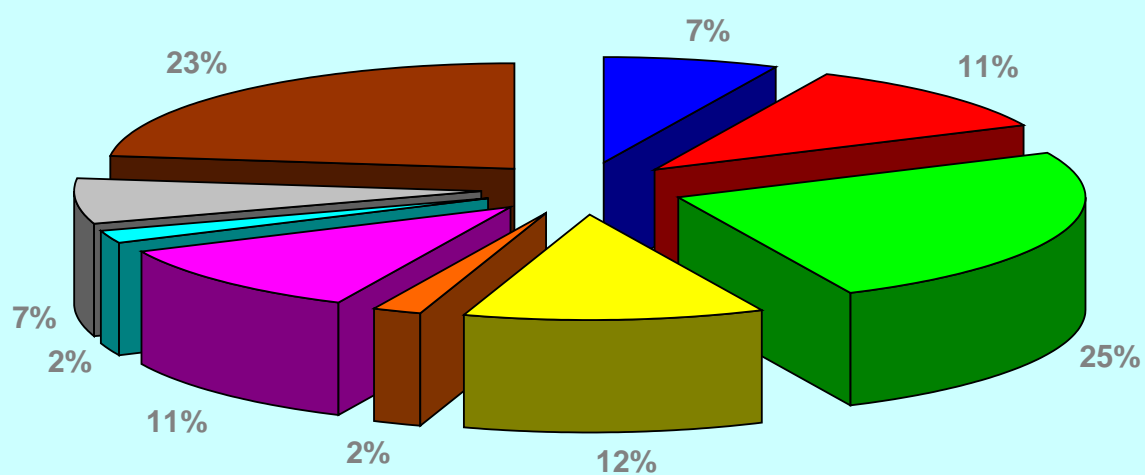
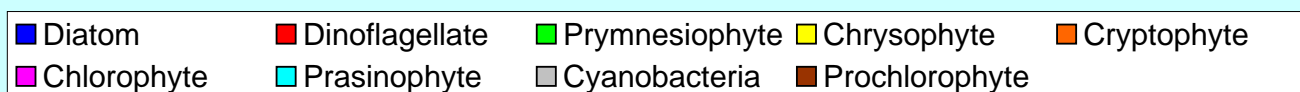


圖 77 綠島北方及西方各測站海水中的浮游植物族群分佈結構。



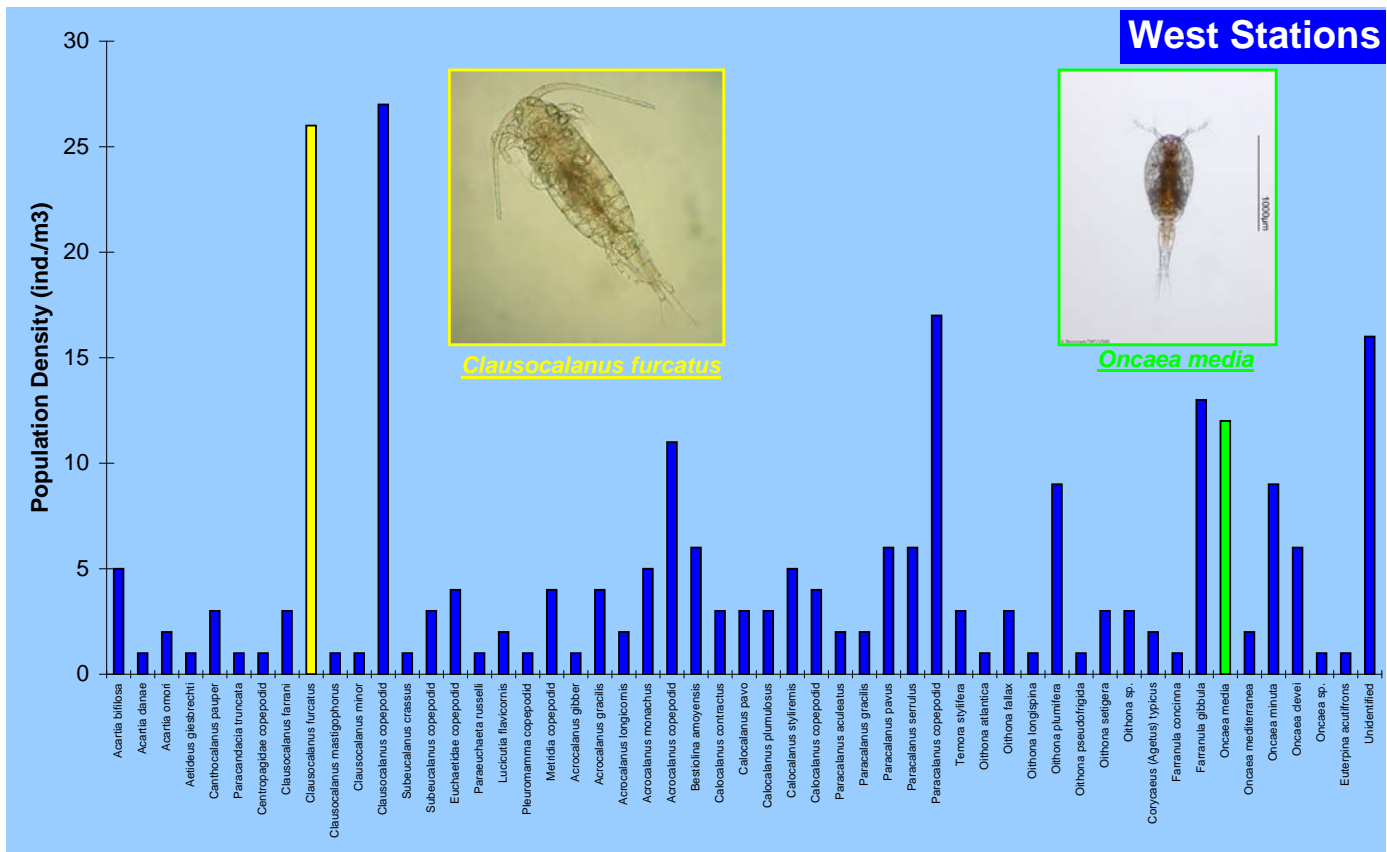
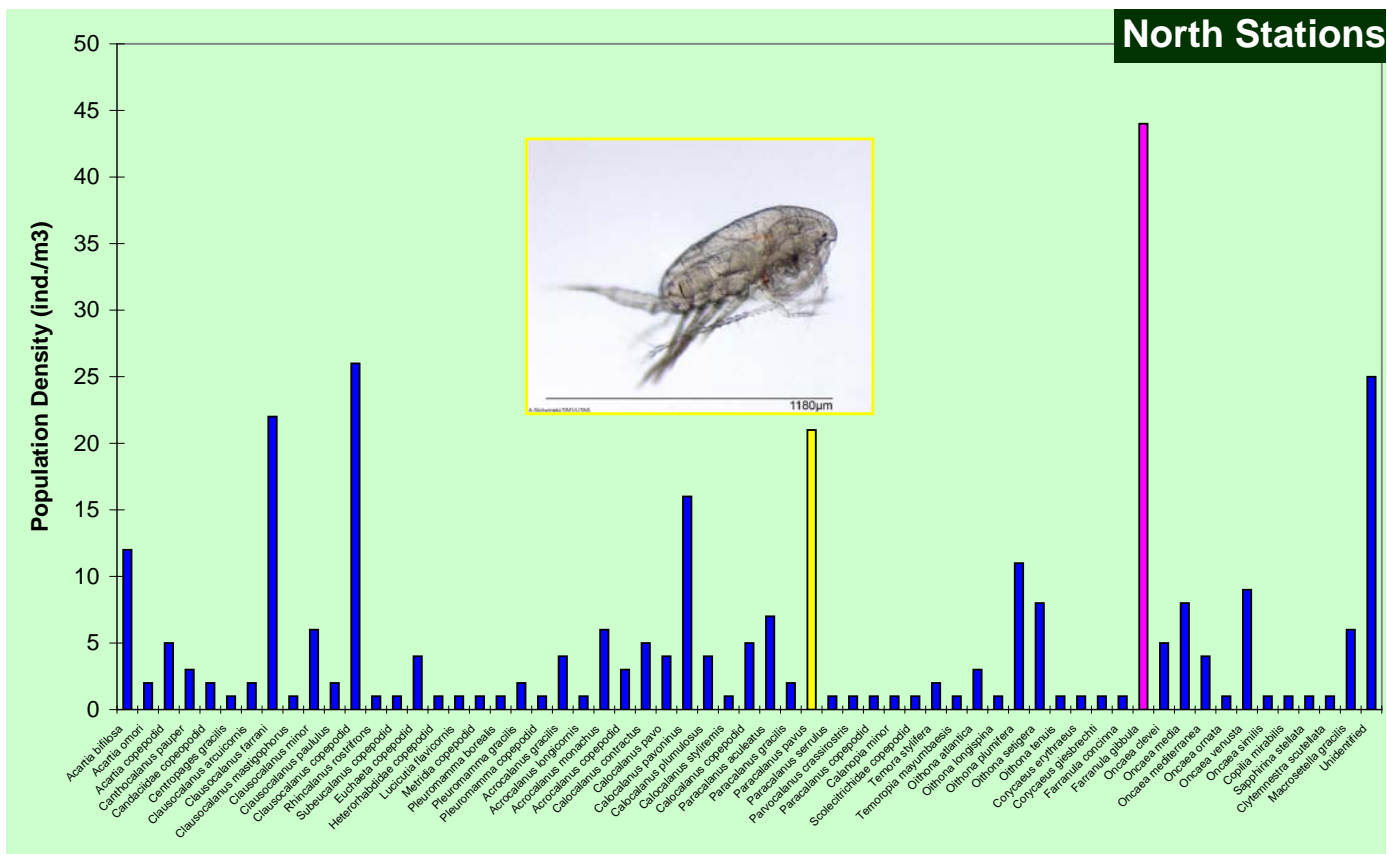


圖 78 綠島海域北方及西方各測站水中的橈足類浮游動物。



Acartia omorii



Acartia danae



Aetideus giestbrechti



Corycaeus (Agetus) typicus



Calocalanus plumulosus



Calocalanus styliremis



Canthocalanus pauper



Farranula gibbula



Clausocalanus furcatus



Euterpina acutifrons



Oithona atlantica



Oncaea clevei



Oncaea venusta



Arocalanus monachus



Paracalanus serrulus



Paraeuchaeta russelli



Temora stylifera



Lucicutia flavicornis

圖 78 續。

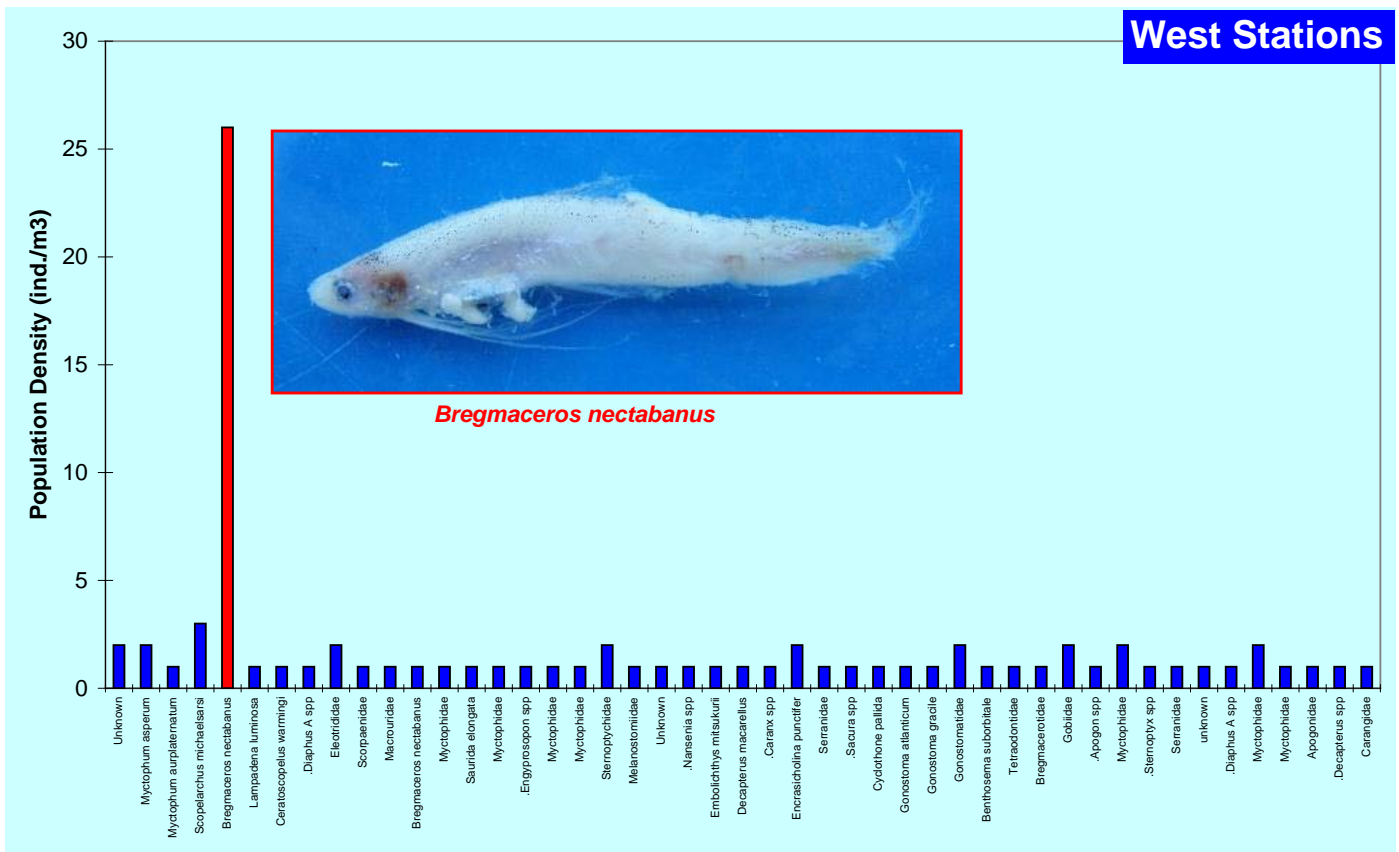
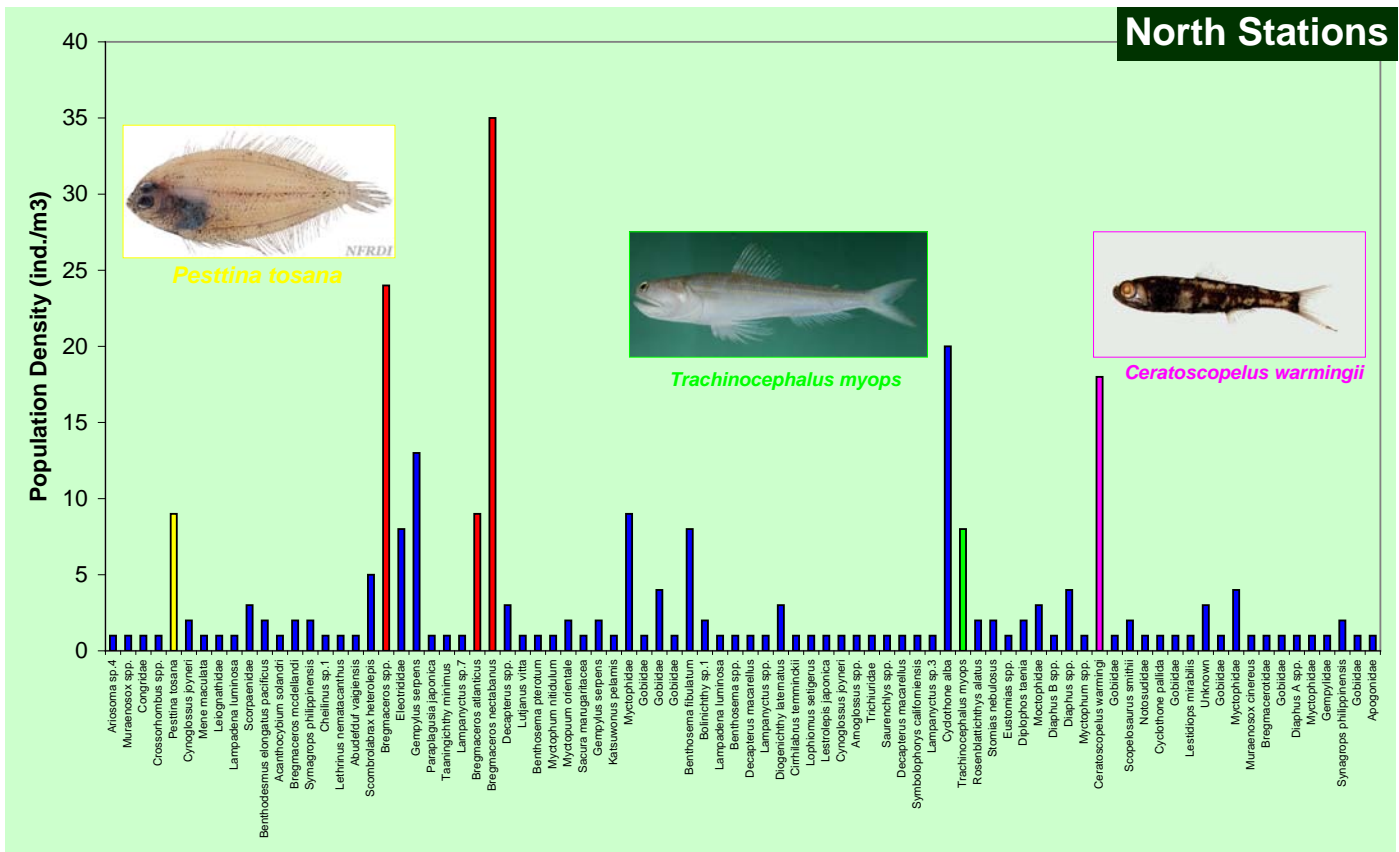


圖 79 綠島海域北方及西方各測站水中的仔稚魚。



Encrasicholina punctifer



Vinciguerria nimbaria



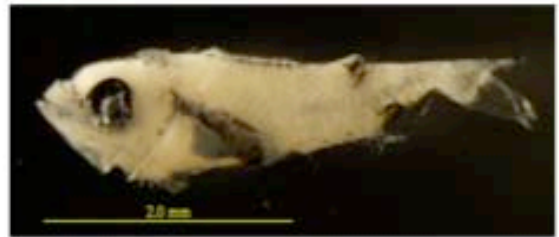
Holocentridae



Euthynnus pelamis



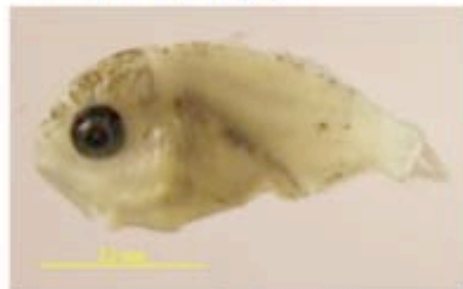
Bregmaceros nectabanus



Melamphaes polylepis



Bregmaceros atlanticus



Cubiceps pauciradiatus



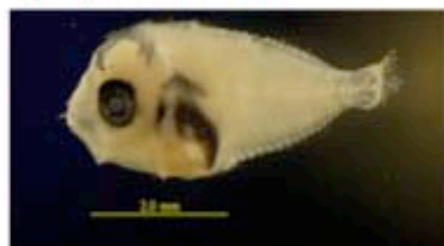
Diaphus B spp.



Myctophum orientale



Abudefduf spp.



Leiognathus spp.

五之五、海底地質調查

台灣東南海域是菲律賓海板塊西緣的呂宋島弧開始碰撞上歐亞板塊東緣的初始碰撞帶 (incipient collision zone, Huang et al., 1997)。呂宋島弧在此以每年 6~8 公分的速率從東南向西北靠攏上亞洲大陸邊緣，其北段已被抬升上陸形成海岸山脈，而其南段在聚合的過程中受台灣南部海域增積岩體擴大之影響，造成弧前盆地的消失 (Reed et al., 1992; Lundbeng et al., 1997; Liu et al., 1998; Malavieille et al., 2002)。由於板塊構造作用活躍，此地區斷層分布密集，海底地形崎嶇，再加上從台灣造山帶以及呂宋島弧上所侵蝕下來的大量沉積物快速堆積與頻仍的地震活動，海床崩移隨處可見。

黑潮流經之台灣東部海域海底地形陡峭，水深離岸不遠即迅速加深到三、四千公尺。只有在台灣南部的恆春半島南端，台灣東南的蘭嶼、綠島到台東之間，台灣東北宜蘭陸棚與琉球島弧，以及沖繩海槽北岸的東海大陸棚地區，其水深較淺。而上述地區中，又以蘭嶼、綠島西側以及宜蘭陸棚東側，黑潮從超過兩、三千公尺深的海域，流經海底地形迅速淺至小於五百公尺的狹窄通道，是天然大幅提高海流發電潛力的理想地區。而綠島與台東之間之海脊由於離台灣最近，海域環境單純 (為我國內水)，應為發展黑潮發電計畫最優先考慮之地點。

然而設置海流發電機組除了設站距離、海水深度與海流強度的考量之外，海域地質條件與海床的穩定程度、底質沈積物與基盤之物理化學性質與力學特性、及黑潮穩定性的長期紀錄、綠島的古地震紀錄等研究亦必需納入考量。故而本計畫將分為兩大部分互相配合同步執行：

- (一) 底質沈積物與基盤岩之地質與材料力學性質特性調查 (國立台灣大學楊燦堯、宋聖榮、陳宏宇、林曉武負責執行)
- (二) 海底震測探勘 (國立中央大學許樹坤負責執行)

以下則分別說明各分項工作結果：

(一) 底質沈積物與基盤岩之地質與材料力學特性調查

本分項計畫已利用海研一號 OR1-891 航次、及海研三號 OR3-1384 航次，於綠島附近海域進行岩心採樣、及綠島周邊海底底質調查、並完成綠島基盤岩之材料力學性質初步分析。

由海研一號 OR1-891 航次初步沈積物岩心調查結果 (圖 80) 可以看出，綠島至成功外海之間為一以火山碎屑岩為主所組成的堅硬海脊，上覆淺薄的沈積物，只有於 GI-2B 處採得較長沈積物岩心樣品，其餘皆為安山岩、珊瑚、藻類等碎片、及硬泥層。

本分項工作完成 OR1-891-GI2B 岩芯的影像掃描、古地磁分析和沉積物顆粒分析等工作。圖 81 為岩芯 OR1-891-GI2B 剖開後的掃描影像，顯示其相當均一、無層理，主要以細顆粒的粉砂為主。

圖 82 為岩芯 OR1-891-GI2B 的古地磁特徵，包括磁傾角和磁偏角歲深度的變化，並與在綠島周邊海域所鑽取已知年代的岩芯 OR715-21 相比較，顯示岩芯 OR1-891-GI2B 底部的年代可能為 6000 年左右，上部可能有 2000 年的缺失，暗示 2000 年以來黑潮強度有增強的趨勢，使得沉積物無法在此沉積或被侵蝕殆盡，有待未來進一步詳細年代的分析來驗證。圖 83 顯示岩芯 OR1-891-GI2B 中的 S-ratio 高於 0.95，代表在沉積物中的主要磁性礦物為磁鐵礦，可能指示岩芯 OR1-891-GI2B 中的沉積物，主要是來自於綠島火山岩的風

化侵蝕來源。圖 84 為岩芯 OR1-891-GI2B 中的 ARM vs. χ 作圖，並與岩芯 OR715-21 相比較，顯示其有相近的磁性礦物顆粒大小。

圖 85 為岩芯 OR1-891-GI2B 中沉積物顆粒大小隨深度的變化，結果顯示岩心中沉積物顆粒的平均值約為 $20\ \mu\text{m}$ 、中間值約為 $20\ \mu\text{m}$ 、其掏選度值約為 10 左右。但顆粒的平均值和中間值，在深度約為 80-120 公分處有較大的起伏變化，且顆粒較粗，是否指示此一時期的黑潮水流強度增強，則有待未來進一步的分析研究。

圖 86 為岩芯 OR1-891-GI2B 中沉積物全岩礦物種類和百分比的變化，結果顯示岩心中主要組成礦物為石英(quartz)、長石(feldspar)、分解石(calcite)、伊萊石(illite)和綠泥石(chlorite)。其中，在 80-100 公分處黏土礦物(伊萊石和綠泥石)成分百分比降低，石英和長石組成成份百分比增高，與沉積顆粒較粗相一致，指示此一時期的黑潮水流強度增強，細粒顆粒不易沉積下來有關。

本研究海研一號 891 航次在台灣東部台東縣東河鄉外海的大陸棚上水深 62 公尺處，以底泥抓取器撈獲現生紅藻石，係首次在台灣水域發現現生紅藻石。撈獲之紅藻石體積介於 1-40 立方公分之間，質量 2-63 公克，紅藻石的平均密度約為 1.7 公克/立方公分。體積與質量呈良好之線性關係，表示撈獲之紅藻石緻密程度相近。表覆型藻類的細胞排列方向經常變動，暗示紅藻石形成過程中經歷侵蝕磨損及滾動。紅藻石外型為亞球狀或橢球狀，表面呈疣瘤狀，與 Bassi 等人(2009)報導之沖繩島群間的水深 50-70 公尺的海底平台所發現的紅藻石相類似，暗示兩者具有相似的高能量水流環境。我們推測，黑潮在東河外海的中大陸棚區因地形抬升而加速向北前進的穩定海流，伴隨該地風浪與潮汐所引發的擺盪性底流，在水深 60 公尺左右的中大陸棚上的波基位置，也是上部透光帶的底部，提供了紅藻石的有利生成環境。伴隨紅藻石的泥質碎屑沈積物中含有多種微體化石，如苔蘚蟲、指型軟珊瑚 *sinularia* spp 之鈣質骨針、翼足類、底棲有孔蟲、浮游有孔蟲、鈣質超微化石、矽藻等，俱為與黑潮相關，或珊瑚礁相伴生的熱帶物種。

此外，本分項工作亦利用本航次採取之沈積物岩心樣品、及綠島基盤岩主要的安山岩塊(圖 87)進行材料力學性質測試，包括自然物理性質試驗(表 1)、點荷重試驗(表 2)、壓密試驗(表 3)，測試結果顯示綠島基盤岩單壓強度介於 28.6-192MPa，強度等級屬於中強岩至超強岩，有利於工程施工。

(二) 海底震測探勘

本分項計畫利用海研一號研究船 896 航次，於 98 年 4 月 22 至 27 日出海作業，共計 6 天。本研究主要蒐集的資料如下：

1. 多頻道反射震測：為瞭解研究區域的地質構造背景，我們於 OR1-896 航次收集 8 條反射震測剖面(圖 88)。所使用震源為兩隻 GI(generator/injector)槍，每 37.5 公尺的間隔釋放體積 $210\ \text{inch}^3$ 的高壓空氣，接收纜線(streamer)長度為 750 公尺，共 60 個頻道(channels)，資料取樣率為 1 毫秒(ms)，資料長度記錄至 10 秒。
2. 水層聲速資料：為了瞭解研究區域的水層聲速資料，我們總共投擲 18 顆可拋棄式的鹽溫深儀(XCTD, eXpandable Conductivity, Temperature, Depth profiler)以及 61 顆溫深儀(XBT, eXpendable Bathythermograph Temperature profiler)(圖 88)。我們所使用的儀器為 Sippican 公司所製造的 XCTD-2(可測深到 1850 公尺)、XBT T-5 與 T-7(分別可測深到 1830 與 760 公尺)。使用可拋棄式溫深儀的優點是不需要停船，大幅節省作業時間。
3. 收集海研一號研究船上儀器都卜勒流剖儀(ADCP)、魚探儀(EK500)和海床底質剖面儀(Chirp)等 OR1-896 航次沿航線的資料。

研究區域背景概述

由舊有水深及重力和磁力資料 (Hsu et al., 1998) (圖 89、90) 顯示本研究區域的地體構造單元由西向東分別為南縱海槽 (Southern Longitudinal Trough)、花東海脊 (Huatung Ridge)、台東海槽 (Taitung Trough)、蘭嶼海脊 (Lanhsu Ridge)、花東海盆 (Huatung Basin)。其中台東峽谷 (Taitung Canyon) 發育在台東海槽內，為現今主要的河道侵蝕面，台東峽谷在 $22^{\circ} 26' N$ 以北為南北走向，在 $22^{\circ} 26' N$ 左右則轉為東西向。

由研究區域的磁化強度 (Magnetization) 分佈顯示，在綠島以北及以南的區域有一明顯的南北走向分佈的高磁化強度區 (圖 90)，這一高磁化強度帶狀區域屬於呂宋火山島弧的一部份，顯示出其基盤為堅硬的火成岩性的安山岩。

自由空間重力異常 (Free-air gravity anomaly) 與布蓋重力異常 (Bouguer gravity anomaly) 資料 (圖 89) 也顯示台東峽谷的東側為自由空間重力異常與布蓋重力異常的高區，西側為低區，指出台東峽谷的東側為基盤高區，西側為基盤的低區。有許多學者根據水深地震等資料推測台東峽谷很可能是一地形與構造的邊界 (e.g., Liu et al., 1998; Kao et al., 2000)。

地層的震測資料處理與解釋

本研究的震測剖面是用 Linux 工作站下的 ProMAX 軟體處理。所展示的震測剖面資料均經過 8-16-60-100 Hz 的帶通濾波 (band-pass filter)，水層速度 1500 m/s 的垂直隔距時差修正 (NMO)、重合 (stack) 及移位 (migration) 等處理步驟。本研究展示共 5 條震測剖面及其初步震測解釋，Line 1 (圖 91)、Line 2 (圖 92)、Line 4 (圖 93)、Line 6 (圖 94)、Line 8 (圖 95)，測線位置如圖 88。

經過初步的震測解釋與分析，我們整理出本研究區域的構造特徵如下：

1. 研究區域內的台東峽谷有明顯的峽谷侵蝕作用，其左右兩側發育了數個向峽谷中心軸方向錯動的正斷層 (圖 92、93)，由於正斷層出露於海床面上，顯示正斷層仍持續活動中，這表示峽谷的左右兩側為不穩定的構造活動區域。震測資料與水深資料均顯示往台東峽谷的上游方向，峽谷地形尚不明顯，直到測線 Line 2 及 Line 4 以南 ($22^{\circ} 40' N$ 以南) 才有較明顯的峽谷地形。
2. 在台東峽谷以東、呂宋島弧的西坡，發現有海底山崩 (圖 92)，由滑動面的存在推測其來源方向可能來自於呂宋島弧的西坡。
3. 在研究區域的最西側觀察出有沈積物多次堆積的事件 (Line 4 及 Line 8)，其來源方向不固定，推測此現象有可能起因於台灣島上陸上河流挾帶的大量沈積物多次堆積有關。
4. 本研究推測研究區域內沈積物的主要來源來自於西側台灣陸地河流入海所挾帶的沈積物，而沈積物滑動坍塌的主要成因有兩個，東側的呂宋島弧的持續活動，以及西側台東峽谷的持續侵蝕。
5. 震測資料顯示綠島往南往北延伸出水深帶狀的高區屬於呂宋島弧，呂宋島弧的左右兩側均有沈積物崩落與堆積的現象，但島弧頂端的沈積物很薄，或無沈積物，造成火成岩性質的安山岩直接出露於海床面上。

水層的震測資料處理解釋

由於不同水層有不同的水文物理參數，進而影響水層的聲速。如果來自不同水層的水文物裡參數反差越大，則水層間聲速差異越大，便越能由反射震測資料觀測出（e.g. Holbrook et al., 2003）。

本研究也針對水層反射震測的訊號進行資料處理，水層資料處理的步驟與地層資料不同處是帶通濾波（Band-pass Filter）為 16-64-150-300 Hz，保留較高頻的訊號，重合（stack），並濾除直達波，不進行移位（migratation）處理。

水層的震測層面解釋均經過仔細比對，再套疊於沿 OR1-896 航線的 ADCP、XBT 剖面進行綜合比較。

(A) 水層反射震測剖面

圖 96 分別展示 Line1, 2, 4, 6, 8 等測線的水層反射震測剖面與其解釋。

(B) 水層層面與 ADCP 資料比較

ADCP（Acoustic Doppler Current velocity Profiler）的資料隨 OR1-896 航次蒐集，可以看出沿航線的水流流速剖面。將反射震測解釋後所標示的水層層面套疊在 ADCP 剖面上（圖 97），可觀察出反射震測的水層層面大致均處於水流流速變化較大的地方。

(C) 水層層面與鹽度、聲速資料比較

若將水層層面套疊在鹽度與聲速資料上，可觀測出水層位置大致沿著鹽度變化較大的地方分佈（圖 98）。另外由於本研究區域的聲速變化較不明顯，故水層層面與聲速的關係較不清楚。真正產生水層層面的原因仍需要進一步的釐清。

表 4-1：綠島基盤岩安山岩塊樣品自然物理性質試驗結果

編號	乾單位重 (t/m ³)	含水量 (%)	孔隙率 (%)
1	2.14	4.23	4.84
2	2.34	7.51	17.60
3	2.60	5.92	15.40
4	2.28	0.62	3.28
5	2.06	2.24	11.30
6	2.98	3.67	3.60
7	2.72	6.11	4.38
8	2.63	4.18	6.81

表 4-2：綠島基盤岩安山岩塊樣品點荷重試驗結果

編號	單壓強度 (MPa)	強度分級
1	42.78~60.68 (51.73)	強岩
2	81.95	強岩
3	28.60	中強岩
4	156.99~192.31 (172.49)	甚強岩
5	141.99~171.29 (152.68)	甚強岩
6	118.22	甚強岩
7	86.25~157.27 (121.64)	甚強岩
8	84.56~104.04 (94.30)	強岩

備註：弱岩 < 25 Mpa；中強岩 25-50 MPa；
強岩 50-100 MPa；甚強岩 100-250 MPa

表 4-3：綠島海域附近海底沈積物壓密試驗結果

岩心編號	壓密係數 (m ² /yr)
第一組	0.39 ~ 0.84
GI-6-GI (A) 0 - 18 cm	(0.58)
第二組	0.08 ~ 0.22
ORI-891-GI3a (F) 21 - 34 cm	(0.12)
第三組	0.06 ~ 0.19
ORI-891-3A-G (上) (A) 0 - 21 cm	(0.12)
第四組	0.06 ~ 0.42
ORI-891-GI6-G1-(F) (W) 18 - 27 cm	(0.20)
第五組	0.13 ~ 0.91
GI-8-G (W) 0 - 18 cm	(0.46)
第六組	0.08 ~ 0.38
ORI-891-GI6-2-G 0 - 16 cm	(0.19)

初步沈積物岩心調查結果

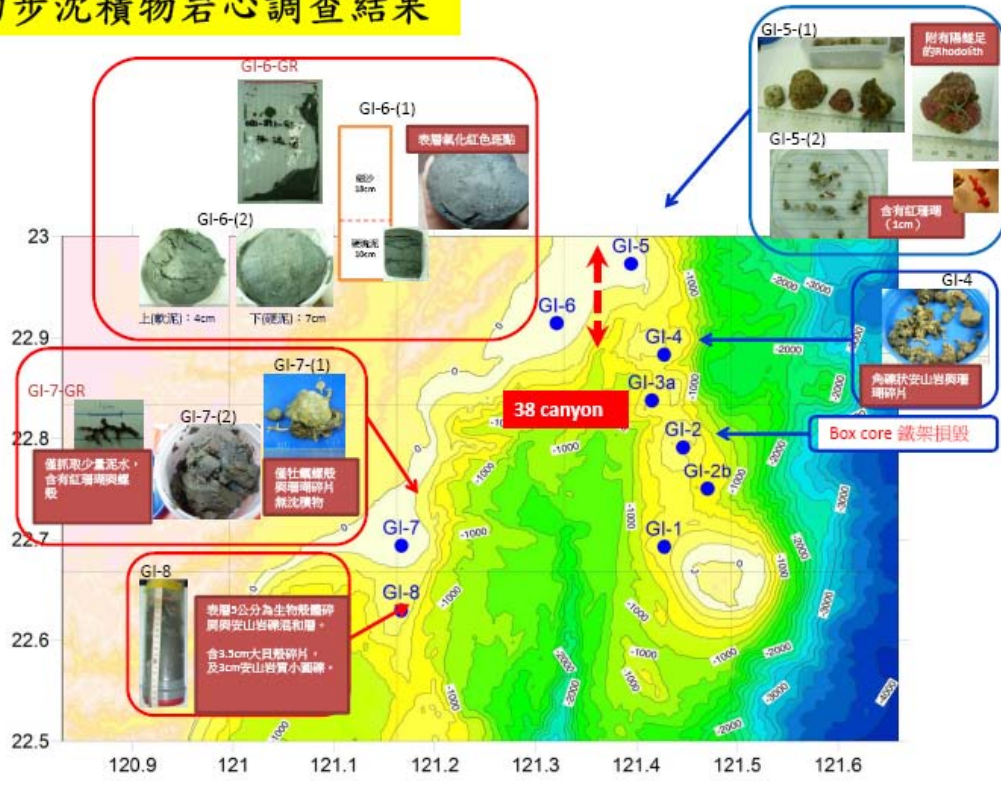


圖 80：海研一號 OR1-891 航次初步沈積物岩心調查結果

Photography of Gravity Core OR1-891-GI2B



圖 81：岩芯 OR1-891-GI2B 剖開後的掃描影像。

Paleomagnetic Secular Variation Pattern of Gravity Core OR715-21

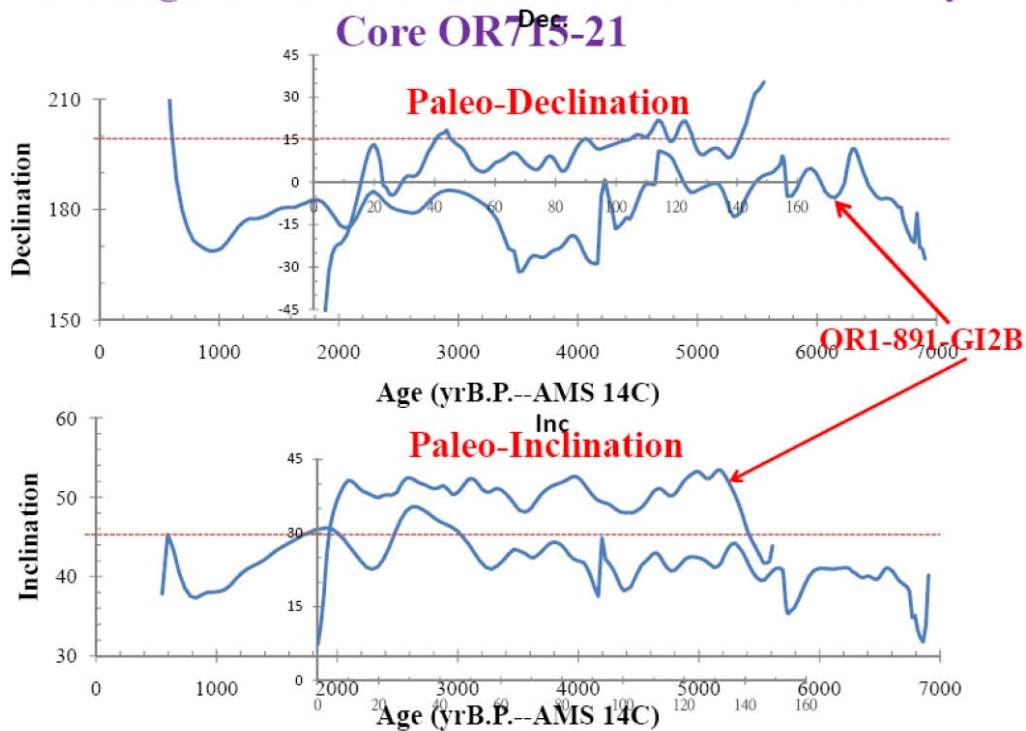
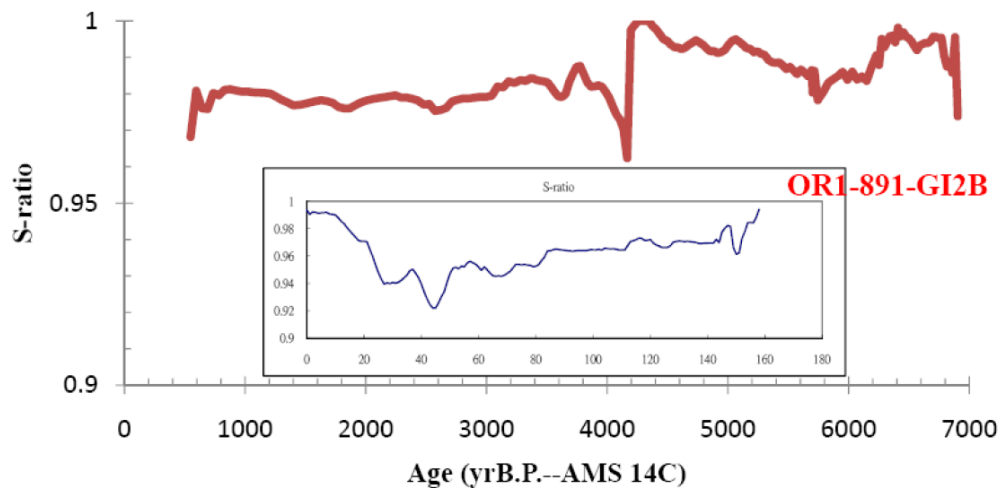


圖82：岩芯OR1-891-GI2B和岩芯OR715-21中沉積物古地磁紀錄的比較。

S-ratio of Core OR715-21



S-ratio > .95 → Major magnetic mineral: magnetite

圖83：岩芯OR1-891-GI2B中的S-ratio值隨著可能的年代變化。

ARM vs. χ of Core OR715-21

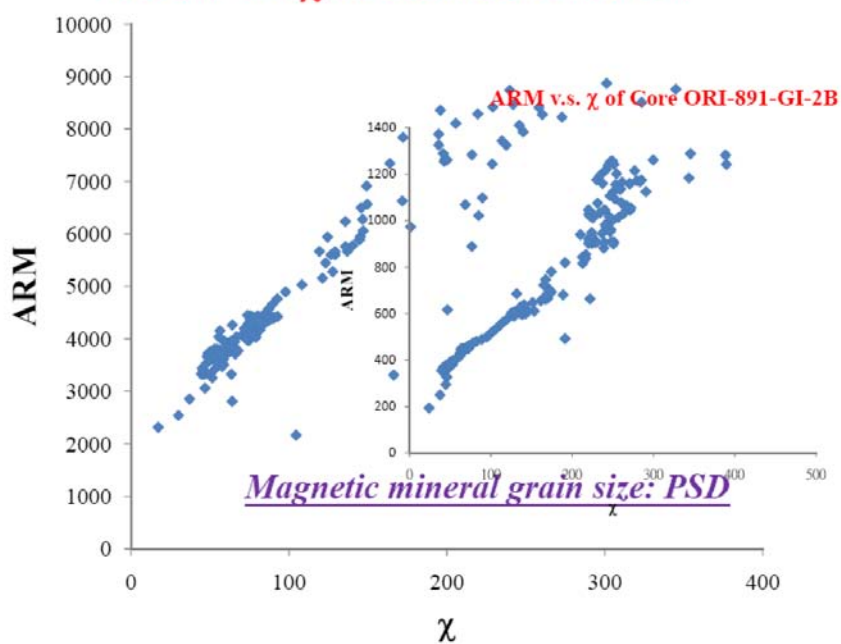


圖84：岩芯OR1-891-GI2B中的ARM vs. χ 作圖。

Particle size distributions of OR1-891-GI2B

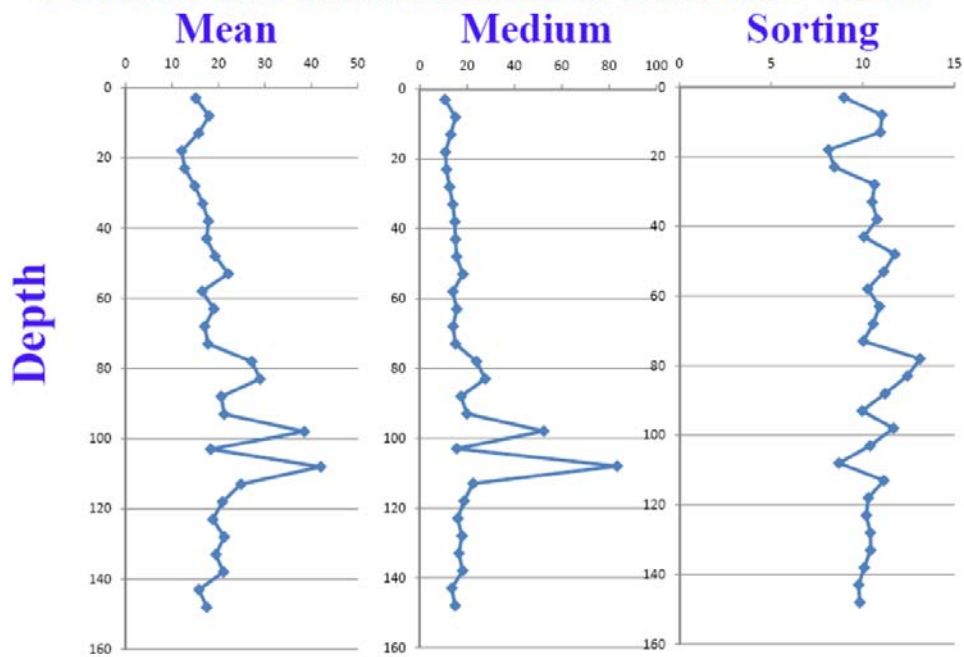


圖85：岩芯OR1-891-GI2B中沉積物顆粒大小隨深度的變化。

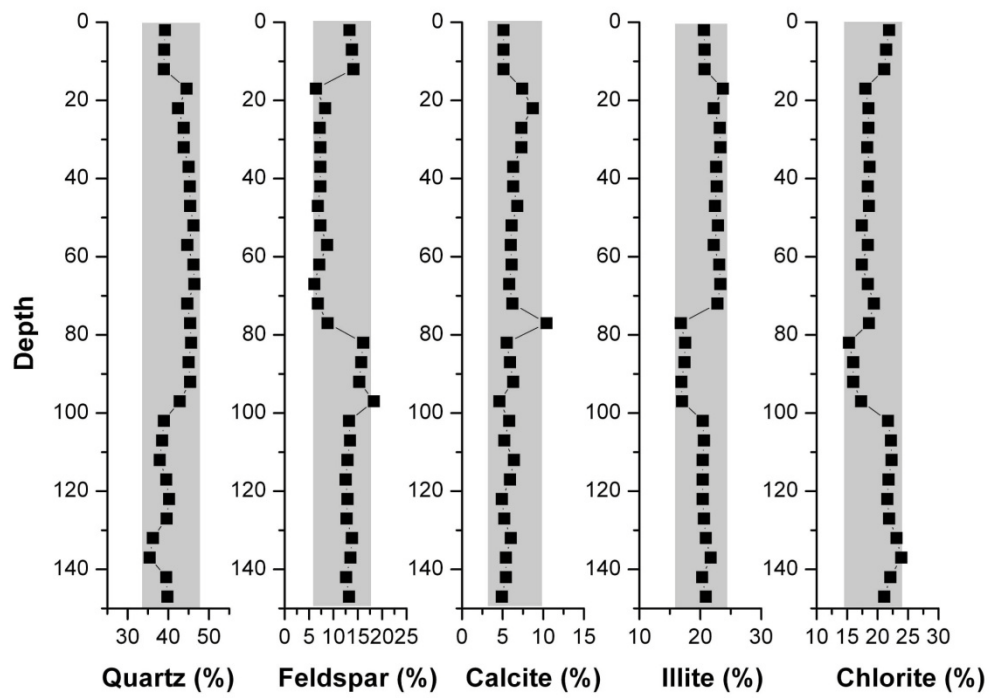


圖 86：岩芯 OR1-891-GI2B 中沉積物組成礦物成分隨深度的變化。



圖 87：用以進行材料力學性質測試的綠島基盤岩安山岩塊樣品

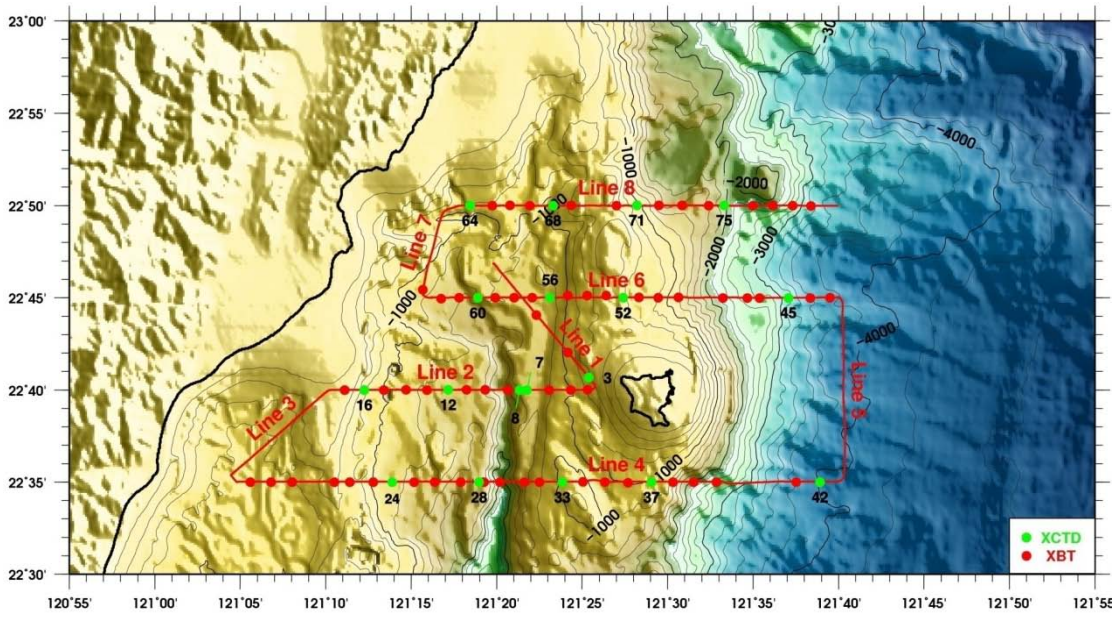


圖 88：本研究區域的水深、震測分佈與 XBT 位置圖。紅線為本研究 OR1-896 航次的測線分佈，紅字 Line1 到 Line8 顯示震測測線的編號，綠色與紅色圓點分別為 XCTD 與 XBT 的投擲位置，黑色數字為 XCTD 編號。

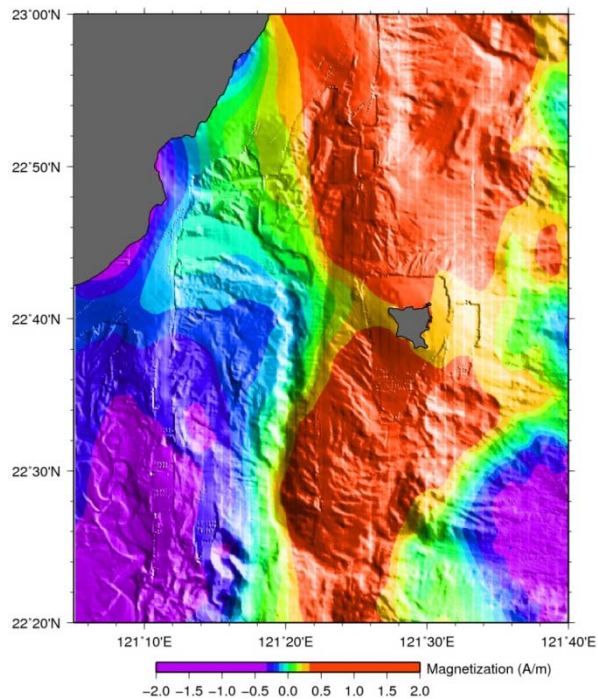


圖 89：本研究區域的磁化強度分佈圖，磁化強度值套疊在水深資料上。

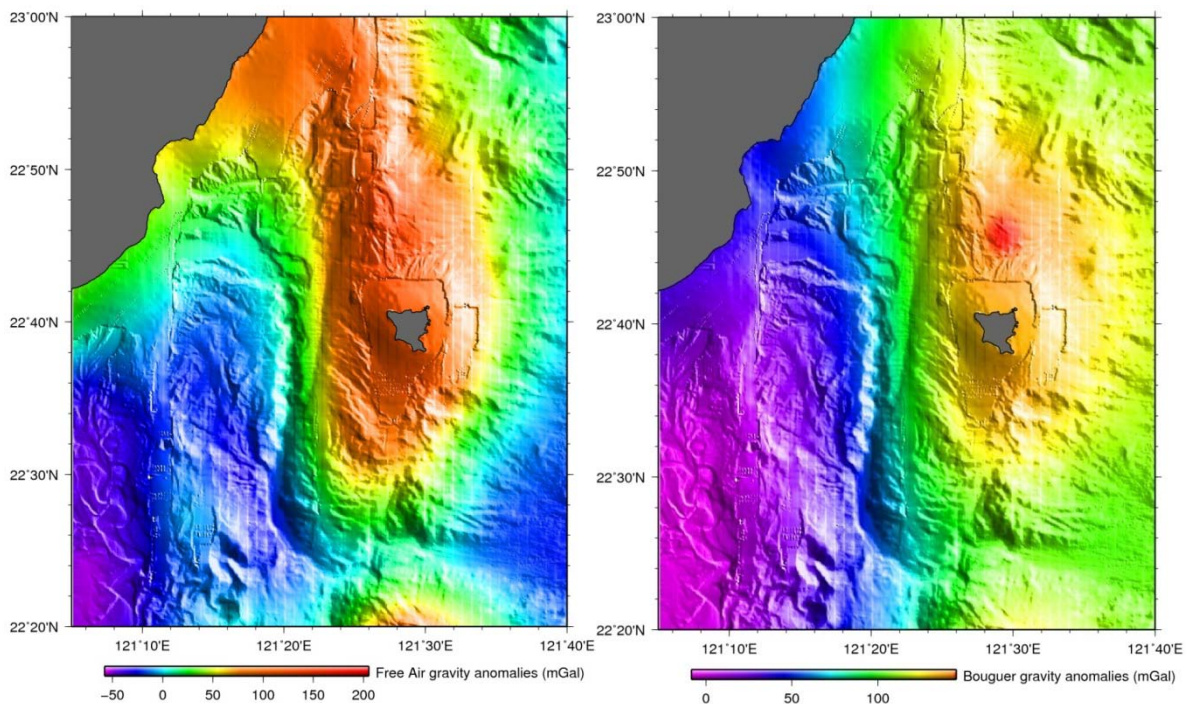


圖 90：（左）研究區域自由空間重力異常與（右）布蓋重力異常分佈圖，自由空間與布蓋重力異常資料值均套疊在水深資料上。

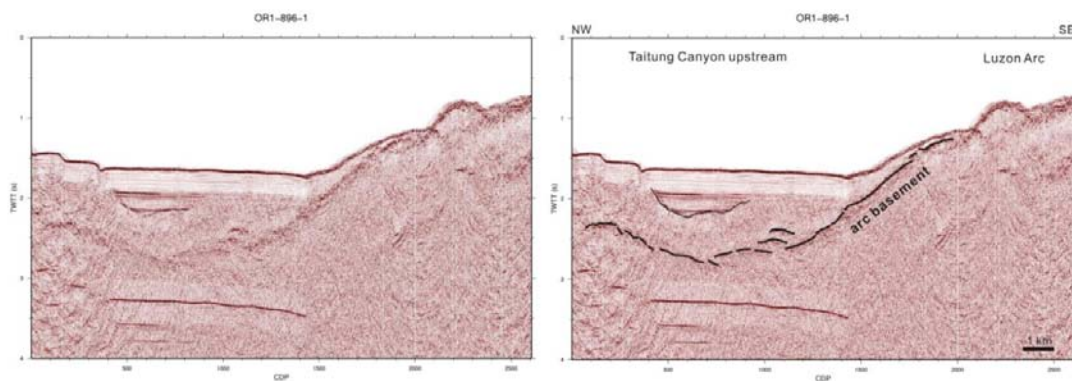


圖 91、（左）震測剖面 Line 1 與（右）其震測剖面解釋。此剖面可看出台東峽谷的上游區域內有一明顯的不整合面（黑色細線），推測為被沈積物掩蓋的古侵蝕河道。

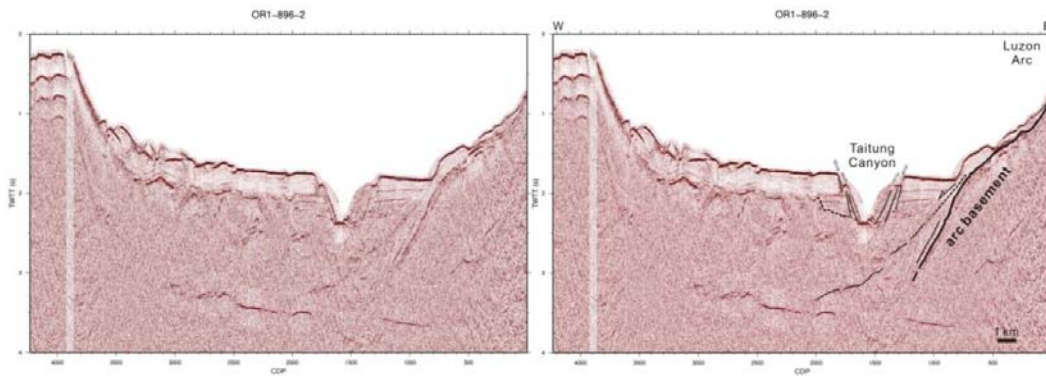


圖 92、(左) 震測剖面 Line 2 與 (右) 其震測剖面解釋。峽谷地形在此逐漸變得明顯，峽谷的左右兩緣發育數個正斷層。呂宋島弧基盤的上方有沈積物侵蝕以及堆積的情形，峽谷東側出觀察出有海底山崩，黑色虛線及箭頭標示海底山崩可能的滑動面及滑動方向。

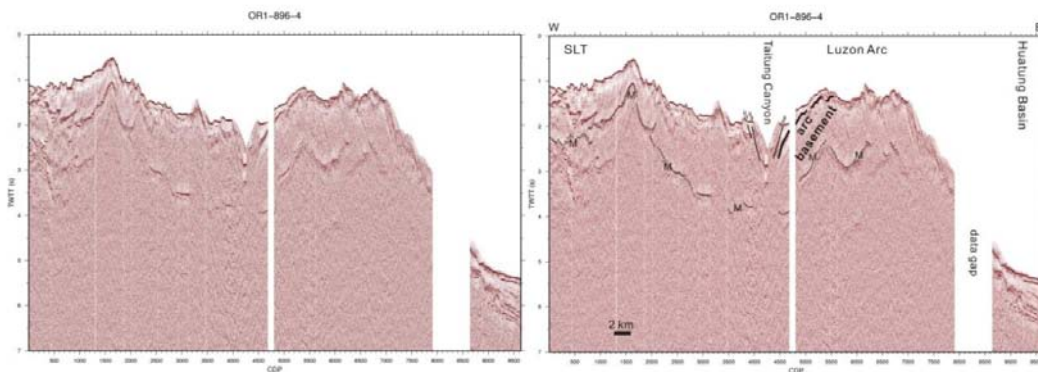


圖 93、(左) 震測剖面 Line 4 與其 (右) 震測剖面解釋。M 代表複反射雜訊，SLT 為南縱海槽。此測線可看出台東峽谷的東西兩側發育數個正斷層，測線的最西邊 (CDP #1 -#1000) 顯示沈積物有多次崩塌堆積的現象。

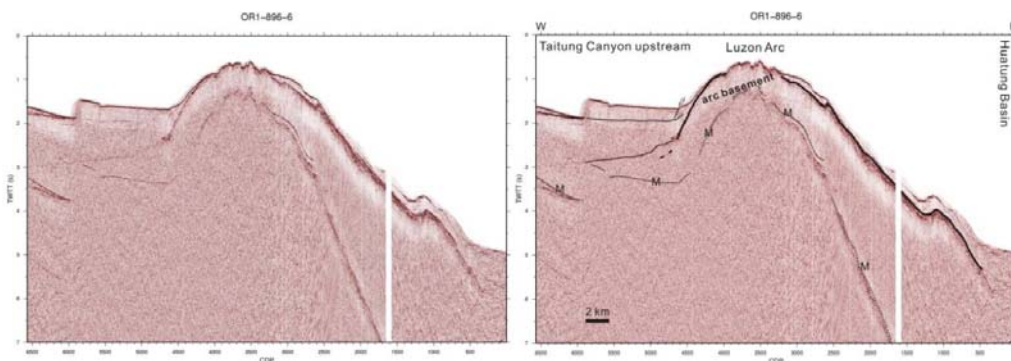


圖 94、(左) 震測剖面 Line 6 與 (右) 其震測剖面解釋。M 代表複反射雜訊。黑色細線標示沈積層面。

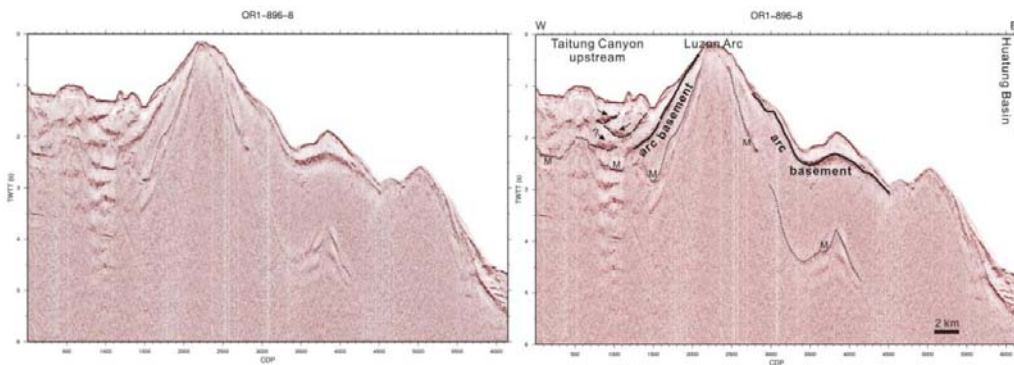


圖 95、(左) 震測剖面 Line 8 與 (右) 其震測剖面解釋。由剖面可觀察出台東峽谷上游區域有多次沈積物崩塌堆積的現象，黑色虛線及箭頭標示出不同事件的底部及可能崩落的來源方向。

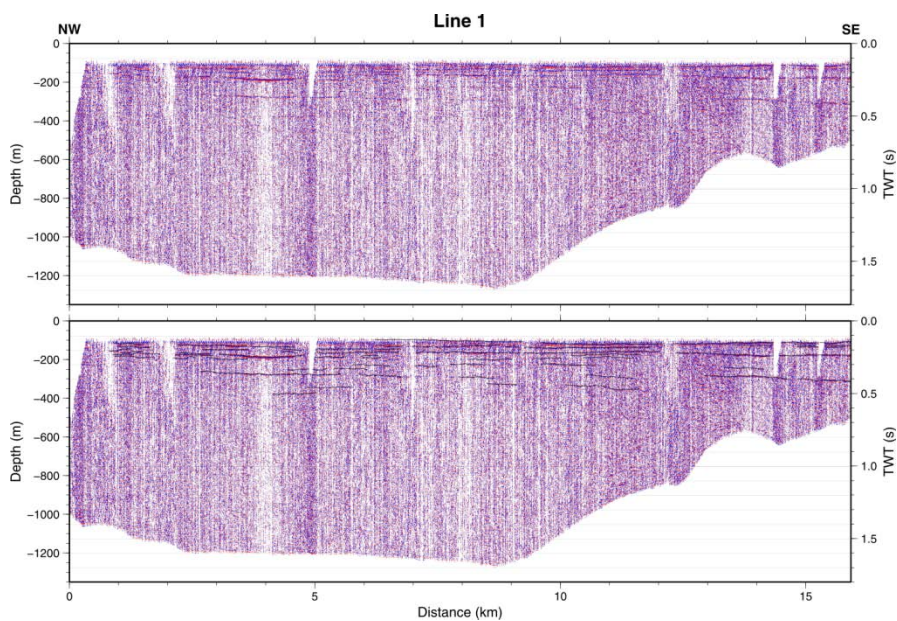


圖 96、Line1 的 (上) 水層反射震測剖面與 (下) 其解釋。

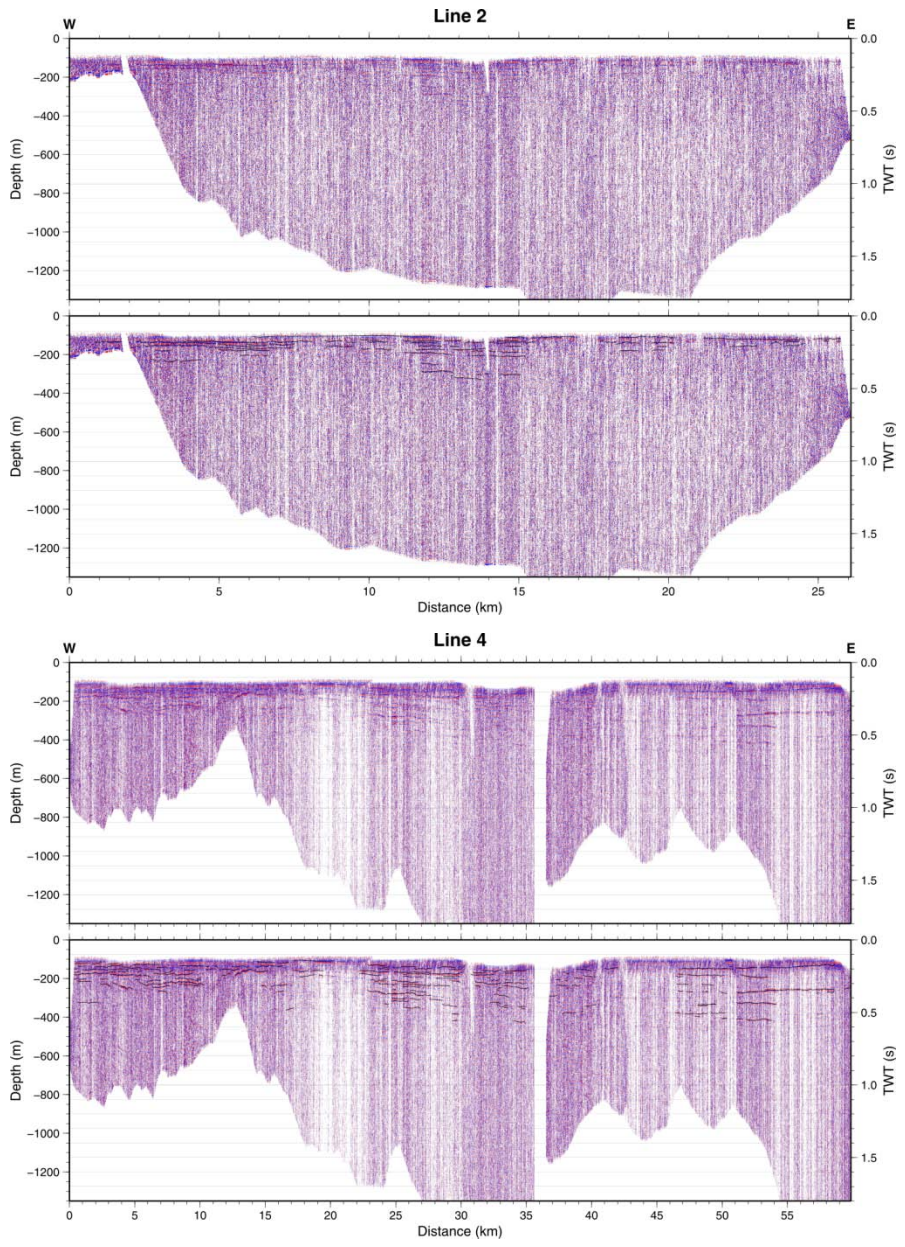


圖 96 (續)：Line 2 與 Line 4 的 (上) 水層反射震測剖面與 (下) 其解釋。

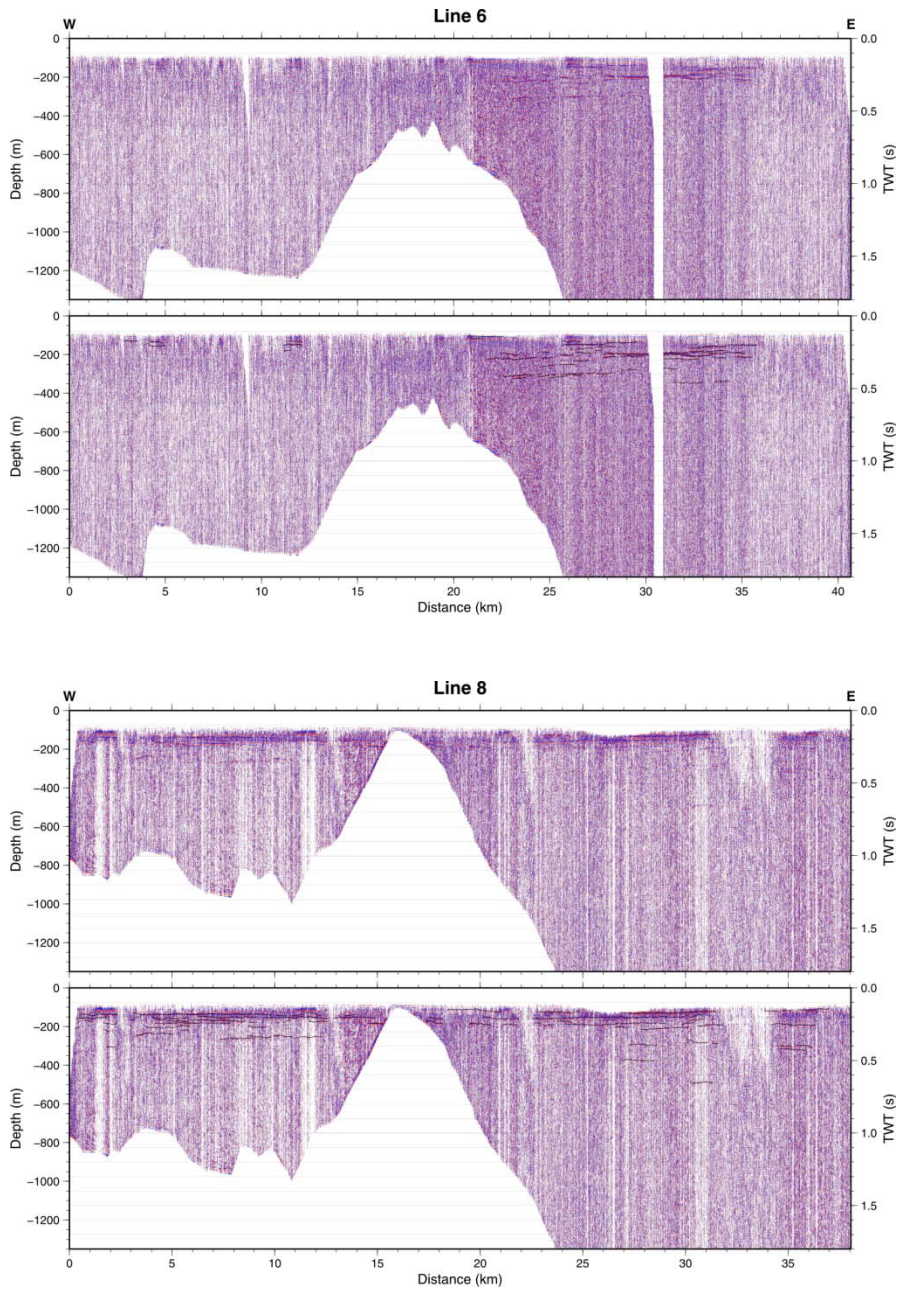


圖 96 (續): Line 6 與 Line 8 的 (上) 水層反射震測剖面與 (下) 其解釋。

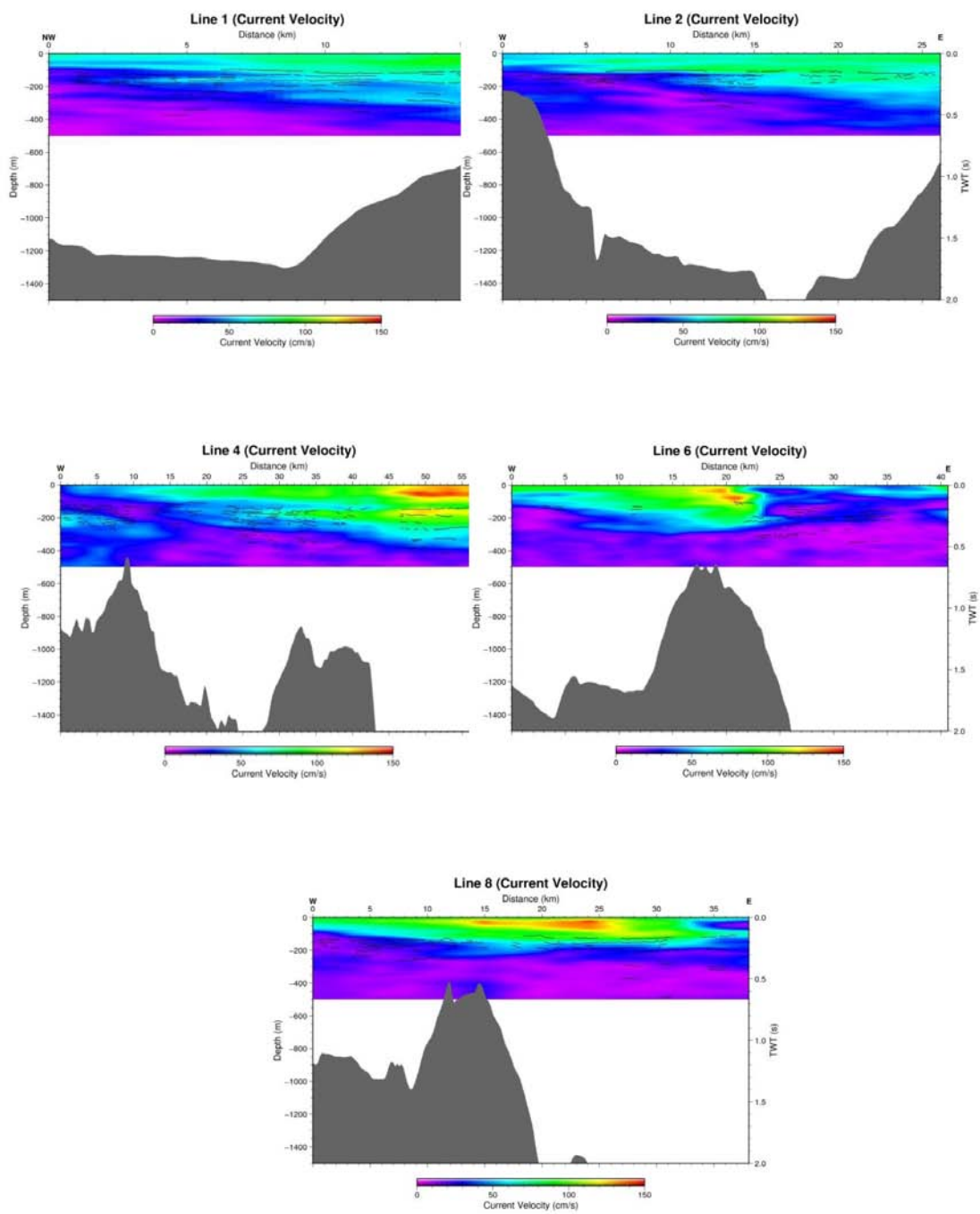


圖 97：各測線的 ADCP 流速剖面與水層層面，其中黑色線標示出水層層面。

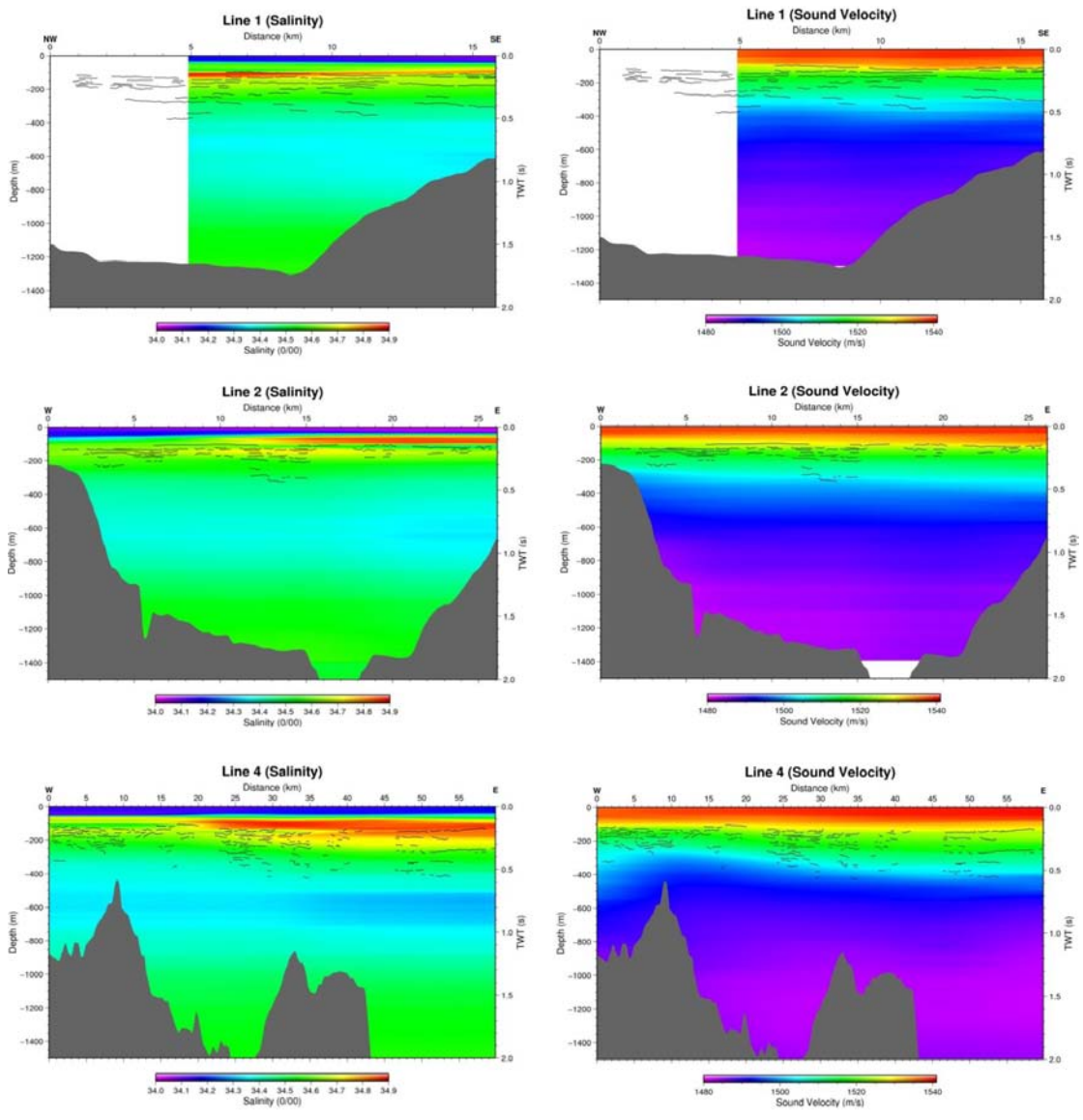


圖 98、研究區域各測線的（左）鹽度剖面與（右）聲速剖面，黑色線標示出水層層面。

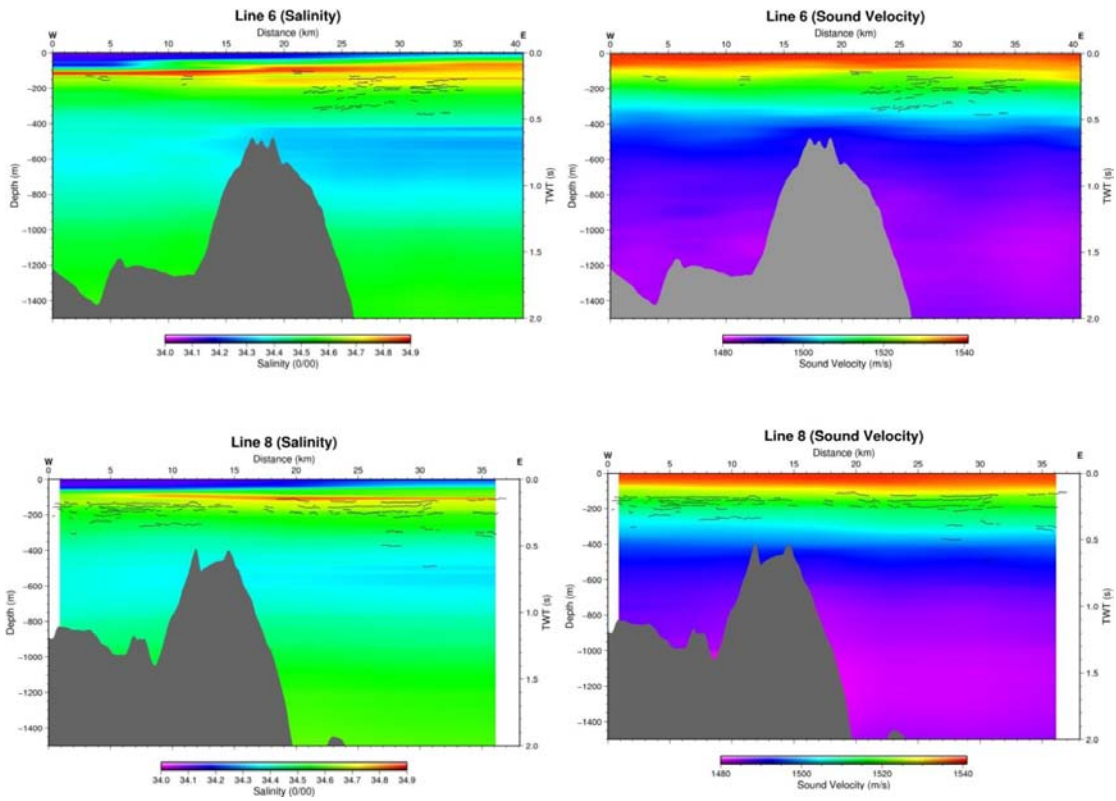


圖 98 (續)、研究區域各測線的 (左) 鹽度剖面與 (右) 聲速剖面，黑色線標示出水層層面。

第六章、結論

結論依計畫架構共分五大部分說明，分別是

海流觀測：

1. 海流時間上變化

- 黑潮流速強而穩定，於觀測期間內，有 90% 的時間其流速大於 50 cm/sec。
- 由錨錠資料觀測到約 100 小時週期的變動可能與呂宋海峽內產生之不穩定波有關。
- 本次錨錠觀測幸運地記錄到黑潮對莫拉克颱風所產生的反應，並發現到頂風海流(head-wind cruuent)，這股海流可能和黑潮、陸地邊界與強勁風場的交互作用有關。
- 由於錨錠僅能提供定點資訊，利用美國海軍實驗室(Naval Research Laboratory, NRL)發展之東亞海域現報預報系統模式(East Asian Seas Nowcast/Forecast System)針對莫拉克颱風侵襲台灣前後之周遭海域流況進行模擬，藉以瞭解該頂風海流的生成機制。發現該海流可能與台灣東南方形成的冷心渦漩(cold eddy)向北傳遞有關，此北傳的冷心渦漩加強了位於台灣東北海域在冬季常出現冷心渦漩，並可能造成當時台灣東北海域大量魚類死亡。
- 本計畫所設計的錨錠系統，在黑潮強流區內仍然穩定，可做為未來工程上進行水下平台設計的參考。

2. 海流空間上變化

- 此海域表層流速達 100 cm/s 以上，而水深超過 100 公尺後，流速開始隨深度減弱。
- 流場受黑潮影響沿著海岸線向北流，受潮流調節，漲潮時段流速較退潮時段強，漲潮時流向較為穩定。
- 在綠島北面海脊處，潮流及平均流受海脊影響而沿著海脊缺口偏向東流出此海域，水深愈深海脊造成海流偏轉的影響愈大。
- 富岡到綠島間橫切面的平均流，上層 100 公尺之流速超過 100 cm/s，流向相當一致，流向東北，100 公尺深以下流速逐漸減弱，東側流速大於西側，即主要海流貼向綠島側斜坡流向東北。
- 南北向縱切面之平均流，在北緯 22.75 度到北緯 22.85 度之間海流整層流速明顯較其他位置小，可能是受到海底峽谷變淺的影響使海流造成變化。當海流過了北緯 22.85 度後，水深 75 公尺至 300 公尺處的海流流速增強，可能受水深變淺，流速增加，而底層海流受海底摩擦力的影響，流速明顯減弱且流向變化較大。
- 綠島北邊海脊處各有 1 個正渦度與 1 個負渦度，從流線也看到海流偏轉的情形，平均流通過綠島北邊海脊與海底峽谷受淺化影響而轉向。

地形精密調查：

- 利用更新後的多音束測深系統與 3.5KHz 反射震測剖面系統，成功量測了精密的區域水深值，這些水深值可用以繪製供學術甚至工程參考用的海下地形圖。
- 利用這些測量的水深資料繪製了數張當地海域的精密海底地形圖，反映出三八峽谷、東河海脊、南東河海脊、北綠島海脊、綠島海脊的地形特徵。
- 在北綠島海脊上，沒有看到有清楚的沉積物覆蓋在海脊的頂部和坡上，表示這裡受到了黑潮海流的影響，如果有任何的沉積物，都會隨流帶走，無法沉積在海床上。

地震構造研究：

- 成功開發出自行設計的海底地震儀(Ocean Bottom Seismometer, OBS)。
- 成功記錄到 2010 年 3 月 4 日的甲仙地震。
- 未來應用 OBS 地震網於研究台灣東部蘭嶼、綠島之間的區域地震活動特性，解算震源參數以及研究發震機制，可以針對蘭嶼、綠島等火山島弧進行淺部結構炸測，解算淺層震波速度結構。

水文化學與生態調查：

- 營養鹽：磷酸鹽濃度範圍為 0~2 μM 、硝酸鹽濃度範圍為 0~28 μM 、矽酸鹽濃度範圍為 1~66 μM ，兩斷面垂直分佈大致相同，濃度變化與西太平洋及西菲律賓海分佈一致。
- 重金屬：鎘金屬水中總濃度垂直變化與西太平洋及西菲律賓海分佈一致。
- 浮游植物：綠島海域族群發現以原核綠藻(*Prymnesiophyte*)為最多，其次為鈣板藻類(*Prochlorophyte*)。
- 浮游動物(橈足類)：綠島北邊族群密度為 309.8 (ind./m³)共發現三種目, 21 科, 25 屬, 48 種；綠島北邊族群密度較高為 501.7(ind./m³) 共發現三種目, 16 科, 20 屬, 42 種。
- 仔稚魚：綠島北邊族群密度較高為 0.465(ind./m³)共 31 科 43 屬,以海鮪科犀鱈屬(*Genus Bregmaceros*)為最多；綠島西邊族群密度為 0.081(ind./m³)共 19 科 19 屬,以海鮪科澳洲犀鱈(*Bregmaceros nectabanus*)數目最多。

海底地質調查：

- 研究區域內的台東峽谷有明顯的峽谷侵蝕作用，其左右兩側發育了數個向峽谷中心軸方向錯動的正斷層，由於正斷層出露於海床面上，顯示正斷層仍持續活動中，這表示峽谷的左右兩側為不穩定的構造活動區域。震測資料與水深資料均顯示往台東峽谷的上游方向，峽谷地形尚不明顯，直到測線 Line 2 及 Line 4 以南 (22°40' N 以南) 才有較明顯的峽谷地形。
- 在台東峽谷以東、呂宋島弧的西坡，發現有海底山崩，由滑動面的存在推測其來源方向可能來自於呂宋島弧的西坡。
- 在研究區域的最西側觀察出有沈積物多次堆積的事件 (Line 4 及 Line 8)，其來源方向不固定，推測此現象有可能起因於台灣島上陸上河流挾帶的大量沈積物多次堆積有關。
- 本研究推測研究區域內沈積物的主要來源來自於西側台灣陸地河流入海所挾帶的沈積物，而沈積物滑動坍塌的主要成因有兩個，東側的呂宋島弧的持續活動，以及西側台東峽谷的持續侵蝕。
- 震測資料顯示綠島往南往北延伸出水深帶狀的高區屬於呂宋島弧，呂宋島弧的左右兩側均有沈積物崩落與堆積的現象，但島弧頂端的沈積物很薄，或無沈積物，造成火成岩性質的安山岩直接出露於海床面上。

參考文獻

- Fan, K.-L. (1980), On upwelling of northeastern shore of Taiwan. *Acta Oceanographica Taiwanica*, **11**, 105-117.
- Holbrook, W. S., P. Paramo, S. Pearse, and R. W. Schmitt (2003) Thermohaline Fine Structure in an Oceanographic Front from Seismic Reflection Profiling, *Science*, 301, 821-824.
- Hsu, S.-K., C.-S. Liu, C.-T. Shyu, S.-Y. Liu, J.-C. Sibuet, S. Lallemand, C. Wang, and D. Reed (1998) New gravity and magnetic anomaly maps in the Taiwan-Luzon region and their preliminary interpretation, *Tess. Atmos. Oceanic Sci.*, 9, 509-532.
- Isobe A (1999), The Taiwan-Tsushima Warm Current System: Its Path and the Transformation of the Water Mass in the East China Sea. *J. Oceanogr.*, **55**, 185-195.
- Jones, W.E., T.N. Lee, D. Zhang, R. Zantopp, C.T. Liu, and Y. Yang (2001), The Kuroshio east of Taiwan: Moored transport observations from the WOCE PCM-1 array, *J. Phys. Oceanogr.*, **31**, 1031-1053.
- Kao, H., G.-C. Huang, and C.-S. Liu (2000) Transition from oblique subduction to collision in the northern Luzon arc-Taiwan region: Constraints from bathymetry and seismic observations, *J. Geophys. Res.*, 105, 3059-3079.
- Lee T.N., W.E. Johns, C.-T. Liu, D. Zhang, R. Zantopp, Y. Yang (2001), Mean transport and seasonal cycle of the Kuroshio east of Taiwan with comparison to the Florida Current. *J. Geophys. Res.*, **106**, 22143-22158.
- Liang W.-D., T.Y. Tang, Y.J. Yang, M.T. Ko, and W.-S. Chuang (2003), Upper-ocean currents around Taiwan. *Deep-Sea Res.*, **50**, 1085-1105.
- Liu, K.-K., Gong, G.-C., Shyu, C.-Z., Pai, S.-C., Wei, C.-L., Chao, S.-Y. (1992), Response of Kuroshio upwelling to the onset of the northeast monsoon in the sea north of Taiwan: observations and a numerical simulation. *J. Geophys. Res.*, **97**, 2,511-12,526.
- Liu, C.-S., S.-Y. Liu, S. E. Lallemand, N. Lundberg, and D. Reed (1998) Digital elevation model offshore Taiwan and its tectonic implications, *Tess. Atmos. Oceanic Sci.*, 9, 705-738.
- Nitani, H. (1972), Beginning of the Kuroshio, in *Kuroshio - Its Physical Aspects*, edited by H. Stommel and K. Yoshida, pp. 129– 163, Univ. of Tokyo Press, Tokyo.
- Stommel, H., and A. B. Arons (1960), On the abyssal circulation of the world ocean. I: Stationary planetary flow patterns on a sphere, *Deep-Sea Res.*, **6**, 140– 154.
- Sun, X. (1987), Analysis of the surface path of the Kuroshio in the East China Sea. In: Sun, X. (Ed.), *Essays on the Investigation of Kuroshio*. Ocean Press, Beijing, pp. 1-14 (in Chinese with English abstract).
- Qu T., and R. Lukas (2003), The bifurcation of the North Equatorial Current in the Pacific. *J. Phys. Oceanogr.*, **33**, 5-18.
- Tang, T.Y., J.H.Tai, and Y.J. Yang (2000), The flow pattern north of Taiwan and the migration of the Kuroshio, *Cont. Shelf Res.*, **20**, 349-371.
- Uda, M., Kishi, A. (1974), Cyclonic cold eddies along the edge of the Kuroshio current in relation to the genesis and passage of cyclones, I. Waters north of Taiwan. The Kuroshio III. Proceedings of the 3rd Symposium, Bangkok, Thailand, 1972, pp. 199-218.
- Wang, J., and C.-S. Chern (1988), On the Kuroshio branch in the Taiwan Strait during wintertime. *Prog. in Oceanogr.*, **21**, 469-491.

- Wang, Y.H., S. Jan, & D.P. Wang, 2003. Transports through Taiwan Strait from Shipboard ADCP Observations (1999-2001). *Estuarine, Coastal and Shelf Science*, 57, 195-201.
- Wang, Y.H., L.Y. Chiao, K. Lwiza & D.P. Wang, 2004. Analysis of flow at the gate of Taiwan Strait. *Journal of Geophysical Research*, V109, C2, C02025.
- Wu C.-R., H.-F. Lu, and S.-Y. Chao (2008), A numerical study on the formation of upwelling off northeast Taiwan, *J. Geophys. Res.*, **113**, C08025, doi:10.1029/2007JC004697.
- Yang, Y., C. T. Liu, J. H. Hu and M. Koga (1999), Taiwan Current (Kuroshio) and Impinging Eddies, *J. Oceanogr.*, **55**, 609-617.
- Zhang D., W.E. Johns, T.N. Lee, C.-T. Liu and R. Zantopp (2001), The Kuroshio east of Taiwan: Modes of variability and relationship to interior meso-scale eddies, *J. Phys. Oceanogr.*, **31**, 1054-1074.
- 高英勳 (1998), 橫向海脊對西方邊界流流徑影響之探討。國立台灣大學海洋研究所碩士論文。41 頁。

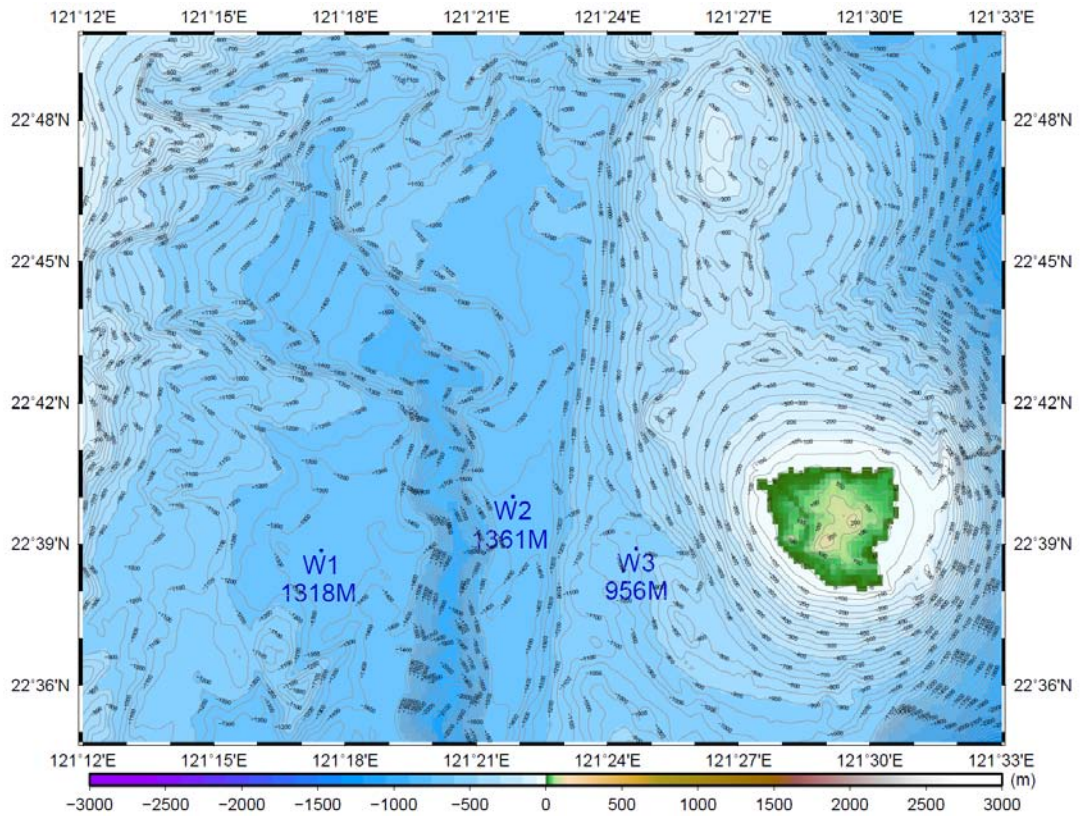
國立台灣大學海洋研究所

台灣東部海域自然資源綜合性研究(I)

綠島海域流場、地形地質、水文與生態精密調查

實驗海流觀測資料報告

W1 站



目錄

一、錨碇相關資訊

二、W1 站施放記錄與錨碇配置圖

 W1 站 CTD 資料

 W1 站 ADCP 溫度、壓力資料

 W1 站 ADCP 流速資料

附錄、W1 站 30 水深 30 公尺、50 公尺流速(Speed, $\sqrt{u^2 + v^2}$)分佈

Moorings Information

Station	Location	*Data Duration (yyyy/mm/dd/hhmm)	Local Depth	Deploy Cruise	PI	Recovery Cruise	PI	Remark
W1	121°17.4341'E 22°38.8623'N	2009/04/26/2300 2009/09/13/0400	1318M	OR1-896B	詹森教授	OR1-912B	張明輝教授	
W2	121°21.8300'E 22°40.0133'N	2009/04/27/0500 2009/06/09/1400	1361M	OR1-896B	詹森教授	OR1-912B	張明輝教授	1.*Battery Leakage 2.*Pressure Sensor Error
W3	121°24.6445'E 22°38.8623'N	2009/04/27/0900 2009/07/12/0500	956M	OR1-896B	詹森教授	OR1-912B	張明輝教授	1.*Battery Leakage

*資料時間為 GMT 時間，當地時間為 GMT+8 小時。

* 2009/09/15 檢查電池後，發現 W2 與 W3 之電池電力只剩 13.8V，與 W1 之電池電力 36.8V 差異甚大，研判可能因電池漏電導致 ADCP 停止量測。

有關 W2 與 W3 二站發生疑似電池漏電的情況，經代理商向 RDI 原廠詢問後，發現是機器本身的韌體問題，導致 W2 的壓力計錯誤與電池發生漏電，以下是原廠的回覆：

These units all have V50.32 firmware, which has a serious bug that likely explains this behavior.

The bug causes system resets.

Upon resetting, the system may have lost its configuration parameters and not know what to do.

When it happens, the system may be awake until it drains the batteries.

* W2 壓力計異常，校正步驟將詳述於後。

W1 站施放記錄

使用航次：海研一號 896B、海研一號 912B 航次

施放時間：2009 年 4 月 27 日 06 時 05 分（當地時間）

施放地點：東經 121°17.4341'，北緯 22°38.8623'

當地水深：1318 公尺

回收時間：2009 年 9 月 13 日 14 時 45 分（當地時間）

ADCP 設定（資料時間為 GMT 時間）：

Information from RDI program W1NSC

=====

C:\Documents and Settings\kazuhiko\桌面\W1\W1.000

File Size 6,517,254 bytes

BB/WH Ensemble Length 1894 bytes

System Frequency: 76.8 kHz

1st Bin 12.96 m, Bin Size 4.00 m

No. Bins 87, Pings/Ens 150, Time/Ping 00:24.00

First Ensemble 00000001 09/04/24 08:00:00.00

Last Ensemble 00003441 09/09/14 16:00:00.00

Average Ensemble Interval 01:00:00.00

=====

ADCP 平均水深：343 公尺

可用資料深度：30 公尺至 326 公尺，每 4 公尺一層，共 75 層。

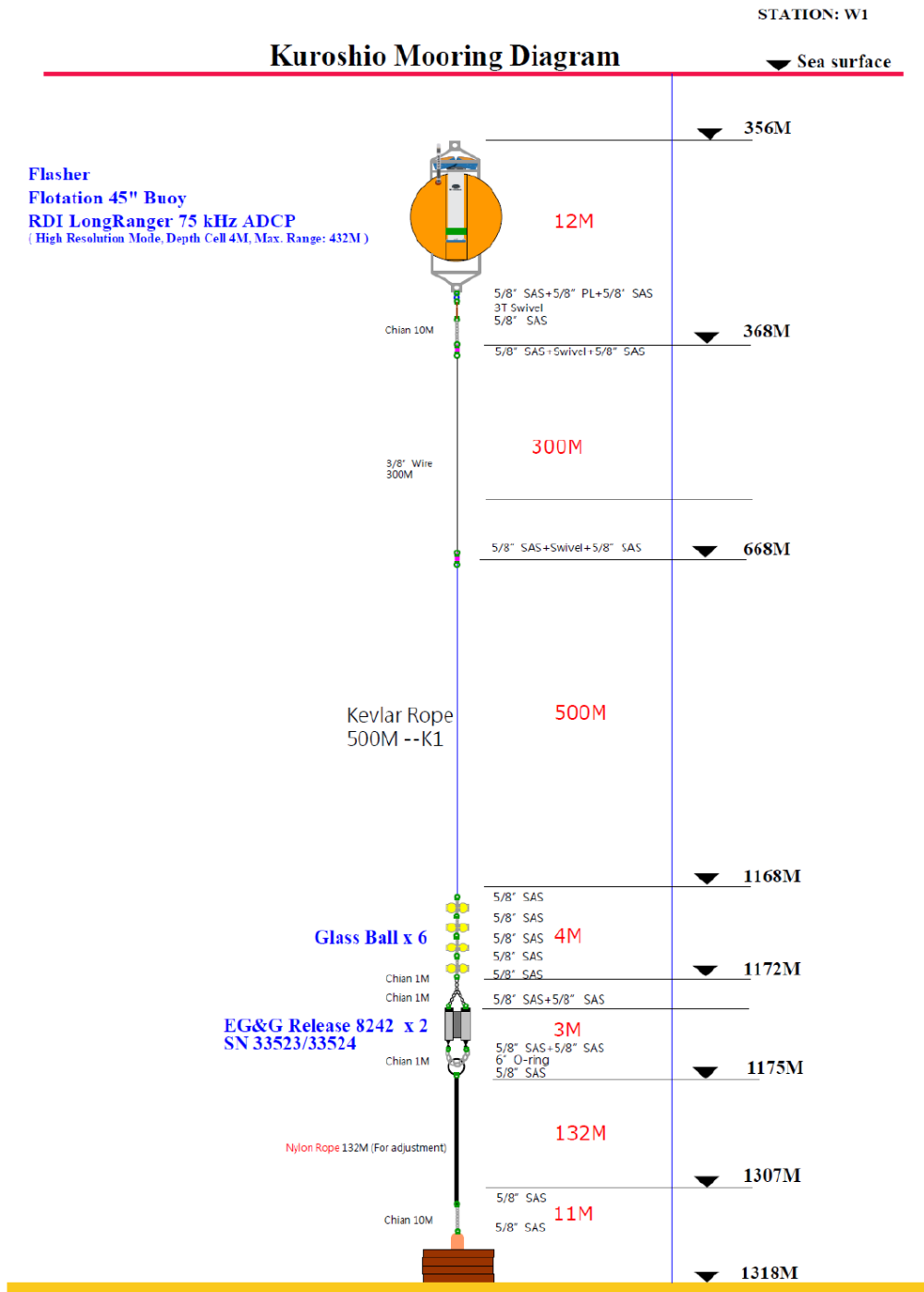
可用資料比數：3342

Final Mooring Design

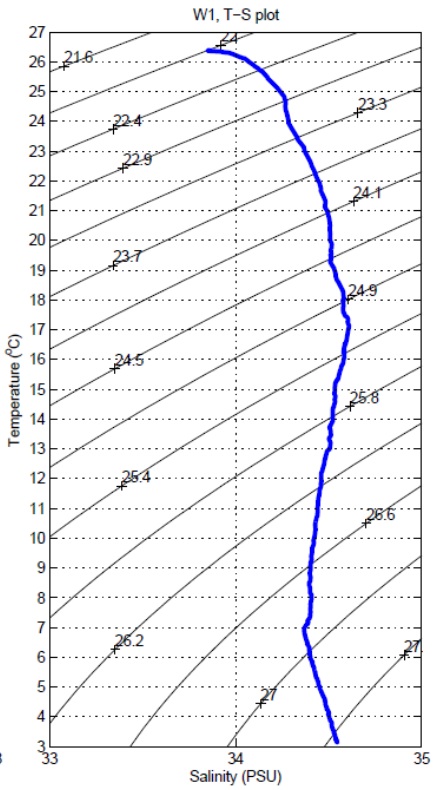
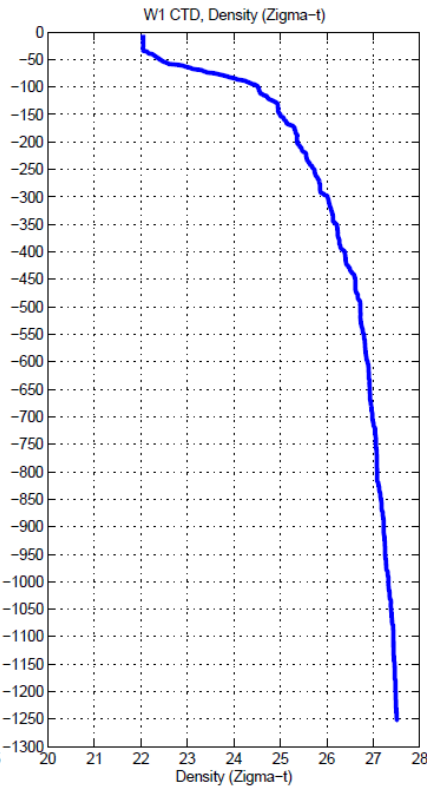
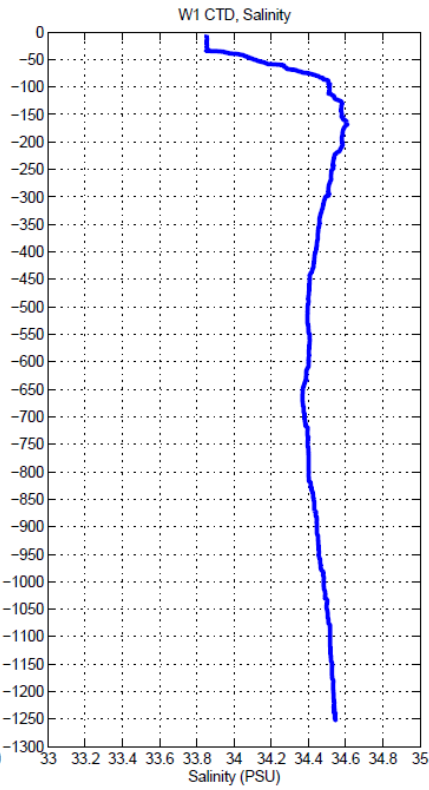
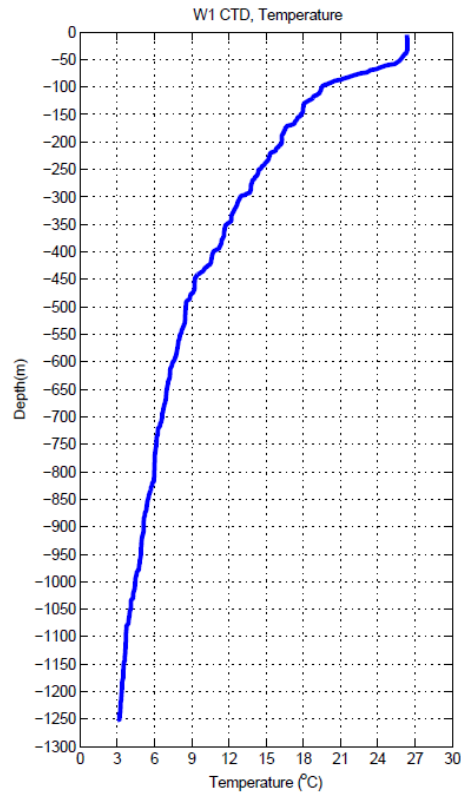
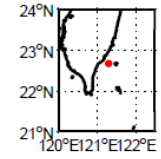
W1 (NTU).

Let go time/location: 2009/04/26 22:04(GMT). 121°, 17.4341 (E) 22°, 38.8623 (N)

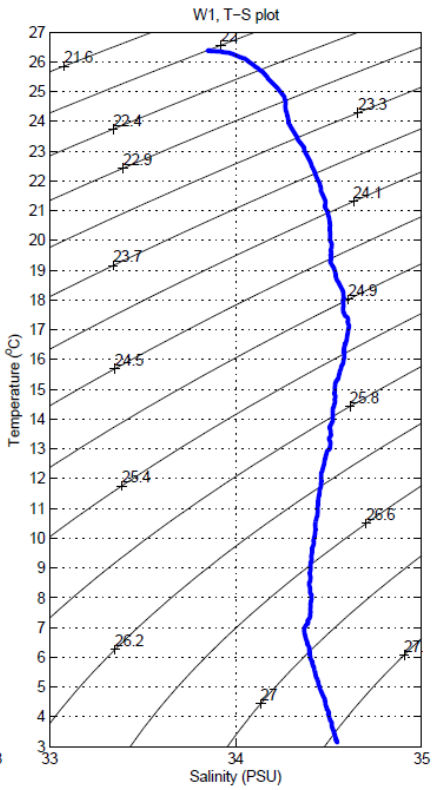
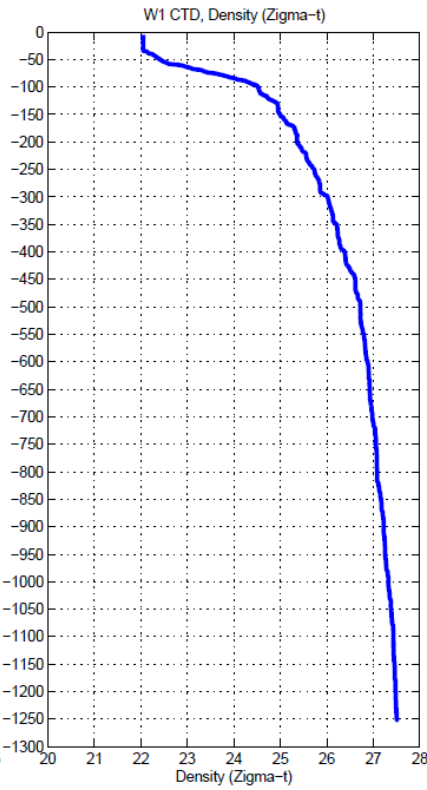
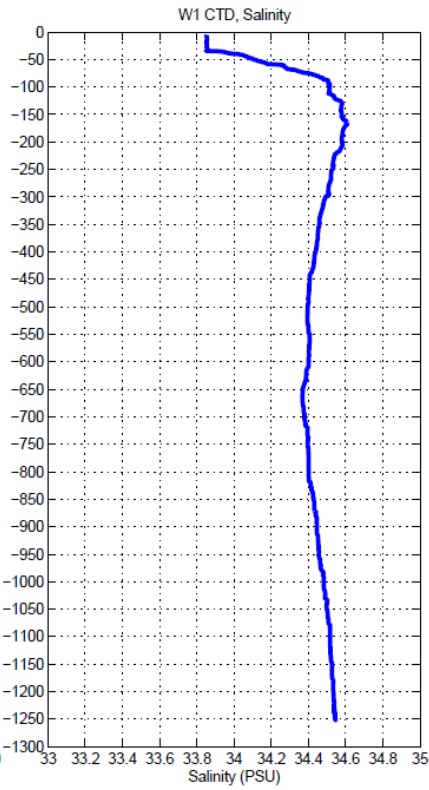
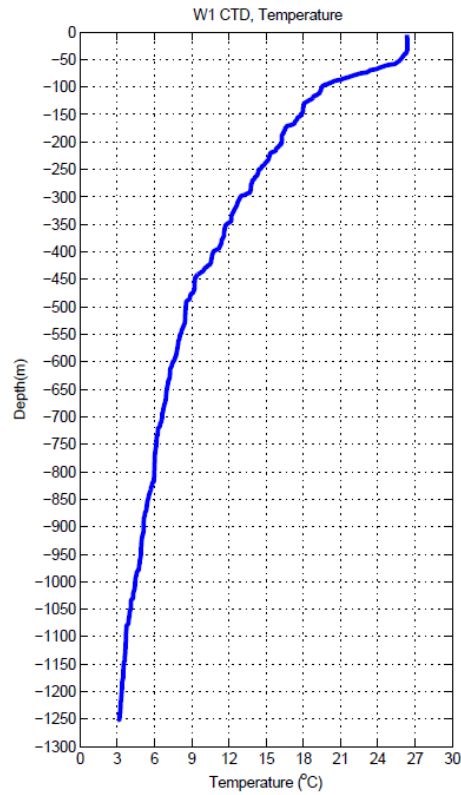
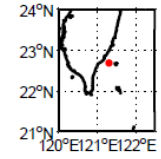
Local depth: 1318m



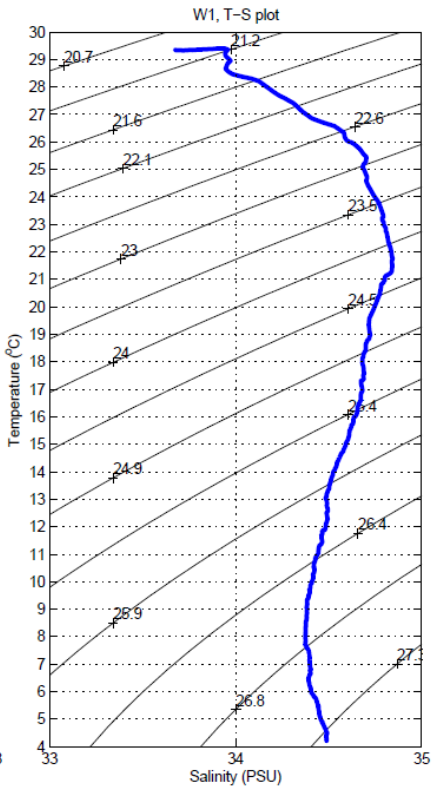
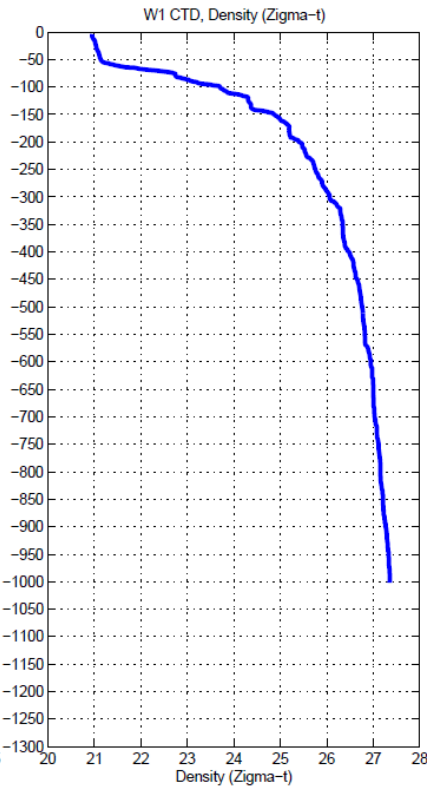
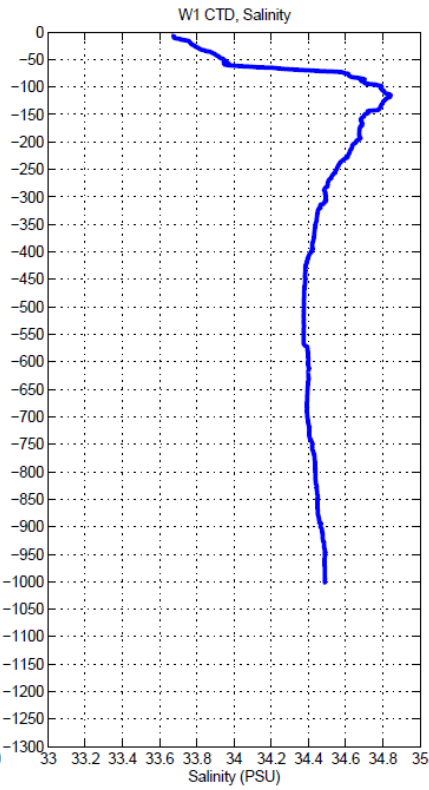
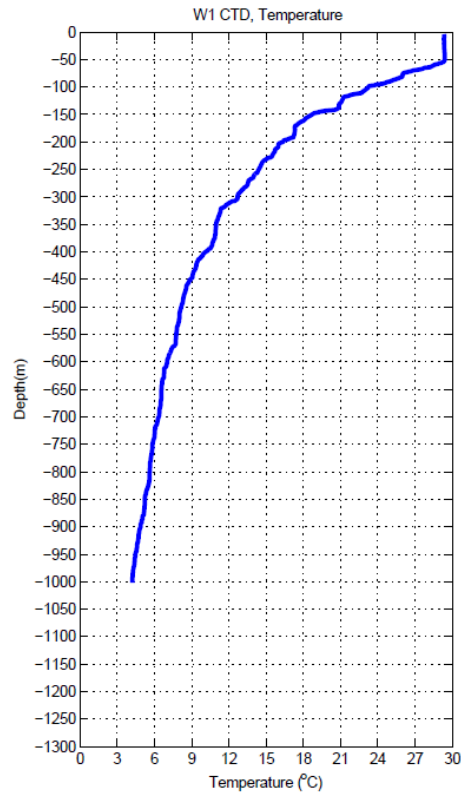
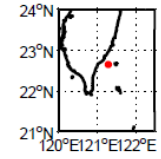
Station: W1
Longitude= 121°17.93E
Latitude= 22°40.27N
Cruise: OR1- 896 B
Down case: Apr 27 2009 03:26:01
Local depth: 1318 M



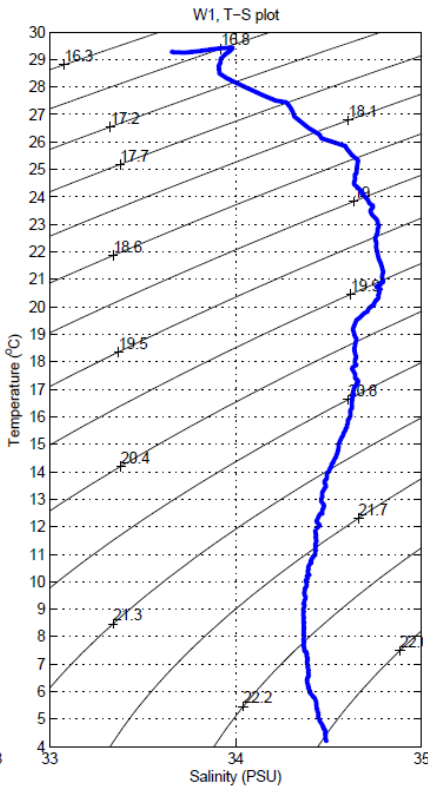
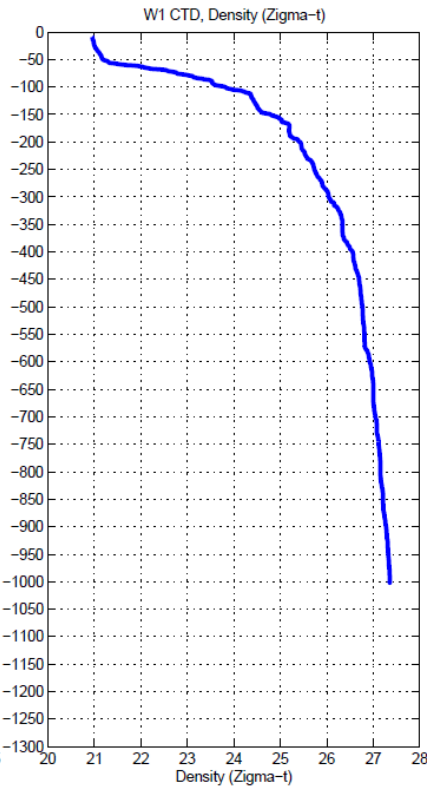
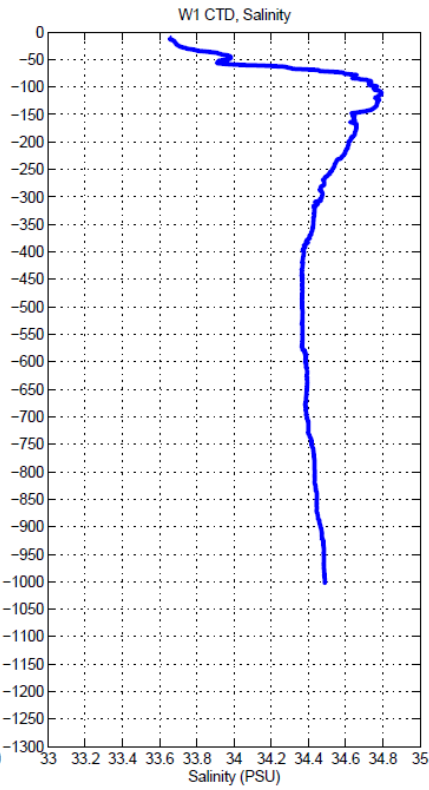
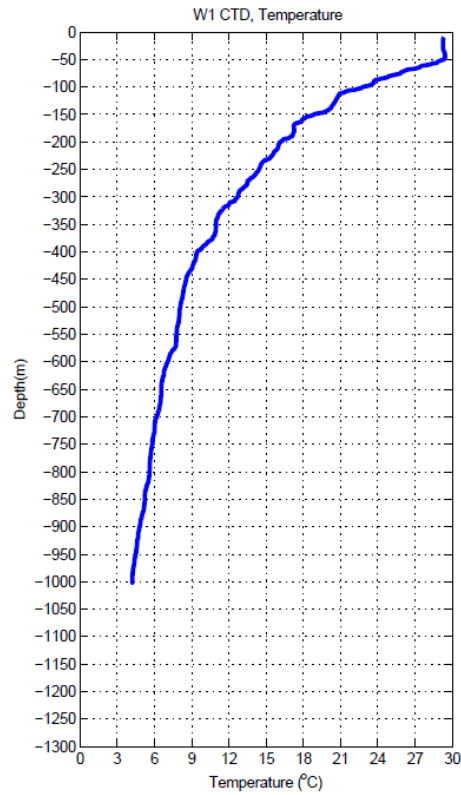
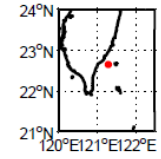
Station: W1
 Longitude= 121°18.49E
 Latitude= 22°40.97N
 Cruise: OR1- 896 B
 Up case: Apr 27 2009 04:00:35
 Local depth: 1318 M

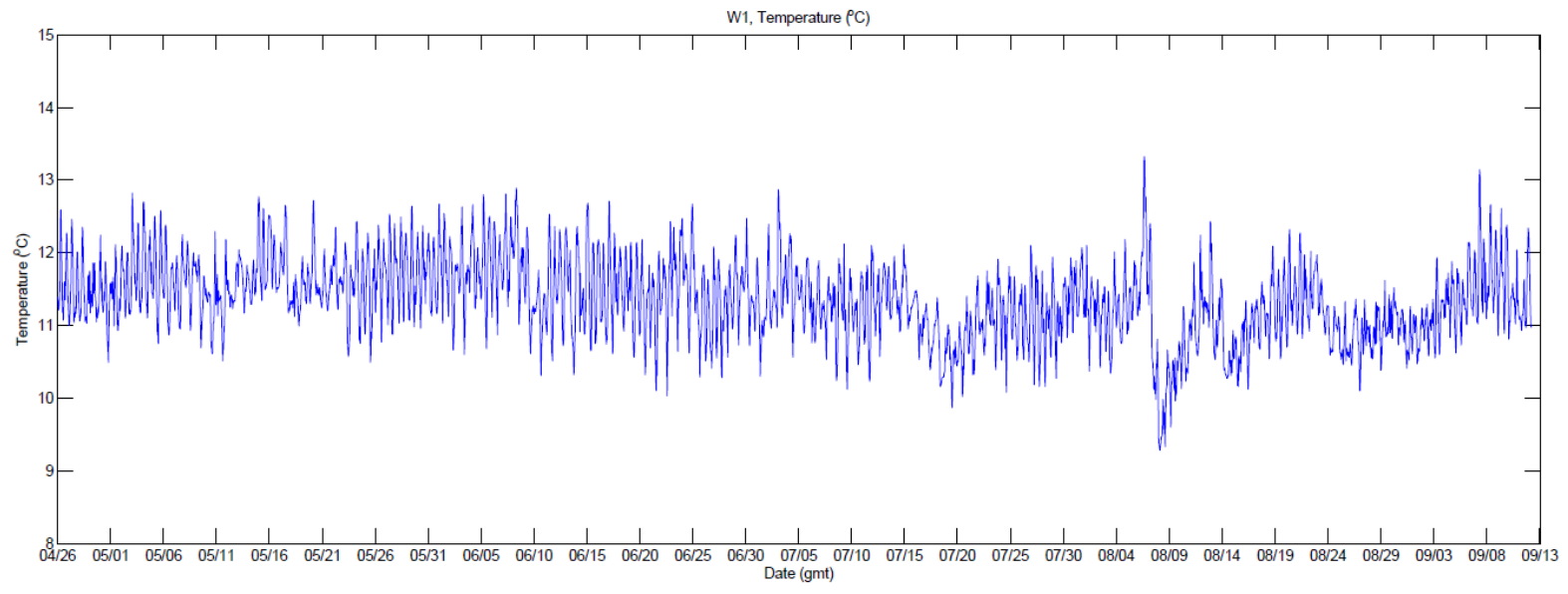


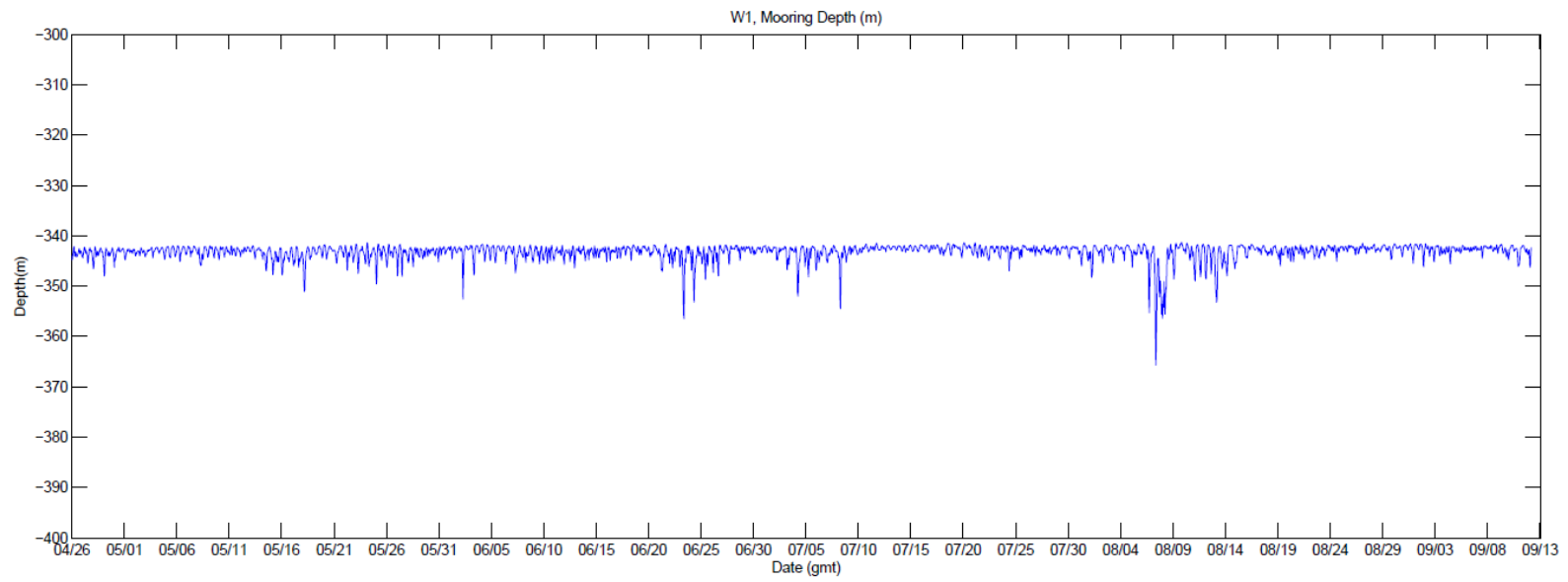
Station: W1
Longitude= 121°17.42E
Latitude= 22°38.87N
Cruise: OR1- 912 B
Down case: Sep 13 2009 15:02:24
Local depth: 1318 M

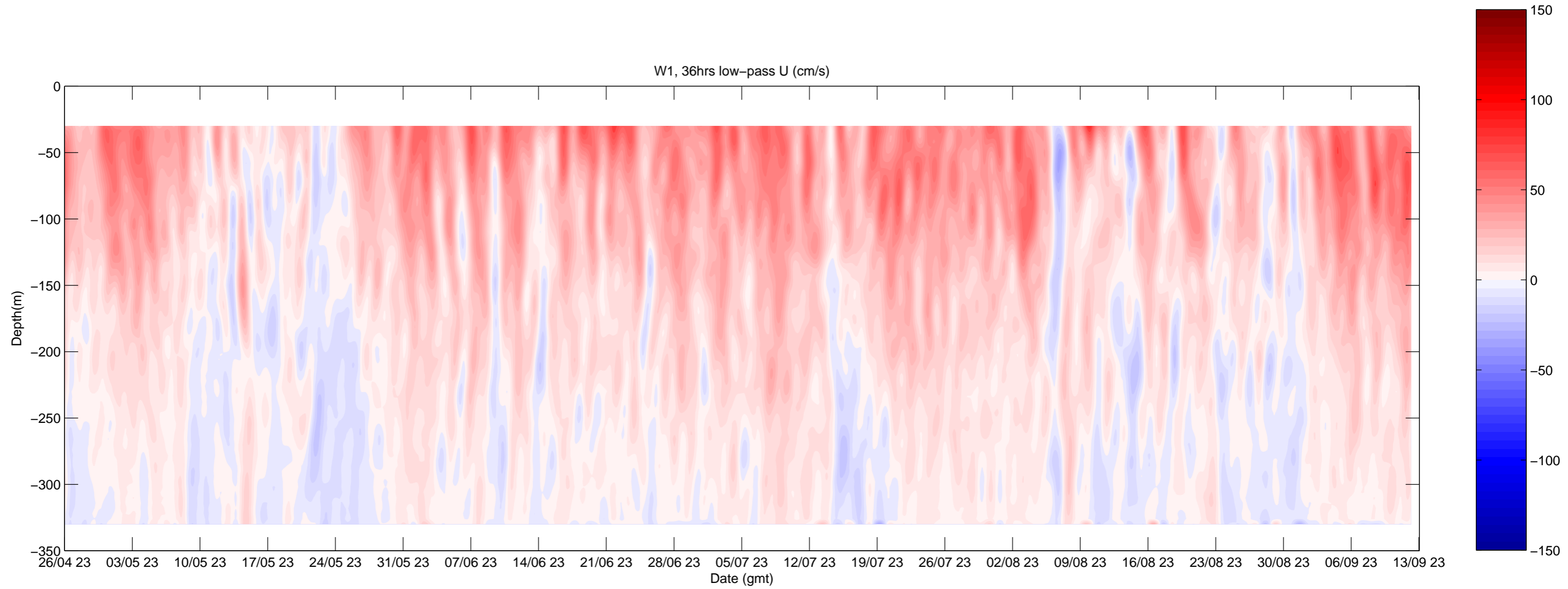


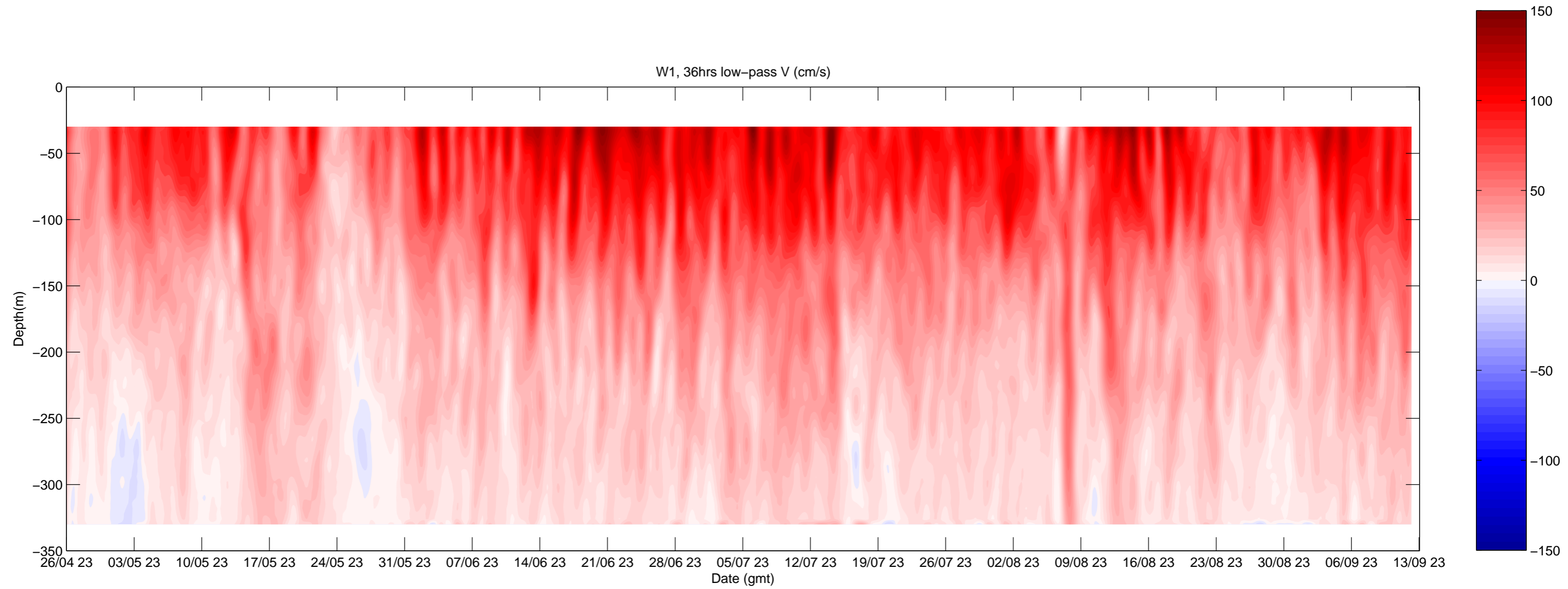
Station: W1
Longitude= 121°17.426E
Latitude= 22°38.87N
Cruise: OR1- 912 B
Up case: Sep 13 2009 15:28:52
Local depth: 1318 M

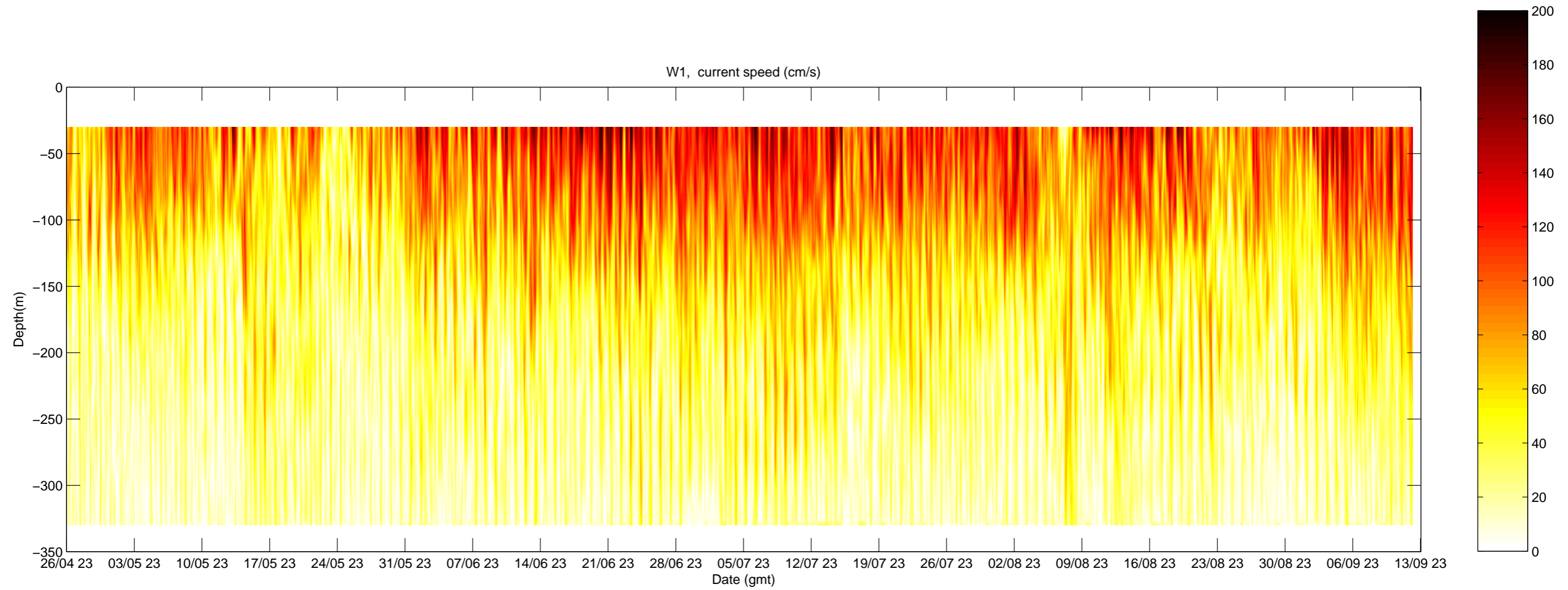






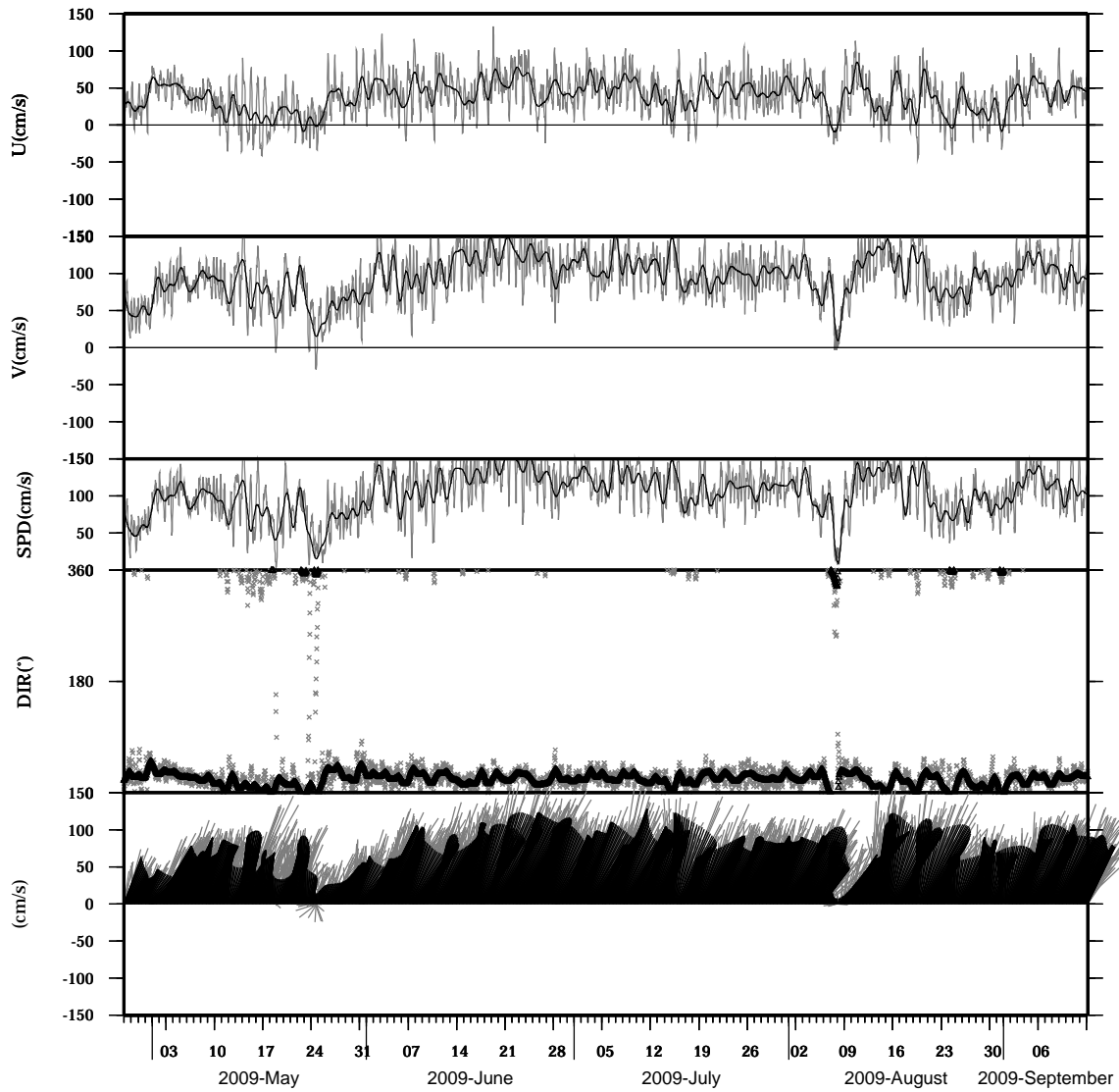






Lon : 121° 17.4341' E
Lat : 22° 38.8623' N

Station : W104
Depth : 30 M

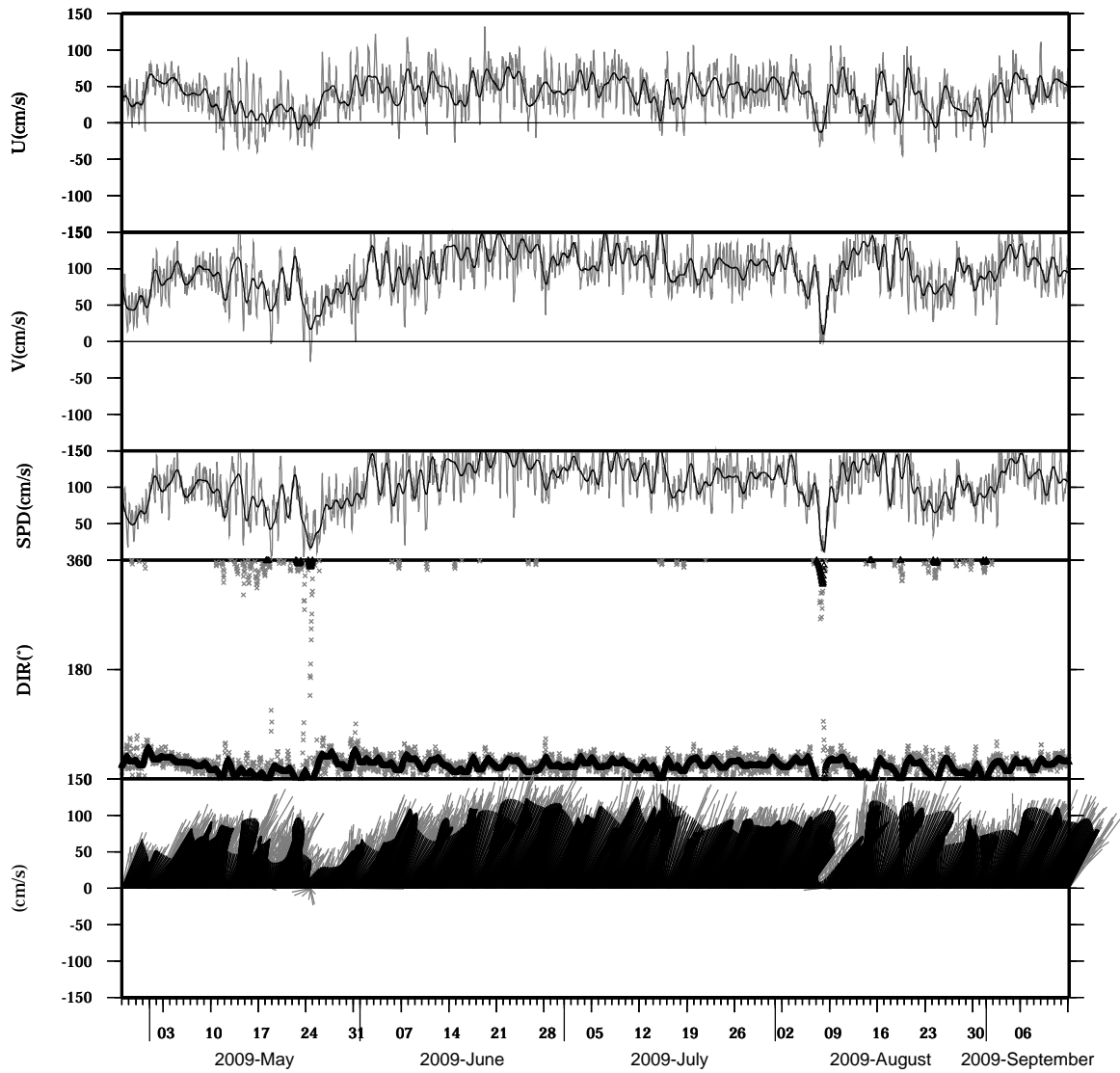


light line : The original data

heavy line : The 36 hours low-pass filtered data

Lon : 121° 17.4341' E
Lat : 22° 38.8623' N

Station : W104
Depth : 34 M

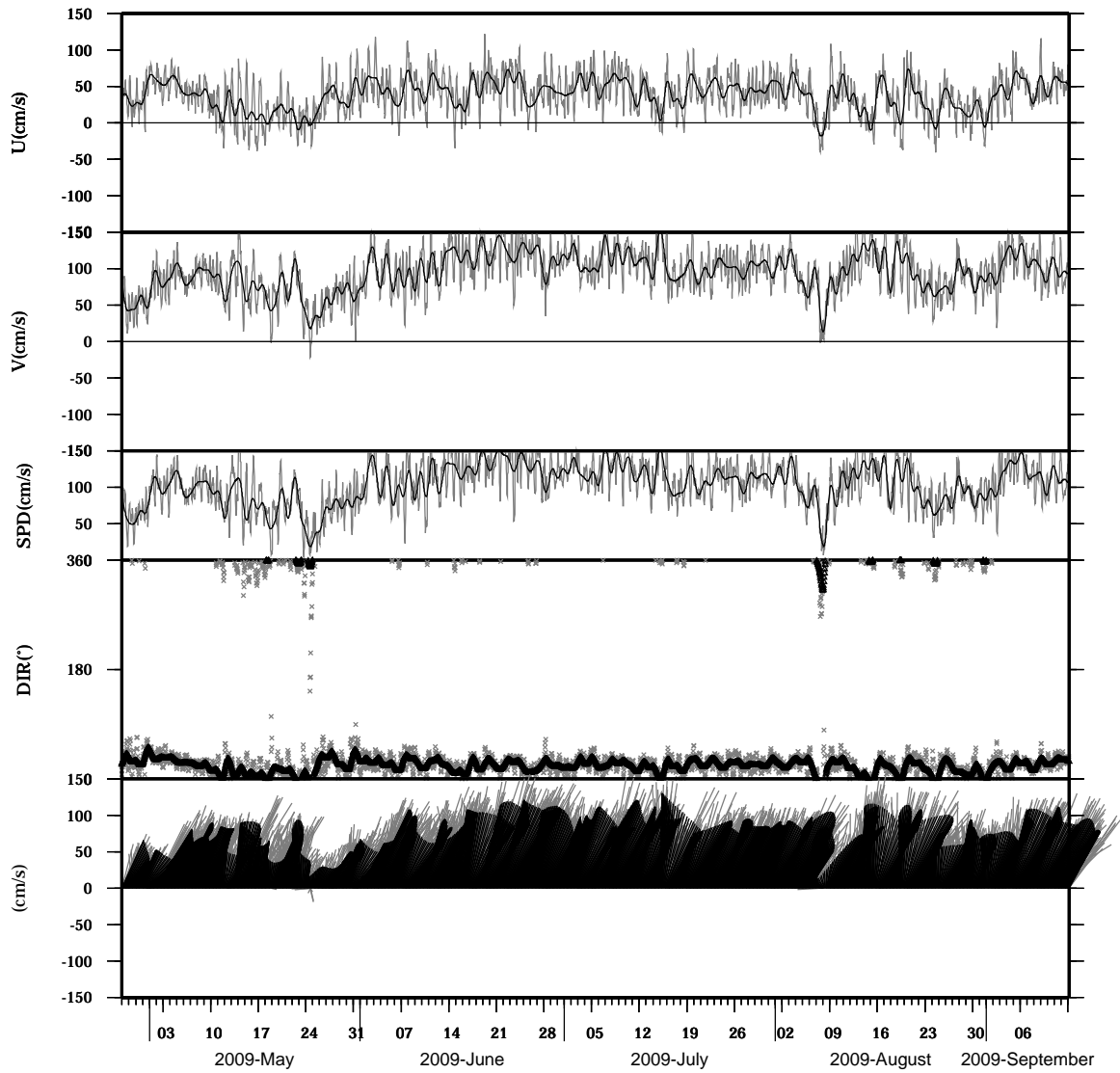


light line : The original data

heavy line : The 36 hours low-pass filtered data

Lon : 121° 17.4341' E
Lat : 22° 38.8623' N

Station : W104
Depth : 38 M

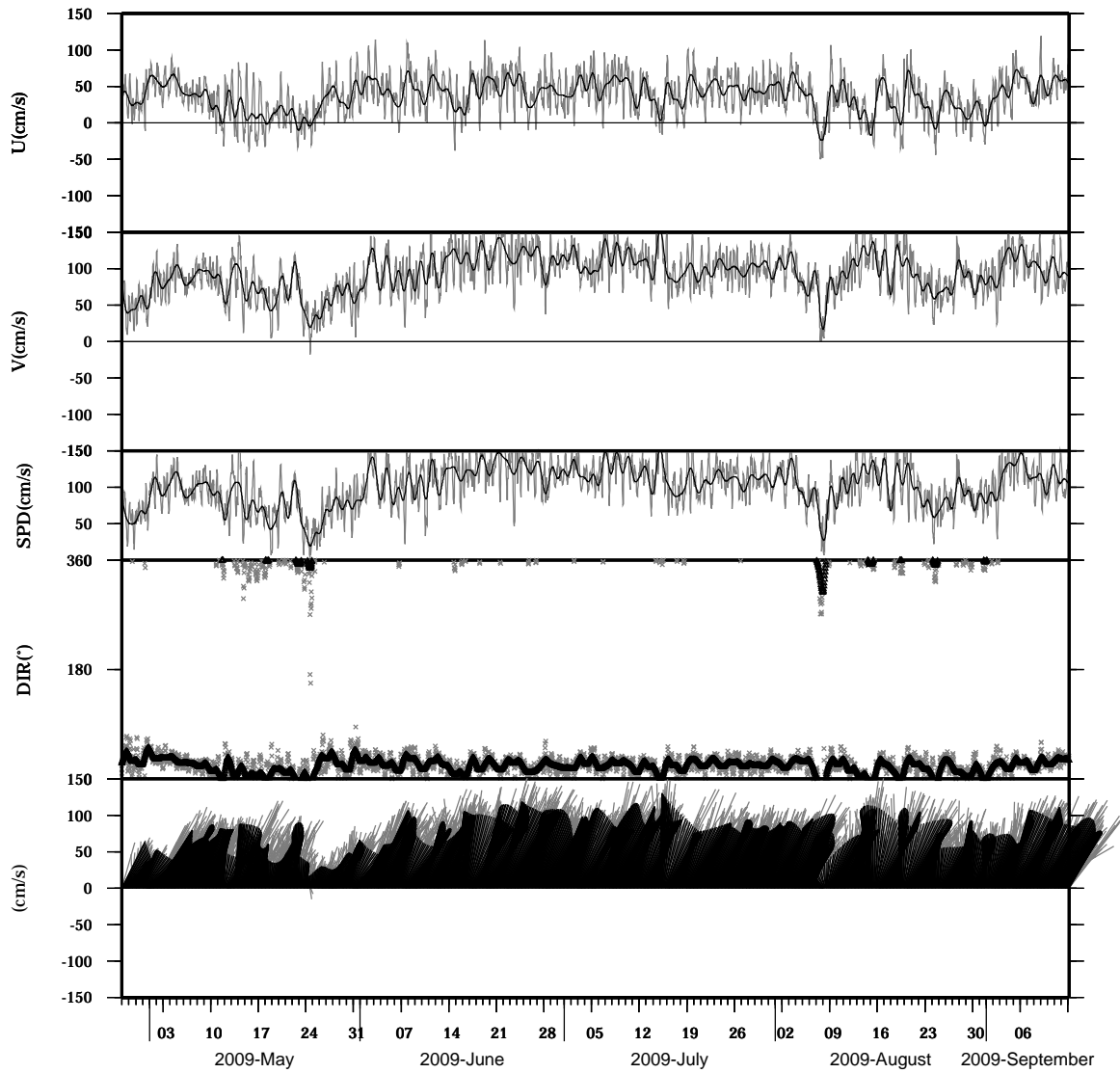


light line : The original data

heavy line : The 36 hours low-pass filtered data

Lon : 121° 17.4341' E
Lat : 22° 38.8623' N

Station : W104
Depth : 42 M

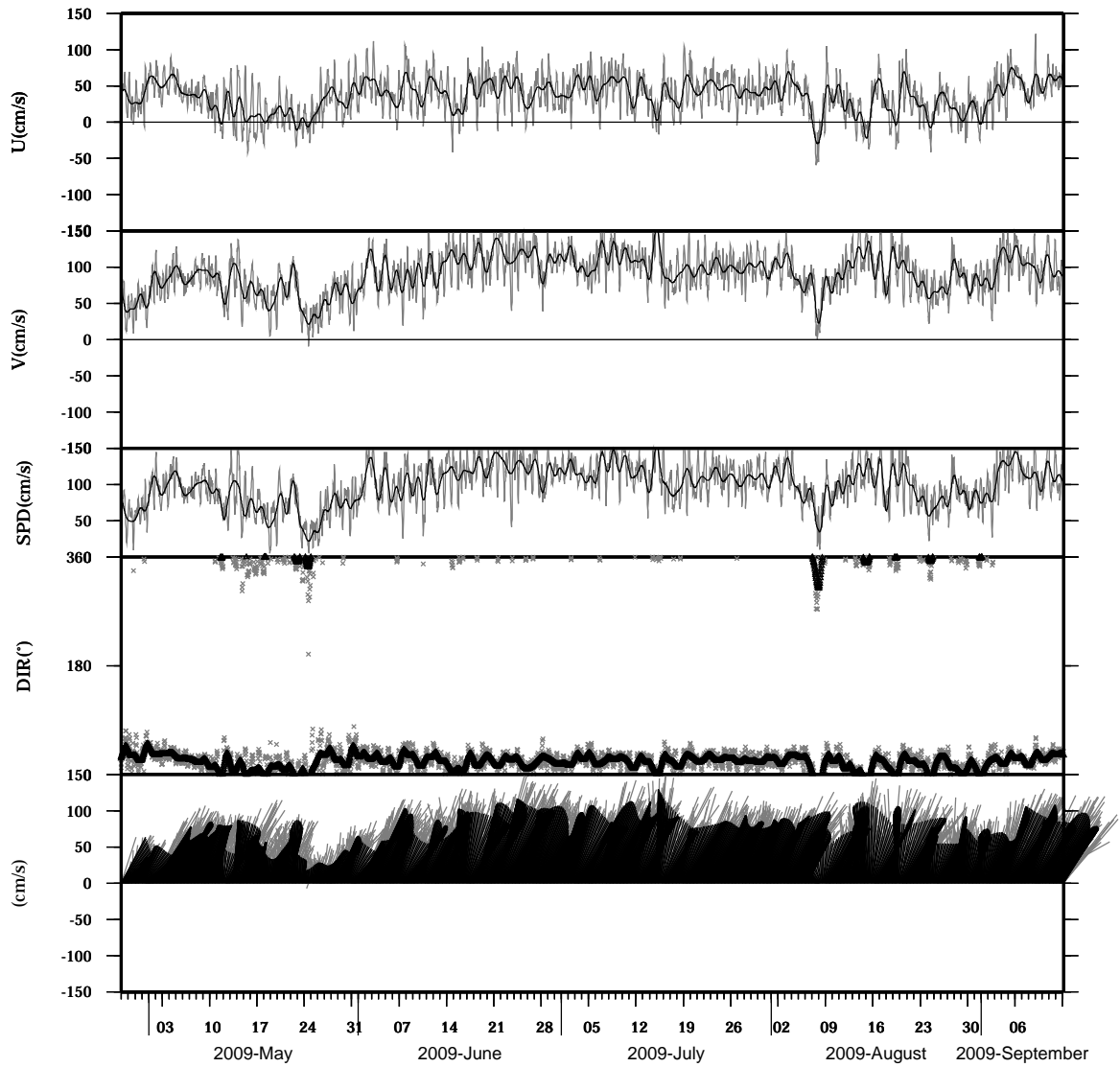


light line : The original data

heavy line : The 36 hours low-pass filtered data

Lon : 121° 17.4341' E
Lat : 22° 38.8623' N

Station : W104
Depth : 46 M

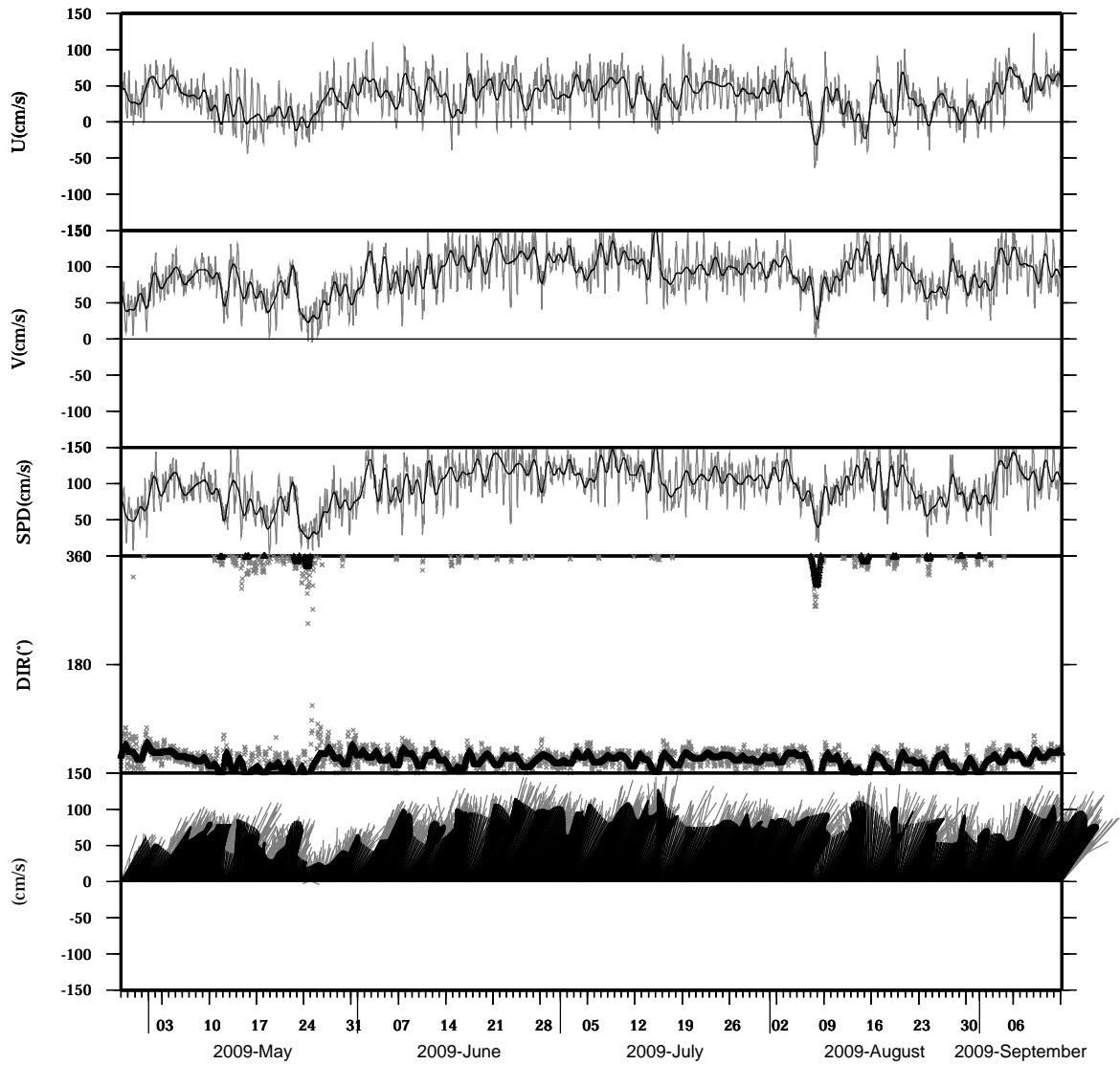


light line : The original data

heavy line : The 36 hours low-pass filtered data

Lon : 121° 17.4341' E
Lat : 22° 38.8623' N

Station : W104
Depth : 50 M

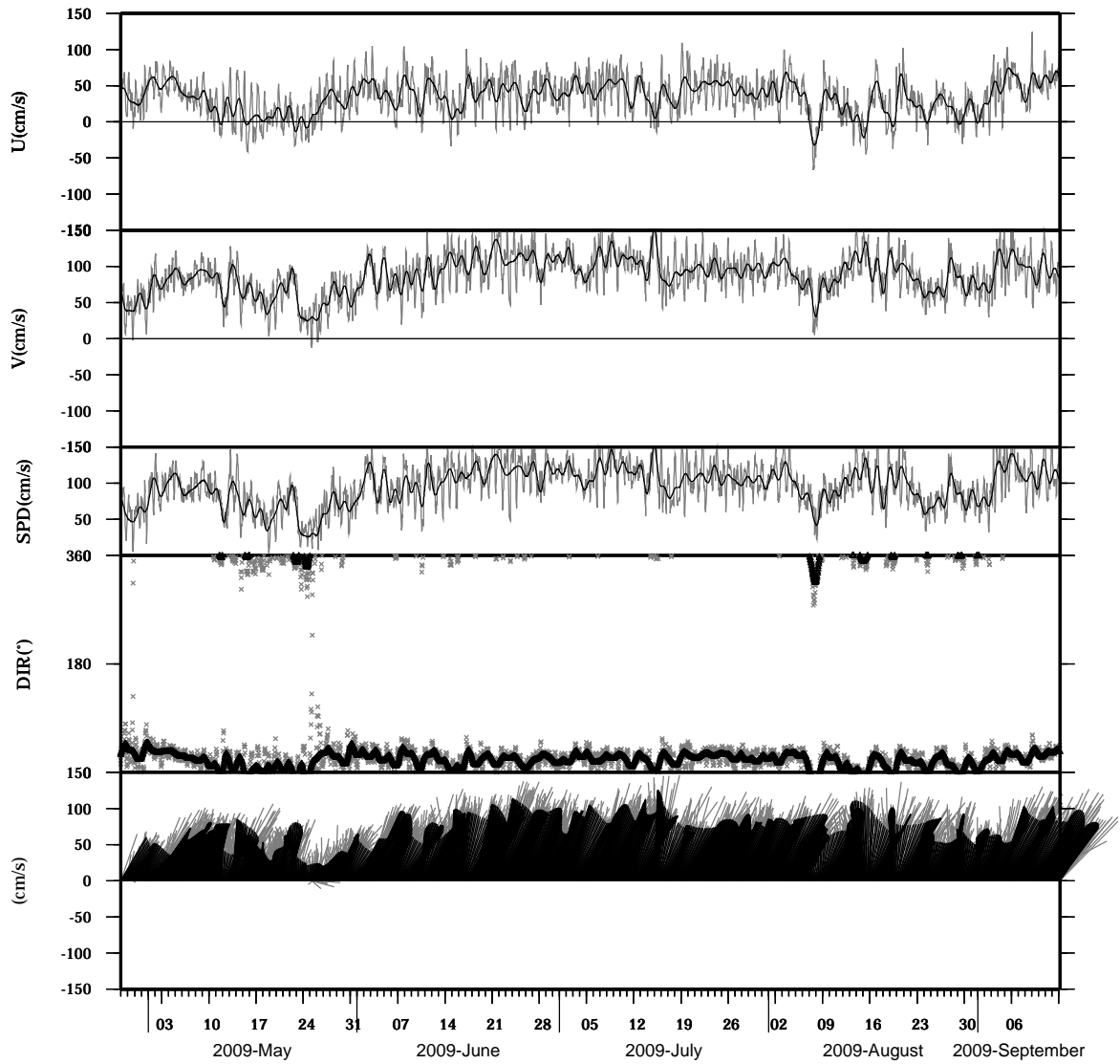


light line : The original data

heavy line : The 36 hours low-pass filtered data

Lon : 121° 17.4341' E
Lat : 22° 38.8623' N

Station : W104
Depth : 54 M

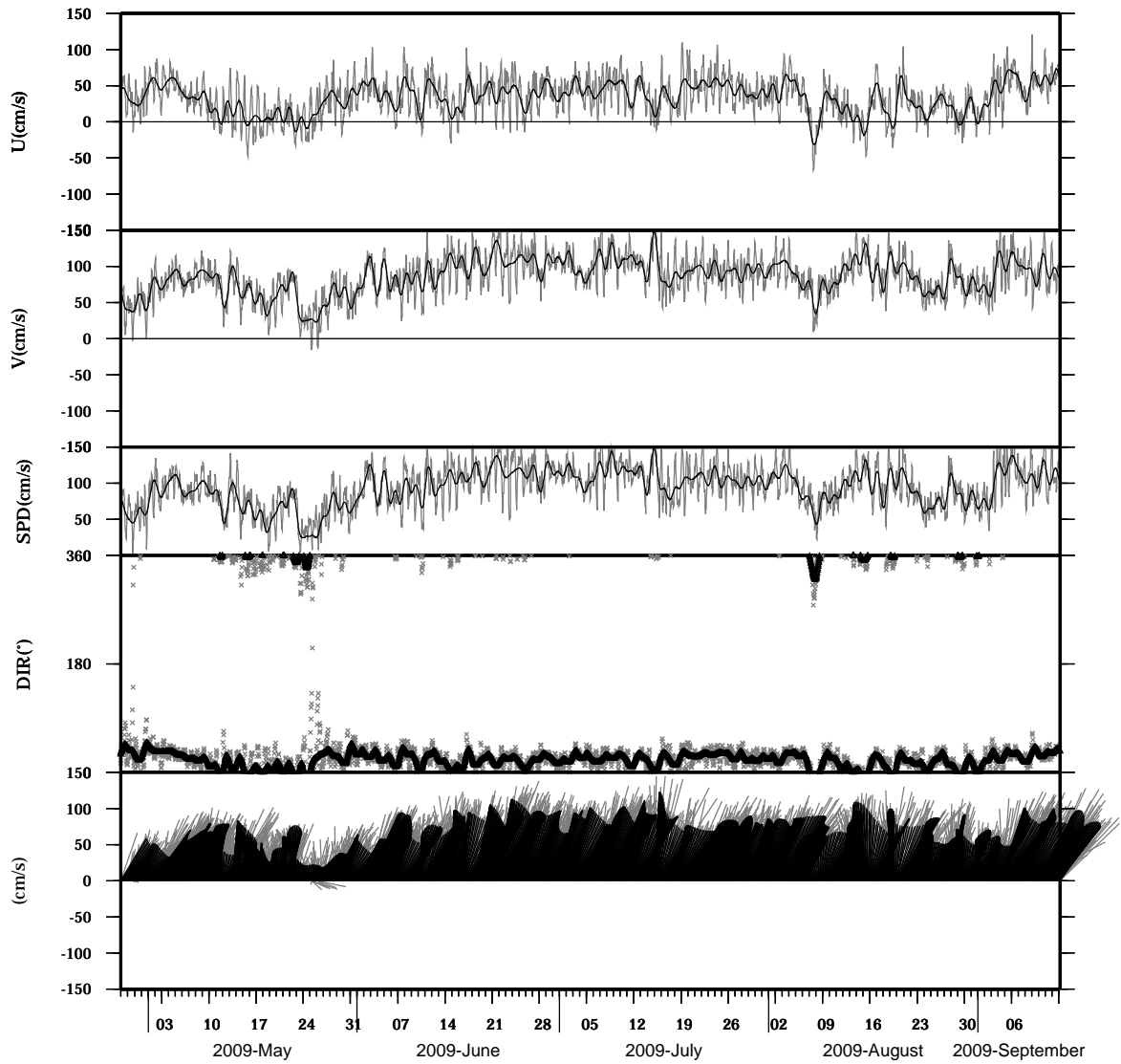


light line : The original data

heavy line : The 36 hours low-pass filtered data

Lon : 121° 17.4341' E
Lat : 22° 38.8623' N

Station : W104
Depth : 58 M

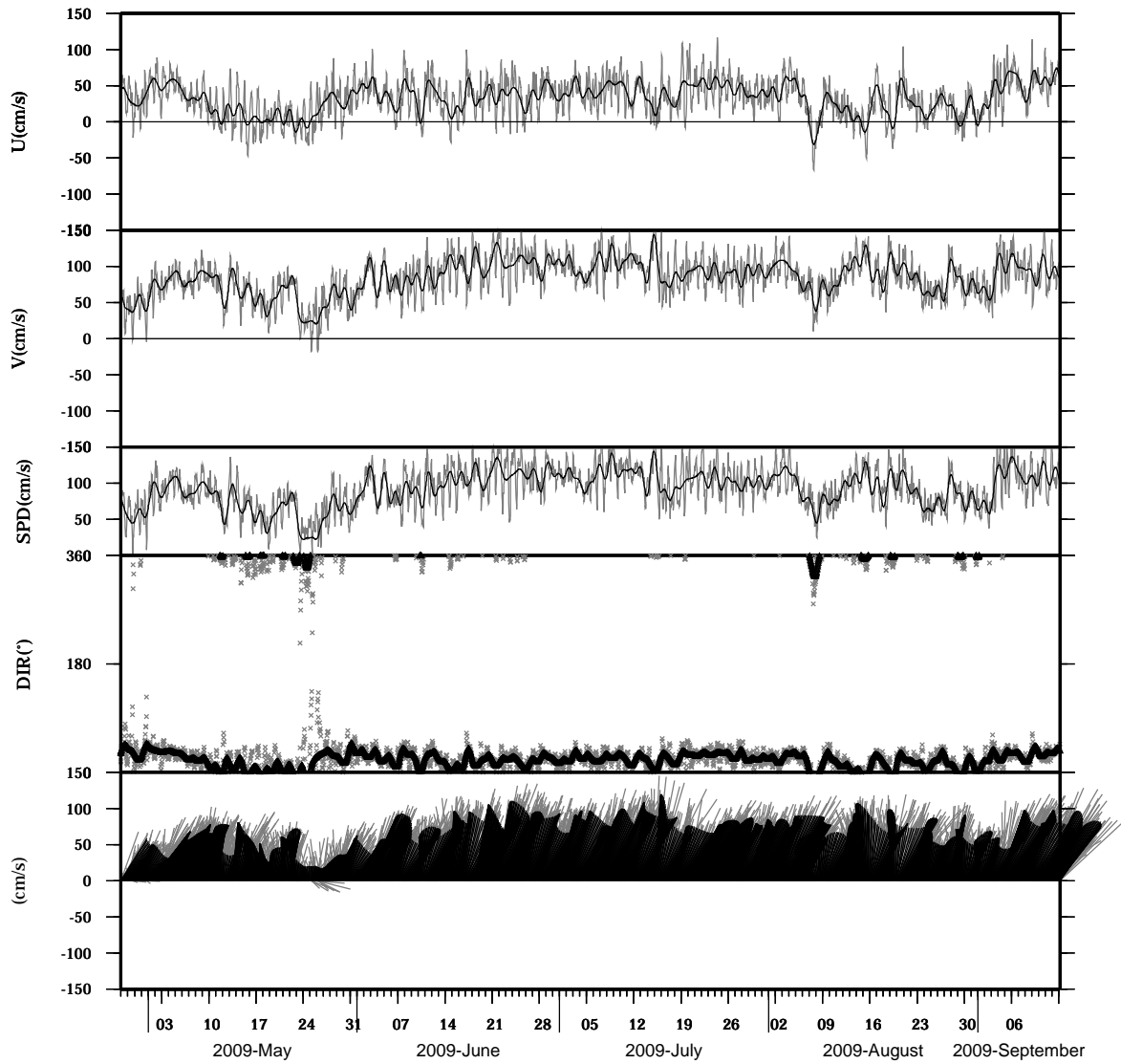


light line : The original data

heavy line : The 36 hours low-pass filtered data

Lon : 121° 17.4341' E
Lat : 22° 38.8623' N

Station : W104
Depth : 62 M

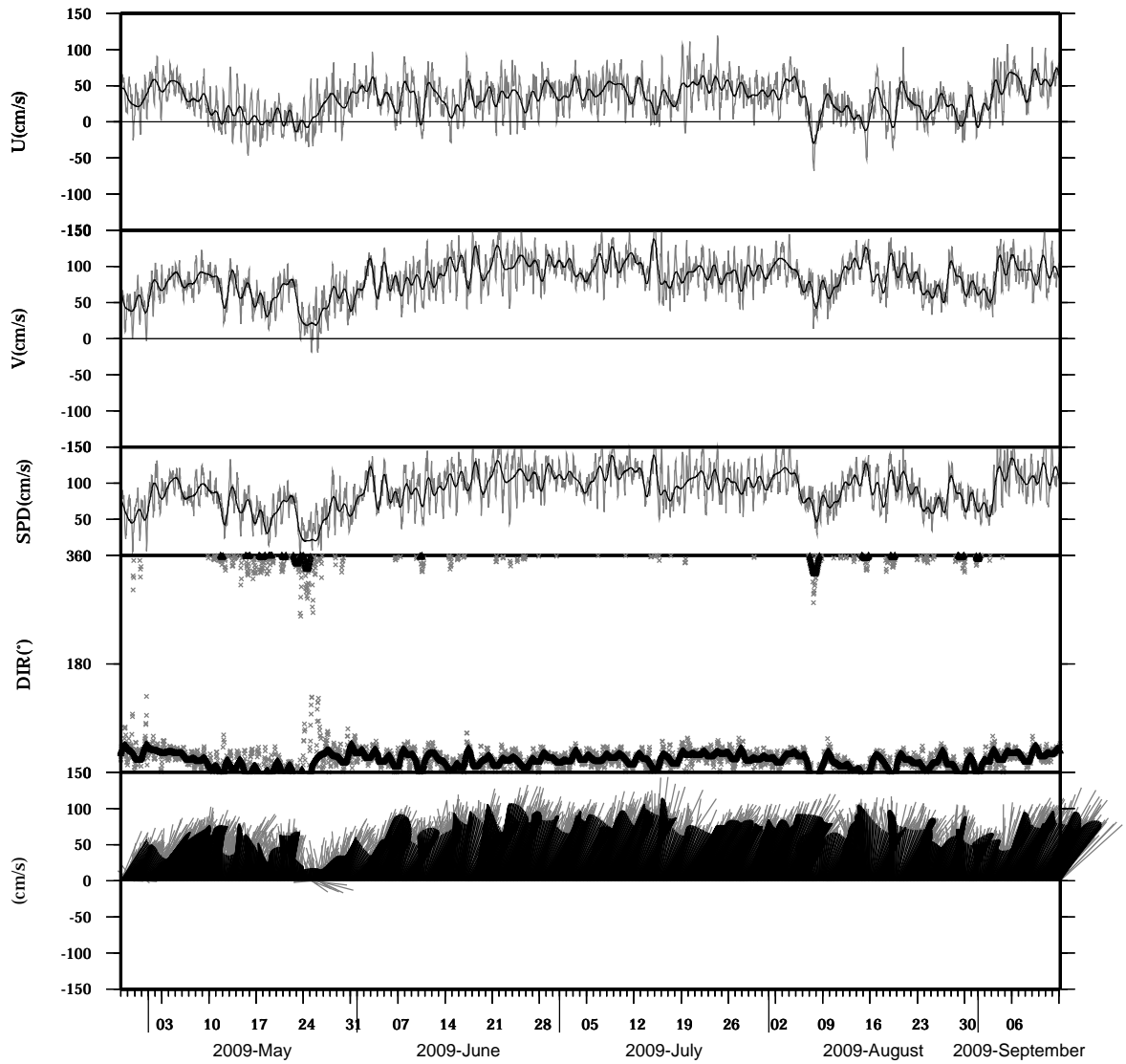


light line : The original data

heavy line : The 36 hours low-pass filtered data

Lon : 121° 17.4341' E
Lat : 22° 38.8623' N

Station : W104
Depth : 66 M

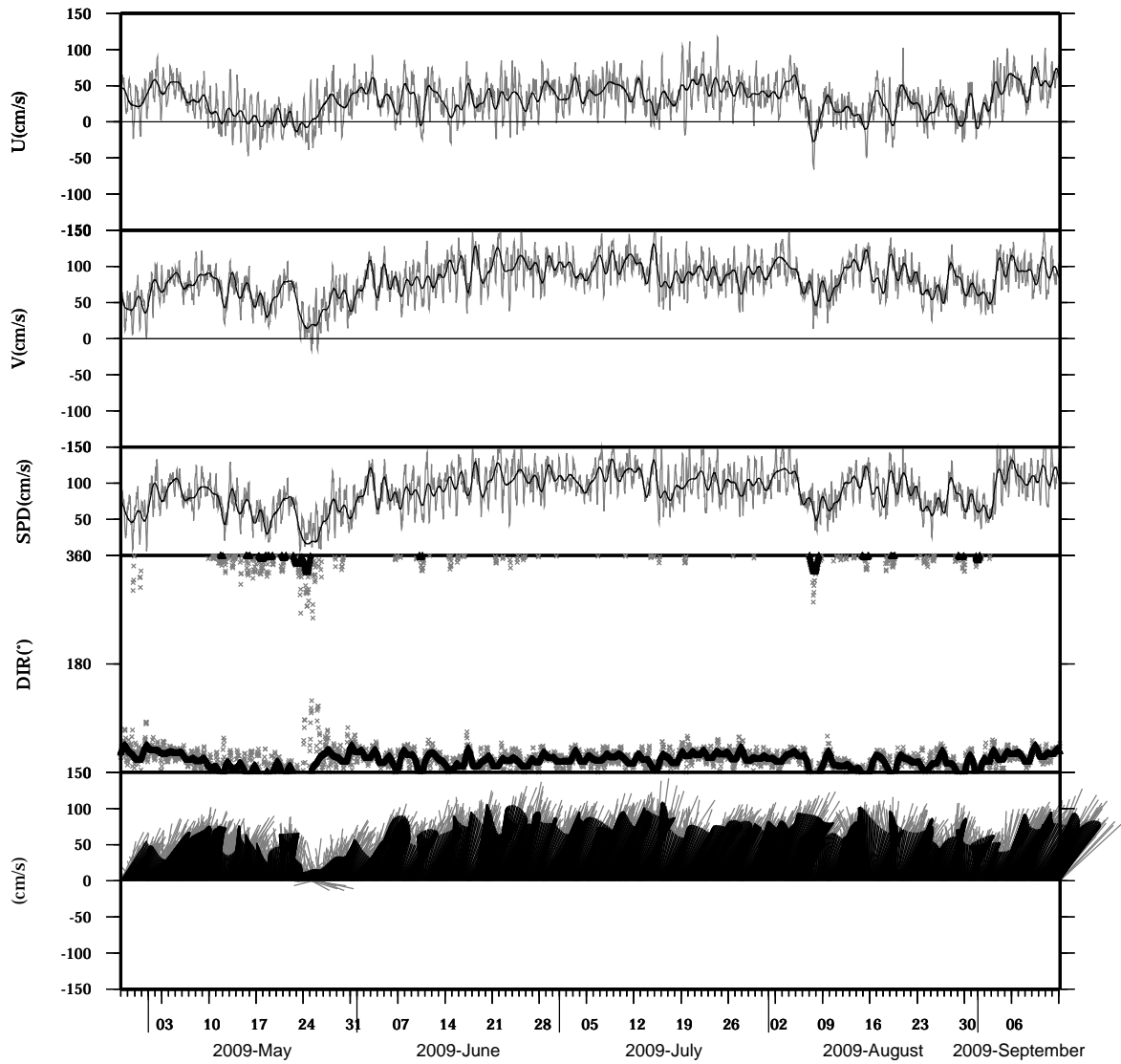


light line : The original data

heavy line : The 36 hours low-pass filtered data

Lon : 121° 17.4341' E
Lat : 22° 38.8623' N

Station : W104
Depth : 70 M

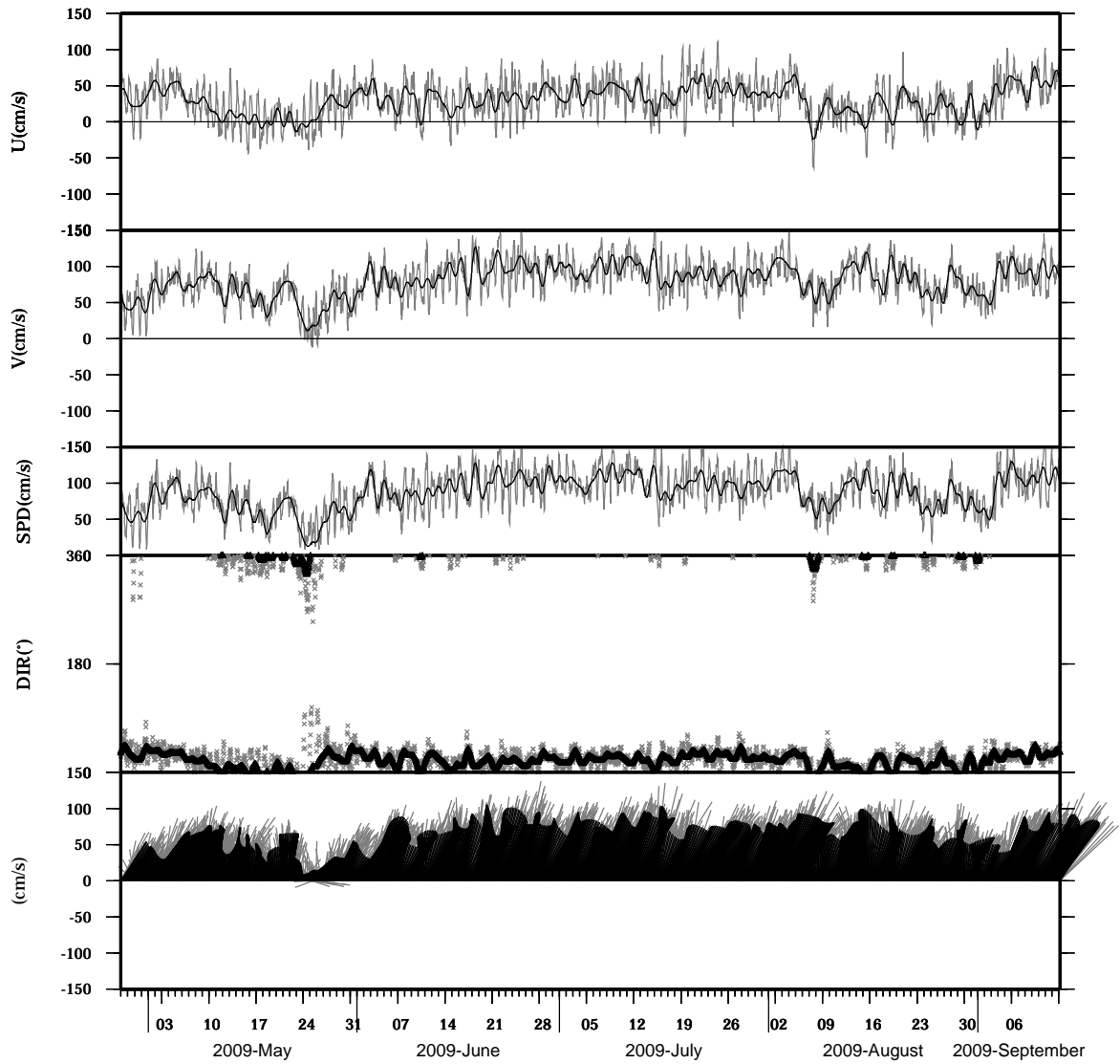


light line : The original data

heavy line : The 36 hours low-pass filtered data

Lon : 121° 17.4341' E
Lat : 22° 38.8623' N

Station : W104
Depth : 74 M

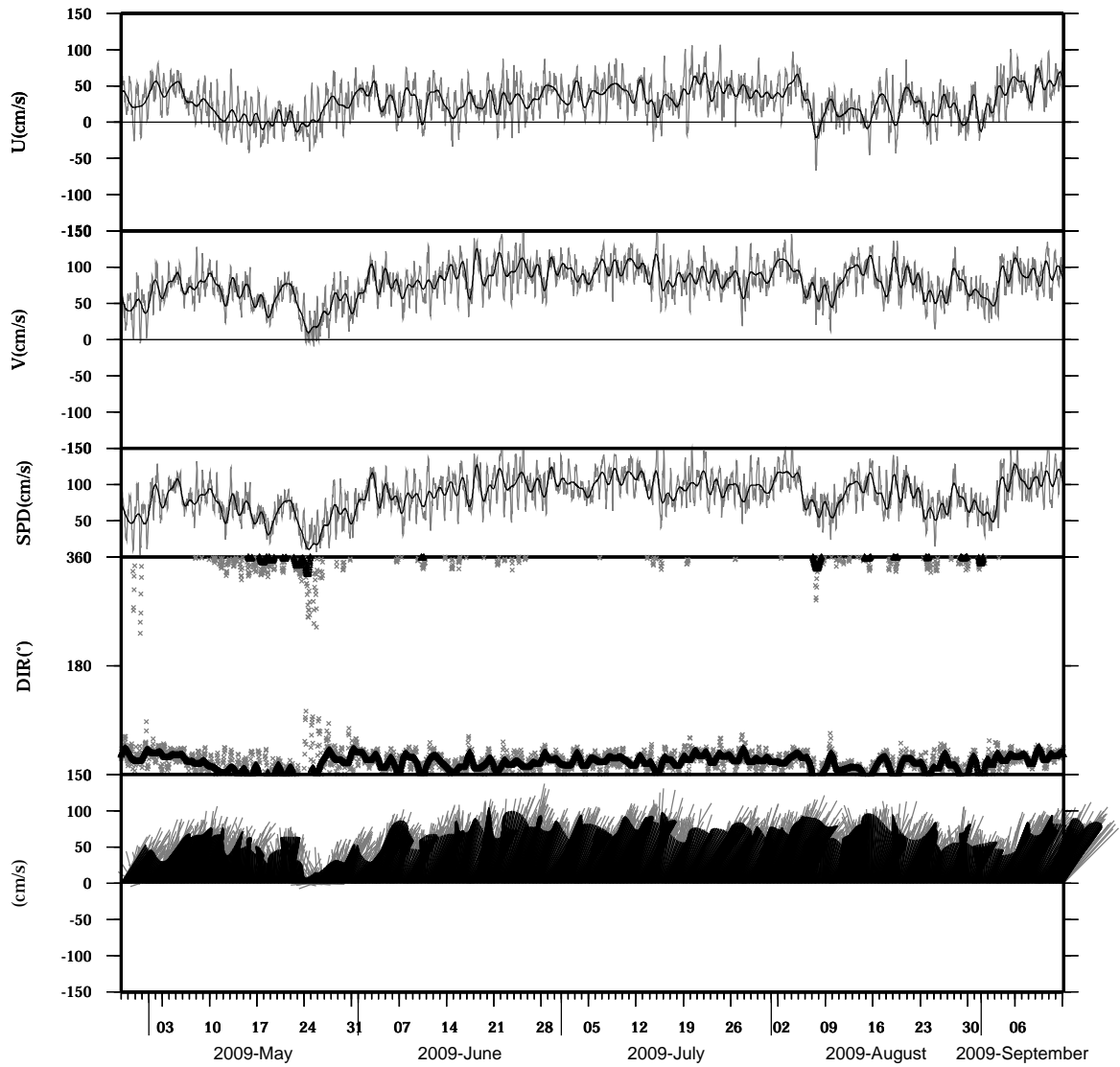


light line : The original data

heavy line : The 36 hours low-pass filtered data

Lon : 121° 17.4341' E
Lat : 22° 38.8623' N

Station : W104
Depth : 78 M

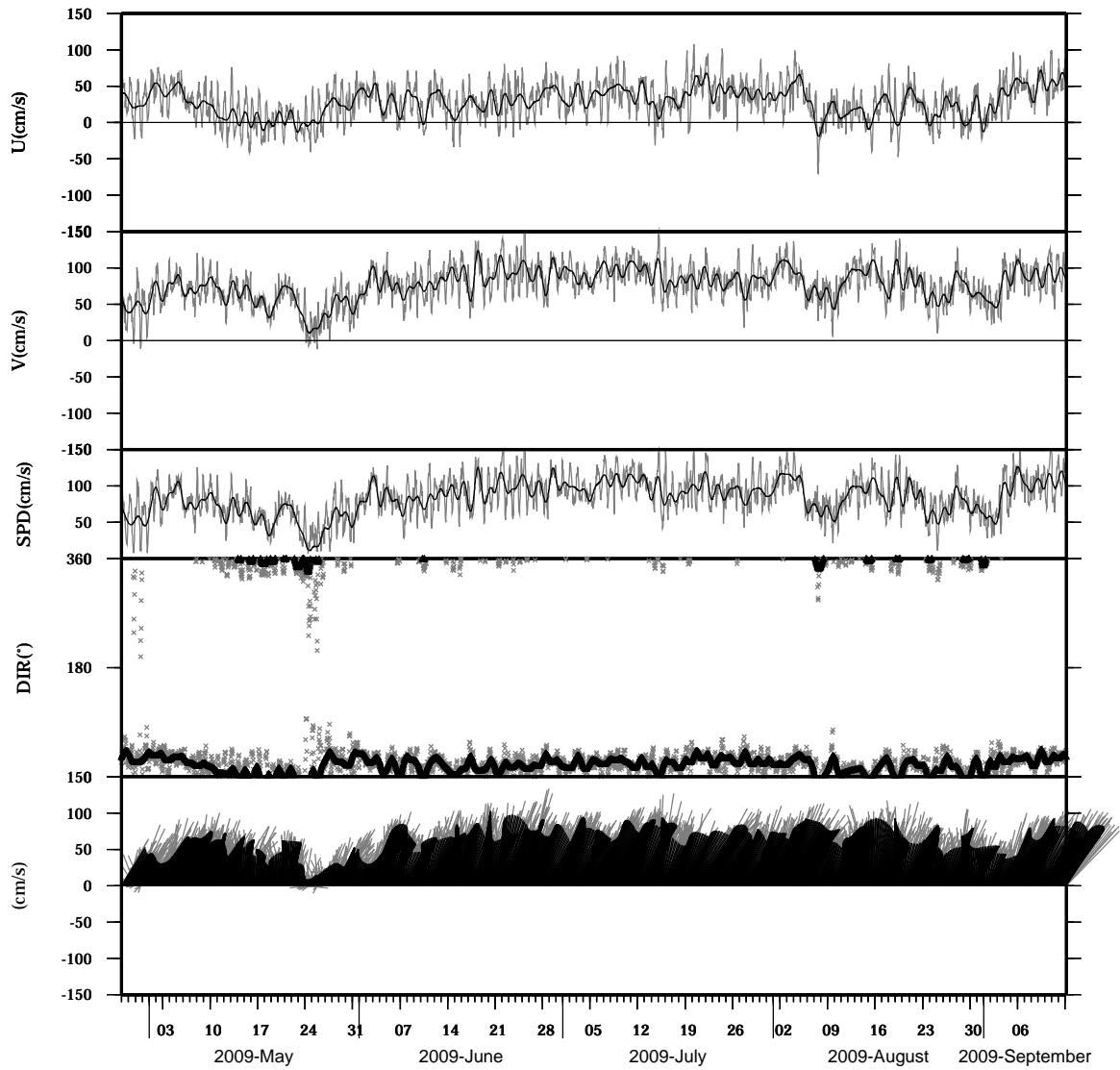


light line : The original data

heavy line : The 36 hours low-pass filtered data

Lon : 121° 17.4341' E
Lat : 22° 38.8623' N

Station : W104
Depth : 82 M

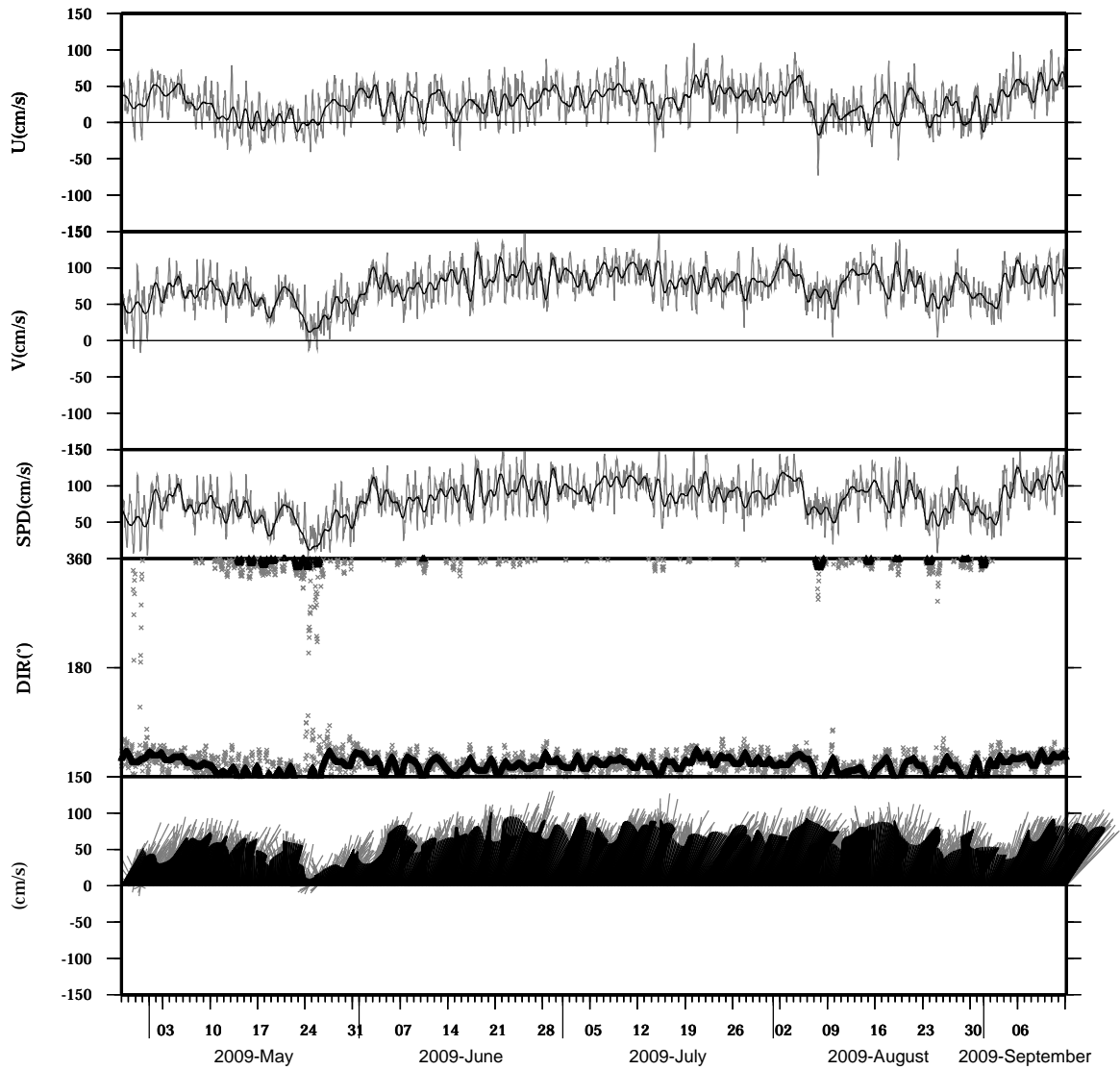


light line : The original data

heavy line : The 36 hours low-pass filtered data

Lon : 121° 17.4341' E
Lat : 22° 38.8623' N

Station : W104
Depth : 86 M

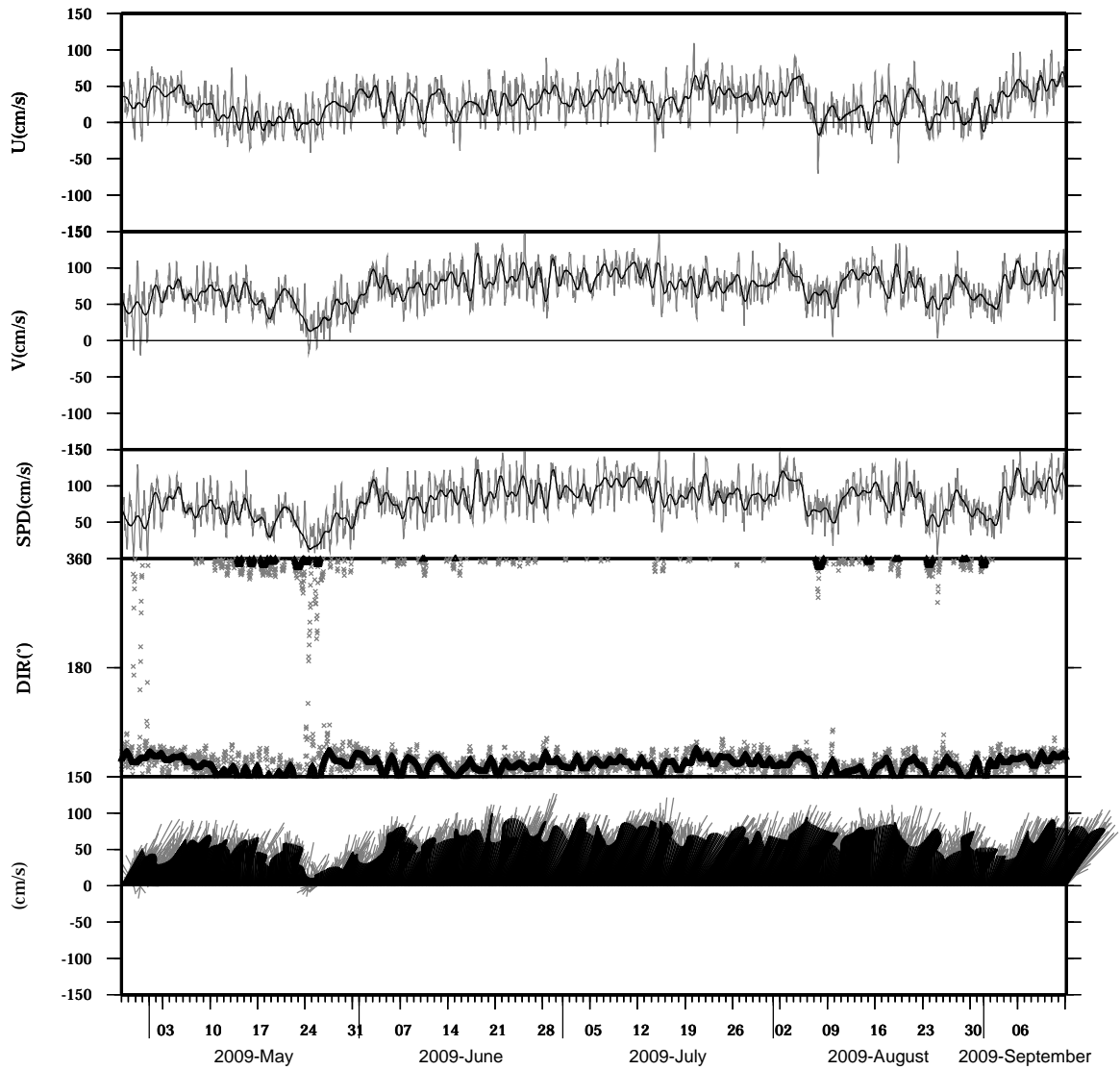


light line : The original data

heavy line : The 36 hours low-pass filtered data

Lon : 121° 17.4341' E
Lat : 22° 38.8623' N

Station : W104
Depth : 90 M

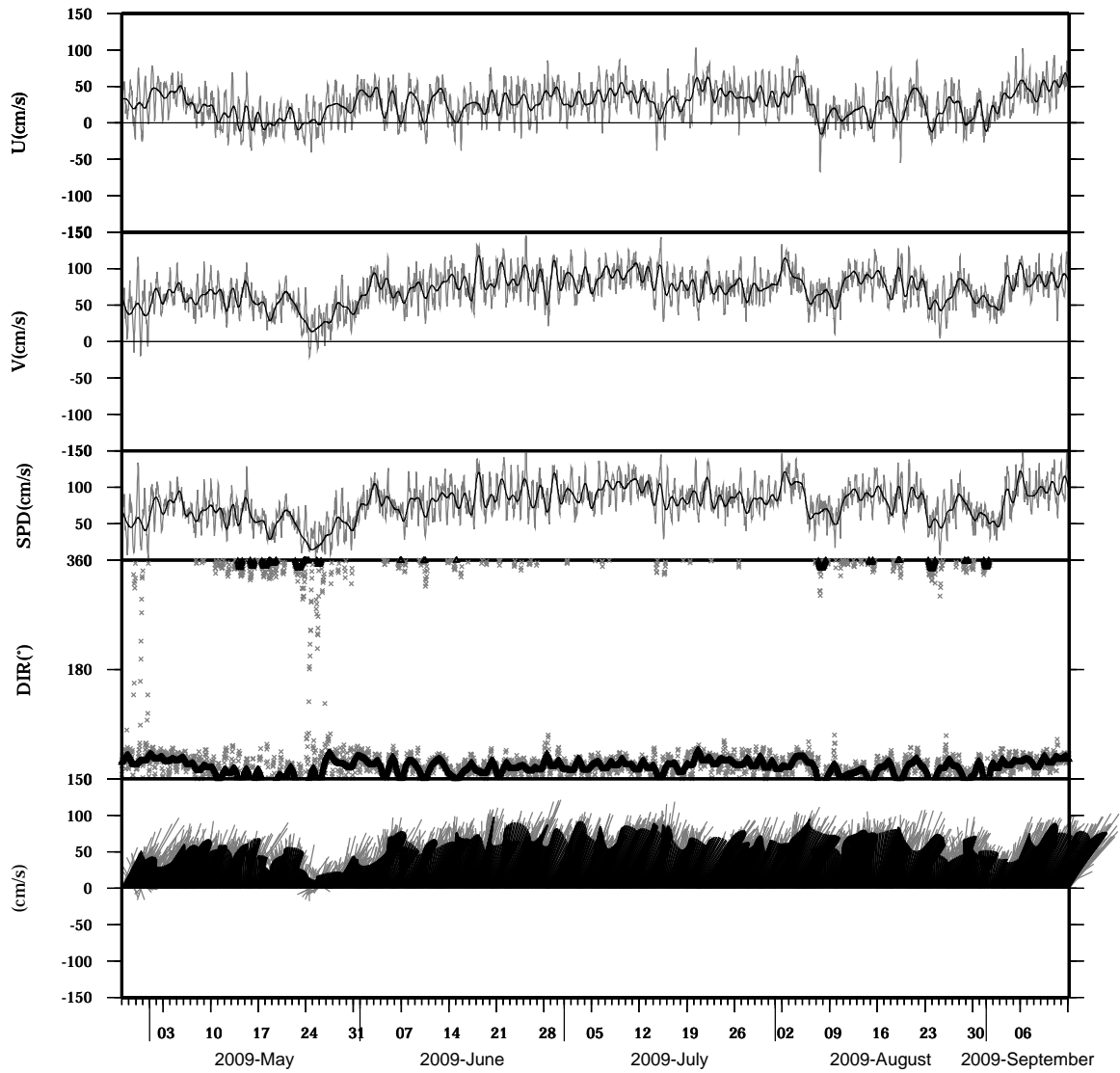


light line : The original data

heavy line : The 36 hours low-pass filtered data

Lon : 121° 17.4341' E
Lat : 22° 38.8623' N

Station : W104
Depth : 94 M

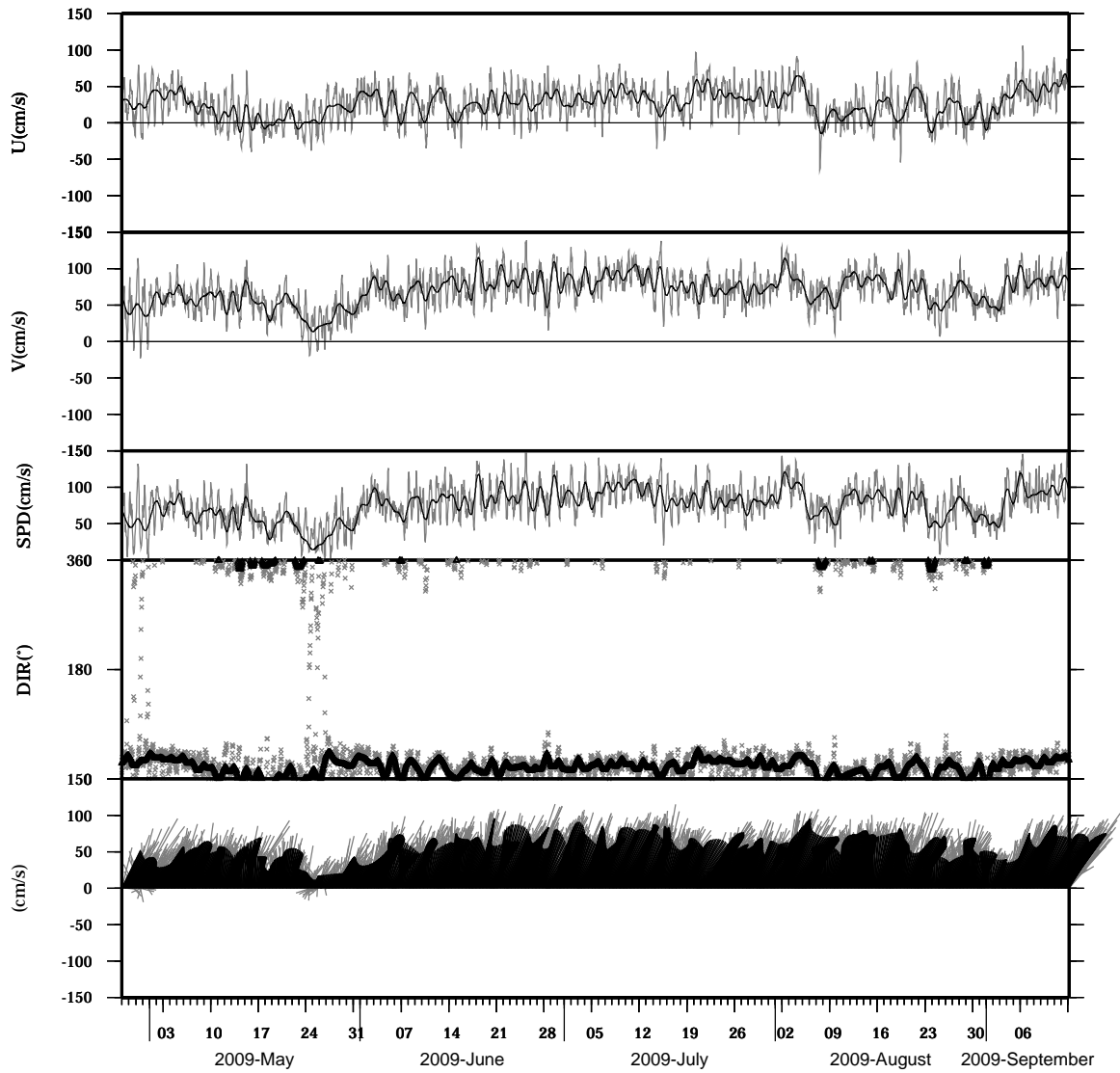


light line : The original data

heavy line : The 36 hours low-pass filtered data

Lon : 121° 17.4341' E
Lat : 22° 38.8623' N

Station : W104
Depth : 98 M

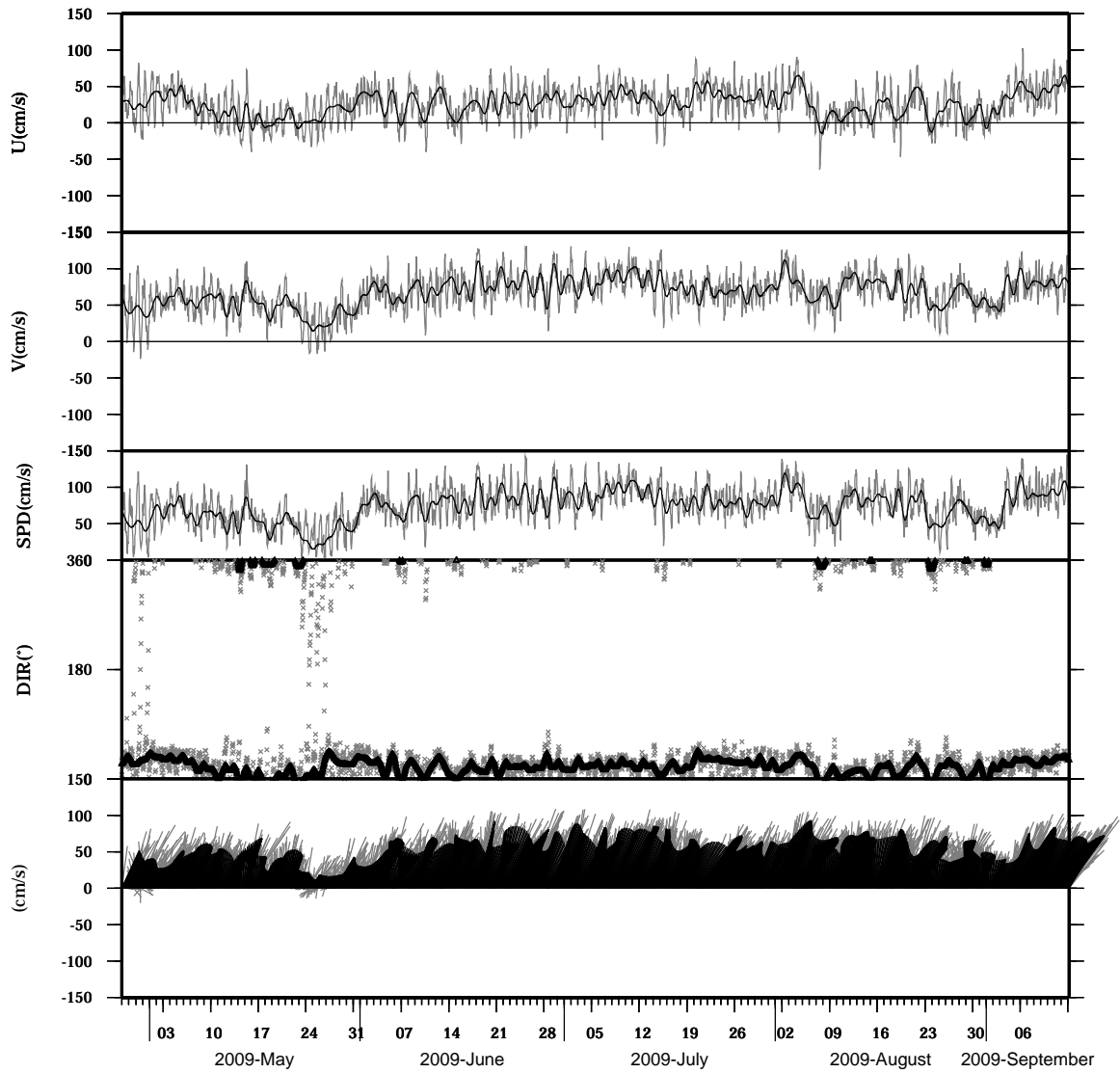


light line : The original data

heavy line : The 36 hours low-pass filtered data

Lon : 121° 17.4341' E
Lat : 22° 38.8623' N

Station : W104
Depth : 102 M

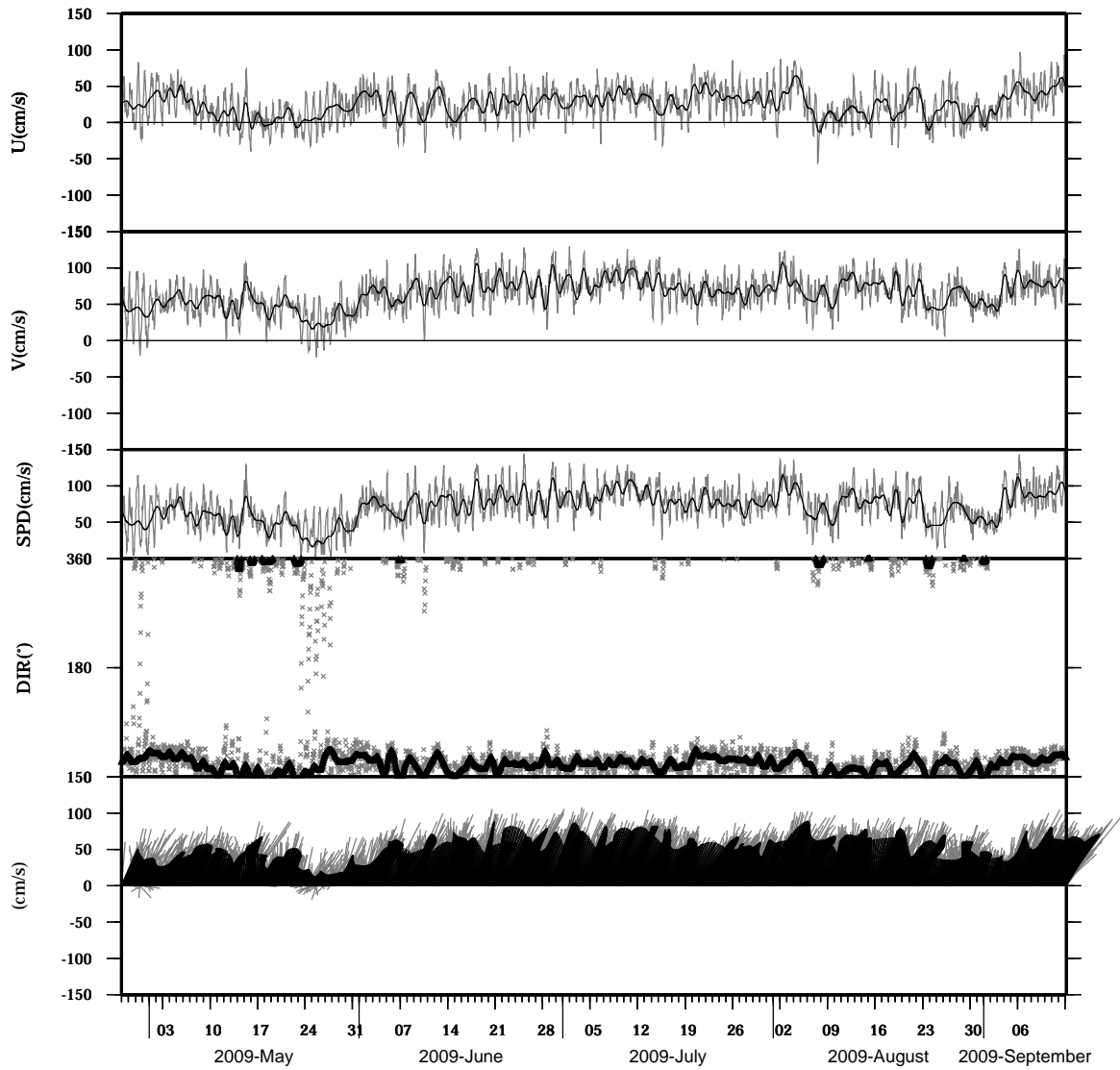


light line : The original data

heavy line : The 36 hours low-pass filtered data

Lon : 121° 17.4341' E
Lat : 22° 38.8623' N

Station : W104
Depth : 106 M

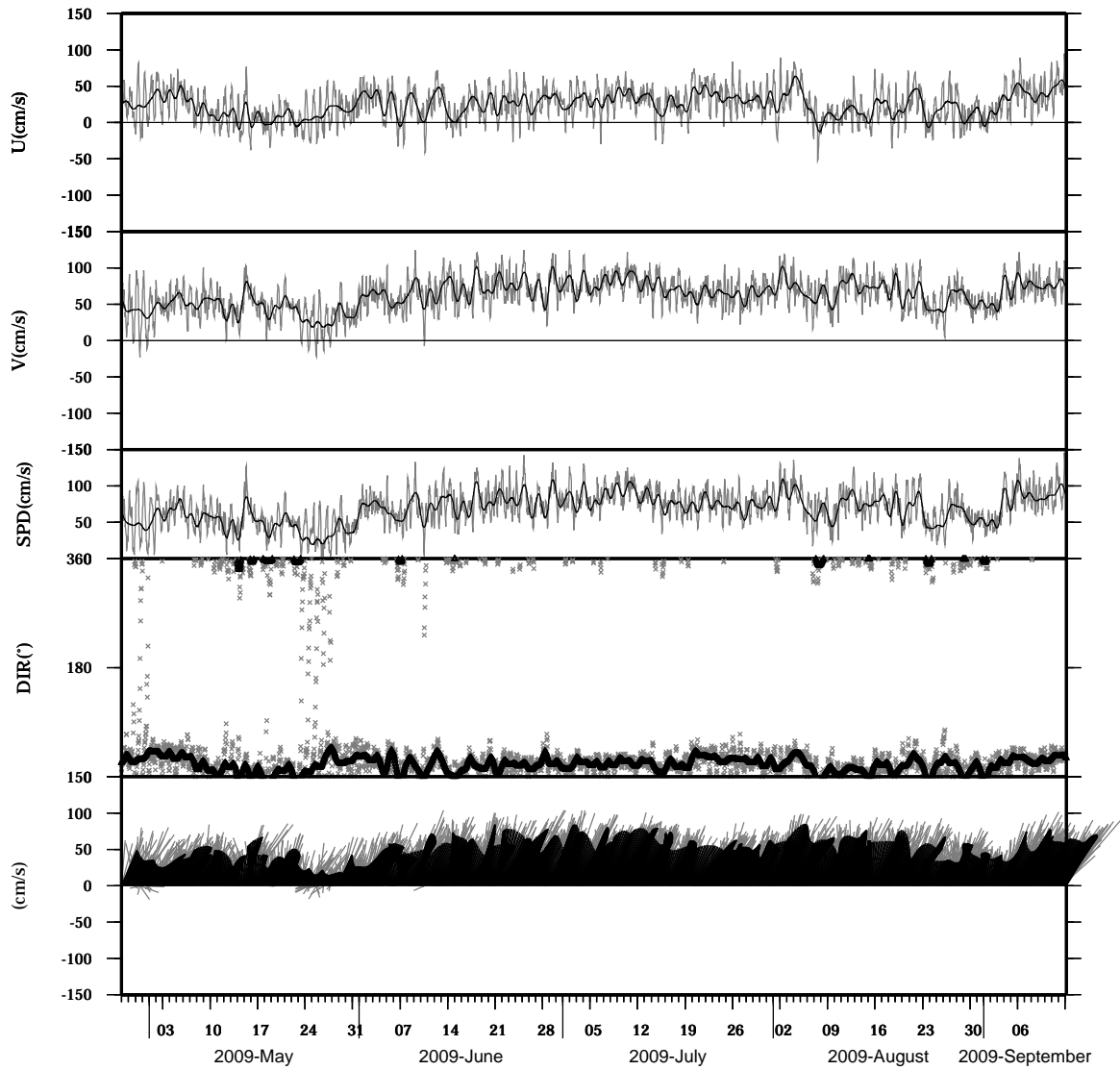


light line : The original data

heavy line : The 36 hours low-pass filtered data

Lon : 121° 17.4341' E
Lat : 22° 38.8623' N

Station : W104
Depth : 110 M

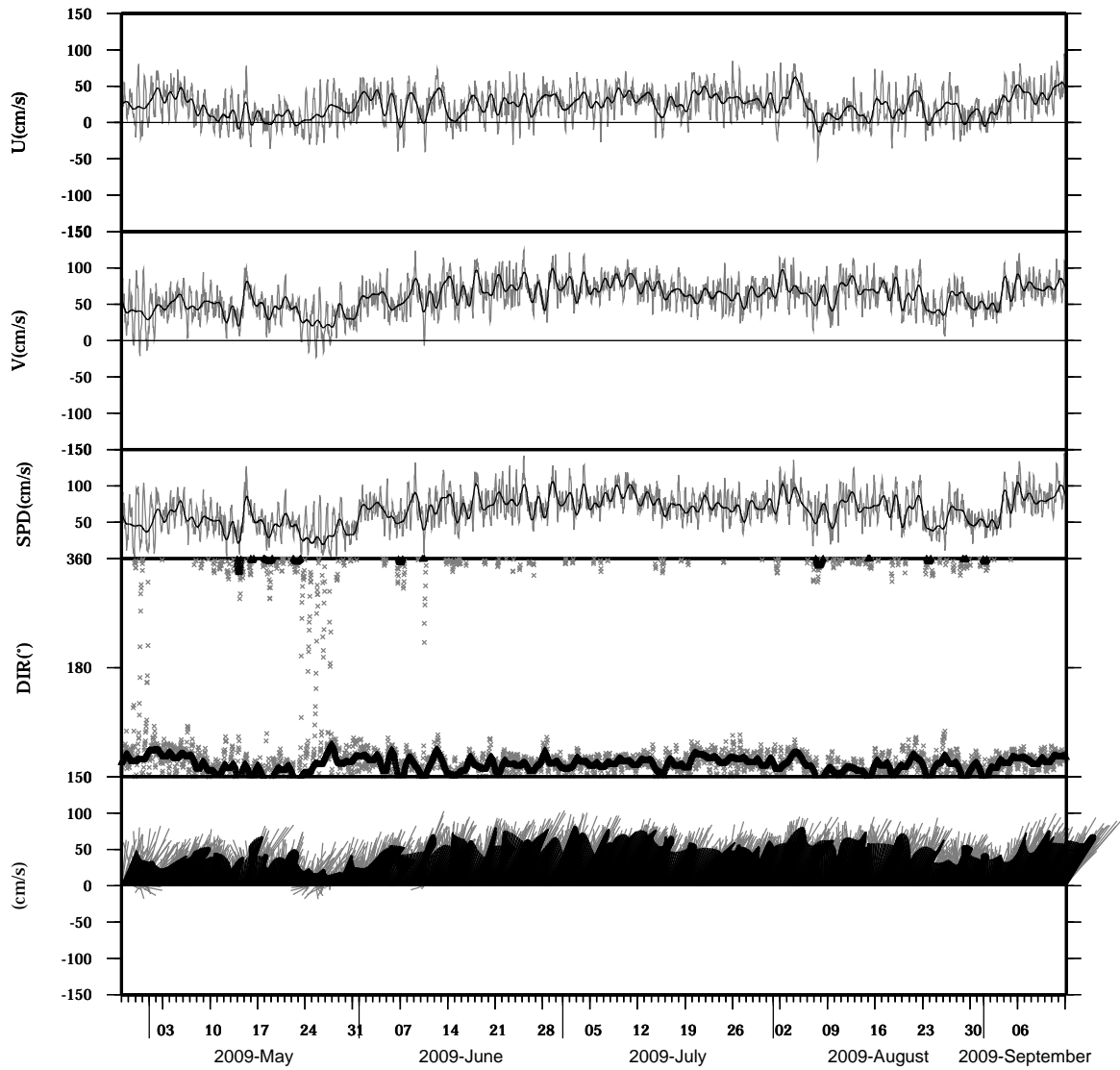


light line : The original data

heavy line : The 36 hours low-pass filtered data

Lon : 121° 17.4341' E
Lat : 22° 38.8623' N

Station : W104
Depth : 114 M

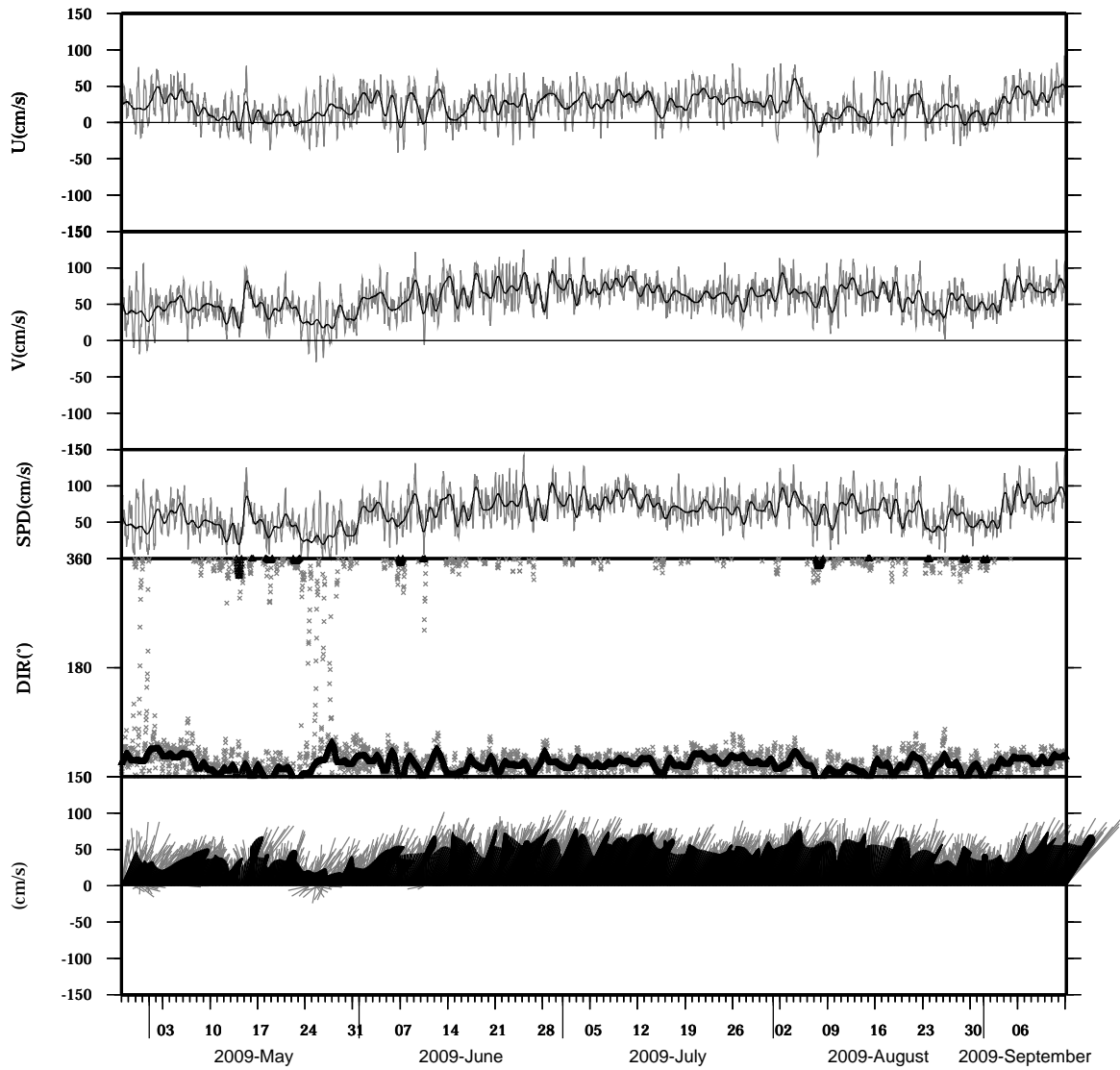


light line : The original data

heavy line : The 36 hours low-pass filtered data

Lon : 121° 17.4341' E
Lat : 22° 38.8623' N

Station : W104
Depth : 118 M

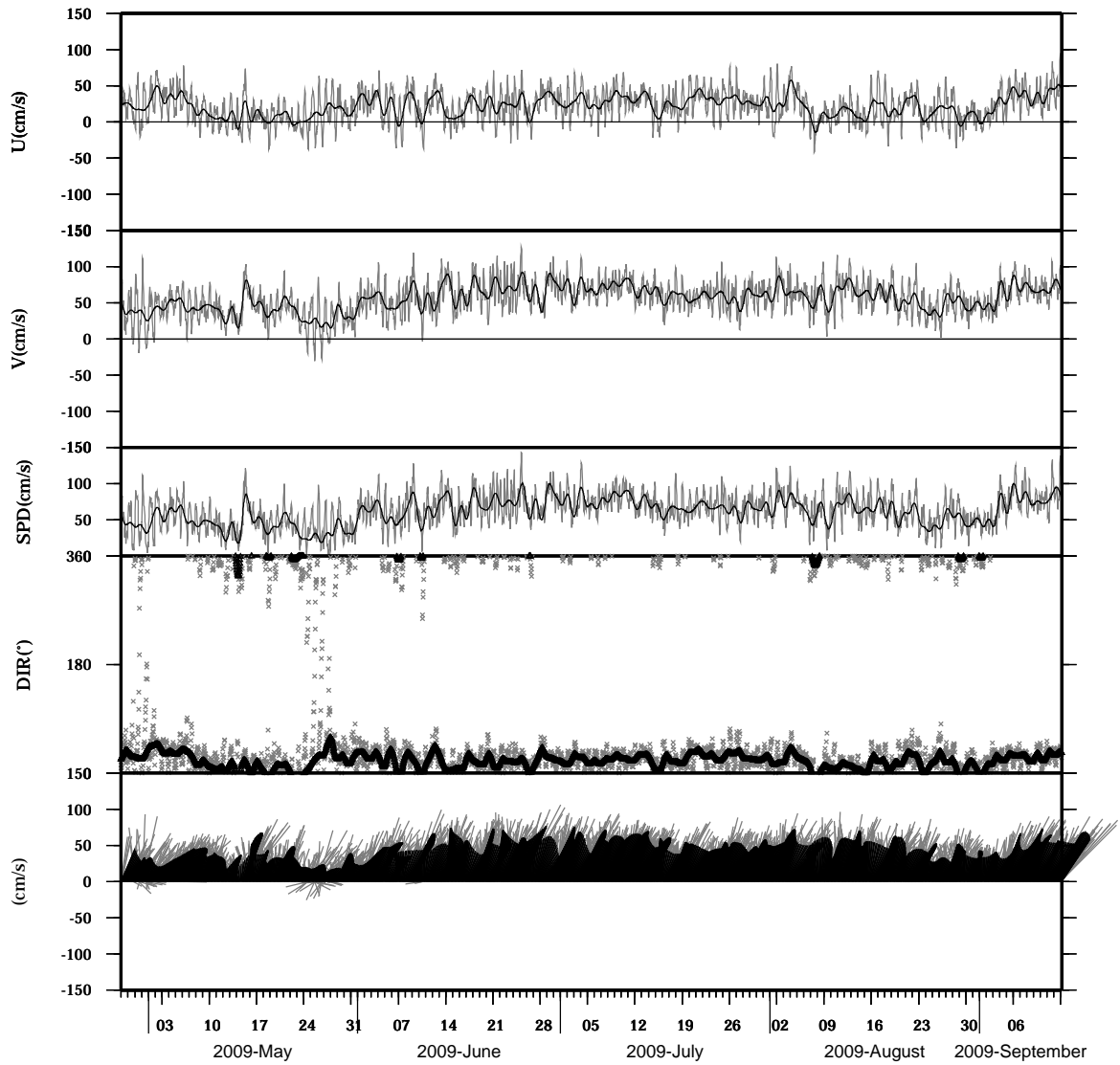


light line : The original data

heavy line : The 36 hours low-pass filtered data

Lon : 121° 17.4341' E
Lat : 22° 38.8623' N

Station : W104
Depth : 122 M

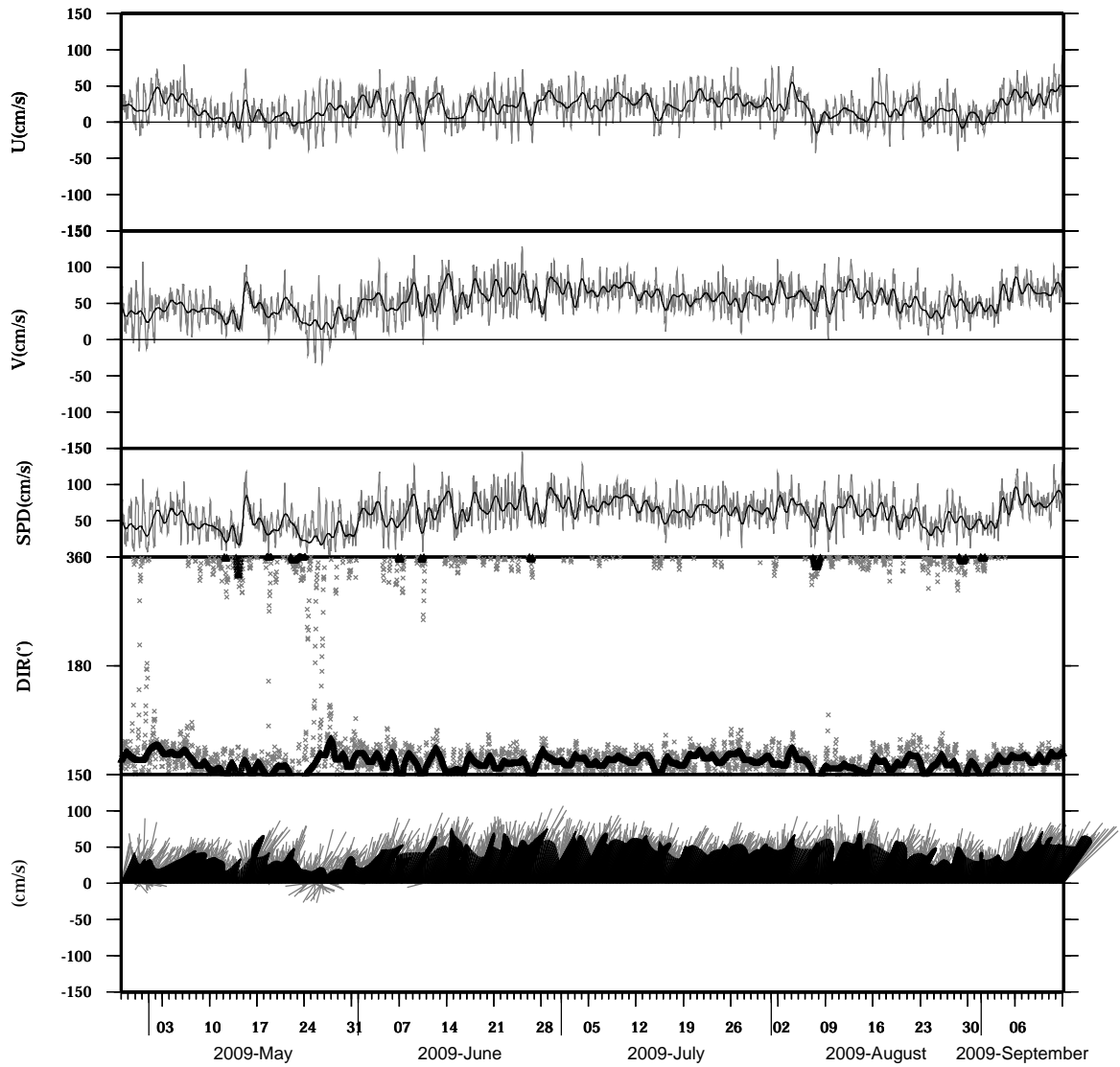


light line : The original data

heavy line : The 36 hours low-pass filtered data

Lon : 121° 17.4341' E
Lat : 22° 38.8623' N

Station : W104
Depth : 126 M

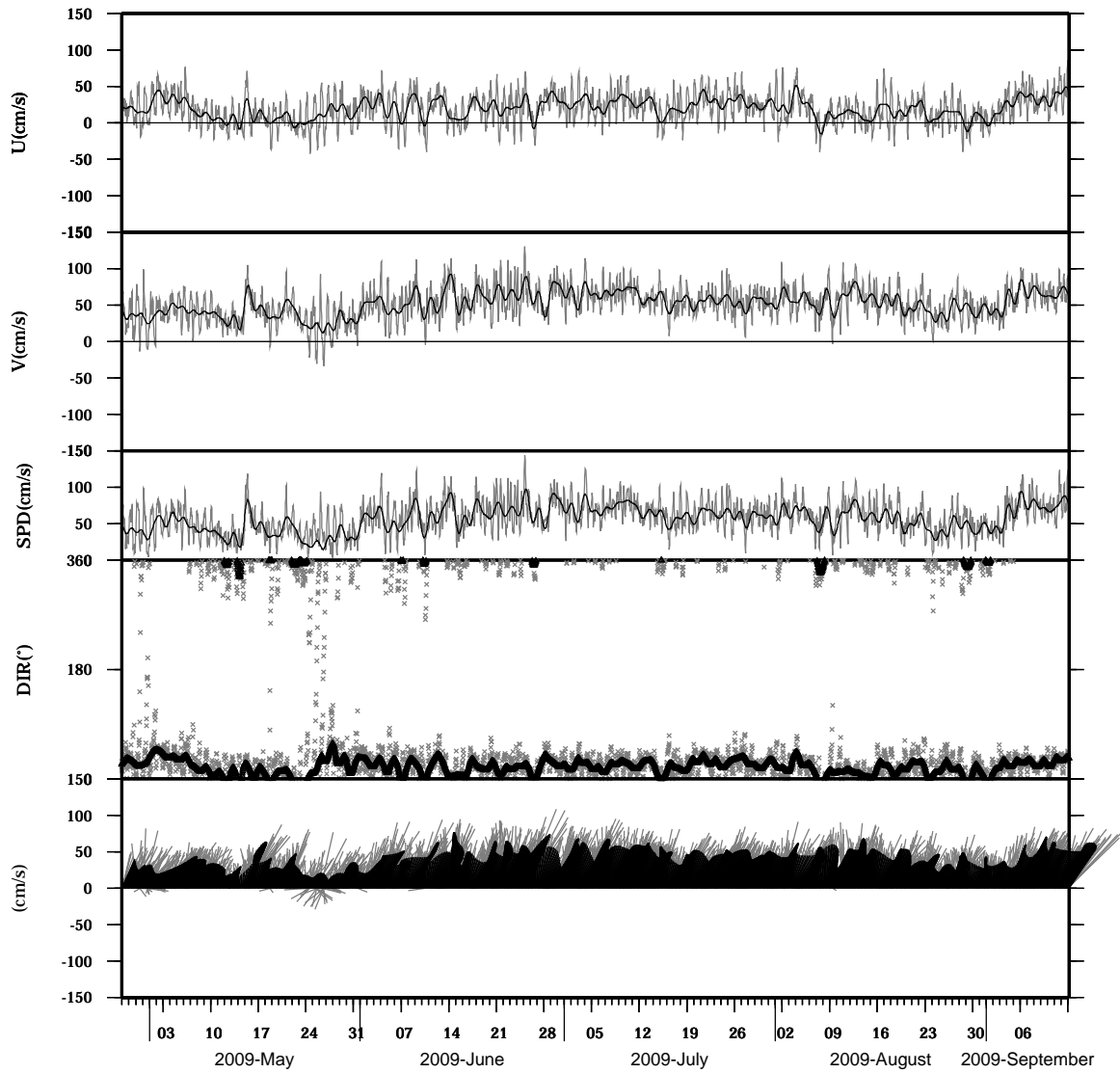


light line : The original data

heavy line : The 36 hours low-pass filtered data

Lon : 121° 17.4341' E
Lat : 22° 38.8623' N

Station : W104
Depth : 130 M

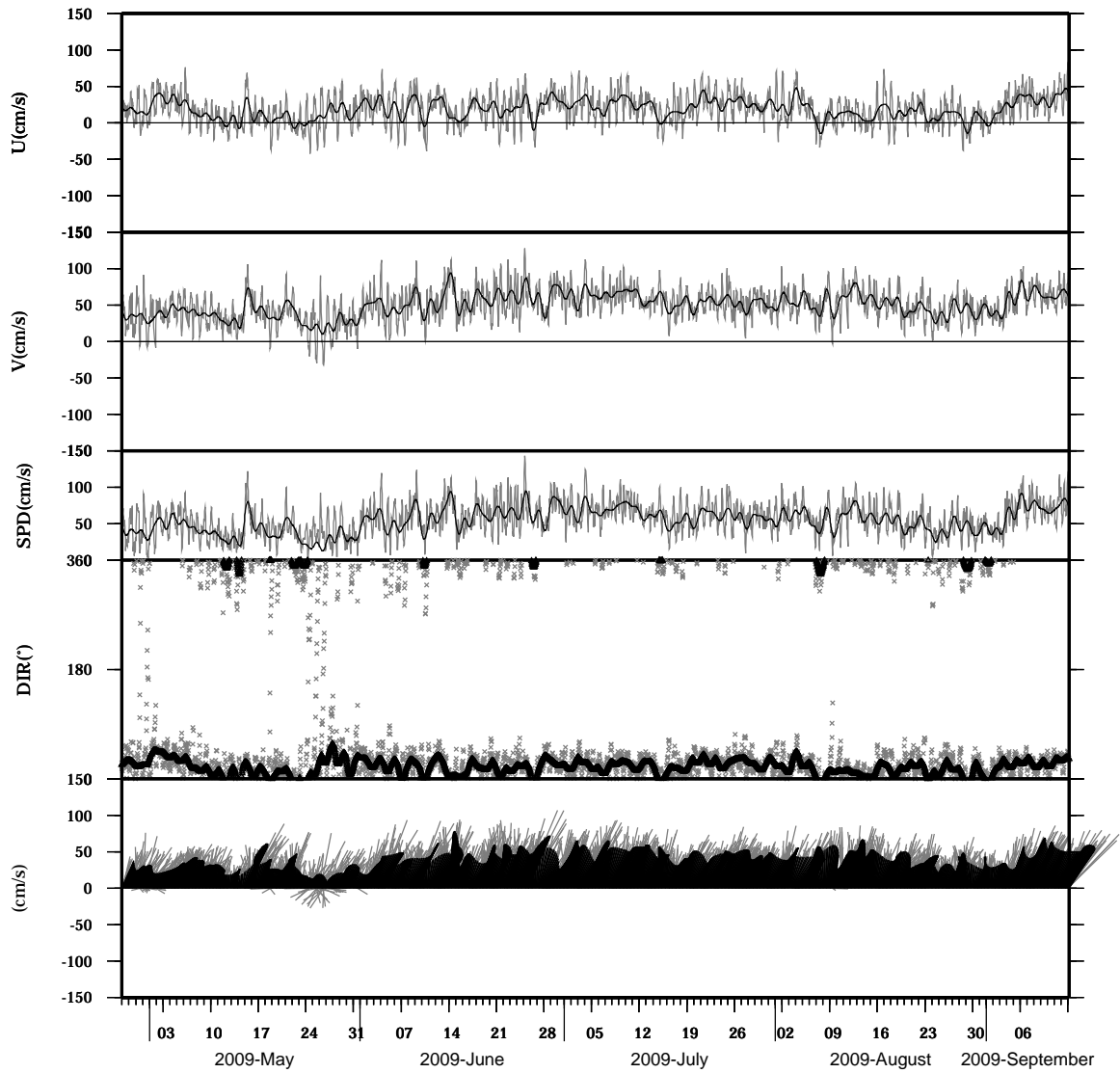


light line : The original data

heavy line : The 36 hours low-pass filtered data

Lon : 121° 17.4341' E
Lat : 22° 38.8623' N

Station : W104
Depth : 134 M

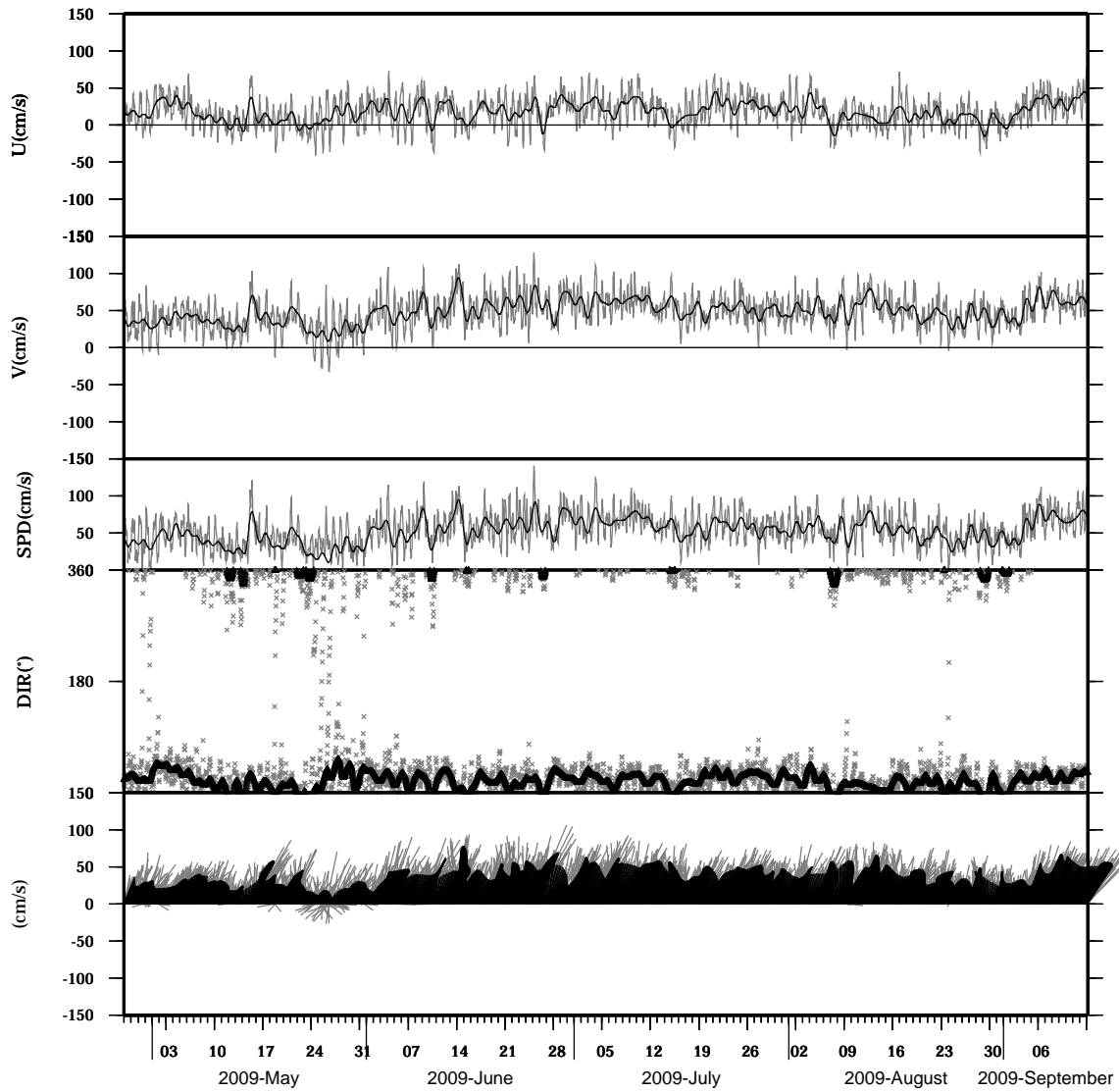


light line : The original data

heavy line : The 36 hours low-pass filtered data

Lon : 121° 17.4341' E
Lat : 22° 38.8623' N

Station : W104
Depth : 138 M

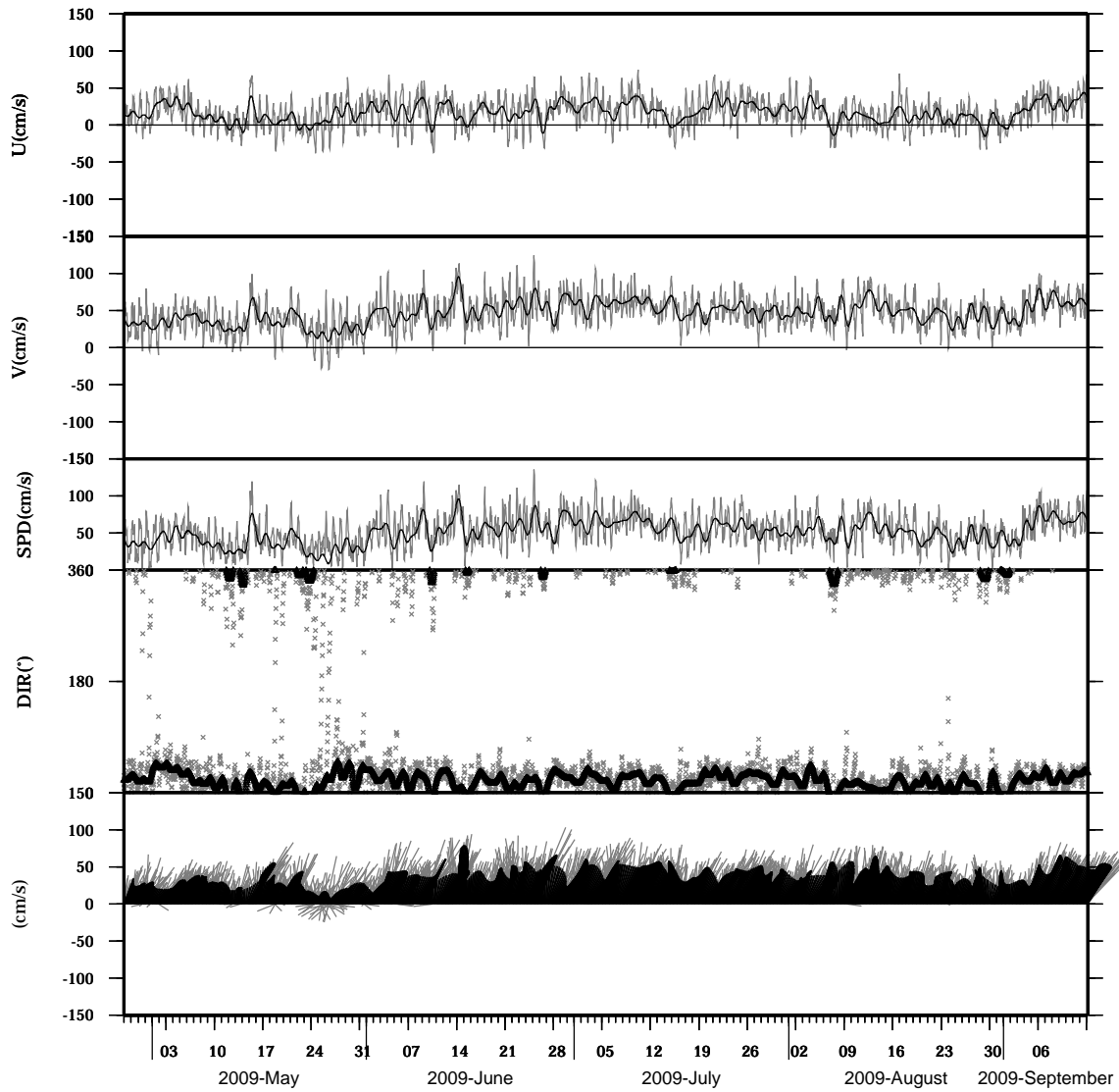


light line : The original data

heavy line : The 36 hours low-pass filtered data

Lon : 121° 17.4341' E
Lat : 22° 38.8623' N

Station : W104
Depth : 142 M

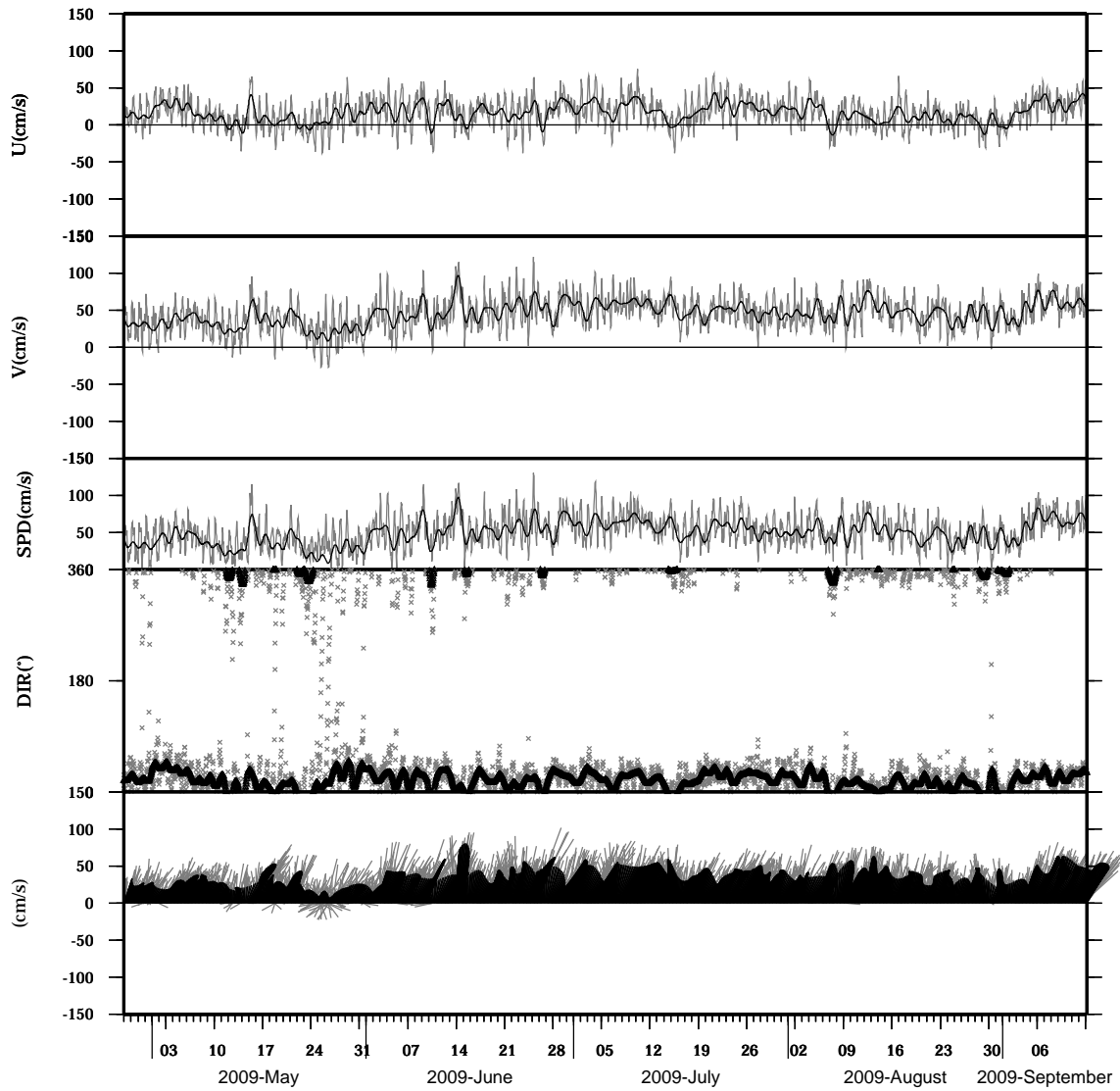


light line : The original data

heavy line : The 36 hours low-pass filtered data

Lon : 121° 17.4341' E
Lat : 22° 38.8623' N

Station : W104
Depth : 146 M

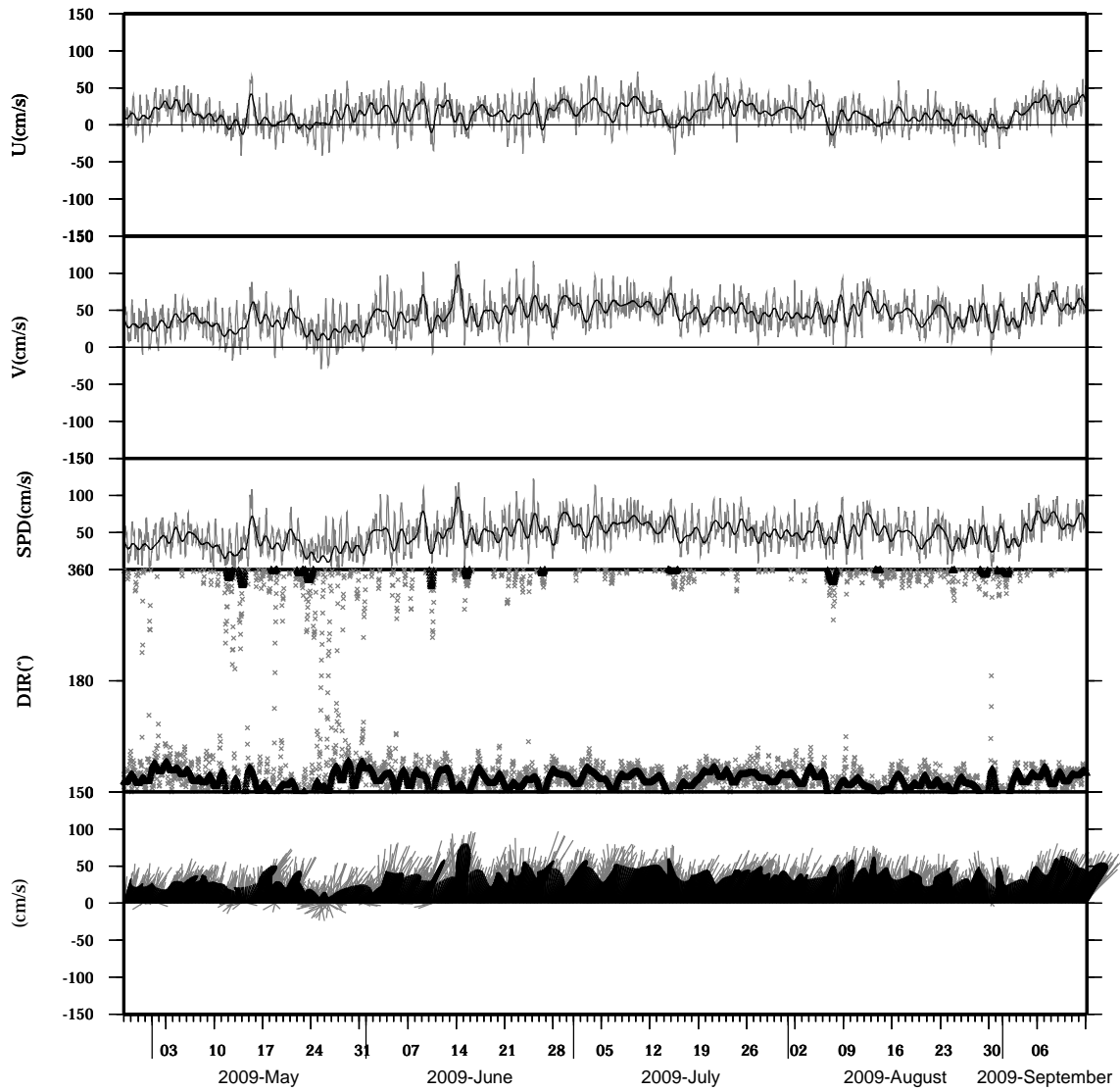


light line : The original data

heavy line : The 36 hours low-pass filtered data

Lon : 121° 17.4341' E
Lat : 22° 38.8623' N

Station : W104
Depth : 150 M

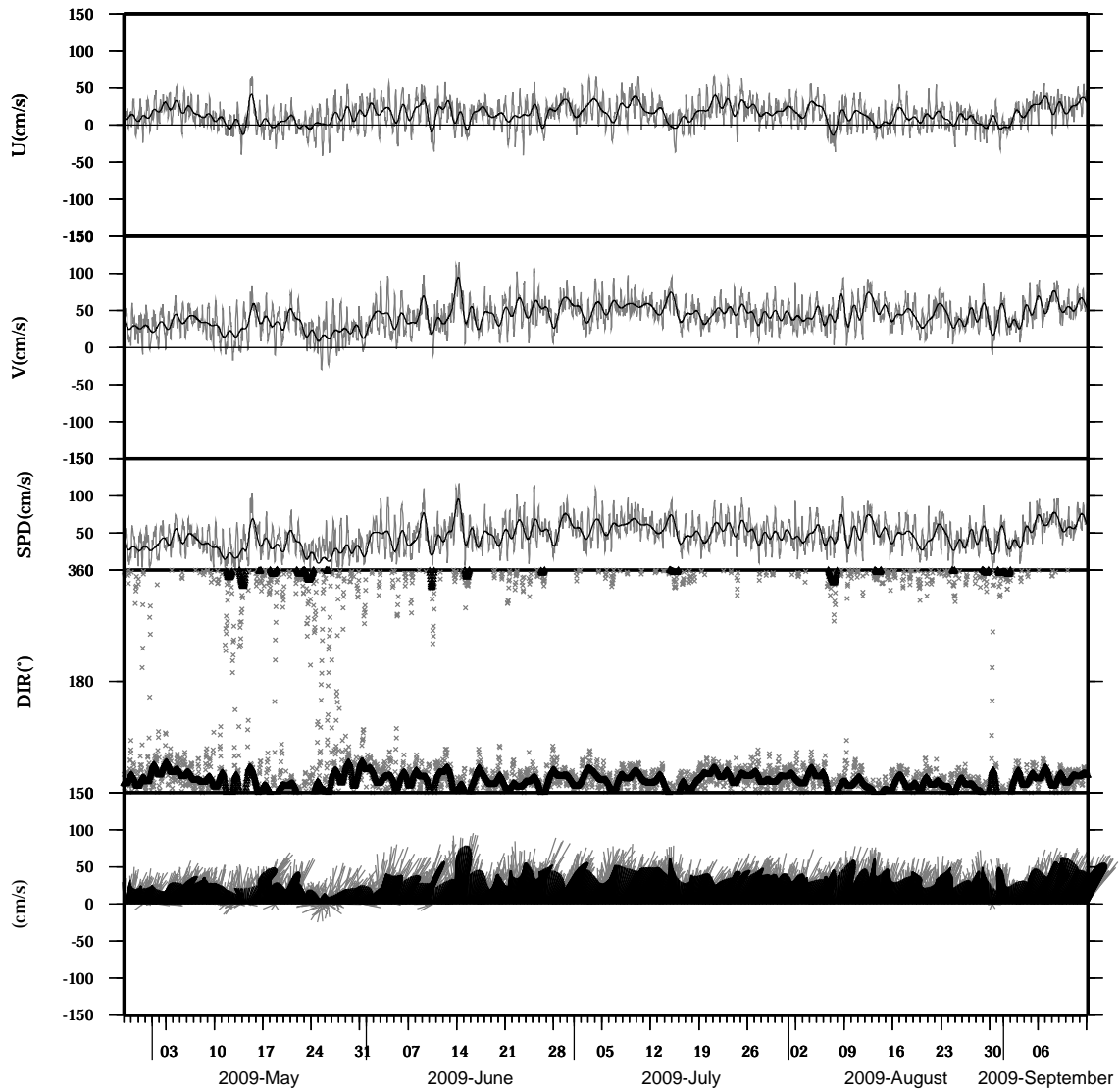


light line : The original data

heavy line : The 36 hours low-pass filtered data

Lon : 121° 17.4341' E
Lat : 22° 38.8623' N

Station : W104
Depth : 154 M

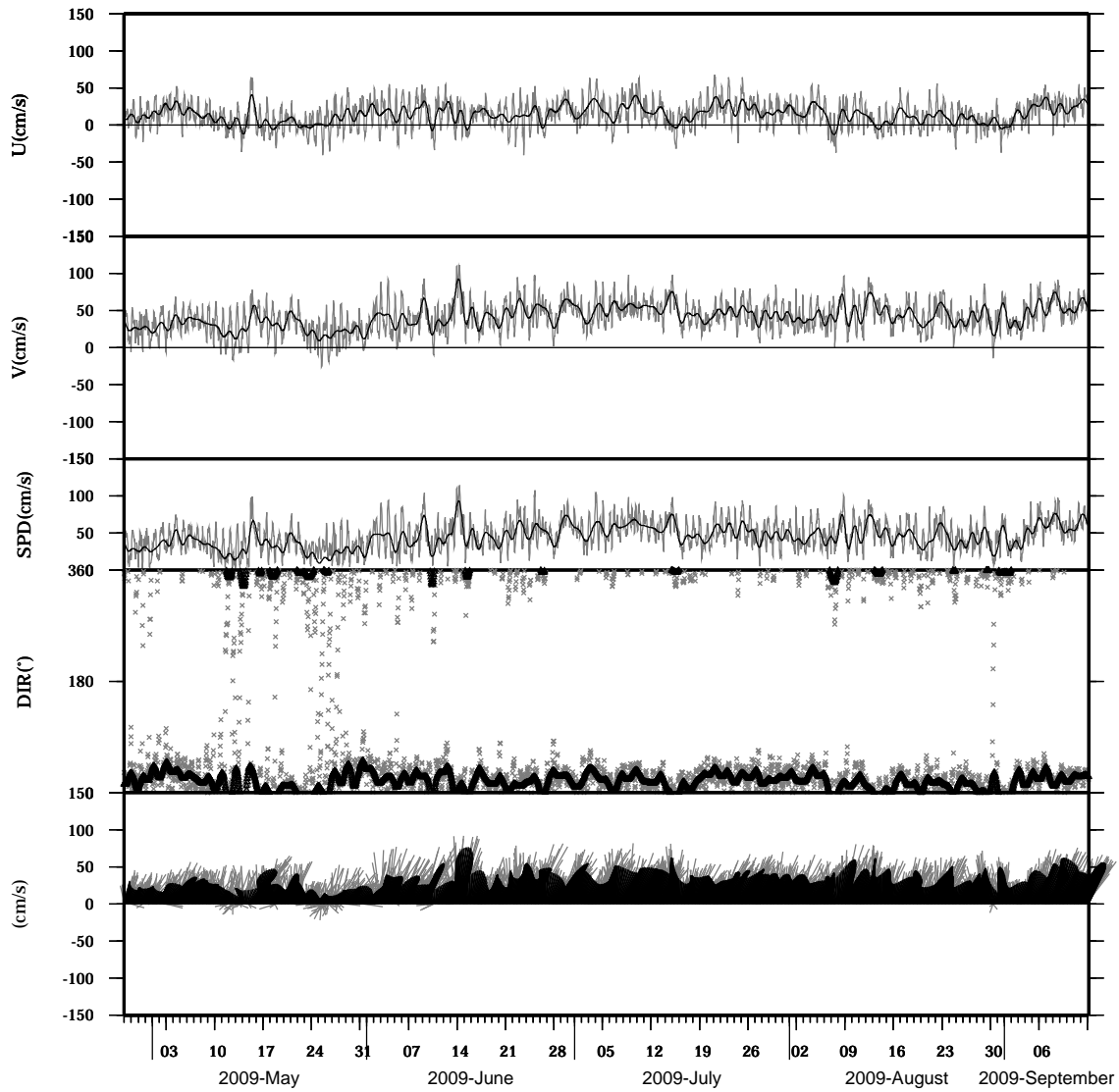


light line : The original data

heavy line : The 36 hours low-pass filtered data

Lon : 121° 17.4341' E
Lat : 22° 38.8623' N

Station : W104
Depth : 158 M

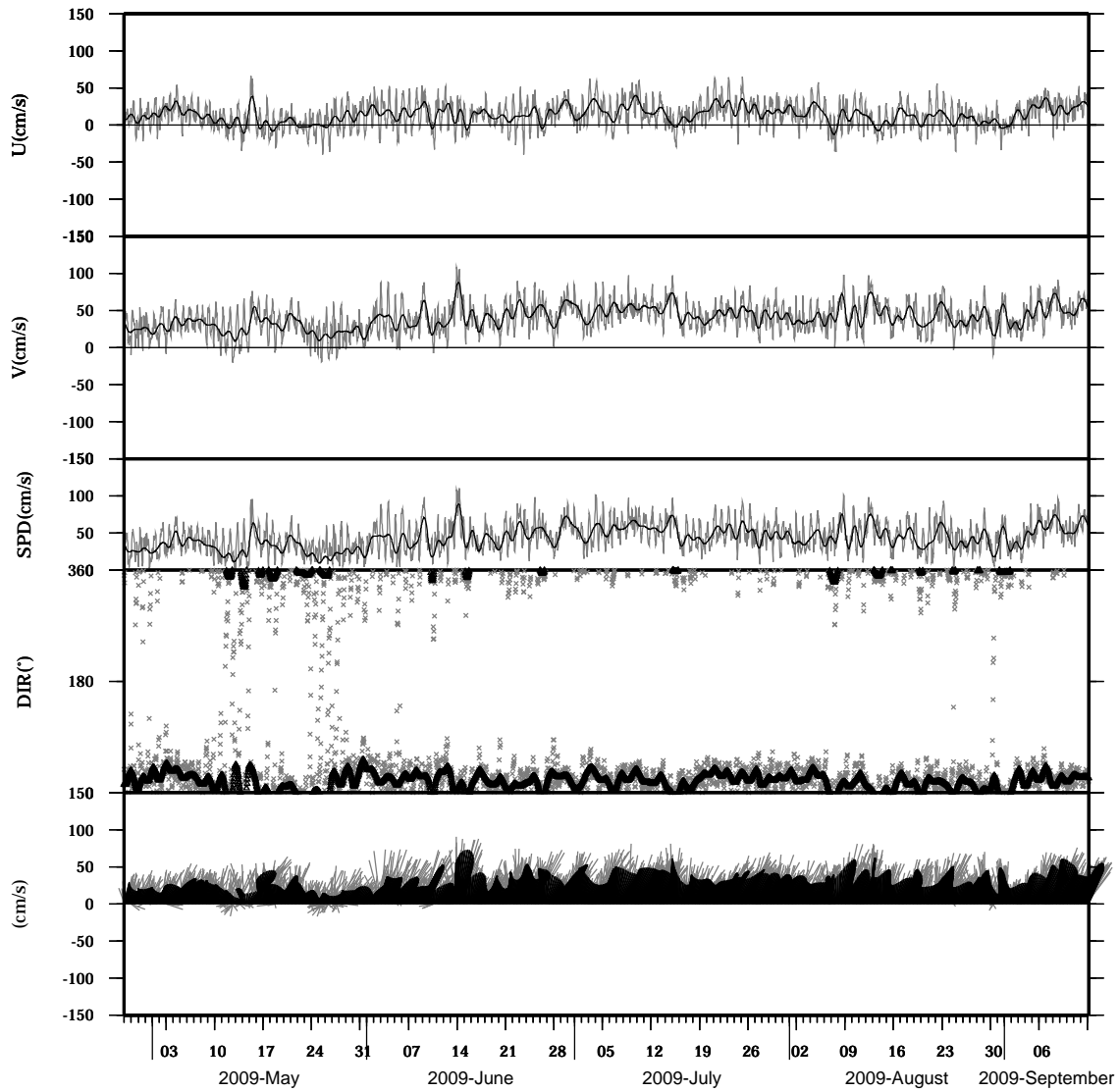


light line : The original data

heavy line : The 36 hours low-pass filtered data

Lon : 121° 17.4341' E
Lat : 22° 38.8623' N

Station : W104
Depth : 162 M

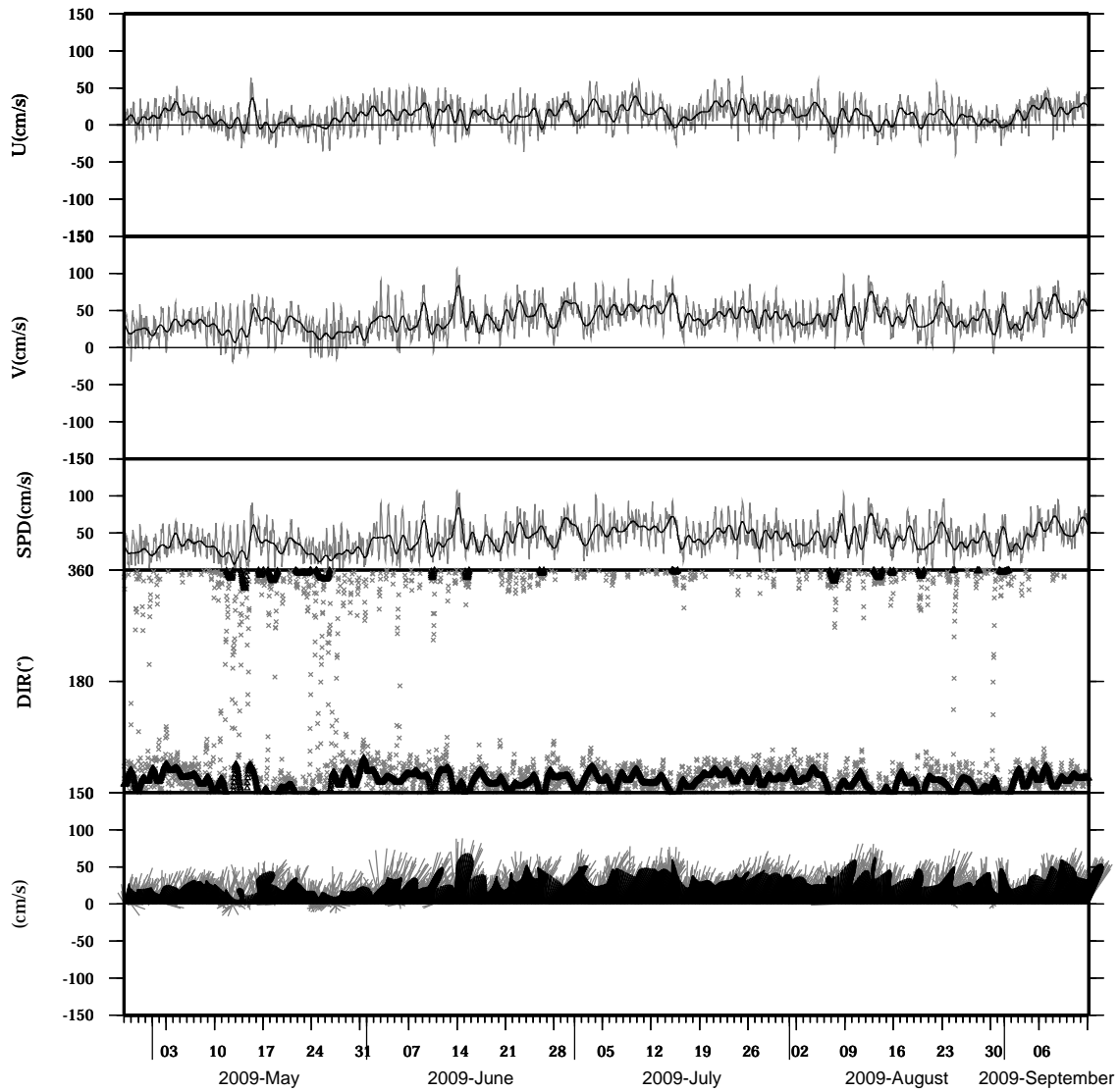


light line : The original data

heavy line : The 36 hours low-pass filtered data

Lon : 121° 17.4341' E
Lat : 22° 38.8623' N

Station : W104
Depth : 166 M

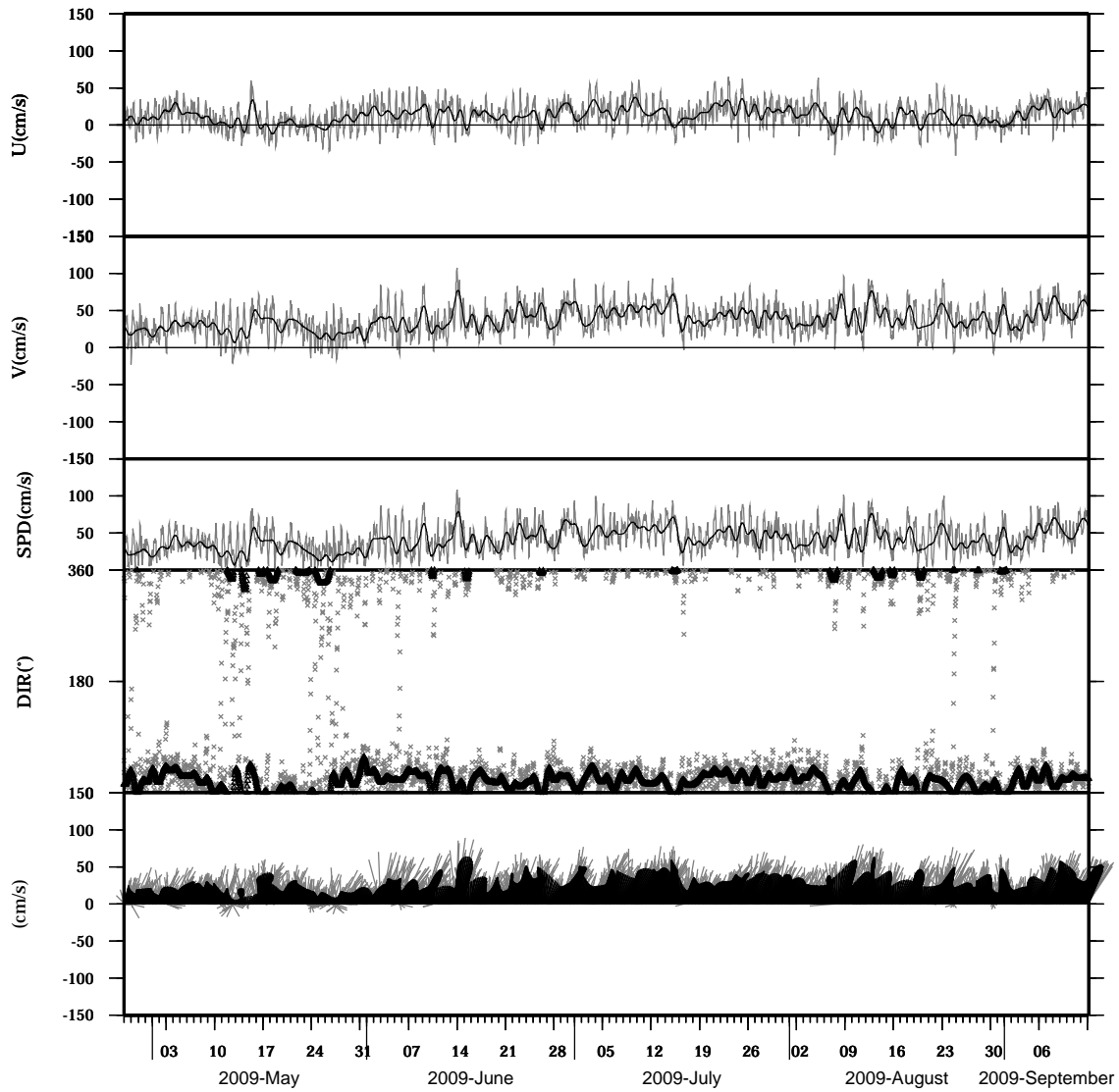


light line : The original data

heavy line : The 36 hours low-pass filtered data

Lon : 121° 17.4341' E
Lat : 22° 38.8623' N

Station : W104
Depth : 170 M

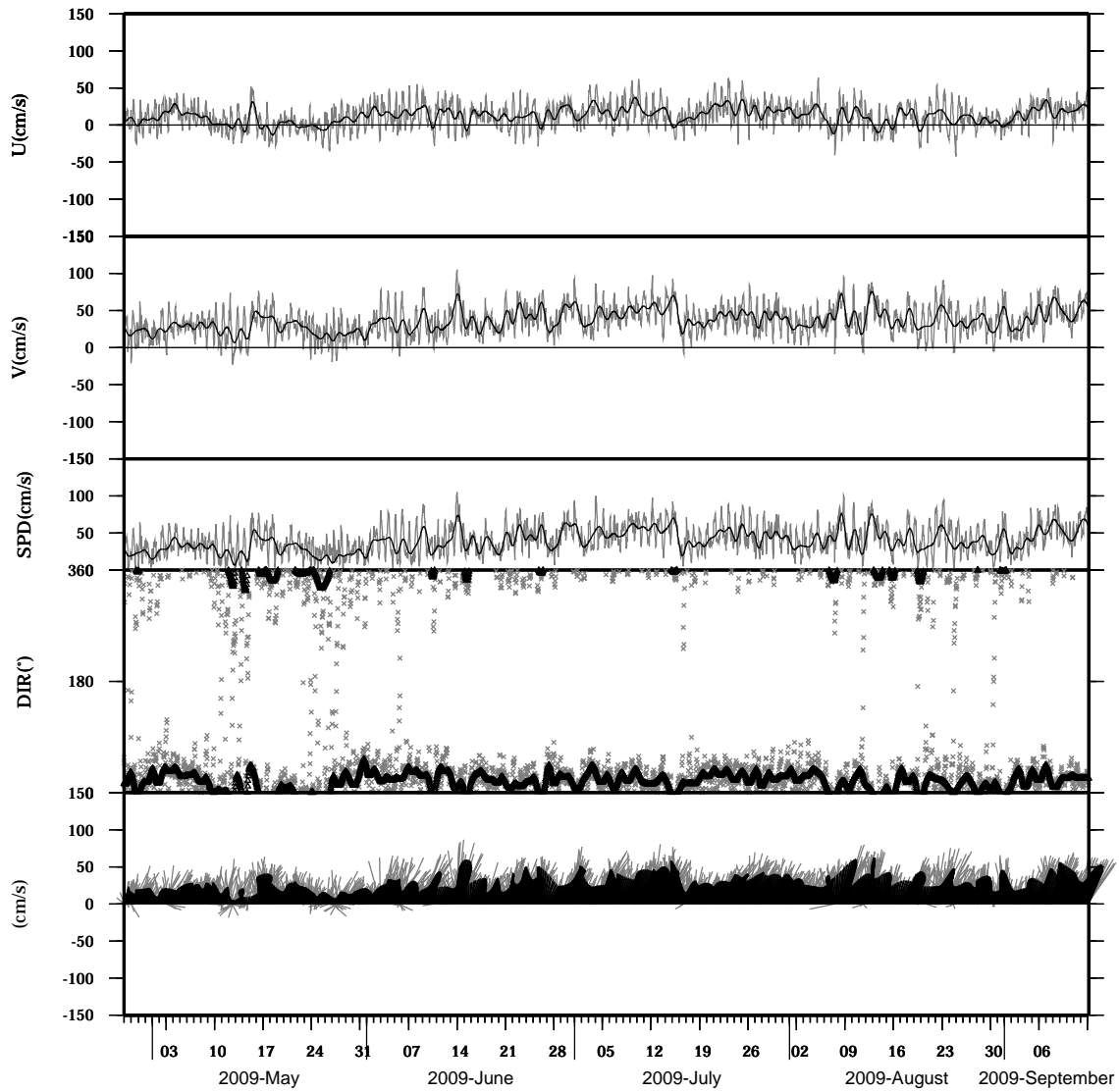


light line : The original data

heavy line : The 36 hours low-pass filtered data

Lon : 121° 17.4341' E
Lat : 22° 38.8623' N

Station : W104
Depth : 174 M

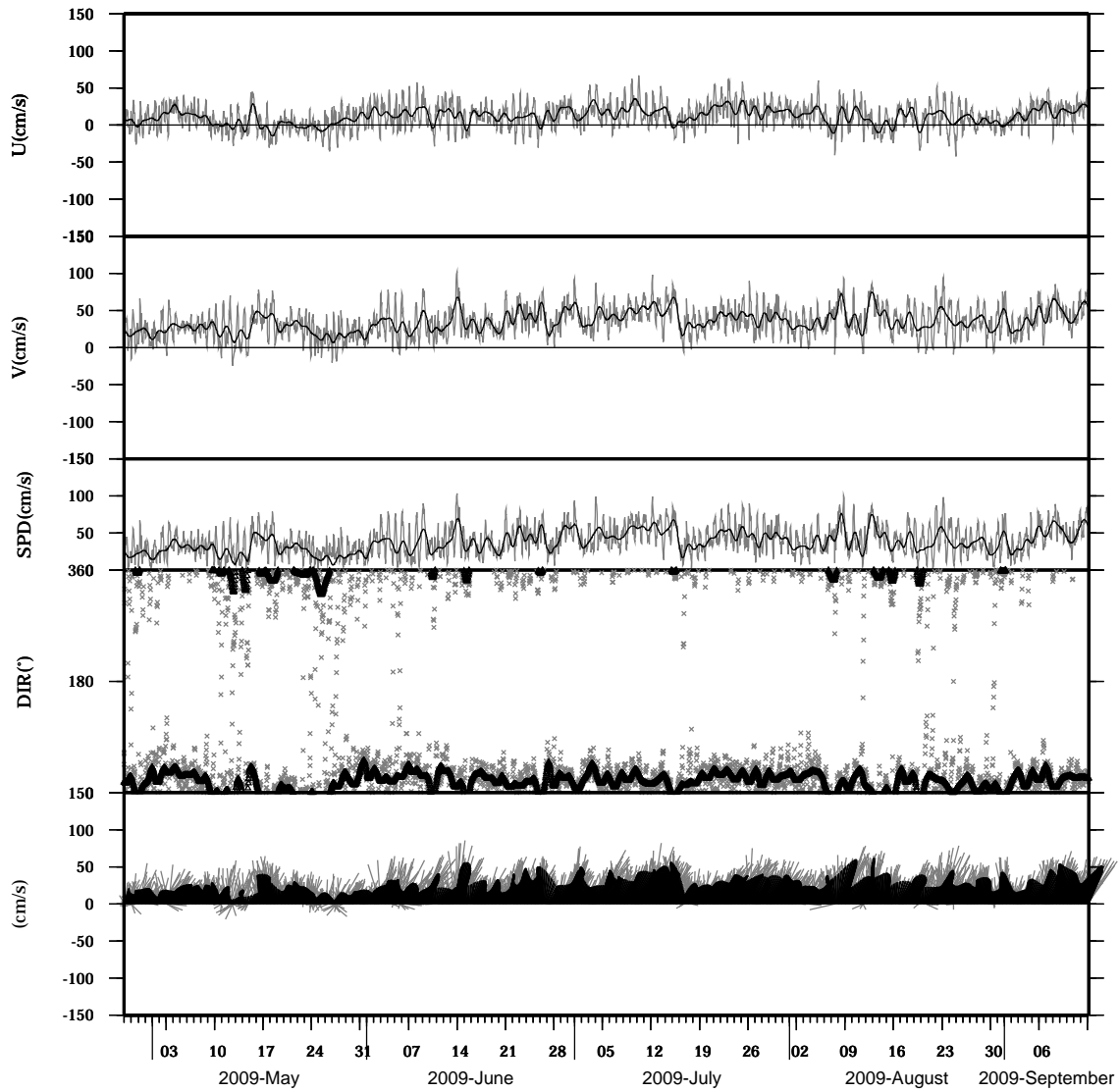


light line : The original data

heavy line : The 36 hours low-pass filtered data

Lon : 121° 17.4341' E
Lat : 22° 38.8623' N

Station : W104
Depth : 178 M

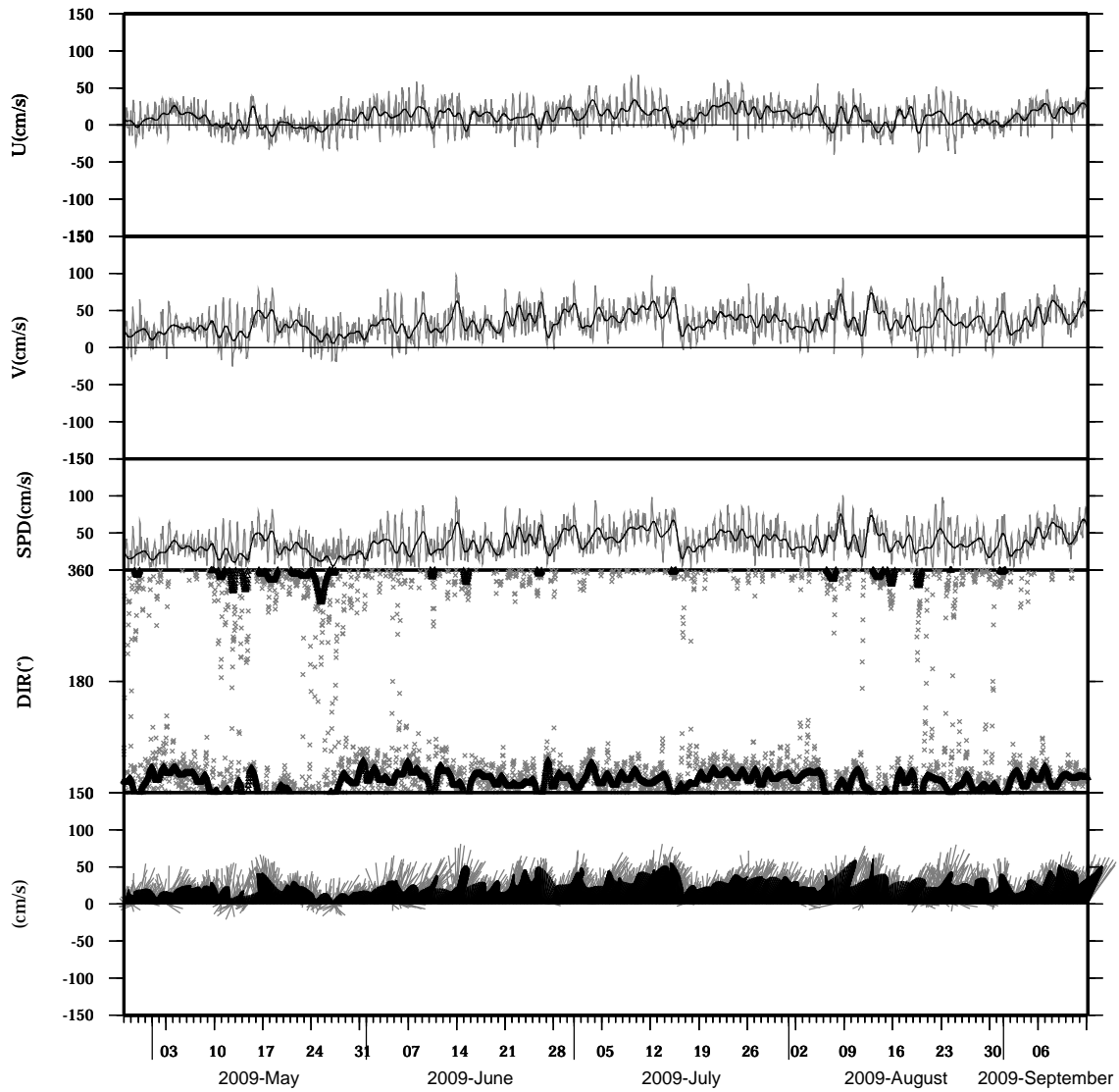


light line : The original data

heavy line : The 36 hours low-pass filtered data

Lon : 121° 17.4341' E
Lat : 22° 38.8623' N

Station : W104
Depth : 182 M

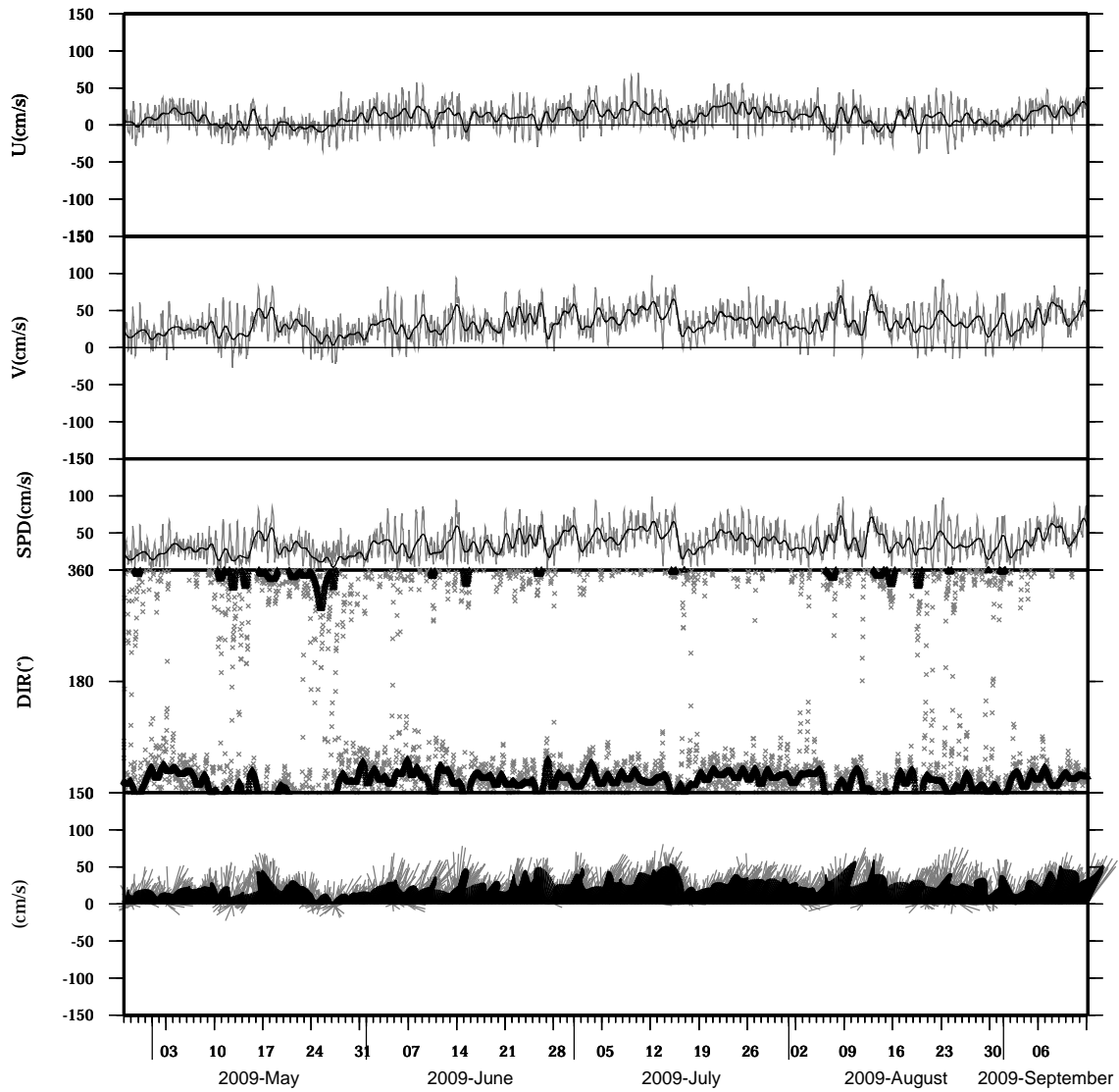


light line : The original data

heavy line : The 36 hours low-pass filtered data

Lon : 121° 17.4341' E
Lat : 22° 38.8623' N

Station : W104
Depth : 186 M

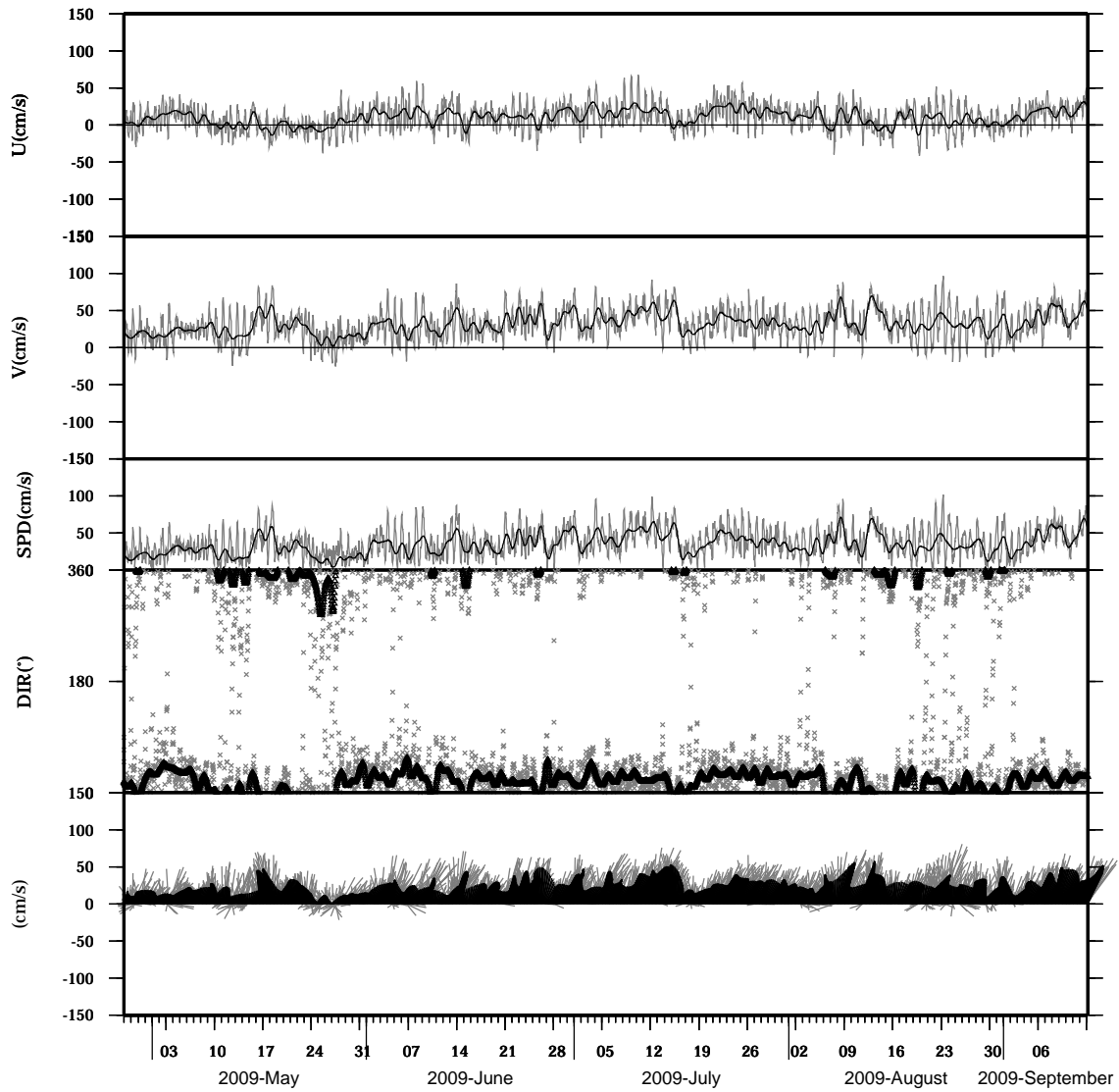


light line : The original data

heavy line : The 36 hours low-pass filtered data

Lon : 121° 17.4341' E
Lat : 22° 38.8623' N

Station : W104
Depth : 190 M

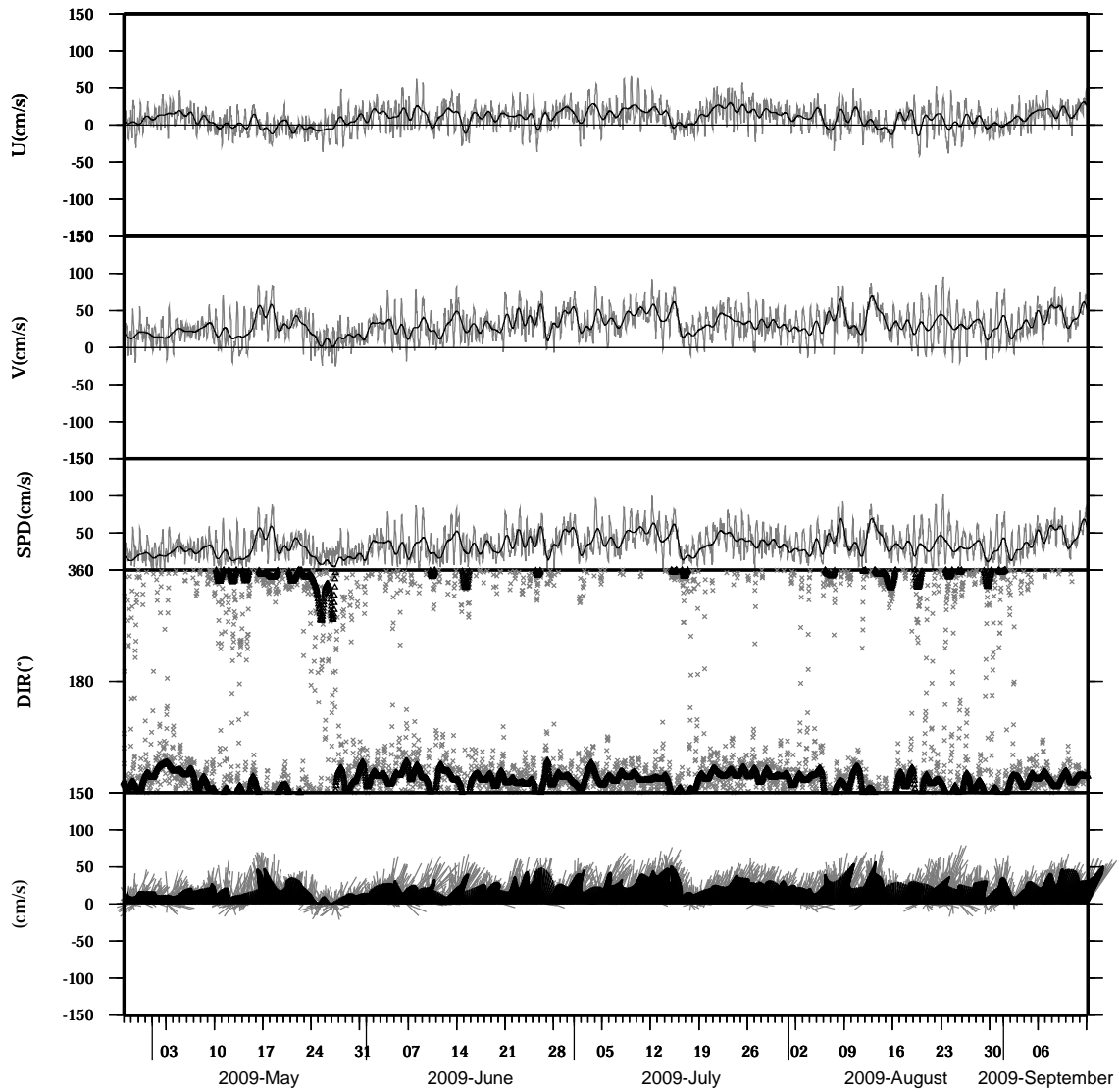


light line : The original data

heavy line : The 36 hours low-pass filtered data

Lon : 121° 17.4341' E
Lat : 22° 38.8623' N

Station : W104
Depth : 194 M

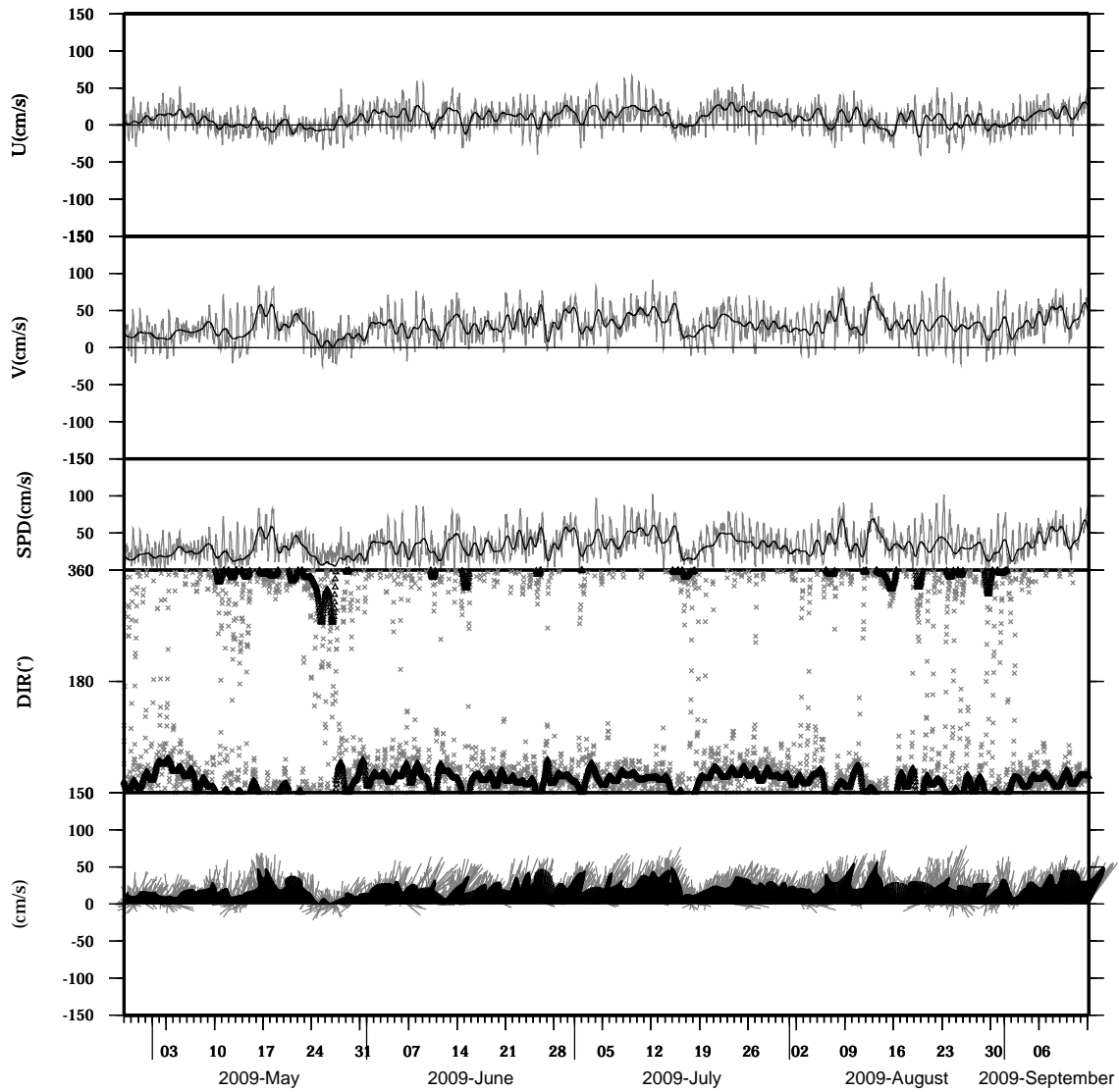


light line : The original data

heavy line : The 36 hours low-pass filtered data

Lon : 121° 17.4341' E
Lat : 22° 38.8623' N

Station : W104
Depth : 198 M

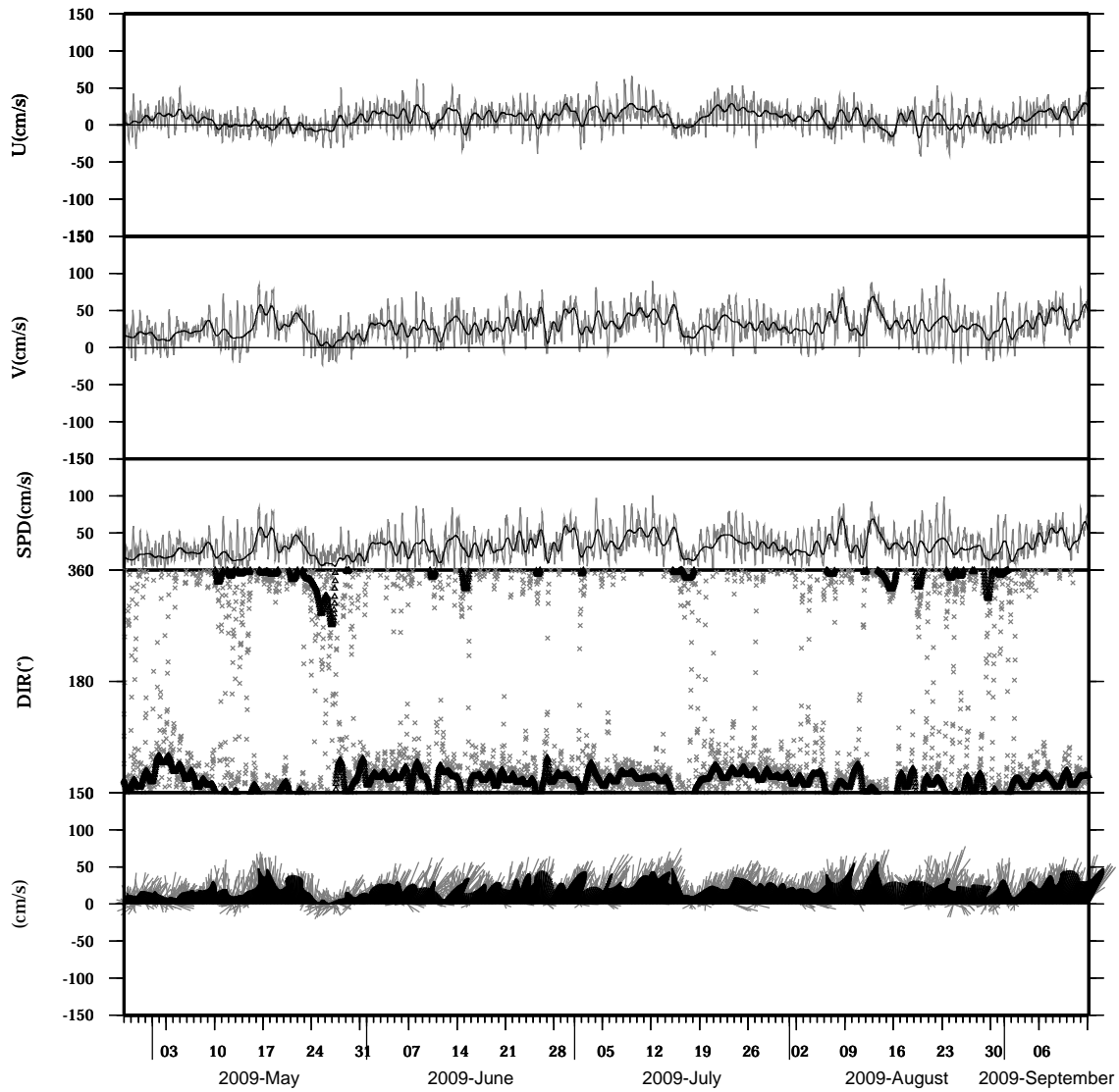


light line : The original data

heavy line : The 36 hours low-pass filtered data

Lon : 121° 17.4341' E
Lat : 22° 38.8623' N

Station : W104
Depth : 202 M

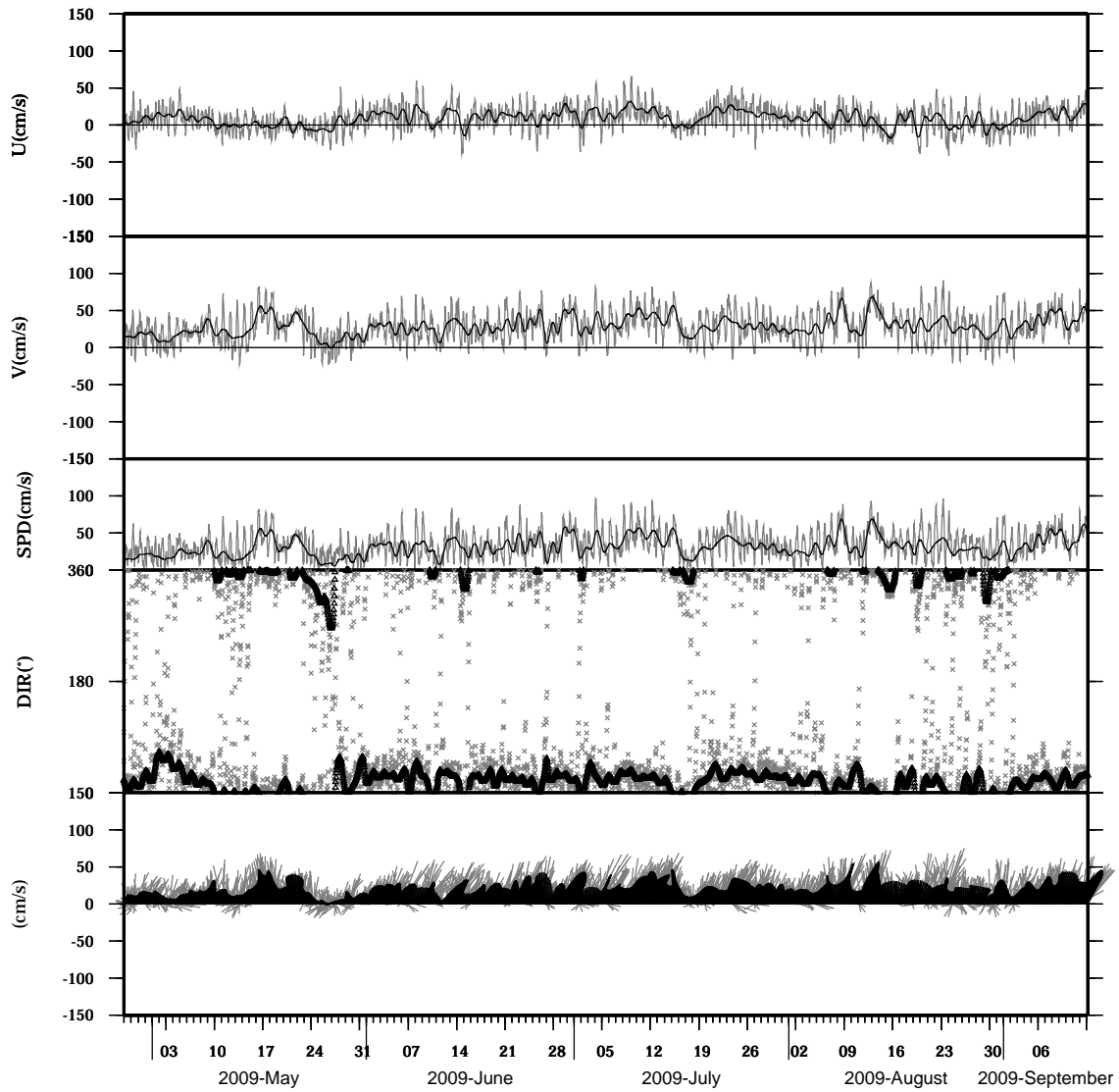


light line : The original data

heavy line : The 36 hours low-pass filtered data

Lon : 121° 17.4341' E
Lat : 22° 38.8623' N

Station : W104
Depth : 206 M

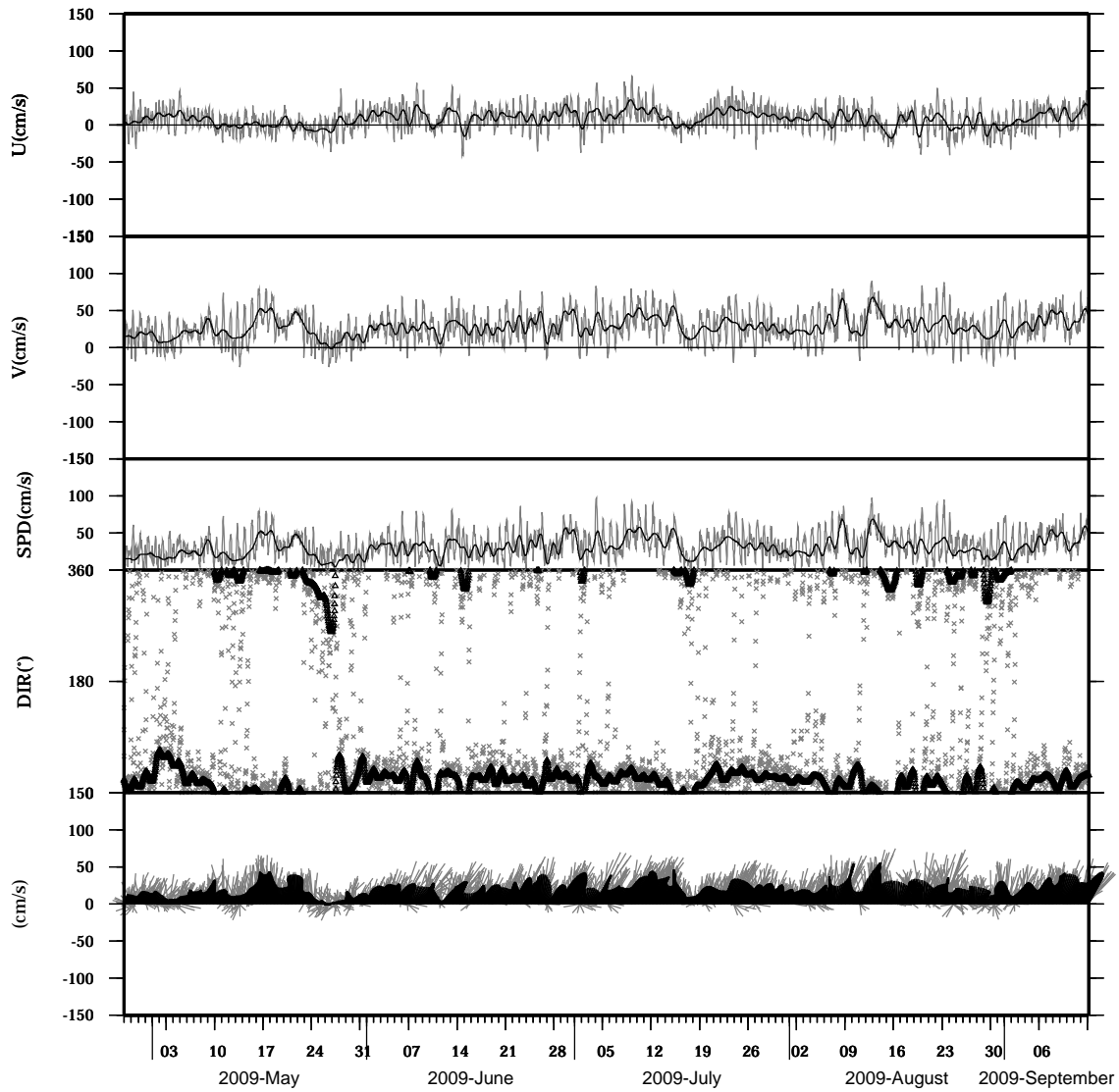


light line : The original data

heavy line : The 36 hours low-pass filtered data

Lon : 121° 17.4341' E
Lat : 22° 38.8623' N

Station : W104
Depth : 210 M

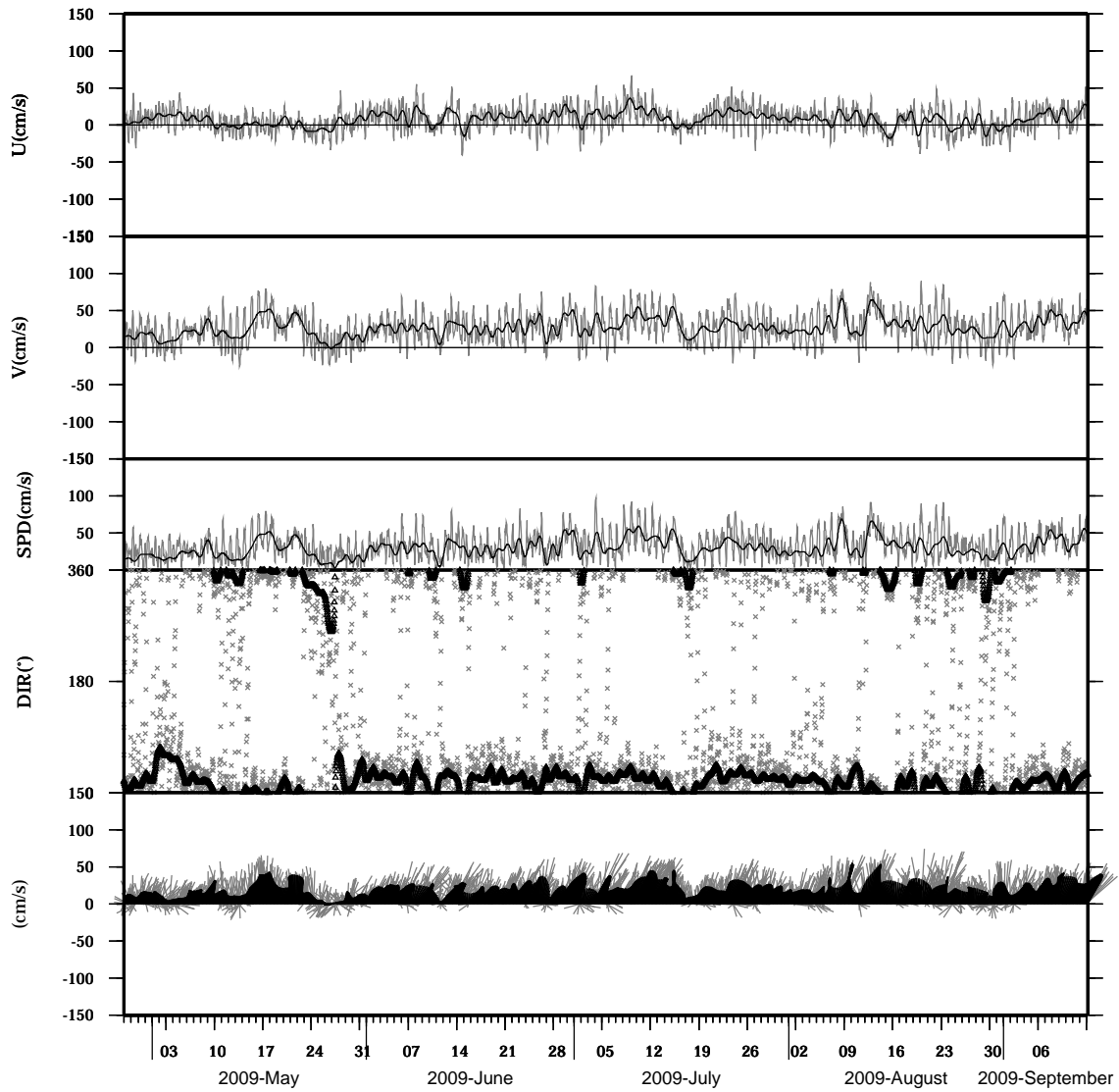


light line : The original data

heavy line : The 36 hours low-pass filtered data

Lon : 121° 17.4341' E
Lat : 22° 38.8623' N

Station : W104
Depth : 214 M

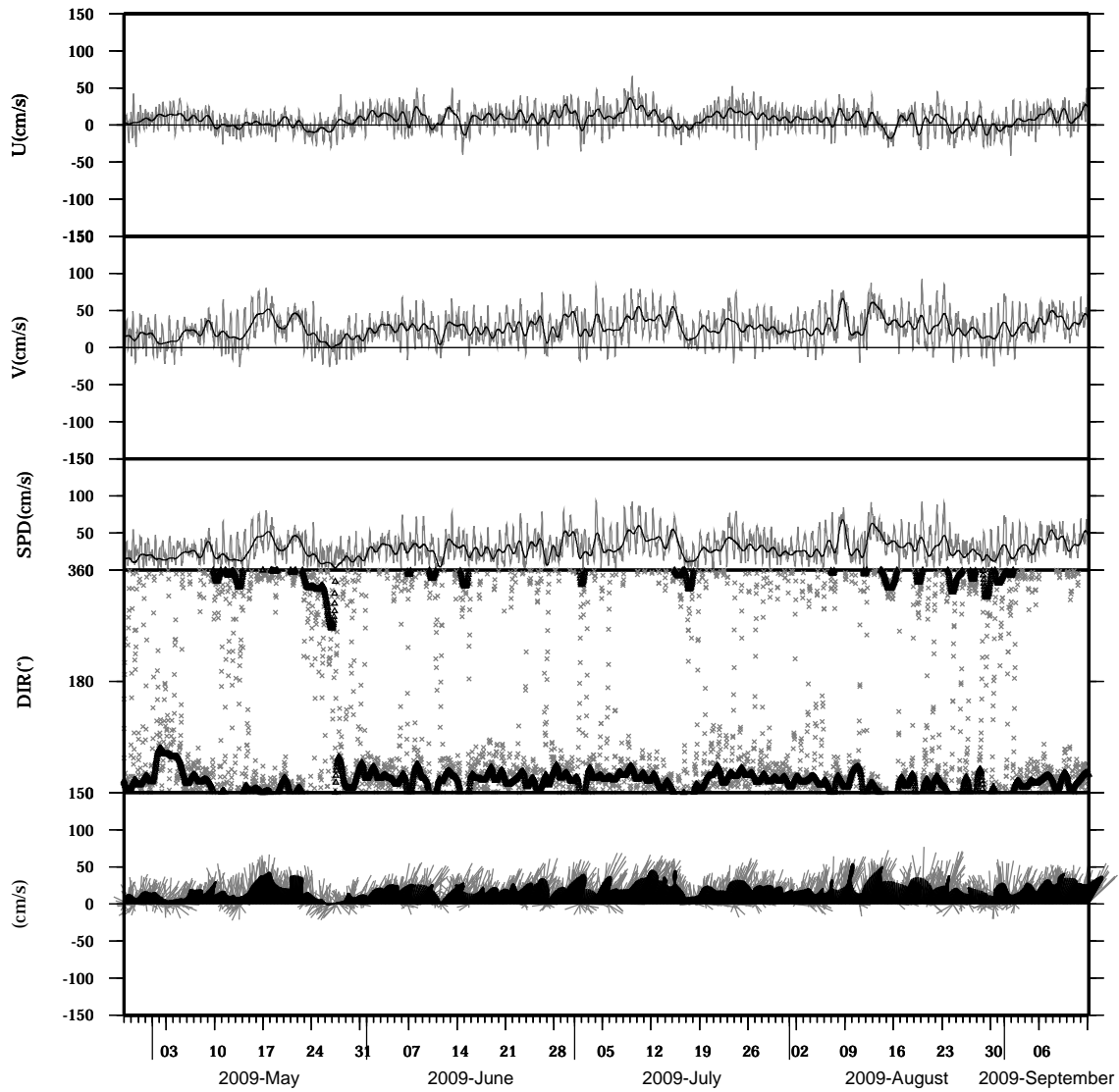


light line : The original data

heavy line : The 36 hours low-pass filtered data

Lon : 121° 17.4341' E
Lat : 22° 38.8623' N

Station : W104
Depth : 218 M

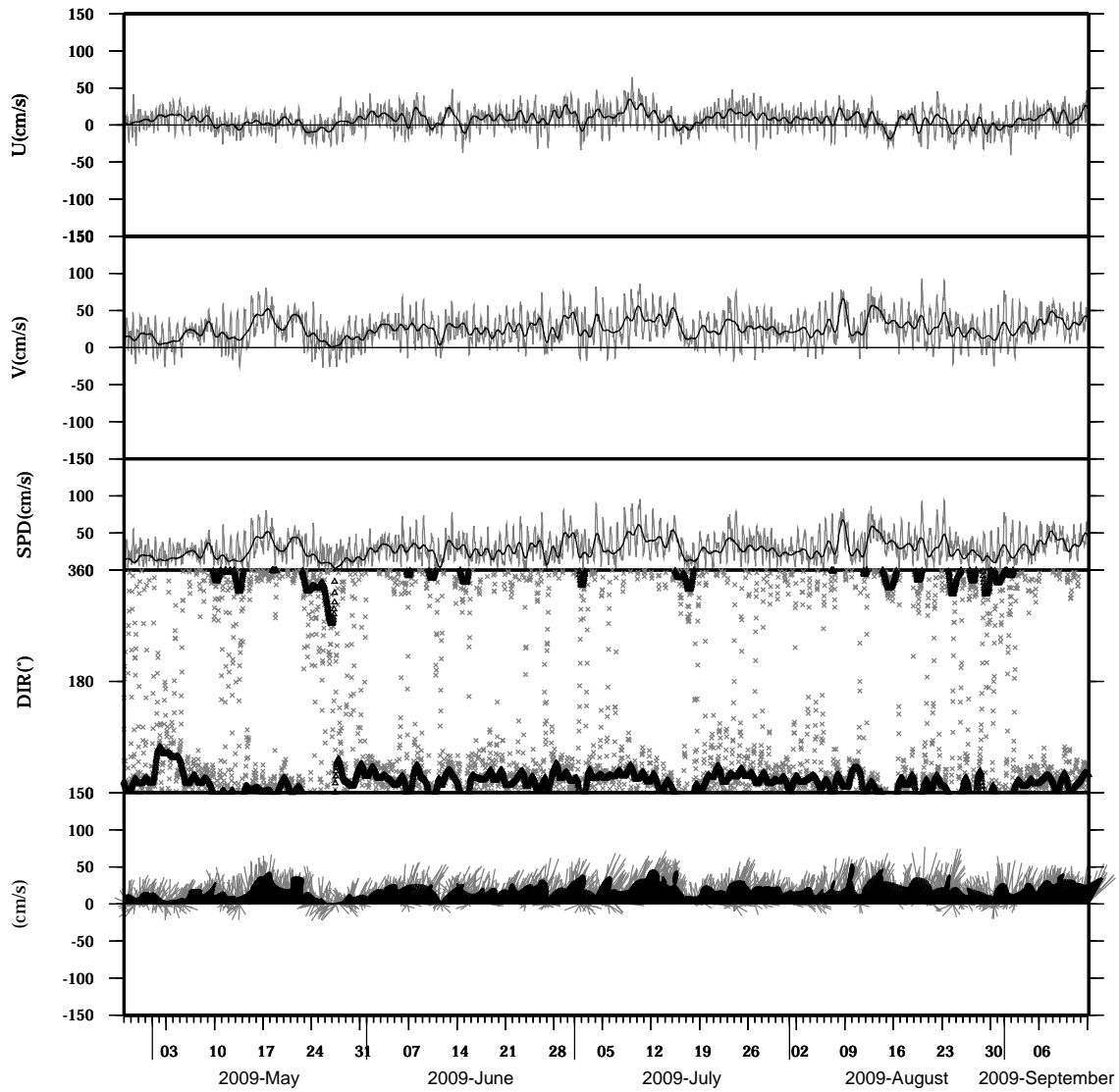


light line : The original data

heavy line : The 36 hours low-pass filtered data

Lon : 121° 17.4341' E
Lat : 22° 38.8623' N

Station : W104
Depth : 222 M

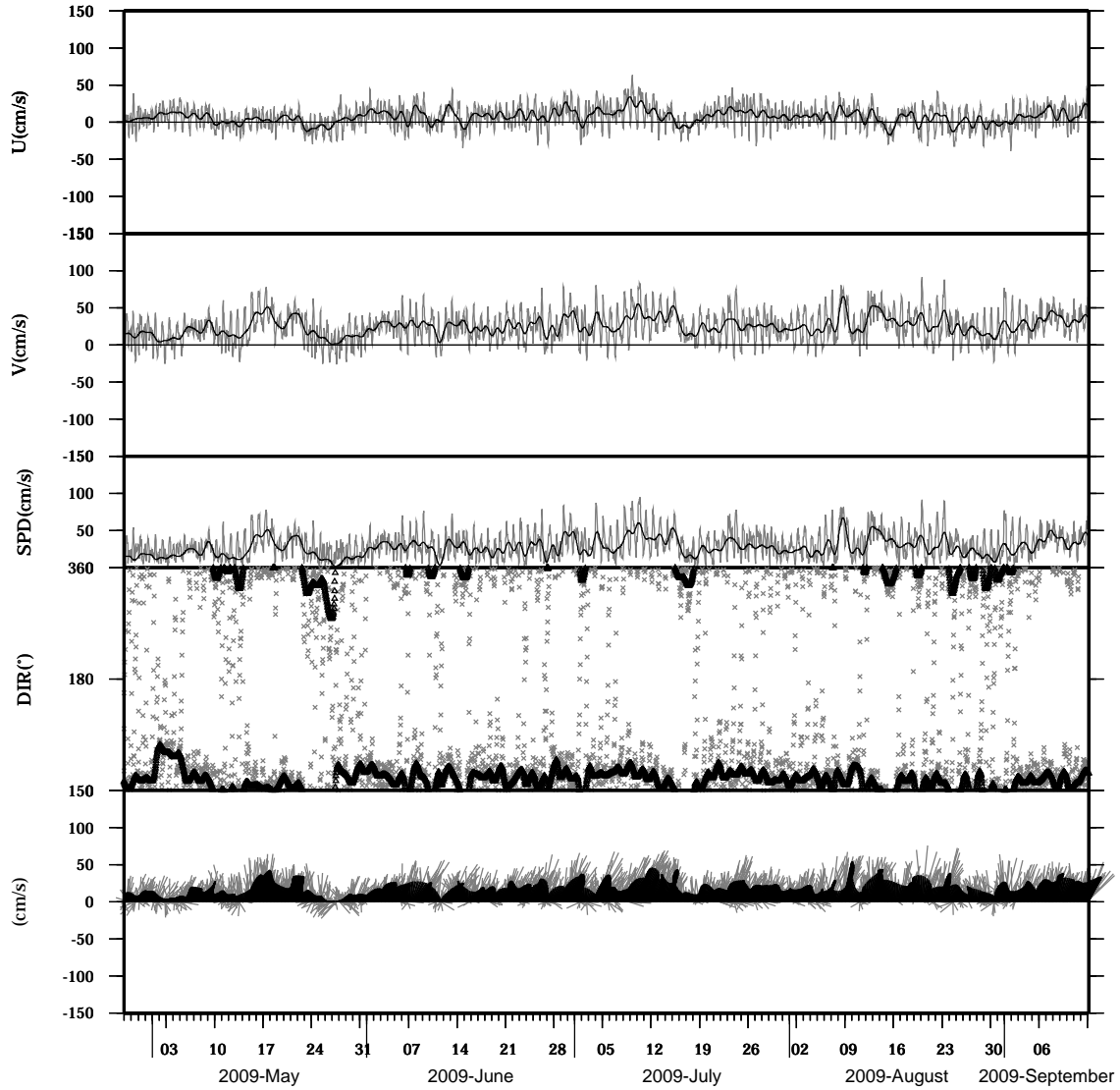


light line : The original data

heavy line : The 36 hours low-pass filtered data

Lon : 121° 17.4341' E
Lat : 22° 38.8623' N

Station : W104
Depth : 226 M

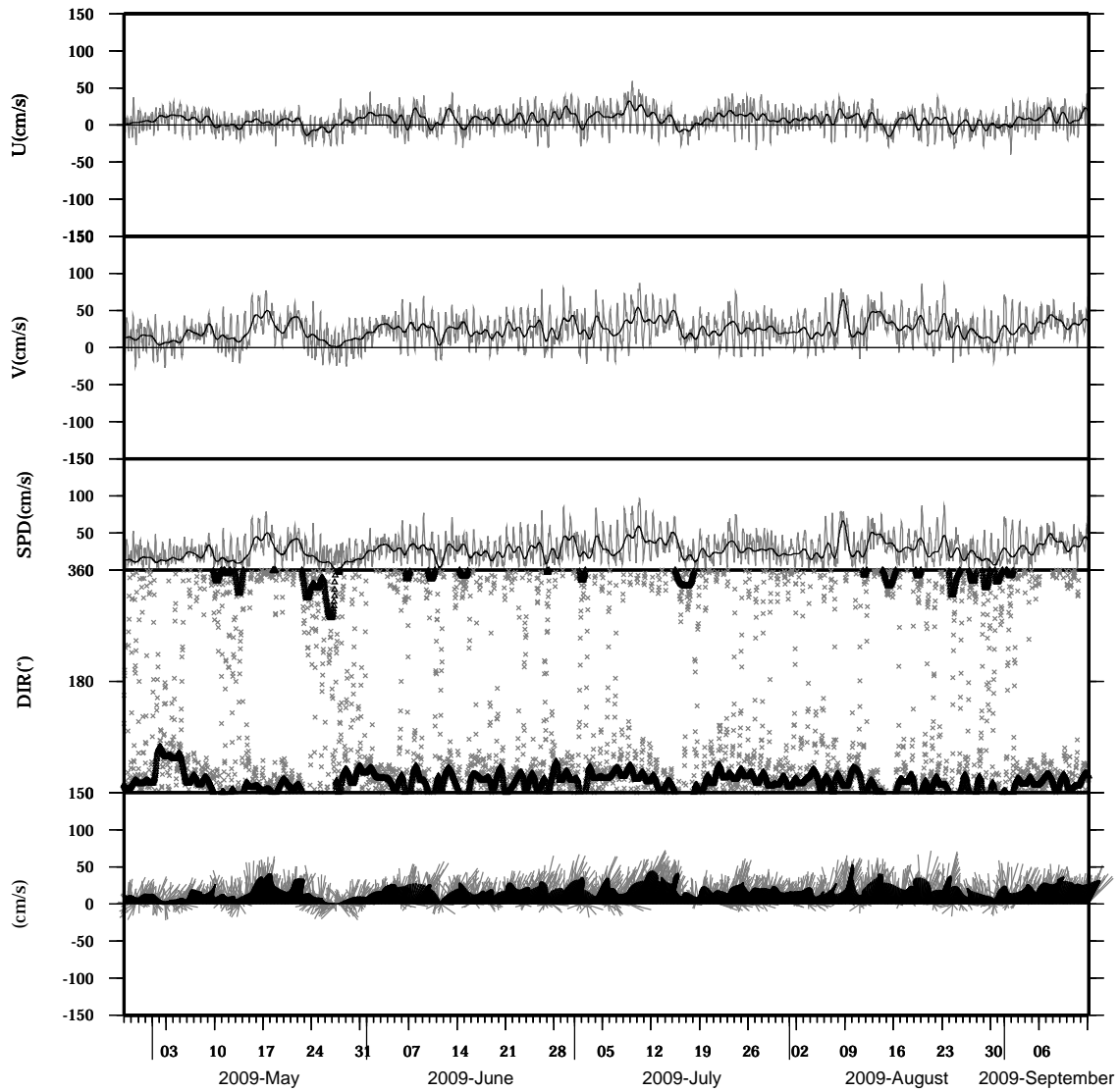


light line : The original data

heavy line : The 36 hours low-pass filtered data

Lon : 121° 17.4341' E
Lat : 22° 38.8623' N

Station : W104
Depth : 230 M

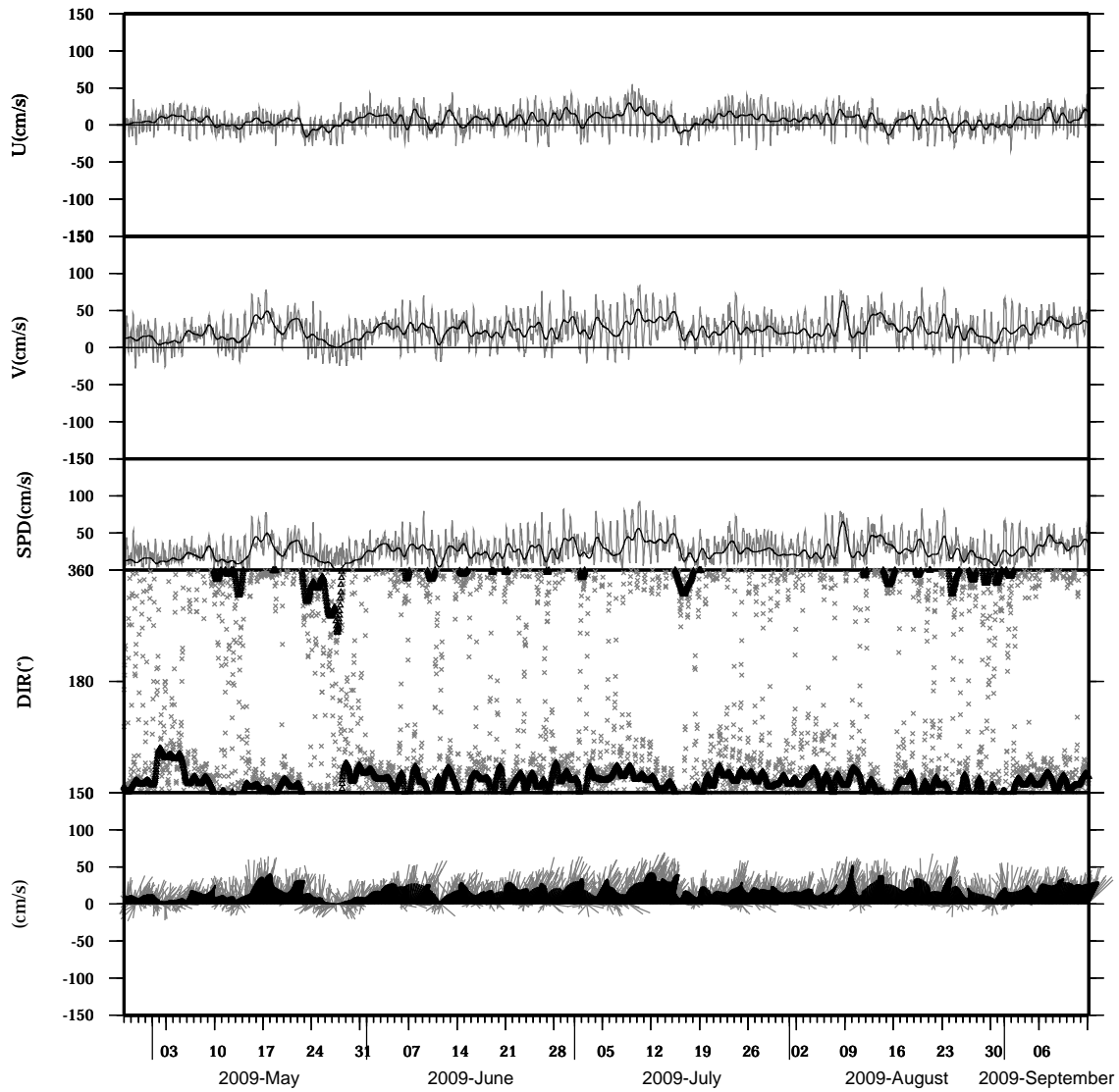


light line : The original data

heavy line : The 36 hours low-pass filtered data

Lon : 121° 17.4341' E
Lat : 22° 38.8623' N

Station : W104
Depth : 234 M

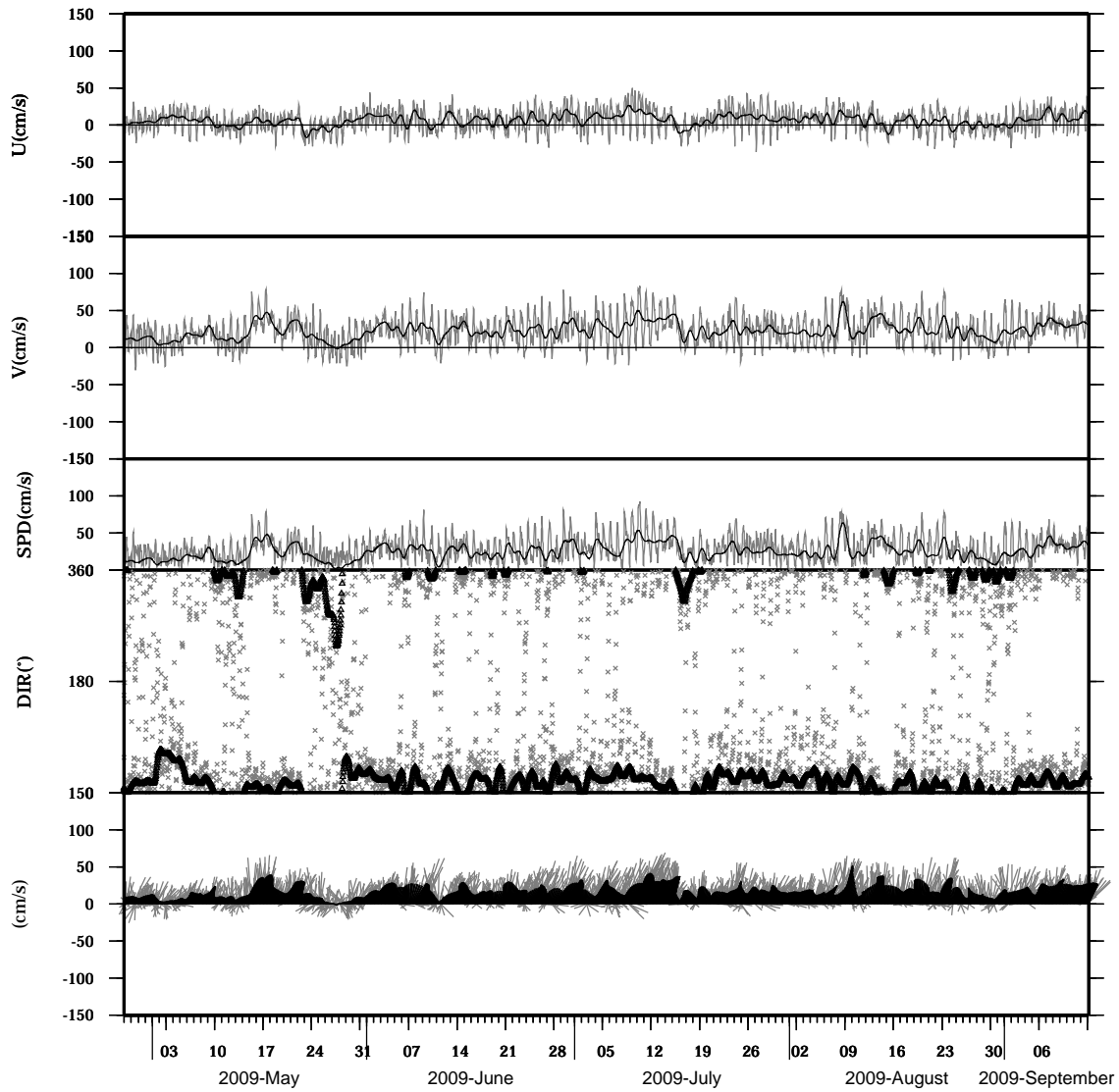


light line : The original data

heavy line : The 36 hours low-pass filtered data

Lon : 121° 17.4341' E
Lat : 22° 38.8623' N

Station : W104
Depth : 238 M

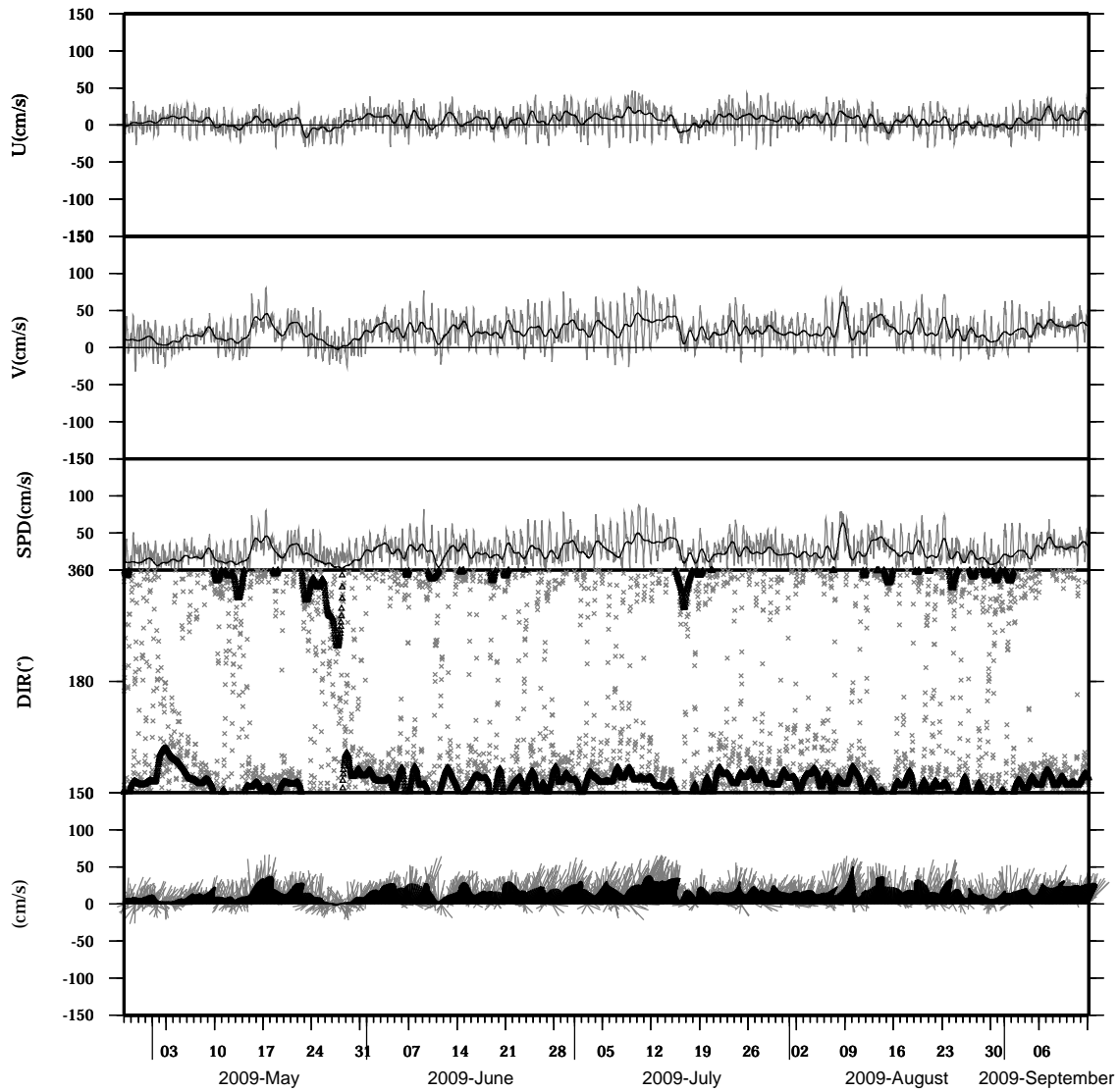


light line : The original data

heavy line : The 36 hours low-pass filtered data

Lon : 121° 17.4341' E
Lat : 22° 38.8623' N

Station : W104
Depth : 242 M

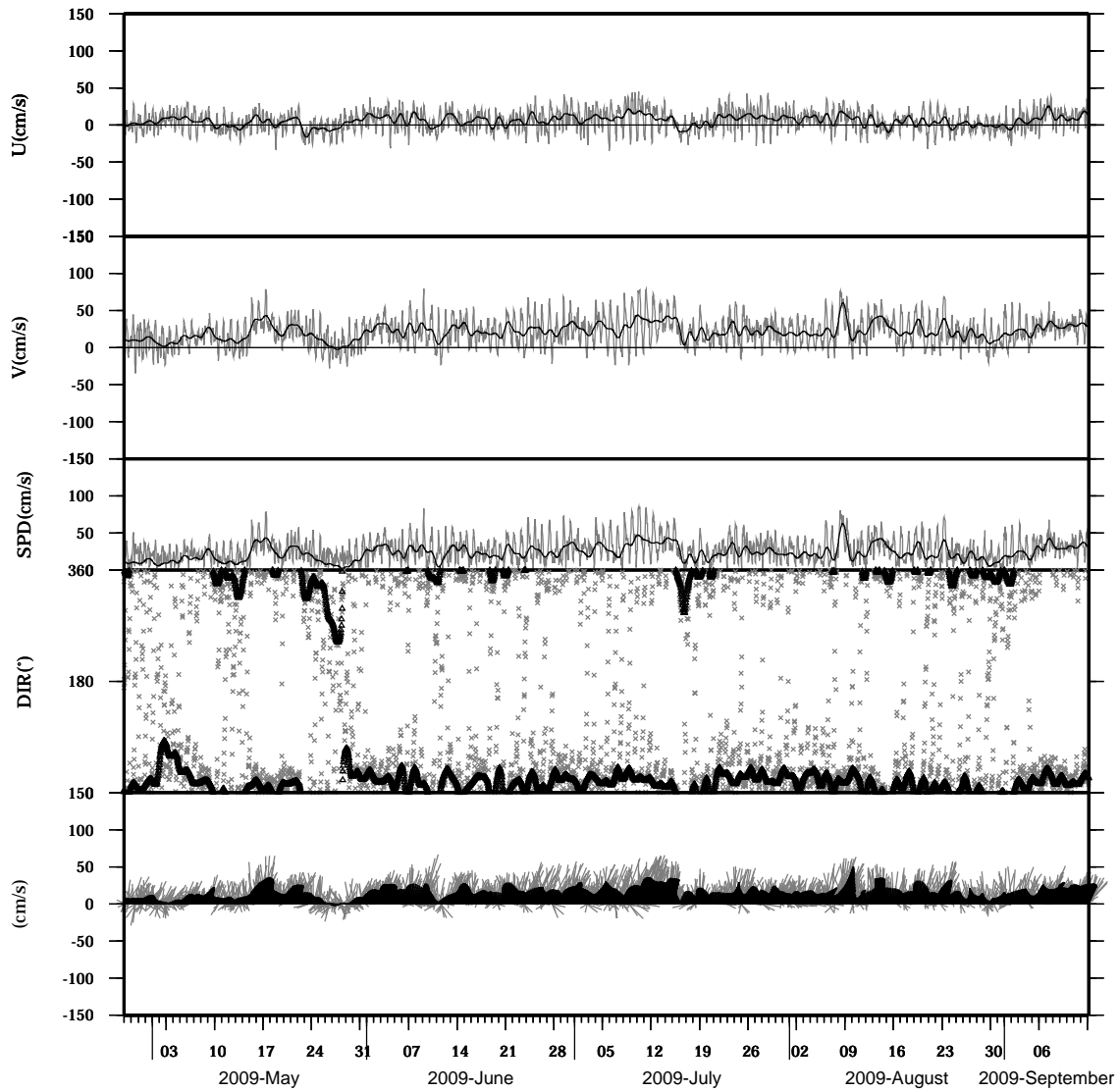


light line : The original data

heavy line : The 36 hours low-pass filtered data

Lon : 121° 17.4341' E
Lat : 22° 38.8623' N

Station : W104
Depth : 246 M

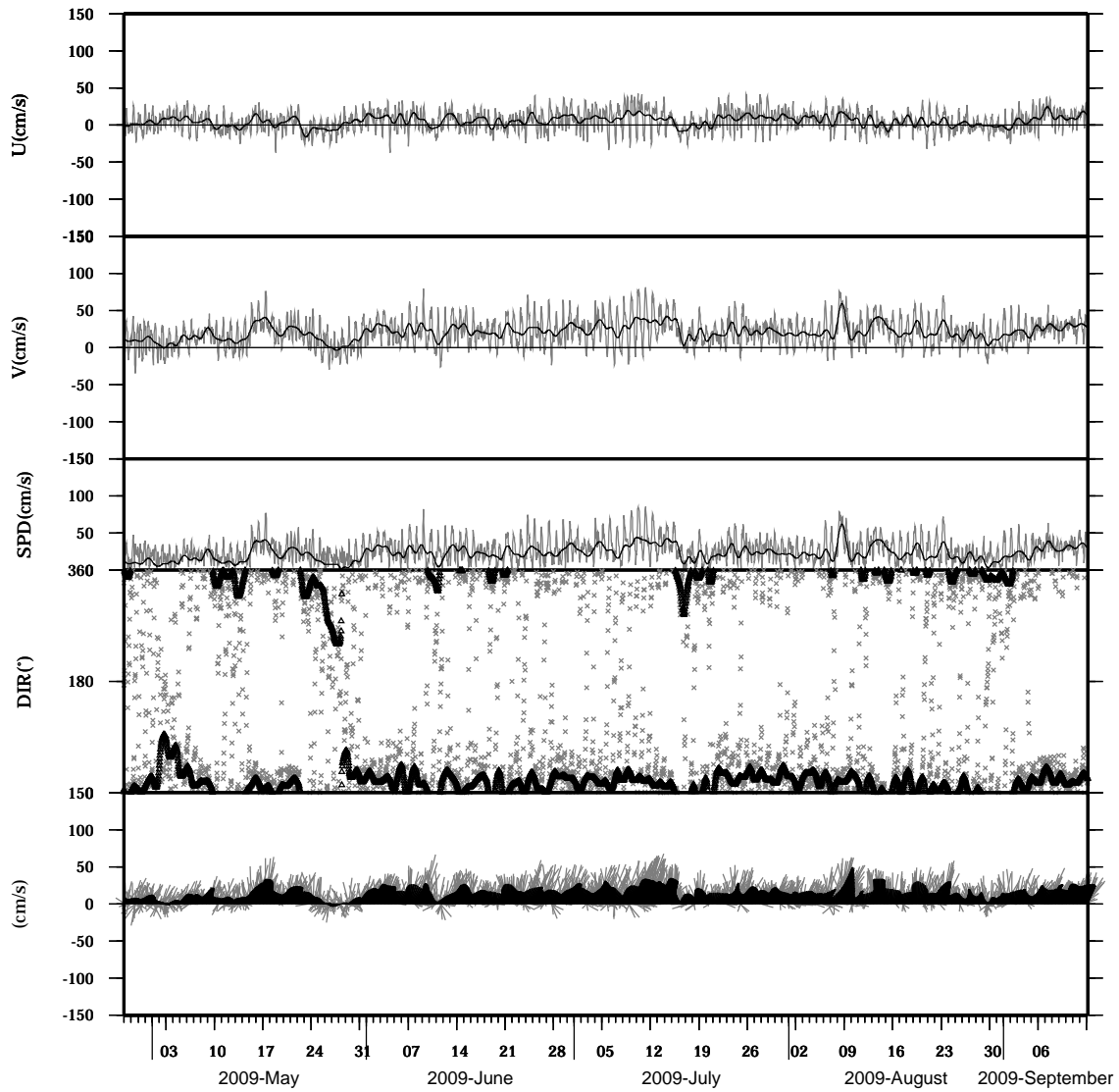


light line : The original data

heavy line : The 36 hours low-pass filtered data

Lon : 121° 17.4341' E
Lat : 22° 38.8623' N

Station : W104
Depth : 250 M

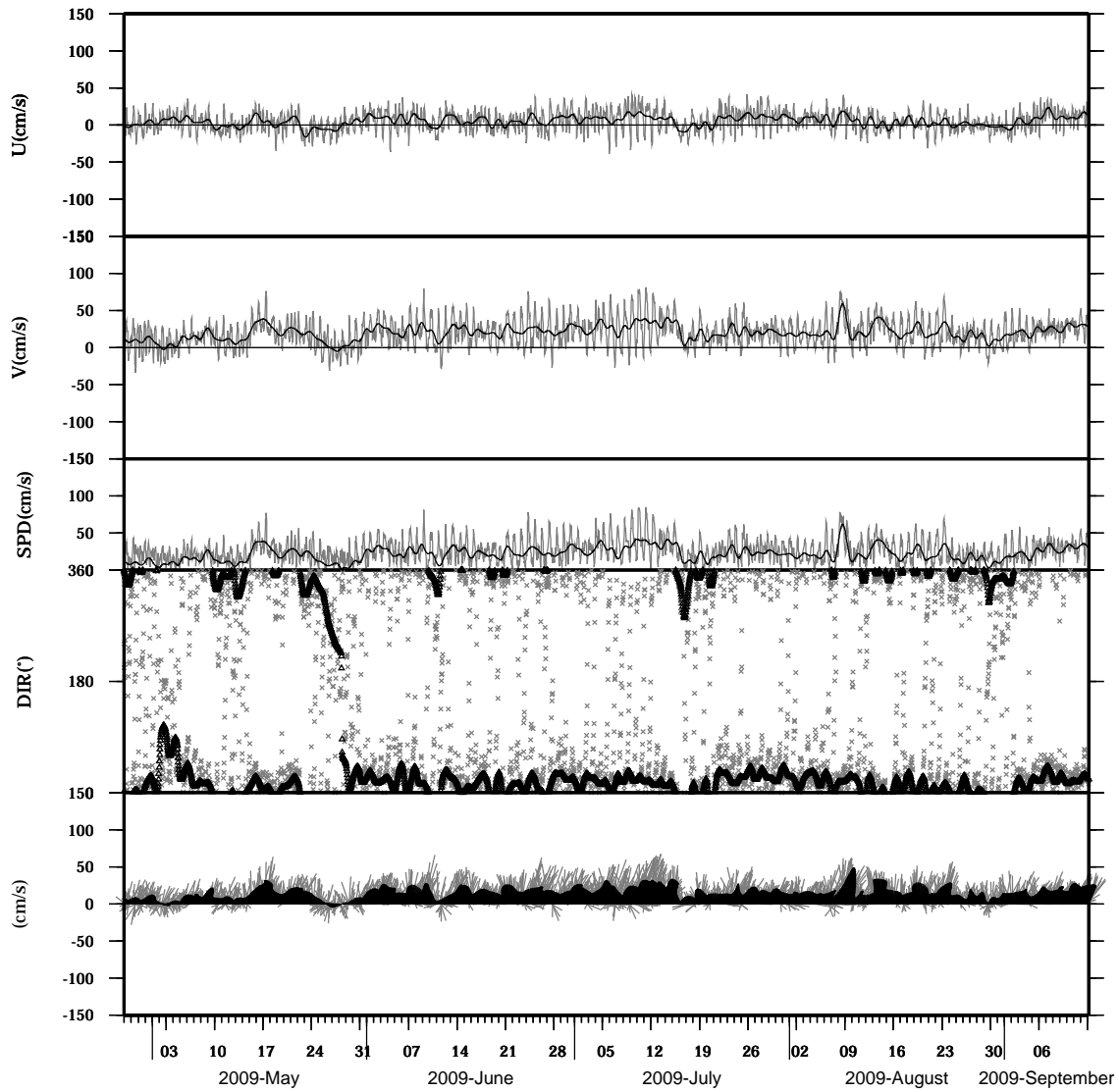


light line : The original data

heavy line : The 36 hours low-pass filtered data

Lon : 121° 17.4341' E
Lat : 22° 38.8623' N

Station : W104
Depth : 254 M

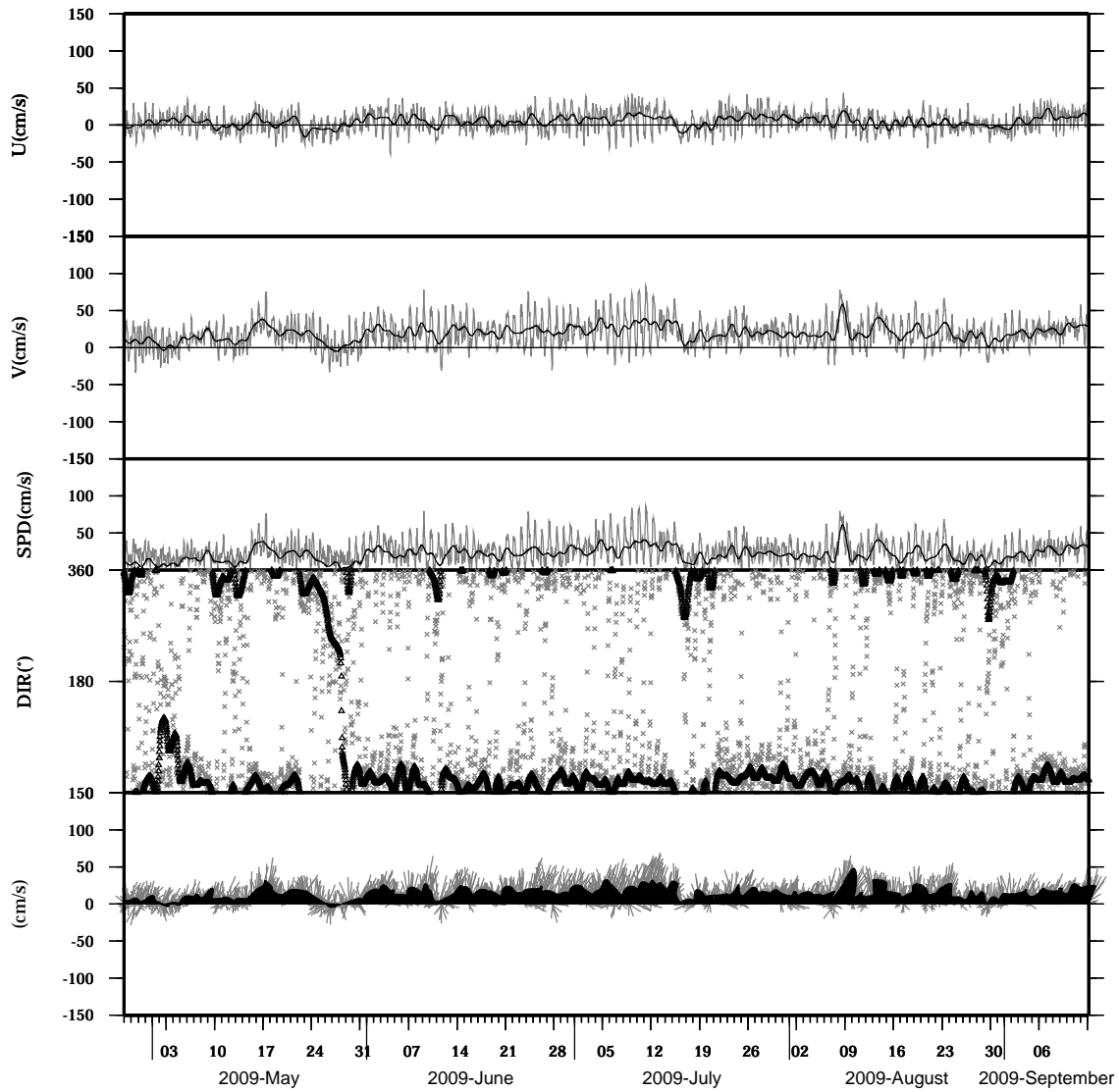


light line : The original data

heavy line : The 36 hours low-pass filtered data

Lon : 121° 17.4341' E
Lat : 22° 38.8623' N

Station : W104
Depth : 258 M

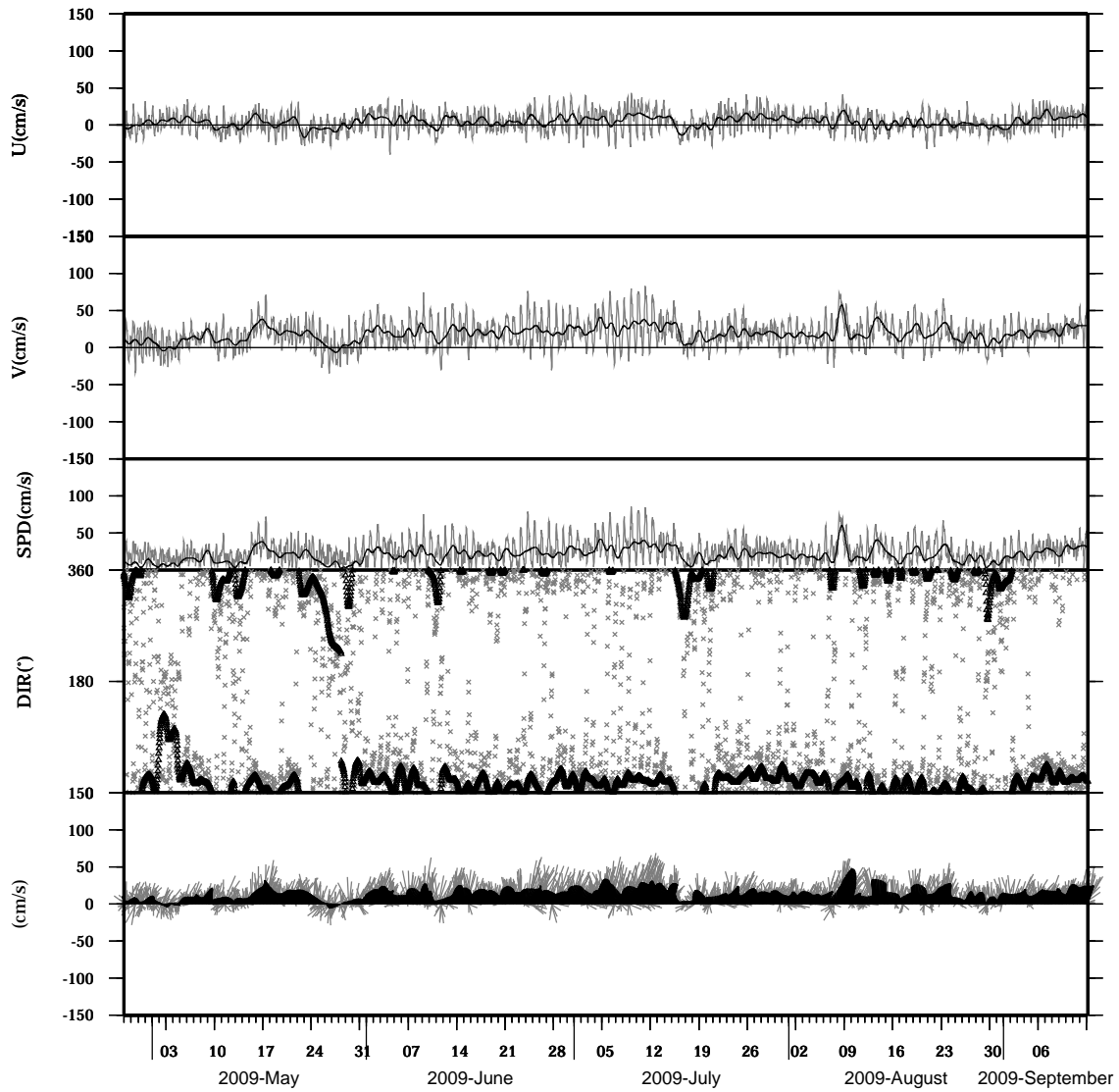


light line : The original data

heavy line : The 36 hours low-pass filtered data

Lon : 121° 17.4341' E
Lat : 22° 38.8623' N

Station : W104
Depth : 262 M

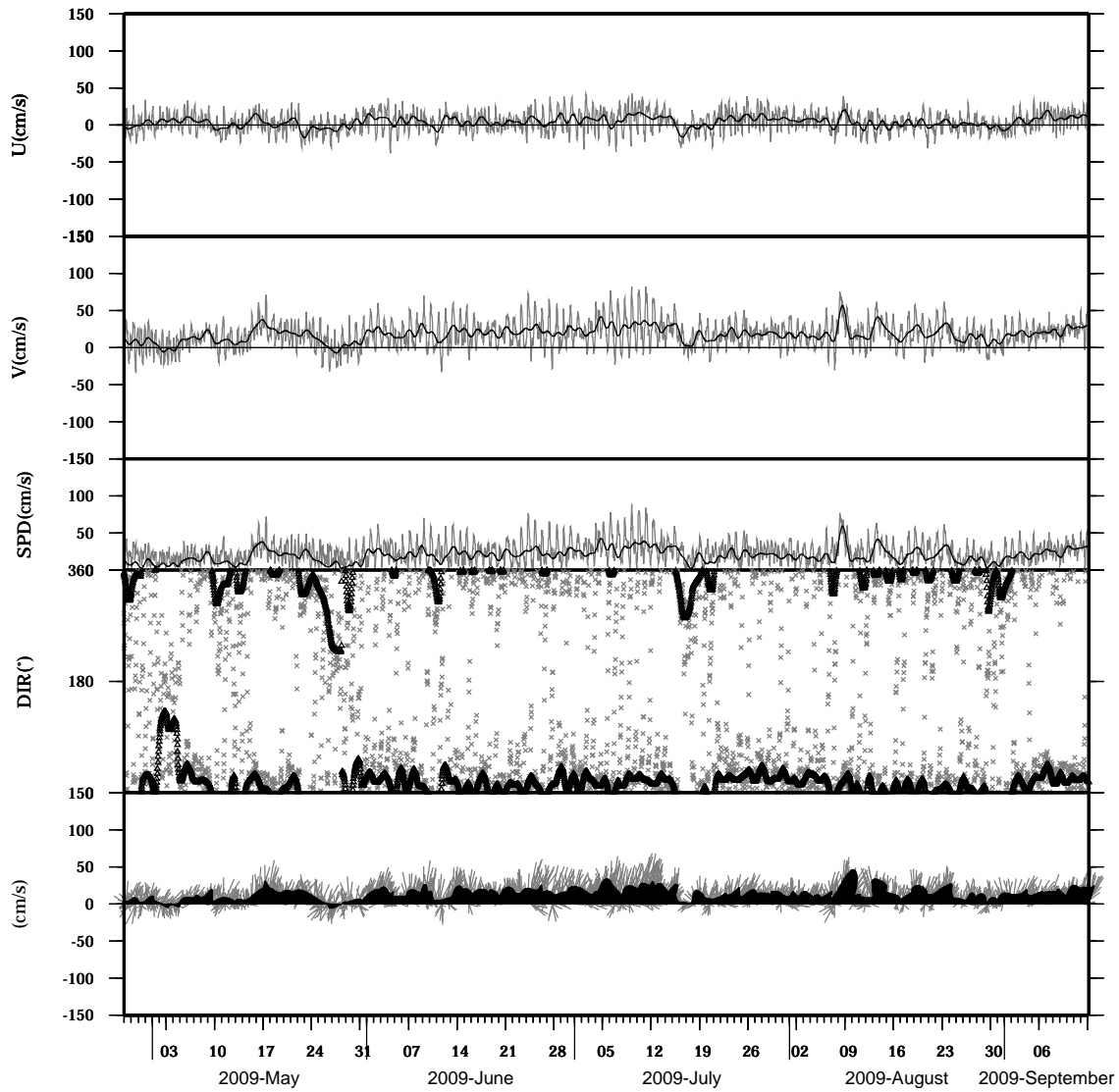


light line : The original data

heavy line : The 36 hours low-pass filtered data

Lon : 121° 17.4341' E
Lat : 22° 38.8623' N

Station : W104
Depth : 266 M

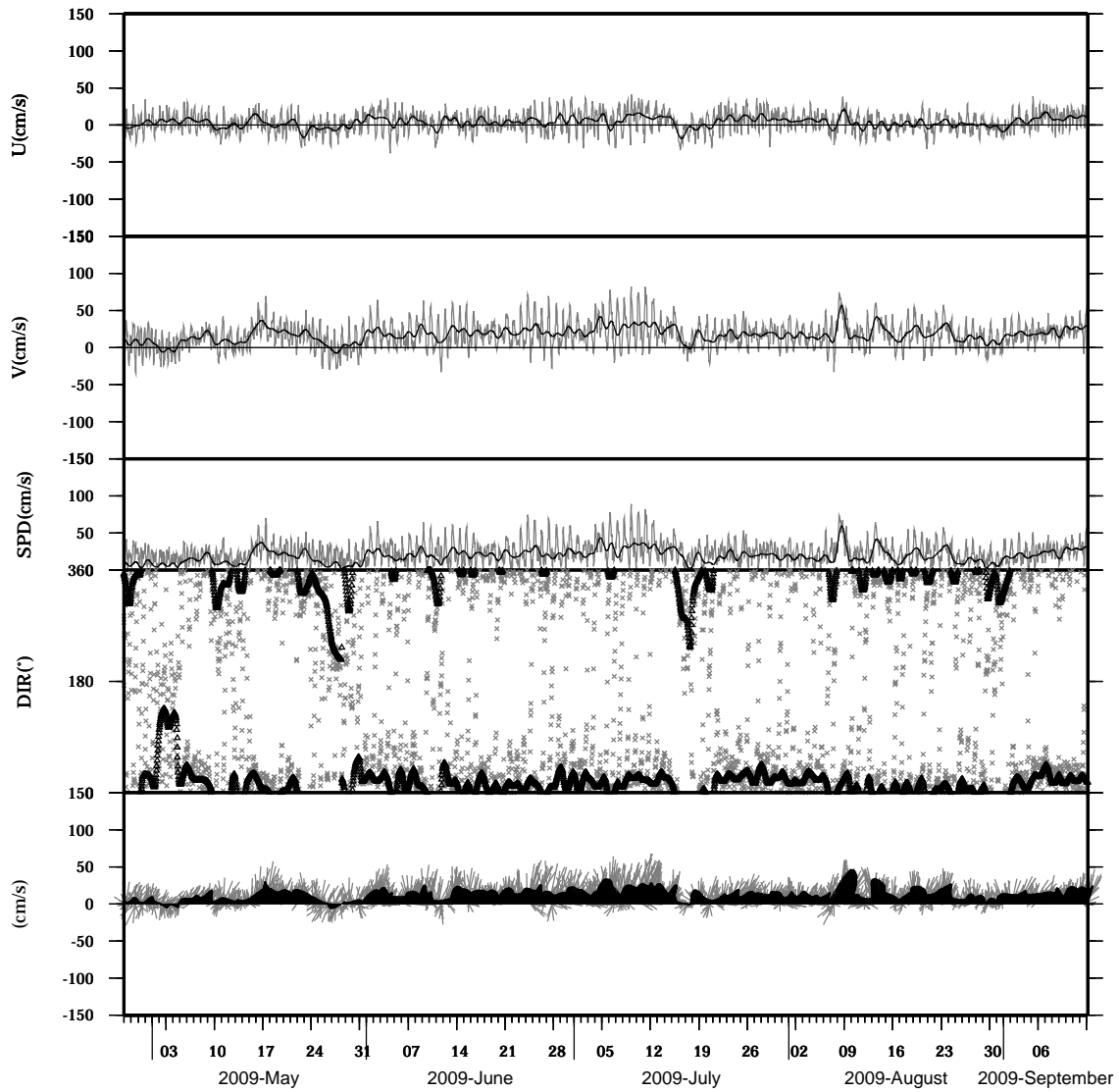


light line : The original data

heavy line : The 36 hours low-pass filtered data

Lon : 121° 17.4341' E
Lat : 22° 38.8623' N

Station : W104
Depth : 270 M

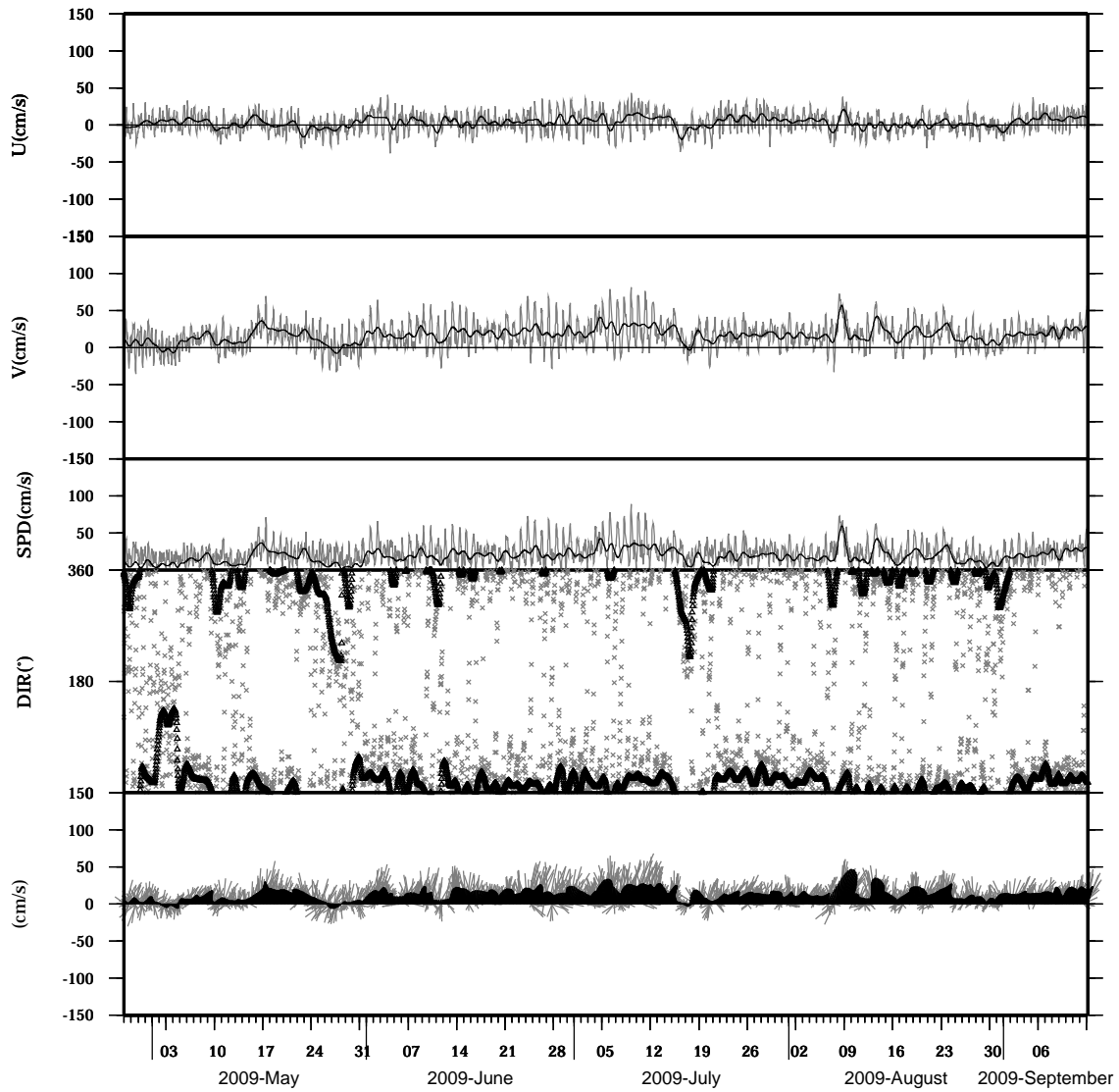


light line : The original data

heavy line : The 36 hours low-pass filtered data

Lon : 121° 17.4341' E
Lat : 22° 38.8623' N

Station : W104
Depth : 274 M

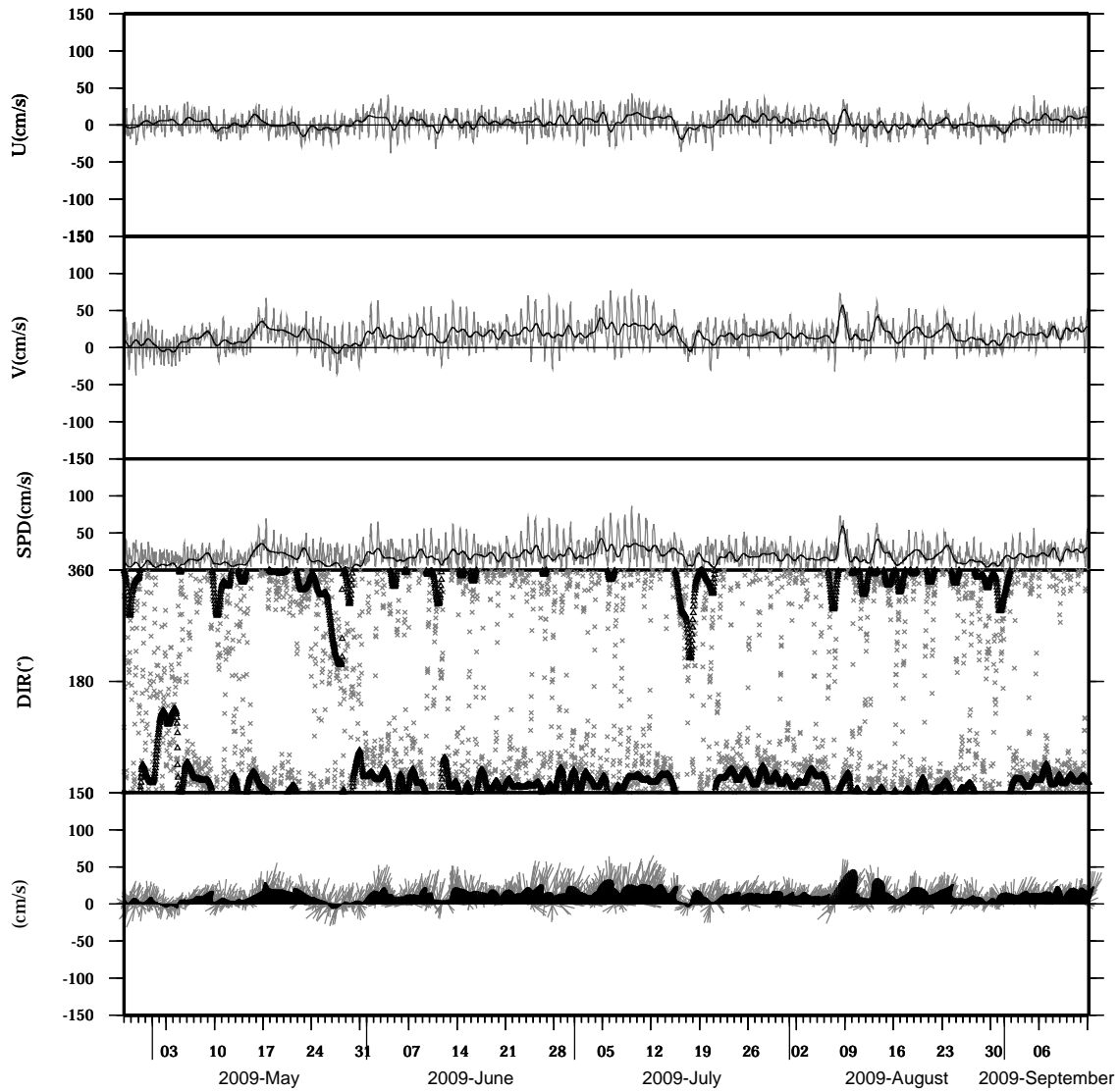


light line : The original data

heavy line : The 36 hours low-pass filtered data

Lon : 121° 17.4341' E
Lat : 22° 38.8623' N

Station : W104
Depth : 278 M

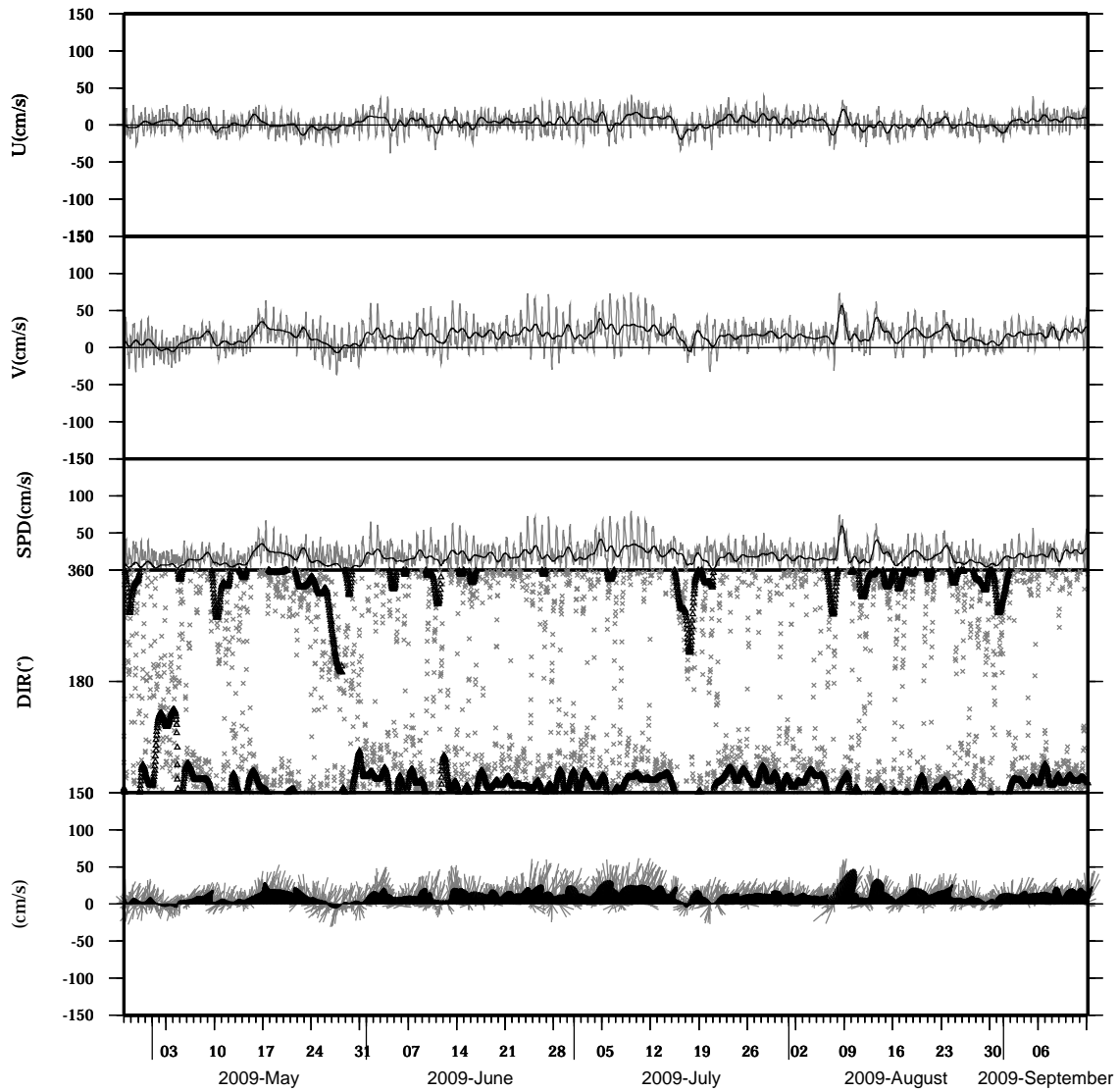


light line : The original data

heavy line : The 36 hours low-pass filtered data

Lon : 121° 17.4341' E
Lat : 22° 38.8623' N

Station : W104
Depth : 282 M

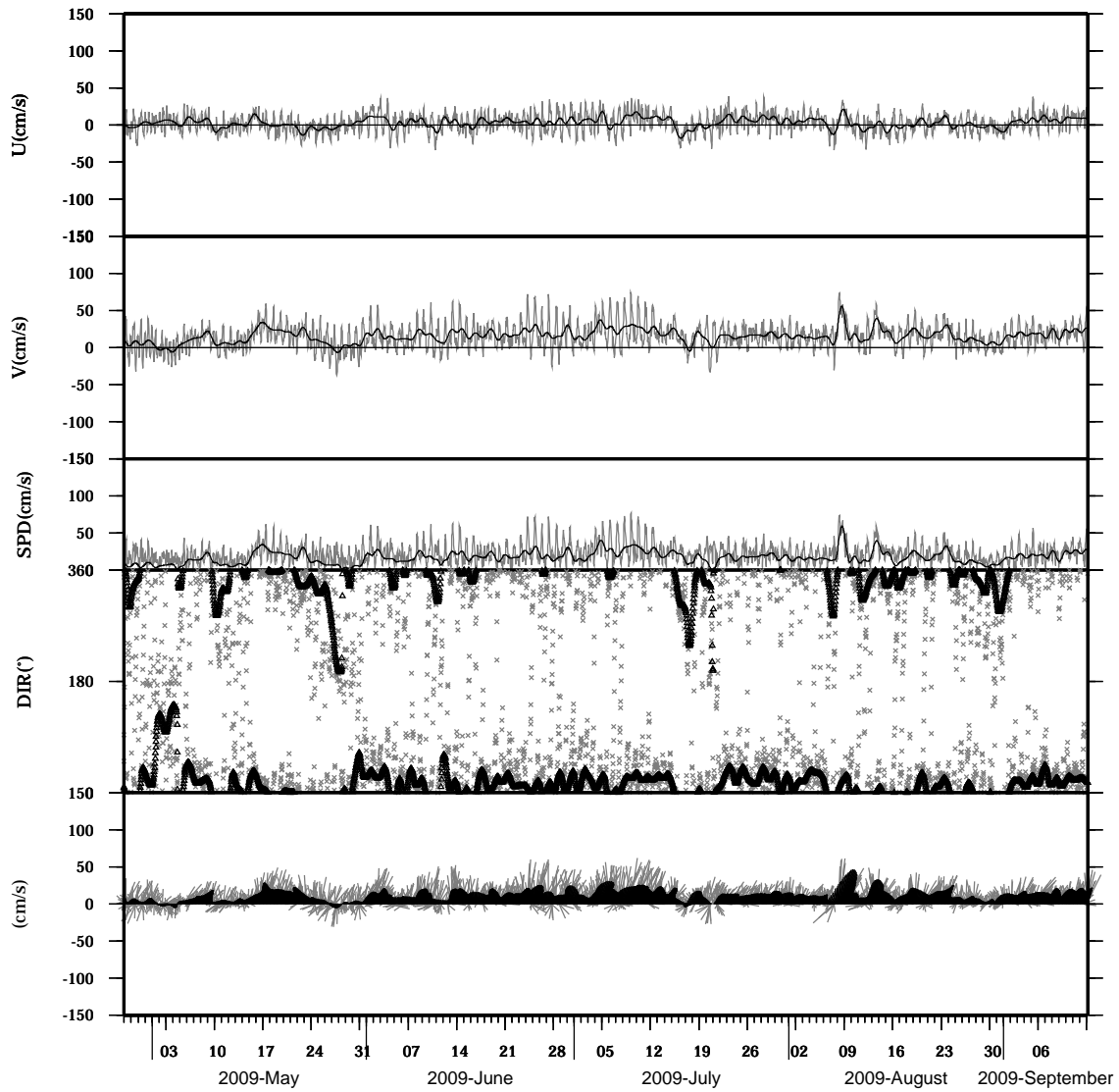


light line : The original data

heavy line : The 36 hours low-pass filtered data

Lon : 121° 17.4341' E
Lat : 22° 38.8623' N

Station : W104
Depth : 286 M

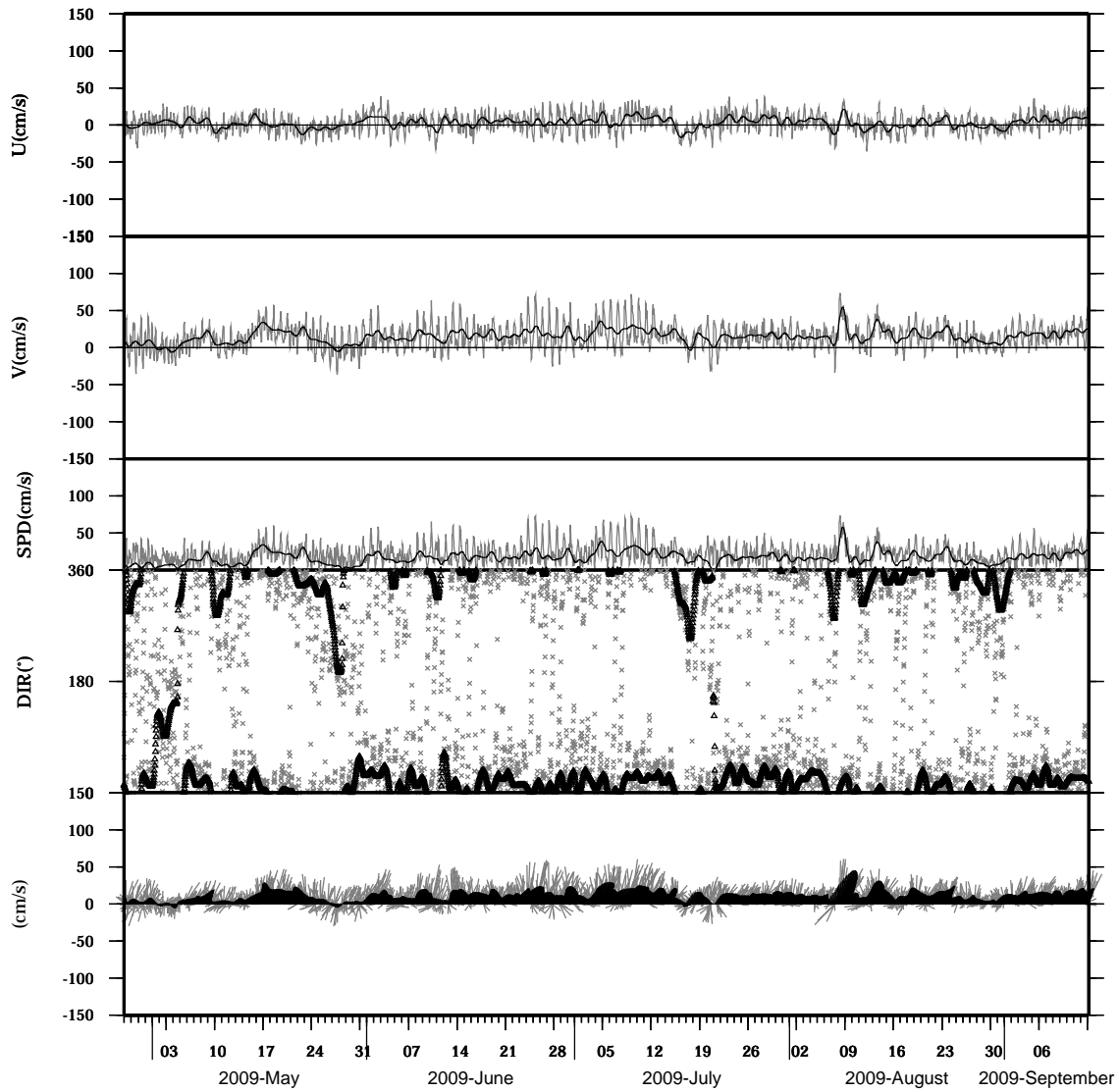


light line : The original data

heavy line : The 36 hours low-pass filtered data

Lon : 121° 17.4341' E
Lat : 22° 38.8623' N

Station : W104
Depth : 290 M

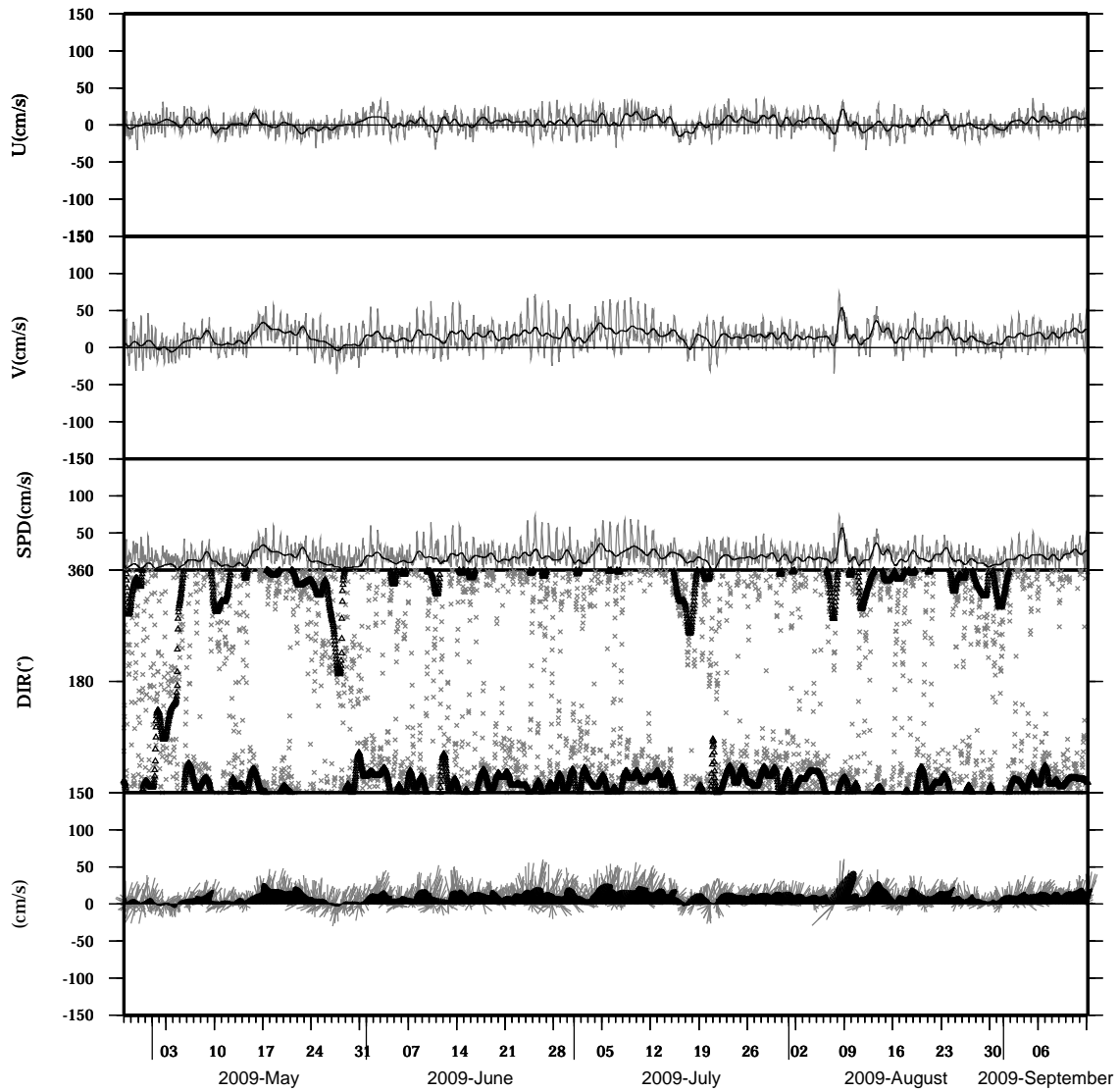


light line : The original data

heavy line : The 36 hours low-pass filtered data

Lon : 121° 17.4341' E
Lat : 22° 38.8623' N

Station : W104
Depth : 294 M

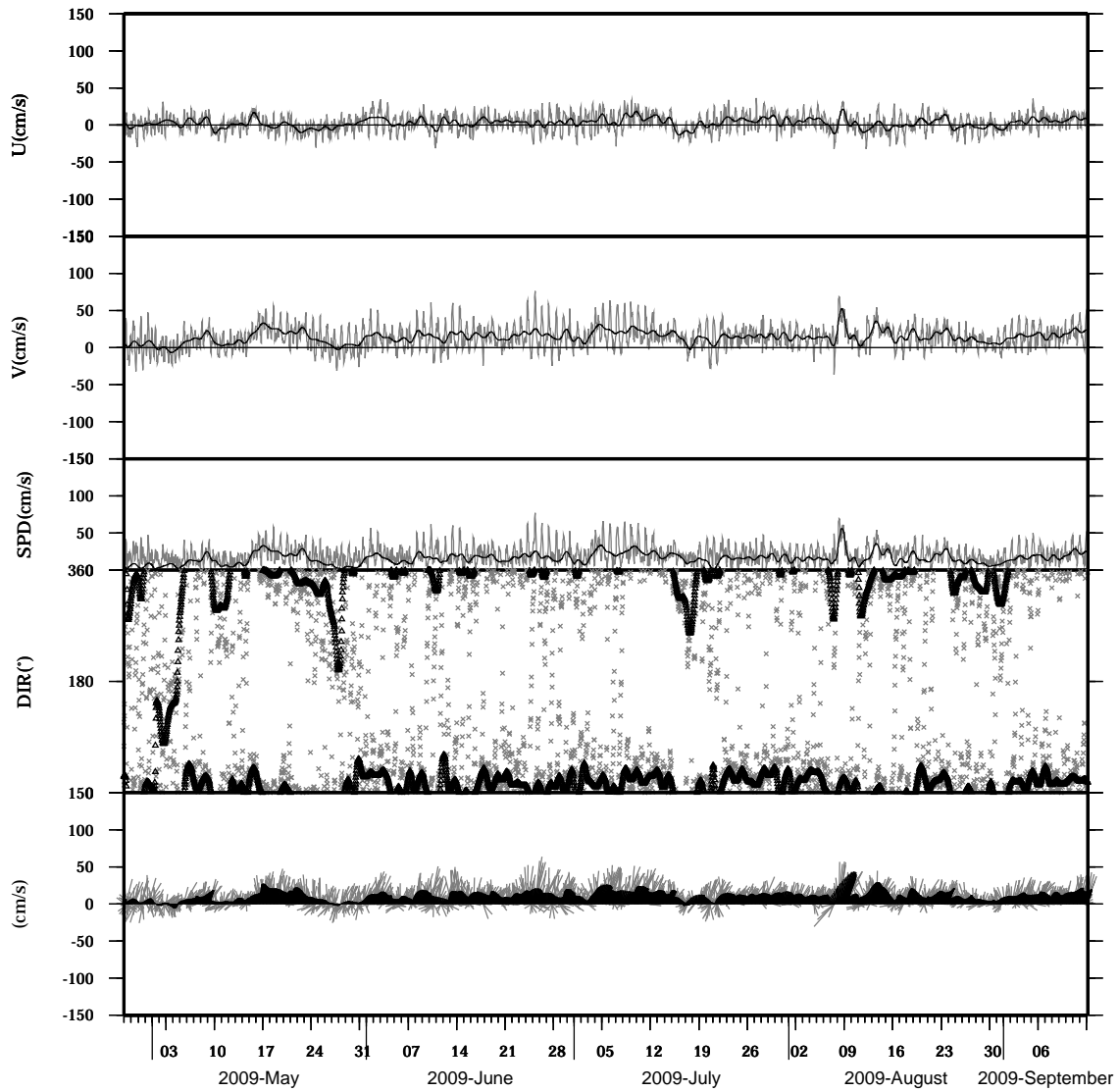


light line : The original data

heavy line : The 36 hours low-pass filtered data

Lon : 121° 17.4341' E
Lat : 22° 38.8623' N

Station : W104
Depth : 298 M

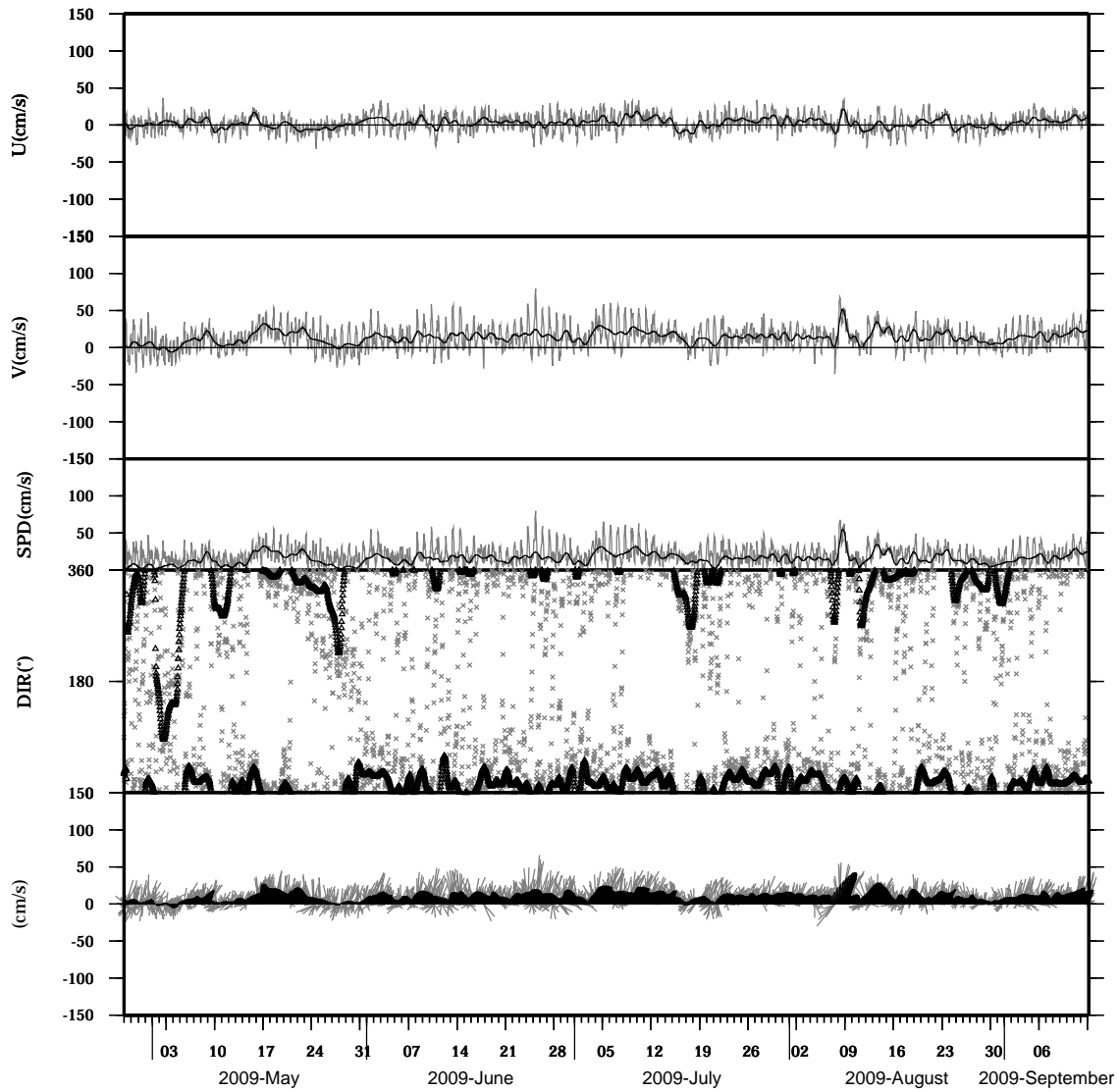


light line : The original data

heavy line : The 36 hours low-pass filtered data

Lon : 121° 17.4341' E
Lat : 22° 38.8623' N

Station : W104
Depth : 302 M

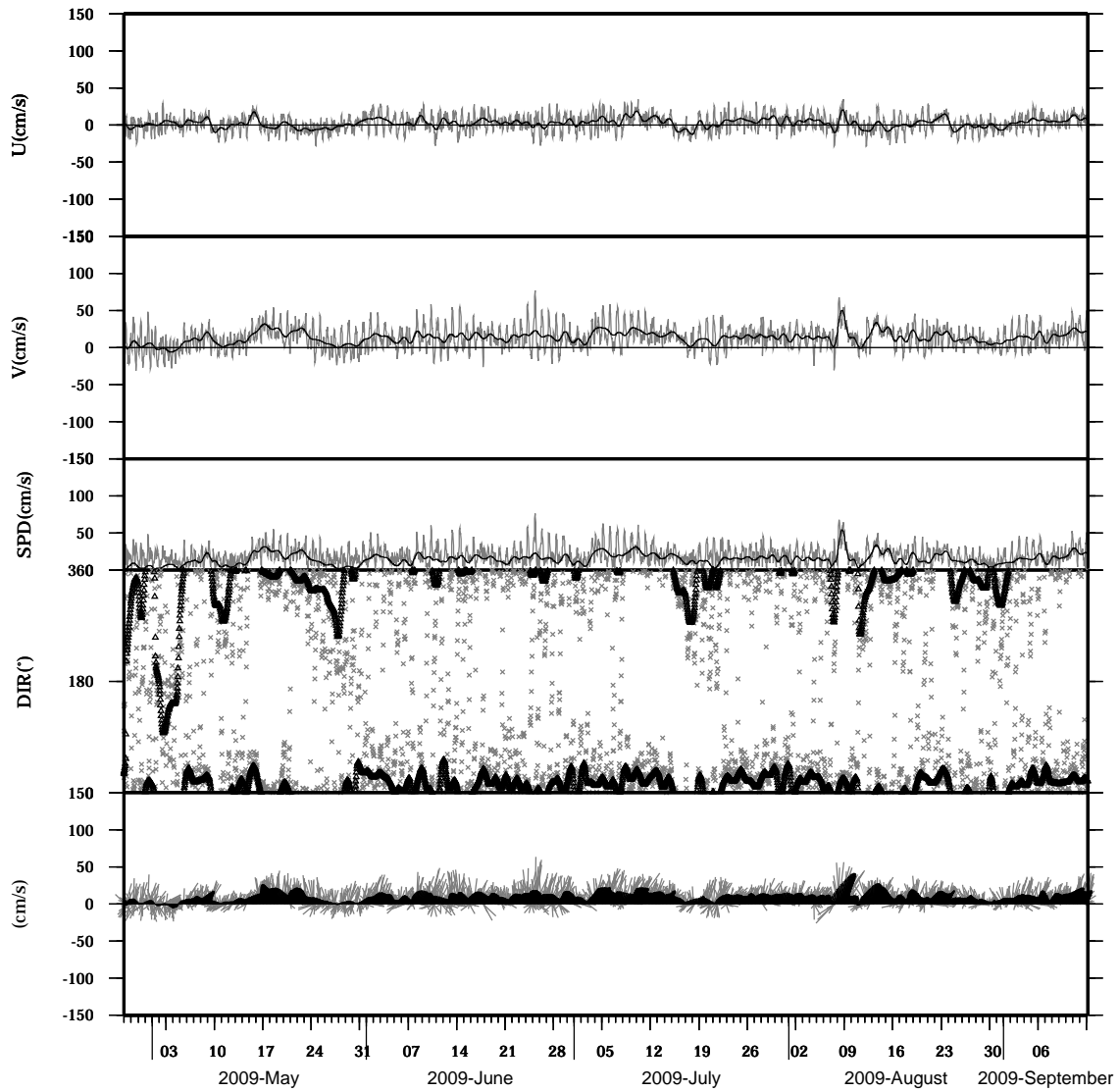


light line : The original data

heavy line : The 36 hours low-pass filtered data

Lon : 121° 17.4341' E
Lat : 22° 38.8623' N

Station : W104
Depth : 306 M

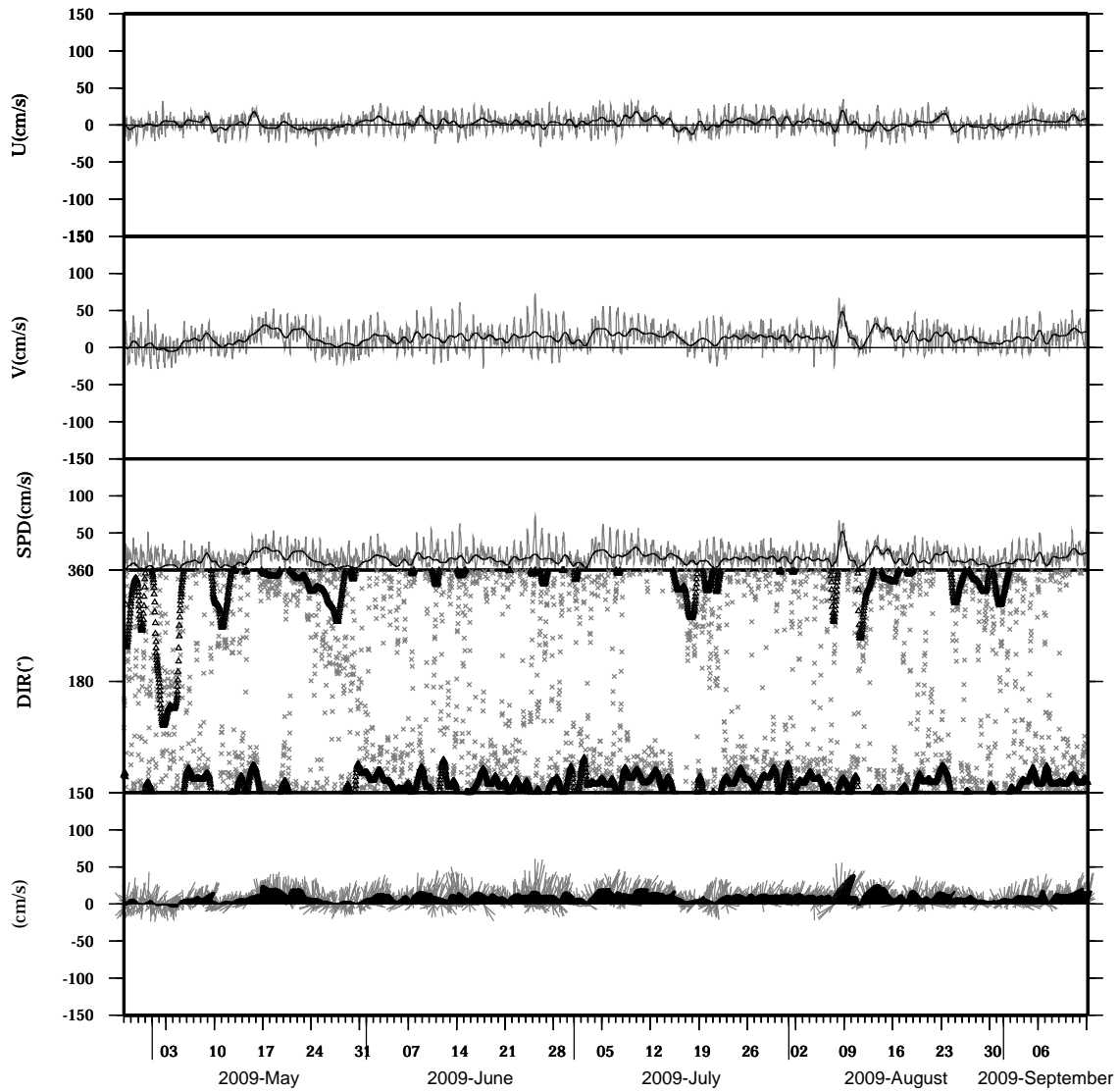


light line : The original data

heavy line : The 36 hours low-pass filtered data

Lon : 121° 17.4341' E
Lat : 22° 38.8623' N

Station : W104
Depth : 310 M

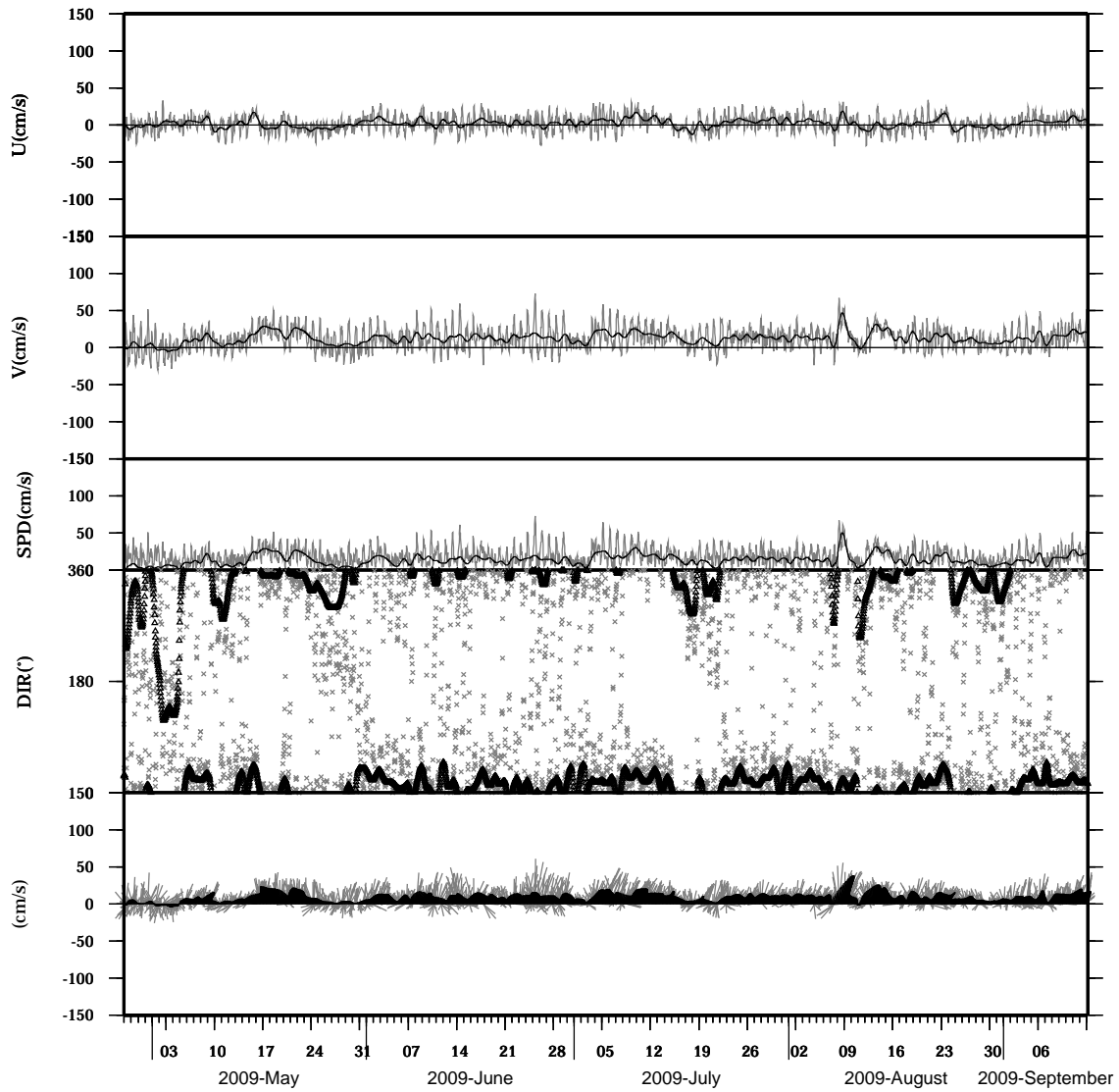


light line : The original data

heavy line : The 36 hours low-pass filtered data

Lon : 121° 17.4341' E
Lat : 22° 38.8623' N

Station : W104
Depth : 314 M

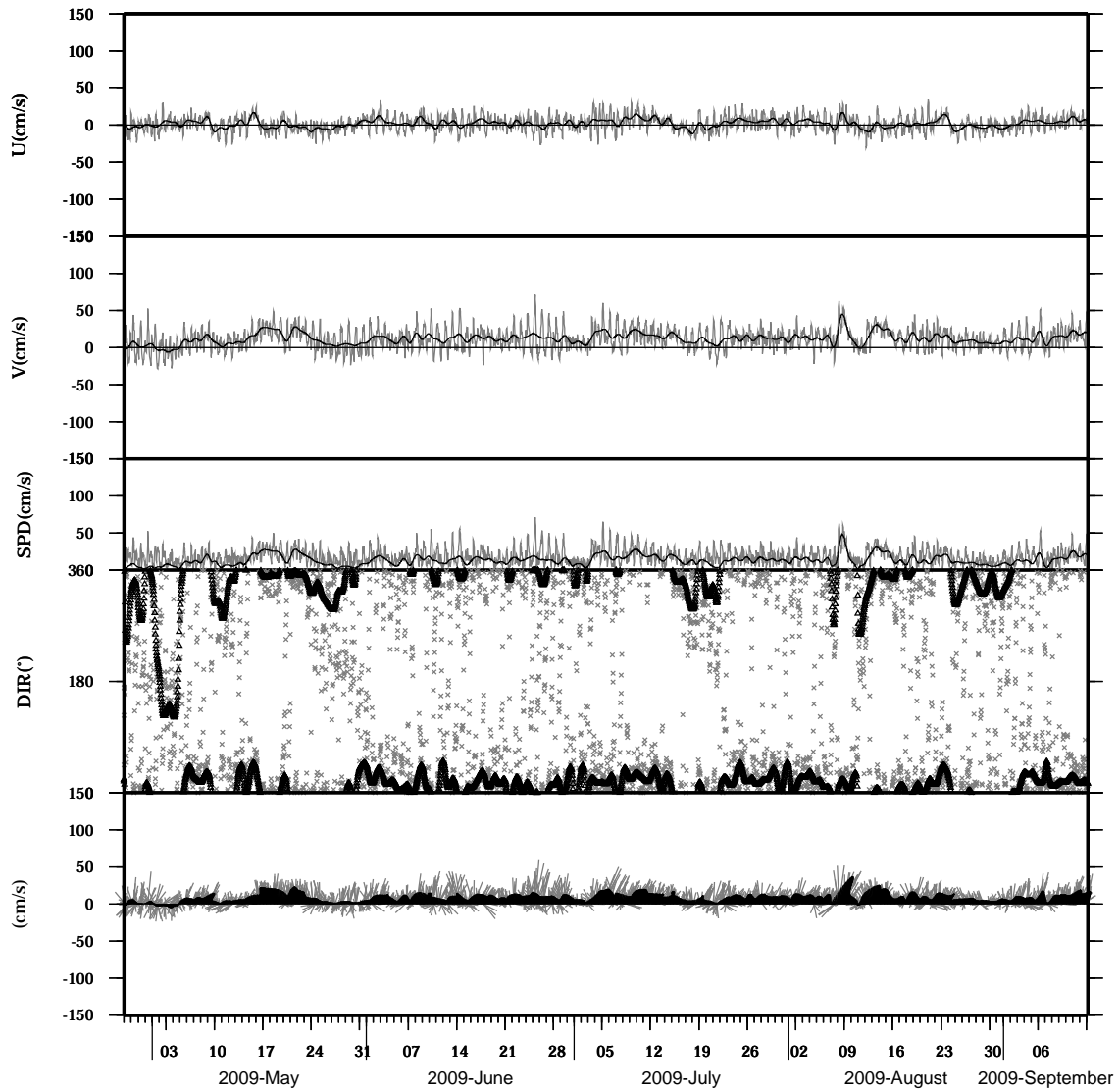


light line : The original data

heavy line : The 36 hours low-pass filtered data

Lon : 121° 17.4341' E
Lat : 22° 38.8623' N

Station : W104
Depth : 318 M

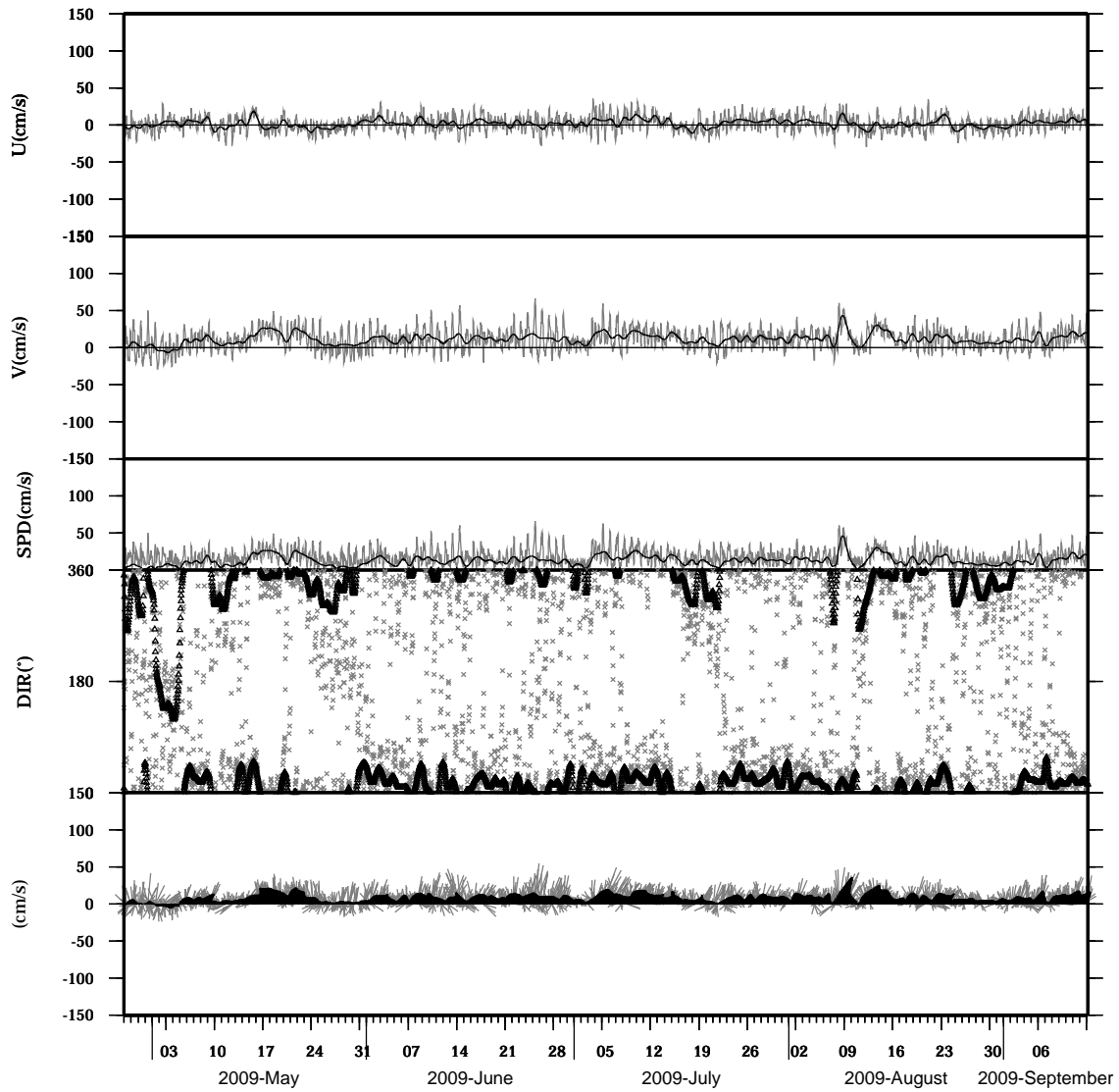


light line : The original data

heavy line : The 36 hours low-pass filtered data

Lon : 121° 17.4341' E
Lat : 22° 38.8623' N

Station : W104
Depth : 322 M

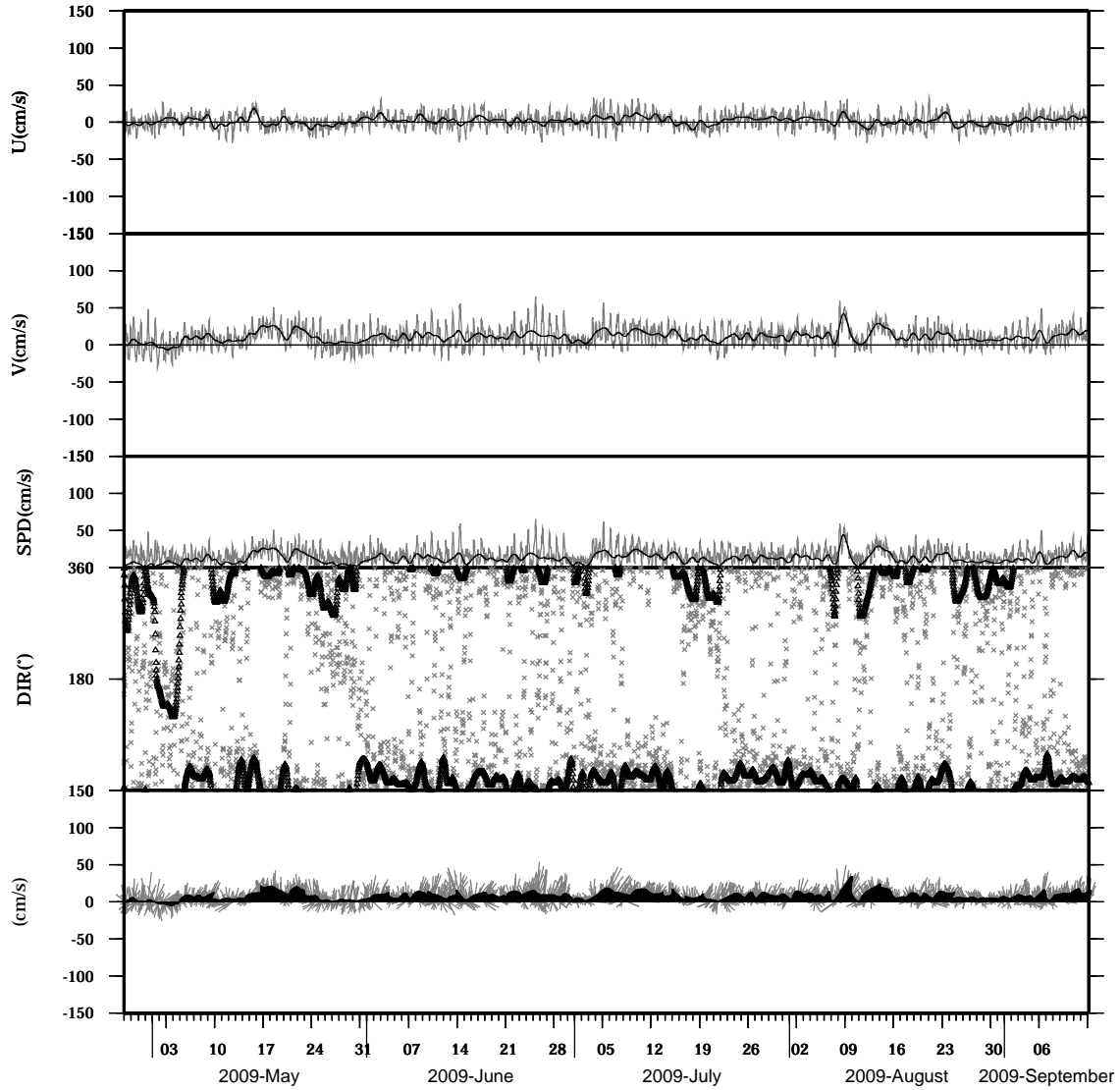


light line : The original data

heavy line : The 36 hours low-pass filtered data

Lon : 121° 17.4341' E
Lat : 22° 38.8623' N

Station : W104
Depth : 326 M



light line : The original data

heavy line : The 36 hours low-pass filtered data

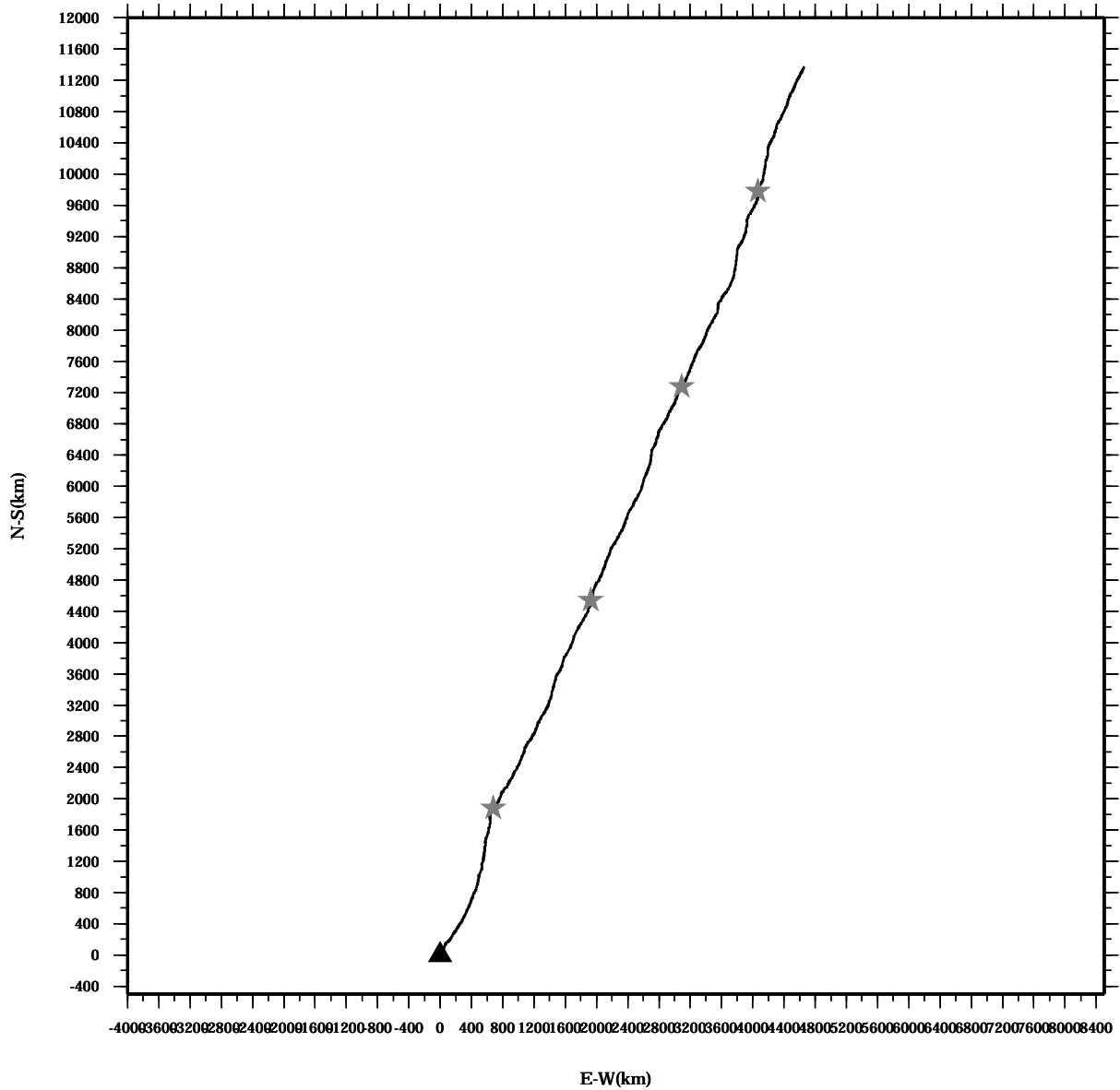
Lon: 121° 17.4341' E

Station: W104

Lat: 22° 38.8623' N

Depth: 30 M

PROGRESSIVE VECTOR DIAGRAM



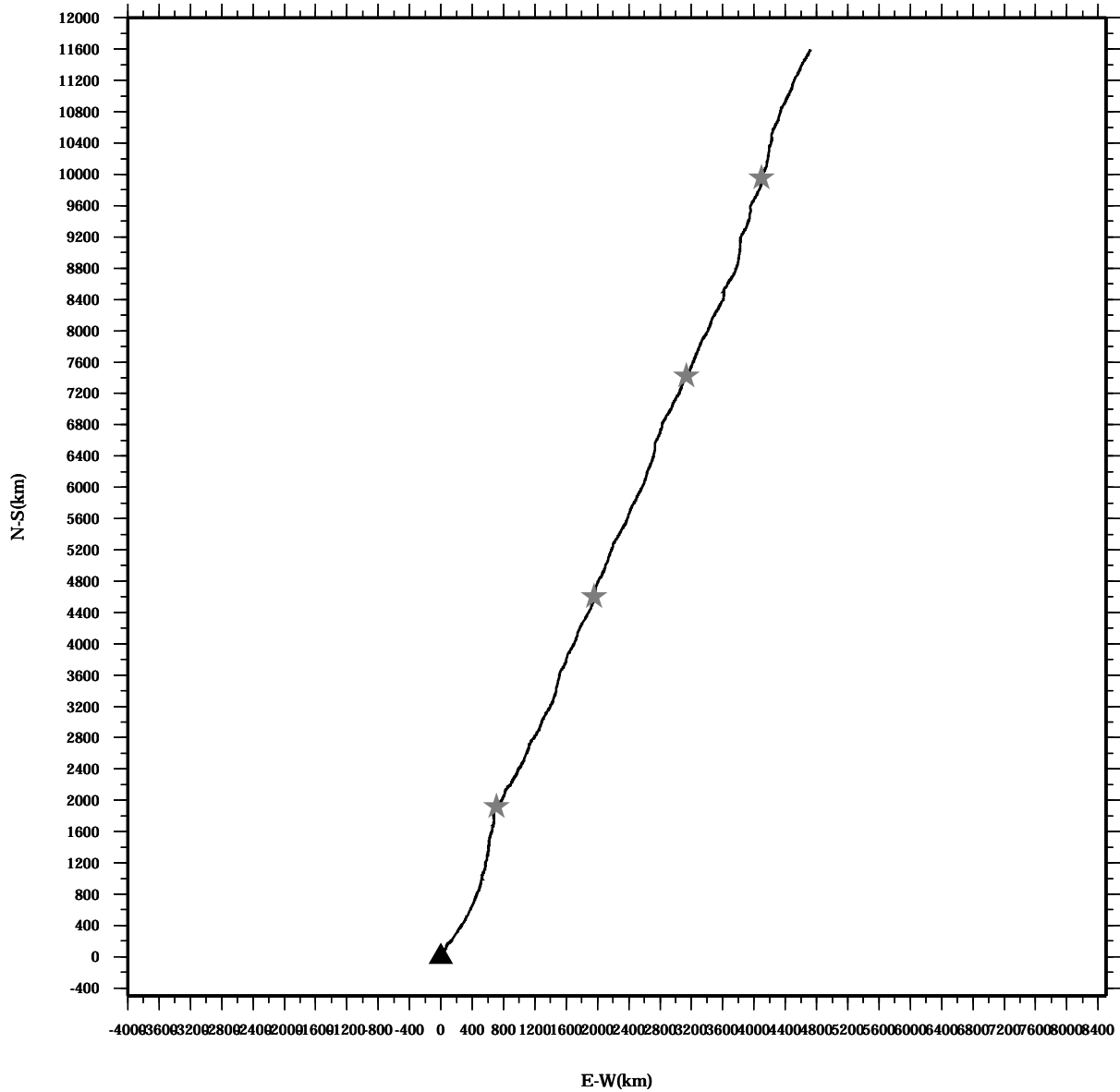
Lon: 121° 17.4341' E

Station: W104

Lat: 22° 38.8623' N

Depth: 34 M

PROGRESSIVE VECTOR DIAGRAM



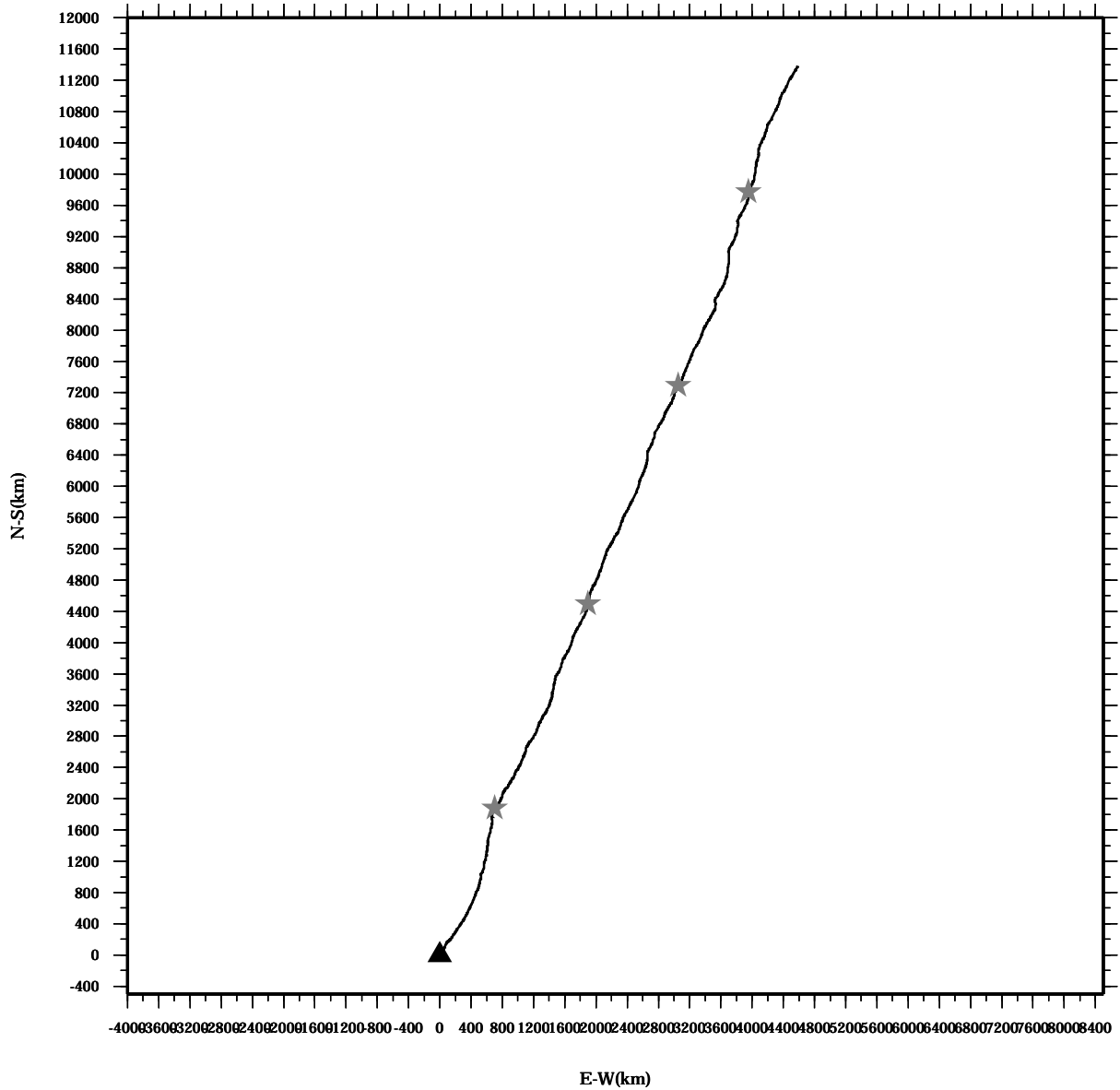
Lon: 121° 17.4341' E

Station: W104

Lat: 22° 38.8623' N

Depth: 38 M

PROGRESSIVE VECTOR DIAGRAM



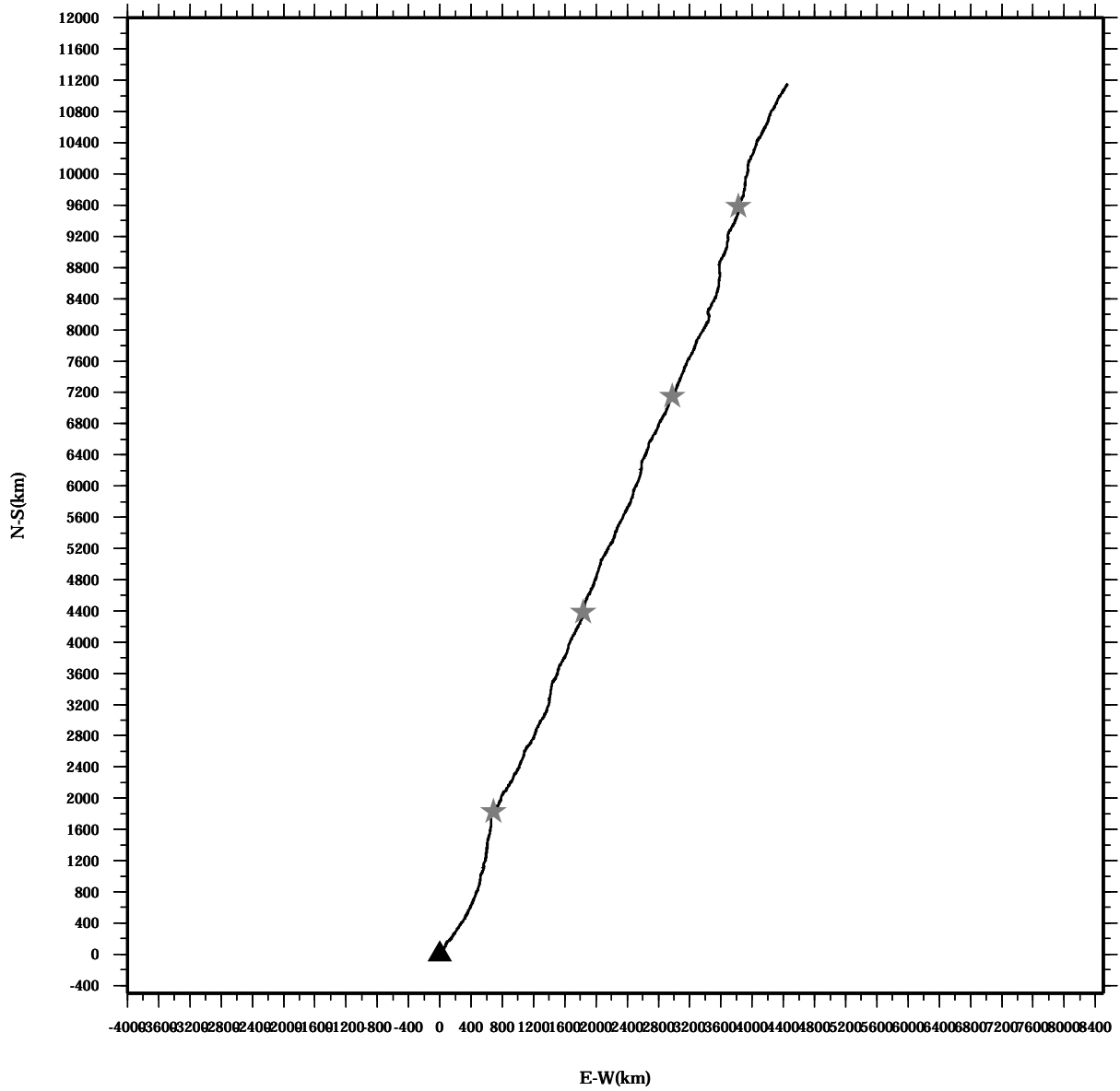
Lon: 121° 17.4341' E

Station: W104

Lat: 22° 38.8623' N

Depth: 42 M

PROGRESSIVE VECTOR DIAGRAM



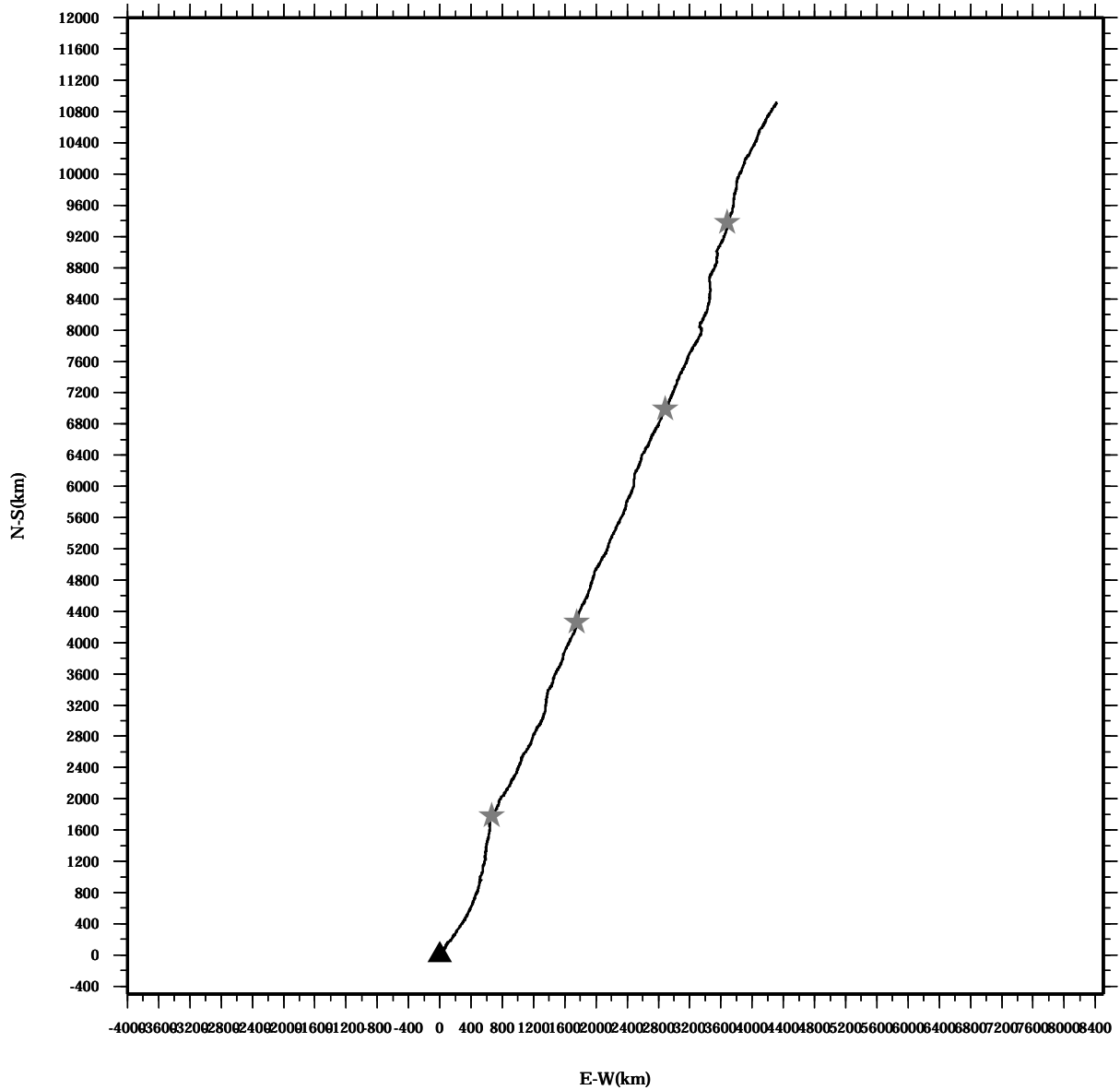
Lon: 121° 17.4341' E

Station: W104

Lat: 22° 38.8623' N

Depth: 46 M

PROGRESSIVE VECTOR DIAGRAM



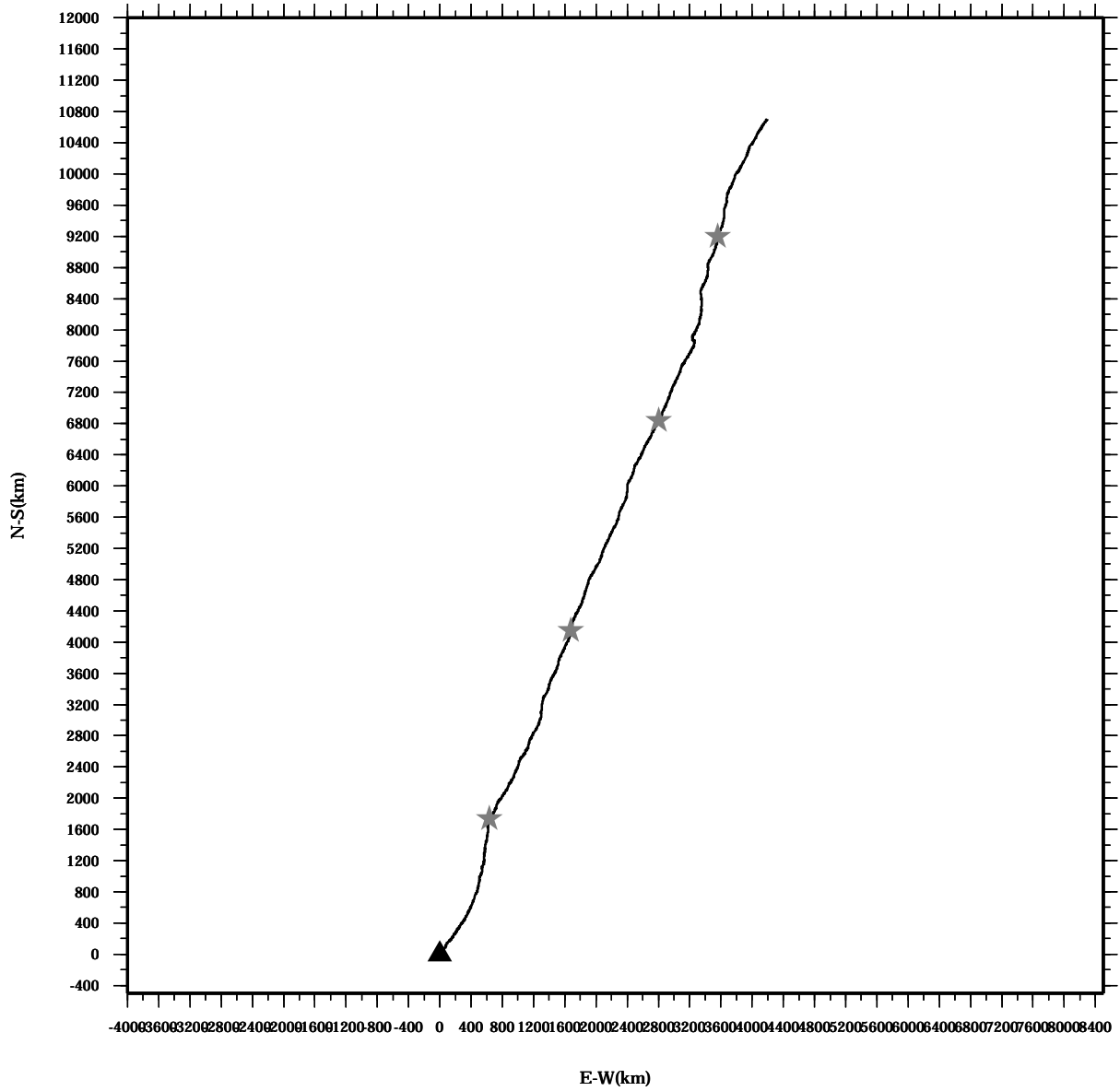
Lon: 121° 17.4341' E

Station: W104

Lat: 22° 38.8623' N

Depth: 50 M

PROGRESSIVE VECTOR DIAGRAM



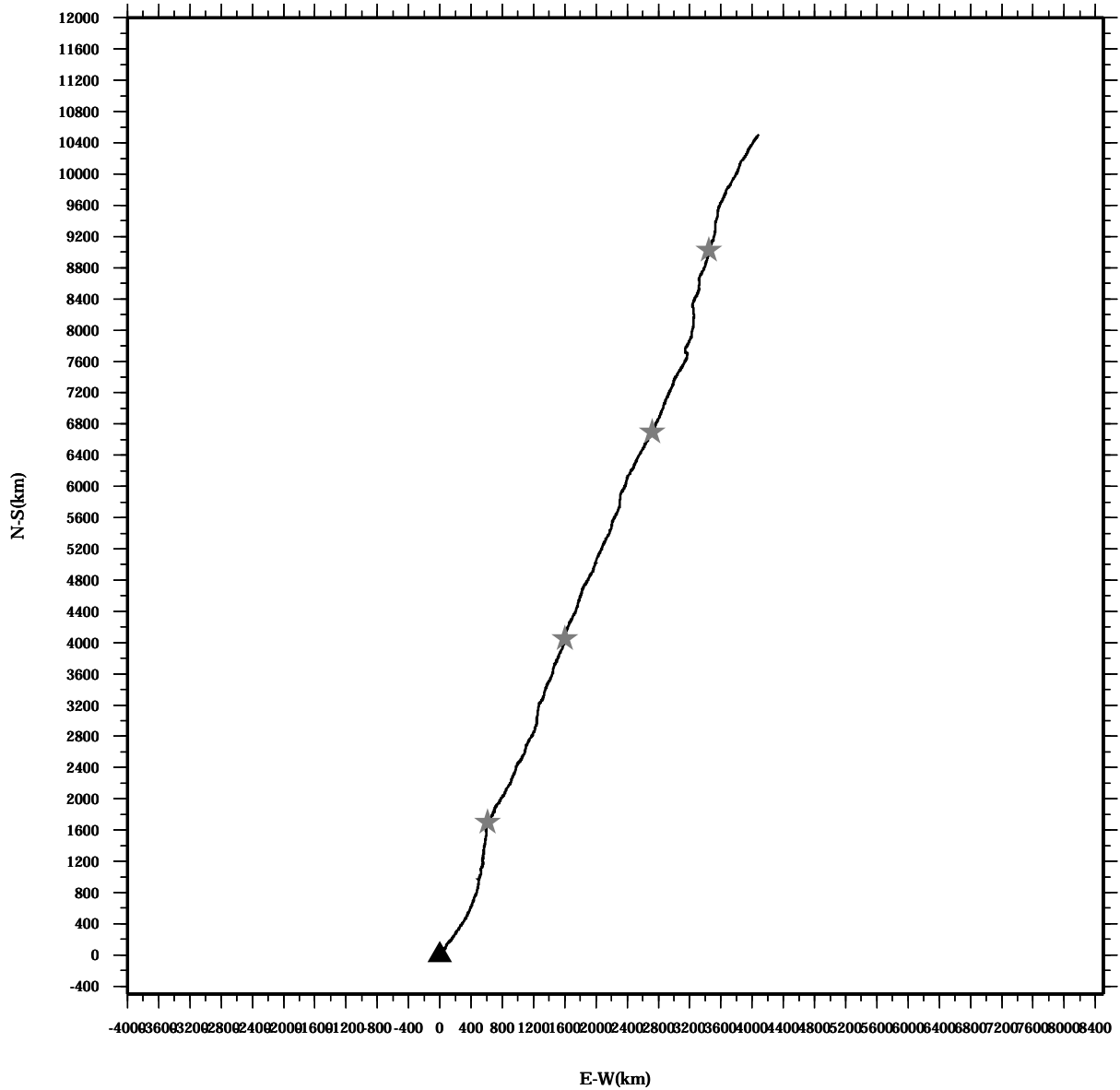
Lon: 121° 17.4341' E

Station: W104

Lat: 22° 38.8623' N

Depth: 54 M

PROGRESSIVE VECTOR DIAGRAM



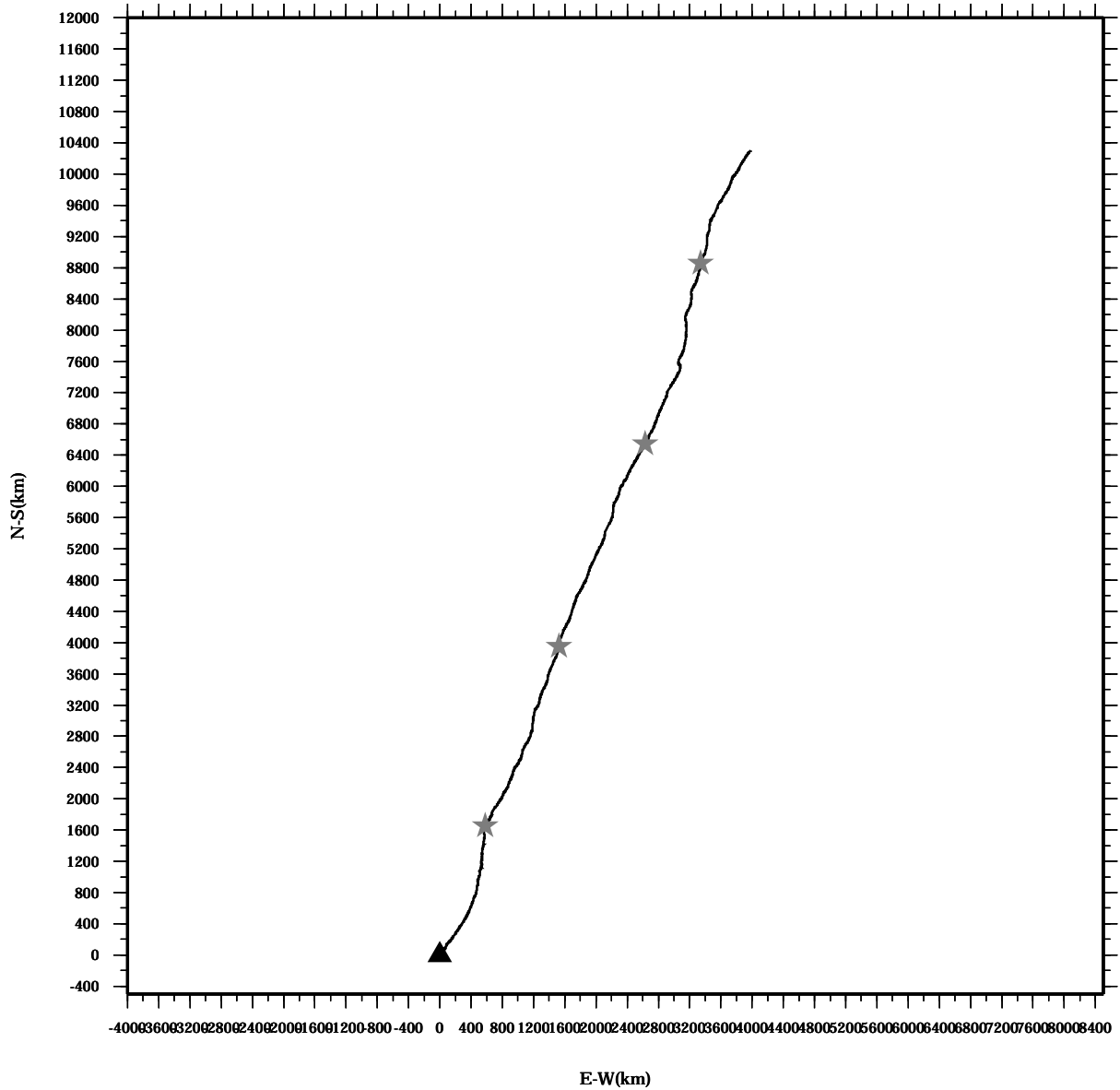
Lon: 121° 17.4341' E

Station: W104

Lat: 22° 38.8623' N

Depth: 58 M

PROGRESSIVE VECTOR DIAGRAM



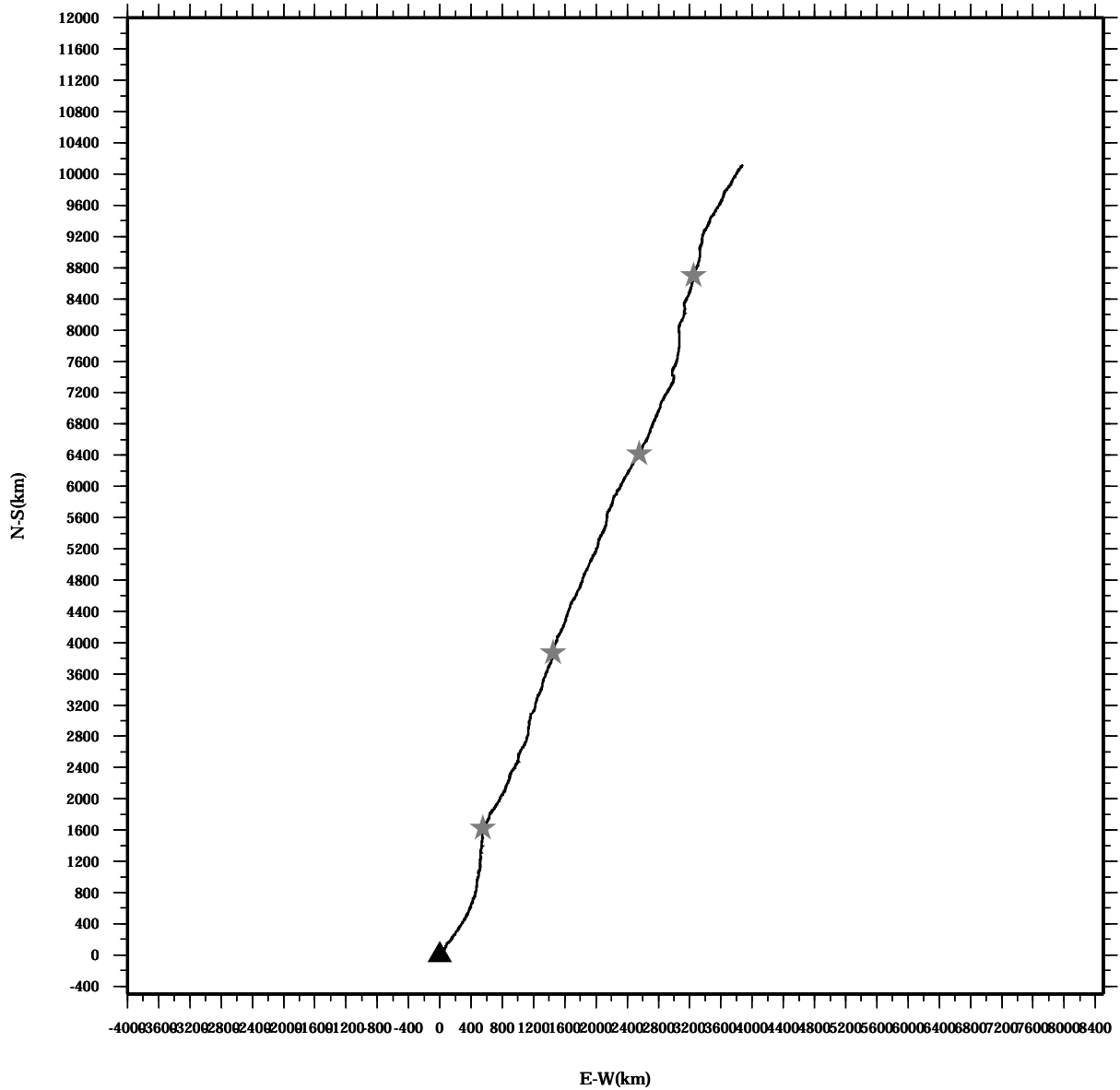
Lon: 121° 17.4341' E

Station: W104

Lat: 22° 38.8623' N

Depth: 62 M

PROGRESSIVE VECTOR DIAGRAM



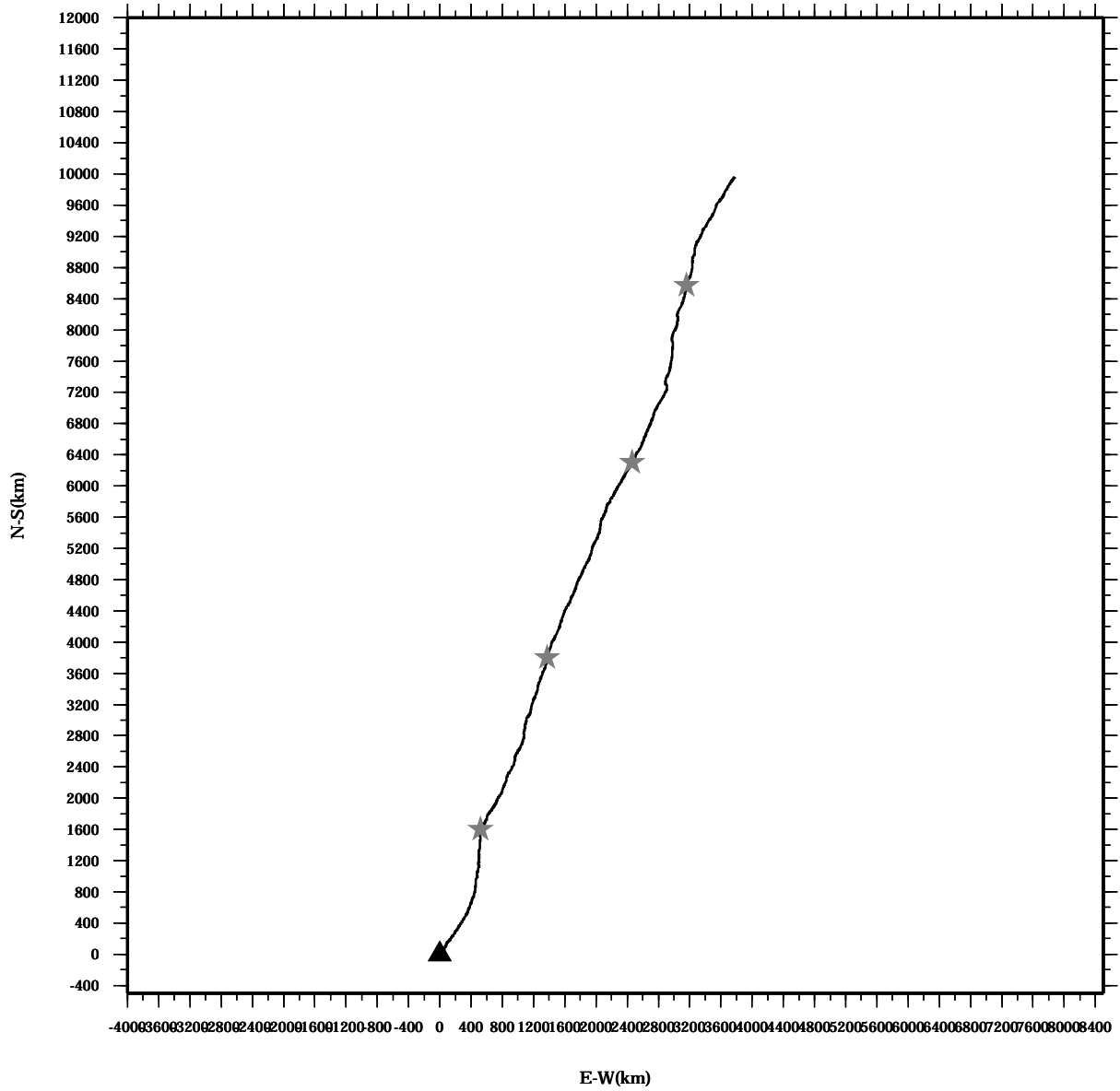
Lon: 121° 17.4341' E

Lat: 22° 38.8623' N

Station: W104

Depth: 66 M

PROGRESSIVE VECTOR DIAGRAM



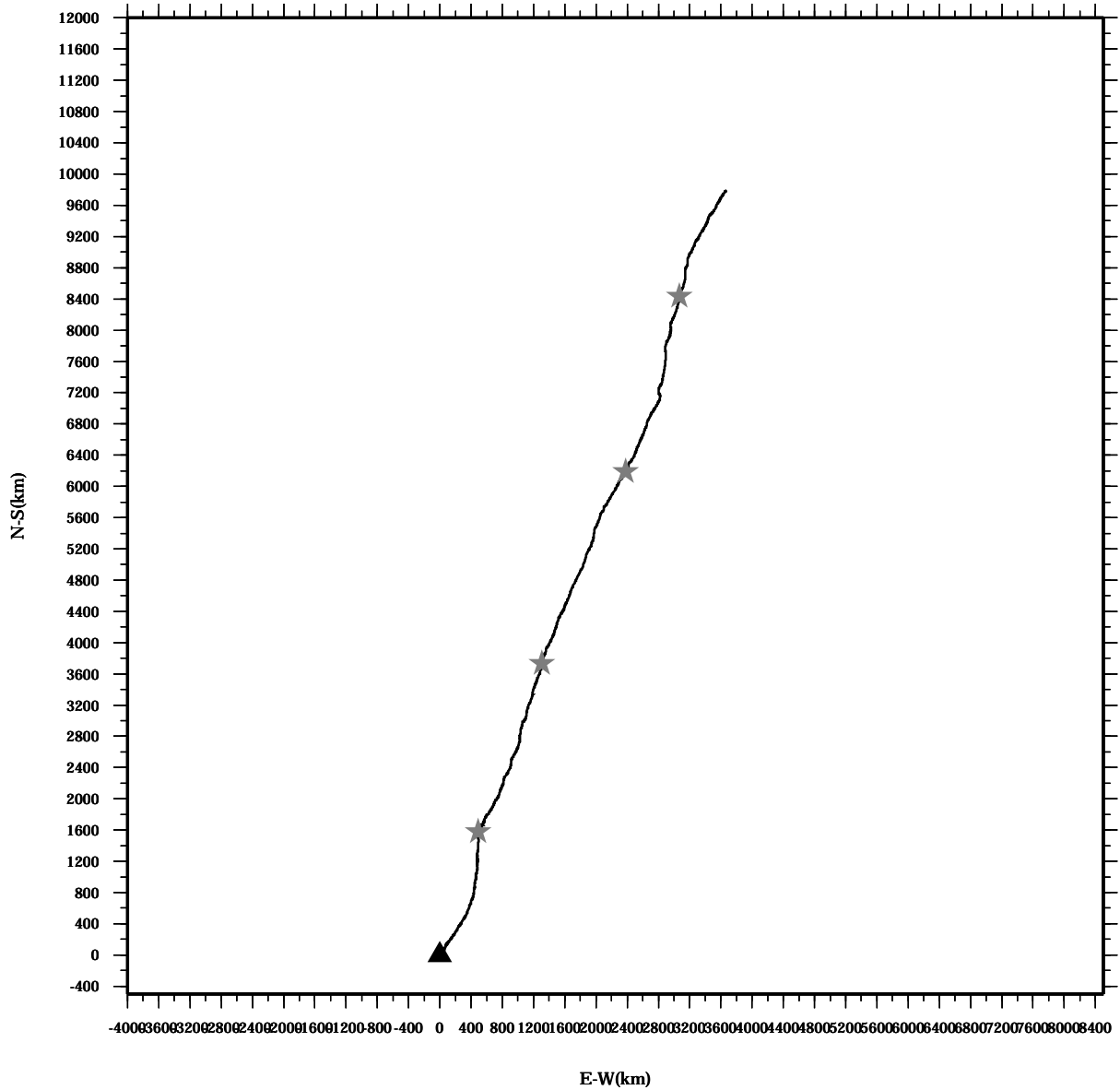
Lon: 121° 17.4341' E

Lat: 22° 38.8623' N

Station: W104

Depth: 70 M

PROGRESSIVE VECTOR DIAGRAM



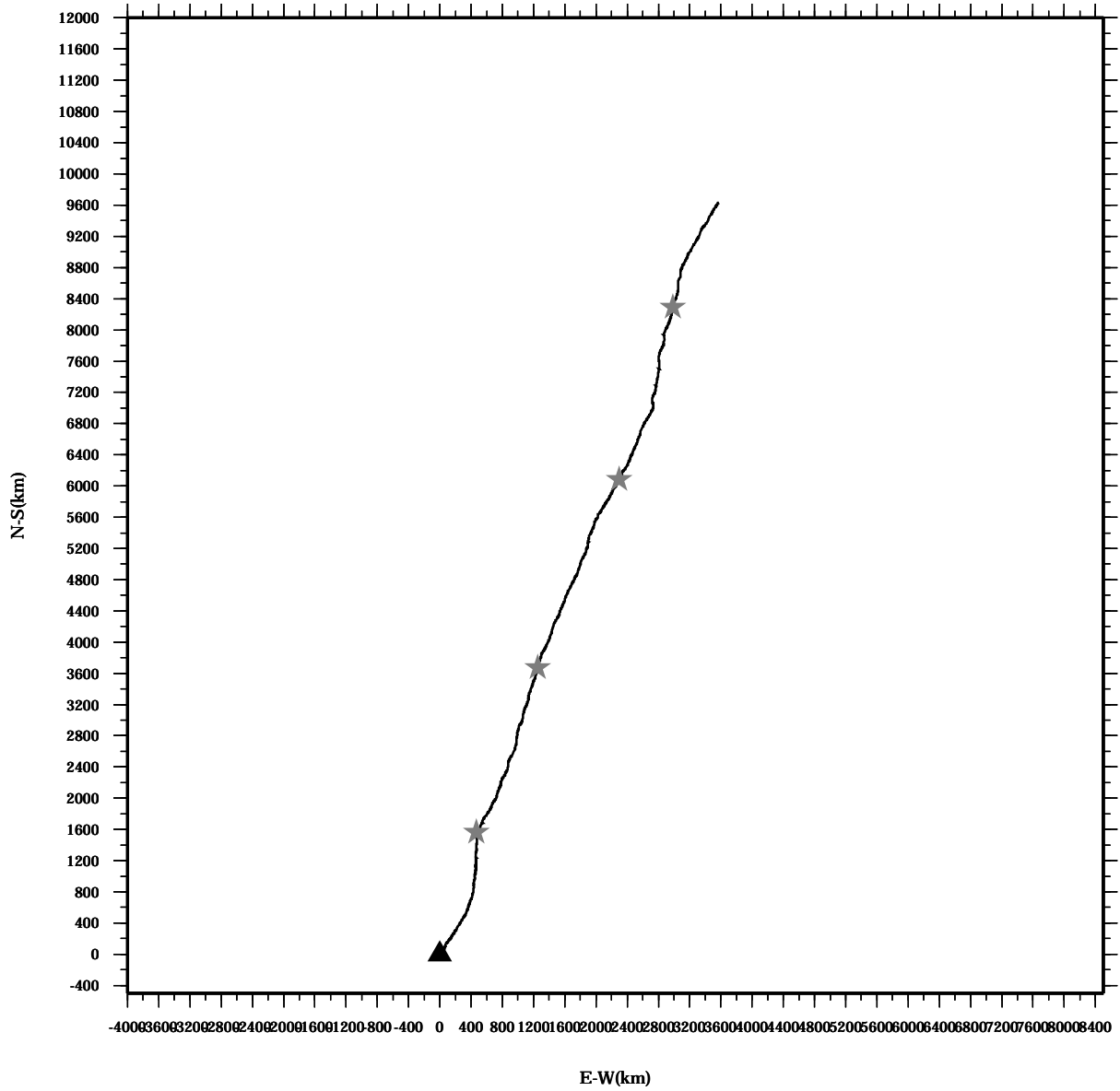
Lon: 121° 17.4341' E

Station: W104

Lat: 22° 38.8623' N

Depth: 74 M

PROGRESSIVE VECTOR DIAGRAM



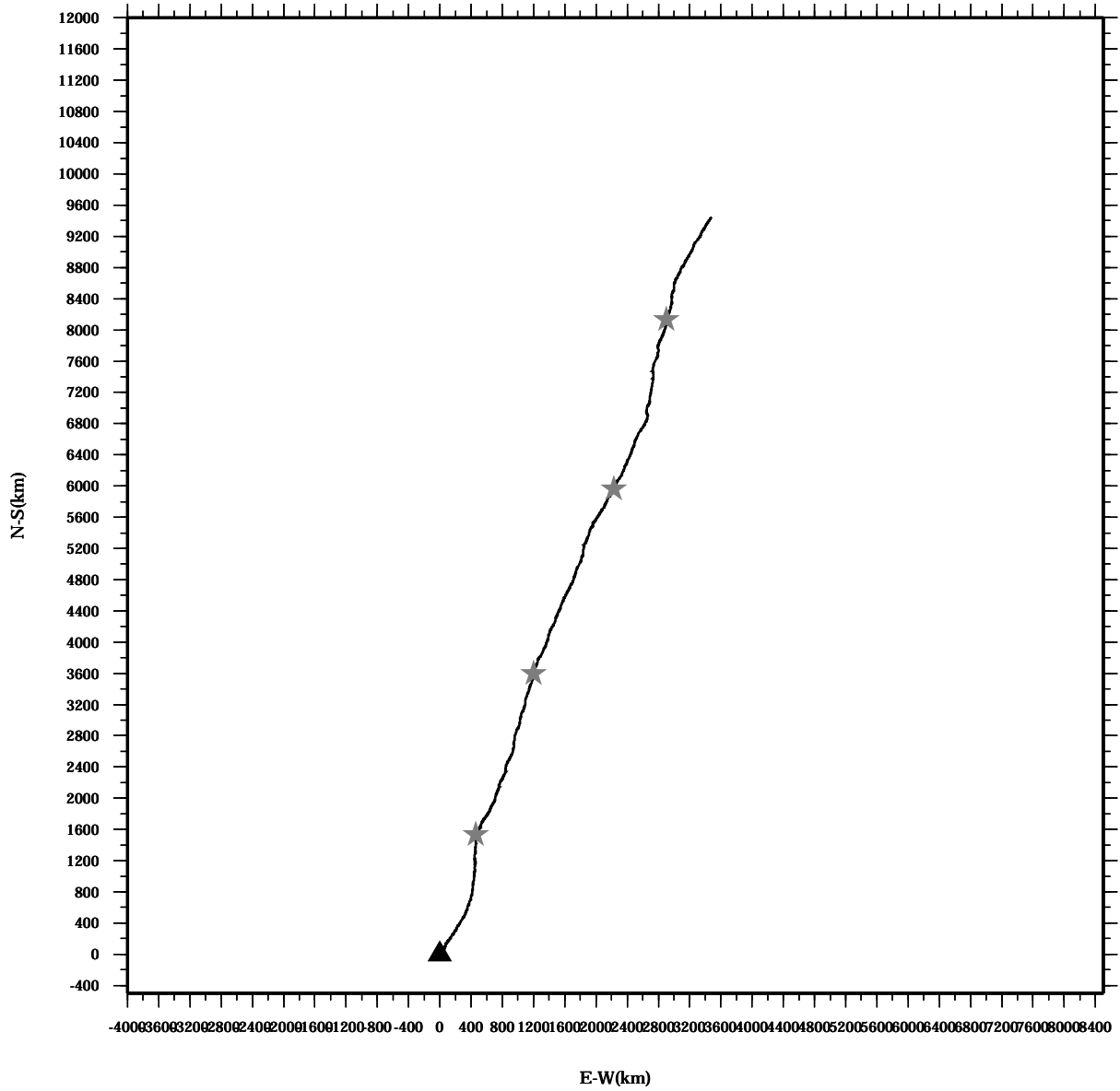
Lon: 121° 17.4341' E

Station: W104

Lat: 22° 38.8623' N

Depth: 78 M

PROGRESSIVE VECTOR DIAGRAM



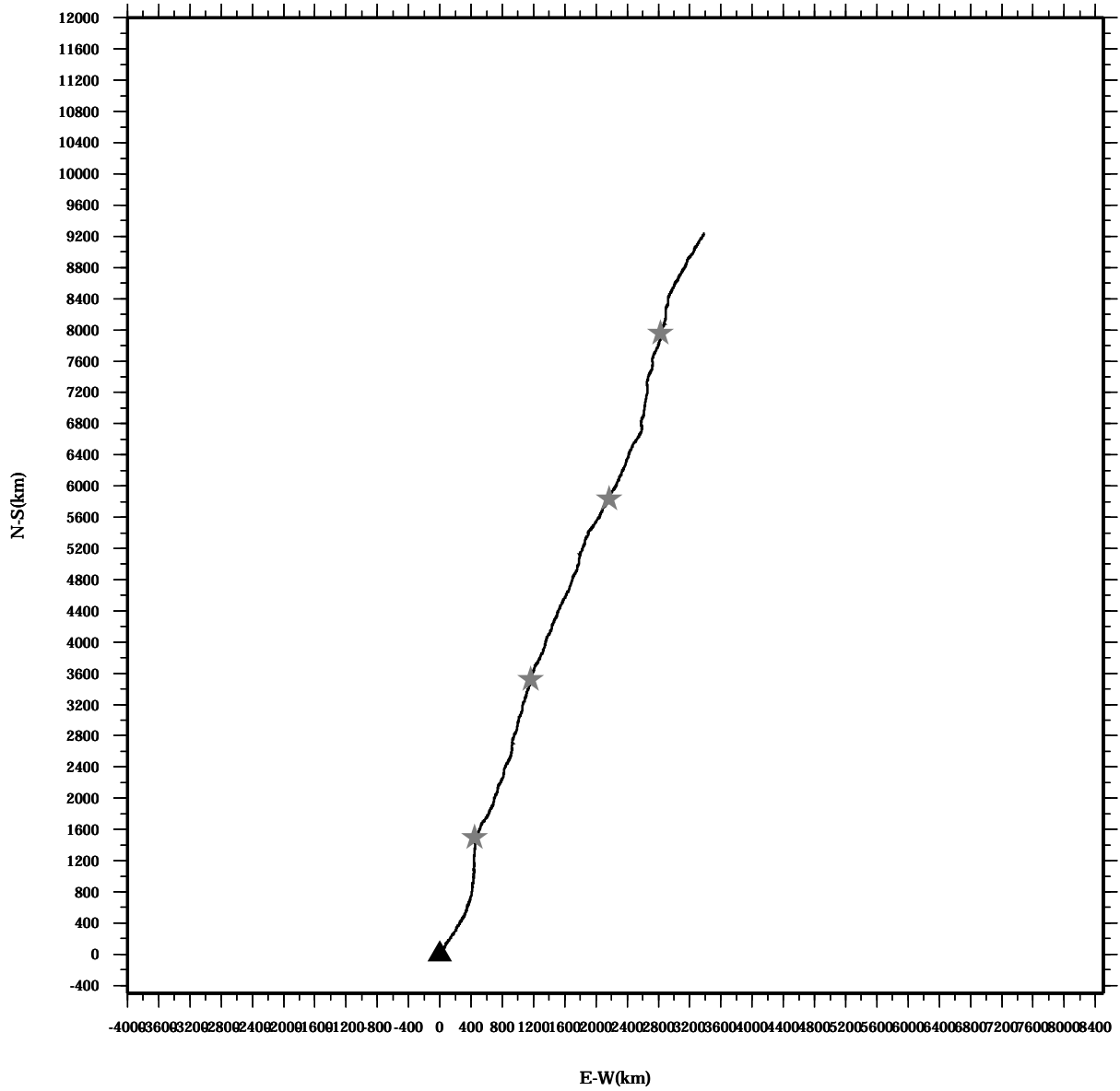
Lon: 121° 17.4341' E

Station: W104

Lat: 22° 38.8623' N

Depth: 82 M

PROGRESSIVE VECTOR DIAGRAM



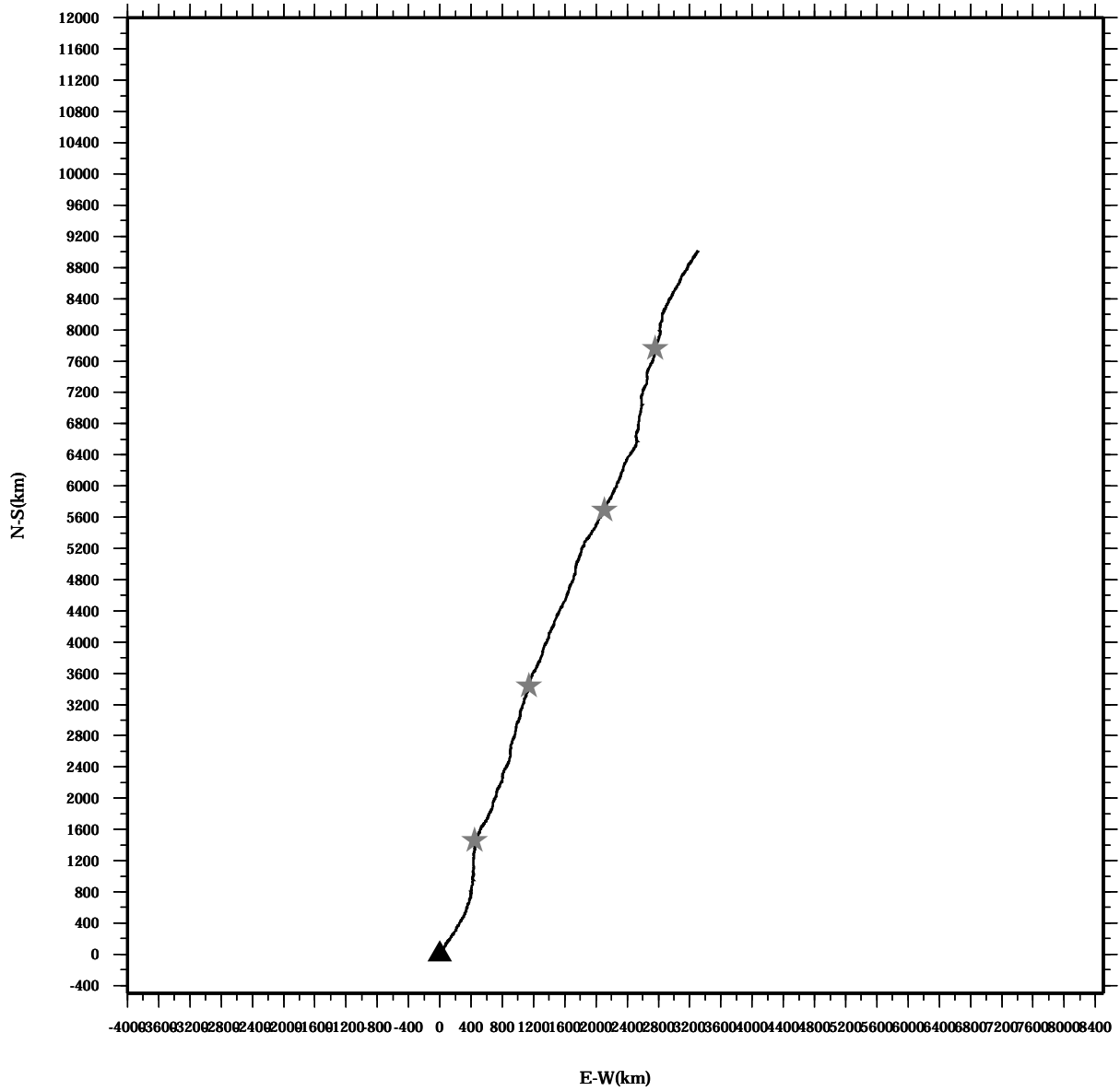
Lon: 121° 17.4341' E

Lat: 22° 38.8623' N

Station: W104

Depth: 86 M

PROGRESSIVE VECTOR DIAGRAM



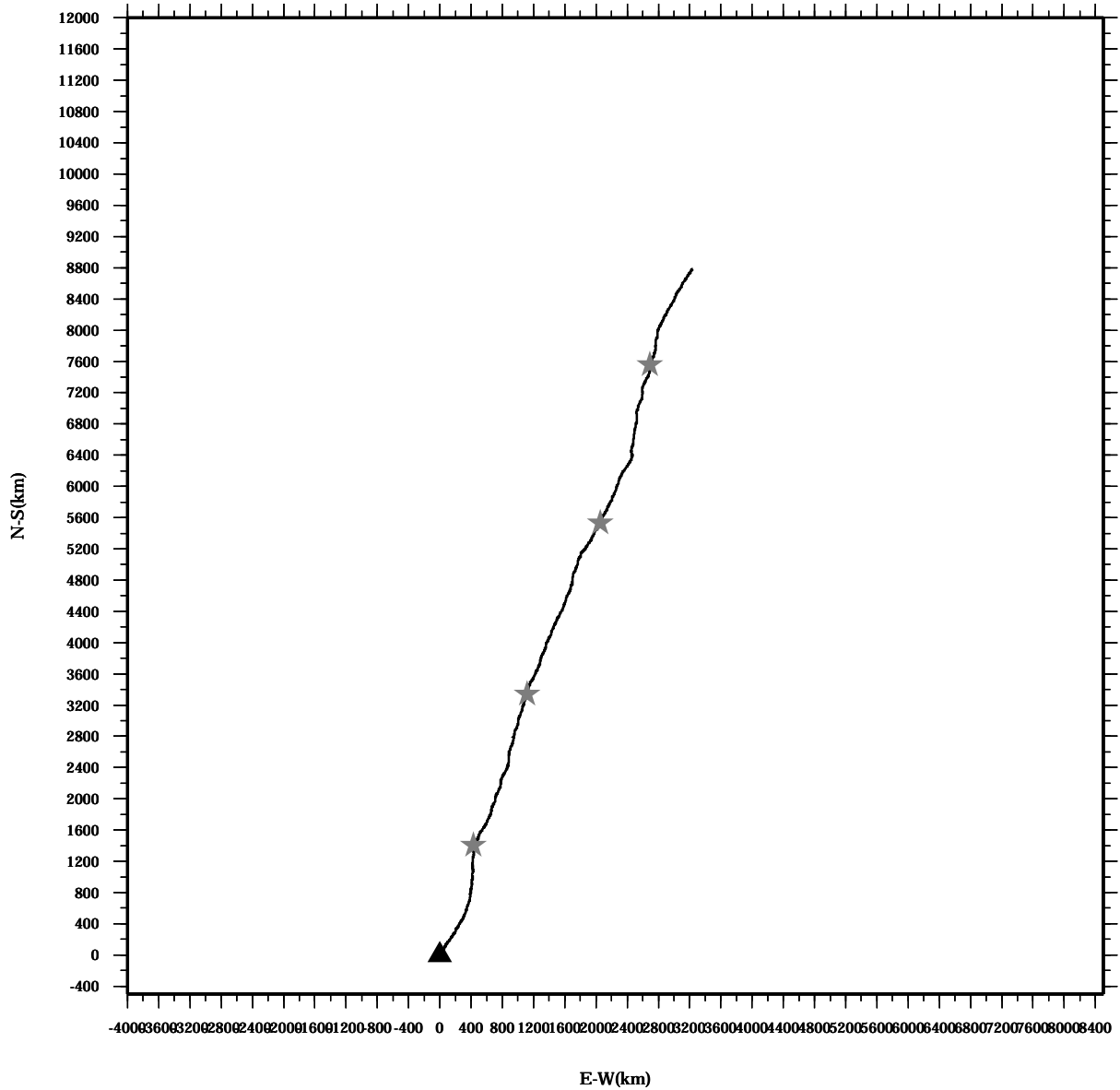
Lon: 121° 17.4341' E

Station: W104

Lat: 22° 38.8623' N

Depth: 90 M

PROGRESSIVE VECTOR DIAGRAM



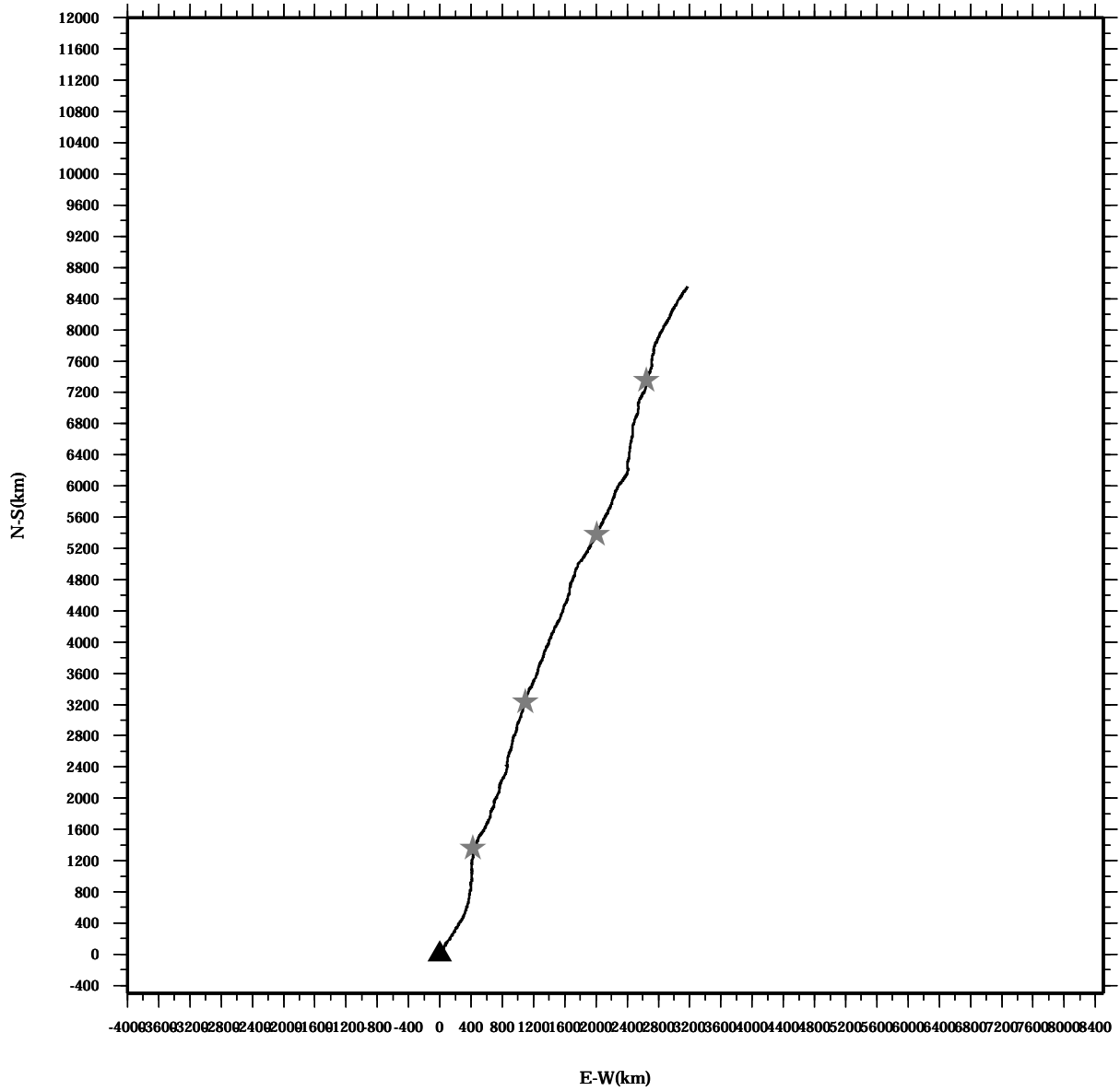
Lon: 121° 17.4341' E

Station: W104

Lat: 22° 38.8623' N

Depth: 94 M

PROGRESSIVE VECTOR DIAGRAM



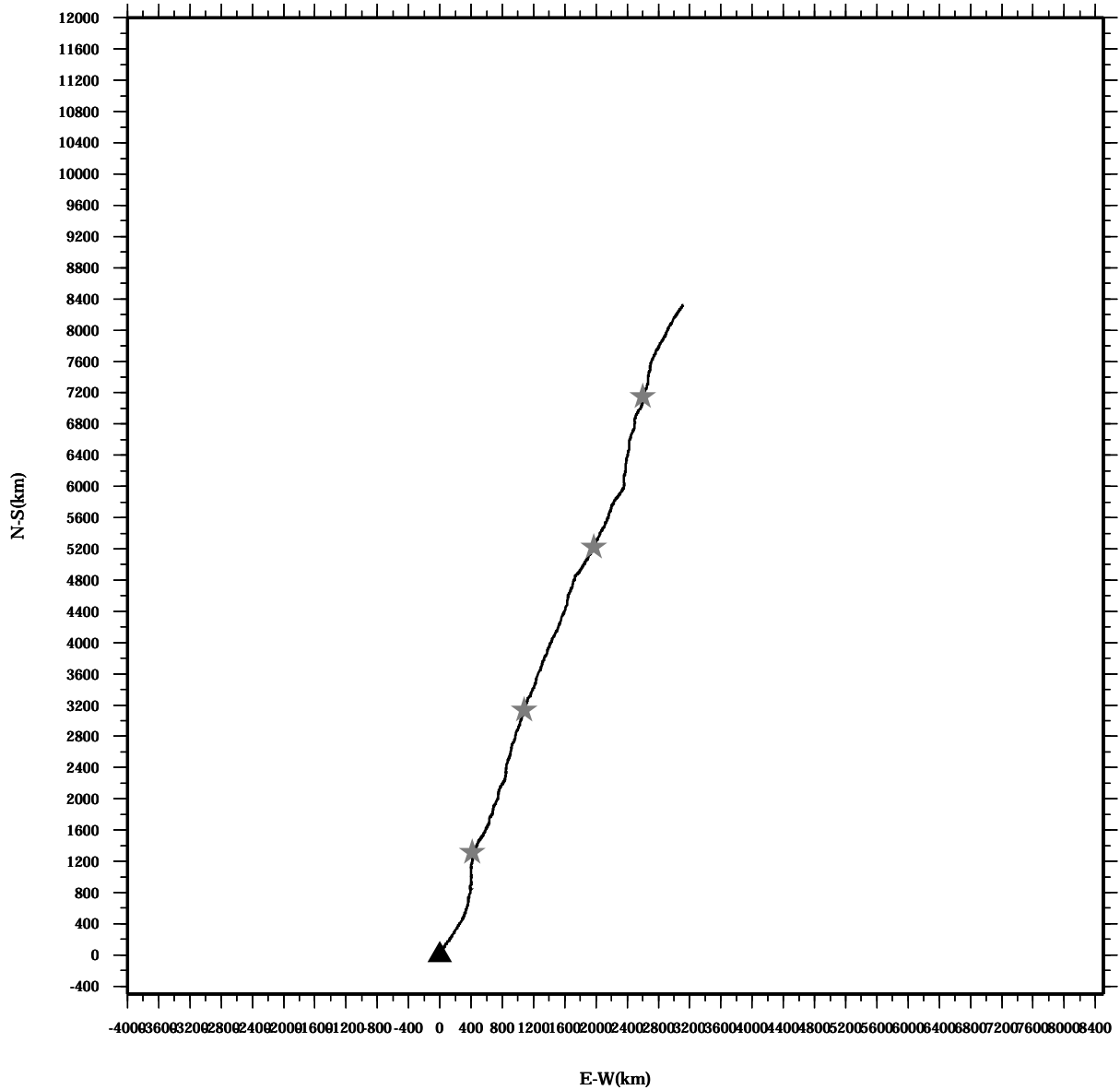
Lon: 121° 17.4341' E

Station: W104

Lat: 22° 38.8623' N

Depth: 98 M

PROGRESSIVE VECTOR DIAGRAM



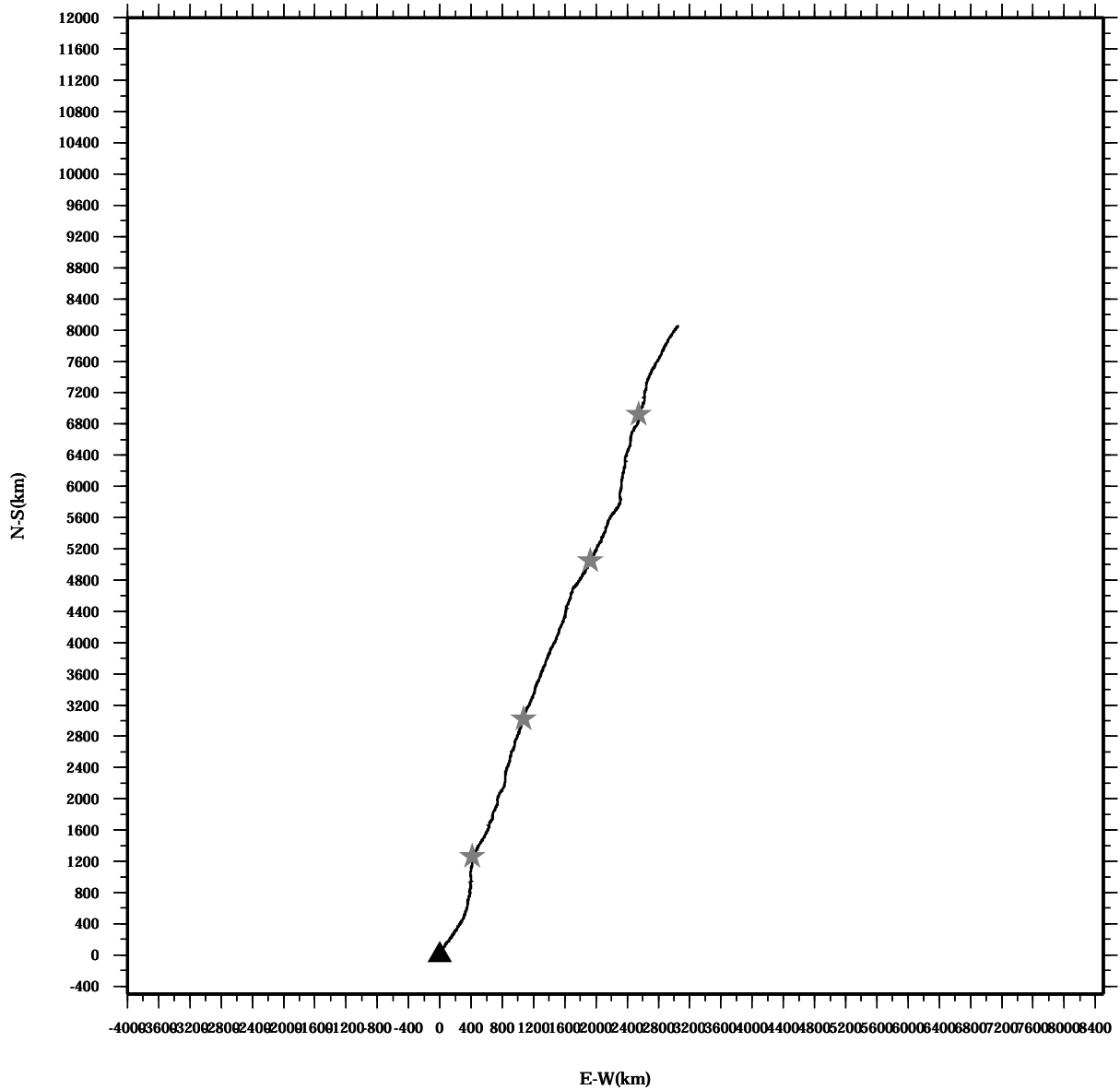
Lon: 121° 17.4341' E

Lat: 22° 38.8623' N

Station: W104

Depth: 102 M

PROGRESSIVE VECTOR DIAGRAM



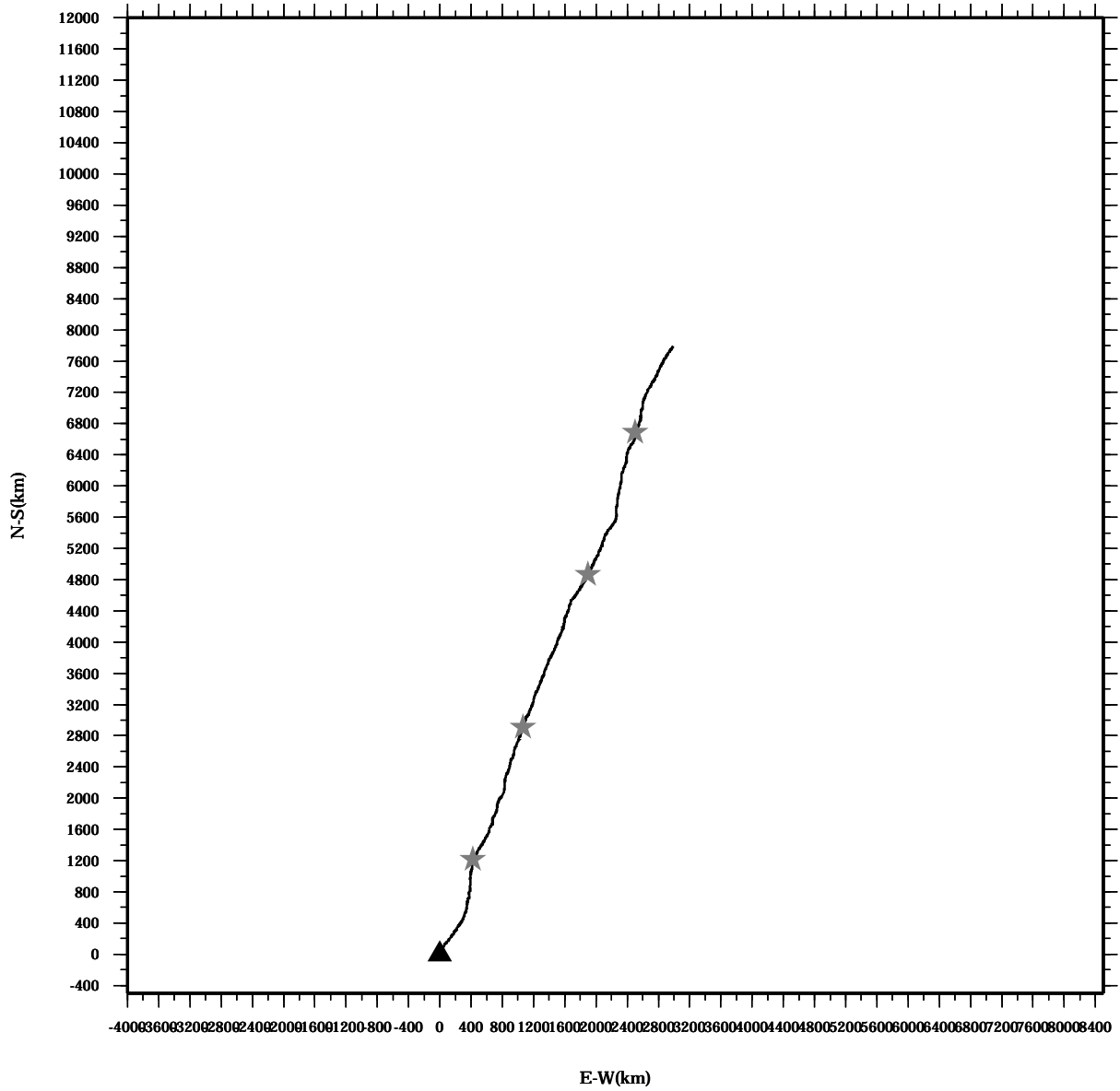
Lon: 121° 17.4341' E

Station: W104

Lat: 22° 38.8623' N

Depth: 106 M

PROGRESSIVE VECTOR DIAGRAM



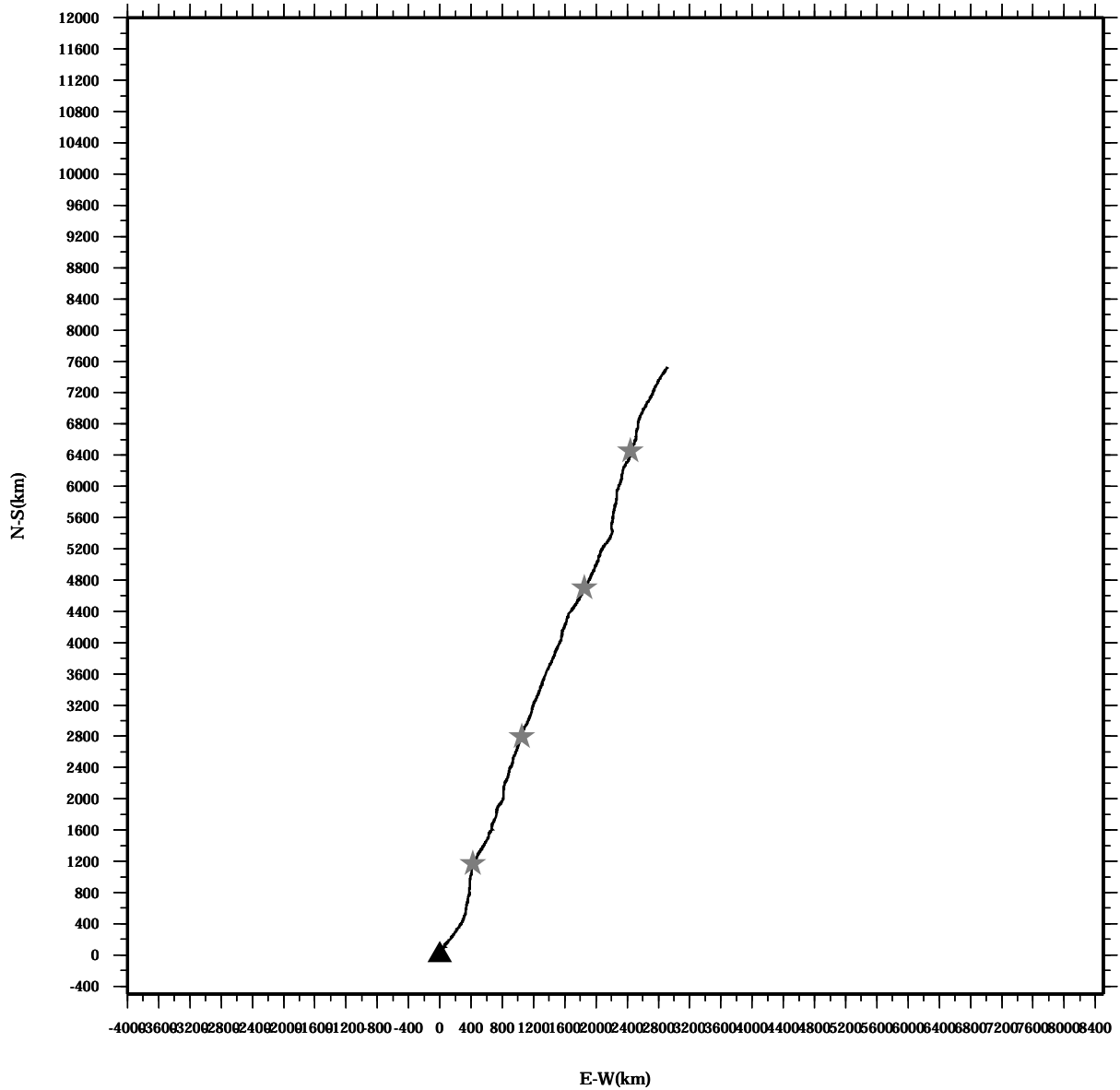
Lon: 121° 17.4341' E

Station: W104

Lat: 22° 38.8623' N

Depth: 110 M

PROGRESSIVE VECTOR DIAGRAM



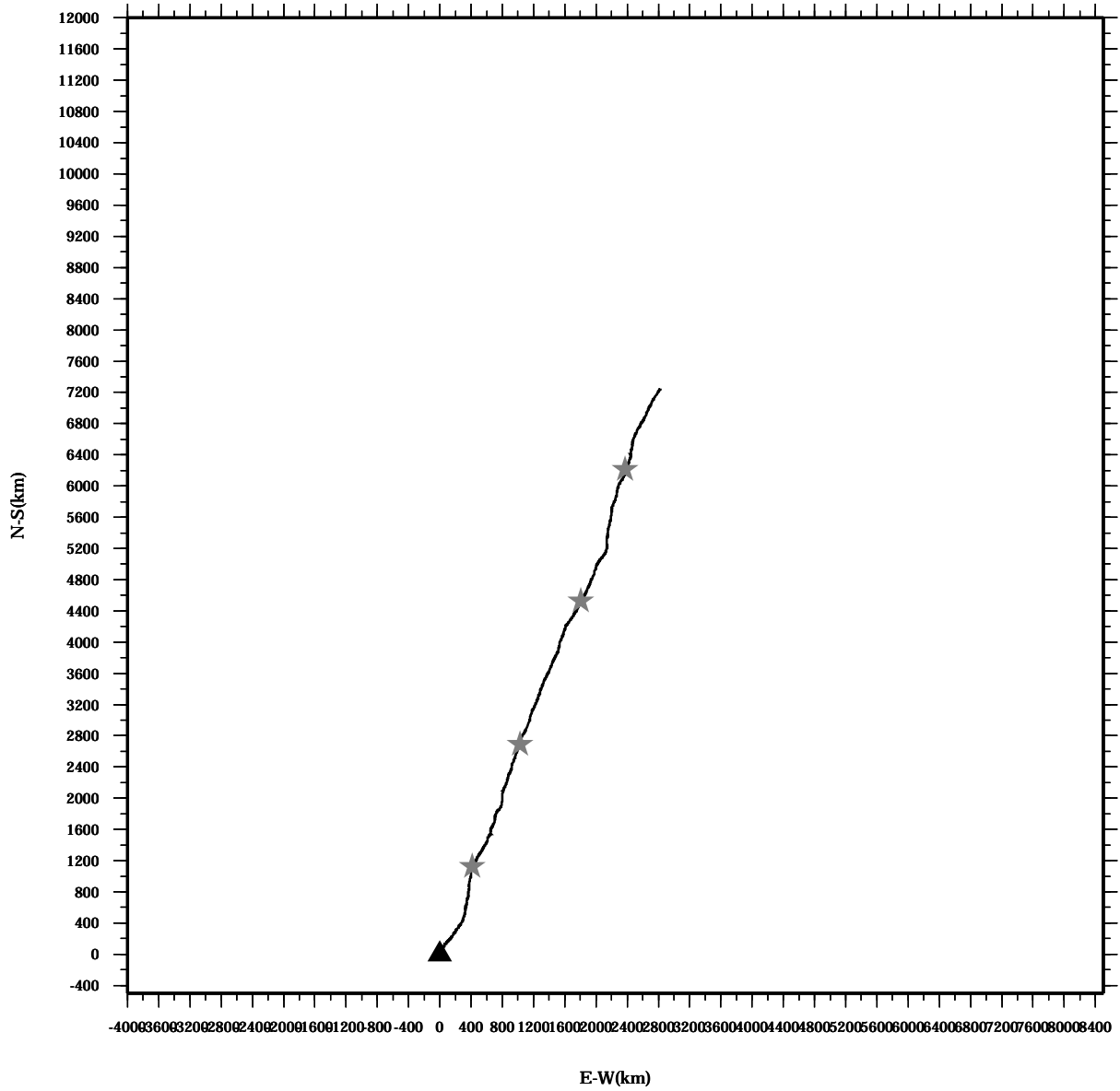
Lon: 121° 17.4341' E

Station: W104

Lat: 22° 38.8623' N

Depth: 114 M

PROGRESSIVE VECTOR DIAGRAM



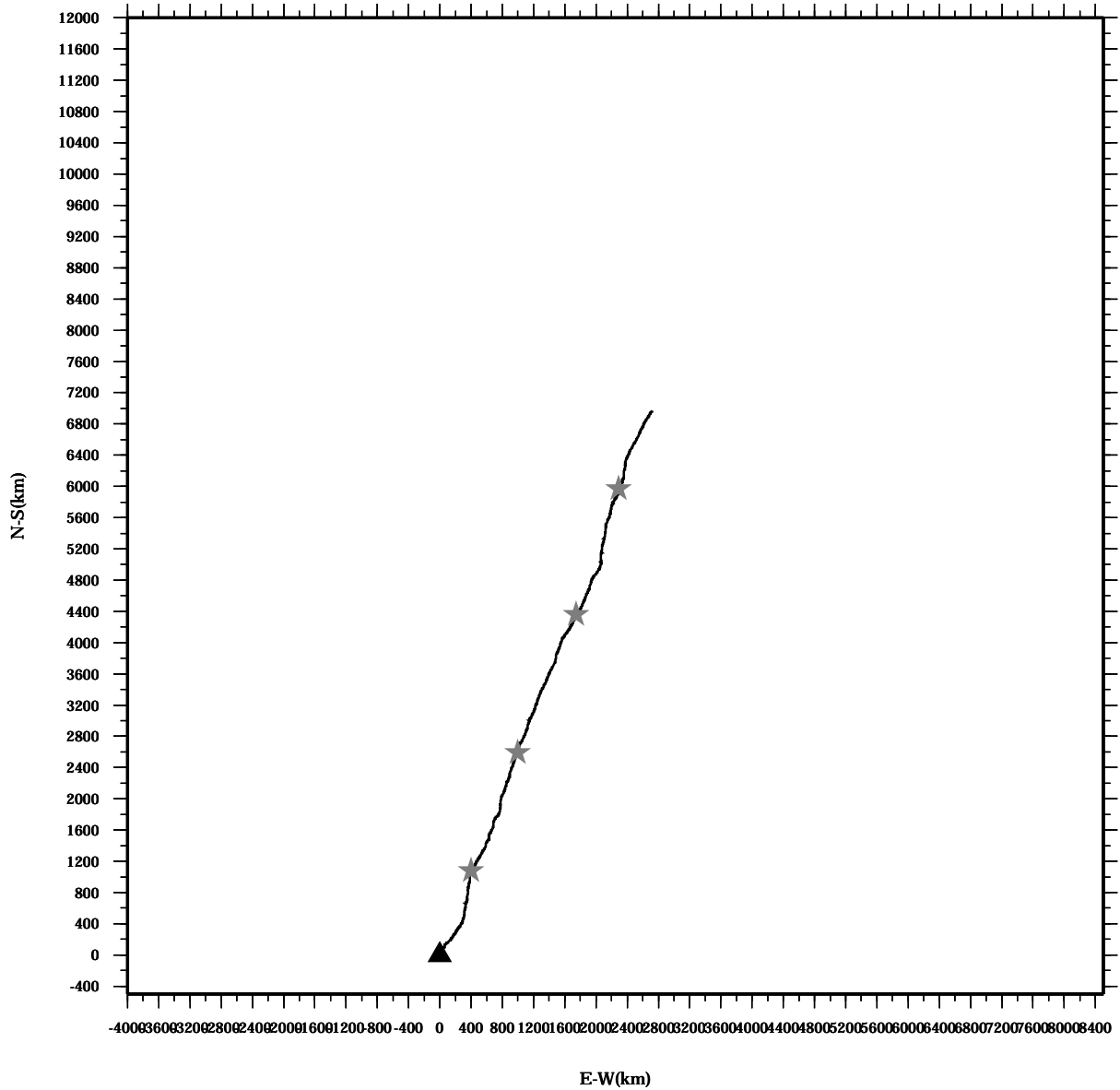
Lon: 121° 17.4341' E

Station: W104

Lat: 22° 38.8623' N

Depth: 118 M

PROGRESSIVE VECTOR DIAGRAM



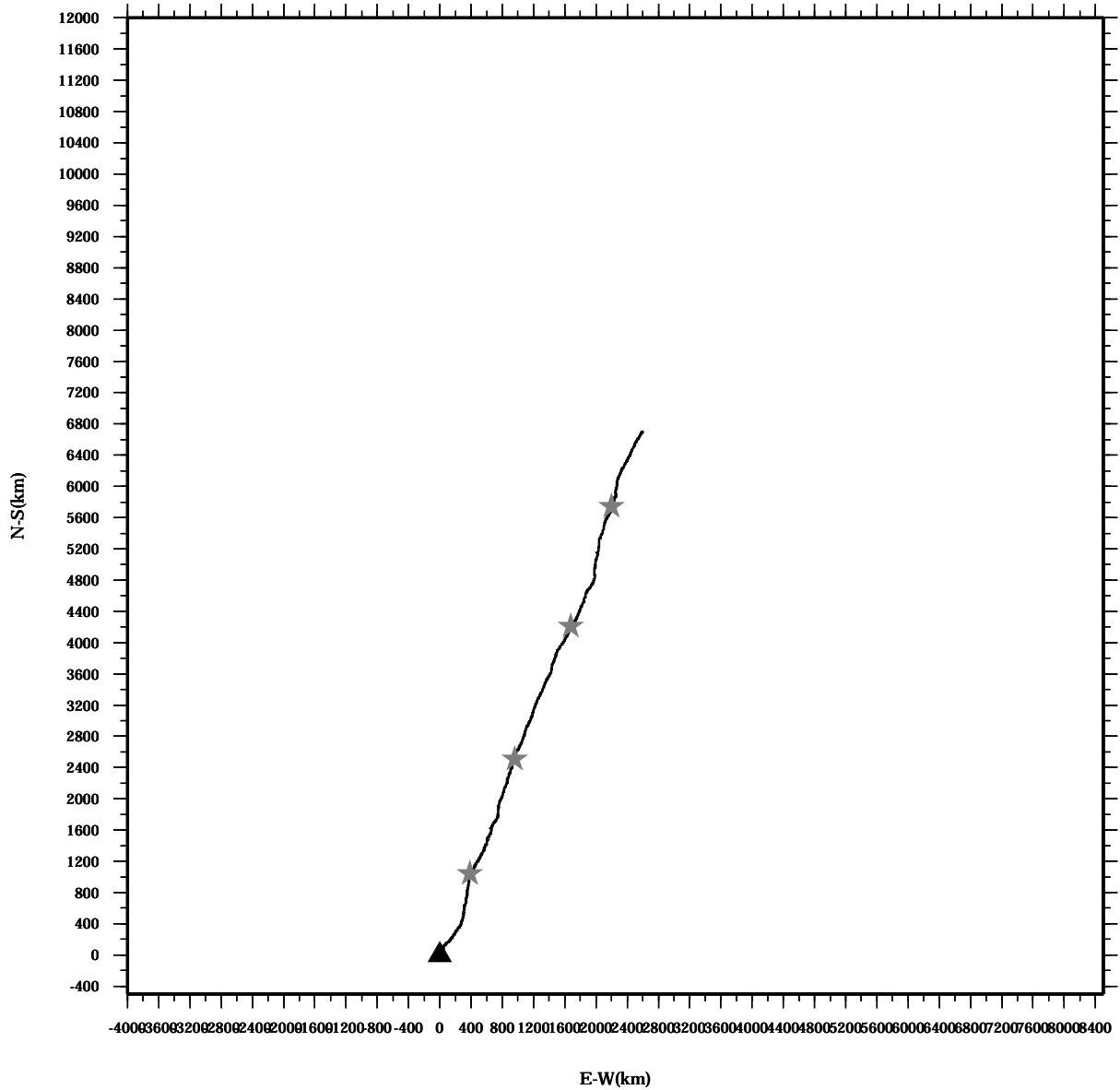
Lon: 121° 17.4341' E

Station: W104

Lat: 22° 38.8623' N

Depth: 122 M

PROGRESSIVE VECTOR DIAGRAM



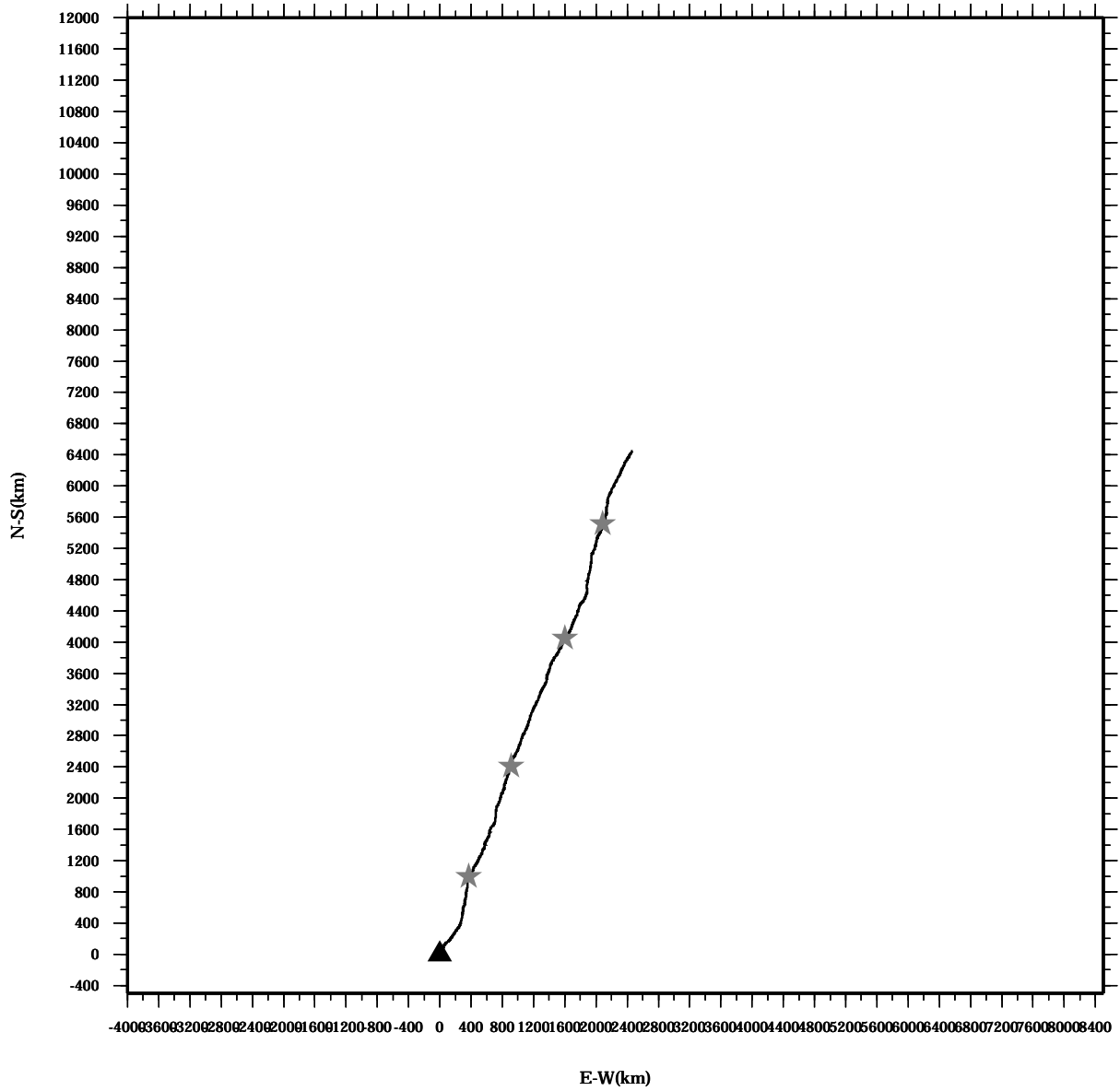
Lon: 121° 17.4341' E

Station: W104

Lat: 22° 38.8623' N

Depth: 126 M

PROGRESSIVE VECTOR DIAGRAM



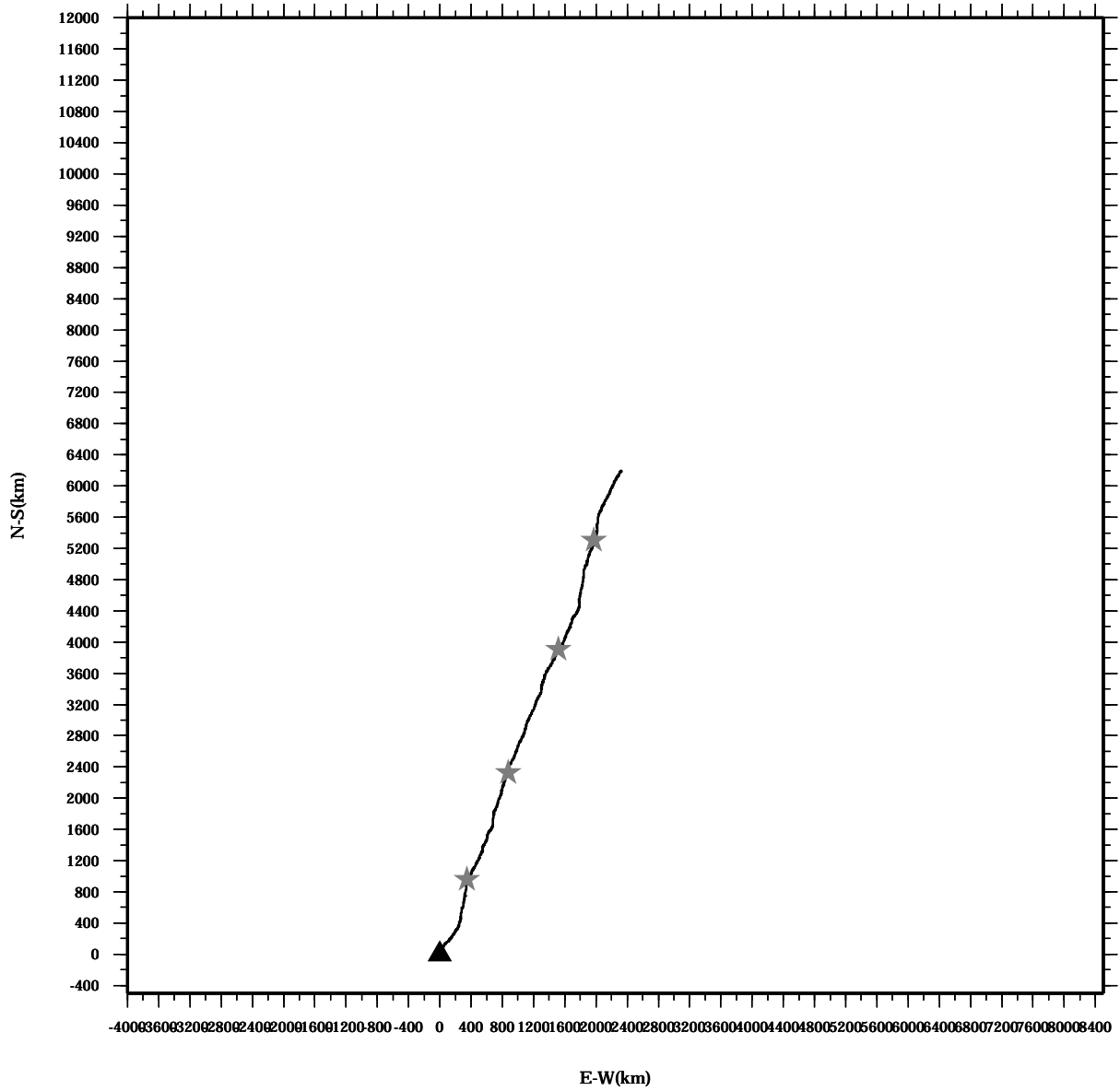
Lon: 121° 17.4341' E

Station: W104

Lat: 22° 38.8623' N

Depth: 130 M

PROGRESSIVE VECTOR DIAGRAM



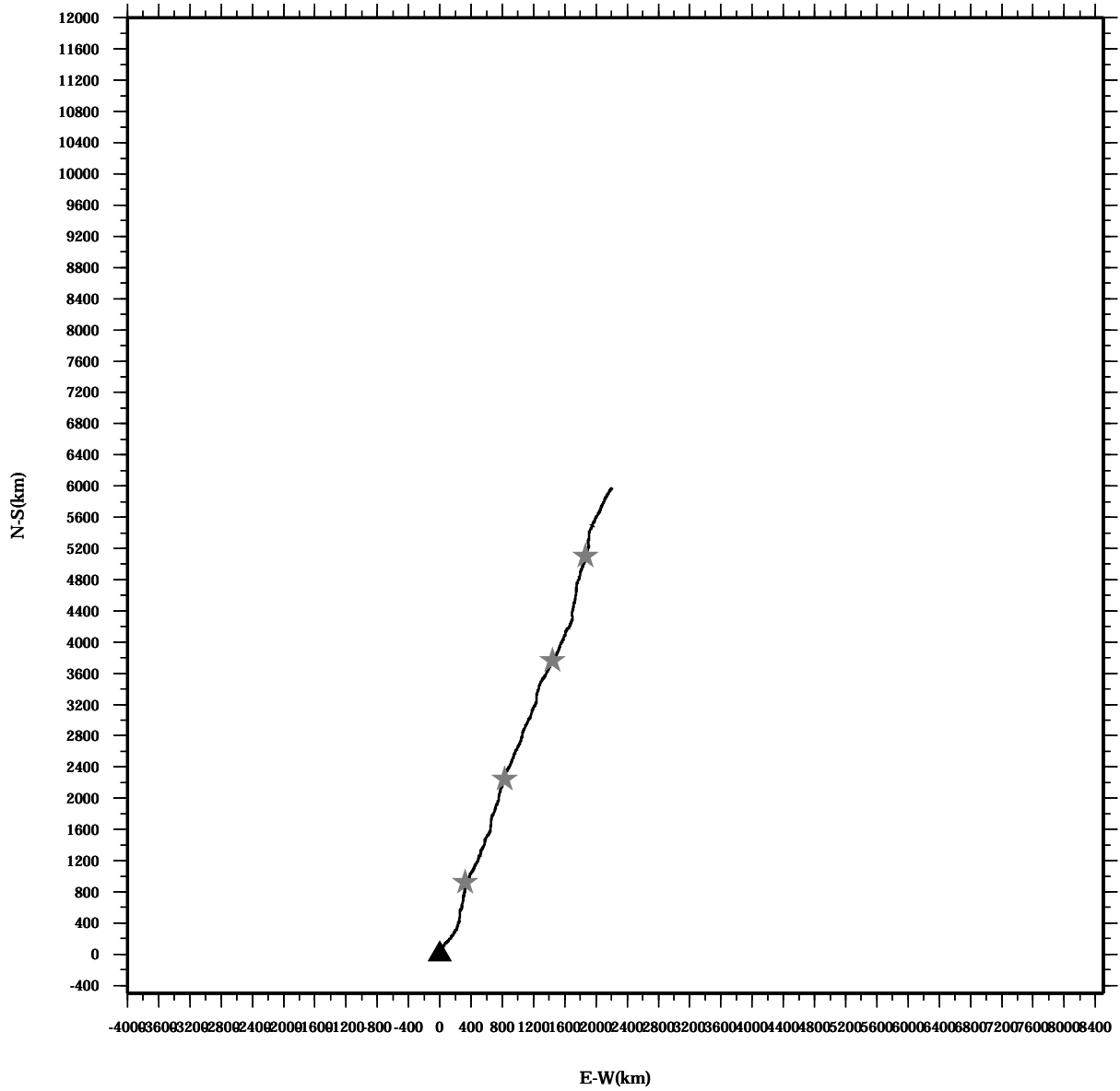
Lon: 121° 17.4341' E

Station: W104

Lat: 22° 38.8623' N

Depth: 134 M

PROGRESSIVE VECTOR DIAGRAM



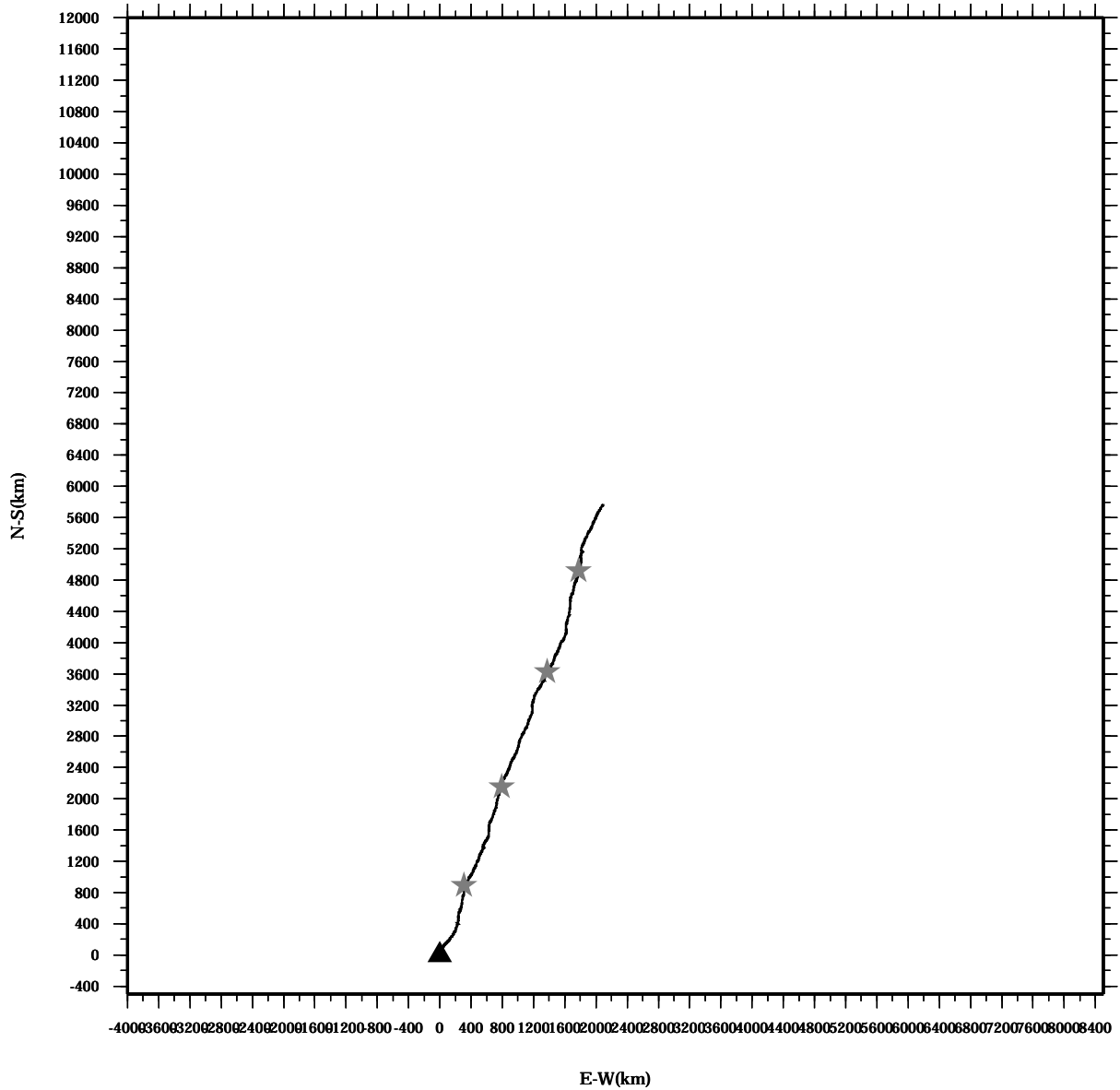
Lon: 121° 17.4341' E

Lat: 22° 38.8623' N

Station: W104

Depth: 138 M

PROGRESSIVE VECTOR DIAGRAM



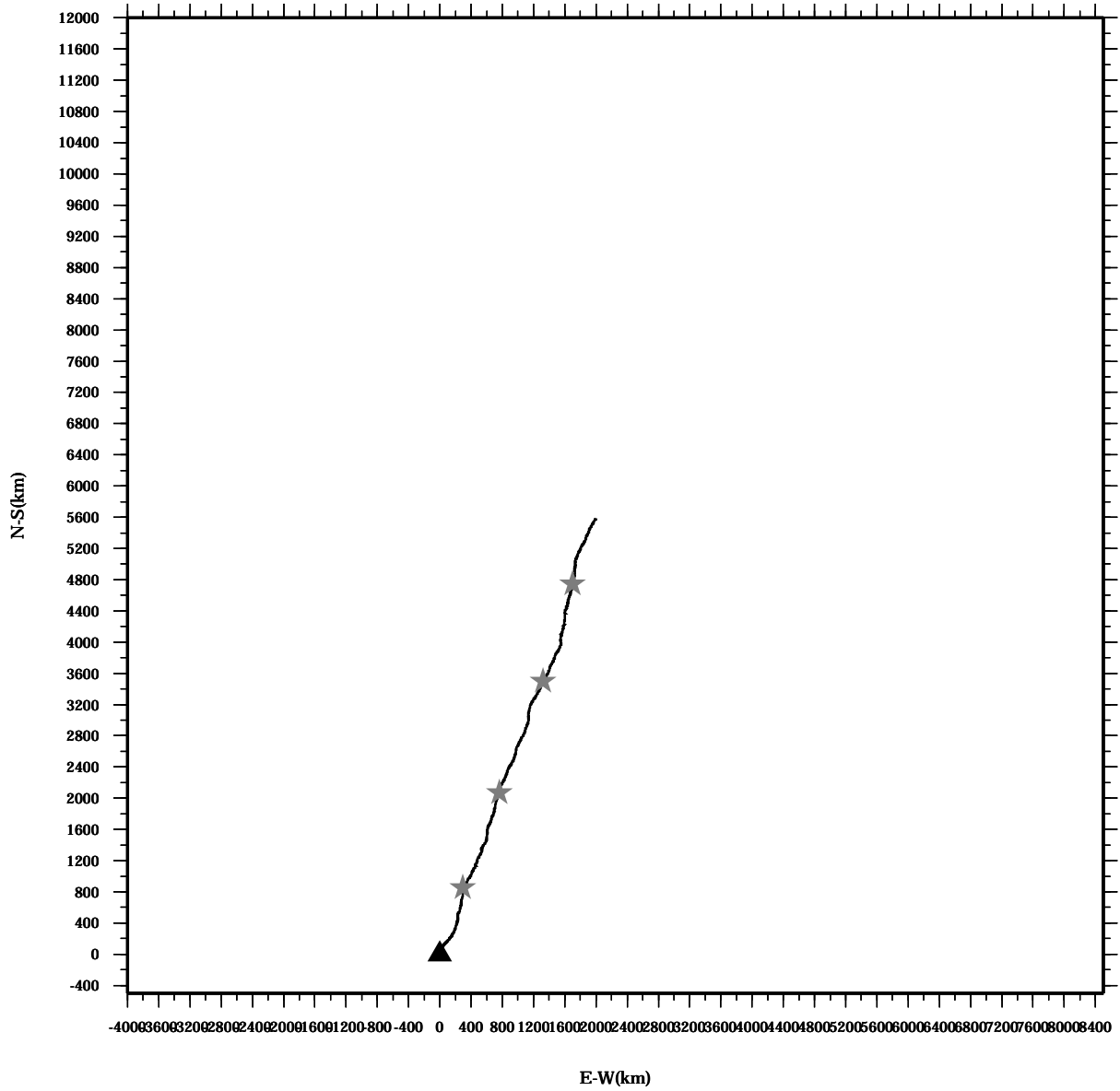
Lon: 121° 17.4341' E

Station: W104

Lat: 22° 38.8623' N

Depth: 142 M

PROGRESSIVE VECTOR DIAGRAM



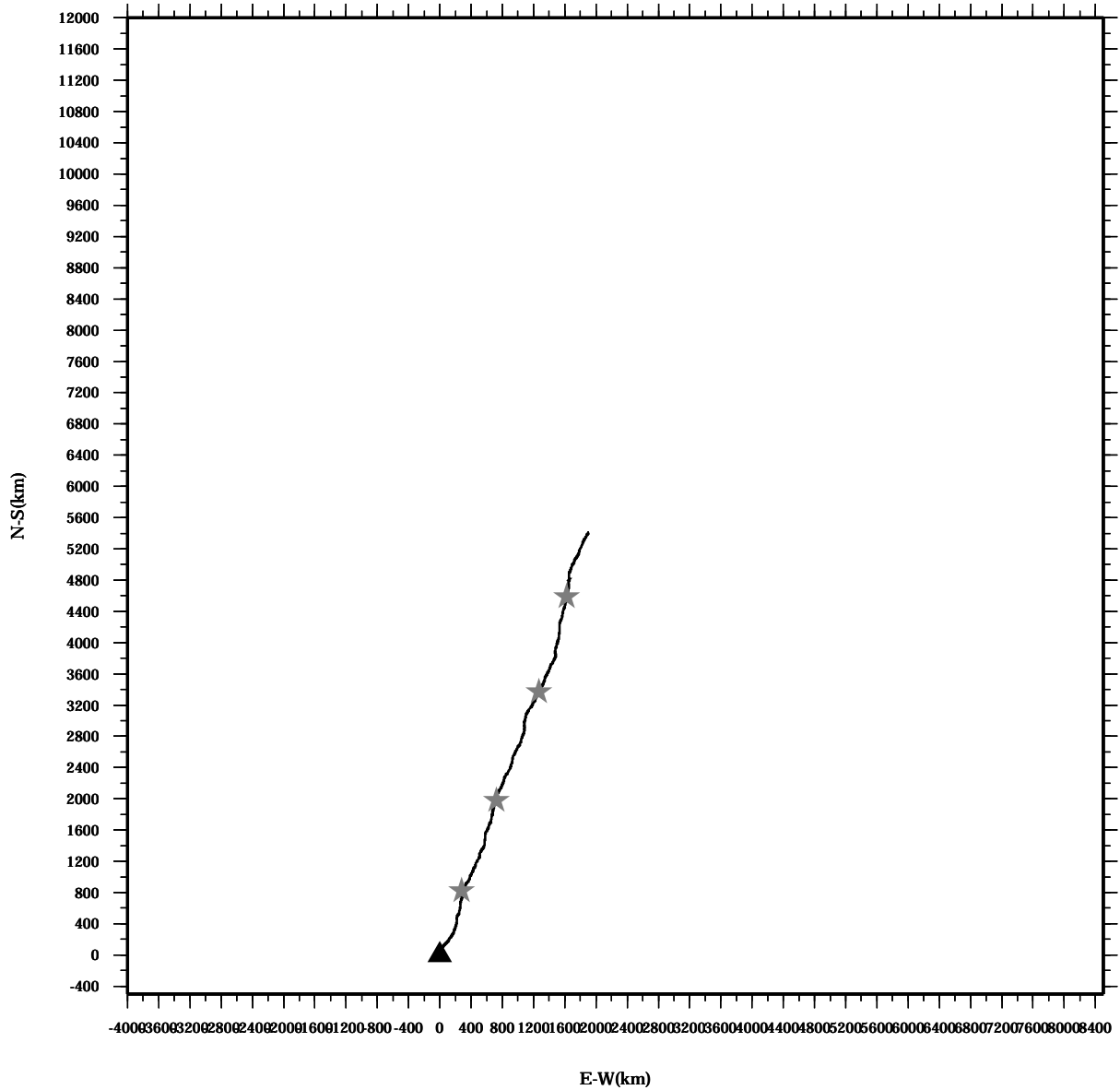
Lon: 121° 17.4341' E

Station: W104

Lat: 22° 38.8623' N

Depth: 146 M

PROGRESSIVE VECTOR DIAGRAM



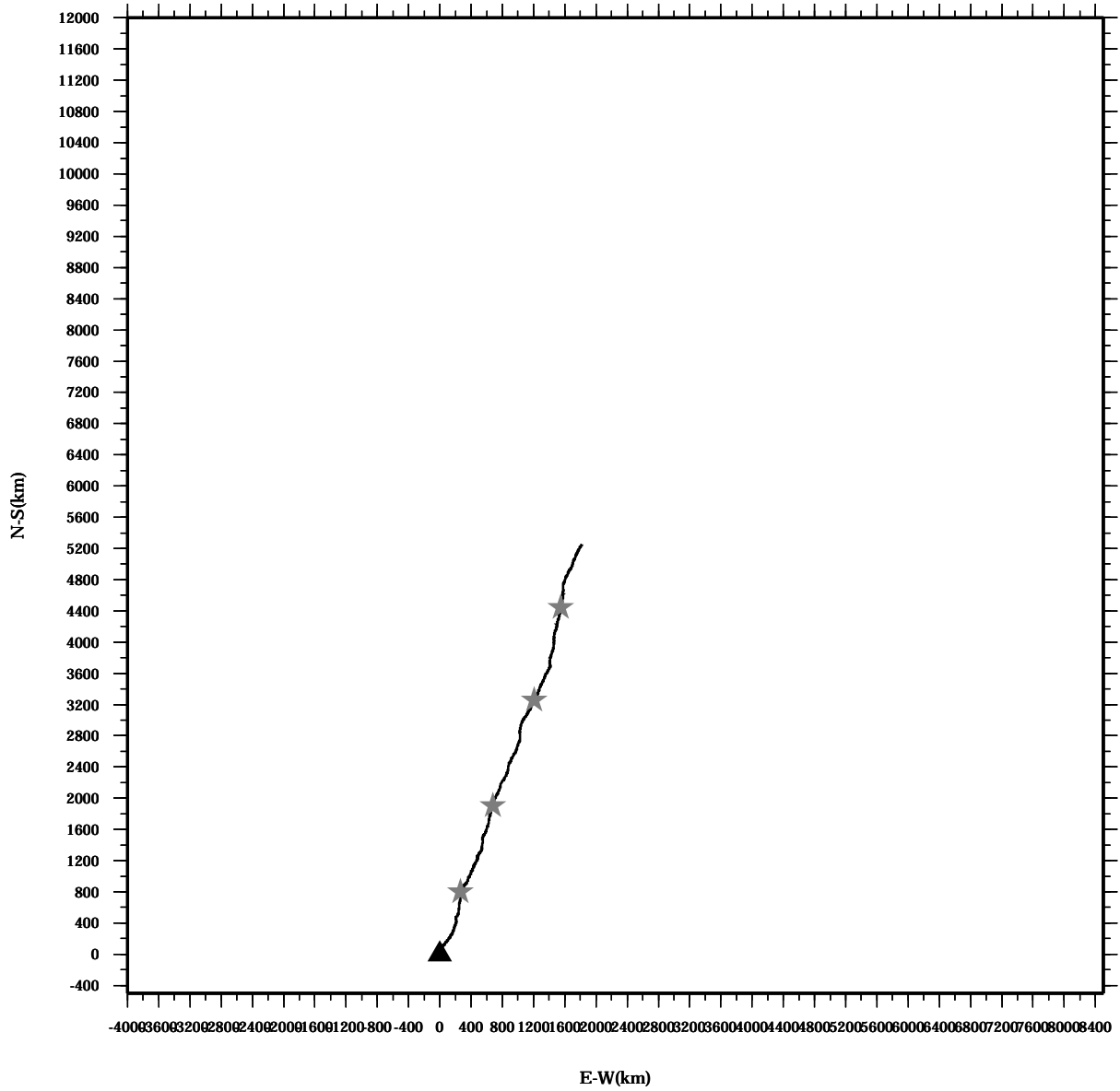
Lon: 121° 17.4341' E

Station: W104

Lat: 22° 38.8623' N

Depth: 150 M

PROGRESSIVE VECTOR DIAGRAM



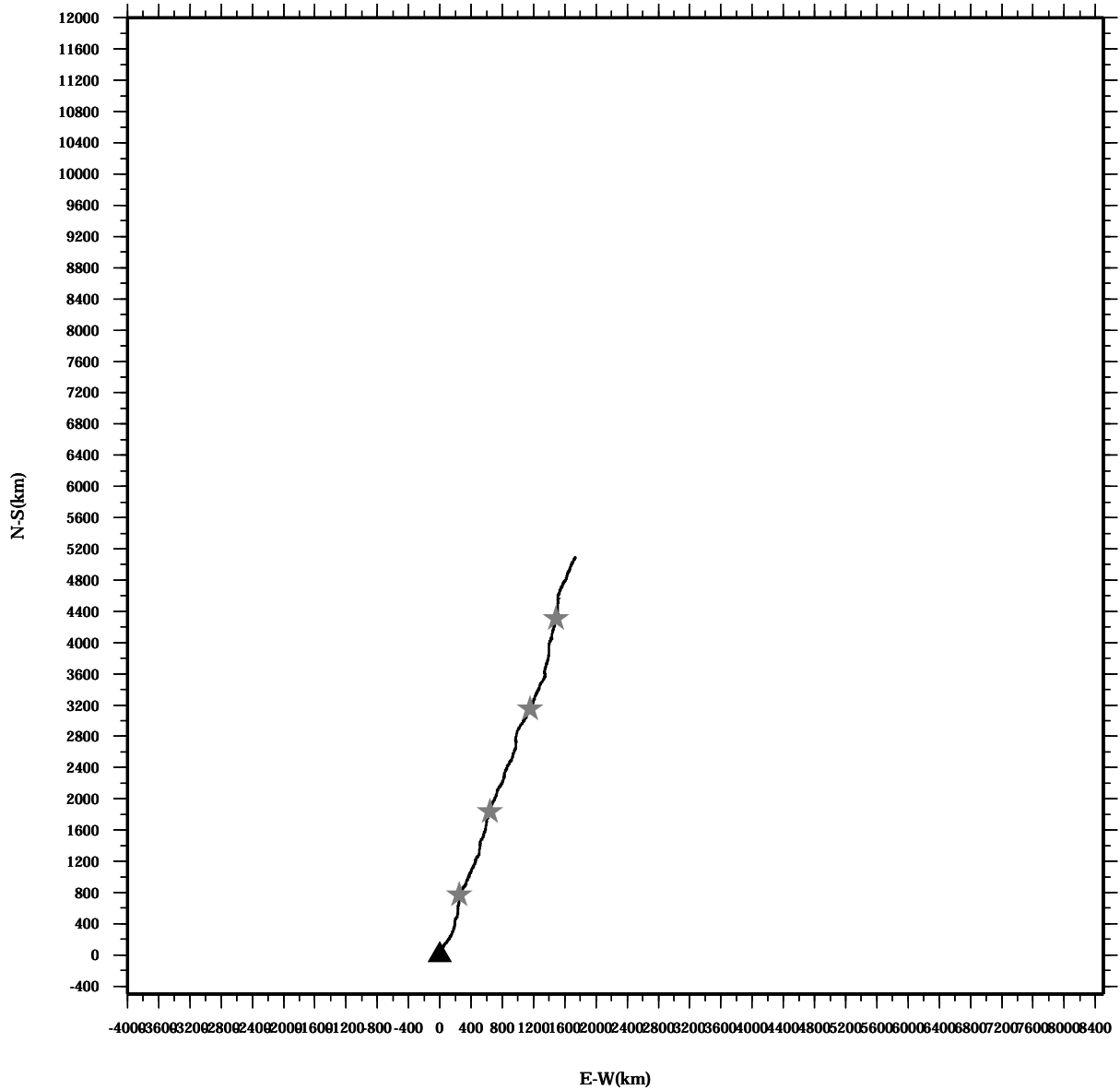
Lon: 121° 17.4341' E

Station: W104

Lat: 22° 38.8623' N

Depth: 154 M

PROGRESSIVE VECTOR DIAGRAM



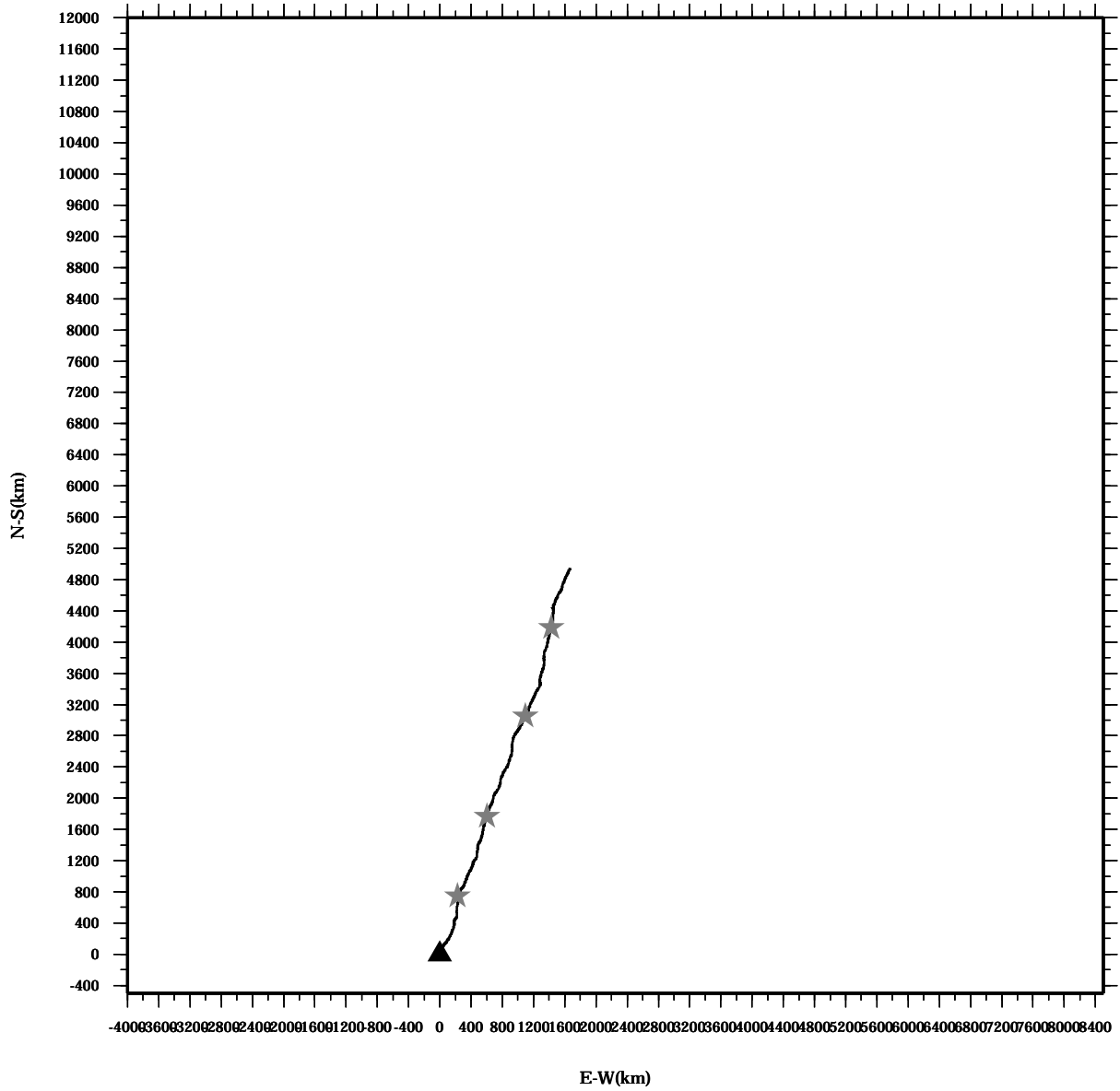
Lon: 121° 17.4341' E

Station: W104

Lat: 22° 38.8623' N

Depth: 158 M

PROGRESSIVE VECTOR DIAGRAM



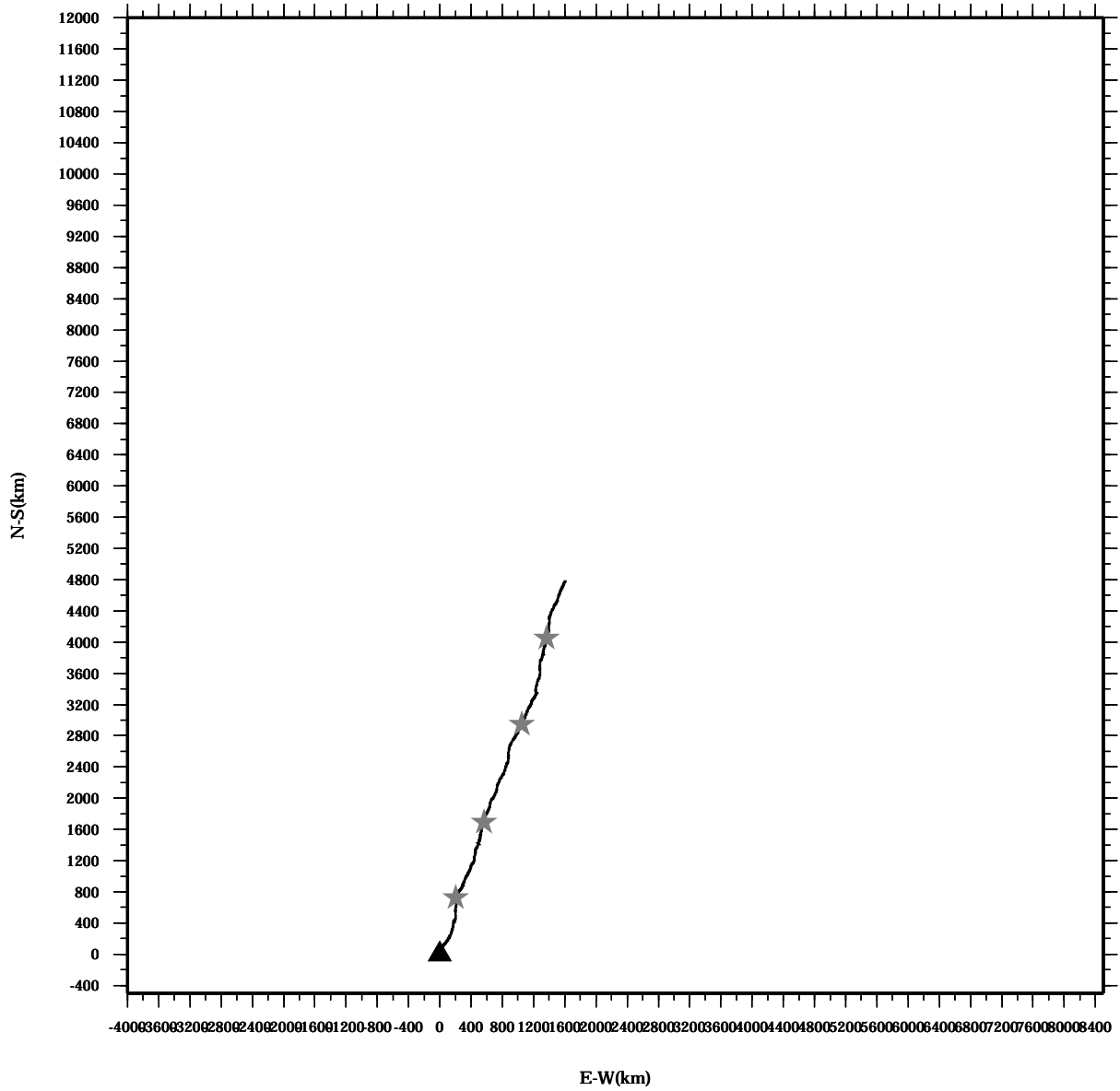
Lon: 121° 17.4341' E

Station: W104

Lat: 22° 38.8623' N

Depth: 162 M

PROGRESSIVE VECTOR DIAGRAM



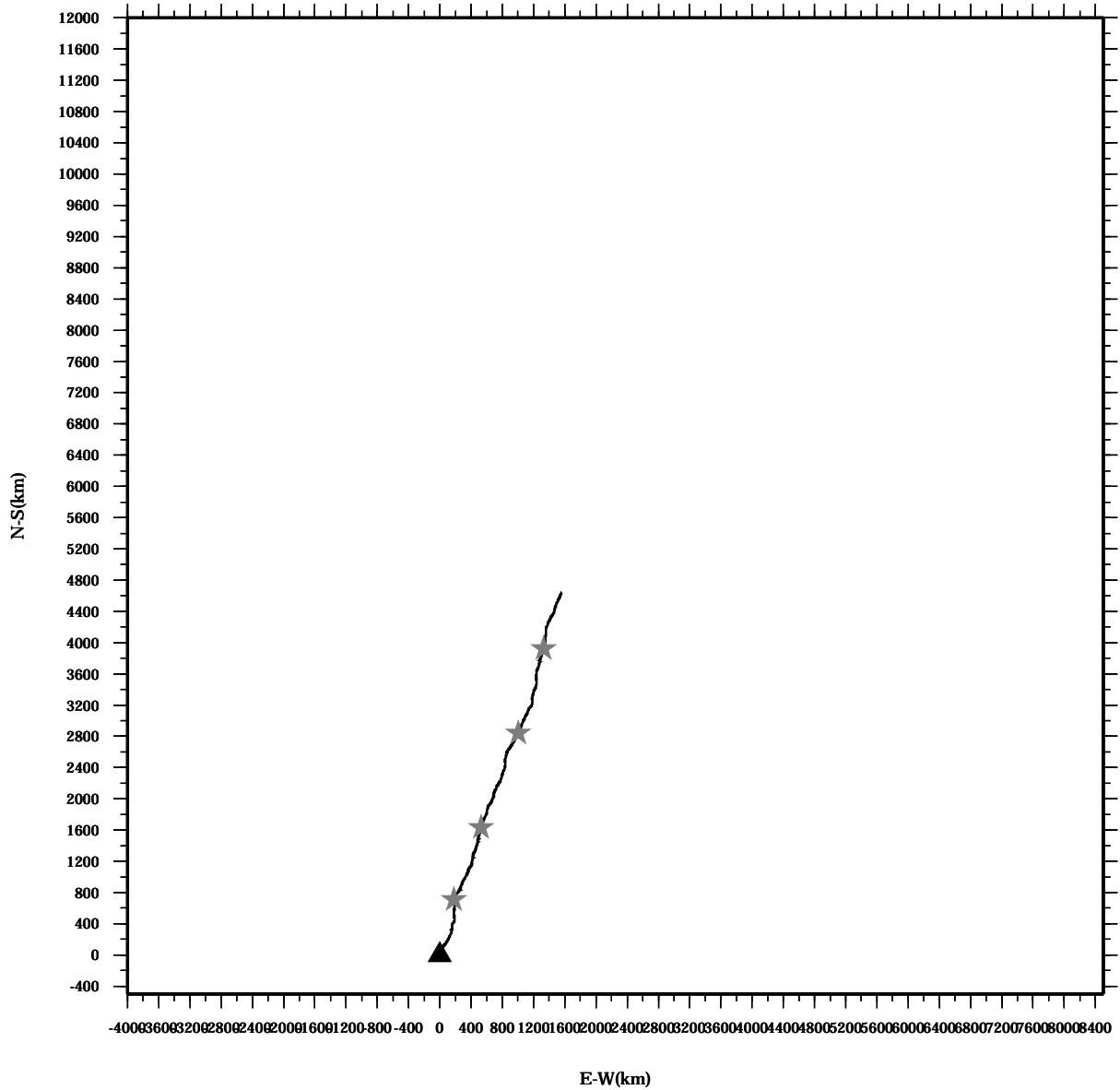
Lon: 121° 17.4341' E

Station: W104

Lat: 22° 38.8623' N

Depth: 166 M

PROGRESSIVE VECTOR DIAGRAM



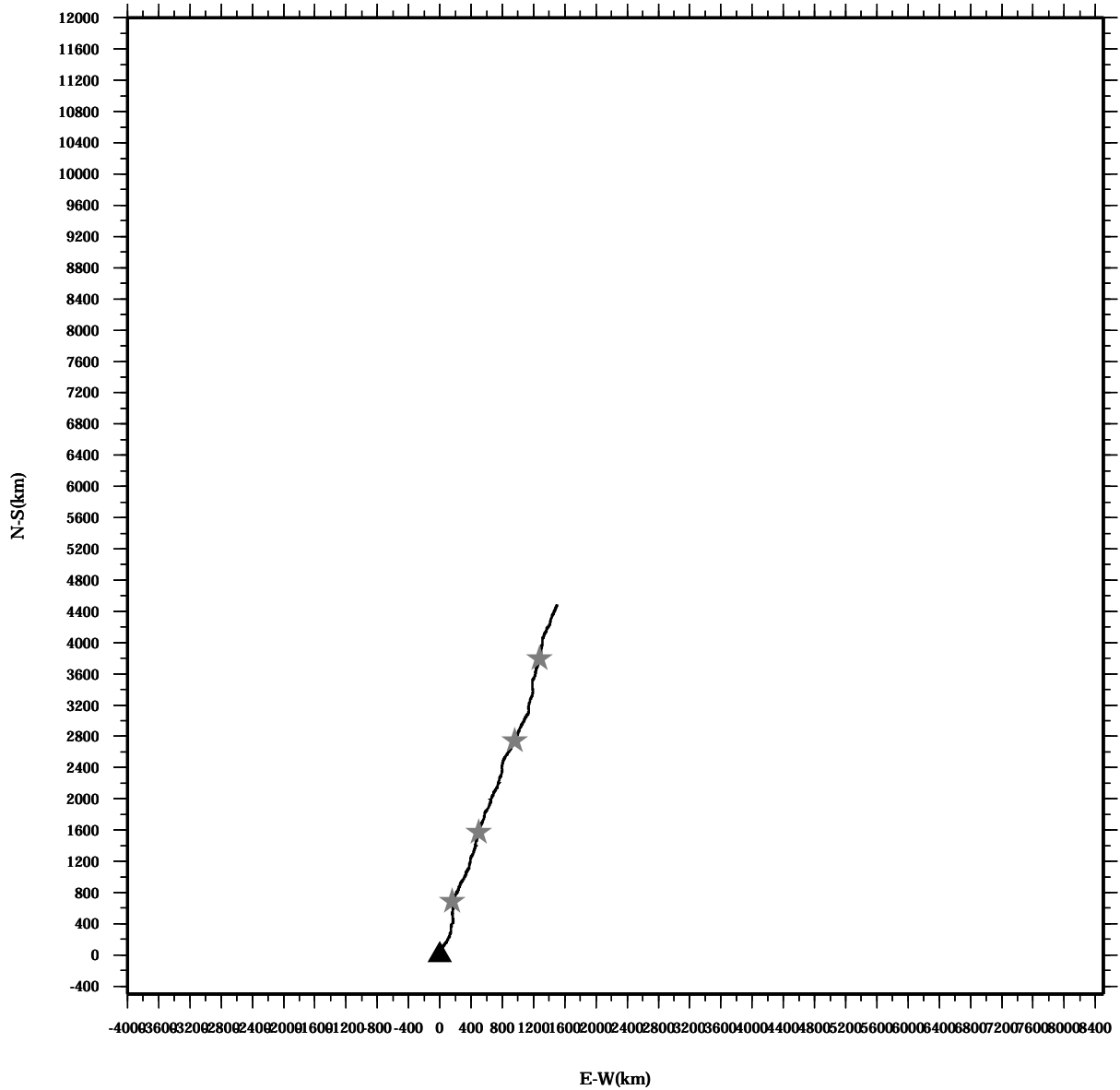
Lon: 121° 17.4341' E

Station: W104

Lat: 22° 38.8623' N

Depth: 170 M

PROGRESSIVE VECTOR DIAGRAM



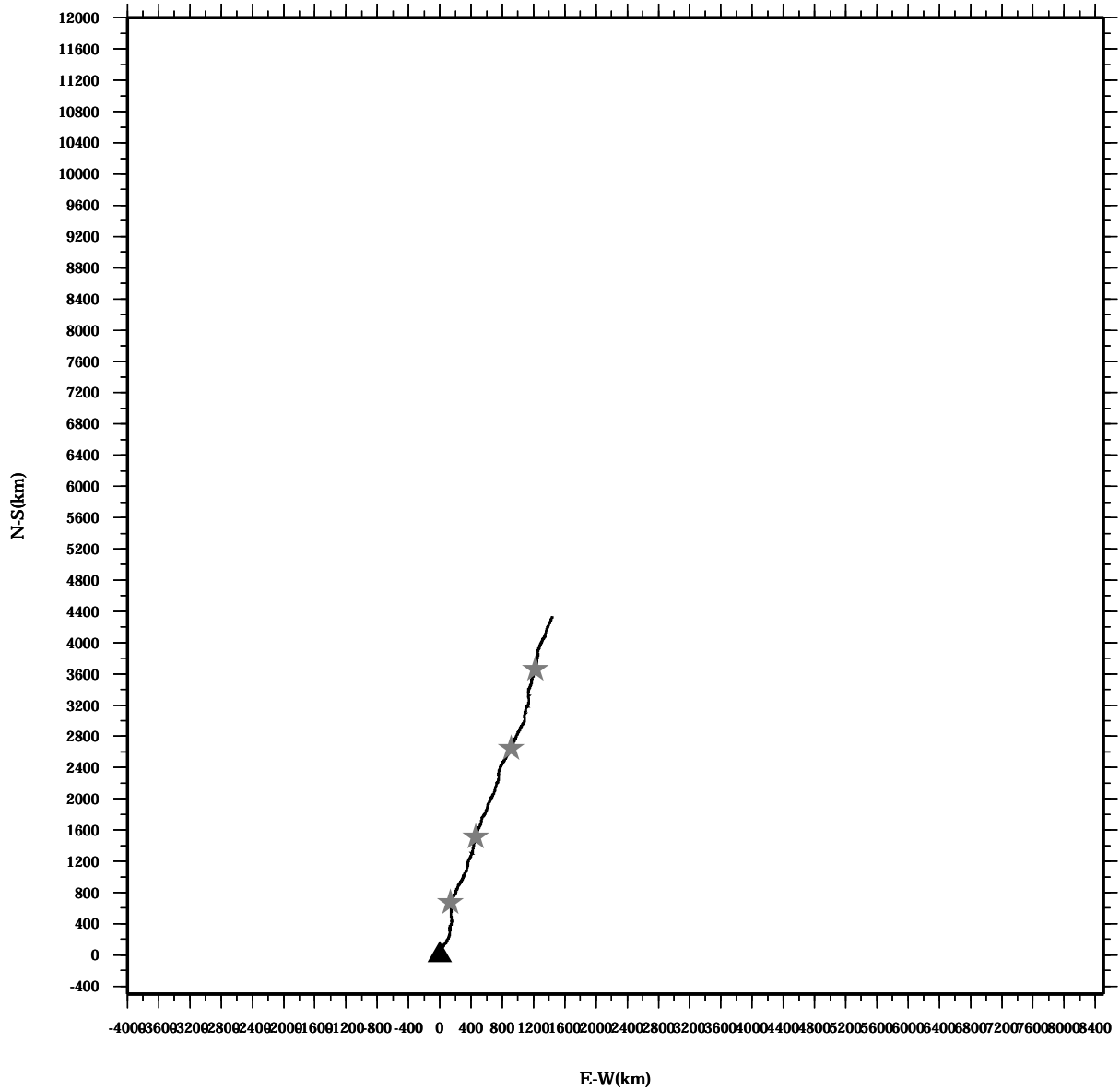
Lon: 121° 17.4341' E

Station: W104

Lat: 22° 38.8623' N

Depth: 174 M

PROGRESSIVE VECTOR DIAGRAM



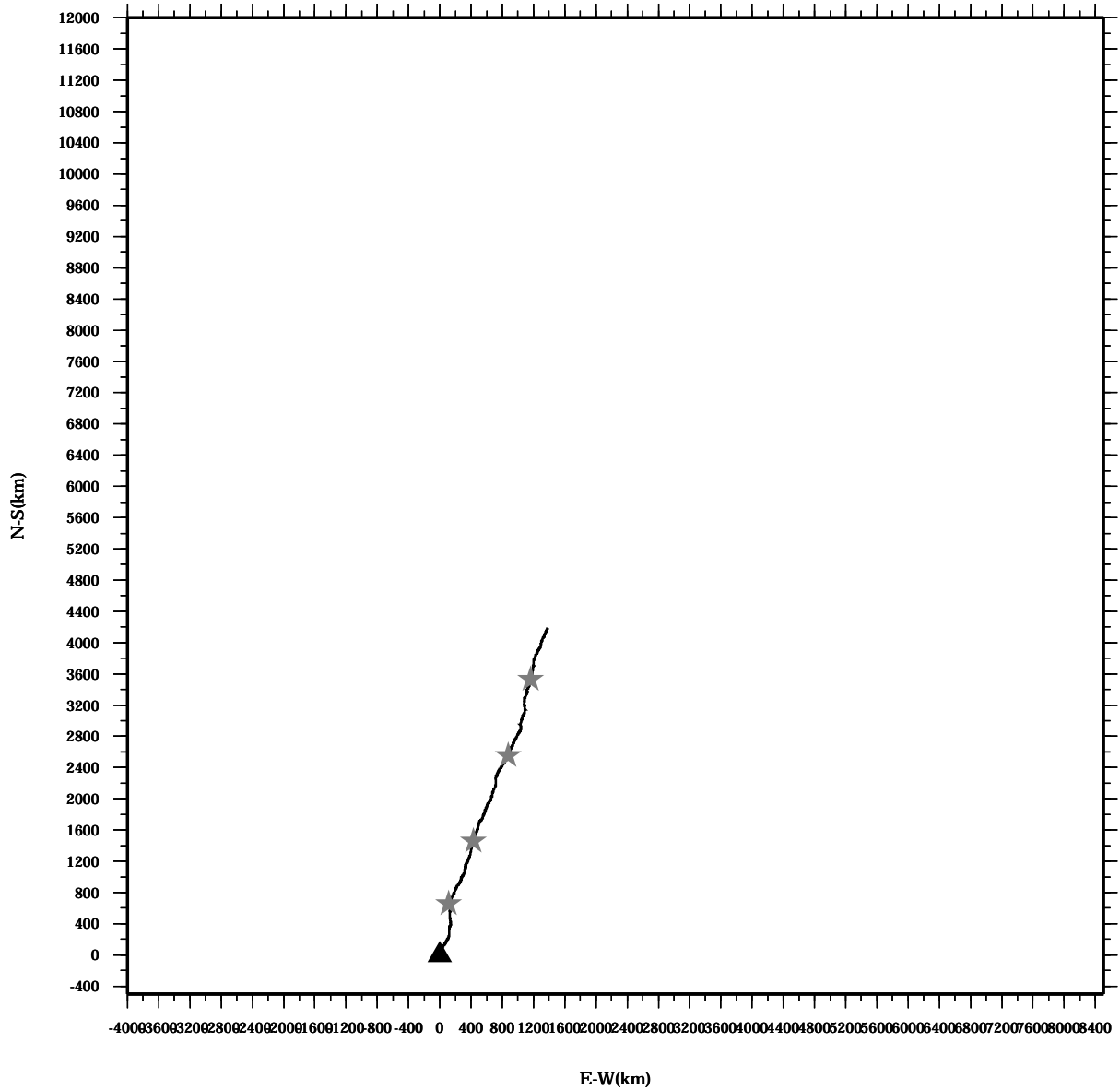
Lon: 121° 17.4341' E

Station: W104

Lat: 22° 38.8623' N

Depth: 178 M

PROGRESSIVE VECTOR DIAGRAM



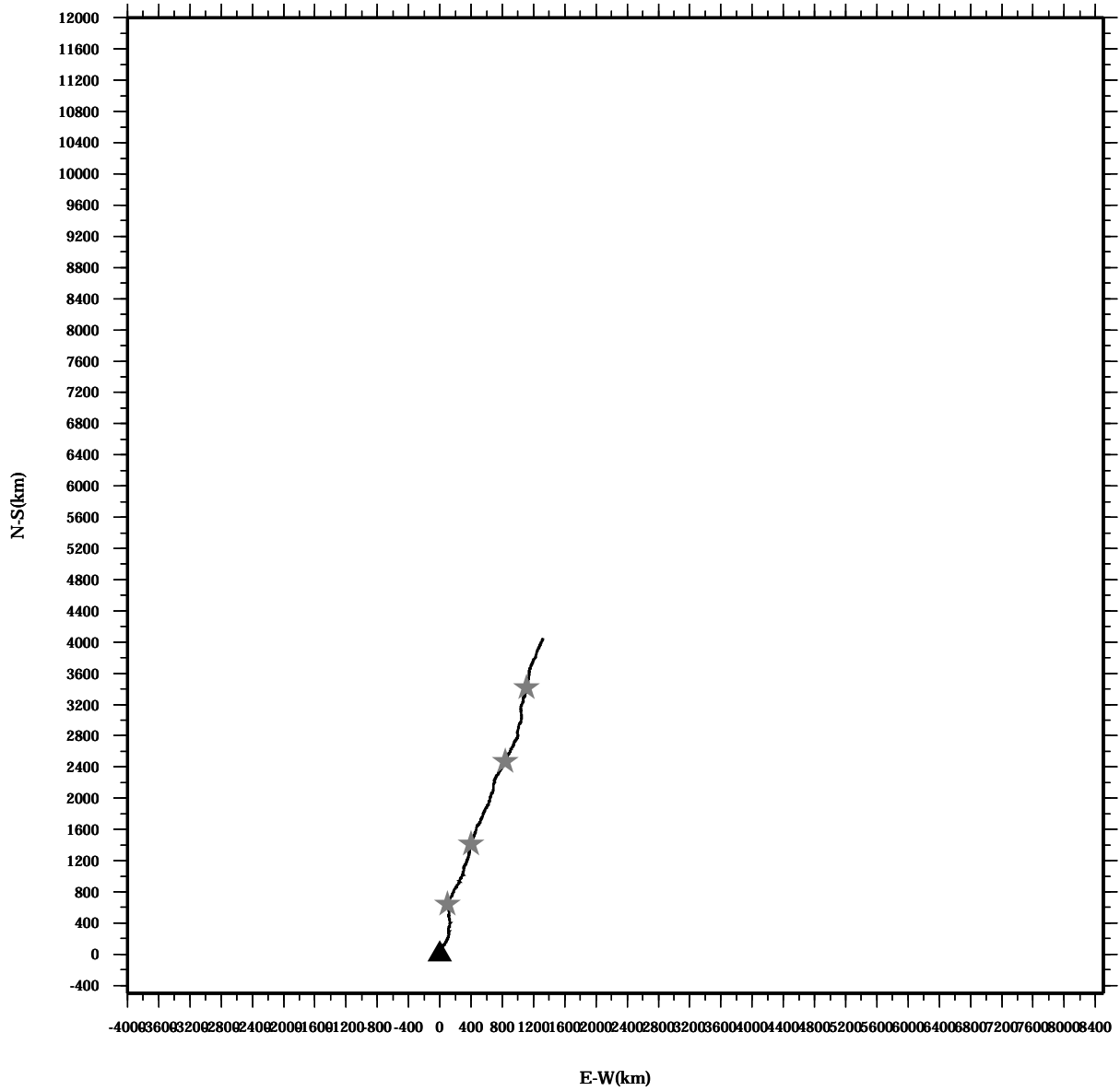
Lon: 121° 17.4341' E

Station: W104

Lat: 22° 38.8623' N

Depth: 182 M

PROGRESSIVE VECTOR DIAGRAM



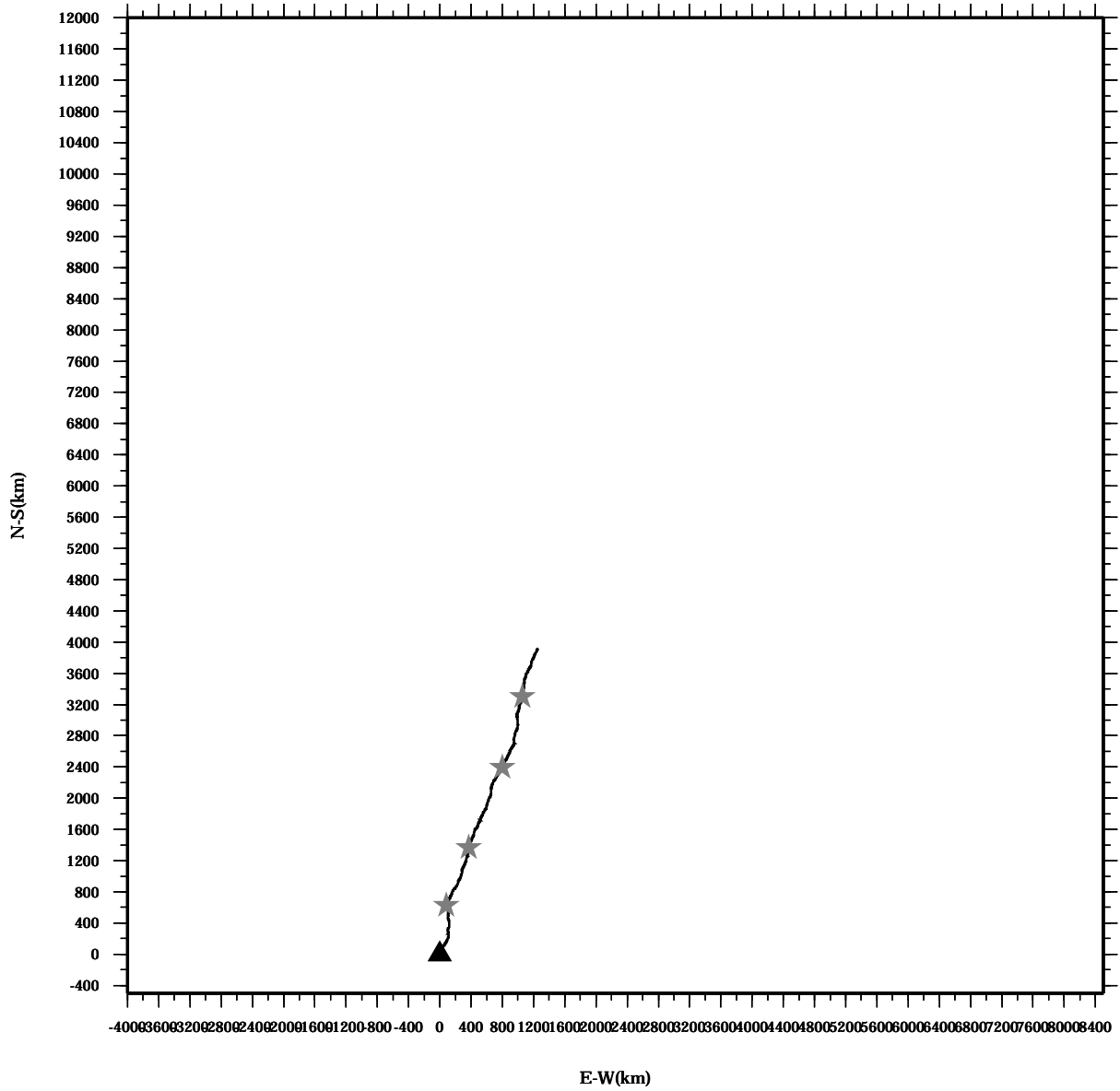
Lon: 121° 17.4341' E

Station: W104

Lat: 22° 38.8623' N

Depth: 186 M

PROGRESSIVE VECTOR DIAGRAM



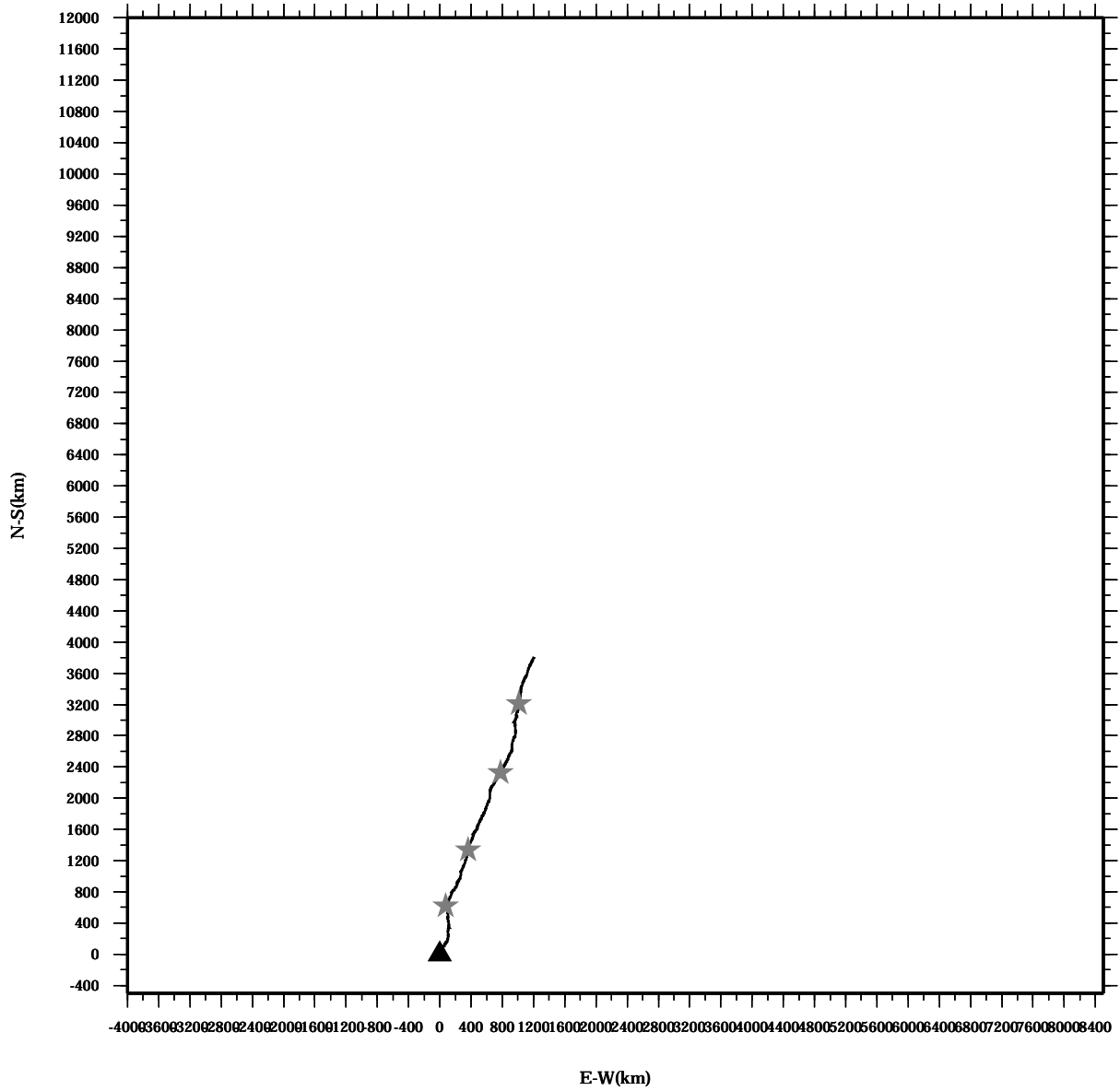
Lon: 121° 17.4341' E

Station: W104

Lat: 22° 38.8623' N

Depth: 190 M

PROGRESSIVE VECTOR DIAGRAM



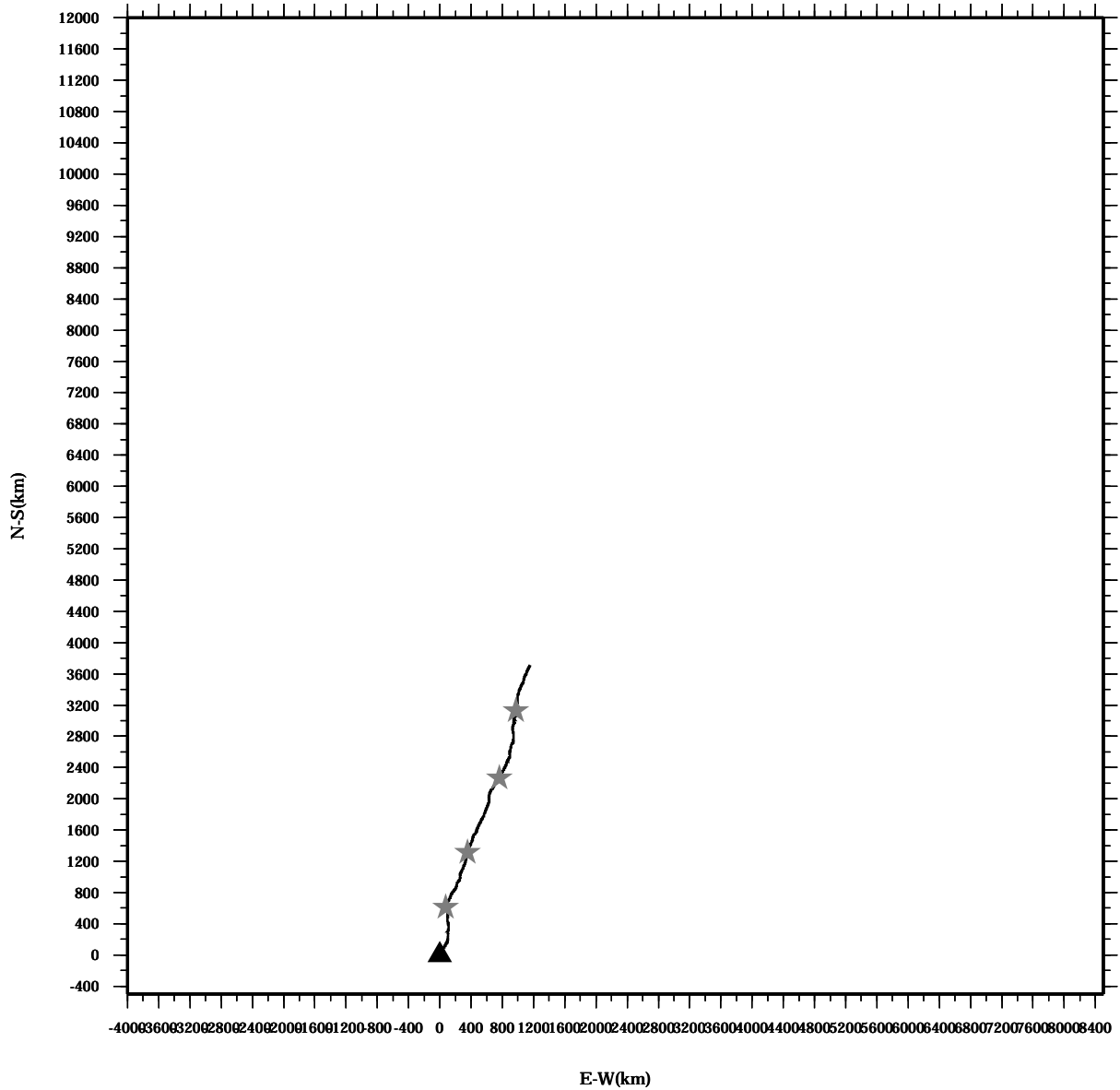
Lon: 121° 17.4341' E

Station: W104

Lat: 22° 38.8623' N

Depth: 194 M

PROGRESSIVE VECTOR DIAGRAM



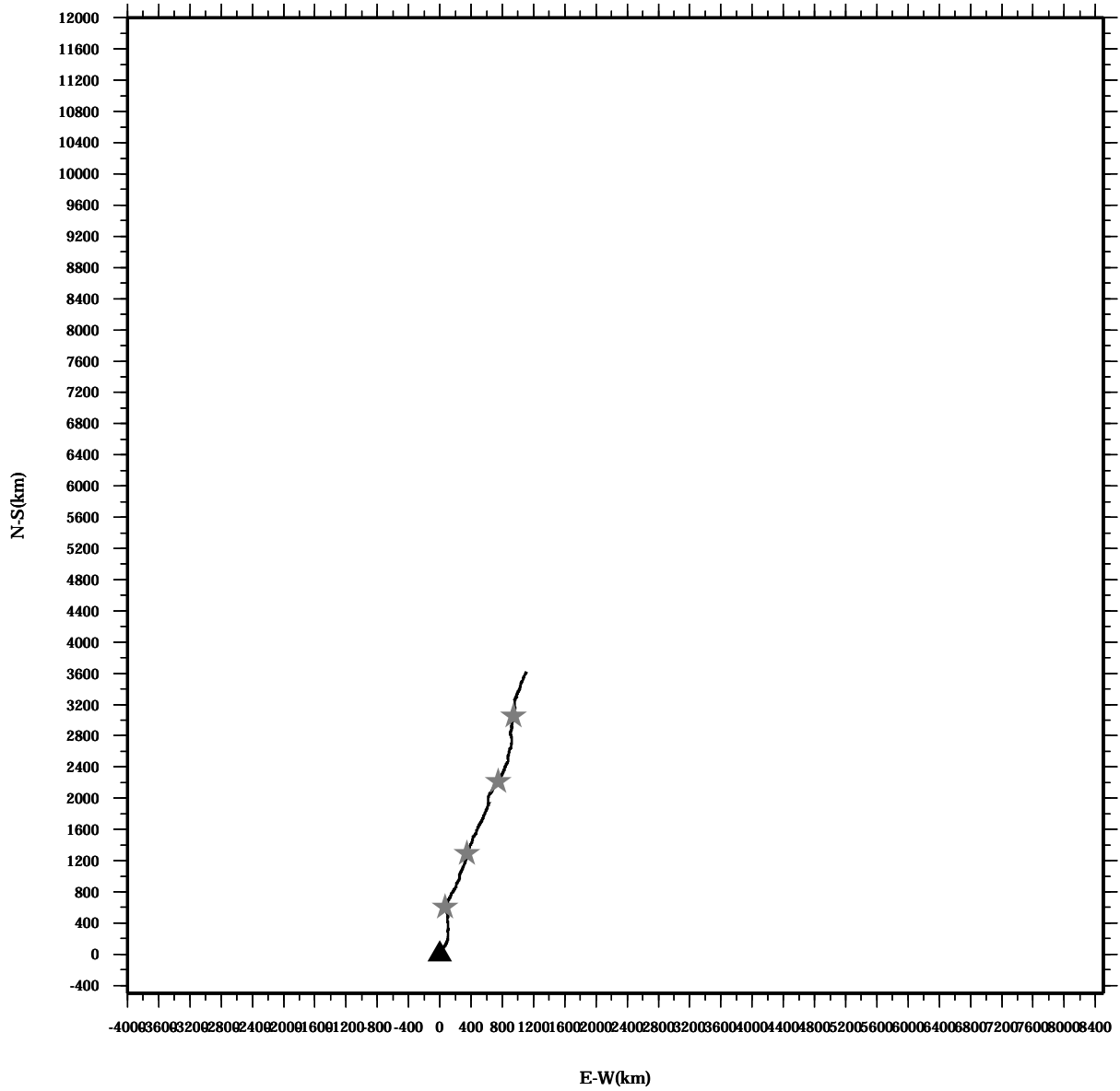
Lon: 121° 17.4341' E

Station: W104

Lat: 22° 38.8623' N

Depth: 198 M

PROGRESSIVE VECTOR DIAGRAM



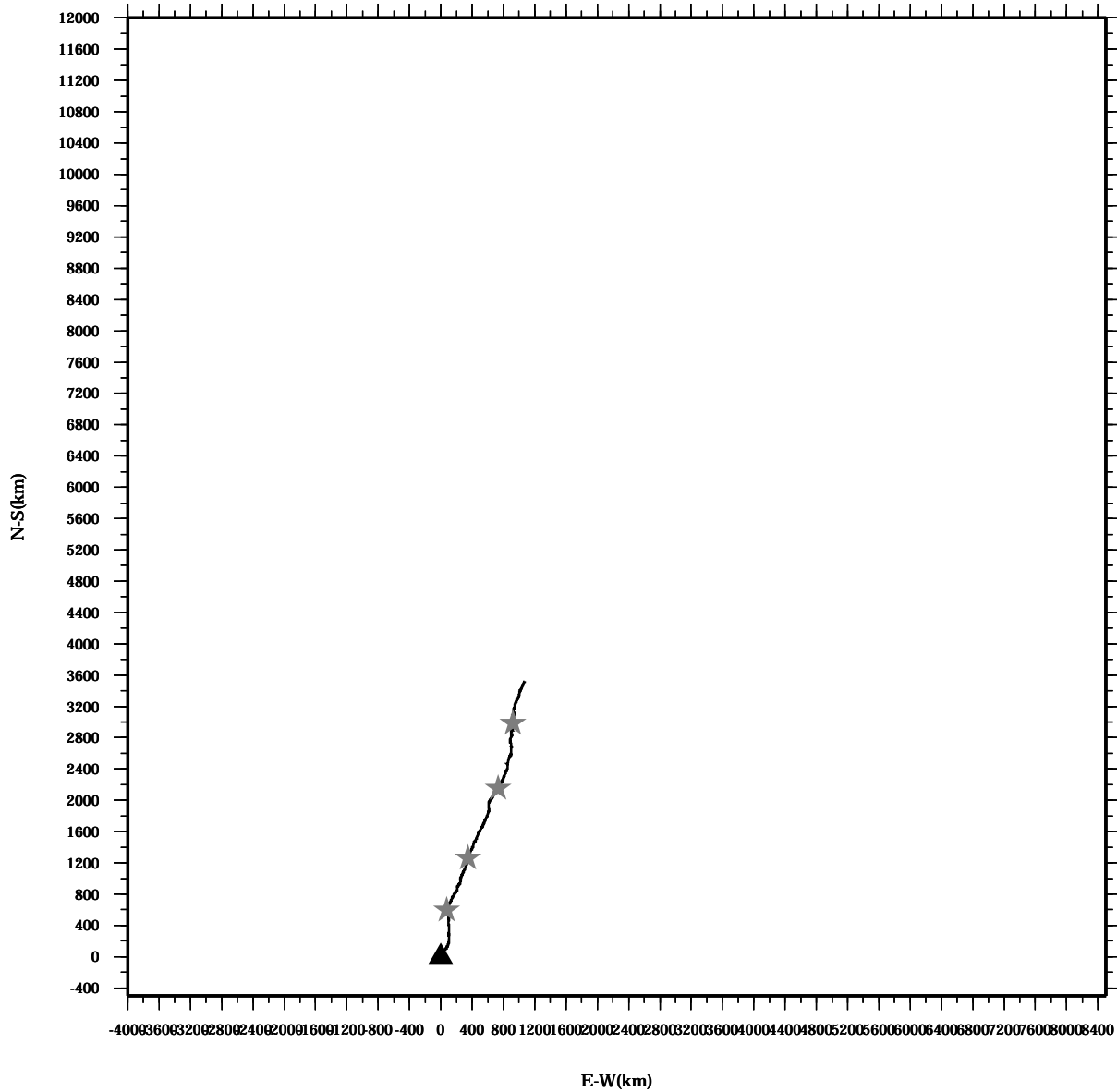
Lon: 121° 17.4341' E

Station: W104

Lat: 22° 38.8623' N

Depth: 202 M

PROGRESSIVE VECTOR DIAGRAM



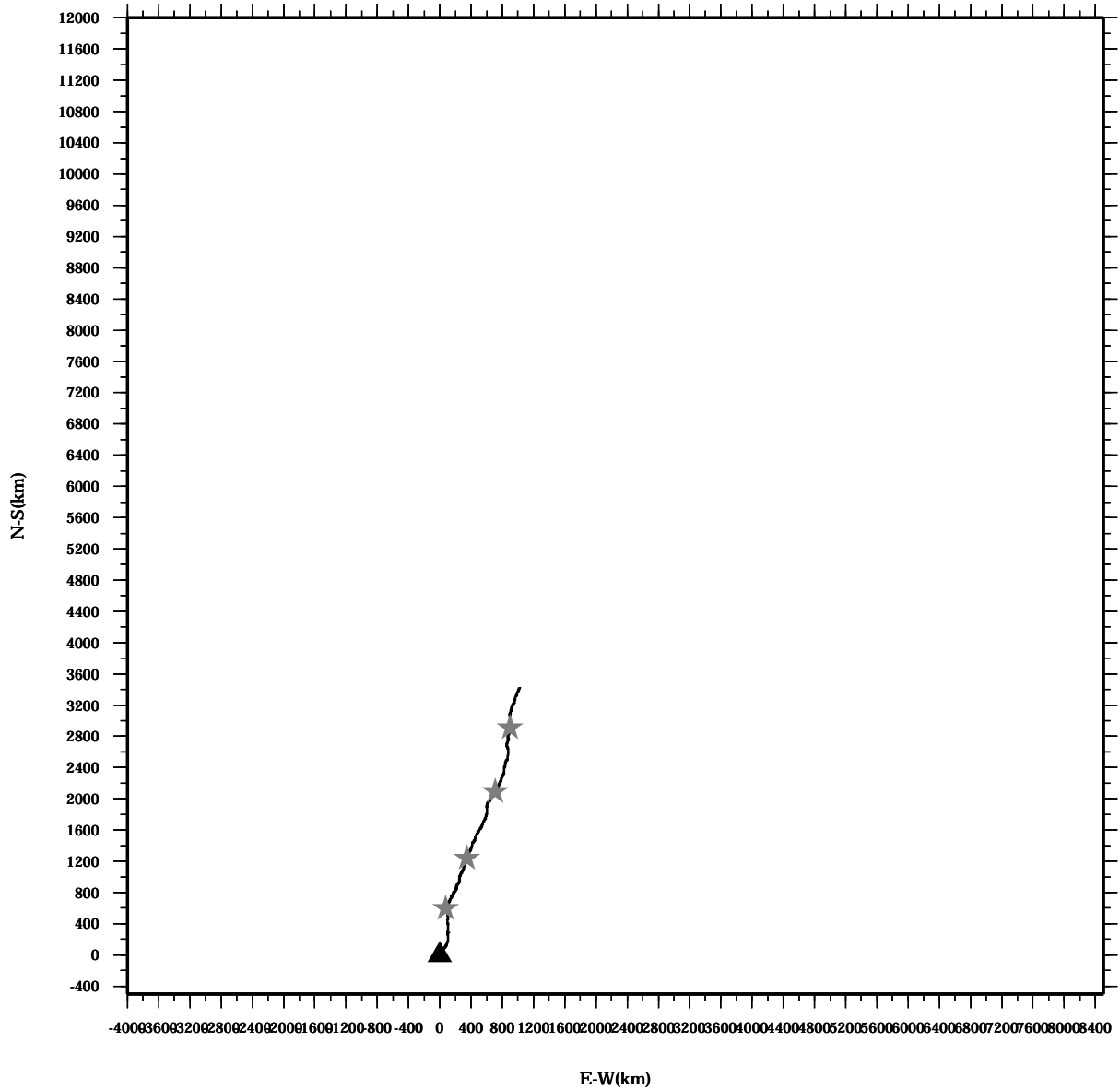
Lon: 121° 17.4341' E

Lat: 22° 38.8623' N

Station: W104

Depth: 206 M

PROGRESSIVE VECTOR DIAGRAM



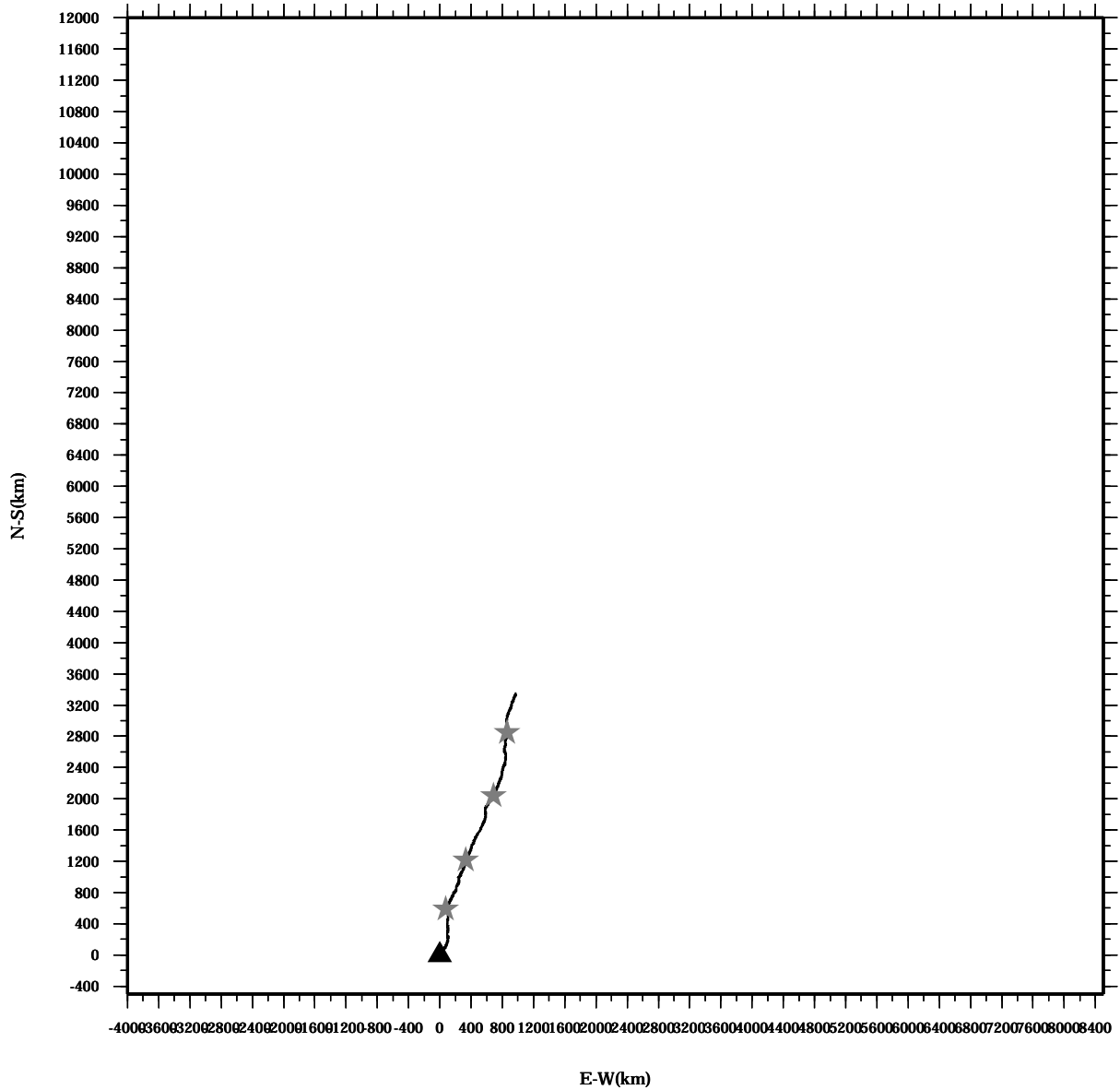
Lon: 121° 17.4341' E

Station: W104

Lat: 22° 38.8623' N

Depth: 210 M

PROGRESSIVE VECTOR DIAGRAM



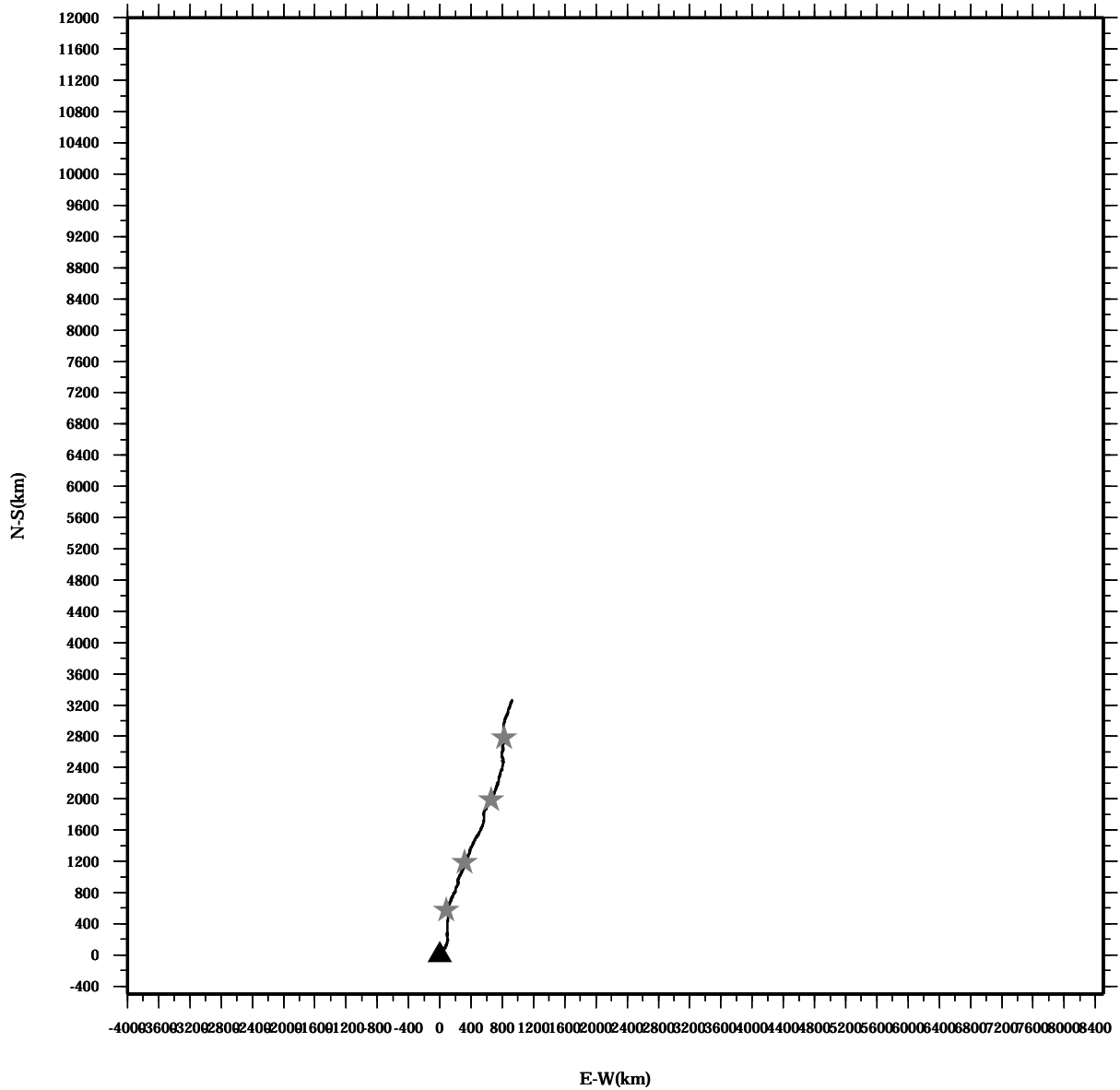
Lon: 121° 17.4341' E

Station: W104

Lat: 22° 38.8623' N

Depth: 214 M

PROGRESSIVE VECTOR DIAGRAM



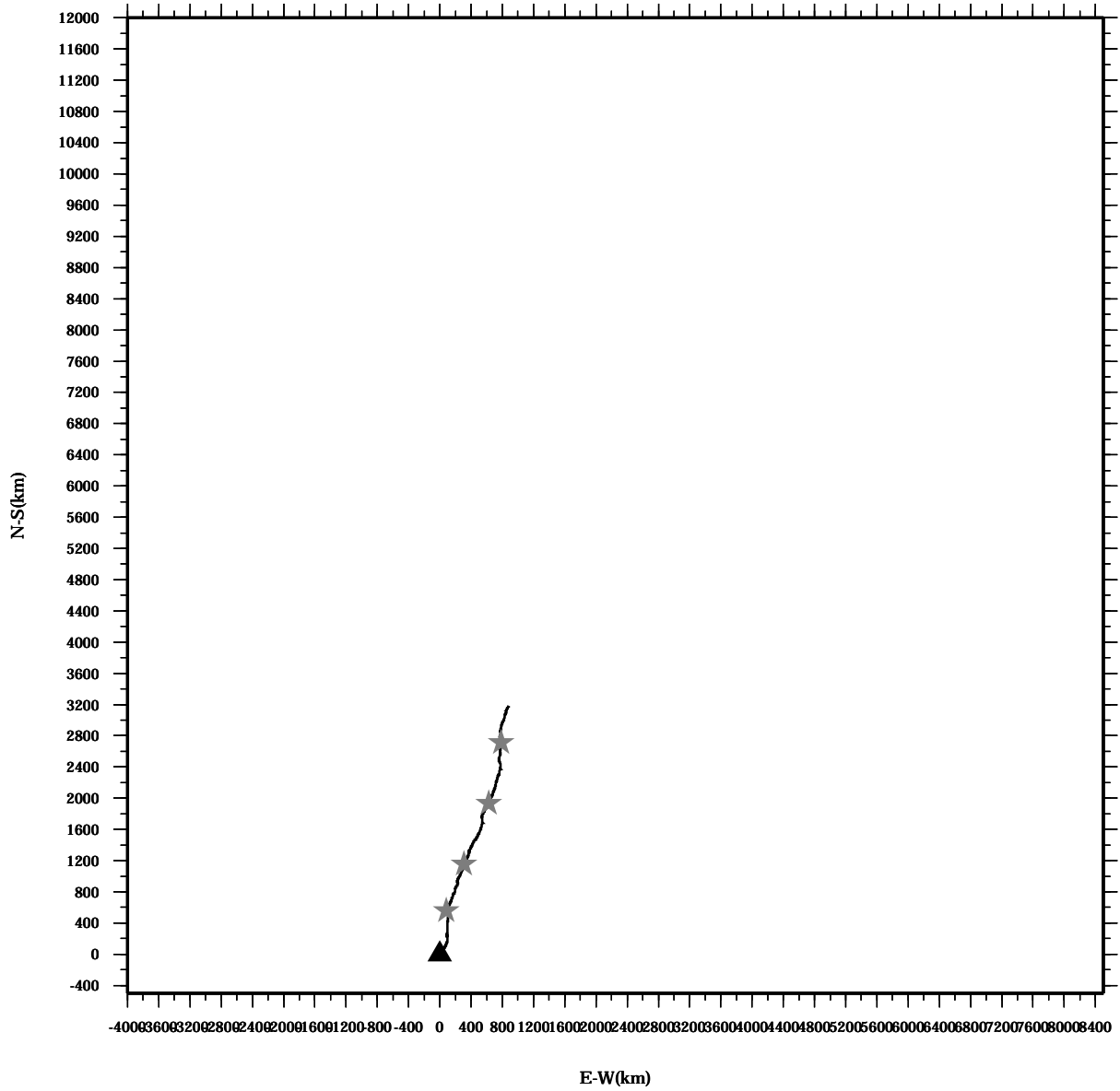
Lon: 121° 17.4341' E

Station: W104

Lat: 22° 38.8623' N

Depth: 218 M

PROGRESSIVE VECTOR DIAGRAM



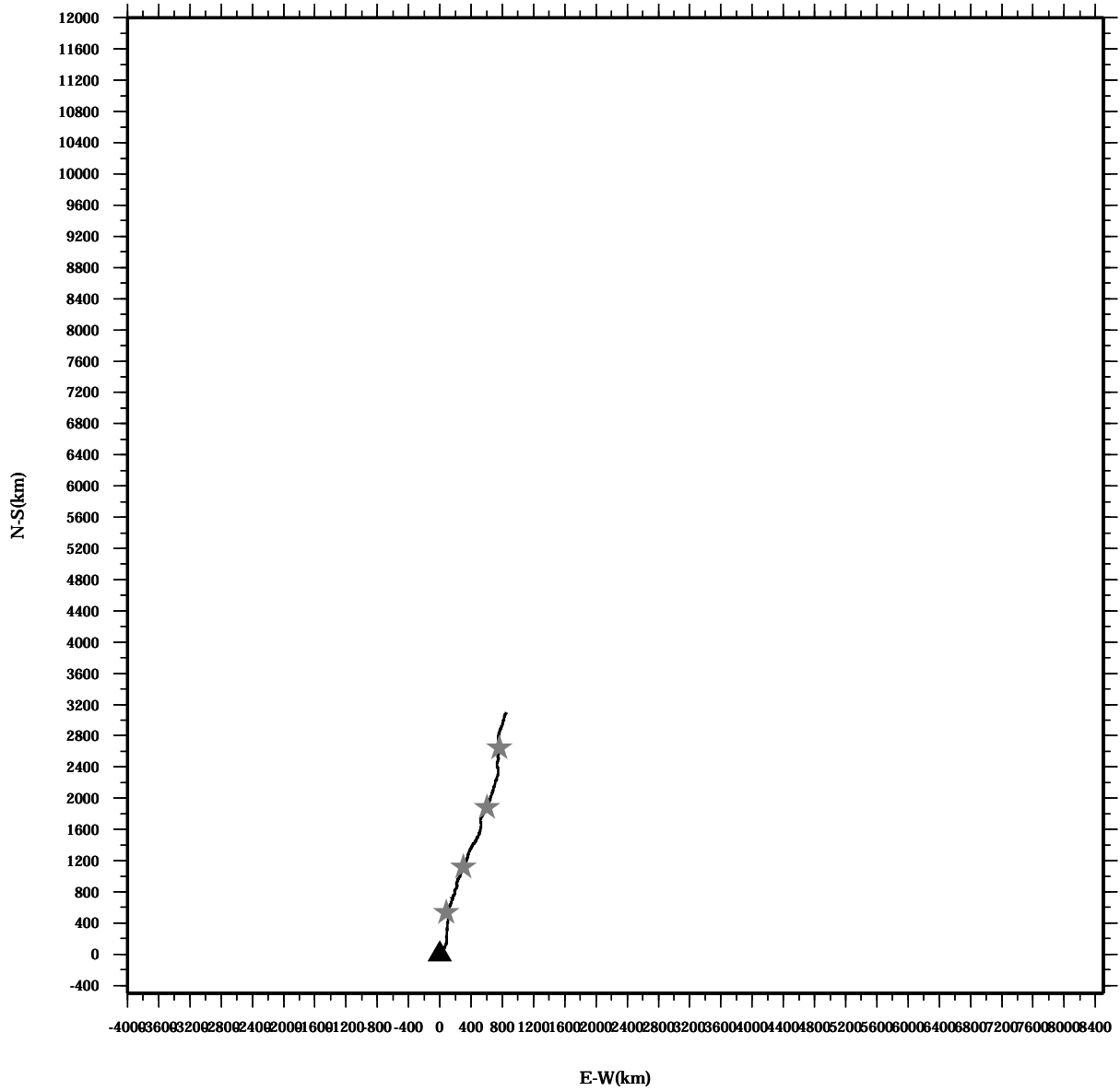
Lon: 121° 17.4341' E

Station: W104

Lat: 22° 38.8623' N

Depth: 222 M

PROGRESSIVE VECTOR DIAGRAM



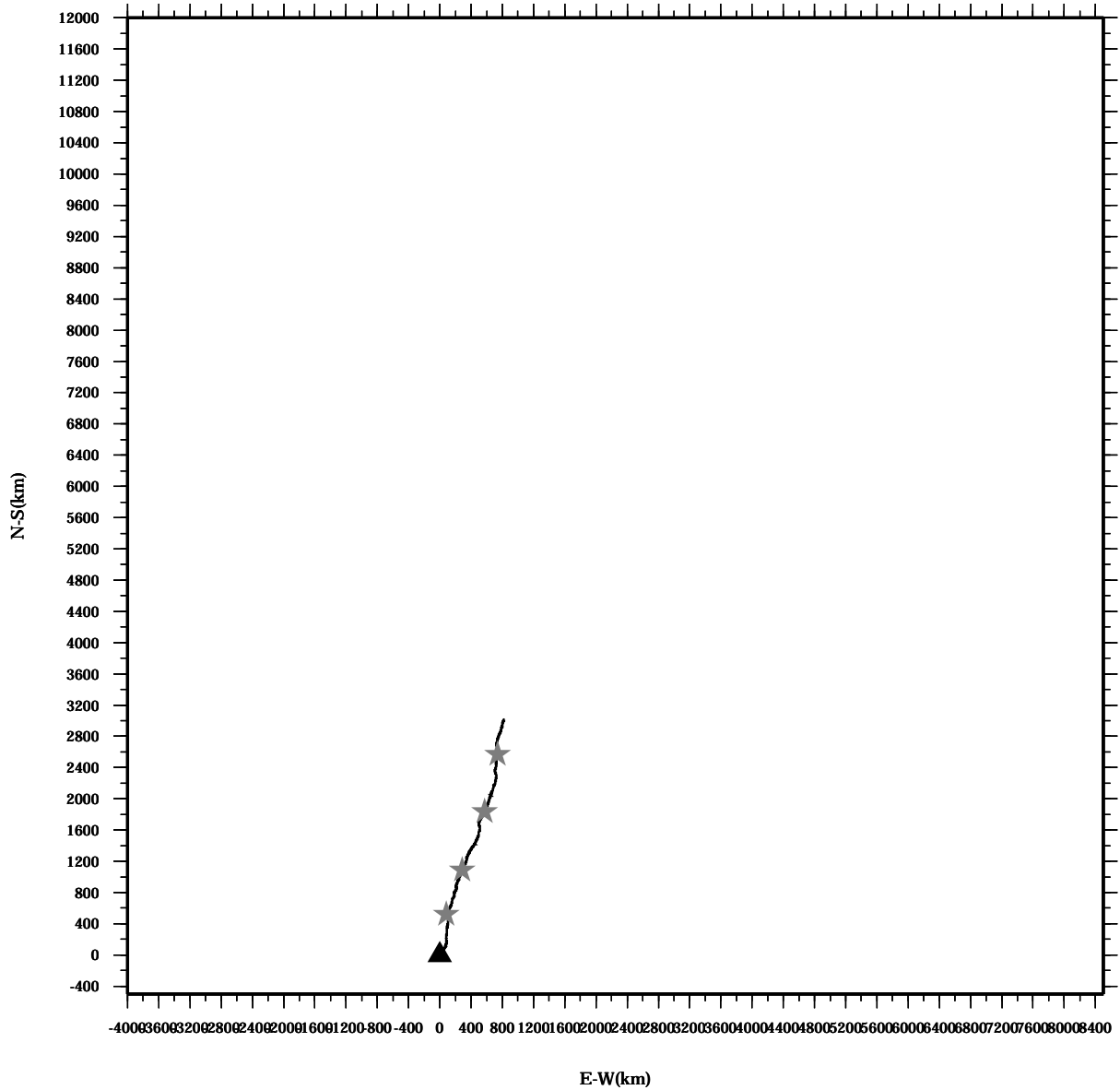
Lon: 121° 17.4341' E

Station: W104

Lat: 22° 38.8623' N

Depth: 226 M

PROGRESSIVE VECTOR DIAGRAM



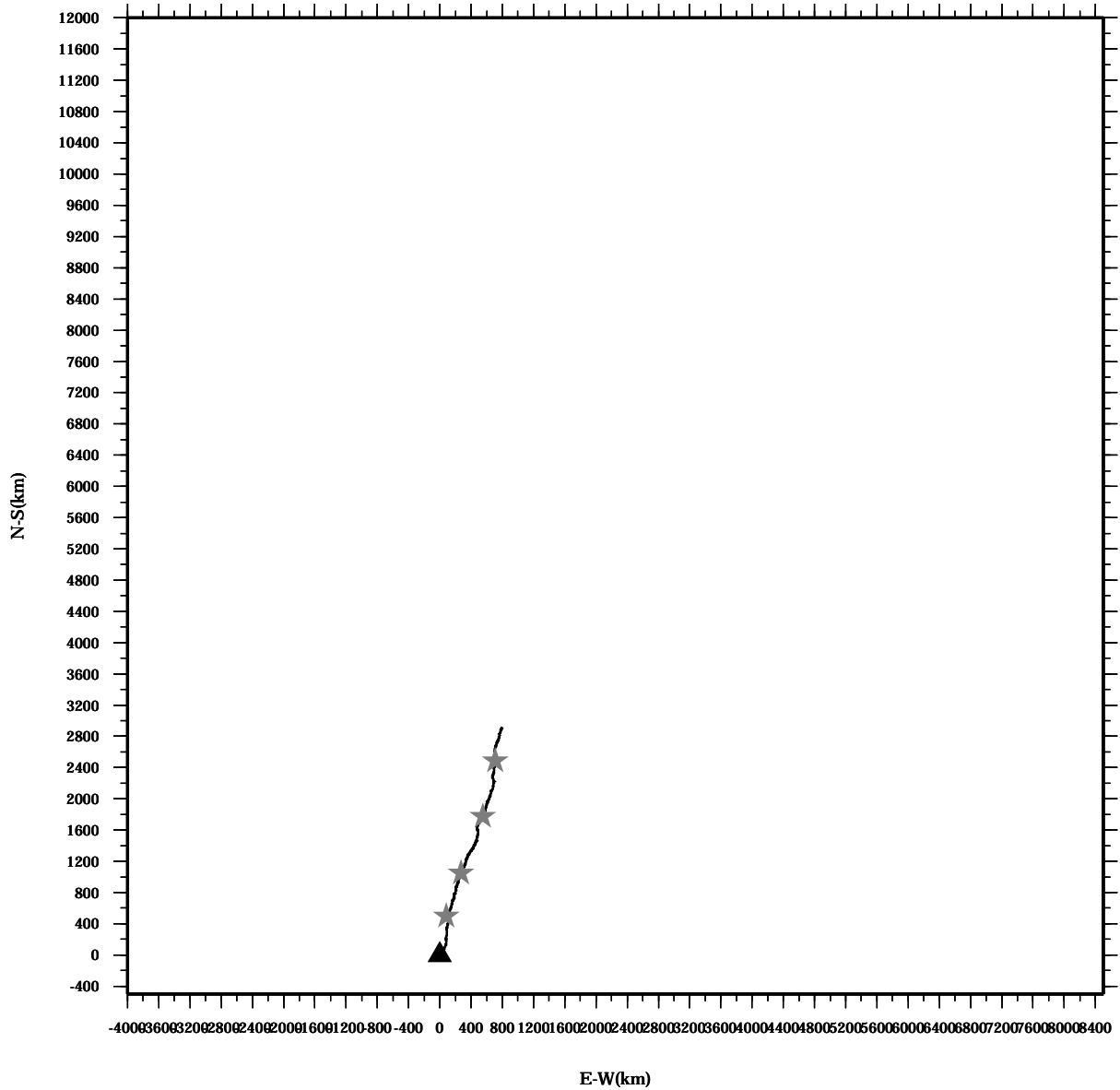
Lon: 121° 17.4341' E

Station: W104

Lat: 22° 38.8623' N

Depth: 230 M

PROGRESSIVE VECTOR DIAGRAM



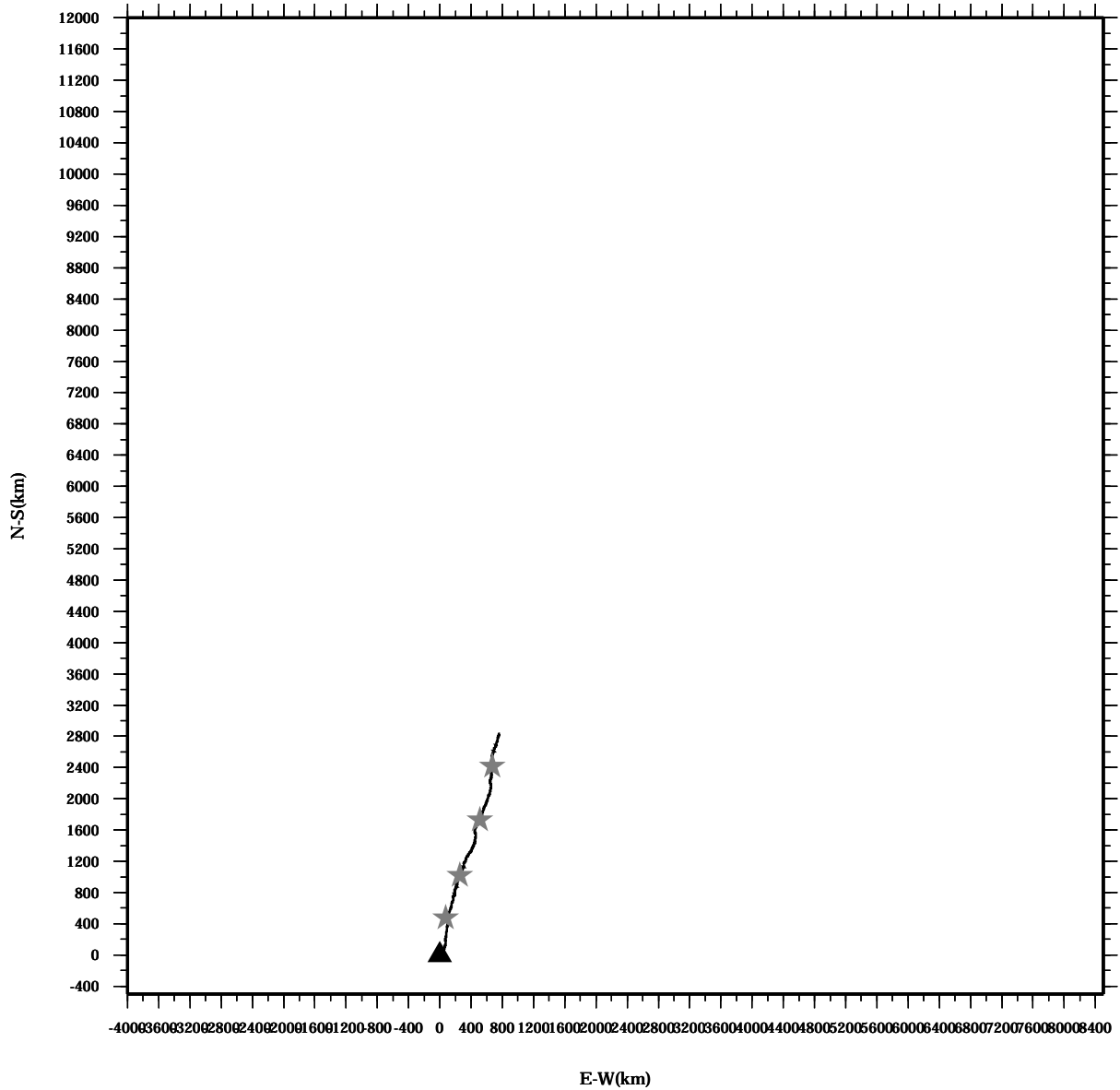
Lon: 121° 17.4341' E

Station: W104

Lat: 22° 38.8623' N

Depth: 234 M

PROGRESSIVE VECTOR DIAGRAM



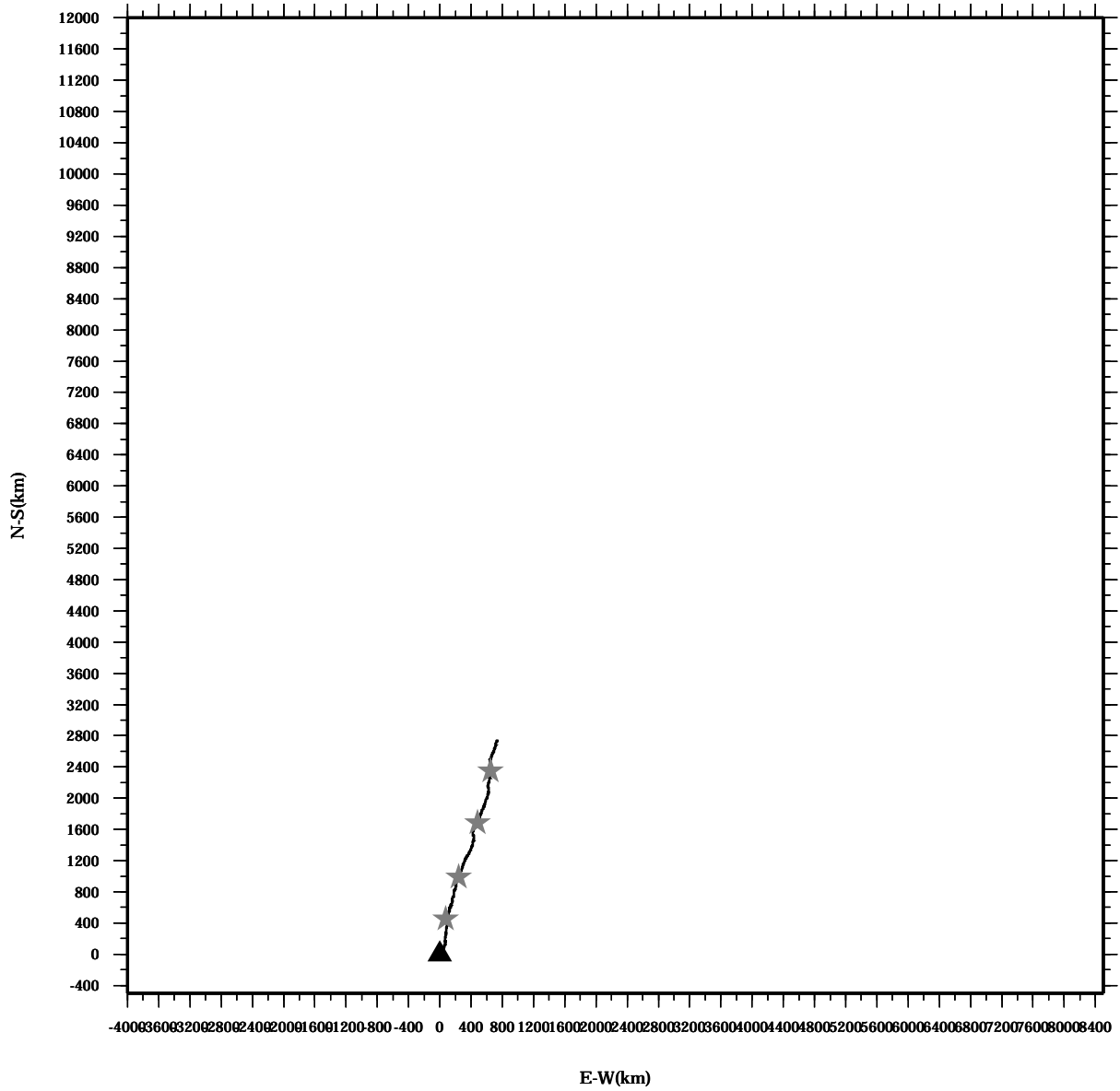
Lon: 121° 17.4341' E

Station: W104

Lat: 22° 38.8623' N

Depth: 238 M

PROGRESSIVE VECTOR DIAGRAM



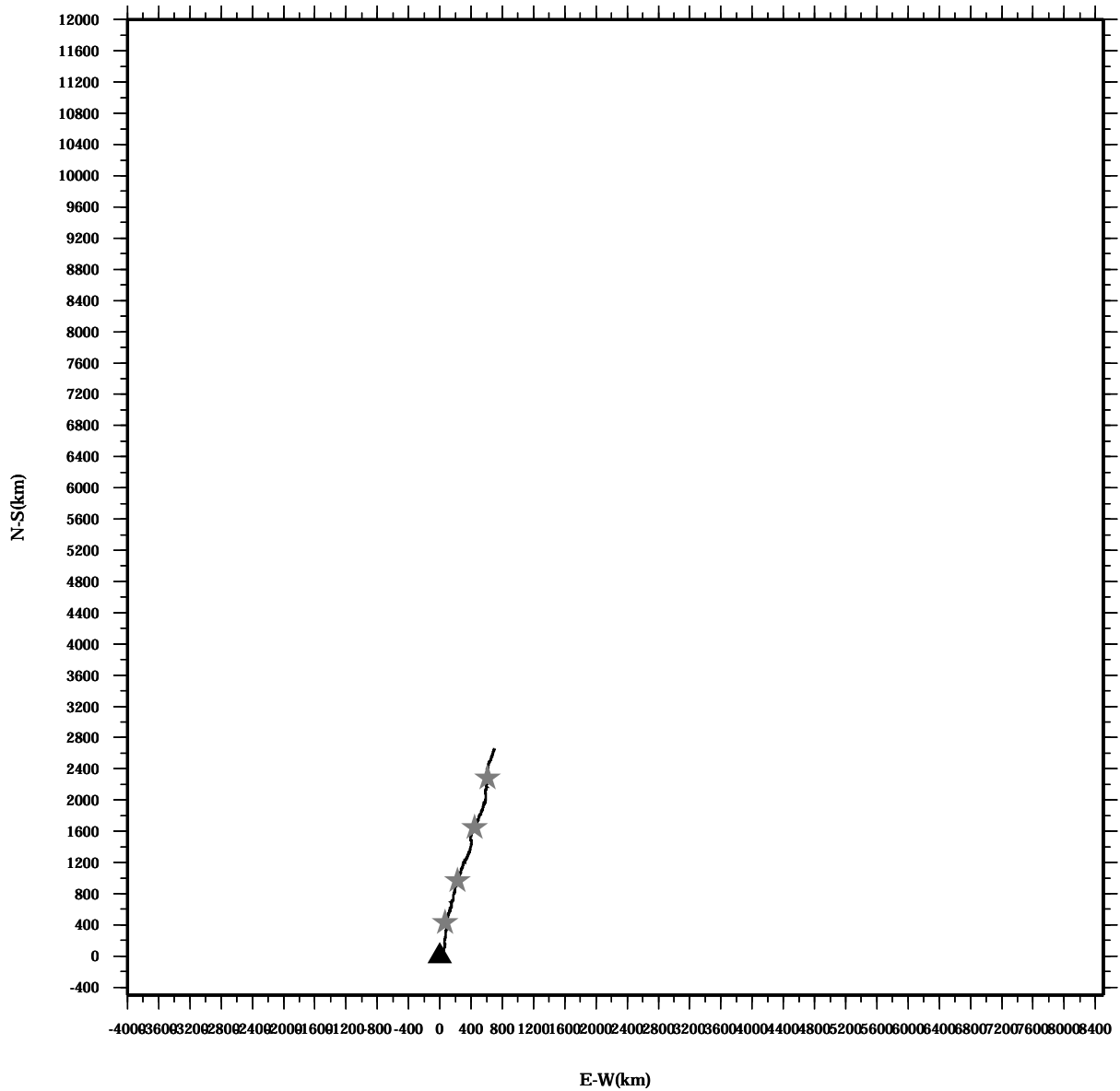
Lon: 121° 17.4341' E

Station: W104

Lat: 22° 38.8623' N

Depth: 242 M

PROGRESSIVE VECTOR DIAGRAM



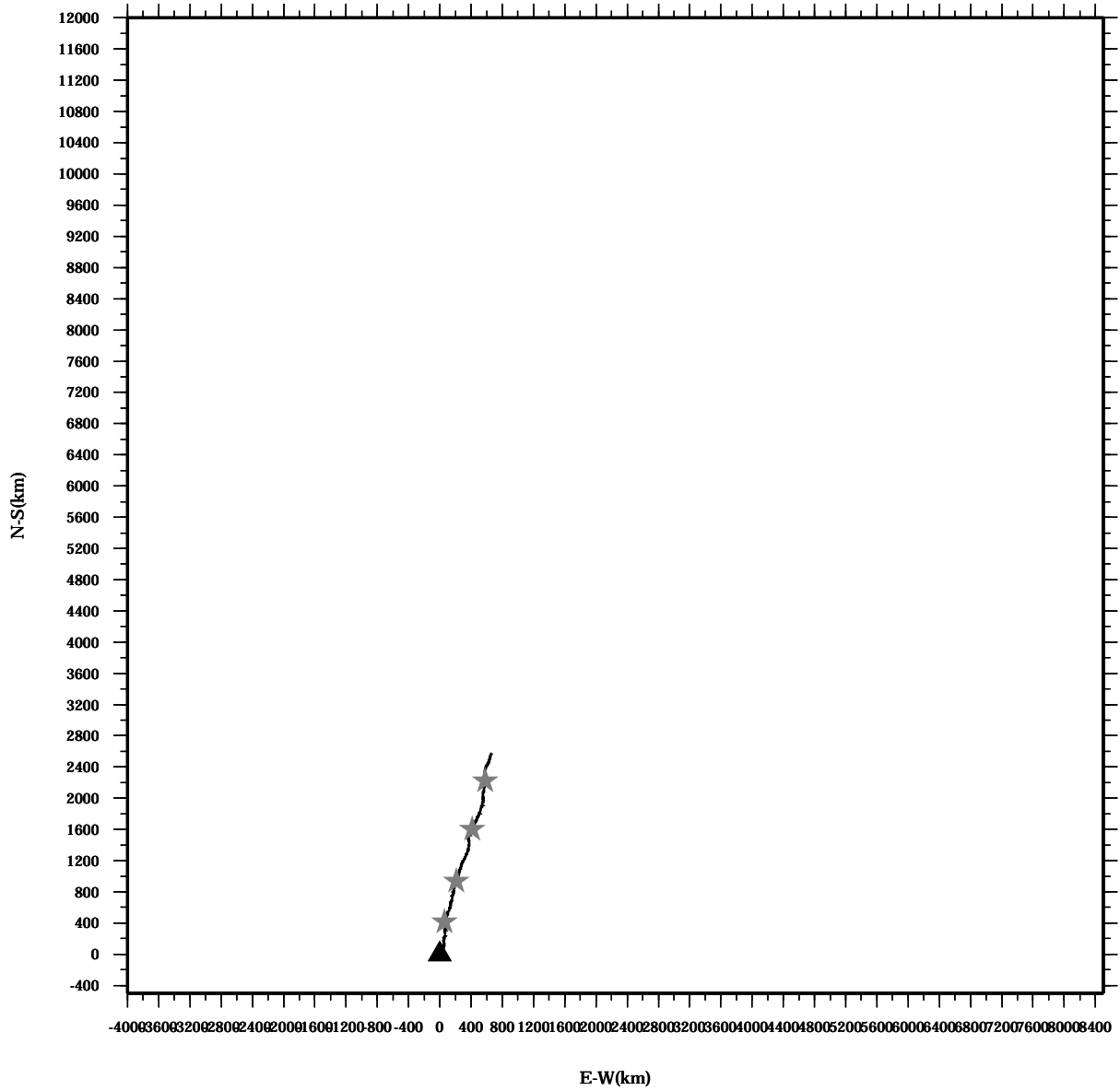
Lon: 121° 17.4341' E

Station: W104

Lat: 22° 38.8623' N

Depth: 246 M

PROGRESSIVE VECTOR DIAGRAM



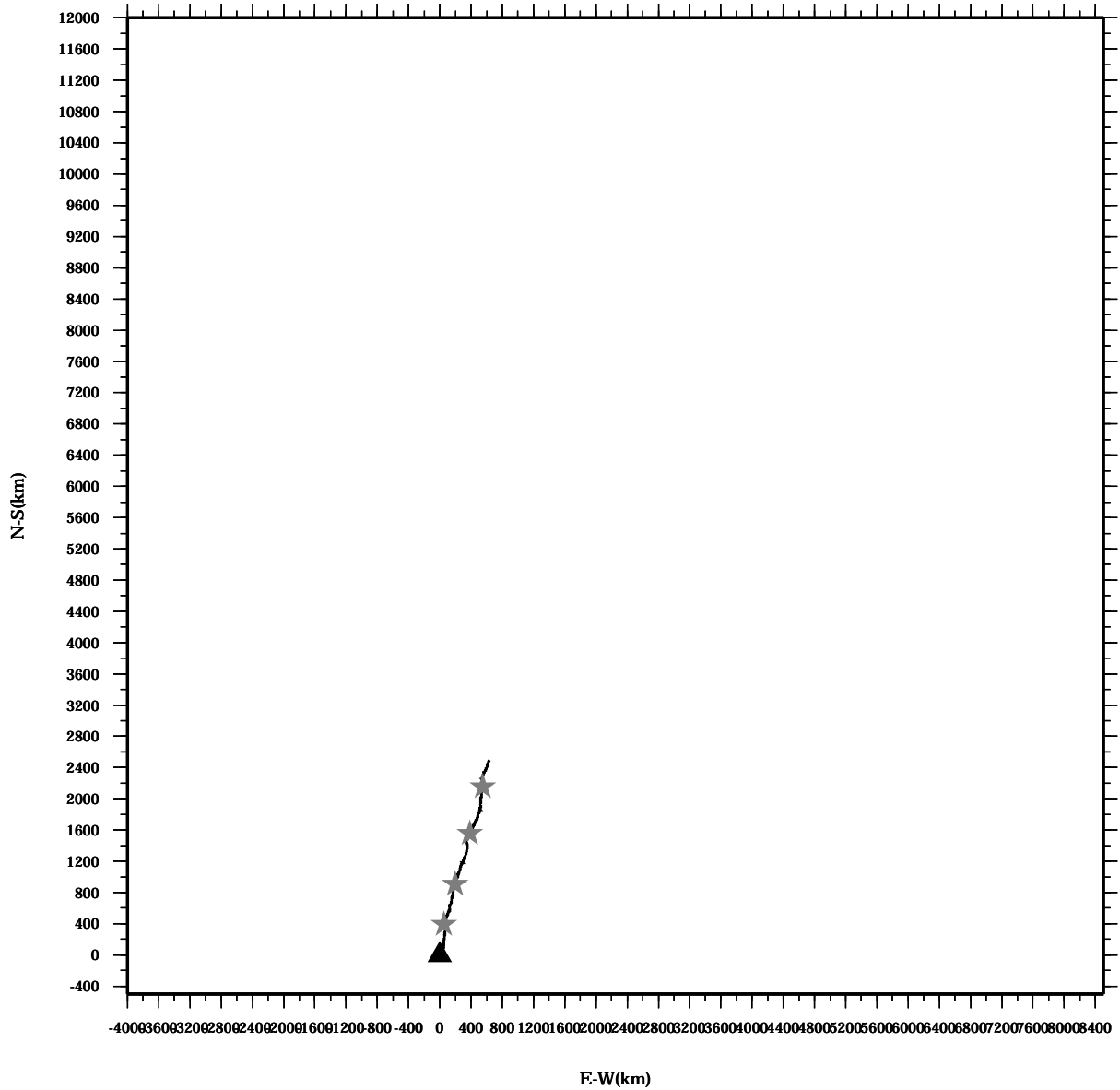
Lon: 121° 17.4341' E

Station: W104

Lat: 22° 38.8623' N

Depth: 250 M

PROGRESSIVE VECTOR DIAGRAM



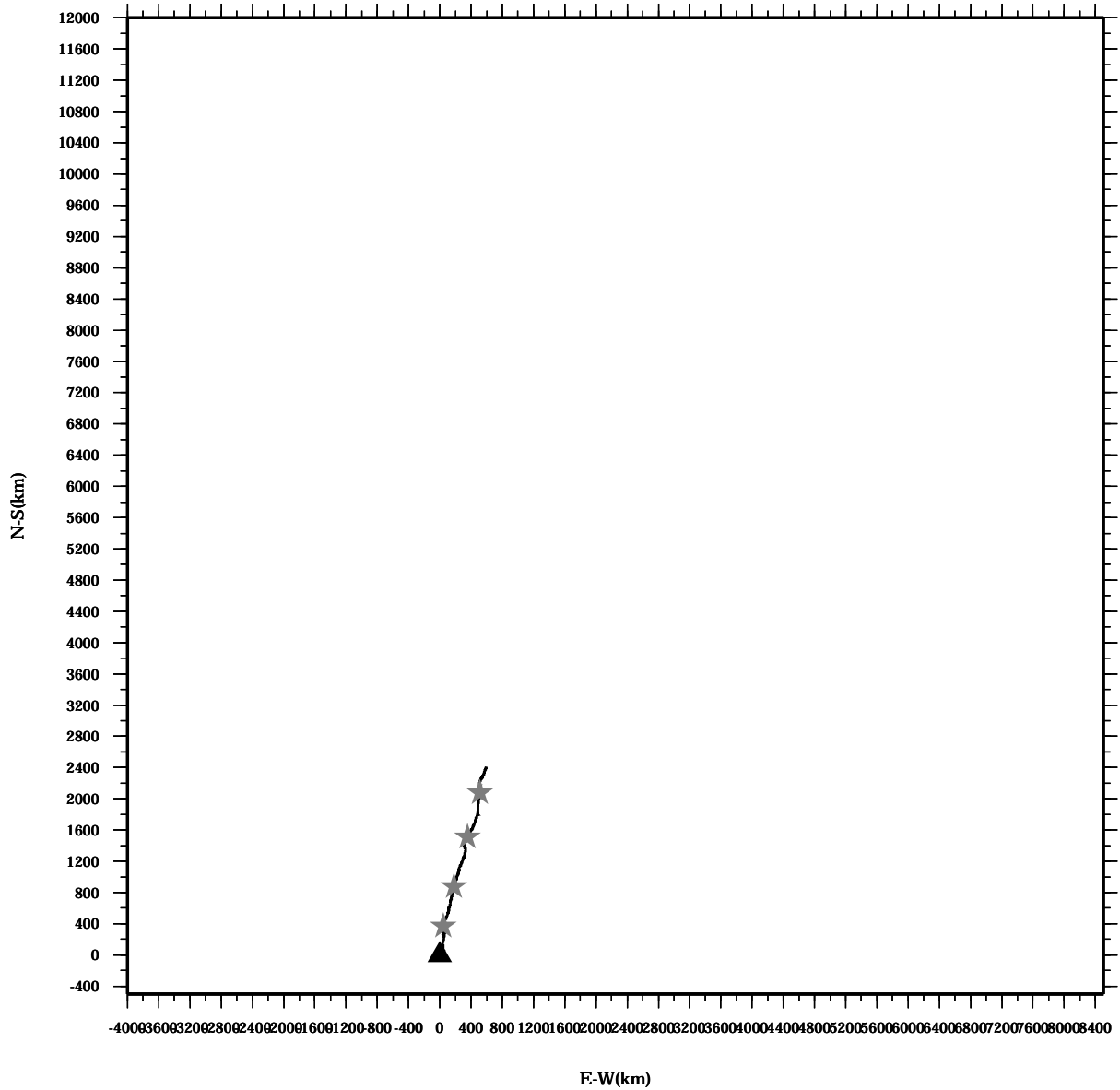
Lon: 121° 17.4341' E

Station: W104

Lat: 22° 38.8623' N

Depth: 254 M

PROGRESSIVE VECTOR DIAGRAM



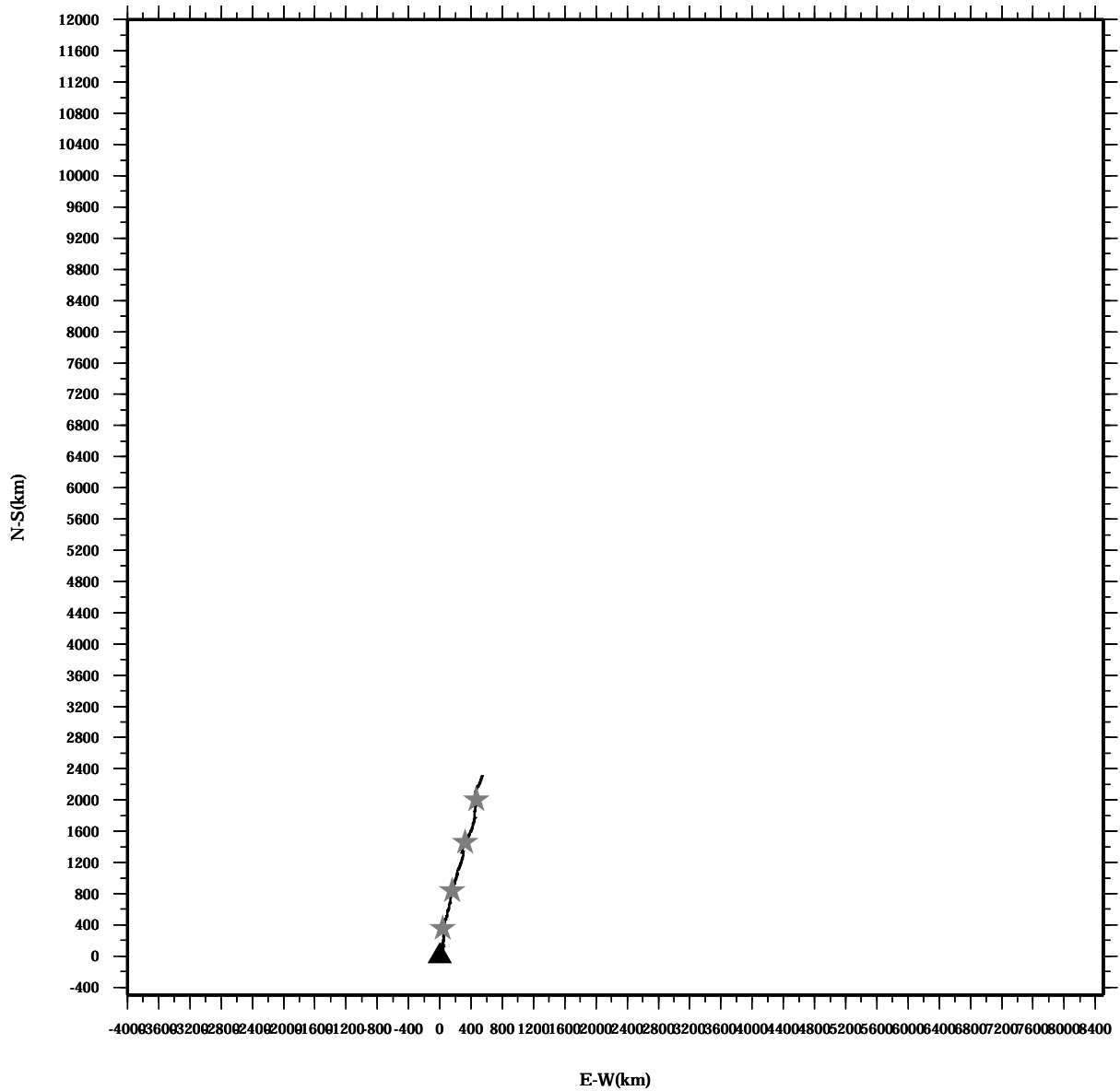
Lon: 121° 17.4341' E

Station: W104

Lat: 22° 38.8623' N

Depth: 258 M

PROGRESSIVE VECTOR DIAGRAM



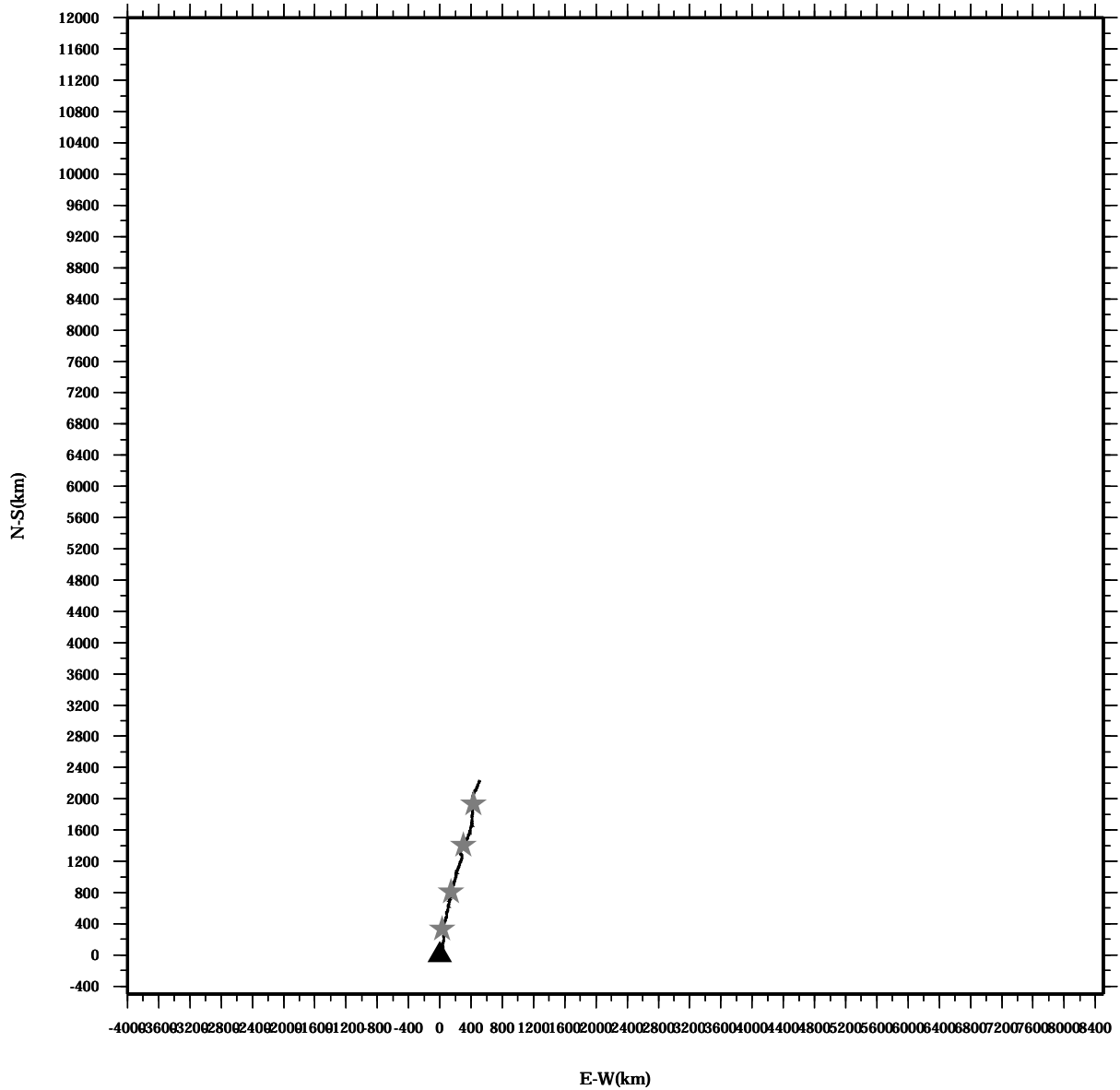
Lon: 121° 17.4341' E

Station: W104

Lat: 22° 38.8623' N

Depth: 262 M

PROGRESSIVE VECTOR DIAGRAM



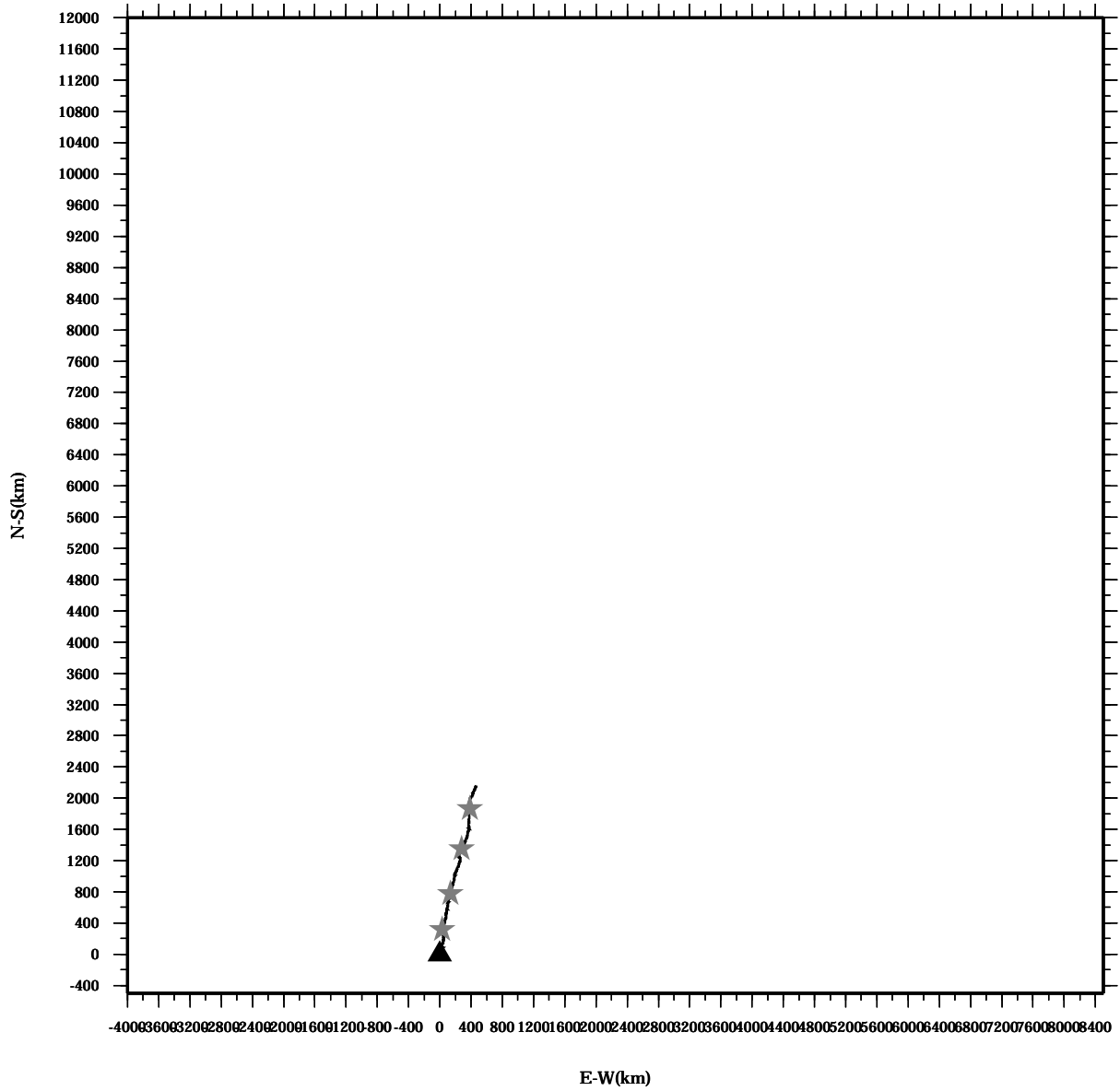
Lon: 121° 17.4341' E

Station: W104

Lat: 22° 38.8623' N

Depth: 266 M

PROGRESSIVE VECTOR DIAGRAM



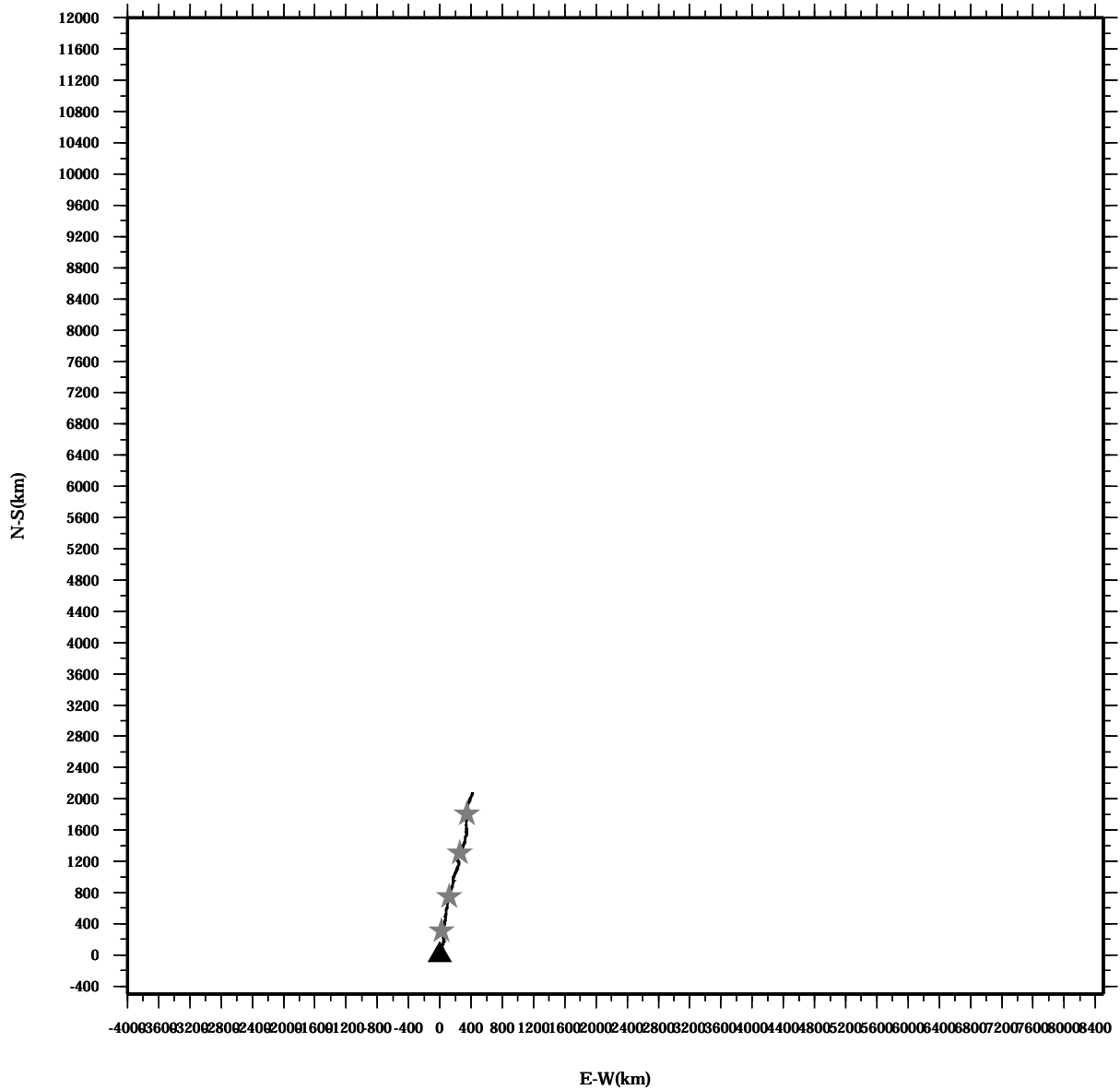
Lon: 121° 17.4341' E

Station: W104

Lat: 22° 38.8623' N

Depth: 270 M

PROGRESSIVE VECTOR DIAGRAM



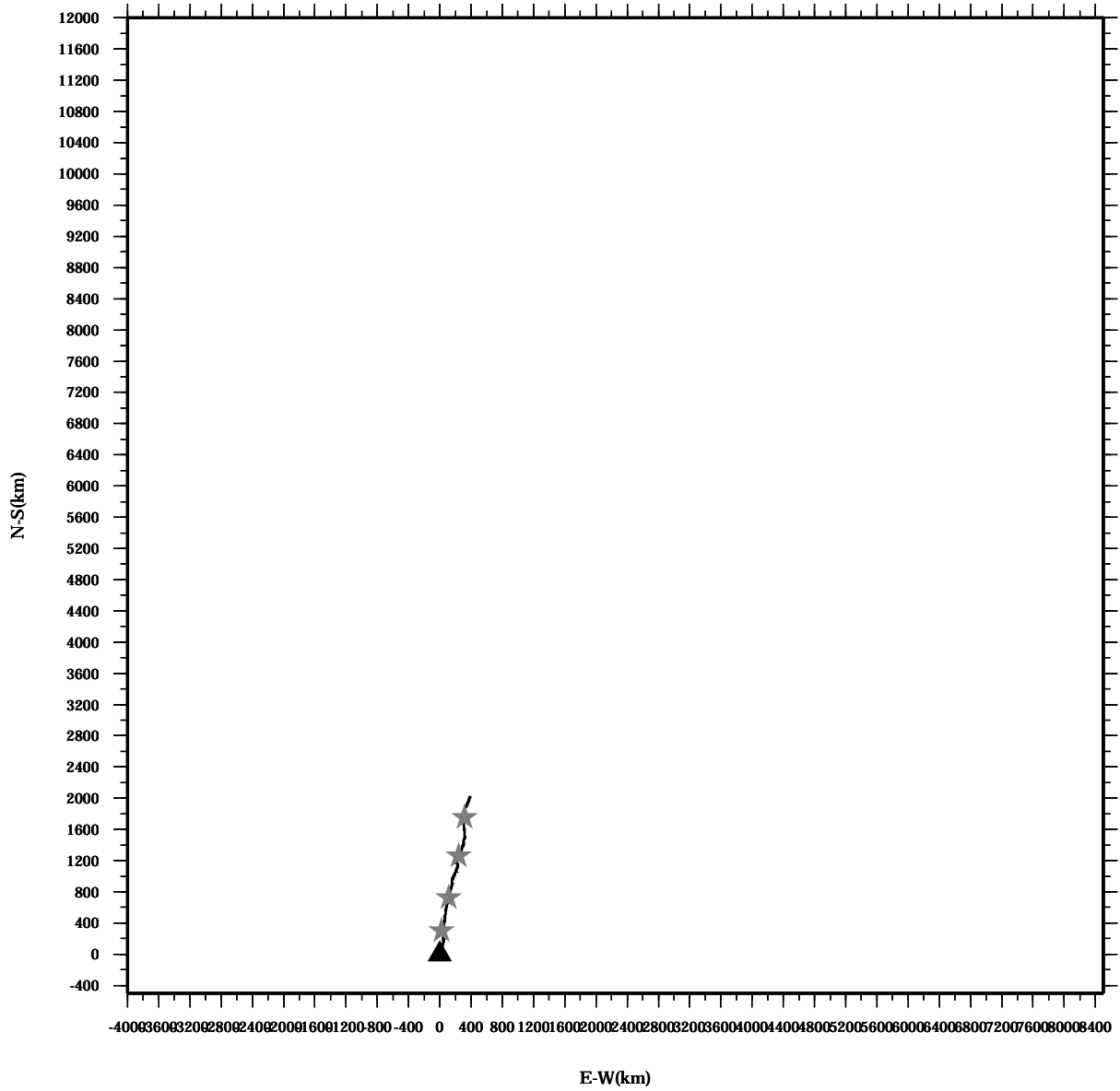
Lon: 121° 17.4341' E

Station: W104

Lat: 22° 38.8623' N

Depth: 274 M

PROGRESSIVE VECTOR DIAGRAM



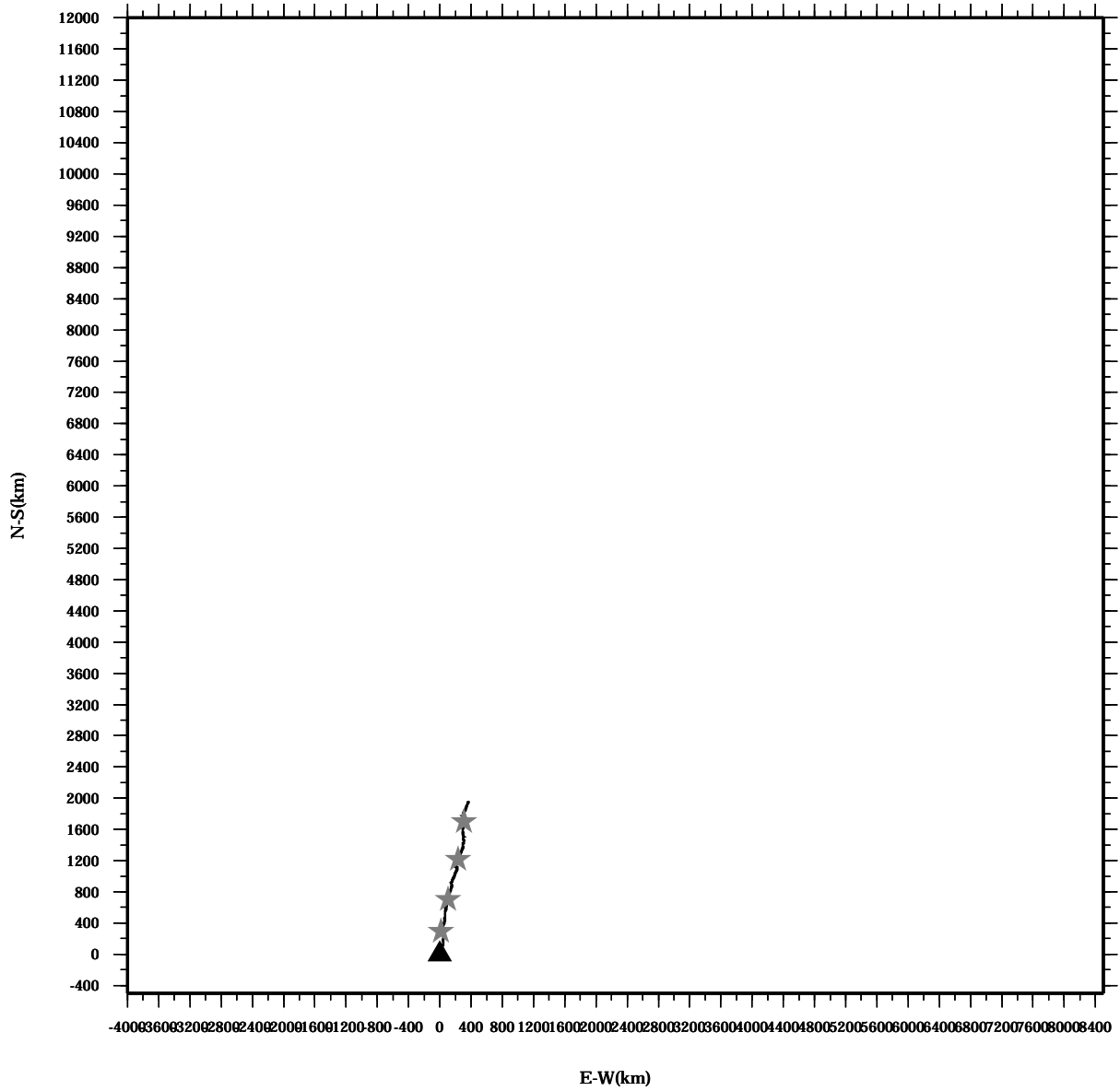
Lon: 121° 17.4341' E

Station: W104

Lat: 22° 38.8623' N

Depth: 278 M

PROGRESSIVE VECTOR DIAGRAM



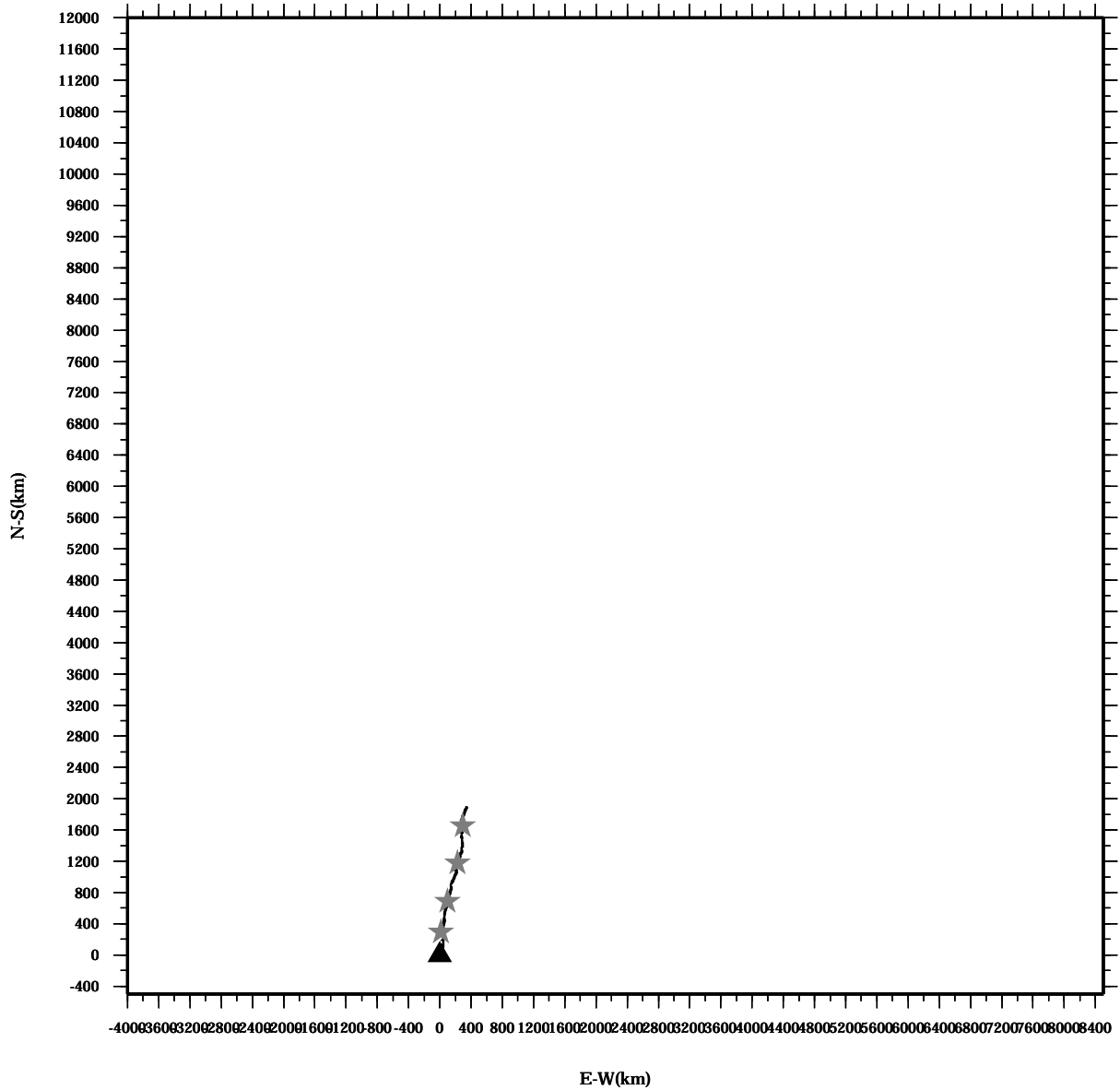
Lon: 121° 17.4341' E

Station: W104

Lat: 22° 38.8623' N

Depth: 282 M

PROGRESSIVE VECTOR DIAGRAM



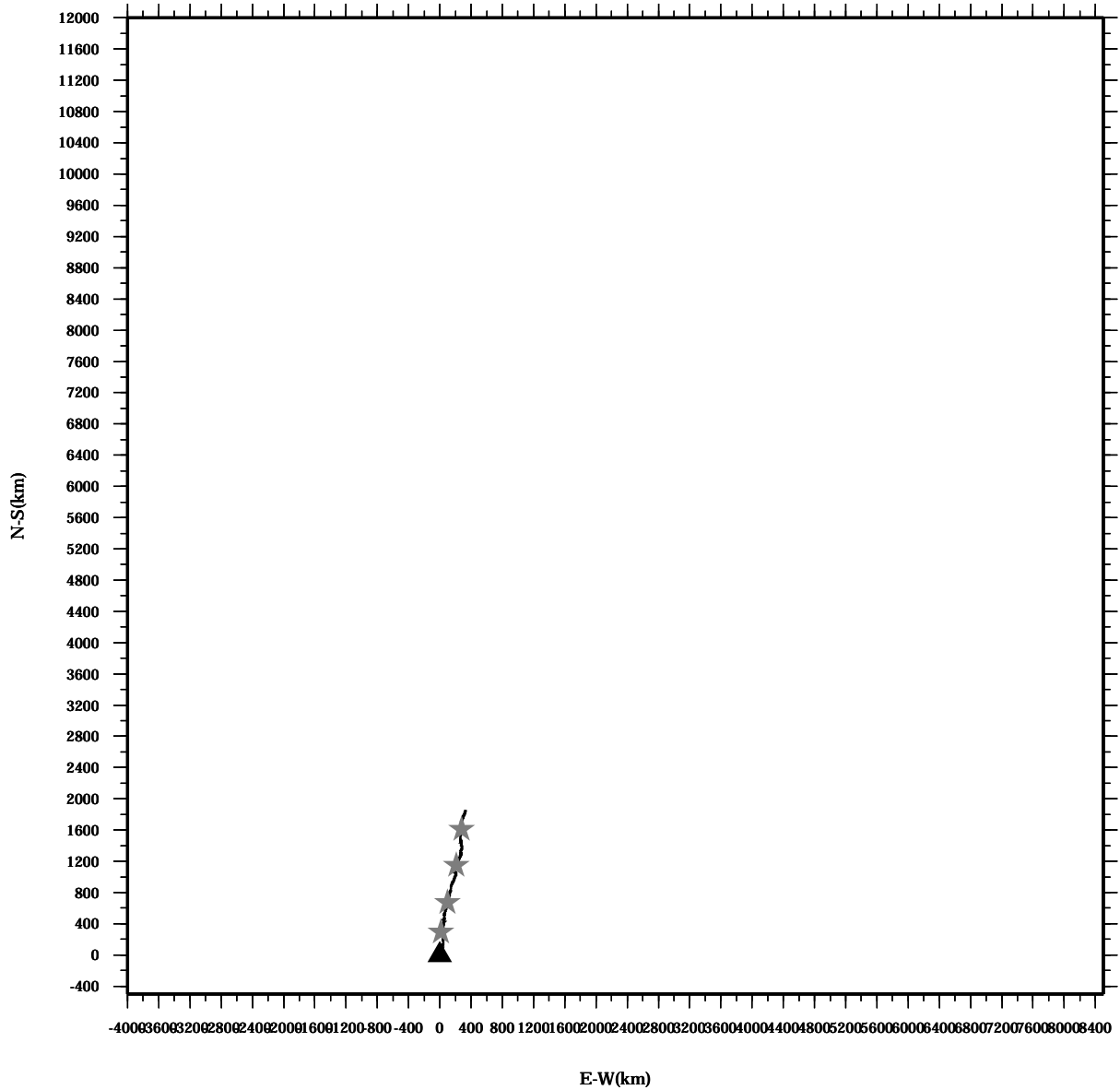
Lon: 121° 17.4341' E

Station: W104

Lat: 22° 38.8623' N

Depth: 286 M

PROGRESSIVE VECTOR DIAGRAM



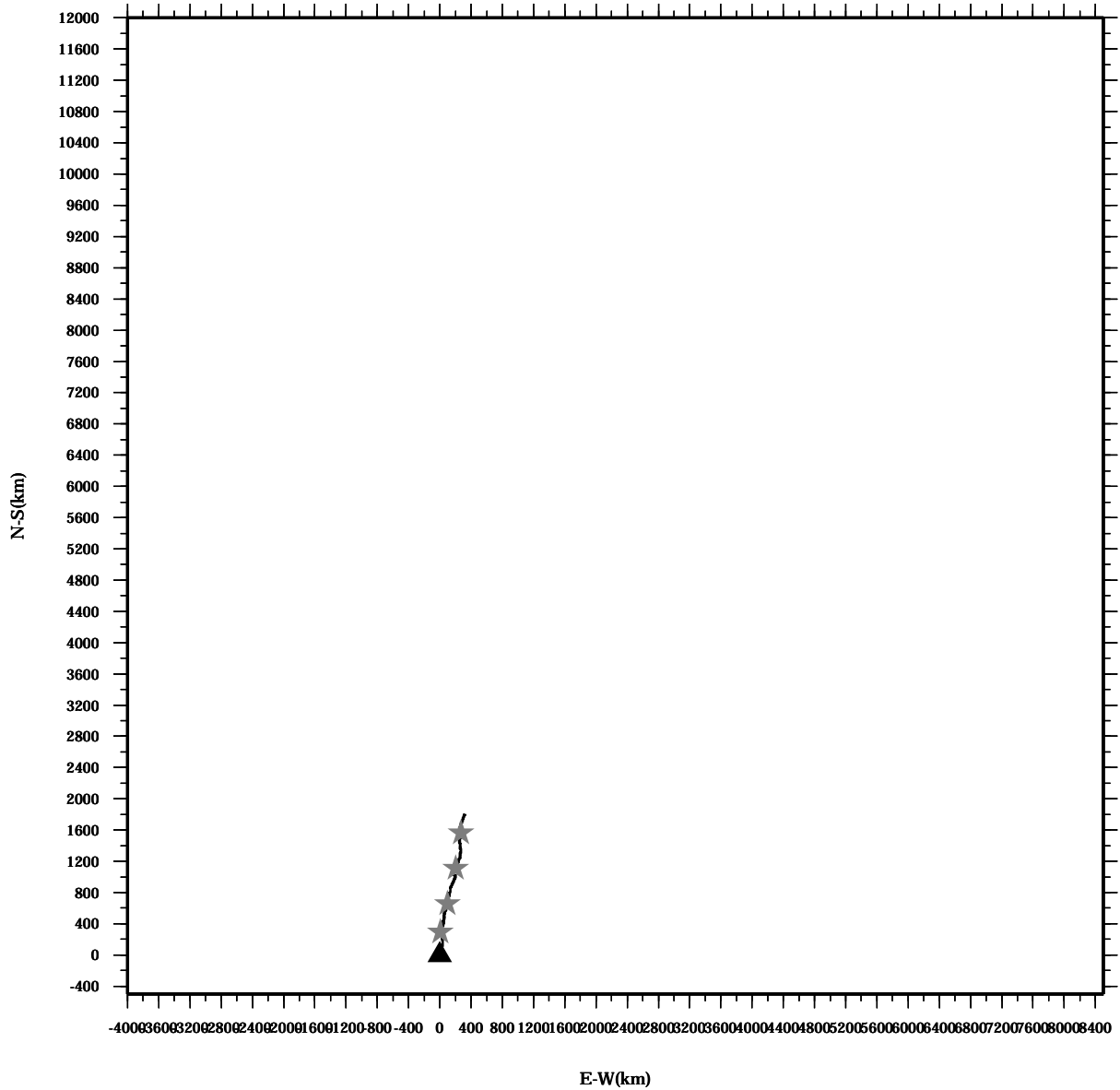
Lon: 121° 17.4341' E

Station: W104

Lat: 22° 38.8623' N

Depth: 290 M

PROGRESSIVE VECTOR DIAGRAM



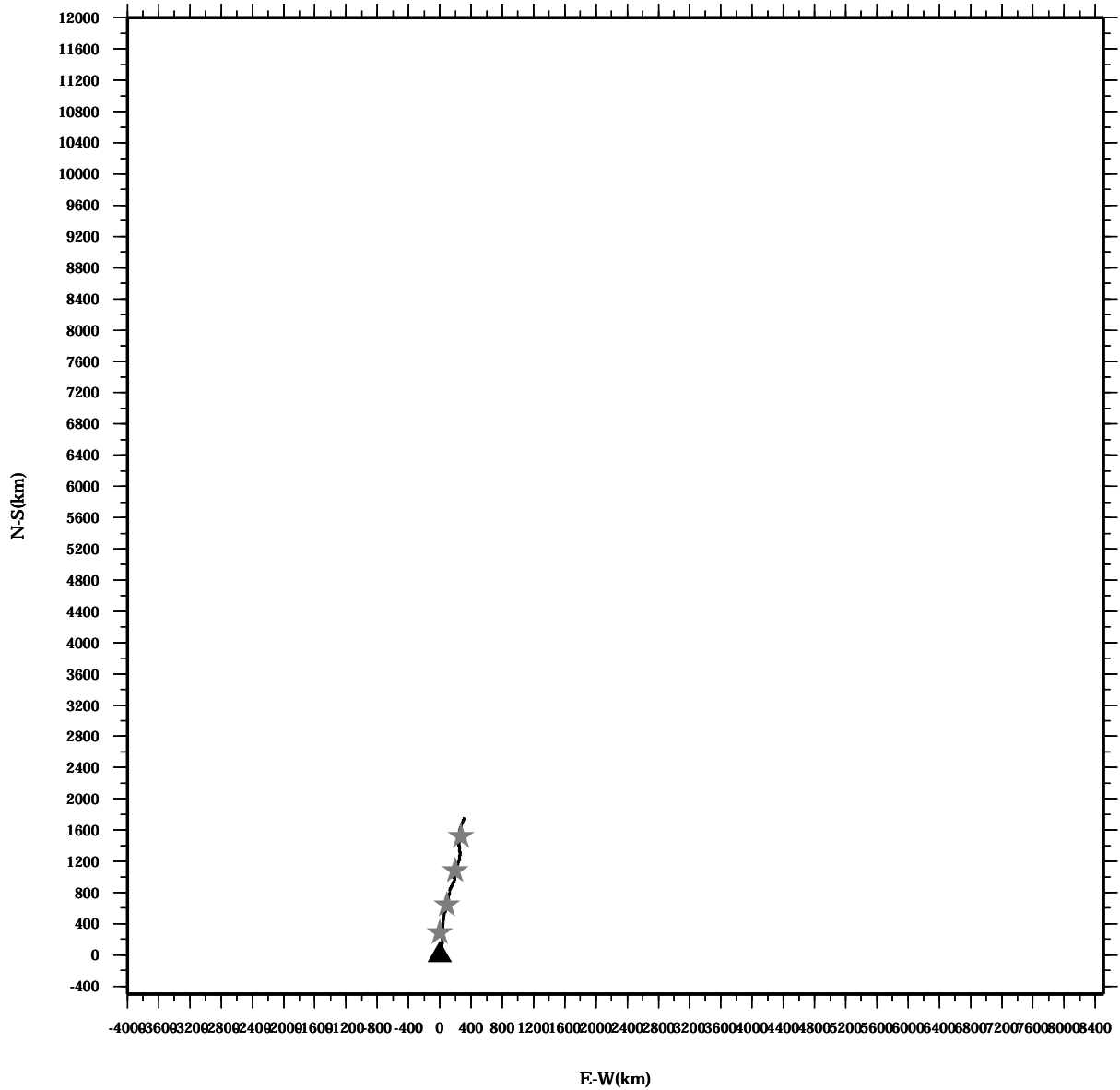
Lon: 121° 17.4341' E

Station: W104

Lat: 22° 38.8623' N

Depth: 294 M

PROGRESSIVE VECTOR DIAGRAM



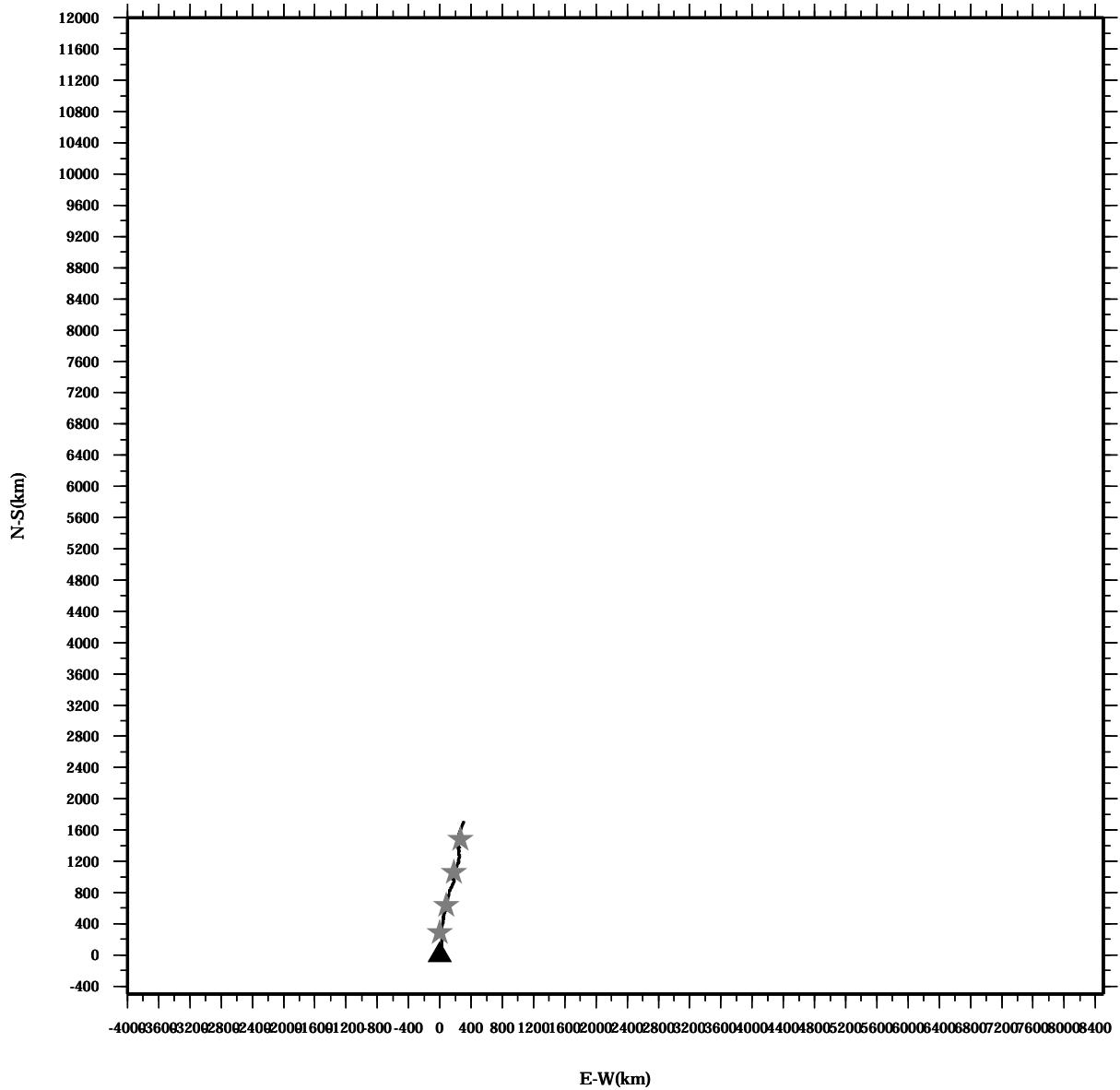
Lon: 121° 17.4341' E

Station: W104

Lat: 22° 38.8623' N

Depth: 298 M

PROGRESSIVE VECTOR DIAGRAM



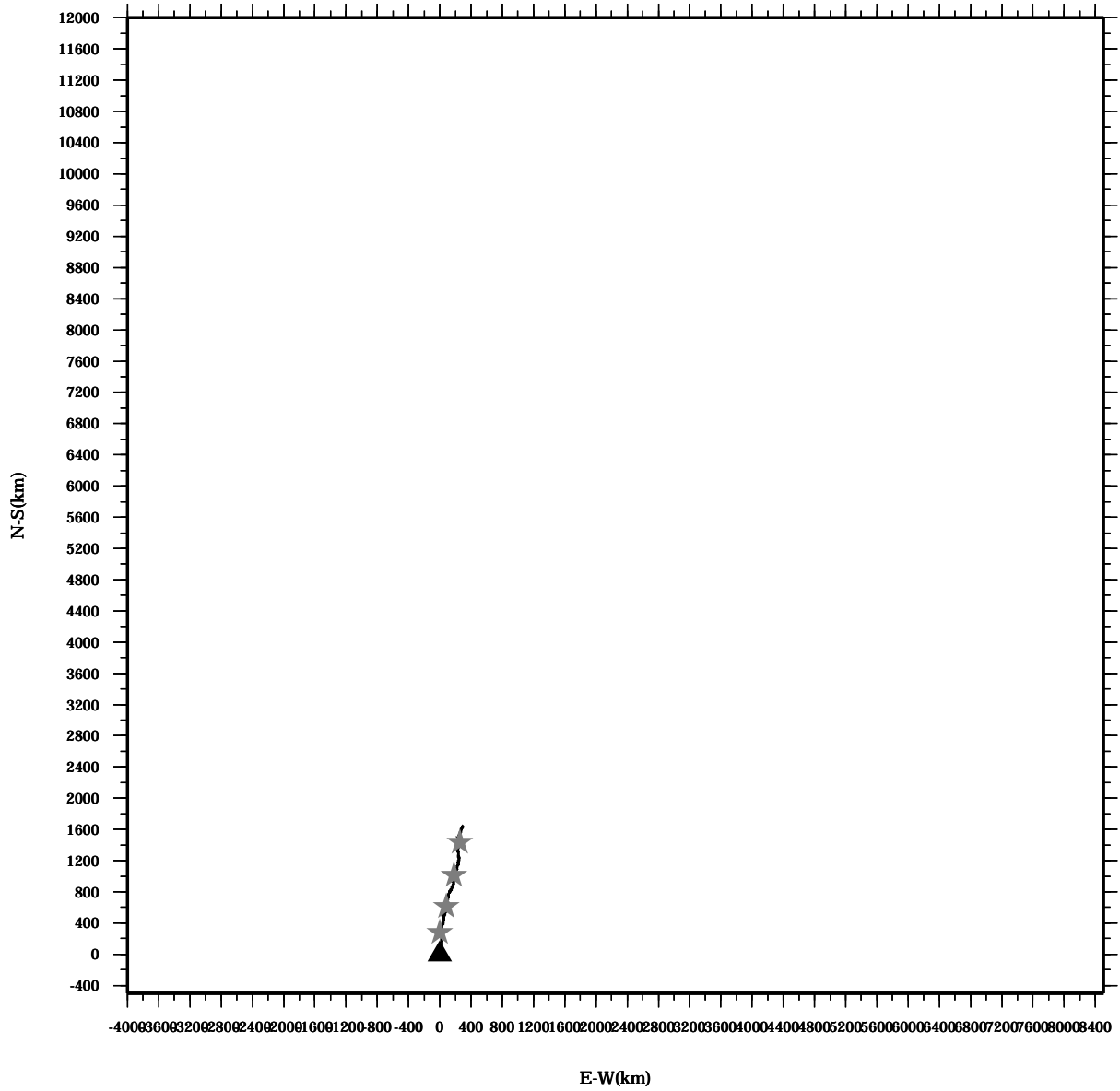
Lon: 121° 17.4341' E

Station: W104

Lat: 22° 38.8623' N

Depth: 302 M

PROGRESSIVE VECTOR DIAGRAM



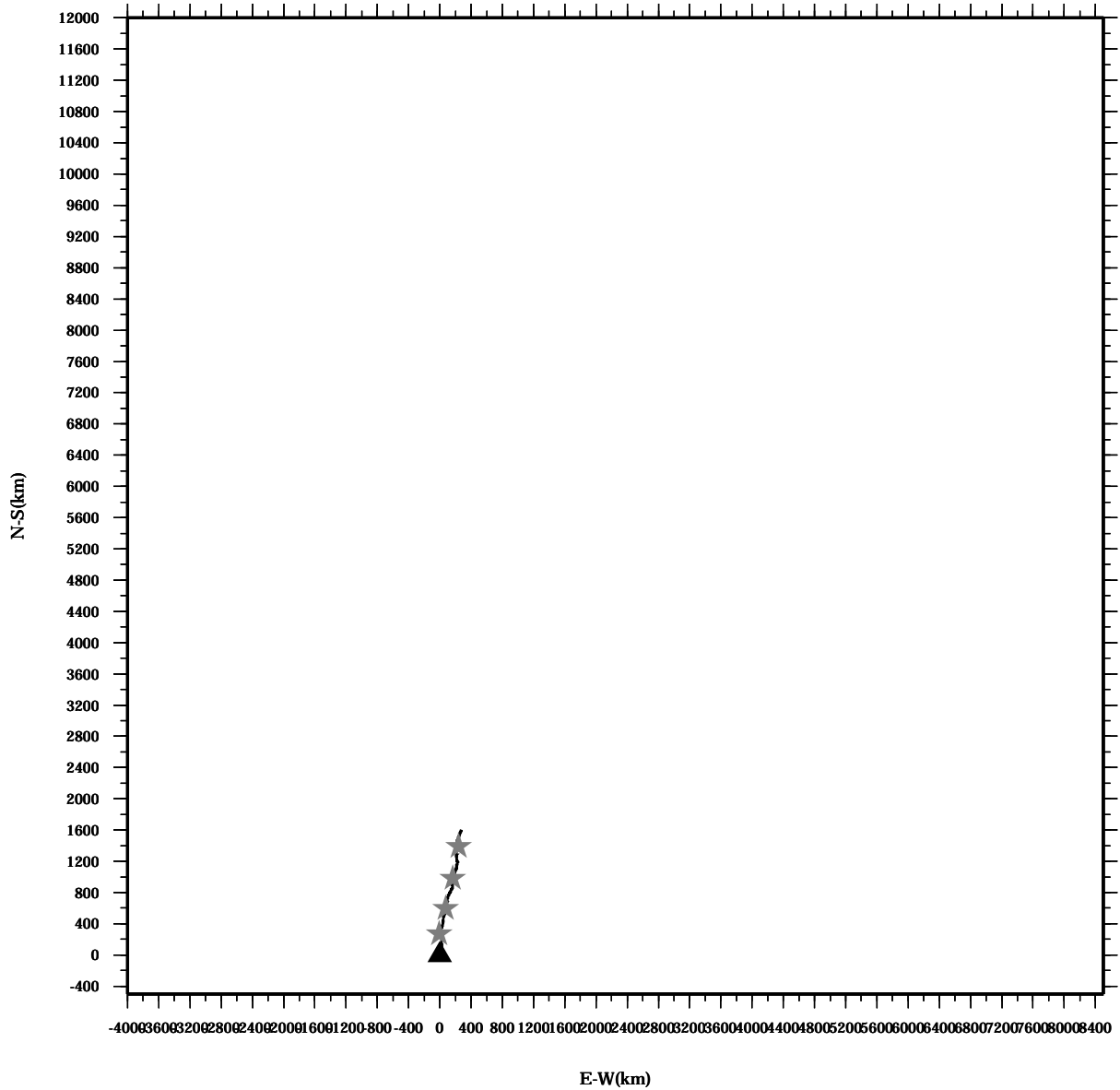
Lon: 121° 17.4341' E

Station: W104

Lat: 22° 38.8623' N

Depth: 306 M

PROGRESSIVE VECTOR DIAGRAM



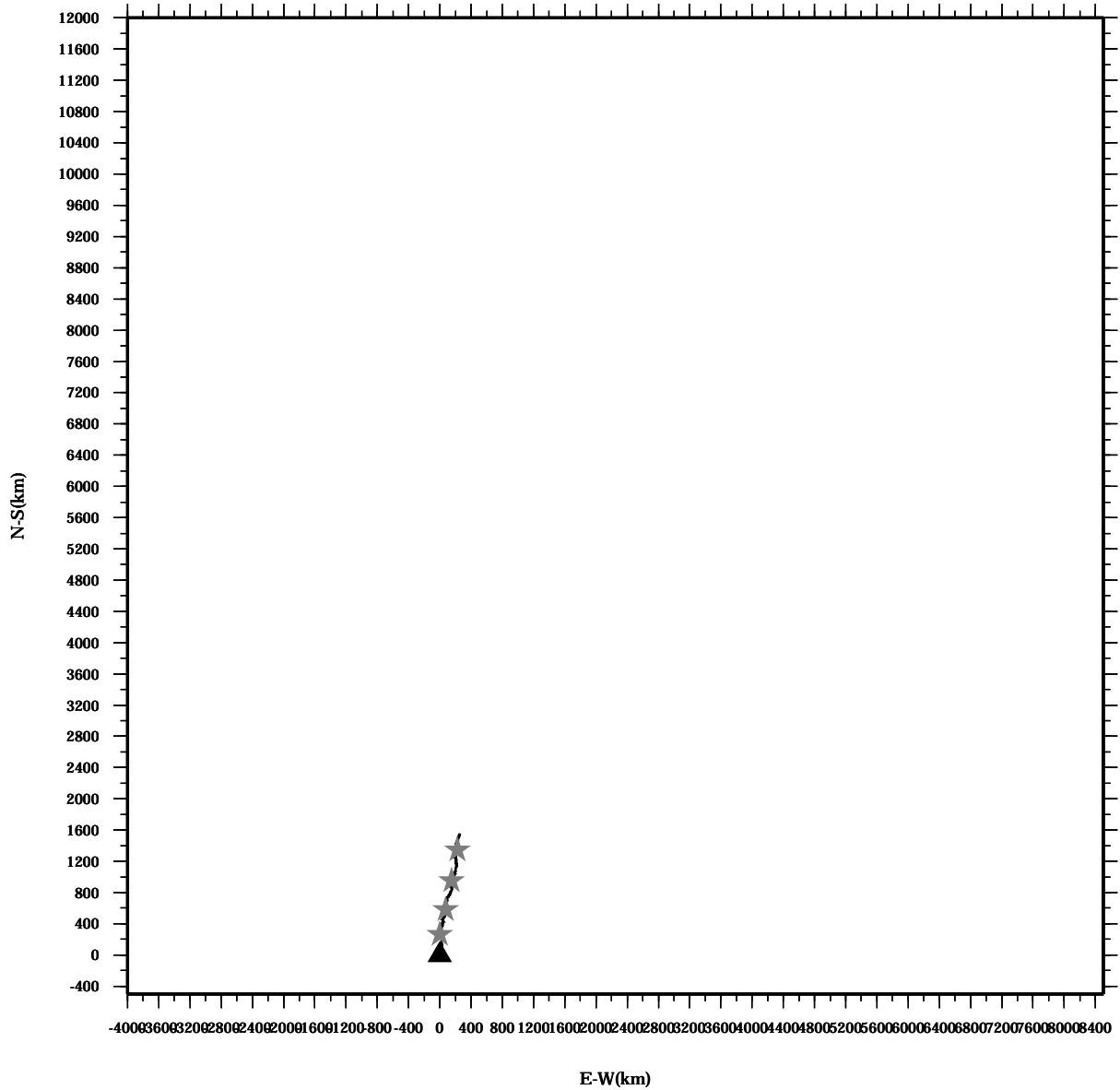
Lon: 121° 17.4341' E

Station: W104

Lat: 22° 38.8623' N

Depth: 310 M

PROGRESSIVE VECTOR DIAGRAM



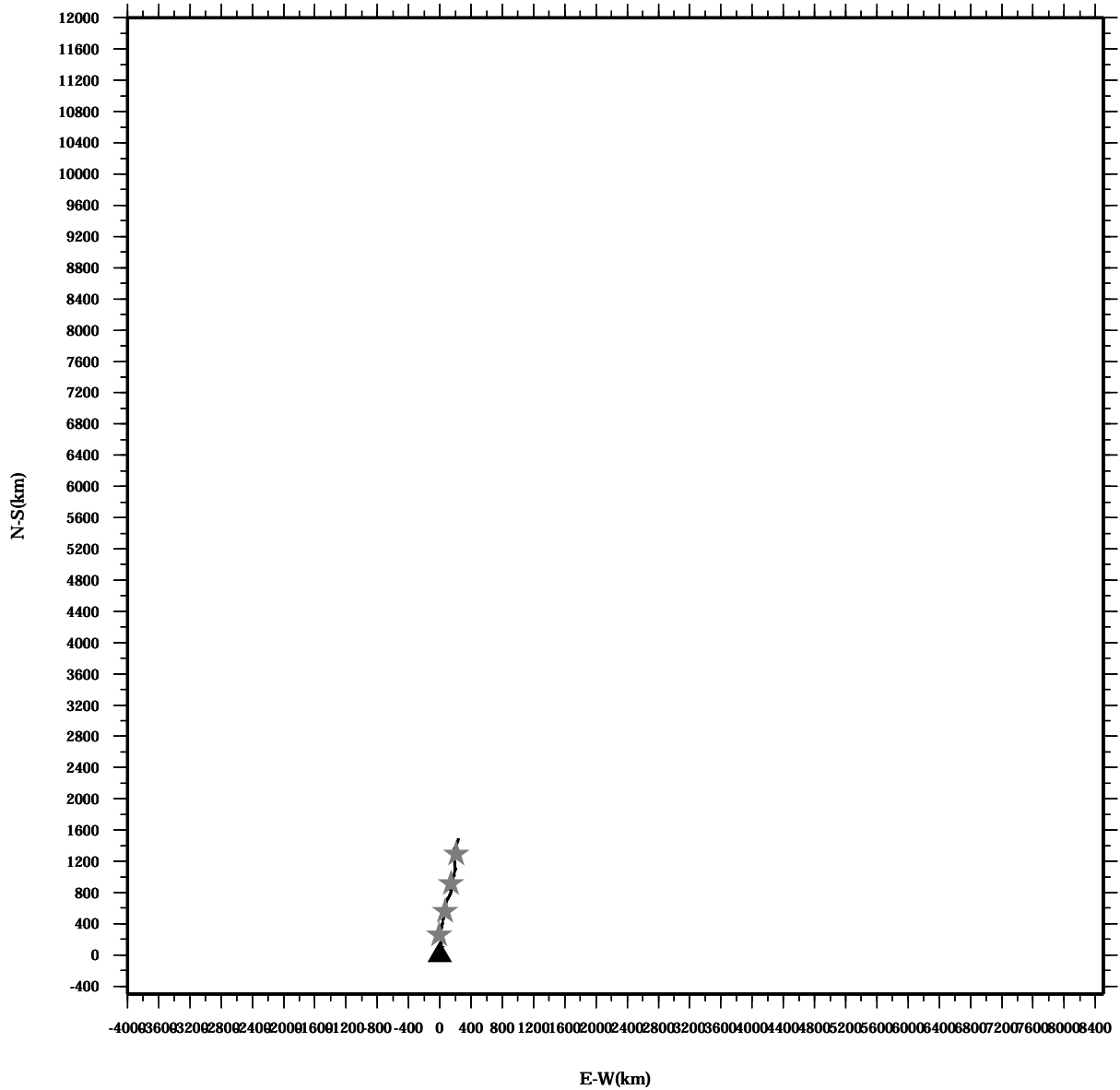
Lon: 121° 17.4341' E

Station: W104

Lat: 22° 38.8623' N

Depth: 314 M

PROGRESSIVE VECTOR DIAGRAM



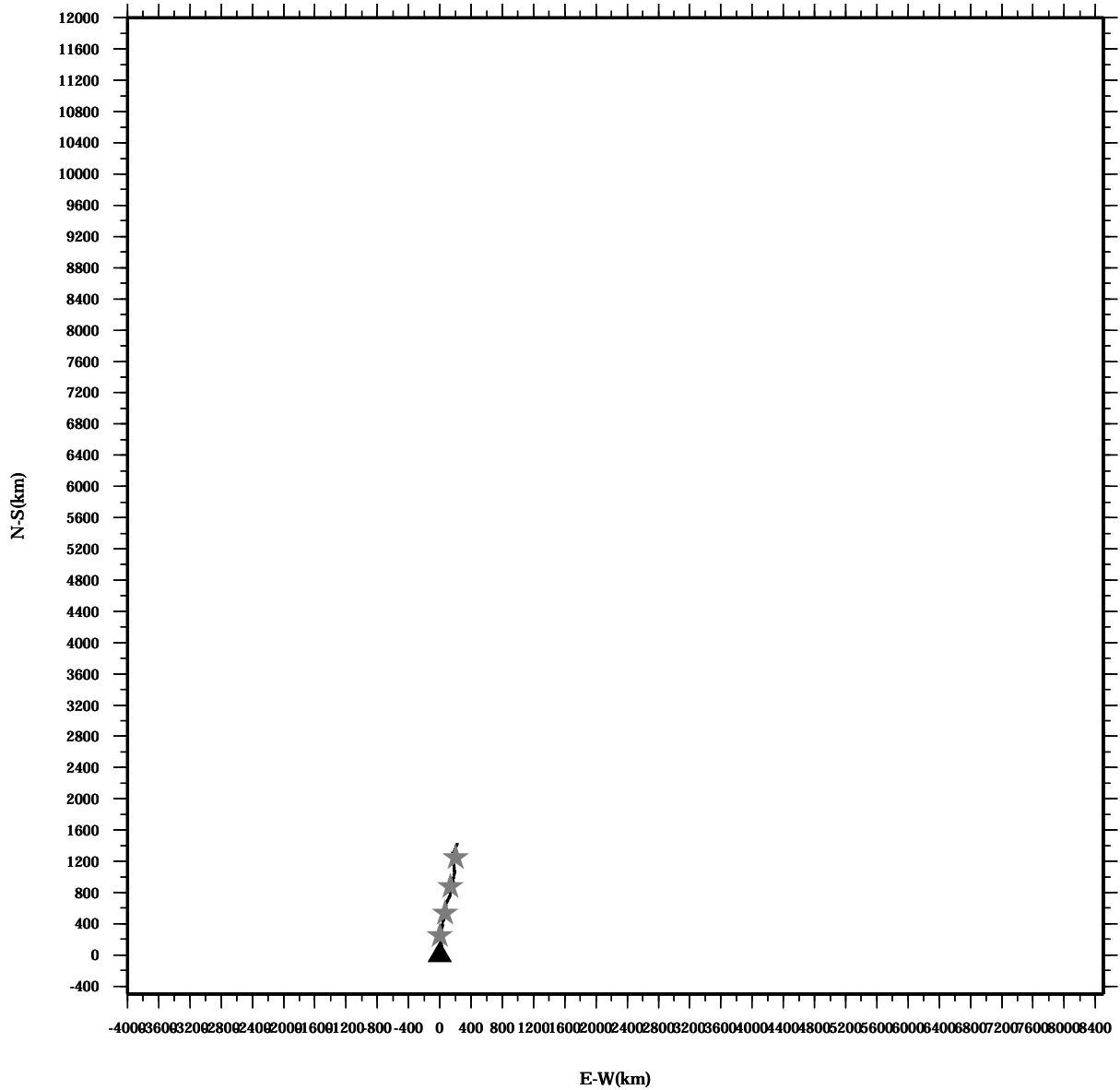
Lon: 121° 17.4341' E

Station: W104

Lat: 22° 38.8623' N

Depth: 318 M

PROGRESSIVE VECTOR DIAGRAM



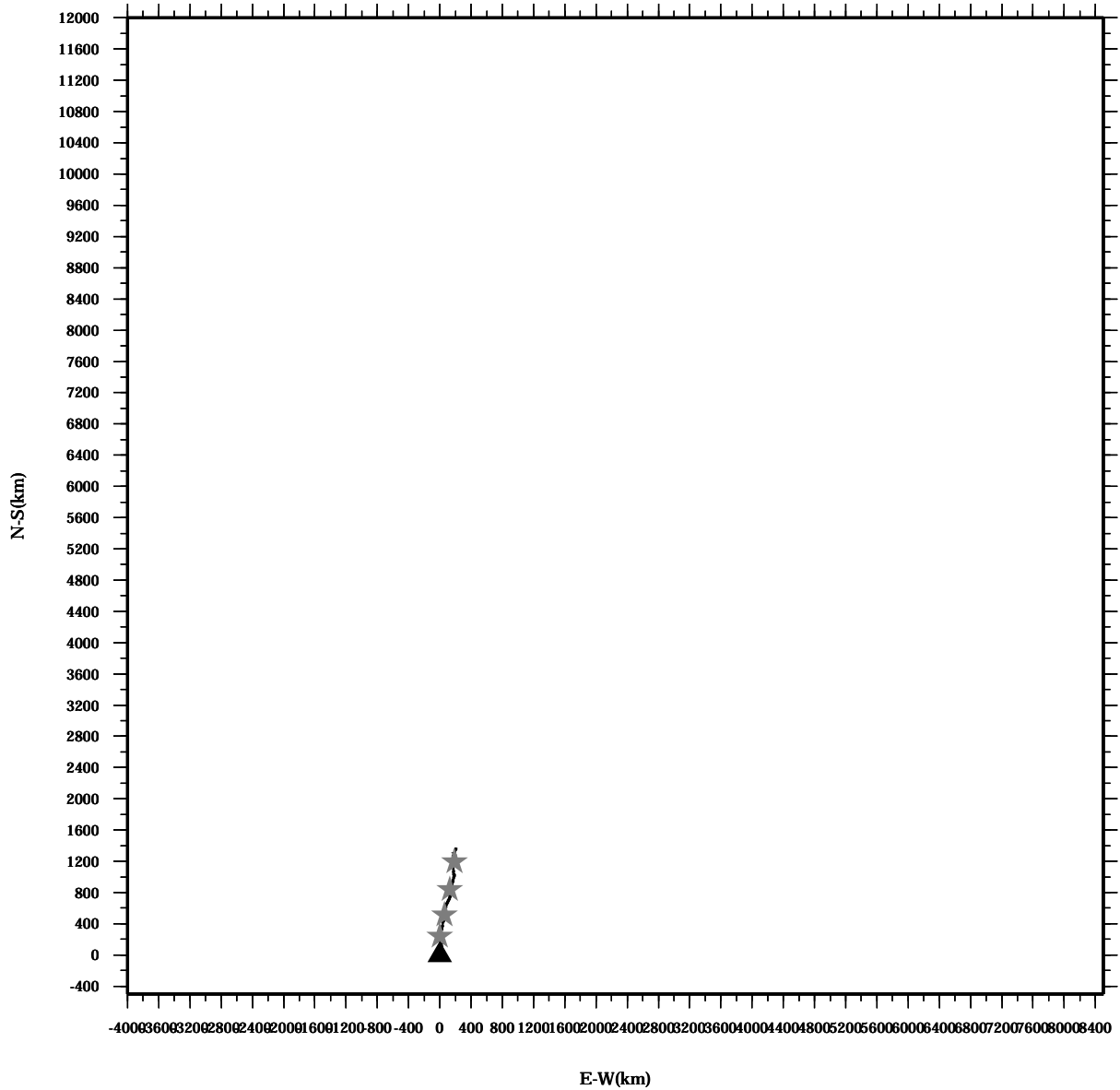
Lon: 121° 17.4341' E

Station: W104

Lat: 22° 38.8623' N

Depth: 322 M

PROGRESSIVE VECTOR DIAGRAM



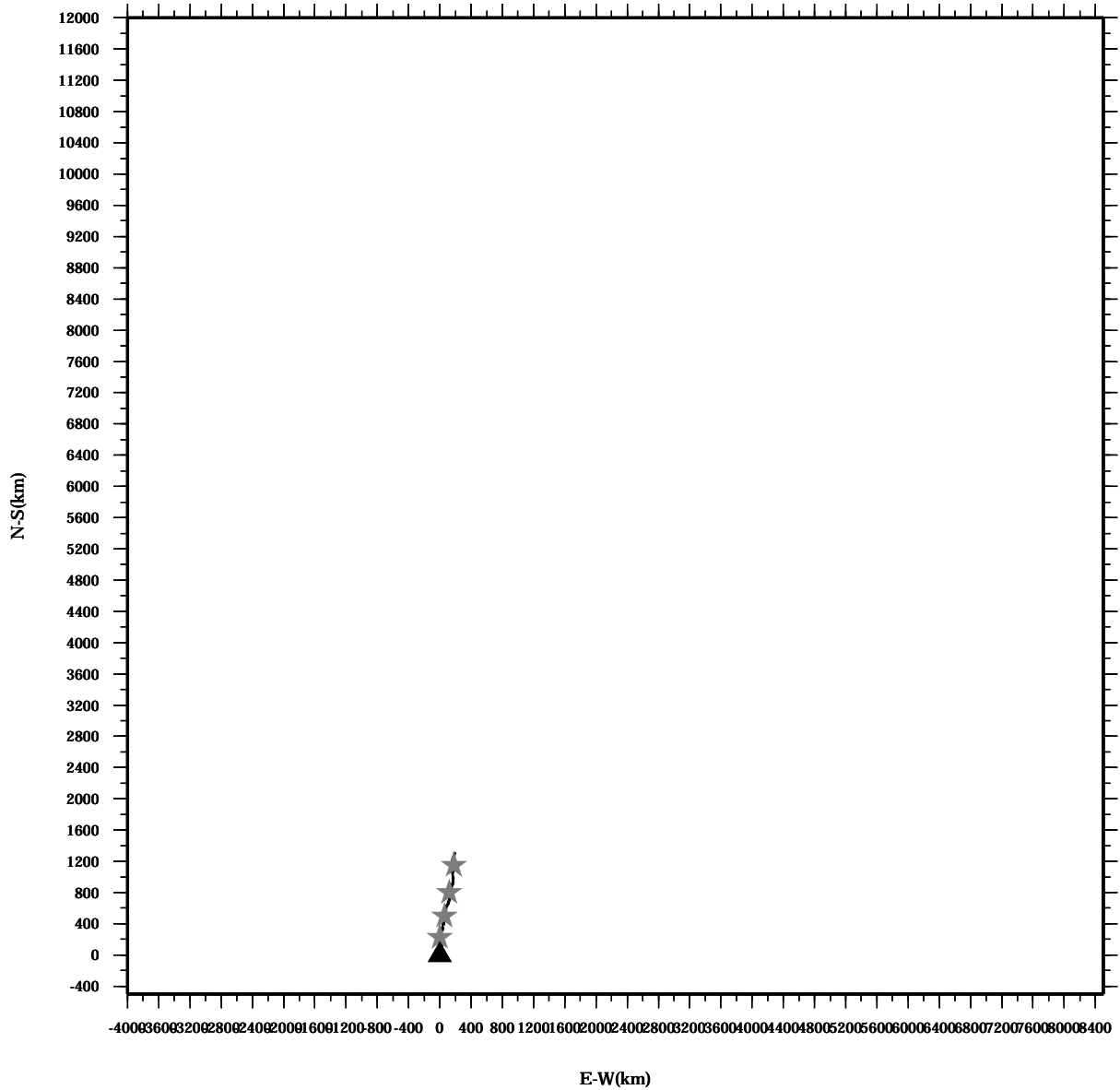
Lon: 121° 17.4341' E

Station: W104

Lat: 22° 38.8623' N

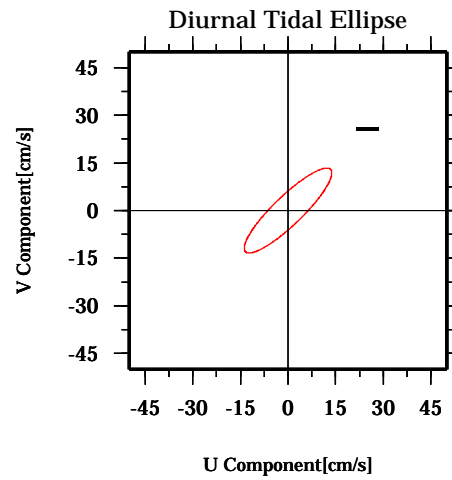
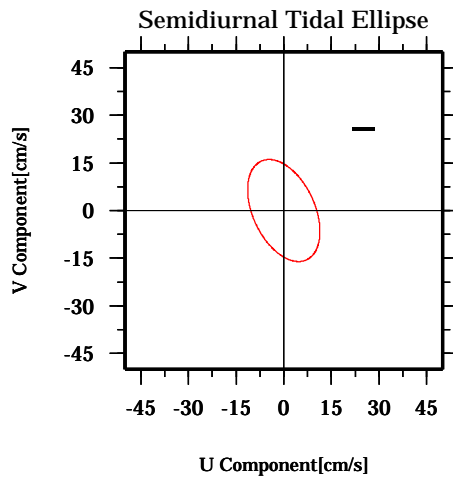
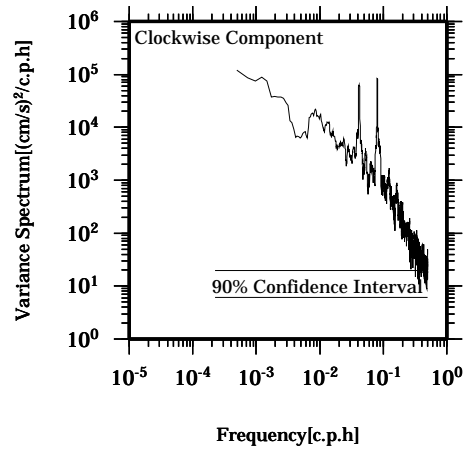
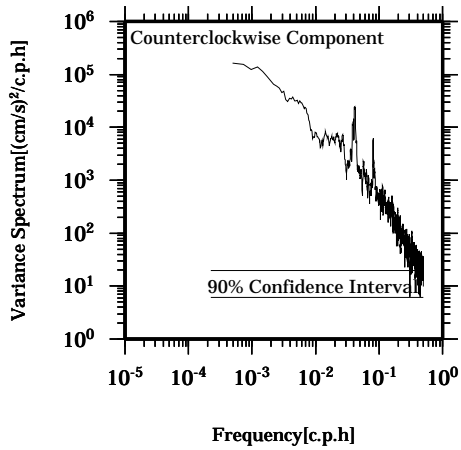
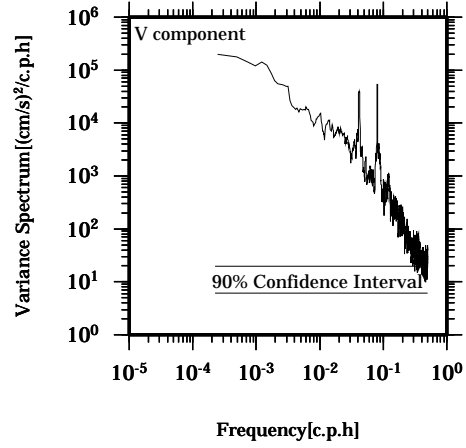
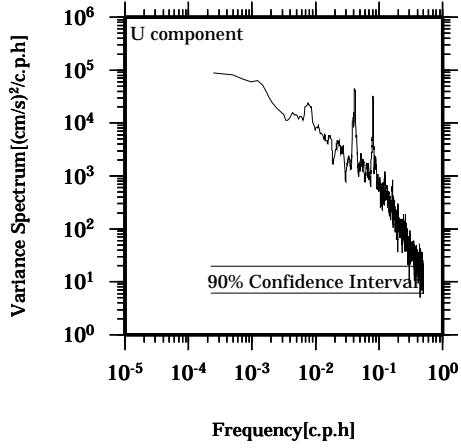
Depth: 326 M

PROGRESSIVE VECTOR DIAGRAM



Lon: 121° 17.4341' E
Lat: 22° 38.8623' N

Station: W104
Depth : 30 M

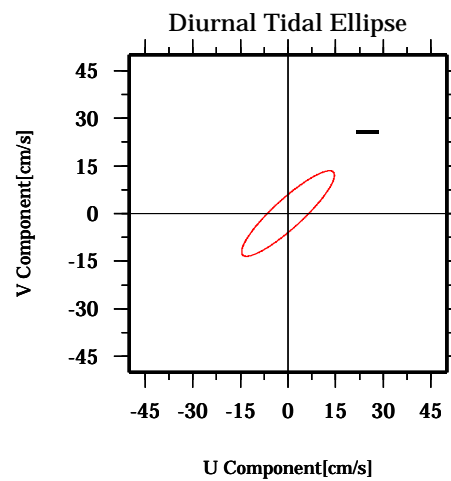
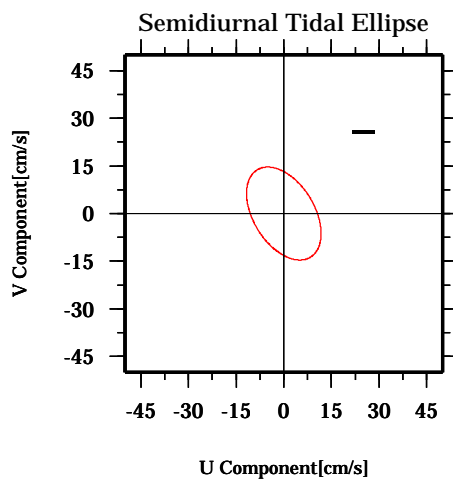
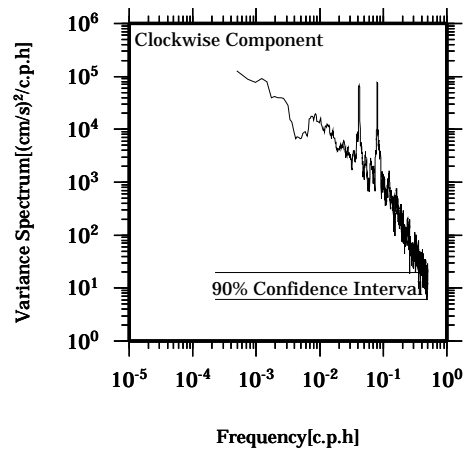
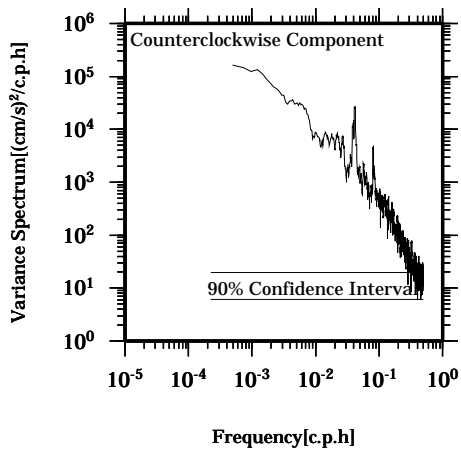
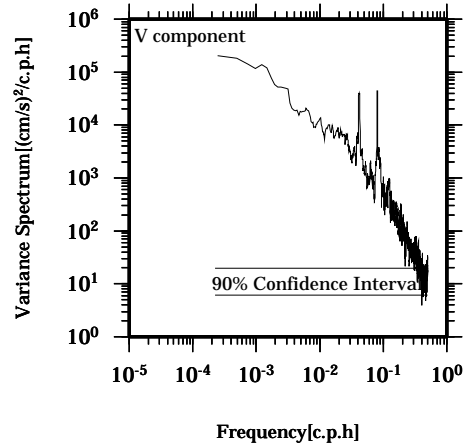
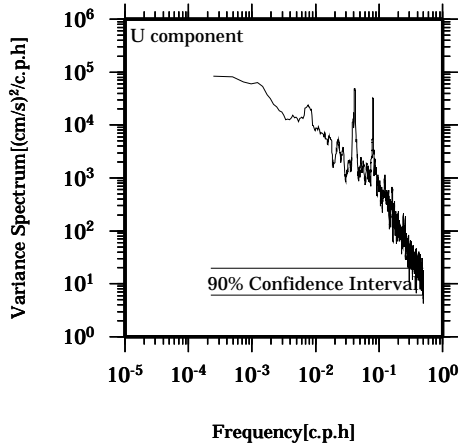


Lon: 121° 17.4341' E

Lat: 22° 38.8623' N

Station: W104

Depth : 34 M

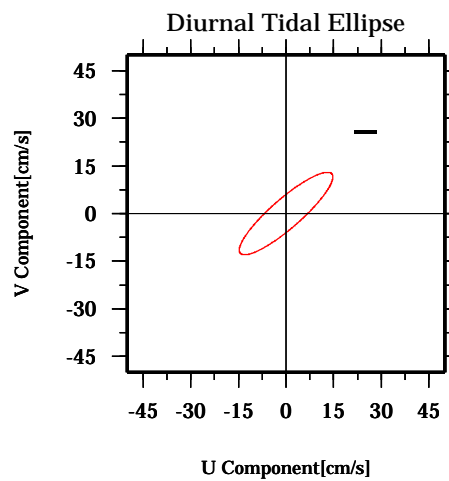
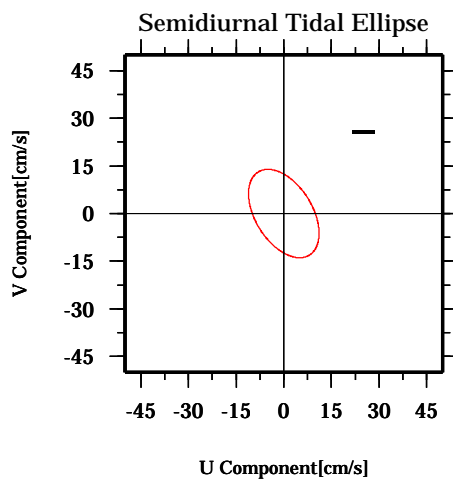
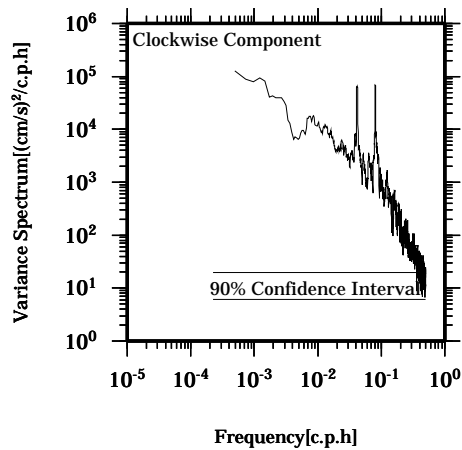
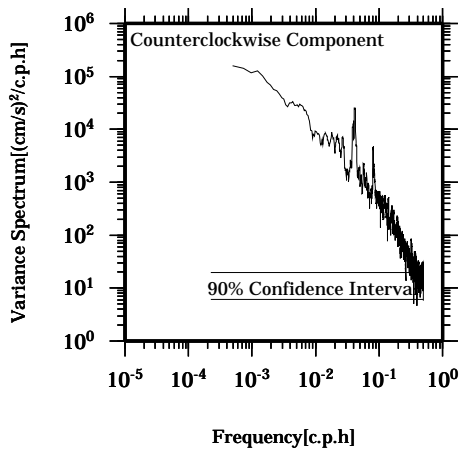
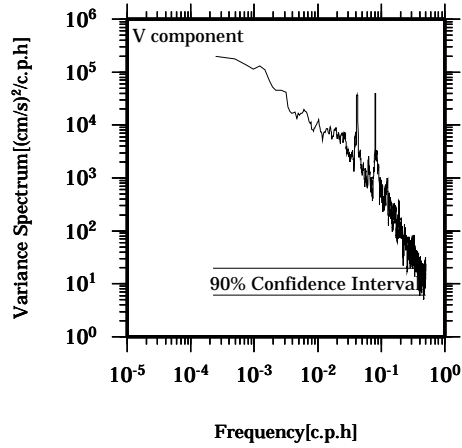
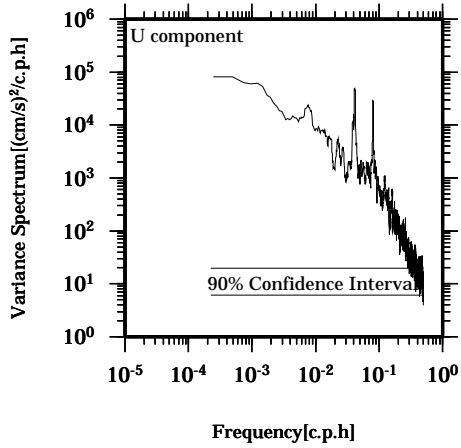


Lon: 121° 17.4341' E

Lat: 22° 38.8623' N

Station: W104

Depth : 38 M

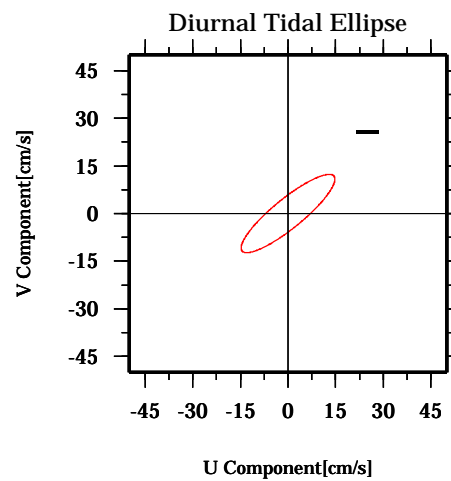
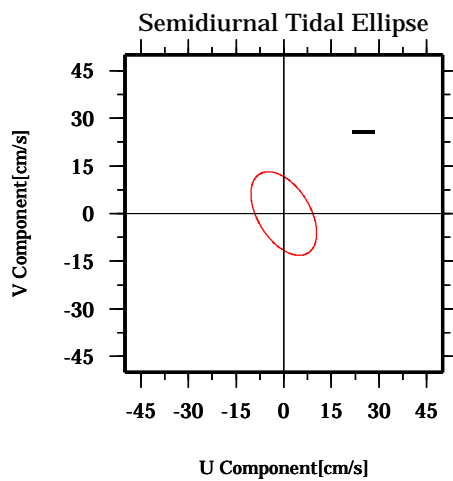
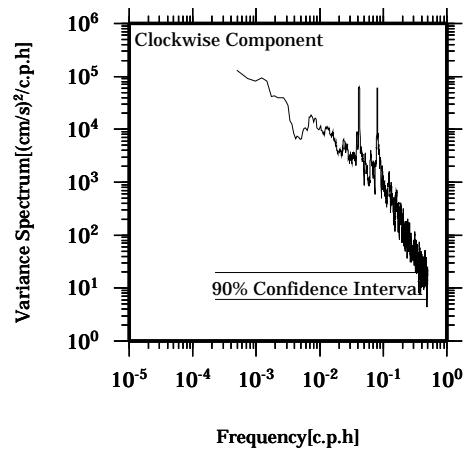
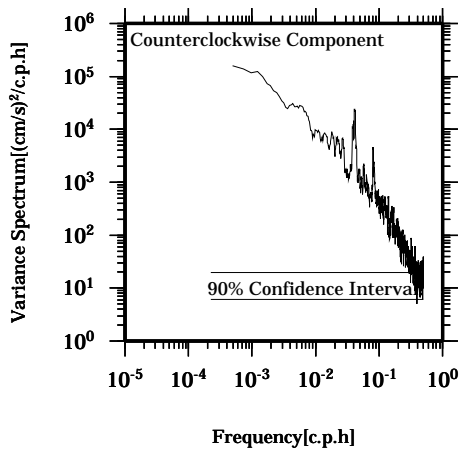
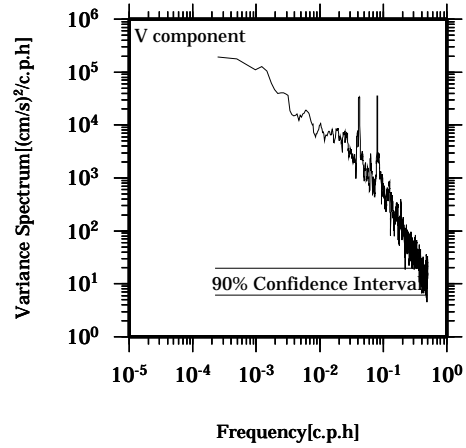
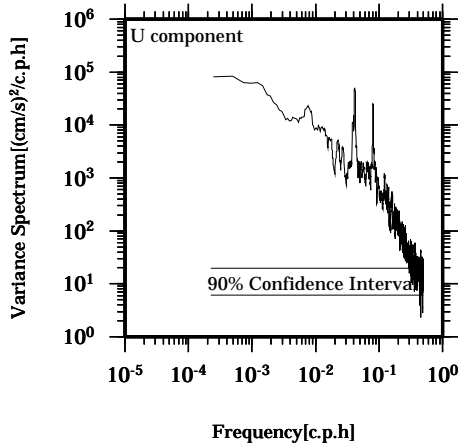


Lon: 121° 17.4341' E

Lat: 22° 38.8623' N

Station: W104

Depth : 42 M

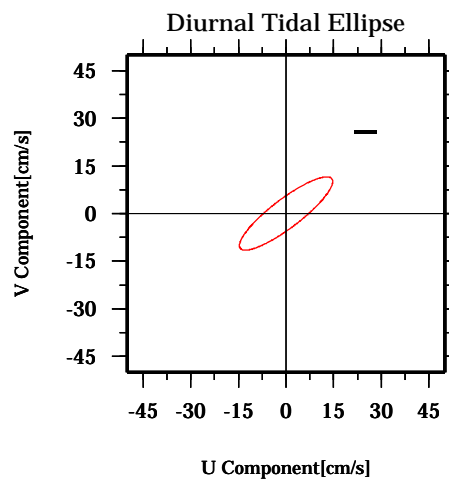
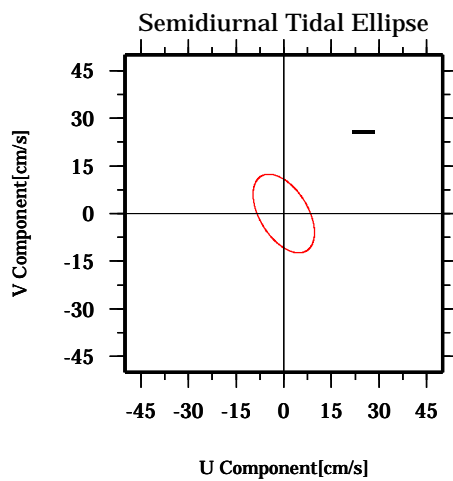
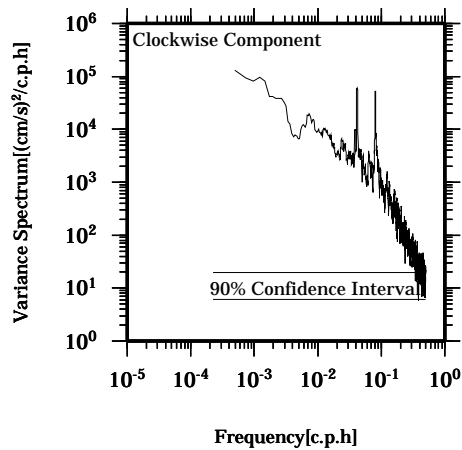
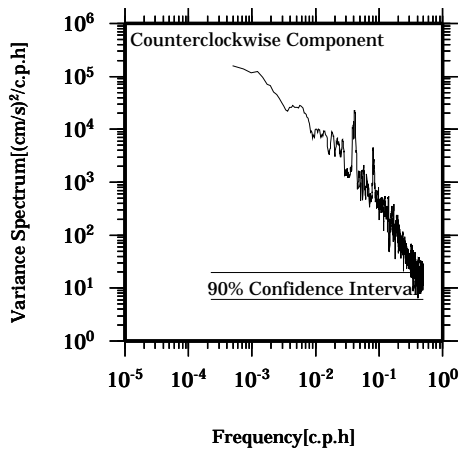
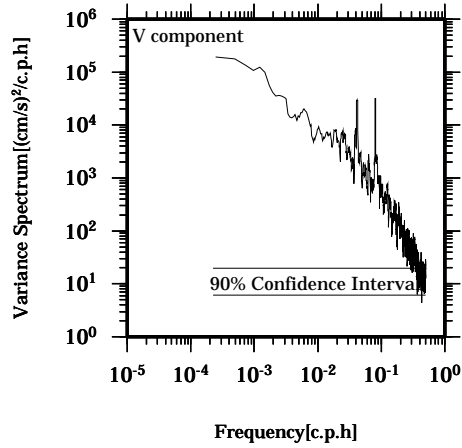
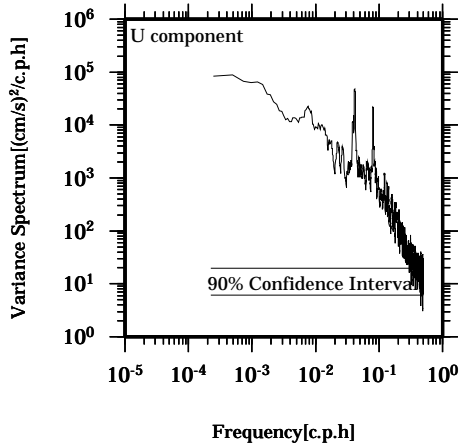


Lon: 121° 17.4341' E

Lat: 22° 38.8623' N

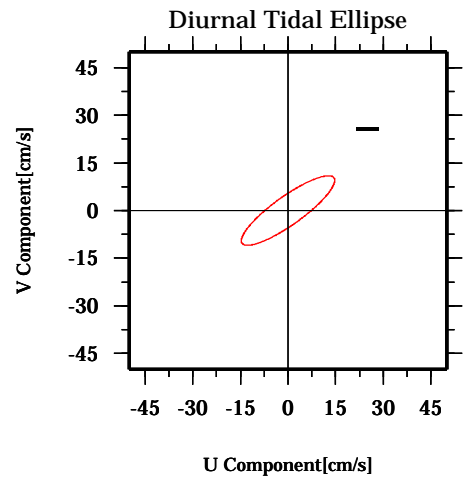
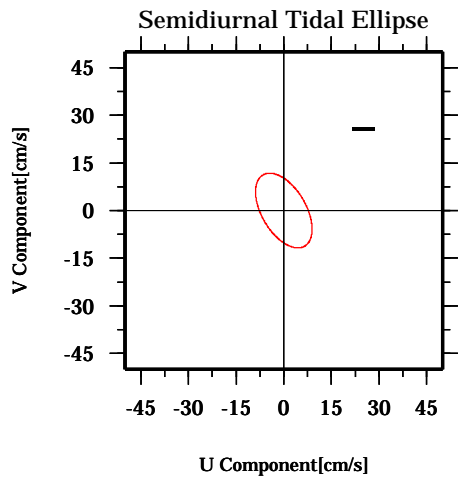
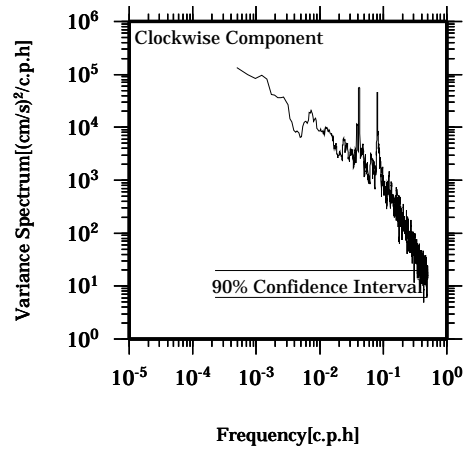
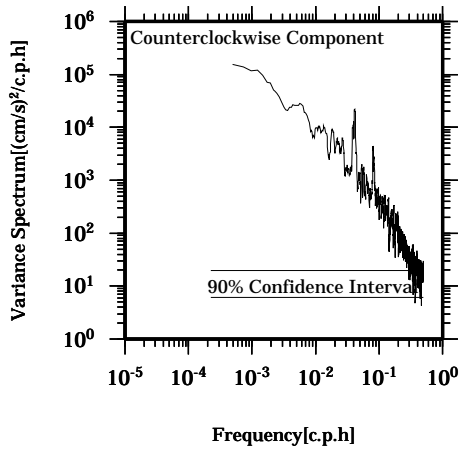
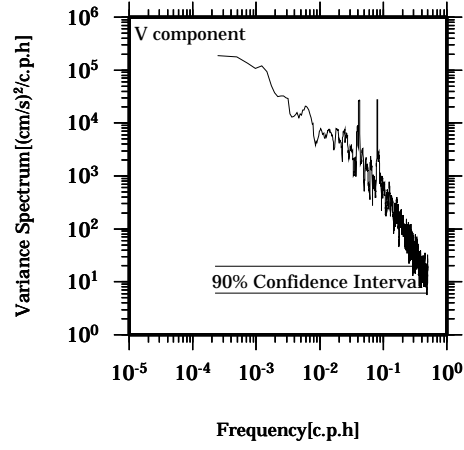
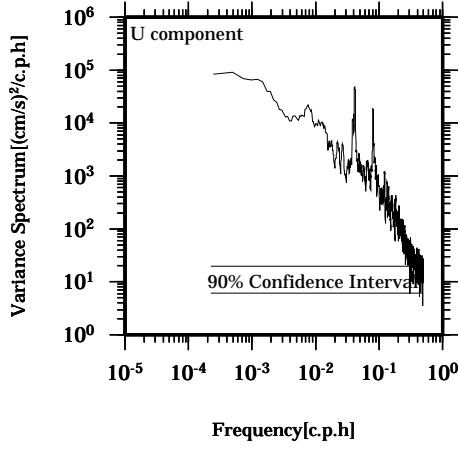
Station: W104

Depth : 46 M



Lon: 121° 17.4341' E
Lat: 22° 38.8623' N

Station: W104
Depth : 50 M

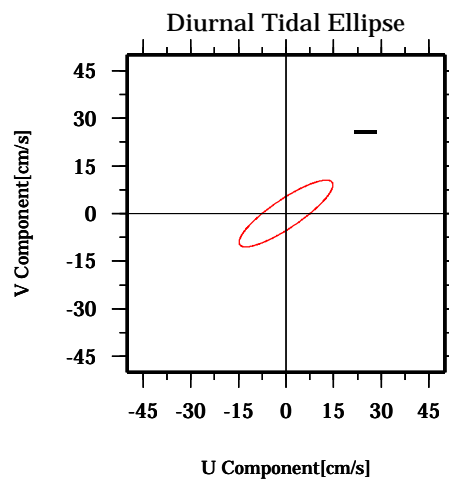
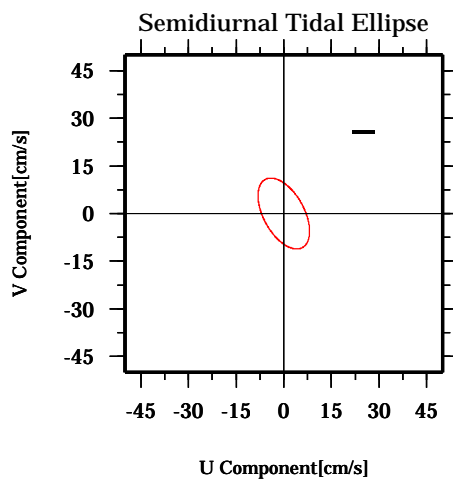
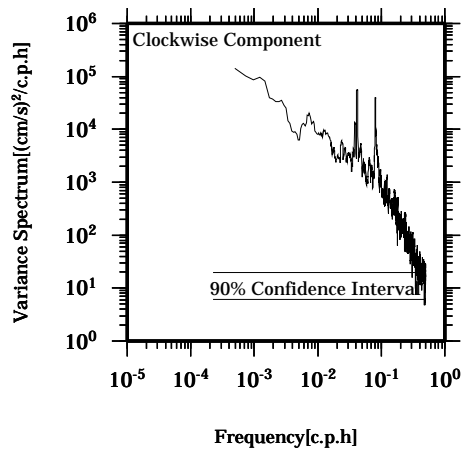
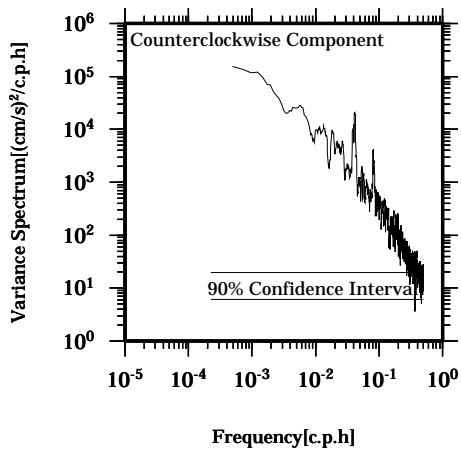
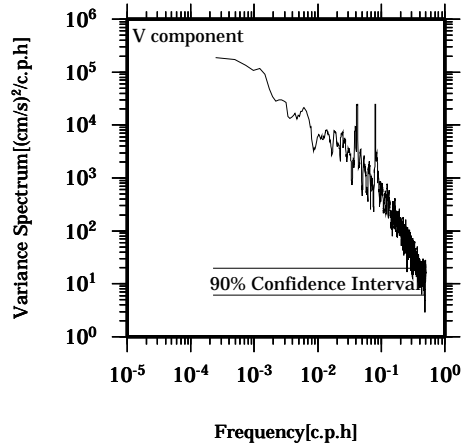
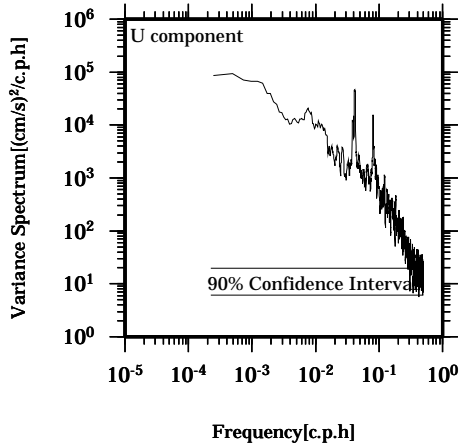


Lon: 121° 17.4341' E

Lat: 22° 38.8623' N

Station: W104

Depth : 54 M

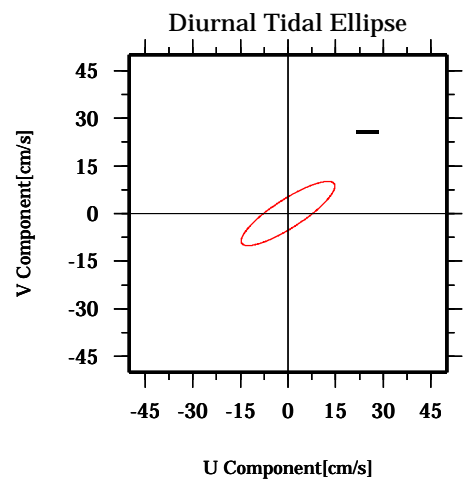
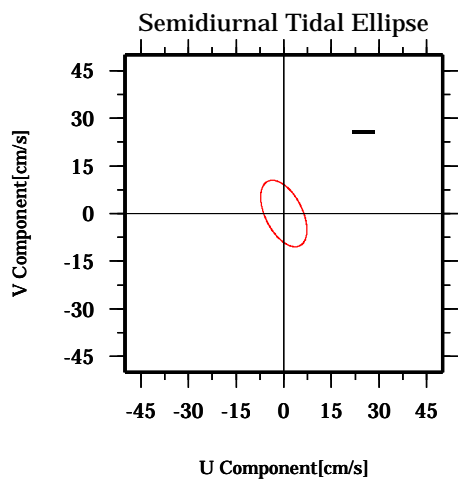
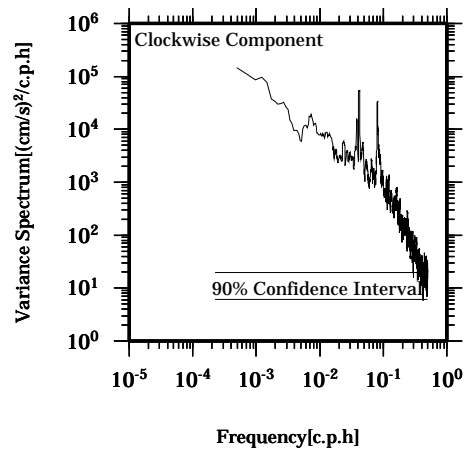
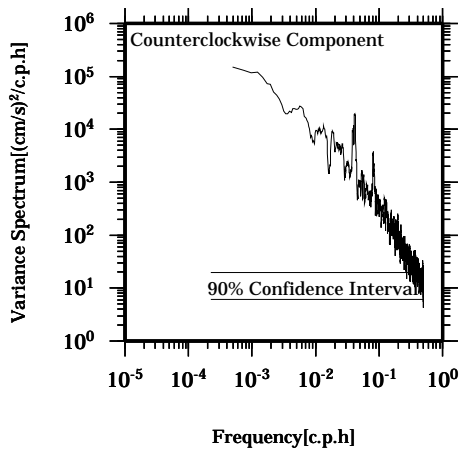
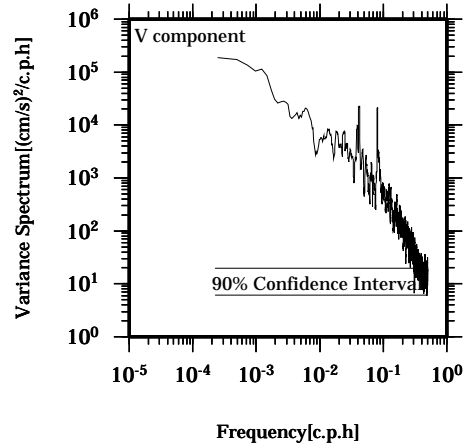
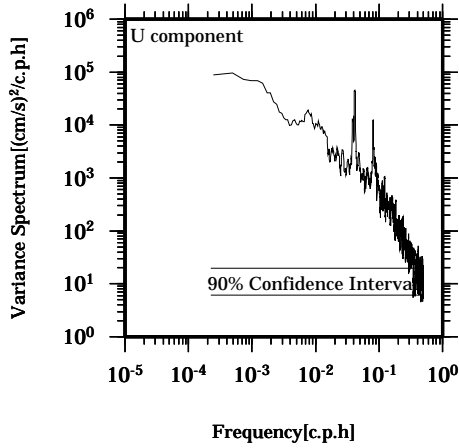


Lon: 121° 17.4341' E

Lat: 22° 38.8623' N

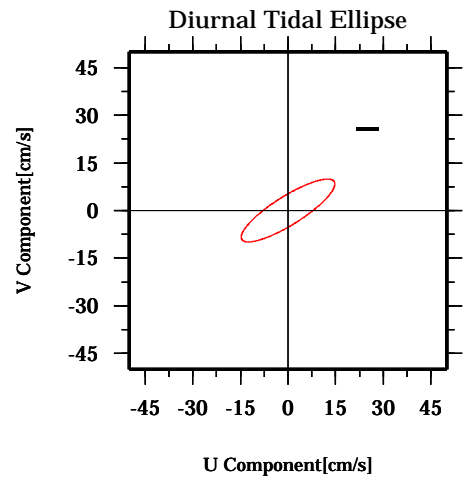
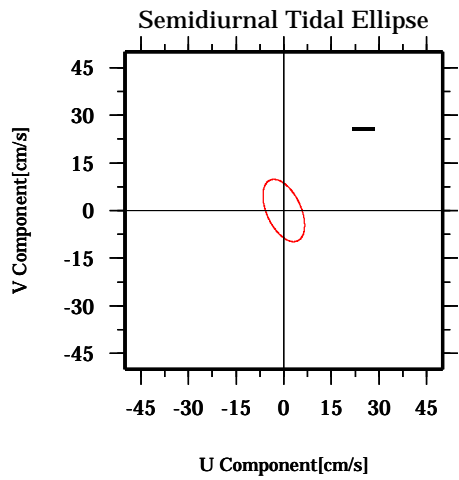
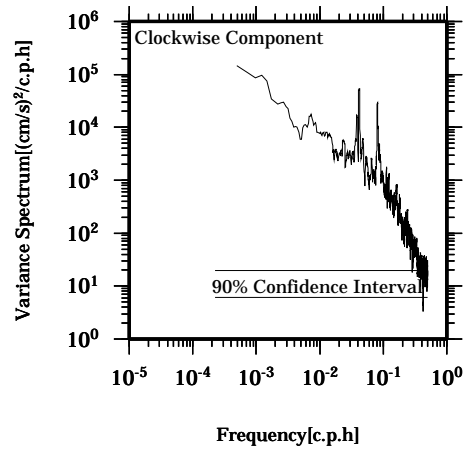
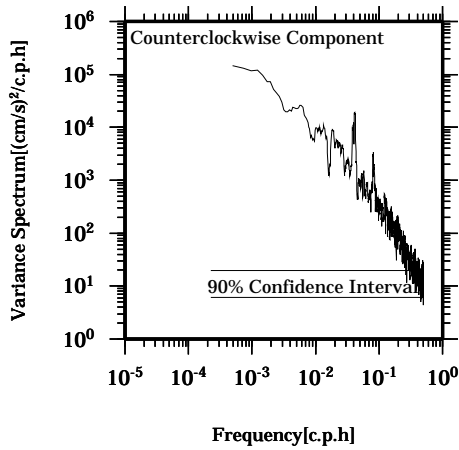
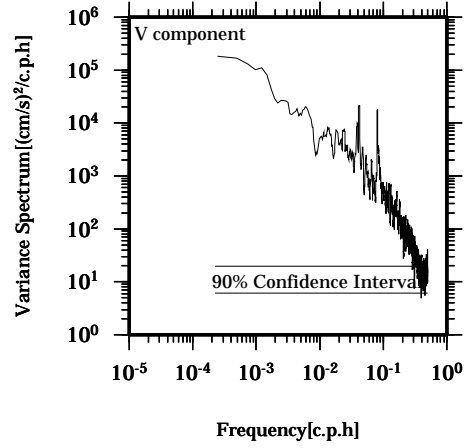
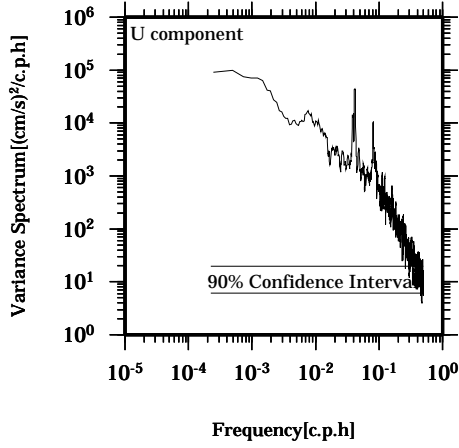
Station: W104

Depth : 58 M



Lon: 121° 17.4341' E
Lat: 22° 38.8623' N

Station: W104
Depth : 62 M

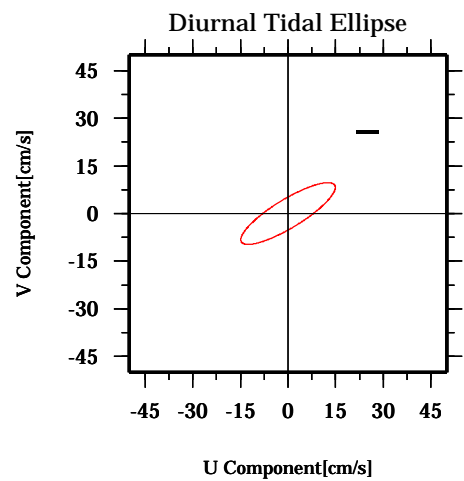
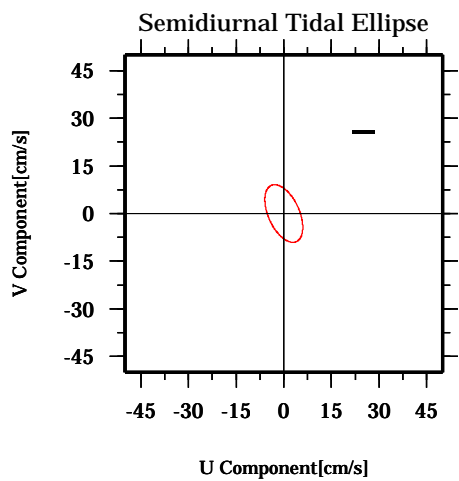
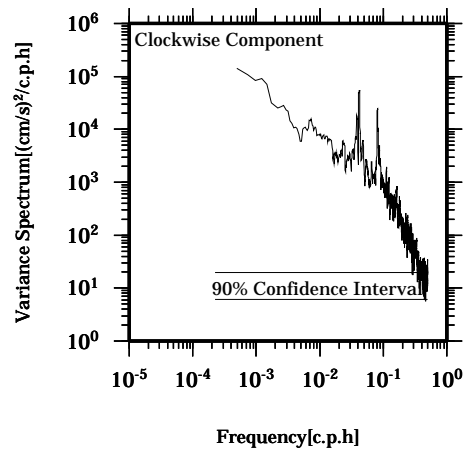
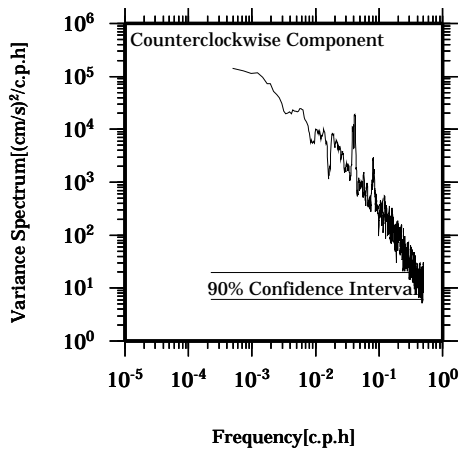
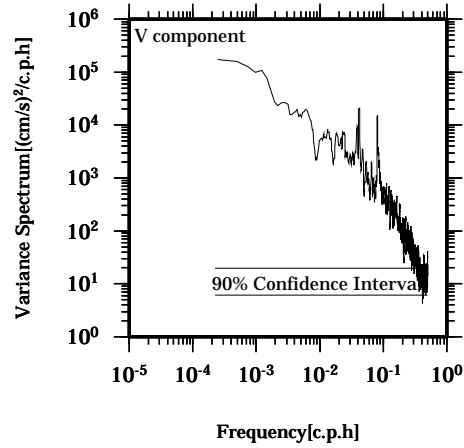
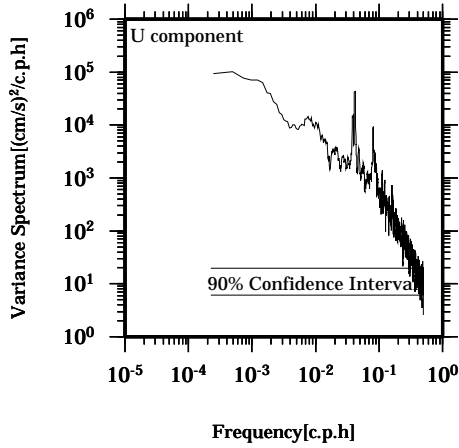


Lon: 121° 17.4341' E

Lat: 22° 38.8623' N

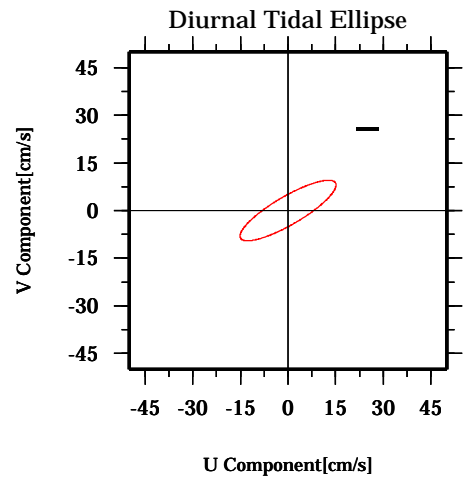
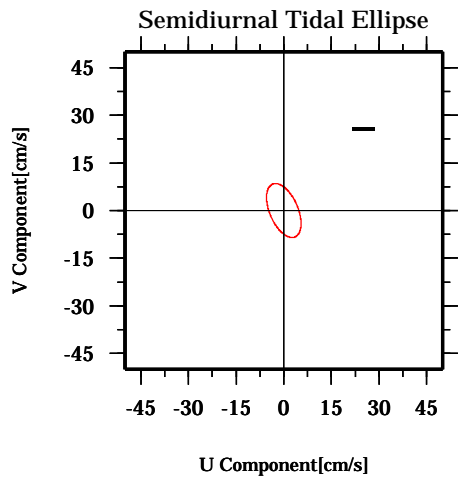
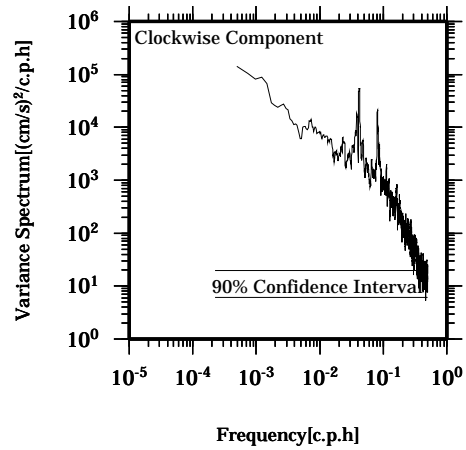
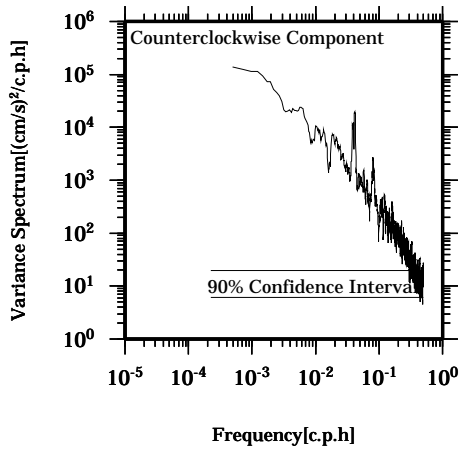
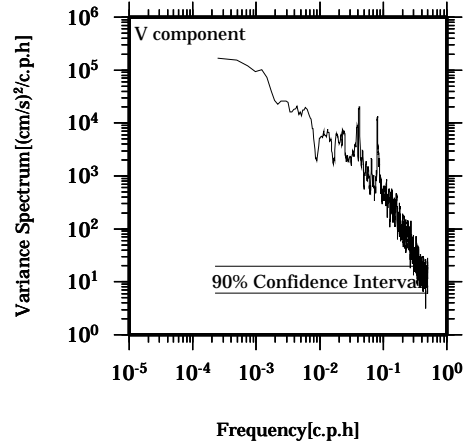
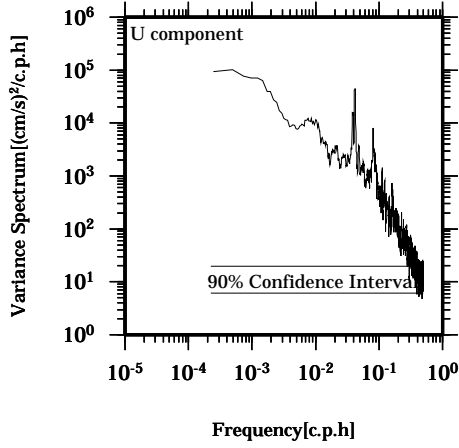
Station: W104

Depth : 66 M



Lon: 121° 17.4341' E
Lat: 22° 38.8623' N

Station: W104
Depth : 70 M

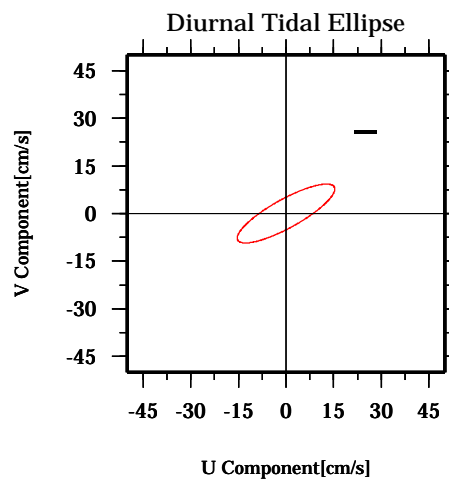
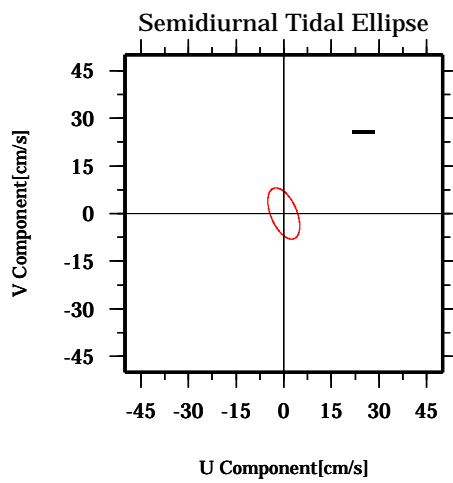
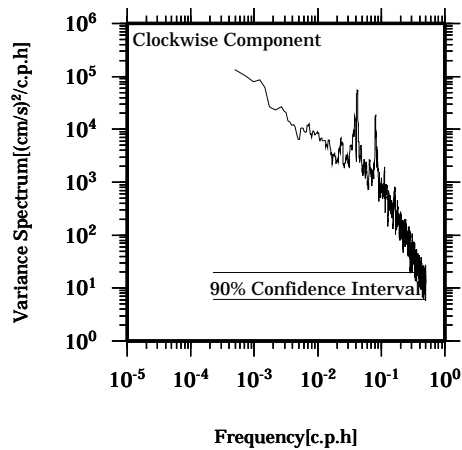
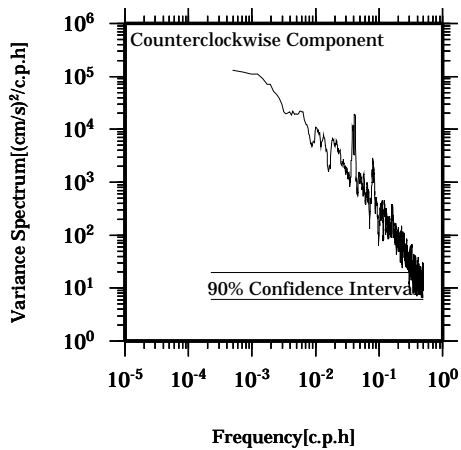
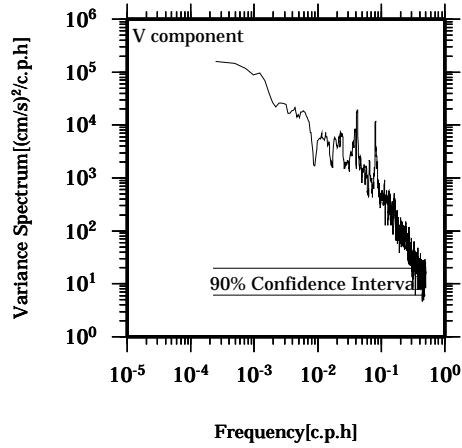
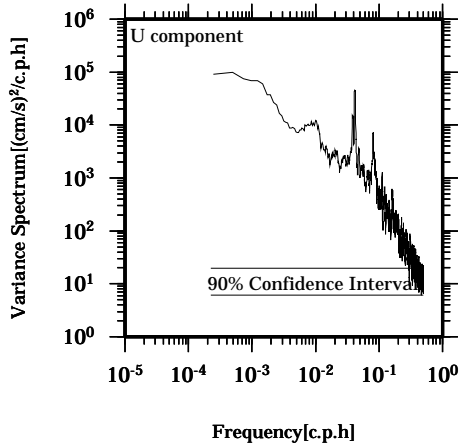


Lon: 121° 17.4341' E

Lat: 22° 38.8623' N

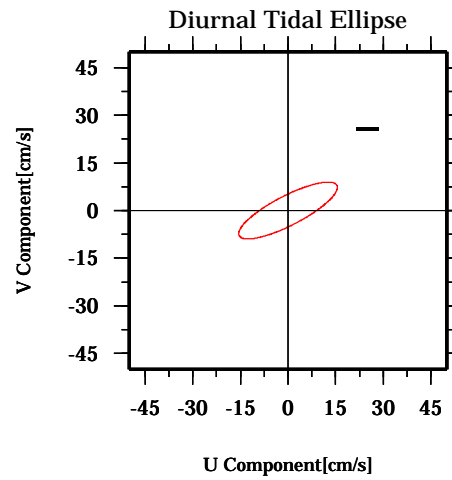
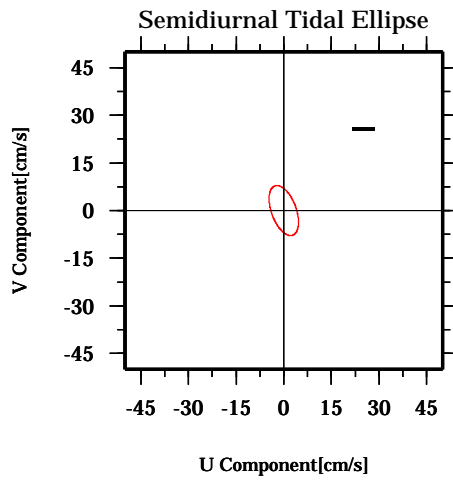
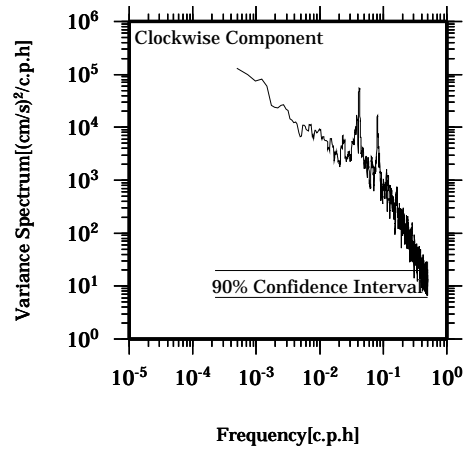
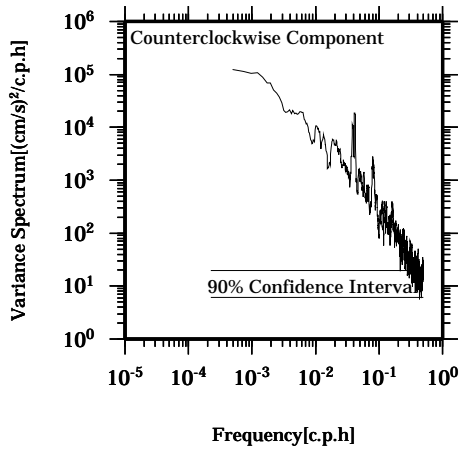
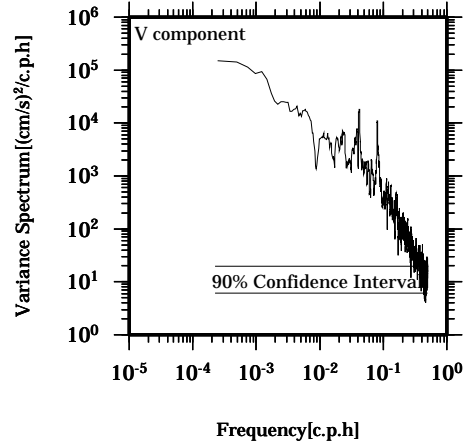
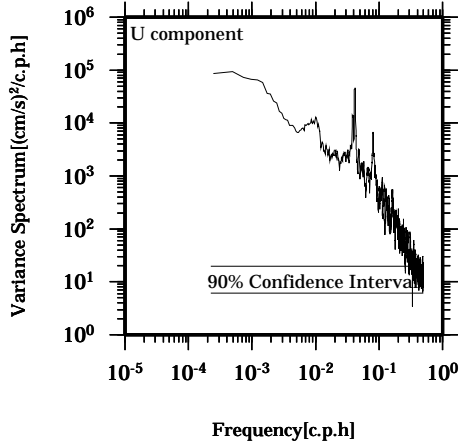
Station: W104

Depth : 74 M



Lon: 121° 17.4341' E
Lat: 22° 38.8623' N

Station: W104
Depth : 78 M

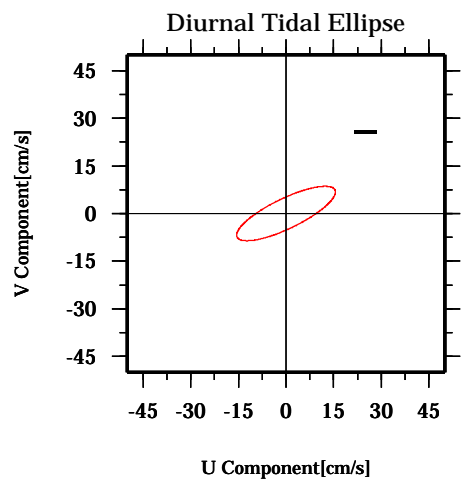
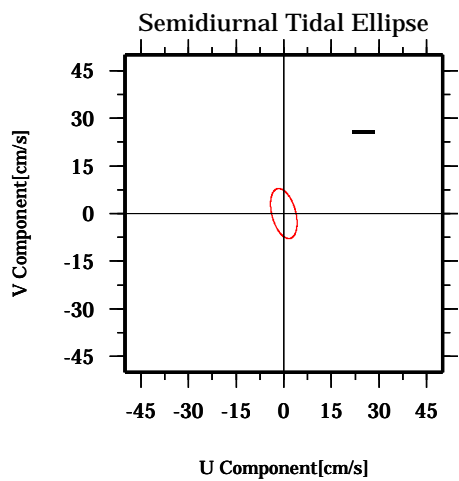
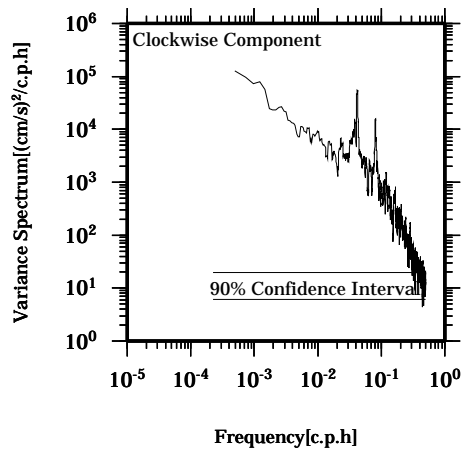
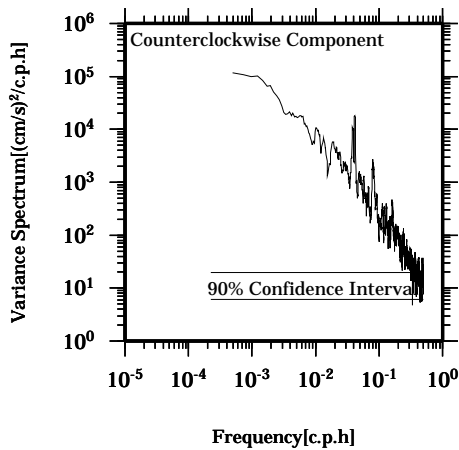
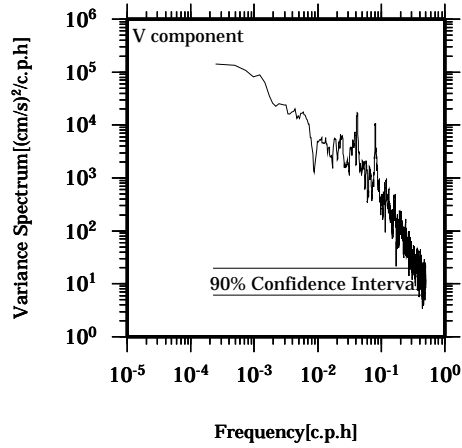
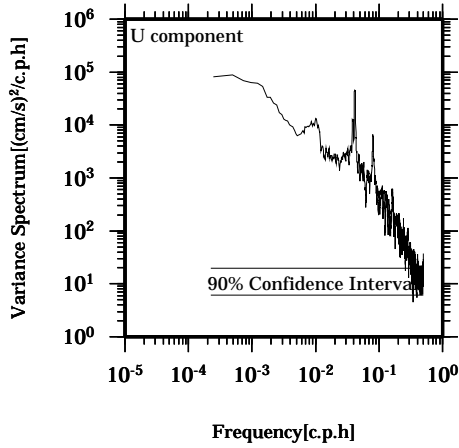


Lon: 121° 17.4341' E

Lat: 22° 38.8623' N

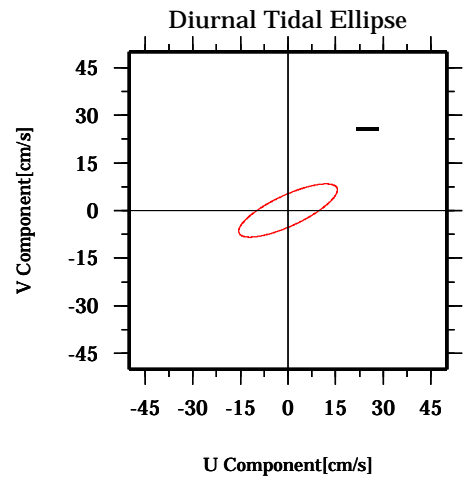
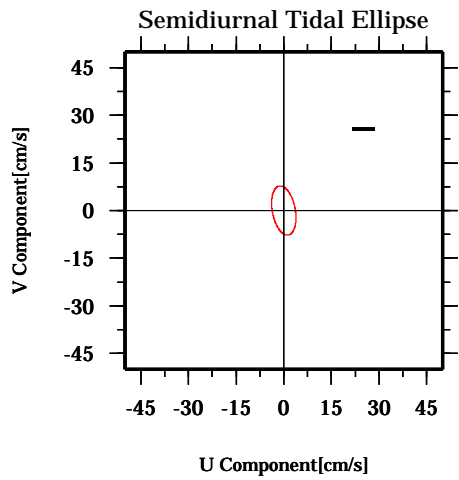
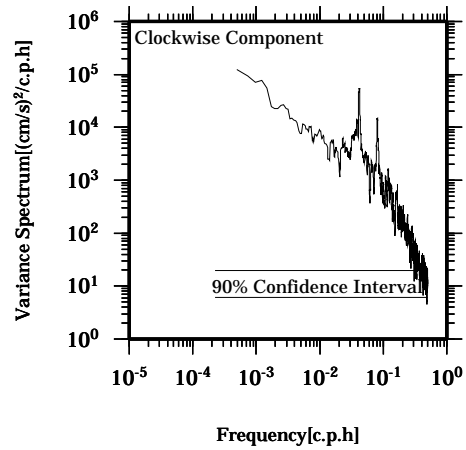
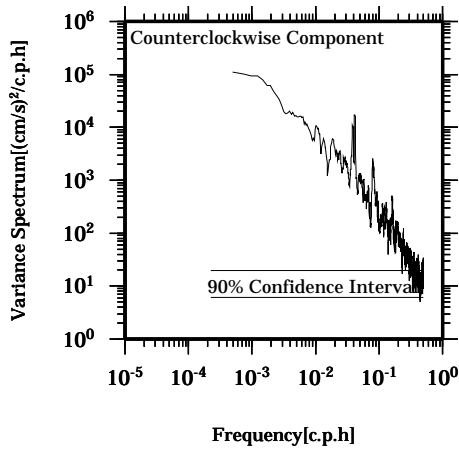
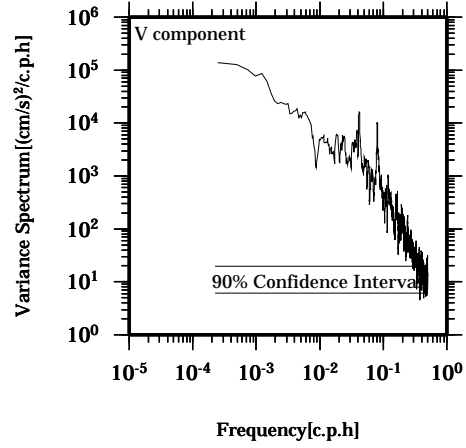
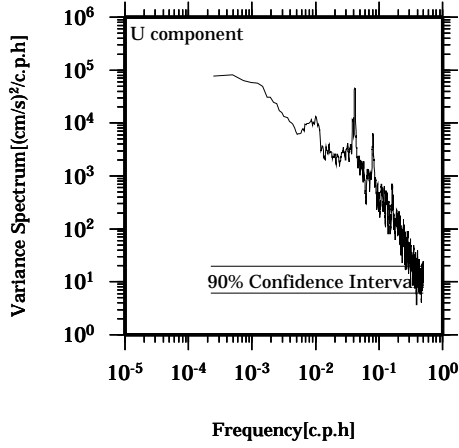
Station: W104

Depth : 82 M



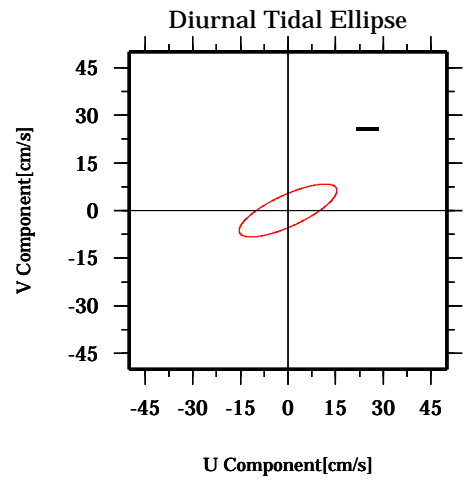
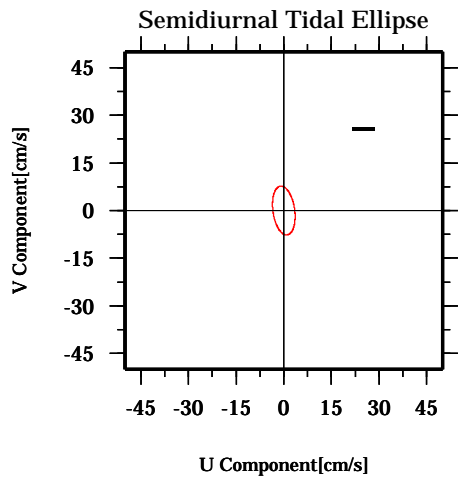
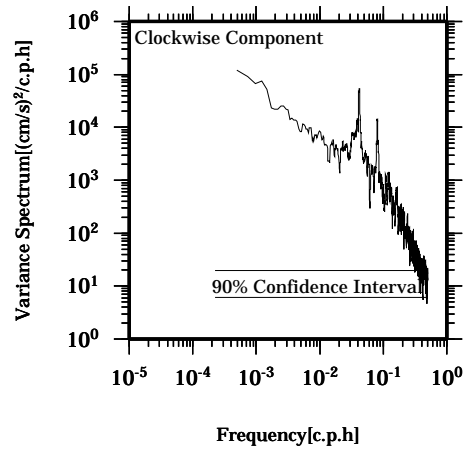
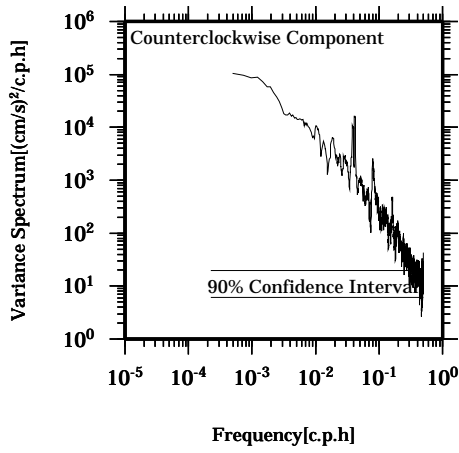
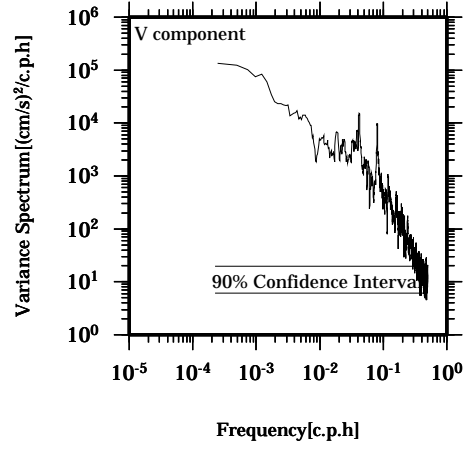
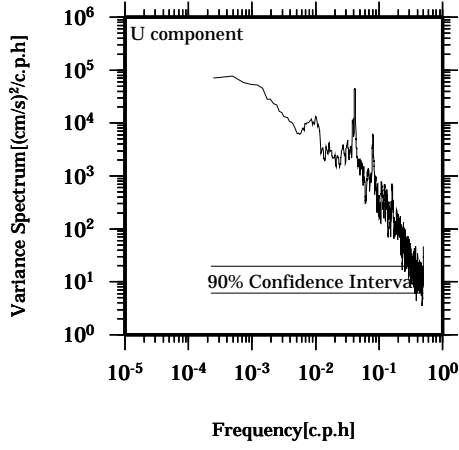
Lon: 121° 17.4341' E
Lat: 22° 38.8623' N

Station: W104
Depth : 86 M



Lon: 121° 17.4341' E
Lat: 22° 38.8623' N

Station: W104
Depth : 90 M

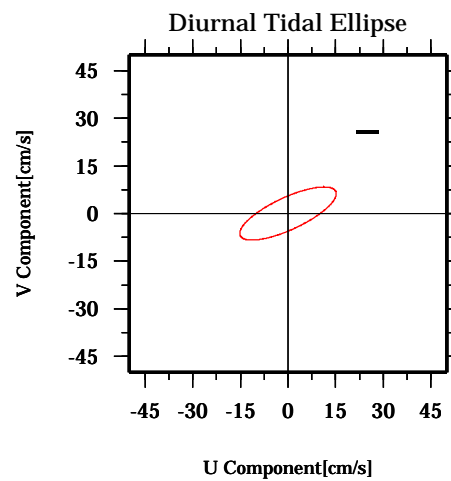
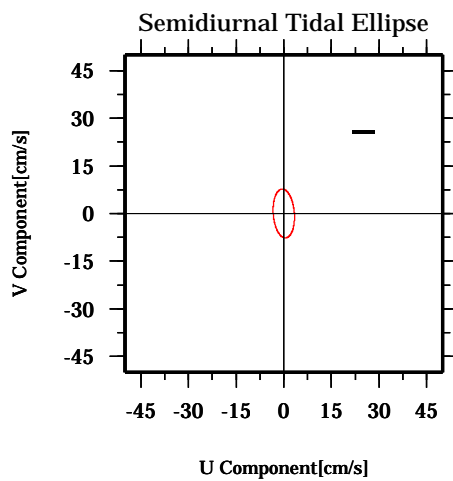
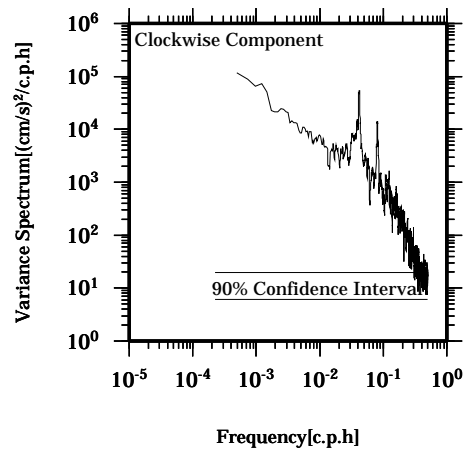
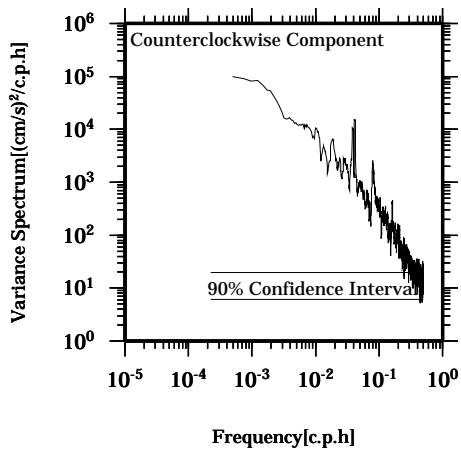
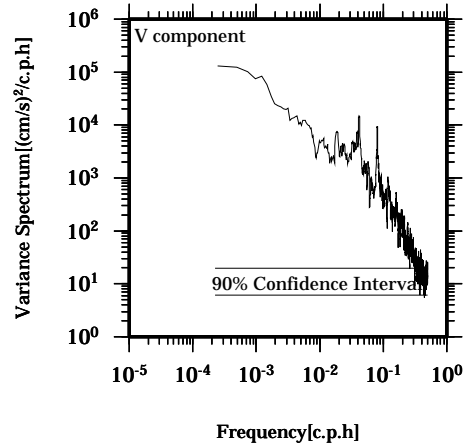
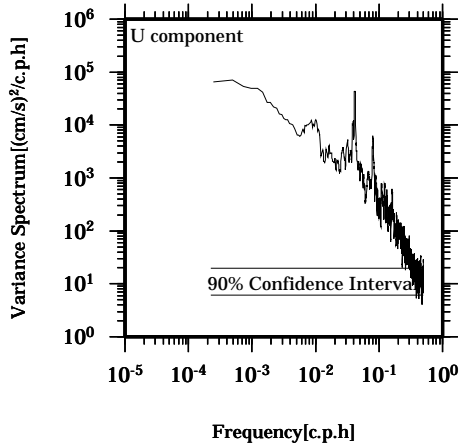


Lon: 121° 17.4341' E

Lat: 22° 38.8623' N

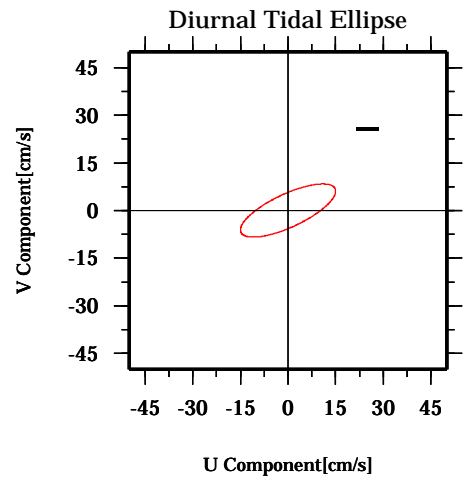
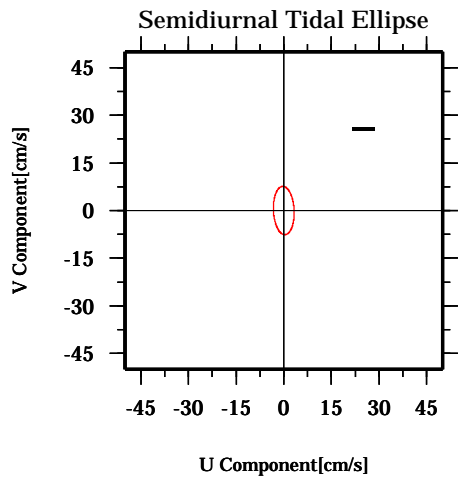
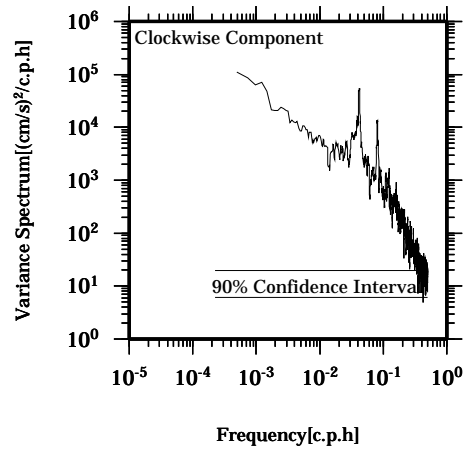
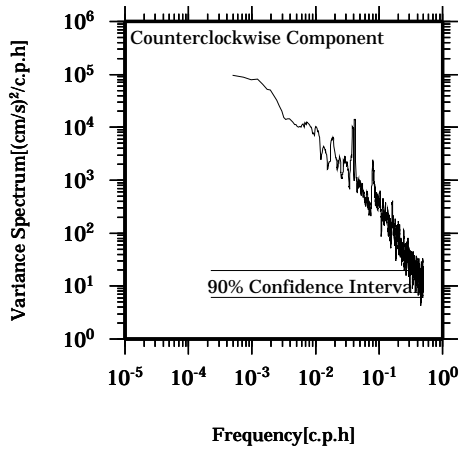
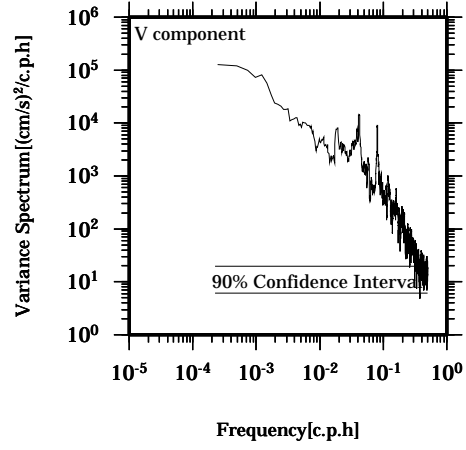
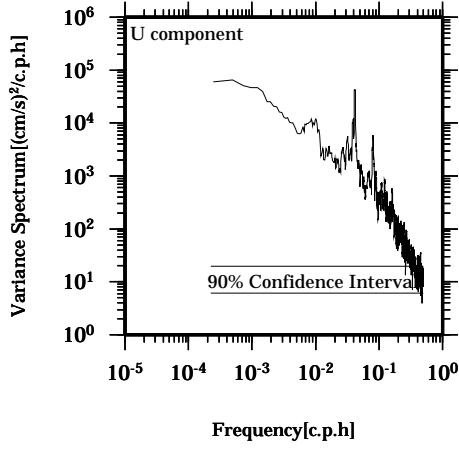
Station: W104

Depth : 94 M



Lon: 121° 17.4341' E
Lat: 22° 38.8623' N

Station: W104
Depth : 98 M

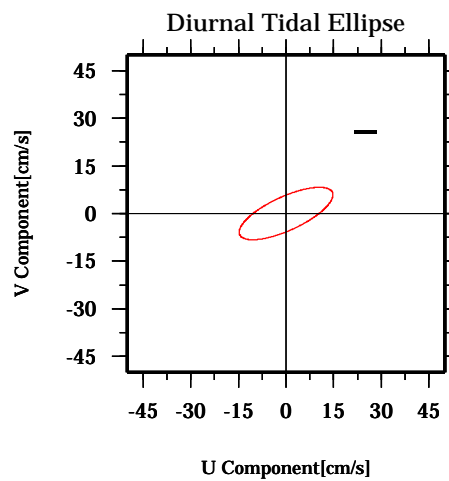
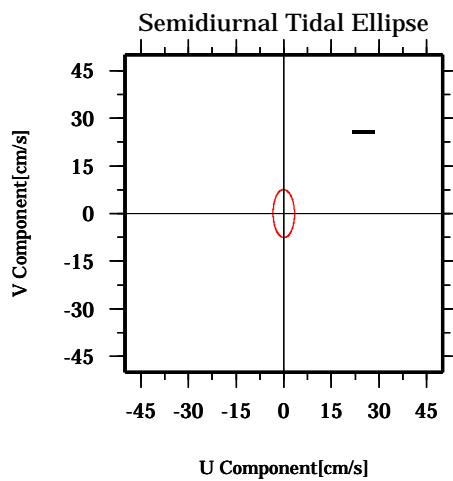
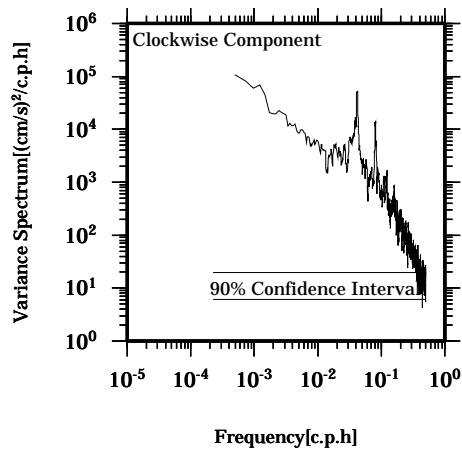
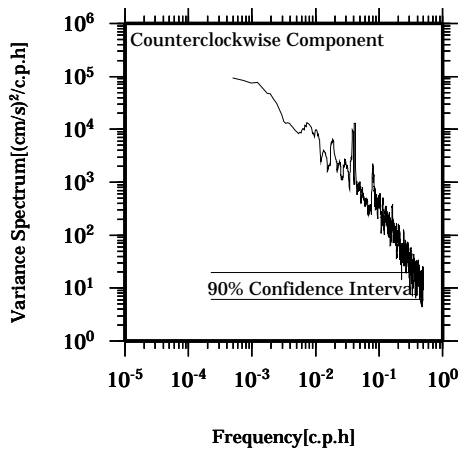
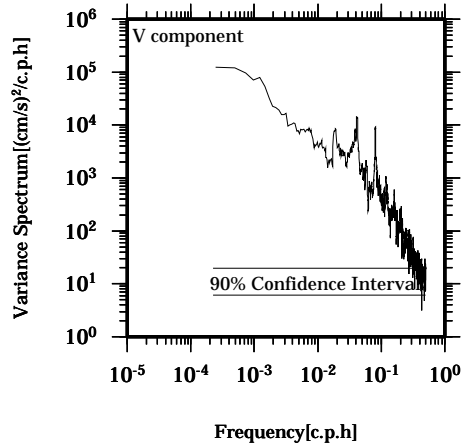
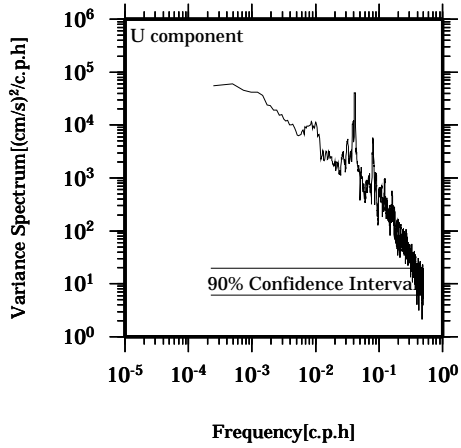


Lon: 121° 17.4341' E

Lat: 22° 38.8623' N

Station: W104

Depth : 102 M

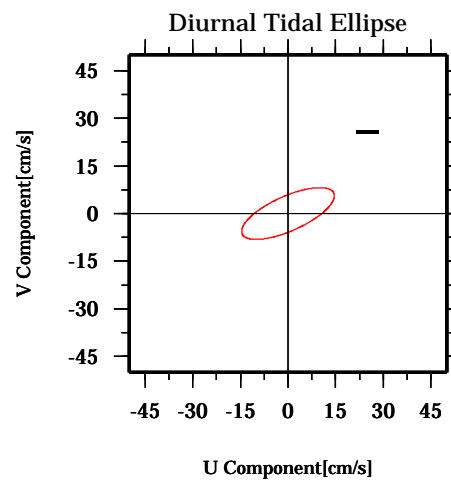
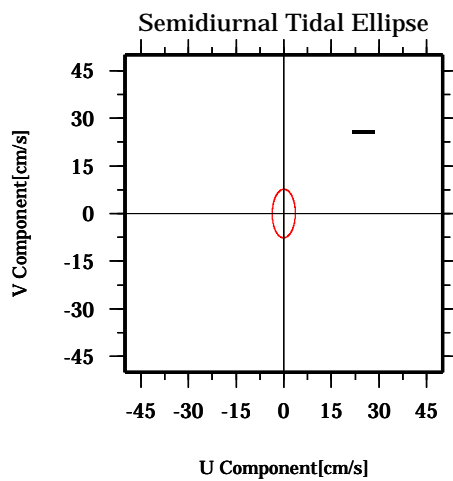
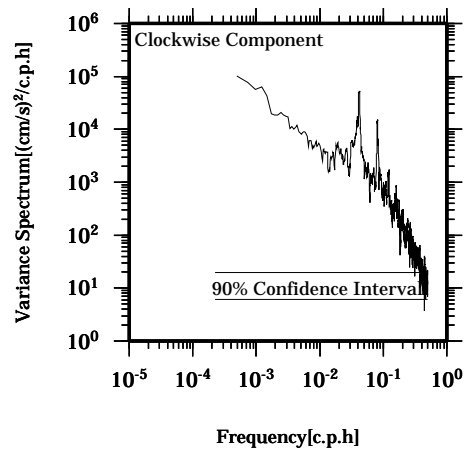
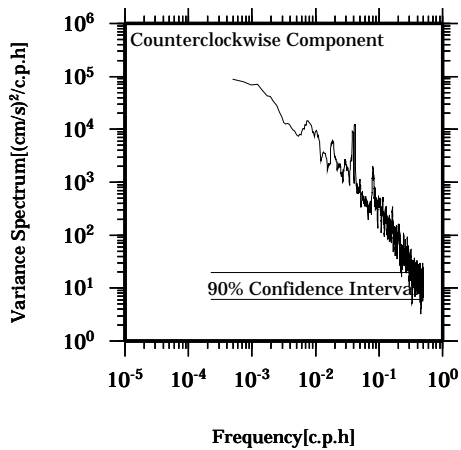
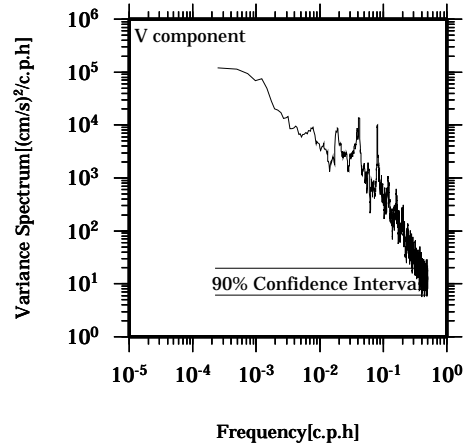
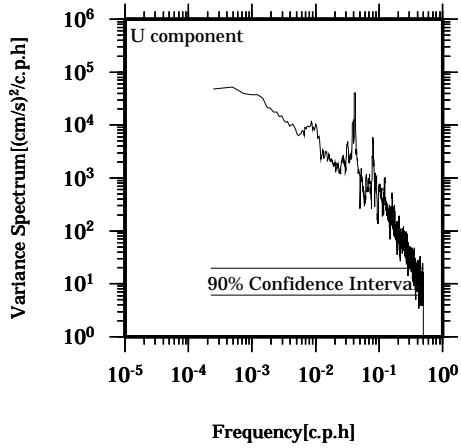


Lon: 121° 17.4341' E

Lat: 22° 38.8623' N

Station: W104

Depth : 106 M

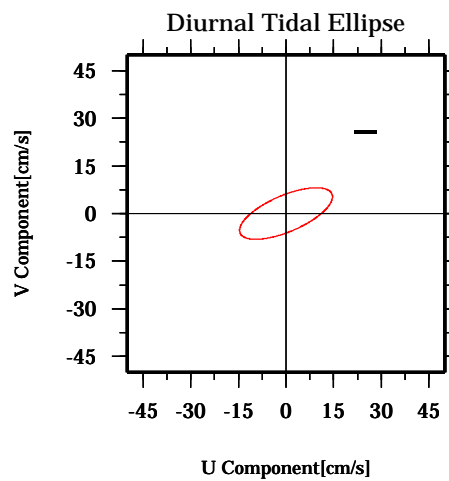
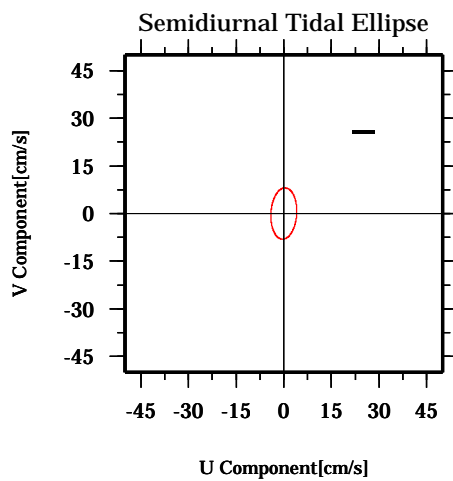
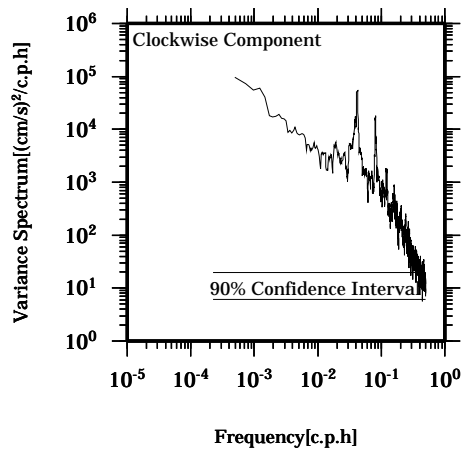
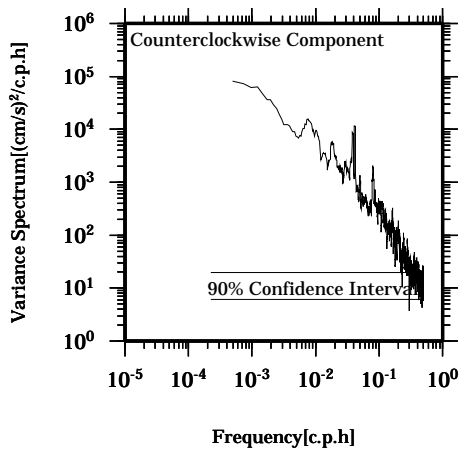
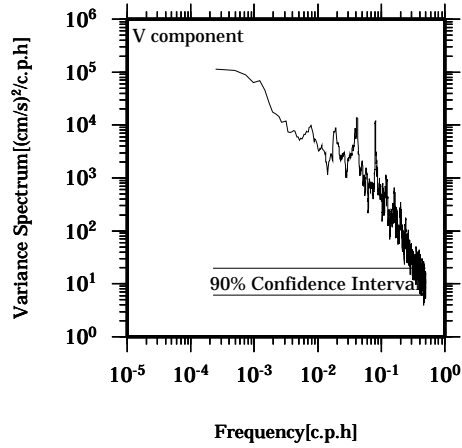
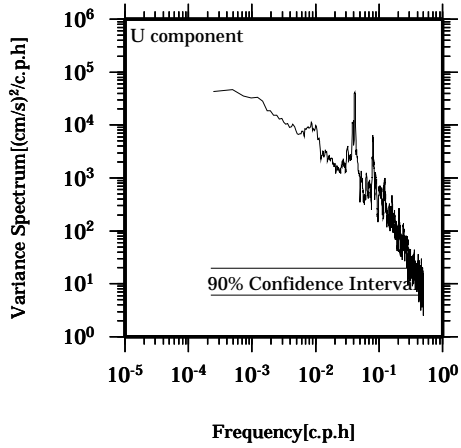


Lon: 121° 17.4341' E

Lat: 22° 38.8623' N

Station: W104

Depth : 110 M

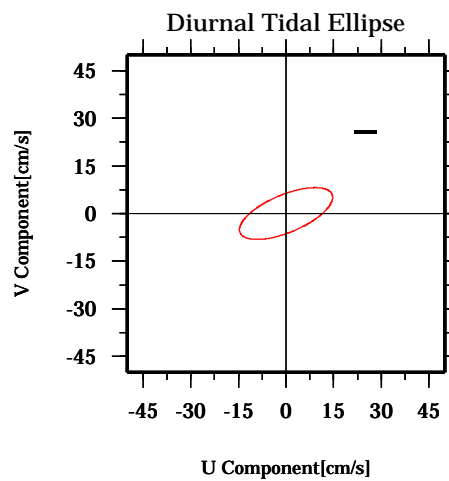
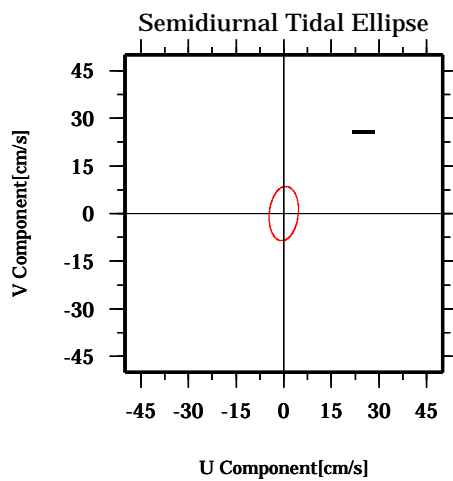
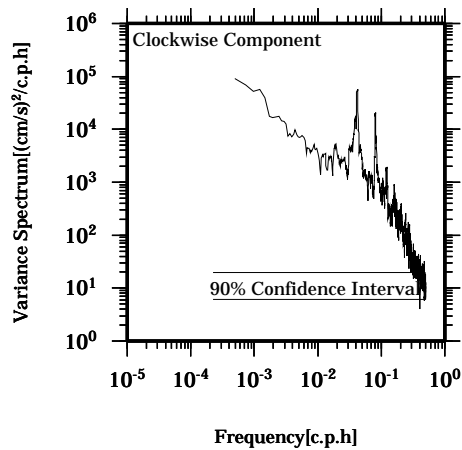
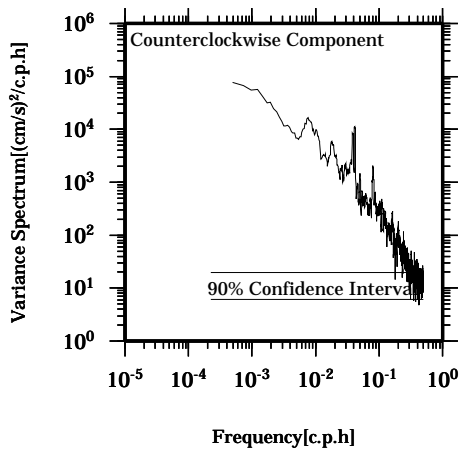
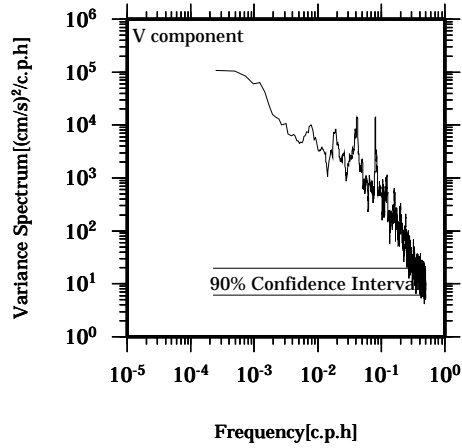
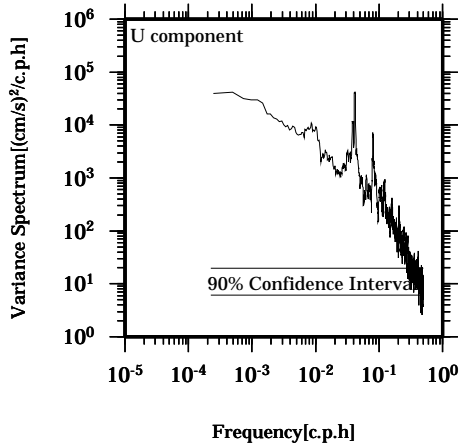


Lon: 121° 17.4341' E

Lat: 22° 38.8623' N

Station: W104

Depth : 114 M

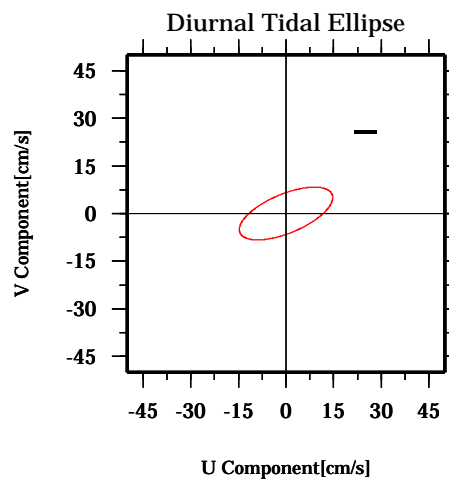
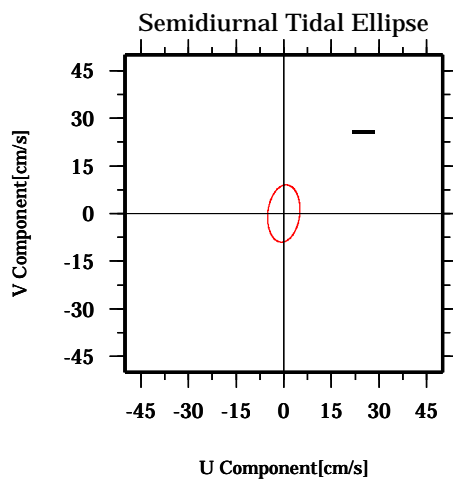
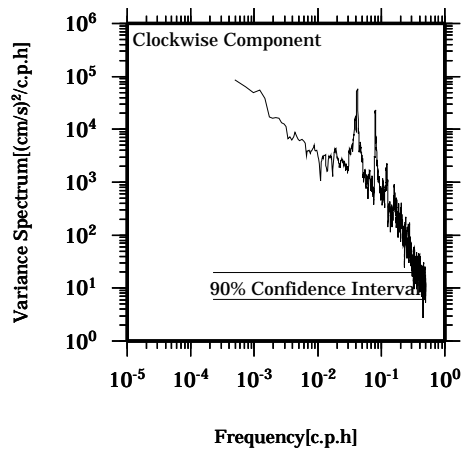
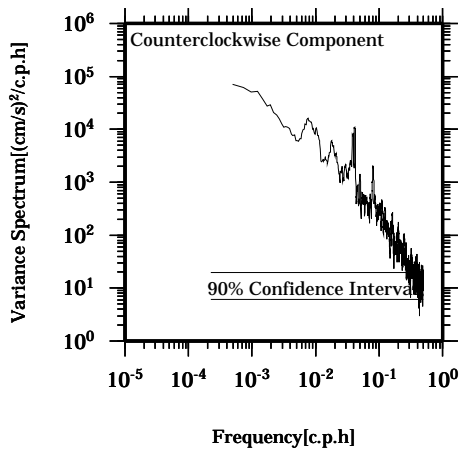
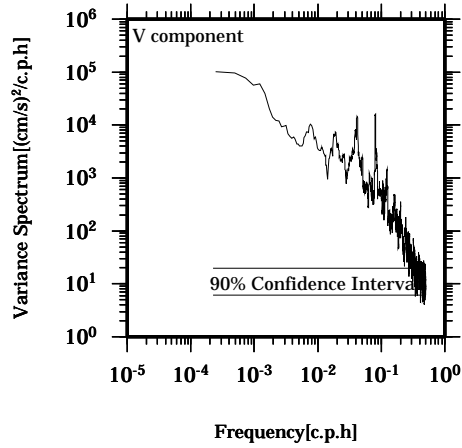
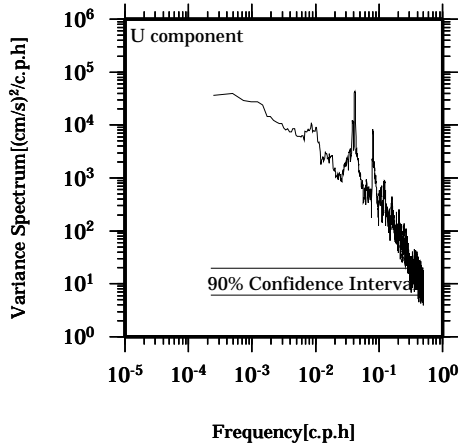


Lon: 121° 17.4341' E

Lat: 22° 38.8623' N

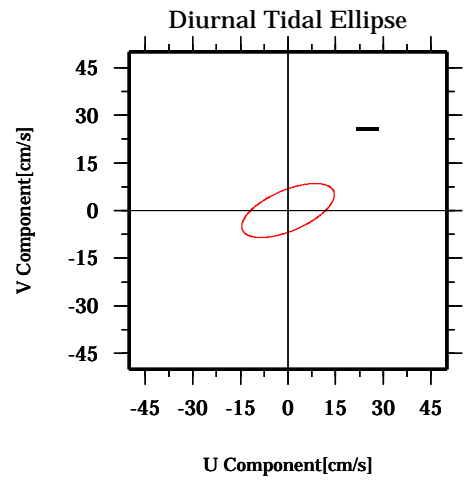
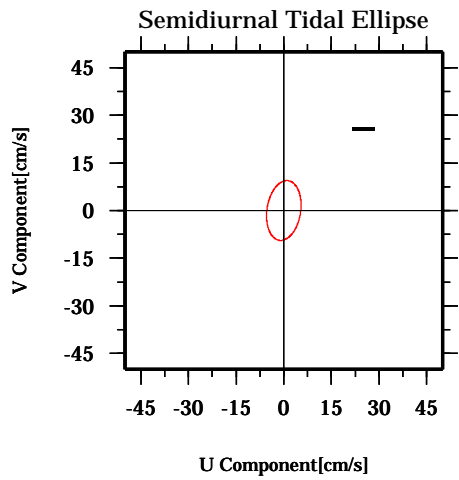
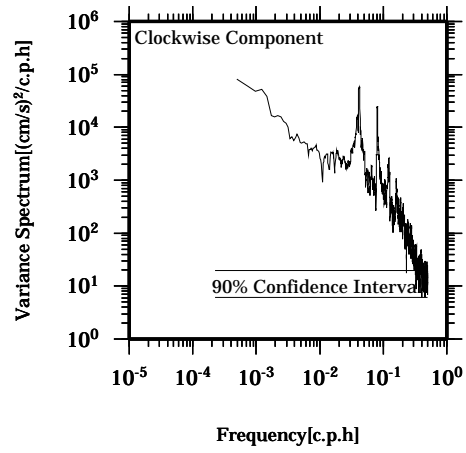
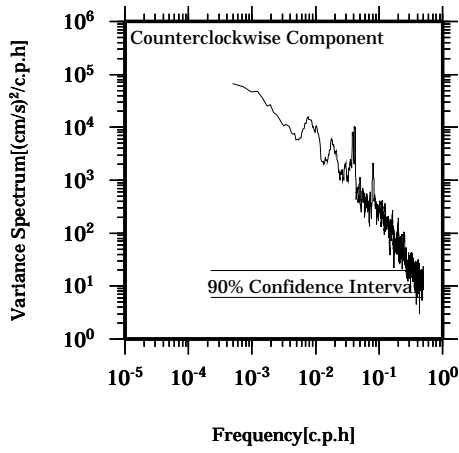
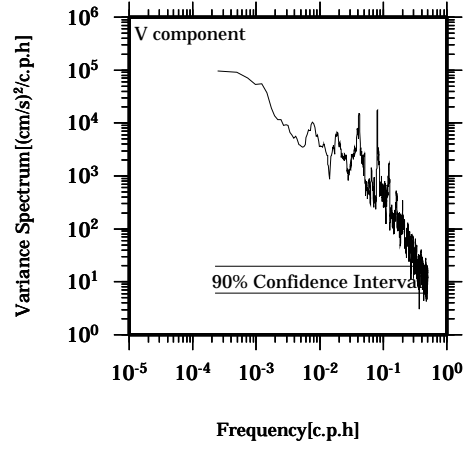
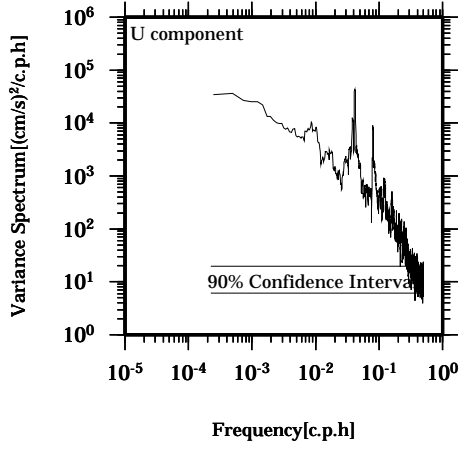
Station: W104

Depth : 118 M



Lon: 121° 17.4341' E
Lat: 22° 38.8623' N

Station: W104
Depth : 122 M

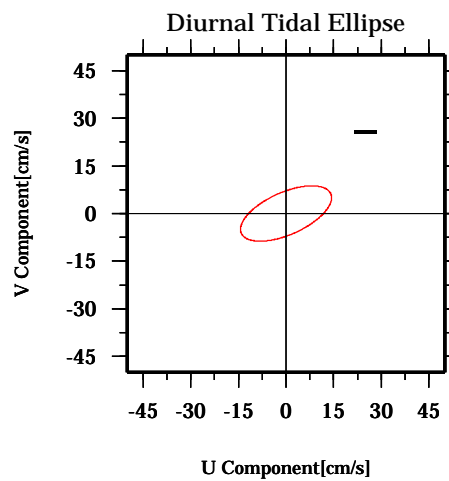
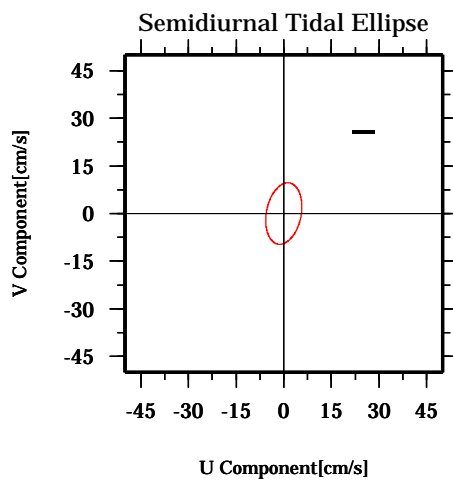
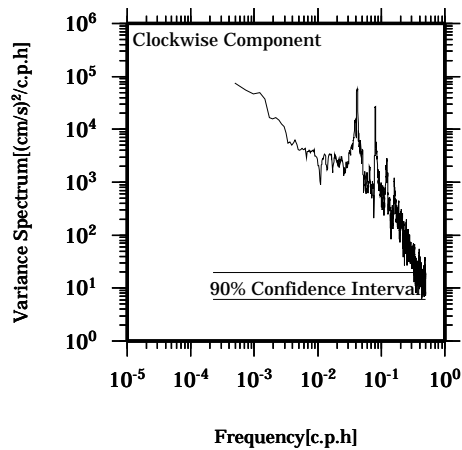
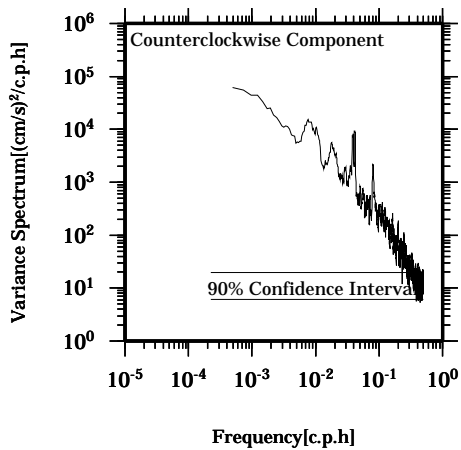
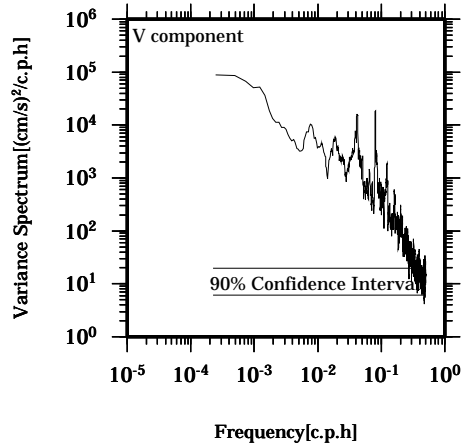
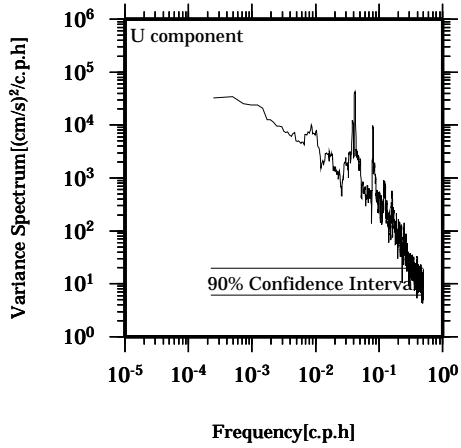


Lon: 121° 17.4341' E

Lat: 22° 38.8623' N

Station: W104

Depth : 126 M

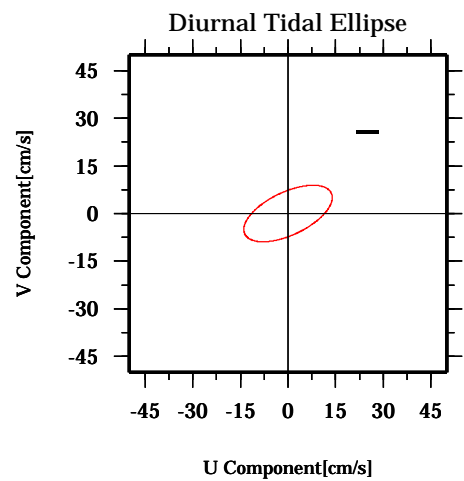
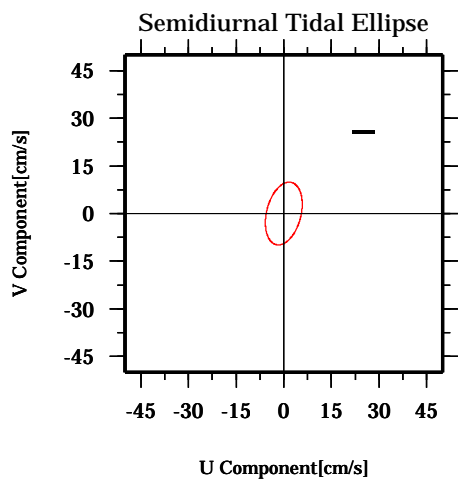
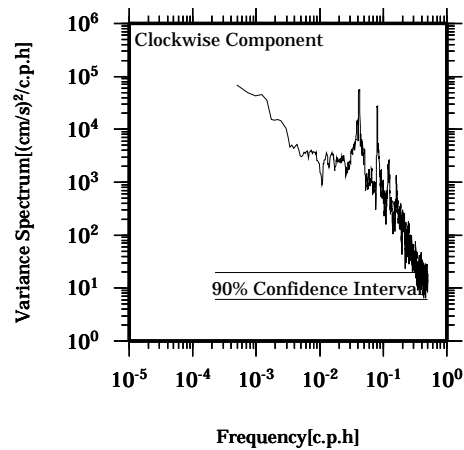
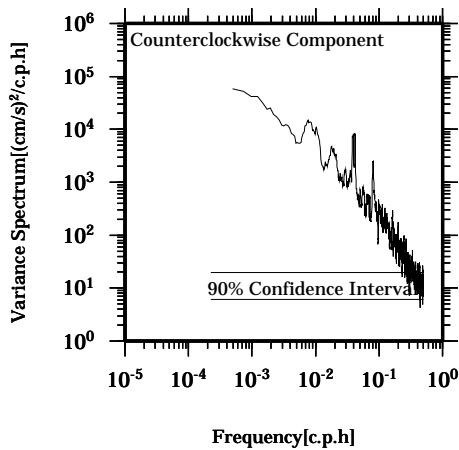
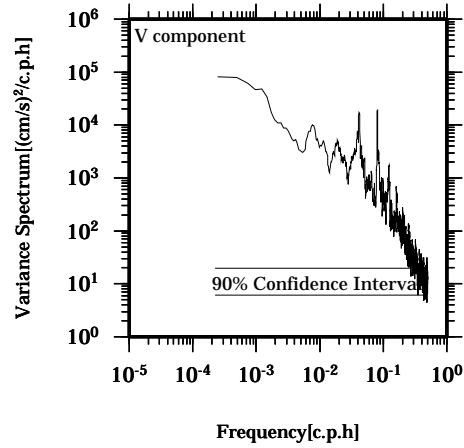
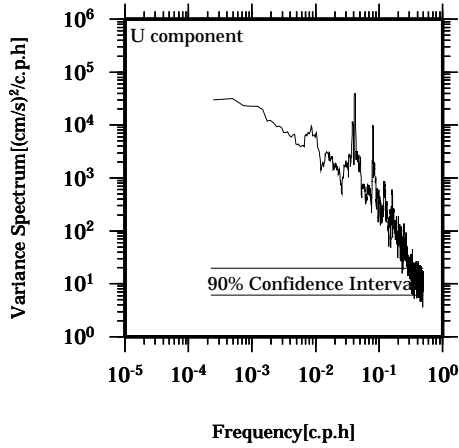


Lon: 121° 17.4341' E

Lat: 22° 38.8623' N

Station: W104

Depth : 130 M

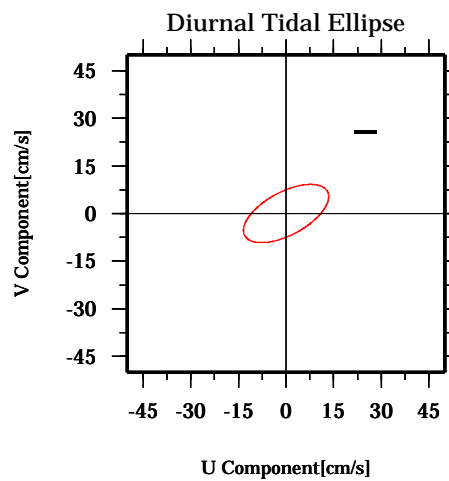
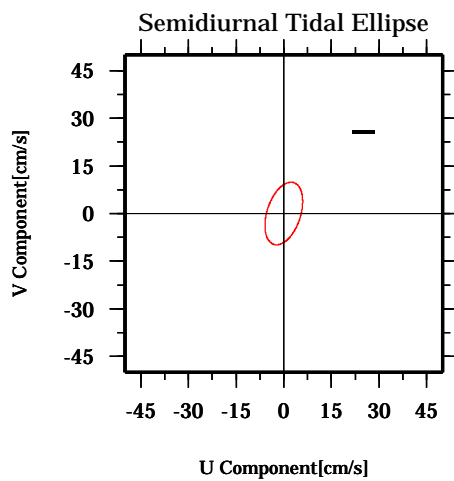
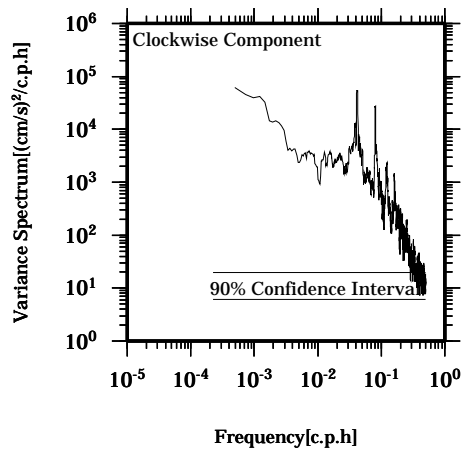
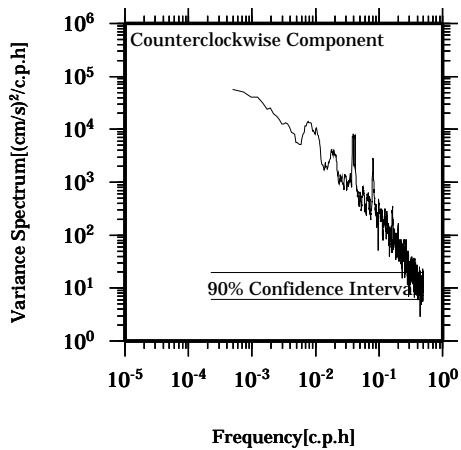
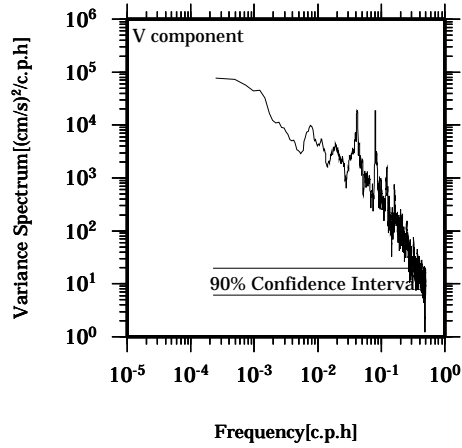
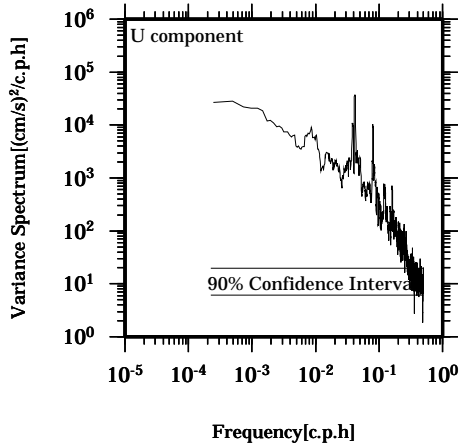


Lon: 121° 17.4341' E

Lat: 22° 38.8623' N

Station: W104

Depth : 134 M

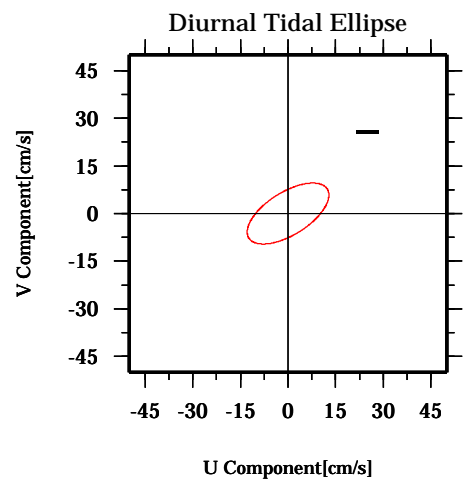
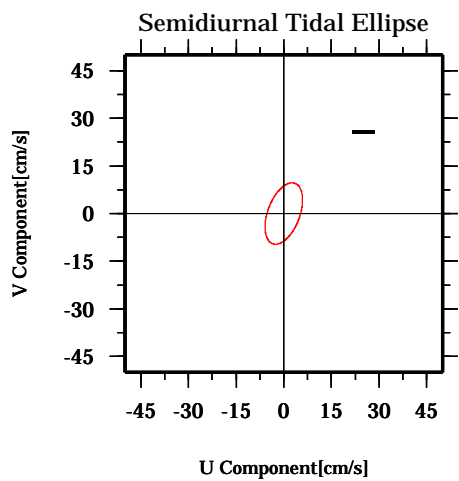
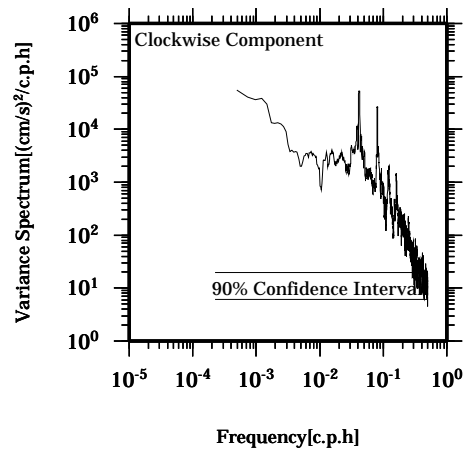
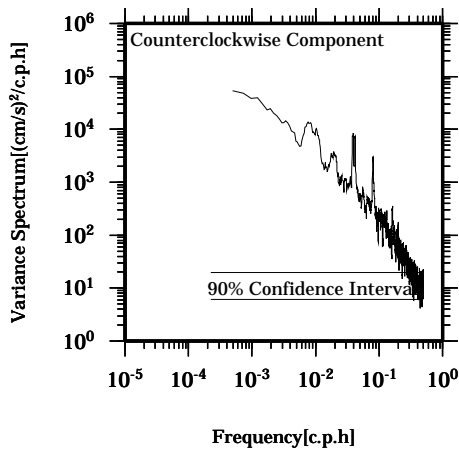
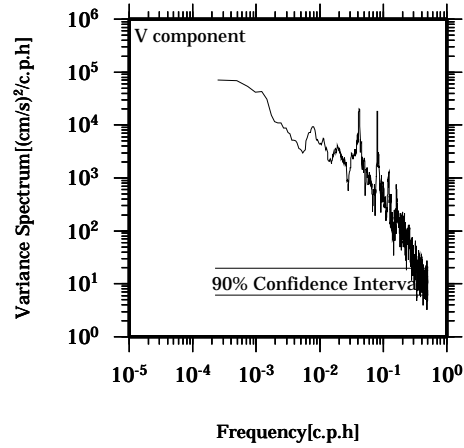
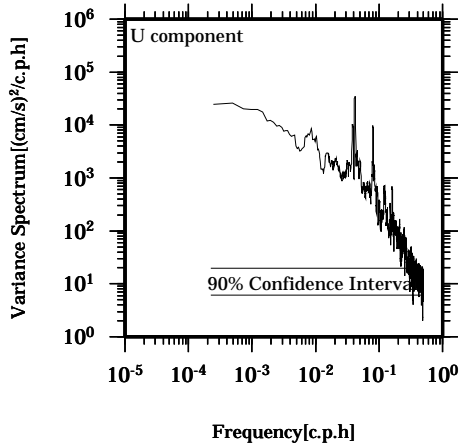


Lon: 121° 17.4341' E

Lat: 22° 38.8623' N

Station: W104

Depth : 138 M

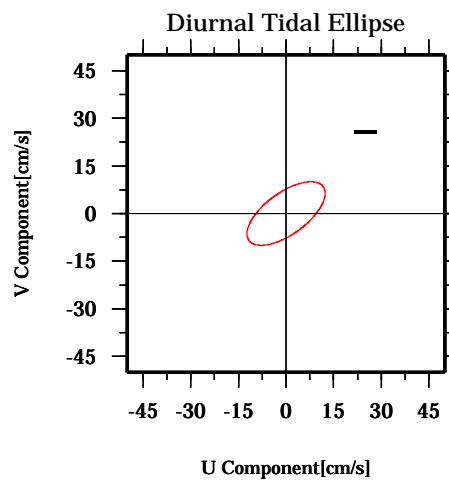
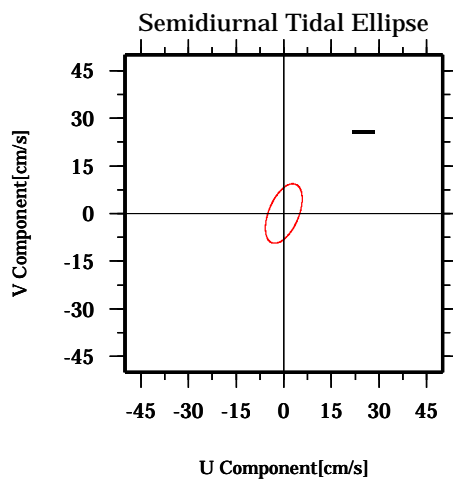
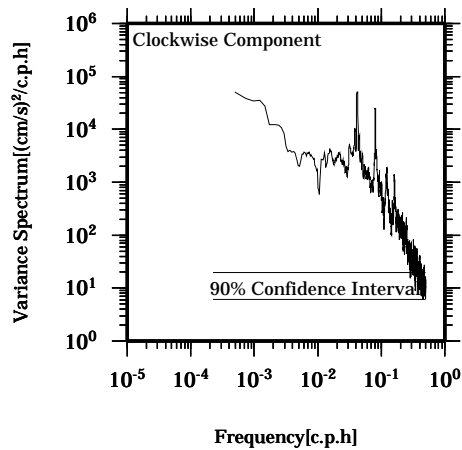
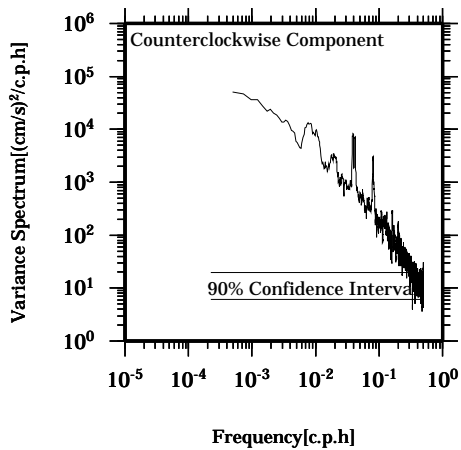
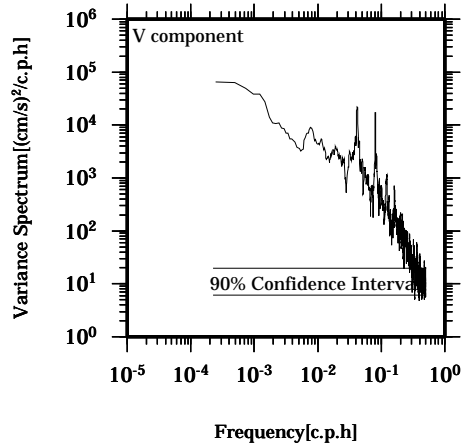
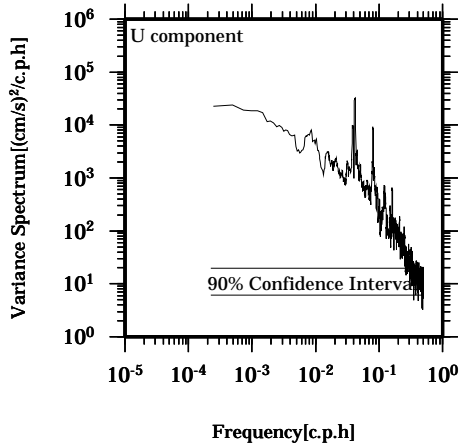


Lon: 121° 17.4341' E

Lat: 22° 38.8623' N

Station: W104

Depth : 142 M

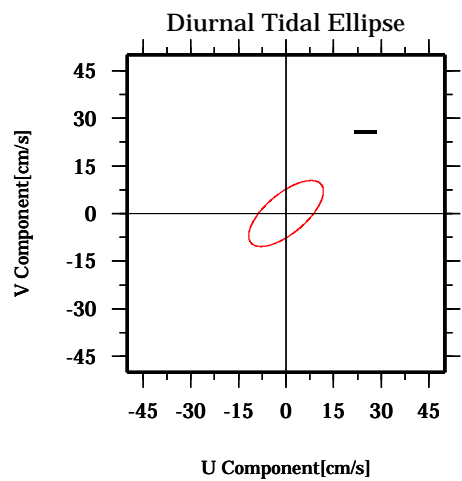
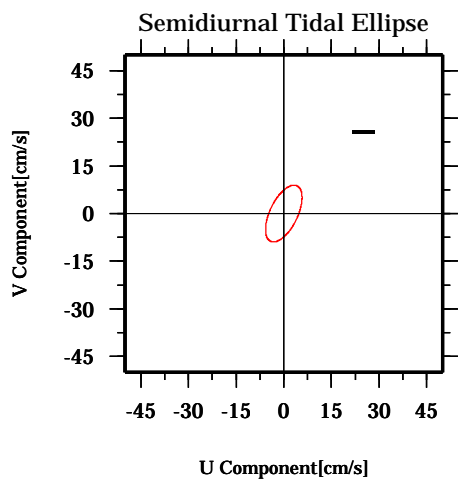
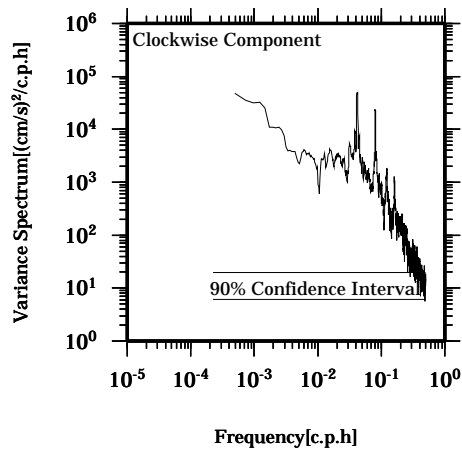
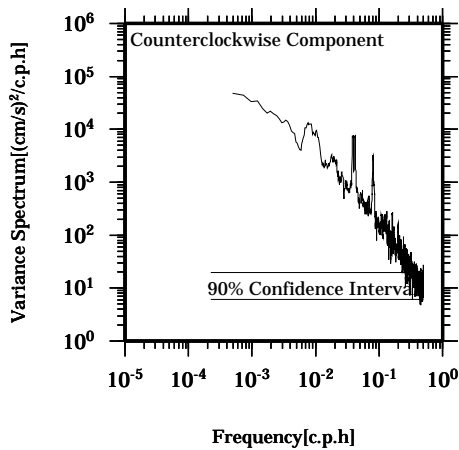
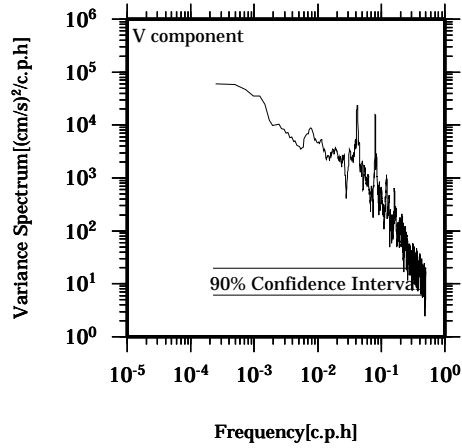
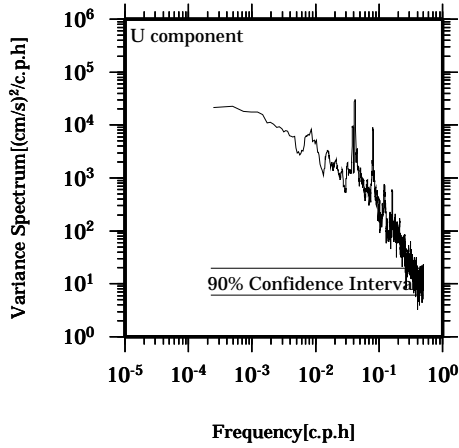


Lon: 121° 17.4341' E

Lat: 22° 38.8623' N

Station: W104

Depth : 146 M

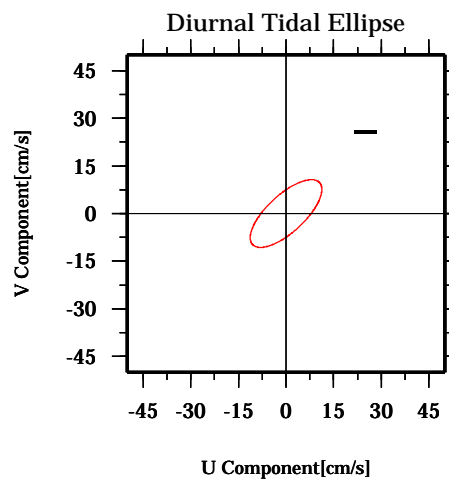
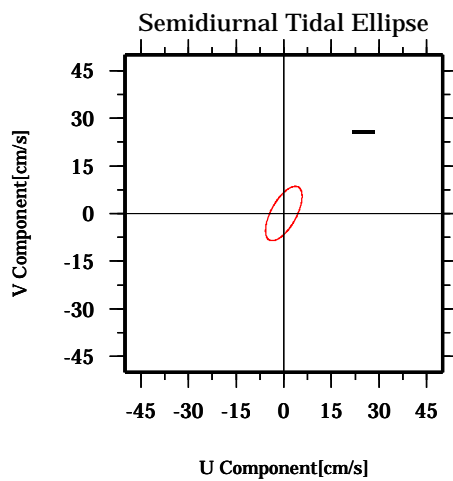
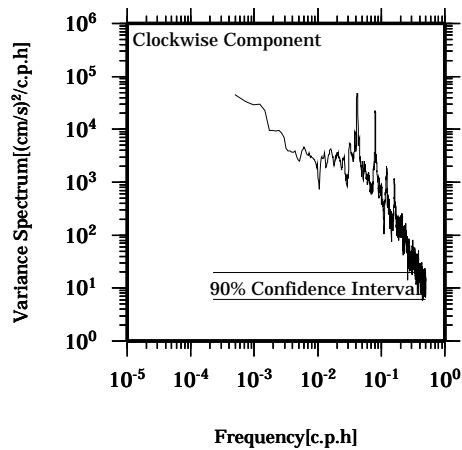
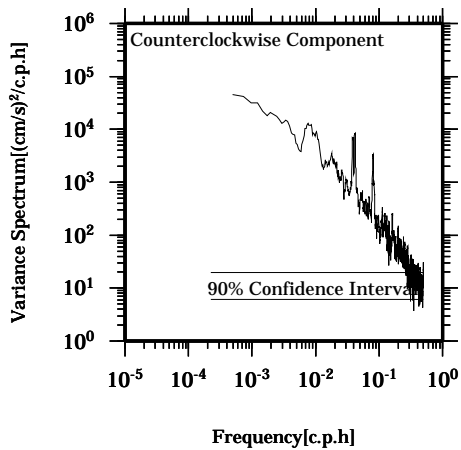
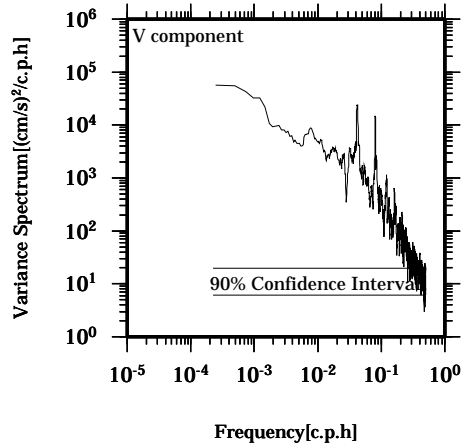
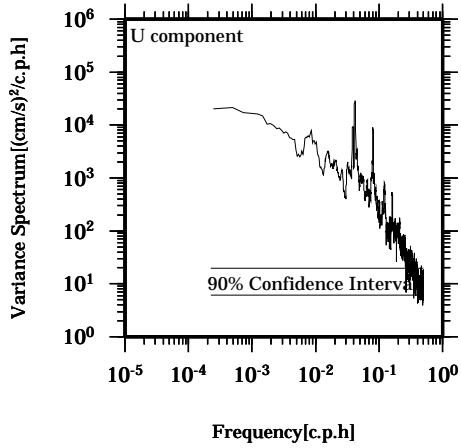


Lon: 121° 17.4341' E

Lat: 22° 38.8623' N

Station: W104

Depth : 150 M

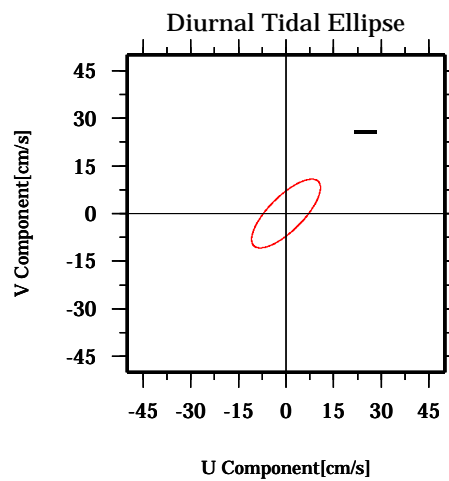
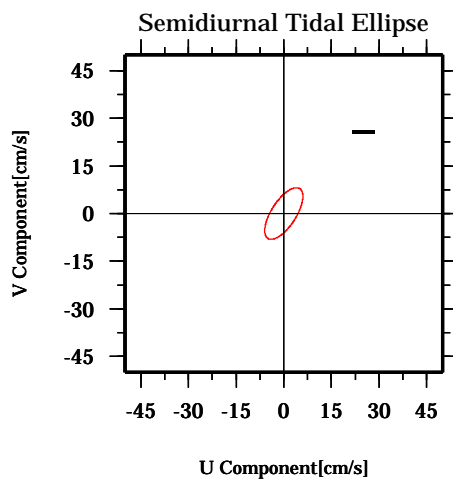
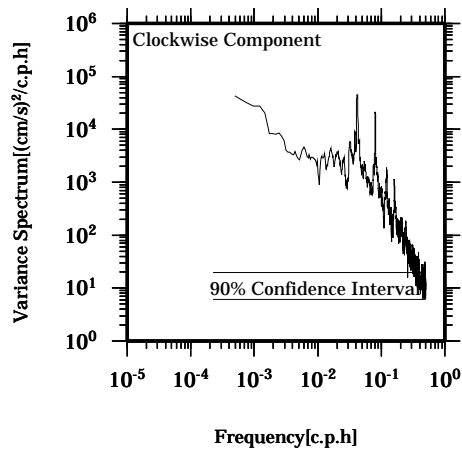
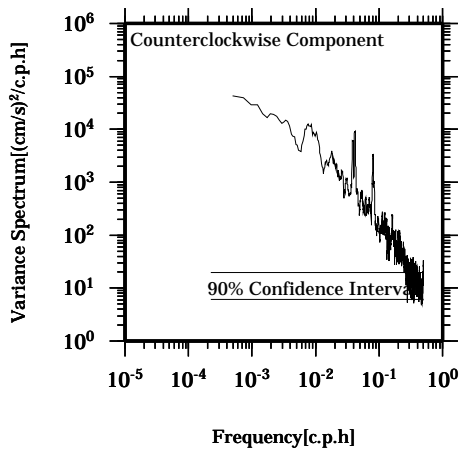
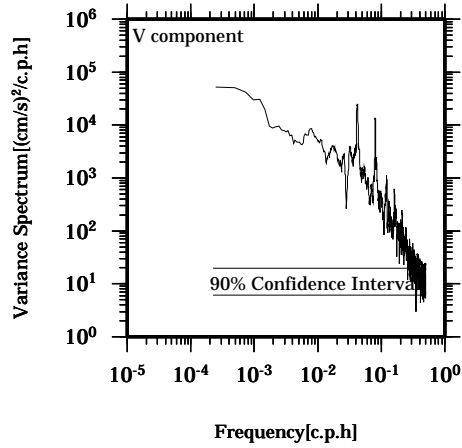
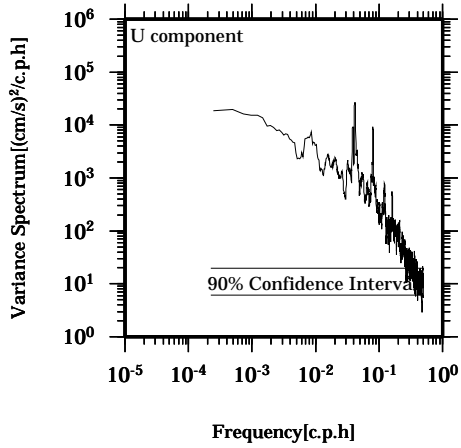


Lon: 121° 17.4341' E

Lat: 22° 38.8623' N

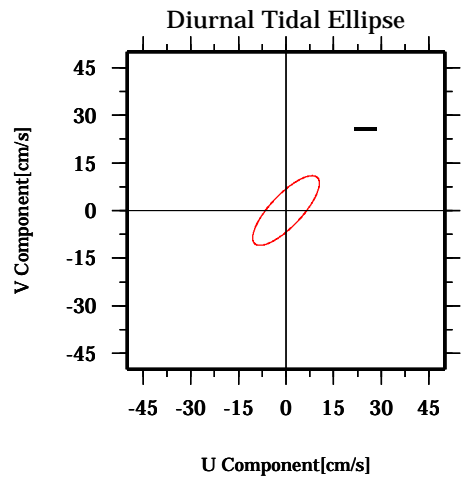
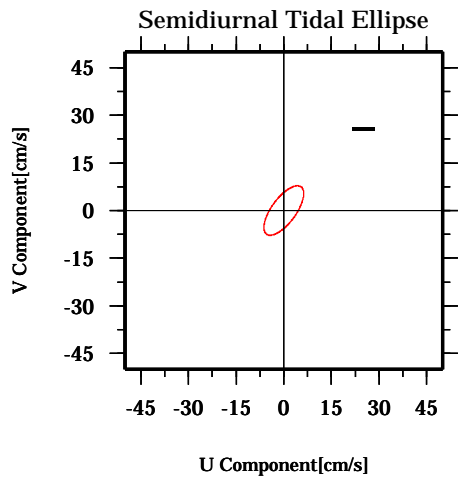
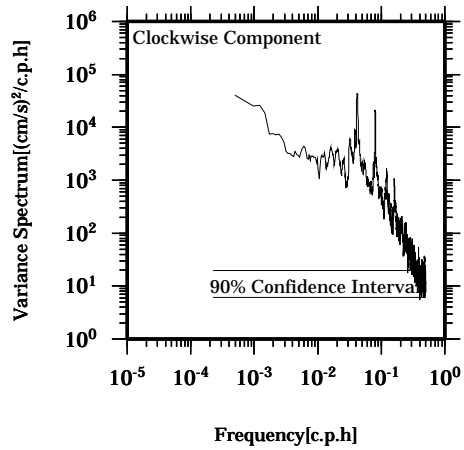
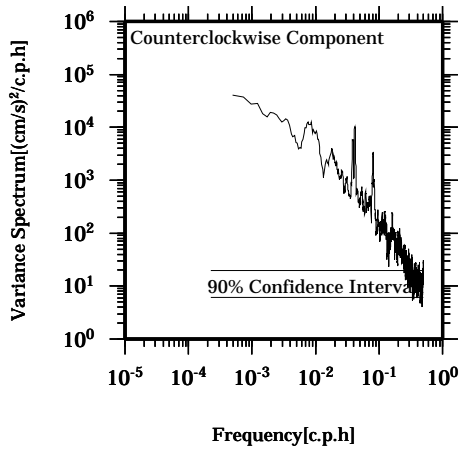
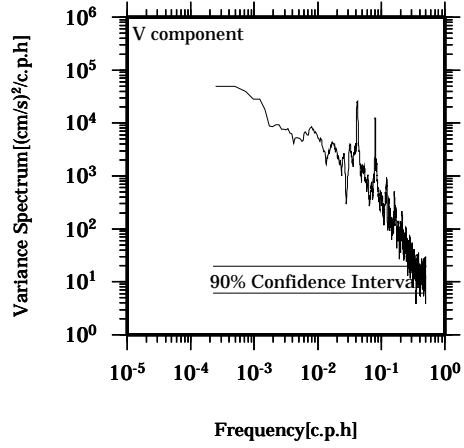
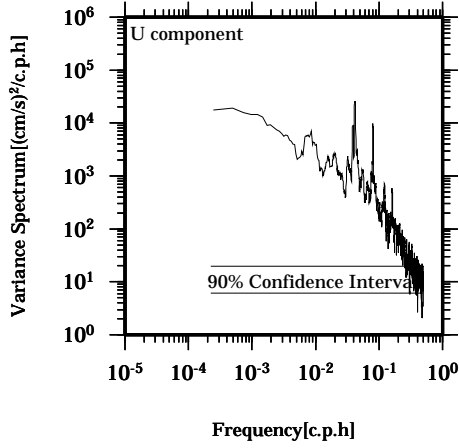
Station: W104

Depth : 154 M



Lon: 121° 17.4341' E
Lat: 22° 38.8623' N

Station: W104
Depth : 158 M

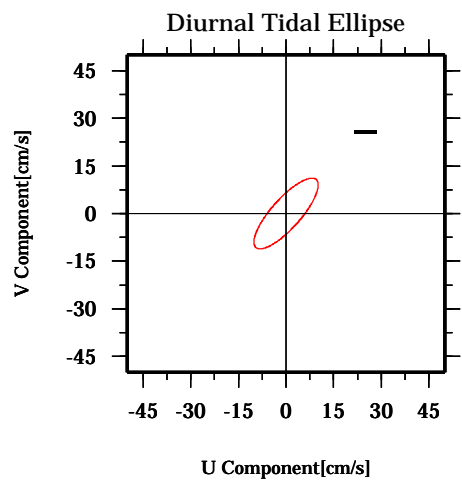
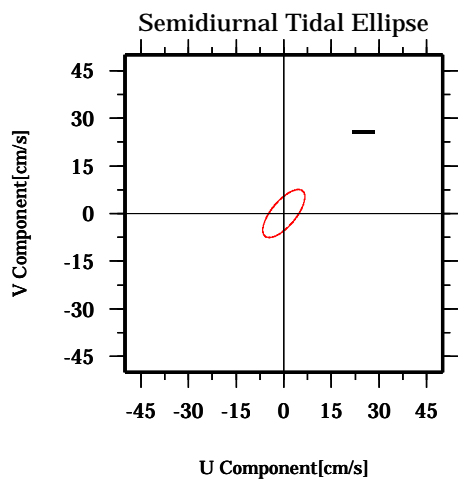
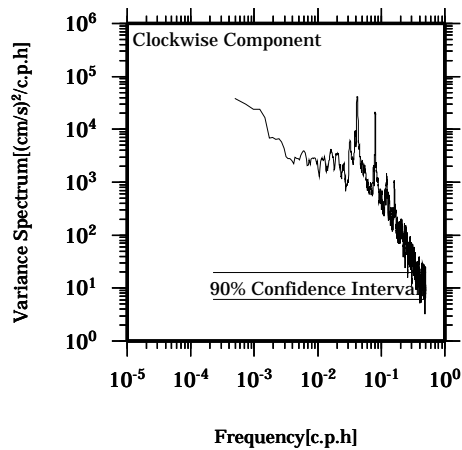
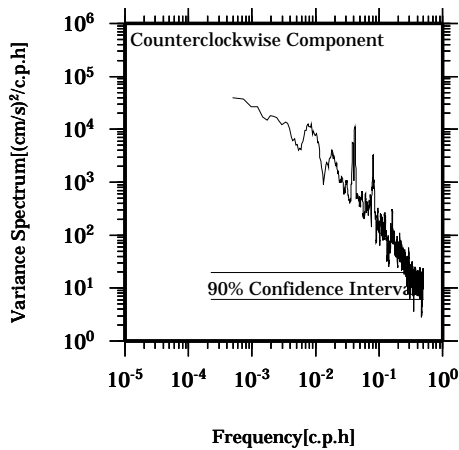
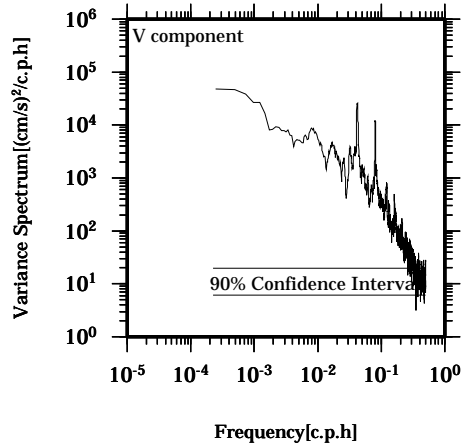
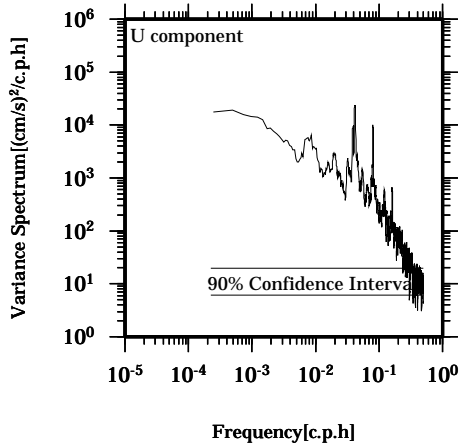


Lon: 121° 17.4341' E

Lat: 22° 38.8623' N

Station: W104

Depth : 162 M

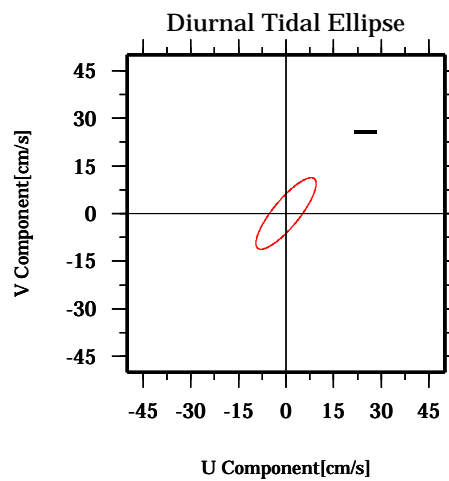
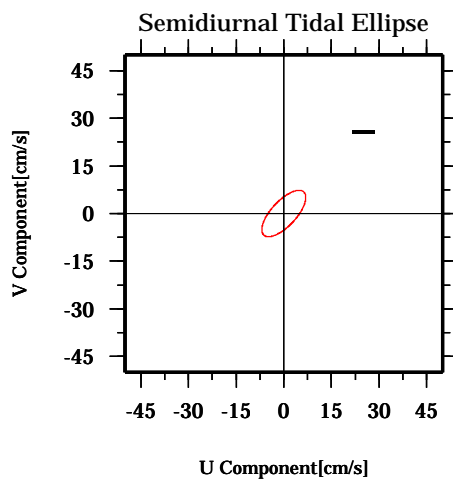
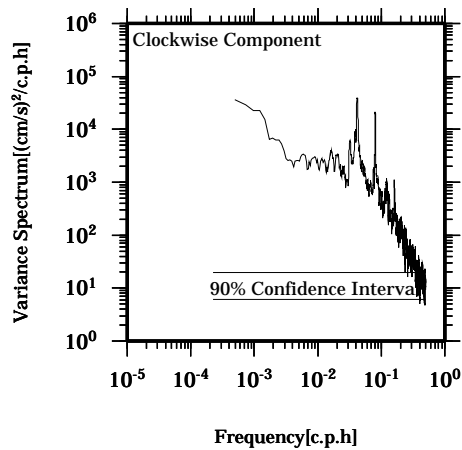
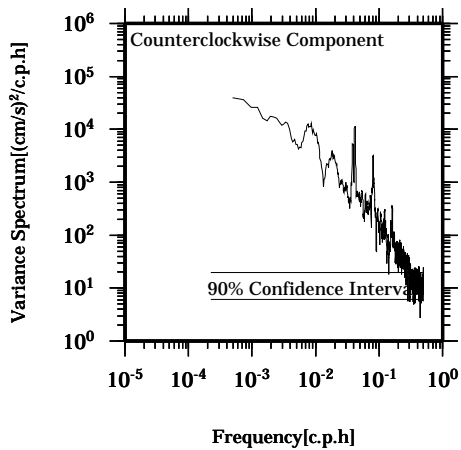
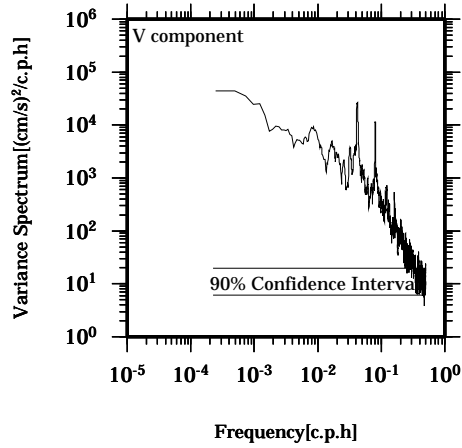
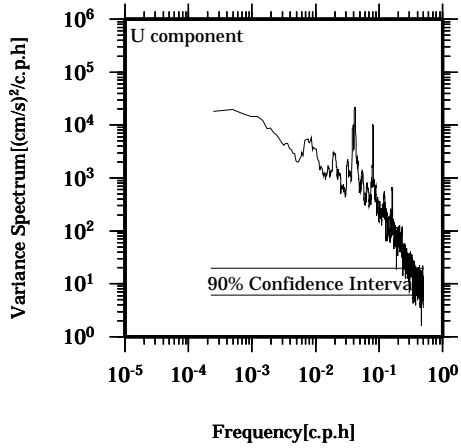


Lon: 121° 17.4341' E

Lat: 22° 38.8623' N

Station: W104

Depth : 166 M

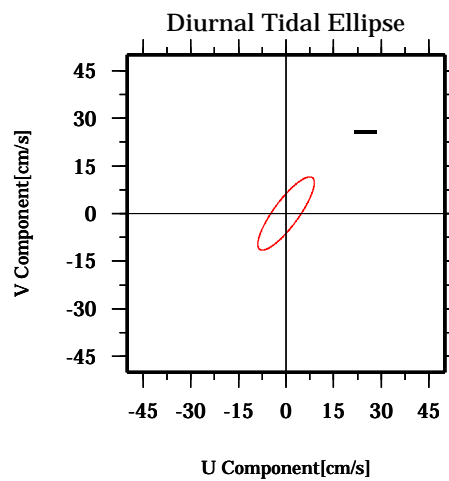
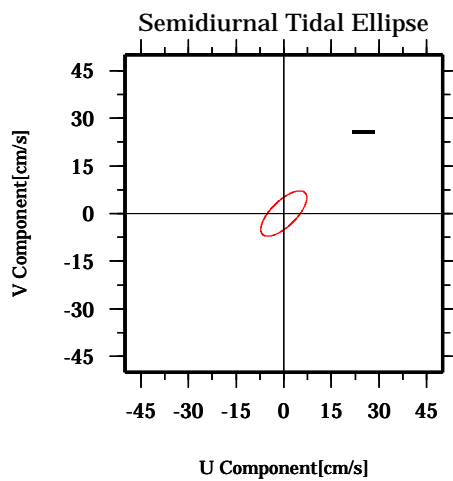
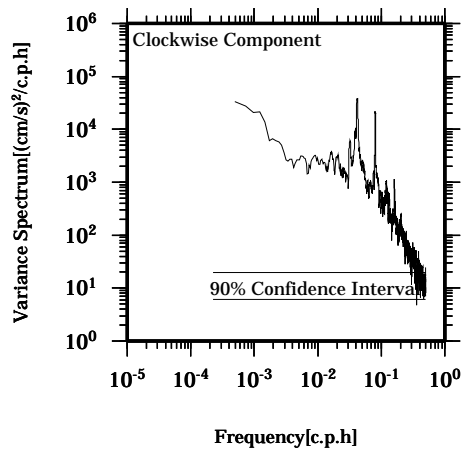
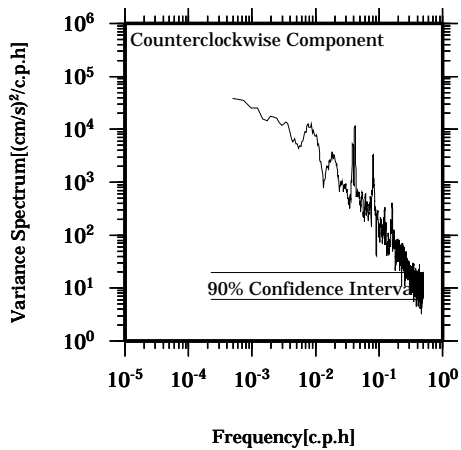
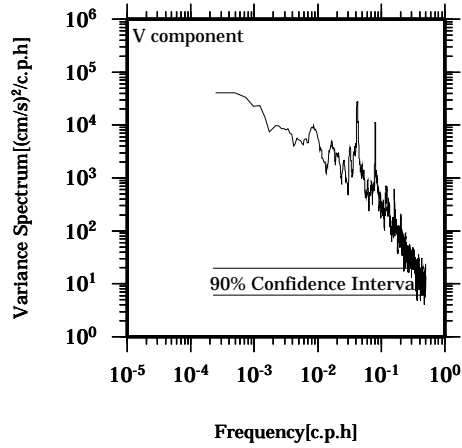
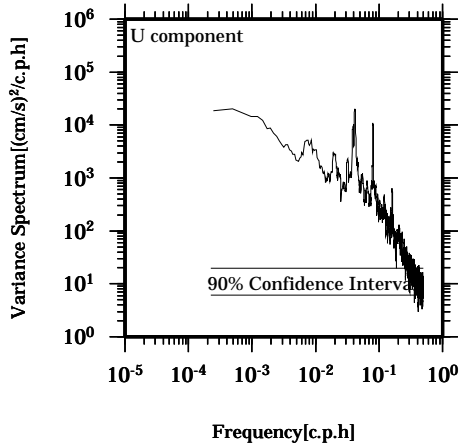


Lon: 121° 17.4341' E

Lat: 22° 38.8623' N

Station: W104

Depth : 170 M

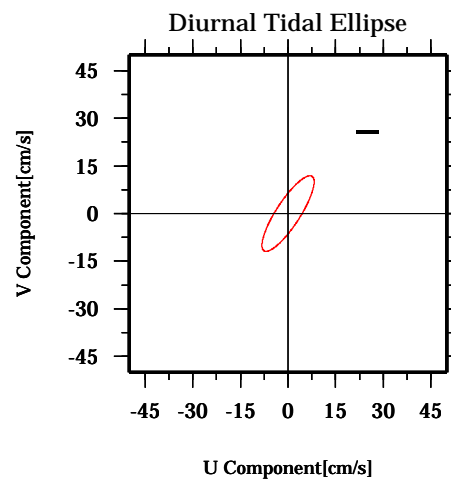
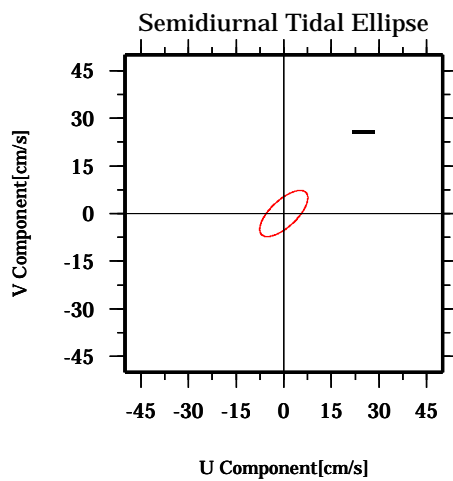
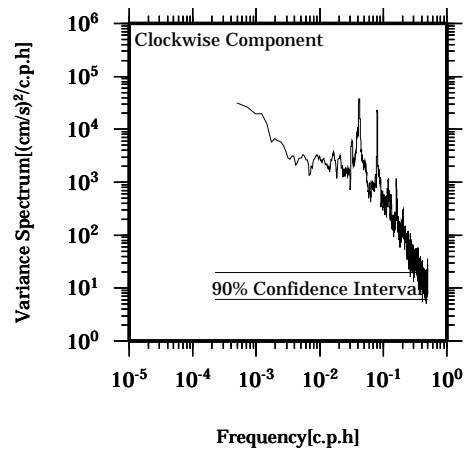
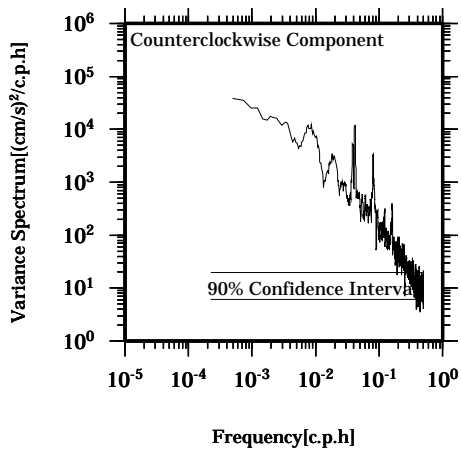
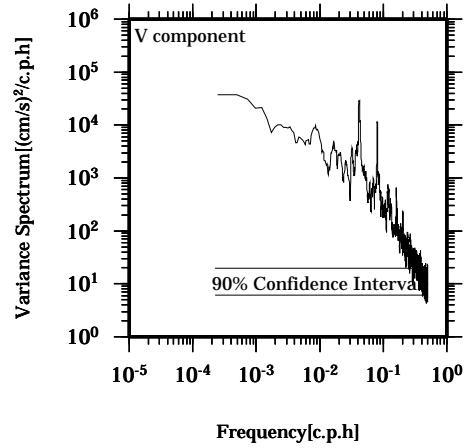
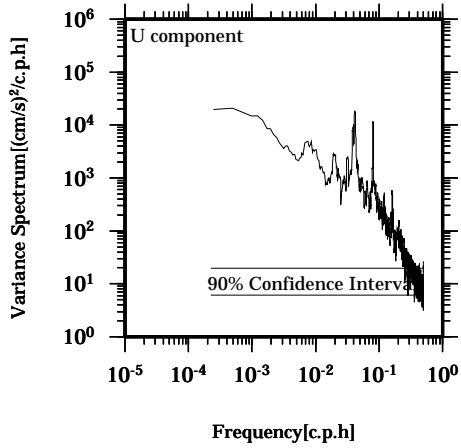


Lon: 121° 17.4341' E

Lat: 22° 38.8623' N

Station: W104

Depth : 174 M

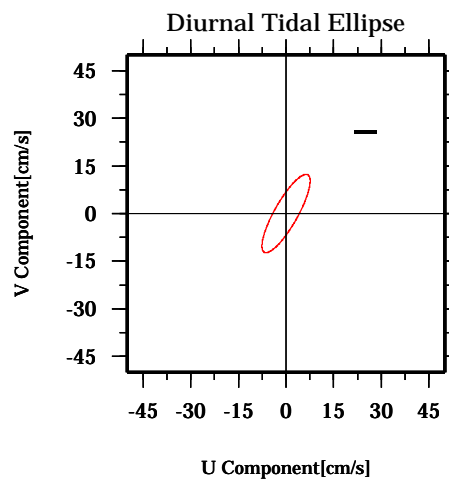
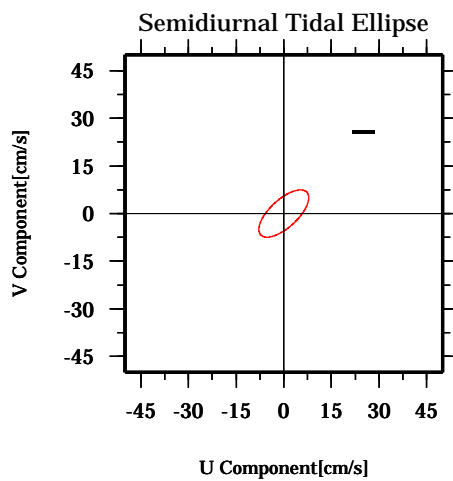
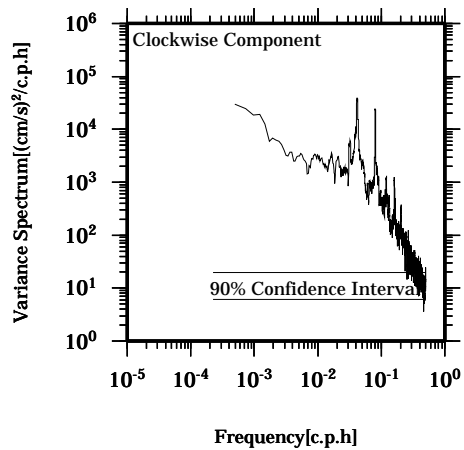
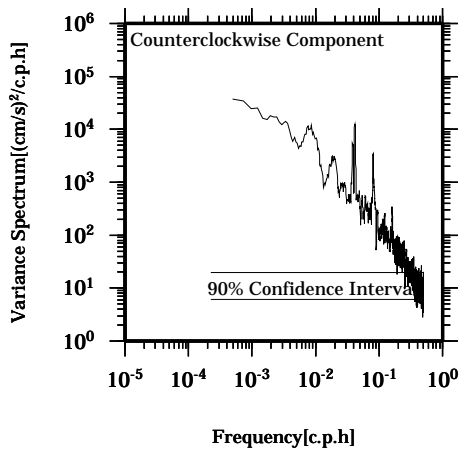
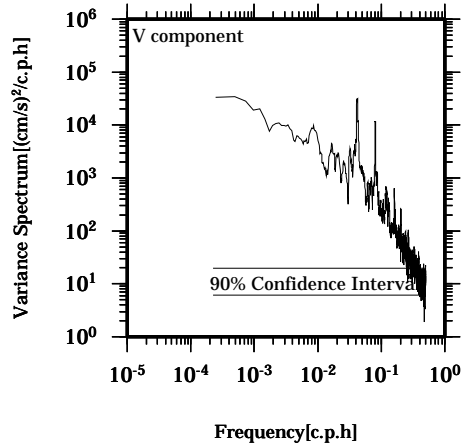
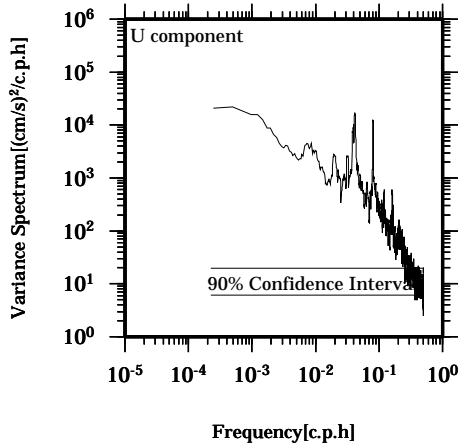


Lon: 121° 17.4341' E

Lat: 22° 38.8623' N

Station: W104

Depth : 178 M

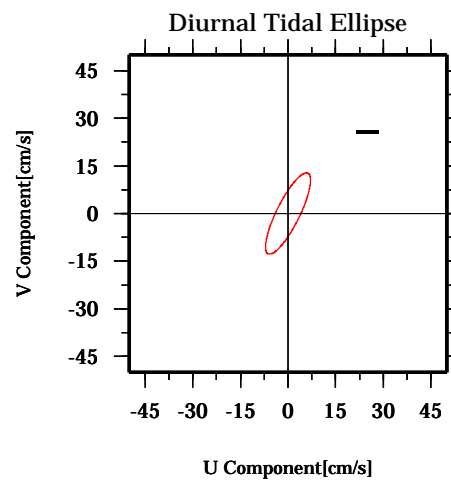
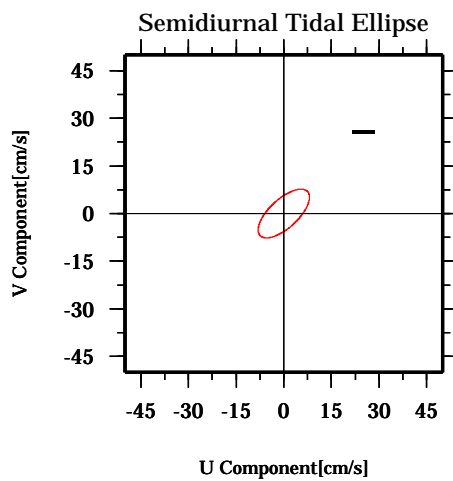
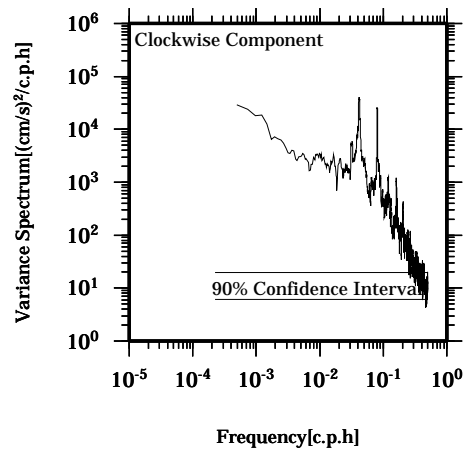
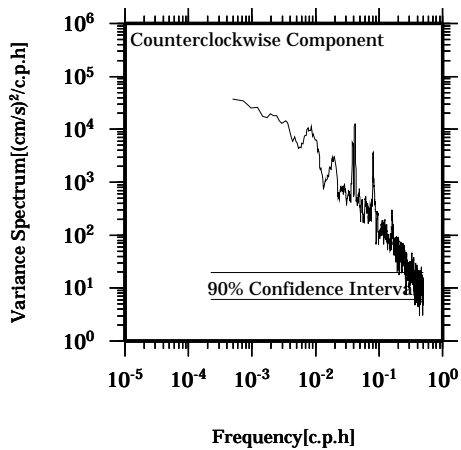
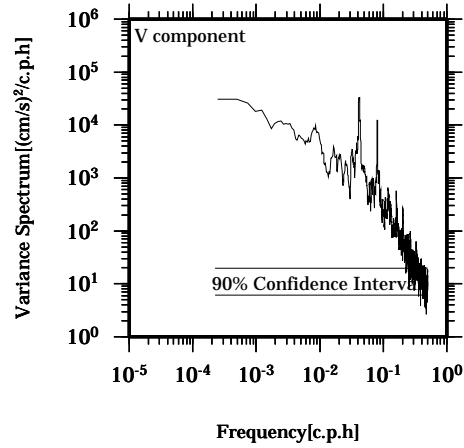
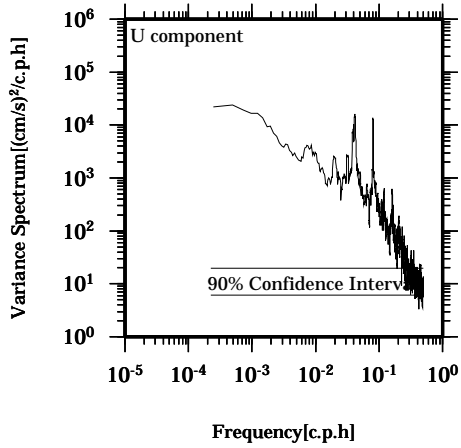


Lon: 121° 17.4341' E

Lat: 22° 38.8623' N

Station: W104

Depth : 182 M

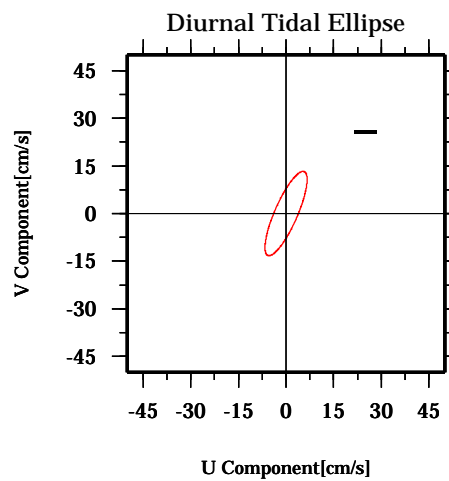
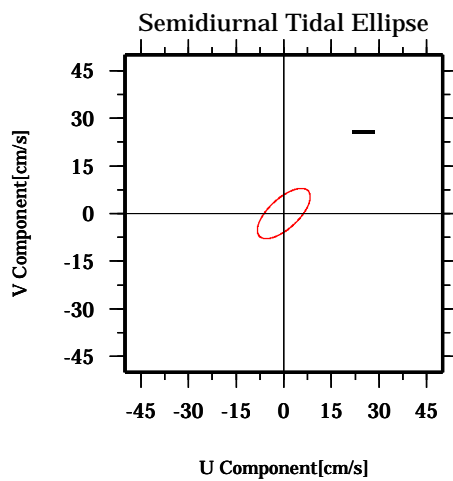
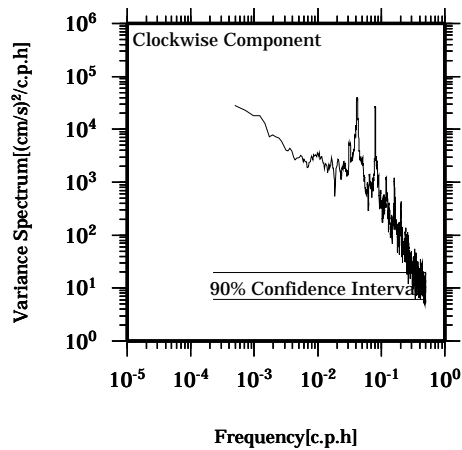
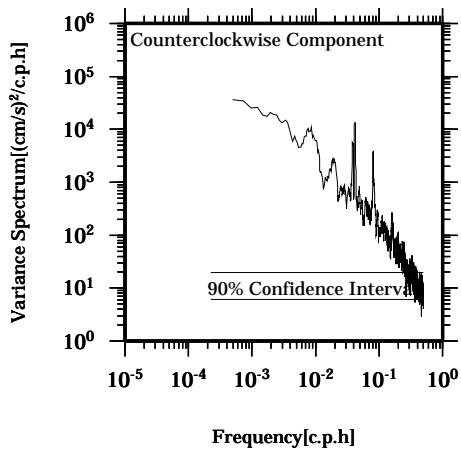
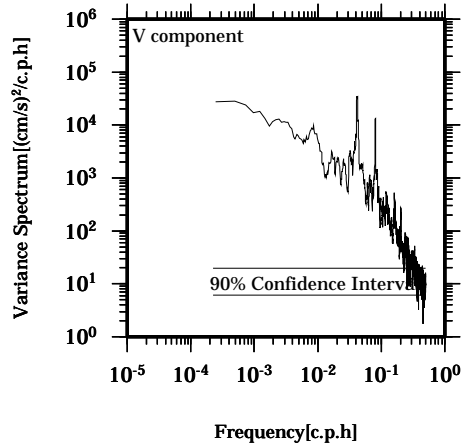
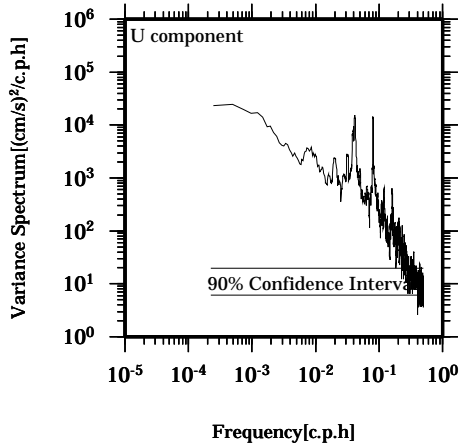


Lon: 121° 17.4341' E

Lat: 22° 38.8623' N

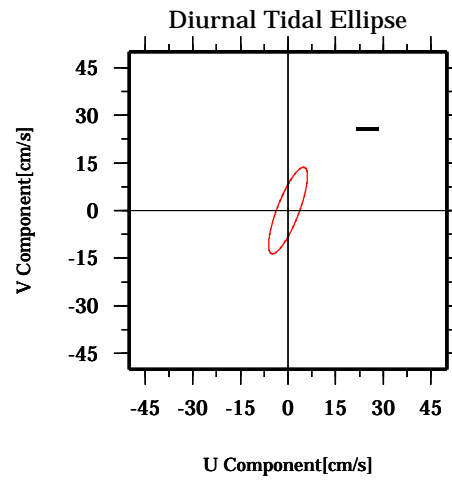
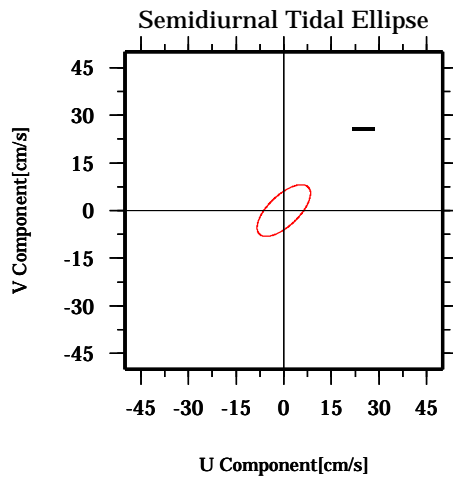
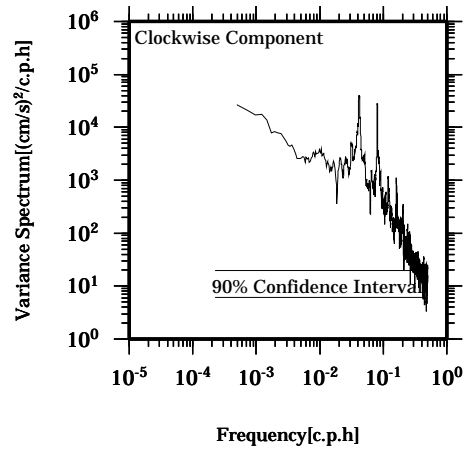
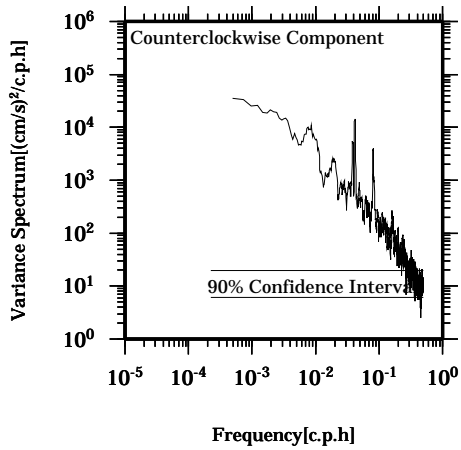
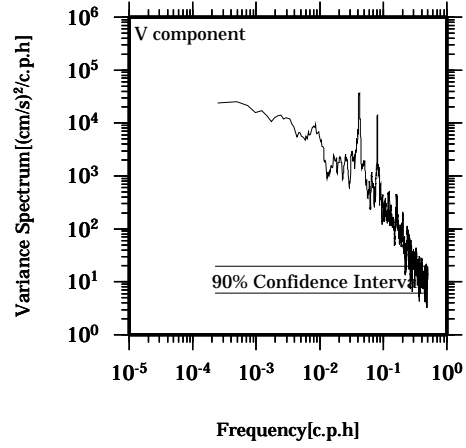
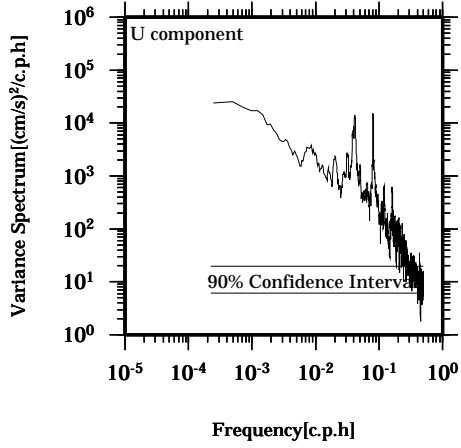
Station: W104

Depth : 186 M



Lon: 121° 17.4341' E
Lat: 22° 38.8623' N

Station: W104
Depth : 190 M

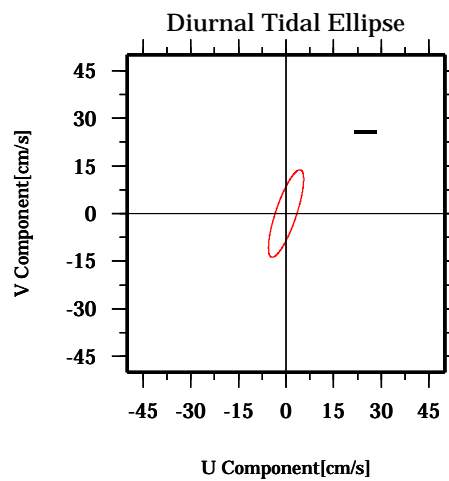
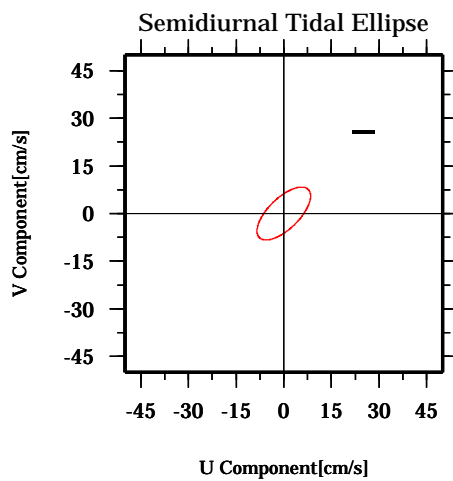
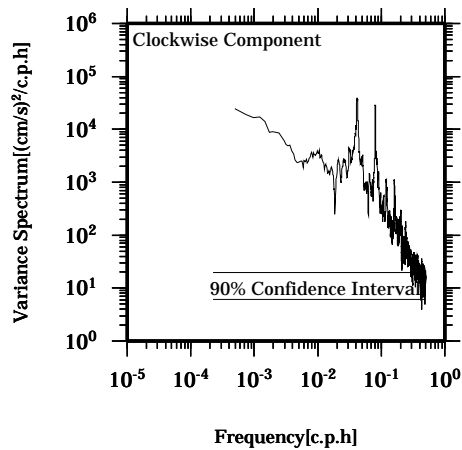
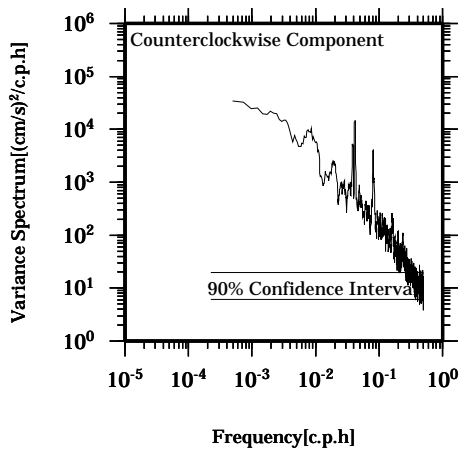
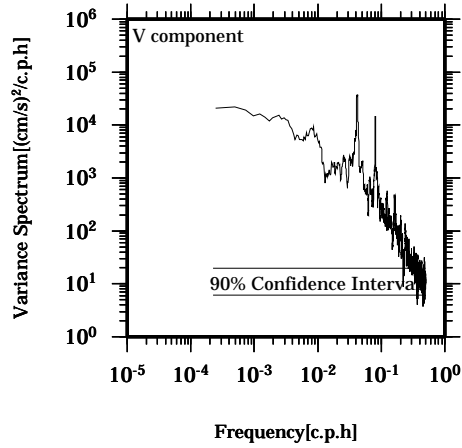
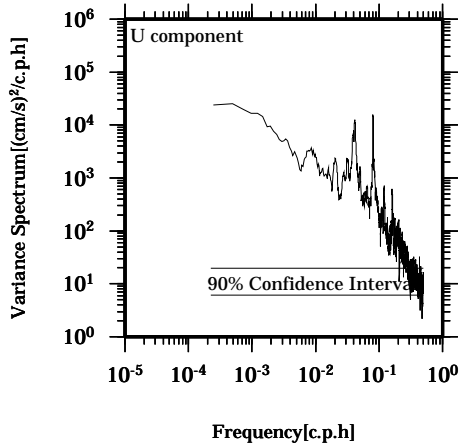


Lon: 121° 17.4341' E

Lat: 22° 38.8623' N

Station: W104

Depth : 194 M

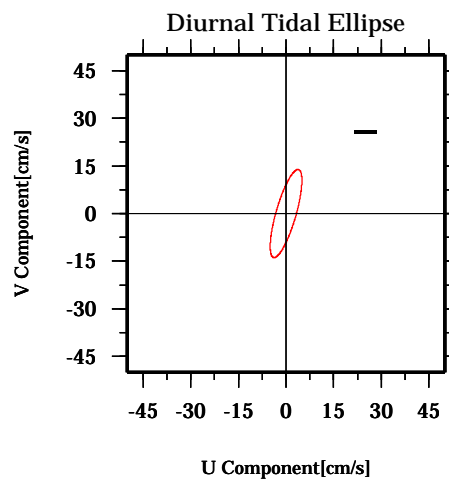
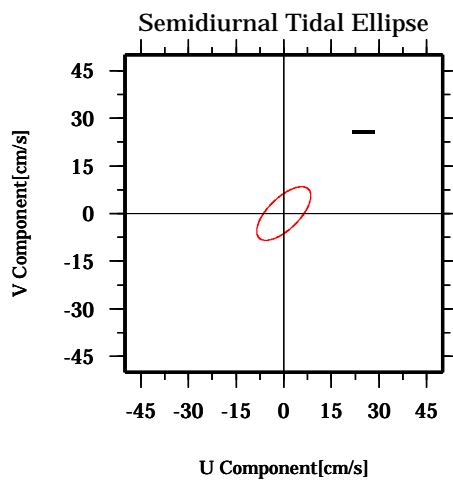
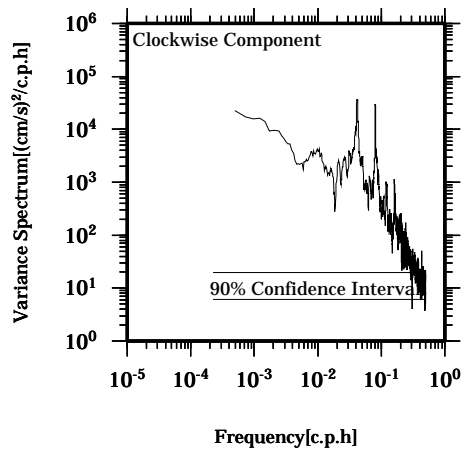
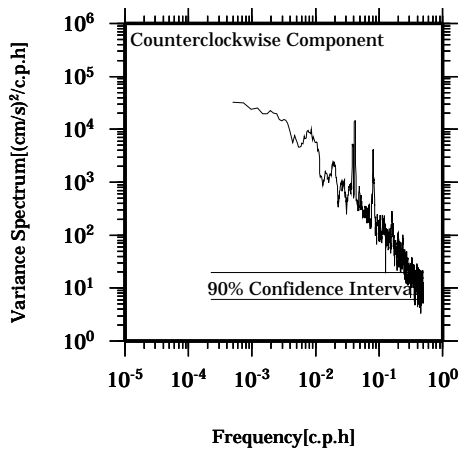
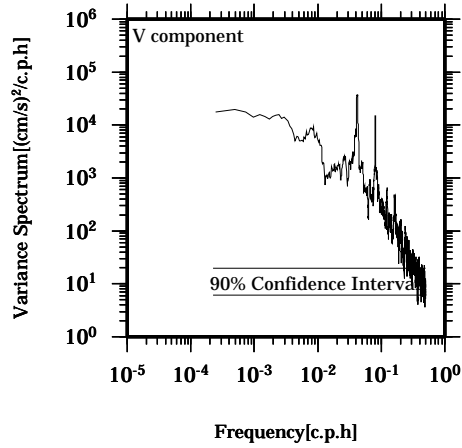
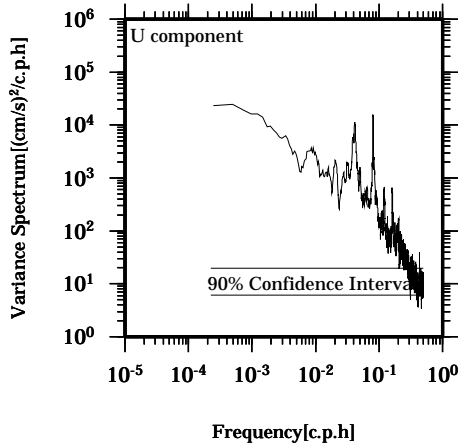


Lon: 121° 17.4341' E

Lat: 22° 38.8623' N

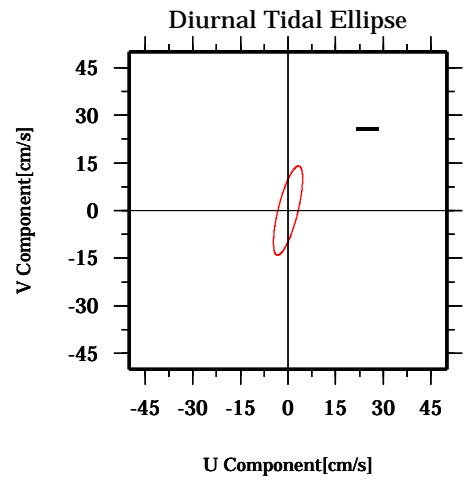
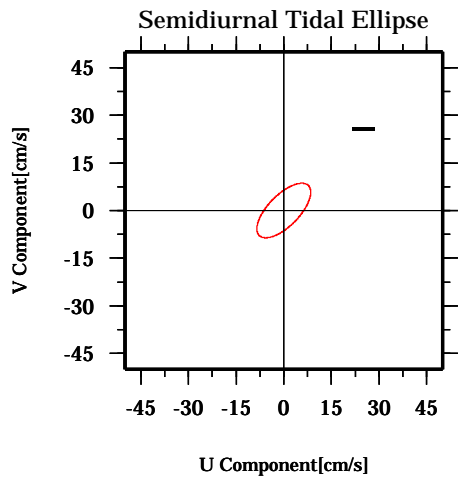
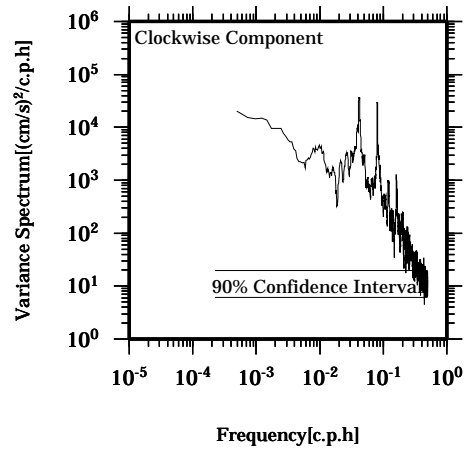
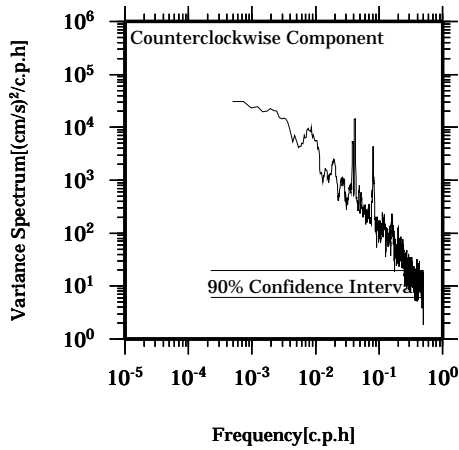
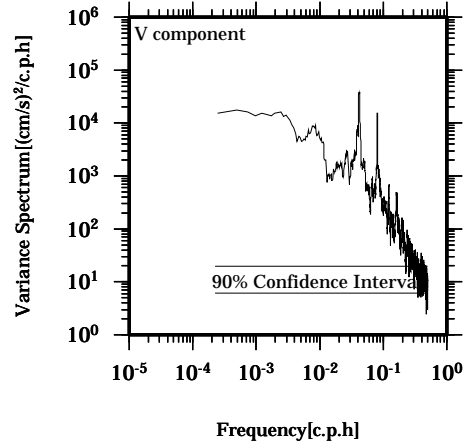
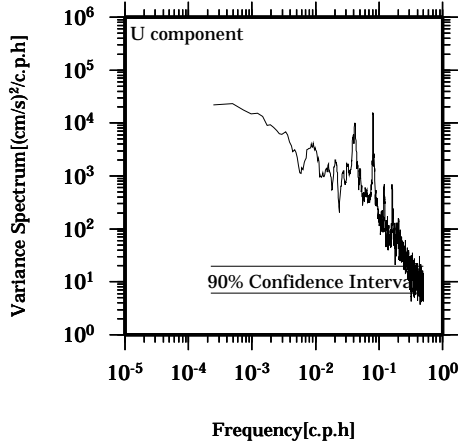
Station: W104

Depth : 198 M



Lon: 121° 17.4341' E
Lat: 22° 38.8623' N

Station: W104
Depth : 202 M

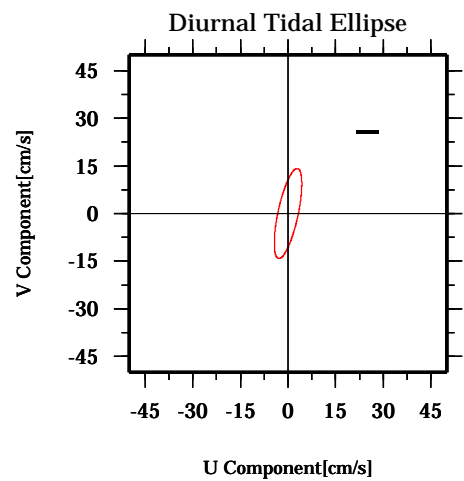
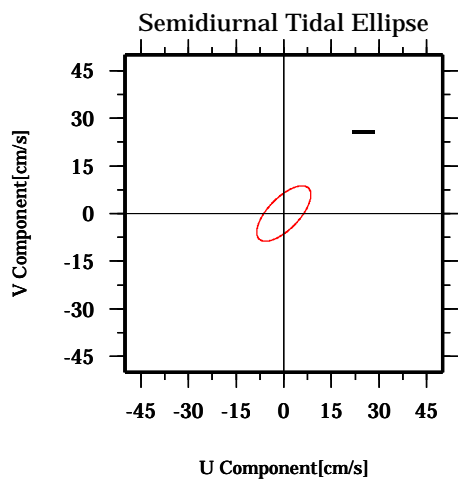
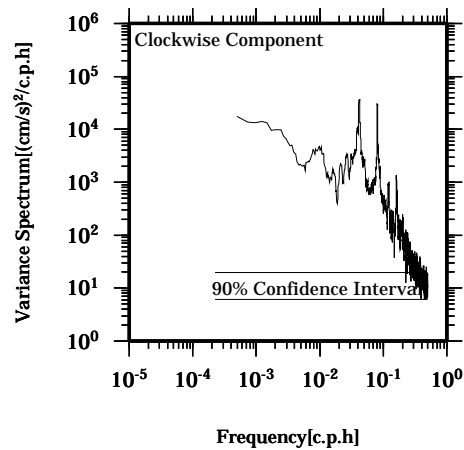
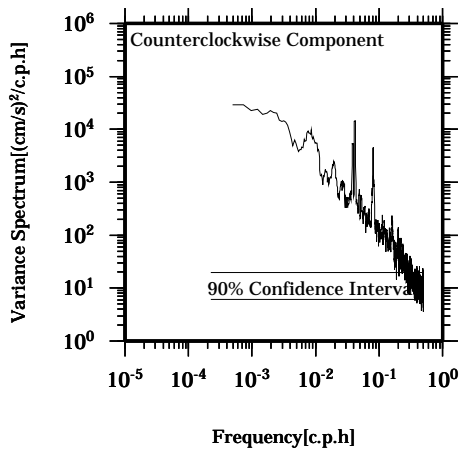
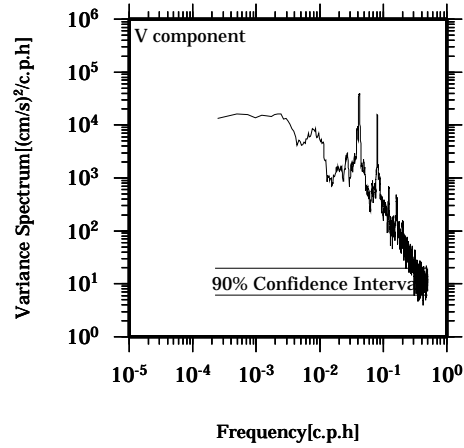
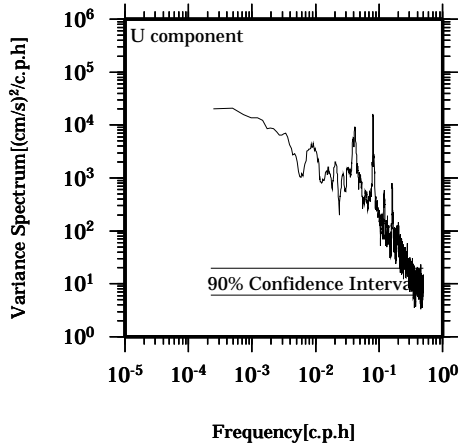


Lon: 121° 17.4341' E

Lat: 22° 38.8623' N

Station: W104

Depth : 206 M

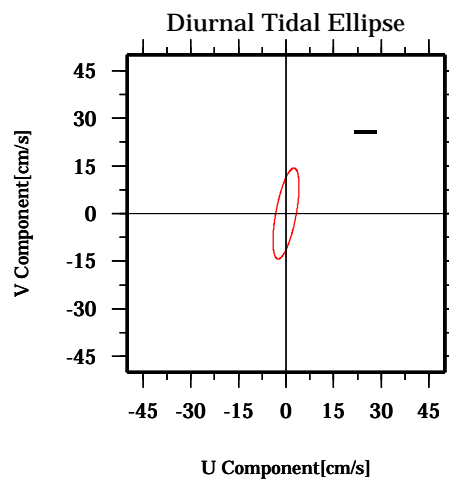
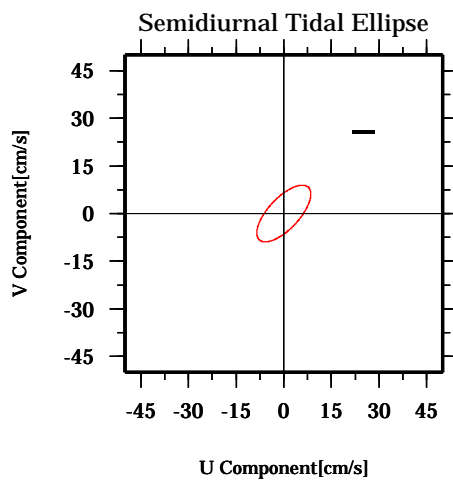
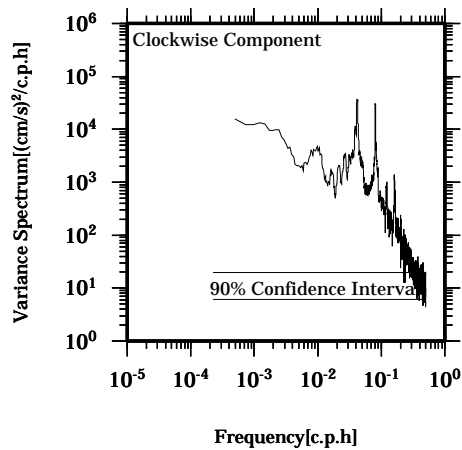
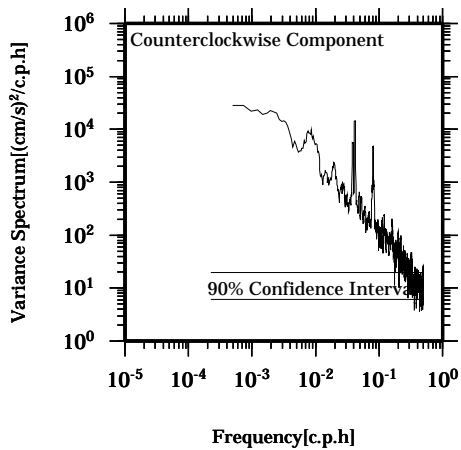
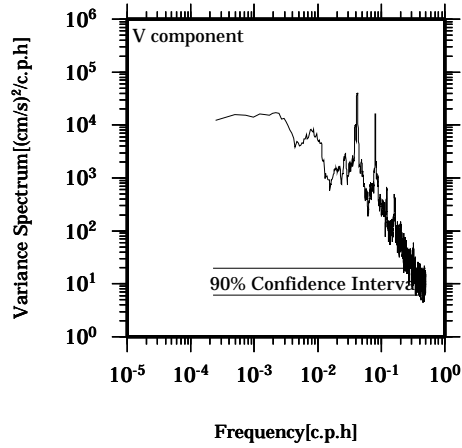
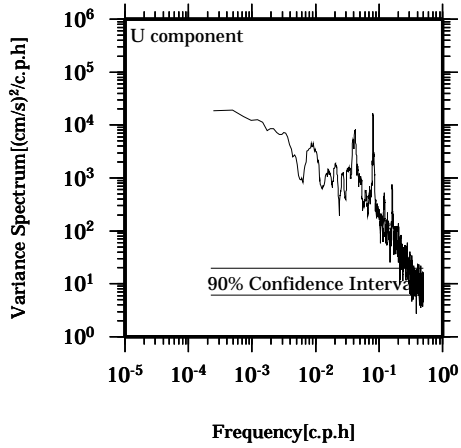


Lon: 121° 17.4341' E

Lat: 22° 38.8623' N

Station: W104

Depth : 210 M

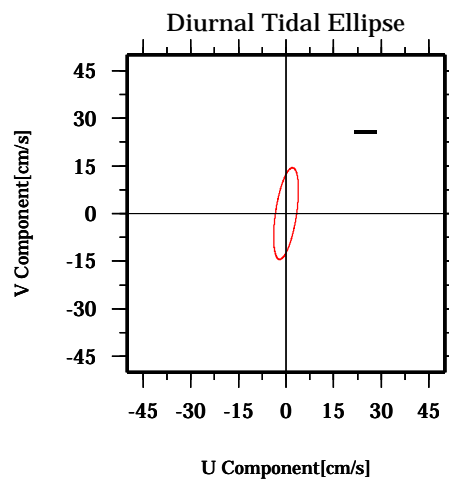
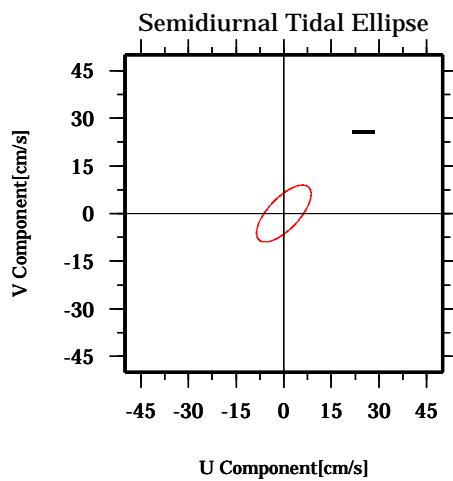
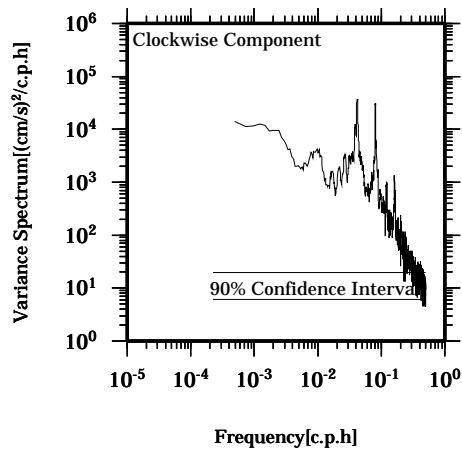
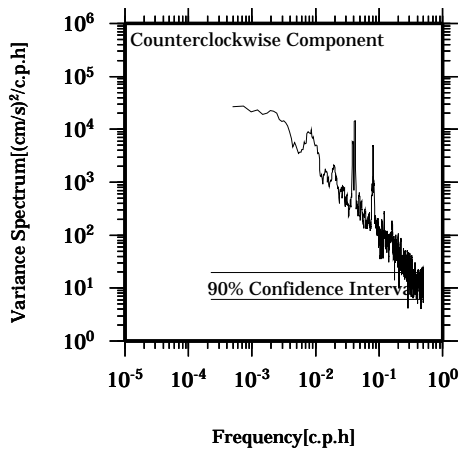
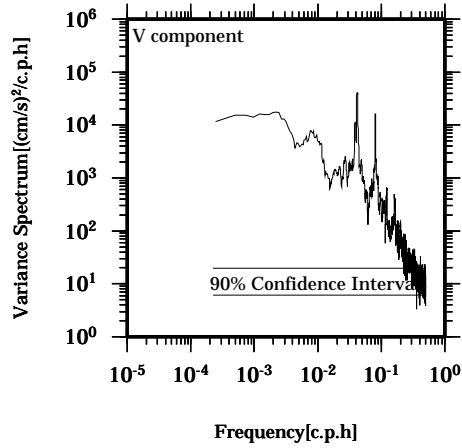
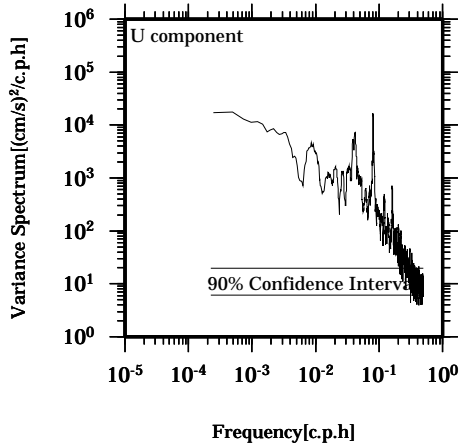


Lon: 121° 17.4341' E

Lat: 22° 38.8623' N

Station: W104

Depth : 214 M

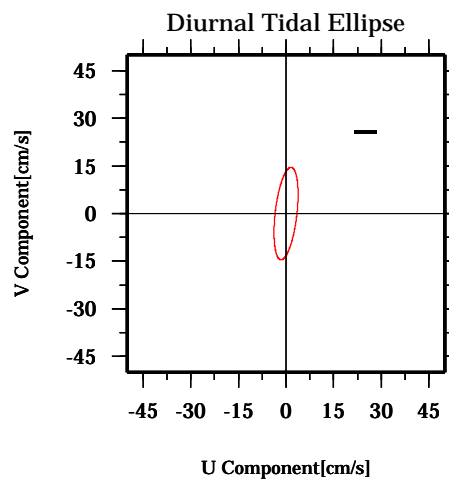
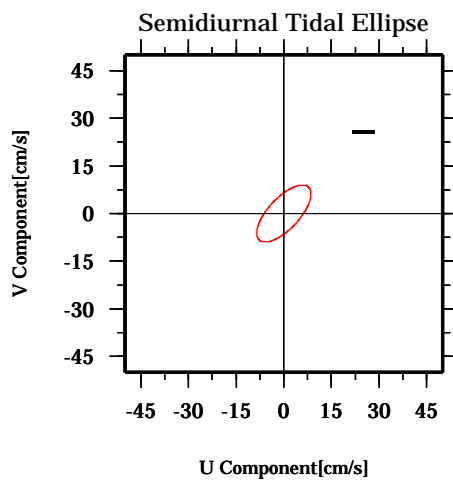
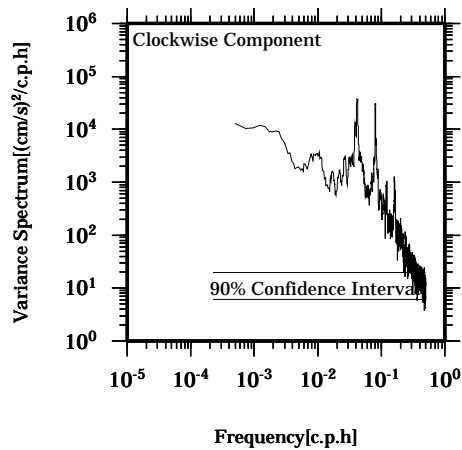
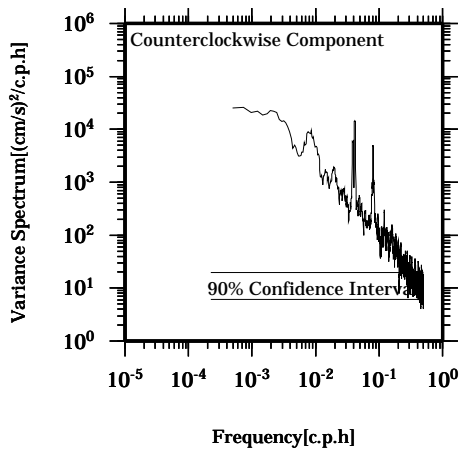
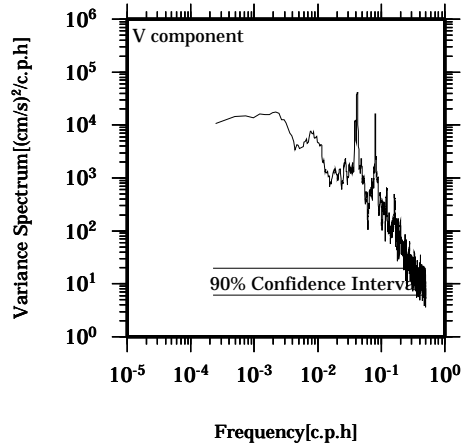
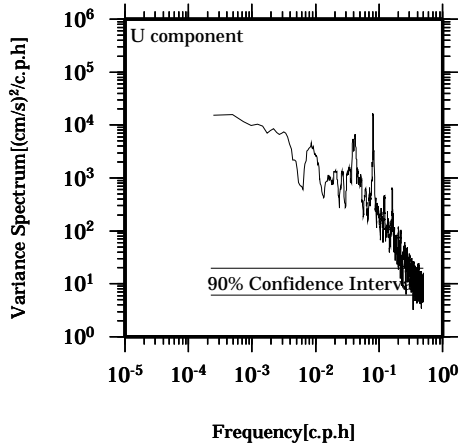


Lon: 121° 17.4341' E

Lat: 22° 38.8623' N

Station: W104

Depth : 218 M

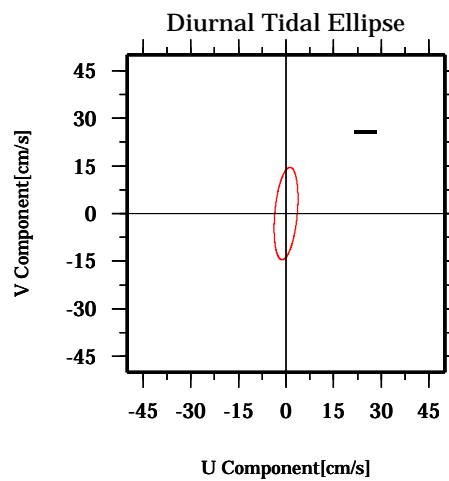
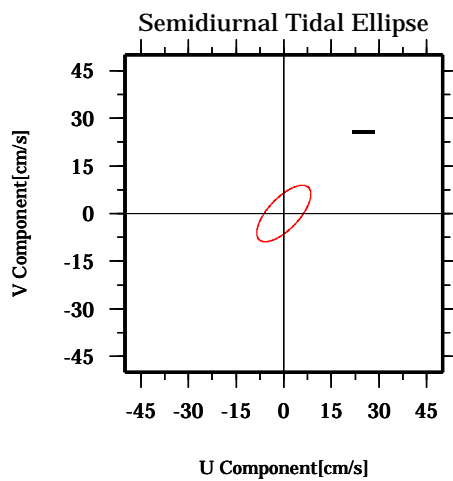
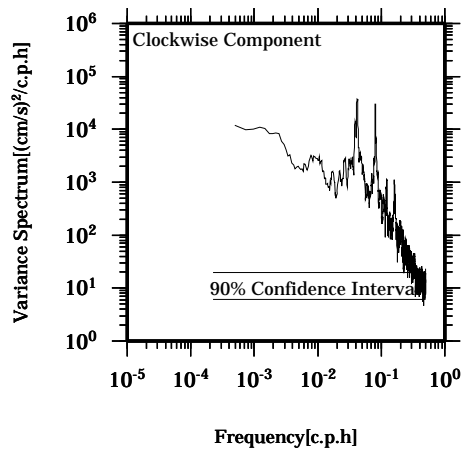
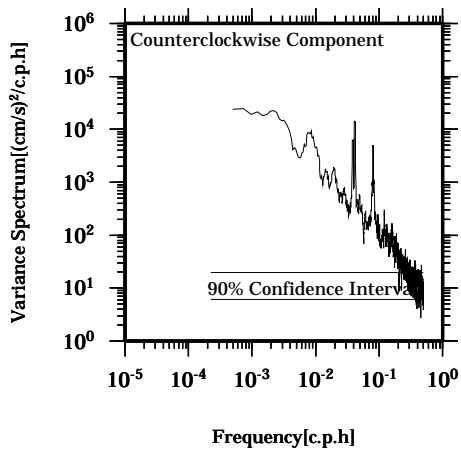
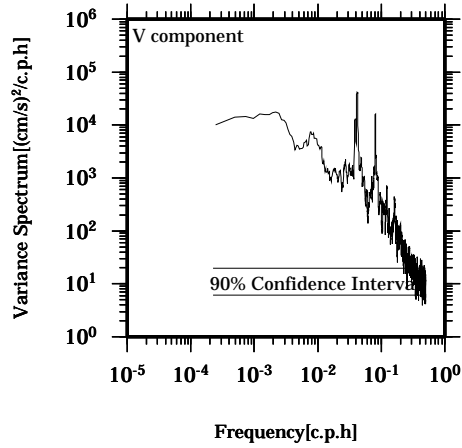
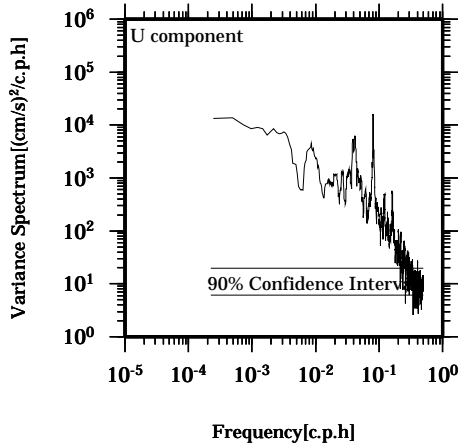


Lon: 121° 17.4341' E

Lat: 22° 38.8623' N

Station: W104

Depth : 222 M

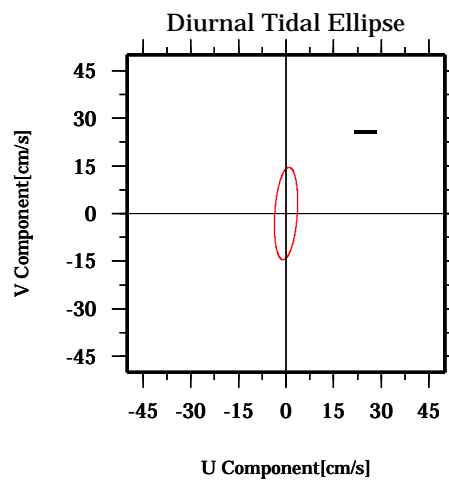
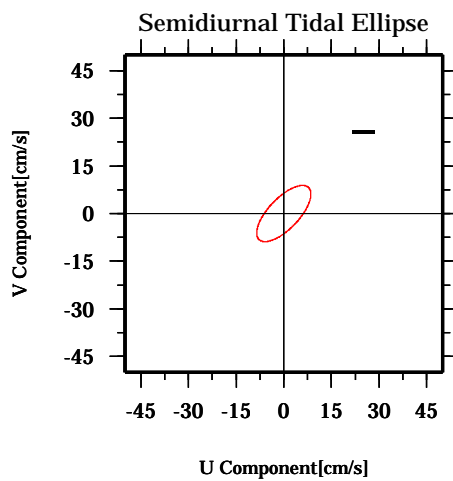
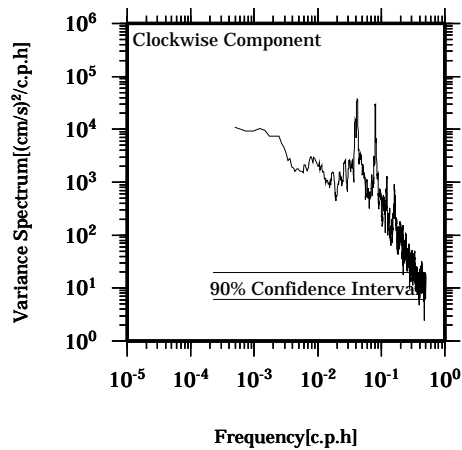
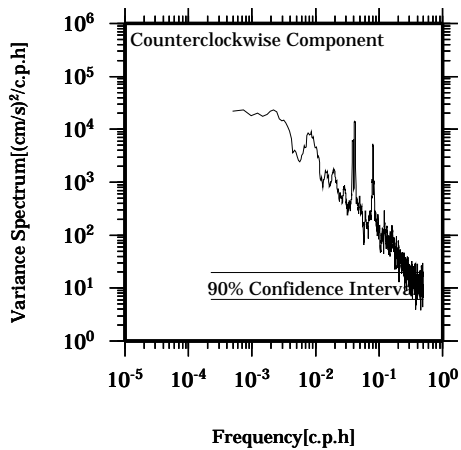
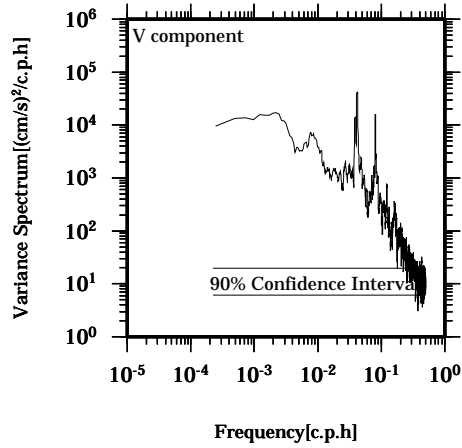
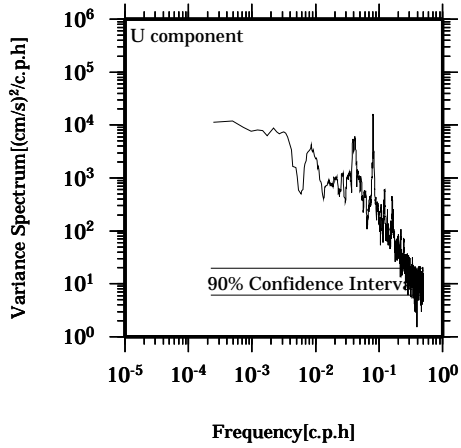


Lon: 121° 17.4341' E

Lat: 22° 38.8623' N

Station: W104

Depth : 226 M

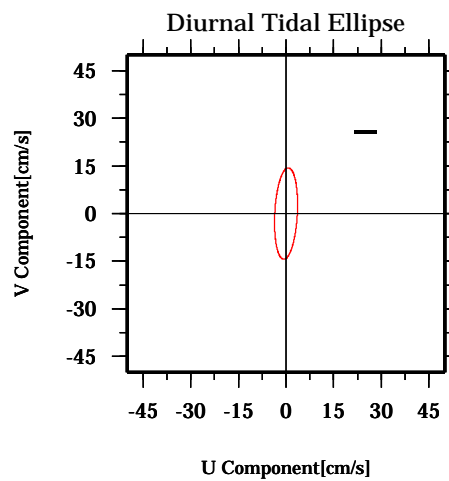
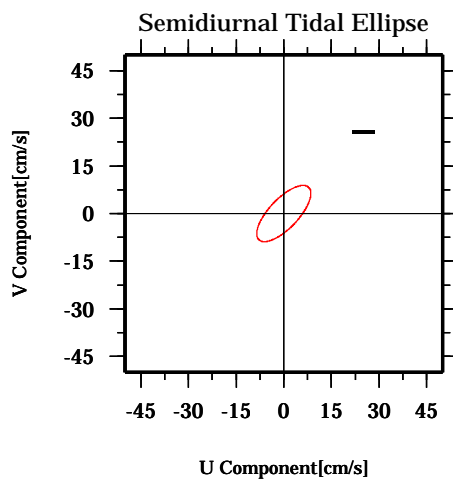
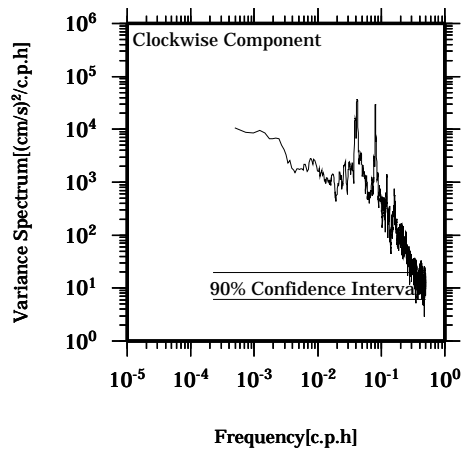
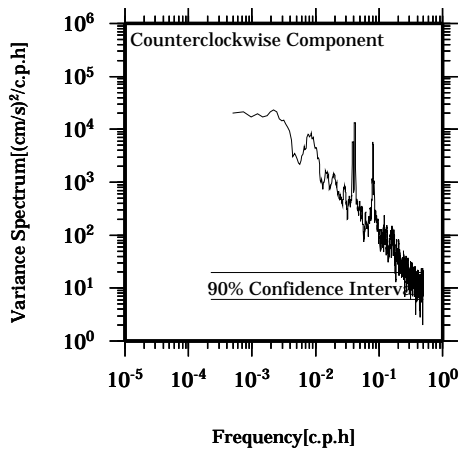
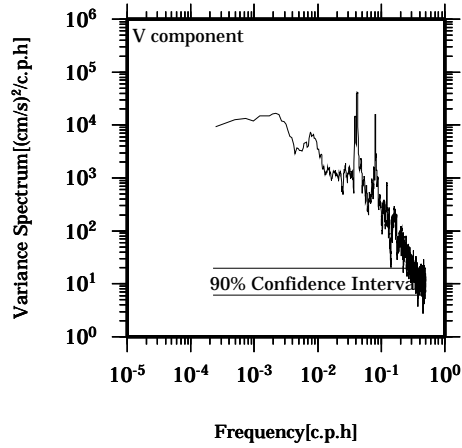
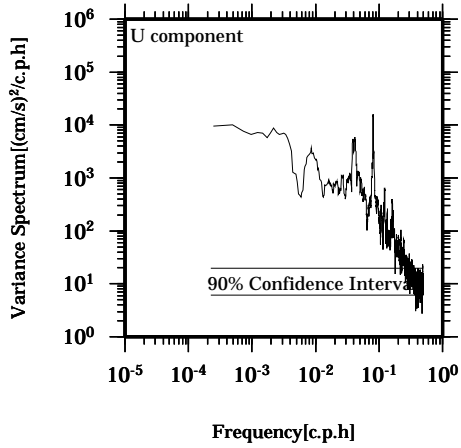


Lon: 121° 17.4341' E

Lat: 22° 38.8623' N

Station: W104

Depth : 230 M

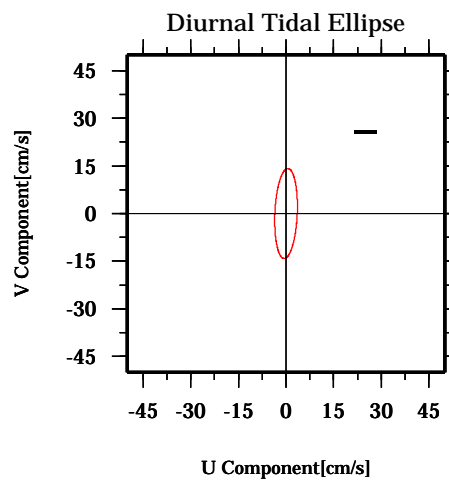
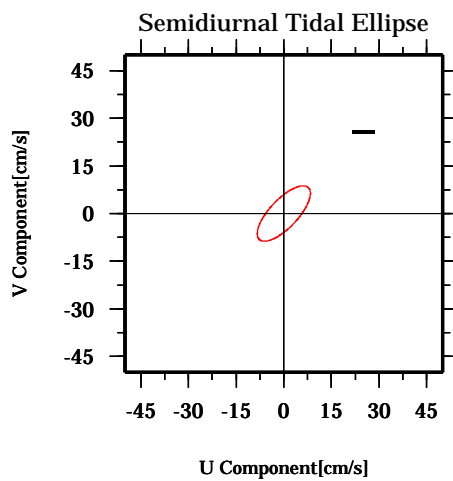
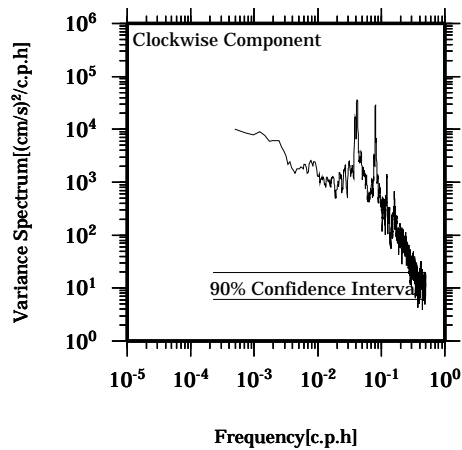
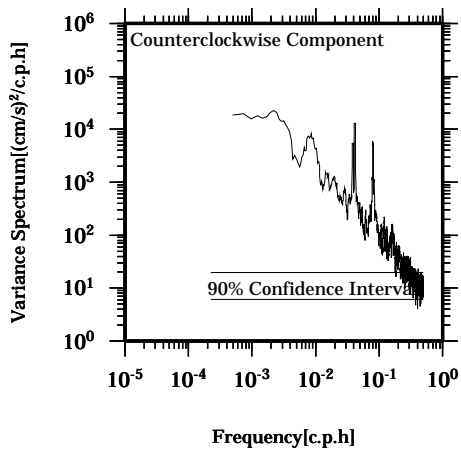
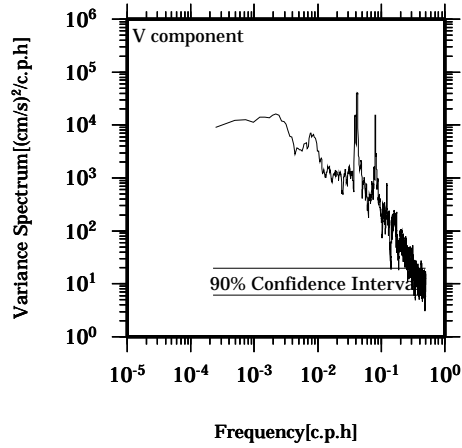
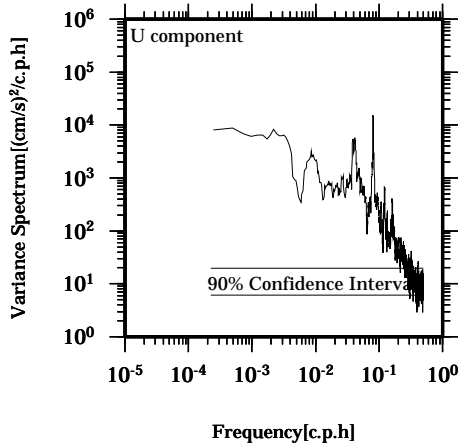


Lon: 121° 17.4341' E

Lat: 22° 38.8623' N

Station: W104

Depth : 234 M

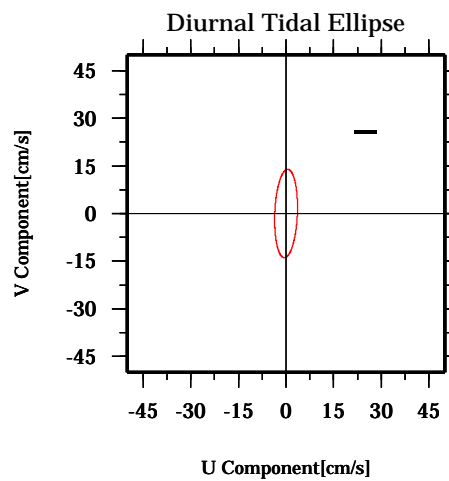
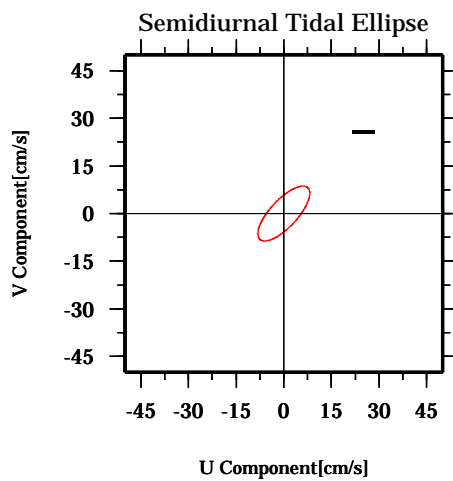
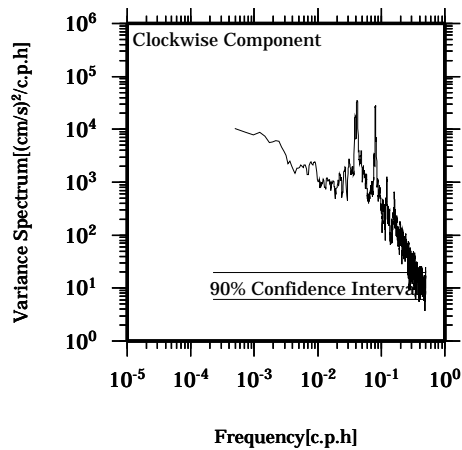
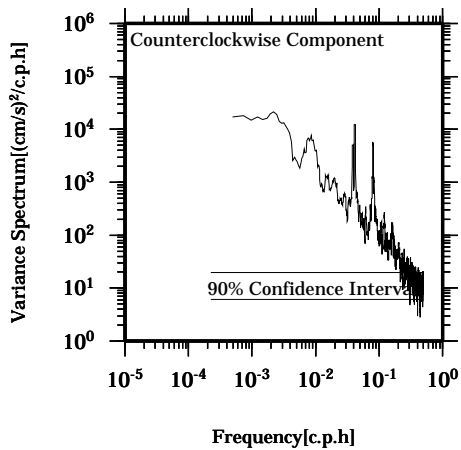
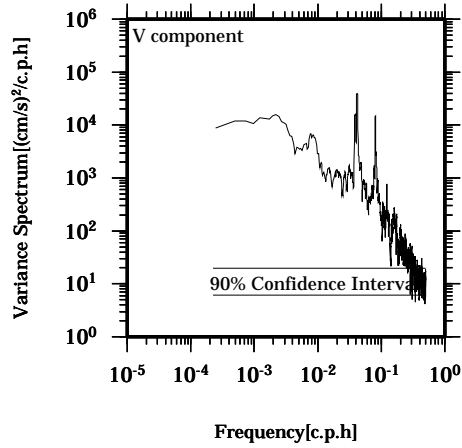
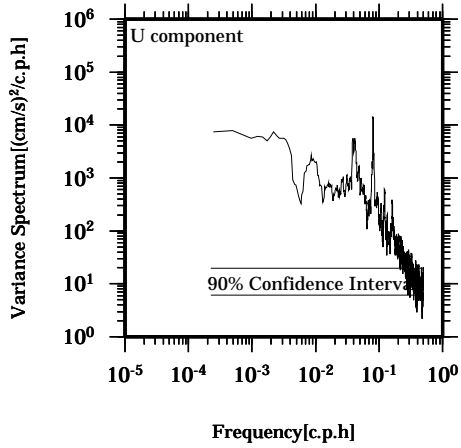


Lon: 121° 17.4341' E

Lat: 22° 38.8623' N

Station: W104

Depth : 238 M

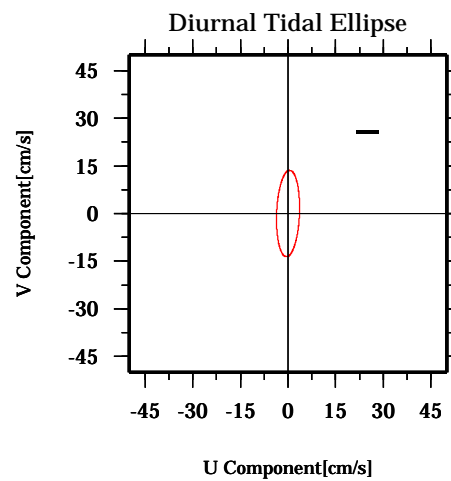
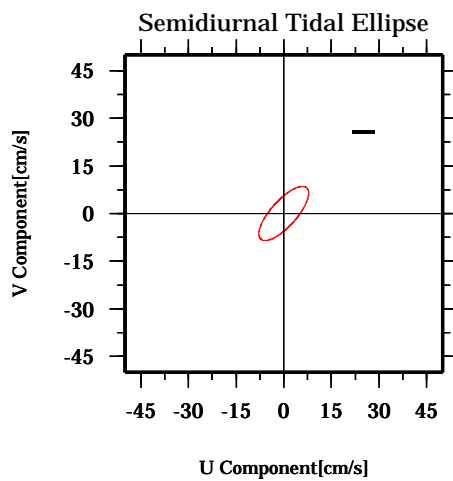
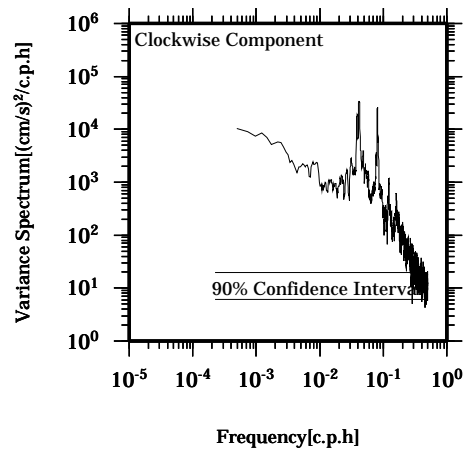
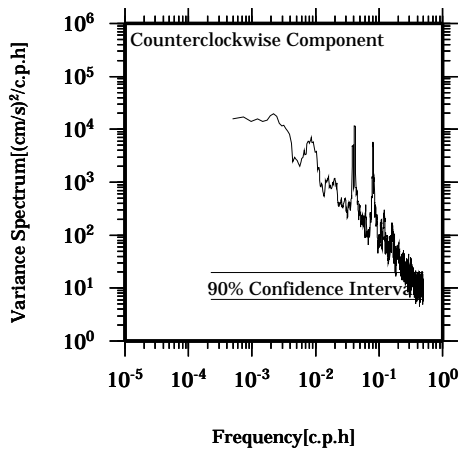
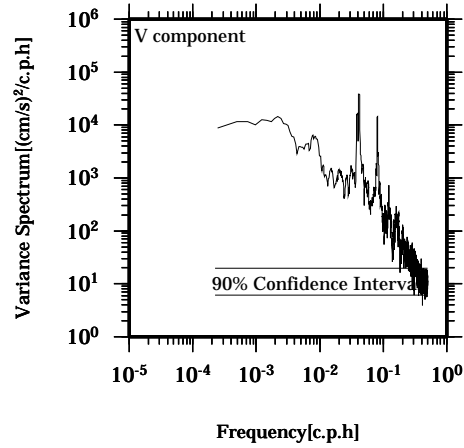
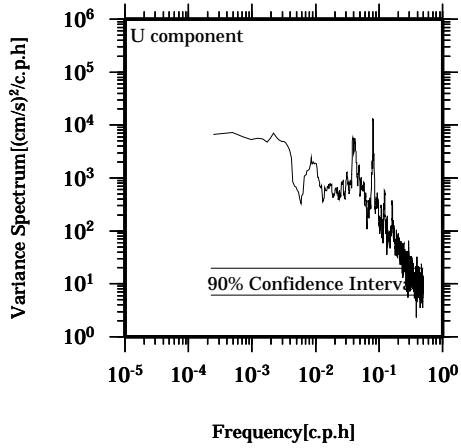


Lon: 121° 17.4341' E

Lat: 22° 38.8623' N

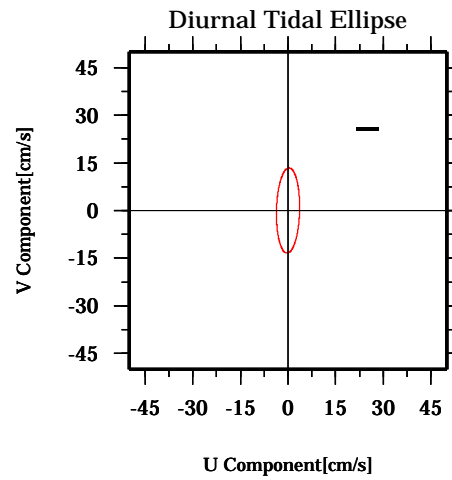
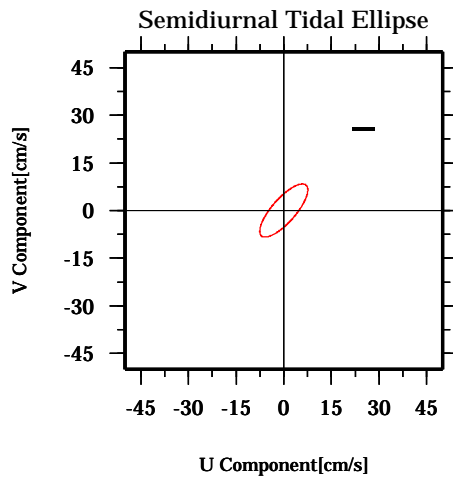
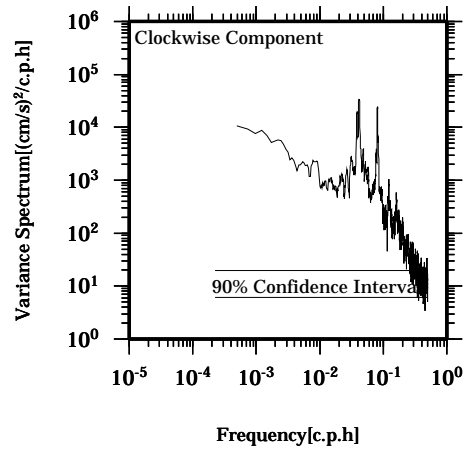
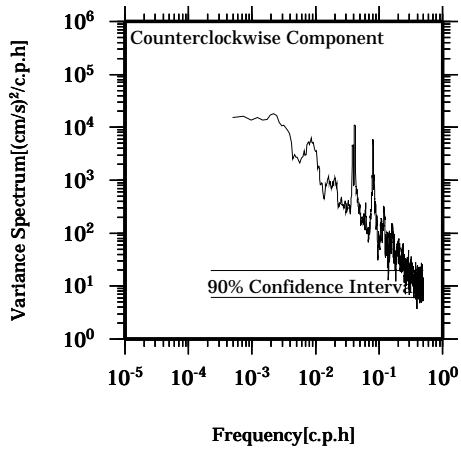
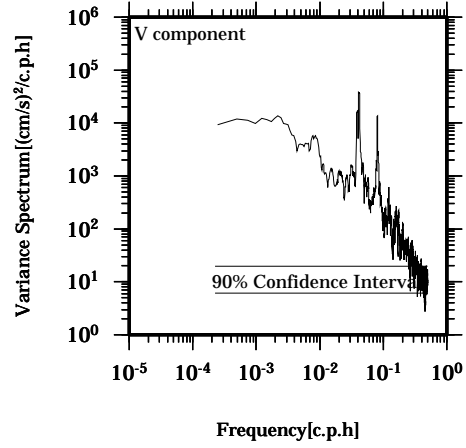
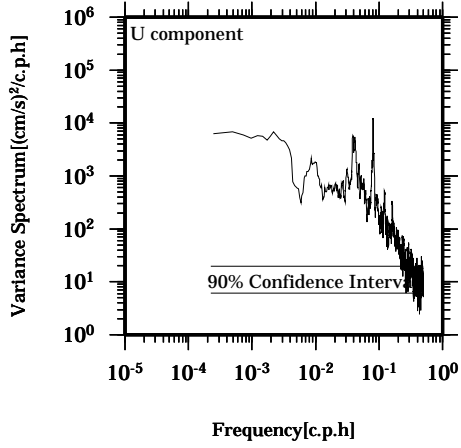
Station: W104

Depth : 242 M



Lon: 121° 17.4341' E
Lat: 22° 38.8623' N

Station: W104
Depth : 246 M

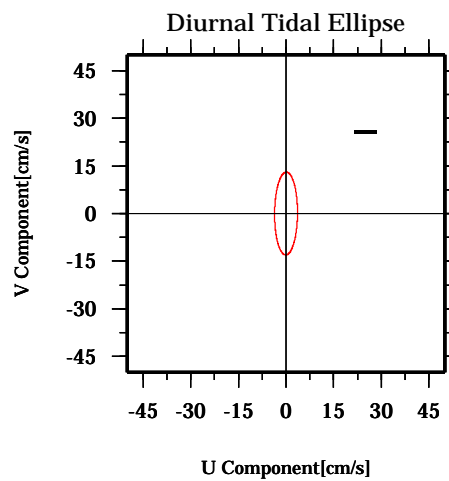
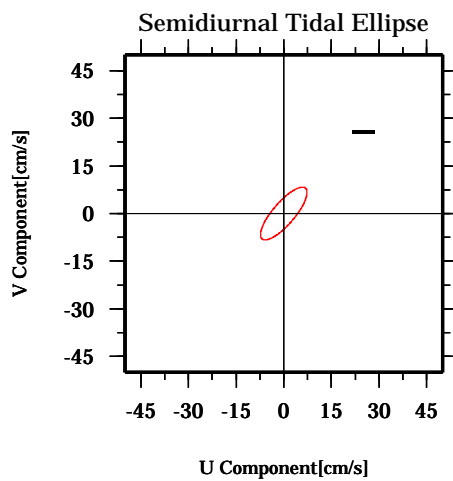
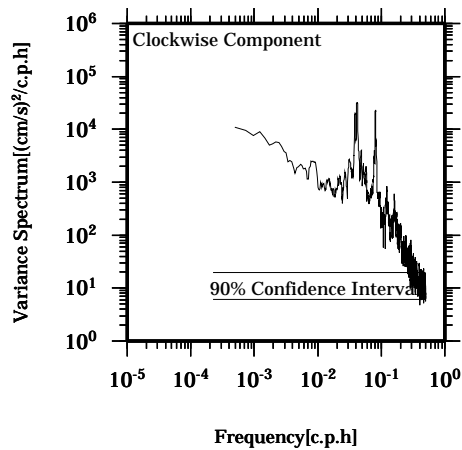
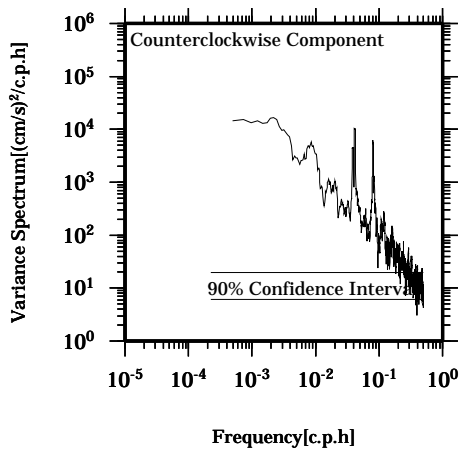
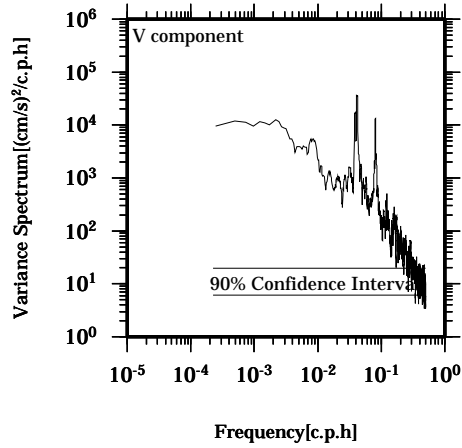
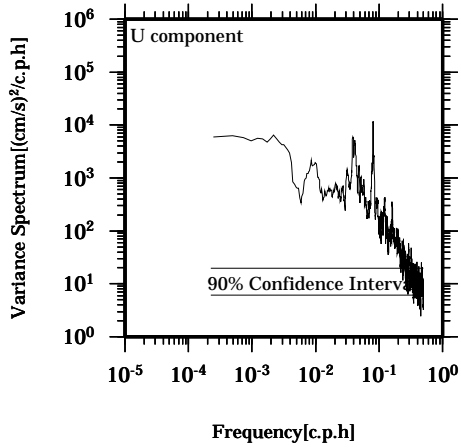


Lon: 121° 17.4341' E

Lat: 22° 38.8623' N

Station: W104

Depth : 250 M

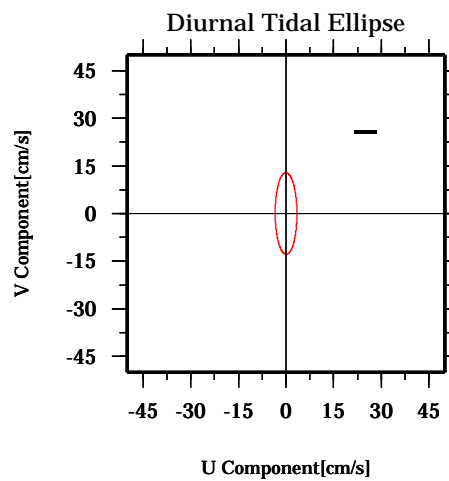
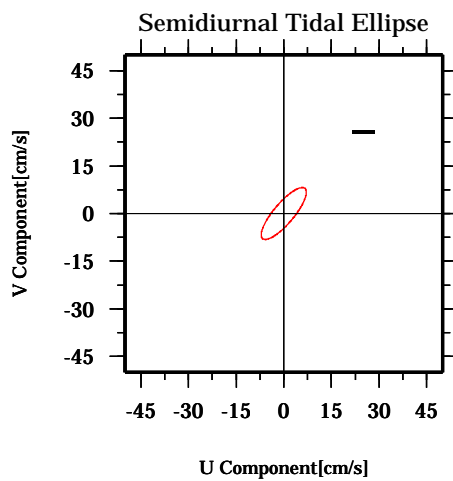
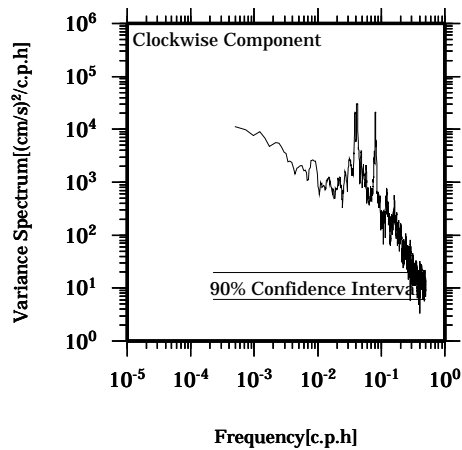
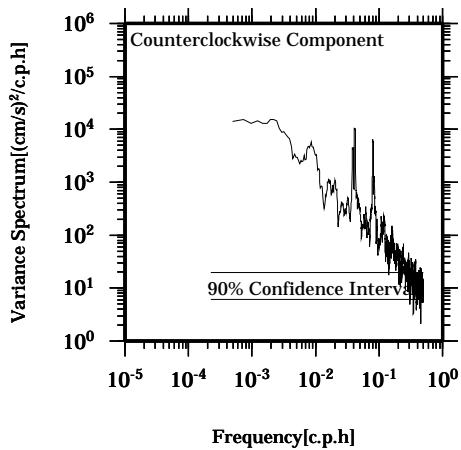
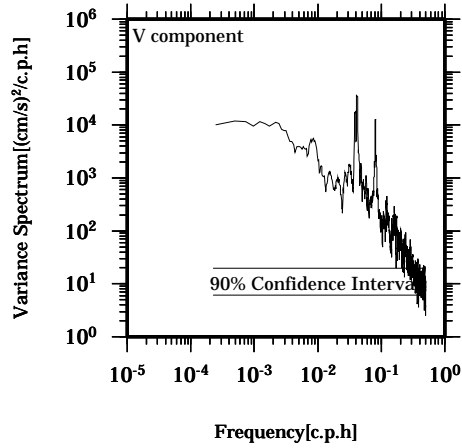
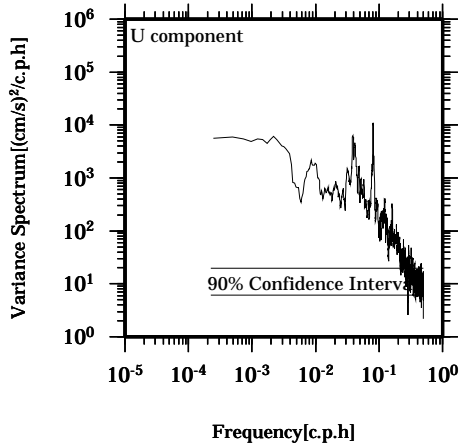


Lon: 121° 17.4341' E

Lat: 22° 38.8623' N

Station: W104

Depth : 254 M

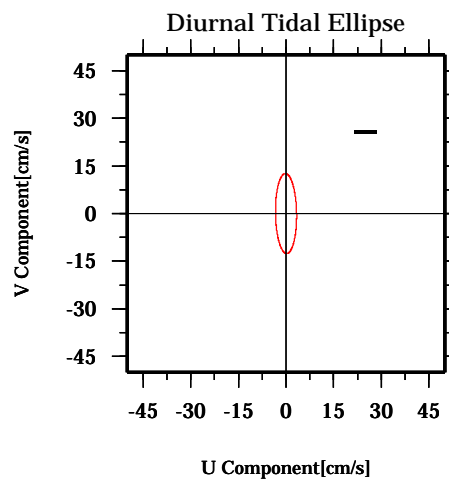
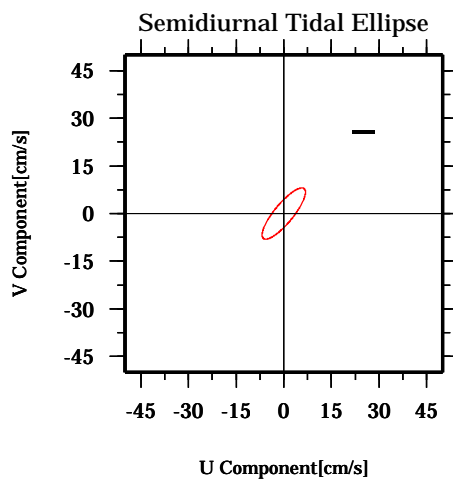
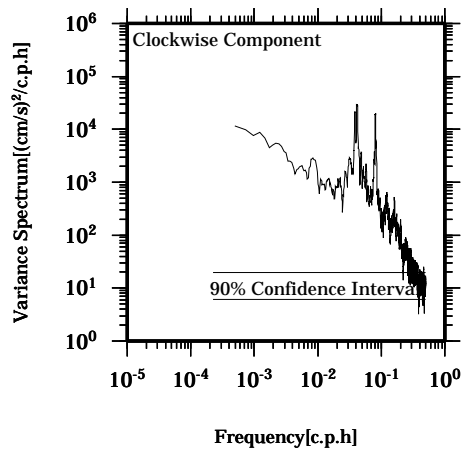
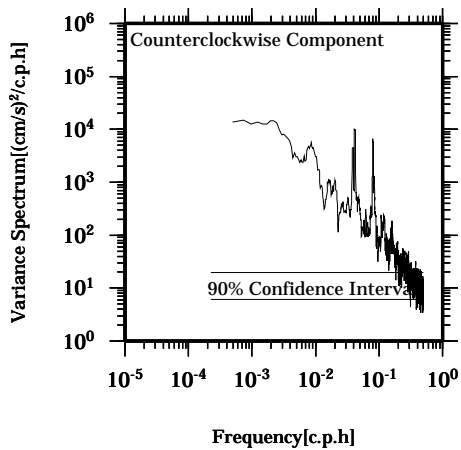
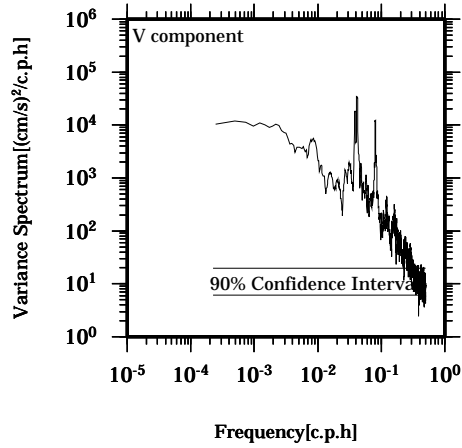
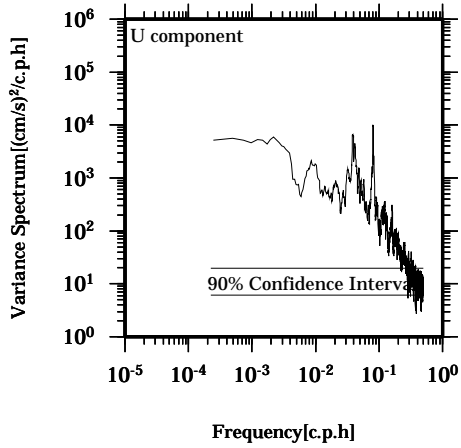


Lon: 121° 17.4341' E

Lat: 22° 38.8623' N

Station: W104

Depth : 258 M

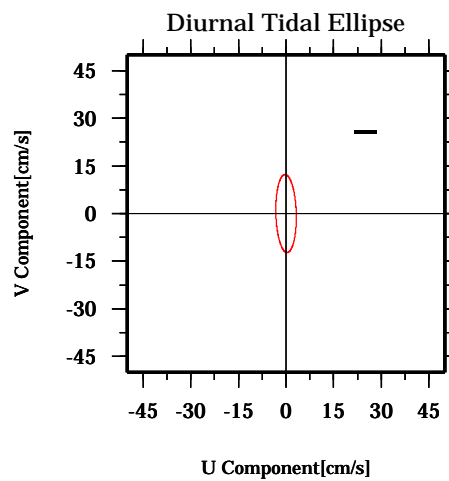
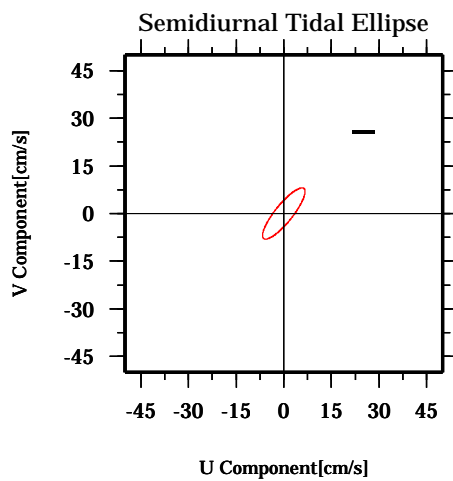
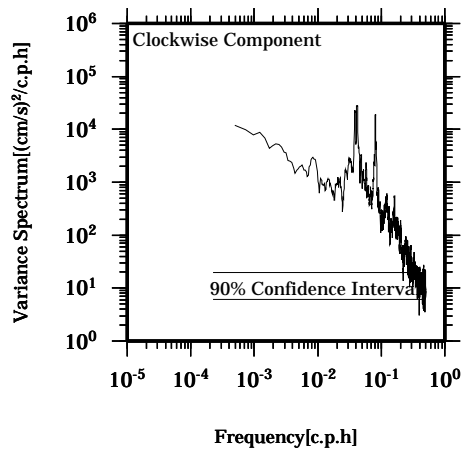
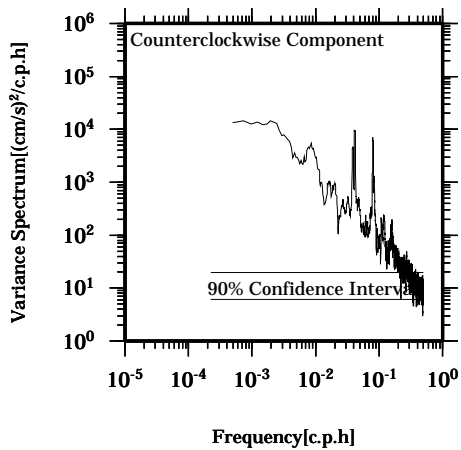
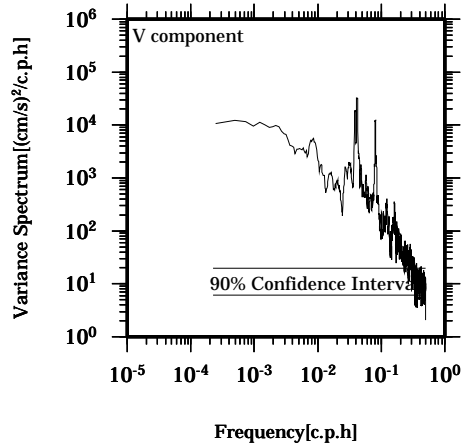
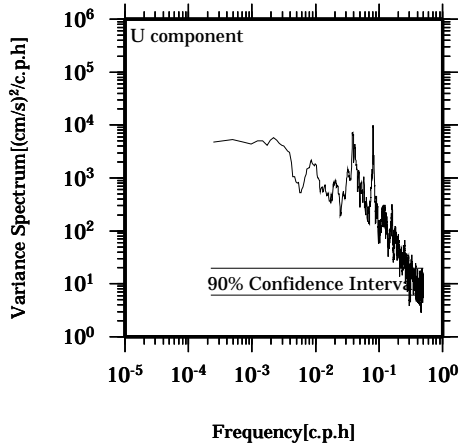


Lon: 121° 17.4341' E

Lat: 22° 38.8623' N

Station: W104

Depth : 262 M

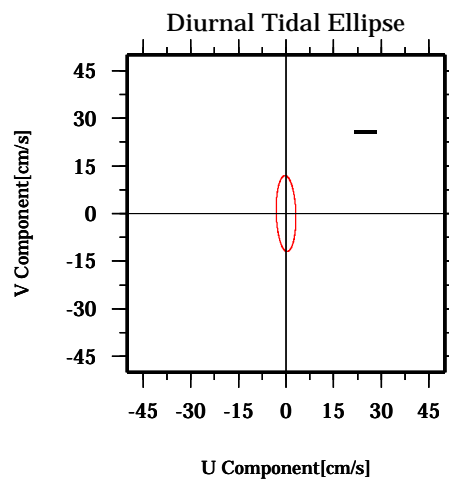
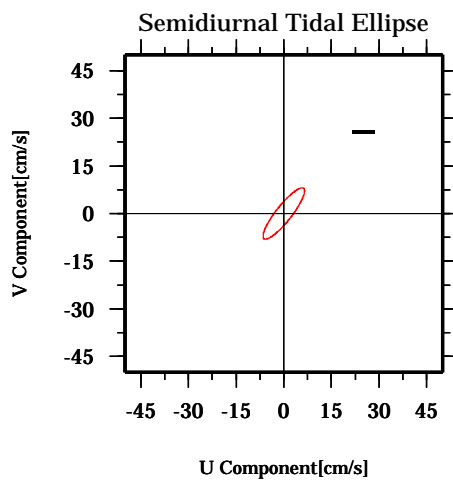
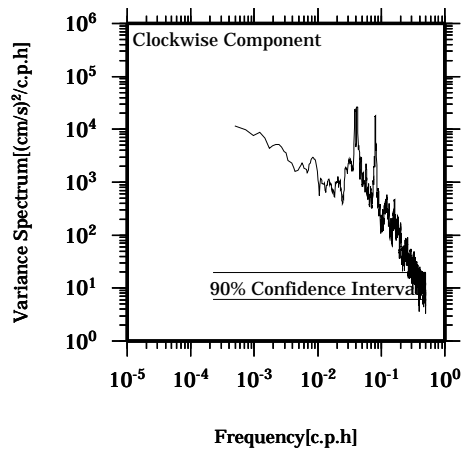
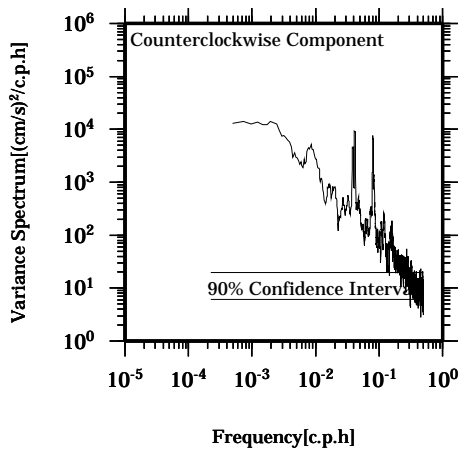
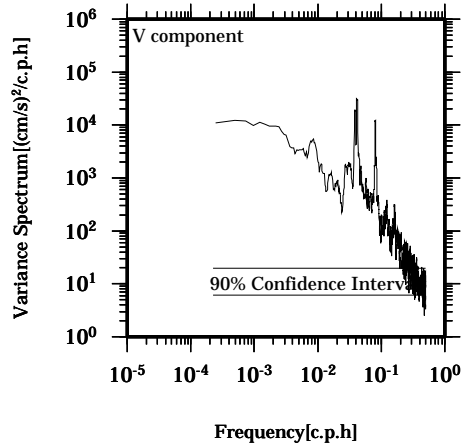
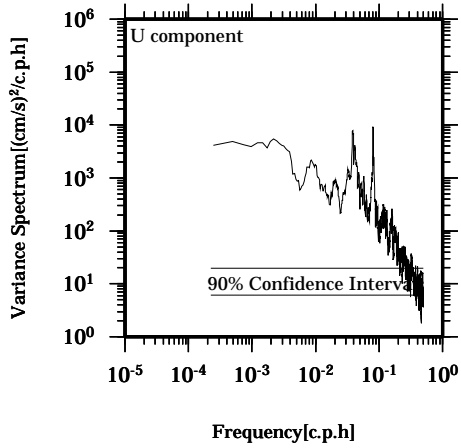


Lon: 121° 17.4341' E

Lat: 22° 38.8623' N

Station: W104

Depth : 266 M

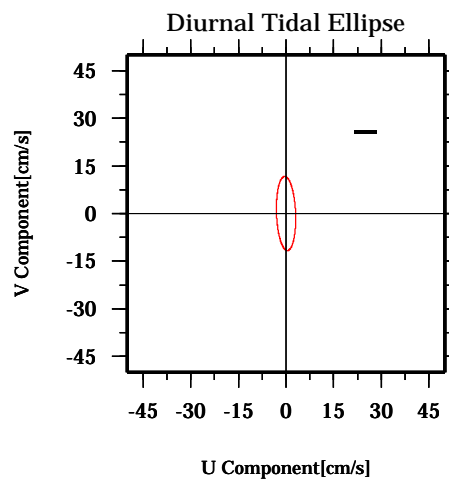
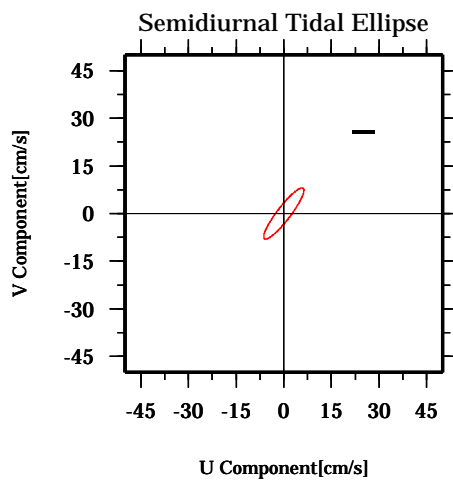
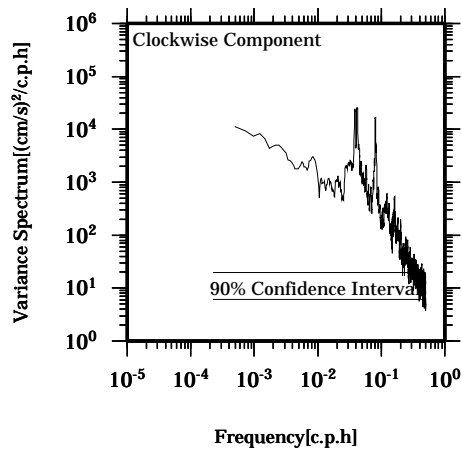
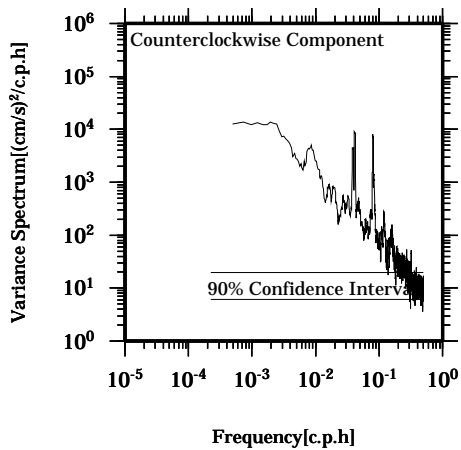
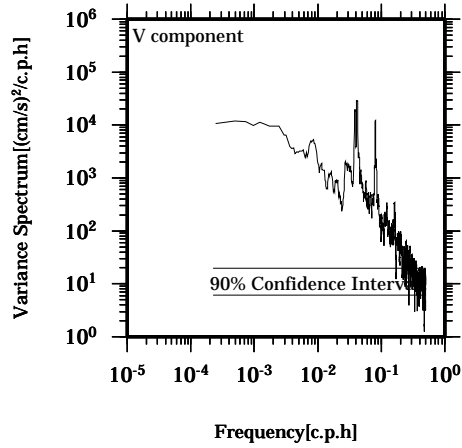
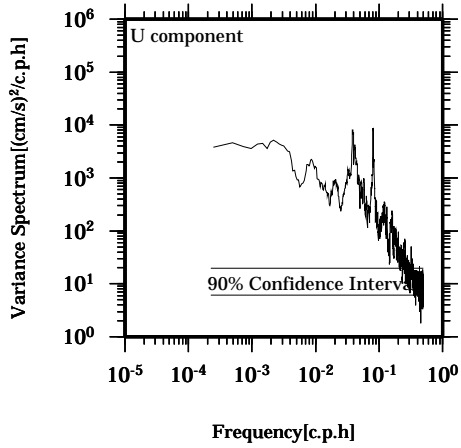


Lon: 121° 17.4341' E

Lat: 22° 38.8623' N

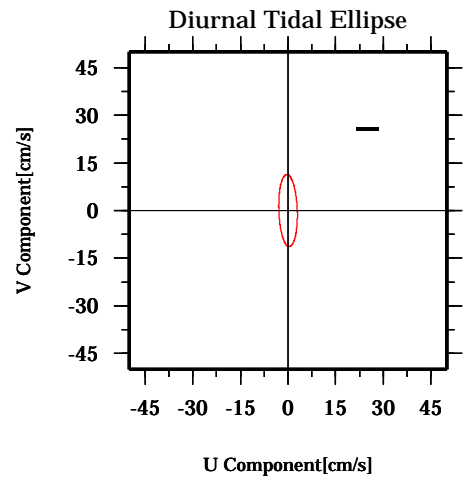
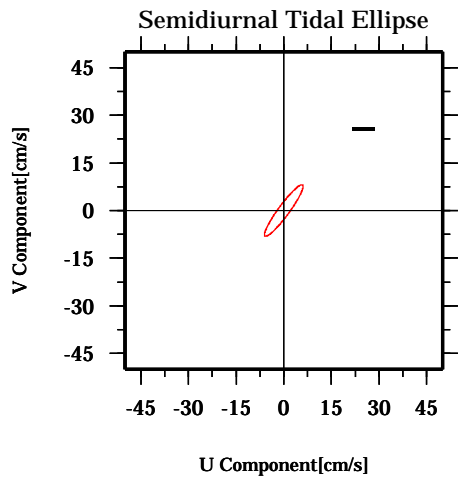
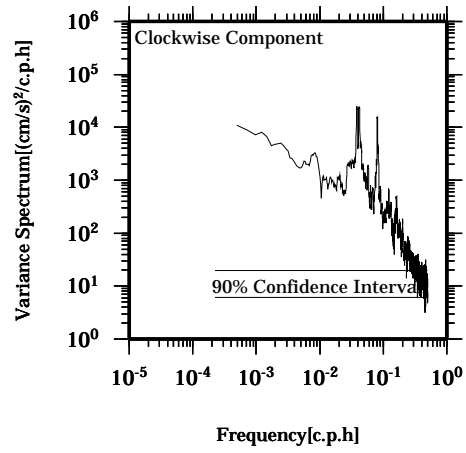
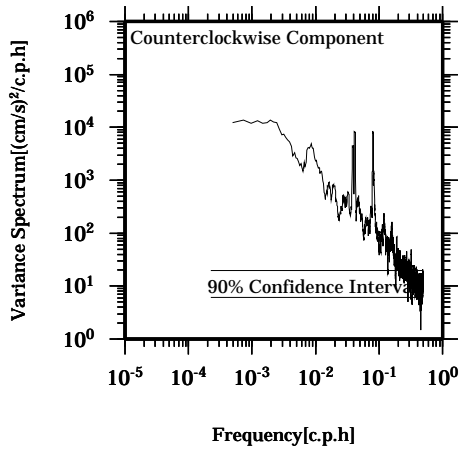
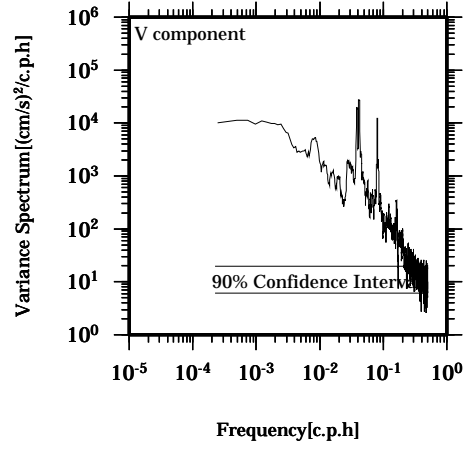
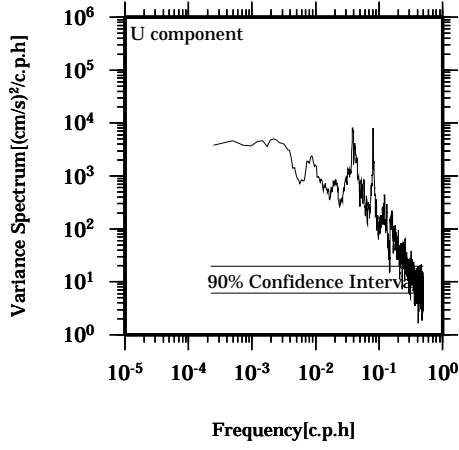
Station: W104

Depth : 270 M



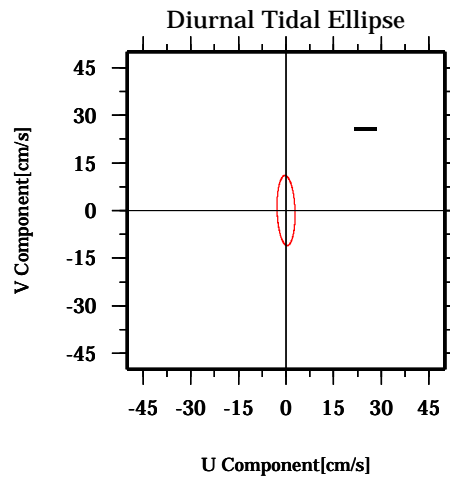
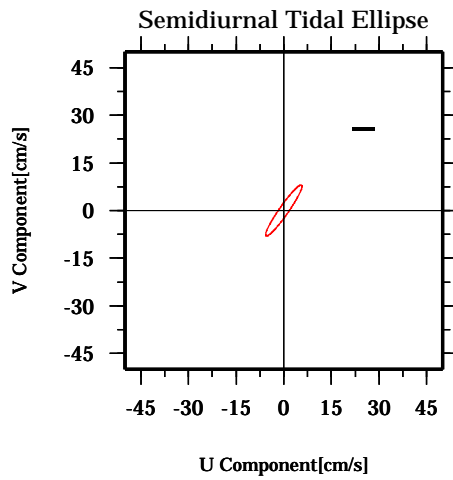
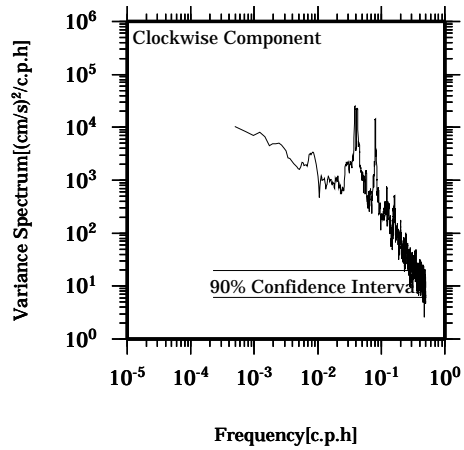
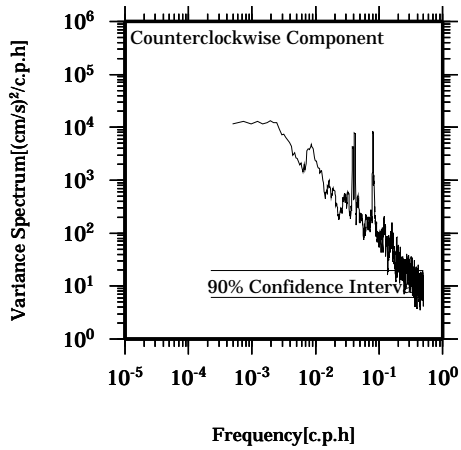
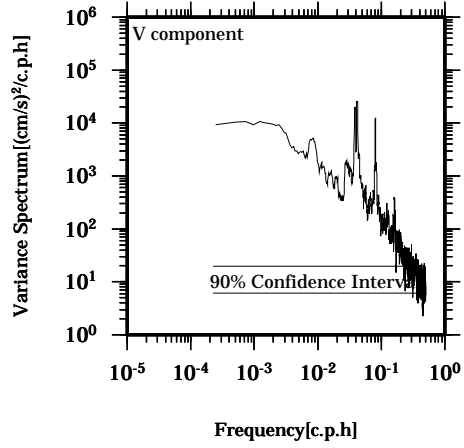
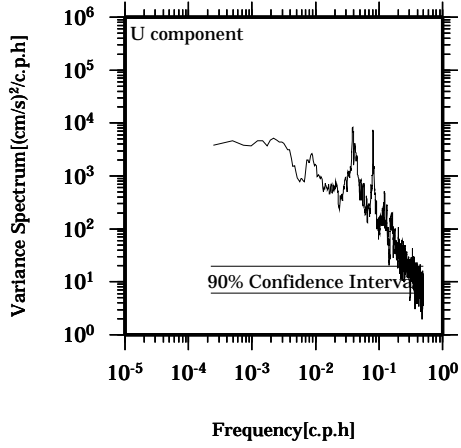
Lon: 121° 17.4341' E
Lat: 22° 38.8623' N

Station: W104
Depth : 274 M



Lon: 121° 17.4341' E
Lat: 22° 38.8623' N

Station: W104
Depth : 278 M

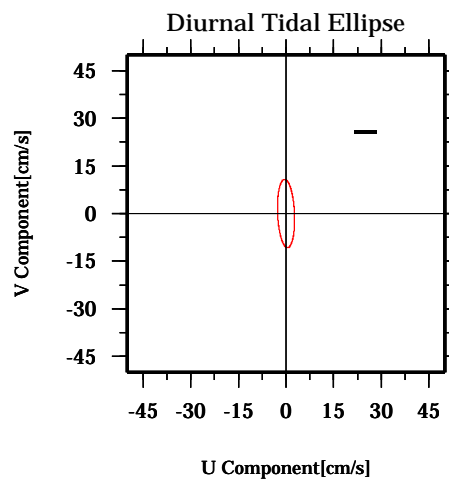
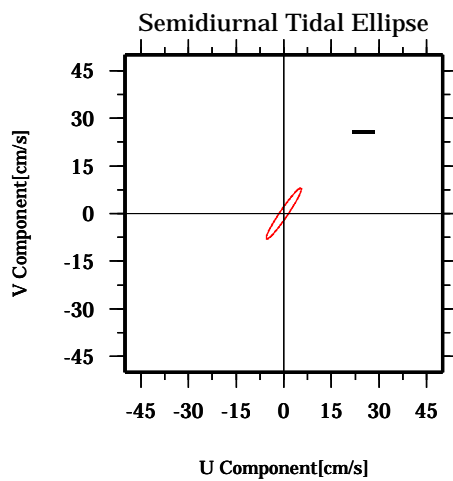
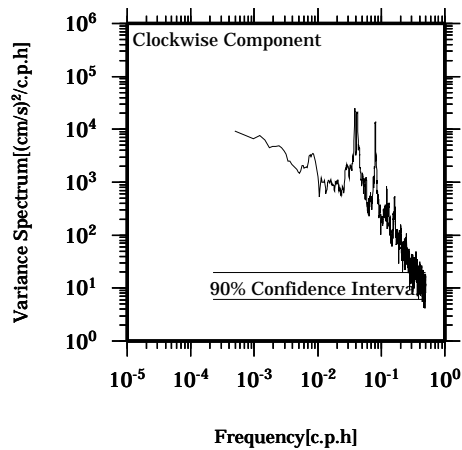
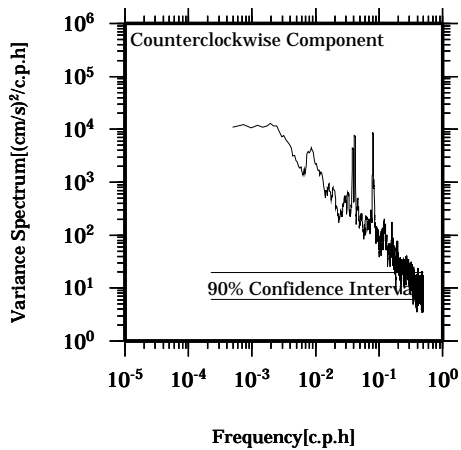
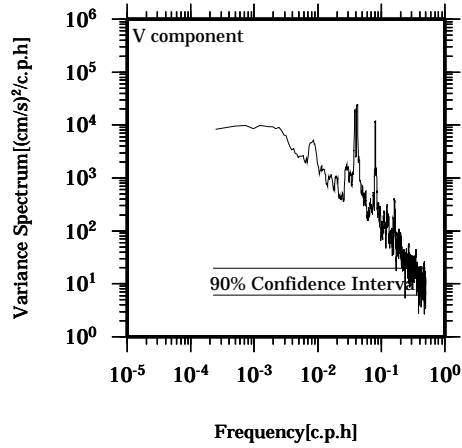
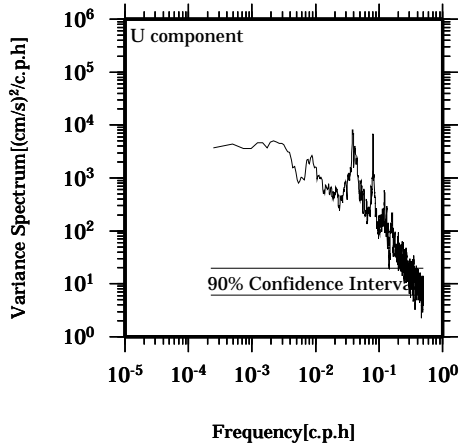


Lon: 121° 17.4341' E

Lat: 22° 38.8623' N

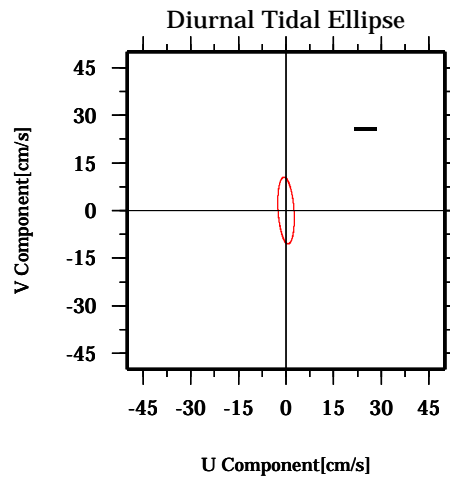
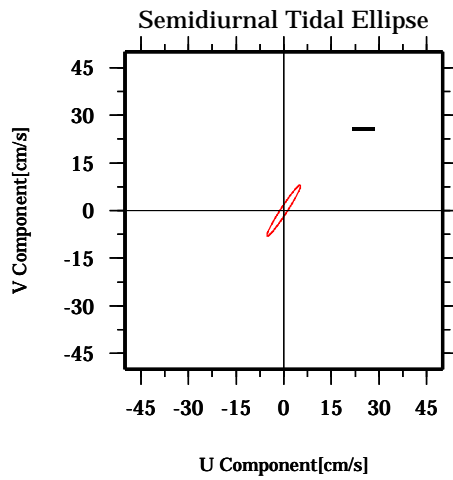
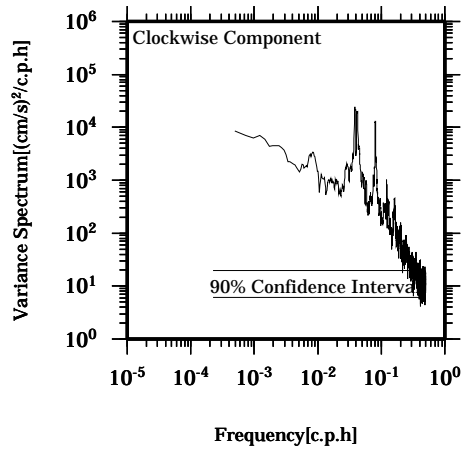
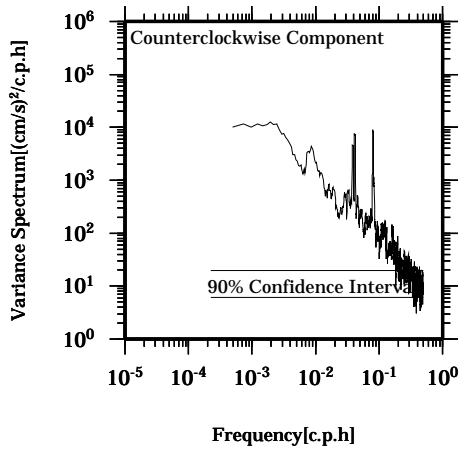
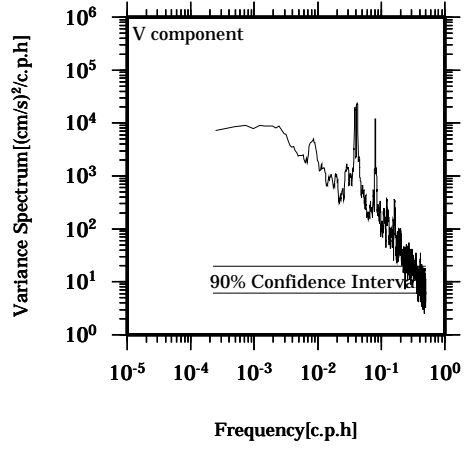
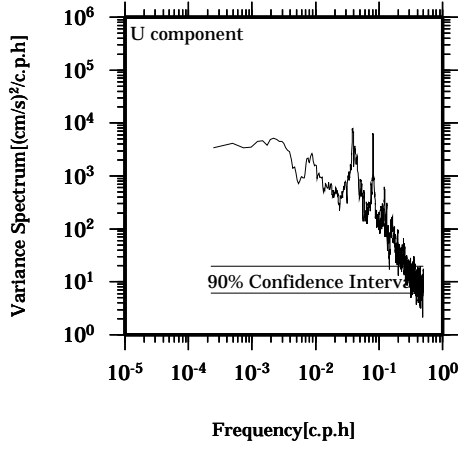
Station: W104

Depth : 282 M



Lon: 121° 17.4341' E
Lat: 22° 38.8623' N

Station: W104
Depth : 286 M

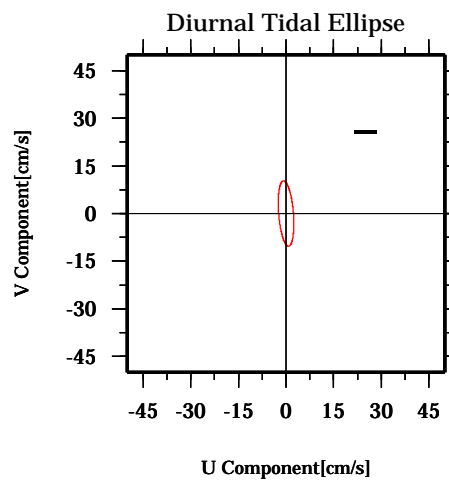
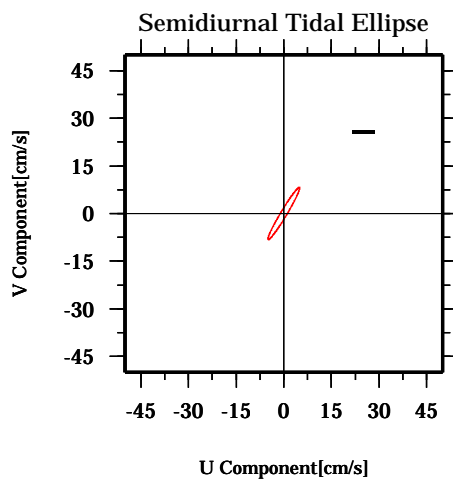
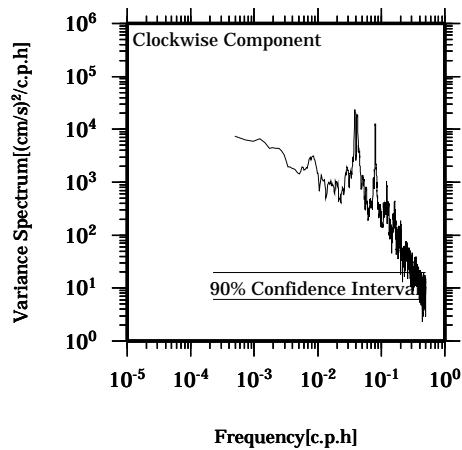
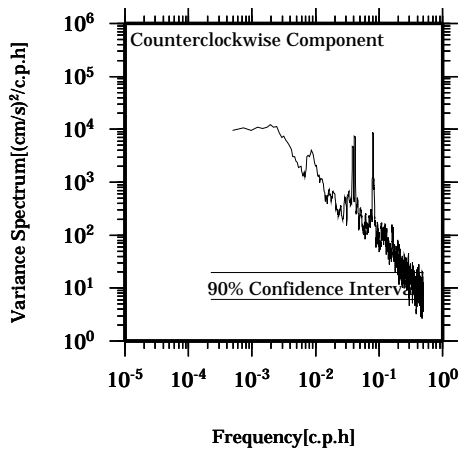
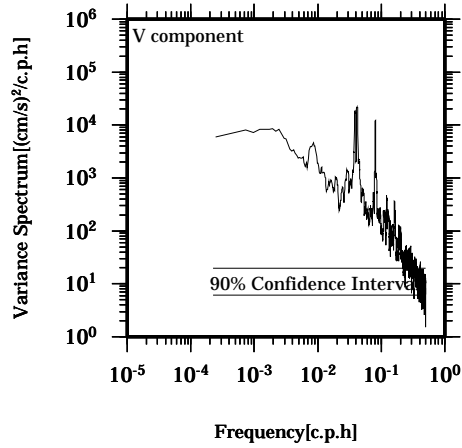
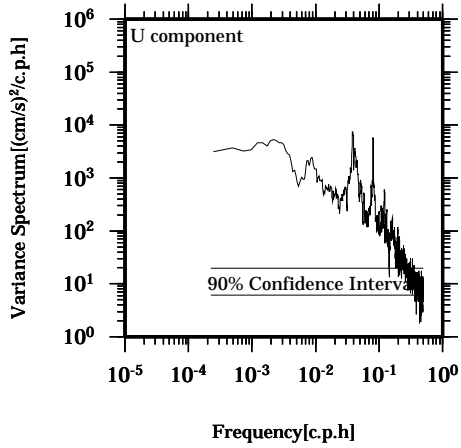


Lon: 121° 17.4341' E

Lat: 22° 38.8623' N

Station: W104

Depth : 290 M

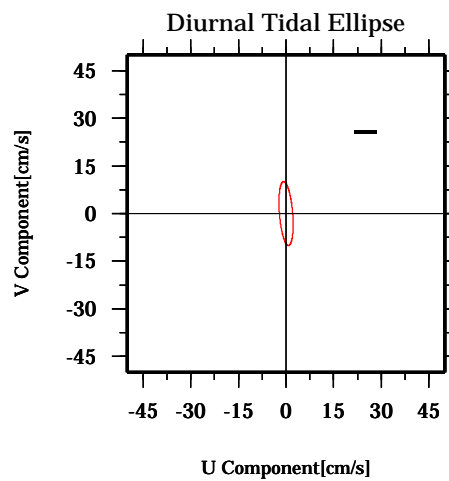
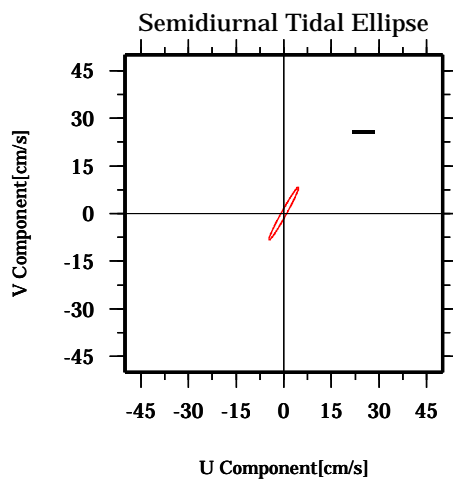
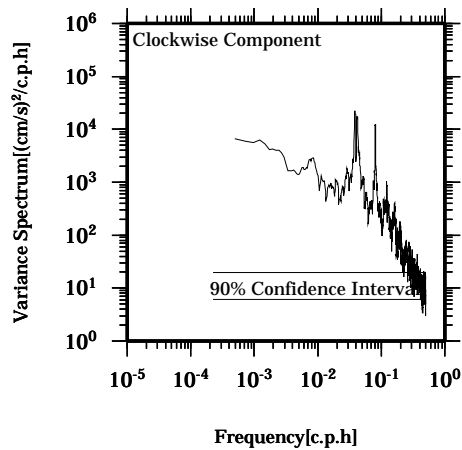
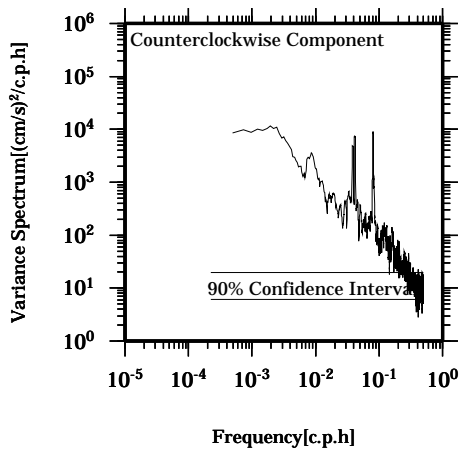
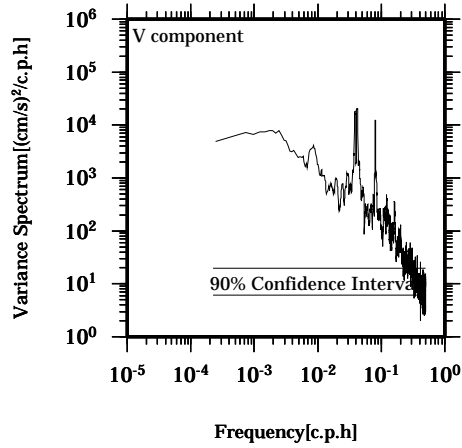
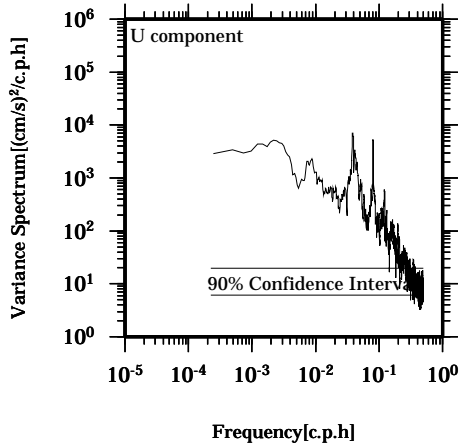


Lon: 121° 17.4341' E

Lat: 22° 38.8623' N

Station: W104

Depth : 294 M

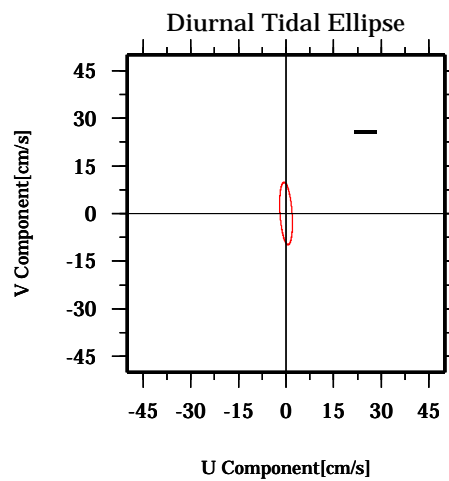
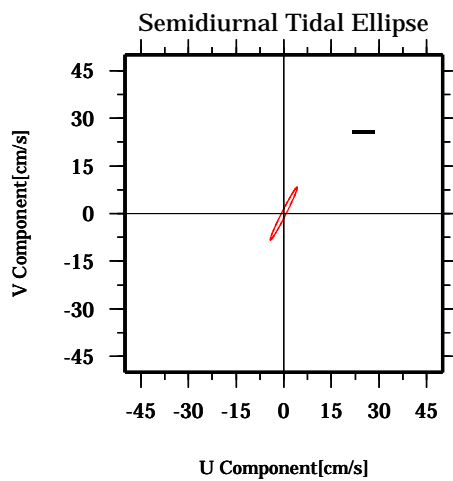
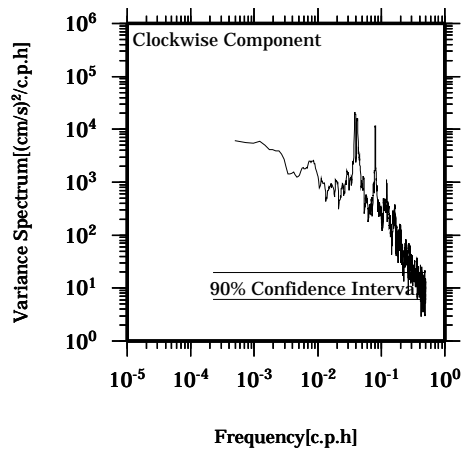
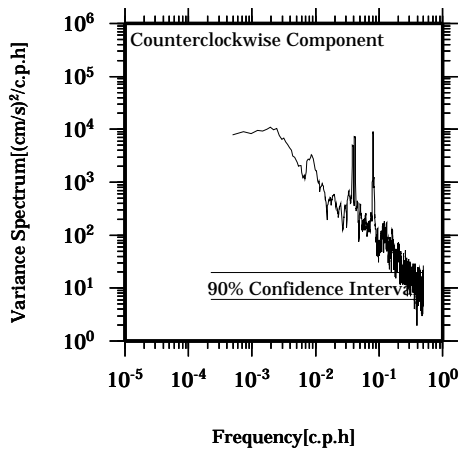
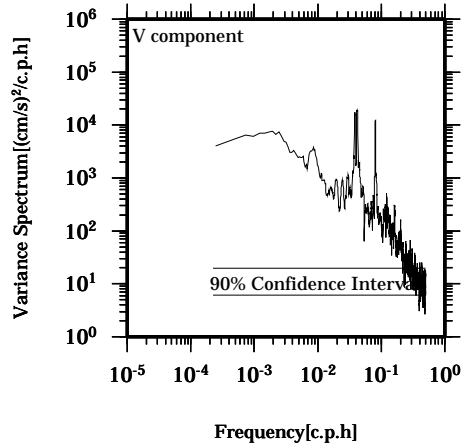
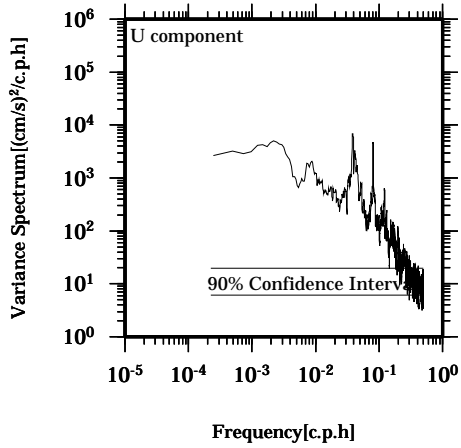


Lon: 121° 17.4341' E

Lat: 22° 38.8623' N

Station: W104

Depth : 298 M

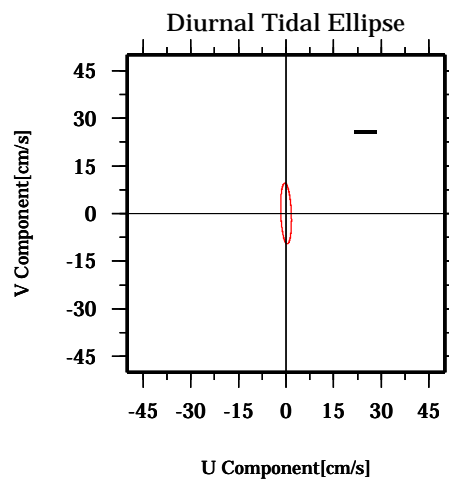
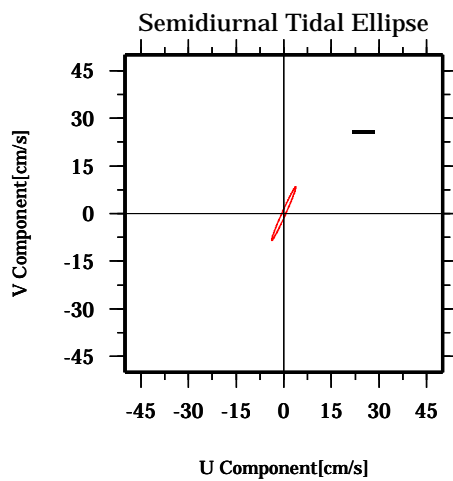
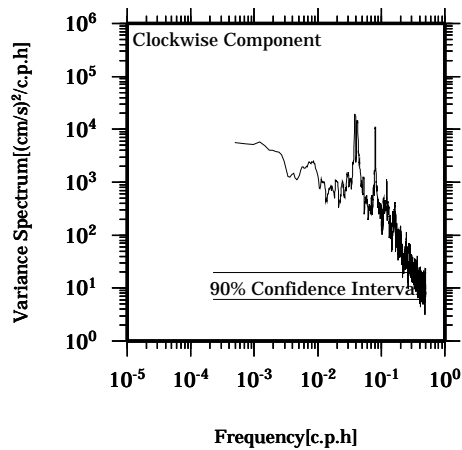
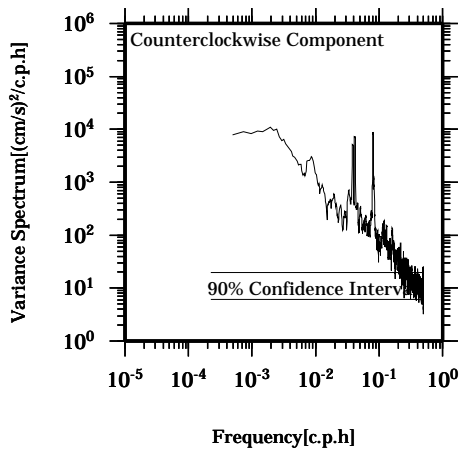
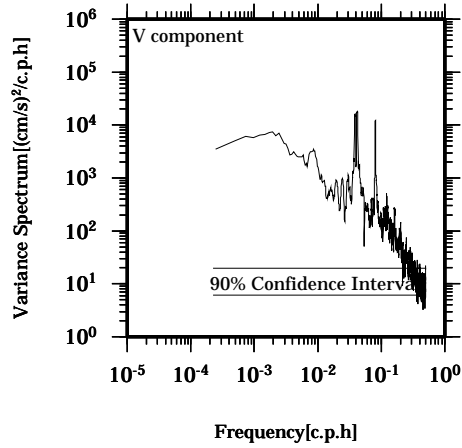
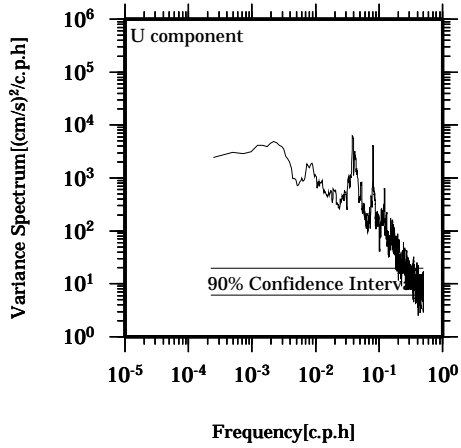


Lon: 121° 17.4341' E

Lat: 22° 38.8623' N

Station: W104

Depth : 302 M

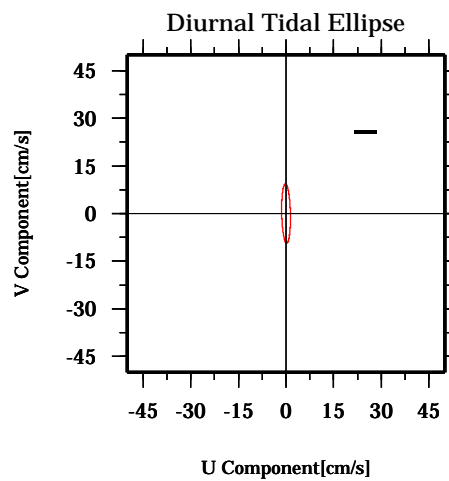
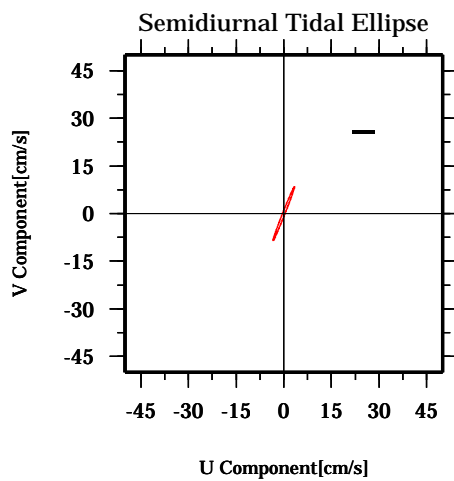
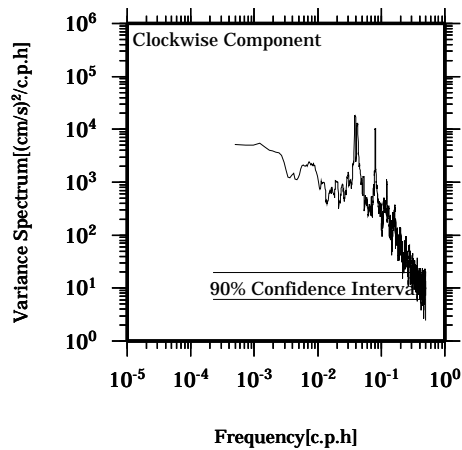
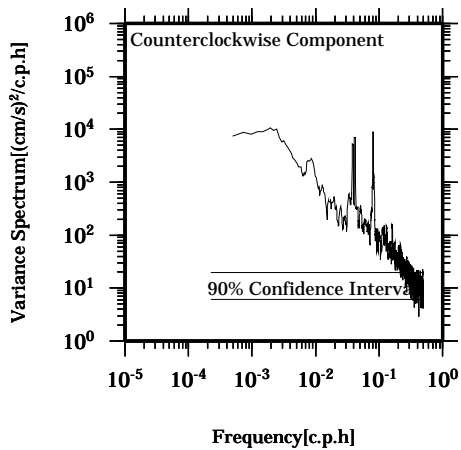
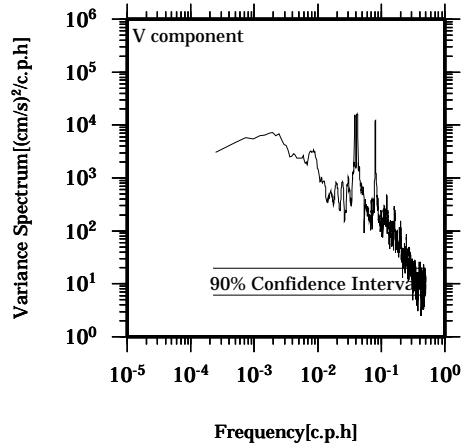
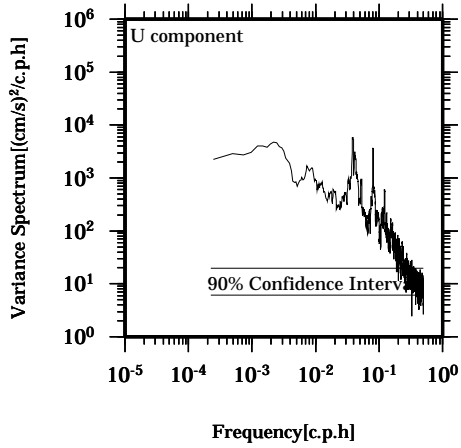


Lon: 121° 17.4341' E

Lat: 22° 38.8623' N

Station: W104

Depth : 306 M

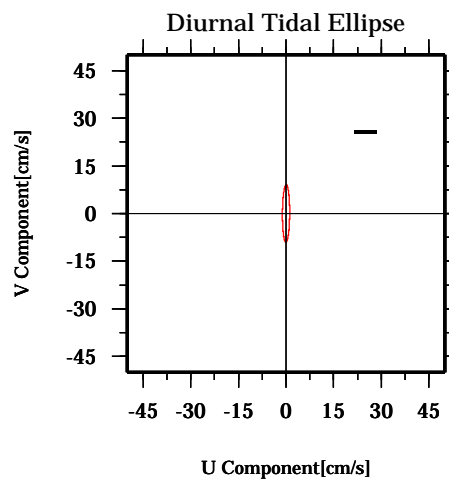
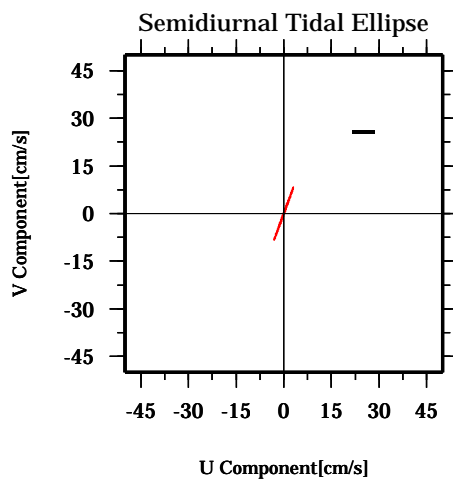
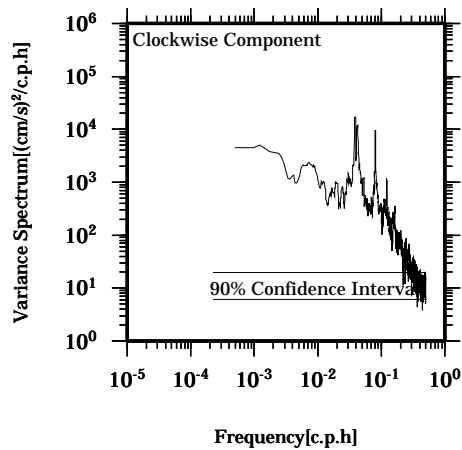
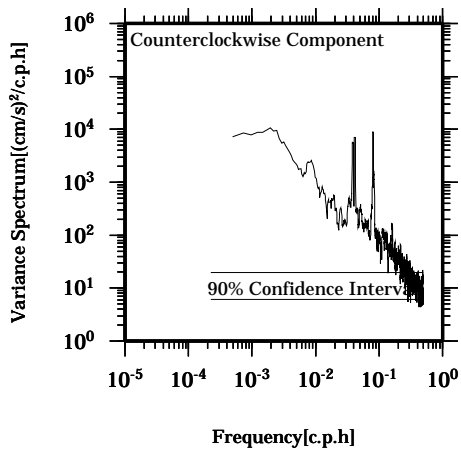
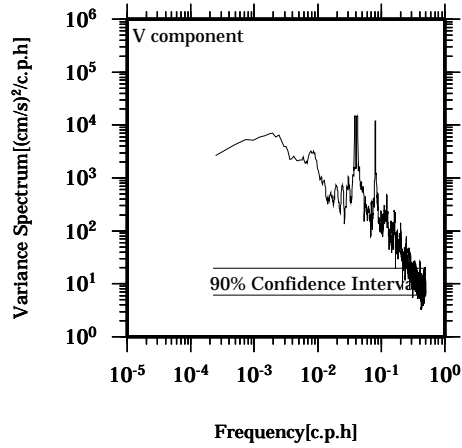
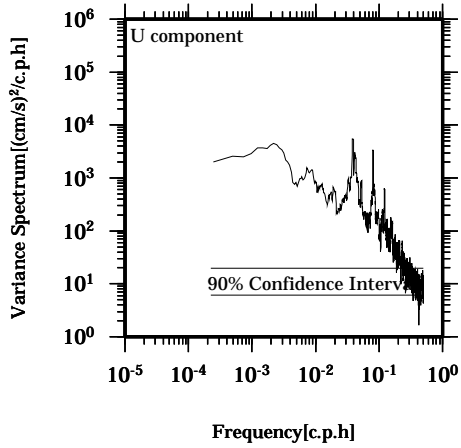


Lon: 121° 17.4341' E

Lat: 22° 38.8623' N

Station: W104

Depth : 310 M

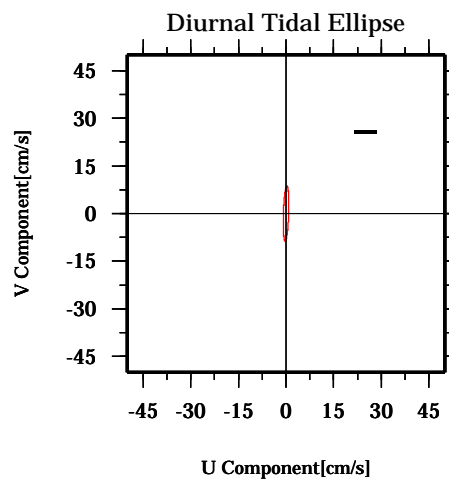
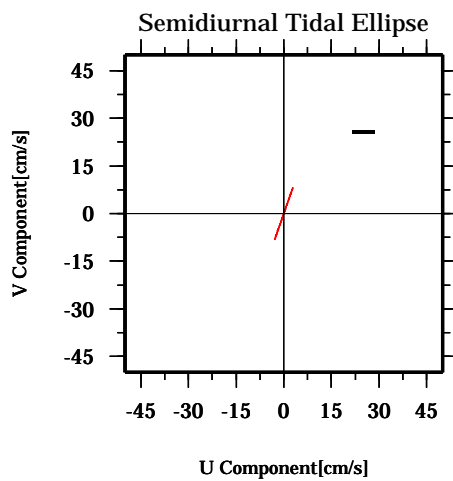
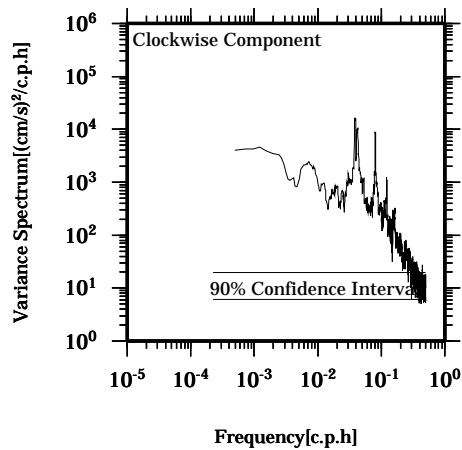
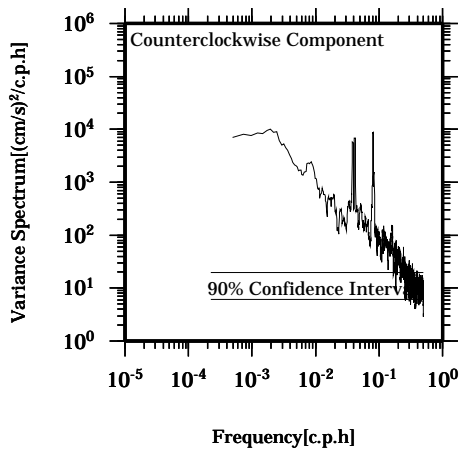
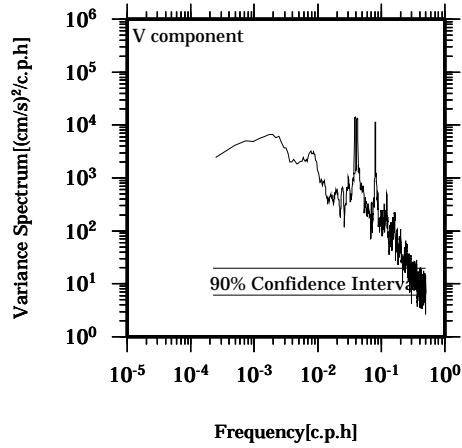
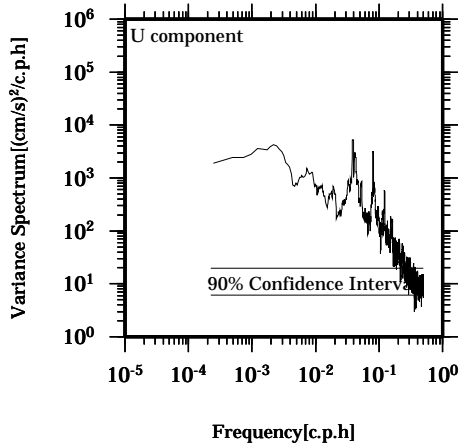


Lon: 121° 17.4341' E

Lat: 22° 38.8623' N

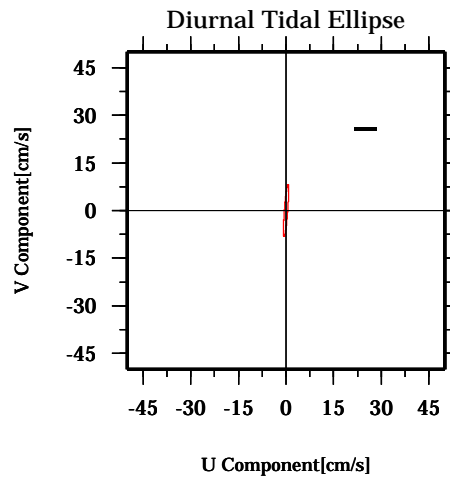
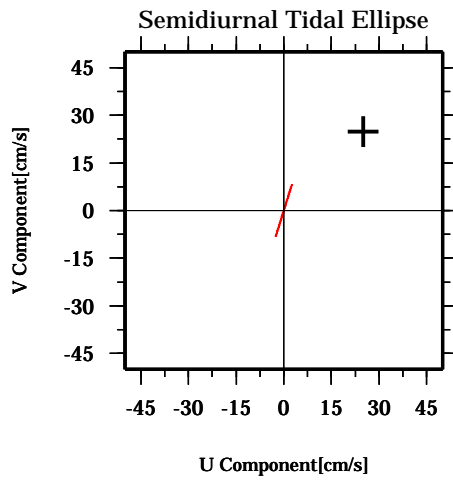
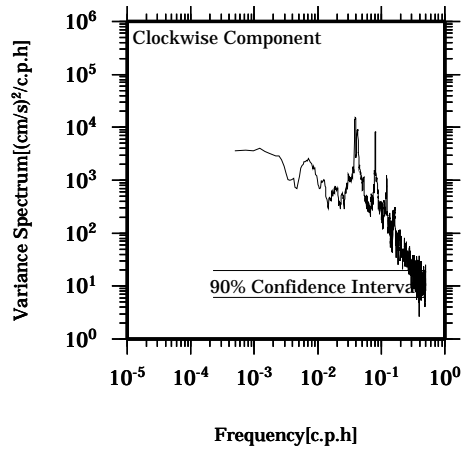
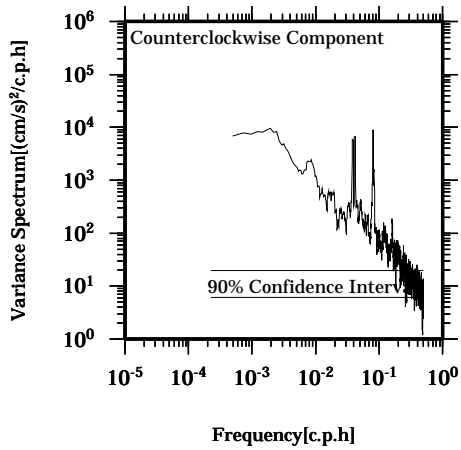
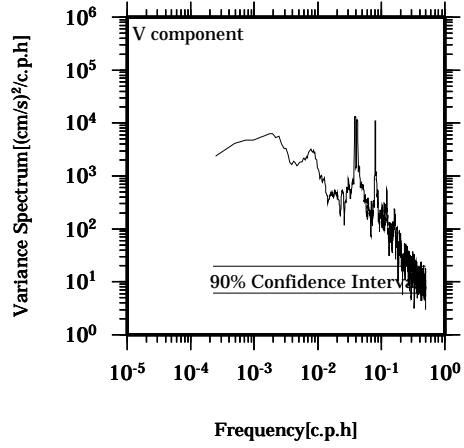
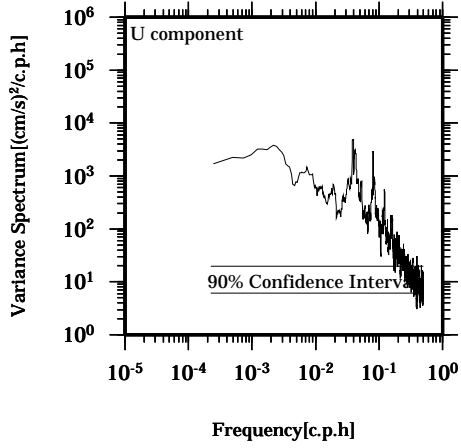
Station: W104

Depth : 314 M



Lon: 121° 17.4341' E
Lat: 22° 38.8623' N

Station: W104
Depth : 318 M

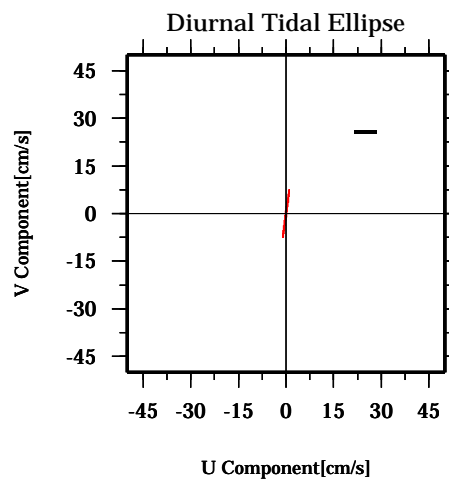
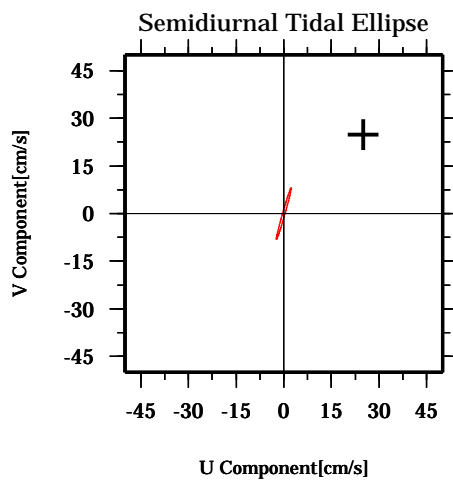
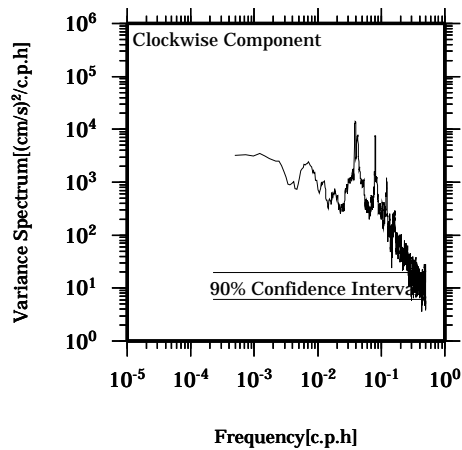
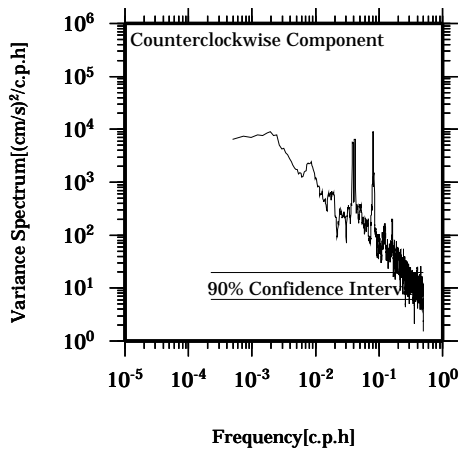
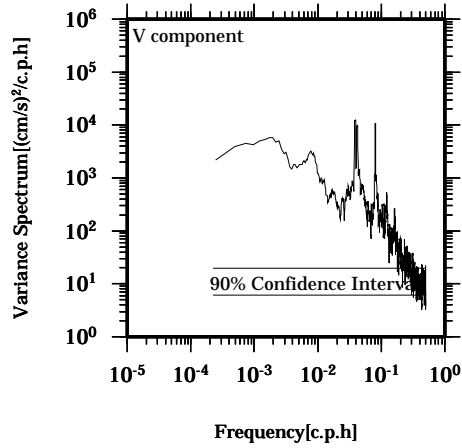
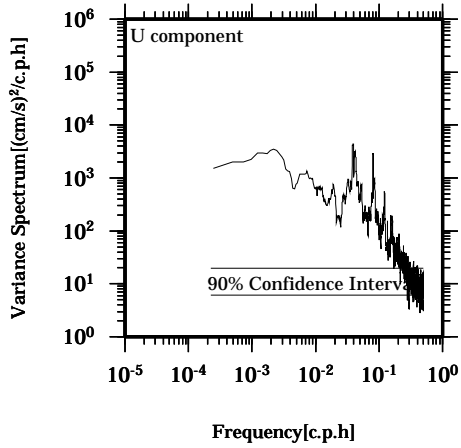


Lon: 121° 17.4341' E

Lat: 22° 38.8623' N

Station: W104

Depth : 322 M

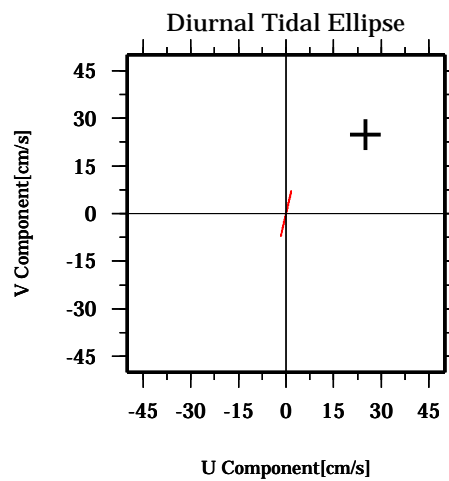
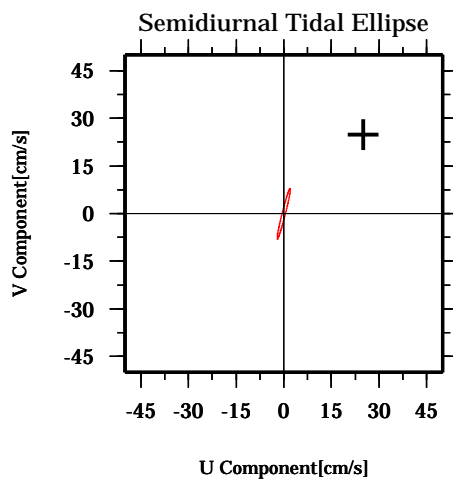
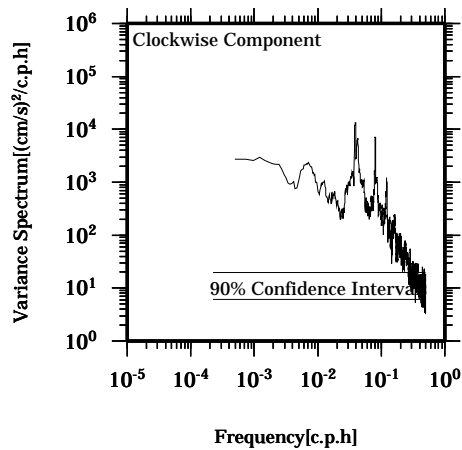
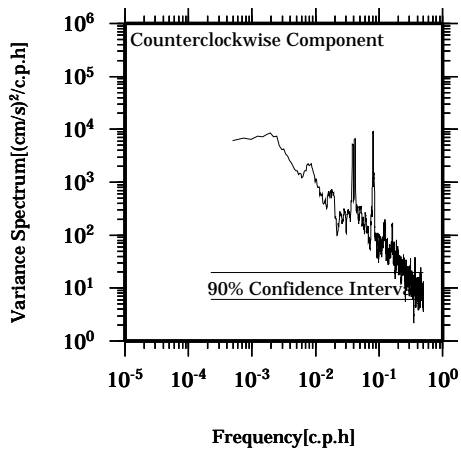
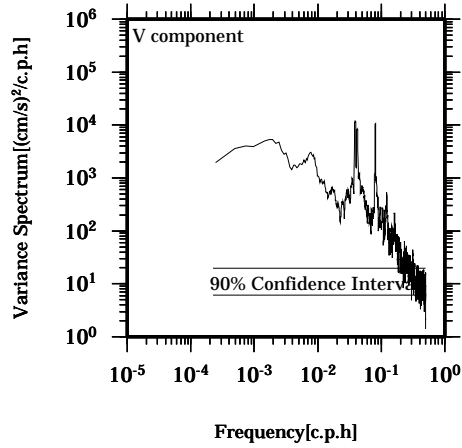
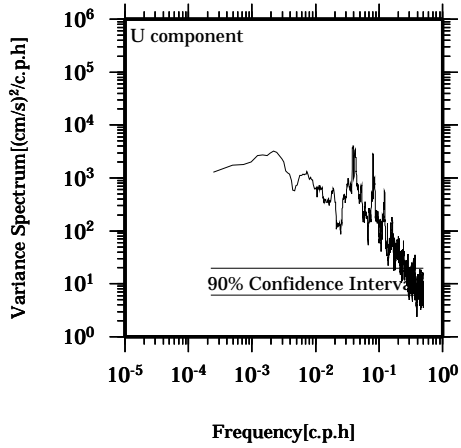


Lon: 121° 17.4341' E

Lat: 22° 38.8623' N

Station: W104

Depth : 326 M

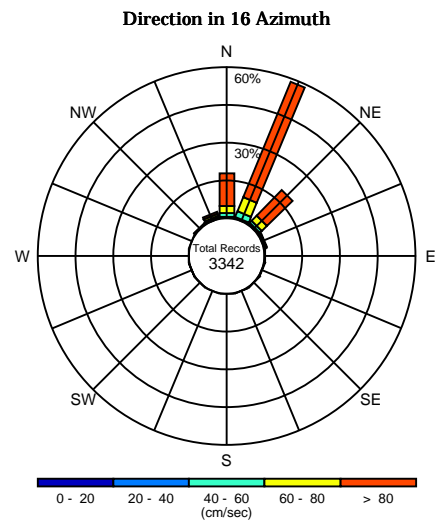
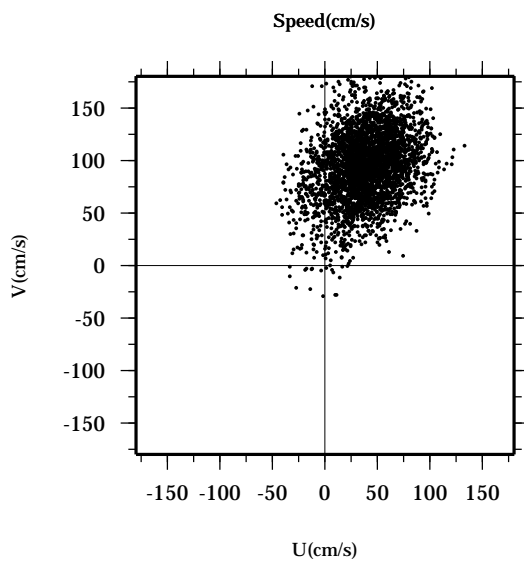
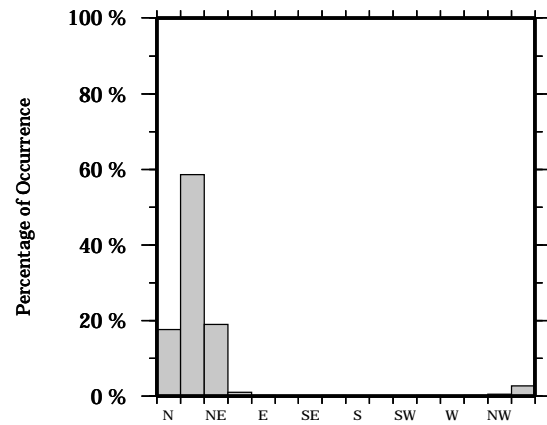
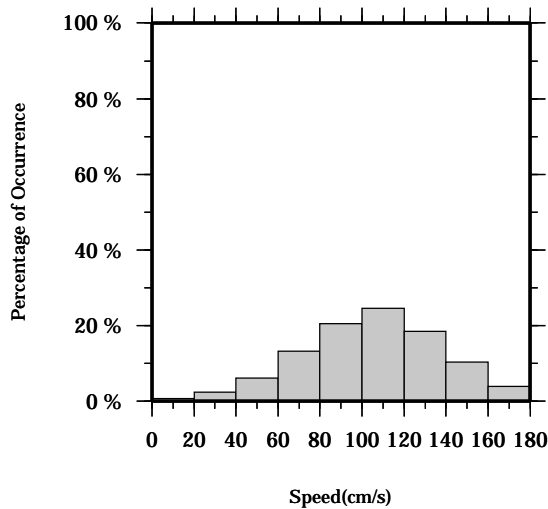


LON: 121° 17.4341' E

Station: W104

LAT: 22° 38.8623' N

Depth: 30 M



Joint probability distribution of current speed and it's direction

Speed	N	NNE	NE	ENE	E	ESE	SE	SSE	S	SSW	SW	WSW	W	WNW	NW	NNW	Total
0-20	0.1	0.1	0.1	0.1	0.1	0.0	0.1	0.0	0.0	0.0	0.0	0.1	0.0	0.0	0.1	0.1	0.7
20-40	0.3	0.4	0.7	0.1	0.1	0.0	0.0	0.1	0.0	0.0	0.0	0.0	0.0	0.1	0.1	0.3	2.3
40-60	1.5	2.5	1.1	0.2	0.0	0.0	0.0	0.0	0.0	0.0	0.0	0.0	0.0	0.0	0.2	0.6	6.0
60-80	2.8	6.0	2.8	0.3	0.0	0.0	0.0	0.0	0.0	0.0	0.0	0.0	0.0	0.0	0.1	0.9	13.0
80-100	4.0	11.5	3.9	0.1	0.0	0.0	0.0	0.0	0.0	0.0	0.0	0.0	0.0	0.0	0.0	0.7	20.3
100-120	3.9	15.2	4.8	0.2	0.0	0.0	0.0	0.0	0.0	0.0	0.0	0.0	0.0	0.0	0.0	0.2	24.3
120-140	3.0	11.7	3.4	0.0	0.0	0.0	0.0	0.0	0.0	0.0	0.0	0.0	0.0	0.0	0.0	0.0	18.2
140-160	1.0	7.5	1.7	0.0	0.0	0.0	0.0	0.0	0.0	0.0	0.0	0.0	0.0	0.0	0.0	0.0	10.2
160-180	0.7	2.6	0.5	0.0	0.0	0.0	0.0	0.0	0.0	0.0	0.0	0.0	0.0	0.0	0.0	0.0	3.8
180-200	0.2	0.8	0.0	0.0	0.0	0.0	0.0	0.0	0.0	0.0	0.0	0.0	0.0	0.0	0.0	0.0	1.0
Total	17.6	58.4	18.9	1.0	0.2	0.0	0.1	0.1	0.0	0.0	0.1	0.1	0.1	0.1	0.5	2.7	100.0

Mean U and V : 38.8 (cm/s), 94.5 (cm/s)

Standard deviation of U and V : 27.3 (cm/s), 33.0 (cm/s)

Maximun speed and it's direction : 205.5 (cm/s), 27.4 (deg.)

Mean speed and direction : 102.2 (cm/s), 22.3 (deg.)

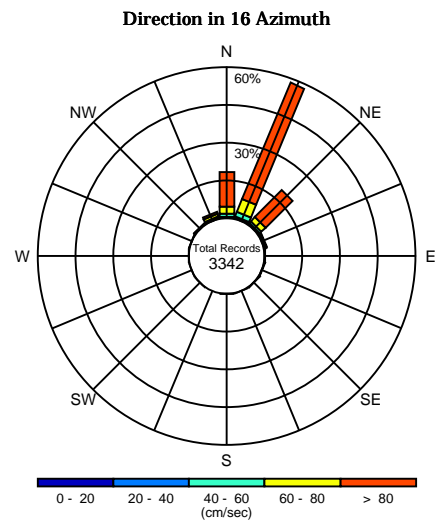
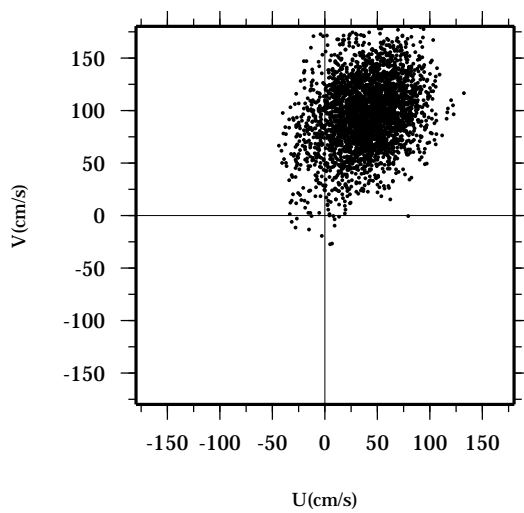
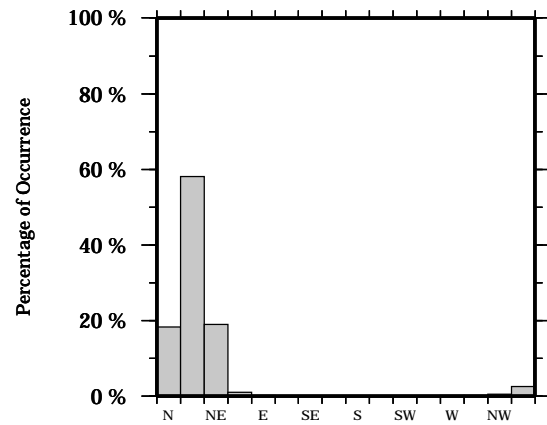
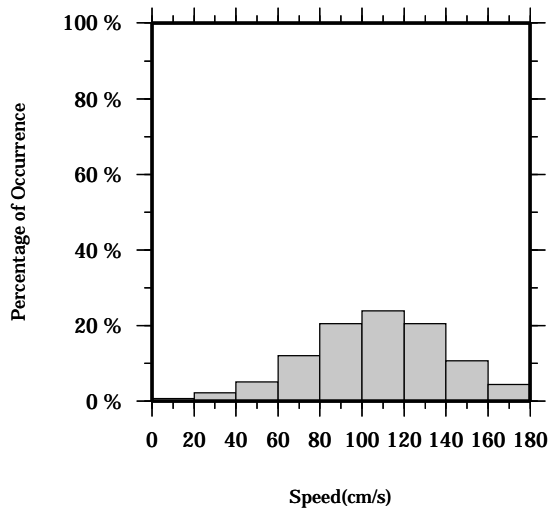
Speed scalar average : 105.6 (cm/s)

LON: 121° 17.4341' E

Station: W104

LAT: 22° 38.8623' N

Depth: 34 M



Joint probability distribution of current speed and it's direction

Speed	N	NNE	NE	ENE	E	ESE	SE	SSE	S	SSW	SW	WSW	W	WNW	NW	NNW	Total
0-20	0.0	0.1	0.1	0.1	0.1	0.0	0.0	0.0	0.0	0.0	0.0	0.0	0.1	0.0	0.0	0.0	0.7
20-40	0.3	0.5	0.4	0.1	0.0	0.0	0.0	0.0	0.0	0.0	0.0	0.0	0.1	0.2	0.2	0.2	2.2
40-60	1.3	2.0	0.9	0.2	0.0	0.0	0.0	0.0	0.0	0.0	0.0	0.0	0.0	0.0	0.1	0.5	5.0
60-80	2.8	5.4	2.3	0.3	0.0	0.0	0.0	0.0	0.0	0.0	0.0	0.0	0.0	0.0	0.1	0.9	11.9
80-100	4.0	10.9	4.5	0.2	0.0	0.0	0.0	0.0	0.0	0.0	0.0	0.0	0.0	0.0	0.0	0.7	20.2
100-120	4.4	14.3	4.6	0.2	0.0	0.0	0.0	0.0	0.0	0.0	0.0	0.0	0.0	0.0	0.0	0.1	23.7
120-140	3.3	13.0	3.9	0.0	0.0	0.0	0.0	0.0	0.0	0.0	0.0	0.0	0.0	0.0	0.0	0.0	20.3
140-160	1.1	7.8	1.7	0.0	0.0	0.0	0.0	0.0	0.0	0.0	0.0	0.0	0.0	0.0	0.0	0.0	10.6
160-180	0.9	3.1	0.5	0.0	0.0	0.0	0.0	0.0	0.0	0.0	0.0	0.0	0.0	0.0	0.0	0.0	4.4
180-200	0.1	0.7	0.0	0.0	0.0	0.0	0.0	0.0	0.0	0.0	0.0	0.0	0.0	0.0	0.0	0.0	0.8
Total	18.3	57.9	18.9	1.0	0.1	0.0	0.0	0.0	0.1	0.0	0.0	0.0	0.2	0.2	0.4	2.6	100.0

Mean U and V : 39.3 (cm/s), 96.4 (cm/s)

Standard deviation of U and V : 27.6 (cm/s), 32.4 (cm/s)

Maximun speed and it's direction : 201.4 (cm/s), 17.1 (deg.)

Mean speed and direction : 104.1 (cm/s), 22.2 (deg.)

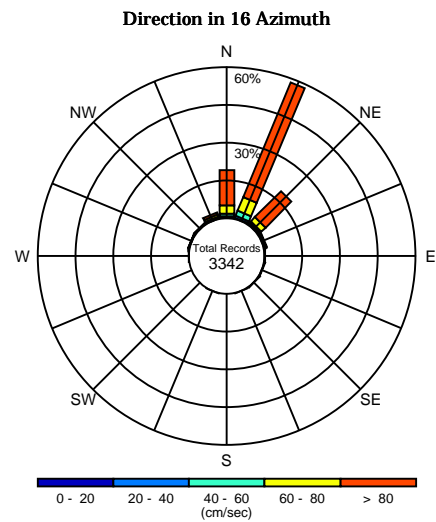
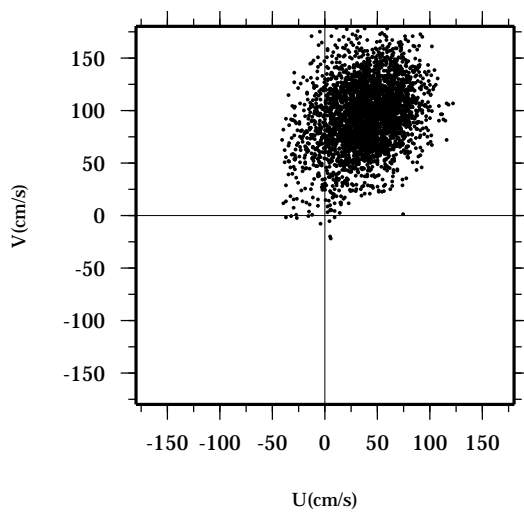
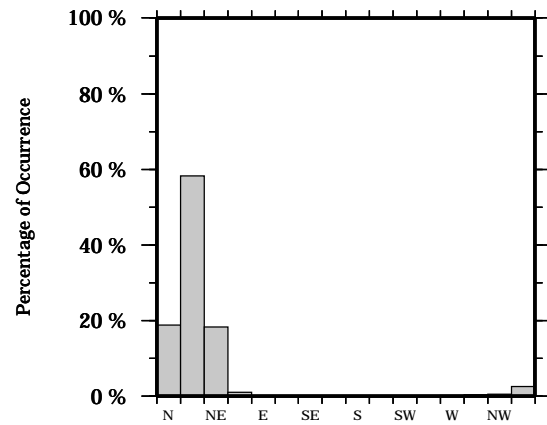
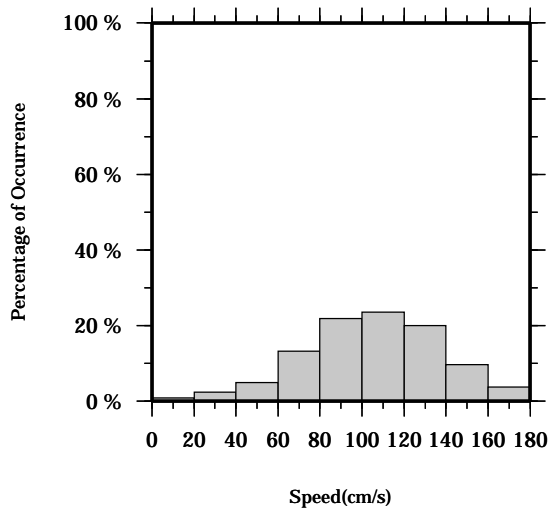
Speed scalar average : 107.5 (cm/s)

LON: 121° 17.4341' E

Station: W104

LAT: 22° 38.8623' N

Depth: 38 M



Joint probability distribution of current speed and it's direction

Speed	N	NNE	NE	ENE	E	ESE	SE	SSE	S	SSW	SW	WSW	W	WNW	NW	NNW	Total
0-20	0.0	0.2	0.2	0.0	0.0	0.0	0.0	0.0	0.0	0.0	0.0	0.0	0.1	0.1	0.0	0.0	0.8
20-40	0.6	0.8	0.4	0.1	0.0	0.0	0.0	0.1	0.0	0.0	0.0	0.0	0.1	0.2	0.1	0.1	2.3
40-60	1.1	2.1	0.7	0.3	0.0	0.0	0.0	0.0	0.0	0.0	0.0	0.0	0.0	0.0	0.2	0.5	4.9
60-80	3.4	6.0	2.4	0.3	0.0	0.0	0.0	0.0	0.0	0.0	0.0	0.0	0.0	0.0	0.1	0.9	13.1
80-100	4.3	12.3	4.2	0.2	0.0	0.0	0.0	0.0	0.0	0.0	0.0	0.0	0.0	0.0	0.0	0.7	21.7
100-120	4.5	13.7	4.8	0.1	0.0	0.0	0.0	0.0	0.0	0.0	0.0	0.0	0.0	0.0	0.0	0.2	23.5
120-140	2.8	13.2	3.7	0.1	0.0	0.0	0.0	0.0	0.0	0.0	0.0	0.0	0.0	0.0	0.0	0.1	19.8
140-160	1.3	6.9	1.4	0.0	0.0	0.0	0.0	0.0	0.0	0.0	0.0	0.0	0.0	0.0	0.0	0.0	9.6
160-180	0.7	2.6	0.4	0.0	0.0	0.0	0.0	0.0	0.0	0.0	0.0	0.0	0.0	0.0	0.0	0.0	3.7
180-200	0.1	0.6	0.0	0.0	0.0	0.0	0.0	0.0	0.0	0.0	0.0	0.0	0.0	0.0	0.0	0.0	0.7
Total	18.8	58.3	18.3	1.1	0.1	0.0	0.0	0.1	0.0	0.0	0.0	0.0	0.2	0.3	0.4	2.5	100.0

Mean U and V : 38.1 (cm/s), 94.6 (cm/s)

Standard deviation of U and V : 27.3 (cm/s), 31.5 (cm/s)

Maximun speed and it's direction : 195.0 (cm/s), 27.8 (deg.)

Mean speed and direction : 102.0 (cm/s), 22.0 (deg.)

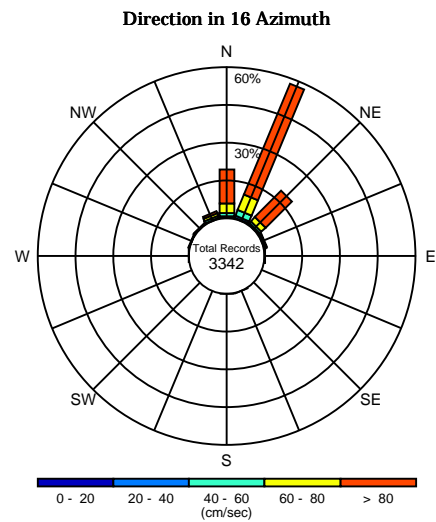
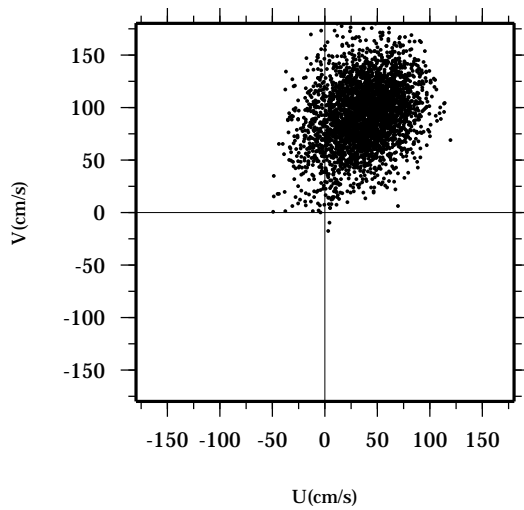
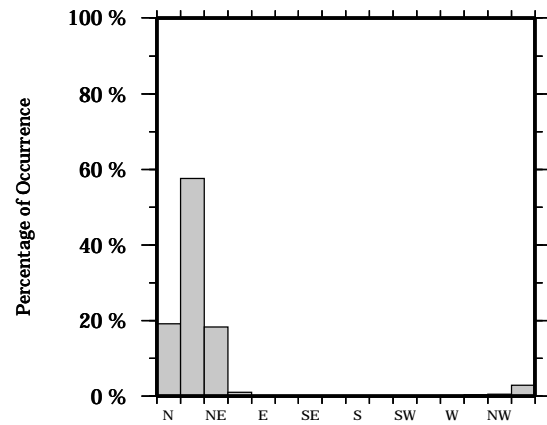
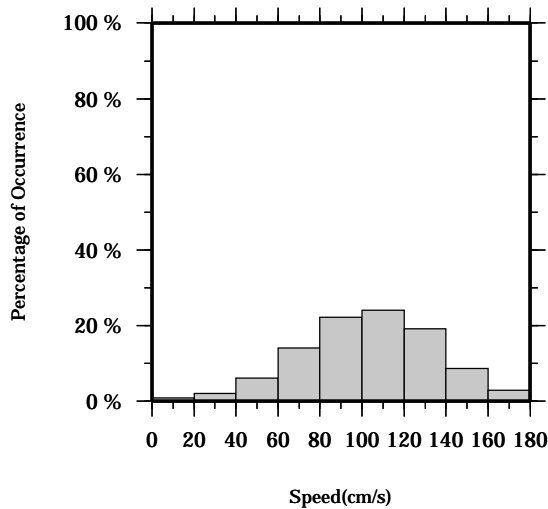
Speed scalar average : 105.4 (cm/s)

LON: 121° 17.4341' E

Station: W104

LAT: 22° 38.8623' N

Depth: 42 M



Joint probability distribution of current speed and it's direction

Speed	N	NNE	NE	ENE	E	ESE	SE	SSE	S	SSW	SW	WSW	W	WNW	NW	NNW	Total
0-20	0.1	0.2	0.1	0.0	0.0	0.0	0.0	0.0	0.0	0.0	0.0	0.0	0.1	0.1	0.1	0.0	0.8
20-40	0.5	0.7	0.3	0.0	0.0	0.0	0.0	0.0	0.0	0.0	0.0	0.0	0.1	0.1	0.1	0.2	2.1
40-60	1.4	2.5	0.9	0.2	0.0	0.0	0.0	0.0	0.0	0.0	0.0	0.0	0.0	0.1	0.1	0.9	6.1
60-80	3.7	6.6	2.4	0.4	0.0	0.0	0.0	0.0	0.0	0.0	0.0	0.0	0.0	0.0	0.1	0.9	14.1
80-100	4.3	12.4	4.7	0.2	0.0	0.0	0.0	0.0	0.0	0.0	0.0	0.0	0.0	0.0	0.0	0.6	22.1
100-120	4.7	14.1	4.9	0.1	0.0	0.0	0.0	0.0	0.0	0.0	0.0	0.0	0.0	0.0	0.0	0.1	23.9
120-140	2.8	12.5	3.5	0.0	0.0	0.0	0.0	0.0	0.0	0.0	0.0	0.0	0.0	0.0	0.0	0.1	19.0
140-160	1.1	6.1	1.3	0.0	0.0	0.0	0.0	0.0	0.0	0.0	0.0	0.0	0.0	0.0	0.0	0.0	8.6
160-180	0.5	2.0	0.3	0.0	0.0	0.0	0.0	0.0	0.0	0.0	0.0	0.0	0.0	0.0	0.0	0.0	2.8
180-200	0.0	0.4	0.0	0.0	0.0	0.0	0.0	0.0	0.0	0.0	0.0	0.0	0.0	0.0	0.0	0.0	0.4
Total	19.2	57.6	18.4	1.0	0.0	0.0	0.0	0.0	0.0	0.0	0.0	0.0	0.1	0.3	0.4	2.9	100.0

Mean U and V : 37.1 (cm/s), 92.7 (cm/s)

Standard deviation of U and V : 27.2 (cm/s), 30.6 (cm/s)

Maximun speed and it's direction : 188.1 (cm/s), 15.1 (deg.)

Mean speed and direction : 99.9 (cm/s), 21.8 (deg.)

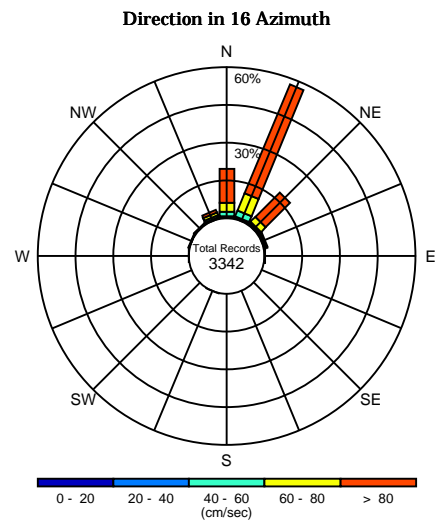
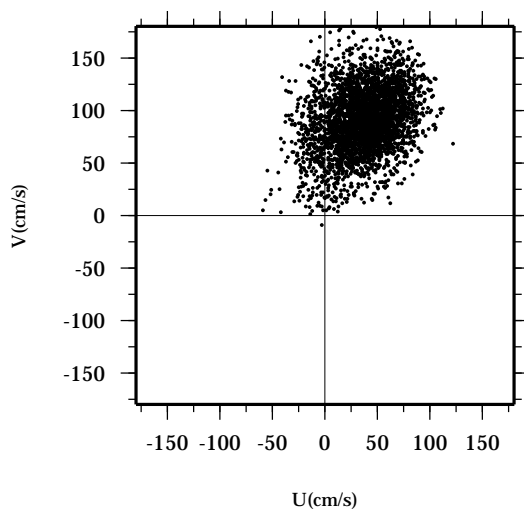
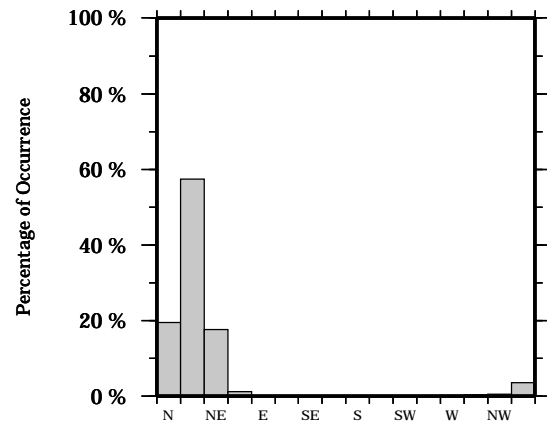
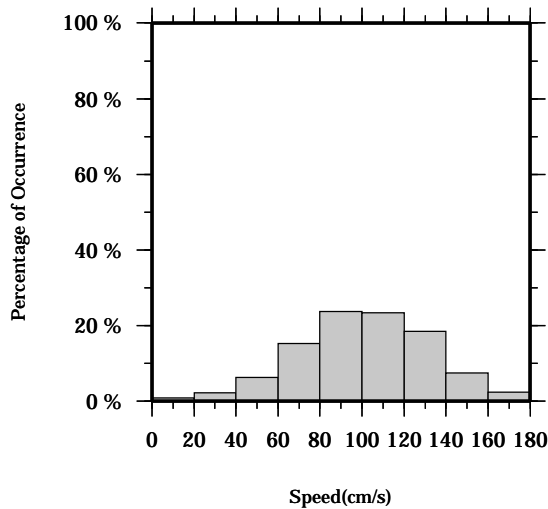
Speed scalar average : 103.2 (cm/s)

LON: 121° 17.4341' E

Station: W104

LAT: 22° 38.8623' N

Depth: 46 M



Joint probability distribution of current speed and it's direction

Speed	N	NNE	NE	ENE	E	ESE	SE	SSE	S	SSW	SW	WSW	W	WNW	NW	NNW	Total
0-20	0.1	0.2	0.1	0.0	0.0	0.0	0.0	0.0	0.0	0.0	0.0	0.0	0.0	0.1	0.0	0.1	0.8
20-40	0.5	0.4	0.4	0.1	0.0	0.0	0.0	0.0	0.0	0.0	0.0	0.0	0.0	0.1	0.3	0.3	2.2
40-60	1.8	2.6	0.7	0.2	0.0	0.0	0.0	0.0	0.0	0.0	0.0	0.0	0.1	0.1	0.0	0.8	6.3
60-80	3.5	7.5	2.6	0.5	0.0	0.0	0.0	0.0	0.0	0.0	0.0	0.0	0.0	0.0	0.1	1.1	15.3
80-100	5.1	13.2	4.5	0.2	0.0	0.0	0.0	0.0	0.0	0.0	0.0	0.0	0.0	0.0	0.0	0.7	23.6
100-120	4.0	14.7	4.3	0.1	0.0	0.0	0.0	0.0	0.0	0.0	0.0	0.0	0.0	0.0	0.0	0.2	23.3
120-140	3.0	11.7	3.5	0.0	0.0	0.0	0.0	0.0	0.0	0.0	0.0	0.0	0.0	0.0	0.0	0.2	18.4
140-160	1.1	5.2	1.1	0.0	0.0	0.0	0.0	0.0	0.0	0.0	0.0	0.0	0.0	0.0	0.0	0.0	7.5
160-180	0.4	1.7	0.3	0.0	0.0	0.0	0.0	0.0	0.0	0.0	0.0	0.0	0.0	0.0	0.0	0.0	2.4
180-200	0.0	0.1	0.0	0.0	0.0	0.0	0.0	0.0	0.0	0.0	0.0	0.0	0.0	0.0	0.0	0.0	0.1
Total	19.5	57.4	17.6	1.1	0.0	0.0	0.0	0.0	0.0	0.0	0.0	0.0	0.1	0.3	0.4	3.5	100.0

Mean U and V : 35.9 (cm/s), 90.7 (cm/s)

Standard deviation of U and V : 27.2 (cm/s), 29.8 (cm/s)

Maximun speed and it's direction : 185.3 (cm/s), 15.3 (deg.)

Mean speed and direction : 97.6 (cm/s), 21.6 (deg.)

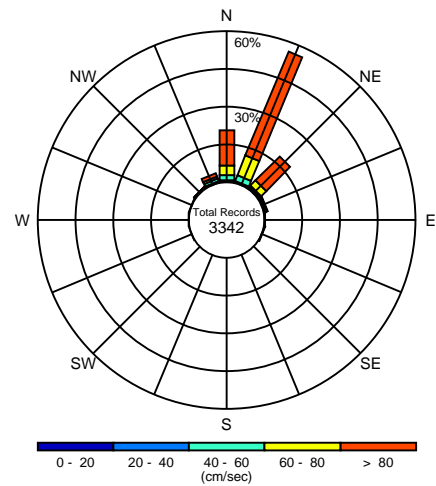
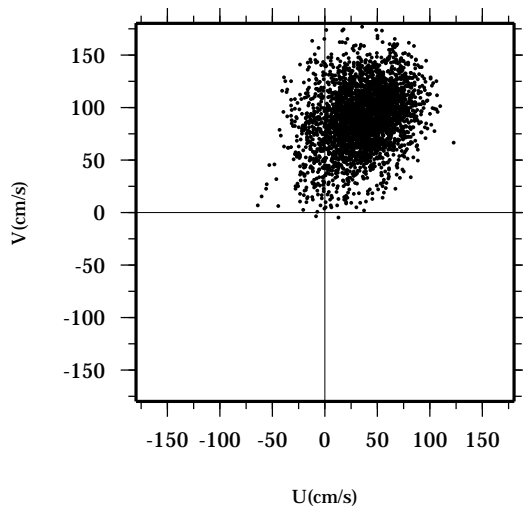
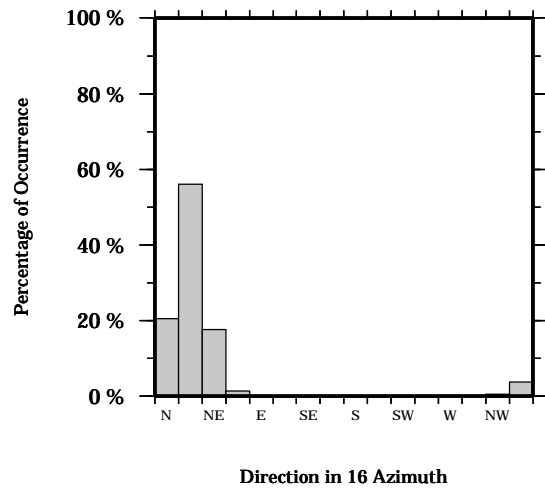
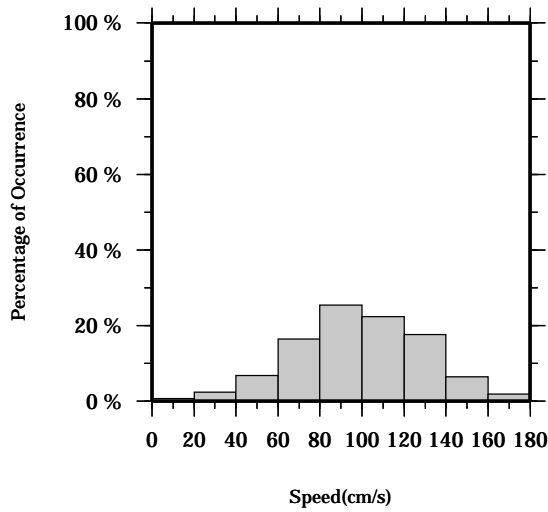
Speed scalar average : 100.9 (cm/s)

LON: 121° 17.4341' E

Station: W104

LAT: 22° 38.8623' N

Depth: 50 M



Joint probability distribution of current speed and it's direction

Speed	N	NNE	NE	ENE	E	ESE	SE	SSE	S	SSW	SW	WSW	W	WNW	NW	NNW	Total
0-20	0.1	0.1	0.1	0.0	0.0	0.0	0.0	0.0	0.0	0.0	0.0	0.0	0.0	0.0	0.1	0.1	0.6
20-40	0.5	0.4	0.3	0.3	0.1	0.0	0.0	0.0	0.0	0.0	0.0	0.0	0.0	0.1	0.4	0.4	2.4
40-60	2.1	2.5	0.9	0.4	0.0	0.0	0.0	0.0	0.0	0.0	0.0	0.0	0.0	0.0	0.0	1.0	6.8
60-80	3.8	8.5	2.7	0.4	0.0	0.0	0.0	0.0	0.0	0.0	0.0	0.0	0.0	0.1	0.1	0.9	16.5
80-100	5.9	13.8	4.6	0.2	0.0	0.0	0.0	0.0	0.0	0.0	0.0	0.0	0.0	0.0	0.0	0.8	25.4
100-120	4.0	13.5	4.4	0.0	0.0	0.0	0.0	0.0	0.0	0.0	0.0	0.0	0.0	0.0	0.0	0.3	22.3
120-140	2.7	11.5	3.2	0.0	0.0	0.0	0.0	0.0	0.0	0.0	0.0	0.0	0.0	0.0	0.0	0.2	17.7
140-160	0.9	4.3	1.2	0.0	0.0	0.0	0.0	0.0	0.0	0.0	0.0	0.0	0.0	0.0	0.0	0.0	6.4
160-180	0.3	1.4	0.1	0.0	0.0	0.0	0.0	0.0	0.0	0.0	0.0	0.0	0.0	0.0	0.0	0.0	1.9
180-200	0.0	0.1	0.0	0.0	0.0	0.0	0.0	0.0	0.0	0.0	0.0	0.0	0.0	0.0	0.0	0.0	0.1
Total	20.4	56.0	17.5	1.3	0.1	0.0	0.0	0.0	0.0	0.0	0.0	0.0	0.1	0.1	0.5	3.7	100.0

Mean U and V : 34.9 (cm/s), 89.0 (cm/s)

Standard deviation of U and V : 27.1 (cm/s), 29.3 (cm/s)

Maximun speed and it's direction : 181.3 (cm/s), 17.3 (deg.)

Mean speed and direction : 95.6 (cm/s), 21.4 (deg.)

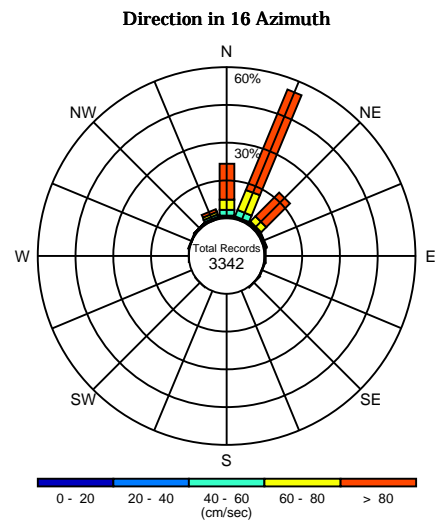
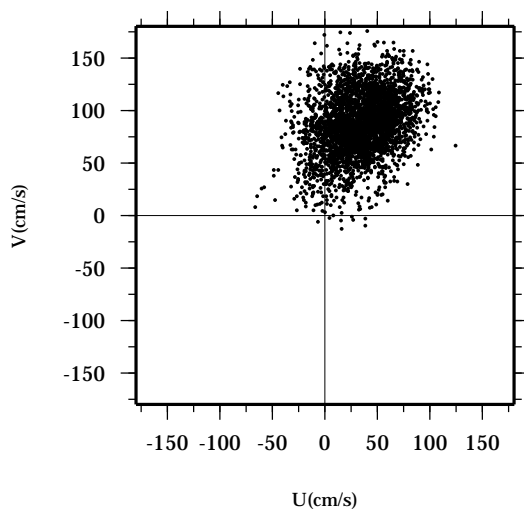
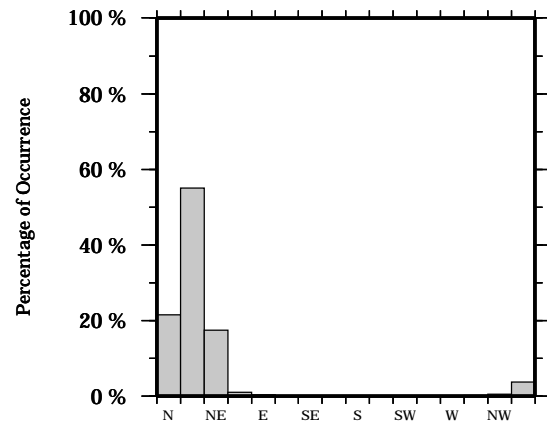
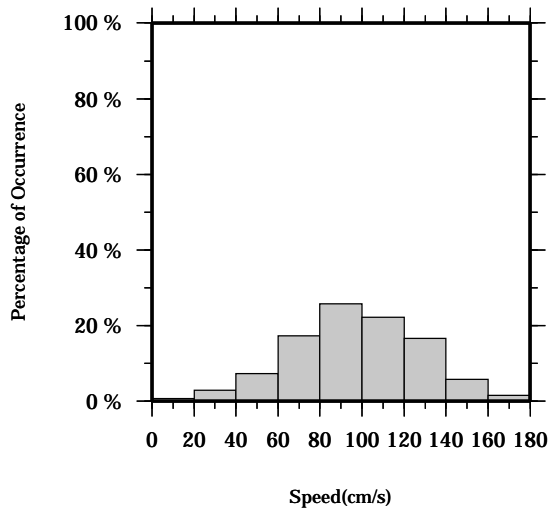
Speed scalar average : 99.0 (cm/s)

LON: 121° 17.4341' E

Station: W104

LAT: 22° 38.8623' N

Depth: 54 M



Joint probability distribution of current speed and it's direction

Speed	N	NNE	NE	ENE	E	ESE	SE	SSE	S	SSW	SW	WSW	W	WNW	NW	NNW	Total
0-20	0.1	0.1	0.0	0.0	0.1	0.0	0.0	0.0	0.0	0.0	0.0	0.0	0.0	0.0	0.1	0.1	0.6
20-40	0.6	0.5	0.5	0.1	0.1	0.0	0.0	0.0	0.0	0.0	0.0	0.0	0.0	0.1	0.2	0.5	2.8
40-60	2.3	2.7	0.7	0.3	0.1	0.0	0.0	0.0	0.0	0.0	0.0	0.0	0.0	0.0	0.1	1.0	7.3
60-80	4.2	8.8	2.8	0.4	0.0	0.0	0.0	0.0	0.0	0.0	0.0	0.0	0.0	0.1	0.1	0.9	17.3
80-100	6.2	14.0	4.7	0.1	0.0	0.0	0.0	0.0	0.0	0.0	0.0	0.0	0.0	0.0	0.0	0.8	25.8
100-120	4.2	13.0	4.6	0.1	0.0	0.0	0.0	0.0	0.0	0.0	0.0	0.0	0.0	0.0	0.0	0.3	22.2
120-140	2.6	11.0	2.8	0.0	0.0	0.0	0.0	0.0	0.0	0.0	0.0	0.0	0.0	0.0	0.0	0.1	16.6
140-160	1.0	3.7	1.0	0.0	0.0	0.0	0.0	0.0	0.0	0.0	0.0	0.0	0.0	0.0	0.0	0.0	5.7
160-180	0.2	1.2	0.1	0.0	0.0	0.0	0.0	0.0	0.0	0.0	0.0	0.0	0.0	0.0	0.0	0.0	1.5
180-200	0.0	0.0	0.0	0.0	0.0	0.0	0.0	0.0	0.0	0.0	0.0	0.0	0.0	0.0	0.0	0.0	0.0
Total	21.5	55.1	17.4	1.0	0.3	0.1	0.1	0.0	0.0	0.0	0.0	0.0	0.1	0.2	0.5	3.8	100.0

Mean U and V : 34.0 (cm/s), 87.3 (cm/s)

Standard deviation of U and V : 27.0 (cm/s), 28.8 (cm/s)

Maximun speed and it's direction : 179.9 (cm/s), 12.9 (deg.)

Mean speed and direction : 93.7 (cm/s), 21.3 (deg.)

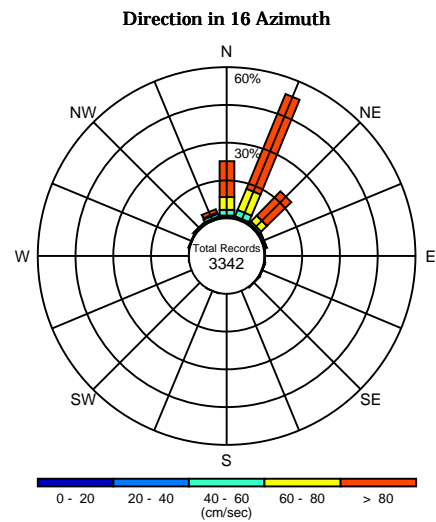
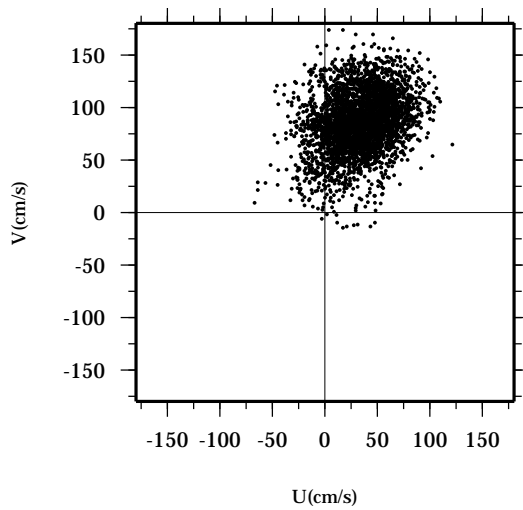
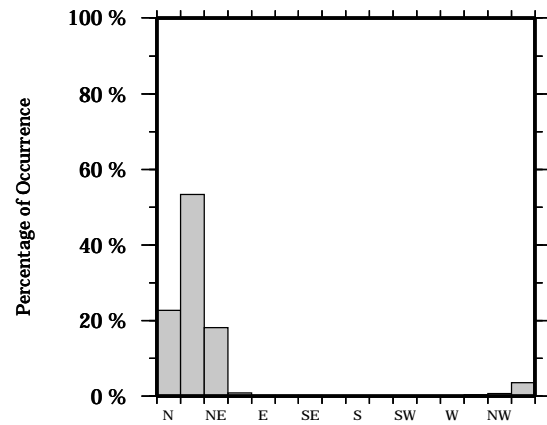
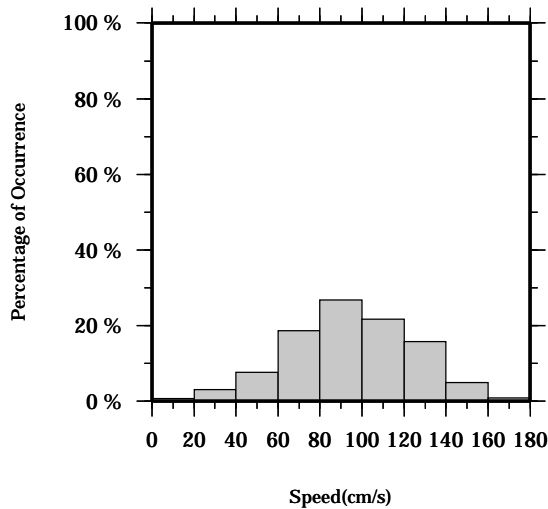
Speed scalar average : 97.1 (cm/s)

LON: 121° 17.4341' E

Station: W104

LAT: 22° 38.8623' N

Depth: 58 M



Joint probability distribution of current speed and it's direction

Speed	N	NNE	NE	ENE	E	ESE	SE	SSE	S	SSW	SW	WSW	W	WNW	NW	NNW	Total
0-20	0.1	0.1	0.1	0.0	0.0	0.0	0.1	0.0	0.0	0.0	0.0	0.0	0.0	0.1	0.1	0.1	0.6
20-40	0.7	0.6	0.4	0.1	0.1	0.1	0.0	0.0	0.0	0.0	0.0	0.0	0.0	0.1	0.3	0.6	3.1
40-60	2.3	2.7	0.8	0.4	0.1	0.1	0.0	0.0	0.0	0.0	0.0	0.0	0.0	0.0	0.2	1.0	7.7
60-80	5.1	9.1	3.3	0.2	0.0	0.0	0.0	0.0	0.0	0.0	0.0	0.0	0.0	0.1	0.1	0.6	18.6
80-100	7.0	13.9	4.9	0.0	0.0	0.0	0.0	0.0	0.0	0.0	0.0	0.0	0.0	0.0	0.0	0.8	26.7
100-120	3.9	12.5	4.8	0.1	0.0	0.0	0.0	0.0	0.0	0.0	0.0	0.0	0.0	0.0	0.0	0.4	21.6
120-140	2.5	10.4	2.8	0.0	0.0	0.0	0.0	0.0	0.0	0.0	0.0	0.0	0.0	0.0	0.0	0.1	15.8
140-160	0.8	3.3	0.9	0.0	0.0	0.0	0.0	0.0	0.0	0.0	0.0	0.0	0.0	0.0	0.0	0.0	5.0
160-180	0.1	0.7	0.1	0.0	0.0	0.0	0.0	0.0	0.0	0.0	0.0	0.0	0.0	0.0	0.0	0.0	0.9
180-200	0.0	0.0	0.0	0.0	0.0	0.0	0.0	0.0	0.0	0.0	0.0	0.0	0.0	0.0	0.0	0.0	0.0
Total	22.6	53.3	18.1	0.9	0.2	0.2	0.1	0.0	0.0	0.0	0.0	0.0	0.0	0.3	0.7	3.6	100.0

Mean U and V : 33.1 (cm/s), 85.6 (cm/s)

Standard deviation of U and V : 26.8 (cm/s), 28.3 (cm/s)

Maximun speed and it's direction : 177.5 (cm/s), 21.3 (deg.)

Mean speed and direction : 91.8 (cm/s), 21.1 (deg.)

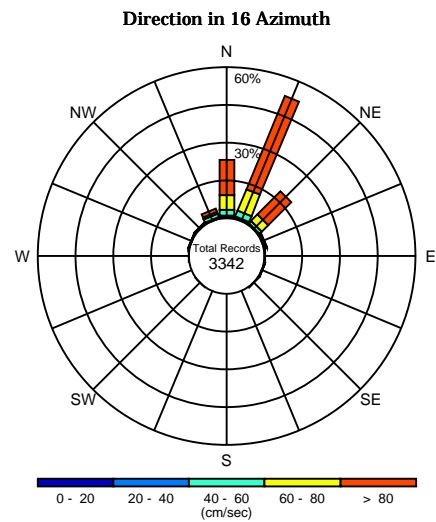
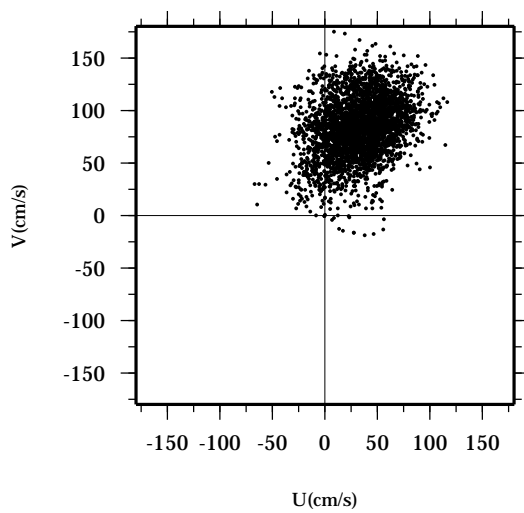
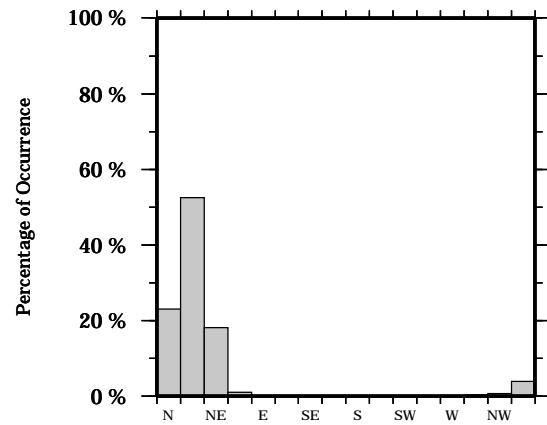
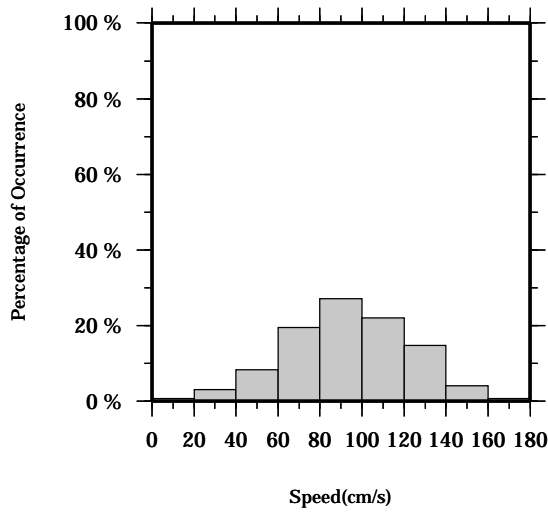
Speed scalar average : 95.3 (cm/s)

LON: 121° 17.4341' E

Station: W104

LAT: 22° 38.8623' N

Depth: 62 M



Joint probability distribution of current speed and it's direction

Speed	N	NNE	NE	ENE	E	ESE	SE	SSE	S	SSW	SW	WSW	W	WNW	NW	NNW	Total
0-20	0.1	0.1	0.0	0.0	0.0	0.0	0.1	0.0	0.0	0.0	0.1	0.0	0.0	0.1	0.0	0.1	0.6
20-40	0.8	0.6	0.3	0.2	0.1	0.1	0.0	0.0	0.0	0.0	0.0	0.0	0.0	0.1	0.3	0.5	3.1
40-60	2.2	2.5	1.2	0.4	0.1	0.1	0.0	0.0	0.0	0.0	0.0	0.0	0.0	0.0	0.2	1.4	8.3
60-80	5.8	9.1	3.6	0.2	0.0	0.0	0.0	0.0	0.0	0.0	0.0	0.0	0.0	0.1	0.0	0.6	19.4
80-100	7.5	14.1	4.6	0.1	0.0	0.0	0.0	0.0	0.0	0.0	0.0	0.0	0.0	0.0	0.0	0.9	27.2
100-120	3.7	13.3	4.7	0.1	0.0	0.0	0.0	0.0	0.0	0.0	0.0	0.0	0.0	0.0	0.0	0.3	22.1
120-140	2.3	9.4	2.8	0.0	0.0	0.0	0.0	0.0	0.0	0.0	0.0	0.0	0.0	0.0	0.0	0.2	14.8
140-160	0.5	2.8	0.7	0.0	0.0	0.0	0.0	0.0	0.0	0.0	0.0	0.0	0.0	0.0	0.0	0.0	4.0
160-180	0.1	0.4	0.1	0.0	0.0	0.0	0.0	0.0	0.0	0.0	0.0	0.0	0.0	0.0	0.0	0.0	0.7
180-200	0.0	0.0	0.0	0.0	0.0	0.0	0.0	0.0	0.0	0.0	0.0	0.0	0.0	0.0	0.0	0.0	0.0
Total	23.1	52.4	18.0	1.0	0.2	0.2	0.1	0.0	0.0	0.0	0.1	0.0	0.1	0.3	0.6	3.9	100.0

Mean U and V : 32.3 (cm/s), 84.1 (cm/s)

Standard deviation of U and V : 26.7 (cm/s), 27.8 (cm/s)

Maximun speed and it's direction : 175.7 (cm/s), 30.2 (deg.)

Mean speed and direction : 90.1 (cm/s), 21.0 (deg.)

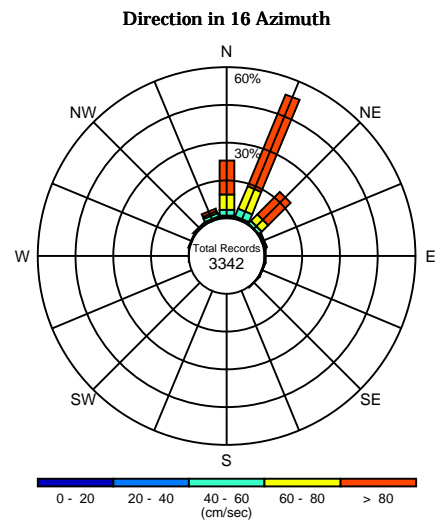
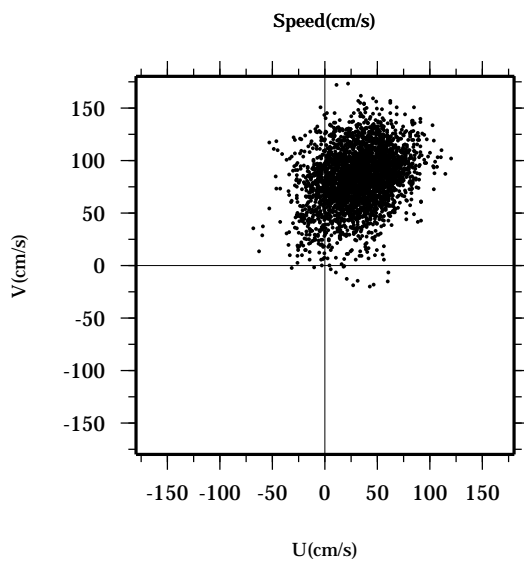
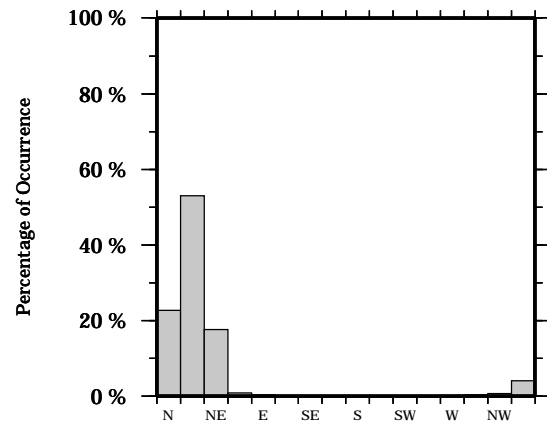
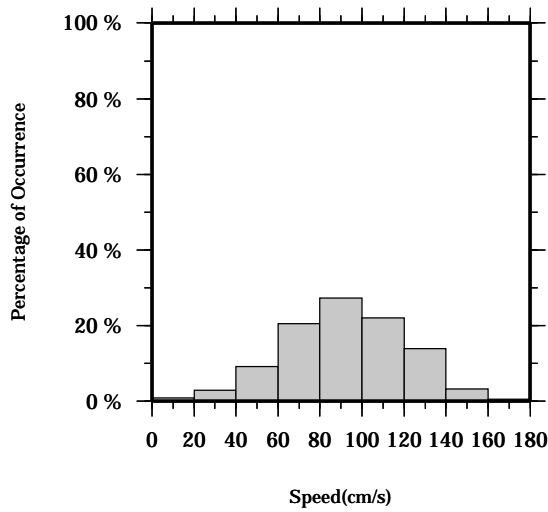
Speed scalar average : 93.6 (cm/s)

LON: 121° 17.4341' E

Station: W104

LAT: 22° 38.8623' N

Depth: 66 M



Joint probability distribution of current speed and it's direction

Speed	N	NNE	NE	ENE	E	ESE	SE	SSE	S	SSW	SW	WSW	W	WNW	NW	NNW	Total
0-20	0.2	0.1	0.0	0.0	0.1	0.0	0.1	0.0	0.0	0.0	0.0	0.0	0.1	0.0	0.1	0.1	0.8
20-40	0.7	0.7	0.2	0.2	0.0	0.1	0.0	0.0	0.0	0.0	0.0	0.0	0.1	0.1	0.4	0.6	3.0
40-60	2.3	3.1	1.4	0.4	0.1	0.1	0.0	0.0	0.0	0.0	0.0	0.0	0.0	0.0	0.2	1.4	9.1
60-80	6.2	9.7	3.5	0.1	0.0	0.0	0.0	0.0	0.0	0.0	0.0	0.0	0.0	0.1	0.0	0.8	20.5
80-100	7.3	14.9	4.2	0.1	0.0	0.0	0.0	0.0	0.0	0.0	0.0	0.0	0.0	0.0	0.0	0.7	27.2
100-120	3.6	13.1	4.9	0.1	0.0	0.0	0.0	0.0	0.0	0.0	0.0	0.0	0.0	0.0	0.0	0.3	22.0
120-140	2.3	8.9	2.5	0.0	0.0	0.0	0.0	0.0	0.0	0.0	0.0	0.0	0.0	0.0	0.0	0.1	13.9
140-160	0.2	2.2	0.7	0.0	0.0	0.0	0.0	0.0	0.0	0.0	0.0	0.0	0.0	0.0	0.0	0.0	3.2
160-180	0.1	0.4	0.0	0.0	0.0	0.0	0.0	0.0	0.0	0.0	0.0	0.0	0.0	0.0	0.0	0.0	0.4
180-200	0.0	0.0	0.0	0.0	0.0	0.0	0.0	0.0	0.0	0.0	0.0	0.0	0.0	0.0	0.0	0.0	0.0
Total	22.7	53.1	17.6	0.9	0.3	0.1	0.1	0.0	0.0	0.0	0.0	0.0	0.1	0.3	0.7	4.0	100.0

Mean U and V : 31.4 (cm/s), 82.8 (cm/s)

Standard deviation of U and V : 26.5 (cm/s), 27.3 (cm/s)

Maximun speed and it's direction : 174.2 (cm/s), 7.1 (deg.)

Mean speed and direction : 88.5 (cm/s), 20.8 (deg.)

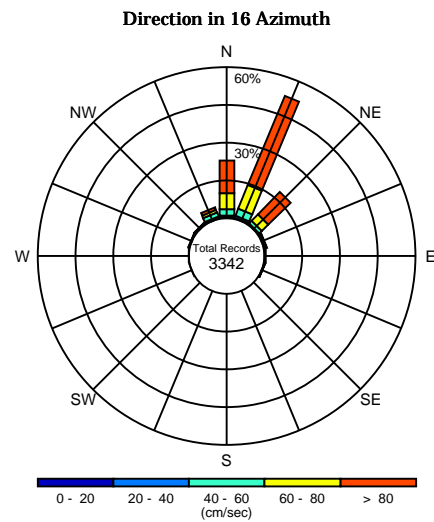
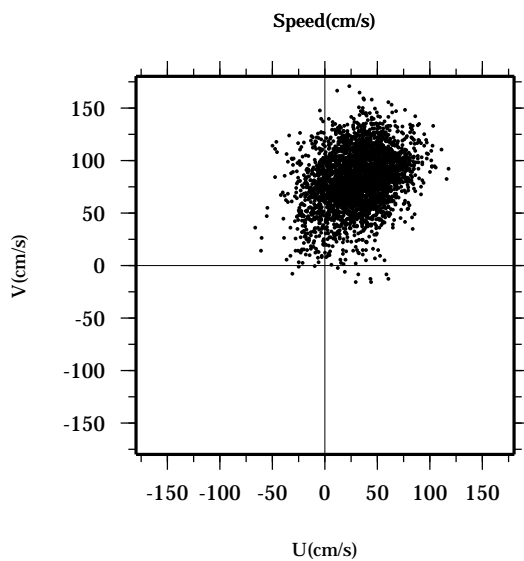
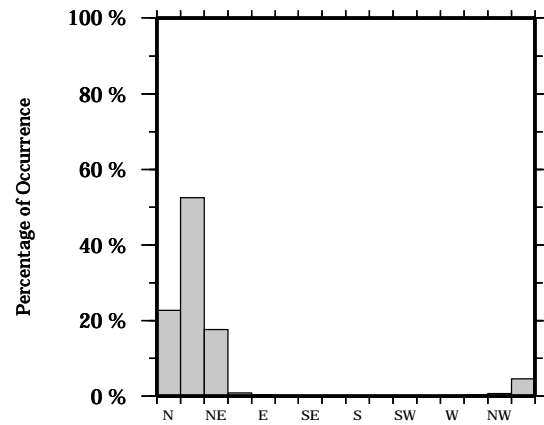
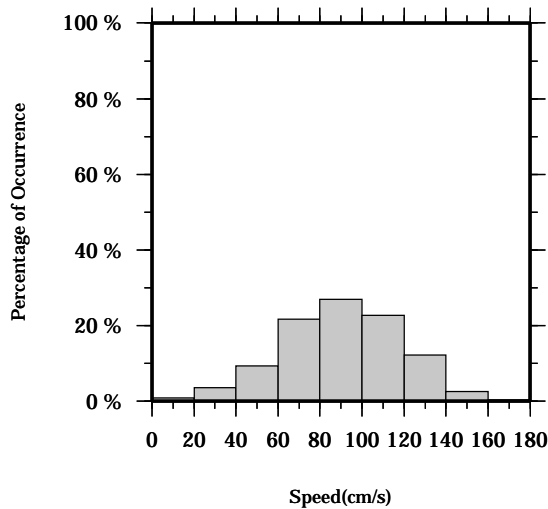
Speed scalar average : 92.1 (cm/s)

LON: 121° 17.4341' E

Station: W104

LAT: 22° 38.8623' N

Depth: 70 M



Joint probability distribution of current speed and it's direction

Speed	N	NNE	NE	ENE	E	ESE	SE	SSE	S	SSW	SW	WSW	W	WNW	NW	NNW	Total
0-20	0.1	0.2	0.0	0.1	0.1	0.1	0.0	0.0	0.0	0.0	0.0	0.0	0.0	0.1	0.1	0.1	0.8
20-40	0.7	0.9	0.3	0.3	0.1	0.1	0.0	0.0	0.0	0.0	0.0	0.0	0.1	0.2	0.4	0.5	3.5
40-60	2.6	2.9	1.5	0.3	0.1	0.1	0.0	0.0	0.0	0.0	0.0	0.0	0.0	0.0	0.1	1.6	9.2
60-80	6.4	10.2	3.5	0.1	0.0	0.0	0.0	0.0	0.0	0.0	0.0	0.0	0.0	0.1	0.1	1.2	21.6
80-100	7.0	15.1	4.1	0.1	0.0	0.0	0.0	0.0	0.0	0.0	0.0	0.0	0.0	0.0	0.0	0.6	26.9
100-120	3.9	13.4	5.0	0.0	0.0	0.0	0.0	0.0	0.0	0.0	0.0	0.0	0.0	0.0	0.0	0.4	22.7
120-140	1.8	7.8	2.5	0.0	0.0	0.0	0.0	0.0	0.0	0.0	0.0	0.0	0.0	0.0	0.0	0.1	12.2
140-160	0.1	1.7	0.8	0.0	0.0	0.0	0.0	0.0	0.0	0.0	0.0	0.0	0.0	0.0	0.0	0.0	2.6
160-180	0.1	0.3	0.0	0.0	0.0	0.0	0.0	0.0	0.0	0.0	0.0	0.0	0.0	0.0	0.0	0.0	0.4
180-200	0.0	0.0	0.0	0.0	0.0	0.0	0.0	0.0	0.0	0.0	0.0	0.0	0.0	0.0	0.0	0.0	0.0
Total	22.7	52.5	17.7	0.9	0.3	0.2	0.0	0.0	0.0	0.0	0.0	0.0	0.1	0.4	0.6	4.6	100.0

Mean U and V : 30.6 (cm/s), 81.4 (cm/s)

Standard deviation of U and V : 26.3 (cm/s), 26.9 (cm/s)

Maximun speed and it's direction : 172.0 (cm/s), 7.7 (deg.)

Mean speed and direction : 87.0 (cm/s), 20.6 (deg.)

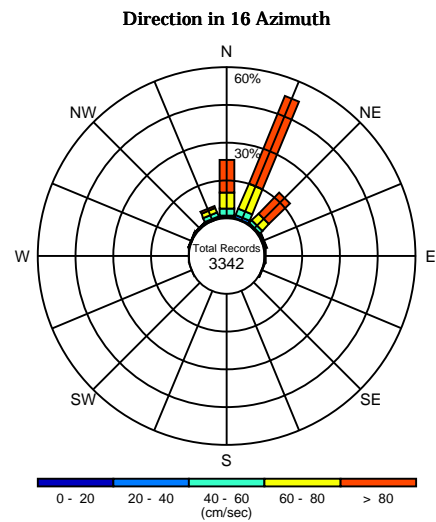
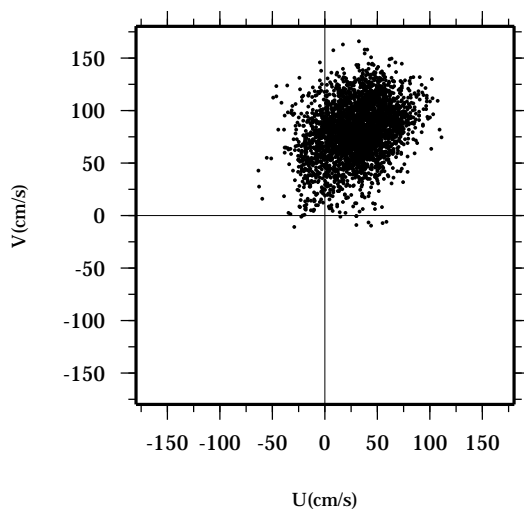
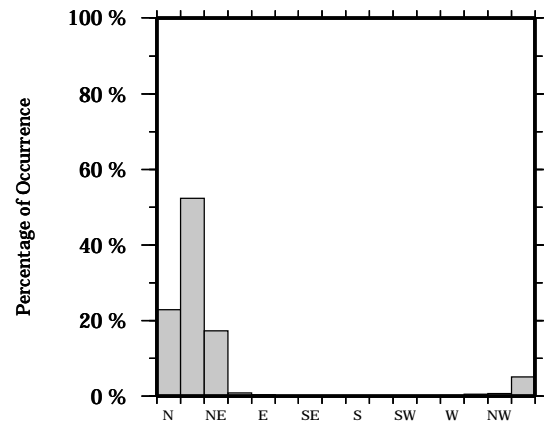
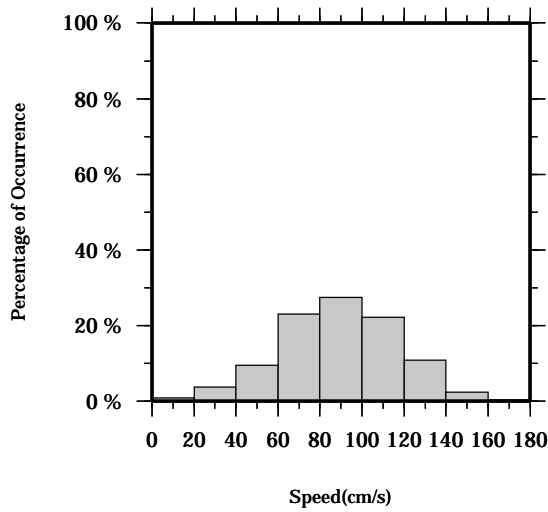
Speed scalar average : 90.6 (cm/s)

LON: 121° 17.4341' E

Station: W104

LAT: 22° 38.8623' N

Depth: 74 M



Joint probability distribution of current speed and it's direction

Speed	N	NNE	NE	ENE	E	ESE	SE	SSE	S	SSW	SW	WSW	W	WNW	NW	NNW	Total
0-20	0.1	0.2	0.1	0.0	0.1	0.0	0.0	0.0	0.0	0.0	0.0	0.0	0.0	0.2	0.2	0.1	0.9
20-40	0.9	1.0	0.4	0.1	0.1	0.0	0.0	0.0	0.0	0.0	0.0	0.0	0.1	0.2	0.2	0.6	3.7
40-60	2.7	2.8	1.5	0.3	0.1	0.0	0.0	0.0	0.0	0.0	0.0	0.0	0.0	0.0	0.1	1.8	9.4
60-80	6.5	10.9	3.7	0.1	0.0	0.0	0.0	0.0	0.0	0.0	0.0	0.0	0.0	0.1	0.1	1.7	23.0
80-100	7.5	15.2	4.0	0.2	0.0	0.0	0.0	0.0	0.0	0.0	0.0	0.0	0.0	0.0	0.0	0.4	27.3
100-120	3.8	13.4	4.7	0.0	0.0	0.0	0.0	0.0	0.0	0.0	0.0	0.0	0.0	0.0	0.0	0.3	22.2
120-140	1.3	7.1	2.2	0.0	0.0	0.0	0.0	0.0	0.0	0.0	0.0	0.0	0.0	0.0	0.0	0.1	10.7
140-160	0.1	1.6	0.7	0.0	0.0	0.0	0.0	0.0	0.0	0.0	0.0	0.0	0.0	0.0	0.0	0.0	2.3
160-180	0.1	0.2	0.0	0.0	0.0	0.0	0.0	0.0	0.0	0.0	0.0	0.0	0.0	0.0	0.0	0.0	0.3
180-200	0.0	0.0	0.0	0.0	0.0	0.0	0.0	0.0	0.0	0.0	0.0	0.0	0.0	0.0	0.0	0.0	0.0
Total	22.9	52.3	17.3	0.9	0.4	0.1	0.0	0.0	0.0	0.0	0.0	0.0	0.1	0.4	0.6	5.0	100.0

Mean U and V : 29.7 (cm/s), 80.1 (cm/s)

Standard deviation of U and V : 26.0 (cm/s), 26.4 (cm/s)

Maximun speed and it's direction : 169.1 (cm/s), 11.1 (deg.)

Mean speed and direction : 85.4 (cm/s), 20.4 (deg.)

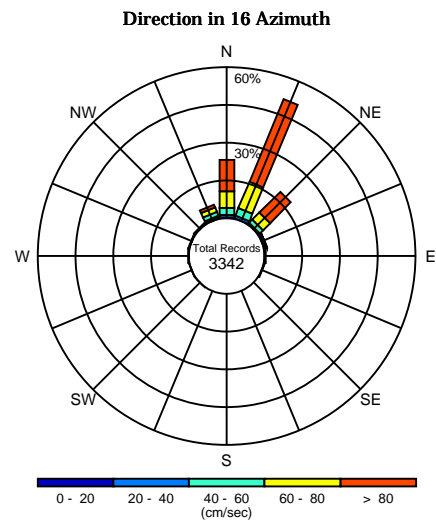
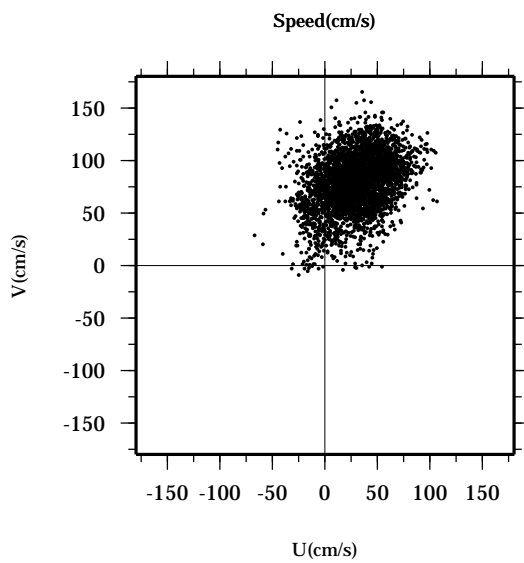
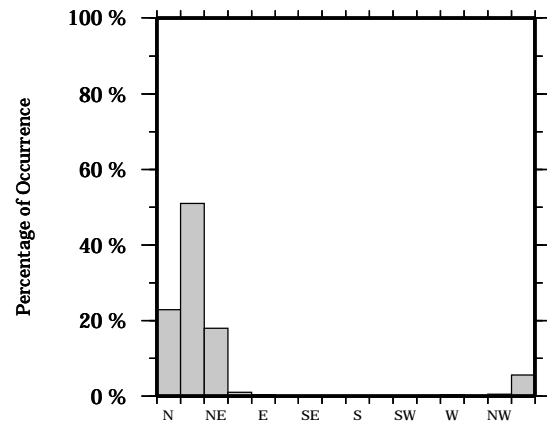
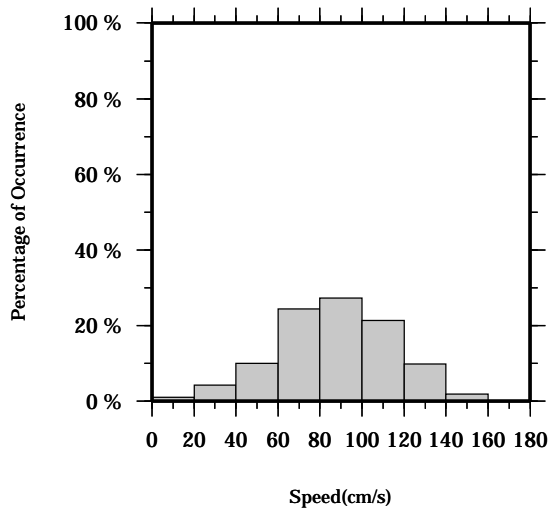
Speed scalar average : 88.9 (cm/s)

LON: 121° 17.4341' E

Station: W104

LAT: 22° 38.8623' N

Depth: 78 M



Joint probability distribution of current speed and it's direction

Speed	N	NNE	NE	ENE	E	ESE	SE	SSE	S	SSW	SW	WSW	W	WNW	NW	NNW	Total
0-20	0.1	0.0	0.1	0.0	0.0	0.0	0.0	0.0	0.0	0.0	0.0	0.1	0.2	0.1	0.1	0.1	1.0
20-40	1.0	1.1	0.4	0.3	0.1	0.0	0.0	0.0	0.0	0.0	0.0	0.0	0.1	0.1	0.3	0.7	4.2
40-60	2.8	3.1	1.9	0.3	0.1	0.0	0.0	0.0	0.0	0.0	0.0	0.0	0.0	0.0	0.0	1.9	10.1
60-80	6.6	11.5	3.9	0.3	0.0	0.0	0.0	0.0	0.0	0.0	0.0	0.0	0.0	0.1	0.1	1.9	24.4
80-100	7.2	14.8	4.8	0.1	0.0	0.0	0.0	0.0	0.0	0.0	0.0	0.0	0.0	0.0	0.0	0.5	27.3
100-120	3.9	12.6	4.5	0.0	0.0	0.0	0.0	0.0	0.0	0.0	0.0	0.0	0.0	0.0	0.0	0.4	21.4
120-140	1.1	6.9	1.7	0.1	0.0	0.0	0.0	0.0	0.0	0.0	0.0	0.0	0.0	0.0	0.0	0.1	9.9
140-160	0.2	1.1	0.5	0.0	0.0	0.0	0.0	0.0	0.0	0.0	0.0	0.0	0.0	0.0	0.0	0.0	1.8
160-180	0.0	0.1	0.0	0.0	0.0	0.0	0.0	0.0	0.0	0.0	0.0	0.0	0.0	0.0	0.0	0.0	0.1
180-200	0.0	0.0	0.0	0.0	0.0	0.0	0.0	0.0	0.0	0.0	0.0	0.0	0.0	0.0	0.0	0.0	0.0
Total	22.9	51.1	17.9	1.0	0.3	0.0	0.0	0.0	0.0	0.0	0.0	0.1	0.3	0.2	0.5	5.6	100.0

Mean U and V : 28.9 (cm/s), 78.5 (cm/s)

Standard deviation of U and V : 25.7 (cm/s), 26.1 (cm/s)

Maximun speed and it's direction : 168.5 (cm/s), 12.0 (deg.)

Mean speed and direction : 83.7 (cm/s), 20.2 (deg.)

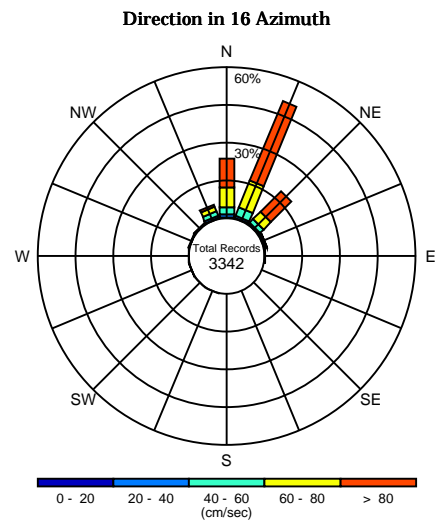
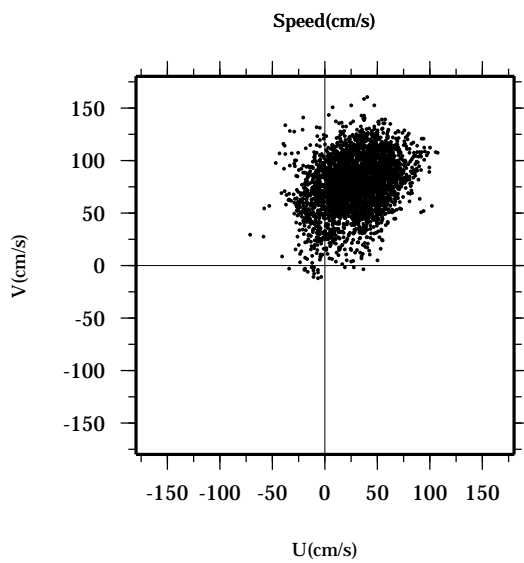
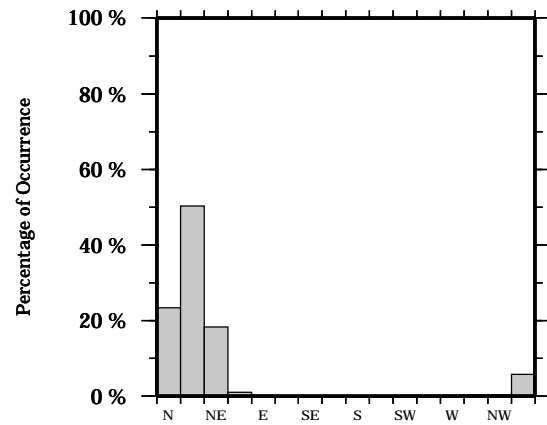
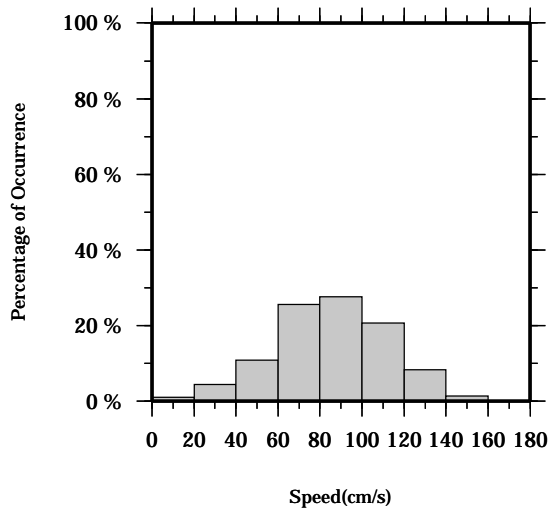
Speed scalar average : 87.2 (cm/s)

LON: 121° 17.4341' E

Station: W104

LAT: 22° 38.8623' N

Depth: 82 M



Joint probability distribution of current speed and it's direction

Speed	N	NNE	NE	ENE	E	ESE	SE	SSE	S	SSW	SW	WSW	W	WNW	NW	NNW	Total
0-20	0.1	0.1	0.1	0.0	0.1	0.0	0.0	0.0	0.0	0.1	0.1	0.1	0.1	0.1	0.1	0.2	1.0
20-40	1.3	0.9	0.5	0.3	0.1	0.0	0.0	0.0	0.0	0.0	0.0	0.0	0.1	0.1	0.2	0.8	4.4
40-60	2.9	3.5	2.0	0.5	0.0	0.0	0.0	0.0	0.0	0.0	0.0	0.0	0.0	0.0	0.1	1.9	10.9
60-80	7.7	11.6	4.2	0.1	0.0	0.0	0.0	0.0	0.0	0.0	0.0	0.0	0.0	0.1	0.1	1.9	25.6
80-100	6.9	14.9	5.2	0.0	0.0	0.0	0.0	0.0	0.0	0.0	0.0	0.0	0.0	0.0	0.0	0.5	27.5
100-120	3.6	12.4	4.3	0.1	0.0	0.0	0.0	0.0	0.0	0.0	0.0	0.0	0.0	0.0	0.0	0.3	20.6
120-140	0.8	5.8	1.6	0.0	0.0	0.0	0.0	0.0	0.0	0.0	0.0	0.0	0.0	0.0	0.0	0.1	8.4
140-160	0.1	0.9	0.4	0.0	0.0	0.0	0.0	0.0	0.0	0.0	0.0	0.0	0.0	0.0	0.0	0.0	1.4
160-180	0.0	0.1	0.0	0.0	0.0	0.0	0.0	0.0	0.0	0.0	0.0	0.0	0.0	0.0	0.0	0.0	0.1
180-200	0.0	0.0	0.0	0.0	0.0	0.0	0.0	0.0	0.0	0.0	0.0	0.0	0.0	0.0	0.0	0.0	0.0
Total	23.4	50.2	18.3	1.0	0.2	0.0	0.0	0.0	0.0	0.1	0.1	0.1	0.2	0.3	0.4	5.7	100.0

Mean U and V : 28.2 (cm/s), 76.8 (cm/s)

Standard deviation of U and V : 25.4 (cm/s), 25.7 (cm/s)

Maximun speed and it's direction : 165.4 (cm/s), 14.1 (deg.)

Mean speed and direction : 81.8 (cm/s), 20.2 (deg.)

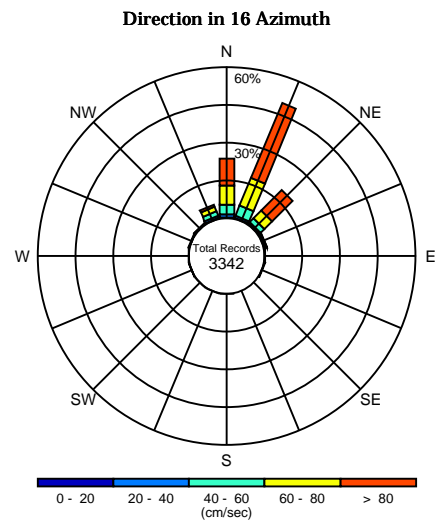
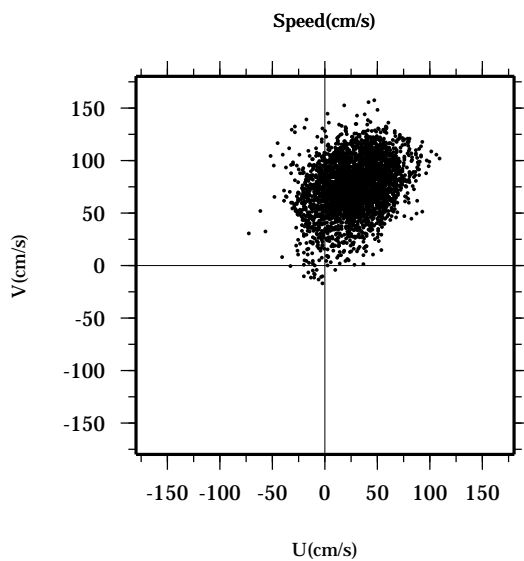
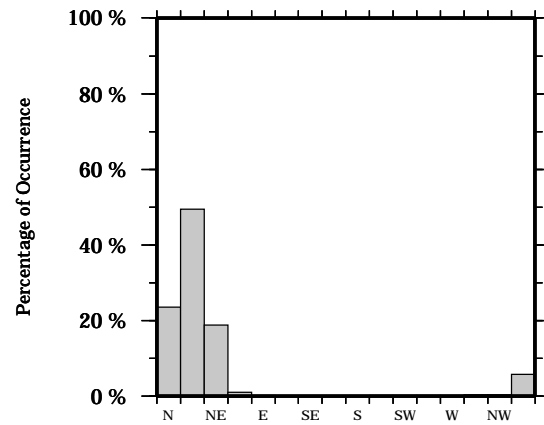
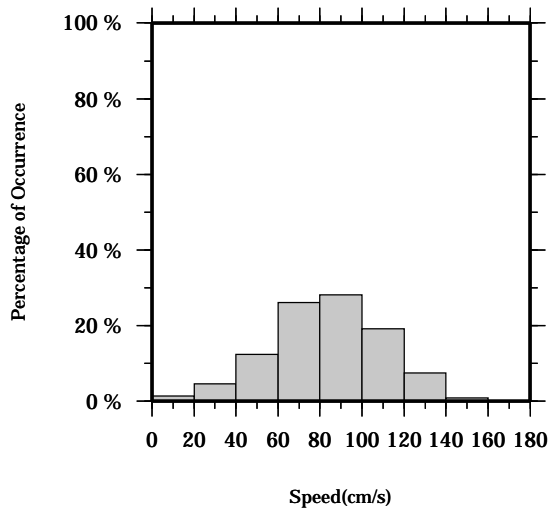
Speed scalar average : 85.3 (cm/s)

LON: 121° 17.4341' E

Station: W104

LAT: 22° 38.8623' N

Depth: 86 M



Joint probability distribution of current speed and it's direction

Speed	N	NNE	NE	ENE	E	ESE	SE	SSE	S	SSW	SW	WSW	W	WNW	NW	NNW	Total
0-20	0.1	0.2	0.1	0.1	0.1	0.0	0.0	0.0	0.0	0.1	0.1	0.1	0.1	0.1	0.1	0.1	1.3
20-40	1.3	0.9	0.8	0.3	0.1	0.0	0.0	0.0	0.0	0.0	0.0	0.0	0.1	0.1	0.3	0.9	4.6
40-60	3.7	4.2	2.1	0.4	0.0	0.0	0.0	0.0	0.0	0.0	0.0	0.0	0.0	0.0	0.0	1.8	12.3
60-80	7.7	11.8	4.4	0.1	0.0	0.0	0.0	0.0	0.0	0.0	0.0	0.0	0.0	0.1	0.0	2.0	26.0
80-100	6.6	15.4	5.5	0.1	0.0	0.0	0.0	0.0	0.0	0.0	0.0	0.0	0.0	0.0	0.1	0.5	28.2
100-120	3.5	10.9	4.4	0.0	0.0	0.0	0.0	0.0	0.0	0.0	0.0	0.0	0.0	0.0	0.0	0.3	19.2
120-140	0.5	5.5	1.3	0.0	0.0	0.0	0.0	0.0	0.0	0.0	0.0	0.0	0.0	0.0	0.0	0.1	7.4
140-160	0.1	0.6	0.3	0.0	0.0	0.0	0.0	0.0	0.0	0.0	0.0	0.0	0.0	0.0	0.0	0.0	0.9
160-180	0.0	0.1	0.0	0.0	0.0	0.0	0.0	0.0	0.0	0.0	0.0	0.0	0.0	0.0	0.0	0.0	0.1
180-200	0.0	0.0	0.0	0.0	0.0	0.0	0.0	0.0	0.0	0.0	0.0	0.0	0.0	0.0	0.0	0.0	0.0
Total	23.5	49.5	18.9	1.0	0.1	0.0	0.0	0.0	0.0	0.1	0.1	0.1	0.2	0.3	0.4	5.8	100.0

Mean U and V : 27.5 (cm/s), 74.9 (cm/s)

Standard deviation of U and V : 25.2 (cm/s), 25.3 (cm/s)

Maximun speed and it's direction : 164.0 (cm/s), 16.5 (deg.)

Mean speed and direction : 79.8 (cm/s), 20.2 (deg.)

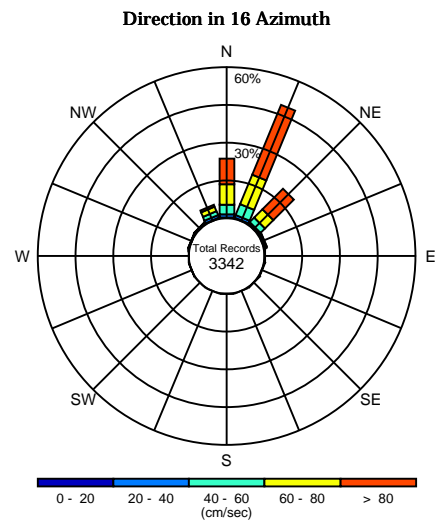
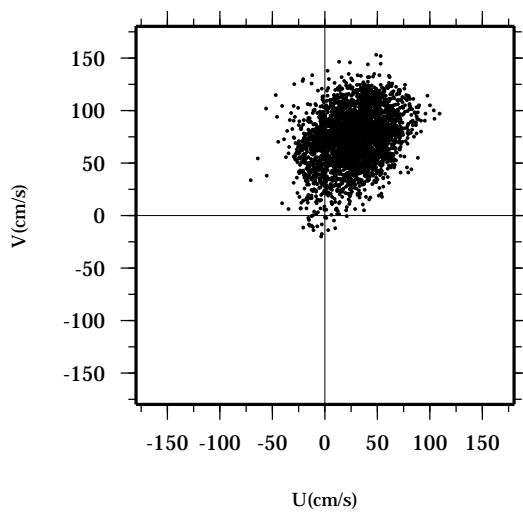
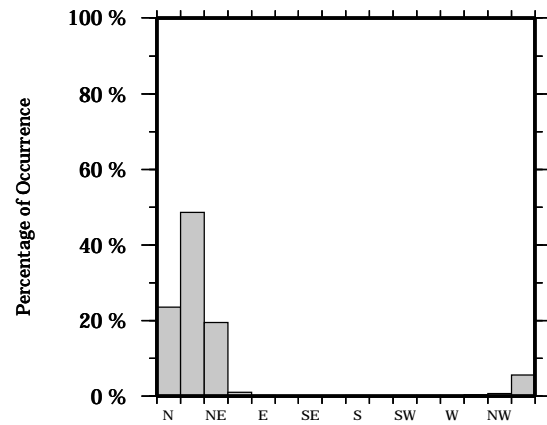
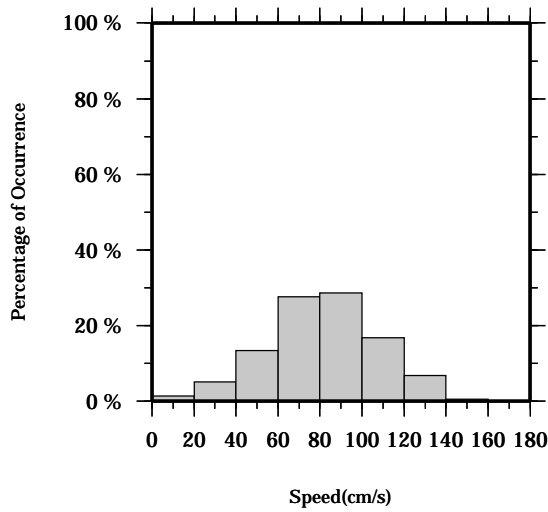
Speed scalar average : 83.4 (cm/s)

LON: 121° 17.4341' E

Station: W104

LAT: 22° 38.8623' N

Depth: 90 M



Joint probability distribution of current speed and it's direction

Speed	N	NNE	NE	ENE	E	ESE	SE	SSE	S	SSW	SW	WSW	W	WNW	NW	NNW	Total
0-20	0.1	0.1	0.1	0.1	0.1	0.0	0.0	0.1	0.1	0.0	0.1	0.1	0.1	0.1	0.1	0.1	1.4
20-40	1.2	1.0	0.8	0.4	0.1	0.0	0.0	0.0	0.0	0.0	0.0	0.0	0.0	0.1	0.4	1.0	5.0
40-60	3.9	4.8	2.4	0.3	0.0	0.0	0.0	0.0	0.0	0.0	0.0	0.0	0.0	0.0	0.1	1.7	13.3
60-80	8.1	12.6	4.6	0.1	0.0	0.0	0.0	0.0	0.0	0.0	0.0	0.0	0.0	0.0	0.1	2.0	27.6
80-100	6.7	15.4	6.0	0.1	0.0	0.0	0.0	0.0	0.0	0.0	0.0	0.0	0.0	0.0	0.0	0.4	28.6
100-120	2.8	9.9	3.9	0.0	0.0	0.0	0.0	0.0	0.0	0.0	0.0	0.0	0.0	0.0	0.0	0.2	16.8
120-140	0.7	4.5	1.5	0.0	0.0	0.0	0.0	0.0	0.0	0.0	0.0	0.0	0.0	0.0	0.0	0.1	6.7
140-160	0.1	0.3	0.1	0.0	0.0	0.0	0.0	0.0	0.0	0.0	0.0	0.0	0.0	0.0	0.0	0.0	0.4
160-180	0.0	0.1	0.0	0.0	0.0	0.0	0.0	0.0	0.0	0.0	0.0	0.0	0.0	0.0	0.0	0.0	0.1
180-200	0.0	0.0	0.0	0.0	0.0	0.0	0.0	0.0	0.0	0.0	0.0	0.0	0.0	0.0	0.0	0.0	0.0
Total	23.6	48.6	19.5	1.1	0.1	0.0	0.0	0.1	0.1	0.0	0.1	0.1	0.1	0.3	0.6	5.6	100.0

Mean U and V : 26.9 (cm/s), 73.0 (cm/s)

Standard deviation of U and V : 24.8 (cm/s), 25.1 (cm/s)

Maximun speed and it's direction : 160.6 (cm/s), 17.6 (deg.)

Mean speed and direction : 77.8 (cm/s), 20.2 (deg.)

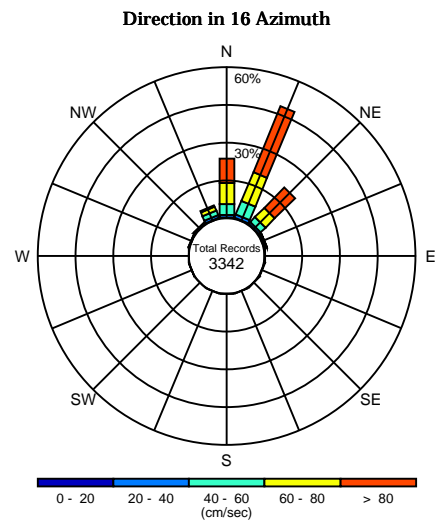
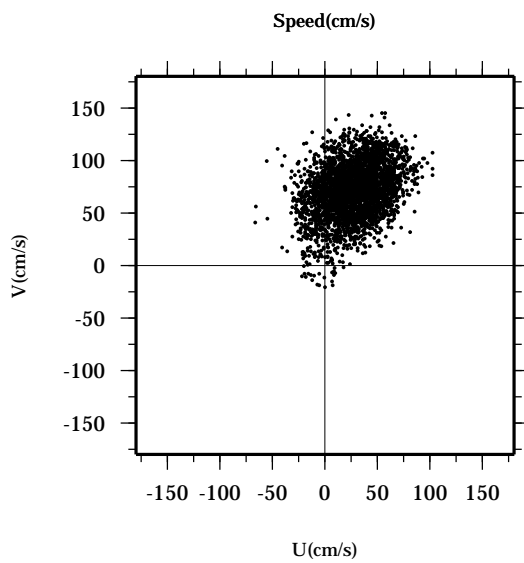
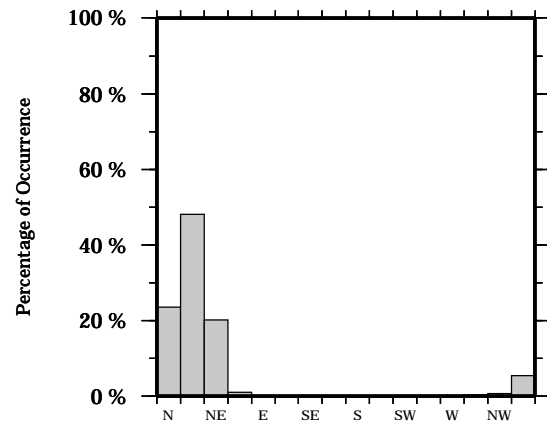
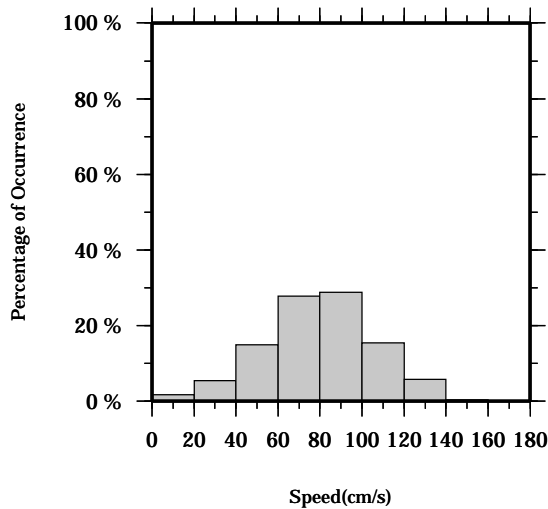
Speed scalar average : 81.4 (cm/s)

LON: 121° 17.4341' E

Station: W104

LAT: 22° 38.8623' N

Depth: 94 M



Joint probability distribution of current speed and it's direction

Speed	N	NNE	NE	ENE	E	ESE	SE	SSE	S	SSW	SW	WSW	W	WNW	NW	NNW	Total	
0-20	0.2	0.1	0.2	0.1	0.1	0.0	0.1	0.0	0.0	0.0	0.1	0.1	0.1	0.1	0.2	0.2	1.6	
20-40	1.0	1.4	0.9	0.2	0.0	0.0	0.0	0.0	0.0	0.0	0.0	0.1	0.0	0.2	0.3	1.2	5.4	
40-60	4.2	5.9	2.7	0.3	0.0	0.0	0.0	0.0	0.0	0.0	0.0	0.0	0.0	0.0	0.1	1.7	15.0	
60-80	8.5	12.1	5.1	0.3	0.0	0.0	0.0	0.0	0.0	0.0	0.0	0.0	0.0	0.0	0.0	1.7	27.8	
80-100	6.8	15.0	6.4	0.1	0.0	0.0	0.0	0.0	0.0	0.0	0.0	0.0	0.0	0.0	0.0	0.6	28.8	
100-120	2.2	9.6	3.3	0.0	0.0	0.0	0.0	0.0	0.0	0.0	0.0	0.0	0.0	0.0	0.0	0.2	15.4	
120-140	0.6	3.6	1.5	0.0	0.0	0.0	0.0	0.0	0.0	0.0	0.0	0.0	0.0	0.0	0.0	0.0	5.7	
140-160	0.0	0.3	0.1	0.0	0.0	0.0	0.0	0.0	0.0	0.0	0.0	0.0	0.0	0.0	0.0	0.0	0.4	
160-180	0.0	0.0	0.0	0.0	0.0	0.0	0.0	0.0	0.0	0.0	0.0	0.0	0.0	0.0	0.0	0.0	0.0	
180-200	0.0	0.0	0.0	0.0	0.0	0.0	0.0	0.0	0.0	0.0	0.0	0.0	0.0	0.0	0.0	0.0	0.0	
Total	23.6	48.0	20.2	1.0	0.1	0.0	0.1	0.1	0.1	0.1	0.1	0.1	0.1	0.1	0.4	0.7	5.5	100.0

Mean U and V : 26.4 (cm/s), 71.1 (cm/s)

Standard deviation of U and V : 24.4 (cm/s), 24.9 (cm/s)

Maximun speed and it's direction : 156.0 (cm/s), 21.5 (deg.)

Mean speed and direction : 75.9 (cm/s), 20.4 (deg.)

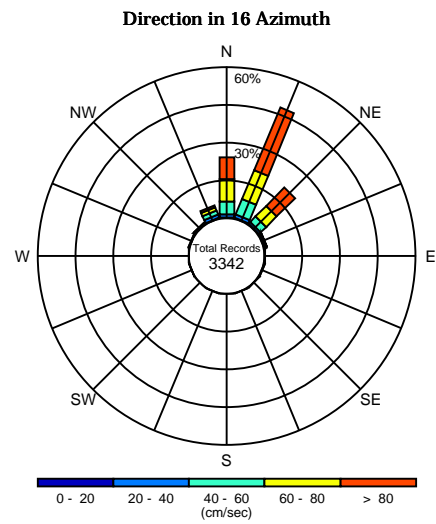
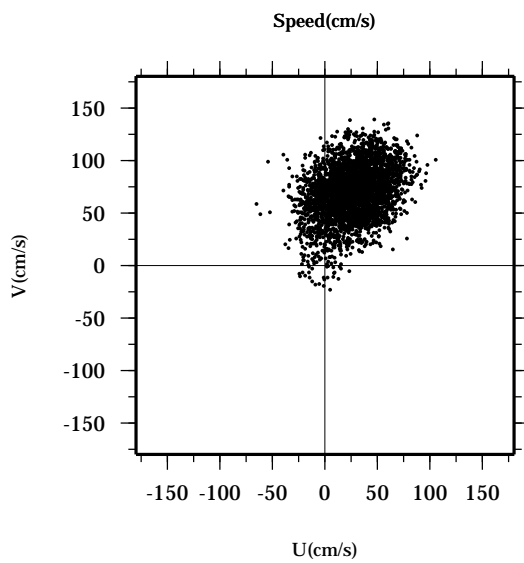
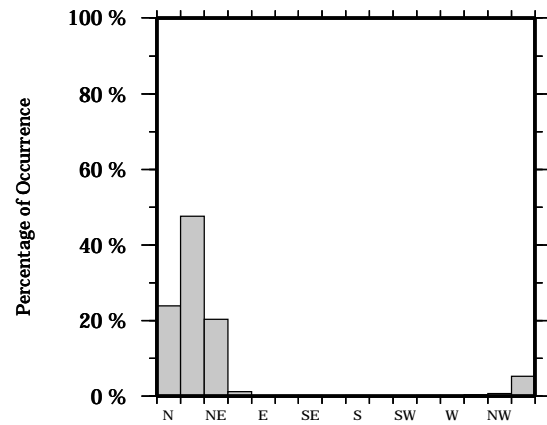
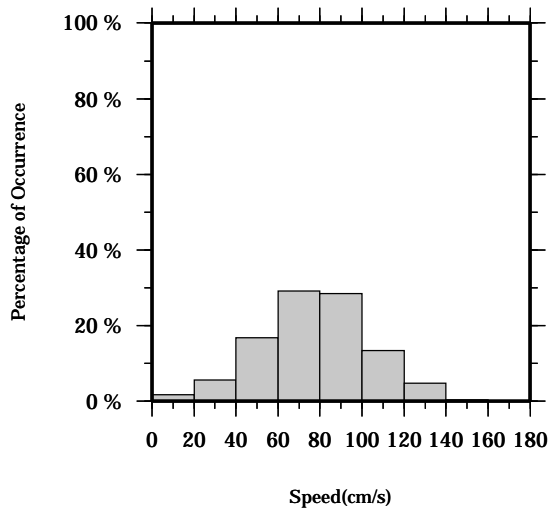
Speed scalar average : 79.4 (cm/s)

LON: 121° 17.4341' E

Station: W104

LAT: 22° 38.8623' N

Depth: 98 M



Joint probability distribution of current speed and it's direction

Speed	N	NNE	NE	ENE	E	ESE	SE	SSE	S	SSW	SW	WSW	W	WNW	NW	NNW	Total
0-20	0.2	0.2	0.1	0.1	0.1	0.1	0.1	0.0	0.1	0.0	0.1	0.1	0.1	0.1	0.1	0.1	1.8
20-40	1.3	1.3	0.8	0.2	0.0	0.0	0.0	0.0	0.0	0.0	0.0	0.1	0.0	0.2	0.3	1.3	5.6
40-60	4.8	6.5	3.1	0.5	0.0	0.0	0.0	0.0	0.0	0.0	0.0	0.0	0.0	0.0	0.1	1.8	16.8
60-80	8.9	12.4	6.0	0.3	0.0	0.0	0.0	0.0	0.0	0.0	0.0	0.0	0.0	0.0	0.1	1.4	29.1
80-100	6.3	15.1	6.4	0.1	0.0	0.0	0.0	0.0	0.0	0.0	0.0	0.0	0.0	0.0	0.0	0.6	28.4
100-120	1.8	8.7	2.8	0.0	0.0	0.0	0.0	0.0	0.0	0.0	0.0	0.0	0.0	0.0	0.0	0.1	13.3
120-140	0.5	3.1	1.0	0.0	0.0	0.0	0.0	0.0	0.0	0.0	0.0	0.0	0.0	0.0	0.0	0.0	4.7
140-160	0.0	0.2	0.1	0.0	0.0	0.0	0.0	0.0	0.0	0.0	0.0	0.0	0.0	0.0	0.0	0.0	0.3
160-180	0.0	0.0	0.0	0.0	0.0	0.0	0.0	0.0	0.0	0.0	0.0	0.0	0.0	0.0	0.0	0.0	0.0
180-200	0.0	0.0	0.0	0.0	0.0	0.0	0.0	0.0	0.0	0.0	0.0	0.0	0.0	0.0	0.0	0.0	0.0
Total	23.9	47.5	20.3	1.1	0.1	0.1	0.1	0.1	0.1	0.1	0.1	0.2	0.1	0.4	0.7	5.3	100.0

Mean U and V : 25.9 (cm/s), 69.2 (cm/s)

Standard deviation of U and V : 24.0 (cm/s), 24.6 (cm/s)

Maximun speed and it's direction : 151.2 (cm/s), 35.4 (deg.)

Mean speed and direction : 73.9 (cm/s), 20.5 (deg.)

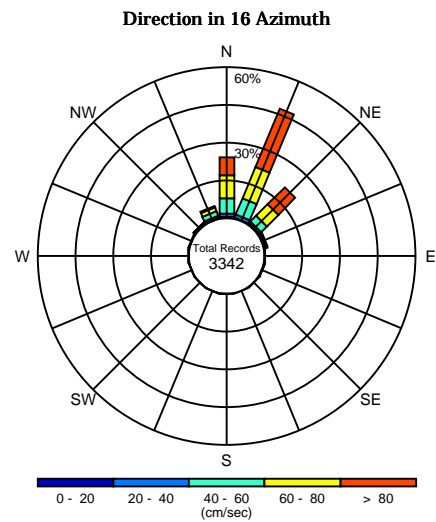
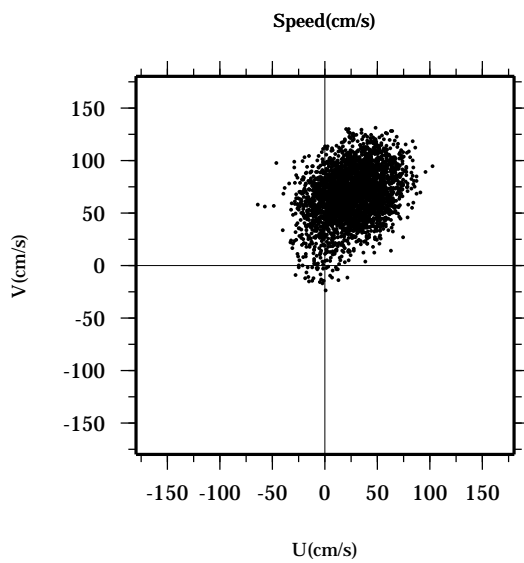
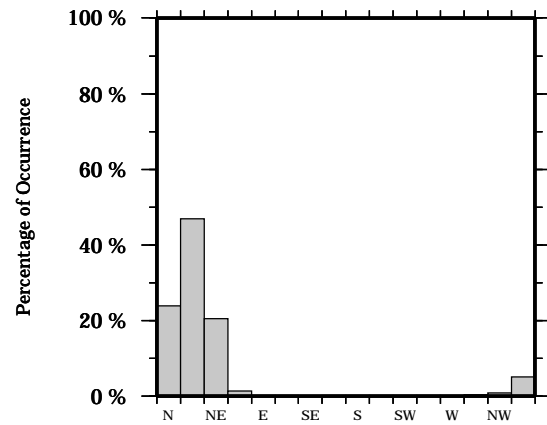
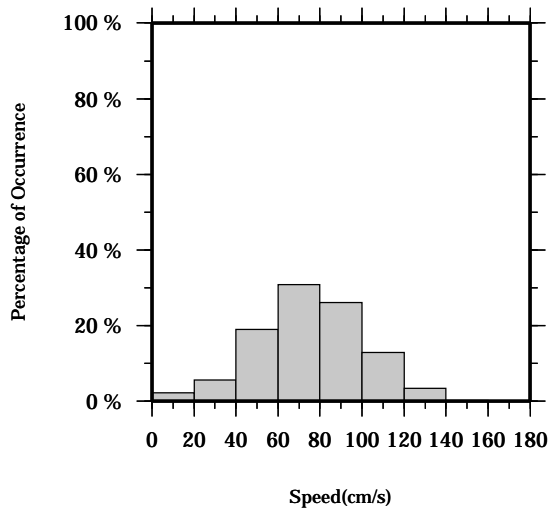
Speed scalar average : 77.4 (cm/s)

LON: 121° 17.4341' E

Station: W104

LAT: 22° 38.8623' N

Depth: 102 M



Joint probability distribution of current speed and it's direction

Speed	N	NNE	NE	ENE	E	ESE	SE	SSE	S	SSW	SW	WSW	W	WNW	NW	NNW	Total
0-20	0.3	0.2	0.2	0.1	0.1	0.1	0.0	0.1	0.1	0.1	0.1	0.1	0.1	0.1	0.1	0.2	2.2
20-40	1.4	1.3	0.9	0.3	0.0	0.0	0.0	0.0	0.0	0.0	0.0	0.1	0.1	0.2	0.4	0.8	5.6
40-60	6.0	6.9	3.4	0.5	0.0	0.0	0.0	0.0	0.0	0.0	0.0	0.0	0.0	0.0	0.2	2.0	19.0
60-80	9.0	13.5	6.4	0.3	0.0	0.0	0.0	0.0	0.0	0.0	0.0	0.0	0.0	0.0	0.0	1.5	30.8
80-100	5.6	14.3	5.7	0.1	0.0	0.0	0.0	0.0	0.0	0.0	0.0	0.0	0.0	0.0	0.1	0.5	26.2
100-120	1.3	8.2	3.2	0.0	0.0	0.0	0.0	0.0	0.0	0.0	0.0	0.0	0.0	0.0	0.0	0.1	12.8
120-140	0.3	2.5	0.6	0.0	0.0	0.0	0.0	0.0	0.0	0.0	0.0	0.0	0.0	0.0	0.0	0.0	3.4
140-160	0.0	0.1	0.1	0.0	0.0	0.0	0.0	0.0	0.0	0.0	0.0	0.0	0.0	0.0	0.0	0.0	0.1
160-180	0.0	0.0	0.0	0.0	0.0	0.0	0.0	0.0	0.0	0.0	0.0	0.0	0.0	0.0	0.0	0.0	0.0
180-200	0.0	0.0	0.0	0.0	0.0	0.0	0.0	0.0	0.0	0.0	0.0	0.0	0.0	0.0	0.0	0.0	0.0
Total	23.9	46.9	20.4	1.3	0.1	0.1	0.0	0.1	0.1	0.1	0.1	0.2	0.2	0.4	0.8	5.1	100.0

Mean U and V : 25.4 (cm/s), 67.0 (cm/s)

Standard deviation of U and V : 23.4 (cm/s), 24.1 (cm/s)

Maximun speed and it's direction : 144.6 (cm/s), 35.3 (deg.)

Mean speed and direction : 71.7 (cm/s), 20.7 (deg.)

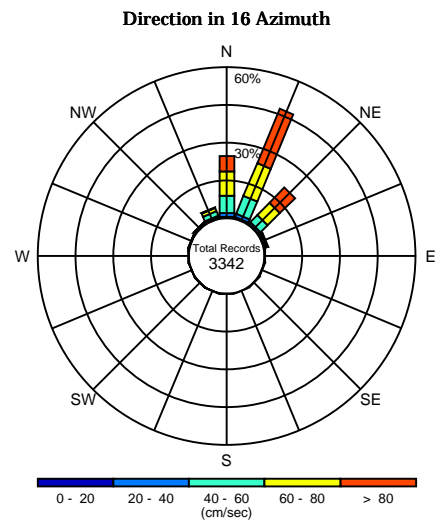
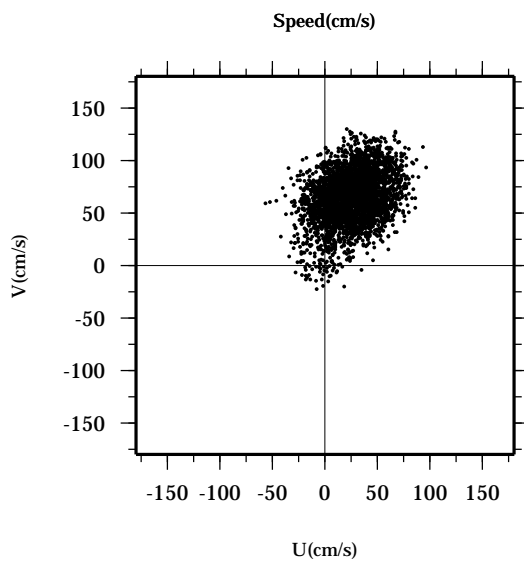
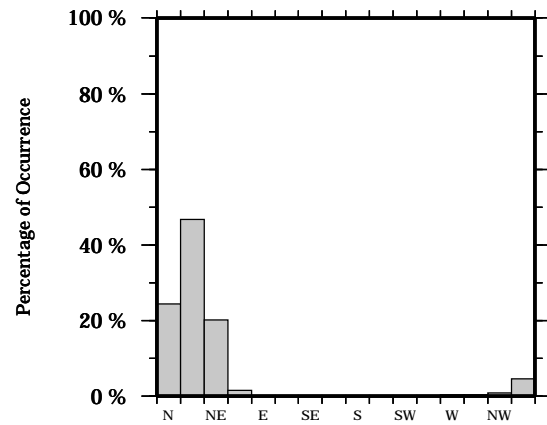
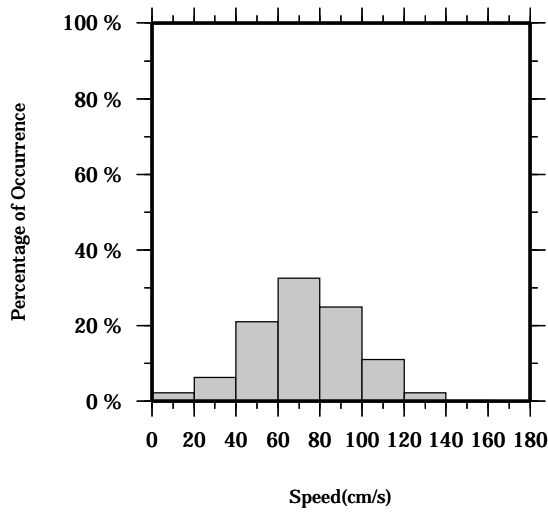
Speed scalar average : 75.1 (cm/s)

LON: 121° 17.4341' E

Station: W104

LAT: 22° 38.8623' N

Depth: 106 M



Joint probability distribution of current speed and it's direction

Speed	N	NNE	NE	ENE	E	ESE	SE	SSE	S	SSW	SW	WSW	W	WNW	NW	NNW	Total
0-20	0.3	0.3	0.1	0.1	0.1	0.1	0.1	0.1	0.1	0.1	0.1	0.1	0.2	0.0	0.1	0.2	2.2
20-40	1.7	1.4	0.9	0.3	0.1	0.0	0.0	0.0	0.0	0.0	0.1	0.1	0.1	0.2	0.5	0.7	6.2
40-60	6.6	7.7	3.9	0.6	0.0	0.0	0.0	0.0	0.0	0.0	0.0	0.0	0.0	0.0	0.1	1.9	21.0
60-80	9.8	14.1	6.9	0.3	0.0	0.0	0.0	0.0	0.0	0.0	0.0	0.0	0.0	0.0	0.1	1.3	32.5
80-100	5.0	14.4	5.1	0.1	0.0	0.0	0.0	0.0	0.0	0.0	0.0	0.0	0.0	0.0	0.0	0.3	24.9
100-120	0.9	7.2	2.8	0.0	0.0	0.0	0.0	0.0	0.0	0.0	0.0	0.0	0.0	0.0	0.0	0.0	11.0
120-140	0.1	1.5	0.5	0.0	0.0	0.0	0.0	0.0	0.0	0.0	0.0	0.0	0.0	0.0	0.0	0.0	2.2
140-160	0.0	0.1	0.0	0.0	0.0	0.0	0.0	0.0	0.0	0.0	0.0	0.0	0.0	0.0	0.0	0.0	0.1
160-180	0.0	0.0	0.0	0.0	0.0	0.0	0.0	0.0	0.0	0.0	0.0	0.0	0.0	0.0	0.0	0.0	0.0
180-200	0.0	0.0	0.0	0.0	0.0	0.0	0.0	0.0	0.0	0.0	0.0	0.0	0.0	0.0	0.0	0.0	0.0
Total	24.4	46.8	20.2	1.5	0.2	0.1	0.1	0.1	0.1	0.1	0.2	0.2	0.3	0.3	0.9	4.5	100.0

Mean U and V : 24.9 (cm/s), 64.8 (cm/s)

Standard deviation of U and V : 22.9 (cm/s), 23.7 (cm/s)

Maximun speed and it's direction : 146.2 (cm/s), 39.6 (deg.)

Mean speed and direction : 69.4 (cm/s), 21.0 (deg.)

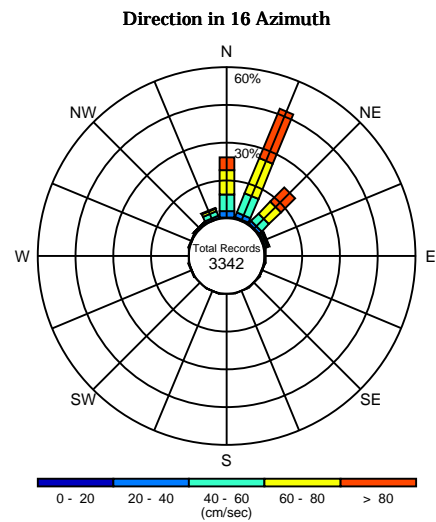
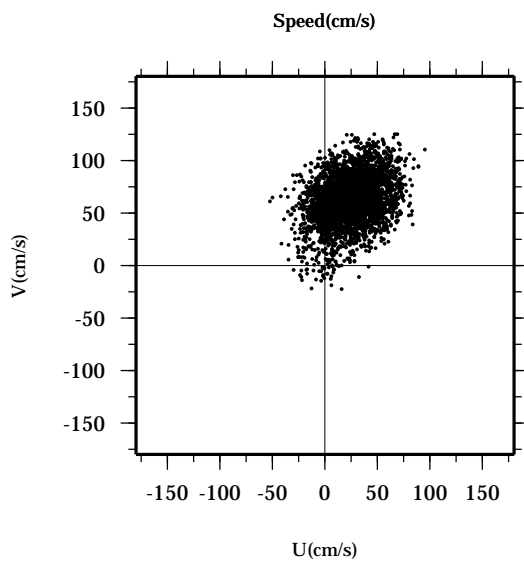
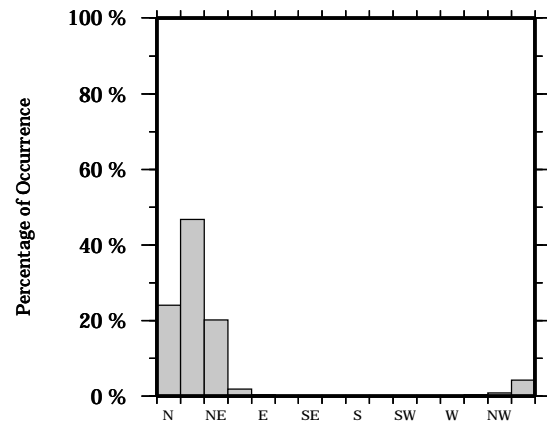
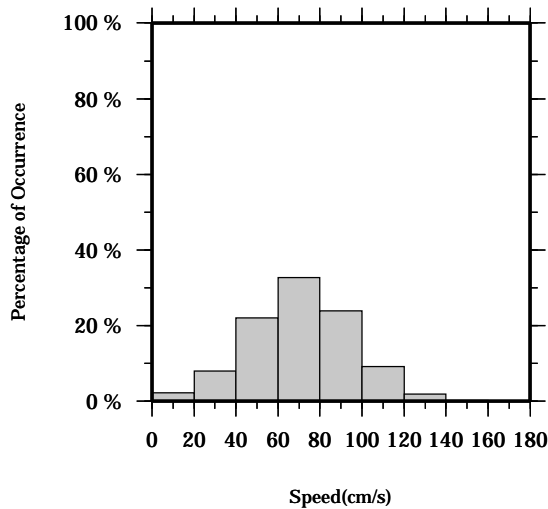
Speed scalar average : 72.8 (cm/s)

LON: 121° 17.4341' E

Station: W104

LAT: 22° 38.8623' N

Depth: 110 M



Joint probability distribution of current speed and it's direction

Speed	N	NNE	NE	ENE	E	ESE	SE	SSE	S	SSW	SW	WSW	W	WNW	NW	NNW	Total
0-20	0.2	0.4	0.3	0.1	0.1	0.1	0.1	0.1	0.1	0.1	0.1	0.1	0.1	0.1	0.1	0.1	2.3
20-40	2.4	1.9	1.3	0.4	0.1	0.0	0.0	0.0	0.0	0.0	0.0	0.1	0.1	0.3	0.5	0.8	8.0
40-60	6.8	8.4	4.1	0.6	0.0	0.0	0.0	0.0	0.0	0.0	0.0	0.0	0.0	0.0	0.2	1.9	22.1
60-80	9.5	14.9	6.5	0.7	0.0	0.0	0.0	0.0	0.0	0.0	0.0	0.0	0.0	0.0	0.0	1.2	32.8
80-100	4.3	13.9	5.2	0.1	0.0	0.0	0.0	0.0	0.0	0.0	0.0	0.0	0.0	0.0	0.1	0.3	23.9
100-120	0.9	5.9	2.3	0.0	0.0	0.0	0.0	0.0	0.0	0.0	0.0	0.0	0.0	0.0	0.0	0.0	9.1
120-140	0.0	1.3	0.4	0.0	0.0	0.0	0.0	0.0	0.0	0.0	0.0	0.0	0.0	0.0	0.0	0.0	1.8
140-160	0.0	0.1	0.0	0.0	0.0	0.0	0.0	0.0	0.0	0.0	0.0	0.0	0.0	0.0	0.0	0.0	0.1
160-180	0.0	0.0	0.0	0.0	0.0	0.0	0.0	0.0	0.0	0.0	0.0	0.0	0.0	0.0	0.0	0.0	0.0
180-200	0.0	0.0	0.0	0.0	0.0	0.0	0.0	0.0	0.0	0.0	0.0	0.0	0.0	0.0	0.0	0.0	0.0
Total	24.1	46.8	20.2	1.9	0.3	0.1	0.1	0.1	0.1	0.2	0.1	0.2	0.1	0.4	0.9	4.3	100.0

Mean U and V : 24.2 (cm/s), 62.5 (cm/s)

Standard deviation of U and V : 22.5 (cm/s), 23.4 (cm/s)

Maximun speed and it's direction : 145.2 (cm/s), 40.7 (deg.)

Mean speed and direction : 67.1 (cm/s), 21.2 (deg.)

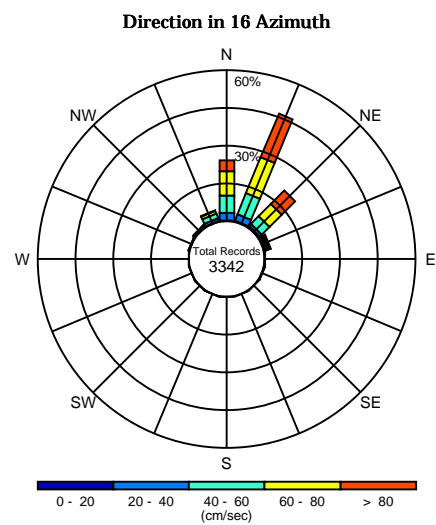
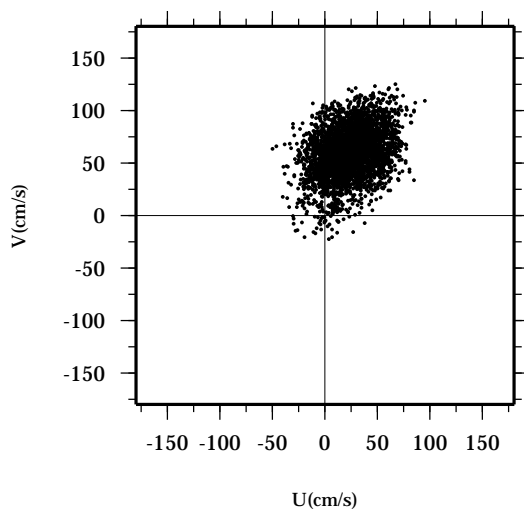
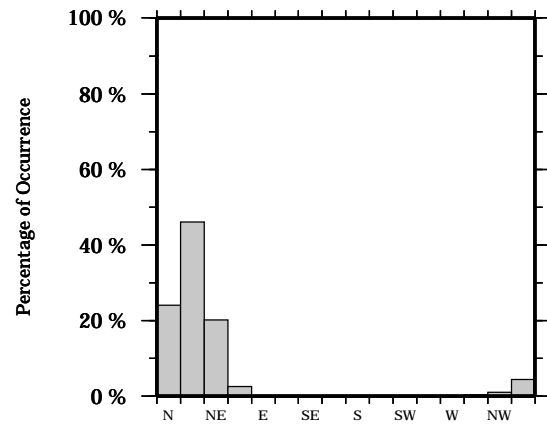
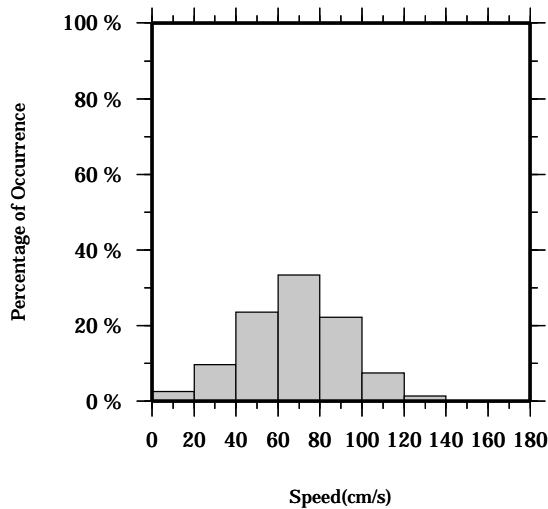
Speed scalar average : 70.5 (cm/s)

LON: 121° 17.4341' E

Station: W104

LAT: 22° 38.8623' N

Depth: 114 M



Joint probability distribution of current speed and it's direction

Speed	N	NNE	NE	ENE	E	ESE	SE	SSE	S	SSW	SW	WSW	W	WNW	NW	NNW	Total
0-20	0.1	0.3	0.5	0.4	0.1	0.1	0.0	0.1	0.1	0.1	0.1	0.1	0.1	0.0	0.3	0.2	2.5
20-40	3.0	2.6	1.0	0.5	0.1	0.1	0.0	0.0	0.0	0.0	0.0	0.1	0.1	0.4	0.4	1.2	9.7
40-60	6.9	9.1	4.4	0.8	0.0	0.0	0.0	0.0	0.0	0.0	0.0	0.0	0.0	0.0	0.2	1.9	23.5
60-80	9.5	15.4	6.8	0.6	0.0	0.0	0.0	0.0	0.0	0.0	0.0	0.0	0.0	0.0	0.0	1.0	33.3
80-100	3.6	12.7	5.5	0.2	0.0	0.0	0.0	0.0	0.0	0.0	0.0	0.0	0.0	0.0	0.1	0.2	22.2
100-120	0.8	5.1	1.5	0.0	0.0	0.0	0.0	0.0	0.0	0.0	0.0	0.0	0.0	0.0	0.0	0.0	7.4
120-140	0.0	0.9	0.4	0.0	0.0	0.0	0.0	0.0	0.0	0.0	0.0	0.0	0.0	0.0	0.0	0.0	1.3
140-160	0.0	0.0	0.0	0.0	0.0	0.0	0.0	0.0	0.0	0.0	0.0	0.0	0.0	0.0	0.0	0.0	0.1
160-180	0.0	0.0	0.0	0.0	0.0	0.0	0.0	0.0	0.0	0.0	0.0	0.0	0.0	0.0	0.0	0.0	0.0
180-200	0.0	0.0	0.0	0.0	0.0	0.0	0.0	0.0	0.0	0.0	0.0	0.0	0.0	0.0	0.0	0.0	0.0
Total	24.0	46.1	20.1	2.5	0.2	0.2	0.0	0.1	0.1	0.1	0.2	0.2	0.1	0.4	1.0	4.5	100.0

Mean U and V : 23.5 (cm/s), 60.3 (cm/s)

Standard deviation of U and V : 22.1 (cm/s), 23.1 (cm/s)

Maximun speed and it's direction : 144.7 (cm/s), 41.1 (deg.)

Mean speed and direction : 64.7 (cm/s), 21.3 (deg.)

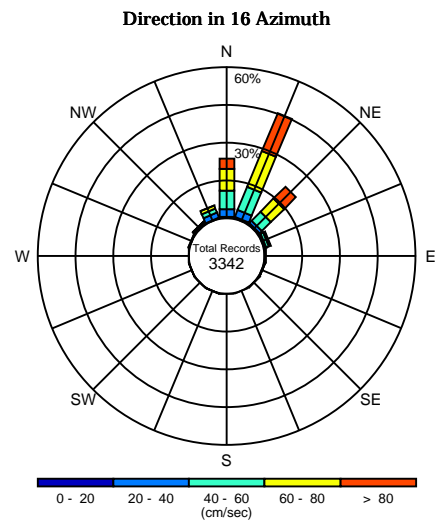
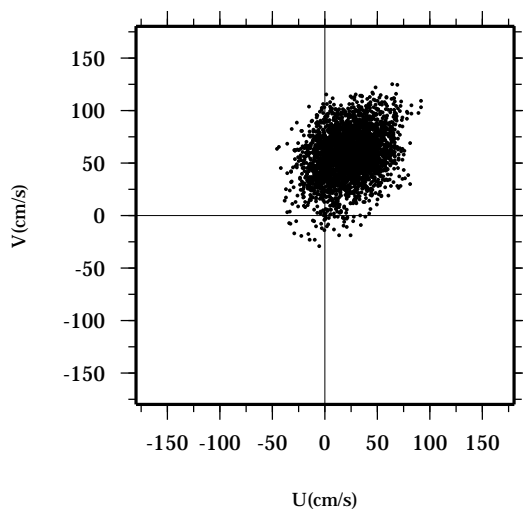
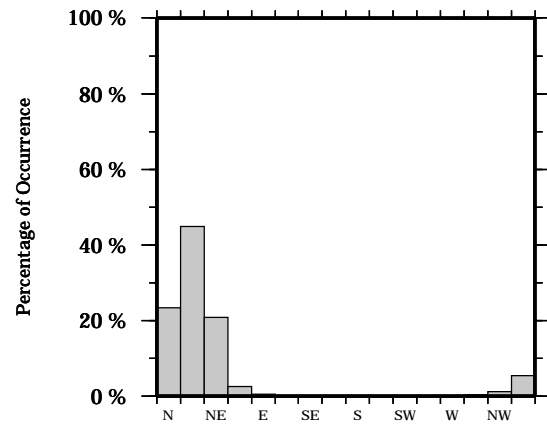
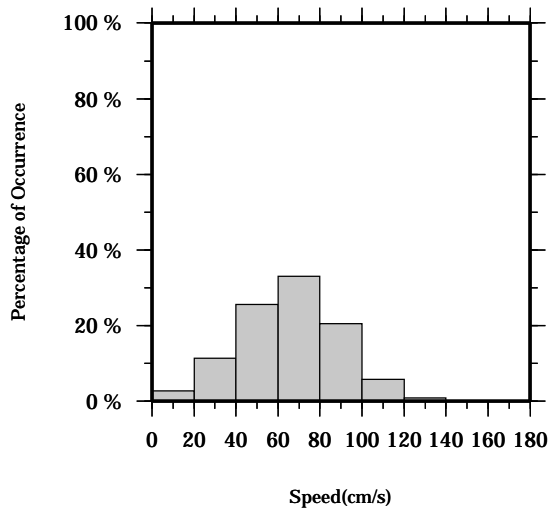
Speed scalar average : 68.2 (cm/s)

LON: 121° 17.4341' E

Station: W104

LAT: 22° 38.8623' N

Depth: 118 M



Joint probability distribution of current speed and it's direction

Speed	N	NNE	NE	ENE	E	ESE	SE	SSE	S	SSW	SW	WSW	W	WNW	NW	NNW	Total
0-20	0.3	0.4	0.5	0.3	0.2	0.0	0.0	0.1	0.1	0.1	0.0	0.1	0.0	0.1	0.1	0.2	2.7
20-40	3.0	3.1	1.3	0.5	0.2	0.1	0.1	0.0	0.0	0.1	0.1	0.1	0.1	0.1	0.7	2.0	11.4
40-60	7.5	9.9	5.0	1.0	0.1	0.0	0.0	0.0	0.0	0.0	0.0	0.0	0.0	0.1	0.3	1.8	25.6
60-80	8.5	15.3	7.4	0.5	0.0	0.0	0.0	0.0	0.0	0.0	0.0	0.0	0.0	0.0	0.1	1.2	33.1
80-100	3.5	11.8	5.0	0.2	0.0	0.0	0.0	0.0	0.0	0.0	0.0	0.0	0.0	0.0	0.0	0.1	20.6
100-120	0.6	3.8	1.3	0.0	0.0	0.0	0.0	0.0	0.0	0.0	0.0	0.0	0.0	0.0	0.0	0.0	5.7
120-140	0.0	0.6	0.3	0.0	0.0	0.0	0.0	0.0	0.0	0.0	0.0	0.0	0.0	0.0	0.0	0.0	0.9
140-160	0.0	0.0	0.0	0.0	0.0	0.0	0.0	0.0	0.0	0.0	0.0	0.0	0.0	0.0	0.0	0.0	0.1
160-180	0.0	0.0	0.0	0.0	0.0	0.0	0.0	0.0	0.0	0.0	0.0	0.0	0.0	0.0	0.0	0.0	0.0
180-200	0.0	0.0	0.0	0.0	0.0	0.0	0.0	0.0	0.0	0.0	0.0	0.0	0.0	0.0	0.0	0.0	0.0
Total	23.4	44.9	20.8	2.5	0.5	0.1	0.1	0.1	0.1	0.1	0.1	0.1	0.1	0.4	1.1	5.4	100.0

Mean U and V : 22.6 (cm/s), 57.9 (cm/s)

Standard deviation of U and V : 21.9 (cm/s), 22.9 (cm/s)

Maximun speed and it's direction : 141.8 (cm/s), 40.0 (deg.)

Mean speed and direction : 62.2 (cm/s), 21.3 (deg.)

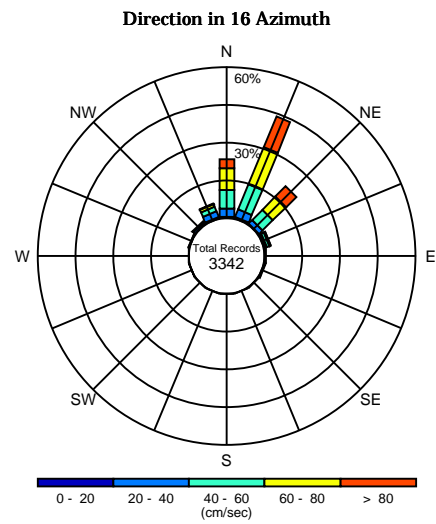
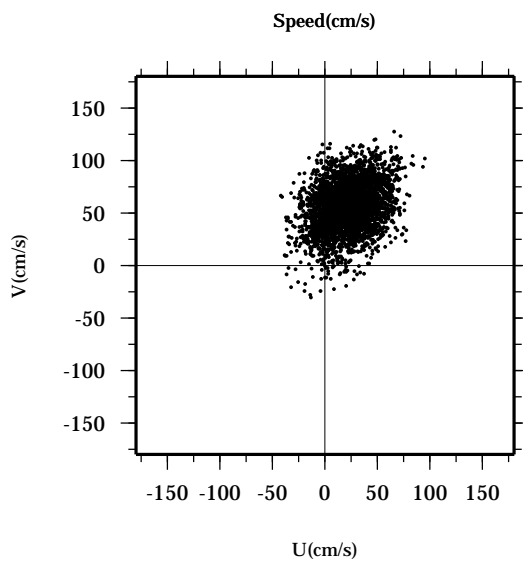
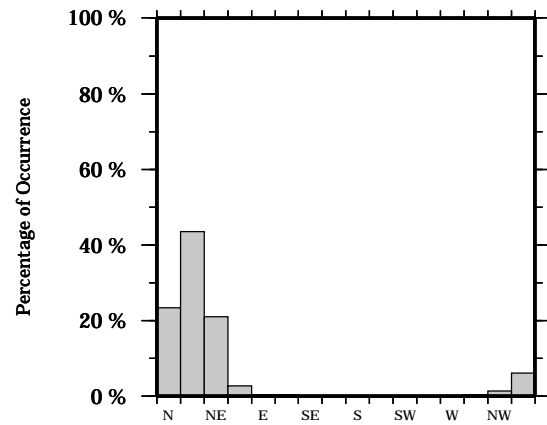
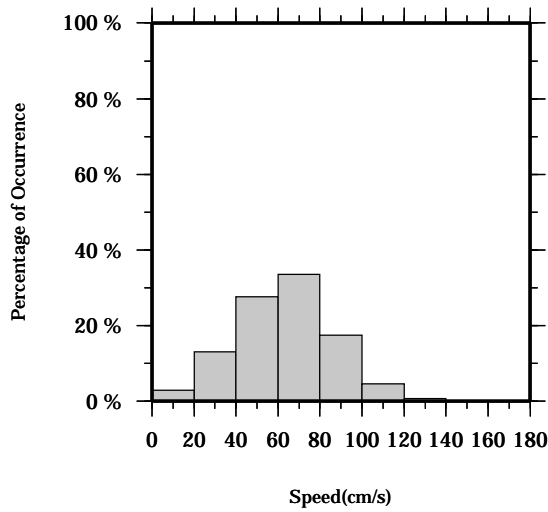
Speed scalar average : 65.8 (cm/s)

LON: 121° 17.4341' E

Station: W104

LAT: 22° 38.8623' N

Depth: 122 M



Joint probability distribution of current speed and it's direction

Speed	N	NNE	NE	ENE	E	ESE	SE	SSE	S	SSW	SW	WSW	W	WNW	NW	NNW	Total
0-20	0.5	0.4	0.2	0.4	0.1	0.1	0.0	0.1	0.1	0.0	0.1	0.0	0.0	0.1	0.2	0.4	2.9
20-40	3.1	3.2	1.9	0.5	0.2	0.2	0.0	0.0	0.0	0.1	0.1	0.1	0.1	0.2	0.8	2.5	13.0
40-60	7.5	10.8	5.7	1.0	0.1	0.0	0.0	0.0	0.0	0.0	0.0	0.0	0.0	0.0	0.4	1.9	27.5
60-80	8.5	15.9	7.3	0.7	0.0	0.0	0.0	0.0	0.0	0.0	0.0	0.0	0.0	0.0	0.0	1.2	33.6
80-100	3.0	9.9	4.4	0.1	0.0	0.0	0.0	0.0	0.0	0.0	0.0	0.0	0.0	0.0	0.0	0.1	17.5
100-120	0.7	2.8	1.2	0.0	0.0	0.0	0.0	0.0	0.0	0.0	0.0	0.0	0.0	0.0	0.0	0.0	4.6
120-140	0.0	0.4	0.3	0.0	0.0	0.0	0.0	0.0	0.0	0.0	0.0	0.0	0.0	0.0	0.0	0.0	0.7
140-160	0.0	0.1	0.0	0.0	0.0	0.0	0.0	0.0	0.0	0.0	0.0	0.0	0.0	0.0	0.0	0.0	0.1
160-180	0.0	0.0	0.0	0.0	0.0	0.0	0.0	0.0	0.0	0.0	0.0	0.0	0.0	0.0	0.0	0.0	0.0
180-200	0.0	0.0	0.0	0.0	0.0	0.0	0.0	0.0	0.0	0.0	0.0	0.0	0.0	0.0	0.0	0.0	0.0
Total	23.3	43.5	21.1	2.7	0.4	0.3	0.1	0.1	0.1	0.1	0.1	0.1	0.1	0.3	1.4	6.1	100.0

Mean U and V : 21.6 (cm/s), 55.8 (cm/s)

Standard deviation of U and V : 21.5 (cm/s), 22.7 (cm/s)

Maximun speed and it's direction : 143.1 (cm/s), 27.2 (deg.)

Mean speed and direction : 59.8 (cm/s), 21.2 (deg.)

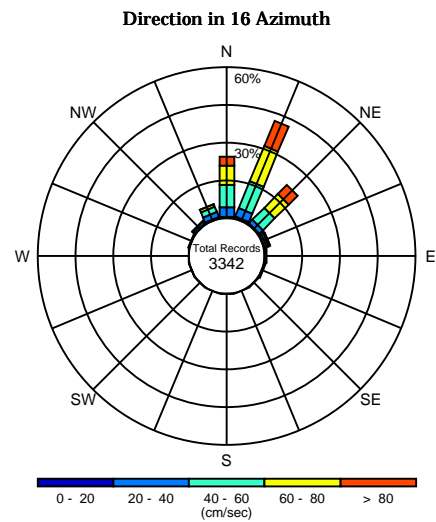
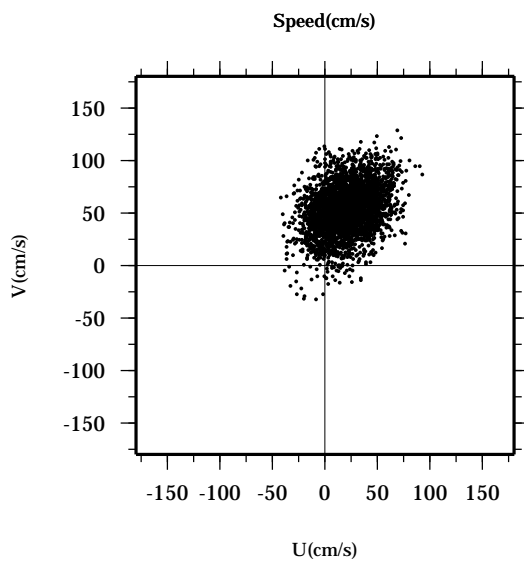
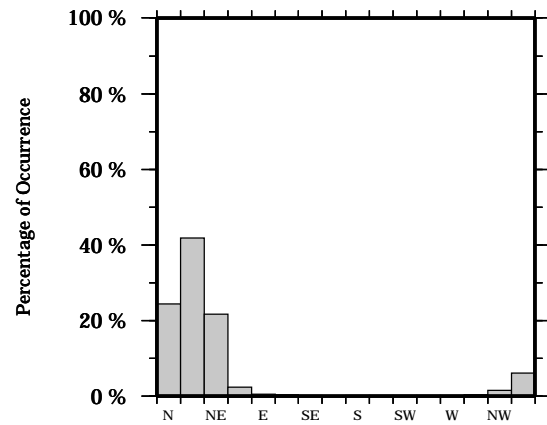
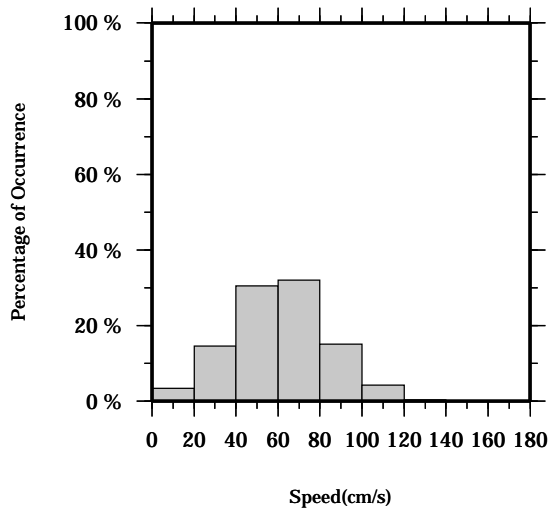
Speed scalar average : 63.5 (cm/s)

LON: 121° 17.4341' E

Station: W104

LAT: 22° 38.8623' N

Depth: 126 M



Joint probability distribution of current speed and it's direction

Speed	N	NNE	NE	ENE	E	ESE	SE	SSE	S	SSW	SW	WSW	W	WNW	NW	NNW	Total
0-20	0.5	0.6	0.3	0.2	0.3	0.1	0.1	0.1	0.1	0.0	0.1	0.0	0.1	0.1	0.3	0.5	3.4
20-40	3.8	3.7	2.1	0.8	0.3	0.1	0.0	0.0	0.0	0.1	0.1	0.1	0.1	0.2	1.0	2.1	14.5
40-60	8.7	11.6	6.6	0.8	0.0	0.0	0.0	0.0	0.0	0.0	0.0	0.0	0.0	0.1	0.3	2.3	30.4
60-80	7.7	15.0	7.7	0.5	0.0	0.0	0.0	0.0	0.0	0.0	0.0	0.0	0.0	0.0	0.0	1.0	32.0
80-100	3.1	8.1	3.7	0.1	0.0	0.0	0.0	0.0	0.0	0.0	0.0	0.0	0.0	0.0	0.0	0.1	15.1
100-120	0.6	2.4	1.2	0.0	0.0	0.0	0.0	0.0	0.0	0.0	0.0	0.0	0.0	0.0	0.0	0.0	4.2
120-140	0.0	0.2	0.1	0.0	0.0	0.0	0.0	0.0	0.0	0.0	0.0	0.0	0.0	0.0	0.0	0.0	0.4
140-160	0.0	0.1	0.0	0.0	0.0	0.0	0.0	0.0	0.0	0.0	0.0	0.0	0.0	0.0	0.0	0.0	0.1
160-180	0.0	0.0	0.0	0.0	0.0	0.0	0.0	0.0	0.0	0.0	0.0	0.0	0.0	0.0	0.0	0.0	0.0
180-200	0.0	0.0	0.0	0.0	0.0	0.0	0.0	0.0	0.0	0.0	0.0	0.0	0.0	0.0	0.0	0.0	0.0
Total	24.4	41.8	21.7	2.4	0.6	0.3	0.1	0.1	0.1	0.1	0.1	0.1	0.2	0.4	1.6	6.0	100.0

Mean U and V : 20.5 (cm/s), 53.6 (cm/s)

Standard deviation of U and V : 21.2 (cm/s), 22.5 (cm/s)

Maximun speed and it's direction : 145.5 (cm/s), 28.0 (deg.)

Mean speed and direction : 57.4 (cm/s), 21.0 (deg.)

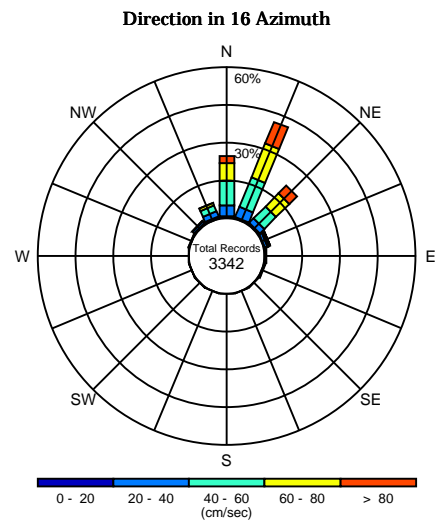
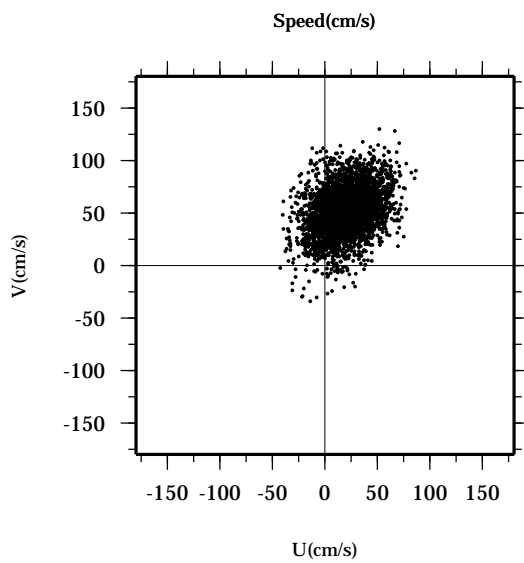
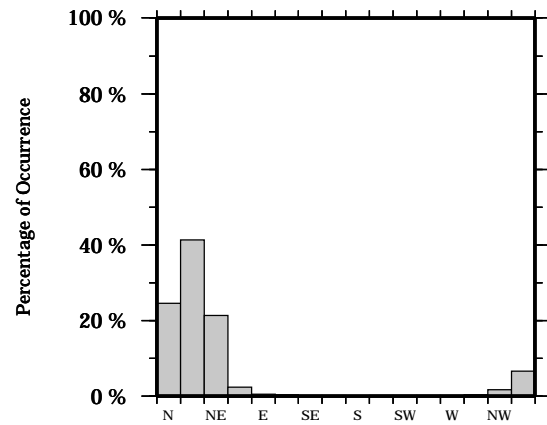
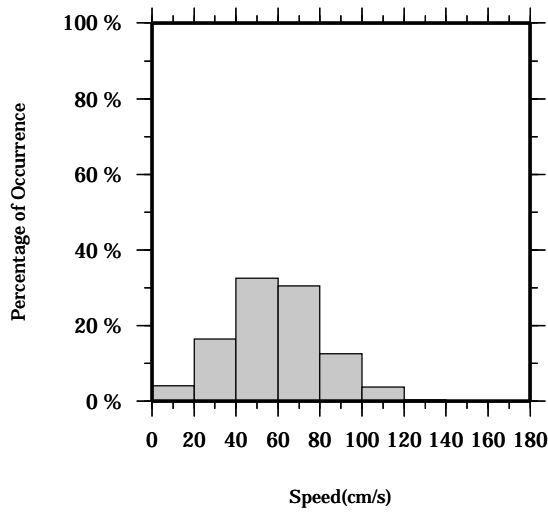
Speed scalar average : 61.1 (cm/s)

LON: 121° 17.4341' E

Station: W104

LAT: 22° 38.8623' N

Depth: 130 M



Joint probability distribution of current speed and it's direction

Speed	N	NNE	NE	ENE	E	ESE	SE	SSE	S	SSW	SW	WSW	W	WNW	NW	NNW	Total
0-20	0.7	0.5	0.5	0.3	0.2	0.3	0.1	0.1	0.0	0.0	0.0	0.1	0.1	0.1	0.5	0.6	4.0
20-40	4.3	4.4	2.5	0.9	0.2	0.1	0.1	0.0	0.0	0.1	0.1	0.1	0.1	0.3	0.8	2.3	16.4
40-60	9.5	12.7	6.7	0.7	0.1	0.0	0.0	0.0	0.0	0.0	0.0	0.0	0.0	0.0	0.3	2.5	32.6
60-80	7.2	14.5	7.4	0.4	0.0	0.0	0.0	0.0	0.0	0.0	0.0	0.0	0.0	0.0	0.0	1.0	30.5
80-100	2.2	6.8	3.2	0.1	0.0	0.0	0.0	0.0	0.0	0.0	0.0	0.0	0.0	0.0	0.0	0.1	12.4
100-120	0.6	2.1	1.0	0.0	0.0	0.0	0.0	0.0	0.0	0.0	0.0	0.0	0.0	0.0	0.0	0.0	3.7
120-140	0.0	0.3	0.1	0.0	0.0	0.0	0.0	0.0	0.0	0.0	0.0	0.0	0.0	0.0	0.0	0.0	0.4
140-160	0.0	0.0	0.0	0.0	0.0	0.0	0.0	0.0	0.0	0.0	0.0	0.0	0.0	0.0	0.0	0.0	0.0
160-180	0.0	0.0	0.0	0.0	0.0	0.0	0.0	0.0	0.0	0.0	0.0	0.0	0.0	0.0	0.0	0.0	0.0
180-200	0.0	0.0	0.0	0.0	0.0	0.0	0.0	0.0	0.0	0.0	0.0	0.0	0.0	0.0	0.0	0.0	0.0
Total	24.6	41.3	21.3	2.5	0.5	0.4	0.1	0.1	0.0	0.1	0.1	0.2	0.2	0.4	1.7	6.5	100.0

Mean U and V : 19.4 (cm/s), 51.6 (cm/s)

Standard deviation of U and V : 20.7 (cm/s), 22.2 (cm/s)

Maximun speed and it's direction : 144.2 (cm/s), 27.3 (deg.)

Mean speed and direction : 55.1 (cm/s), 20.6 (deg.)

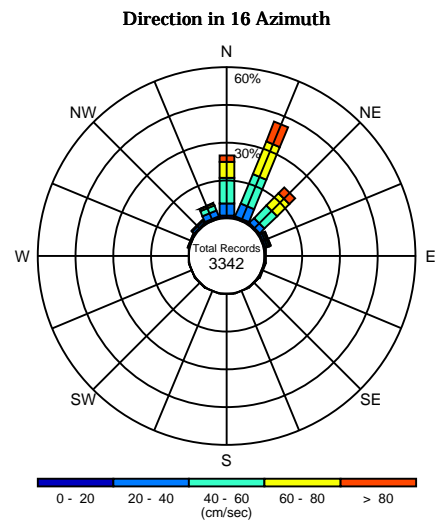
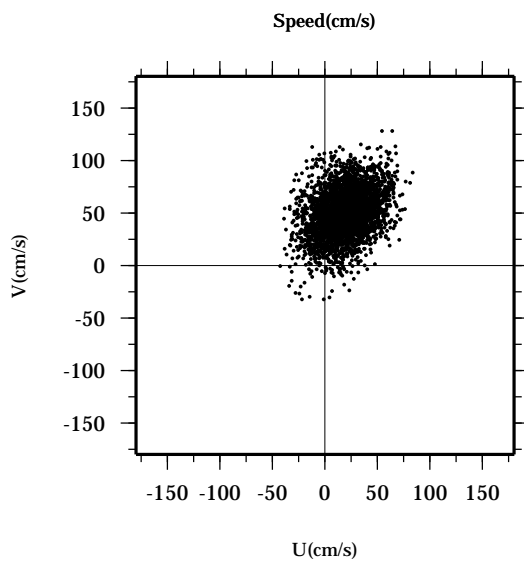
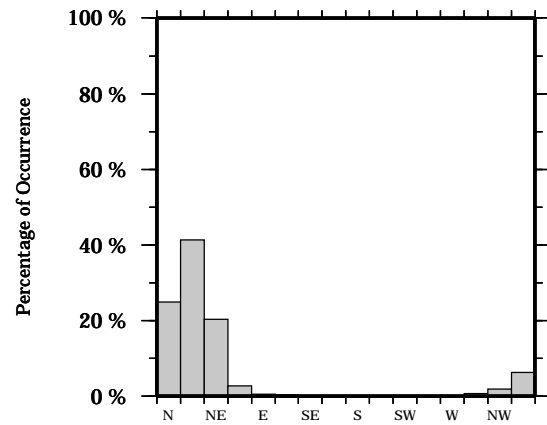
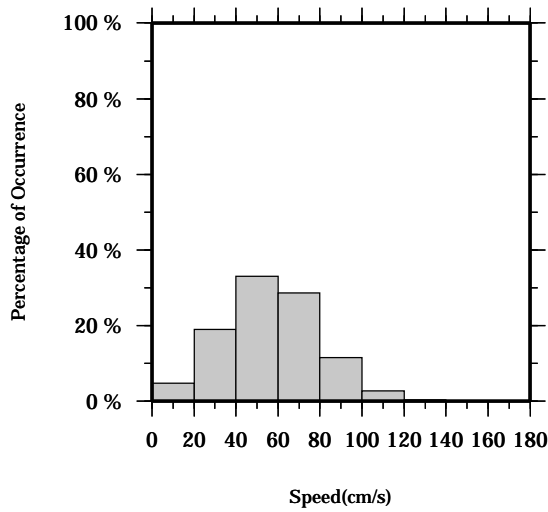
Speed scalar average : 58.8 (cm/s)

LON: 121° 17.4341' E

Station: W104

LAT: 22° 38.8623' N

Depth: 134 M



Joint probability distribution of current speed and it's direction

Speed	N	NNE	NE	ENE	E	ESE	SE	SSE	S	SSW	SW	WSW	W	WNW	NW	NNW	Total
0-20	0.9	0.7	0.5	0.4	0.2	0.2	0.1	0.1	0.0	0.0	0.0	0.1	0.1	0.2	0.5	0.6	4.8
20-40	4.9	5.6	2.7	0.9	0.3	0.1	0.1	0.0	0.1	0.0	0.1	0.1	0.1	0.4	0.9	2.7	19.0
40-60	10.2	12.6	6.9	0.9	0.0	0.0	0.0	0.0	0.0	0.0	0.0	0.0	0.0	0.0	0.4	2.0	33.1
60-80	6.3	14.0	6.8	0.5	0.0	0.0	0.0	0.0	0.0	0.0	0.0	0.0	0.0	0.0	0.0	0.9	28.7
80-100	2.0	6.7	2.7	0.1	0.0	0.0	0.0	0.0	0.0	0.0	0.0	0.0	0.0	0.0	0.0	0.1	11.5
100-120	0.6	1.4	0.7	0.0	0.0	0.0	0.0	0.0	0.0	0.0	0.0	0.0	0.0	0.0	0.0	0.0	2.7
120-140	0.0	0.3	0.0	0.0	0.0	0.0	0.0	0.0	0.0	0.0	0.0	0.0	0.0	0.0	0.0	0.0	0.3
140-160	0.0	0.0	0.0	0.0	0.0	0.0	0.0	0.0	0.0	0.0	0.0	0.0	0.0	0.0	0.0	0.0	0.0
160-180	0.0	0.0	0.0	0.0	0.0	0.0	0.0	0.0	0.0	0.0	0.0	0.0	0.0	0.0	0.0	0.0	0.0
180-200	0.0	0.0	0.0	0.0	0.0	0.0	0.0	0.0	0.0	0.0	0.0	0.0	0.0	0.0	0.0	0.0	0.0
Total	24.9	41.3	20.3	2.8	0.5	0.4	0.2	0.1	0.1	0.1	0.2	0.2	0.2	0.6	1.9	6.3	100.0

Mean U and V : 18.3 (cm/s), 49.7 (cm/s)

Standard deviation of U and V : 20.1 (cm/s), 22.0 (cm/s)

Maximun speed and it's direction : 142.9 (cm/s), 26.7 (deg.)

Mean speed and direction : 53.0 (cm/s), 20.3 (deg.)

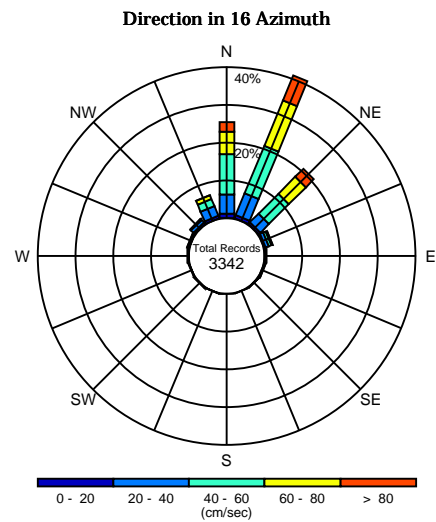
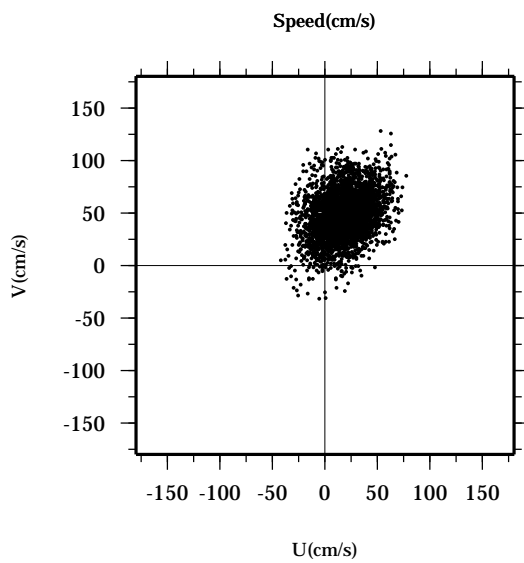
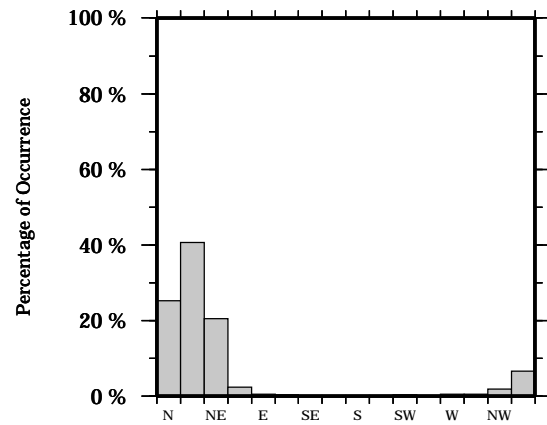
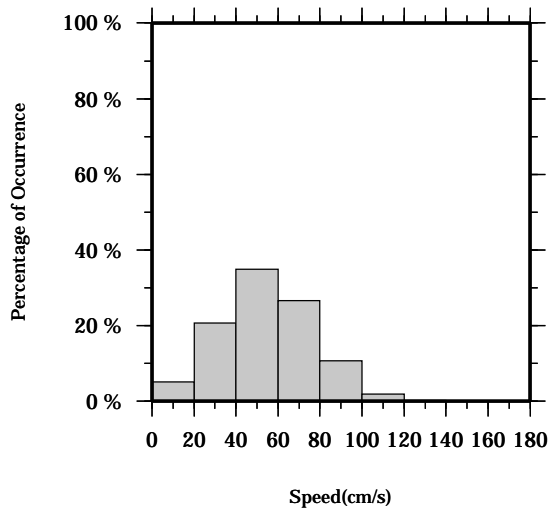
Speed scalar average : 56.6 (cm/s)

LON: 121° 17.4341' E

Station: W104

LAT: 22° 38.8623' N

Depth: 138 M



Joint probability distribution of current speed and it's direction

Speed	N	NNE	NE	ENE	E	ESE	SE	SSE	S	SSW	SW	WSW	W	WNW	NW	NNW	Total
0-20	1.1	0.9	0.5	0.3	0.3	0.2	0.1	0.1	0.0	0.1	0.1	0.1	0.2	0.1	0.5	0.6	5.1
20-40	5.1	6.2	3.3	1.0	0.2	0.1	0.1	0.0	0.1	0.0	0.1	0.1	0.2	0.4	0.9	2.8	20.6
40-60	10.7	13.6	7.4	0.7	0.1	0.0	0.0	0.0	0.0	0.0	0.0	0.0	0.0	0.0	0.4	2.1	34.9
60-80	5.8	13.0	6.4	0.4	0.0	0.0	0.0	0.0	0.0	0.0	0.0	0.0	0.0	0.0	0.0	1.0	26.6
80-100	2.0	5.8	2.5	0.0	0.0	0.0	0.0	0.0	0.0	0.0	0.0	0.0	0.0	0.0	0.0	0.1	10.6
100-120	0.5	1.0	0.4	0.0	0.0	0.0	0.0	0.0	0.0	0.0	0.0	0.0	0.0	0.0	0.0	0.0	1.9
120-140	0.0	0.2	0.0	0.0	0.0	0.0	0.0	0.0	0.0	0.0	0.0	0.0	0.0	0.0	0.0	0.0	0.2
140-160	0.0	0.0	0.0	0.0	0.0	0.0	0.0	0.0	0.0	0.0	0.0	0.0	0.0	0.0	0.0	0.0	0.0
160-180	0.0	0.0	0.0	0.0	0.0	0.0	0.0	0.0	0.0	0.0	0.0	0.0	0.0	0.0	0.0	0.0	0.0
180-200	0.0	0.0	0.0	0.0	0.0	0.0	0.0	0.0	0.0	0.0	0.0	0.0	0.0	0.0	0.0	0.0	0.0
Total	25.3	40.7	20.6	2.4	0.5	0.3	0.1	0.1	0.1	0.1	0.3	0.2	0.4	0.6	1.8	6.6	100.0

Mean U and V : 17.4 (cm/s), 48.0 (cm/s)

Standard deviation of U and V : 19.6 (cm/s), 21.8 (cm/s)

Maximun speed and it's direction : 140.2 (cm/s), 26.4 (deg.)

Mean speed and direction : 51.0 (cm/s), 20.0 (deg.)

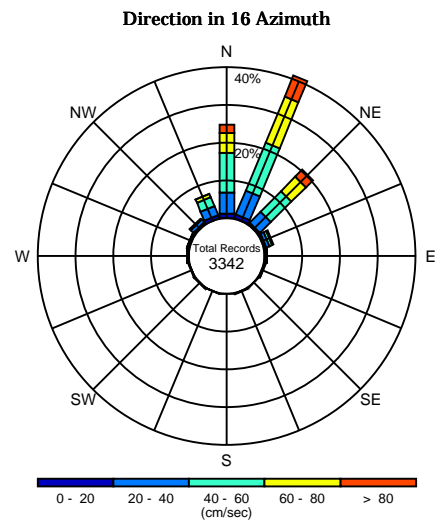
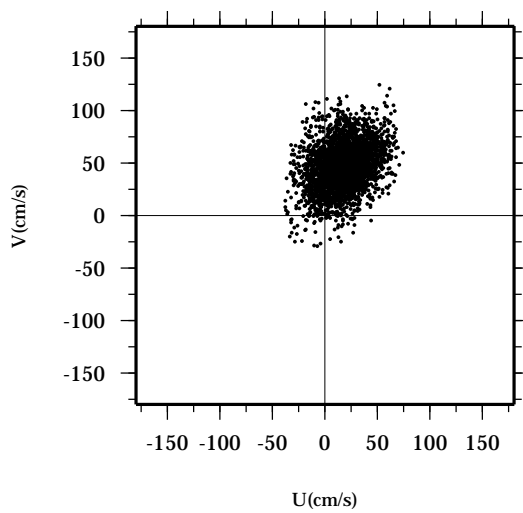
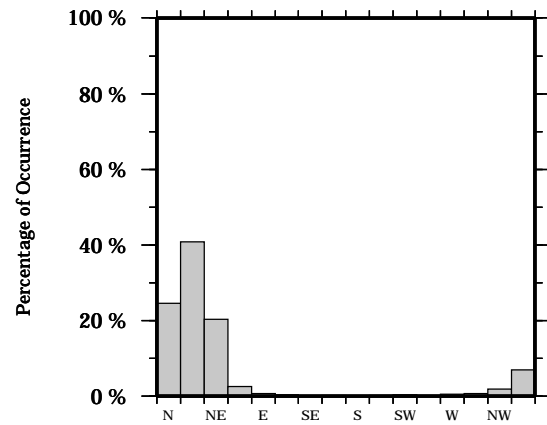
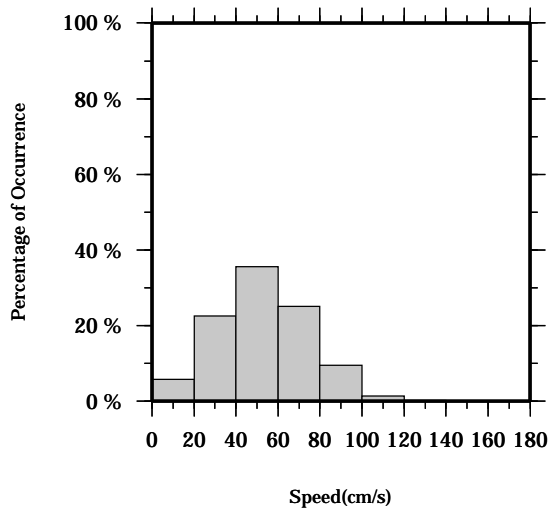
Speed scalar average : 54.7 (cm/s)

LON: 121° 17.4341' E

Station: W104

LAT: 22° 38.8623' N

Depth: 142 M



Joint probability distribution of current speed and it's direction

Speed	N	NNE	NE	ENE	E	ESE	SE	SSE	S	SSW	SW	WSW	W	WNW	NW	NNW	Total
0-20	1.0	1.0	0.4	0.5	0.3	0.2	0.1	0.1	0.0	0.0	0.1	0.1	0.3	0.2	0.5	0.8	5.8
20-40	5.7	6.9	4.1	0.8	0.3	0.1	0.0	0.1	0.0	0.1	0.1	0.1	0.2	0.4	1.0	2.6	22.5
40-60	10.4	13.8	7.6	0.8	0.1	0.0	0.0	0.0	0.0	0.0	0.0	0.0	0.0	0.1	0.4	2.5	35.6
60-80	5.3	13.1	5.5	0.4	0.0	0.0	0.0	0.0	0.0	0.0	0.0	0.0	0.0	0.0	0.0	1.0	25.1
80-100	1.8	5.2	2.4	0.0	0.0	0.0	0.0	0.0	0.0	0.0	0.0	0.0	0.0	0.0	0.0	0.1	9.5
100-120	0.4	0.8	0.2	0.0	0.0	0.0	0.0	0.0	0.0	0.0	0.0	0.0	0.0	0.0	0.0	0.0	1.4
120-140	0.0	0.1	0.0	0.0	0.0	0.0	0.0	0.0	0.0	0.0	0.0	0.0	0.0	0.0	0.0	0.0	0.1
140-160	0.0	0.0	0.0	0.0	0.0	0.0	0.0	0.0	0.0	0.0	0.0	0.0	0.0	0.0	0.0	0.0	0.0
160-180	0.0	0.0	0.0	0.0	0.0	0.0	0.0	0.0	0.0	0.0	0.0	0.0	0.0	0.0	0.0	0.0	0.0
180-200	0.0	0.0	0.0	0.0	0.0	0.0	0.0	0.0	0.0	0.0	0.0	0.0	0.0	0.0	0.0	0.0	0.0
Total	24.6	40.8	20.3	2.5	0.7	0.3	0.1	0.2	0.0	0.1	0.3	0.2	0.5	0.7	1.9	6.9	100.0

Mean U and V : 16.7 (cm/s), 46.4 (cm/s)

Standard deviation of U and V : 19.1 (cm/s), 21.4 (cm/s)

Maximun speed and it's direction : 135.5 (cm/s), 26.9 (deg.)

Mean speed and direction : 49.3 (cm/s), 19.7 (deg.)

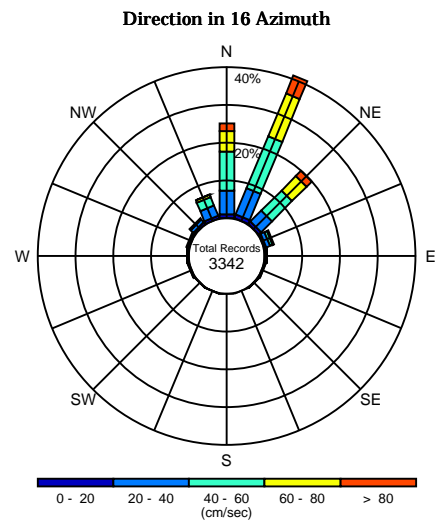
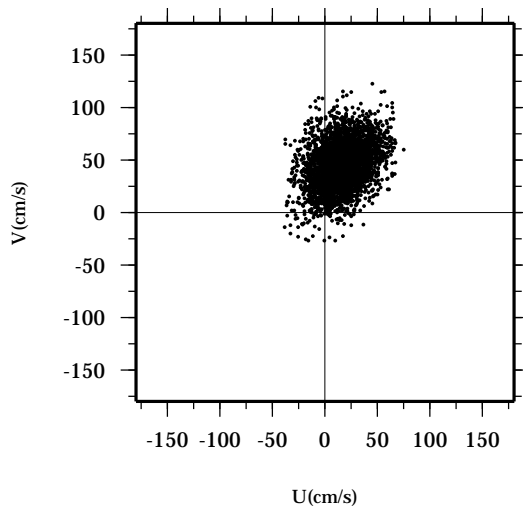
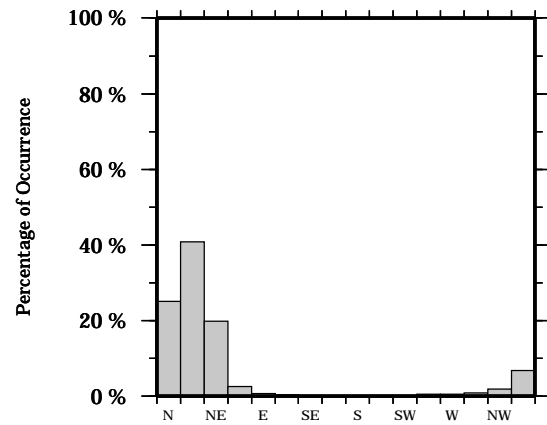
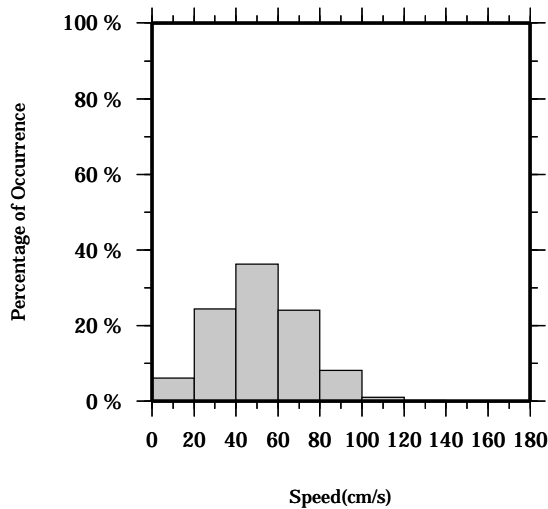
Speed scalar average : 53.0 (cm/s)

LON: 121° 17.4341' E

Station: W104

LAT: 22° 38.8623' N

Depth: 146 M



Joint probability distribution of current speed and it's direction

Speed	N	NNE	NE	ENE	E	ESE	SE	SSE	S	SSW	SW	WSW	W	WNW	NW	NNW	Total
0-20	1.0	1.0	0.7	0.4	0.2	0.3	0.1	0.0	0.0	0.1	0.1	0.2	0.3	0.4	0.6	0.7	6.1
20-40	6.2	7.5	4.2	1.1	0.4	0.1	0.0	0.0	0.1	0.1	0.1	0.2	0.1	0.4	0.9	3.0	24.4
40-60	10.4	14.8	7.5	0.8	0.0	0.0	0.0	0.0	0.0	0.0	0.0	0.0	0.0	0.0	0.4	2.4	36.2
60-80	5.4	12.3	5.4	0.3	0.0	0.0	0.0	0.0	0.0	0.0	0.0	0.0	0.0	0.0	0.0	0.7	24.1
80-100	1.7	4.5	1.8	0.0	0.0	0.0	0.0	0.0	0.0	0.0	0.0	0.0	0.0	0.0	0.0	0.1	8.1
100-120	0.4	0.5	0.2	0.0	0.0	0.0	0.0	0.0	0.0	0.0	0.0	0.0	0.0	0.0	0.0	0.0	1.0
120-140	0.0	0.1	0.0	0.0	0.0	0.0	0.0	0.0	0.0	0.0	0.0	0.0	0.0	0.0	0.0	0.0	0.1
140-160	0.0	0.0	0.0	0.0	0.0	0.0	0.0	0.0	0.0	0.0	0.0	0.0	0.0	0.0	0.0	0.0	0.0
160-180	0.0	0.0	0.0	0.0	0.0	0.0	0.0	0.0	0.0	0.0	0.0	0.0	0.0	0.0	0.0	0.0	0.0
180-200	0.0	0.0	0.0	0.0	0.0	0.0	0.0	0.0	0.0	0.0	0.0	0.0	0.0	0.0	0.0	0.0	0.0
Total	25.0	40.8	19.7	2.6	0.6	0.4	0.2	0.0	0.1	0.1	0.1	0.5	0.5	0.8	1.9	6.7	100.0

Mean U and V : 15.9 (cm/s), 45.0 (cm/s)

Standard deviation of U and V : 18.6 (cm/s), 21.1 (cm/s)

Maximun speed and it's direction : 130.0 (cm/s), 20.2 (deg.)

Mean speed and direction : 47.7 (cm/s), 19.4 (deg.)

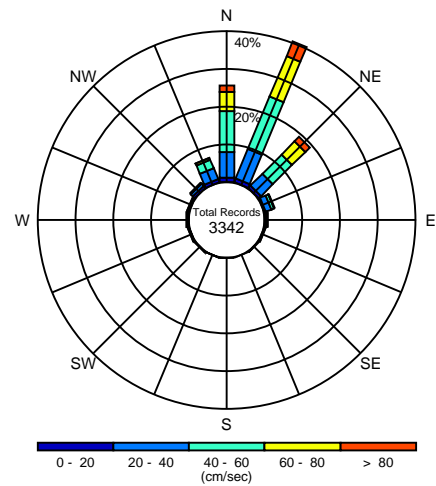
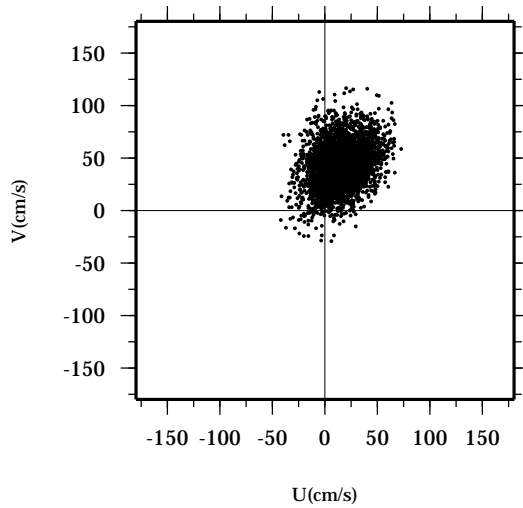
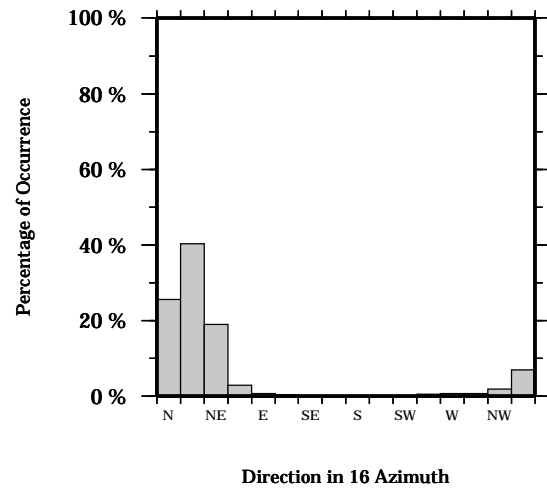
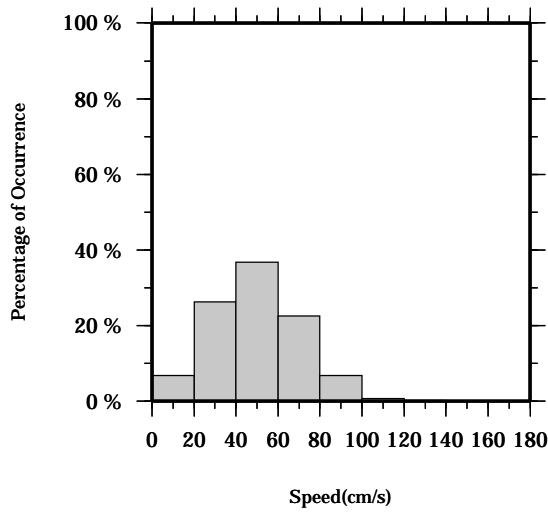
Speed scalar average : 51.3 (cm/s)

LON: 121° 17.4341' E

Station: W104

LAT: 22° 38.8623' N

Depth: 150 M



Joint probability distribution of current speed and it's direction

Speed	N	NNE	NE	ENE	E	ESE	SE	SSE	S	SSW	SW	WSW	W	WNW	NW	NNW	Total
0-20	1.1	1.0	0.7	0.4	0.4	0.2	0.2	0.0	0.0	0.1	0.1	0.1	0.5	0.3	0.7	0.9	6.8
20-40	6.8	8.3	4.5	1.5	0.3	0.1	0.0	0.1	0.1	0.0	0.1	0.2	0.2	0.4	0.8	3.0	26.3
40-60	10.8	15.1	7.2	0.8	0.0	0.0	0.0	0.0	0.0	0.0	0.0	0.1	0.0	0.0	0.4	2.4	36.7
60-80	5.0	11.7	5.0	0.3	0.0	0.0	0.0	0.0	0.0	0.0	0.0	0.0	0.0	0.0	0.0	0.6	22.6
80-100	1.6	3.8	1.5	0.0	0.0	0.0	0.0	0.0	0.0	0.0	0.0	0.0	0.0	0.0	0.0	0.0	6.9
100-120	0.2	0.3	0.1	0.0	0.0	0.0	0.0	0.0	0.0	0.0	0.0	0.0	0.0	0.0	0.0	0.0	0.7
120-140	0.0	0.1	0.0	0.0	0.0	0.0	0.0	0.0	0.0	0.0	0.0	0.0	0.0	0.0	0.0	0.0	0.1
140-160	0.0	0.0	0.0	0.0	0.0	0.0	0.0	0.0	0.0	0.0	0.0	0.0	0.0	0.0	0.0	0.0	0.0
160-180	0.0	0.0	0.0	0.0	0.0	0.0	0.0	0.0	0.0	0.0	0.0	0.0	0.0	0.0	0.0	0.0	0.0
180-200	0.0	0.0	0.0	0.0	0.0	0.0	0.0	0.0	0.0	0.0	0.0	0.0	0.0	0.0	0.0	0.0	0.0
Total	25.5	40.3	19.0	2.9	0.7	0.3	0.2	0.1	0.1	0.1	0.2	0.4	0.7	0.7	1.9	6.9	100.0

Mean U and V : 15.1 (cm/s), 43.6 (cm/s)

Standard deviation of U and V : 18.1 (cm/s), 20.7 (cm/s)

Maximun speed and it's direction : 122.6 (cm/s), 19.1 (deg.)

Mean speed and direction : 46.2 (cm/s), 19.1 (deg.)

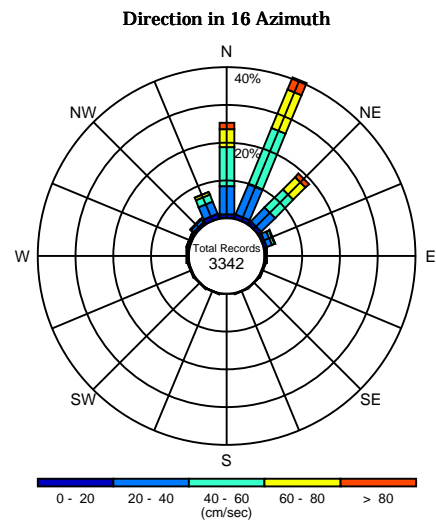
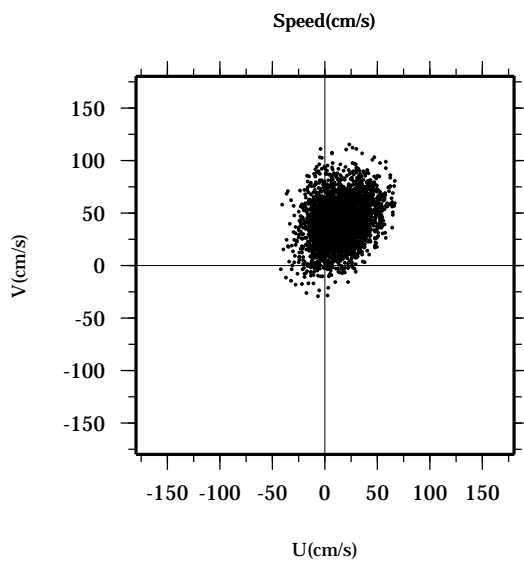
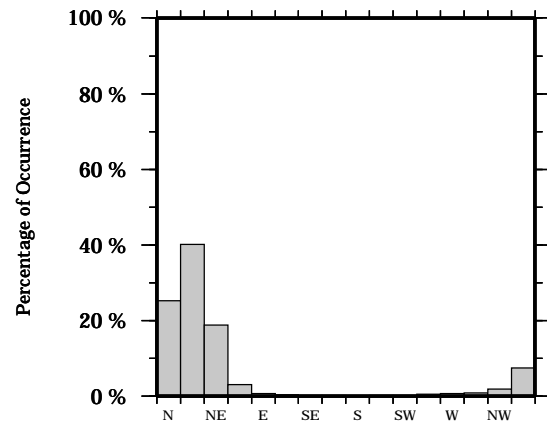
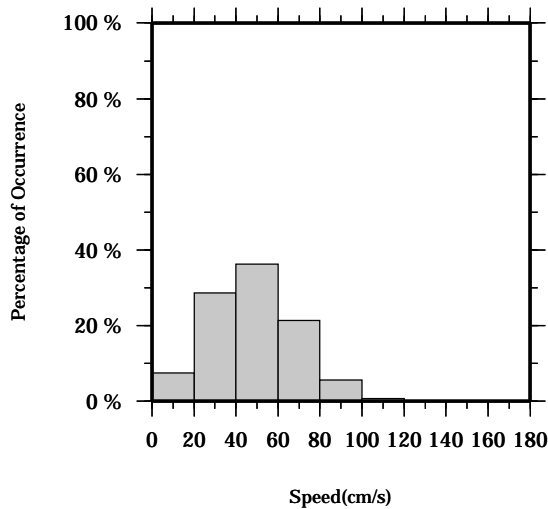
Speed scalar average : 49.8 (cm/s)

LON: 121° 17.4341' E

Station: W104

LAT: 22° 38.8623' N

Depth: 154 M



Joint probability distribution of current speed and it's direction

Speed	N	NNE	NE	ENE	E	ESE	SE	SSE	S	SSW	SW	WSW	W	WNW	NW	NNW	Total
0-20	1.0	1.0	0.9	0.6	0.2	0.3	0.1	0.2	0.0	0.1	0.1	0.3	0.4	0.3	0.7	1.1	7.4
20-40	7.4	8.6	5.2	1.4	0.4	0.1	0.0	0.0	0.1	0.1	0.1	0.2	0.3	0.4	0.9	3.6	28.7
40-60	10.2	16.1	6.8	0.9	0.0	0.0	0.0	0.0	0.0	0.0	0.0	0.0	0.0	0.1	0.2	2.0	36.2
60-80	4.9	11.1	4.6	0.1	0.0	0.0	0.0	0.0	0.0	0.0	0.0	0.0	0.0	0.0	0.0	0.7	21.4
80-100	1.4	3.0	1.2	0.0	0.0	0.0	0.0	0.0	0.0	0.0	0.0	0.0	0.0	0.0	0.0	0.0	5.7
100-120	0.2	0.3	0.1	0.0	0.0	0.0	0.0	0.0	0.0	0.0	0.0	0.0	0.0	0.0	0.0	0.0	0.7
120-140	0.0	0.0	0.0	0.0	0.0	0.0	0.0	0.0	0.0	0.0	0.0	0.0	0.0	0.0	0.0	0.0	0.0
140-160	0.0	0.0	0.0	0.0	0.0	0.0	0.0	0.0	0.0	0.0	0.0	0.0	0.0	0.0	0.0	0.0	0.0
160-180	0.0	0.0	0.0	0.0	0.0	0.0	0.0	0.0	0.0	0.0	0.0	0.0	0.0	0.0	0.0	0.0	0.0
180-200	0.0	0.0	0.0	0.0	0.0	0.0	0.0	0.0	0.0	0.0	0.0	0.0	0.0	0.0	0.0	0.0	0.0
Total	25.2	40.2	18.8	3.1	0.6	0.4	0.1	0.2	0.1	0.2	0.2	0.5	0.7	0.8	1.8	7.4	100.0

Mean U and V : 14.5 (cm/s), 42.4 (cm/s)

Standard deviation of U and V : 17.7 (cm/s), 20.4 (cm/s)

Maximun speed and it's direction : 117.1 (cm/s), 11.2 (deg.)

Mean speed and direction : 44.8 (cm/s), 18.9 (deg.)

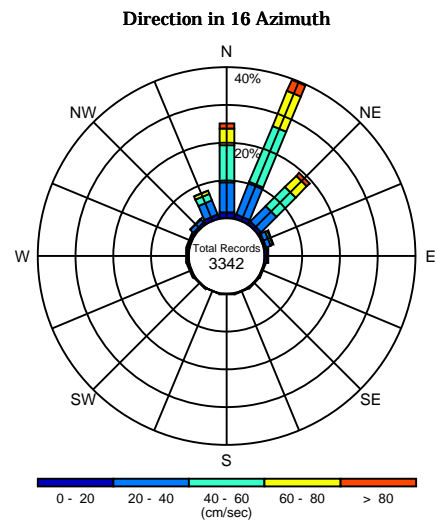
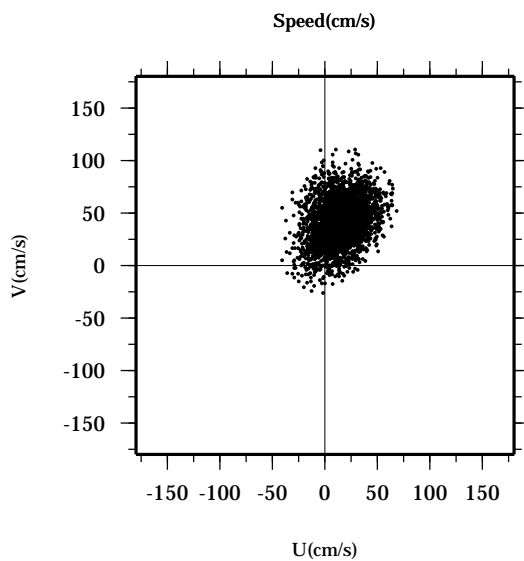
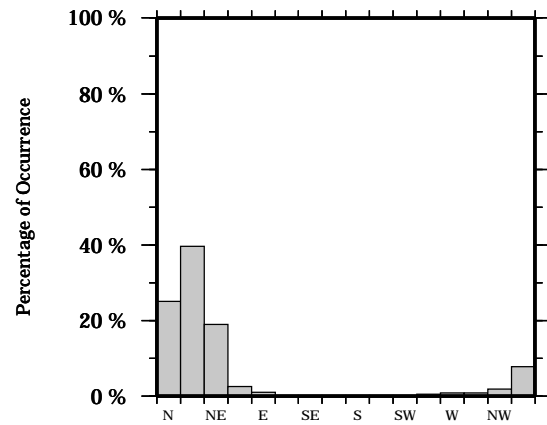
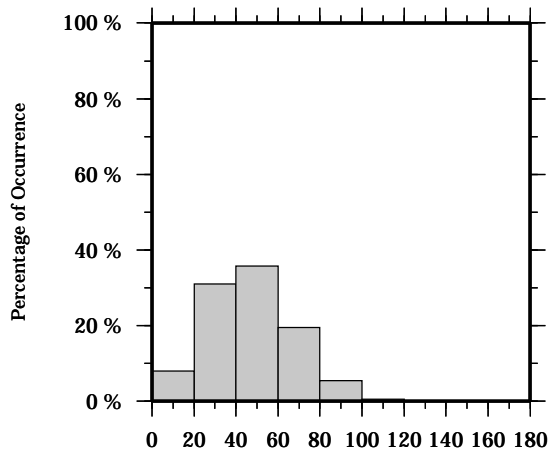
Speed scalar average : 48.3 (cm/s)

LON: 121° 17.4341' E

Station: W104

LAT: 22° 38.8623' N

Depth: 158 M



Joint probability distribution of current speed and it's direction

Speed	N	NNE	NE	ENE	E	ESE	SE	SSE	S	SSW	SW	WSW	W	WNW	NW	NNW	Total
0-20	1.4	1.1	0.8	0.4	0.5	0.1	0.2	0.2	0.1	0.0	0.1	0.3	0.5	0.4	0.6	1.0	8.0
20-40	8.0	9.2	5.8	1.3	0.4	0.1	0.0	0.0	0.0	0.1	0.1	0.2	0.3	0.4	1.0	4.0	31.0
40-60	9.8	16.0	7.1	0.7	0.0	0.0	0.0	0.0	0.0	0.0	0.0	0.0	0.0	0.0	0.1	1.9	35.7
60-80	4.2	10.0	4.2	0.2	0.0	0.0	0.0	0.0	0.0	0.0	0.0	0.0	0.0	0.0	0.0	0.8	19.5
80-100	1.3	2.9	1.1	0.0	0.0	0.0	0.0	0.0	0.0	0.0	0.0	0.0	0.0	0.0	0.0	0.0	5.4
100-120	0.1	0.3	0.0	0.0	0.0	0.0	0.0	0.0	0.0	0.0	0.0	0.0	0.0	0.0	0.0	0.0	0.4
120-140	0.0	0.0	0.0	0.0	0.0	0.0	0.0	0.0	0.0	0.0	0.0	0.0	0.0	0.0	0.0	0.0	0.0
140-160	0.0	0.0	0.0	0.0	0.0	0.0	0.0	0.0	0.0	0.0	0.0	0.0	0.0	0.0	0.0	0.0	0.0
160-180	0.0	0.0	0.0	0.0	0.0	0.0	0.0	0.0	0.0	0.0	0.0	0.0	0.0	0.0	0.0	0.0	0.0
180-200	0.0	0.0	0.0	0.0	0.0	0.0	0.0	0.0	0.0	0.0	0.0	0.0	0.0	0.0	0.0	0.0	0.0
Total	25.0	39.6	19.0	2.6	1.0	0.2	0.2	0.2	0.1	0.1	0.2	0.5	0.8	0.8	1.8	7.8	100.0

Mean U and V : 13.9 (cm/s), 41.1 (cm/s)

Standard deviation of U and V : 17.4 (cm/s), 20.2 (cm/s)

Maximun speed and it's direction : 114.1 (cm/s), 14.6 (deg.)

Mean speed and direction : 43.4 (cm/s), 18.7 (deg.)

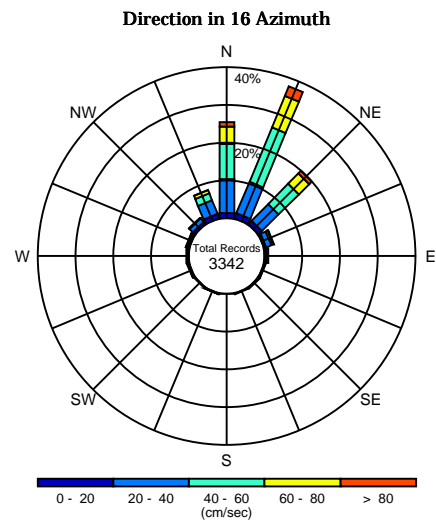
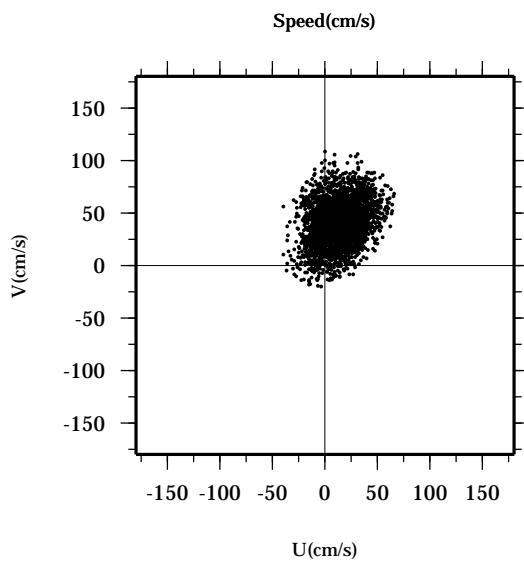
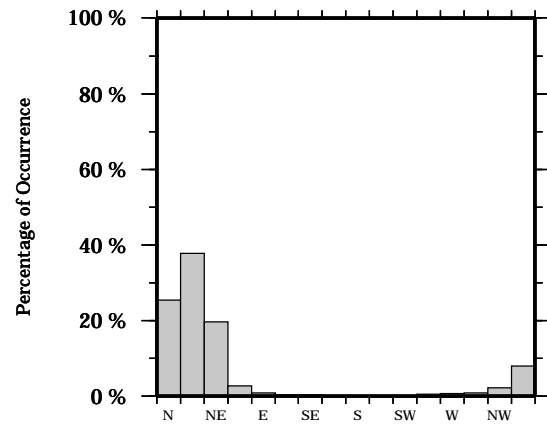
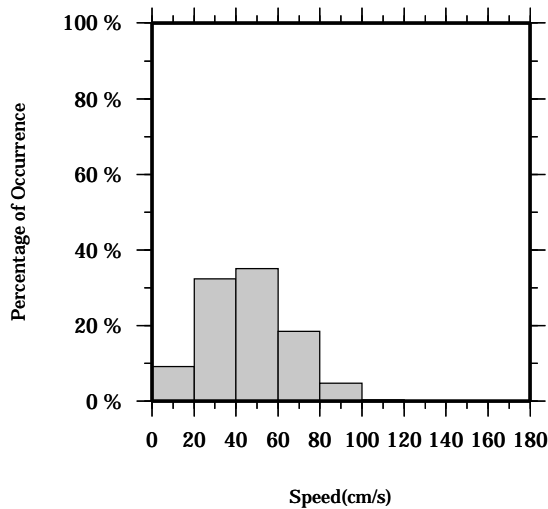
Speed scalar average : 47.0 (cm/s)

LON: 121° 17.4341' E

Station: W104

LAT: 22° 38.8623' N

Depth: 162 M



Joint probability distribution of current speed and it's direction

Speed	N	NNE	NE	ENE	E	ESE	SE	SSE	S	SSW	SW	WSW	W	WNW	NW	NNW	Total
0-20	1.3	1.5	1.1	0.5	0.4	0.3	0.4	0.2	0.0	0.2	0.1	0.4	0.4	0.5	0.7	1.1	9.1
20-40	9.0	8.9	6.2	1.5	0.4	0.1	0.0	0.0	0.0	0.1	0.1	0.1	0.3	0.4	1.2	4.0	32.3
40-60	9.2	15.6	7.5	0.6	0.0	0.0	0.0	0.0	0.0	0.0	0.0	0.0	0.0	0.1	0.2	2.0	35.1
60-80	4.6	8.9	3.9	0.1	0.0	0.0	0.0	0.0	0.0	0.0	0.0	0.0	0.0	0.0	0.0	0.8	18.4
80-100	1.1	2.7	0.9	0.0	0.0	0.0	0.0	0.0	0.0	0.0	0.0	0.0	0.0	0.0	0.0	0.1	4.8
100-120	0.1	0.2	0.0	0.0	0.0	0.0	0.0	0.0	0.0	0.0	0.0	0.0	0.0	0.0	0.0	0.0	0.3
120-140	0.0	0.0	0.0	0.0	0.0	0.0	0.0	0.0	0.0	0.0	0.0	0.0	0.0	0.0	0.0	0.0	0.0
140-160	0.0	0.0	0.0	0.0	0.0	0.0	0.0	0.0	0.0	0.0	0.0	0.0	0.0	0.0	0.0	0.0	0.0
160-180	0.0	0.0	0.0	0.0	0.0	0.0	0.0	0.0	0.0	0.0	0.0	0.0	0.0	0.0	0.0	0.0	0.0
180-200	0.0	0.0	0.0	0.0	0.0	0.0	0.0	0.0	0.0	0.0	0.0	0.0	0.0	0.0	0.0	0.0	0.0
Total	25.3	37.7	19.7	2.7	0.9	0.4	0.4	0.2	0.0	0.2	0.2	0.6	0.7	0.9	2.2	8.0	100.0

Mean U and V : 13.4 (cm/s), 39.8 (cm/s)

Standard deviation of U and V : 17.1 (cm/s), 20.0 (cm/s)

Maximun speed and it's direction : 110.1 (cm/s), 16.2 (deg.)

Mean speed and direction : 42.0 (cm/s), 18.6 (deg.)

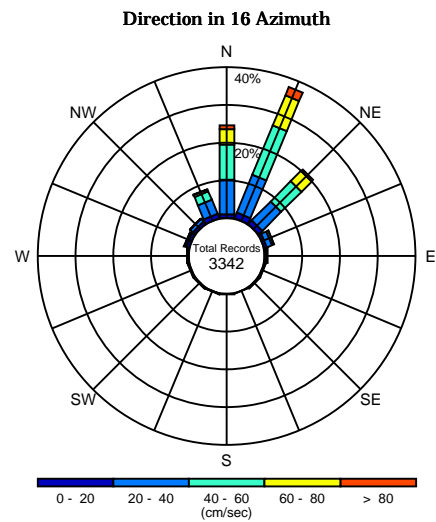
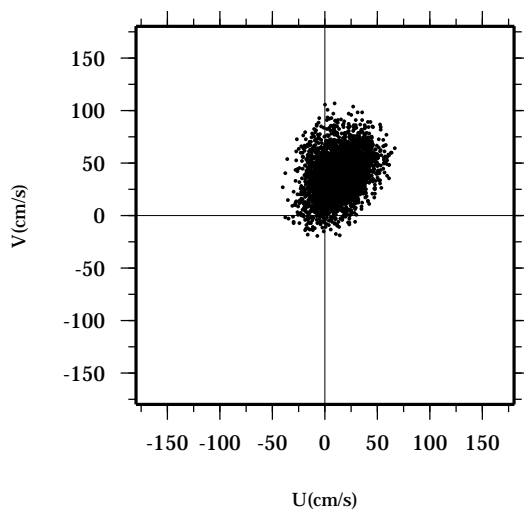
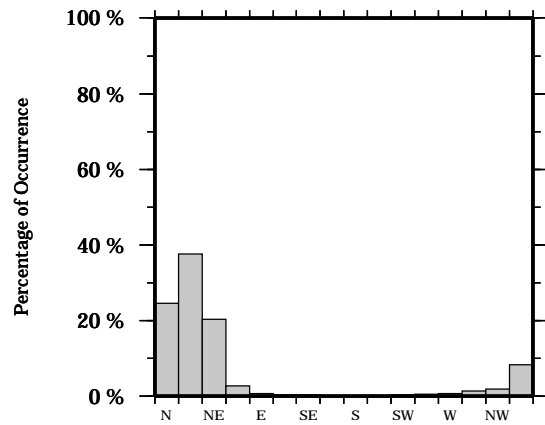
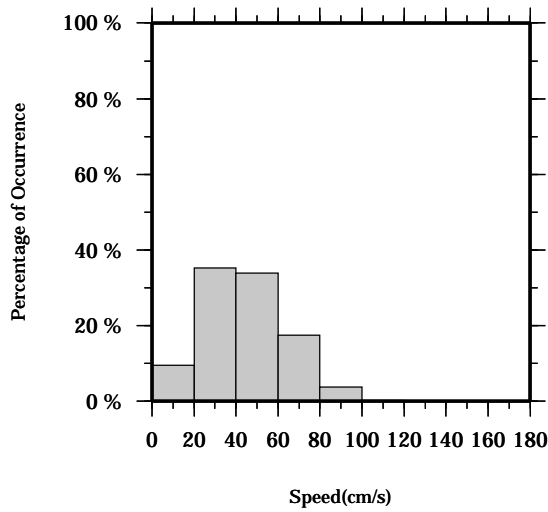
Speed scalar average : 45.6 (cm/s)

LON: 121° 17.4341' E

Station: W104

LAT: 22° 38.8623' N

Depth: 166 M



Joint probability distribution of current speed and it's direction

Speed	N	NNE	NE	ENE	E	ESE	SE	SSE	S	SSW	SW	WSW	W	WNW	NW	NNW	Total
0-20	1.0	1.6	1.2	0.6	0.3	0.2	0.3	0.1	0.2	0.1	0.2	0.4	0.3	0.8	0.8	1.2	9.4
20-40	9.2	10.8	7.2	1.5	0.4	0.1	0.0	0.0	0.0	0.0	0.1	0.1	0.3	0.6	1.0	4.0	35.3
40-60	9.2	14.1	7.5	0.6	0.0	0.0	0.0	0.0	0.0	0.0	0.0	0.0	0.0	0.0	0.1	2.4	33.8
60-80	4.1	8.7	3.9	0.1	0.0	0.0	0.0	0.0	0.0	0.0	0.0	0.0	0.0	0.0	0.0	0.6	17.5
80-100	1.0	2.2	0.5	0.0	0.0	0.0	0.0	0.0	0.0	0.0	0.0	0.0	0.0	0.0	0.0	0.0	3.8
100-120	0.1	0.1	0.0	0.0	0.0	0.0	0.0	0.0	0.0	0.0	0.0	0.0	0.0	0.0	0.0	0.0	0.2
120-140	0.0	0.0	0.0	0.0	0.0	0.0	0.0	0.0	0.0	0.0	0.0	0.0	0.0	0.0	0.0	0.0	0.0
140-160	0.0	0.0	0.0	0.0	0.0	0.0	0.0	0.0	0.0	0.0	0.0	0.0	0.0	0.0	0.0	0.0	0.0
160-180	0.0	0.0	0.0	0.0	0.0	0.0	0.0	0.0	0.0	0.0	0.0	0.0	0.0	0.0	0.0	0.0	0.0
180-200	0.0	0.0	0.0	0.0	0.0	0.0	0.0	0.0	0.0	0.0	0.0	0.0	0.0	0.0	0.0	0.0	0.0
Total	24.5	37.5	20.3	2.8	0.7	0.4	0.3	0.1	0.2	0.2	0.4	0.5	0.6	1.4	1.9	8.3	100.0

Mean U and V : 13.0 (cm/s), 38.6 (cm/s)

Standard deviation of U and V : 16.8 (cm/s), 19.8 (cm/s)

Maximun speed and it's direction : 106.8 (cm/s), 4.7 (deg.)

Mean speed and direction : 40.7 (cm/s), 18.6 (deg.)

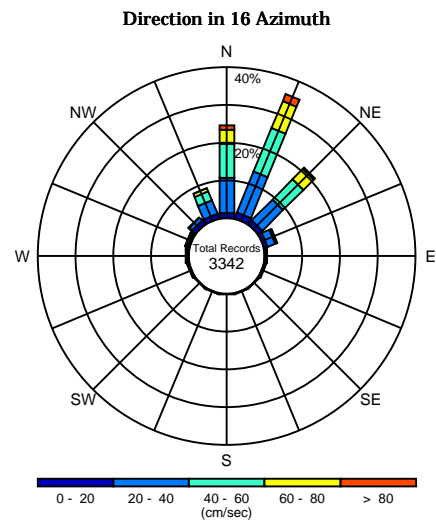
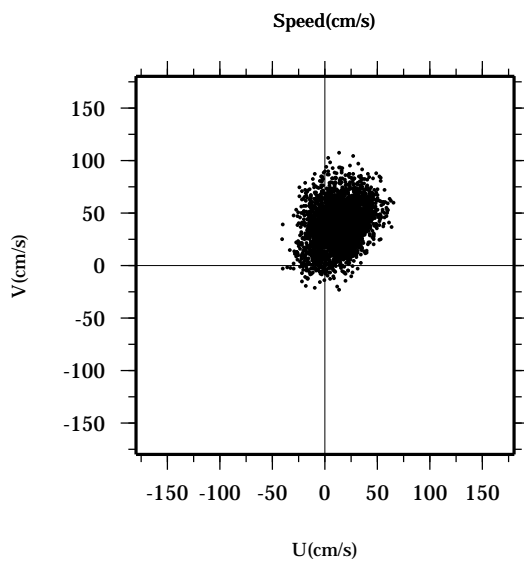
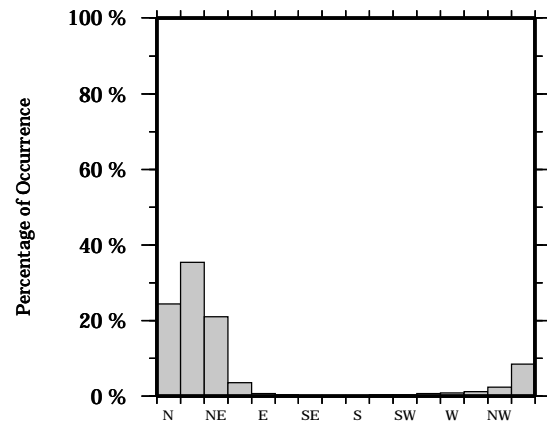
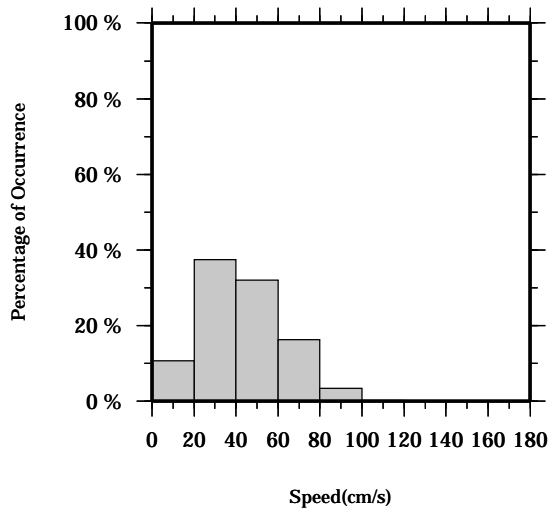
Speed scalar average : 44.3 (cm/s)

LON: 121° 17.4341' E

Station: W104

LAT: 22° 38.8623' N

Depth: 170 M



Joint probability distribution of current speed and it's direction

Speed	N	NNE	NE	ENE	E	ESE	SE	SSE	S	SSW	SW	WSW	W	WNW	NW	NNW	Total
0-20	1.3	1.6	1.3	0.8	0.4	0.3	0.1	0.1	0.1	0.3	0.1	0.5	0.5	0.5	1.3	1.3	10.7
20-40	9.3	11.6	7.8	2.2	0.2	0.1	0.0	0.1	0.0	0.0	0.1	0.1	0.3	0.6	1.0	3.9	37.4
40-60	8.9	12.4	7.5	0.5	0.0	0.0	0.0	0.0	0.0	0.0	0.0	0.0	0.0	0.0	0.1	2.5	32.0
60-80	3.8	7.7	3.8	0.0	0.0	0.0	0.0	0.0	0.0	0.0	0.0	0.0	0.0	0.0	0.0	0.8	16.2
80-100	1.0	1.9	0.5	0.0	0.0	0.0	0.0	0.0	0.0	0.0	0.0	0.0	0.0	0.0	0.0	0.0	3.5
100-120	0.1	0.1	0.0	0.0	0.0	0.0	0.0	0.0	0.0	0.0	0.0	0.0	0.0	0.0	0.0	0.0	0.1
120-140	0.0	0.0	0.0	0.0	0.0	0.0	0.0	0.0	0.0	0.0	0.0	0.0	0.0	0.0	0.0	0.0	0.0
140-160	0.0	0.0	0.0	0.0	0.0	0.0	0.0	0.0	0.0	0.0	0.0	0.0	0.0	0.0	0.0	0.0	0.0
160-180	0.0	0.0	0.0	0.0	0.0	0.0	0.0	0.0	0.0	0.0	0.0	0.0	0.0	0.0	0.0	0.0	0.0
180-200	0.0	0.0	0.0	0.0	0.0	0.0	0.0	0.0	0.0	0.0	0.0	0.0	0.0	0.0	0.0	0.0	0.0
Total	24.4	35.4	20.9	3.6	0.7	0.4	0.2	0.2	0.1	0.3	0.3	0.6	0.8	1.2	2.4	8.5	100.0

Mean U and V : 12.5 (cm/s), 37.3 (cm/s)

Standard deviation of U and V : 16.7 (cm/s), 19.7 (cm/s)

Maximun speed and it's direction : 108.1 (cm/s), 7.0 (deg.)

Mean speed and direction : 39.3 (cm/s), 18.5 (deg.)

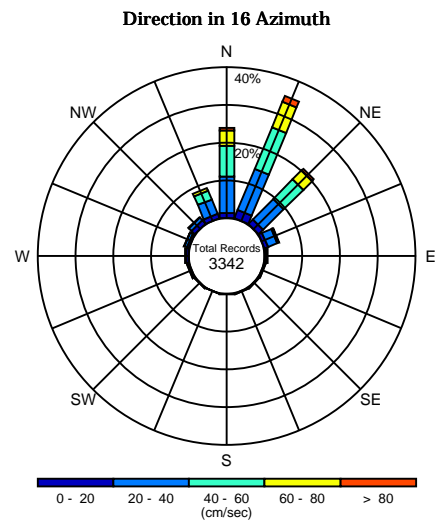
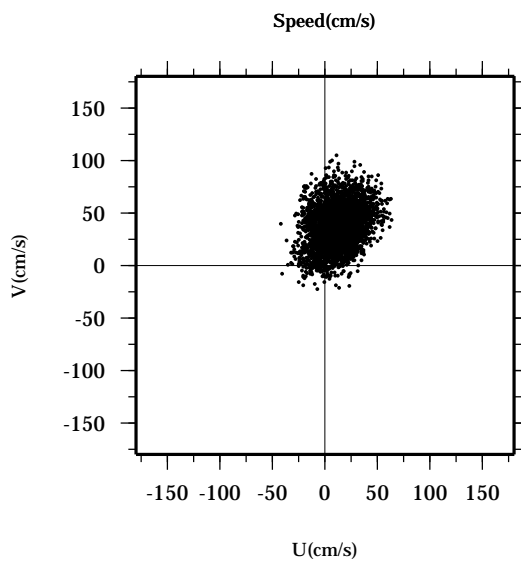
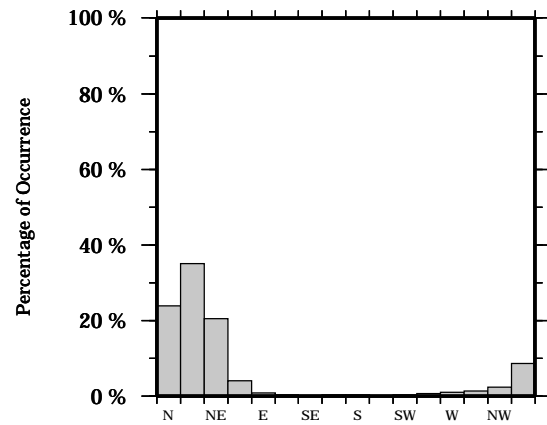
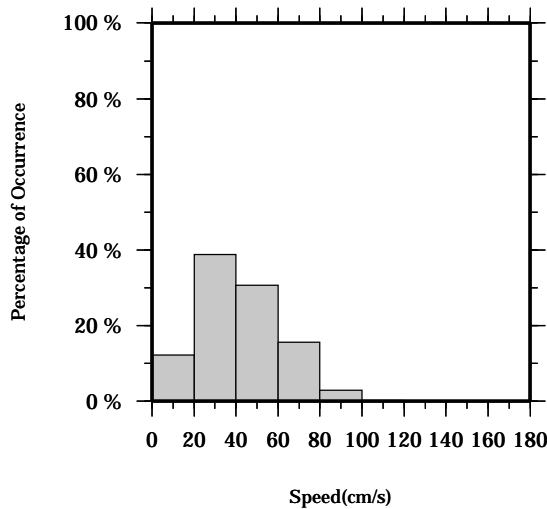
Speed scalar average : 43.0 (cm/s)

LON: 121° 17.4341' E

Station: W104

LAT: 22° 38.8623' N

Depth: 174 M



Joint probability distribution of current speed and it's direction

Speed	N	NNE	NE	ENE	E	ESE	SE	SSE	S	SSW	SW	WSW	W	WNW	NW	NNW	Total
0-20	1.3	2.2	1.6	0.9	0.5	0.2	0.2	0.2	0.3	0.1	0.2	0.4	0.7	0.7	1.2	1.2	12.1
20-40	9.6	11.8	7.7	2.7	0.3	0.1	0.0	0.1	0.0	0.1	0.0	0.2	0.3	0.7	1.0	4.1	38.7
40-60	8.2	11.9	7.2	0.4	0.0	0.0	0.0	0.0	0.0	0.0	0.0	0.0	0.0	0.0	0.1	2.5	30.6
60-80	4.0	7.3	3.4	0.1	0.0	0.0	0.0	0.0	0.0	0.0	0.0	0.0	0.0	0.0	0.0	0.7	15.5
80-100	0.7	1.6	0.5	0.0	0.0	0.0	0.0	0.0	0.0	0.0	0.0	0.0	0.0	0.0	0.0	0.0	2.9
100-120	0.1	0.1	0.0	0.0	0.0	0.0	0.0	0.0	0.0	0.0	0.0	0.0	0.0	0.0	0.0	0.0	0.1
120-140	0.0	0.0	0.0	0.0	0.0	0.0	0.0	0.0	0.0	0.0	0.0	0.0	0.0	0.0	0.0	0.0	0.0
140-160	0.0	0.0	0.0	0.0	0.0	0.0	0.0	0.0	0.0	0.0	0.0	0.0	0.0	0.0	0.0	0.0	0.0
160-180	0.0	0.0	0.0	0.0	0.0	0.0	0.0	0.0	0.0	0.0	0.0	0.0	0.0	0.0	0.0	0.0	0.0
180-200	0.0	0.0	0.0	0.0	0.0	0.0	0.0	0.0	0.0	0.0	0.0	0.0	0.0	0.0	0.0	0.0	0.0
Total	23.9	35.0	20.5	4.1	0.8	0.3	0.2	0.3	0.3	0.1	0.3	0.7	1.1	1.4	2.4	8.6	100.0

Mean U and V : 12.0 (cm/s), 36.0 (cm/s)

Standard deviation of U and V : 16.5 (cm/s), 19.7 (cm/s)

Maximun speed and it's direction : 105.1 (cm/s), 5.9 (deg.)

Mean speed and direction : 38.0 (cm/s), 18.4 (deg.)

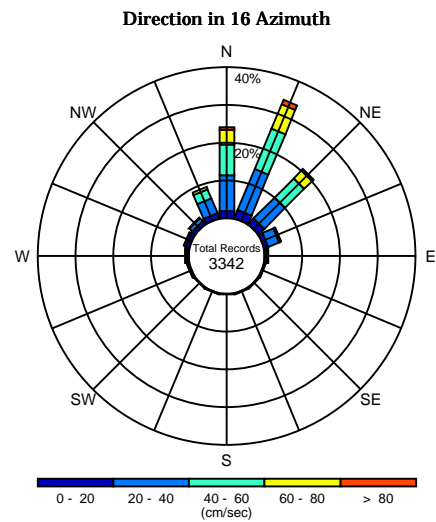
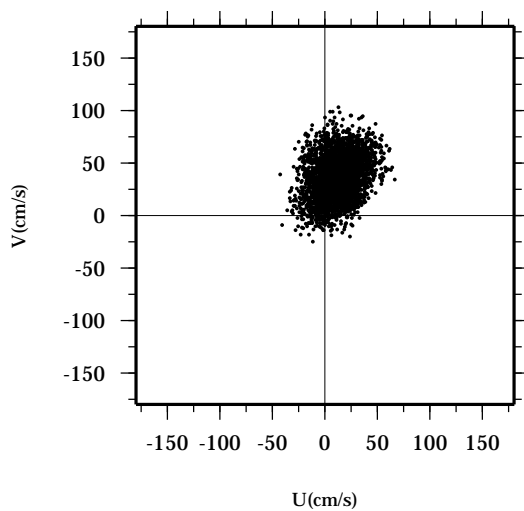
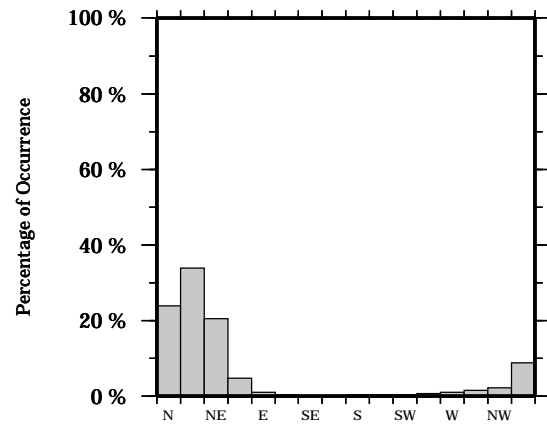
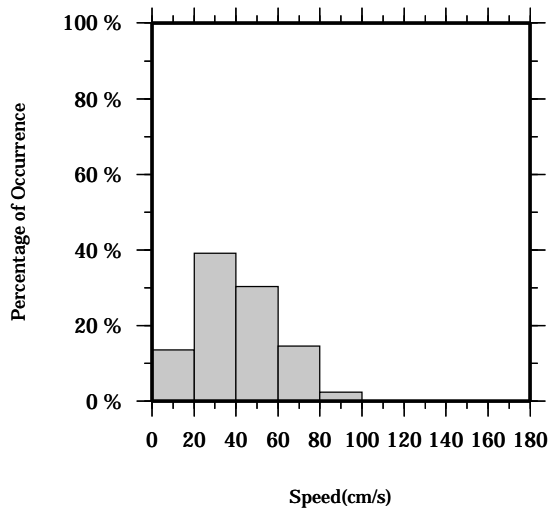
Speed scalar average : 41.7 (cm/s)

LON: 121° 17.4341' E

Station: W104

LAT: 22° 38.8623' N

Depth: 178 M



Joint probability distribution of current speed and it's direction

Speed	N	NNE	NE	ENE	E	ESE	SE	SSE	S	SSW	SW	WSW	W	WNW	NW	NNW	Total
0-20	1.9	2.3	2.0	1.0	0.6	0.2	0.1	0.2	0.3	0.3	0.3	0.4	0.6	1.0	1.0	1.4	13.6
20-40	9.3	11.7	7.8	3.1	0.4	0.1	0.1	0.0	0.0	0.0	0.1	0.1	0.4	0.6	1.1	4.2	39.1
40-60	8.2	11.6	7.2	0.4	0.0	0.0	0.0	0.0	0.0	0.0	0.0	0.0	0.0	0.0	0.2	2.6	30.3
60-80	3.9	6.9	3.0	0.1	0.0	0.0	0.0	0.0	0.0	0.0	0.0	0.0	0.0	0.0	0.0	0.7	14.6
80-100	0.6	1.3	0.5	0.0	0.0	0.0	0.0	0.0	0.0	0.0	0.0	0.0	0.0	0.0	0.0	0.0	2.4
100-120	0.0	0.0	0.0	0.0	0.0	0.0	0.0	0.0	0.0	0.0	0.0	0.0	0.0	0.0	0.0	0.0	0.1
120-140	0.0	0.0	0.0	0.0	0.0	0.0	0.0	0.0	0.0	0.0	0.0	0.0	0.0	0.0	0.0	0.0	0.0
140-160	0.0	0.0	0.0	0.0	0.0	0.0	0.0	0.0	0.0	0.0	0.0	0.0	0.0	0.0	0.0	0.0	0.0
160-180	0.0	0.0	0.0	0.0	0.0	0.0	0.0	0.0	0.0	0.0	0.0	0.0	0.0	0.0	0.0	0.0	0.0
180-200	0.0	0.0	0.0	0.0	0.0	0.0	0.0	0.0	0.0	0.0	0.0	0.0	0.0	0.0	0.0	0.0	0.0
Total	23.9	33.8	20.5	4.7	1.0	0.4	0.2	0.2	0.3	0.3	0.3	0.6	1.0	1.6	2.3	8.9	100.0

Mean U and V : 11.5 (cm/s), 34.8 (cm/s)

Standard deviation of U and V : 16.4 (cm/s), 19.7 (cm/s)

Maximun speed and it's direction : 103.4 (cm/s), 7.1 (deg.)

Mean speed and direction : 36.6 (cm/s), 18.3 (deg.)

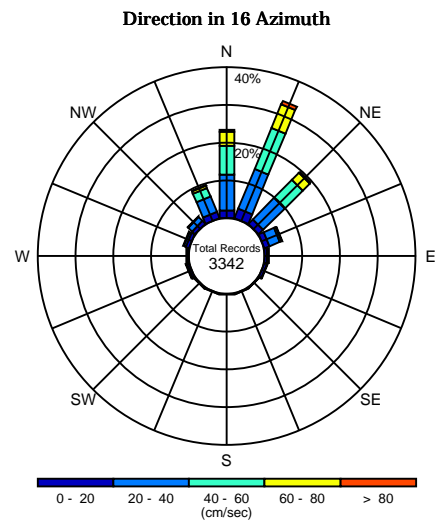
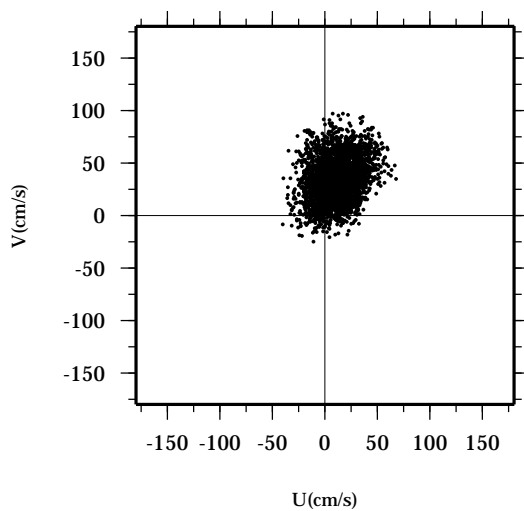
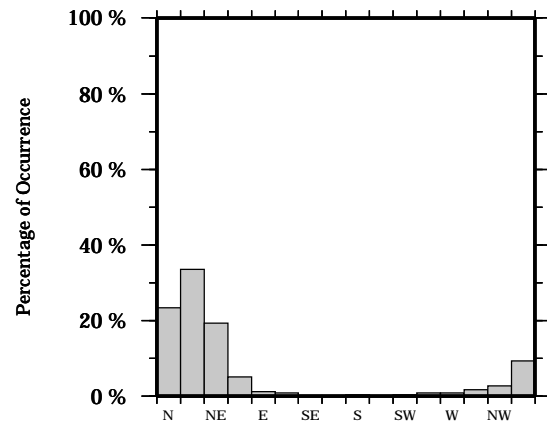
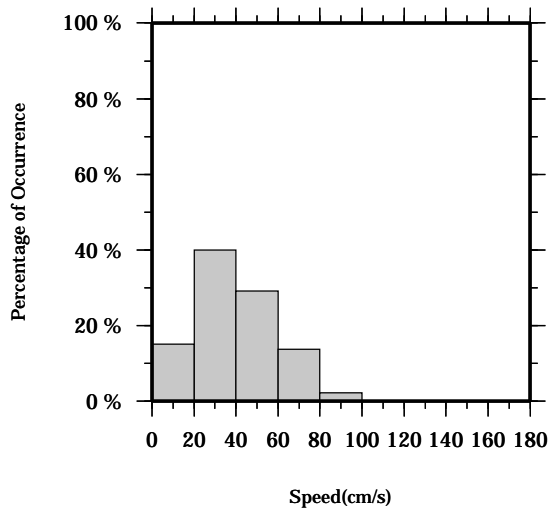
Speed scalar average : 40.5 (cm/s)

LON: 121° 17.4341' E

Station: W104

LAT: 22° 38.8623' N

Depth: 182 M



Joint probability distribution of current speed and it's direction

Speed	N	NNE	NE	ENE	E	ESE	SE	SSE	S	SSW	SW	WSW	W	WNW	NW	NNW	Total
0-20	2.0	2.6	1.7	1.4	0.6	0.7	0.1	0.2	0.3	0.2	0.3	0.7	0.5	1.0	1.1	1.8	15.0
20-40	9.5	11.4	8.0	3.0	0.6	0.1	0.1	0.0	0.0	0.0	0.1	0.2	0.3	0.6	1.5	4.4	39.9
40-60	7.5	11.8	6.6	0.5	0.0	0.0	0.0	0.0	0.0	0.0	0.0	0.0	0.0	0.0	0.2	2.4	29.1
60-80	3.7	6.6	2.6	0.1	0.0	0.0	0.0	0.0	0.0	0.0	0.0	0.0	0.0	0.0	0.0	0.7	13.7
80-100	0.6	1.0	0.4	0.0	0.0	0.0	0.0	0.0	0.0	0.0	0.0	0.0	0.0	0.0	0.0	0.1	2.2
100-120	0.0	0.0	0.0	0.0	0.0	0.0	0.0	0.0	0.0	0.0	0.0	0.0	0.0	0.0	0.0	0.0	0.0
120-140	0.0	0.0	0.0	0.0	0.0	0.0	0.0	0.0	0.0	0.0	0.0	0.0	0.0	0.0	0.0	0.0	0.0
140-160	0.0	0.0	0.0	0.0	0.0	0.0	0.0	0.0	0.0	0.0	0.0	0.0	0.0	0.0	0.0	0.0	0.0
160-180	0.0	0.0	0.0	0.0	0.0	0.0	0.0	0.0	0.0	0.0	0.0	0.0	0.0	0.0	0.0	0.0	0.0
180-200	0.0	0.0	0.0	0.0	0.0	0.0	0.0	0.0	0.0	0.0	0.0	0.0	0.0	0.0	0.0	0.0	0.0
Total	23.4	33.5	19.4	5.0	1.1	0.8	0.2	0.2	0.3	0.2	0.4	0.9	0.8	1.6	2.7	9.4	100.0

Mean U and V : 11.0 (cm/s), 33.6 (cm/s)

Standard deviation of U and V : 16.4 (cm/s), 19.8 (cm/s)

Maximun speed and it's direction : 100.5 (cm/s), 20.9 (deg.)

Mean speed and direction : 35.4 (cm/s), 18.1 (deg.)

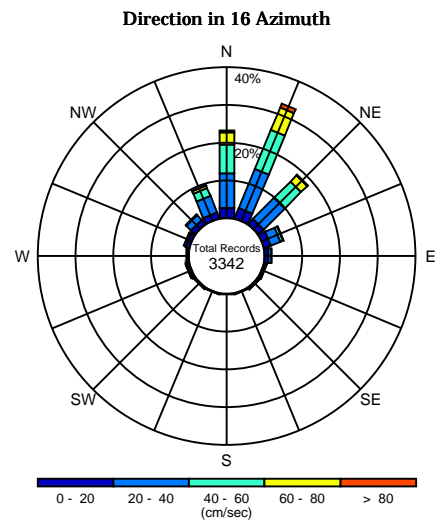
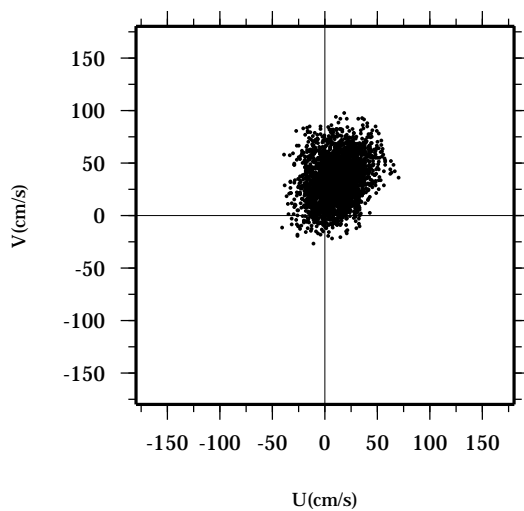
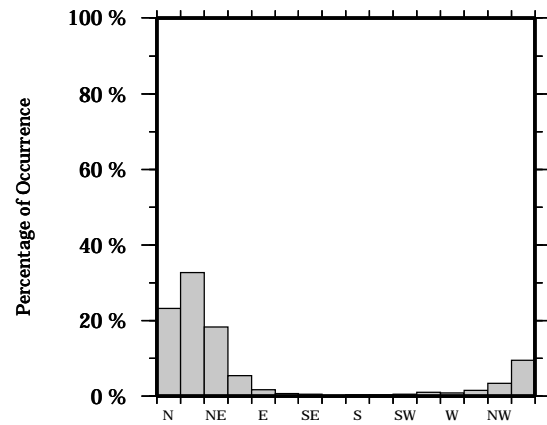
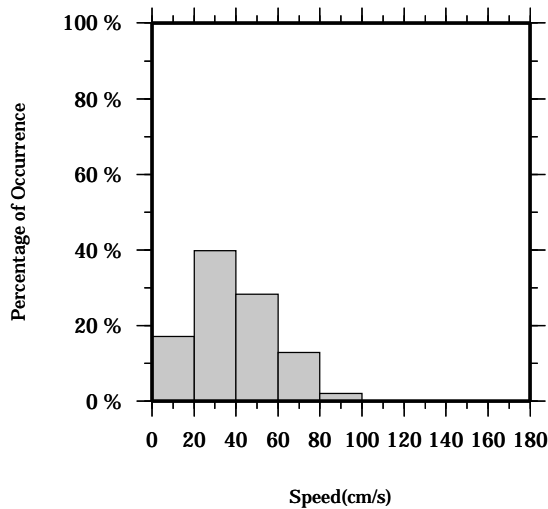
Speed scalar average : 39.5 (cm/s)

LON: 121° 17.4341' E

Station: W104

LAT: 22° 38.8623' N

Depth: 186 M



Joint probability distribution of current speed and it's direction

Speed	N	NNE	NE	ENE	E	ESE	SE	SSE	S	SSW	SW	WSW	W	WNW	NW	NNW	Total
0-20	2.6	2.8	1.7	1.7	1.0	0.5	0.4	0.2	0.3	0.3	0.3	0.7	0.5	1.0	1.4	1.6	17.1
20-40	9.2	11.3	8.0	2.8	0.7	0.1	0.1	0.0	0.0	0.0	0.1	0.3	0.2	0.5	1.7	4.6	39.7
40-60	7.6	11.1	6.0	0.7	0.0	0.0	0.0	0.0	0.0	0.0	0.0	0.0	0.0	0.1	0.2	2.3	28.2
60-80	3.2	6.5	2.2	0.2	0.0	0.0	0.0	0.0	0.0	0.0	0.0	0.0	0.0	0.0	0.0	0.7	12.8
80-100	0.6	1.0	0.4	0.0	0.0	0.0	0.0	0.0	0.0	0.0	0.0	0.0	0.0	0.0	0.0	0.1	2.1
100-120	0.0	0.0	0.0	0.0	0.0	0.0	0.0	0.0	0.0	0.0	0.0	0.0	0.0	0.0	0.0	0.0	0.0
120-140	0.0	0.0	0.0	0.0	0.0	0.0	0.0	0.0	0.0	0.0	0.0	0.0	0.0	0.0	0.0	0.0	0.0
140-160	0.0	0.0	0.0	0.0	0.0	0.0	0.0	0.0	0.0	0.0	0.0	0.0	0.0	0.0	0.0	0.0	0.0
160-180	0.0	0.0	0.0	0.0	0.0	0.0	0.0	0.0	0.0	0.0	0.0	0.0	0.0	0.0	0.0	0.0	0.0
180-200	0.0	0.0	0.0	0.0	0.0	0.0	0.0	0.0	0.0	0.0	0.0	0.0	0.0	0.0	0.0	0.0	0.0
Total	23.2	32.6	18.3	5.5	1.8	0.6	0.5	0.2	0.3	0.3	0.4	1.0	0.8	1.6	3.4	9.4	100.0

Mean U and V : 10.5 (cm/s), 32.6 (cm/s)

Standard deviation of U and V : 16.4 (cm/s), 20.0 (cm/s)

Maximun speed and it's direction : 98.9 (cm/s), 10.6 (deg.)

Mean speed and direction : 34.2 (cm/s), 17.8 (deg.)

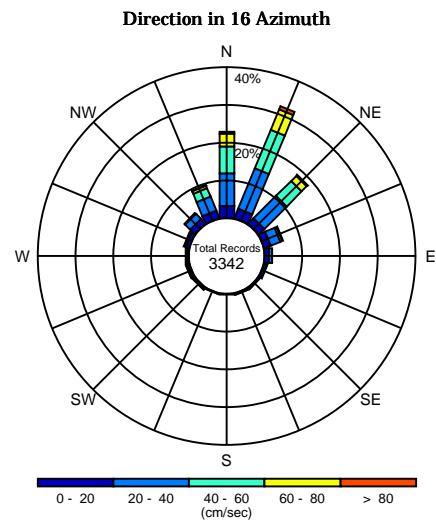
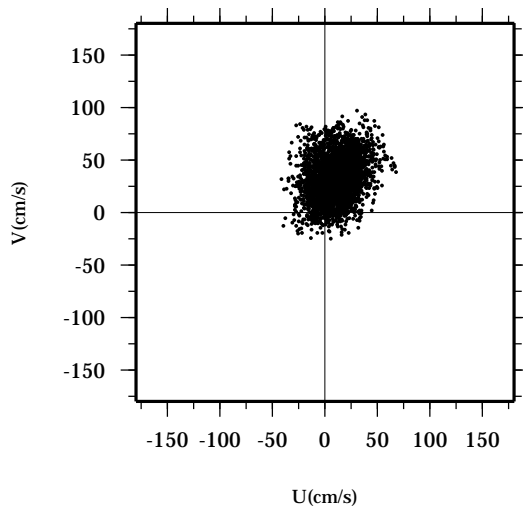
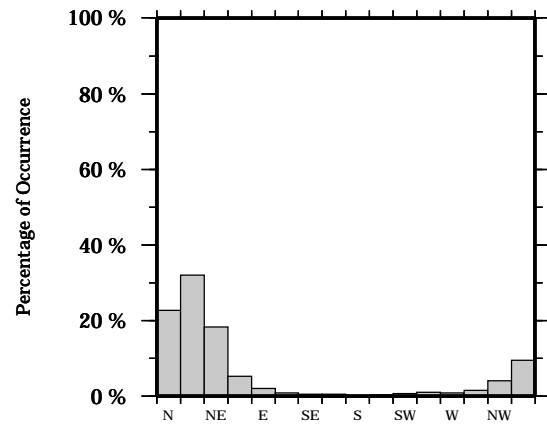
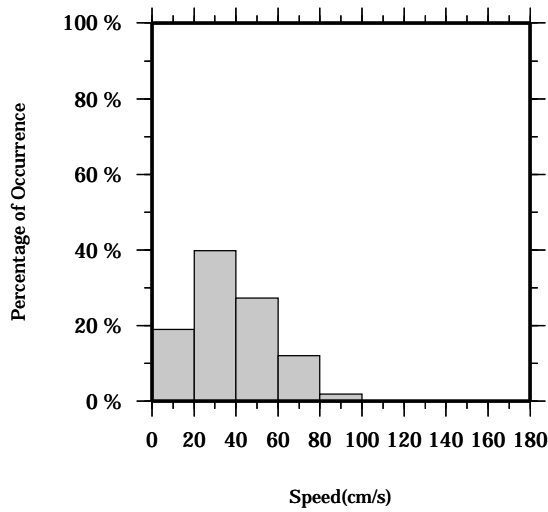
Speed scalar average : 38.5 (cm/s)

LON: 121° 17.4341' E

Station: W104

LAT: 22° 38.8623' N

Depth: 190 M



Joint probability distribution of current speed and it's direction

Speed	N	NNE	NE	ENE	E	ESE	SE	SSE	S	SSW	SW	WSW	W	WNW	NW	NNW	Total
0-20	3.1	2.7	2.1	1.7	1.1	0.6	0.3	0.4	0.2	0.3	0.5	0.7	0.5	1.0	1.8	2.1	19.0
20-40	8.6	11.5	8.3	2.8	0.8	0.2	0.1	0.0	0.0	0.1	0.2	0.3	0.3	0.4	1.9	4.2	39.8
40-60	7.2	11.0	5.7	0.6	0.1	0.0	0.0	0.0	0.0	0.0	0.0	0.0	0.0	0.1	0.3	2.3	27.3
60-80	3.3	5.9	1.9	0.1	0.0	0.0	0.0	0.0	0.0	0.0	0.0	0.0	0.0	0.0	0.0	0.7	12.0
80-100	0.4	0.8	0.4	0.0	0.0	0.0	0.0	0.0	0.0	0.0	0.0	0.0	0.0	0.0	0.0	0.2	1.9
100-120	0.0	0.1	0.0	0.0	0.0	0.0	0.0	0.0	0.0	0.0	0.0	0.0	0.0	0.0	0.0	0.0	0.1
120-140	0.0	0.0	0.0	0.0	0.0	0.0	0.0	0.0	0.0	0.0	0.0	0.0	0.0	0.0	0.0	0.0	0.0
140-160	0.0	0.0	0.0	0.0	0.0	0.0	0.0	0.0	0.0	0.0	0.0	0.0	0.0	0.0	0.0	0.0	0.0
160-180	0.0	0.0	0.0	0.0	0.0	0.0	0.0	0.0	0.0	0.0	0.0	0.0	0.0	0.0	0.0	0.0	0.0
180-200	0.0	0.0	0.0	0.0	0.0	0.0	0.0	0.0	0.0	0.0	0.0	0.0	0.0	0.0	0.0	0.0	0.0
Total	22.7	32.0	18.3	5.2	2.0	0.8	0.4	0.4	0.2	0.3	0.7	1.0	0.8	1.5	4.0	9.5	100.0

Mean U and V : 10.0 (cm/s), 31.6 (cm/s)

Standard deviation of U and V : 16.3 (cm/s), 20.2 (cm/s)

Maximun speed and it's direction : 101.2 (cm/s), 17.5 (deg.)

Mean speed and direction : 33.2 (cm/s), 17.6 (deg.)

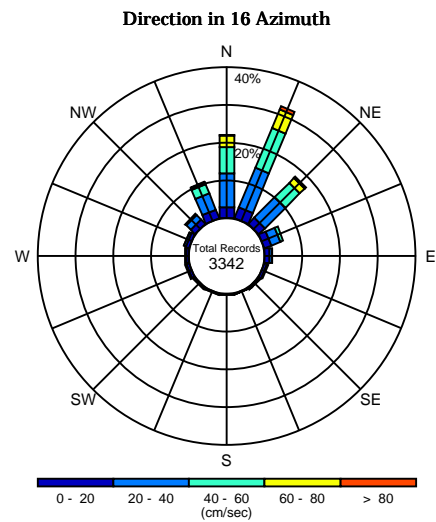
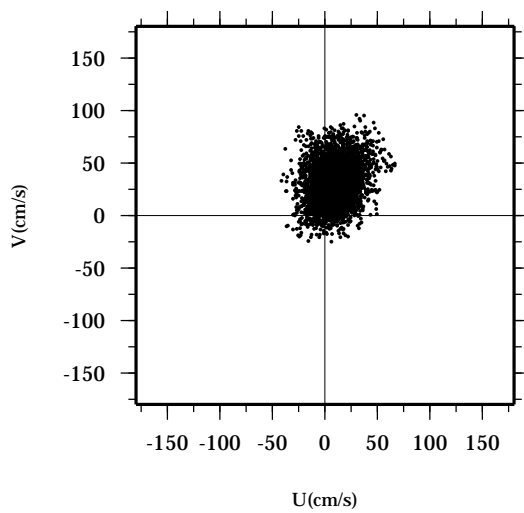
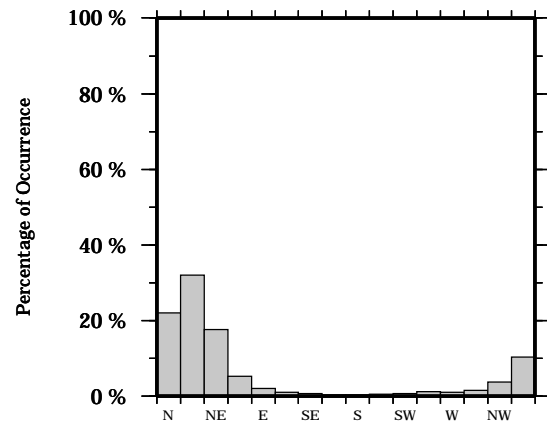
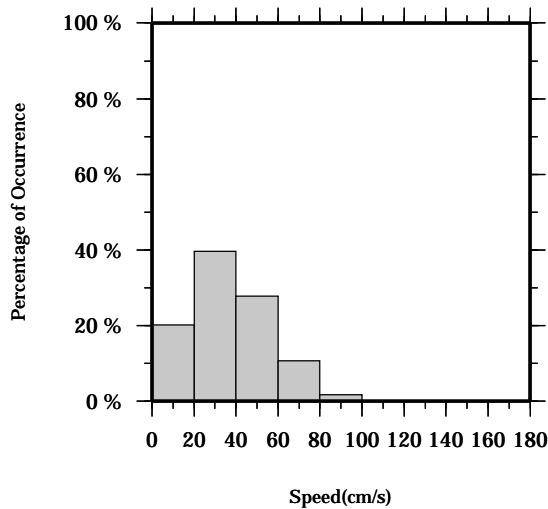
Speed scalar average : 37.7 (cm/s)

LON: 121° 17.4341' E

Station: W104

LAT: 22° 38.8623' N

Depth: 194 M



Joint probability distribution of current speed and it's direction

Speed	N	NNE	NE	ENE	E	ESE	SE	SSE	S	SSW	SW	WSW	W	WNW	NW	NNW	Total
0-20	2.8	3.0	2.2	1.9	1.2	0.7	0.4	0.3	0.3	0.4	0.4	0.8	0.7	1.0	1.6	2.4	20.2
20-40	8.9	11.4	7.7	2.7	0.7	0.3	0.2	0.0	0.0	0.1	0.1	0.4	0.3	0.4	1.7	4.7	39.7
40-60	7.0	11.5	5.4	0.7	0.1	0.0	0.0	0.0	0.0	0.0	0.0	0.0	0.0	0.1	0.4	2.5	27.8
60-80	3.0	5.3	1.9	0.0	0.0	0.0	0.0	0.0	0.0	0.0	0.0	0.0	0.0	0.0	0.0	0.6	10.7
80-100	0.3	0.9	0.4	0.0	0.0	0.0	0.0	0.0	0.0	0.0	0.0	0.0	0.0	0.0	0.0	0.1	1.6
100-120	0.0	0.0	0.0	0.0	0.0	0.0	0.0	0.0	0.0	0.0	0.0	0.0	0.0	0.0	0.0	0.0	0.0
120-140	0.0	0.0	0.0	0.0	0.0	0.0	0.0	0.0	0.0	0.0	0.0	0.0	0.0	0.0	0.0	0.0	0.0
140-160	0.0	0.0	0.0	0.0	0.0	0.0	0.0	0.0	0.0	0.0	0.0	0.0	0.0	0.0	0.0	0.0	0.0
160-180	0.0	0.0	0.0	0.0	0.0	0.0	0.0	0.0	0.0	0.0	0.0	0.0	0.0	0.0	0.0	0.0	0.0
180-200	0.0	0.0	0.0	0.0	0.0	0.0	0.0	0.0	0.0	0.0	0.0	0.0	0.0	0.0	0.0	0.0	0.0
Total	22.0	32.0	17.5	5.3	2.0	1.0	0.6	0.3	0.3	0.5	0.6	1.1	1.0	1.6	3.7	10.3	100.0

Mean U and V : 9.6 (cm/s), 30.8 (cm/s)

Standard deviation of U and V : 16.1 (cm/s), 20.2 (cm/s)

Maximun speed and it's direction : 102.0 (cm/s), 21.4 (deg.)

Mean speed and direction : 32.3 (cm/s), 17.3 (deg.)

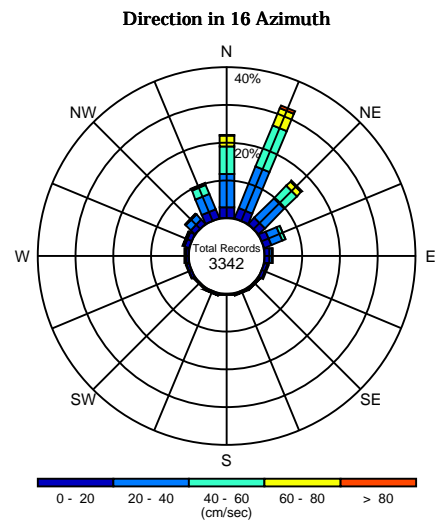
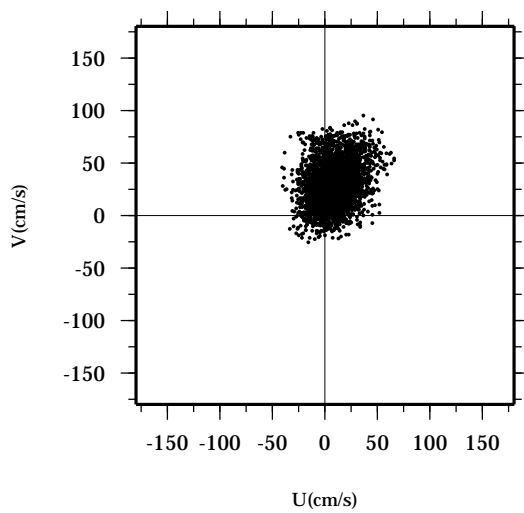
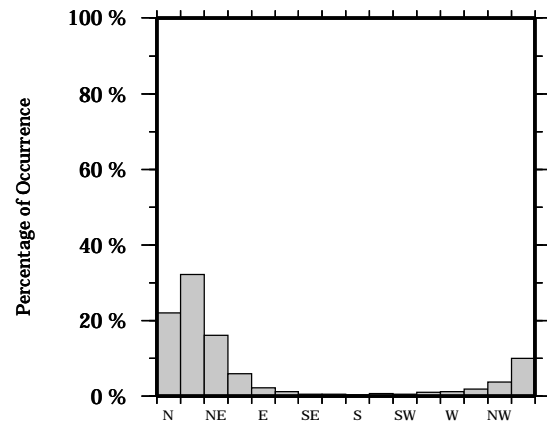
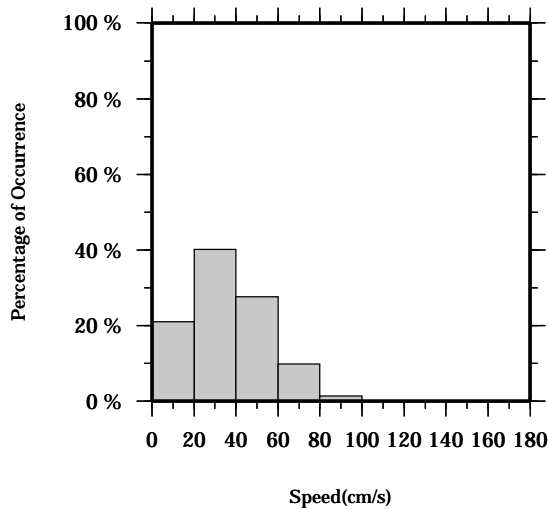
Speed scalar average : 36.9 (cm/s)

LON: 121° 17.4341' E

Station: W104

LAT: 22° 38.8623' N

Depth: 198 M



Joint probability distribution of current speed and it's direction

Speed	N	NNE	NE	ENE	E	ESE	SE	SSE	S	SSW	SW	WSW	W	WNW	NW	NNW	Total
0-20	2.8	2.8	2.3	2.0	1.3	0.8	0.4	0.5	0.4	0.5	0.3	0.7	0.7	1.3	1.6	2.5	20.9
20-40	8.9	11.9	7.3	3.1	0.7	0.4	0.1	0.1	0.0	0.1	0.2	0.2	0.5	0.5	1.8	4.4	40.2
40-60	7.2	11.8	4.7	0.9	0.1	0.0	0.0	0.0	0.0	0.0	0.0	0.0	0.0	0.1	0.3	2.6	27.7
60-80	2.9	5.0	1.5	0.0	0.0	0.0	0.0	0.0	0.0	0.0	0.0	0.0	0.0	0.0	0.0	0.4	9.8
80-100	0.2	0.7	0.3	0.0	0.0	0.0	0.0	0.0	0.0	0.0	0.0	0.0	0.0	0.0	0.0	0.1	1.3
100-120	0.0	0.1	0.0	0.0	0.0	0.0	0.0	0.0	0.0	0.0	0.0	0.0	0.0	0.0	0.0	0.0	0.1
120-140	0.0	0.0	0.0	0.0	0.0	0.0	0.0	0.0	0.0	0.0	0.0	0.0	0.0	0.0	0.0	0.0	0.0
140-160	0.0	0.0	0.0	0.0	0.0	0.0	0.0	0.0	0.0	0.0	0.0	0.0	0.0	0.0	0.0	0.0	0.0
160-180	0.0	0.0	0.0	0.0	0.0	0.0	0.0	0.0	0.0	0.0	0.0	0.0	0.0	0.0	0.0	0.0	0.0
180-200	0.0	0.0	0.0	0.0	0.0	0.0	0.0	0.0	0.0	0.0	0.0	0.0	0.0	0.0	0.0	0.0	0.0
Total	21.9	32.2	16.1	6.0	2.2	1.2	0.5	0.5	0.4	0.7	0.5	1.0	1.3	1.8	3.7	10.0	100.0

Mean U and V : 9.2 (cm/s), 30.1 (cm/s)

Standard deviation of U and V : 16.0 (cm/s), 20.2 (cm/s)

Maximun speed and it's direction : 102.2 (cm/s), 26.5 (deg.)

Mean speed and direction : 31.4 (cm/s), 17.1 (deg.)

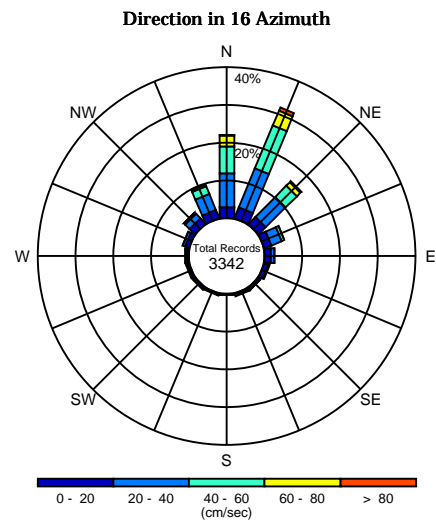
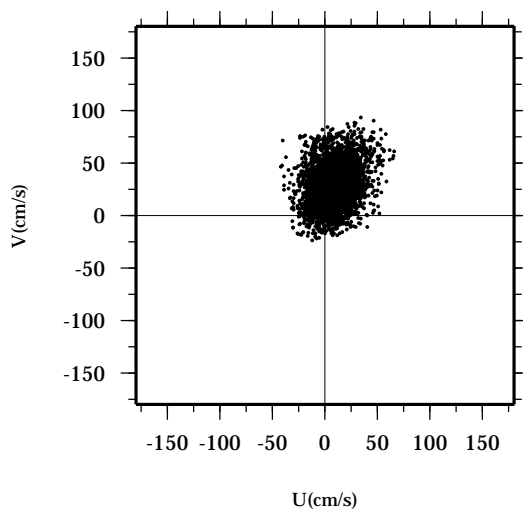
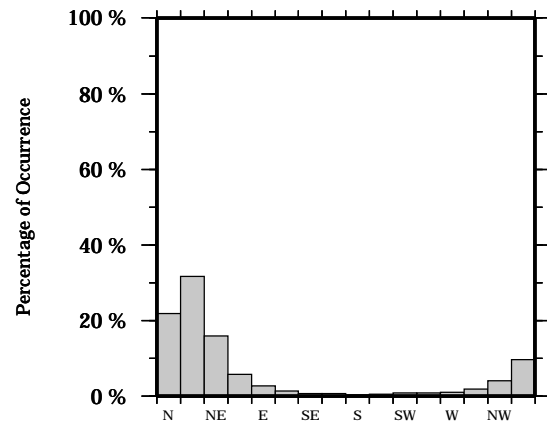
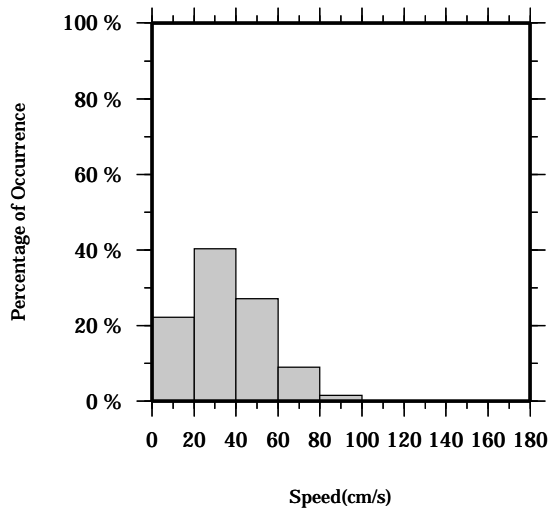
Speed scalar average : 36.2 (cm/s)

LON: 121° 17.4341' E

Station: W104

LAT: 22° 38.8623' N

Depth: 202 M



Joint probability distribution of current speed and it's direction

Speed	N	NNE	NE	ENE	E	ESE	SE	SSE	S	SSW	SW	WSW	W	WNW	NW	NNW	Total
0-20	2.9	3.0	2.6	1.9	1.6	1.0	0.7	0.7	0.4	0.4	0.6	0.7	0.6	1.1	2.0	2.3	22.3
20-40	9.0	11.3	7.4	3.0	0.9	0.4	0.1	0.1	0.0	0.2	0.2	0.2	0.4	0.7	1.7	4.6	40.3
40-60	7.1	12.1	4.3	0.8	0.1	0.0	0.0	0.0	0.0	0.0	0.0	0.0	0.0	0.0	0.3	2.2	27.0
60-80	2.8	4.3	1.3	0.0	0.0	0.0	0.0	0.0	0.0	0.0	0.0	0.0	0.0	0.0	0.1	0.5	8.9
80-100	0.1	0.9	0.4	0.0	0.0	0.0	0.0	0.0	0.0	0.0	0.0	0.0	0.0	0.0	0.0	0.0	1.5
100-120	0.0	0.0	0.0	0.0	0.0	0.0	0.0	0.0	0.0	0.0	0.0	0.0	0.0	0.0	0.0	0.0	0.0
120-140	0.0	0.0	0.0	0.0	0.0	0.0	0.0	0.0	0.0	0.0	0.0	0.0	0.0	0.0	0.0	0.0	0.0
140-160	0.0	0.0	0.0	0.0	0.0	0.0	0.0	0.0	0.0	0.0	0.0	0.0	0.0	0.0	0.0	0.0	0.0
160-180	0.0	0.0	0.0	0.0	0.0	0.0	0.0	0.0	0.0	0.0	0.0	0.0	0.0	0.0	0.0	0.0	0.0
180-200	0.0	0.0	0.0	0.0	0.0	0.0	0.0	0.0	0.0	0.0	0.0	0.0	0.0	0.0	0.0	0.0	0.0
Total	21.9	31.7	15.9	5.7	2.6	1.4	0.7	0.7	0.4	0.5	0.9	0.9	1.0	1.9	4.1	9.6	100.0

Mean U and V : 8.9 (cm/s), 29.3 (cm/s)

Standard deviation of U and V : 15.8 (cm/s), 20.2 (cm/s)

Maximun speed and it's direction : 101.2 (cm/s), 27.2 (deg.)

Mean speed and direction : 30.6 (cm/s), 16.9 (deg.)

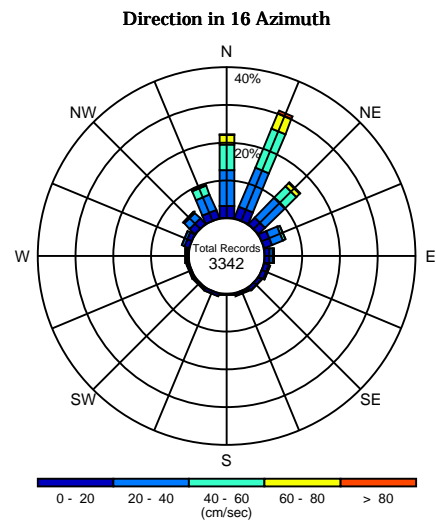
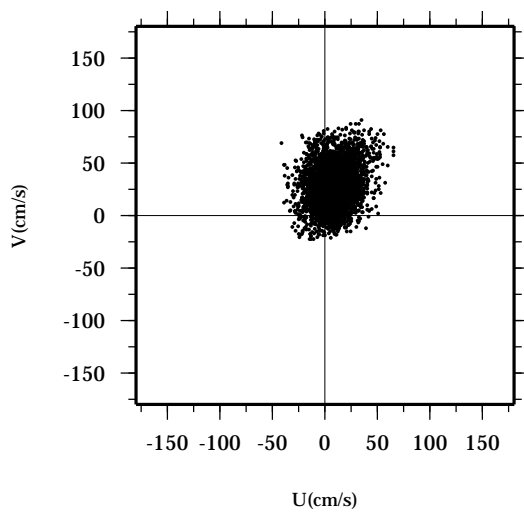
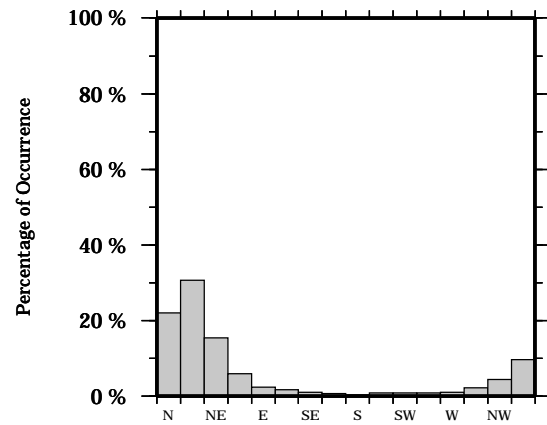
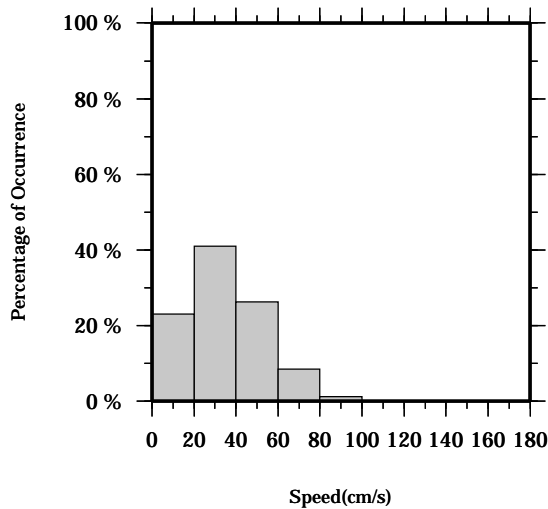
Speed scalar average : 35.5 (cm/s)

LON: 121° 17.4341' E

Station: W104

LAT: 22° 38.8623' N

Depth: 206 M



Joint probability distribution of current speed and it's direction

Speed	N	NNE	NE	ENE	E	ESE	SE	SSE	S	SSW	SW	WSW	W	WNW	NW	NNW	Total
0-20	3.2	3.2	2.3	2.1	1.3	1.2	1.0	0.6	0.3	0.7	0.4	0.6	0.5	1.3	2.0	2.2	23.0
20-40	9.4	11.3	7.3	3.1	0.9	0.4	0.0	0.1	0.0	0.1	0.4	0.3	0.5	0.8	2.0	4.5	41.1
40-60	6.9	11.2	4.3	0.7	0.2	0.0	0.0	0.0	0.0	0.0	0.0	0.0	0.0	0.0	0.4	2.4	26.2
60-80	2.5	4.3	1.2	0.0	0.0	0.0	0.0	0.0	0.0	0.0	0.0	0.0	0.0	0.0	0.1	0.4	8.5
80-100	0.1	0.8	0.3	0.0	0.0	0.0	0.0	0.0	0.0	0.0	0.0	0.0	0.0	0.0	0.0	0.0	1.3
100-120	0.0	0.0	0.0	0.0	0.0	0.0	0.0	0.0	0.0	0.0	0.0	0.0	0.0	0.0	0.0	0.0	0.0
120-140	0.0	0.0	0.0	0.0	0.0	0.0	0.0	0.0	0.0	0.0	0.0	0.0	0.0	0.0	0.0	0.0	0.0
140-160	0.0	0.0	0.0	0.0	0.0	0.0	0.0	0.0	0.0	0.0	0.0	0.0	0.0	0.0	0.0	0.0	0.0
160-180	0.0	0.0	0.0	0.0	0.0	0.0	0.0	0.0	0.0	0.0	0.0	0.0	0.0	0.0	0.0	0.0	0.0
180-200	0.0	0.0	0.0	0.0	0.0	0.0	0.0	0.0	0.0	0.0	0.0	0.0	0.0	0.0	0.0	0.0	0.0
Total	22.1	30.7	15.4	6.0	2.4	1.6	1.0	0.7	0.3	0.8	0.8	0.8	1.0	2.2	4.4	9.7	100.0

Mean U and V : 8.6 (cm/s), 28.5 (cm/s)

Standard deviation of U and V : 15.7 (cm/s), 20.1 (cm/s)

Maximun speed and it's direction : 96.9 (cm/s), 20.7 (deg.)

Mean speed and direction : 29.8 (cm/s), 16.7 (deg.)

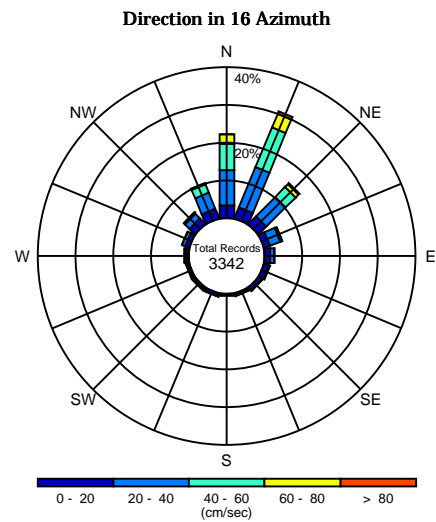
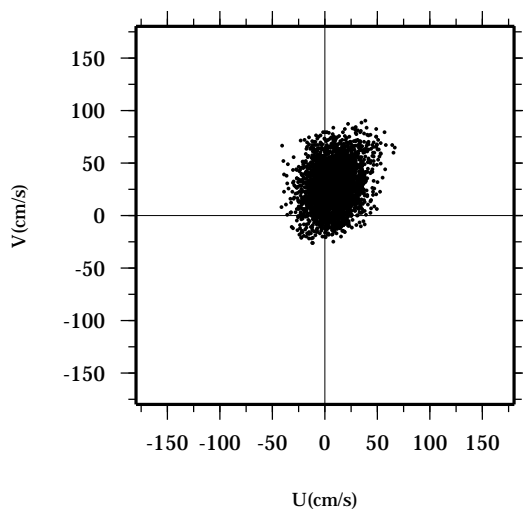
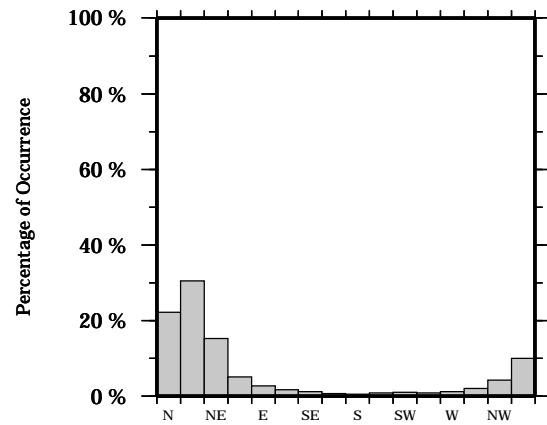
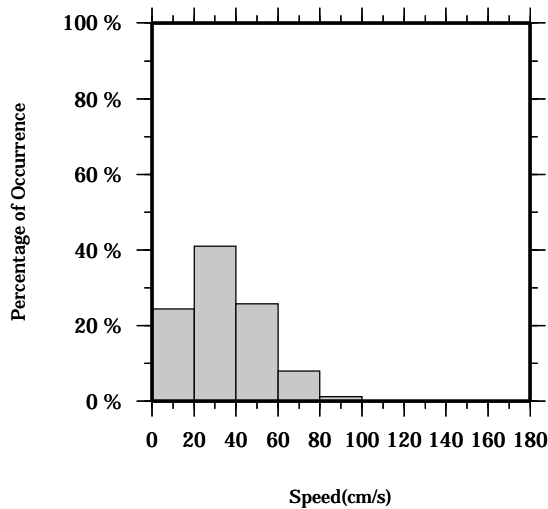
Speed scalar average : 34.8 (cm/s)

LON: 121° 17.4341' E

Station: W104

LAT: 22° 38.8623' N

Depth: 210 M



Joint probability distribution of current speed and it's direction

Speed	N	NNE	NE	ENE	E	ESE	SE	SSE	S	SSW	SW	WSW	W	WNW	NW	NNW	Total
0-20	3.4	3.0	2.9	1.6	1.5	1.2	1.0	0.7	0.5	0.8	0.6	0.7	0.7	1.2	2.1	2.7	24.3
20-40	9.3	11.5	7.2	2.8	1.0	0.4	0.1	0.1	0.1	0.1	0.4	0.2	0.5	0.9	1.7	4.5	40.9
40-60	6.9	11.4	3.8	0.5	0.1	0.0	0.0	0.0	0.0	0.0	0.0	0.0	0.0	0.0	0.4	2.5	25.7
60-80	2.6	3.9	1.0	0.0	0.0	0.0	0.0	0.0	0.0	0.0	0.0	0.0	0.0	0.0	0.1	0.4	7.9
80-100	0.0	0.7	0.4	0.0	0.0	0.0	0.0	0.0	0.0	0.0	0.0	0.0	0.0	0.0	0.0	0.0	1.1
100-120	0.0	0.0	0.0	0.0	0.0	0.0	0.0	0.0	0.0	0.0	0.0	0.0	0.0	0.0	0.0	0.0	0.0
120-140	0.0	0.0	0.0	0.0	0.0	0.0	0.0	0.0	0.0	0.0	0.0	0.0	0.0	0.0	0.0	0.0	0.0
140-160	0.0	0.0	0.0	0.0	0.0	0.0	0.0	0.0	0.0	0.0	0.0	0.0	0.0	0.0	0.0	0.0	0.0
160-180	0.0	0.0	0.0	0.0	0.0	0.0	0.0	0.0	0.0	0.0	0.0	0.0	0.0	0.0	0.0	0.0	0.0
180-200	0.0	0.0	0.0	0.0	0.0	0.0	0.0	0.0	0.0	0.0	0.0	0.0	0.0	0.0	0.0	0.0	0.0
Total	22.1	30.5	15.2	5.0	2.7	1.6	1.2	0.7	0.6	0.9	1.0	0.9	1.2	2.1	4.2	10.1	100.0

Mean U and V : 8.2 (cm/s), 27.9 (cm/s)

Standard deviation of U and V : 15.4 (cm/s), 20.2 (cm/s)

Maximun speed and it's direction : 97.6 (cm/s), 23.1 (deg.)

Mean speed and direction : 29.0 (cm/s), 16.3 (deg.)

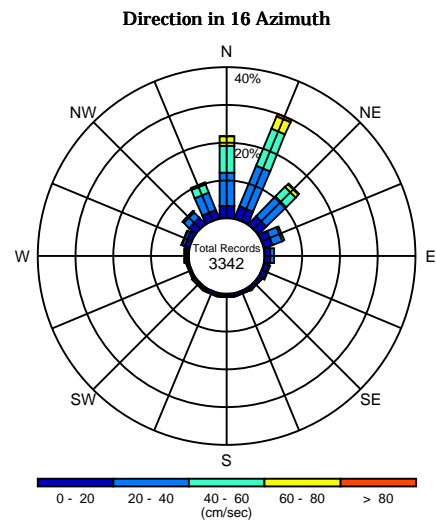
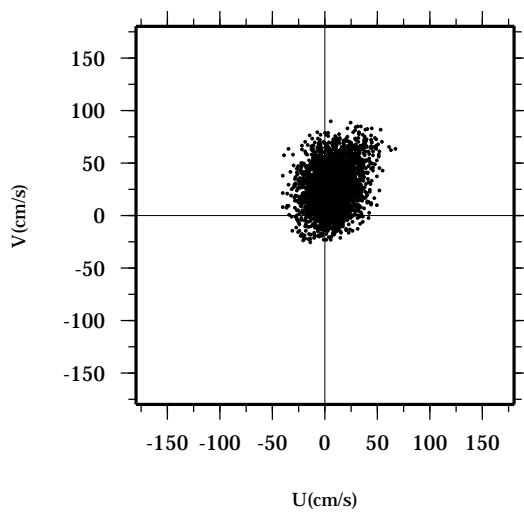
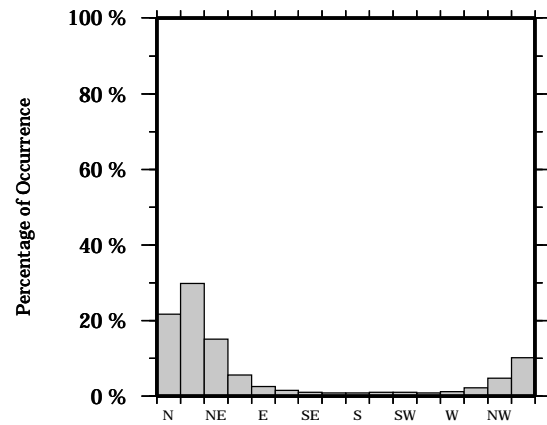
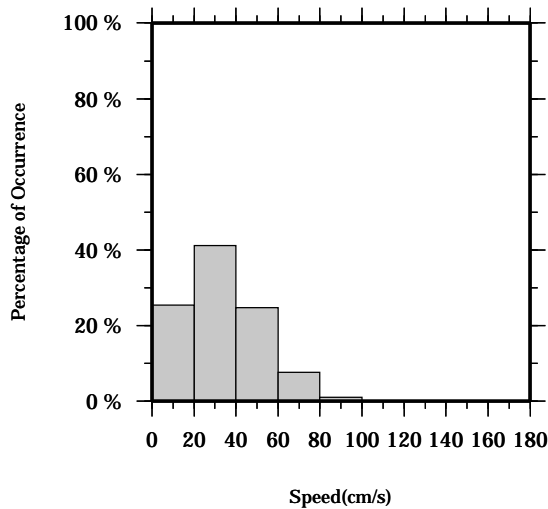
Speed scalar average : 34.1 (cm/s)

LON: 121° 17.4341' E

Station: W104

LAT: 22° 38.8623' N

Depth: 214 M



Joint probability distribution of current speed and it's direction

Speed	N	NNE	NE	ENE	E	ESE	SE	SSE	S	SSW	SW	WSW	W	WNW	NW	NNW	Total
0-20	3.1	3.4	2.8	2.2	1.5	1.3	0.8	0.7	0.8	0.8	0.7	0.5	0.7	1.3	2.3	2.3	25.4
20-40	8.8	11.5	7.3	2.8	1.0	0.3	0.1	0.1	0.1	0.2	0.4	0.3	0.4	0.8	1.9	5.0	41.1
40-60	7.0	10.6	3.7	0.5	0.1	0.0	0.0	0.0	0.0	0.0	0.0	0.0	0.0	0.1	0.4	2.4	24.7
60-80	2.6	3.6	1.0	0.0	0.0	0.0	0.0	0.0	0.0	0.0	0.0	0.0	0.0	0.0	0.0	0.4	7.6
80-100	0.0	0.8	0.3	0.0	0.0	0.0	0.0	0.0	0.0	0.0	0.0	0.0	0.0	0.0	0.0	0.0	1.1
100-120	0.0	0.0	0.0	0.0	0.0	0.0	0.0	0.0	0.0	0.0	0.0	0.0	0.0	0.0	0.0	0.0	0.0
120-140	0.0	0.0	0.0	0.0	0.0	0.0	0.0	0.0	0.0	0.0	0.0	0.0	0.0	0.0	0.0	0.0	0.0
140-160	0.0	0.0	0.0	0.0	0.0	0.0	0.0	0.0	0.0	0.0	0.0	0.0	0.0	0.0	0.0	0.0	0.0
160-180	0.0	0.0	0.0	0.0	0.0	0.0	0.0	0.0	0.0	0.0	0.0	0.0	0.0	0.0	0.0	0.0	0.0
180-200	0.0	0.0	0.0	0.0	0.0	0.0	0.0	0.0	0.0	0.0	0.0	0.0	0.0	0.0	0.0	0.0	0.0
Total	21.6	29.9	15.1	5.5	2.5	1.6	1.0	0.8	0.9	1.0	1.0	0.9	1.2	2.2	4.7	10.1	100.0

Mean U and V : 7.8 (cm/s), 27.1 (cm/s)

Standard deviation of U and V : 15.2 (cm/s), 20.1 (cm/s)

Maximun speed and it's direction : 97.3 (cm/s), 32.9 (deg.)

Mean speed and direction : 28.2 (cm/s), 15.9 (deg.)

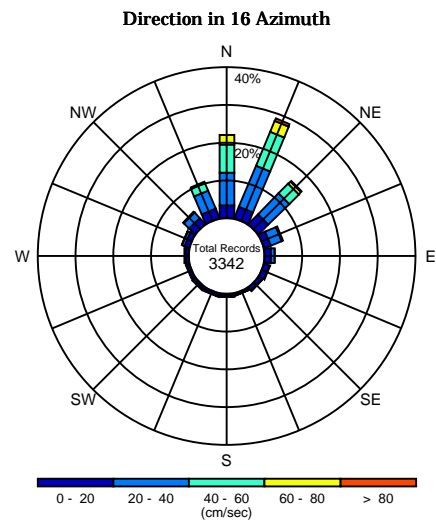
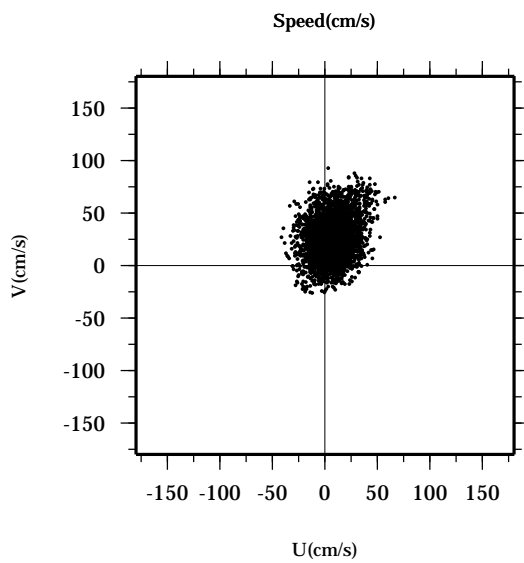
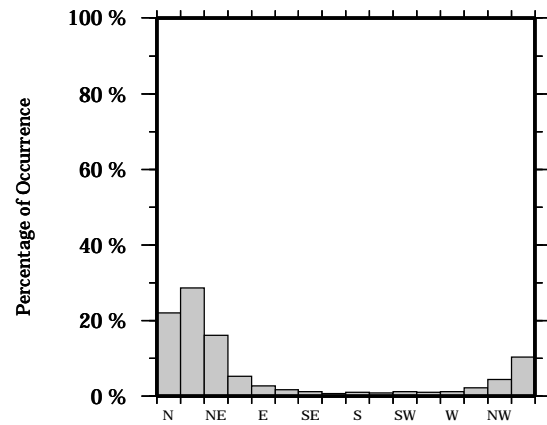
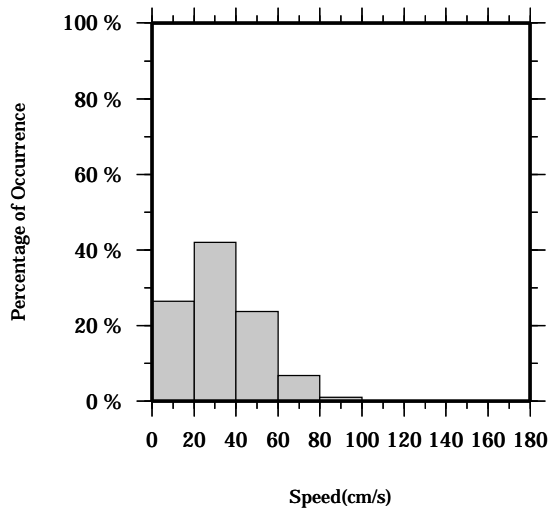
Speed scalar average : 33.5 (cm/s)

LON: 121° 17.4341' E

Station: W104

LAT: 22° 38.8623' N

Depth: 218 M



Joint probability distribution of current speed and it's direction

Speed	N	NNE	NE	ENE	E	ESE	SE	SSE	S	SSW	SW	WSW	W	WNW	NW	NNW	Total
0-20	3.2	3.2	3.6	1.8	1.6	1.4	1.0	0.6	0.8	0.7	0.7	0.7	0.8	1.3	2.1	2.7	26.5
20-40	8.7	11.7	7.8	3.0	1.0	0.2	0.2	0.1	0.1	0.1	0.4	0.3	0.4	0.8	2.0	5.1	42.0
40-60	7.5	9.8	3.5	0.4	0.1	0.0	0.0	0.0	0.0	0.0	0.0	0.0	0.0	0.1	0.3	2.2	23.8
60-80	2.5	3.2	0.9	0.0	0.0	0.0	0.0	0.0	0.0	0.0	0.0	0.0	0.0	0.0	0.0	0.3	6.8
80-100	0.1	0.7	0.2	0.0	0.0	0.0	0.0	0.0	0.0	0.0	0.0	0.0	0.0	0.0	0.0	0.0	1.0
100-120	0.0	0.0	0.0	0.0	0.0	0.0	0.0	0.0	0.0	0.0	0.0	0.0	0.0	0.0	0.0	0.0	0.0
120-140	0.0	0.0	0.0	0.0	0.0	0.0	0.0	0.0	0.0	0.0	0.0	0.0	0.0	0.0	0.0	0.0	0.0
140-160	0.0	0.0	0.0	0.0	0.0	0.0	0.0	0.0	0.0	0.0	0.0	0.0	0.0	0.0	0.0	0.0	0.0
160-180	0.0	0.0	0.0	0.0	0.0	0.0	0.0	0.0	0.0	0.0	0.0	0.0	0.0	0.0	0.0	0.0	0.0
180-200	0.0	0.0	0.0	0.0	0.0	0.0	0.0	0.0	0.0	0.0	0.0	0.0	0.0	0.0	0.0	0.0	0.0
Total	22.0	28.5	16.0	5.2	2.6	1.6	1.2	0.7	1.0	0.9	1.1	1.0	1.2	2.1	4.5	10.3	100.0

Mean U and V : 7.4 (cm/s), 26.5 (cm/s)

Standard deviation of U and V : 14.9 (cm/s), 20.0 (cm/s)

Maximun speed and it's direction : 92.8 (cm/s), 27.1 (deg.)

Mean speed and direction : 27.5 (cm/s), 15.5 (deg.)

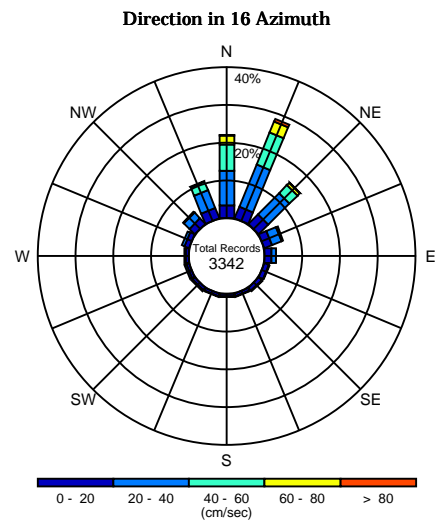
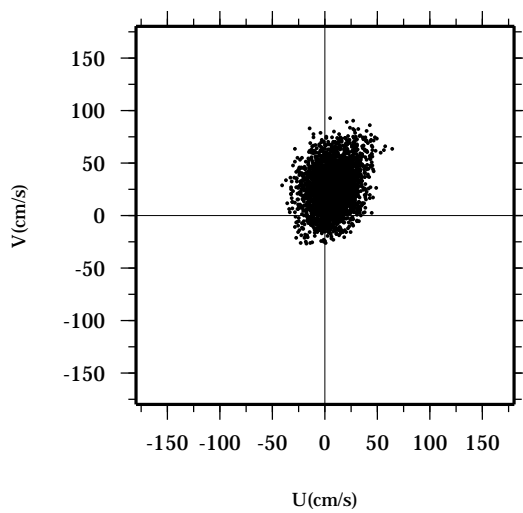
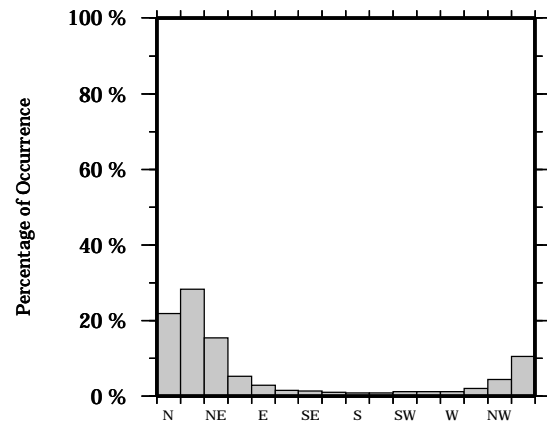
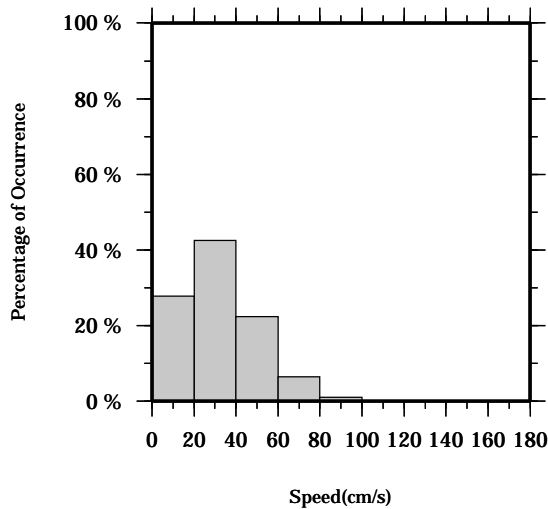
Speed scalar average : 32.7 (cm/s)

LON: 121° 17.4341' E

Station: W104

LAT: 22° 38.8623' N

Depth: 222 M



Joint probability distribution of current speed and it's direction

Speed	N	NNE	NE	ENE	E	ESE	SE	SSE	S	SSW	SW	WSW	W	WNW	NW	NNW	Total
0-20	3.3	3.3	3.5	2.2	1.8	1.3	1.1	0.9	0.7	0.8	0.9	0.9	1.0	1.3	2.0	2.9	27.7
20-40	9.1	12.0	7.9	2.8	1.1	0.2	0.2	0.2	0.1	0.1	0.3	0.4	0.2	0.8	2.1	5.1	42.5
40-60	7.0	9.2	3.1	0.4	0.0	0.0	0.0	0.0	0.0	0.0	0.0	0.0	0.0	0.0	0.3	2.3	22.4
60-80	2.3	3.1	0.7	0.0	0.0	0.0	0.0	0.0	0.0	0.0	0.0	0.0	0.0	0.0	0.0	0.2	6.4
80-100	0.1	0.7	0.1	0.0	0.0	0.0	0.0	0.0	0.0	0.0	0.0	0.0	0.0	0.0	0.0	0.0	1.0
100-120	0.0	0.0	0.0	0.0	0.0	0.0	0.0	0.0	0.0	0.0	0.0	0.0	0.0	0.0	0.0	0.0	0.0
120-140	0.0	0.0	0.0	0.0	0.0	0.0	0.0	0.0	0.0	0.0	0.0	0.0	0.0	0.0	0.0	0.0	0.0
140-160	0.0	0.0	0.0	0.0	0.0	0.0	0.0	0.0	0.0	0.0	0.0	0.0	0.0	0.0	0.0	0.0	0.0
160-180	0.0	0.0	0.0	0.0	0.0	0.0	0.0	0.0	0.0	0.0	0.0	0.0	0.0	0.0	0.0	0.0	0.0
180-200	0.0	0.0	0.0	0.0	0.0	0.0	0.0	0.0	0.0	0.0	0.0	0.0	0.0	0.0	0.0	0.0	0.0
Total	21.9	28.3	15.4	5.3	2.9	1.5	1.3	1.0	0.9	0.9	1.2	1.3	1.2	2.1	4.4	10.5	100.0

Mean U and V : 7.1 (cm/s), 25.8 (cm/s)

Standard deviation of U and V : 14.6 (cm/s), 19.9 (cm/s)

Maximun speed and it's direction : 95.7 (cm/s), 26.2 (deg.)

Mean speed and direction : 26.7 (cm/s), 15.4 (deg.)

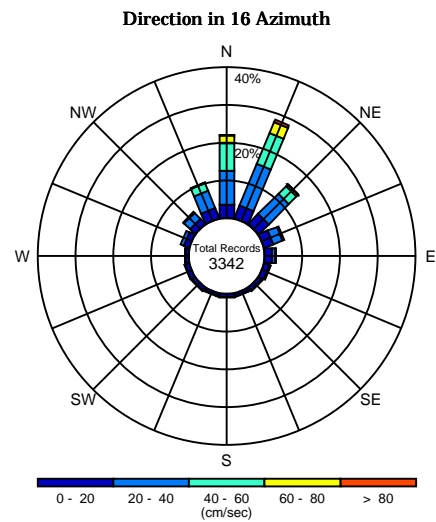
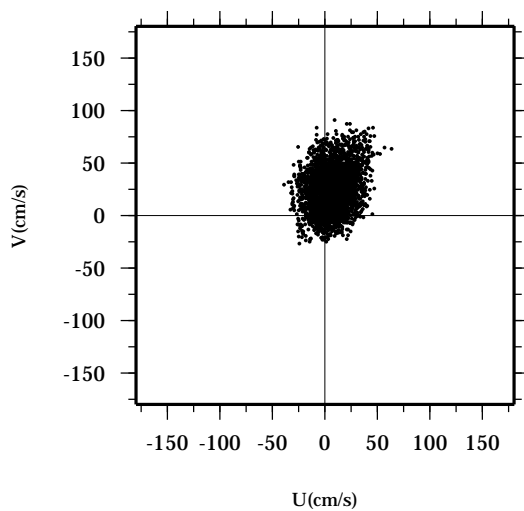
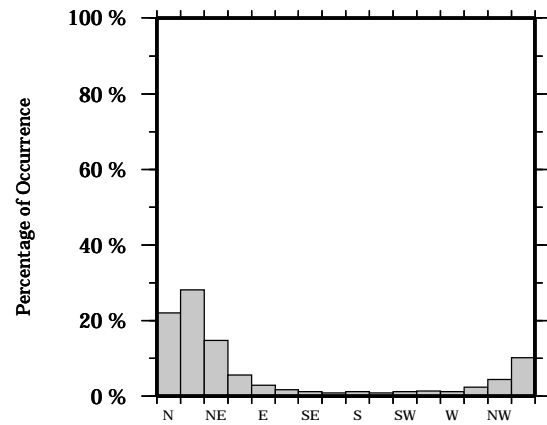
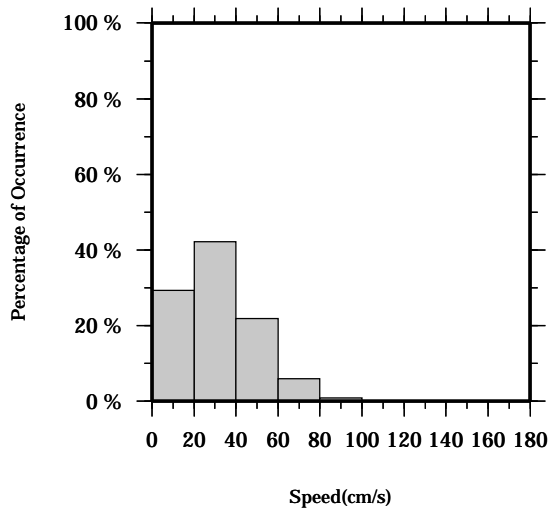
Speed scalar average : 32.0 (cm/s)

LON: 121° 17.4341' E

Station: W104

LAT: 22° 38.8623' N

Depth: 226 M



Joint probability distribution of current speed and it's direction

Speed	N	NNE	NE	ENE	E	ESE	SE	SSE	S	SSW	SW	WSW	W	WNW	NW	NNW	Total
0-20	3.5	3.6	3.7	2.5	1.9	1.4	1.0	0.8	0.9	0.8	1.0	1.1	0.9	1.6	1.9	2.9	29.2
20-40	9.1	12.0	7.5	2.6	1.0	0.4	0.3	0.1	0.2	0.1	0.3	0.3	0.3	0.9	2.2	5.0	42.1
40-60	7.3	8.8	2.9	0.4	0.0	0.0	0.0	0.0	0.0	0.0	0.0	0.0	0.0	0.0	0.4	2.1	21.9
60-80	2.0	3.1	0.7	0.0	0.0	0.0	0.0	0.0	0.0	0.0	0.0	0.0	0.0	0.0	0.0	0.1	6.0
80-100	0.1	0.6	0.1	0.0	0.0	0.0	0.0	0.0	0.0	0.0	0.0	0.0	0.0	0.0	0.0	0.0	0.8
100-120	0.0	0.0	0.0	0.0	0.0	0.0	0.0	0.0	0.0	0.0	0.0	0.0	0.0	0.0	0.0	0.0	0.0
120-140	0.0	0.0	0.0	0.0	0.0	0.0	0.0	0.0	0.0	0.0	0.0	0.0	0.0	0.0	0.0	0.0	0.0
140-160	0.0	0.0	0.0	0.0	0.0	0.0	0.0	0.0	0.0	0.0	0.0	0.0	0.0	0.0	0.0	0.0	0.0
160-180	0.0	0.0	0.0	0.0	0.0	0.0	0.0	0.0	0.0	0.0	0.0	0.0	0.0	0.0	0.0	0.0	0.0
180-200	0.0	0.0	0.0	0.0	0.0	0.0	0.0	0.0	0.0	0.0	0.0	0.0	0.0	0.0	0.0	0.0	0.0
Total	21.9	28.1	14.8	5.6	2.9	1.8	1.2	0.9	1.1	0.9	1.3	1.4	1.1	2.5	4.4	10.1	100.0

Mean U and V : 6.9 (cm/s), 25.1 (cm/s)

Standard deviation of U and V : 14.3 (cm/s), 19.8 (cm/s)

Maximun speed and it's direction : 95.0 (cm/s), 28.9 (deg.)

Mean speed and direction : 26.0 (cm/s), 15.3 (deg.)

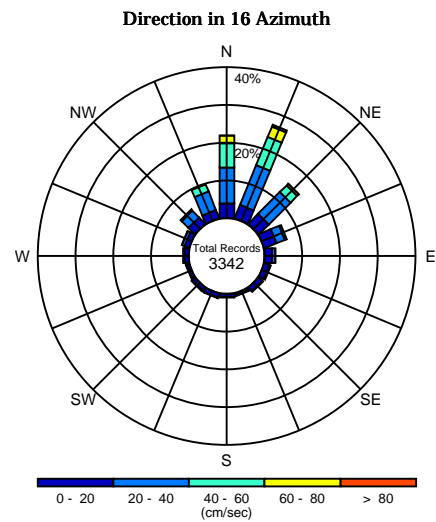
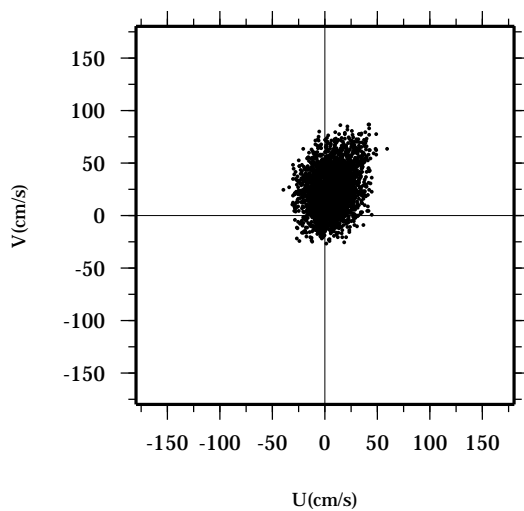
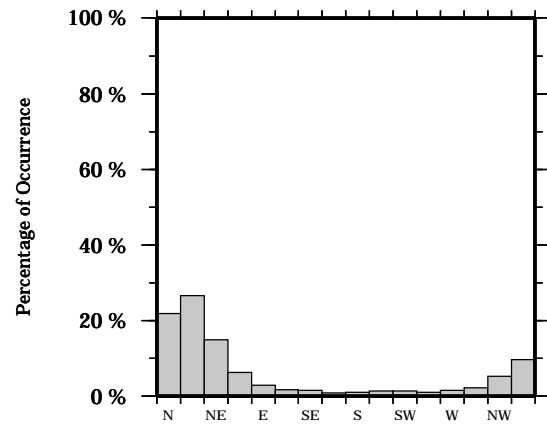
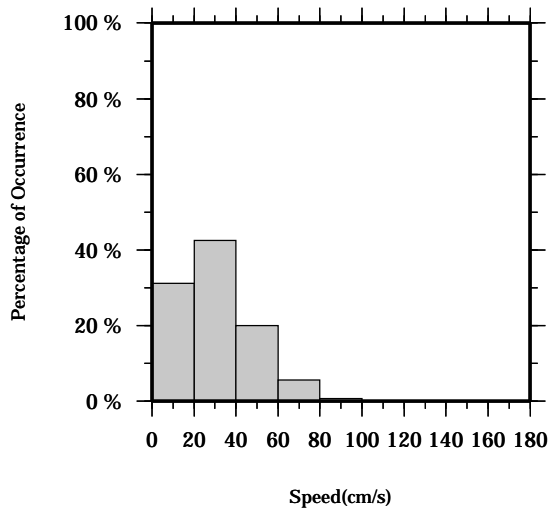
Speed scalar average : 31.3 (cm/s)

LON: 121° 17.4341' E

Station: W104

LAT: 22° 38.8623' N

Depth: 230 M



Joint probability distribution of current speed and it's direction

Speed	N	NNE	NE	ENE	E	ESE	SE	SSE	S	SSW	SW	WSW	W	WNW	NW	NNW	Total
0-20	3.9	3.7	3.7	3.4	1.9	1.3	1.3	0.7	0.9	1.1	1.0	0.7	1.3	1.4	2.4	2.4	31.2
20-40	9.5	11.4	8.1	2.4	0.8	0.4	0.2	0.1	0.2	0.1	0.4	0.3	0.2	0.7	2.5	5.2	42.5
40-60	6.5	8.0	2.5	0.4	0.1	0.0	0.0	0.0	0.0	0.0	0.0	0.0	0.0	0.0	0.4	2.1	20.0
60-80	1.9	3.0	0.6	0.0	0.0	0.0	0.0	0.0	0.0	0.0	0.0	0.0	0.0	0.0	0.0	0.1	5.6
80-100	0.0	0.5	0.0	0.0	0.0	0.0	0.0	0.0	0.0	0.0	0.0	0.0	0.0	0.0	0.0	0.0	0.6
100-120	0.0	0.0	0.0	0.0	0.0	0.0	0.0	0.0	0.0	0.0	0.0	0.0	0.0	0.0	0.0	0.0	0.0
120-140	0.0	0.0	0.0	0.0	0.0	0.0	0.0	0.0	0.0	0.0	0.0	0.0	0.0	0.0	0.0	0.0	0.0
140-160	0.0	0.0	0.0	0.0	0.0	0.0	0.0	0.0	0.0	0.0	0.0	0.0	0.0	0.0	0.0	0.0	0.0
160-180	0.0	0.0	0.0	0.0	0.0	0.0	0.0	0.0	0.0	0.0	0.0	0.0	0.0	0.0	0.0	0.0	0.0
180-200	0.0	0.0	0.0	0.0	0.0	0.0	0.0	0.0	0.0	0.0	0.0	0.0	0.0	0.0	0.0	0.0	0.0
Total	21.8	26.7	15.0	6.3	2.8	1.7	1.6	0.8	1.0	1.3	1.3	1.0	1.6	2.2	5.3	9.7	100.0

Mean U and V : 6.7 (cm/s), 24.3 (cm/s)

Standard deviation of U and V : 14.1 (cm/s), 19.6 (cm/s)

Maximun speed and it's direction : 96.1 (cm/s), 25.8 (deg.)

Mean speed and direction : 25.2 (cm/s), 15.4 (deg.)

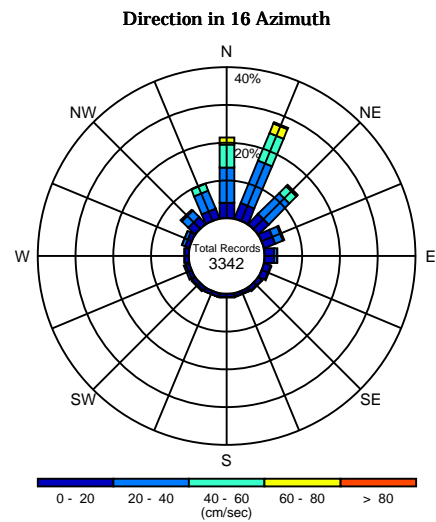
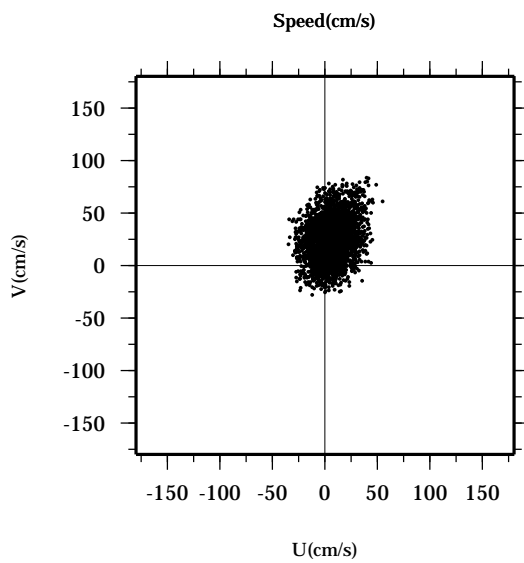
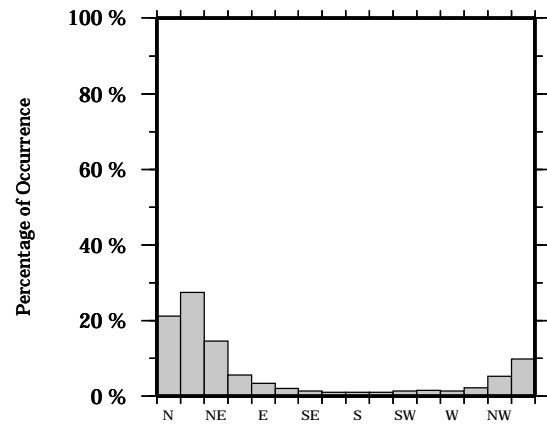
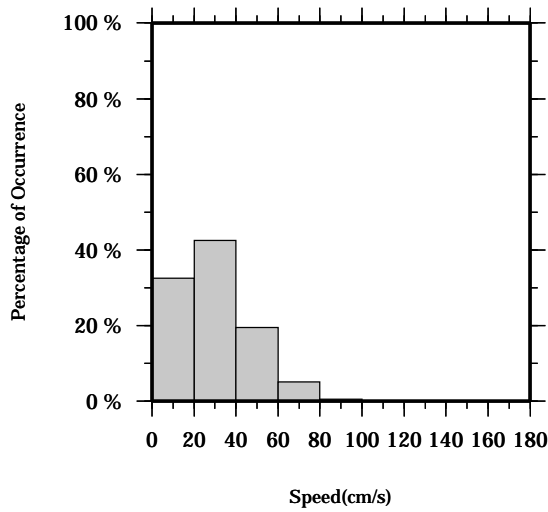
Speed scalar average : 30.5 (cm/s)

LON: 121° 17.4341' E

Station: W104

LAT: 22° 38.8623' N

Depth: 234 M



Joint probability distribution of current speed and it's direction

Speed	N	NNE	NE	ENE	E	ESE	SE	SSE	S	SSW	SW	WSW	W	WNW	NW	NNW	Total
0-20	3.9	4.2	3.7	3.0	2.5	1.7	1.1	0.9	0.9	0.9	1.0	1.0	1.2	1.2	2.5	2.7	32.5
20-40	9.3	12.1	7.7	2.2	0.8	0.3	0.2	0.2	0.2	0.1	0.3	0.5	0.1	0.9	2.3	5.2	42.5
40-60	6.2	7.9	2.6	0.4	0.1	0.0	0.0	0.0	0.0	0.0	0.0	0.0	0.0	0.0	0.4	1.9	19.5
60-80	1.8	2.8	0.4	0.0	0.0	0.0	0.0	0.0	0.0	0.0	0.0	0.0	0.0	0.0	0.0	0.0	5.1
80-100	0.0	0.4	0.0	0.0	0.0	0.0	0.0	0.0	0.0	0.0	0.0	0.0	0.0	0.0	0.0	0.0	0.4
100-120	0.0	0.0	0.0	0.0	0.0	0.0	0.0	0.0	0.0	0.0	0.0	0.0	0.0	0.0	0.0	0.0	0.0
120-140	0.0	0.0	0.0	0.0	0.0	0.0	0.0	0.0	0.0	0.0	0.0	0.0	0.0	0.0	0.0	0.0	0.0
140-160	0.0	0.0	0.0	0.0	0.0	0.0	0.0	0.0	0.0	0.0	0.0	0.0	0.0	0.0	0.0	0.0	0.0
160-180	0.0	0.0	0.0	0.0	0.0	0.0	0.0	0.0	0.0	0.0	0.0	0.0	0.0	0.0	0.0	0.0	0.0
180-200	0.0	0.0	0.0	0.0	0.0	0.0	0.0	0.0	0.0	0.0	0.0	0.0	0.0	0.0	0.0	0.0	0.0
Total	21.2	27.5	14.6	5.6	3.4	2.0	1.3	1.0	1.1	1.0	1.3	1.5	1.3	2.1	5.2	9.8	100.0

Mean U and V : 6.4 (cm/s), 23.5 (cm/s)

Standard deviation of U and V : 13.8 (cm/s), 19.4 (cm/s)

Maximun speed and it's direction : 92.5 (cm/s), 25.5 (deg.)

Mean speed and direction : 24.4 (cm/s), 15.1 (deg.)

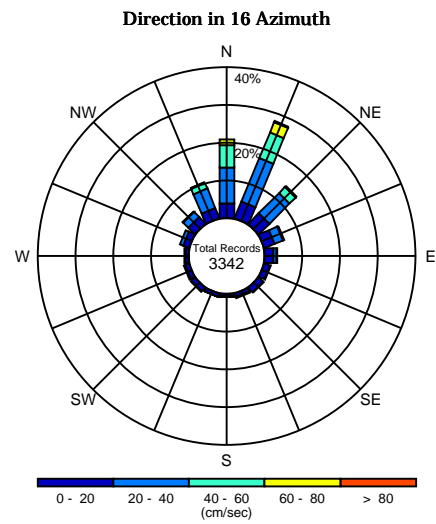
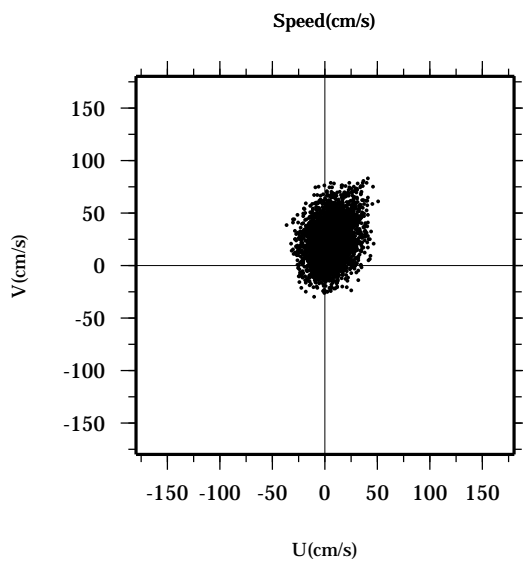
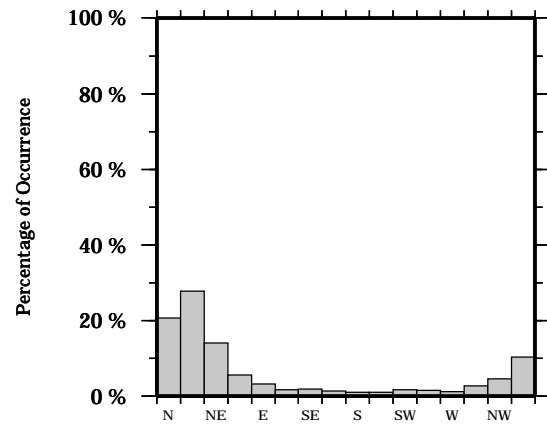
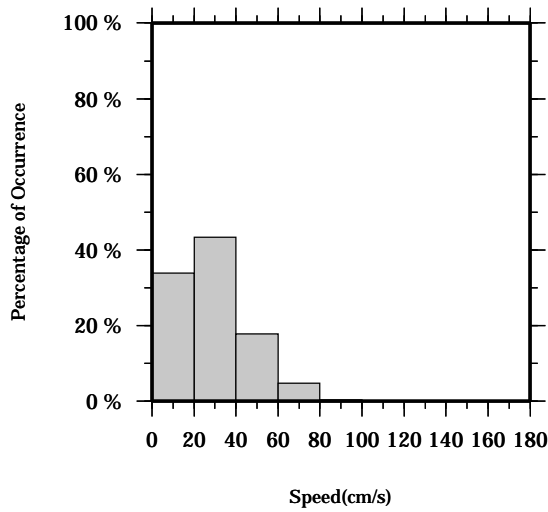
Speed scalar average : 29.8 (cm/s)

LON: 121° 17.4341' E

Station: W104

LAT: 22° 38.8623' N

Depth: 238 M



Joint probability distribution of current speed and it's direction

Speed	N	NNE	NE	ENE	E	ESE	SE	SSE	S	SSW	SW	WSW	W	WNW	NW	NNW	Total
0-20	3.9	4.8	3.9	2.9	2.3	1.5	1.6	1.0	0.7	0.9	1.3	1.2	0.9	1.7	2.4	2.8	33.9
20-40	9.5	12.5	7.6	2.4	0.9	0.2	0.1	0.3	0.2	0.1	0.3	0.3	0.4	0.9	1.9	5.6	43.3
40-60	5.9	7.3	2.3	0.3	0.1	0.0	0.0	0.0	0.0	0.0	0.0	0.0	0.0	0.0	0.2	1.8	17.8
60-80	1.5	2.9	0.3	0.0	0.0	0.0	0.0	0.0	0.0	0.0	0.0	0.0	0.0	0.0	0.0	0.0	4.7
80-100	0.0	0.3	0.0	0.0	0.0	0.0	0.0	0.0	0.0	0.0	0.0	0.0	0.0	0.0	0.0	0.0	0.3
100-120	0.0	0.0	0.0	0.0	0.0	0.0	0.0	0.0	0.0	0.0	0.0	0.0	0.0	0.0	0.0	0.0	0.0
120-140	0.0	0.0	0.0	0.0	0.0	0.0	0.0	0.0	0.0	0.0	0.0	0.0	0.0	0.0	0.0	0.0	0.0
140-160	0.0	0.0	0.0	0.0	0.0	0.0	0.0	0.0	0.0	0.0	0.0	0.0	0.0	0.0	0.0	0.0	0.0
160-180	0.0	0.0	0.0	0.0	0.0	0.0	0.0	0.0	0.0	0.0	0.0	0.0	0.0	0.0	0.0	0.0	0.0
180-200	0.0	0.0	0.0	0.0	0.0	0.0	0.0	0.0	0.0	0.0	0.0	0.0	0.0	0.0	0.0	0.0	0.0
Total	20.7	27.7	14.1	5.5	3.3	1.7	1.8	1.3	1.0	1.0	1.6	1.5	1.3	2.7	4.5	10.3	100.0

Mean U and V : 6.1 (cm/s), 22.8 (cm/s)

Standard deviation of U and V : 13.5 (cm/s), 19.2 (cm/s)

Maximun speed and it's direction : 92.2 (cm/s), 26.3 (deg.)

Mean speed and direction : 23.6 (cm/s), 15.1 (deg.)

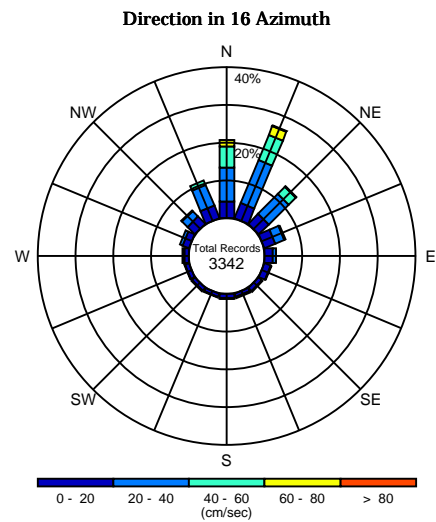
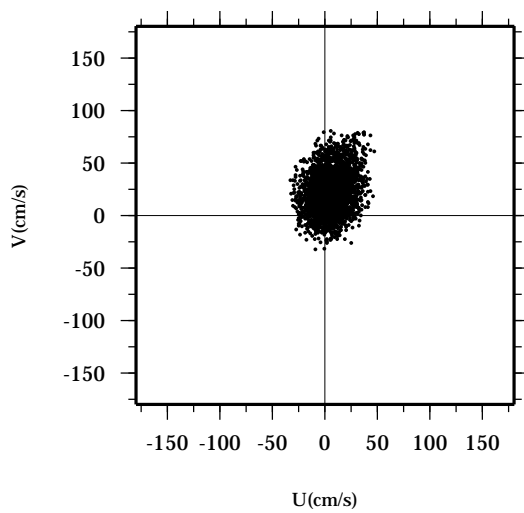
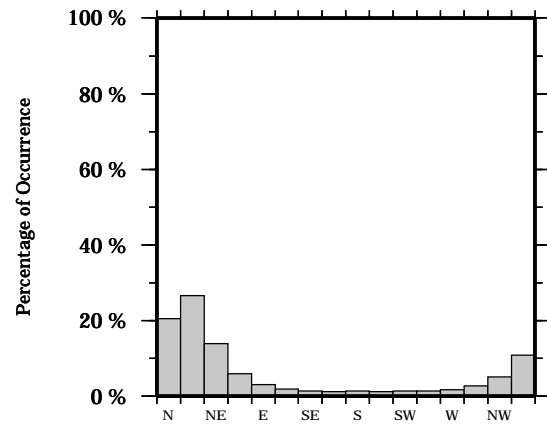
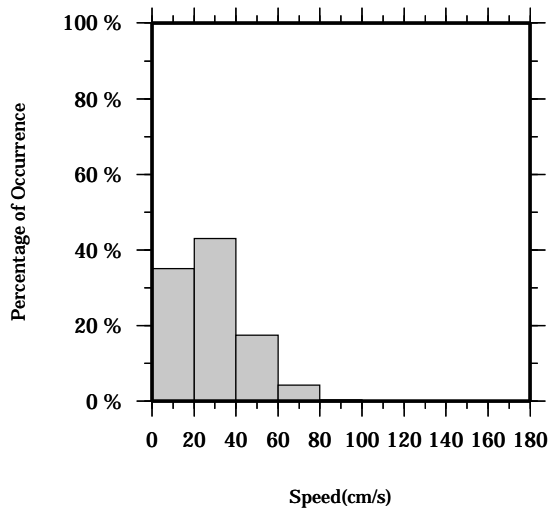
Speed scalar average : 29.1 (cm/s)

LON: 121° 17.4341' E

Station: W104

LAT: 22° 38.8623' N

Depth: 242 M



Joint probability distribution of current speed and it's direction

Speed	N	NNE	NE	ENE	E	ESE	SE	SSE	S	SSW	SW	WSW	W	WNW	NW	NNW	Total
0-20	4.2	4.3	3.6	3.1	2.1	1.7	1.2	1.0	1.2	1.0	1.1	1.1	1.3	1.9	2.8	3.5	35.0
20-40	9.1	12.4	7.5	2.6	0.9	0.2	0.2	0.3	0.2	0.1	0.2	0.3	0.4	0.8	2.0	5.9	43.1
40-60	5.6	7.2	2.7	0.3	0.0	0.0	0.0	0.0	0.0	0.0	0.0	0.0	0.0	0.0	0.2	1.4	17.4
60-80	1.6	2.4	0.2	0.0	0.0	0.0	0.0	0.0	0.0	0.0	0.0	0.0	0.0	0.0	0.0	0.0	4.2
80-100	0.0	0.3	0.0	0.0	0.0	0.0	0.0	0.0	0.0	0.0	0.0	0.0	0.0	0.0	0.0	0.0	0.3
100-120	0.0	0.0	0.0	0.0	0.0	0.0	0.0	0.0	0.0	0.0	0.0	0.0	0.0	0.0	0.0	0.0	0.0
120-140	0.0	0.0	0.0	0.0	0.0	0.0	0.0	0.0	0.0	0.0	0.0	0.0	0.0	0.0	0.0	0.0	0.0
140-160	0.0	0.0	0.0	0.0	0.0	0.0	0.0	0.0	0.0	0.0	0.0	0.0	0.0	0.0	0.0	0.0	0.0
160-180	0.0	0.0	0.0	0.0	0.0	0.0	0.0	0.0	0.0	0.0	0.0	0.0	0.0	0.0	0.0	0.0	0.0
180-200	0.0	0.0	0.0	0.0	0.0	0.0	0.0	0.0	0.0	0.0	0.0	0.0	0.0	0.0	0.0	0.0	0.0
Total	20.5	26.5	13.9	6.0	3.1	1.9	1.4	1.3	1.4	1.1	1.3	1.4	1.7	2.7	5.0	10.8	100.0

Mean U and V : 5.8 (cm/s), 22.1 (cm/s)

Standard deviation of U and V : 13.3 (cm/s), 18.9 (cm/s)

Maximun speed and it's direction : 87.3 (cm/s), 29.8 (deg.)

Mean speed and direction : 22.9 (cm/s), 14.8 (deg.)

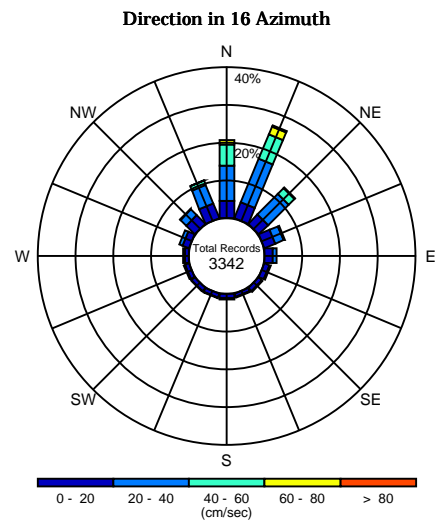
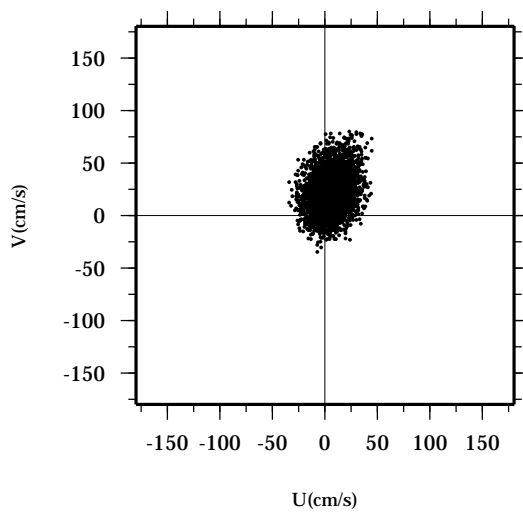
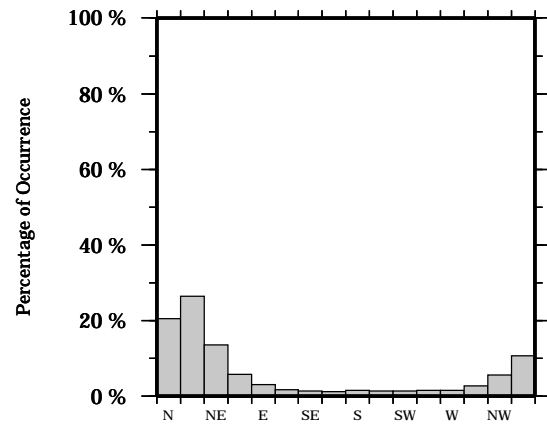
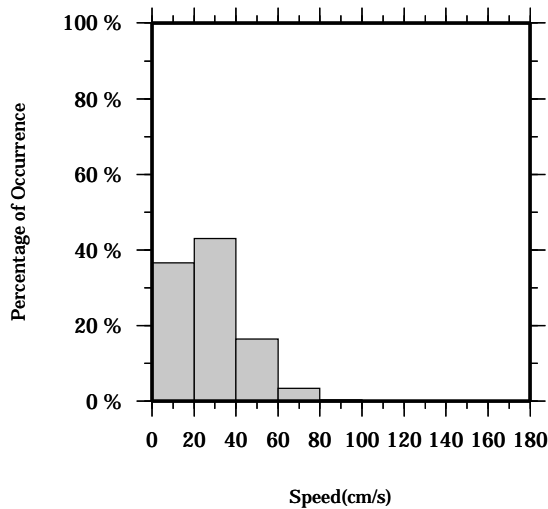
Speed scalar average : 28.4 (cm/s)

LON: 121° 17.4341' E

Station: W104

LAT: 22° 38.8623' N

Depth: 246 M



Joint probability distribution of current speed and it's direction

Speed	N	NNE	NE	ENE	E	ESE	SE	SSE	S	SSW	SW	WSW	W	WNW	NW	NNW	Total
0-20	4.6	4.6	3.4	3.1	2.1	1.5	1.2	1.0	1.3	1.2	1.2	1.1	1.1	1.8	3.2	4.2	36.6
20-40	9.2	12.4	7.7	2.4	1.0	0.3	0.2	0.2	0.3	0.2	0.2	0.3	0.4	0.9	2.2	5.3	43.1
40-60	5.6	7.1	2.2	0.3	0.0	0.0	0.0	0.0	0.0	0.0	0.0	0.0	0.0	0.0	0.2	1.2	16.5
60-80	1.1	2.1	0.2	0.0	0.0	0.0	0.0	0.0	0.0	0.0	0.0	0.0	0.0	0.0	0.0	0.0	3.5
80-100	0.0	0.3	0.0	0.0	0.0	0.0	0.0	0.0	0.0	0.0	0.0	0.0	0.0	0.0	0.0	0.0	0.3
100-120	0.0	0.0	0.0	0.0	0.0	0.0	0.0	0.0	0.0	0.0	0.0	0.0	0.0	0.0	0.0	0.0	0.0
120-140	0.0	0.0	0.0	0.0	0.0	0.0	0.0	0.0	0.0	0.0	0.0	0.0	0.0	0.0	0.0	0.0	0.0
140-160	0.0	0.0	0.0	0.0	0.0	0.0	0.0	0.0	0.0	0.0	0.0	0.0	0.0	0.0	0.0	0.0	0.0
160-180	0.0	0.0	0.0	0.0	0.0	0.0	0.0	0.0	0.0	0.0	0.0	0.0	0.0	0.0	0.0	0.0	0.0
180-200	0.0	0.0	0.0	0.0	0.0	0.0	0.0	0.0	0.0	0.0	0.0	0.0	0.0	0.0	0.0	0.0	0.0
Total	20.6	26.5	13.5	5.8	3.1	1.7	1.4	1.2	1.6	1.3	1.4	1.5	1.5	2.7	5.6	10.7	100.0

Mean U and V : 5.5 (cm/s), 21.4 (cm/s)

Standard deviation of U and V : 13.1 (cm/s), 18.7 (cm/s)

Maximun speed and it's direction : 85.5 (cm/s), 31.3 (deg.)

Mean speed and direction : 22.1 (cm/s), 14.5 (deg.)

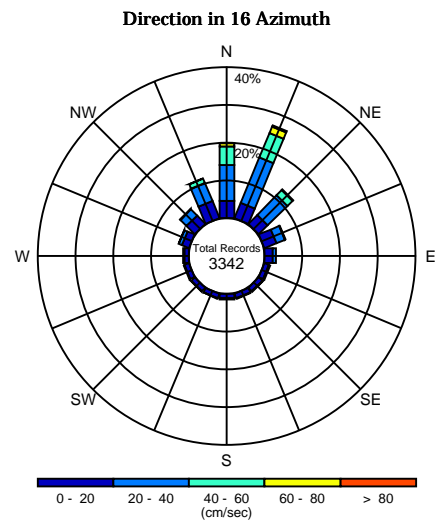
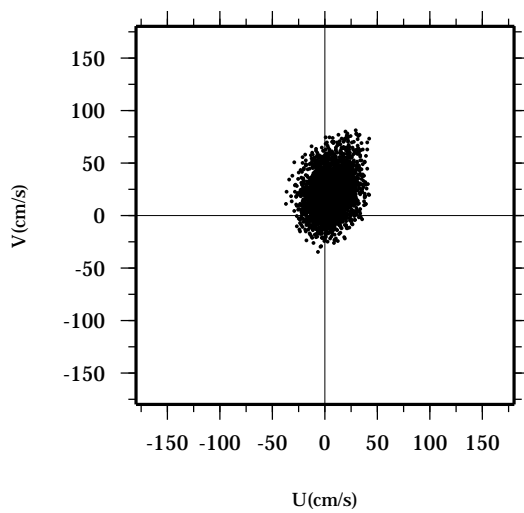
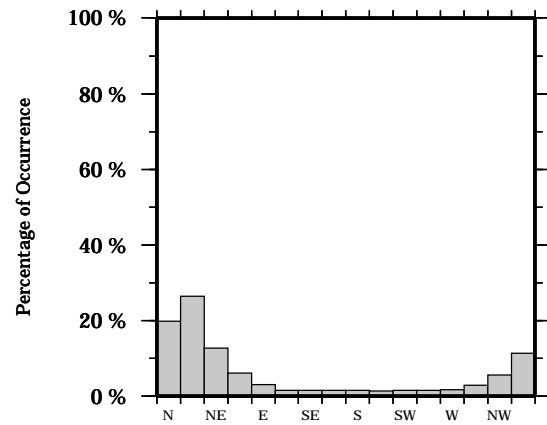
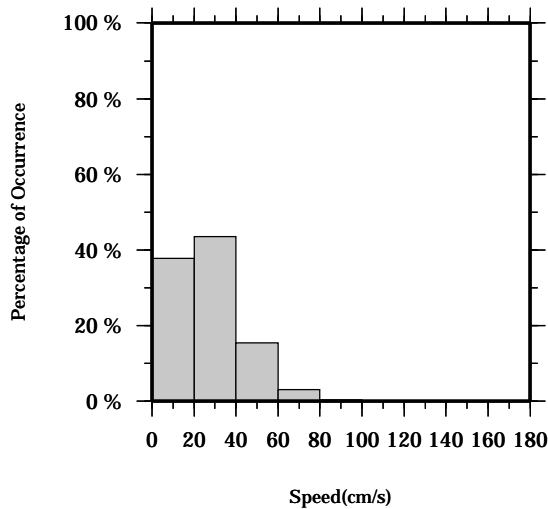
Speed scalar average : 27.7 (cm/s)

LON: 121° 17.4341' E

Station: W104

LAT: 22° 38.8623' N

Depth: 250 M



Joint probability distribution of current speed and it's direction

Speed	N	NNE	NE	ENE	E	ESE	SE	SSE	S	SSW	SW	WSW	W	WNW	NW	NNW	Total
0-20	4.5	4.3	3.4	3.3	2.1	1.2	1.3	1.3	1.2	1.3	1.3	1.3	1.3	2.0	3.1	4.8	37.8
20-40	9.5	13.0	7.3	2.4	0.9	0.3	0.1	0.2	0.4	0.2	0.2	0.3	0.3	0.9	2.3	5.2	43.5
40-60	4.8	6.9	1.9	0.3	0.0	0.0	0.0	0.0	0.0	0.0	0.0	0.0	0.0	0.0	0.1	1.2	15.4
60-80	0.9	1.9	0.1	0.0	0.0	0.0	0.0	0.0	0.0	0.0	0.0	0.0	0.0	0.0	0.0	0.1	3.1
80-100	0.0	0.3	0.0	0.0	0.0	0.0	0.0	0.0	0.0	0.0	0.0	0.0	0.0	0.0	0.0	0.0	0.3
100-120	0.0	0.0	0.0	0.0	0.0	0.0	0.0	0.0	0.0	0.0	0.0	0.0	0.0	0.0	0.0	0.0	0.0
120-140	0.0	0.0	0.0	0.0	0.0	0.0	0.0	0.0	0.0	0.0	0.0	0.0	0.0	0.0	0.0	0.0	0.0
140-160	0.0	0.0	0.0	0.0	0.0	0.0	0.0	0.0	0.0	0.0	0.0	0.0	0.0	0.0	0.0	0.0	0.0
160-180	0.0	0.0	0.0	0.0	0.0	0.0	0.0	0.0	0.0	0.0	0.0	0.0	0.0	0.0	0.0	0.0	0.0
180-200	0.0	0.0	0.0	0.0	0.0	0.0	0.0	0.0	0.0	0.0	0.0	0.0	0.0	0.0	0.0	0.0	0.0
Total	19.7	26.4	12.7	6.0	3.0	1.5	1.5	1.5	1.6	1.4	1.5	1.6	1.6	3.0	5.5	11.3	100.0

Mean U and V : 5.3 (cm/s), 20.8 (cm/s)

Standard deviation of U and V : 13.0 (cm/s), 18.4 (cm/s)

Maximun speed and it's direction : 85.9 (cm/s), 19.8 (deg.)

Mean speed and direction : 21.4 (cm/s), 14.3 (deg.)

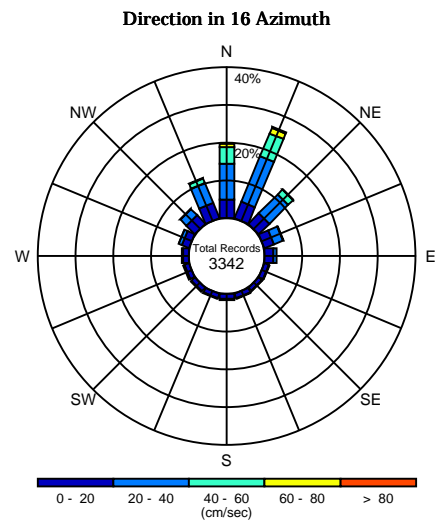
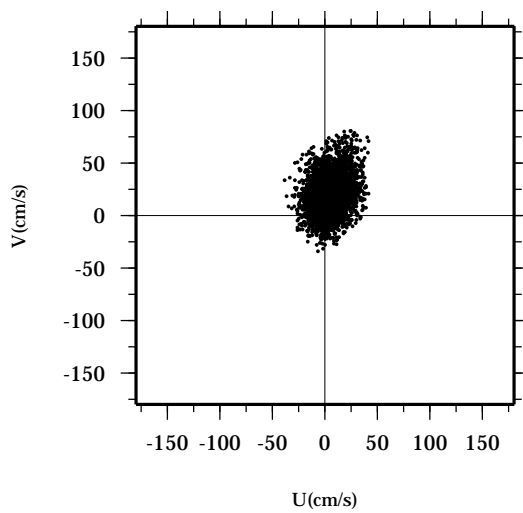
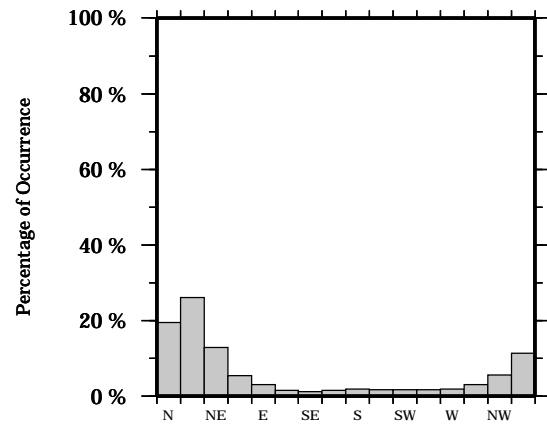
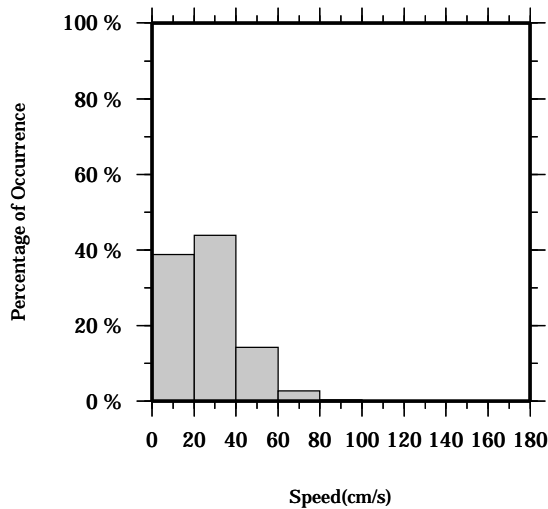
Speed scalar average : 27.0 (cm/s)

LON: 121° 17.4341' E

Station: W104

LAT: 22° 38.8623' N

Depth: 254 M



Joint probability distribution of current speed and it's direction

Speed	N	NNE	NE	ENE	E	ESE	SE	SSE	S	SSW	SW	WSW	W	WNW	NW	NNW	Total
0-20	4.8	4.7	3.9	2.6	2.3	1.2	1.1	1.3	1.5	1.4	1.4	1.3	1.6	2.1	3.2	4.4	38.8
20-40	9.5	13.0	7.1	2.6	0.8	0.3	0.1	0.3	0.4	0.2	0.2	0.3	0.3	0.9	2.3	5.6	43.9
40-60	4.5	6.5	1.7	0.2	0.0	0.0	0.0	0.0	0.0	0.0	0.0	0.0	0.0	0.0	0.1	1.2	14.3
60-80	0.8	1.6	0.1	0.0	0.0	0.0	0.0	0.0	0.0	0.0	0.0	0.0	0.0	0.0	0.0	0.2	2.8
80-100	0.0	0.3	0.0	0.0	0.0	0.0	0.0	0.0	0.0	0.0	0.0	0.0	0.0	0.0	0.0	0.0	0.3
100-120	0.0	0.0	0.0	0.0	0.0	0.0	0.0	0.0	0.0	0.0	0.0	0.0	0.0	0.0	0.0	0.0	0.0
120-140	0.0	0.0	0.0	0.0	0.0	0.0	0.0	0.0	0.0	0.0	0.0	0.0	0.0	0.0	0.0	0.0	0.0
140-160	0.0	0.0	0.0	0.0	0.0	0.0	0.0	0.0	0.0	0.0	0.0	0.0	0.0	0.0	0.0	0.0	0.0
160-180	0.0	0.0	0.0	0.0	0.0	0.0	0.0	0.0	0.0	0.0	0.0	0.0	0.0	0.0	0.0	0.0	0.0
180-200	0.0	0.0	0.0	0.0	0.0	0.0	0.0	0.0	0.0	0.0	0.0	0.0	0.0	0.0	0.0	0.0	0.0
Total	19.5	26.1	12.9	5.4	3.1	1.5	1.2	1.6	1.8	1.6	1.6	1.7	1.9	3.1	5.5	11.4	100.0

Mean U and V : 5.0 (cm/s), 20.1 (cm/s)

Standard deviation of U and V : 12.8 (cm/s), 18.3 (cm/s)

Maximun speed and it's direction : 84.7 (cm/s), 28.5 (deg.)

Mean speed and direction : 20.7 (cm/s), 14.0 (deg.)

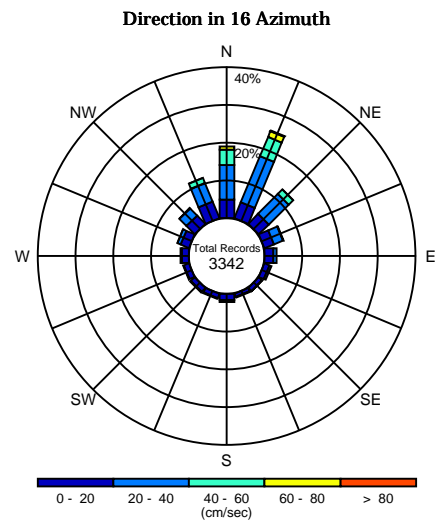
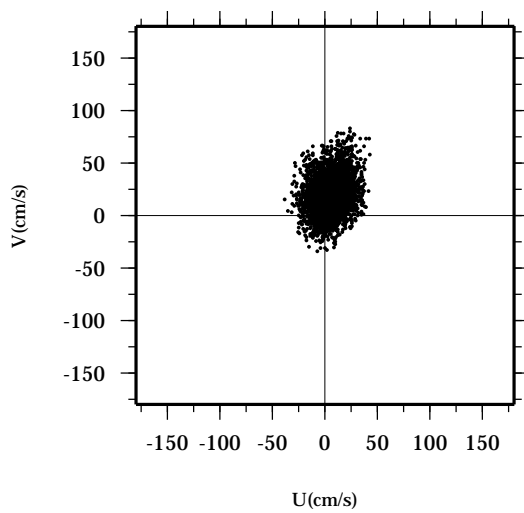
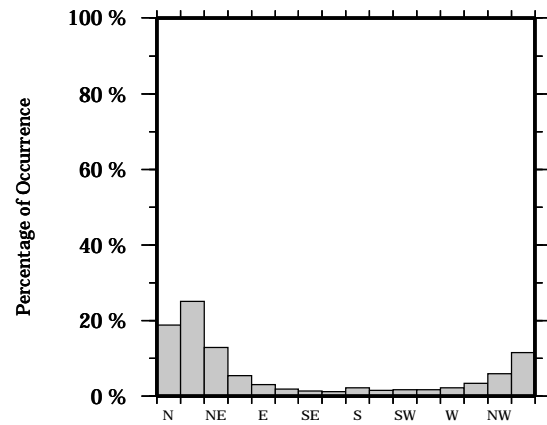
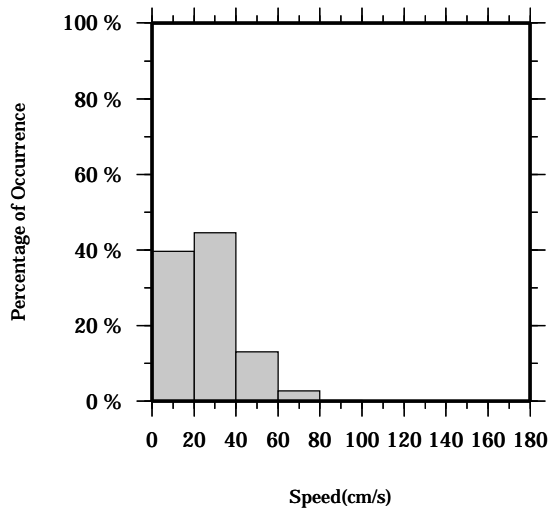
Speed scalar average : 26.4 (cm/s)

LON: 121° 17.4341' E

Station: W104

LAT: 22° 38.8623' N

Depth: 258 M



Joint probability distribution of current speed and it's direction

Speed	N	NNE	NE	ENE	E	ESE	SE	SSE	S	SSW	SW	WSW	W	WNW	NW	NNW	Total
0-20	4.8	4.4	3.7	2.7	2.4	1.5	1.2	0.9	1.8	1.3	1.4	1.5	1.9	2.4	3.1	4.7	39.7
20-40	9.2	13.3	7.5	2.6	0.7	0.4	0.1	0.3	0.4	0.3	0.3	0.3	0.3	1.0	2.7	5.2	44.5
40-60	4.0	5.6	1.6	0.2	0.0	0.0	0.0	0.0	0.0	0.0	0.0	0.0	0.0	0.0	0.1	1.5	13.0
60-80	0.8	1.6	0.1	0.0	0.0	0.0	0.0	0.0	0.0	0.0	0.0	0.0	0.0	0.0	0.0	0.1	2.6
80-100	0.0	0.2	0.0	0.0	0.0	0.0	0.0	0.0	0.0	0.0	0.0	0.0	0.0	0.0	0.0	0.0	0.2
100-120	0.0	0.0	0.0	0.0	0.0	0.0	0.0	0.0	0.0	0.0	0.0	0.0	0.0	0.0	0.0	0.0	0.0
120-140	0.0	0.0	0.0	0.0	0.0	0.0	0.0	0.0	0.0	0.0	0.0	0.0	0.0	0.0	0.0	0.0	0.0
140-160	0.0	0.0	0.0	0.0	0.0	0.0	0.0	0.0	0.0	0.0	0.0	0.0	0.0	0.0	0.0	0.0	0.0
160-180	0.0	0.0	0.0	0.0	0.0	0.0	0.0	0.0	0.0	0.0	0.0	0.0	0.0	0.0	0.0	0.0	0.0
180-200	0.0	0.0	0.0	0.0	0.0	0.0	0.0	0.0	0.0	0.0	0.0	0.0	0.0	0.0	0.0	0.0	0.0
Total	18.9	25.1	12.8	5.5	3.1	1.9	1.3	1.2	2.2	1.6	1.7	1.8	2.2	3.4	5.9	11.5	100.0

Mean U and V : 4.6 (cm/s), 19.3 (cm/s)

Standard deviation of U and V : 12.7 (cm/s), 18.1 (cm/s)

Maximun speed and it's direction : 86.0 (cm/s), 15.8 (deg.)

Mean speed and direction : 19.8 (cm/s), 13.4 (deg.)

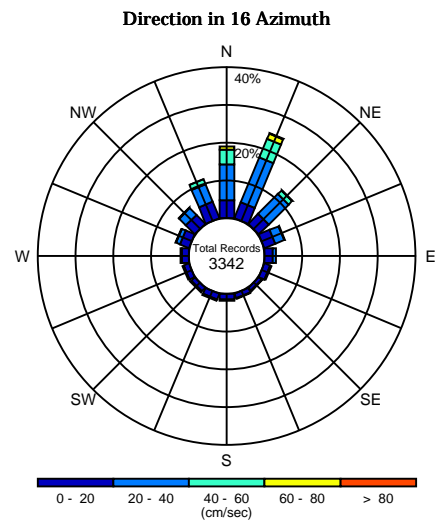
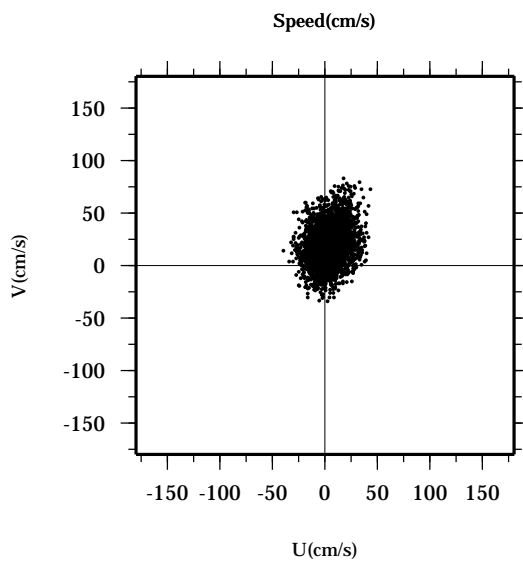
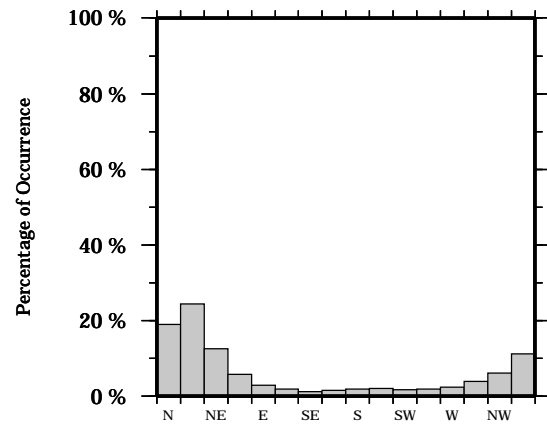
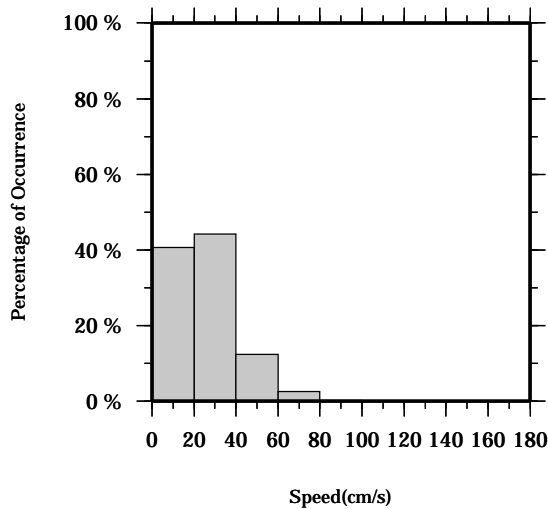
Speed scalar average : 25.7 (cm/s)

LON: 121° 17.4341' E

Station: W104

LAT: 22° 38.8623' N

Depth: 262 M



Joint probability distribution of current speed and it's direction

Speed	N	NNE	NE	ENE	E	ESE	SE	SSE	S	SSW	SW	WSW	W	WNW	NW	NNW	Total
0-20	4.7	4.5	3.7	3.1	2.1	1.6	1.0	1.3	1.5	1.6	1.4	1.6	2.0	2.7	3.4	4.6	40.7
20-40	9.4	12.7	7.4	2.5	0.8	0.4	0.1	0.3	0.4	0.4	0.4	0.3	0.4	1.1	2.5	5.1	44.3
40-60	4.0	5.4	1.3	0.2	0.0	0.0	0.0	0.0	0.0	0.0	0.0	0.0	0.0	0.0	0.1	1.3	12.3
60-80	0.8	1.6	0.1	0.0	0.0	0.0	0.0	0.0	0.0	0.0	0.0	0.0	0.0	0.0	0.0	0.1	2.5
80-100	0.0	0.2	0.0	0.0	0.0	0.0	0.0	0.0	0.0	0.0	0.0	0.0	0.0	0.0	0.0	0.0	0.2
100-120	0.0	0.0	0.0	0.0	0.0	0.0	0.0	0.0	0.0	0.0	0.0	0.0	0.0	0.0	0.0	0.0	0.0
120-140	0.0	0.0	0.0	0.0	0.0	0.0	0.0	0.0	0.0	0.0	0.0	0.0	0.0	0.0	0.0	0.0	0.0
140-160	0.0	0.0	0.0	0.0	0.0	0.0	0.0	0.0	0.0	0.0	0.0	0.0	0.0	0.0	0.0	0.0	0.0
160-180	0.0	0.0	0.0	0.0	0.0	0.0	0.0	0.0	0.0	0.0	0.0	0.0	0.0	0.0	0.0	0.0	0.0
180-200	0.0	0.0	0.0	0.0	0.0	0.0	0.0	0.0	0.0	0.0	0.0	0.0	0.0	0.0	0.0	0.0	0.0
Total	18.9	24.4	12.5	5.7	3.0	1.9	1.2	1.6	1.9	2.1	1.7	1.8	2.3	3.8	6.0	11.1	100.0

Mean U and V : 4.3 (cm/s), 18.6 (cm/s)

Standard deviation of U and V : 12.7 (cm/s), 18.0 (cm/s)

Maximun speed and it's direction : 85.7 (cm/s), 22.5 (deg.)

Mean speed and direction : 19.1 (cm/s), 12.9 (deg.)

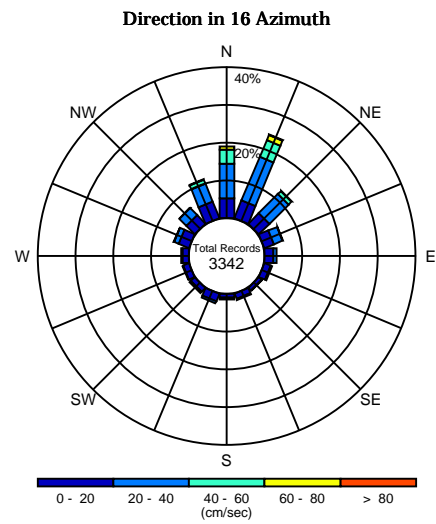
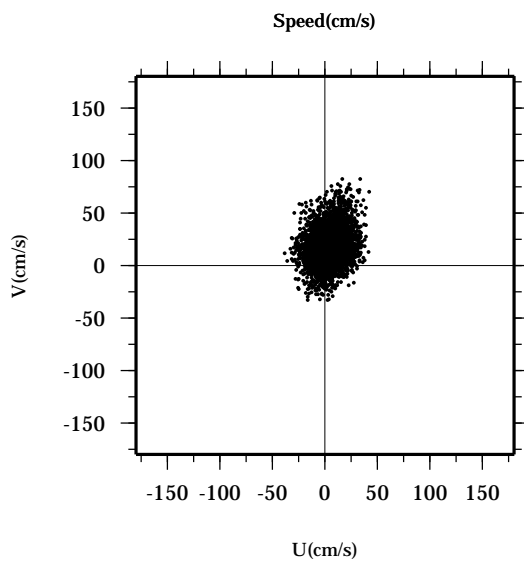
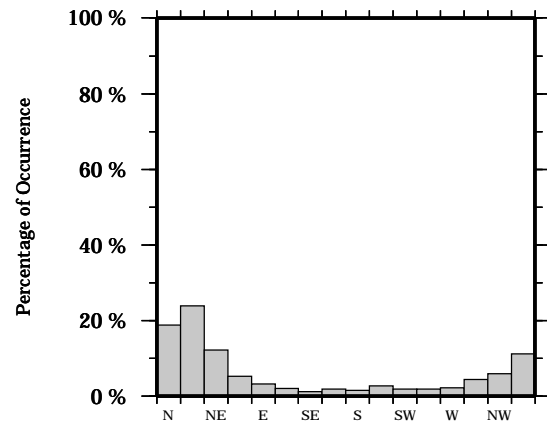
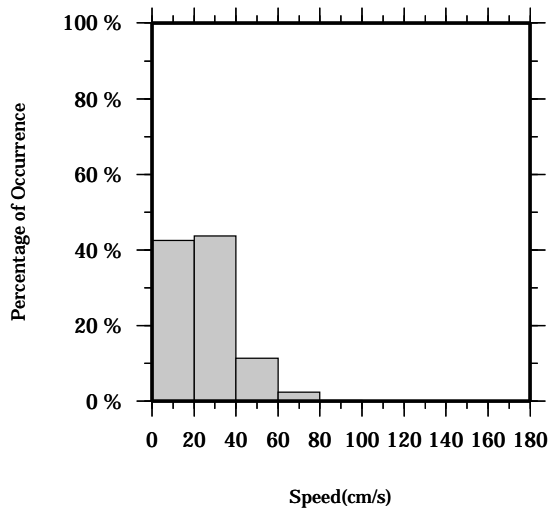
Speed scalar average : 25.2 (cm/s)

LON: 121° 17.4341' E

Station: W104

LAT: 22° 38.8623' N

Depth: 266 M



Joint probability distribution of current speed and it's direction

Speed	N	NNE	NE	ENE	E	ESE	SE	SSE	S	SSW	SW	WSW	W	WNW	NW	NNW	Total
0-20	5.2	5.0	3.9	2.6	2.3	1.7	1.0	1.5	1.1	2.2	1.5	1.6	1.8	3.0	3.2	4.7	42.4
20-40	9.0	12.5	7.1	2.5	0.9	0.4	0.1	0.3	0.4	0.5	0.4	0.2	0.3	1.3	2.6	5.1	43.7
40-60	3.8	4.9	1.1	0.1	0.0	0.0	0.0	0.0	0.0	0.0	0.0	0.0	0.0	0.0	0.1	1.2	11.4
60-80	0.8	1.4	0.1	0.0	0.0	0.0	0.0	0.0	0.0	0.0	0.0	0.0	0.0	0.0	0.0	0.1	2.4
80-100	0.0	0.1	0.0	0.0	0.0	0.0	0.0	0.0	0.0	0.0	0.0	0.0	0.0	0.0	0.0	0.0	0.1
100-120	0.0	0.0	0.0	0.0	0.0	0.0	0.0	0.0	0.0	0.0	0.0	0.0	0.0	0.0	0.0	0.0	0.0
120-140	0.0	0.0	0.0	0.0	0.0	0.0	0.0	0.0	0.0	0.0	0.0	0.0	0.0	0.0	0.0	0.0	0.0
140-160	0.0	0.0	0.0	0.0	0.0	0.0	0.0	0.0	0.0	0.0	0.0	0.0	0.0	0.0	0.0	0.0	0.0
160-180	0.0	0.0	0.0	0.0	0.0	0.0	0.0	0.0	0.0	0.0	0.0	0.0	0.0	0.0	0.0	0.0	0.0
180-200	0.0	0.0	0.0	0.0	0.0	0.0	0.0	0.0	0.0	0.0	0.0	0.0	0.0	0.0	0.0	0.0	0.0
Total	18.9	23.8	12.3	5.3	3.2	2.1	1.1	1.9	1.5	2.7	1.9	1.9	2.1	4.4	5.9	11.1	100.0

Mean U and V : 3.9 (cm/s), 17.9 (cm/s)

Standard deviation of U and V : 12.6 (cm/s), 17.8 (cm/s)

Maximun speed and it's direction : 88.8 (cm/s), 22.0 (deg.)

Mean speed and direction : 18.3 (cm/s), 12.2 (deg.)

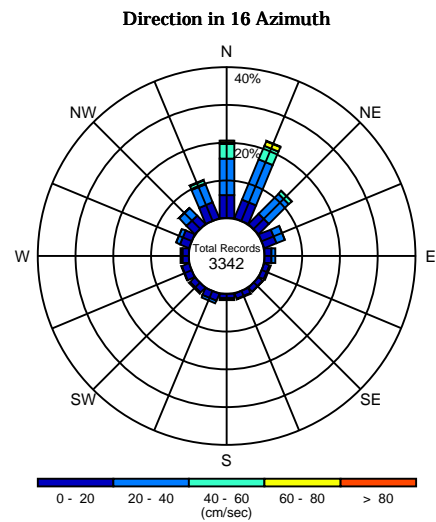
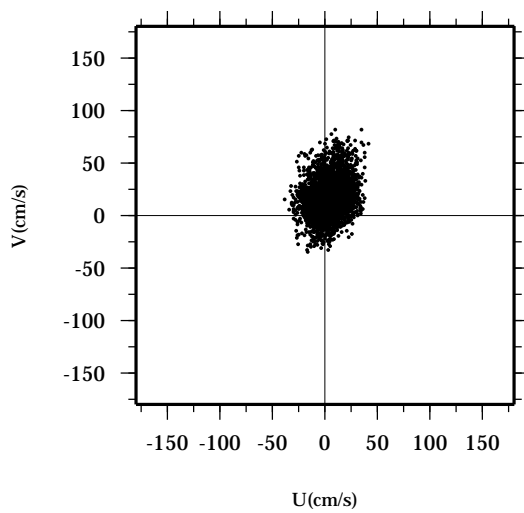
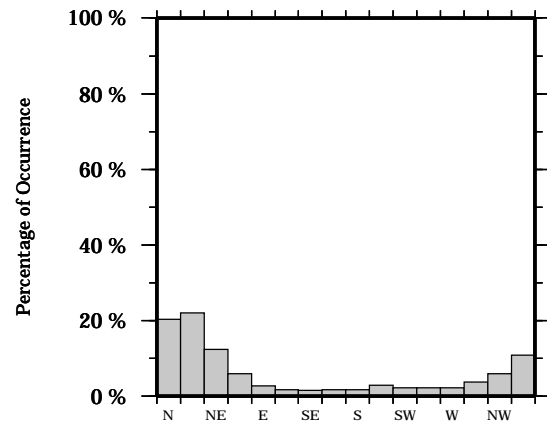
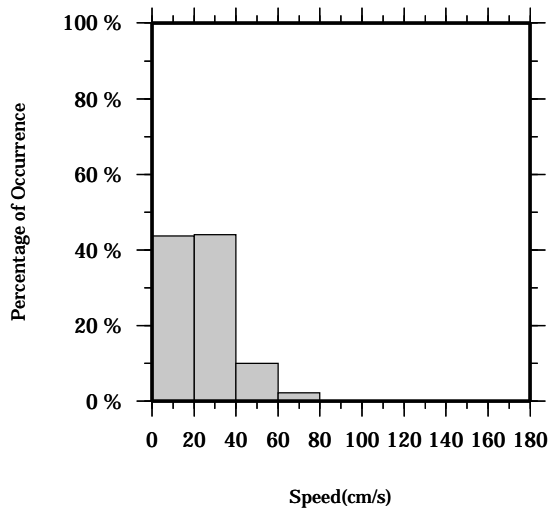
Speed scalar average : 24.7 (cm/s)

LON: 121° 17.4341' E

Station: W104

LAT: 22° 38.8623' N

Depth: 270 M



Joint probability distribution of current speed and it's direction

Speed	N	NNE	NE	ENE	E	ESE	SE	SSE	S	SSW	SW	WSW	W	WNW	NW	NNW	Total
0-20	6.0	5.3	3.8	3.3	1.9	1.5	1.4	1.5	1.3	2.1	1.8	2.0	1.7	2.6	3.1	4.5	43.7
20-40	9.7	11.5	7.4	2.5	0.9	0.2	0.1	0.2	0.4	0.7	0.3	0.1	0.5	1.2	2.8	5.1	44.0
40-60	3.9	3.9	1.0	0.1	0.0	0.0	0.0	0.0	0.0	0.0	0.0	0.0	0.0	0.0	0.1	1.0	10.0
60-80	0.8	1.3	0.0	0.0	0.0	0.0	0.0	0.0	0.0	0.0	0.0	0.0	0.0	0.0	0.0	0.2	2.3
80-100	0.0	0.0	0.0	0.0	0.0	0.0	0.0	0.0	0.0	0.0	0.0	0.0	0.0	0.0	0.0	0.0	0.1
100-120	0.0	0.0	0.0	0.0	0.0	0.0	0.0	0.0	0.0	0.0	0.0	0.0	0.0	0.0	0.0	0.0	0.0
120-140	0.0	0.0	0.0	0.0	0.0	0.0	0.0	0.0	0.0	0.0	0.0	0.0	0.0	0.0	0.0	0.0	0.0
140-160	0.0	0.0	0.0	0.0	0.0	0.0	0.0	0.0	0.0	0.0	0.0	0.0	0.0	0.0	0.0	0.0	0.0
160-180	0.0	0.0	0.0	0.0	0.0	0.0	0.0	0.0	0.0	0.0	0.0	0.0	0.0	0.0	0.0	0.0	0.0
180-200	0.0	0.0	0.0	0.0	0.0	0.0	0.0	0.0	0.0	0.0	0.0	0.0	0.0	0.0	0.0	0.0	0.0
Total	20.4	22.0	12.3	5.9	2.8	1.7	1.5	1.7	1.7	2.8	2.1	2.2	2.2	3.8	6.0	10.9	100.0

Mean U and V : 3.5 (cm/s), 17.3 (cm/s)

Standard deviation of U and V : 12.6 (cm/s), 17.6 (cm/s)

Maximun speed and it's direction : 88.7 (cm/s), 23.0 (deg.)

Mean speed and direction : 17.7 (cm/s), 11.5 (deg.)

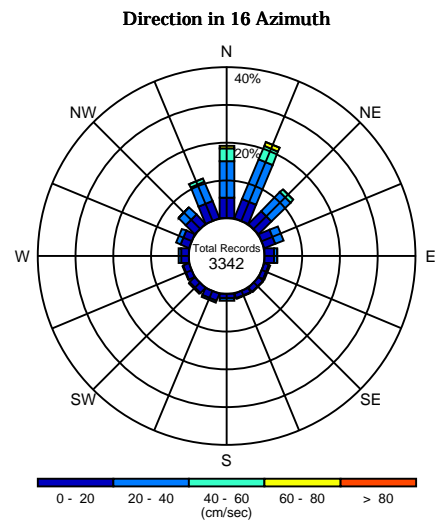
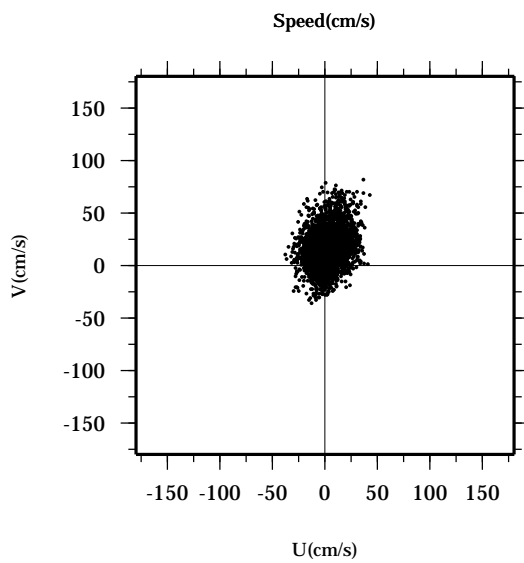
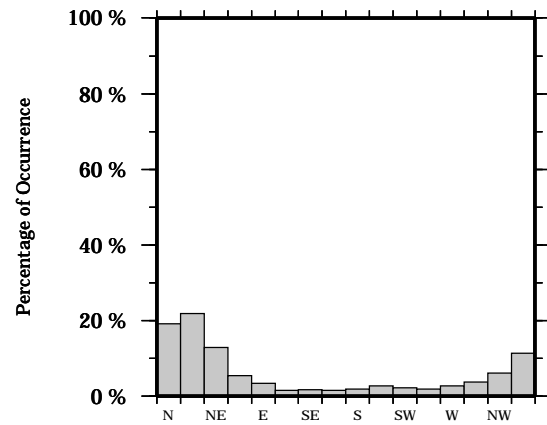
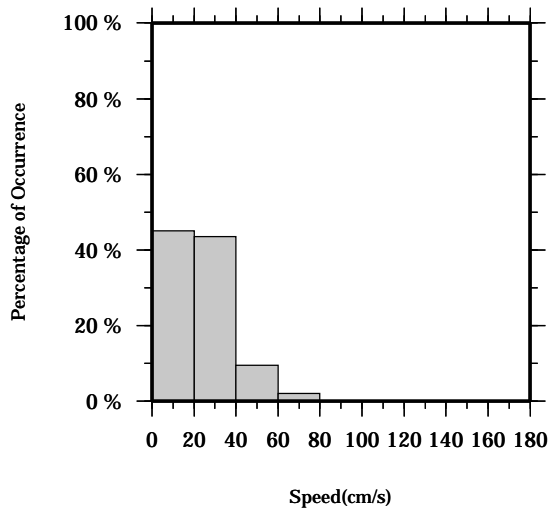
Speed scalar average : 24.2 (cm/s)

LON: 121° 17.4341' E

Station: W104

LAT: 22° 38.8623' N

Depth: 274 M



Joint probability distribution of current speed and it's direction

Speed	N	NNE	NE	ENE	E	ESE	SE	SSE	S	SSW	SW	WSW	W	WNW	NW	NNW	Total
0-20	5.4	5.4	4.8	3.1	2.5	1.3	1.5	1.3	1.3	2.0	2.0	1.7	2.1	2.5	3.4	4.9	45.1
20-40	9.5	11.4	7.0	2.3	0.8	0.2	0.1	0.2	0.6	0.7	0.3	0.2	0.6	1.3	2.7	5.4	43.5
40-60	3.5	3.8	1.1	0.0	0.0	0.0	0.0	0.0	0.0	0.0	0.0	0.0	0.0	0.0	0.1	1.0	9.5
60-80	0.7	1.2	0.0	0.0	0.0	0.0	0.0	0.0	0.0	0.0	0.0	0.0	0.0	0.0	0.0	0.1	2.0
80-100	0.0	0.0	0.0	0.0	0.0	0.0	0.0	0.0	0.0	0.0	0.0	0.0	0.0	0.0	0.0	0.0	0.0
100-120	0.0	0.0	0.0	0.0	0.0	0.0	0.0	0.0	0.0	0.0	0.0	0.0	0.0	0.0	0.0	0.0	0.0
120-140	0.0	0.0	0.0	0.0	0.0	0.0	0.0	0.0	0.0	0.0	0.0	0.0	0.0	0.0	0.0	0.0	0.0
140-160	0.0	0.0	0.0	0.0	0.0	0.0	0.0	0.0	0.0	0.0	0.0	0.0	0.0	0.0	0.0	0.0	0.0
160-180	0.0	0.0	0.0	0.0	0.0	0.0	0.0	0.0	0.0	0.0	0.0	0.0	0.0	0.0	0.0	0.0	0.0
180-200	0.0	0.0	0.0	0.0	0.0	0.0	0.0	0.0	0.0	0.0	0.0	0.0	0.0	0.0	0.0	0.0	0.0
Total	19.1	21.8	12.9	5.4	3.4	1.5	1.6	1.5	1.9	2.7	2.3	1.9	2.7	3.8	6.2	11.4	100.0

Mean U and V : 3.2 (cm/s), 16.8 (cm/s)

Standard deviation of U and V : 12.4 (cm/s), 17.4 (cm/s)

Maximun speed and it's direction : 89.2 (cm/s), 24.0 (deg.)

Mean speed and direction : 17.1 (cm/s), 10.9 (deg.)

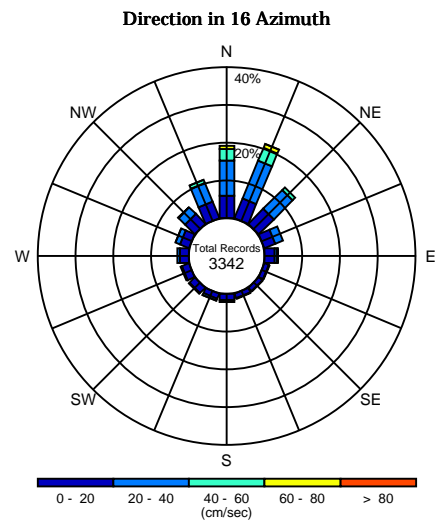
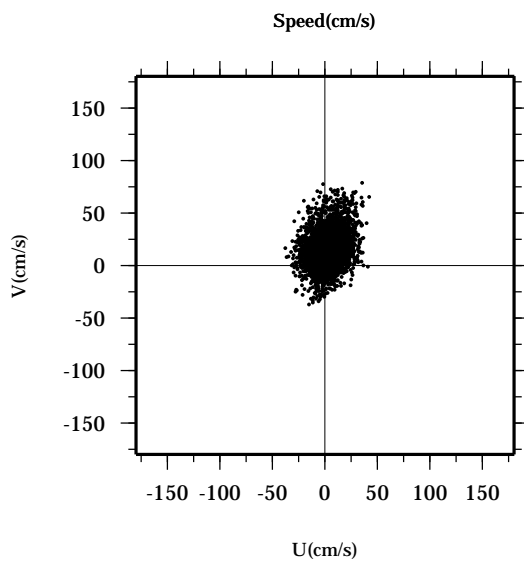
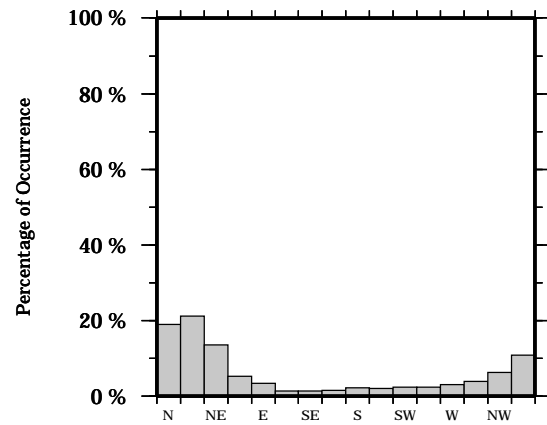
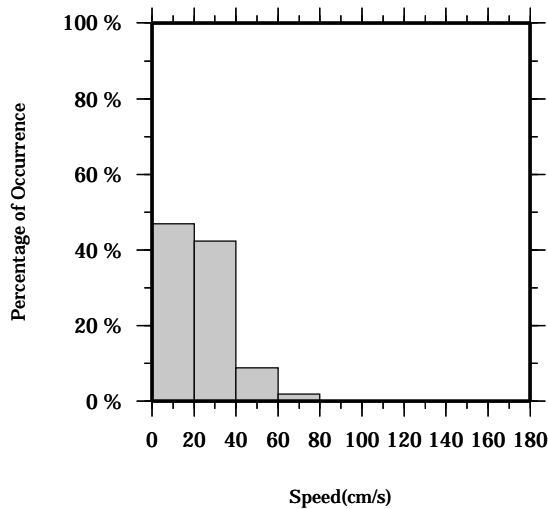
Speed scalar average : 23.7 (cm/s)

LON: 121° 17.4341' E

Station: W104

LAT: 22° 38.8623' N

Depth: 278 M



Joint probability distribution of current speed and it's direction

Speed	N	NNE	NE	ENE	E	ESE	SE	SSE	S	SSW	SW	WSW	W	WNW	NW	NNW	Total
0-20	5.8	5.6	5.6	3.0	2.6	1.2	1.3	1.3	1.7	1.5	2.1	2.0	2.4	2.7	3.7	4.7	47.0
20-40	9.3	10.9	7.1	2.3	0.7	0.2	0.1	0.2	0.6	0.6	0.3	0.4	0.7	1.2	2.5	5.3	42.3
40-60	3.1	3.7	1.0	0.0	0.0	0.0	0.0	0.0	0.0	0.0	0.0	0.0	0.0	0.0	0.1	0.9	8.9
60-80	0.7	1.0	0.0	0.0	0.0	0.0	0.0	0.0	0.0	0.0	0.0	0.0	0.0	0.0	0.0	0.0	1.8
80-100	0.0	0.0	0.0	0.0	0.0	0.0	0.0	0.0	0.0	0.0	0.0	0.0	0.0	0.0	0.0	0.0	0.0
100-120	0.0	0.0	0.0	0.0	0.0	0.0	0.0	0.0	0.0	0.0	0.0	0.0	0.0	0.0	0.0	0.0	0.0
120-140	0.0	0.0	0.0	0.0	0.0	0.0	0.0	0.0	0.0	0.0	0.0	0.0	0.0	0.0	0.0	0.0	0.0
140-160	0.0	0.0	0.0	0.0	0.0	0.0	0.0	0.0	0.0	0.0	0.0	0.0	0.0	0.0	0.0	0.0	0.0
160-180	0.0	0.0	0.0	0.0	0.0	0.0	0.0	0.0	0.0	0.0	0.0	0.0	0.0	0.0	0.0	0.0	0.0
180-200	0.0	0.0	0.0	0.0	0.0	0.0	0.0	0.0	0.0	0.0	0.0	0.0	0.0	0.0	0.0	0.0	0.0
Total	19.0	21.2	13.6	5.2	3.4	1.4	1.4	1.5	2.3	2.1	2.3	2.4	3.1	3.9	6.2	10.9	100.0

Mean U and V : 3.1 (cm/s), 16.3 (cm/s)

Standard deviation of U and V : 12.3 (cm/s), 17.1 (cm/s)

Maximun speed and it's direction : 86.3 (cm/s), 24.2 (deg.)

Mean speed and direction : 16.6 (cm/s), 10.6 (deg.)

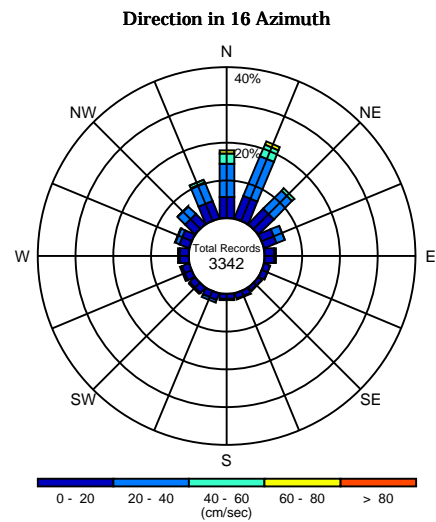
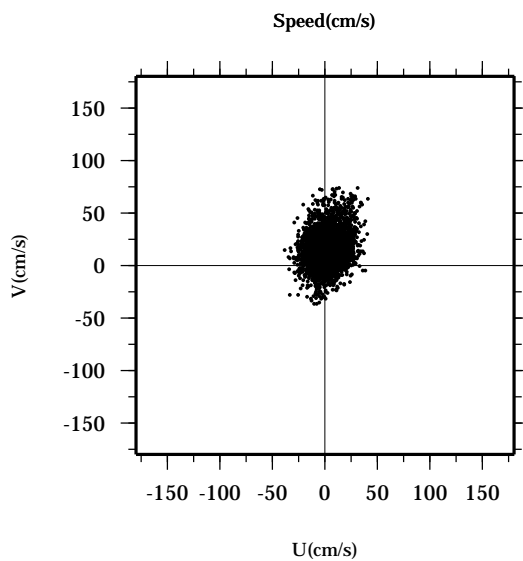
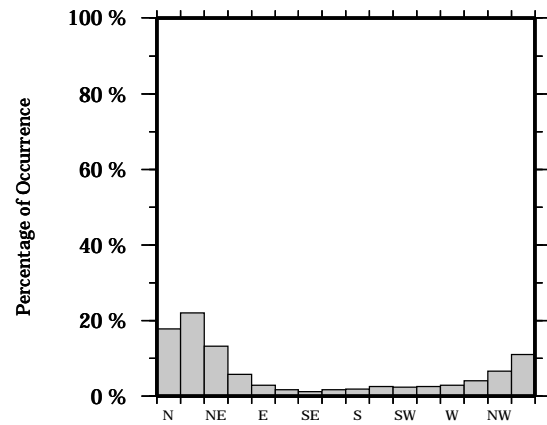
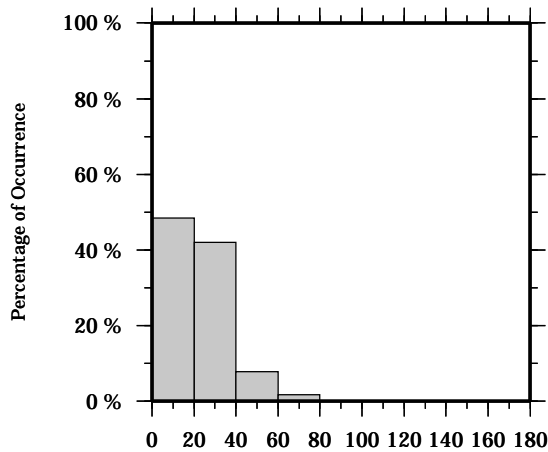
Speed scalar average : 23.2 (cm/s)

LON: 121° 17.4341' E

Station: W104

LAT: 22° 38.8623' N

Depth: 282 M



Joint probability distribution of current speed and it's direction

Speed	N	NNE	NE	ENE	E	ESE	SE	SSE	S	SSW	SW	WSW	W	WNW	NW	NNW	Total
0-20	5.5	6.3	5.6	3.5	2.4	1.5	1.1	1.5	1.4	1.9	2.0	2.1	2.4	2.8	3.7	4.8	48.5
20-40	8.9	11.3	6.8	2.2	0.5	0.1	0.1	0.2	0.4	0.6	0.3	0.5	0.6	1.2	2.8	5.4	42.0
40-60	2.7	3.4	0.8	0.1	0.0	0.0	0.0	0.0	0.0	0.0	0.0	0.0	0.0	0.0	0.1	0.7	7.8
60-80	0.8	0.9	0.0	0.0	0.0	0.0	0.0	0.0	0.0	0.0	0.0	0.0	0.0	0.0	0.0	0.0	1.7
80-100	0.0	0.0	0.0	0.0	0.0	0.0	0.0	0.0	0.0	0.0	0.0	0.0	0.0	0.0	0.0	0.0	0.0
100-120	0.0	0.0	0.0	0.0	0.0	0.0	0.0	0.0	0.0	0.0	0.0	0.0	0.0	0.0	0.0	0.0	0.0
120-140	0.0	0.0	0.0	0.0	0.0	0.0	0.0	0.0	0.0	0.0	0.0	0.0	0.0	0.0	0.0	0.0	0.0
140-160	0.0	0.0	0.0	0.0	0.0	0.0	0.0	0.0	0.0	0.0	0.0	0.0	0.0	0.0	0.0	0.0	0.0
160-180	0.0	0.0	0.0	0.0	0.0	0.0	0.0	0.0	0.0	0.0	0.0	0.0	0.0	0.0	0.0	0.0	0.0
180-200	0.0	0.0	0.0	0.0	0.0	0.0	0.0	0.0	0.0	0.0	0.0	0.0	0.0	0.0	0.0	0.0	0.0
Total	17.9	22.0	13.2	5.8	2.9	1.6	1.2	1.7	1.8	2.5	2.3	2.6	2.9	4.0	6.5	11.0	100.0

Mean U and V : 2.9 (cm/s), 15.9 (cm/s)

Standard deviation of U and V : 12.2 (cm/s), 16.7 (cm/s)

Maximun speed and it's direction : 80.0 (cm/s), 22.8 (deg.)

Mean speed and direction : 16.1 (cm/s), 10.3 (deg.)

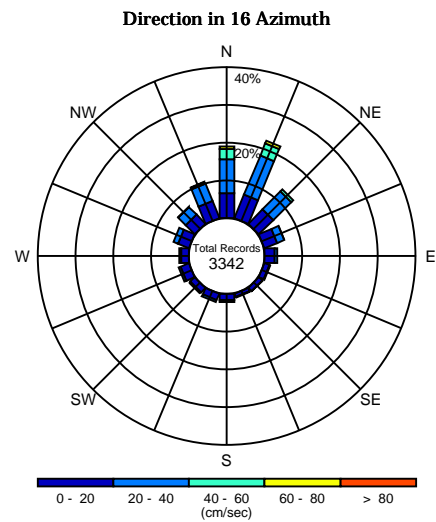
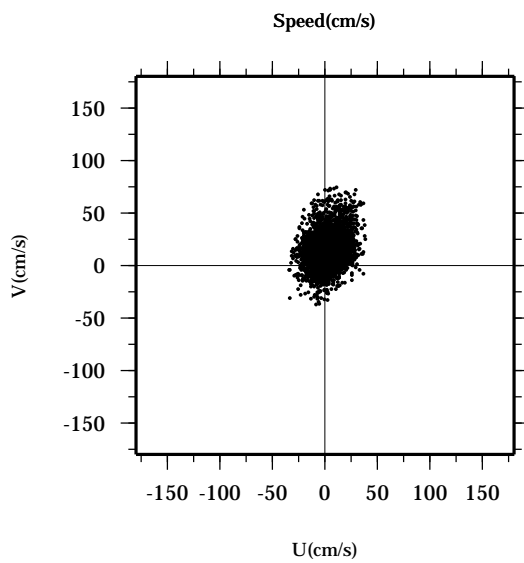
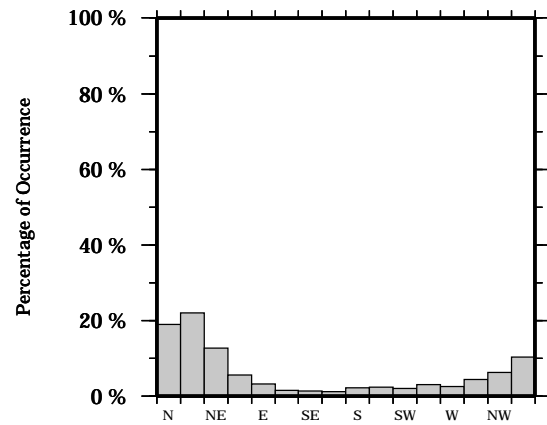
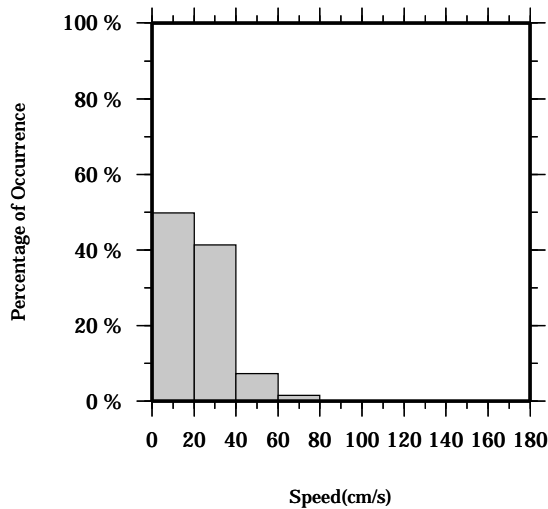
Speed scalar average : 22.7 (cm/s)

LON: 121° 17.4341' E

Station: W104

LAT: 22° 38.8623' N

Depth: 286 M



Joint probability distribution of current speed and it's direction

Speed	N	NNE	NE	ENE	E	ESE	SE	SSE	S	SSW	SW	WSW	W	WNW	NW	NNW	Total
0-20	6.5	6.7	5.4	3.6	2.7	1.4	1.3	1.0	1.8	1.9	1.7	2.5	2.1	3.1	3.4	4.9	49.9
20-40	8.9	11.2	6.7	2.0	0.6	0.1	0.1	0.2	0.4	0.6	0.3	0.5	0.5	1.3	2.8	4.9	41.2
40-60	2.7	3.4	0.7	0.0	0.0	0.0	0.0	0.0	0.0	0.0	0.0	0.0	0.0	0.0	0.1	0.5	7.4
60-80	0.7	0.7	0.0	0.0	0.0	0.0	0.0	0.0	0.0	0.0	0.0	0.0	0.0	0.0	0.0	0.1	1.6
80-100	0.0	0.0	0.0	0.0	0.0	0.0	0.0	0.0	0.0	0.0	0.0	0.0	0.0	0.0	0.0	0.0	0.0
100-120	0.0	0.0	0.0	0.0	0.0	0.0	0.0	0.0	0.0	0.0	0.0	0.0	0.0	0.0	0.0	0.0	0.0
120-140	0.0	0.0	0.0	0.0	0.0	0.0	0.0	0.0	0.0	0.0	0.0	0.0	0.0	0.0	0.0	0.0	0.0
140-160	0.0	0.0	0.0	0.0	0.0	0.0	0.0	0.0	0.0	0.0	0.0	0.0	0.0	0.0	0.0	0.0	0.0
160-180	0.0	0.0	0.0	0.0	0.0	0.0	0.0	0.0	0.0	0.0	0.0	0.0	0.0	0.0	0.0	0.0	0.0
180-200	0.0	0.0	0.0	0.0	0.0	0.0	0.0	0.0	0.0	0.0	0.0	0.0	0.0	0.0	0.0	0.0	0.0
Total	18.9	22.0	12.8	5.6	3.3	1.5	1.3	1.2	2.2	2.5	2.1	3.1	2.6	4.4	6.3	10.3	100.0

Mean U and V : 2.8 (cm/s), 15.4 (cm/s)

Standard deviation of U and V : 11.9 (cm/s), 16.4 (cm/s)

Maximun speed and it's direction : 77.3 (cm/s), 22.3 (deg.)

Mean speed and direction : 15.7 (cm/s), 10.2 (deg.)

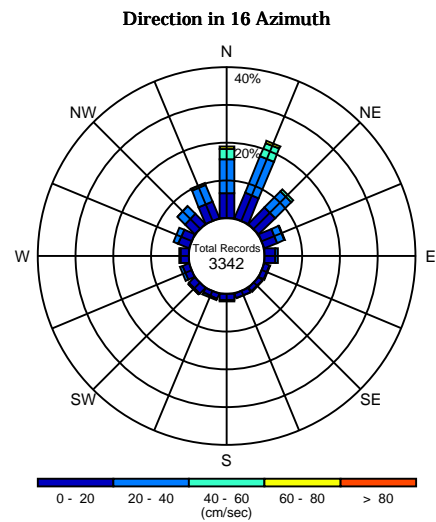
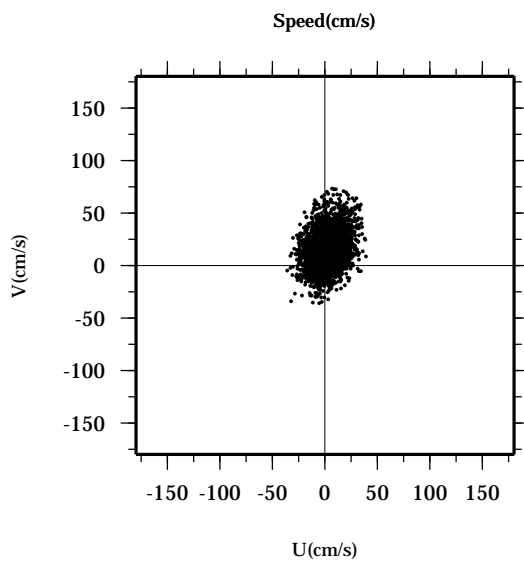
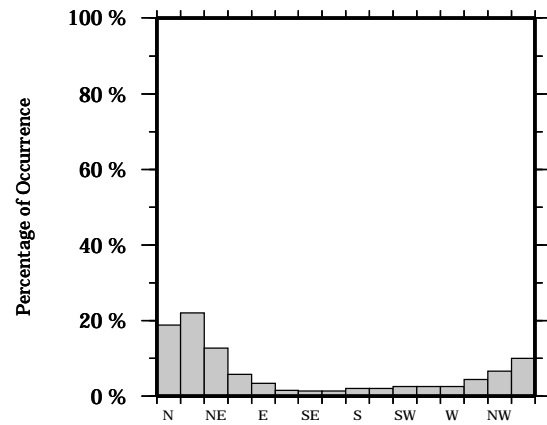
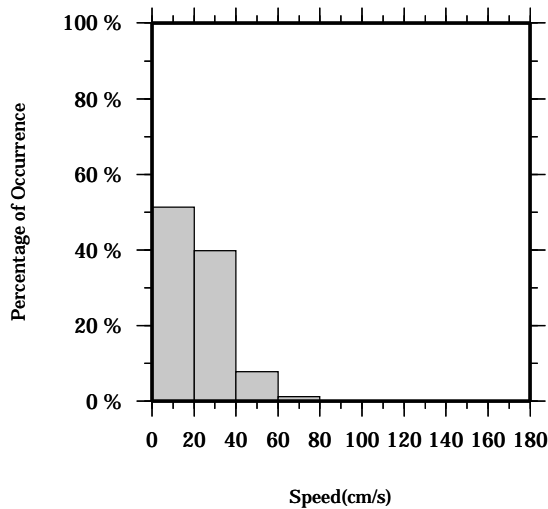
Speed scalar average : 22.2 (cm/s)

LON: 121° 17.4341' E

Station: W104

LAT: 22° 38.8623' N

Depth: 290 M



Joint probability distribution of current speed and it's direction

Speed	N	NNE	NE	ENE	E	ESE	SE	SSE	S	SSW	SW	WSW	W	WNW	NW	NNW	Total
0-20	6.5	7.3	6.0	3.7	2.8	1.4	1.3	1.3	1.7	1.4	2.2	1.9	2.2	3.1	3.7	4.7	51.3
20-40	9.0	10.4	6.0	2.0	0.6	0.1	0.1	0.1	0.4	0.5	0.3	0.6	0.4	1.3	2.8	4.8	39.8
40-60	2.7	3.7	0.7	0.0	0.0	0.0	0.0	0.0	0.0	0.0	0.0	0.0	0.0	0.0	0.0	0.5	7.7
60-80	0.6	0.6	0.0	0.0	0.0	0.0	0.0	0.0	0.0	0.0	0.0	0.0	0.0	0.0	0.0	0.0	1.2
80-100	0.0	0.0	0.0	0.0	0.0	0.0	0.0	0.0	0.0	0.0	0.0	0.0	0.0	0.0	0.0	0.0	0.0
100-120	0.0	0.0	0.0	0.0	0.0	0.0	0.0	0.0	0.0	0.0	0.0	0.0	0.0	0.0	0.0	0.0	0.0
120-140	0.0	0.0	0.0	0.0	0.0	0.0	0.0	0.0	0.0	0.0	0.0	0.0	0.0	0.0	0.0	0.0	0.0
140-160	0.0	0.0	0.0	0.0	0.0	0.0	0.0	0.0	0.0	0.0	0.0	0.0	0.0	0.0	0.0	0.0	0.0
160-180	0.0	0.0	0.0	0.0	0.0	0.0	0.0	0.0	0.0	0.0	0.0	0.0	0.0	0.0	0.0	0.0	0.0
180-200	0.0	0.0	0.0	0.0	0.0	0.0	0.0	0.0	0.0	0.0	0.0	0.0	0.0	0.0	0.0	0.0	0.0
Total	18.9	22.1	12.8	5.7	3.4	1.6	1.4	1.4	2.1	2.0	2.5	2.6	2.6	4.4	6.6	10.0	100.0

Mean U and V : 2.7 (cm/s), 15.0 (cm/s)

Standard deviation of U and V : 11.7 (cm/s), 16.1 (cm/s)

Maximun speed and it's direction : 73.2 (cm/s), 4.9 (deg.)

Mean speed and direction : 15.2 (cm/s), 10.1 (deg.)

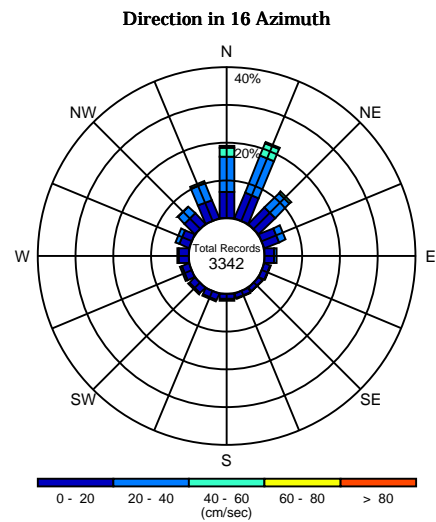
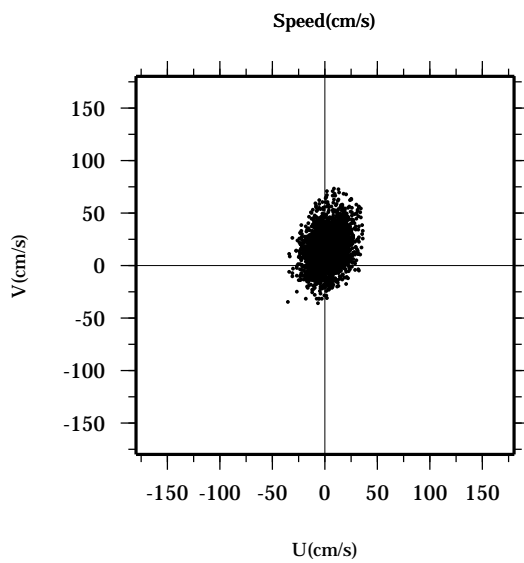
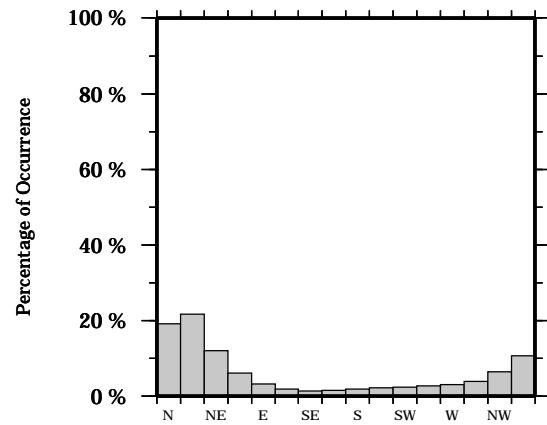
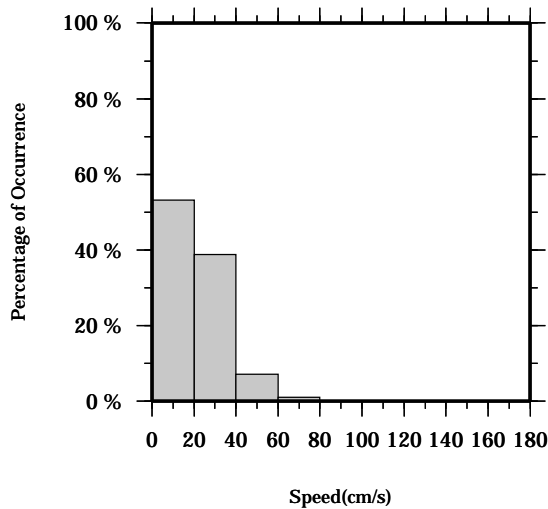
Speed scalar average : 21.6 (cm/s)

LON: 121° 17.4341' E

Station: W104

LAT: 22° 38.8623' N

Depth: 294 M



Joint probability distribution of current speed and it's direction

Speed	N	NNE	NE	ENE	E	ESE	SE	SSE	S	SSW	SW	WSW	W	WNW	NW	NNW	Total
0-20	6.9	7.3	6.1	4.1	2.5	1.6	1.3	1.4	1.4	1.9	2.0	2.1	2.7	2.8	3.9	5.1	53.1
20-40	9.2	10.5	5.4	1.9	0.7	0.2	0.1	0.1	0.5	0.4	0.4	0.6	0.3	1.1	2.5	4.9	38.8
40-60	2.5	3.5	0.5	0.0	0.0	0.0	0.0	0.0	0.0	0.0	0.0	0.0	0.0	0.0	0.1	0.5	7.2
60-80	0.5	0.4	0.0	0.0	0.0	0.0	0.0	0.0	0.0	0.0	0.0	0.0	0.0	0.0	0.0	0.0	1.0
80-100	0.0	0.0	0.0	0.0	0.0	0.0	0.0	0.0	0.0	0.0	0.0	0.0	0.0	0.0	0.0	0.0	0.0
100-120	0.0	0.0	0.0	0.0	0.0	0.0	0.0	0.0	0.0	0.0	0.0	0.0	0.0	0.0	0.0	0.0	0.0
120-140	0.0	0.0	0.0	0.0	0.0	0.0	0.0	0.0	0.0	0.0	0.0	0.0	0.0	0.0	0.0	0.0	0.0
140-160	0.0	0.0	0.0	0.0	0.0	0.0	0.0	0.0	0.0	0.0	0.0	0.0	0.0	0.0	0.0	0.0	0.0
160-180	0.0	0.0	0.0	0.0	0.0	0.0	0.0	0.0	0.0	0.0	0.0	0.0	0.0	0.0	0.0	0.0	0.0
180-200	0.0	0.0	0.0	0.0	0.0	0.0	0.0	0.0	0.0	0.0	0.0	0.0	0.0	0.0	0.0	0.0	0.0
Total	19.1	21.8	12.0	6.0	3.2	1.8	1.3	1.6	1.9	2.3	2.4	2.7	3.0	3.9	6.5	10.6	100.0

Mean U and V : 2.6 (cm/s), 14.6 (cm/s)

Standard deviation of U and V : 11.4 (cm/s), 15.8 (cm/s)

Maximun speed and it's direction : 73.6 (cm/s), 6.4 (deg.)

Mean speed and direction : 14.9 (cm/s), 10.1 (deg.)

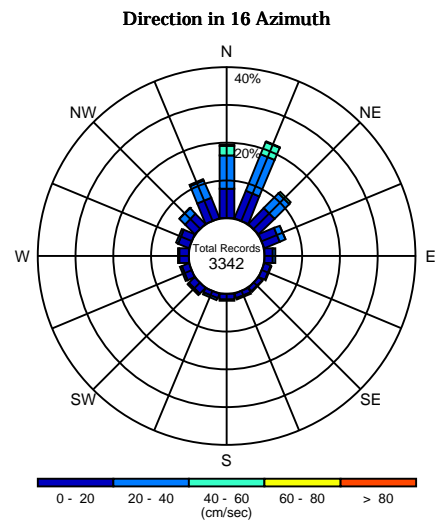
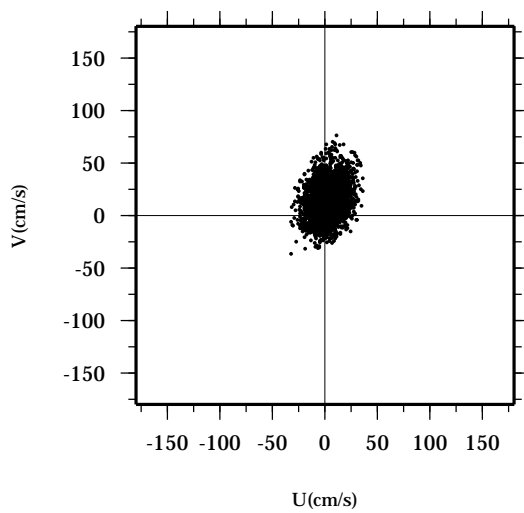
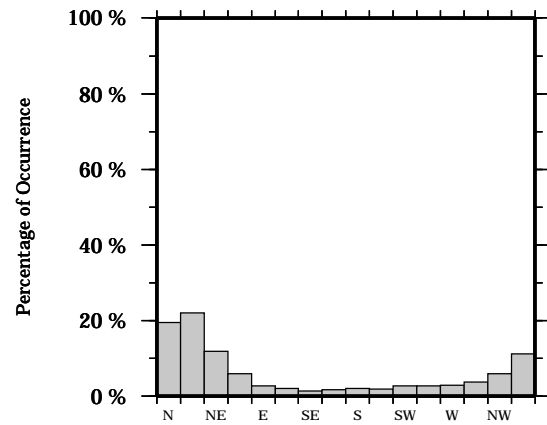
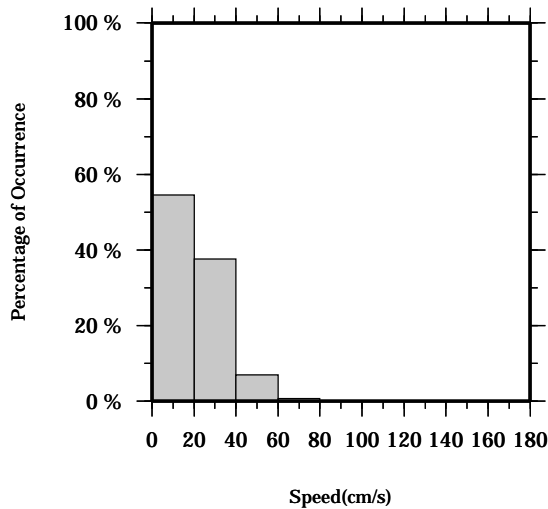
Speed scalar average : 21.2 (cm/s)

LON: 121° 17.4341' E

Station: W104

LAT: 22° 38.8623' N

Depth: 298 M



Joint probability distribution of current speed and it's direction

Speed	N	NNE	NE	ENE	E	ESE	SE	SSE	S	SSW	SW	WSW	W	WNW	NW	NNW	Total
0-20	7.7	7.7	5.9	4.4	2.1	1.8	1.3	1.3	1.5	1.4	2.2	2.1	2.5	3.1	3.7	5.7	54.6
20-40	8.9	10.5	5.5	1.5	0.6	0.2	0.1	0.4	0.4	0.4	0.4	0.6	0.3	0.7	2.1	5.0	37.7
40-60	2.5	3.4	0.5	0.0	0.0	0.0	0.0	0.0	0.0	0.0	0.0	0.0	0.0	0.0	0.1	0.4	7.0
60-80	0.4	0.3	0.0	0.0	0.0	0.0	0.0	0.0	0.0	0.0	0.0	0.0	0.0	0.0	0.0	0.0	0.7
80-100	0.0	0.0	0.0	0.0	0.0	0.0	0.0	0.0	0.0	0.0	0.0	0.0	0.0	0.0	0.0	0.0	0.0
100-120	0.0	0.0	0.0	0.0	0.0	0.0	0.0	0.0	0.0	0.0	0.0	0.0	0.0	0.0	0.0	0.0	0.0
120-140	0.0	0.0	0.0	0.0	0.0	0.0	0.0	0.0	0.0	0.0	0.0	0.0	0.0	0.0	0.0	0.0	0.0
140-160	0.0	0.0	0.0	0.0	0.0	0.0	0.0	0.0	0.0	0.0	0.0	0.0	0.0	0.0	0.0	0.0	0.0
160-180	0.0	0.0	0.0	0.0	0.0	0.0	0.0	0.0	0.0	0.0	0.0	0.0	0.0	0.0	0.0	0.0	0.0
180-200	0.0	0.0	0.0	0.0	0.0	0.0	0.0	0.0	0.0	0.0	0.0	0.0	0.0	0.0	0.0	0.0	0.0
Total	19.5	22.0	11.9	6.0	2.7	2.0	1.4	1.6	2.0	1.8	2.7	2.7	2.9	3.8	5.9	11.1	100.0

Mean U and V : 2.5 (cm/s), 14.2 (cm/s)

Standard deviation of U and V : 11.0 (cm/s), 15.6 (cm/s)

Maximun speed and it's direction : 77.0 (cm/s), 8.2 (deg.)

Mean speed and direction : 14.5 (cm/s), 10.1 (deg.)

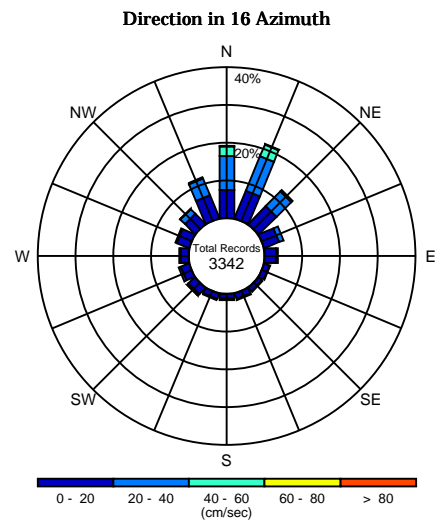
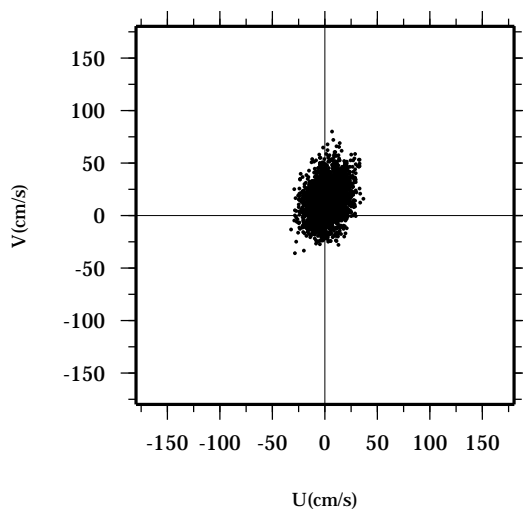
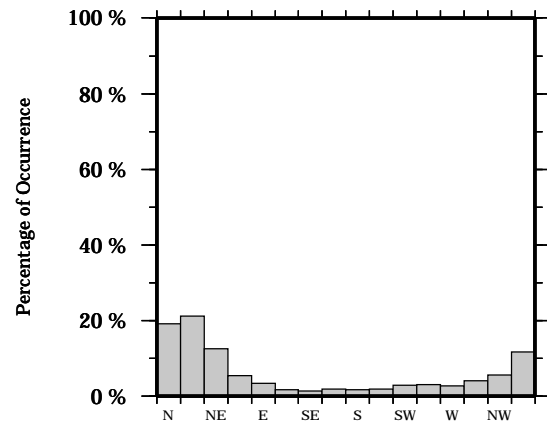
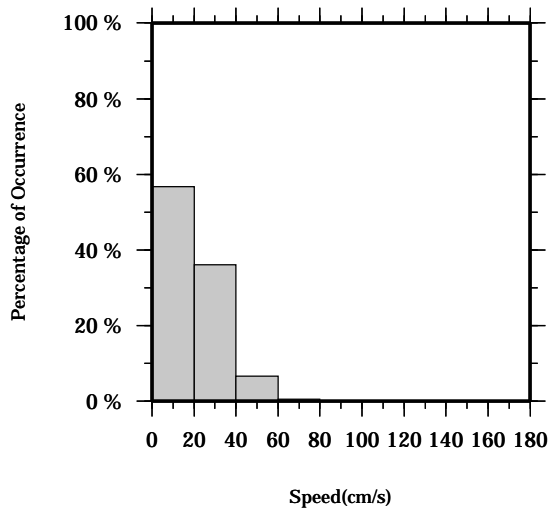
Speed scalar average : 20.7 (cm/s)

LON: 121° 17.4341' E

Station: W104

LAT: 22° 38.8623' N

Depth: 302 M



Joint probability distribution of current speed and it's direction

Speed	N	NNE	NE	ENE	E	ESE	SE	SSE	S	SSW	SW	WSW	W	WNW	NW	NNW	Total
0-20	7.4	7.8	6.6	4.2	2.9	1.4	1.2	1.5	1.3	1.6	2.4	2.4	2.2	3.5	3.8	6.6	56.7
20-40	9.0	9.9	5.5	1.2	0.6	0.2	0.3	0.3	0.5	0.3	0.4	0.7	0.4	0.5	1.7	4.7	36.1
40-60	2.4	3.3	0.4	0.0	0.0	0.0	0.0	0.0	0.0	0.0	0.0	0.0	0.0	0.0	0.1	0.4	6.6
60-80	0.3	0.2	0.0	0.0	0.0	0.0	0.0	0.0	0.0	0.0	0.0	0.0	0.0	0.0	0.0	0.0	0.5
80-100	0.0	0.0	0.0	0.0	0.0	0.0	0.0	0.0	0.0	0.0	0.0	0.0	0.0	0.0	0.0	0.0	0.0
100-120	0.0	0.0	0.0	0.0	0.0	0.0	0.0	0.0	0.0	0.0	0.0	0.0	0.0	0.0	0.0	0.0	0.0
120-140	0.0	0.0	0.0	0.0	0.0	0.0	0.0	0.0	0.0	0.0	0.0	0.0	0.0	0.0	0.0	0.0	0.0
140-160	0.0	0.0	0.0	0.0	0.0	0.0	0.0	0.0	0.0	0.0	0.0	0.0	0.0	0.0	0.0	0.0	0.0
160-180	0.0	0.0	0.0	0.0	0.0	0.0	0.0	0.0	0.0	0.0	0.0	0.0	0.0	0.0	0.0	0.0	0.0
180-200	0.0	0.0	0.0	0.0	0.0	0.0	0.0	0.0	0.0	0.0	0.0	0.0	0.0	0.0	0.0	0.0	0.0
Total	19.1	21.2	12.5	5.4	3.5	1.6	1.4	1.8	1.7	1.9	2.8	3.1	2.7	4.0	5.5	11.7	100.0

Mean U and V : 2.5 (cm/s), 13.8 (cm/s)

Standard deviation of U and V : 10.7 (cm/s), 15.3 (cm/s)

Maximun speed and it's direction : 79.8 (cm/s), 4.5 (deg.)

Mean speed and direction : 14.0 (cm/s), 10.2 (deg.)

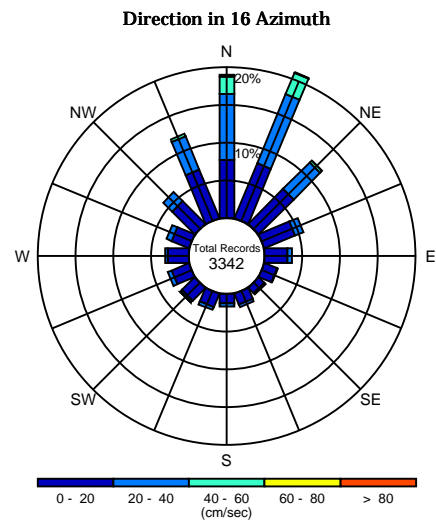
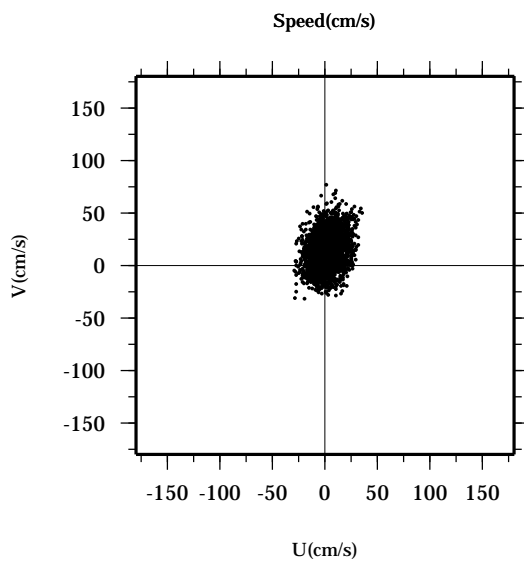
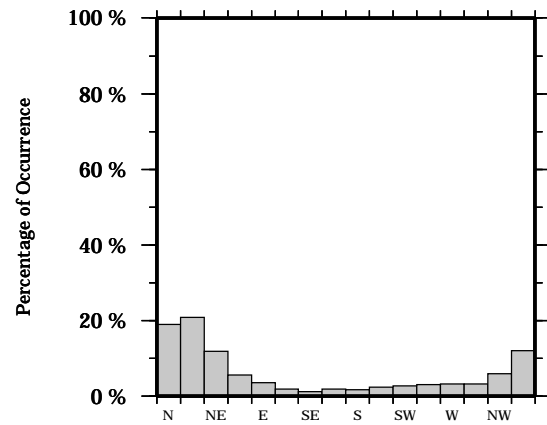
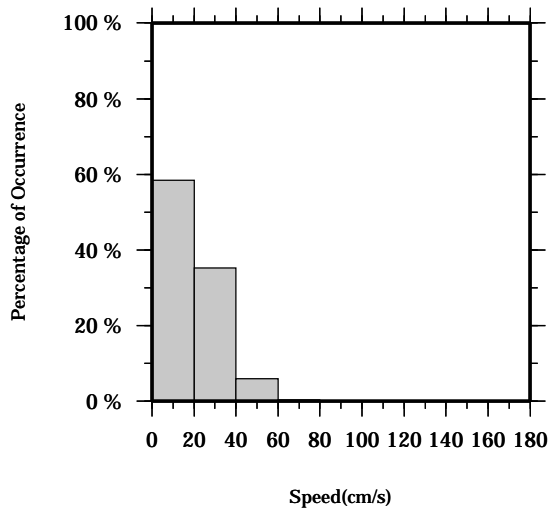
Speed scalar average : 20.1 (cm/s)

LON: 121° 17.4341' E

Station: W104

LAT: 22° 38.8623' N

Depth: 306 M



Joint probability distribution of current speed and it's direction

Speed	N	NNE	NE	ENE	E	ESE	SE	SSE	S	SSW	SW	WSW	W	WNW	NW	NNW	Total
0-20	7.7	7.9	6.5	4.4	3.1	1.8	1.0	1.6	1.3	1.9	2.4	2.5	2.8	2.5	4.2	6.9	58.4
20-40	8.7	9.9	5.0	1.2	0.5	0.1	0.2	0.3	0.4	0.4	0.3	0.6	0.4	0.7	1.7	4.8	35.2
40-60	2.3	3.0	0.3	0.0	0.0	0.0	0.0	0.0	0.0	0.0	0.0	0.0	0.0	0.0	0.0	0.3	5.9
60-80	0.2	0.1	0.0	0.0	0.0	0.0	0.0	0.0	0.0	0.0	0.0	0.0	0.0	0.0	0.0	0.0	0.4
80-100	0.0	0.0	0.0	0.0	0.0	0.0	0.0	0.0	0.0	0.0	0.0	0.0	0.0	0.0	0.0	0.0	0.0
100-120	0.0	0.0	0.0	0.0	0.0	0.0	0.0	0.0	0.0	0.0	0.0	0.0	0.0	0.0	0.0	0.0	0.0
120-140	0.0	0.0	0.0	0.0	0.0	0.0	0.0	0.0	0.0	0.0	0.0	0.0	0.0	0.0	0.0	0.0	0.0
140-160	0.0	0.0	0.0	0.0	0.0	0.0	0.0	0.0	0.0	0.0	0.0	0.0	0.0	0.0	0.0	0.0	0.0
160-180	0.0	0.0	0.0	0.0	0.0	0.0	0.0	0.0	0.0	0.0	0.0	0.0	0.0	0.0	0.0	0.0	0.0
180-200	0.0	0.0	0.0	0.0	0.0	0.0	0.0	0.0	0.0	0.0	0.0	0.0	0.0	0.0	0.0	0.0	0.0
Total	18.9	20.9	11.8	5.5	3.6	1.9	1.3	1.9	1.7	2.4	2.8	3.1	3.1	3.2	5.9	12.0	100.0

Mean U and V : 2.3 (cm/s), 13.3 (cm/s)

Standard deviation of U and V : 10.5 (cm/s), 15.0 (cm/s)

Maximun speed and it's direction : 76.6 (cm/s), 0.9 (deg.)

Mean speed and direction : 13.5 (cm/s), 9.8 (deg.)

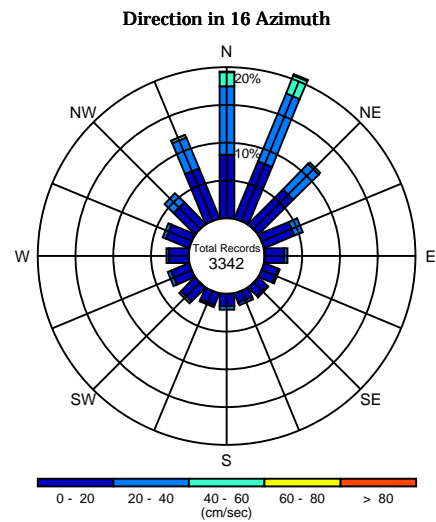
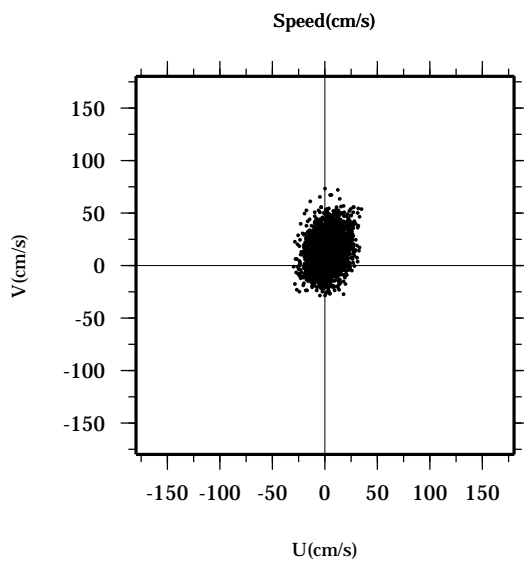
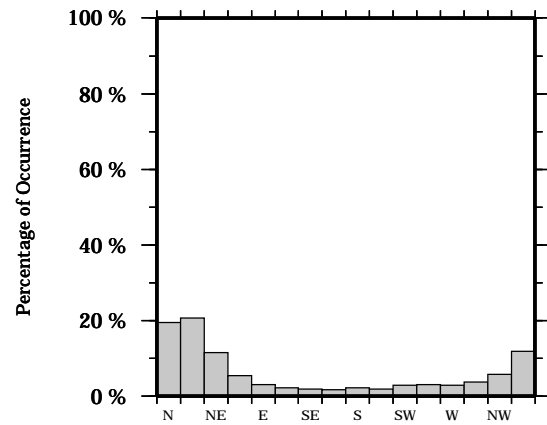
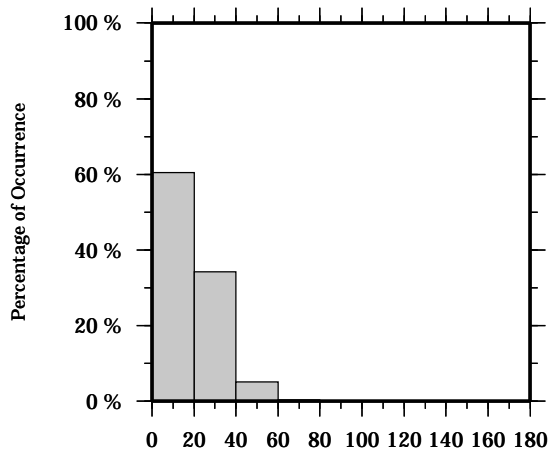
Speed scalar average : 19.7 (cm/s)

LON: 121° 17.4341' E

Station: W104

LAT: 22° 38.8623' N

Depth: 310 M



Joint probability distribution of current speed and it's direction

Speed	N	NNE	NE	ENE	E	ESE	SE	SSE	S	SSW	SW	WSW	W	WNW	NW	NNW	Total
0-20	8.4	8.1	6.5	4.3	2.6	2.0	1.6	1.3	1.6	1.7	2.6	2.6	2.7	3.3	4.0	7.1	60.4
20-40	9.1	9.7	4.7	1.2	0.4	0.2	0.1	0.3	0.6	0.2	0.4	0.4	0.3	0.4	1.7	4.4	34.2
40-60	1.8	2.6	0.3	0.0	0.0	0.0	0.0	0.0	0.0	0.0	0.0	0.0	0.0	0.0	0.0	0.4	5.1
60-80	0.1	0.1	0.0	0.0	0.0	0.0	0.0	0.0	0.0	0.0	0.0	0.0	0.0	0.0	0.0	0.0	0.3
80-100	0.0	0.0	0.0	0.0	0.0	0.0	0.0	0.0	0.0	0.0	0.0	0.0	0.0	0.0	0.0	0.0	0.0
100-120	0.0	0.0	0.0	0.0	0.0	0.0	0.0	0.0	0.0	0.0	0.0	0.0	0.0	0.0	0.0	0.0	0.0
120-140	0.0	0.0	0.0	0.0	0.0	0.0	0.0	0.0	0.0	0.0	0.0	0.0	0.0	0.0	0.0	0.0	0.0
140-160	0.0	0.0	0.0	0.0	0.0	0.0	0.0	0.0	0.0	0.0	0.0	0.0	0.0	0.0	0.0	0.0	0.0
160-180	0.0	0.0	0.0	0.0	0.0	0.0	0.0	0.0	0.0	0.0	0.0	0.0	0.0	0.0	0.0	0.0	0.0
180-200	0.0	0.0	0.0	0.0	0.0	0.0	0.0	0.0	0.0	0.0	0.0	0.0	0.0	0.0	0.0	0.0	0.0
Total	19.4	20.6	11.5	5.5	3.0	2.2	1.8	1.6	2.2	1.9	3.0	3.1	3.0	3.8	5.7	11.9	100.0

Mean U and V : 2.1 (cm/s), 12.9 (cm/s)

Standard deviation of U and V : 10.3 (cm/s), 14.8 (cm/s)

Maximun speed and it's direction : 73.1 (cm/s), 359.8 (deg.)

Mean speed and direction : 13.1 (cm/s), 9.4 (deg.)

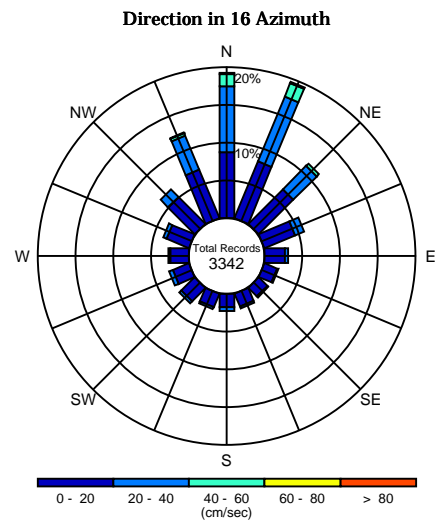
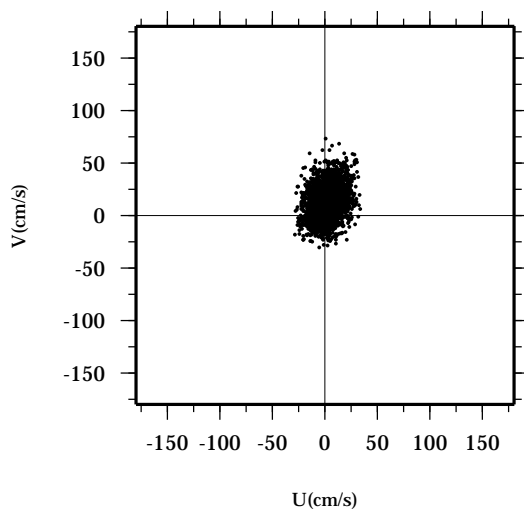
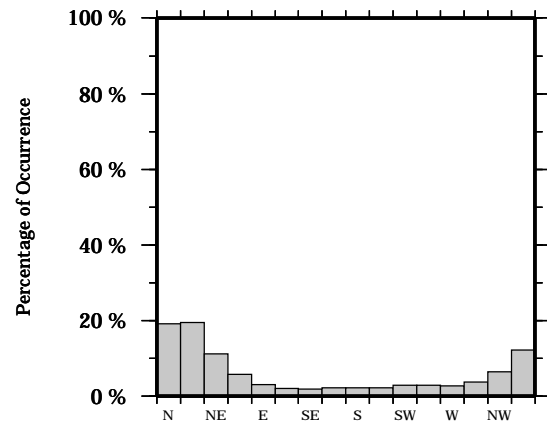
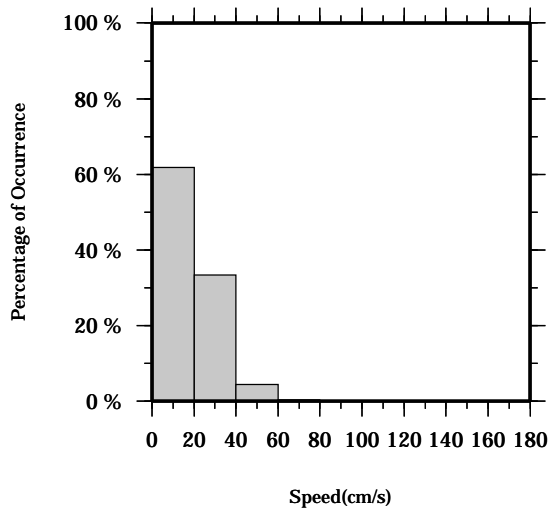
Speed scalar average : 19.2 (cm/s)

LON: 121° 17.4341' E

Station: W104

LAT: 22° 38.8623' N

Depth: 314 M



Joint probability distribution of current speed and it's direction

Speed	N	NNE	NE	ENE	E	ESE	SE	SSE	S	SSW	SW	WSW	W	WNW	NW	NNW	Total
0-20	8.7	8.1	6.5	4.4	2.7	1.8	1.6	1.9	1.8	2.0	2.5	2.3	2.5	3.2	5.0	6.9	61.9
20-40	8.7	9.3	4.4	1.3	0.4	0.2	0.2	0.3	0.4	0.3	0.4	0.5	0.3	0.5	1.4	4.8	33.4
40-60	1.6	1.9	0.4	0.0	0.0	0.0	0.0	0.0	0.0	0.0	0.0	0.0	0.0	0.0	0.0	0.4	4.4
60-80	0.1	0.1	0.0	0.0	0.0	0.0	0.0	0.0	0.0	0.0	0.0	0.0	0.0	0.0	0.0	0.0	0.3
80-100	0.0	0.0	0.0	0.0	0.0	0.0	0.0	0.0	0.0	0.0	0.0	0.0	0.0	0.0	0.0	0.0	0.0
100-120	0.0	0.0	0.0	0.0	0.0	0.0	0.0	0.0	0.0	0.0	0.0	0.0	0.0	0.0	0.0	0.0	0.0
120-140	0.0	0.0	0.0	0.0	0.0	0.0	0.0	0.0	0.0	0.0	0.0	0.0	0.0	0.0	0.0	0.0	0.0
140-160	0.0	0.0	0.0	0.0	0.0	0.0	0.0	0.0	0.0	0.0	0.0	0.0	0.0	0.0	0.0	0.0	0.0
160-180	0.0	0.0	0.0	0.0	0.0	0.0	0.0	0.0	0.0	0.0	0.0	0.0	0.0	0.0	0.0	0.0	0.0
180-200	0.0	0.0	0.0	0.0	0.0	0.0	0.0	0.0	0.0	0.0	0.0	0.0	0.0	0.0	0.0	0.0	0.0
Total	19.2	19.4	11.3	5.7	3.1	2.0	1.8	2.1	2.3	2.2	2.9	2.9	2.8	3.7	6.4	12.2	100.0

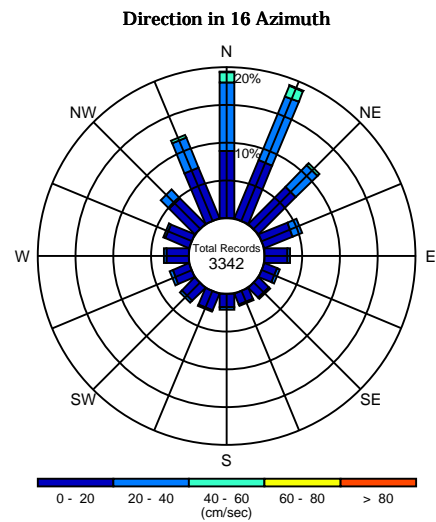
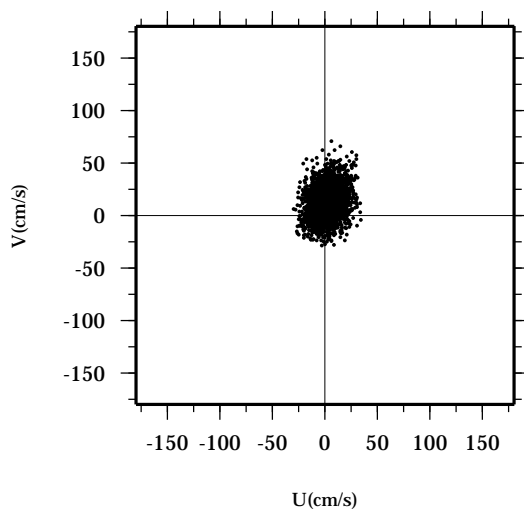
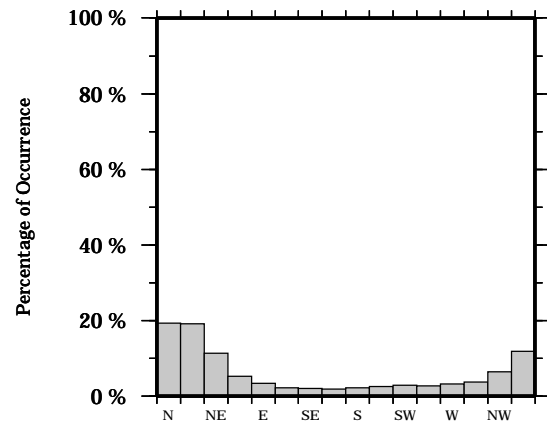
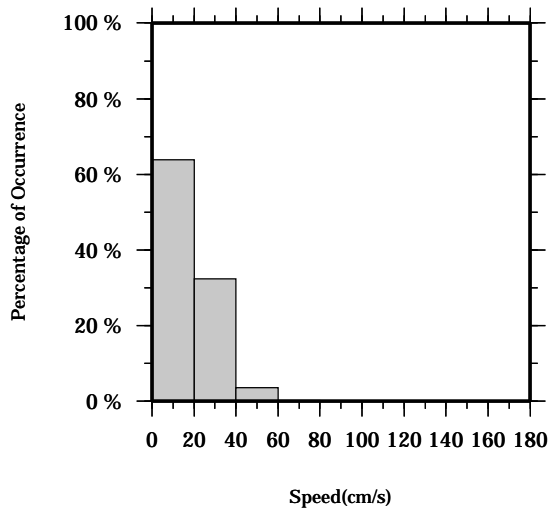
Mean U and V : 2.0 (cm/s), 12.4 (cm/s)
 Standard deviation of U and V : 10.1 (cm/s), 14.4 (cm/s)
 Maximun speed and it's direction : 73.0 (cm/s), 0.5 (deg.)
 Mean speed and direction : 12.6 (cm/s), 9.1 (deg.)
 Speed scalar average : 18.6 (cm/s)

LON: 121° 17.4341' E

Station: W104

LAT: 22° 38.8623' N

Depth: 318 M



Joint probability distribution of current speed and it's direction

Speed	N	NNE	NE	ENE	E	ESE	SE	SSE	S	SSW	SW	WSW	W	WNW	NW	NNW	Total
0-20	8.8	8.3	6.9	4.0	3.0	1.8	1.9	1.6	1.8	2.4	2.5	2.4	3.0	3.4	4.8	7.2	63.8
20-40	9.1	9.1	4.0	1.3	0.4	0.4	0.2	0.2	0.4	0.2	0.3	0.4	0.3	0.3	1.6	4.2	32.4
40-60	1.3	1.5	0.4	0.0	0.0	0.0	0.0	0.0	0.0	0.0	0.0	0.0	0.0	0.0	0.0	0.4	3.6
60-80	0.1	0.1	0.0	0.0	0.0	0.0	0.0	0.0	0.0	0.0	0.0	0.0	0.0	0.0	0.0	0.0	0.2
80-100	0.0	0.0	0.0	0.0	0.0	0.0	0.0	0.0	0.0	0.0	0.0	0.0	0.0	0.0	0.0	0.0	0.0
100-120	0.0	0.0	0.0	0.0	0.0	0.0	0.0	0.0	0.0	0.0	0.0	0.0	0.0	0.0	0.0	0.0	0.0
120-140	0.0	0.0	0.0	0.0	0.0	0.0	0.0	0.0	0.0	0.0	0.0	0.0	0.0	0.0	0.0	0.0	0.0
140-160	0.0	0.0	0.0	0.0	0.0	0.0	0.0	0.0	0.0	0.0	0.0	0.0	0.0	0.0	0.0	0.0	0.0
160-180	0.0	0.0	0.0	0.0	0.0	0.0	0.0	0.0	0.0	0.0	0.0	0.0	0.0	0.0	0.0	0.0	0.0
180-200	0.0	0.0	0.0	0.0	0.0	0.0	0.0	0.0	0.0	0.0	0.0	0.0	0.0	0.0	0.0	0.0	0.0
Total	19.3	19.1	11.3	5.3	3.4	2.1	2.1	1.8	2.2	2.6	2.8	2.8	3.3	3.7	6.4	11.8	100.0

Mean U and V : 1.9 (cm/s), 11.9 (cm/s)

Standard deviation of U and V : 9.9 (cm/s), 14.1 (cm/s)

Maximun speed and it's direction : 71.0 (cm/s), 4.9 (deg.)

Mean speed and direction : 12.1 (cm/s), 8.9 (deg.)

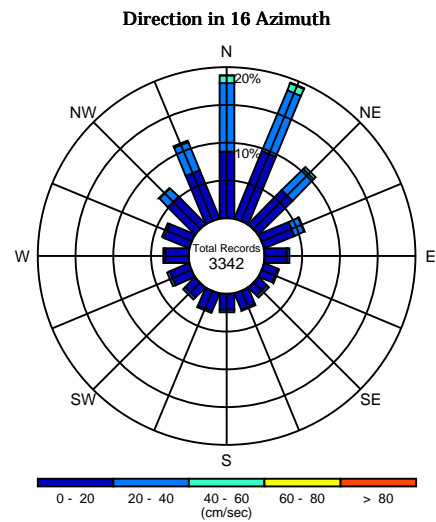
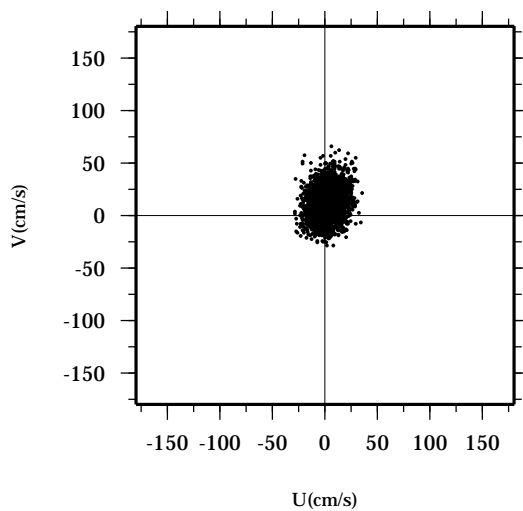
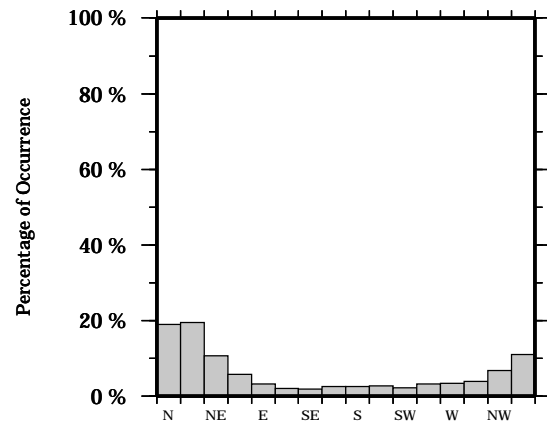
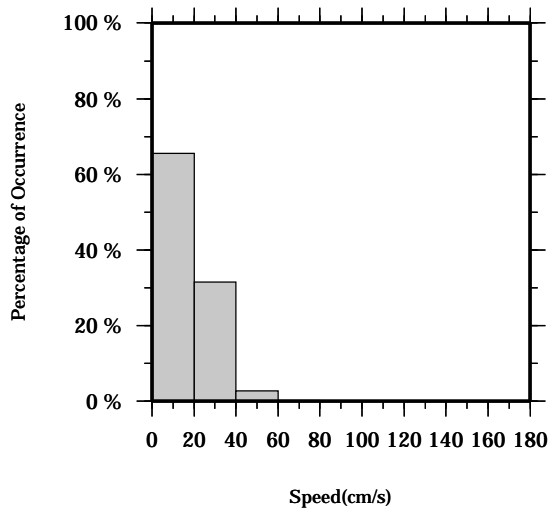
Speed scalar average : 18.1 (cm/s)

LON: 121° 17.4341' E

Station: W104

LAT: 22° 38.8623' N

Depth: 322 M



Joint probability distribution of current speed and it's direction

Speed	N	NNE	NE	ENE	E	ESE	SE	SSE	S	SSW	SW	WSW	W	WNW	NW	NNW	Total
0-20	8.8	9.6	6.3	4.2	3.0	1.9	1.5	2.3	2.2	2.6	1.9	2.8	3.1	3.6	5.1	6.8	65.6
20-40	9.0	8.7	4.0	1.4	0.3	0.2	0.4	0.2	0.3	0.2	0.4	0.3	0.2	0.3	1.6	4.0	31.6
40-60	1.0	1.0	0.4	0.0	0.0	0.0	0.0	0.0	0.0	0.0	0.0	0.0	0.0	0.0	0.0	0.2	2.7
60-80	0.1	0.1	0.0	0.0	0.0	0.0	0.0	0.0	0.0	0.0	0.0	0.0	0.0	0.0	0.0	0.0	0.2
80-100	0.0	0.0	0.0	0.0	0.0	0.0	0.0	0.0	0.0	0.0	0.0	0.0	0.0	0.0	0.0	0.0	0.0
100-120	0.0	0.0	0.0	0.0	0.0	0.0	0.0	0.0	0.0	0.0	0.0	0.0	0.0	0.0	0.0	0.0	0.0
120-140	0.0	0.0	0.0	0.0	0.0	0.0	0.0	0.0	0.0	0.0	0.0	0.0	0.0	0.0	0.0	0.0	0.0
140-160	0.0	0.0	0.0	0.0	0.0	0.0	0.0	0.0	0.0	0.0	0.0	0.0	0.0	0.0	0.0	0.0	0.0
160-180	0.0	0.0	0.0	0.0	0.0	0.0	0.0	0.0	0.0	0.0	0.0	0.0	0.0	0.0	0.0	0.0	0.0
180-200	0.0	0.0	0.0	0.0	0.0	0.0	0.0	0.0	0.0	0.0	0.0	0.0	0.0	0.0	0.0	0.0	0.0
Total	18.9	19.4	10.7	5.7	3.2	2.1	1.9	2.5	2.5	2.8	2.2	3.1	3.4	3.9	6.7	11.0	100.0

Mean U and V : 1.7 (cm/s), 11.4 (cm/s)

Standard deviation of U and V : 9.8 (cm/s), 13.7 (cm/s)

Maximun speed and it's direction : 66.1 (cm/s), 5.4 (deg.)

Mean speed and direction : 11.5 (cm/s), 8.6 (deg.)

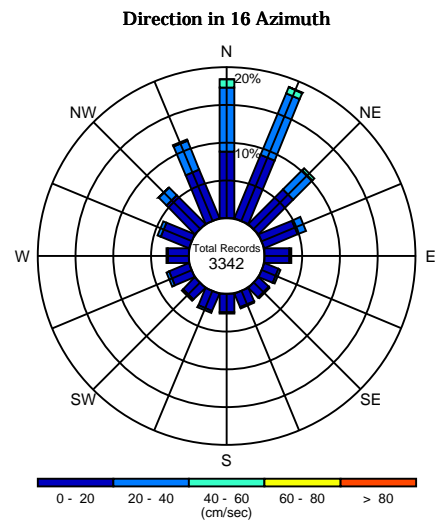
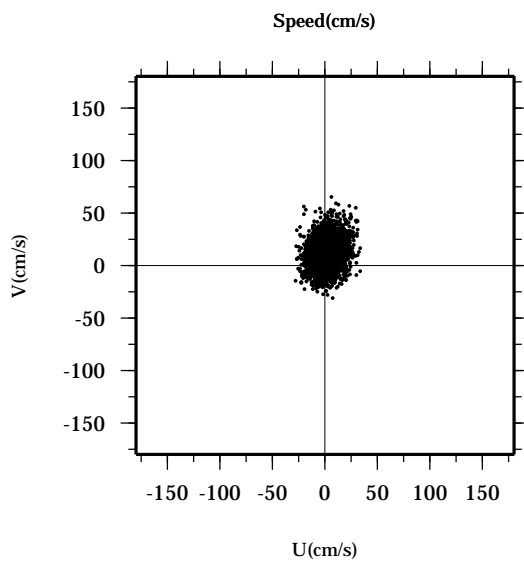
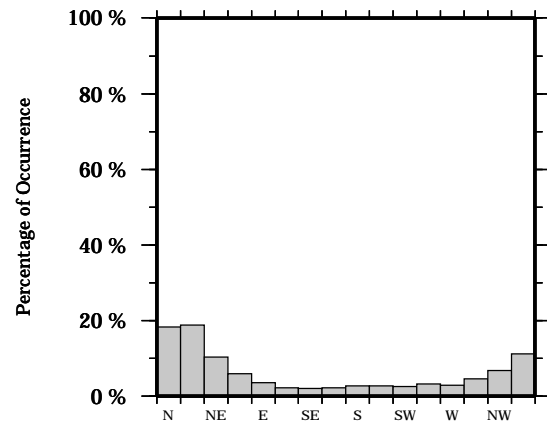
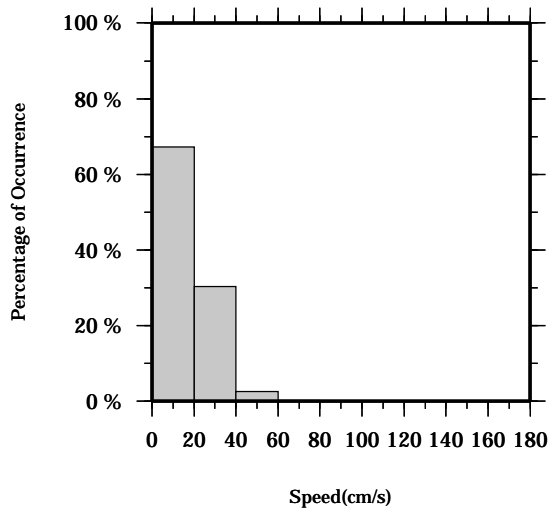
Speed scalar average : 17.6 (cm/s)

LON: 121° 17.4341' E

Station: W104

LAT: 22° 38.8623' N

Depth: 326 M



Joint probability distribution of current speed and it's direction

Speed	N	NNE	NE	ENE	E	ESE	SE	SSE	S	SSW	SW	WSW	W	WNW	NW	NNW	Total
0-20	8.7	9.1	6.4	4.7	3.3	2.0	1.8	1.9	2.5	2.5	2.2	2.8	2.8	4.0	5.4	6.9	67.1
20-40	8.5	8.7	3.6	1.2	0.2	0.3	0.2	0.2	0.2	0.3	0.3	0.4	0.1	0.4	1.4	4.2	30.3
40-60	1.1	0.9	0.4	0.0	0.0	0.0	0.0	0.0	0.0	0.0	0.0	0.0	0.0	0.0	0.0	0.1	2.5
60-80	0.0	0.1	0.0	0.0	0.0	0.0	0.0	0.0	0.0	0.0	0.0	0.0	0.0	0.0	0.0	0.0	0.1
80-100	0.0	0.0	0.0	0.0	0.0	0.0	0.0	0.0	0.0	0.0	0.0	0.0	0.0	0.0	0.0	0.0	0.0
100-120	0.0	0.0	0.0	0.0	0.0	0.0	0.0	0.0	0.0	0.0	0.0	0.0	0.0	0.0	0.0	0.0	0.0
120-140	0.0	0.0	0.0	0.0	0.0	0.0	0.0	0.0	0.0	0.0	0.0	0.0	0.0	0.0	0.0	0.0	0.0
140-160	0.0	0.0	0.0	0.0	0.0	0.0	0.0	0.0	0.0	0.0	0.0	0.0	0.0	0.0	0.0	0.0	0.0
160-180	0.0	0.0	0.0	0.0	0.0	0.0	0.0	0.0	0.0	0.0	0.0	0.0	0.0	0.0	0.0	0.0	0.0
180-200	0.0	0.0	0.0	0.0	0.0	0.0	0.0	0.0	0.0	0.0	0.0	0.0	0.0	0.0	0.0	0.0	0.0
Total	18.4	18.8	10.4	5.9	3.5	2.3	2.0	2.1	2.7	2.8	2.5	3.2	3.0	4.5	6.8	11.2	100.0

Mean U and V : 1.6 (cm/s), 10.9 (cm/s)

Standard deviation of U and V : 9.6 (cm/s), 13.3 (cm/s)

Maximun speed and it's direction : 65.5 (cm/s), 5.3 (deg.)

Mean speed and direction : 11.1 (cm/s), 8.5 (deg.)

Speed scalar average : 17.1 (cm/s)

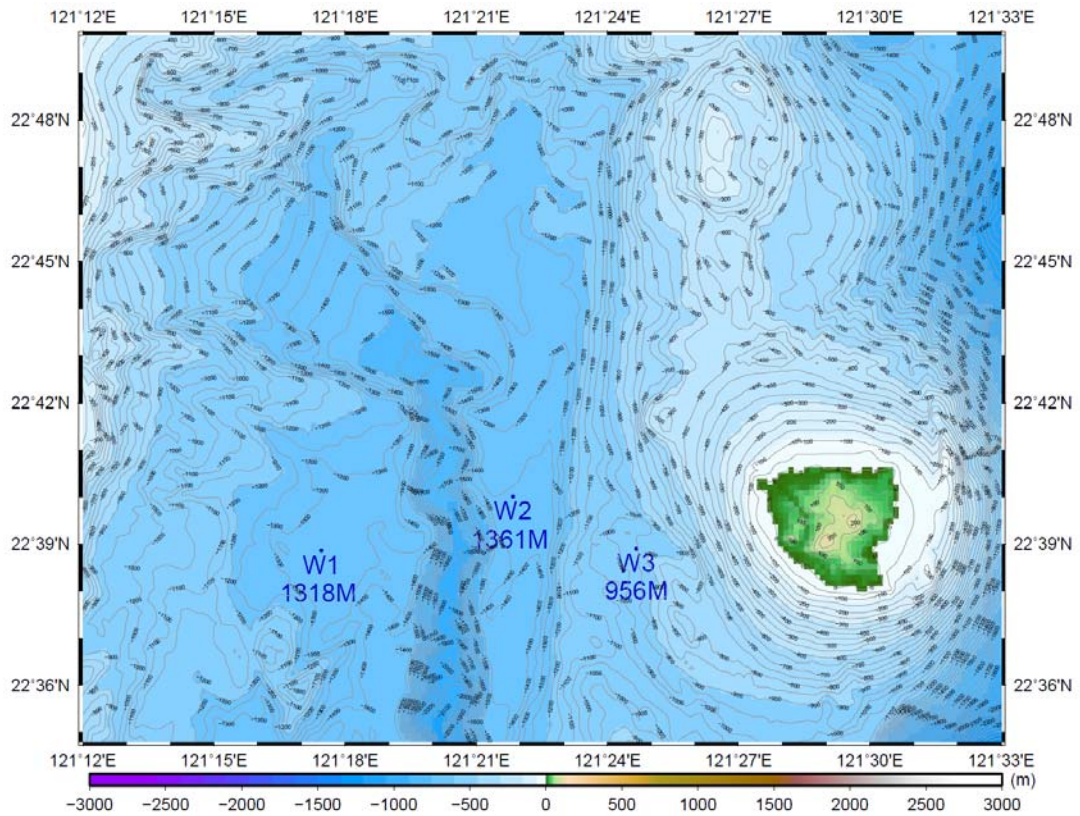
國立台灣大學海洋研究所

台灣東部海域自然資源綜合性研究(I)

綠島海域流場、地形地質、水文與生態精密調查

實驗海流觀測資料報告

W2 站



目錄

- 一、錨碇相關資訊
- 二、W2 站施放記錄與錨碇配置圖
 - W2 站 CTD 資料
 - W2 站 ADCP 溫度、壓力資料
 - W2 站 ADCP 流速資料

Moorings Information

Station	Location	*Data Duration (yyyy/mm/dd/hhmm)	Local Depth	Deploy Cruise	PI	Recovery Cruise	PI	Remark
W1	121°17.4341'E 22°38.8623'N	2009/04/26/2300 2009/09/13/0400	1318M	OR1-896B	詹森教授	OR1-912B	張明輝教授	
W2	121°21.8300'E 22°40.0133'N	2009/04/27/0500 2009/06/09/1400	1361M	OR1-896B	詹森教授	OR1-912B	張明輝教授	1.*Battery Leakage 2.*Pressure Sensor Error
W3	121°24.6445'E 22°38.8623'N	2009/04/27/0900 2009/07/12/0500	956M	OR1-896B	詹森教授	OR1-912B	張明輝教授	1.*Battery Leakage

*資料時間為 GMT 時間，當地時間為 GMT+8 小時。

* 2009/09/15 檢查電池後，發現 W2 與 W3 之電池電力只剩 13.8V，與 W1 之電池電力 36.8V 差異甚大，研判可能因電池漏電導致 ADCP 停止量測。

有關 W2 與 W3 二站發生疑似電池漏電的情況，經代理商向 RDI 原廠詢問後，發現是機器本身的韌體問題，導致 W2 的壓力計錯誤與電池發生漏電，以下是原廠的回覆：

These units all have V50.32 firmware, which has a serious bug that likely explains this behavior.

The bug causes system resets.

Upon resetting, the system may have lost its configuration parameters and not know what to do.

When it happens, the system may be awake until it drains the batteries.

* W2 壓力計異常，校正步驟將詳述於後

W2 站施放記錄

使用航次：海研一號 896B、海研一號 912B 航次

施放時間：2009 年 4 月 27 日 12 時 54 分（當地時間）

施放地點：東經 121°21.8300'，北緯 22°40.0133'

當地水深：1361 公尺

回收時間：2009 年 9 月 13 日 13 時 08 分（當地時間）

ADCP 設定（資料時間為 GMT 時間）：

Information from RDI program WINS

=====

C:\Documents and Settings\kazuhiko\桌面\W2\W2.000

File Size 2,105,344 bytes

BB/WH Ensemble Length 1894 bytes

System Frequency: 76.8 kHz

1st Bin 12.96 m, Bin Size 4.00 m

No. Bins 87, Pings/Ens 150, Time/Ping 00:24.00

First Ensemble 00000001 09/04/24 08:00:00.00

Last Ensemble 00001108 09/06/09 11:00:00.00 Extra Data in File

Average Ensemble Interval 01:00:00.00

=====

ADCP 平均水深：332 公尺（經深度校正）

可用資料深度：30 公尺至 310 公尺，每 4 公尺一層，共 71 層。

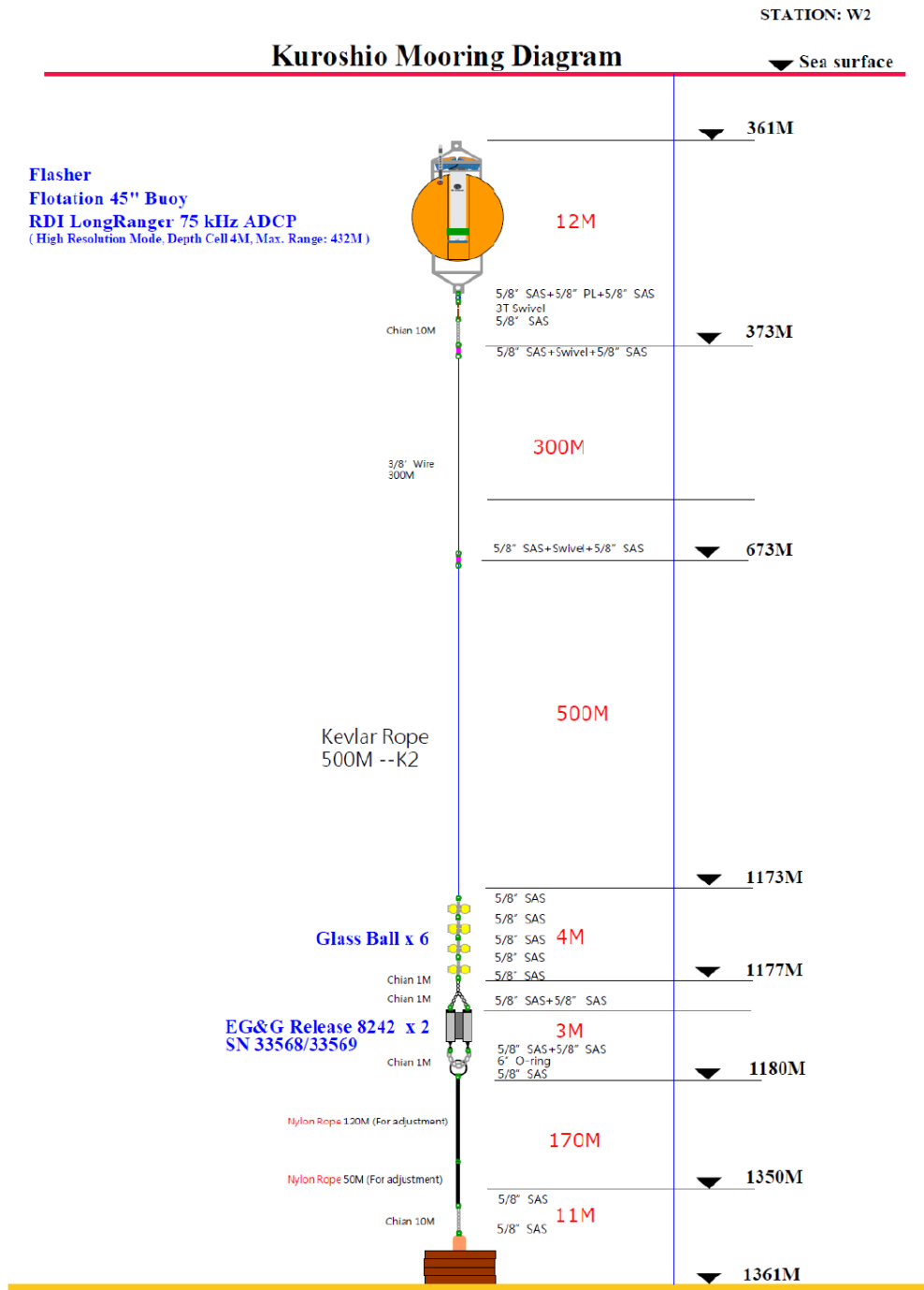
可用資料比數：1042

Final Mooring Design

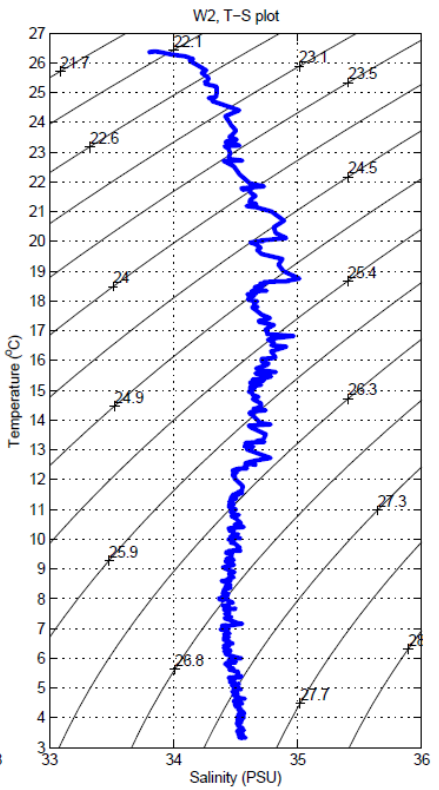
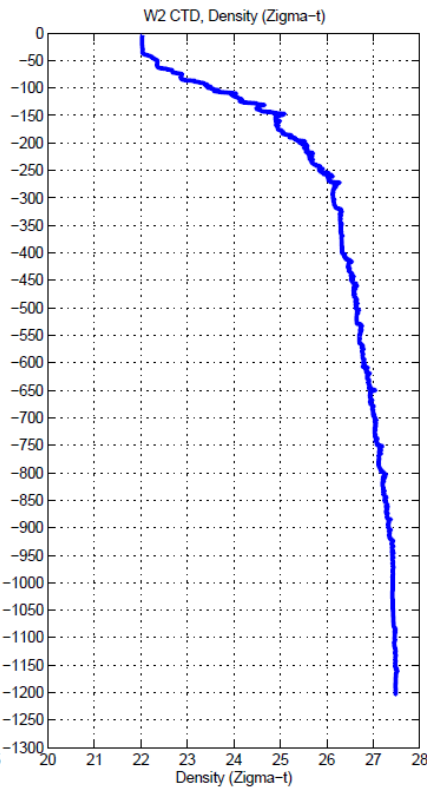
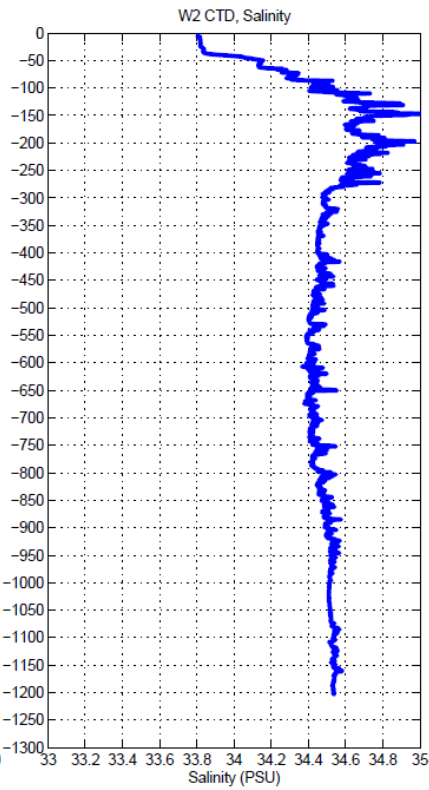
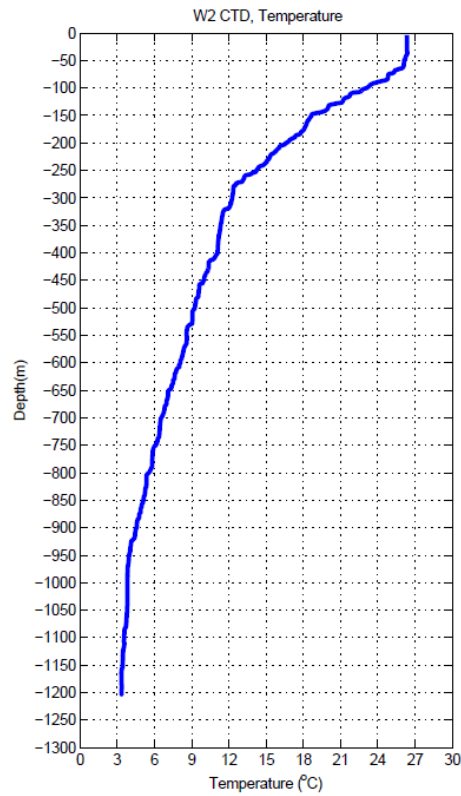
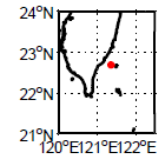
W2 (NCU)

Let go time/location: 2009/04/27 04:54(GMT). 121°, 21.8300 (E) 22°, 40.0135 (N)

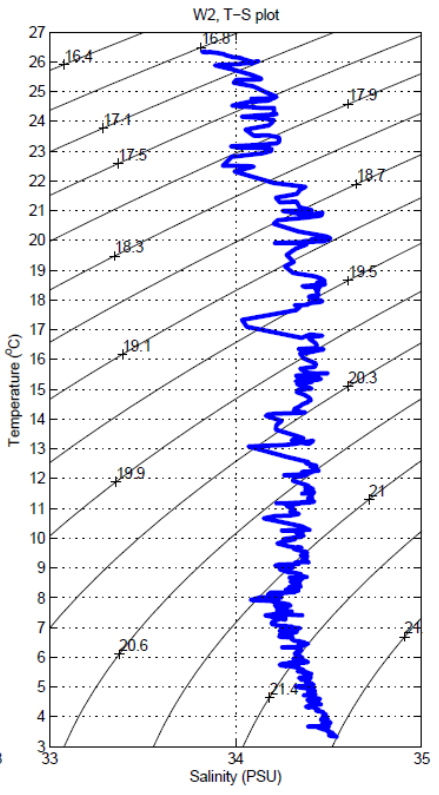
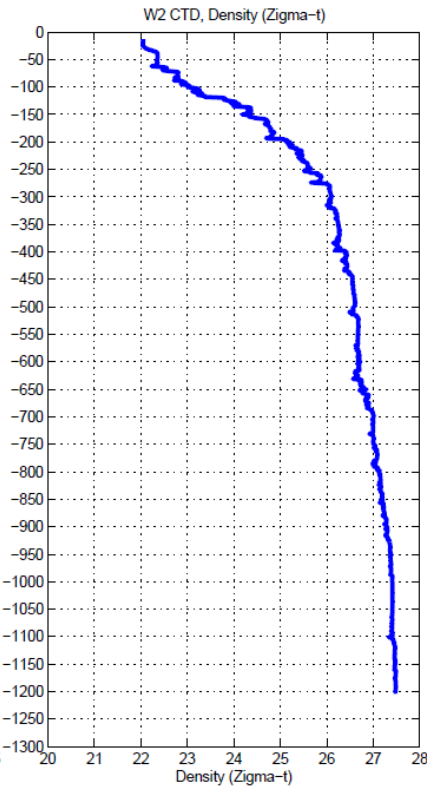
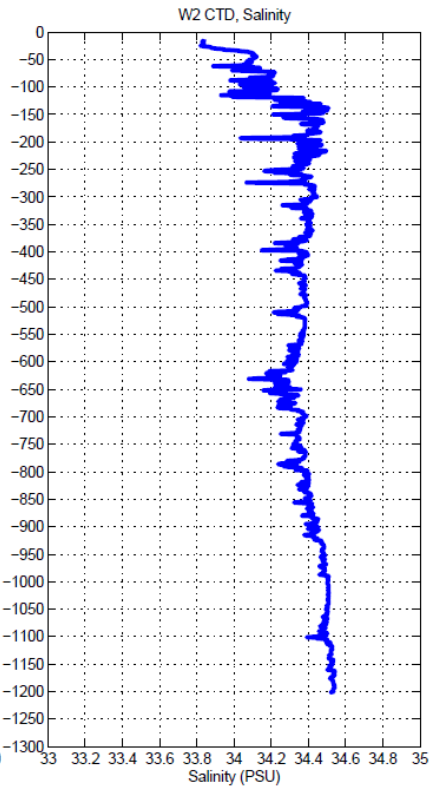
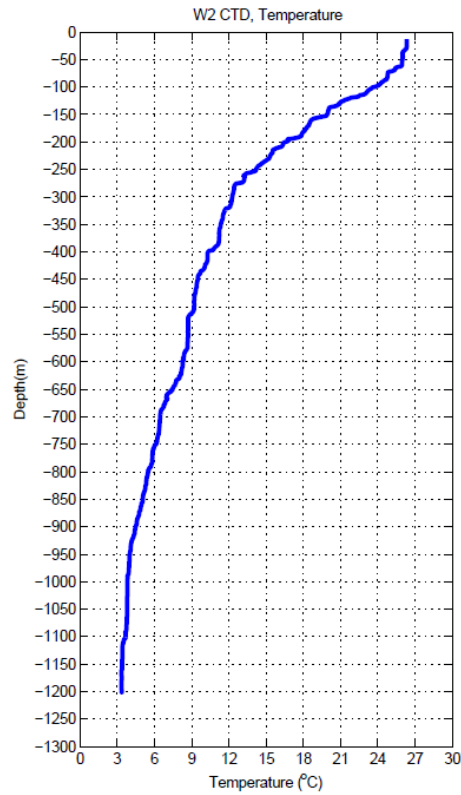
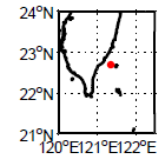
Local depth: 1361m



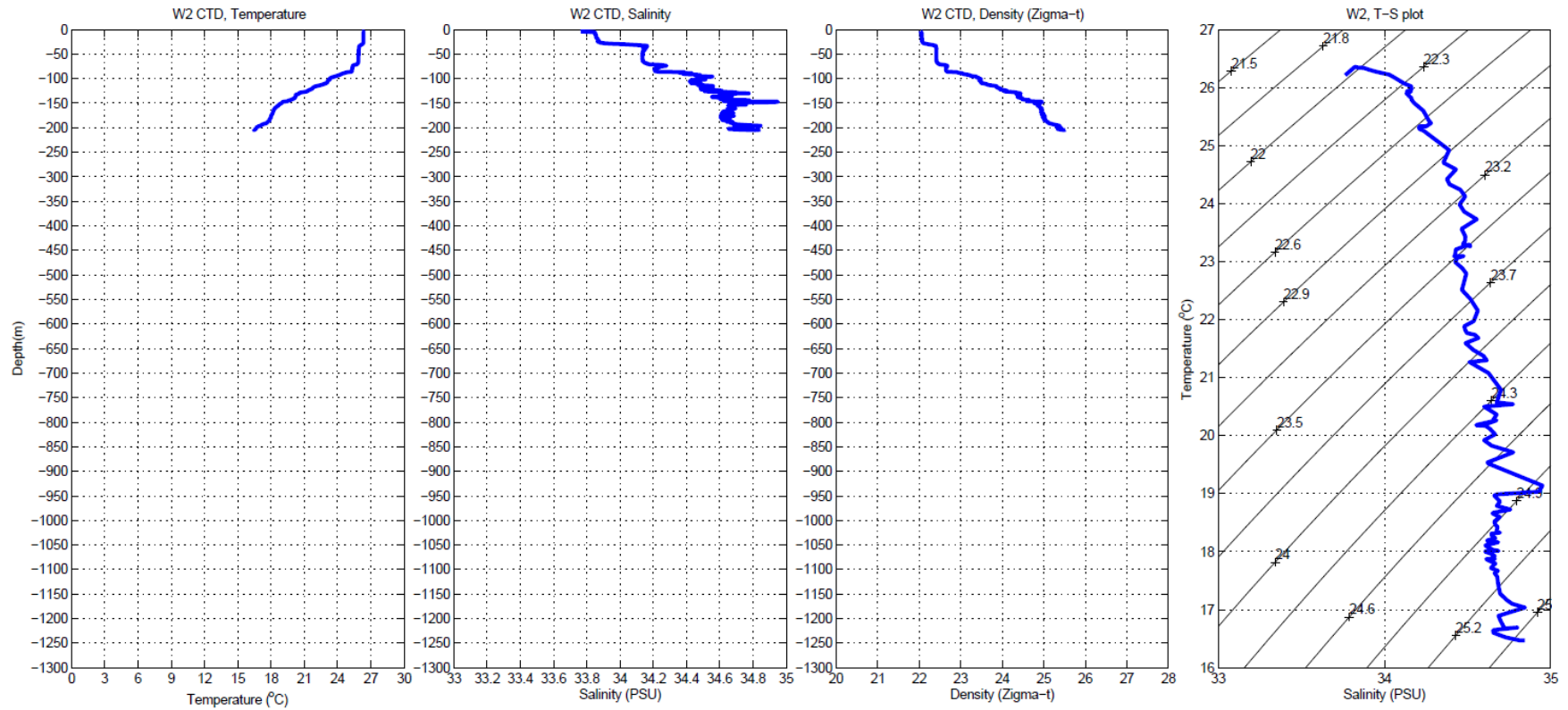
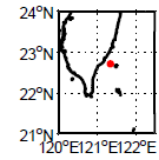
Station: W2
Longitude= 121°21.61E
Latitude= 22°41.27N
Cruise: OR1- 896 B
Down case: Apr 27 2009 08:59:11
Local depth: 1361 M



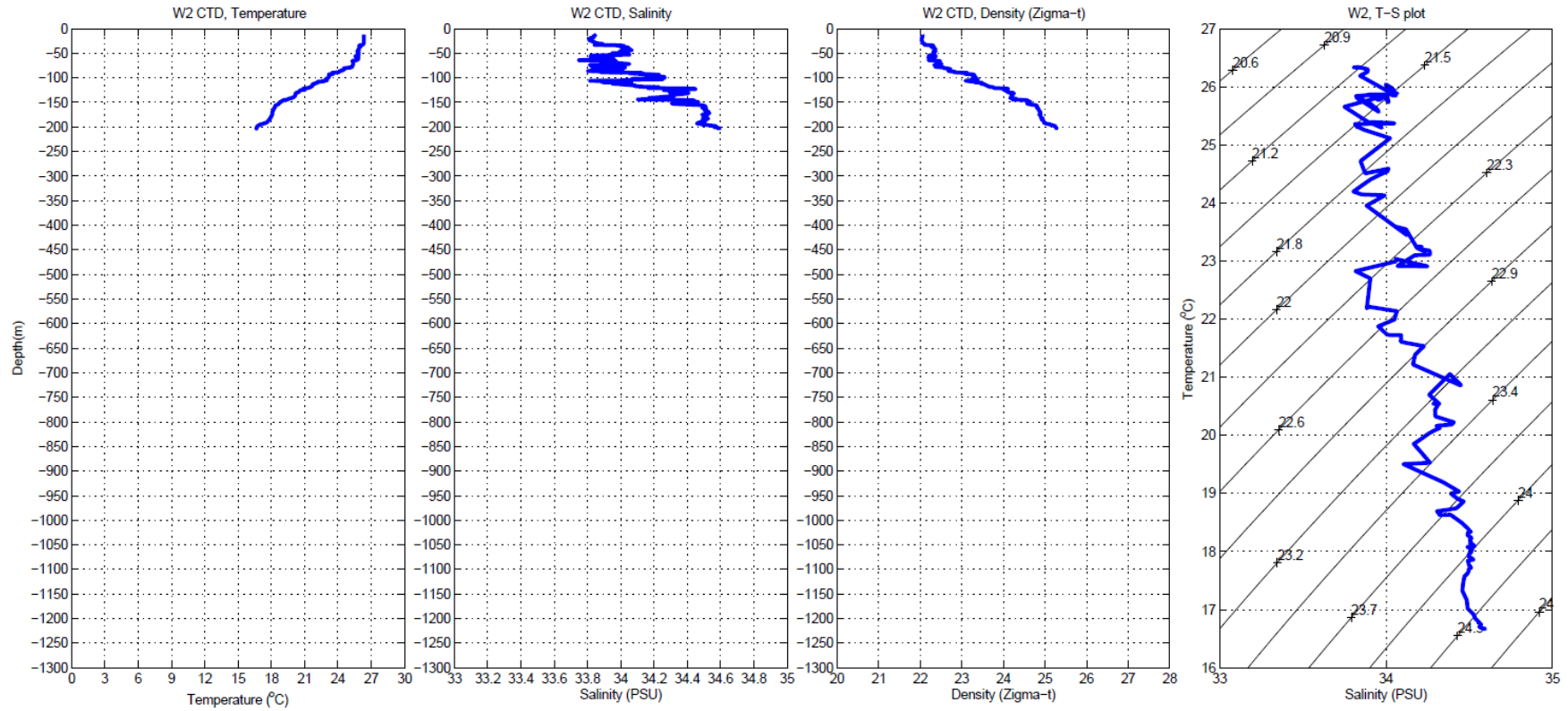
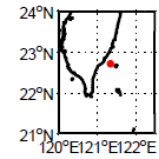
Station: W2
Longitude= 121°21.17E
Latitude= 22°41.49N
Cruise: OR1- 896 B
Up case: Apr 27 2009 09:32:01
Local depth: 1361 M



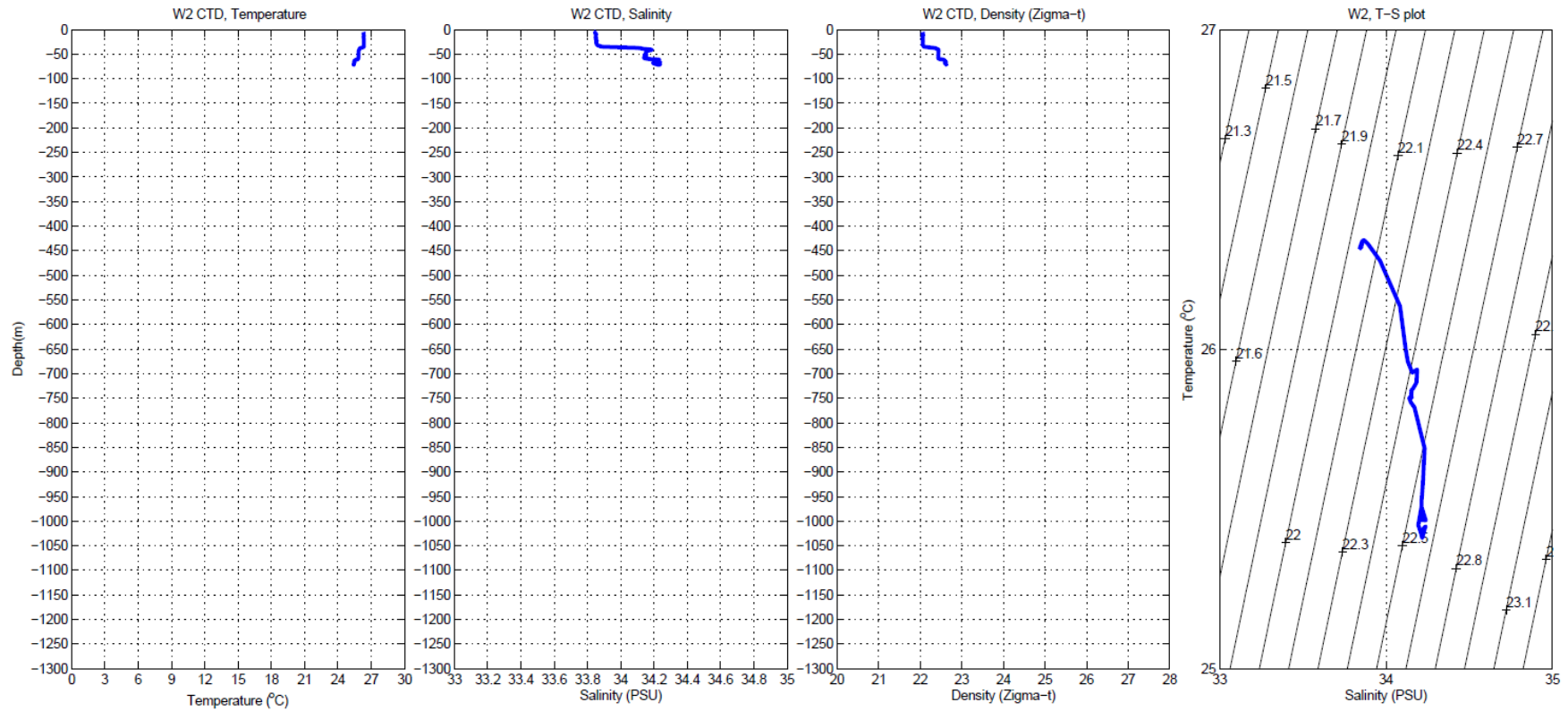
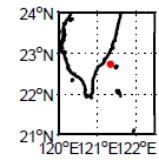
Station: W2
 Longitude= 121°20.617E
 Latitude= 22°42.9N
 Cruise: OR1- 896 B
 Down case: Apr 27 2009 10:17:13
 Local depth: 1361 M



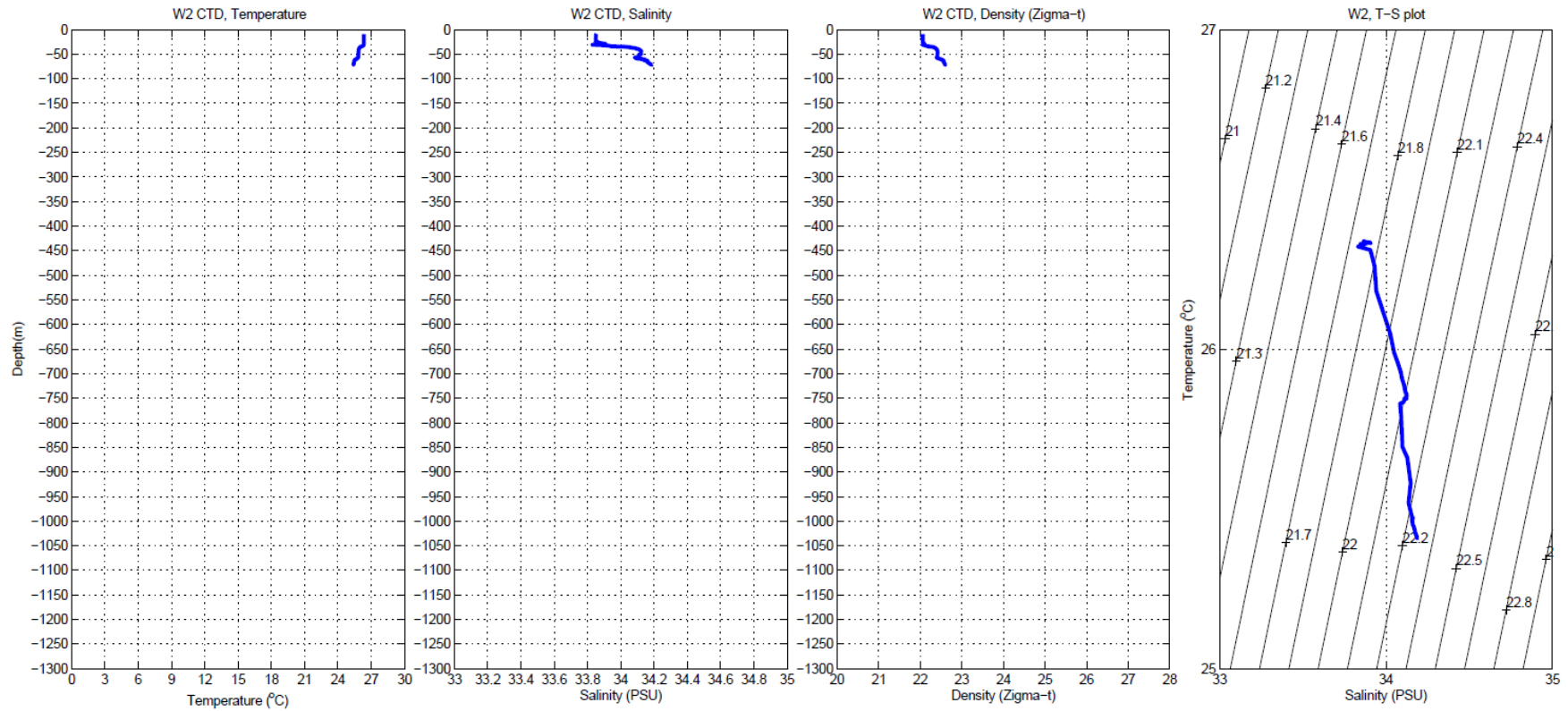
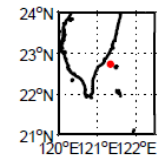
Station: W2
Longitude= 121°20.54E
Latitude= 22°43.07N
Cruise: OR1- 896 B
Up case: Apr 27 2009 10:23:33
Local depth: 1361 M



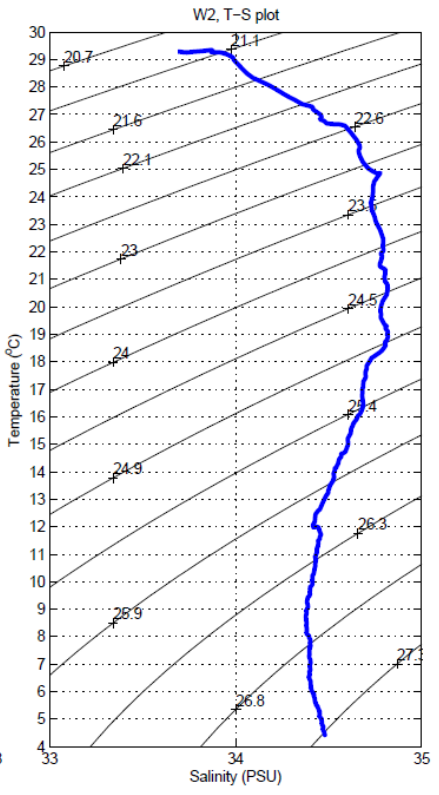
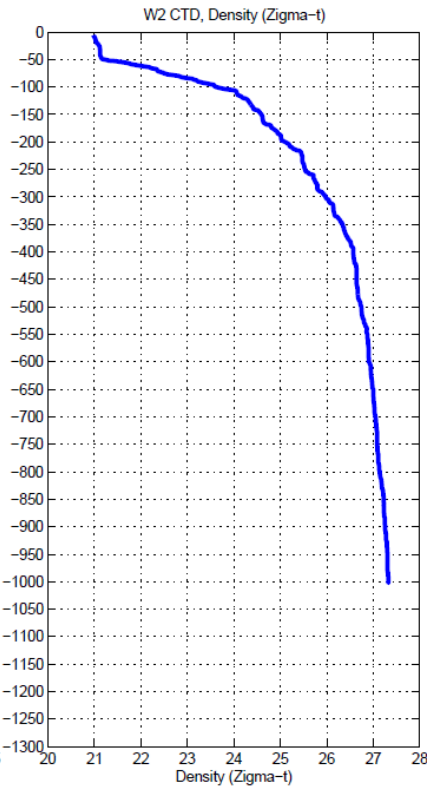
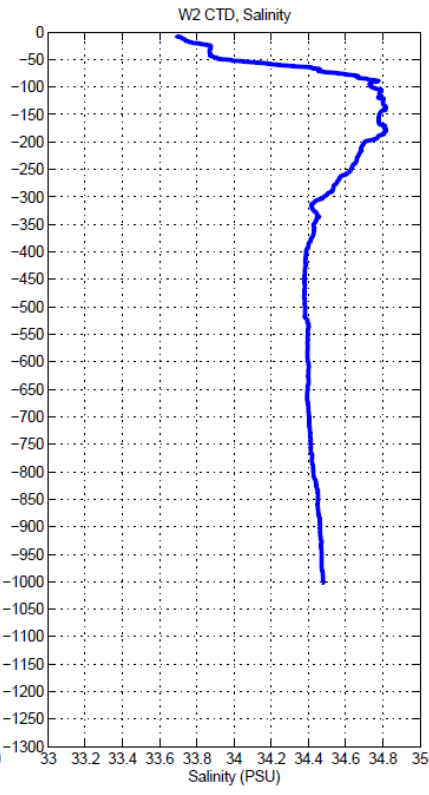
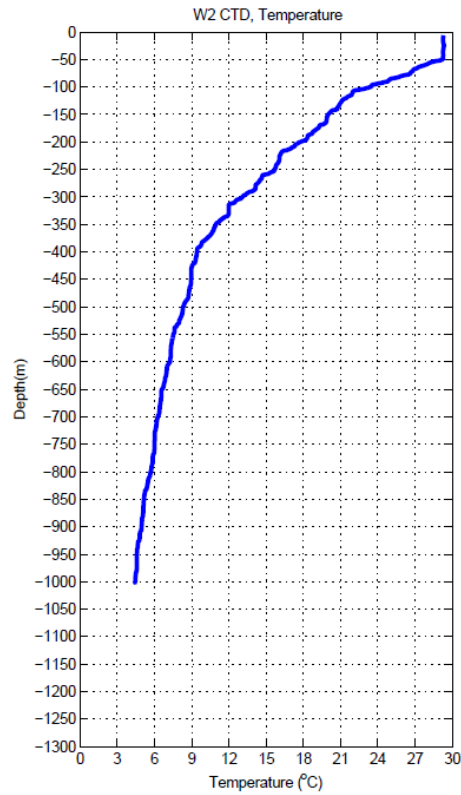
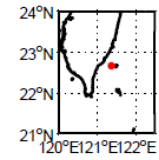
Station: W2
Longitude= 121°20.67E
Latitude= 22°43.76N
Cruise: OR1- 896 B
Down case: Apr 27 2009 10:44:19
Local depth: 1361 M



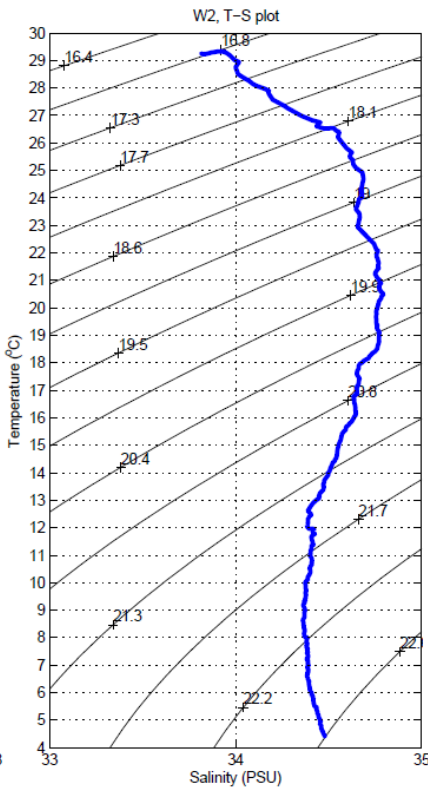
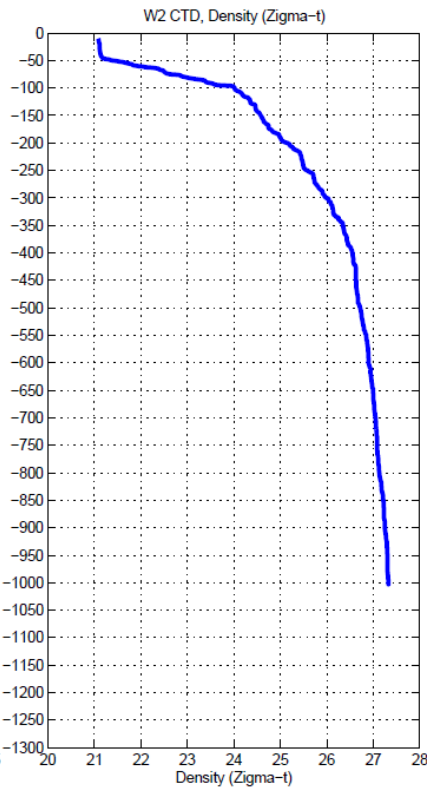
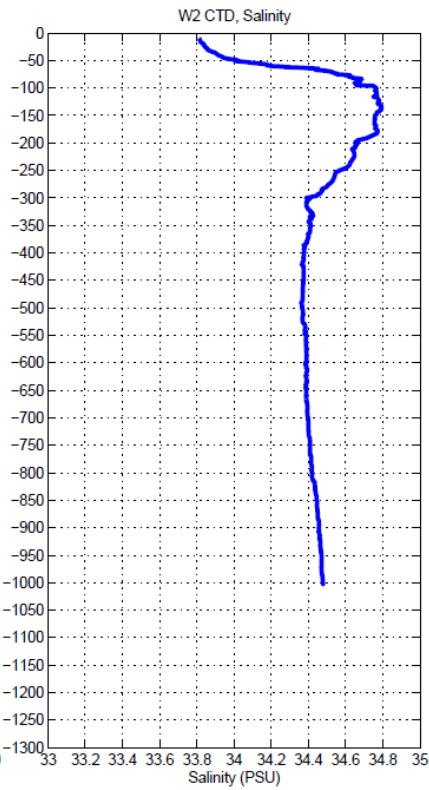
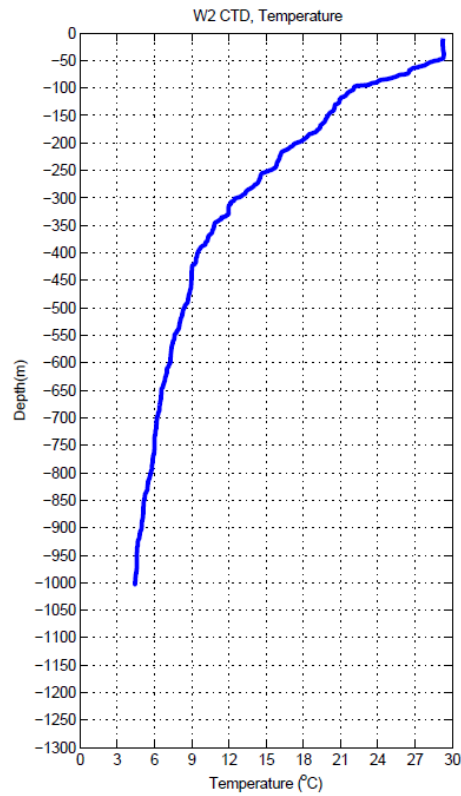
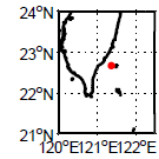
Station: W2
Longitude= 121°20.67E
Latitude= 22°43.85N
Cruise: OR1- 896 B
Up case: Apr 27 2009 10:46:38
Local depth: 1361 M



Station: W2
Longitude= 121°21.869E
Latitude= 22°40.034N
Cruise: OR1- 912 B
Down case: Sep 13 2009 16:35:29
Local depth: 1361 M



Station: W2
 Longitude= 121°21.88E
 Latitude= 22°40.08N
 Cruise: OR1- 912 B
 Up case: Sep 13 2009 17:01:19
 Local depth: 1361 M



< W2 壓力校正 >

於下載 W2 站資料並進行初步處理後，發現 W2 站除了資料量最少外，另其壓力值顯示，ADCP 位置位於水下 700 公尺（圖 1），然 W1 與 W3 二站之壓力卻是當初規劃的水深 350 公尺附近。

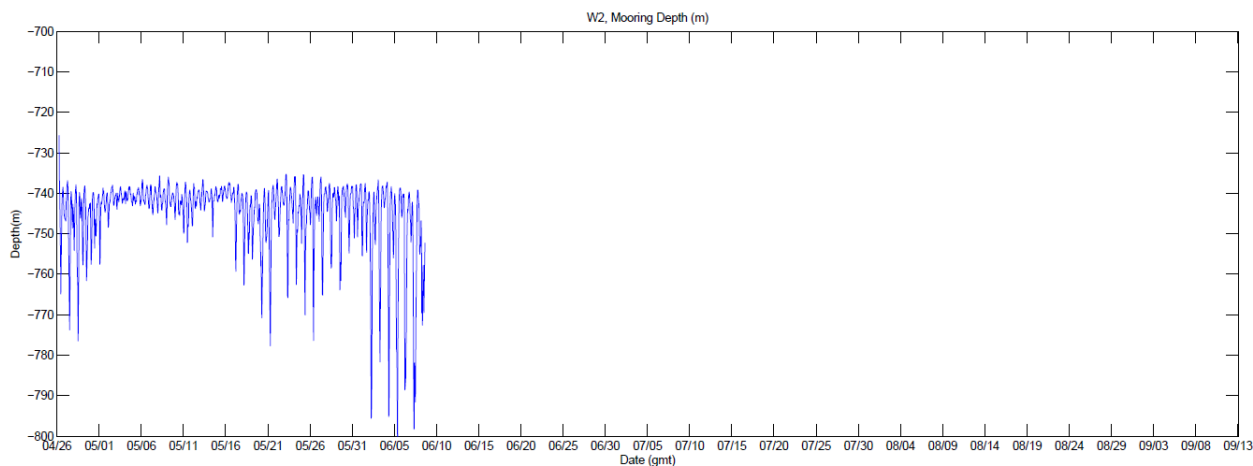


圖 1、W2 站 ADCP 所測得之壓力值。

但其 ADCP 所反應之水溫並不若水深 700 公尺所應反應之水溫（圖 2），

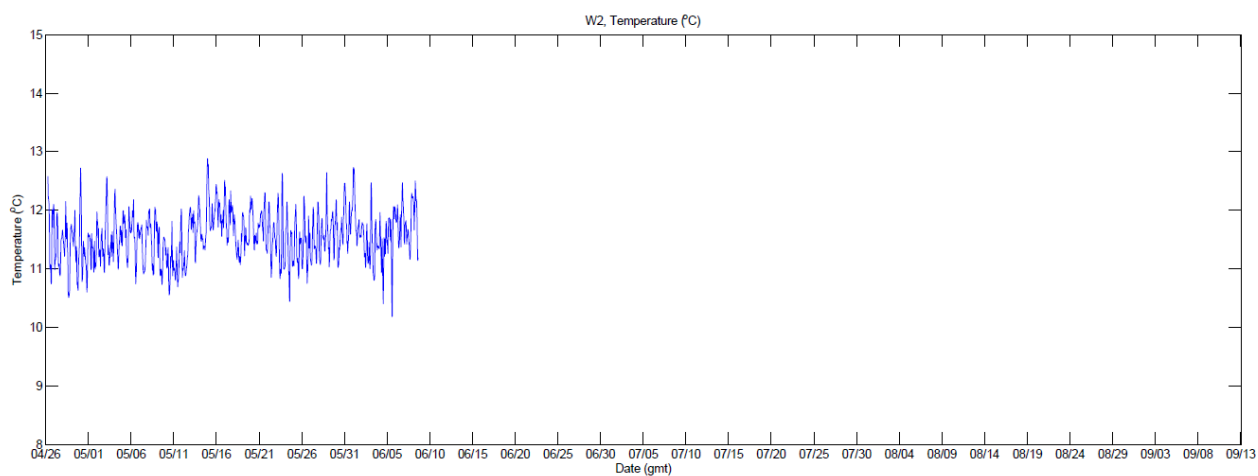


圖 2、W2 站 ADCP 所測得之水溫。

比較 W1 與 W3 站之資料，其資料皆自水下 30 公尺後開始正常，30 公尺以上，可能受風浪影響或接近海表污染層，存在大量極端值與強大南流的資訊，乃不可信。為此，若 W2 站資料僅為壓力計異常之因素，並假設存在之正常資料的深度即為對應水下 30 公尺，粗估其壓力值可能存在偏移量（offset）400 公尺。圖 3 為加回此偏移量之壓力變化。

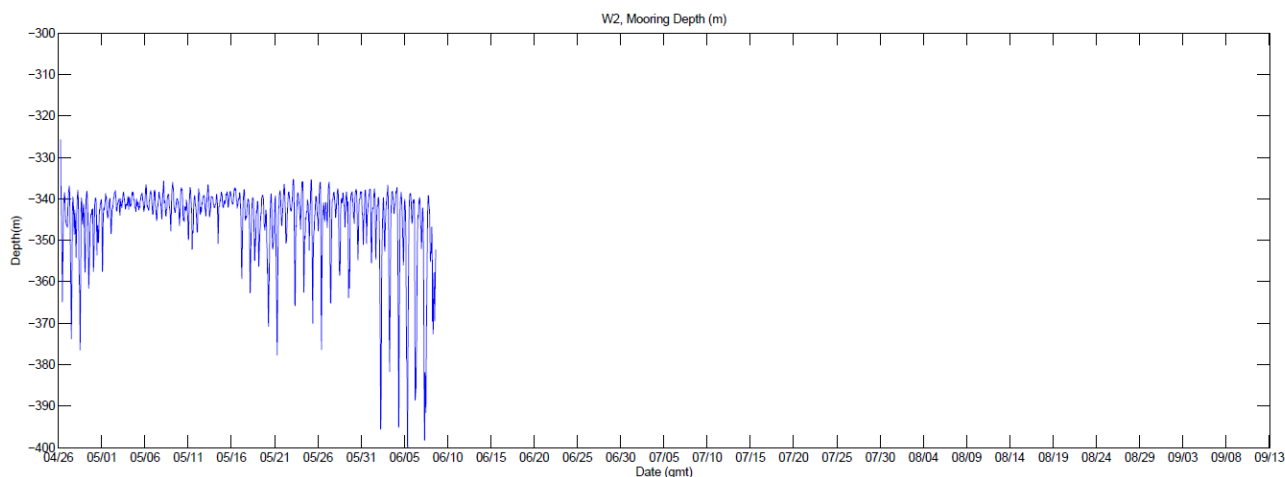


圖 3、加回偏移量 400 公尺後，W2 站 ADCP 所測得之壓力值。

為求另一證據估計此偏移量誤差，利用 912B 航次所量得之 W2 站 CTD 資訊，以 up case 為例，如圖 4。

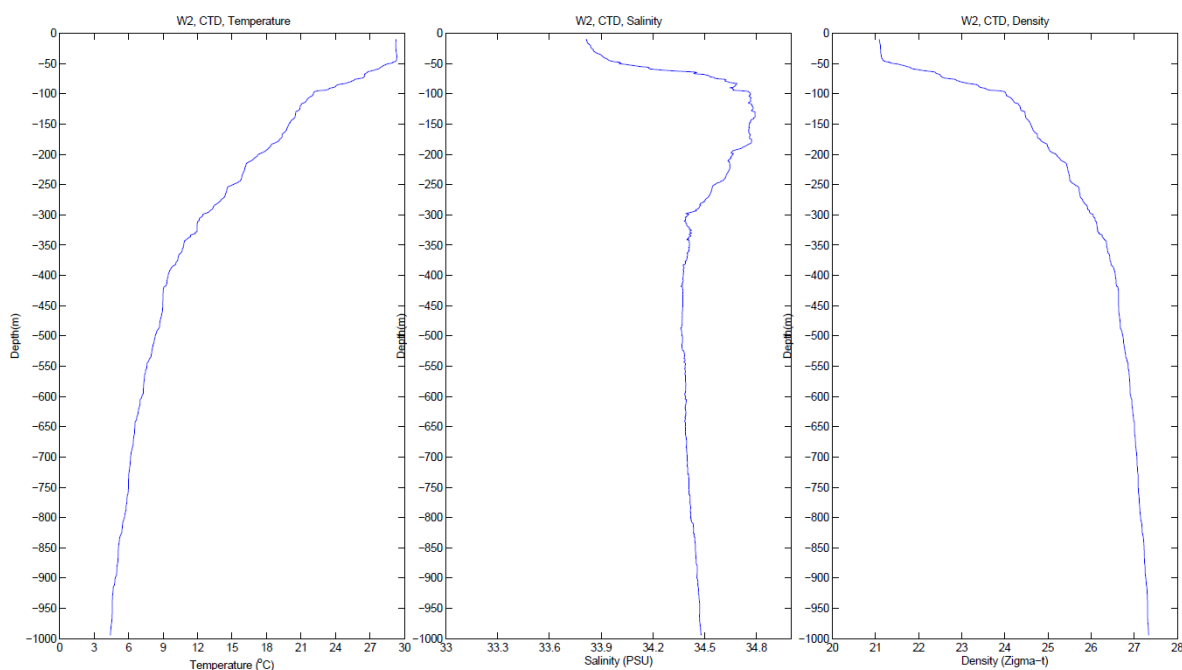


圖 4、912B 航次於 W2 站所下放之 CTD (up case)，由左至右為溫度、鹽度、密度。

比對 W2 站所量測之平均水溫為 11.5 度 C，對應於 CTD 溫度分佈圖，此水溫約略位於水深 332 公尺。另 W2 站所量測之平均壓力值為 745 公尺，偏移量約是 413 公尺，略近似於以資料比對深度之方法。

另外 W2 站於 ADCP 下方掛載一 RCM，若能確定 RCM 所在深度，即可反推 ADCP 所在深度，兩者相隔 300 公尺。圖 5、6 分別表示 RCM 所記錄之溫度、壓力資料。可惜的是，RCM 僅能耐壓至 3500kpa，約是 350 公尺深，因此錨碇下水其壓力計已經失去作用。但比對 RCM 溫度資料後，RCM 所量測之平均水溫為 7 度 C，對應 CTD 溫度分佈圖，此水溫約略位於水深 630 公尺，若減去錨

礙設計上相隔 300 公尺距離，則 ADCP 應位於水深 330 公尺，如此偏差量也幾乎近似於以資料比對深度與以溫度比對深度的方法，並幾乎確定 W2 站 ADCP 壓力計發生異常。

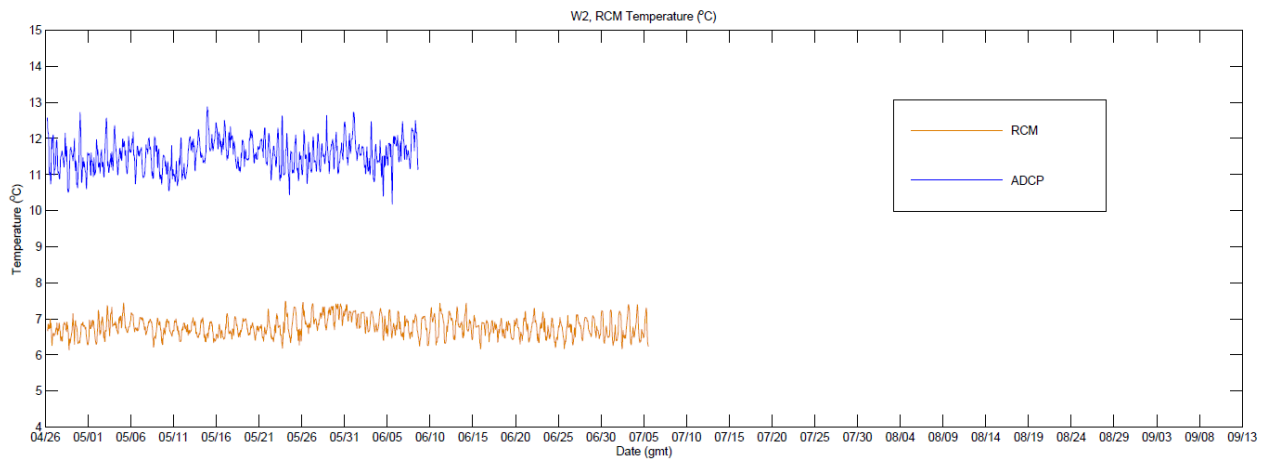


圖 5、W2 站之 RCM 量測之溫度，藍線為 ADCP 所量測。

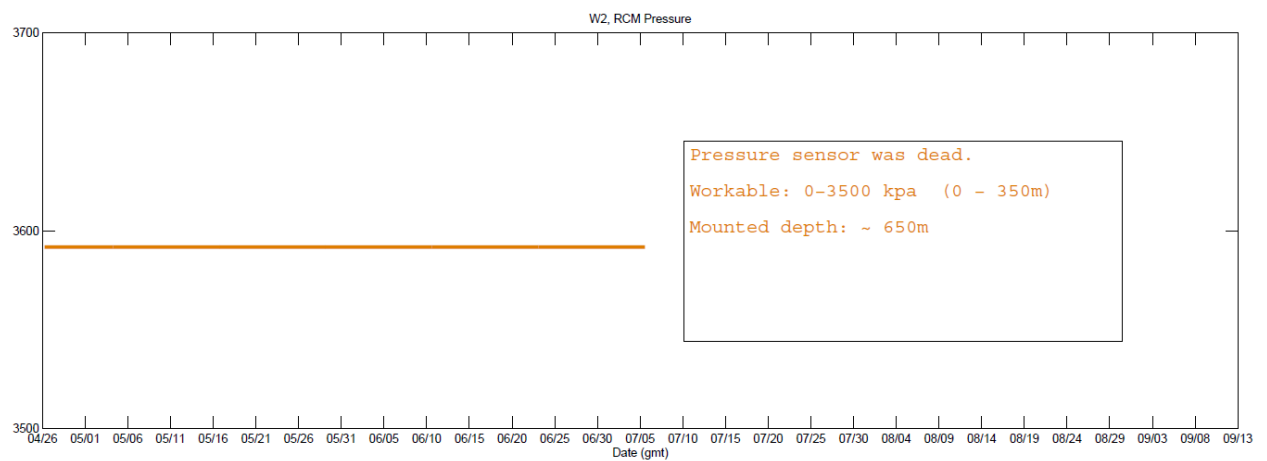
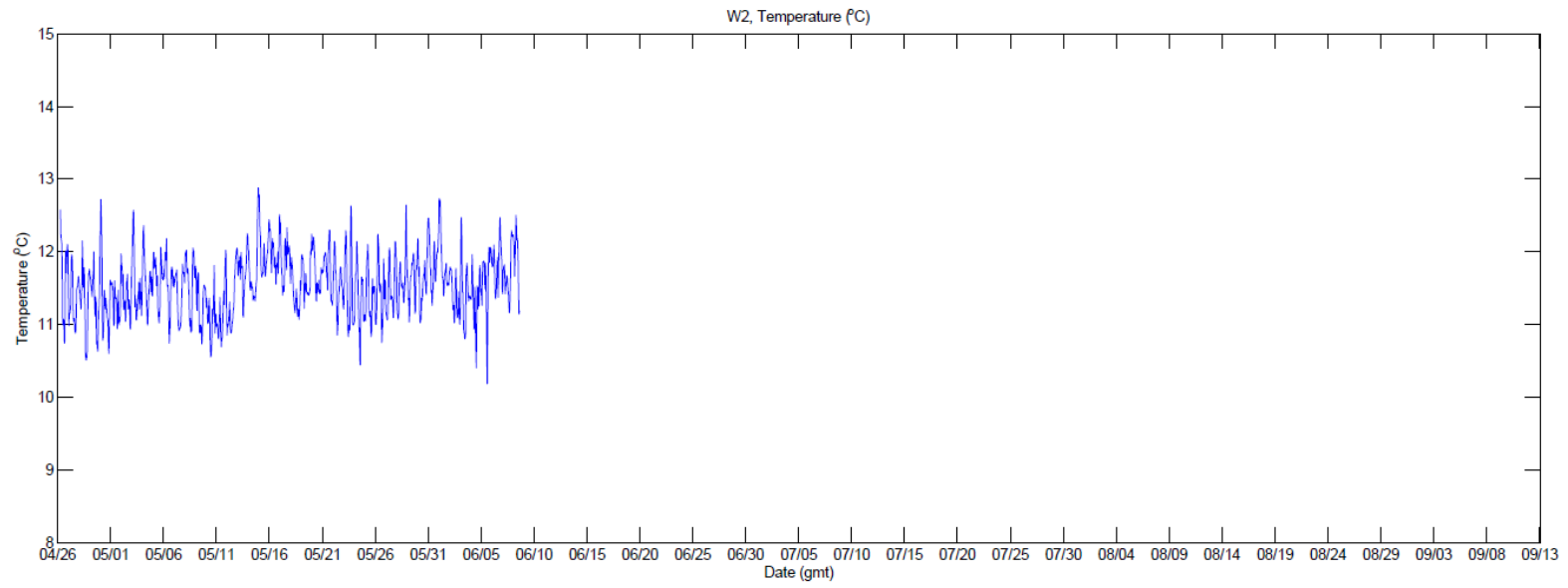
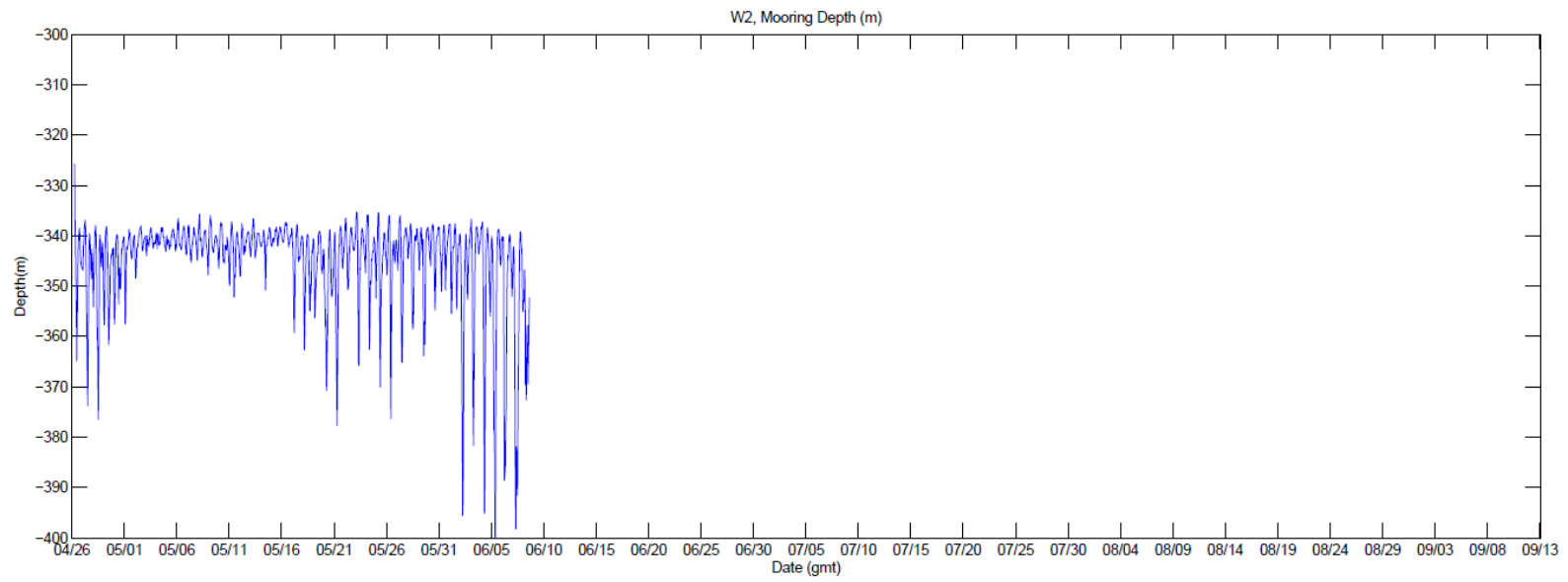
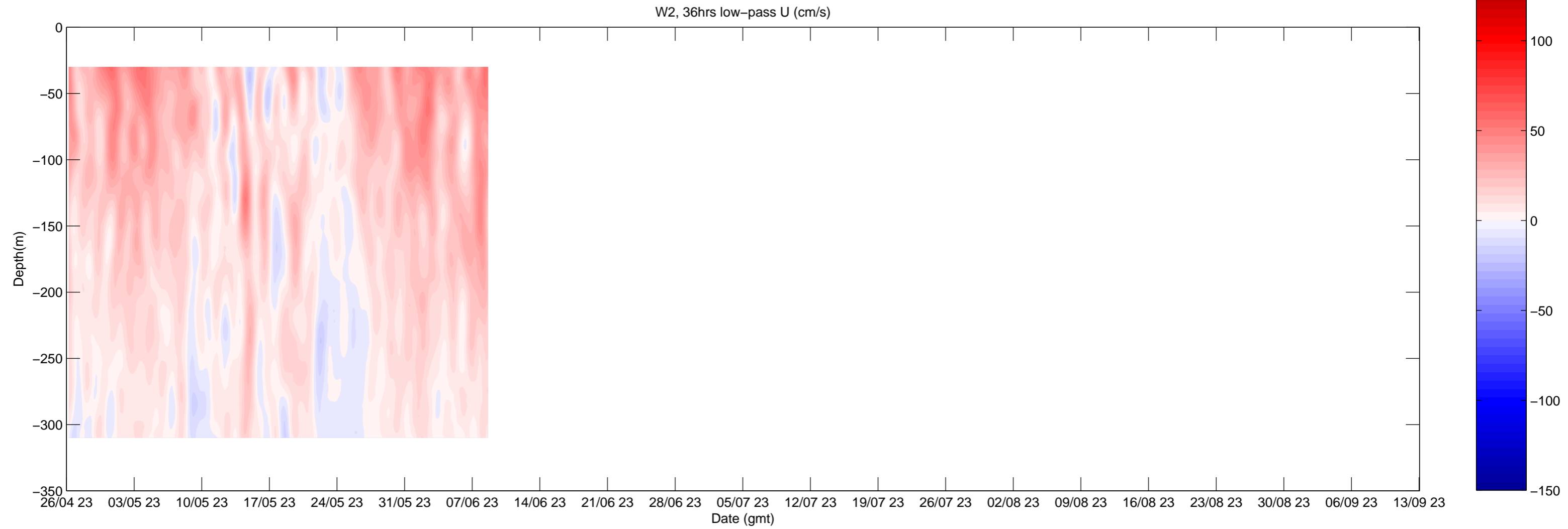
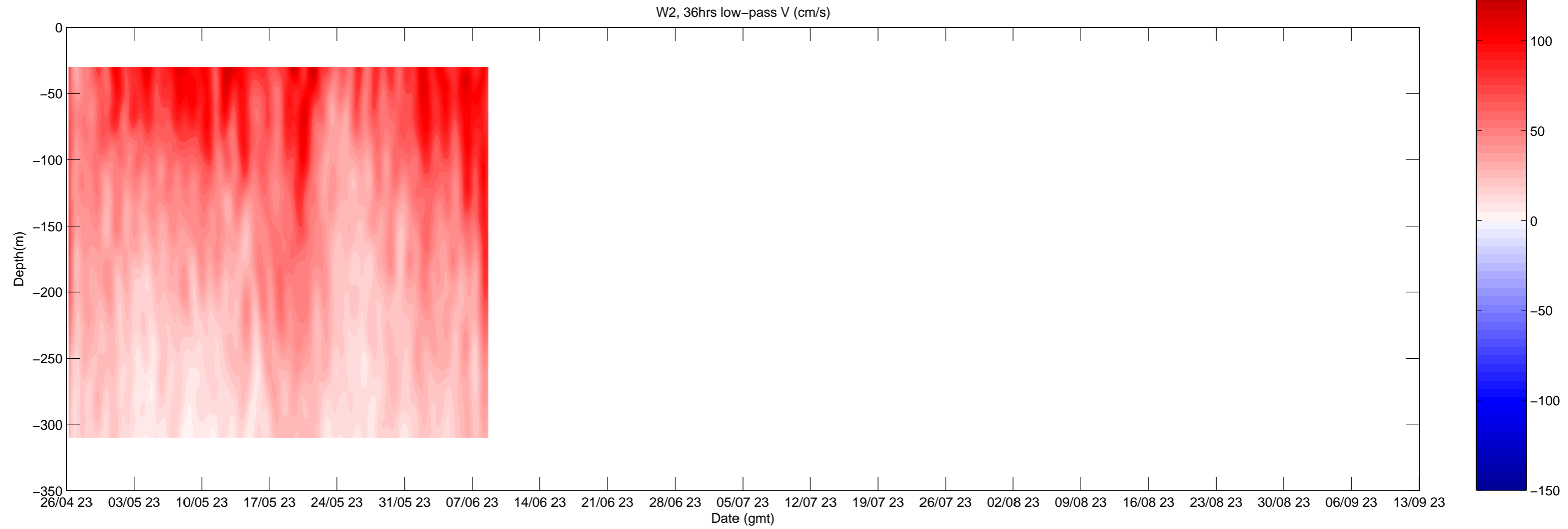


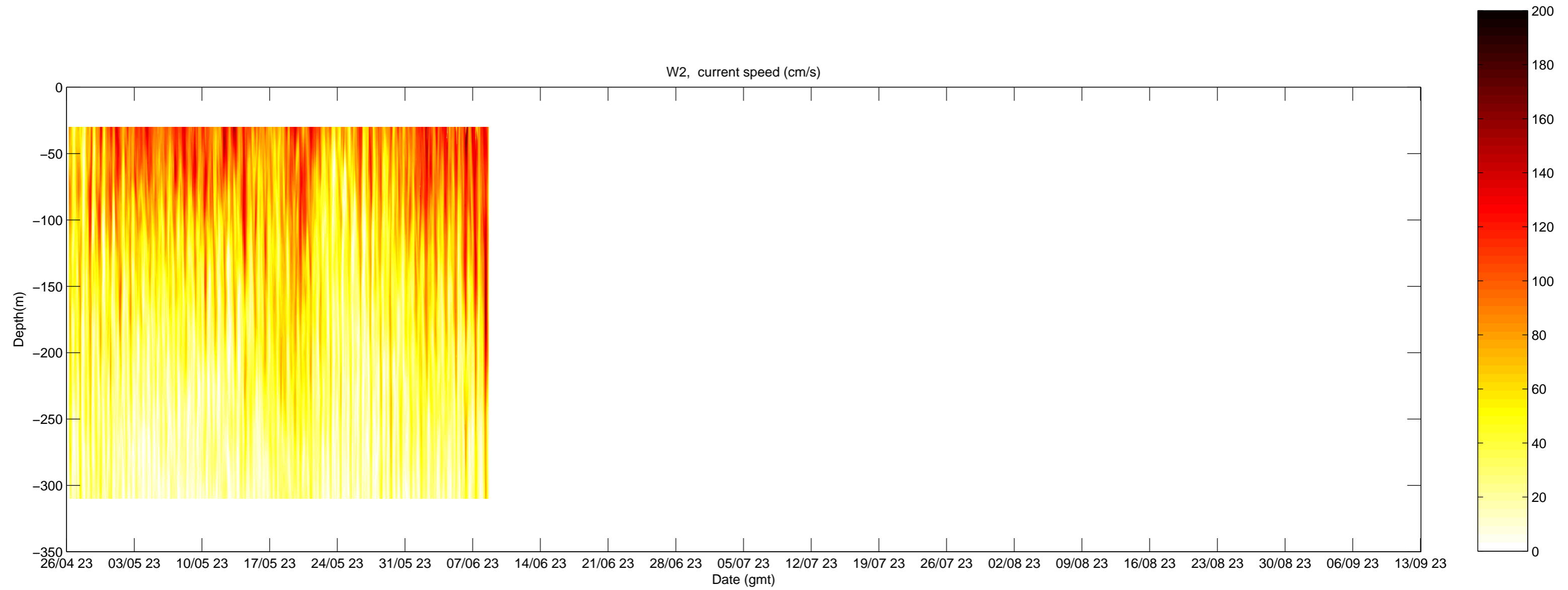
圖 6、W2 站之 RCM 量測之壓力值。





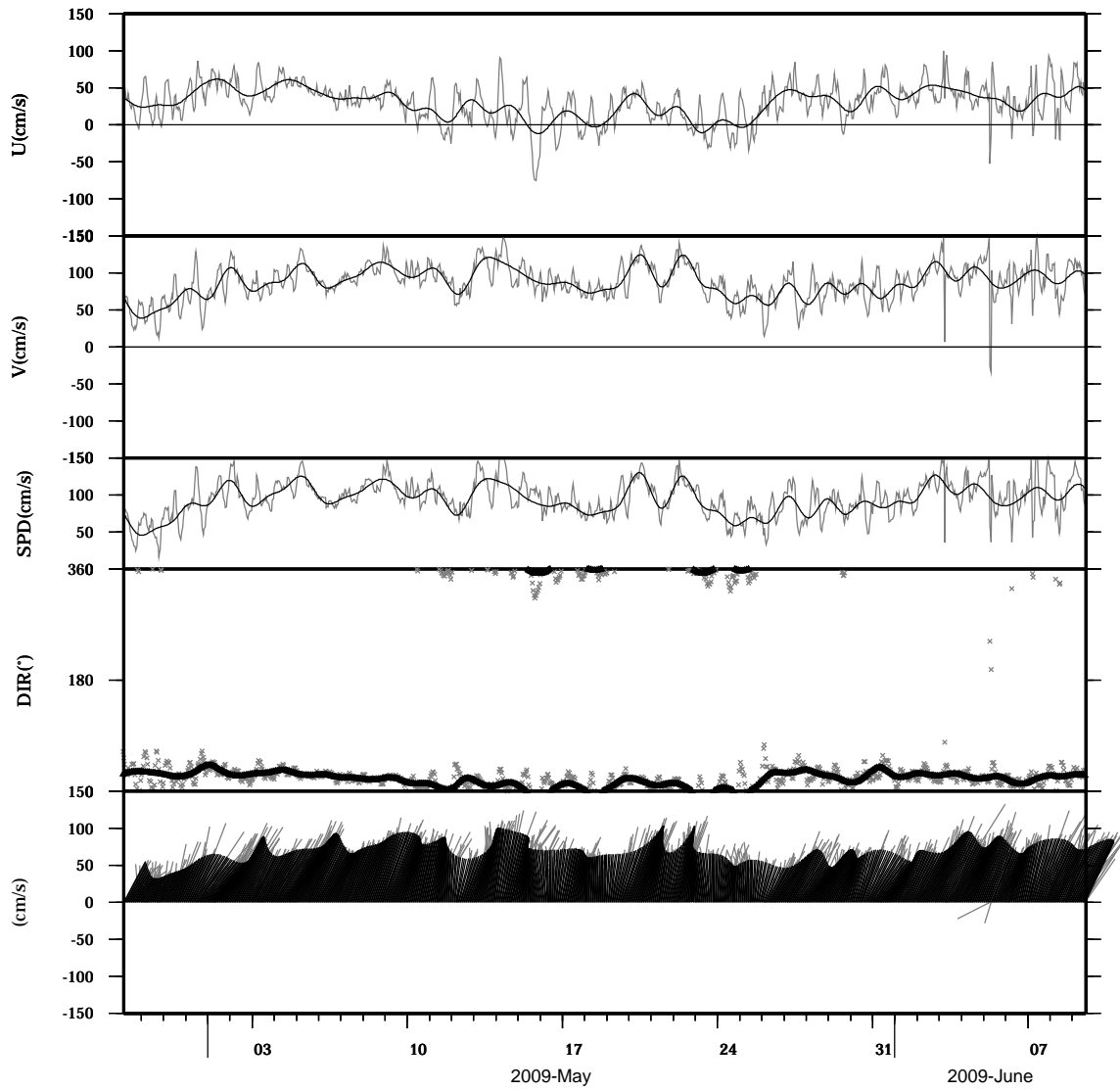






Lon : 121° 21.83' E
Lat : 22° 40.0133' N

Station : W204
Depth : 30 M

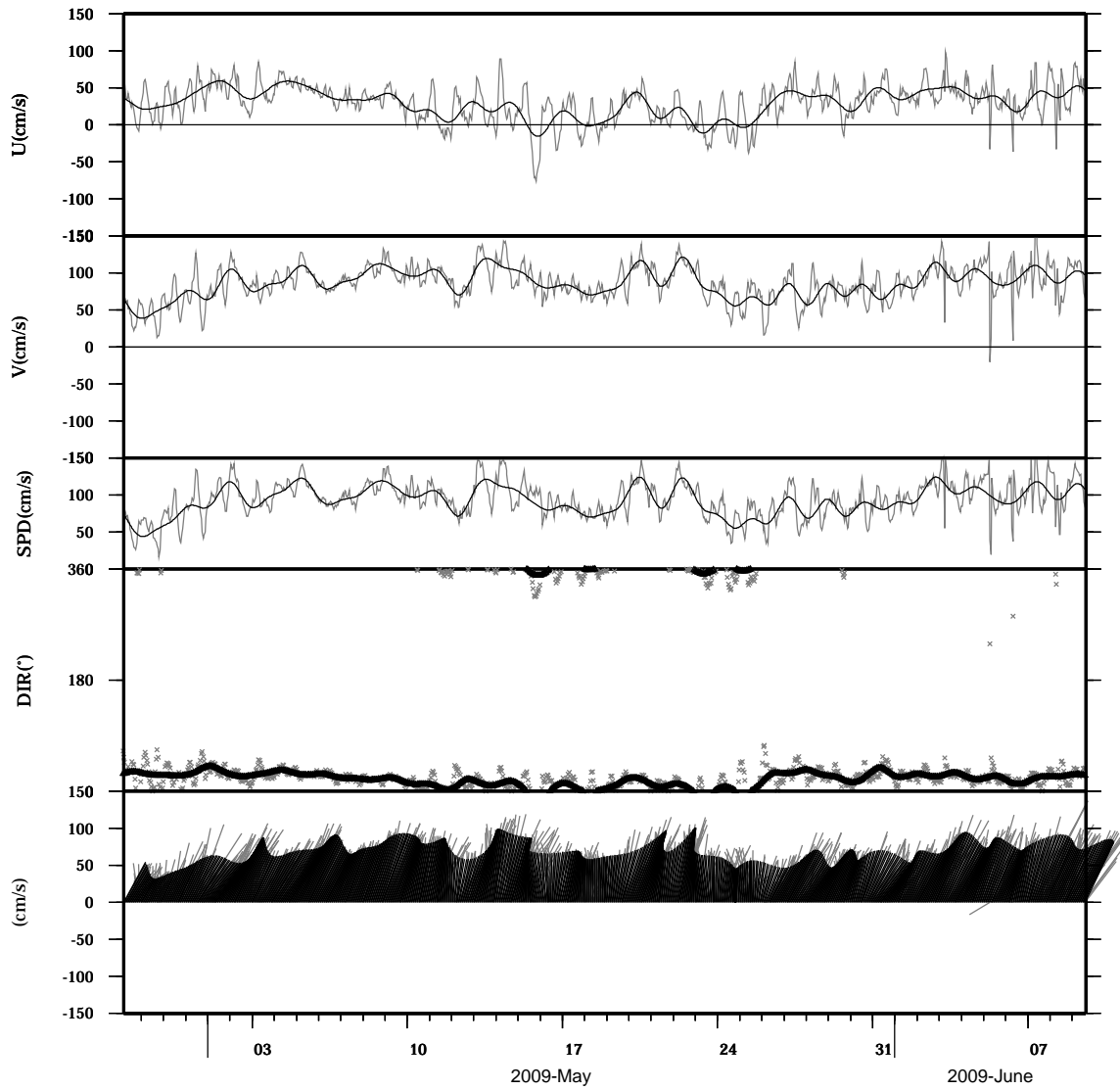


light line : The original data

heavy line : The 36 hours low-pass filtered data

Lon : 121° 21.83' E
Lat : 22° 40.0133' N

Station : W204
Depth : 34 M

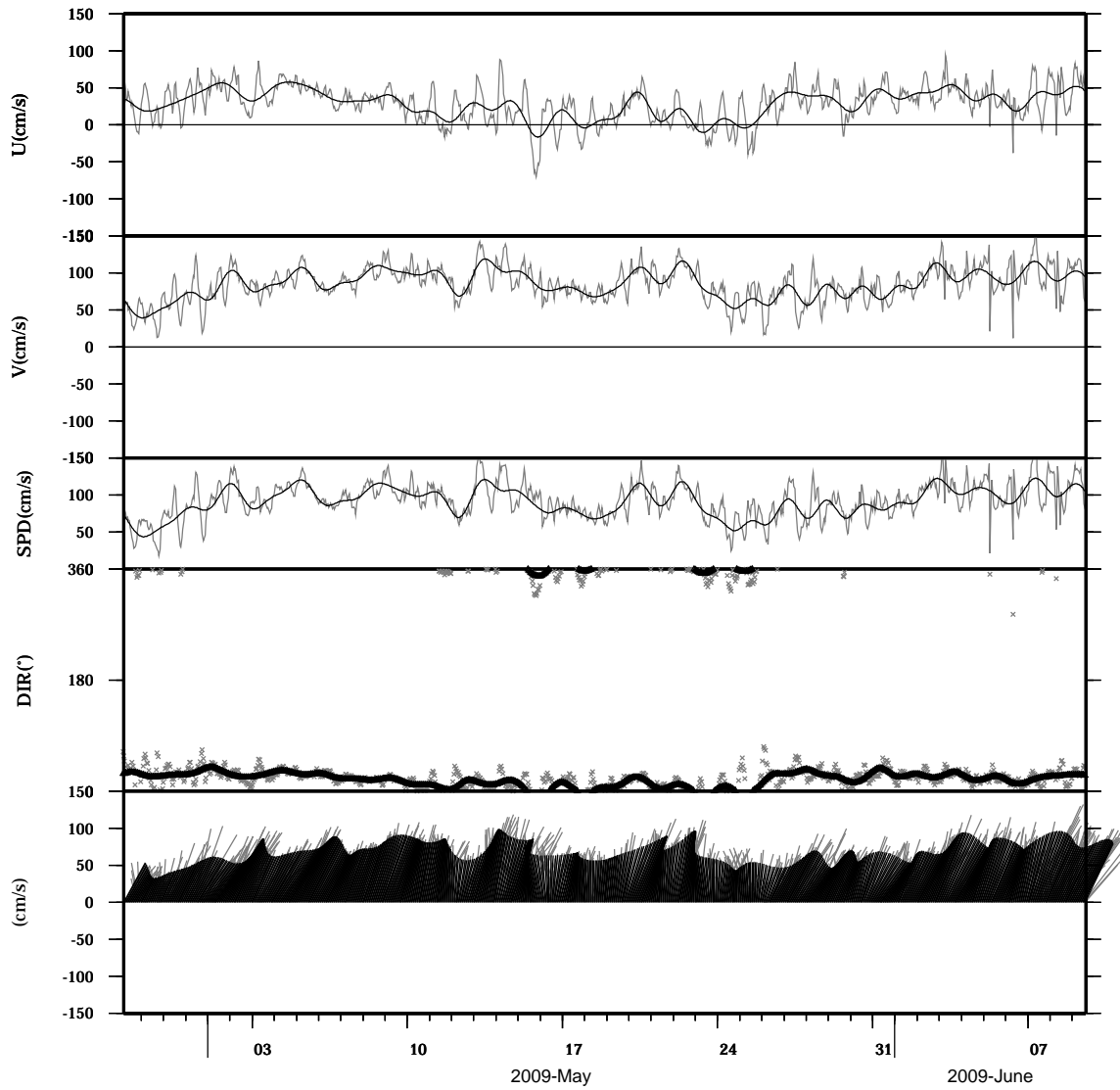


light line : The original data

heavy line : The 36 hours low-pass filtered data

Lon : 121° 21.83' E
Lat : 22° 40.0133' N

Station : W204
Depth : 38 M

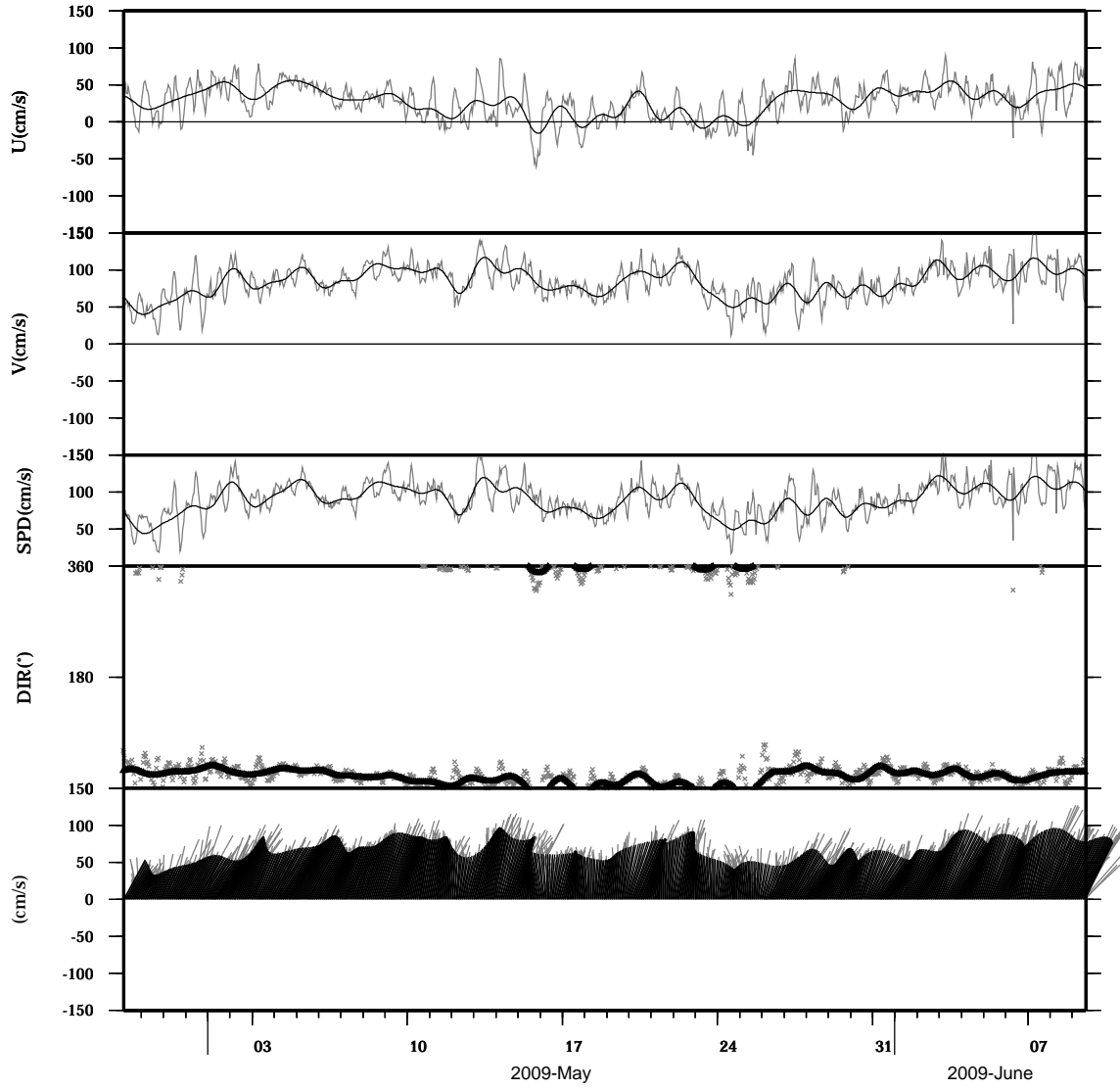


light line : The original data

heavy line : The 36 hours low-pass filtered data

Lon : 121° 21.83' E
Lat : 22° 40.0133' N

Station : W204
Depth : 42 M

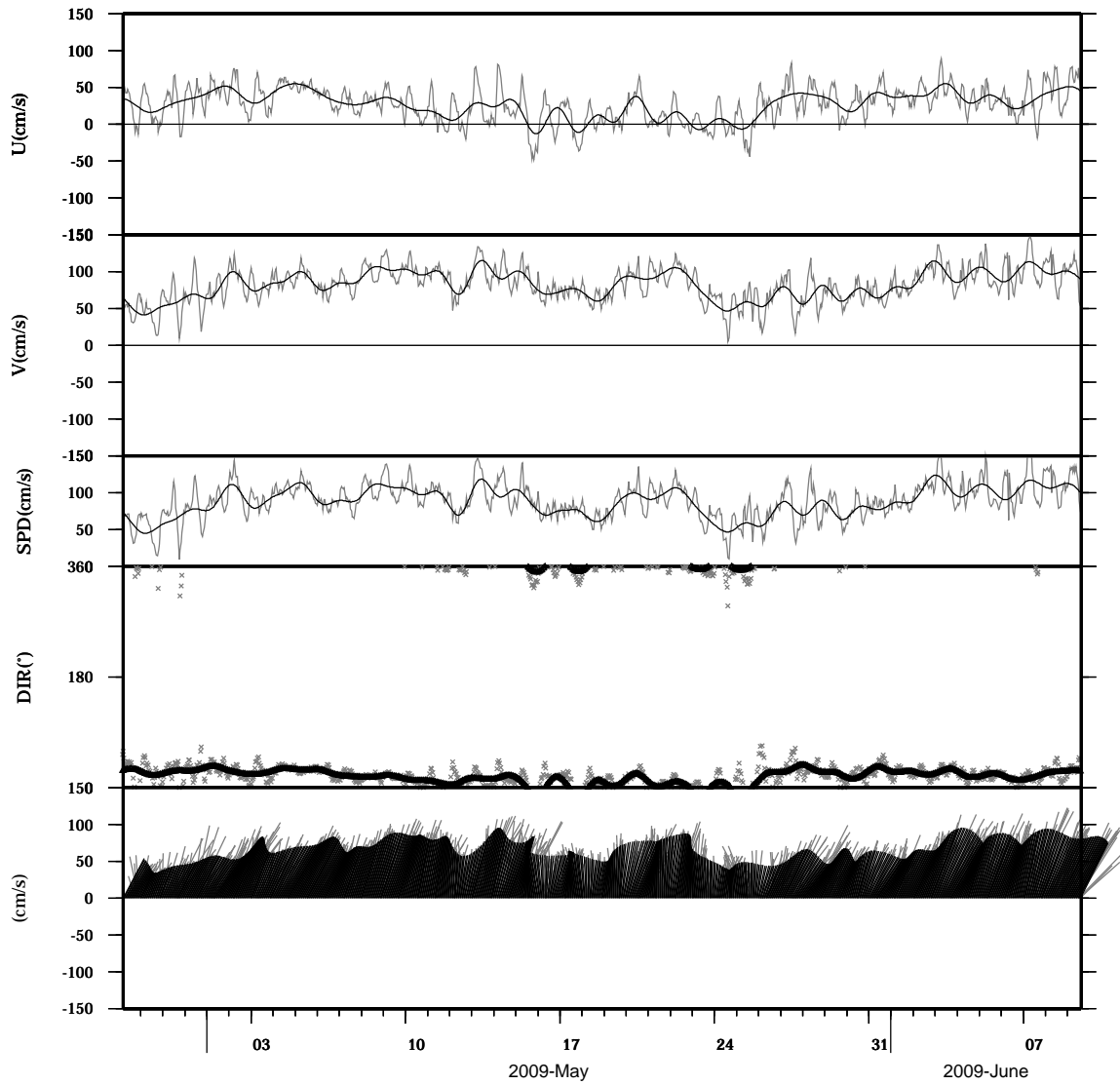


light line : The original data

heavy line : The 36 hours low-pass filtered data

Lon : 121° 21.83' E
Lat : 22° 40.0133' N

Station : W204
Depth : 46 M

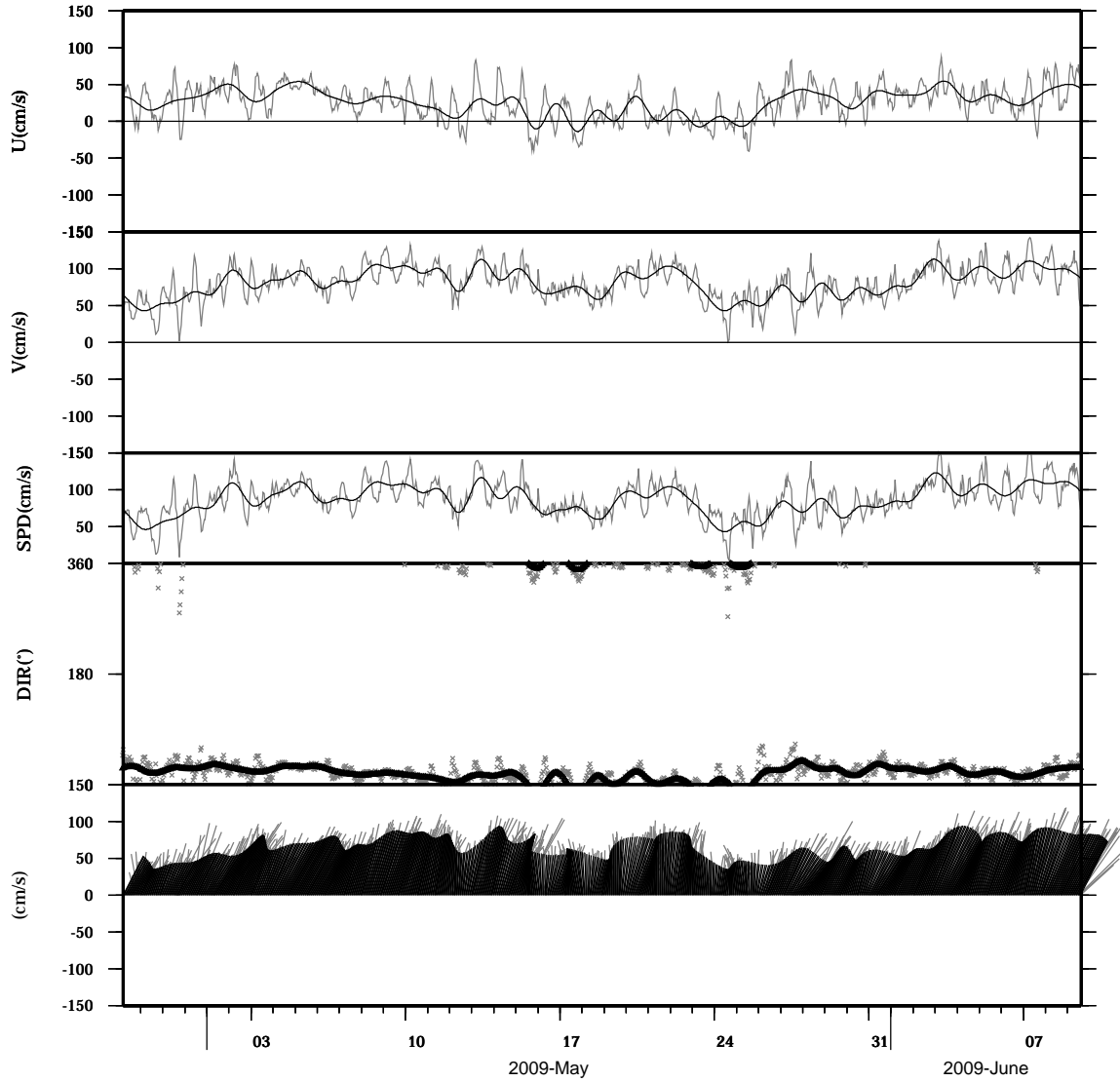


light line : The original data

heavy line : The 36 hours low-pass filtered data

Lon : 121° 21.83' E
Lat : 22° 40.0133' N

Station : W204
Depth : 50 M

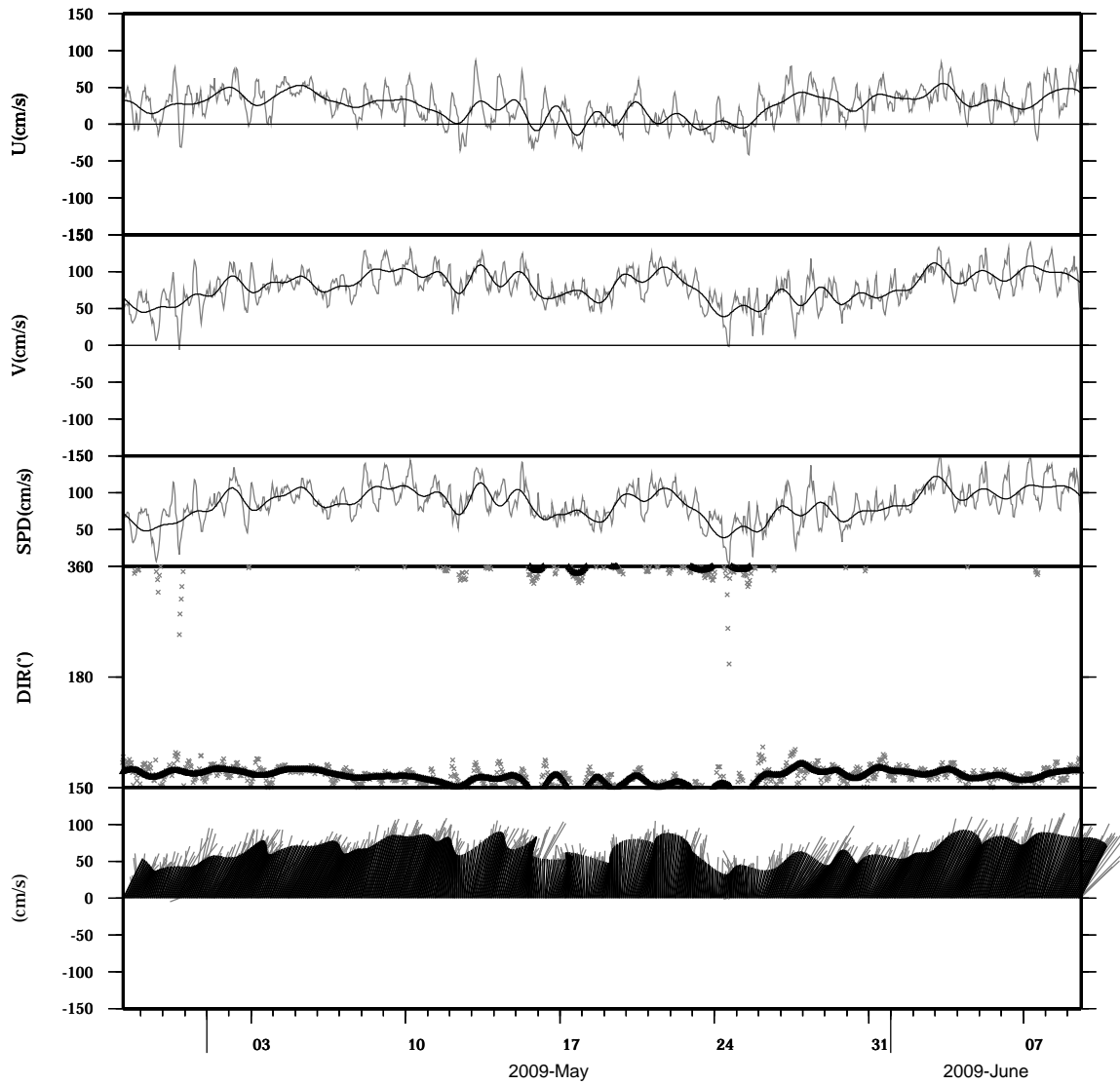


light line : The original data

heavy line : The 36 hours low-pass filtered data

Lon : 121° 21.83' E
Lat : 22° 40.0133' N

Station : W204
Depth : 54 M

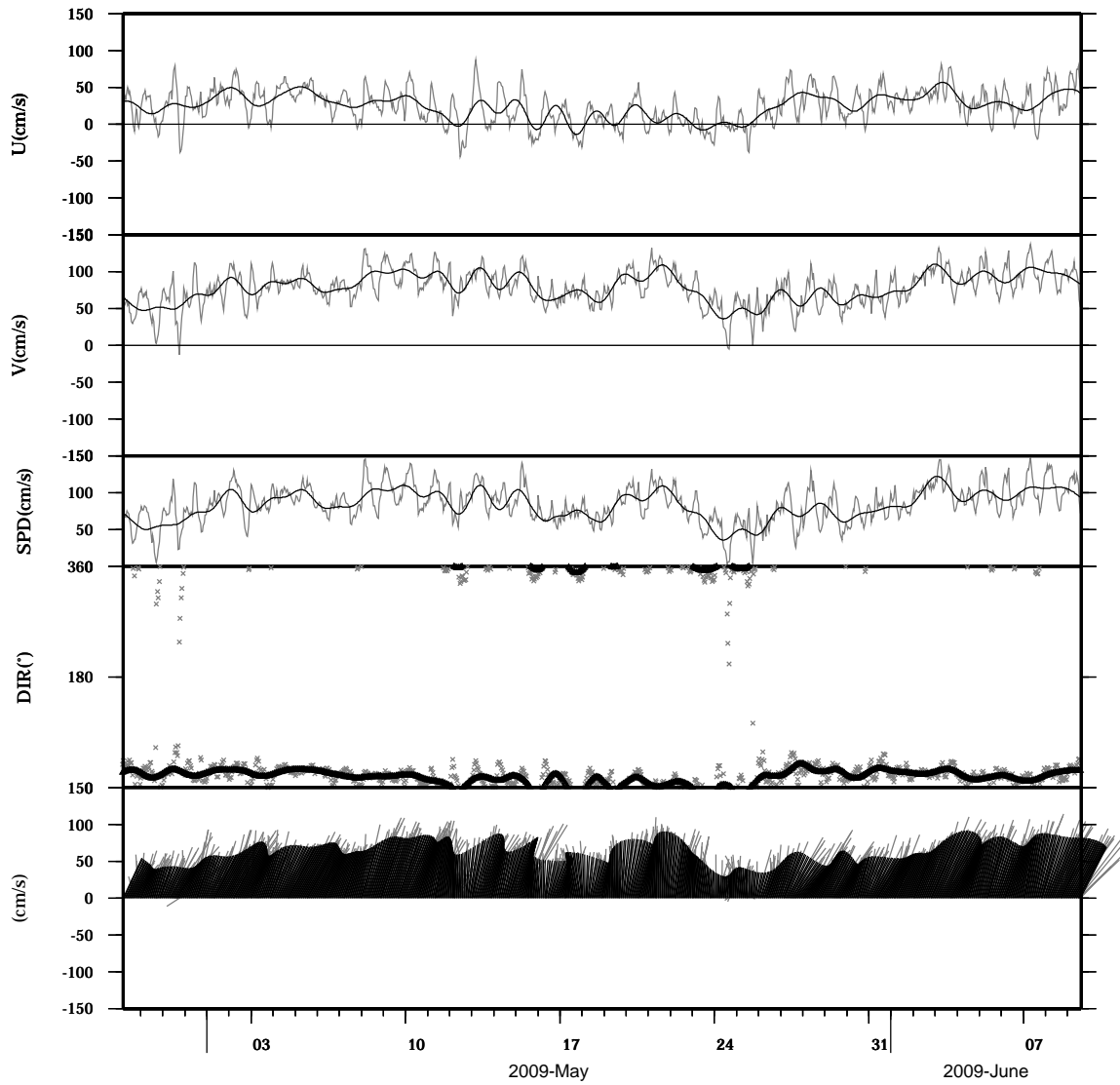


light line : The original data

heavy line : The 36 hours low-pass filtered data

Lon : 121° 21.83' E
Lat : 22° 40.0133' N

Station : W204
Depth : 58 M

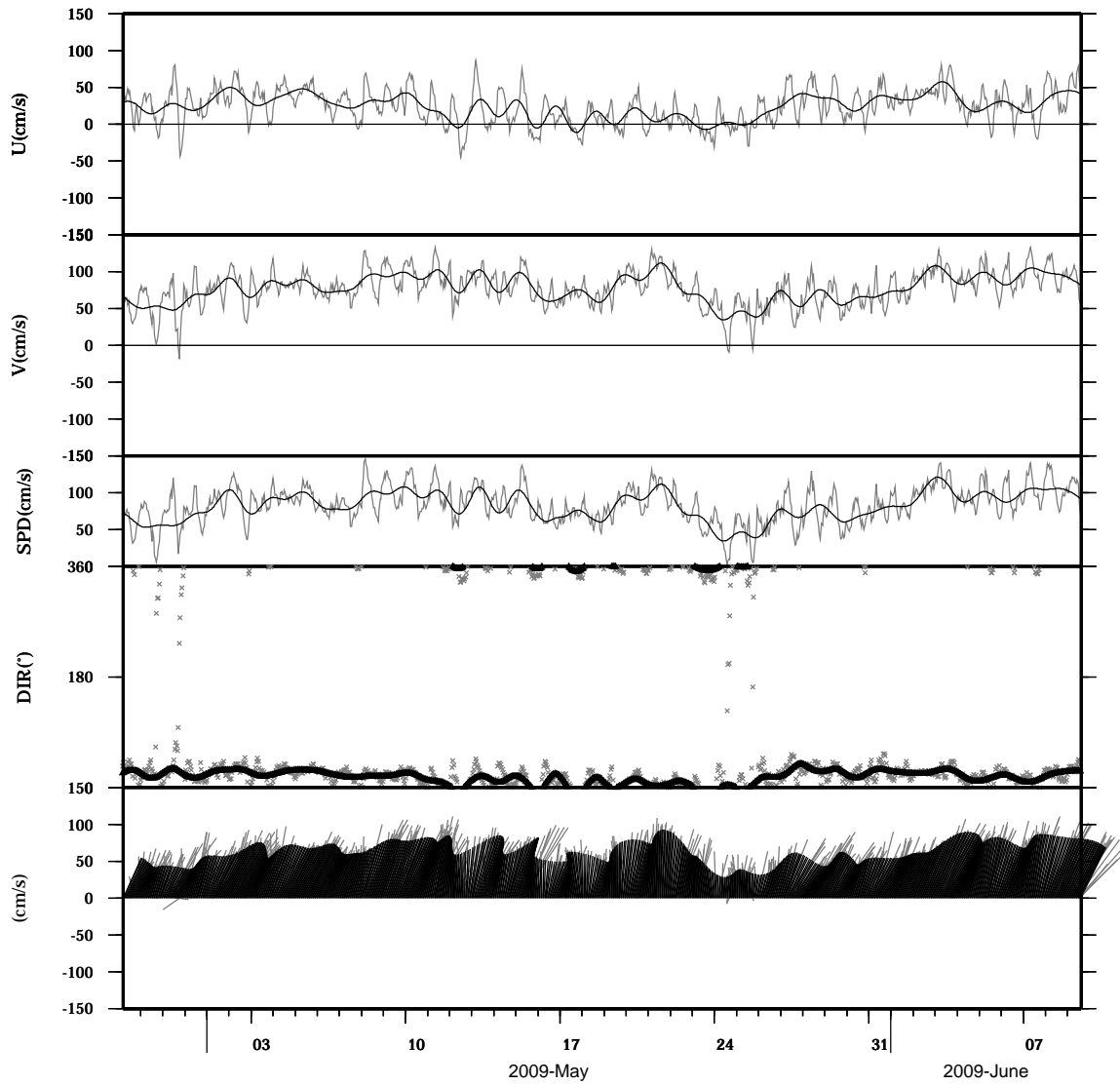


light line : The original data

heavy line : The 36 hours low-pass filtered data

Lon : 121° 21.83' E
Lat : 22° 40.0133' N

Station : W204
Depth : 62 M

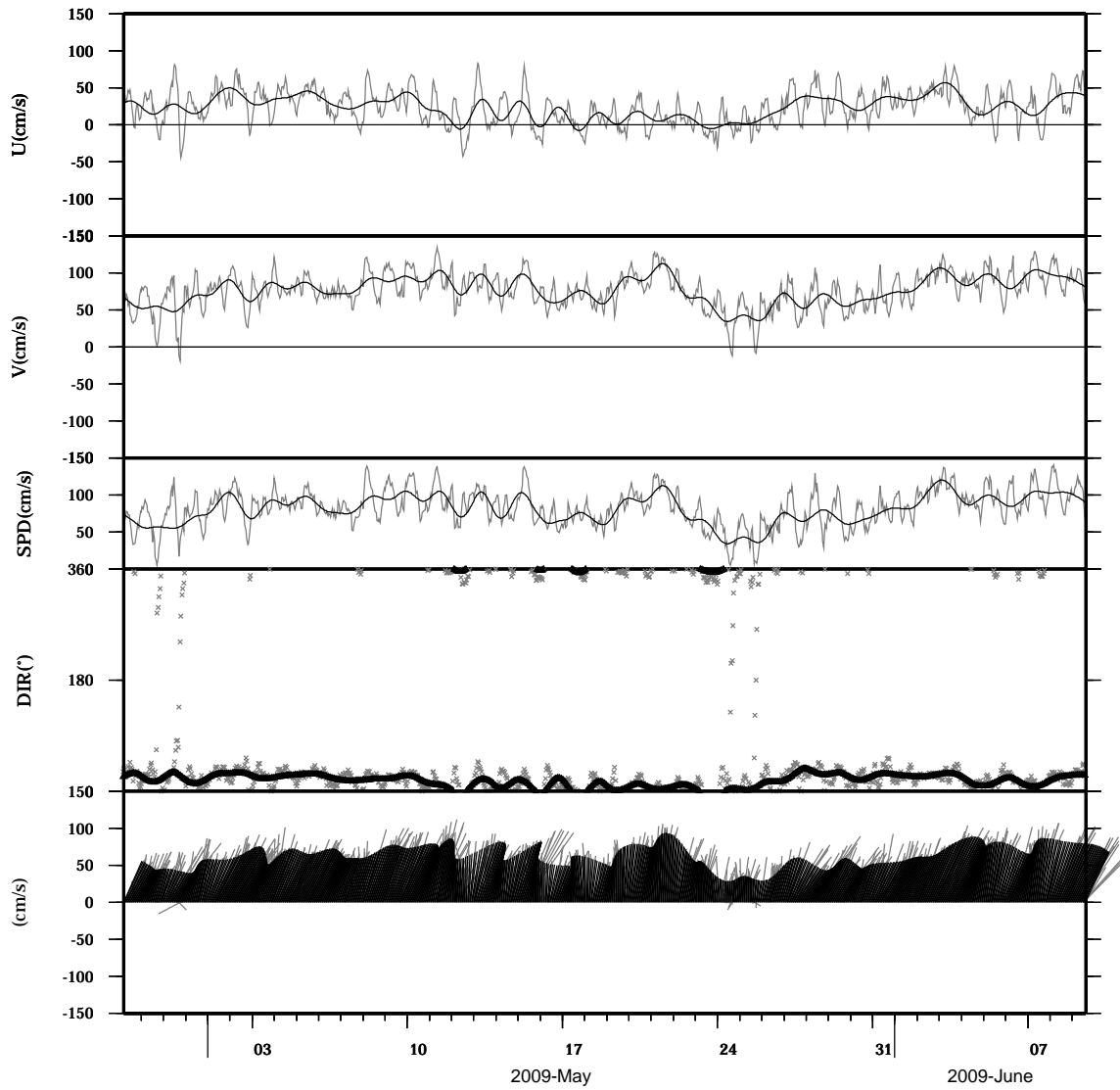


light line : The original data

heavy line : The 36 hours low-pass filtered data

Lon : 121° 21.83' E
Lat : 22° 40.0133' N

Station : W204
Depth : 66 M

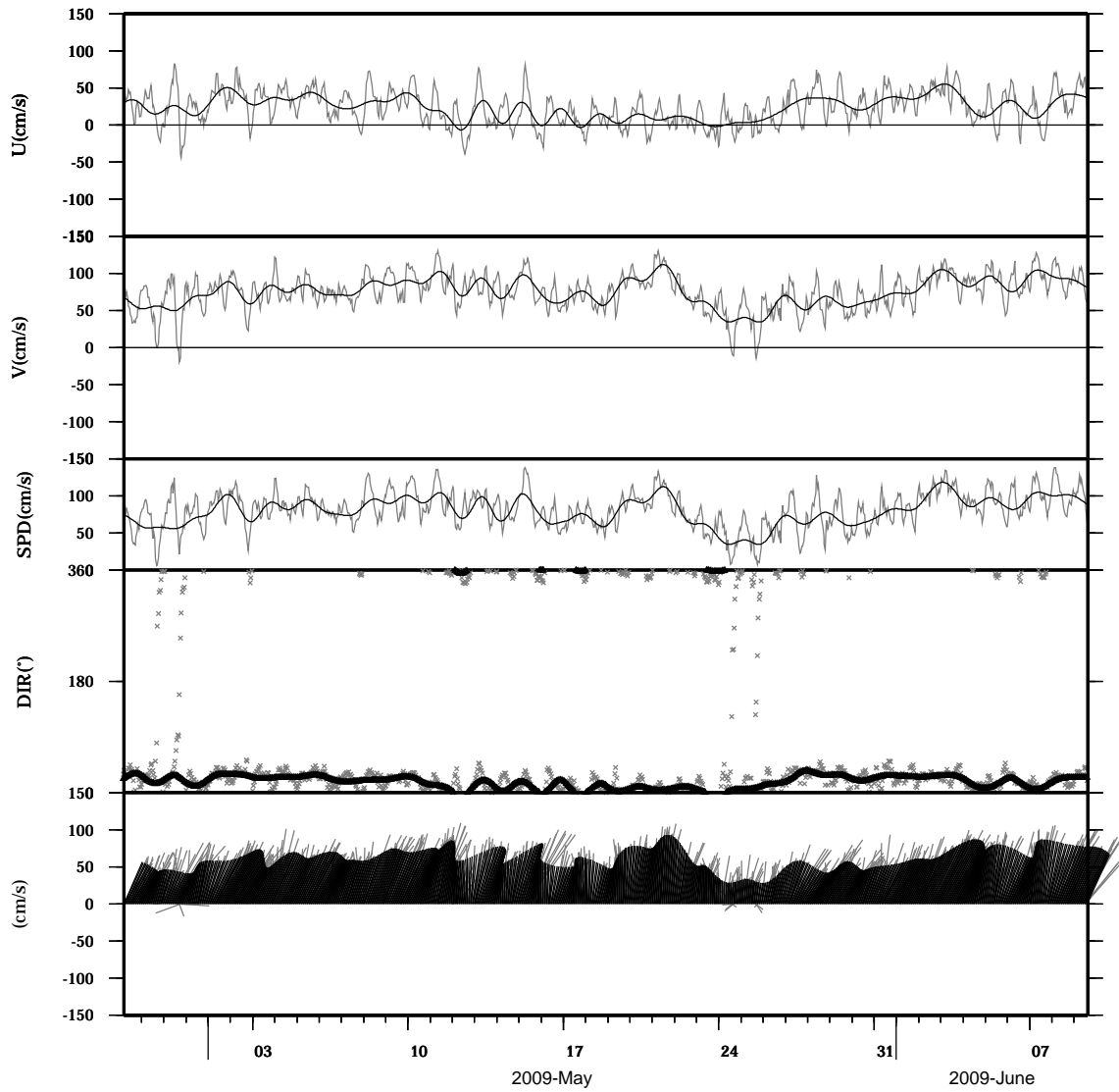


light line : The original data

heavy line : The 36 hours low-pass filtered data

Lon : 121° 21.83' E
Lat : 22° 40.0133' N

Station : W204
Depth : 70 M

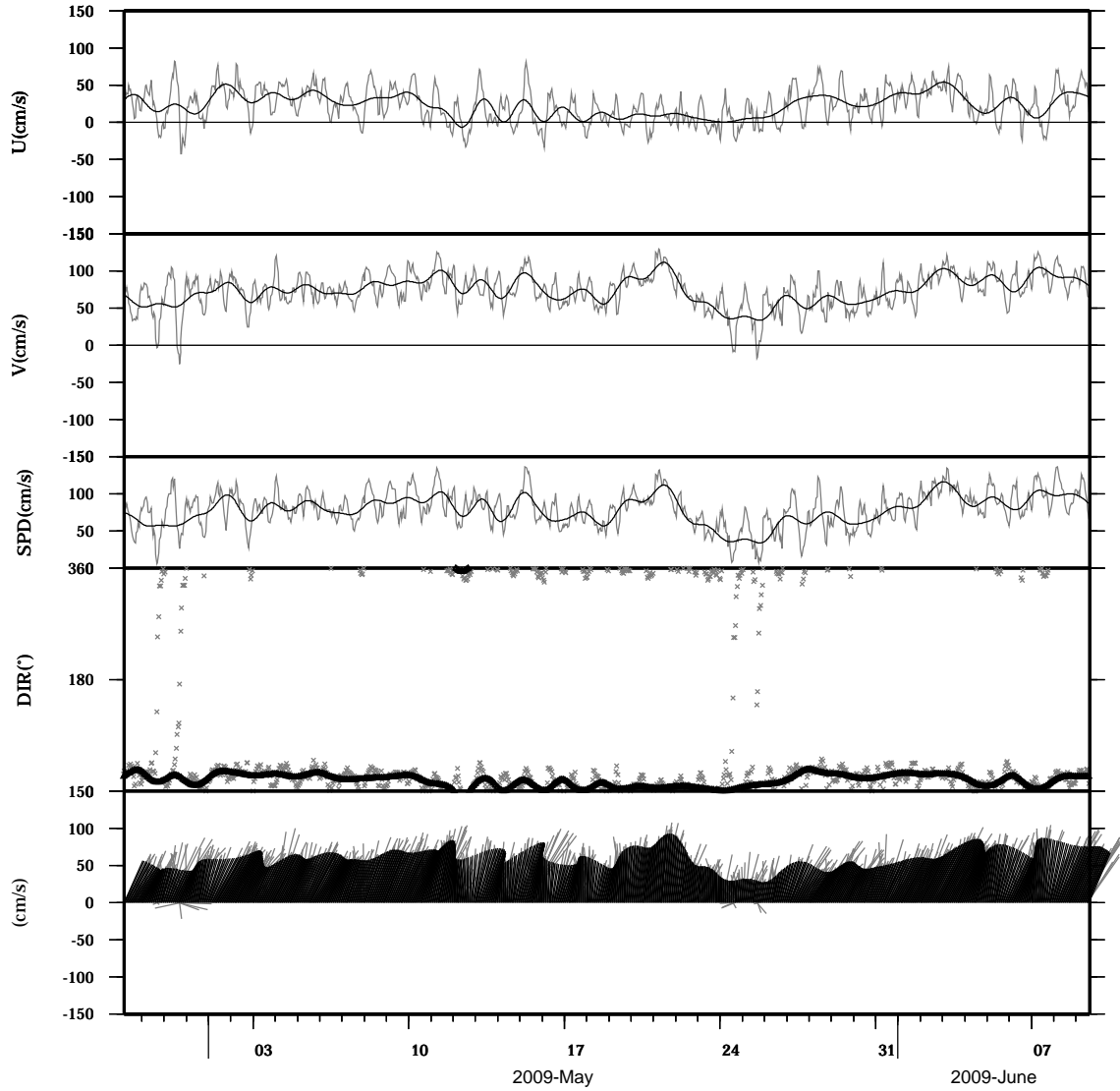


light line : The original data

heavy line : The 36 hours low-pass filtered data

Lon : 121° 21.83' E
Lat : 22° 40.0133' N

Station : W204
Depth : 74 M

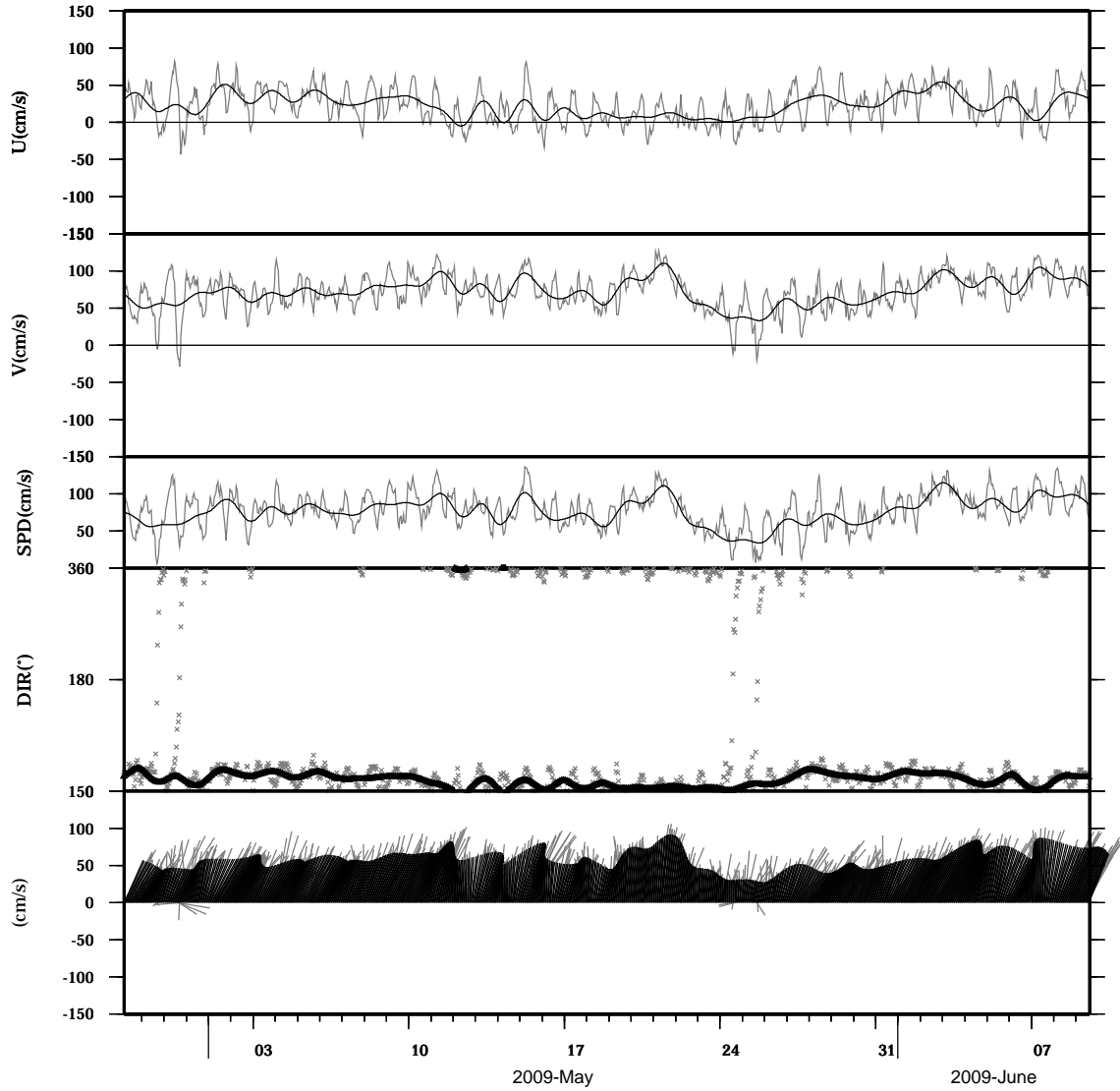


light line : The original data

heavy line : The 36 hours low-pass filtered data

Lon : 121° 21.83' E
Lat : 22° 40.0133' N

Station : W204
Depth : 78 M

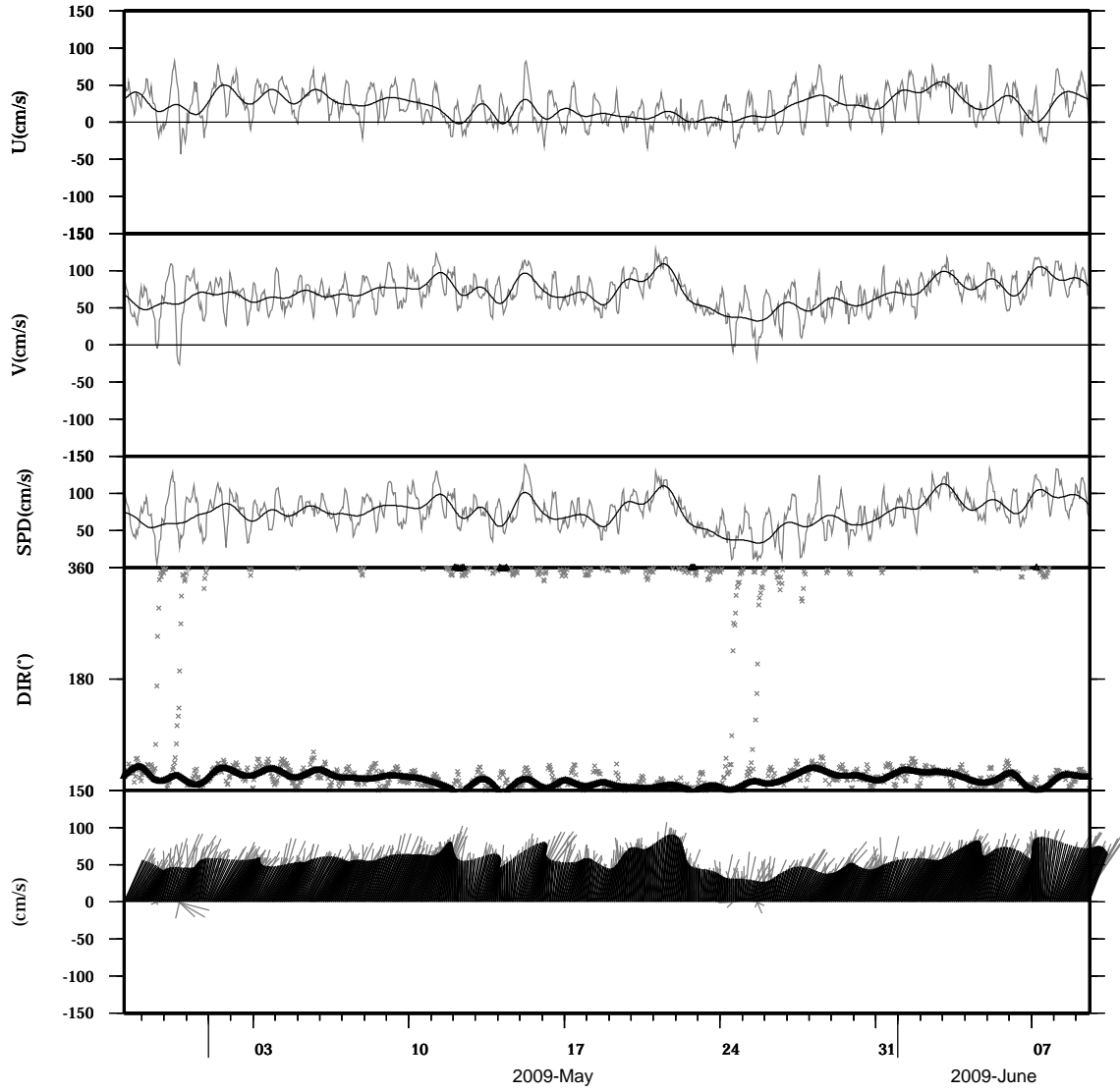


light line : The original data

heavy line : The 36 hours low-pass filtered data

Lon : 121° 21.83' E
Lat : 22° 40.0133' N

Station : W204
Depth : 82 M

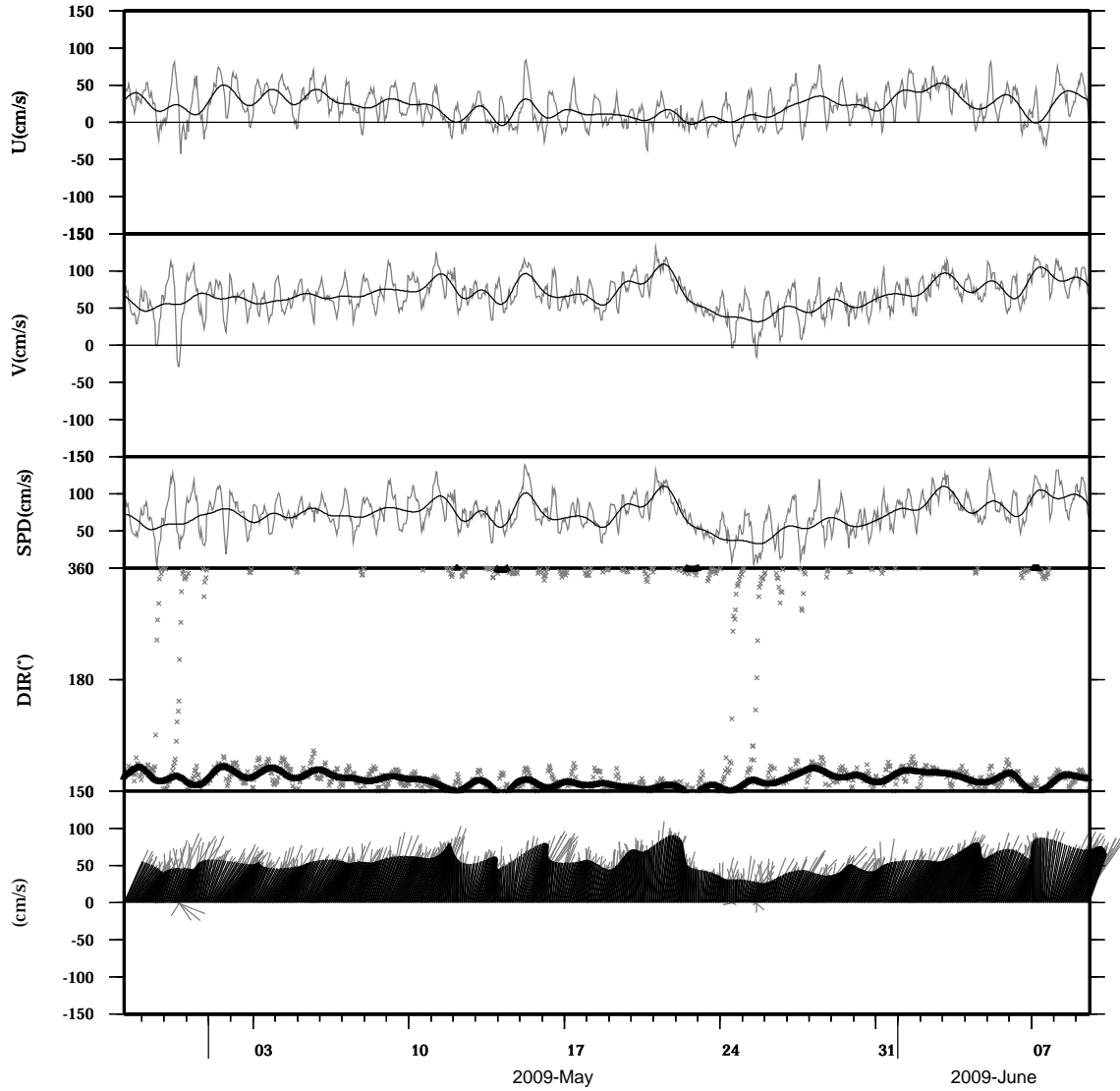


light line : The original data

heavy line : The 36 hours low-pass filtered data

Lon : 121° 21.83' E
Lat : 22° 40.0133' N

Station : W204
Depth : 86 M

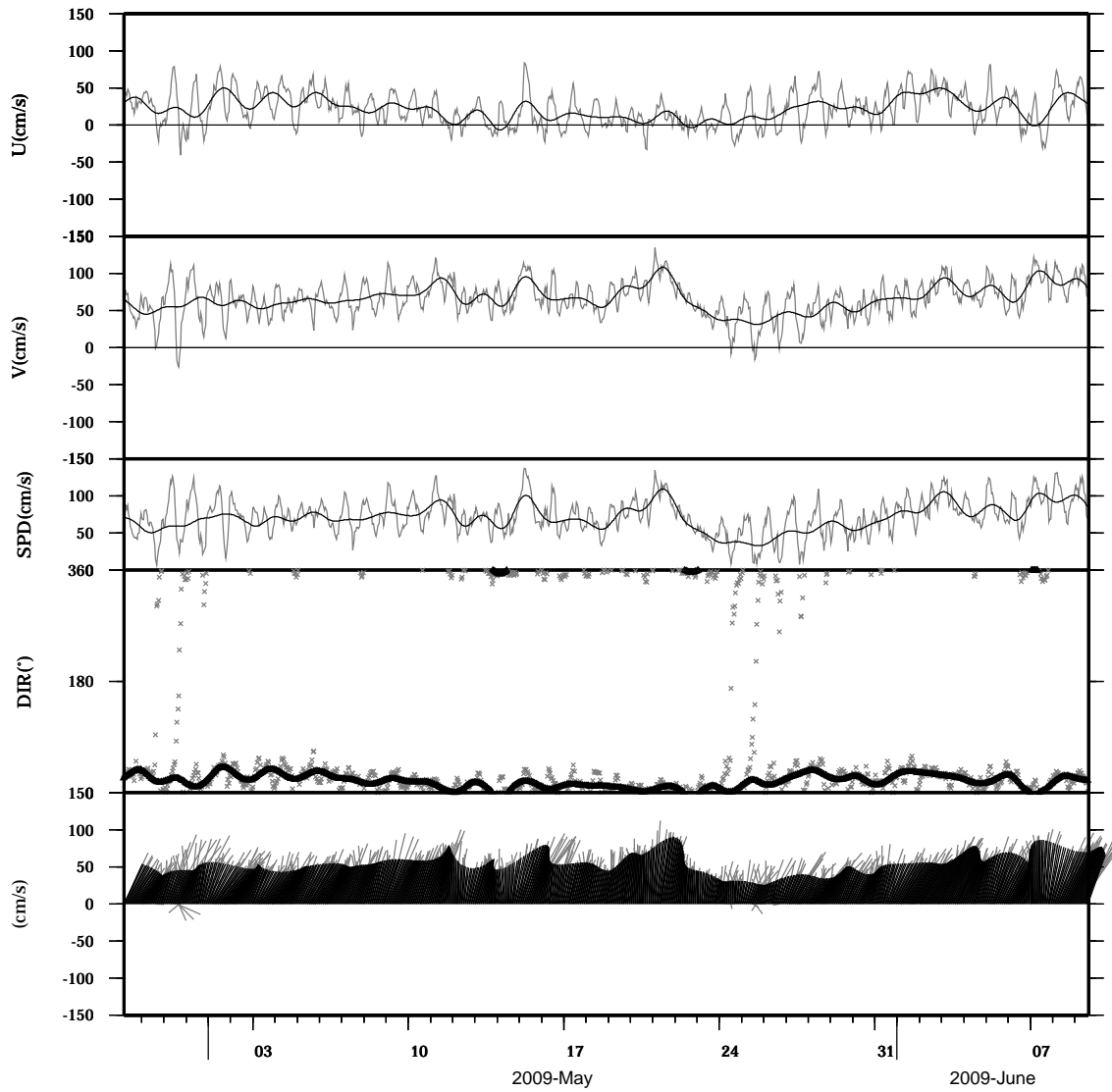


light line : The original data

heavy line : The 36 hours low-pass filtered data

Lon : 121° 21.83' E
Lat : 22° 40.0133' N

Station : W204
Depth : 90 M

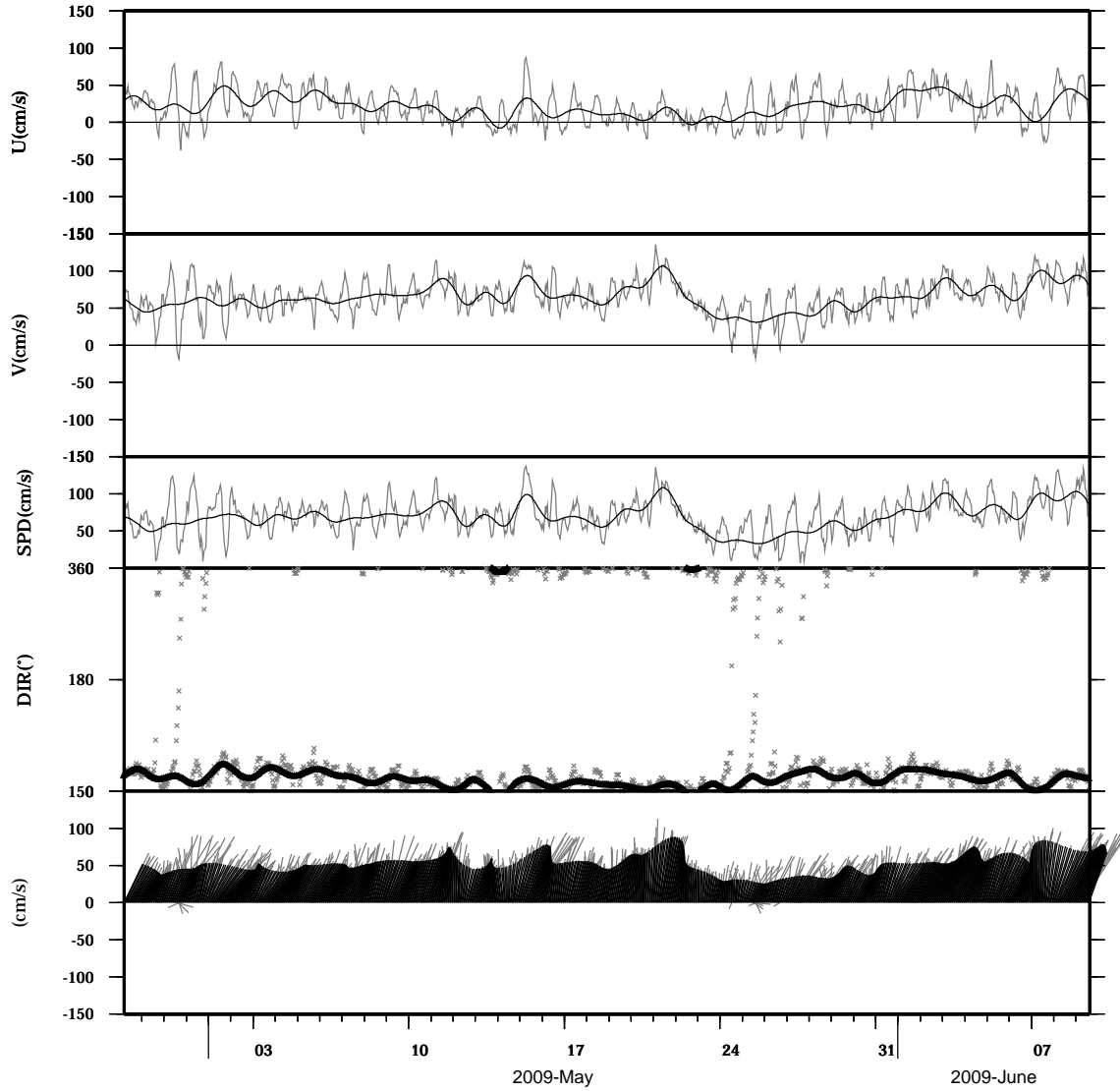


light line : The original data

heavy line : The 36 hours low-pass filtered data

Lon : 121° 21.83' E
Lat : 22° 40.0133' N

Station : W204
Depth : 94 M

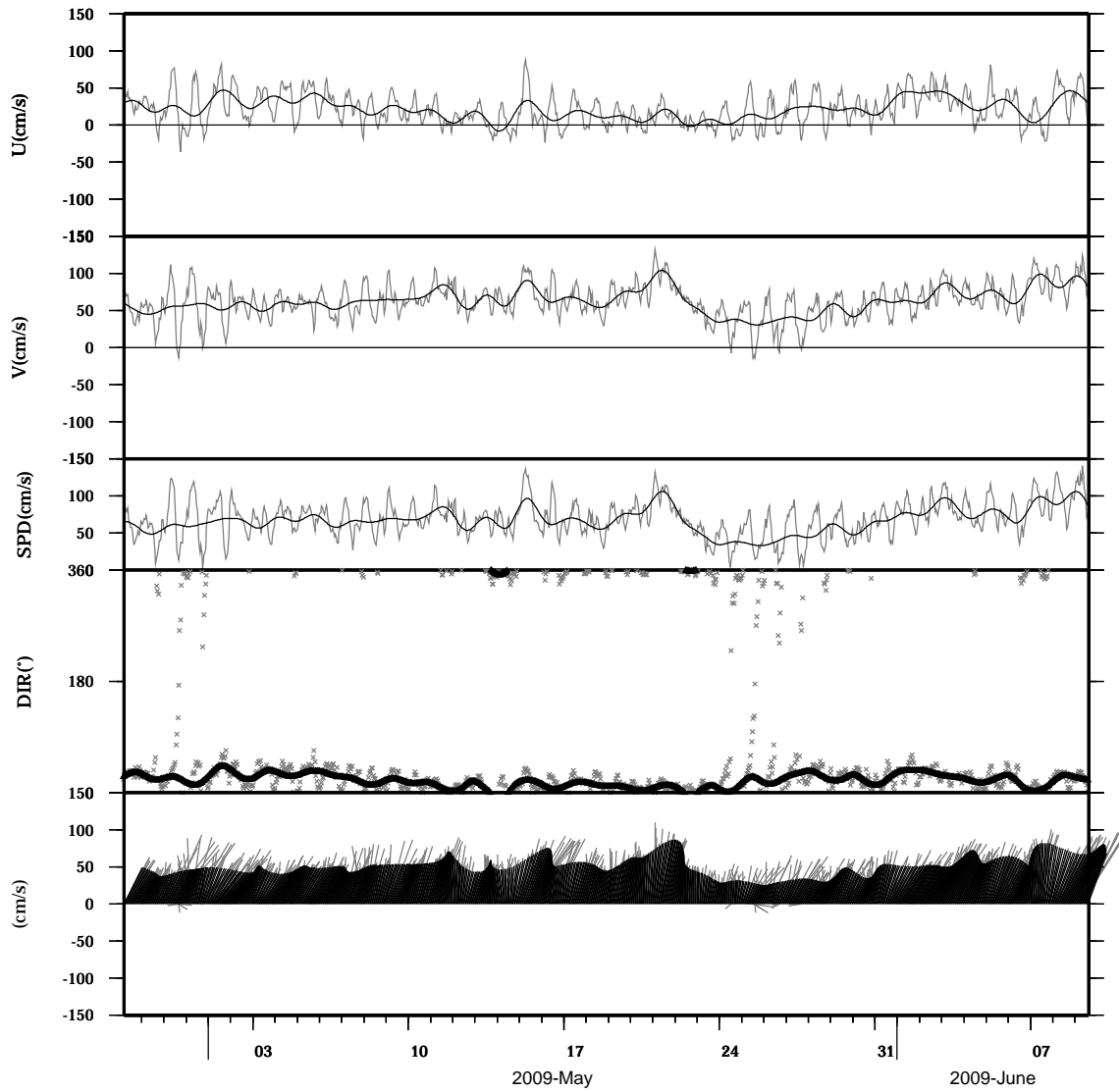


light line : The original data

heavy line : The 36 hours low-pass filtered data

Lon : 121° 21.83' E
Lat : 22° 40.0133' N

Station : W204
Depth : 98 M

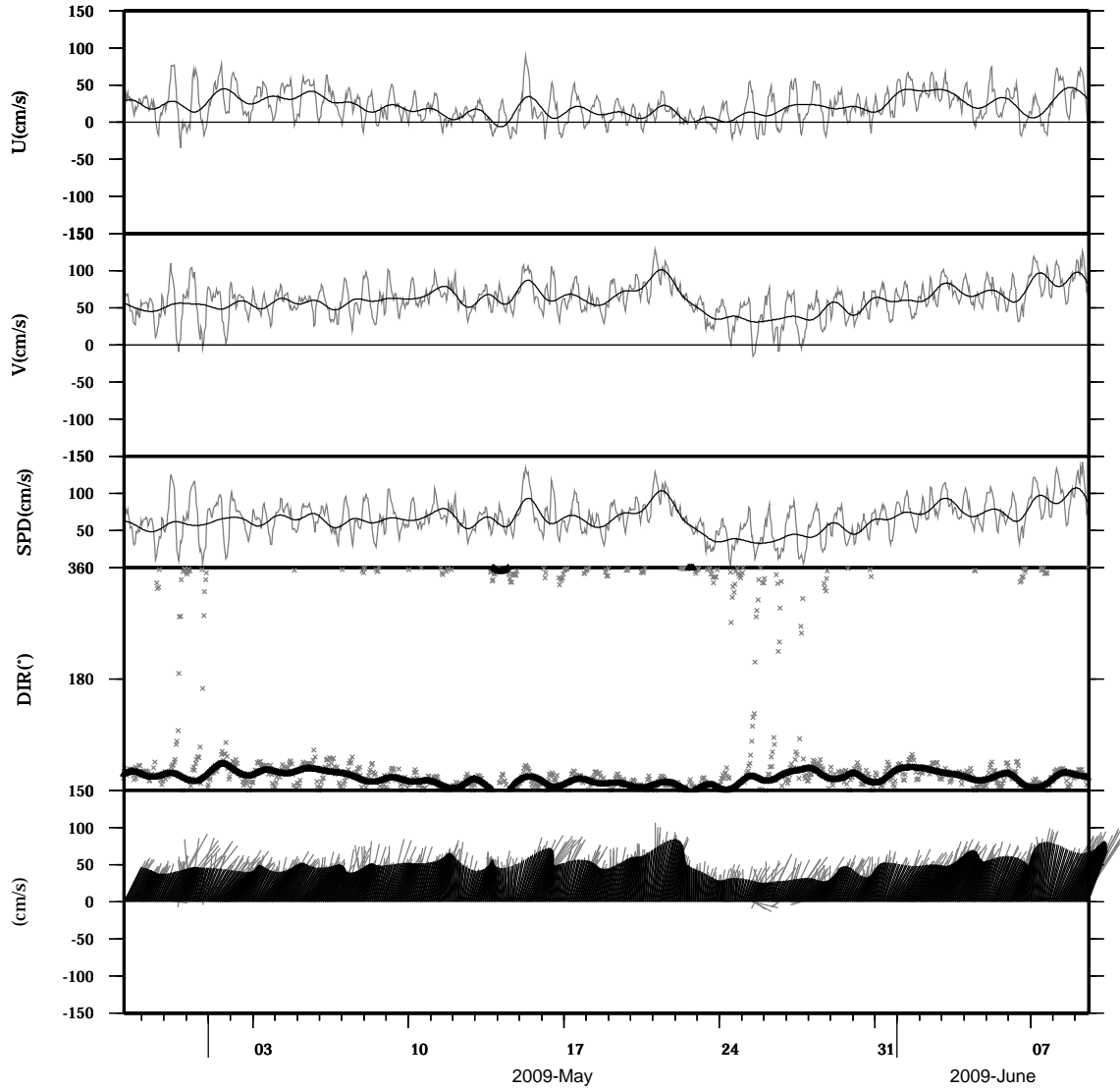


light line : The original data

heavy line : The 36 hours low-pass filtered data

Lon : 121° 21.83' E
Lat : 22° 40.0133' N

Station : W204
Depth : 102 M

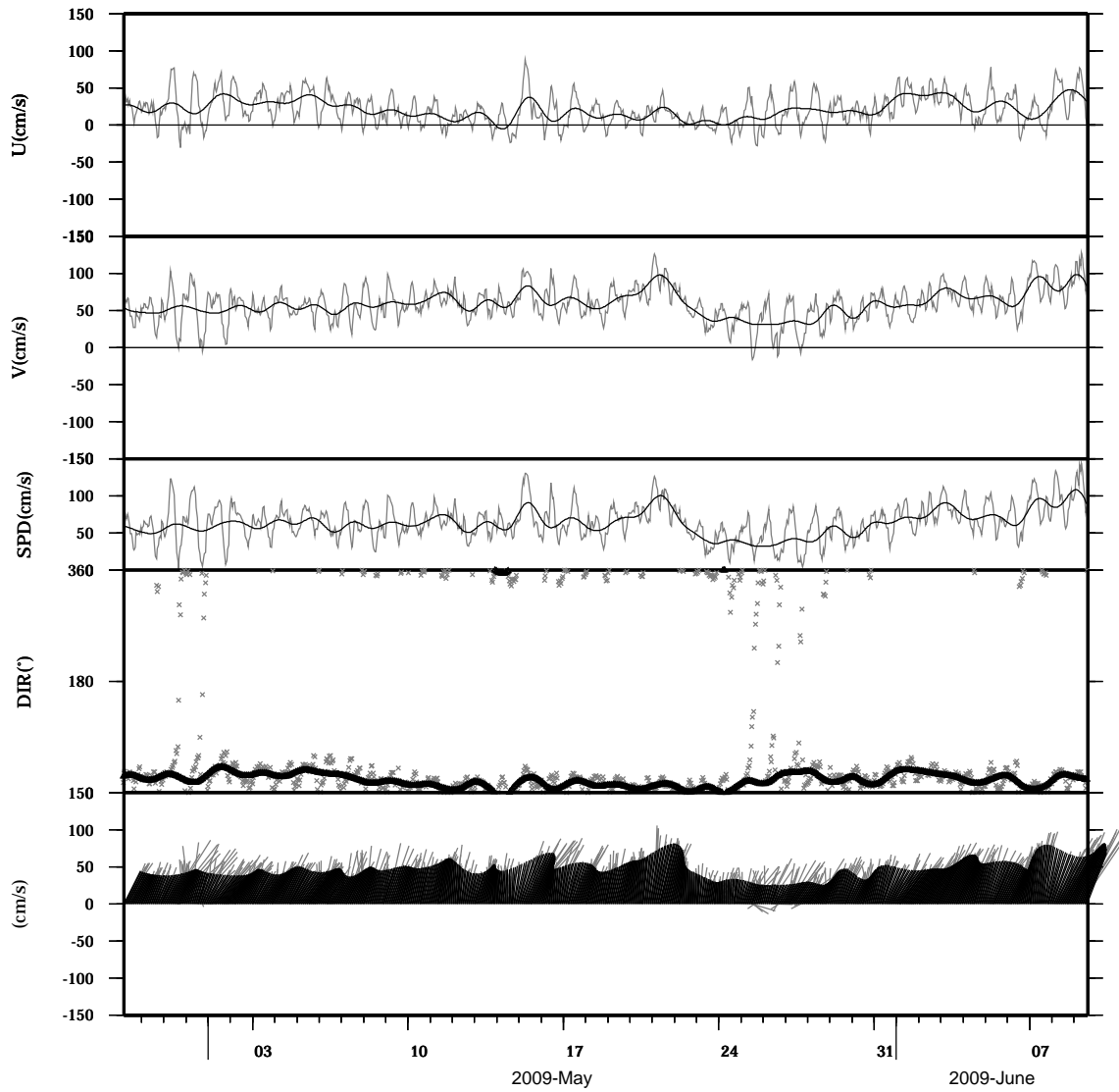


light line : The original data

heavy line : The 36 hours low-pass filtered data

Lon : 121° 21.83' E
Lat : 22° 40.0133' N

Station : W204
Depth : 106 M

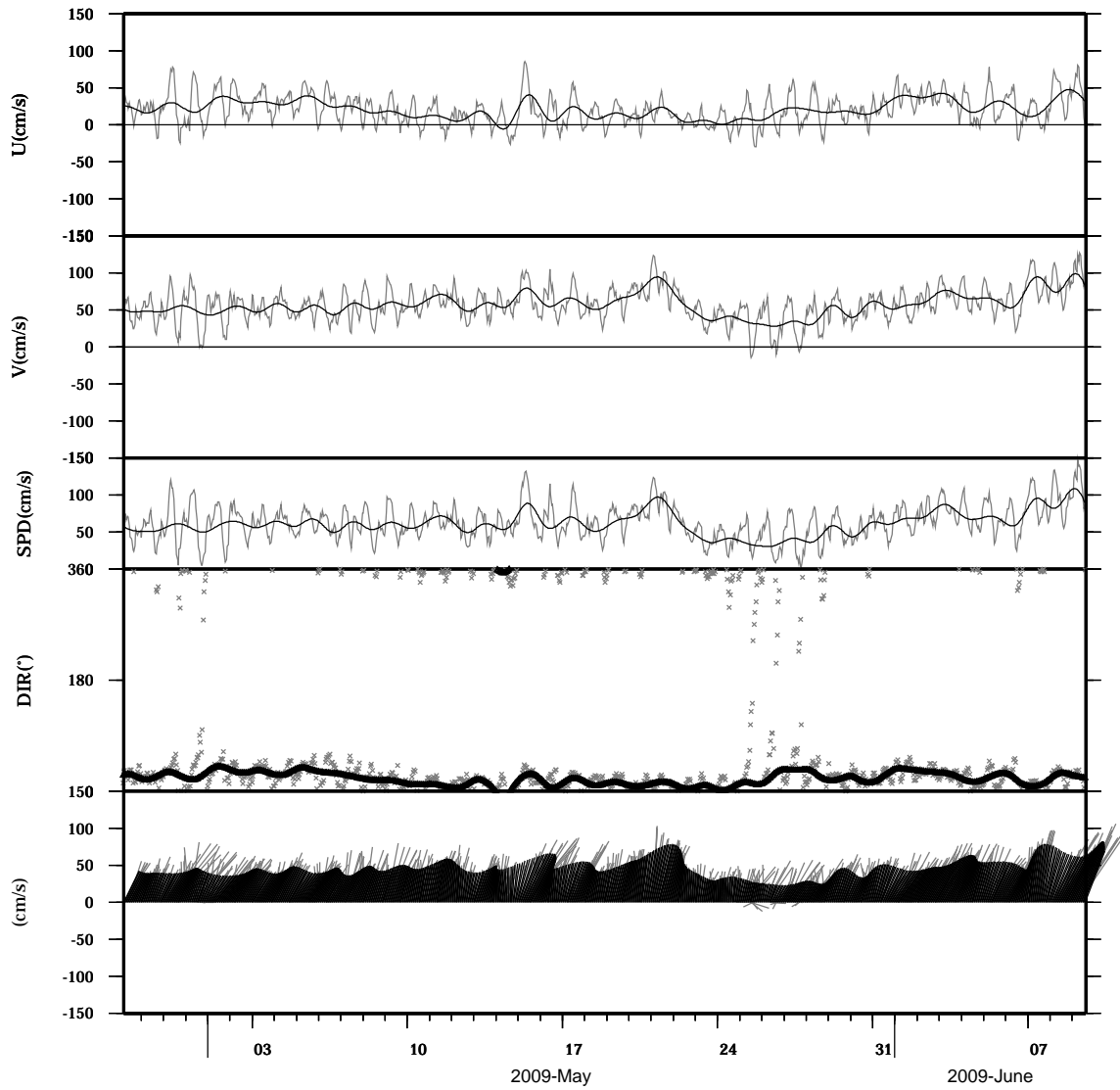


light line : The original data

heavy line : The 36 hours low-pass filtered data

Lon : 121° 21.83' E
Lat : 22° 40.0133' N

Station : W204
Depth : 110 M

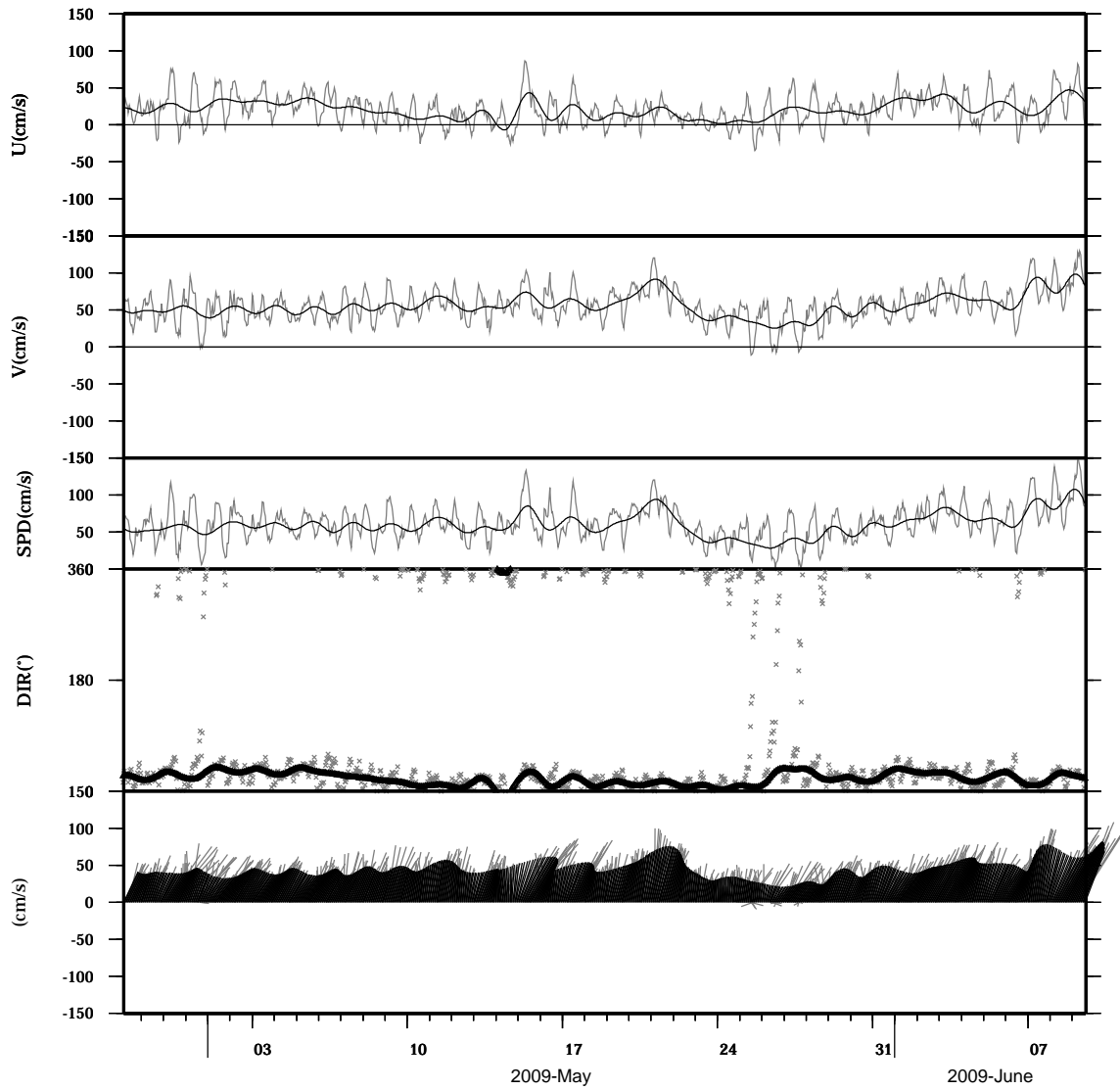


light line : The original data

heavy line : The 36 hours low-pass filtered data

Lon : 121° 21.83' E
Lat : 22° 40.0133' N

Station : W204
Depth : 114 M

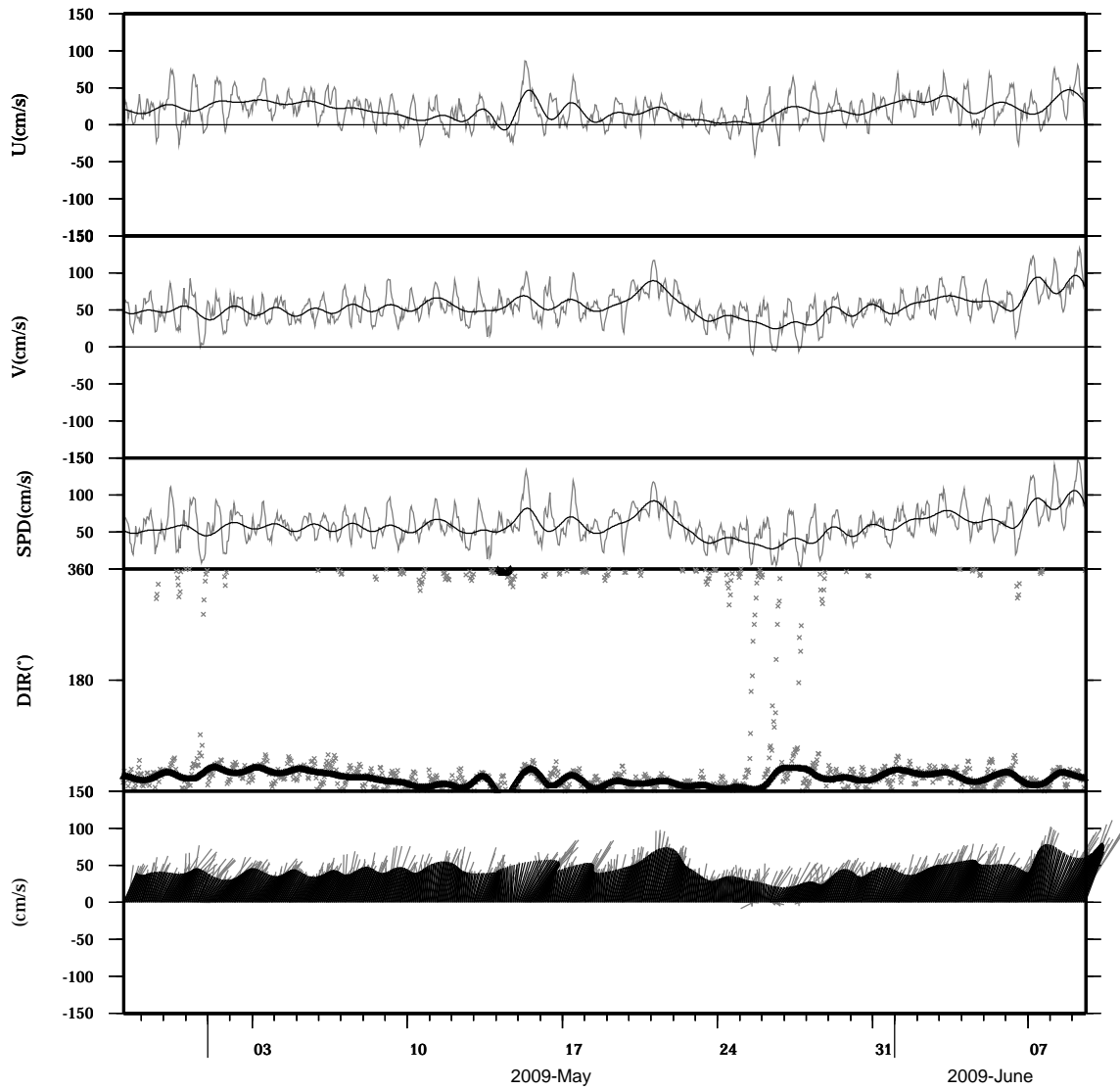


light line : The original data

heavy line : The 36 hours low-pass filtered data

Lon : 121° 21.83' E
Lat : 22° 40.0133' N

Station : W204
Depth : 118 M

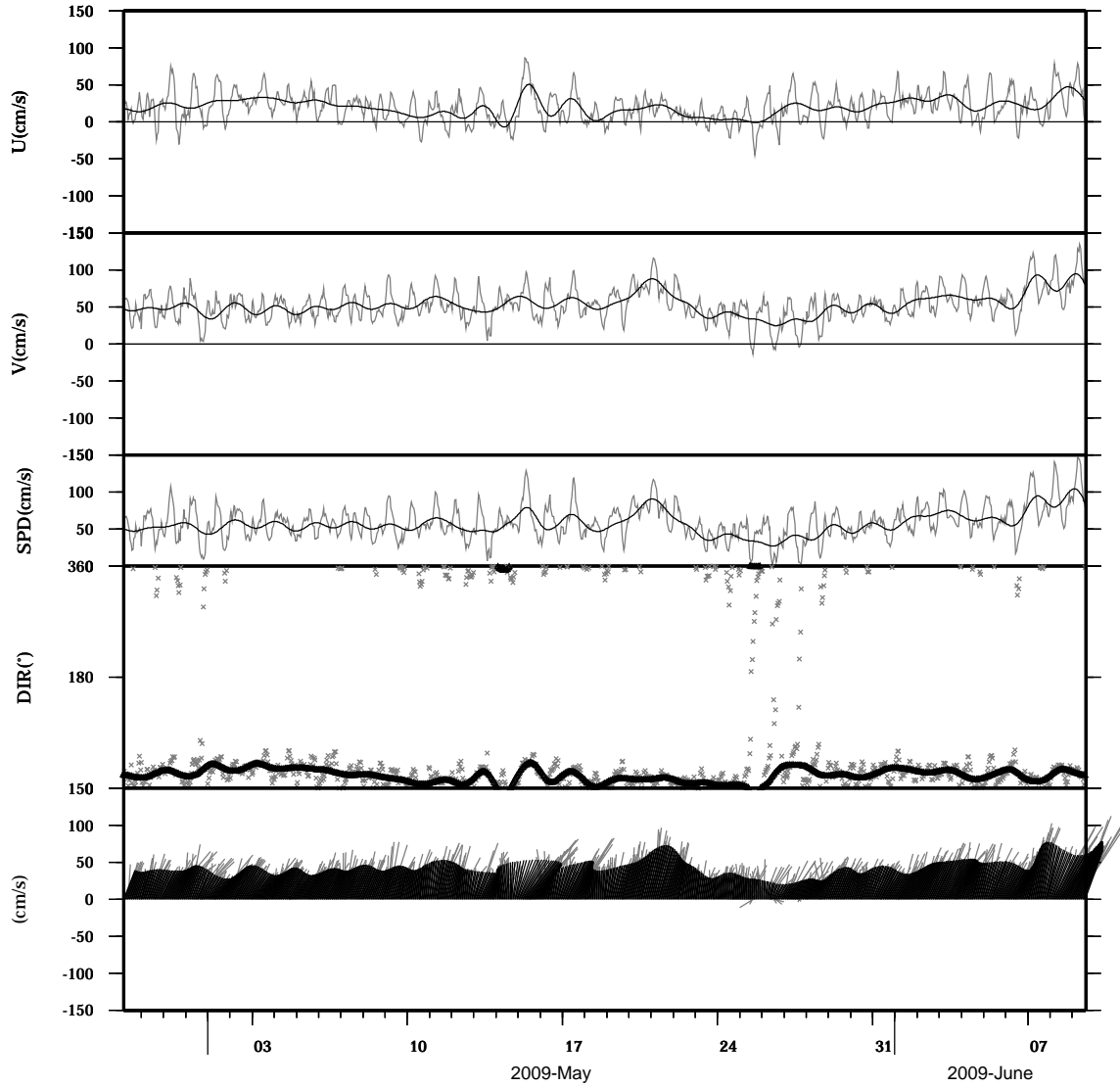


light line : The original data

heavy line : The 36 hours low-pass filtered data

Lon : 121° 21.83' E
Lat : 22° 40.0133' N

Station : W204
Depth : 122 M

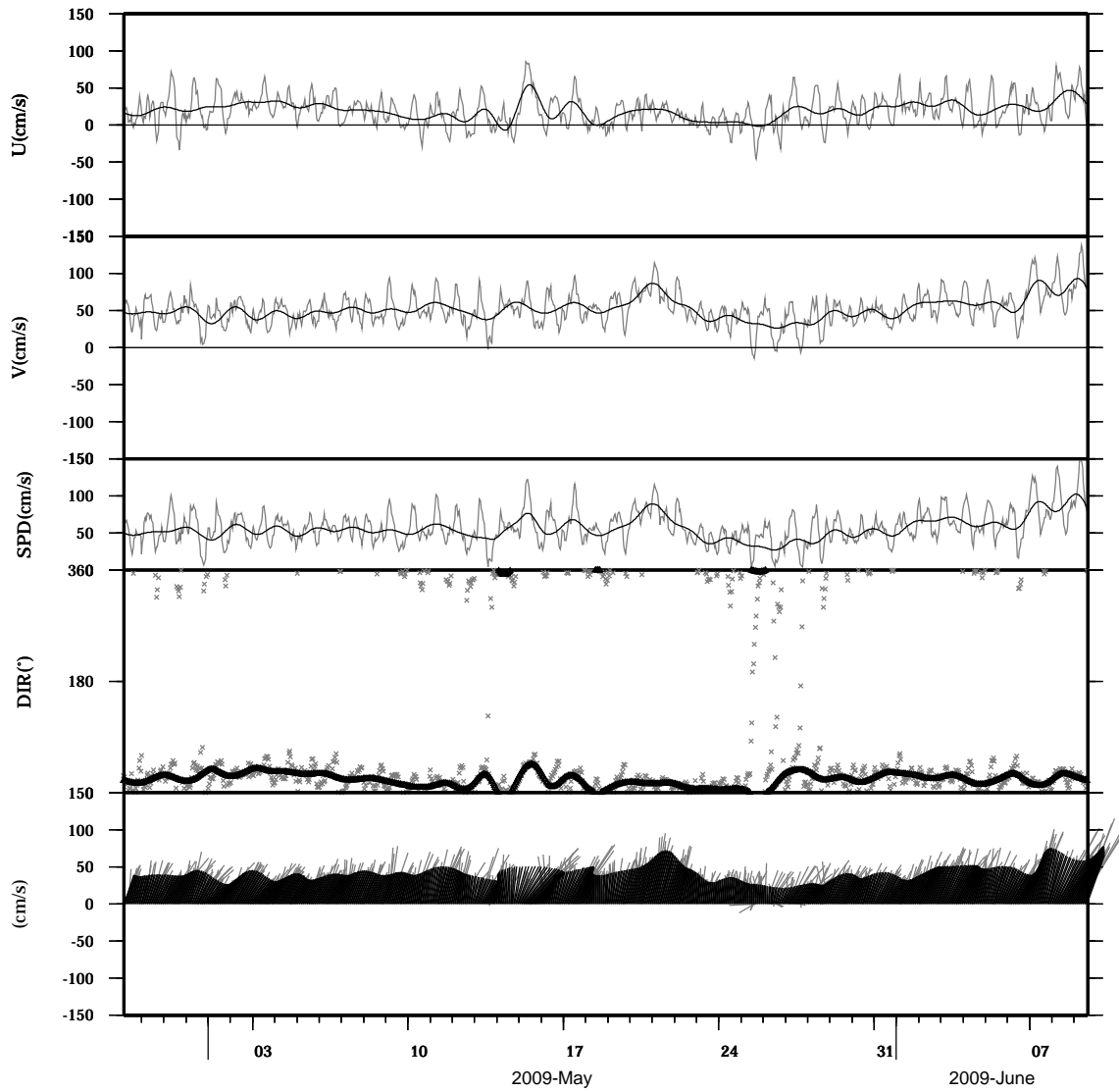


light line : The original data

heavy line : The 36 hours low-pass filtered data

Lon : 121° 21.83' E
Lat : 22° 40.0133' N

Station : W204
Depth : 126 M

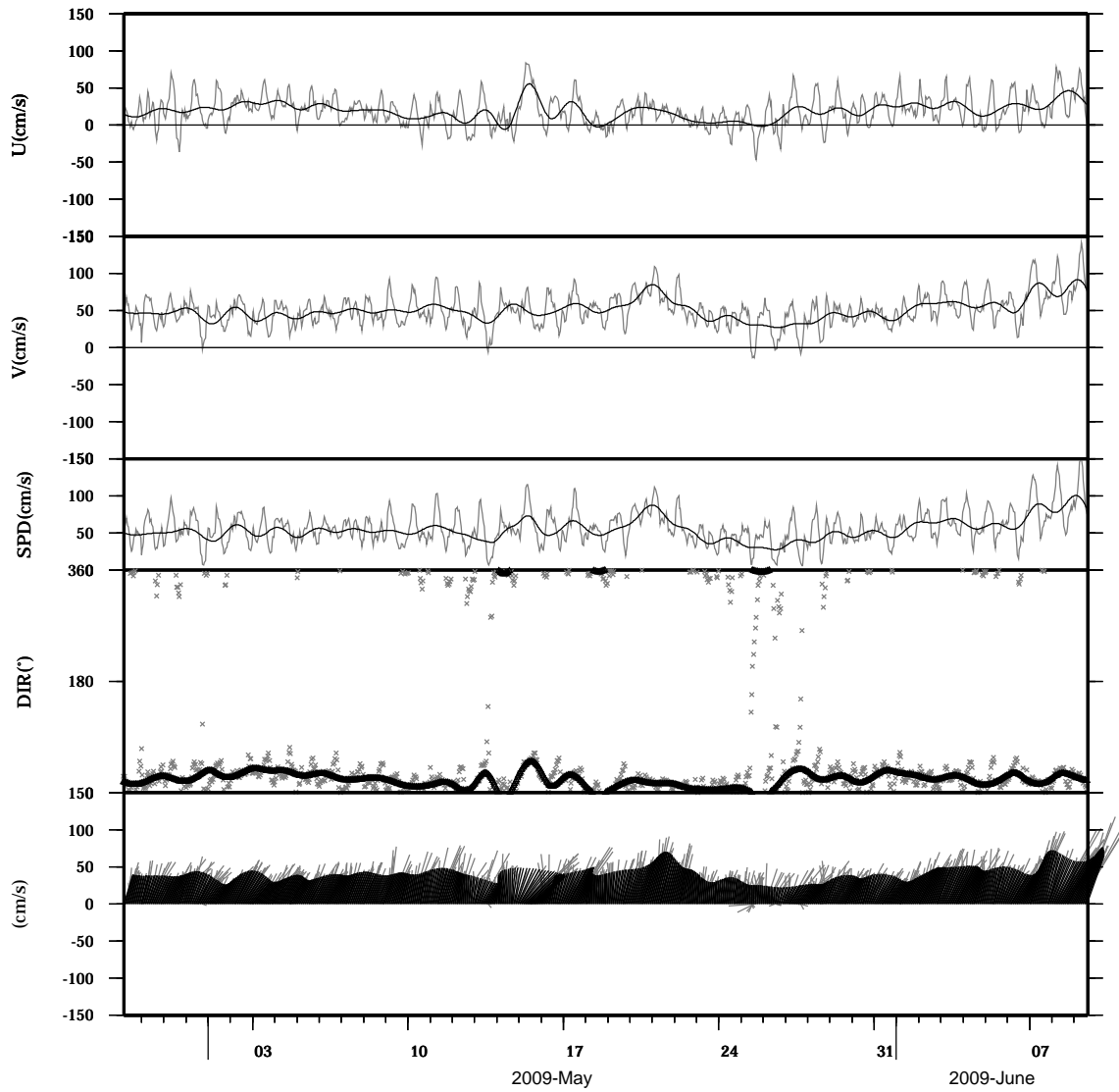


light line : The original data

heavy line : The 36 hours low-pass filtered data

Lon : 121° 21.83' E
Lat : 22° 40.0133' N

Station : W204
Depth : 130 M

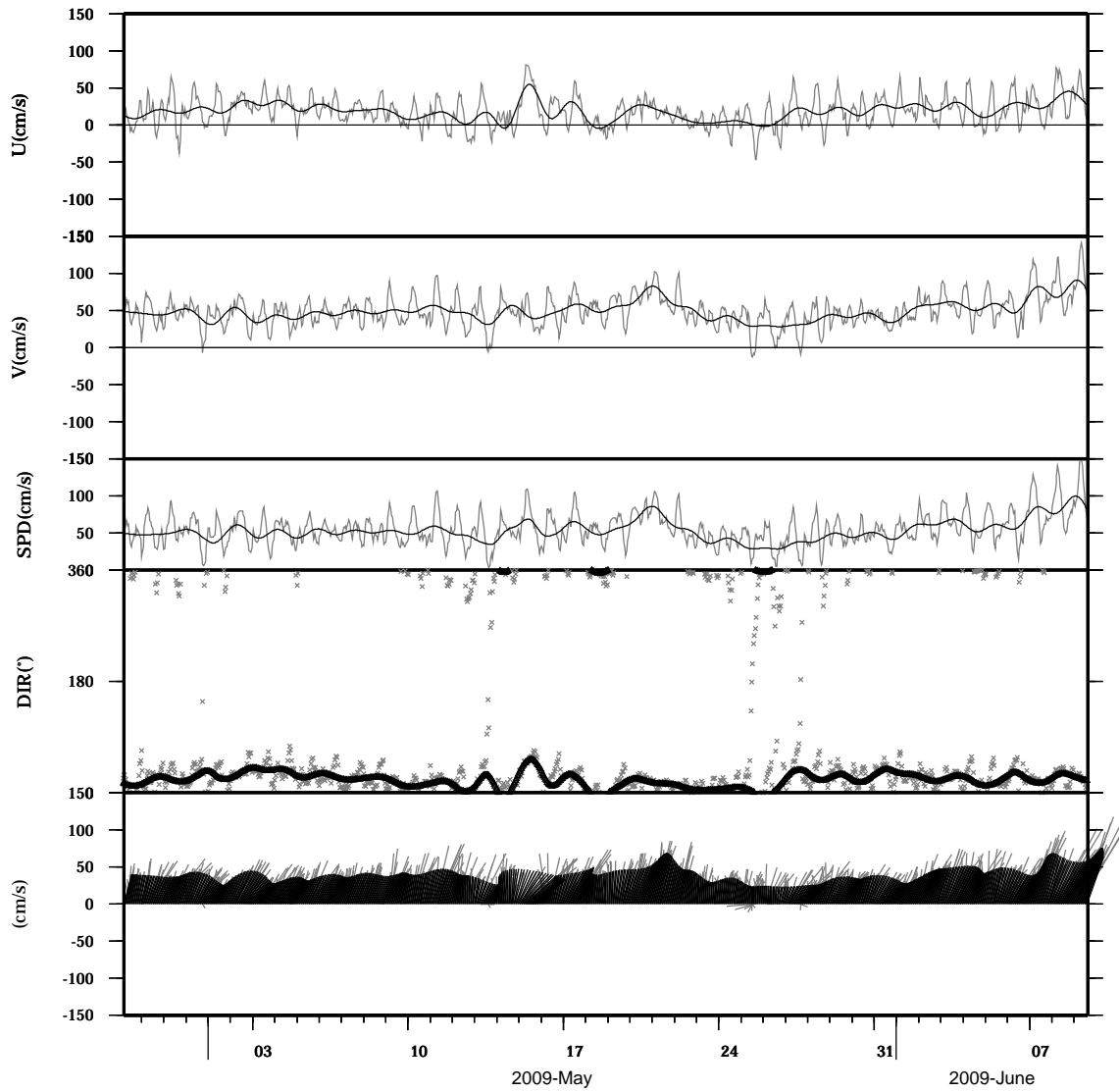


light line : The original data

heavy line : The 36 hours low-pass filtered data

Lon : 121° 21.83' E
Lat : 22° 40.0133' N

Station : W204
Depth : 134 M

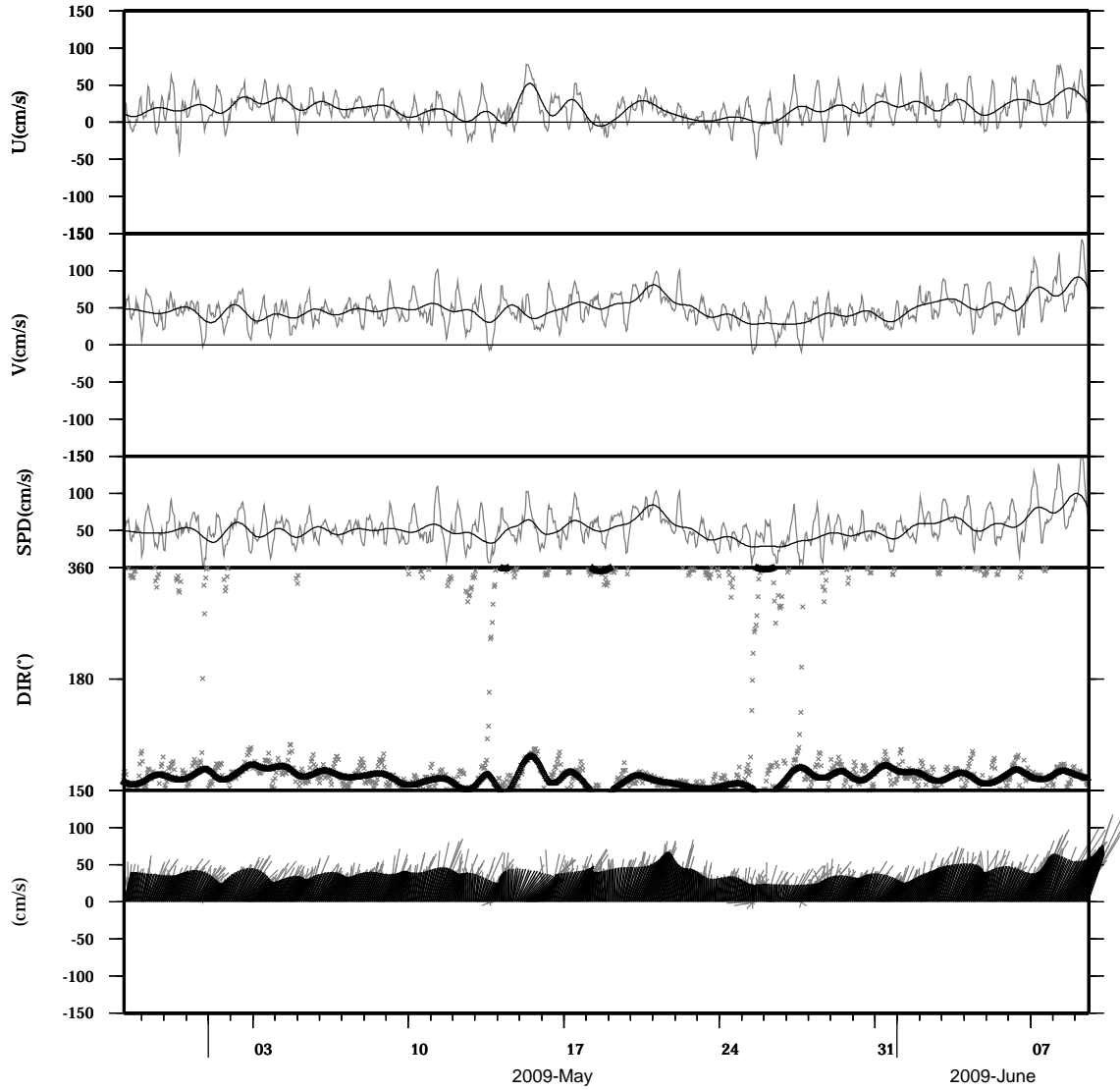


light line : The original data

heavy line : The 36 hours low-pass filtered data

Lon : 121° 21.83' E
Lat : 22° 40.0133' N

Station : W204
Depth : 138 M

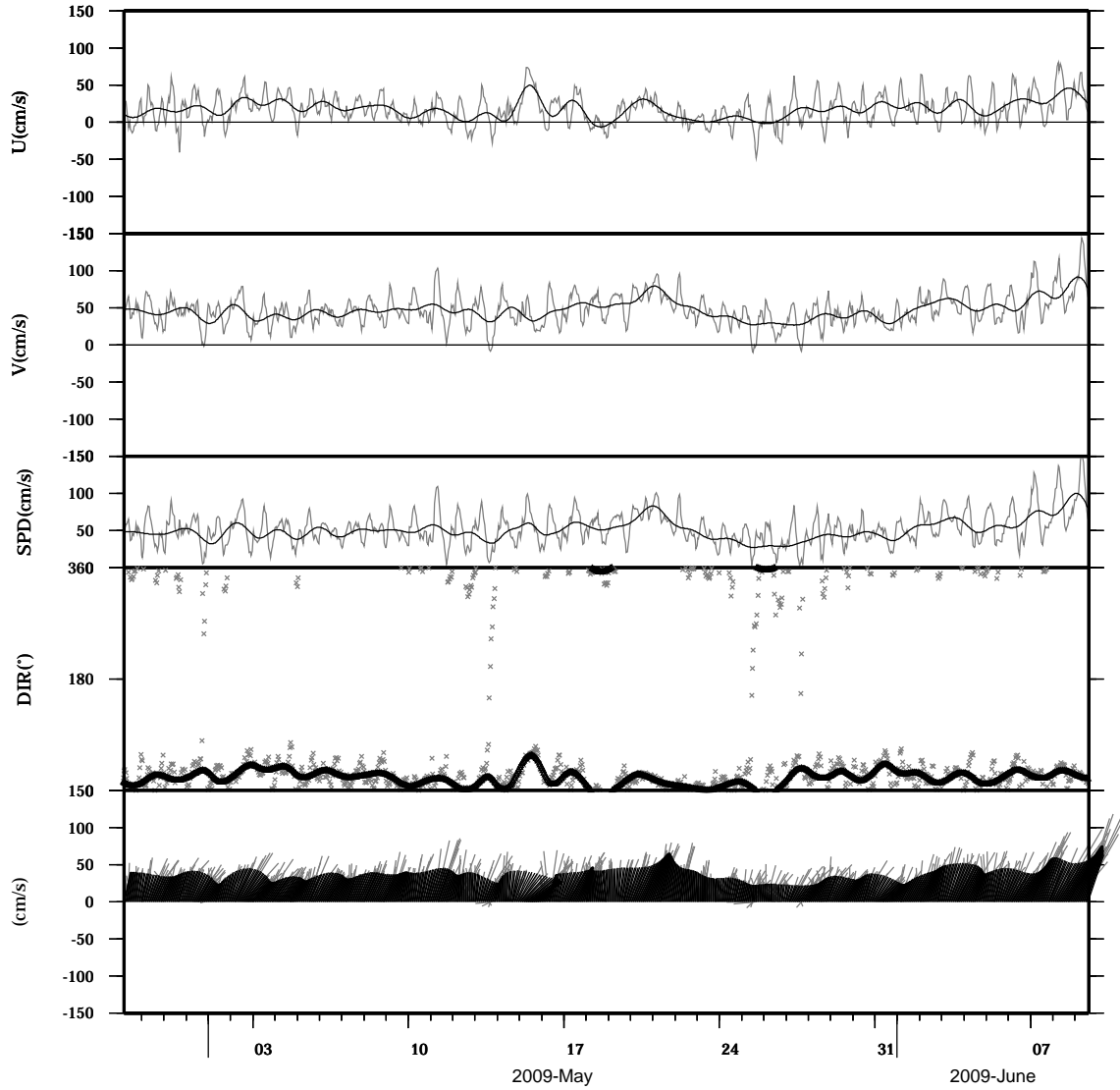


light line : The original data

heavy line : The 36 hours low-pass filtered data

Lon : 121° 21.83' E
Lat : 22° 40.0133' N

Station : W204
Depth : 142 M

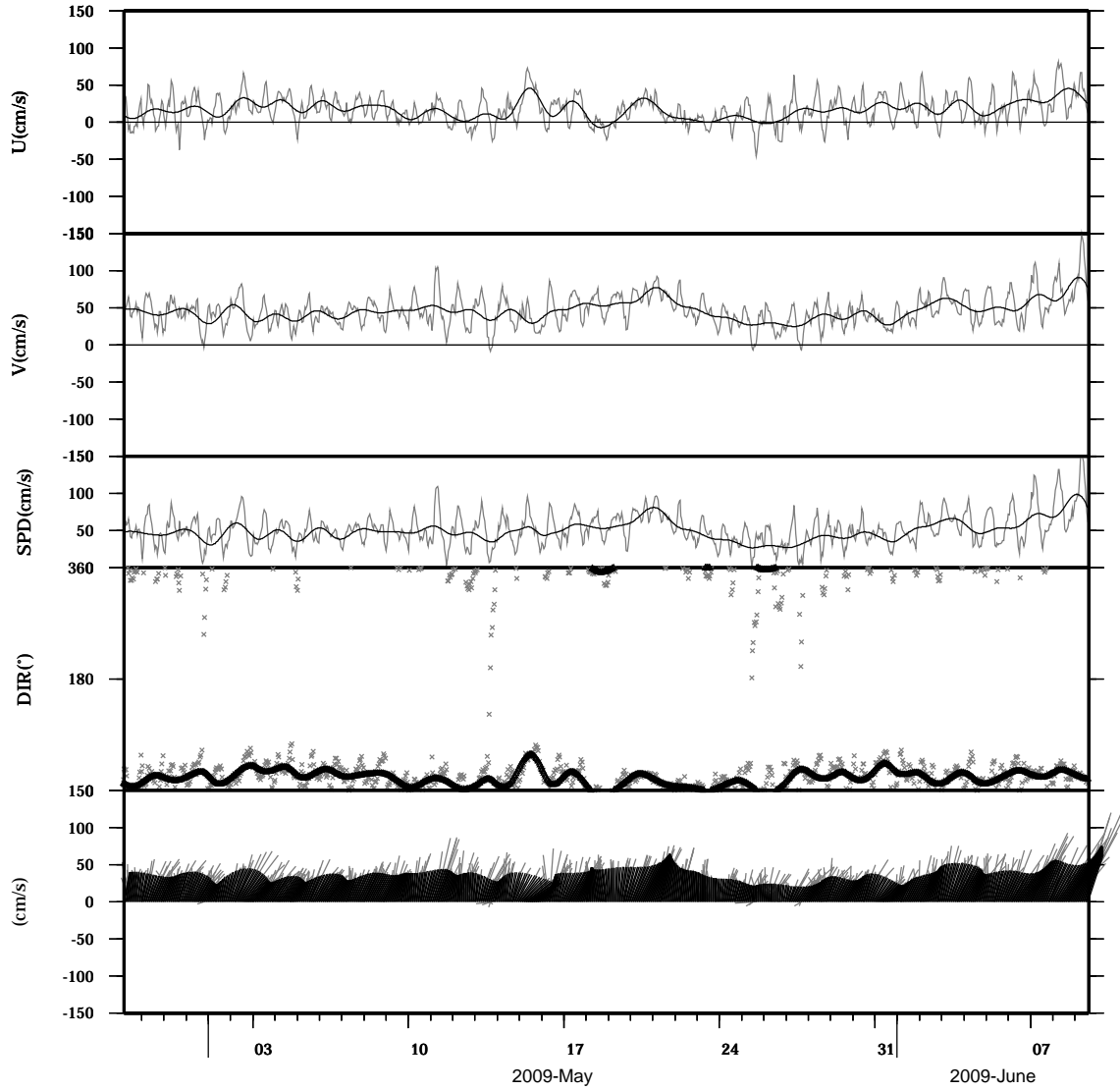


light line : The original data

heavy line : The 36 hours low-pass filtered data

Lon : 121° 21.83' E
Lat : 22° 40.0133' N

Station : W204
Depth : 146 M

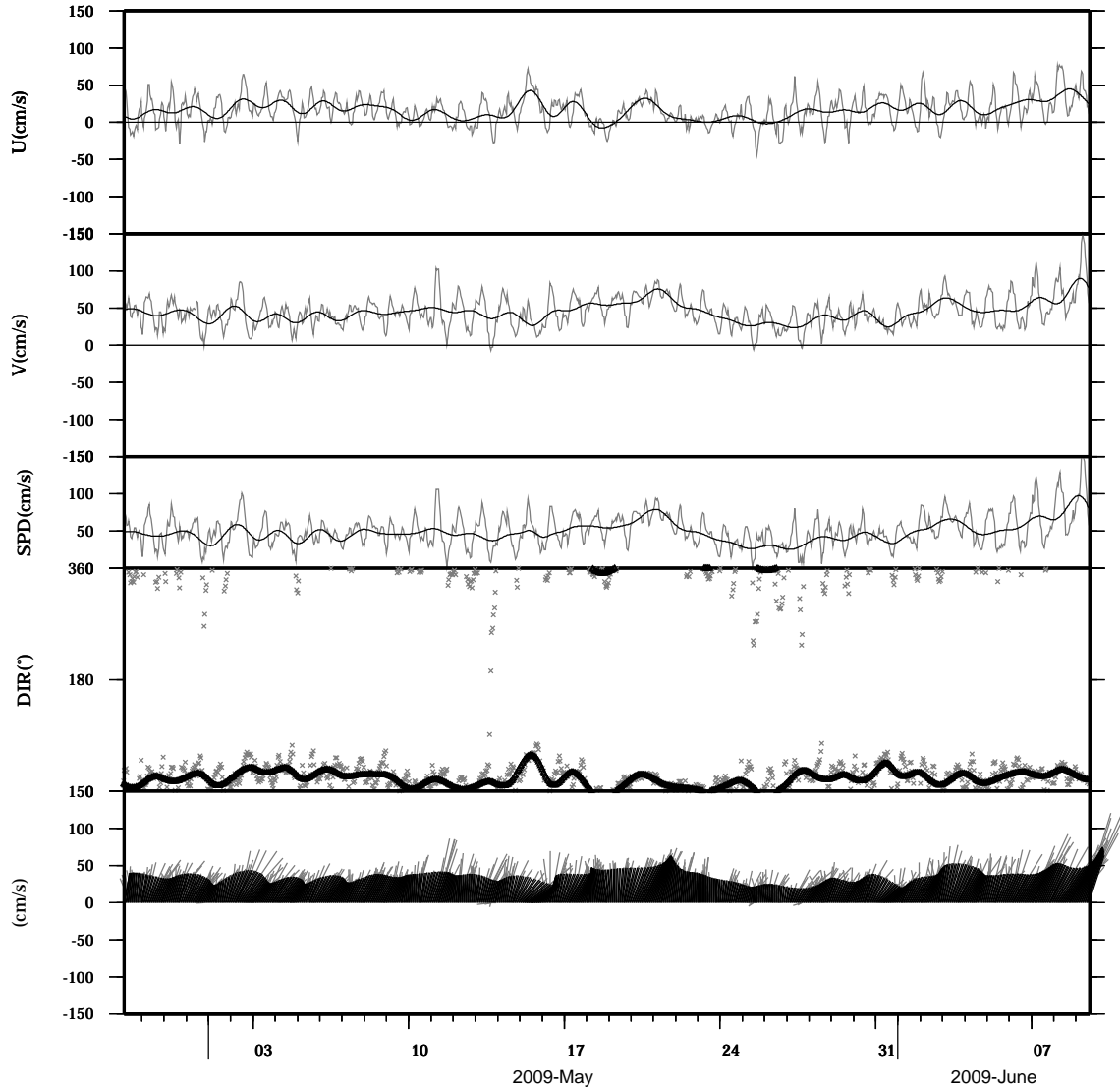


light line : The original data

heavy line : The 36 hours low-pass filtered data

Lon : 121° 21.83' E
Lat : 22° 40.0133' N

Station : W204
Depth : 150 M

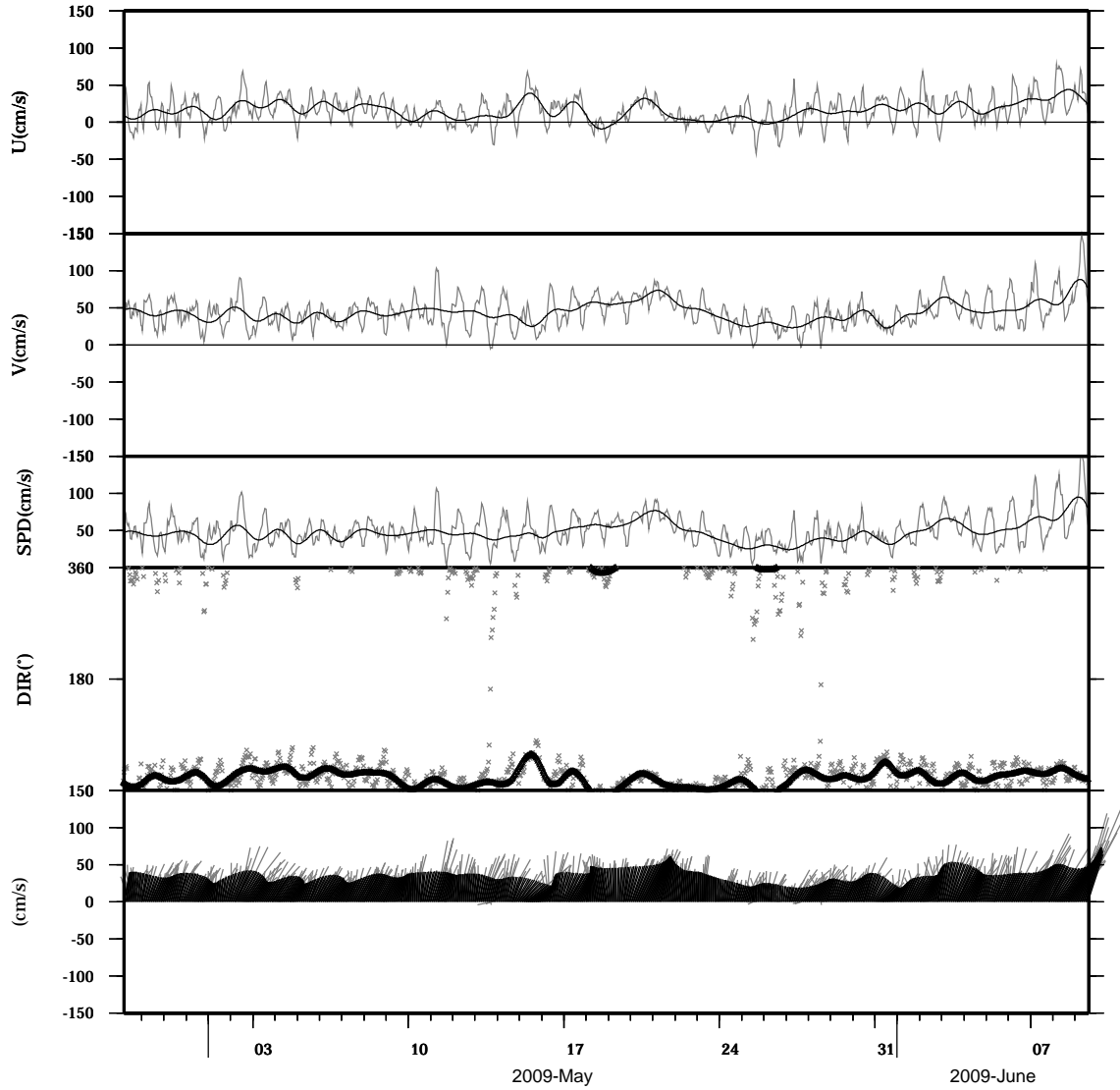


light line : The original data

heavy line : The 36 hours low-pass filtered data

Lon : 121° 21.83' E
Lat : 22° 40.0133' N

Station : W204
Depth : 154 M

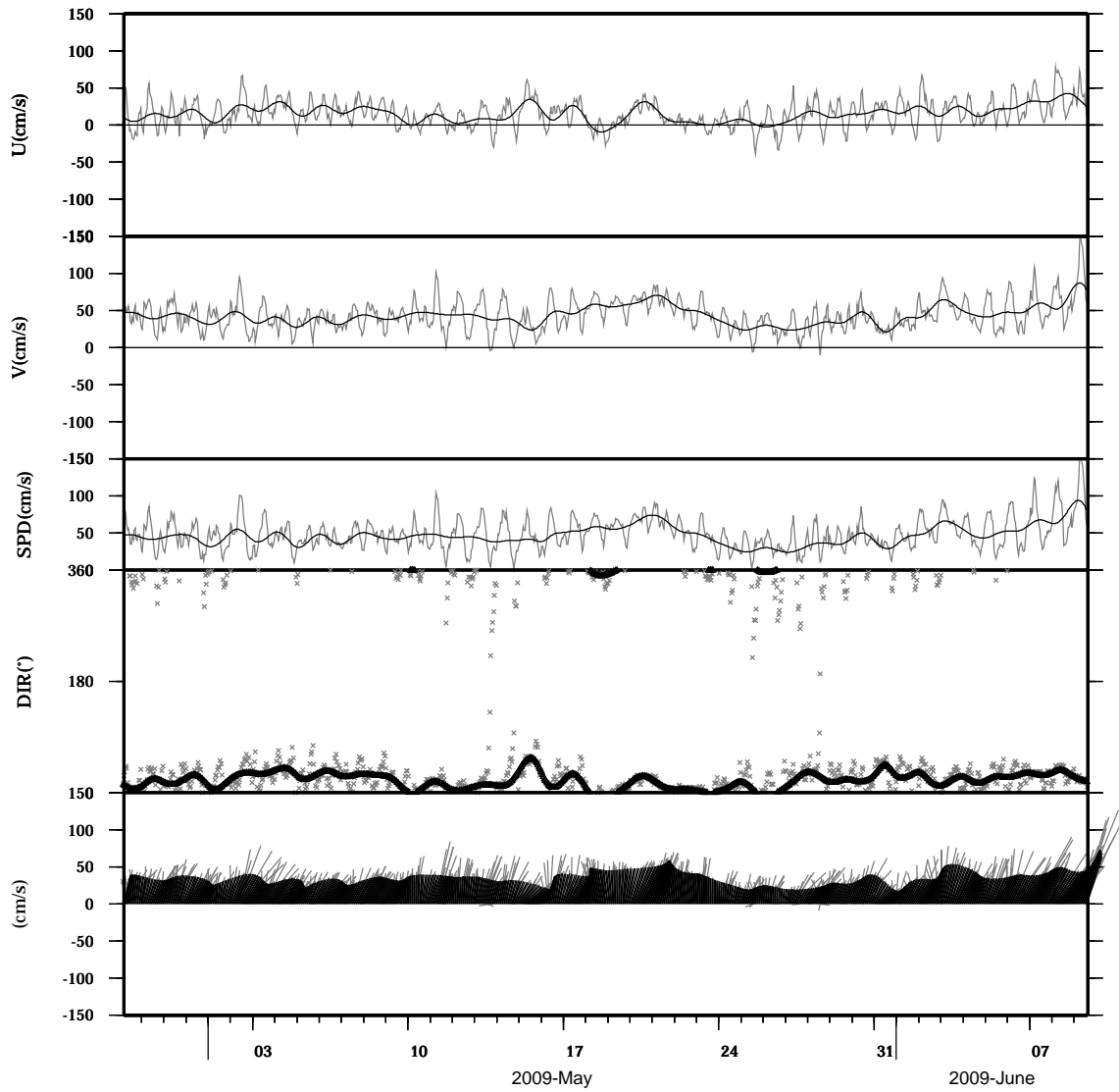


light line : The original data

heavy line : The 36 hours low-pass filtered data

Lon : 121° 21.83' E
Lat : 22° 40.0133' N

Station : W204
Depth : 158 M

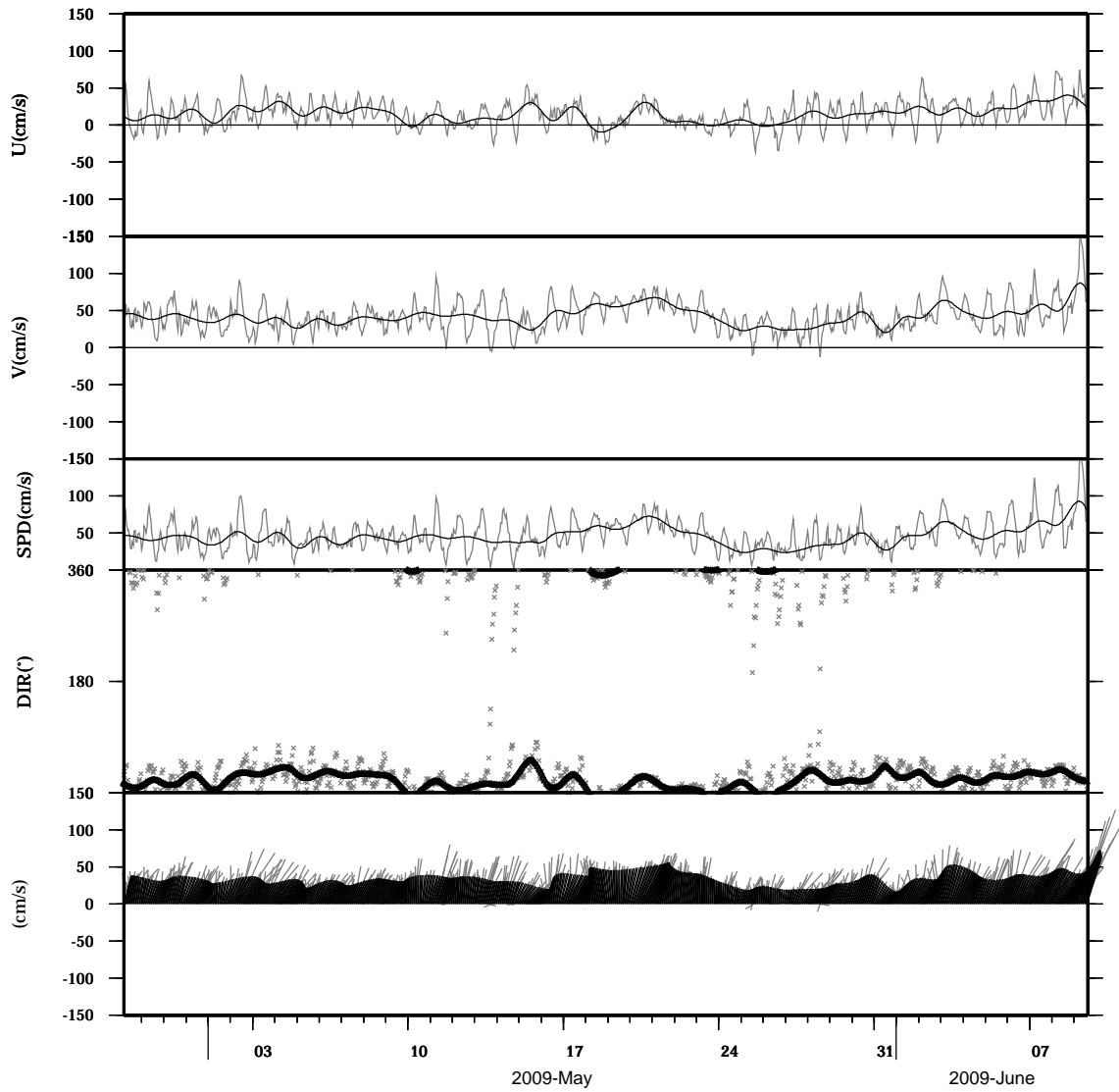


light line : The original data

heavy line : The 36 hours low-pass filtered data

Lon : 121° 21.83' E
Lat : 22° 40.0133' N

Station : W204
Depth : 162 M

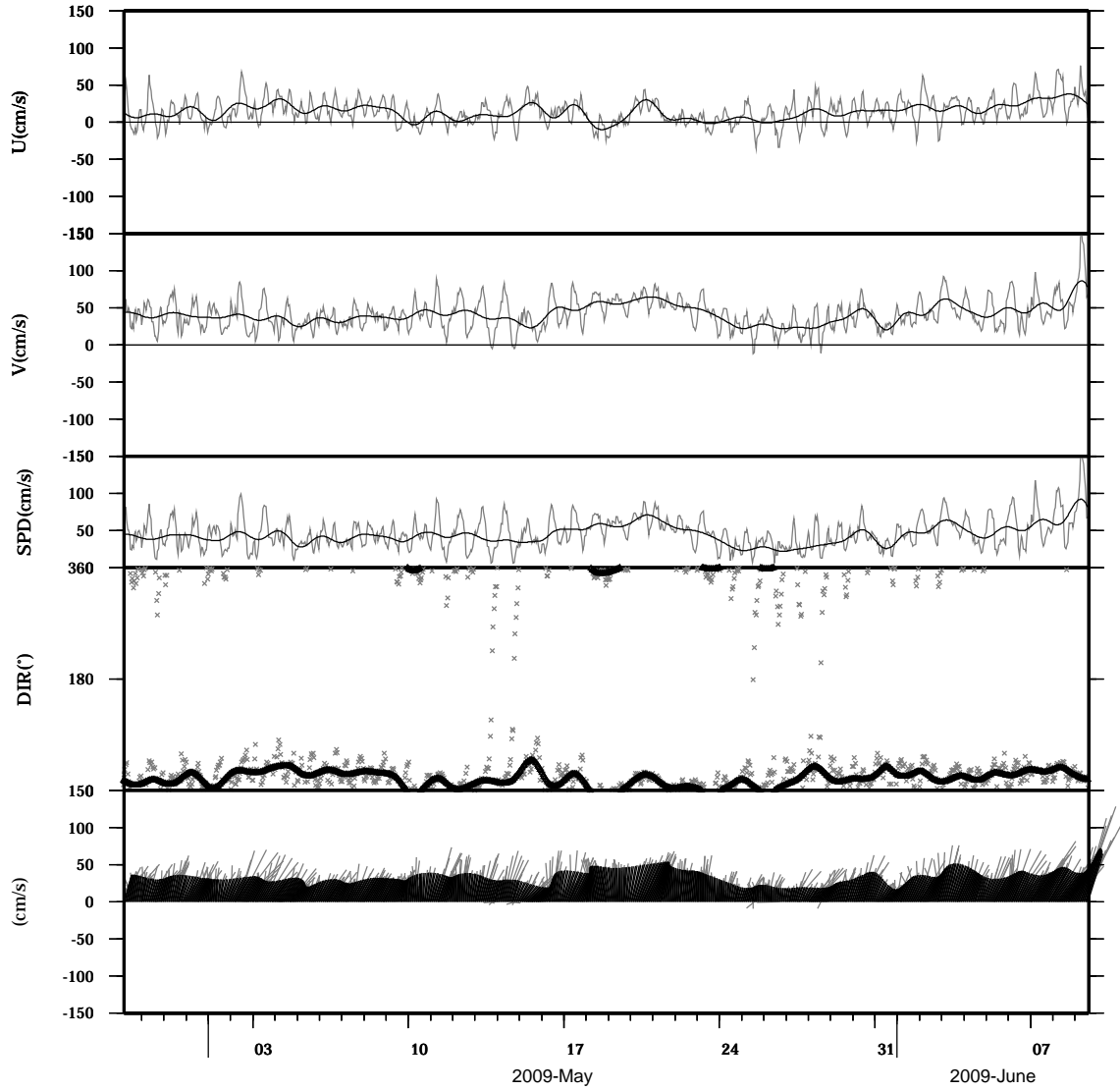


light line : The original data

heavy line : The 36 hours low-pass filtered data

Lon : 121° 21.83' E
Lat : 22° 40.0133' N

Station : W204
Depth : 166 M

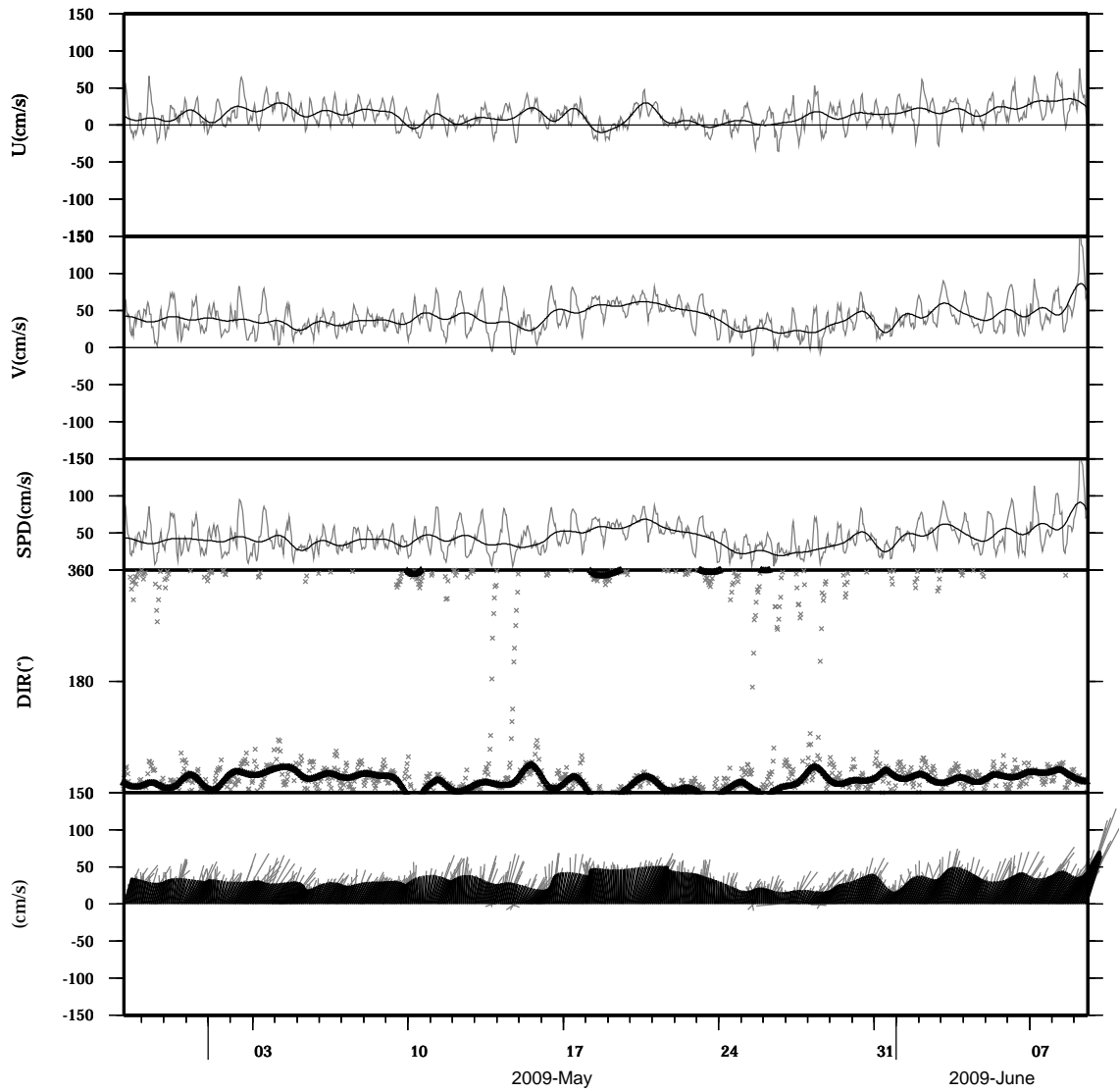


light line : The original data

heavy line : The 36 hours low-pass filtered data

Lon : 121° 21.83' E
Lat : 22° 40.0133' N

Station : W204
Depth : 170 M

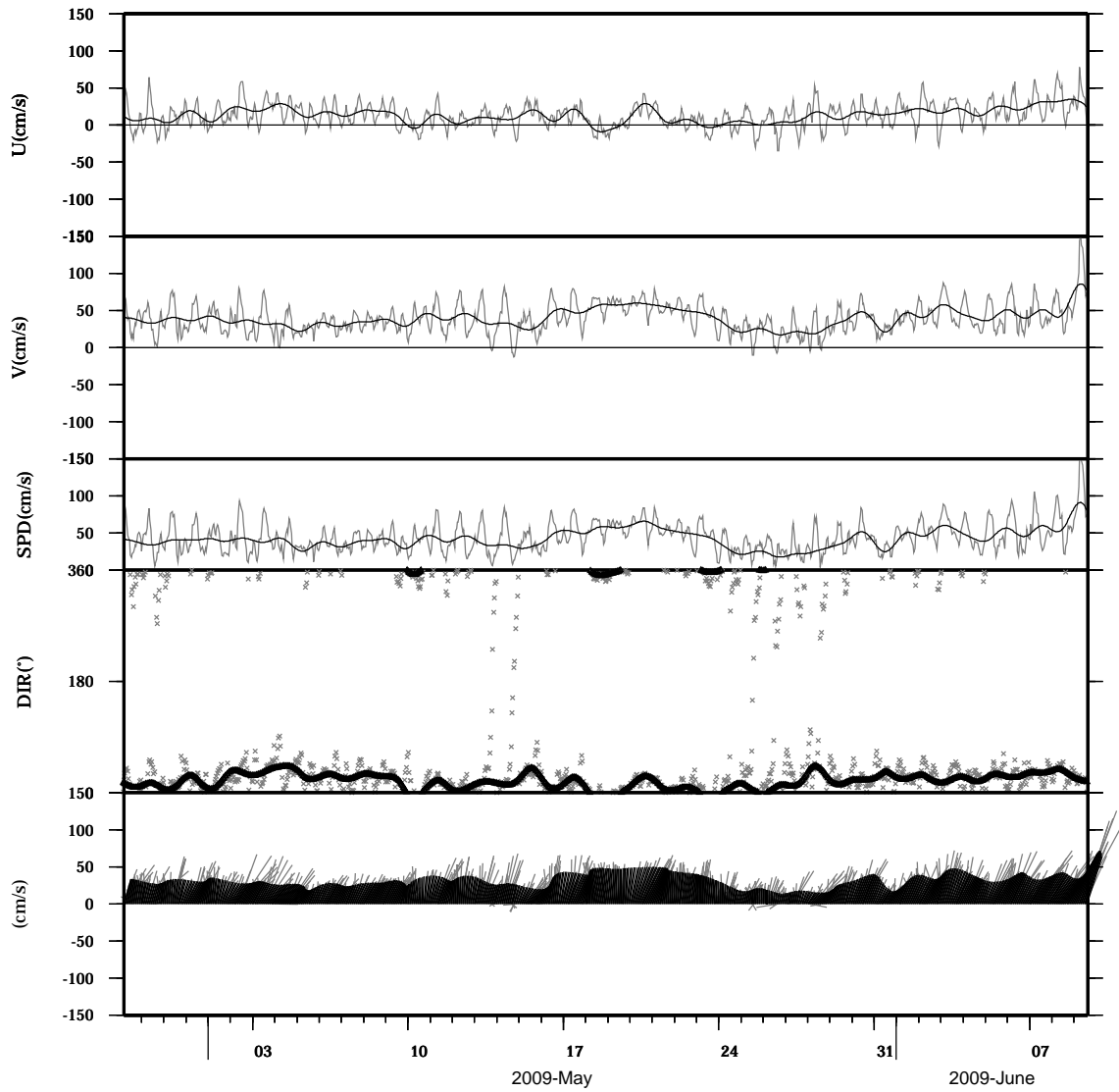


light line : The original data

heavy line : The 36 hours low-pass filtered data

Lon : 121° 21.83' E
Lat : 22° 40.0133' N

Station : W204
Depth : 174 M

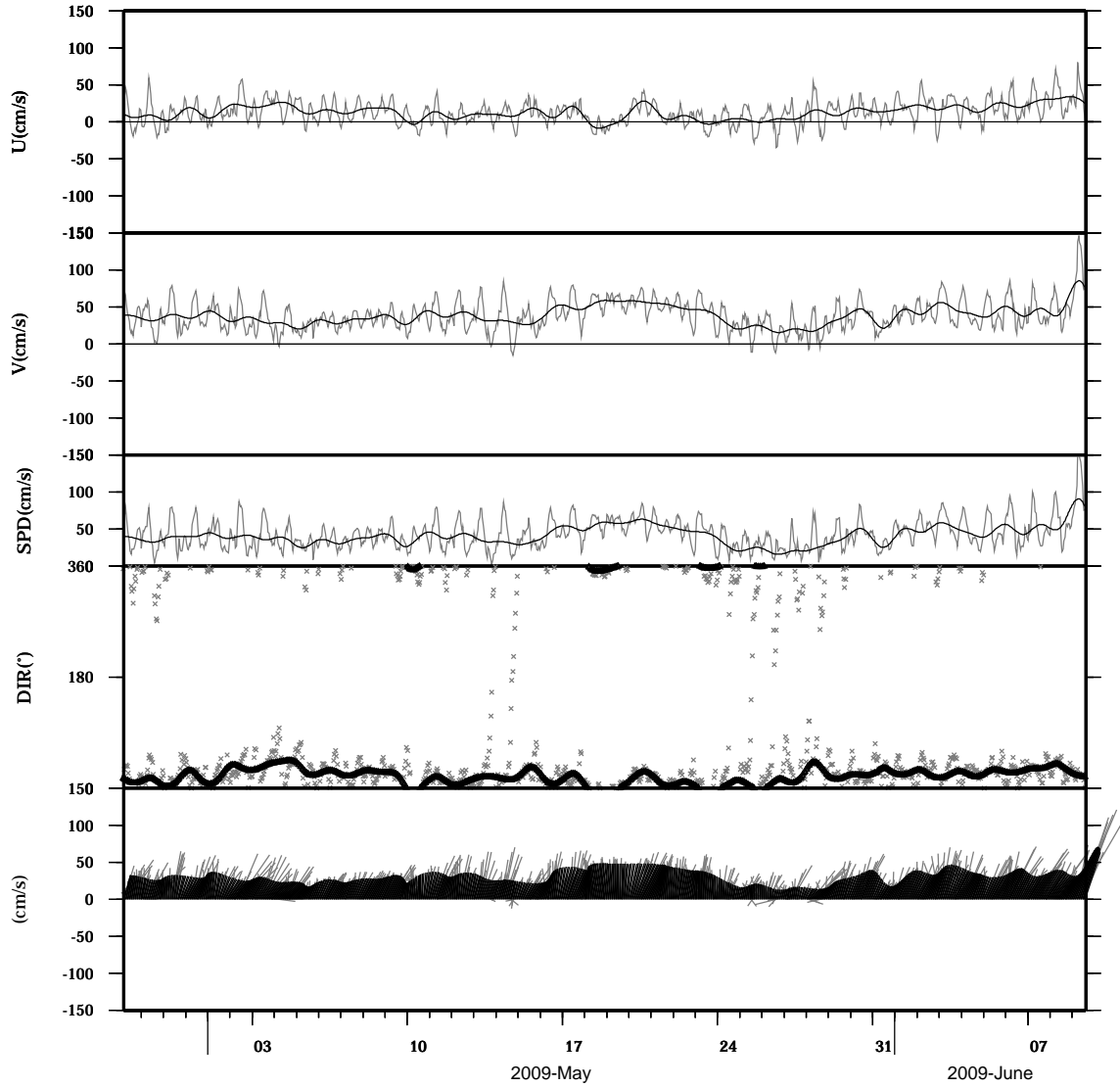


light line : The original data

heavy line : The 36 hours low-pass filtered data

Lon : 121° 21.83' E
Lat : 22° 40.0133' N

Station : W204
Depth : 178 M

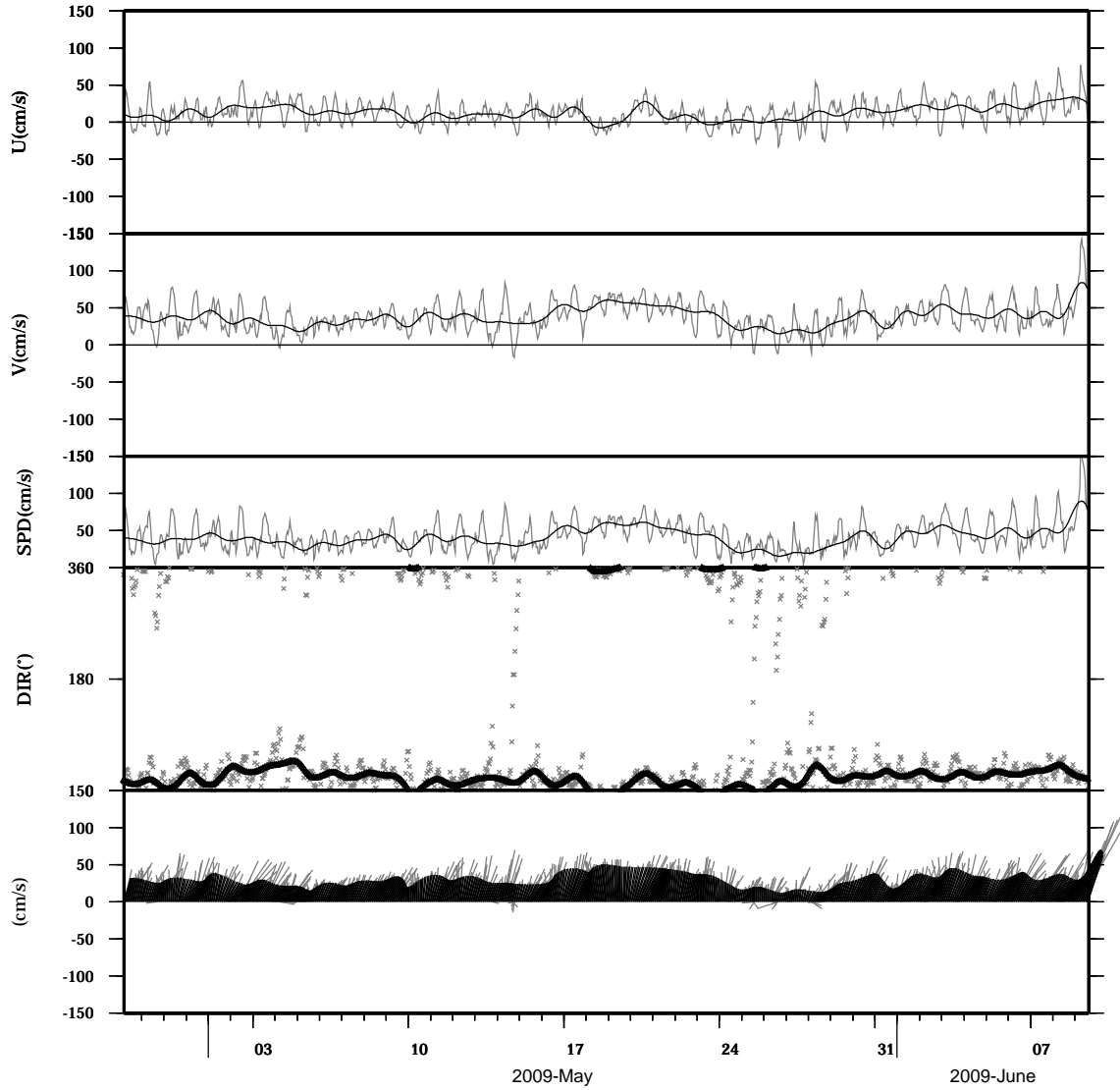


light line : The original data

heavy line : The 36 hours low-pass filtered data

Lon : 121° 21.83' E
Lat : 22° 40.0133' N

Station : W204
Depth : 182 M

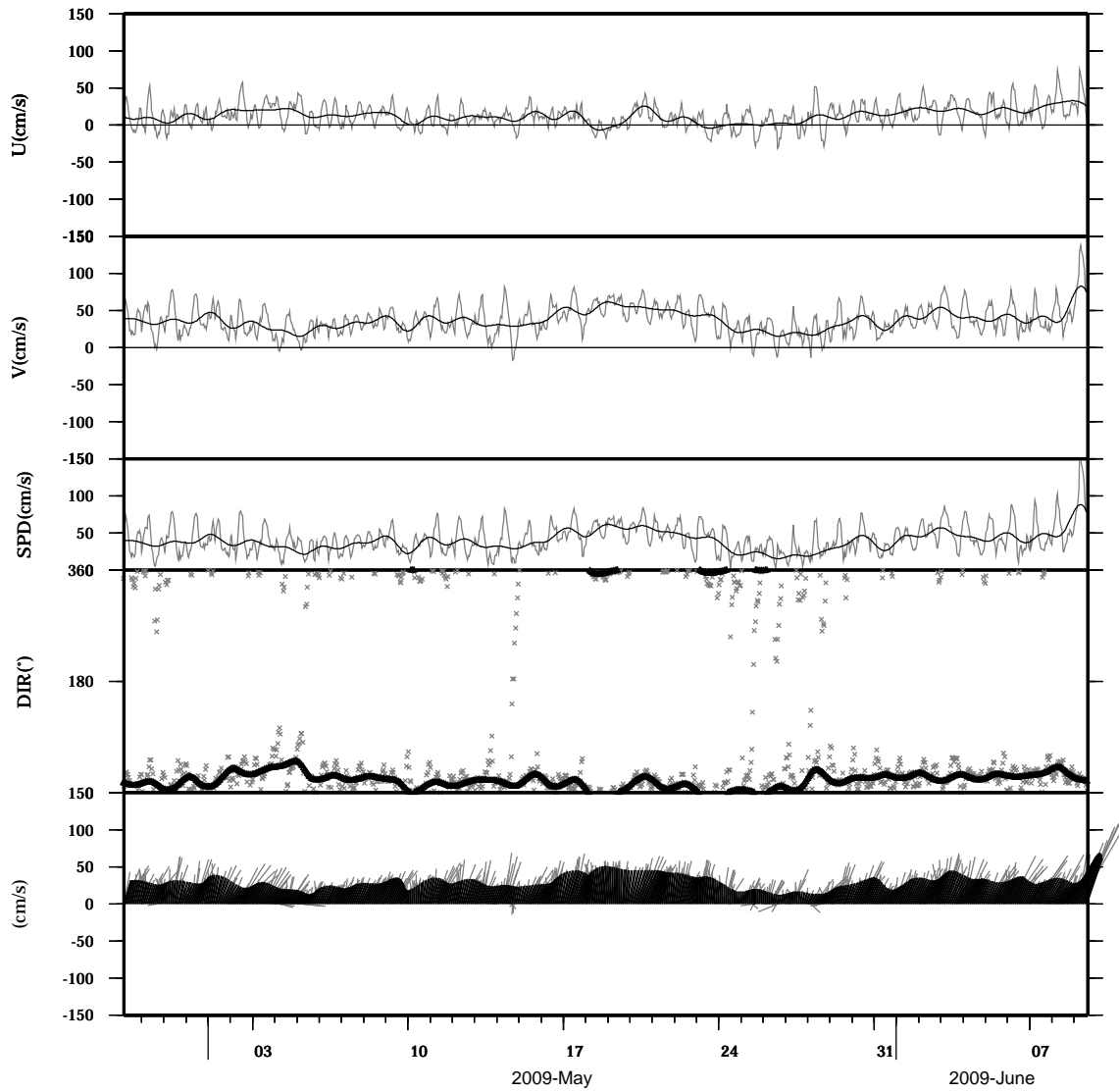


light line : The original data

heavy line : The 36 hours low-pass filtered data

Lon : 121° 21.83' E
Lat : 22° 40.0133' N

Station : W204
Depth : 186 M

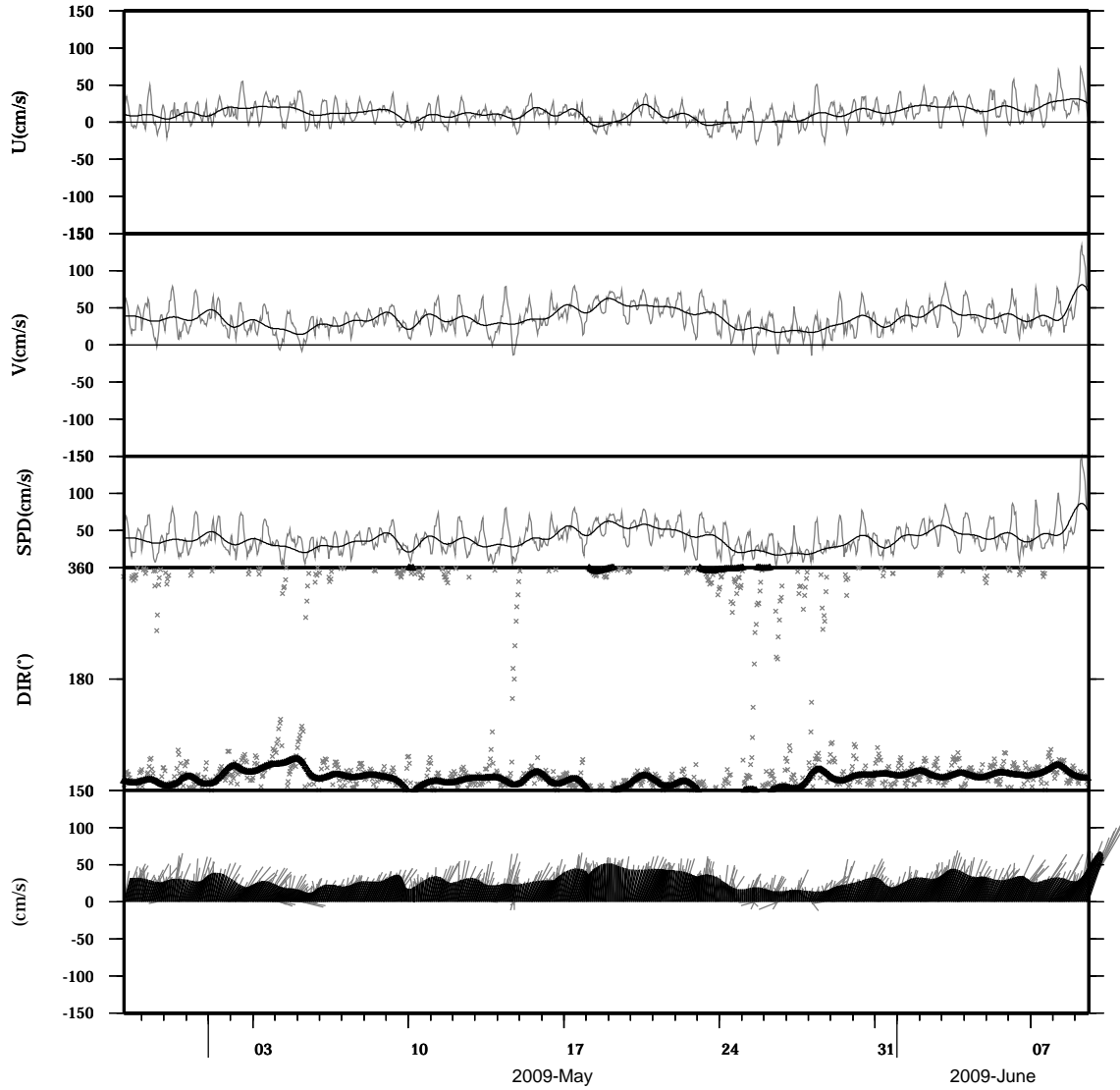


light line : The original data

heavy line : The 36 hours low-pass filtered data

Lon : 121° 21.83' E
Lat : 22° 40.0133' N

Station : W204
Depth : 190 M

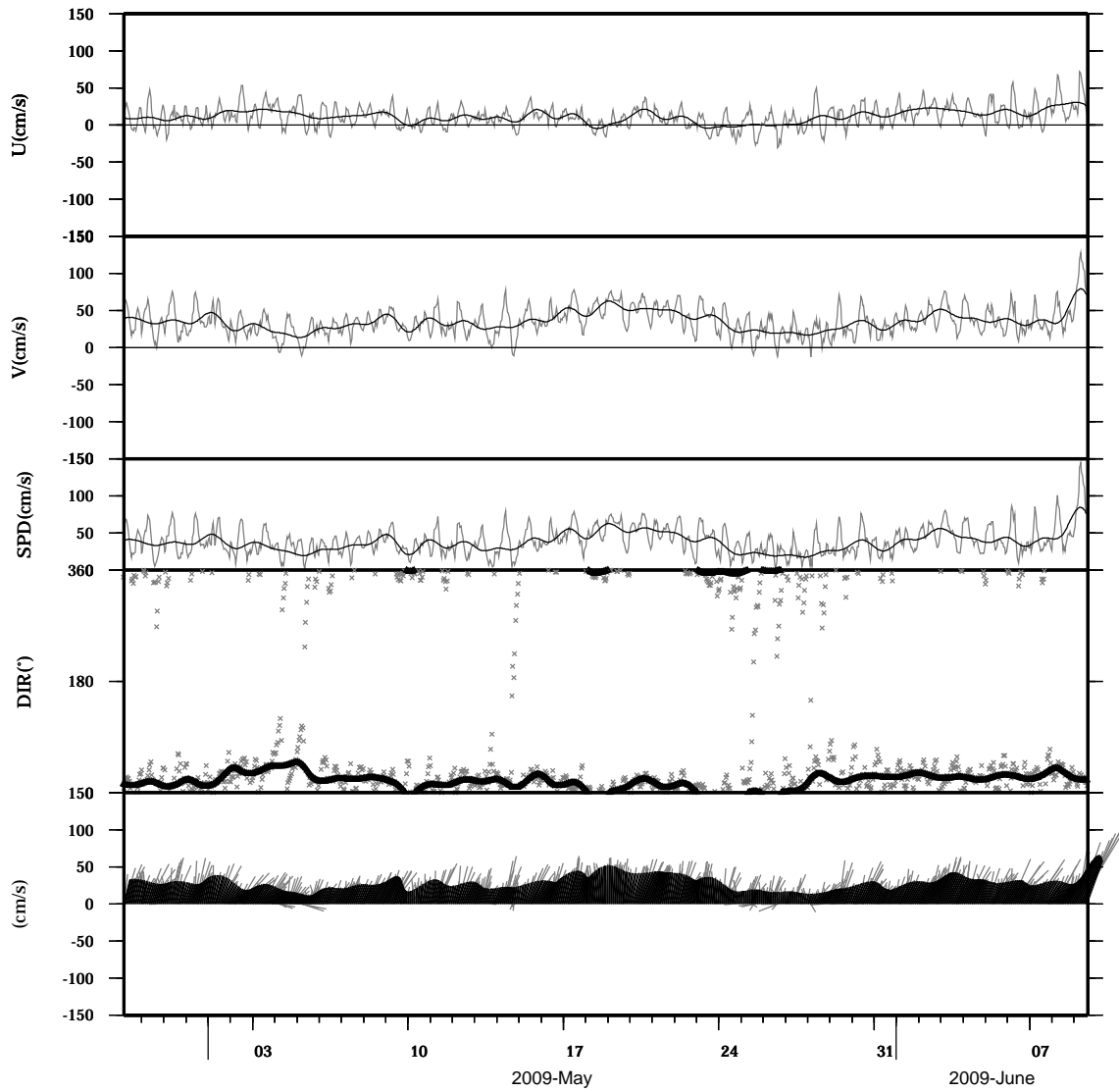


light line : The original data

heavy line : The 36 hours low-pass filtered data

Lon : 121° 21.83' E
Lat : 22° 40.0133' N

Station : W204
Depth : 194 M

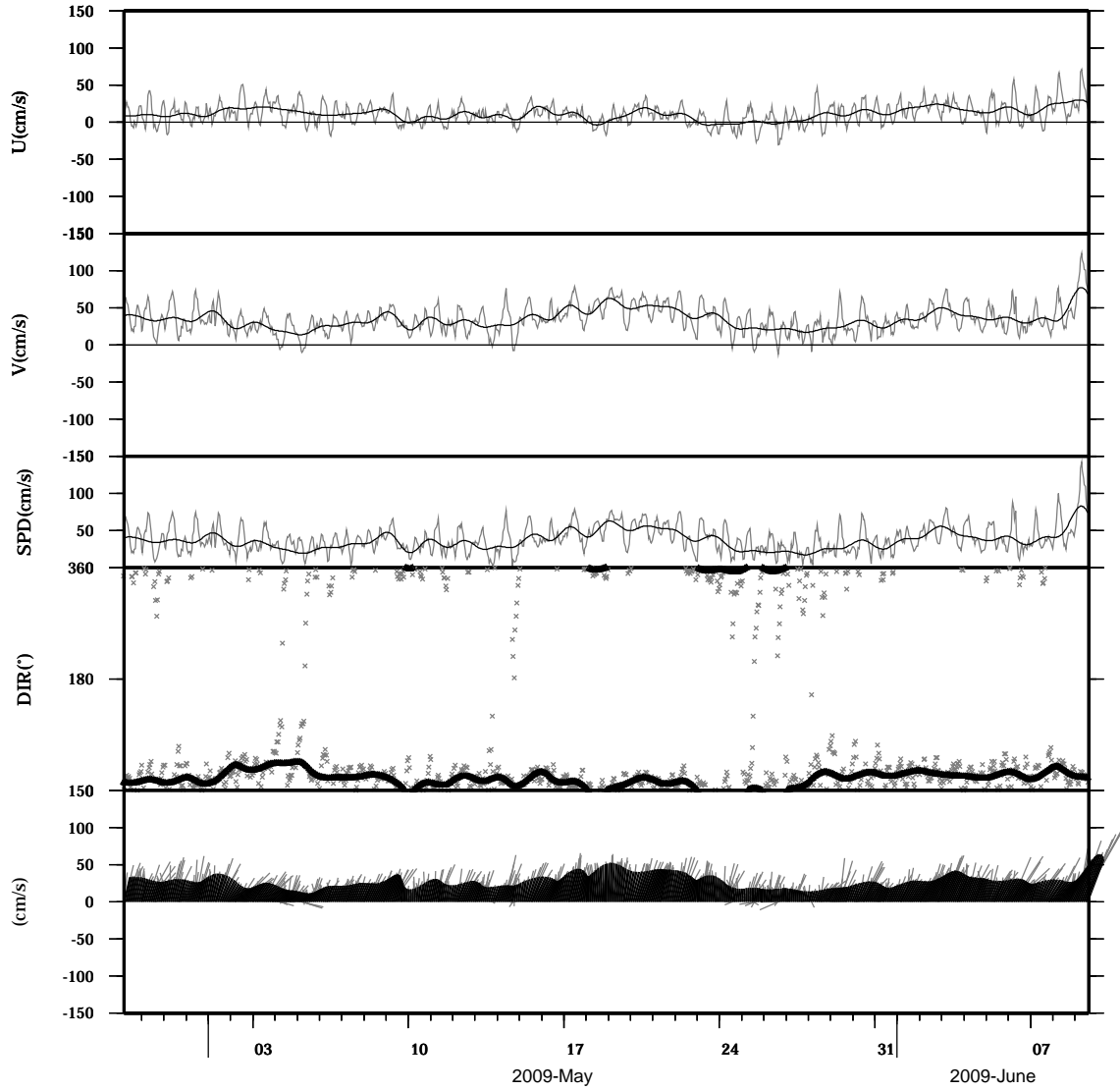


light line : The original data

heavy line : The 36 hours low-pass filtered data

Lon : 121° 21.83' E
Lat : 22° 40.0133' N

Station : W204
Depth : 198 M

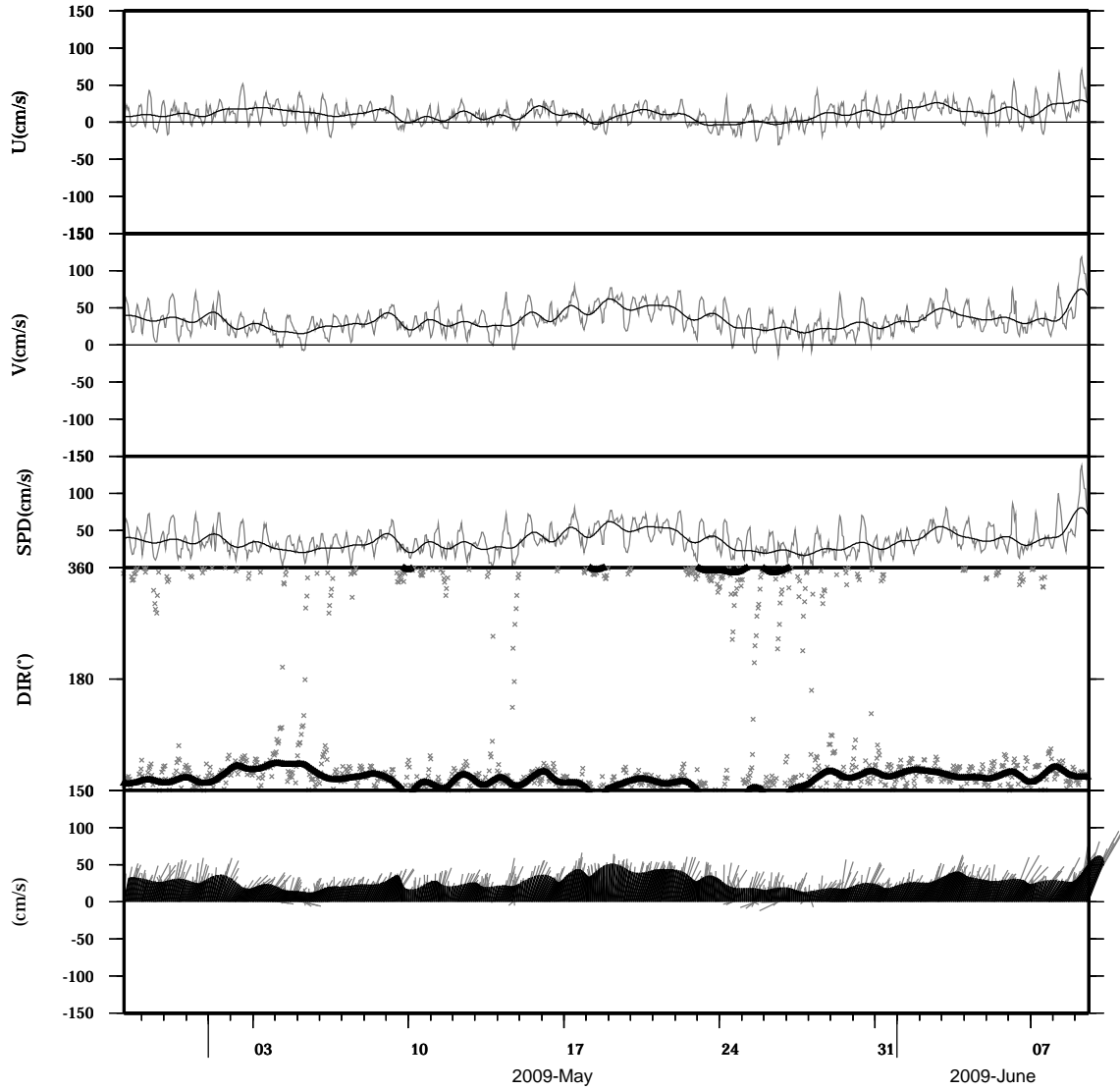


light line : The original data

heavy line : The 36 hours low-pass filtered data

Lon : 121° 21.83' E
Lat : 22° 40.0133' N

Station : W204
Depth : 202 M

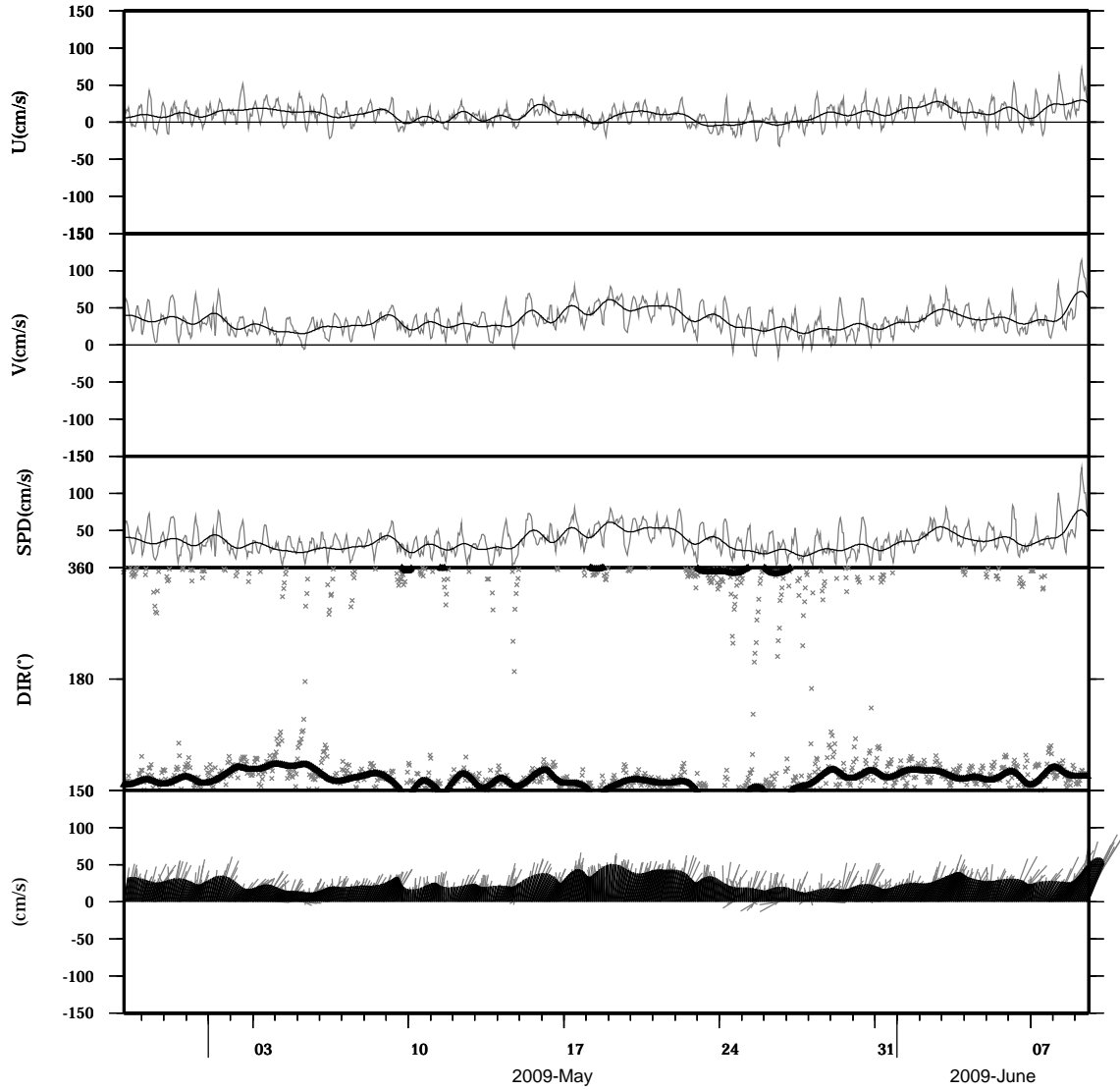


light line : The original data

heavy line : The 36 hours low-pass filtered data

Lon : 121° 21.83' E
Lat : 22° 40.0133' N

Station : W204
Depth : 206 M

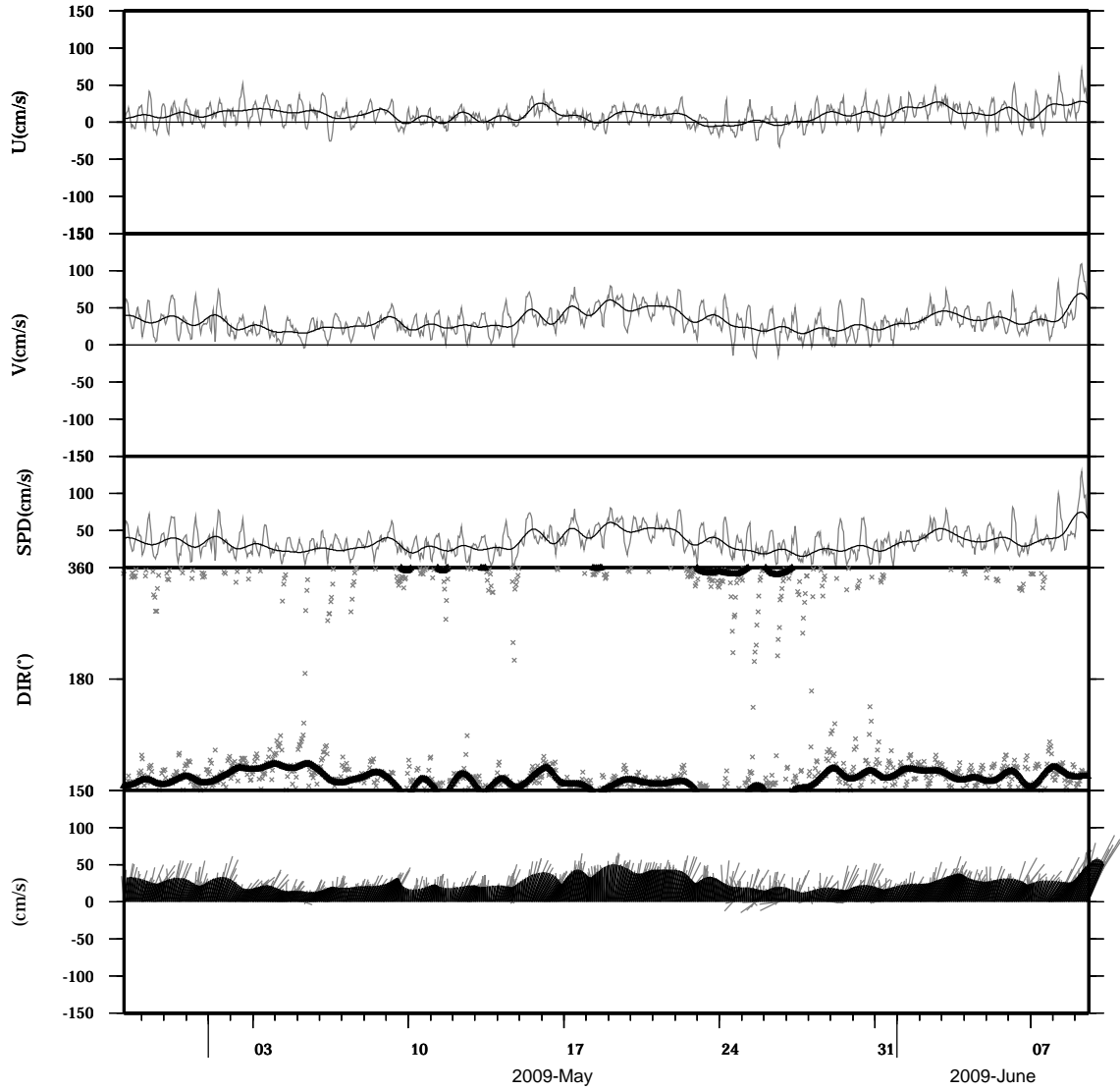


light line : The original data

heavy line : The 36 hours low-pass filtered data

Lon : 121° 21.83' E
Lat : 22° 40.0133' N

Station : W204
Depth : 210 M

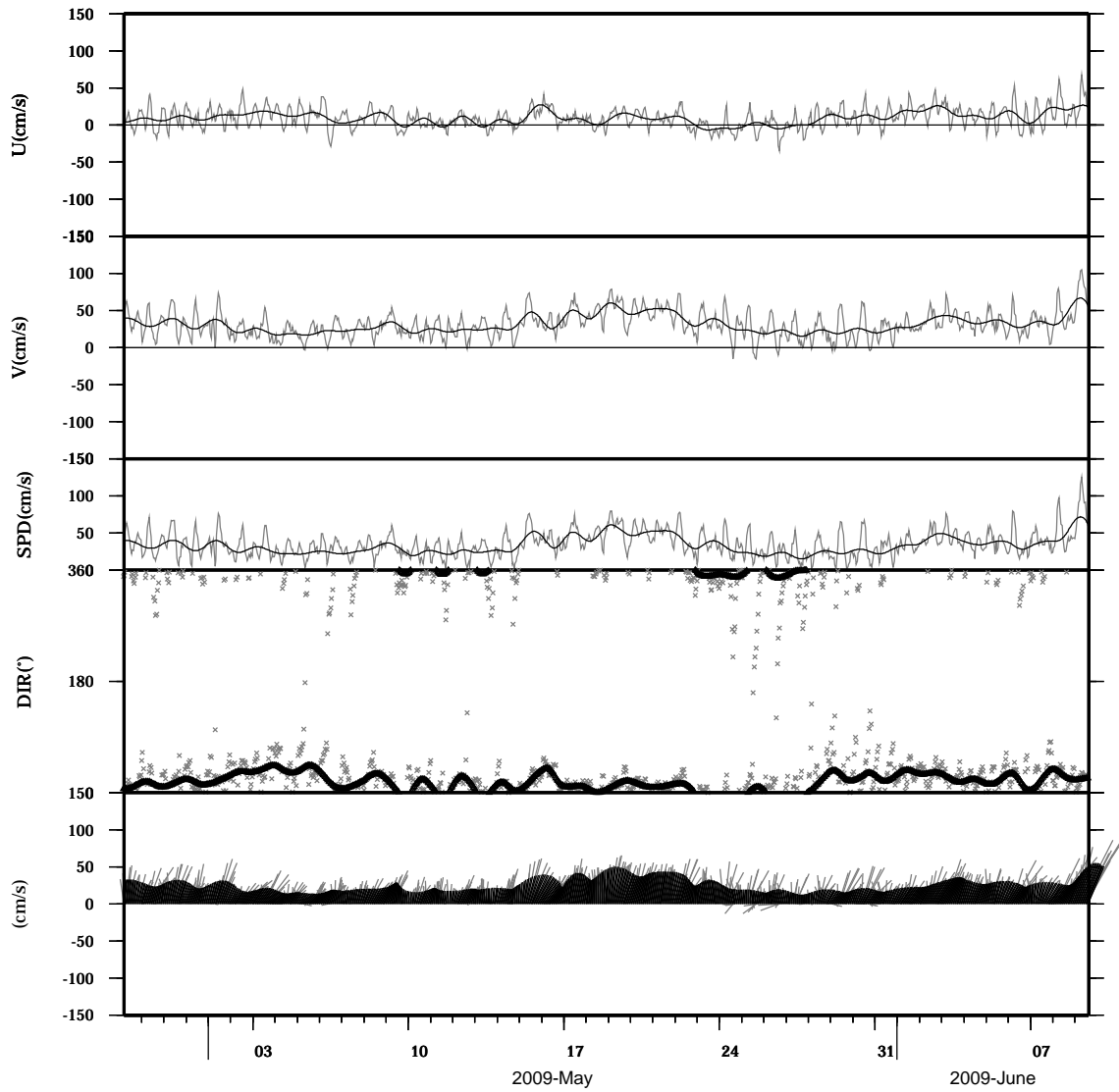


light line : The original data

heavy line : The 36 hours low-pass filtered data

Lon : 121° 21.83' E
Lat : 22° 40.0133' N

Station : W204
Depth : 214 M

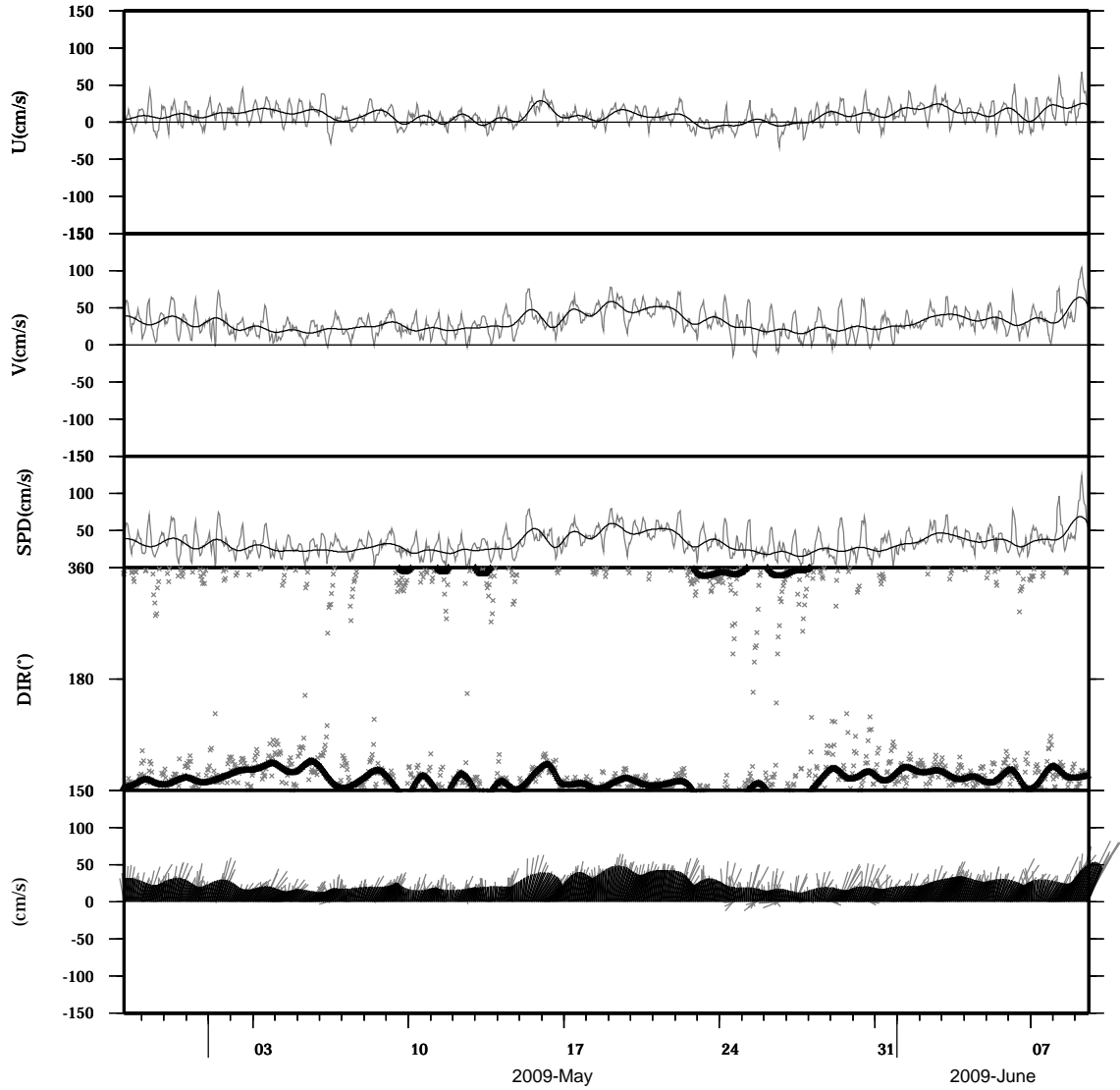


light line : The original data

heavy line : The 36 hours low-pass filtered data

Lon : 121° 21.83' E
Lat : 22° 40.0133' N

Station : W204
Depth : 218 M

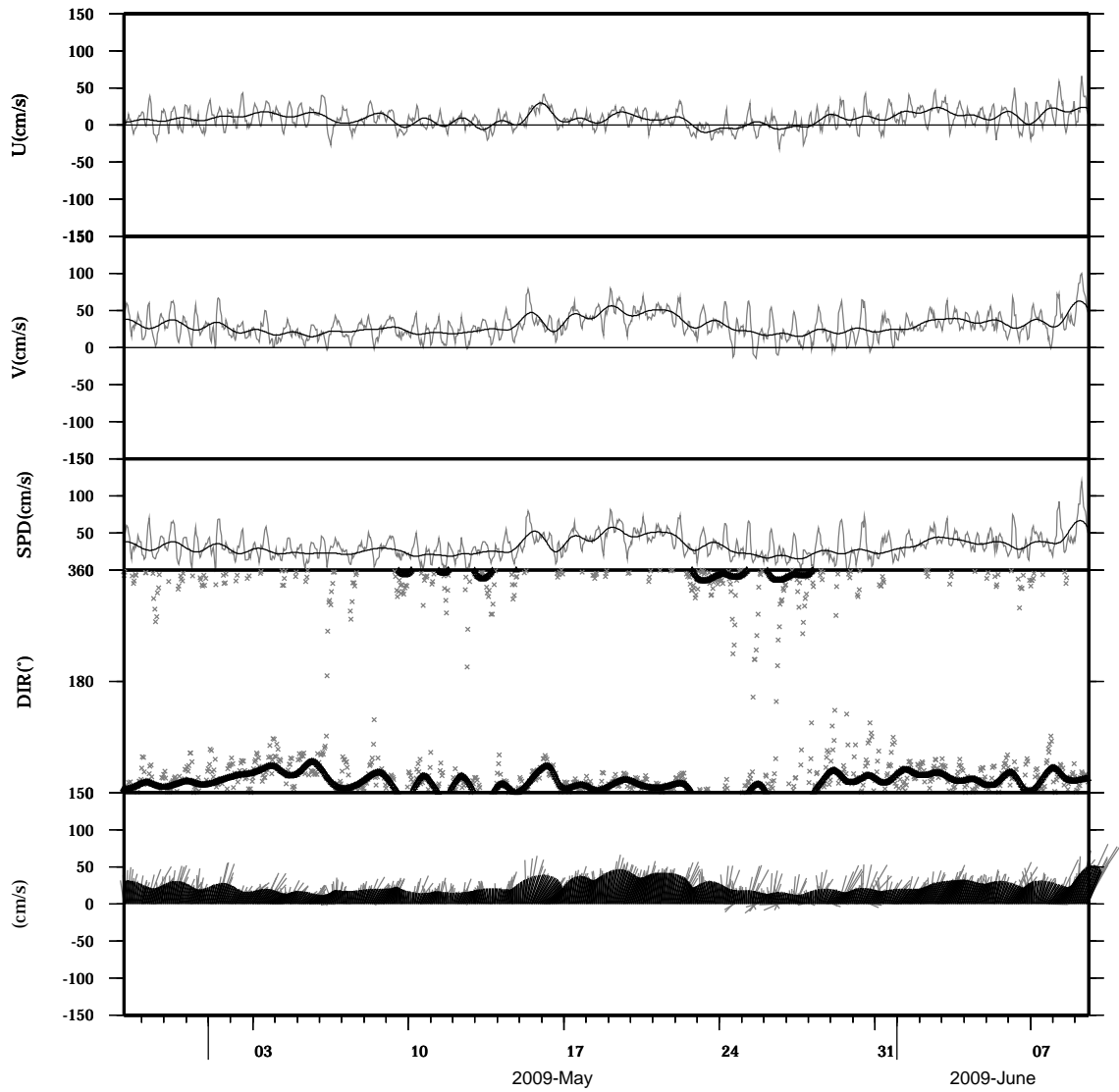


light line : The original data

heavy line : The 36 hours low-pass filtered data

Lon : 121° 21.83' E
Lat : 22° 40.0133' N

Station : W204
Depth : 222 M

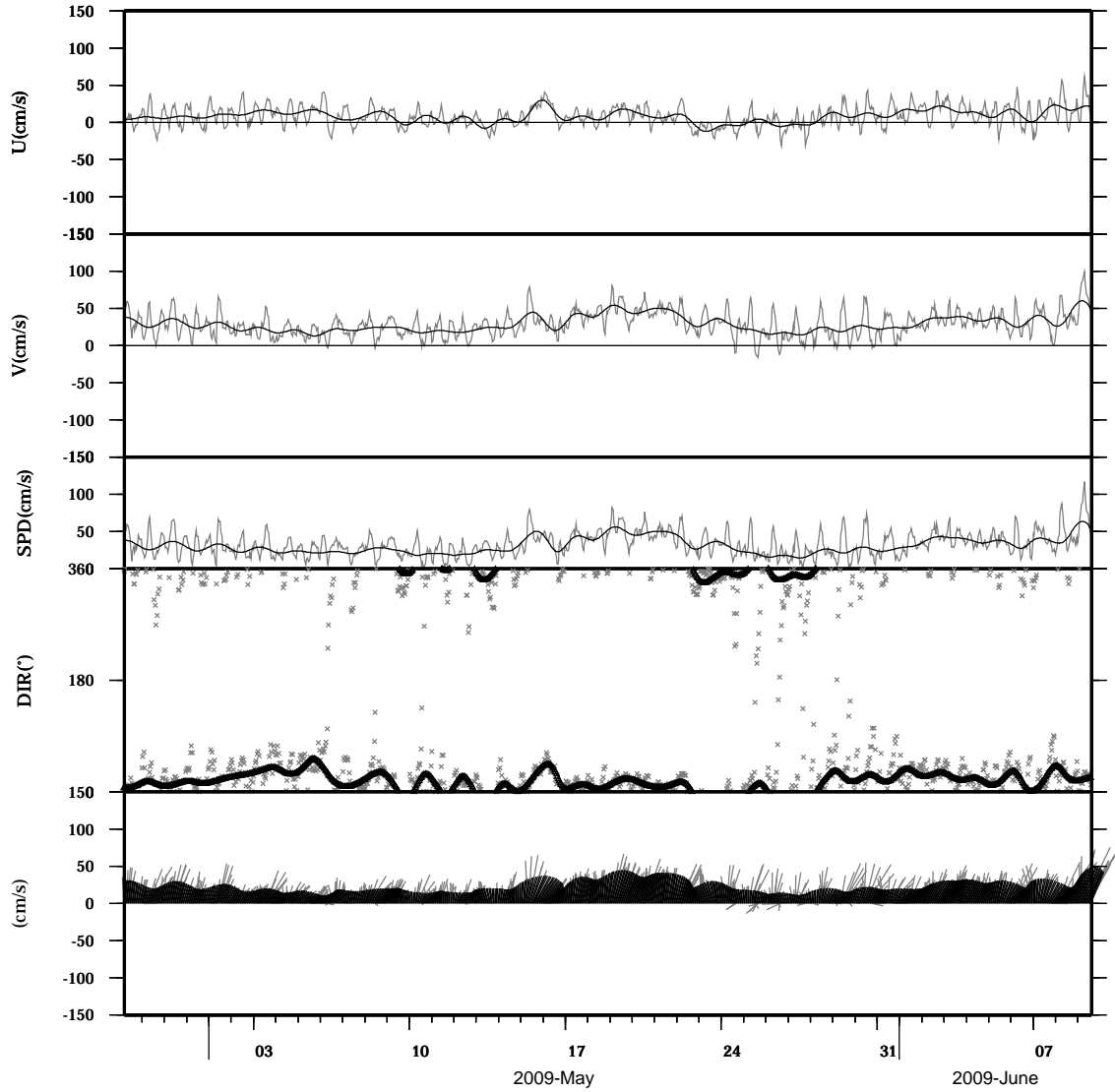


light line : The original data

heavy line : The 36 hours low-pass filtered data

Lon : 121° 21.83' E
Lat : 22° 40.0133' N

Station : W204
Depth : 226 M

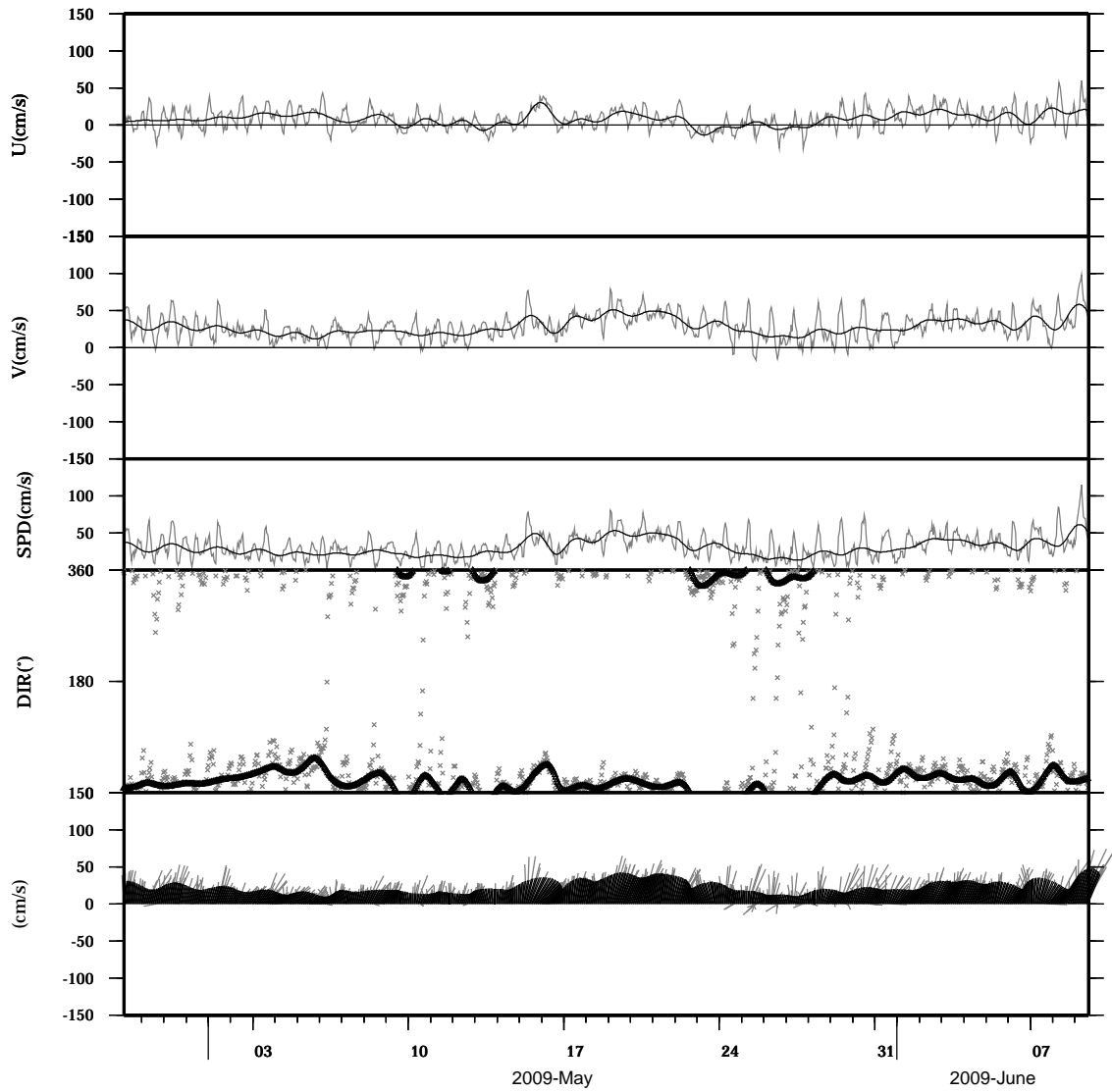


light line : The original data

heavy line : The 36 hours low-pass filtered data

Lon : 121° 21.83' E
Lat : 22° 40.0133' N

Station : W204
Depth : 230 M

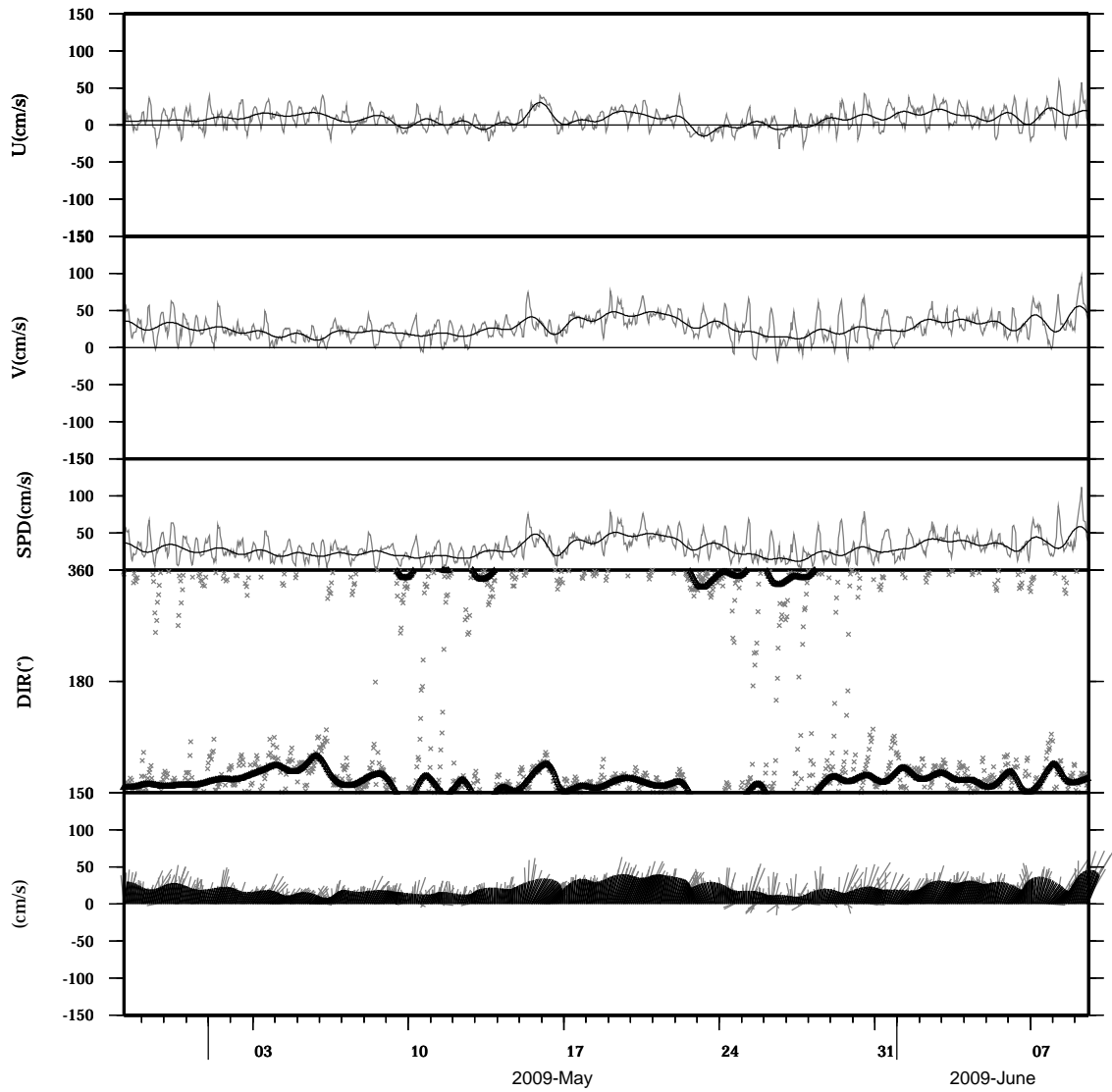


light line : The original data

heavy line : The 36 hours low-pass filtered data

Lon : 121° 21.83' E
Lat : 22° 40.0133' N

Station : W204
Depth : 234 M

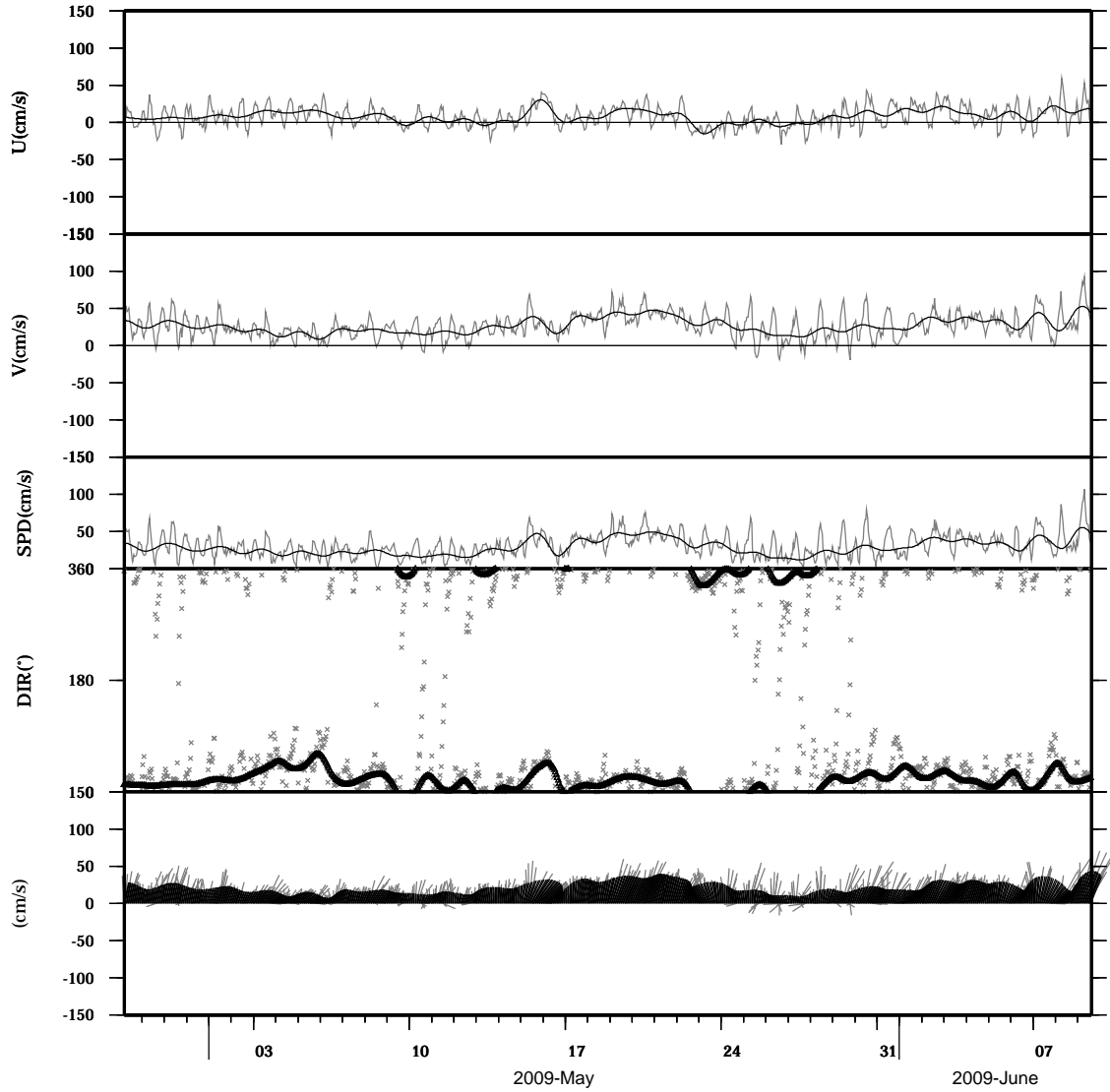


light line : The original data

heavy line : The 36 hours low-pass filtered data

Lon : 121° 21.83' E
Lat : 22° 40.0133' N

Station : W204
Depth : 238 M

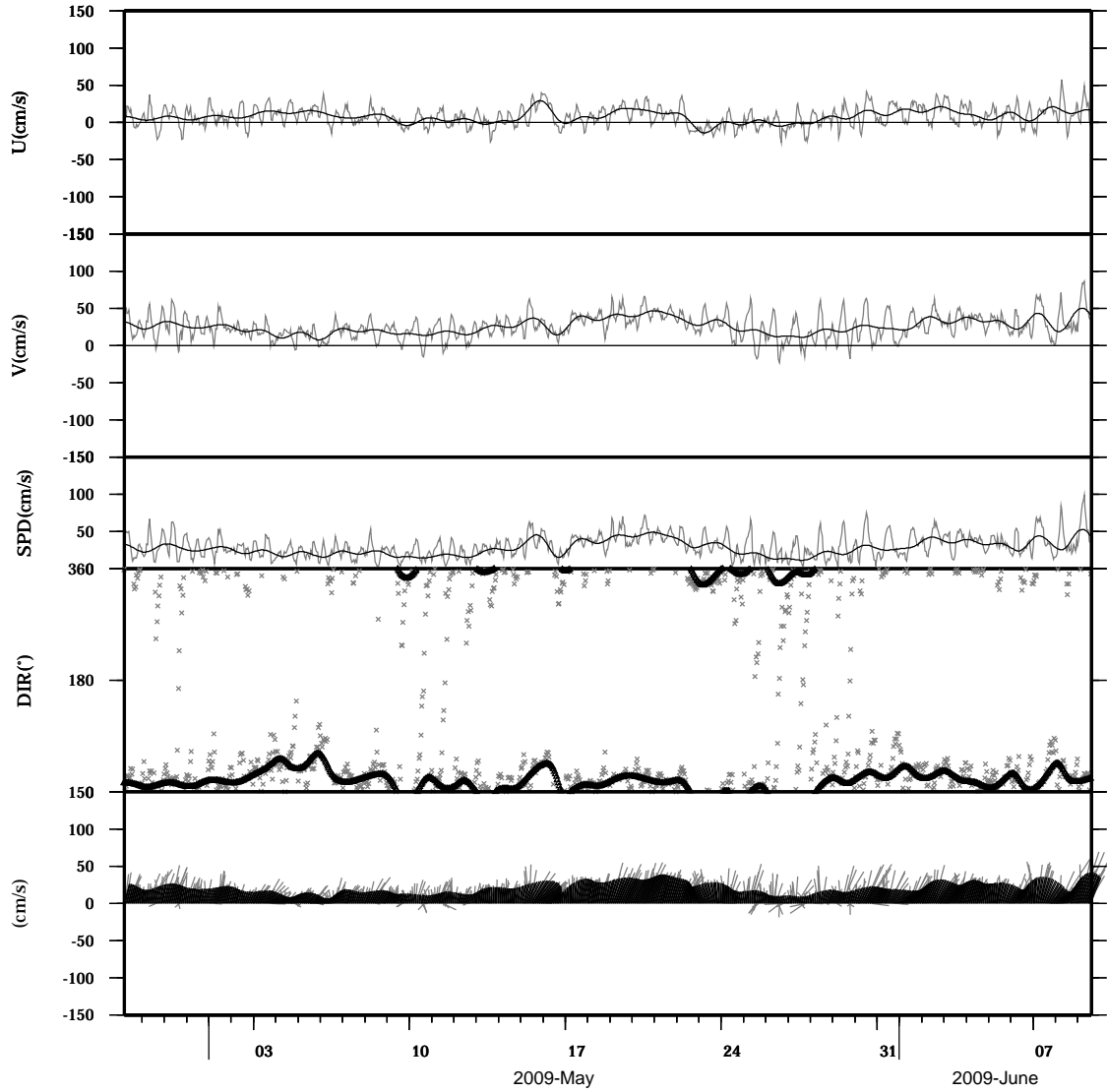


light line : The original data

heavy line : The 36 hours low-pass filtered data

Lon : 121° 21.83' E
Lat : 22° 40.0133' N

Station : W204
Depth : 242 M

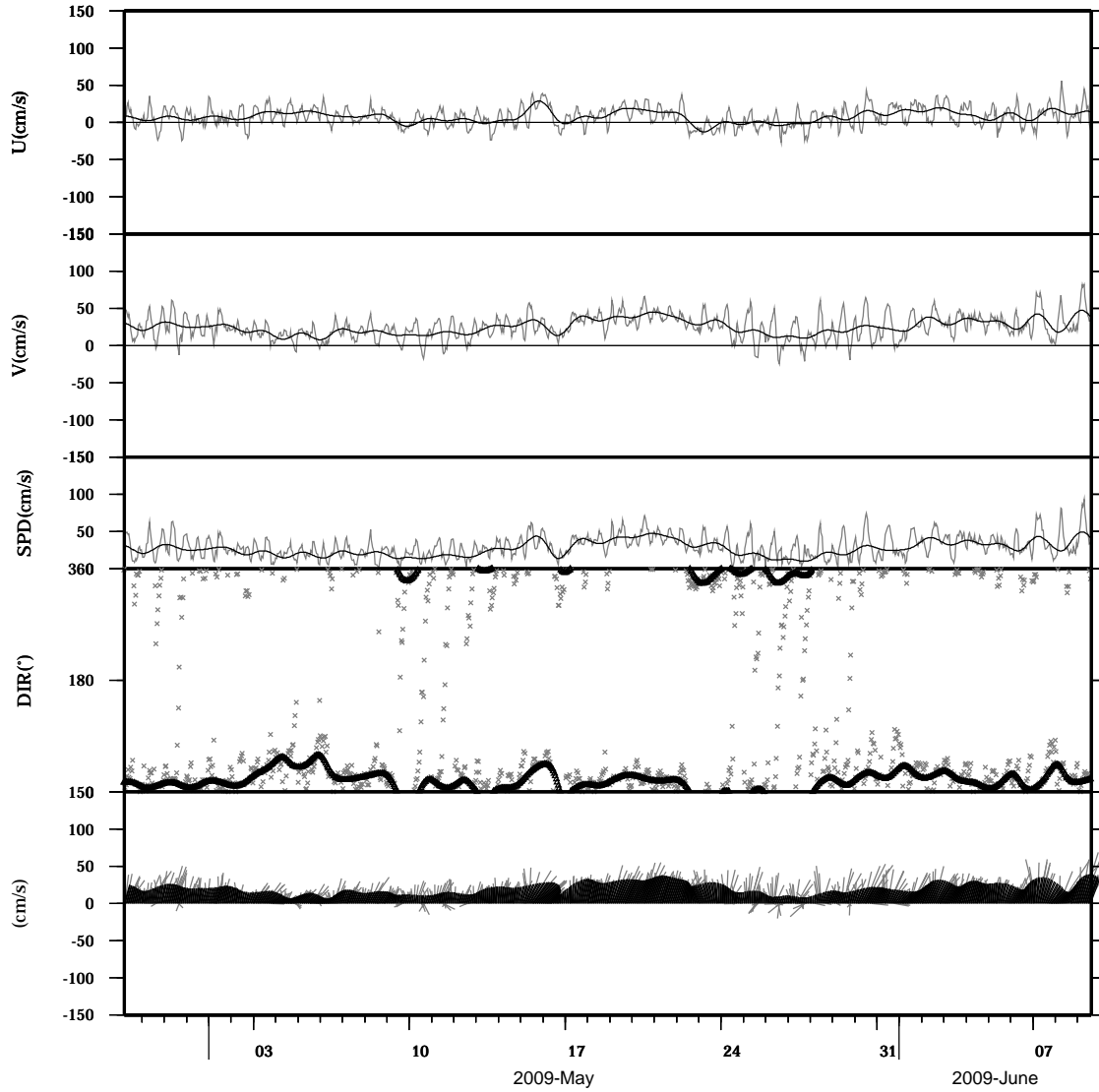


light line : The original data

heavy line : The 36 hours low-pass filtered data

Lon : 121° 21.83' E
Lat : 22° 40.0133' N

Station : W204
Depth : 246 M

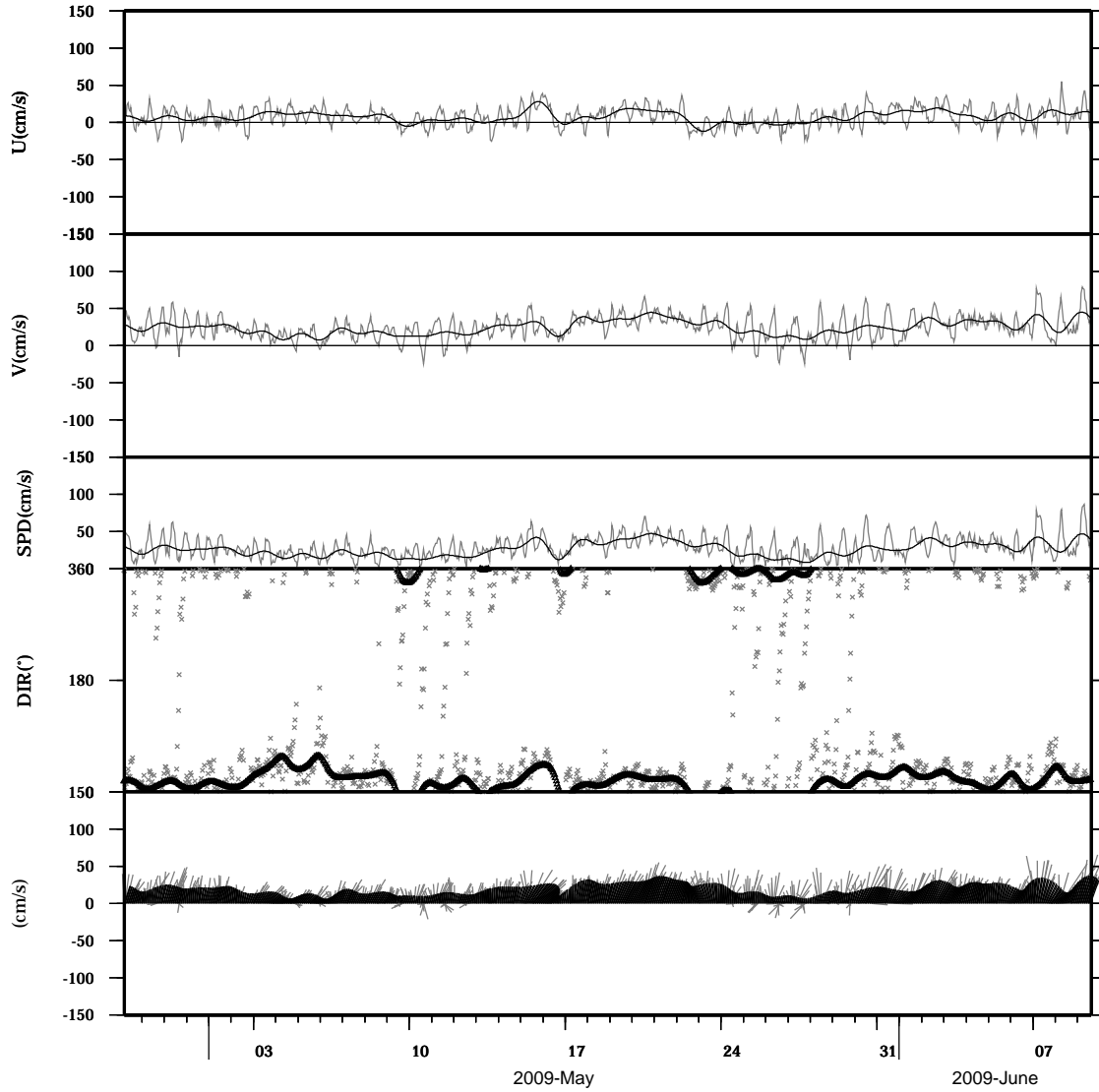


light line : The original data

heavy line : The 36 hours low-pass filtered data

Lon : 121° 21.83' E
Lat : 22° 40.0133' N

Station : W204
Depth : 250 M

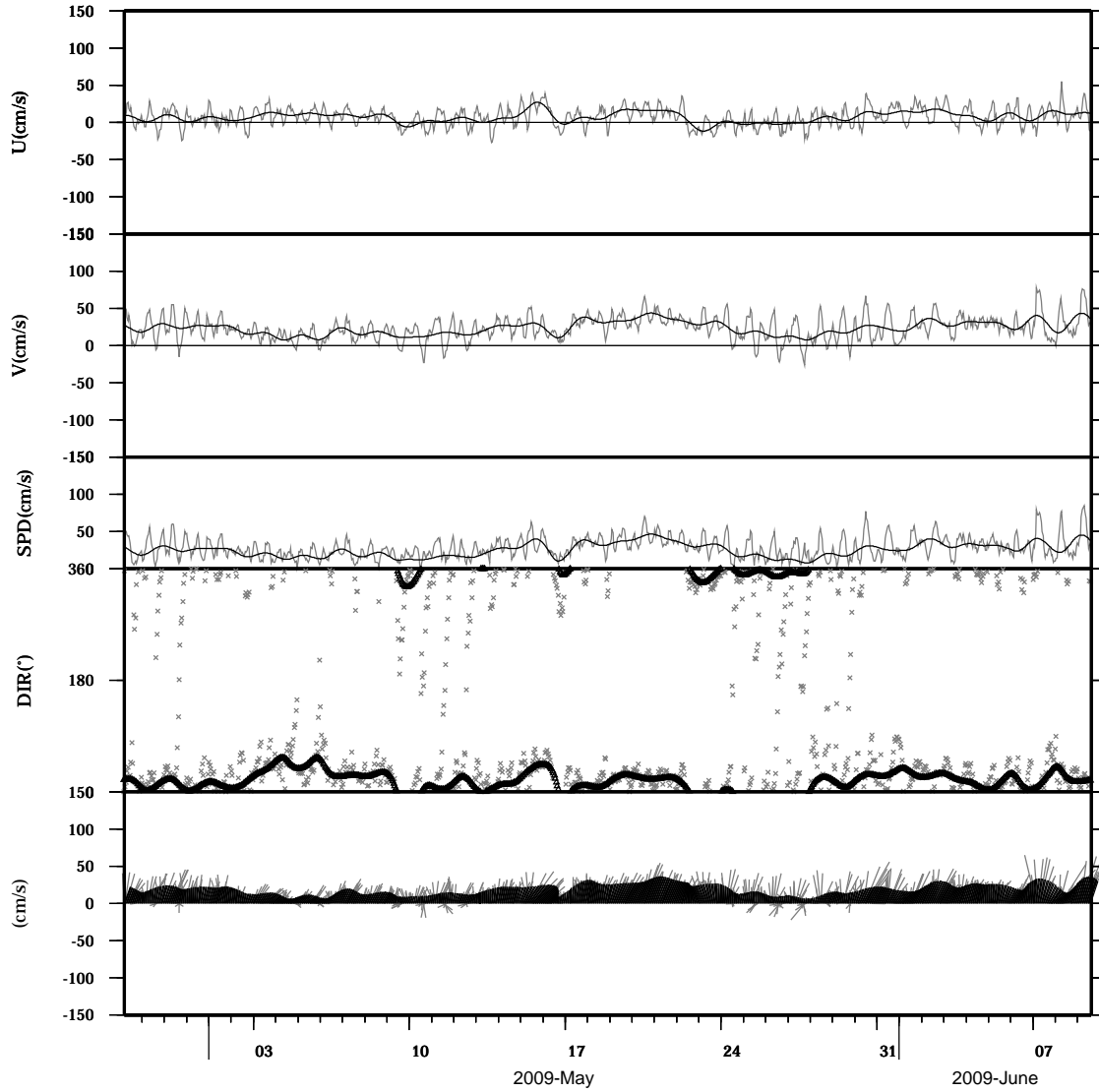


light line : The original data

heavy line : The 36 hours low-pass filtered data

Lon : 121° 21.83' E
Lat : 22° 40.0133' N

Station : W204
Depth : 254 M

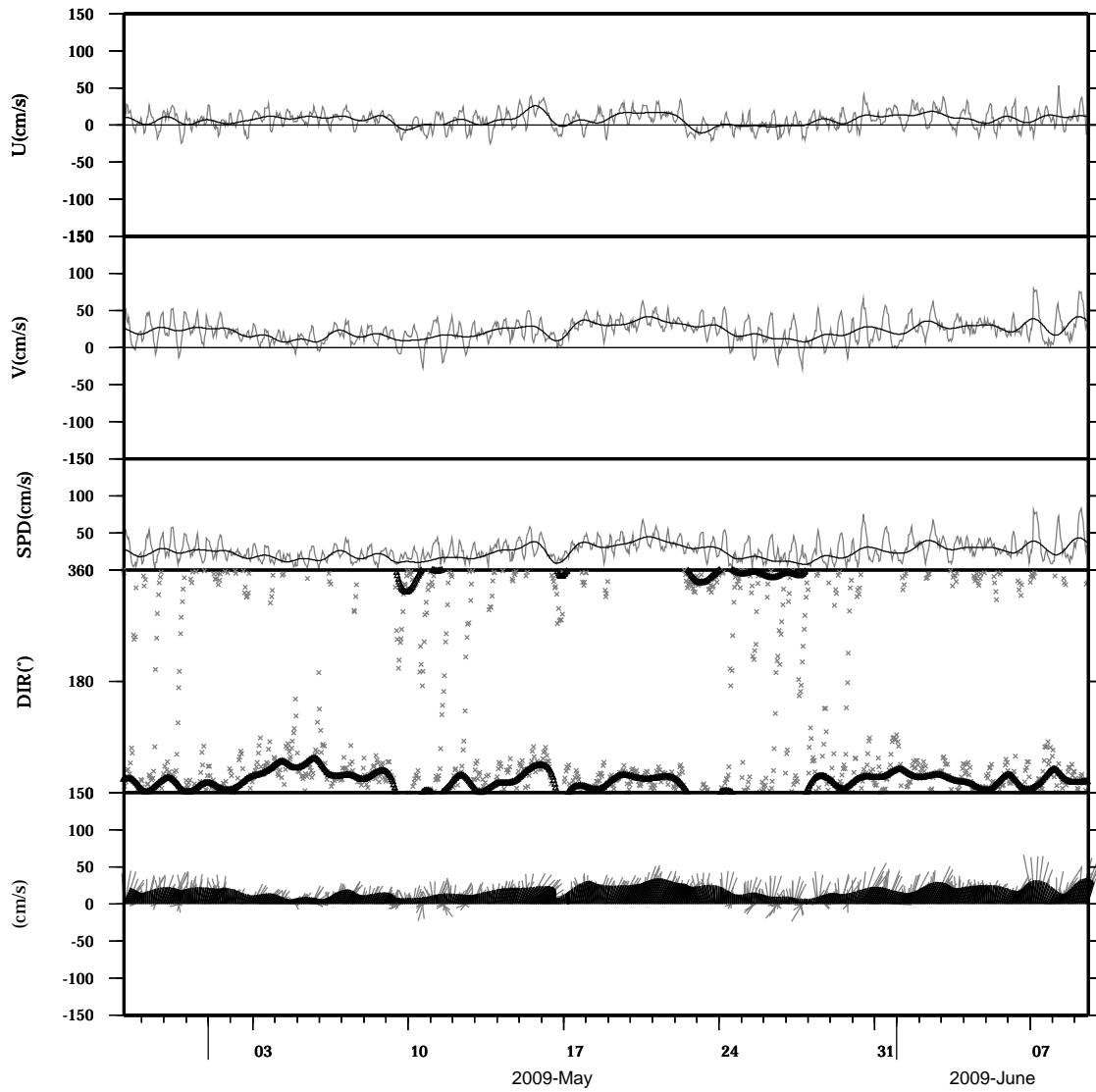


light line : The original data

heavy line : The 36 hours low-pass filtered data

Lon : 121° 21.83' E
Lat : 22° 40.0133' N

Station : W204
Depth : 258 M

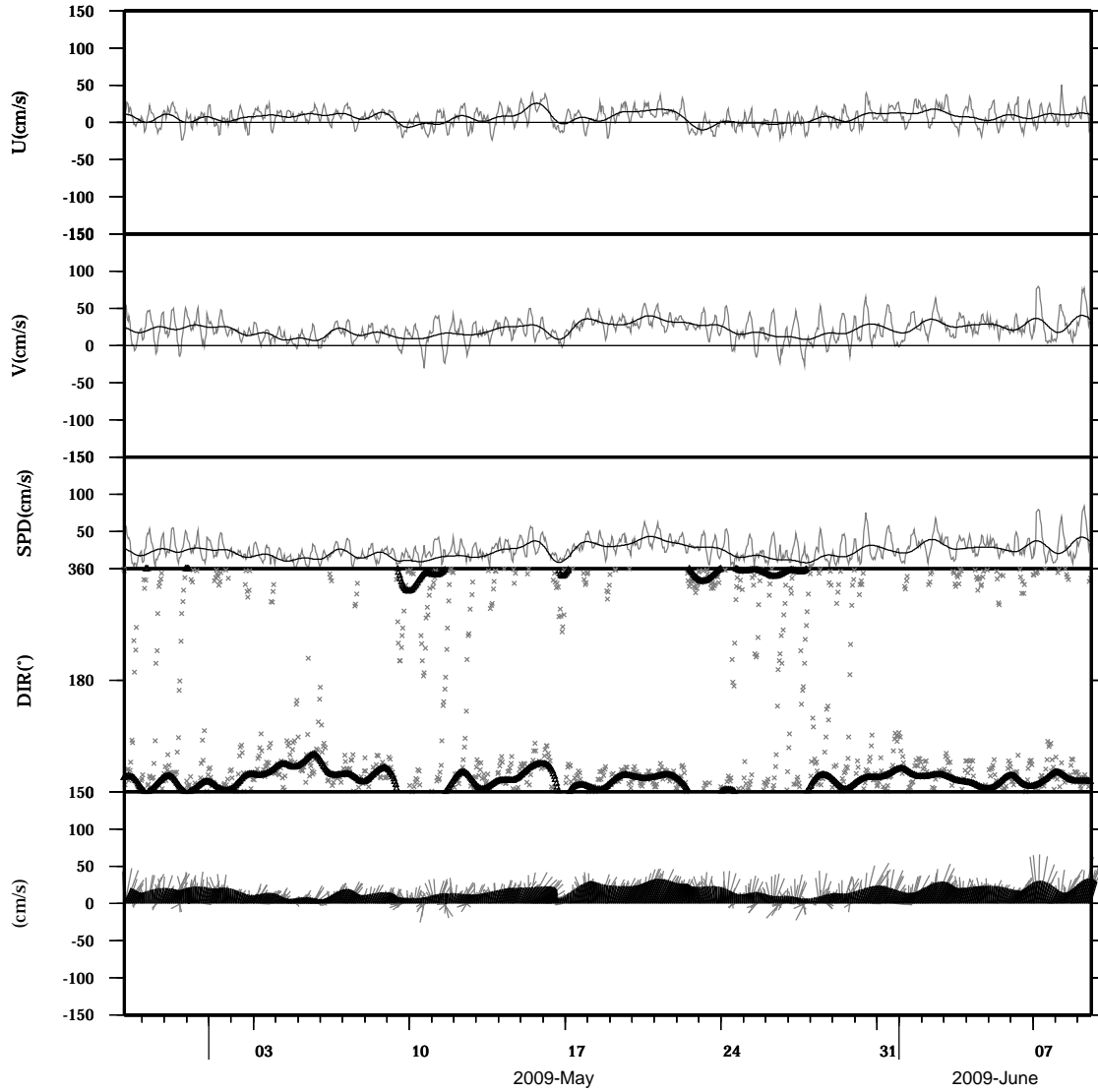


light line : The original data

heavy line : The 36 hours low-pass filtered data

Lon : 121° 21.83' E
Lat : 22° 40.0133' N

Station : W204
Depth : 262 M

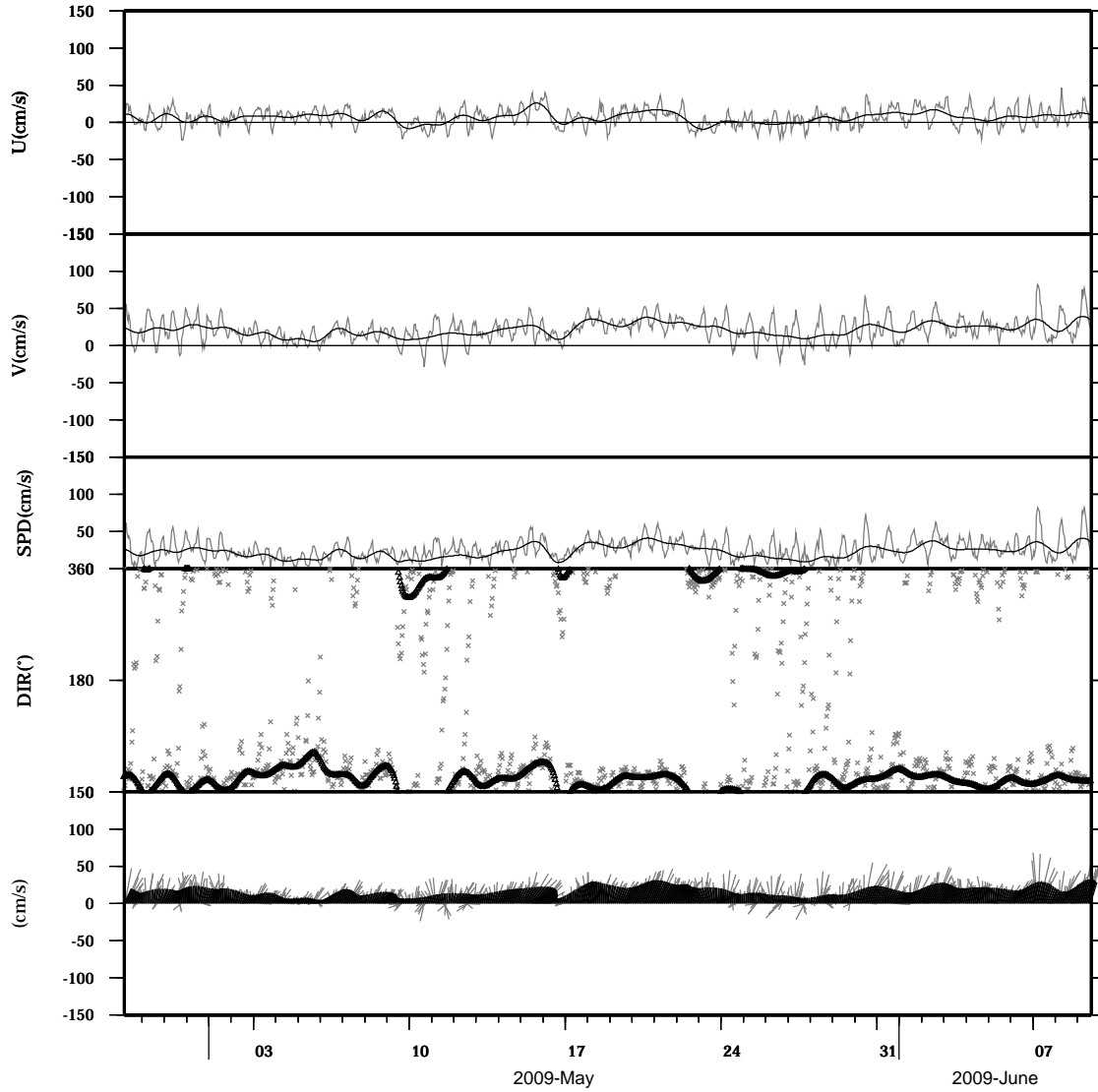


light line : The original data

heavy line : The 36 hours low-pass filtered data

Lon : 121° 21.83' E
Lat : 22° 40.0133' N

Station : W204
Depth : 266 M

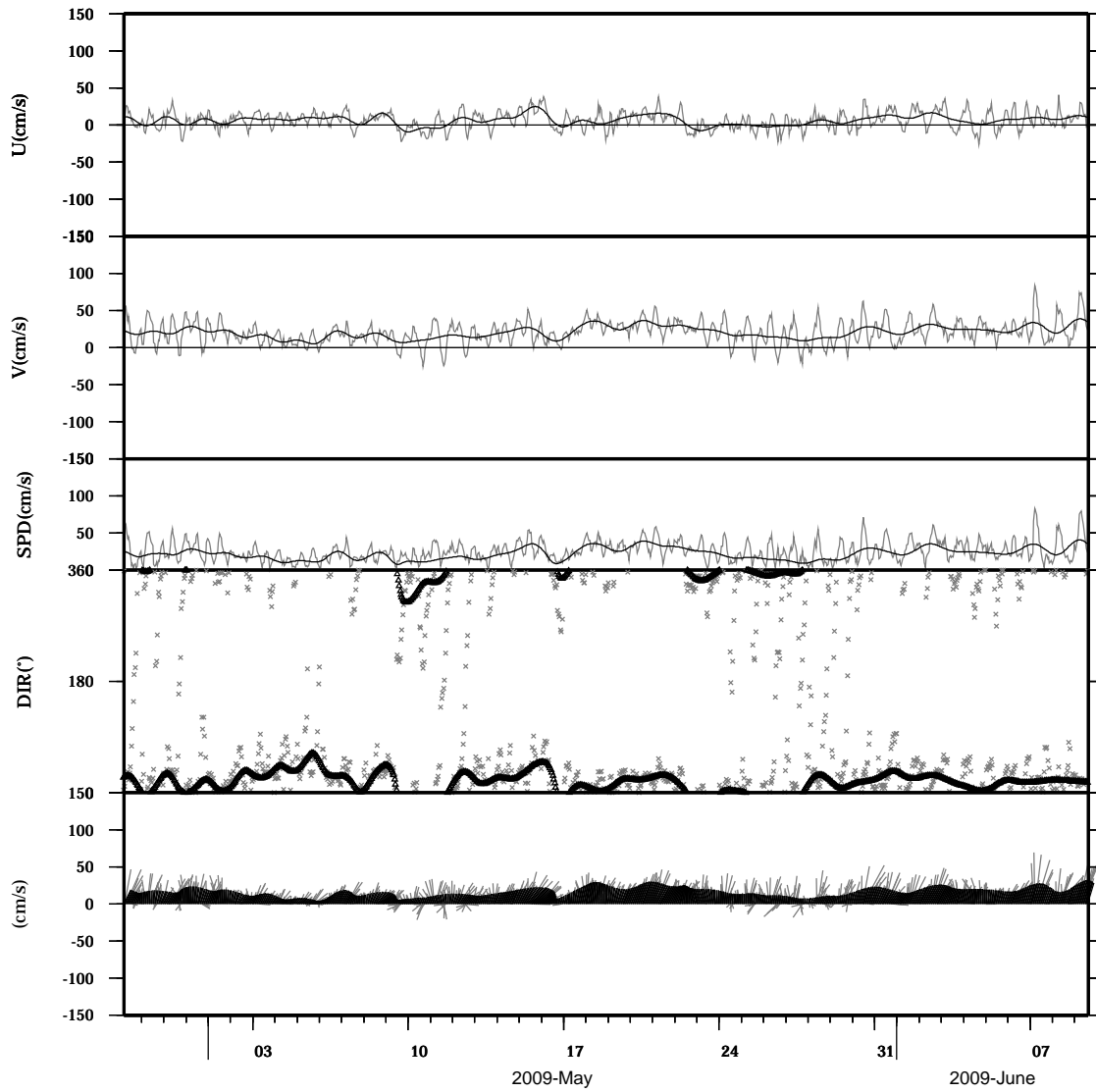


light line : The original data

heavy line : The 36 hours low-pass filtered data

Lon : 121° 21.83' E
Lat : 22° 40.0133' N

Station : W204
Depth : 270 M

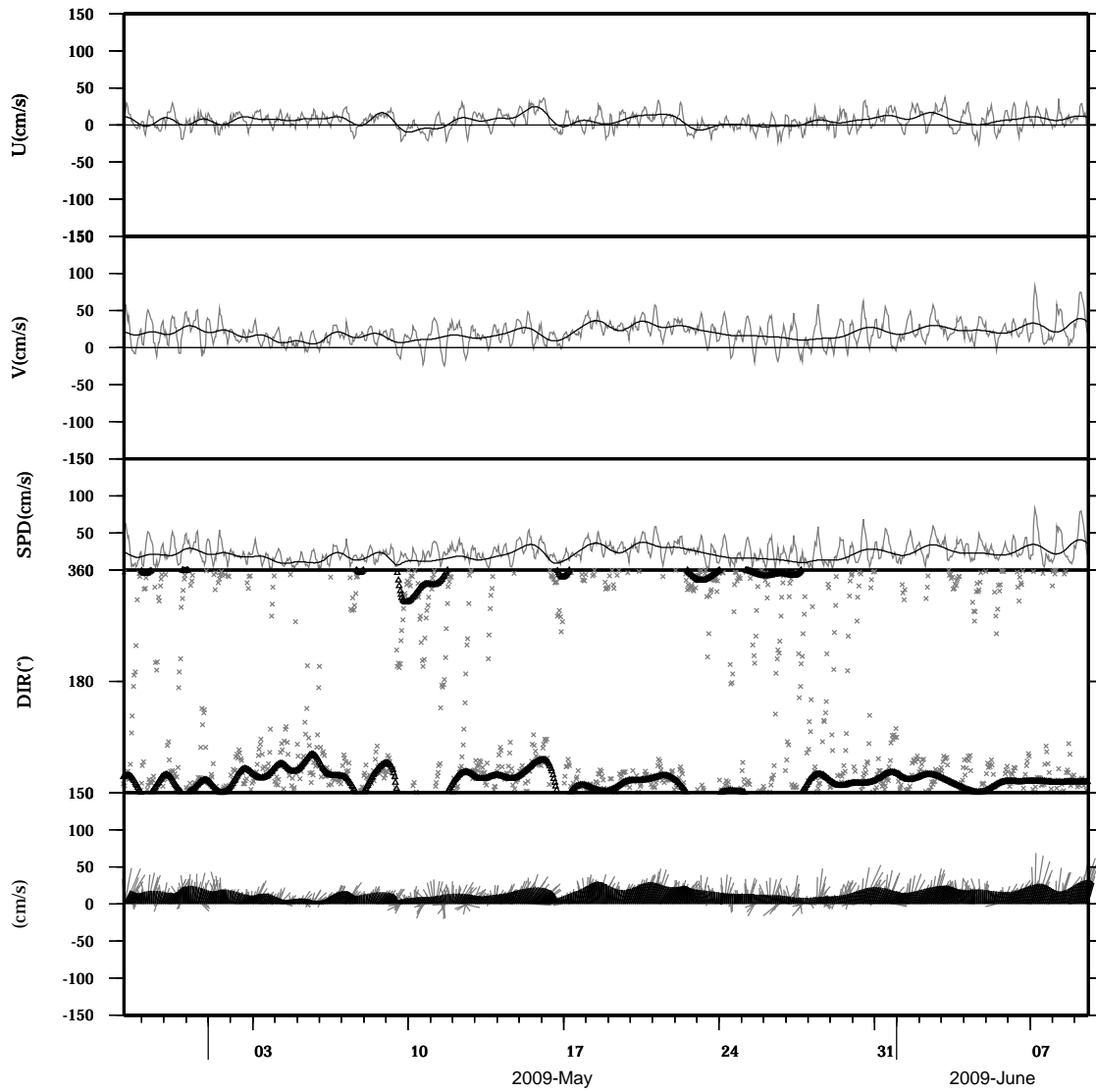


light line : The original data

heavy line : The 36 hours low-pass filtered data

Lon : 121° 21.83' E
Lat : 22° 40.0133' N

Station : W204
Depth : 274 M

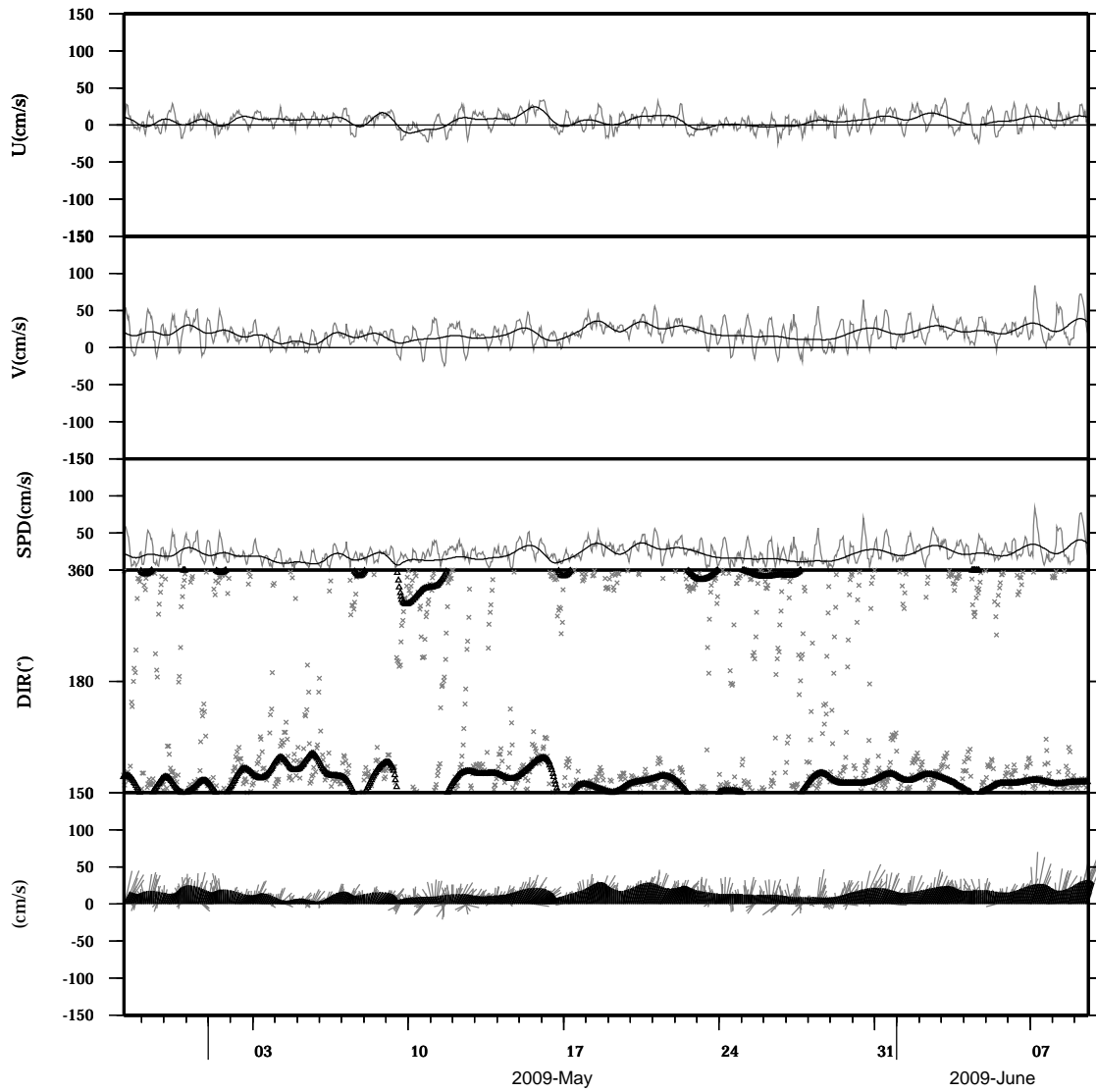


light line : The original data

heavy line : The 36 hours low-pass filtered data

Lon : 121° 21.83' E
Lat : 22° 40.0133' N

Station : W204
Depth : 278 M

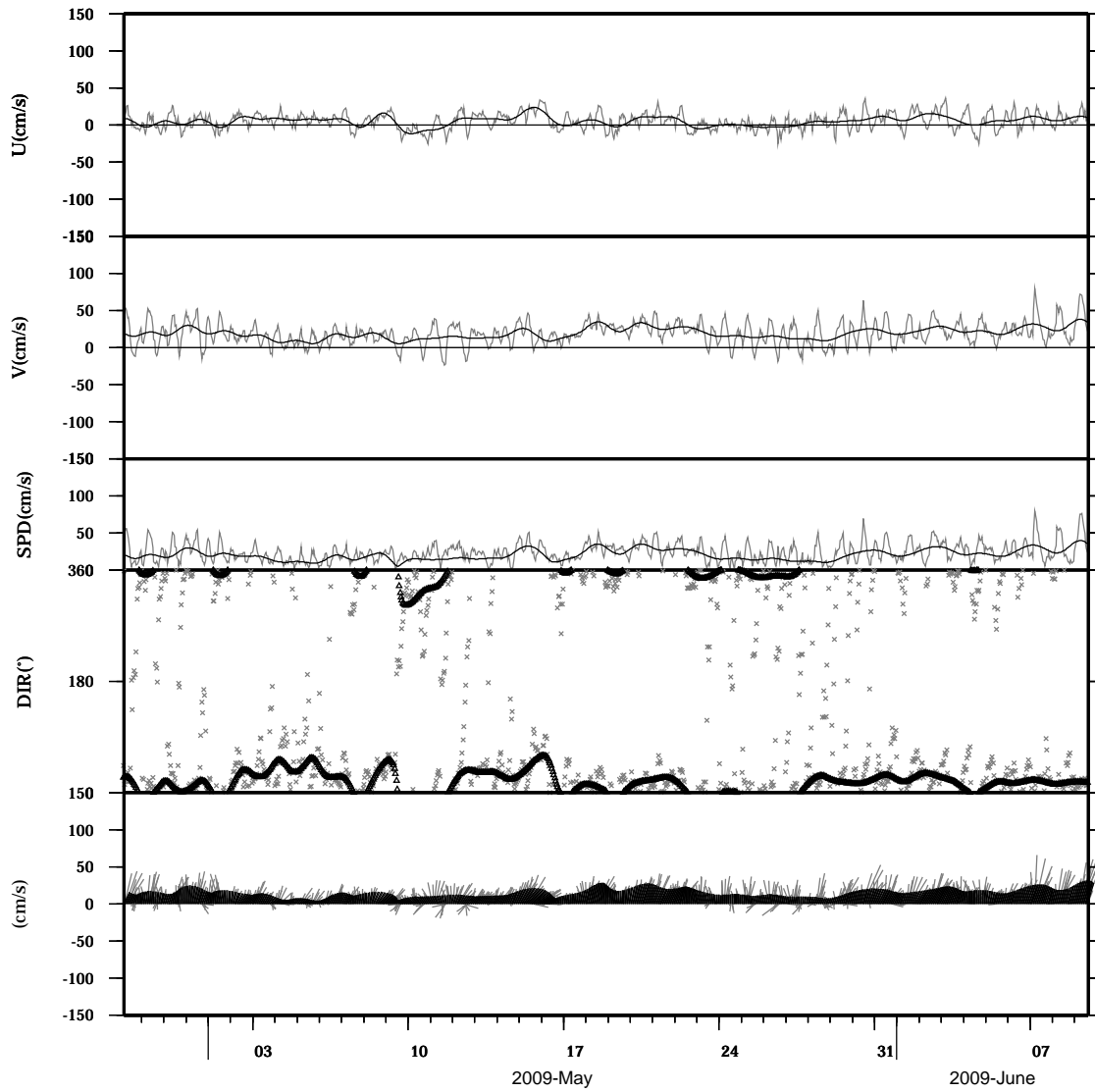


light line : The original data

heavy line : The 36 hours low-pass filtered data

Lon : 121° 21.83' E
Lat : 22° 40.0133' N

Station : W204
Depth : 282 M

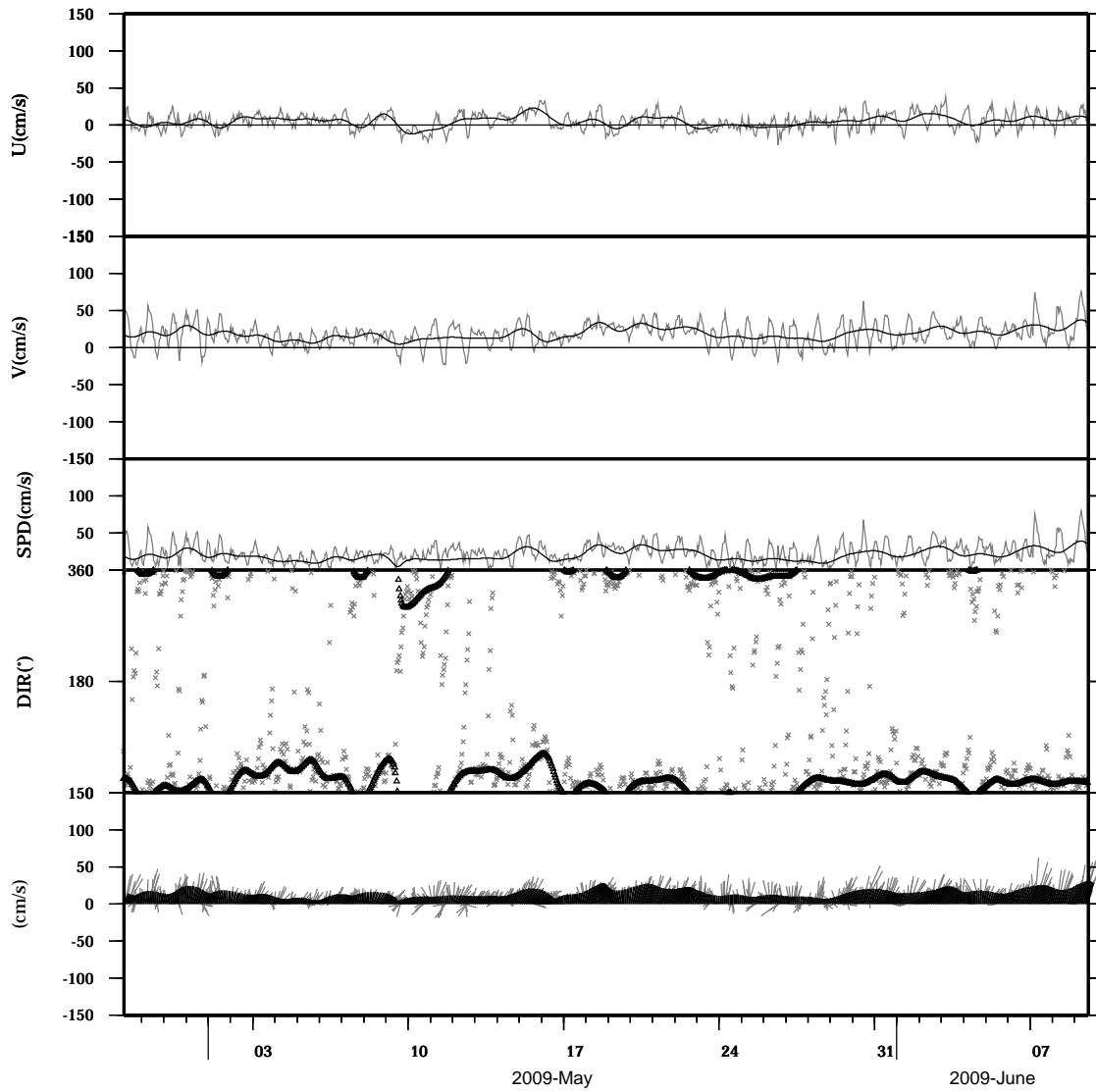


light line : The original data

heavy line : The 36 hours low-pass filtered data

Lon : 121° 21.83' E
Lat : 22° 40.0133' N

Station : W204
Depth : 286 M

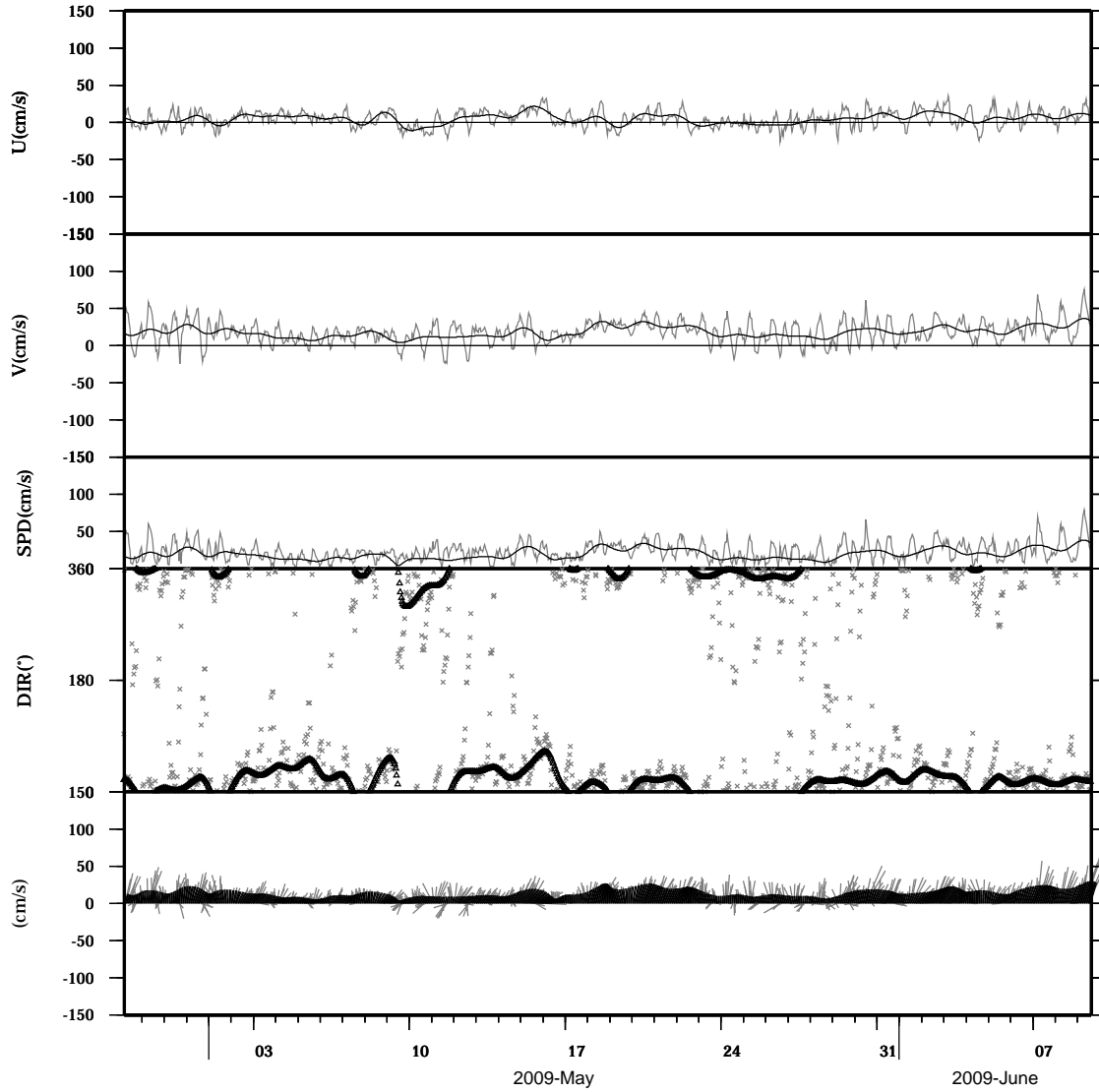


light line : The original data

heavy line : The 36 hours low-pass filtered data

Lon : 121° 21.83' E
Lat : 22° 40.0133' N

Station : W204
Depth : 290 M

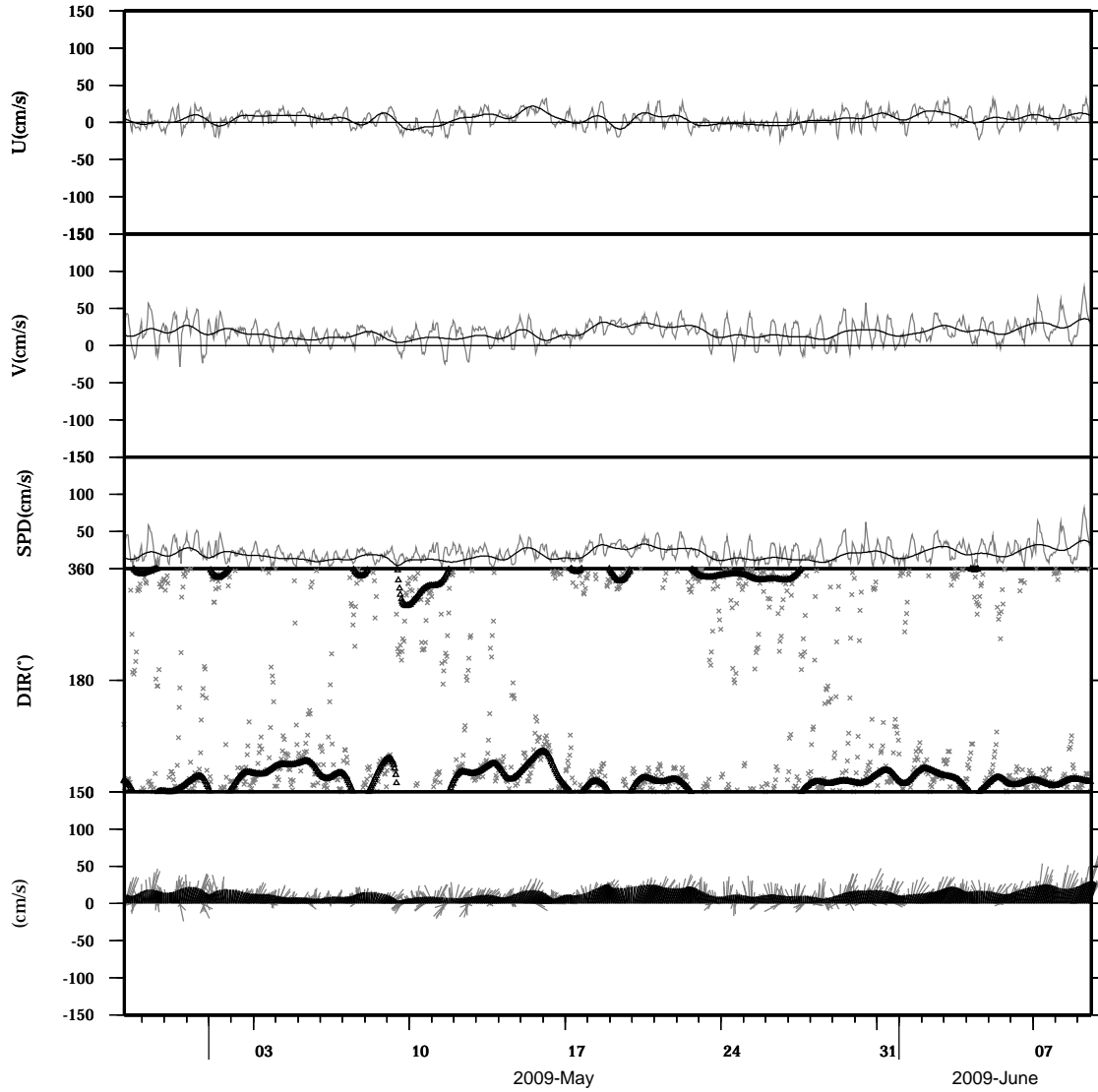


light line : The original data

heavy line : The 36 hours low-pass filtered data

Lon : 121° 21.83' E
Lat : 22° 40.0133' N

Station : W204
Depth : 294 M

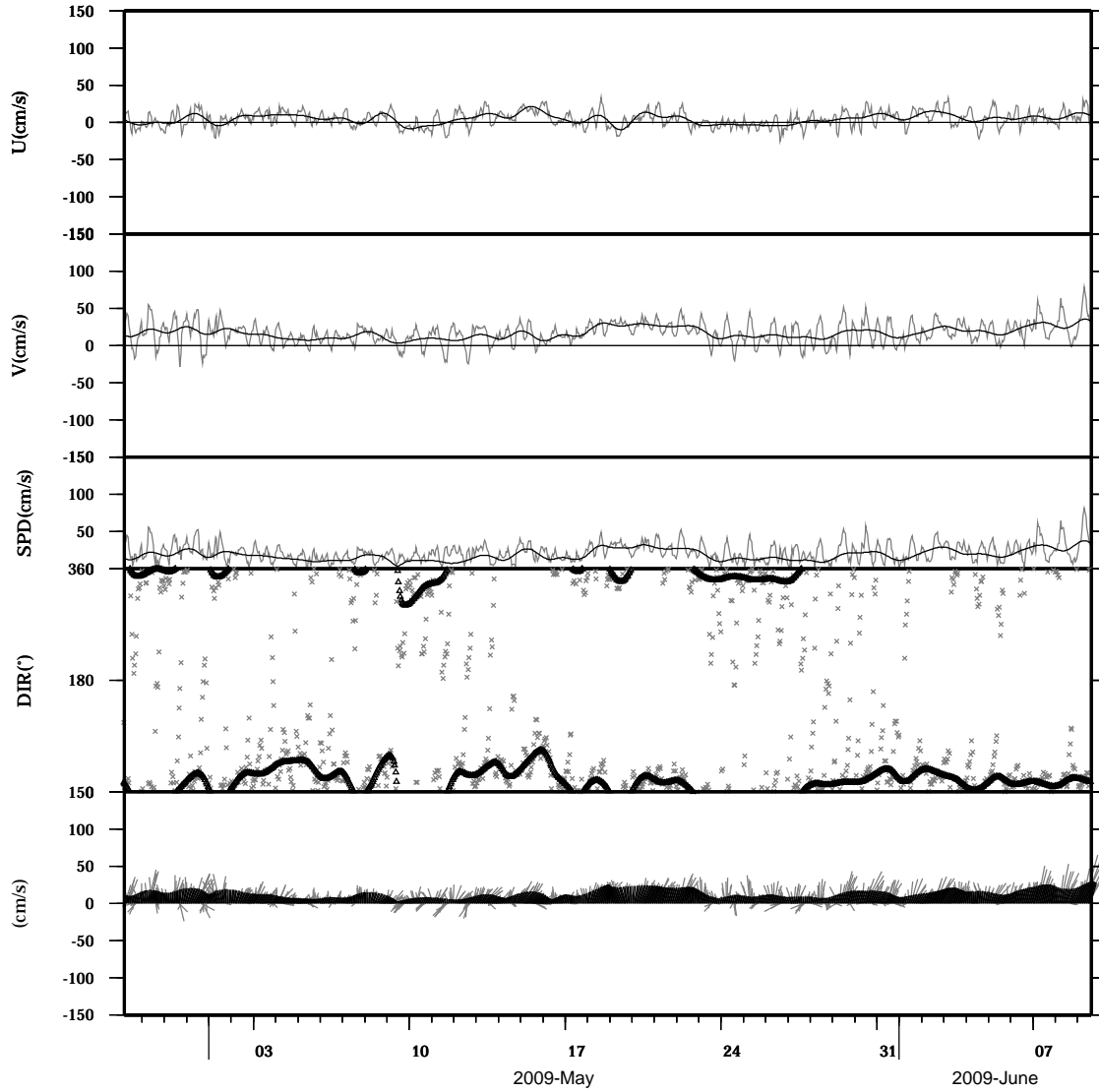


light line : The original data

heavy line : The 36 hours low-pass filtered data

Lon : 121° 21.83' E
Lat : 22° 40.0133' N

Station : W204
Depth : 298 M

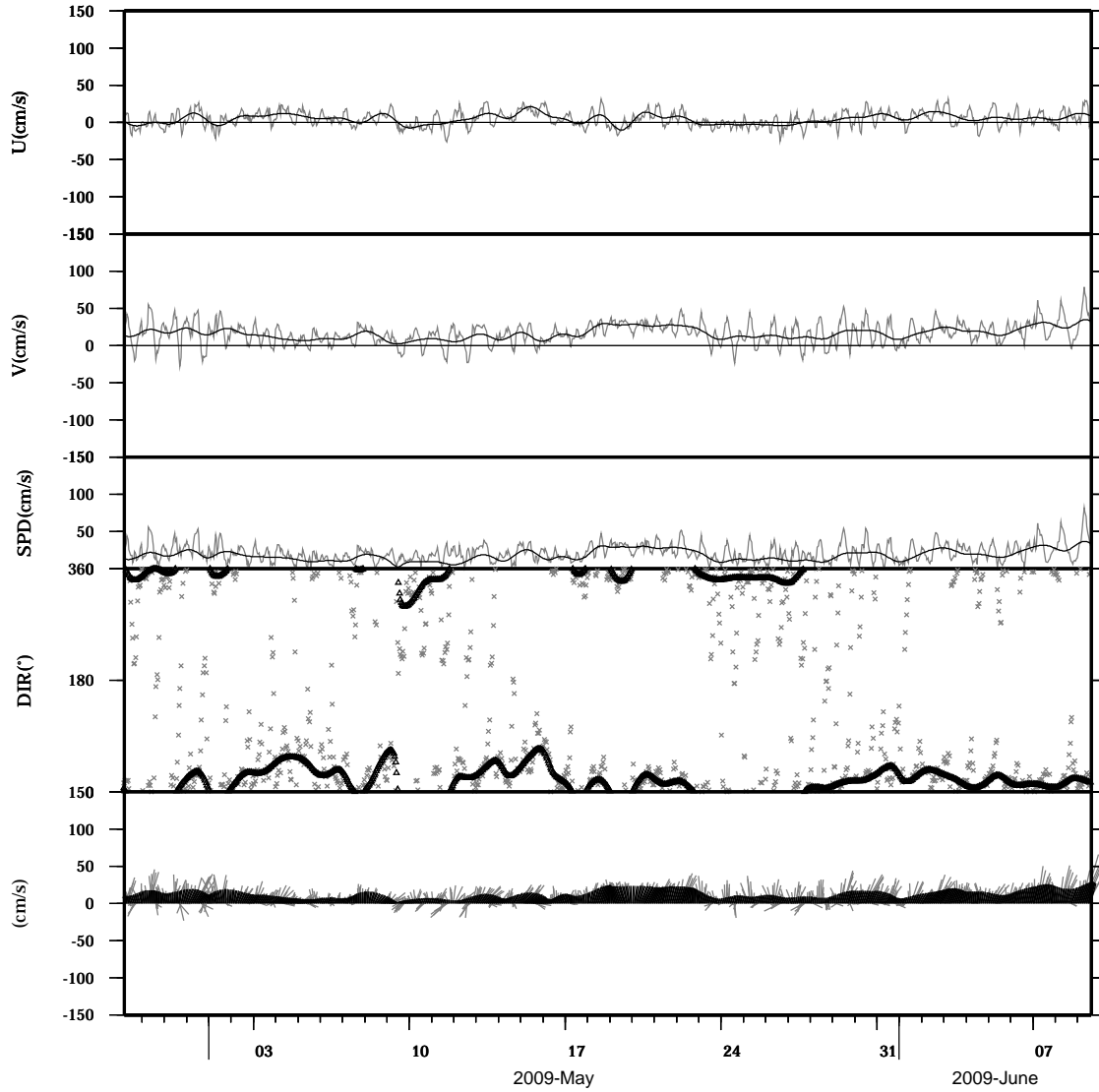


light line : The original data

heavy line : The 36 hours low-pass filtered data

Lon : 121° 21.83' E
Lat : 22° 40.0133' N

Station : W204
Depth : 302 M

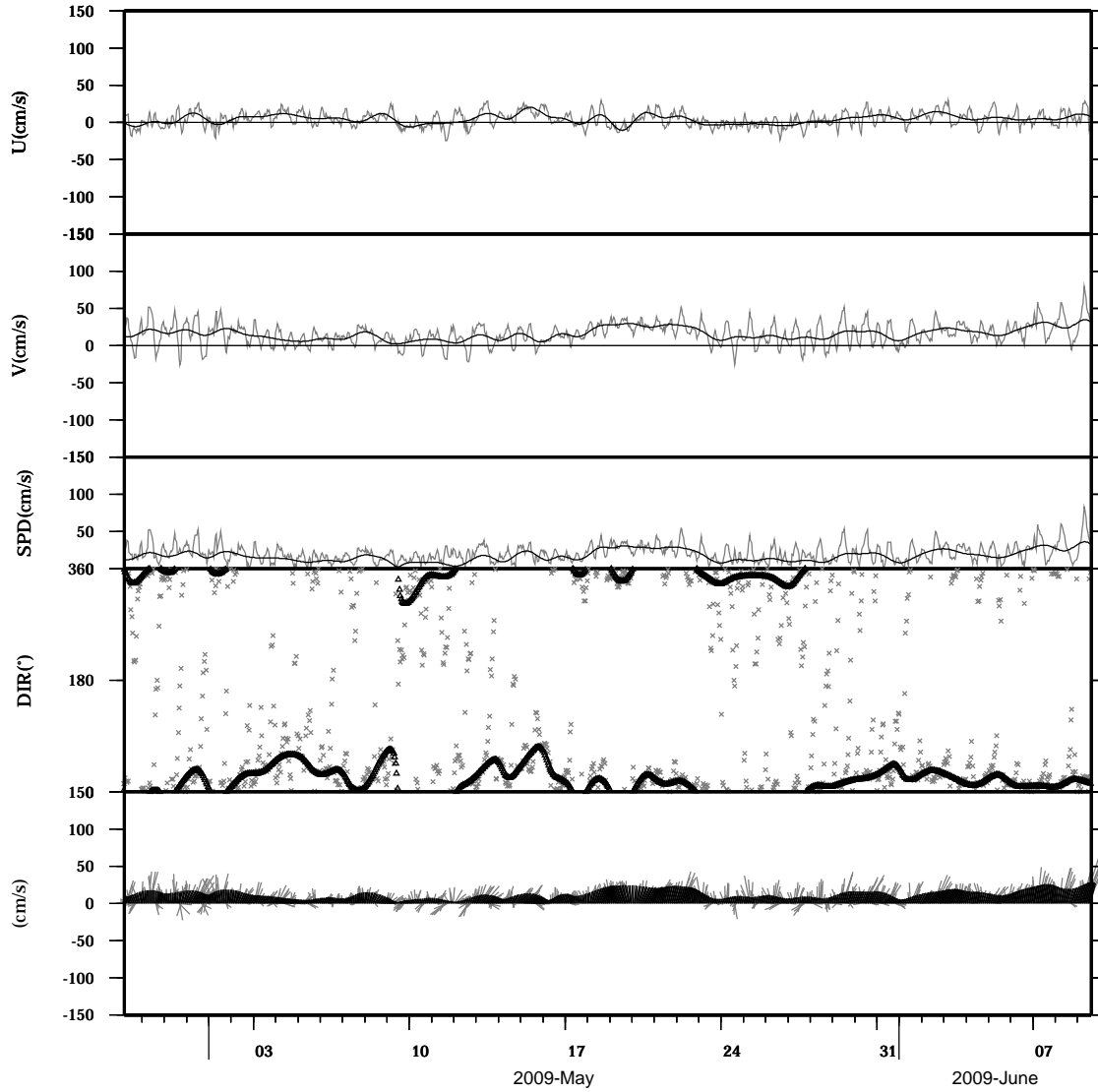


light line : The original data

heavy line : The 36 hours low-pass filtered data

Lon : 121° 21.83' E
Lat : 22° 40.0133' N

Station : W204
Depth : 306 M

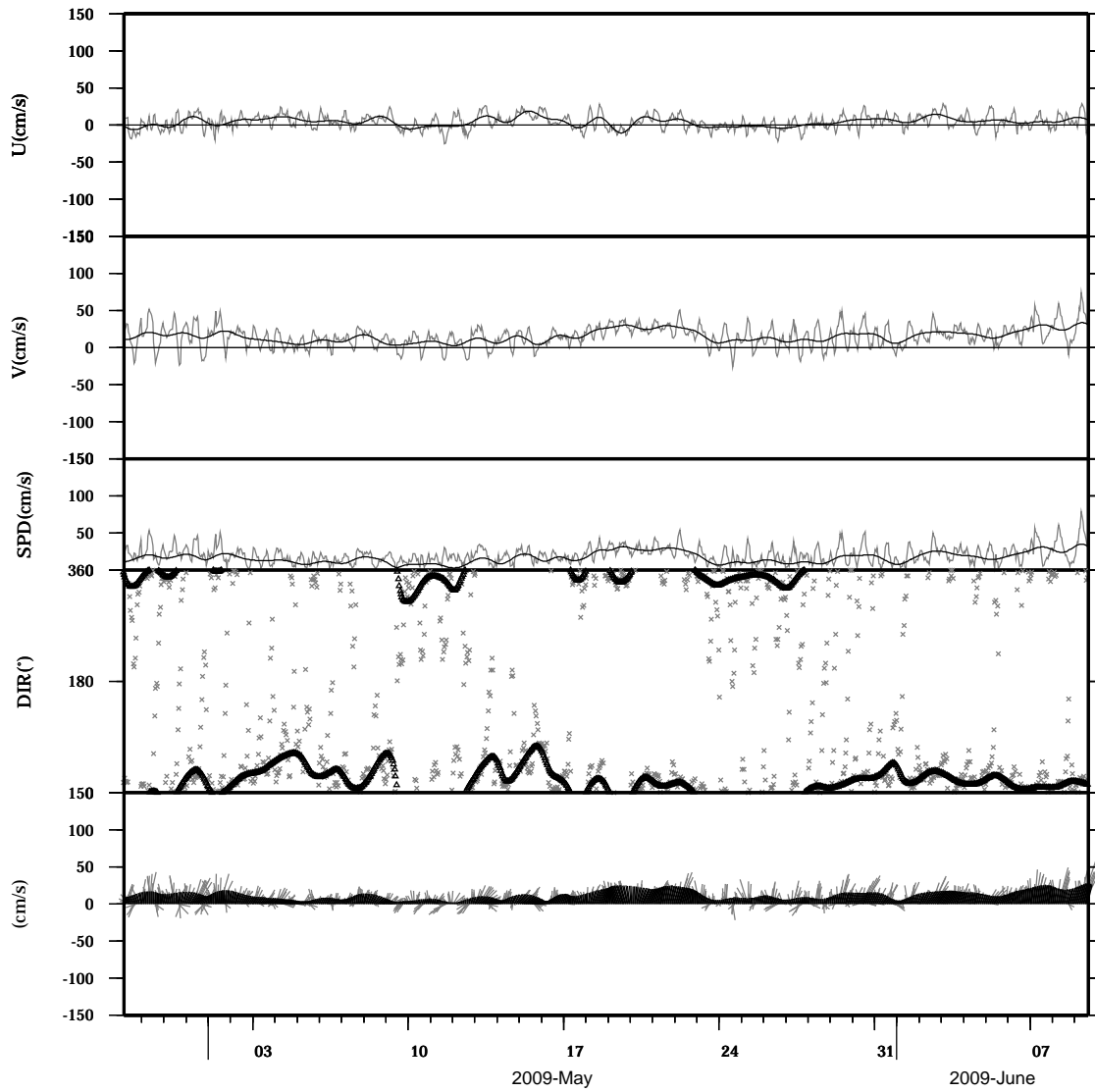


light line : The original data

heavy line : The 36 hours low-pass filtered data

Lon : 121° 21.83' E
Lat : 22° 40.0133' N

Station : W204
Depth : 310 M



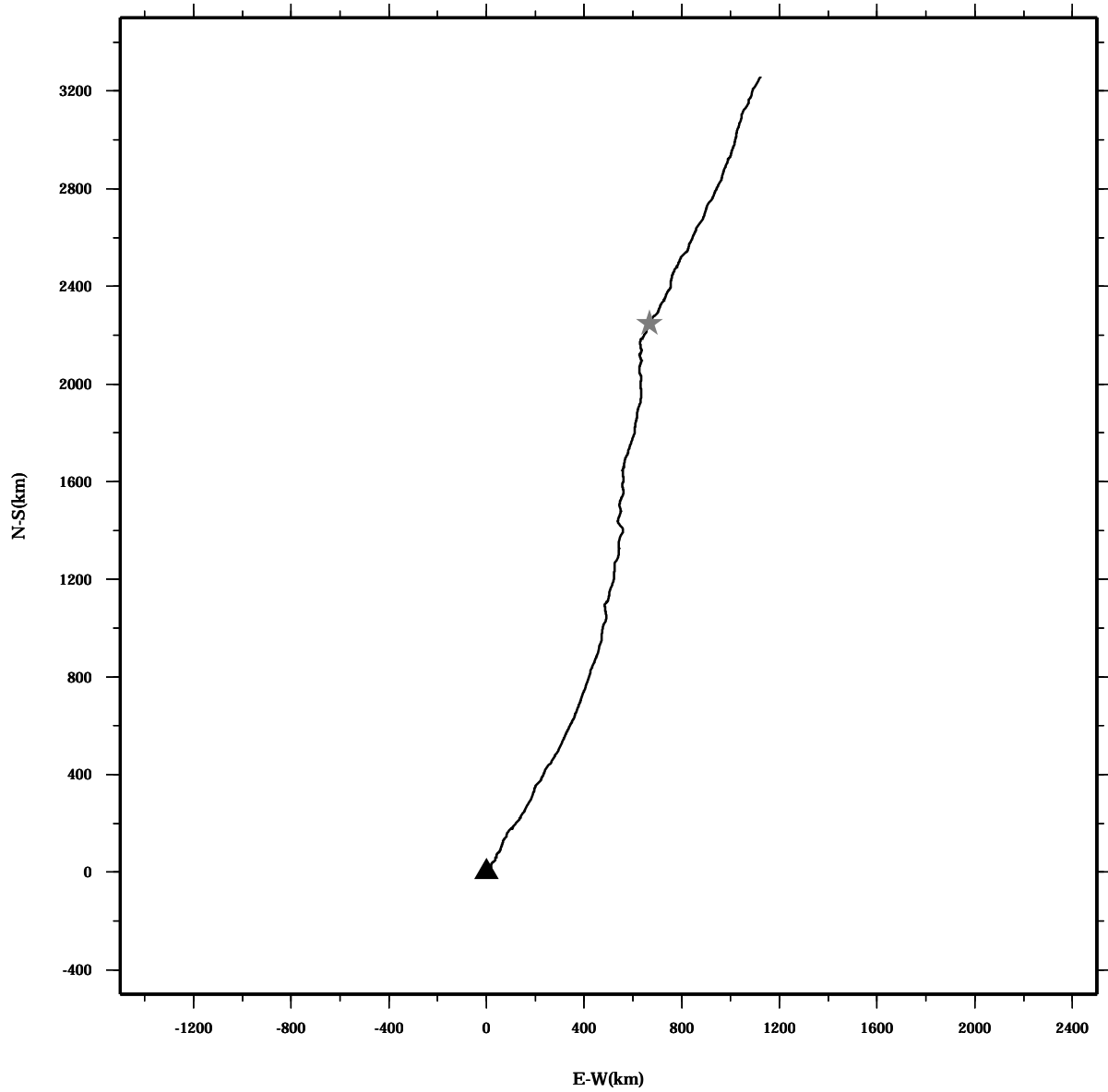
light line : The original data

heavy line : The 36 hours low-pass filtered data

Lon: 121° 21.83' E
Lat: 22° 40.0133' N

Station: W204
Depth: 30 M

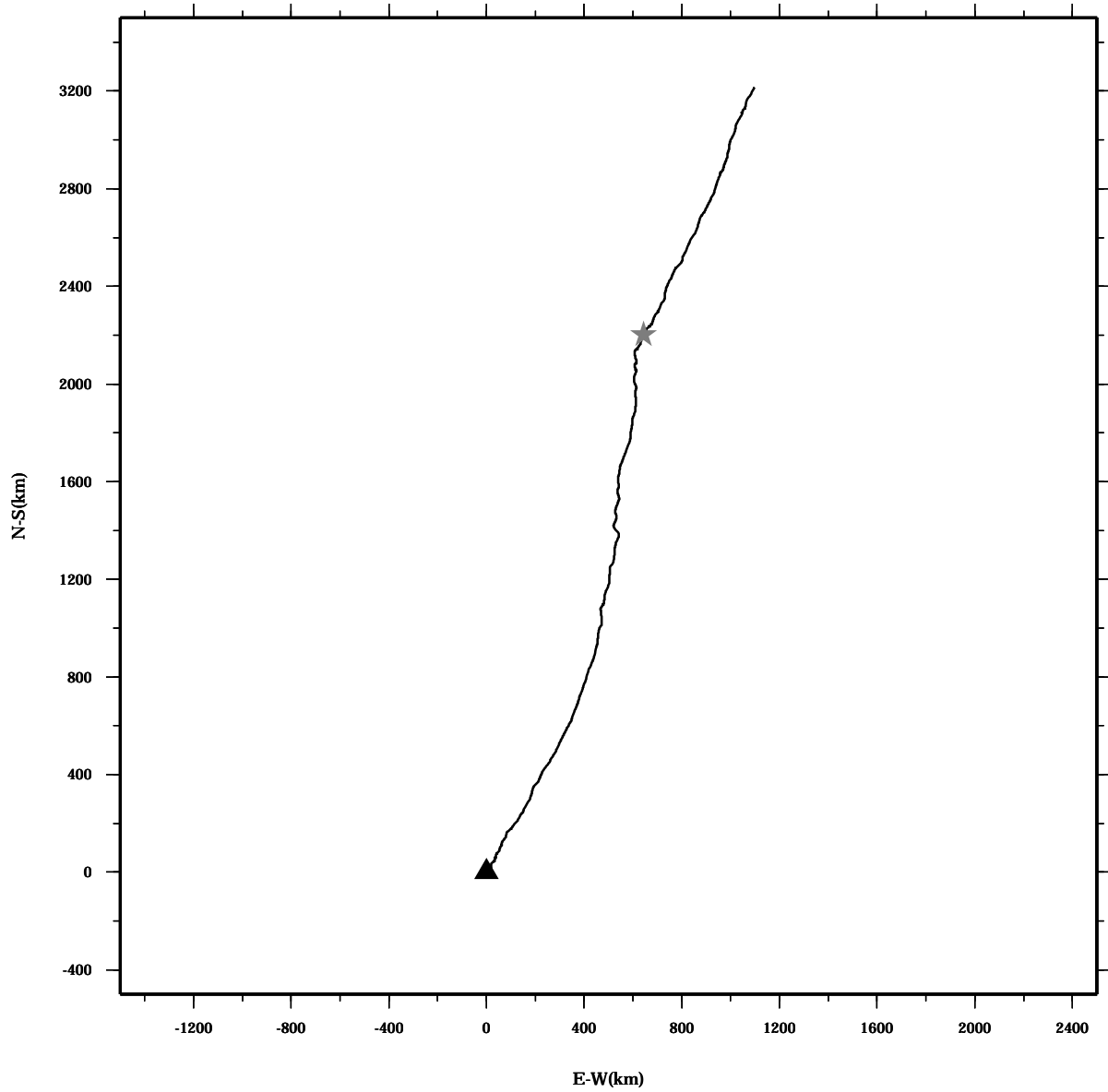
PROGRESSIVE VECTOR DIAGRAM



Lon: 121° 21.83' E
Lat: 22° 40.0133' N

Station: W204
Depth: 34 M

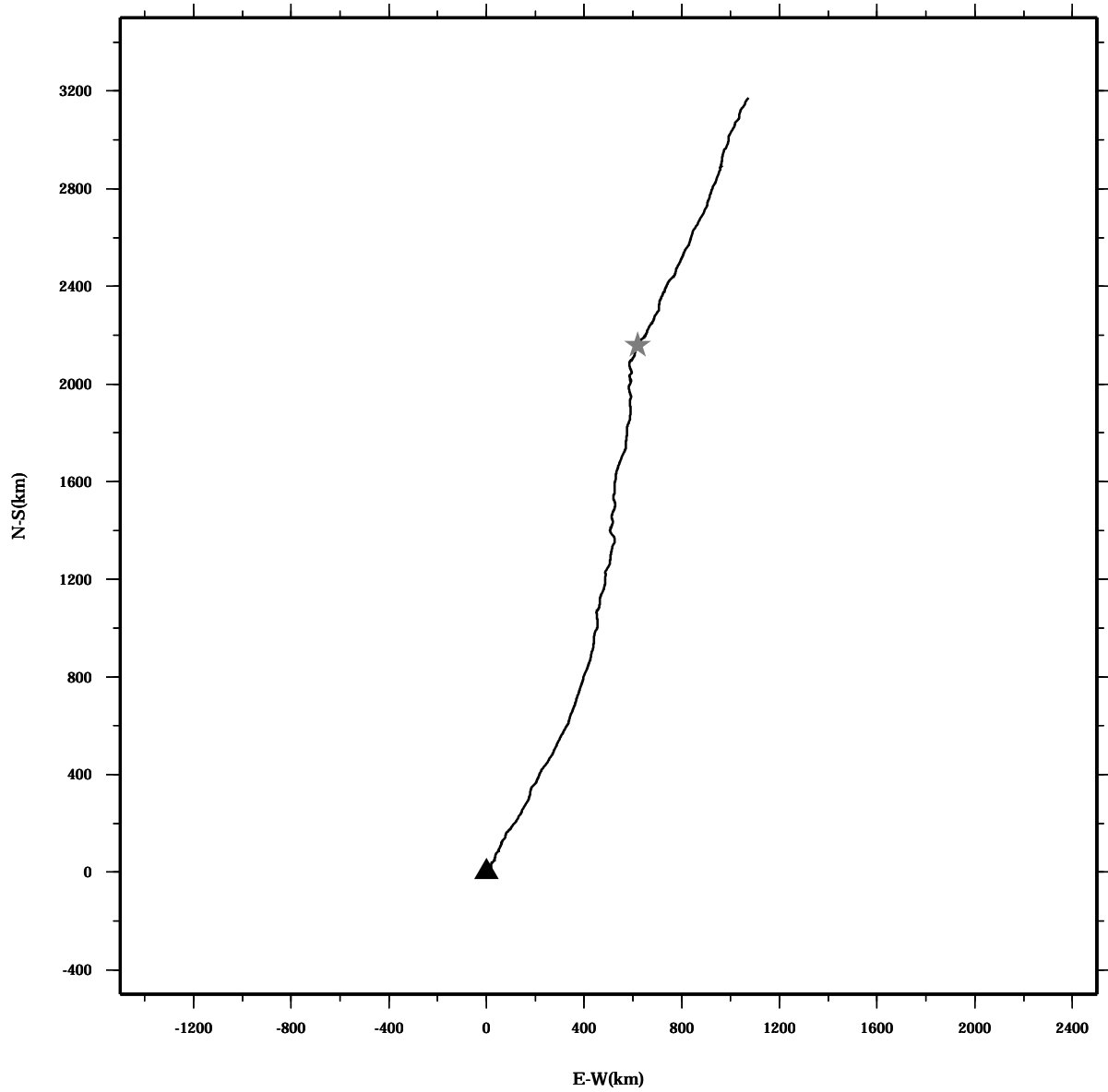
PROGRESSIVE VECTOR DIAGRAM



Lon: 121° 21.83' E
Lat: 22° 40.0133' N

Station: W204
Depth: 38 M

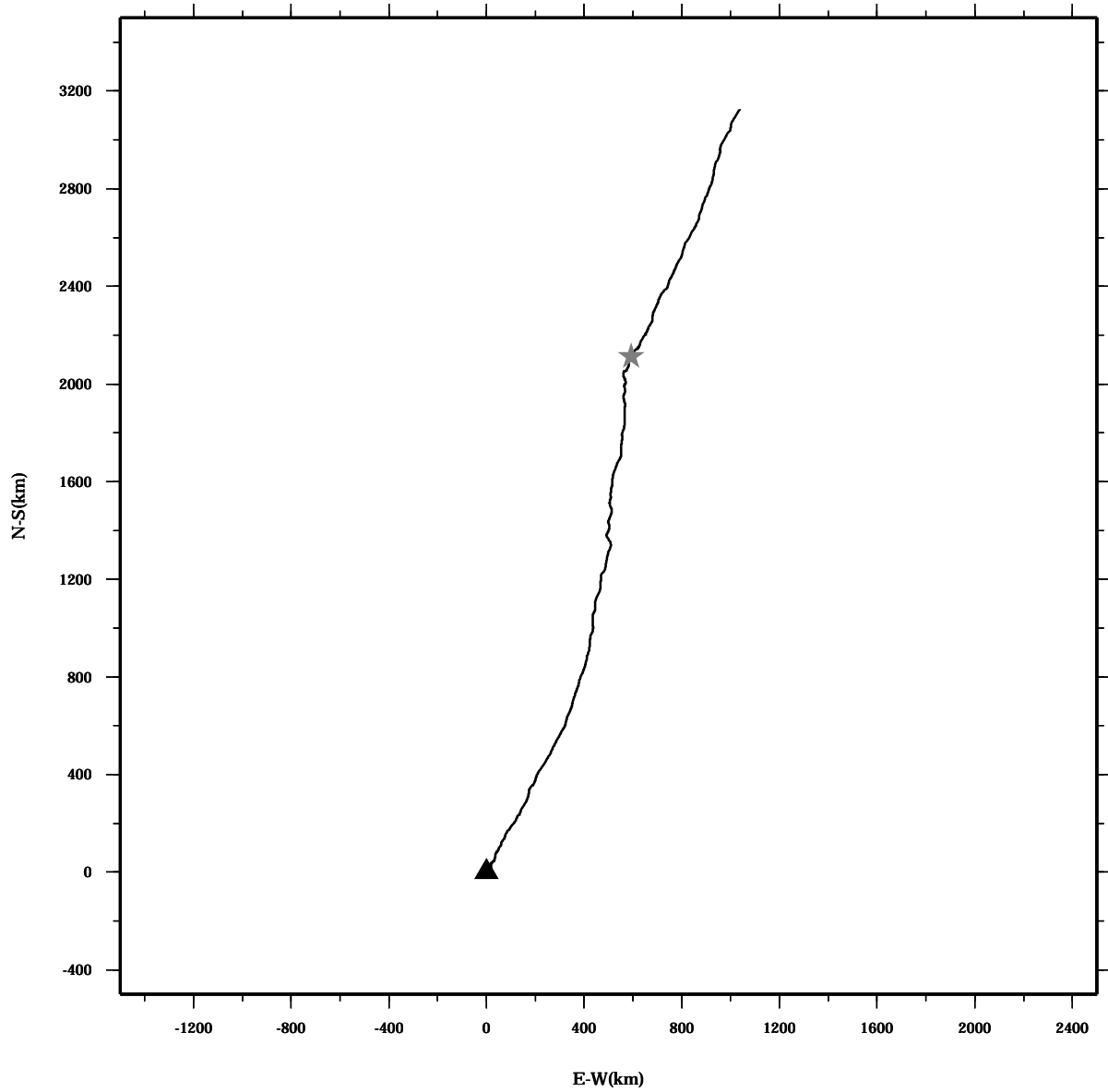
PROGRESSIVE VECTOR DIAGRAM



Lon: 121° 21.83' E
Lat: 22° 40.0133' N

Station: W204
Depth: 42 M

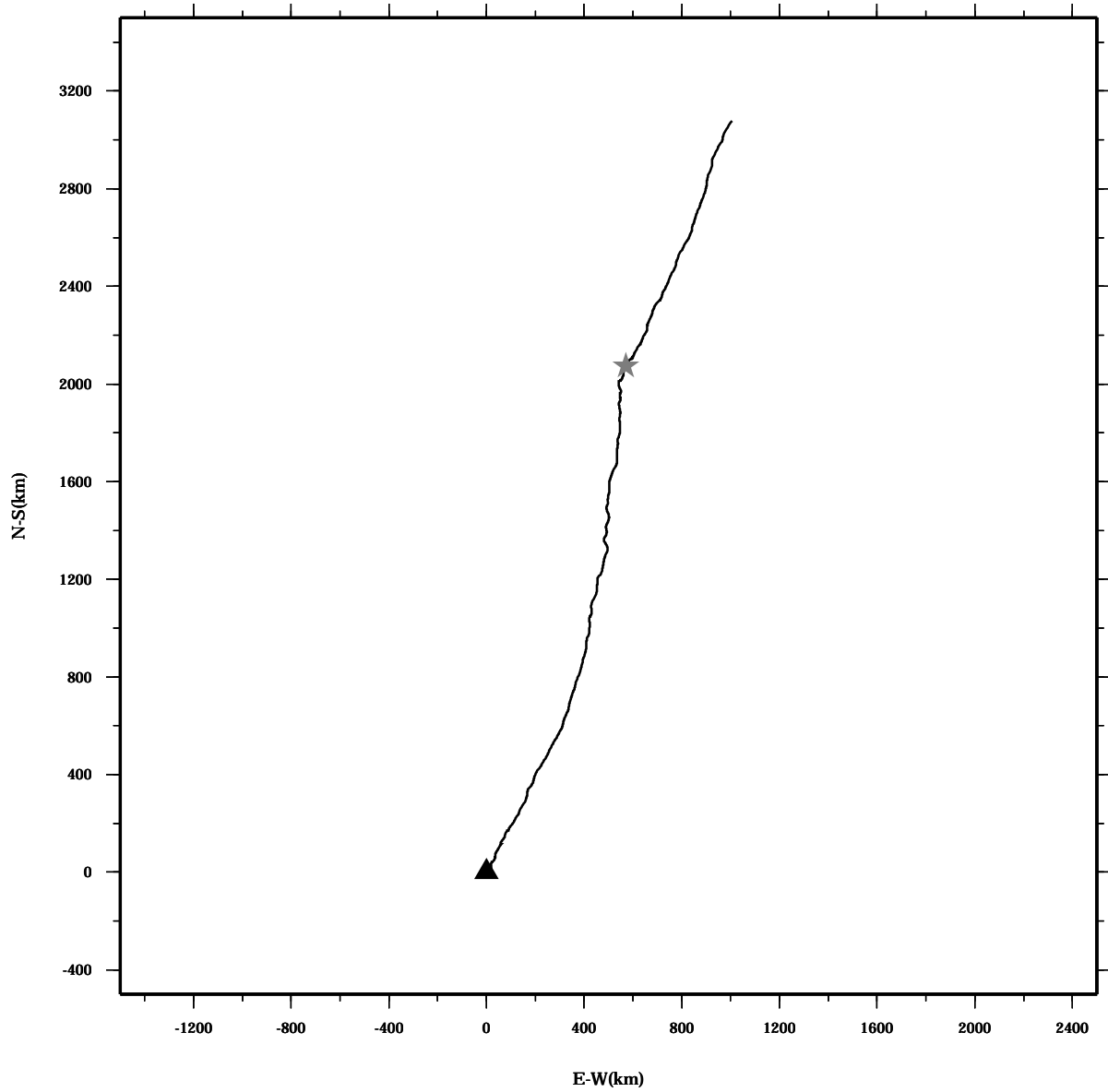
PROGRESSIVE VECTOR DIAGRAM



Lon: 121° 21.83' E
Lat: 22° 40.0133' N

Station: W204
Depth: 46 M

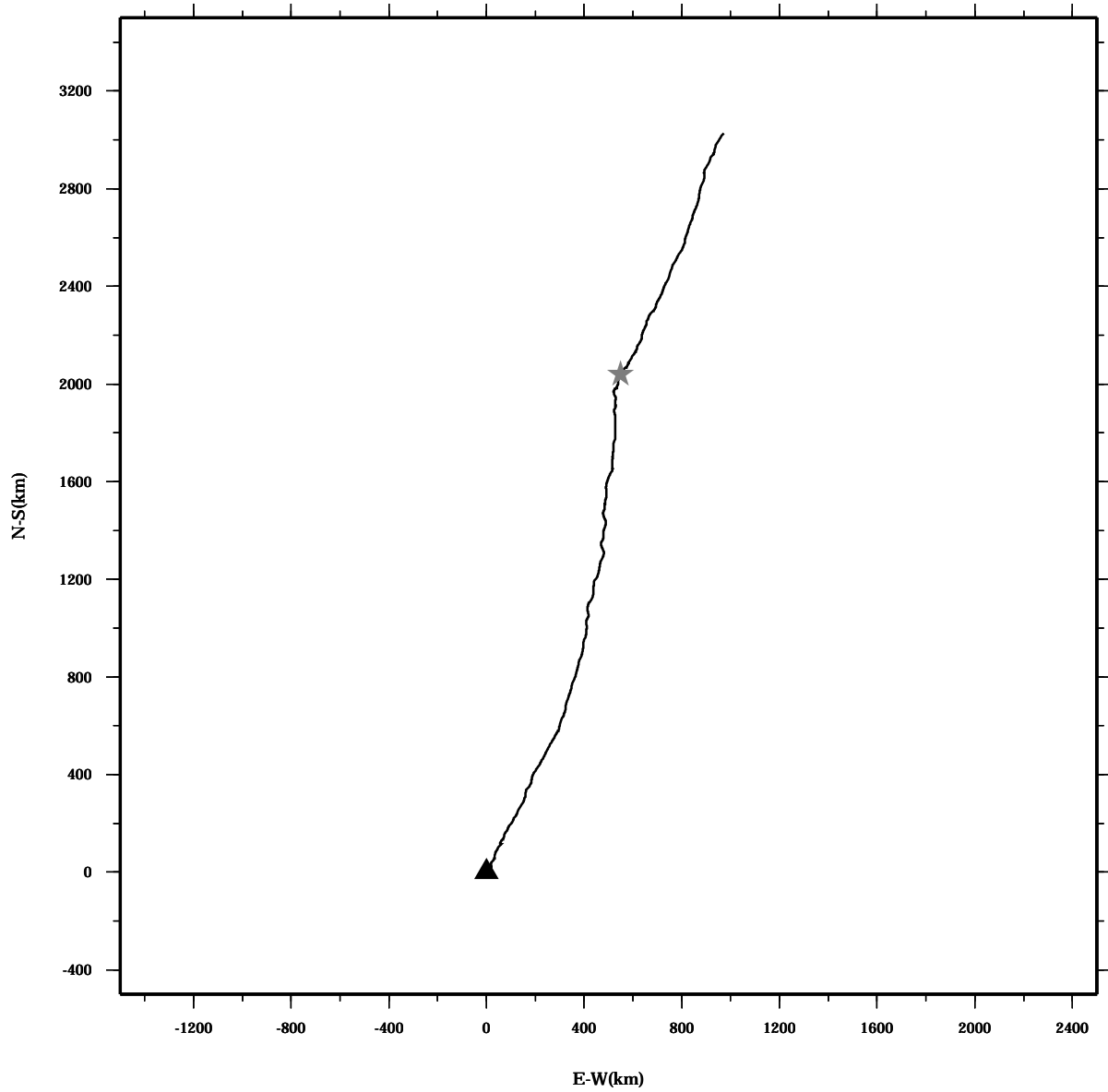
PROGRESSIVE VECTOR DIAGRAM



Lon: 121° 21.83' E
Lat: 22° 40.0133' N

Station: W204
Depth: 50 M

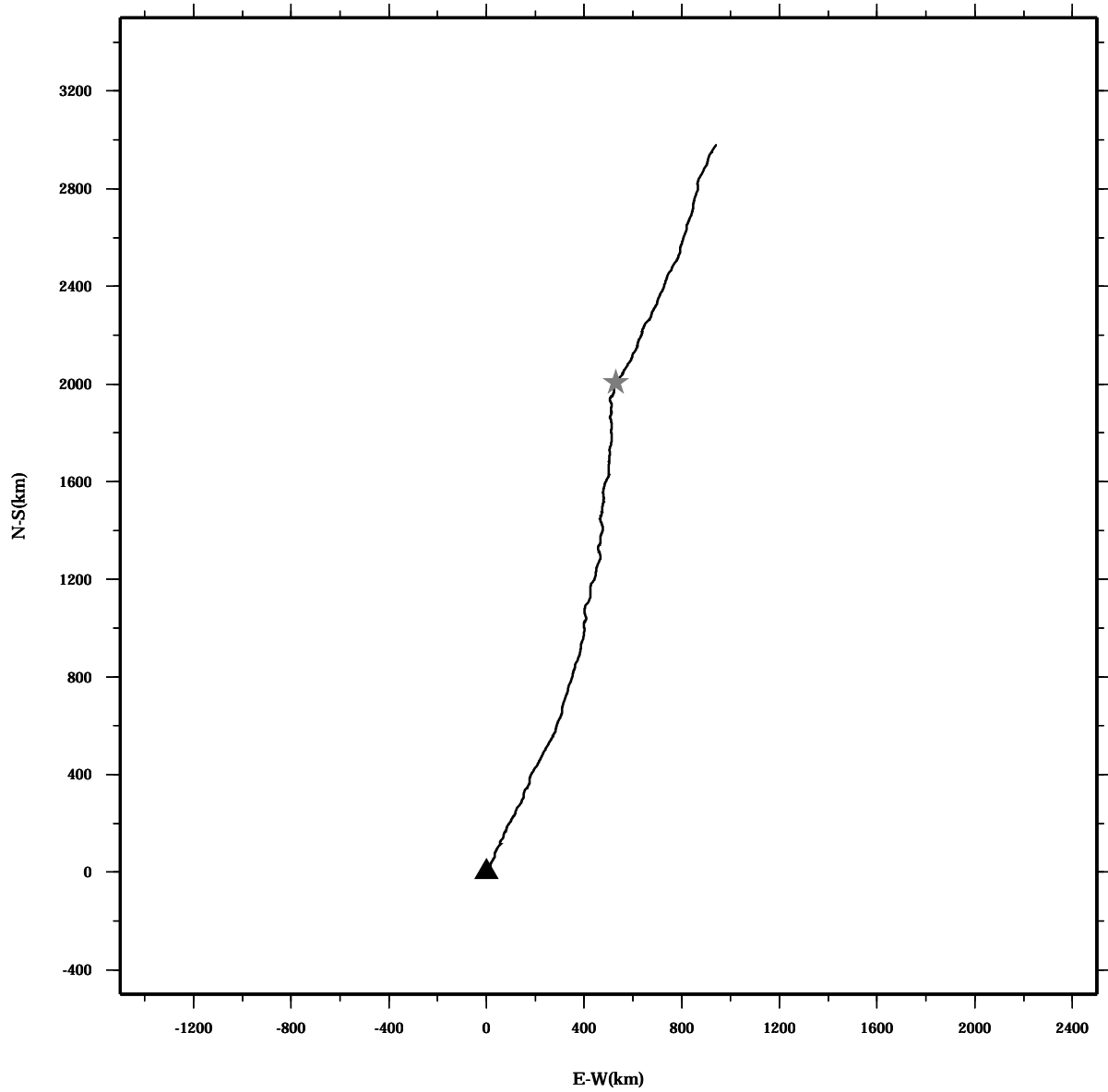
PROGRESSIVE VECTOR DIAGRAM



Lon: 121° 21.83' E
Lat: 22° 40.0133' N

Station: W204
Depth: 54 M

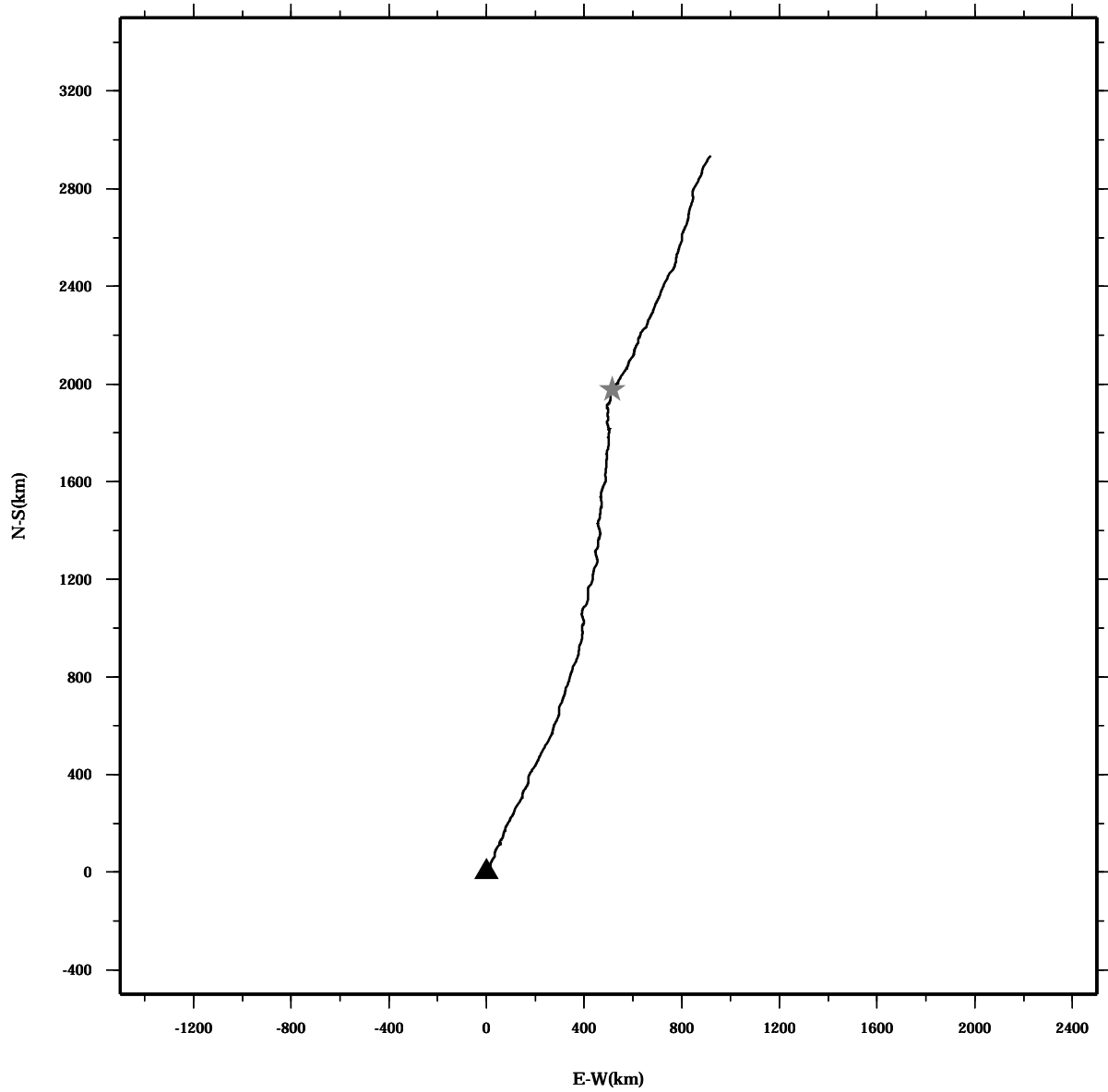
PROGRESSIVE VECTOR DIAGRAM



Lon: 121° 21.83' E
Lat: 22° 40.0133' N

Station: W204
Depth: 58 M

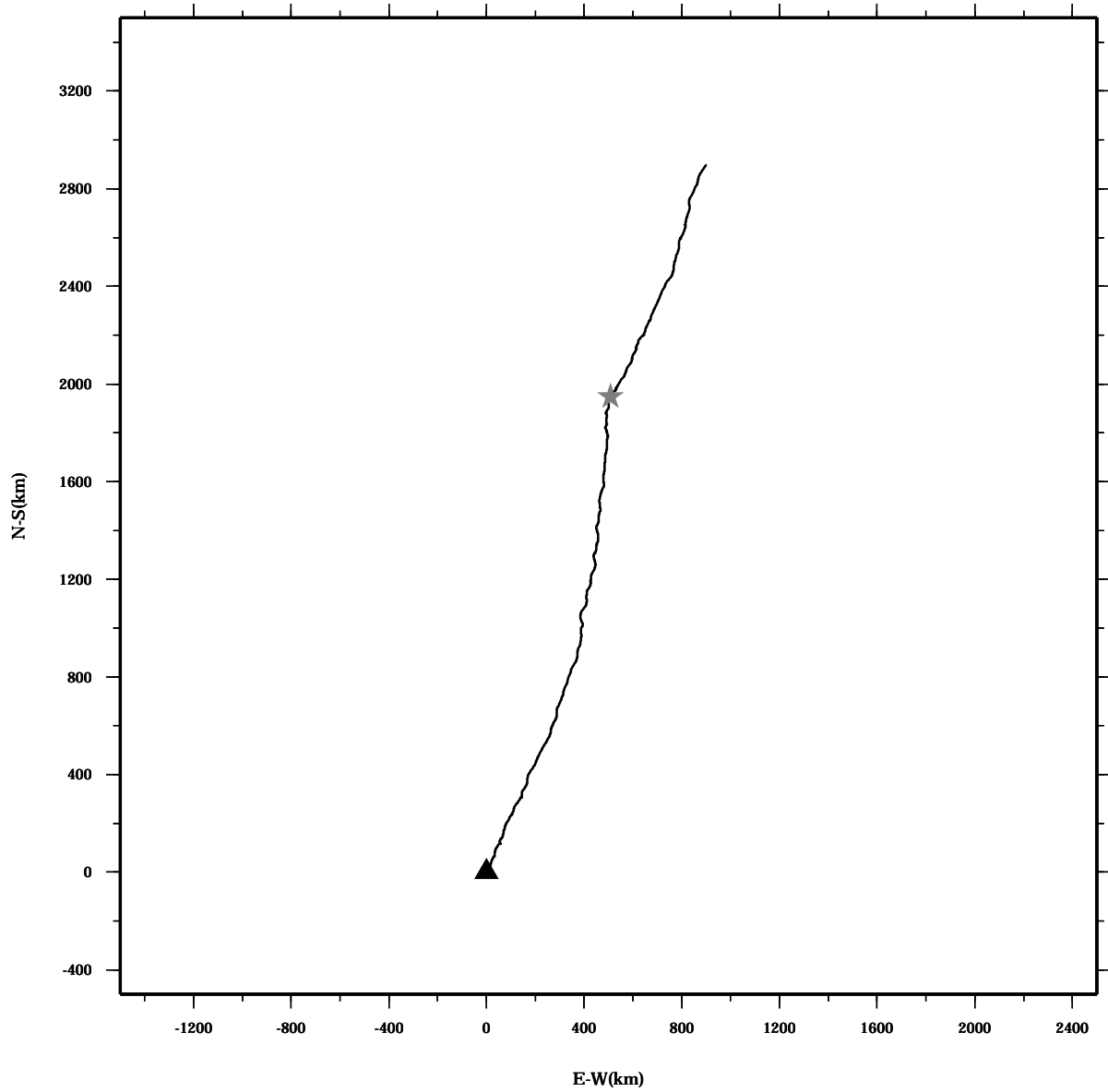
PROGRESSIVE VECTOR DIAGRAM



Lon: 121° 21.83' E
Lat: 22° 40.0133' N

Station: W204
Depth: 62 M

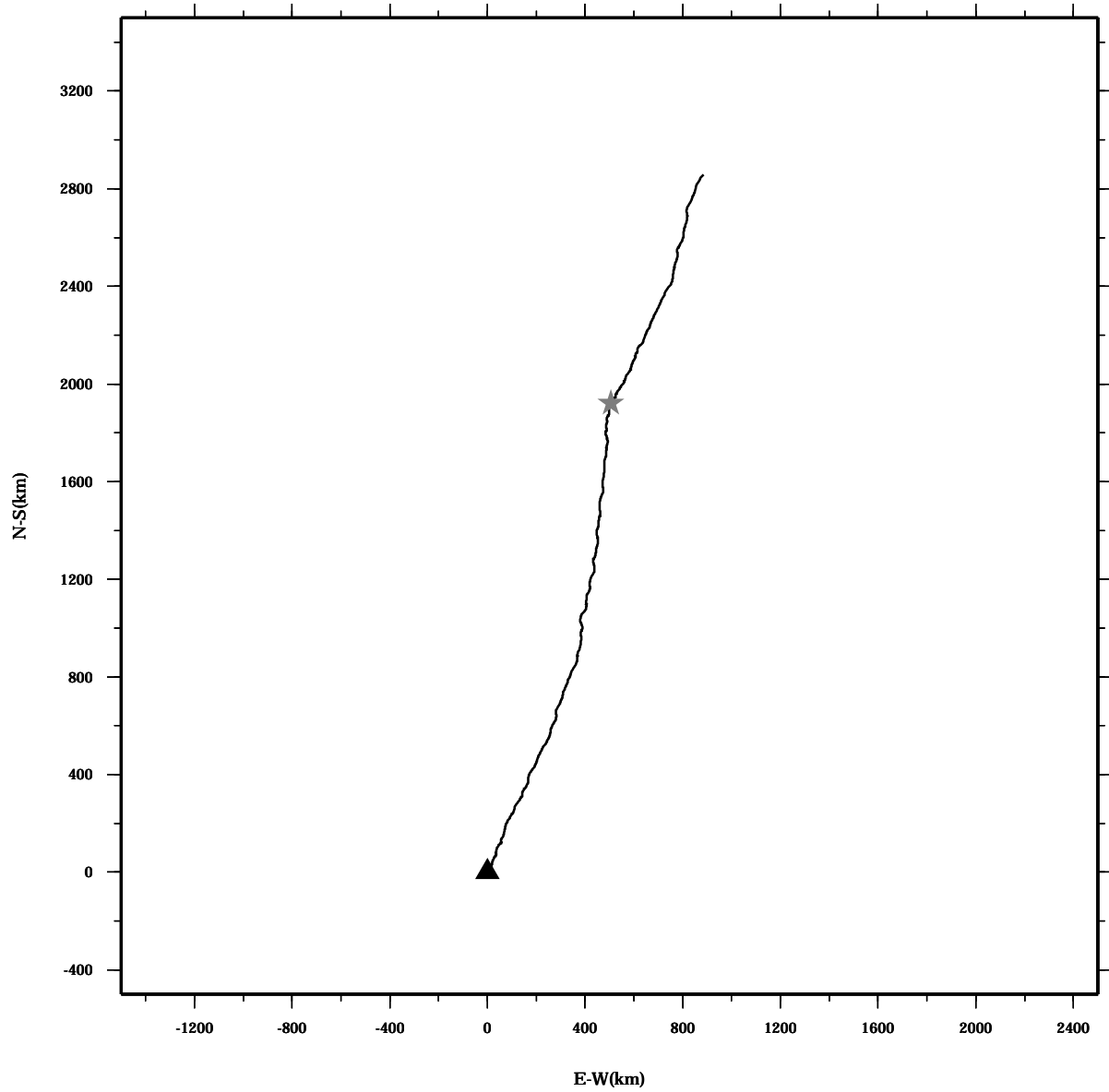
PROGRESSIVE VECTOR DIAGRAM



Lon: 121° 21.83' E
Lat: 22° 40.0133' N

Station: W204
Depth: 66 M

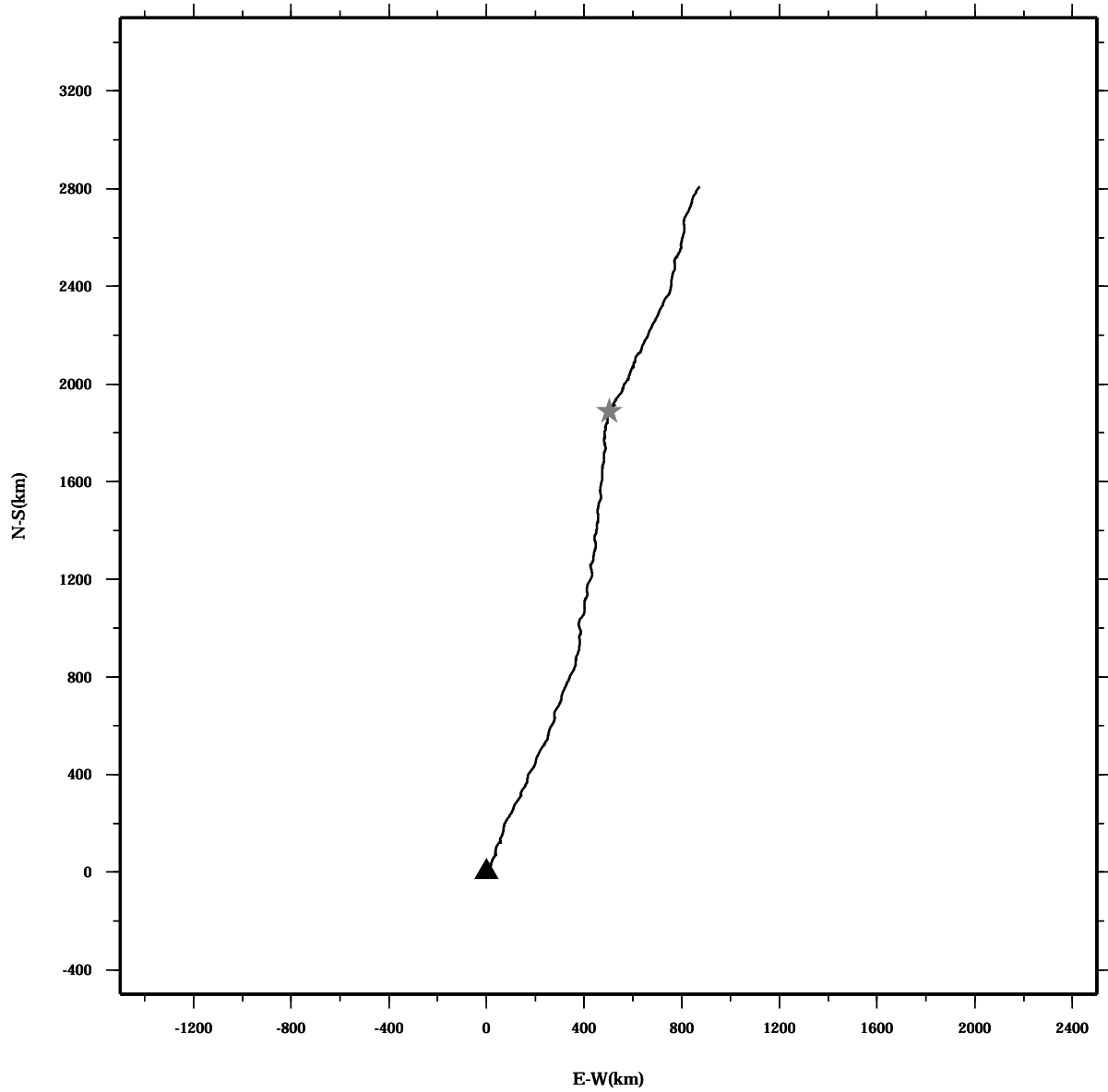
PROGRESSIVE VECTOR DIAGRAM



Lon: 121° 21.83' E
Lat: 22° 40.0133' N

Station: W204
Depth: 70 M

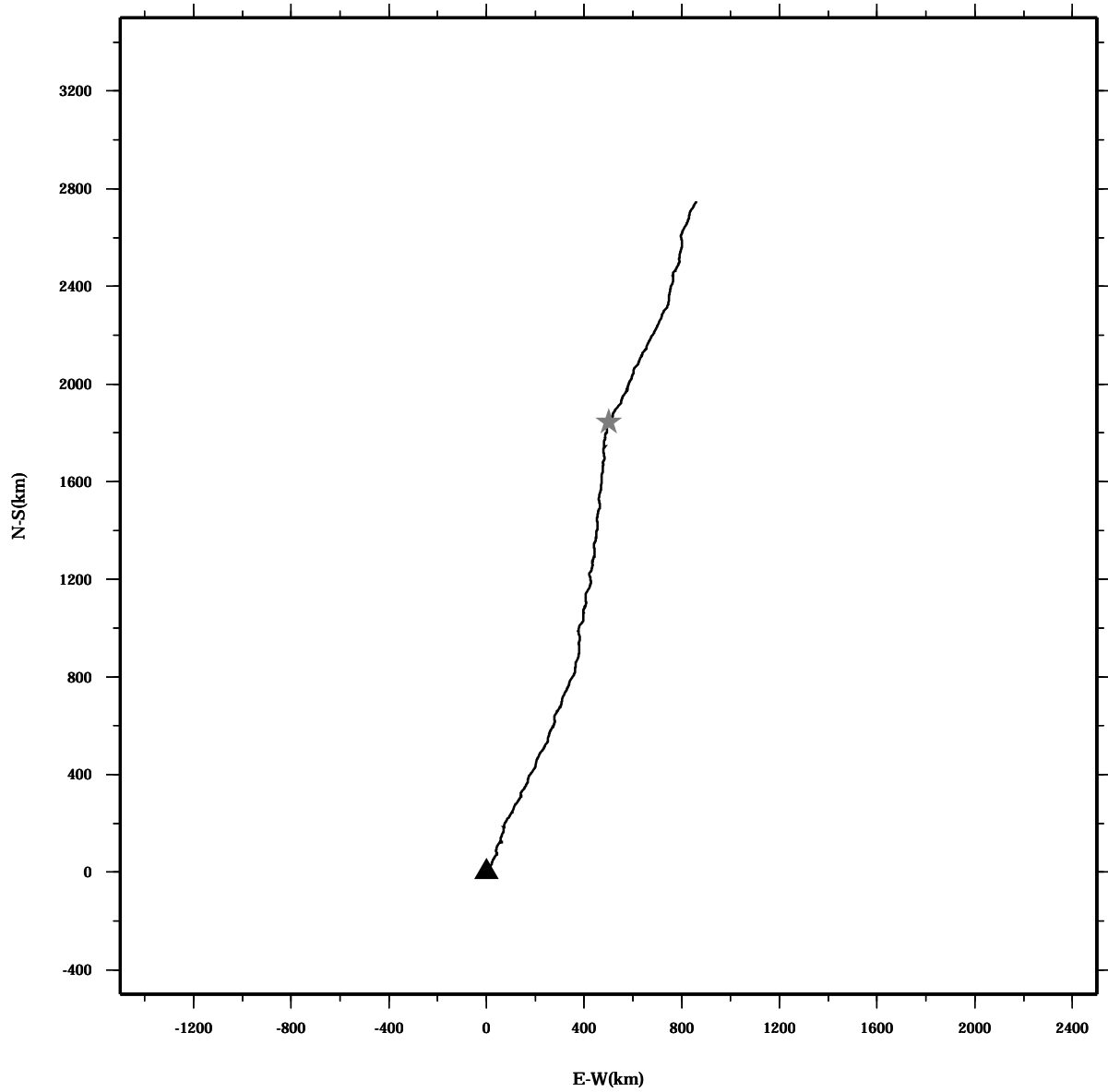
PROGRESSIVE VECTOR DIAGRAM



Lon: 121° 21.83' E
Lat: 22° 40.0133' N

Station: W204
Depth: 74 M

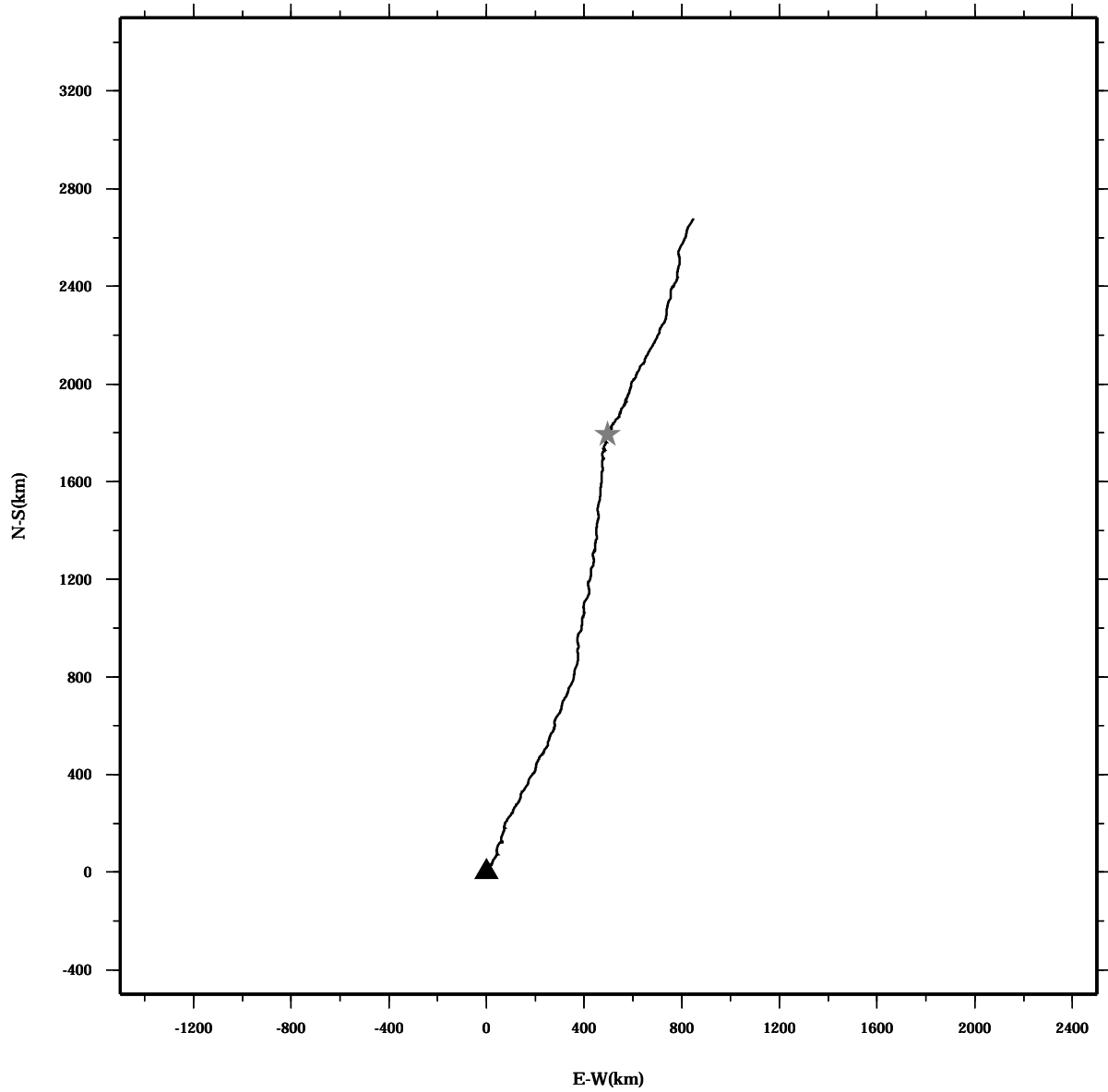
PROGRESSIVE VECTOR DIAGRAM



Lon: 121° 21.83' E
Lat: 22° 40.0133' N

Station: W204
Depth: 78 M

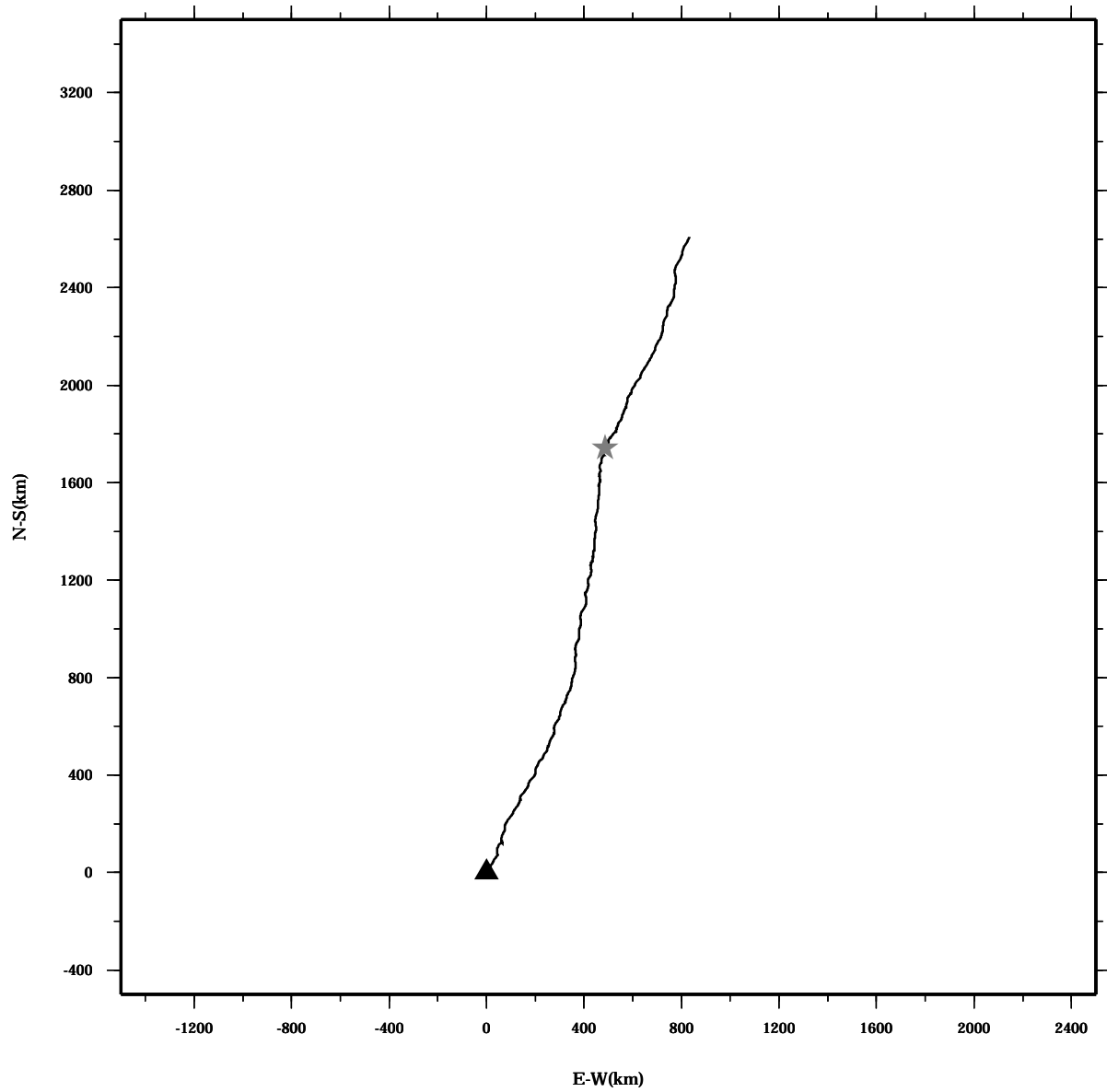
PROGRESSIVE VECTOR DIAGRAM



Lon: 121° 21.83' E
Lat: 22° 40.0133' N

Station: W204
Depth: 82 M

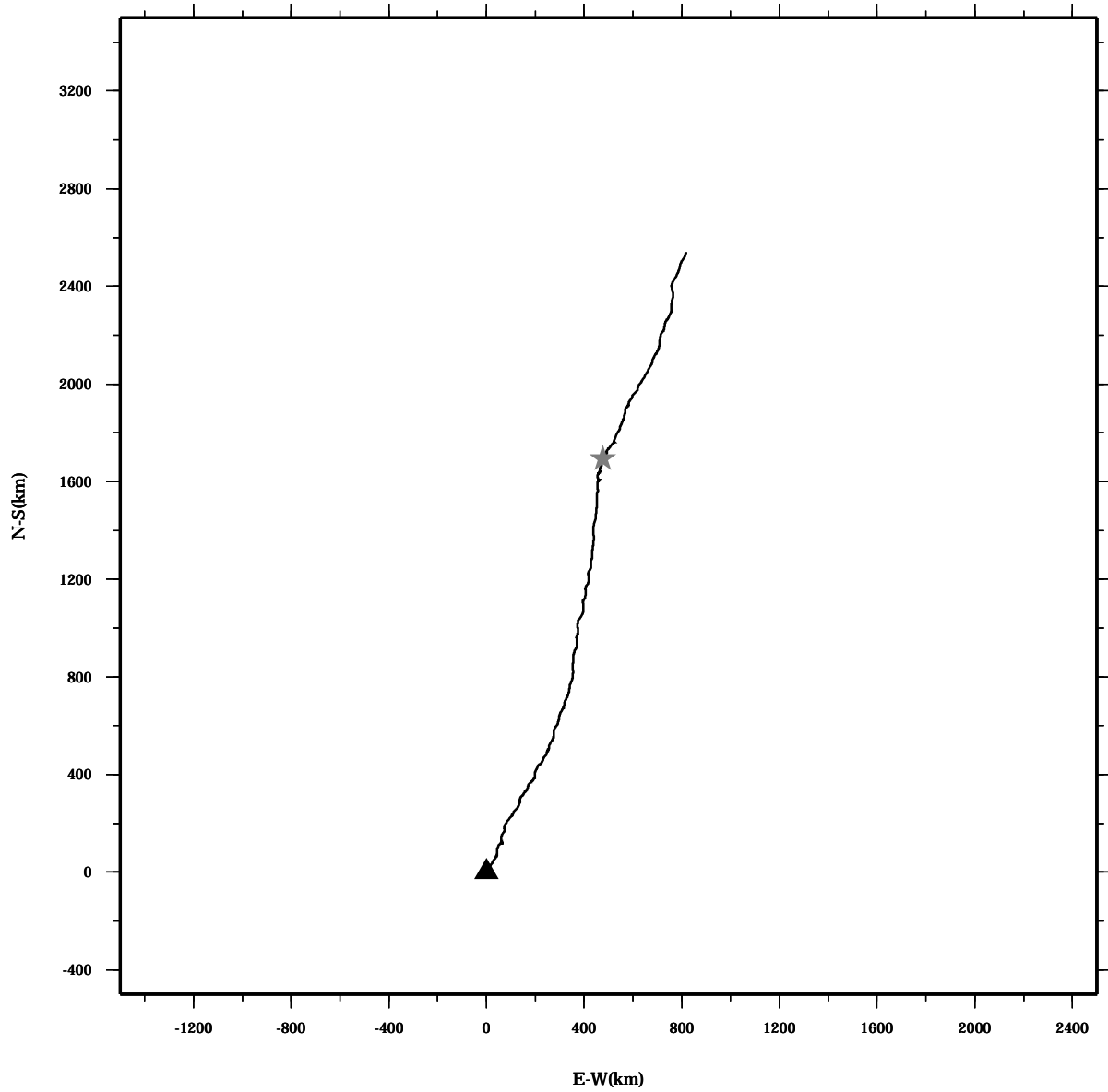
PROGRESSIVE VECTOR DIAGRAM



Lon: 121° 21.83' E
Lat: 22° 40.0133' N

Station: W204
Depth: 86 M

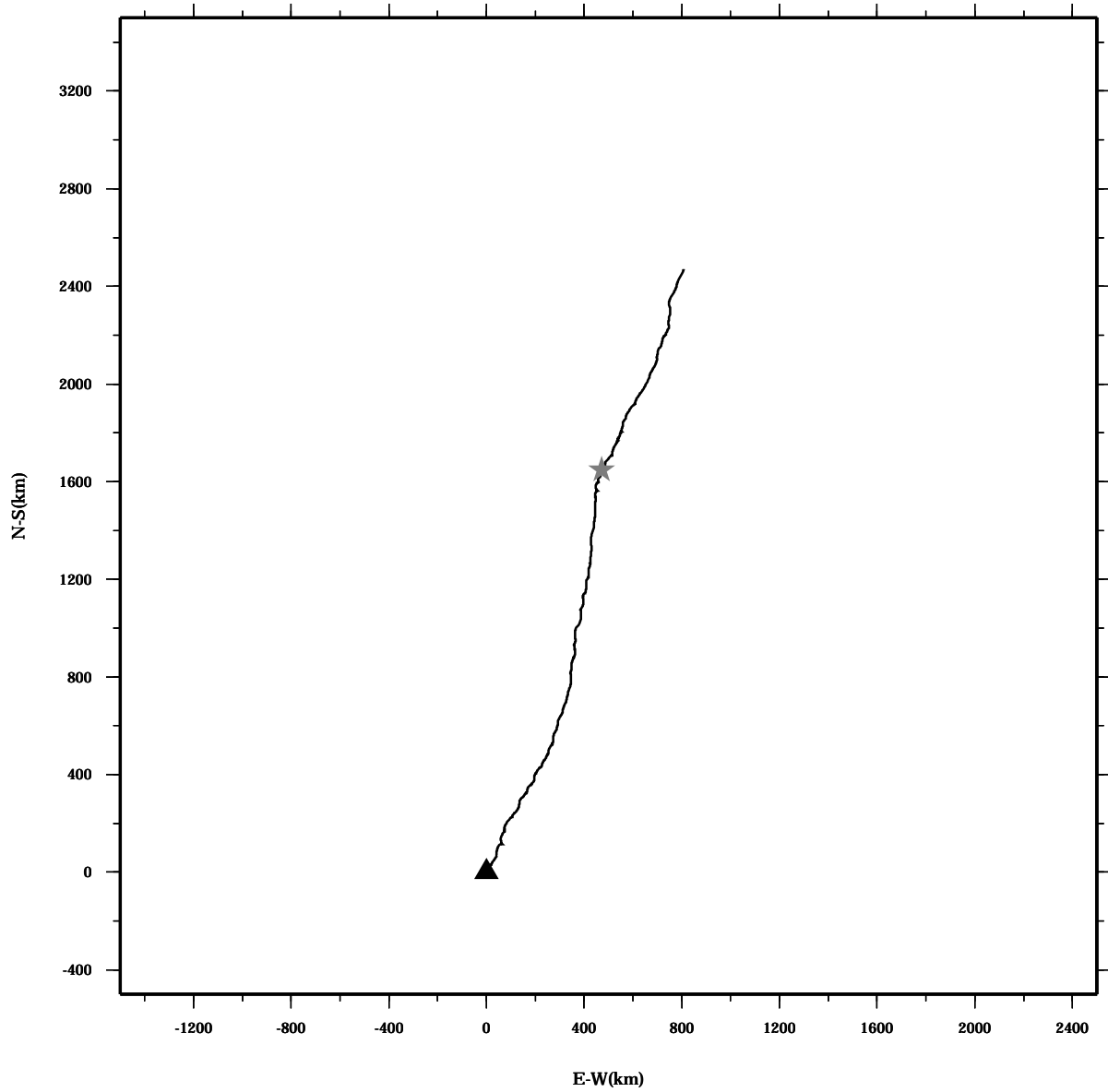
PROGRESSIVE VECTOR DIAGRAM



Lon: 121° 21.83' E
Lat: 22° 40.0133' N

Station: W204
Depth: 90 M

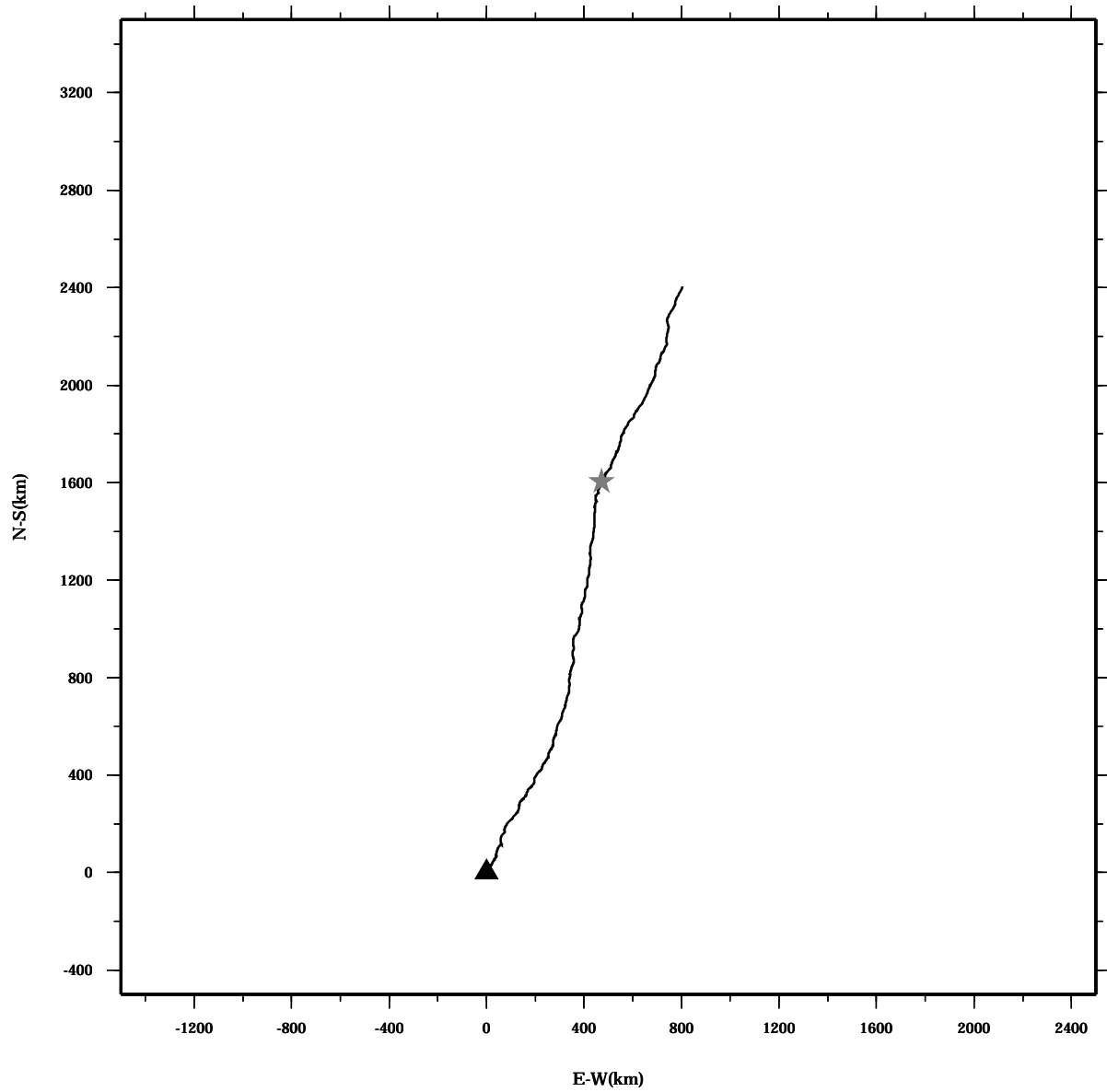
PROGRESSIVE VECTOR DIAGRAM



Lon: 121° 21.83' E
Lat: 22° 40.0133' N

Station: W204
Depth: 94 M

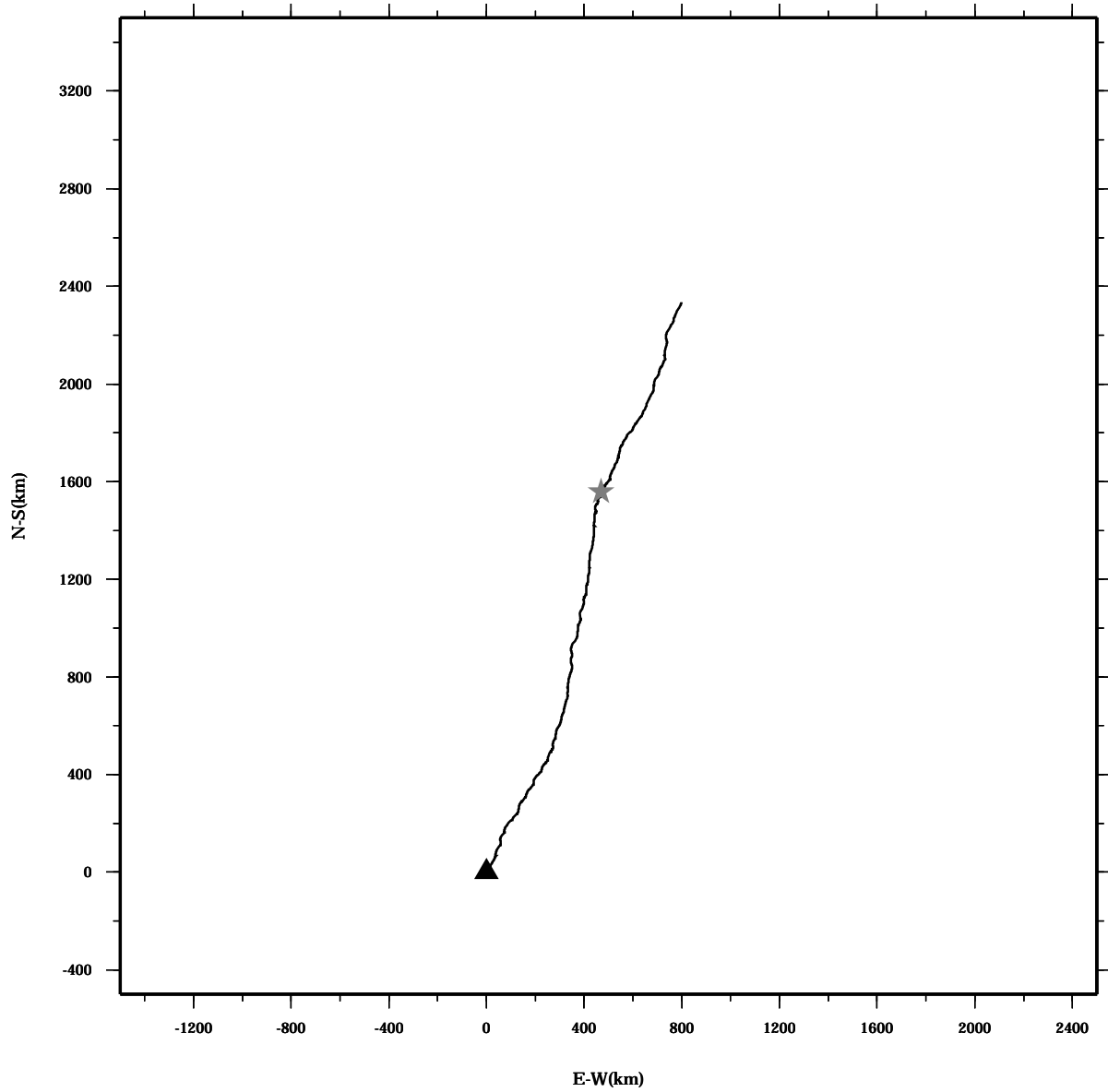
PROGRESSIVE VECTOR DIAGRAM



Lon: 121° 21.83' E
Lat: 22° 40.0133' N

Station: W204
Depth: 98 M

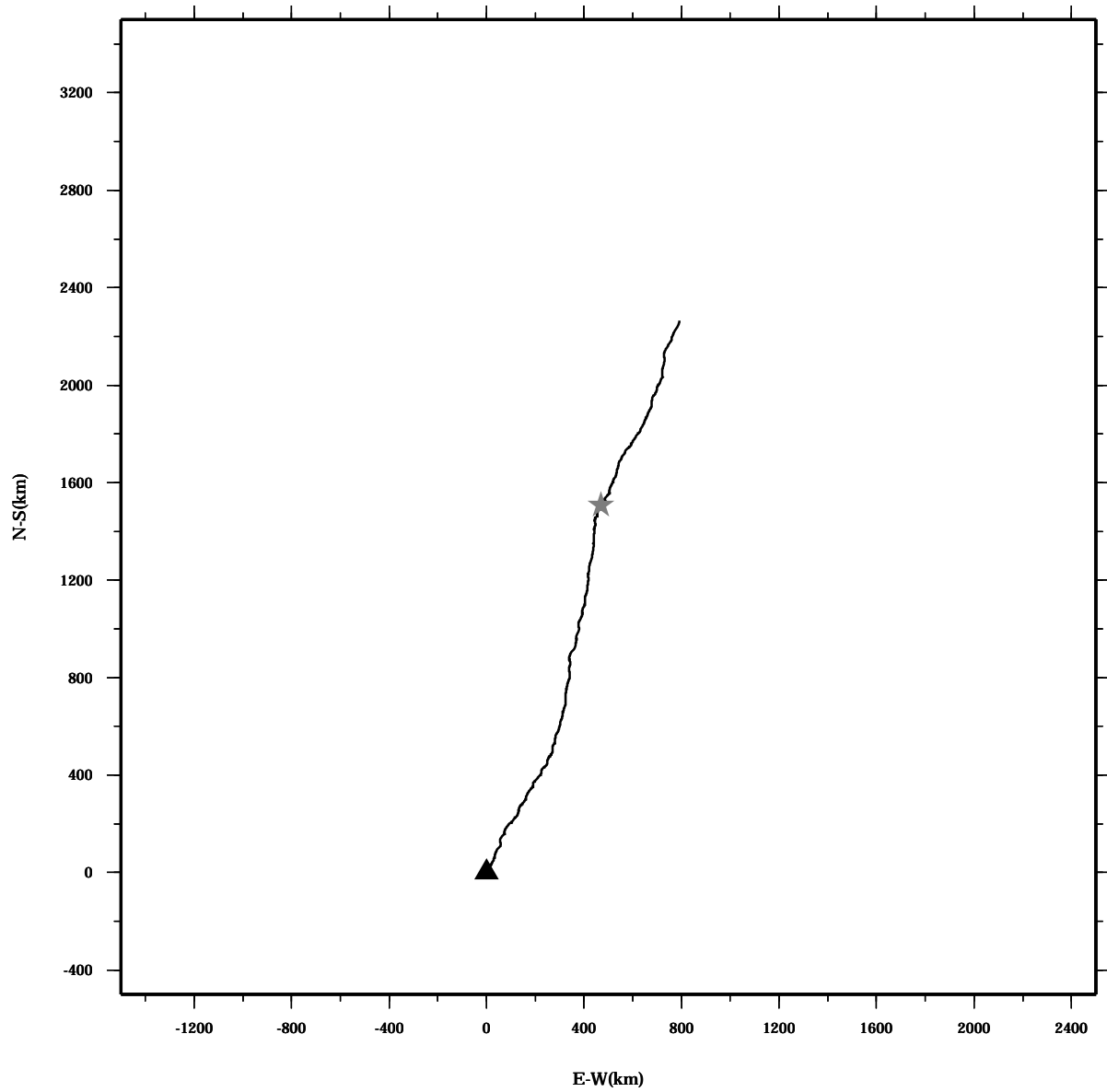
PROGRESSIVE VECTOR DIAGRAM



Lon: 121° 21.83' E
Lat: 22° 40.0133' N

Station: W204
Depth: 102 M

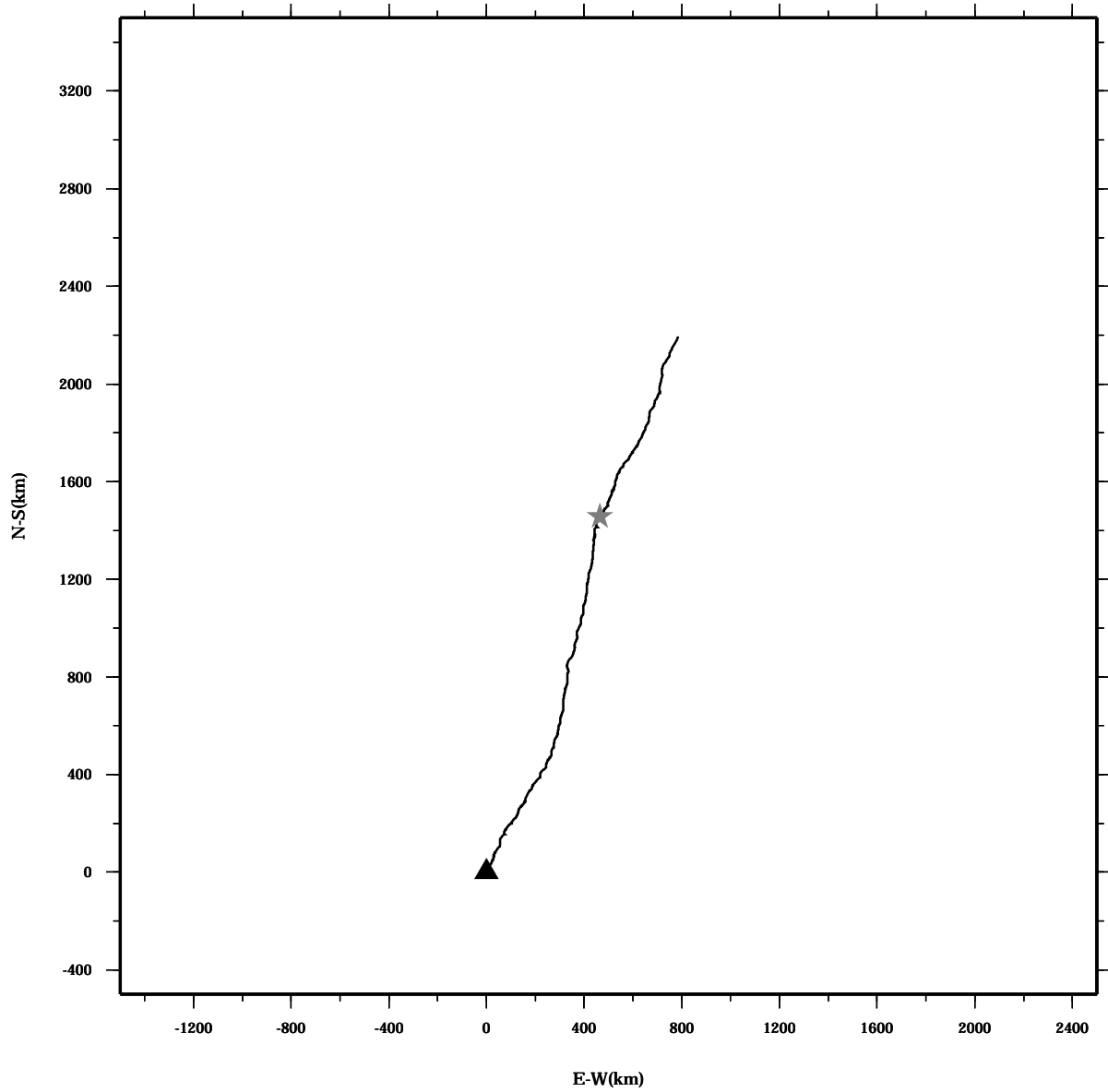
PROGRESSIVE VECTOR DIAGRAM



Lon: 121° 21.83' E
Lat: 22° 40.0133' N

Station: W204
Depth: 106 M

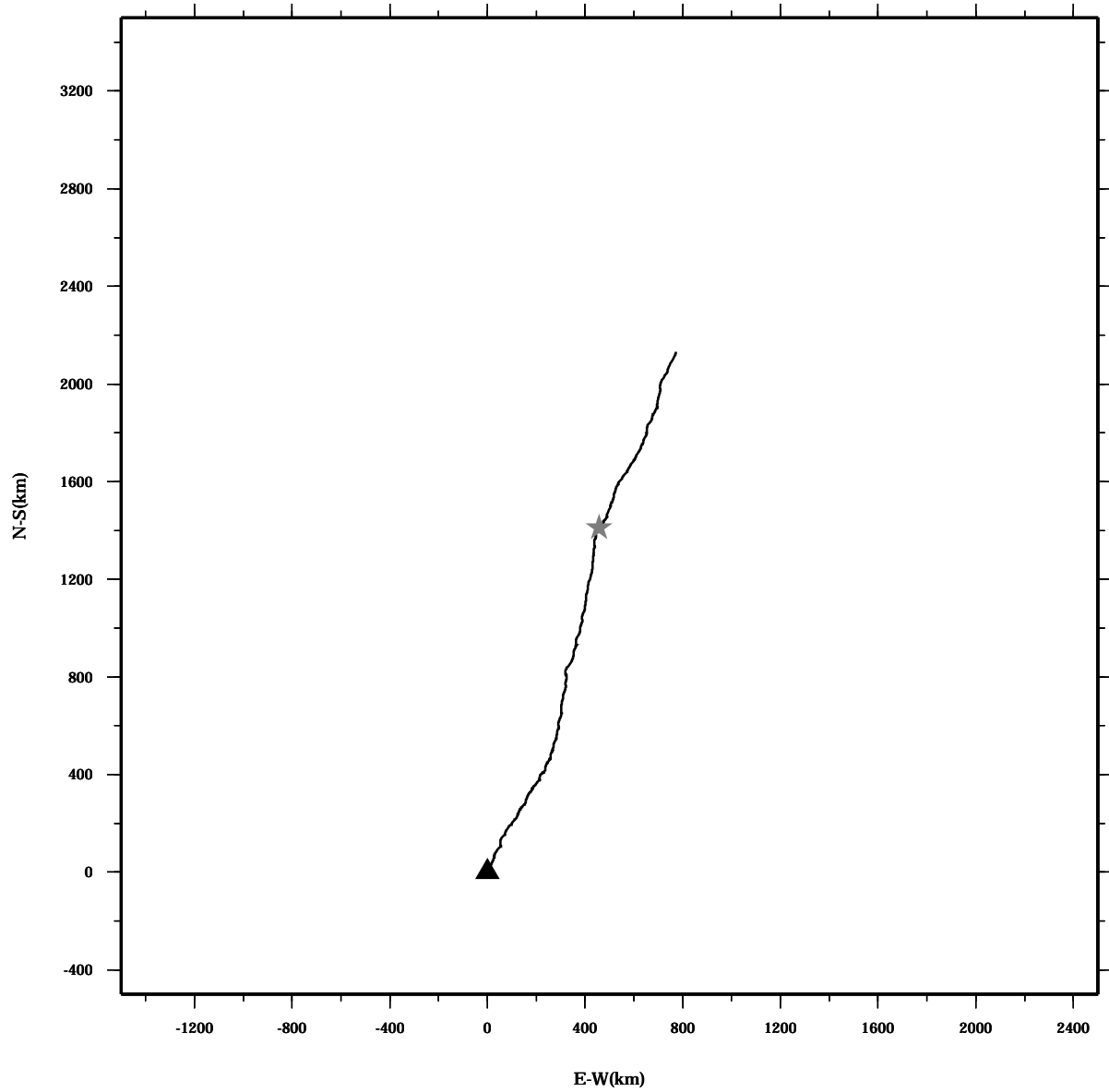
PROGRESSIVE VECTOR DIAGRAM



Lon: 121° 21.83' E
Lat: 22° 40.0133' N

Station: W204
Depth: 110 M

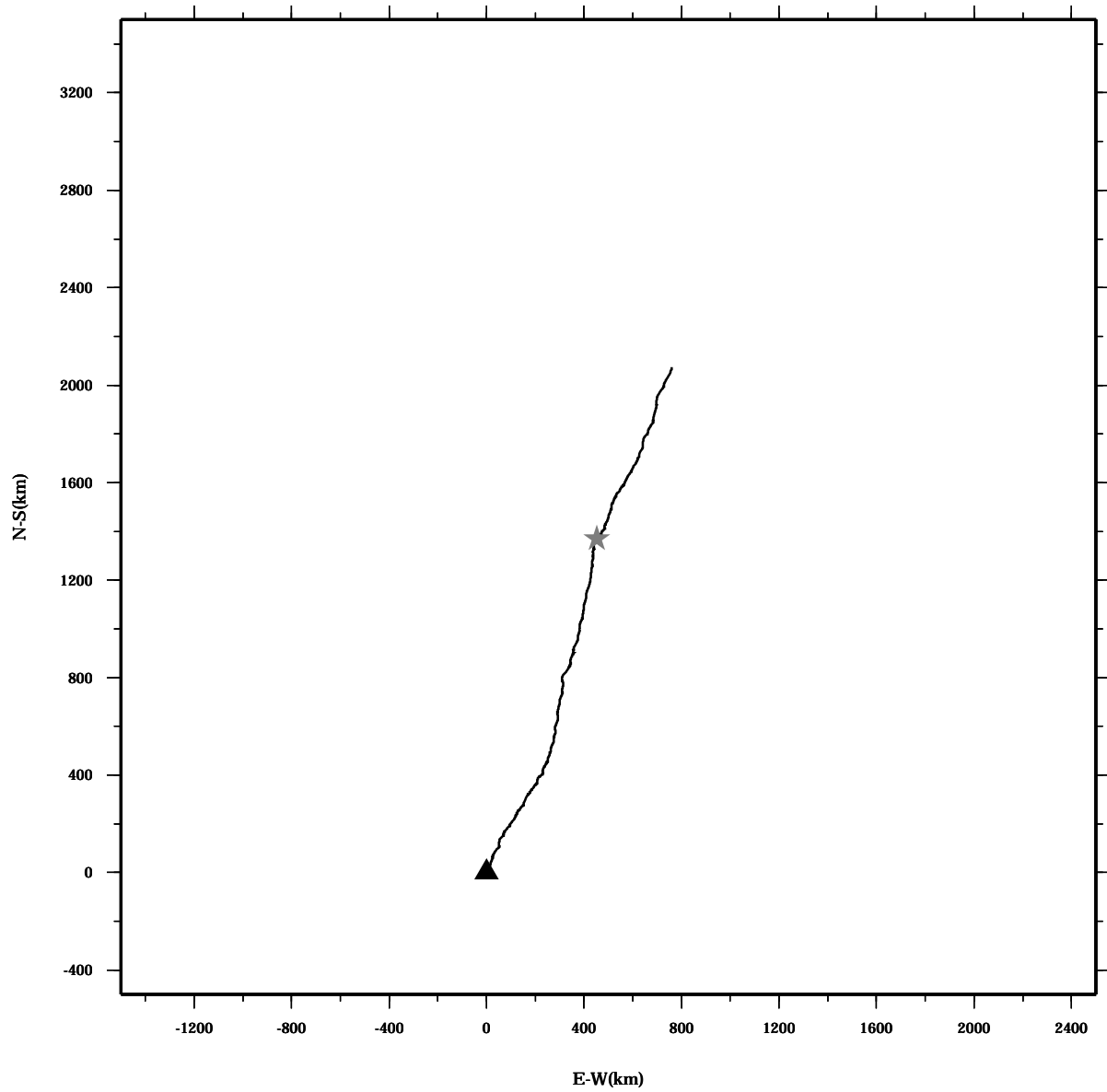
PROGRESSIVE VECTOR DIAGRAM



Lon: 121° 21.83' E
Lat: 22° 40.0133' N

Station: W204
Depth: 114 M

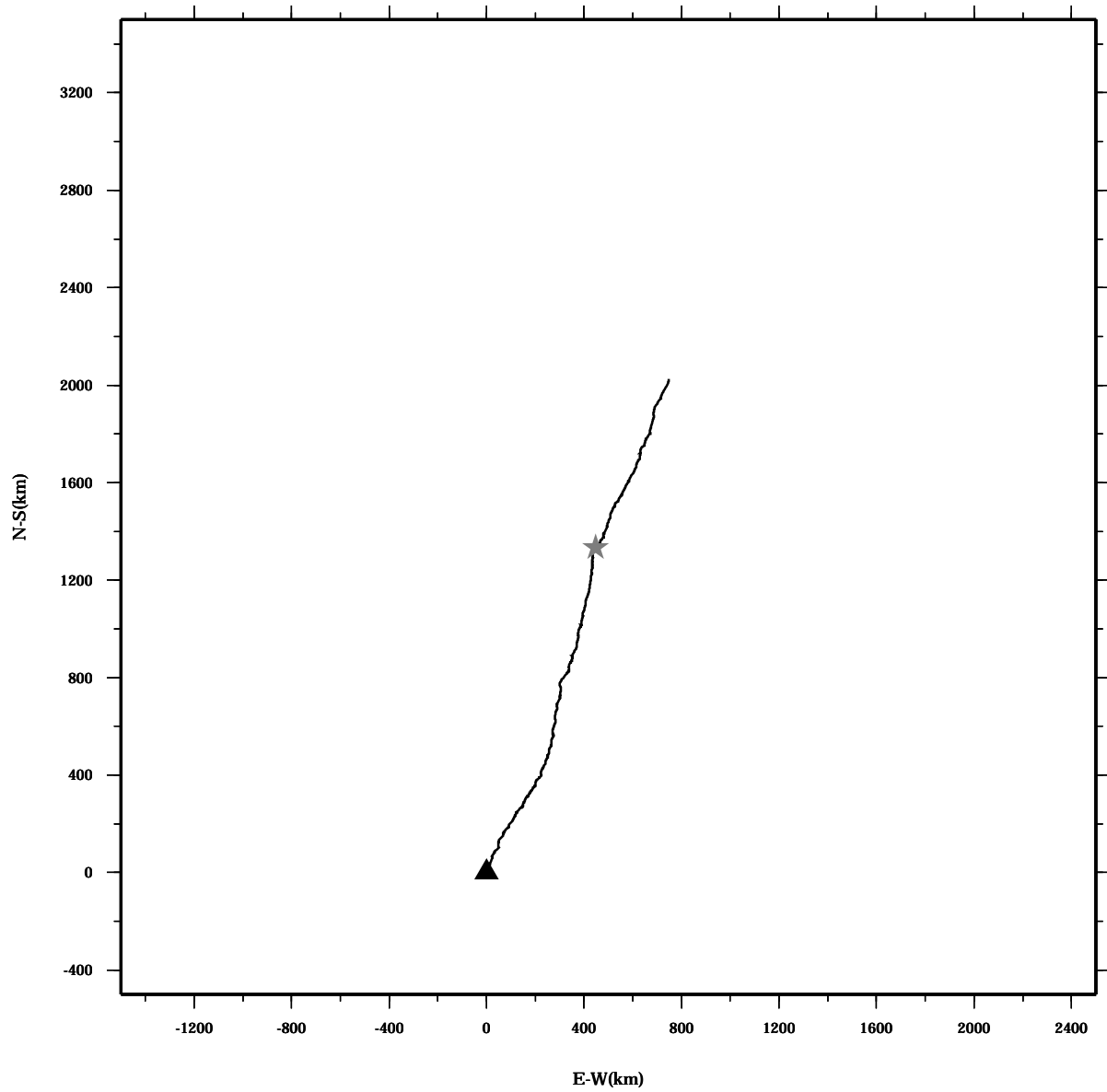
PROGRESSIVE VECTOR DIAGRAM



Lon: 121° 21.83' E
Lat: 22° 40.0133' N

Station: W204
Depth: 118 M

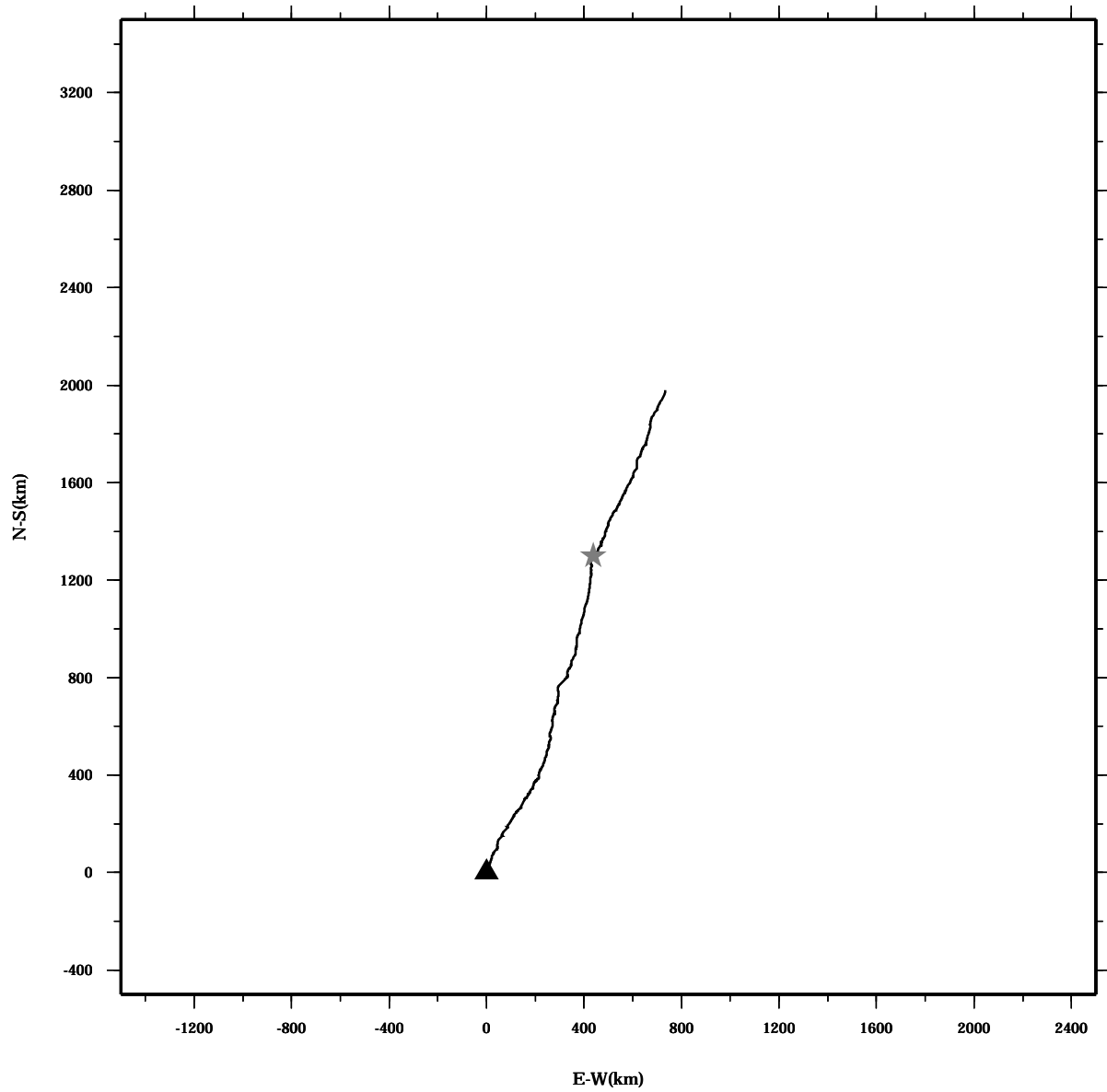
PROGRESSIVE VECTOR DIAGRAM



Lon: 121° 21.83' E
Lat: 22° 40.0133' N

Station: W204
Depth: 122 M

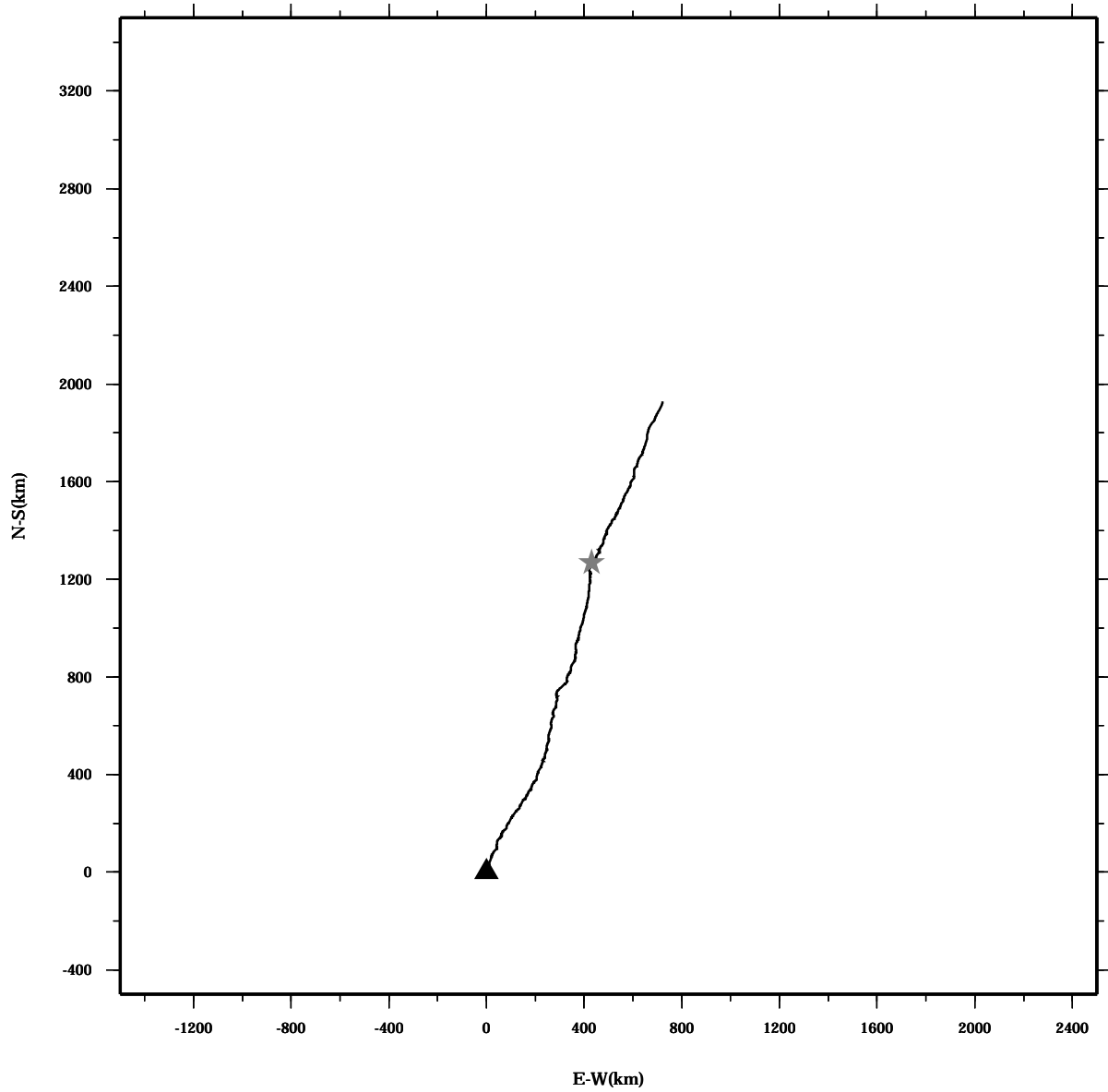
PROGRESSIVE VECTOR DIAGRAM



Lon: 121° 21.83' E
Lat: 22° 40.0133' N

Station: W204
Depth: 126 M

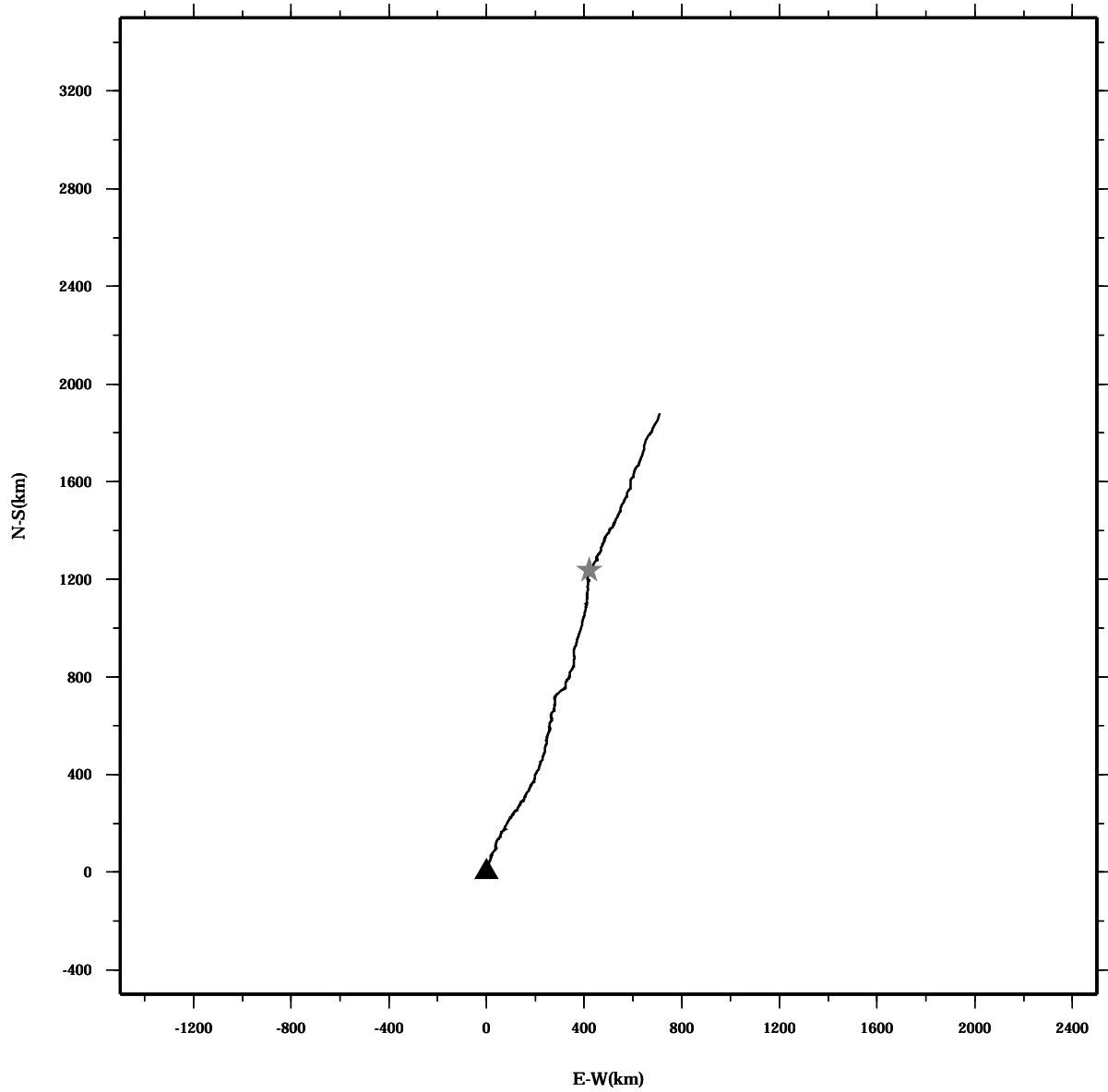
PROGRESSIVE VECTOR DIAGRAM



Lon: 121° 21.83' E
Lat: 22° 40.0133' N

Station: W204
Depth: 130 M

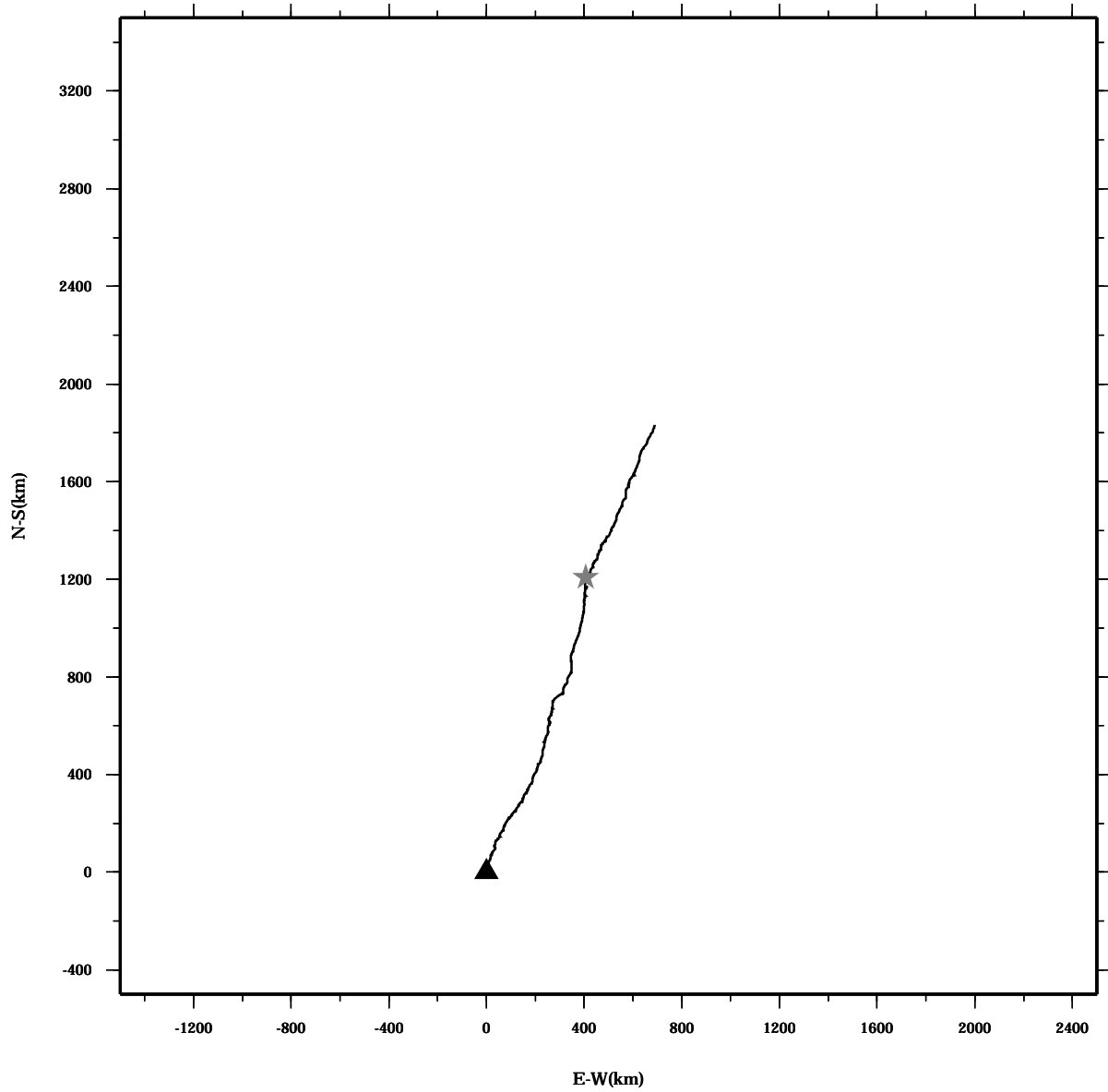
PROGRESSIVE VECTOR DIAGRAM



Lon: 121° 21.83' E
Lat: 22° 40.0133' N

Station: W204
Depth: 134 M

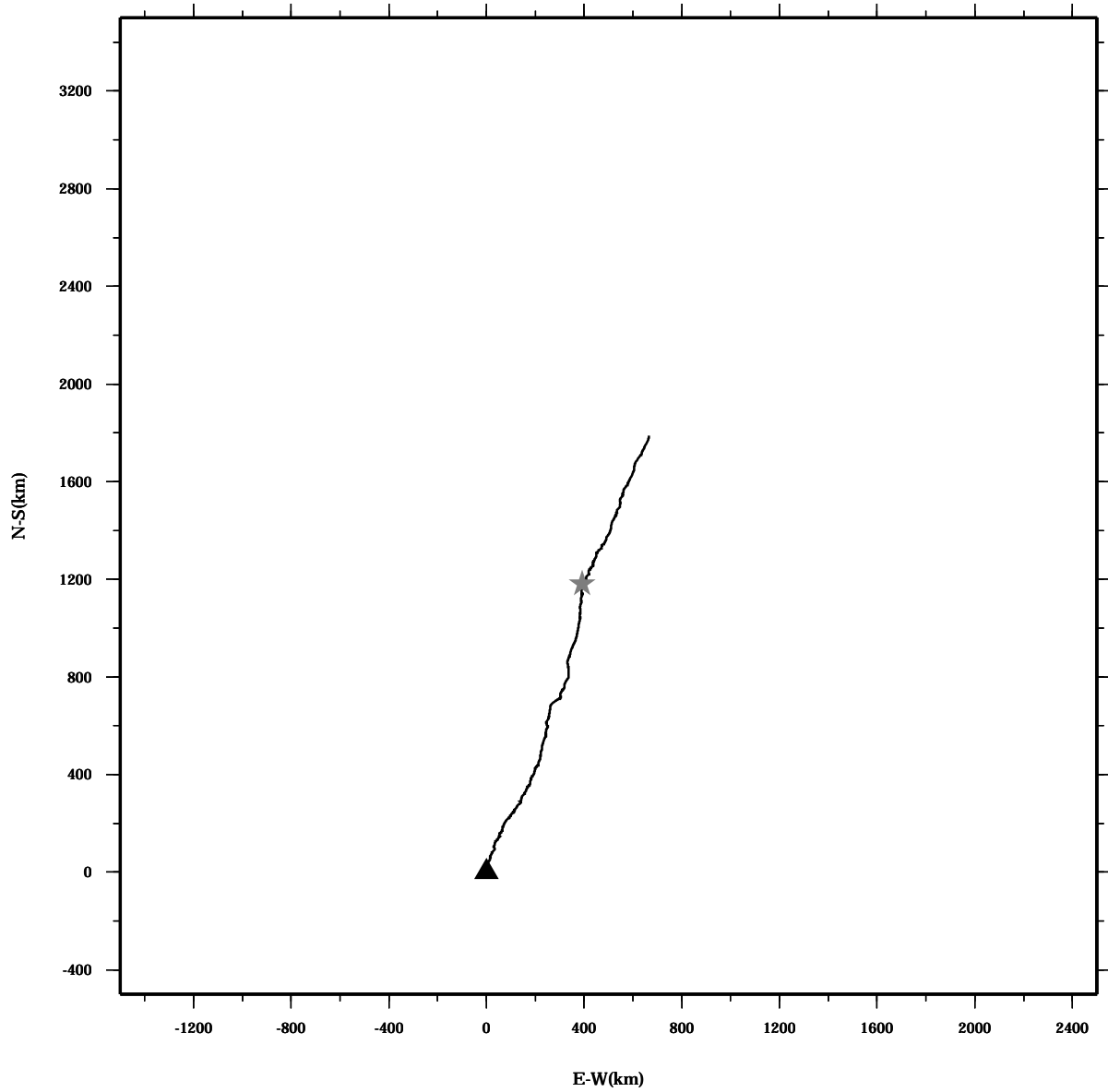
PROGRESSIVE VECTOR DIAGRAM



Lon: 121° 21.83' E
Lat: 22° 40.0133' N

Station: W204
Depth: 138 M

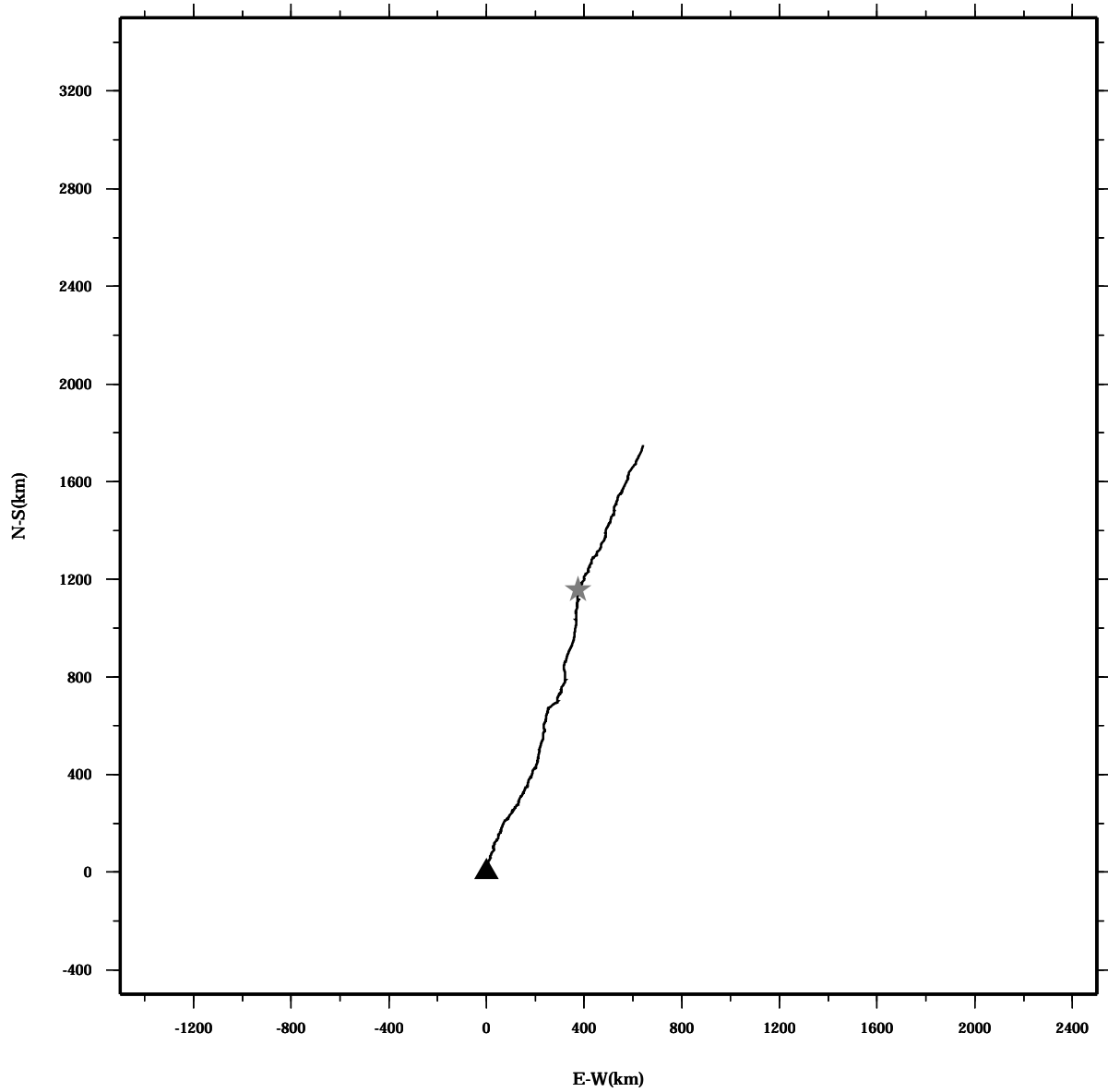
PROGRESSIVE VECTOR DIAGRAM



Lon: 121° 21.83' E
Lat: 22° 40.0133' N

Station: W204
Depth: 142 M

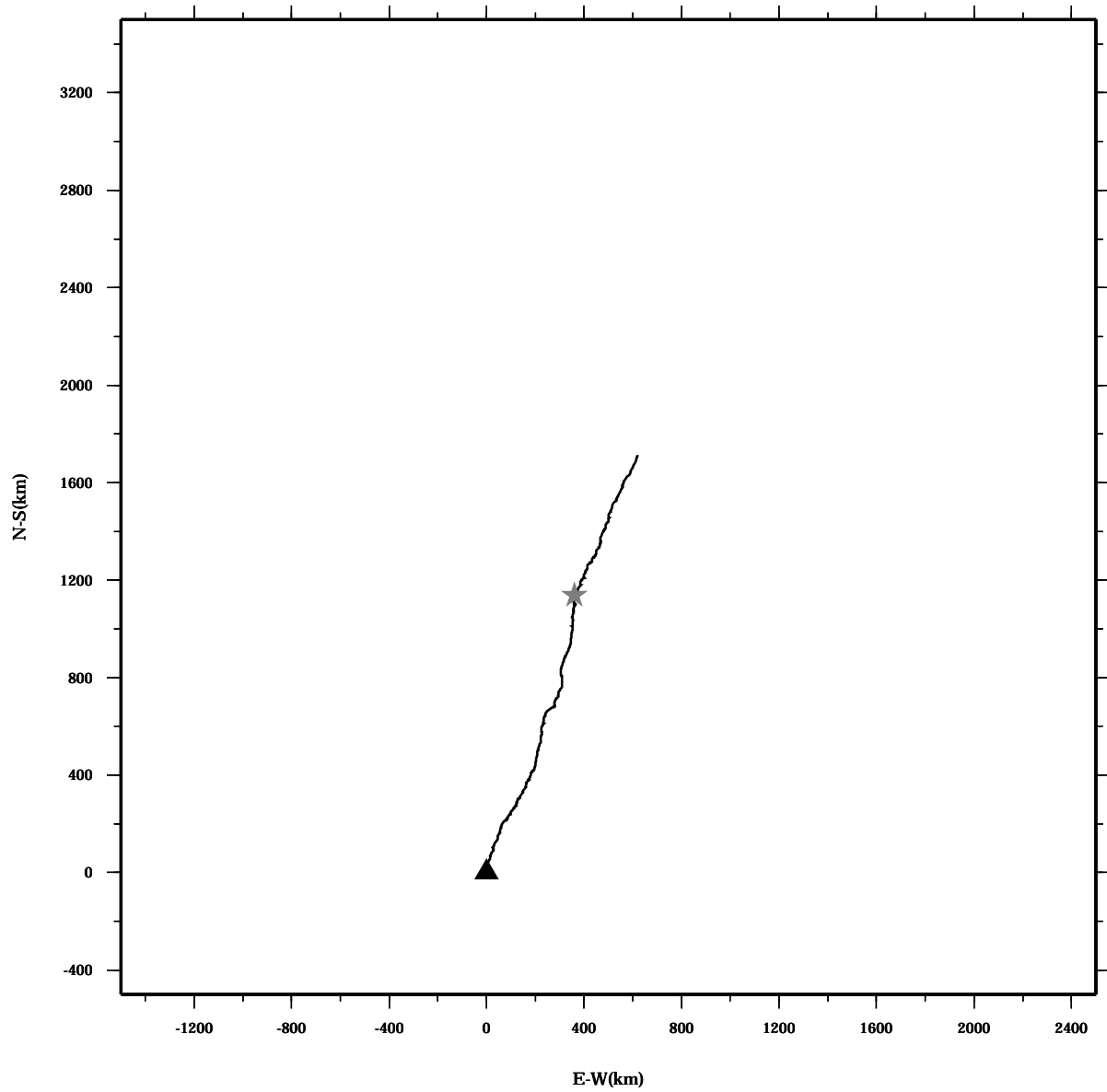
PROGRESSIVE VECTOR DIAGRAM



Lon: 121° 21.83' E
Lat: 22° 40.0133' N

Station: W204
Depth: 146 M

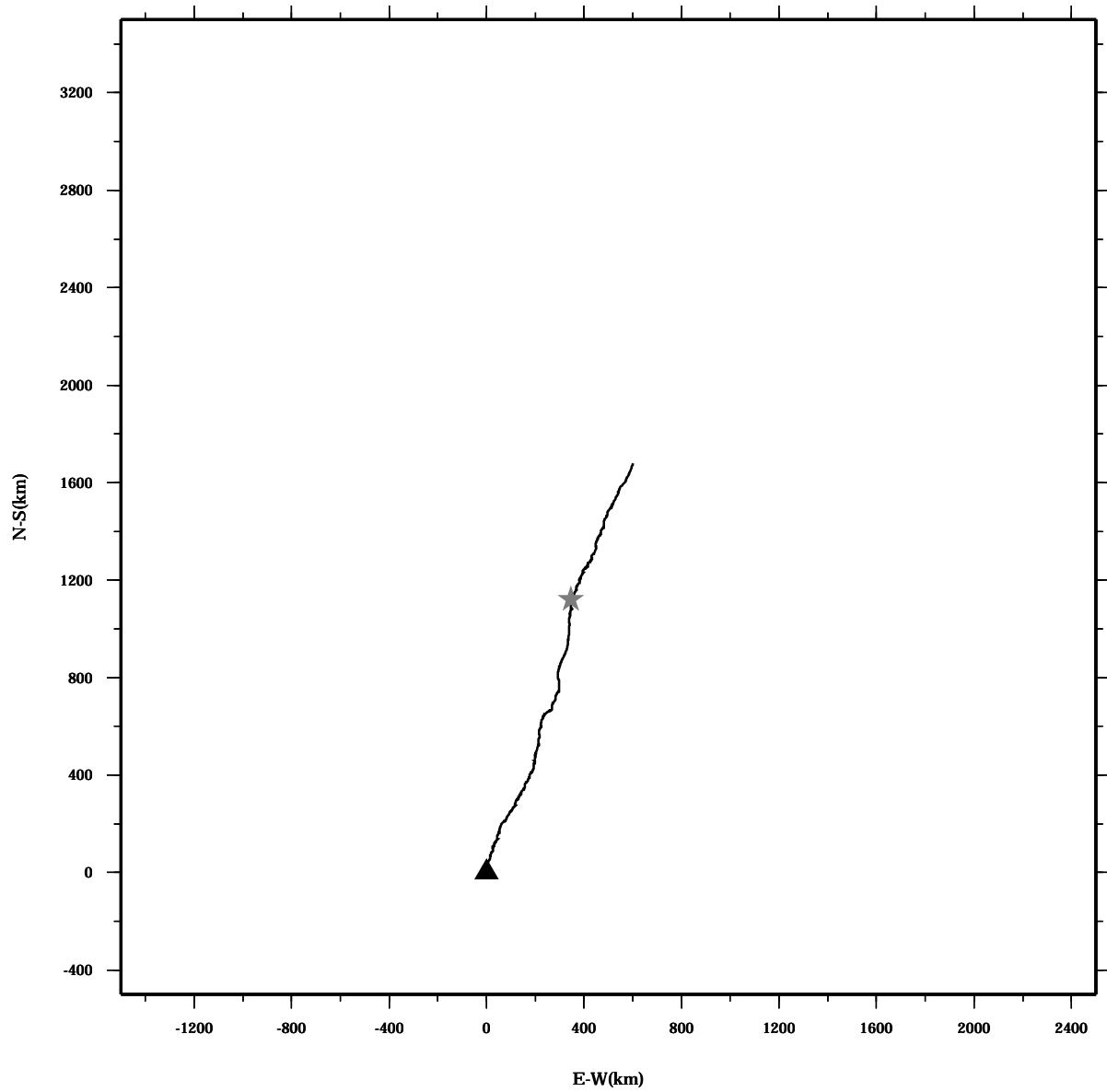
PROGRESSIVE VECTOR DIAGRAM



Lon: 121° 21.83' E
Lat: 22° 40.0133' N

Station: W204
Depth: 150 M

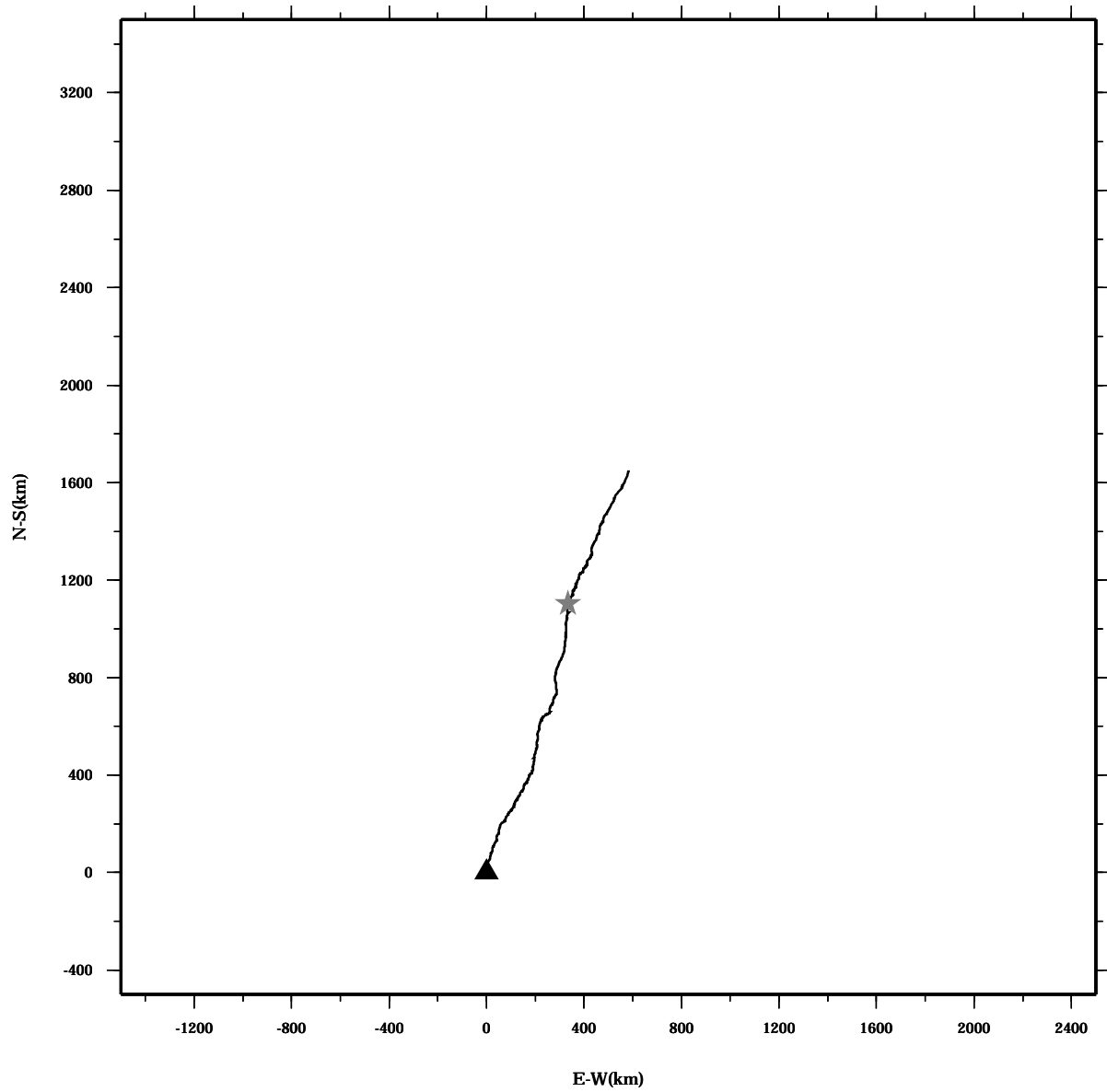
PROGRESSIVE VECTOR DIAGRAM



Lon: 121° 21.83' E
Lat: 22° 40.0133' N

Station: W204
Depth: 154 M

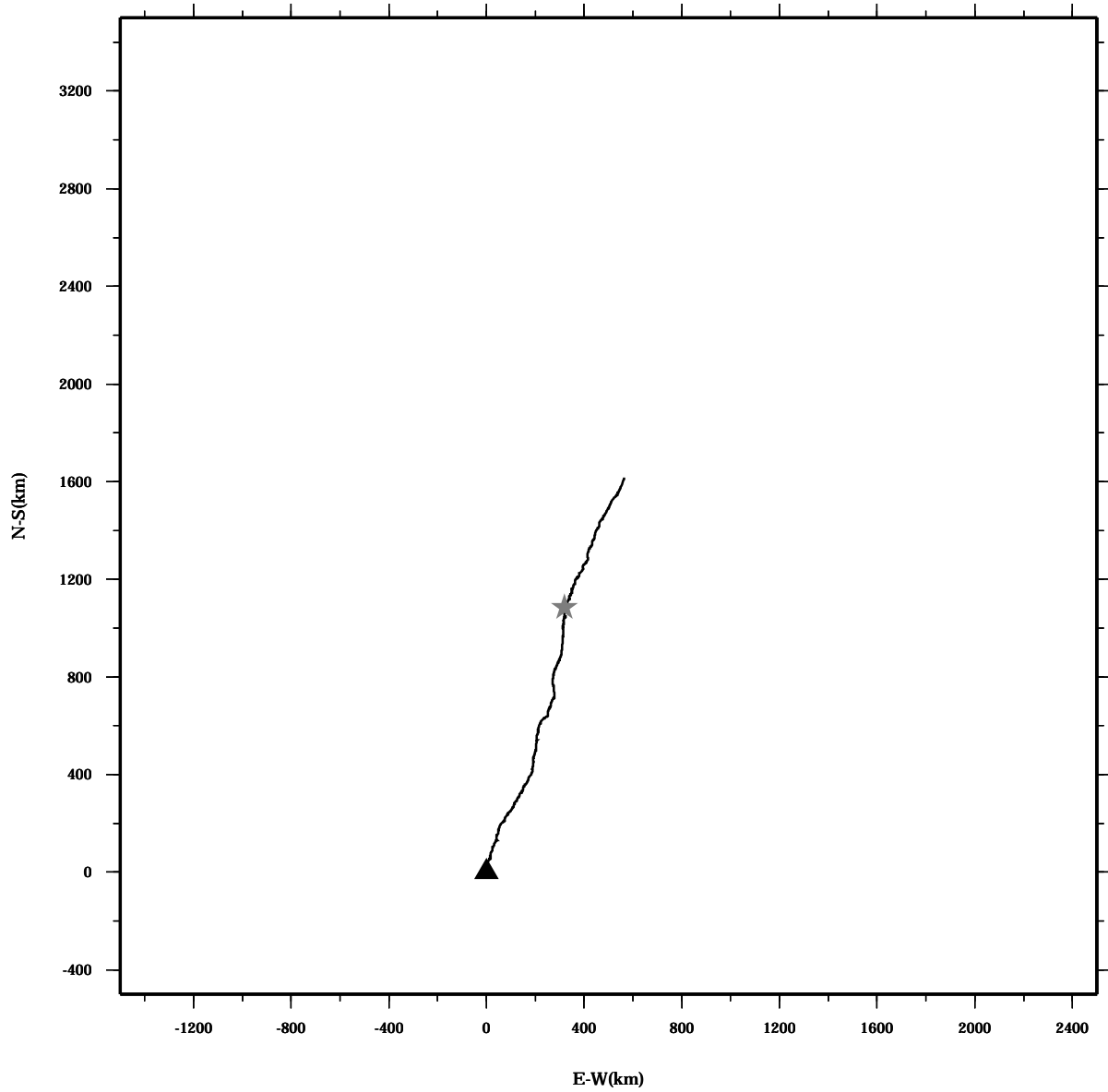
PROGRESSIVE VECTOR DIAGRAM



Lon: 121° 21.83' E
Lat: 22° 40.0133' N

Station: W204
Depth: 158 M

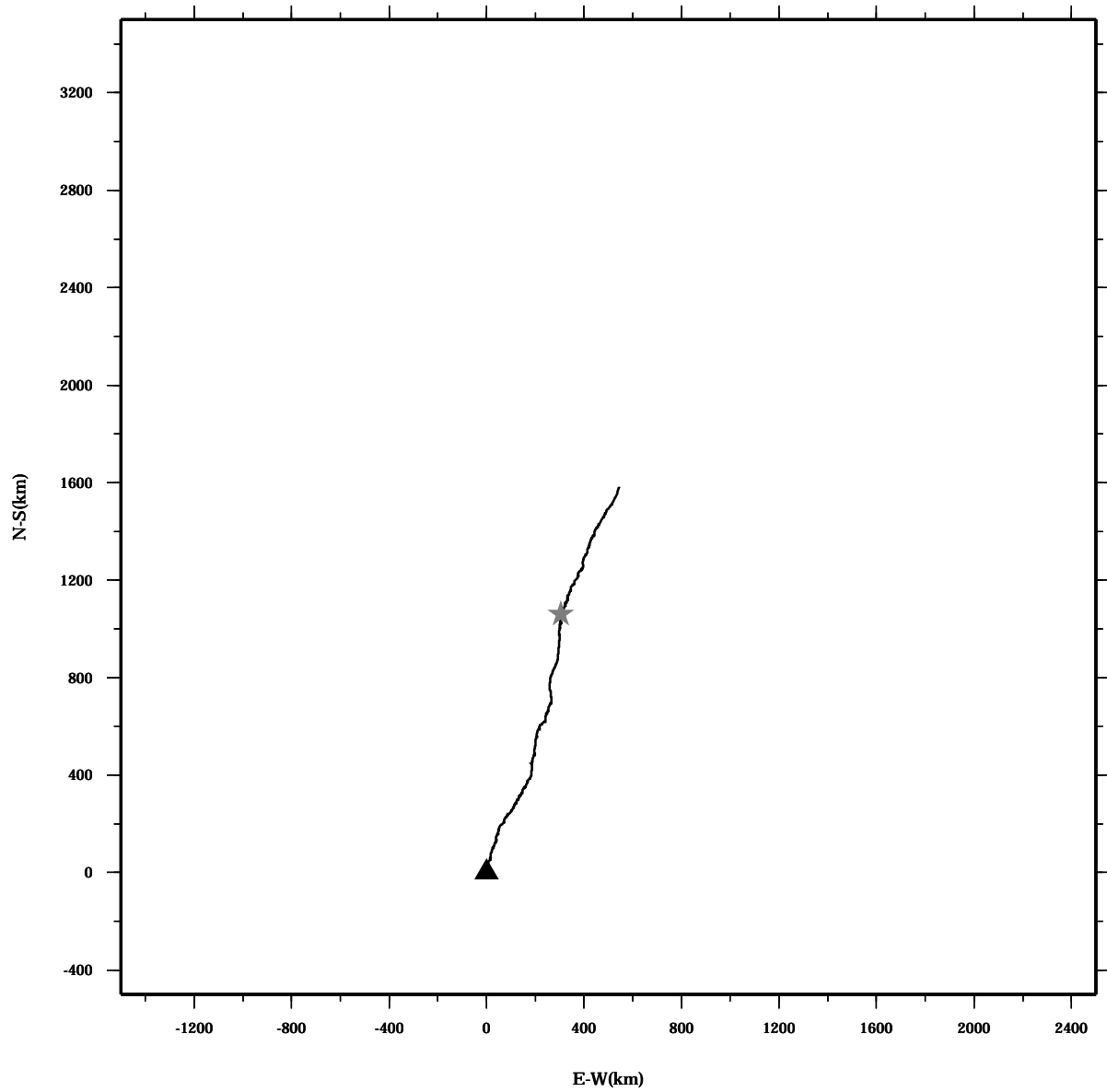
PROGRESSIVE VECTOR DIAGRAM



Lon: 121° 21.83' E
Lat: 22° 40.0133' N

Station: W204
Depth: 162 M

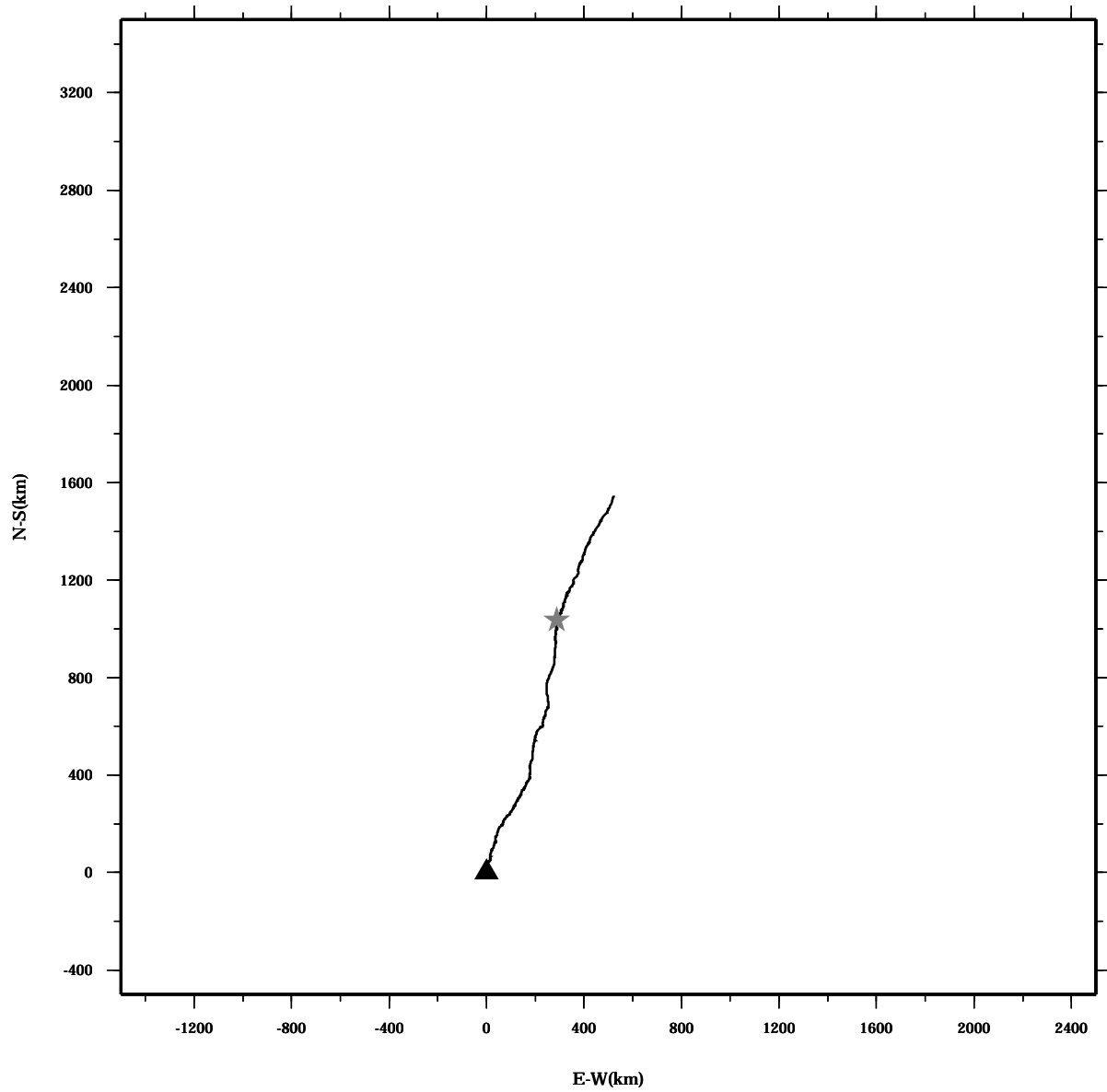
PROGRESSIVE VECTOR DIAGRAM



Lon: 121° 21.83' E
Lat: 22° 40.0133' N

Station: W204
Depth: 166 M

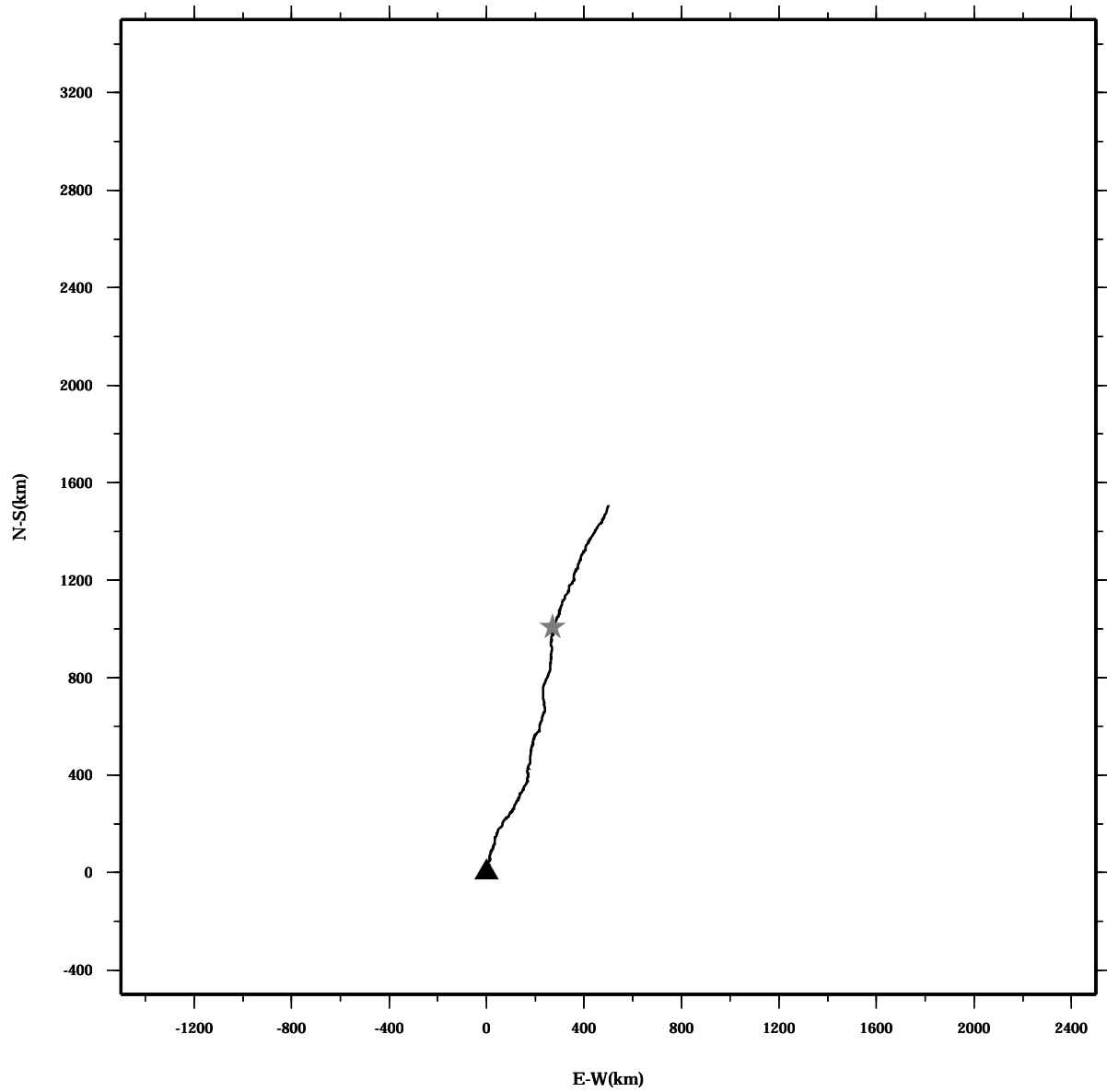
PROGRESSIVE VECTOR DIAGRAM



Lon: 121° 21.83' E
Lat: 22° 40.0133' N

Station: W204
Depth: 170 M

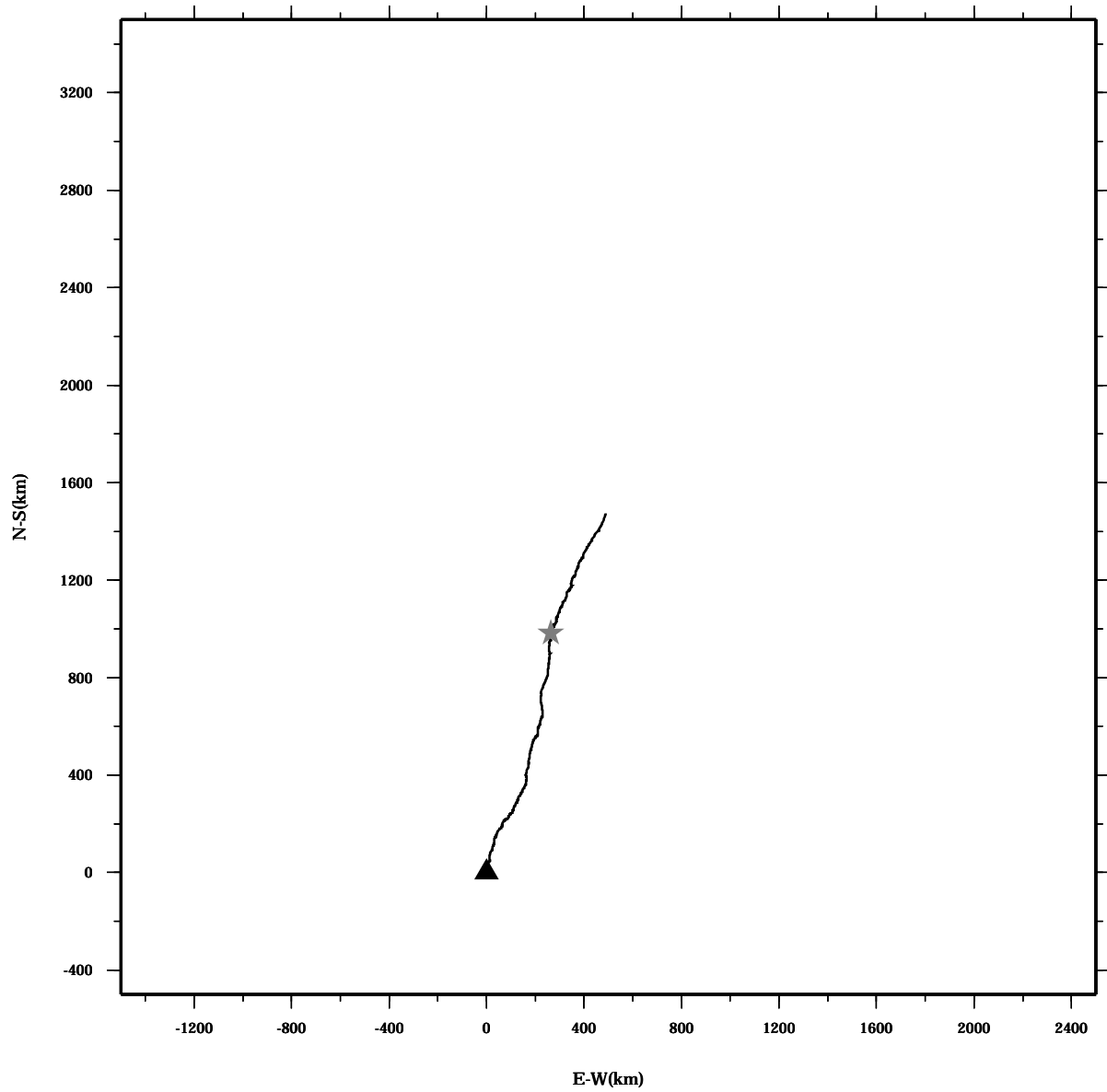
PROGRESSIVE VECTOR DIAGRAM



Lon: 121° 21.83' E
Lat: 22° 40.0133' N

Station: W204
Depth: 174 M

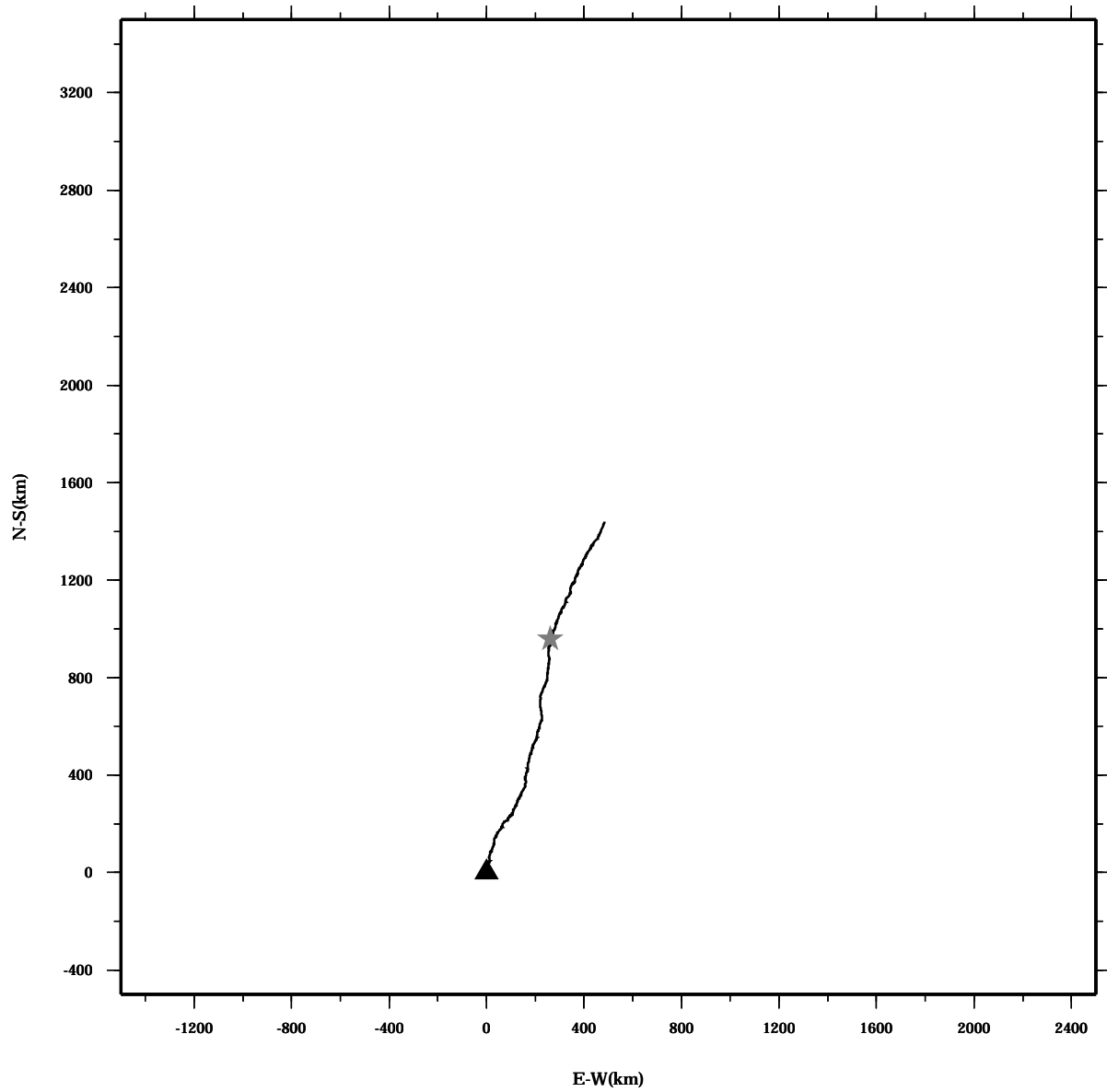
PROGRESSIVE VECTOR DIAGRAM



Lon: 121° 21.83' E
Lat: 22° 40.0133' N

Station: W204
Depth: 178 M

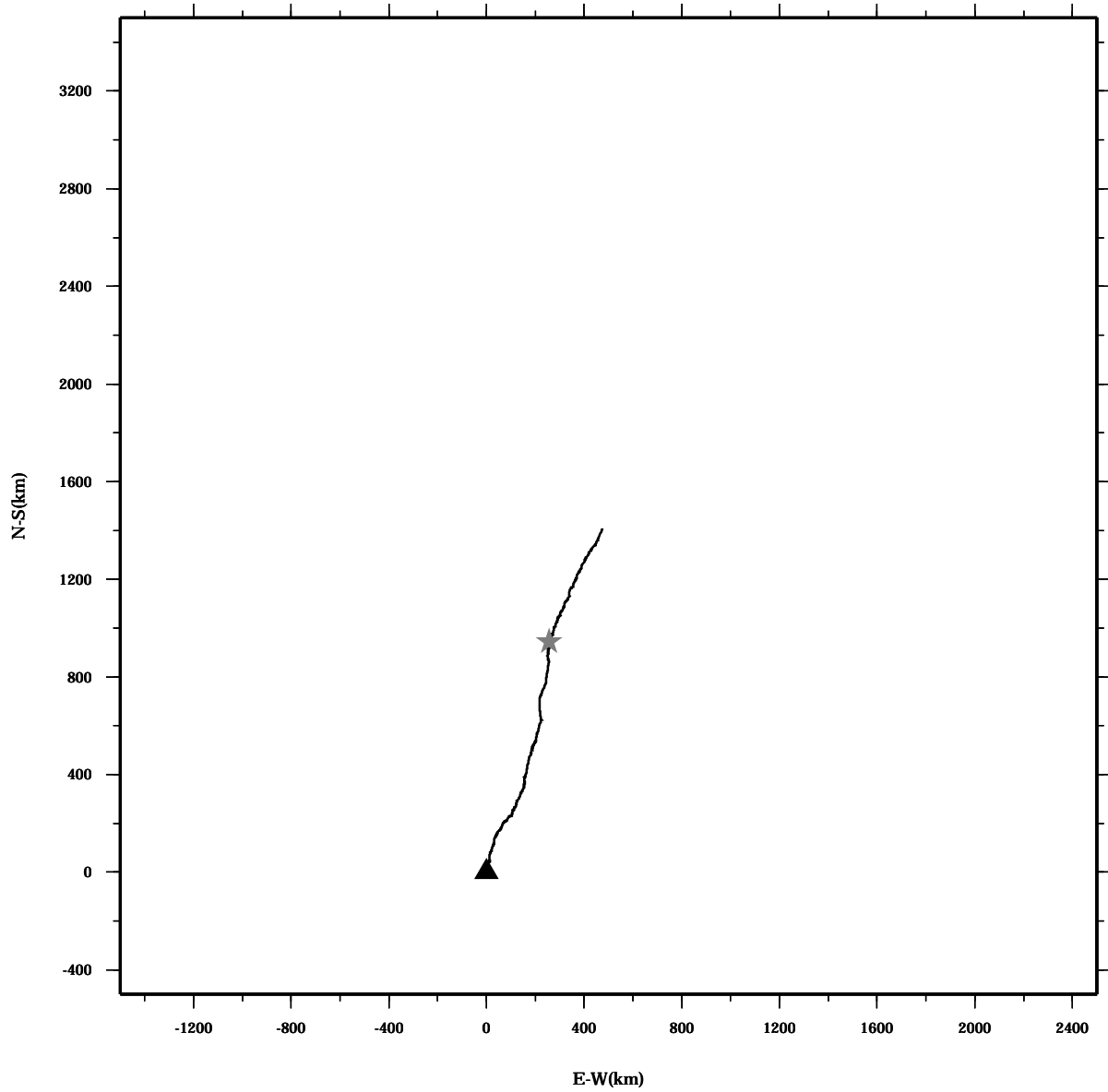
PROGRESSIVE VECTOR DIAGRAM



Lon: 121° 21.83' E
Lat: 22° 40.0133' N

Station: W204
Depth: 182 M

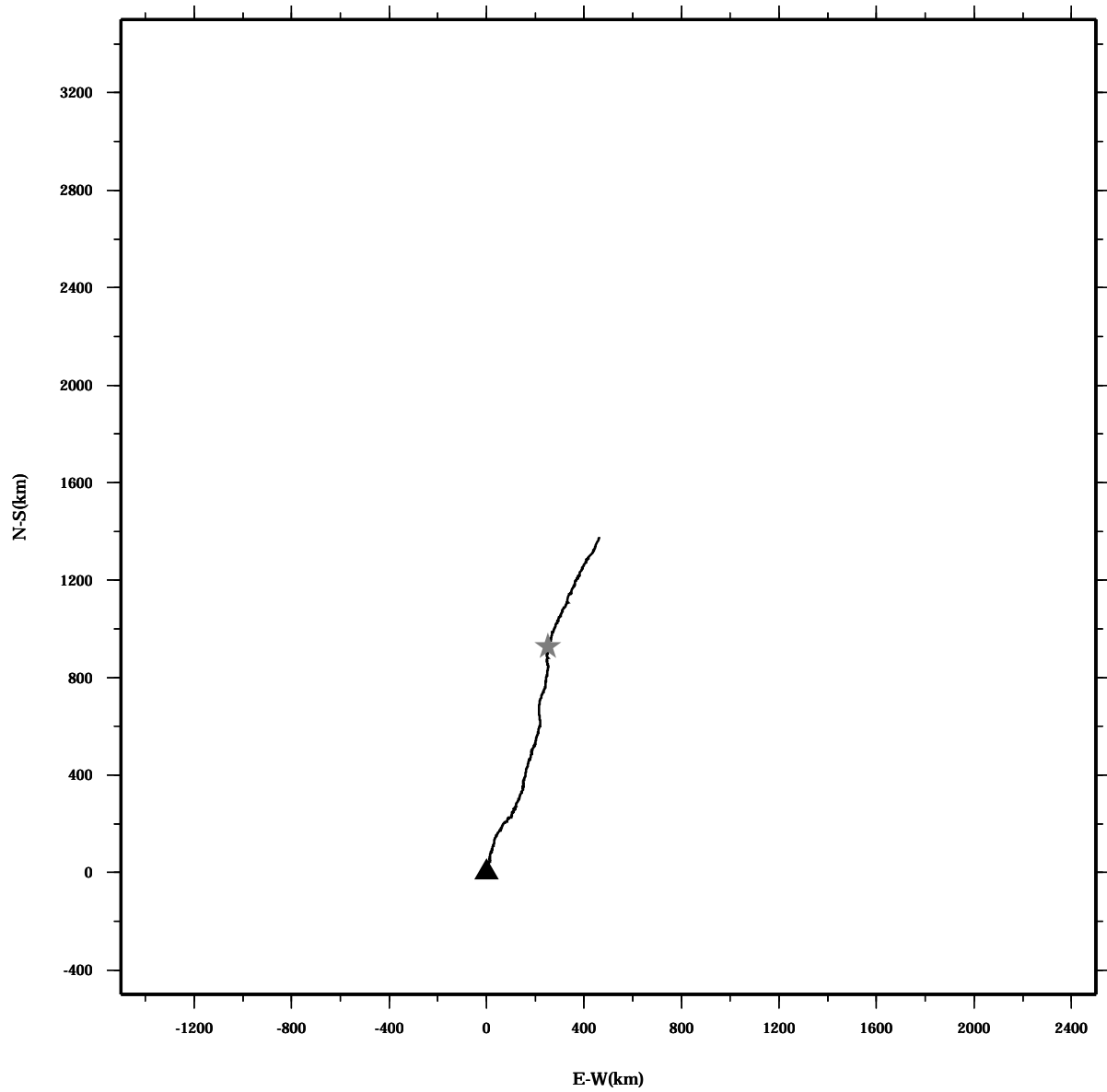
PROGRESSIVE VECTOR DIAGRAM



Lon: 121° 21.83' E
Lat: 22° 40.0133' N

Station: W204
Depth: 186 M

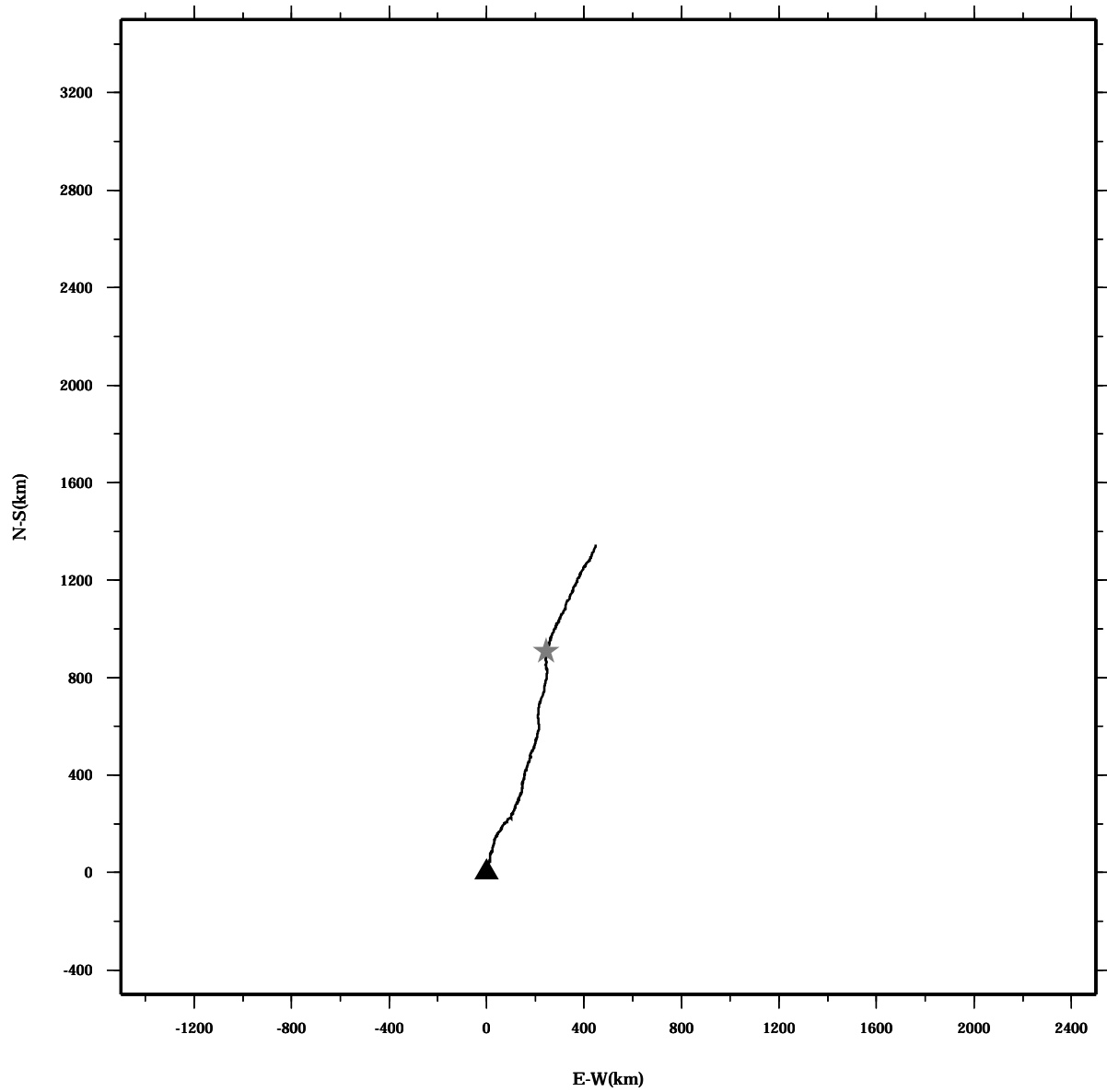
PROGRESSIVE VECTOR DIAGRAM



Lon: 121° 21.83' E
Lat: 22° 40.0133' N

Station: W204
Depth: 190 M

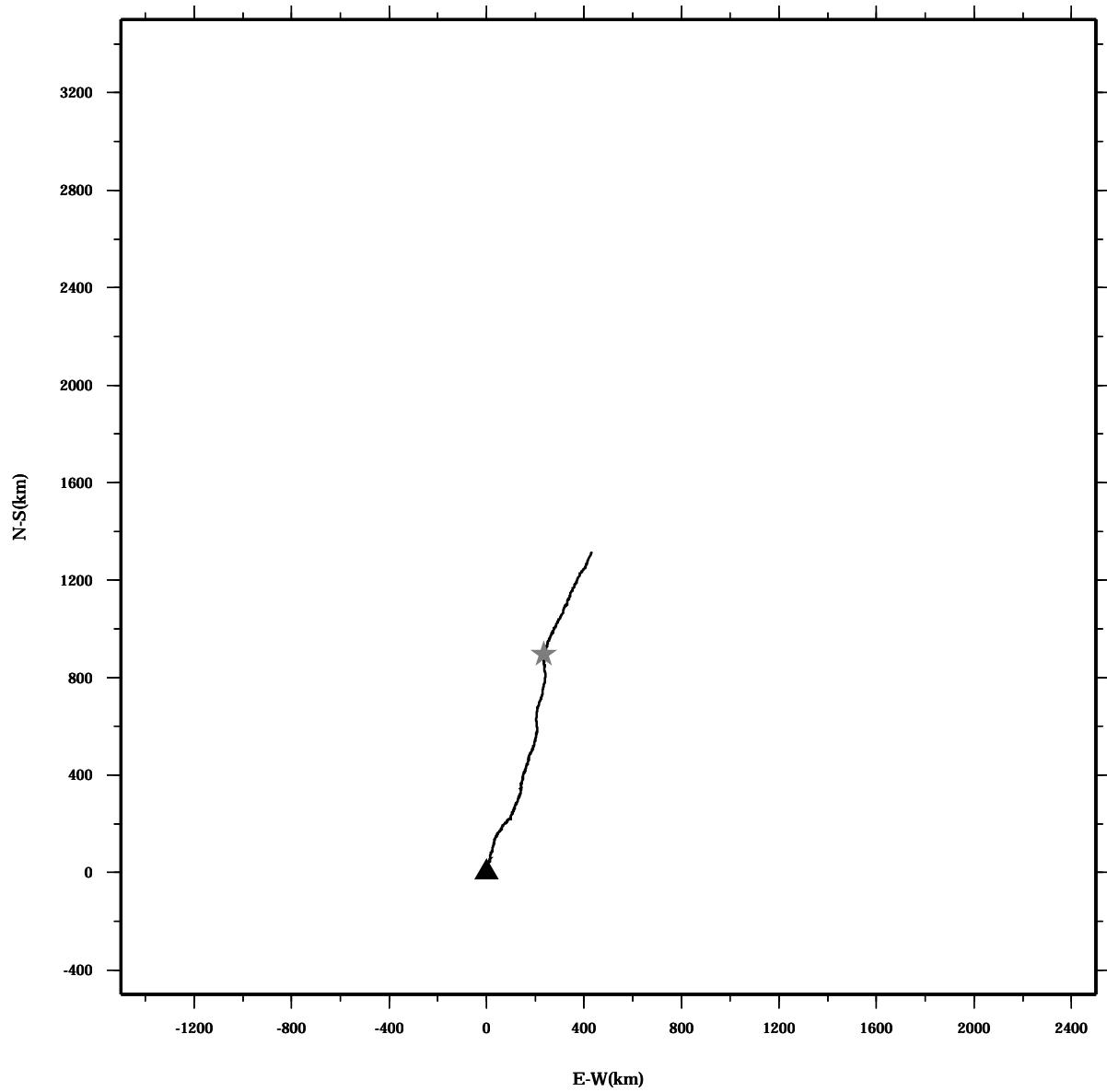
PROGRESSIVE VECTOR DIAGRAM



Lon: 121° 21.83' E
Lat: 22° 40.0133' N

Station: W204
Depth: 194 M

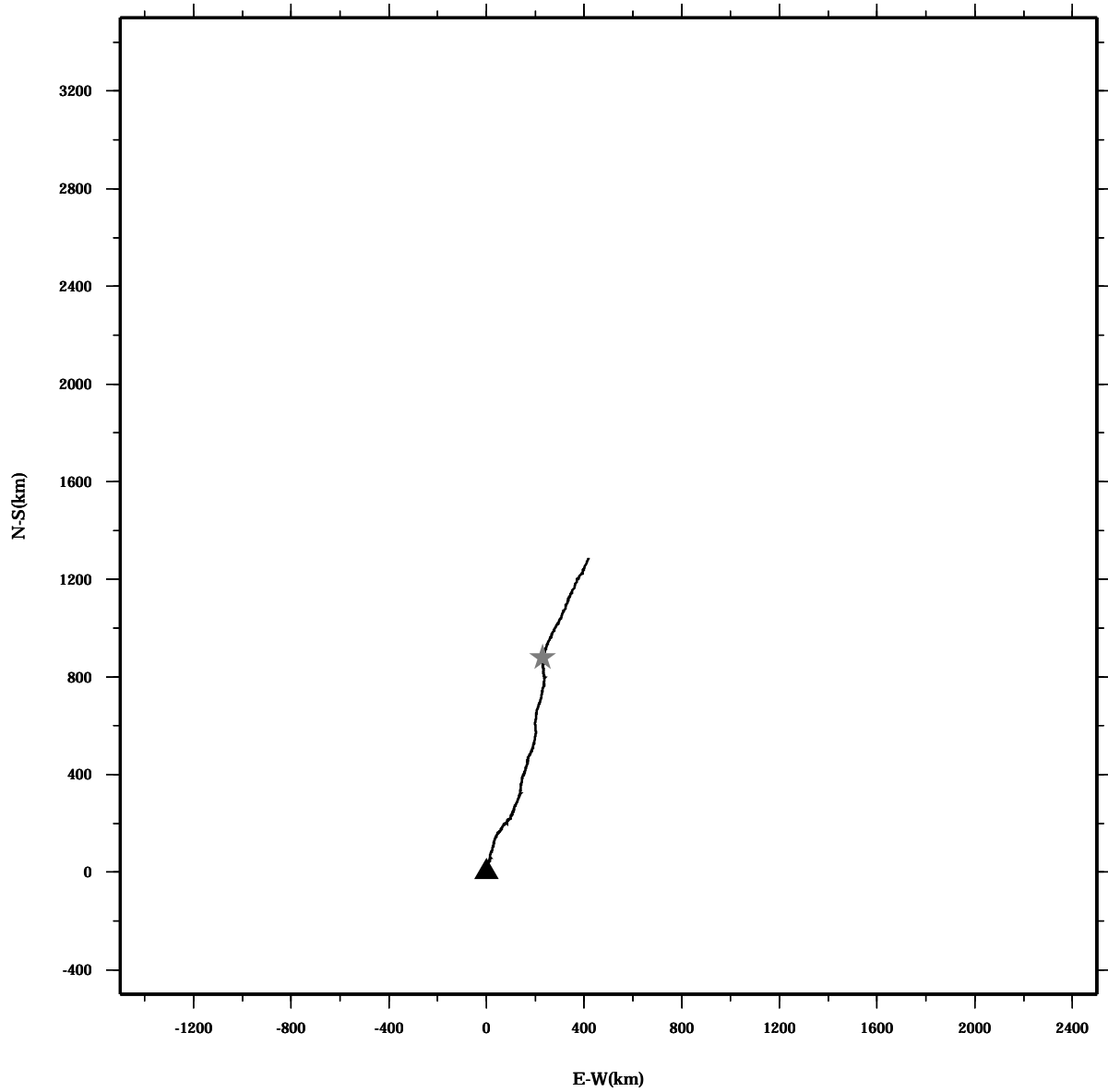
PROGRESSIVE VECTOR DIAGRAM



Lon: 121° 21.83' E
Lat: 22° 40.0133' N

Station: W204
Depth: 198 M

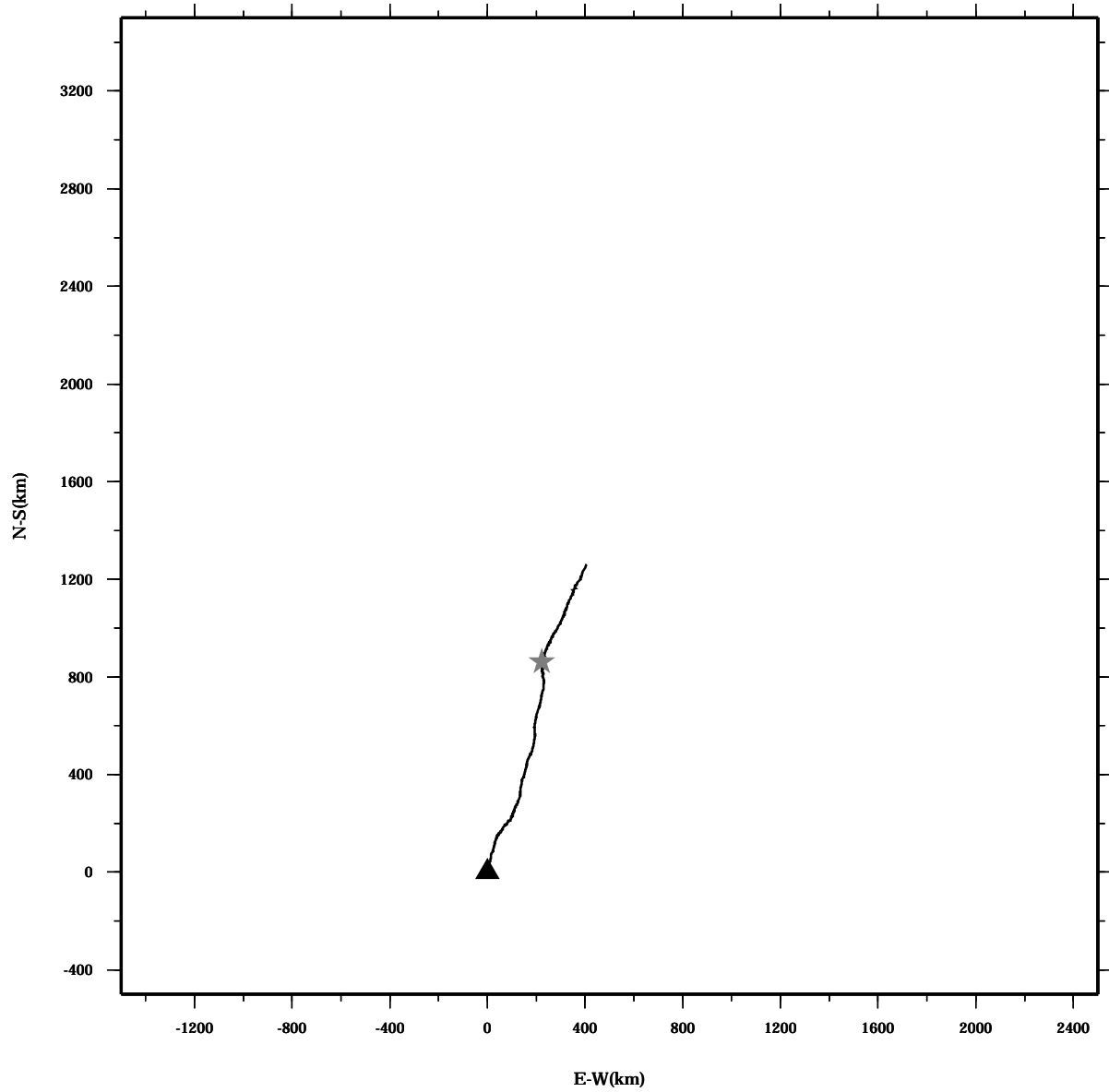
PROGRESSIVE VECTOR DIAGRAM



Lon: 121° 21.83' E
Lat: 22° 40.0133' N

Station: W204
Depth: 202 M

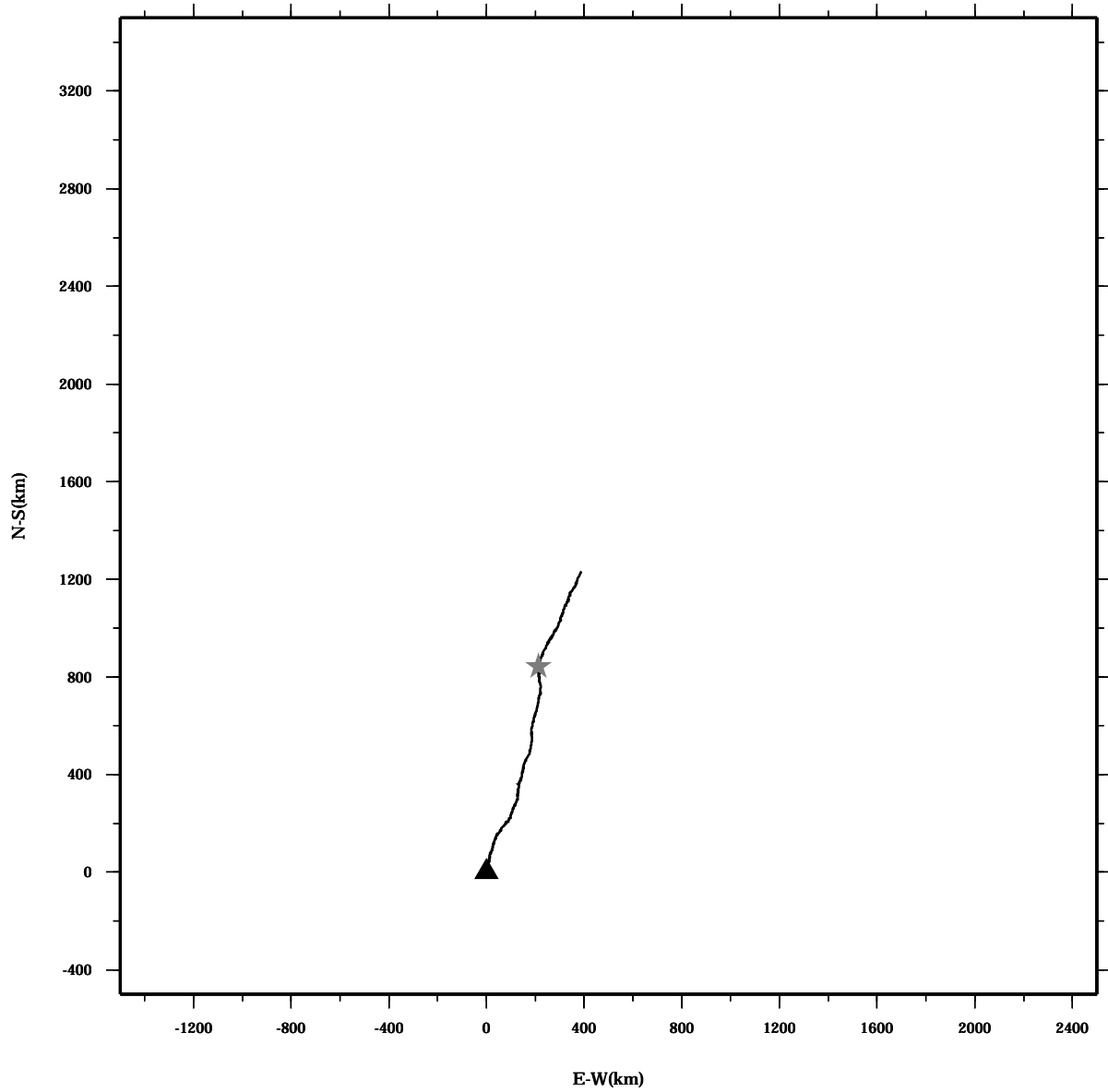
PROGRESSIVE VECTOR DIAGRAM



Lon: 121° 21.83' E
Lat: 22° 40.0133' N

Station: W204
Depth: 206 M

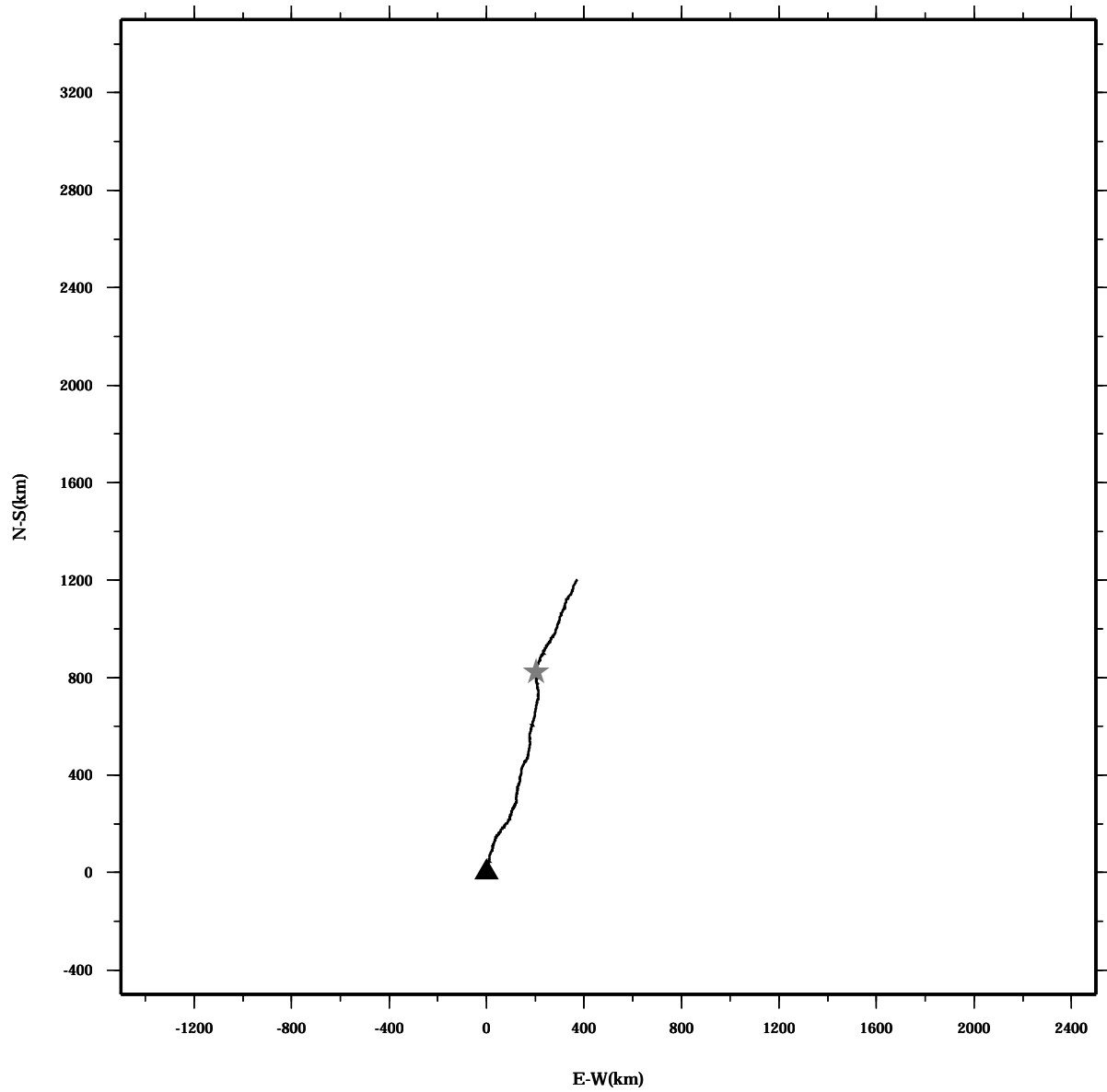
PROGRESSIVE VECTOR DIAGRAM



Lon: 121° 21.83' E
Lat: 22° 40.0133' N

Station: W204
Depth: 210 M

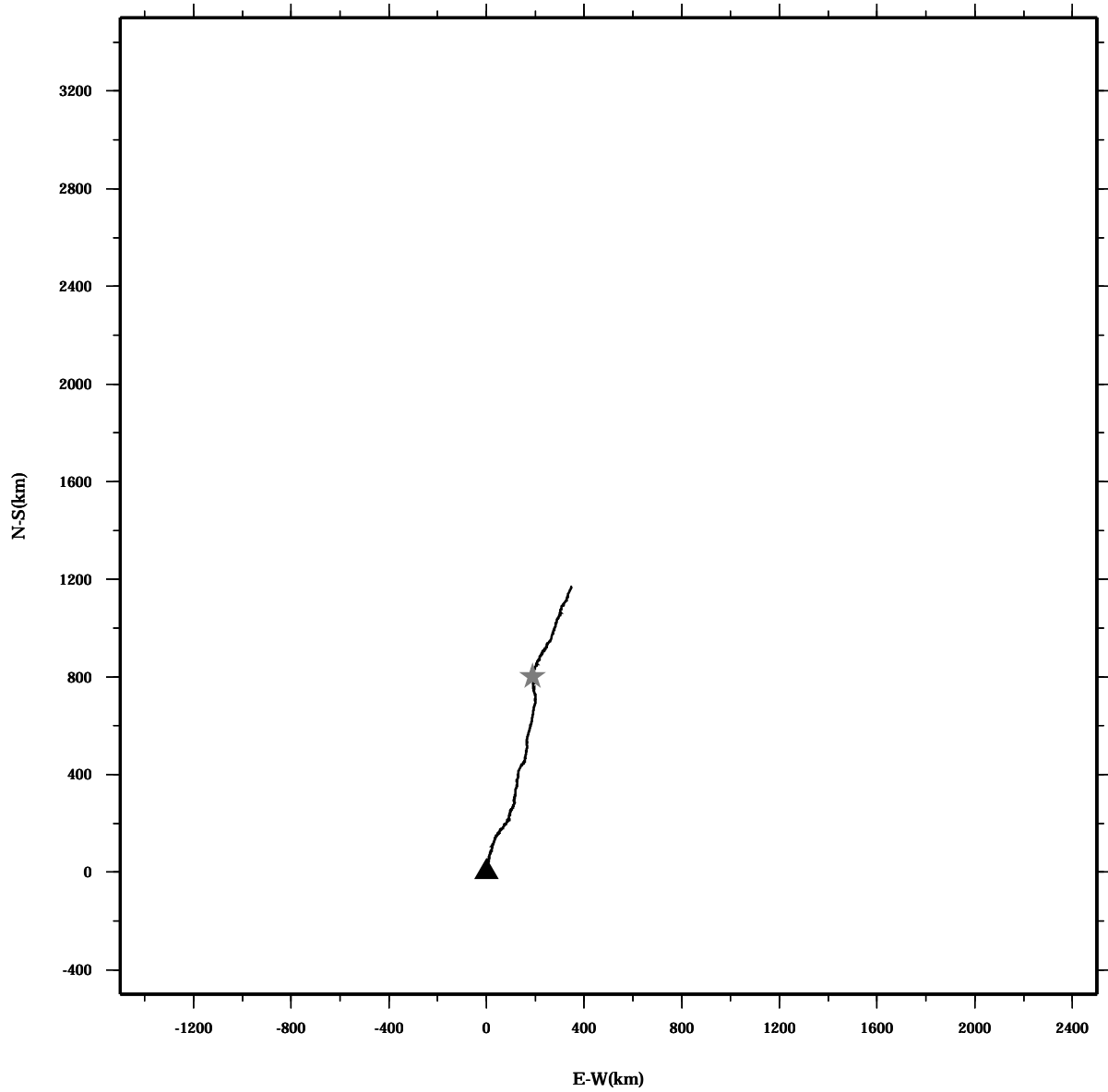
PROGRESSIVE VECTOR DIAGRAM



Lon: 121° 21.83' E
Lat: 22° 40.0133' N

Station: W204
Depth: 214 M

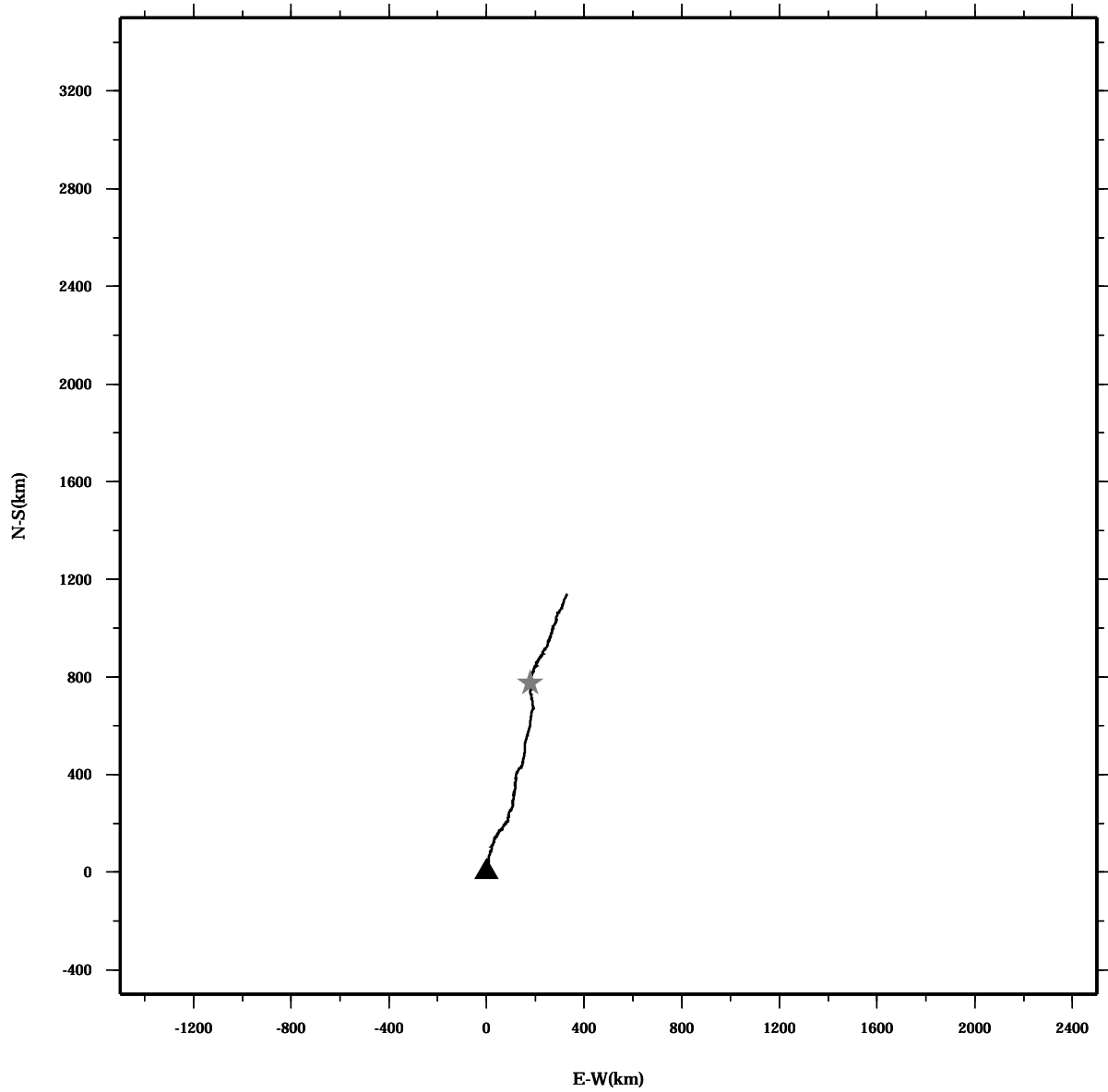
PROGRESSIVE VECTOR DIAGRAM



Lon: 121° 21.83' E
Lat: 22° 40.0133' N

Station: W204
Depth: 218 M

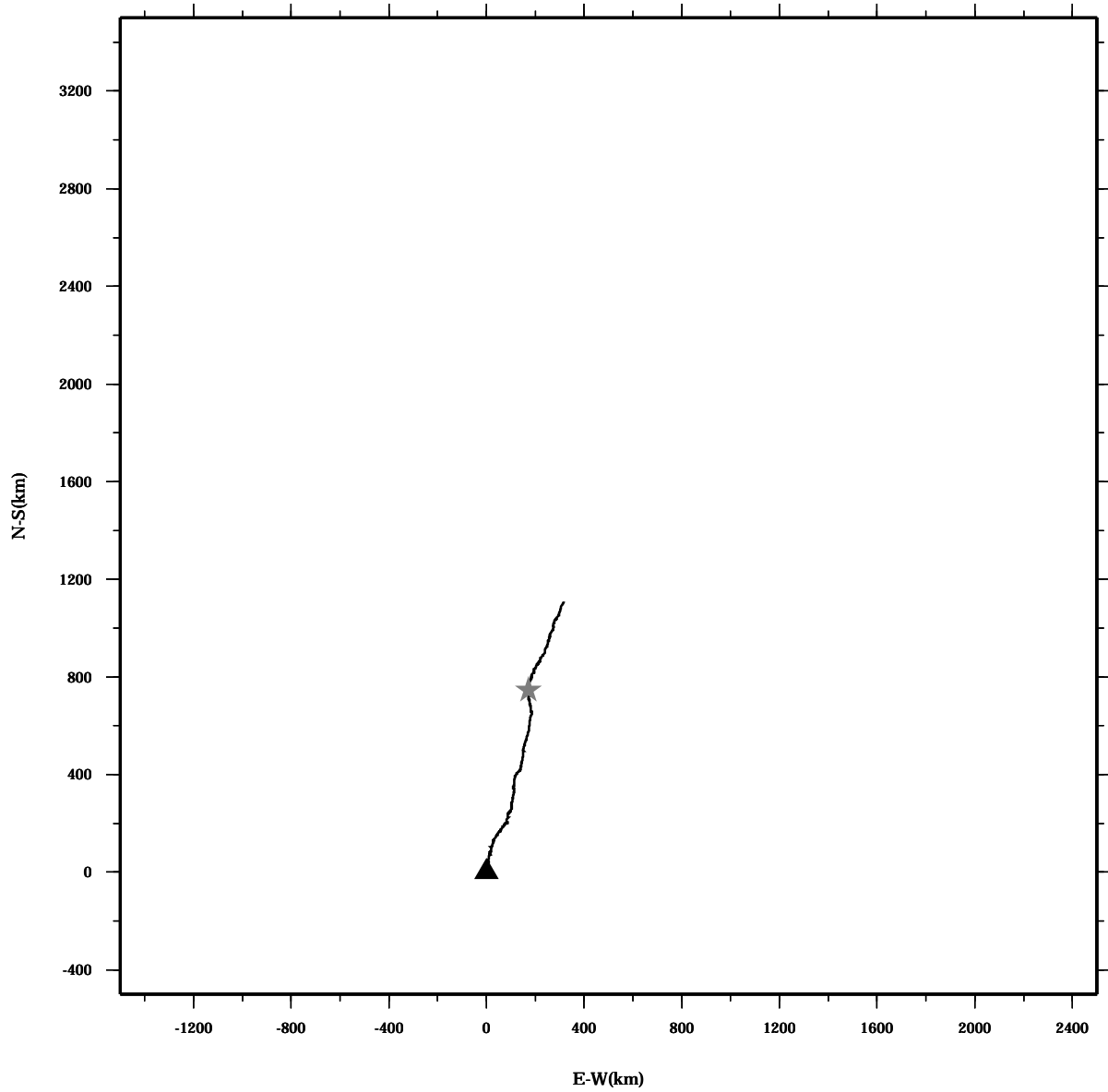
PROGRESSIVE VECTOR DIAGRAM



Lon: 121° 21.83' E
Lat: 22° 40.0133' N

Station: W204
Depth: 222 M

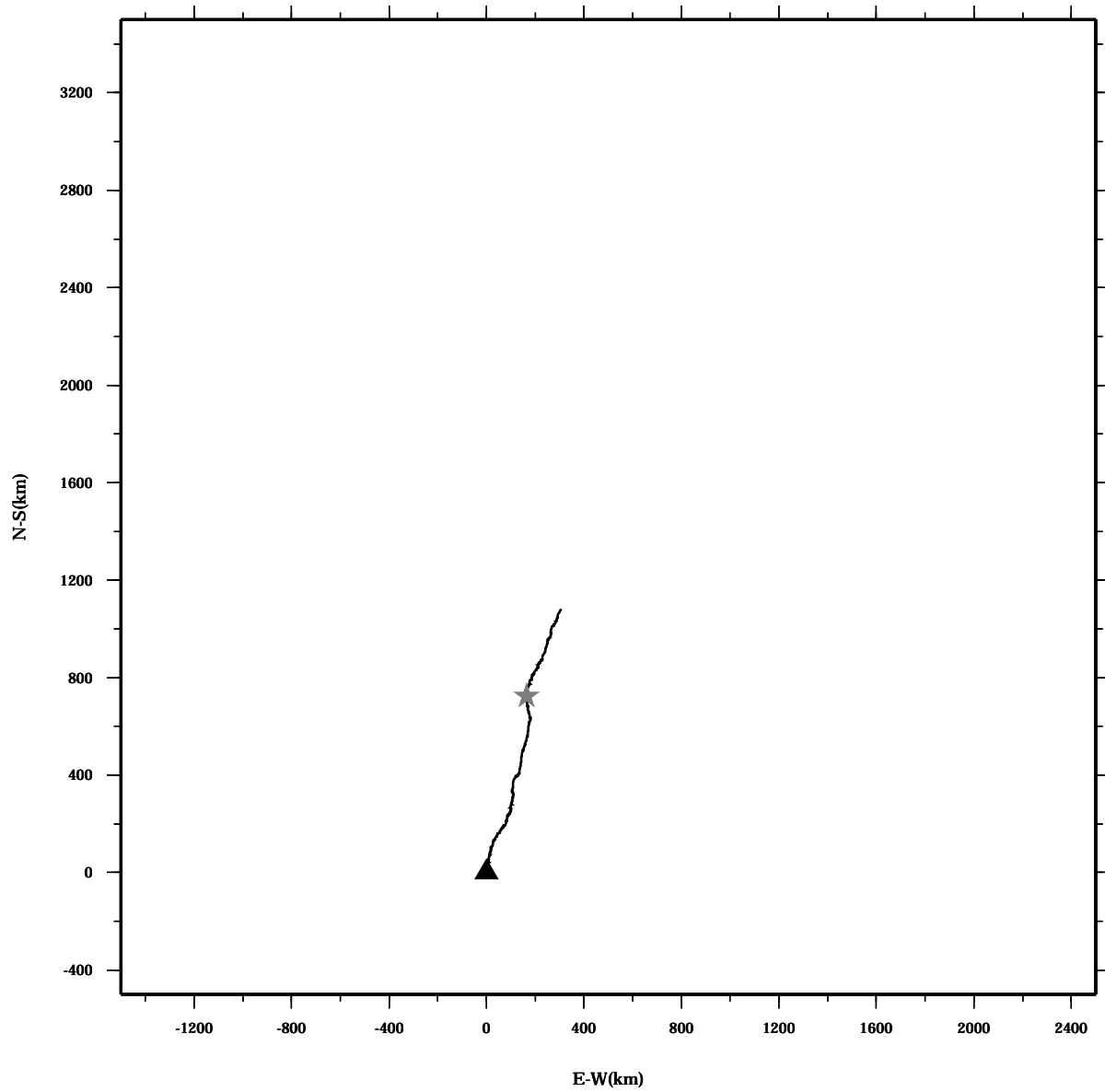
PROGRESSIVE VECTOR DIAGRAM



Lon: 121° 21.83' E
Lat: 22° 40.0133' N

Station: W204
Depth: 226 M

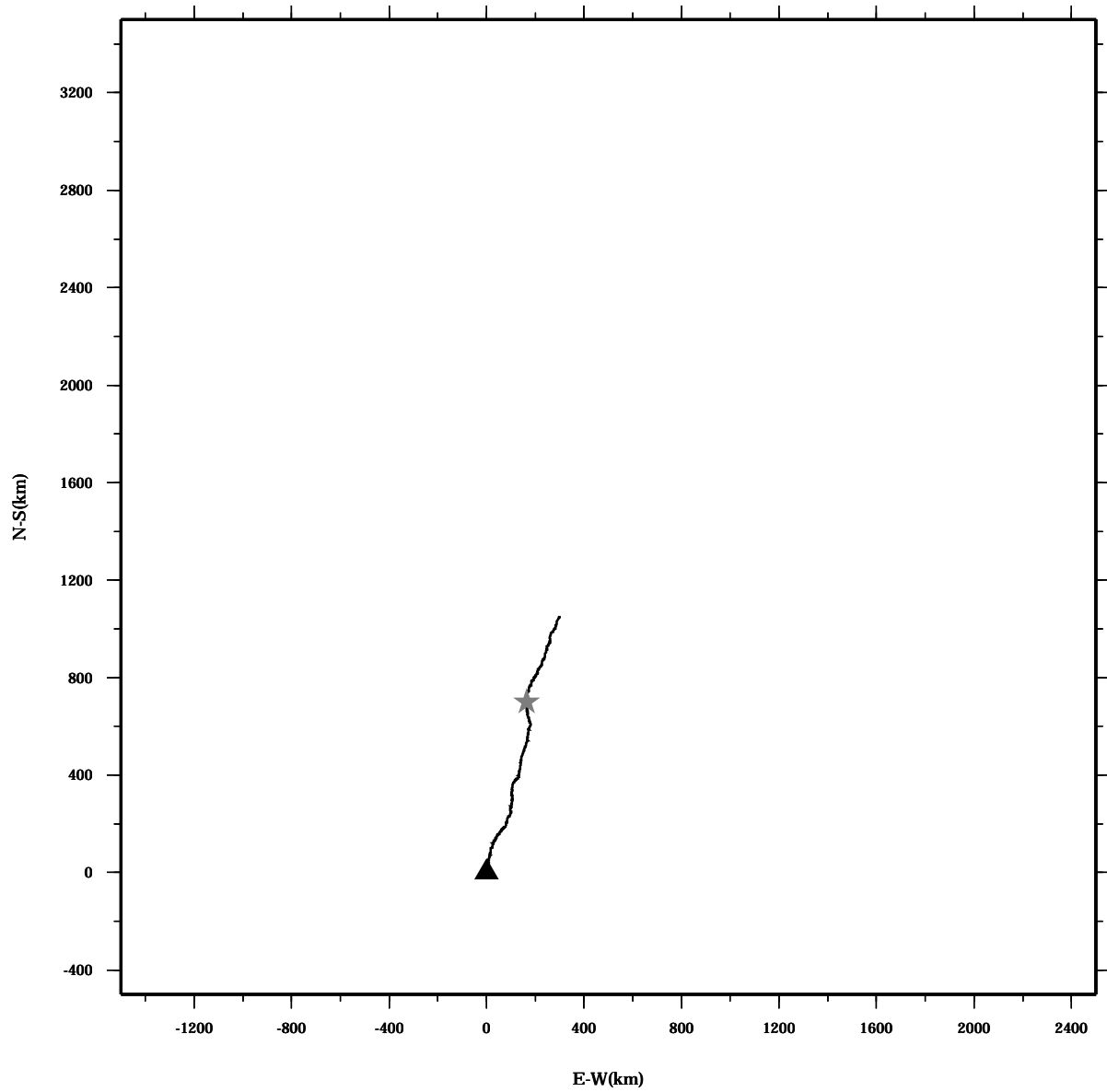
PROGRESSIVE VECTOR DIAGRAM



Lon: 121° 21.83' E
Lat: 22° 40.0133' N

Station: W204
Depth: 230 M

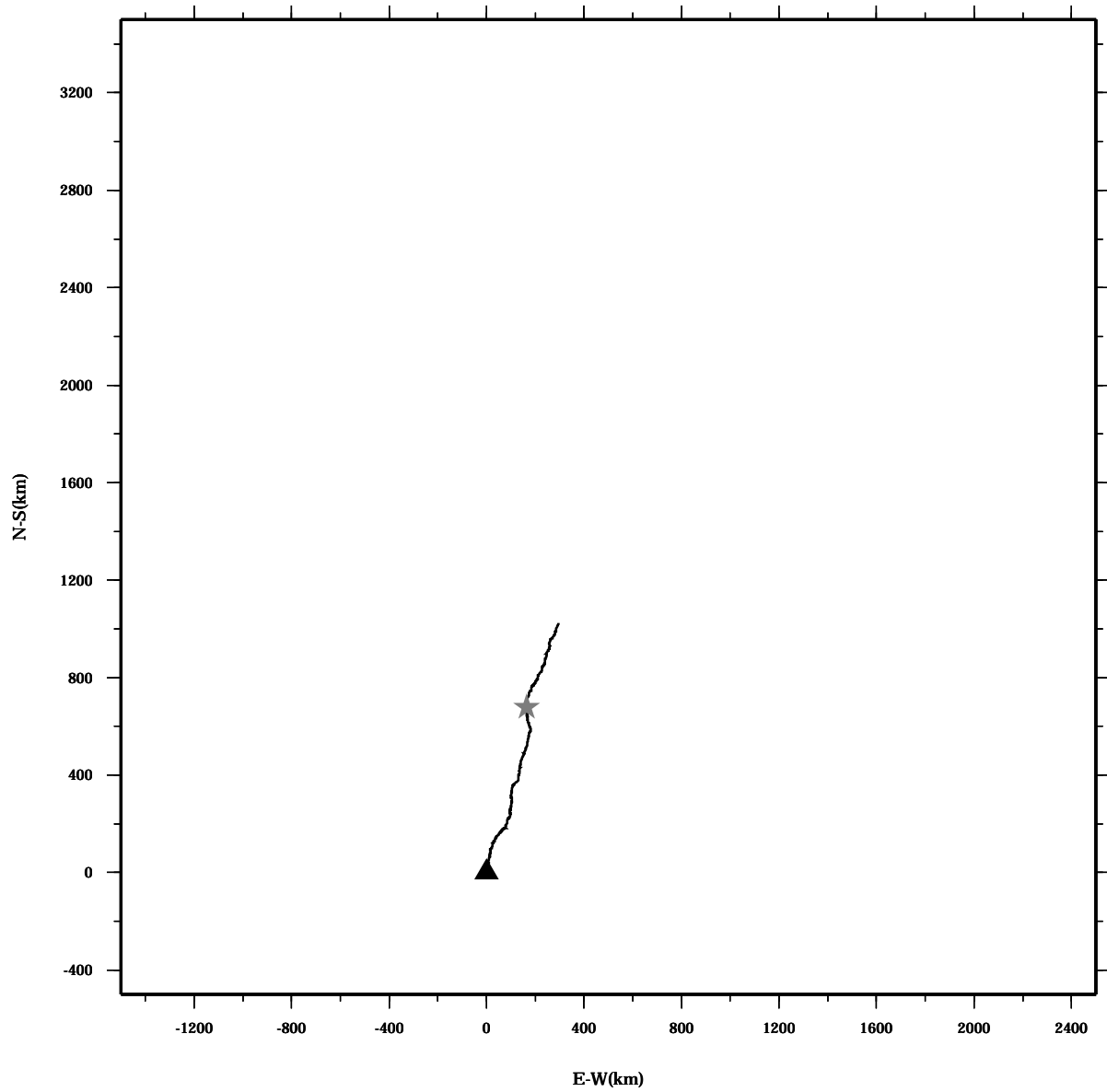
PROGRESSIVE VECTOR DIAGRAM



Lon: 121° 21.83' E
Lat: 22° 40.0133' N

Station: W204
Depth: 234 M

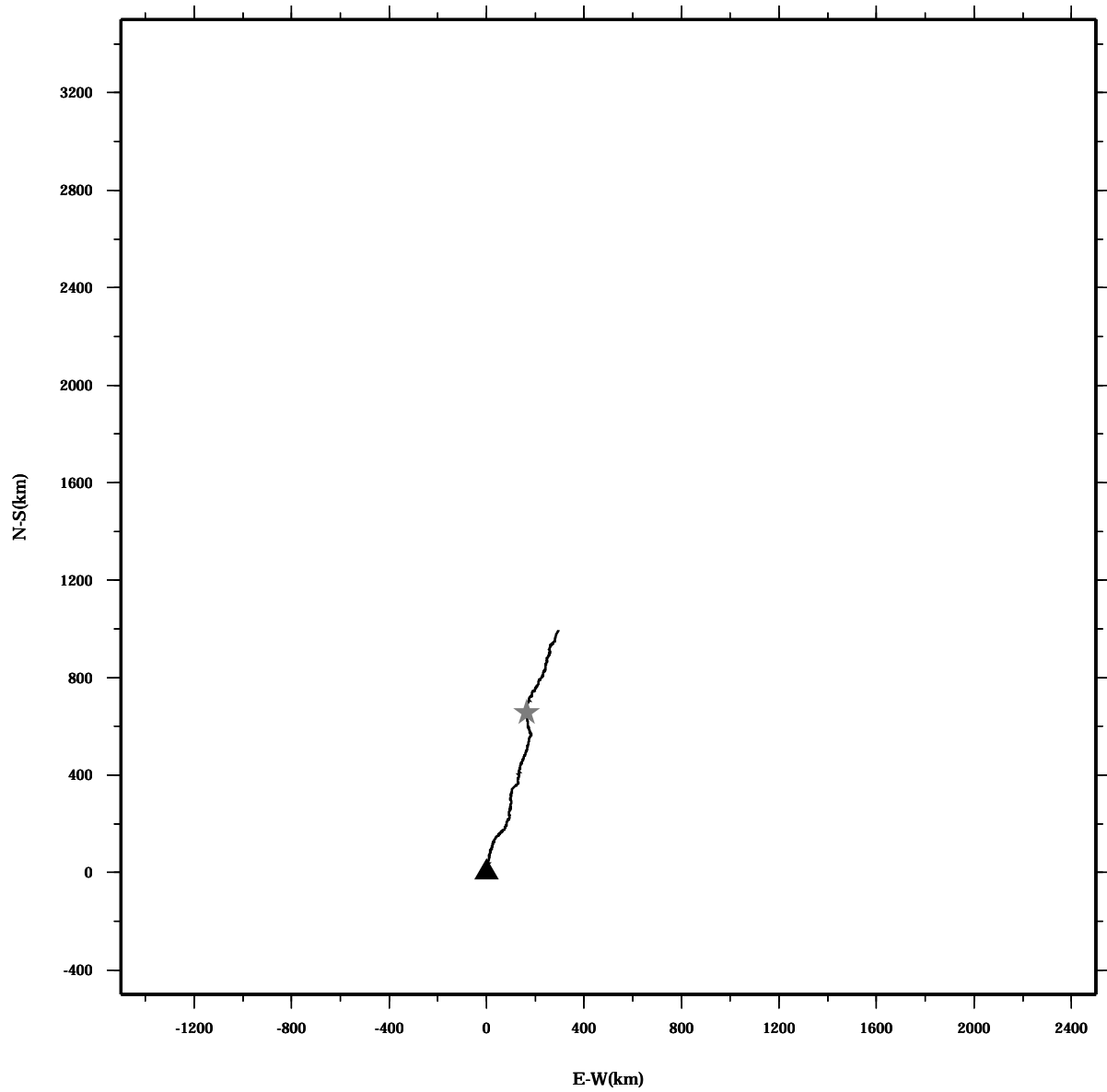
PROGRESSIVE VECTOR DIAGRAM



Lon: 121° 21.83' E
Lat: 22° 40.0133' N

Station: W204
Depth: 238 M

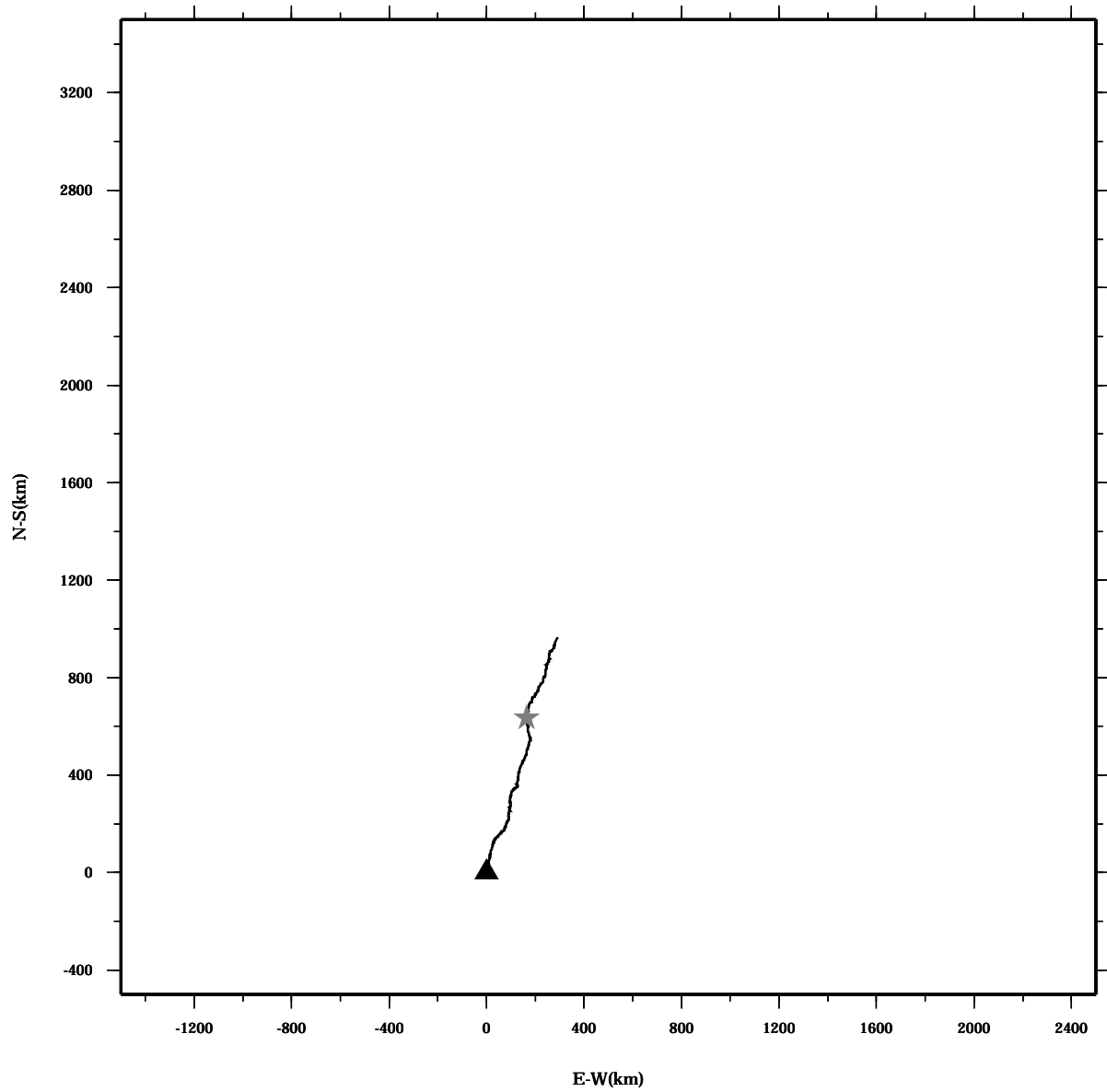
PROGRESSIVE VECTOR DIAGRAM



Lon: 121° 21.83' E
Lat: 22° 40.0133' N

Station: W204
Depth: 242 M

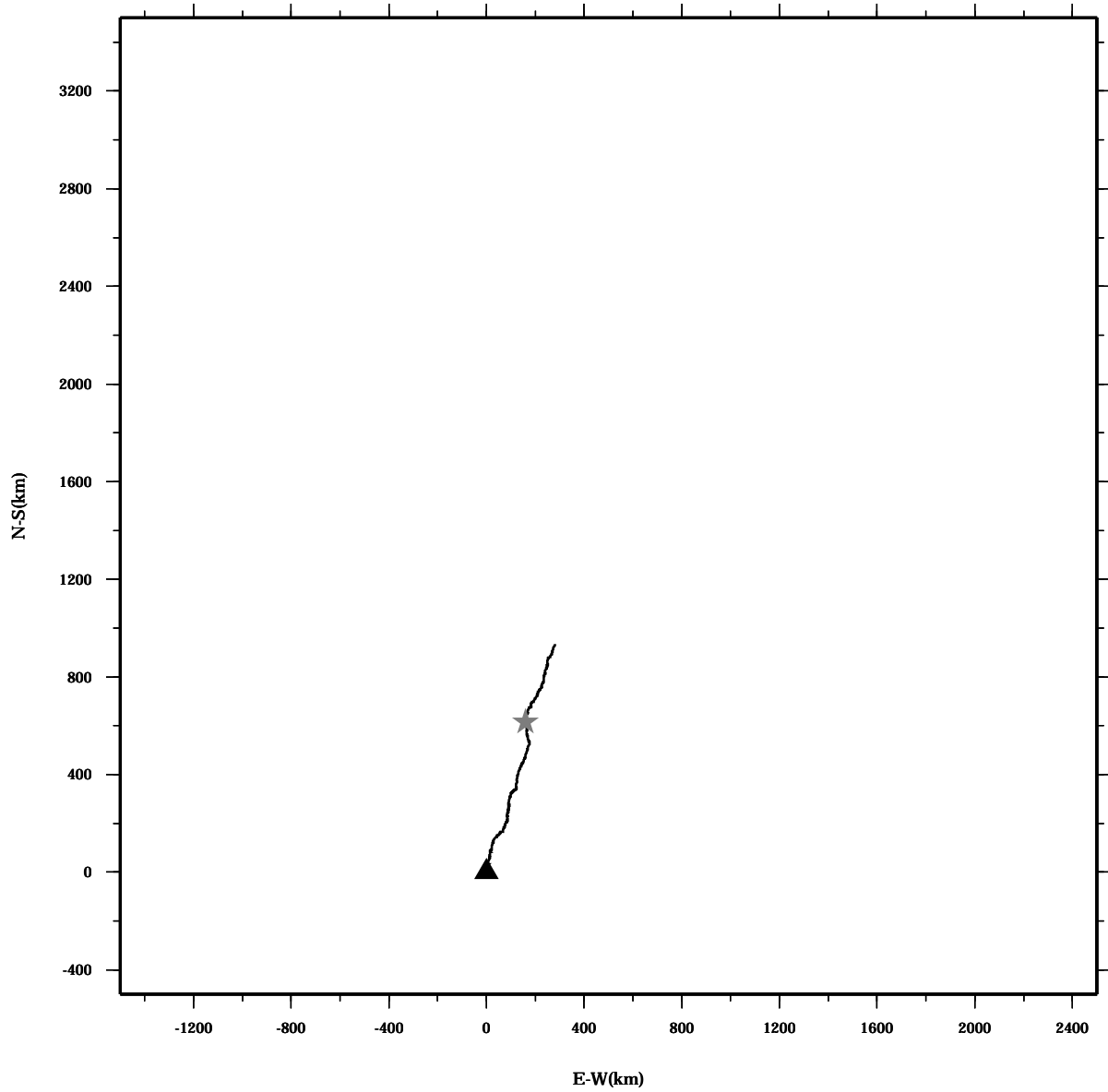
PROGRESSIVE VECTOR DIAGRAM



Lon: 121° 21.83' E
Lat: 22° 40.0133' N

Station: W204
Depth: 246 M

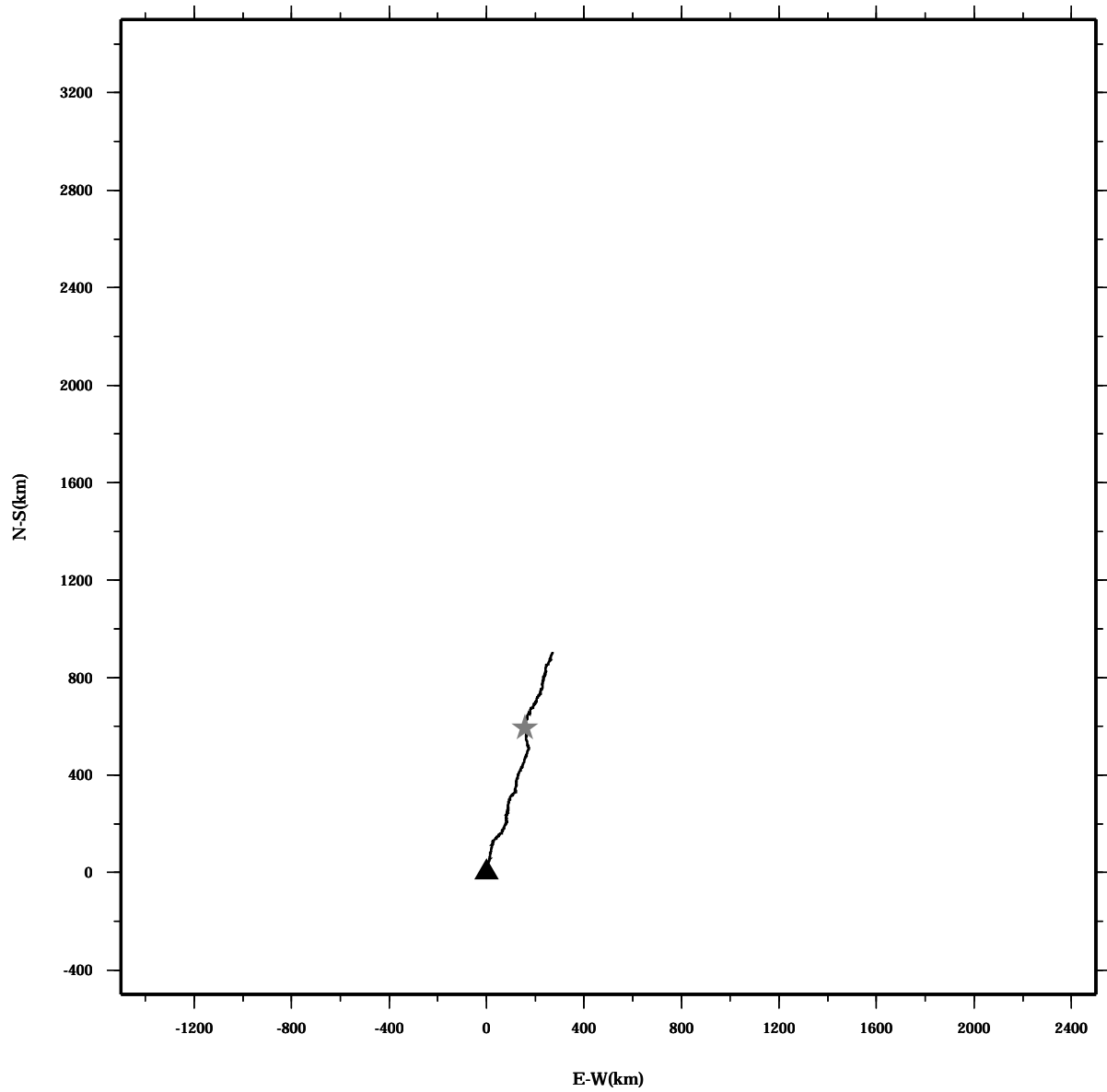
PROGRESSIVE VECTOR DIAGRAM



Lon: 121° 21.83' E
Lat: 22° 40.0133' N

Station: W204
Depth: 250 M

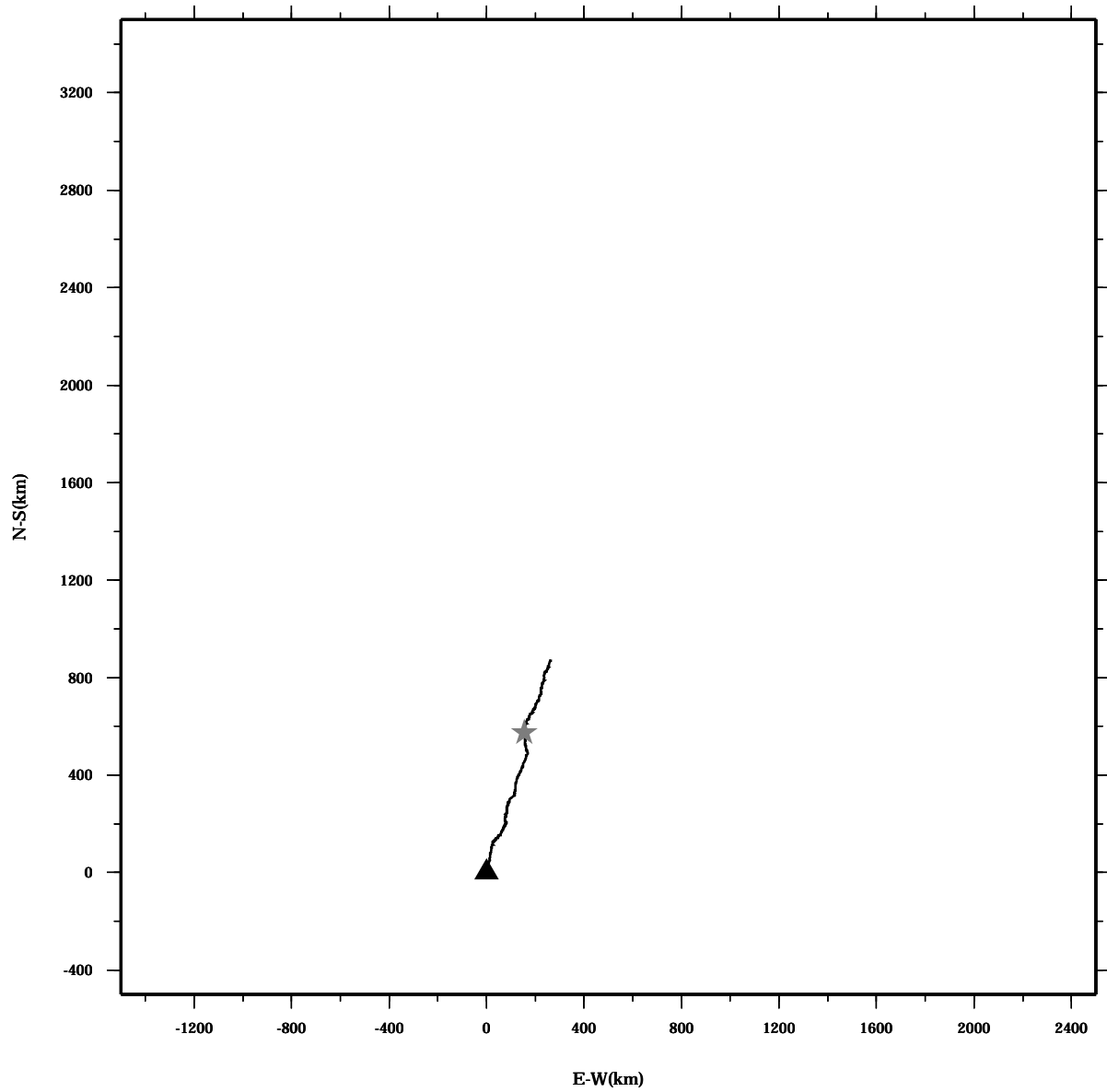
PROGRESSIVE VECTOR DIAGRAM



Lon: 121° 21.83' E
Lat: 22° 40.0133' N

Station: W204
Depth: 254 M

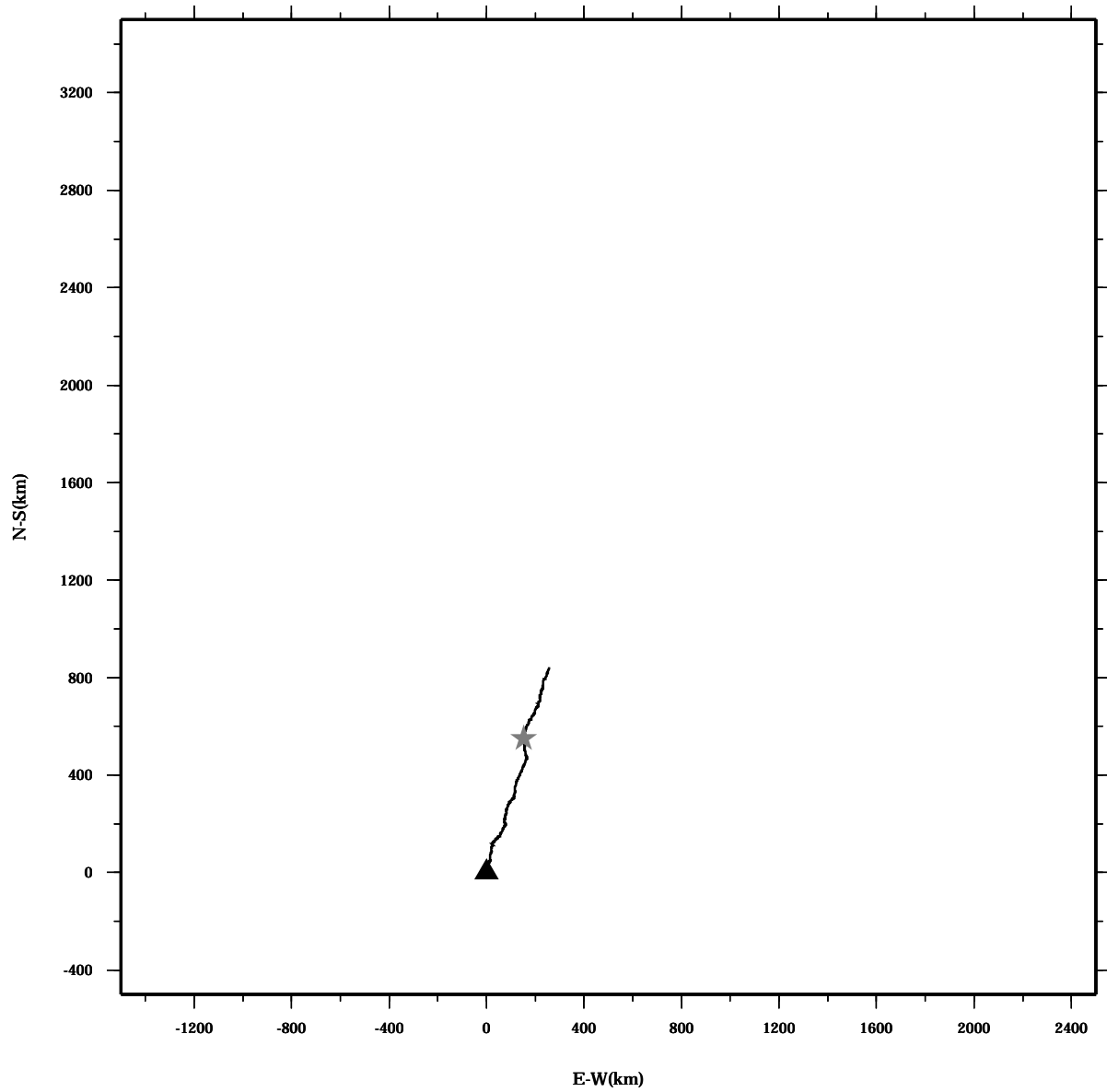
PROGRESSIVE VECTOR DIAGRAM



Lon: 121° 21.83' E
Lat: 22° 40.0133' N

Station: W204
Depth: 258 M

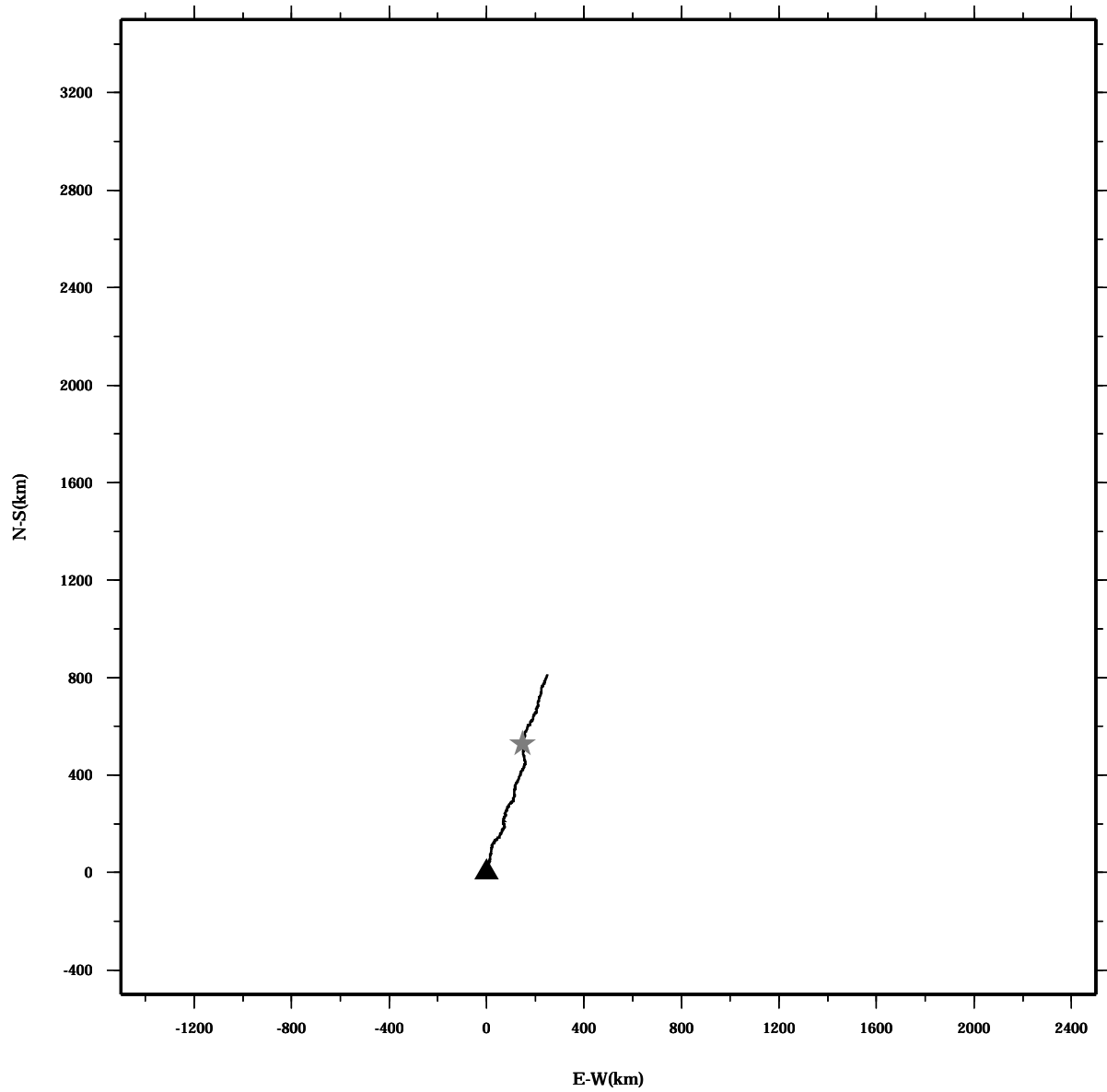
PROGRESSIVE VECTOR DIAGRAM



Lon: 121° 21.83' E
Lat: 22° 40.0133' N

Station: W204
Depth: 262 M

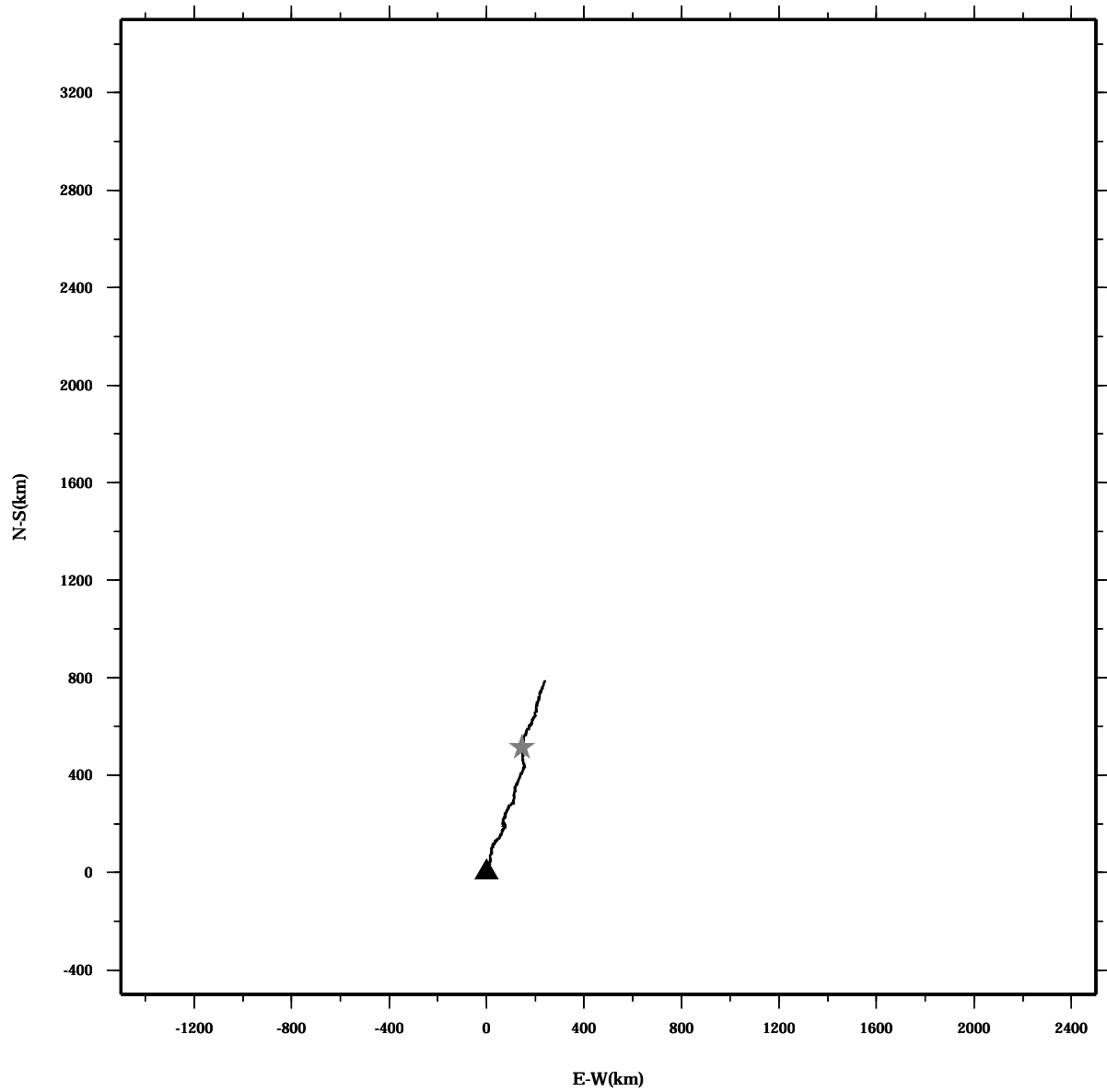
PROGRESSIVE VECTOR DIAGRAM



Lon: 121° 21.83' E
Lat: 22° 40.0133' N

Station: W204
Depth: 266 M

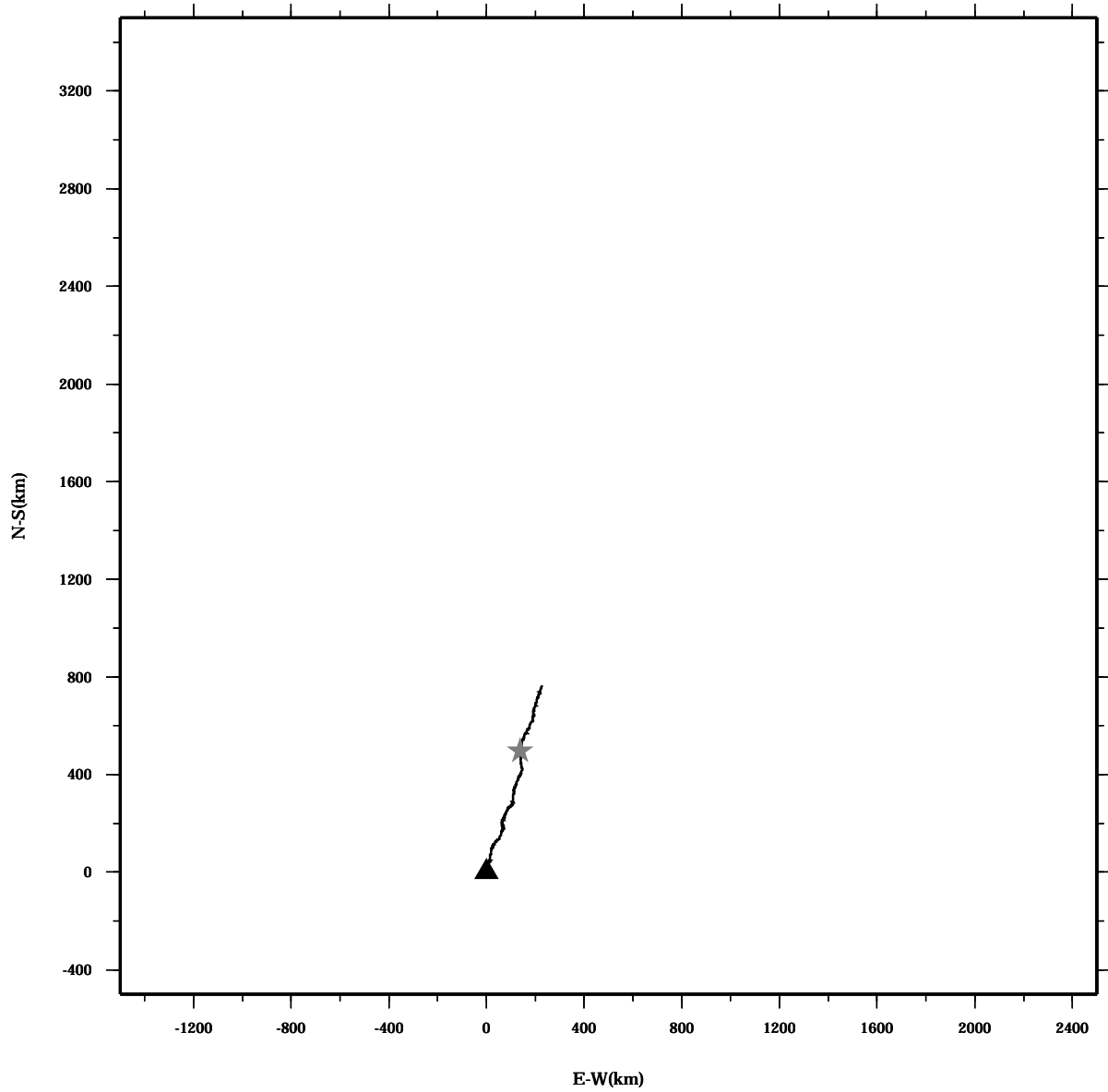
PROGRESSIVE VECTOR DIAGRAM



Lon: 121° 21.83' E
Lat: 22° 40.0133' N

Station: W204
Depth: 270 M

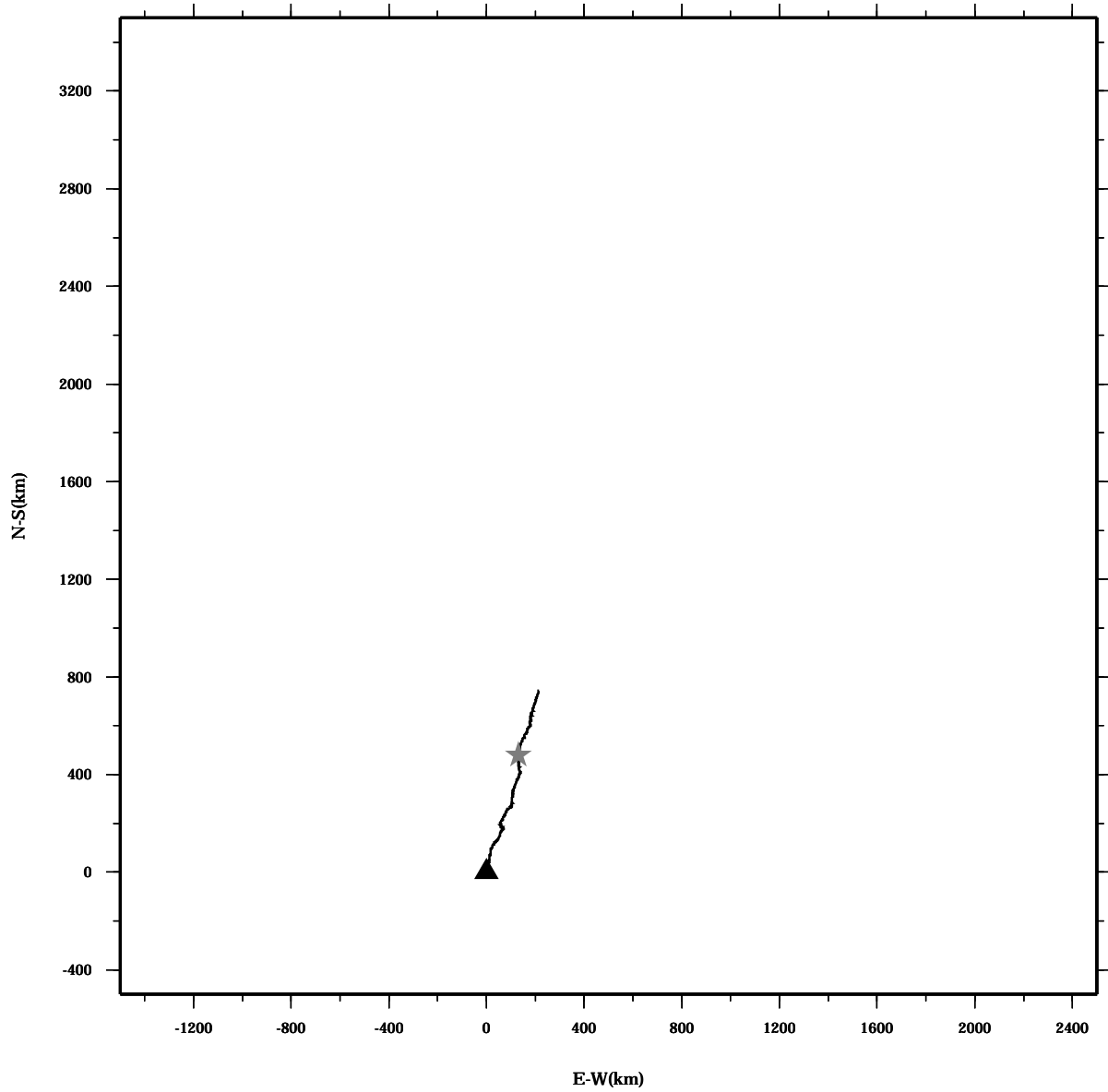
PROGRESSIVE VECTOR DIAGRAM



Lon: 121° 21.83' E
Lat: 22° 40.0133' N

Station: W204
Depth: 274 M

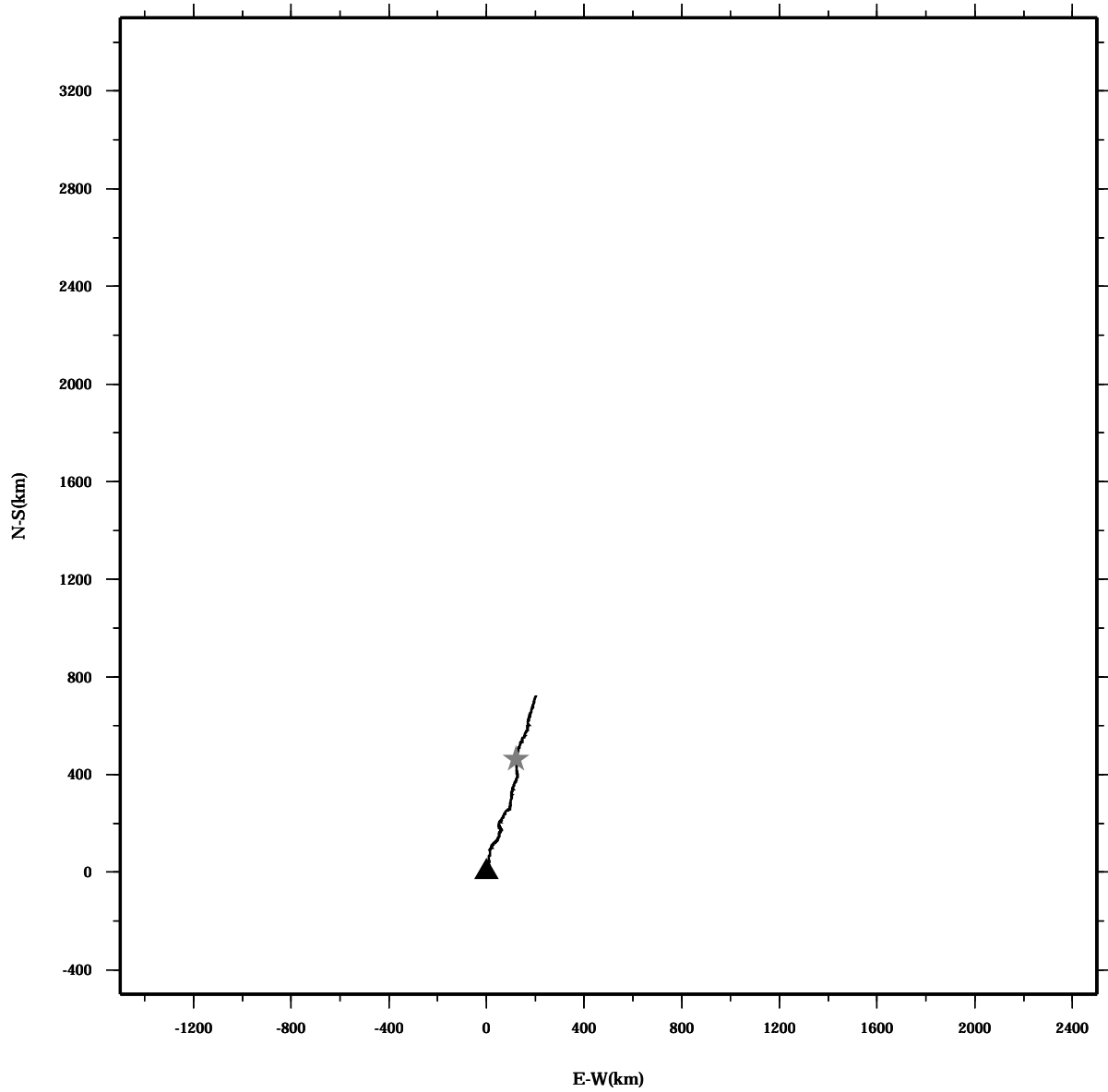
PROGRESSIVE VECTOR DIAGRAM



Lon: 121° 21.83' E
Lat: 22° 40.0133' N

Station: W204
Depth: 278 M

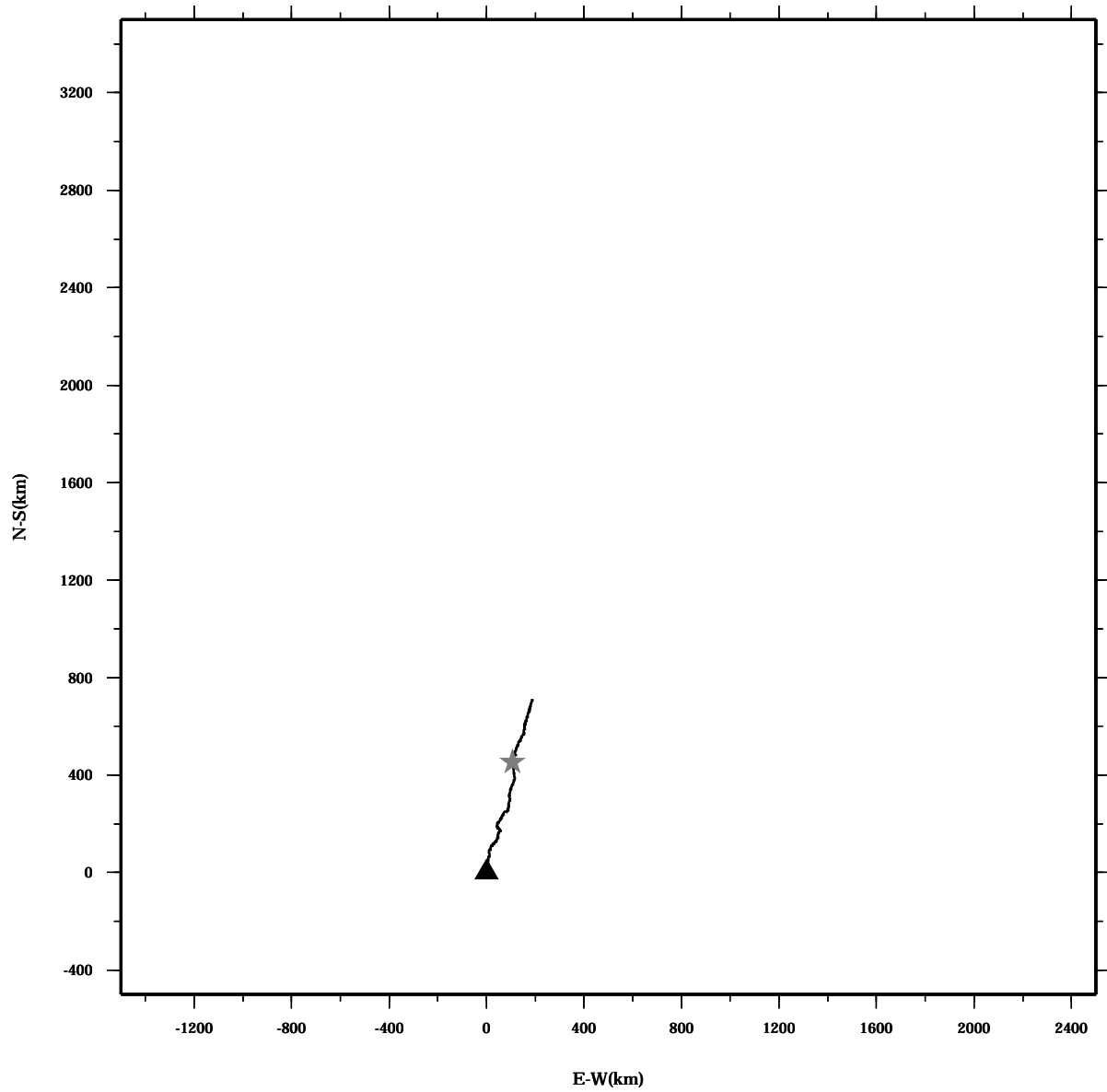
PROGRESSIVE VECTOR DIAGRAM



Lon: 121° 21.83' E
Lat: 22° 40.0133' N

Station: W204
Depth: 282 M

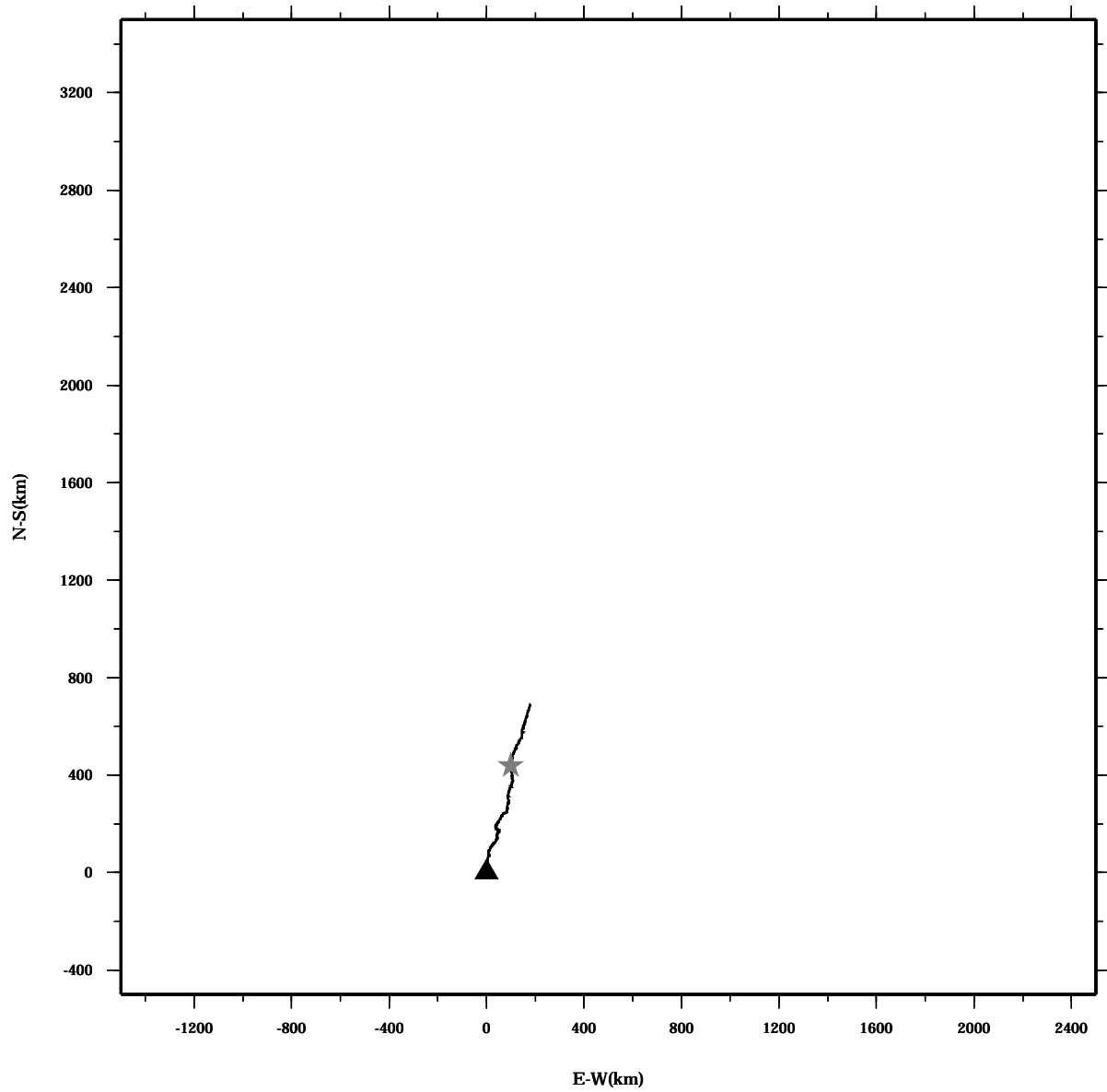
PROGRESSIVE VECTOR DIAGRAM



Lon: 121° 21.83' E
Lat: 22° 40.0133' N

Station: W204
Depth: 286 M

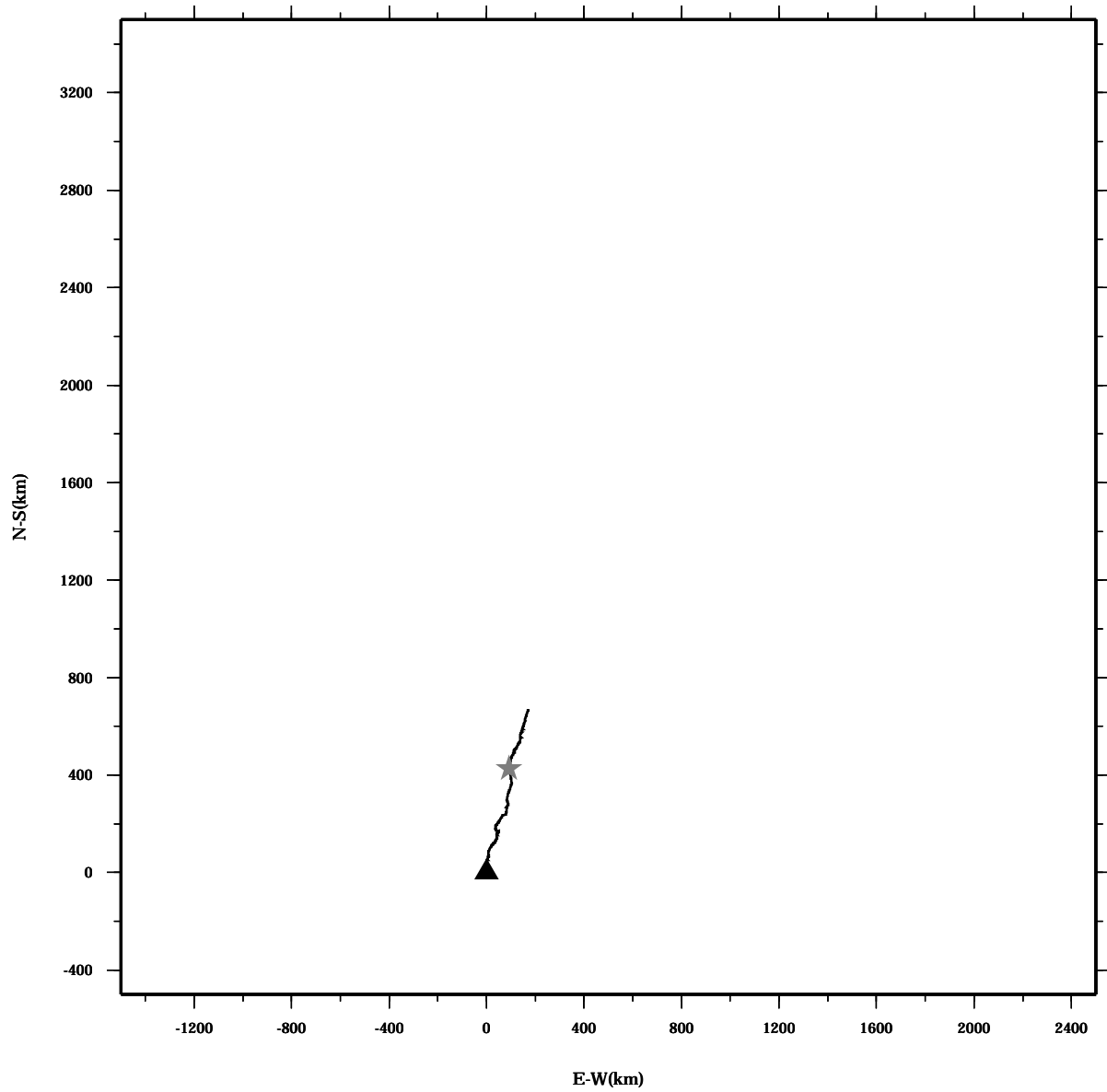
PROGRESSIVE VECTOR DIAGRAM



Lon: 121° 21.83' E
Lat: 22° 40.0133' N

Station: W204
Depth: 290 M

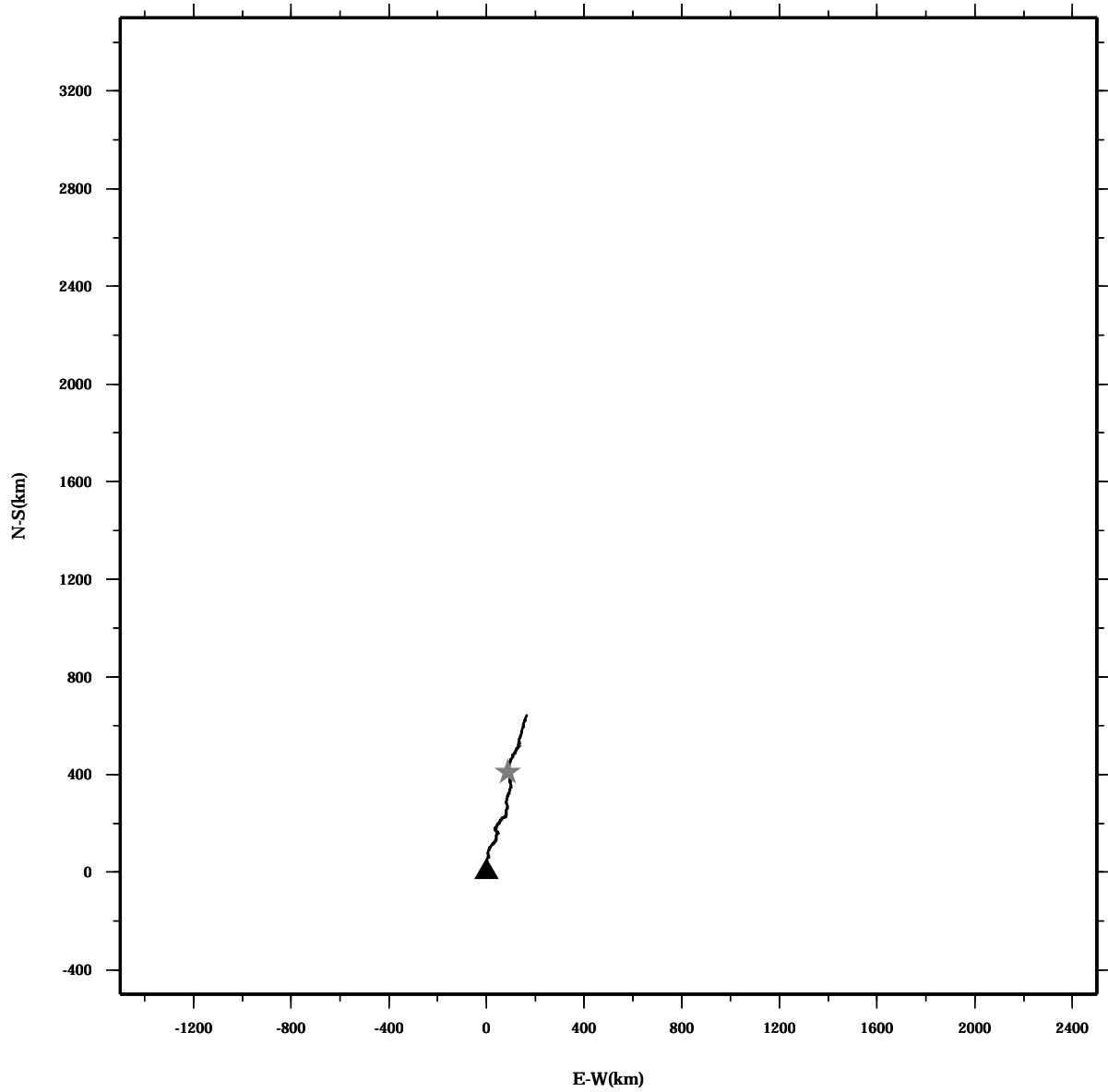
PROGRESSIVE VECTOR DIAGRAM



Lon: 121° 21.83' E
Lat: 22° 40.0133' N

Station: W204
Depth: 294 M

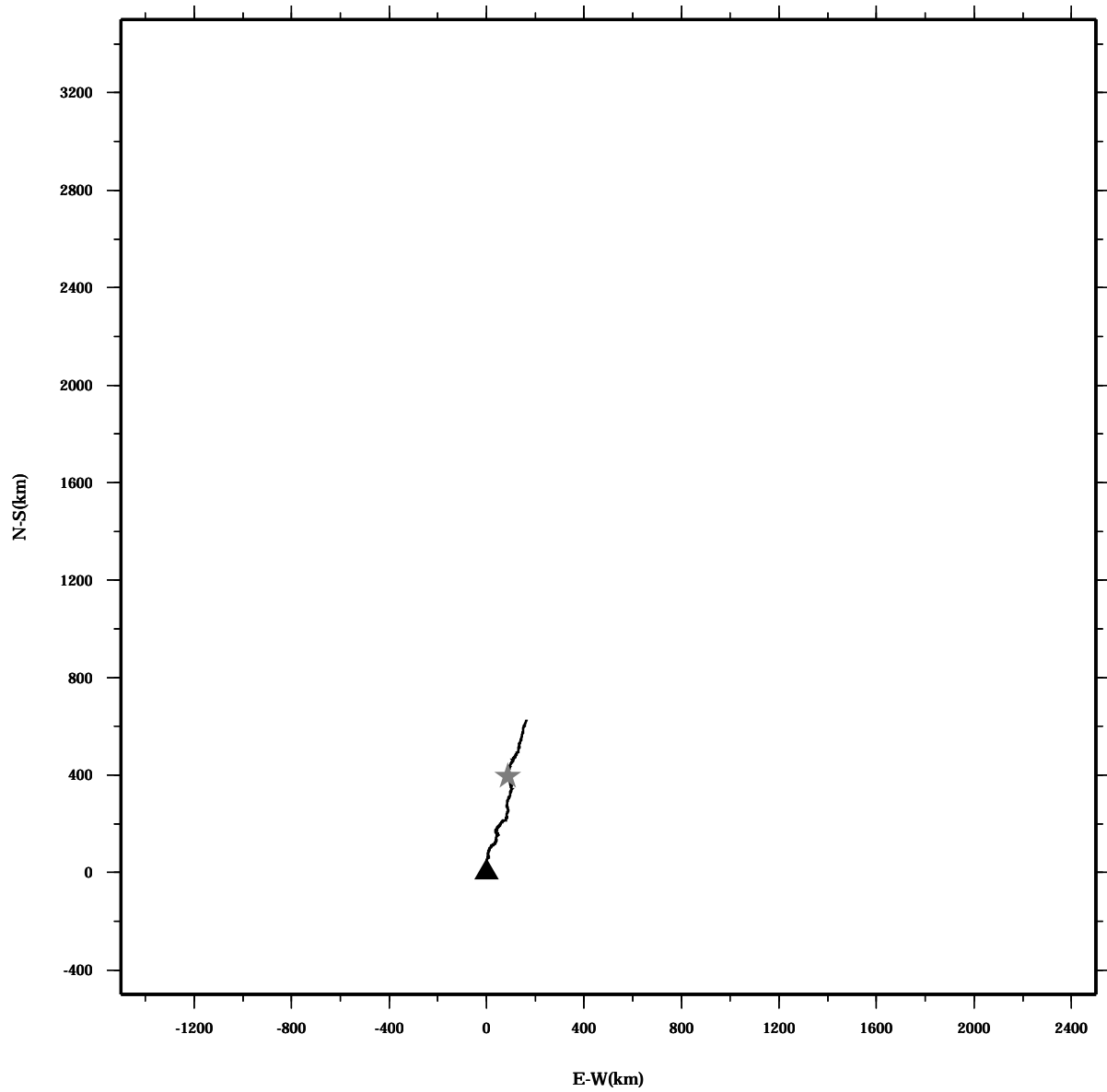
PROGRESSIVE VECTOR DIAGRAM



Lon: 121° 21.83' E
Lat: 22° 40.0133' N

Station: W204
Depth: 298 M

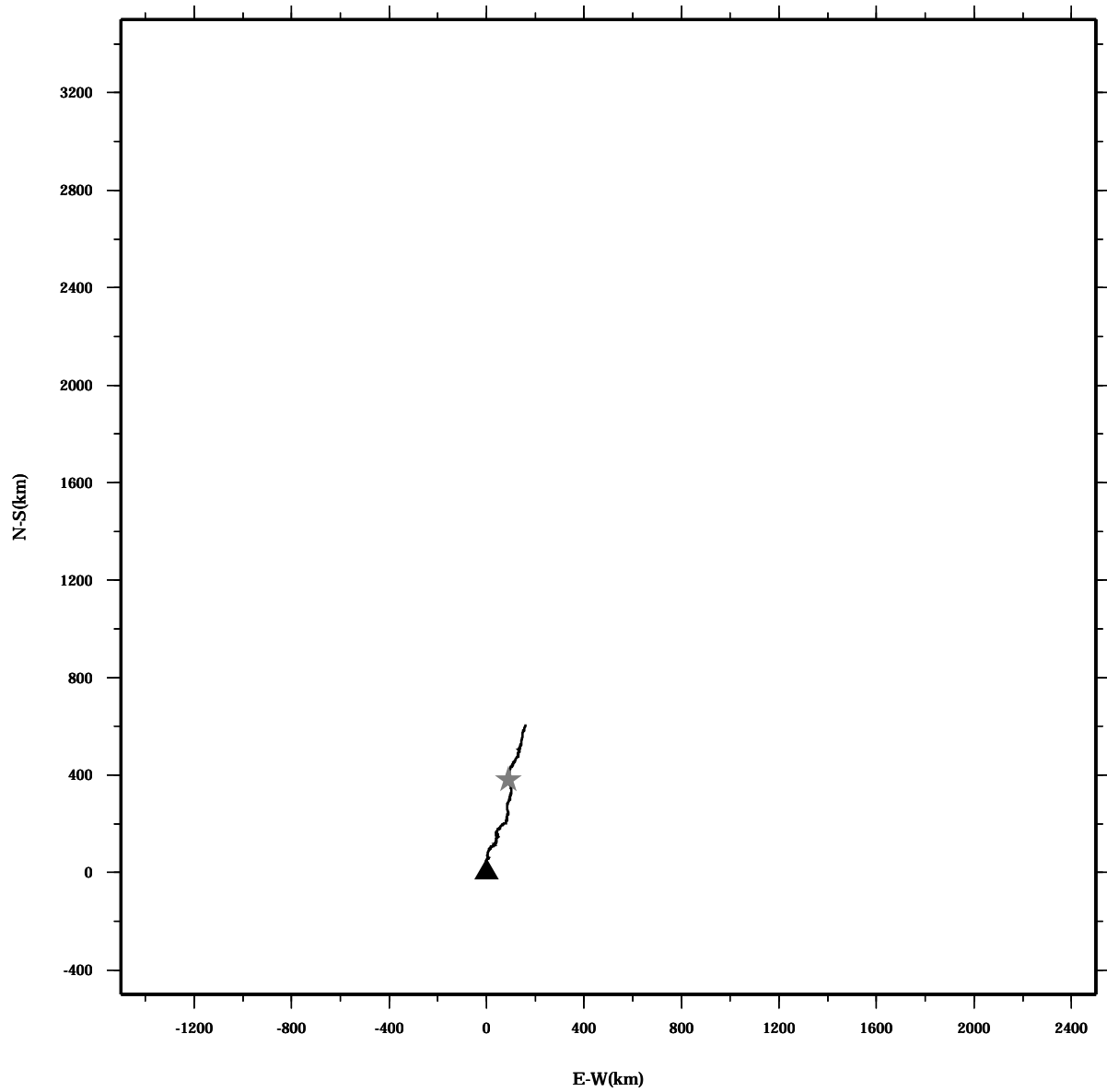
PROGRESSIVE VECTOR DIAGRAM



Lon: 121° 21.83' E
Lat: 22° 40.0133' N

Station: W204
Depth: 302 M

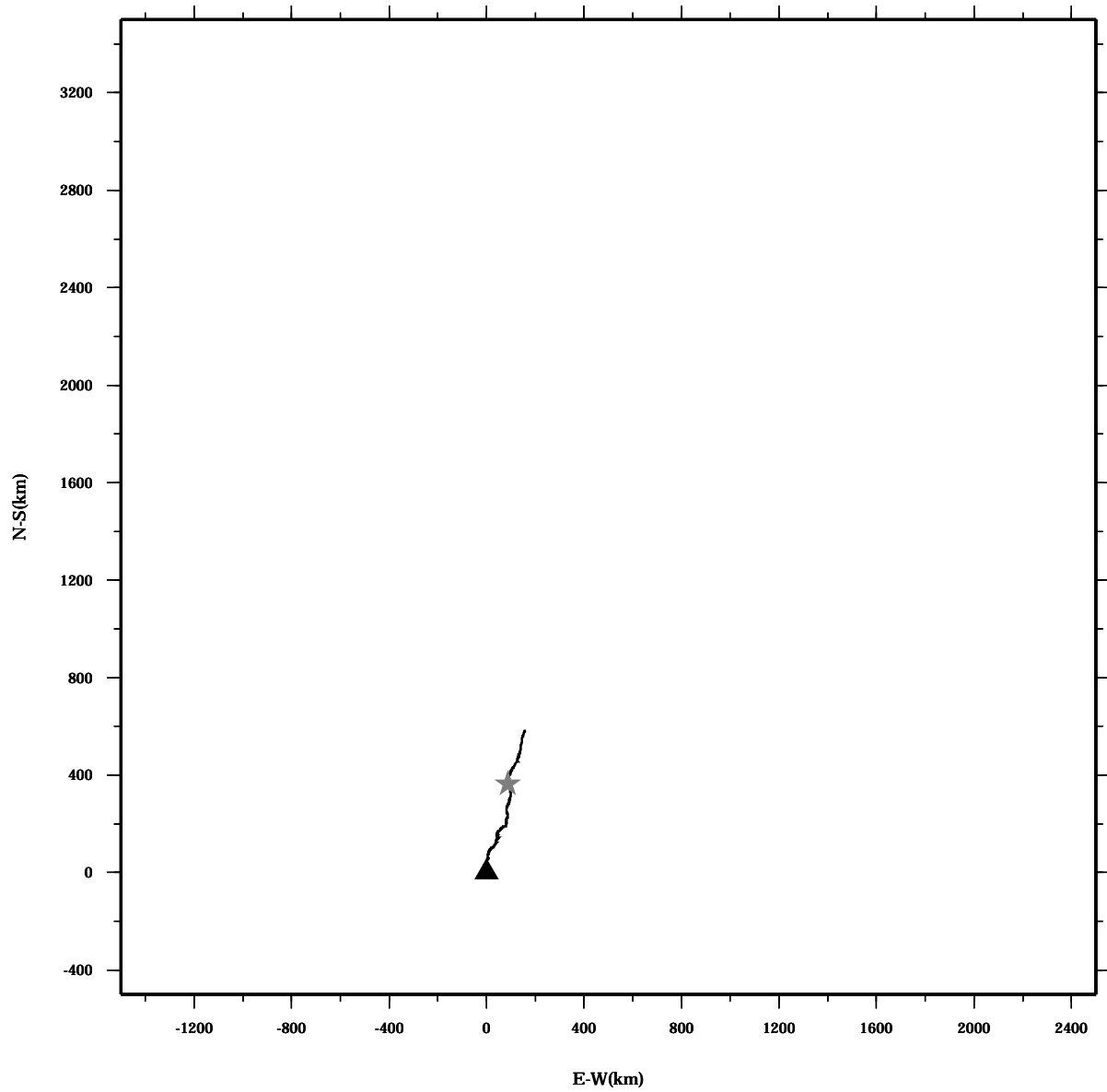
PROGRESSIVE VECTOR DIAGRAM



Lon: 121° 21.83' E
Lat: 22° 40.0133' N

Station: W204
Depth: 306 M

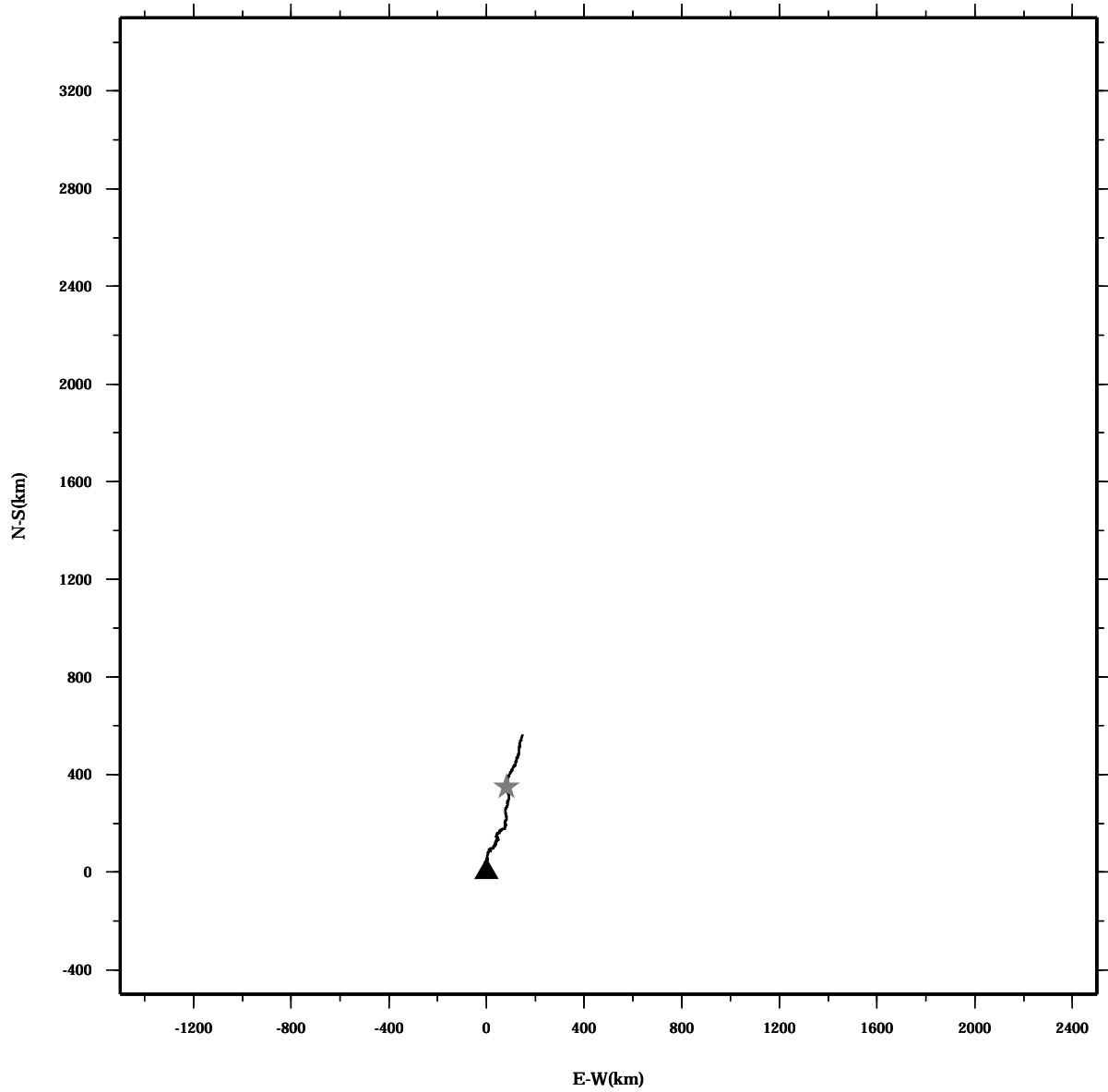
PROGRESSIVE VECTOR DIAGRAM



Lon: 121° 21.83' E
Lat: 22° 40.0133' N

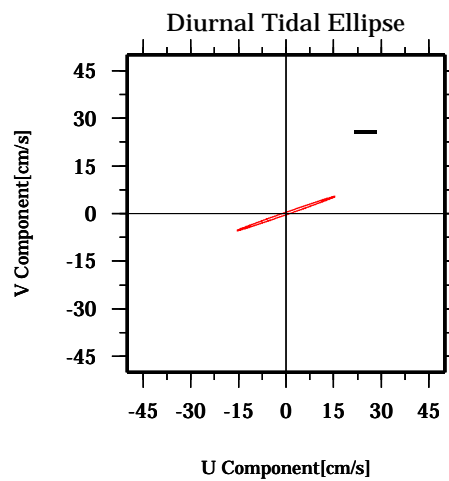
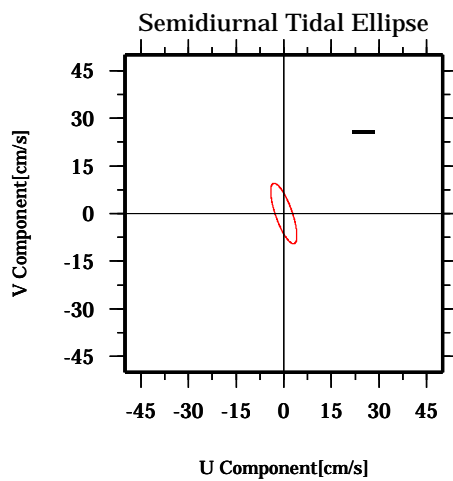
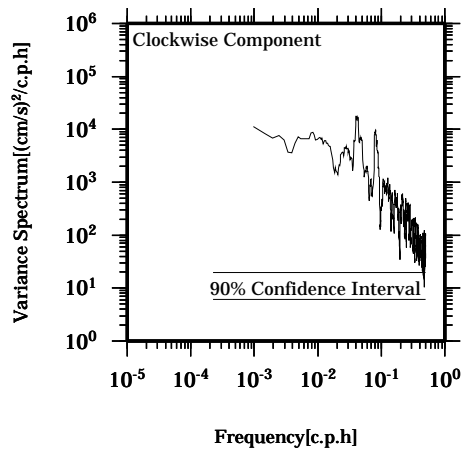
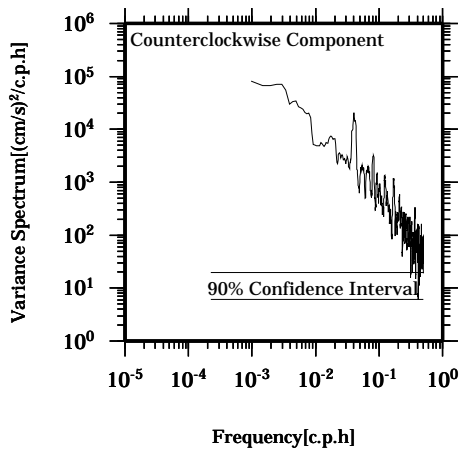
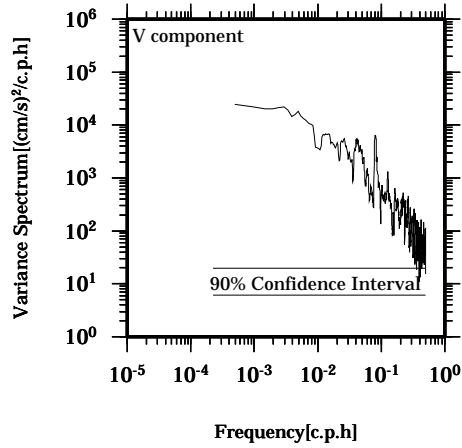
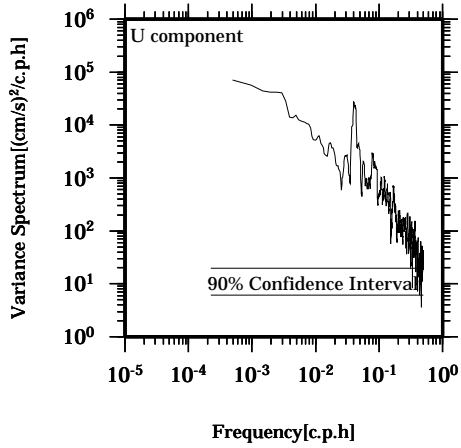
Station: W204
Depth: 310 M

PROGRESSIVE VECTOR DIAGRAM



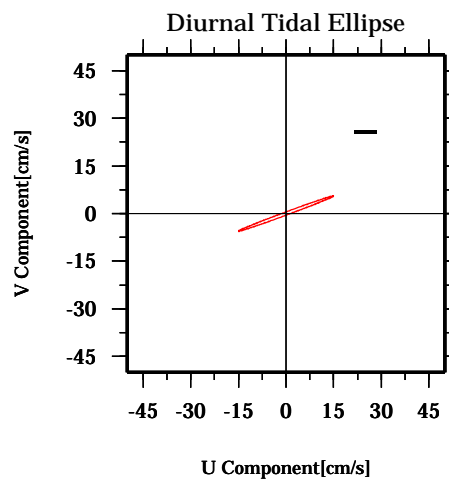
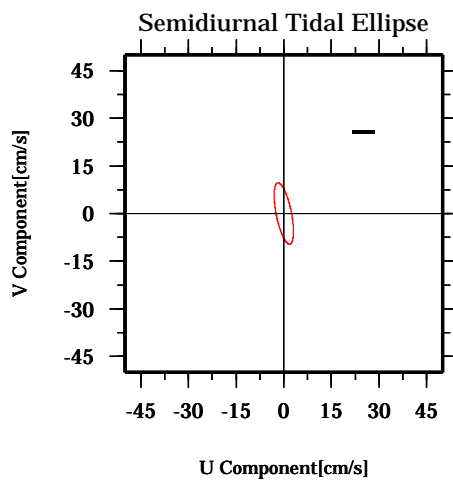
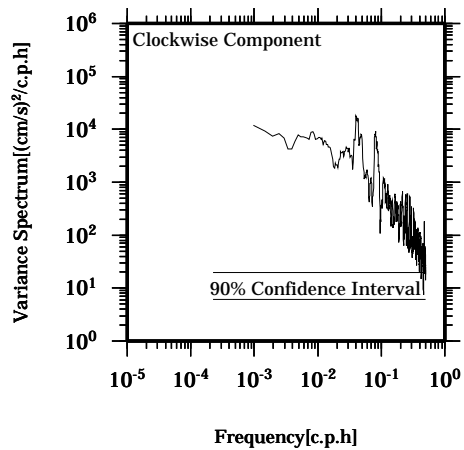
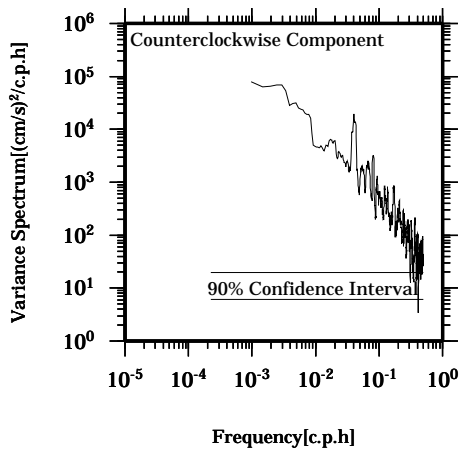
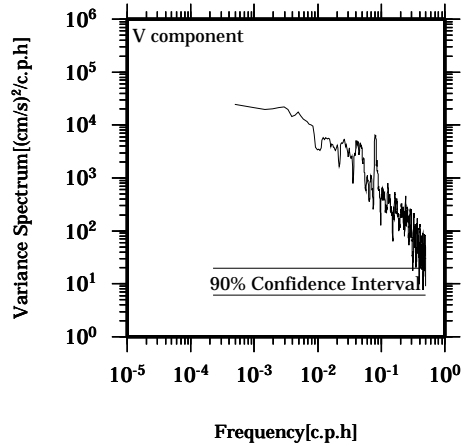
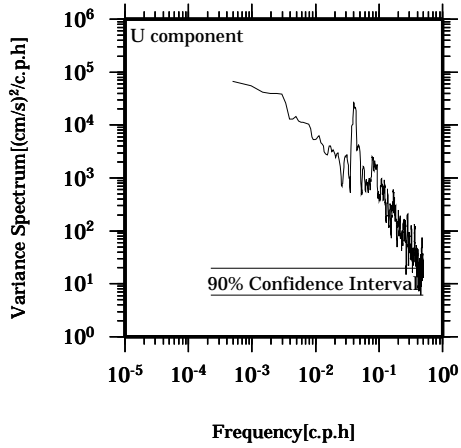
Lon: 121° 21.83' E
Lat: 22° 40.0133' N

Station: W204
Depth : 30 M



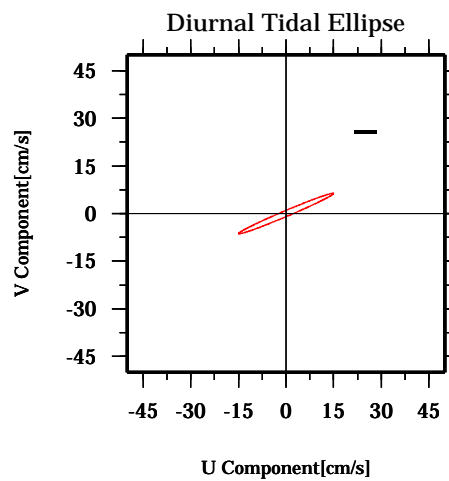
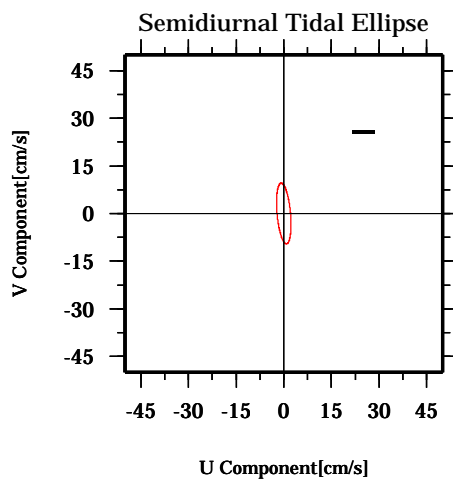
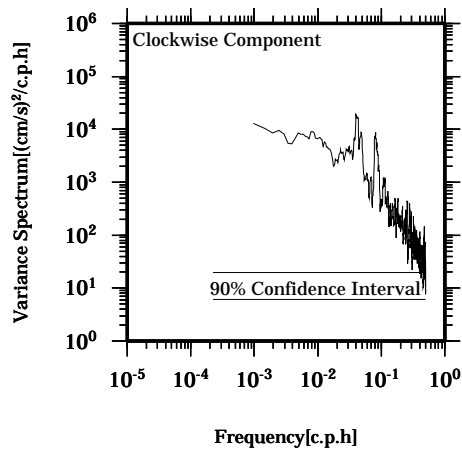
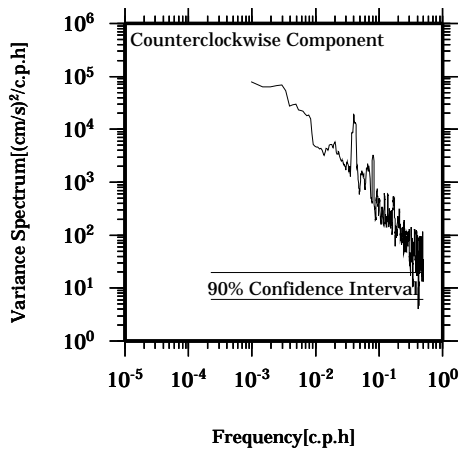
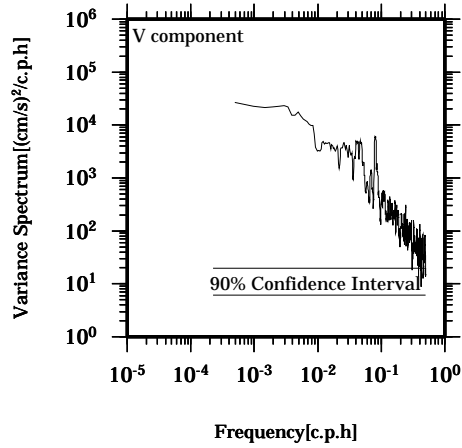
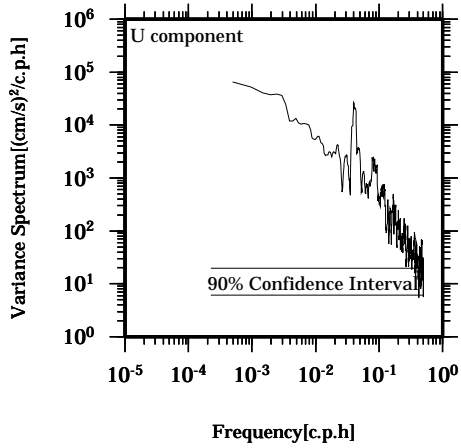
Lon: 121° 21.83' E
Lat: 22° 40.0133' N

Station: W204
Depth : 34 M



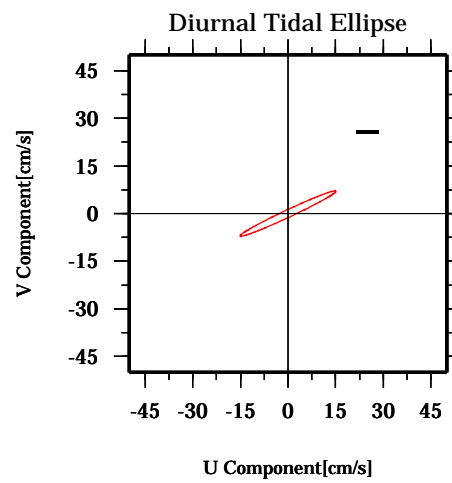
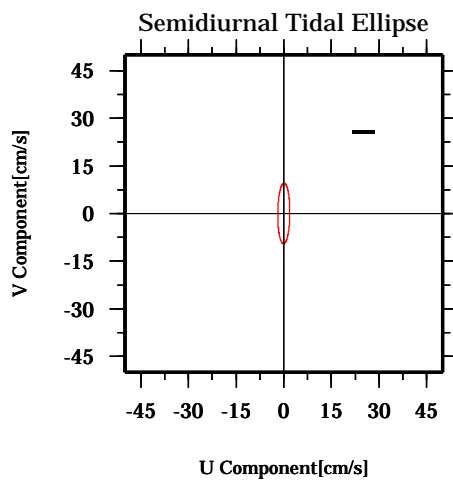
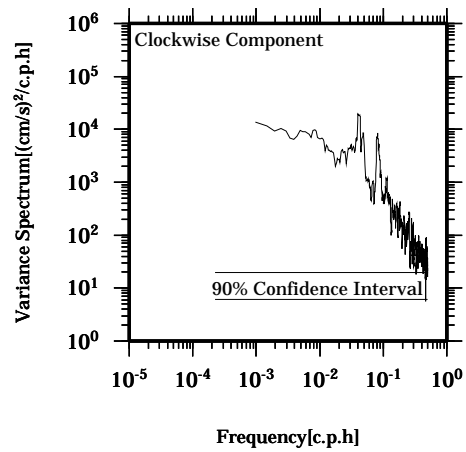
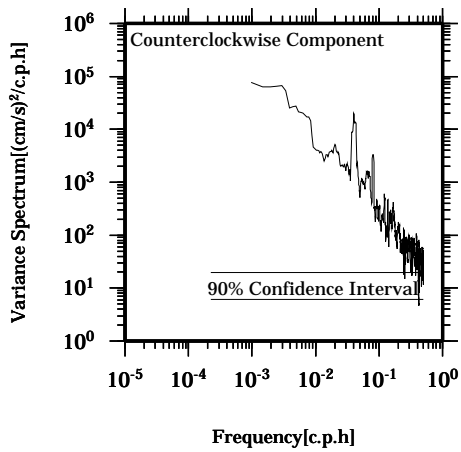
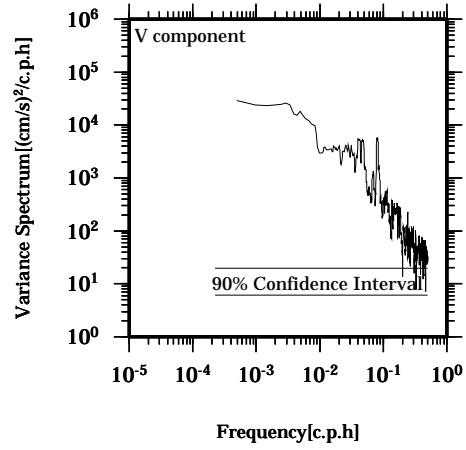
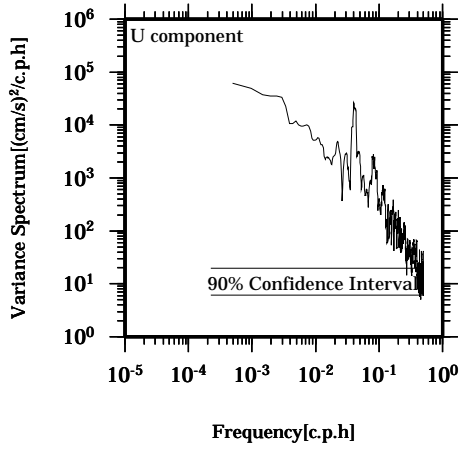
Lon: 121° 21.83' E
Lat: 22° 40.0133' N

Station: W204
Depth : 38 M



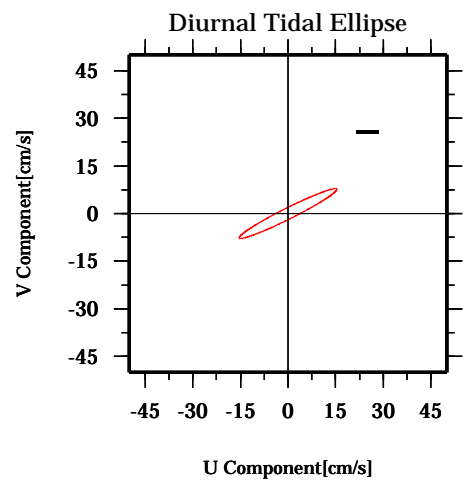
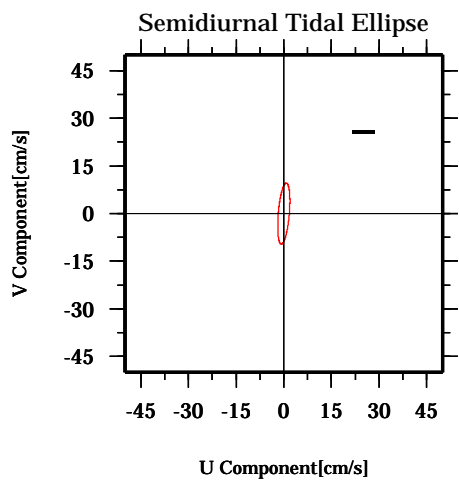
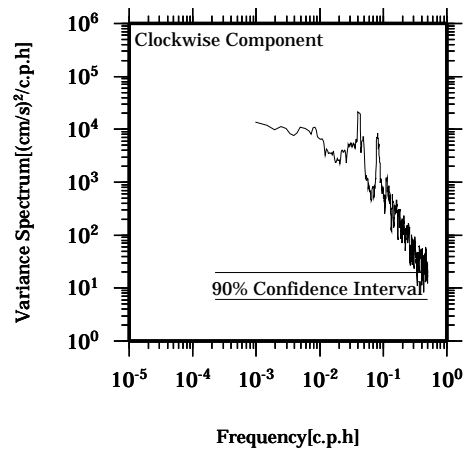
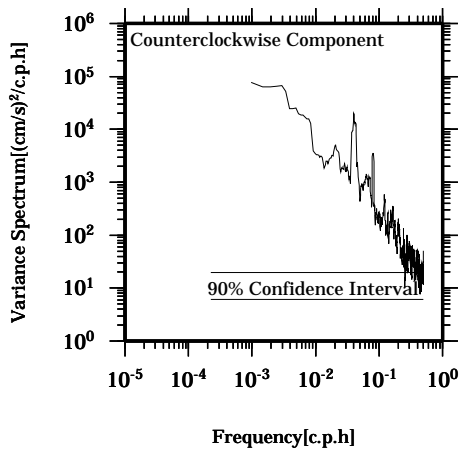
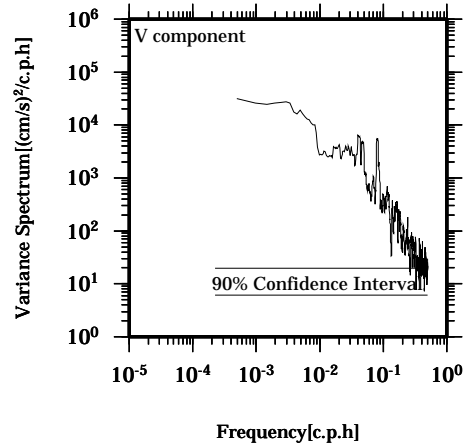
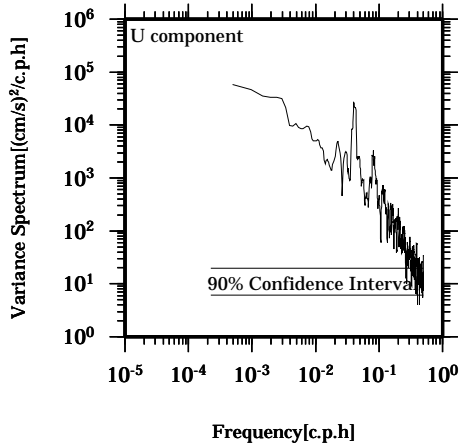
Lon: 121° 21.83' E
Lat: 22° 40.0133' N

Station: W204
Depth : 42 M



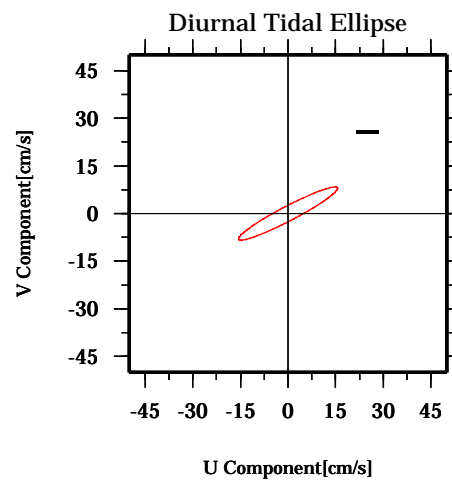
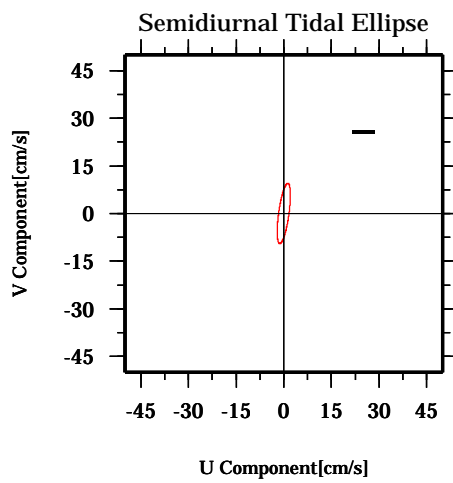
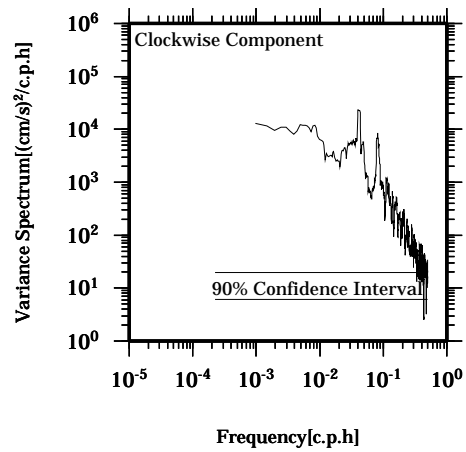
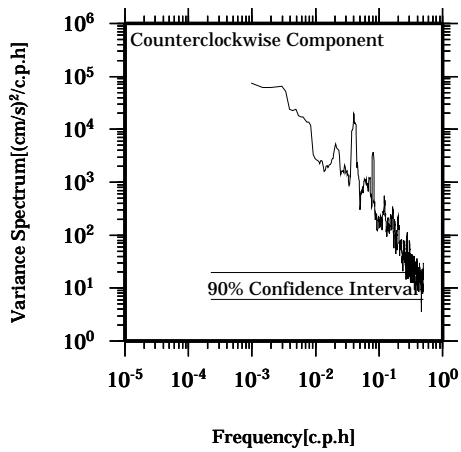
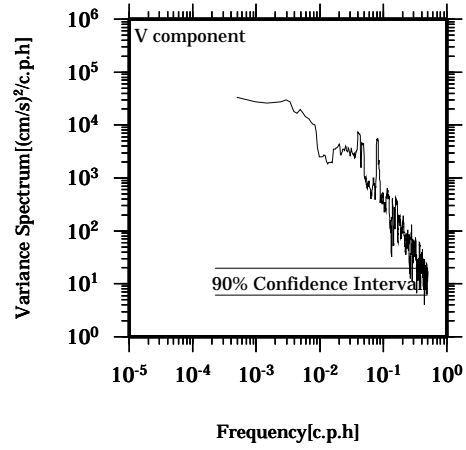
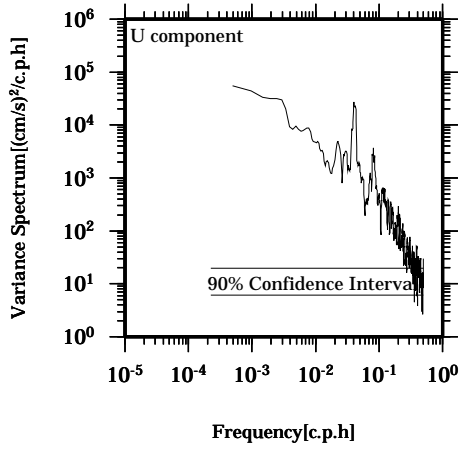
Lon: 121° 21.83' E
Lat: 22° 40.0133' N

Station: W204
Depth : 46 M



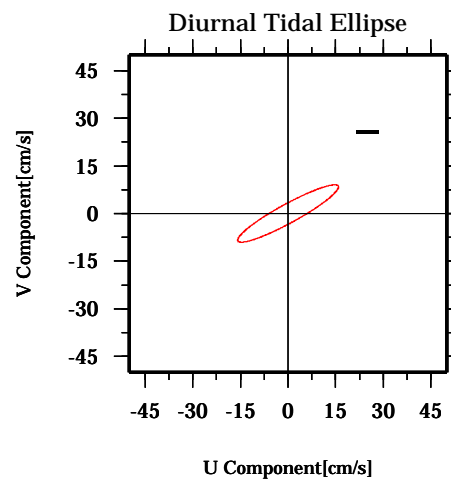
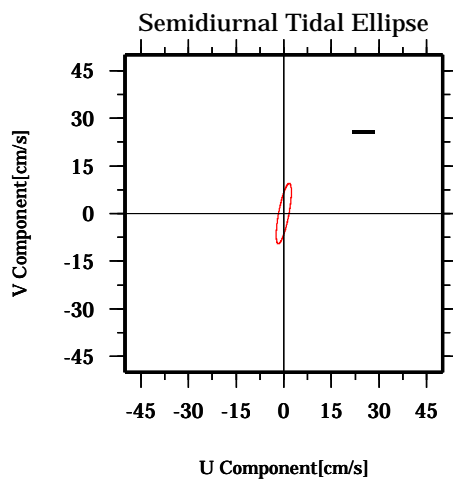
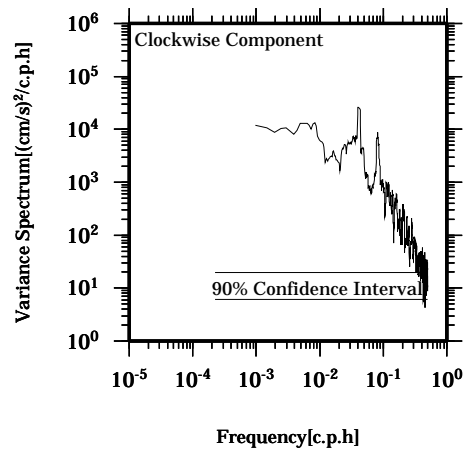
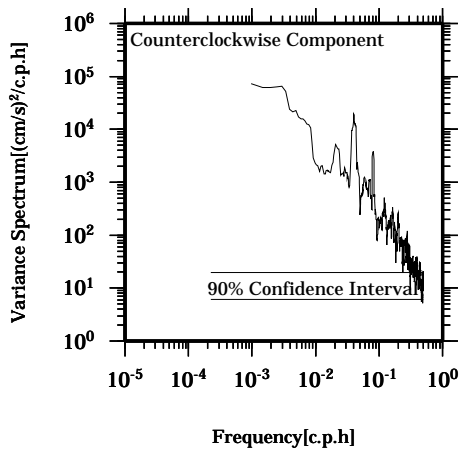
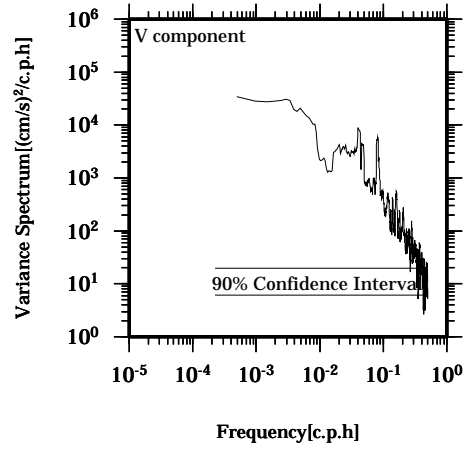
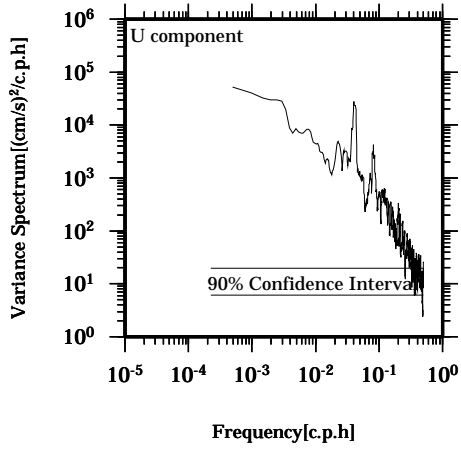
Lon: 121° 21.83' E
Lat: 22° 40.0133' N

Station: W204
Depth : 50 M



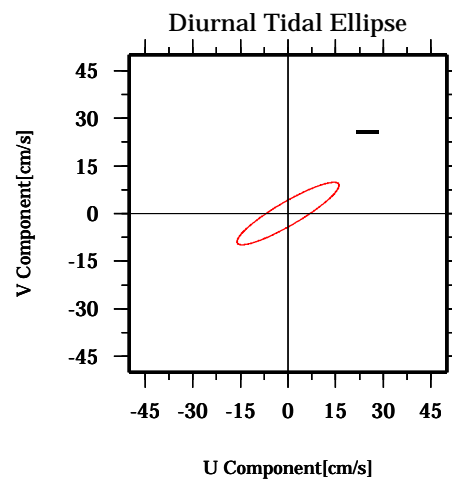
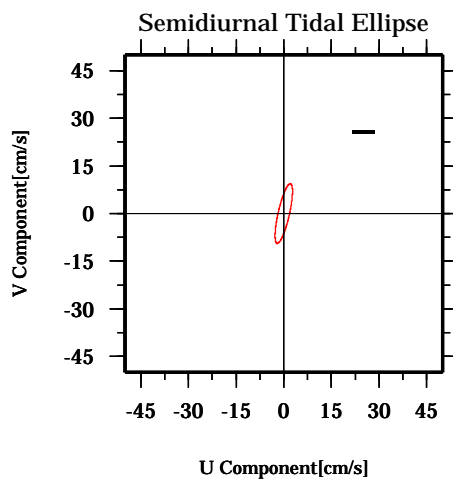
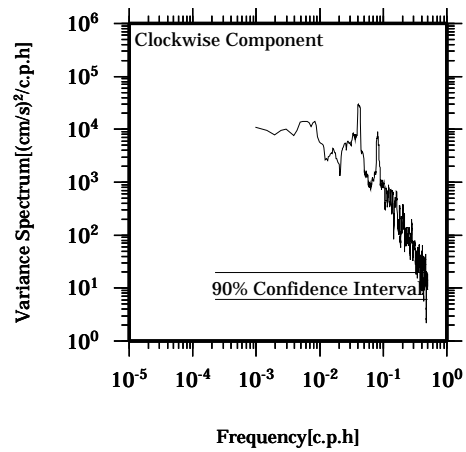
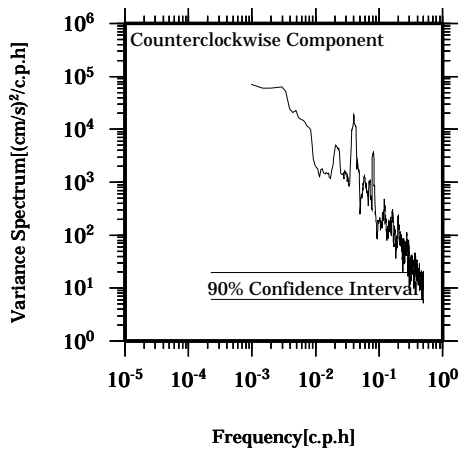
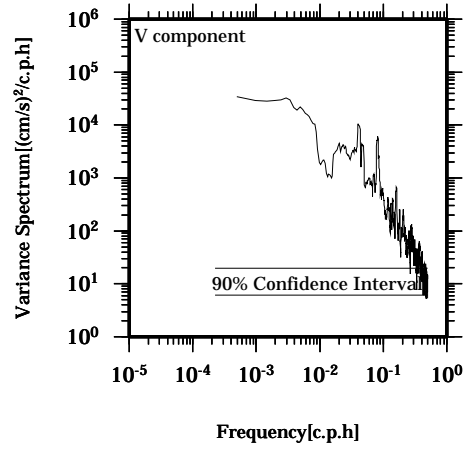
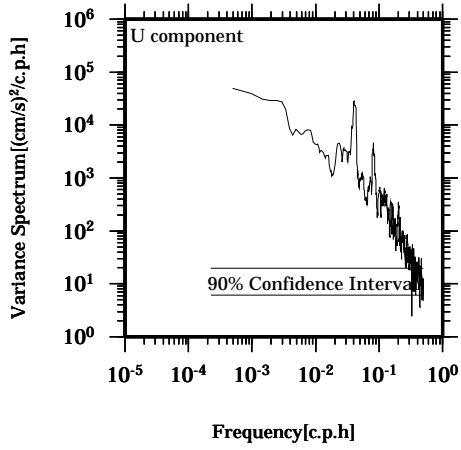
Lon: 121° 21.83' E
Lat: 22° 40.0133' N

Station: W204
Depth : 54 M



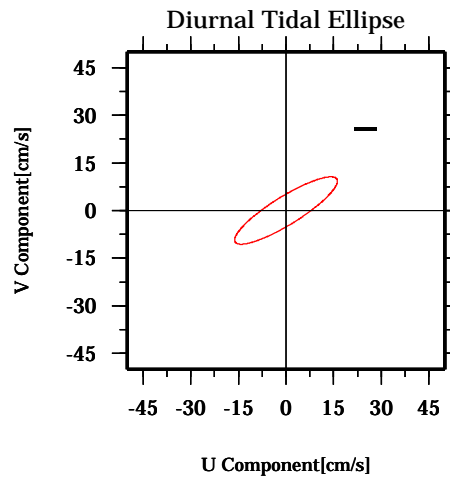
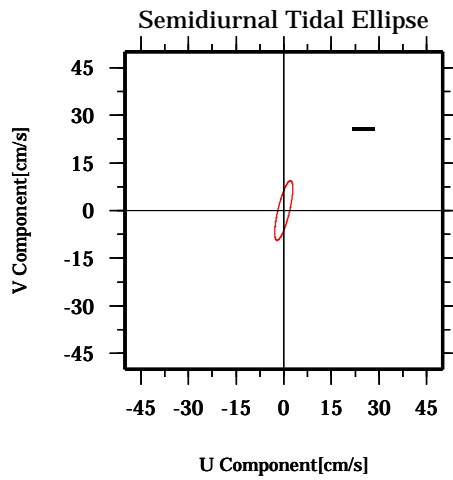
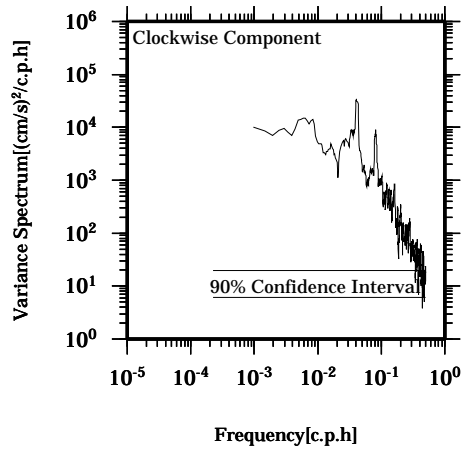
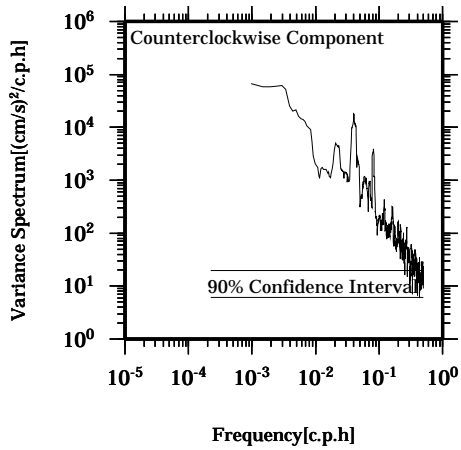
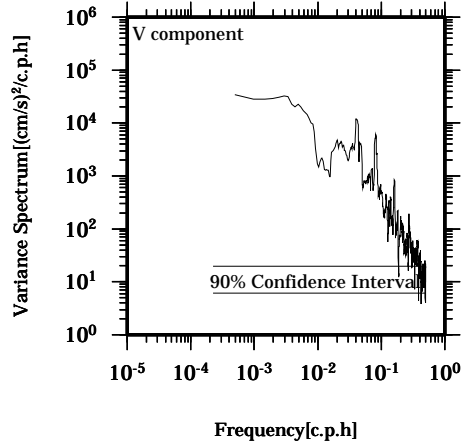
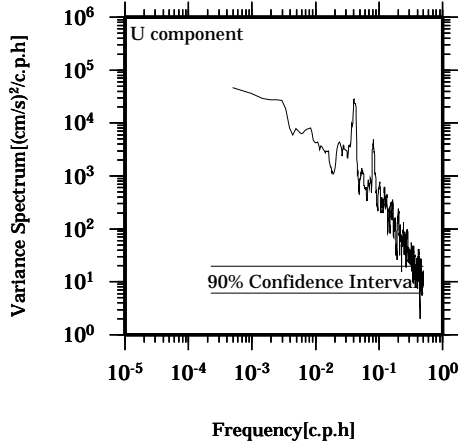
Lon: 121° 21.83' E
Lat: 22° 40.0133' N

Station: W204
Depth : 58 M



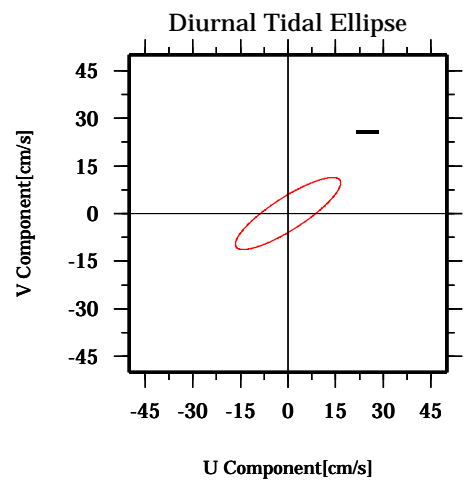
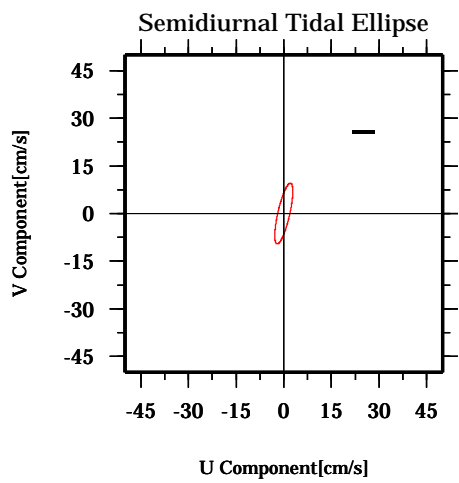
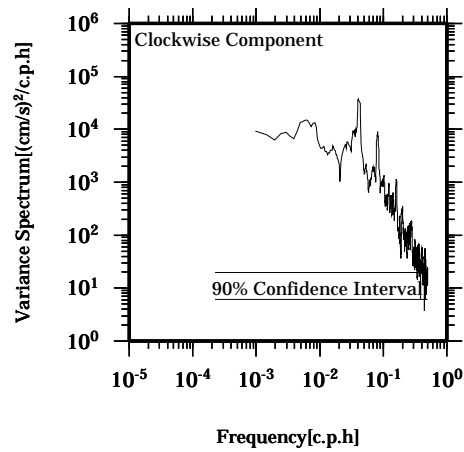
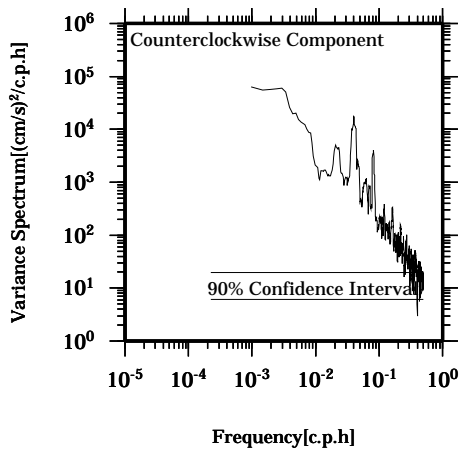
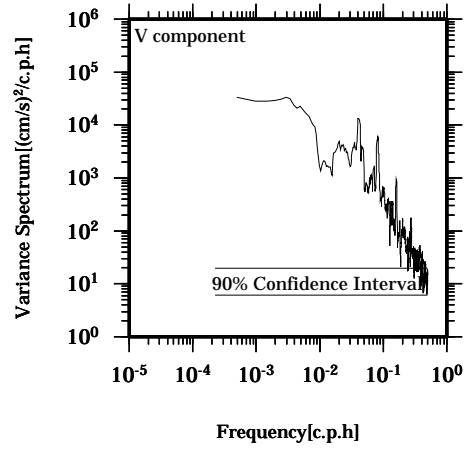
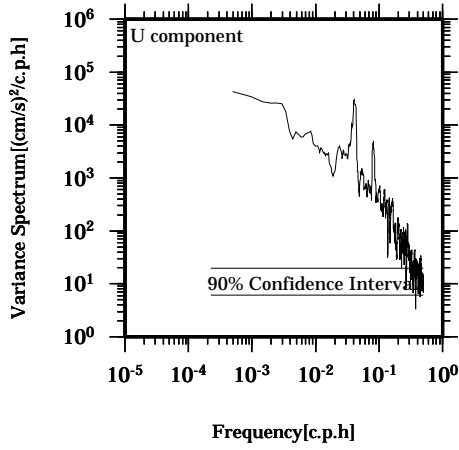
Lon: 121° 21.83' E
Lat: 22° 40.0133' N

Station: W204
Depth : 62 M



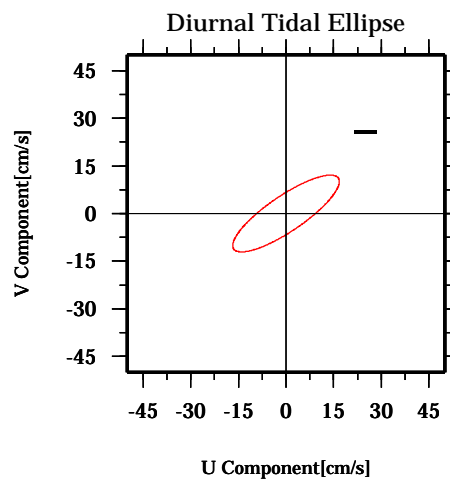
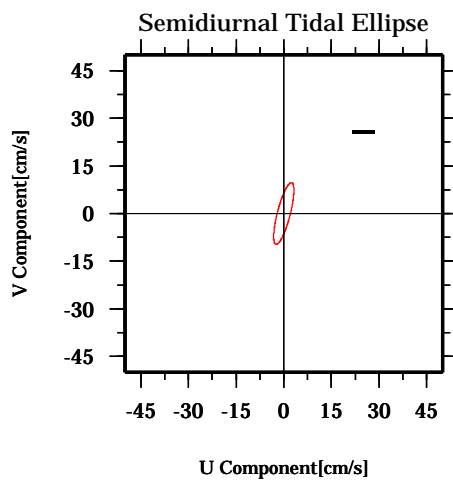
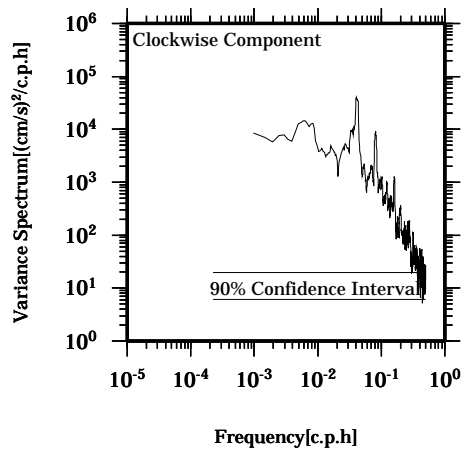
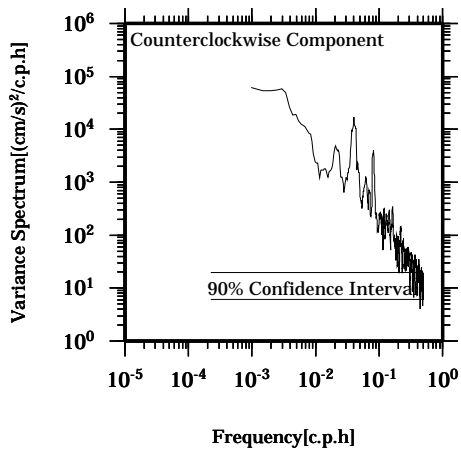
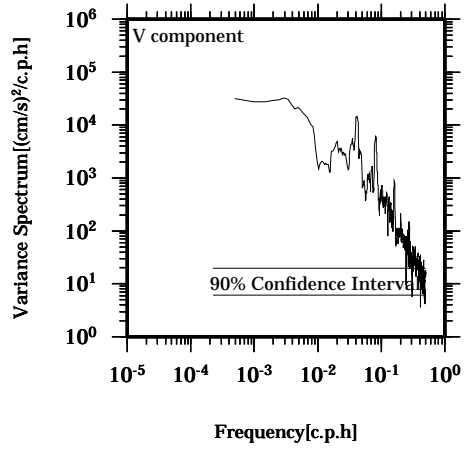
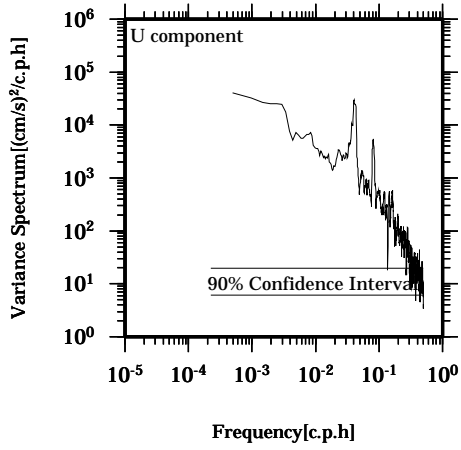
Lon: 121° 21.83' E
Lat: 22° 40.0133' N

Station: W204
Depth : 66 M



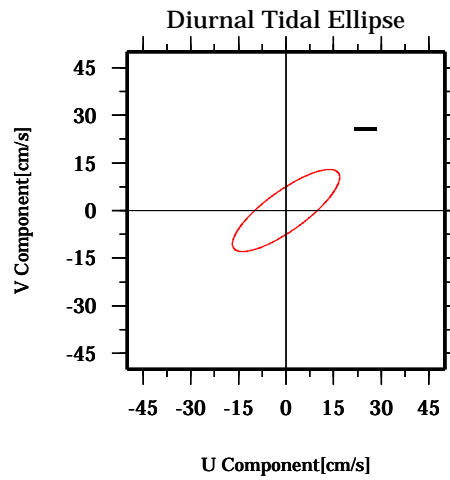
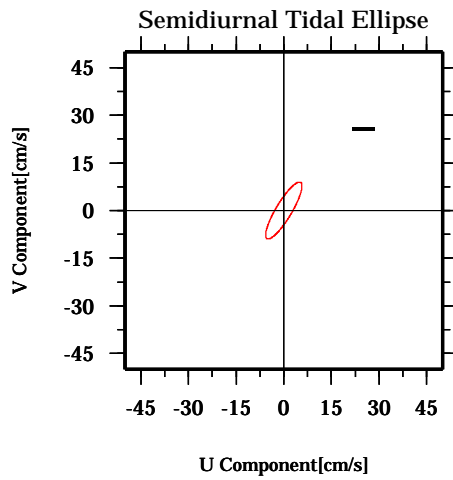
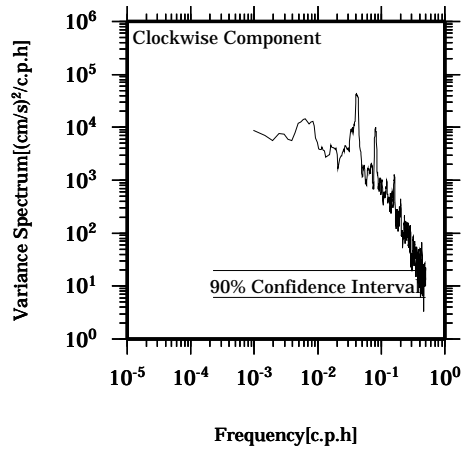
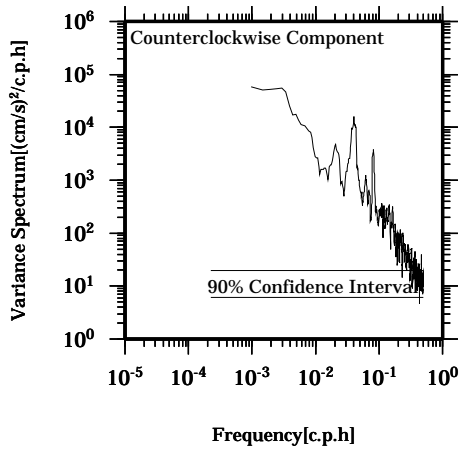
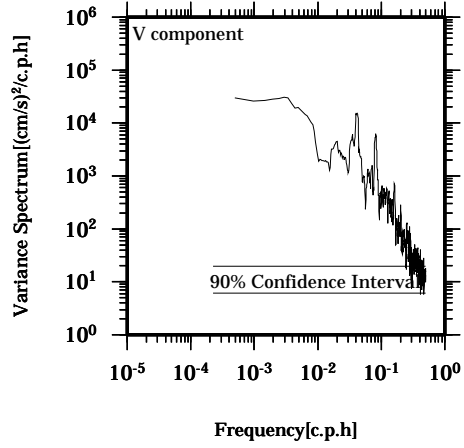
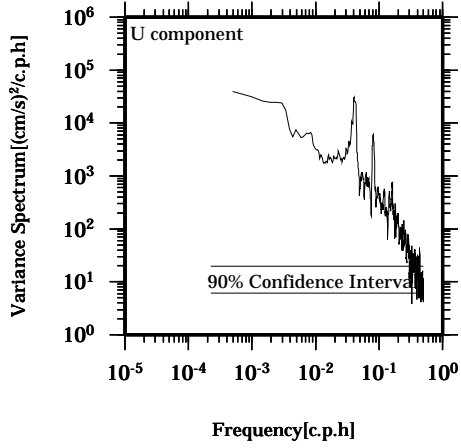
Lon: 121° 21.83' E
Lat: 22° 40.0133' N

Station: W204
Depth : 70 M



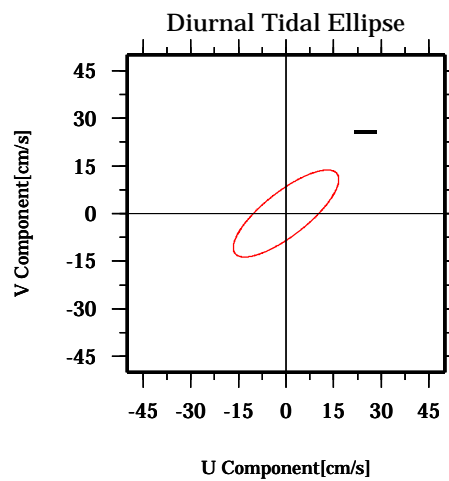
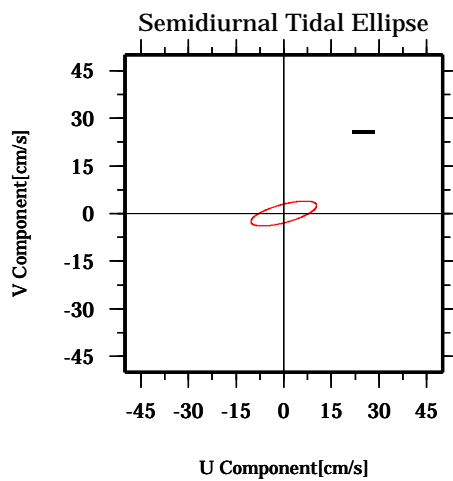
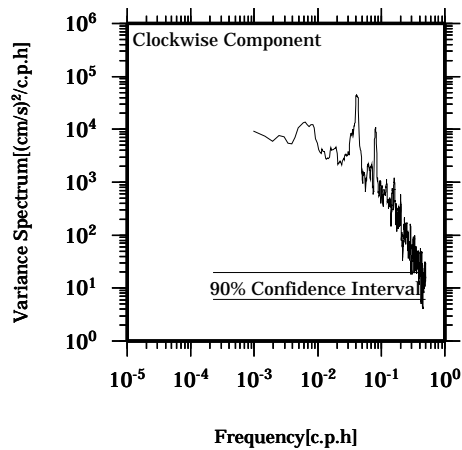
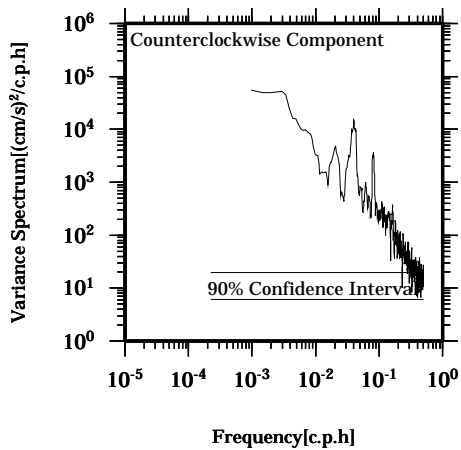
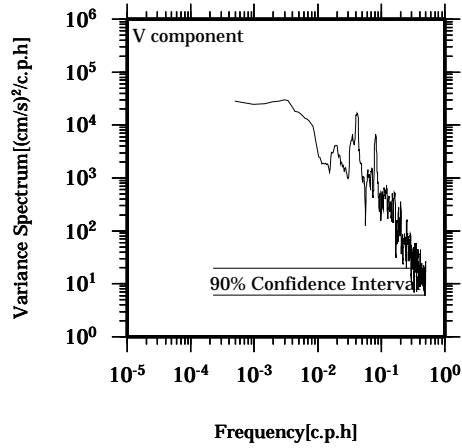
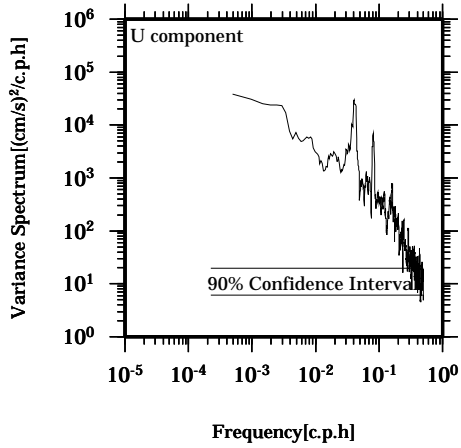
Lon: 121° 21.83' E
Lat: 22° 40.0133' N

Station: W204
Depth : 74 M



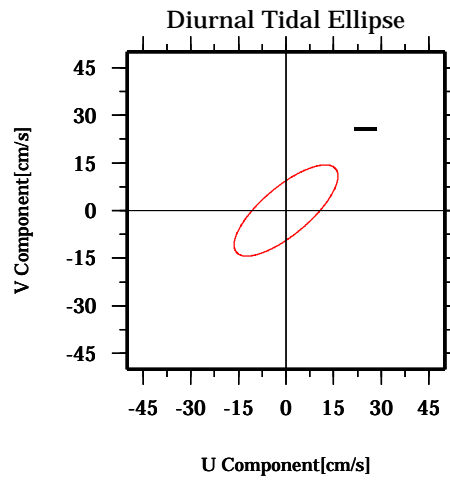
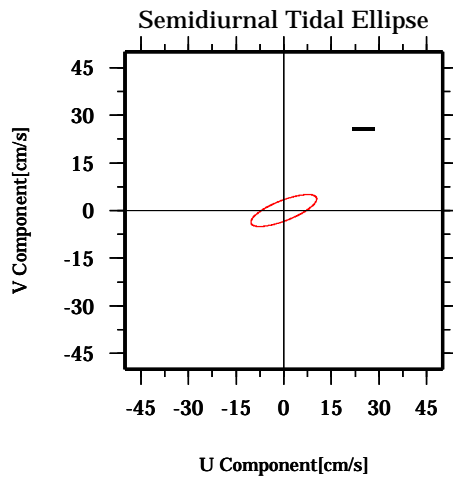
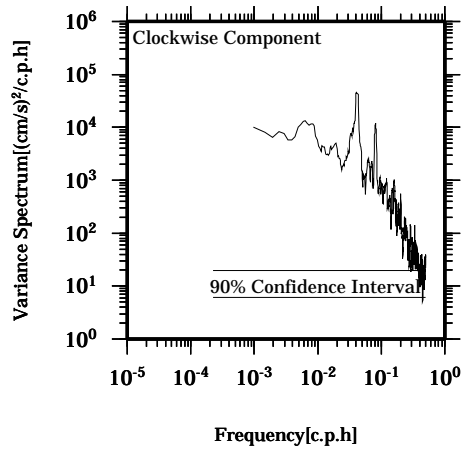
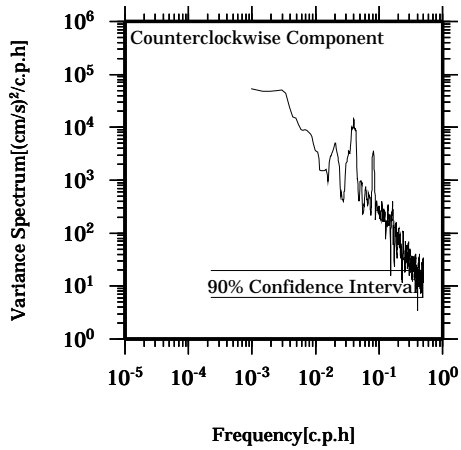
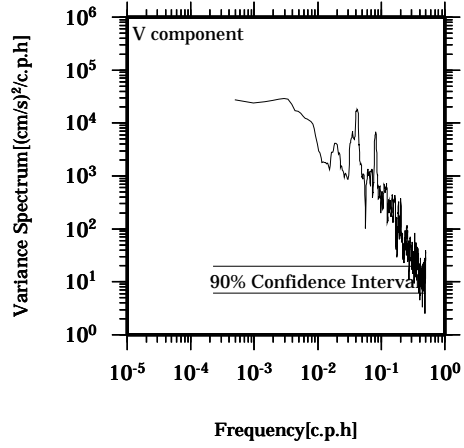
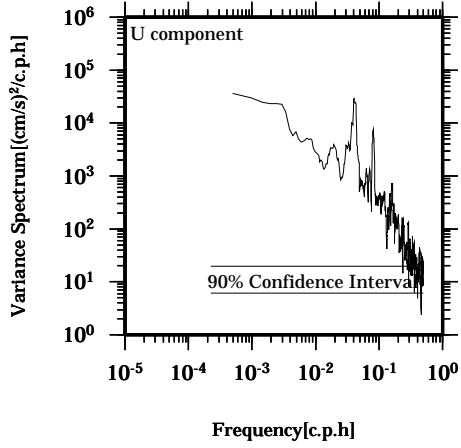
Lon: 121° 21.83' E
Lat: 22° 40.0133' N

Station: W204
Depth : 78 M



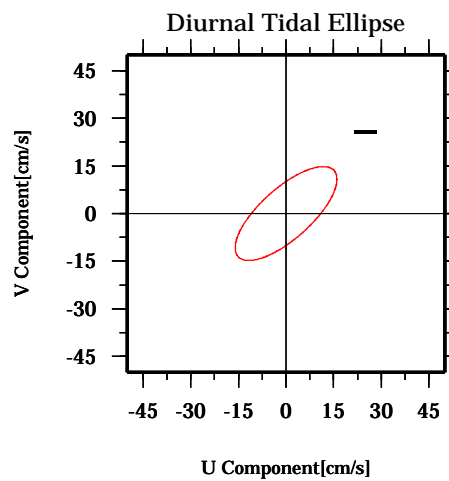
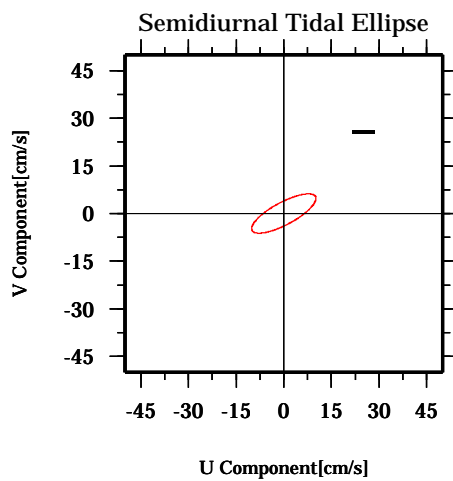
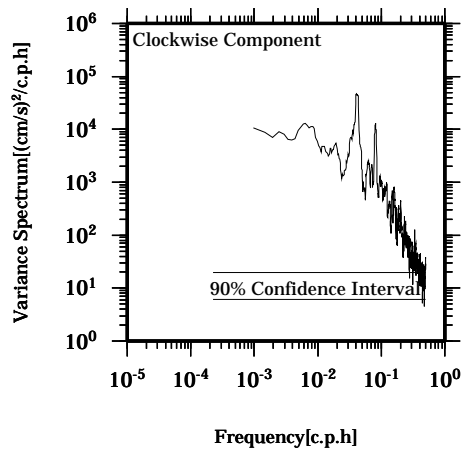
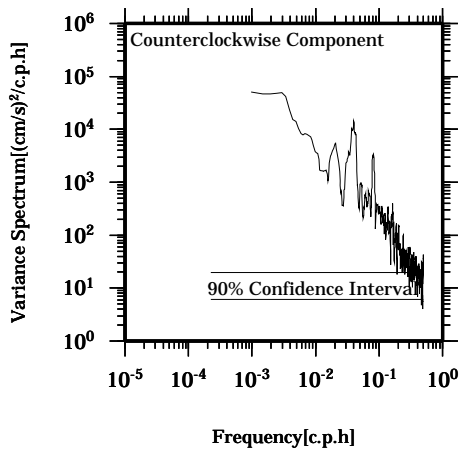
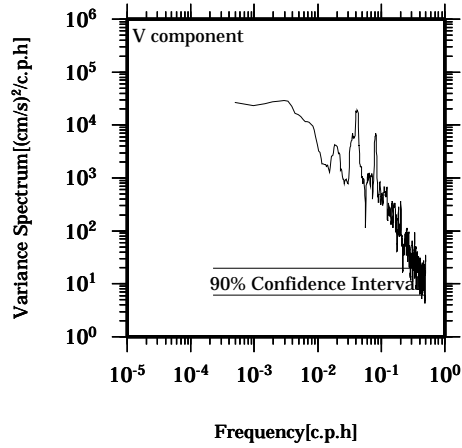
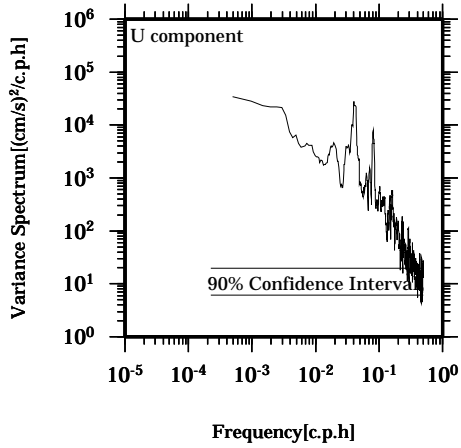
Lon: 121° 21.83' E
Lat: 22° 40.0133' N

Station: W204
Depth : 82 M



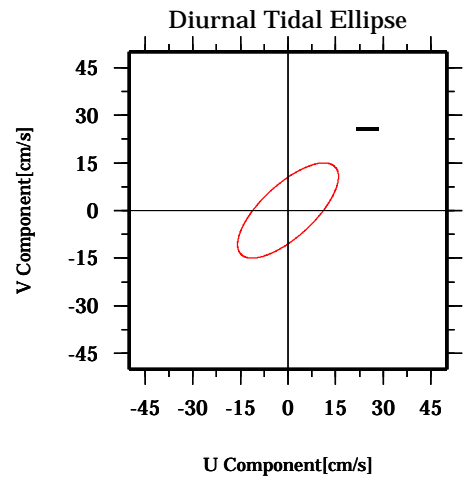
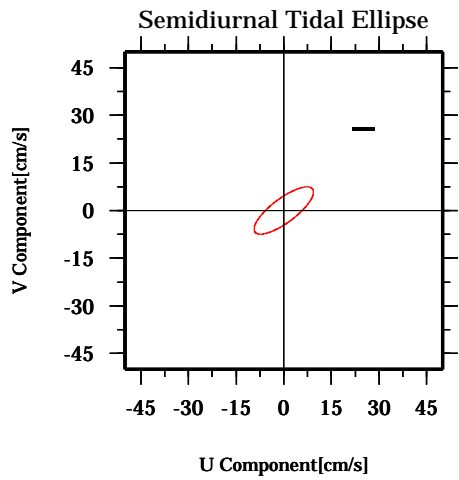
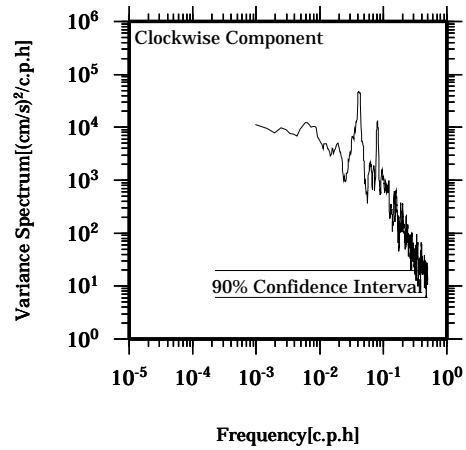
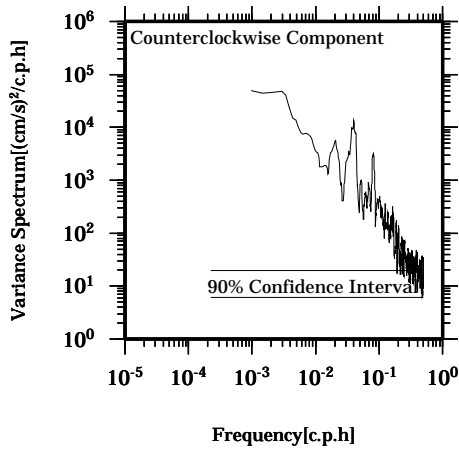
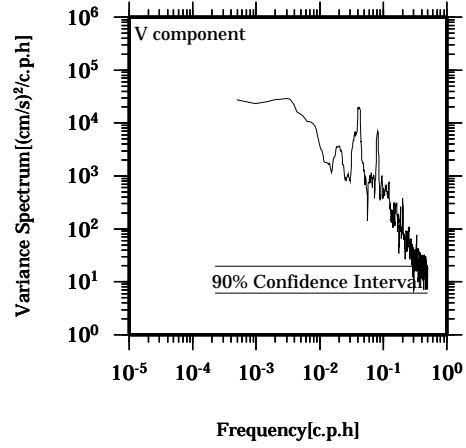
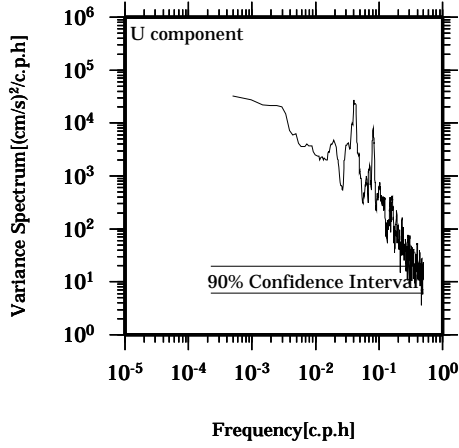
Lon: 121° 21.83' E
Lat: 22° 40.0133' N

Station: W204
Depth : 86 M



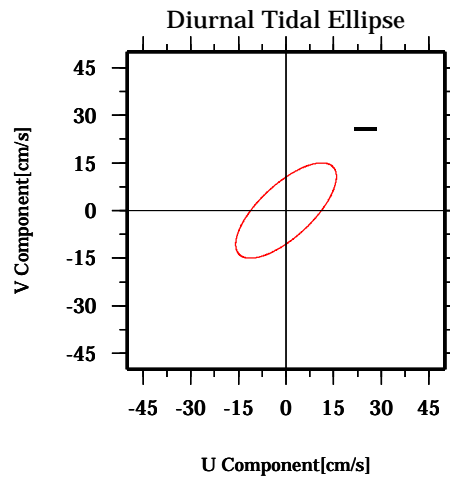
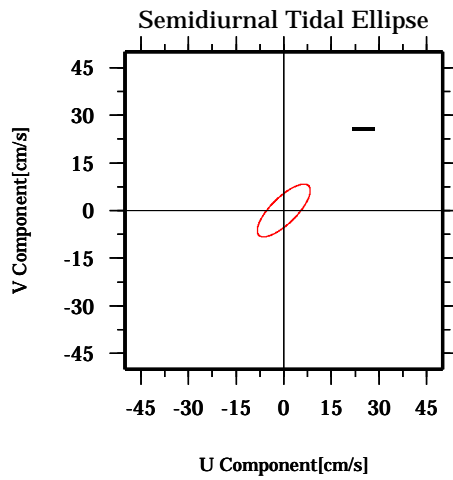
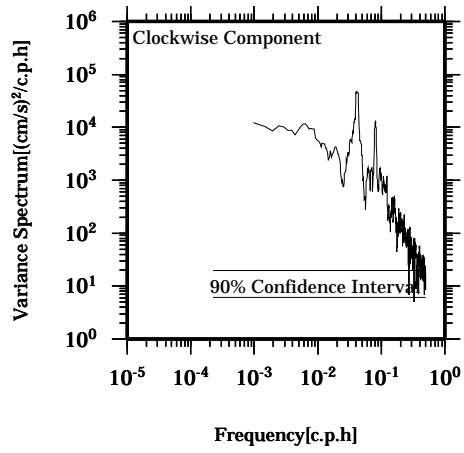
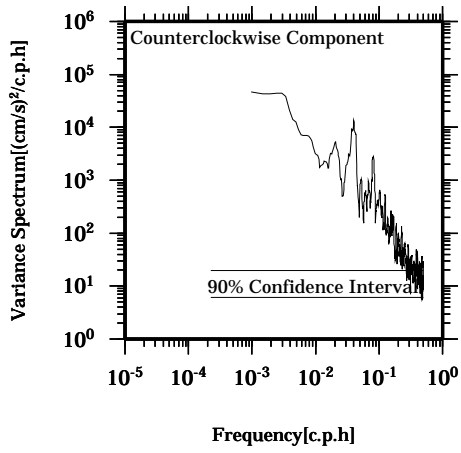
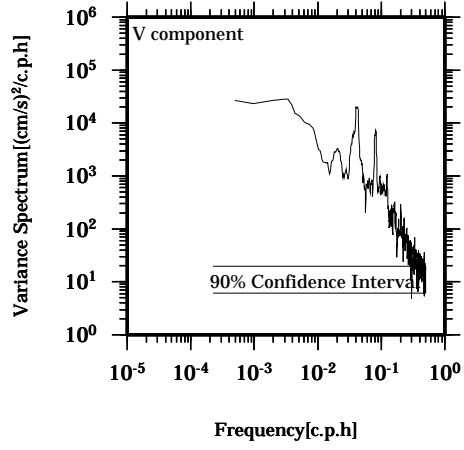
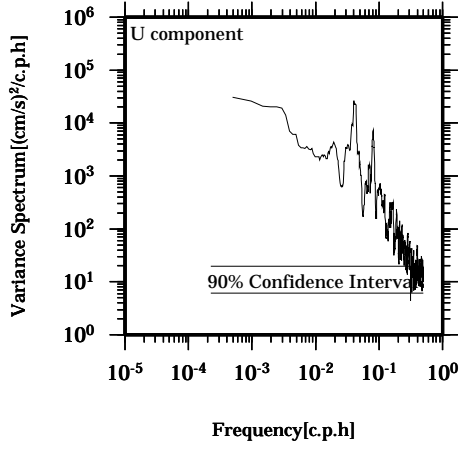
Lon: 121° 21.83' E
Lat: 22° 40.0133' N

Station: W204
Depth : 90 M



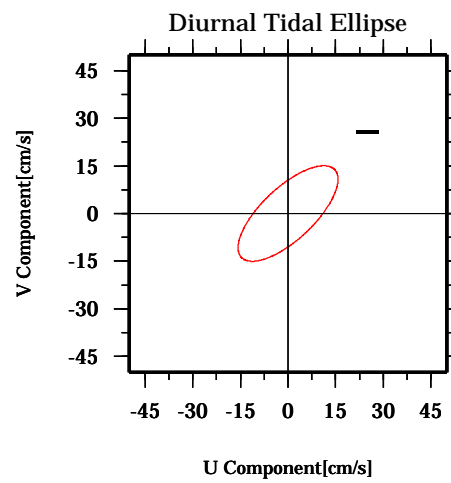
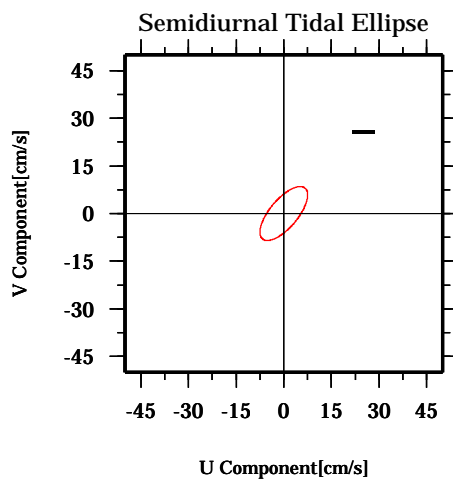
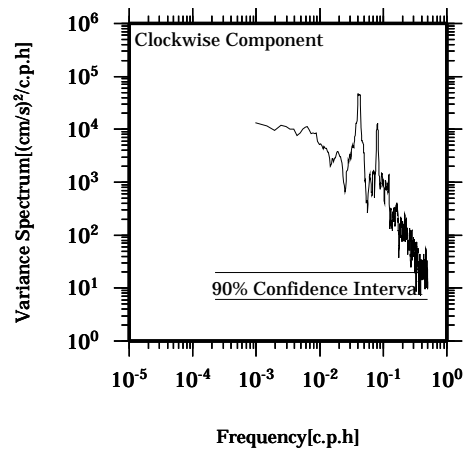
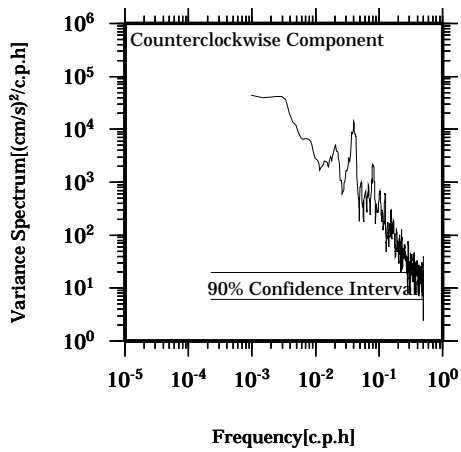
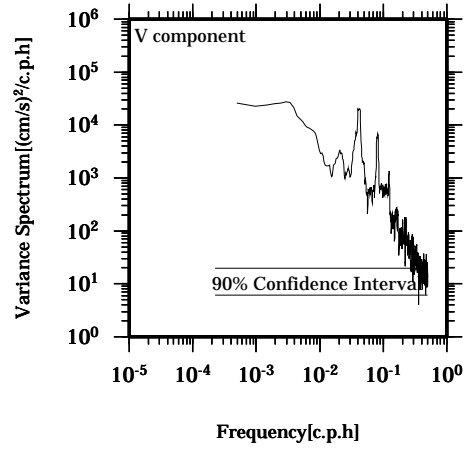
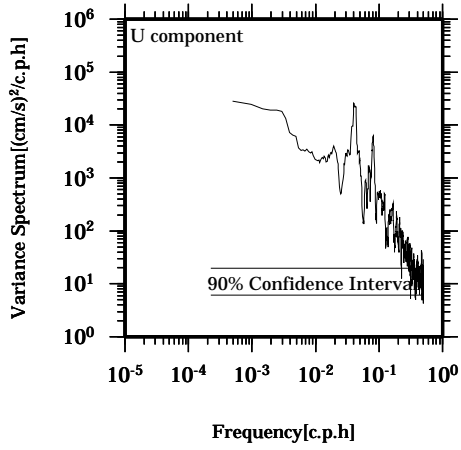
Lon: 121° 21.83' E
Lat: 22° 40.0133' N

Station: W204
Depth : 94 M



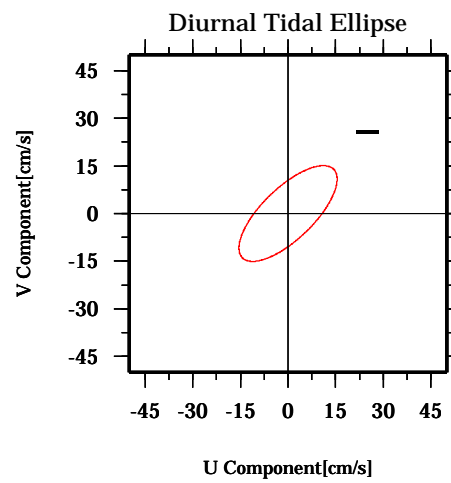
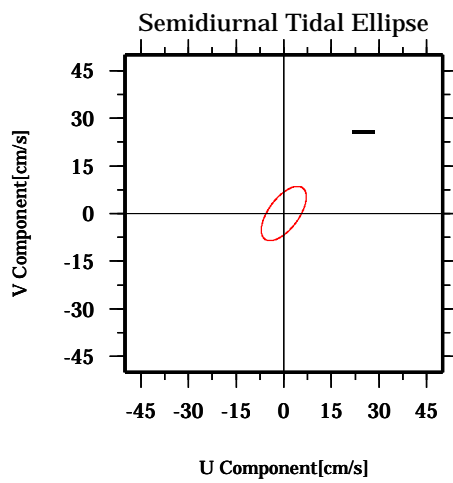
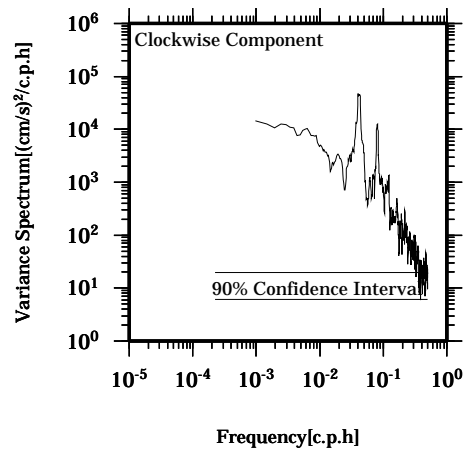
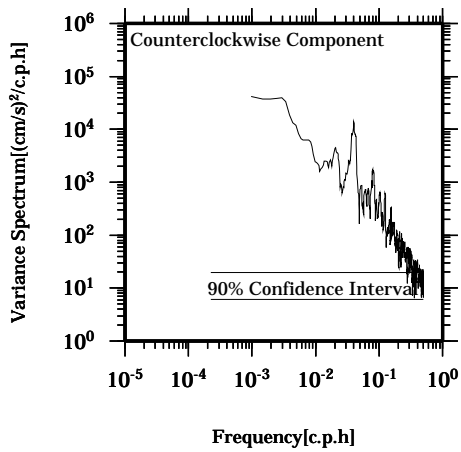
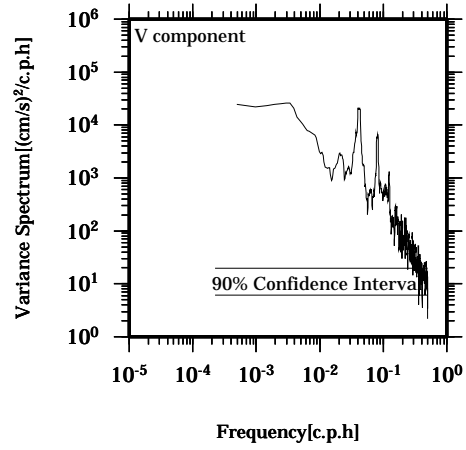
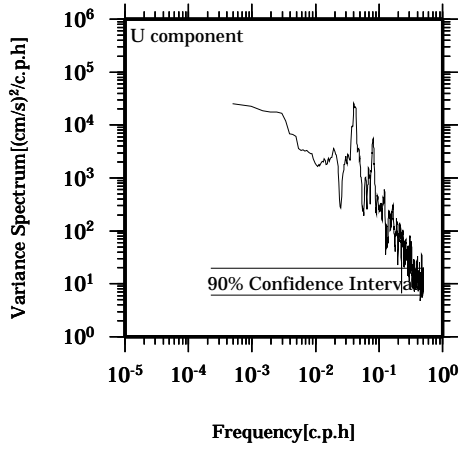
Lon: 121° 21.83' E
Lat: 22° 40.0133' N

Station: W204
Depth : 98 M



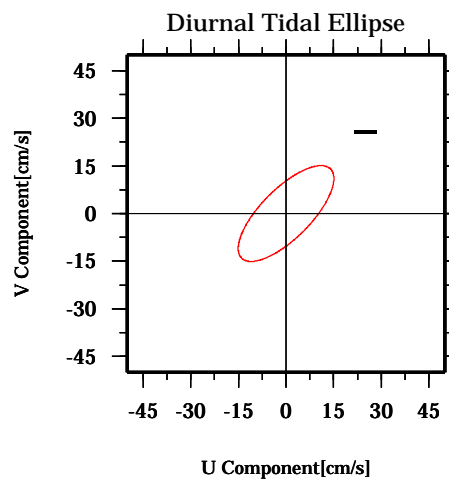
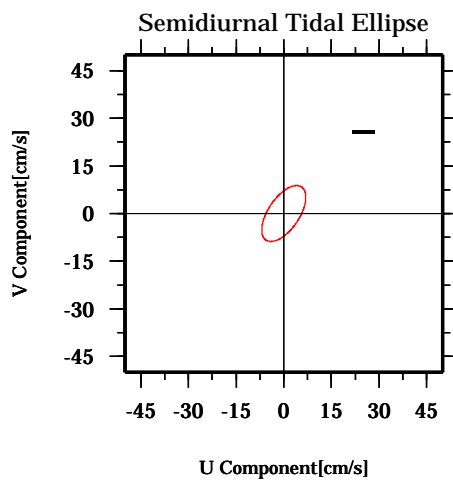
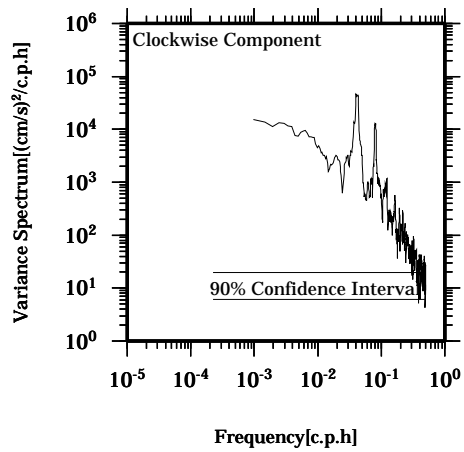
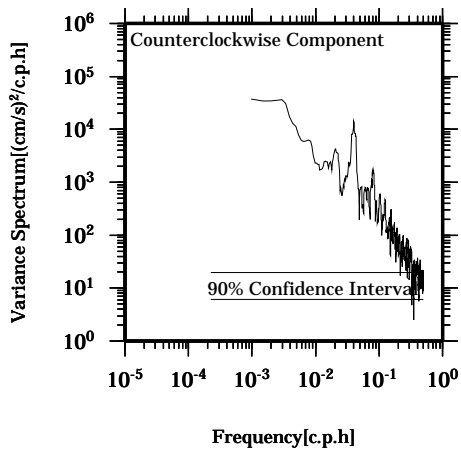
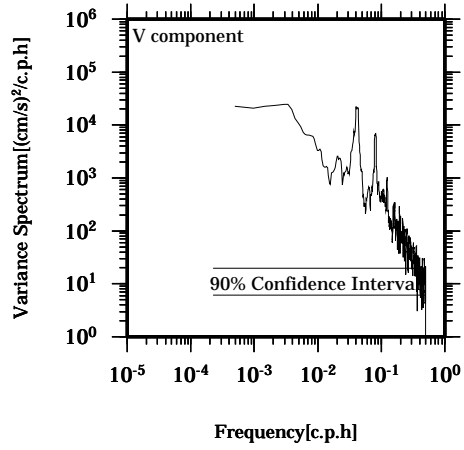
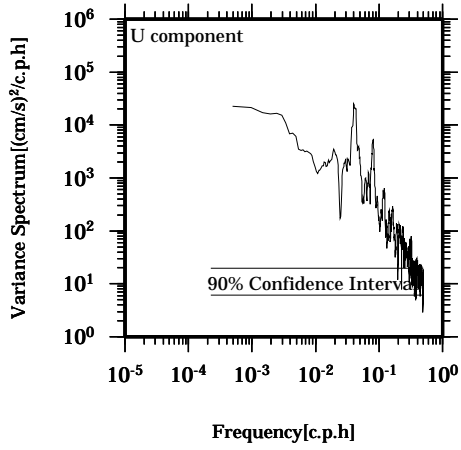
Lon: 121° 21.83' E
Lat: 22° 40.0133' N

Station: W204
Depth : 102 M



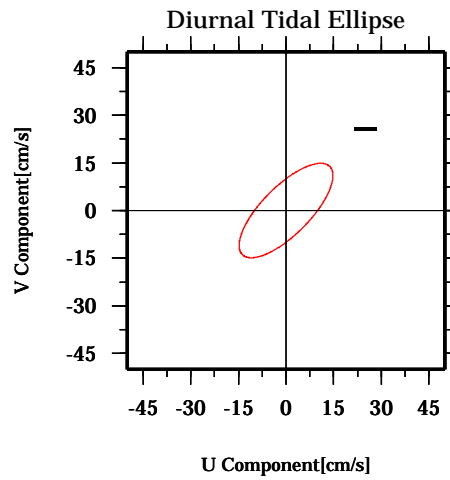
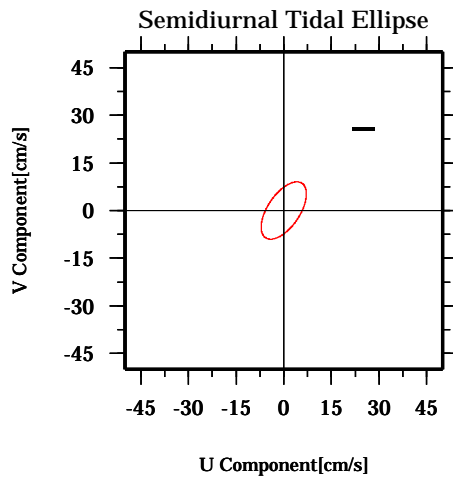
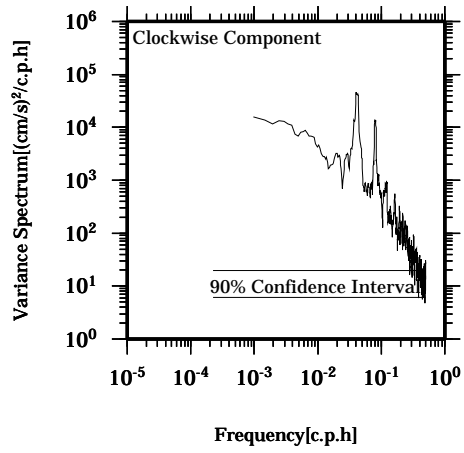
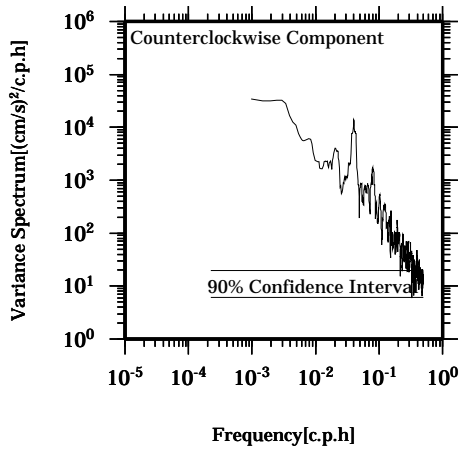
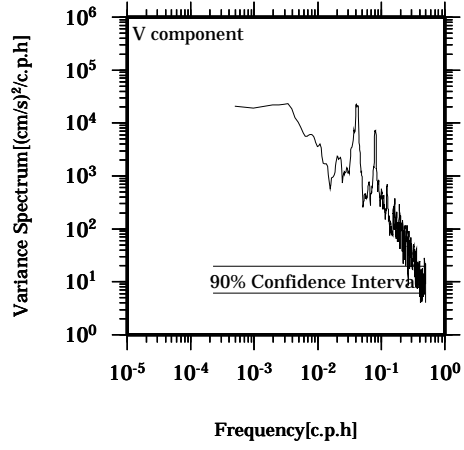
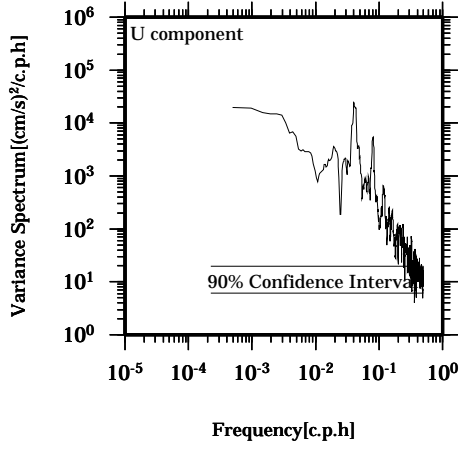
Lon: 121° 21.83' E
Lat: 22° 40.0133' N

Station: W204
Depth : 106 M



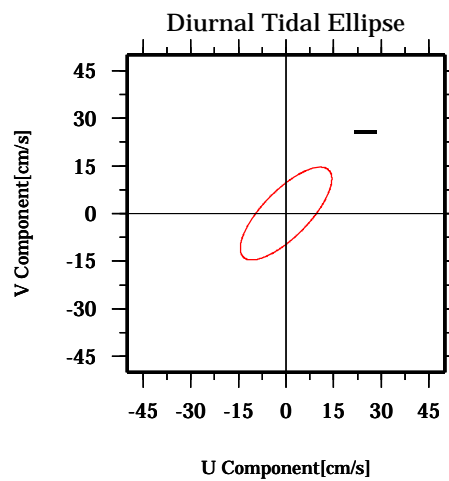
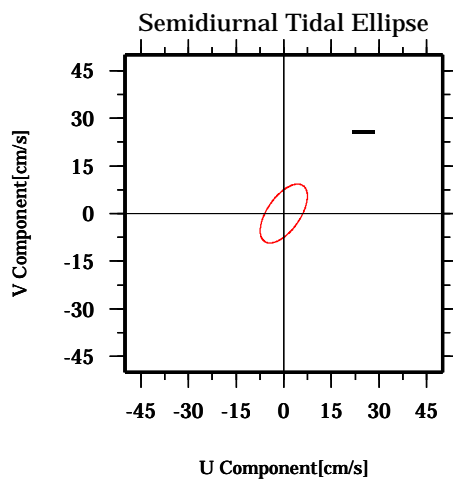
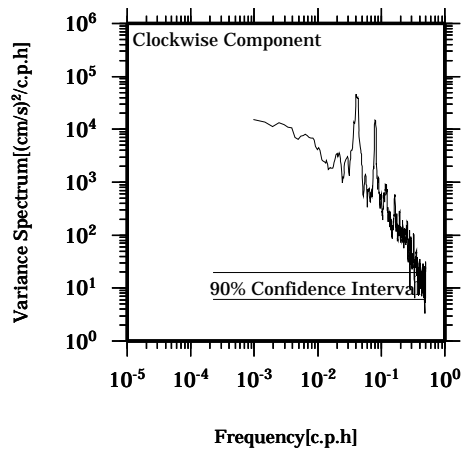
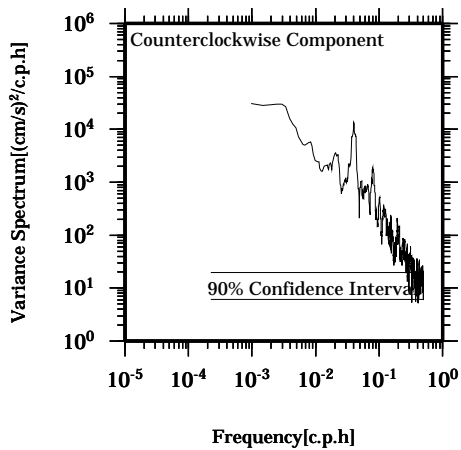
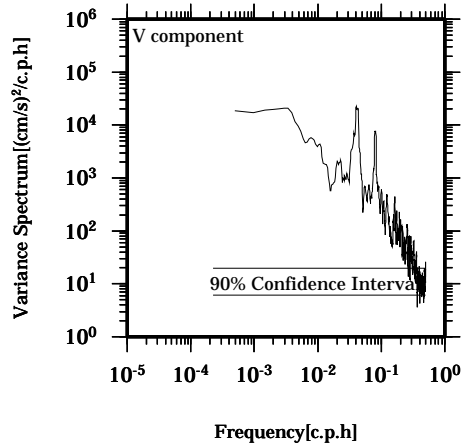
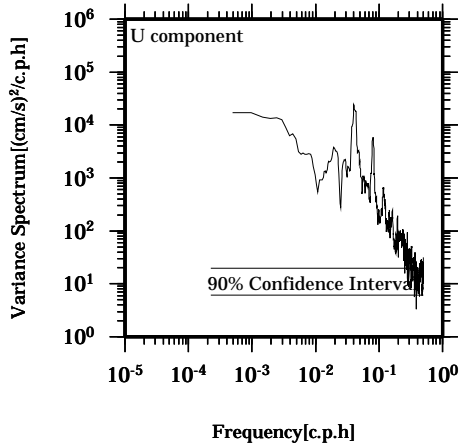
Lon: 121° 21.83' E
Lat: 22° 40.0133' N

Station: W204
Depth: 110 M



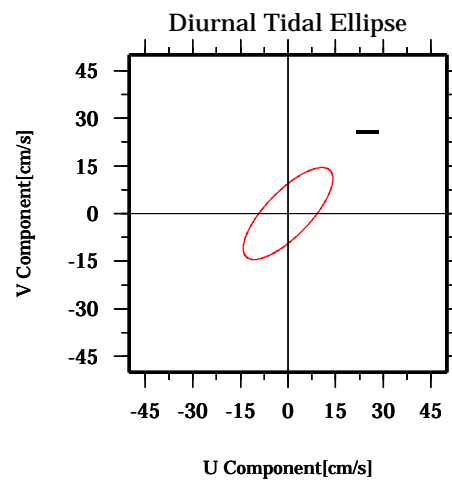
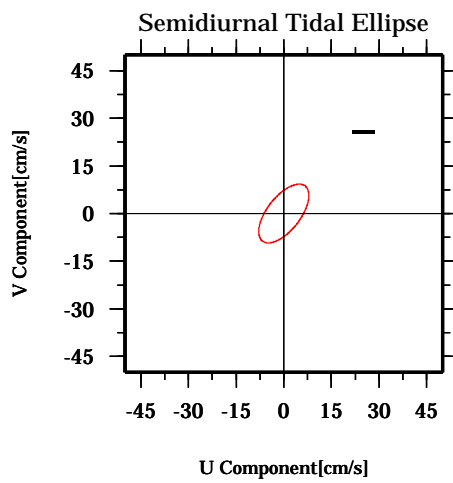
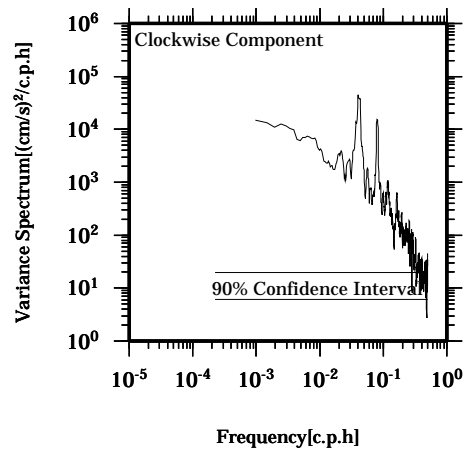
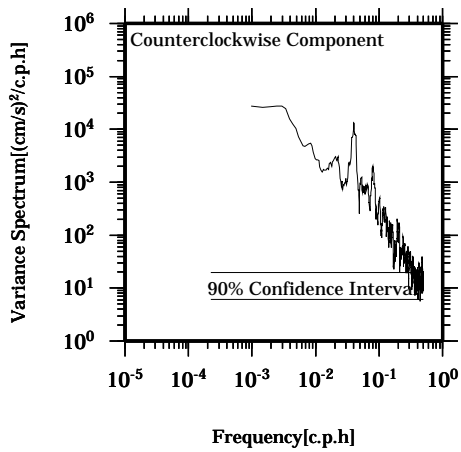
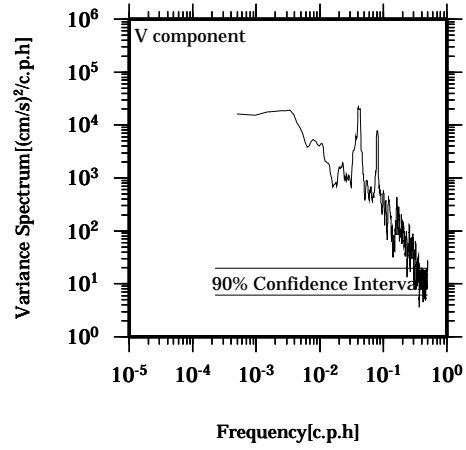
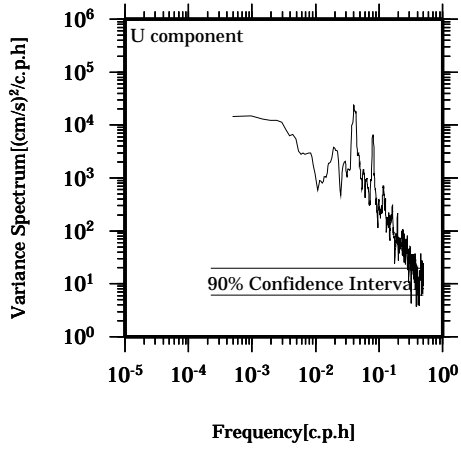
Lon: 121° 21.83' E
Lat: 22° 40.0133' N

Station: W204
Depth : 114 M



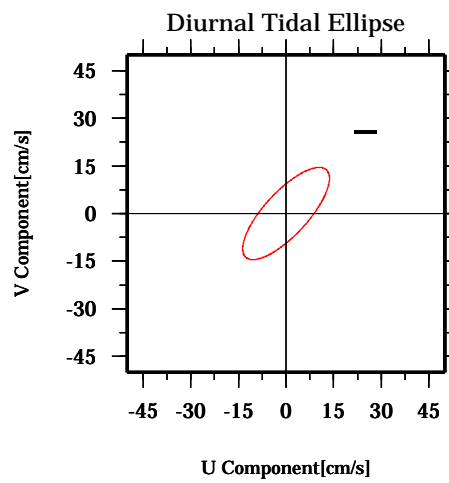
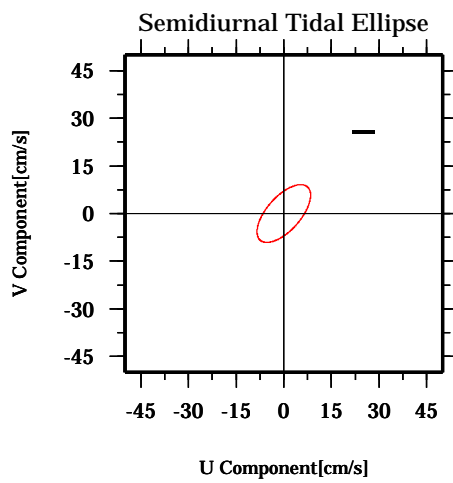
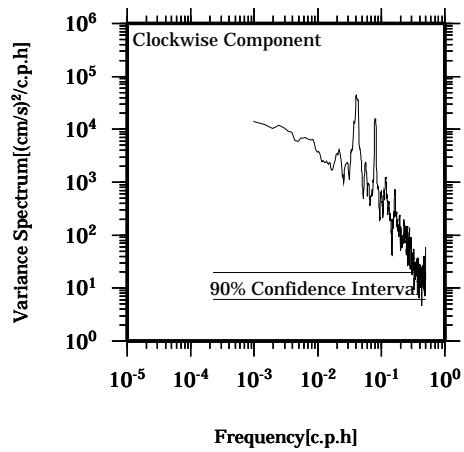
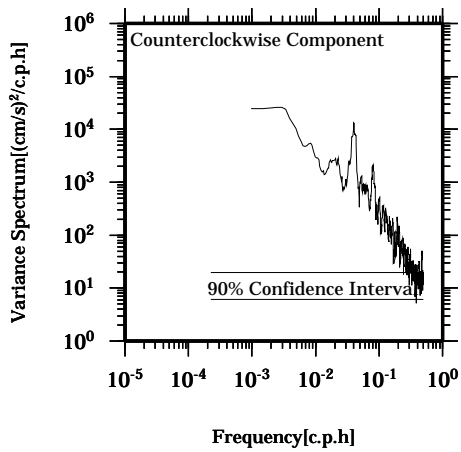
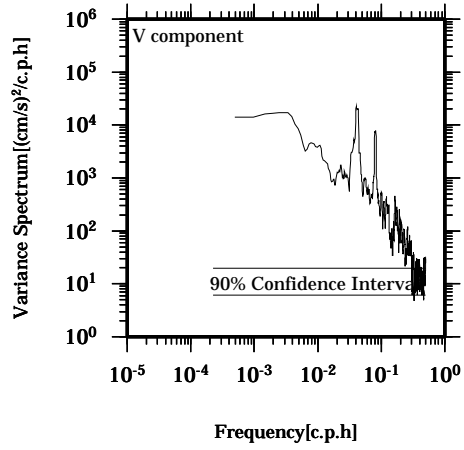
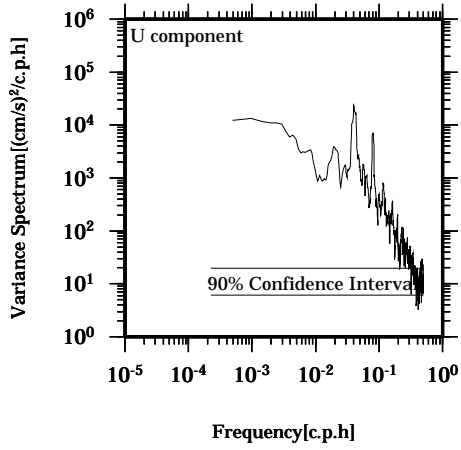
Lon: 121° 21.83' E
Lat: 22° 40.0133' N

Station: W204
Depth: 118 M



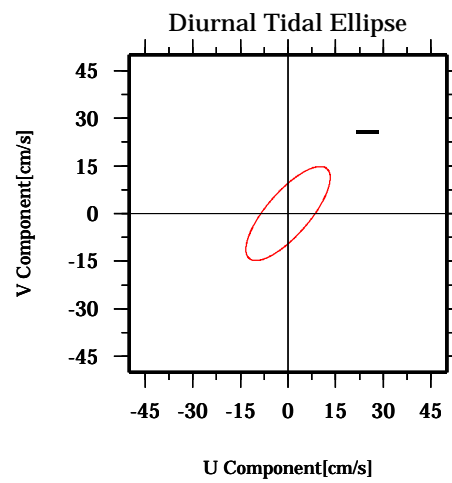
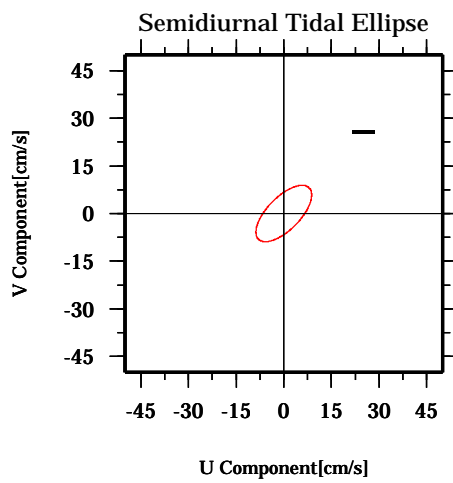
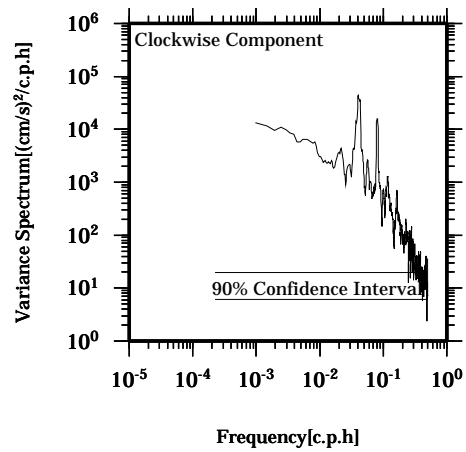
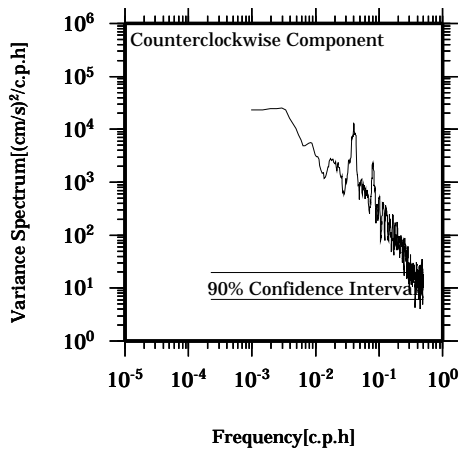
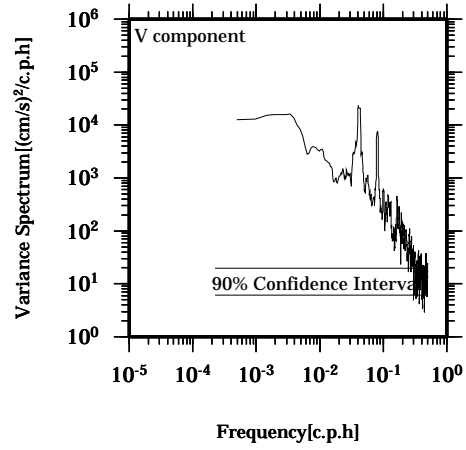
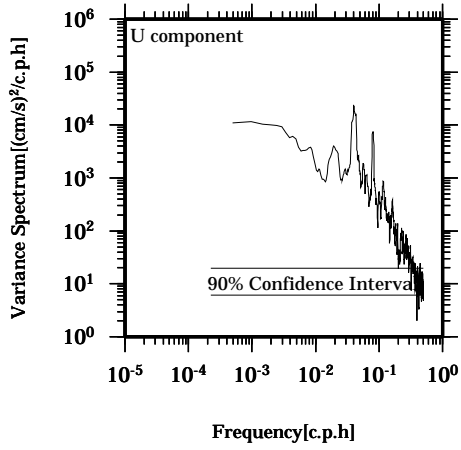
Lon: 121° 21.83' E
Lat: 22° 40.0133' N

Station: W204
Depth : 122 M



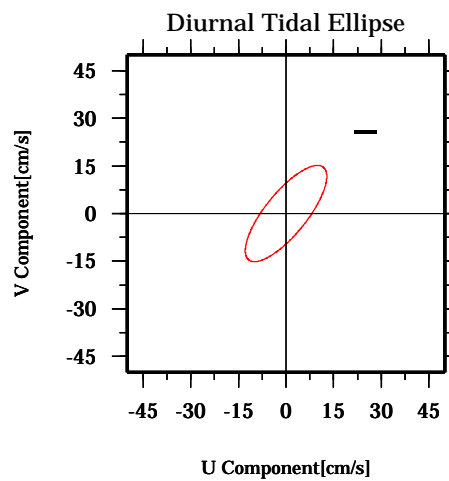
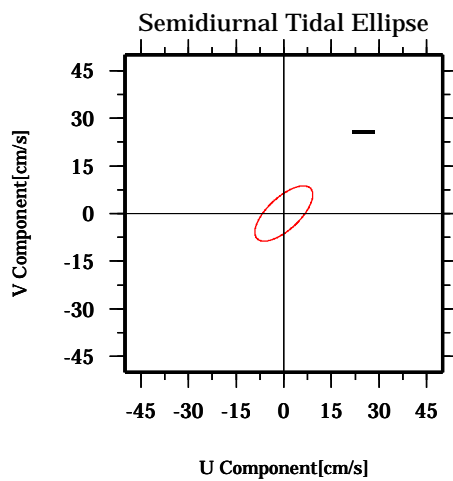
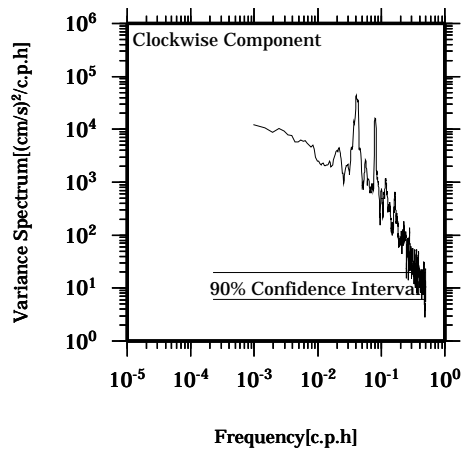
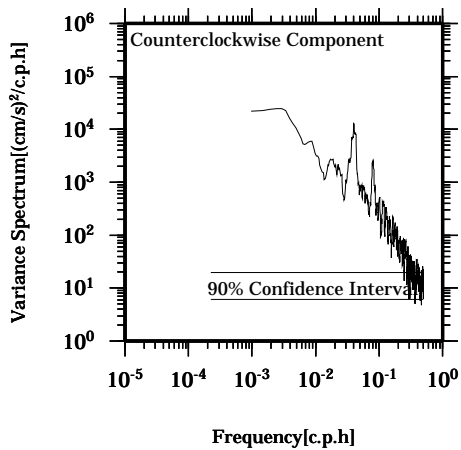
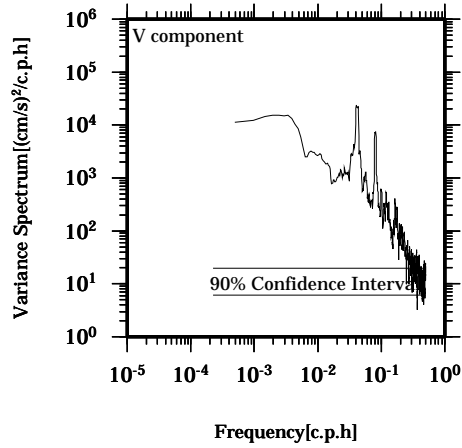
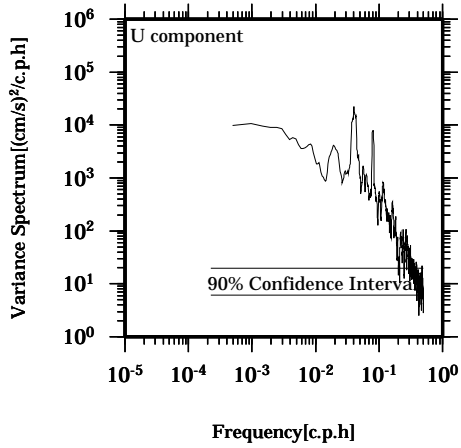
Lon: 121° 21.83' E
Lat: 22° 40.0133' N

Station: W204
Depth : 126 M



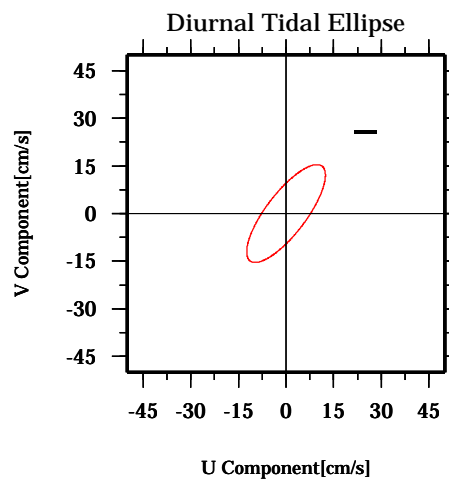
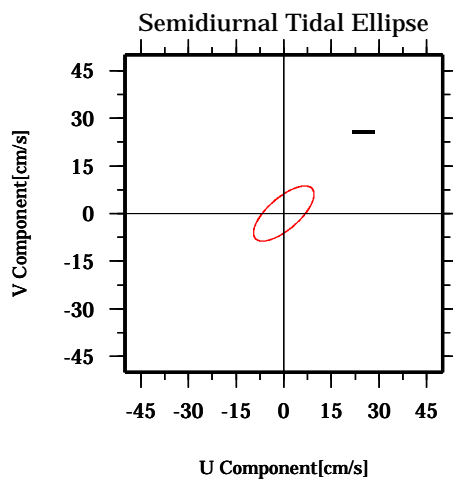
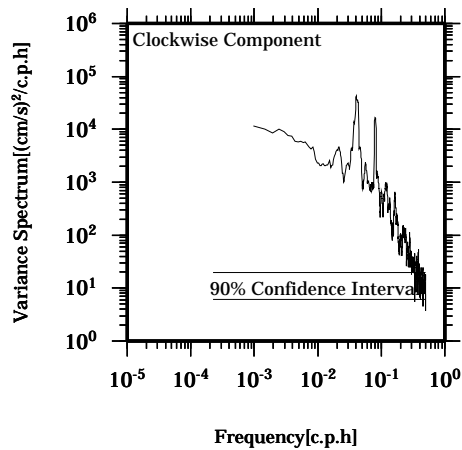
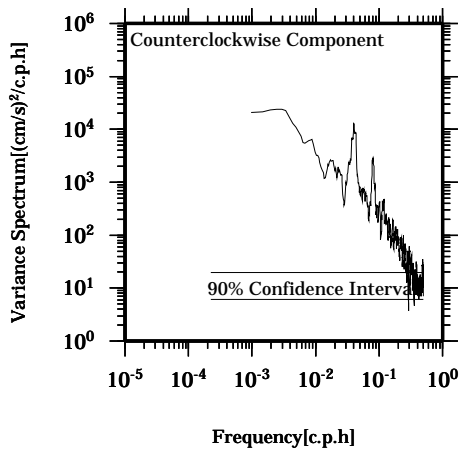
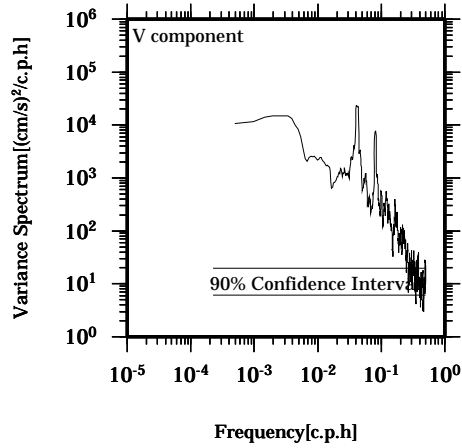
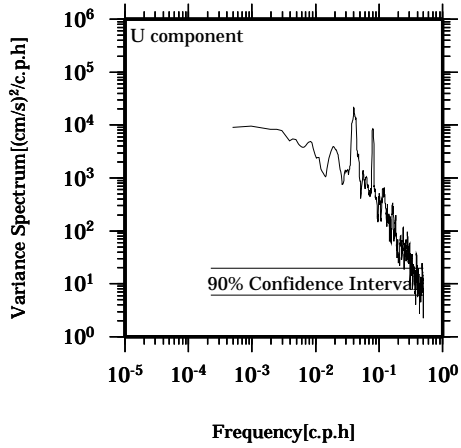
Lon: 121° 21.83' E
Lat: 22° 40.0133' N

Station: W204
Depth : 130 M



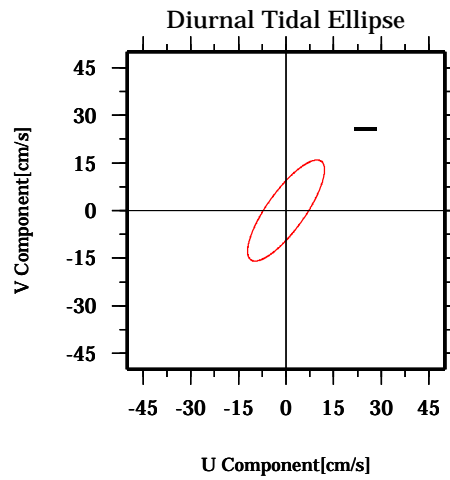
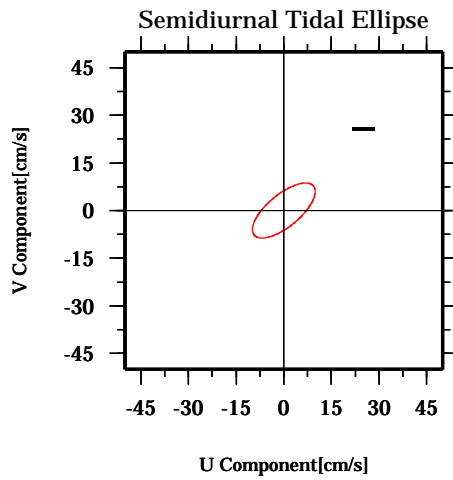
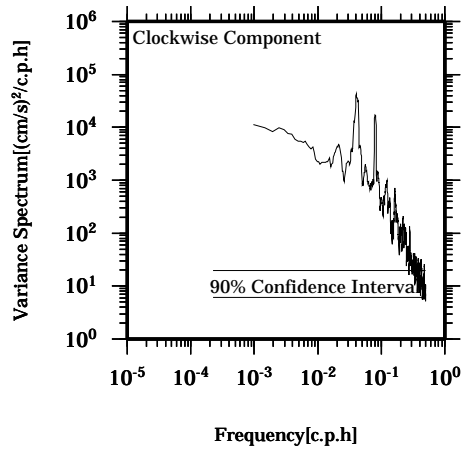
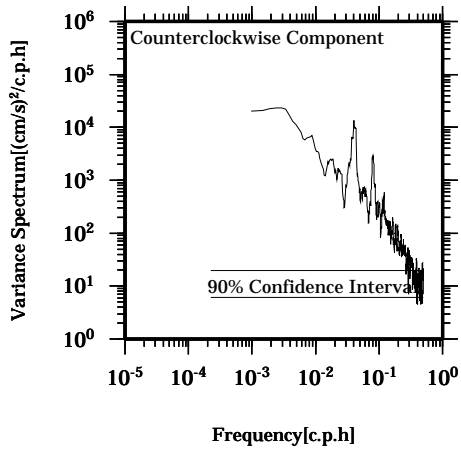
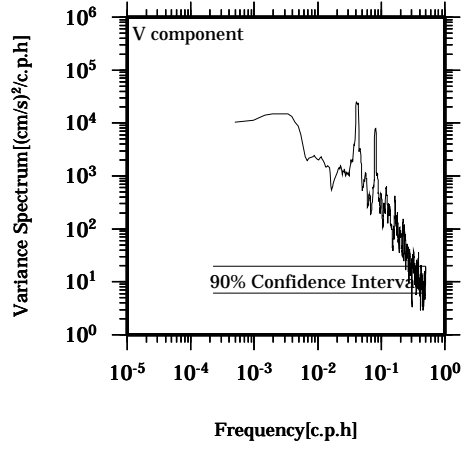
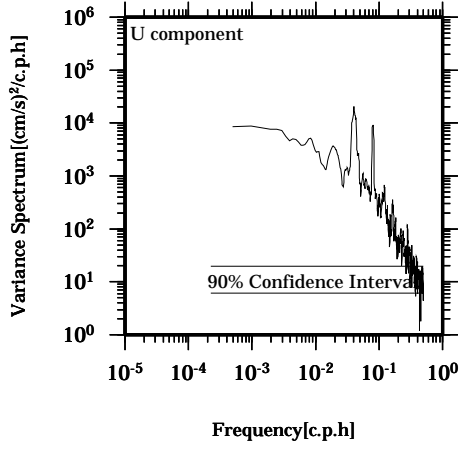
Lon: 121° 21.83' E
Lat: 22° 40.0133' N

Station: W204
Depth : 134 M



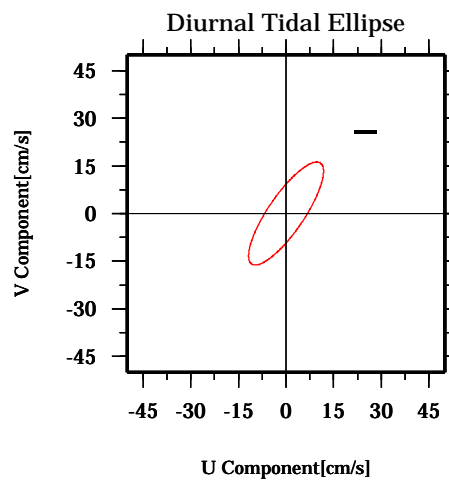
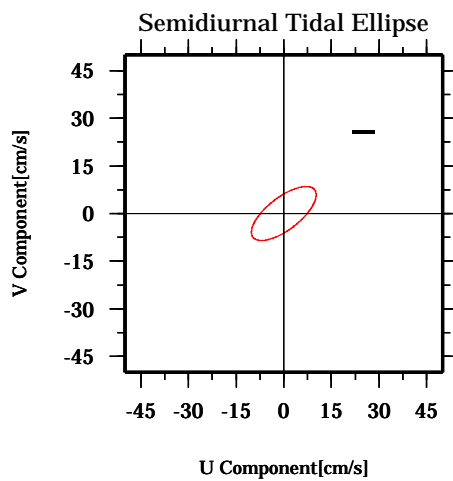
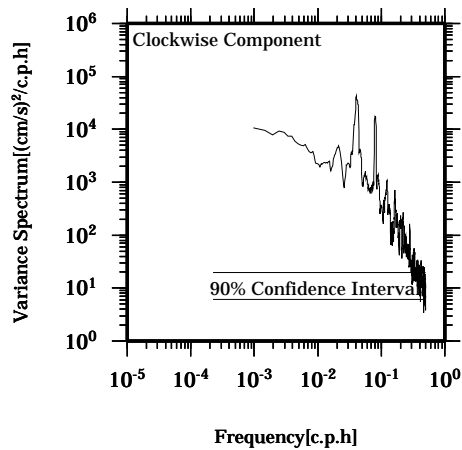
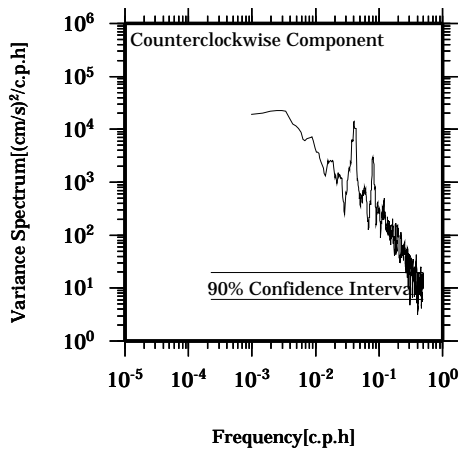
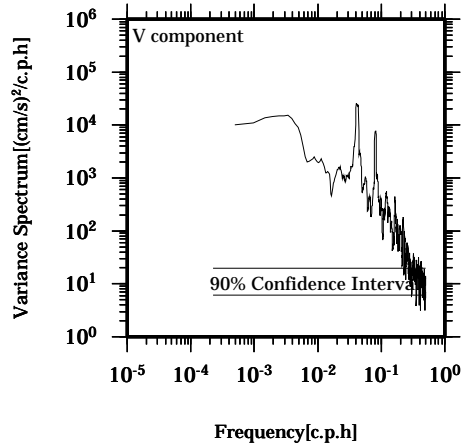
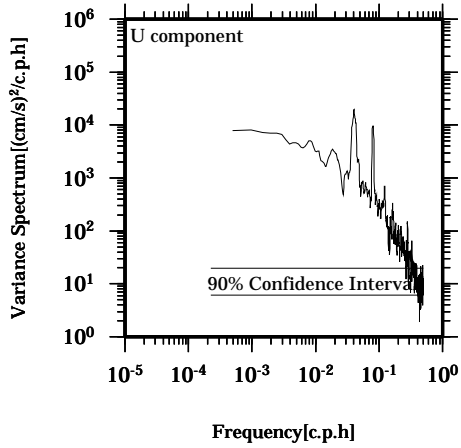
Lon: 121° 21.83' E
Lat: 22° 40.0133' N

Station: W204
Depth : 138 M



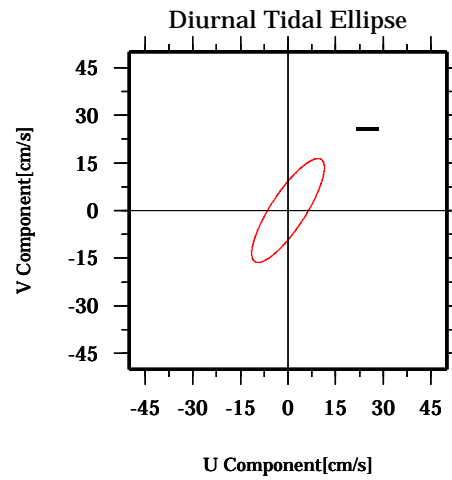
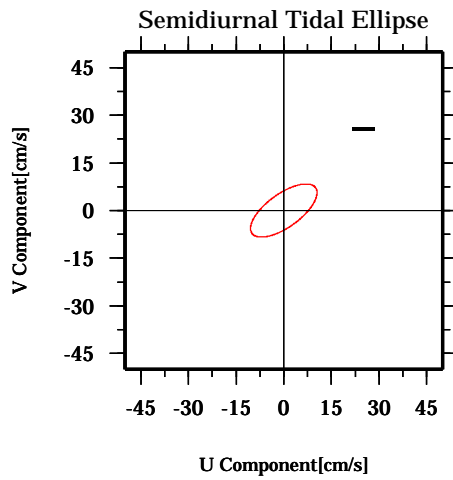
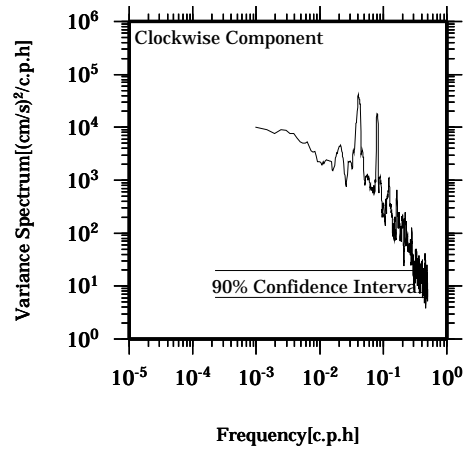
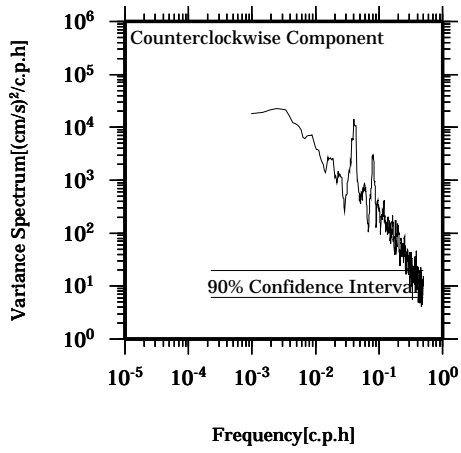
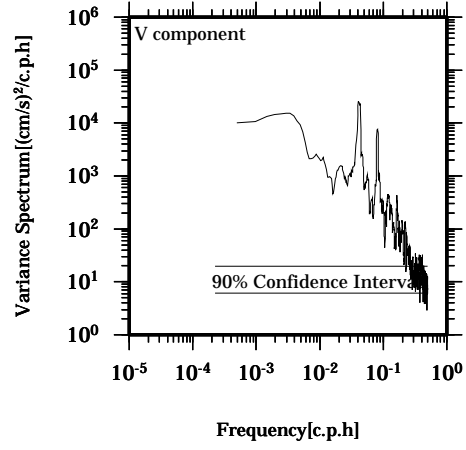
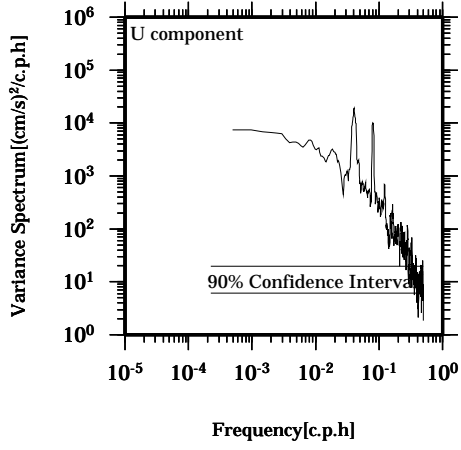
Lon: 121° 21.83' E
Lat: 22° 40.0133' N

Station: W204
Depth: 142 M



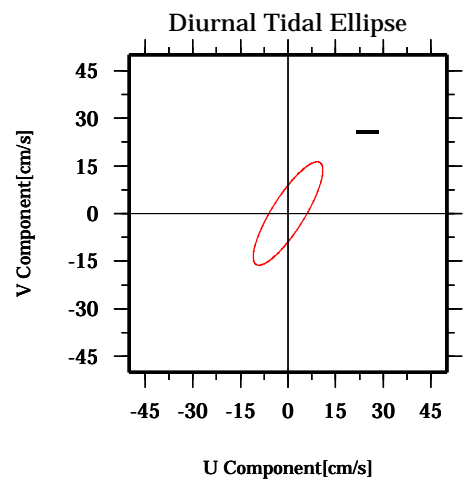
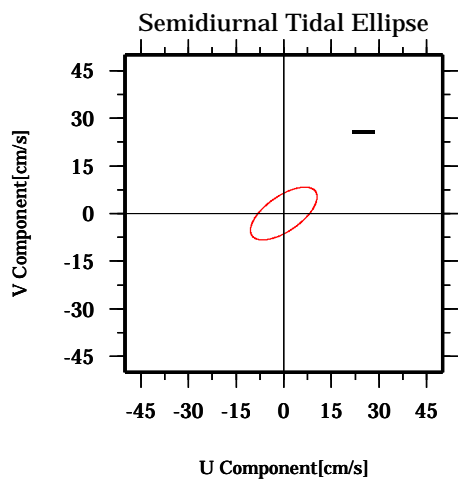
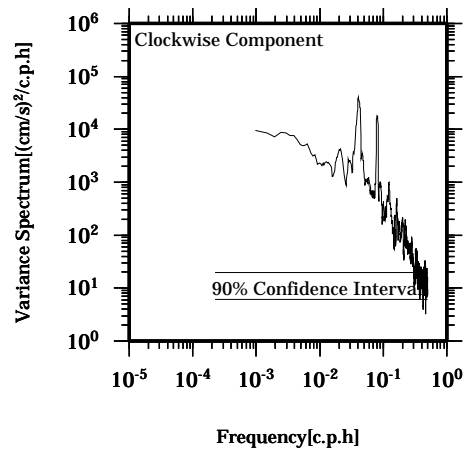
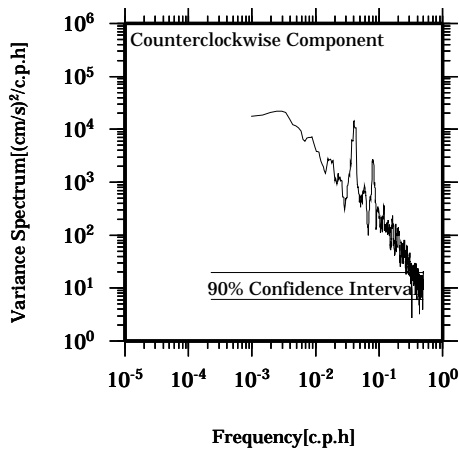
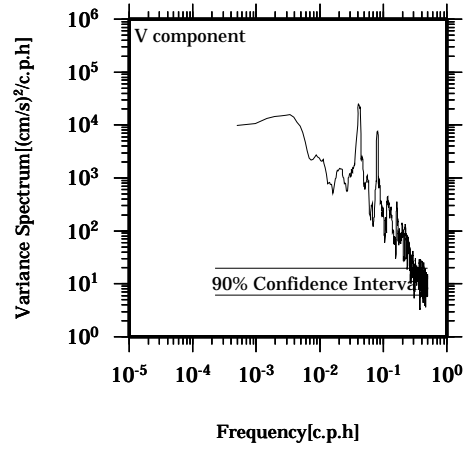
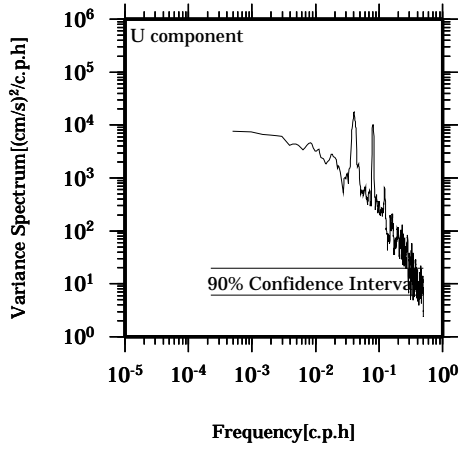
Lon: 121° 21.83' E
Lat: 22° 40.0133' N

Station: W204
Depth : 146 M



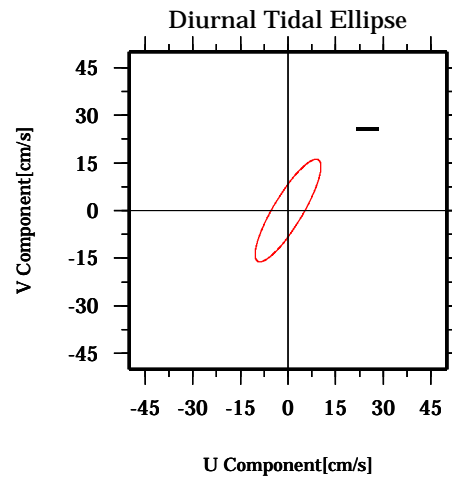
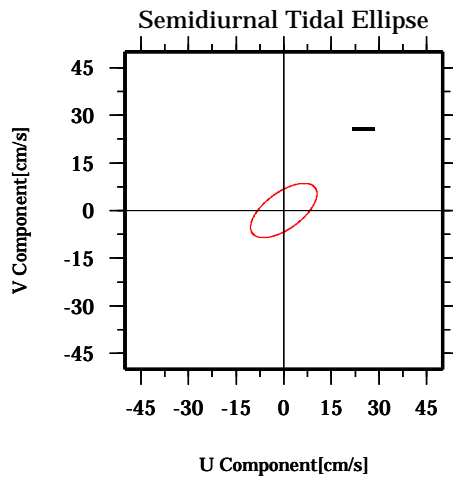
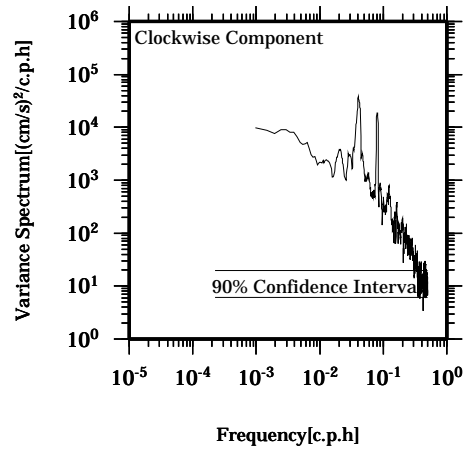
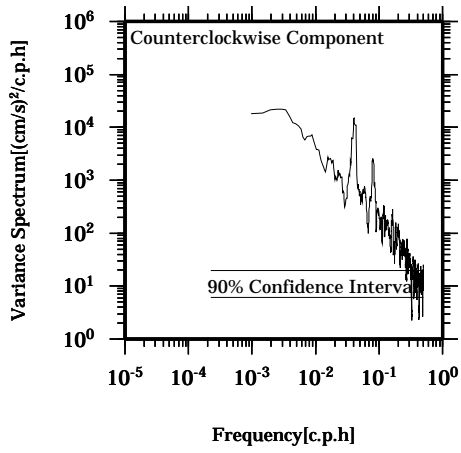
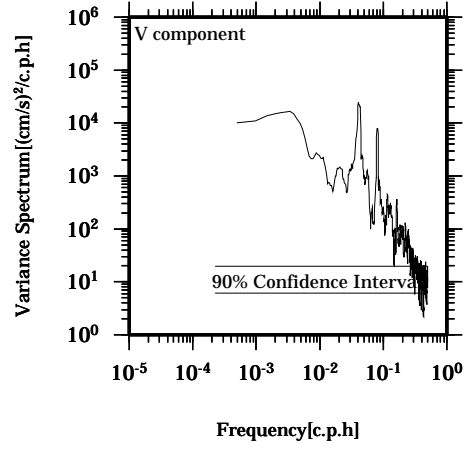
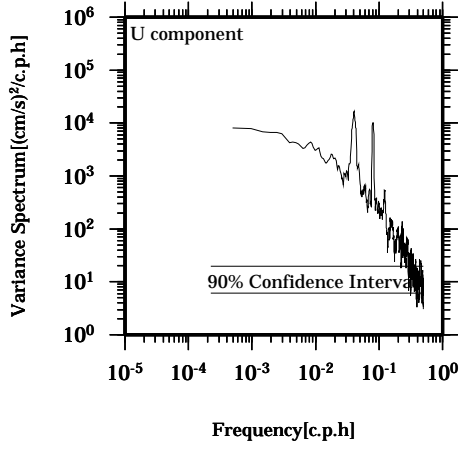
Lon: 121° 21.83' E
Lat: 22° 40.0133' N

Station: W204
Depth : 150 M



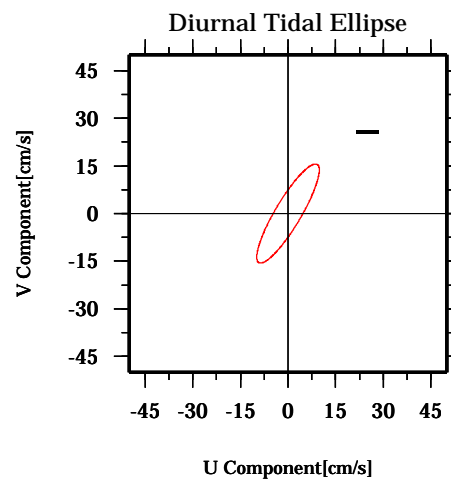
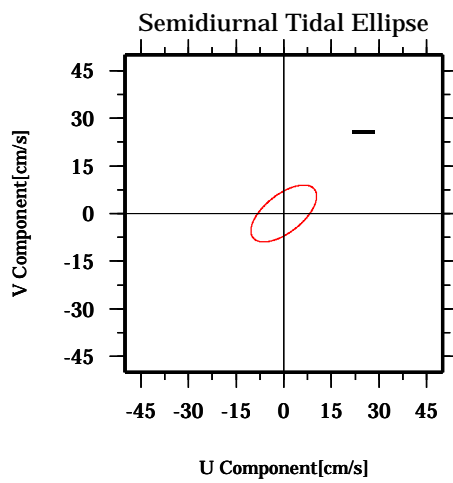
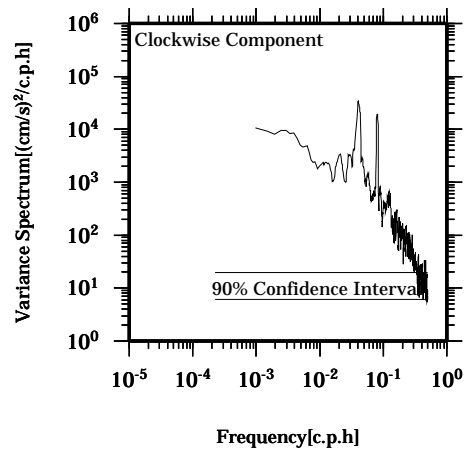
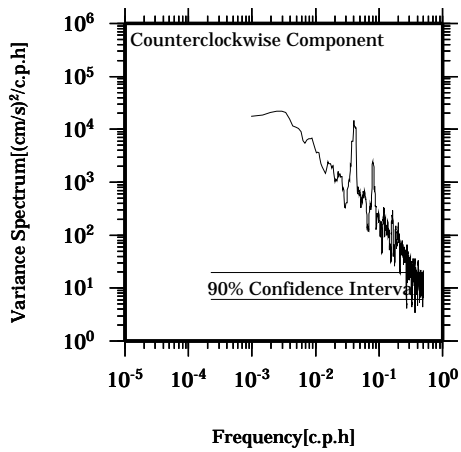
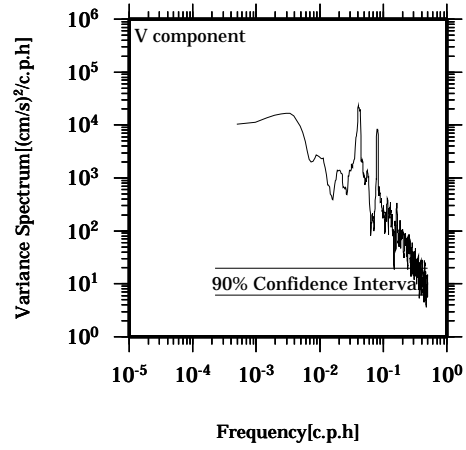
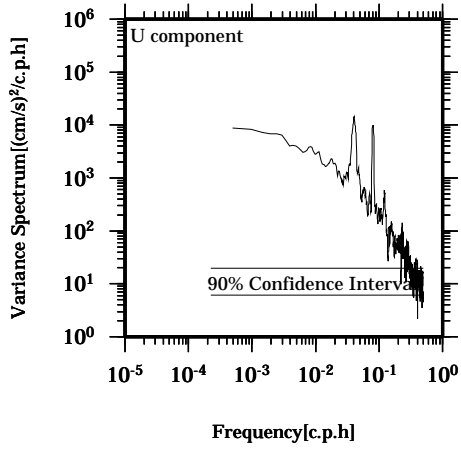
Lon: 121° 21.83' E
Lat: 22° 40.0133' N

Station: W204
Depth : 154 M



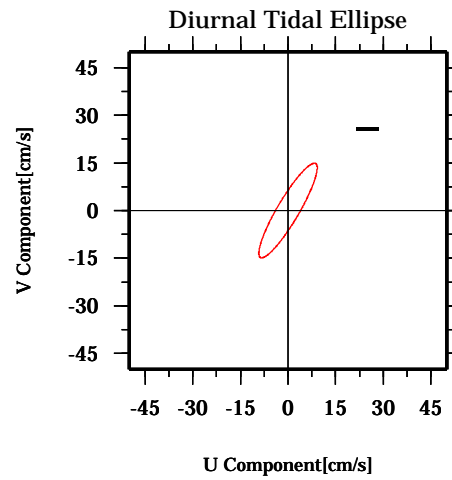
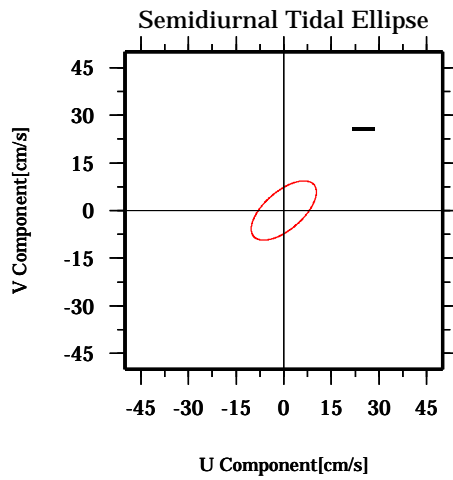
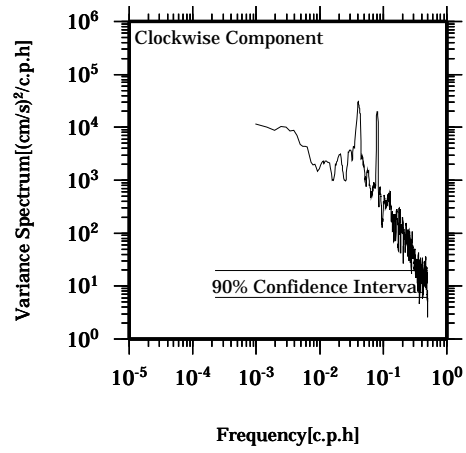
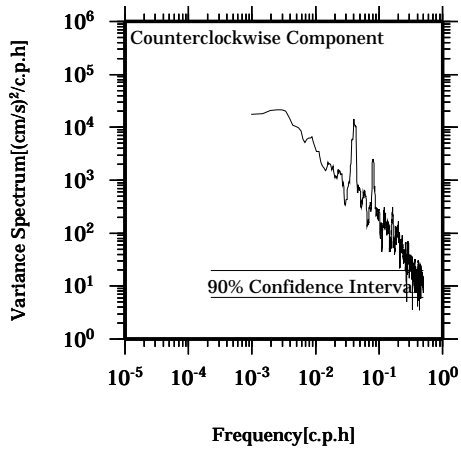
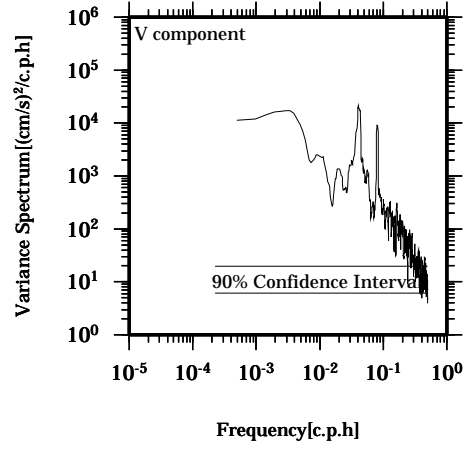
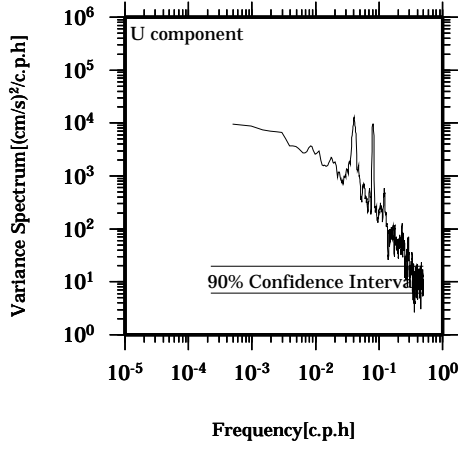
Lon: 121° 21.83' E
Lat: 22° 40.0133' N

Station: W204
Depth : 158 M



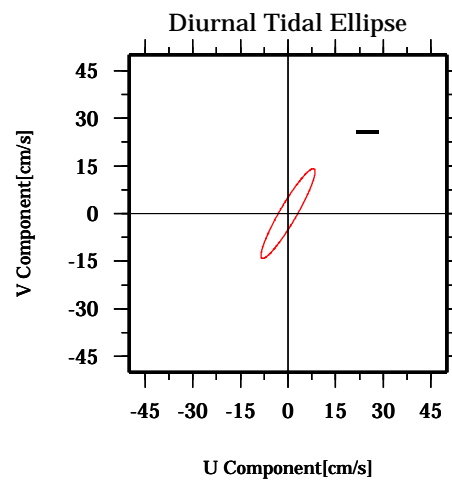
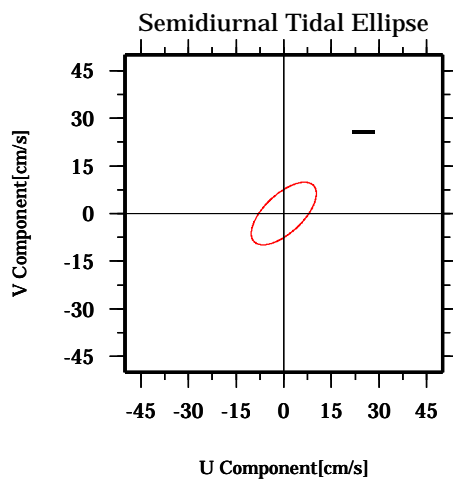
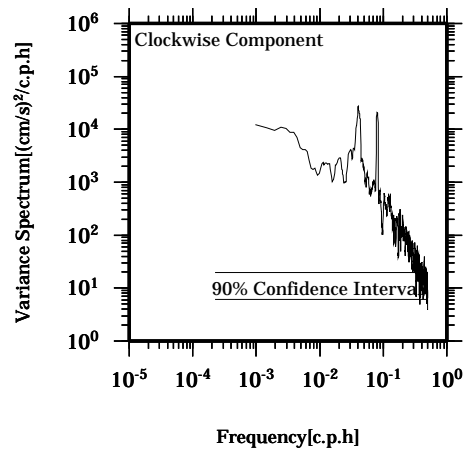
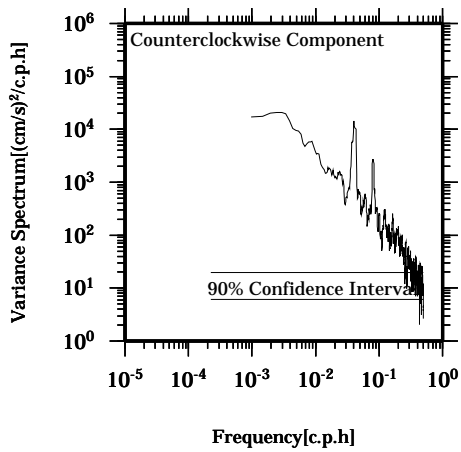
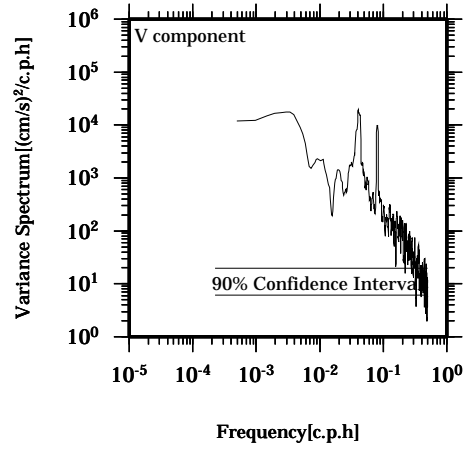
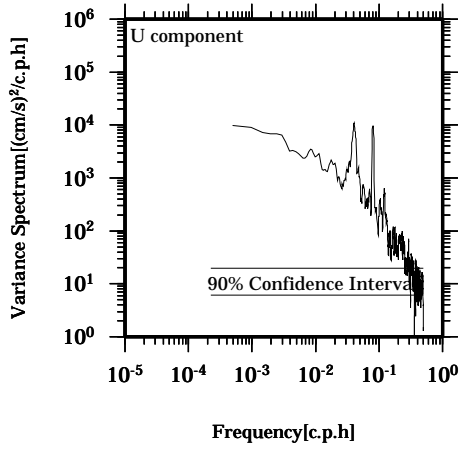
Lon: 121° 21.83' E
Lat: 22° 40.0133' N

Station: W204
Depth : 162 M



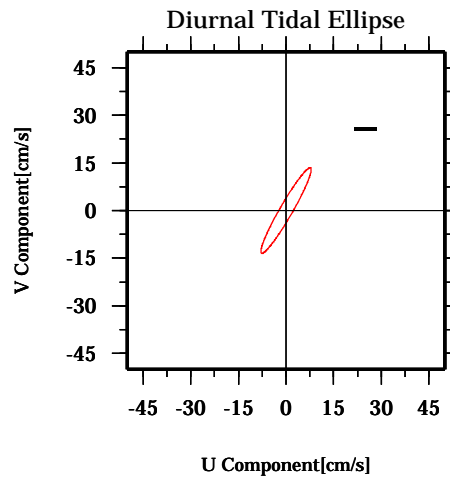
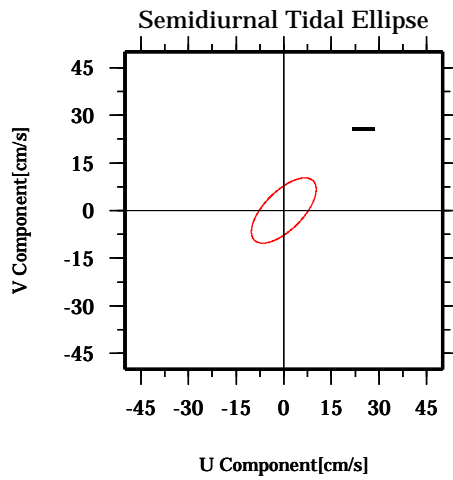
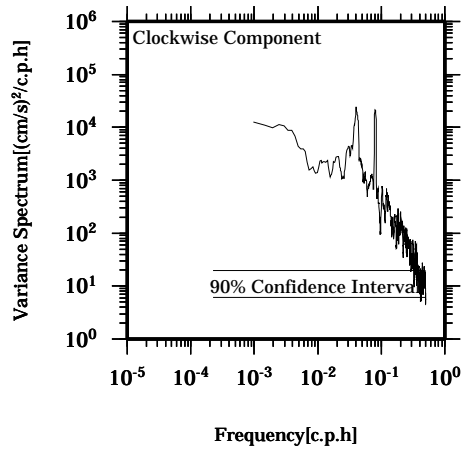
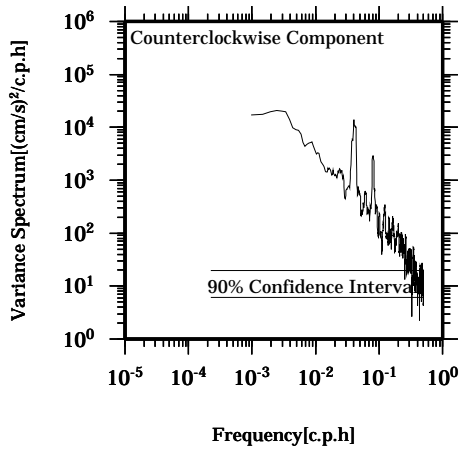
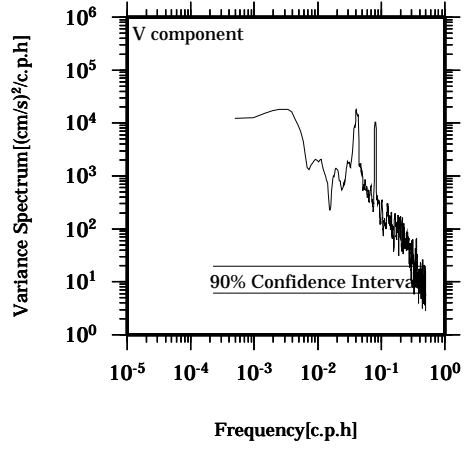
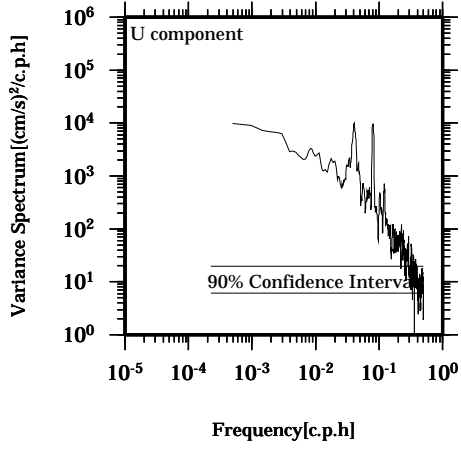
Lon: 121° 21.83' E
Lat: 22° 40.0133' N

Station: W204
Depth: 166 M



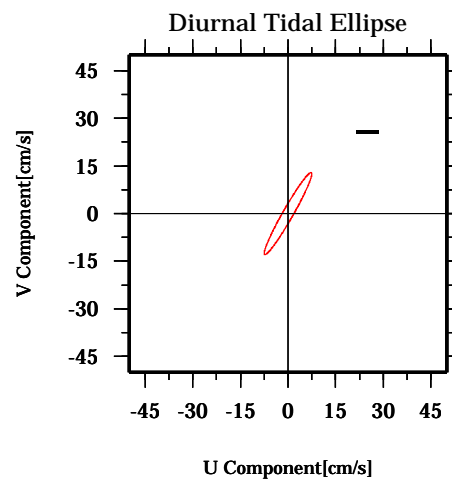
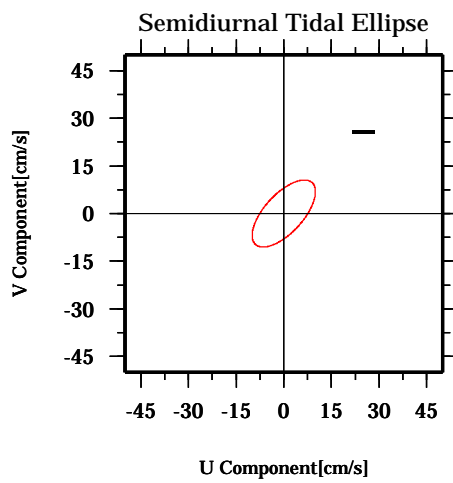
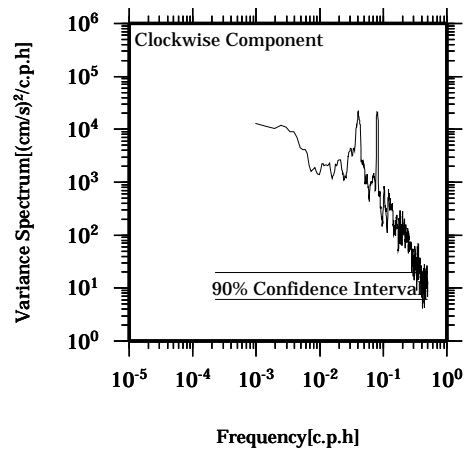
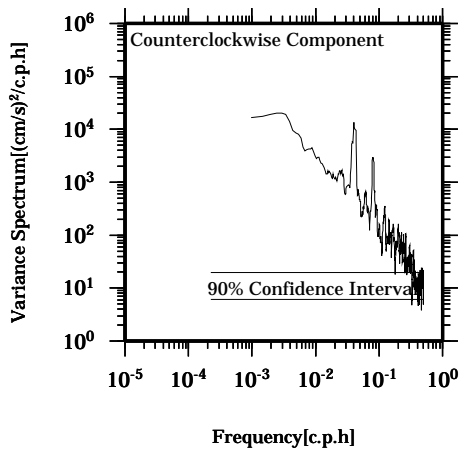
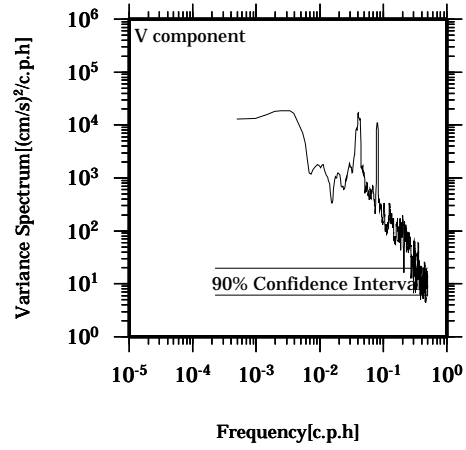
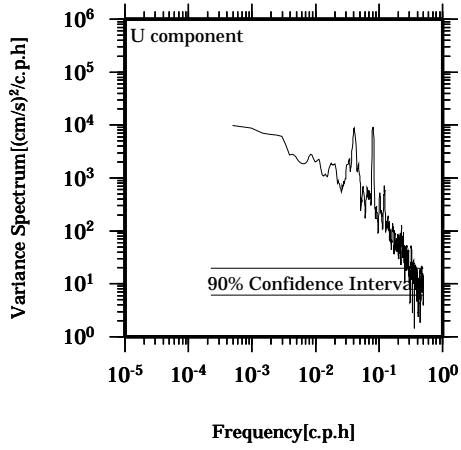
Lon: 121° 21.83' E
Lat: 22° 40.0133' N

Station: W204
Depth : 170 M



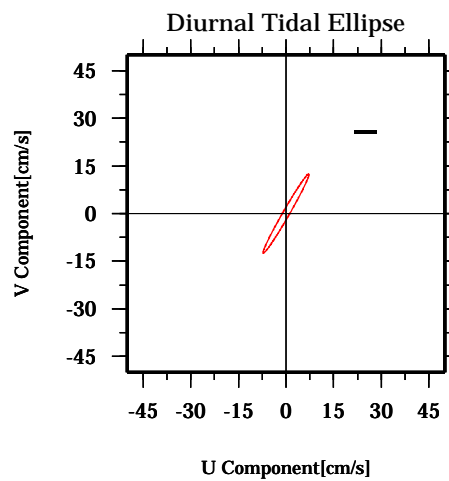
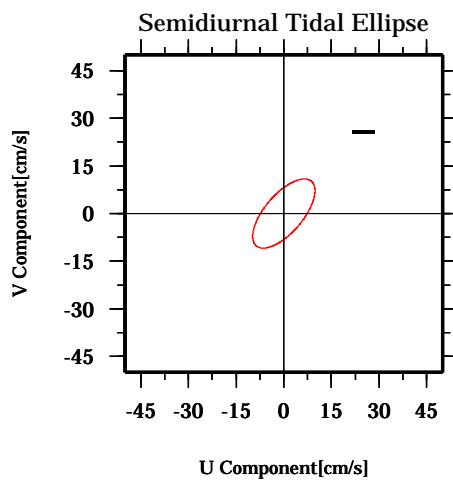
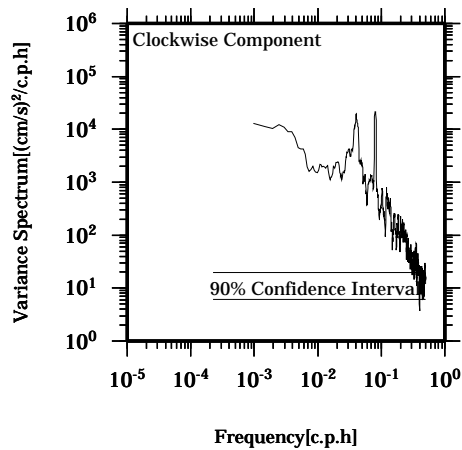
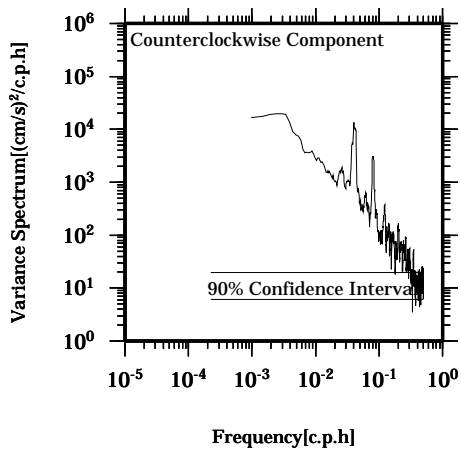
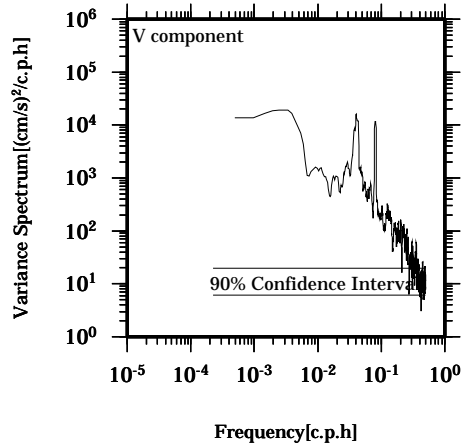
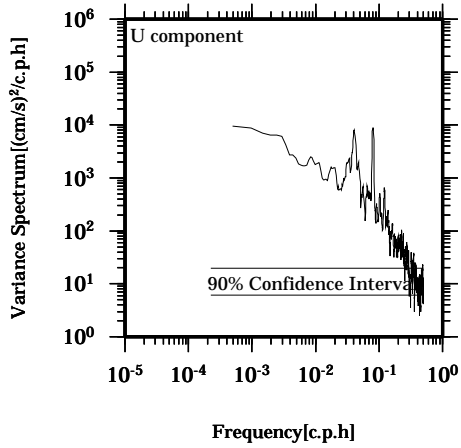
Lon: 121° 21.83' E
Lat: 22° 40.0133' N

Station: W204
Depth : 174 M



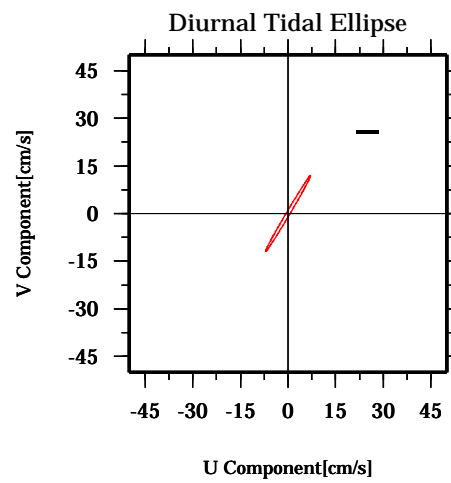
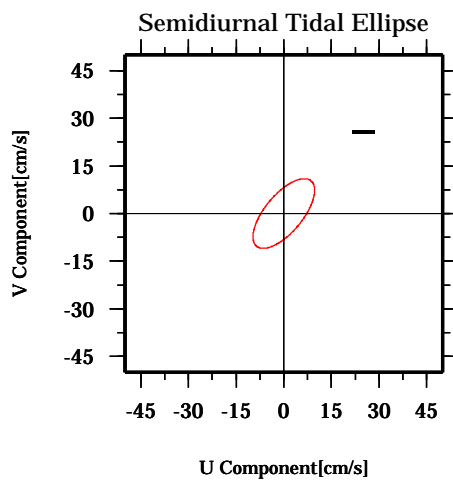
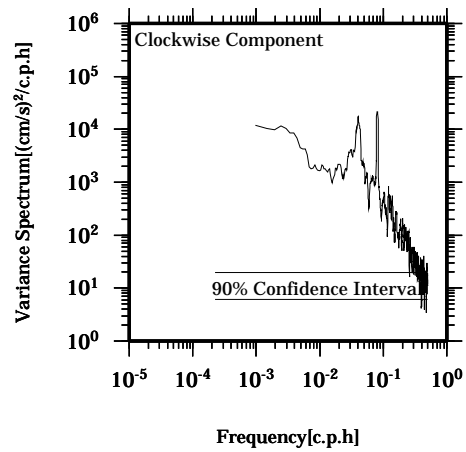
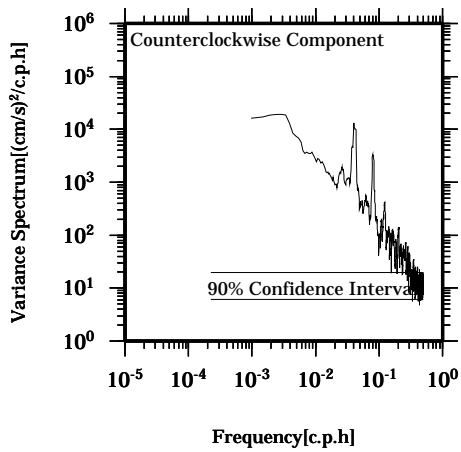
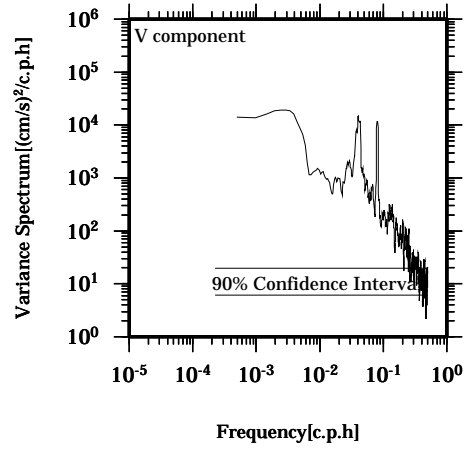
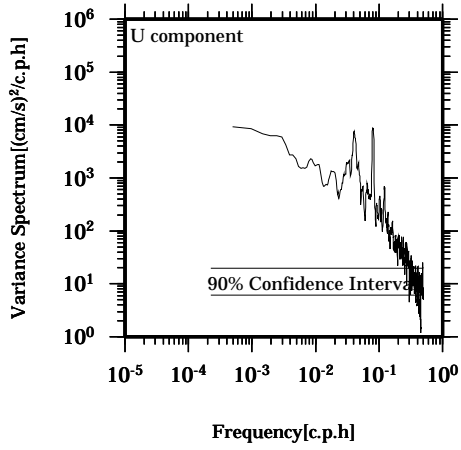
Lon: 121° 21.83' E
Lat: 22° 40.0133' N

Station: W204
Depth : 178 M



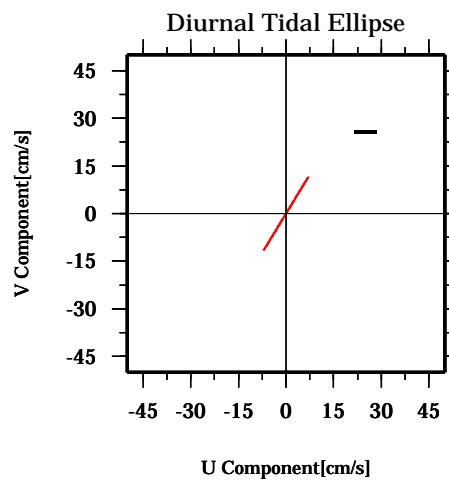
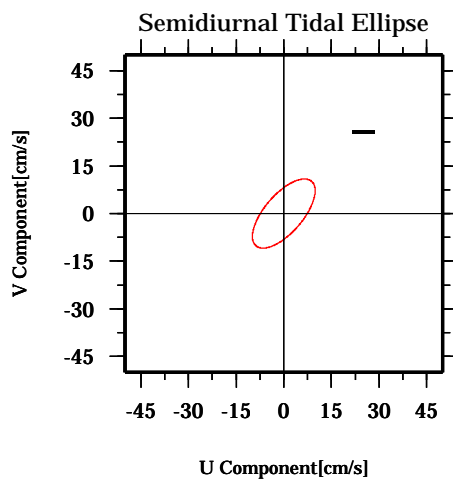
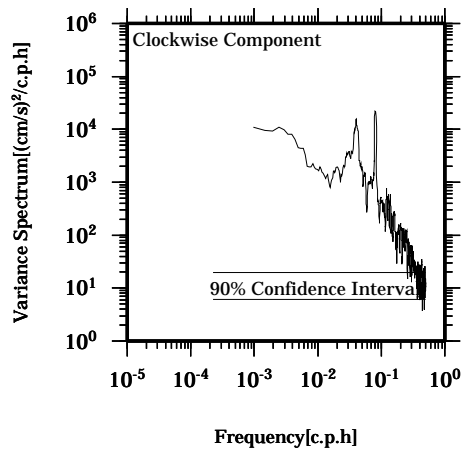
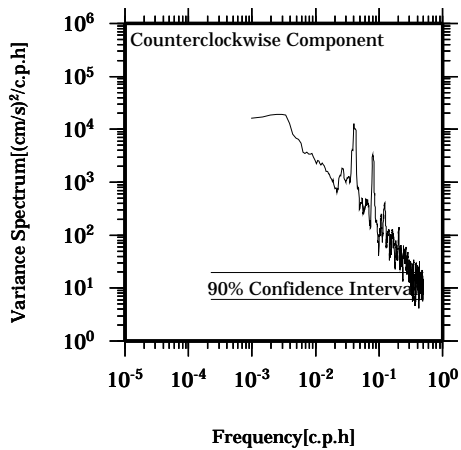
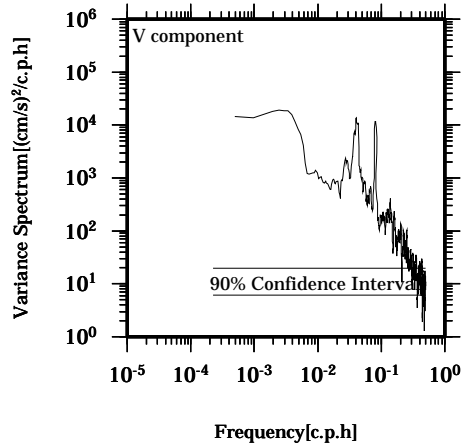
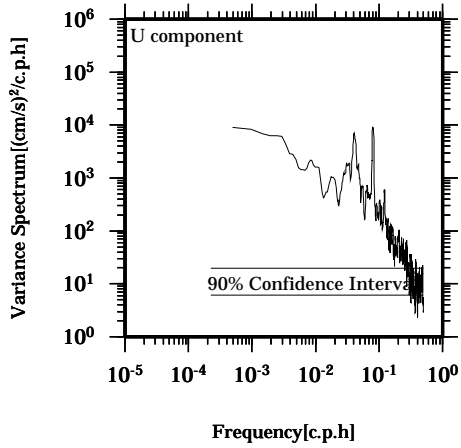
Lon: 121° 21.83' E
Lat: 22° 40.0133' N

Station: W204
Depth : 182 M



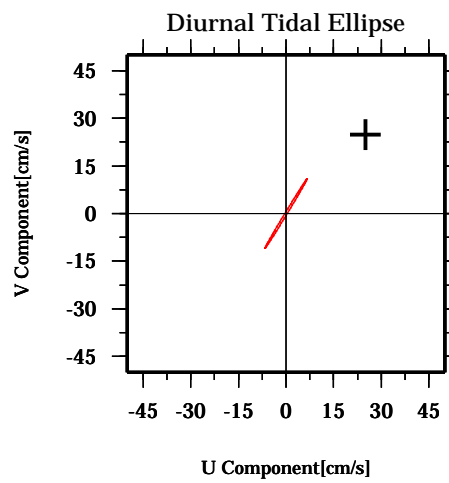
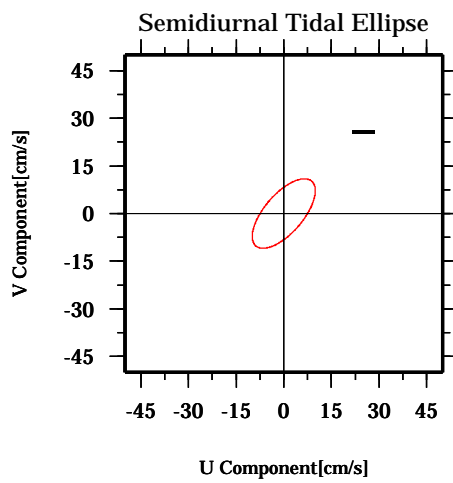
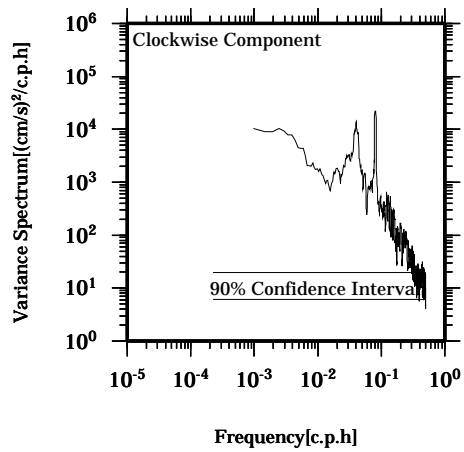
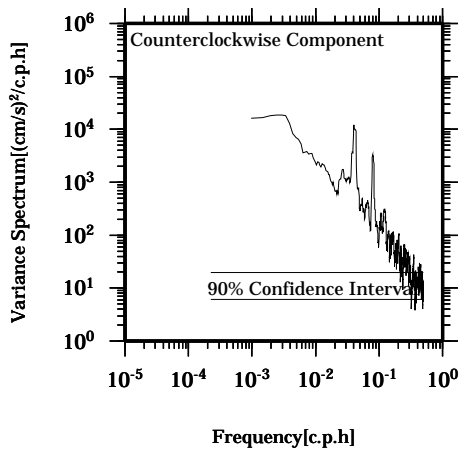
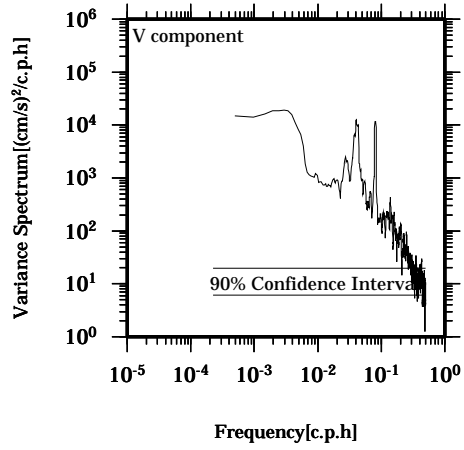
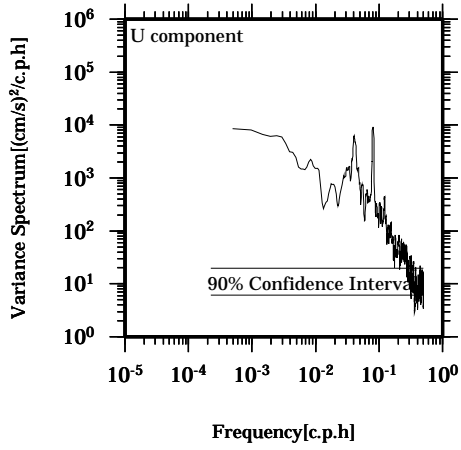
Lon: 121° 21.83' E
Lat: 22° 40.0133' N

Station: W204
Depth : 186 M



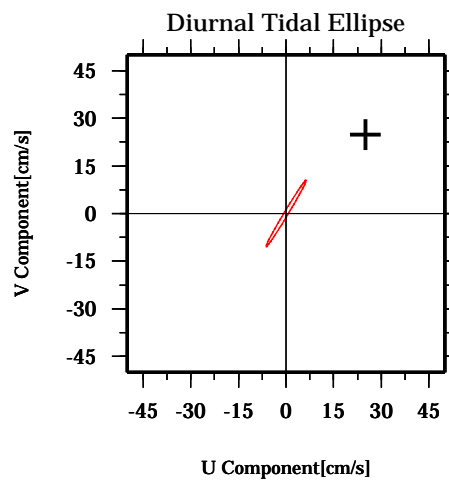
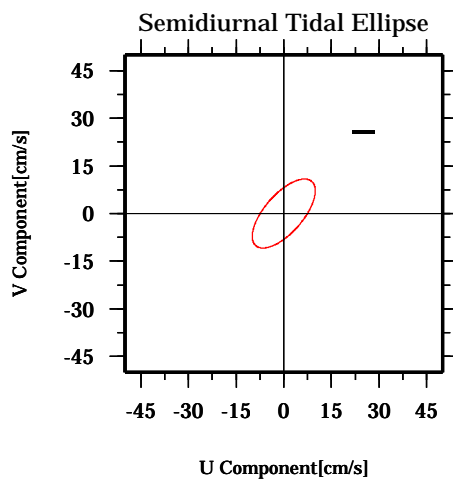
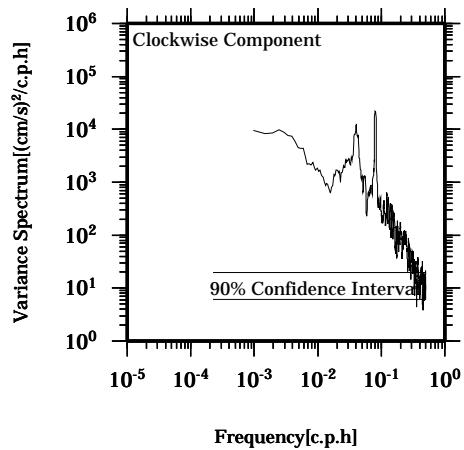
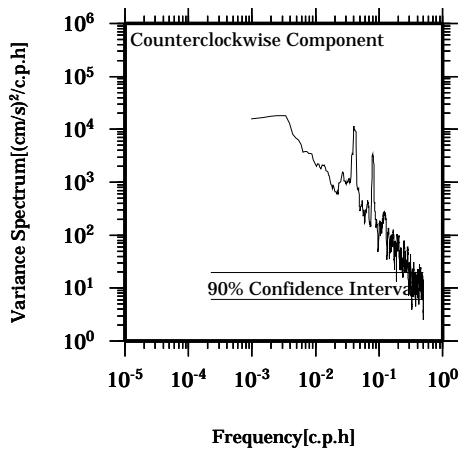
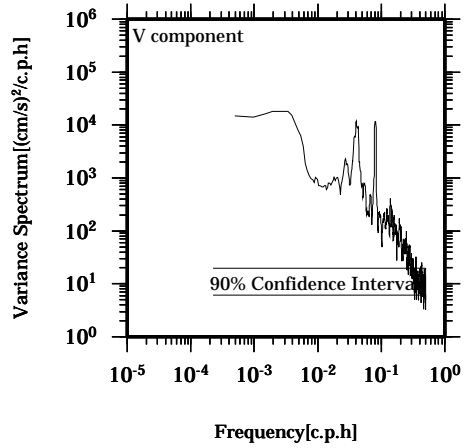
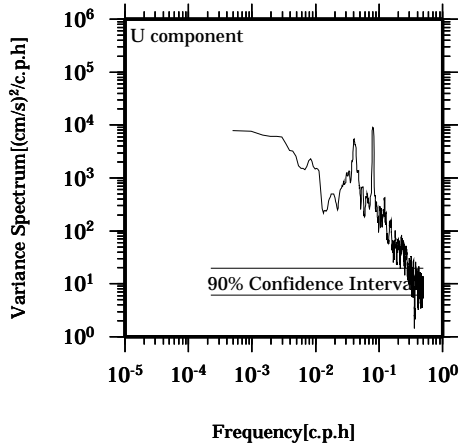
Lon: 121° 21.83' E
Lat: 22° 40.0133' N

Station: W204
Depth : 190 M



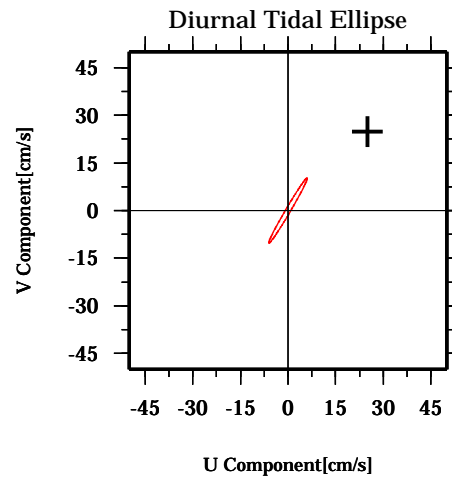
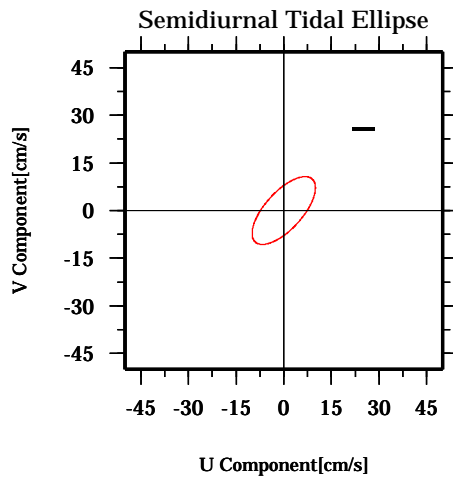
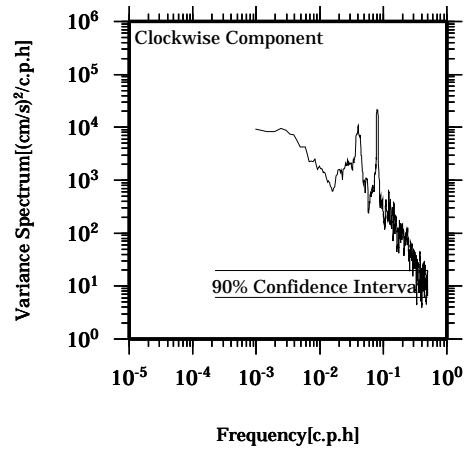
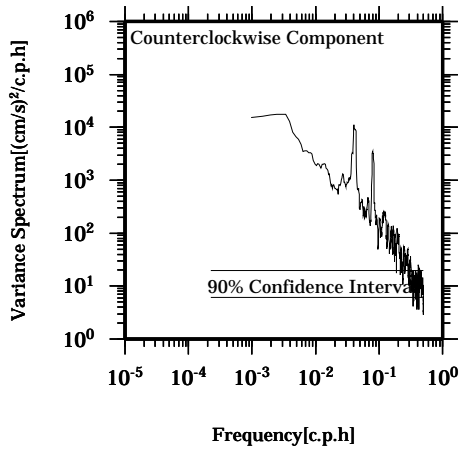
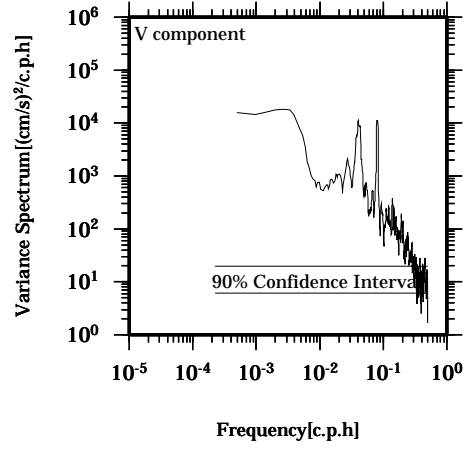
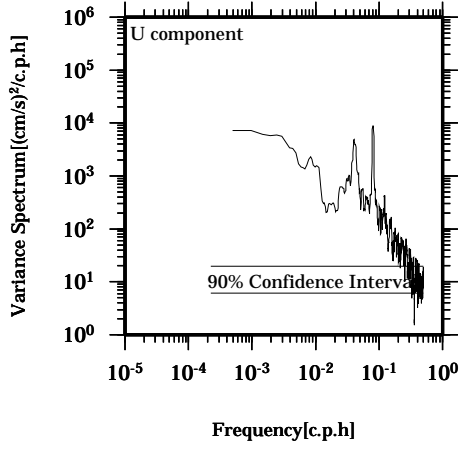
Lon: 121° 21.83' E
Lat: 22° 40.0133' N

Station: W204
Depth : 194 M



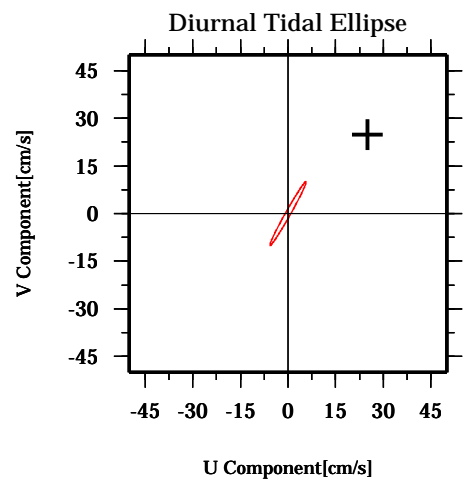
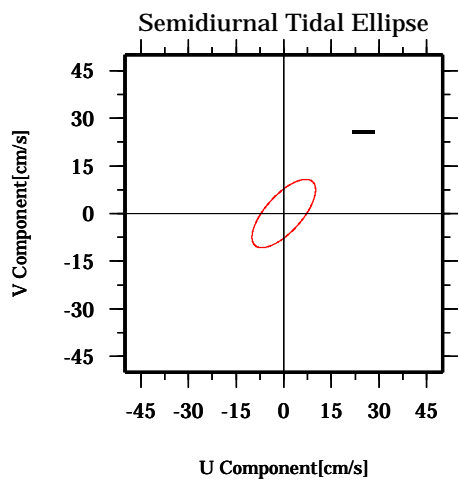
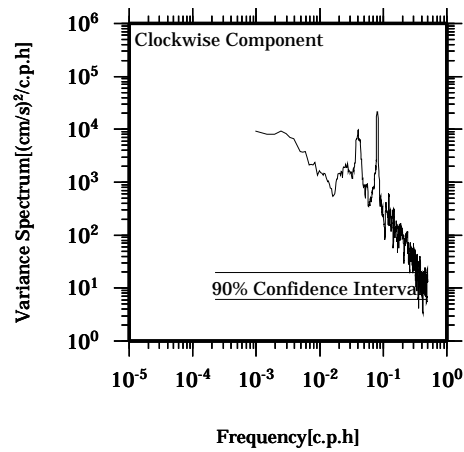
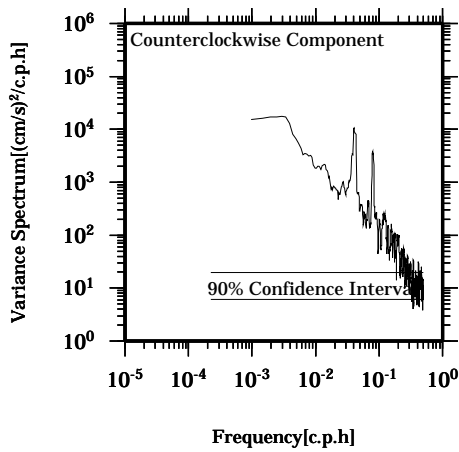
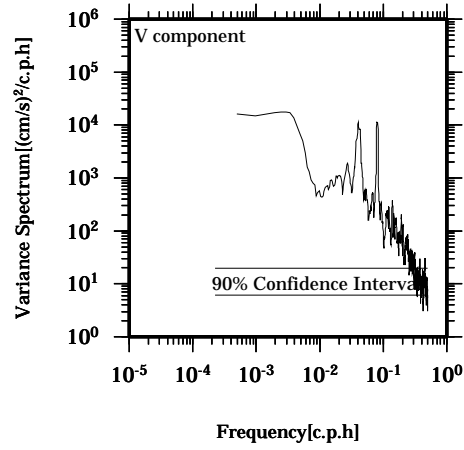
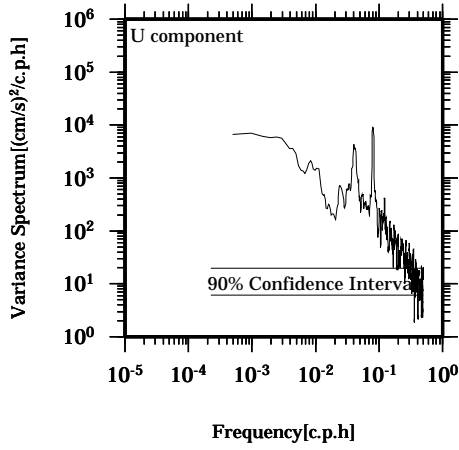
Lon: 121° 21.83' E
Lat: 22° 40.0133' N

Station: W204
Depth : 198 M



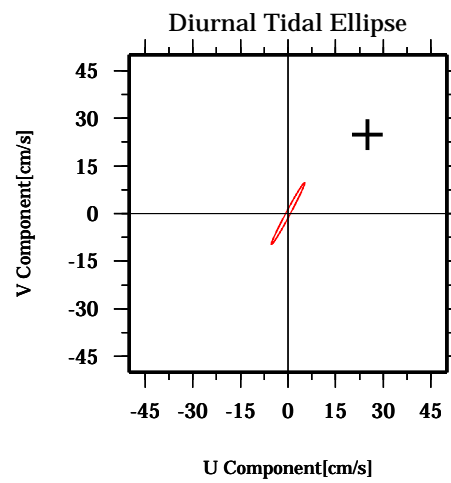
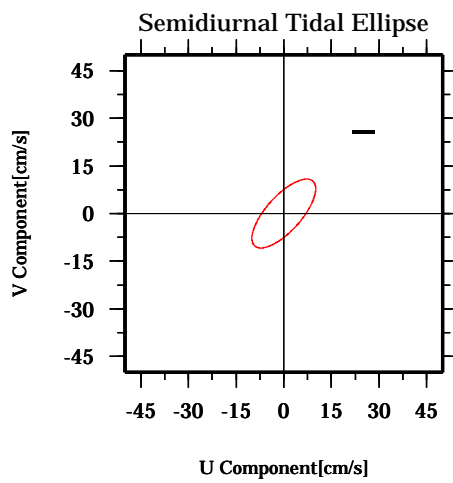
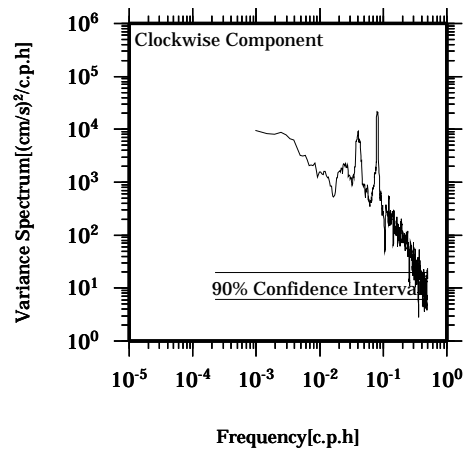
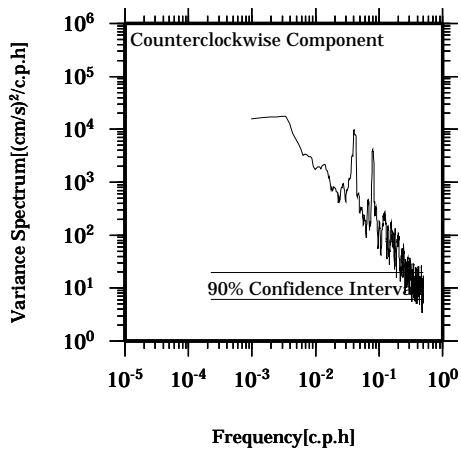
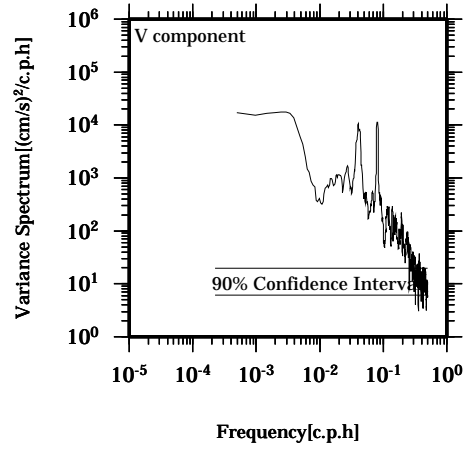
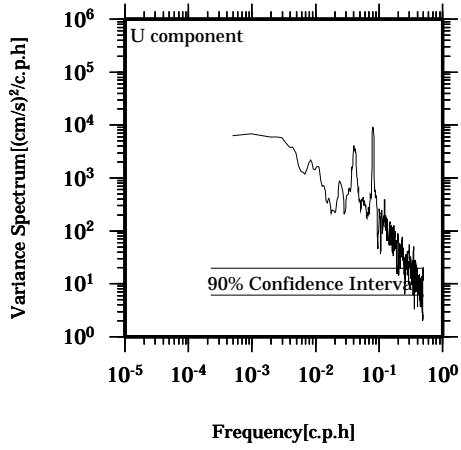
Lon: 121° 21.83' E
Lat: 22° 40.0133' N

Station: W204
Depth : 202 M



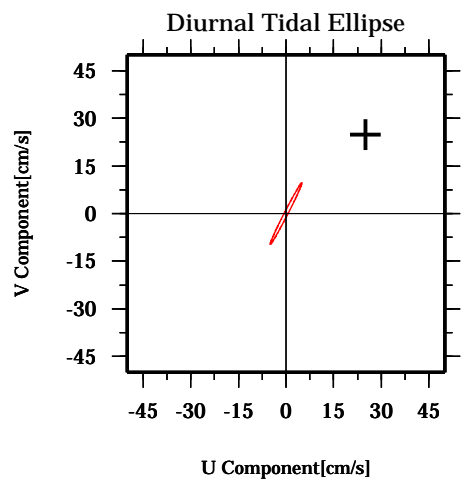
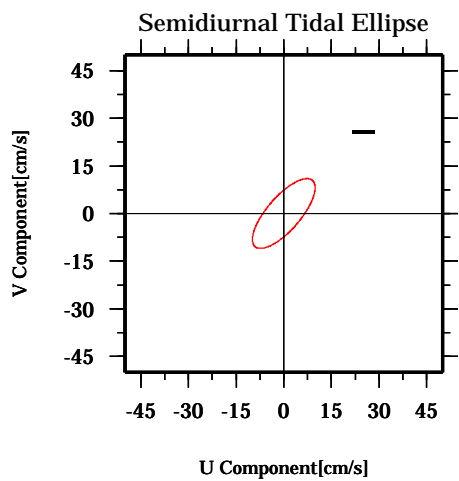
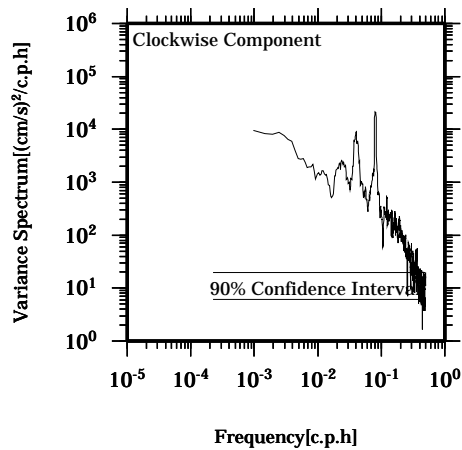
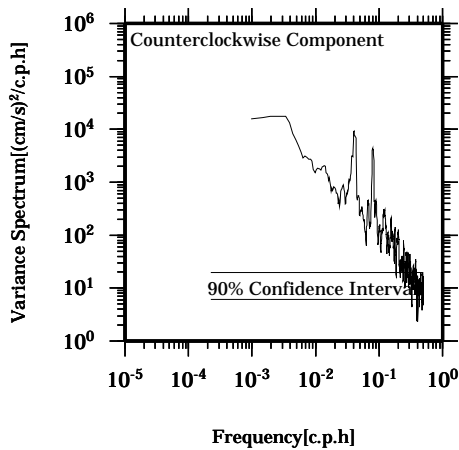
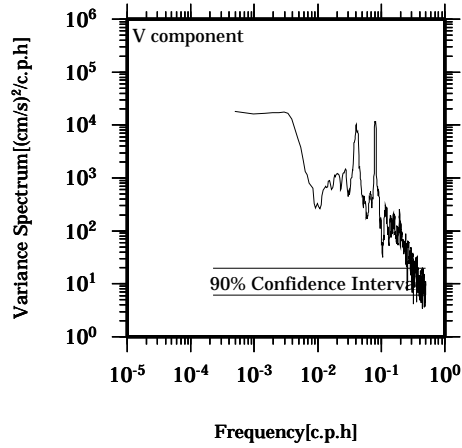
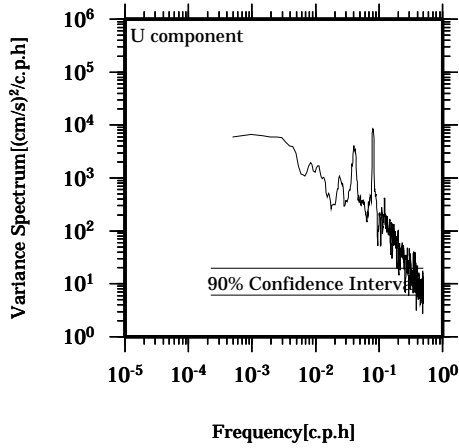
Lon: 121° 21.83' E
Lat: 22° 40.0133' N

Station: W204
Depth : 206 M



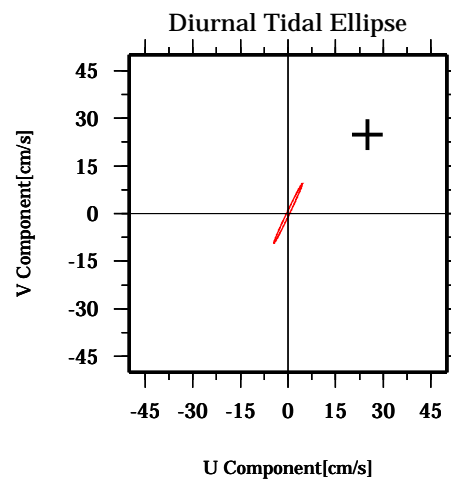
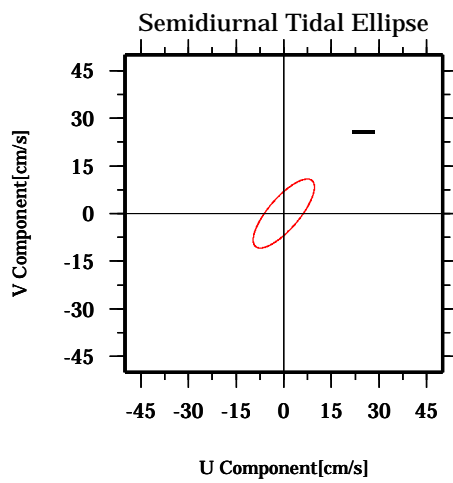
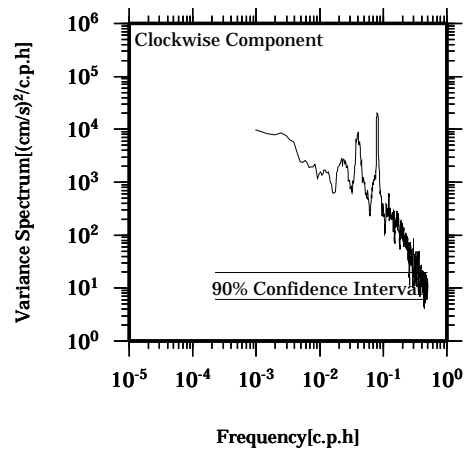
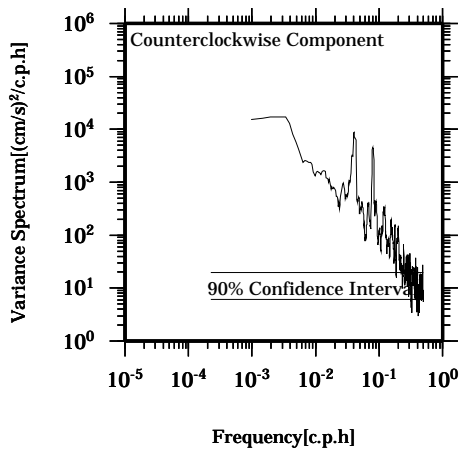
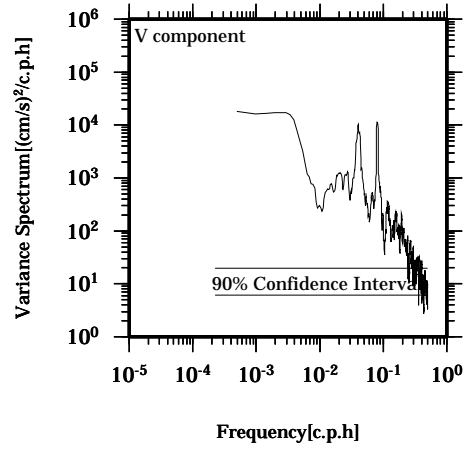
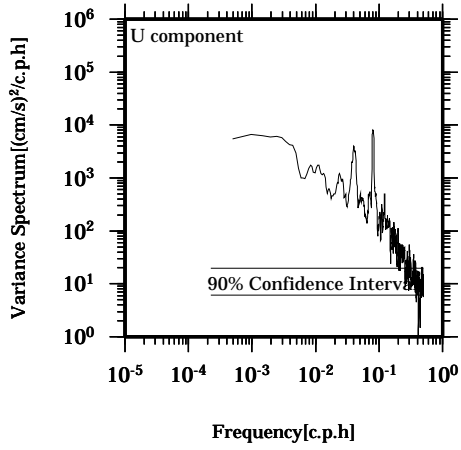
Lon: 121° 21.83' E
Lat: 22° 40.0133' N

Station: W204
Depth : 210 M



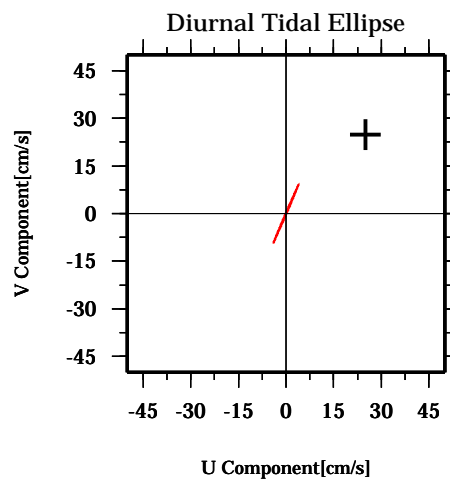
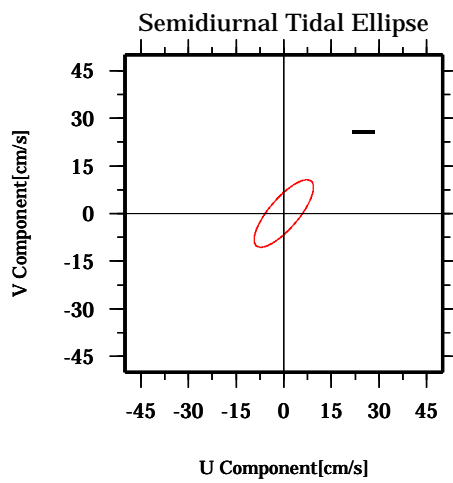
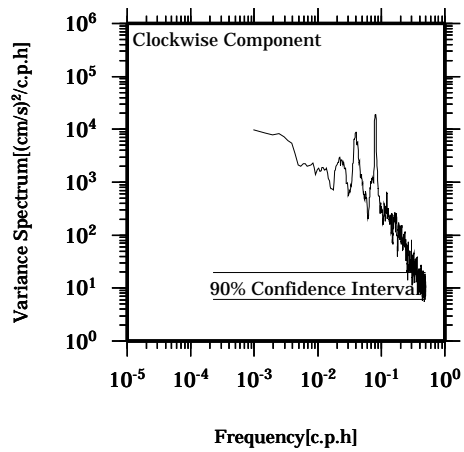
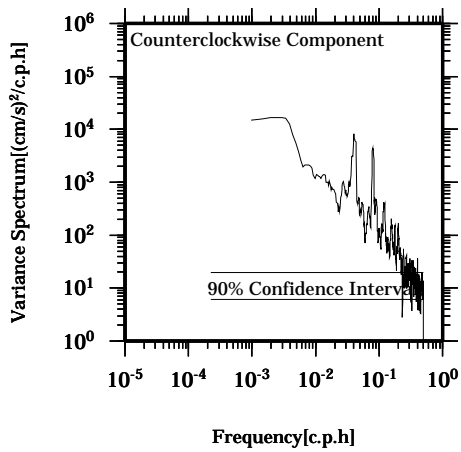
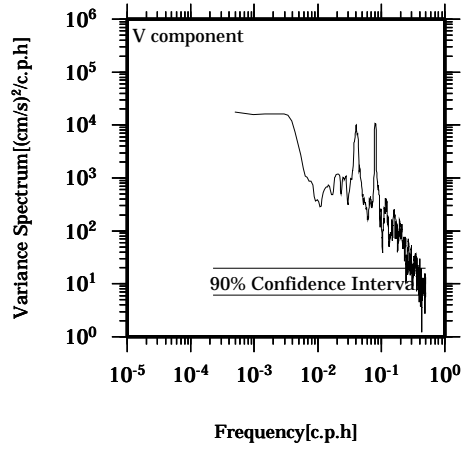
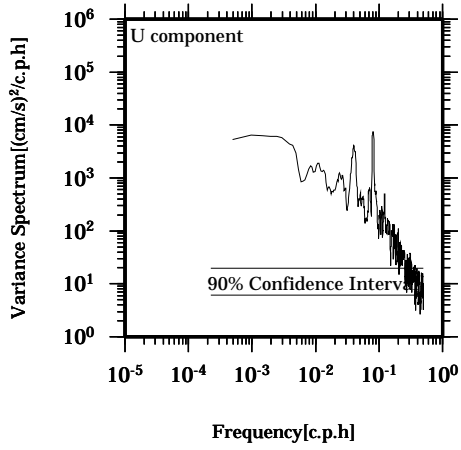
Lon: 121° 21.83' E
Lat: 22° 40.0133' N

Station: W204
Depth : 214 M



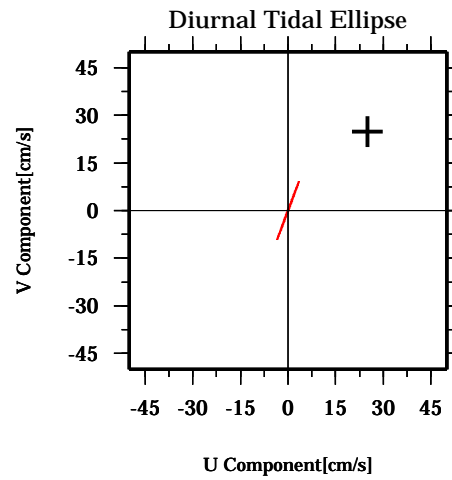
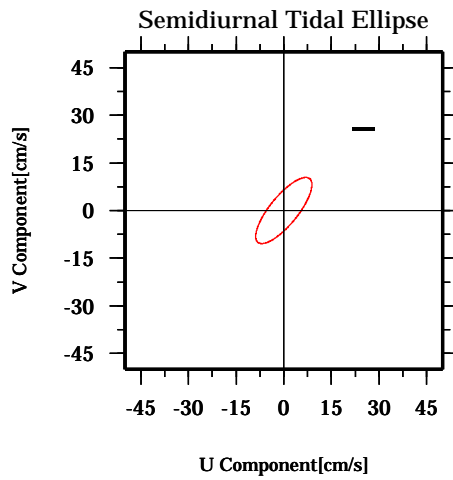
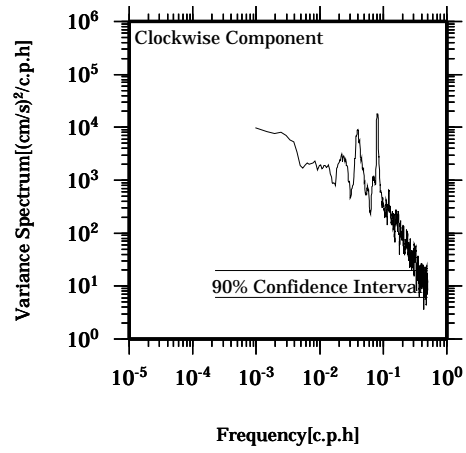
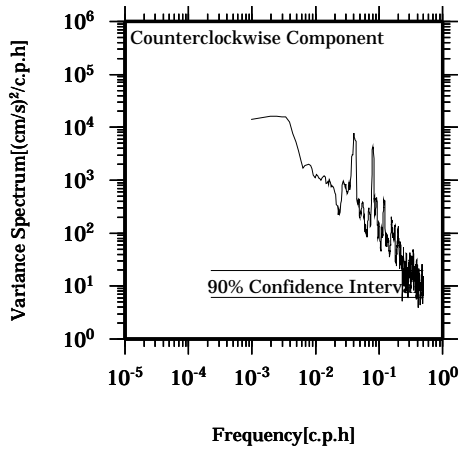
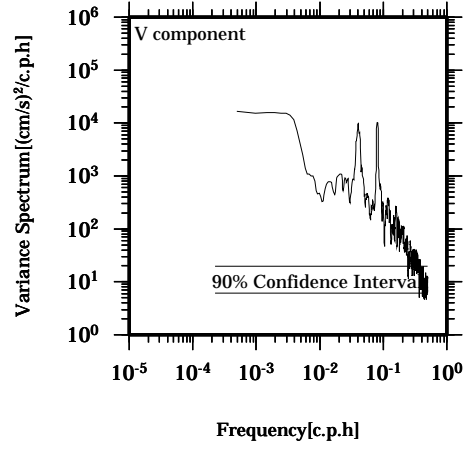
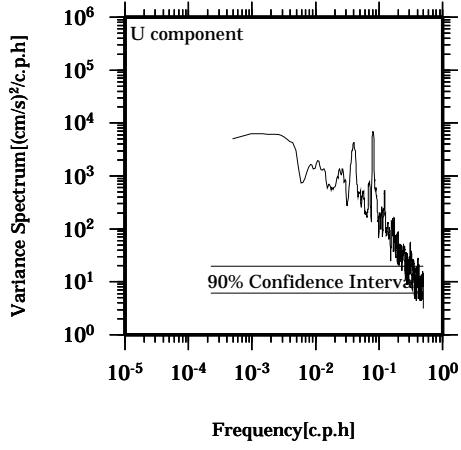
Lon: 121° 21.83' E
Lat: 22° 40.0133' N

Station: W204
Depth : 218 M



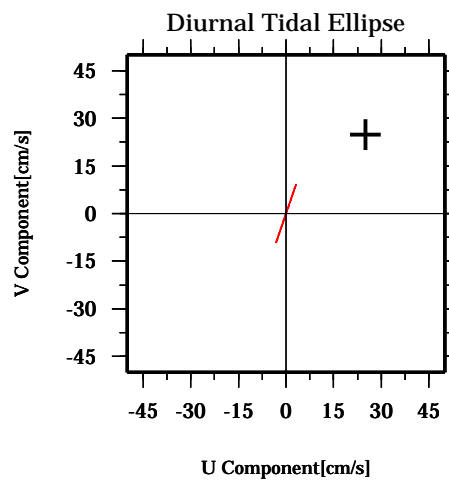
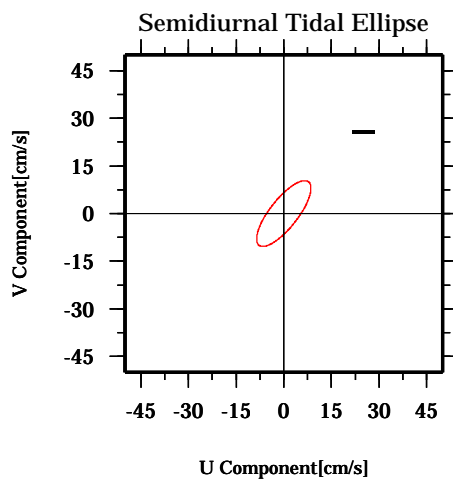
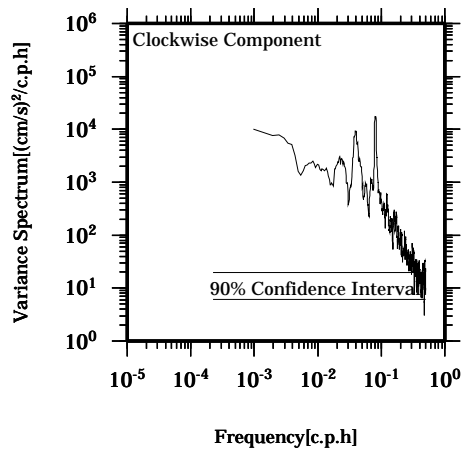
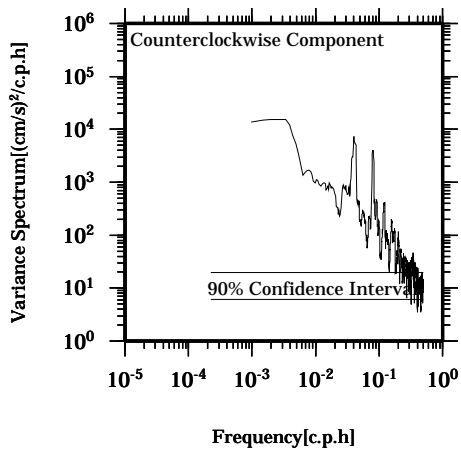
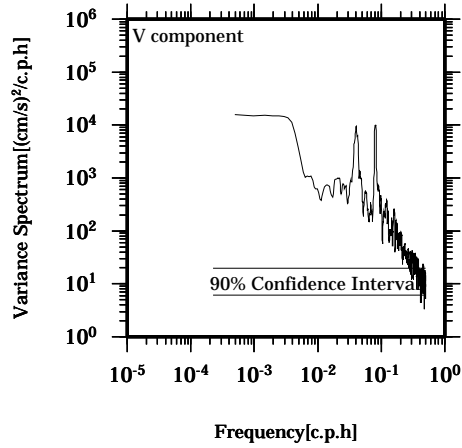
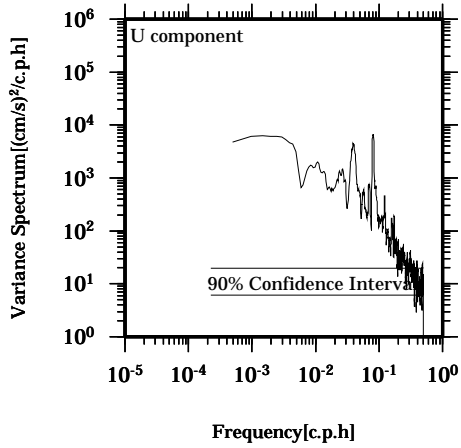
Lon: 121° 21.83' E
Lat: 22° 40.0133' N

Station: W204
Depth : 222 M



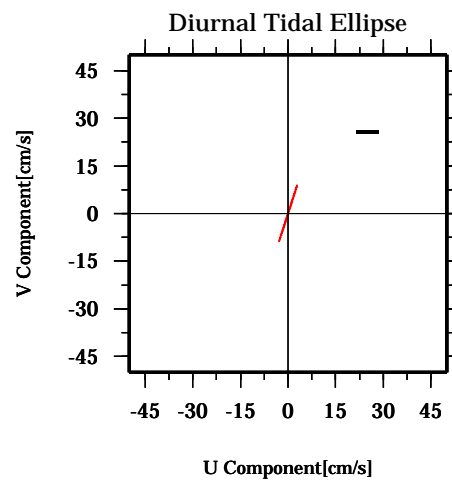
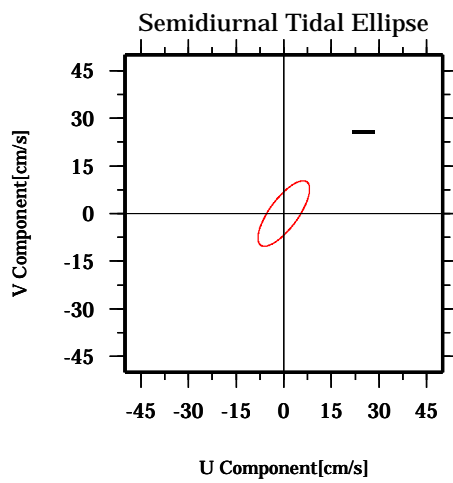
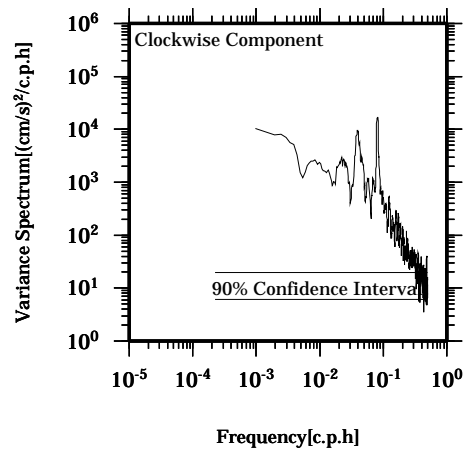
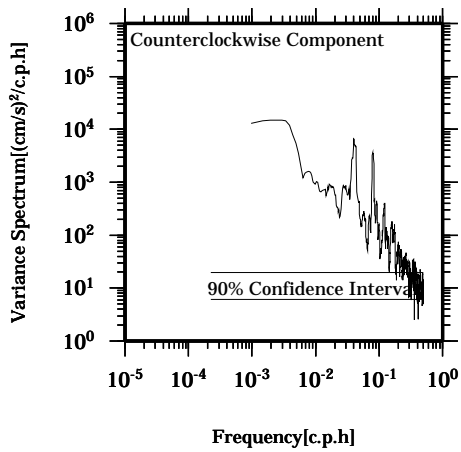
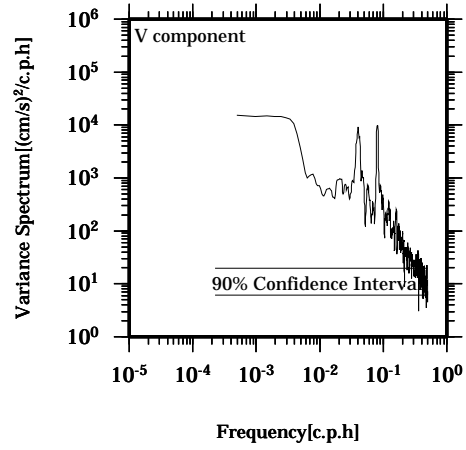
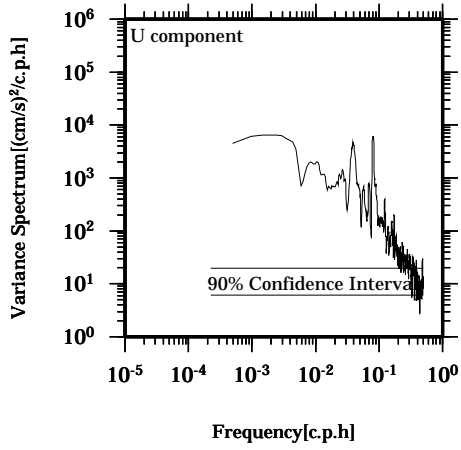
Lon: 121° 21.83' E
Lat: 22° 40.0133' N

Station: W204
Depth : 226 M



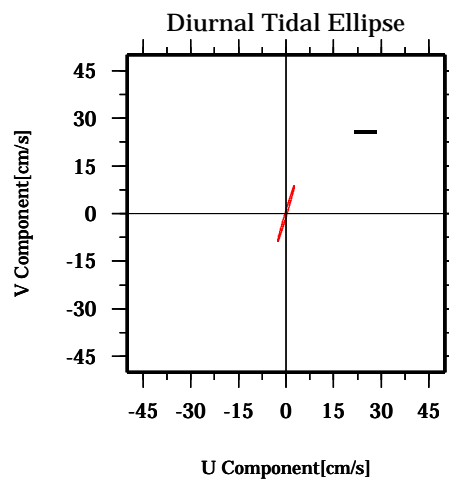
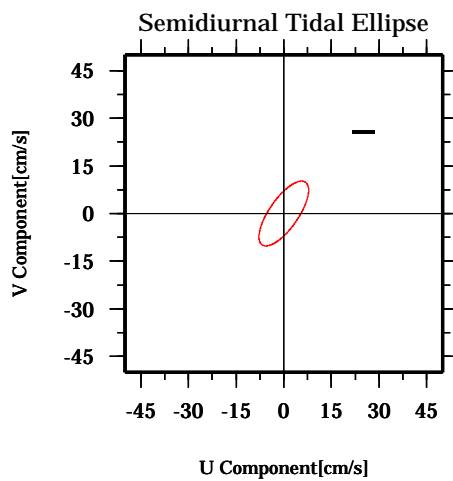
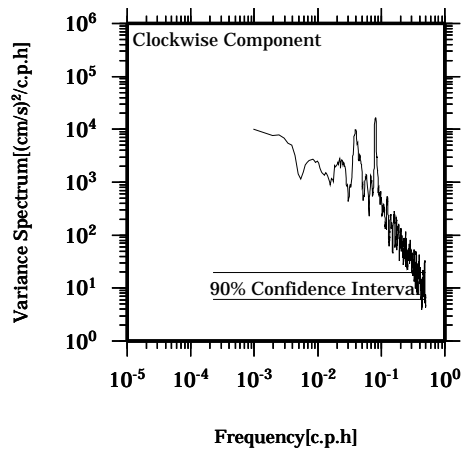
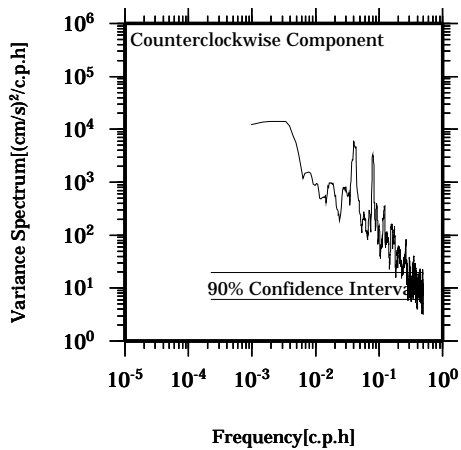
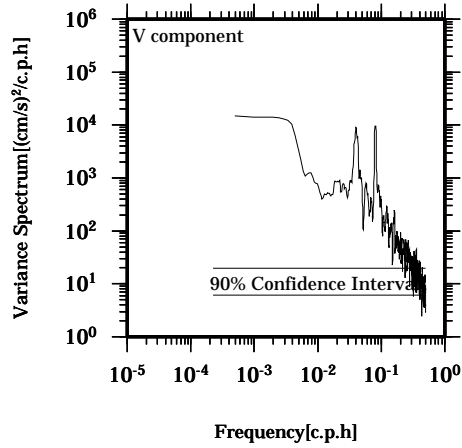
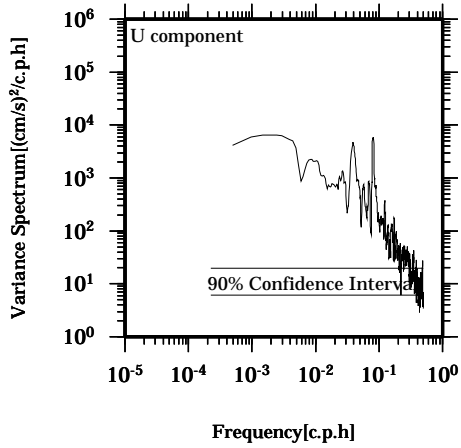
Lon: 121° 21.83' E
Lat: 22° 40.0133' N

Station: W204
Depth : 230 M



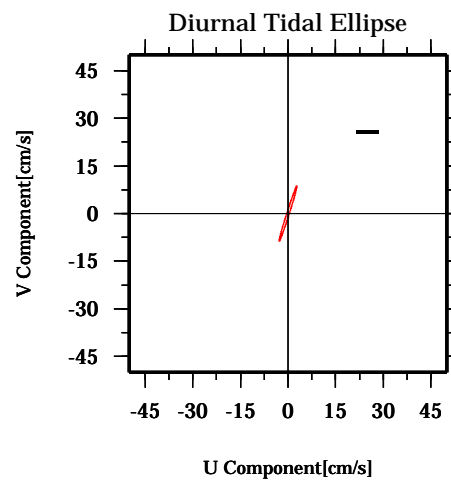
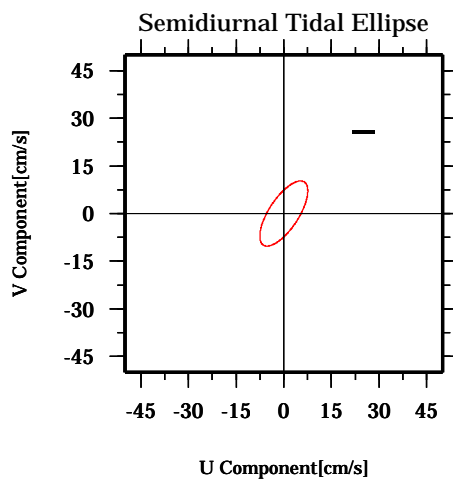
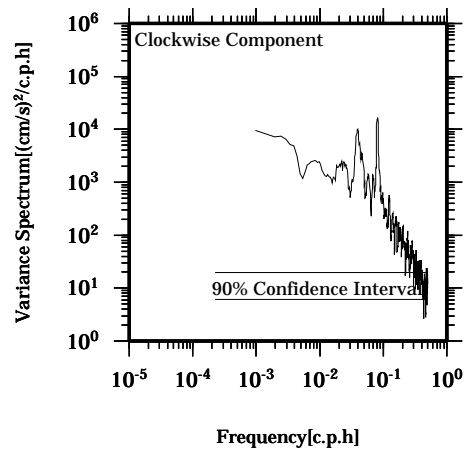
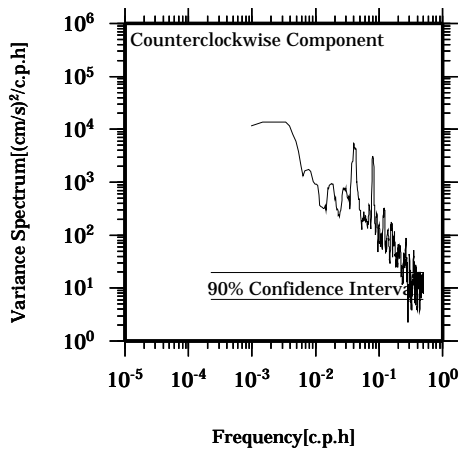
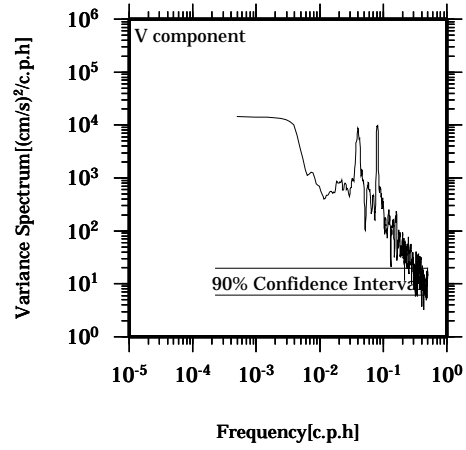
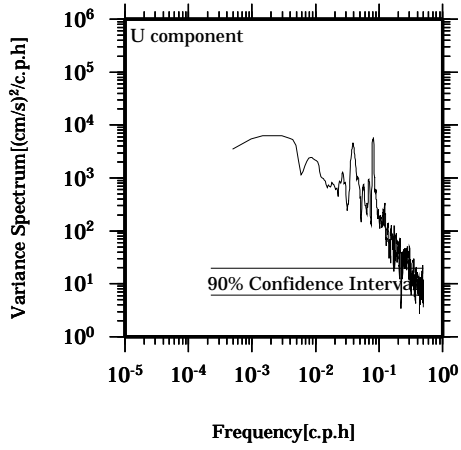
Lon: 121° 21.83' E
Lat: 22° 40.0133' N

Station: W204
Depth : 234 M



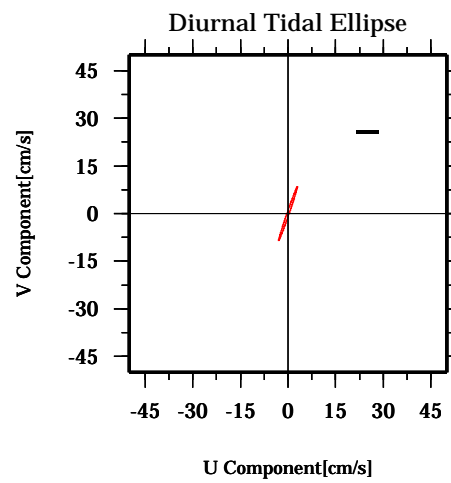
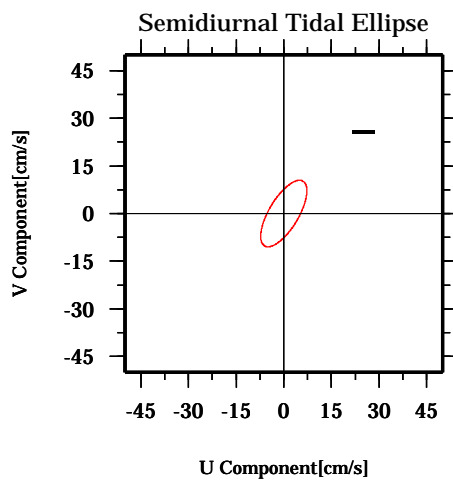
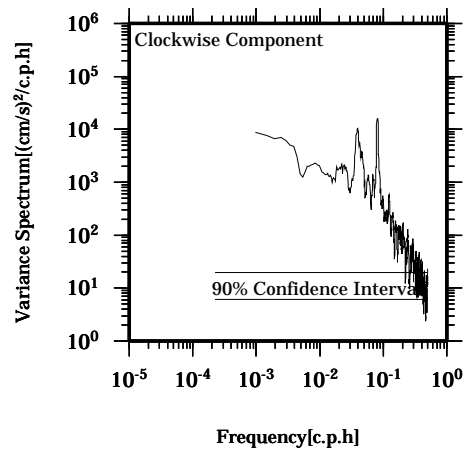
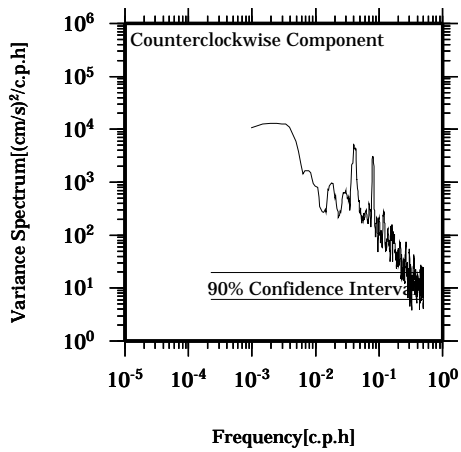
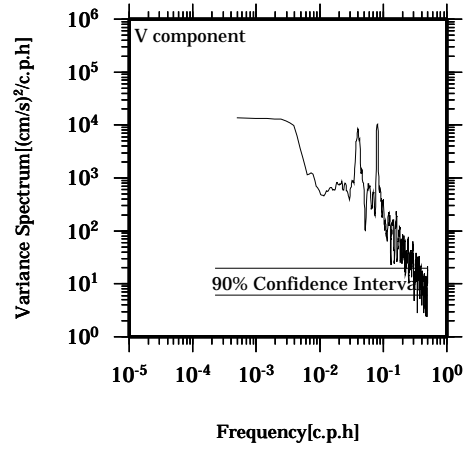
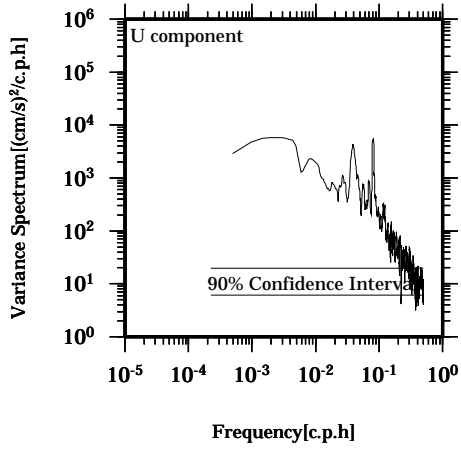
Lon: 121° 21.83' E
Lat: 22° 40.0133' N

Station: W204
Depth : 238 M



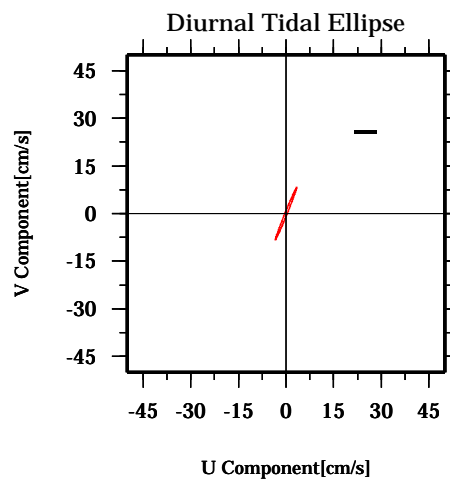
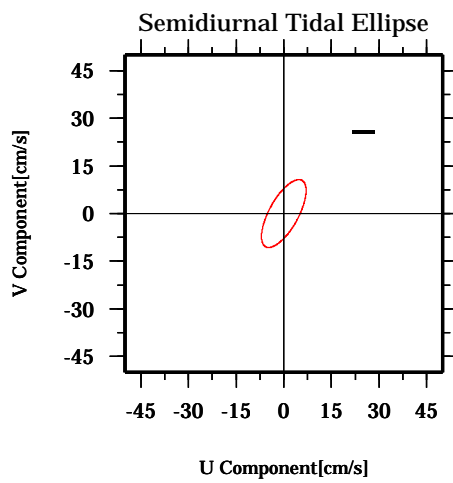
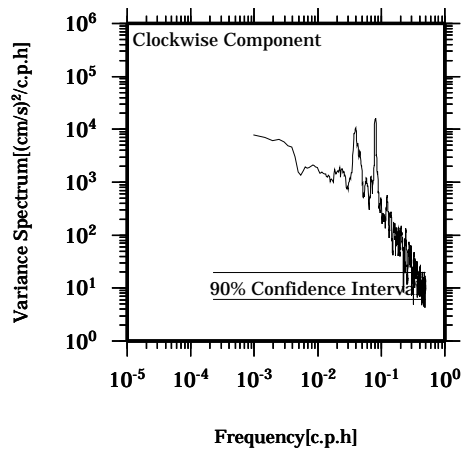
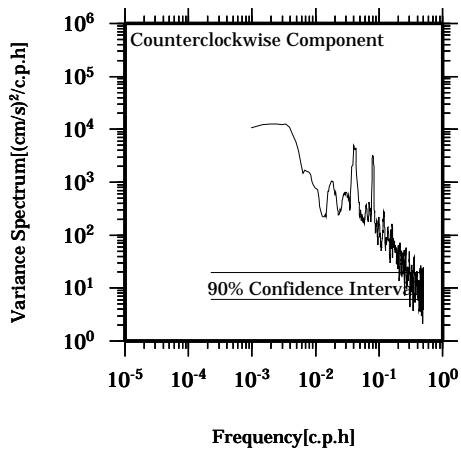
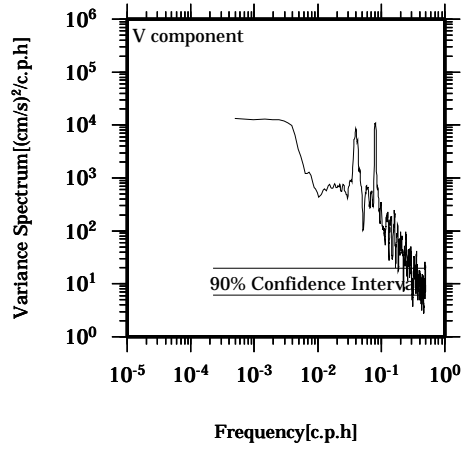
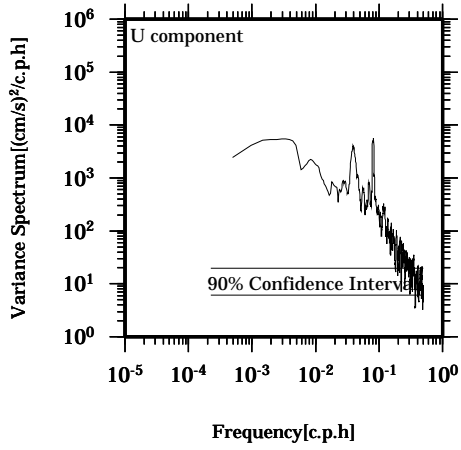
Lon: 121° 21.83' E
Lat: 22° 40.0133' N

Station: W204
Depth : 242 M



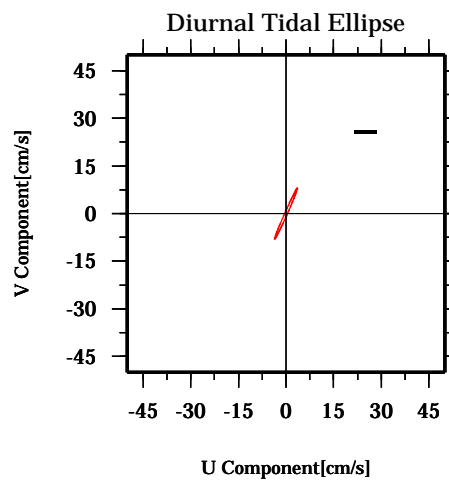
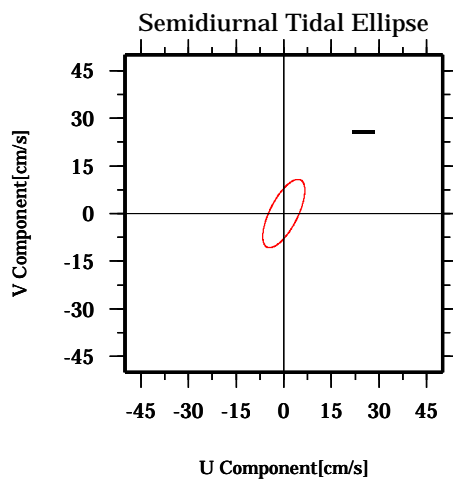
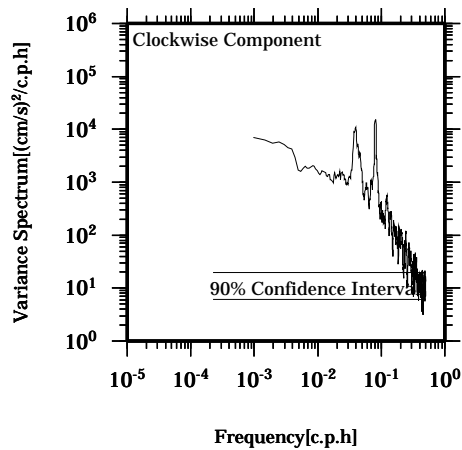
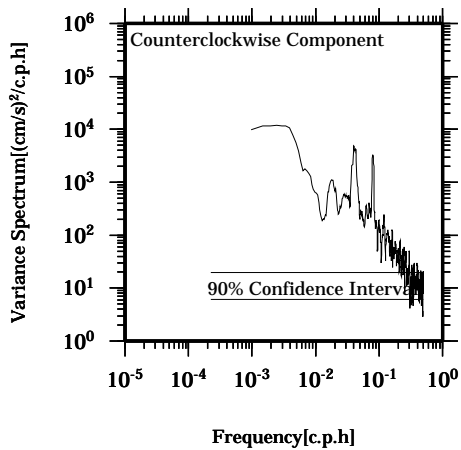
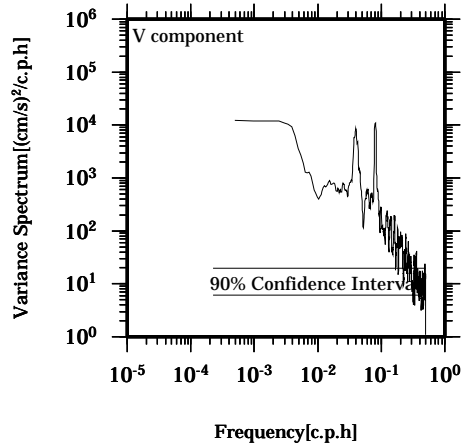
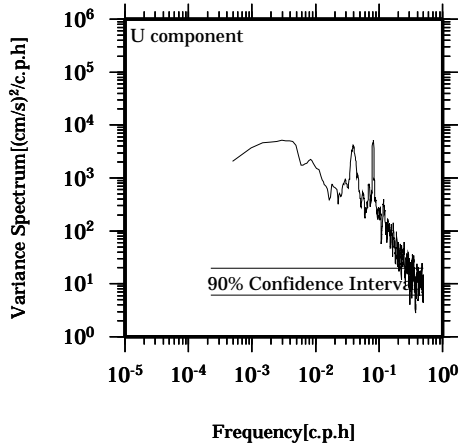
Lon: 121° 21.83' E
Lat: 22° 40.0133' N

Station: W204
Depth : 246 M



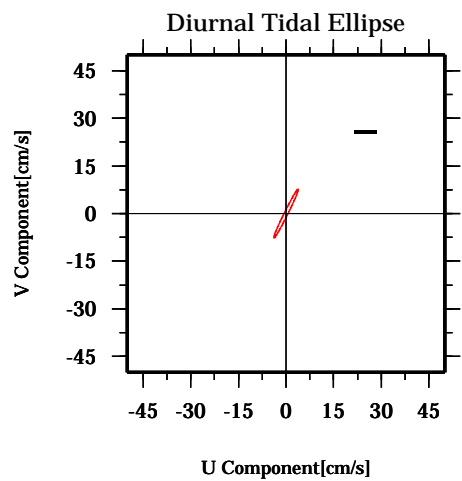
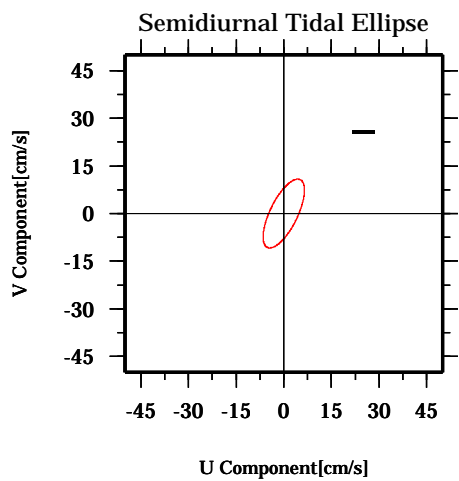
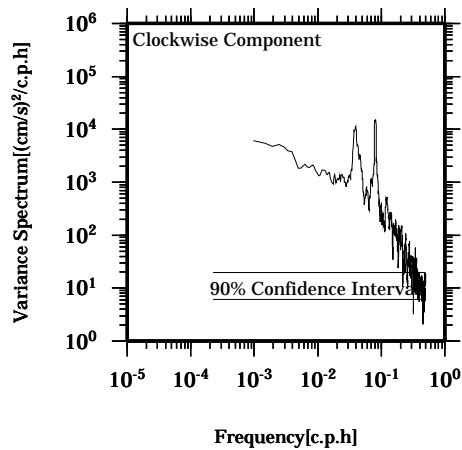
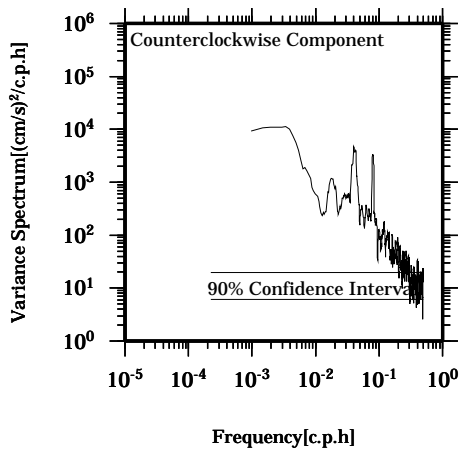
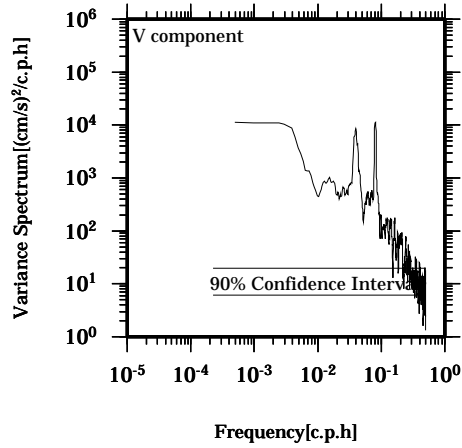
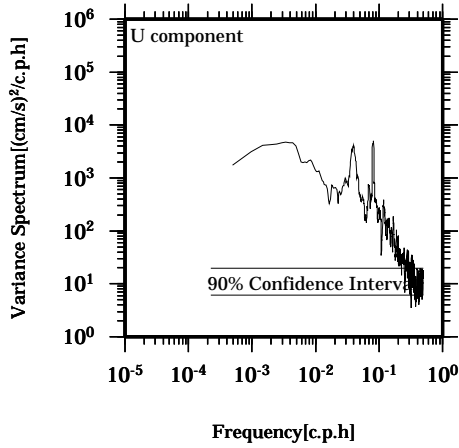
Lon: 121° 21.83' E
Lat: 22° 40.0133' N

Station: W204
Depth : 250 M



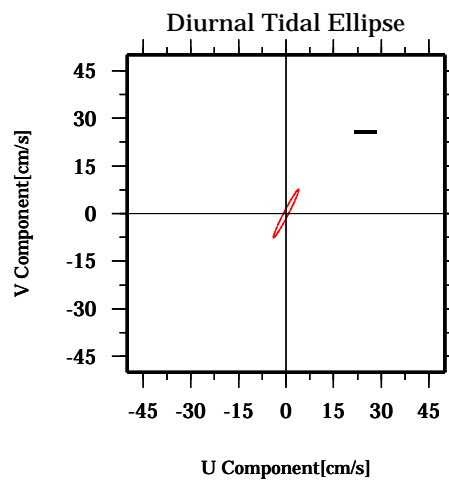
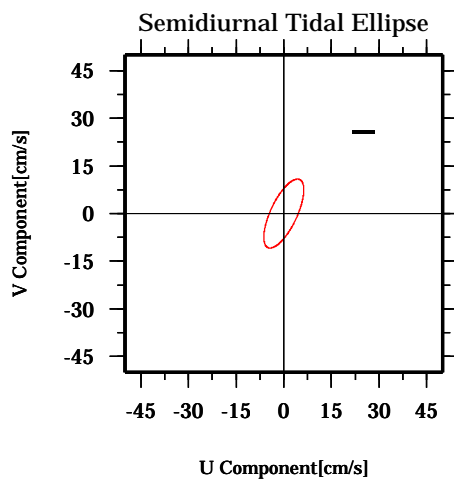
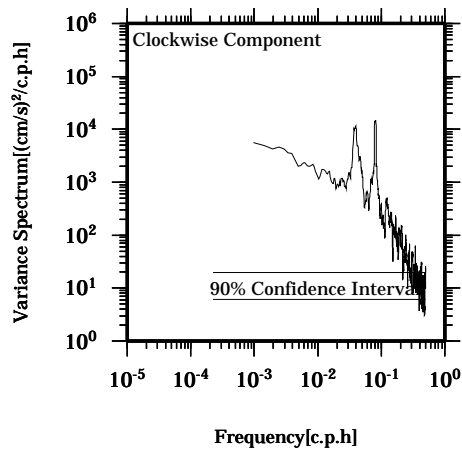
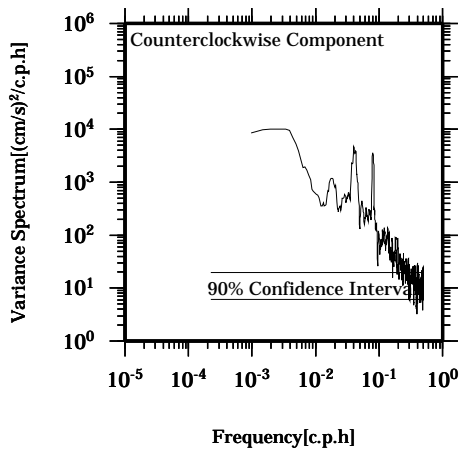
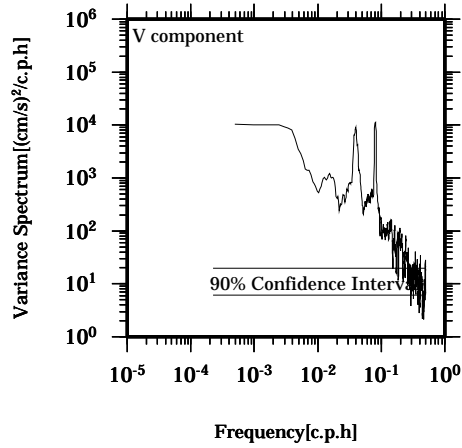
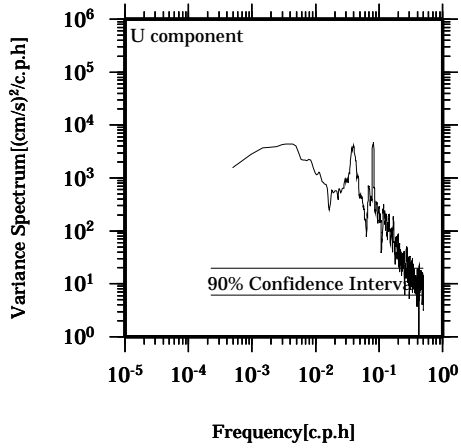
Lon: 121° 21.83' E
Lat: 22° 40.0133' N

Station: W204
Depth : 254 M



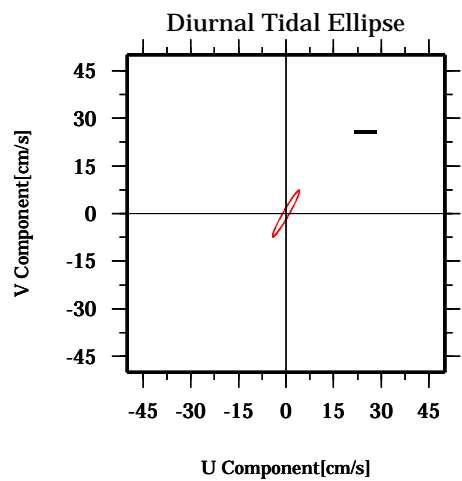
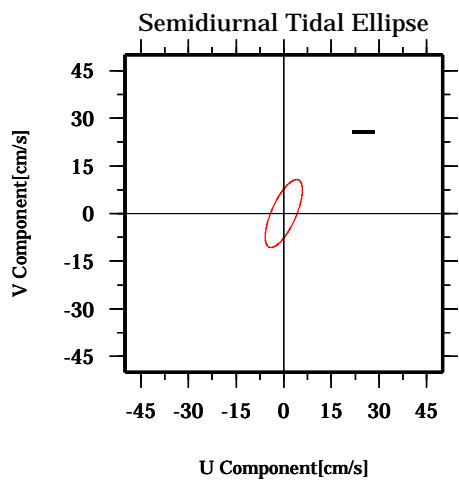
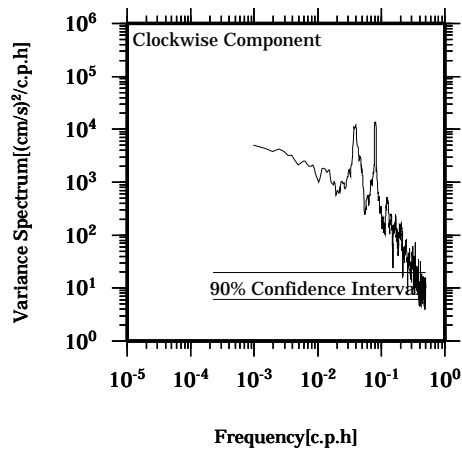
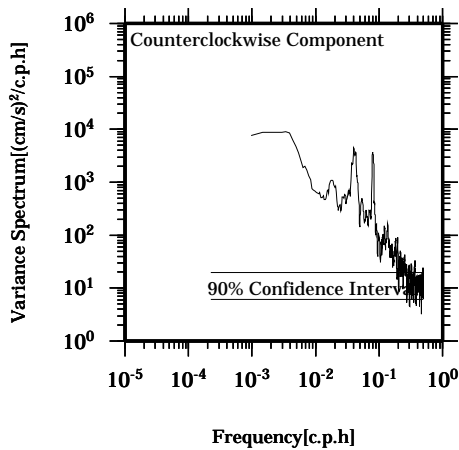
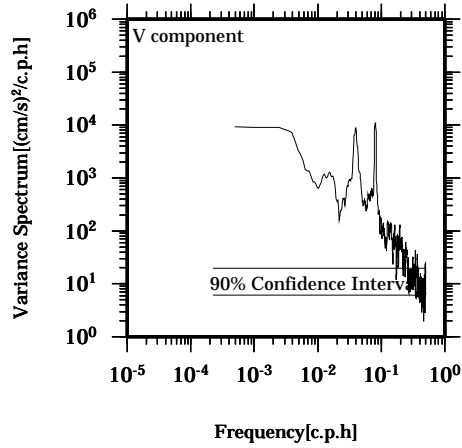
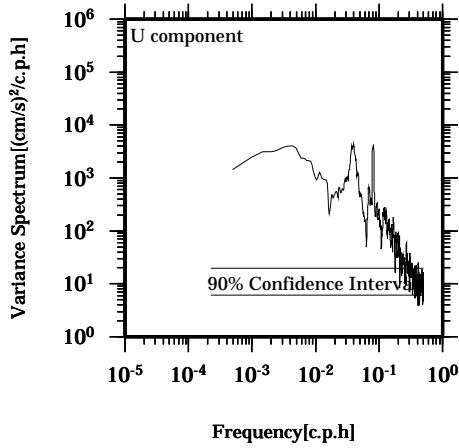
Lon: 121° 21.83' E
Lat: 22° 40.0133' N

Station: W204
Depth : 258 M



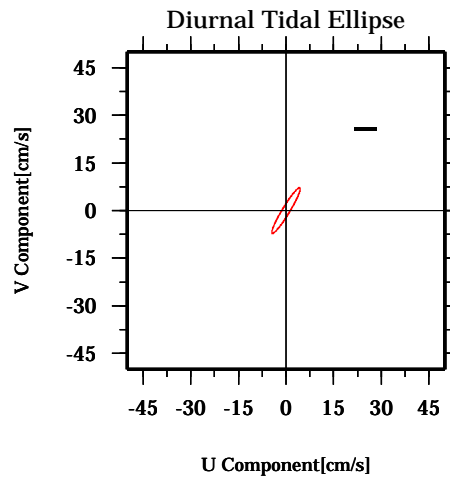
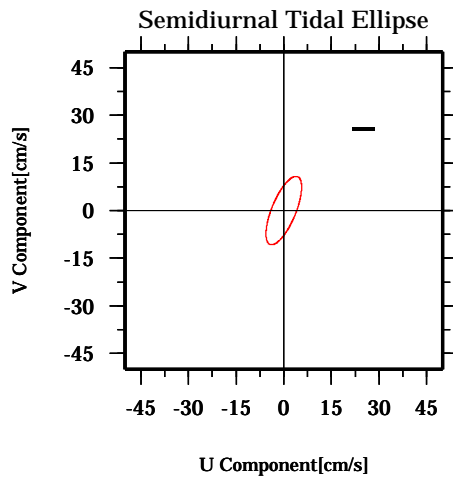
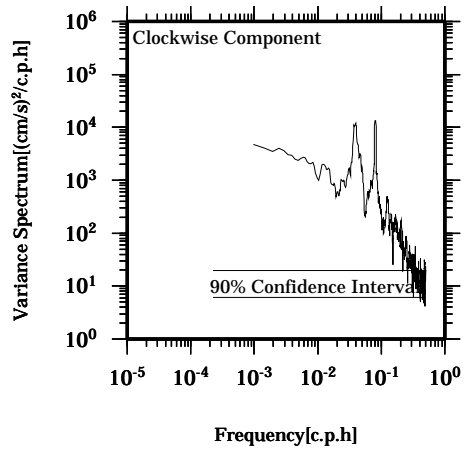
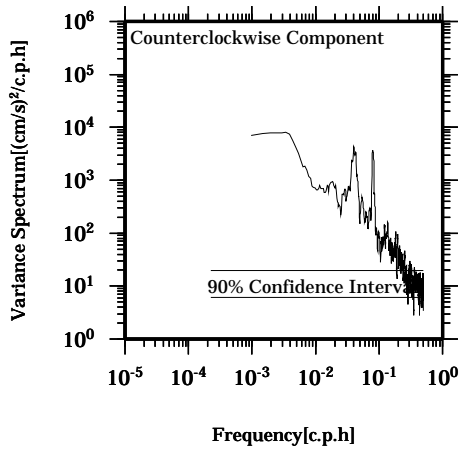
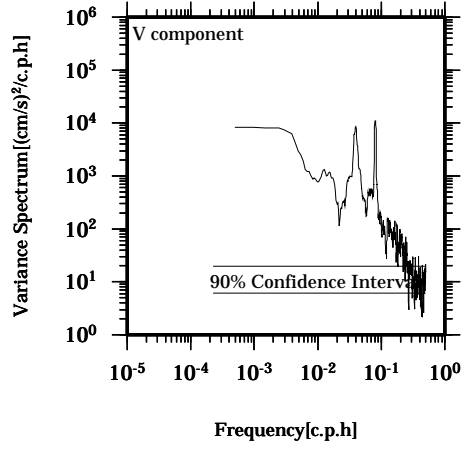
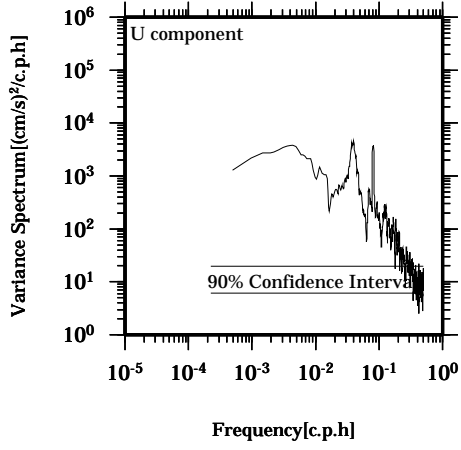
Lon: 121° 21.83' E
Lat: 22° 40.0133' N

Station: W204
Depth : 262 M



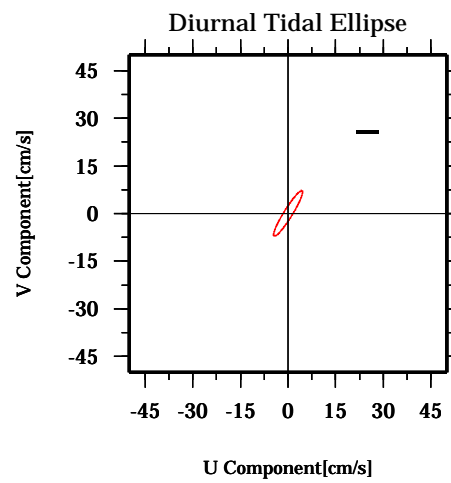
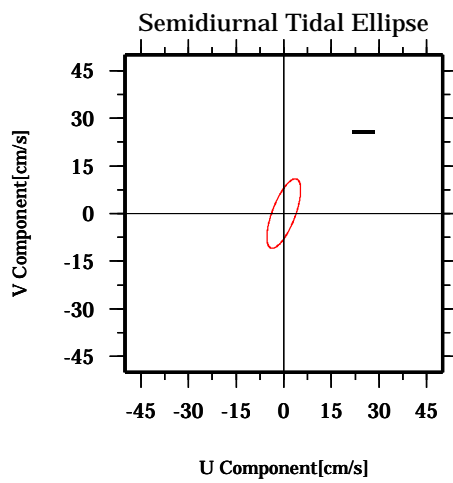
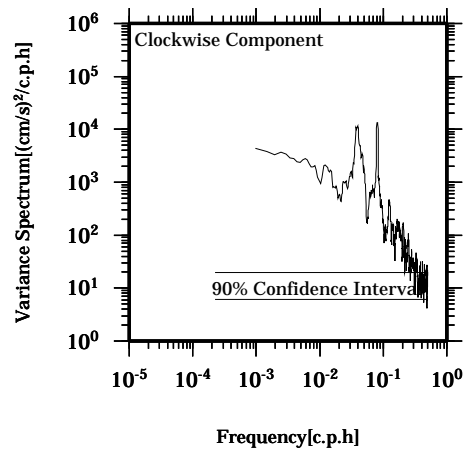
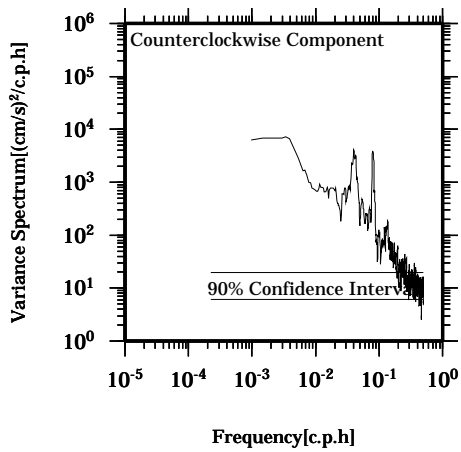
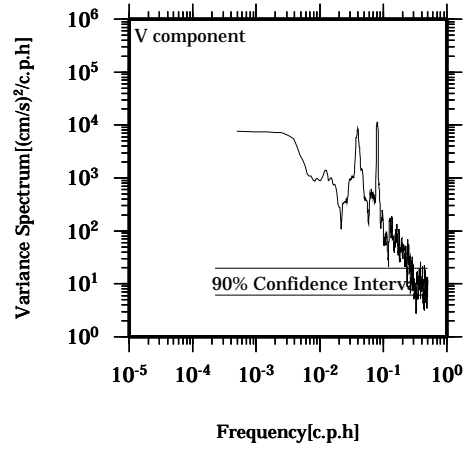
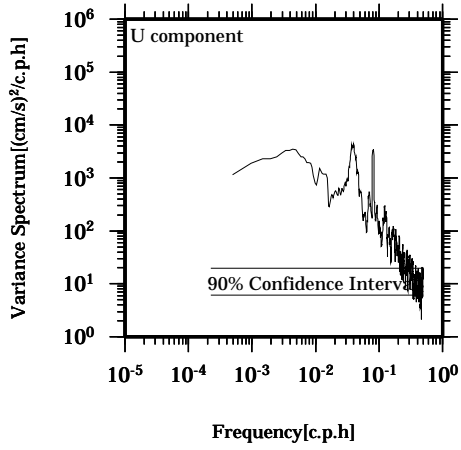
Lon: 121° 21.83' E
Lat: 22° 40.0133' N

Station: W204
Depth : 266 M



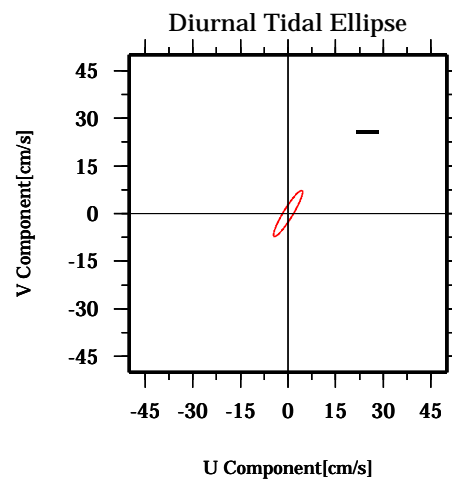
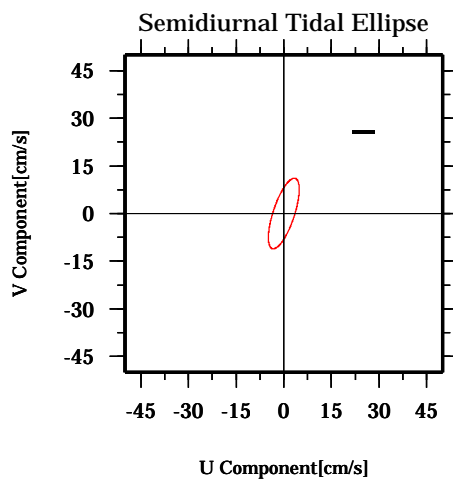
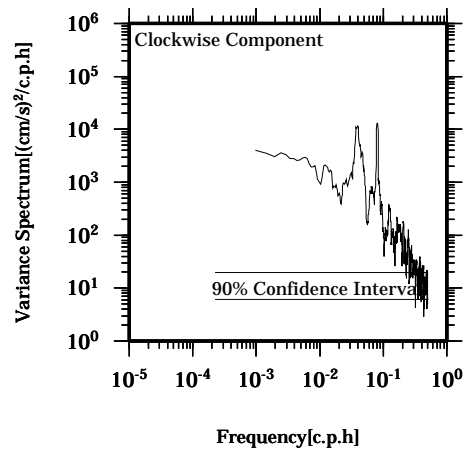
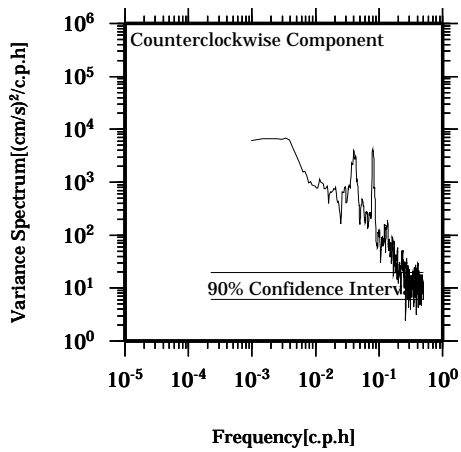
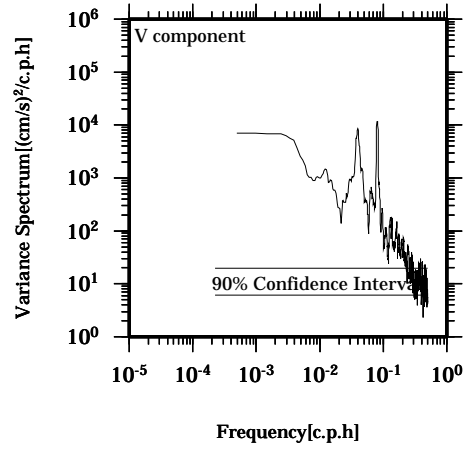
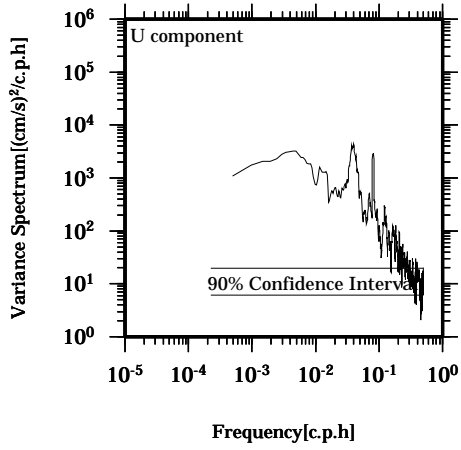
Lon: 121° 21.83' E
Lat: 22° 40.0133' N

Station: W204
Depth : 270 M



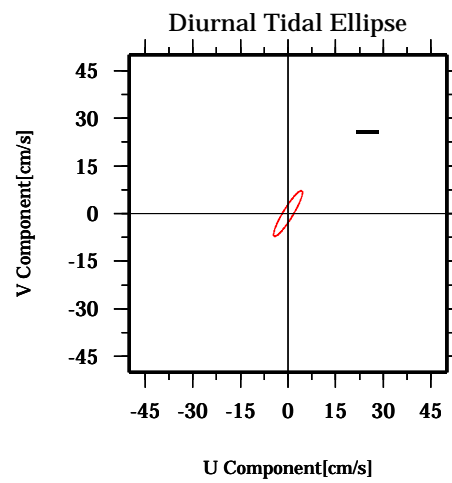
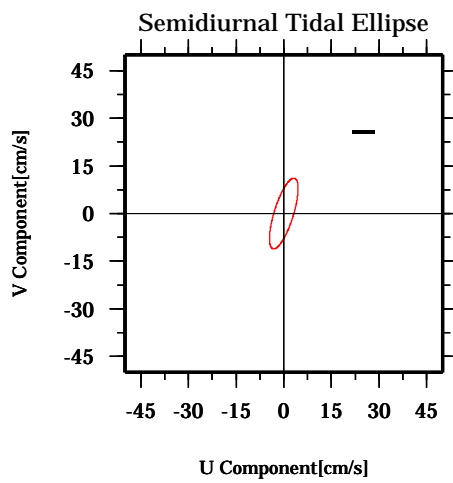
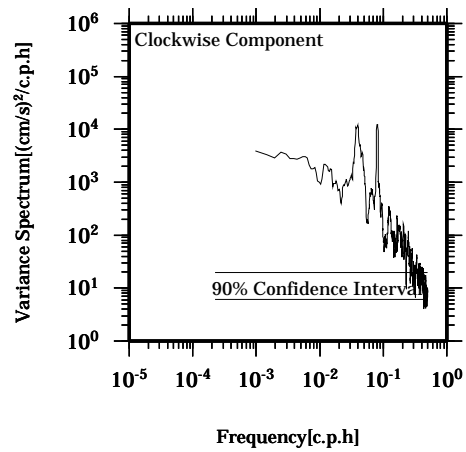
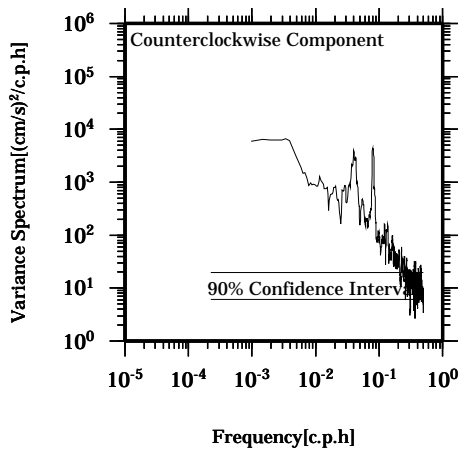
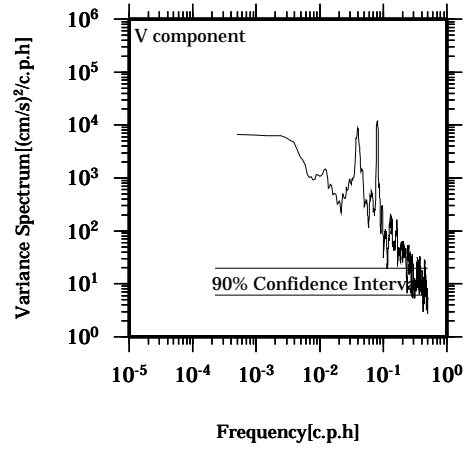
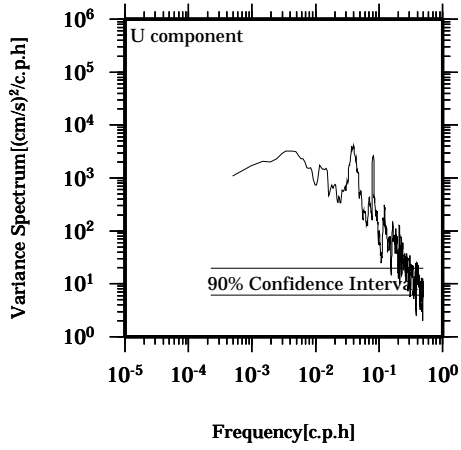
Lon: 121° 21.83' E
Lat: 22° 40.0133' N

Station: W204
Depth : 274 M



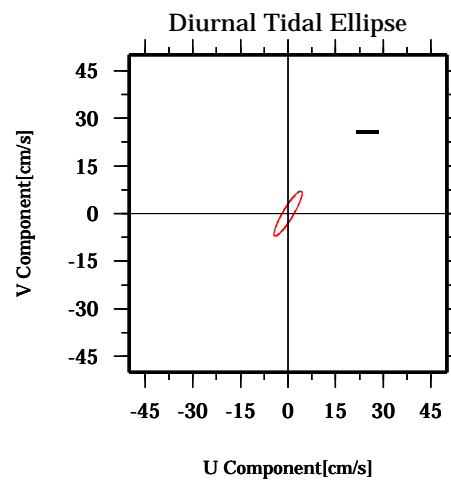
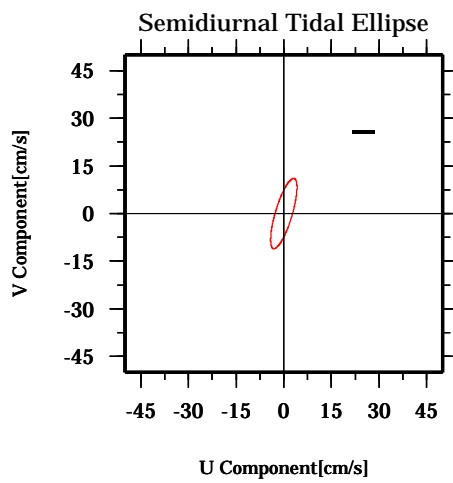
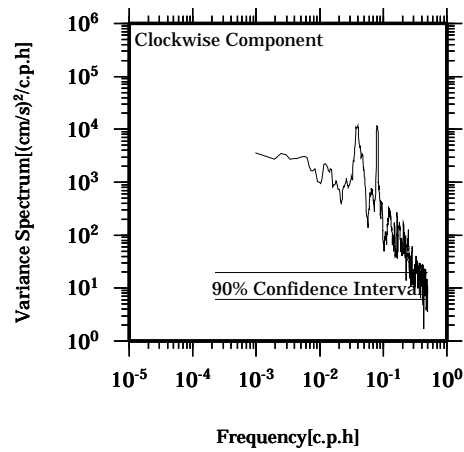
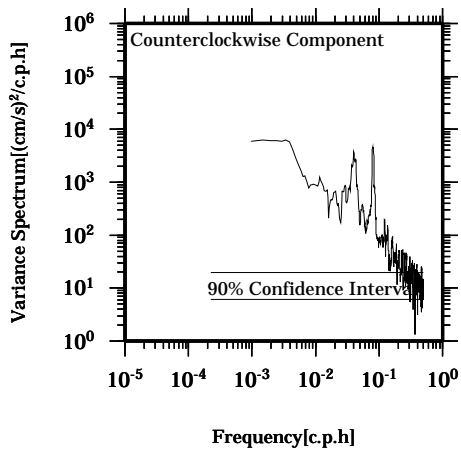
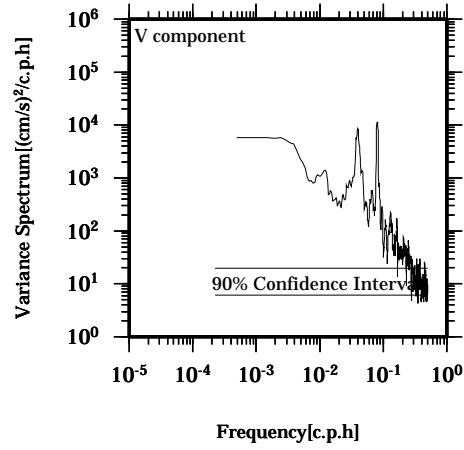
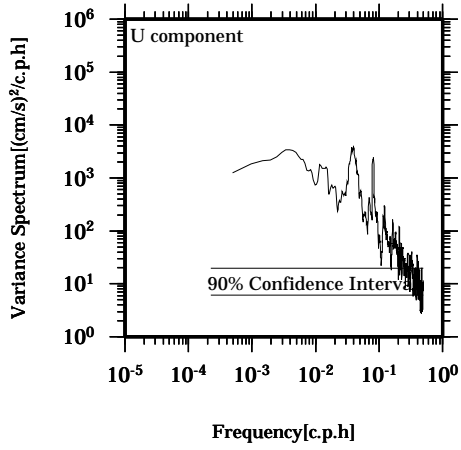
Lon: 121° 21.83' E
Lat: 22° 40.0133' N

Station: W204
Depth : 278 M



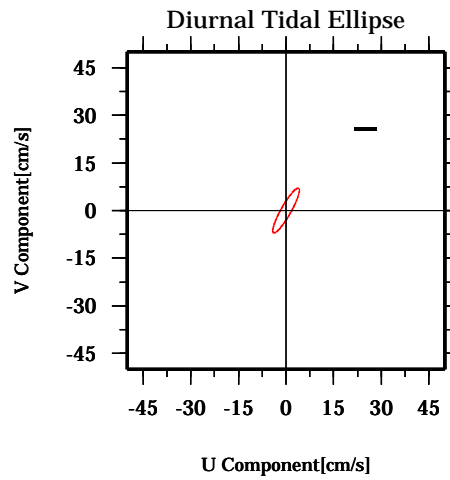
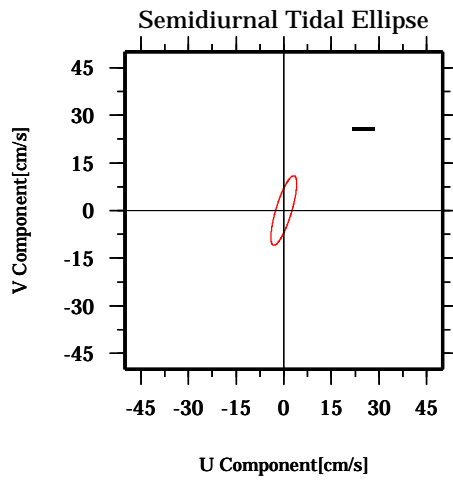
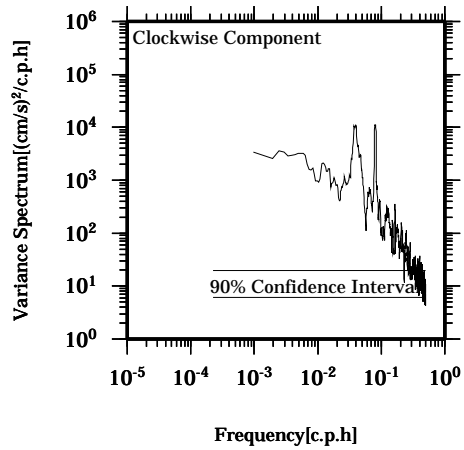
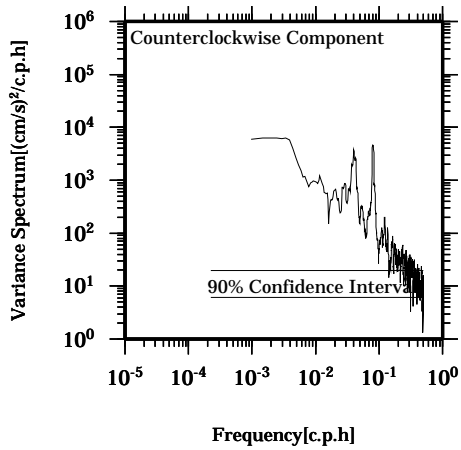
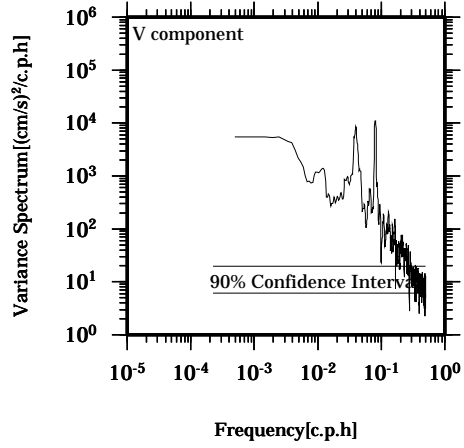
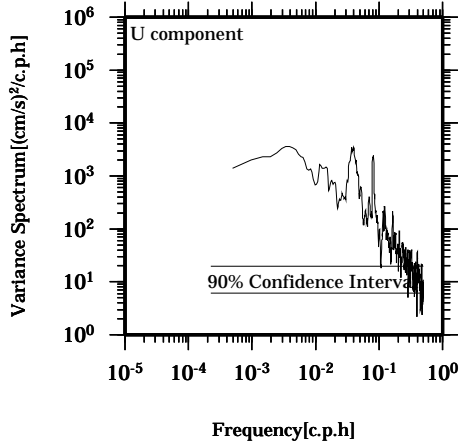
Lon: 121° 21.83' E
Lat: 22° 40.0133' N

Station: W204
Depth : 282 M



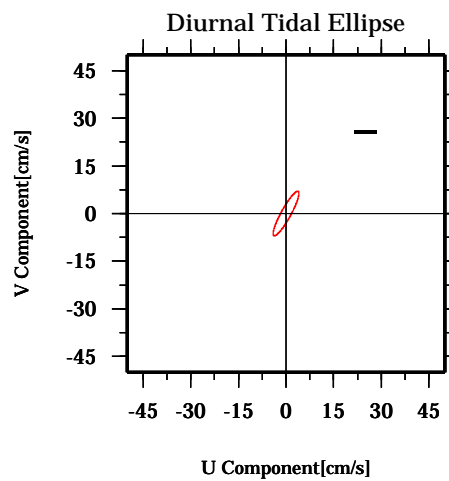
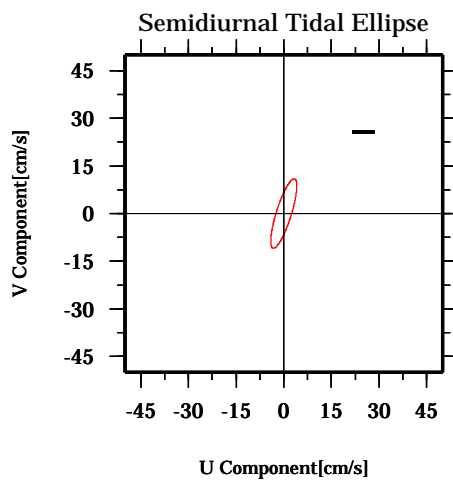
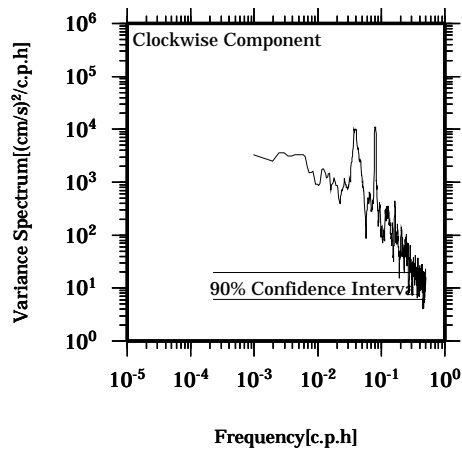
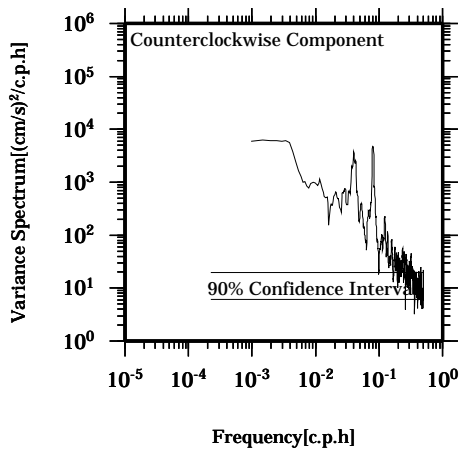
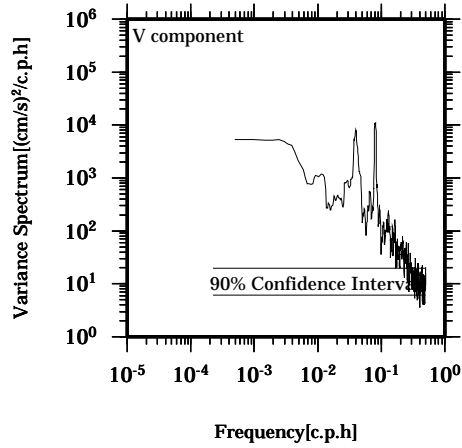
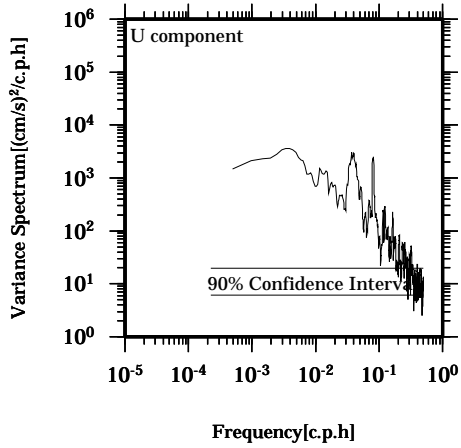
Lon: 121° 21.83' E
Lat: 22° 40.0133' N

Station: W204
Depth : 286 M



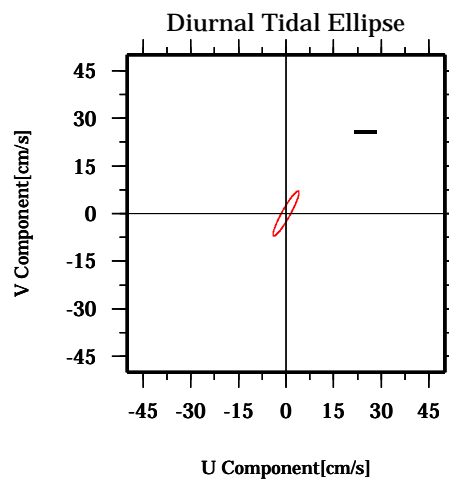
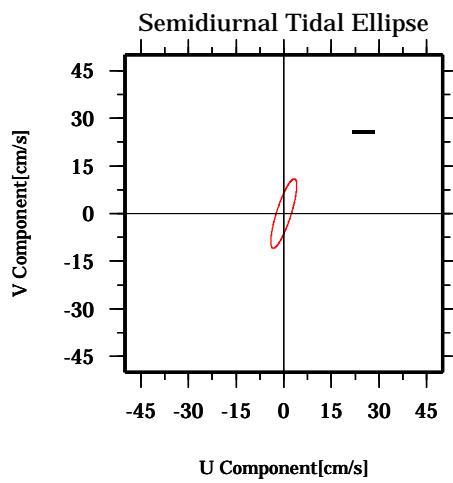
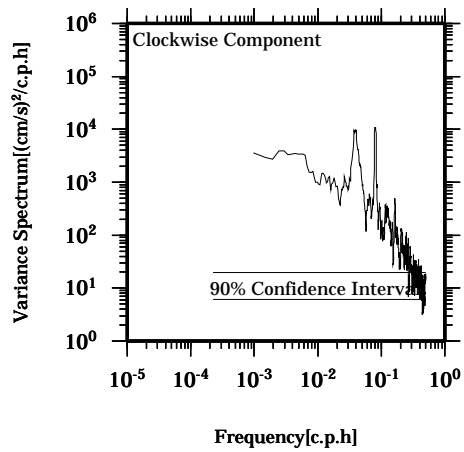
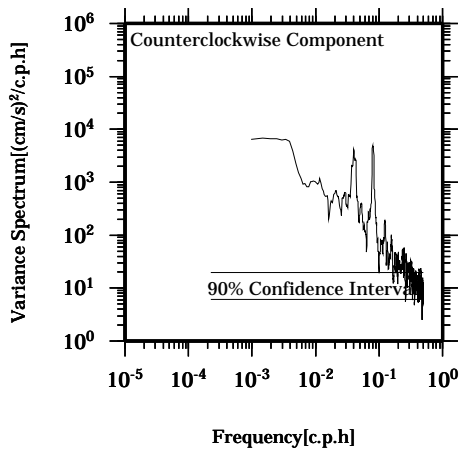
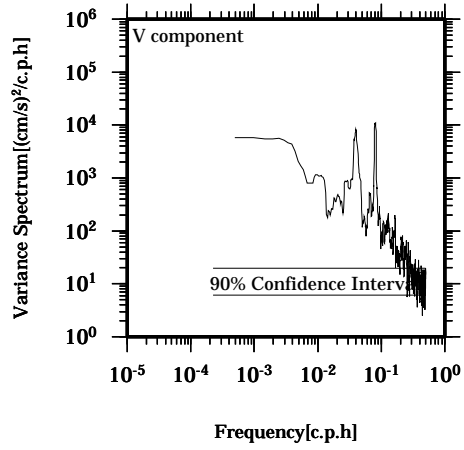
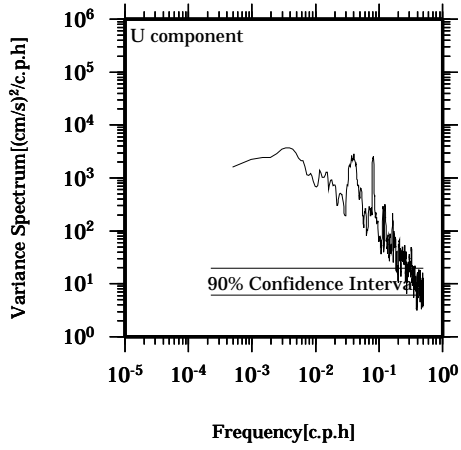
Lon: 121° 21.83' E
Lat: 22° 40.0133' N

Station: W204
Depth : 290 M



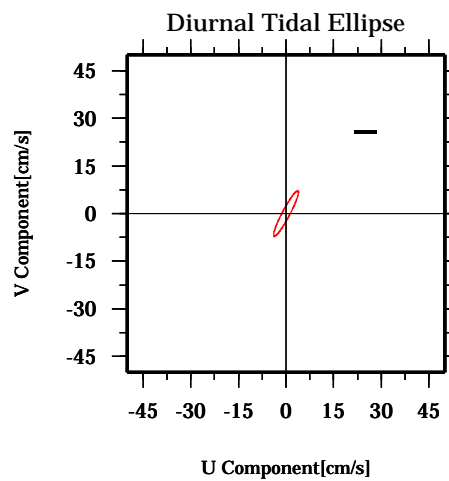
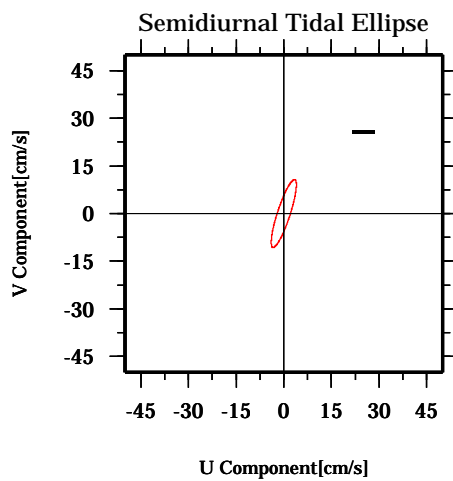
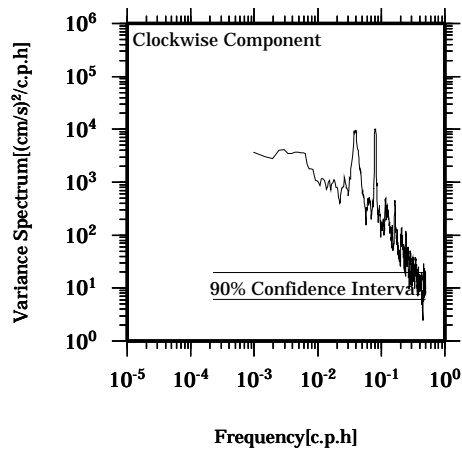
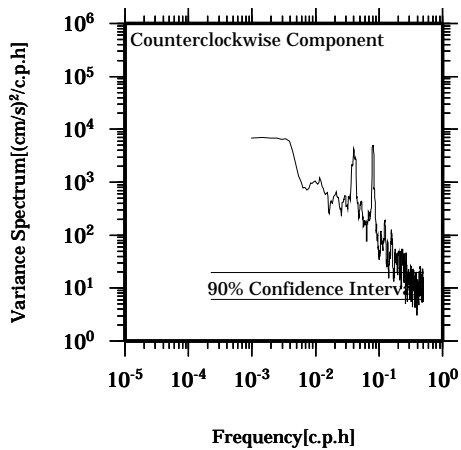
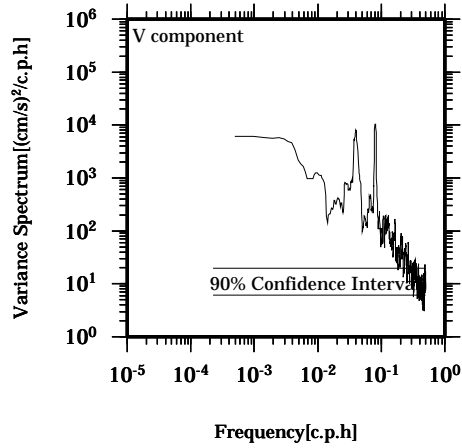
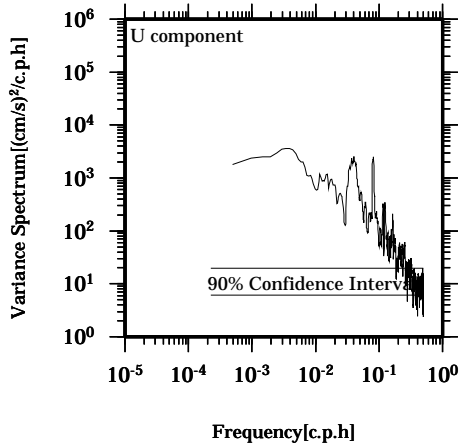
Lon: 121° 21.83' E
Lat: 22° 40.0133' N

Station: W204
Depth : 294 M



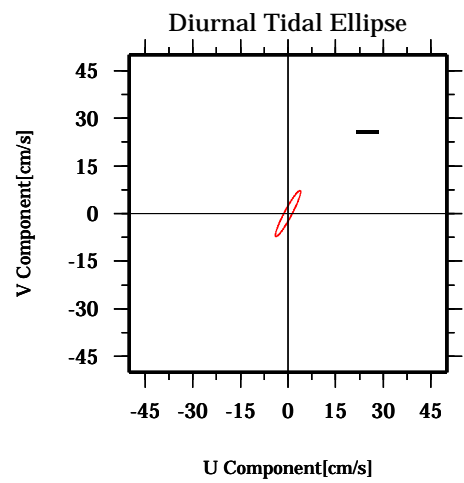
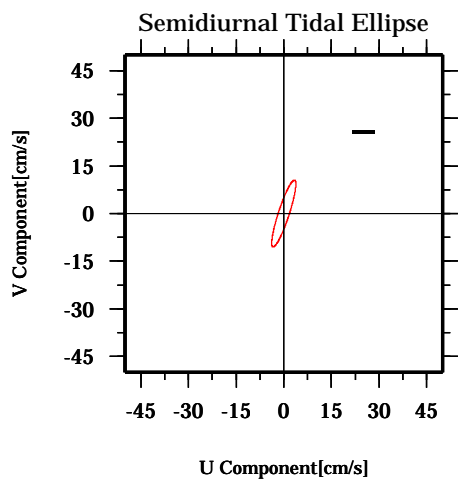
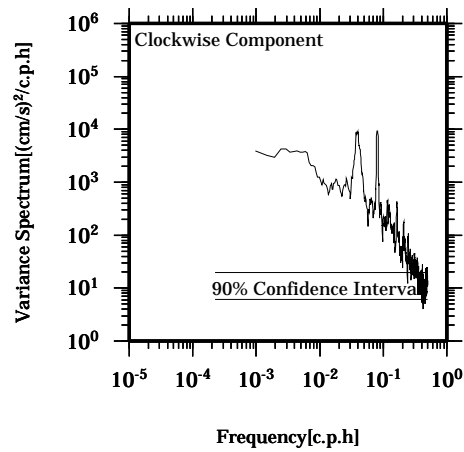
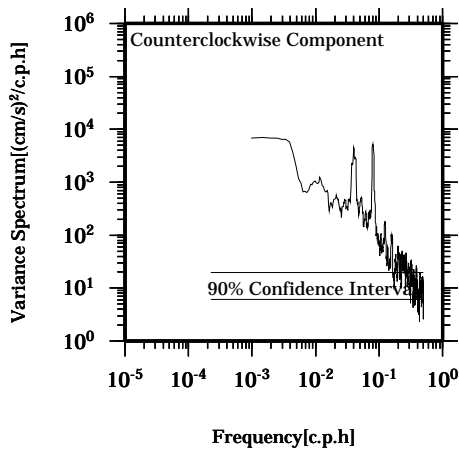
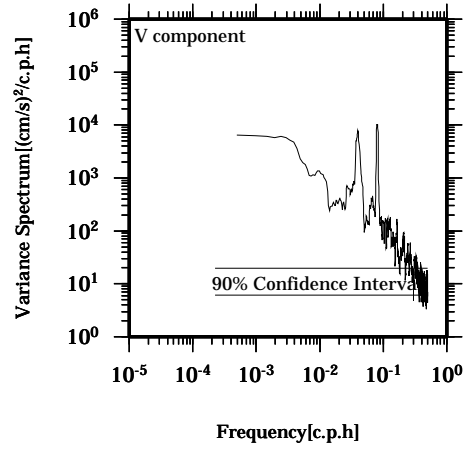
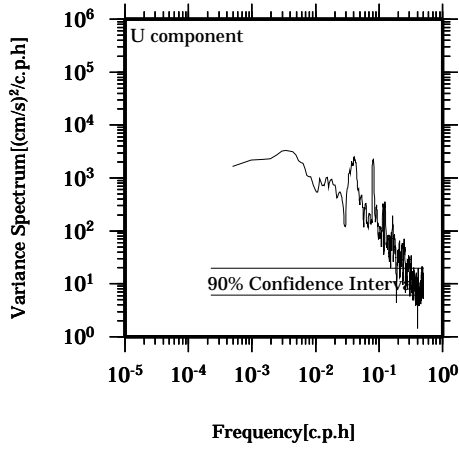
Lon: 121° 21.83' E
Lat: 22° 40.0133' N

Station: W204
Depth : 298 M



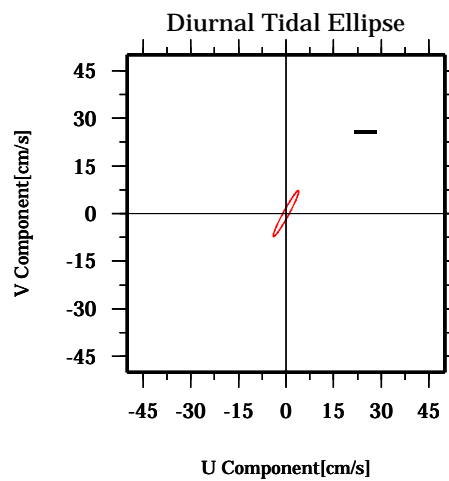
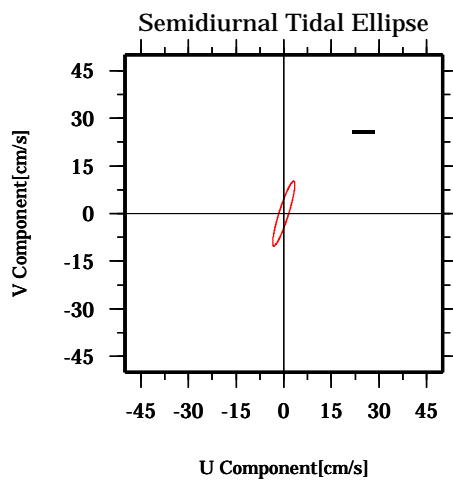
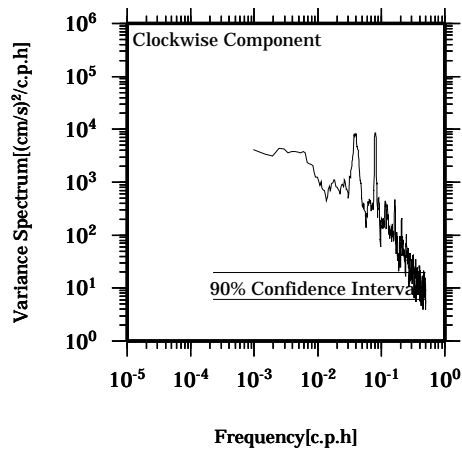
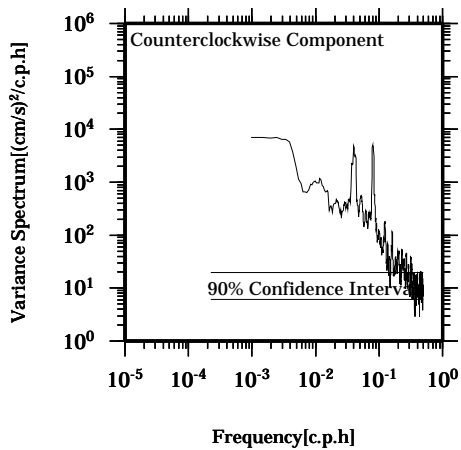
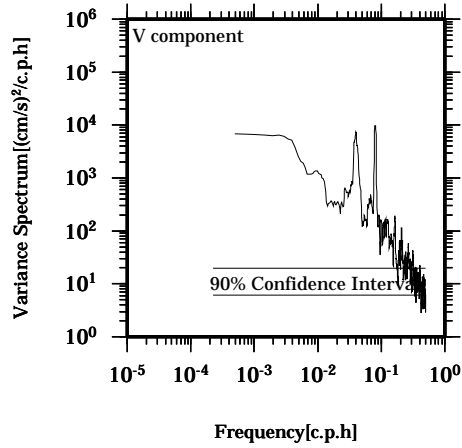
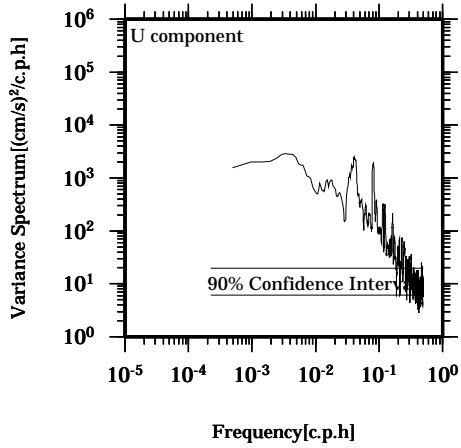
Lon: 121° 21.83' E
Lat: 22° 40.0133' N

Station: W204
Depth : 302 M



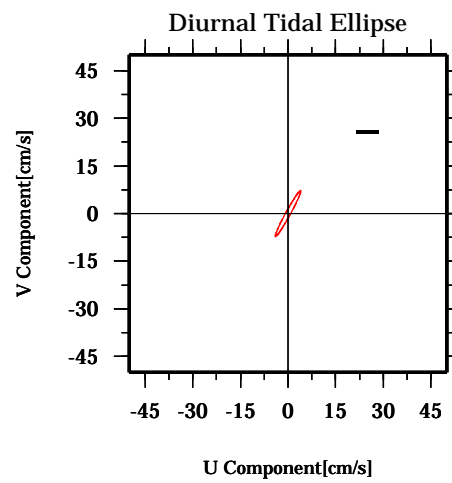
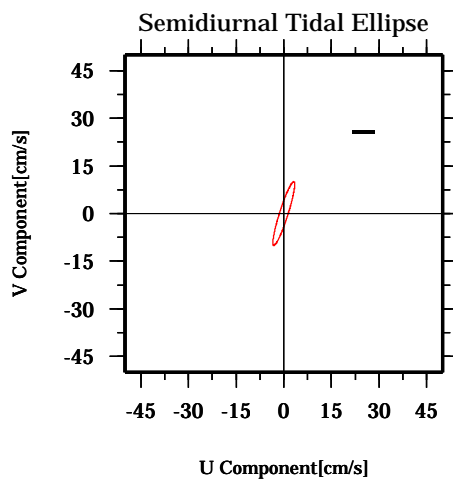
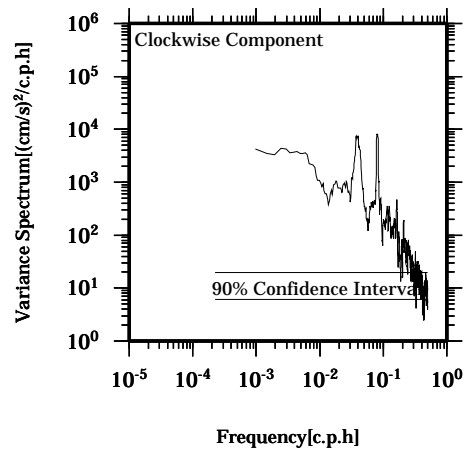
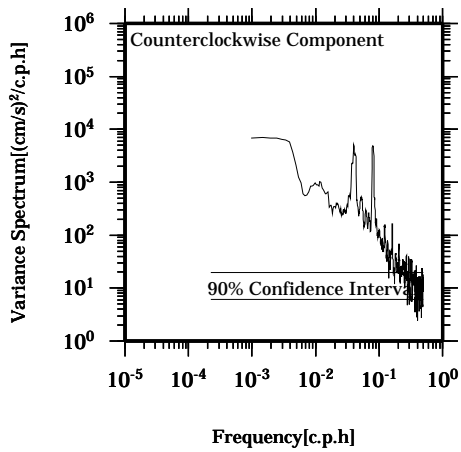
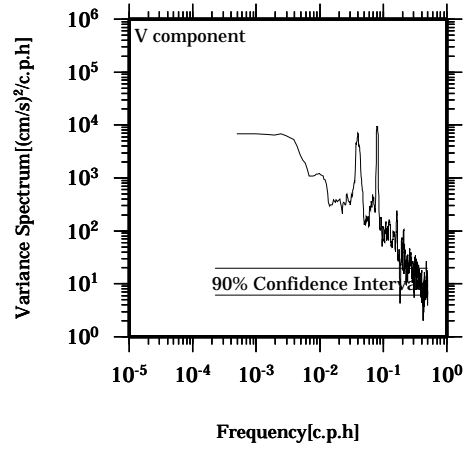
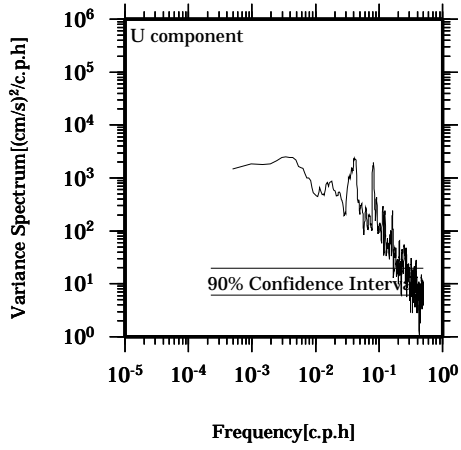
Lon: 121° 21.83' E
Lat: 22° 40.0133' N

Station: W204
Depth : 306 M



Lon: 121° 21.83' E
Lat: 22° 40.0133' N

Station: W204
Depth : 310 M

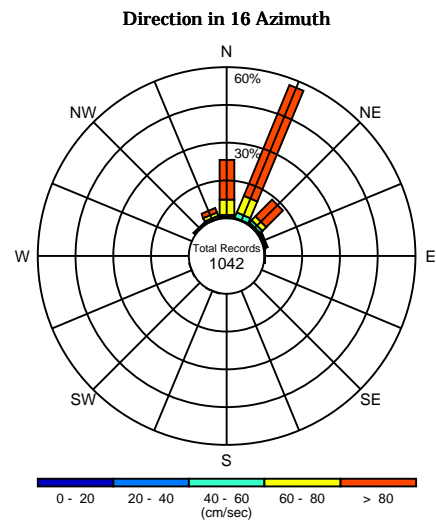
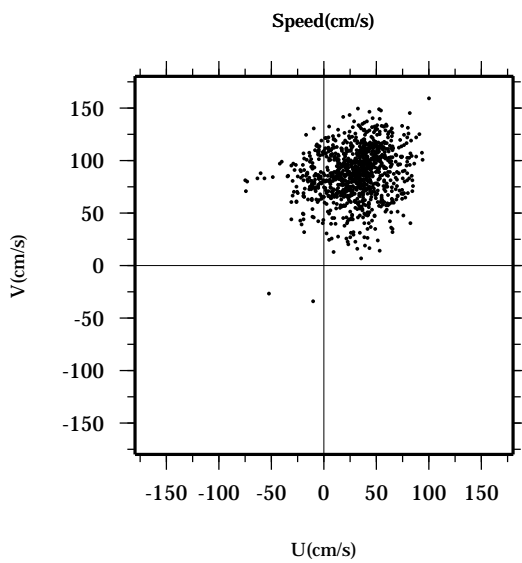
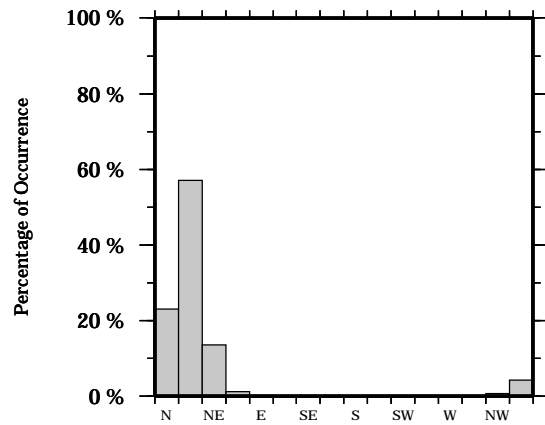
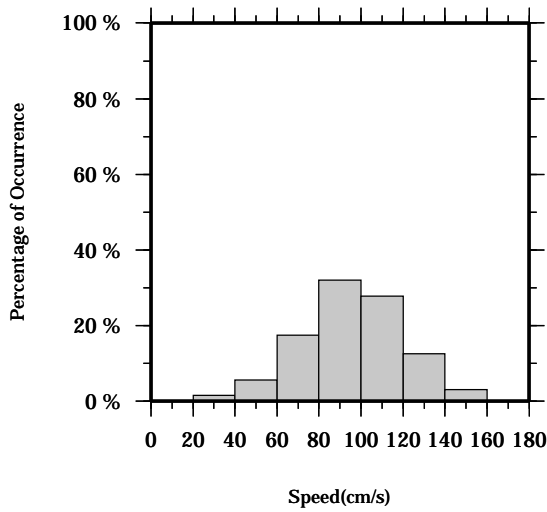


LON: 121° 21.83' E

Station: W204

LAT: 22° 40.0133' N

Depth: 30 M



Joint probability distribution of current speed and it's direction

Speed	N	NNE	NE	ENE	E	ESE	SE	SSE	S	SSW	SW	WSW	W	WNW	NW	NNW	Total
0-20	0.0	0.0	0.1	0.0	0.0	0.0	0.0	0.0	0.0	0.0	0.0	0.0	0.0	0.0	0.0	0.0	0.1
20-40	0.3	0.2	0.6	0.1	0.1	0.0	0.0	0.0	0.0	0.1	0.0	0.0	0.0	0.0	0.0	0.1	1.4
40-60	0.9	2.1	1.2	0.5	0.0	0.0	0.0	0.0	0.0	0.0	0.0	0.1	0.0	0.0	0.1	0.8	5.6
60-80	6.0	7.3	2.3	0.4	0.0	0.0	0.0	0.0	0.0	0.0	0.0	0.0	0.0	0.0	0.0	1.4	17.5
80-100	7.7	18.4	4.1	0.2	0.0	0.0	0.0	0.0	0.0	0.0	0.0	0.0	0.0	0.0	0.0	1.6	32.1
100-120	6.4	17.0	3.5	0.0	0.0	0.0	0.0	0.0	0.0	0.0	0.0	0.0	0.0	0.0	0.6	0.3	27.7
120-140	1.5	9.5	1.4	0.0	0.0	0.0	0.0	0.0	0.0	0.0	0.0	0.0	0.0	0.0	0.0	0.0	12.5
140-160	0.2	2.4	0.4	0.0	0.0	0.0	0.0	0.0	0.0	0.0	0.0	0.0	0.0	0.0	0.0	0.0	3.0
160-180	0.0	0.1	0.0	0.0	0.0	0.0	0.0	0.0	0.0	0.0	0.0	0.0	0.0	0.0	0.0	0.0	0.1
180-200	0.0	0.1	0.0	0.0	0.0	0.0	0.0	0.0	0.0	0.0	0.0	0.0	0.0	0.0	0.0	0.0	0.1
Total	23.0	57.1	13.5	1.2	0.1	0.0	0.0	0.0	0.0	0.1	0.0	0.1	0.0	0.0	0.7	4.2	100.0

Mean U and V : 29.9 (cm/s), 86.9 (cm/s)

Standard deviation of U and V : 26.1 (cm/s), 24.3 (cm/s)

Maximun speed and it's direction : 187.7 (cm/s), 32.2 (deg.)

Mean speed and direction : 91.9 (cm/s), 19.0 (deg.)

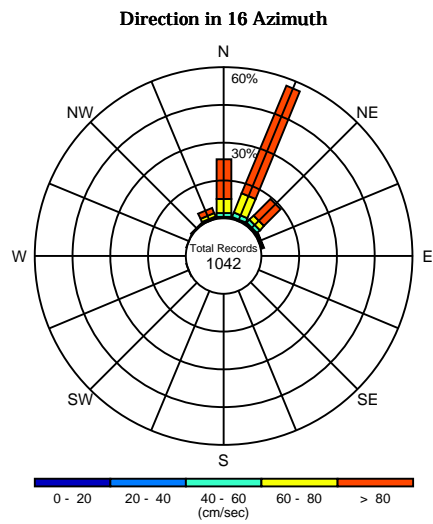
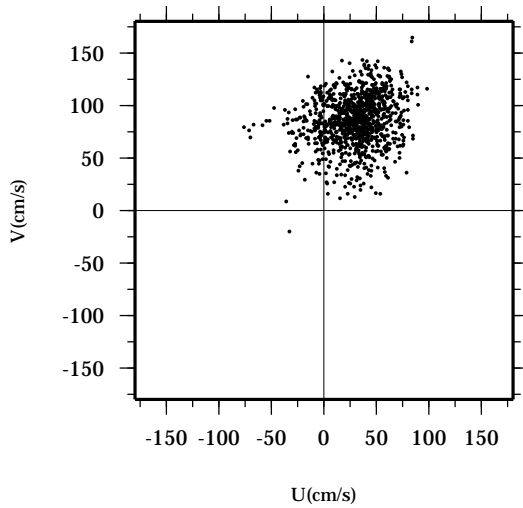
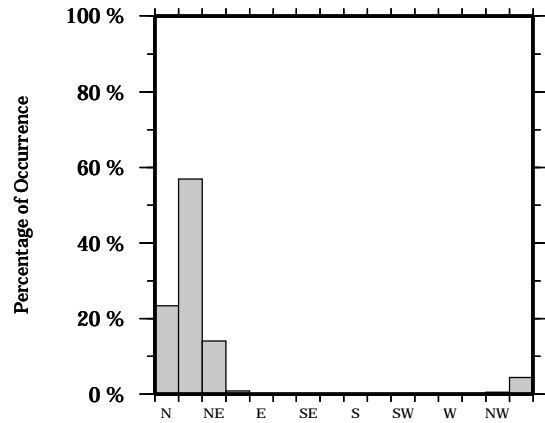
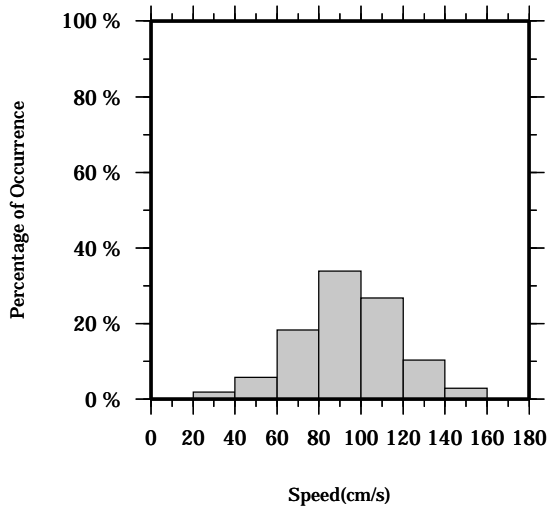
Speed scalar average : 95.6 (cm/s)

LON: 121° 21.83' E

Station: W204

LAT: 22° 40.0133' N

Depth: 34 M



Joint probability distribution of current speed and it's direction

Speed	N	NNE	NE	ENE	E	ESE	SE	SSE	S	SSW	SW	WSW	W	WNW	NW	NNW	Total
0-20	0.0	0.1	0.1	0.0	0.0	0.0	0.0	0.0	0.0	0.0	0.0	0.0	0.0	0.0	0.0	0.0	0.2
20-40	0.4	0.4	0.6	0.2	0.0	0.0	0.0	0.0	0.0	0.0	0.0	0.1	0.0	0.1	0.0	0.2	1.9
40-60	1.6	1.8	1.5	0.3	0.0	0.0	0.0	0.0	0.0	0.0	0.0	0.0	0.0	0.0	0.0	0.4	5.7
60-80	5.6	8.3	2.4	0.3	0.0	0.0	0.0	0.0	0.0	0.0	0.0	0.0	0.0	0.0	0.0	1.6	18.2
80-100	8.3	19.0	4.6	0.1	0.0	0.0	0.0	0.0	0.0	0.0	0.0	0.0	0.0	0.0	0.2	1.7	33.9
100-120	6.1	17.0	3.0	0.0	0.0	0.0	0.0	0.0	0.0	0.0	0.0	0.0	0.0	0.0	0.3	0.4	26.8
120-140	1.2	7.8	1.3	0.0	0.0	0.0	0.0	0.0	0.0	0.0	0.0	0.0	0.0	0.0	0.0	0.0	10.3
140-160	0.2	2.2	0.5	0.0	0.0	0.0	0.0	0.0	0.0	0.0	0.0	0.0	0.0	0.0	0.0	0.0	2.9
160-180	0.0	0.0	0.0	0.0	0.0	0.0	0.0	0.0	0.0	0.0	0.0	0.0	0.0	0.0	0.0	0.0	0.0
180-200	0.0	0.2	0.0	0.0	0.0	0.0	0.0	0.0	0.0	0.0	0.0	0.0	0.0	0.0	0.0	0.0	0.2
Total	23.3	56.8	14.0	0.9	0.0	0.0	0.0	0.0	0.0	0.0	0.0	0.1	0.0	0.1	0.5	4.3	100.0

Mean U and V : 29.3 (cm/s), 85.7 (cm/s)

Standard deviation of U and V : 25.5 (cm/s), 23.9 (cm/s)

Maximun speed and it's direction : 184.7 (cm/s), 27.1 (deg.)

Mean speed and direction : 90.6 (cm/s), 18.9 (deg.)

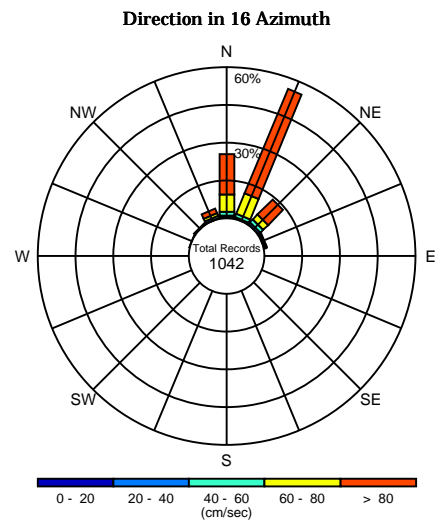
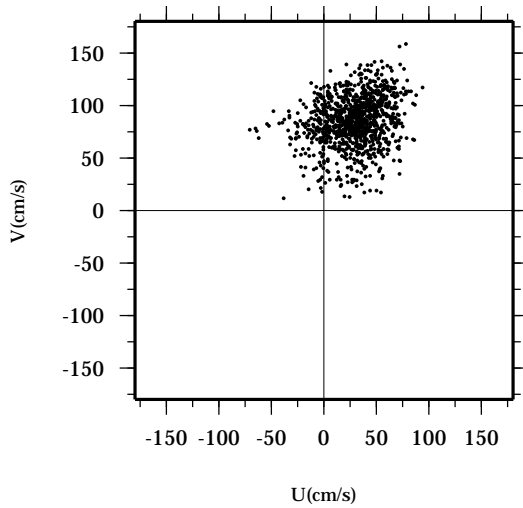
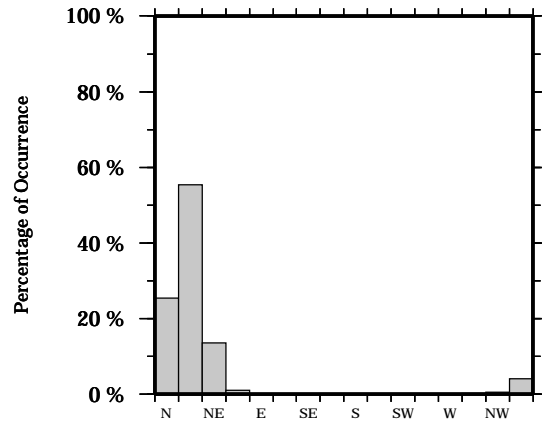
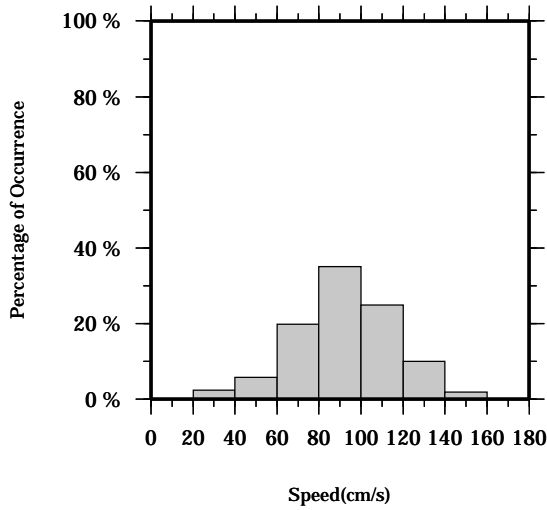
Speed scalar average : 94.1 (cm/s)

LON: 121° 21.83' E

Station: W204

LAT: 22° 40.0133' N

Depth: 38 M



Joint probability distribution of current speed and it's direction

Speed	N	NNE	NE	ENE	E	ESE	SE	SSE	S	SSW	SW	WSW	W	WNW	NW	NNW	Total
0-20	0.1	0.0	0.0	0.0	0.0	0.0	0.0	0.0	0.0	0.0	0.0	0.0	0.0	0.0	0.0	0.0	0.1
20-40	0.8	0.4	0.9	0.1	0.0	0.0	0.0	0.0	0.0	0.0	0.0	0.0	0.0	0.1	0.1	0.1	2.4
40-60	1.5	1.5	1.5	0.4	0.0	0.0	0.0	0.0	0.0	0.0	0.0	0.0	0.0	0.0	0.0	0.8	5.8
60-80	6.8	8.7	2.7	0.3	0.0	0.0	0.0	0.0	0.0	0.0	0.0	0.0	0.0	0.0	0.0	1.2	19.8
80-100	9.1	19.5	4.3	0.2	0.0	0.0	0.0	0.0	0.0	0.0	0.0	0.0	0.0	0.0	0.2	1.7	35.0
100-120	5.9	15.5	3.1	0.0	0.0	0.0	0.0	0.0	0.0	0.0	0.0	0.0	0.0	0.0	0.2	0.3	24.9
120-140	1.1	8.1	0.9	0.0	0.0	0.0	0.0	0.0	0.0	0.0	0.0	0.0	0.0	0.0	0.0	0.0	10.0
140-160	0.1	1.5	0.3	0.0	0.0	0.0	0.0	0.0	0.0	0.0	0.0	0.0	0.0	0.0	0.0	0.0	1.9
160-180	0.0	0.2	0.0	0.0	0.0	0.0	0.0	0.0	0.0	0.0	0.0	0.0	0.0	0.0	0.0	0.0	0.2
180-200	0.0	0.0	0.0	0.0	0.0	0.0	0.0	0.0	0.0	0.0	0.0	0.0	0.0	0.0	0.0	0.0	0.0
Total	25.3	55.4	13.6	1.0	0.0	0.0	0.0	0.0	0.0	0.0	0.0	0.0	0.0	0.1	0.5	4.1	100.0

Mean U and V : 28.6 (cm/s), 84.6 (cm/s)

Standard deviation of U and V : 25.0 (cm/s), 23.5 (cm/s)

Maximun speed and it's direction : 176.5 (cm/s), 26.3 (deg.)

Mean speed and direction : 89.3 (cm/s), 18.7 (deg.)

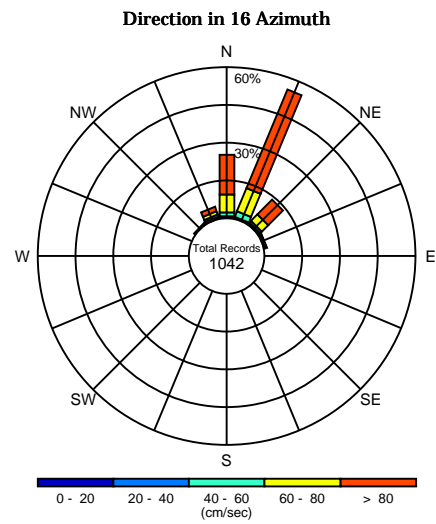
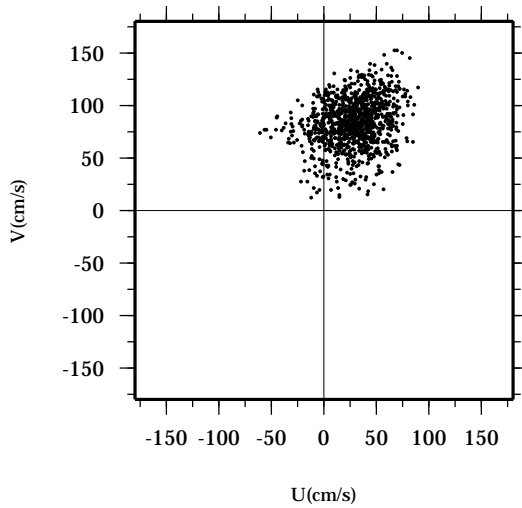
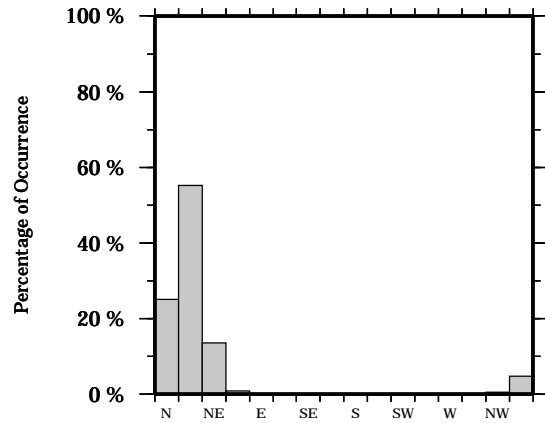
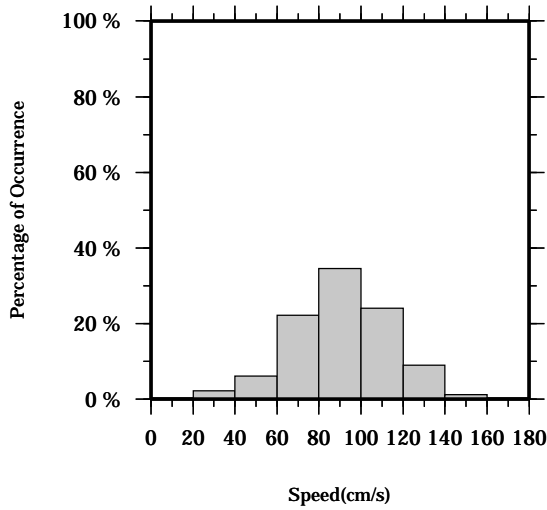
Speed scalar average : 92.6 (cm/s)

LON: 121° 21.83' E

Station: W204

LAT: 22° 40.0133' N

Depth: 42 M



Joint probability distribution of current speed and it's direction

Speed	N	NNE	NE	ENE	E	ESE	SE	SSE	S	SSW	SW	WSW	W	WNW	NW	NNW	Total
0-20	0.0	0.0	0.1	0.0	0.0	0.0	0.0	0.0	0.0	0.0	0.0	0.0	0.0	0.0	0.1	0.2	0.4
20-40	0.6	0.5	0.6	0.1	0.0	0.0	0.0	0.0	0.0	0.0	0.0	0.0	0.0	0.0	0.1	0.4	2.2
40-60	1.5	2.4	1.0	0.3	0.0	0.0	0.0	0.0	0.0	0.0	0.0	0.0	0.0	0.0	0.0	0.9	6.0
60-80	7.1	9.9	3.5	0.3	0.0	0.0	0.0	0.0	0.0	0.0	0.0	0.0	0.0	0.0	0.0	1.4	22.2
80-100	9.3	19.2	3.8	0.2	0.0	0.0	0.0	0.0	0.0	0.0	0.0	0.0	0.0	0.0	0.4	1.6	34.5
100-120	6.1	14.4	3.4	0.0	0.0	0.0	0.0	0.0	0.0	0.0	0.0	0.0	0.0	0.0	0.0	0.2	24.1
120-140	0.5	7.3	1.2	0.0	0.0	0.0	0.0	0.0	0.0	0.0	0.0	0.0	0.0	0.0	0.0	0.0	8.9
140-160	0.0	1.2	0.1	0.0	0.0	0.0	0.0	0.0	0.0	0.0	0.0	0.0	0.0	0.0	0.0	0.0	1.2
160-180	0.0	0.4	0.0	0.0	0.0	0.0	0.0	0.0	0.0	0.0	0.0	0.0	0.0	0.0	0.0	0.0	0.4
180-200	0.0	0.0	0.0	0.0	0.0	0.0	0.0	0.0	0.0	0.0	0.0	0.0	0.0	0.0	0.0	0.0	0.0
Total	25.1	55.2	13.5	0.9	0.0	0.0	0.0	0.0	0.0	0.0	0.0	0.0	0.0	0.0	0.6	4.7	100.0

Mean U and V : 27.7 (cm/s), 83.3 (cm/s)

Standard deviation of U and V : 24.4 (cm/s), 23.2 (cm/s)

Maximun speed and it's direction : 167.4 (cm/s), 24.5 (deg.)

Mean speed and direction : 87.8 (cm/s), 18.4 (deg.)

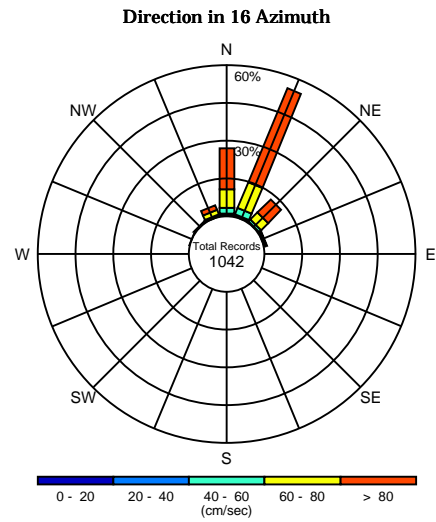
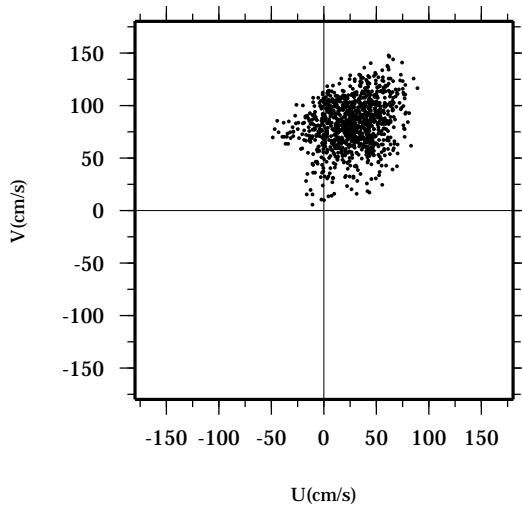
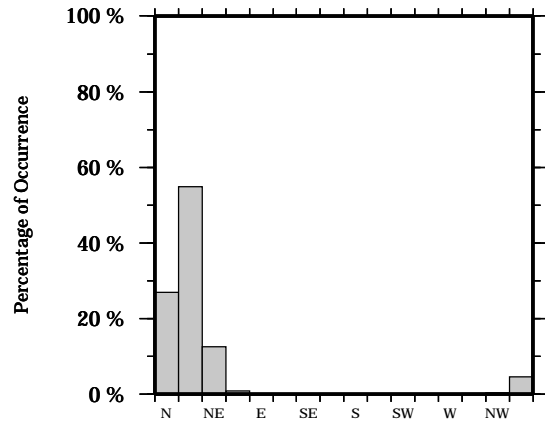
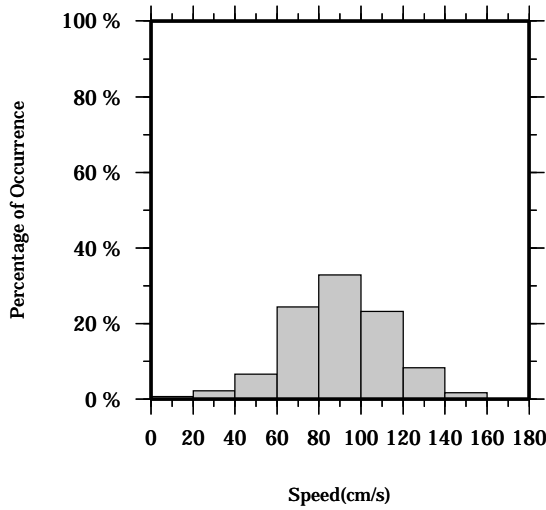
Speed scalar average : 91.0 (cm/s)

LON: 121° 21.83' E

Station: W204

LAT: 22° 40.0133' N

Depth: 46 M



Joint probability distribution of current speed and it's direction

Speed	N	NNE	NE	ENE	E	ESE	SE	SSE	S	SSW	SW	WSW	W	WNW	NW	NNW	Total
0-20	0.1	0.3	0.0	0.0	0.0	0.0	0.0	0.0	0.0	0.0	0.0	0.0	0.0	0.1	0.1	0.1	0.7
20-40	0.9	0.5	0.2	0.1	0.0	0.0	0.0	0.0	0.0	0.0	0.0	0.0	0.0	0.0	0.2	0.4	2.2
40-60	2.3	2.7	1.0	0.4	0.0	0.0	0.0	0.0	0.0	0.0	0.0	0.0	0.0	0.0	0.0	0.3	6.6
60-80	7.2	11.0	4.0	0.3	0.0	0.0	0.0	0.0	0.0	0.0	0.0	0.0	0.0	0.0	0.0	1.8	24.4
80-100	10.2	17.2	3.6	0.1	0.0	0.0	0.0	0.0	0.0	0.0	0.0	0.0	0.0	0.0	0.1	1.7	32.9
100-120	5.9	14.7	2.5	0.0	0.0	0.0	0.0	0.0	0.0	0.0	0.0	0.0	0.0	0.0	0.0	0.2	23.2
120-140	0.4	7.0	1.0	0.0	0.0	0.0	0.0	0.0	0.0	0.0	0.0	0.0	0.0	0.0	0.0	0.0	8.3
140-160	0.0	1.4	0.2	0.0	0.0	0.0	0.0	0.0	0.0	0.0	0.0	0.0	0.0	0.0	0.0	0.0	1.6
160-180	0.0	0.0	0.0	0.0	0.0	0.0	0.0	0.0	0.0	0.0	0.0	0.0	0.0	0.0	0.0	0.0	0.0
180-200	0.0	0.0	0.0	0.0	0.0	0.0	0.0	0.0	0.0	0.0	0.0	0.0	0.0	0.0	0.0	0.0	0.0
Total	26.9	54.8	12.5	0.9	0.0	0.0	0.0	0.0	0.0	0.0	0.0	0.0	0.0	0.1	0.4	4.5	100.0

Mean U and V : 26.8 (cm/s), 82.0 (cm/s)

Standard deviation of U and V : 23.9 (cm/s), 23.2 (cm/s)

Maximun speed and it's direction : 159.4 (cm/s), 22.6 (deg.)

Mean speed and direction : 86.3 (cm/s), 18.1 (deg.)

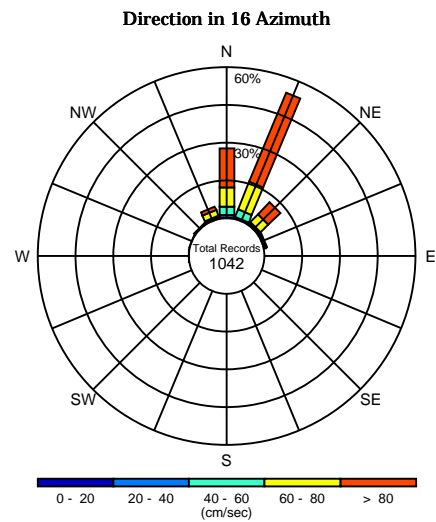
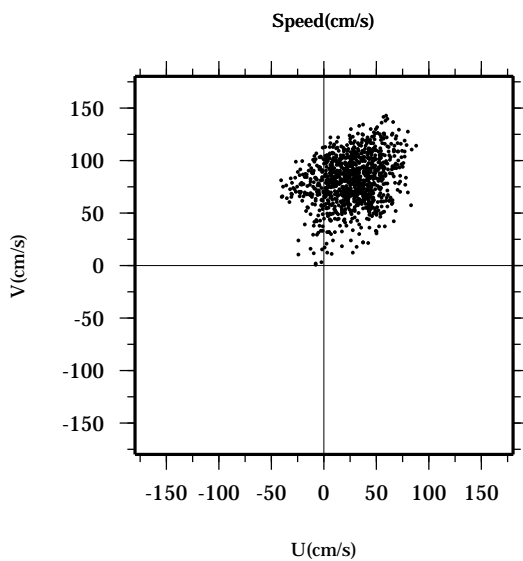
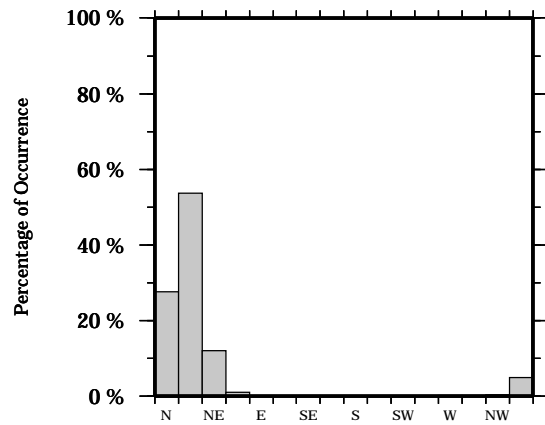
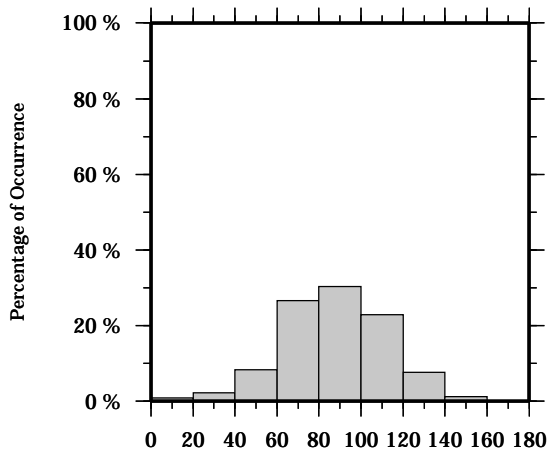
Speed scalar average : 89.3 (cm/s)

LON: 121° 21.83' E

Station: W204

LAT: 22° 40.0133' N

Depth: 50 M



Joint probability distribution of current speed and it's direction

Speed	N	NNE	NE	ENE	E	ESE	SE	SSE	S	SSW	SW	WSW	W	WNW	NW	NNW	Total
0-20	0.2	0.1	0.1	0.0	0.0	0.0	0.0	0.0	0.0	0.0	0.0	0.0	0.2	0.0	0.2	0.0	0.8
20-40	0.9	0.4	0.2	0.2	0.0	0.0	0.0	0.0	0.0	0.0	0.0	0.0	0.0	0.1	0.2	0.3	2.2
40-60	3.4	3.2	0.7	0.6	0.0	0.0	0.0	0.0	0.0	0.0	0.0	0.0	0.0	0.0	0.0	0.6	8.3
60-80	7.7	11.8	4.4	0.2	0.0	0.0	0.0	0.0	0.0	0.0	0.0	0.0	0.0	0.0	0.0	2.5	26.6
80-100	9.6	16.2	3.2	0.0	0.0	0.0	0.0	0.0	0.0	0.0	0.0	0.0	0.0	0.0	0.0	1.3	30.3
100-120	5.6	14.6	2.6	0.0	0.0	0.0	0.0	0.0	0.0	0.0	0.0	0.0	0.0	0.0	0.0	0.2	22.9
120-140	0.4	6.3	0.9	0.0	0.0	0.0	0.0	0.0	0.0	0.0	0.0	0.0	0.0	0.0	0.0	0.0	7.6
140-160	0.0	1.2	0.1	0.0	0.0	0.0	0.0	0.0	0.0	0.0	0.0	0.0	0.0	0.0	0.0	0.0	1.2
160-180	0.0	0.0	0.0	0.0	0.0	0.0	0.0	0.0	0.0	0.0	0.0	0.0	0.0	0.0	0.0	0.0	0.0
180-200	0.0	0.0	0.0	0.0	0.0	0.0	0.0	0.0	0.0	0.0	0.0	0.0	0.0	0.0	0.0	0.0	0.0
Total	27.6	53.7	12.1	1.0	0.0	0.0	0.0	0.0	0.0	0.0	0.0	0.0	0.2	0.1	0.4	4.9	100.0

Mean U and V : 25.9 (cm/s), 80.7 (cm/s)

Standard deviation of U and V : 23.7 (cm/s), 23.4 (cm/s)

Maximun speed and it's direction : 154.2 (cm/s), 22.6 (deg.)

Mean speed and direction : 84.7 (cm/s), 17.8 (deg.)

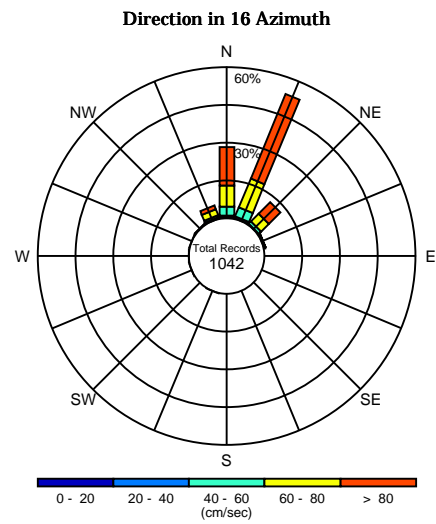
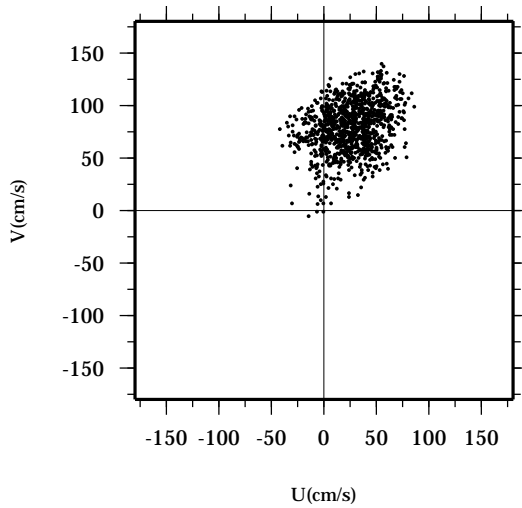
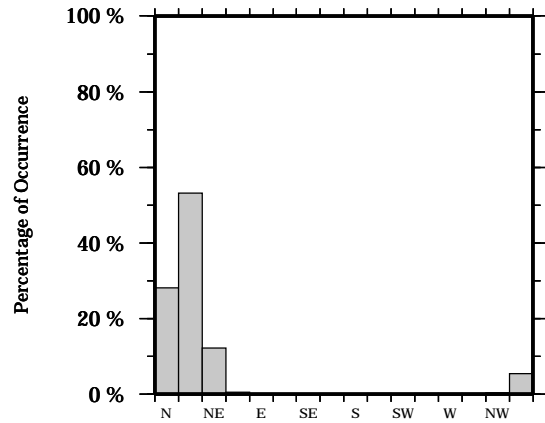
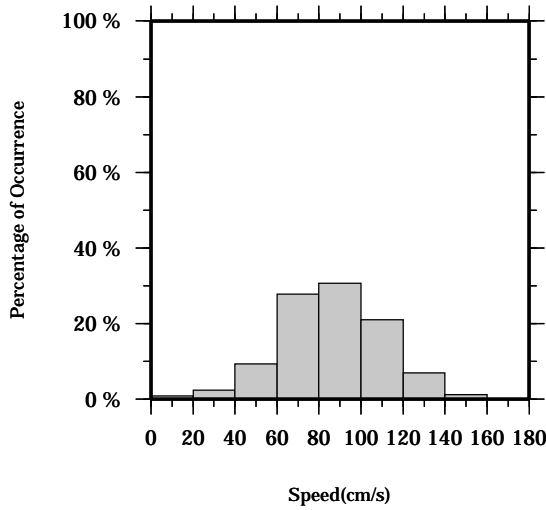
Speed scalar average : 87.8 (cm/s)

LON: 121° 21.83' E

Station: W204

LAT: 22° 40.0133' N

Depth: 54 M



Joint probability distribution of current speed and it's direction

Speed	N	NNE	NE	ENE	E	ESE	SE	SSE	S	SSW	SW	WSW	W	WNW	NW	NNW	Total
0-20	0.2	0.0	0.1	0.0	0.0	0.0	0.0	0.0	0.0	0.1	0.0	0.1	0.1	0.0	0.1	0.2	0.9
20-40	0.7	0.8	0.1	0.2	0.0	0.0	0.0	0.0	0.0	0.0	0.0	0.0	0.0	0.1	0.2	0.3	2.3
40-60	3.6	3.7	1.2	0.1	0.0	0.0	0.0	0.0	0.0	0.0	0.0	0.0	0.0	0.0	0.0	0.7	9.3
60-80	8.3	12.4	4.3	0.1	0.0	0.0	0.0	0.0	0.0	0.0	0.0	0.0	0.0	0.0	0.0	2.7	27.8
80-100	10.7	15.4	3.1	0.1	0.0	0.0	0.0	0.0	0.0	0.0	0.0	0.0	0.0	0.0	0.0	1.5	30.7
100-120	4.3	14.4	2.2	0.0	0.0	0.0	0.0	0.0	0.0	0.0	0.0	0.0	0.0	0.0	0.0	0.0	20.9
120-140	0.4	5.4	1.2	0.0	0.0	0.0	0.0	0.0	0.0	0.0	0.0	0.0	0.0	0.0	0.0	0.0	6.9
140-160	0.0	1.2	0.0	0.0	0.0	0.0	0.0	0.0	0.0	0.0	0.0	0.0	0.0	0.0	0.0	0.0	1.2
160-180	0.0	0.0	0.0	0.0	0.0	0.0	0.0	0.0	0.0	0.0	0.0	0.0	0.0	0.0	0.0	0.0	0.0
180-200	0.0	0.0	0.0	0.0	0.0	0.0	0.0	0.0	0.0	0.0	0.0	0.0	0.0	0.0	0.0	0.0	0.0
Total	28.1	53.2	12.2	0.5	0.0	0.0	0.0	0.0	0.0	0.1	0.0	0.1	0.1	0.1	0.3	5.4	100.0

Mean U and V : 25.1 (cm/s), 79.4 (cm/s)

Standard deviation of U and V : 23.6 (cm/s), 23.5 (cm/s)

Maximun speed and it's direction : 149.7 (cm/s), 21.6 (deg.)

Mean speed and direction : 83.3 (cm/s), 17.6 (deg.)

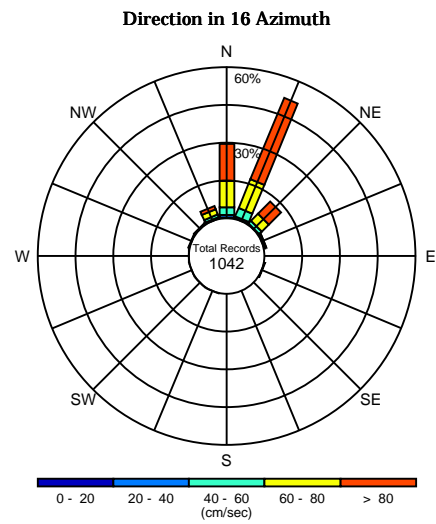
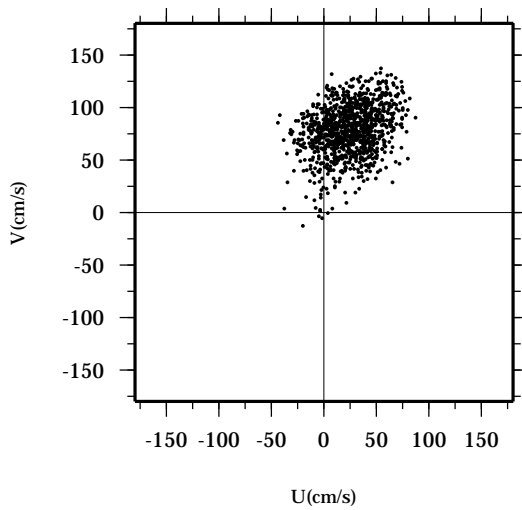
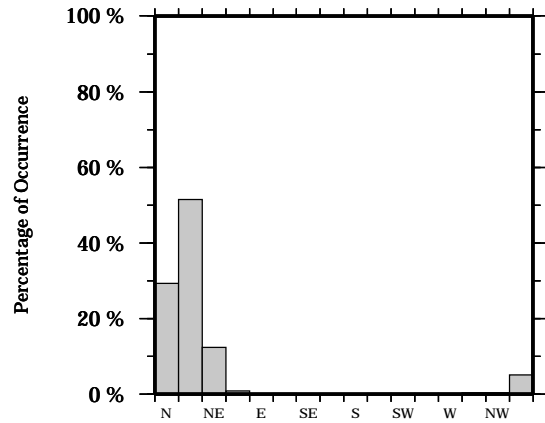
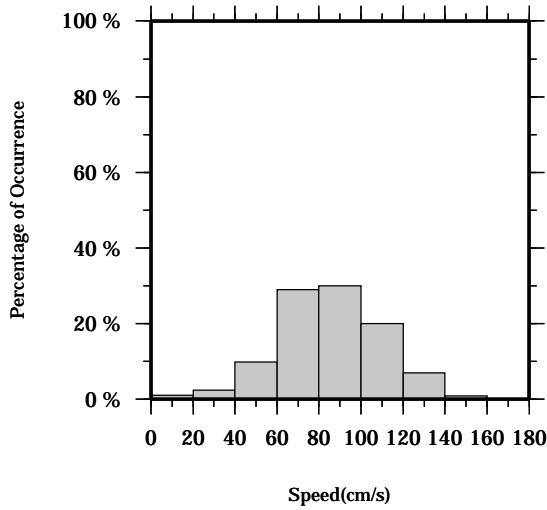
Speed scalar average : 86.3 (cm/s)

LON: 121° 21.83' E

Station: W204

LAT: 22° 40.0133' N

Depth: 58 M



Joint probability distribution of current speed and it's direction

Speed	N	NNE	NE	ENE	E	ESE	SE	SSE	S	SSW	SW	WSW	W	WNW	NW	NNW	Total
0-20	0.2	0.0	0.0	0.1	0.0	0.1	0.0	0.0	0.0	0.1	0.1	0.0	0.0	0.3	0.1	0.1	1.1
20-40	0.9	0.6	0.1	0.2	0.0	0.0	0.0	0.0	0.0	0.0	0.0	0.1	0.1	0.0	0.1	0.4	2.4
40-60	3.3	3.7	1.4	0.2	0.0	0.0	0.0	0.0	0.0	0.0	0.0	0.0	0.0	0.0	0.2	1.0	9.8
60-80	10.3	12.3	4.0	0.1	0.0	0.0	0.0	0.0	0.0	0.0	0.0	0.0	0.0	0.0	0.0	2.3	29.0
80-100	9.8	15.6	3.1	0.2	0.0	0.0	0.0	0.0	0.0	0.0	0.0	0.0	0.0	0.0	0.0	1.2	29.9
100-120	4.5	12.8	2.7	0.0	0.0	0.0	0.0	0.0	0.0	0.0	0.0	0.0	0.0	0.0	0.0	0.1	20.1
120-140	0.4	5.7	1.0	0.0	0.0	0.0	0.0	0.0	0.0	0.0	0.0	0.0	0.0	0.0	0.0	0.0	7.0
140-160	0.0	0.8	0.0	0.0	0.0	0.0	0.0	0.0	0.0	0.0	0.0	0.0	0.0	0.0	0.0	0.0	0.8
160-180	0.0	0.0	0.0	0.0	0.0	0.0	0.0	0.0	0.0	0.0	0.0	0.0	0.0	0.0	0.0	0.0	0.0
180-200	0.0	0.0	0.0	0.0	0.0	0.0	0.0	0.0	0.0	0.0	0.0	0.0	0.0	0.0	0.0	0.0	0.0
Total	29.3	51.4	12.3	0.8	0.0	0.1	0.0	0.0	0.0	0.1	0.1	0.1	0.1	0.3	0.4	5.1	100.0

Mean U and V : 24.5 (cm/s), 78.2 (cm/s)

Standard deviation of U and V : 23.7 (cm/s), 23.7 (cm/s)

Maximun speed and it's direction : 147.3 (cm/s), 21.5 (deg.)

Mean speed and direction : 82.0 (cm/s), 17.4 (deg.)

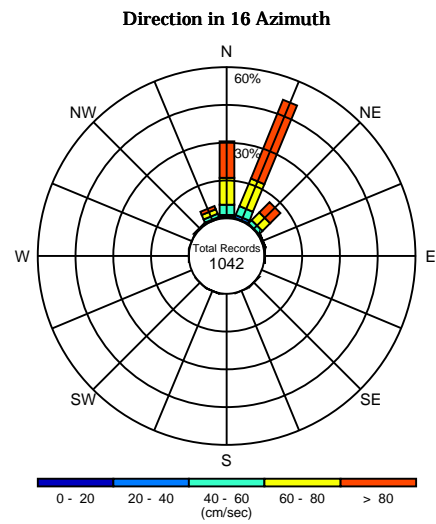
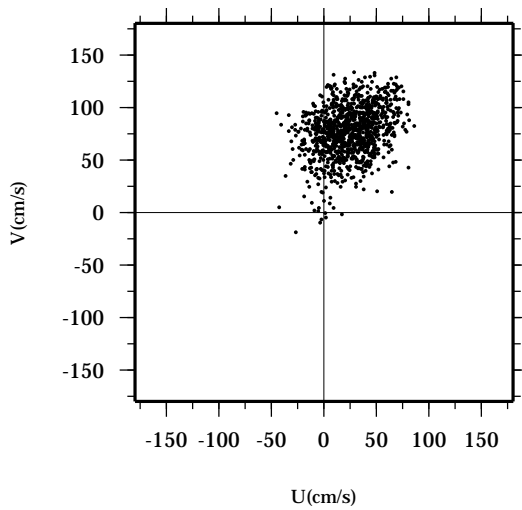
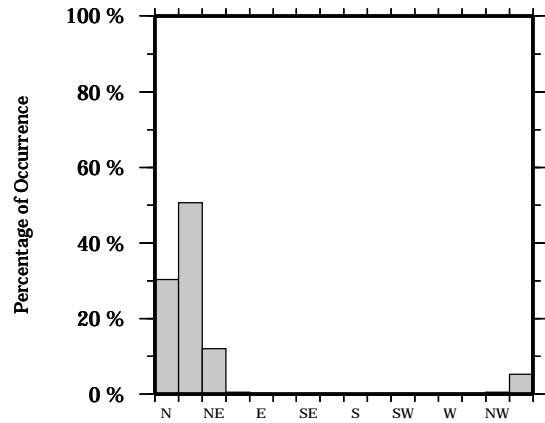
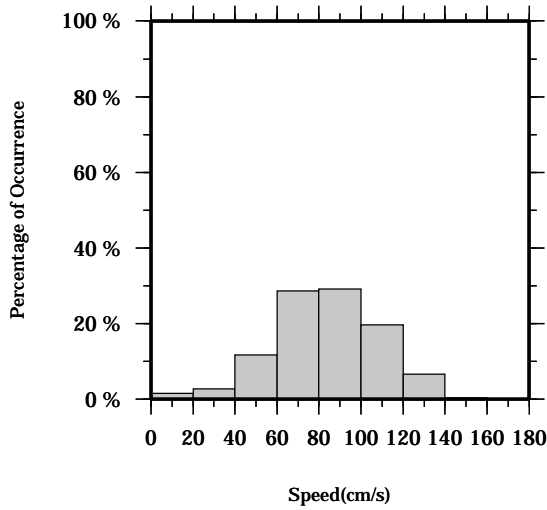
Speed scalar average : 85.1 (cm/s)

LON: 121° 21.83' E

Station: W204

LAT: 22° 40.0133' N

Depth: 62 M



Joint probability distribution of current speed and it's direction

Speed	N	NNE	NE	ENE	E	ESE	SE	SSE	S	SSW	SW	WSW	W	WNW	NW	NNW	Total
0-20	0.3	0.2	0.0	0.1	0.1	0.0	0.1	0.1	0.0	0.2	0.0	0.0	0.1	0.1	0.2	0.0	1.4
20-40	0.9	1.1	0.1	0.0	0.0	0.0	0.0	0.0	0.0	0.0	0.1	0.0	0.0	0.0	0.1	0.5	2.7
40-60	4.0	3.7	1.9	0.2	0.0	0.0	0.0	0.0	0.0	0.0	0.0	0.0	0.1	0.0	0.2	1.4	11.6
60-80	10.7	12.0	4.1	0.1	0.0	0.0	0.0	0.0	0.0	0.0	0.0	0.0	0.0	0.0	0.0	1.7	28.6
80-100	9.3	15.6	2.6	0.1	0.0	0.0	0.0	0.0	0.0	0.0	0.0	0.0	0.0	0.0	0.0	1.4	29.1
100-120	4.4	12.5	2.6	0.0	0.0	0.0	0.0	0.0	0.0	0.0	0.0	0.0	0.0	0.0	0.0	0.1	19.6
120-140	0.8	5.2	0.7	0.0	0.0	0.0	0.0	0.0	0.0	0.0	0.0	0.0	0.0	0.0	0.0	0.0	6.6
140-160	0.0	0.4	0.0	0.0	0.0	0.0	0.0	0.0	0.0	0.0	0.0	0.0	0.0	0.0	0.0	0.0	0.4
160-180	0.0	0.0	0.0	0.0	0.0	0.0	0.0	0.0	0.0	0.0	0.0	0.0	0.0	0.0	0.0	0.0	0.0
180-200	0.0	0.0	0.0	0.0	0.0	0.0	0.0	0.0	0.0	0.0	0.0	0.0	0.0	0.0	0.0	0.0	0.0
Total	30.3	50.7	12.0	0.5	0.1	0.0	0.1	0.1	0.0	0.2	0.1	0.0	0.2	0.1	0.5	5.2	100.0

Mean U and V : 24.0 (cm/s), 77.2 (cm/s)

Standard deviation of U and V : 23.6 (cm/s), 23.8 (cm/s)

Maximun speed and it's direction : 145.5 (cm/s), 28.2 (deg.)

Mean speed and direction : 80.9 (cm/s), 17.3 (deg.)

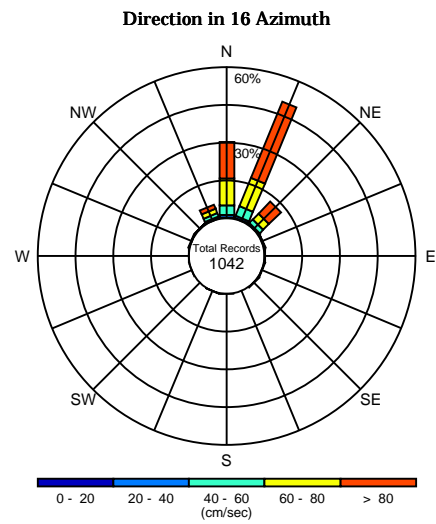
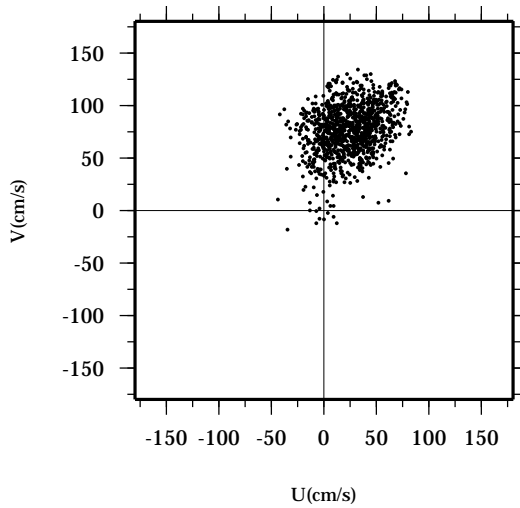
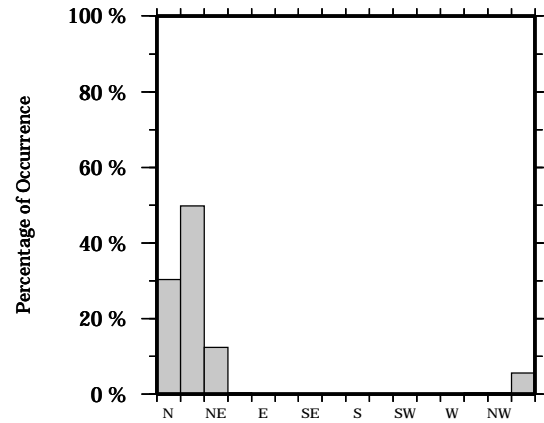
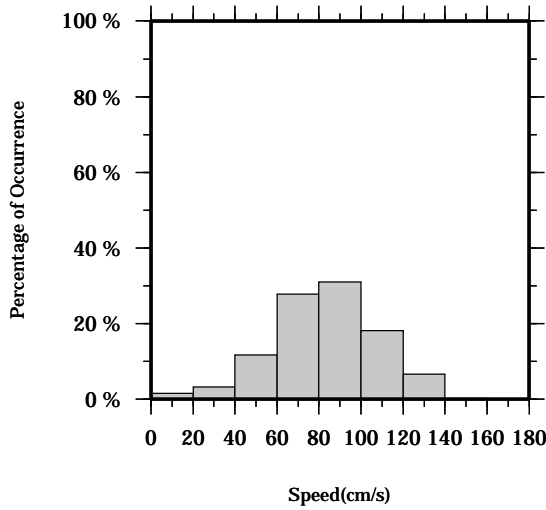
Speed scalar average : 84.0 (cm/s)

LON: 121° 21.83' E

Station: W204

LAT: 22° 40.0133' N

Depth: 66 M



Joint probability distribution of current speed and it's direction

Speed	N	NNE	NE	ENE	E	ESE	SE	SSE	S	SSW	SW	WSW	W	WNW	NW	NNW	Total
0-20	0.1	0.2	0.1	0.1	0.0	0.1	0.2	0.0	0.1	0.2	0.0	0.0	0.2	0.2	0.0	0.1	1.5
20-40	1.2	0.9	0.3	0.1	0.0	0.0	0.0	0.0	0.0	0.0	0.0	0.1	0.0	0.0	0.2	0.6	3.3
40-60	3.8	4.0	2.0	0.0	0.1	0.0	0.0	0.0	0.0	0.0	0.0	0.0	0.0	0.1	0.1	1.5	11.7
60-80	10.6	12.0	3.3	0.0	0.1	0.0	0.0	0.0	0.0	0.0	0.0	0.0	0.0	0.0	0.0	1.8	27.7
80-100	9.7	16.0	3.7	0.1	0.0	0.0	0.0	0.0	0.0	0.0	0.0	0.0	0.0	0.0	0.0	1.4	31.0
100-120	3.8	11.8	2.2	0.0	0.0	0.0	0.0	0.0	0.0	0.0	0.0	0.0	0.0	0.0	0.0	0.2	18.0
120-140	1.1	4.8	0.8	0.0	0.0	0.0	0.0	0.0	0.0	0.0	0.0	0.0	0.0	0.0	0.0	0.0	6.6
140-160	0.0	0.1	0.0	0.0	0.0	0.0	0.0	0.0	0.0	0.0	0.0	0.0	0.0	0.0	0.0	0.0	0.1
160-180	0.0	0.0	0.0	0.0	0.0	0.0	0.0	0.0	0.0	0.0	0.0	0.0	0.0	0.0	0.0	0.0	0.0
180-200	0.0	0.0	0.0	0.0	0.0	0.0	0.0	0.0	0.0	0.0	0.0	0.0	0.0	0.0	0.0	0.0	0.0
Total	30.2	49.8	12.4	0.3	0.2	0.1	0.2	0.0	0.1	0.2	0.0	0.1	0.2	0.3	0.3	5.7	100.0

Mean U and V : 23.6 (cm/s), 76.2 (cm/s)

Standard deviation of U and V : 23.5 (cm/s), 23.9 (cm/s)

Maximun speed and it's direction : 140.3 (cm/s), 28.6 (deg.)

Mean speed and direction : 79.8 (cm/s), 17.2 (deg.)

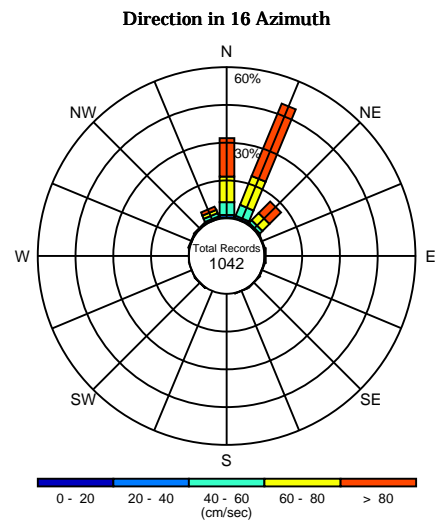
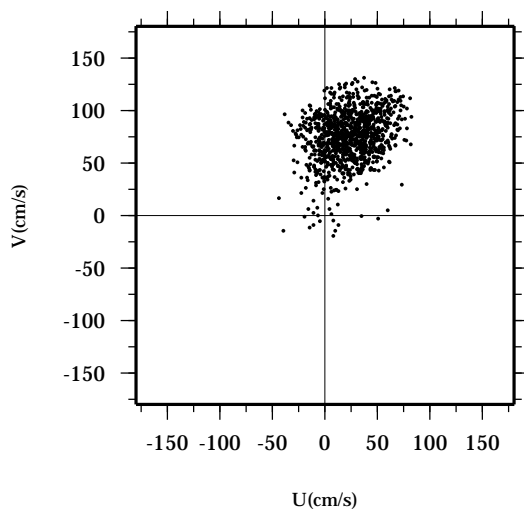
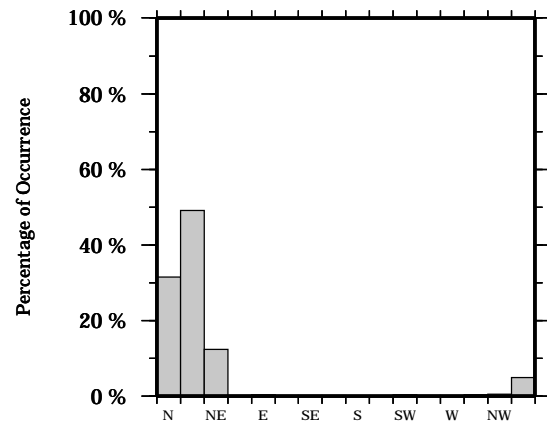
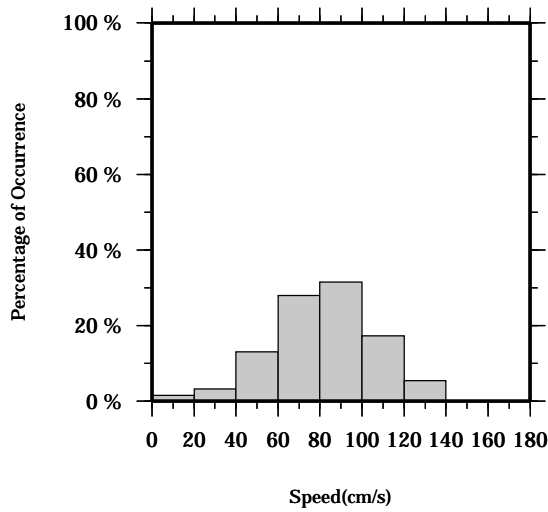
Speed scalar average : 83.0 (cm/s)

LON: 121° 21.83' E

Station: W204

LAT: 22° 40.0133' N

Depth: 70 M



Joint probability distribution of current speed and it's direction

Speed	N	NNE	NE	ENE	E	ESE	SE	SSE	S	SSW	SW	WSW	W	WNW	NW	NNW	Total
0-20	0.1	0.1	0.1	0.0	0.1	0.1	0.1	0.1	0.0	0.0	0.3	0.0	0.2	0.2	0.2	0.0	1.5
20-40	1.2	0.9	0.3	0.0	0.1	0.0	0.0	0.1	0.0	0.0	0.0	0.0	0.0	0.0	0.2	0.6	3.3
40-60	4.9	4.6	1.6	0.0	0.2	0.0	0.0	0.0	0.0	0.0	0.0	0.1	0.0	0.1	0.1	1.4	13.1
60-80	10.3	12.4	3.8	0.1	0.0	0.0	0.0	0.0	0.0	0.0	0.0	0.0	0.0	0.0	0.0	1.3	27.9
80-100	10.8	15.5	3.7	0.0	0.0	0.0	0.0	0.0	0.0	0.0	0.0	0.0	0.0	0.0	0.0	1.3	31.5
100-120	3.6	11.4	2.1	0.0	0.0	0.0	0.0	0.0	0.0	0.0	0.0	0.0	0.0	0.0	0.0	0.2	17.3
120-140	0.8	4.1	0.6	0.0	0.0	0.0	0.0	0.0	0.0	0.0	0.0	0.0	0.0	0.0	0.0	0.0	5.5
140-160	0.0	0.0	0.0	0.0	0.0	0.0	0.0	0.0	0.0	0.0	0.0	0.0	0.0	0.0	0.0	0.0	0.0
160-180	0.0	0.0	0.0	0.0	0.0	0.0	0.0	0.0	0.0	0.0	0.0	0.0	0.0	0.0	0.0	0.0	0.0
180-200	0.0	0.0	0.0	0.0	0.0	0.0	0.0	0.0	0.0	0.0	0.0	0.0	0.0	0.0	0.0	0.0	0.0
Total	31.6	49.0	12.3	0.1	0.4	0.1	0.1	0.2	0.0	0.0	0.3	0.1	0.2	0.3	0.5	4.9	100.0

Mean U and V : 23.3 (cm/s), 74.9 (cm/s)

Standard deviation of U and V : 23.4 (cm/s), 23.9 (cm/s)

Maximun speed and it's direction : 137.8 (cm/s), 28.7 (deg.)

Mean speed and direction : 78.4 (cm/s), 17.3 (deg.)

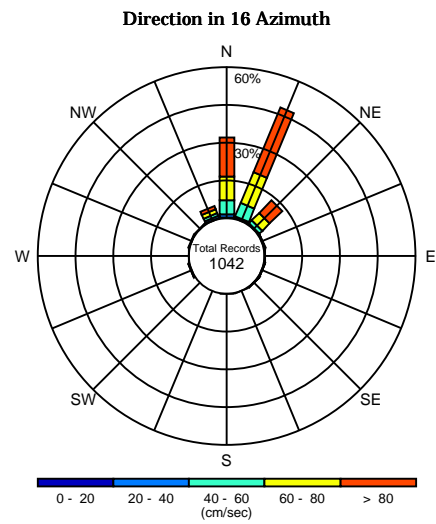
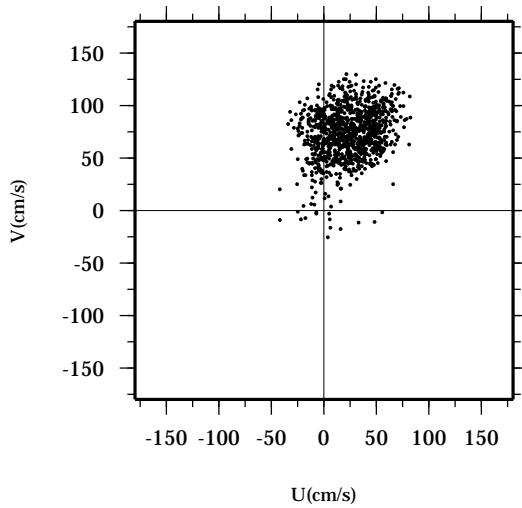
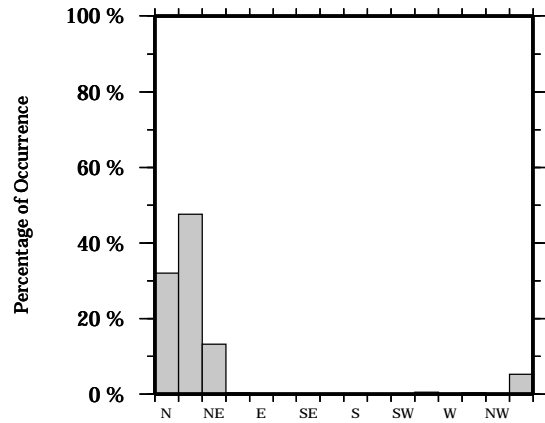
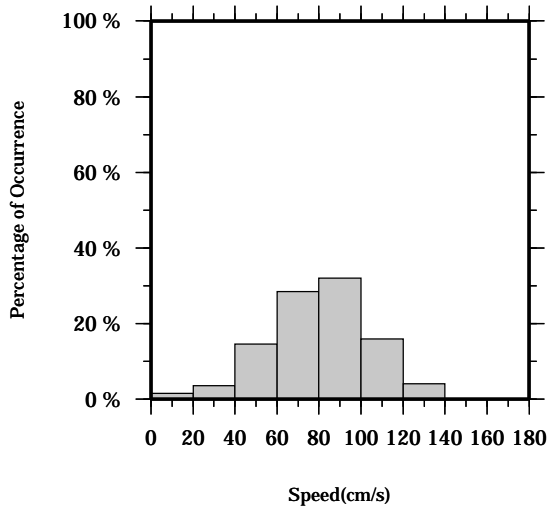
Speed scalar average : 81.7 (cm/s)

LON: 121° 21.83' E

Station: W204

LAT: 22° 40.0133' N

Depth: 74 M



Joint probability distribution of current speed and it's direction

Speed	N	NNE	NE	ENE	E	ESE	SE	SSE	S	SSW	SW	WSW	W	WNW	NW	NNW	Total
0-20	0.2	0.1	0.0	0.2	0.0	0.0	0.1	0.2	0.0	0.0	0.0	0.3	0.0	0.2	0.1	0.1	1.4
20-40	1.2	0.6	0.3	0.0	0.0	0.1	0.1	0.0	0.1	0.0	0.0	0.1	0.2	0.0	0.1	0.8	3.6
40-60	5.5	5.8	1.6	0.0	0.1	0.1	0.0	0.0	0.0	0.0	0.0	0.1	0.0	0.1	0.0	1.3	14.6
60-80	9.5	13.2	4.1	0.1	0.0	0.0	0.0	0.0	0.0	0.0	0.0	0.0	0.0	0.0	0.0	1.4	28.4
80-100	11.6	14.8	4.2	0.0	0.0	0.0	0.0	0.0	0.0	0.0	0.0	0.0	0.0	0.0	0.0	1.4	32.1
100-120	3.5	10.0	2.4	0.0	0.0	0.0	0.0	0.0	0.0	0.0	0.0	0.0	0.0	0.0	0.0	0.1	15.9
120-140	0.5	3.1	0.5	0.0	0.0	0.0	0.0	0.0	0.0	0.0	0.0	0.0	0.0	0.0	0.0	0.0	4.0
140-160	0.0	0.0	0.0	0.0	0.0	0.0	0.0	0.0	0.0	0.0	0.0	0.0	0.0	0.0	0.0	0.0	0.0
160-180	0.0	0.0	0.0	0.0	0.0	0.0	0.0	0.0	0.0	0.0	0.0	0.0	0.0	0.0	0.0	0.0	0.0
180-200	0.0	0.0	0.0	0.0	0.0	0.0	0.0	0.0	0.0	0.0	0.0	0.0	0.0	0.0	0.0	0.0	0.0
Total	32.0	47.5	13.1	0.3	0.1	0.2	0.2	0.2	0.1	0.0	0.0	0.5	0.2	0.3	0.2	5.2	100.0

Mean U and V : 22.9 (cm/s), 73.3 (cm/s)

Standard deviation of U and V : 23.3 (cm/s), 23.8 (cm/s)

Maximun speed and it's direction : 136.6 (cm/s), 29.4 (deg.)

Mean speed and direction : 76.8 (cm/s), 17.4 (deg.)

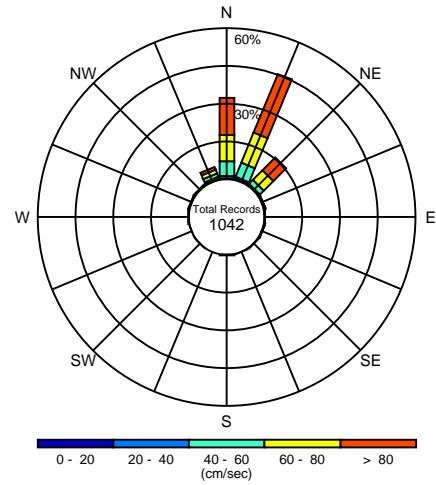
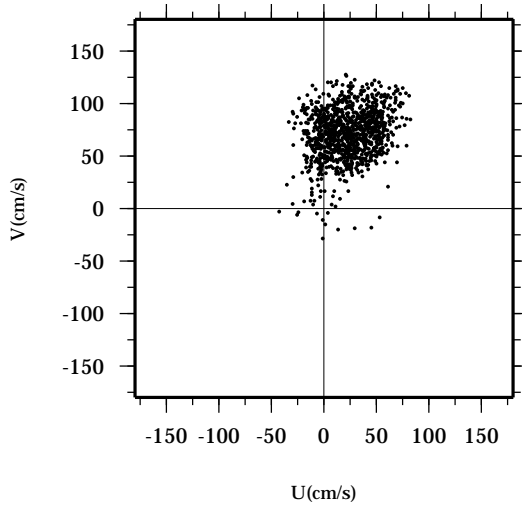
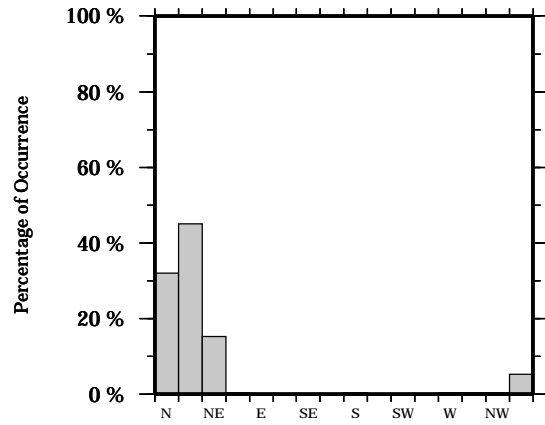
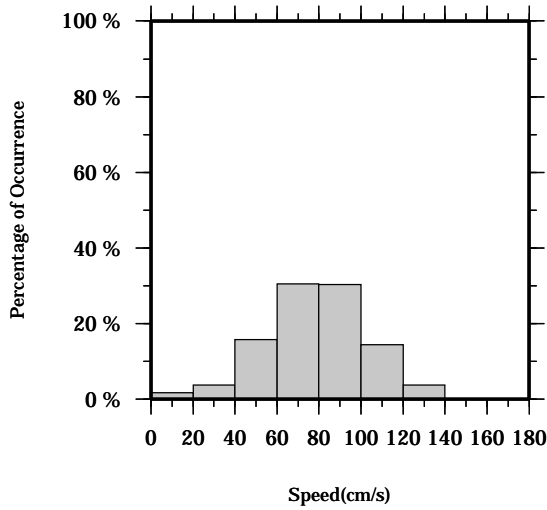
Speed scalar average : 80.2 (cm/s)

LON: 121° 21.83' E

Station: W204

LAT: 22° 40.0133' N

Depth: 78 M



Joint probability distribution of current speed and it's direction

Speed	N	NNE	NE	ENE	E	ESE	SE	SSE	S	SSW	SW	WSW	W	WNW	NW	NNW	Total
0-20	0.2	0.1	0.1	0.2	0.1	0.0	0.1	0.0	0.2	0.0	0.1	0.0	0.0	0.2	0.3	0.1	1.6
20-40	1.1	1.0	0.3	0.0	0.0	0.1	0.0	0.1	0.1	0.0	0.0	0.1	0.2	0.1	0.0	0.8	3.7
40-60	5.7	6.0	2.2	0.0	0.1	0.1	0.0	0.0	0.0	0.0	0.0	0.0	0.1	0.1	0.1	1.4	15.7
60-80	10.6	12.9	5.4	0.1	0.0	0.0	0.0	0.0	0.0	0.0	0.0	0.0	0.0	0.0	0.0	1.6	30.5
80-100	10.9	13.1	5.0	0.1	0.0	0.0	0.0	0.0	0.0	0.0	0.0	0.0	0.0	0.0	0.0	1.2	30.2
100-120	3.3	9.5	1.5	0.0	0.0	0.0	0.0	0.0	0.0	0.0	0.0	0.0	0.0	0.0	0.0	0.1	14.4
120-140	0.4	2.7	0.7	0.0	0.0	0.0	0.0	0.0	0.0	0.0	0.0	0.0	0.0	0.0	0.0	0.0	3.7
140-160	0.0	0.0	0.0	0.0	0.0	0.0	0.0	0.0	0.0	0.0	0.0	0.0	0.0	0.0	0.0	0.0	0.0
160-180	0.0	0.0	0.0	0.0	0.0	0.0	0.0	0.0	0.0	0.0	0.0	0.0	0.0	0.0	0.0	0.0	0.0
180-200	0.0	0.0	0.0	0.0	0.0	0.0	0.0	0.0	0.0	0.0	0.0	0.0	0.0	0.0	0.0	0.0	0.0
Total	32.1	45.1	15.2	0.4	0.2	0.2	0.1	0.1	0.3	0.0	0.1	0.1	0.3	0.4	0.4	5.2	100.0

Mean U and V : 22.6 (cm/s), 71.4 (cm/s)

Standard deviation of U and V : 23.2 (cm/s), 23.8 (cm/s)

Maximun speed and it's direction : 136.5 (cm/s), 33.1 (deg.)

Mean speed and direction : 74.9 (cm/s), 17.5 (deg.)

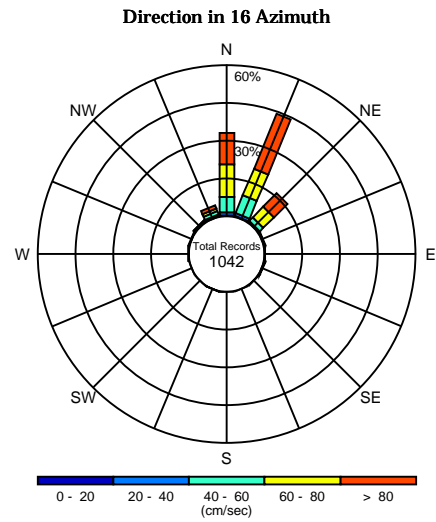
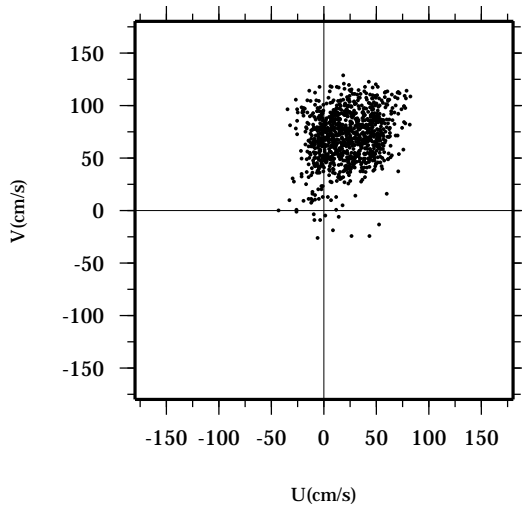
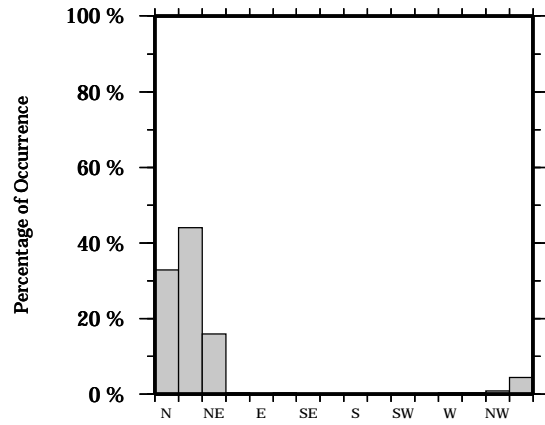
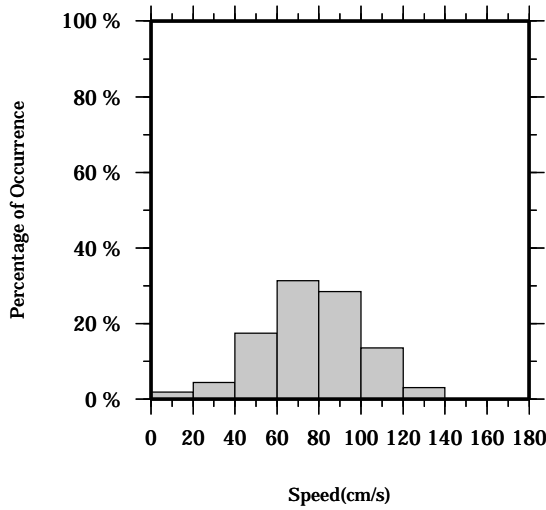
Speed scalar average : 78.5 (cm/s)

LON: 121° 21.83' E

Station: W204

LAT: 22° 40.0133' N

Depth: 82 M



Joint probability distribution of current speed and it's direction

Speed	N	NNE	NE	ENE	E	ESE	SE	SSE	S	SSW	SW	WSW	W	WNW	NW	NNW	Total
0-20	0.2	0.1	0.2	0.1	0.1	0.1	0.0	0.0	0.1	0.1	0.1	0.1	0.0	0.1	0.5	0.2	1.9
20-40	1.2	1.2	0.3	0.1	0.0	0.0	0.1	0.1	0.0	0.1	0.0	0.0	0.2	0.2	0.3	0.6	4.3
40-60	6.2	7.5	2.0	0.0	0.0	0.2	0.0	0.0	0.0	0.0	0.0	0.0	0.1	0.0	0.1	1.3	17.5
60-80	12.9	11.5	5.9	0.2	0.0	0.0	0.0	0.0	0.0	0.0	0.0	0.0	0.0	0.0	0.0	1.0	31.4
80-100	9.1	13.1	5.1	0.0	0.0	0.0	0.0	0.0	0.0	0.0	0.0	0.0	0.0	0.0	0.0	1.1	28.4
100-120	3.2	8.5	1.5	0.0	0.0	0.0	0.0	0.0	0.0	0.0	0.0	0.0	0.0	0.0	0.0	0.3	13.5
120-140	0.2	1.9	0.9	0.0	0.0	0.0	0.0	0.0	0.0	0.0	0.0	0.0	0.0	0.0	0.0	0.0	3.0
140-160	0.0	0.0	0.0	0.0	0.0	0.0	0.0	0.0	0.0	0.0	0.0	0.0	0.0	0.0	0.0	0.0	0.0
160-180	0.0	0.0	0.0	0.0	0.0	0.0	0.0	0.0	0.0	0.0	0.0	0.0	0.0	0.0	0.0	0.0	0.0
180-200	0.0	0.0	0.0	0.0	0.0	0.0	0.0	0.0	0.0	0.0	0.0	0.0	0.0	0.0	0.0	0.0	0.0
Total	32.9	44.0	15.8	0.4	0.1	0.3	0.1	0.1	0.1	0.2	0.1	0.1	0.3	0.3	0.9	4.4	100.0

Mean U and V : 22.2 (cm/s), 69.5 (cm/s)

Standard deviation of U and V : 23.1 (cm/s), 23.9 (cm/s)

Maximun speed and it's direction : 138.6 (cm/s), 34.6 (deg.)

Mean speed and direction : 73.0 (cm/s), 17.7 (deg.)

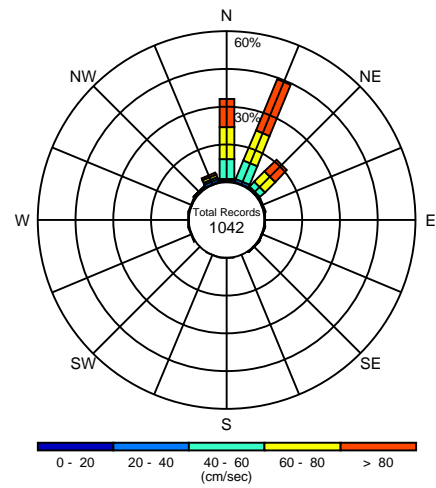
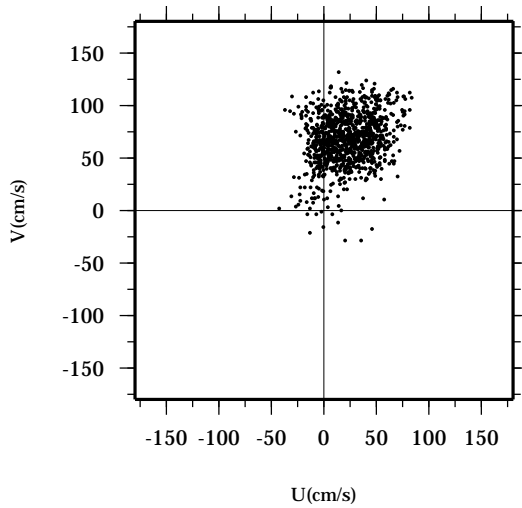
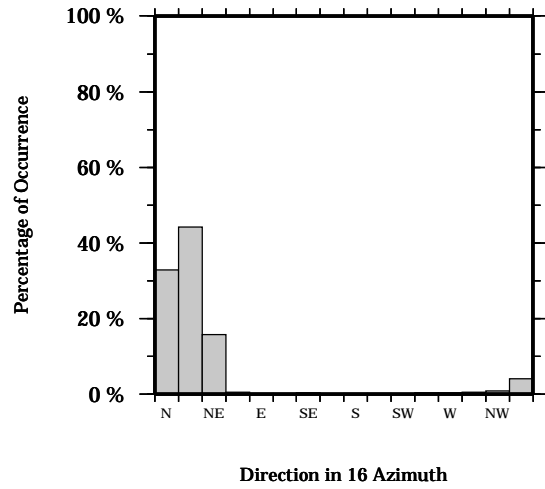
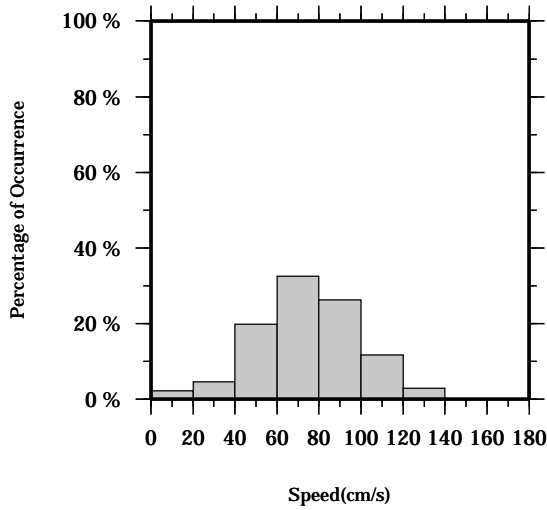
Speed scalar average : 76.6 (cm/s)

LON: 121° 21.83' E

Station: W204

LAT: 22° 40.0133' N

Depth: 86 M



Joint probability distribution of current speed and it's direction

Speed	N	NNE	NE	ENE	E	ESE	SE	SSE	S	SSW	SW	WSW	W	WNW	NW	NNW	Total
0-20	0.3	0.2	0.2	0.1	0.1	0.1	0.1	0.0	0.1	0.0	0.0	0.3	0.1	0.1	0.4	0.2	2.2
20-40	1.0	1.2	0.5	0.1	0.0	0.0	0.1	0.0	0.0	0.1	0.0	0.0	0.1	0.4	0.3	1.0	4.6
40-60	7.8	7.9	2.8	0.0	0.1	0.1	0.1	0.0	0.0	0.0	0.0	0.0	0.1	0.0	0.1	1.0	19.9
60-80	12.7	13.0	5.7	0.3	0.0	0.0	0.0	0.0	0.0	0.0	0.0	0.0	0.0	0.0	0.0	1.0	32.5
80-100	8.3	13.0	4.3	0.0	0.0	0.0	0.0	0.0	0.0	0.0	0.0	0.0	0.0	0.0	0.0	0.8	26.3
100-120	2.7	7.2	1.4	0.0	0.0	0.0	0.0	0.0	0.0	0.0	0.0	0.0	0.0	0.0	0.0	0.3	11.6
120-140	0.2	1.8	0.9	0.0	0.0	0.0	0.0	0.0	0.0	0.0	0.0	0.0	0.0	0.0	0.0	0.0	2.9
140-160	0.0	0.0	0.0	0.0	0.0	0.0	0.0	0.0	0.0	0.0	0.0	0.0	0.0	0.0	0.0	0.0	0.0
160-180	0.0	0.0	0.0	0.0	0.0	0.0	0.0	0.0	0.0	0.0	0.0	0.0	0.0	0.0	0.0	0.0	0.0
180-200	0.0	0.0	0.0	0.0	0.0	0.0	0.0	0.0	0.0	0.0	0.0	0.0	0.0	0.0	0.0	0.0	0.0
Total	32.8	44.1	15.7	0.5	0.2	0.2	0.3	0.0	0.1	0.1	0.0	0.3	0.3	0.5	0.8	4.1	100.0

Mean U and V : 21.8 (cm/s), 67.7 (cm/s)

Standard deviation of U and V : 22.9 (cm/s), 24.0 (cm/s)

Maximun speed and it's direction : 138.5 (cm/s), 35.9 (deg.)

Mean speed and direction : 71.1 (cm/s), 17.8 (deg.)

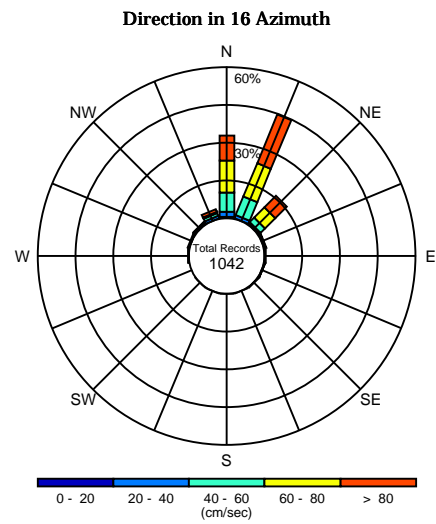
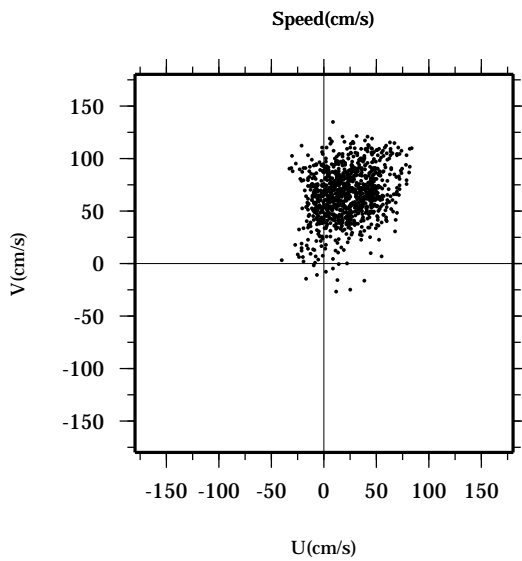
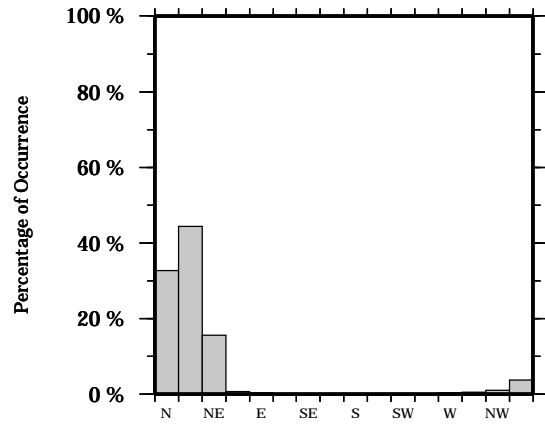
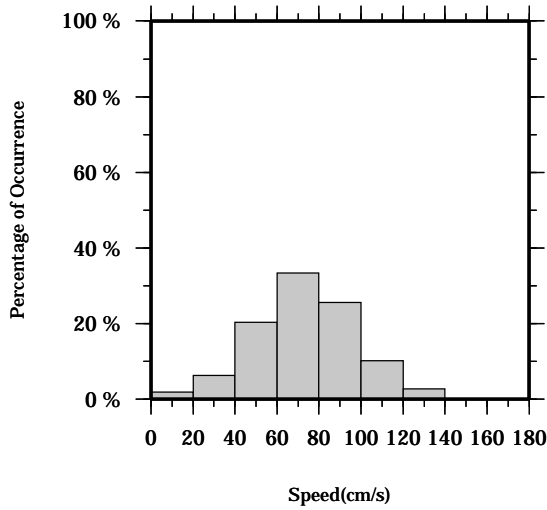
Speed scalar average : 74.8 (cm/s)

LON: 121° 21.83' E

Station: W204

LAT: 22° 40.0133' N

Depth: 90 M



Joint probability distribution of current speed and it's direction

Speed	N	NNE	NE	ENE	E	ESE	SE	SSE	S	SSW	SW	WSW	W	WNW	NW	NNW	Total
0-20	0.4	0.0	0.2	0.1	0.1	0.1	0.0	0.0	0.1	0.1	0.0	0.0	0.3	0.1	0.4	0.0	1.8
20-40	1.9	1.3	0.7	0.0	0.1	0.0	0.2	0.1	0.0	0.0	0.1	0.0	0.0	0.5	0.5	0.9	6.2
40-60	7.8	7.8	2.6	0.4	0.1	0.1	0.0	0.0	0.0	0.0	0.0	0.0	0.1	0.0	0.1	1.3	20.2
60-80	12.7	14.4	5.7	0.2	0.0	0.0	0.0	0.0	0.0	0.0	0.0	0.0	0.0	0.0	0.0	0.4	33.3
80-100	7.9	12.5	4.3	0.0	0.0	0.0	0.0	0.0	0.0	0.0	0.0	0.0	0.0	0.0	0.0	1.0	25.6
100-120	1.8	6.7	1.4	0.0	0.0	0.0	0.0	0.0	0.0	0.0	0.0	0.0	0.0	0.0	0.0	0.1	10.1
120-140	0.2	1.7	0.8	0.0	0.0	0.0	0.0	0.0	0.0	0.0	0.0	0.0	0.0	0.0	0.0	0.0	2.7
140-160	0.0	0.0	0.0	0.0	0.0	0.0	0.0	0.0	0.0	0.0	0.0	0.0	0.0	0.0	0.0	0.0	0.0
160-180	0.0	0.0	0.0	0.0	0.0	0.0	0.0	0.0	0.0	0.0	0.0	0.0	0.0	0.0	0.0	0.0	0.0
180-200	0.0	0.0	0.0	0.0	0.0	0.0	0.0	0.0	0.0	0.0	0.0	0.0	0.0	0.0	0.0	0.0	0.0
Total	32.6	44.4	15.6	0.7	0.3	0.2	0.2	0.1	0.1	0.1	0.1	0.0	0.4	0.6	1.0	3.6	100.0

Mean U and V : 21.5 (cm/s), 65.9 (cm/s)

Standard deviation of U and V : 22.7 (cm/s), 24.0 (cm/s)

Maximun speed and it's direction : 137.4 (cm/s), 37.3 (deg.)

Mean speed and direction : 69.3 (cm/s), 18.1 (deg.)

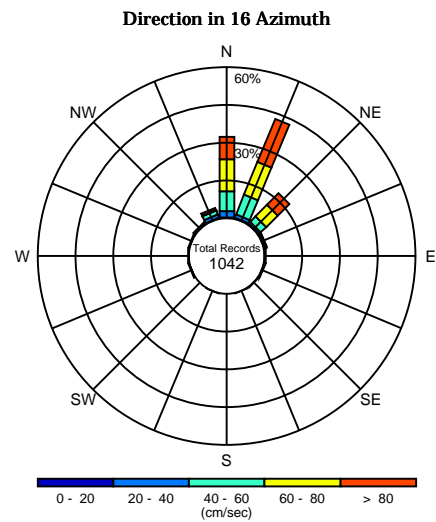
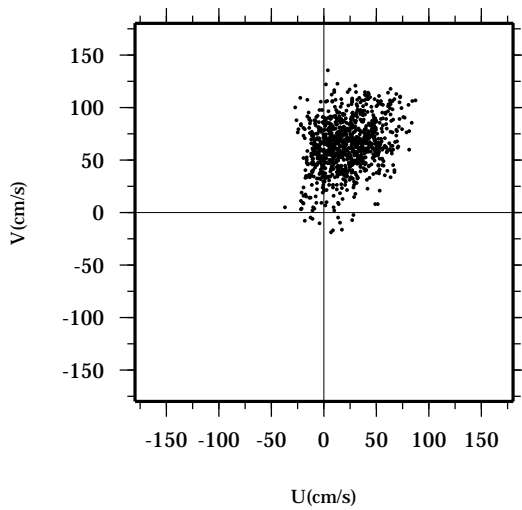
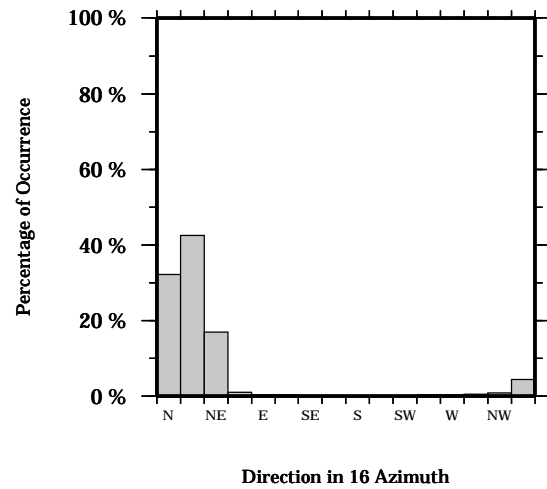
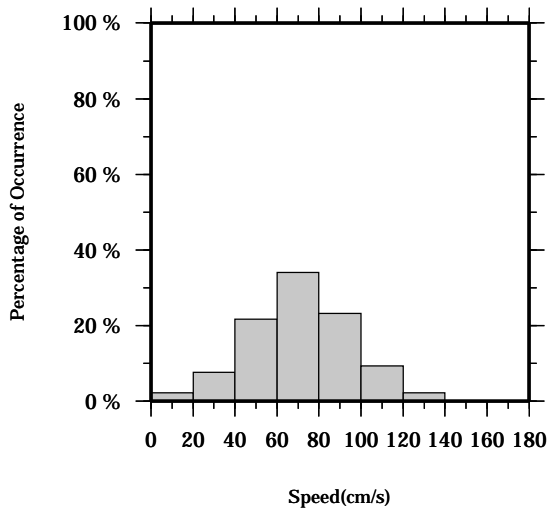
Speed scalar average : 72.9 (cm/s)

LON: 121° 21.83' E

Station: W204

LAT: 22° 40.0133' N

Depth: 94 M



Joint probability distribution of current speed and it's direction

Speed	N	NNE	NE	ENE	E	ESE	SE	SSE	S	SSW	SW	WSW	W	WNW	NW	NNW	Total
0-20	0.2	0.2	0.1	0.2	0.1	0.2	0.0	0.2	0.0	0.1	0.0	0.2	0.1	0.2	0.3	0.2	2.2
20-40	2.4	1.4	0.9	0.2	0.1	0.1	0.1	0.0	0.0	0.0	0.0	0.1	0.3	0.3	0.5	1.2	7.6
40-60	7.9	8.4	3.2	0.2	0.2	0.0	0.0	0.0	0.0	0.0	0.0	0.0	0.0	0.0	0.0	1.7	21.6
60-80	12.9	14.0	6.3	0.5	0.0	0.0	0.0	0.0	0.0	0.0	0.0	0.0	0.0	0.0	0.0	0.3	34.0
80-100	7.2	10.9	4.3	0.0	0.0	0.0	0.0	0.0	0.0	0.0	0.0	0.0	0.0	0.0	0.0	0.7	23.1
100-120	1.4	6.0	1.7	0.0	0.0	0.0	0.0	0.0	0.0	0.0	0.0	0.0	0.0	0.0	0.0	0.2	9.3
120-140	0.3	1.4	0.5	0.0	0.0	0.0	0.0	0.0	0.0	0.0	0.0	0.0	0.0	0.0	0.0	0.0	2.2
140-160	0.0	0.0	0.0	0.0	0.0	0.0	0.0	0.0	0.0	0.0	0.0	0.0	0.0	0.0	0.0	0.0	0.0
160-180	0.0	0.0	0.0	0.0	0.0	0.0	0.0	0.0	0.0	0.0	0.0	0.0	0.0	0.0	0.0	0.0	0.0
180-200	0.0	0.0	0.0	0.0	0.0	0.0	0.0	0.0	0.0	0.0	0.0	0.0	0.0	0.0	0.0	0.0	0.0
Total	32.2	42.4	17.0	1.1	0.4	0.3	0.1	0.2	0.0	0.1	0.0	0.3	0.4	0.5	0.8	4.3	100.0

Mean U and V : 21.4 (cm/s), 64.1 (cm/s)

Standard deviation of U and V : 22.3 (cm/s), 23.7 (cm/s)

Maximun speed and it's direction : 137.5 (cm/s), 39.1 (deg.)

Mean speed and direction : 67.6 (cm/s), 18.5 (deg.)

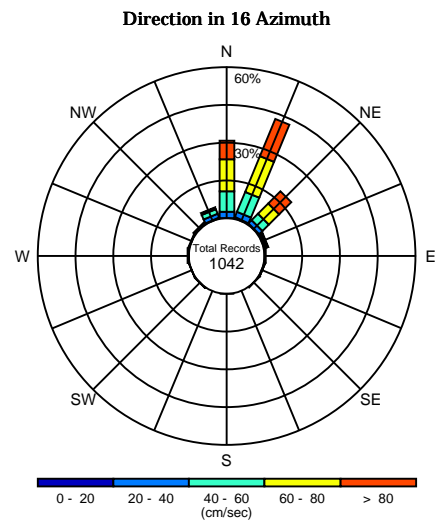
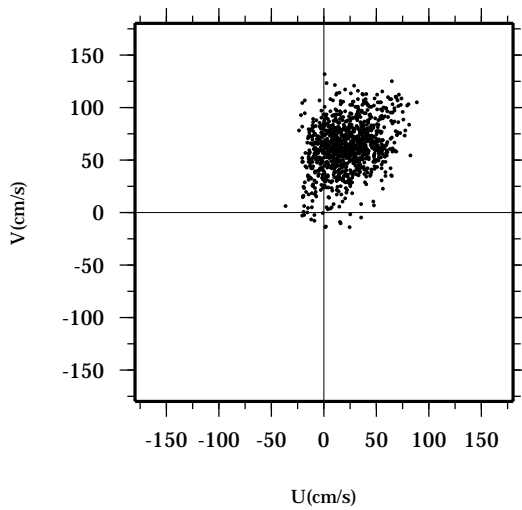
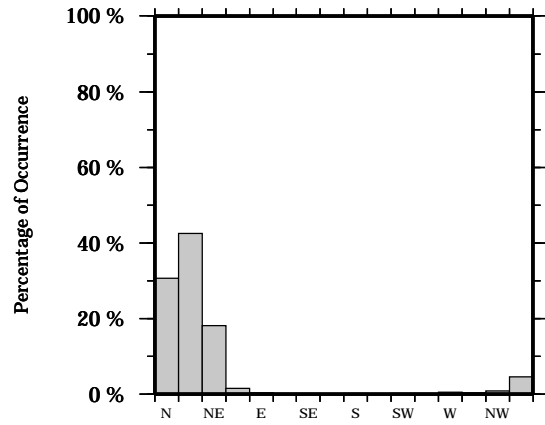
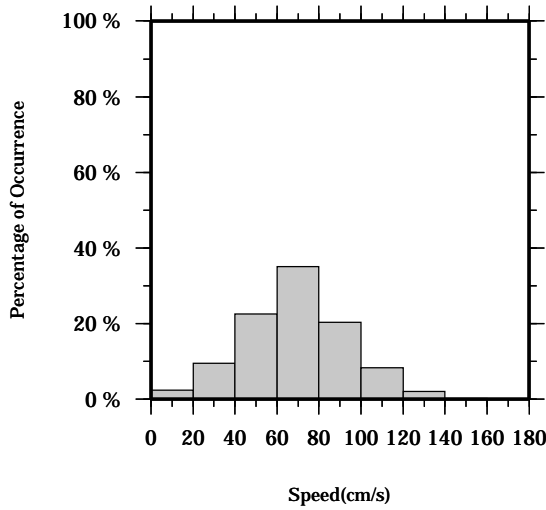
Speed scalar average : 71.1 (cm/s)

LON: 121° 21.83' E

Station: W204

LAT: 22° 40.0133' N

Depth: 98 M



Joint probability distribution of current speed and it's direction

Speed	N	NNE	NE	ENE	E	ESE	SE	SSE	S	SSW	SW	WSW	W	WNW	NW	NNW	Total
0-20	0.0	0.3	0.2	0.3	0.0	0.1	0.1	0.0	0.2	0.0	0.2	0.2	0.3	0.2	0.1	0.2	2.3
20-40	2.3	2.4	1.7	0.3	0.2	0.1	0.0	0.0	0.0	0.0	0.0	0.0	0.2	0.1	0.7	1.5	9.5
40-60	8.3	8.4	3.6	0.1	0.1	0.0	0.0	0.0	0.0	0.0	0.0	0.0	0.0	0.0	0.0	1.9	22.5
60-80	12.8	15.4	5.7	0.7	0.0	0.0	0.0	0.0	0.0	0.0	0.0	0.0	0.0	0.0	0.0	0.6	35.0
80-100	5.9	9.5	4.6	0.1	0.0	0.0	0.0	0.0	0.0	0.0	0.0	0.0	0.0	0.0	0.0	0.3	20.3
100-120	1.2	5.3	1.6	0.0	0.0	0.0	0.0	0.0	0.0	0.0	0.0	0.0	0.0	0.0	0.0	0.1	8.3
120-140	0.3	1.1	0.7	0.0	0.0	0.0	0.0	0.0	0.0	0.0	0.0	0.0	0.0	0.0	0.0	0.0	2.0
140-160	0.0	0.1	0.0	0.0	0.0	0.0	0.0	0.0	0.0	0.0	0.0	0.0	0.0	0.0	0.0	0.0	0.1
160-180	0.0	0.0	0.0	0.0	0.0	0.0	0.0	0.0	0.0	0.0	0.0	0.0	0.0	0.0	0.0	0.0	0.0
180-200	0.0	0.0	0.0	0.0	0.0	0.0	0.0	0.0	0.0	0.0	0.0	0.0	0.0	0.0	0.0	0.0	0.0
Total	30.7	42.4	18.1	1.4	0.3	0.2	0.1	0.0	0.2	0.0	0.2	0.2	0.5	0.3	0.8	4.6	100.0

Mean U and V : 21.3 (cm/s), 62.3 (cm/s)

Standard deviation of U and V : 22.0 (cm/s), 23.5 (cm/s)

Maximun speed and it's direction : 140.3 (cm/s), 27.4 (deg.)

Mean speed and direction : 65.8 (cm/s), 18.9 (deg.)

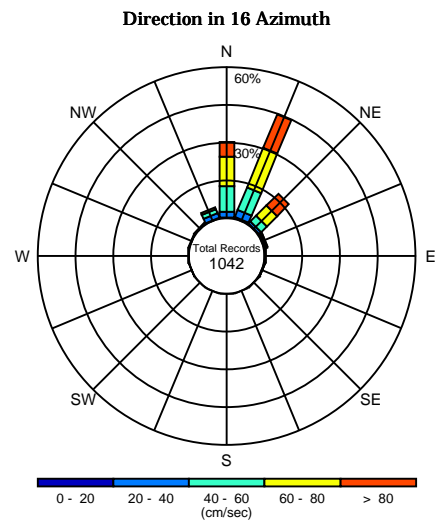
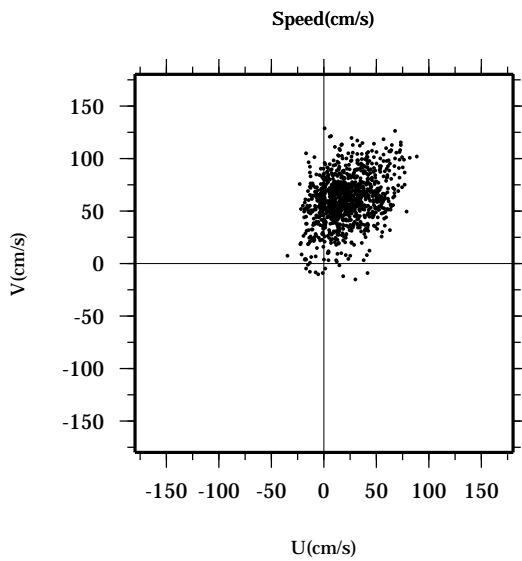
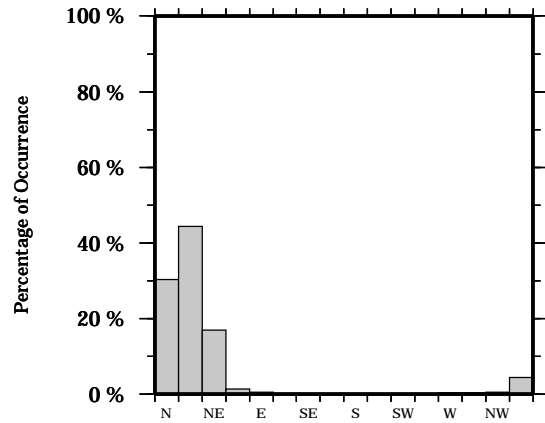
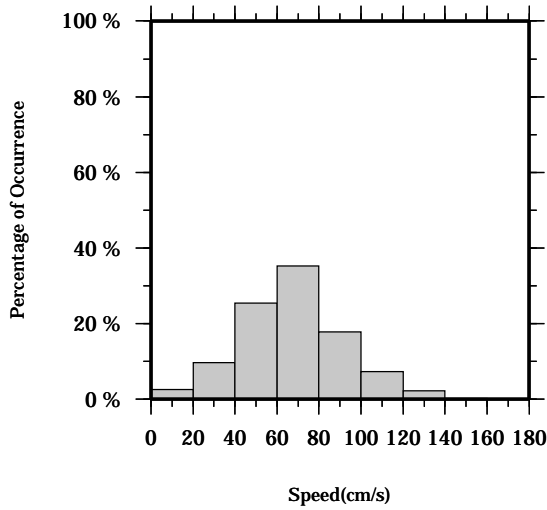
Speed scalar average : 69.2 (cm/s)

LON: 121° 21.83' E

Station: W204

LAT: 22° 40.0133' N

Depth: 102 M



Joint probability distribution of current speed and it's direction

Speed	N	NNE	NE	ENE	E	ESE	SE	SSE	S	SSW	SW	WSW	W	WNW	NW	NNW	Total
0-20	0.2	0.4	0.2	0.2	0.2	0.0	0.0	0.1	0.1	0.1	0.1	0.2	0.4	0.2	0.1	0.1	2.5
20-40	2.2	3.1	1.1	0.3	0.2	0.1	0.1	0.0	0.0	0.0	0.0	0.0	0.0	0.2	0.5	1.9	9.6
40-60	10.1	9.7	3.3	0.4	0.1	0.1	0.0	0.0	0.0	0.0	0.0	0.0	0.0	0.0	0.0	1.8	25.4
60-80	11.8	16.9	5.6	0.4	0.0	0.0	0.0	0.0	0.0	0.0	0.0	0.0	0.0	0.0	0.0	0.6	35.2
80-100	4.6	8.4	4.6	0.1	0.0	0.0	0.0	0.0	0.0	0.0	0.0	0.0	0.0	0.0	0.0	0.0	17.8
100-120	1.1	4.7	1.4	0.0	0.0	0.0	0.0	0.0	0.0	0.0	0.0	0.0	0.0	0.0	0.0	0.0	7.2
120-140	0.3	1.2	0.8	0.0	0.0	0.0	0.0	0.0	0.0	0.0	0.0	0.0	0.0	0.0	0.0	0.0	2.2
140-160	0.0	0.1	0.0	0.0	0.0	0.0	0.0	0.0	0.0	0.0	0.0	0.0	0.0	0.0	0.0	0.0	0.1
160-180	0.0	0.0	0.0	0.0	0.0	0.0	0.0	0.0	0.0	0.0	0.0	0.0	0.0	0.0	0.0	0.0	0.0
180-200	0.0	0.0	0.0	0.0	0.0	0.0	0.0	0.0	0.0	0.0	0.0	0.0	0.0	0.0	0.0	0.0	0.0
Total	30.2	44.4	16.9	1.3	0.5	0.2	0.1	0.1	0.1	0.1	0.1	0.2	0.4	0.4	0.6	4.4	100.0

Mean U and V : 21.1 (cm/s), 60.4 (cm/s)

Standard deviation of U and V : 21.4 (cm/s), 23.2 (cm/s)

Maximun speed and it's direction : 142.6 (cm/s), 28.1 (deg.)

Mean speed and direction : 64.0 (cm/s), 19.3 (deg.)

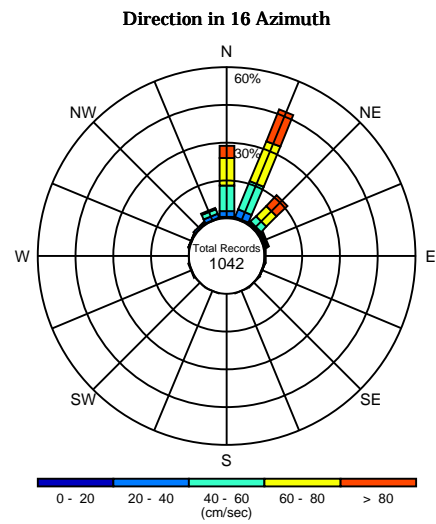
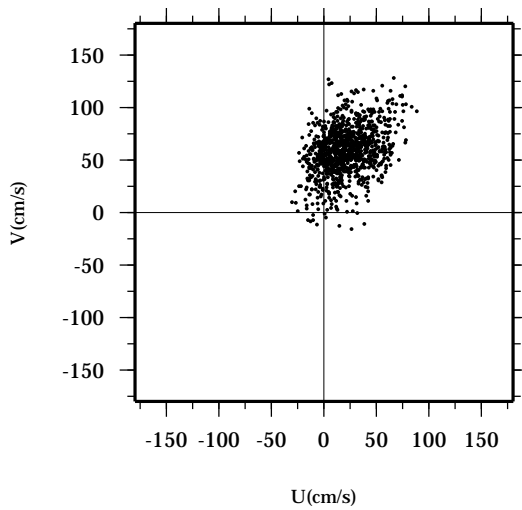
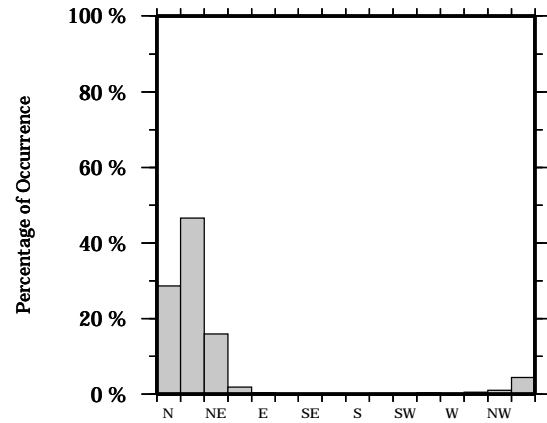
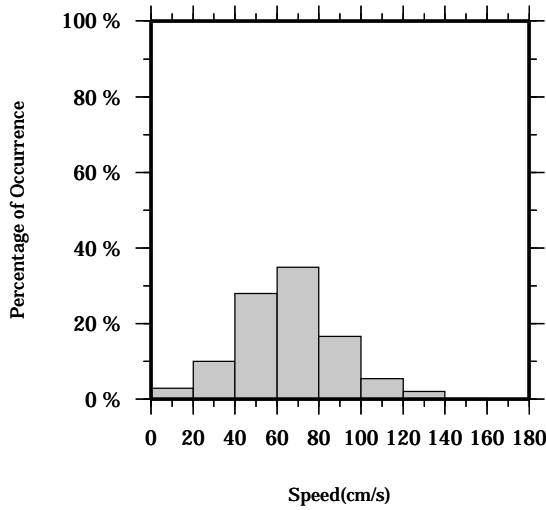
Speed scalar average : 67.2 (cm/s)

LON: 121° 21.83' E

Station: W204

LAT: 22° 40.0133' N

Depth: 106 M



Joint probability distribution of current speed and it's direction

Speed	N	NNE	NE	ENE	E	ESE	SE	SSE	S	SSW	SW	WSW	W	WNW	NW	NNW	Total
0-20	0.3	0.4	0.4	0.3	0.1	0.0	0.1	0.2	0.0	0.1	0.1	0.3	0.0	0.3	0.2	0.2	2.9
20-40	2.5	3.4	0.8	0.4	0.3	0.1	0.0	0.0	0.0	0.0	0.0	0.0	0.1	0.2	0.8	1.5	10.0
40-60	10.0	12.1	3.2	0.6	0.0	0.1	0.0	0.0	0.0	0.0	0.0	0.0	0.0	0.0	0.0	2.0	27.9
60-80	10.9	17.2	5.7	0.6	0.0	0.0	0.0	0.0	0.0	0.0	0.0	0.0	0.0	0.0	0.0	0.6	34.9
80-100	3.9	8.7	3.9	0.0	0.0	0.0	0.0	0.0	0.0	0.0	0.0	0.0	0.0	0.0	0.0	0.0	16.6
100-120	0.7	3.4	1.3	0.0	0.0	0.0	0.0	0.0	0.0	0.0	0.0	0.0	0.0	0.0	0.0	0.0	5.4
120-140	0.3	1.2	0.6	0.0	0.0	0.0	0.0	0.0	0.0	0.0	0.0	0.0	0.0	0.0	0.0	0.0	2.1
140-160	0.0	0.2	0.0	0.0	0.0	0.0	0.0	0.0	0.0	0.0	0.0	0.0	0.0	0.0	0.0	0.0	0.2
160-180	0.0	0.0	0.0	0.0	0.0	0.0	0.0	0.0	0.0	0.0	0.0	0.0	0.0	0.0	0.0	0.0	0.0
180-200	0.0	0.0	0.0	0.0	0.0	0.0	0.0	0.0	0.0	0.0	0.0	0.0	0.0	0.0	0.0	0.0	0.0
Total	28.6	46.5	15.8	1.8	0.4	0.2	0.1	0.2	0.0	0.1	0.1	0.3	0.1	0.5	1.0	4.3	100.0

Mean U and V : 20.9 (cm/s), 58.5 (cm/s)

Standard deviation of U and V : 21.0 (cm/s), 22.9 (cm/s)

Maximun speed and it's direction : 144.1 (cm/s), 27.3 (deg.)

Mean speed and direction : 62.1 (cm/s), 19.6 (deg.)

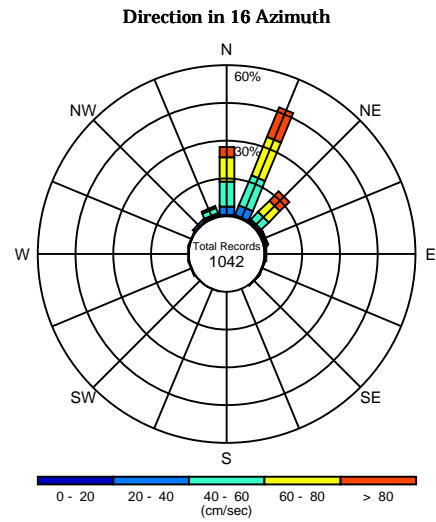
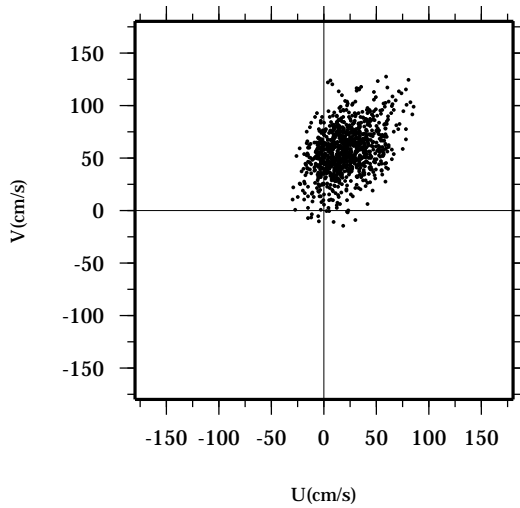
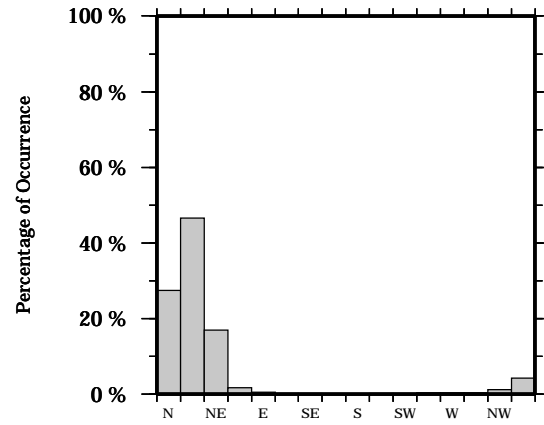
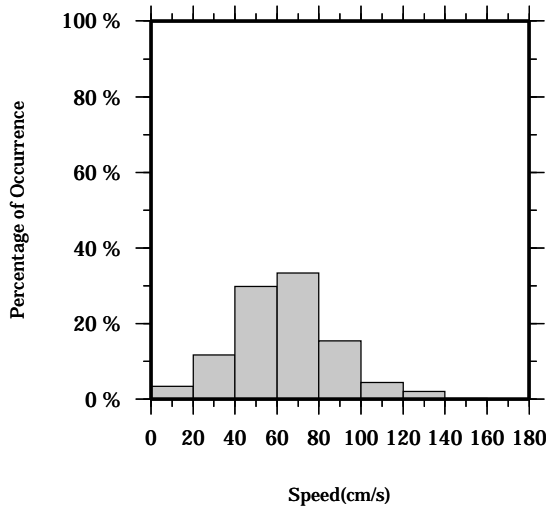
Speed scalar average : 65.3 (cm/s)

LON: 121° 21.83' E

Station: W204

LAT: 22° 40.0133' N

Depth: 110 M



Joint probability distribution of current speed and it's direction

Speed	N	NNE	NE	ENE	E	ESE	SE	SSE	S	SSW	SW	WSW	W	WNW	NW	NNW	Total
0-20	0.4	0.4	0.4	0.4	0.2	0.1	0.1	0.0	0.0	0.1	0.1	0.3	0.2	0.0	0.3	0.5	3.4
20-40	3.4	4.1	1.0	0.5	0.3	0.1	0.1	0.0	0.0	0.0	0.0	0.0	0.1	0.3	1.0	0.9	11.6
40-60	10.0	13.1	4.1	0.5	0.1	0.0	0.0	0.0	0.0	0.0	0.0	0.0	0.0	0.0	0.0	2.1	29.8
60-80	9.4	16.5	6.3	0.3	0.0	0.0	0.0	0.0	0.0	0.0	0.0	0.0	0.0	0.0	0.0	0.8	33.3
80-100	3.6	8.3	3.5	0.0	0.0	0.0	0.0	0.0	0.0	0.0	0.0	0.0	0.0	0.0	0.0	0.0	15.4
100-120	0.4	2.9	1.2	0.0	0.0	0.0	0.0	0.0	0.0	0.0	0.0	0.0	0.0	0.0	0.0	0.0	4.4
120-140	0.2	1.2	0.6	0.0	0.0	0.0	0.0	0.0	0.0	0.0	0.0	0.0	0.0	0.0	0.0	0.0	1.9
140-160	0.0	0.2	0.0	0.0	0.0	0.0	0.0	0.0	0.0	0.0	0.0	0.0	0.0	0.0	0.0	0.0	0.2
160-180	0.0	0.0	0.0	0.0	0.0	0.0	0.0	0.0	0.0	0.0	0.0	0.0	0.0	0.0	0.0	0.0	0.0
180-200	0.0	0.0	0.0	0.0	0.0	0.0	0.0	0.0	0.0	0.0	0.0	0.0	0.0	0.0	0.0	0.0	0.0
Total	27.4	46.5	17.0	1.6	0.6	0.2	0.2	0.0	0.0	0.1	0.1	0.3	0.3	0.3	1.2	4.2	100.0

Mean U and V : 20.5 (cm/s), 56.8 (cm/s)

Standard deviation of U and V : 20.6 (cm/s), 22.5 (cm/s)

Maximun speed and it's direction : 147.9 (cm/s), 32.9 (deg.)

Mean speed and direction : 60.4 (cm/s), 19.9 (deg.)

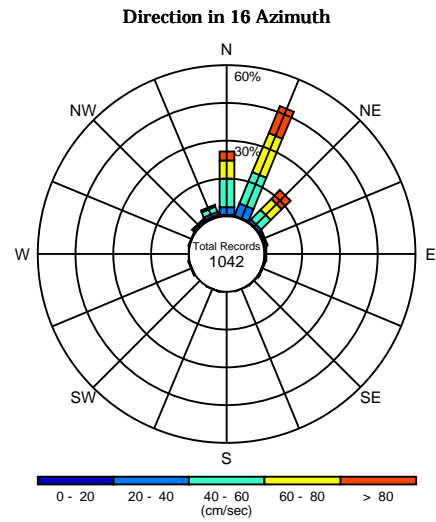
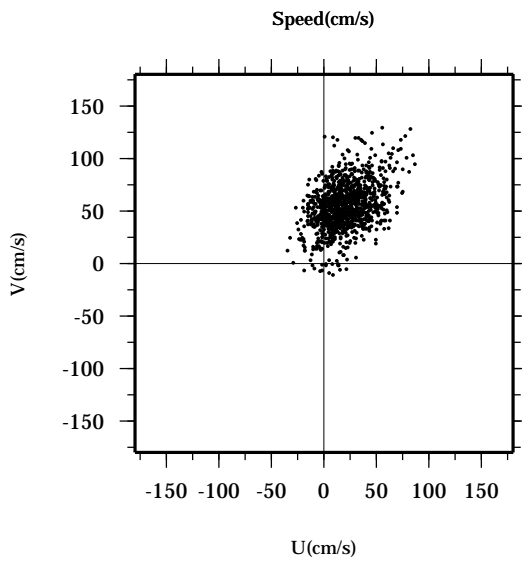
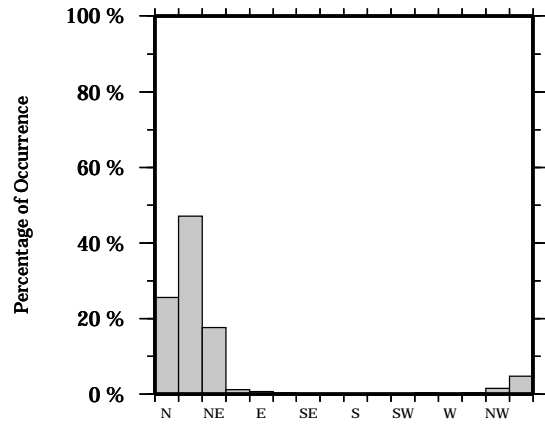
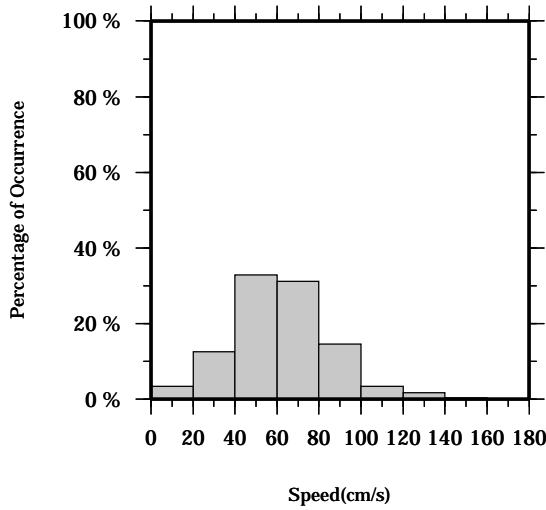
Speed scalar average : 63.4 (cm/s)

LON: 121° 21.83' E

Station: W204

LAT: 22° 40.0133' N

Depth: 114 M



Joint probability distribution of current speed and it's direction

Speed	N	NNE	NE	ENE	E	ESE	SE	SSE	S	SSW	SW	WSW	W	WNW	NW	NNW	Total
0-20	0.4	0.2	0.2	0.2	0.5	0.2	0.2	0.1	0.0	0.2	0.0	0.2	0.1	0.1	0.3	0.6	3.4
20-40	3.2	5.1	1.2	0.3	0.2	0.1	0.0	0.0	0.0	0.0	0.0	0.1	0.1	0.3	0.9	1.2	12.6
40-60	11.0	13.5	5.4	0.4	0.0	0.0	0.0	0.0	0.0	0.0	0.0	0.0	0.0	0.0	0.3	2.3	32.9
60-80	7.4	16.8	6.1	0.3	0.0	0.0	0.0	0.0	0.0	0.0	0.0	0.0	0.0	0.0	0.0	0.6	31.2
80-100	3.1	8.1	3.5	0.0	0.0	0.0	0.0	0.0	0.0	0.0	0.0	0.0	0.0	0.0	0.0	0.0	14.6
100-120	0.4	2.0	1.0	0.0	0.0	0.0	0.0	0.0	0.0	0.0	0.0	0.0	0.0	0.0	0.0	0.0	3.4
120-140	0.2	1.2	0.4	0.0	0.0	0.0	0.0	0.0	0.0	0.0	0.0	0.0	0.0	0.0	0.0	0.0	1.7
140-160	0.0	0.3	0.0	0.0	0.0	0.0	0.0	0.0	0.0	0.0	0.0	0.0	0.0	0.0	0.0	0.0	0.3
160-180	0.0	0.0	0.0	0.0	0.0	0.0	0.0	0.0	0.0	0.0	0.0	0.0	0.0	0.0	0.0	0.0	0.0
180-200	0.0	0.0	0.0	0.0	0.0	0.0	0.0	0.0	0.0	0.0	0.0	0.0	0.0	0.0	0.0	0.0	0.0
Total	25.6	47.1	17.7	1.2	0.7	0.3	0.2	0.1	0.0	0.2	0.0	0.3	0.2	0.4	1.4	4.7	100.0

Mean U and V : 20.3 (cm/s), 55.3 (cm/s)

Standard deviation of U and V : 20.4 (cm/s), 22.1 (cm/s)

Maximun speed and it's direction : 152.0 (cm/s), 32.7 (deg.)

Mean speed and direction : 58.9 (cm/s), 20.1 (deg.)

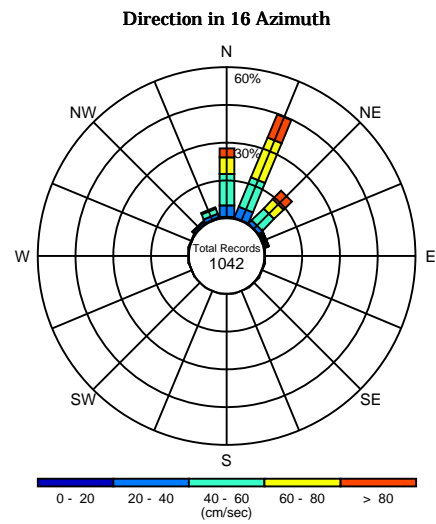
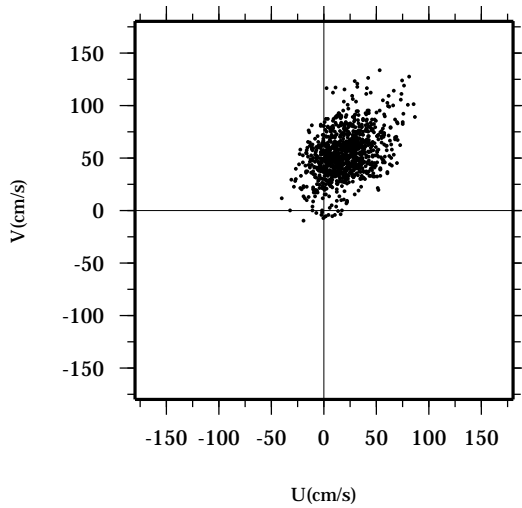
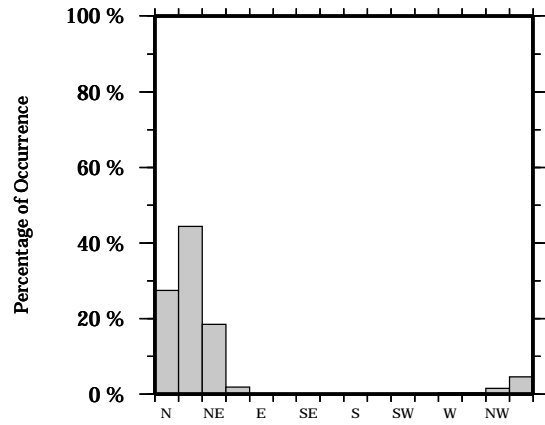
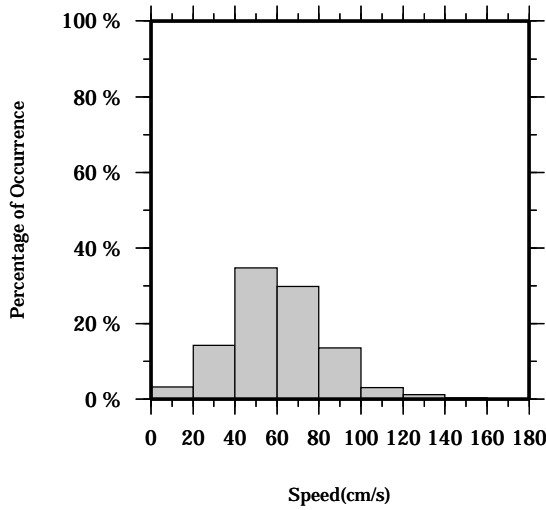
Speed scalar average : 61.9 (cm/s)

LON: 121° 21.83' E

Station: W204

LAT: 22° 40.0133' N

Depth: 118 M



Joint probability distribution of current speed and it's direction

Speed	N	NNE	NE	ENE	E	ESE	SE	SSE	S	SSW	SW	WSW	W	WNW	NW	NNW	Total
0-20	0.4	0.1	0.2	0.4	0.2	0.2	0.2	0.1	0.2	0.1	0.1	0.1	0.2	0.2	0.3	0.3	3.2
20-40	4.6	4.7	1.6	0.6	0.0	0.0	0.0	0.0	0.0	0.0	0.0	0.1	0.1	0.1	0.9	1.5	14.2
40-60	12.4	12.7	6.7	0.4	0.0	0.0	0.0	0.0	0.0	0.0	0.0	0.0	0.0	0.1	0.3	2.1	34.6
60-80	6.5	17.1	5.3	0.4	0.0	0.0	0.0	0.0	0.0	0.0	0.0	0.0	0.0	0.0	0.0	0.6	29.8
80-100	3.1	6.9	3.5	0.1	0.0	0.0	0.0	0.0	0.0	0.0	0.0	0.0	0.0	0.0	0.0	0.0	13.5
100-120	0.5	1.7	0.8	0.0	0.0	0.0	0.0	0.0	0.0	0.0	0.0	0.0	0.0	0.0	0.0	0.0	3.0
120-140	0.0	0.9	0.4	0.0	0.0	0.0	0.0	0.0	0.0	0.0	0.0	0.0	0.0	0.0	0.0	0.0	1.2
140-160	0.0	0.4	0.0	0.0	0.0	0.0	0.0	0.0	0.0	0.0	0.0	0.0	0.0	0.0	0.0	0.0	0.4
160-180	0.0	0.0	0.0	0.0	0.0	0.0	0.0	0.0	0.0	0.0	0.0	0.0	0.0	0.0	0.0	0.0	0.0
180-200	0.0	0.0	0.0	0.0	0.0	0.0	0.0	0.0	0.0	0.0	0.0	0.0	0.0	0.0	0.0	0.0	0.0
Total	27.4	44.4	18.4	1.8	0.2	0.2	0.2	0.1	0.2	0.1	0.1	0.2	0.3	0.4	1.4	4.5	100.0

Mean U and V : 19.9 (cm/s), 54.0 (cm/s)

Standard deviation of U and V : 20.3 (cm/s), 21.7 (cm/s)

Maximun speed and it's direction : 150.8 (cm/s), 32.4 (deg.)

Mean speed and direction : 57.6 (cm/s), 20.3 (deg.)

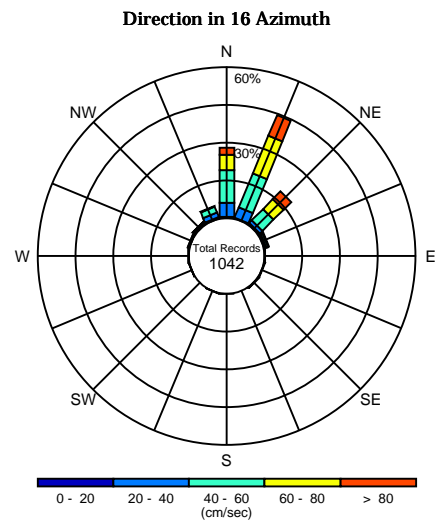
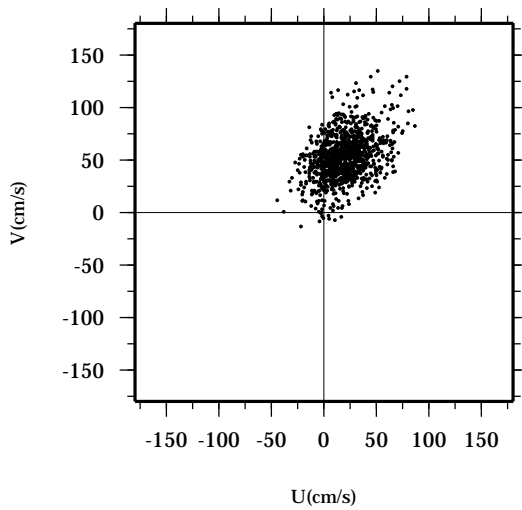
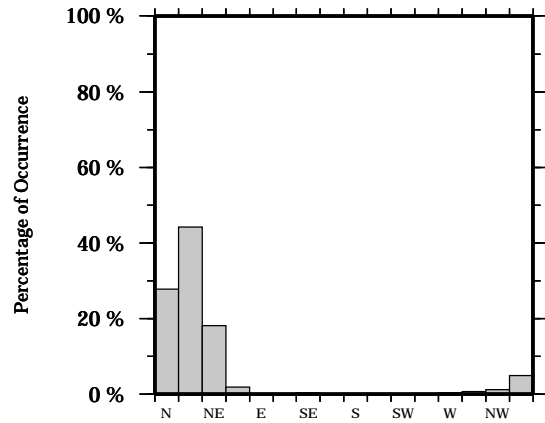
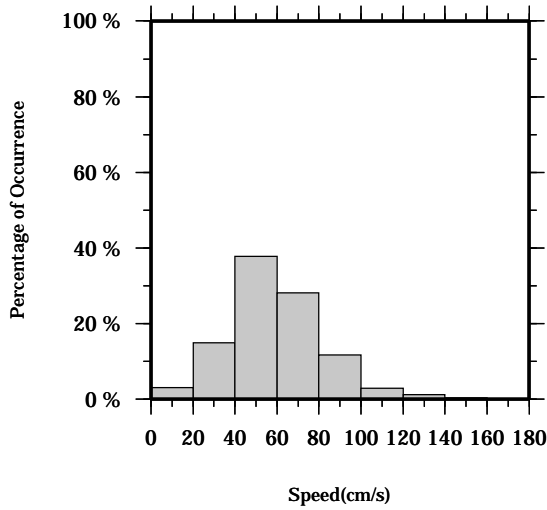
Speed scalar average : 60.5 (cm/s)

LON: 121° 21.83' E

Station: W204

LAT: 22° 40.0133' N

Depth: 122 M



Joint probability distribution of current speed and it's direction

Speed	N	NNE	NE	ENE	E	ESE	SE	SSE	S	SSW	SW	WSW	W	WNW	NW	NNW	Total
0-20	0.3	0.1	0.4	0.4	0.1	0.1	0.3	0.0	0.1	0.2	0.0	0.1	0.2	0.2	0.3	0.4	3.1
20-40	5.7	4.4	1.4	0.3	0.0	0.0	0.0	0.0	0.0	0.0	0.0	0.1	0.1	0.4	0.7	1.9	15.0
40-60	13.1	14.6	6.4	0.9	0.0	0.0	0.0	0.0	0.0	0.0	0.0	0.0	0.0	0.1	0.2	2.6	37.8
60-80	6.0	16.1	5.5	0.4	0.0	0.0	0.0	0.0	0.0	0.0	0.0	0.0	0.0	0.0	0.0	0.1	28.1
80-100	2.3	6.3	3.0	0.0	0.0	0.0	0.0	0.0	0.0	0.0	0.0	0.0	0.0	0.0	0.0	0.0	11.6
100-120	0.4	1.5	1.0	0.0	0.0	0.0	0.0	0.0	0.0	0.0	0.0	0.0	0.0	0.0	0.0	0.0	2.9
120-140	0.0	0.9	0.3	0.0	0.0	0.0	0.0	0.0	0.0	0.0	0.0	0.0	0.0	0.0	0.0	0.0	1.2
140-160	0.0	0.3	0.1	0.0	0.0	0.0	0.0	0.0	0.0	0.0	0.0	0.0	0.0	0.0	0.0	0.0	0.4
160-180	0.0	0.0	0.0	0.0	0.0	0.0	0.0	0.0	0.0	0.0	0.0	0.0	0.0	0.0	0.0	0.0	0.0
180-200	0.0	0.0	0.0	0.0	0.0	0.0	0.0	0.0	0.0	0.0	0.0	0.0	0.0	0.0	0.0	0.0	0.0
Total	27.7	44.2	18.0	1.9	0.1	0.1	0.3	0.0	0.1	0.2	0.0	0.2	0.3	0.7	1.2	5.0	100.0

Mean U and V : 19.5 (cm/s), 52.7 (cm/s)

Standard deviation of U and V : 20.2 (cm/s), 21.5 (cm/s)

Maximun speed and it's direction : 150.8 (cm/s), 31.3 (deg.)

Mean speed and direction : 56.3 (cm/s), 20.3 (deg.)

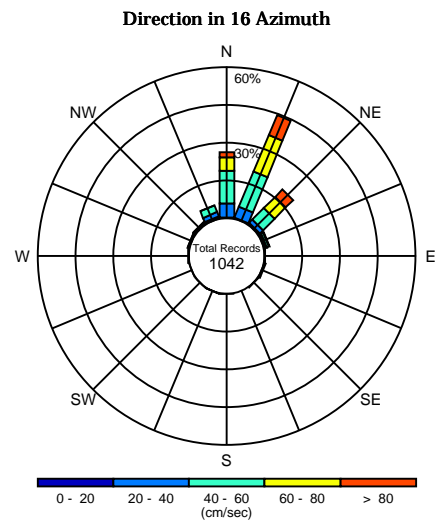
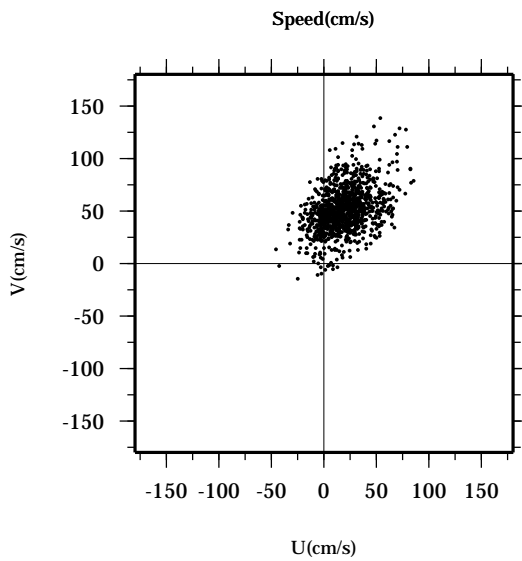
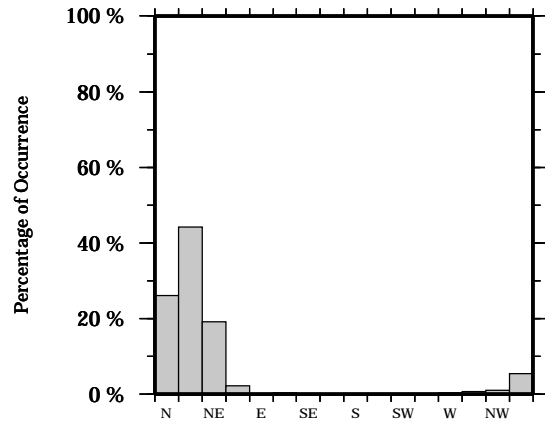
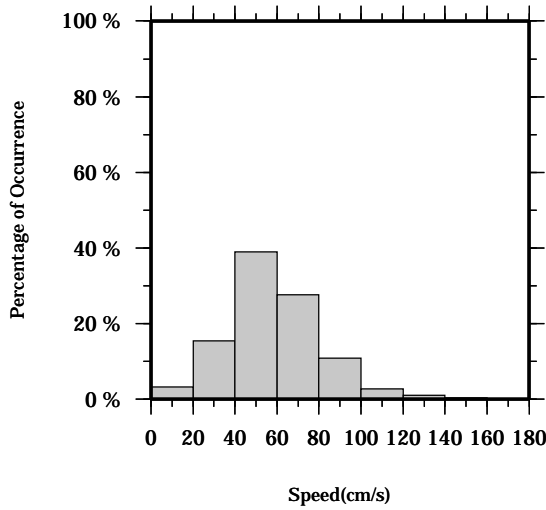
Speed scalar average : 59.3 (cm/s)

LON: 121° 21.83' E

Station: W204

LAT: 22° 40.0133' N

Depth: 126 M



Joint probability distribution of current speed and it's direction

Speed	N	NNE	NE	ENE	E	ESE	SE	SSE	S	SSW	SW	WSW	W	WNW	NW	NNW	Total
0-20	0.2	0.2	0.4	0.3	0.1	0.4	0.1	0.0	0.1	0.2	0.1	0.0	0.2	0.3	0.2	0.6	3.3
20-40	5.6	4.5	1.9	0.6	0.0	0.0	0.0	0.0	0.0	0.0	0.0	0.1	0.0	0.3	0.5	1.9	15.4
40-60	12.9	15.4	6.4	1.0	0.0	0.0	0.0	0.0	0.0	0.0	0.0	0.0	0.1	0.1	0.3	2.8	38.9
60-80	5.3	15.5	6.3	0.4	0.0	0.0	0.0	0.0	0.0	0.0	0.0	0.0	0.0	0.0	0.0	0.1	27.6
80-100	1.8	6.0	3.0	0.0	0.0	0.0	0.0	0.0	0.0	0.0	0.0	0.0	0.0	0.0	0.0	0.0	10.8
100-120	0.4	1.4	0.9	0.0	0.0	0.0	0.0	0.0	0.0	0.0	0.0	0.0	0.0	0.0	0.0	0.0	2.7
120-140	0.0	0.8	0.3	0.0	0.0	0.0	0.0	0.0	0.0	0.0	0.0	0.0	0.0	0.0	0.0	0.0	1.1
140-160	0.0	0.3	0.0	0.0	0.0	0.0	0.0	0.0	0.0	0.0	0.0	0.0	0.0	0.0	0.0	0.0	0.3
160-180	0.0	0.0	0.0	0.0	0.0	0.0	0.0	0.0	0.0	0.0	0.0	0.0	0.0	0.0	0.0	0.0	0.0
180-200	0.0	0.0	0.0	0.0	0.0	0.0	0.0	0.0	0.0	0.0	0.0	0.0	0.0	0.0	0.0	0.0	0.0
Total	26.1	44.1	19.2	2.2	0.1	0.4	0.1	0.0	0.1	0.2	0.1	0.1	0.3	0.7	1.0	5.4	100.0

Mean U and V : 19.2 (cm/s), 51.4 (cm/s)

Standard deviation of U and V : 20.2 (cm/s), 21.2 (cm/s)

Maximun speed and it's direction : 148.8 (cm/s), 31.5 (deg.)

Mean speed and direction : 54.9 (cm/s), 20.5 (deg.)

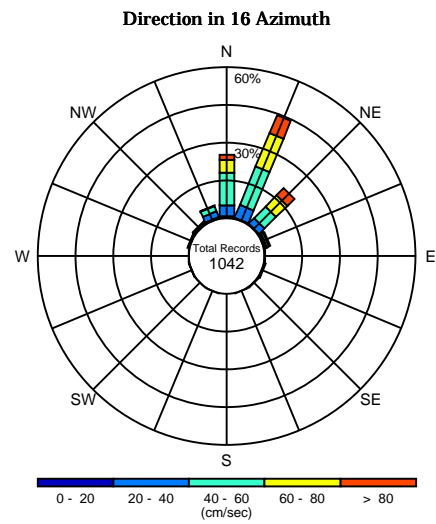
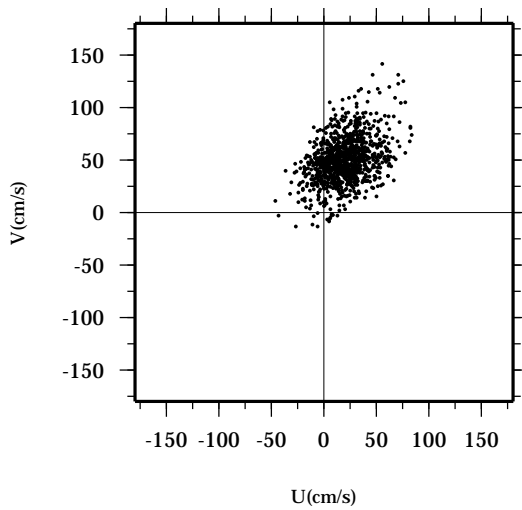
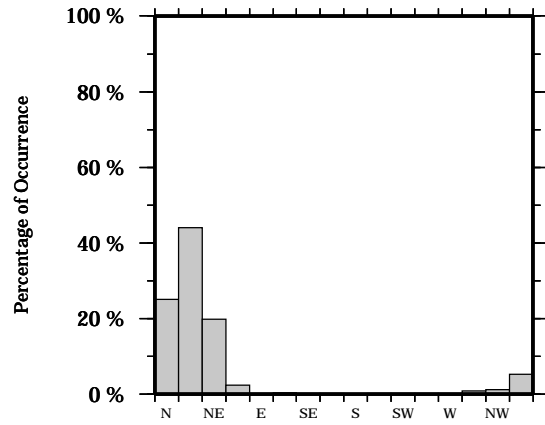
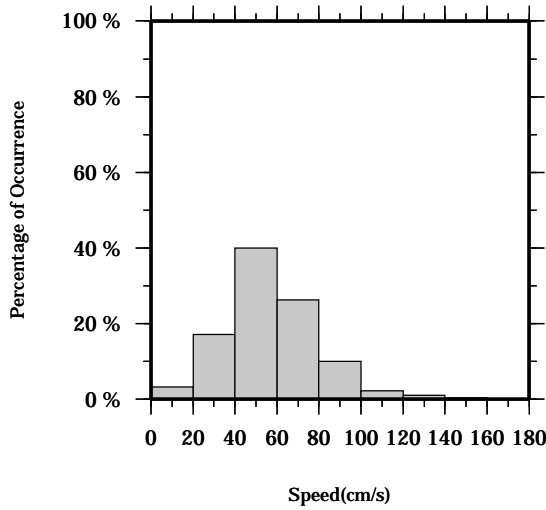
Speed scalar average : 58.1 (cm/s)

LON: 121° 21.83' E

Station: W204

LAT: 22° 40.0133' N

Depth: 130 M



Joint probability distribution of current speed and it's direction

Speed	N	NNE	NE	ENE	E	ESE	SE	SSE	S	SSW	SW	WSW	W	WNW	NW	NNW	Total	
0-20	0.6	0.2	0.1	0.2	0.1	0.4	0.2	0.2	0.0	0.1	0.1	0.1	0.1	0.3	0.1	0.5	3.2	
20-40	4.4	5.4	3.1	0.7	0.1	0.0	0.0	0.0	0.0	0.0	0.0	0.1	0.0	0.4	0.7	2.3	17.1	
40-60	13.1	16.5	6.5	1.0	0.0	0.0	0.0	0.0	0.0	0.0	0.0	0.0	0.0	0.1	0.1	0.4	2.4	40.0
60-80	5.0	14.5	6.1	0.5	0.0	0.0	0.0	0.0	0.0	0.0	0.0	0.0	0.0	0.0	0.0	0.0	0.1	26.2
80-100	1.9	5.1	3.0	0.0	0.0	0.0	0.0	0.0	0.0	0.0	0.0	0.0	0.0	0.0	0.0	0.0	0.0	10.0
100-120	0.2	1.2	0.8	0.0	0.0	0.0	0.0	0.0	0.0	0.0	0.0	0.0	0.0	0.0	0.0	0.0	0.0	2.2
120-140	0.0	0.8	0.2	0.0	0.0	0.0	0.0	0.0	0.0	0.0	0.0	0.0	0.0	0.0	0.0	0.0	0.0	1.0
140-160	0.0	0.4	0.0	0.0	0.0	0.0	0.0	0.0	0.0	0.0	0.0	0.0	0.0	0.0	0.0	0.0	0.0	0.4
160-180	0.0	0.0	0.0	0.0	0.0	0.0	0.0	0.0	0.0	0.0	0.0	0.0	0.0	0.0	0.0	0.0	0.0	0.0
180-200	0.0	0.0	0.0	0.0	0.0	0.0	0.0	0.0	0.0	0.0	0.0	0.0	0.0	0.0	0.0	0.0	0.0	0.0
Total	25.1	44.0	19.8	2.3	0.2	0.4	0.2	0.2	0.0	0.1	0.1	0.2	0.2	0.8	1.2	5.3	100.0	

Mean U and V : 18.9 (cm/s), 50.1 (cm/s)

Standard deviation of U and V : 20.1 (cm/s), 21.1 (cm/s)

Maximun speed and it's direction : 151.6 (cm/s), 21.3 (deg.)

Mean speed and direction : 53.6 (cm/s), 20.6 (deg.)

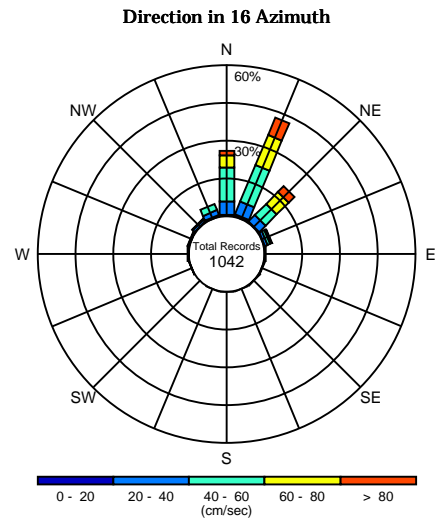
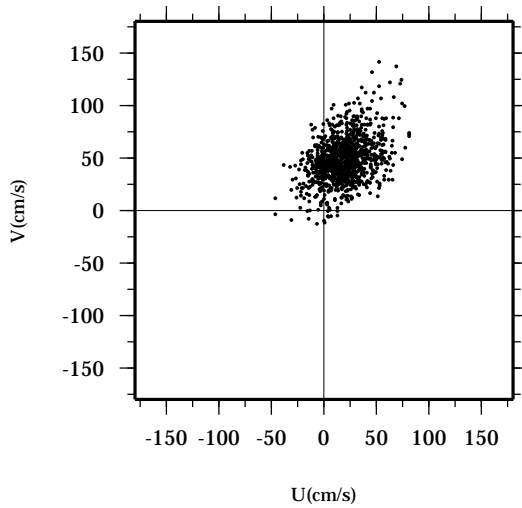
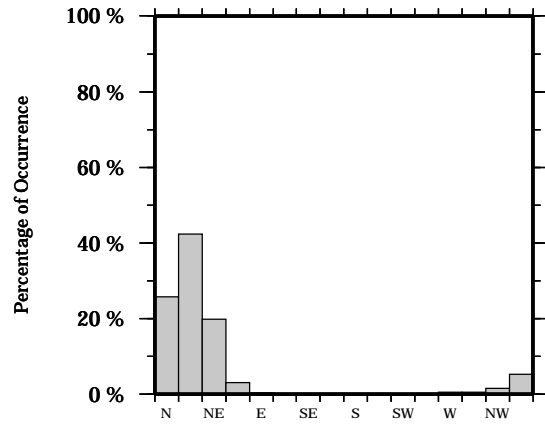
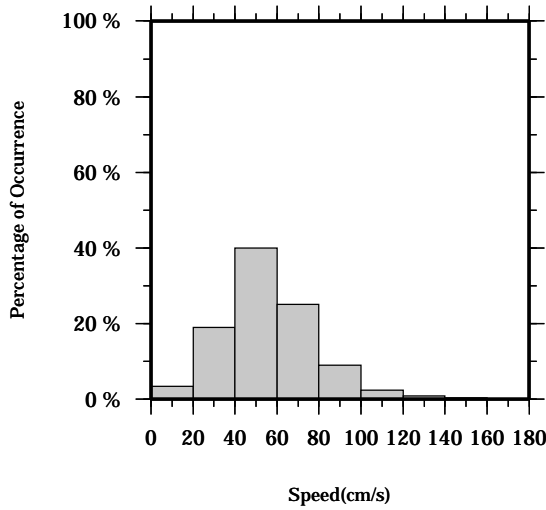
Speed scalar average : 56.9 (cm/s)

LON: 121° 21.83' E

Station: W204

LAT: 22° 40.0133' N

Depth: 134 M



Joint probability distribution of current speed and it's direction

Speed	N	NNE	NE	ENE	E	ESE	SE	SSE	S	SSW	SW	WSW	W	WNW	NW	NNW	Total
0-20	0.3	0.6	0.2	0.2	0.3	0.2	0.1	0.2	0.2	0.1	0.0	0.1	0.3	0.1	0.2	0.5	3.5
20-40	5.5	5.6	3.5	1.0	0.0	0.0	0.0	0.0	0.0	0.0	0.0	0.1	0.1	0.4	1.0	2.0	19.0
40-60	13.5	15.7	6.3	1.2	0.0	0.0	0.0	0.0	0.0	0.0	0.0	0.0	0.1	0.1	0.4	2.7	40.0
60-80	4.8	13.0	6.6	0.7	0.0	0.0	0.0	0.0	0.0	0.0	0.0	0.0	0.0	0.0	0.0	0.0	25.0
80-100	1.6	4.9	2.3	0.1	0.0	0.0	0.0	0.0	0.0	0.0	0.0	0.0	0.0	0.0	0.0	0.0	8.9
100-120	0.1	1.6	0.7	0.0	0.0	0.0	0.0	0.0	0.0	0.0	0.0	0.0	0.0	0.0	0.0	0.0	2.4
120-140	0.0	0.6	0.2	0.0	0.0	0.0	0.0	0.0	0.0	0.0	0.0	0.0	0.0	0.0	0.0	0.0	0.8
140-160	0.0	0.4	0.0	0.0	0.0	0.0	0.0	0.0	0.0	0.0	0.0	0.0	0.0	0.0	0.0	0.0	0.4
160-180	0.0	0.0	0.0	0.0	0.0	0.0	0.0	0.0	0.0	0.0	0.0	0.0	0.0	0.0	0.0	0.0	0.0
180-200	0.0	0.0	0.0	0.0	0.0	0.0	0.0	0.0	0.0	0.0	0.0	0.0	0.0	0.0	0.0	0.0	0.0
Total	25.8	42.3	19.8	3.1	0.3	0.2	0.1	0.2	0.2	0.1	0.0	0.2	0.5	0.6	1.5	5.2	100.0

Mean U and V : 18.4 (cm/s), 48.9 (cm/s)

Standard deviation of U and V : 20.0 (cm/s), 21.0 (cm/s)

Maximun speed and it's direction : 153.3 (cm/s), 26.7 (deg.)

Mean speed and direction : 52.2 (cm/s), 20.6 (deg.)

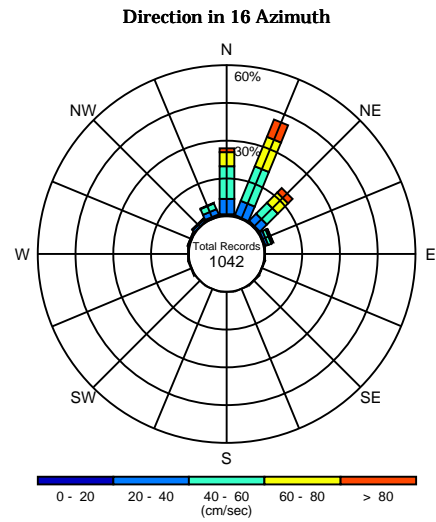
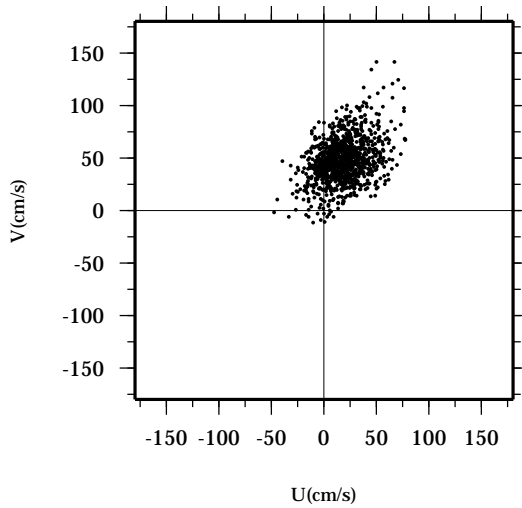
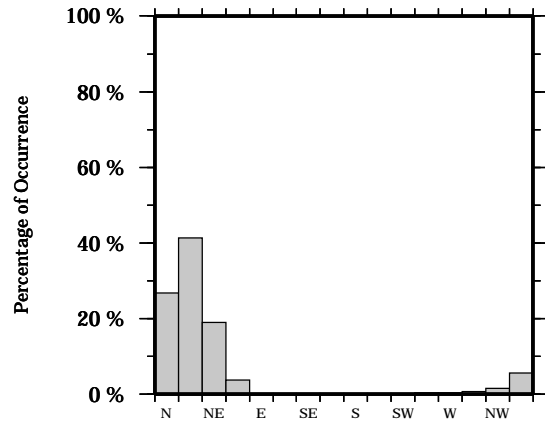
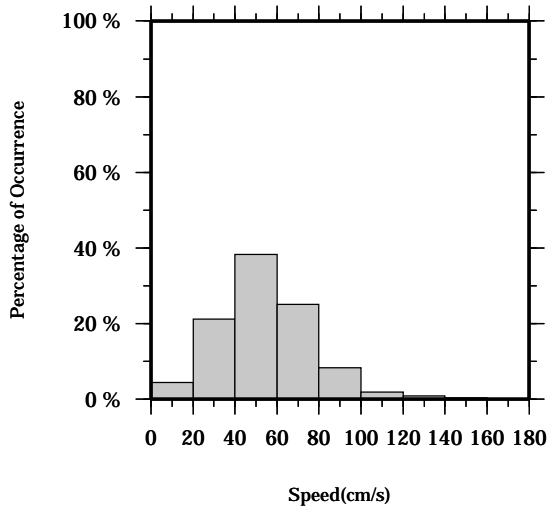
Speed scalar average : 55.6 (cm/s)

LON: 121° 21.83' E

Station: W204

LAT: 22° 40.0133' N

Depth: 138 M



Joint probability distribution of current speed and it's direction

Speed	N	NNE	NE	ENE	E	ESE	SE	SSE	S	SSW	SW	WSW	W	WNW	NW	NNW	Total
0-20	0.7	0.3	0.6	0.4	0.2	0.1	0.2	0.1	0.2	0.1	0.1	0.3	0.1	0.3	0.2	0.6	4.3
20-40	6.1	6.2	3.8	1.2	0.0	0.0	0.0	0.0	0.0	0.0	0.0	0.0	0.2	0.3	1.0	2.3	21.1
40-60	13.0	14.8	6.0	1.3	0.0	0.0	0.0	0.0	0.0	0.0	0.0	0.0	0.1	0.1	0.3	2.6	38.2
60-80	5.6	12.8	5.9	0.7	0.0	0.0	0.0	0.0	0.0	0.0	0.0	0.0	0.0	0.0	0.1	0.1	25.0
80-100	1.3	5.0	1.8	0.1	0.0	0.0	0.0	0.0	0.0	0.0	0.0	0.0	0.0	0.0	0.0	0.0	8.3
100-120	0.0	1.3	0.6	0.0	0.0	0.0	0.0	0.0	0.0	0.0	0.0	0.0	0.0	0.0	0.0	0.0	1.9
120-140	0.0	0.6	0.2	0.0	0.0	0.0	0.0	0.0	0.0	0.0	0.0	0.0	0.0	0.0	0.0	0.0	0.8
140-160	0.0	0.4	0.0	0.0	0.0	0.0	0.0	0.0	0.0	0.0	0.0	0.0	0.0	0.0	0.0	0.0	0.4
160-180	0.0	0.0	0.0	0.0	0.0	0.0	0.0	0.0	0.0	0.0	0.0	0.0	0.0	0.0	0.0	0.0	0.0
180-200	0.0	0.0	0.0	0.0	0.0	0.0	0.0	0.0	0.0	0.0	0.0	0.0	0.0	0.0	0.0	0.0	0.0
Total	26.7	41.4	18.9	3.6	0.2	0.1	0.2	0.1	0.2	0.1	0.1	0.3	0.4	0.7	1.5	5.6	100.0

Mean U and V : 17.7 (cm/s), 47.7 (cm/s)

Standard deviation of U and V : 19.8 (cm/s), 21.1 (cm/s)

Maximun speed and it's direction : 156.2 (cm/s), 25.5 (deg.)

Mean speed and direction : 50.9 (cm/s), 20.4 (deg.)

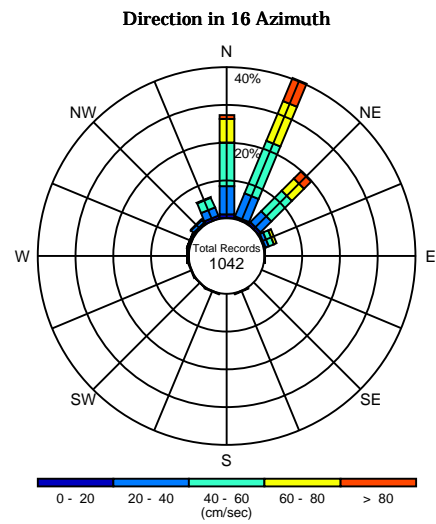
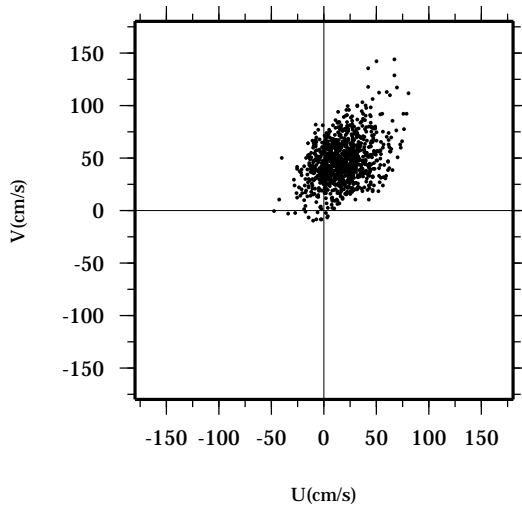
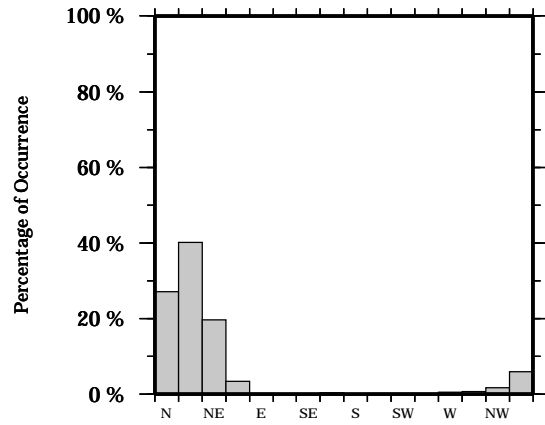
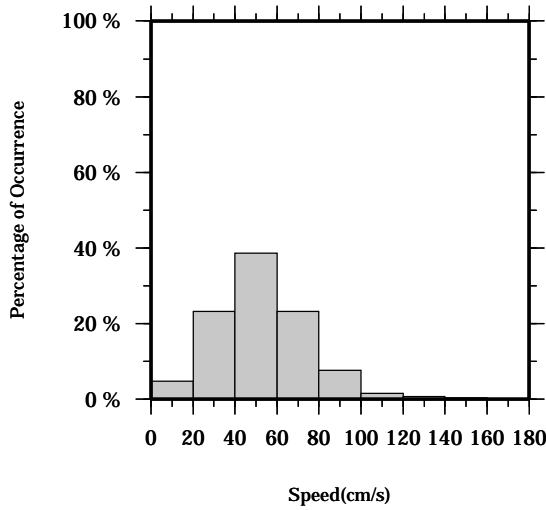
Speed scalar average : 54.3 (cm/s)

LON: 121° 21.83' E

Station: W204

LAT: 22° 40.0133' N

Depth: 142 M



Joint probability distribution of current speed and it's direction

Speed	N	NNE	NE	ENE	E	ESE	SE	SSE	S	SSW	SW	WSW	W	WNW	NW	NNW	Total
0-20	0.9	0.4	0.7	0.3	0.1	0.0	0.0	0.3	0.0	0.2	0.2	0.2	0.2	0.2	0.5	0.7	4.7
20-40	7.5	6.7	4.1	1.0	0.0	0.0	0.0	0.0	0.0	0.0	0.0	0.0	0.2	0.4	1.0	2.3	23.1
40-60	11.6	15.0	7.6	1.3	0.0	0.0	0.0	0.0	0.0	0.0	0.0	0.0	0.1	0.1	0.1	2.9	38.7
60-80	6.1	11.4	4.6	0.9	0.0	0.0	0.0	0.0	0.0	0.0	0.0	0.0	0.0	0.0	0.1	0.1	23.2
80-100	1.1	4.6	2.0	0.0	0.0	0.0	0.0	0.0	0.0	0.0	0.0	0.0	0.0	0.0	0.0	0.0	7.7
100-120	0.0	1.2	0.4	0.0	0.0	0.0	0.0	0.0	0.0	0.0	0.0	0.0	0.0	0.0	0.0	0.0	1.5
120-140	0.0	0.5	0.2	0.0	0.0	0.0	0.0	0.0	0.0	0.0	0.0	0.0	0.0	0.0	0.0	0.0	0.7
140-160	0.0	0.4	0.0	0.0	0.0	0.0	0.0	0.0	0.0	0.0	0.0	0.0	0.0	0.0	0.0	0.0	0.4
160-180	0.0	0.0	0.0	0.0	0.0	0.0	0.0	0.0	0.0	0.0	0.0	0.0	0.0	0.0	0.0	0.0	0.0
180-200	0.0	0.0	0.0	0.0	0.0	0.0	0.0	0.0	0.0	0.0	0.0	0.0	0.0	0.0	0.0	0.0	0.0
Total	27.2	40.1	19.6	3.5	0.1	0.0	0.0	0.3	0.0	0.2	0.2	0.2	0.5	0.7	1.6	6.0	100.0

Mean U and V : 17.1 (cm/s), 46.6 (cm/s)

Standard deviation of U and V : 19.5 (cm/s), 21.0 (cm/s)

Maximun speed and it's direction : 158.4 (cm/s), 25.0 (deg.)

Mean speed and direction : 49.7 (cm/s), 20.1 (deg.)

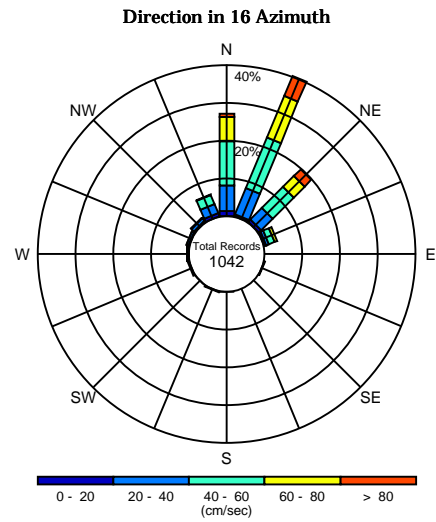
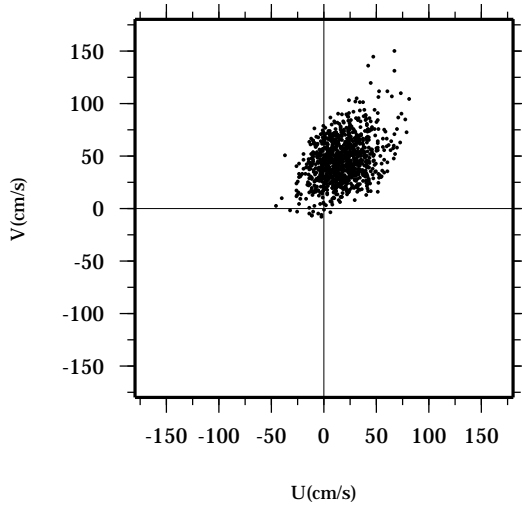
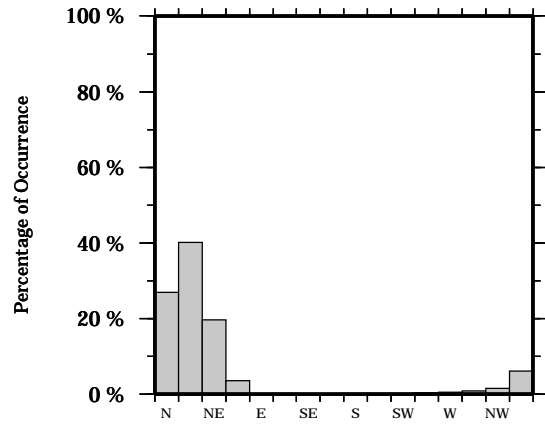
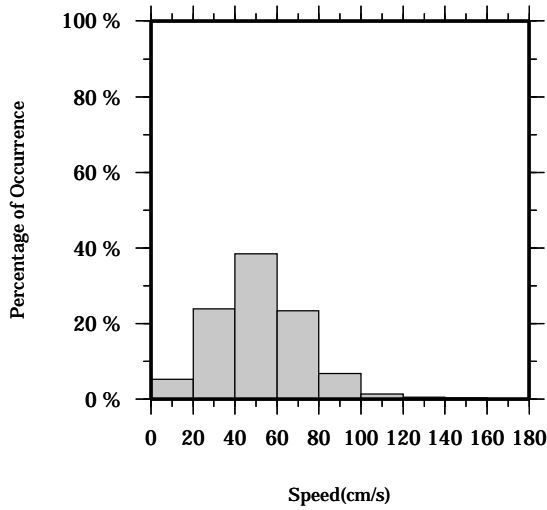
Speed scalar average : 53.1 (cm/s)

LON: 121° 21.83' E

Station: W204

LAT: 22° 40.0133' N

Depth: 146 M



Joint probability distribution of current speed and it's direction

Speed	N	NNE	NE	ENE	E	ESE	SE	SSE	S	SSW	SW	WSW	W	WNW	NW	NNW	Total
0-20	1.2	0.4	0.9	0.4	0.0	0.1	0.0	0.0	0.1	0.2	0.1	0.4	0.1	0.2	0.4	0.9	5.3
20-40	6.8	7.6	4.3	0.9	0.0	0.0	0.0	0.0	0.0	0.0	0.0	0.0	0.3	0.6	0.9	2.6	23.9
40-60	11.7	14.5	7.8	1.6	0.0	0.0	0.0	0.0	0.0	0.0	0.0	0.0	0.1	0.1	0.1	2.5	38.4
60-80	6.4	11.9	4.1	0.7	0.0	0.0	0.0	0.0	0.0	0.0	0.0	0.0	0.0	0.0	0.1	0.2	23.4
80-100	0.8	4.0	1.9	0.0	0.0	0.0	0.0	0.0	0.0	0.0	0.0	0.0	0.0	0.0	0.0	0.0	6.7
100-120	0.0	0.9	0.5	0.0	0.0	0.0	0.0	0.0	0.0	0.0	0.0	0.0	0.0	0.0	0.0	0.0	1.3
120-140	0.0	0.5	0.1	0.0	0.0	0.0	0.0	0.0	0.0	0.0	0.0	0.0	0.0	0.0	0.0	0.0	0.6
140-160	0.0	0.3	0.0	0.0	0.0	0.0	0.0	0.0	0.0	0.0	0.0	0.0	0.0	0.0	0.0	0.0	0.3
160-180	0.0	0.1	0.0	0.0	0.0	0.0	0.0	0.0	0.0	0.0	0.0	0.0	0.0	0.0	0.0	0.0	0.1
180-200	0.0	0.0	0.0	0.0	0.0	0.0	0.0	0.0	0.0	0.0	0.0	0.0	0.0	0.0	0.0	0.0	0.0
Total	27.0	40.1	19.6	3.6	0.0	0.1	0.0	0.0	0.1	0.2	0.1	0.4	0.5	0.9	1.4	6.1	100.0

Mean U and V : 16.5 (cm/s), 45.7 (cm/s)

Standard deviation of U and V : 19.3 (cm/s), 20.9 (cm/s)

Maximun speed and it's direction : 163.7 (cm/s), 24.0 (deg.)

Mean speed and direction : 48.6 (cm/s), 19.9 (deg.)

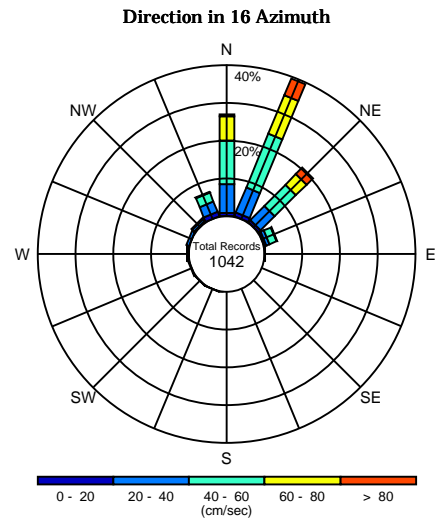
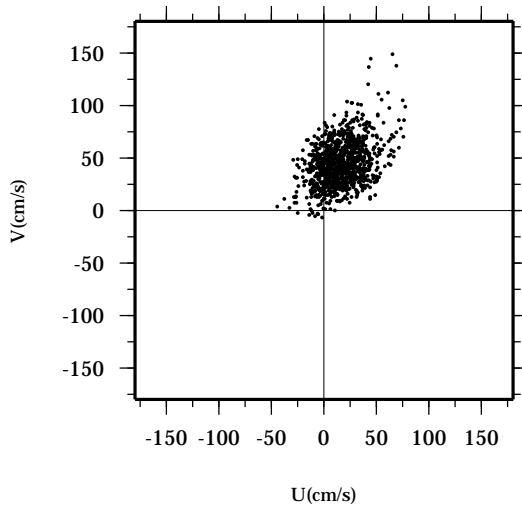
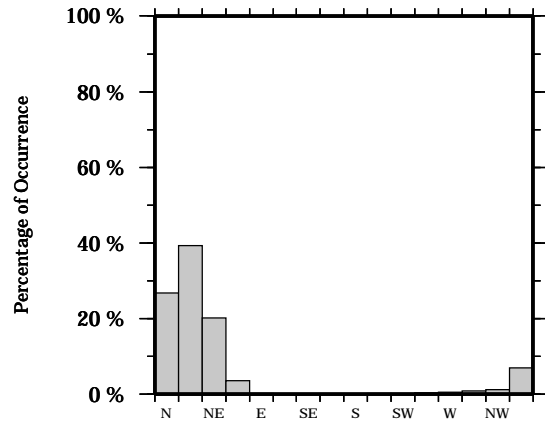
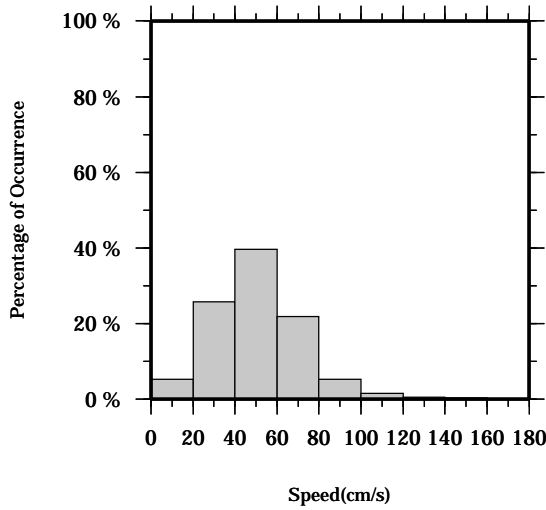
Speed scalar average : 52.0 (cm/s)

LON: 121° 21.83' E

Station: W204

LAT: 22° 40.0133' N

Depth: 150 M



Joint probability distribution of current speed and it's direction

Speed	N	NNE	NE	ENE	E	ESE	SE	SSE	S	SSW	SW	WSW	W	WNW	NW	NNW	Total
0-20	0.8	1.0	0.7	0.4	0.1	0.0	0.0	0.0	0.0	0.1	0.2	0.3	0.2	0.1	0.3	1.2	5.2
20-40	7.6	7.3	5.3	1.1	0.0	0.0	0.0	0.0	0.0	0.0	0.0	0.0	0.2	0.8	0.7	3.0	25.8
40-60	11.6	15.3	7.9	1.9	0.0	0.0	0.0	0.0	0.0	0.0	0.0	0.0	0.1	0.0	0.3	2.5	39.5
60-80	6.4	11.0	3.9	0.2	0.0	0.0	0.0	0.0	0.0	0.0	0.0	0.0	0.0	0.0	0.0	0.3	21.9
80-100	0.4	3.3	1.6	0.0	0.0	0.0	0.0	0.0	0.0	0.0	0.0	0.0	0.0	0.0	0.0	0.0	5.3
100-120	0.0	0.9	0.6	0.0	0.0	0.0	0.0	0.0	0.0	0.0	0.0	0.0	0.0	0.0	0.0	0.0	1.4
120-140	0.0	0.3	0.2	0.0	0.0	0.0	0.0	0.0	0.0	0.0	0.0	0.0	0.0	0.0	0.0	0.0	0.5
140-160	0.0	0.3	0.0	0.0	0.0	0.0	0.0	0.0	0.0	0.0	0.0	0.0	0.0	0.0	0.0	0.0	0.3
160-180	0.0	0.1	0.0	0.0	0.0	0.0	0.0	0.0	0.0	0.0	0.0	0.0	0.0	0.0	0.0	0.0	0.1
180-200	0.0	0.0	0.0	0.0	0.0	0.0	0.0	0.0	0.0	0.0	0.0	0.0	0.0	0.0	0.0	0.0	0.0
Total	26.8	39.3	20.2	3.6	0.1	0.0	0.0	0.0	0.0	0.1	0.2	0.3	0.5	0.9	1.2	6.9	100.0

Mean U and V : 16.0 (cm/s), 44.8 (cm/s)

Standard deviation of U and V : 19.0 (cm/s), 20.7 (cm/s)

Maximun speed and it's direction : 162.4 (cm/s), 23.7 (deg.)

Mean speed and direction : 47.6 (cm/s), 19.7 (deg.)

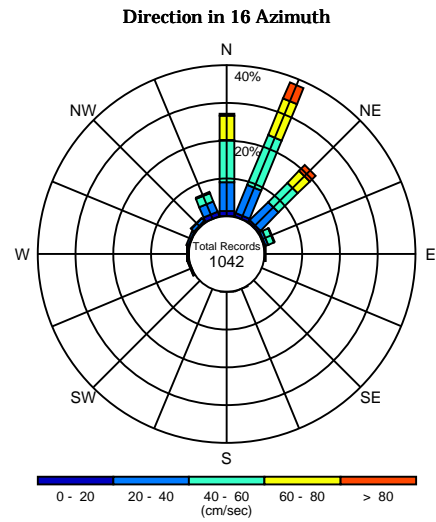
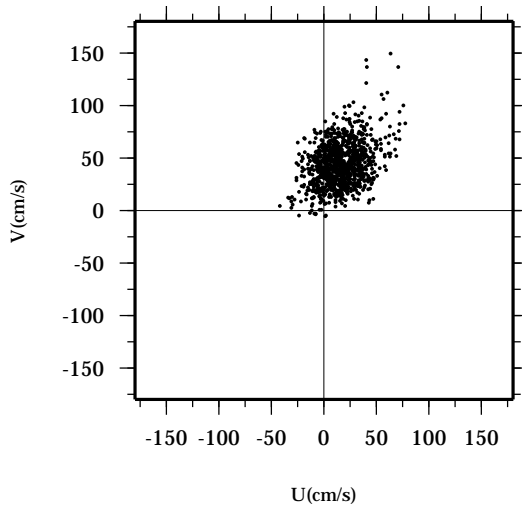
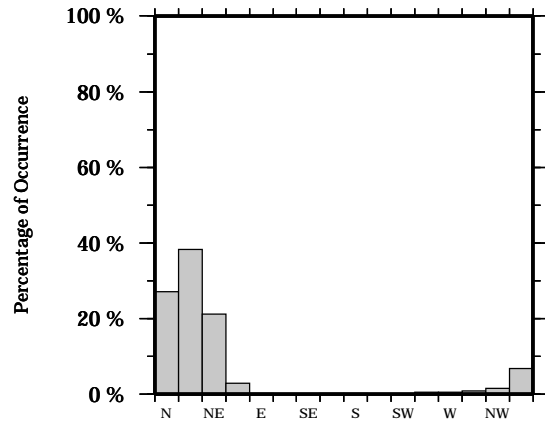
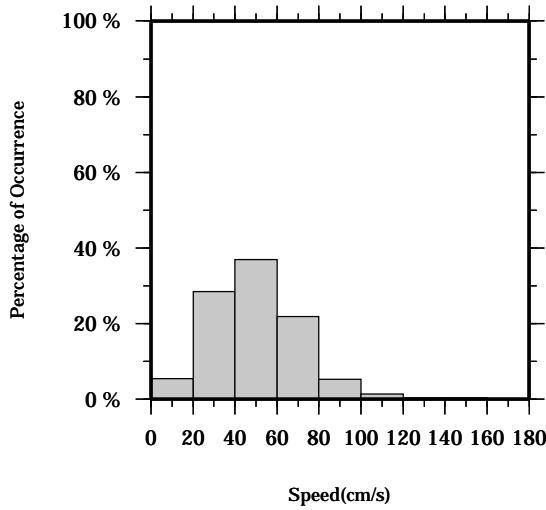
Speed scalar average : 50.9 (cm/s)

LON: 121° 21.83' E

Station: W204

LAT: 22° 40.0133' N

Depth: 154 M



Joint probability distribution of current speed and it's direction

Speed	N	NNE	NE	ENE	E	ESE	SE	SSE	S	SSW	SW	WSW	W	WNW	NW	NNW	Total
0-20	1.2	0.8	0.6	0.3	0.0	0.0	0.0	0.1	0.1	0.0	0.0	0.4	0.3	0.2	0.4	1.2	5.5
20-40	7.7	8.2	6.8	0.8	0.1	0.0	0.0	0.0	0.0	0.0	0.0	0.1	0.2	0.7	1.0	3.1	28.5
40-60	11.2	14.3	7.2	1.6	0.1	0.0	0.0	0.0	0.0	0.0	0.0	0.0	0.1	0.0	0.1	2.2	36.9
60-80	6.4	10.5	4.4	0.2	0.0	0.0	0.0	0.0	0.0	0.0	0.0	0.0	0.0	0.0	0.0	0.4	21.9
80-100	0.4	3.2	1.6	0.0	0.0	0.0	0.0	0.0	0.0	0.0	0.0	0.0	0.0	0.0	0.0	0.0	5.2
100-120	0.1	0.8	0.5	0.0	0.0	0.0	0.0	0.0	0.0	0.0	0.0	0.0	0.0	0.0	0.0	0.0	1.3
120-140	0.0	0.3	0.1	0.0	0.0	0.0	0.0	0.0	0.0	0.0	0.0	0.0	0.0	0.0	0.0	0.0	0.4
140-160	0.0	0.3	0.0	0.0	0.0	0.0	0.0	0.0	0.0	0.0	0.0	0.0	0.0	0.0	0.0	0.0	0.3
160-180	0.0	0.1	0.0	0.0	0.0	0.0	0.0	0.0	0.0	0.0	0.0	0.0	0.0	0.0	0.0	0.0	0.1
180-200	0.0	0.0	0.0	0.0	0.0	0.0	0.0	0.0	0.0	0.0	0.0	0.0	0.0	0.0	0.0	0.0	0.0
Total	27.1	38.3	21.2	2.9	0.2	0.0	0.0	0.1	0.1	0.0	0.0	0.5	0.6	0.9	1.4	6.8	100.0

Mean U and V : 15.6 (cm/s), 44.0 (cm/s)

Standard deviation of U and V : 18.6 (cm/s), 20.7 (cm/s)

Maximun speed and it's direction : 161.9 (cm/s), 22.9 (deg.)

Mean speed and direction : 46.6 (cm/s), 19.5 (deg.)

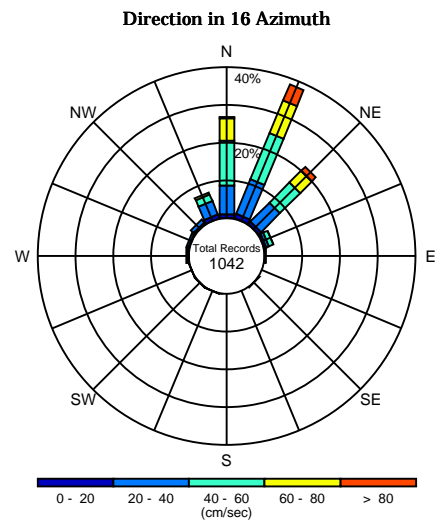
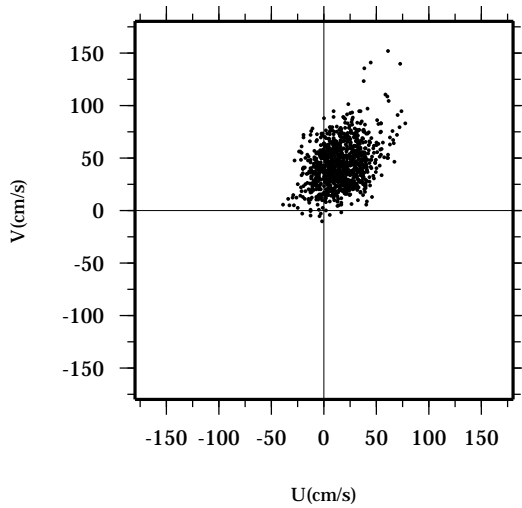
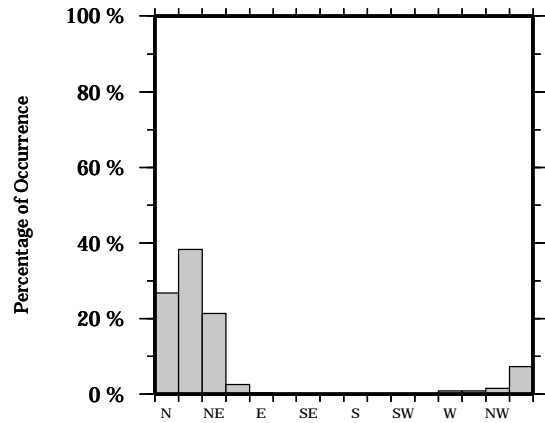
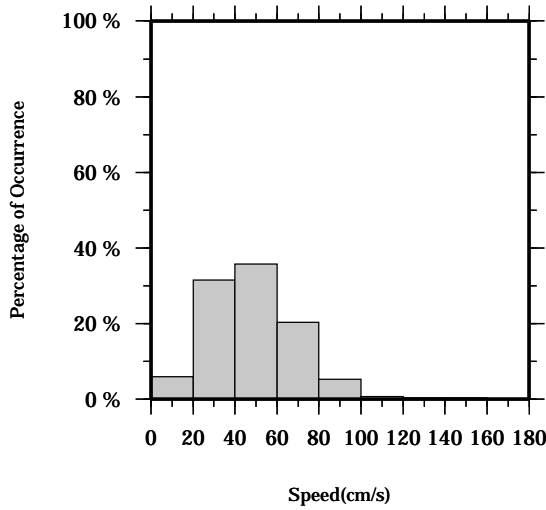
Speed scalar average : 50.0 (cm/s)

LON: 121° 21.83' E

Station: W204

LAT: 22° 40.0133' N

Depth: 158 M



Joint probability distribution of current speed and it's direction

Speed	N	NNE	NE	ENE	E	ESE	SE	SSE	S	SSW	SW	WSW	W	WNW	NW	NNW	Total
0-20	1.0	1.2	0.8	0.5	0.2	0.0	0.1	0.0	0.0	0.1	0.2	0.1	0.3	0.2	0.5	1.0	6.0
20-40	7.6	9.9	7.1	0.8	0.0	0.0	0.0	0.0	0.0	0.0	0.0	0.0	0.5	0.7	1.1	3.9	31.5
40-60	11.9	13.2	7.5	1.2	0.1	0.0	0.0	0.0	0.0	0.0	0.0	0.0	0.0	0.0	0.0	1.8	35.7
60-80	5.9	9.4	4.3	0.1	0.0	0.0	0.0	0.0	0.0	0.0	0.0	0.0	0.0	0.0	0.0	0.6	20.2
80-100	0.4	3.6	1.2	0.0	0.0	0.0	0.0	0.0	0.0	0.0	0.0	0.0	0.0	0.0	0.0	0.0	5.2
100-120	0.0	0.3	0.4	0.0	0.0	0.0	0.0	0.0	0.0	0.0	0.0	0.0	0.0	0.0	0.0	0.0	0.7
120-140	0.0	0.4	0.0	0.0	0.0	0.0	0.0	0.0	0.0	0.0	0.0	0.0	0.0	0.0	0.0	0.0	0.4
140-160	0.0	0.3	0.0	0.0	0.0	0.0	0.0	0.0	0.0	0.0	0.0	0.0	0.0	0.0	0.0	0.0	0.3
160-180	0.0	0.1	0.0	0.0	0.0	0.0	0.0	0.0	0.0	0.0	0.0	0.0	0.0	0.0	0.0	0.0	0.1
180-200	0.0	0.0	0.0	0.0	0.0	0.0	0.0	0.0	0.0	0.0	0.0	0.0	0.0	0.0	0.0	0.0	0.0
Total	26.7	38.3	21.3	2.5	0.3	0.0	0.1	0.0	0.0	0.1	0.2	0.1	0.8	0.9	1.5	7.3	100.0

Mean U and V : 15.1 (cm/s), 43.1 (cm/s)

Standard deviation of U and V : 18.0 (cm/s), 20.6 (cm/s)

Maximun speed and it's direction : 163.2 (cm/s), 21.9 (deg.)

Mean speed and direction : 45.7 (cm/s), 19.2 (deg.)

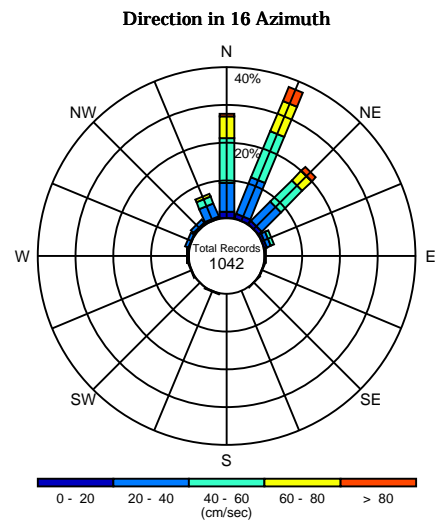
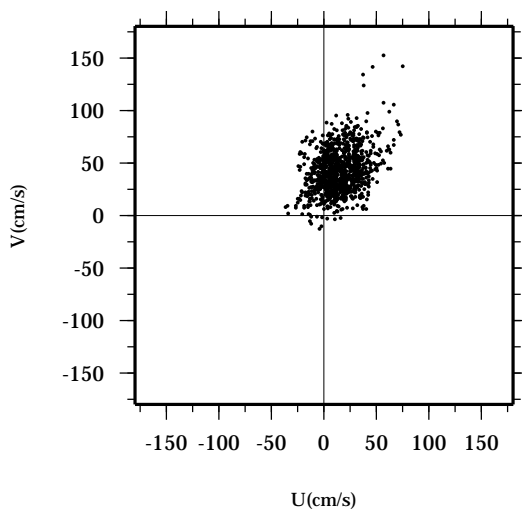
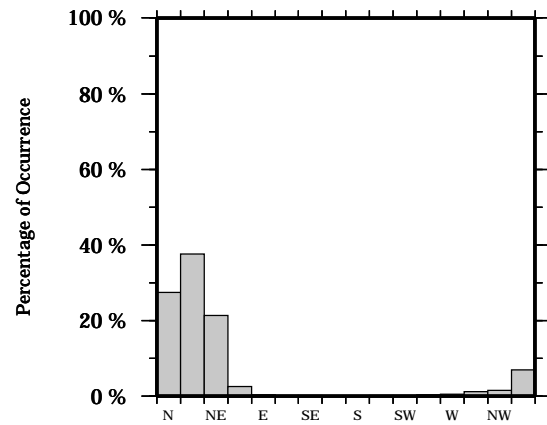
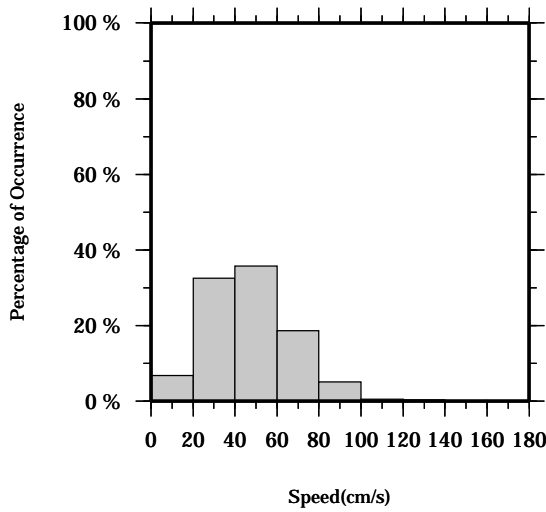
Speed scalar average : 48.9 (cm/s)

LON: 121° 21.83' E

Station: W204

LAT: 22° 40.0133' N

Depth: 162 M



Joint probability distribution of current speed and it's direction

Speed	N	NNE	NE	ENE	E	ESE	SE	SSE	S	SSW	SW	WSW	W	WNW	NW	NNW	Total
0-20	1.6	1.2	1.1	0.6	0.1	0.1	0.1	0.0	0.0	0.2	0.1	0.3	0.3	0.2	0.5	0.4	6.7
20-40	7.7	10.4	7.1	1.2	0.1	0.0	0.0	0.0	0.0	0.0	0.0	0.0	0.2	1.0	1.1	3.8	32.5
40-60	11.7	13.2	8.1	0.8	0.1	0.0	0.0	0.0	0.0	0.0	0.0	0.0	0.0	0.0	0.0	1.9	35.8
60-80	5.8	8.6	3.5	0.0	0.0	0.0	0.0	0.0	0.0	0.0	0.0	0.0	0.0	0.0	0.0	0.8	18.6
80-100	0.7	3.2	1.2	0.0	0.0	0.0	0.0	0.0	0.0	0.0	0.0	0.0	0.0	0.0	0.0	0.0	5.1
100-120	0.0	0.2	0.4	0.0	0.0	0.0	0.0	0.0	0.0	0.0	0.0	0.0	0.0	0.0	0.0	0.0	0.6
120-140	0.0	0.4	0.0	0.0	0.0	0.0	0.0	0.0	0.0	0.0	0.0	0.0	0.0	0.0	0.0	0.0	0.4
140-160	0.0	0.1	0.0	0.0	0.0	0.0	0.0	0.0	0.0	0.0	0.0	0.0	0.0	0.0	0.0	0.0	0.1
160-180	0.0	0.2	0.0	0.0	0.0	0.0	0.0	0.0	0.0	0.0	0.0	0.0	0.0	0.0	0.0	0.0	0.2
180-200	0.0	0.0	0.0	0.0	0.0	0.0	0.0	0.0	0.0	0.0	0.0	0.0	0.0	0.0	0.0	0.0	0.0
Total	27.4	37.5	21.3	2.6	0.3	0.1	0.1	0.0	0.0	0.2	0.1	0.3	0.5	1.2	1.5	6.9	100.0

Mean U and V : 14.5 (cm/s), 42.2 (cm/s)

Standard deviation of U and V : 17.6 (cm/s), 20.6 (cm/s)

Maximun speed and it's direction : 162.6 (cm/s), 20.3 (deg.)

Mean speed and direction : 44.6 (cm/s), 19.0 (deg.)

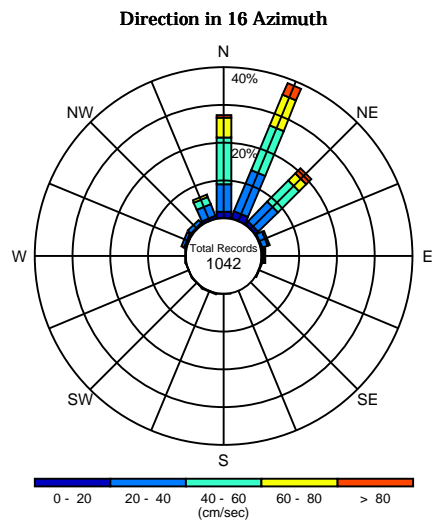
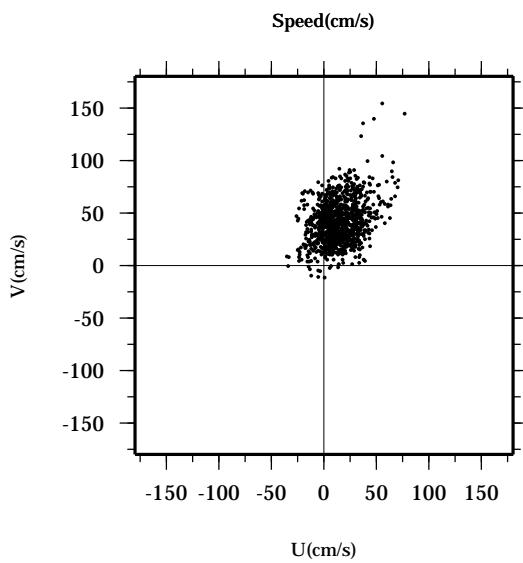
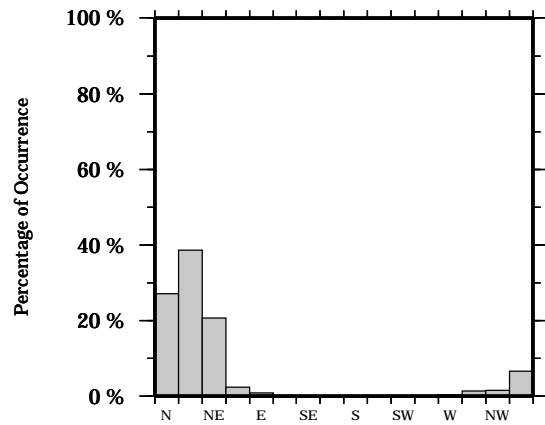
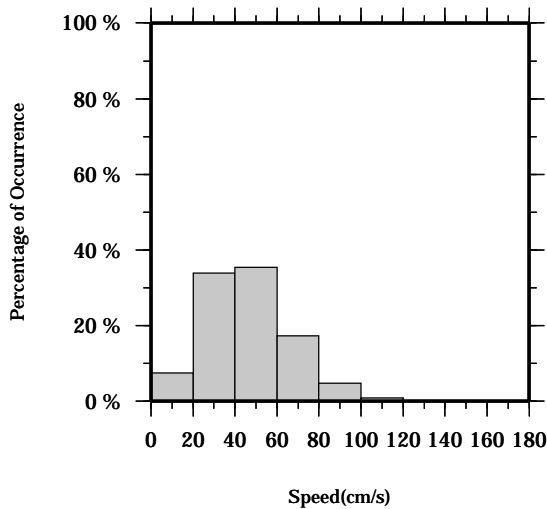
Speed scalar average : 47.8 (cm/s)

LON: 121° 21.83' E

Station: W204

LAT: 22° 40.0133' N

Depth: 166 M



Joint probability distribution of current speed and it's direction

Speed	N	NNE	NE	ENE	E	ESE	SE	SSE	S	SSW	SW	WSW	W	WNW	NW	NNW	Total
0-20	1.5	1.9	1.0	0.2	0.5	0.1	0.0	0.0	0.1	0.2	0.2	0.1	0.1	0.6	0.4	0.6	7.4
20-40	7.4	11.8	7.3	1.5	0.4	0.0	0.0	0.0	0.0	0.0	0.0	0.0	0.2	0.8	1.1	3.5	33.9
40-60	12.3	12.8	7.9	0.6	0.0	0.0	0.0	0.0	0.0	0.0	0.0	0.0	0.0	0.0	0.0	1.9	35.4
60-80	5.3	8.7	2.6	0.0	0.0	0.0	0.0	0.0	0.0	0.0	0.0	0.0	0.0	0.0	0.0	0.7	17.3
80-100	0.7	2.8	1.3	0.0	0.0	0.0	0.0	0.0	0.0	0.0	0.0	0.0	0.0	0.0	0.0	0.0	4.8
100-120	0.0	0.2	0.6	0.0	0.0	0.0	0.0	0.0	0.0	0.0	0.0	0.0	0.0	0.0	0.0	0.0	0.8
120-140	0.0	0.2	0.0	0.0	0.0	0.0	0.0	0.0	0.0	0.0	0.0	0.0	0.0	0.0	0.0	0.0	0.2
140-160	0.0	0.1	0.0	0.0	0.0	0.0	0.0	0.0	0.0	0.0	0.0	0.0	0.0	0.0	0.0	0.0	0.1
160-180	0.0	0.2	0.0	0.0	0.0	0.0	0.0	0.0	0.0	0.0	0.0	0.0	0.0	0.0	0.0	0.0	0.2
180-200	0.0	0.0	0.0	0.0	0.0	0.0	0.0	0.0	0.0	0.0	0.0	0.0	0.0	0.0	0.0	0.0	0.0
Total	27.2	38.7	20.6	2.3	0.9	0.1	0.0	0.0	0.1	0.2	0.2	0.1	0.3	1.3	1.4	6.6	100.0

Mean U and V : 13.9 (cm/s), 41.2 (cm/s)

Standard deviation of U and V : 17.2 (cm/s), 20.5 (cm/s)

Maximun speed and it's direction : 163.6 (cm/s), 19.7 (deg.)

Mean speed and direction : 43.5 (cm/s), 18.6 (deg.)

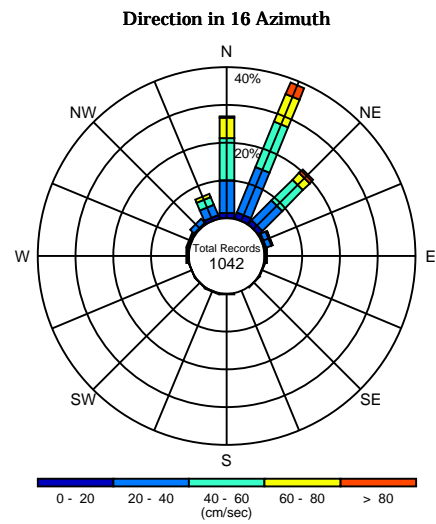
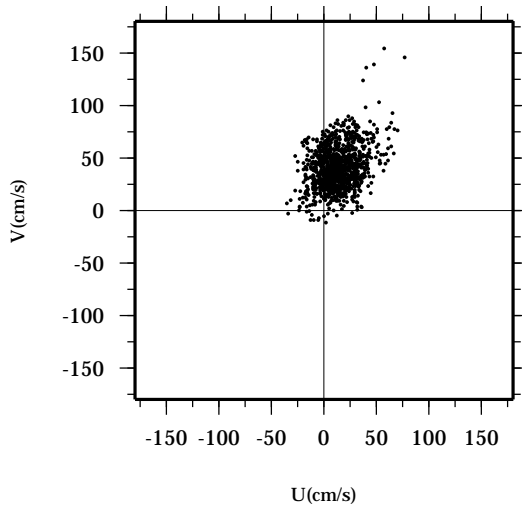
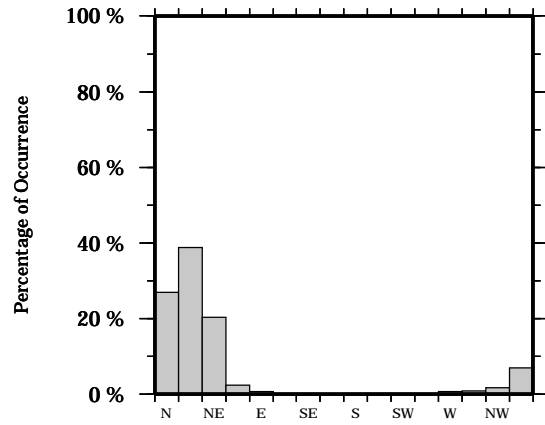
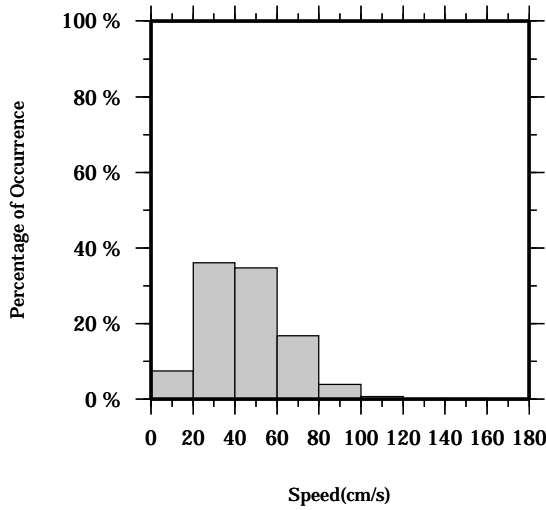
Speed scalar average : 46.7 (cm/s)

LON: 121° 21.83' E

Station: W204

LAT: 22° 40.0133' N

Depth: 170 M



Joint probability distribution of current speed and it's direction

Speed	N	NNE	NE	ENE	E	ESE	SE	SSE	S	SSW	SW	WSW	W	WNW	NW	NNW	Total
0-20	1.3	1.6	1.3	0.4	0.2	0.1	0.1	0.0	0.2	0.2	0.2	0.1	0.2	0.5	0.3	0.8	7.5
20-40	8.5	12.9	7.4	1.5	0.5	0.0	0.0	0.0	0.0	0.0	0.0	0.0	0.5	0.4	1.4	3.0	36.1
40-60	11.2	13.1	7.8	0.3	0.0	0.0	0.0	0.0	0.0	0.0	0.0	0.0	0.0	0.0	0.0	2.3	34.6
60-80	5.4	8.0	2.5	0.1	0.0	0.0	0.0	0.0	0.0	0.0	0.0	0.0	0.0	0.0	0.0	0.9	16.8
80-100	0.4	2.6	0.9	0.0	0.0	0.0	0.0	0.0	0.0	0.0	0.0	0.0	0.0	0.0	0.0	0.0	3.8
100-120	0.0	0.2	0.5	0.0	0.0	0.0	0.0	0.0	0.0	0.0	0.0	0.0	0.0	0.0	0.0	0.0	0.7
120-140	0.0	0.1	0.0	0.0	0.0	0.0	0.0	0.0	0.0	0.0	0.0	0.0	0.0	0.0	0.0	0.0	0.1
140-160	0.0	0.2	0.0	0.0	0.0	0.0	0.0	0.0	0.0	0.0	0.0	0.0	0.0	0.0	0.0	0.0	0.2
160-180	0.0	0.2	0.0	0.0	0.0	0.0	0.0	0.0	0.0	0.0	0.0	0.0	0.0	0.0	0.0	0.0	0.2
180-200	0.0	0.0	0.0	0.0	0.0	0.0	0.0	0.0	0.0	0.0	0.0	0.0	0.0	0.0	0.0	0.0	0.0
Total	26.9	38.8	20.3	2.3	0.7	0.1	0.1	0.0	0.2	0.2	0.2	0.1	0.7	0.9	1.7	6.9	100.0

Mean U and V : 13.3 (cm/s), 40.2 (cm/s)

Standard deviation of U and V : 16.8 (cm/s), 20.4 (cm/s)

Maximun speed and it's direction : 164.6 (cm/s), 20.4 (deg.)

Mean speed and direction : 42.4 (cm/s), 18.3 (deg.)

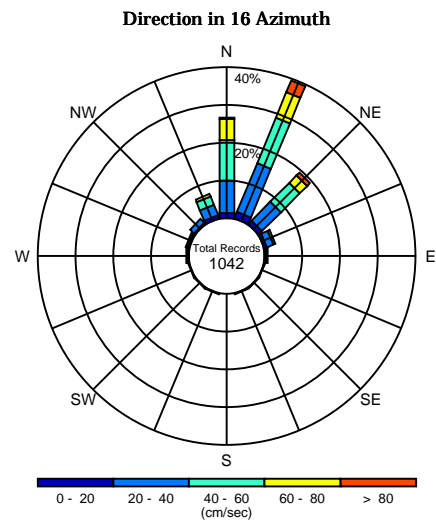
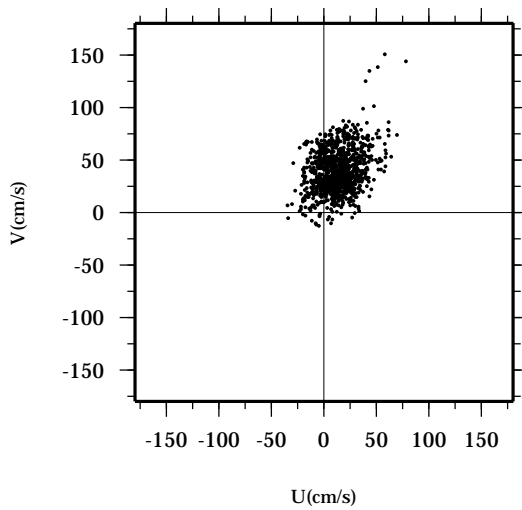
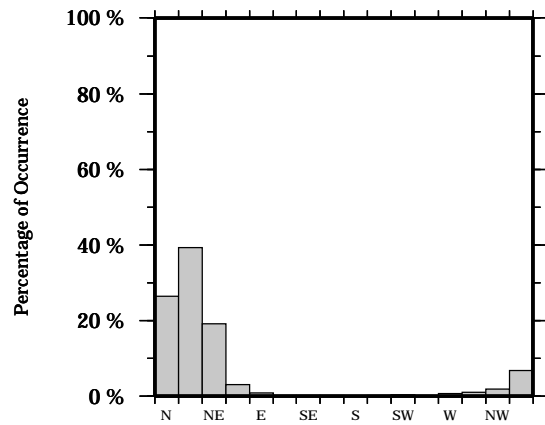
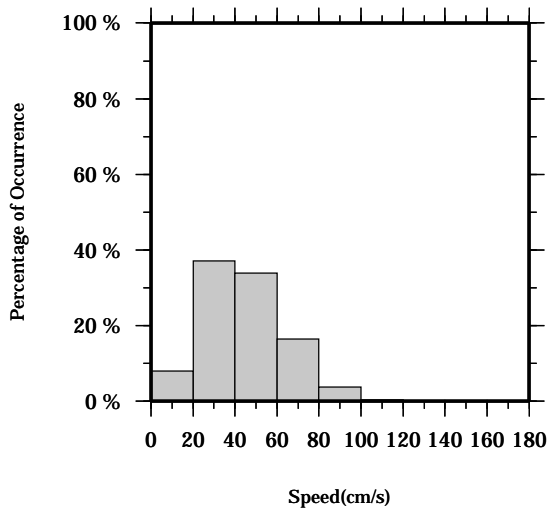
Speed scalar average : 45.6 (cm/s)

LON: 121° 21.83' E

Station: W204

LAT: 22° 40.0133' N

Depth: 174 M



Joint probability distribution of current speed and it's direction

Speed	N	NNE	NE	ENE	E	ESE	SE	SSE	S	SSW	SW	WSW	W	WNW	NW	NNW	Total
0-20	1.2	1.8	1.2	0.6	0.3	0.0	0.2	0.2	0.0	0.2	0.3	0.2	0.2	0.5	0.4	0.8	8.0
20-40	8.4	13.8	7.0	1.8	0.5	0.1	0.0	0.0	0.0	0.0	0.0	0.0	0.5	0.5	1.4	3.1	37.1
40-60	10.8	13.1	7.1	0.6	0.0	0.0	0.0	0.0	0.0	0.0	0.0	0.0	0.0	0.0	0.0	2.3	33.9
60-80	5.7	7.3	2.8	0.0	0.0	0.0	0.0	0.0	0.0	0.0	0.0	0.0	0.0	0.0	0.0	0.7	16.4
80-100	0.3	2.6	0.9	0.0	0.0	0.0	0.0	0.0	0.0	0.0	0.0	0.0	0.0	0.0	0.0	0.0	3.7
100-120	0.0	0.2	0.2	0.0	0.0	0.0	0.0	0.0	0.0	0.0	0.0	0.0	0.0	0.0	0.0	0.0	0.4
120-140	0.0	0.1	0.0	0.0	0.0	0.0	0.0	0.0	0.0	0.0	0.0	0.0	0.0	0.0	0.0	0.0	0.1
140-160	0.0	0.2	0.0	0.0	0.0	0.0	0.0	0.0	0.0	0.0	0.0	0.0	0.0	0.0	0.0	0.0	0.2
160-180	0.0	0.2	0.0	0.0	0.0	0.0	0.0	0.0	0.0	0.0	0.0	0.0	0.0	0.0	0.0	0.0	0.2
180-200	0.0	0.0	0.0	0.0	0.0	0.0	0.0	0.0	0.0	0.0	0.0	0.0	0.0	0.0	0.0	0.0	0.0
Total	26.5	39.3	19.1	3.0	0.8	0.1	0.2	0.2	0.0	0.2	0.3	0.2	0.7	1.0	1.8	6.8	100.0

Mean U and V : 13.0 (cm/s), 39.3 (cm/s)

Standard deviation of U and V : 16.5 (cm/s), 20.3 (cm/s)

Maximun speed and it's direction : 163.7 (cm/s), 28.4 (deg.)

Mean speed and direction : 41.4 (cm/s), 18.3 (deg.)

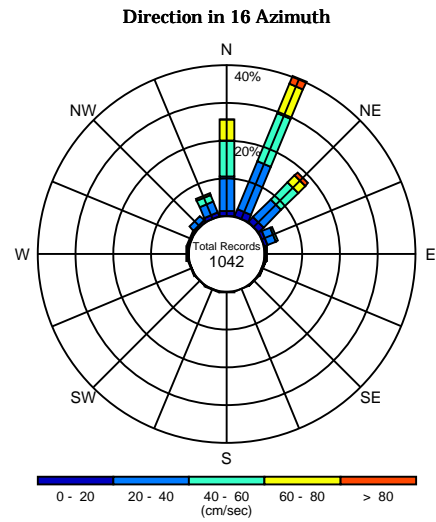
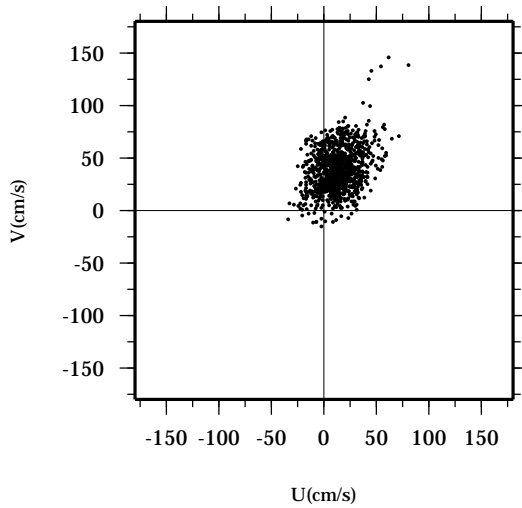
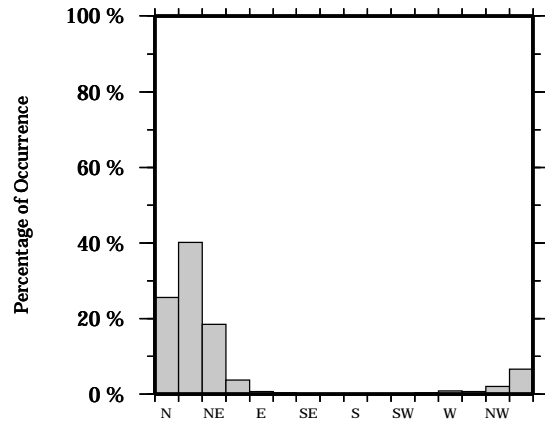
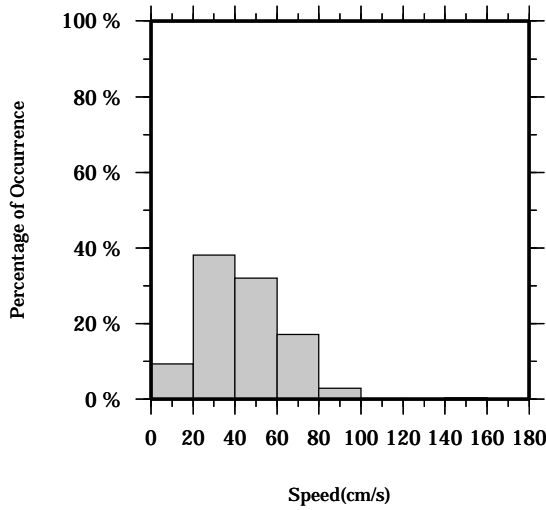
Speed scalar average : 44.6 (cm/s)

LON: 121° 21.83' E

Station: W204

LAT: 22° 40.0133' N

Depth: 178 M



Joint probability distribution of current speed and it's direction

Speed	N	NNE	NE	ENE	E	ESE	SE	SSE	S	SSW	SW	WSW	W	WNW	NW	NNW	Total
0-20	1.2	2.0	1.7	0.8	0.2	0.2	0.2	0.1	0.2	0.2	0.2	0.1	0.3	0.3	0.6	1.1	9.3
20-40	9.2	13.6	6.6	2.4	0.5	0.1	0.0	0.0	0.0	0.0	0.0	0.2	0.5	0.4	1.5	3.1	38.1
40-60	9.4	13.8	6.3	0.6	0.0	0.0	0.0	0.0	0.0	0.0	0.0	0.0	0.0	0.0	0.0	1.8	32.0
60-80	5.6	8.3	2.6	0.0	0.0	0.0	0.0	0.0	0.0	0.0	0.0	0.0	0.0	0.0	0.0	0.6	17.1
80-100	0.1	1.6	1.2	0.0	0.0	0.0	0.0	0.0	0.0	0.0	0.0	0.0	0.0	0.0	0.0	0.0	2.9
100-120	0.0	0.2	0.0	0.0	0.0	0.0	0.0	0.0	0.0	0.0	0.0	0.0	0.0	0.0	0.0	0.0	0.2
120-140	0.0	0.1	0.0	0.0	0.0	0.0	0.0	0.0	0.0	0.0	0.0	0.0	0.0	0.0	0.0	0.0	0.1
140-160	0.0	0.4	0.0	0.0	0.0	0.0	0.0	0.0	0.0	0.0	0.0	0.0	0.0	0.0	0.0	0.0	0.4
160-180	0.0	0.0	0.0	0.0	0.0	0.0	0.0	0.0	0.0	0.0	0.0	0.0	0.0	0.0	0.0	0.0	0.0
180-200	0.0	0.0	0.0	0.0	0.0	0.0	0.0	0.0	0.0	0.0	0.0	0.0	0.0	0.0	0.0	0.0	0.0
Total	25.5	40.1	18.4	3.7	0.7	0.3	0.2	0.1	0.2	0.2	0.2	0.3	0.8	0.7	2.1	6.5	100.0

Mean U and V : 12.9 (cm/s), 38.4 (cm/s)

Standard deviation of U and V : 16.2 (cm/s), 20.3 (cm/s)

Maximun speed and it's direction : 159.7 (cm/s), 30.1 (deg.)

Mean speed and direction : 40.5 (cm/s), 18.5 (deg.)

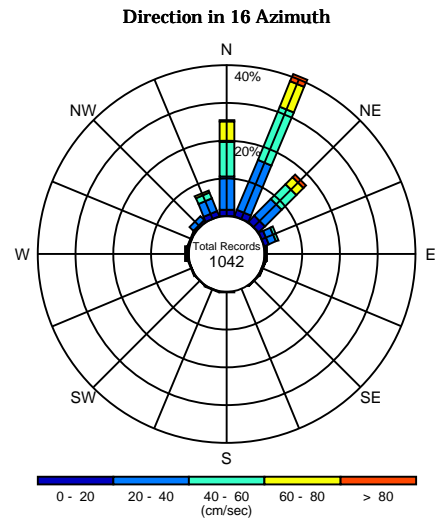
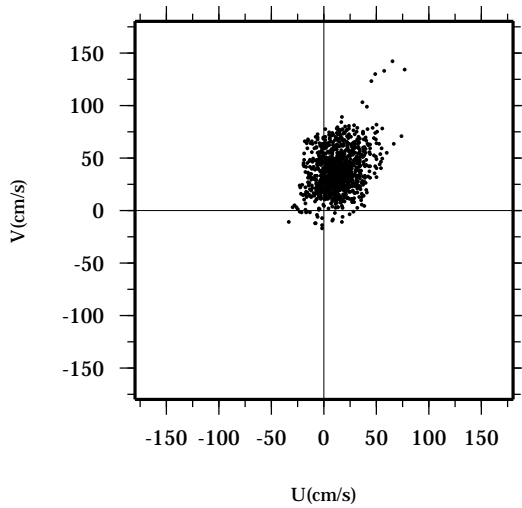
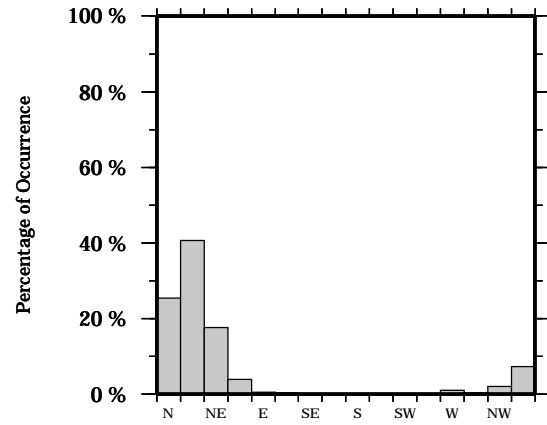
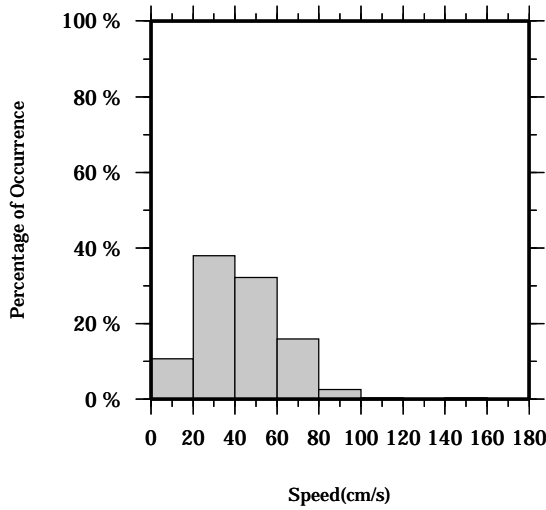
Speed scalar average : 43.7 (cm/s)

LON: 121° 21.83' E

Station: W204

LAT: 22° 40.0133' N

Depth: 182 M



Joint probability distribution of current speed and it's direction

Speed	N	NNE	NE	ENE	E	ESE	SE	SSE	S	SSW	SW	WSW	W	WNW	NW	NNW	Total
0-20	1.6	1.7	2.2	1.2	0.1	0.2	0.2	0.0	0.2	0.2	0.2	0.1	0.5	0.3	0.6	1.4	10.7
20-40	8.8	14.4	6.2	2.1	0.5	0.1	0.0	0.0	0.0	0.0	0.0	0.1	0.6	0.1	1.4	3.6	37.9
40-60	9.1	15.2	5.6	0.7	0.0	0.0	0.0	0.0	0.0	0.0	0.0	0.0	0.0	0.0	0.0	1.7	32.2
60-80	5.5	7.3	2.6	0.0	0.0	0.0	0.0	0.0	0.0	0.0	0.0	0.0	0.0	0.0	0.0	0.6	15.9
80-100	0.3	1.3	0.9	0.0	0.0	0.0	0.0	0.0	0.0	0.0	0.0	0.0	0.0	0.0	0.0	0.0	2.5
100-120	0.0	0.2	0.1	0.0	0.0	0.0	0.0	0.0	0.0	0.0	0.0	0.0	0.0	0.0	0.0	0.0	0.3
120-140	0.0	0.2	0.0	0.0	0.0	0.0	0.0	0.0	0.0	0.0	0.0	0.0	0.0	0.0	0.0	0.0	0.2
140-160	0.0	0.3	0.0	0.0	0.0	0.0	0.0	0.0	0.0	0.0	0.0	0.0	0.0	0.0	0.0	0.0	0.3
160-180	0.0	0.0	0.0	0.0	0.0	0.0	0.0	0.0	0.0	0.0	0.0	0.0	0.0	0.0	0.0	0.0	0.0
180-200	0.0	0.0	0.0	0.0	0.0	0.0	0.0	0.0	0.0	0.0	0.0	0.0	0.0	0.0	0.0	0.0	0.0
Total	25.3	40.6	17.6	3.9	0.6	0.3	0.2	0.0	0.2	0.2	0.2	0.2	1.1	0.4	2.0	7.3	100.0

Mean U and V : 12.6 (cm/s), 37.6 (cm/s)

Standard deviation of U and V : 15.8 (cm/s), 20.1 (cm/s)

Maximun speed and it's direction : 156.1 (cm/s), 24.5 (deg.)

Mean speed and direction : 39.6 (cm/s), 18.6 (deg.)

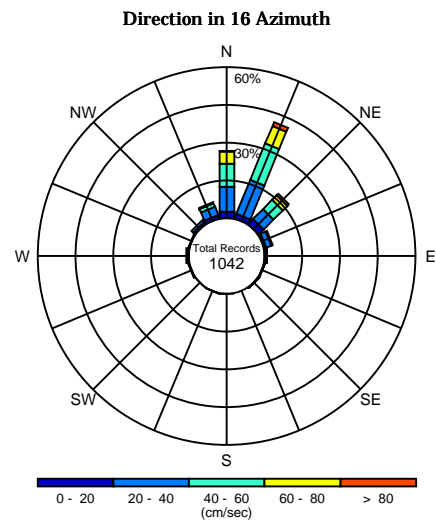
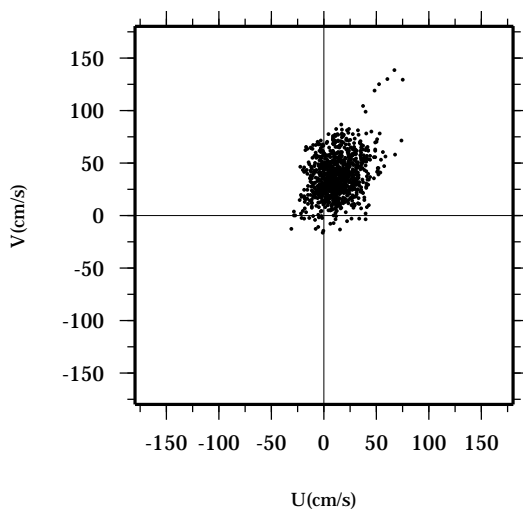
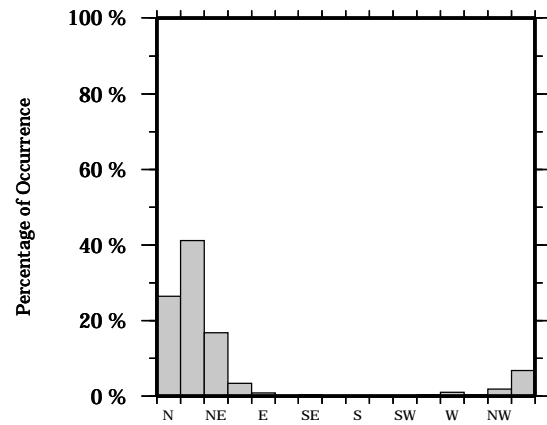
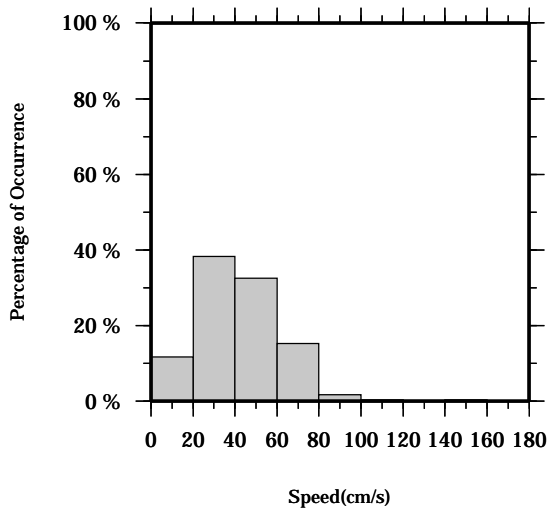
Speed scalar average : 42.8 (cm/s)

LON: 121° 21.83' E

Station: W204

LAT: 22° 40.0133' N

Depth: 186 M



Joint probability distribution of current speed and it's direction

Speed	N	NNE	NE	ENE	E	ESE	SE	SSE	S	SSW	SW	WSW	W	WNW	NW	NNW	Total
0-20	2.4	1.8	2.6	0.8	0.2	0.1	0.2	0.0	0.2	0.2	0.1	0.3	0.5	0.2	0.9	1.2	11.6
20-40	9.9	14.7	5.6	2.0	0.6	0.1	0.1	0.0	0.0	0.0	0.0	0.1	0.6	0.1	1.1	3.5	38.2
40-60	9.3	15.5	5.4	0.7	0.1	0.0	0.0	0.0	0.0	0.0	0.0	0.0	0.0	0.0	0.0	1.6	32.5
60-80	4.7	7.6	2.5	0.0	0.0	0.0	0.0	0.0	0.0	0.0	0.0	0.0	0.0	0.0	0.0	0.4	15.2
80-100	0.2	0.9	0.7	0.0	0.0	0.0	0.0	0.0	0.0	0.0	0.0	0.0	0.0	0.0	0.0	0.0	1.7
100-120	0.0	0.2	0.1	0.0	0.0	0.0	0.0	0.0	0.0	0.0	0.0	0.0	0.0	0.0	0.0	0.0	0.3
120-140	0.0	0.2	0.0	0.0	0.0	0.0	0.0	0.0	0.0	0.0	0.0	0.0	0.0	0.0	0.0	0.0	0.2
140-160	0.0	0.3	0.0	0.0	0.0	0.0	0.0	0.0	0.0	0.0	0.0	0.0	0.0	0.0	0.0	0.0	0.3
160-180	0.0	0.0	0.0	0.0	0.0	0.0	0.0	0.0	0.0	0.0	0.0	0.0	0.0	0.0	0.0	0.0	0.0
180-200	0.0	0.0	0.0	0.0	0.0	0.0	0.0	0.0	0.0	0.0	0.0	0.0	0.0	0.0	0.0	0.0	0.0
Total	26.5	41.1	16.8	3.5	0.9	0.2	0.3	0.0	0.2	0.2	0.1	0.4	1.1	0.3	1.9	6.7	100.0

Mean U and V : 12.3 (cm/s), 36.7 (cm/s)

Standard deviation of U and V : 15.5 (cm/s), 19.7 (cm/s)

Maximun speed and it's direction : 153.2 (cm/s), 25.8 (deg.)

Mean speed and direction : 38.7 (cm/s), 18.5 (deg.)

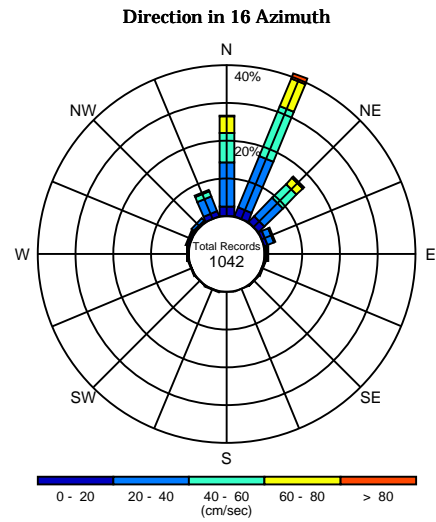
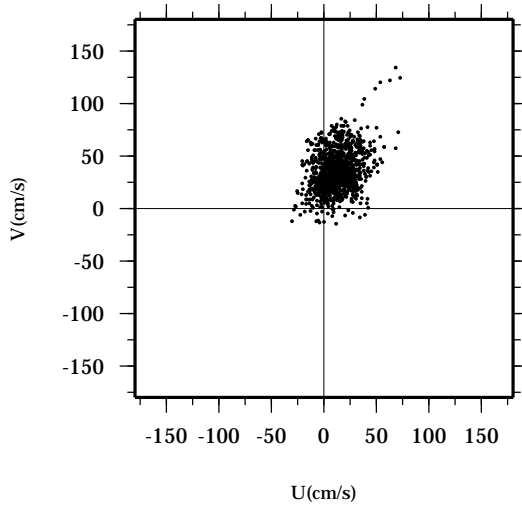
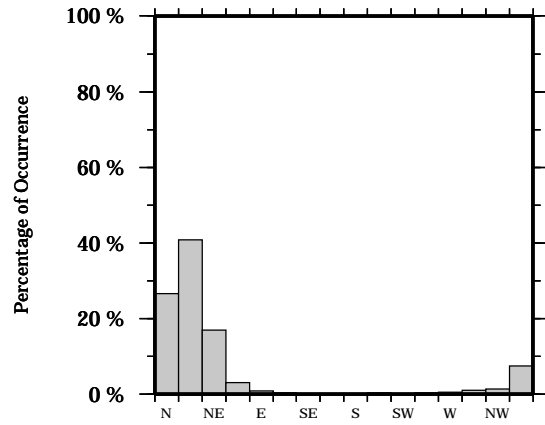
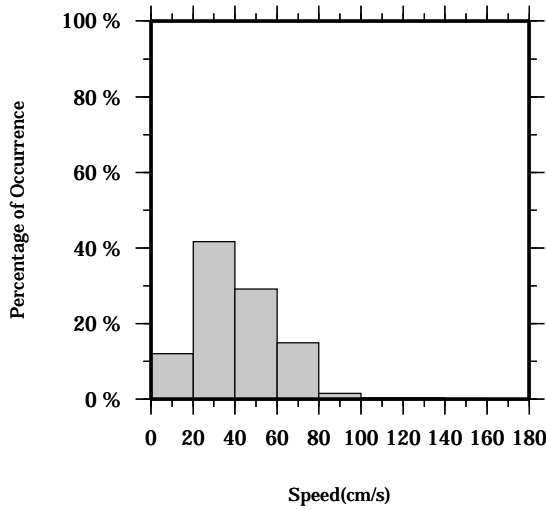
Speed scalar average : 41.8 (cm/s)

LON: 121° 21.83' E

Station: W204

LAT: 22° 40.0133' N

Depth: 190 M



Joint probability distribution of current speed and it's direction

Speed	N	NNE	NE	ENE	E	ESE	SE	SSE	S	SSW	SW	WSW	W	WNW	NW	NNW	Total
0-20	2.5	2.4	2.1	0.8	0.3	0.1	0.2	0.1	0.1	0.3	0.2	0.1	0.3	0.7	0.5	1.4	12.0
20-40	11.6	14.8	6.9	1.9	0.4	0.2	0.0	0.0	0.0	0.0	0.0	0.2	0.3	0.4	0.9	4.1	41.7
40-60	7.9	14.2	5.1	0.3	0.2	0.0	0.0	0.0	0.0	0.0	0.0	0.0	0.0	0.0	0.0	1.4	29.1
60-80	4.4	7.9	2.3	0.0	0.0	0.0	0.0	0.0	0.0	0.0	0.0	0.0	0.0	0.0	0.0	0.4	15.0
80-100	0.2	1.0	0.4	0.0	0.0	0.0	0.0	0.0	0.0	0.0	0.0	0.0	0.0	0.0	0.0	0.0	1.5
100-120	0.0	0.2	0.1	0.0	0.0	0.0	0.0	0.0	0.0	0.0	0.0	0.0	0.0	0.0	0.0	0.0	0.3
120-140	0.0	0.3	0.0	0.0	0.0	0.0	0.0	0.0	0.0	0.0	0.0	0.0	0.0	0.0	0.0	0.0	0.3
140-160	0.0	0.2	0.0	0.0	0.0	0.0	0.0	0.0	0.0	0.0	0.0	0.0	0.0	0.0	0.0	0.0	0.2
160-180	0.0	0.0	0.0	0.0	0.0	0.0	0.0	0.0	0.0	0.0	0.0	0.0	0.0	0.0	0.0	0.0	0.0
180-200	0.0	0.0	0.0	0.0	0.0	0.0	0.0	0.0	0.0	0.0	0.0	0.0	0.0	0.0	0.0	0.0	0.0
Total	26.6	40.9	16.9	3.0	0.9	0.3	0.2	0.1	0.1	0.3	0.2	0.3	0.6	1.1	1.3	7.4	100.0

Mean U and V : 11.9 (cm/s), 35.9 (cm/s)

Standard deviation of U and V : 15.0 (cm/s), 19.4 (cm/s)

Maximun speed and it's direction : 150.0 (cm/s), 26.9 (deg.)

Mean speed and direction : 37.8 (cm/s), 18.4 (deg.)

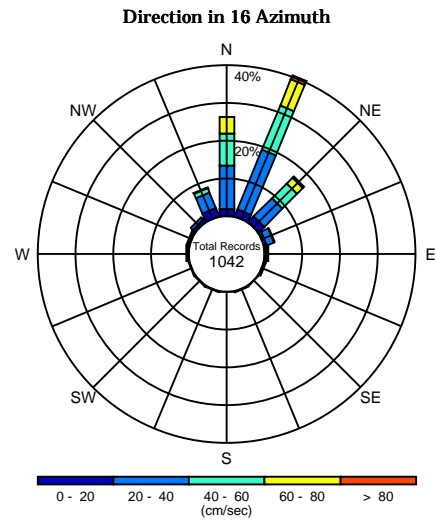
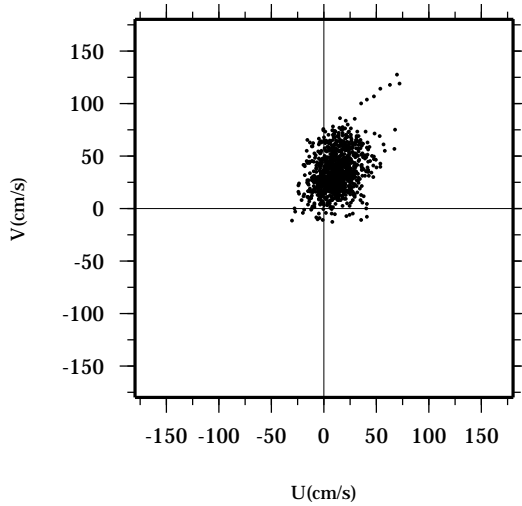
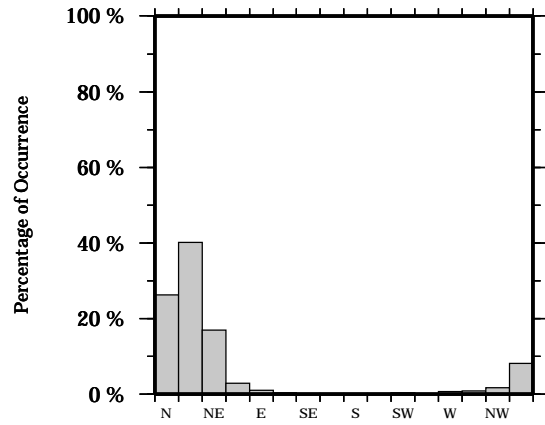
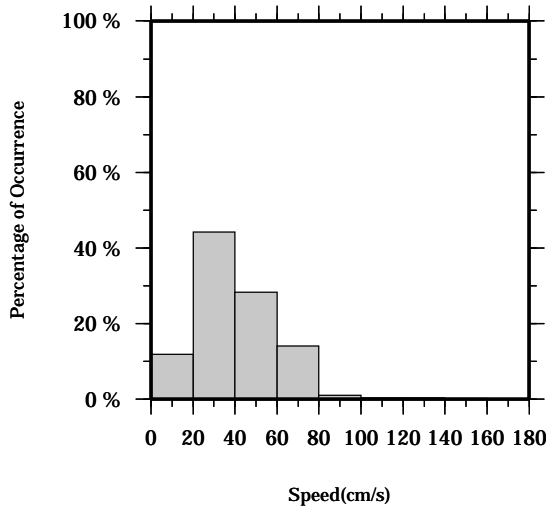
Speed scalar average : 40.8 (cm/s)

LON: 121° 21.83' E

Station: W204

LAT: 22° 40.0133' N

Depth: 194 M



Joint probability distribution of current speed and it's direction

Speed	N	NNE	NE	ENE	E	ESE	SE	SSE	S	SSW	SW	WSW	W	WNW	NW	NNW	Total
0-20	1.7	2.0	2.0	0.6	0.4	0.1	0.1	0.2	0.1	0.2	0.3	0.0	0.5	0.5	0.9	2.3	11.8
20-40	11.6	17.0	6.8	2.1	0.4	0.3	0.0	0.0	0.0	0.0	0.0	0.2	0.2	0.4	0.8	4.4	44.1
40-60	8.4	12.7	5.5	0.2	0.2	0.0	0.0	0.0	0.0	0.0	0.0	0.0	0.0	0.0	0.0	1.2	28.2
60-80	4.3	7.4	2.2	0.0	0.0	0.0	0.0	0.0	0.0	0.0	0.0	0.0	0.0	0.0	0.0	0.2	14.1
80-100	0.1	0.5	0.4	0.0	0.0	0.0	0.0	0.0	0.0	0.0	0.0	0.0	0.0	0.0	0.0	0.0	1.0
100-120	0.0	0.3	0.1	0.0	0.0	0.0	0.0	0.0	0.0	0.0	0.0	0.0	0.0	0.0	0.0	0.0	0.4
120-140	0.0	0.3	0.0	0.0	0.0	0.0	0.0	0.0	0.0	0.0	0.0	0.0	0.0	0.0	0.0	0.0	0.3
140-160	0.0	0.1	0.0	0.0	0.0	0.0	0.0	0.0	0.0	0.0	0.0	0.0	0.0	0.0	0.0	0.0	0.1
160-180	0.0	0.0	0.0	0.0	0.0	0.0	0.0	0.0	0.0	0.0	0.0	0.0	0.0	0.0	0.0	0.0	0.0
180-200	0.0	0.0	0.0	0.0	0.0	0.0	0.0	0.0	0.0	0.0	0.0	0.0	0.0	0.0	0.0	0.0	0.0
Total	26.2	40.2	17.0	2.9	1.0	0.4	0.1	0.2	0.1	0.2	0.3	0.2	0.7	0.9	1.6	8.2	100.0

Mean U and V : 11.5 (cm/s), 35.1 (cm/s)

Standard deviation of U and V : 14.6 (cm/s), 19.0 (cm/s)

Maximun speed and it's direction : 145.1 (cm/s), 28.6 (deg.)

Mean speed and direction : 36.9 (cm/s), 18.1 (deg.)

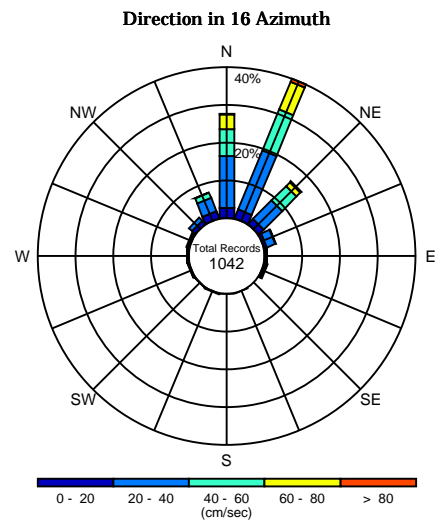
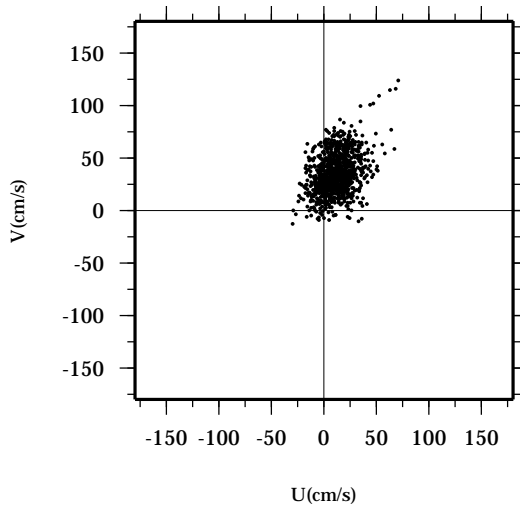
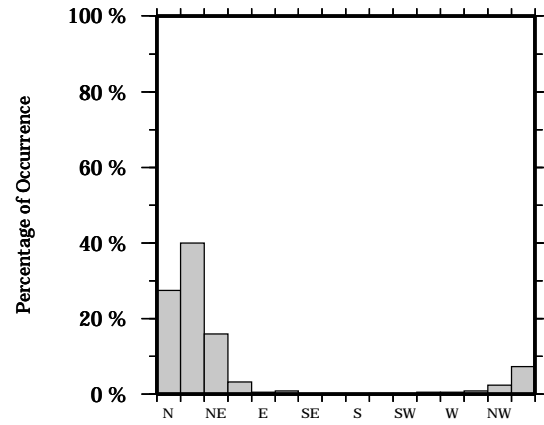
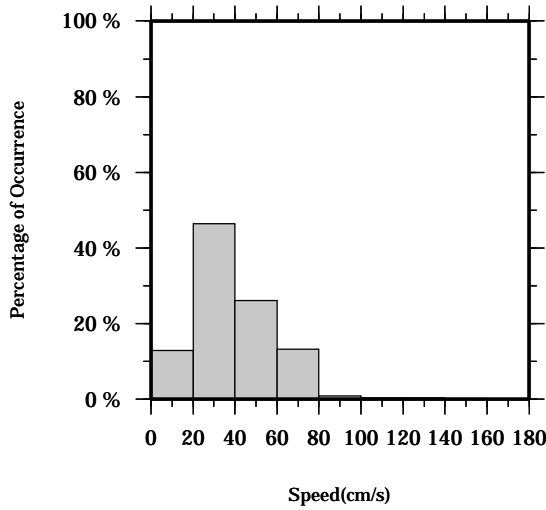
Speed scalar average : 39.8 (cm/s)

LON: 121° 21.83' E

Station: W204

LAT: 22° 40.0133' N

Depth: 198 M



Joint probability distribution of current speed and it's direction

Speed	N	NNE	NE	ENE	E	ESE	SE	SSE	S	SSW	SW	WSW	W	WNW	NW	NNW	Total
0-20	2.7	2.4	1.7	0.6	0.0	0.5	0.0	0.1	0.1	0.2	0.2	0.4	0.4	0.5	1.2	2.0	12.9
20-40	13.6	17.0	7.0	2.4	0.5	0.4	0.0	0.0	0.0	0.0	0.0	0.1	0.2	0.4	1.2	3.7	46.4
40-60	7.2	11.7	5.4	0.2	0.1	0.0	0.0	0.0	0.0	0.0	0.0	0.0	0.0	0.0	0.0	1.4	26.0
60-80	3.8	7.8	1.4	0.0	0.0	0.0	0.0	0.0	0.0	0.0	0.0	0.0	0.0	0.0	0.0	0.1	13.1
80-100	0.1	0.4	0.3	0.0	0.0	0.0	0.0	0.0	0.0	0.0	0.0	0.0	0.0	0.0	0.0	0.0	0.8
100-120	0.0	0.3	0.1	0.0	0.0	0.0	0.0	0.0	0.0	0.0	0.0	0.0	0.0	0.0	0.0	0.0	0.4
120-140	0.0	0.3	0.0	0.0	0.0	0.0	0.0	0.0	0.0	0.0	0.0	0.0	0.0	0.0	0.0	0.0	0.3
140-160	0.0	0.1	0.0	0.0	0.0	0.0	0.0	0.0	0.0	0.0	0.0	0.0	0.0	0.0	0.0	0.0	0.1
160-180	0.0	0.0	0.0	0.0	0.0	0.0	0.0	0.0	0.0	0.0	0.0	0.0	0.0	0.0	0.0	0.0	0.0
180-200	0.0	0.0	0.0	0.0	0.0	0.0	0.0	0.0	0.0	0.0	0.0	0.0	0.0	0.0	0.0	0.0	0.0
Total	27.4	39.9	15.9	3.2	0.6	0.9	0.0	0.1	0.1	0.2	0.2	0.5	0.6	0.9	2.3	7.3	100.0

Mean U and V : 11.1 (cm/s), 34.3 (cm/s)

Standard deviation of U and V : 14.2 (cm/s), 18.6 (cm/s)

Maximun speed and it's direction : 142.5 (cm/s), 29.7 (deg.)

Mean speed and direction : 36.1 (cm/s), 18.0 (deg.)

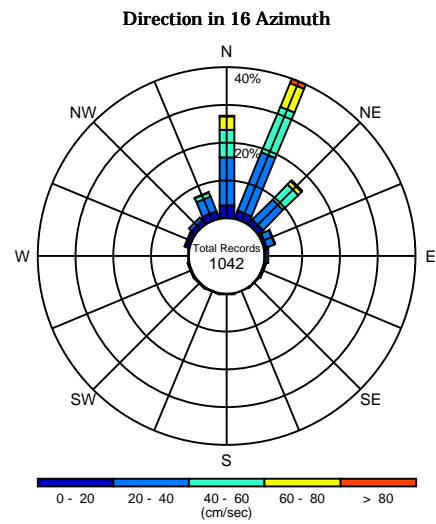
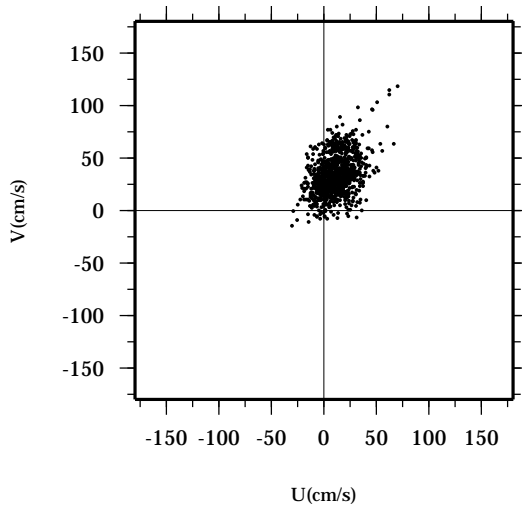
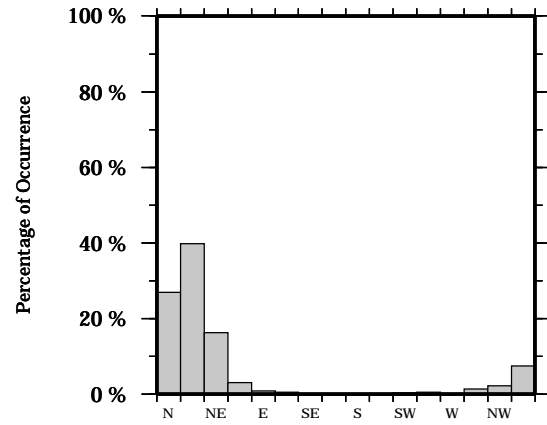
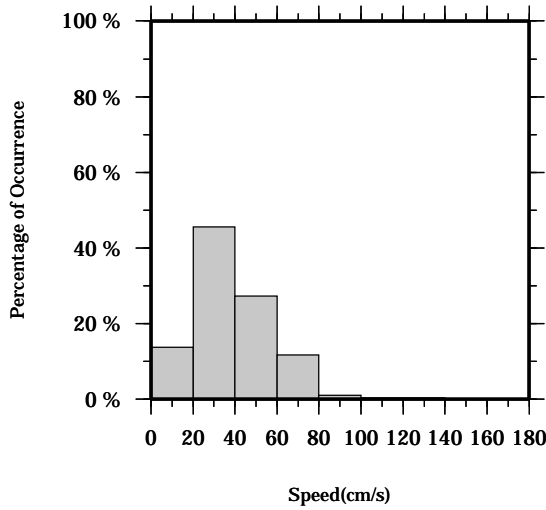
Speed scalar average : 38.9 (cm/s)

LON: 121° 21.83' E

Station: W204

LAT: 22° 40.0133' N

Depth: 202 M



Joint probability distribution of current speed and it's direction

Speed	N	NNE	NE	ENE	E	ESE	SE	SSE	S	SSW	SW	WSW	W	WNW	NW	NNW	Total
0-20	3.4	2.1	1.5	0.6	0.2	0.3	0.2	0.1	0.2	0.2	0.4	0.3	0.1	1.0	1.2	2.0	13.7
20-40	12.6	16.6	7.6	2.2	0.7	0.2	0.0	0.0	0.0	0.0	0.0	0.2	0.1	0.4	1.0	4.1	45.6
40-60	7.3	13.1	5.6	0.2	0.0	0.0	0.0	0.0	0.0	0.0	0.0	0.0	0.0	0.0	0.0	1.2	27.3
60-80	3.6	6.8	1.2	0.0	0.0	0.0	0.0	0.0	0.0	0.0	0.0	0.0	0.0	0.0	0.0	0.1	11.7
80-100	0.2	0.6	0.3	0.0	0.0	0.0	0.0	0.0	0.0	0.0	0.0	0.0	0.0	0.0	0.0	0.0	1.1
100-120	0.0	0.4	0.0	0.0	0.0	0.0	0.0	0.0	0.0	0.0	0.0	0.0	0.0	0.0	0.0	0.0	0.4
120-140	0.0	0.3	0.0	0.0	0.0	0.0	0.0	0.0	0.0	0.0	0.0	0.0	0.0	0.0	0.0	0.0	0.3
140-160	0.0	0.0	0.0	0.0	0.0	0.0	0.0	0.0	0.0	0.0	0.0	0.0	0.0	0.0	0.0	0.0	0.0
160-180	0.0	0.0	0.0	0.0	0.0	0.0	0.0	0.0	0.0	0.0	0.0	0.0	0.0	0.0	0.0	0.0	0.0
180-200	0.0	0.0	0.0	0.0	0.0	0.0	0.0	0.0	0.0	0.0	0.0	0.0	0.0	0.0	0.0	0.0	0.0
Total	27.0	39.8	16.2	3.0	0.9	0.5	0.2	0.1	0.2	0.2	0.4	0.5	0.2	1.3	2.2	7.4	100.0

Mean U and V : 10.8 (cm/s), 33.6 (cm/s)

Standard deviation of U and V : 13.9 (cm/s), 18.3 (cm/s)

Maximun speed and it's direction : 137.3 (cm/s), 30.5 (deg.)

Mean speed and direction : 35.3 (cm/s), 17.8 (deg.)

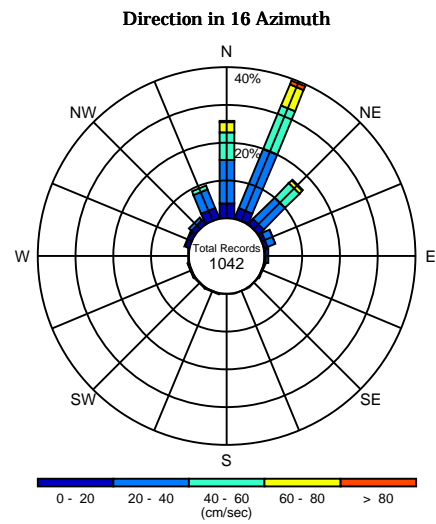
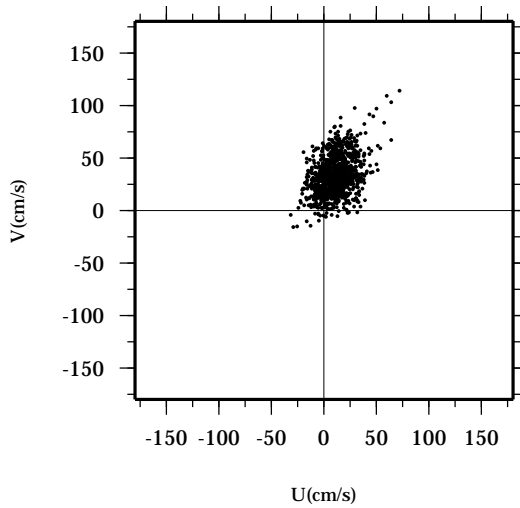
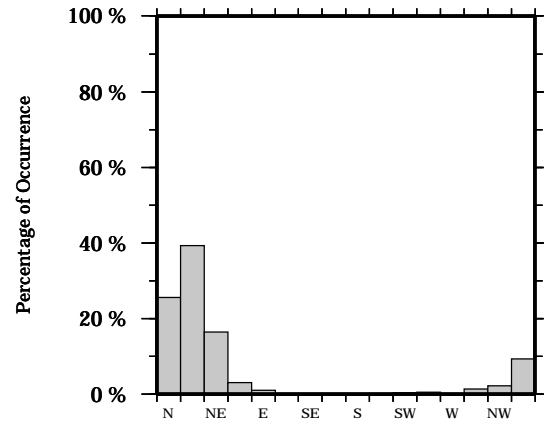
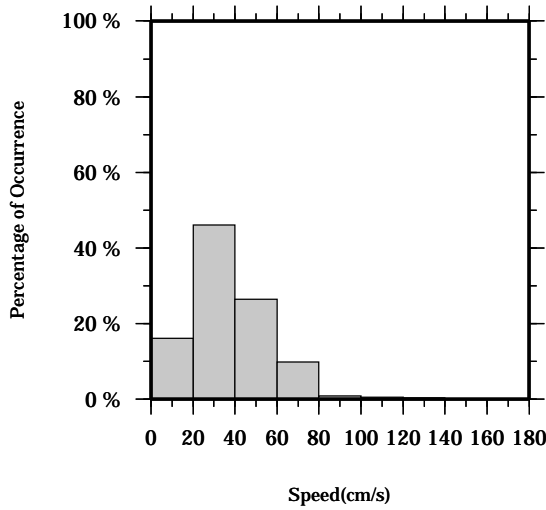
Speed scalar average : 38.0 (cm/s)

LON: 121° 21.83' E

Station: W204

LAT: 22° 40.0133' N

Depth: 206 M



Joint probability distribution of current speed and it's direction

Speed	N	NNE	NE	ENE	E	ESE	SE	SSE	S	SSW	SW	WSW	W	WNW	NW	NNW	Total
0-20	3.7	2.9	1.7	0.8	0.3	0.2	0.1	0.1	0.1	0.2	0.3	0.3	0.0	1.2	1.3	2.9	16.0
20-40	11.5	16.9	8.1	2.2	0.7	0.0	0.0	0.0	0.0	0.0	0.0	0.2	0.2	0.2	0.9	5.3	46.1
40-60	7.4	12.5	5.4	0.1	0.0	0.0	0.0	0.0	0.0	0.0	0.0	0.0	0.0	0.0	0.0	1.2	26.5
60-80	2.7	6.0	1.1	0.0	0.0	0.0	0.0	0.0	0.0	0.0	0.0	0.0	0.0	0.0	0.0	0.0	9.8
80-100	0.3	0.4	0.2	0.0	0.0	0.0	0.0	0.0	0.0	0.0	0.0	0.0	0.0	0.0	0.0	0.0	0.9
100-120	0.0	0.4	0.1	0.0	0.0	0.0	0.0	0.0	0.0	0.0	0.0	0.0	0.0	0.0	0.0	0.0	0.5
120-140	0.0	0.3	0.0	0.0	0.0	0.0	0.0	0.0	0.0	0.0	0.0	0.0	0.0	0.0	0.0	0.0	0.3
140-160	0.0	0.0	0.0	0.0	0.0	0.0	0.0	0.0	0.0	0.0	0.0	0.0	0.0	0.0	0.0	0.0	0.0
160-180	0.0	0.0	0.0	0.0	0.0	0.0	0.0	0.0	0.0	0.0	0.0	0.0	0.0	0.0	0.0	0.0	0.0
180-200	0.0	0.0	0.0	0.0	0.0	0.0	0.0	0.0	0.0	0.0	0.0	0.0	0.0	0.0	0.0	0.0	0.0
Total	25.6	39.3	16.5	3.1	1.0	0.2	0.1	0.1	0.1	0.2	0.3	0.5	0.2	1.3	2.2	9.3	100.0

Mean U and V : 10.4 (cm/s), 32.8 (cm/s)

Standard deviation of U and V : 13.8 (cm/s), 18.2 (cm/s)

Maximun speed and it's direction : 134.8 (cm/s), 32.2 (deg.)

Mean speed and direction : 34.4 (cm/s), 17.5 (deg.)

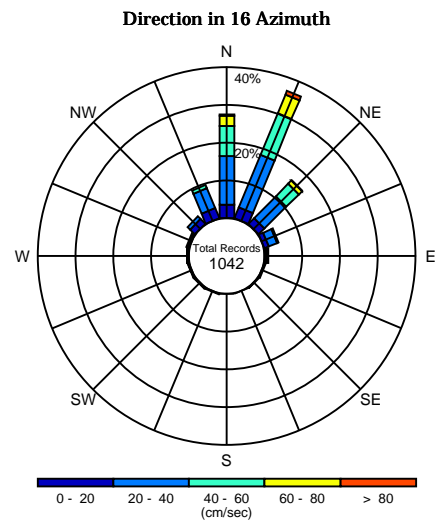
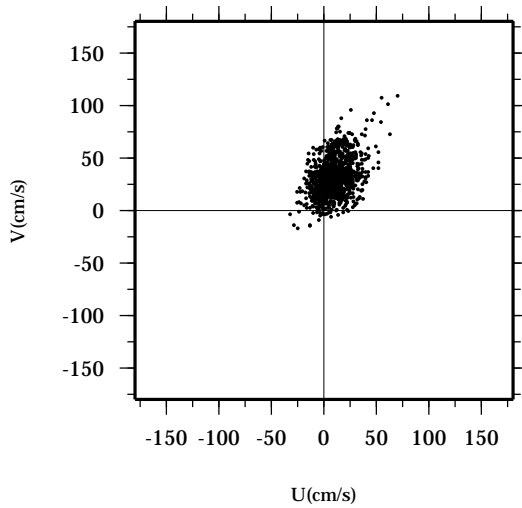
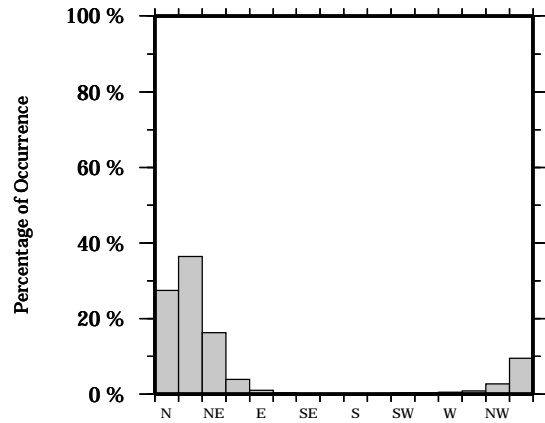
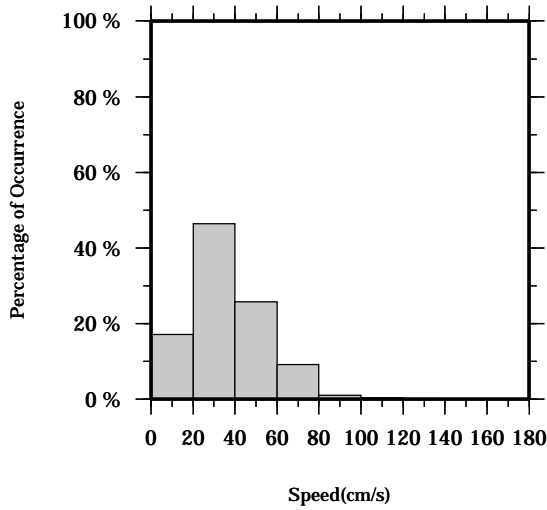
Speed scalar average : 37.2 (cm/s)

LON: 121° 21.83' E

Station: W204

LAT: 22° 40.0133' N

Depth: 210 M



Joint probability distribution of current speed and it's direction

Speed	N	NNE	NE	ENE	E	ESE	SE	SSE	S	SSW	SW	WSW	W	WNW	NW	NNW	Total
0-20	3.6	3.1	2.1	1.2	0.5	0.3	0.2	0.1	0.1	0.2	0.2	0.3	0.4	0.5	1.8	2.8	17.2
20-40	12.8	15.1	8.2	2.5	0.5	0.0	0.0	0.0	0.0	0.0	0.2	0.1	0.2	0.3	1.0	5.8	46.4
40-60	8.1	11.8	4.7	0.3	0.0	0.0	0.0	0.0	0.0	0.0	0.0	0.0	0.0	0.0	0.0	0.9	25.7
60-80	2.7	5.4	1.2	0.0	0.0	0.0	0.0	0.0	0.0	0.0	0.0	0.0	0.0	0.0	0.0	0.0	9.2
80-100	0.3	0.6	0.1	0.0	0.0	0.0	0.0	0.0	0.0	0.0	0.0	0.0	0.0	0.0	0.0	0.0	1.0
100-120	0.0	0.3	0.0	0.0	0.0	0.0	0.0	0.0	0.0	0.0	0.0	0.0	0.0	0.0	0.0	0.0	0.3
120-140	0.0	0.2	0.0	0.0	0.0	0.0	0.0	0.0	0.0	0.0	0.0	0.0	0.0	0.0	0.0	0.0	0.2
140-160	0.0	0.0	0.0	0.0	0.0	0.0	0.0	0.0	0.0	0.0	0.0	0.0	0.0	0.0	0.0	0.0	0.0
160-180	0.0	0.0	0.0	0.0	0.0	0.0	0.0	0.0	0.0	0.0	0.0	0.0	0.0	0.0	0.0	0.0	0.0
180-200	0.0	0.0	0.0	0.0	0.0	0.0	0.0	0.0	0.0	0.0	0.0	0.0	0.0	0.0	0.0	0.0	0.0
Total	27.4	36.4	16.2	3.9	1.0	0.3	0.2	0.1	0.1	0.2	0.4	0.4	0.6	0.8	2.8	9.4	100.0

Mean U and V : 9.9 (cm/s), 32.1 (cm/s)

Standard deviation of U and V : 13.8 (cm/s), 18.0 (cm/s)

Maximun speed and it's direction : 129.6 (cm/s), 32.8 (deg.)

Mean speed and direction : 33.6 (cm/s), 17.2 (deg.)

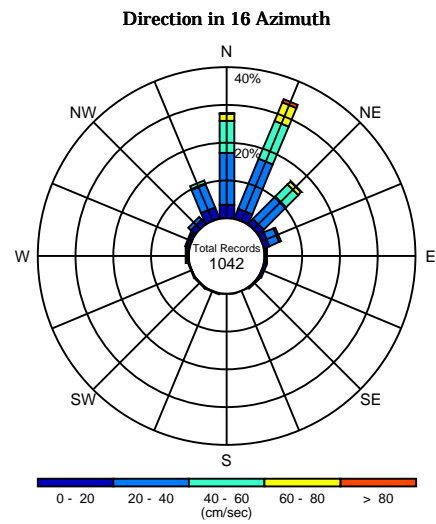
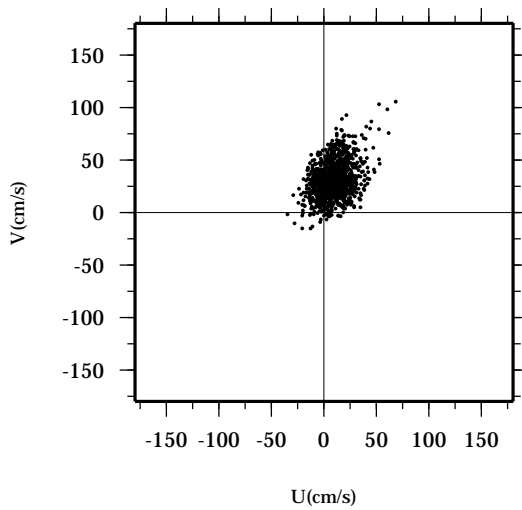
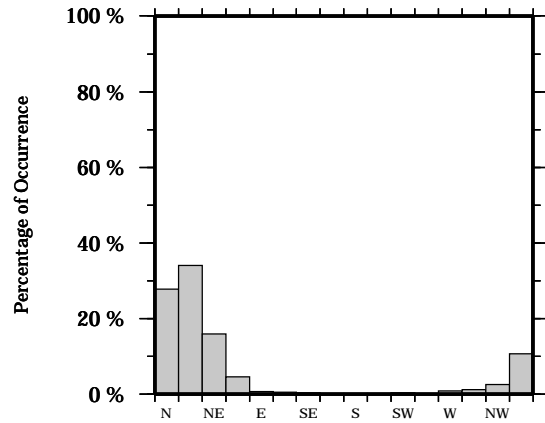
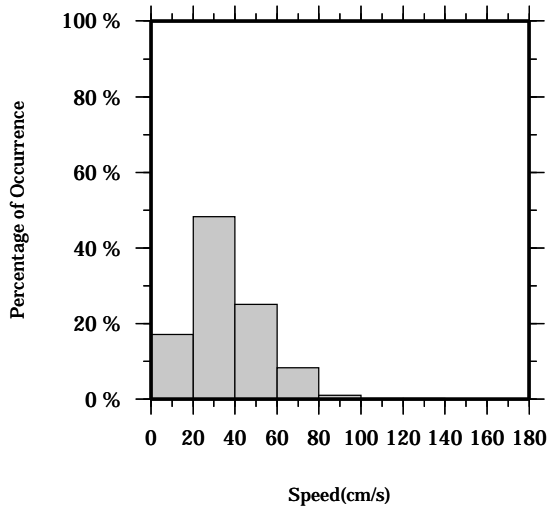
Speed scalar average : 36.4 (cm/s)

LON: 121° 21.83' E

Station: W204

LAT: 22° 40.0133' N

Depth: 214 M



Joint probability distribution of current speed and it's direction

Speed	N	NNE	NE	ENE	E	ESE	SE	SSE	S	SSW	SW	WSW	W	WNW	NW	NNW	Total
0-20	3.5	2.6	1.8	1.4	0.4	0.6	0.4	0.1	0.1	0.2	0.1	0.1	0.5	0.8	1.5	3.1	17.1
20-40	13.8	14.3	8.3	2.8	0.3	0.0	0.0	0.0	0.0	0.0	0.2	0.1	0.4	0.5	1.0	6.6	48.3
40-60	8.4	10.8	4.5	0.4	0.0	0.0	0.0	0.0	0.0	0.0	0.0	0.0	0.0	0.0	0.0	1.0	25.1
60-80	1.8	5.4	1.1	0.0	0.0	0.0	0.0	0.0	0.0	0.0	0.0	0.0	0.0	0.0	0.0	0.0	8.3
80-100	0.2	0.7	0.1	0.0	0.0	0.0	0.0	0.0	0.0	0.0	0.0	0.0	0.0	0.0	0.0	0.0	1.0
100-120	0.0	0.2	0.0	0.0	0.0	0.0	0.0	0.0	0.0	0.0	0.0	0.0	0.0	0.0	0.0	0.0	0.2
120-140	0.0	0.1	0.0	0.0	0.0	0.0	0.0	0.0	0.0	0.0	0.0	0.0	0.0	0.0	0.0	0.0	0.1
140-160	0.0	0.0	0.0	0.0	0.0	0.0	0.0	0.0	0.0	0.0	0.0	0.0	0.0	0.0	0.0	0.0	0.0
160-180	0.0	0.0	0.0	0.0	0.0	0.0	0.0	0.0	0.0	0.0	0.0	0.0	0.0	0.0	0.0	0.0	0.0
180-200	0.0	0.0	0.0	0.0	0.0	0.0	0.0	0.0	0.0	0.0	0.0	0.0	0.0	0.0	0.0	0.0	0.0
Total	27.7	34.1	15.8	4.6	0.7	0.6	0.4	0.1	0.1	0.2	0.3	0.2	0.9	1.2	2.5	10.7	100.0

Mean U and V : 9.3 (cm/s), 31.2 (cm/s)

Standard deviation of U and V : 13.8 (cm/s), 17.8 (cm/s)

Maximun speed and it's direction : 125.1 (cm/s), 32.9 (deg.)

Mean speed and direction : 32.6 (cm/s), 16.6 (deg.)

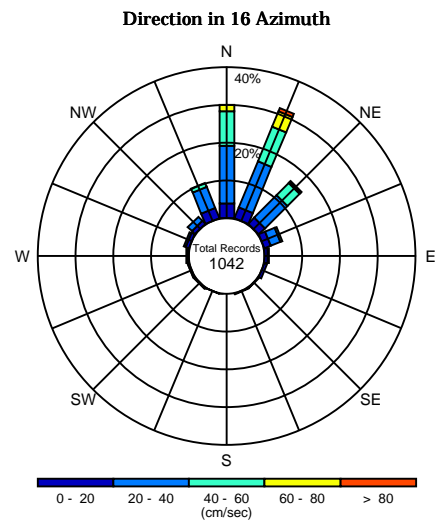
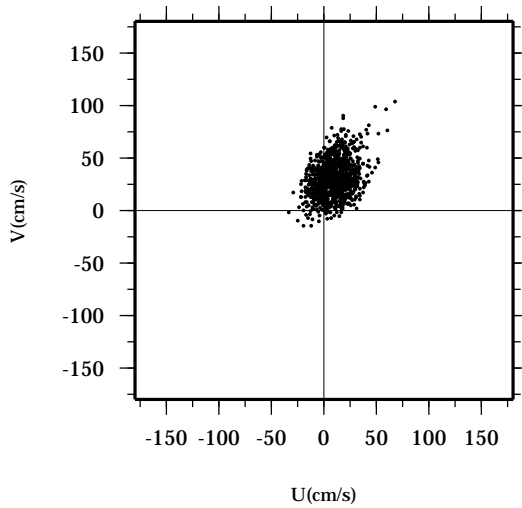
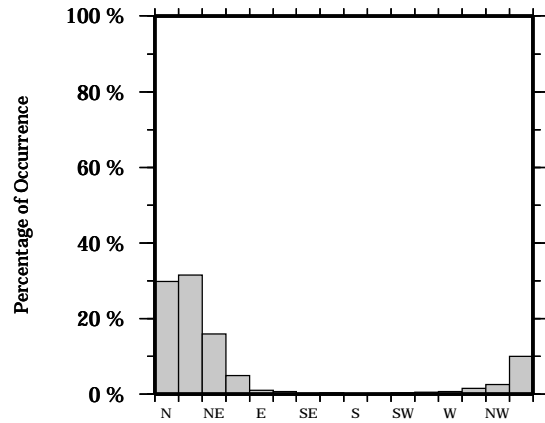
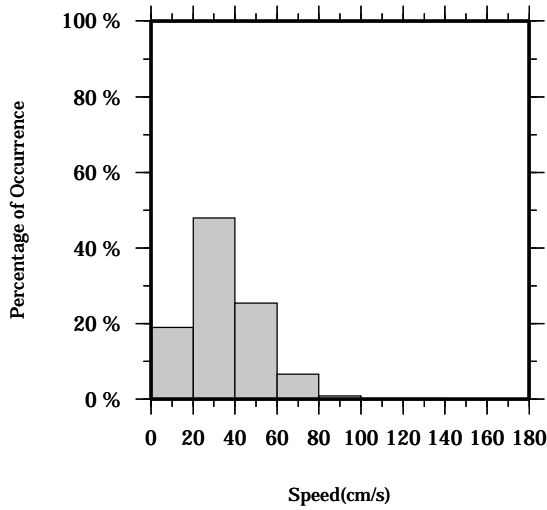
Speed scalar average : 35.6 (cm/s)

LON: 121° 21.83' E

Station: W204

LAT: 22° 40.0133' N

Depth: 218 M



Joint probability distribution of current speed and it's direction

Speed	N	NNE	NE	ENE	E	ESE	SE	SSE	S	SSW	SW	WSW	W	WNW	NW	NNW	Total
0-20	3.7	3.0	2.2	1.8	0.8	0.7	0.2	0.3	0.0	0.1	0.3	0.4	0.5	1.1	1.2	2.9	19.0
20-40	15.3	13.2	8.3	2.6	0.3	0.0	0.0	0.0	0.0	0.0	0.1	0.1	0.2	0.4	1.4	6.0	47.9
40-60	9.2	9.9	4.6	0.6	0.0	0.0	0.0	0.0	0.0	0.0	0.0	0.0	0.0	0.0	0.0	1.2	25.4
60-80	1.6	4.5	0.5	0.0	0.0	0.0	0.0	0.0	0.0	0.0	0.0	0.0	0.0	0.0	0.0	0.0	6.6
80-100	0.0	0.6	0.2	0.0	0.0	0.0	0.0	0.0	0.0	0.0	0.0	0.0	0.0	0.0	0.0	0.0	0.8
100-120	0.0	0.2	0.0	0.0	0.0	0.0	0.0	0.0	0.0	0.0	0.0	0.0	0.0	0.0	0.0	0.0	0.2
120-140	0.0	0.1	0.0	0.0	0.0	0.0	0.0	0.0	0.0	0.0	0.0	0.0	0.0	0.0	0.0	0.0	0.1
140-160	0.0	0.0	0.0	0.0	0.0	0.0	0.0	0.0	0.0	0.0	0.0	0.0	0.0	0.0	0.0	0.0	0.0
160-180	0.0	0.0	0.0	0.0	0.0	0.0	0.0	0.0	0.0	0.0	0.0	0.0	0.0	0.0	0.0	0.0	0.0
180-200	0.0	0.0	0.0	0.0	0.0	0.0	0.0	0.0	0.0	0.0	0.0	0.0	0.0	0.0	0.0	0.0	0.0
Total	29.8	31.5	15.8	5.0	1.1	0.7	0.2	0.3	0.0	0.1	0.4	0.5	0.7	1.4	2.6	10.0	100.0

Mean U and V : 8.8 (cm/s), 30.4 (cm/s)

Standard deviation of U and V : 13.7 (cm/s), 17.5 (cm/s)

Maximun speed and it's direction : 123.6 (cm/s), 32.9 (deg.)

Mean speed and direction : 31.6 (cm/s), 16.2 (deg.)

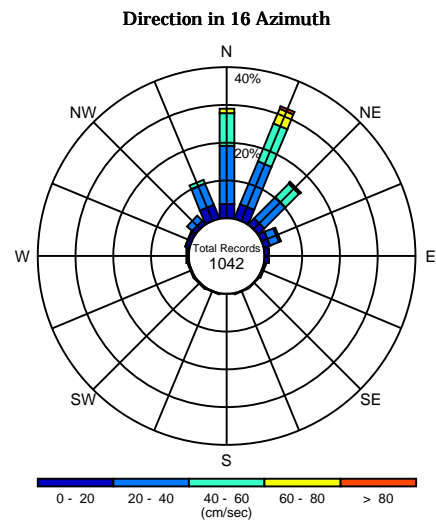
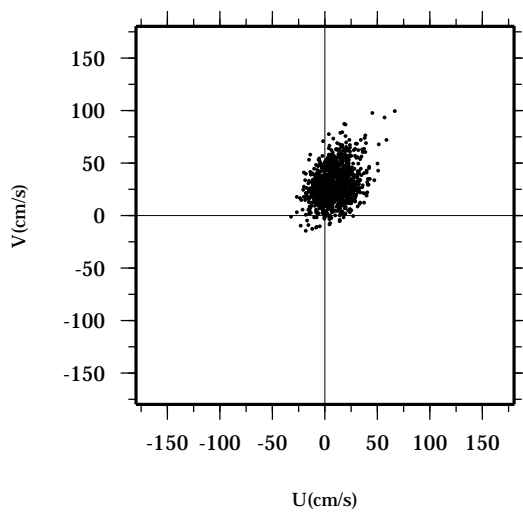
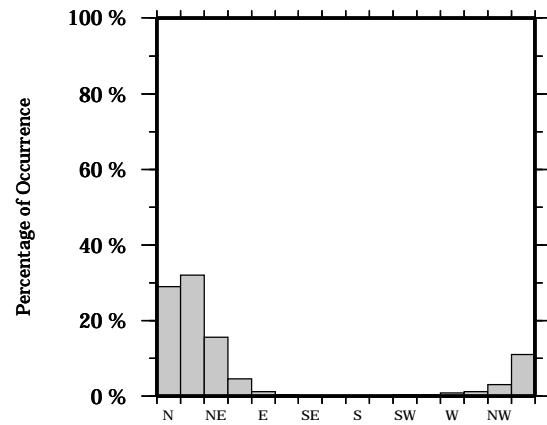
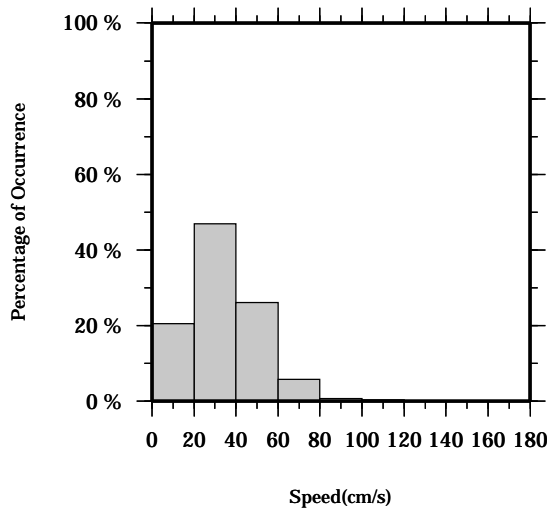
Speed scalar average : 34.7 (cm/s)

LON: 121° 21.83' E

Station: W204

LAT: 22° 40.0133' N

Depth: 222 M



Joint probability distribution of current speed and it's direction

Speed	N	NNE	NE	ENE	E	ESE	SE	SSE	S	SSW	SW	WSW	W	WNW	NW	NNW	Total
0-20	3.6	3.9	2.1	1.6	1.0	0.4	0.2	0.2	0.1	0.2	0.3	0.3	0.6	1.0	1.2	3.8	20.4
20-40	15.4	12.3	7.9	2.6	0.2	0.0	0.0	0.0	0.0	0.0	0.1	0.1	0.2	0.3	1.8	6.0	46.8
40-60	8.7	10.7	5.1	0.4	0.0	0.0	0.0	0.0	0.0	0.0	0.0	0.0	0.0	0.0	0.0	1.1	26.0
60-80	1.2	4.2	0.4	0.0	0.0	0.0	0.0	0.0	0.0	0.0	0.0	0.0	0.0	0.0	0.0	0.0	5.8
80-100	0.0	0.5	0.2	0.0	0.0	0.0	0.0	0.0	0.0	0.0	0.0	0.0	0.0	0.0	0.0	0.0	0.7
100-120	0.0	0.3	0.0	0.0	0.0	0.0	0.0	0.0	0.0	0.0	0.0	0.0	0.0	0.0	0.0	0.0	0.3
120-140	0.0	0.0	0.0	0.0	0.0	0.0	0.0	0.0	0.0	0.0	0.0	0.0	0.0	0.0	0.0	0.0	0.0
140-160	0.0	0.0	0.0	0.0	0.0	0.0	0.0	0.0	0.0	0.0	0.0	0.0	0.0	0.0	0.0	0.0	0.0
160-180	0.0	0.0	0.0	0.0	0.0	0.0	0.0	0.0	0.0	0.0	0.0	0.0	0.0	0.0	0.0	0.0	0.0
180-200	0.0	0.0	0.0	0.0	0.0	0.0	0.0	0.0	0.0	0.0	0.0	0.0	0.0	0.0	0.0	0.0	0.0
Total	28.9	32.0	15.6	4.6	1.2	0.4	0.2	0.2	0.1	0.2	0.4	0.4	0.8	1.2	3.0	10.9	100.0

Mean U and V : 8.4 (cm/s), 29.5 (cm/s)

Standard deviation of U and V : 13.7 (cm/s), 17.1 (cm/s)

Maximun speed and it's direction : 119.3 (cm/s), 33.6 (deg.)

Mean speed and direction : 30.7 (cm/s), 16.0 (deg.)

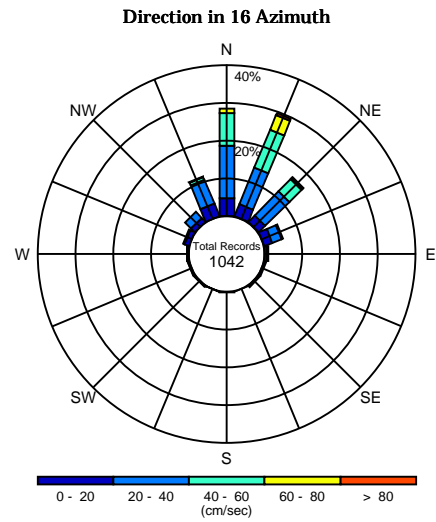
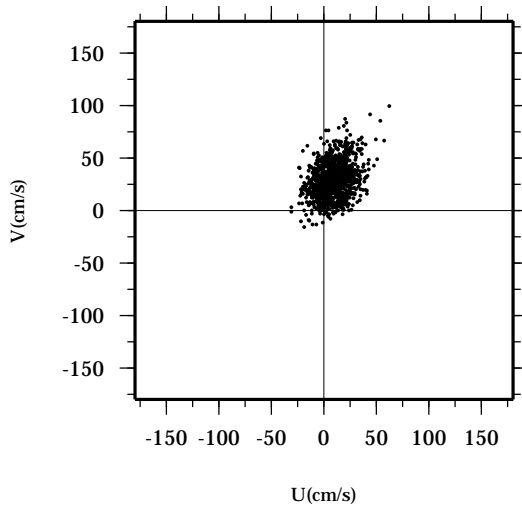
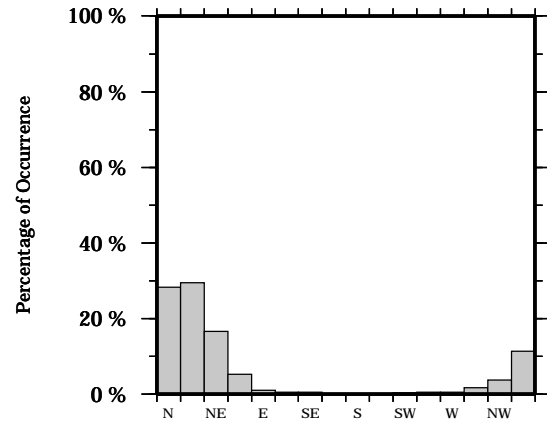
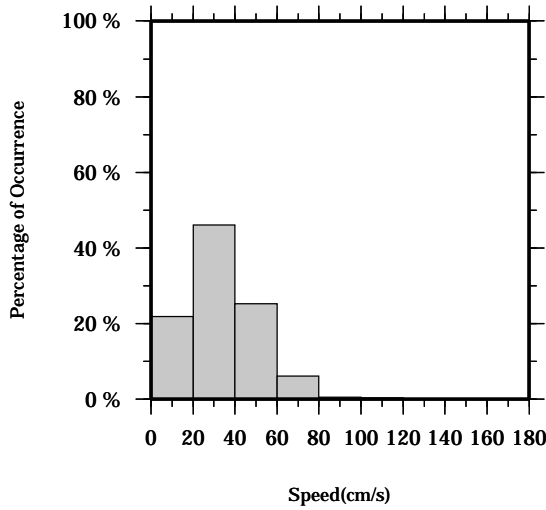
Speed scalar average : 33.9 (cm/s)

LON: 121° 21.83' E

Station: W204

LAT: 22° 40.0133' N

Depth: 226 M



Joint probability distribution of current speed and it's direction

Speed	N	NNE	NE	ENE	E	ESE	SE	SSE	S	SSW	SW	WSW	W	WNW	NW	NNW	Total
0-20	4.6	3.4	2.4	2.2	0.6	0.5	0.5	0.1	0.2	0.1	0.3	0.4	0.4	1.3	1.4	3.6	21.9
20-40	13.9	10.5	8.9	2.7	0.4	0.0	0.0	0.0	0.0	0.0	0.1	0.1	0.2	0.3	2.2	6.8	46.1
40-60	8.6	10.8	4.6	0.4	0.0	0.0	0.0	0.0	0.0	0.0	0.0	0.0	0.0	0.0	0.0	0.8	25.2
60-80	1.2	4.2	0.5	0.0	0.0	0.0	0.0	0.0	0.0	0.0	0.0	0.0	0.0	0.0	0.0	0.2	6.0
80-100	0.0	0.3	0.2	0.0	0.0	0.0	0.0	0.0	0.0	0.0	0.0	0.0	0.0	0.0	0.0	0.0	0.5
100-120	0.0	0.3	0.0	0.0	0.0	0.0	0.0	0.0	0.0	0.0	0.0	0.0	0.0	0.0	0.0	0.0	0.3
120-140	0.0	0.0	0.0	0.0	0.0	0.0	0.0	0.0	0.0	0.0	0.0	0.0	0.0	0.0	0.0	0.0	0.0
140-160	0.0	0.0	0.0	0.0	0.0	0.0	0.0	0.0	0.0	0.0	0.0	0.0	0.0	0.0	0.0	0.0	0.0
160-180	0.0	0.0	0.0	0.0	0.0	0.0	0.0	0.0	0.0	0.0	0.0	0.0	0.0	0.0	0.0	0.0	0.0
180-200	0.0	0.0	0.0	0.0	0.0	0.0	0.0	0.0	0.0	0.0	0.0	0.0	0.0	0.0	0.0	0.0	0.0
Total	28.3	29.5	16.6	5.3	1.0	0.5	0.5	0.1	0.2	0.1	0.4	0.5	0.6	1.6	3.6	11.3	100.0

Mean U and V : 8.1 (cm/s), 28.8 (cm/s)

Standard deviation of U and V : 13.8 (cm/s), 16.9 (cm/s)

Maximun speed and it's direction : 116.9 (cm/s), 32.0 (deg.)

Mean speed and direction : 30.0 (cm/s), 15.7 (deg.)

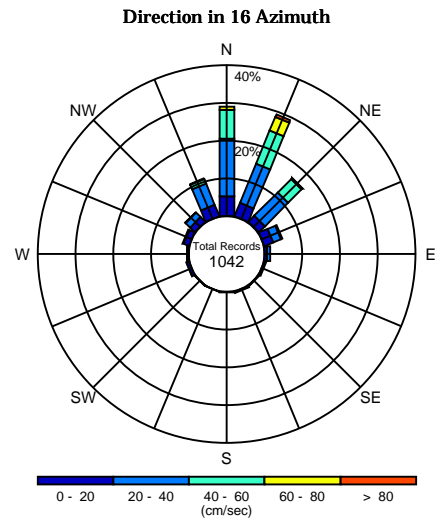
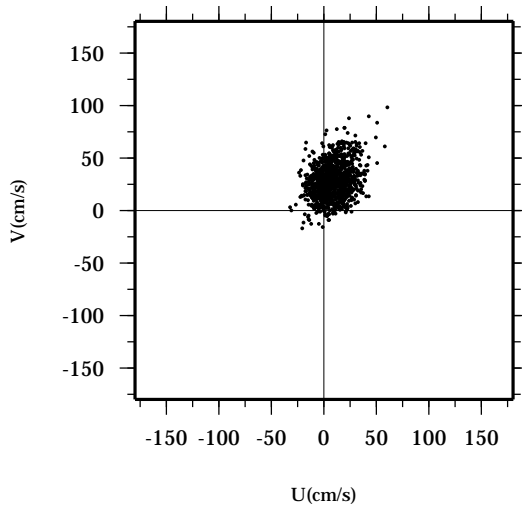
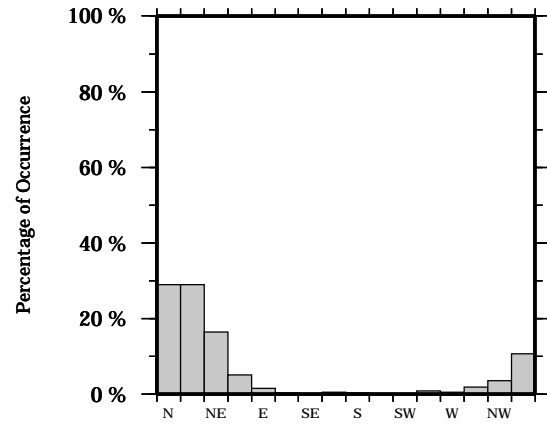
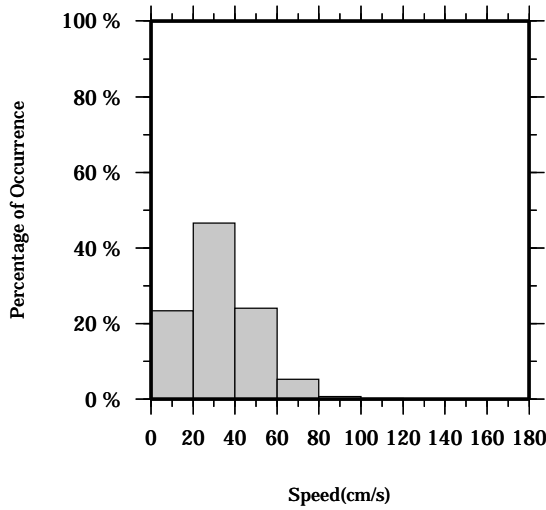
Speed scalar average : 33.2 (cm/s)

LON: 121° 21.83' E

Station: W204

LAT: 22° 40.0133' N

Depth: 230 M



Joint probability distribution of current speed and it's direction

Speed	N	NNE	NE	ENE	E	ESE	SE	SSE	S	SSW	SW	WSW	W	WNW	NW	NNW	Total
0-20	5.2	3.7	2.2	2.5	0.7	0.4	0.2	0.5	0.3	0.1	0.1	0.8	0.2	1.5	1.8	3.3	23.4
20-40	15.2	11.2	8.7	2.1	0.8	0.0	0.0	0.0	0.0	0.0	0.1	0.1	0.3	0.4	1.6	6.0	46.5
40-60	7.7	9.5	5.1	0.5	0.0	0.0	0.0	0.0	0.0	0.0	0.0	0.0	0.0	0.0	0.1	1.2	24.1
60-80	0.9	3.9	0.2	0.0	0.0	0.0	0.0	0.0	0.0	0.0	0.0	0.0	0.0	0.0	0.0	0.2	5.2
80-100	0.0	0.5	0.2	0.0	0.0	0.0	0.0	0.0	0.0	0.0	0.0	0.0	0.0	0.0	0.0	0.0	0.7
100-120	0.0	0.1	0.0	0.0	0.0	0.0	0.0	0.0	0.0	0.0	0.0	0.0	0.0	0.0	0.0	0.0	0.1
120-140	0.0	0.0	0.0	0.0	0.0	0.0	0.0	0.0	0.0	0.0	0.0	0.0	0.0	0.0	0.0	0.0	0.0
140-160	0.0	0.0	0.0	0.0	0.0	0.0	0.0	0.0	0.0	0.0	0.0	0.0	0.0	0.0	0.0	0.0	0.0
160-180	0.0	0.0	0.0	0.0	0.0	0.0	0.0	0.0	0.0	0.0	0.0	0.0	0.0	0.0	0.0	0.0	0.0
180-200	0.0	0.0	0.0	0.0	0.0	0.0	0.0	0.0	0.0	0.0	0.0	0.0	0.0	0.0	0.0	0.0	0.0
Total	28.9	29.0	16.4	5.1	1.4	0.4	0.2	0.5	0.3	0.1	0.2	0.9	0.5	1.9	3.6	10.7	100.0

Mean U and V : 8.0 (cm/s), 28.1 (cm/s)

Standard deviation of U and V : 13.7 (cm/s), 16.7 (cm/s)

Maximun speed and it's direction : 114.9 (cm/s), 31.5 (deg.)

Mean speed and direction : 29.2 (cm/s), 15.9 (deg.)

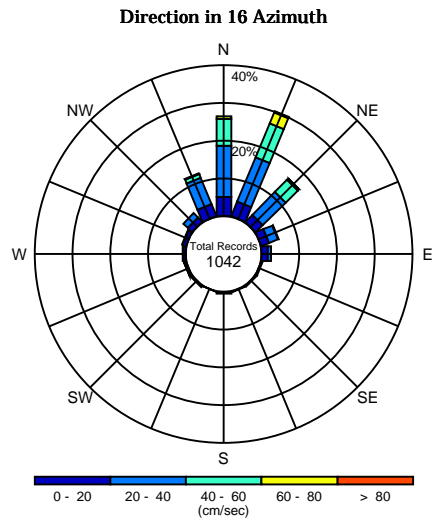
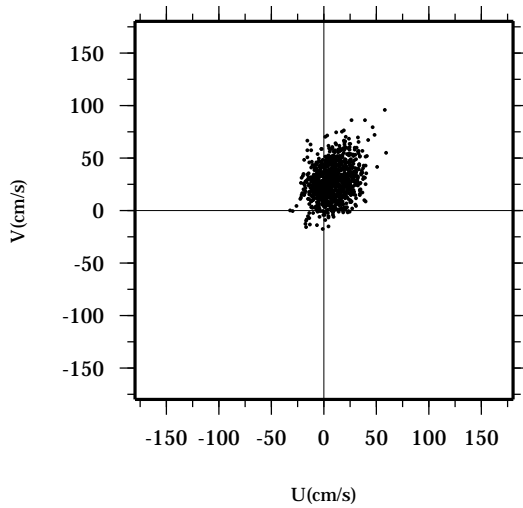
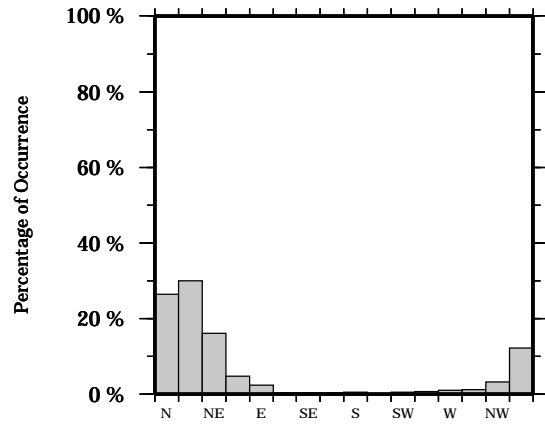
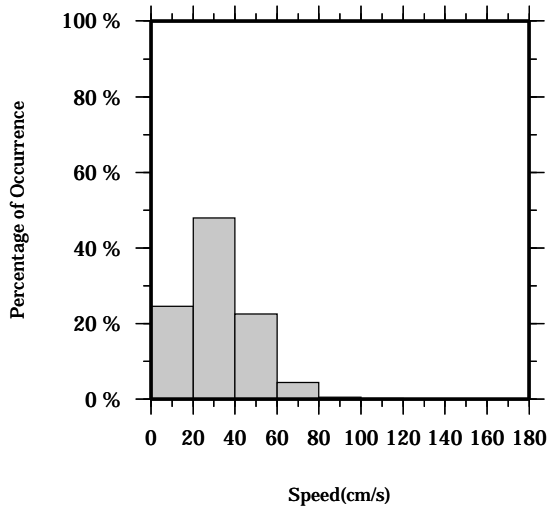
Speed scalar average : 32.5 (cm/s)

LON: 121° 21.83' E

Station: W204

LAT: 22° 40.0133' N

Depth: 234 M



Joint probability distribution of current speed and it's direction

Speed	N	NNE	NE	ENE	E	ESE	SE	SSE	S	SSW	SW	WSW	W	WNW	NW	NNW	Total
0-20	5.1	4.1	2.6	2.1	1.6	0.3	0.3	0.3	0.5	0.1	0.3	0.6	0.7	1.1	1.6	3.4	24.6
20-40	13.5	12.6	8.5	2.5	0.8	0.0	0.0	0.0	0.0	0.0	0.2	0.1	0.3	0.2	1.6	7.6	47.9
40-60	7.0	9.8	4.5	0.2	0.0	0.0	0.0	0.0	0.0	0.0	0.0	0.0	0.0	0.0	0.0	1.1	22.6
60-80	0.8	3.1	0.4	0.0	0.0	0.0	0.0	0.0	0.0	0.0	0.0	0.0	0.0	0.0	0.0	0.2	4.4
80-100	0.0	0.4	0.1	0.0	0.0	0.0	0.0	0.0	0.0	0.0	0.0	0.0	0.0	0.0	0.0	0.0	0.5
100-120	0.0	0.1	0.0	0.0	0.0	0.0	0.0	0.0	0.0	0.0	0.0	0.0	0.0	0.0	0.0	0.0	0.1
120-140	0.0	0.0	0.0	0.0	0.0	0.0	0.0	0.0	0.0	0.0	0.0	0.0	0.0	0.0	0.0	0.0	0.0
140-160	0.0	0.0	0.0	0.0	0.0	0.0	0.0	0.0	0.0	0.0	0.0	0.0	0.0	0.0	0.0	0.0	0.0
160-180	0.0	0.0	0.0	0.0	0.0	0.0	0.0	0.0	0.0	0.0	0.0	0.0	0.0	0.0	0.0	0.0	0.0
180-200	0.0	0.0	0.0	0.0	0.0	0.0	0.0	0.0	0.0	0.0	0.0	0.0	0.0	0.0	0.0	0.0	0.0
Total	26.4	30.0	16.1	4.8	2.4	0.3	0.3	0.3	0.5	0.1	0.5	0.7	1.0	1.2	3.3	12.2	100.0

Mean U and V : 7.9 (cm/s), 27.3 (cm/s)

Standard deviation of U and V : 13.6 (cm/s), 16.5 (cm/s)

Maximun speed and it's direction : 111.6 (cm/s), 31.0 (deg.)

Mean speed and direction : 28.4 (cm/s), 16.1 (deg.)

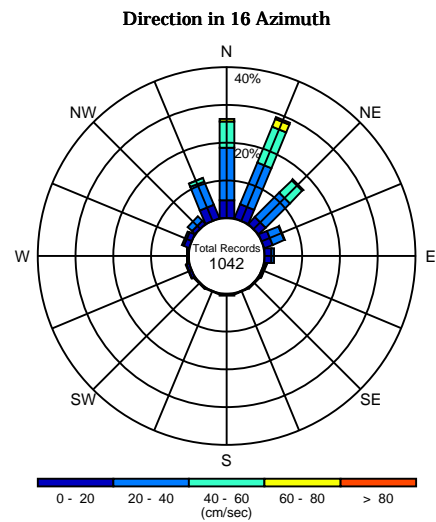
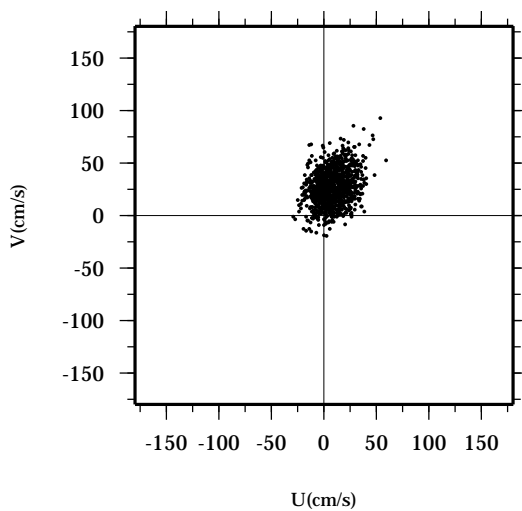
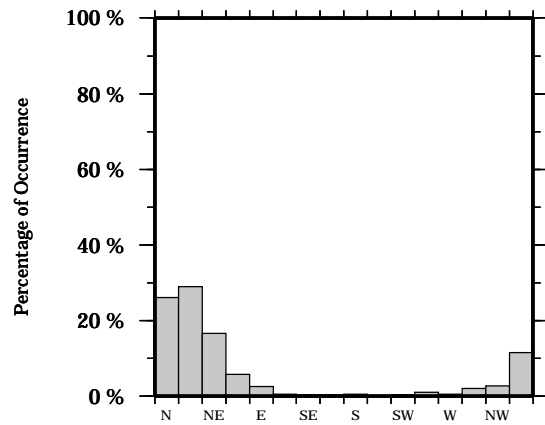
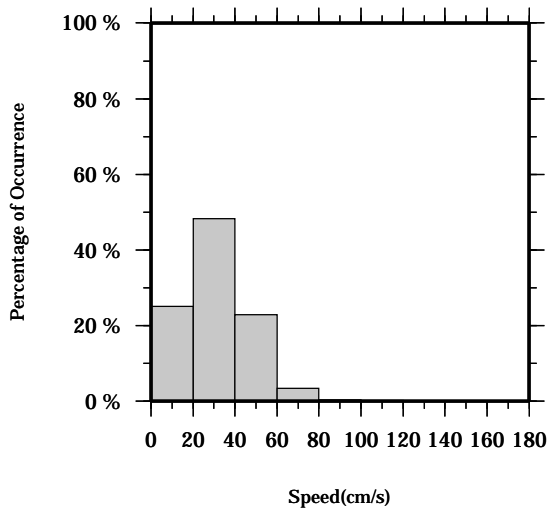
Speed scalar average : 31.9 (cm/s)

LON: 121° 21.83' E

Station: W204

LAT: 22° 40.0133' N

Depth: 238 M



Joint probability distribution of current speed and it's direction

Speed	N	NNE	NE	ENE	E	ESE	SE	SSE	S	SSW	SW	WSW	W	WNW	NW	NNW	Total
0-20	4.7	4.0	2.5	2.3	1.7	0.5	0.3	0.3	0.6	0.2	0.3	0.9	0.3	1.5	1.2	3.8	25.0
20-40	13.9	11.8	9.1	3.3	0.8	0.1	0.0	0.0	0.0	0.0	0.1	0.1	0.3	0.5	1.6	6.6	48.2
40-60	6.9	10.3	4.6	0.2	0.0	0.0	0.0	0.0	0.0	0.0	0.0	0.0	0.0	0.0	0.0	1.0	22.9
60-80	0.6	2.3	0.4	0.0	0.0	0.0	0.0	0.0	0.0	0.0	0.0	0.0	0.0	0.0	0.0	0.1	3.4
80-100	0.0	0.4	0.0	0.0	0.0	0.0	0.0	0.0	0.0	0.0	0.0	0.0	0.0	0.0	0.0	0.0	0.4
100-120	0.0	0.1	0.0	0.0	0.0	0.0	0.0	0.0	0.0	0.0	0.0	0.0	0.0	0.0	0.0	0.0	0.1
120-140	0.0	0.0	0.0	0.0	0.0	0.0	0.0	0.0	0.0	0.0	0.0	0.0	0.0	0.0	0.0	0.0	0.0
140-160	0.0	0.0	0.0	0.0	0.0	0.0	0.0	0.0	0.0	0.0	0.0	0.0	0.0	0.0	0.0	0.0	0.0
160-180	0.0	0.0	0.0	0.0	0.0	0.0	0.0	0.0	0.0	0.0	0.0	0.0	0.0	0.0	0.0	0.0	0.0
180-200	0.0	0.0	0.0	0.0	0.0	0.0	0.0	0.0	0.0	0.0	0.0	0.0	0.0	0.0	0.0	0.0	0.0
Total	26.1	28.9	16.6	5.8	2.5	0.6	0.3	0.3	0.6	0.2	0.4	1.0	0.6	2.0	2.8	11.5	100.0

Mean U and V : 7.8 (cm/s), 26.5 (cm/s)

Standard deviation of U and V : 13.5 (cm/s), 16.4 (cm/s)

Maximun speed and it's direction : 106.6 (cm/s), 30.0 (deg.)

Mean speed and direction : 27.6 (cm/s), 16.5 (deg.)

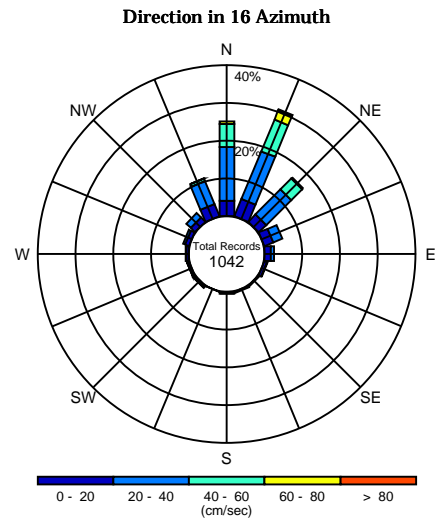
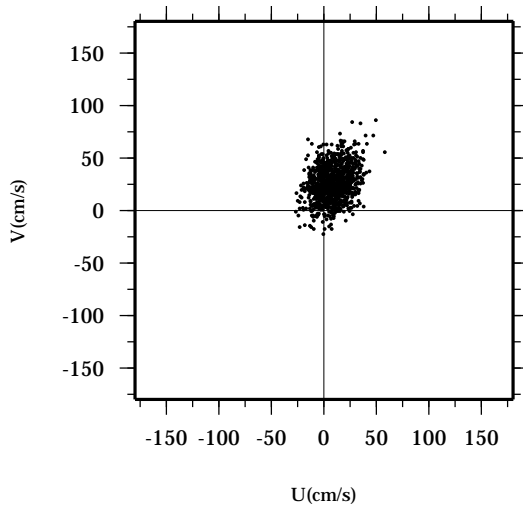
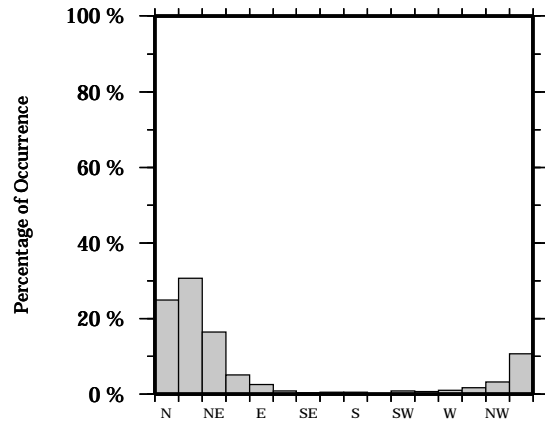
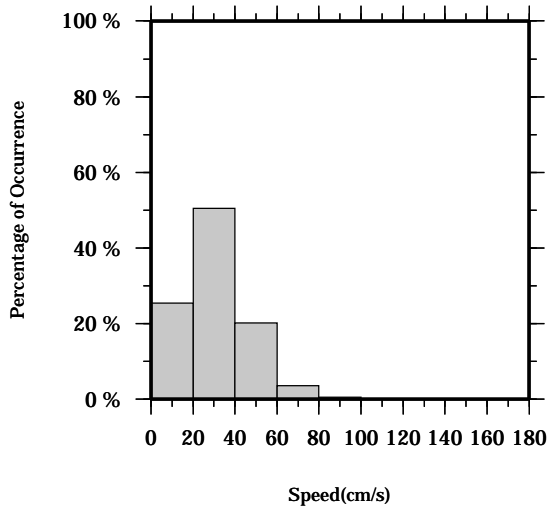
Speed scalar average : 31.3 (cm/s)

LON: 121° 21.83' E

Station: W204

LAT: 22° 40.0133' N

Depth: 242 M



Joint probability distribution of current speed and it's direction

Speed	N	NNE	NE	ENE	E	ESE	SE	SSE	S	SSW	SW	WSW	W	WNW	NW	NNW	Total
0-20	3.9	4.9	2.8	2.4	1.6	0.7	0.3	0.5	0.5	0.0	0.5	0.6	0.7	1.2	1.6	3.4	25.4
20-40	14.2	13.6	9.2	2.7	0.9	0.1	0.0	0.0	0.1	0.1	0.3	0.1	0.3	0.6	1.6	6.6	50.4
40-60	6.2	9.1	4.1	0.0	0.0	0.0	0.0	0.0	0.0	0.0	0.0	0.0	0.0	0.0	0.0	0.7	20.2
60-80	0.6	2.5	0.4	0.0	0.0	0.0	0.0	0.0	0.0	0.0	0.0	0.0	0.0	0.0	0.0	0.1	3.6
80-100	0.0	0.5	0.0	0.0	0.0	0.0	0.0	0.0	0.0	0.0	0.0	0.0	0.0	0.0	0.0	0.0	0.5
100-120	0.0	0.0	0.0	0.0	0.0	0.0	0.0	0.0	0.0	0.0	0.0	0.0	0.0	0.0	0.0	0.0	0.0
120-140	0.0	0.0	0.0	0.0	0.0	0.0	0.0	0.0	0.0	0.0	0.0	0.0	0.0	0.0	0.0	0.0	0.0
140-160	0.0	0.0	0.0	0.0	0.0	0.0	0.0	0.0	0.0	0.0	0.0	0.0	0.0	0.0	0.0	0.0	0.0
160-180	0.0	0.0	0.0	0.0	0.0	0.0	0.0	0.0	0.0	0.0	0.0	0.0	0.0	0.0	0.0	0.0	0.0
180-200	0.0	0.0	0.0	0.0	0.0	0.0	0.0	0.0	0.0	0.0	0.0	0.0	0.0	0.0	0.0	0.0	0.0
Total	25.0	30.6	16.5	5.1	2.5	0.8	0.3	0.5	0.6	0.1	0.8	0.7	1.0	1.7	3.3	10.7	100.0

Mean U and V : 7.7 (cm/s), 25.7 (cm/s)

Standard deviation of U and V : 13.2 (cm/s), 16.3 (cm/s)

Maximun speed and it's direction : 99.2 (cm/s), 29.8 (deg.)

Mean speed and direction : 26.9 (cm/s), 16.7 (deg.)

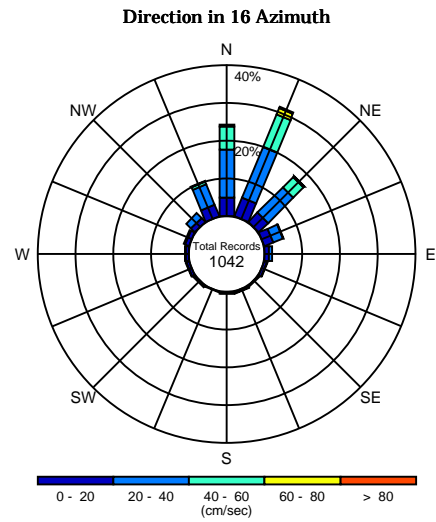
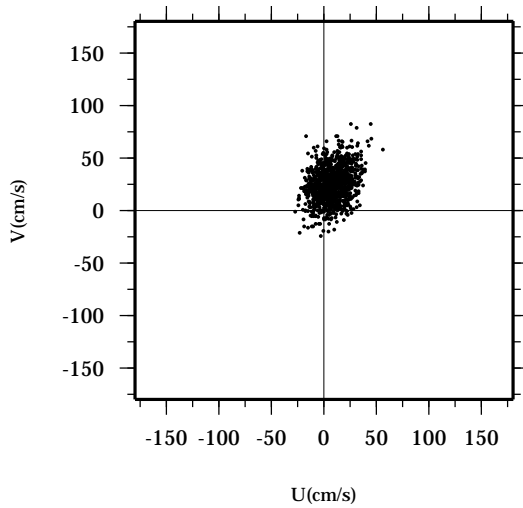
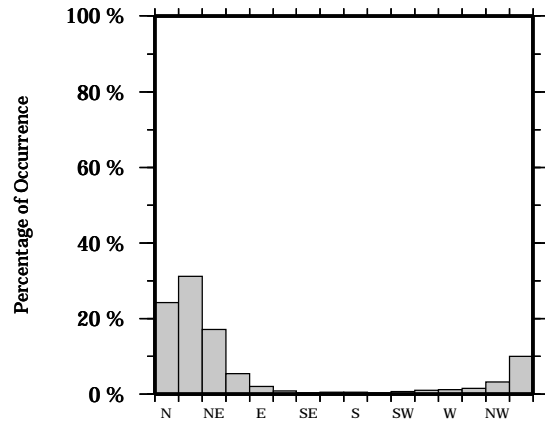
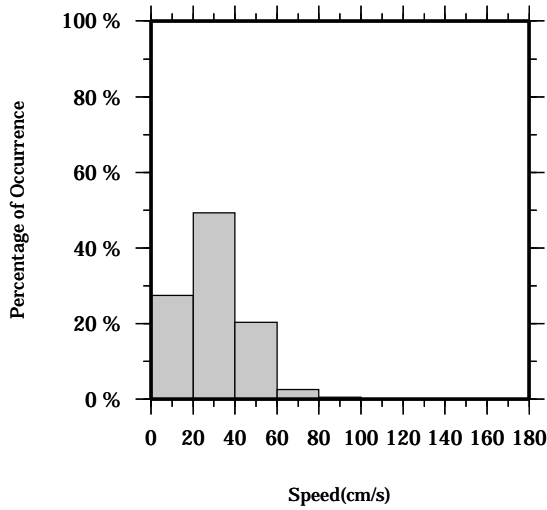
Speed scalar average : 30.6 (cm/s)

LON: 121° 21.83' E

Station: W204

LAT: 22° 40.0133' N

Depth: 246 M



Joint probability distribution of current speed and it's direction

Speed	N	NNE	NE	ENE	E	ESE	SE	SSE	S	SSW	SW	WSW	W	WNW	NW	NNW	Total
0-20	4.9	5.3	3.5	2.5	1.2	0.7	0.4	0.4	0.5	0.3	0.4	0.9	0.9	1.2	1.4	3.3	27.4
20-40	12.7	14.5	9.4	2.8	0.9	0.1	0.0	0.2	0.1	0.0	0.3	0.1	0.3	0.4	1.8	5.8	49.2
40-60	6.1	9.3	3.8	0.1	0.0	0.0	0.0	0.0	0.0	0.0	0.0	0.0	0.0	0.0	0.0	0.9	20.2
60-80	0.5	1.7	0.3	0.0	0.0	0.0	0.0	0.0	0.0	0.0	0.0	0.0	0.0	0.0	0.0	0.1	2.6
80-100	0.0	0.4	0.1	0.0	0.0	0.0	0.0	0.0	0.0	0.0	0.0	0.0	0.0	0.0	0.0	0.0	0.5
100-120	0.0	0.0	0.0	0.0	0.0	0.0	0.0	0.0	0.0	0.0	0.0	0.0	0.0	0.0	0.0	0.0	0.0
120-140	0.0	0.0	0.0	0.0	0.0	0.0	0.0	0.0	0.0	0.0	0.0	0.0	0.0	0.0	0.0	0.0	0.0
140-160	0.0	0.0	0.0	0.0	0.0	0.0	0.0	0.0	0.0	0.0	0.0	0.0	0.0	0.0	0.0	0.0	0.0
160-180	0.0	0.0	0.0	0.0	0.0	0.0	0.0	0.0	0.0	0.0	0.0	0.0	0.0	0.0	0.0	0.0	0.0
180-200	0.0	0.0	0.0	0.0	0.0	0.0	0.0	0.0	0.0	0.0	0.0	0.0	0.0	0.0	0.0	0.0	0.0
Total	24.2	31.2	17.1	5.4	2.0	0.8	0.4	0.6	0.6	0.3	0.7	1.0	1.2	1.5	3.3	10.0	100.0

Mean U and V : 7.5 (cm/s), 24.9 (cm/s)

Standard deviation of U and V : 13.0 (cm/s), 16.2 (cm/s)

Maximun speed and it's direction : 93.3 (cm/s), 28.5 (deg.)

Mean speed and direction : 26.0 (cm/s), 16.7 (deg.)

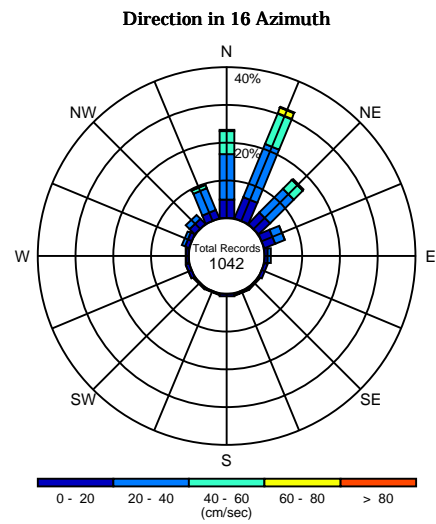
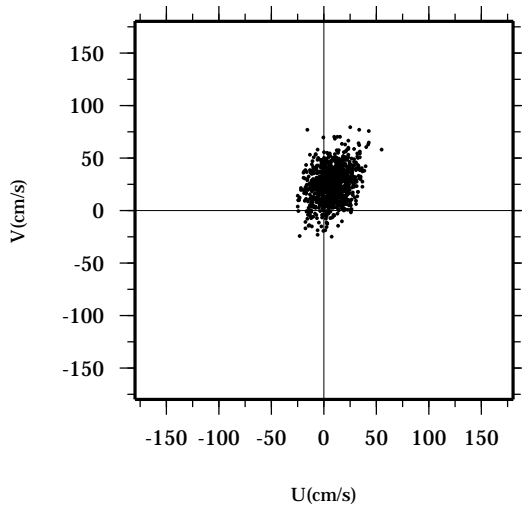
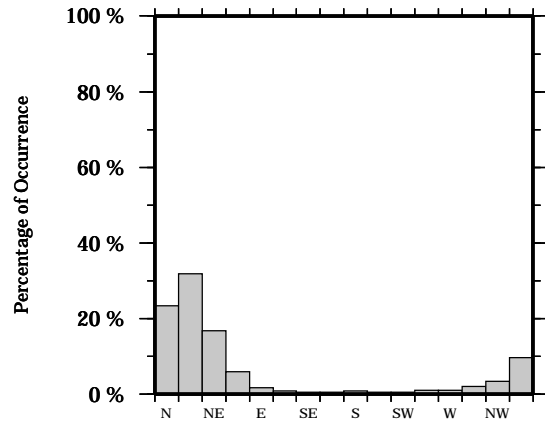
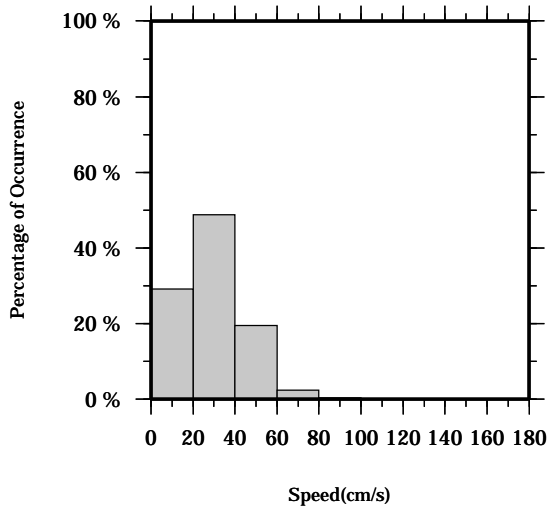
Speed scalar average : 29.8 (cm/s)

LON: 121° 21.83' E

Station: W204

LAT: 22° 40.0133' N

Depth: 250 M



Joint probability distribution of current speed and it's direction

Speed	N	NNE	NE	ENE	E	ESE	SE	SSE	S	SSW	SW	WSW	W	WNW	NW	NNW	Total
0-20	4.9	6.0	4.1	3.0	0.8	0.8	0.5	0.5	0.8	0.3	0.3	1.0	0.8	1.2	1.9	2.3	29.1
20-40	12.0	15.1	8.8	2.8	0.9	0.0	0.0	0.1	0.0	0.2	0.3	0.1	0.2	0.8	1.4	6.2	48.8
40-60	6.0	8.9	3.5	0.1	0.0	0.0	0.0	0.0	0.0	0.0	0.0	0.0	0.0	0.0	0.0	1.0	19.5
60-80	0.4	1.5	0.3	0.0	0.0	0.0	0.0	0.0	0.0	0.0	0.0	0.0	0.0	0.0	0.0	0.1	2.3
80-100	0.0	0.3	0.0	0.0	0.0	0.0	0.0	0.0	0.0	0.0	0.0	0.0	0.0	0.0	0.0	0.0	0.3
100-120	0.0	0.0	0.0	0.0	0.0	0.0	0.0	0.0	0.0	0.0	0.0	0.0	0.0	0.0	0.0	0.0	0.0
120-140	0.0	0.0	0.0	0.0	0.0	0.0	0.0	0.0	0.0	0.0	0.0	0.0	0.0	0.0	0.0	0.0	0.0
140-160	0.0	0.0	0.0	0.0	0.0	0.0	0.0	0.0	0.0	0.0	0.0	0.0	0.0	0.0	0.0	0.0	0.0
160-180	0.0	0.0	0.0	0.0	0.0	0.0	0.0	0.0	0.0	0.0	0.0	0.0	0.0	0.0	0.0	0.0	0.0
180-200	0.0	0.0	0.0	0.0	0.0	0.0	0.0	0.0	0.0	0.0	0.0	0.0	0.0	0.0	0.0	0.0	0.0
Total	23.3	31.9	16.7	5.9	1.6	0.8	0.5	0.6	0.8	0.5	0.6	1.1	1.0	2.0	3.4	9.6	100.0

Mean U and V : 7.2 (cm/s), 24.1 (cm/s)

Standard deviation of U and V : 12.8 (cm/s), 16.1 (cm/s)

Maximun speed and it's direction : 86.3 (cm/s), 29.4 (deg.)

Mean speed and direction : 25.2 (cm/s), 16.6 (deg.)

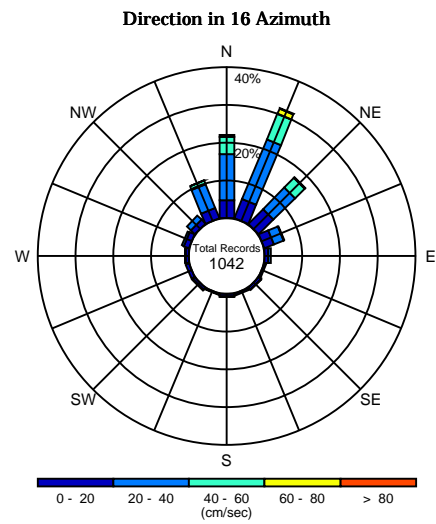
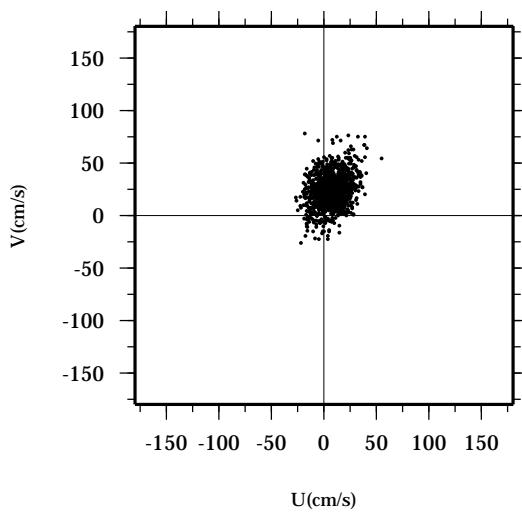
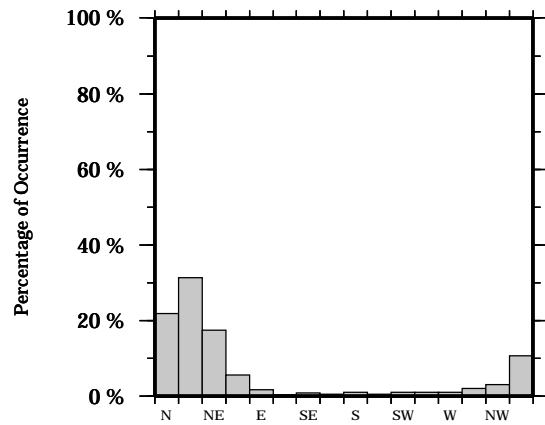
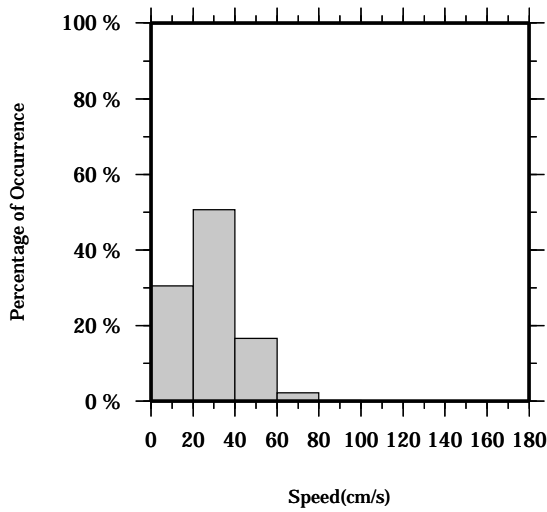
Speed scalar average : 29.1 (cm/s)

LON: 121° 21.83' E

Station: W204

LAT: 22° 40.0133' N

Depth: 254 M



Joint probability distribution of current speed and it's direction

Speed	N	NNE	NE	ENE	E	ESE	SE	SSE	S	SSW	SW	WSW	W	WNW	NW	NNW	Total
0-20	4.6	5.4	5.5	2.6	1.0	0.4	0.8	0.6	0.8	0.3	0.8	1.1	1.0	1.4	1.5	2.9	30.4
20-40	12.3	17.1	8.1	2.9	0.7	0.0	0.1	0.0	0.2	0.2	0.3	0.0	0.1	0.6	1.4	6.7	50.6
40-60	4.6	7.3	3.6	0.1	0.0	0.0	0.0	0.0	0.0	0.0	0.0	0.0	0.0	0.0	0.0	1.1	16.6
60-80	0.4	1.4	0.3	0.0	0.0	0.0	0.0	0.0	0.0	0.0	0.0	0.0	0.0	0.0	0.0	0.1	2.2
80-100	0.0	0.2	0.0	0.0	0.0	0.0	0.0	0.0	0.0	0.0	0.0	0.0	0.0	0.0	0.0	0.0	0.2
100-120	0.0	0.0	0.0	0.0	0.0	0.0	0.0	0.0	0.0	0.0	0.0	0.0	0.0	0.0	0.0	0.0	0.0
120-140	0.0	0.0	0.0	0.0	0.0	0.0	0.0	0.0	0.0	0.0	0.0	0.0	0.0	0.0	0.0	0.0	0.0
140-160	0.0	0.0	0.0	0.0	0.0	0.0	0.0	0.0	0.0	0.0	0.0	0.0	0.0	0.0	0.0	0.0	0.0
160-180	0.0	0.0	0.0	0.0	0.0	0.0	0.0	0.0	0.0	0.0	0.0	0.0	0.0	0.0	0.0	0.0	0.0
180-200	0.0	0.0	0.0	0.0	0.0	0.0	0.0	0.0	0.0	0.0	0.0	0.0	0.0	0.0	0.0	0.0	0.0
Total	21.9	31.4	17.4	5.6	1.6	0.4	0.9	0.6	1.0	0.5	1.1	1.1	1.1	2.0	3.0	10.7	100.0

Mean U and V : 7.0 (cm/s), 23.3 (cm/s)

Standard deviation of U and V : 12.6 (cm/s), 16.0 (cm/s)

Maximun speed and it's direction : 84.3 (cm/s), 27.6 (deg.)

Mean speed and direction : 24.3 (cm/s), 16.7 (deg.)

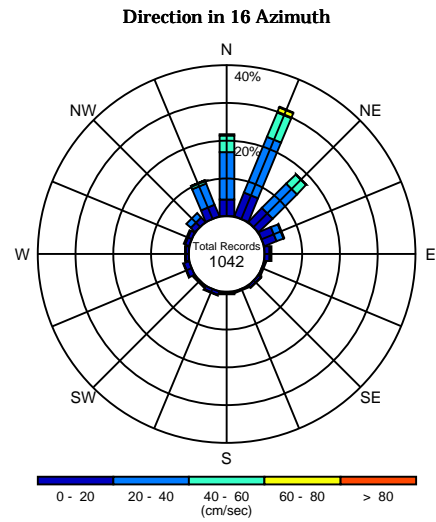
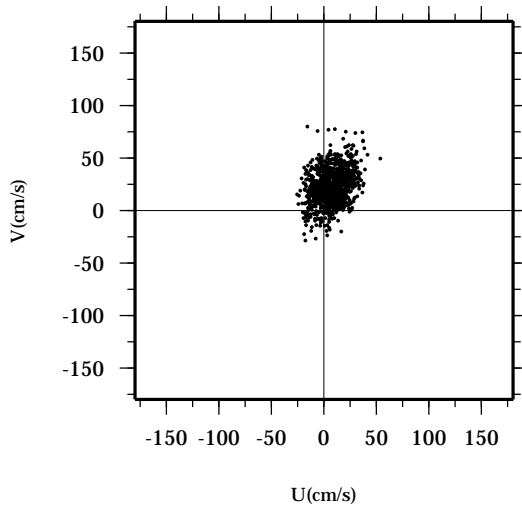
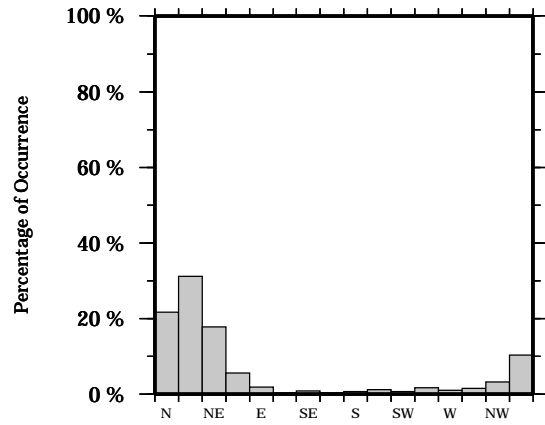
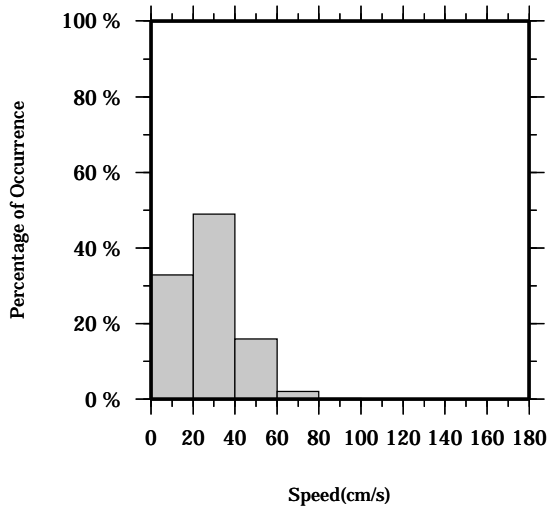
Speed scalar average : 28.3 (cm/s)

LON: 121° 21.83' E

Station: W204

LAT: 22° 40.0133' N

Depth: 258 M



Joint probability distribution of current speed and it's direction

Speed	N	NNE	NE	ENE	E	ESE	SE	SSE	S	SSW	SW	WSW	W	WNW	NW	NNW	Total
0-20	4.4	6.6	5.2	3.5	1.3	0.4	0.8	0.4	0.6	1.0	0.5	1.4	1.0	1.2	1.6	3.2	32.9
20-40	12.5	16.0	9.0	2.0	0.5	0.0	0.1	0.0	0.1	0.3	0.2	0.2	0.1	0.4	1.5	6.0	48.9
40-60	4.3	7.0	3.5	0.2	0.0	0.0	0.0	0.0	0.0	0.0	0.0	0.0	0.0	0.0	0.0	1.0	15.9
60-80	0.4	1.4	0.2	0.0	0.0	0.0	0.0	0.0	0.0	0.0	0.0	0.0	0.0	0.0	0.0	0.0	2.0
80-100	0.0	0.1	0.0	0.0	0.0	0.0	0.0	0.0	0.0	0.0	0.0	0.0	0.0	0.0	0.0	0.1	0.2
100-120	0.0	0.0	0.0	0.0	0.0	0.0	0.0	0.0	0.0	0.0	0.0	0.0	0.0	0.0	0.0	0.0	0.0
120-140	0.0	0.0	0.0	0.0	0.0	0.0	0.0	0.0	0.0	0.0	0.0	0.0	0.0	0.0	0.0	0.0	0.0
140-160	0.0	0.0	0.0	0.0	0.0	0.0	0.0	0.0	0.0	0.0	0.0	0.0	0.0	0.0	0.0	0.0	0.0
160-180	0.0	0.0	0.0	0.0	0.0	0.0	0.0	0.0	0.0	0.0	0.0	0.0	0.0	0.0	0.0	0.0	0.0
180-200	0.0	0.0	0.0	0.0	0.0	0.0	0.0	0.0	0.0	0.0	0.0	0.0	0.0	0.0	0.0	0.0	0.0
Total	21.6	31.2	17.9	5.7	1.8	0.4	0.9	0.4	0.7	1.2	0.7	1.6	1.1	1.5	3.2	10.3	100.0

Mean U and V : 6.8 (cm/s), 22.5 (cm/s)

Standard deviation of U and V : 12.3 (cm/s), 15.9 (cm/s)

Maximun speed and it's direction : 83.0 (cm/s), 26.2 (deg.)

Mean speed and direction : 23.5 (cm/s), 16.9 (deg.)

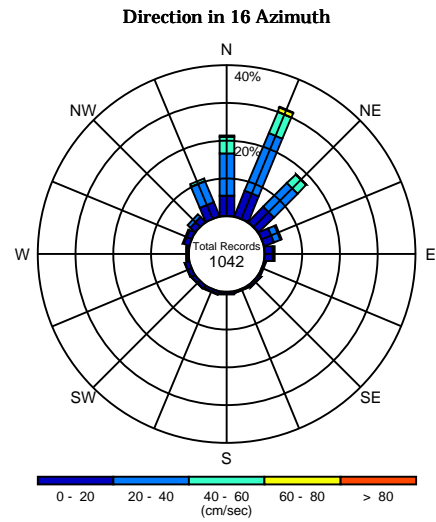
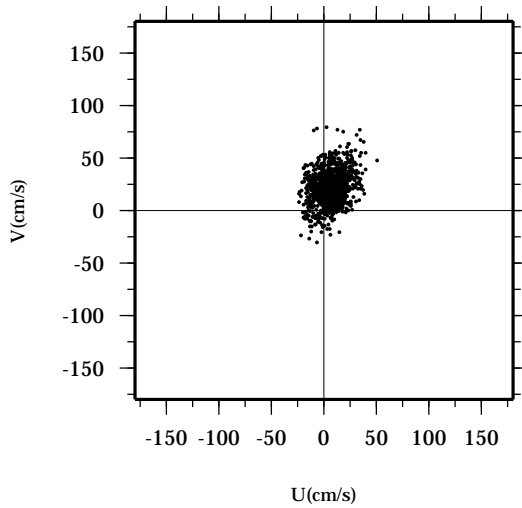
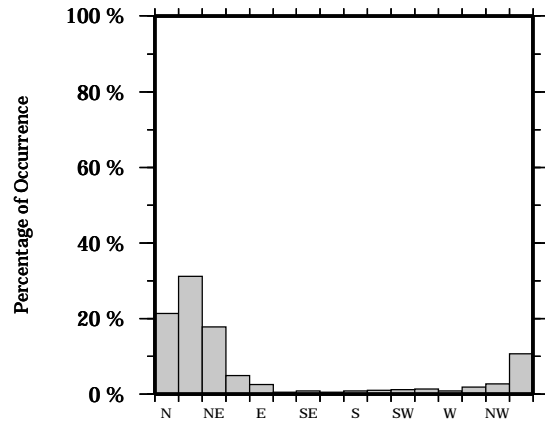
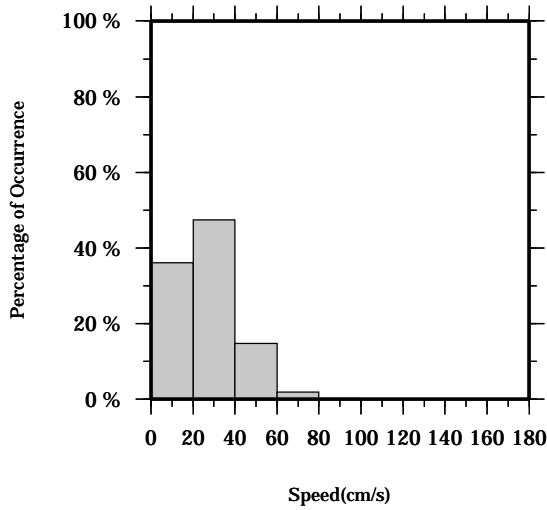
Speed scalar average : 27.6 (cm/s)

LON: 121° 21.83' E

Station: W204

LAT: 22° 40.0133' N

Depth: 262 M



Joint probability distribution of current speed and it's direction

Speed	N	NNE	NE	ENE	E	ESE	SE	SSE	S	SSW	SW	WSW	W	WNW	NW	NNW	Total
0-20	5.3	7.2	5.7	2.6	2.1	0.5	0.7	0.4	0.7	0.8	1.0	1.2	0.7	1.5	1.8	4.0	36.0
20-40	11.3	16.5	8.8	1.9	0.5	0.0	0.1	0.1	0.1	0.3	0.2	0.2	0.1	0.4	1.0	6.0	47.4
40-60	4.3	6.1	3.2	0.4	0.0	0.0	0.0	0.0	0.0	0.0	0.0	0.0	0.0	0.0	0.0	0.7	14.7
60-80	0.4	1.2	0.2	0.0	0.0	0.0	0.0	0.0	0.0	0.0	0.0	0.0	0.0	0.0	0.0	0.0	1.8
80-100	0.0	0.1	0.0	0.0	0.0	0.0	0.0	0.0	0.0	0.0	0.0	0.0	0.0	0.0	0.0	0.0	0.1
100-120	0.0	0.0	0.0	0.0	0.0	0.0	0.0	0.0	0.0	0.0	0.0	0.0	0.0	0.0	0.0	0.0	0.0
120-140	0.0	0.0	0.0	0.0	0.0	0.0	0.0	0.0	0.0	0.0	0.0	0.0	0.0	0.0	0.0	0.0	0.0
140-160	0.0	0.0	0.0	0.0	0.0	0.0	0.0	0.0	0.0	0.0	0.0	0.0	0.0	0.0	0.0	0.0	0.0
160-180	0.0	0.0	0.0	0.0	0.0	0.0	0.0	0.0	0.0	0.0	0.0	0.0	0.0	0.0	0.0	0.0	0.0
180-200	0.0	0.0	0.0	0.0	0.0	0.0	0.0	0.0	0.0	0.0	0.0	0.0	0.0	0.0	0.0	0.0	0.0
Total	21.3	31.2	17.9	4.9	2.6	0.5	0.8	0.5	0.8	1.1	1.2	1.3	0.8	1.9	2.8	10.7	100.0

Mean U and V : 6.6 (cm/s), 21.7 (cm/s)

Standard deviation of U and V : 12.1 (cm/s), 15.8 (cm/s)

Maximun speed and it's direction : 83.7 (cm/s), 23.8 (deg.)

Mean speed and direction : 22.7 (cm/s), 16.9 (deg.)

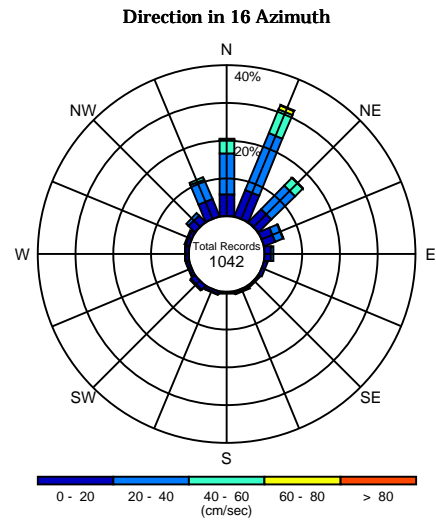
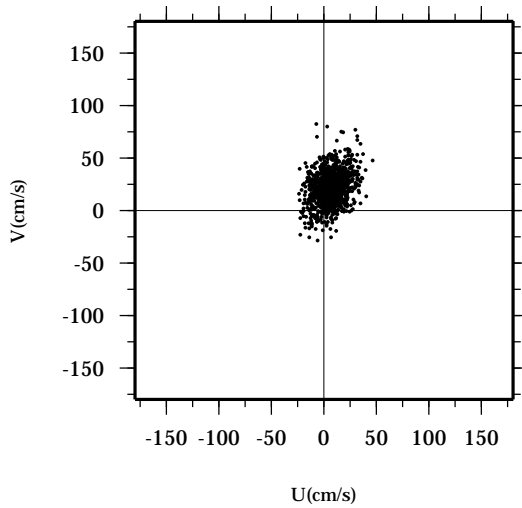
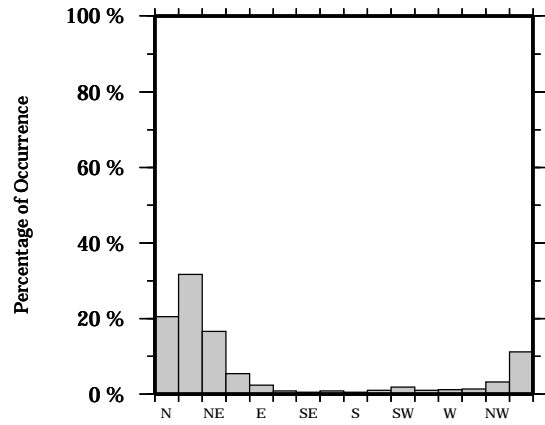
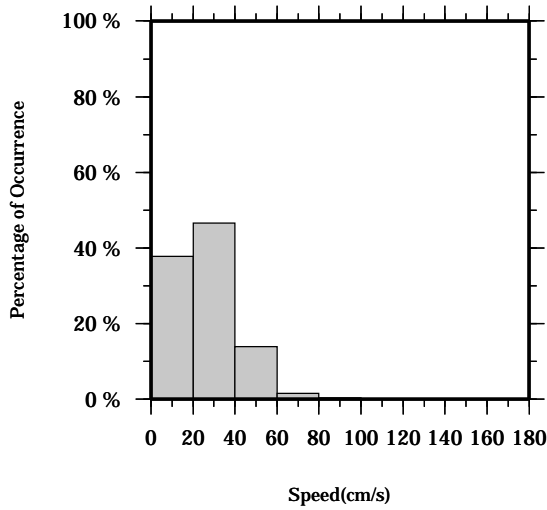
Speed scalar average : 26.8 (cm/s)

LON: 121° 21.83' E

Station: W204

LAT: 22° 40.0133' N

Depth: 266 M



Joint probability distribution of current speed and it's direction

Speed	N	NNE	NE	ENE	E	ESE	SE	SSE	S	SSW	SW	WSW	W	WNW	NW	NNW	Total
0-20	5.7	7.5	4.8	3.1	1.6	0.9	0.6	0.6	0.6	0.9	1.4	0.9	1.0	1.1	2.4	4.9	37.7
20-40	10.9	16.2	8.7	2.2	0.7	0.0	0.0	0.2	0.0	0.2	0.4	0.2	0.2	0.3	0.9	5.6	46.6
40-60	3.5	6.9	2.8	0.1	0.0	0.0	0.0	0.0	0.0	0.0	0.0	0.0	0.0	0.0	0.0	0.7	13.9
60-80	0.2	1.1	0.2	0.0	0.0	0.0	0.0	0.0	0.0	0.0	0.0	0.0	0.0	0.0	0.0	0.0	1.4
80-100	0.2	0.1	0.0	0.0	0.0	0.0	0.0	0.0	0.0	0.0	0.0	0.0	0.0	0.0	0.0	0.0	0.3
100-120	0.0	0.0	0.0	0.0	0.0	0.0	0.0	0.0	0.0	0.0	0.0	0.0	0.0	0.0	0.0	0.0	0.0
120-140	0.0	0.0	0.0	0.0	0.0	0.0	0.0	0.0	0.0	0.0	0.0	0.0	0.0	0.0	0.0	0.0	0.0
140-160	0.0	0.0	0.0	0.0	0.0	0.0	0.0	0.0	0.0	0.0	0.0	0.0	0.0	0.0	0.0	0.0	0.0
160-180	0.0	0.0	0.0	0.0	0.0	0.0	0.0	0.0	0.0	0.0	0.0	0.0	0.0	0.0	0.0	0.0	0.0
180-200	0.0	0.0	0.0	0.0	0.0	0.0	0.0	0.0	0.0	0.0	0.0	0.0	0.0	0.0	0.0	0.0	0.0
Total	20.4	31.8	16.5	5.4	2.3	0.9	0.6	0.8	0.6	1.1	1.8	1.1	1.2	1.3	3.3	11.1	100.0

Mean U and V : 6.4 (cm/s), 21.1 (cm/s)

Standard deviation of U and V : 11.9 (cm/s), 15.6 (cm/s)

Maximun speed and it's direction : 82.5 (cm/s), 354.9 (deg.)

Mean speed and direction : 22.0 (cm/s), 16.8 (deg.)

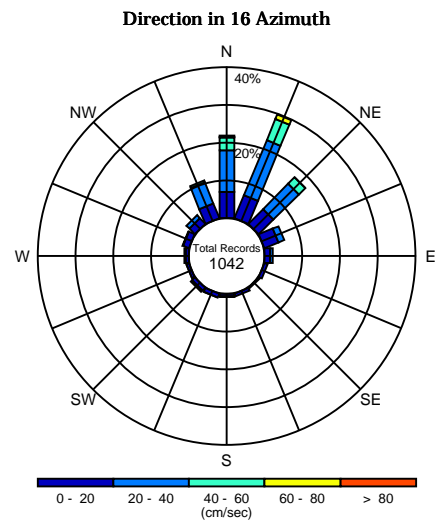
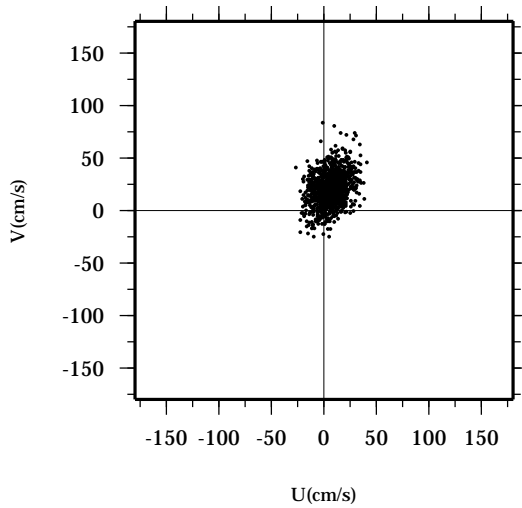
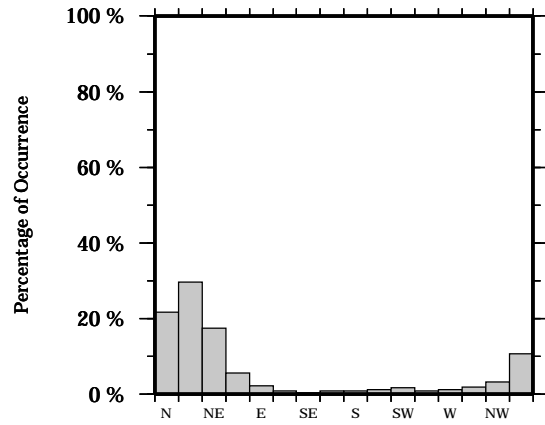
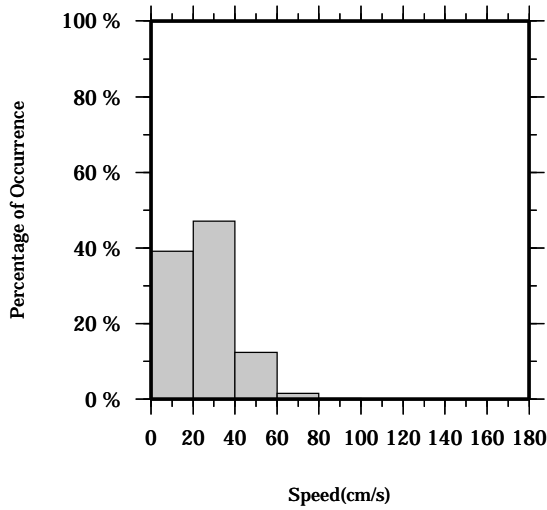
Speed scalar average : 26.2 (cm/s)

LON: 121° 21.83' E

Station: W204

LAT: 22° 40.0133' N

Depth: 270 M



Joint probability distribution of current speed and it's direction

Speed	N	NNE	NE	ENE	E	ESE	SE	SSE	S	SSW	SW	WSW	W	WNW	NW	NNW	Total
0-20	6.8	6.5	5.5	4.0	1.4	0.8	0.4	0.9	0.7	1.2	1.2	0.8	1.0	1.7	2.1	4.2	39.1
20-40	11.1	15.8	9.4	1.5	0.8	0.0	0.0	0.0	0.2	0.1	0.5	0.1	0.3	0.2	1.1	6.0	47.0
40-60	3.4	6.0	2.4	0.0	0.0	0.0	0.0	0.0	0.0	0.0	0.0	0.0	0.0	0.0	0.0	0.5	12.3
60-80	0.2	1.2	0.1	0.0	0.0	0.0	0.0	0.0	0.0	0.0	0.0	0.0	0.0	0.0	0.0	0.0	1.4
80-100	0.2	0.0	0.0	0.0	0.0	0.0	0.0	0.0	0.0	0.0	0.0	0.0	0.0	0.0	0.0	0.0	0.2
100-120	0.0	0.0	0.0	0.0	0.0	0.0	0.0	0.0	0.0	0.0	0.0	0.0	0.0	0.0	0.0	0.0	0.0
120-140	0.0	0.0	0.0	0.0	0.0	0.0	0.0	0.0	0.0	0.0	0.0	0.0	0.0	0.0	0.0	0.0	0.0
140-160	0.0	0.0	0.0	0.0	0.0	0.0	0.0	0.0	0.0	0.0	0.0	0.0	0.0	0.0	0.0	0.0	0.0
160-180	0.0	0.0	0.0	0.0	0.0	0.0	0.0	0.0	0.0	0.0	0.0	0.0	0.0	0.0	0.0	0.0	0.0
180-200	0.0	0.0	0.0	0.0	0.0	0.0	0.0	0.0	0.0	0.0	0.0	0.0	0.0	0.0	0.0	0.0	0.0
Total	21.7	29.6	17.4	5.6	2.2	0.8	0.4	0.9	0.9	1.2	1.6	0.9	1.2	1.9	3.2	10.7	100.0

Mean U and V : 6.0 (cm/s), 20.4 (cm/s)

Standard deviation of U and V : 11.6 (cm/s), 15.5 (cm/s)

Maximun speed and it's direction : 83.3 (cm/s), 359.0 (deg.)

Mean speed and direction : 21.3 (cm/s), 16.5 (deg.)

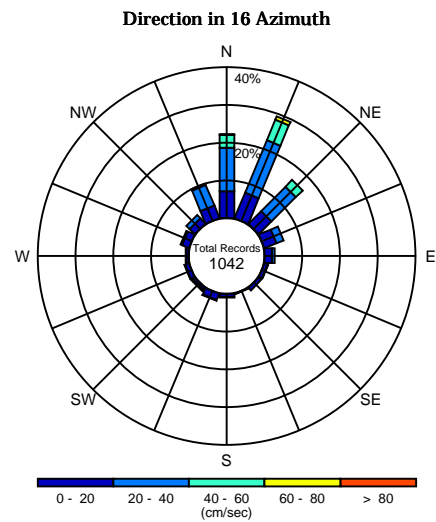
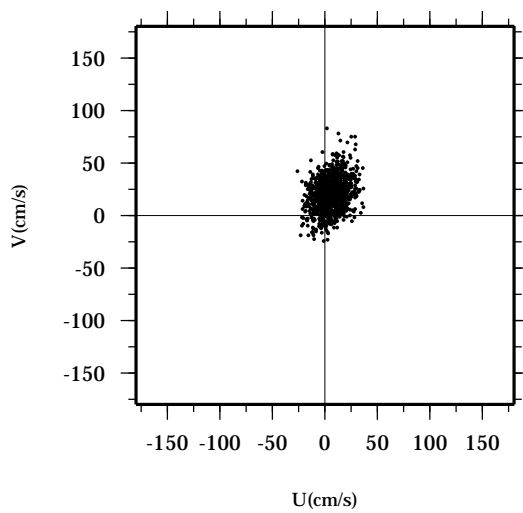
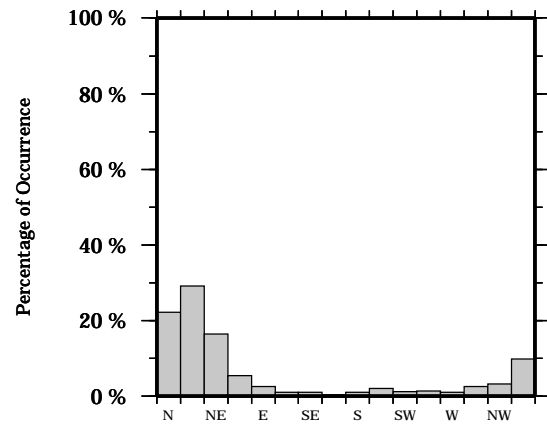
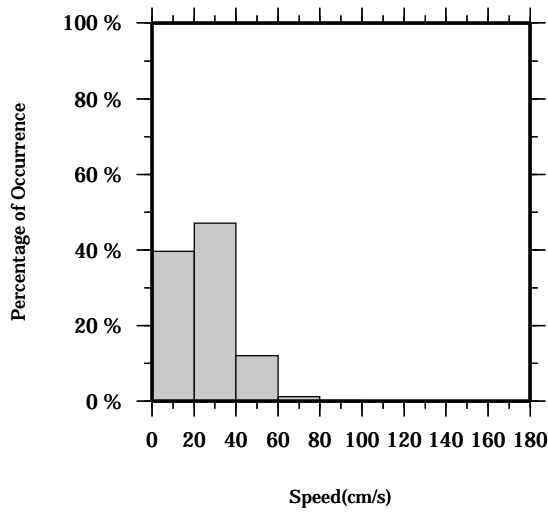
Speed scalar average : 25.5 (cm/s)

LON: 121° 21.83' E

Station: W204

LAT: 22° 40.0133' N

Depth: 274 M



Joint probability distribution of current speed and it's direction

Speed	N	NNE	NE	ENE	E	ESE	SE	SSE	S	SSW	SW	WSW	W	WNW	NW	NNW	Total
0-20	7.1	7.3	4.8	3.4	2.0	0.9	1.0	0.3	0.9	1.8	0.8	1.2	0.8	2.0	2.0	3.6	39.6
20-40	11.4	15.1	9.0	2.1	0.6	0.1	0.0	0.0	0.2	0.2	0.5	0.2	0.2	0.5	1.2	5.9	47.0
40-60	3.4	5.8	2.6	0.0	0.0	0.0	0.0	0.0	0.0	0.0	0.0	0.0	0.0	0.0	0.0	0.4	12.1
60-80	0.2	1.0	0.0	0.0	0.0	0.0	0.0	0.0	0.0	0.0	0.0	0.0	0.0	0.0	0.0	0.0	1.2
80-100	0.1	0.0	0.0	0.0	0.0	0.0	0.0	0.0	0.0	0.0	0.0	0.0	0.0	0.0	0.0	0.0	0.1
100-120	0.0	0.0	0.0	0.0	0.0	0.0	0.0	0.0	0.0	0.0	0.0	0.0	0.0	0.0	0.0	0.0	0.0
120-140	0.0	0.0	0.0	0.0	0.0	0.0	0.0	0.0	0.0	0.0	0.0	0.0	0.0	0.0	0.0	0.0	0.0
140-160	0.0	0.0	0.0	0.0	0.0	0.0	0.0	0.0	0.0	0.0	0.0	0.0	0.0	0.0	0.0	0.0	0.0
160-180	0.0	0.0	0.0	0.0	0.0	0.0	0.0	0.0	0.0	0.0	0.0	0.0	0.0	0.0	0.0	0.0	0.0
180-200	0.0	0.0	0.0	0.0	0.0	0.0	0.0	0.0	0.0	0.0	0.0	0.0	0.0	0.0	0.0	0.0	0.0
Total	22.2	29.1	16.4	5.5	2.6	1.0	1.0	0.3	1.1	2.0	1.2	1.3	1.0	2.5	3.2	9.8	100.0

Mean U and V : 5.7 (cm/s), 19.8 (cm/s)

Standard deviation of U and V : 11.4 (cm/s), 15.5 (cm/s)

Maximun speed and it's direction : 82.6 (cm/s), 1.3 (deg.)

Mean speed and direction : 20.6 (cm/s), 16.1 (deg.)

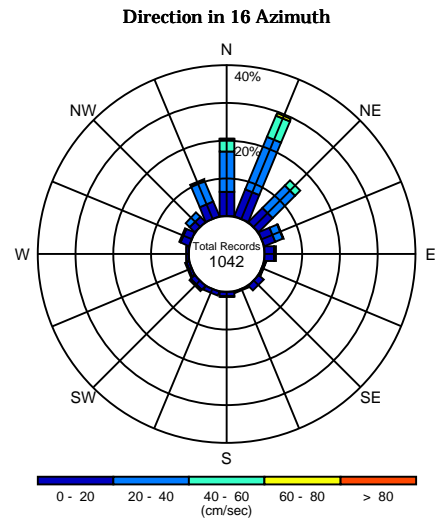
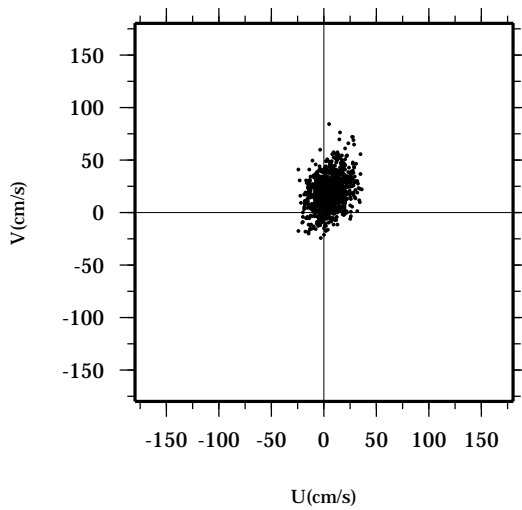
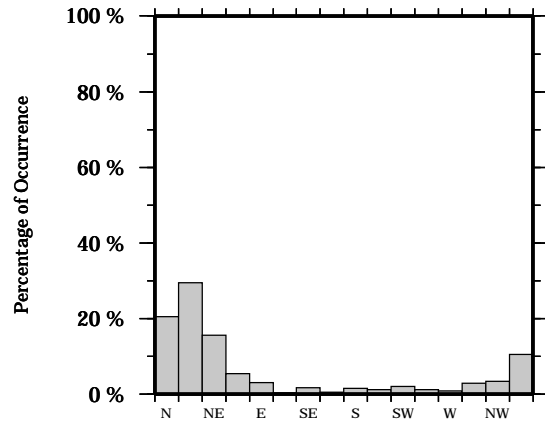
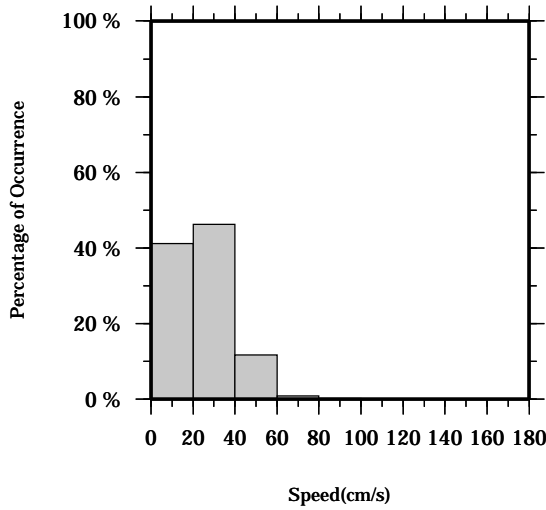
Speed scalar average : 24.9 (cm/s)

LON: 121° 21.83' E

Station: W204

LAT: 22° 40.0133' N

Depth: 278 M



Joint probability distribution of current speed and it's direction

Speed	N	NNE	NE	ENE	E	ESE	SE	SSE	S	SSW	SW	WSW	W	WNW	NW	NNW	Total
0-20	6.3	7.6	5.3	3.0	2.5	0.3	1.7	0.5	1.2	1.2	1.4	0.9	0.7	2.4	1.9	4.1	41.1
20-40	10.7	15.1	8.3	2.3	0.5	0.1	0.0	0.0	0.2	0.0	0.6	0.3	0.1	0.5	1.5	6.1	46.3
40-60	3.3	6.0	1.9	0.2	0.0	0.0	0.0	0.0	0.0	0.0	0.0	0.0	0.0	0.0	0.0	0.3	11.7
60-80	0.1	0.8	0.0	0.0	0.0	0.0	0.0	0.0	0.0	0.0	0.0	0.0	0.0	0.0	0.0	0.0	0.9
80-100	0.1	0.0	0.0	0.0	0.0	0.0	0.0	0.0	0.0	0.0	0.0	0.0	0.0	0.0	0.0	0.0	0.1
100-120	0.0	0.0	0.0	0.0	0.0	0.0	0.0	0.0	0.0	0.0	0.0	0.0	0.0	0.0	0.0	0.0	0.0
120-140	0.0	0.0	0.0	0.0	0.0	0.0	0.0	0.0	0.0	0.0	0.0	0.0	0.0	0.0	0.0	0.0	0.0
140-160	0.0	0.0	0.0	0.0	0.0	0.0	0.0	0.0	0.0	0.0	0.0	0.0	0.0	0.0	0.0	0.0	0.0
160-180	0.0	0.0	0.0	0.0	0.0	0.0	0.0	0.0	0.0	0.0	0.0	0.0	0.0	0.0	0.0	0.0	0.0
180-200	0.0	0.0	0.0	0.0	0.0	0.0	0.0	0.0	0.0	0.0	0.0	0.0	0.0	0.0	0.0	0.0	0.0
Total	20.4	29.5	15.5	5.5	3.0	0.4	1.7	0.5	1.4	1.2	2.0	1.2	0.8	2.9	3.5	10.6	100.0

Mean U and V : 5.4 (cm/s), 19.3 (cm/s)

Standard deviation of U and V : 11.2 (cm/s), 15.5 (cm/s)

Maximun speed and it's direction : 83.8 (cm/s), 3.2 (deg.)

Mean speed and direction : 20.1 (cm/s), 15.6 (deg.)

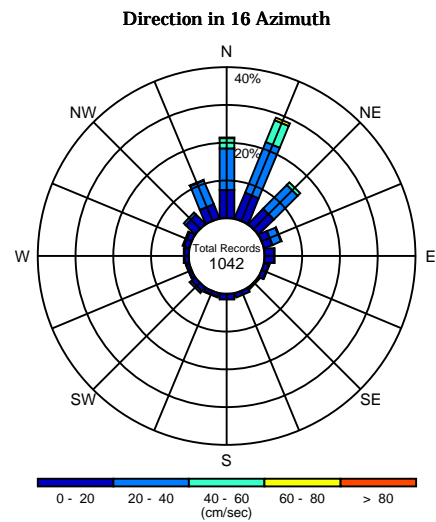
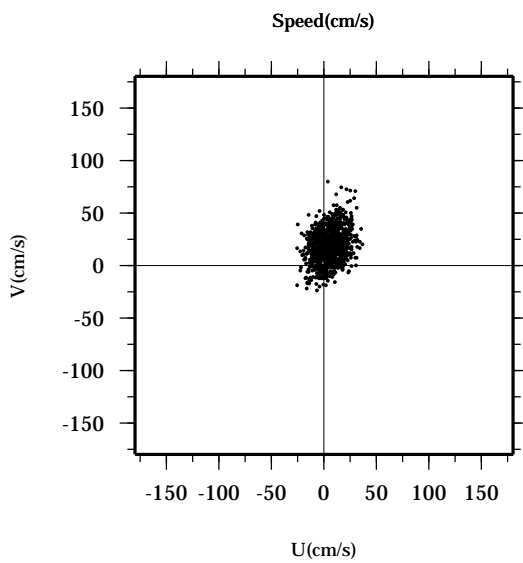
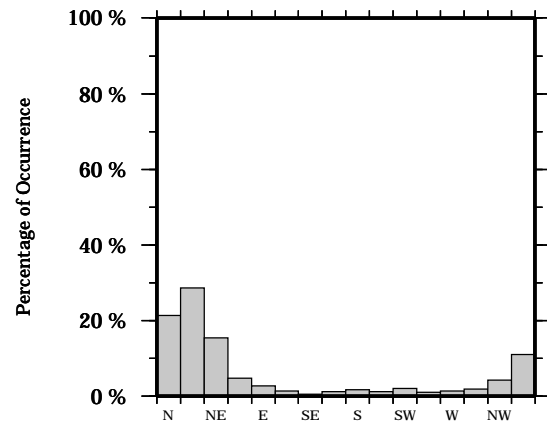
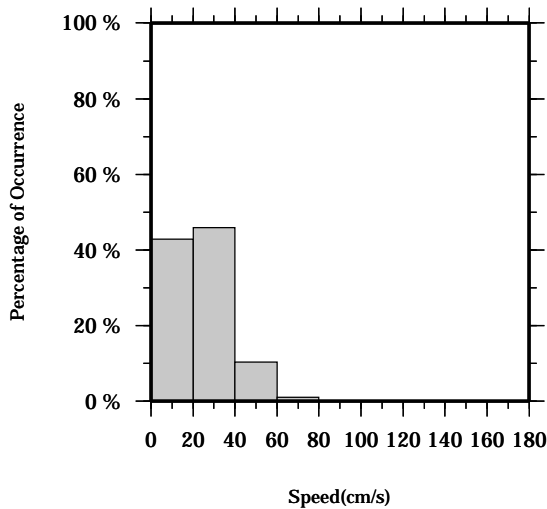
Speed scalar average : 24.5 (cm/s)

LON: 121° 21.83' E

Station: W204

LAT: 22° 40.0133' N

Depth: 282 M



Joint probability distribution of current speed and it's direction

Speed	N	NNE	NE	ENE	E	ESE	SE	SSE	S	SSW	SW	WSW	W	WNW	NW	NNW	Total
0-20	7.4	7.3	5.7	2.3	2.5	1.2	0.5	1.2	1.6	1.0	1.3	0.9	1.2	1.4	3.5	3.9	42.8
20-40	11.0	14.4	8.7	2.3	0.2	0.2	0.0	0.0	0.0	0.2	0.7	0.2	0.1	0.4	0.8	6.8	46.0
40-60	2.7	6.2	1.0	0.2	0.0	0.0	0.0	0.0	0.0	0.0	0.0	0.0	0.0	0.0	0.0	0.2	10.3
60-80	0.2	0.8	0.0	0.0	0.0	0.0	0.0	0.0	0.0	0.0	0.0	0.0	0.0	0.0	0.0	0.0	1.0
80-100	0.0	0.0	0.0	0.0	0.0	0.0	0.0	0.0	0.0	0.0	0.0	0.0	0.0	0.0	0.0	0.0	0.0
100-120	0.0	0.0	0.0	0.0	0.0	0.0	0.0	0.0	0.0	0.0	0.0	0.0	0.0	0.0	0.0	0.0	0.0
120-140	0.0	0.0	0.0	0.0	0.0	0.0	0.0	0.0	0.0	0.0	0.0	0.0	0.0	0.0	0.0	0.0	0.0
140-160	0.0	0.0	0.0	0.0	0.0	0.0	0.0	0.0	0.0	0.0	0.0	0.0	0.0	0.0	0.0	0.0	0.0
160-180	0.0	0.0	0.0	0.0	0.0	0.0	0.0	0.0	0.0	0.0	0.0	0.0	0.0	0.0	0.0	0.0	0.0
180-200	0.0	0.0	0.0	0.0	0.0	0.0	0.0	0.0	0.0	0.0	0.0	0.0	0.0	0.0	0.0	0.0	0.0
Total	21.3	28.7	15.4	4.8	2.7	1.3	0.5	1.2	1.6	1.2	2.0	1.1	1.3	1.8	4.2	10.9	100.0

Mean U and V : 5.0 (cm/s), 18.9 (cm/s)

Standard deviation of U and V : 11.0 (cm/s), 15.3 (cm/s)

Maximun speed and it's direction : 79.7 (cm/s), 2.6 (deg.)

Mean speed and direction : 19.6 (cm/s), 14.8 (deg.)

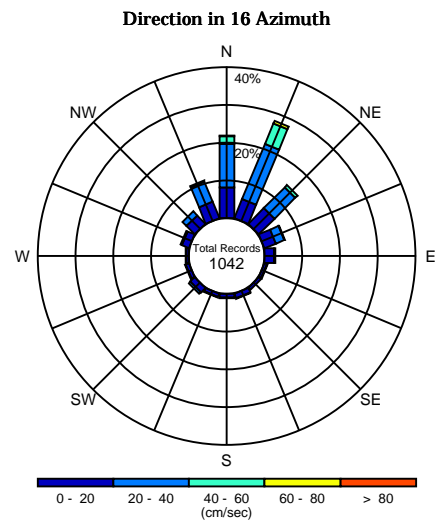
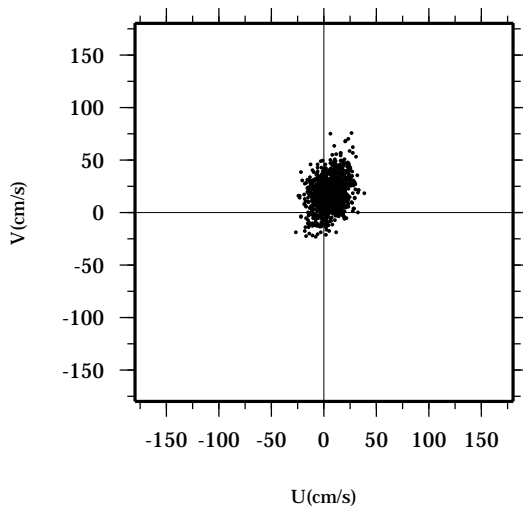
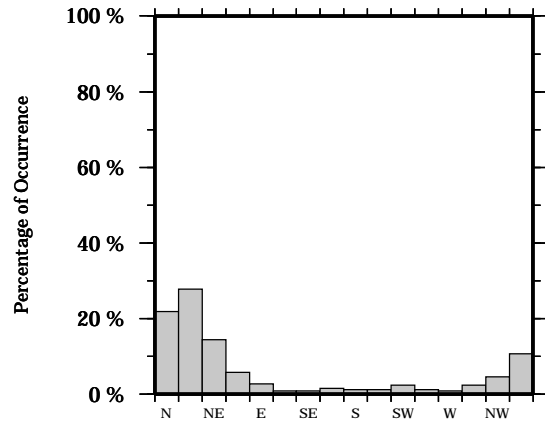
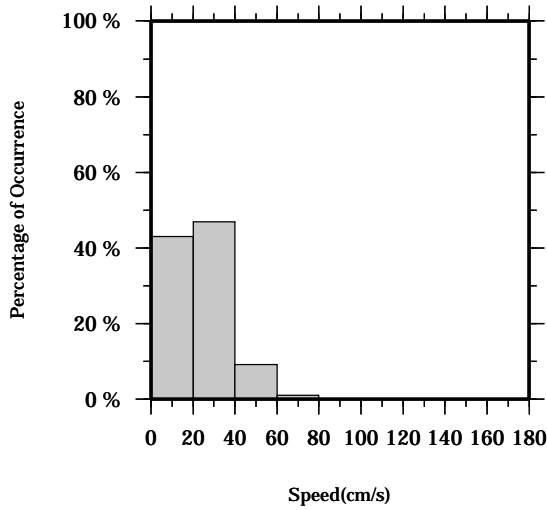
Speed scalar average : 24.0 (cm/s)

LON: 121° 21.83' E

Station: W204

LAT: 22° 40.0133' N

Depth: 286 M



Joint probability distribution of current speed and it's direction

Speed	N	NNE	NE	ENE	E	ESE	SE	SSE	S	SSW	SW	WSW	W	WNW	NW	NNW	Total
0-20	8.1	5.5	5.9	3.2	2.4	0.6	0.8	1.3	1.2	1.0	1.7	1.1	0.8	2.0	3.1	4.6	43.0
20-40	11.5	15.6	7.8	2.5	0.4	0.2	0.0	0.1	0.1	0.3	0.6	0.1	0.1	0.4	1.5	5.8	46.9
40-60	2.0	6.0	0.8	0.1	0.0	0.0	0.0	0.0	0.0	0.0	0.0	0.0	0.0	0.0	0.0	0.3	9.1
60-80	0.2	0.8	0.0	0.0	0.0	0.0	0.0	0.0	0.0	0.0	0.0	0.0	0.0	0.0	0.0	0.0	1.0
80-100	0.0	0.0	0.0	0.0	0.0	0.0	0.0	0.0	0.0	0.0	0.0	0.0	0.0	0.0	0.0	0.0	0.0
100-120	0.0	0.0	0.0	0.0	0.0	0.0	0.0	0.0	0.0	0.0	0.0	0.0	0.0	0.0	0.0	0.0	0.0
120-140	0.0	0.0	0.0	0.0	0.0	0.0	0.0	0.0	0.0	0.0	0.0	0.0	0.0	0.0	0.0	0.0	0.0
140-160	0.0	0.0	0.0	0.0	0.0	0.0	0.0	0.0	0.0	0.0	0.0	0.0	0.0	0.0	0.0	0.0	0.0
160-180	0.0	0.0	0.0	0.0	0.0	0.0	0.0	0.0	0.0	0.0	0.0	0.0	0.0	0.0	0.0	0.0	0.0
180-200	0.0	0.0	0.0	0.0	0.0	0.0	0.0	0.0	0.0	0.0	0.0	0.0	0.0	0.0	0.0	0.0	0.0
Total	21.8	27.8	14.4	5.8	2.8	0.8	0.8	1.4	1.2	1.2	2.3	1.2	0.9	2.4	4.6	10.7	100.0

Mean U and V : 4.8 (cm/s), 18.4 (cm/s)

Standard deviation of U and V : 10.8 (cm/s), 15.0 (cm/s)

Maximun speed and it's direction : 79.6 (cm/s), 19.1 (deg.)

Mean speed and direction : 19.0 (cm/s), 14.6 (deg.)

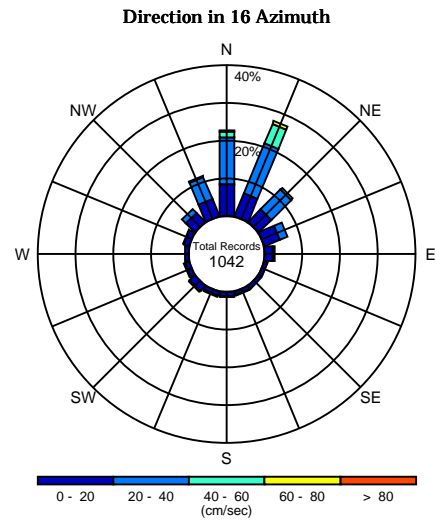
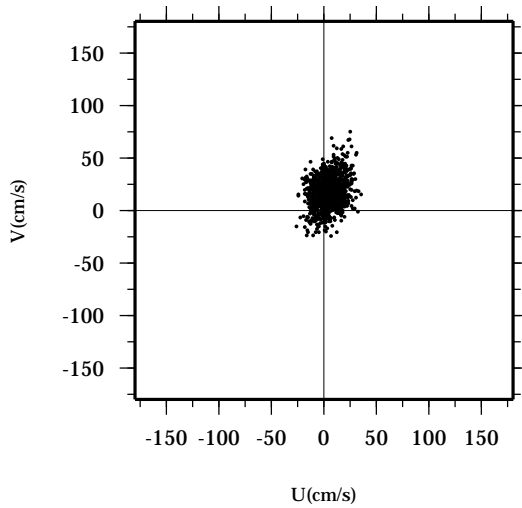
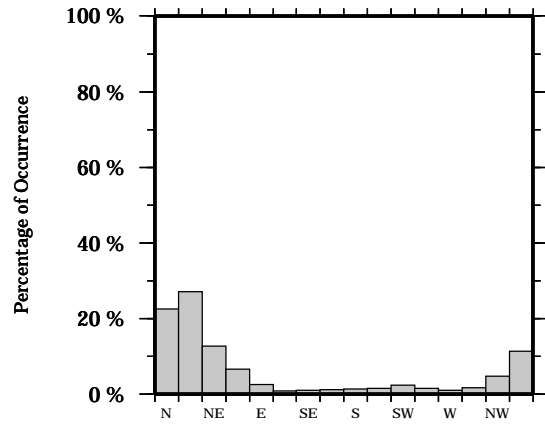
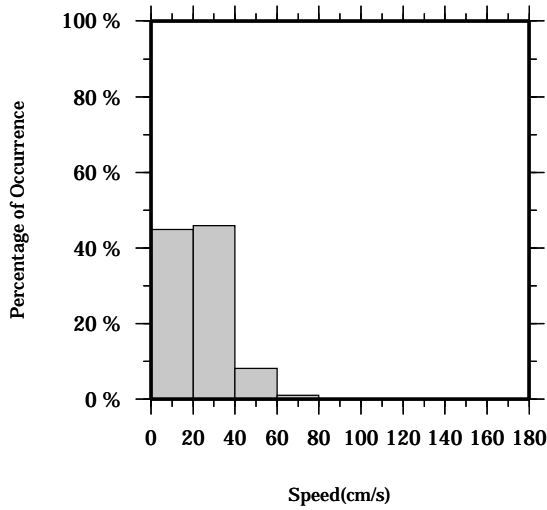
Speed scalar average : 23.5 (cm/s)

LON: 121° 21.83' E

Station: W204

LAT: 22° 40.0133' N

Depth: 290 M



Joint probability distribution of current speed and it's direction

Speed	N	NNE	NE	ENE	E	ESE	SE	SSE	S	SSW	SW	WSW	W	WNW	NW	NNW	Total
0-20	8.4	6.4	4.6	4.3	2.1	0.8	1.0	1.0	1.2	1.2	1.9	1.2	1.1	1.4	3.4	4.9	44.8
20-40	12.3	14.3	7.4	2.2	0.5	0.1	0.0	0.2	0.1	0.3	0.4	0.3	0.0	0.3	1.4	6.2	46.0
40-60	1.6	5.6	0.7	0.0	0.0	0.0	0.0	0.0	0.0	0.0	0.0	0.0	0.0	0.0	0.0	0.3	8.2
60-80	0.2	0.9	0.0	0.0	0.0	0.0	0.0	0.0	0.0	0.0	0.0	0.0	0.0	0.0	0.0	0.0	1.1
80-100	0.0	0.0	0.0	0.0	0.0	0.0	0.0	0.0	0.0	0.0	0.0	0.0	0.0	0.0	0.0	0.0	0.0
100-120	0.0	0.0	0.0	0.0	0.0	0.0	0.0	0.0	0.0	0.0	0.0	0.0	0.0	0.0	0.0	0.0	0.0
120-140	0.0	0.0	0.0	0.0	0.0	0.0	0.0	0.0	0.0	0.0	0.0	0.0	0.0	0.0	0.0	0.0	0.0
140-160	0.0	0.0	0.0	0.0	0.0	0.0	0.0	0.0	0.0	0.0	0.0	0.0	0.0	0.0	0.0	0.0	0.0
160-180	0.0	0.0	0.0	0.0	0.0	0.0	0.0	0.0	0.0	0.0	0.0	0.0	0.0	0.0	0.0	0.0	0.0
180-200	0.0	0.0	0.0	0.0	0.0	0.0	0.0	0.0	0.0	0.0	0.0	0.0	0.0	0.0	0.0	0.0	0.0
Total	22.6	27.2	12.7	6.5	2.6	0.9	1.0	1.2	1.3	1.4	2.3	1.4	1.1	1.7	4.8	11.4	100.0

Mean U and V : 4.6 (cm/s), 17.9 (cm/s)

Standard deviation of U and V : 10.6 (cm/s), 14.9 (cm/s)

Maximun speed and it's direction : 79.1 (cm/s), 18.5 (deg.)

Mean speed and direction : 18.4 (cm/s), 14.4 (deg.)

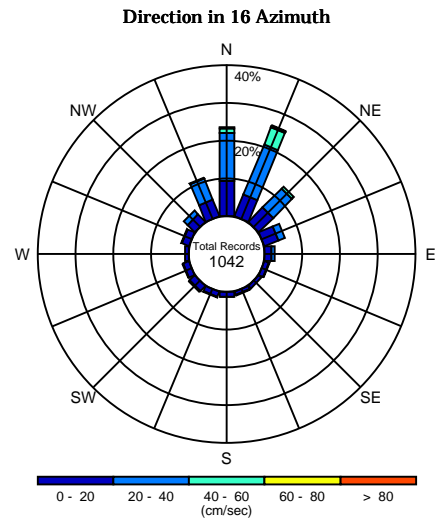
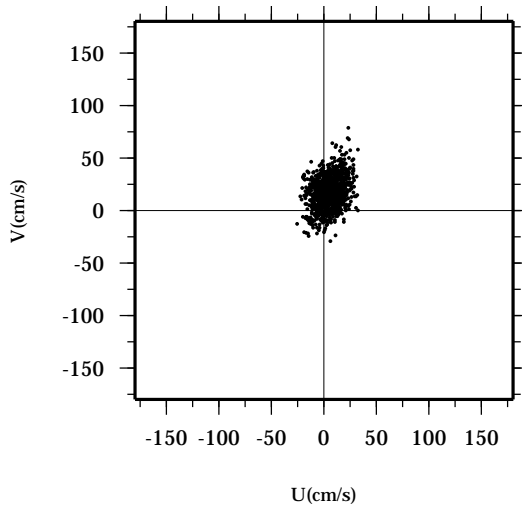
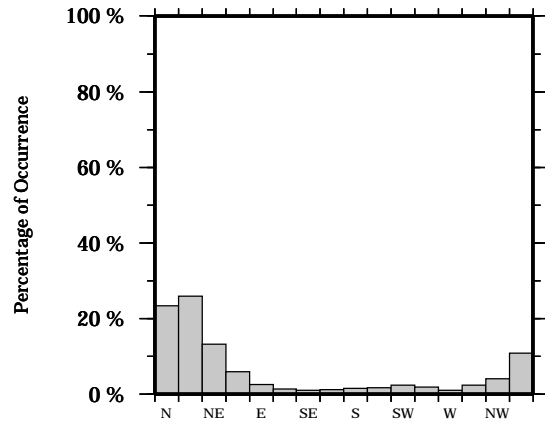
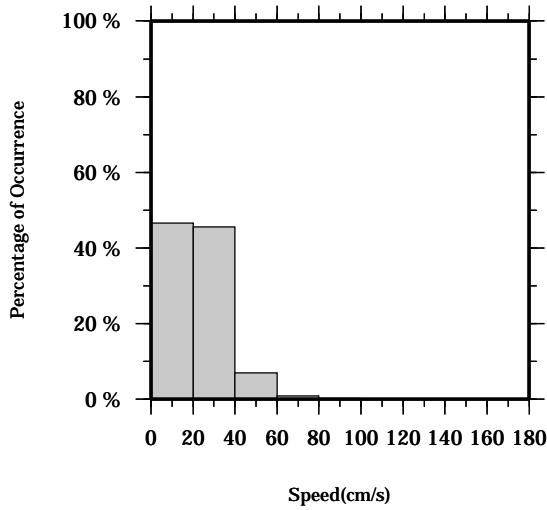
Speed scalar average : 23.0 (cm/s)

LON: 121° 21.83' E

Station: W204

LAT: 22° 40.0133' N

Depth: 294 M



Joint probability distribution of current speed and it's direction

Speed	N	NNE	NE	ENE	E	ESE	SE	SSE	S	SSW	SW	WSW	W	WNW	NW	NNW	Total
0-20	9.3	6.1	5.4	4.0	1.8	1.2	1.0	1.0	1.3	1.4	2.0	1.6	1.1	2.0	2.8	4.6	46.6
20-40	12.6	14.4	7.0	1.8	0.8	0.2	0.0	0.2	0.1	0.3	0.3	0.2	0.0	0.3	1.3	6.0	45.5
40-60	1.2	4.8	0.8	0.0	0.0	0.0	0.0	0.0	0.0	0.0	0.0	0.0	0.0	0.0	0.0	0.2	7.0
60-80	0.3	0.5	0.0	0.0	0.0	0.0	0.0	0.0	0.0	0.0	0.0	0.0	0.0	0.0	0.0	0.0	0.8
80-100	0.0	0.1	0.0	0.0	0.0	0.0	0.0	0.0	0.0	0.0	0.0	0.0	0.0	0.0	0.0	0.0	0.1
100-120	0.0	0.0	0.0	0.0	0.0	0.0	0.0	0.0	0.0	0.0	0.0	0.0	0.0	0.0	0.0	0.0	0.0
120-140	0.0	0.0	0.0	0.0	0.0	0.0	0.0	0.0	0.0	0.0	0.0	0.0	0.0	0.0	0.0	0.0	0.0
140-160	0.0	0.0	0.0	0.0	0.0	0.0	0.0	0.0	0.0	0.0	0.0	0.0	0.0	0.0	0.0	0.0	0.0
160-180	0.0	0.0	0.0	0.0	0.0	0.0	0.0	0.0	0.0	0.0	0.0	0.0	0.0	0.0	0.0	0.0	0.0
180-200	0.0	0.0	0.0	0.0	0.0	0.0	0.0	0.0	0.0	0.0	0.0	0.0	0.0	0.0	0.0	0.0	0.0
Total	23.4	25.9	13.1	5.9	2.6	1.3	1.0	1.2	1.4	1.7	2.3	1.8	1.1	2.3	4.1	10.8	100.0

Mean U and V : 4.4 (cm/s), 17.2 (cm/s)

Standard deviation of U and V : 10.6 (cm/s), 14.8 (cm/s)

Maximun speed and it's direction : 81.6 (cm/s), 16.5 (deg.)

Mean speed and direction : 17.8 (cm/s), 14.3 (deg.)

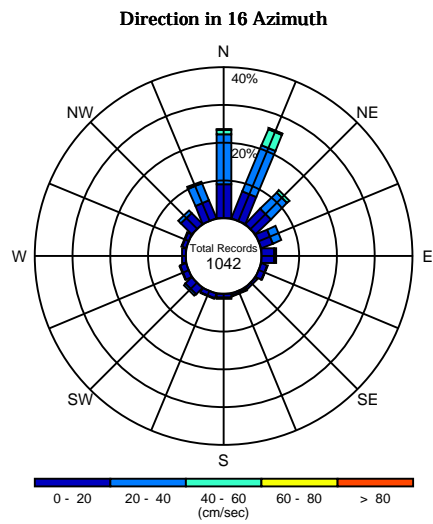
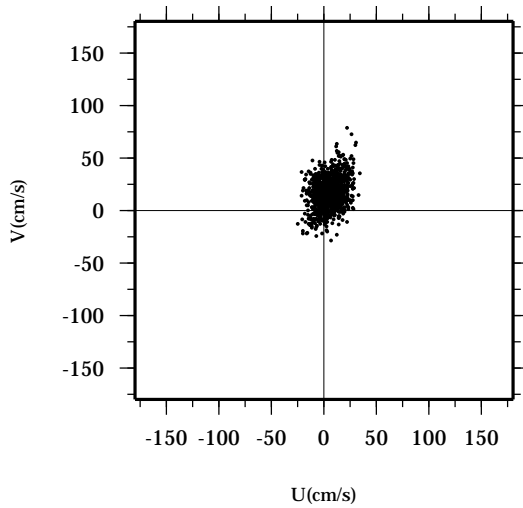
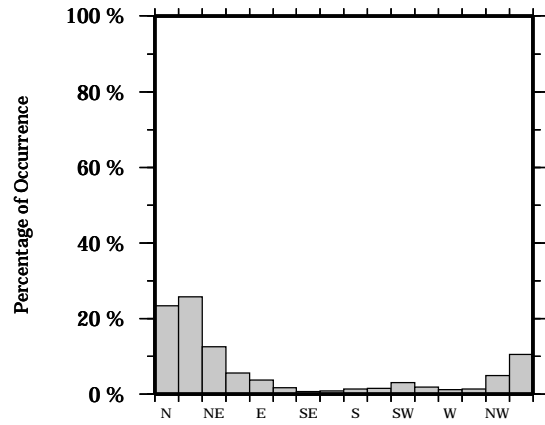
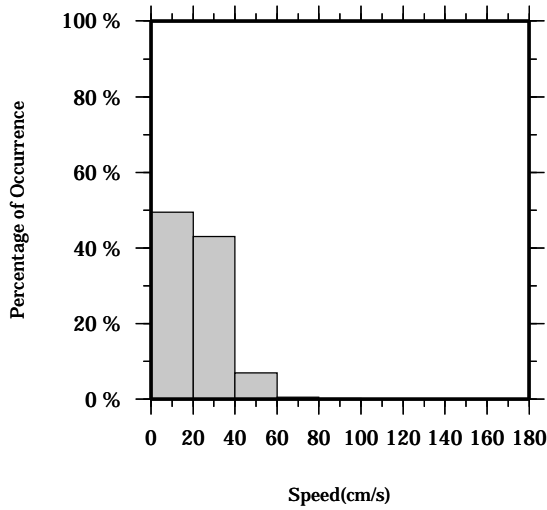
Speed scalar average : 22.5 (cm/s)

LON: 121° 21.83' E

Station: W204

LAT: 22° 40.0133' N

Depth: 298 M



Joint probability distribution of current speed and it's direction

Speed	N	NNE	NE	ENE	E	ESE	SE	SSE	S	SSW	SW	WSW	W	WNW	NW	NNW	Total
0-20	8.9	7.6	5.6	3.2	3.3	1.6	0.7	0.7	1.2	1.3	2.5	1.6	1.2	1.2	4.0	5.0	49.4
20-40	13.2	13.1	6.1	2.5	0.5	0.1	0.0	0.2	0.2	0.1	0.5	0.3	0.0	0.2	1.0	5.1	43.1
40-60	1.1	4.7	0.8	0.0	0.0	0.0	0.0	0.0	0.0	0.0	0.0	0.0	0.0	0.0	0.0	0.4	6.9
60-80	0.2	0.3	0.0	0.0	0.0	0.0	0.0	0.0	0.0	0.0	0.0	0.0	0.0	0.0	0.0	0.0	0.5
80-100	0.0	0.1	0.0	0.0	0.0	0.0	0.0	0.0	0.0	0.0	0.0	0.0	0.0	0.0	0.0	0.0	0.1
100-120	0.0	0.0	0.0	0.0	0.0	0.0	0.0	0.0	0.0	0.0	0.0	0.0	0.0	0.0	0.0	0.0	0.0
120-140	0.0	0.0	0.0	0.0	0.0	0.0	0.0	0.0	0.0	0.0	0.0	0.0	0.0	0.0	0.0	0.0	0.0
140-160	0.0	0.0	0.0	0.0	0.0	0.0	0.0	0.0	0.0	0.0	0.0	0.0	0.0	0.0	0.0	0.0	0.0
160-180	0.0	0.0	0.0	0.0	0.0	0.0	0.0	0.0	0.0	0.0	0.0	0.0	0.0	0.0	0.0	0.0	0.0
180-200	0.0	0.0	0.0	0.0	0.0	0.0	0.0	0.0	0.0	0.0	0.0	0.0	0.0	0.0	0.0	0.0	0.0
Total	23.4	25.8	12.5	5.7	3.7	1.7	0.7	0.9	1.3	1.4	3.0	1.9	1.2	1.3	5.0	10.5	100.0

Mean U and V : 4.4 (cm/s), 16.7 (cm/s)

Standard deviation of U and V : 10.4 (cm/s), 14.8 (cm/s)

Maximun speed and it's direction : 81.2 (cm/s), 15.6 (deg.)

Mean speed and direction : 17.3 (cm/s), 14.6 (deg.)

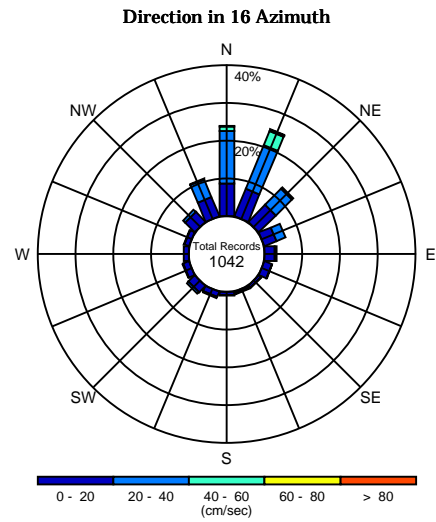
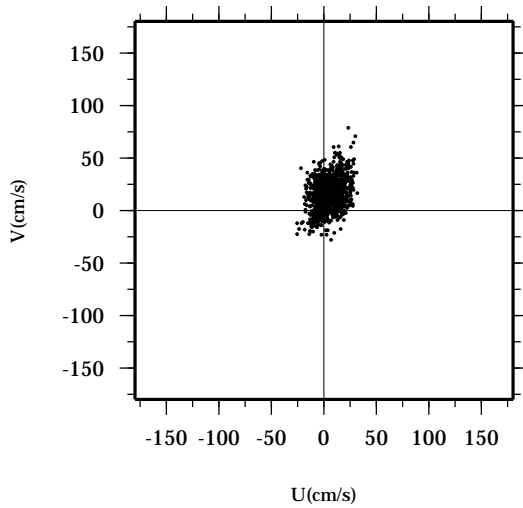
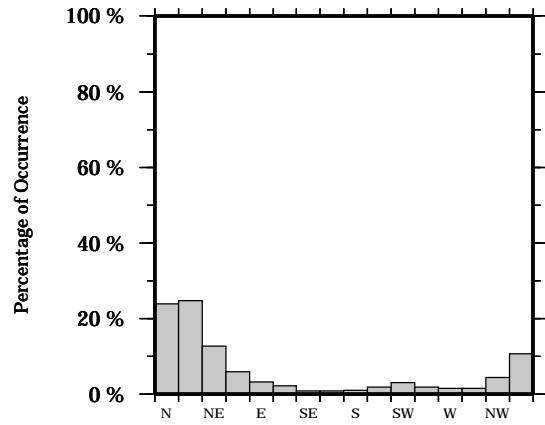
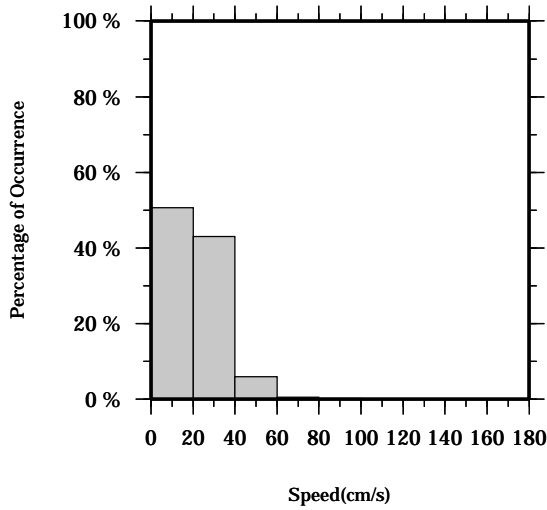
Speed scalar average : 22.0 (cm/s)

LON: 121° 21.83' E

Station: W204

LAT: 22° 40.0133' N

Depth: 302 M



Joint probability distribution of current speed and it's direction

Speed	N	NNE	NE	ENE	E	ESE	SE	SSE	S	SSW	SW	WSW	W	WNW	NW	NNW	Total
0-20	8.6	7.8	6.3	3.4	2.7	2.1	0.8	0.6	0.9	1.5	2.5	1.6	1.4	1.3	3.6	5.4	50.6
20-40	13.8	12.6	6.0	2.6	0.5	0.1	0.1	0.2	0.2	0.3	0.5	0.3	0.0	0.1	0.8	5.1	43.0
40-60	1.2	3.9	0.5	0.0	0.0	0.0	0.0	0.0	0.0	0.0	0.0	0.0	0.0	0.0	0.0	0.2	5.9
60-80	0.1	0.4	0.0	0.0	0.0	0.0	0.0	0.0	0.0	0.0	0.0	0.0	0.0	0.0	0.0	0.0	0.5
80-100	0.0	0.1	0.0	0.0	0.0	0.0	0.0	0.0	0.0	0.0	0.0	0.0	0.0	0.0	0.0	0.0	0.1
100-120	0.0	0.0	0.0	0.0	0.0	0.0	0.0	0.0	0.0	0.0	0.0	0.0	0.0	0.0	0.0	0.0	0.0
120-140	0.0	0.0	0.0	0.0	0.0	0.0	0.0	0.0	0.0	0.0	0.0	0.0	0.0	0.0	0.0	0.0	0.0
140-160	0.0	0.0	0.0	0.0	0.0	0.0	0.0	0.0	0.0	0.0	0.0	0.0	0.0	0.0	0.0	0.0	0.0
160-180	0.0	0.0	0.0	0.0	0.0	0.0	0.0	0.0	0.0	0.0	0.0	0.0	0.0	0.0	0.0	0.0	0.0
180-200	0.0	0.0	0.0	0.0	0.0	0.0	0.0	0.0	0.0	0.0	0.0	0.0	0.0	0.0	0.0	0.0	0.0
Total	23.8	24.8	12.8	6.0	3.2	2.2	0.9	0.8	1.1	1.8	3.0	1.9	1.4	1.4	4.4	10.7	100.0

Mean U and V : 4.3 (cm/s), 16.2 (cm/s)

Standard deviation of U and V : 10.2 (cm/s), 14.7 (cm/s)

Maximun speed and it's direction : 81.9 (cm/s), 16.2 (deg.)

Mean speed and direction : 16.8 (cm/s), 14.8 (deg.)

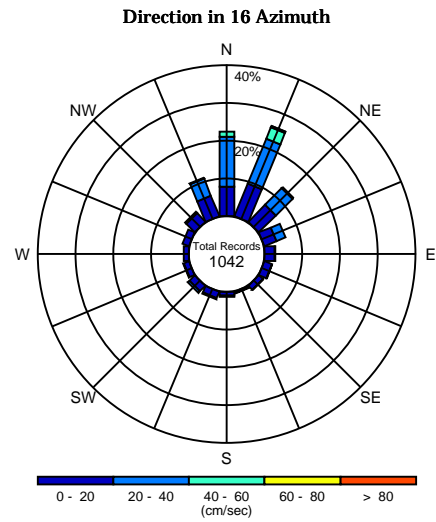
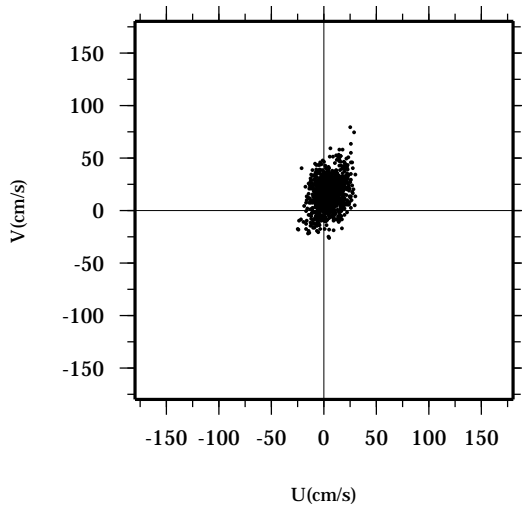
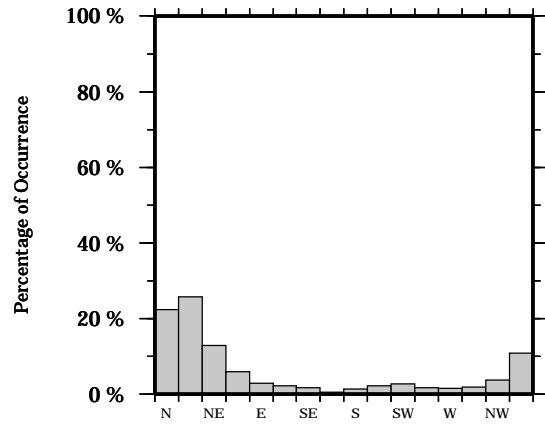
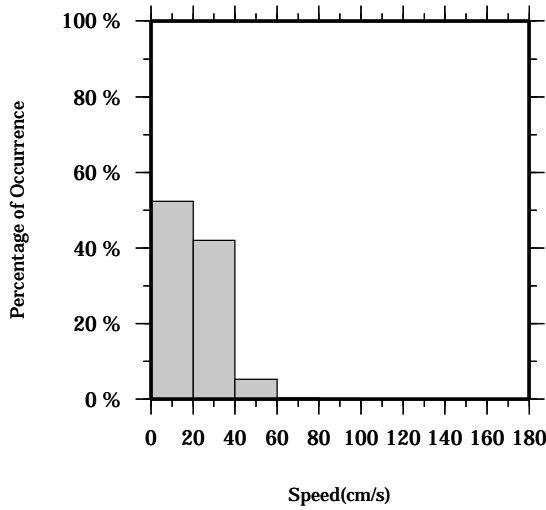
Speed scalar average : 21.5 (cm/s)

LON: 121° 21.83' E

Station: W204

LAT: 22° 40.0133' N

Depth: 306 M



Joint probability distribution of current speed and it's direction

Speed	N	NNE	NE	ENE	E	ESE	SE	SSE	S	SSW	SW	WSW	W	WNW	NW	NNW	Total
0-20	7.8	9.3	6.3	3.4	2.6	2.1	1.5	0.5	1.2	1.9	2.1	1.4	1.4	1.8	3.2	5.9	52.4
20-40	13.1	12.9	6.1	2.6	0.3	0.1	0.1	0.1	0.2	0.3	0.6	0.3	0.0	0.0	0.5	4.8	41.9
40-60	1.4	3.2	0.4	0.0	0.0	0.0	0.0	0.0	0.0	0.0	0.0	0.0	0.0	0.0	0.0	0.2	5.2
60-80	0.0	0.4	0.0	0.0	0.0	0.0	0.0	0.0	0.0	0.0	0.0	0.0	0.0	0.0	0.0	0.0	0.4
80-100	0.0	0.1	0.0	0.0	0.0	0.0	0.0	0.0	0.0	0.0	0.0	0.0	0.0	0.0	0.0	0.0	0.1
100-120	0.0	0.0	0.0	0.0	0.0	0.0	0.0	0.0	0.0	0.0	0.0	0.0	0.0	0.0	0.0	0.0	0.0
120-140	0.0	0.0	0.0	0.0	0.0	0.0	0.0	0.0	0.0	0.0	0.0	0.0	0.0	0.0	0.0	0.0	0.0
140-160	0.0	0.0	0.0	0.0	0.0	0.0	0.0	0.0	0.0	0.0	0.0	0.0	0.0	0.0	0.0	0.0	0.0
160-180	0.0	0.0	0.0	0.0	0.0	0.0	0.0	0.0	0.0	0.0	0.0	0.0	0.0	0.0	0.0	0.0	0.0
180-200	0.0	0.0	0.0	0.0	0.0	0.0	0.0	0.0	0.0	0.0	0.0	0.0	0.0	0.0	0.0	0.0	0.0
Total	22.4	25.8	12.9	6.0	2.9	2.2	1.6	0.6	1.3	2.2	2.7	1.7	1.4	1.8	3.6	10.8	100.0

Mean U and V : 4.2 (cm/s), 15.6 (cm/s)

Standard deviation of U and V : 9.8 (cm/s), 14.6 (cm/s)

Maximun speed and it's direction : 83.1 (cm/s), 17.6 (deg.)

Mean speed and direction : 16.2 (cm/s), 15.0 (deg.)

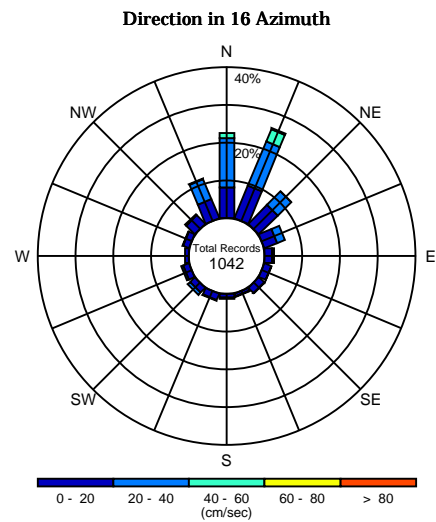
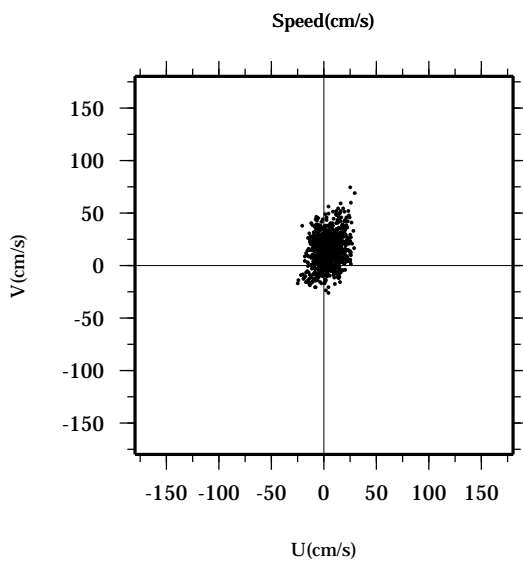
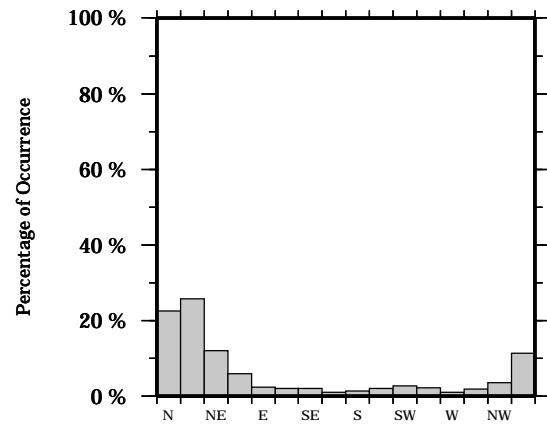
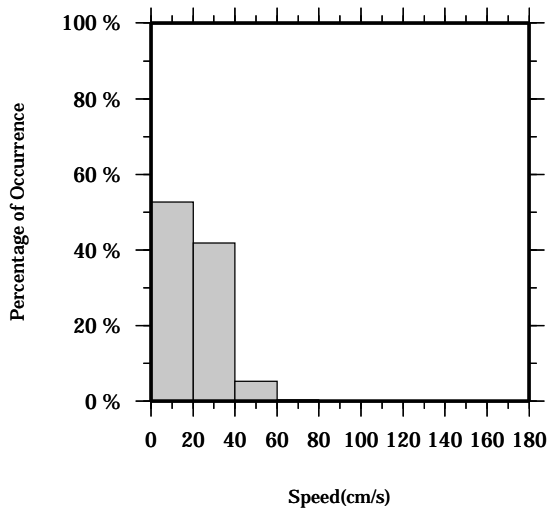
Speed scalar average : 21.0 (cm/s)

LON: 121° 21.83' E

Station: W204

LAT: 22° 40.0133' N

Depth: 310 M



Joint probability distribution of current speed and it's direction

Speed	N	NNE	NE	ENE	E	ESE	SE	SSE	S	SSW	SW	WSW	W	WNW	NW	NNW	Total
0-20	8.1	9.2	7.0	3.6	1.9	1.9	2.0	0.9	1.2	1.9	1.8	1.6	1.1	1.7	3.3	5.5	52.6
20-40	13.1	12.7	5.0	2.3	0.5	0.1	0.1	0.2	0.2	0.2	0.9	0.6	0.0	0.2	0.3	5.7	41.8
40-60	1.3	3.6	0.1	0.0	0.0	0.0	0.0	0.0	0.0	0.0	0.0	0.0	0.0	0.0	0.0	0.2	5.2
60-80	0.0	0.4	0.0	0.0	0.0	0.0	0.0	0.0	0.0	0.0	0.0	0.0	0.0	0.0	0.0	0.0	0.4
80-100	0.0	0.0	0.0	0.0	0.0	0.0	0.0	0.0	0.0	0.0	0.0	0.0	0.0	0.0	0.0	0.0	0.0
100-120	0.0	0.0	0.0	0.0	0.0	0.0	0.0	0.0	0.0	0.0	0.0	0.0	0.0	0.0	0.0	0.0	0.0
120-140	0.0	0.0	0.0	0.0	0.0	0.0	0.0	0.0	0.0	0.0	0.0	0.0	0.0	0.0	0.0	0.0	0.0
140-160	0.0	0.0	0.0	0.0	0.0	0.0	0.0	0.0	0.0	0.0	0.0	0.0	0.0	0.0	0.0	0.0	0.0
160-180	0.0	0.0	0.0	0.0	0.0	0.0	0.0	0.0	0.0	0.0	0.0	0.0	0.0	0.0	0.0	0.0	0.0
180-200	0.0	0.0	0.0	0.0	0.0	0.0	0.0	0.0	0.0	0.0	0.0	0.0	0.0	0.0	0.0	0.0	0.0
Total	22.5	25.8	12.1	5.9	2.4	2.0	2.1	1.1	1.3	2.1	2.7	2.2	1.1	1.9	3.6	11.3	100.0

Mean U and V : 3.9 (cm/s), 15.1 (cm/s)

Standard deviation of U and V : 9.6 (cm/s), 14.4 (cm/s)

Maximun speed and it's direction : 78.3 (cm/s), 18.6 (deg.)

Mean speed and direction : 15.6 (cm/s), 14.5 (deg.)

Speed scalar average : 20.4 (cm/s)

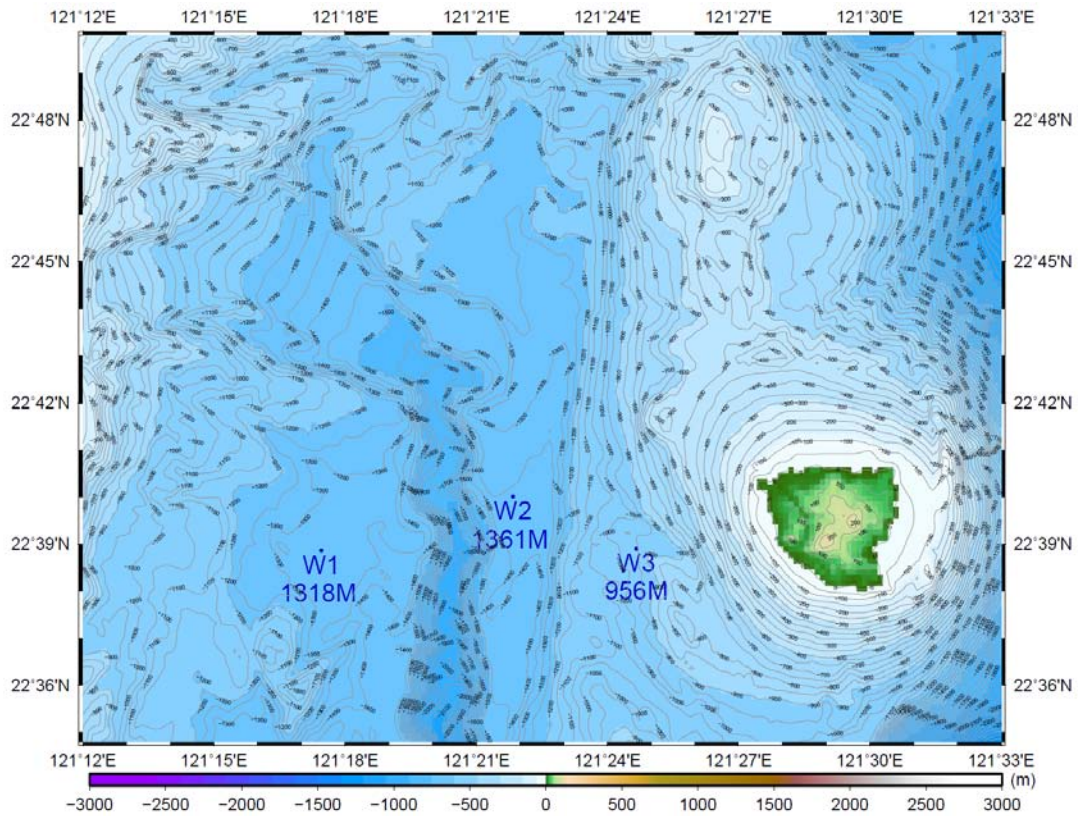
國立台灣大學海洋研究所

台灣東部海域自然資源綜合性研究(I)

綠島海域流場、地形地質、水文與生態精密調查

實驗海流觀測資料報告

W3 站



目錄

- 一、錨碇相關資訊
- 二、W3 站施放記錄與錨碇配置圖
 - W3 站 CTD 資料
 - W3 站 ADCP 溫度、壓力資料
 - W3 站 ADCP 流速資料

Moorings Information

Station	Location	*Data Duration (yyyy/mm/dd/hhmm)	Local Depth	Deploy Cruise	PI	Recovery Cruise	PI	Remark
W1	121°17.4341'E 22°38.8623'N	2009/04/26/2300 2009/09/13/0400	1318M	OR1-896B	詹森教授	OR1-912B	張明輝教授	
W2	121°21.8300'E 22°40.0133'N	2009/04/27/0500 2009/06/09/1400	1361M	OR1-896B	詹森教授	OR1-912B	張明輝教授	1.*Battery Leakage 2.*Pressure Sensor Error
W3	121°24.6445'E 22°38.8623'N	2009/04/27/0900 2009/07/12/0500	956M	OR1-896B	詹森教授	OR1-912B	張明輝教授	1.*Battery Leakage

*資料時間為 GMT 時間，當地時間為 GMT+8 小時。

* 2009/09/15 檢查電池後，發現 W2 與 W3 之電池電力只剩 13.8V，與 W1 之電池電力 36.8V 差異甚大，研判可能因電池漏電導致 ADCP 停止量測。

有關 W2 與 W3 二站發生疑似電池漏電的情況，經代理商向 RDI 原廠詢問後，發現是機器本身的韌體問題，導致 W2 的壓力計錯誤與電池發生漏電，以下是原廠的回覆：

These units all have V50.32 firmware, which has a serious bug that likely explains this behavior.

The bug causes system resets.

Upon resetting, the system may have lost its configuration parameters and not know what to do.

When it happens, the system may be awake until it drains the batteries.

* W2 壓力計異常，校正步驟將詳述於後

W3 站施放記錄

使用航次：海研一號 896B、海研一號 912B 航次

施放時間：2009 年 4 月 27 日 16 時 10 分（當地時間）

施放地點：東經 121°24.6445'，北緯 22°38.8623'

當地水深：956 公尺

回收時間：2009 年 9 月 13 日 11 時 25 分（當地時間）

ADCP 設定（資料時間為 GMT 時間）：

Information from RDI program WINS

=====

C:\Documents and Settings\kazuhiko\桌面\W3\W3.000

File Size 3,589,130 bytes

BB/WH Ensemble Length 1894 bytes

System Frequency: 76.8 kHz

1st Bin 12.96 m, Bin Size 4.00 m

No. Bins 87, Pings/Ens 150, Time/Ping 00:24.00

First Ensemble 00000001 09/04/24 08:00:00.00

Last Ensemble 00001895 09/07/12 06:00:00.00

Average Ensemble Interval 01:00:00.00

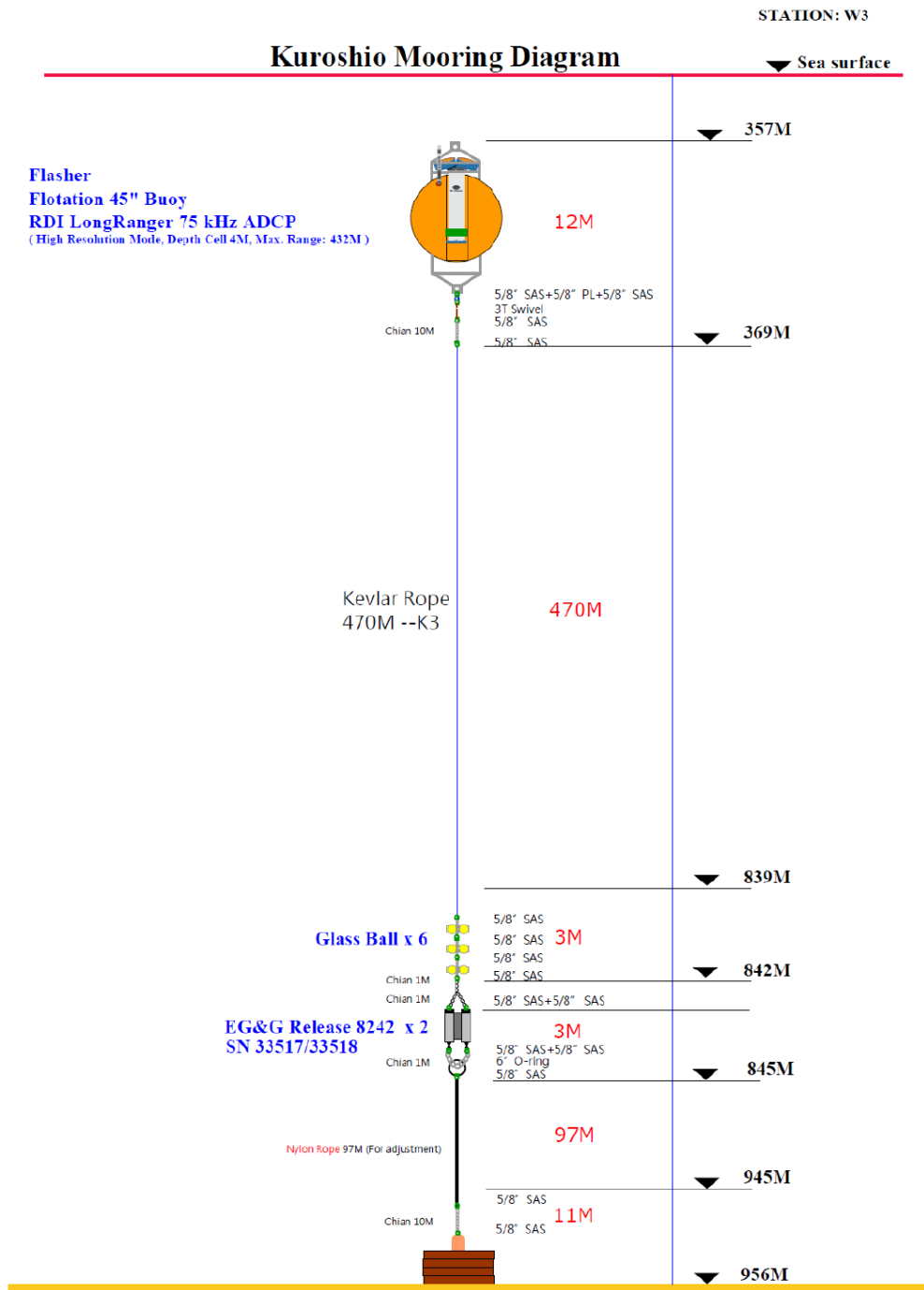
=====

Final Mooring Design

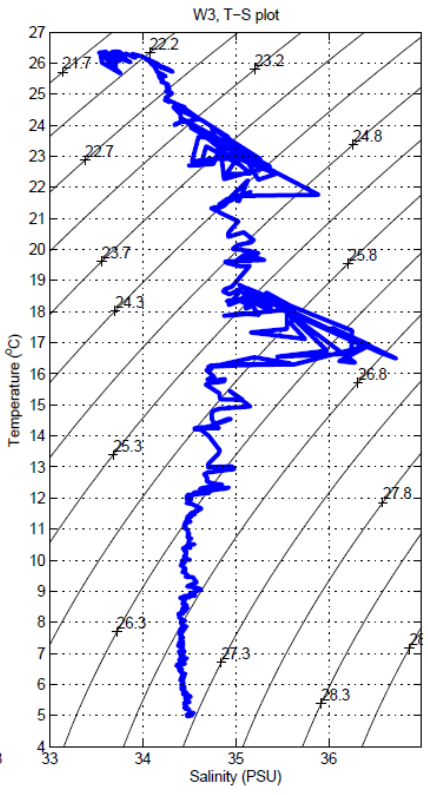
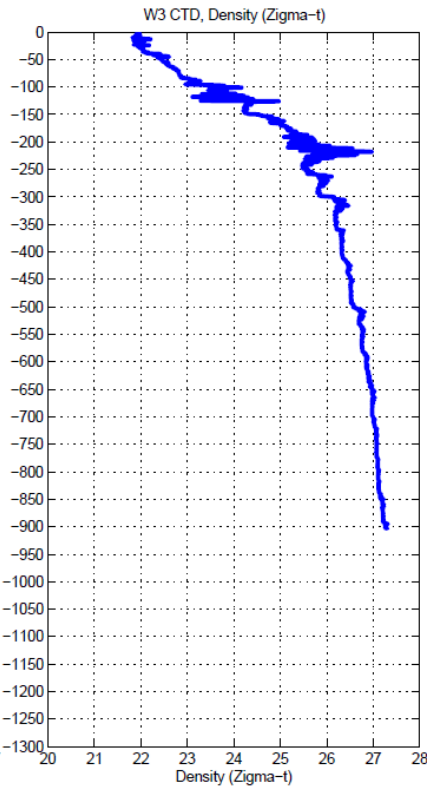
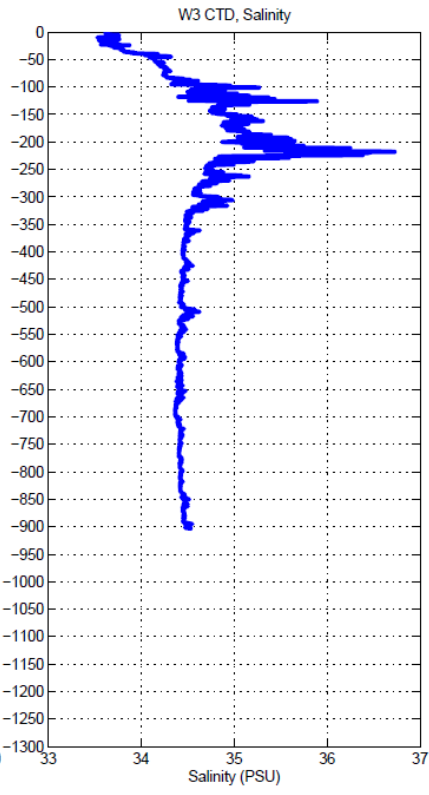
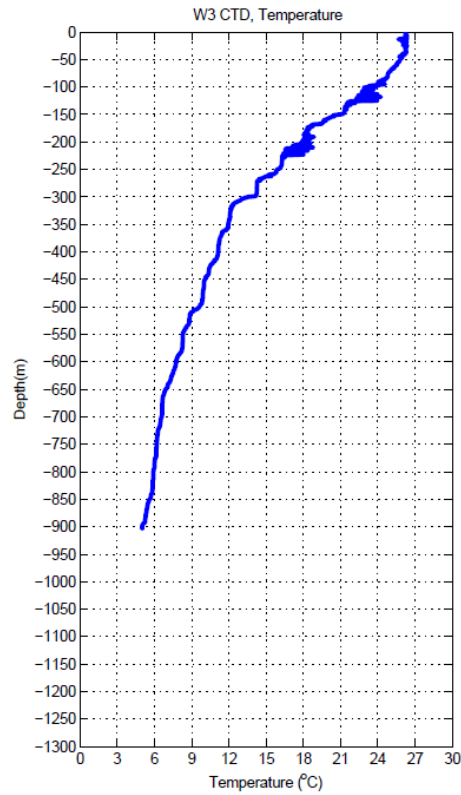
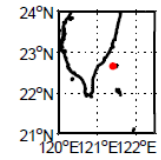
W3 (NTOU)

Let go time/location: 2009/04/27 08:08(GMT). 121°, 24.6455 (E) 22°, 38.8994 (N)

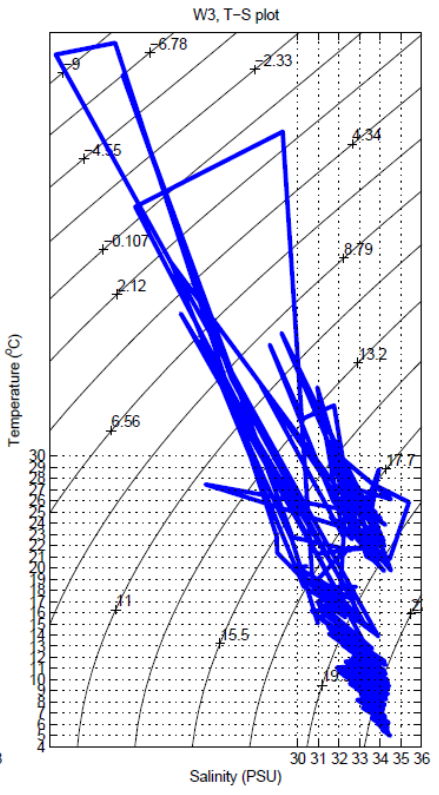
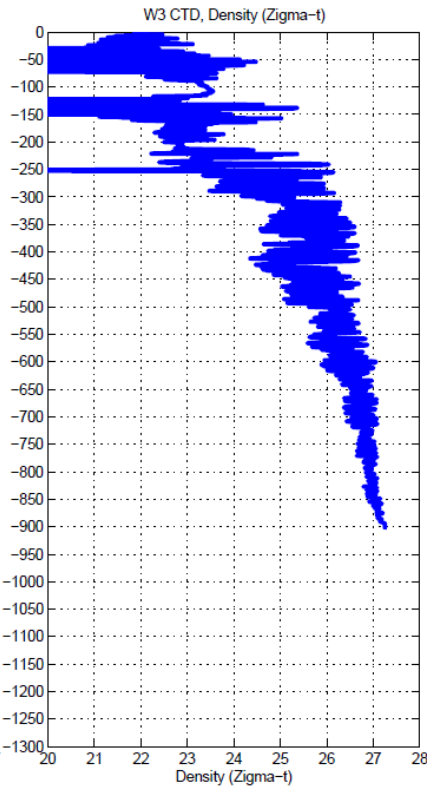
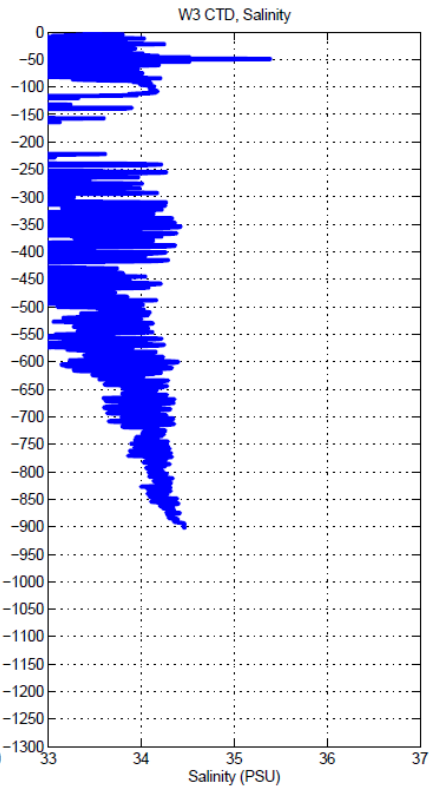
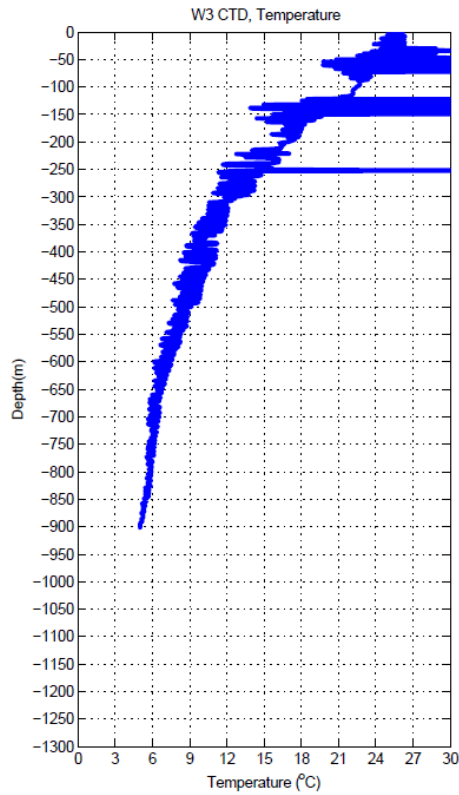
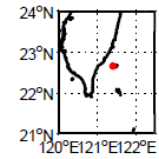
Local depth: 956m



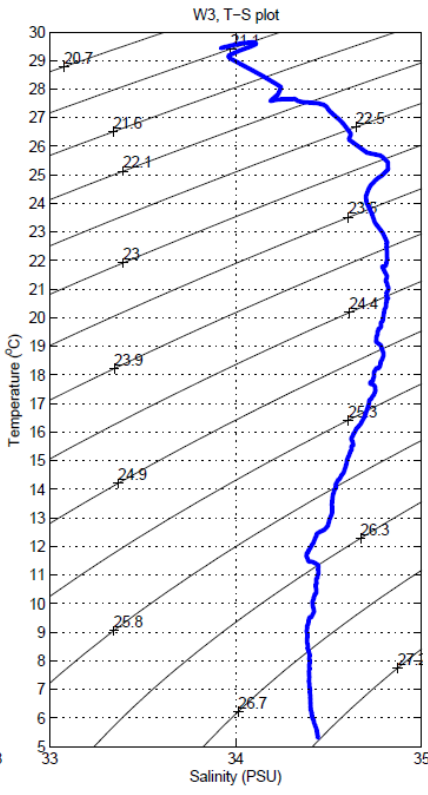
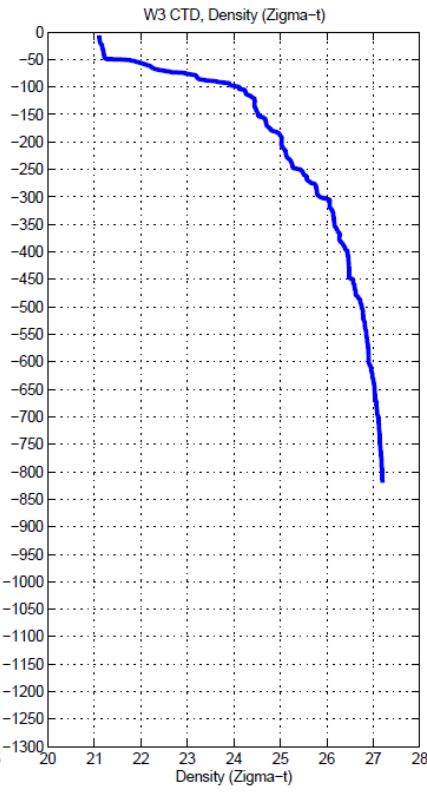
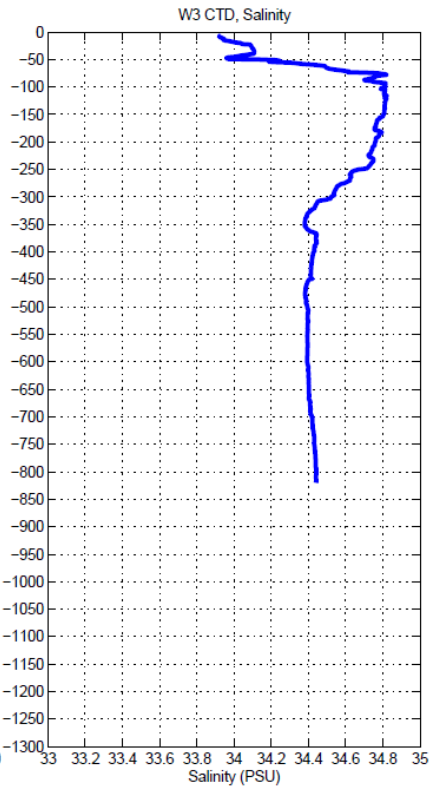
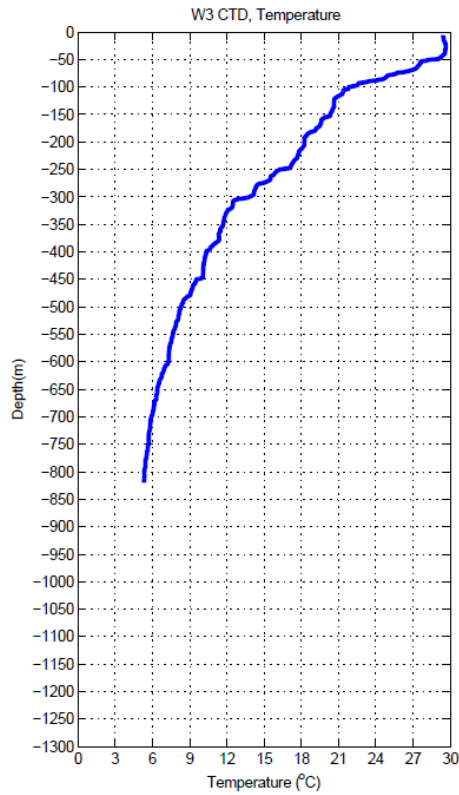
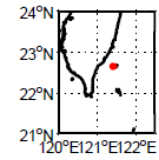
Station: W3
Longitude= 121°24.47E
Latitude= 22°39.39N
Cruise: OR1- 896 B
Down case: Apr 27 2009 14:39:41
Local depth: 956 M



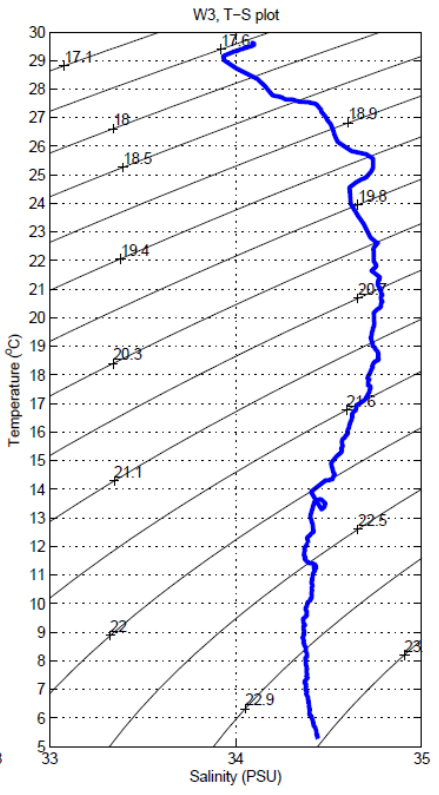
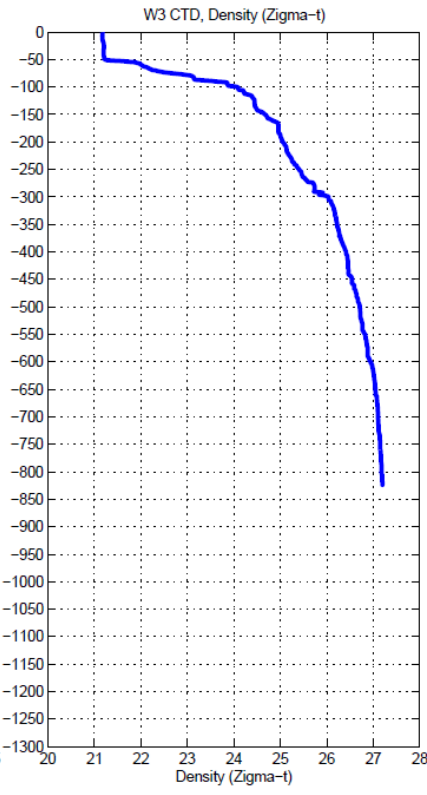
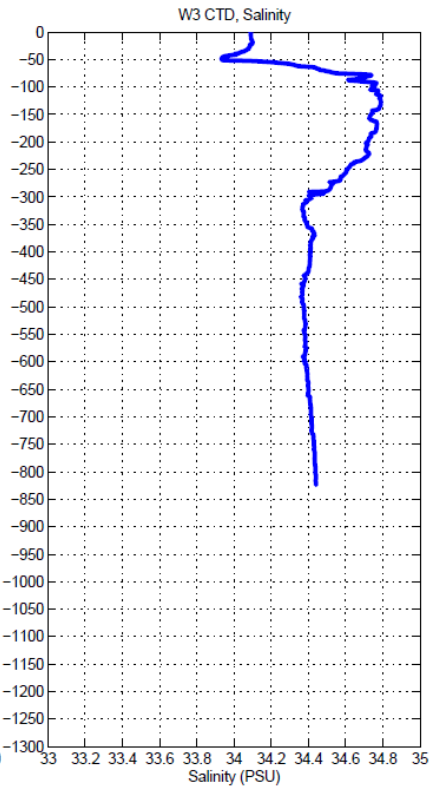
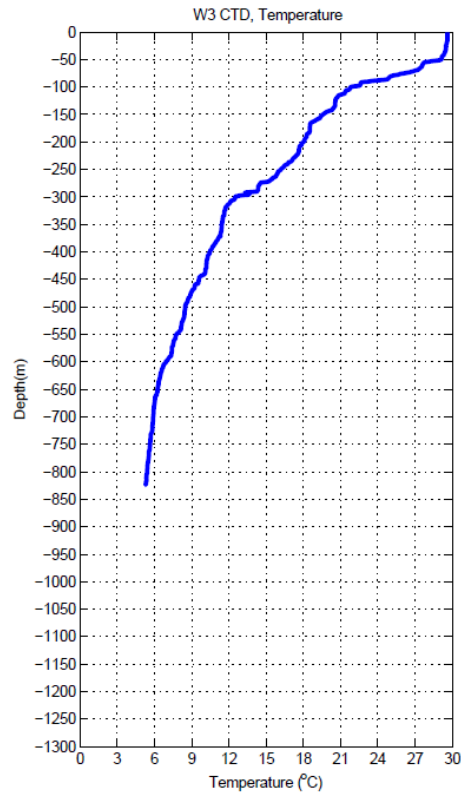
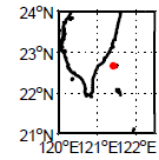
Station: W3
 Longitude= 121°24.44E
 Latitude= 22°39.69N
 Cruise: OR1- 896 B
 Up case: Apr 27 2009 15:03:56
 Local depth: 956 M

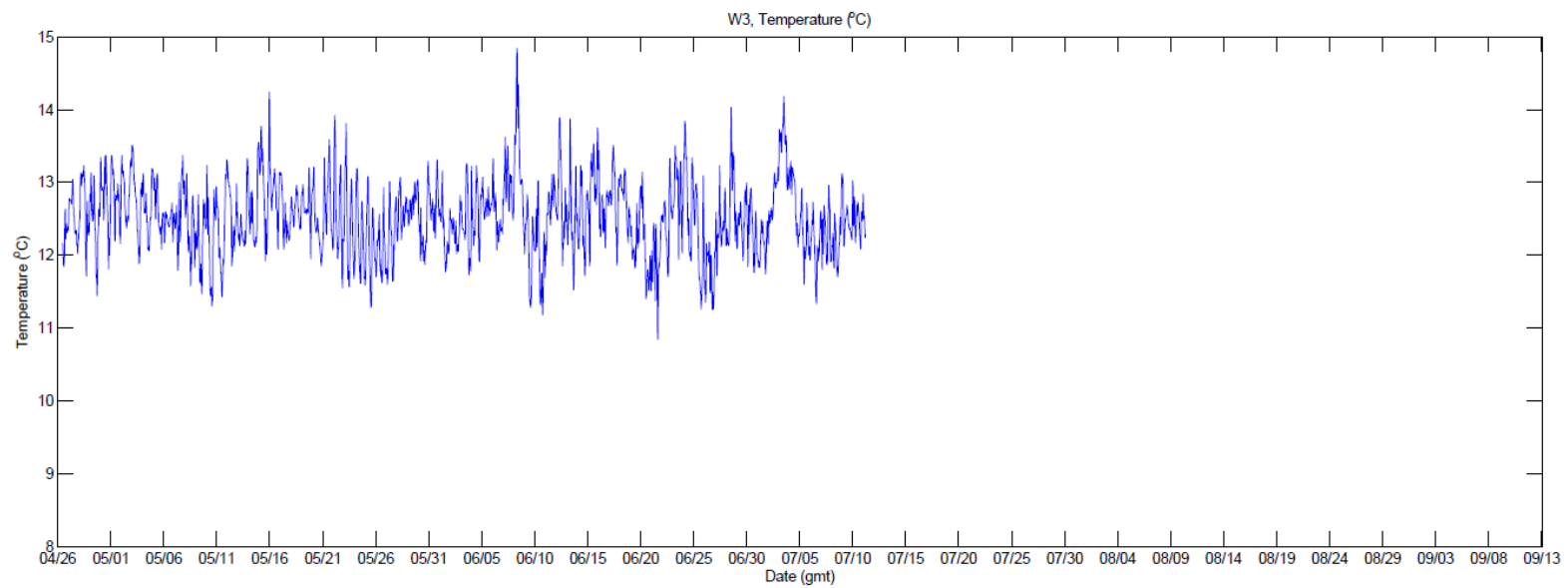


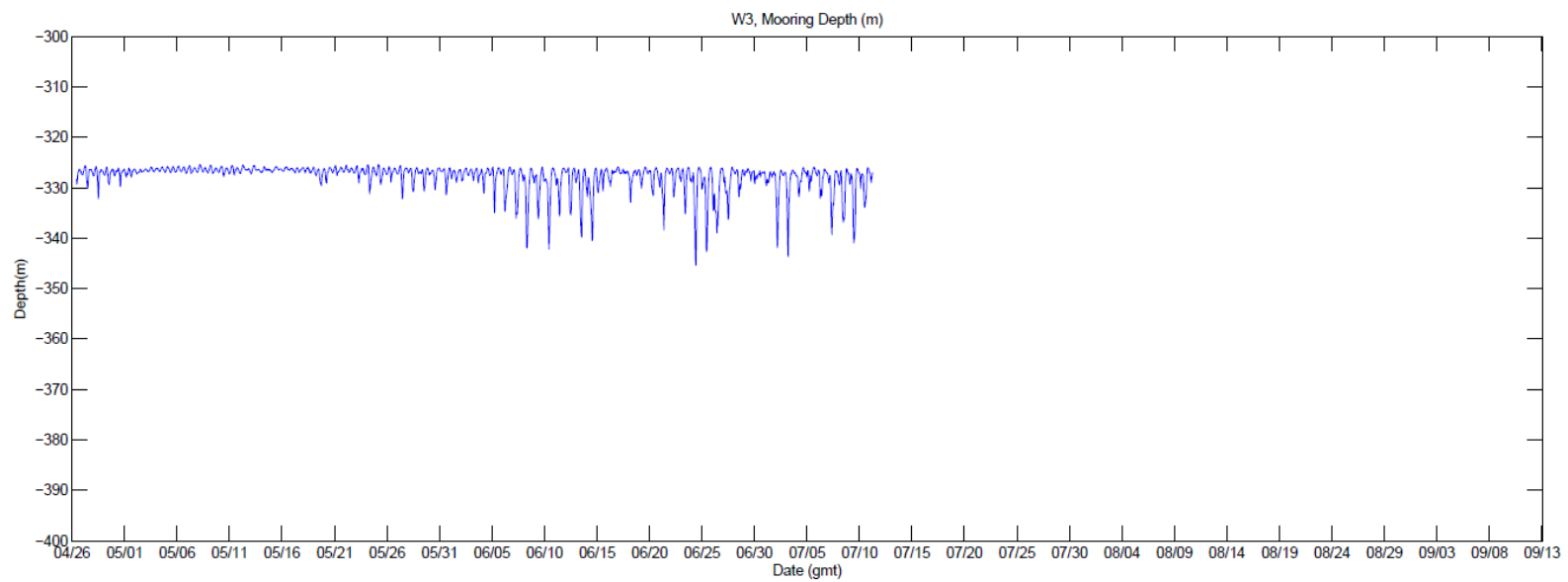
Station: W3
Longitude= 121°24.73E
Latitude= 22°39.12N
Cruise: OR1- 912 B
Down case: Sep 13 2009 10:05:59
Local depth: 956 M

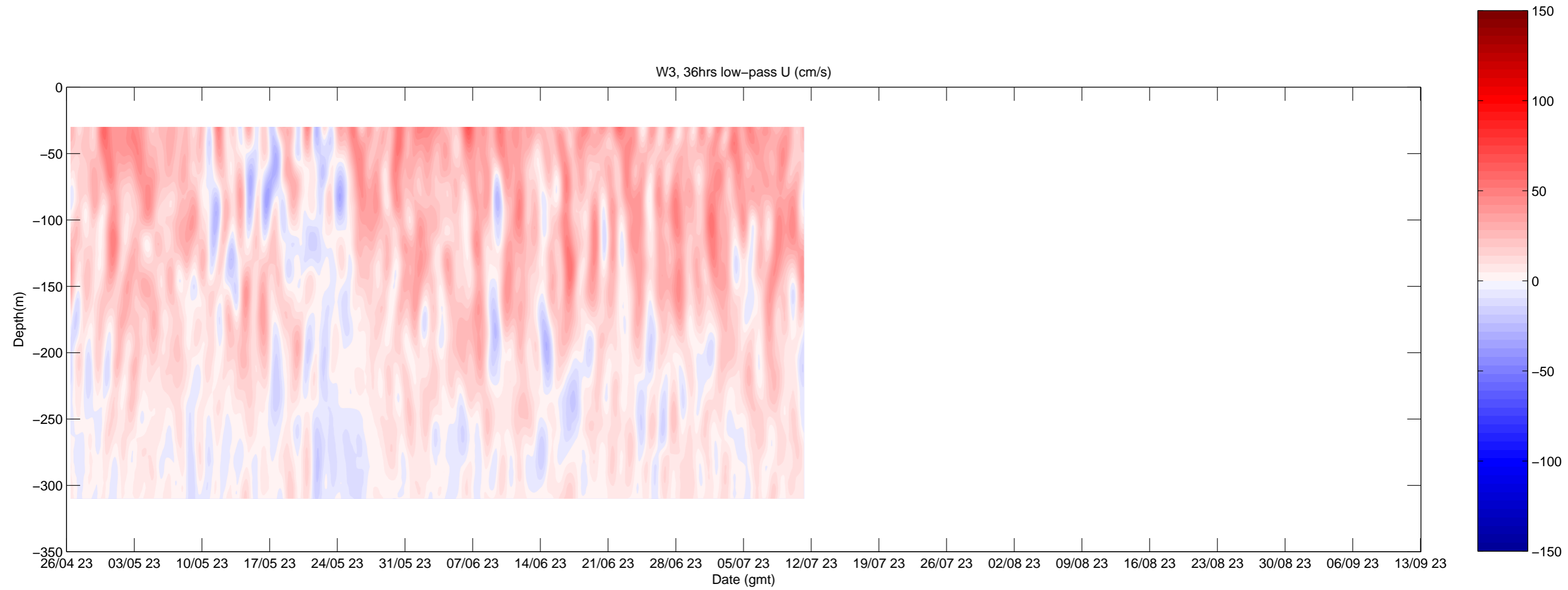


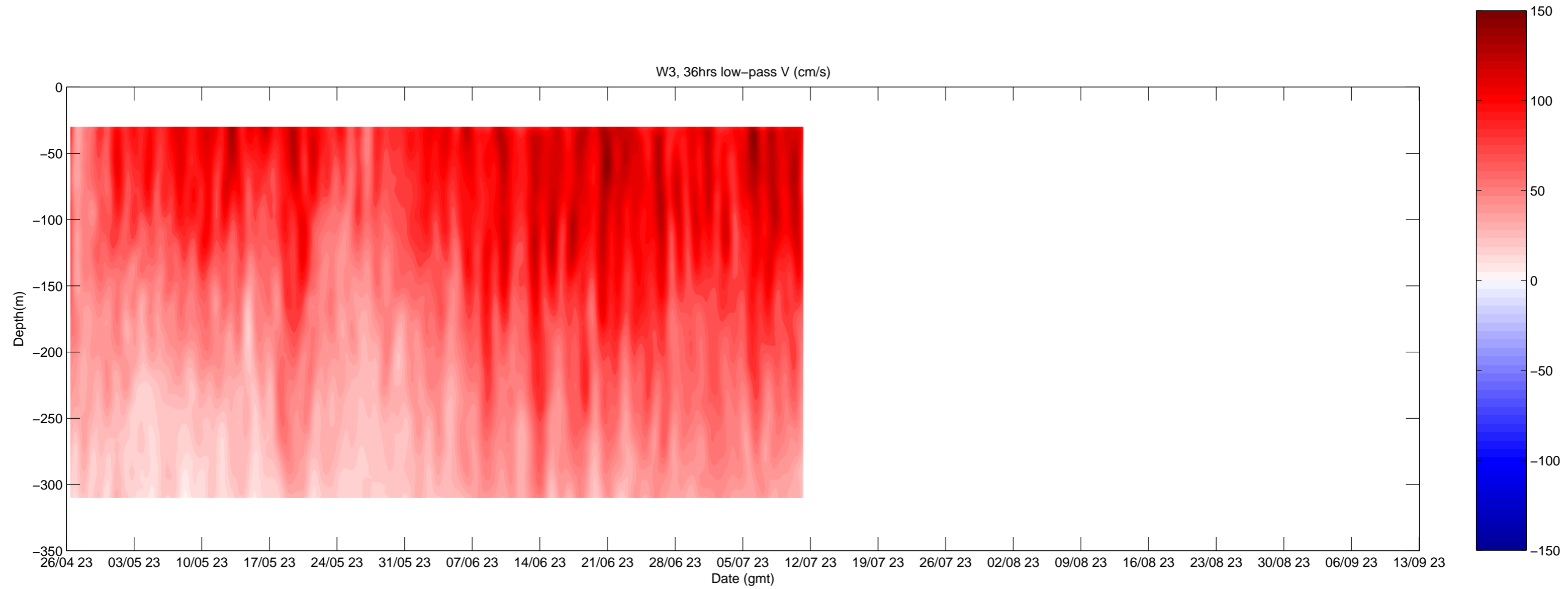
Station: W3
Longitude= 121°24.92E
Latitude= 22°39.89N
Cruise: OR1- 912 B
Up case: Sep 13 2009 10:34:32
Local depth: 956 M

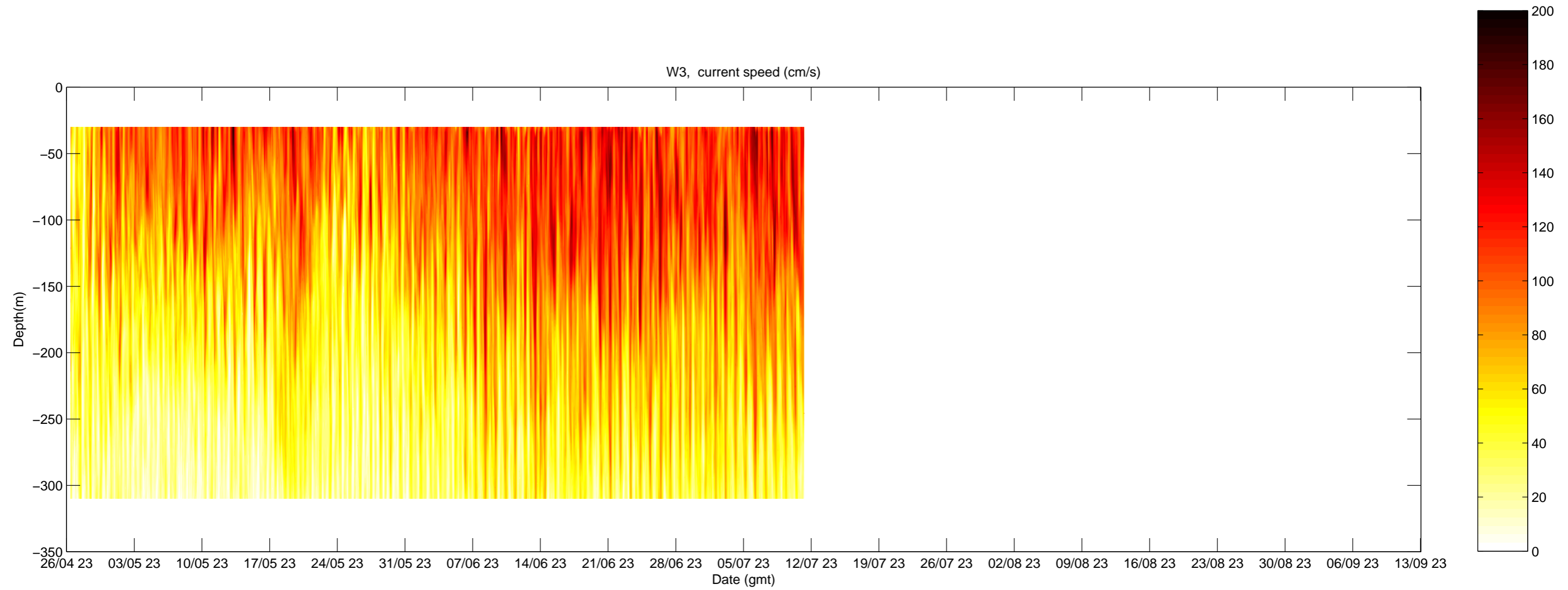






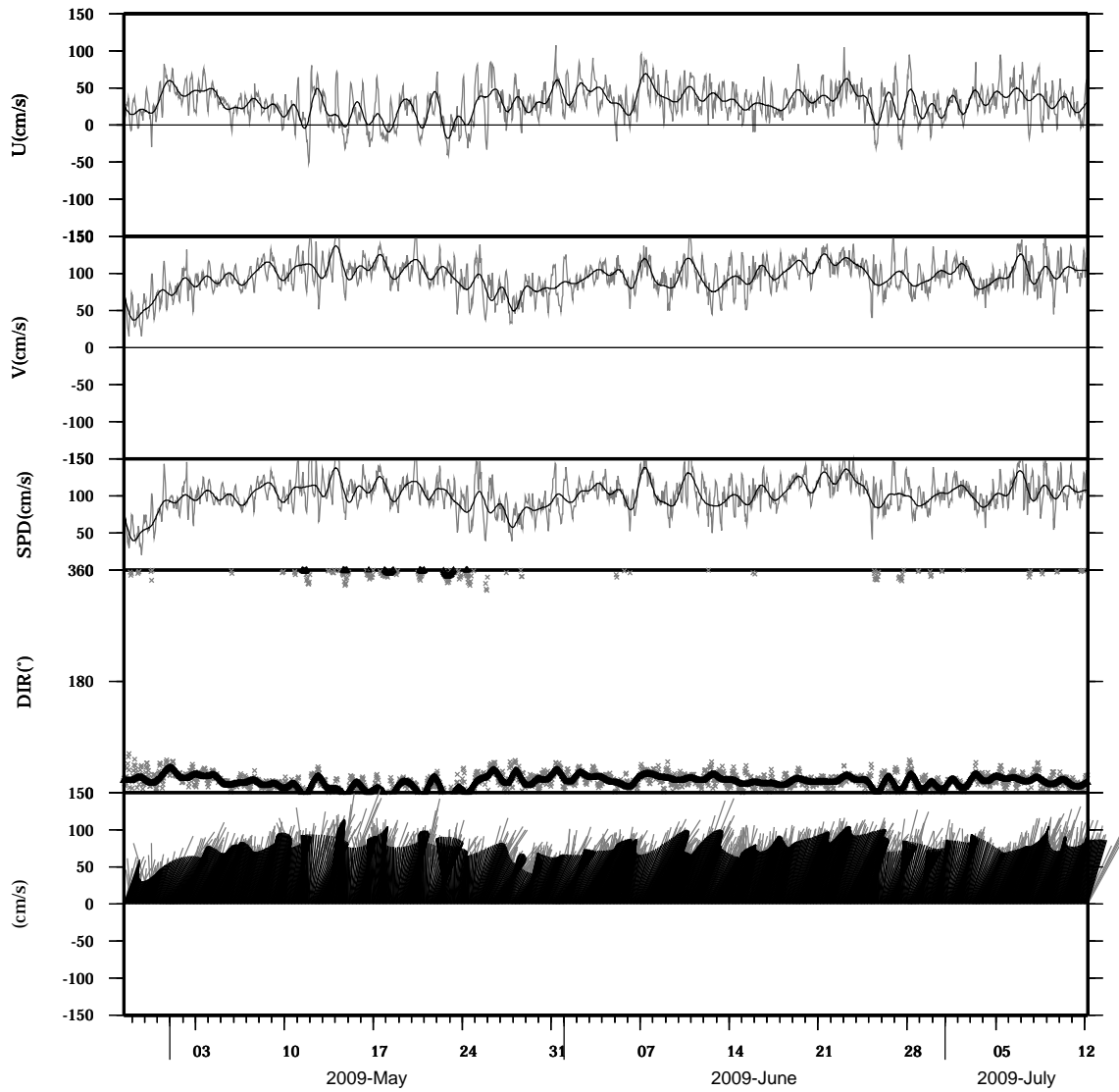






Lon : 121° 24.6445' E
Lat : 22° 38.8994' N

Station : W304
Depth : 30 M

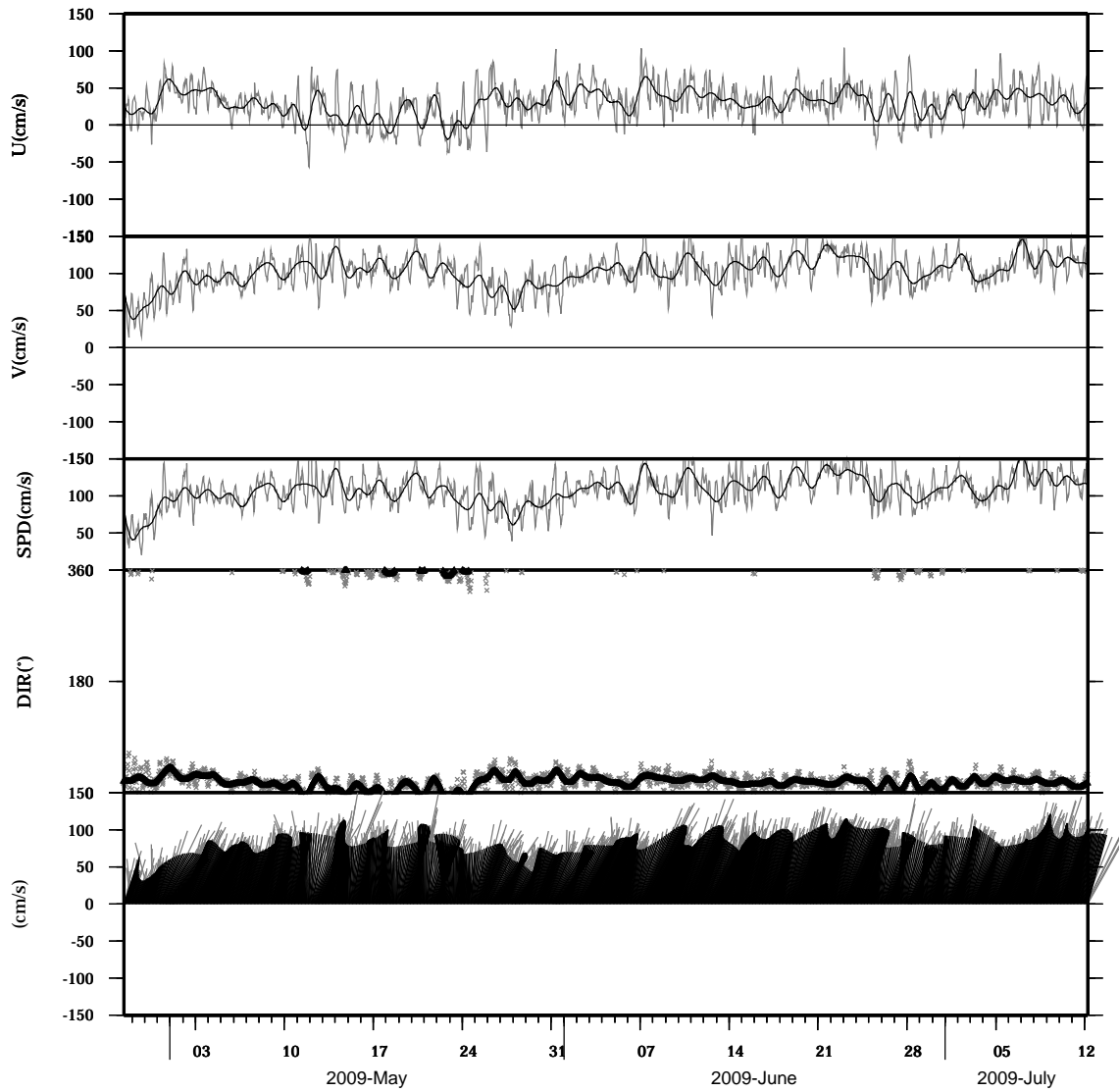


light line : The original data

heavy line : The 36 hours low-pass filtered data

Lon : 121° 24.6445' E
Lat : 22° 38.8994' N

Station : W304
Depth : 34 M

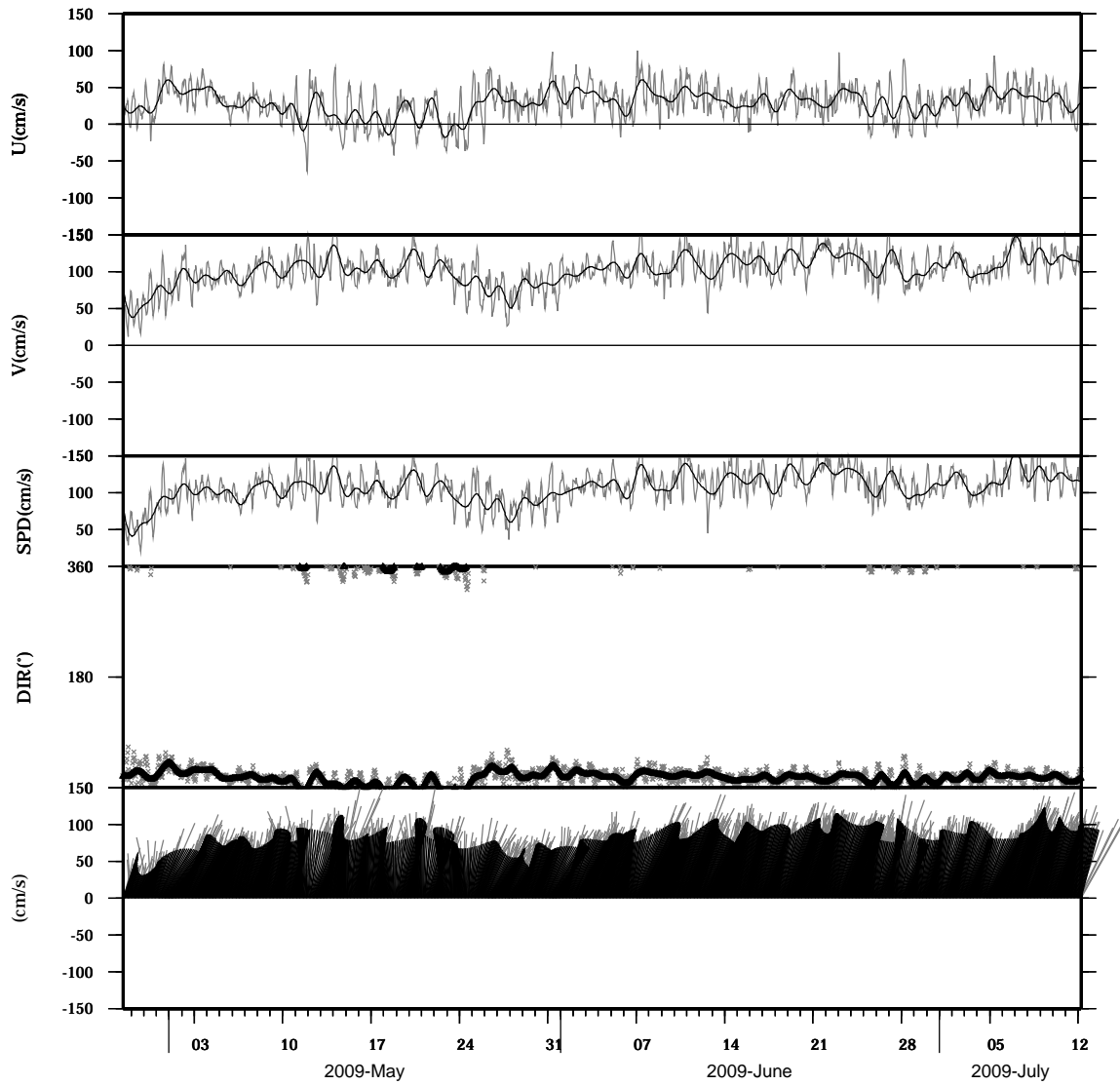


light line : The original data

heavy line : The 36 hours low-pass filtered data

Lon : 121° 24.6445' E
Lat : 22° 38.8994' N

Station : W304
Depth : 38 M

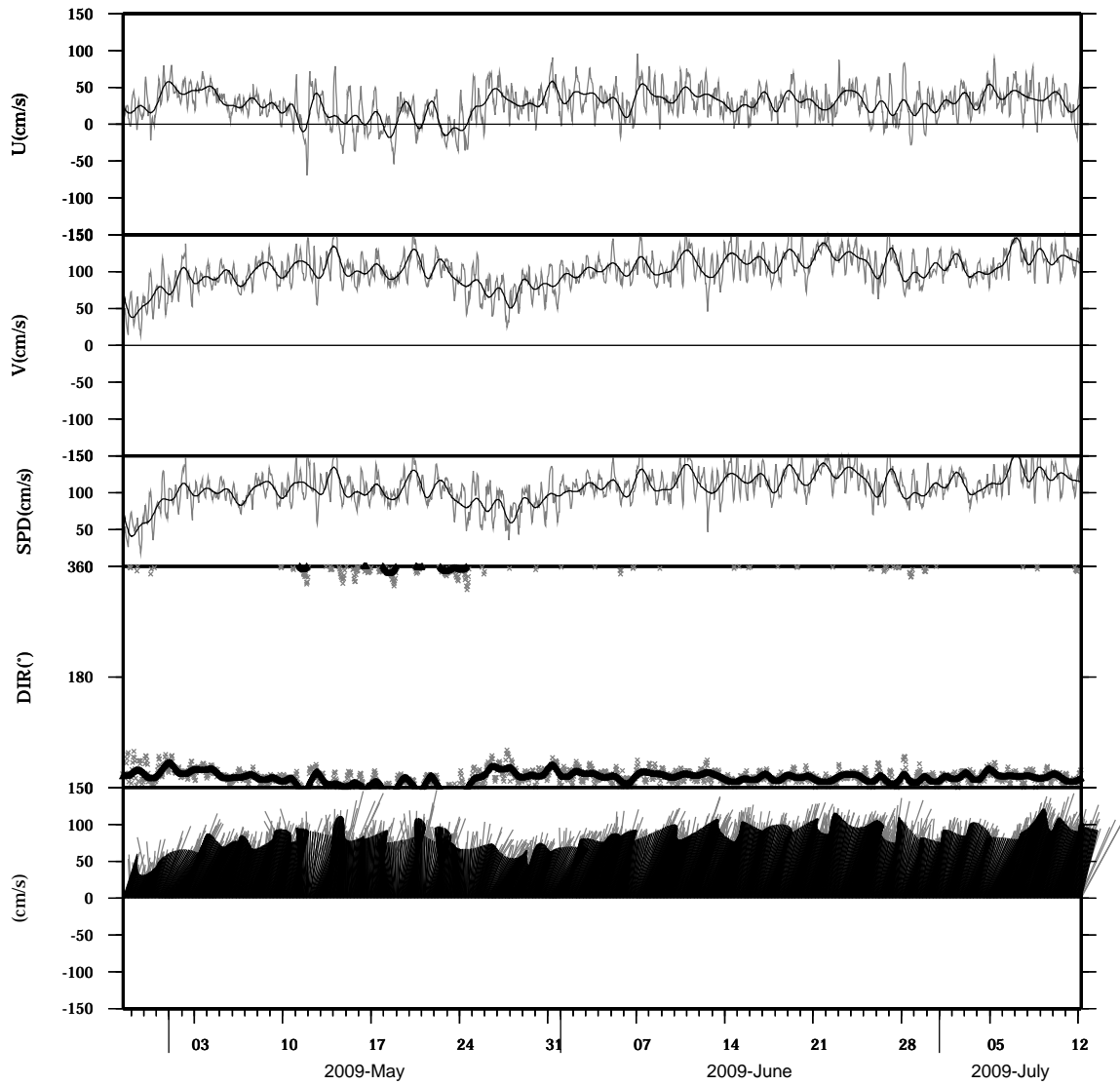


light line : The original data

heavy line : The 36 hours low-pass filtered data

Lon : 121° 24.6445' E
Lat : 22° 38.8994' N

Station : W304
Depth : 42 M

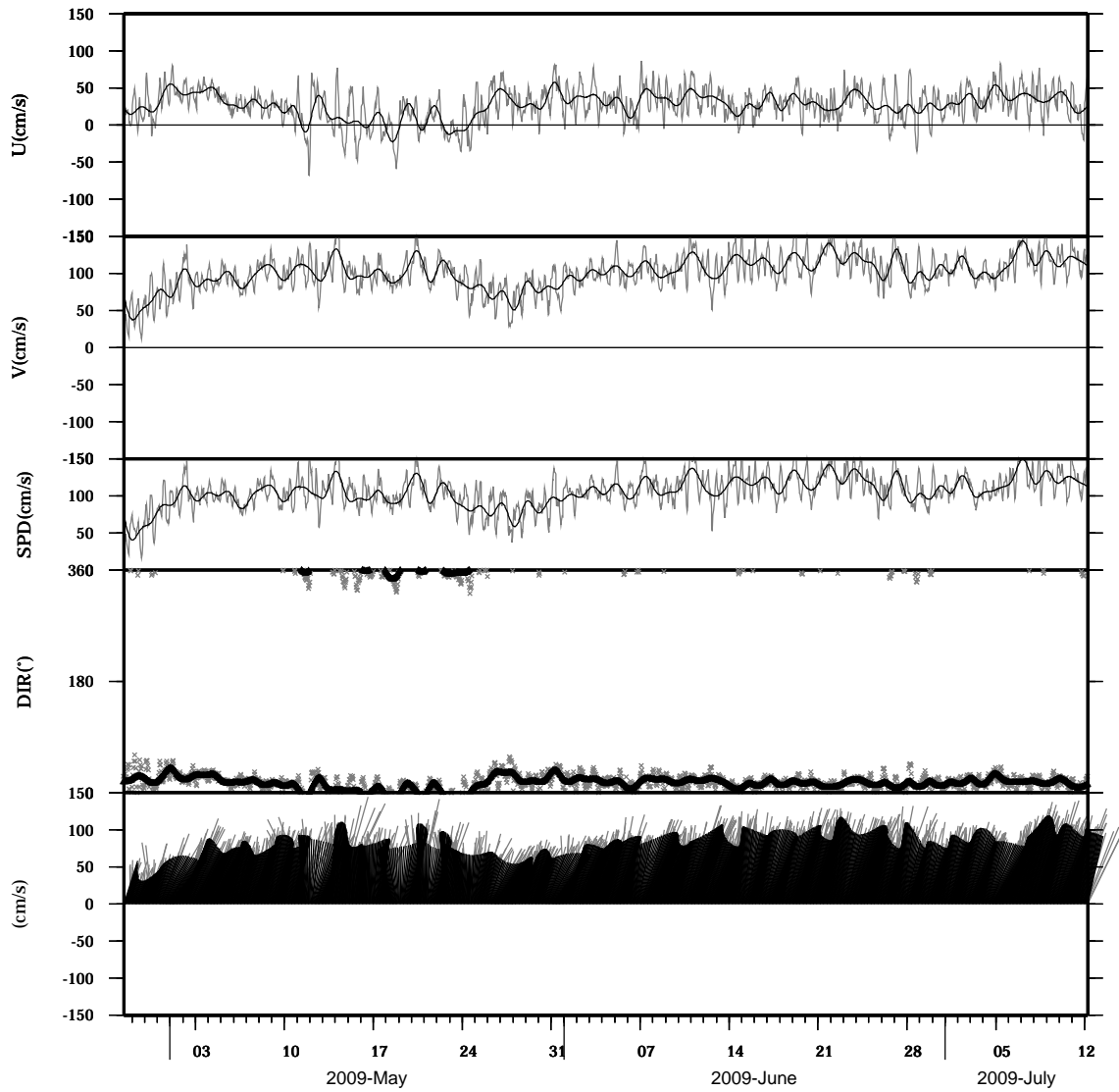


light line : The original data

heavy line : The 36 hours low-pass filtered data

Lon : 121° 24.6445' E
Lat : 22° 38.8994' N

Station : W304
Depth : 46 M

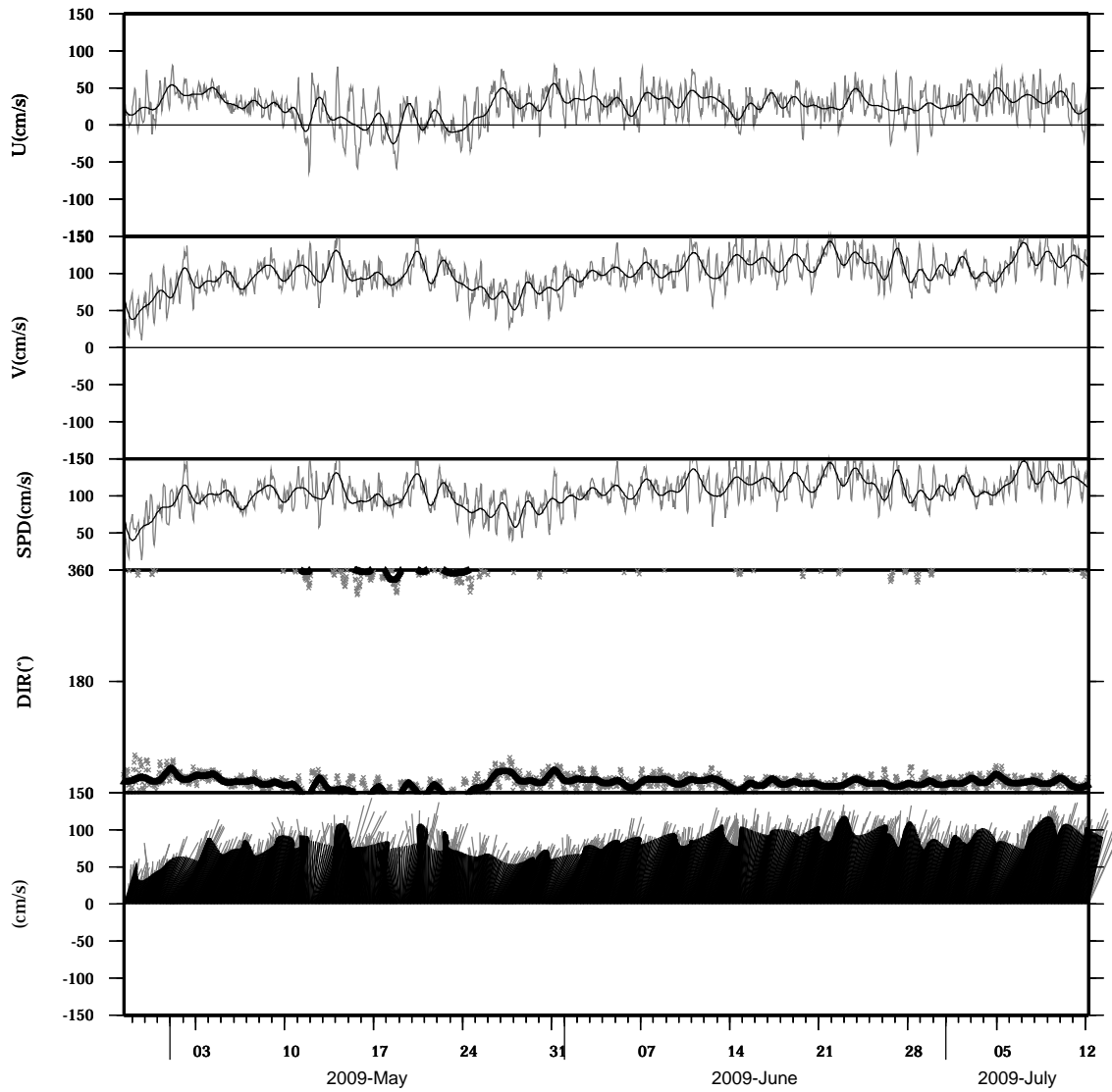


light line : The original data

heavy line : The 36 hours low-pass filtered data

Lon : 121° 24.6445' E
Lat : 22° 38.8994' N

Station : W304
Depth : 50 M

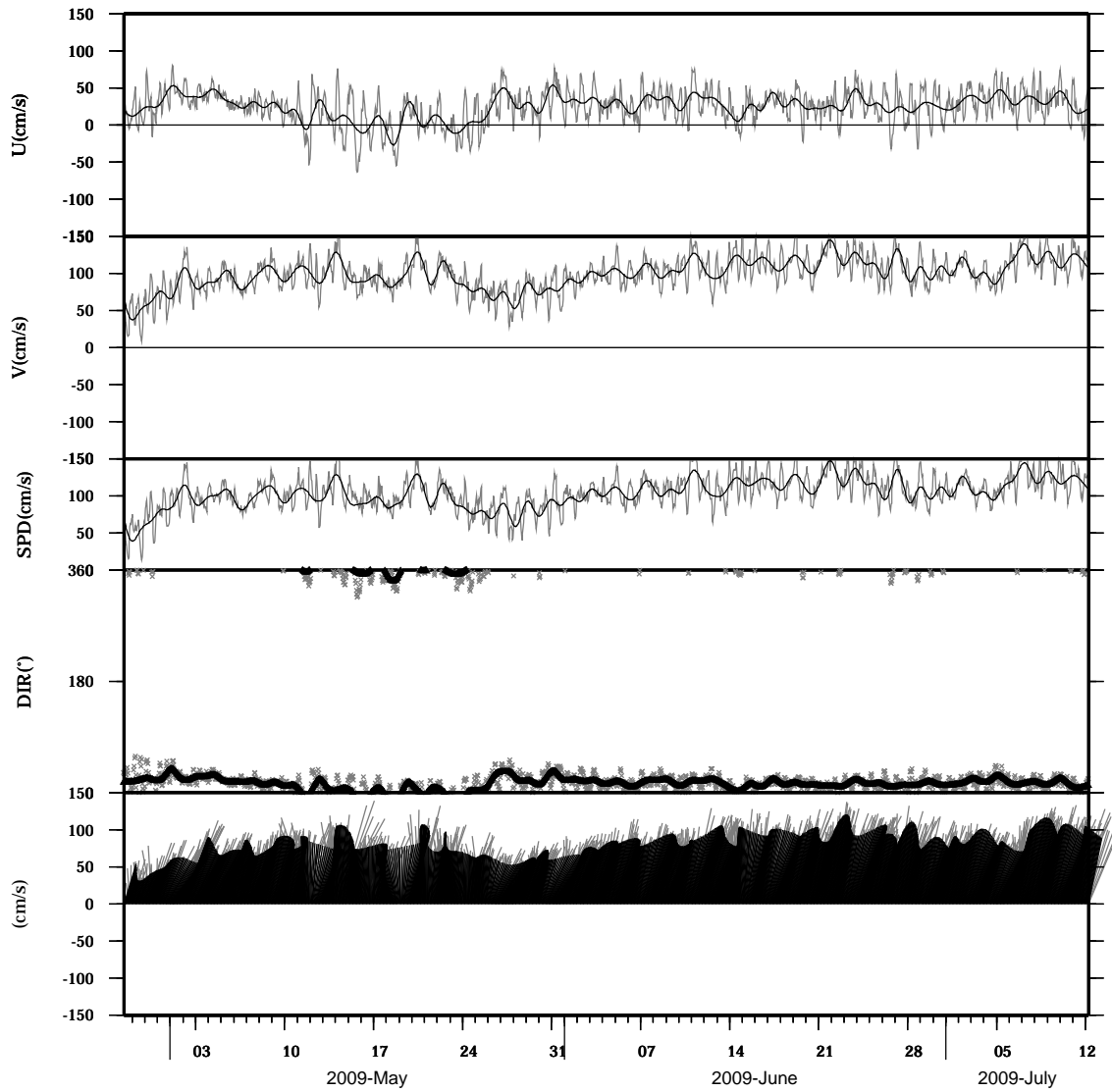


light line : The original data

heavy line : The 36 hours low-pass filtered data

Lon : 121° 24.6445' E
Lat : 22° 38.8994' N

Station : W304
Depth : 54 M

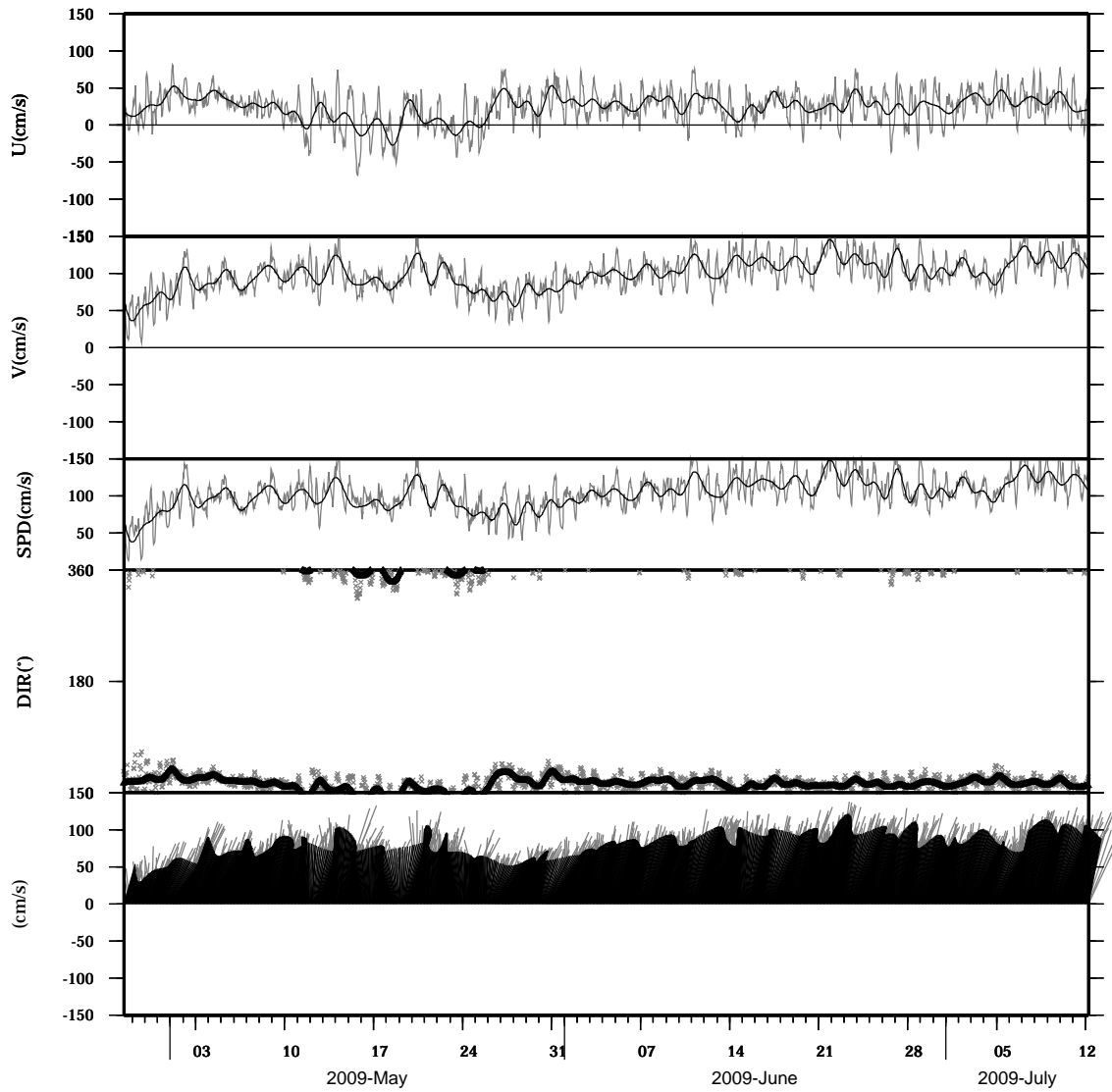


light line : The original data

heavy line : The 36 hours low-pass filtered data

Lon : 121° 24.6445' E
Lat : 22° 38.8994' N

Station : W304
Depth : 58 M

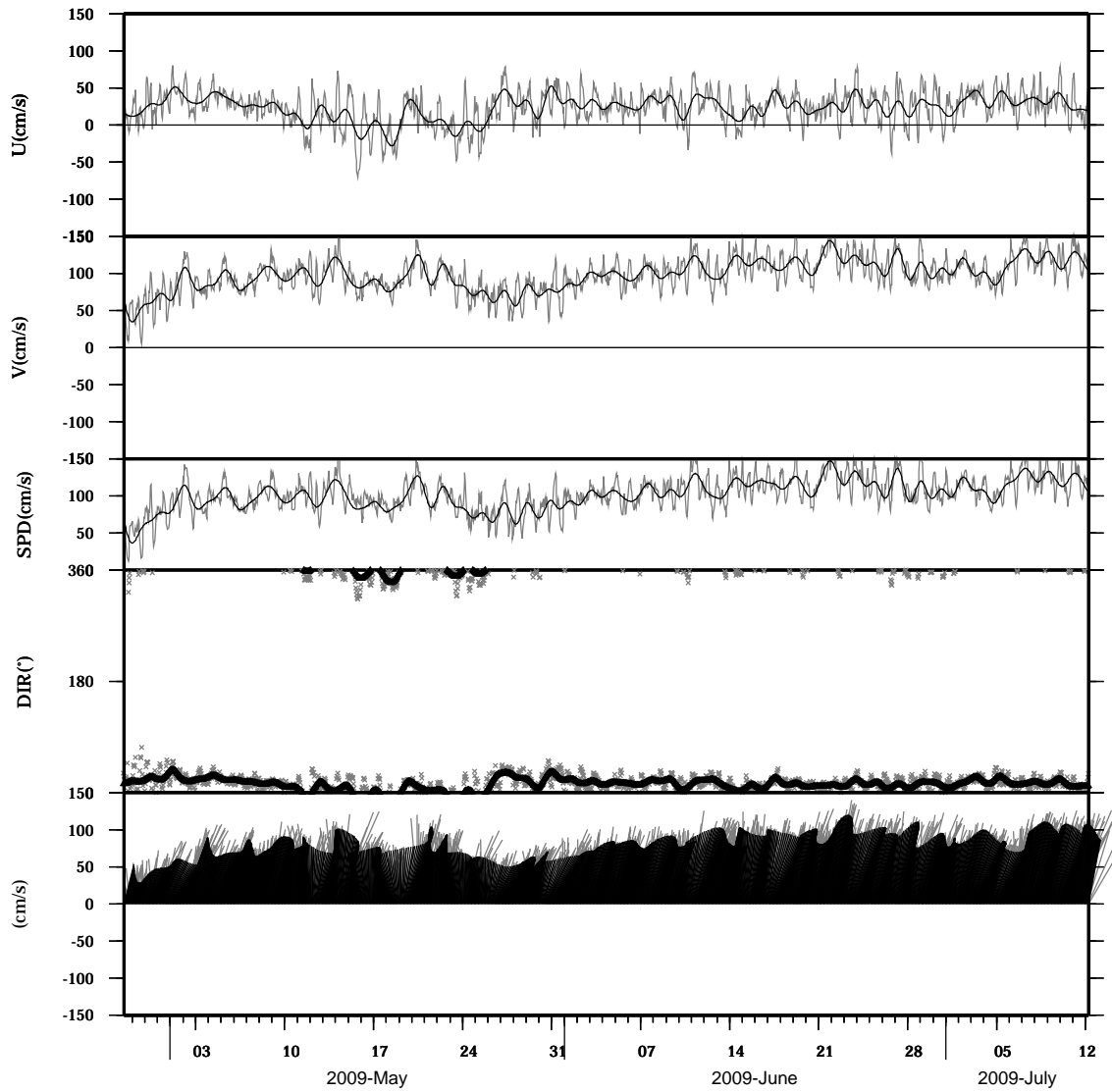


light line : The original data

heavy line : The 36 hours low-pass filtered data

Lon : 121° 24.6445' E
Lat : 22° 38.8994' N

Station : W304
Depth : 62 M

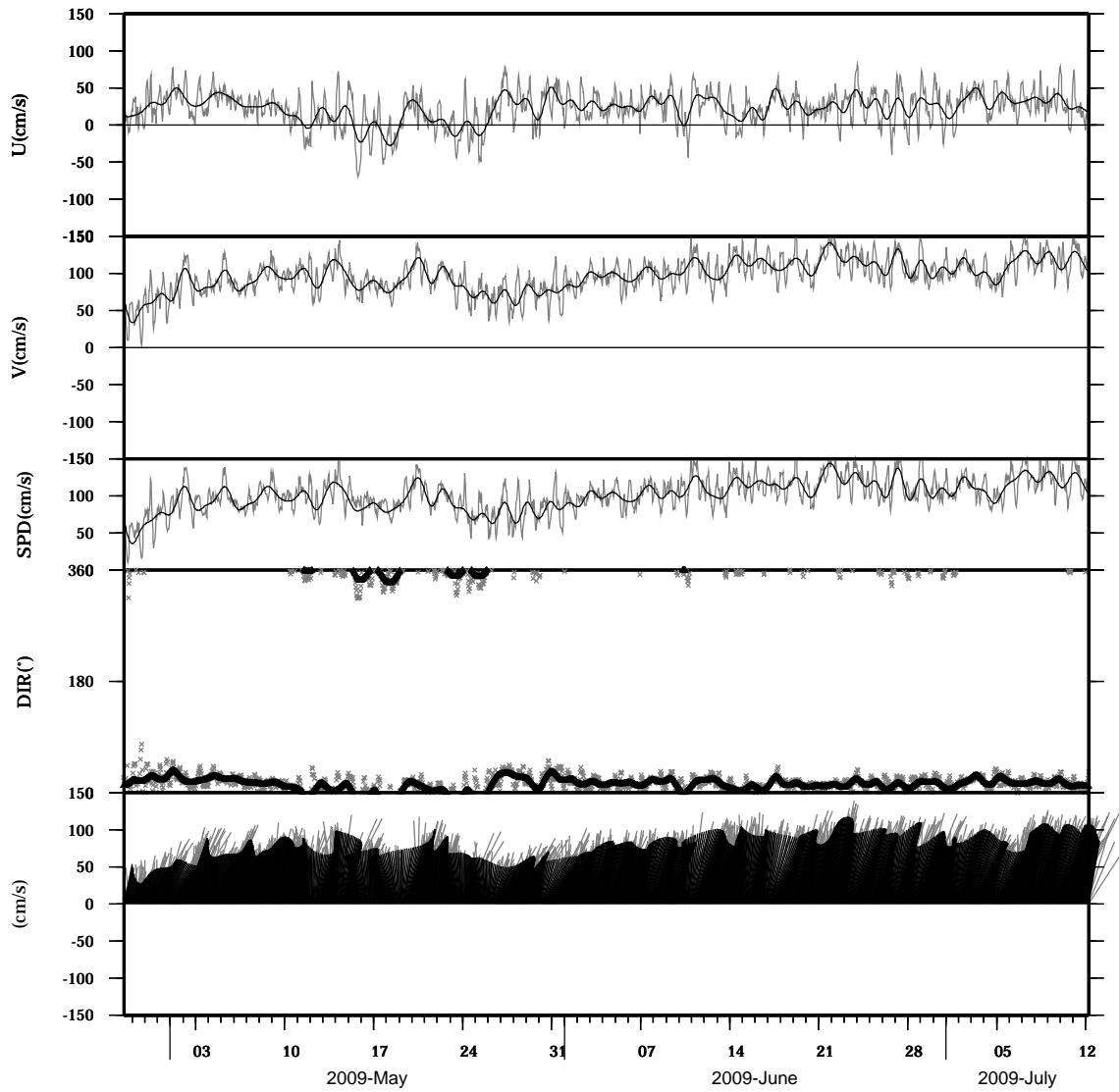


light line : The original data

heavy line : The 36 hours low-pass filtered data

Lon : 121° 24.6445' E
Lat : 22° 38.8994' N

Station : W304
Depth : 66 M

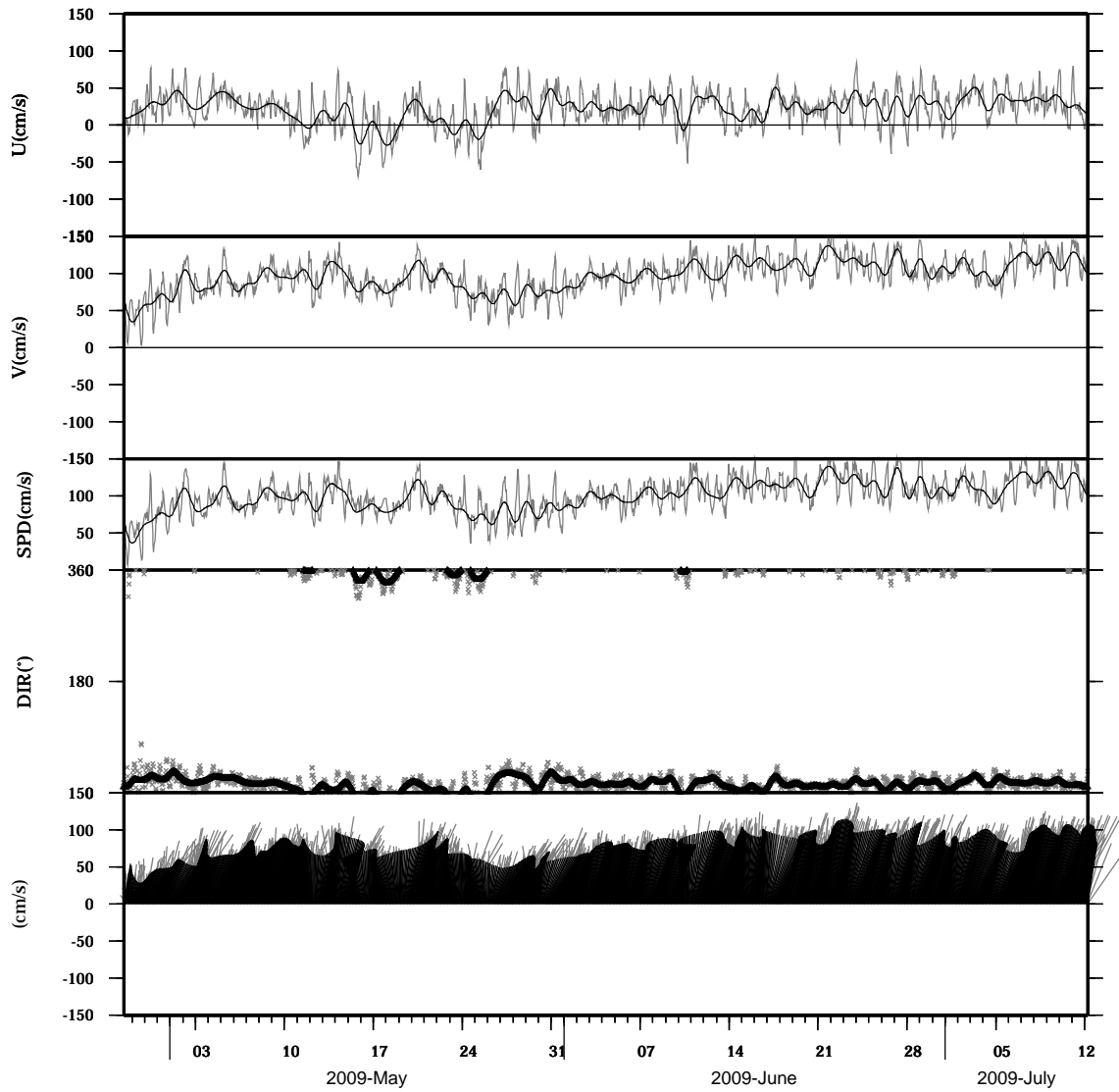


light line : The original data

heavy line : The 36 hours low-pass filtered data

Lon : 121° 24.6445' E
Lat : 22° 38.8994' N

Station : W304
Depth : 70 M

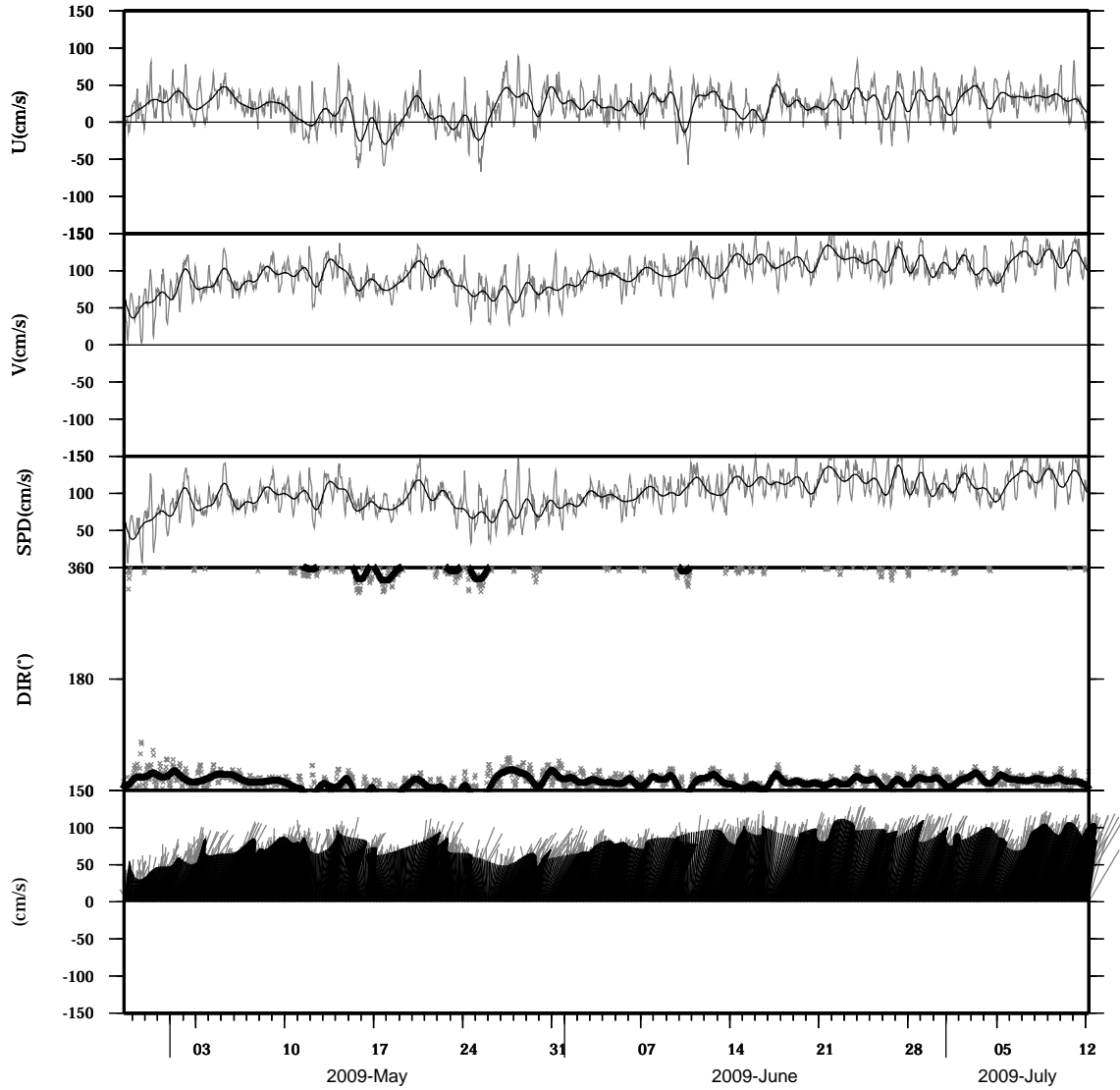


light line : The original data

heavy line : The 36 hours low-pass filtered data

Lon : 121° 24.6445' E
Lat : 22° 38.8994' N

Station : W304
Depth : 74 M

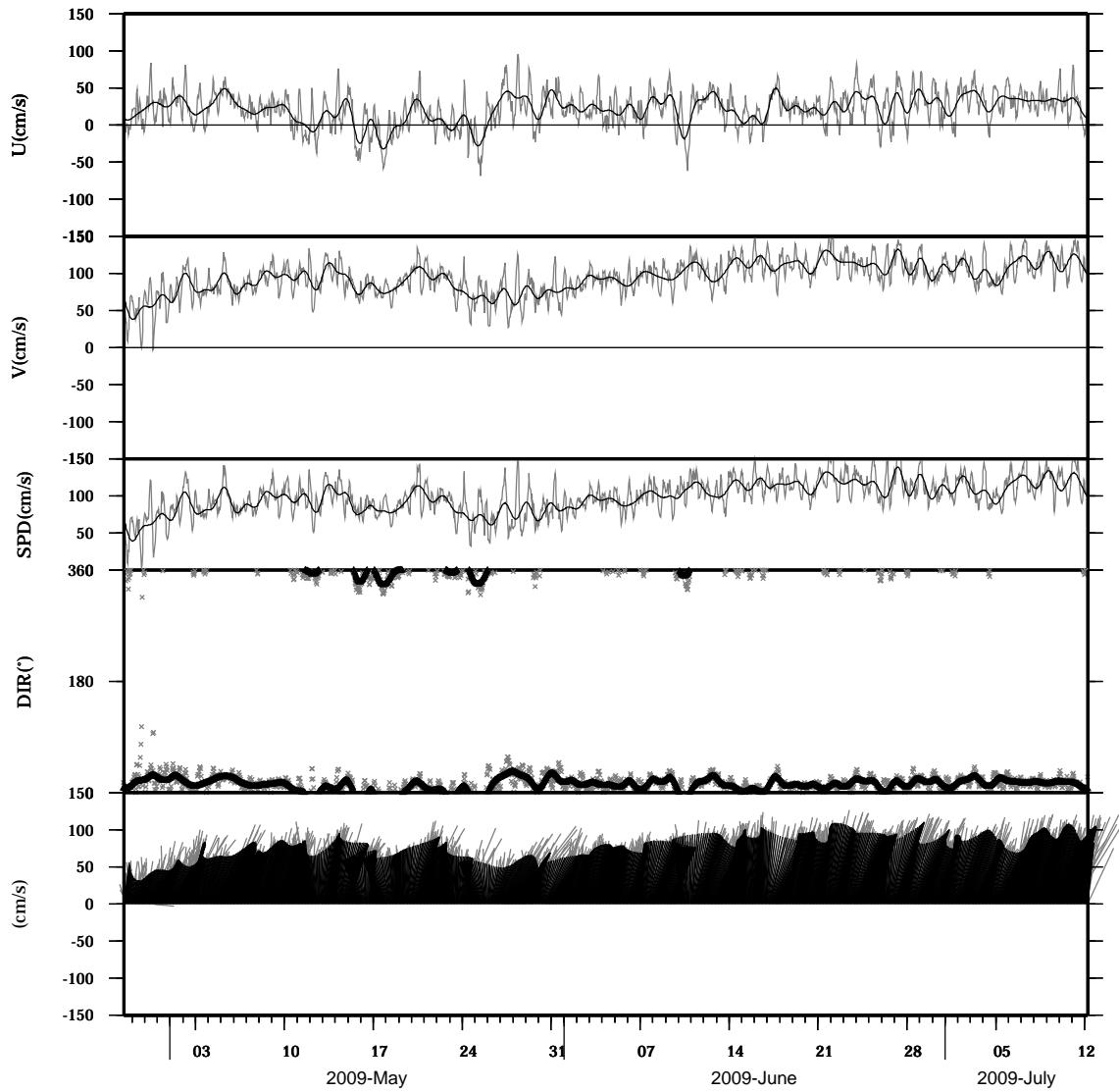


light line : The original data

heavy line : The 36 hours low-pass filtered data

Lon : 121° 24.6445' E
Lat : 22° 38.8994' N

Station : W304
Depth : 78 M

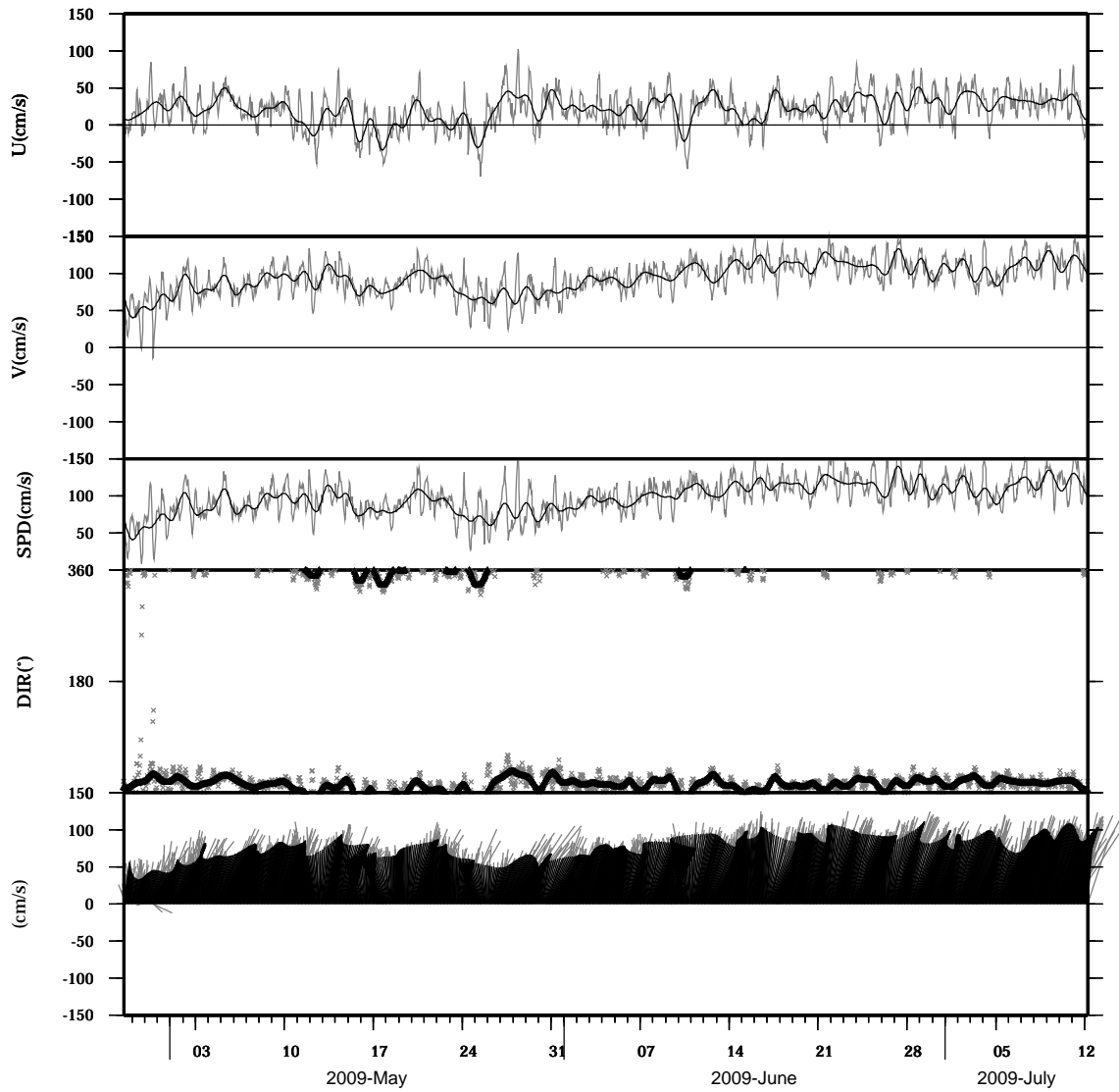


light line : The original data

heavy line : The 36 hours low-pass filtered data

Lon : 121° 24.6445' E
Lat : 22° 38.8994' N

Station : W304
Depth : 82 M

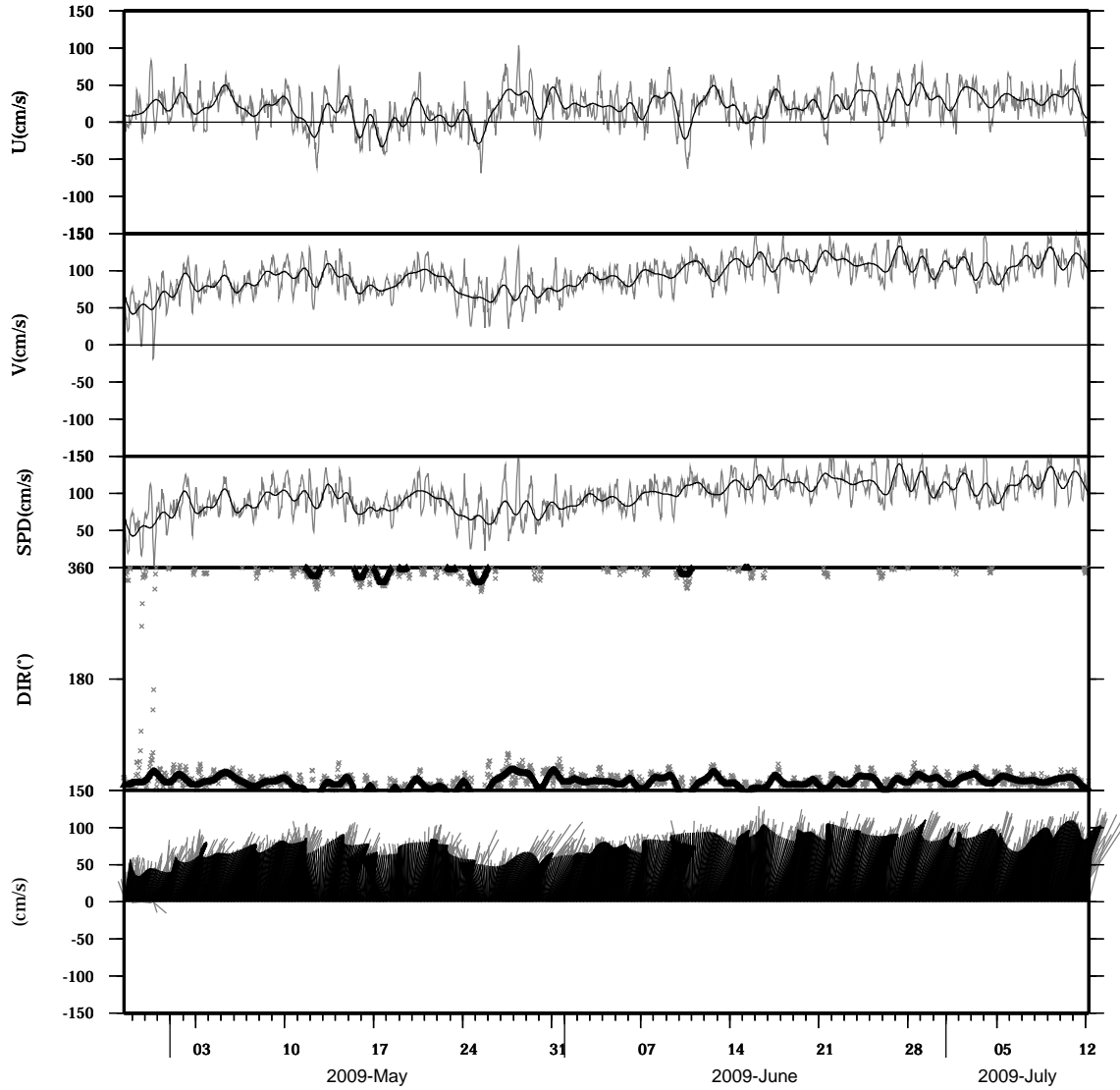


light line : The original data

heavy line : The 36 hours low-pass filtered data

Lon : 121° 24.6445' E
Lat : 22° 38.8994' N

Station : W304
Depth : 86 M

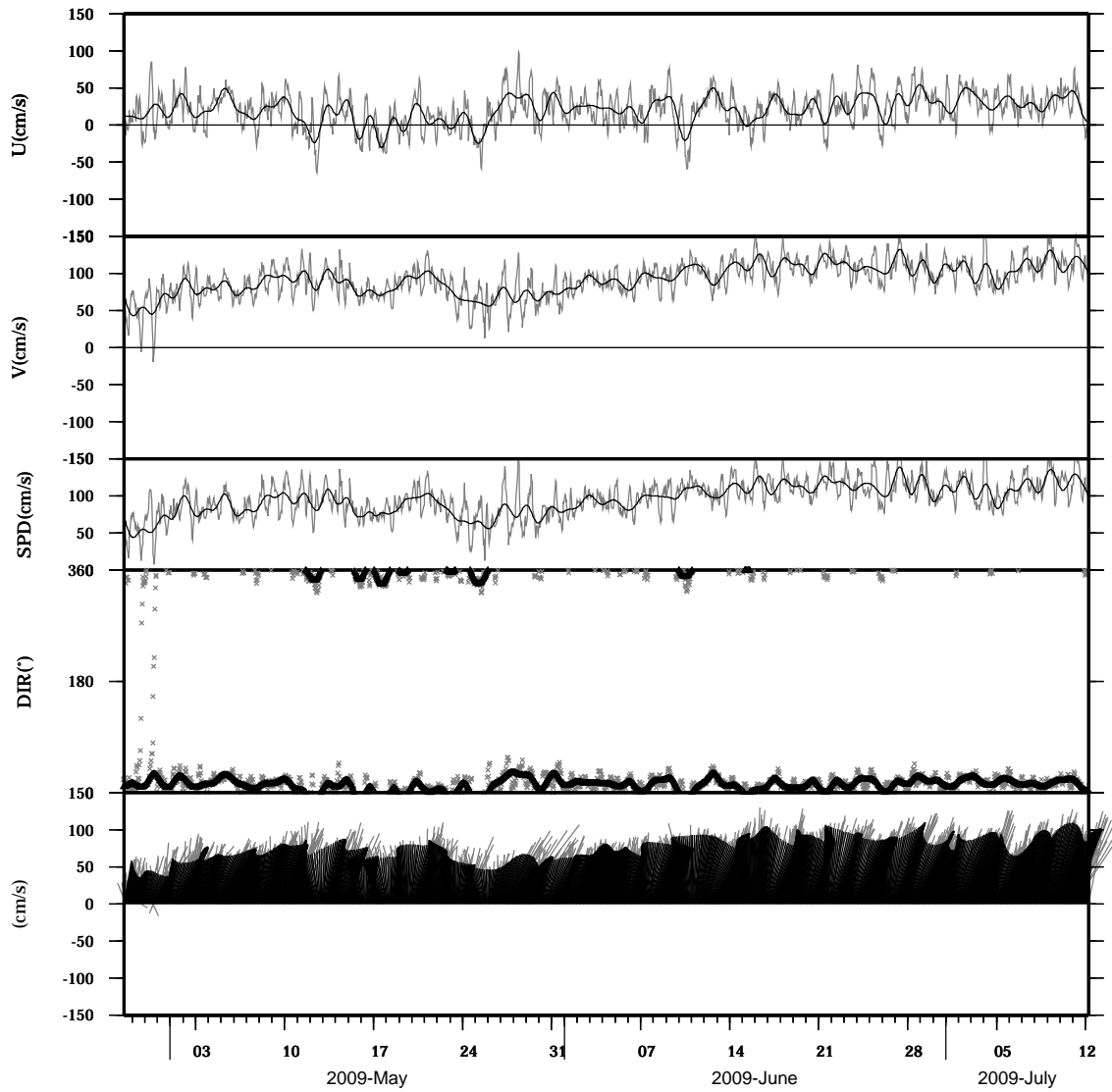


light line : The original data

heavy line : The 36 hours low-pass filtered data

Lon : 121° 24.6445' E
Lat : 22° 38.8994' N

Station : W304
Depth : 90 M

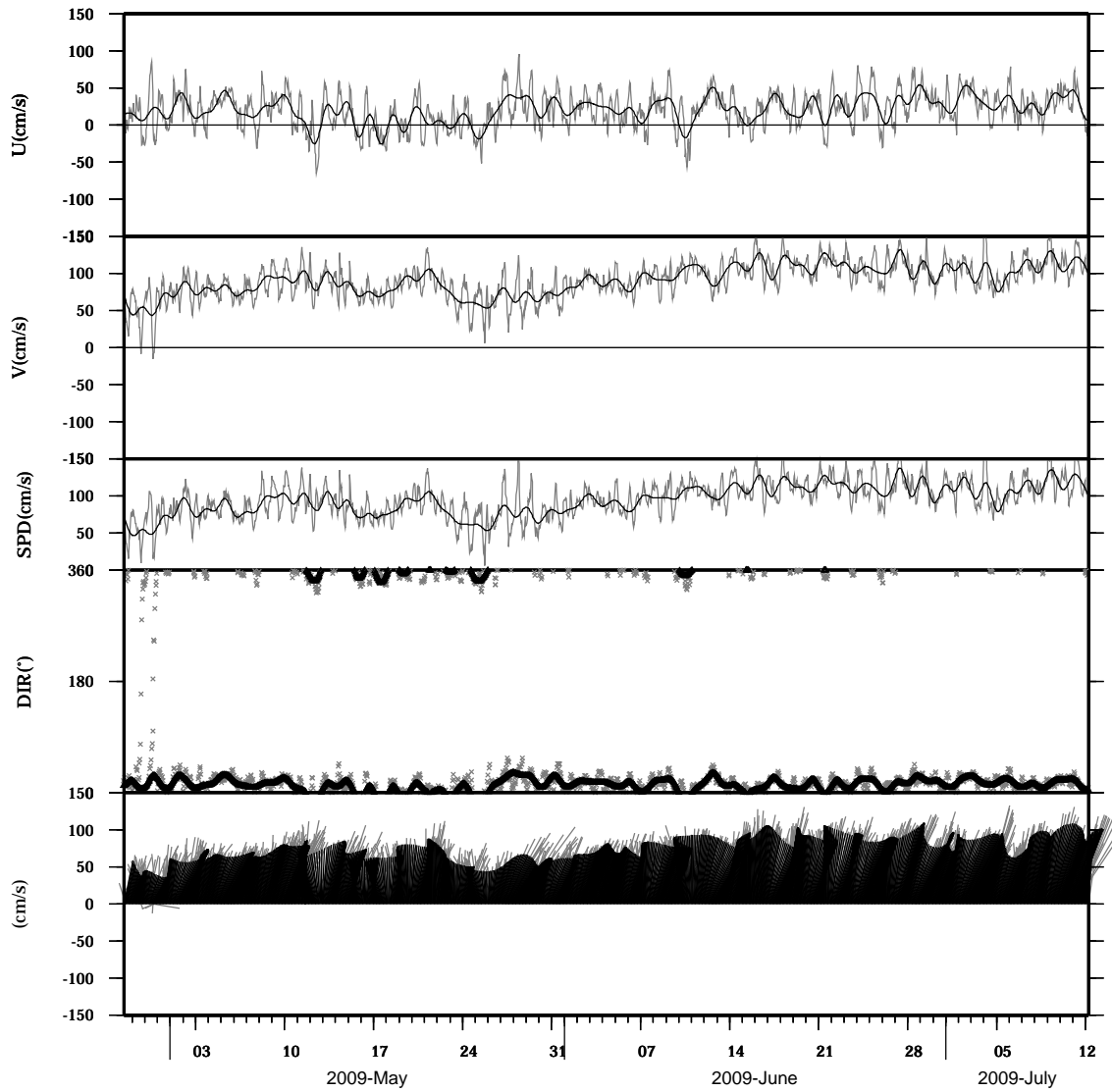


light line : The original data

heavy line : The 36 hours low-pass filtered data

Lon : 121° 24.6445' E
Lat : 22° 38.8994' N

Station : W304
Depth : 94 M

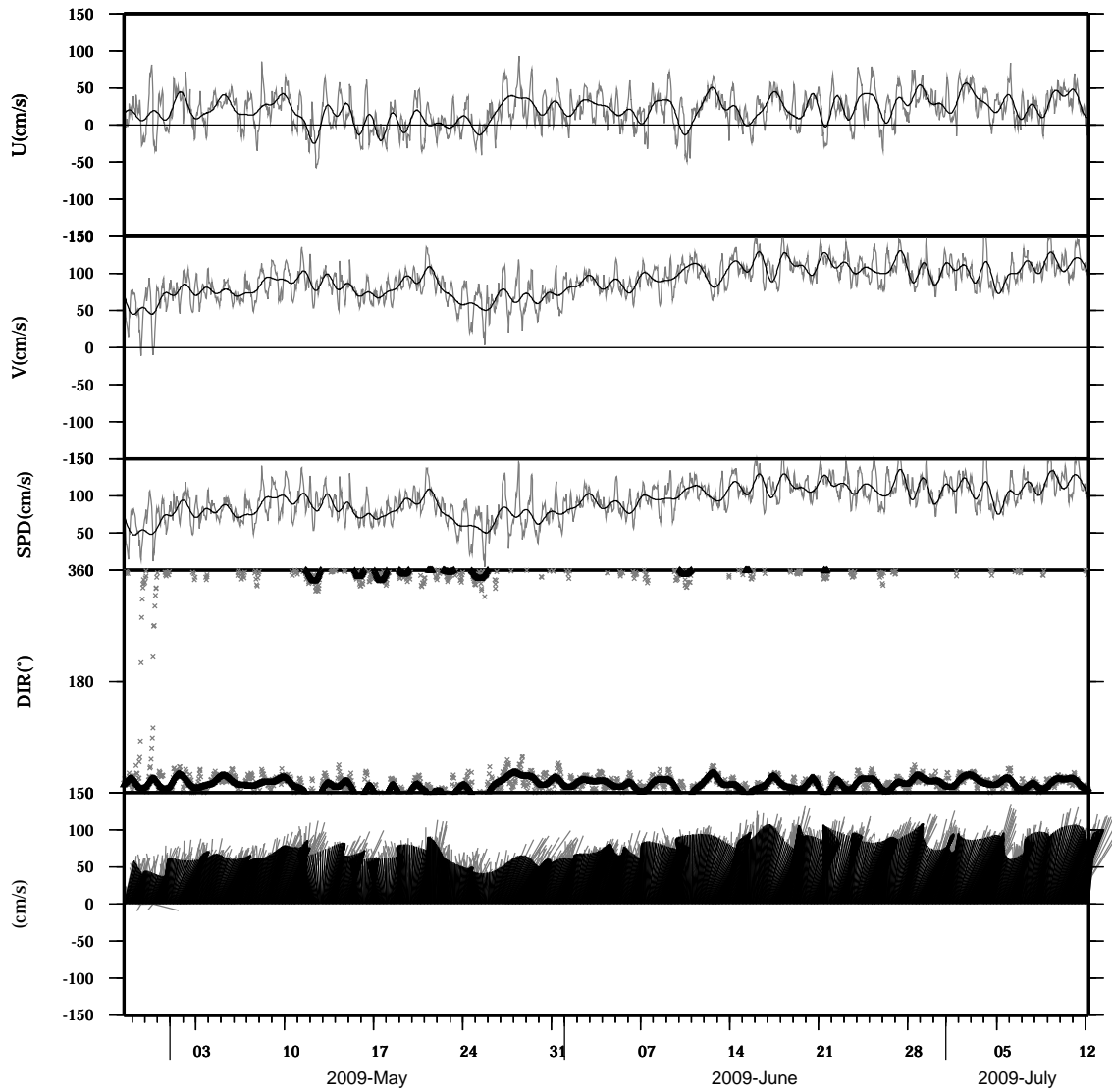


light line : The original data

heavy line : The 36 hours low-pass filtered data

Lon : 121° 24.6445' E
Lat : 22° 38.8994' N

Station : W304
Depth : 98 M

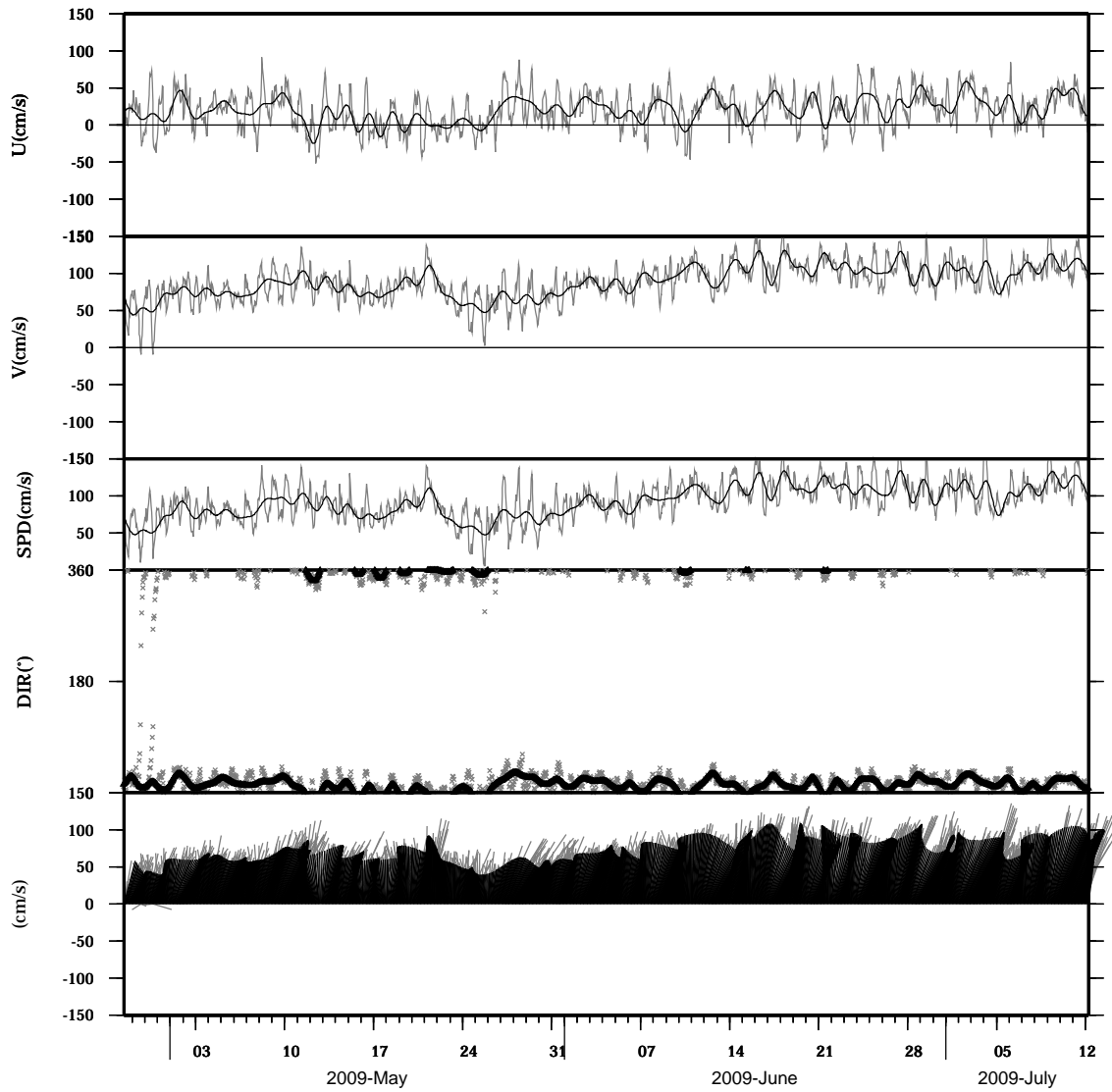


light line : The original data

heavy line : The 36 hours low-pass filtered data

Lon : 121° 24.6445' E
Lat : 22° 38.8994' N

Station : W304
Depth : 102 M

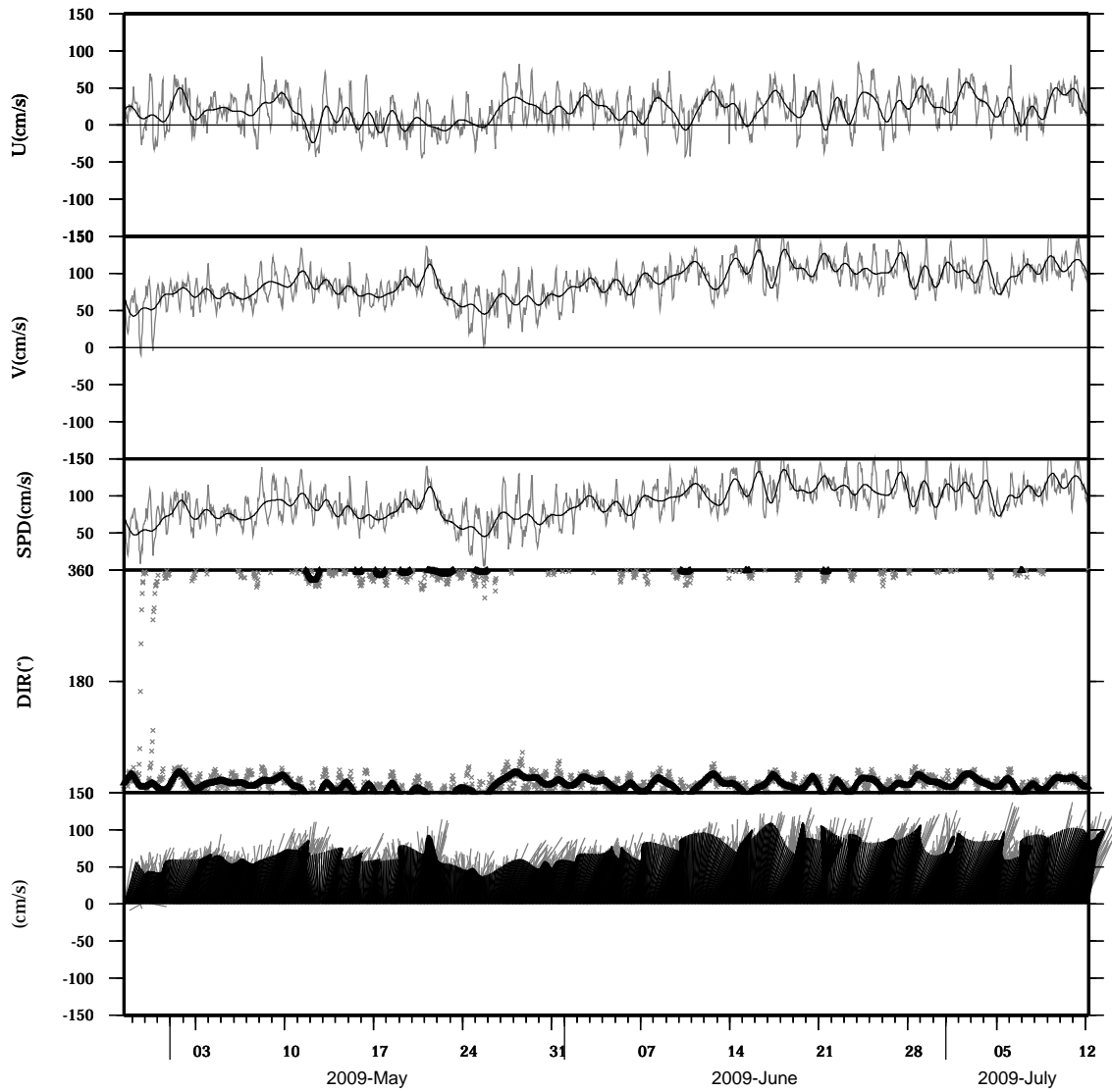


light line : The original data

heavy line : The 36 hours low-pass filtered data

Lon : 121° 24.6445' E
Lat : 22° 38.8994' N

Station : W304
Depth : 106 M

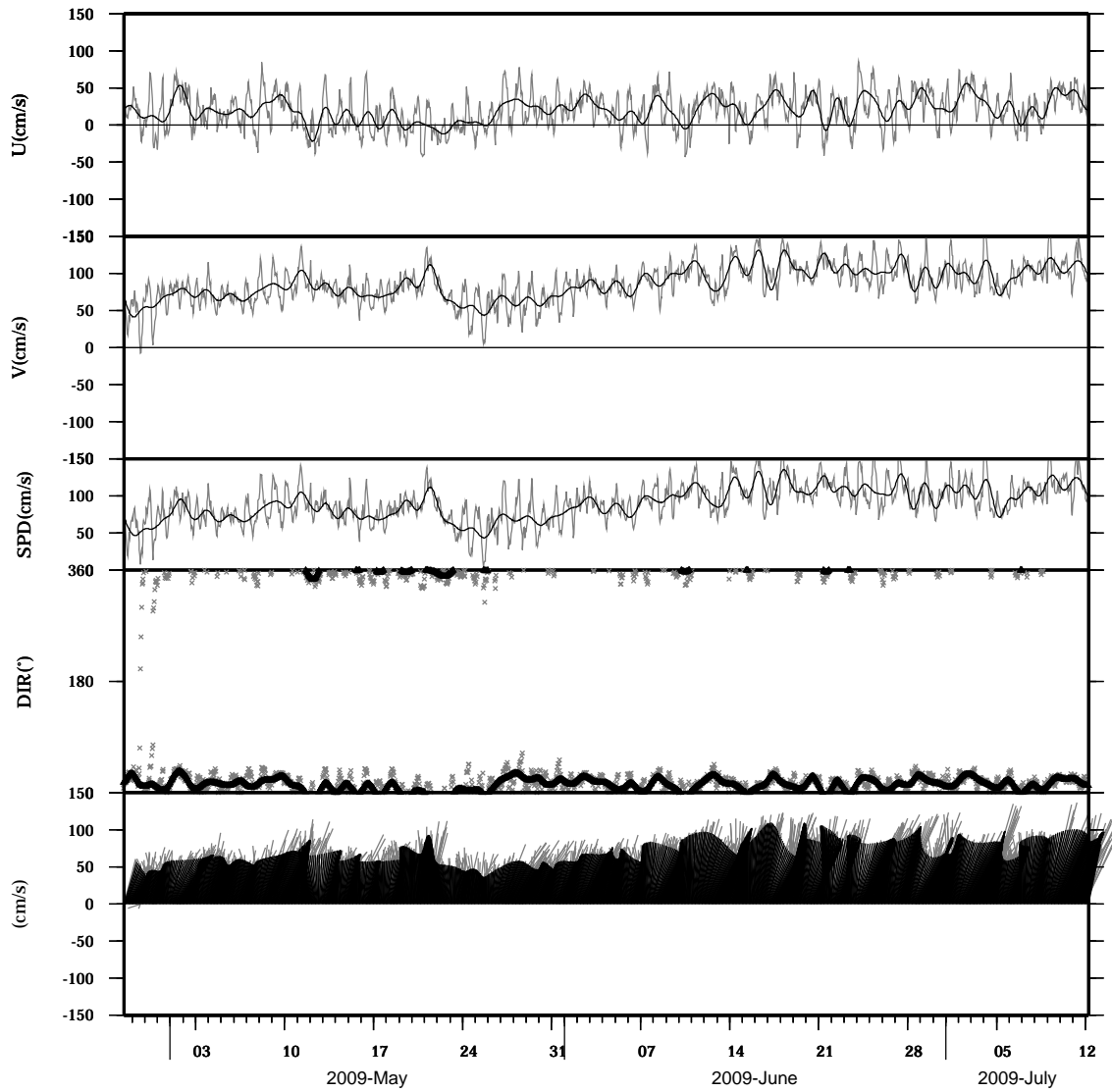


light line : The original data

heavy line : The 36 hours low-pass filtered data

Lon : 121° 24.6445' E
Lat : 22° 38.8994' N

Station : W304
Depth : 110 M

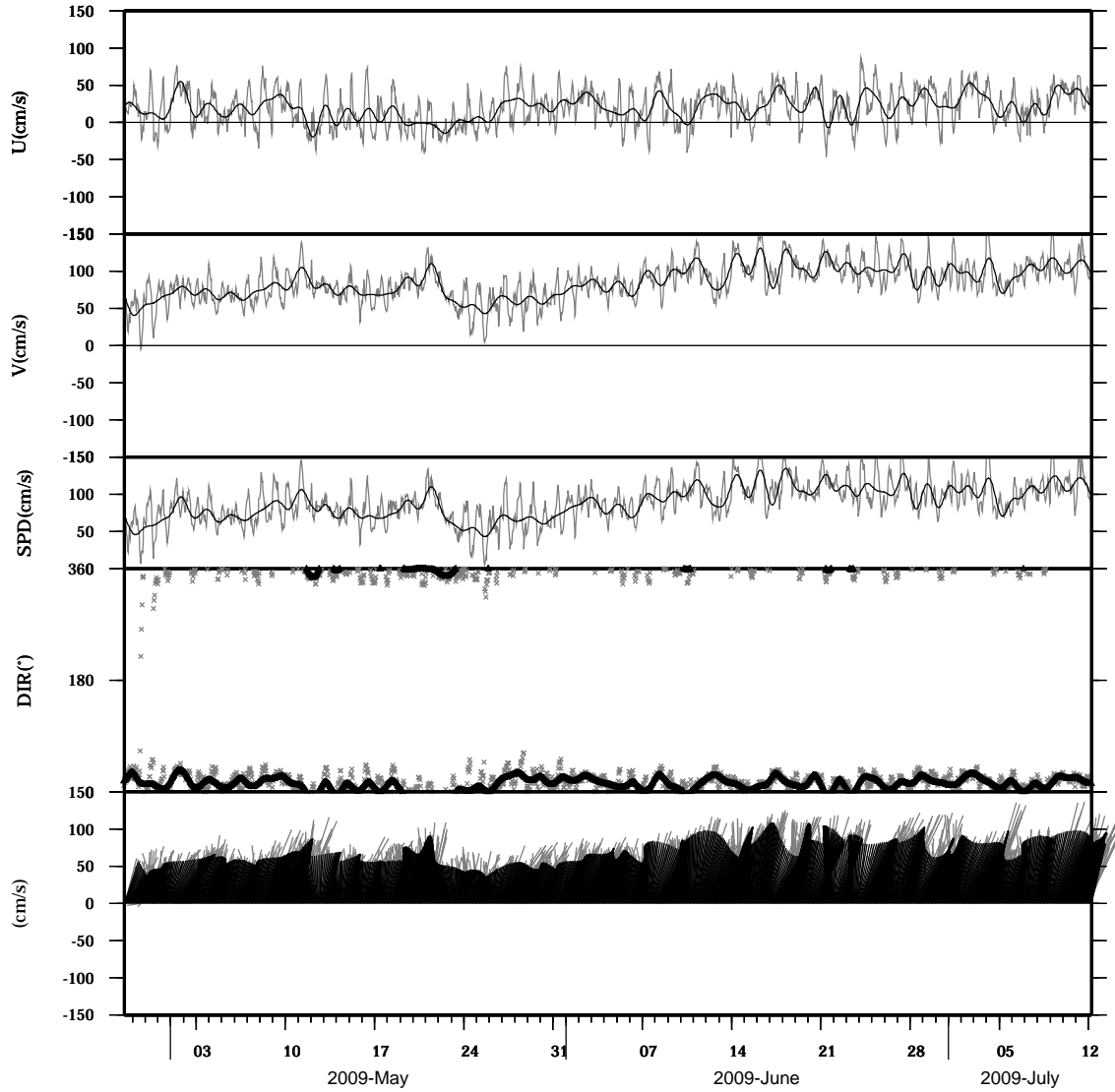


light line : The original data

heavy line : The 36 hours low-pass filtered data

Lon : 121° 24.6445' E
Lat : 22° 38.8994' N

Station : W304
Depth : 114 M

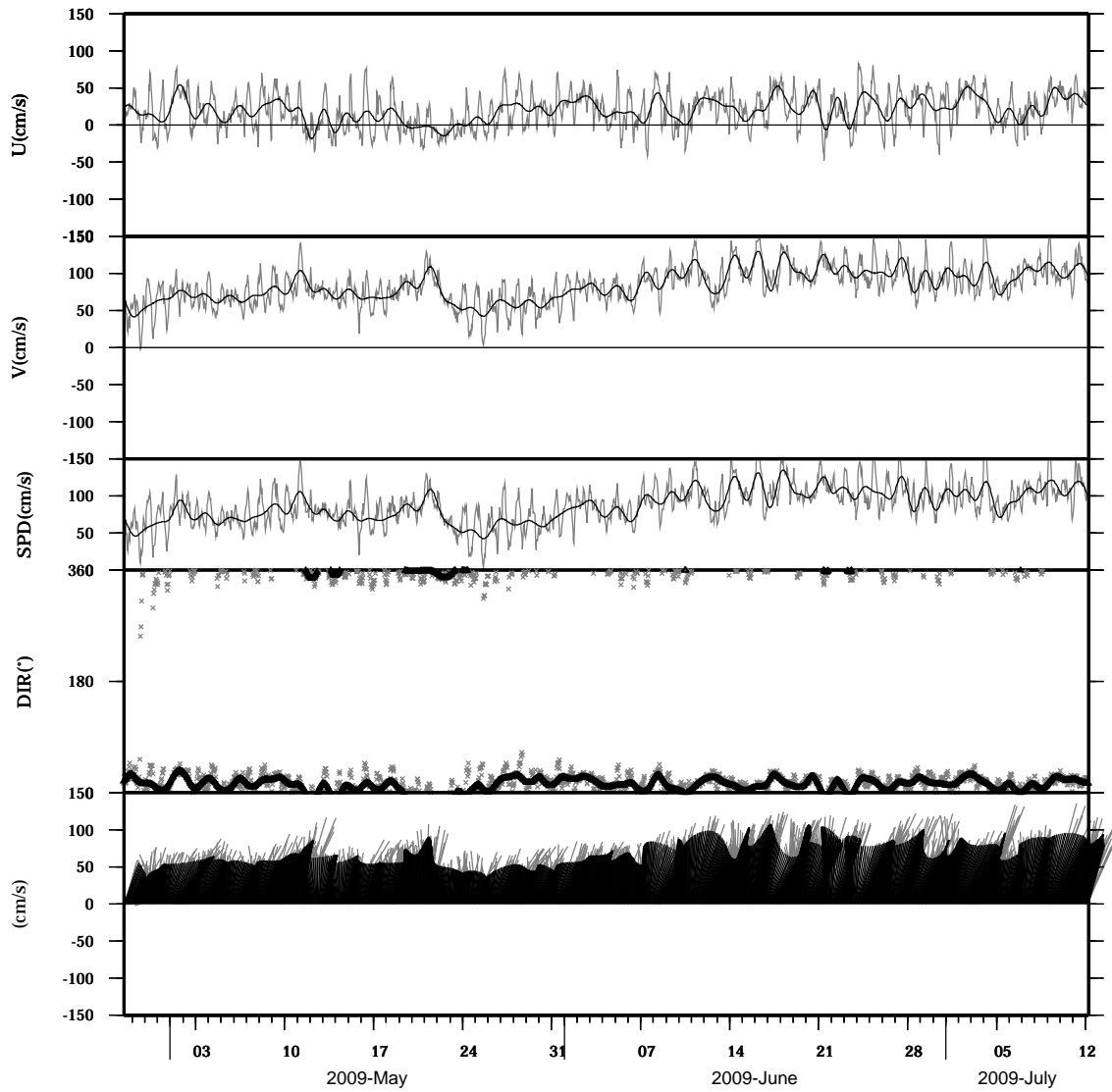


light line : The original data

heavy line : The 36 hours low-pass filtered data

Lon : 121° 24.6445' E
Lat : 22° 38.8994' N

Station : W304
Depth : 118 M

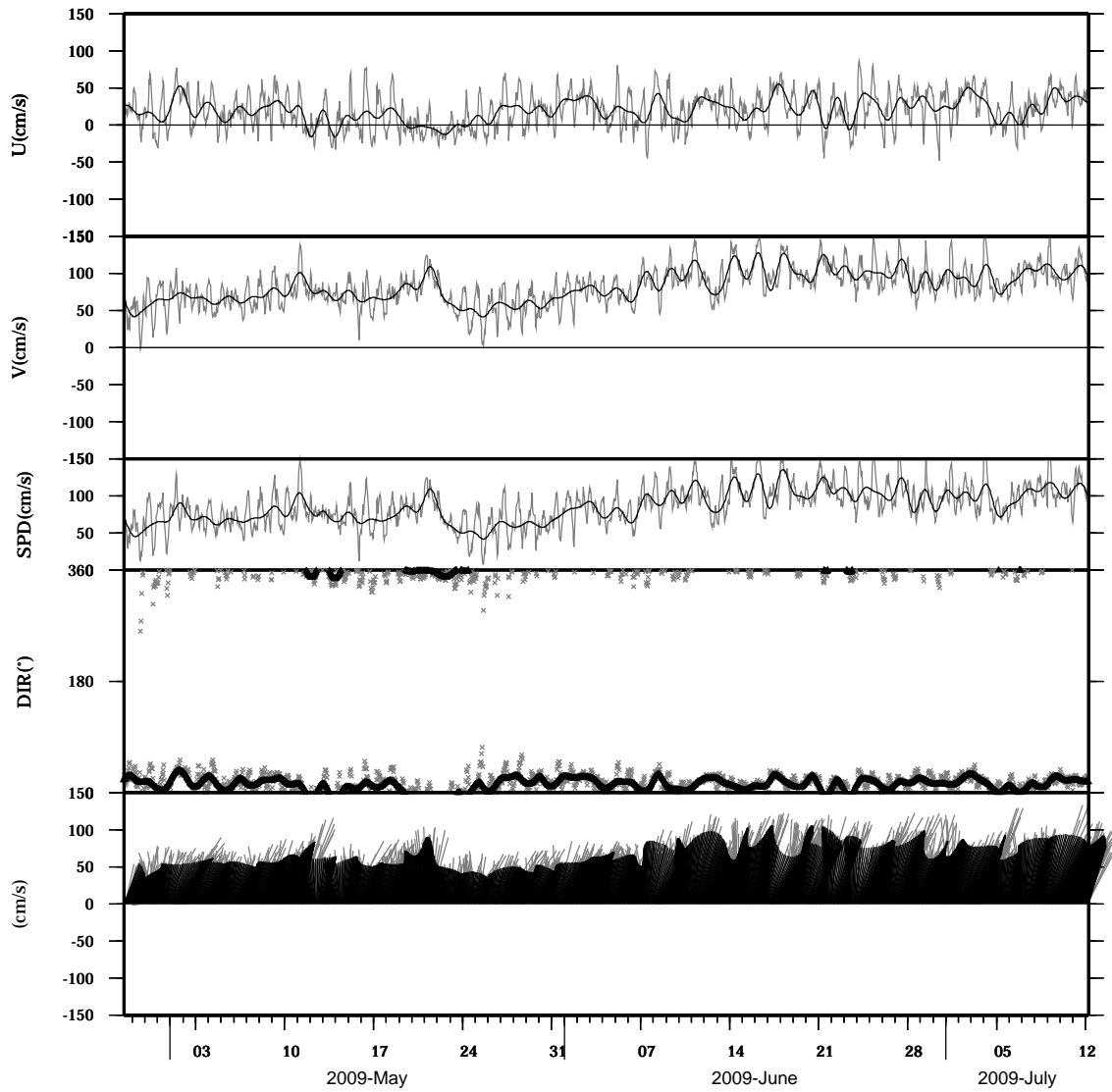


light line : The original data

heavy line : The 36 hours low-pass filtered data

Lon : 121° 24.6445' E
Lat : 22° 38.8994' N

Station : W304
Depth : 122 M

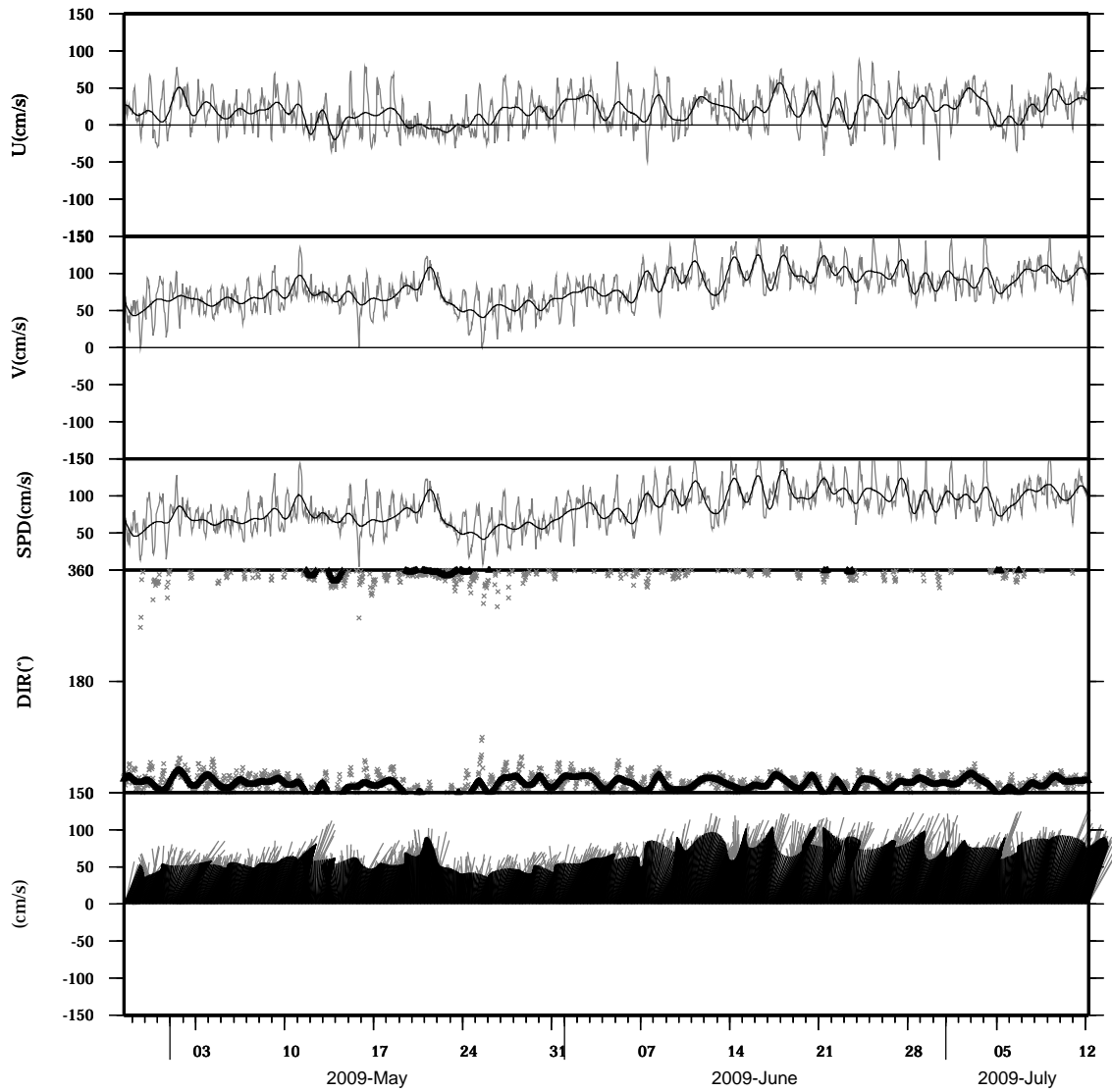


light line : The original data

heavy line : The 36 hours low-pass filtered data

Lon : 121° 24.6445' E
Lat : 22° 38.8994' N

Station : W304
Depth : 126 M

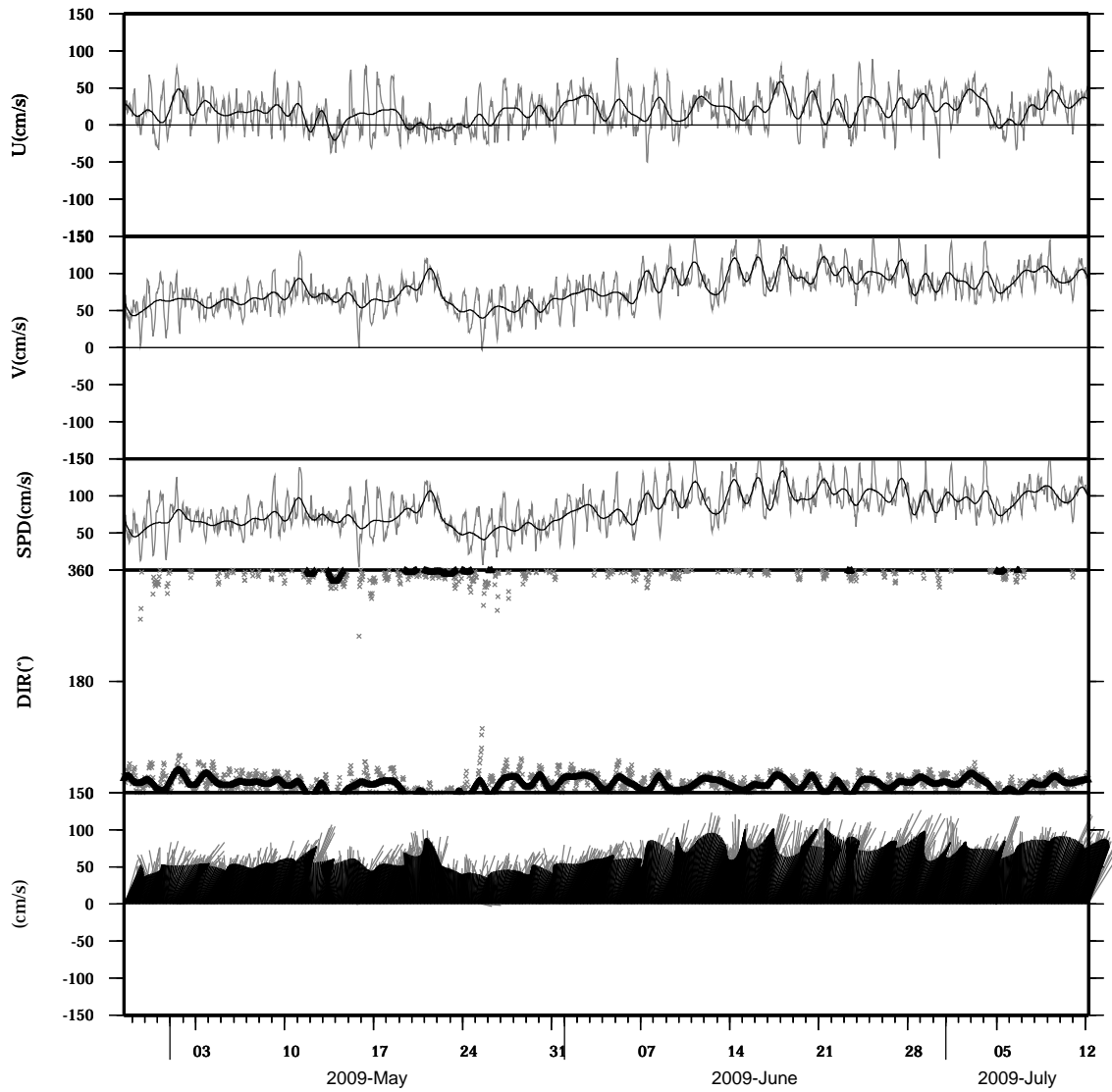


light line : The original data

heavy line : The 36 hours low-pass filtered data

Lon : 121° 24.6445' E
Lat : 22° 38.8994' N

Station : W304
Depth : 130 M

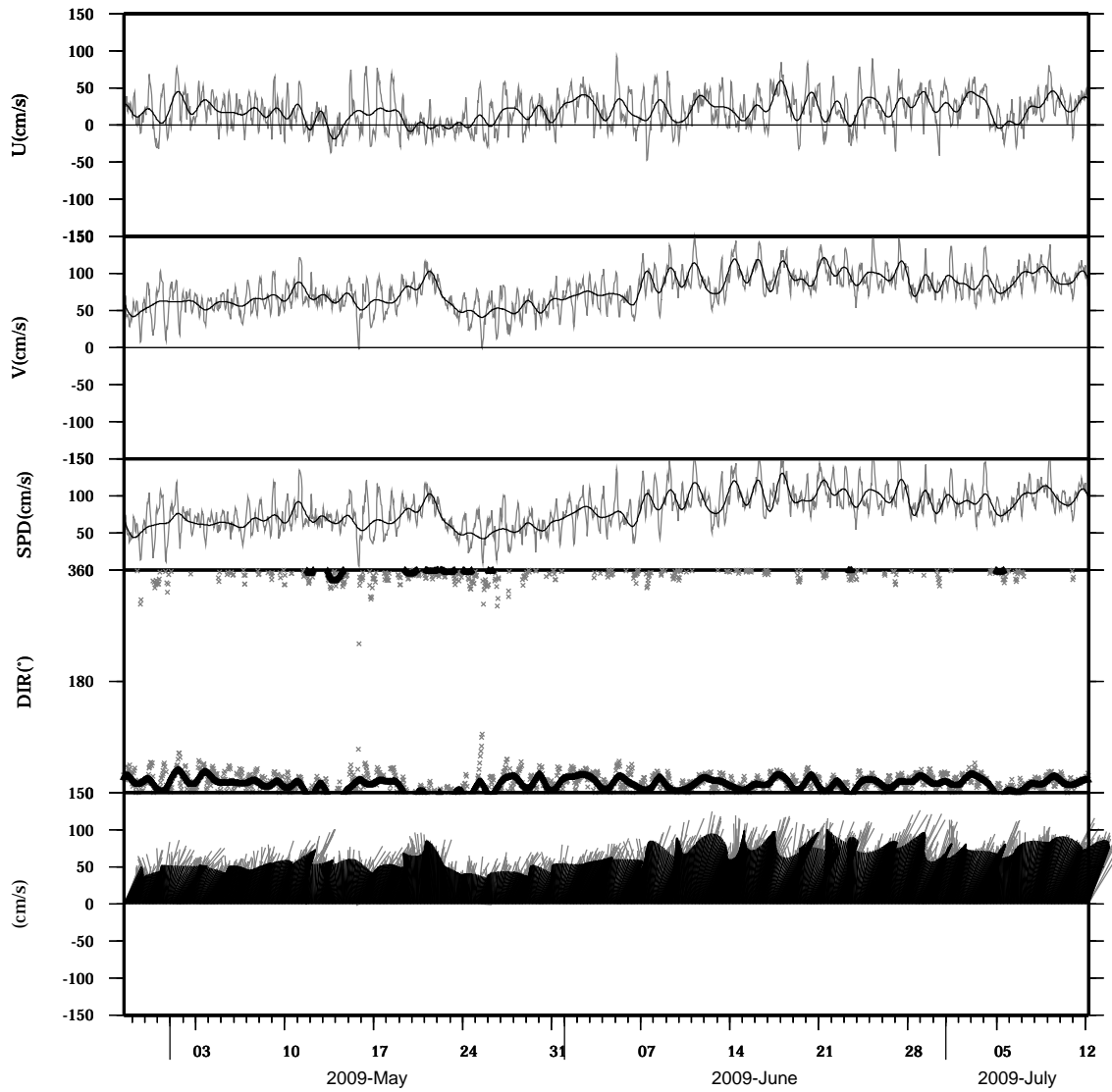


light line : The original data

heavy line : The 36 hours low-pass filtered data

Lon : 121° 24.6445' E
Lat : 22° 38.8994' N

Station : W304
Depth : 134 M

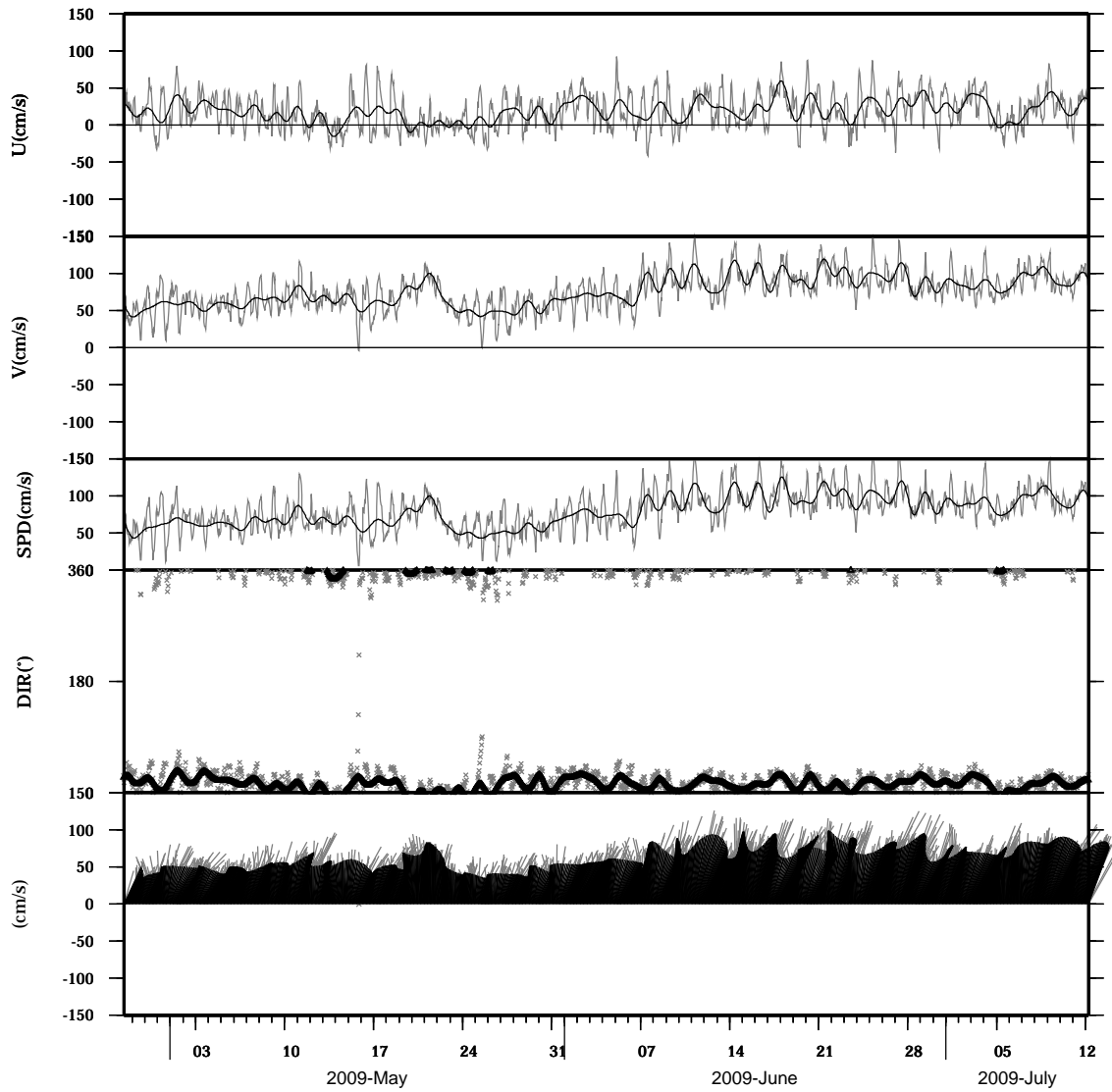


light line : The original data

heavy line : The 36 hours low-pass filtered data

Lon : 121° 24.6445' E
Lat : 22° 38.8994' N

Station : W304
Depth : 138 M

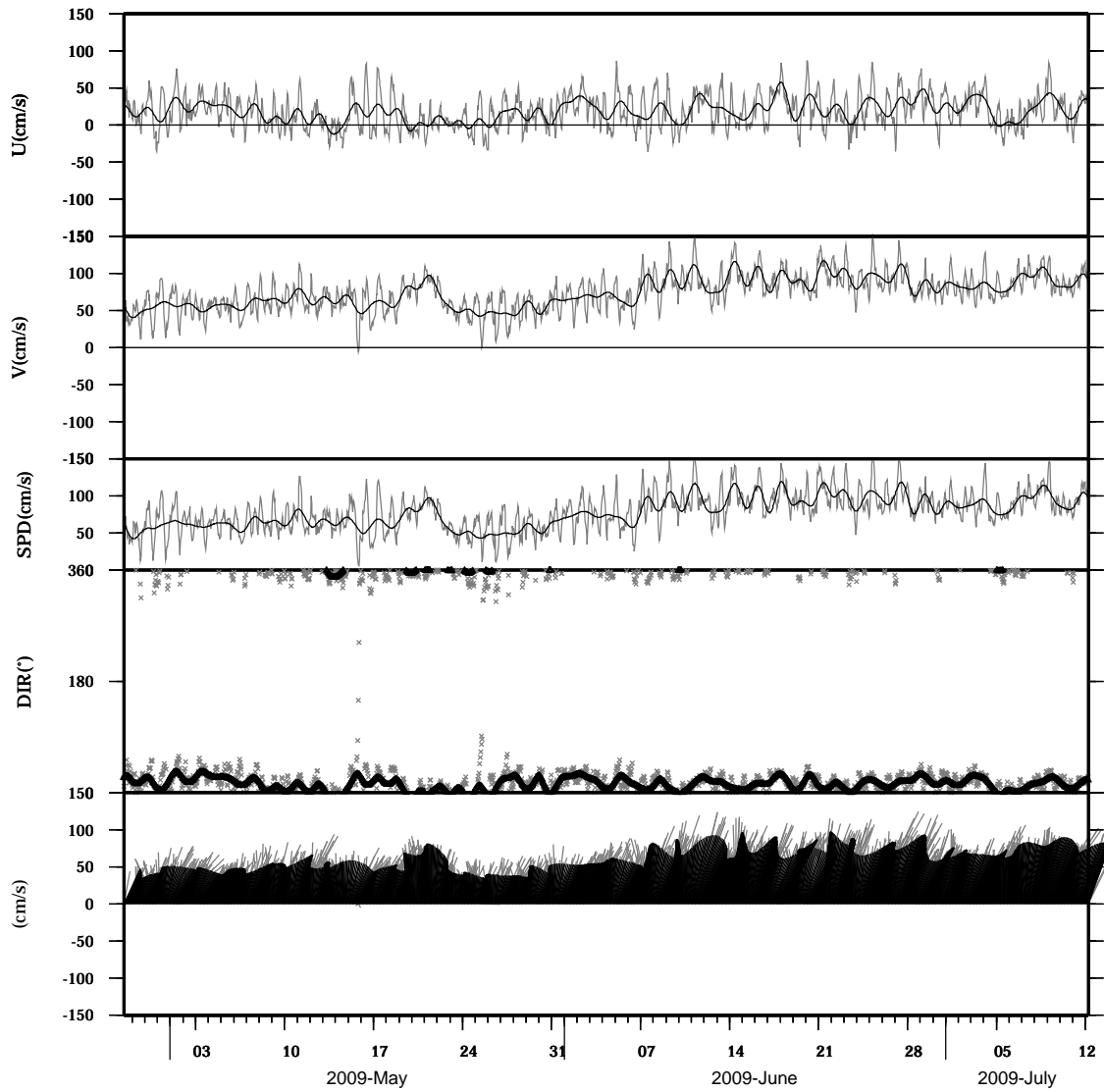


light line : The original data

heavy line : The 36 hours low-pass filtered data

Lon : 121° 24.6445' E
Lat : 22° 38.8994' N

Station : W304
Depth : 142 M

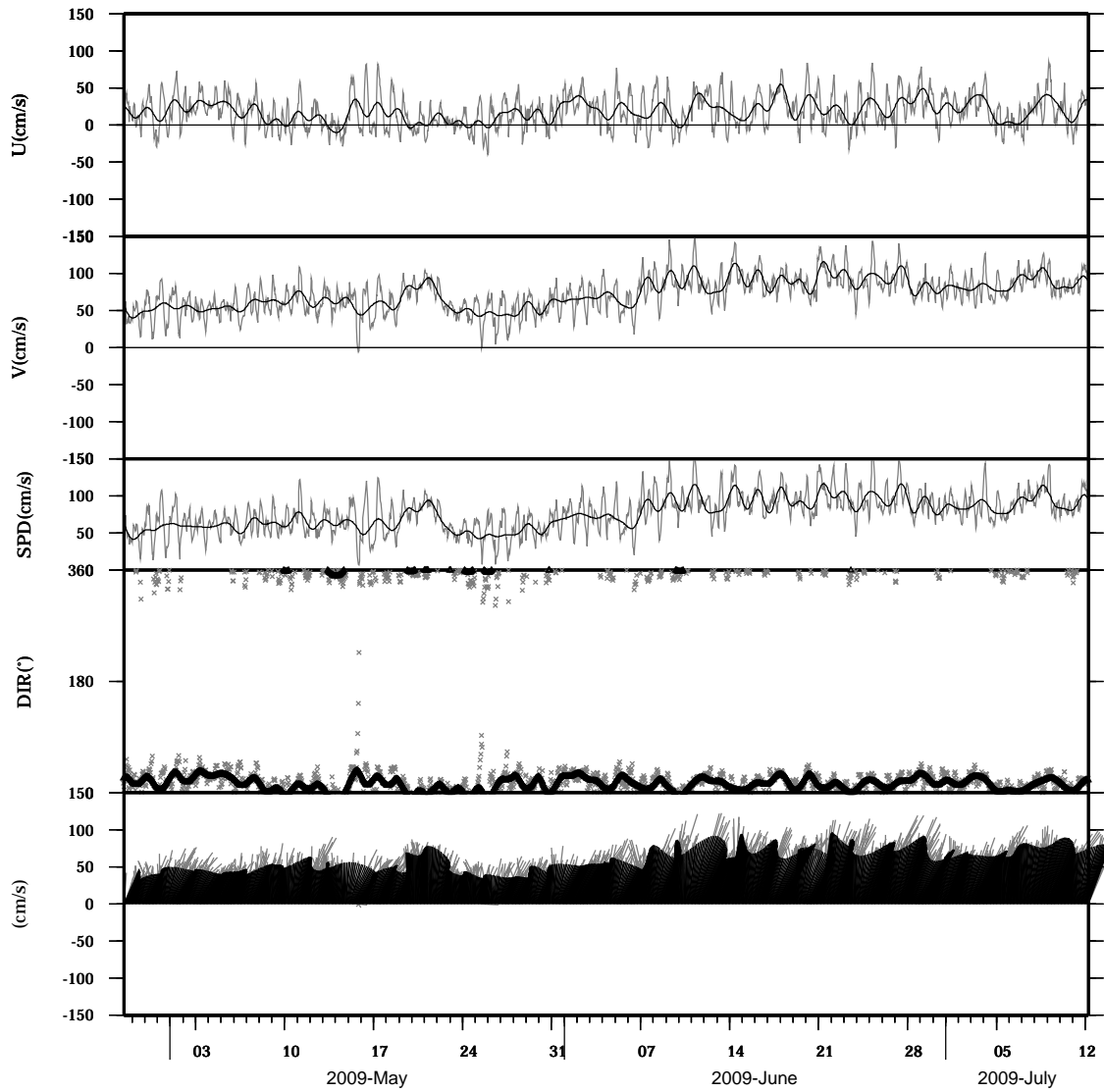


light line : The original data

heavy line : The 36 hours low-pass filtered data

Lon : 121° 24.6445' E
Lat : 22° 38.8994' N

Station : W304
Depth : 146 M

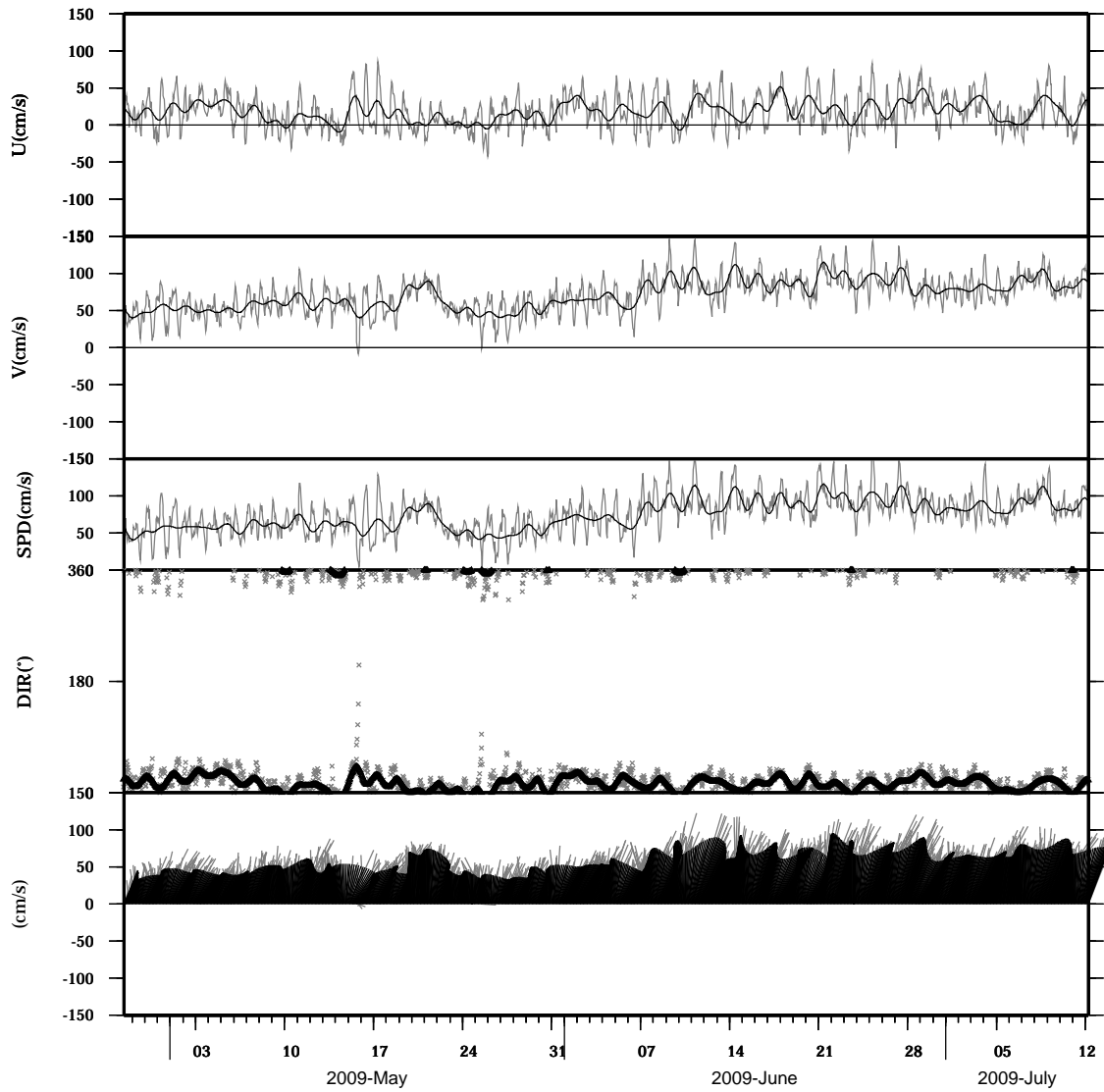


light line : The original data

heavy line : The 36 hours low-pass filtered data

Lon : 121° 24.6445' E
Lat : 22° 38.8994' N

Station : W304
Depth : 150 M

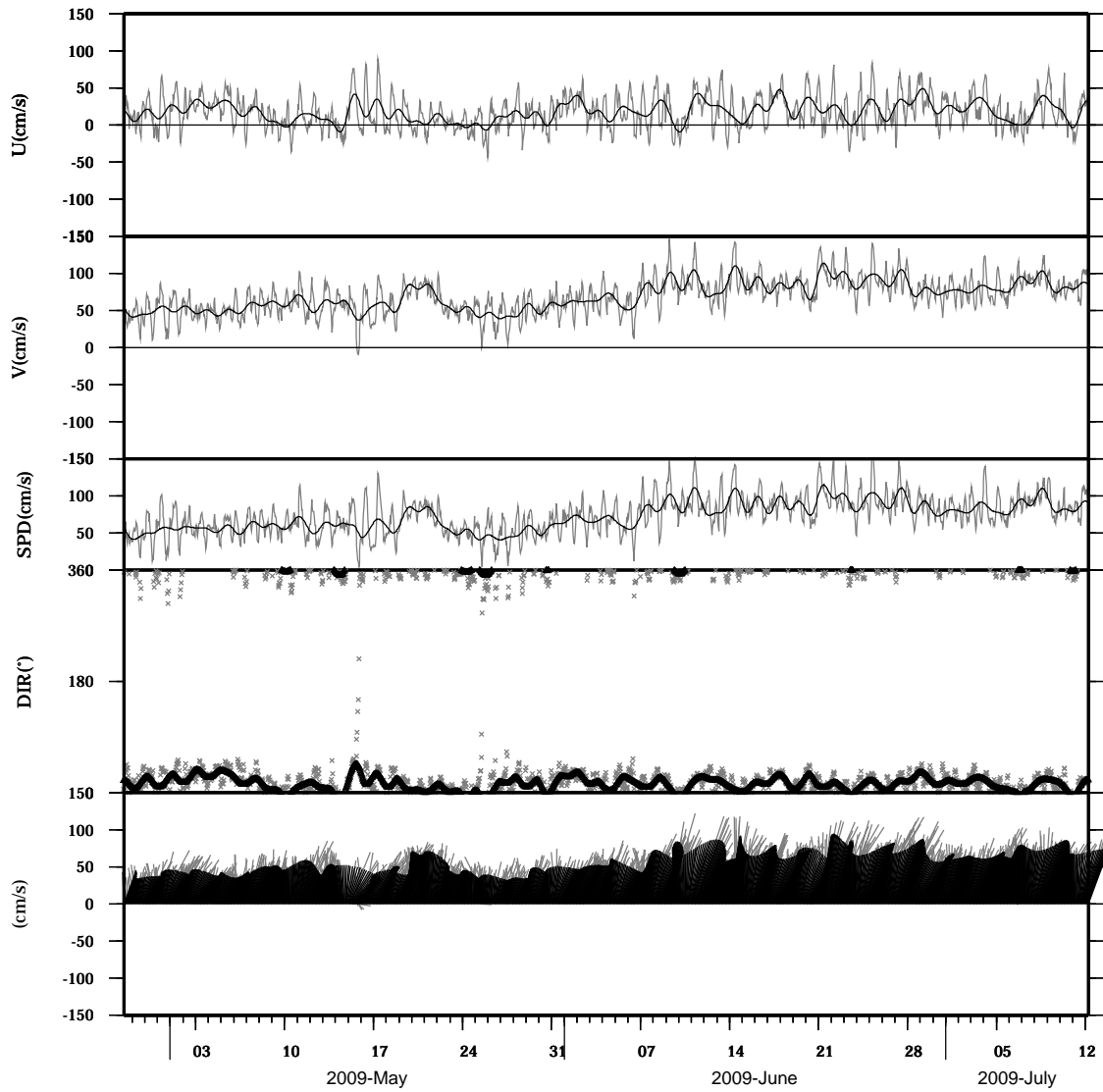


light line : The original data

heavy line : The 36 hours low-pass filtered data

Lon : 121° 24.6445' E
Lat : 22° 38.8994' N

Station : W304
Depth : 154 M

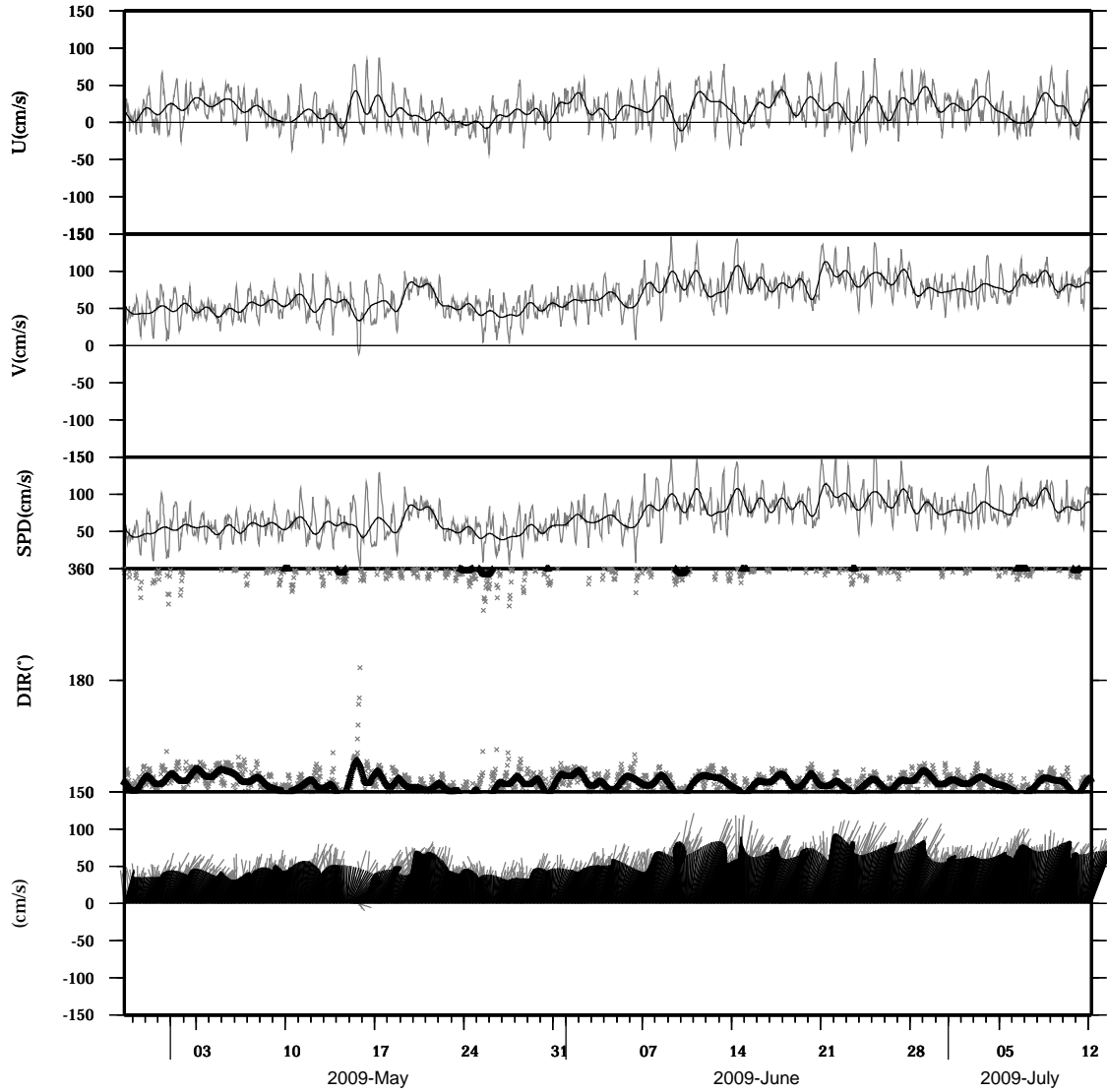


light line : The original data

heavy line : The 36 hours low-pass filtered data

Lon : 121° 24.6445' E
Lat : 22° 38.8994' N

Station : W304
Depth : 158 M

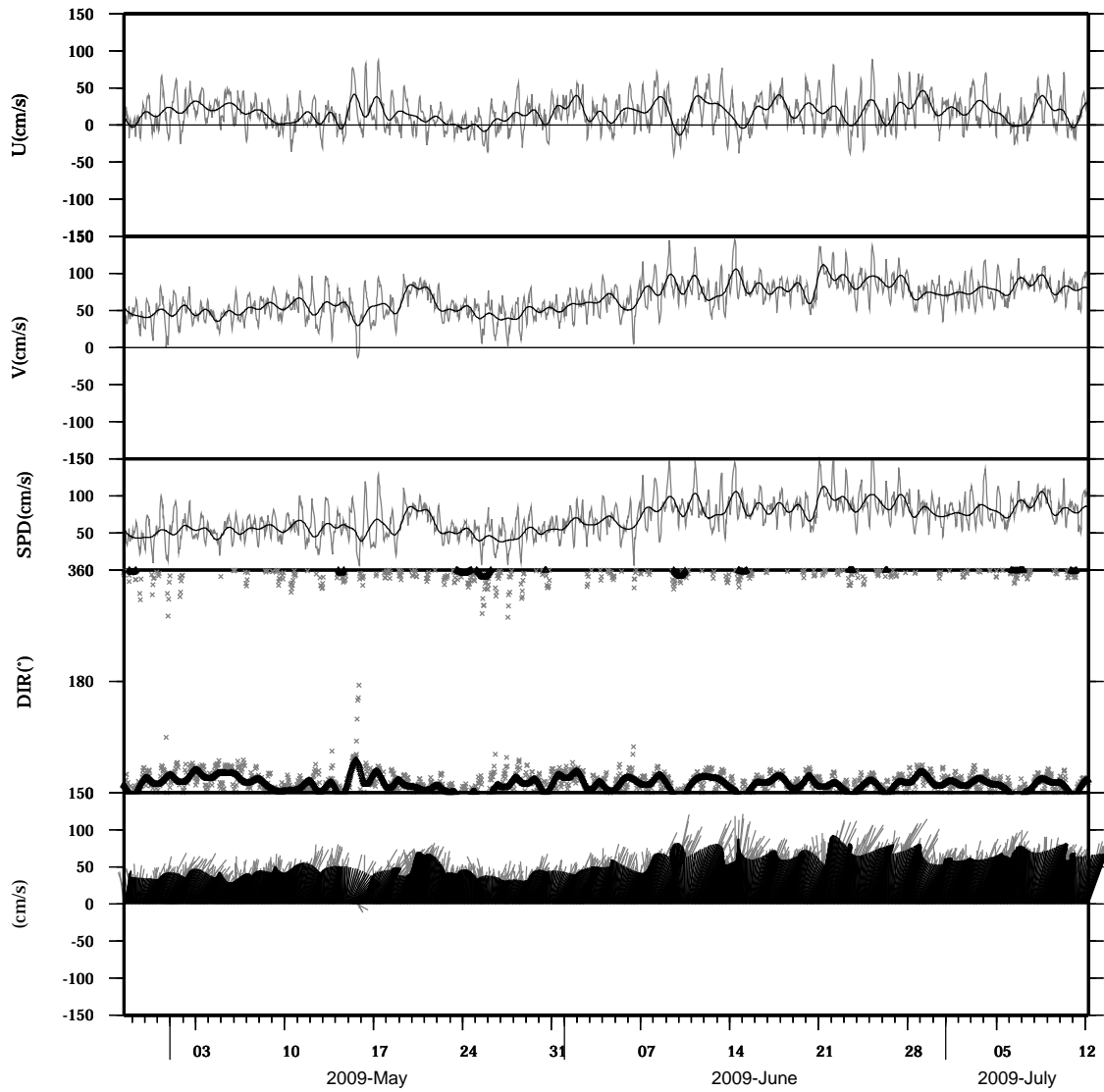


light line : The original data

heavy line : The 36 hours low-pass filtered data

Lon : 121° 24.6445' E
Lat : 22° 38.8994' N

Station : W304
Depth : 162 M

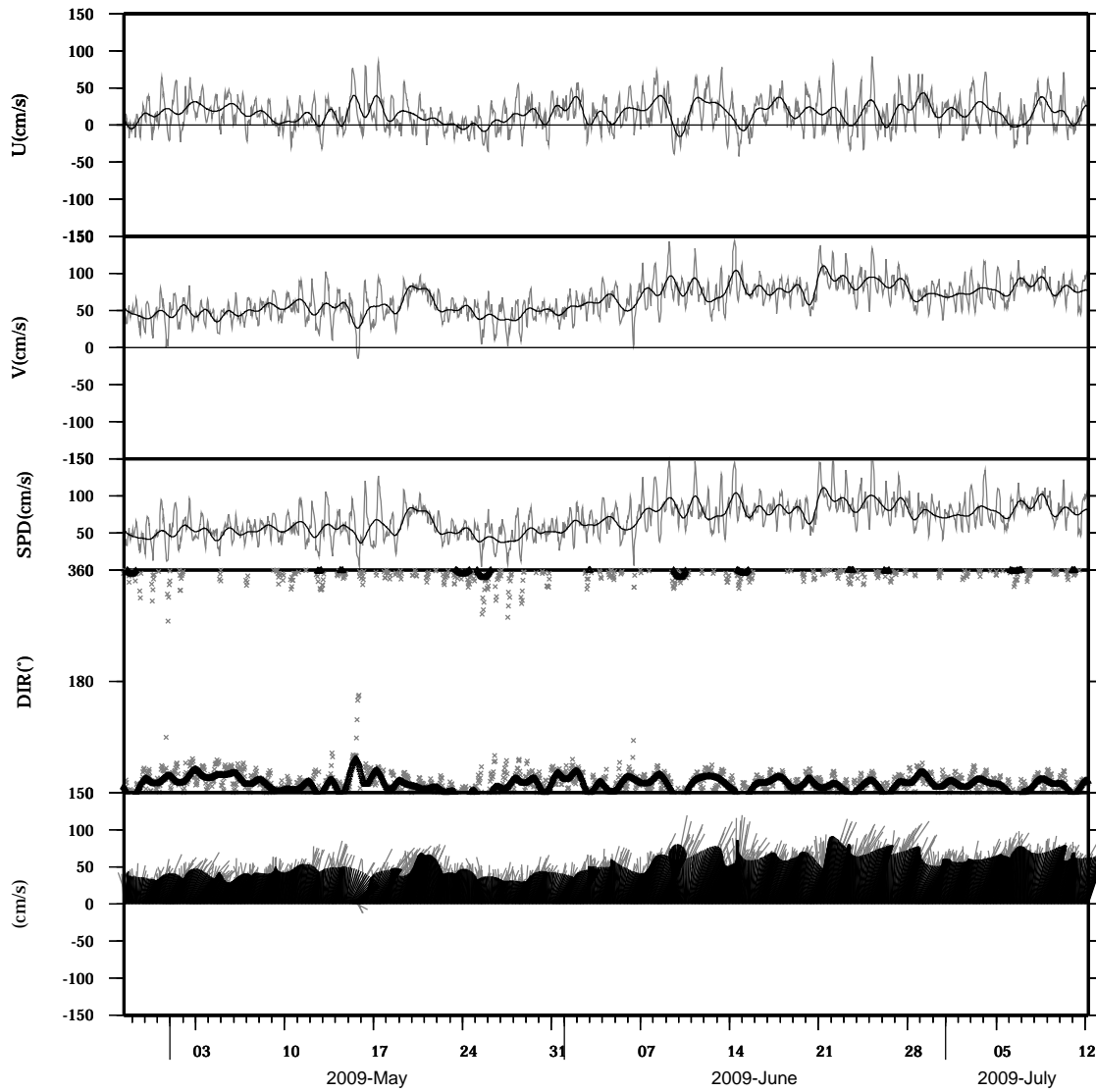


light line : The original data

heavy line : The 36 hours low-pass filtered data

Lon : 121° 24.6445' E
Lat : 22° 38.8994' N

Station : W304
Depth : 166 M

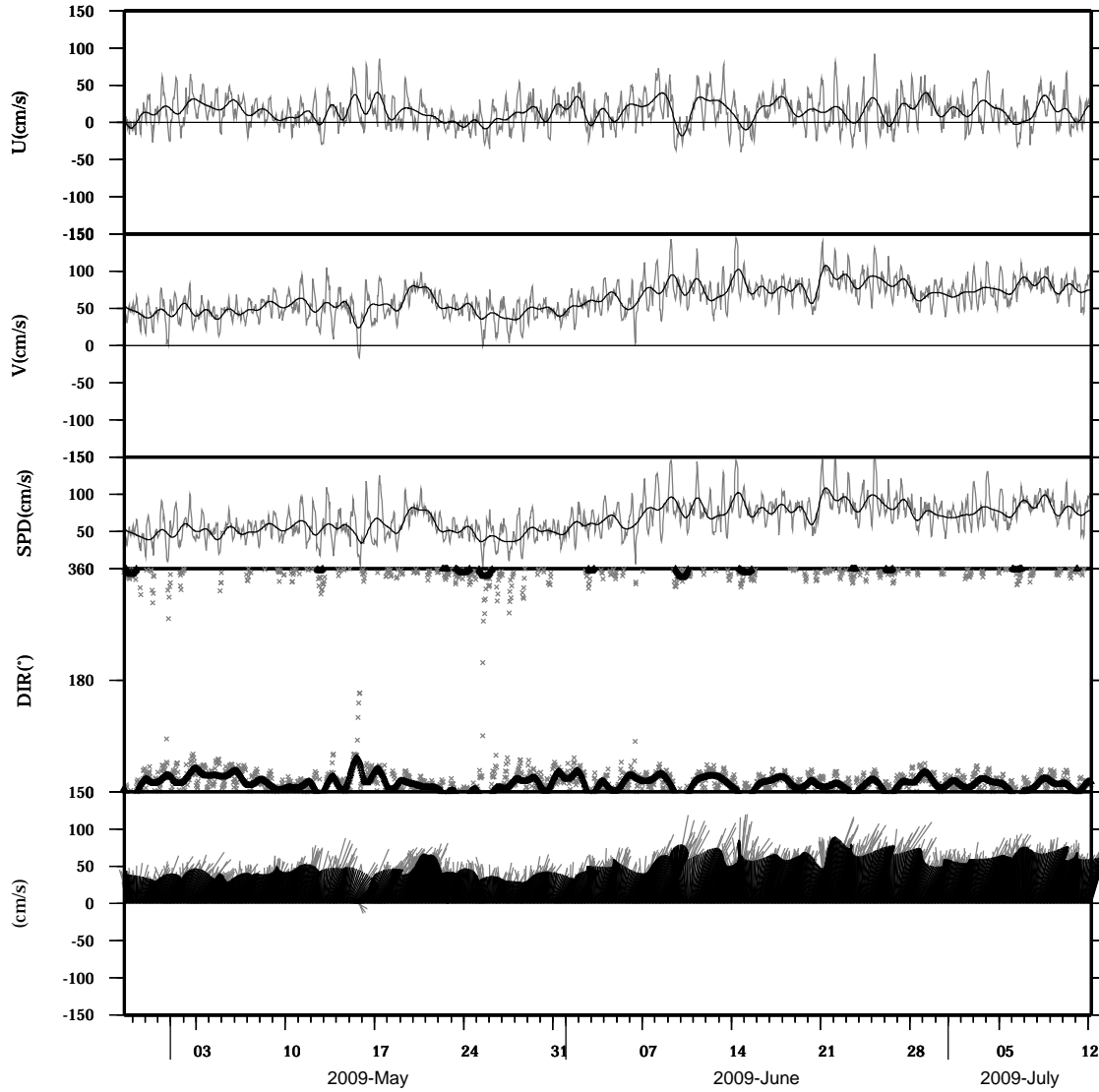


light line : The original data

heavy line : The 36 hours low-pass filtered data

Lon : 121° 24.6445' E
Lat : 22° 38.8994' N

Station : W304
Depth : 170 M

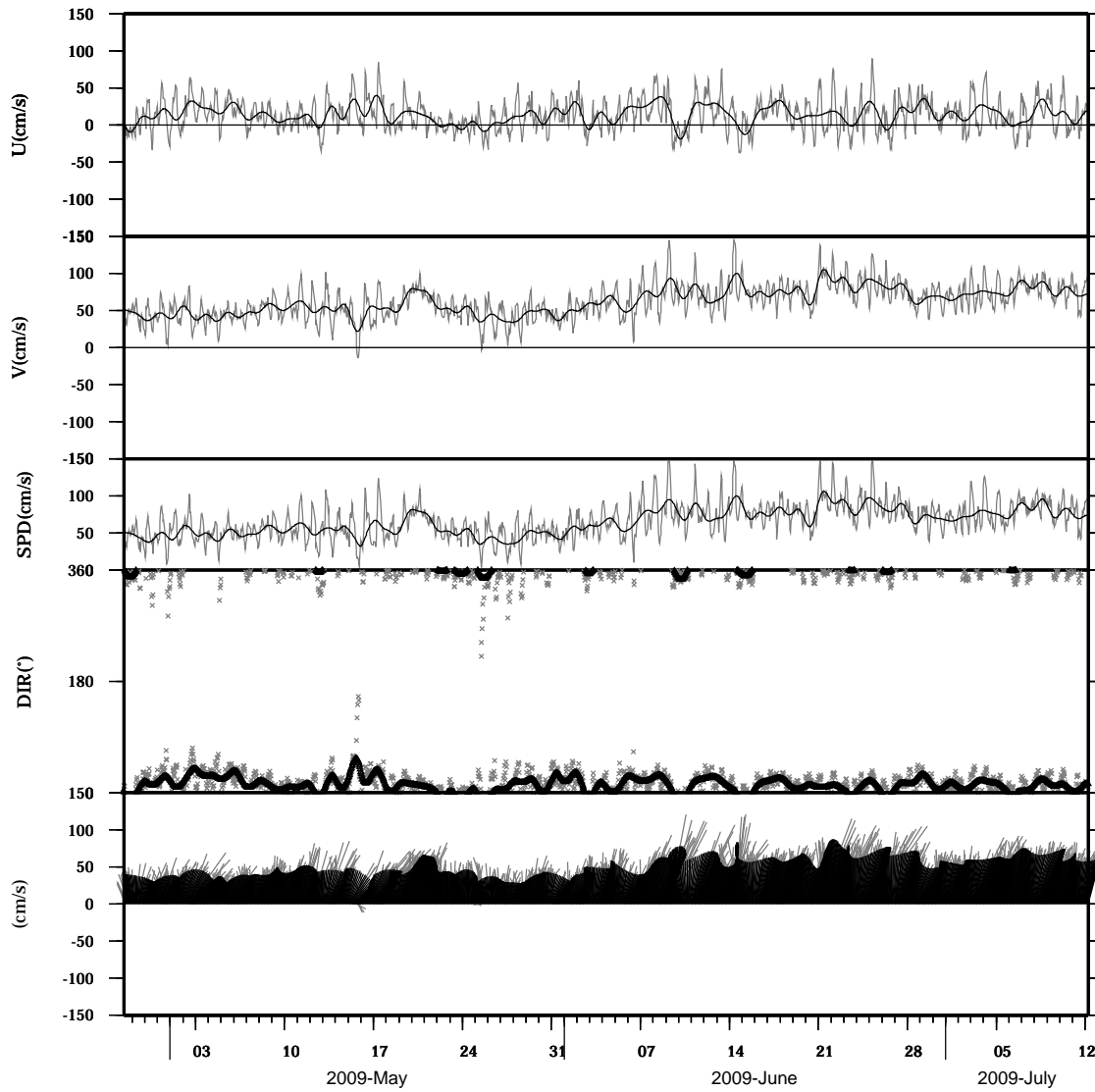


light line : The original data

heavy line : The 36 hours low-pass filtered data

Lon : 121° 24.6445' E
Lat : 22° 38.8994' N

Station : W304
Depth : 174 M

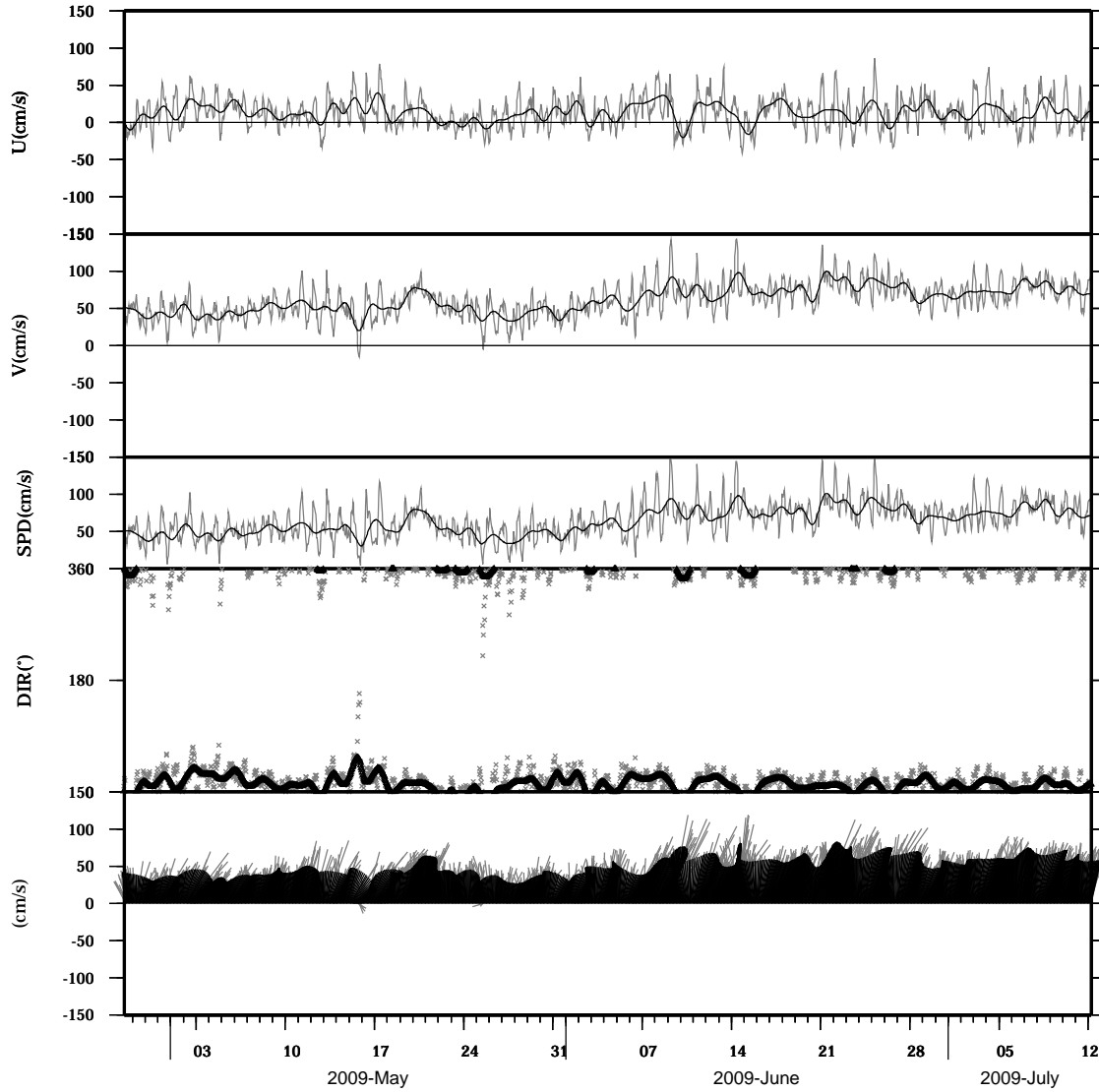


light line : The original data

heavy line : The 36 hours low-pass filtered data

Lon : 121° 24.6445' E
Lat : 22° 38.8994' N

Station : W304
Depth : 178 M

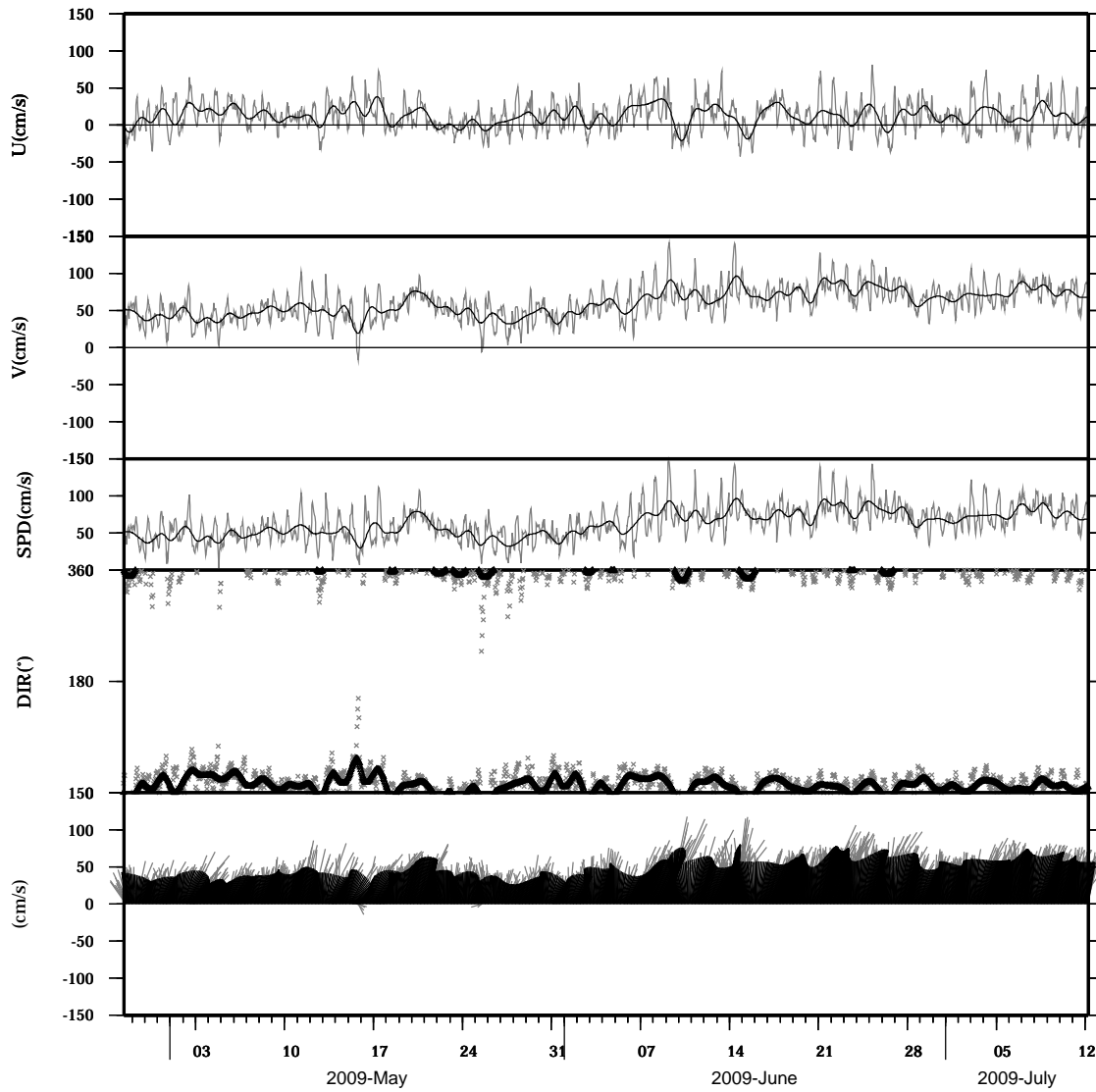


light line : The original data

heavy line : The 36 hours low-pass filtered data

Lon : 121° 24.6445' E
Lat : 22° 38.8994' N

Station : W304
Depth : 182 M

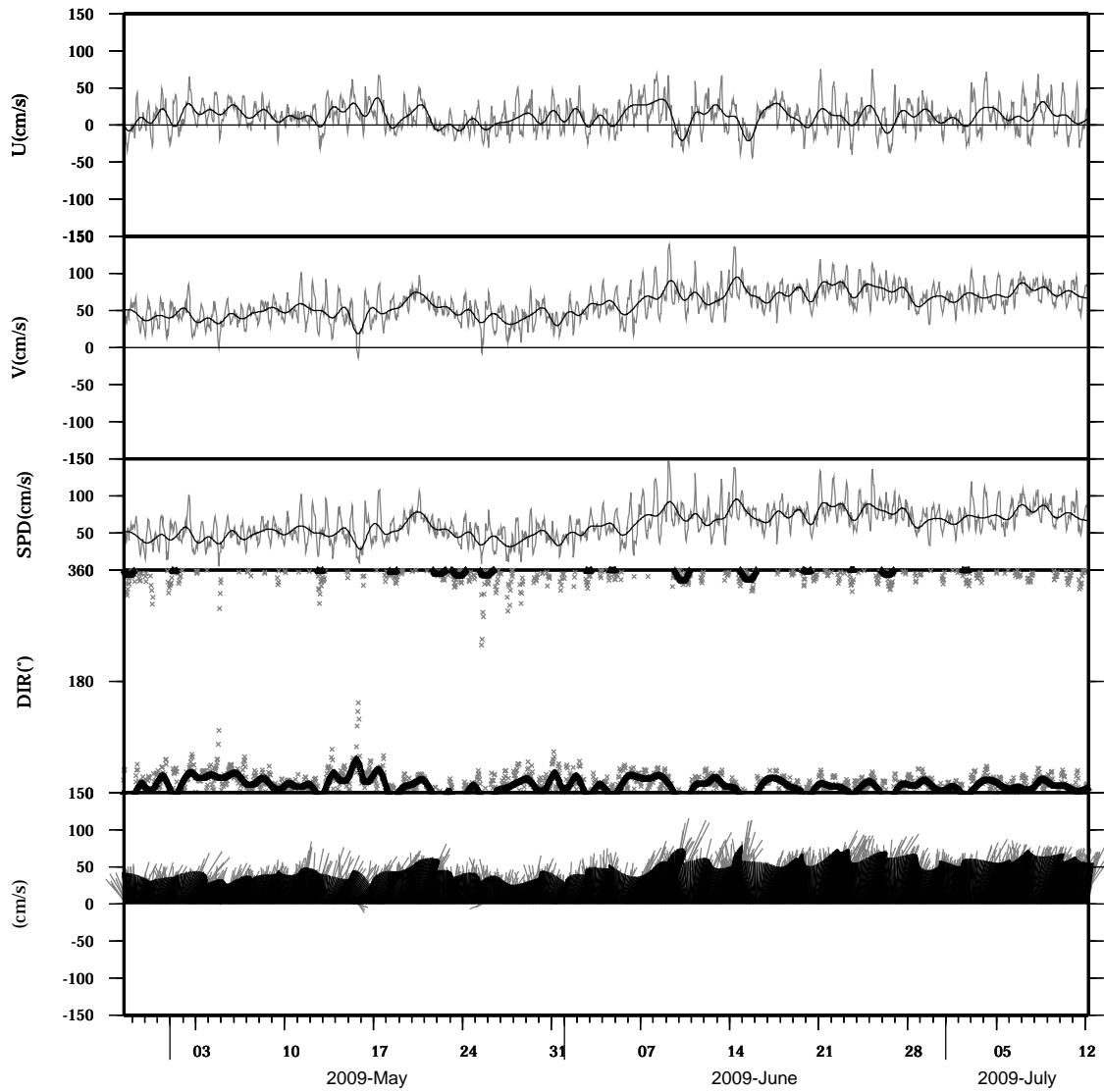


light line : The original data

heavy line : The 36 hours low-pass filtered data

Lon : 121° 24.6445' E
Lat : 22° 38.8994' N

Station : W304
Depth : 186 M

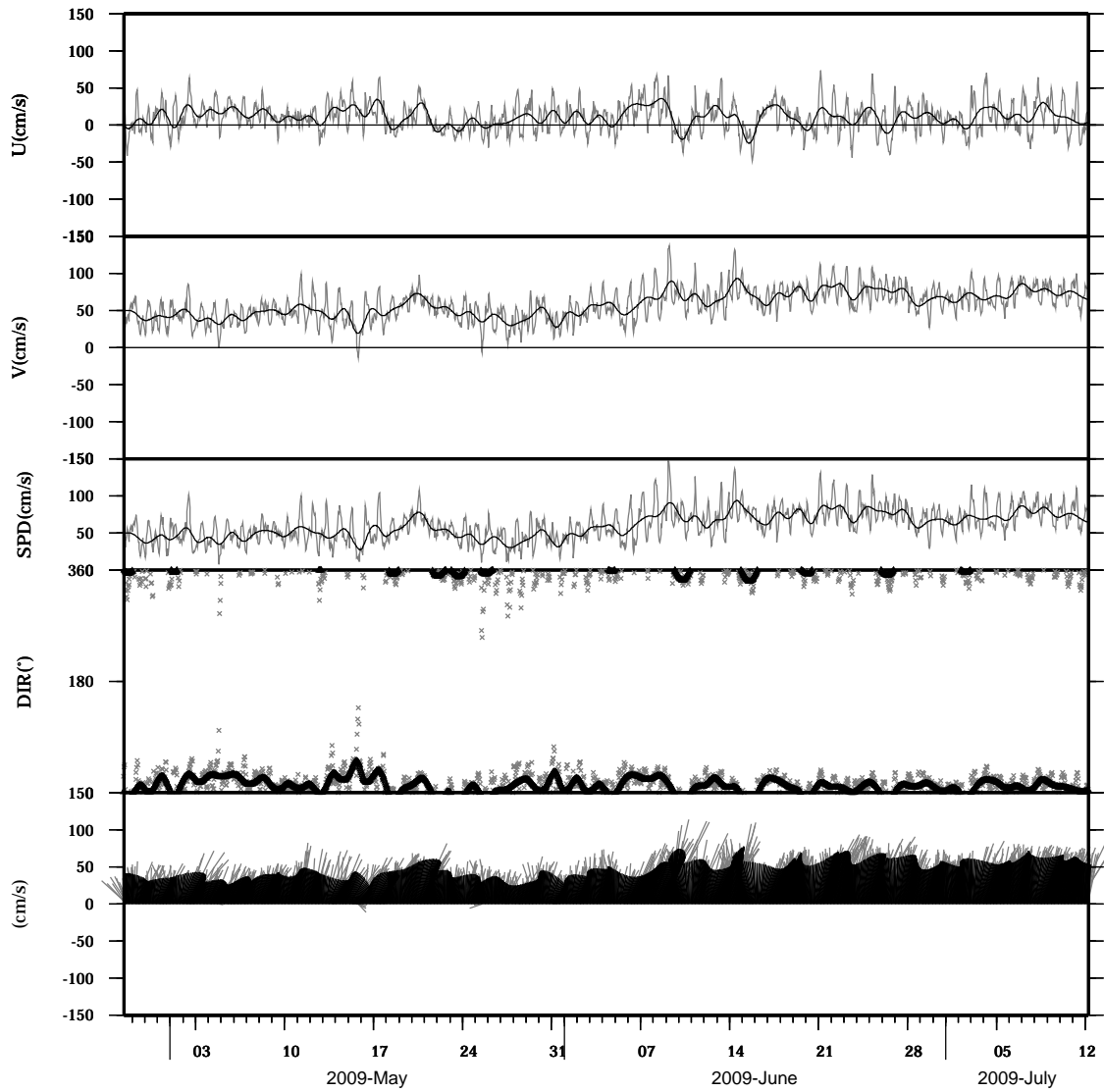


light line : The original data

heavy line : The 36 hours low-pass filtered data

Lon : 121° 24.6445' E
Lat : 22° 38.8994' N

Station : W304
Depth : 190 M

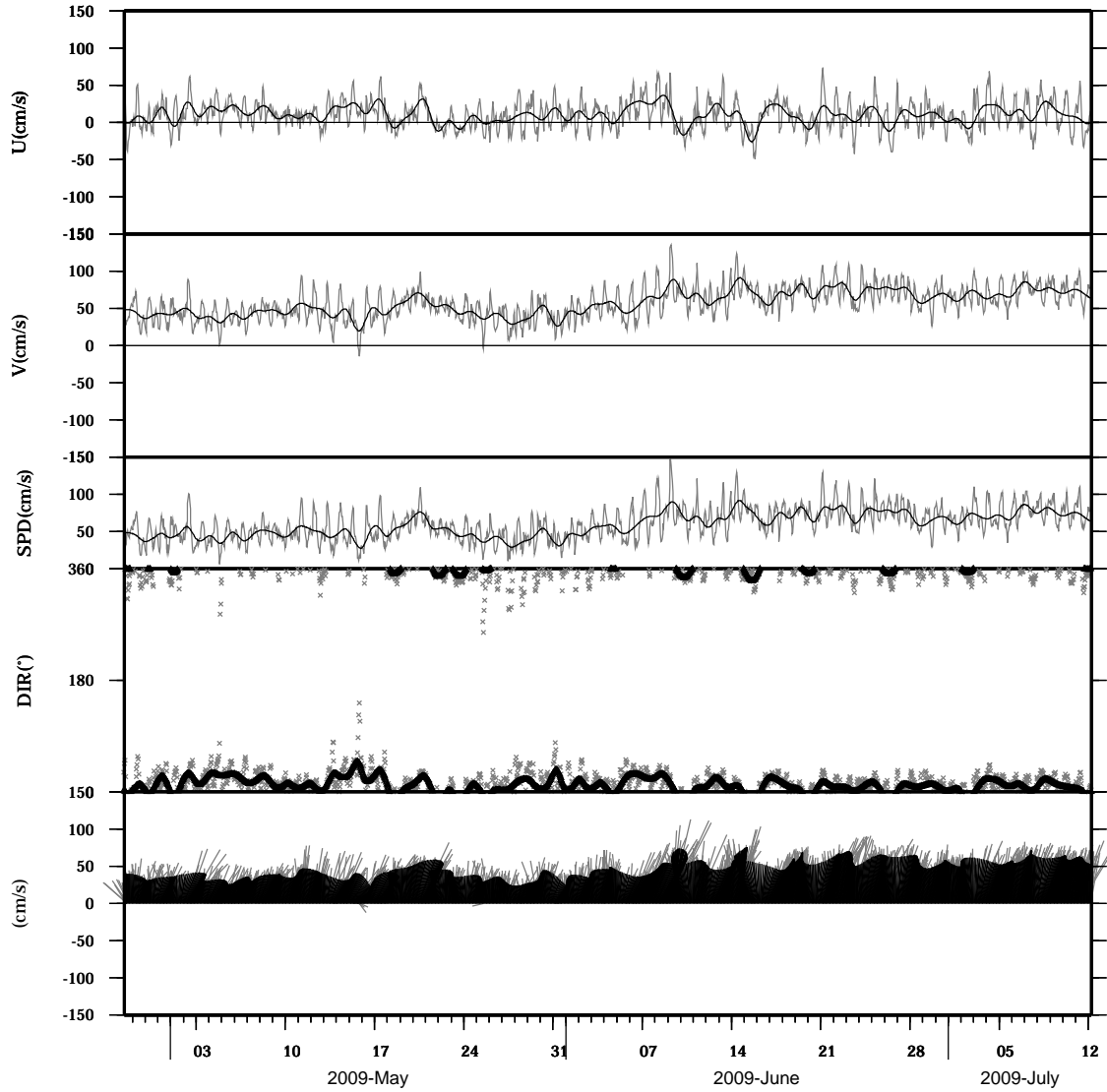


light line : The original data

heavy line : The 36 hours low-pass filtered data

Lon : 121° 24.6445' E
Lat : 22° 38.8994' N

Station : W304
Depth : 194 M

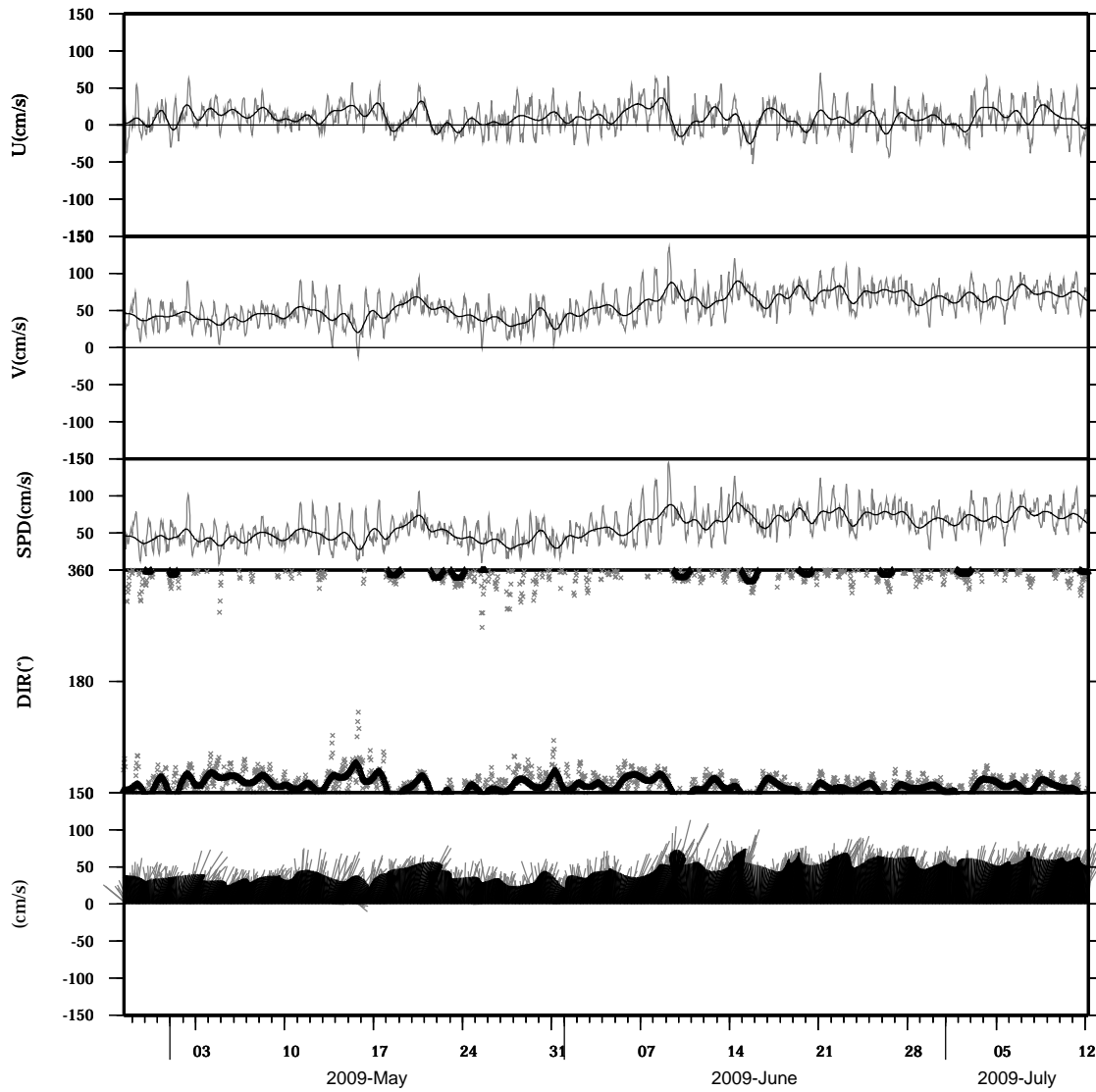


light line : The original data

heavy line : The 36 hours low-pass filtered data

Lon : 121° 24.6445' E
Lat : 22° 38.8994' N

Station : W304
Depth : 198 M

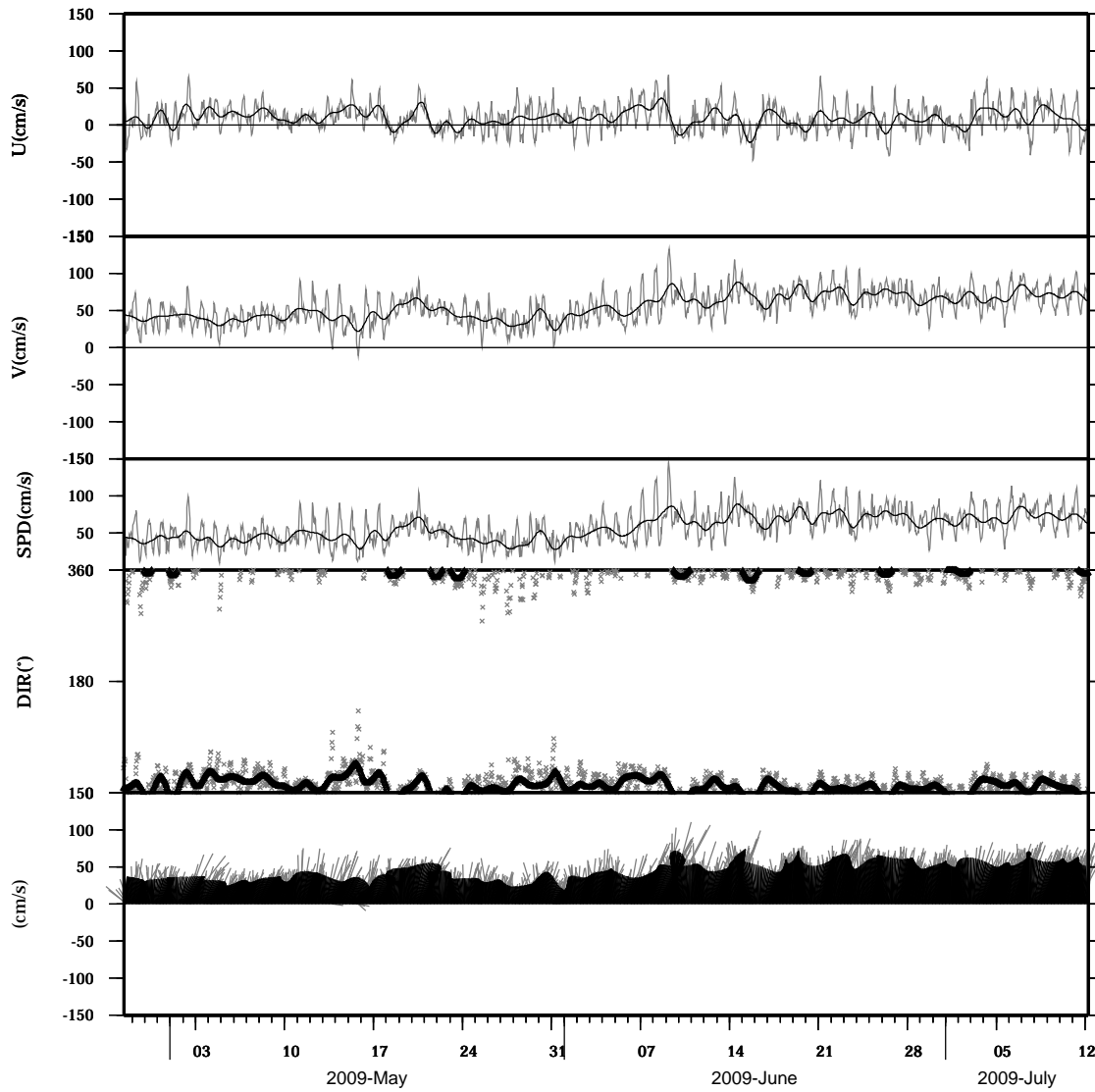


light line : The original data

heavy line : The 36 hours low-pass filtered data

Lon : 121° 24.6445' E
Lat : 22° 38.8994' N

Station : W304
Depth : 202 M

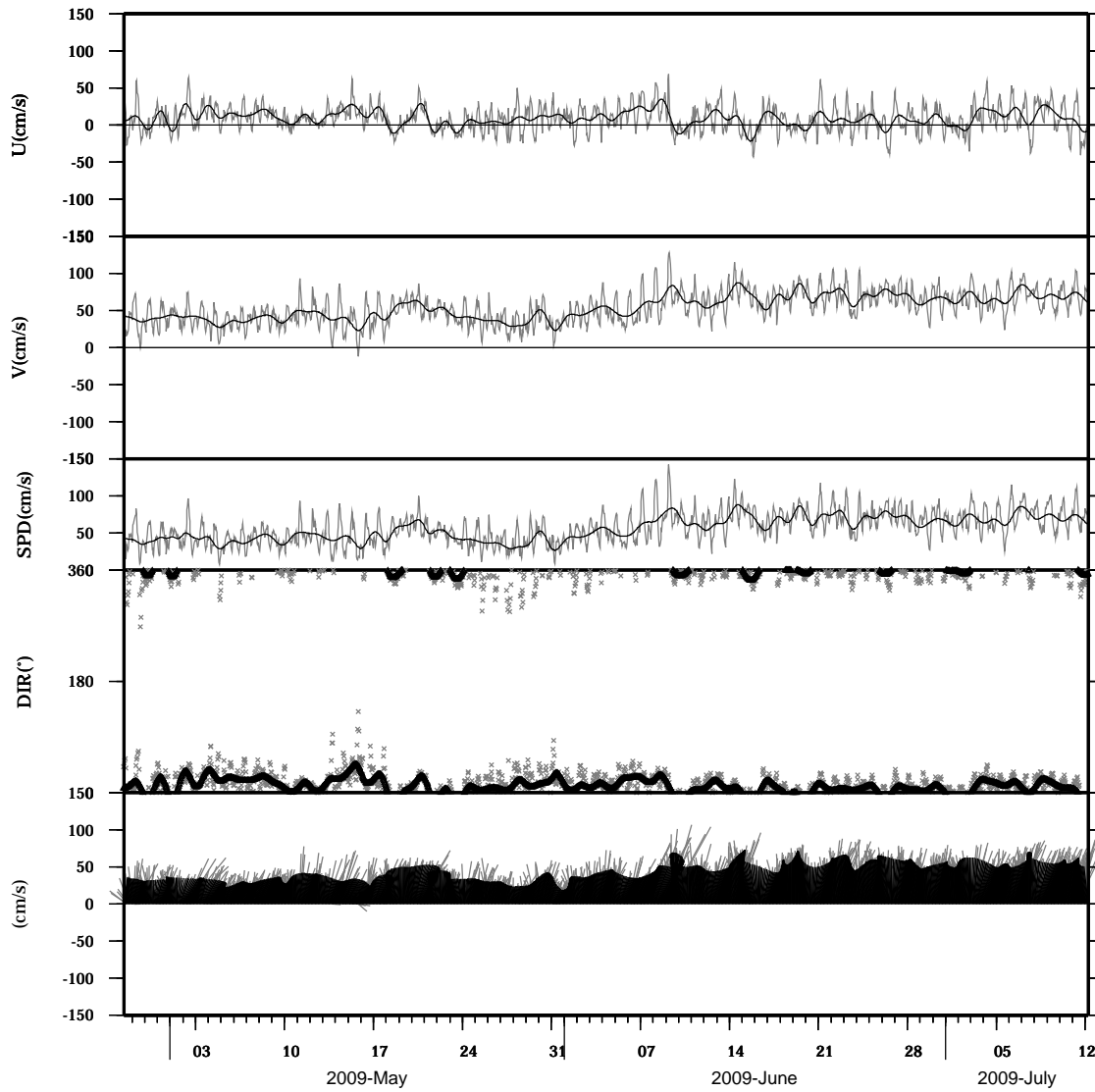


light line : The original data

heavy line : The 36 hours low-pass filtered data

Lon : 121° 24.6445' E
Lat : 22° 38.8994' N

Station : W304
Depth : 206 M

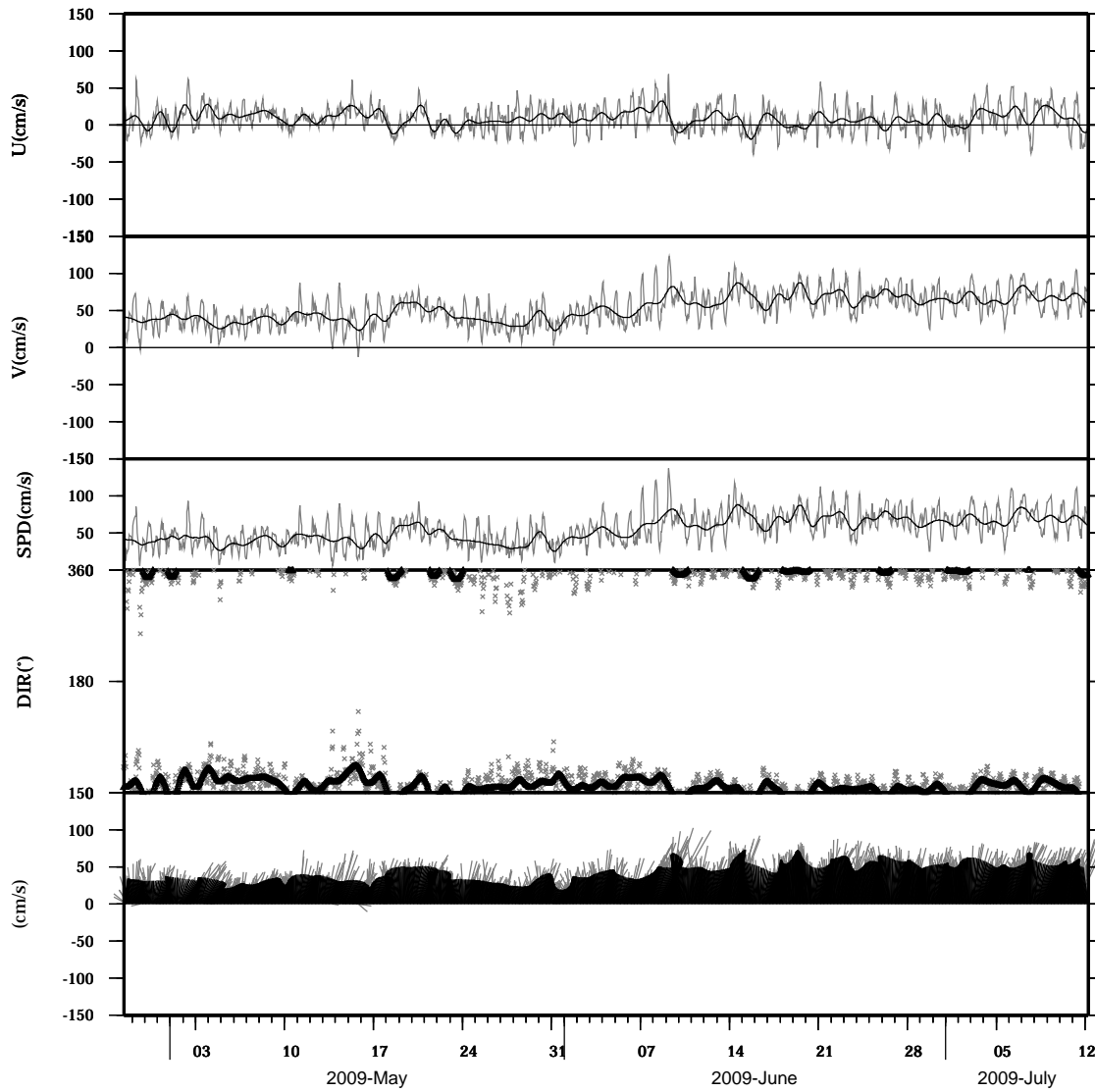


light line : The original data

heavy line : The 36 hours low-pass filtered data

Lon : 121° 24.6445' E
Lat : 22° 38.8994' N

Station : W304
Depth : 210 M

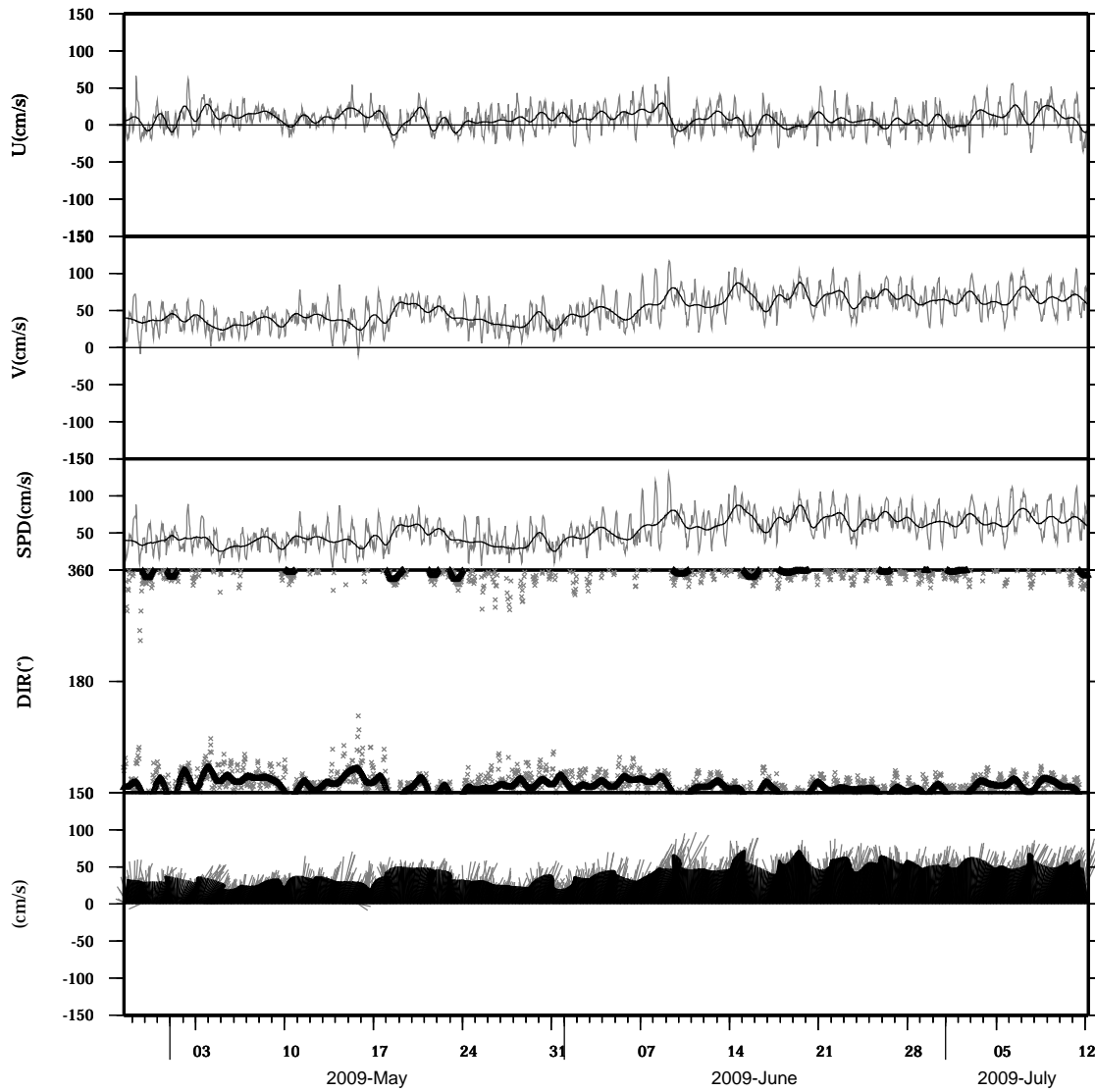


light line : The original data

heavy line : The 36 hours low-pass filtered data

Lon : 121° 24.6445' E
Lat : 22° 38.8994' N

Station : W304
Depth : 214 M

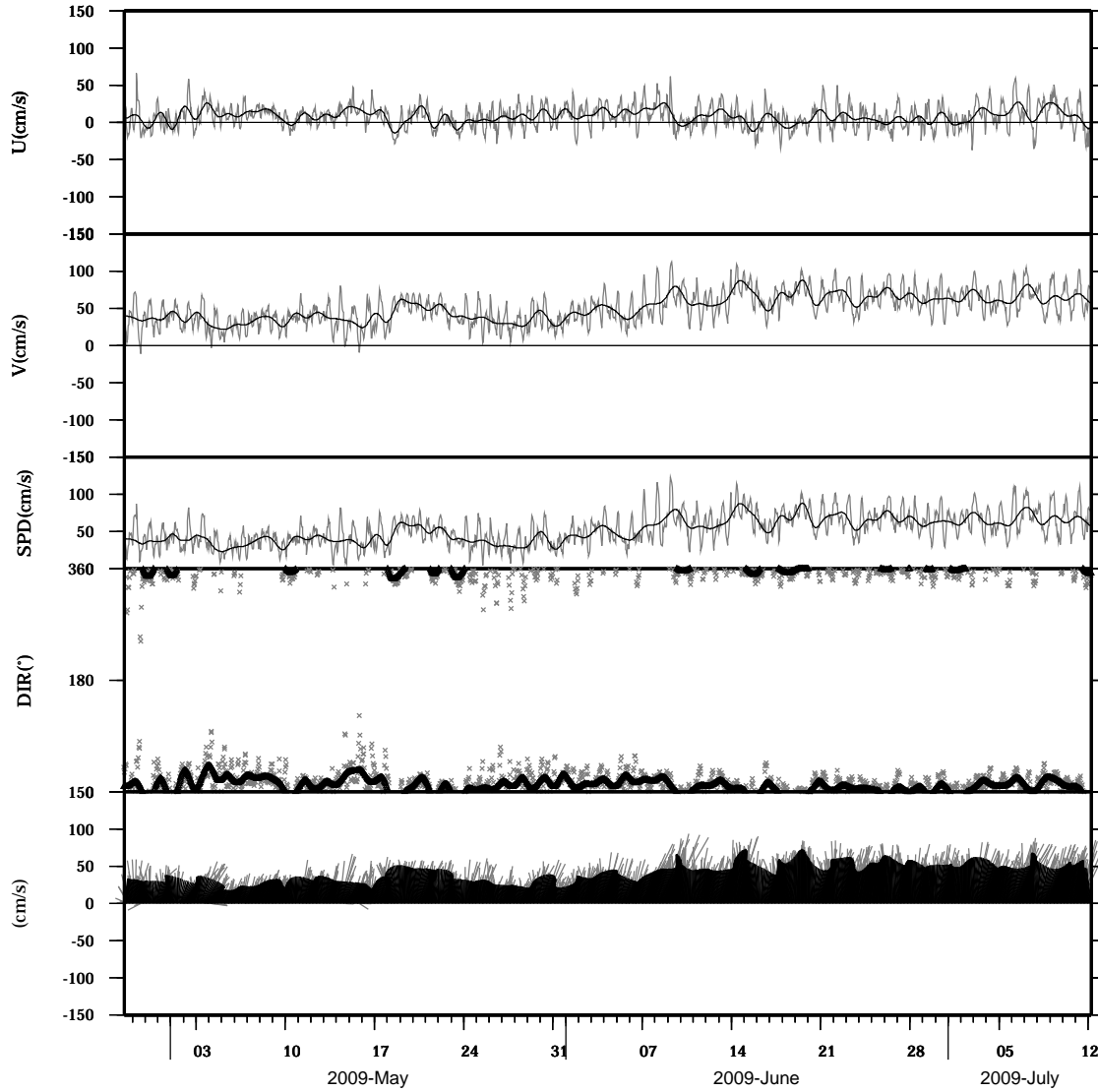


light line : The original data

heavy line : The 36 hours low-pass filtered data

Lon : 121° 24.6445' E
Lat : 22° 38.8994' N

Station : W304
Depth : 218 M

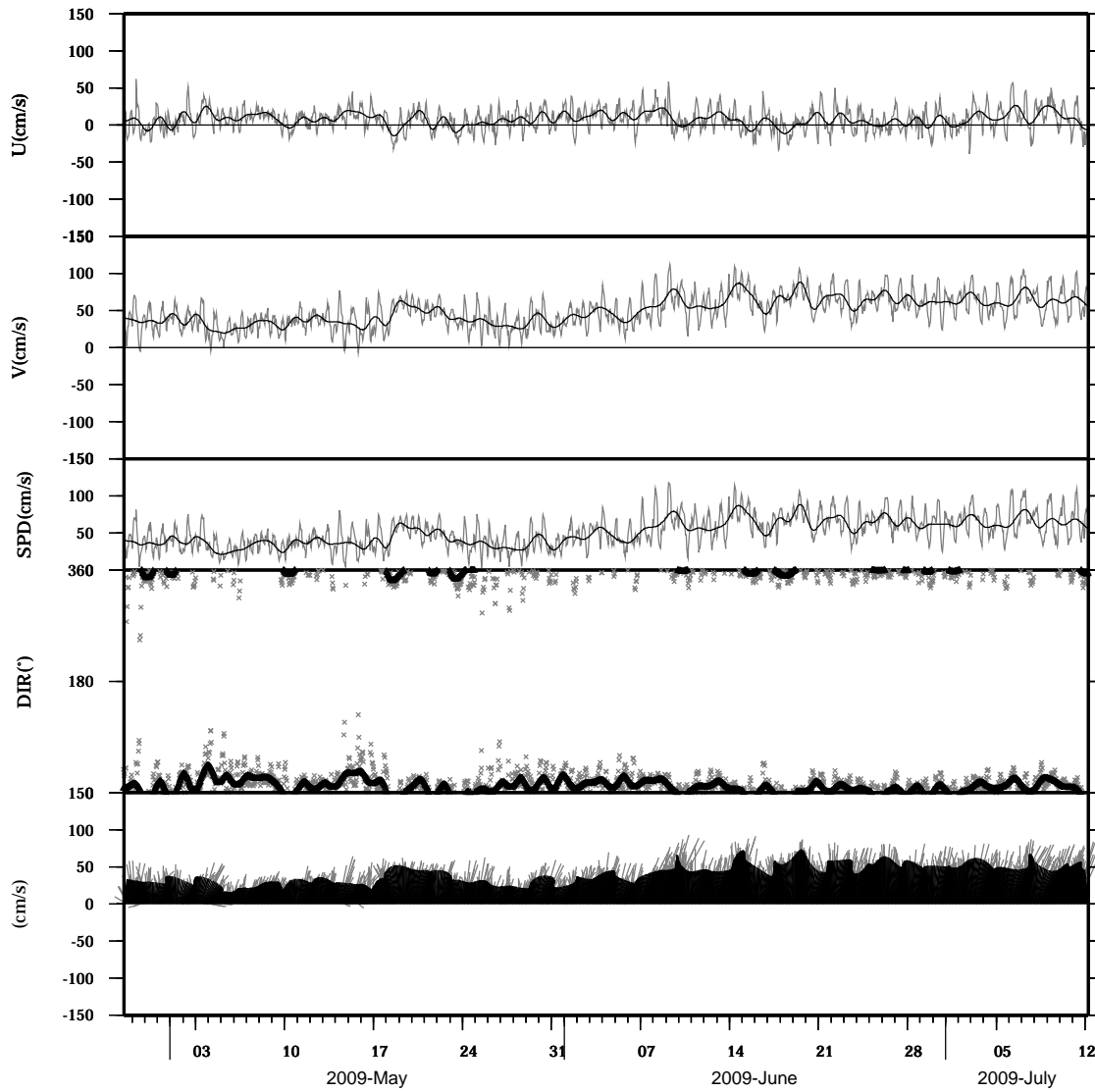


light line : The original data

heavy line : The 36 hours low-pass filtered data

Lon : 121° 24.6445' E
Lat : 22° 38.8994' N

Station : W304
Depth : 222 M

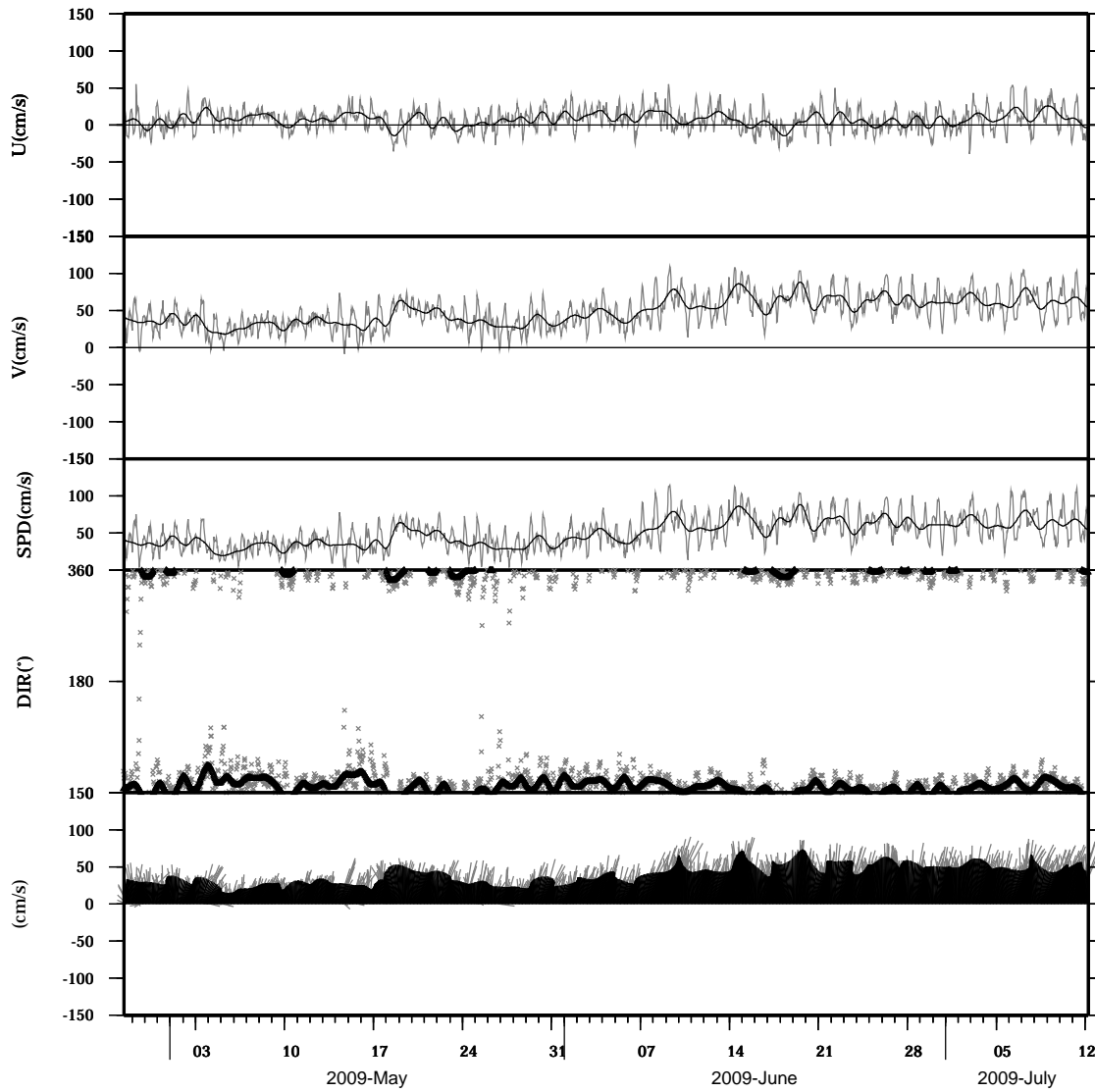


light line : The original data

heavy line : The 36 hours low-pass filtered data

Lon : 121° 24.6445' E
Lat : 22° 38.8994' N

Station : W304
Depth : 226 M

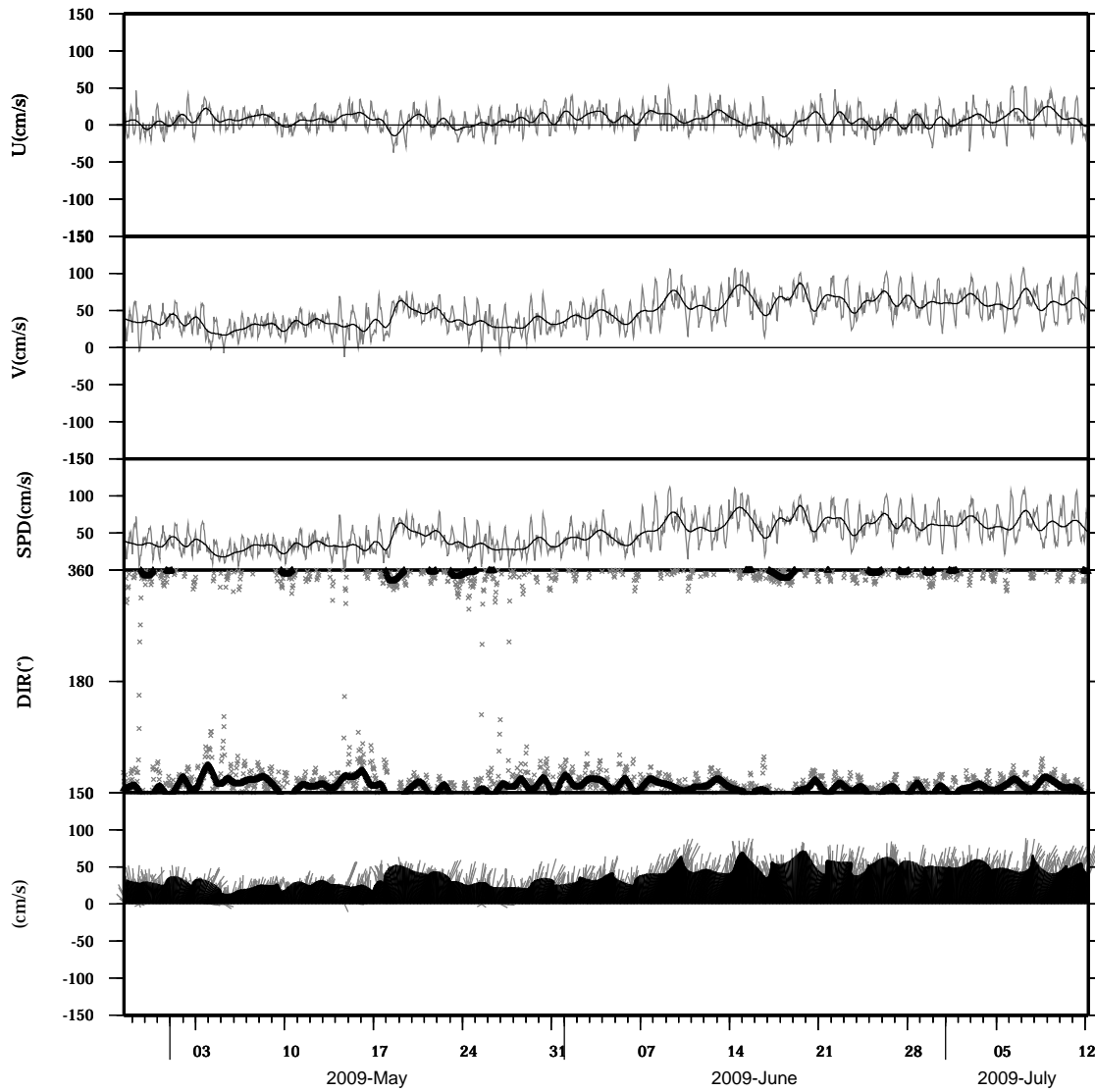


light line : The original data

heavy line : The 36 hours low-pass filtered data

Lon : 121° 24.6445' E
Lat : 22° 38.8994' N

Station : W304
Depth : 230 M

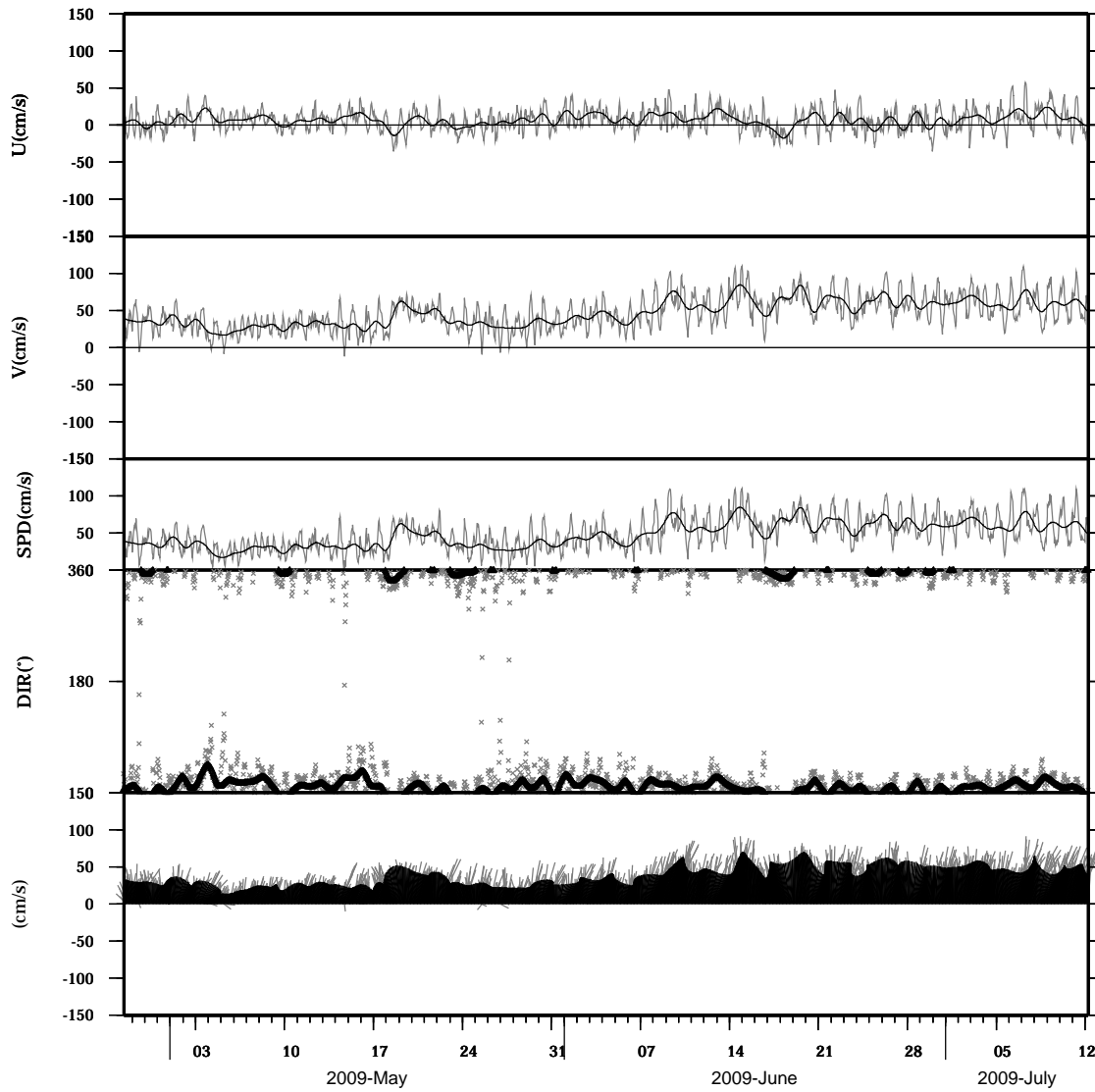


light line : The original data

heavy line : The 36 hours low-pass filtered data

Lon : 121° 24.6445' E
Lat : 22° 38.8994' N

Station : W304
Depth : 234 M

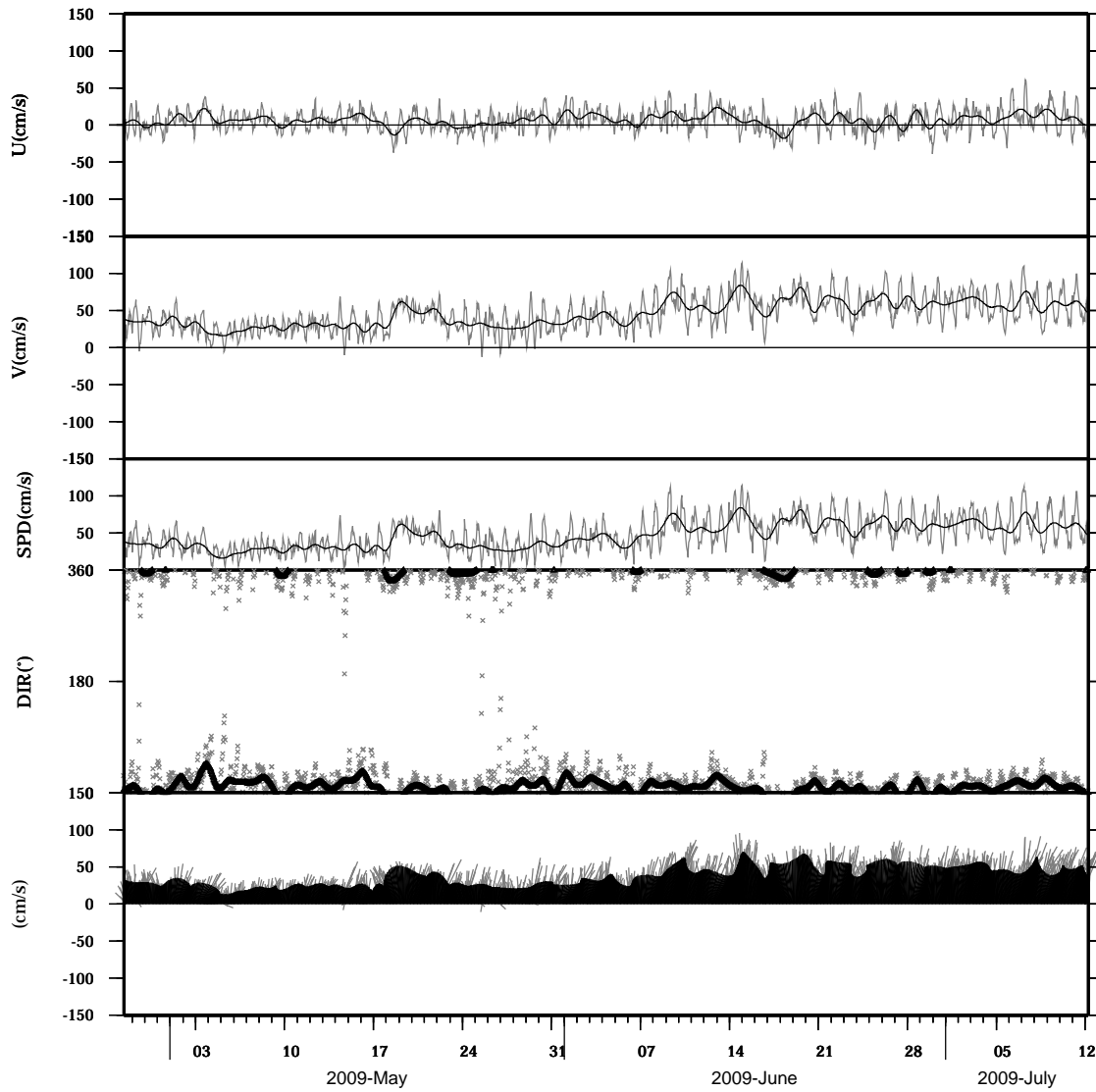


light line : The original data

heavy line : The 36 hours low-pass filtered data

Lon : 121° 24.6445' E
Lat : 22° 38.8994' N

Station : W304
Depth : 238 M

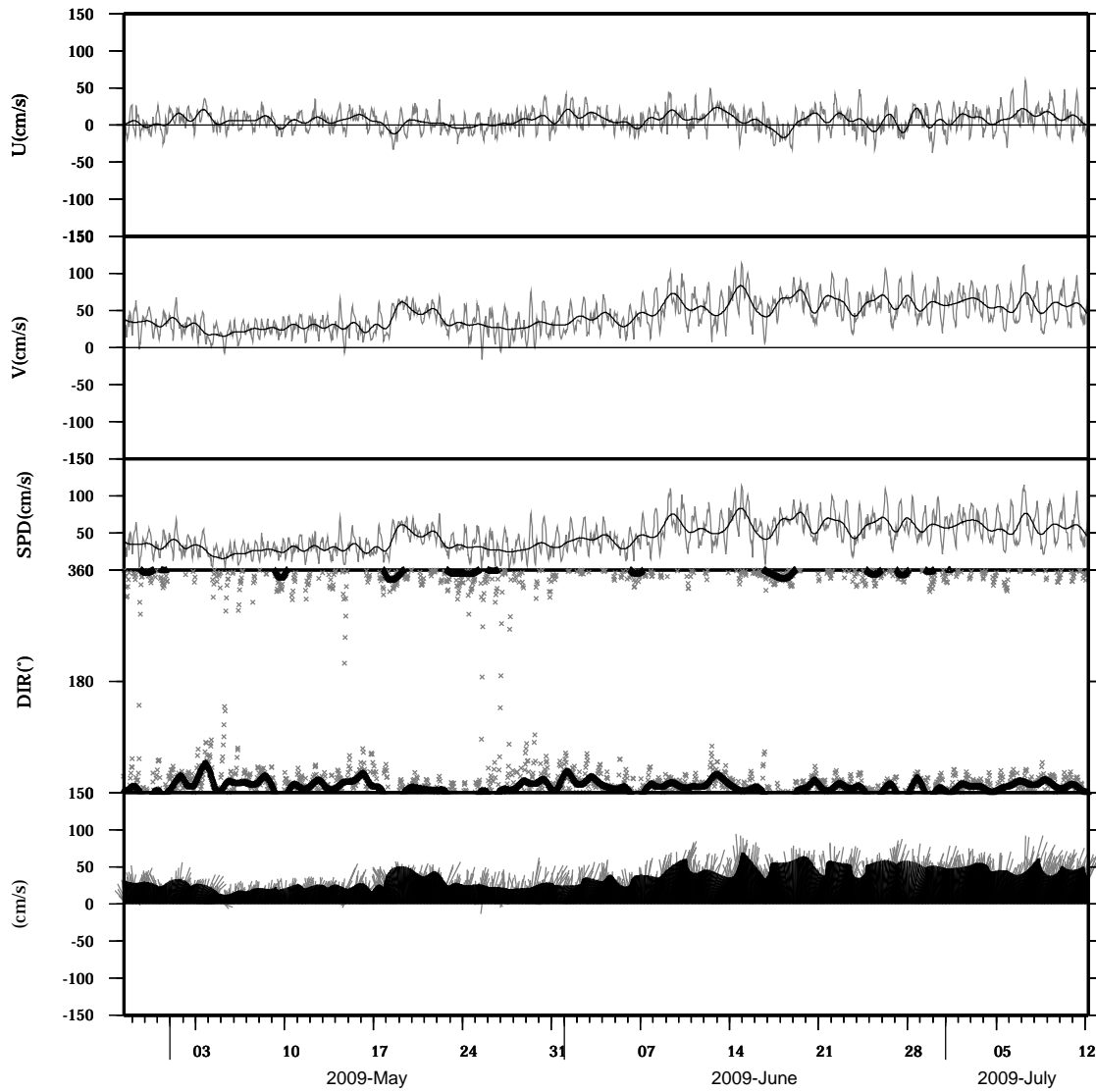


light line : The original data

heavy line : The 36 hours low-pass filtered data

Lon : 121° 24.6445' E
Lat : 22° 38.8994' N

Station : W304
Depth : 242 M

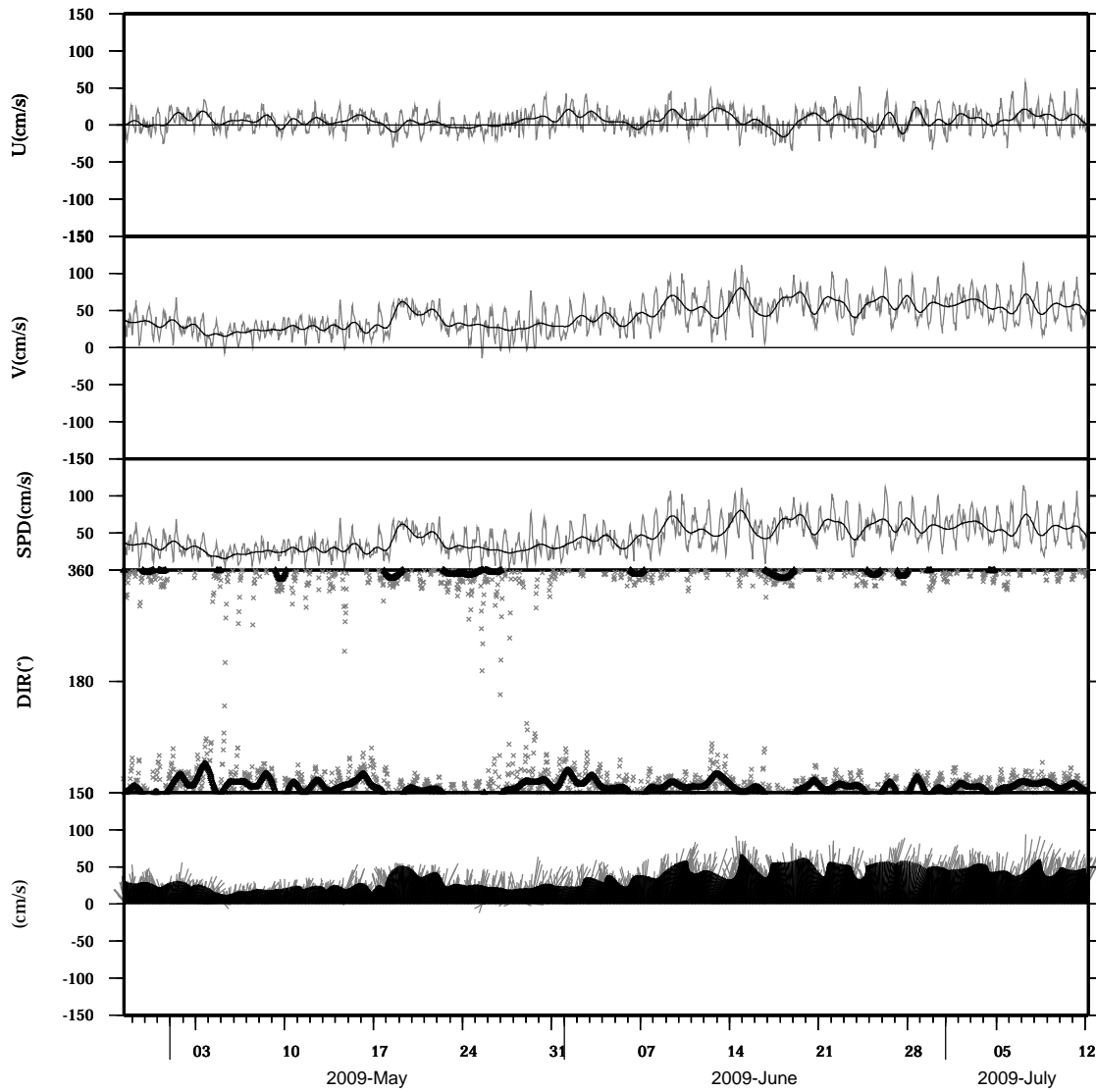


light line : The original data

heavy line : The 36 hours low-pass filtered data

Lon : 121° 24.6445' E
Lat : 22° 38.8994' N

Station : W304
Depth : 246 M

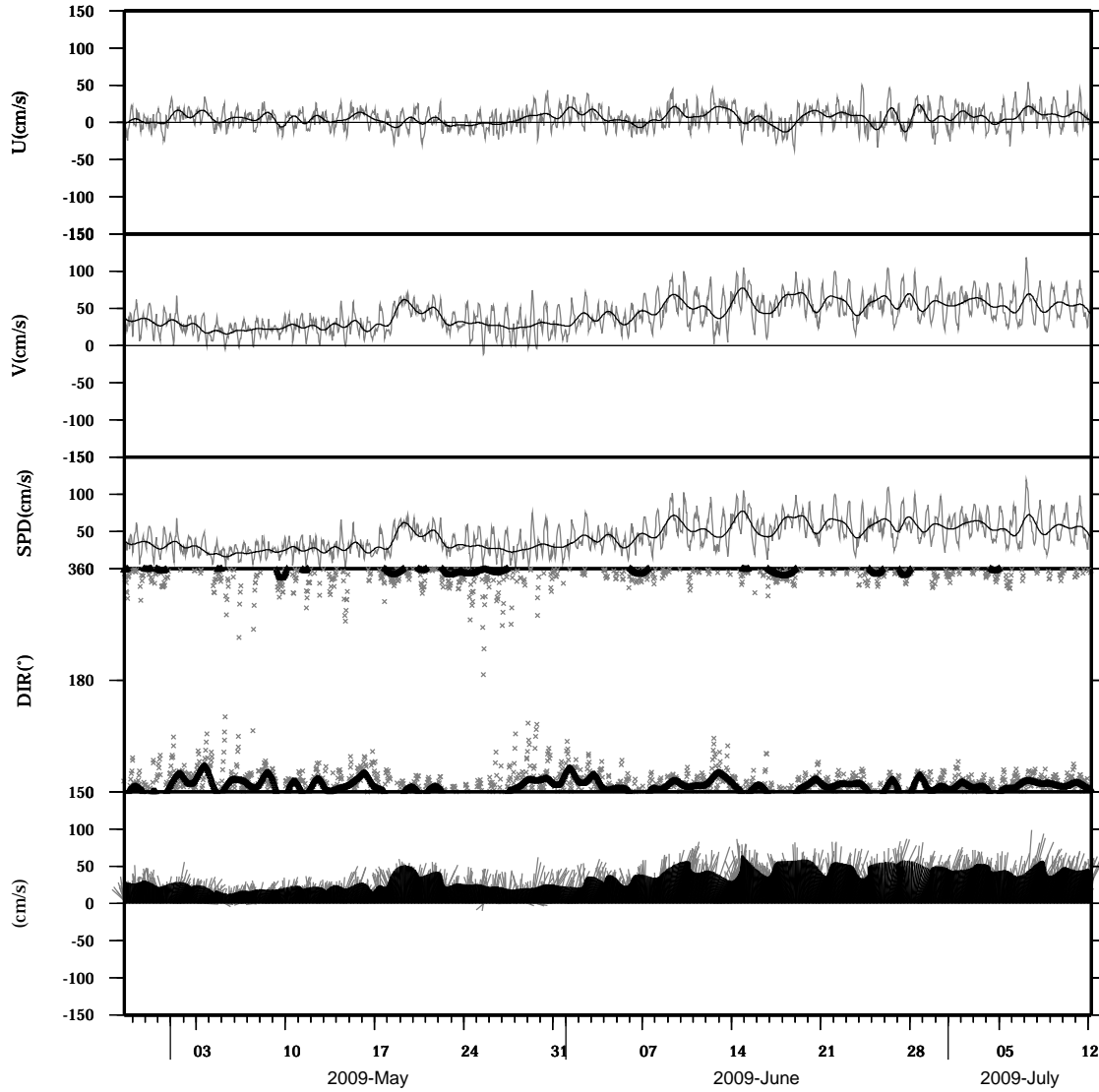


light line : The original data

heavy line : The 36 hours low-pass filtered data

Lon : 121° 24.6445' E
Lat : 22° 38.8994' N

Station : W304
Depth : 250 M

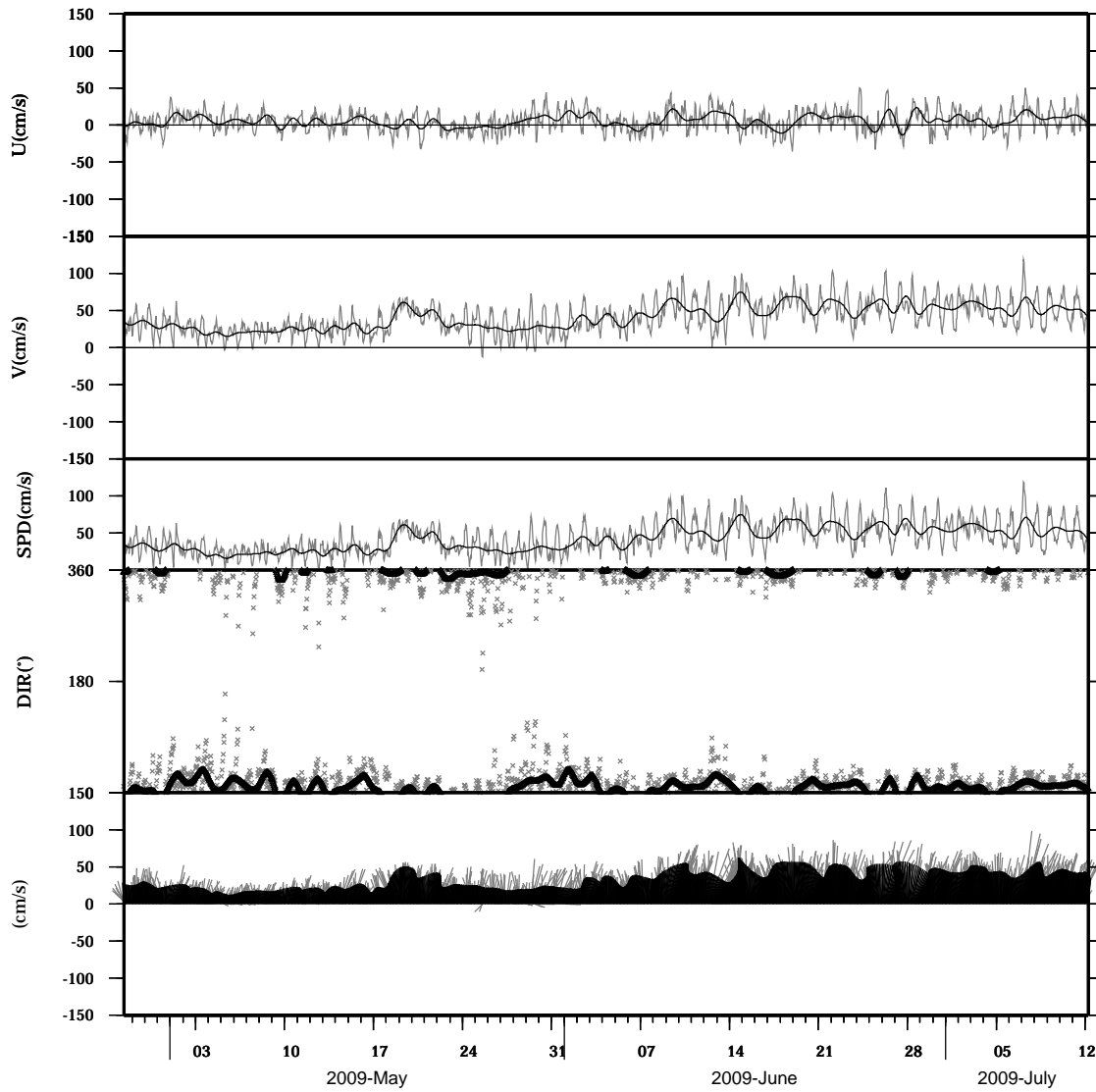


light line : The original data

heavy line : The 36 hours low-pass filtered data

Lon : 121° 24.6445' E
Lat : 22° 38.8994' N

Station : W304
Depth : 254 M

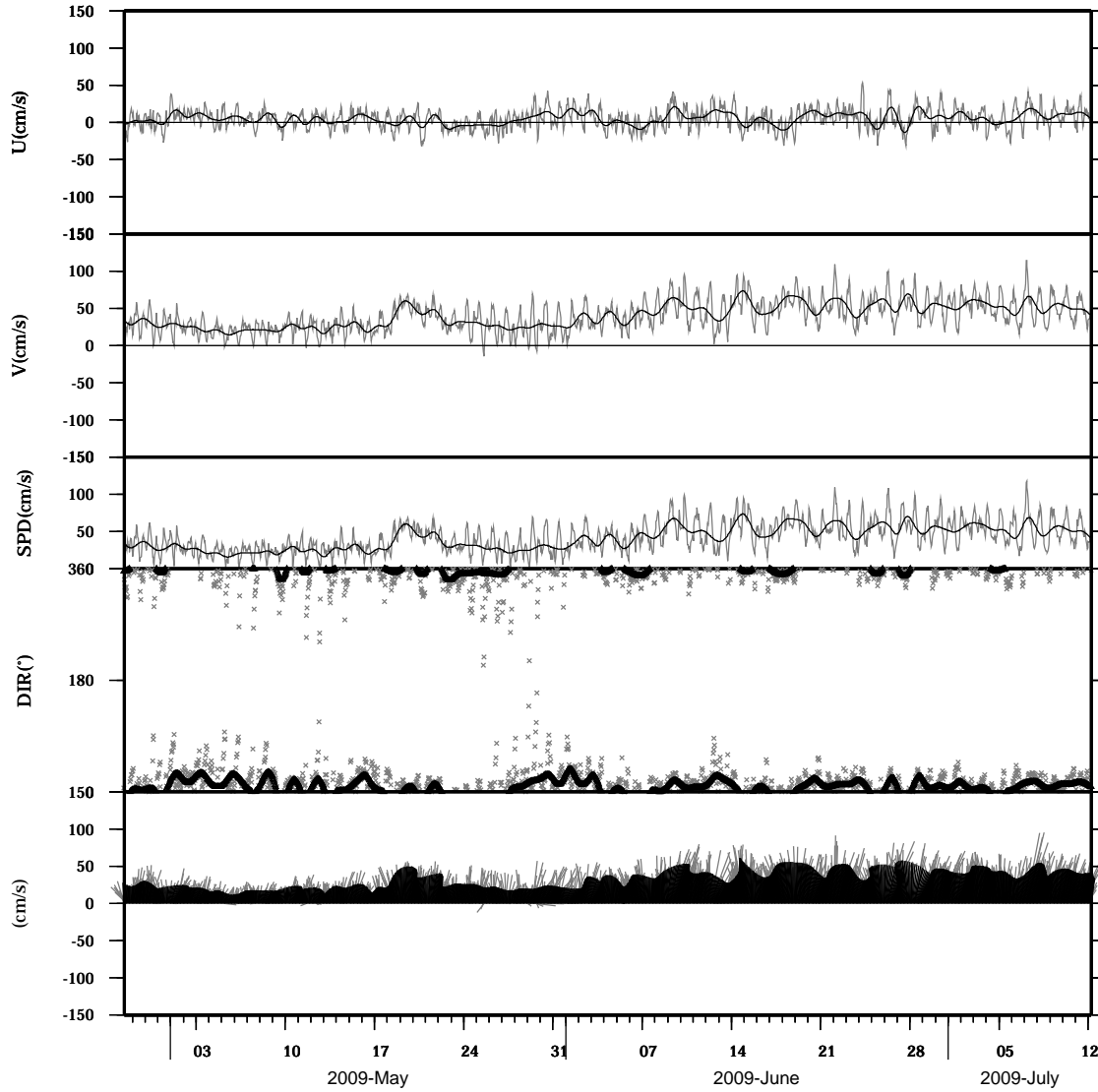


light line : The original data

heavy line : The 36 hours low-pass filtered data

Lon : 121° 24.6445' E
Lat : 22° 38.8994' N

Station : W304
Depth : 258 M

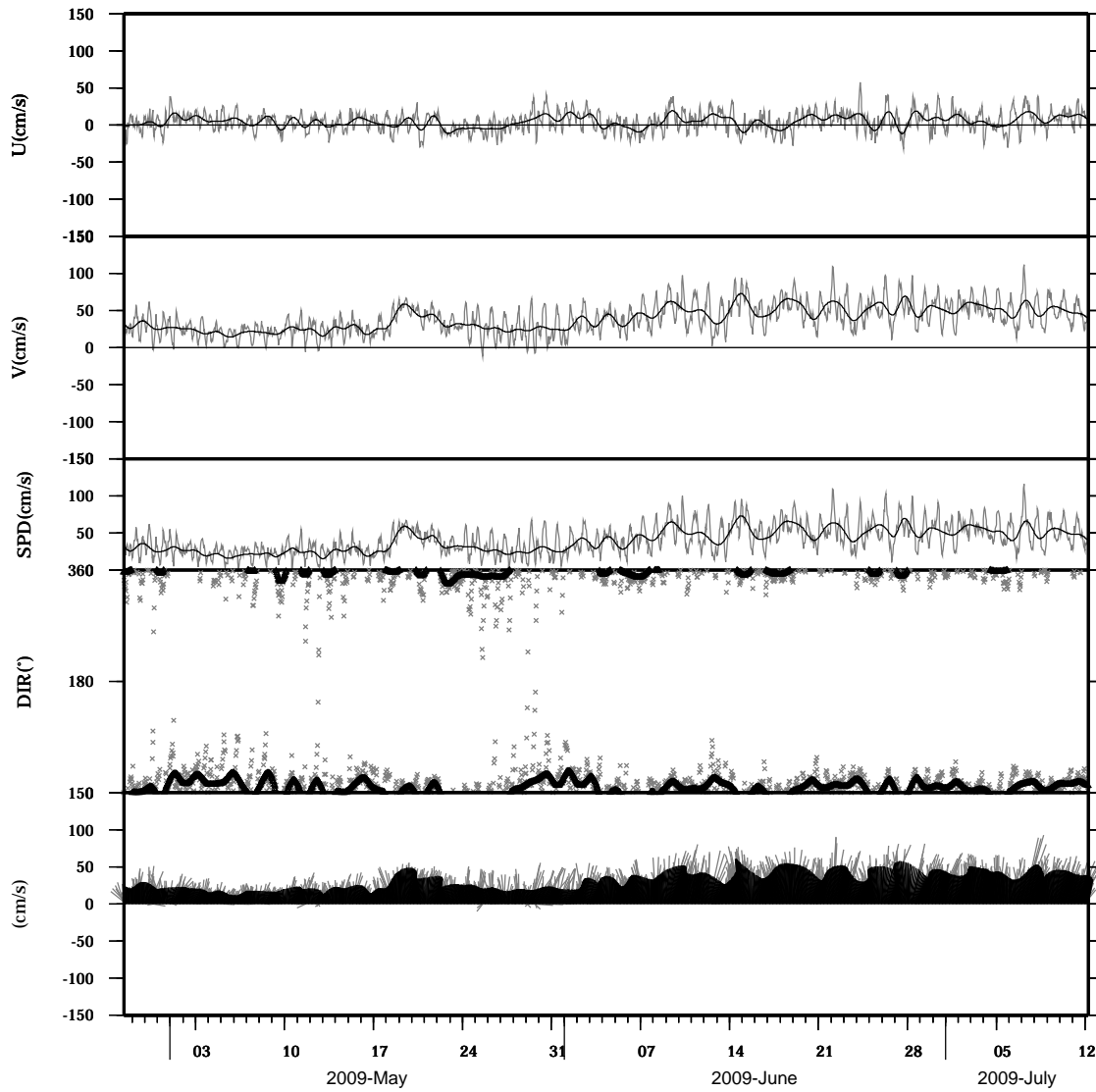


light line : The original data

heavy line : The 36 hours low-pass filtered data

Lon : 121° 24.6445' E
Lat : 22° 38.8994' N

Station : W304
Depth : 262 M

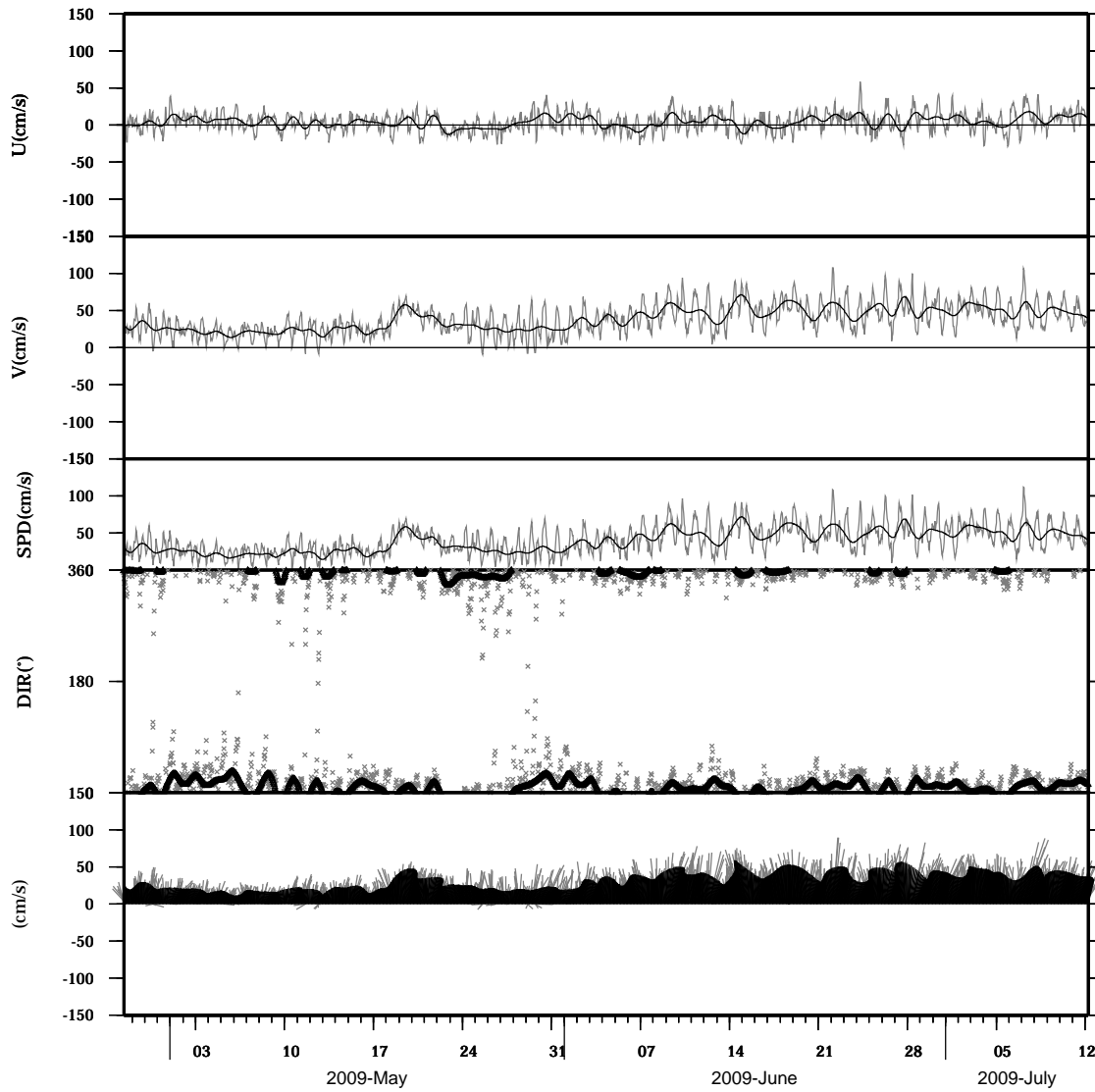


light line : The original data

heavy line : The 36 hours low-pass filtered data

Lon : 121° 24.6445' E
Lat : 22° 38.8994' N

Station : W304
Depth : 266 M

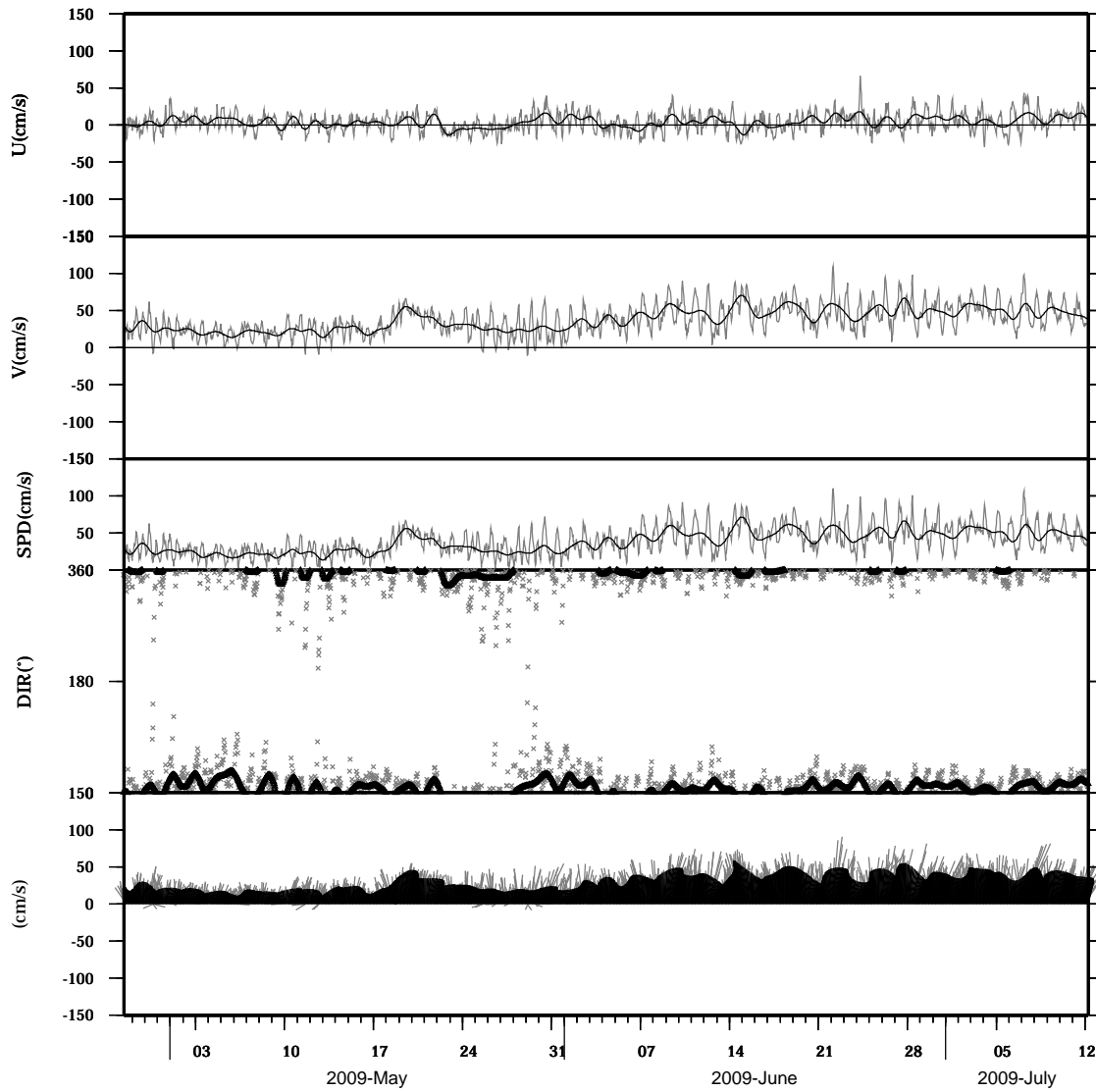


light line : The original data

heavy line : The 36 hours low-pass filtered data

Lon : 121° 24.6445' E
Lat : 22° 38.8994' N

Station : W304
Depth : 270 M

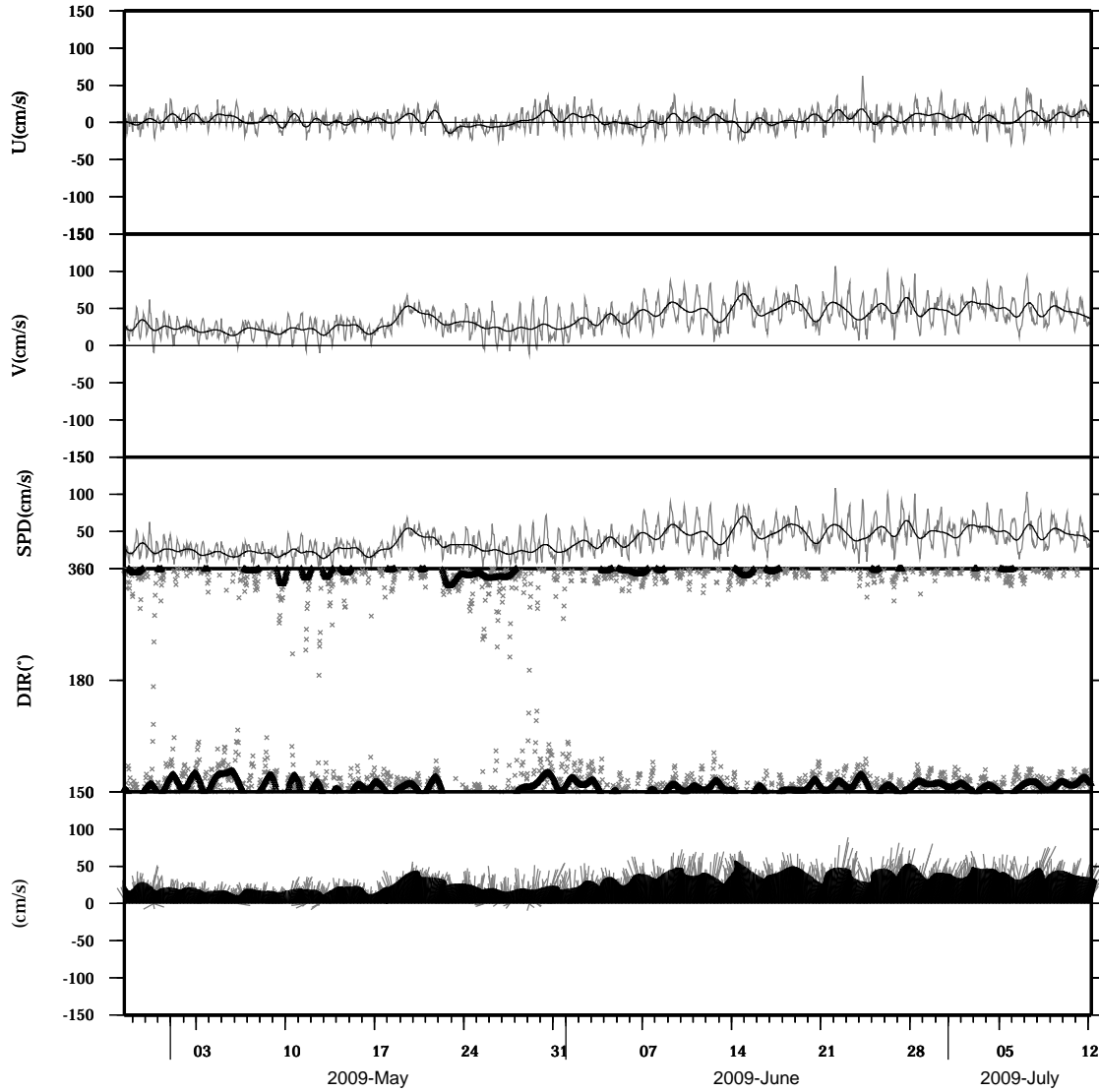


light line : The original data

heavy line : The 36 hours low-pass filtered data

Lon : 121° 24.6445' E
Lat : 22° 38.8994' N

Station : W304
Depth : 274 M

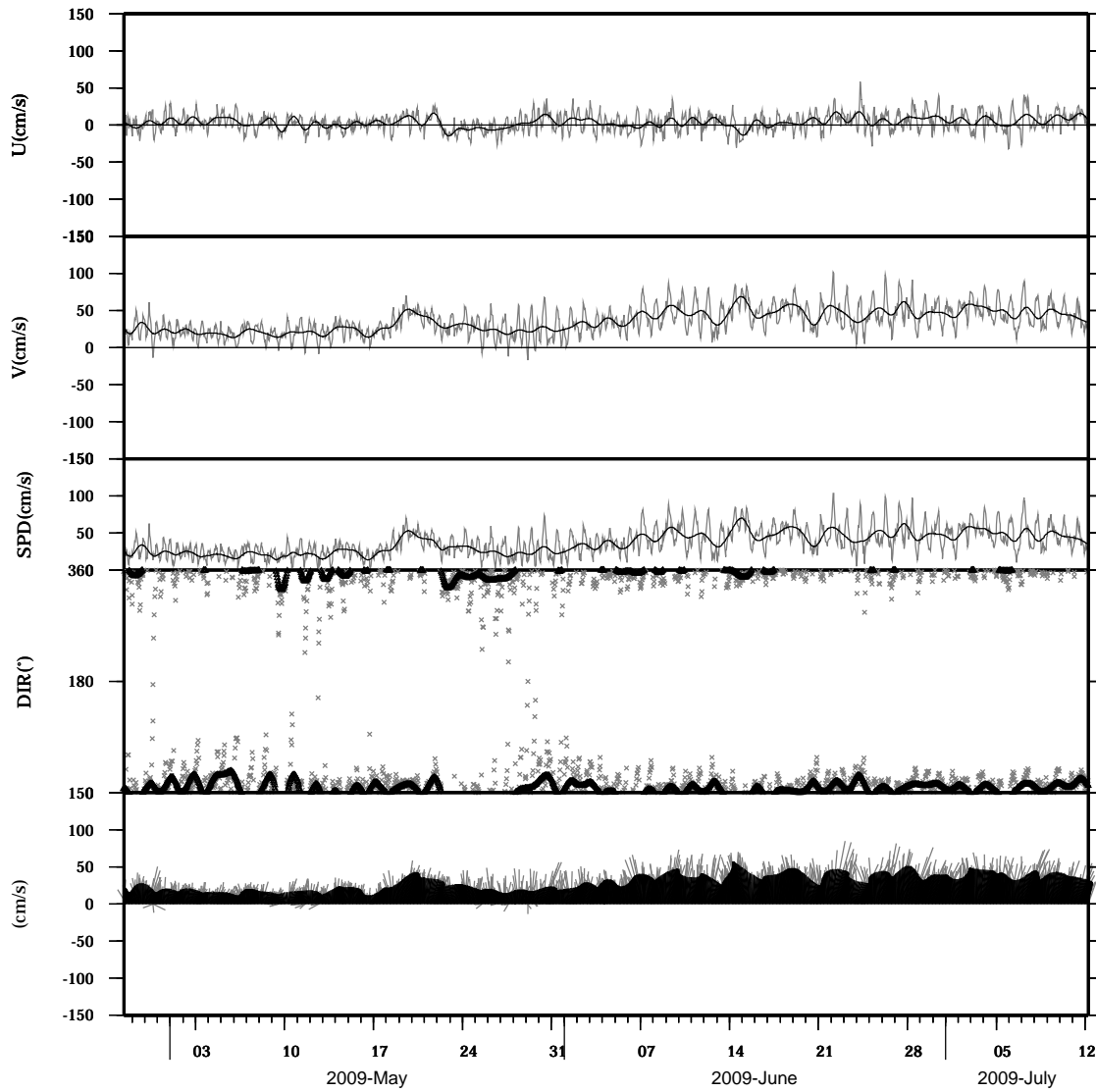


light line : The original data

heavy line : The 36 hours low-pass filtered data

Lon : 121° 24.6445' E
Lat : 22° 38.8994' N

Station : W304
Depth : 278 M

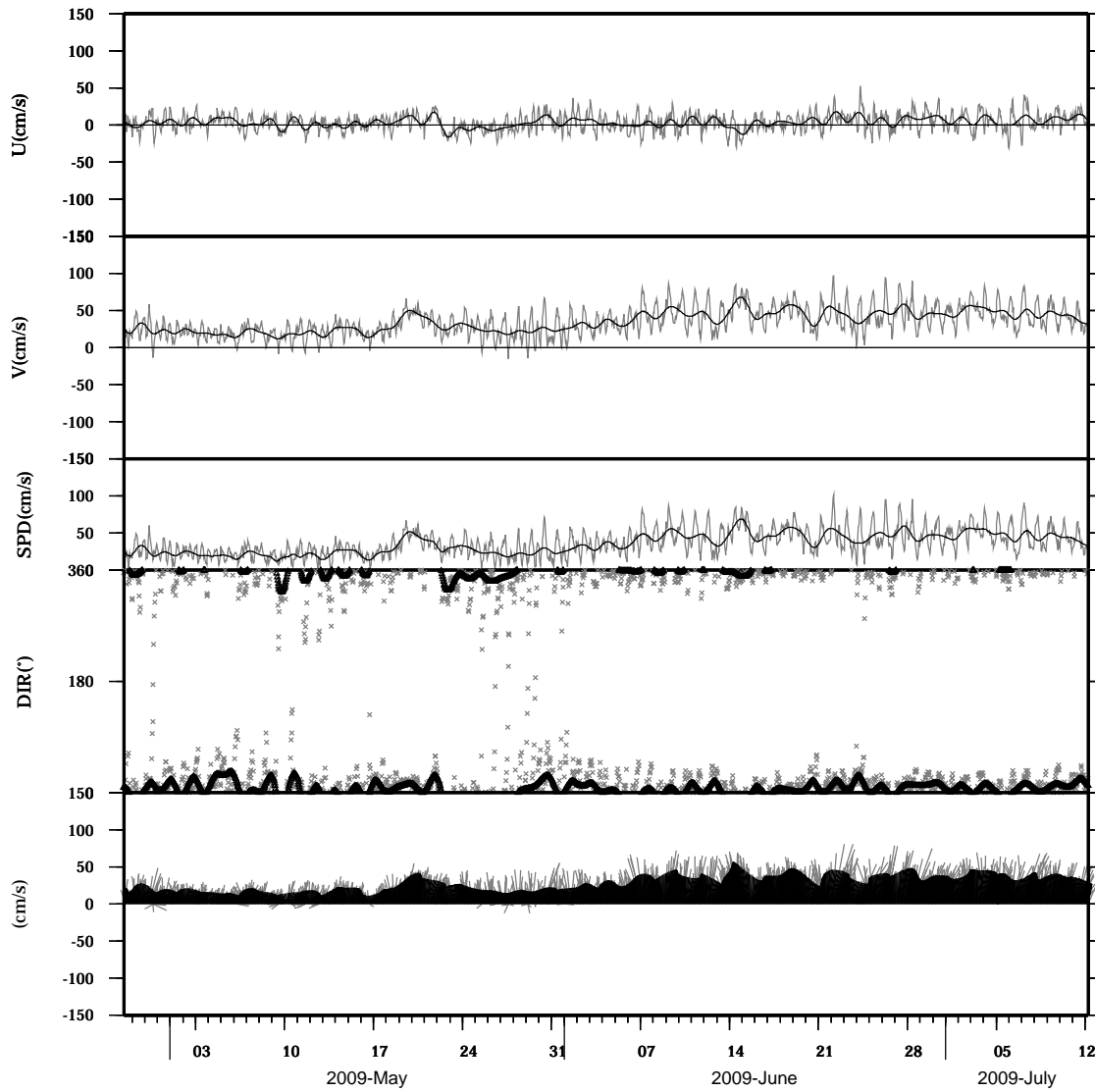


light line : The original data

heavy line : The 36 hours low-pass filtered data

Lon : 121° 24.6445' E
Lat : 22° 38.8994' N

Station : W304
Depth : 282 M

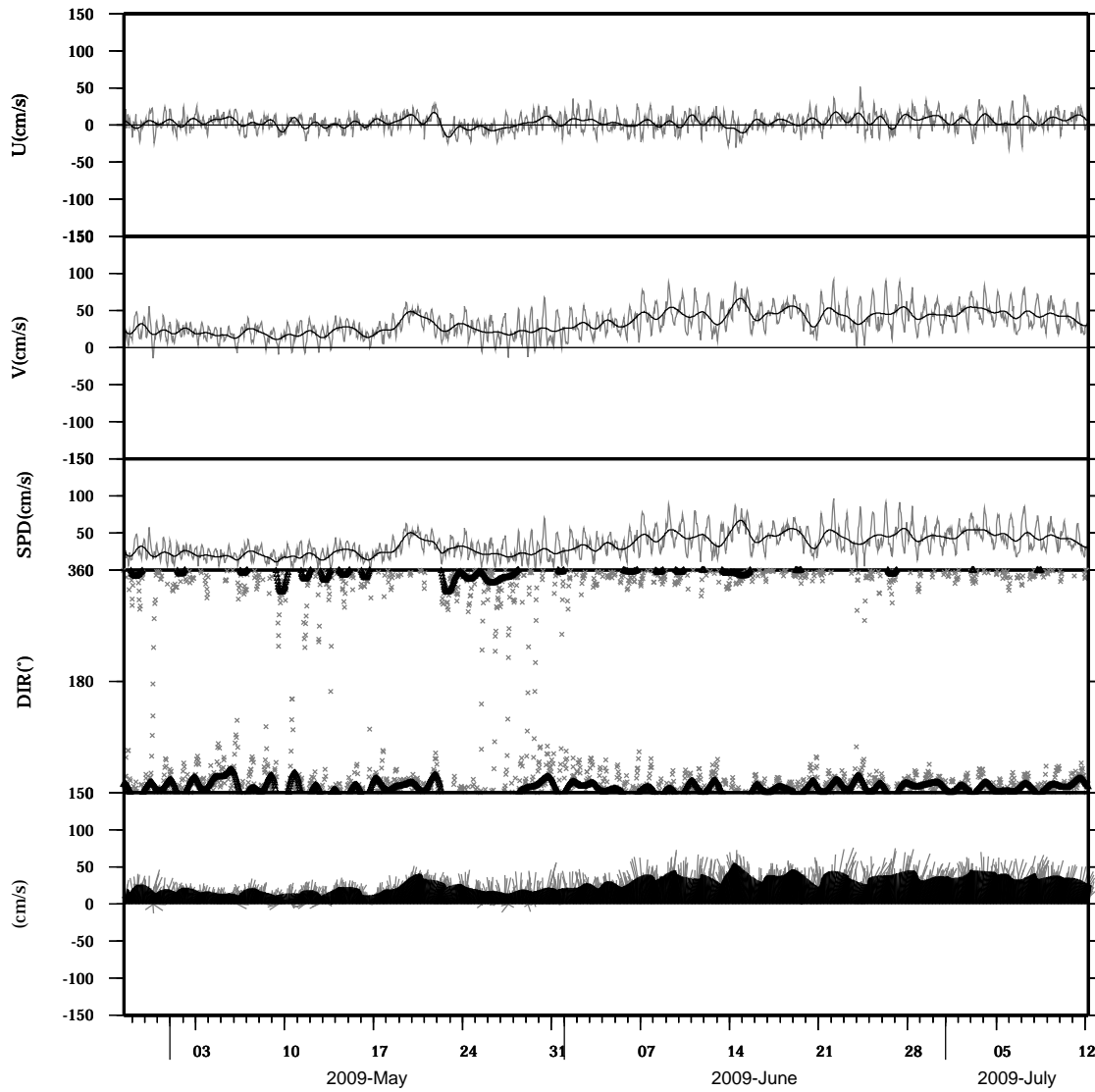


light line : The original data

heavy line : The 36 hours low-pass filtered data

Lon : 121° 24.6445' E
Lat : 22° 38.8994' N

Station : W304
Depth : 286 M

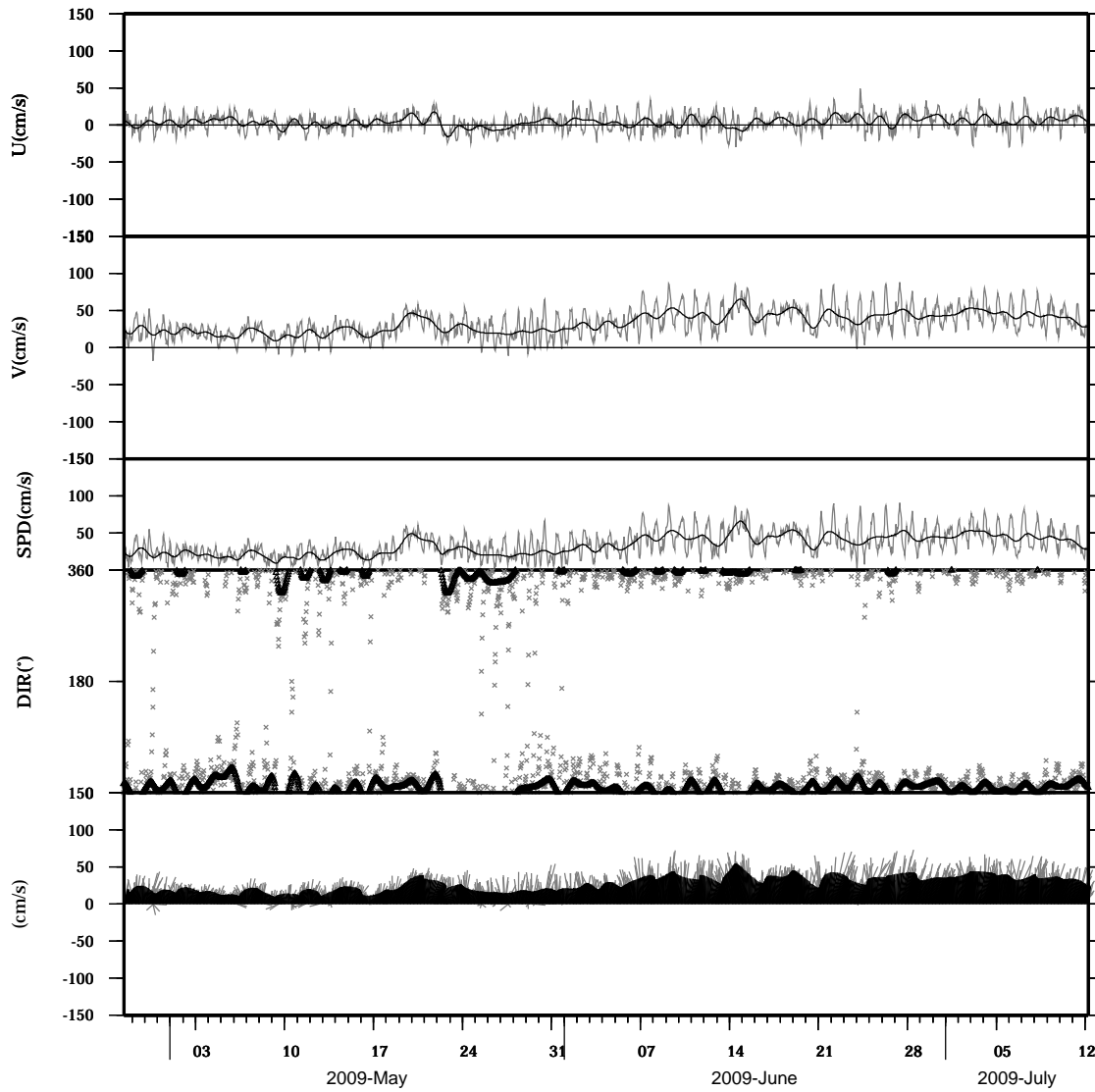


light line : The original data

heavy line : The 36 hours low-pass filtered data

Lon : 121° 24.6445' E
Lat : 22° 38.8994' N

Station : W304
Depth : 290 M

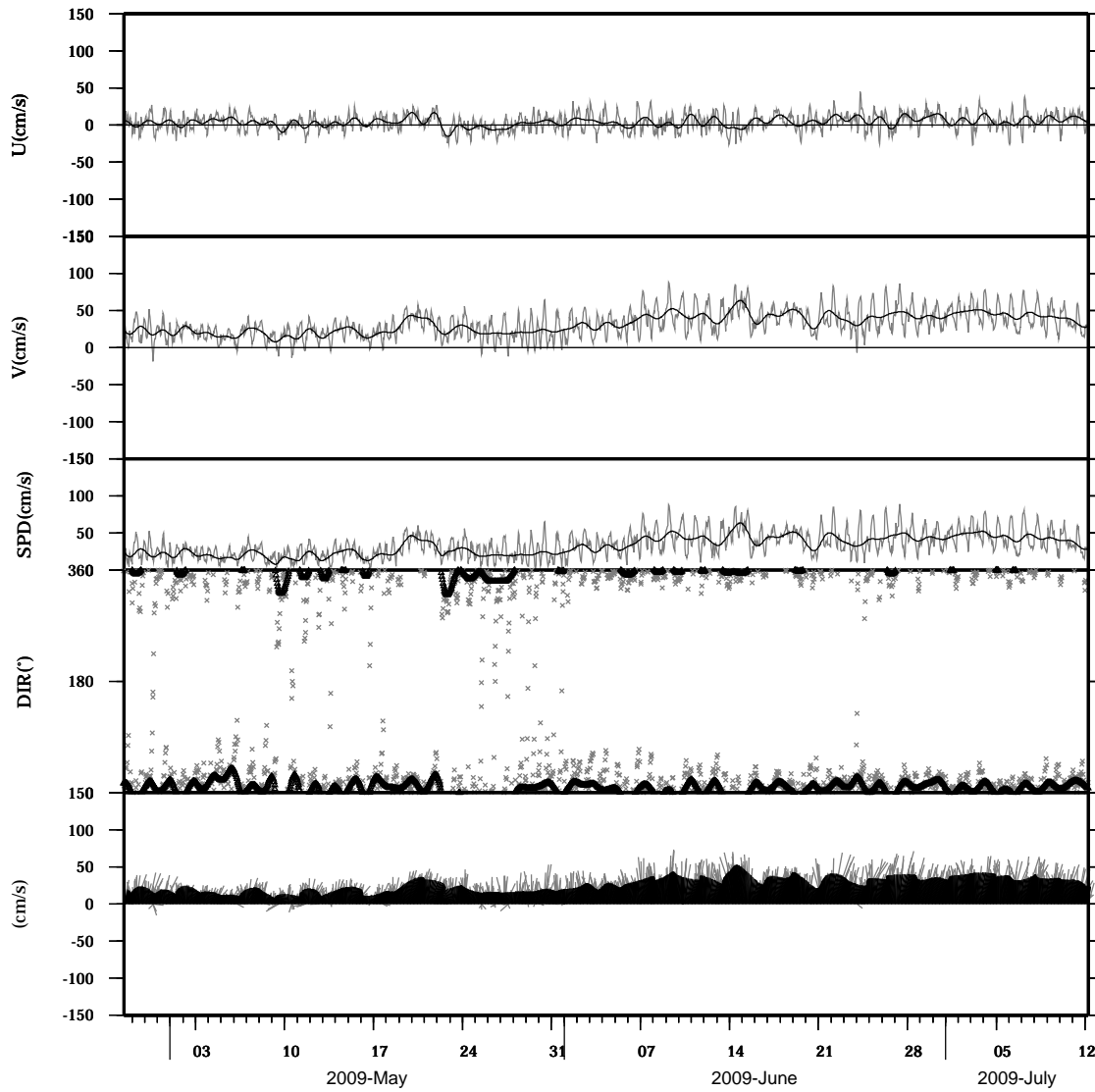


light line : The original data

heavy line : The 36 hours low-pass filtered data

Lon : 121° 24.6445' E
Lat : 22° 38.8994' N

Station : W304
Depth : 294 M

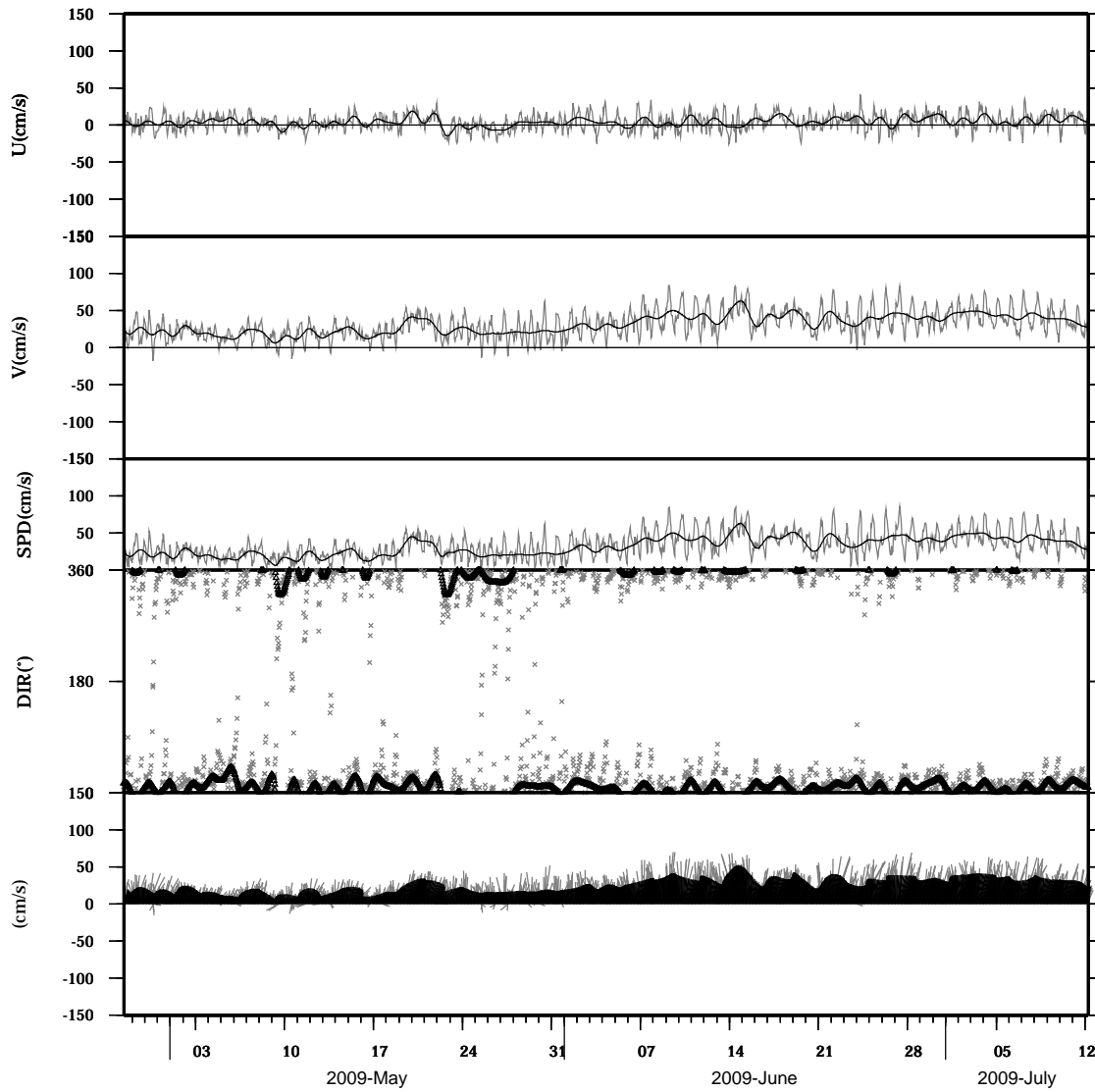


light line : The original data

heavy line : The 36 hours low-pass filtered data

Lon : 121° 24.6445' E
Lat : 22° 38.8994' N

Station : W304
Depth : 298 M

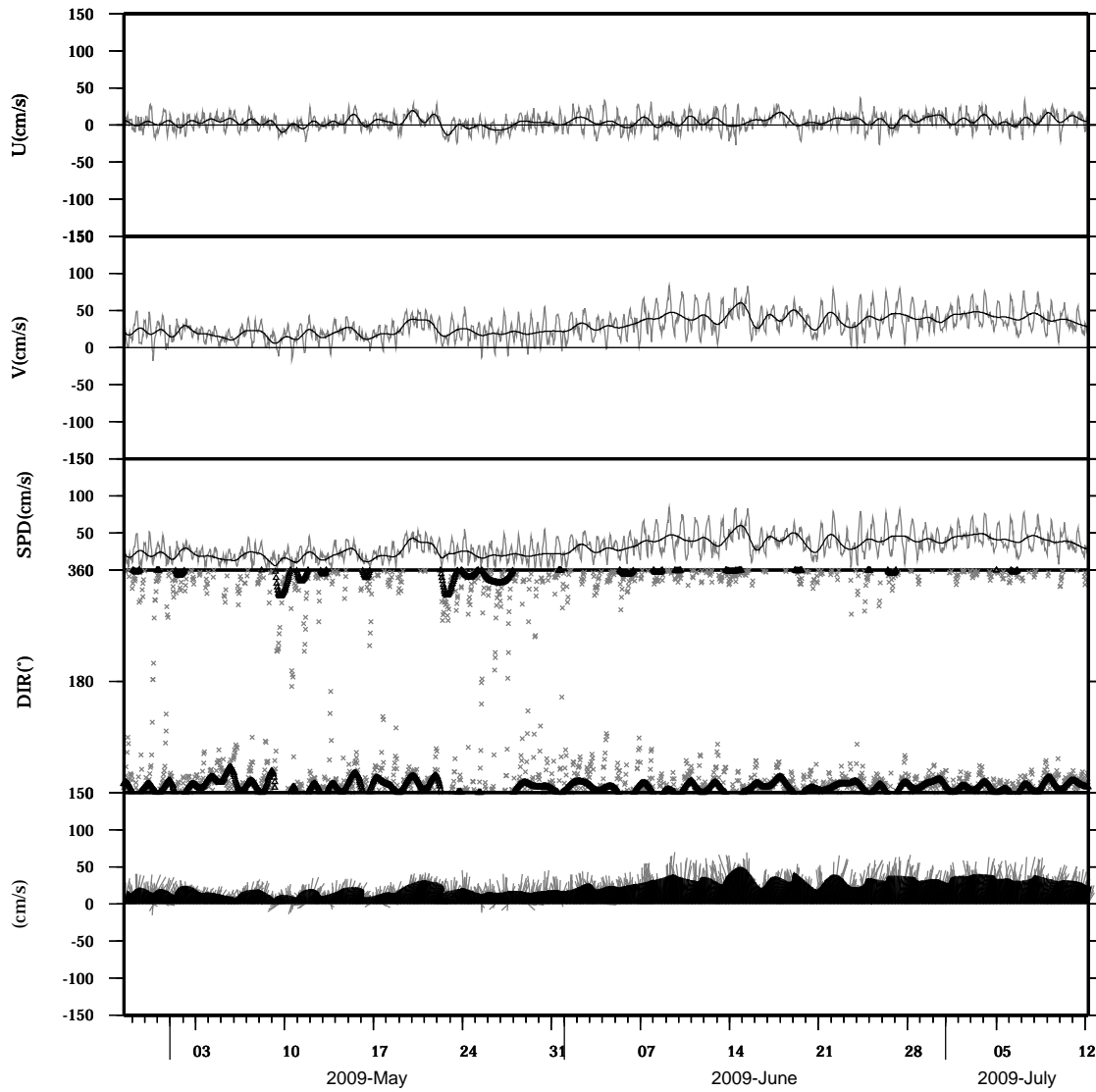


light line : The original data

heavy line : The 36 hours low-pass filtered data

Lon : 121° 24.6445' E
Lat : 22° 38.8994' N

Station : W304
Depth : 302 M

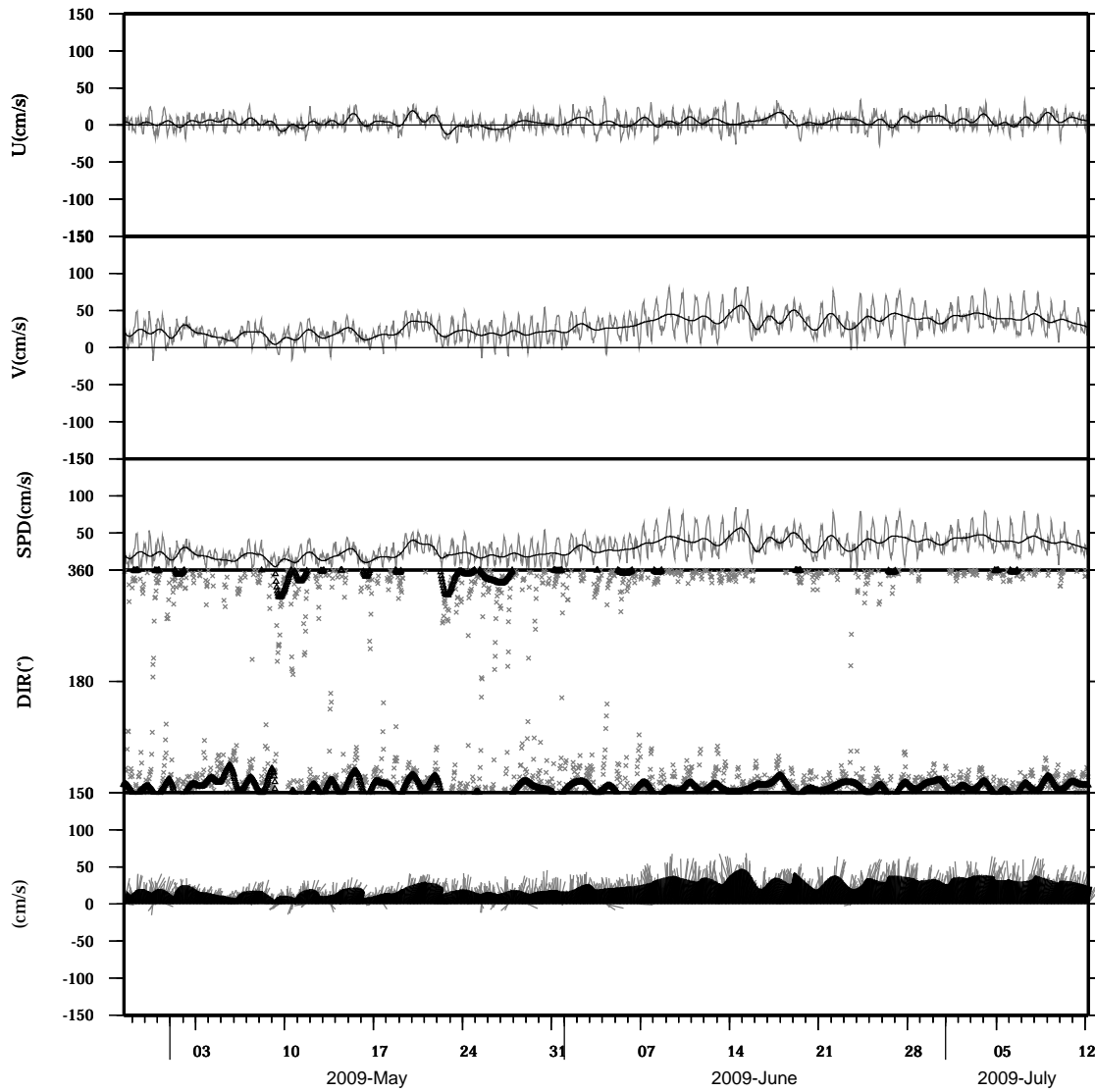


light line : The original data

heavy line : The 36 hours low-pass filtered data

Lon : 121° 24.6445' E
Lat : 22° 38.8994' N

Station : W304
Depth : 306 M

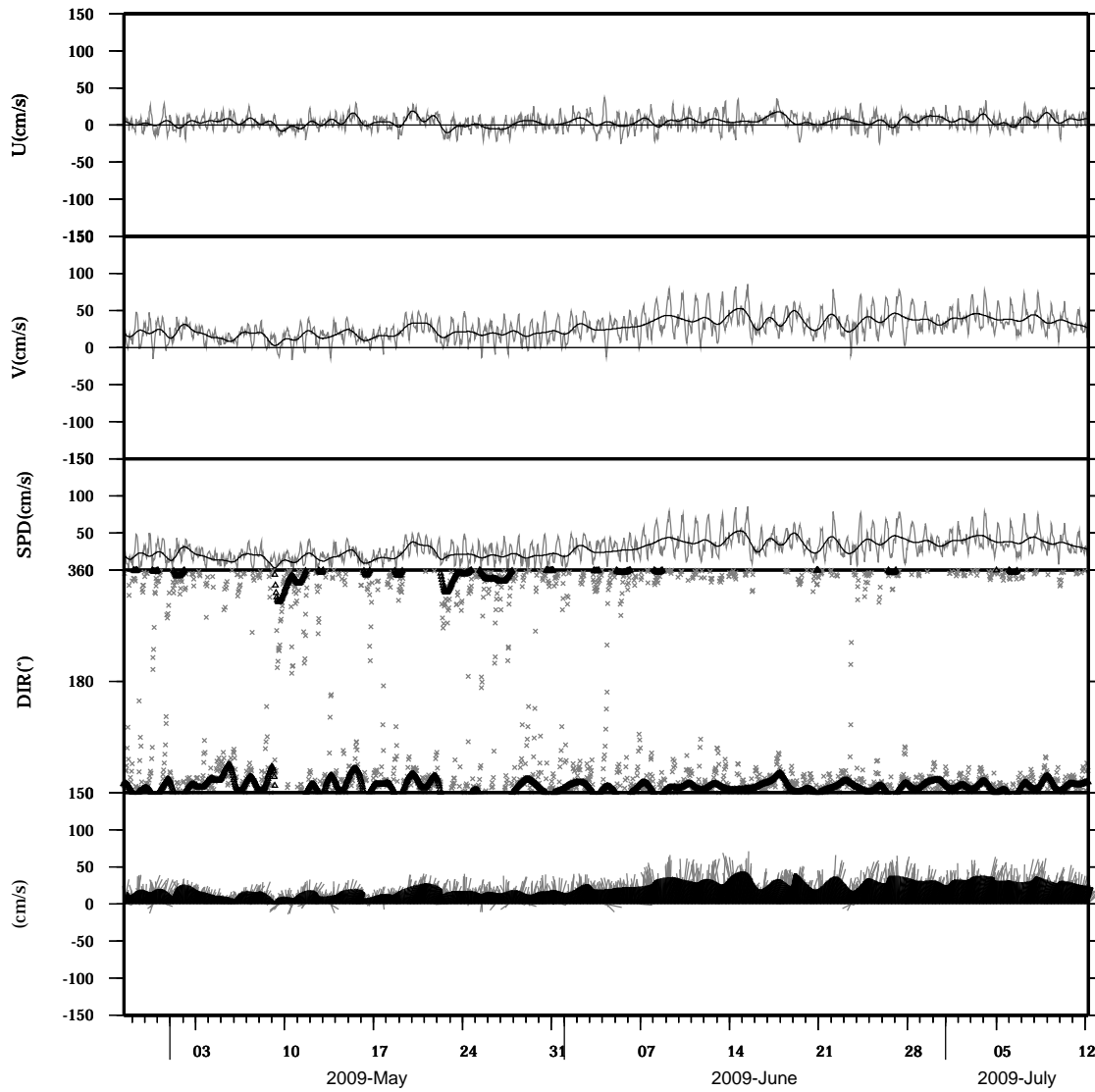


light line : The original data

heavy line : The 36 hours low-pass filtered data

Lon : 121° 24.6445' E
Lat : 22° 38.8994' N

Station : W304
Depth : 310 M



light line : The original data

heavy line : The 36 hours low-pass filtered data

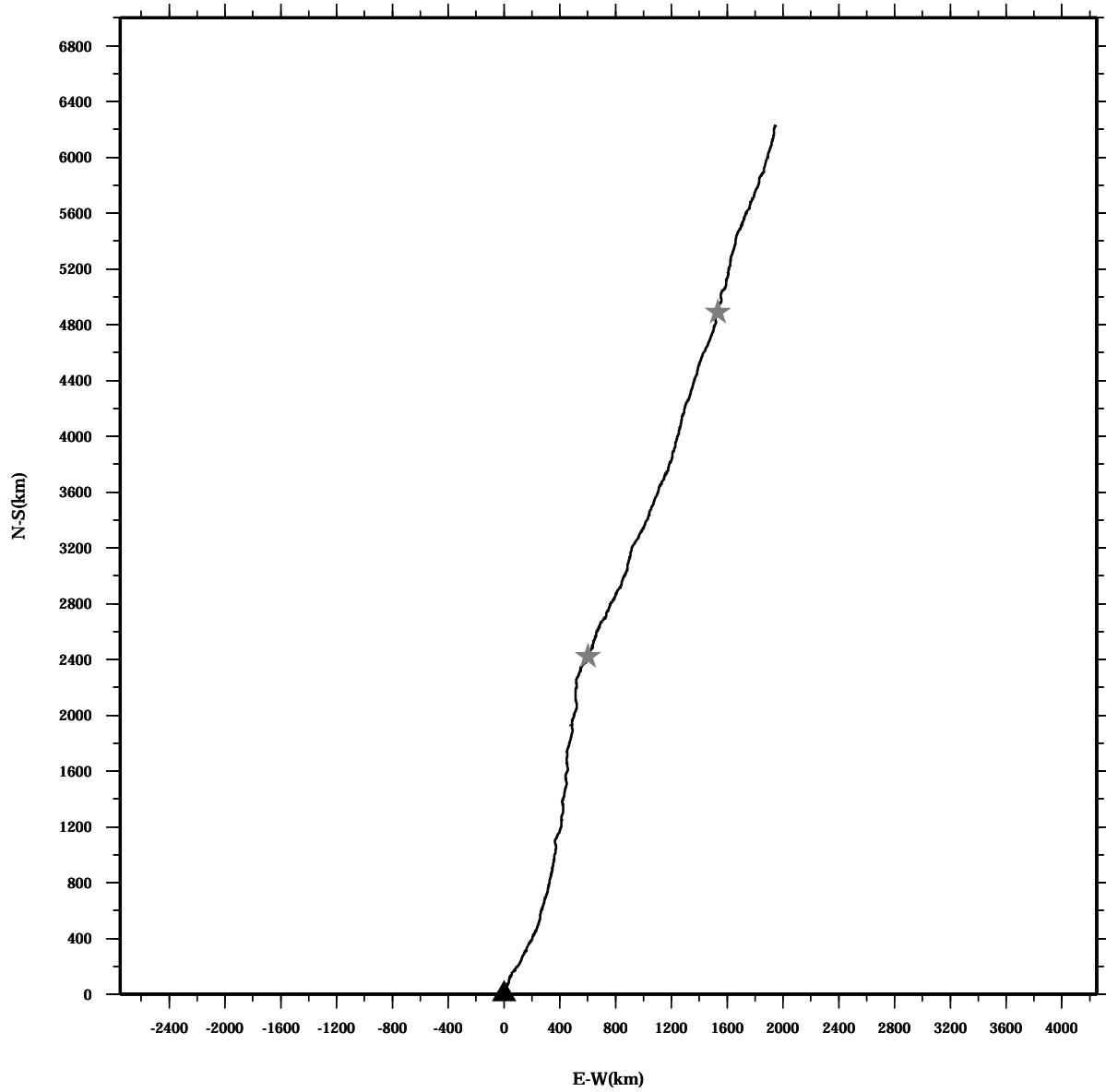
Lon: 121° 24.6445' E

Station: W304

Lat: 22° 38.8994' N

Depth: 30 M

PROGRESSIVE VECTOR DIAGRAM



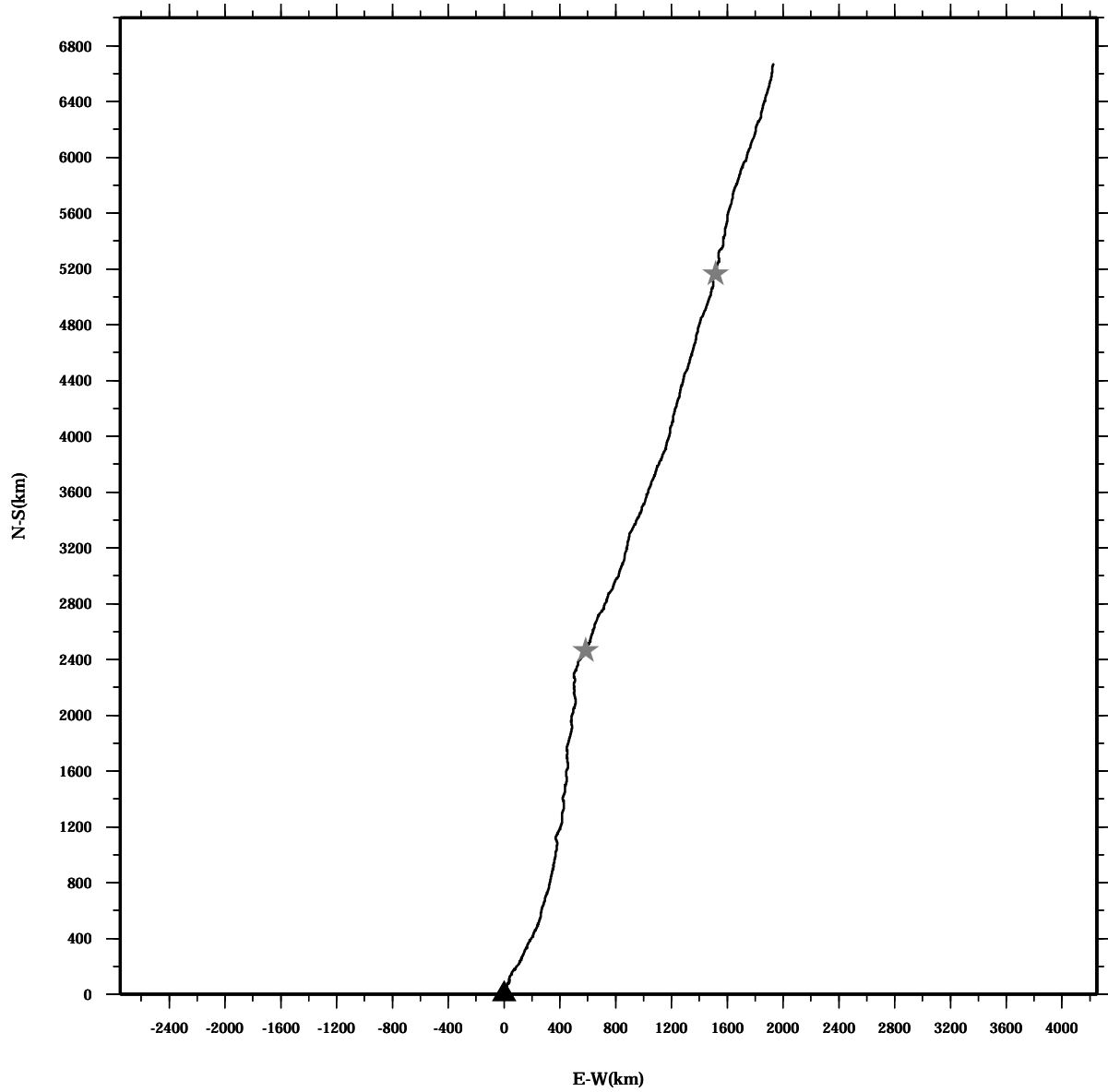
Lon: 121° 24.6445' E

Station: W304

Lat: 22° 38.8994' N

Depth: 34 M

PROGRESSIVE VECTOR DIAGRAM



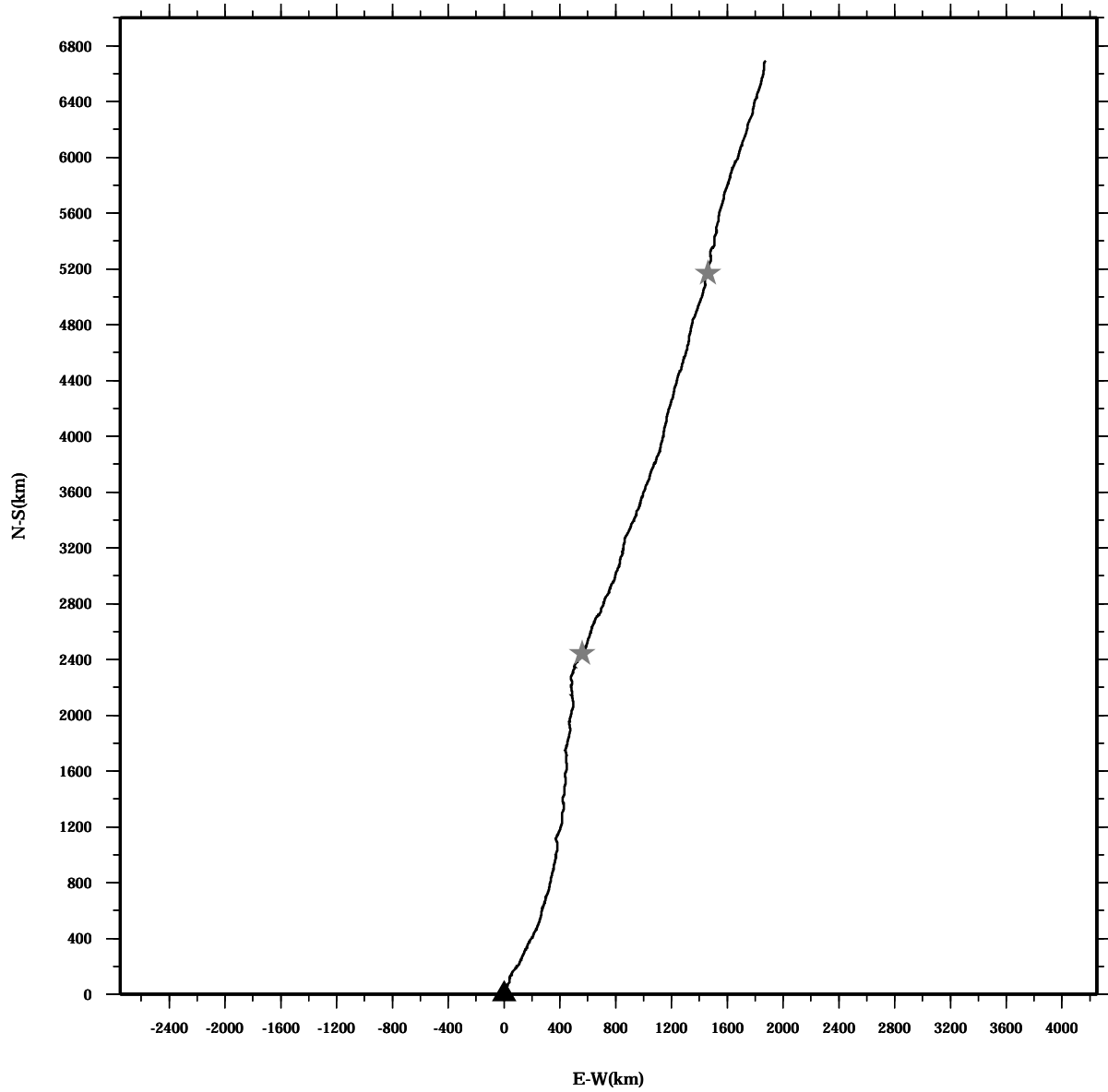
Lon: 121° 24.6445' E

Station: W304

Lat: 22° 38.8994' N

Depth: 38 M

PROGRESSIVE VECTOR DIAGRAM



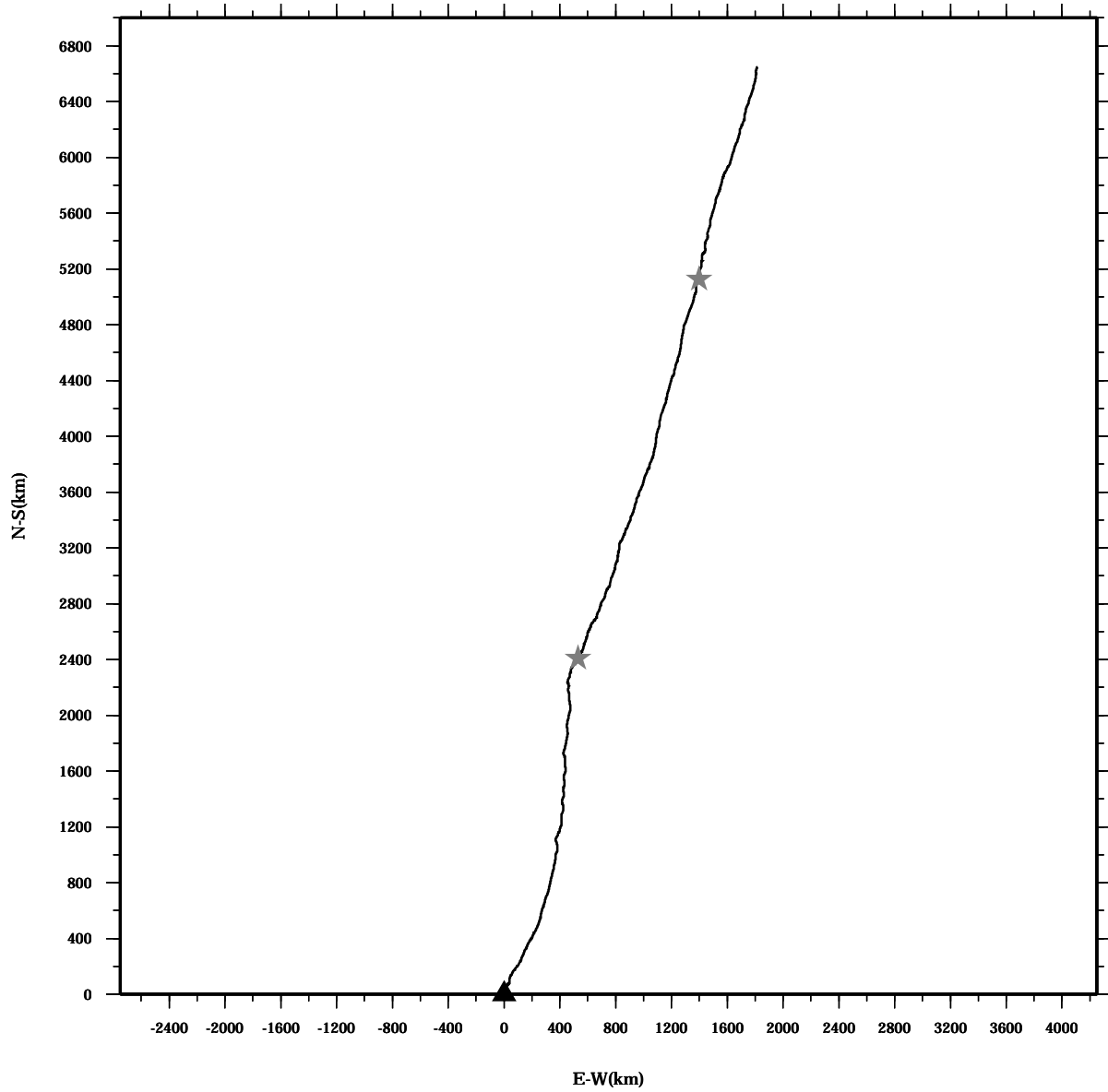
Lon: 121° 24.6445' E

Station: W304

Lat: 22° 38.8994' N

Depth: 42 M

PROGRESSIVE VECTOR DIAGRAM



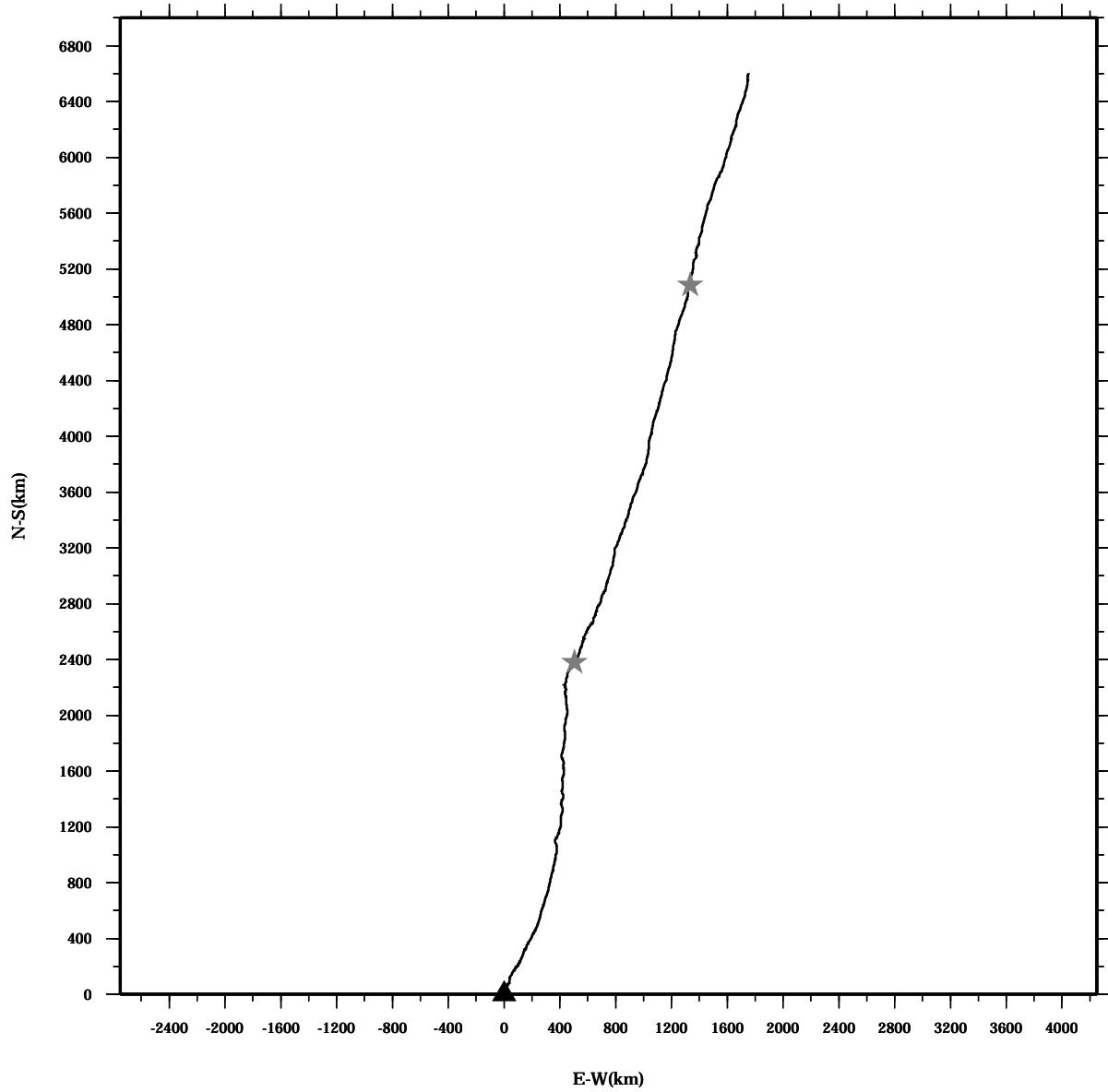
Lon: 121° 24.6445' E

Station: W304

Lat: 22° 38.8994' N

Depth: 46 M

PROGRESSIVE VECTOR DIAGRAM



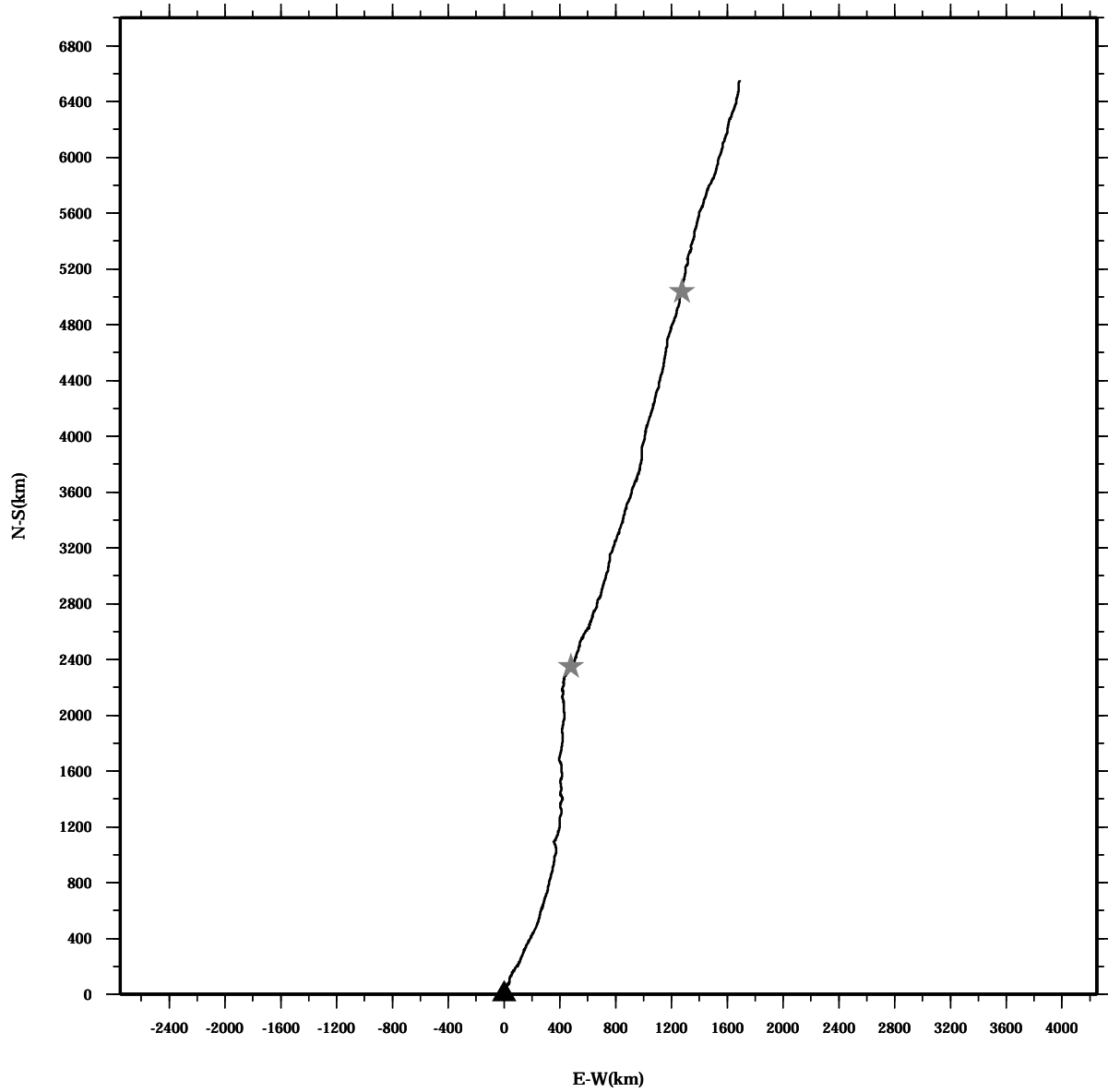
Lon: 121° 24.6445' E

Station: W304

Lat: 22° 38.8994' N

Depth: 50 M

PROGRESSIVE VECTOR DIAGRAM



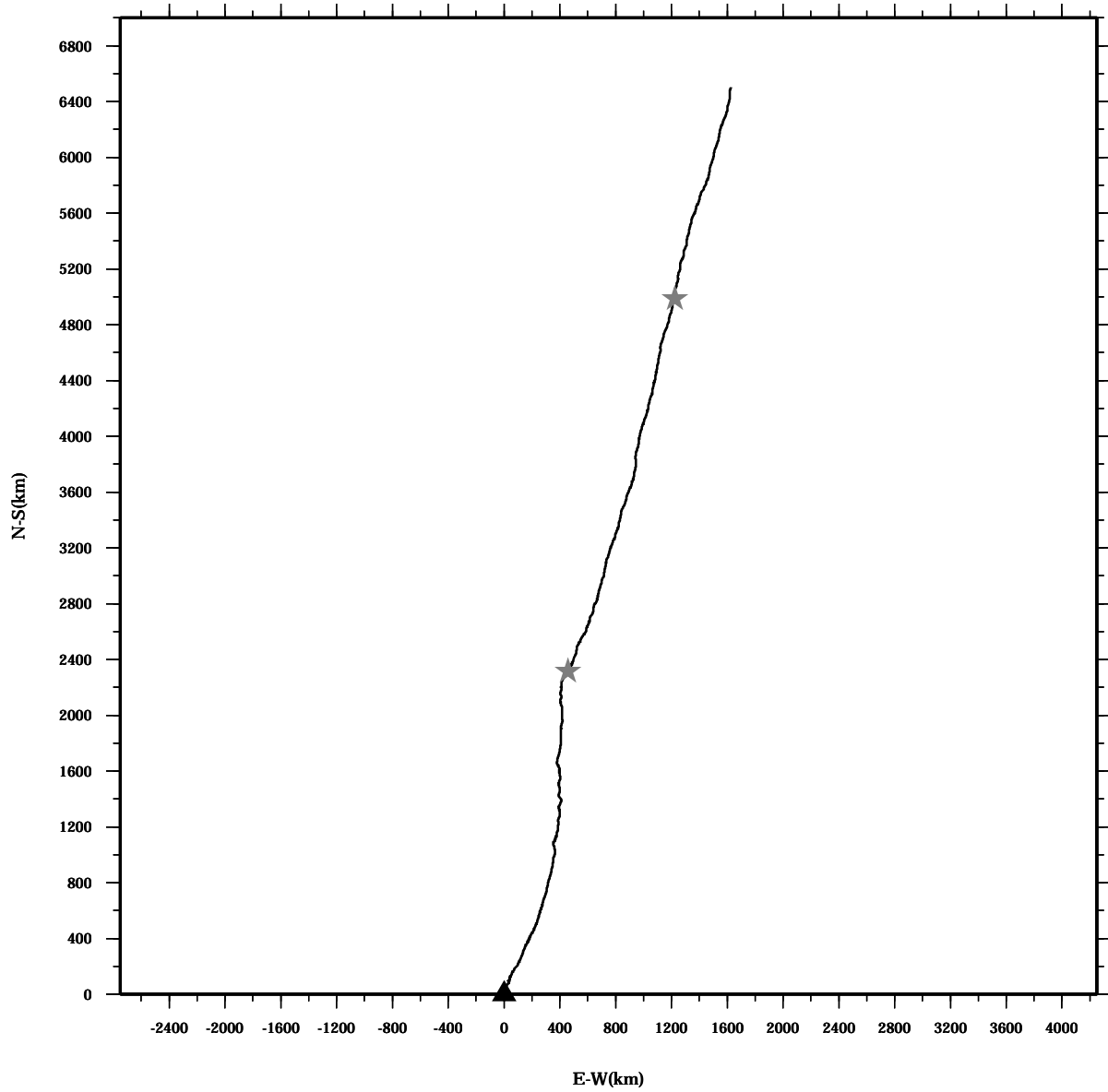
Lon: 121° 24.6445' E

Station: W304

Lat: 22° 38.8994' N

Depth: 54 M

PROGRESSIVE VECTOR DIAGRAM



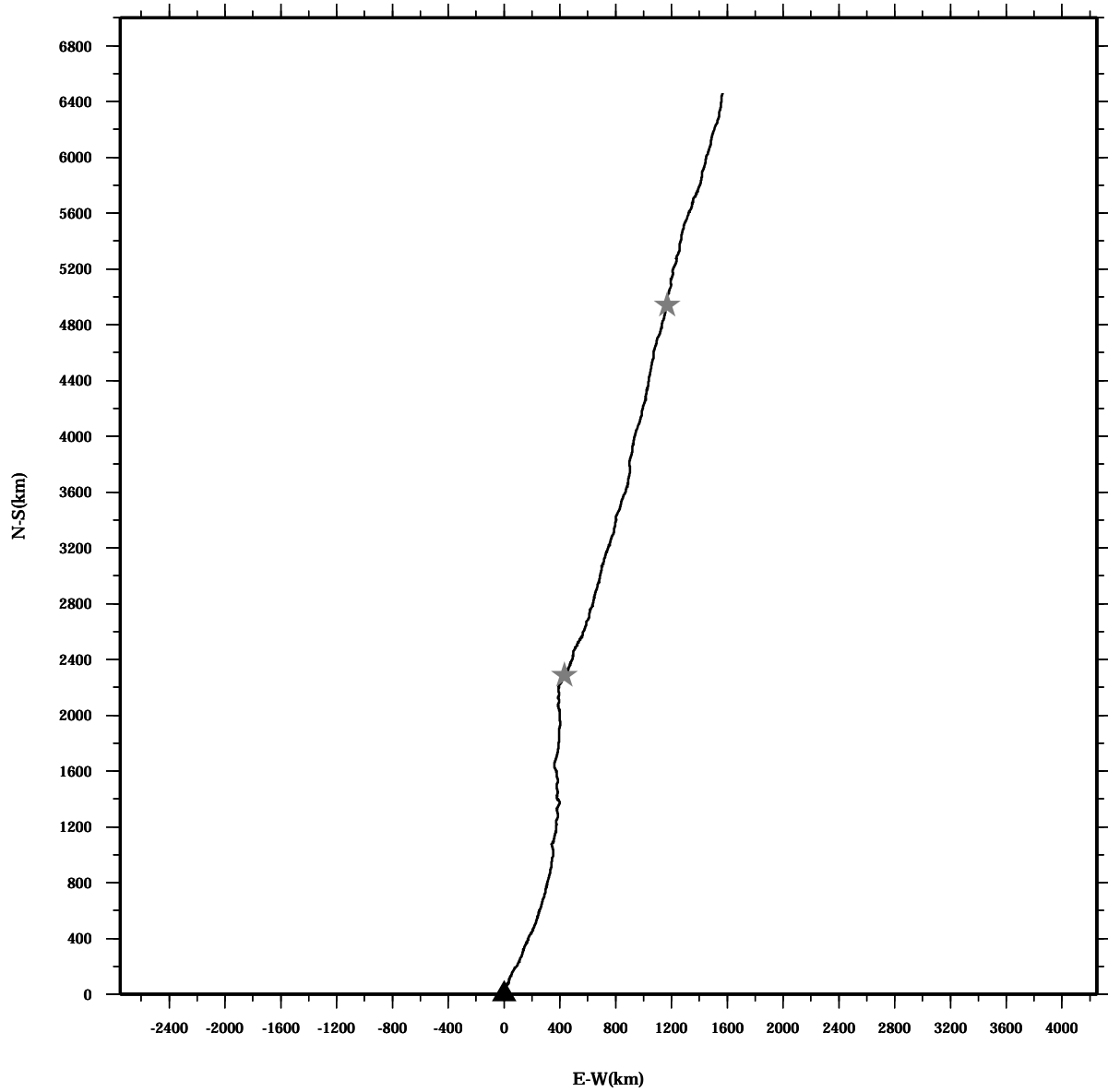
Lon: 121° 24.6445' E

Station: W304

Lat: 22° 38.8994' N

Depth: 58 M

PROGRESSIVE VECTOR DIAGRAM



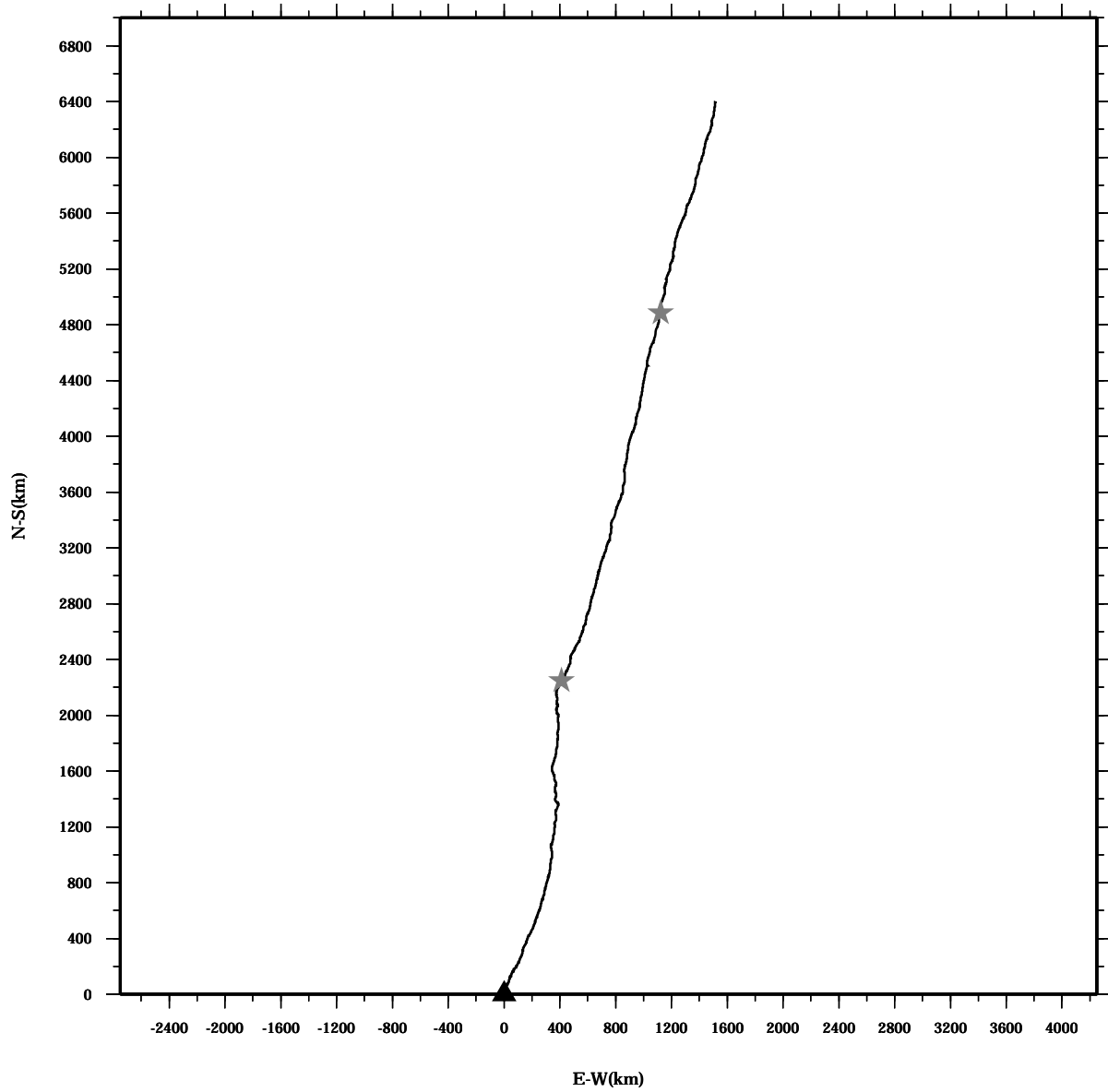
Lon: 121° 24.6445' E

Station: W304

Lat: 22° 38.8994' N

Depth: 62 M

PROGRESSIVE VECTOR DIAGRAM



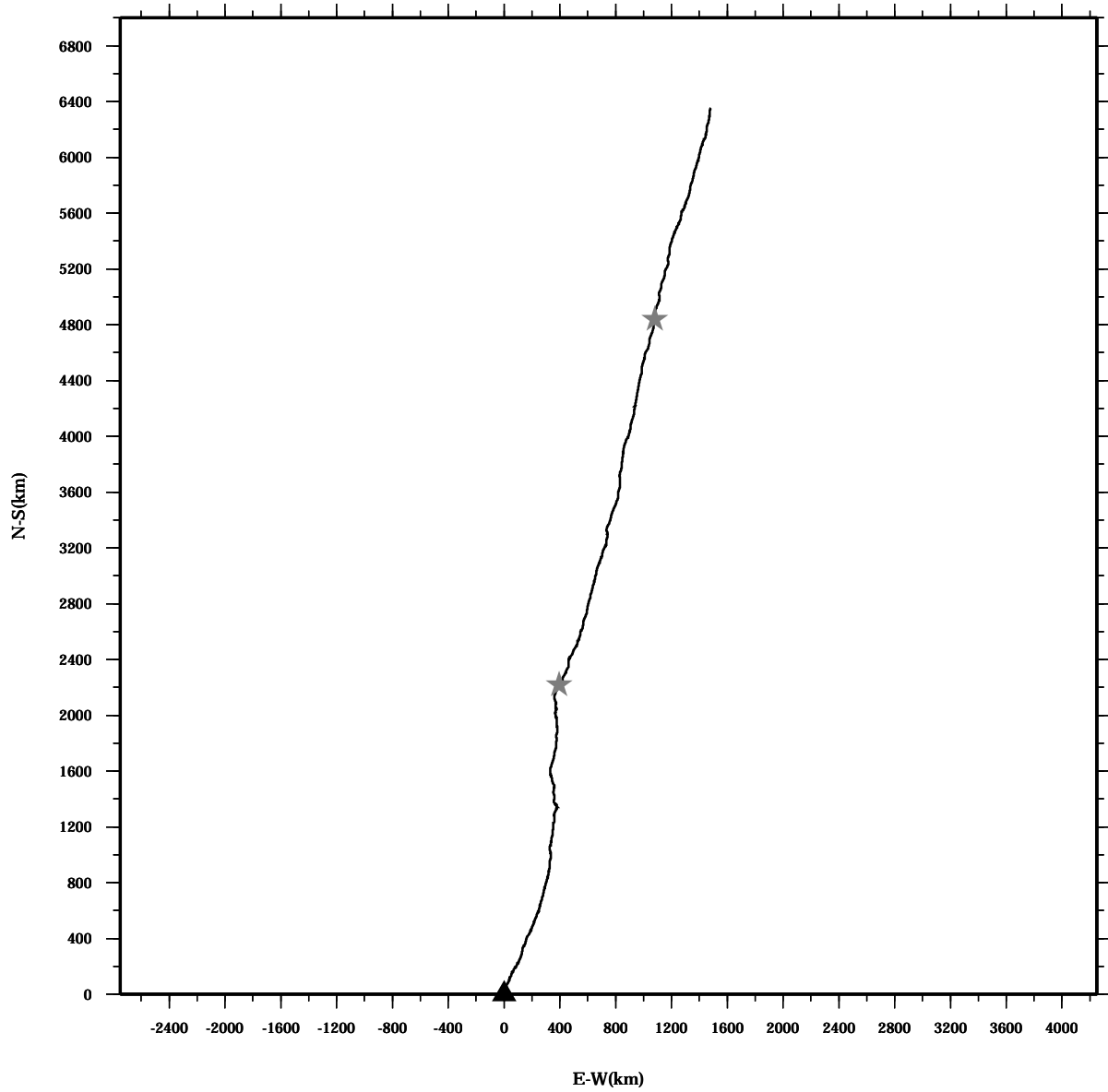
Lon: 121° 24.6445' E

Station: W304

Lat: 22° 38.8994' N

Depth: 66 M

PROGRESSIVE VECTOR DIAGRAM



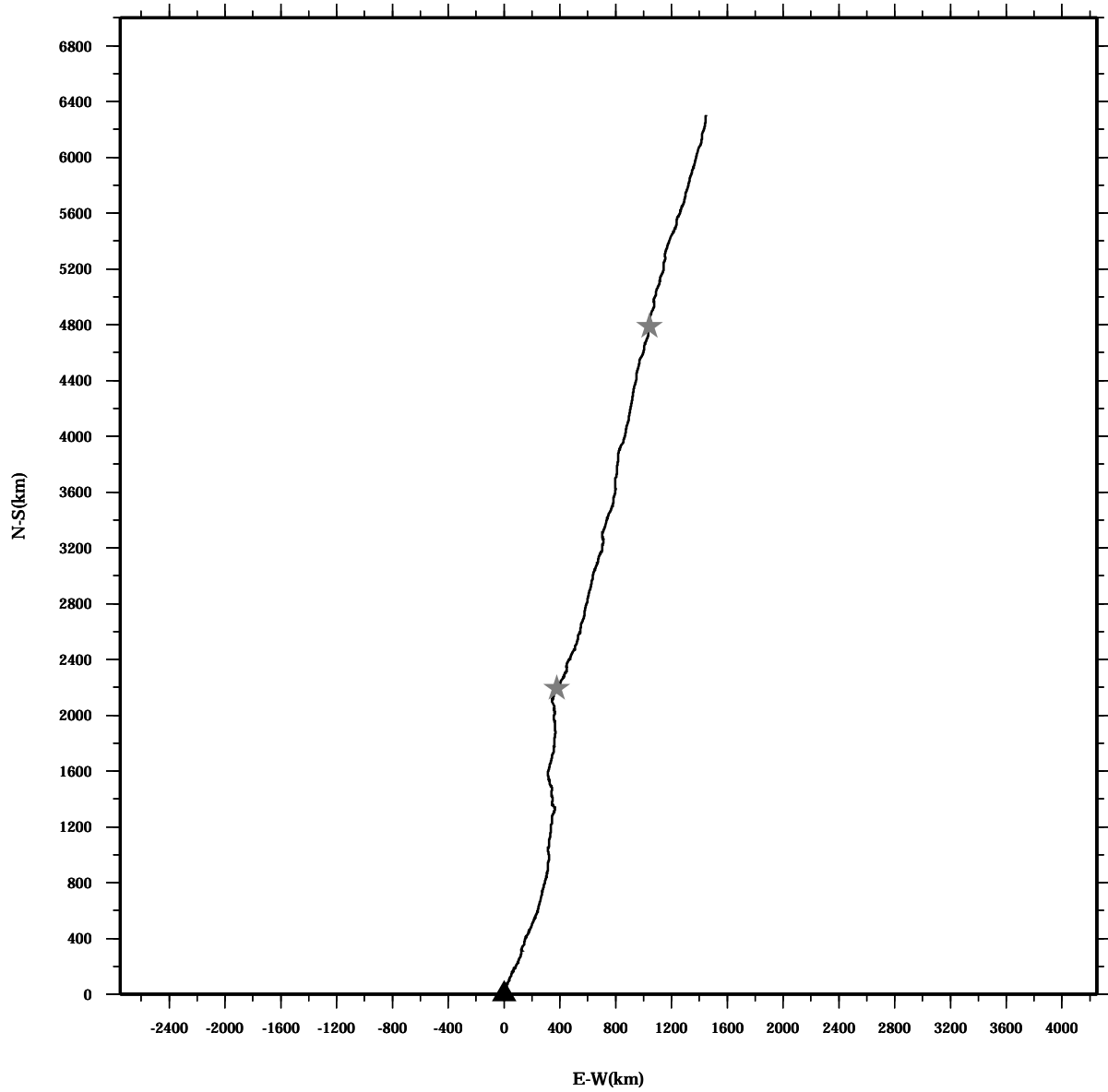
Lon: 121° 24.6445' E

Station: W304

Lat: 22° 38.8994' N

Depth: 70 M

PROGRESSIVE VECTOR DIAGRAM



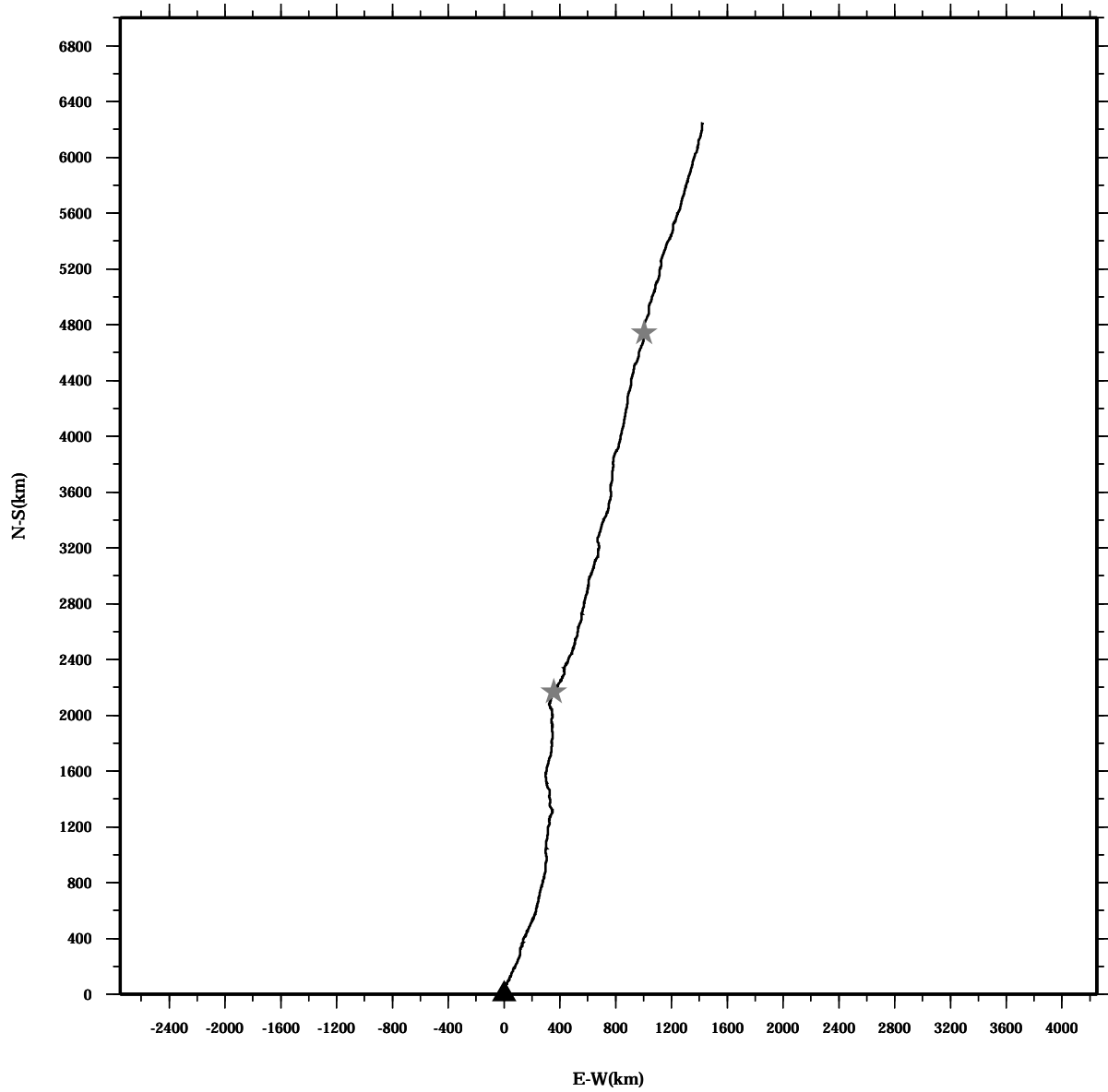
Lon: 121° 24.6445' E

Station: W304

Lat: 22° 38.8994' N

Depth: 74 M

PROGRESSIVE VECTOR DIAGRAM



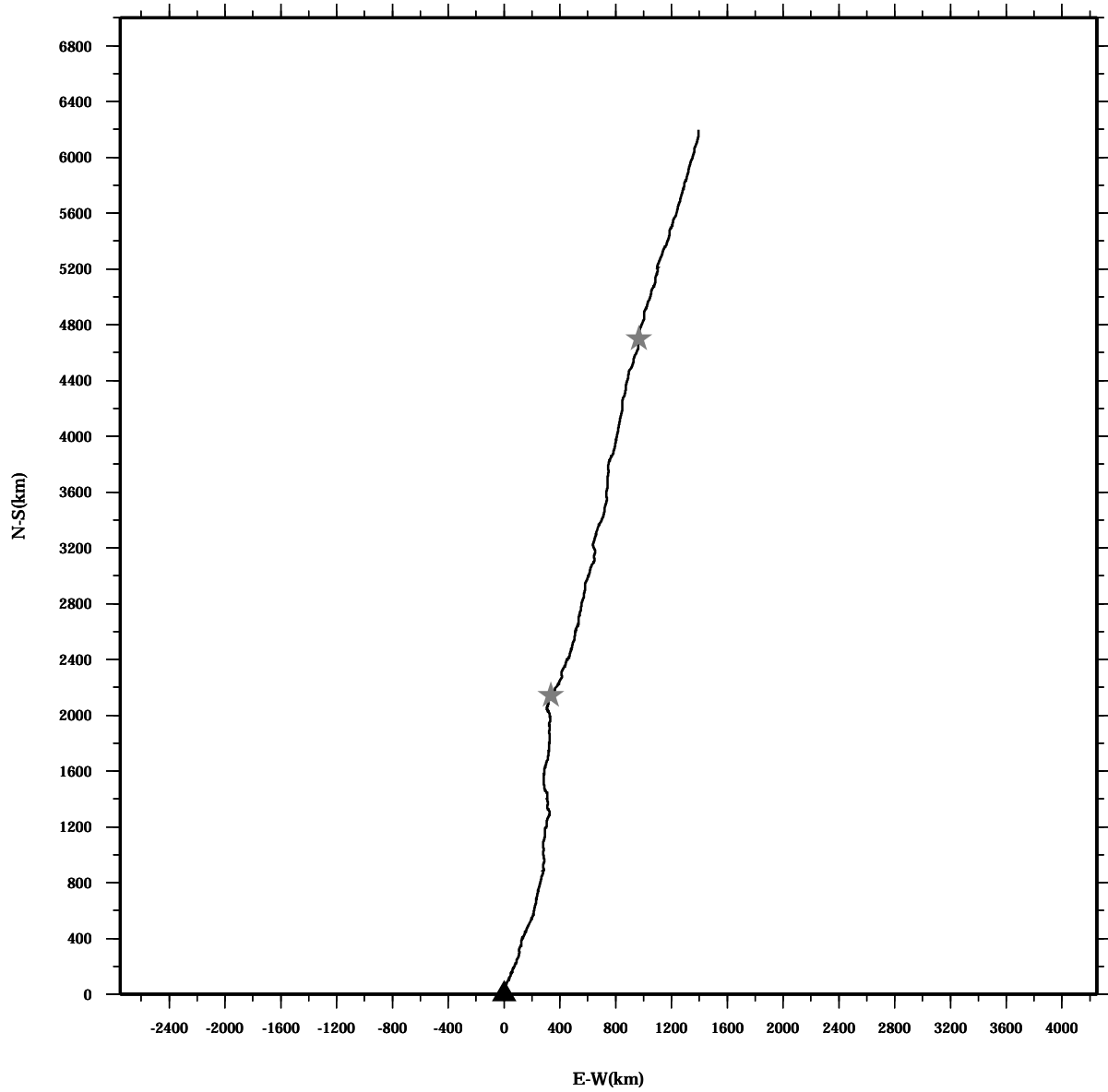
Lon: 121° 24.6445' E

Station: W304

Lat: 22° 38.8994' N

Depth: 78 M

PROGRESSIVE VECTOR DIAGRAM



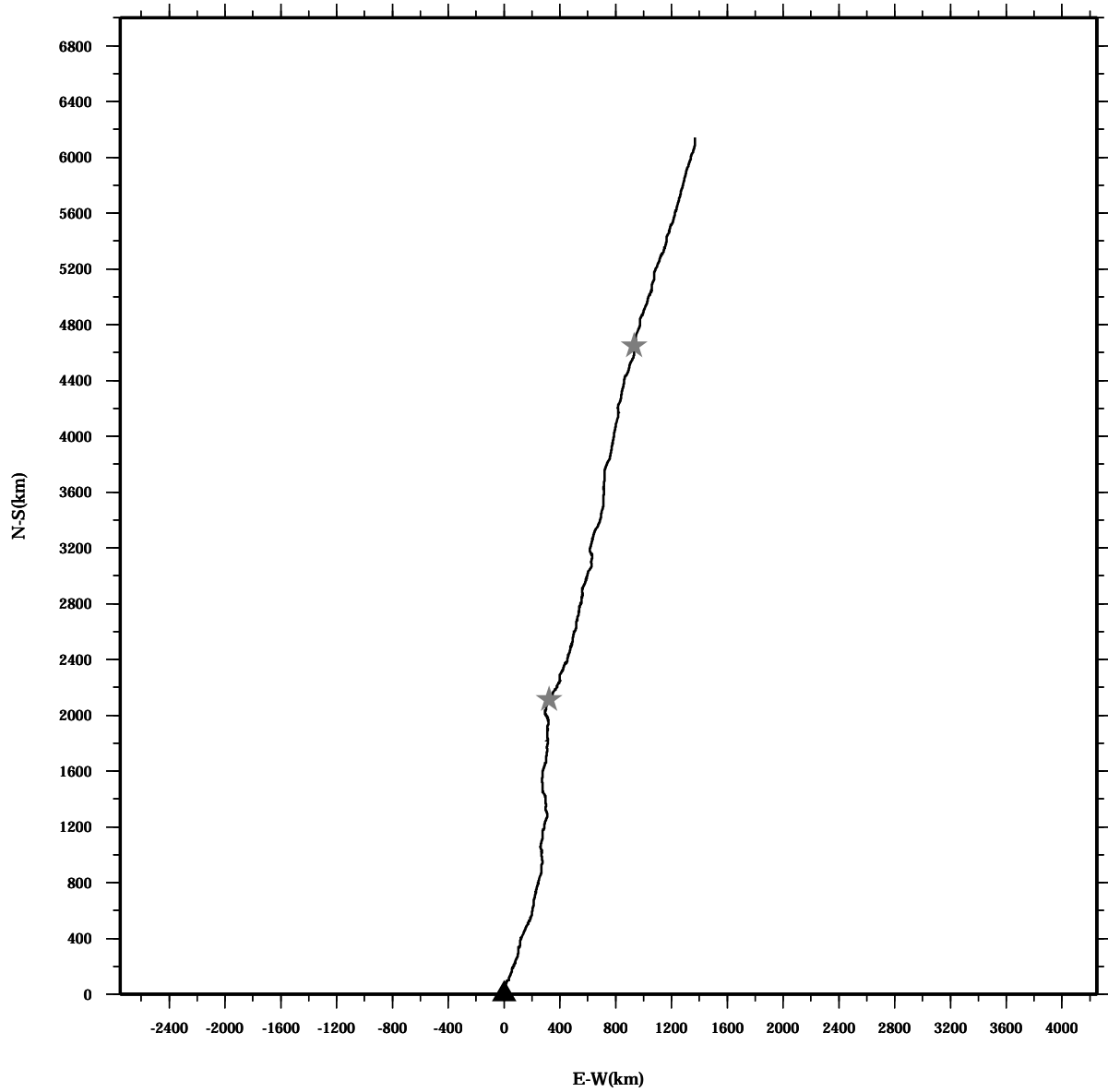
Lon: 121° 24.6445' E

Station: W304

Lat: 22° 38.8994' N

Depth: 82 M

PROGRESSIVE VECTOR DIAGRAM



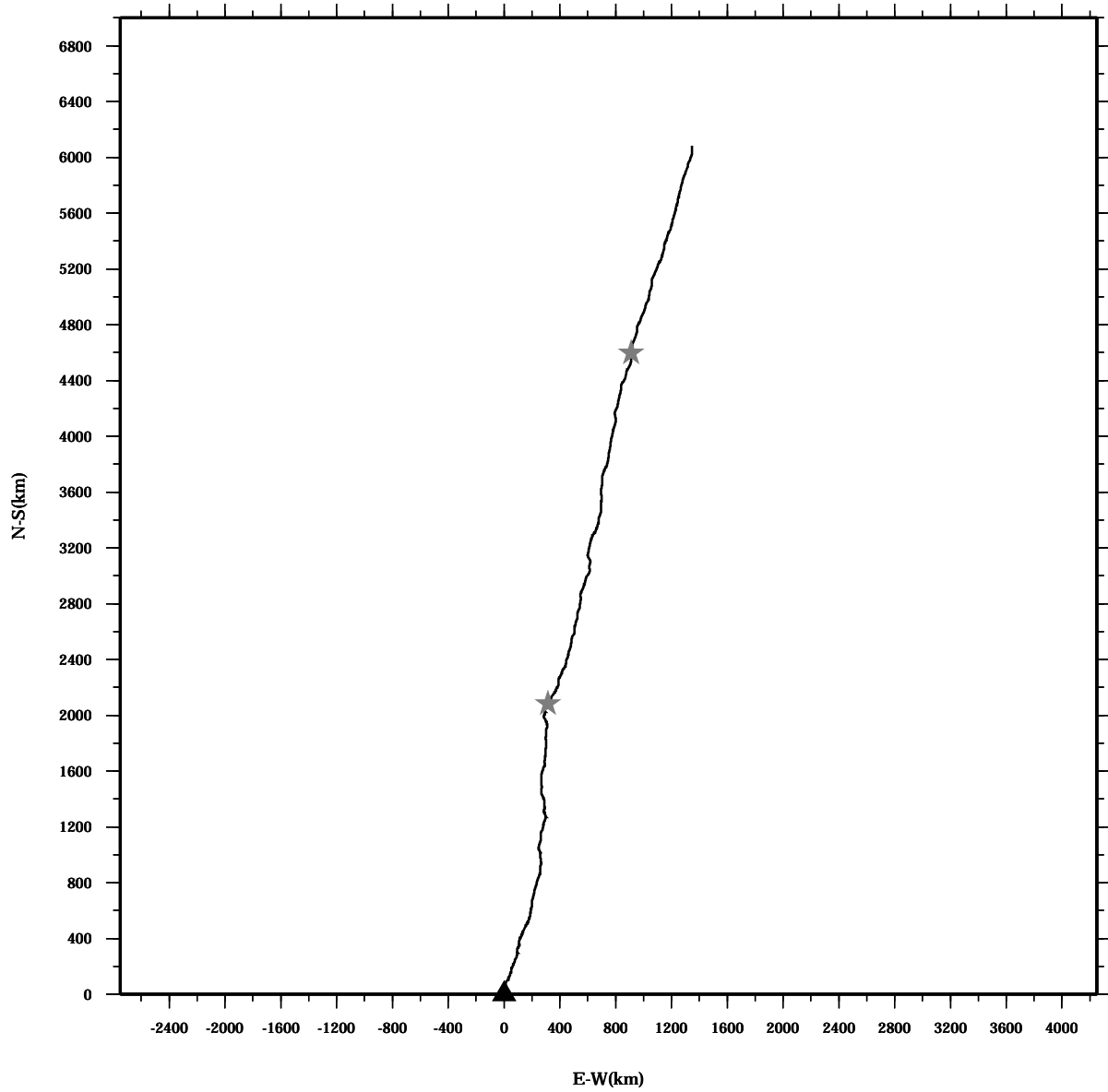
Lon: 121° 24.6445' E

Station: W304

Lat: 22° 38.8994' N

Depth: 86 M

PROGRESSIVE VECTOR DIAGRAM



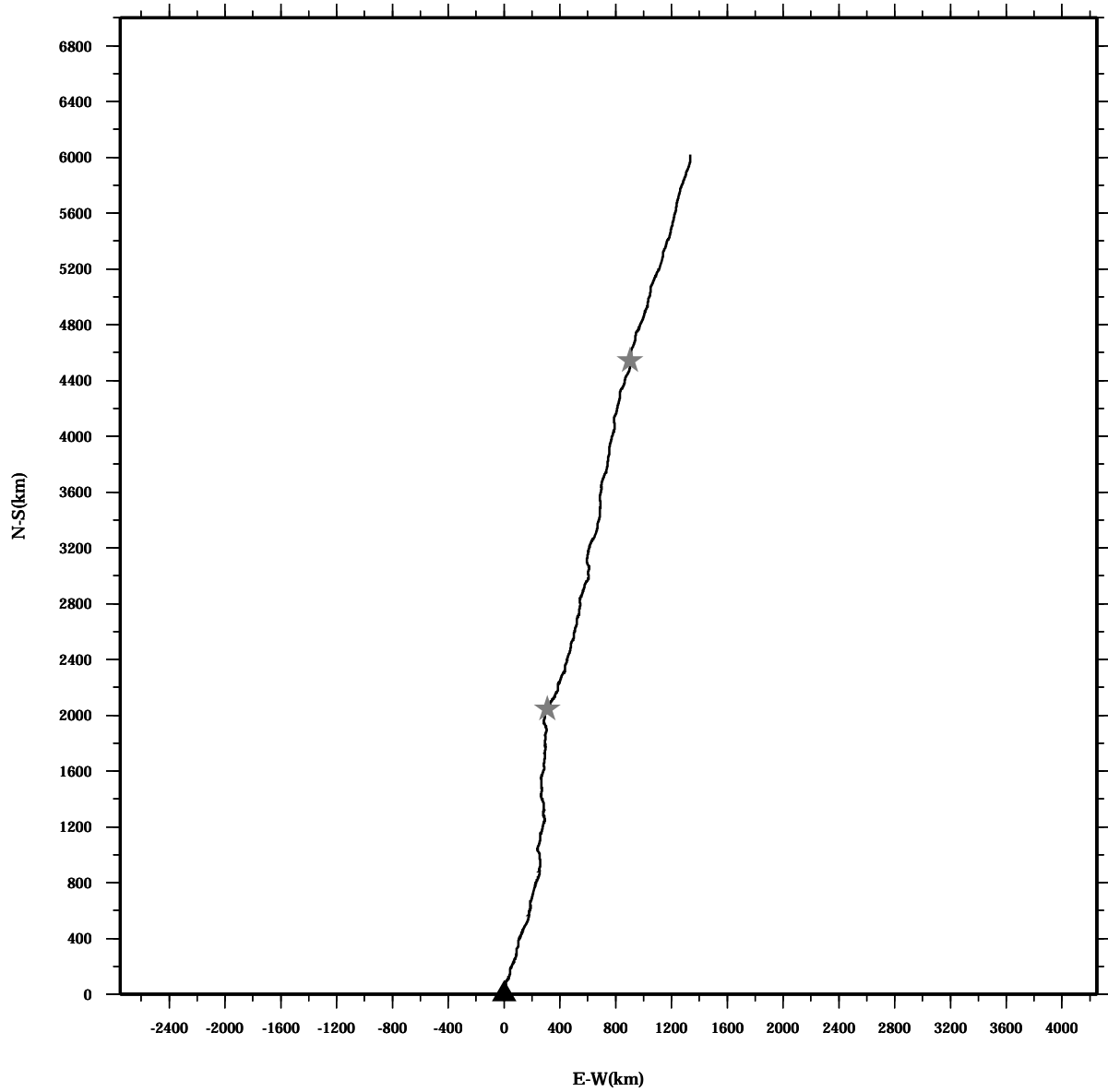
Lon: 121° 24.6445' E

Station: W304

Lat: 22° 38.8994' N

Depth: 90 M

PROGRESSIVE VECTOR DIAGRAM



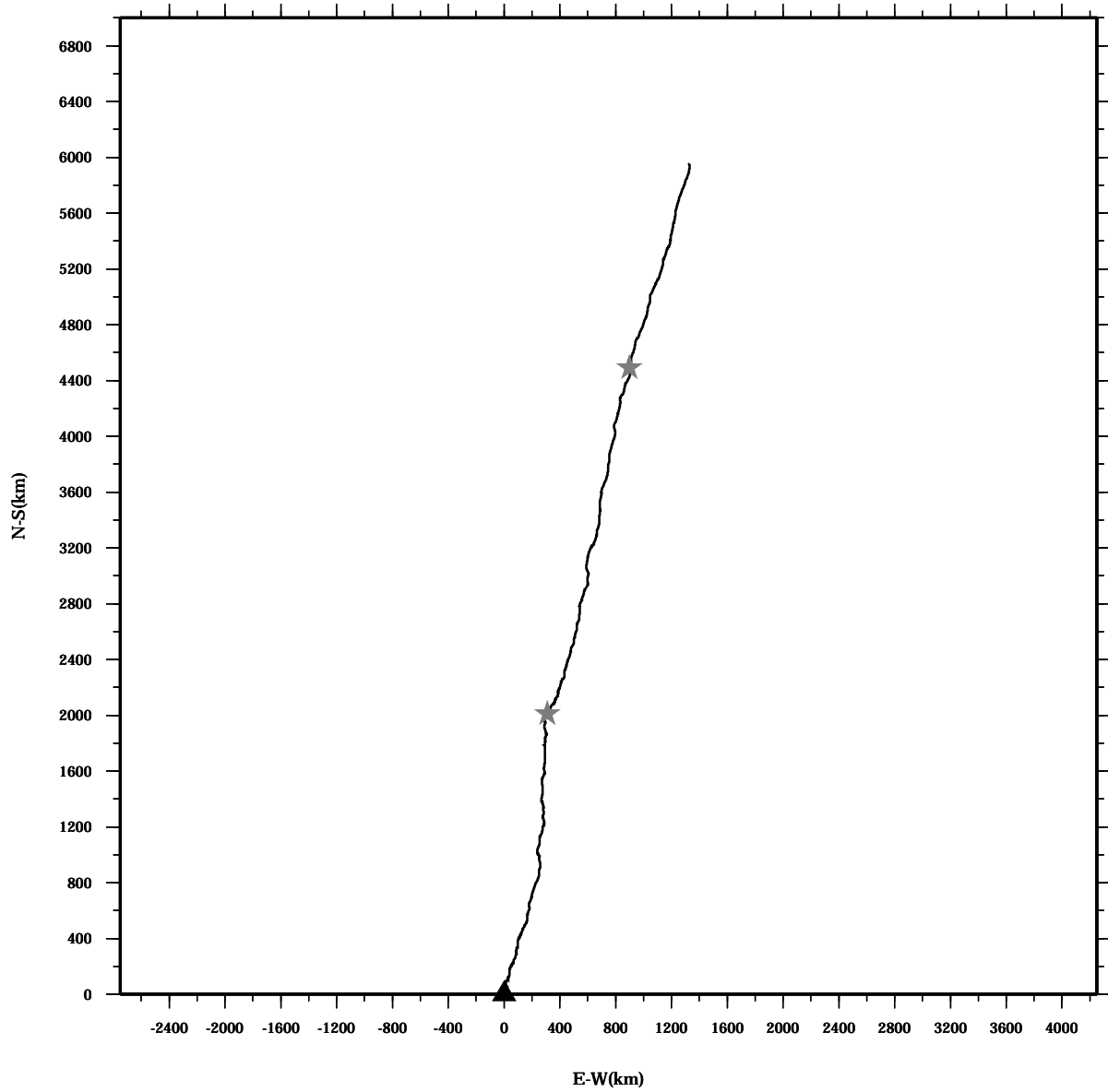
Lon: 121° 24.6445' E

Station: W304

Lat: 22° 38.8994' N

Depth: 94 M

PROGRESSIVE VECTOR DIAGRAM



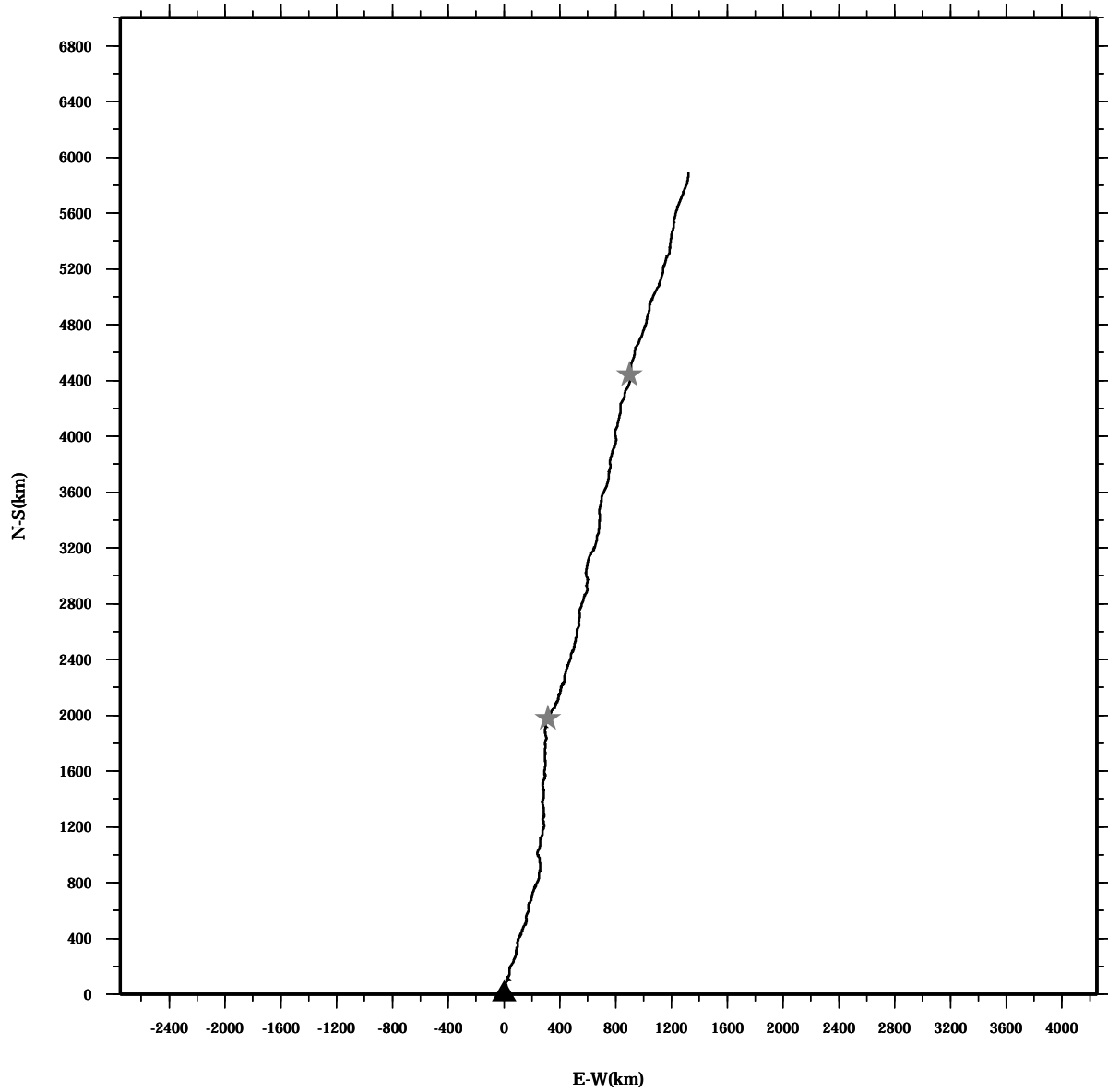
Lon: 121° 24.6445' E

Station: W304

Lat: 22° 38.8994' N

Depth: 98 M

PROGRESSIVE VECTOR DIAGRAM



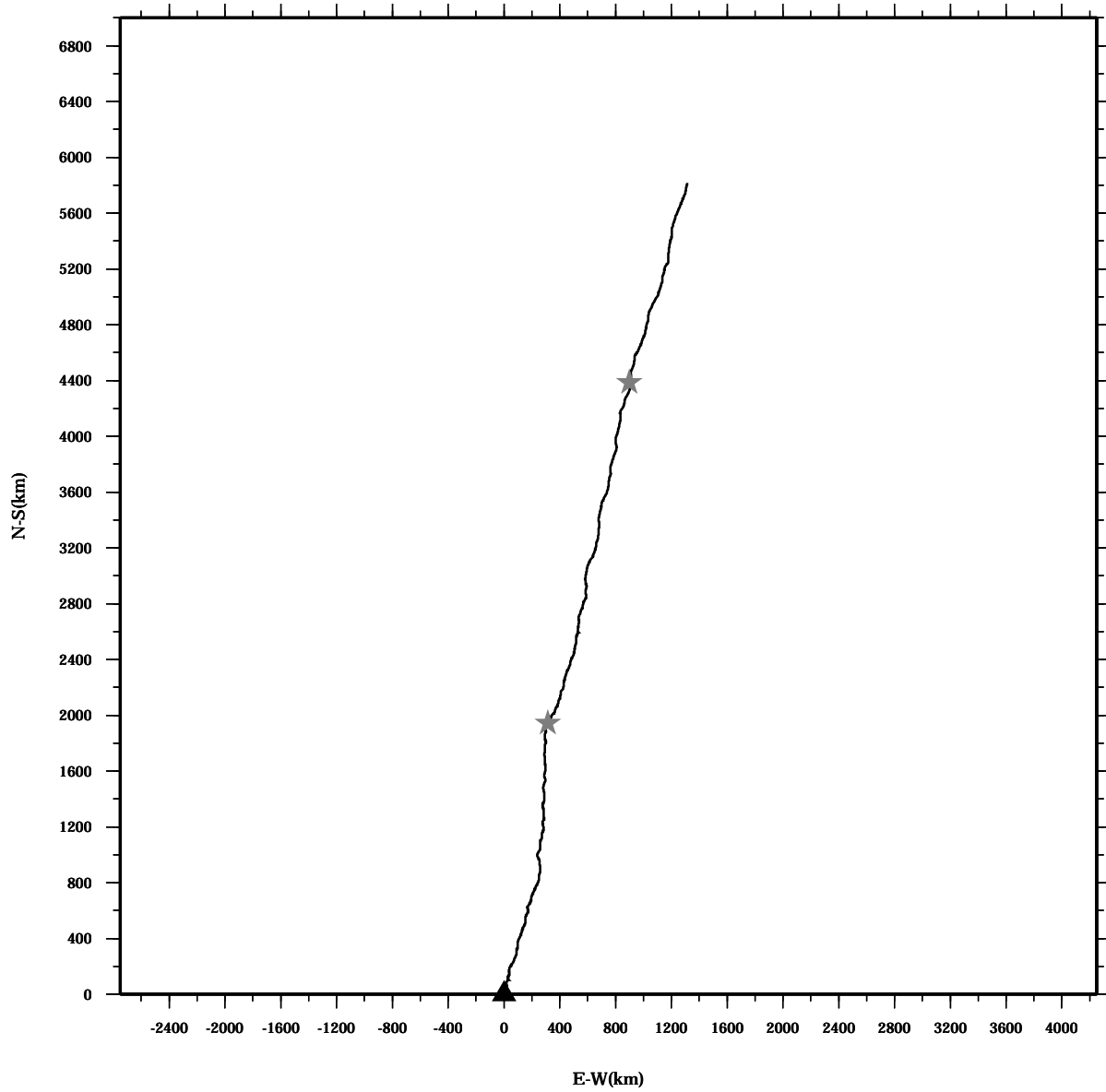
Lon: 121° 24.6445' E

Station: W304

Lat: 22° 38.8994' N

Depth: 102 M

PROGRESSIVE VECTOR DIAGRAM



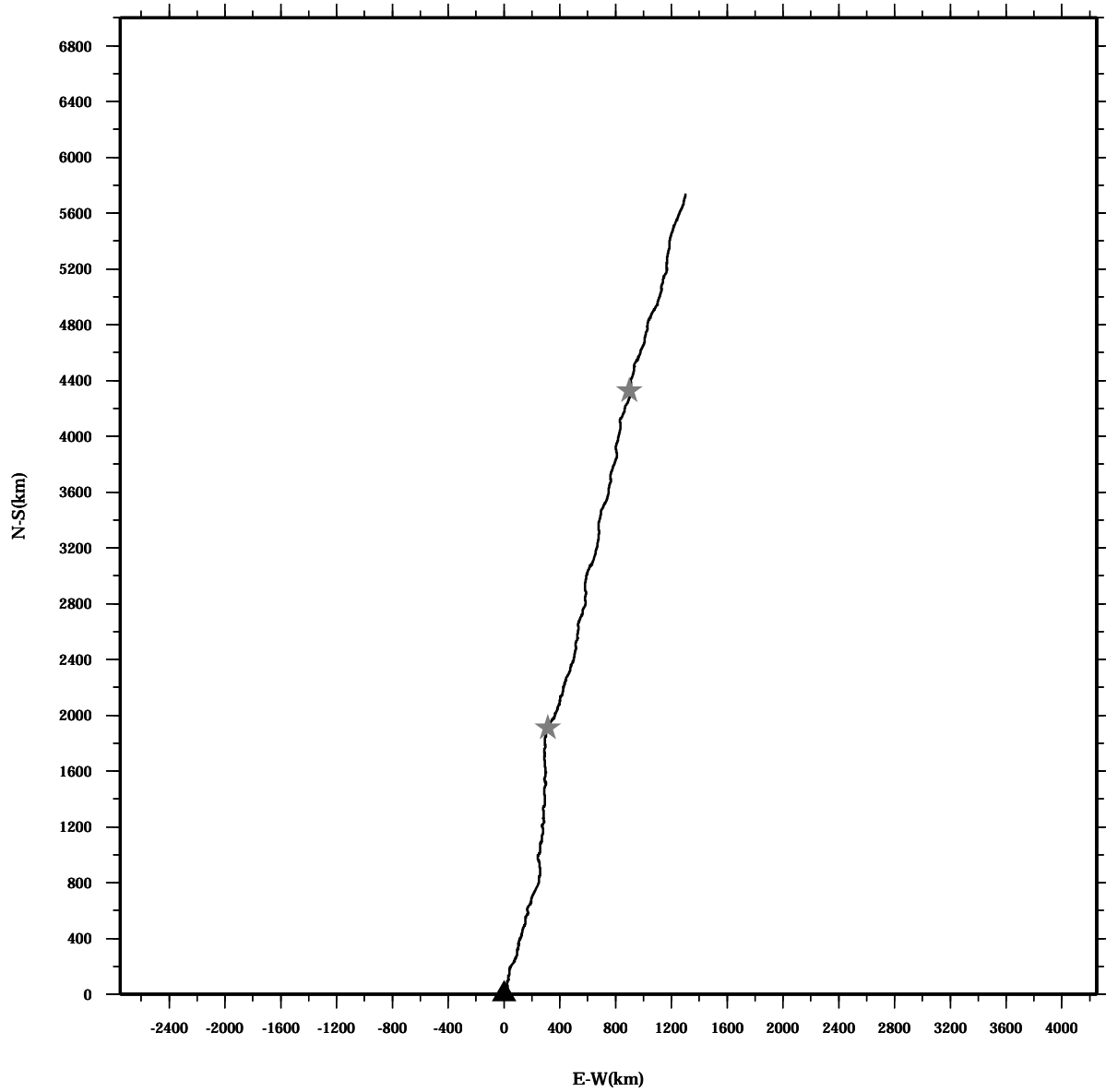
Lon: 121° 24.6445' E

Lat: 22° 38.8994' N

Station: W304

Depth: 106 M

PROGRESSIVE VECTOR DIAGRAM



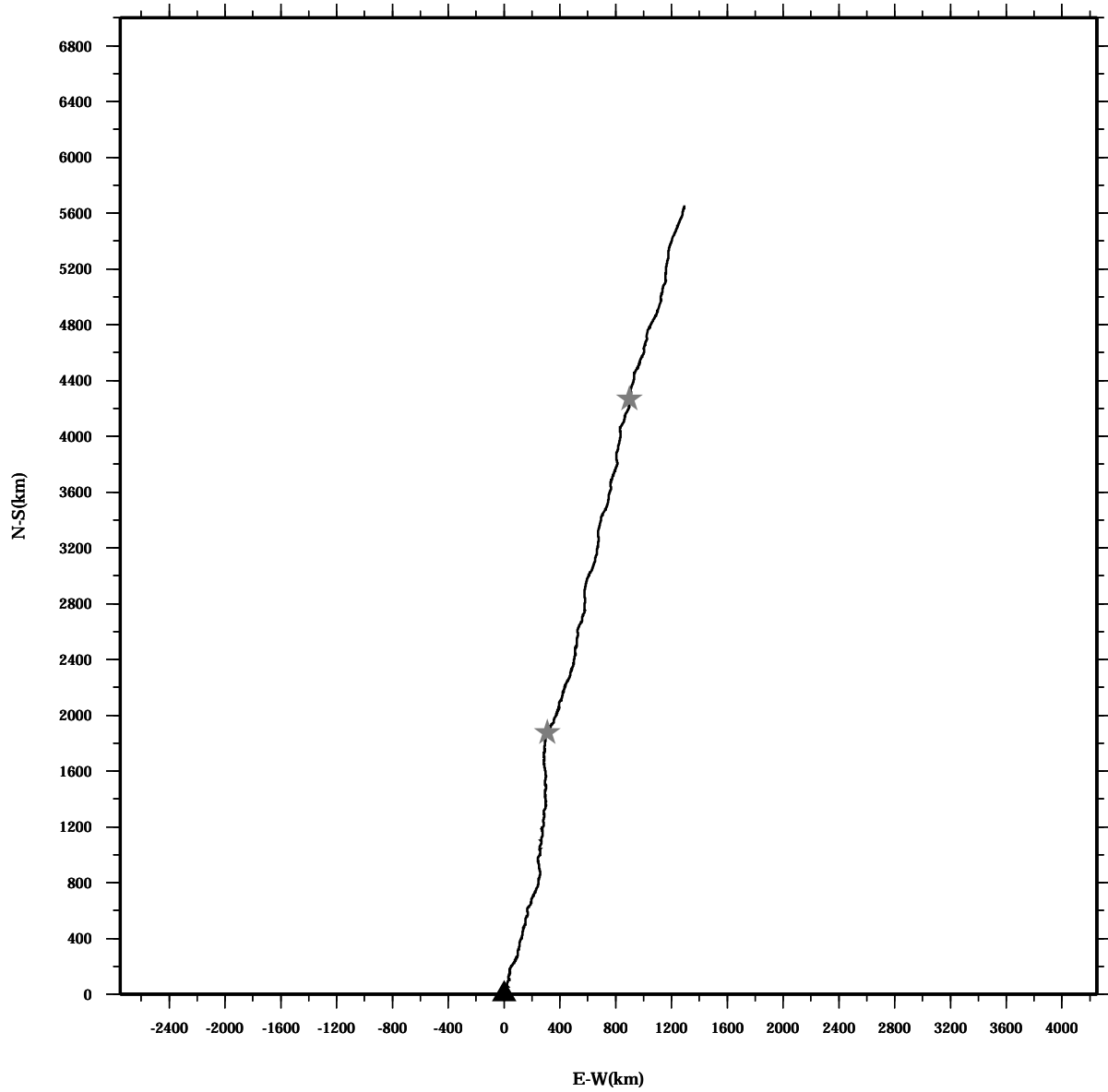
Lon: 121° 24.6445' E

Station: W304

Lat: 22° 38.8994' N

Depth: 110 M

PROGRESSIVE VECTOR DIAGRAM



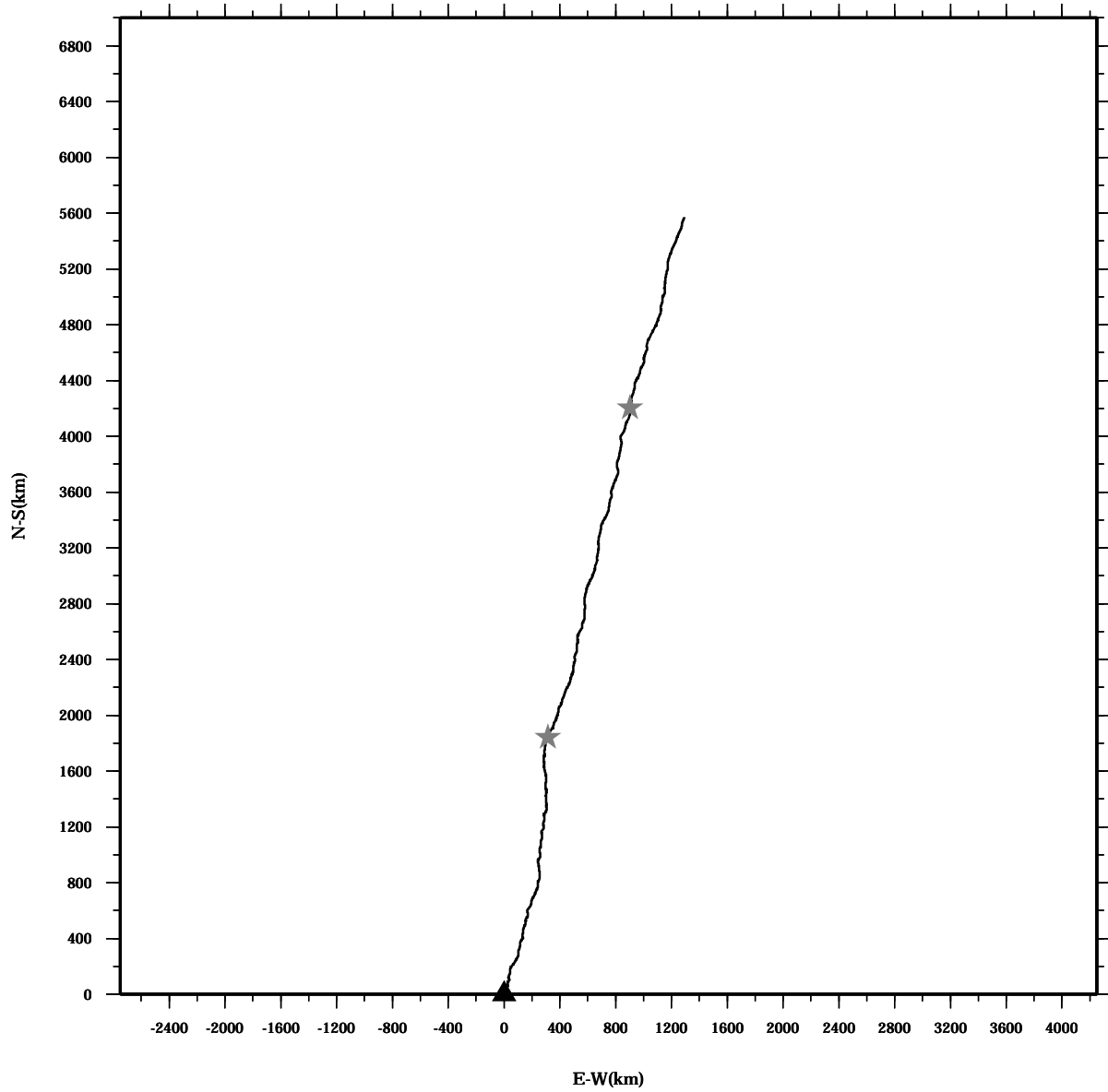
Lon: 121° 24.6445' E

Station: W304

Lat: 22° 38.8994' N

Depth: 114 M

PROGRESSIVE VECTOR DIAGRAM



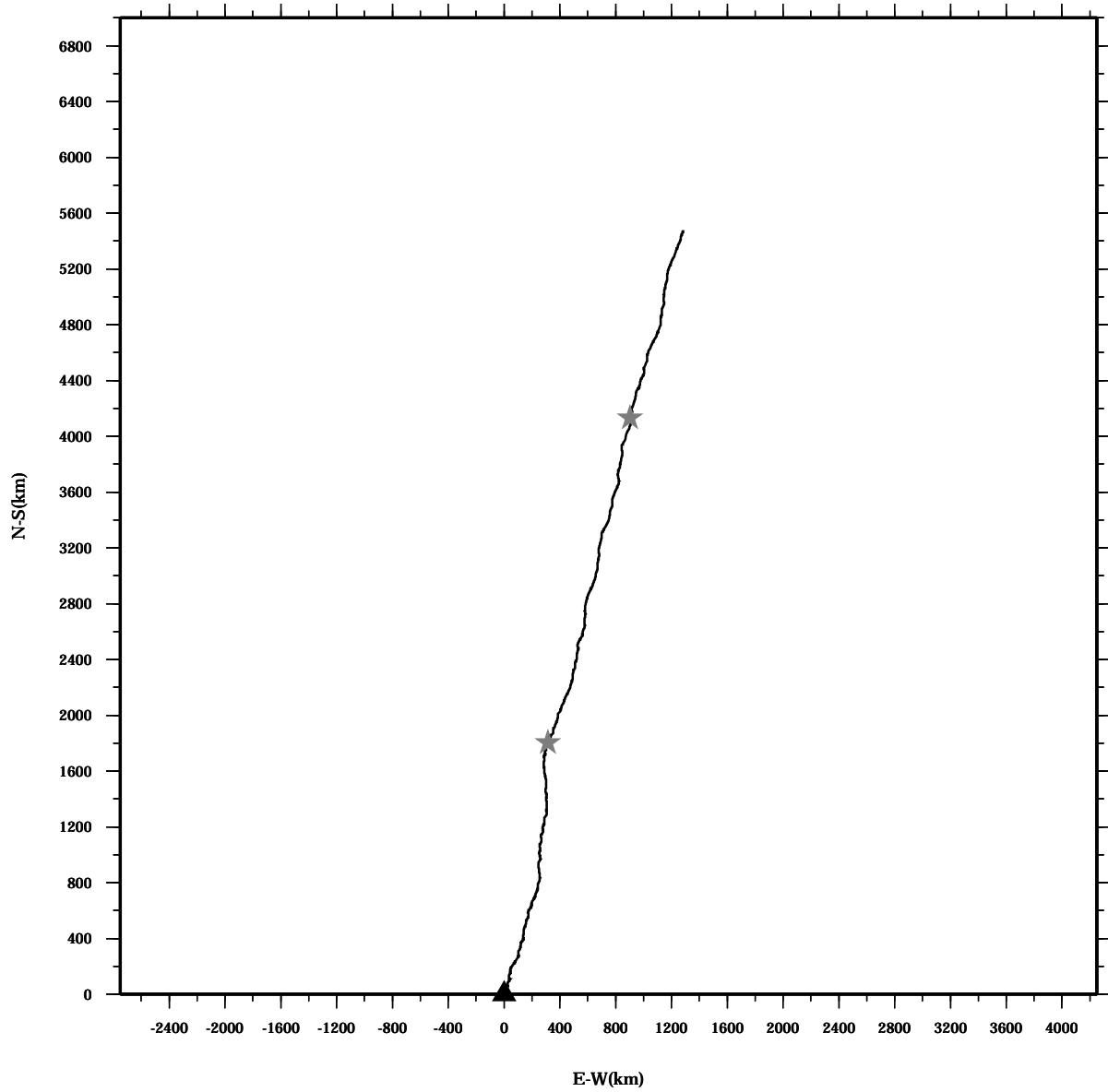
Lon: 121° 24.6445' E

Station: W304

Lat: 22° 38.8994' N

Depth: 118 M

PROGRESSIVE VECTOR DIAGRAM



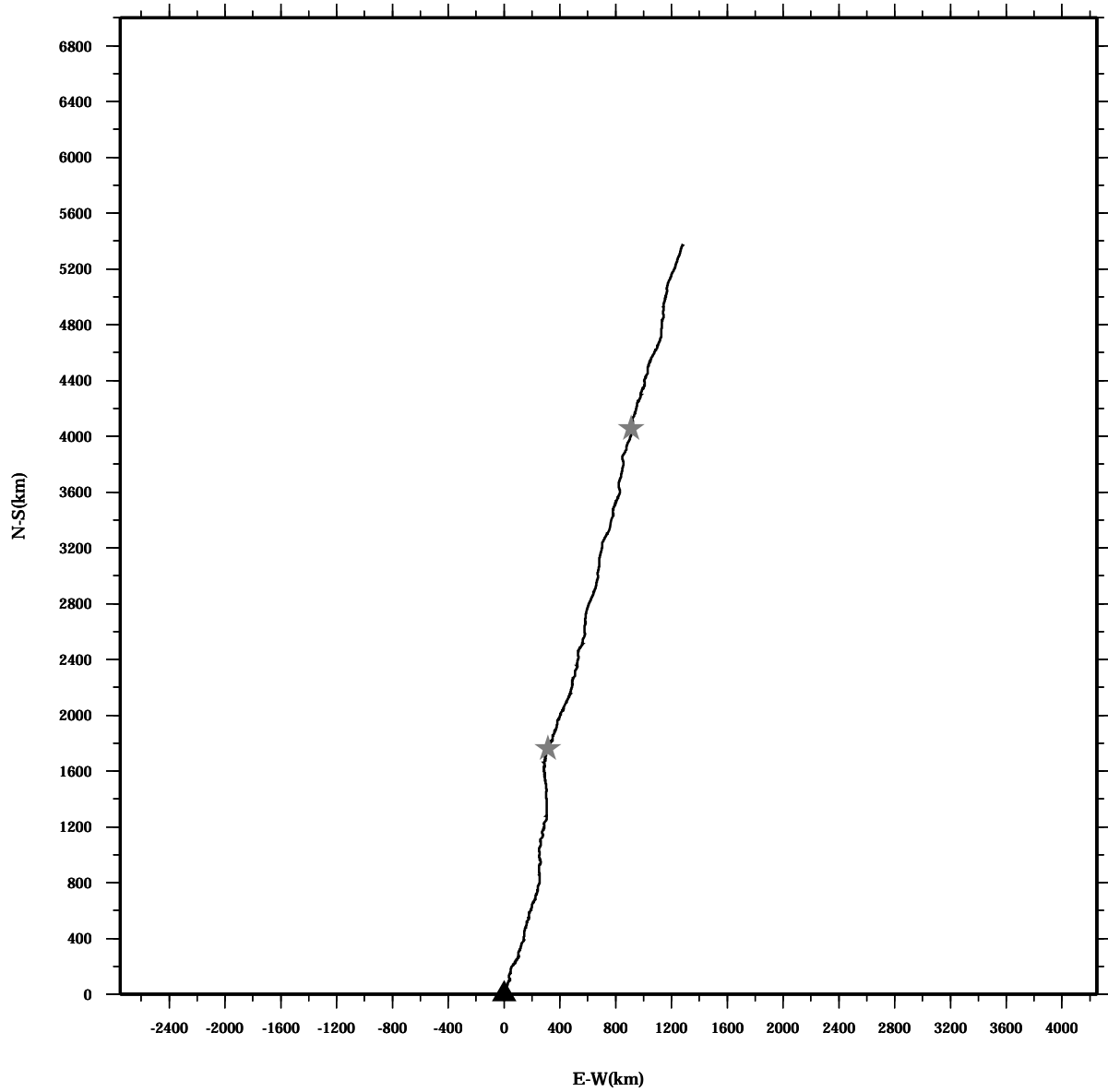
Lon: 121° 24.6445' E

Lat: 22° 38.8994' N

Station: W304

Depth: 122 M

PROGRESSIVE VECTOR DIAGRAM



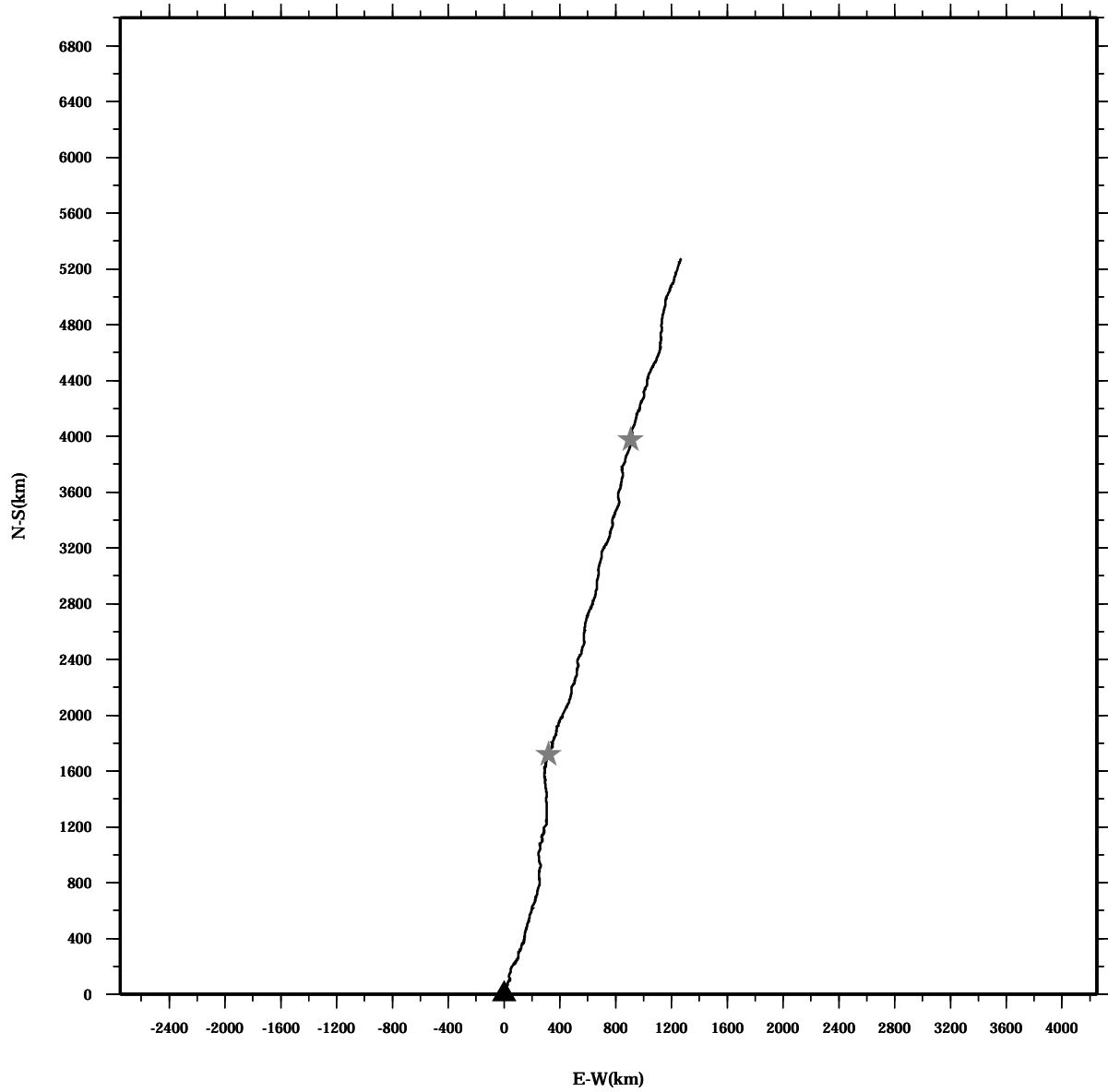
Lon: 121° 24.6445' E

Station: W304

Lat: 22° 38.8994' N

Depth: 126 M

PROGRESSIVE VECTOR DIAGRAM



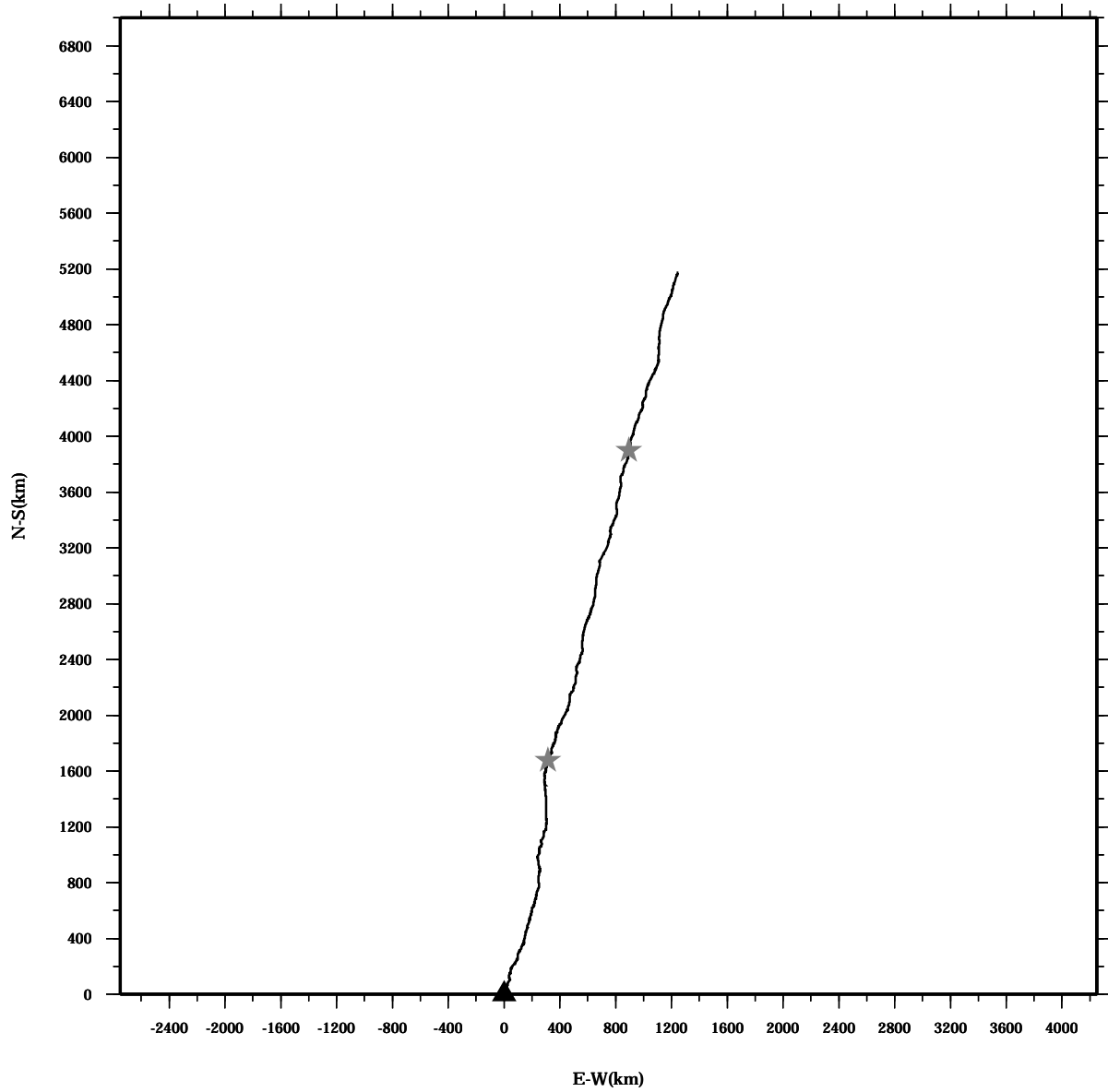
Lon: 121° 24.6445' E

Station: W304

Lat: 22° 38.8994' N

Depth: 130 M

PROGRESSIVE VECTOR DIAGRAM



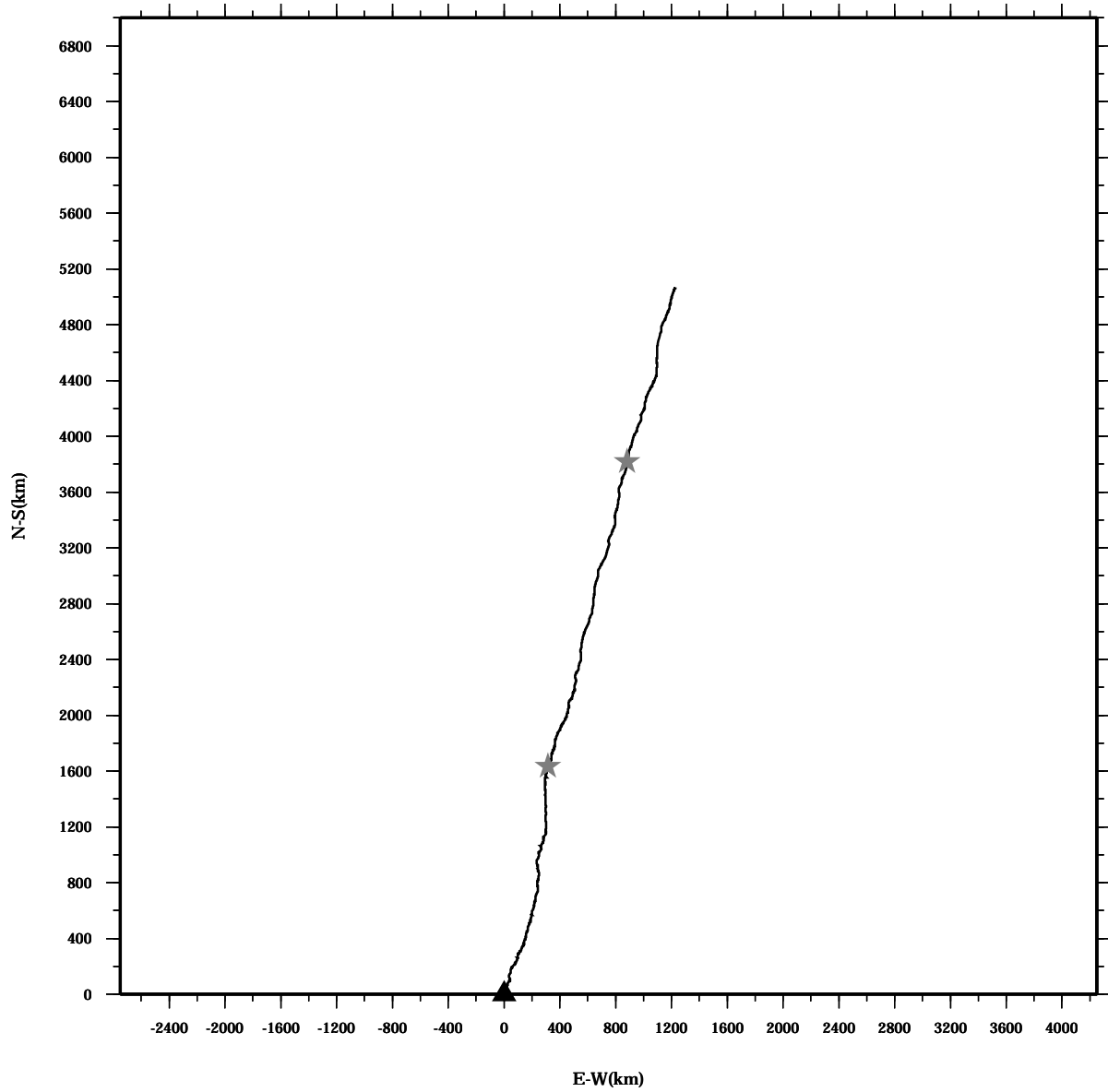
Lon: 121° 24.6445' E

Station: W304

Lat: 22° 38.8994' N

Depth: 134 M

PROGRESSIVE VECTOR DIAGRAM



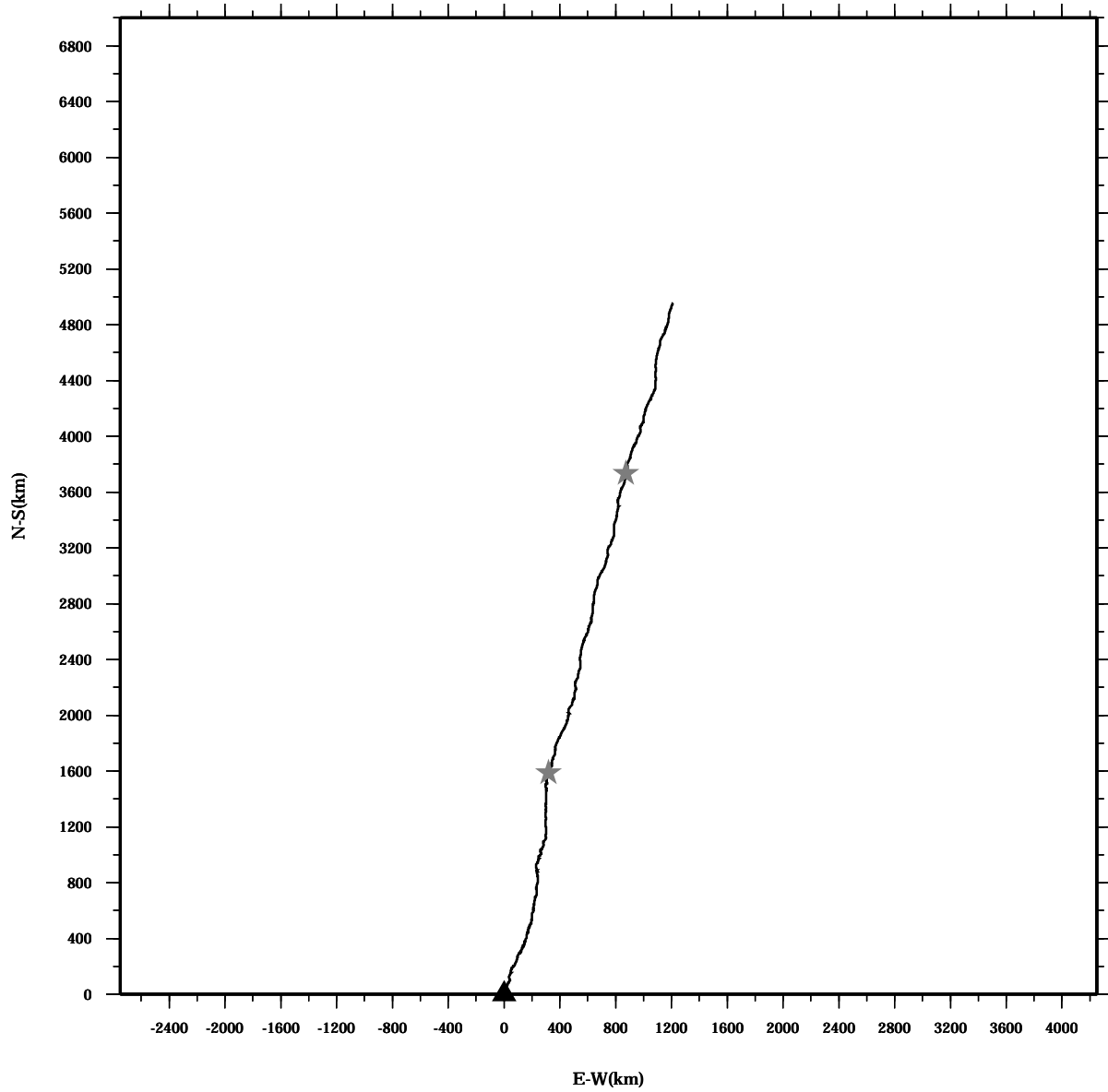
Lon: 121° 24.6445' E

Station: W304

Lat: 22° 38.8994' N

Depth: 138 M

PROGRESSIVE VECTOR DIAGRAM



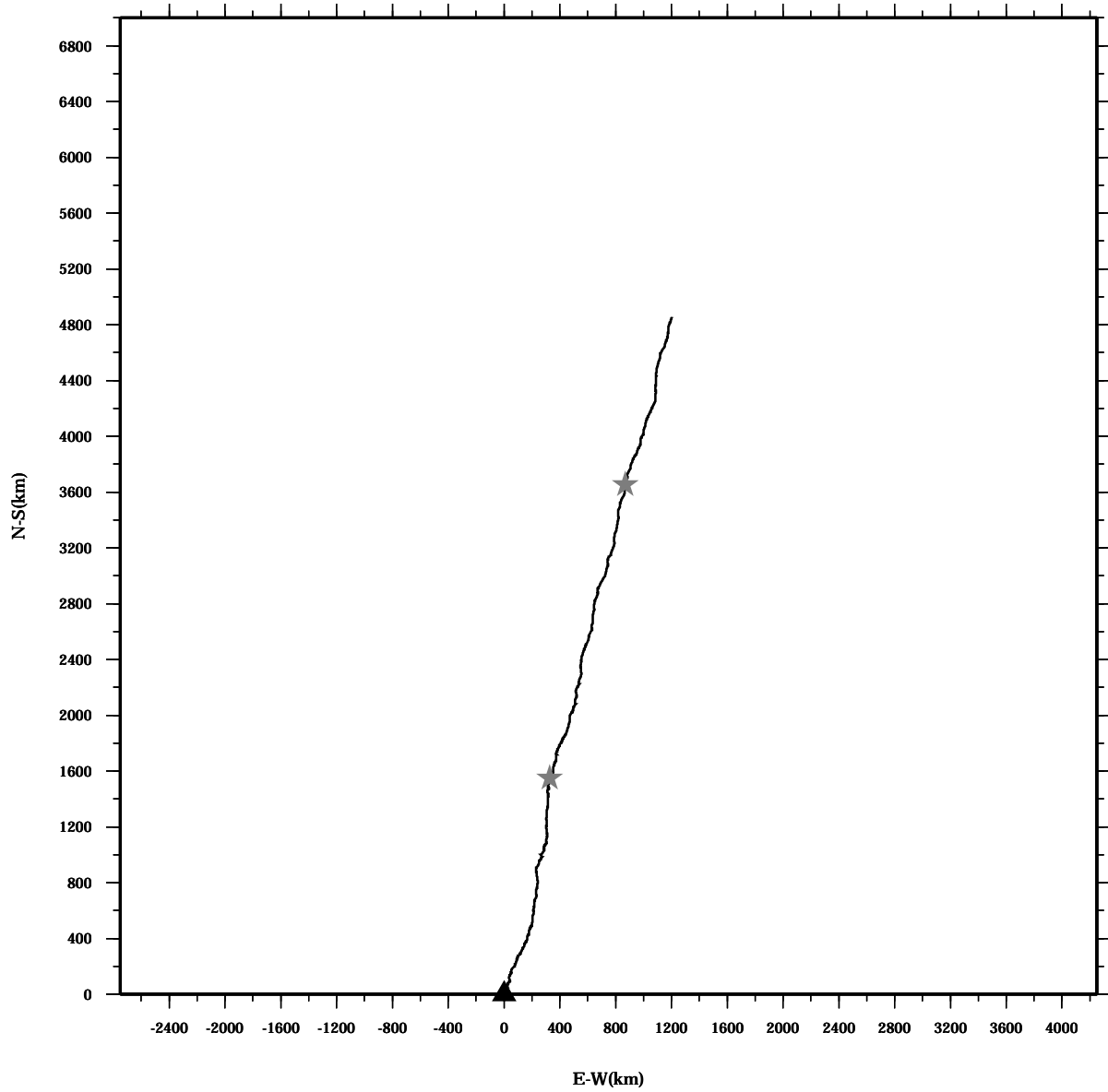
Lon: 121° 24.6445' E

Station: W304

Lat: 22° 38.8994' N

Depth: 142 M

PROGRESSIVE VECTOR DIAGRAM



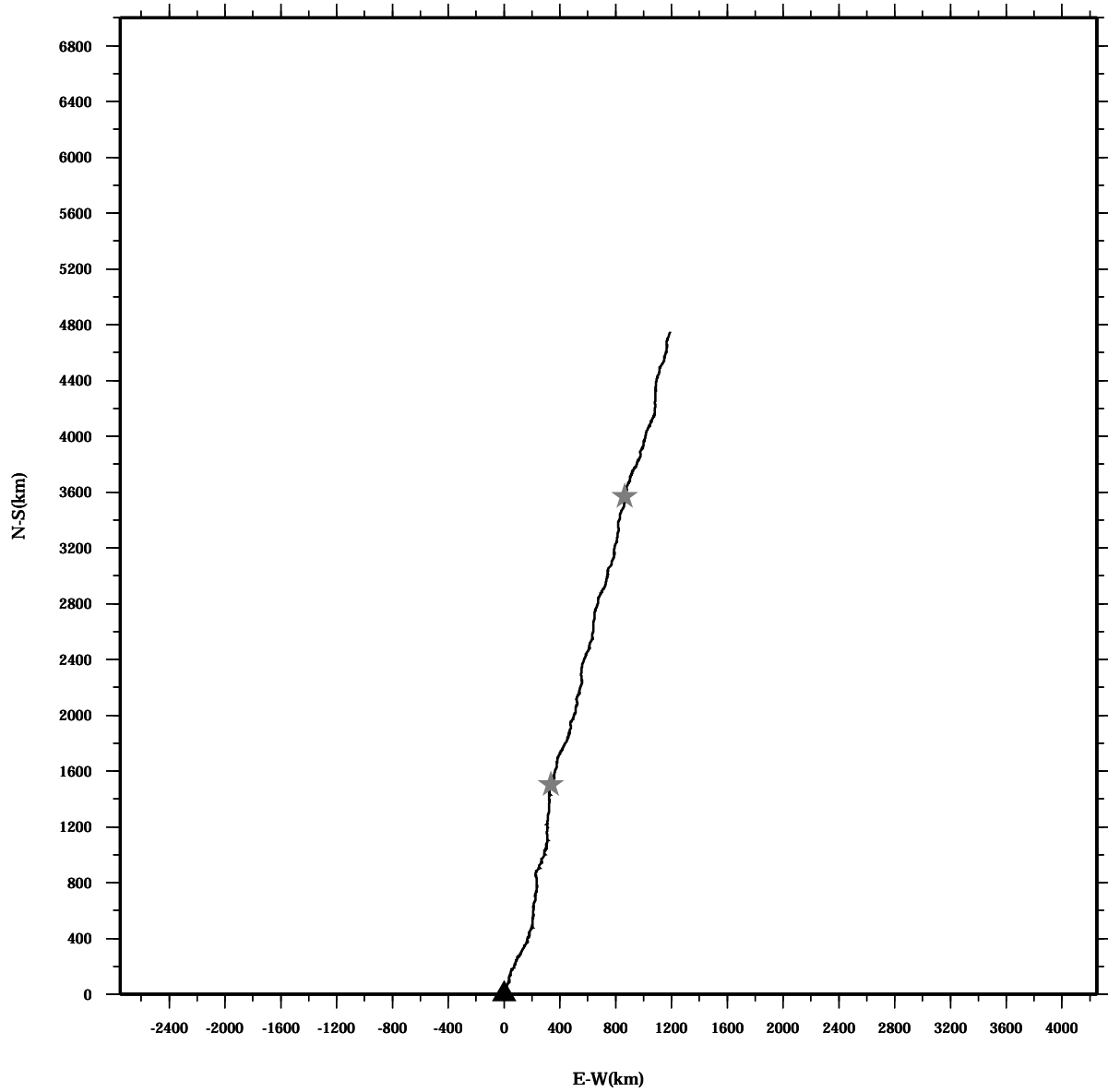
Lon: 121° 24.6445' E

Station: W304

Lat: 22° 38.8994' N

Depth: 146 M

PROGRESSIVE VECTOR DIAGRAM



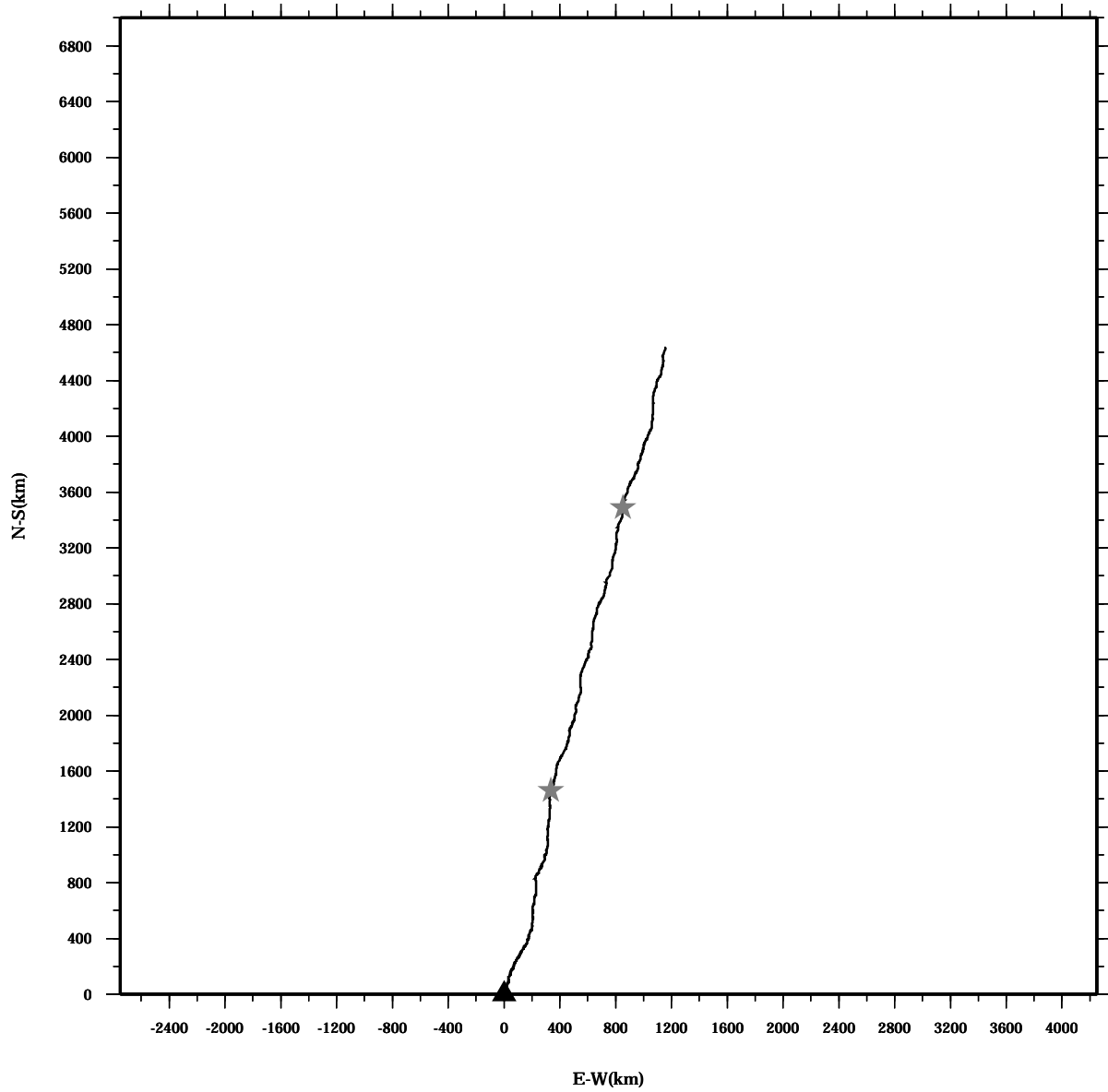
Lon: 121° 24.6445' E

Station: W304

Lat: 22° 38.8994' N

Depth: 150 M

PROGRESSIVE VECTOR DIAGRAM



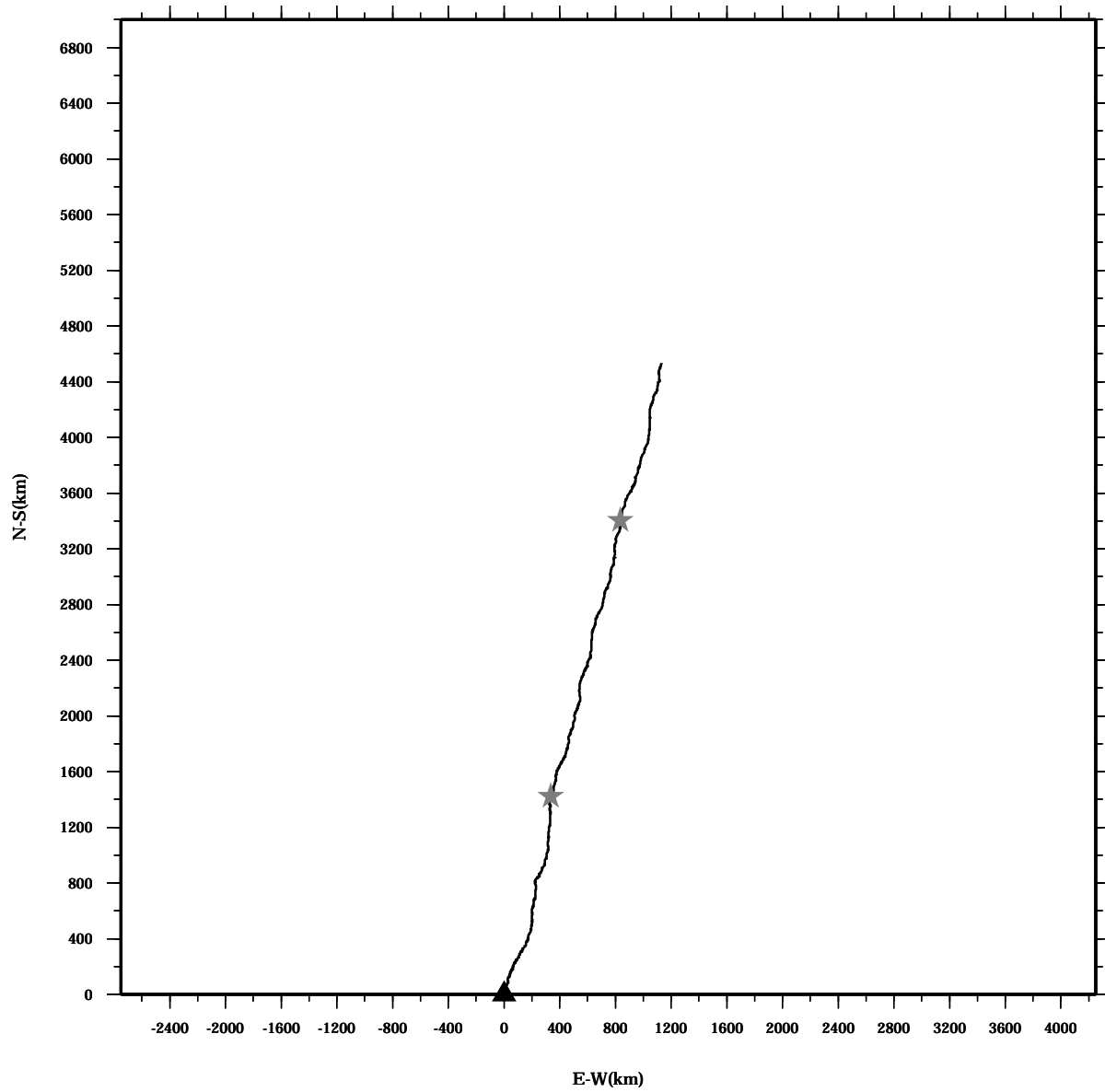
Lon: 121° 24.6445' E

Station: W304

Lat: 22° 38.8994' N

Depth: 154 M

PROGRESSIVE VECTOR DIAGRAM



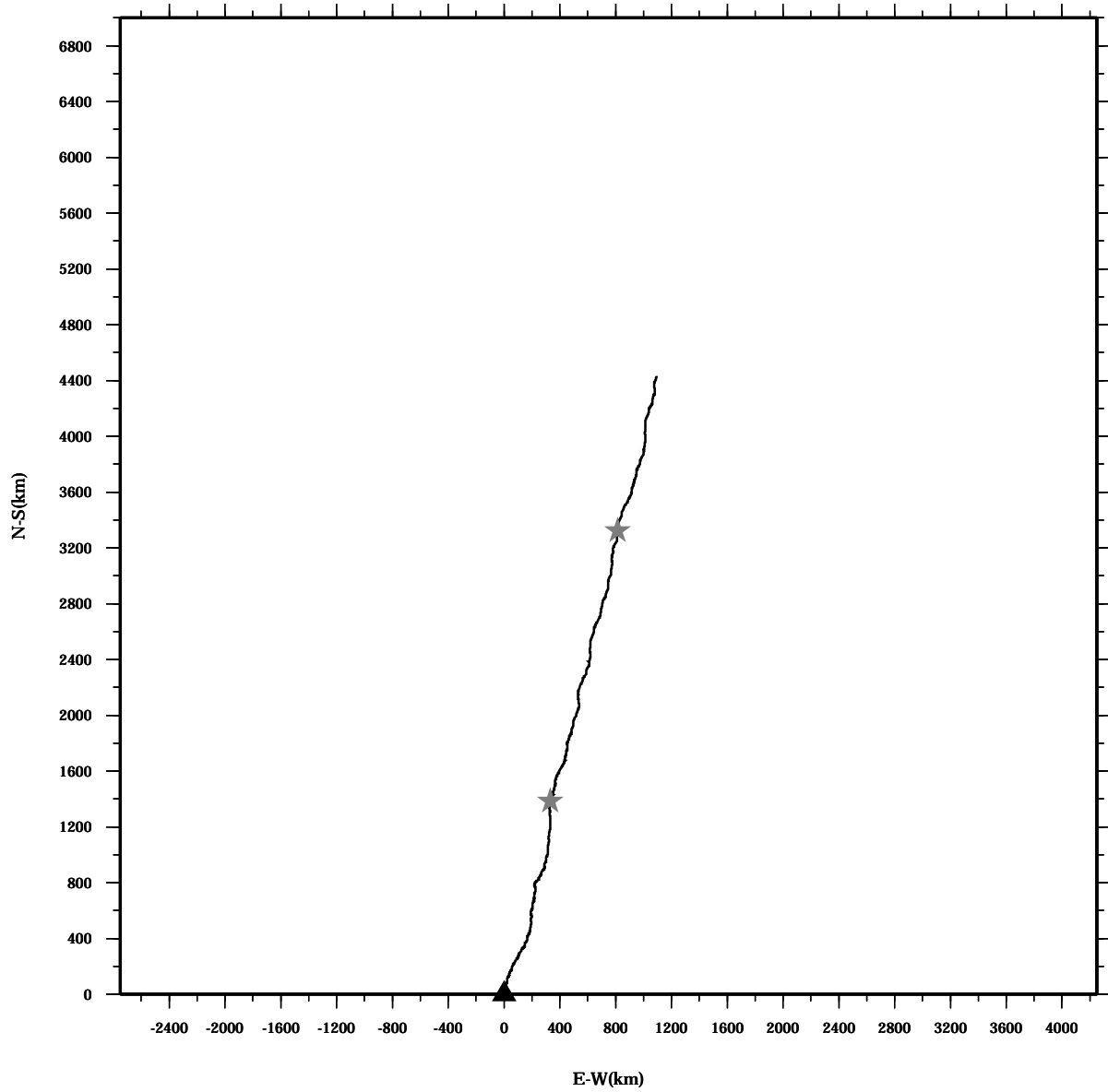
Lon: 121° 24.6445' E

Station: W304

Lat: 22° 38.8994' N

Depth: 158 M

PROGRESSIVE VECTOR DIAGRAM



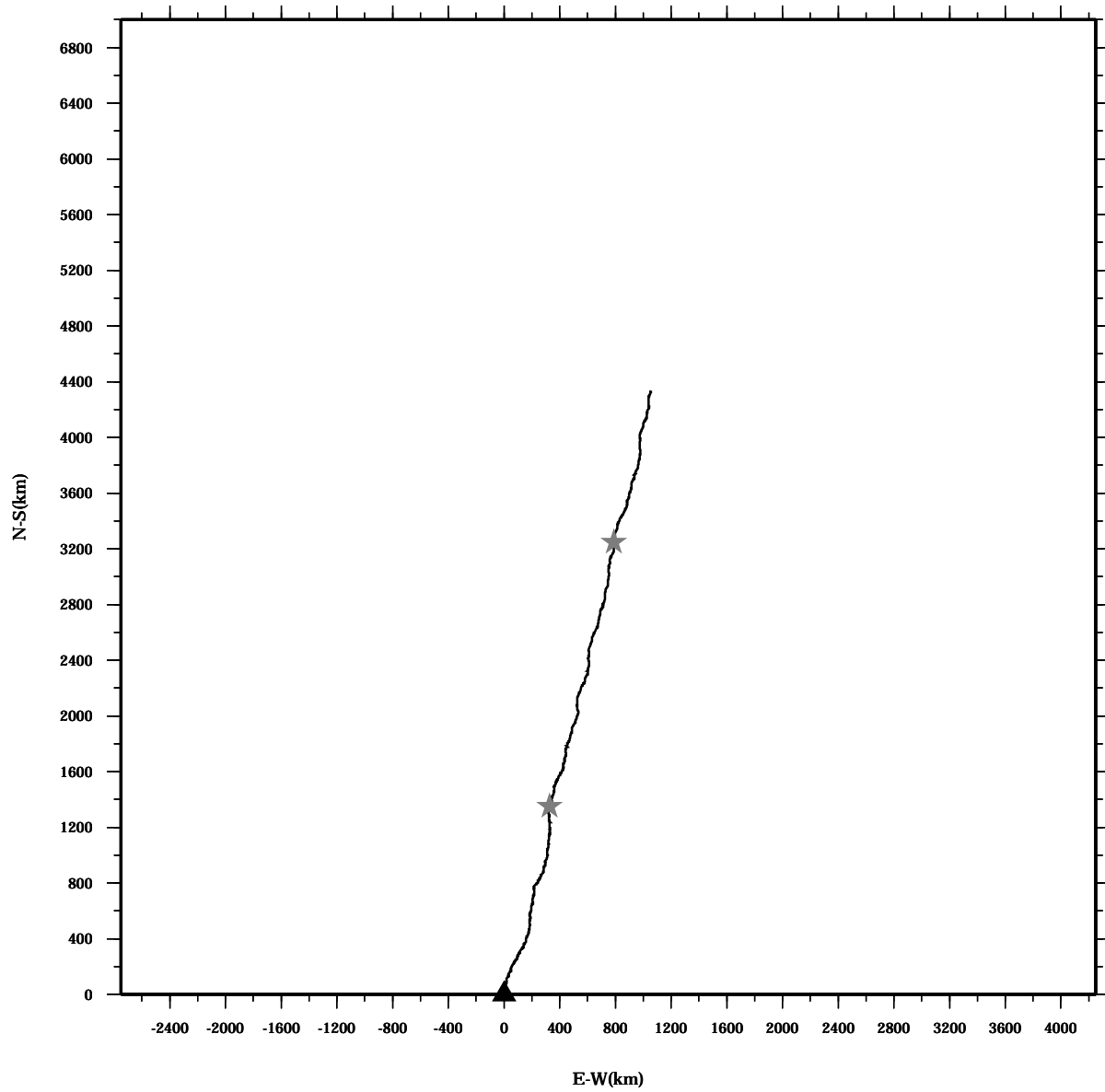
Lon: 121° 24.6445' E

Station: W304

Lat: 22° 38.8994' N

Depth: 162 M

PROGRESSIVE VECTOR DIAGRAM



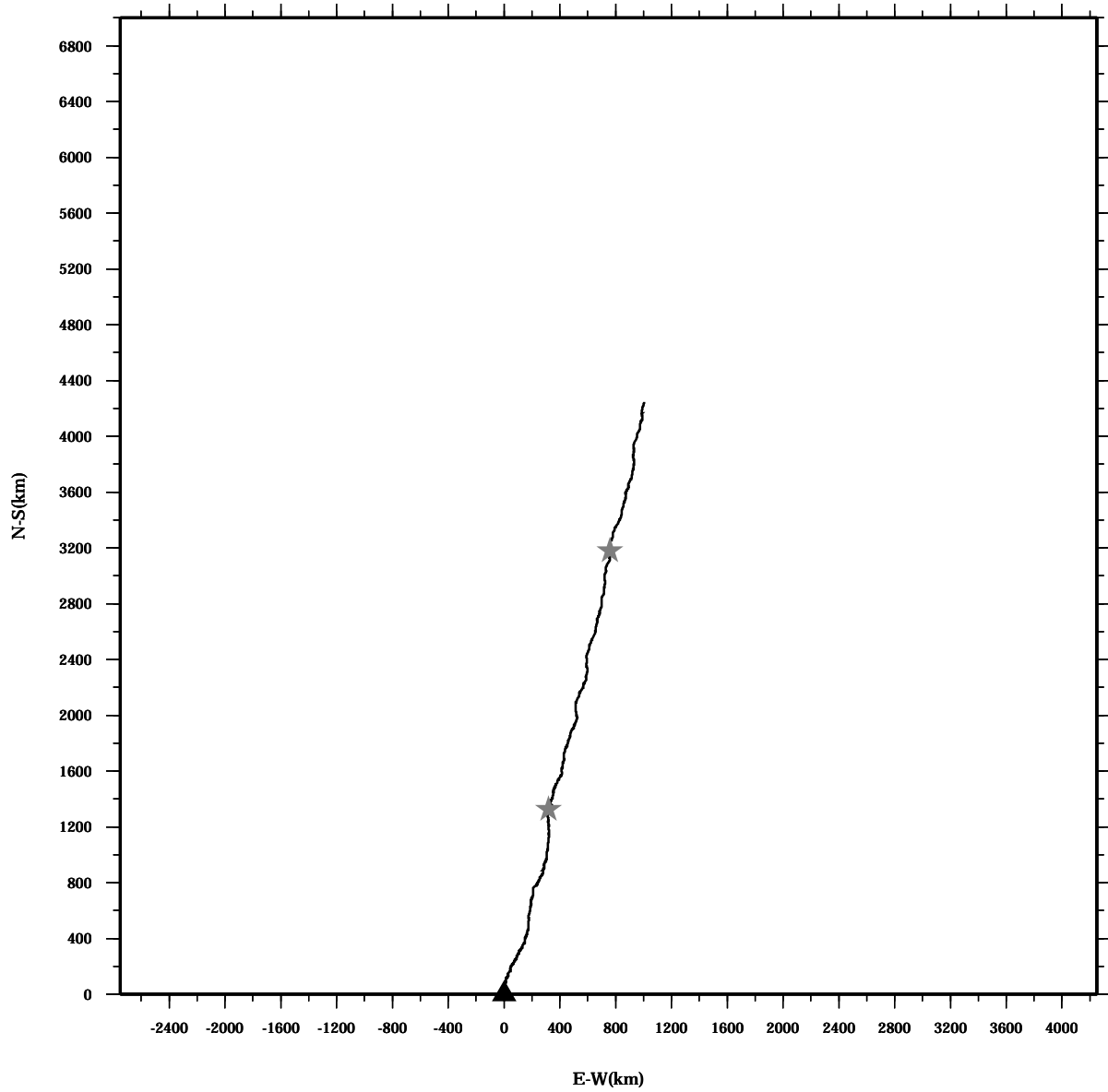
Lon: 121° 24.6445' E

Station: W304

Lat: 22° 38.8994' N

Depth: 166 M

PROGRESSIVE VECTOR DIAGRAM



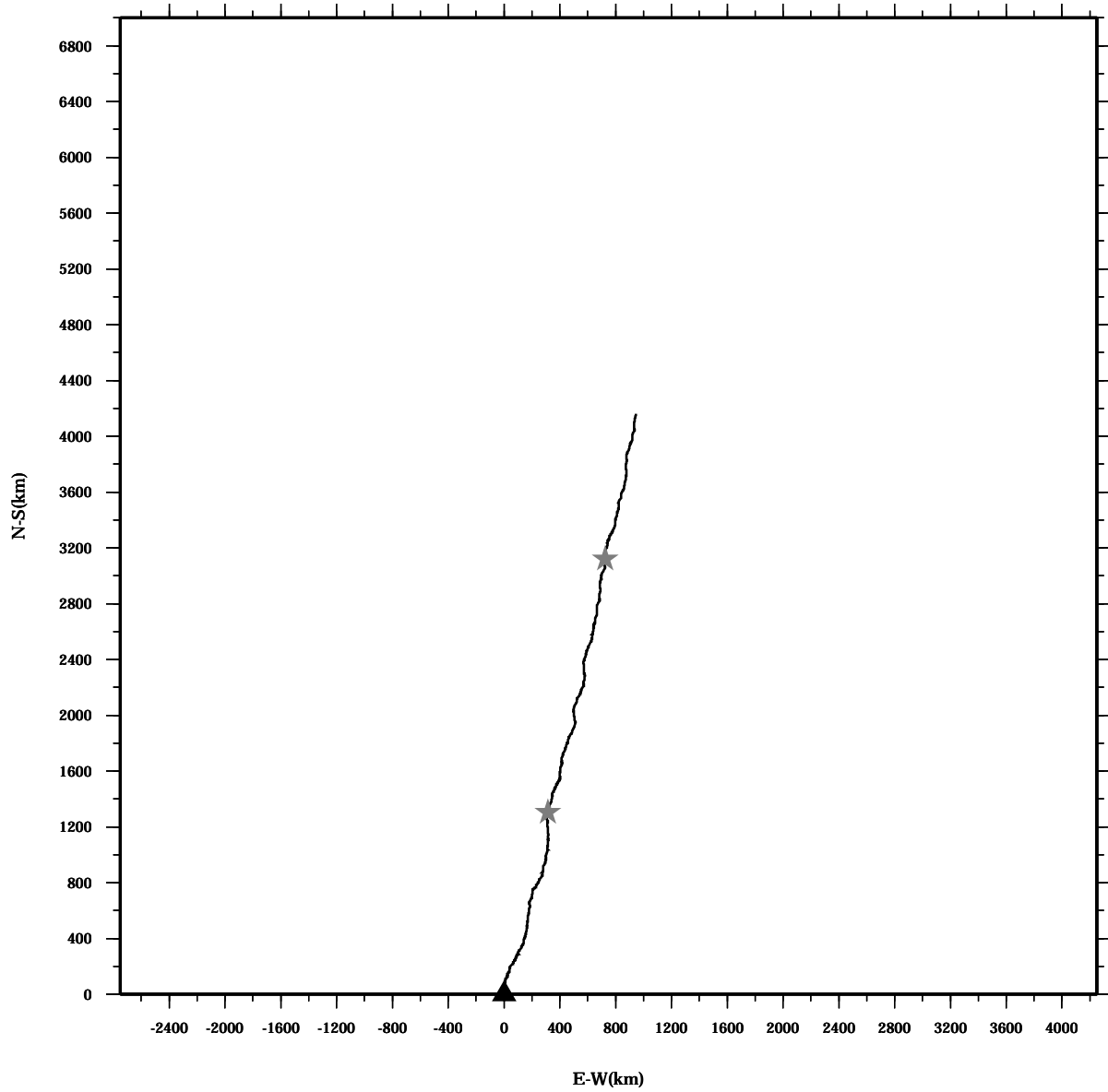
Lon: 121° 24.6445' E

Station: W304

Lat: 22° 38.8994' N

Depth: 170 M

PROGRESSIVE VECTOR DIAGRAM



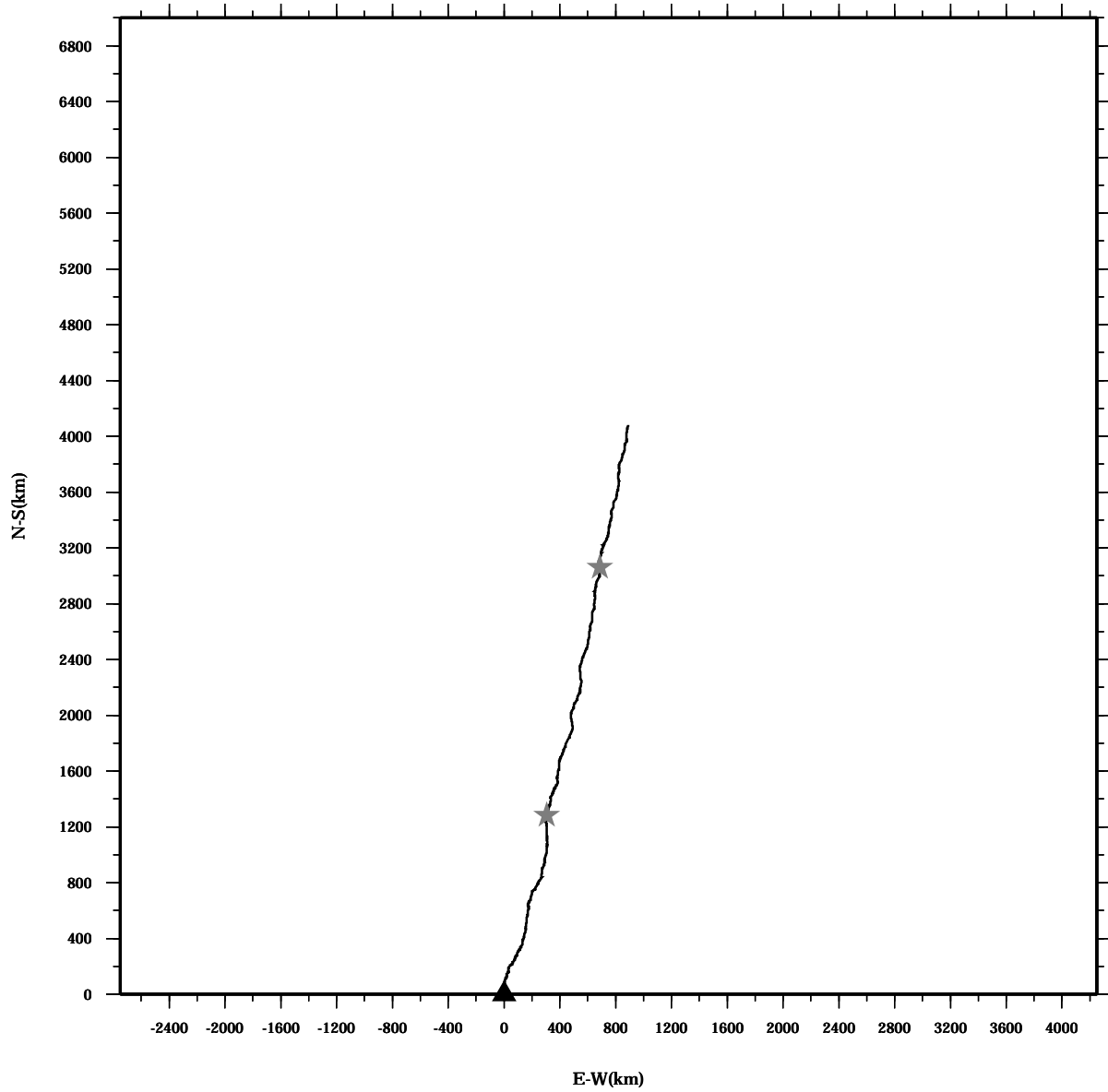
Lon: 121° 24.6445' E

Station: W304

Lat: 22° 38.8994' N

Depth: 174 M

PROGRESSIVE VECTOR DIAGRAM



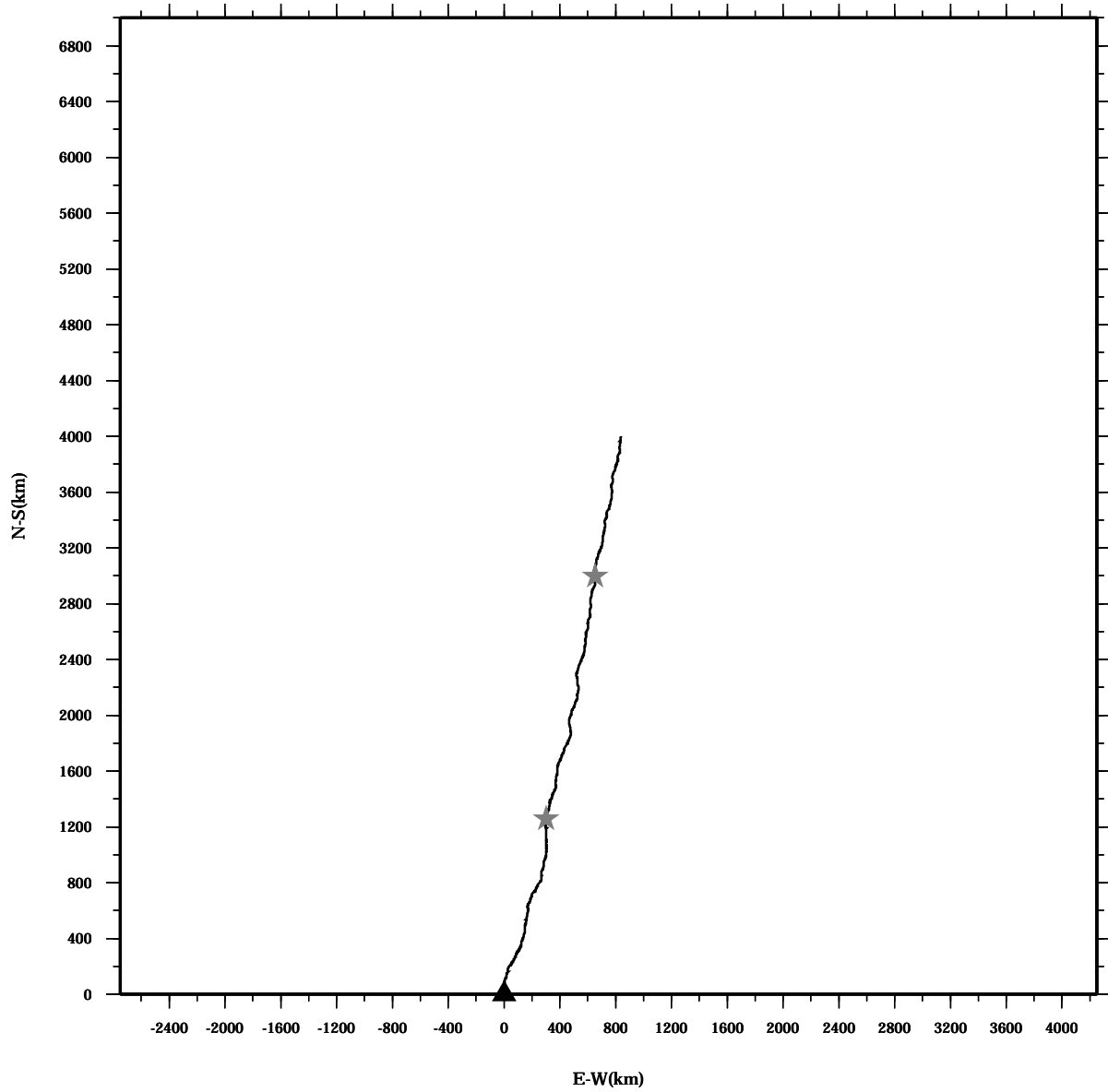
Lon: 121° 24.6445' E

Station: W304

Lat: 22° 38.8994' N

Depth: 178 M

PROGRESSIVE VECTOR DIAGRAM



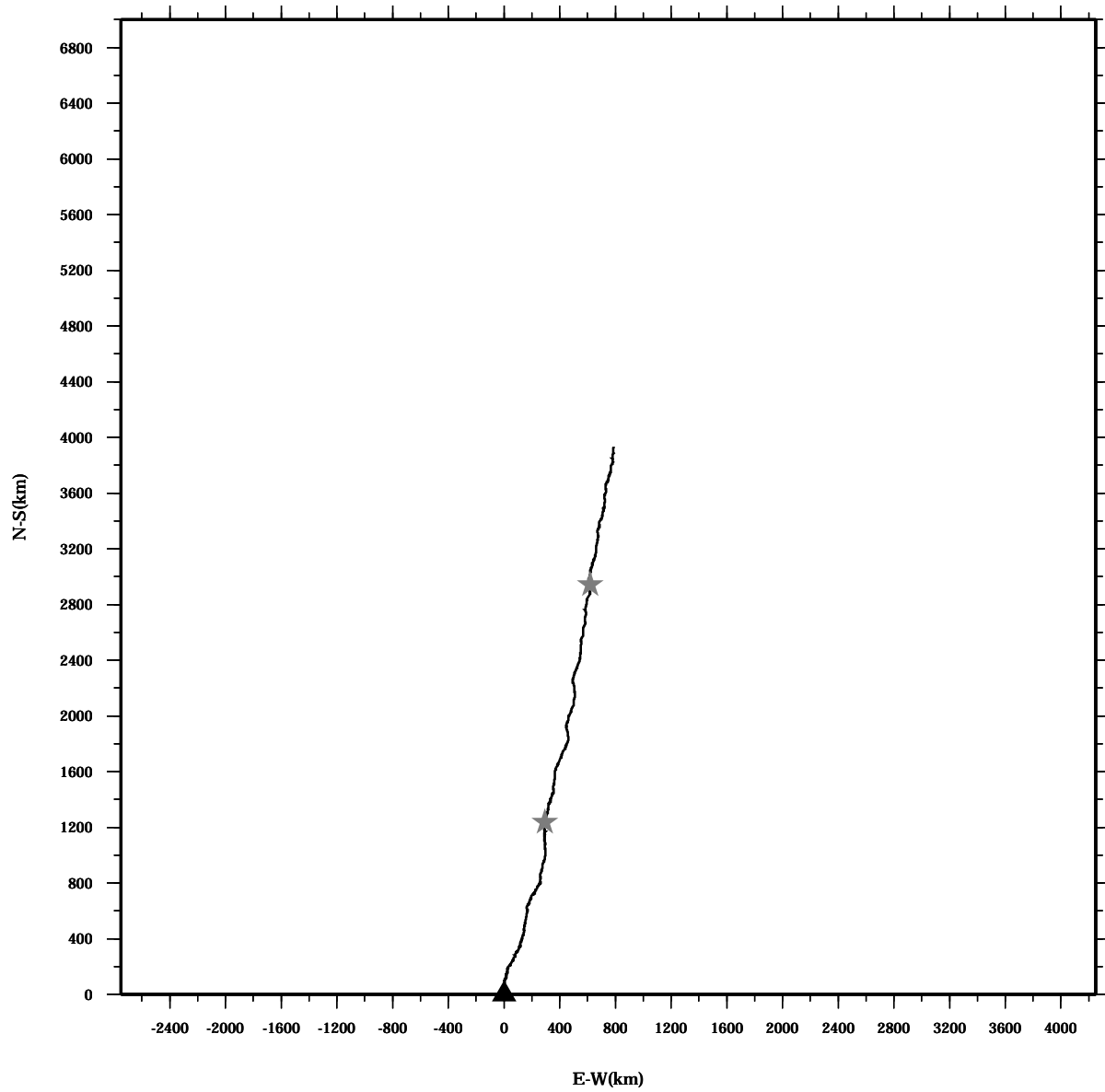
Lon: 121° 24.6445' E

Station: W304

Lat: 22° 38.8994' N

Depth: 182 M

PROGRESSIVE VECTOR DIAGRAM



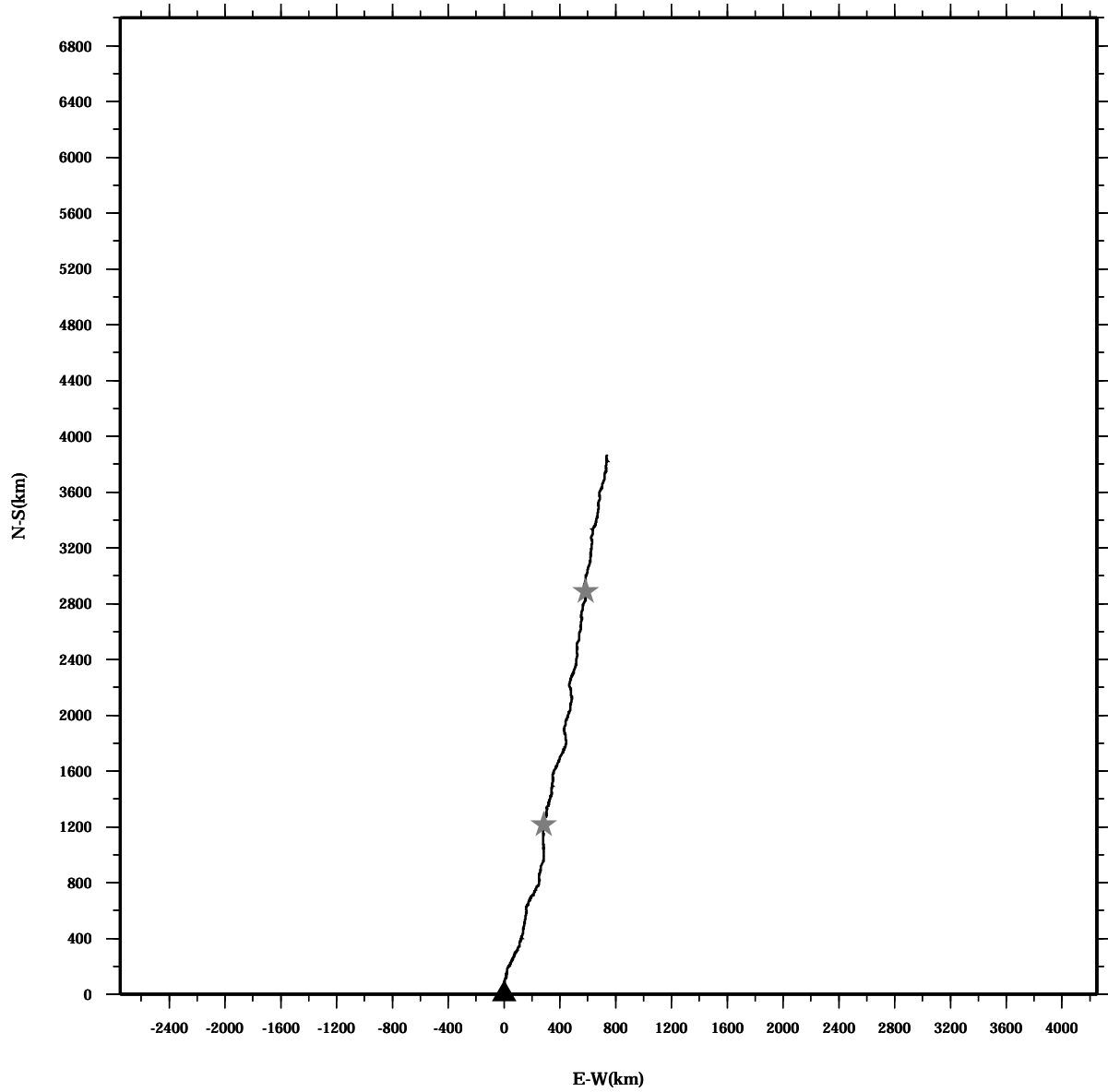
Lon: 121° 24.6445' E

Station: W304

Lat: 22° 38.8994' N

Depth: 186 M

PROGRESSIVE VECTOR DIAGRAM



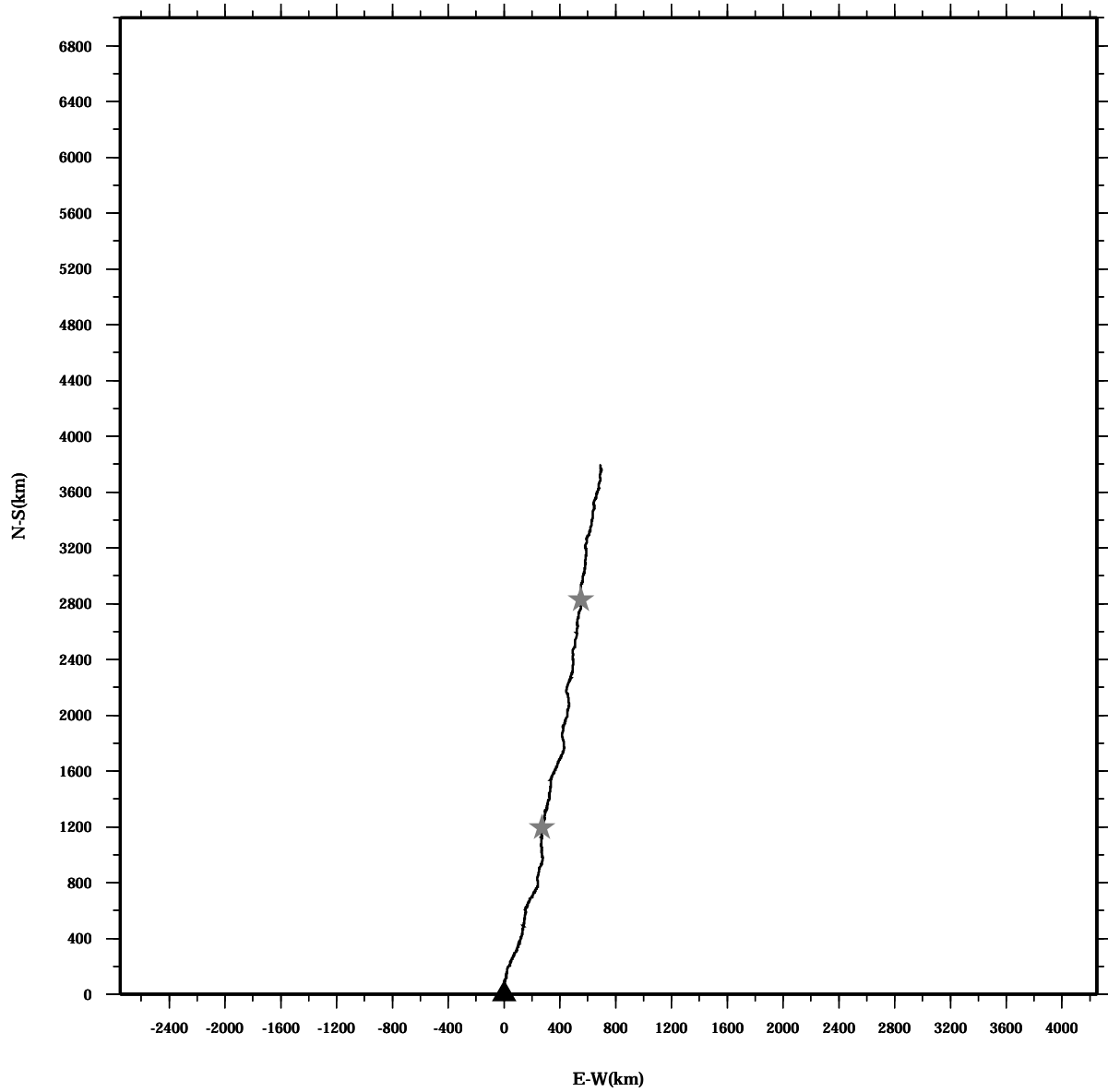
Lon: 121° 24.6445' E

Station: W304

Lat: 22° 38.8994' N

Depth: 190 M

PROGRESSIVE VECTOR DIAGRAM



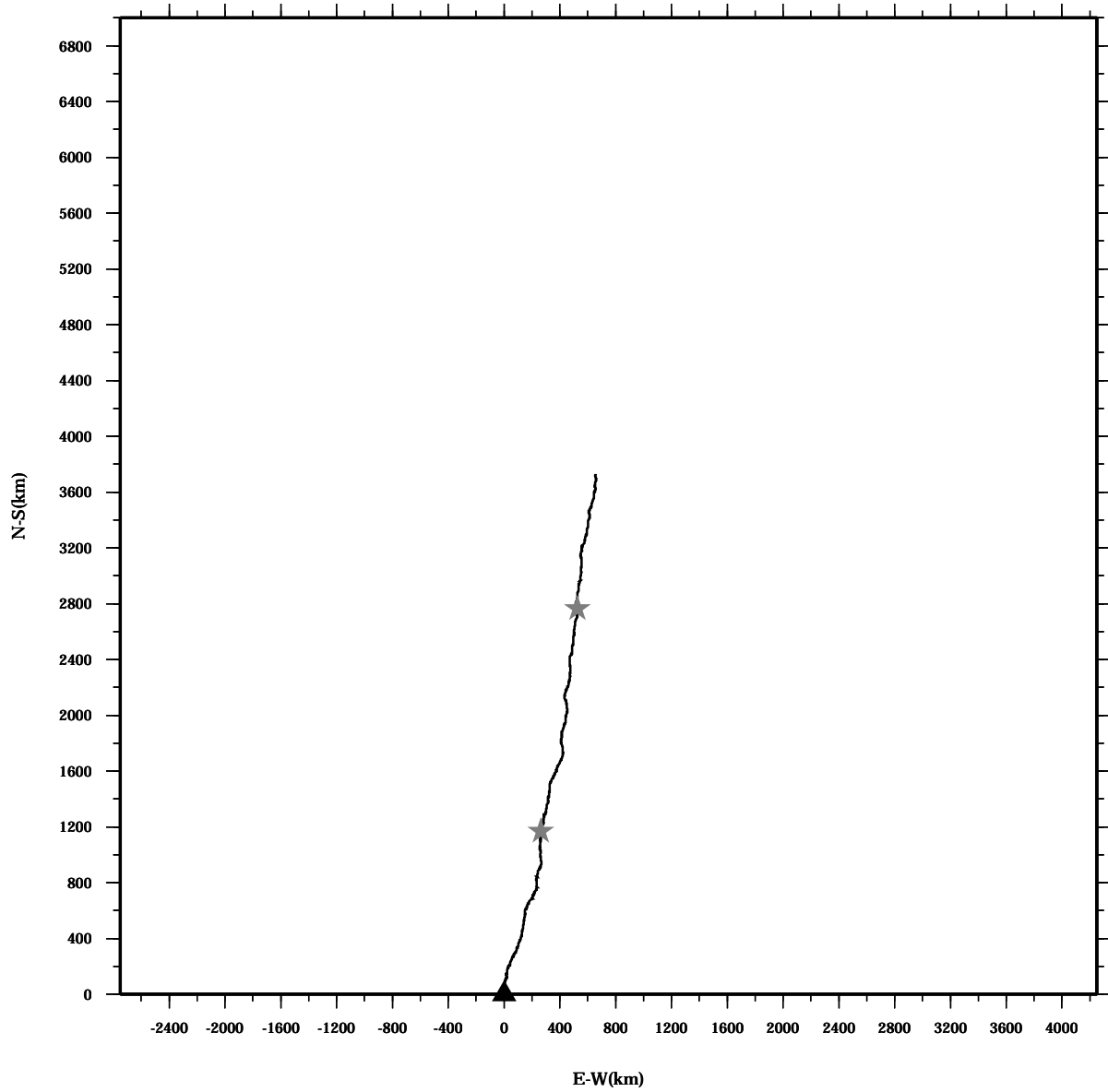
Lon: 121° 24.6445' E

Station: W304

Lat: 22° 38.8994' N

Depth: 194 M

PROGRESSIVE VECTOR DIAGRAM



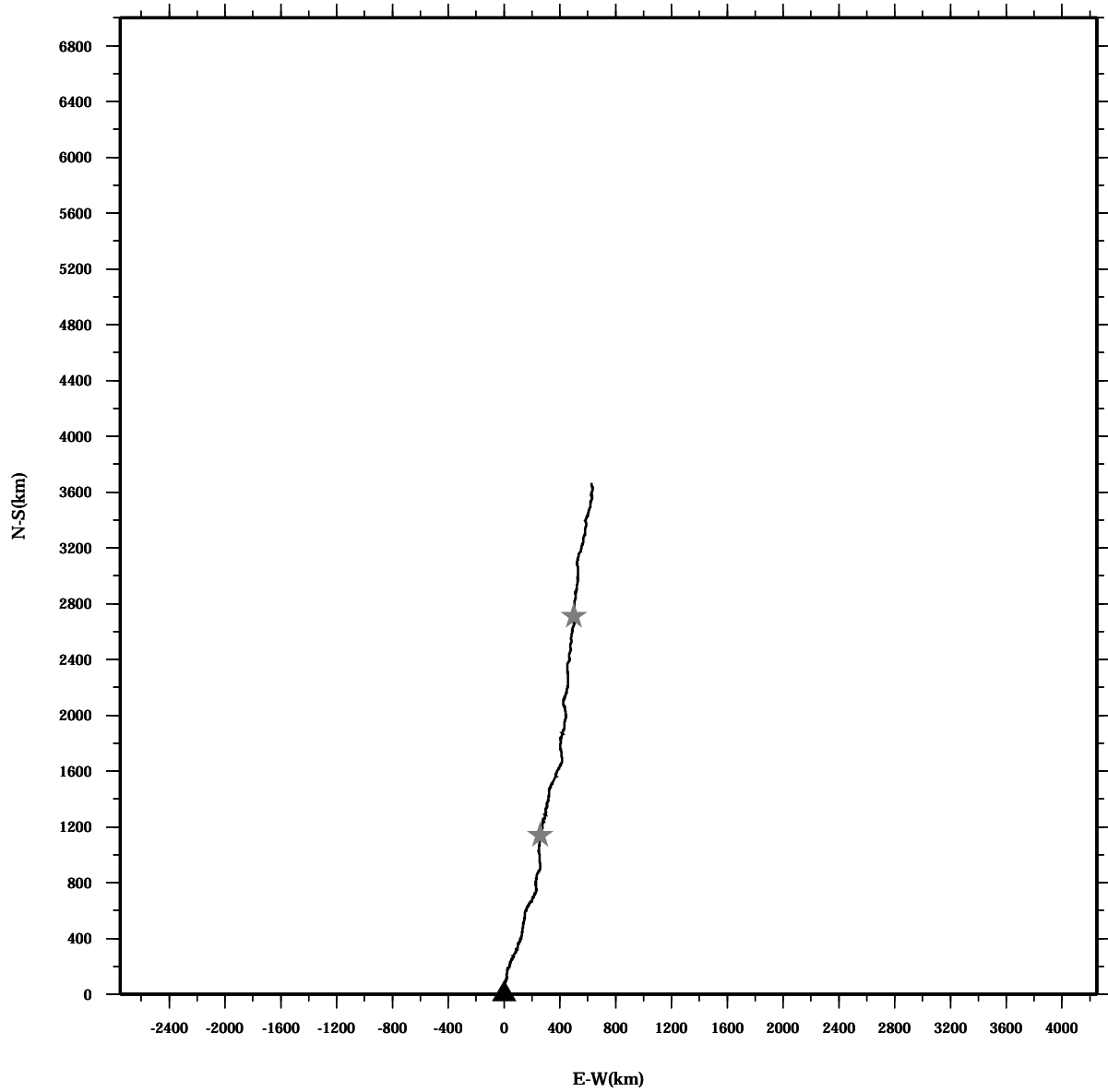
Lon: 121° 24.6445' E

Station: W304

Lat: 22° 38.8994' N

Depth: 198 M

PROGRESSIVE VECTOR DIAGRAM



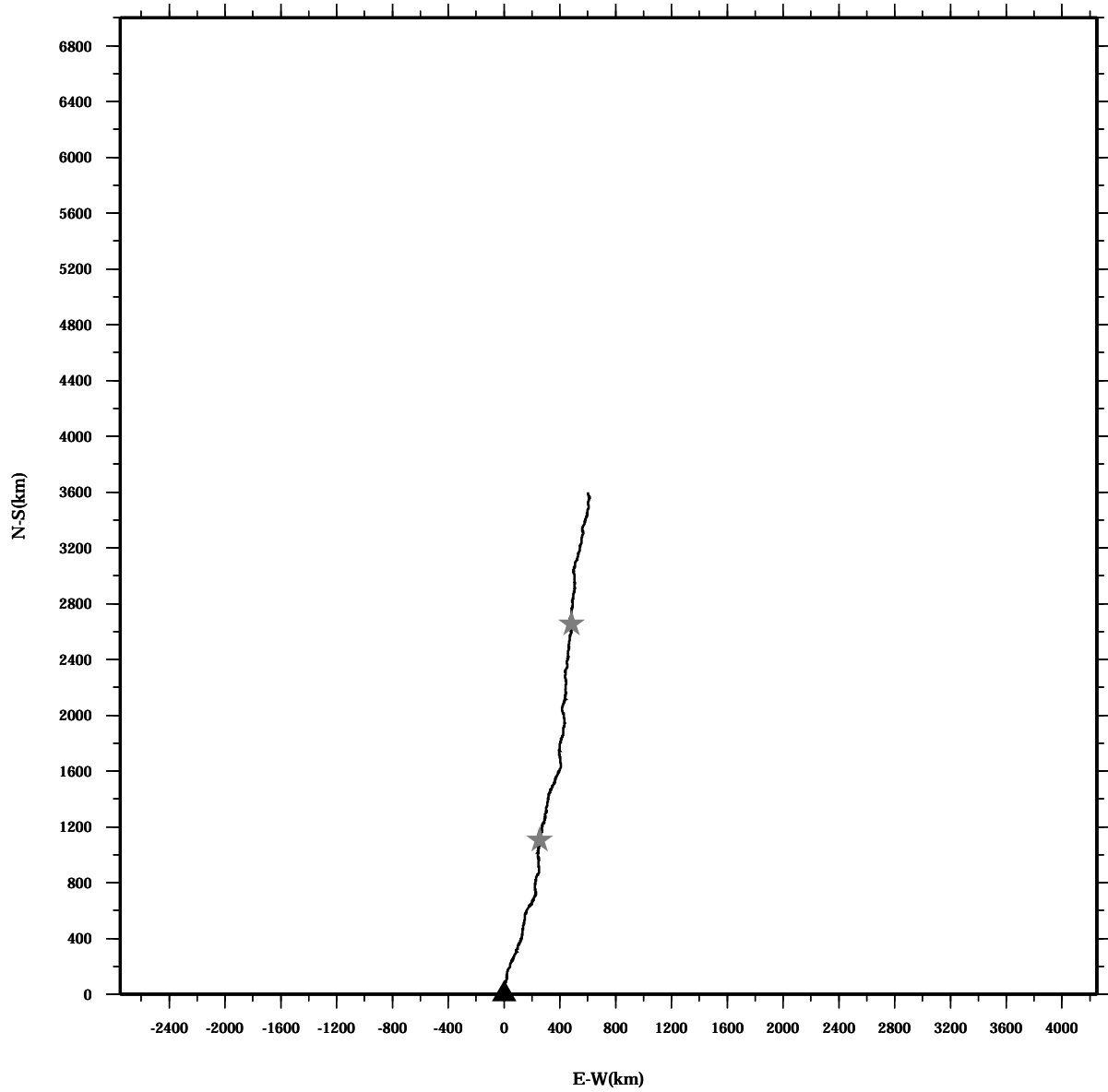
Lon: 121° 24.6445' E

Station: W304

Lat: 22° 38.8994' N

Depth: 202 M

PROGRESSIVE VECTOR DIAGRAM



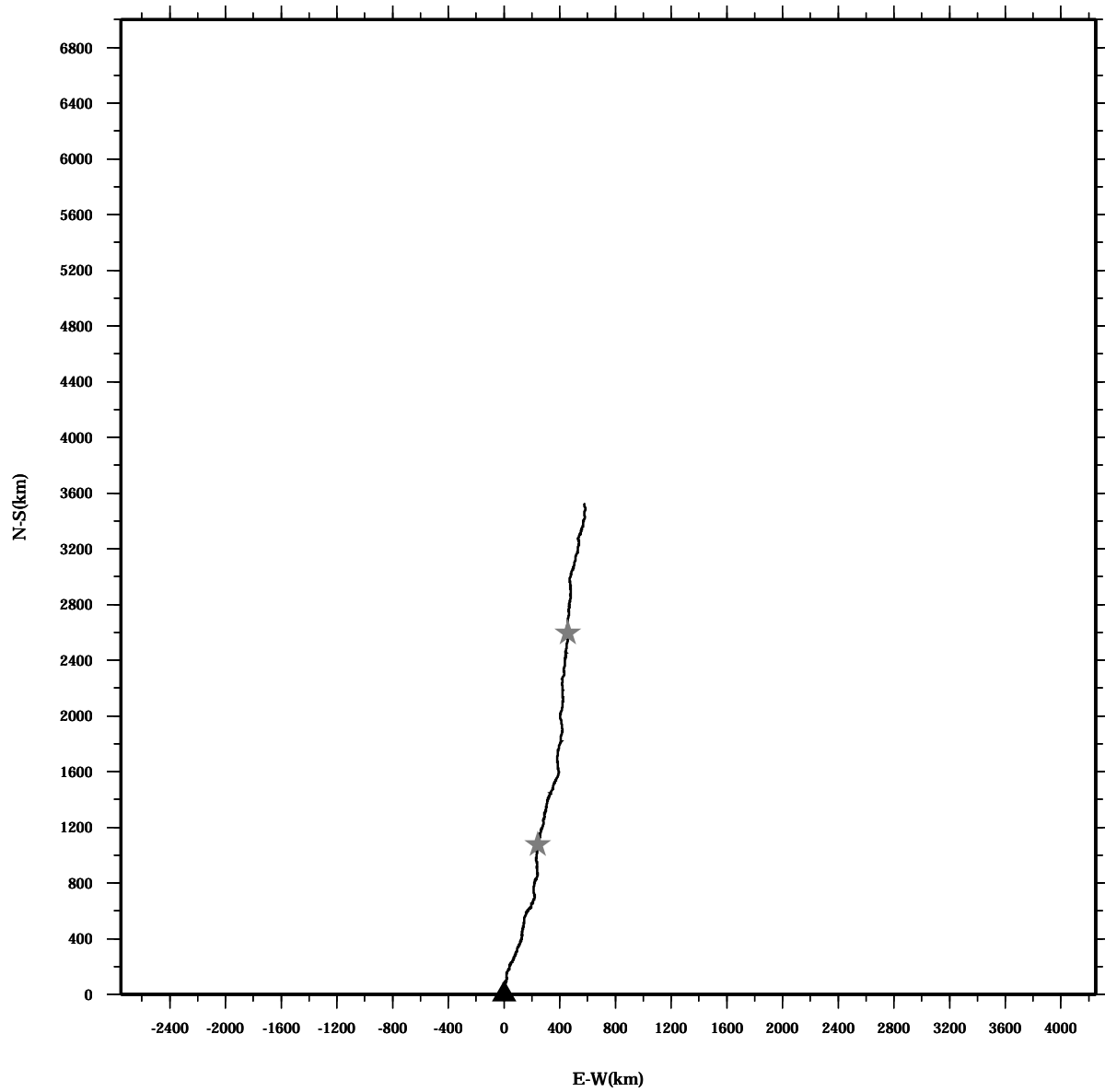
Lon: 121° 24.6445' E

Station: W304

Lat: 22° 38.8994' N

Depth: 206 M

PROGRESSIVE VECTOR DIAGRAM



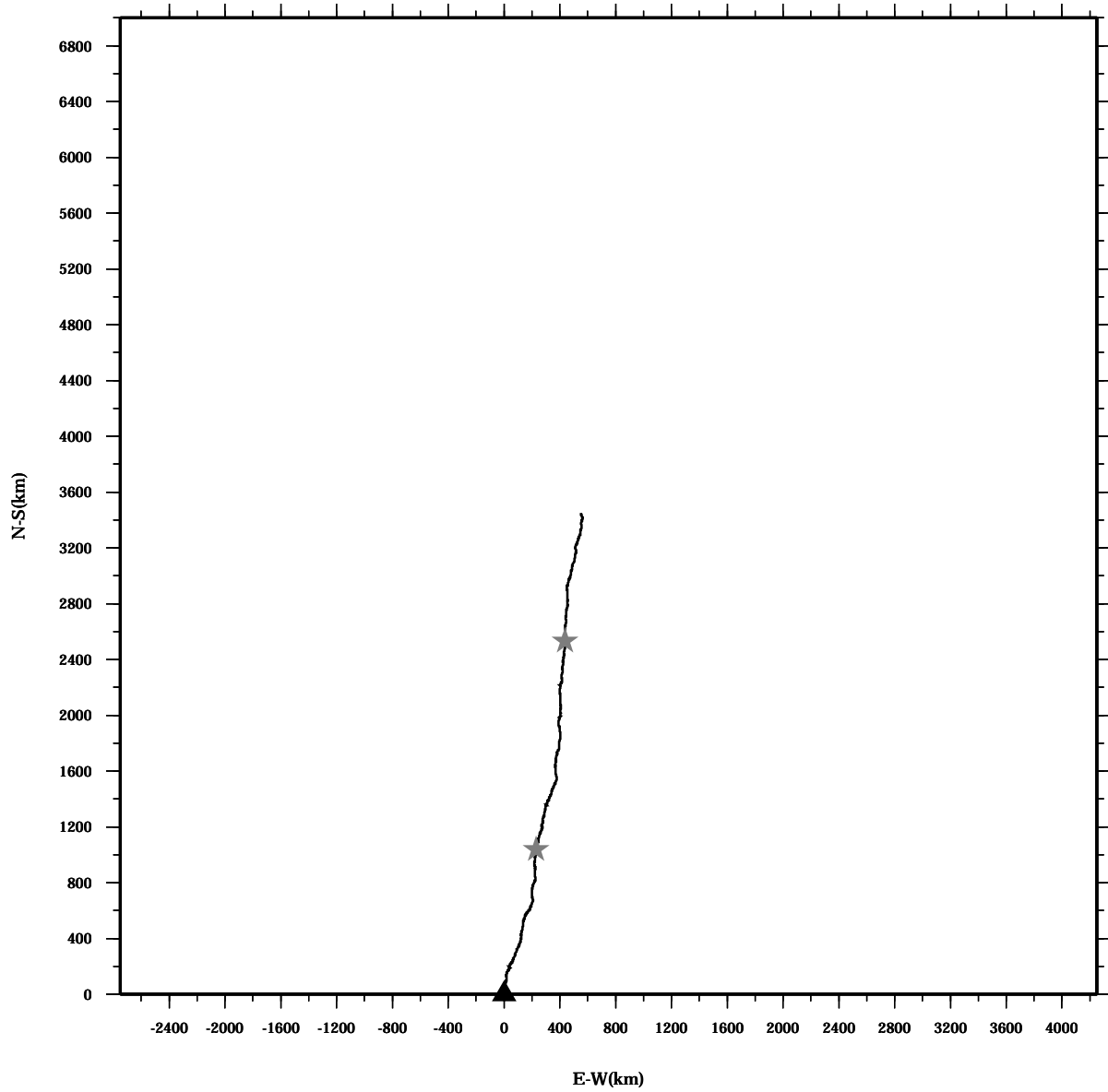
Lon: 121° 24.6445' E

Station: W304

Lat: 22° 38.8994' N

Depth: 210 M

PROGRESSIVE VECTOR DIAGRAM



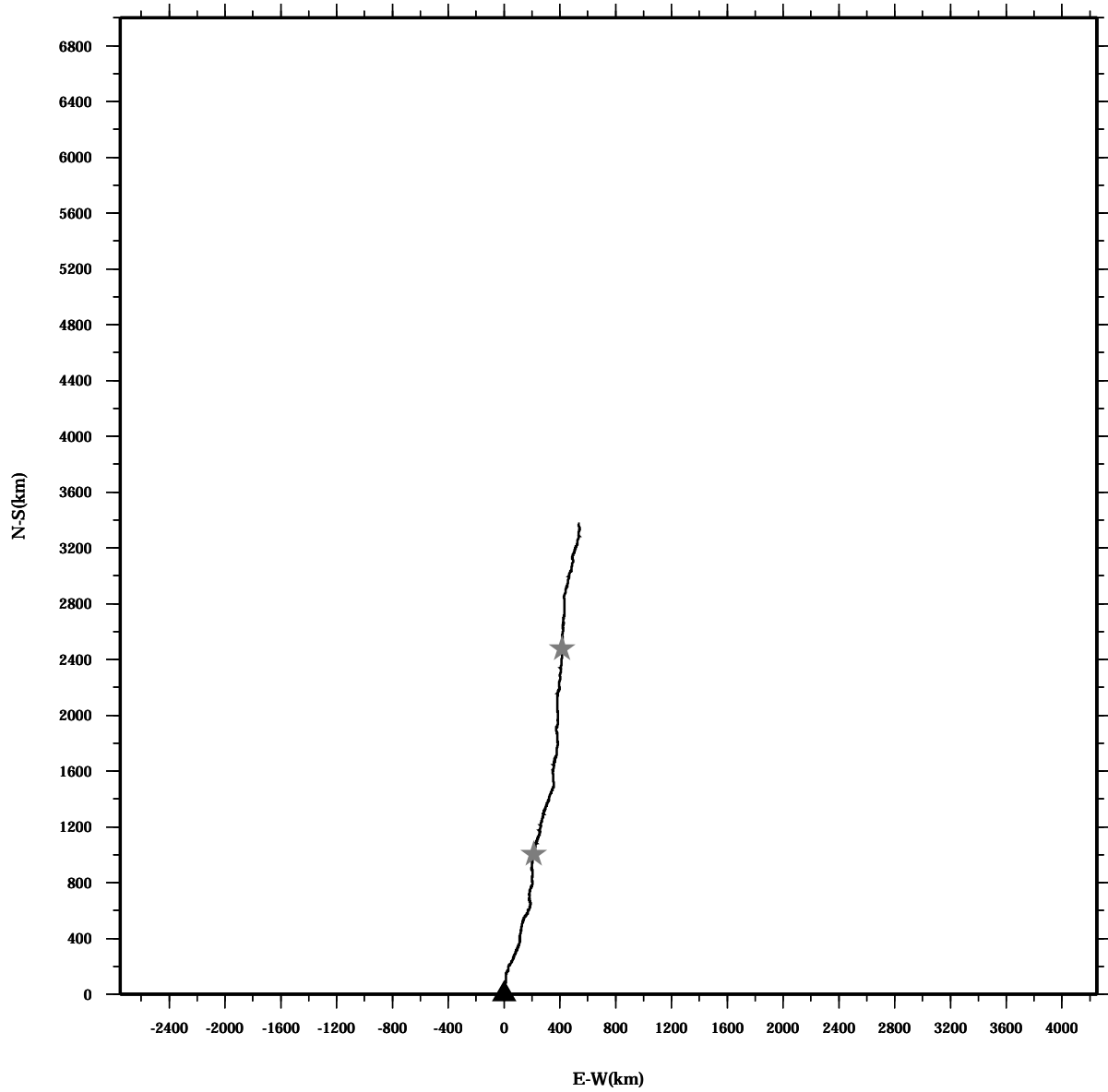
Lon: 121° 24.6445' E

Station: W304

Lat: 22° 38.8994' N

Depth: 214 M

PROGRESSIVE VECTOR DIAGRAM



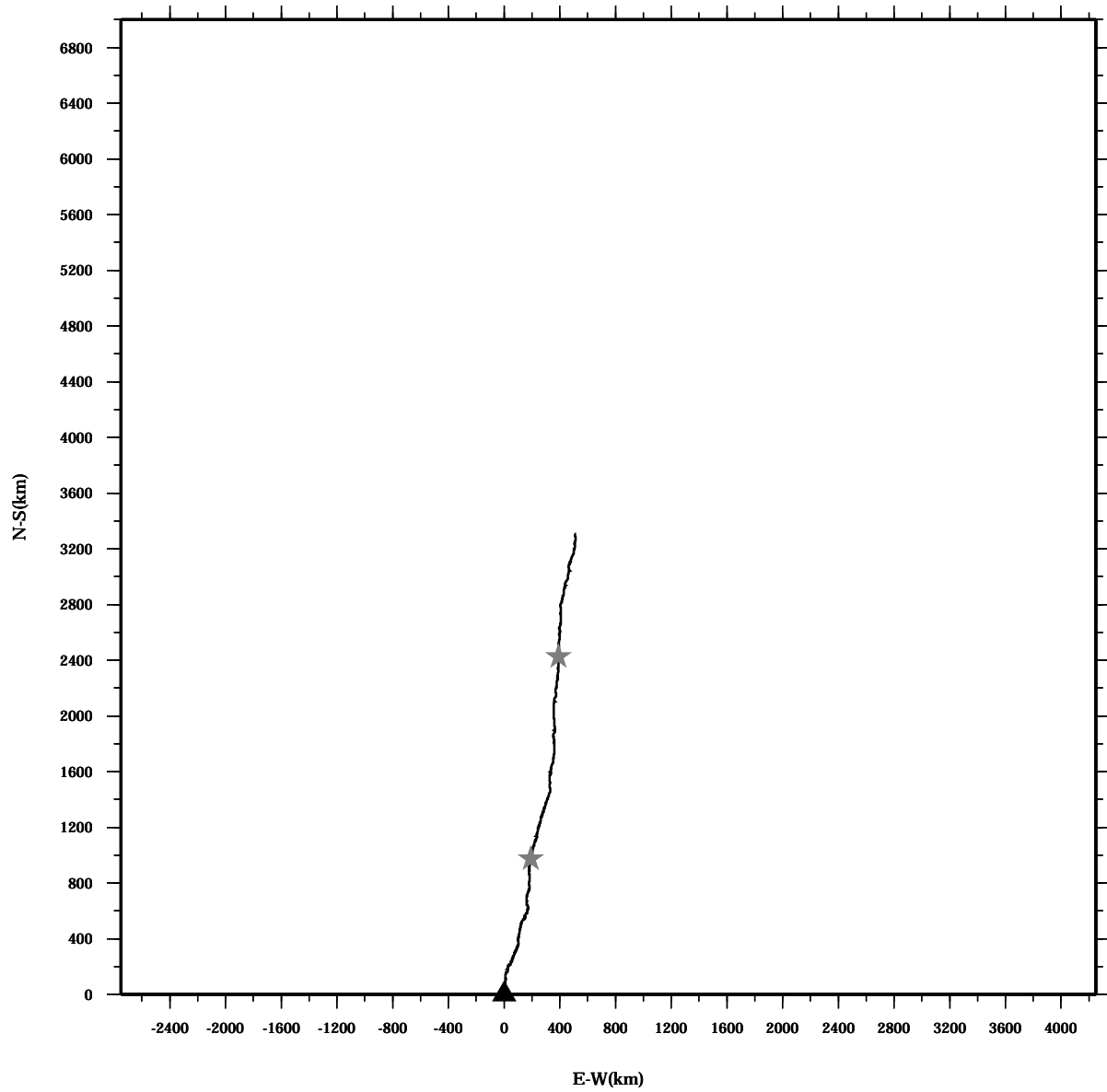
Lon: 121° 24.6445' E

Station: W304

Lat: 22° 38.8994' N

Depth: 218 M

PROGRESSIVE VECTOR DIAGRAM



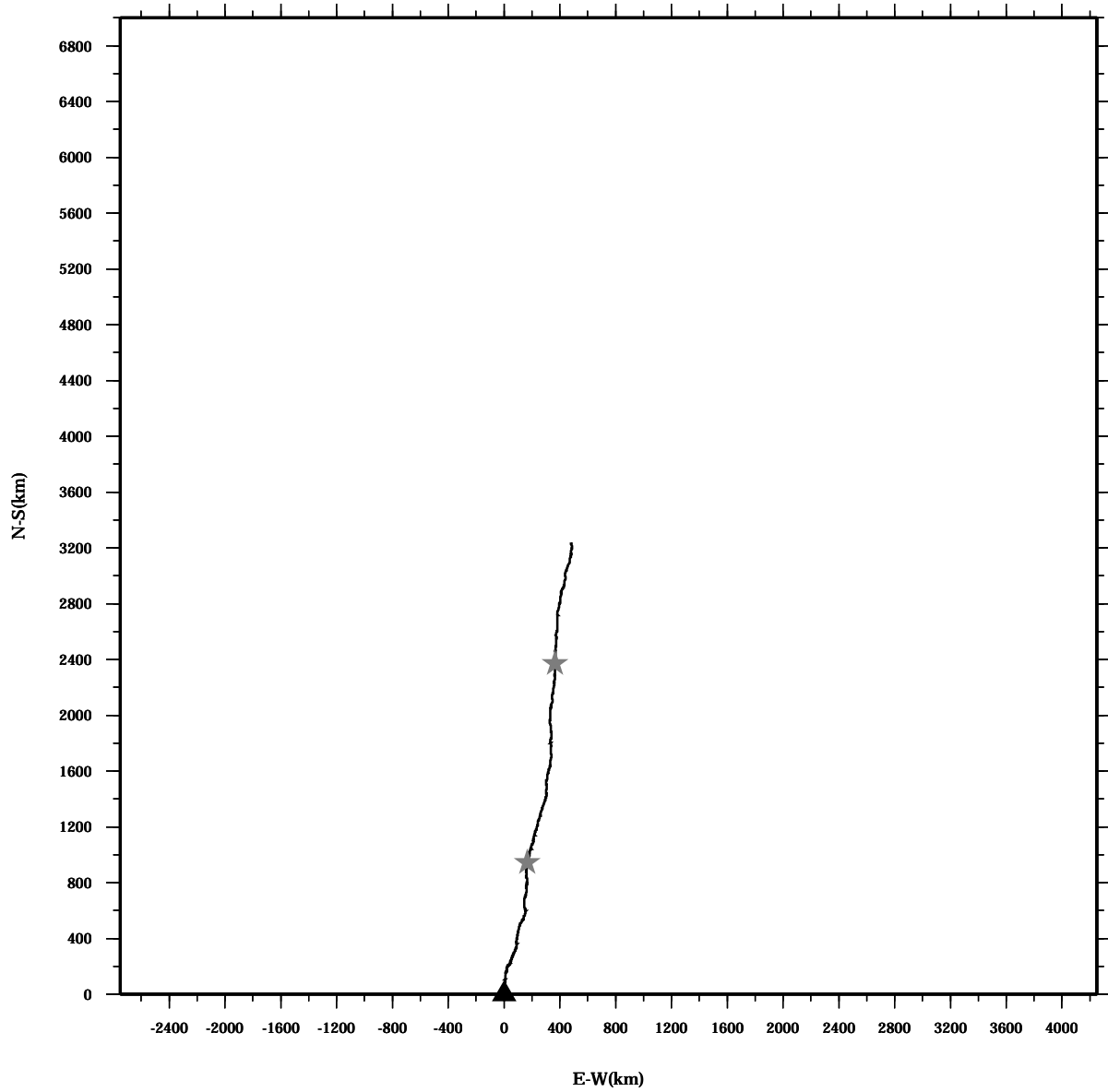
Lon: 121° 24.6445' E

Station: W304

Lat: 22° 38.8994' N

Depth: 222 M

PROGRESSIVE VECTOR DIAGRAM



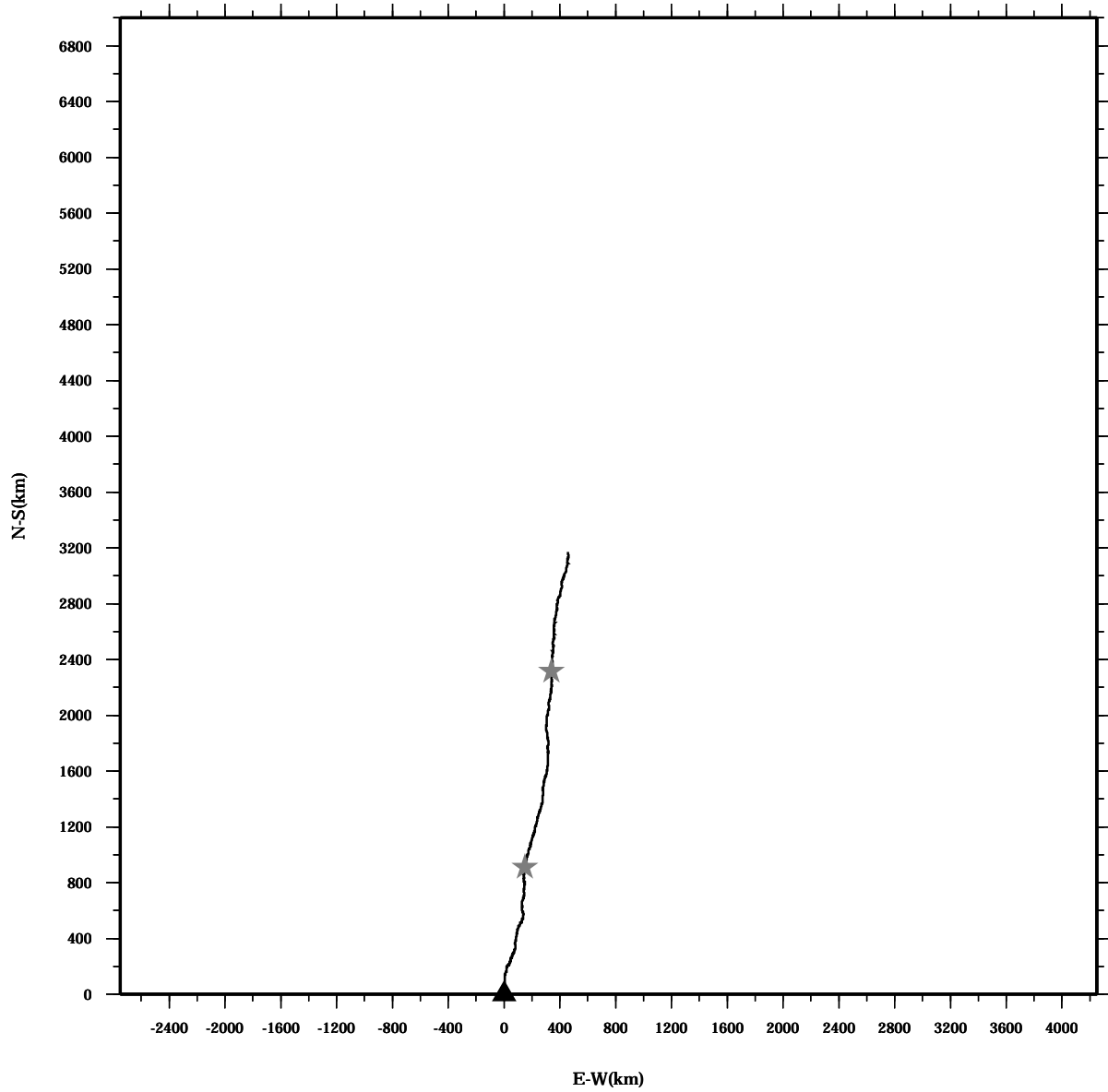
Lon: 121° 24.6445' E

Station: W304

Lat: 22° 38.8994' N

Depth: 226 M

PROGRESSIVE VECTOR DIAGRAM



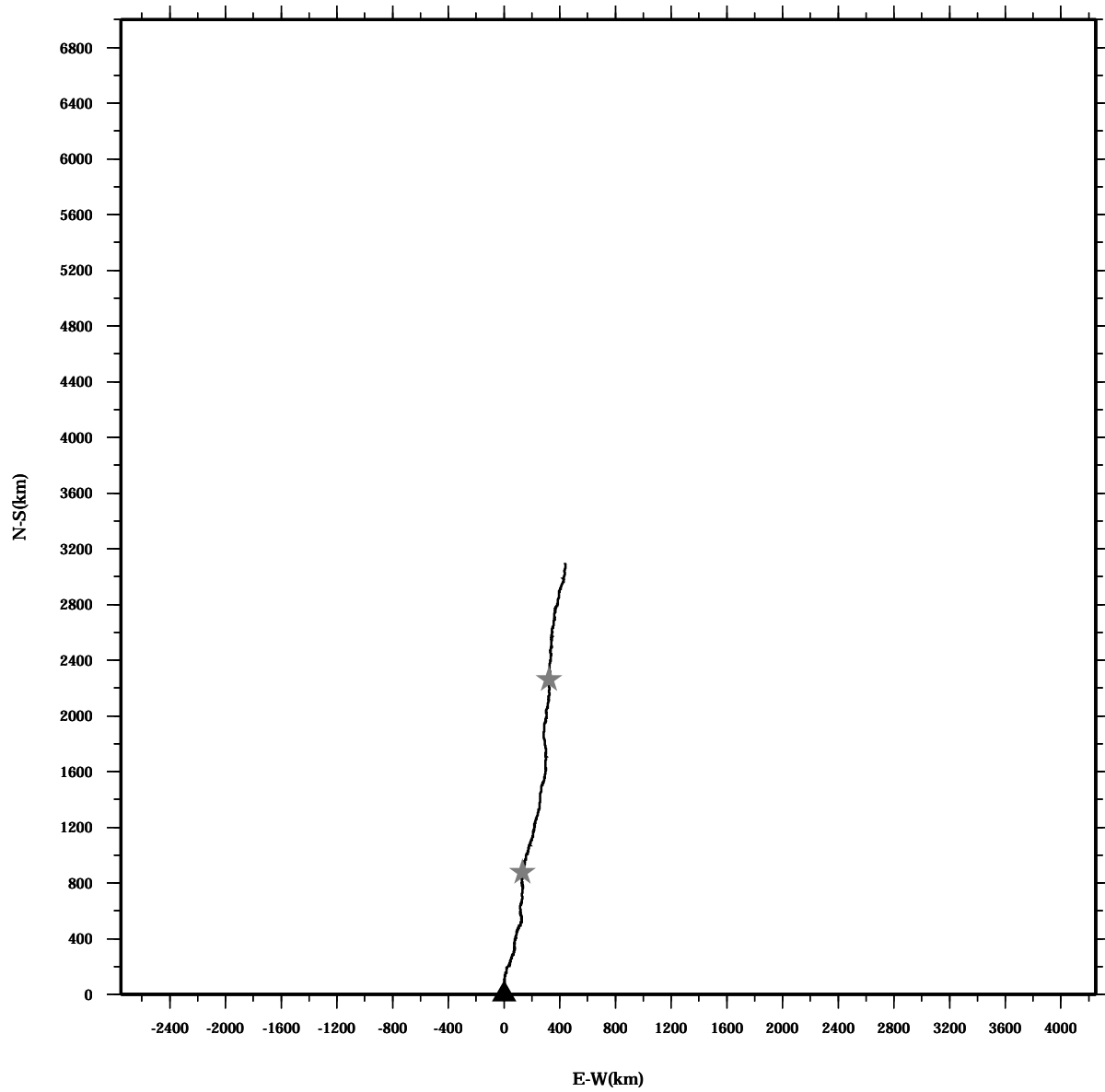
Lon: 121° 24.6445' E

Station: W304

Lat: 22° 38.8994' N

Depth: 230 M

PROGRESSIVE VECTOR DIAGRAM



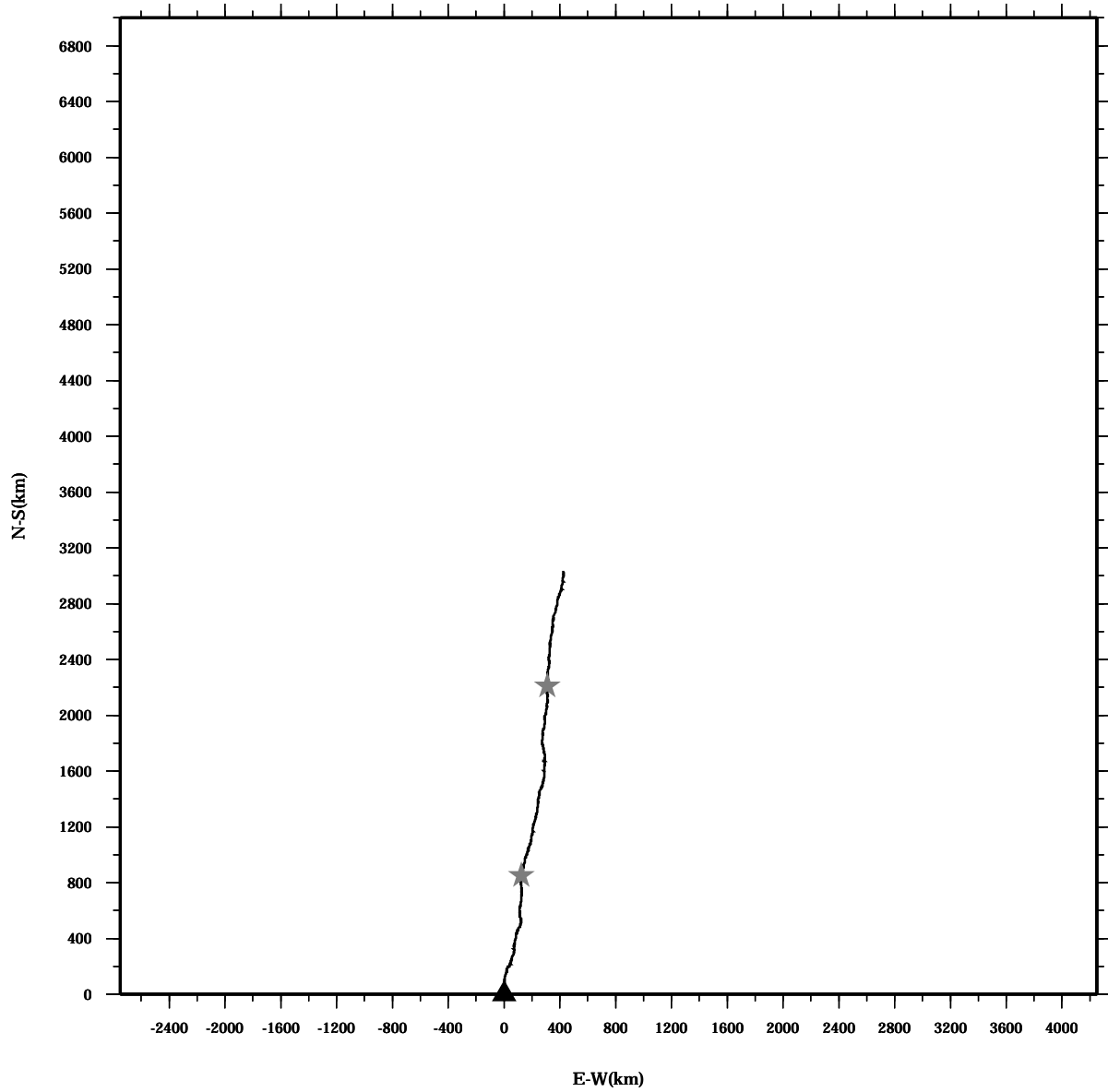
Lon: 121° 24.6445' E

Station: W304

Lat: 22° 38.8994' N

Depth: 234 M

PROGRESSIVE VECTOR DIAGRAM



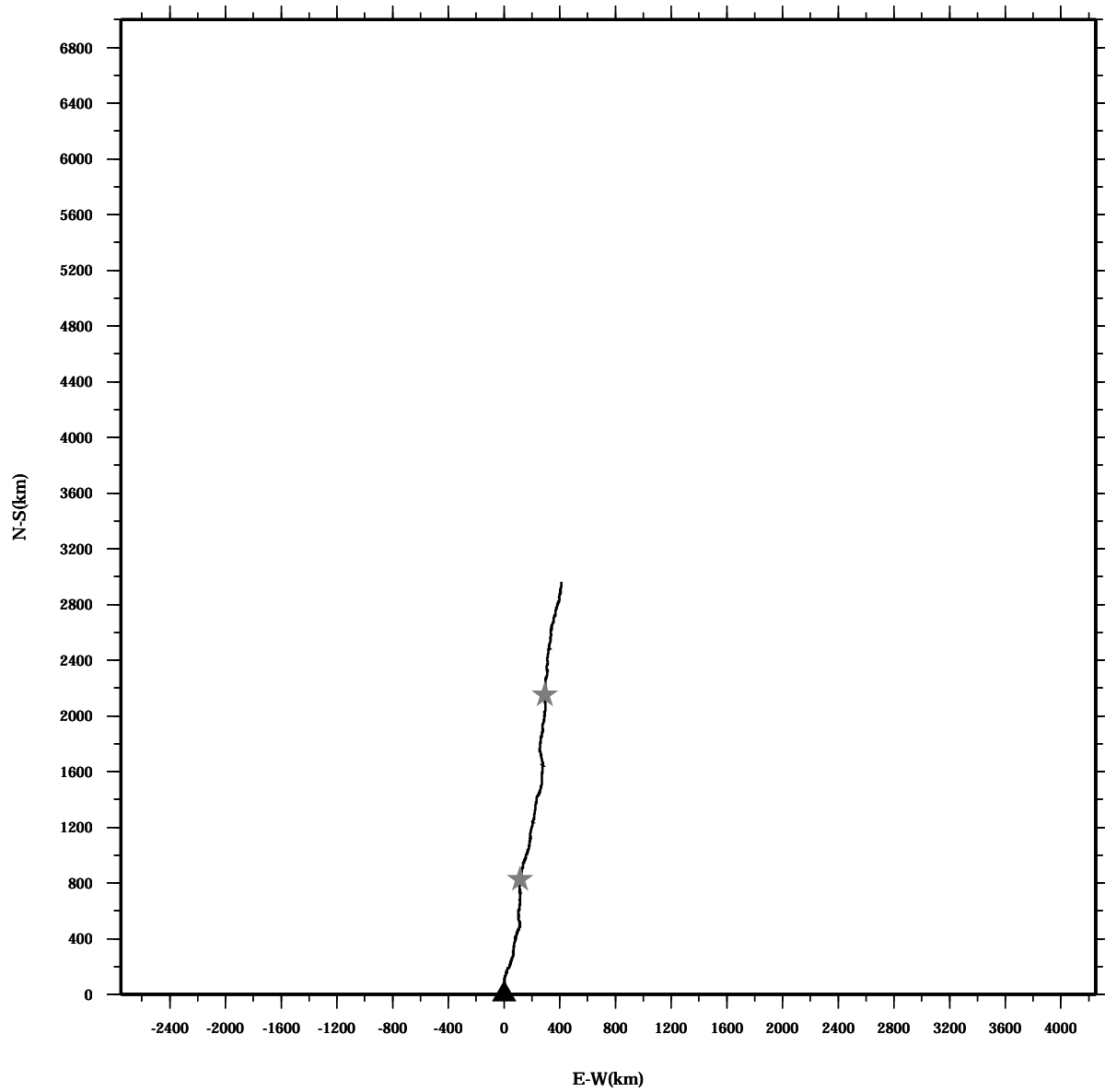
Lon: 121° 24.6445' E

Station: W304

Lat: 22° 38.8994' N

Depth: 238 M

PROGRESSIVE VECTOR DIAGRAM



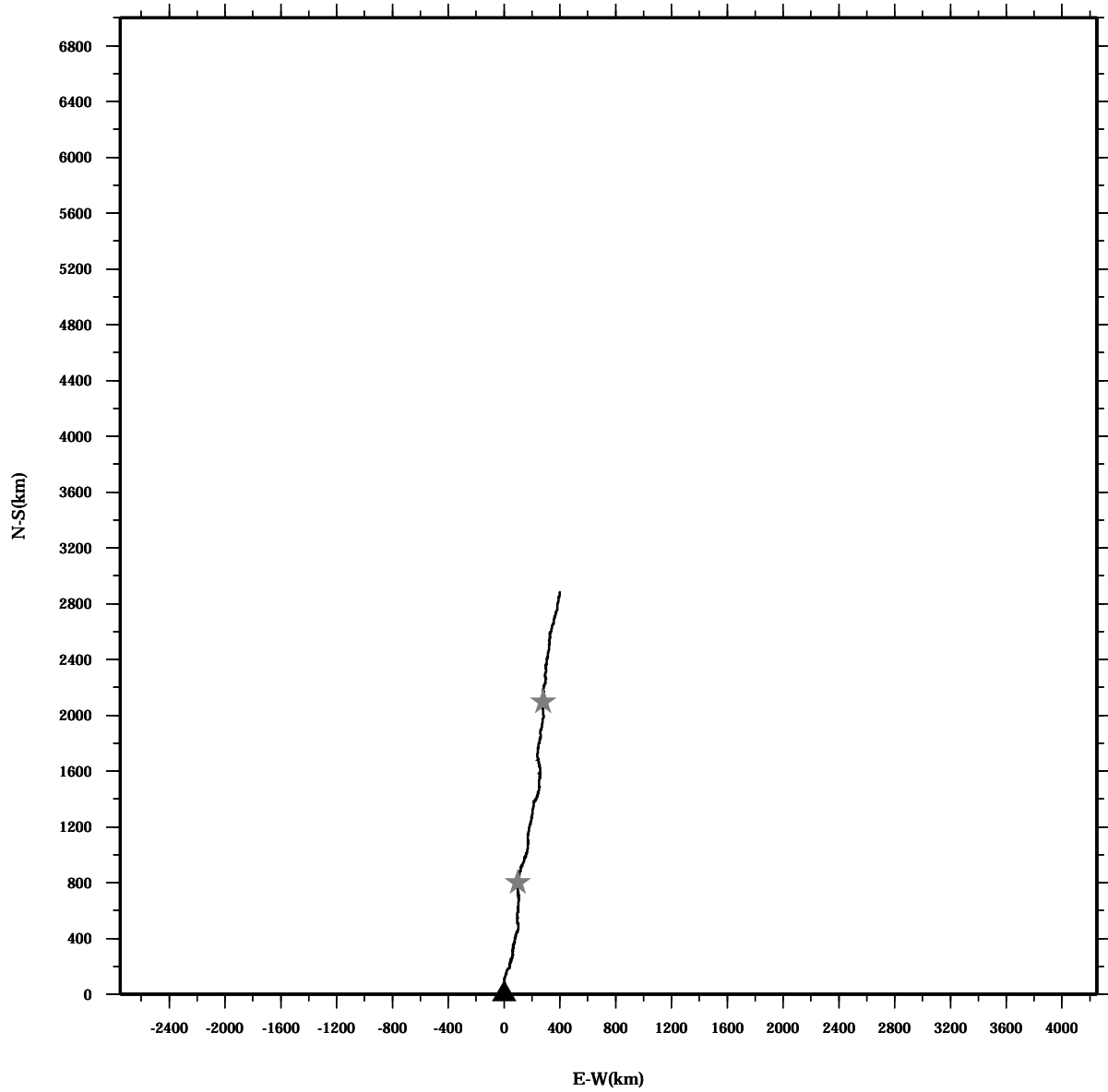
Lon: 121° 24.6445' E

Station: W304

Lat: 22° 38.8994' N

Depth: 242 M

PROGRESSIVE VECTOR DIAGRAM



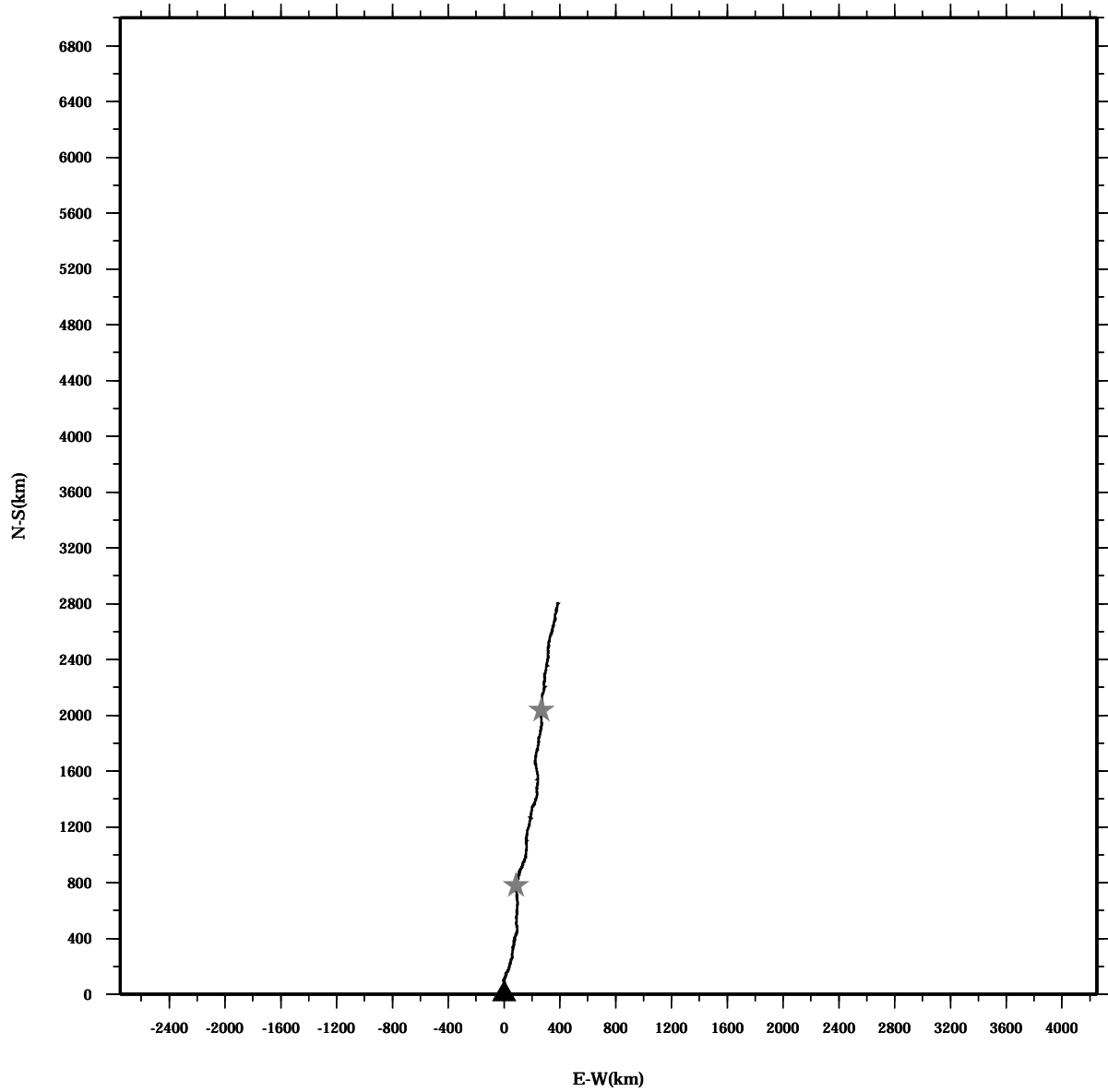
Lon: 121° 24.6445' E

Station: W304

Lat: 22° 38.8994' N

Depth: 246 M

PROGRESSIVE VECTOR DIAGRAM



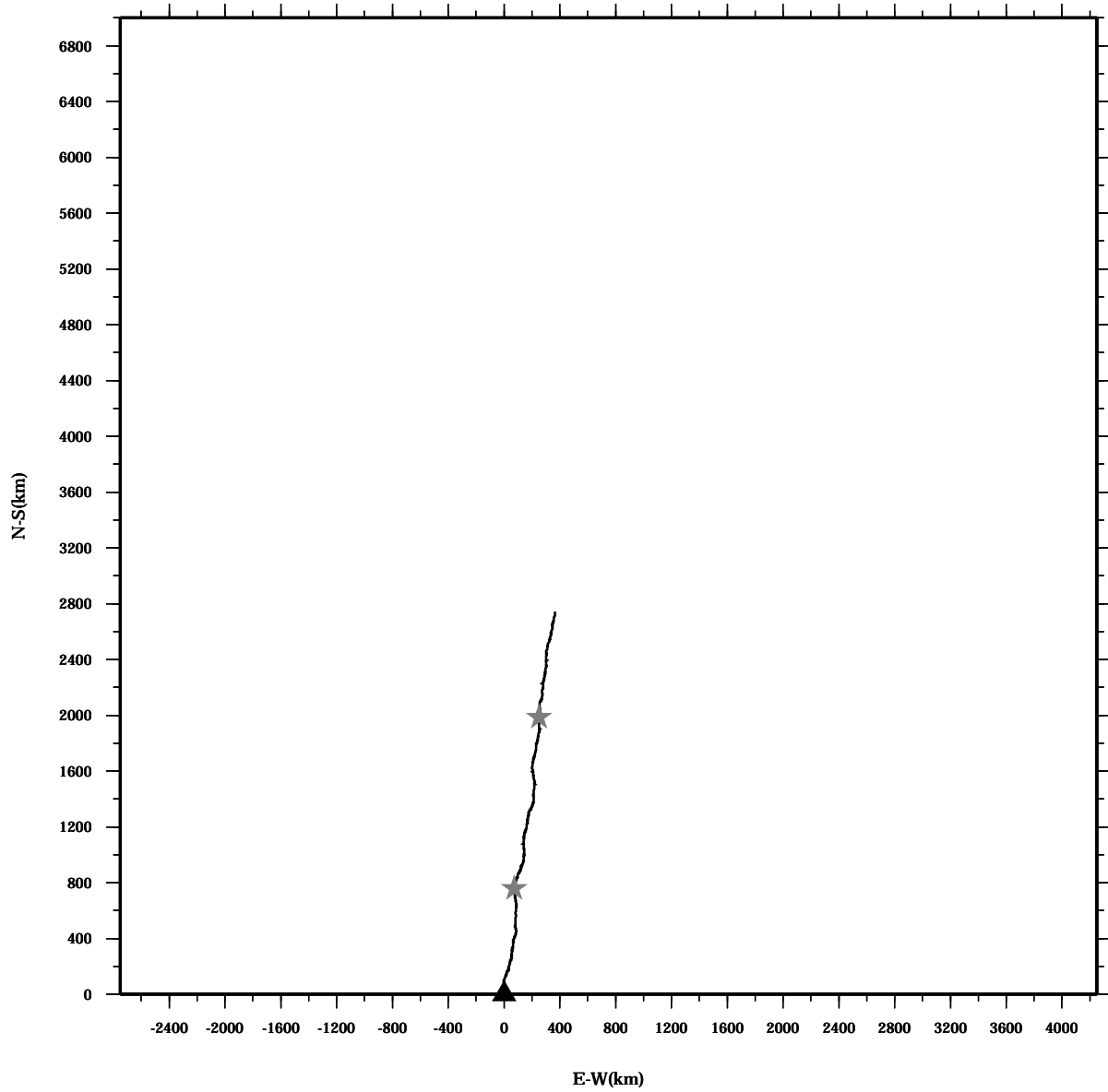
Lon: 121° 24.6445' E

Station: W304

Lat: 22° 38.8994' N

Depth: 250 M

PROGRESSIVE VECTOR DIAGRAM



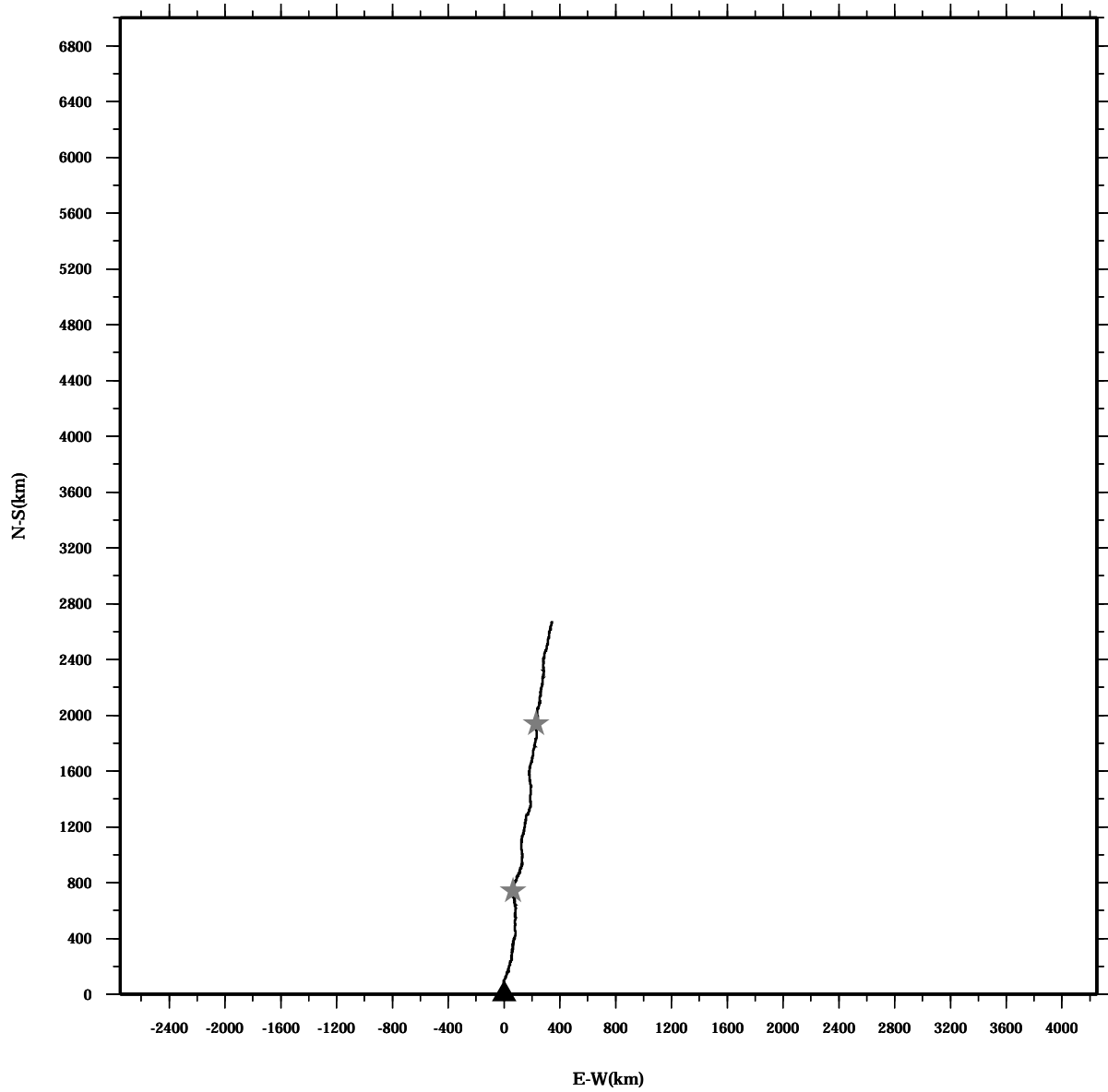
Lon: 121° 24.6445' E

Lat: 22° 38.8994' N

Station: W304

Depth: 254 M

PROGRESSIVE VECTOR DIAGRAM



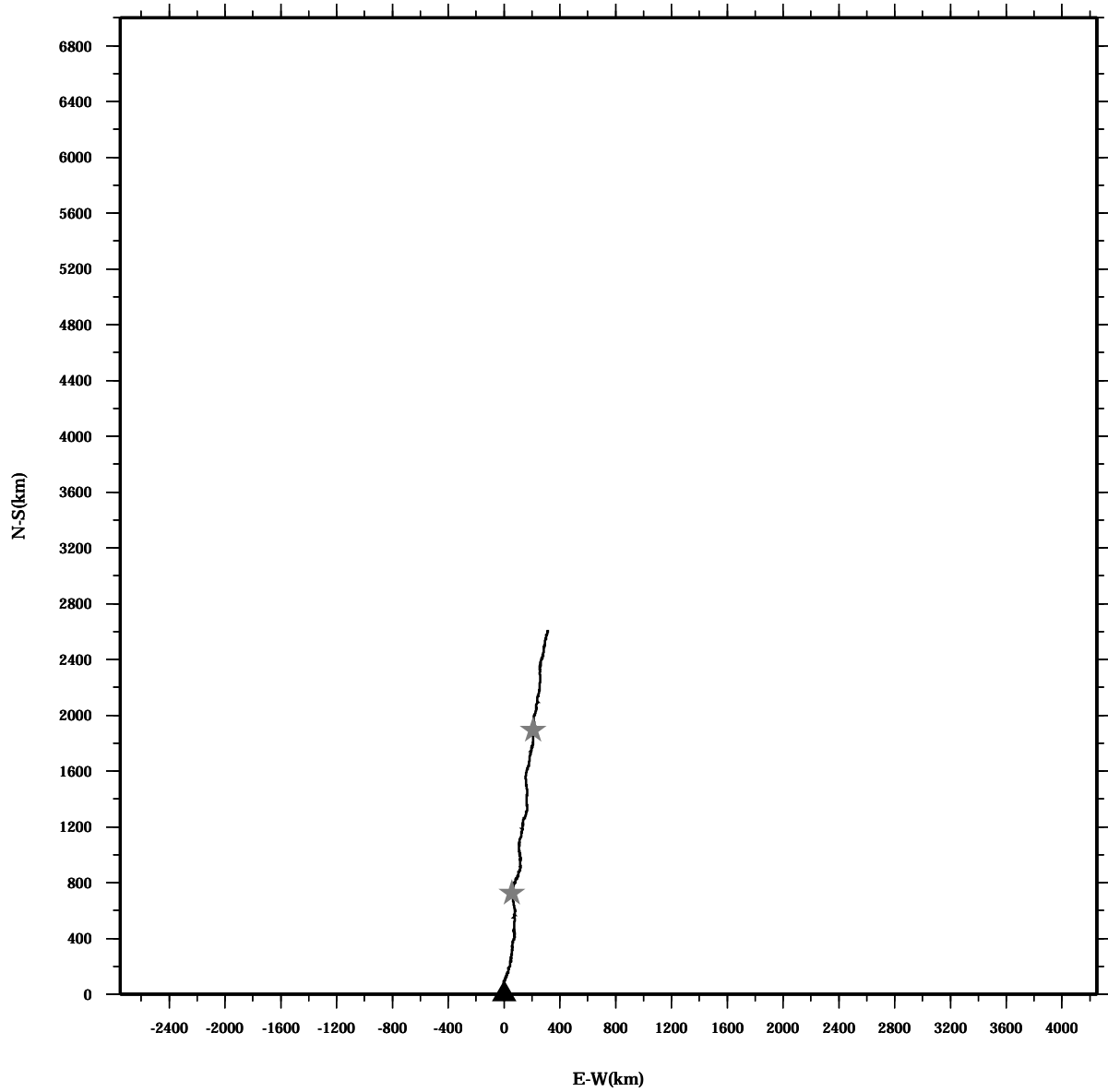
Lon: 121° 24.6445' E

Station: W304

Lat: 22° 38.8994' N

Depth: 258 M

PROGRESSIVE VECTOR DIAGRAM



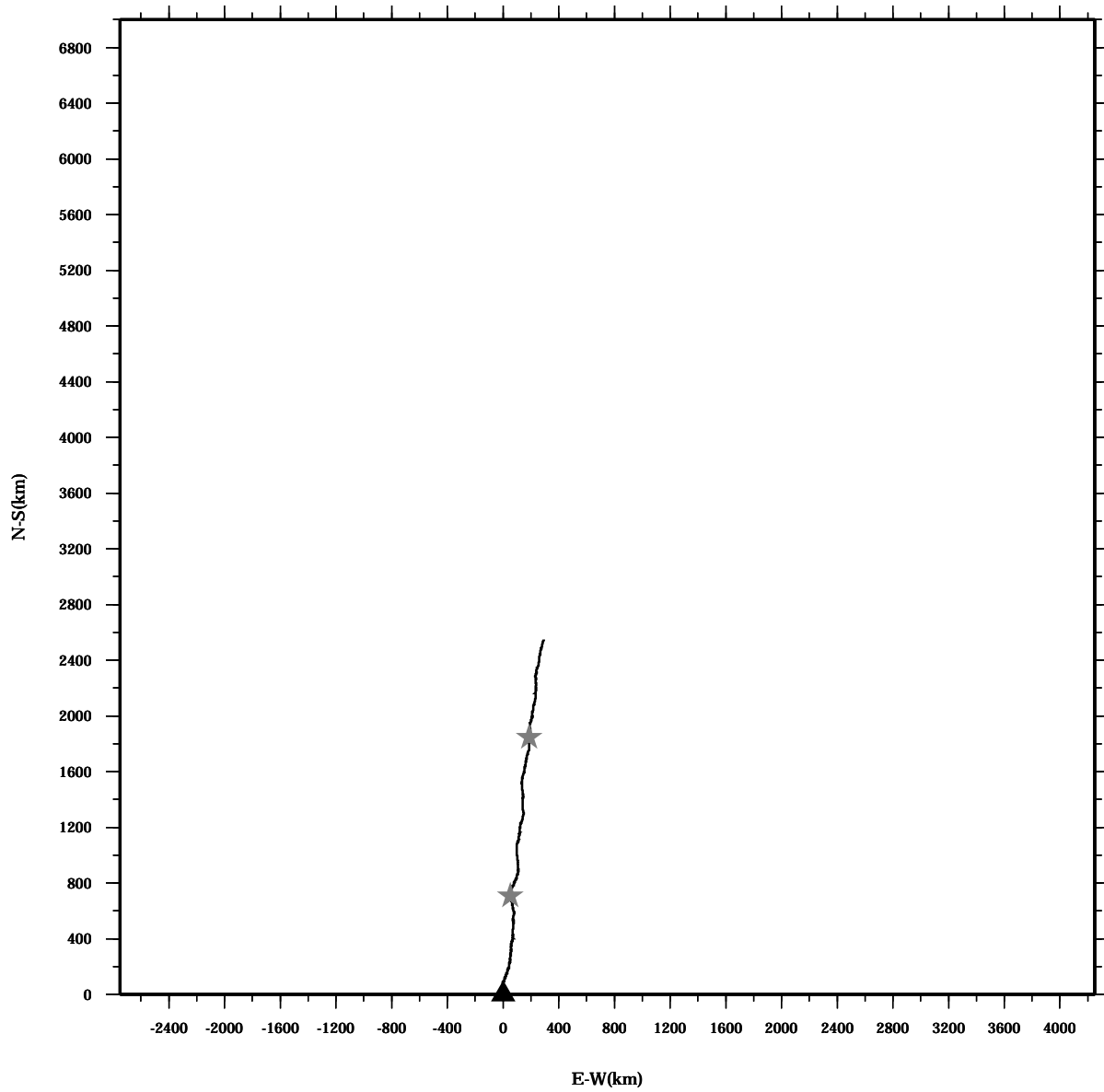
Lon: 121° 24.6445' E

Station: W304

Lat: 22° 38.8994' N

Depth: 262 M

PROGRESSIVE VECTOR DIAGRAM



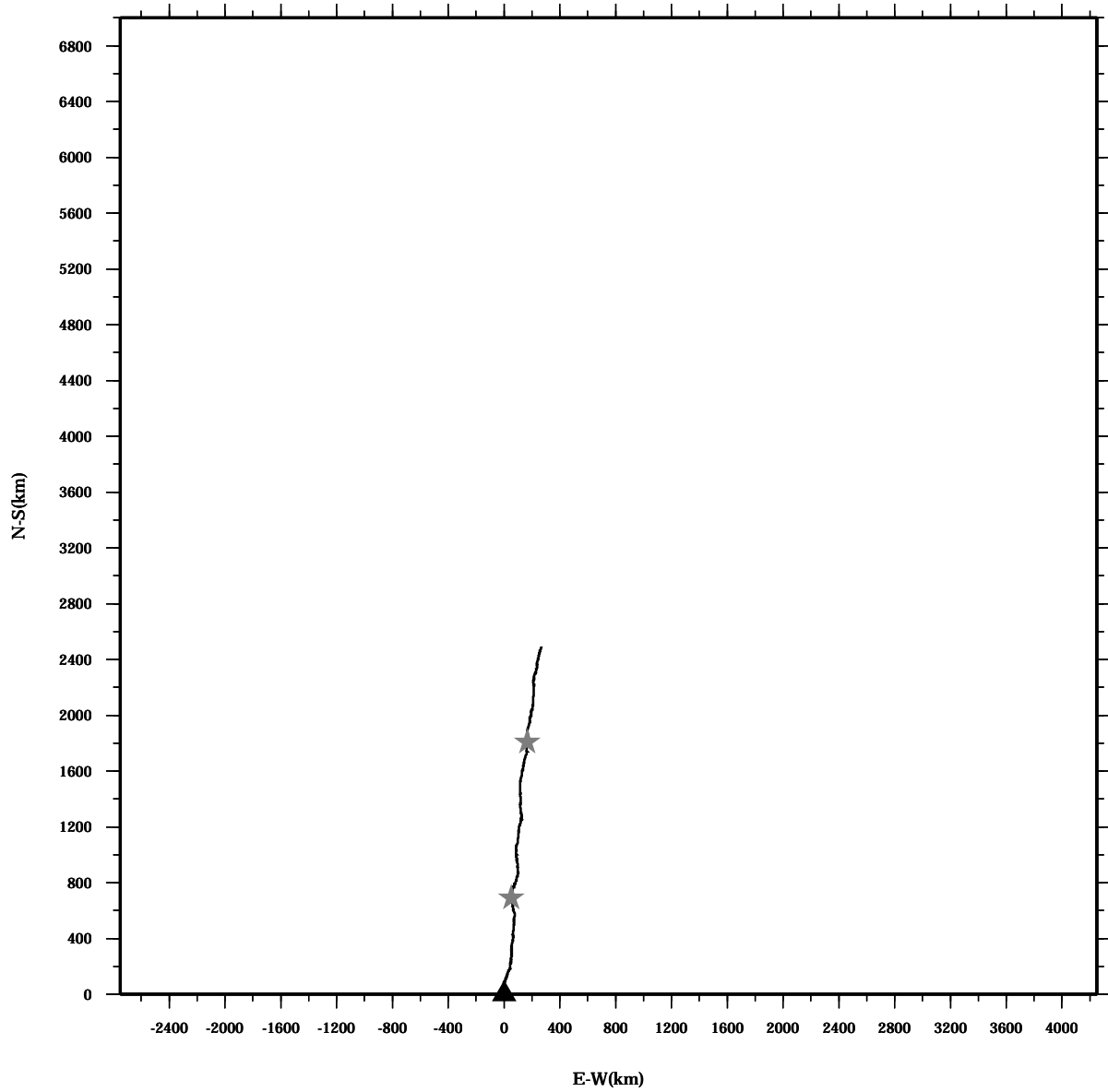
Lon: 121° 24.6445' E

Station: W304

Lat: 22° 38.8994' N

Depth: 266 M

PROGRESSIVE VECTOR DIAGRAM



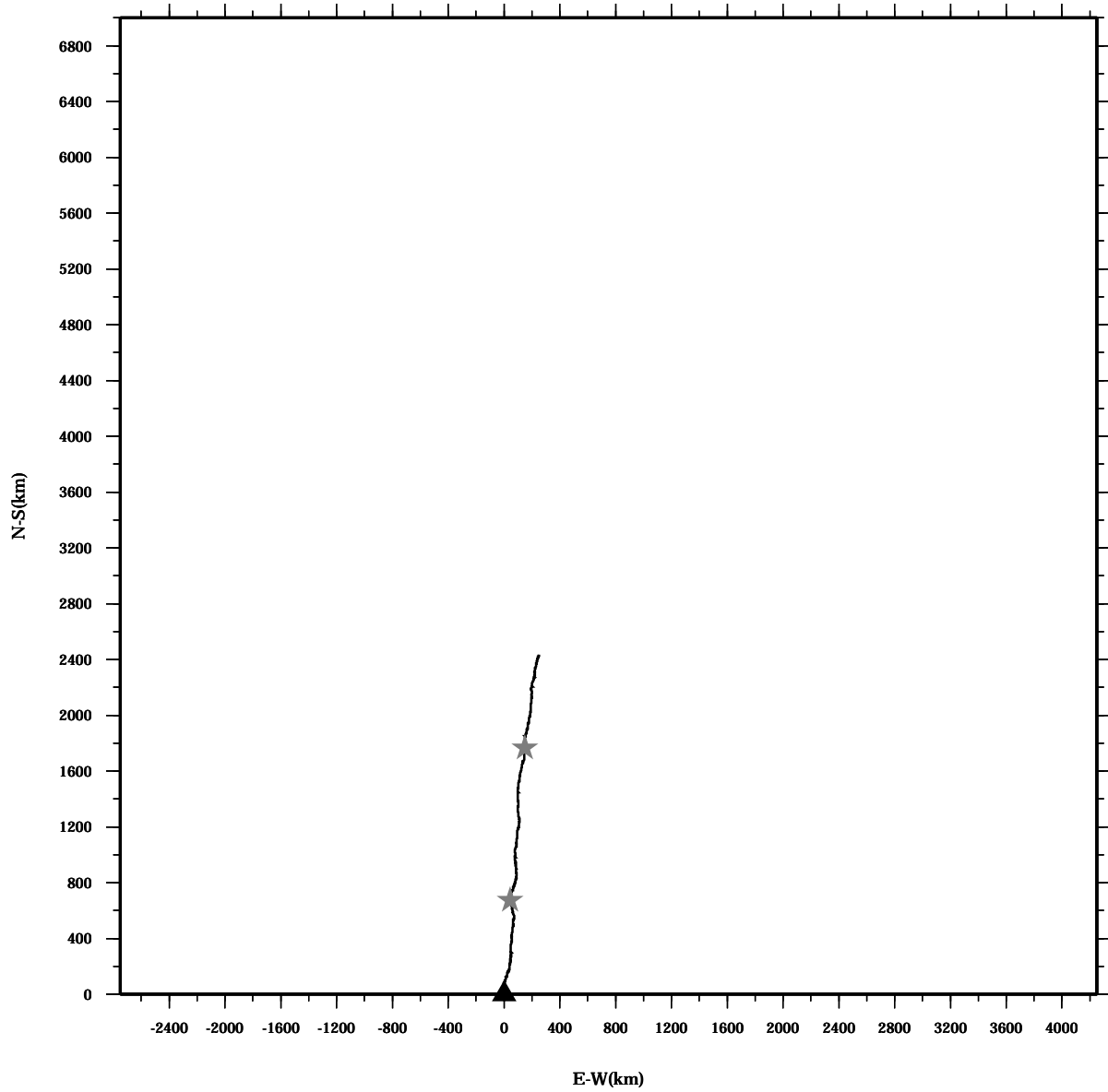
Lon: 121° 24.6445' E

Station: W304

Lat: 22° 38.8994' N

Depth: 270 M

PROGRESSIVE VECTOR DIAGRAM



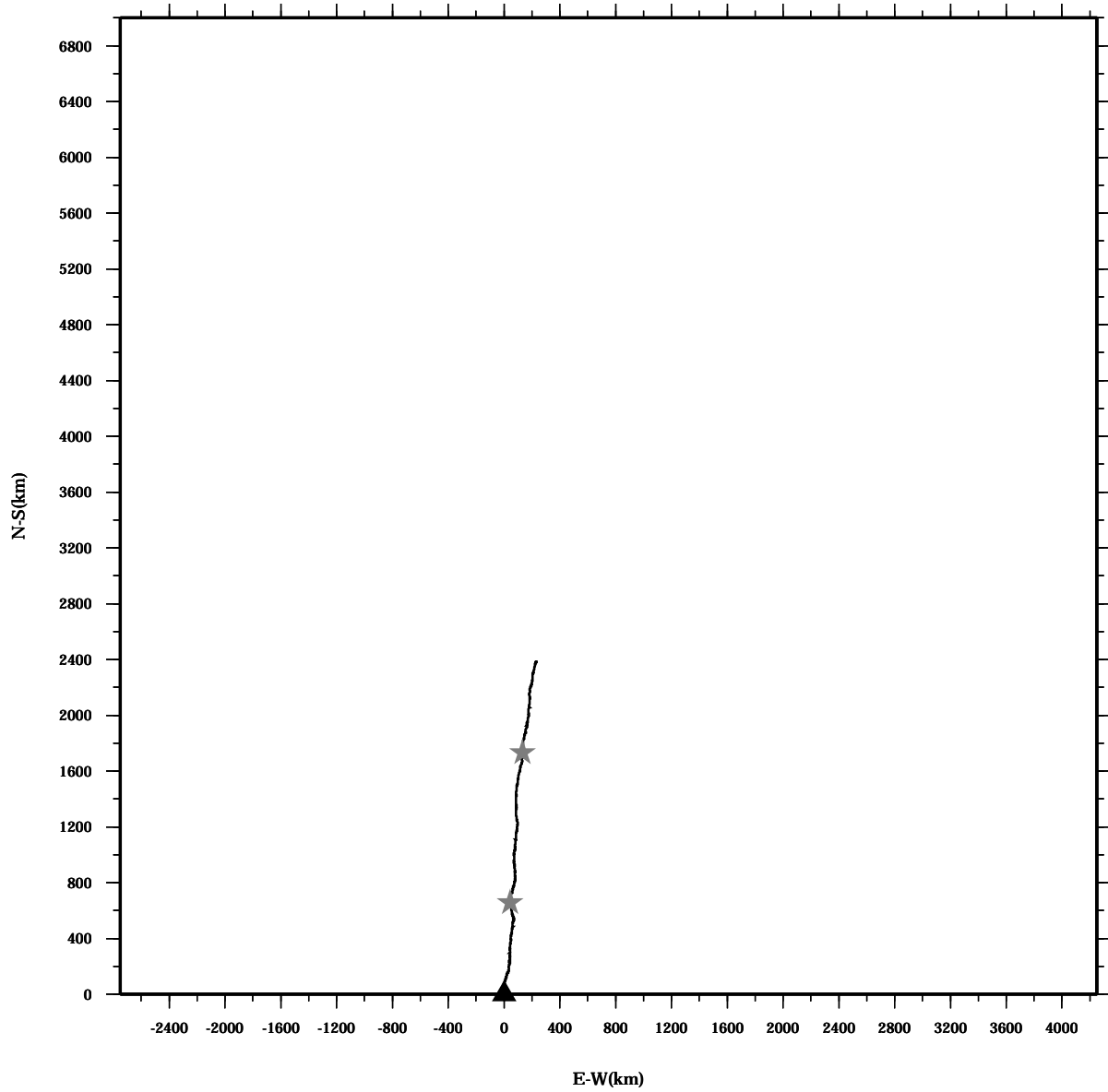
Lon: 121° 24.6445' E

Station: W304

Lat: 22° 38.8994' N

Depth: 274 M

PROGRESSIVE VECTOR DIAGRAM



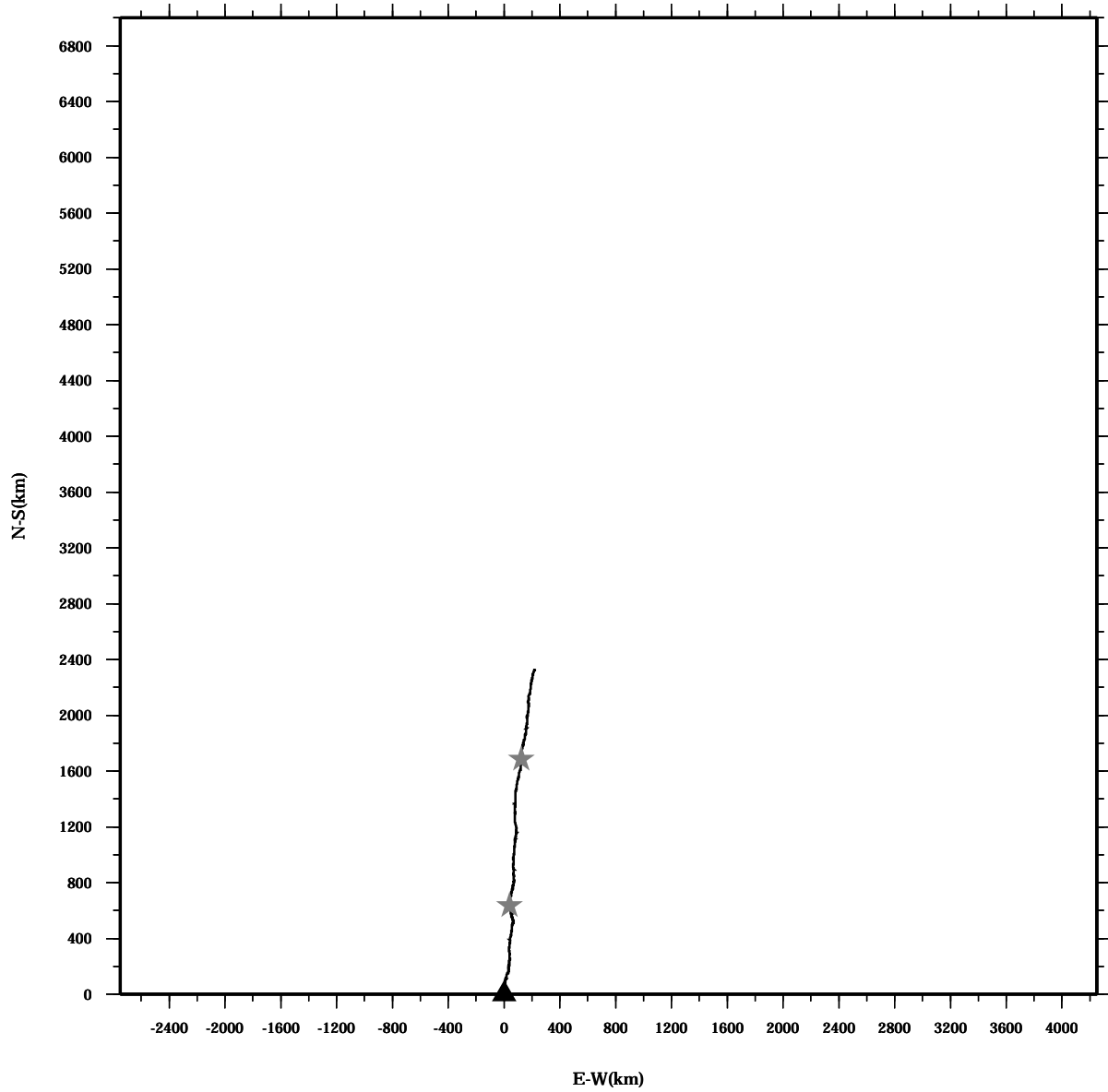
Lon: 121° 24.6445' E

Station: W304

Lat: 22° 38.8994' N

Depth: 278 M

PROGRESSIVE VECTOR DIAGRAM



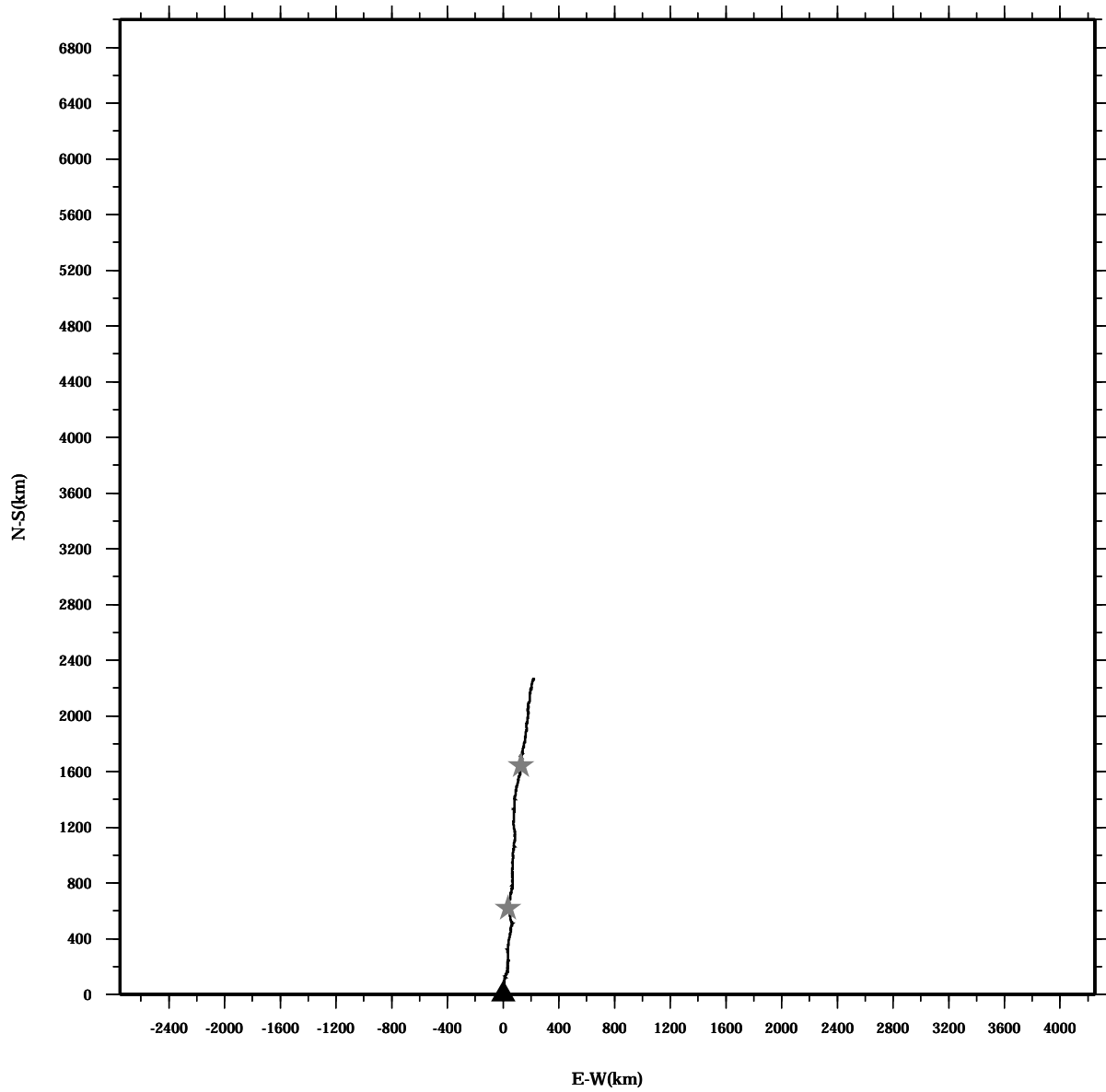
Lon: 121° 24.6445' E

Station: W304

Lat: 22° 38.8994' N

Depth: 282 M

PROGRESSIVE VECTOR DIAGRAM



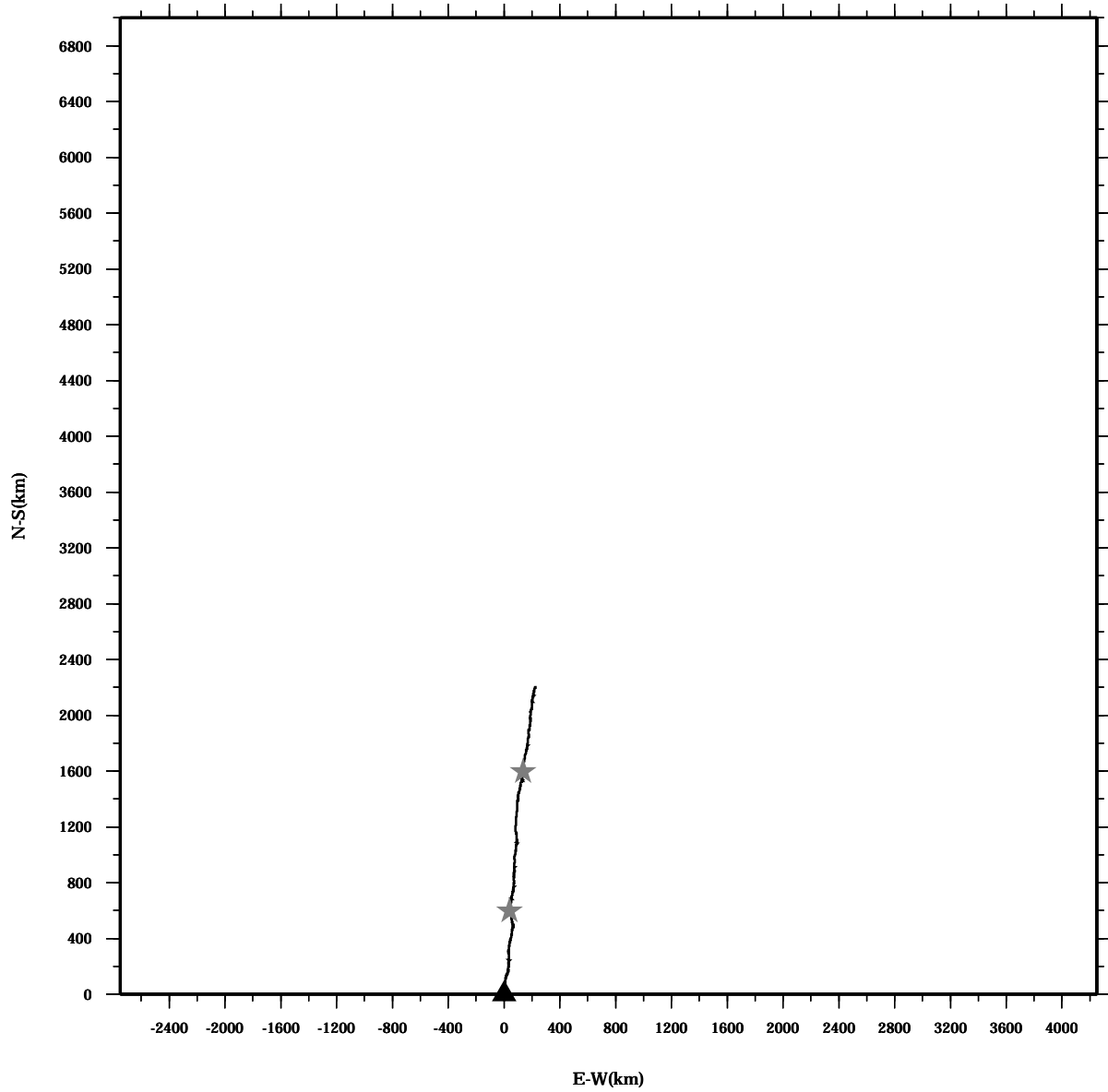
Lon: 121° 24.6445' E

Station: W304

Lat: 22° 38.8994' N

Depth: 286 M

PROGRESSIVE VECTOR DIAGRAM



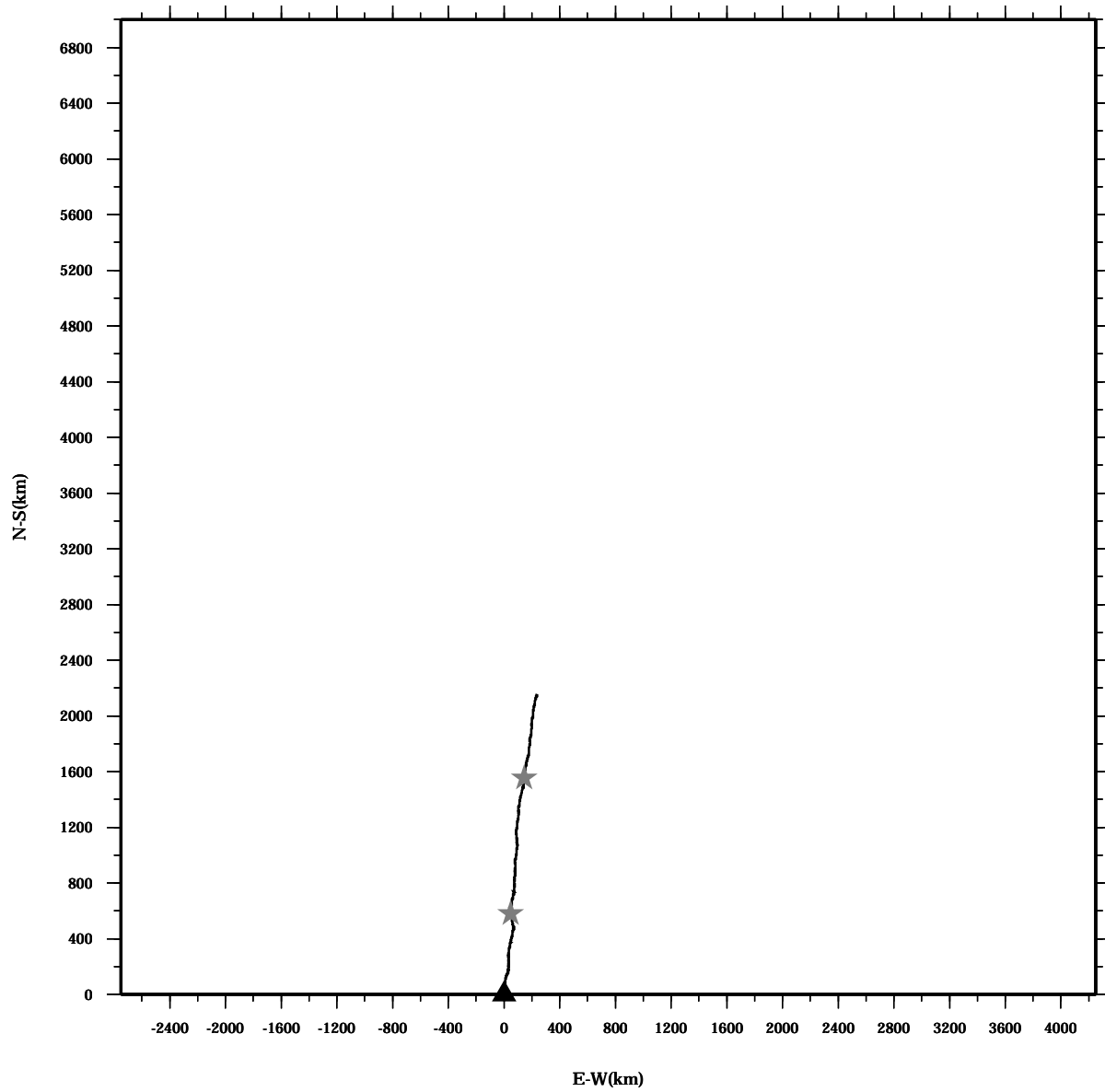
Lon: 121° 24.6445' E

Station: W304

Lat: 22° 38.8994' N

Depth: 290 M

PROGRESSIVE VECTOR DIAGRAM



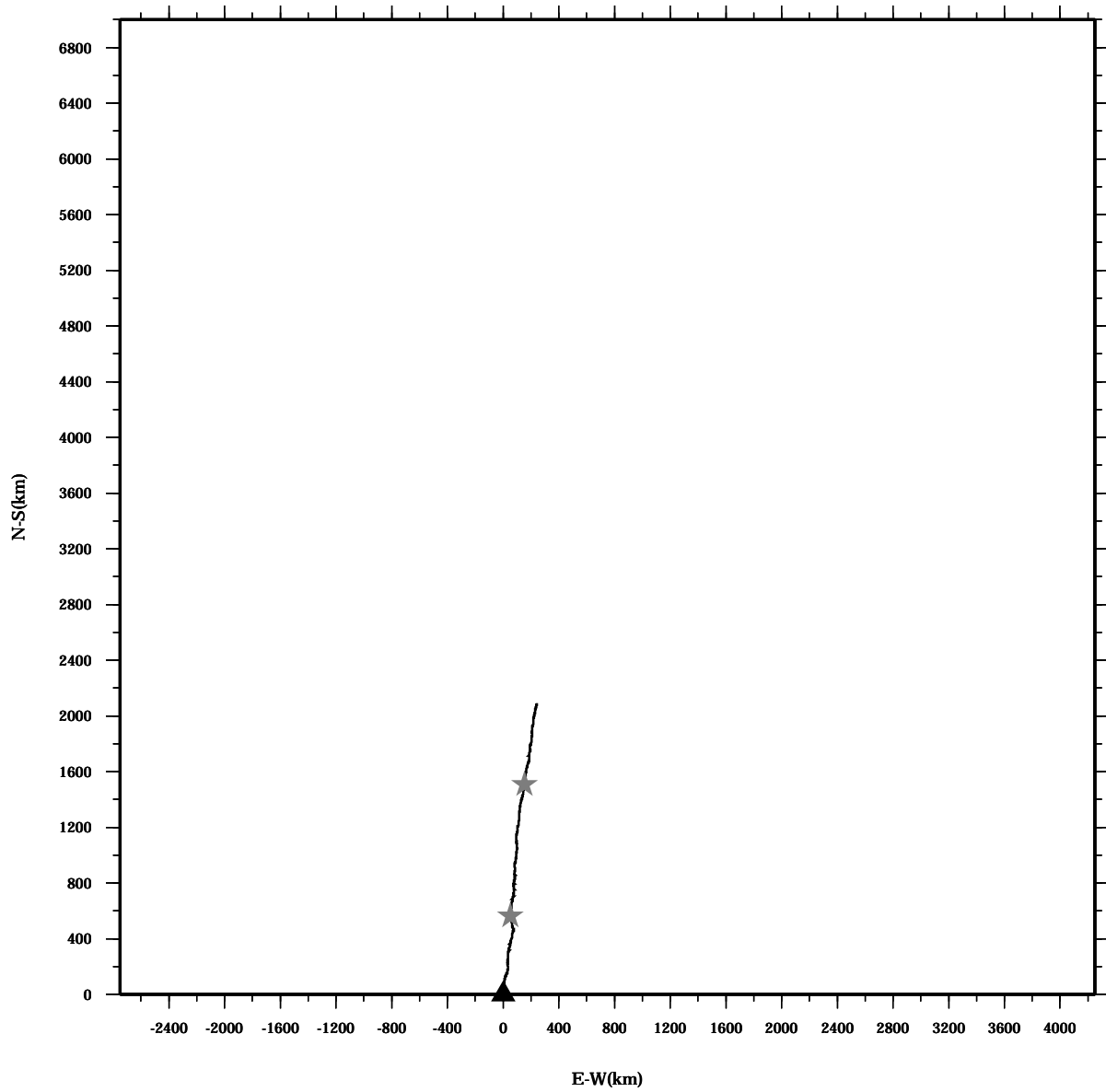
Lon: 121° 24.6445' E

Station: W304

Lat: 22° 38.8994' N

Depth: 294 M

PROGRESSIVE VECTOR DIAGRAM



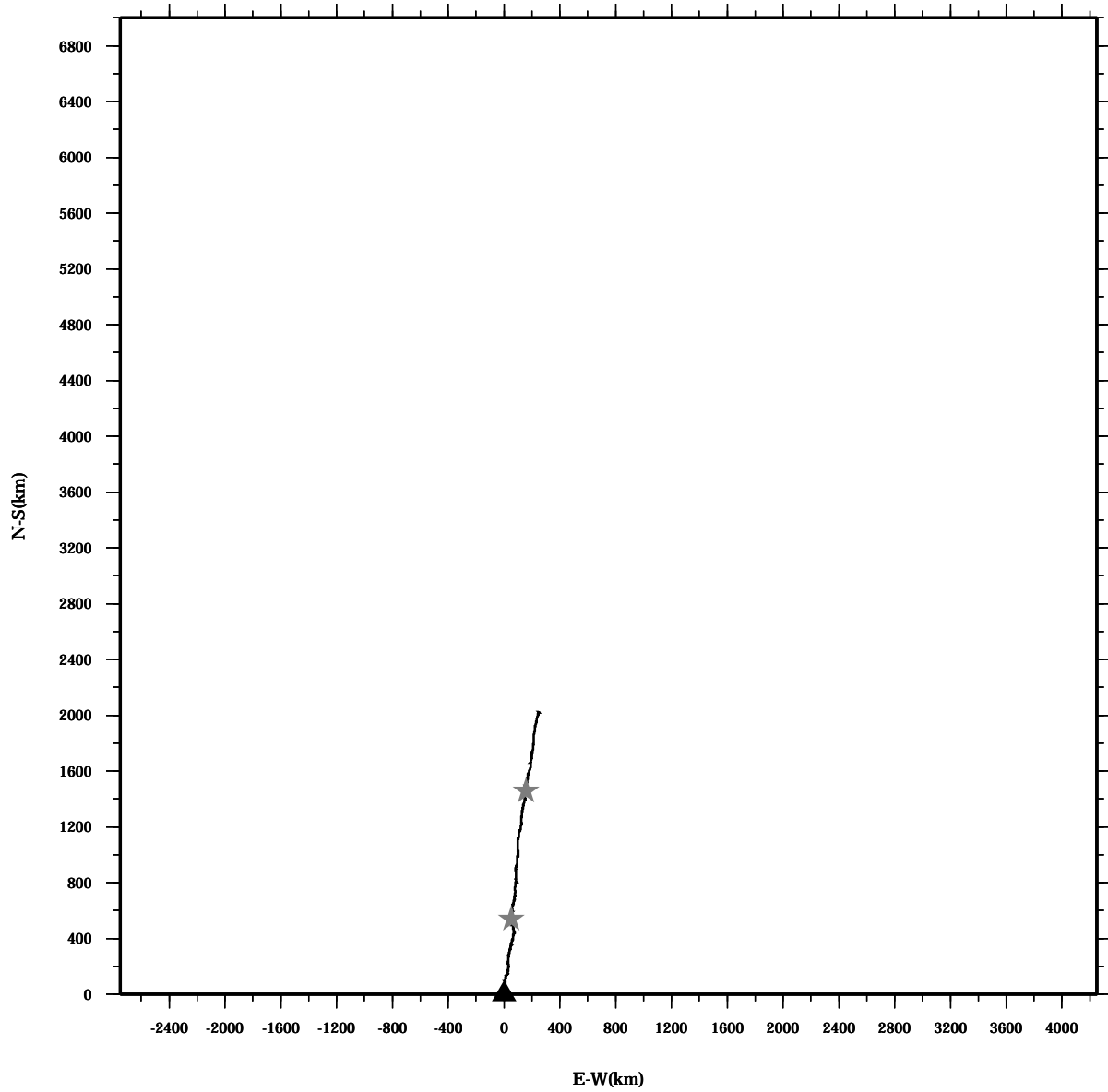
Lon: 121° 24.6445' E

Station: W304

Lat: 22° 38.8994' N

Depth: 298 M

PROGRESSIVE VECTOR DIAGRAM



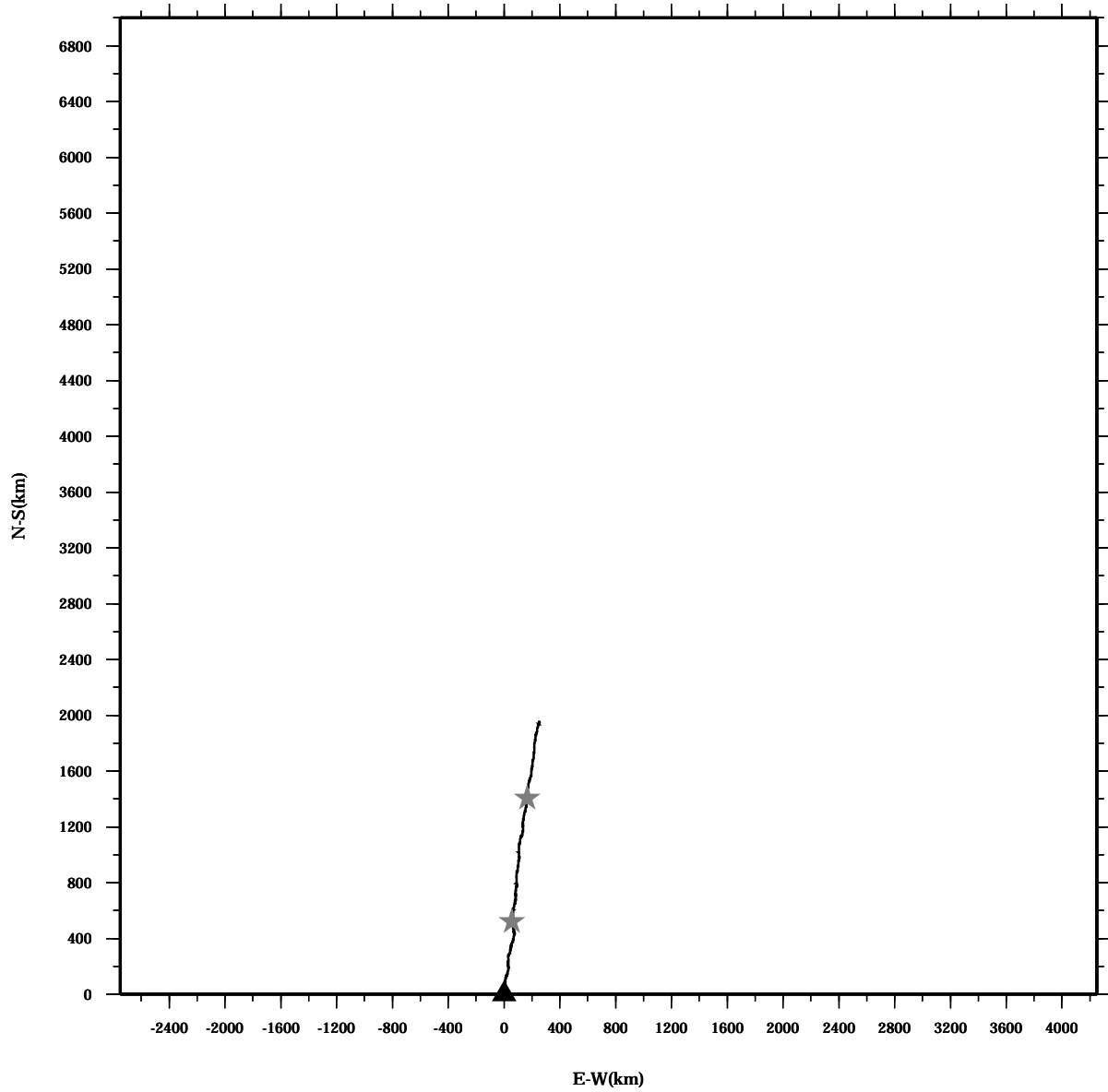
Lon: 121° 24.6445' E

Station: W304

Lat: 22° 38.8994' N

Depth: 302 M

PROGRESSIVE VECTOR DIAGRAM



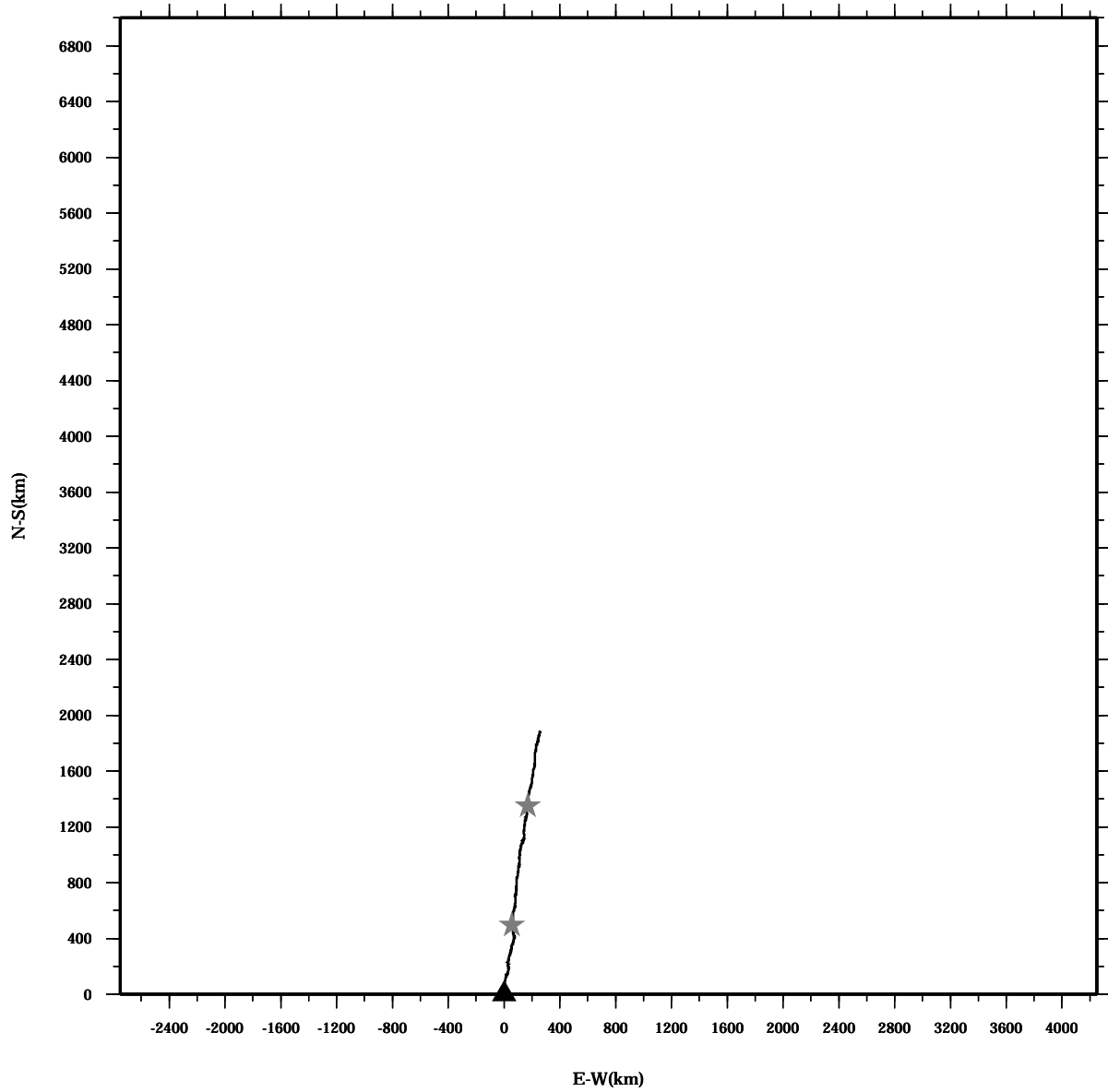
Lon: 121° 24.6445' E

Station: W304

Lat: 22° 38.8994' N

Depth: 306 M

PROGRESSIVE VECTOR DIAGRAM



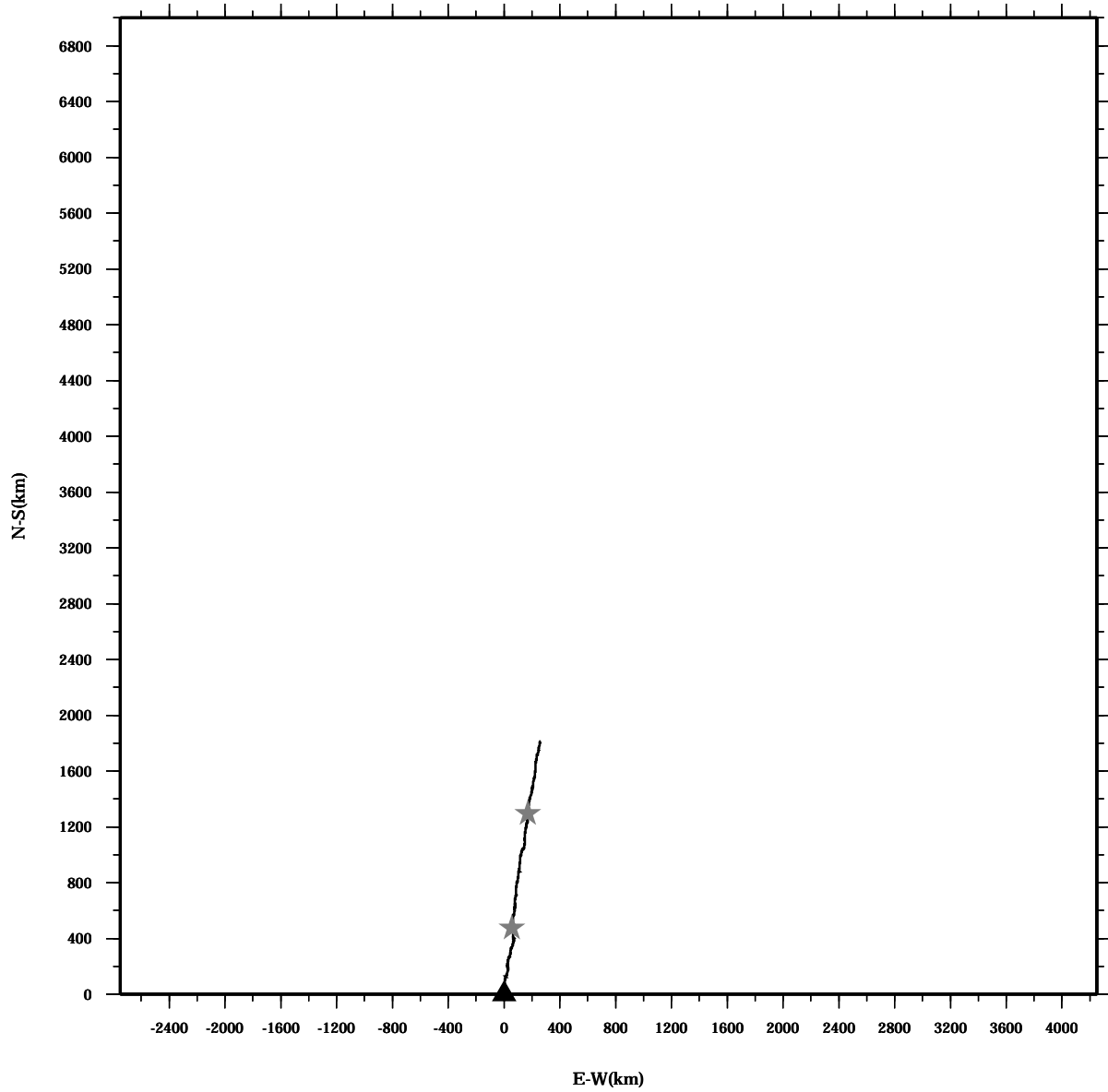
Lon: 121° 24.6445' E

Station: W304

Lat: 22° 38.8994' N

Depth: 310 M

PROGRESSIVE VECTOR DIAGRAM

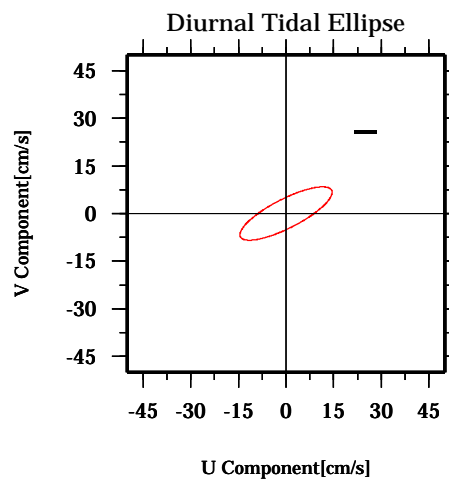
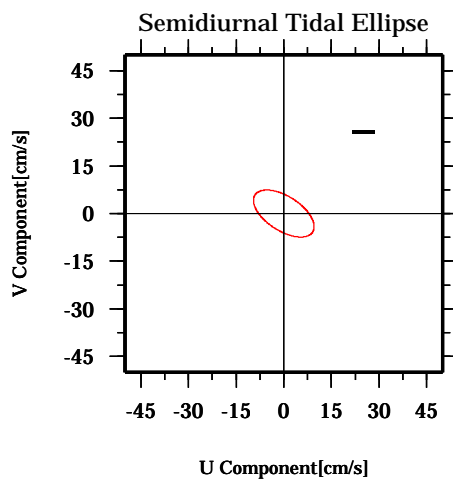
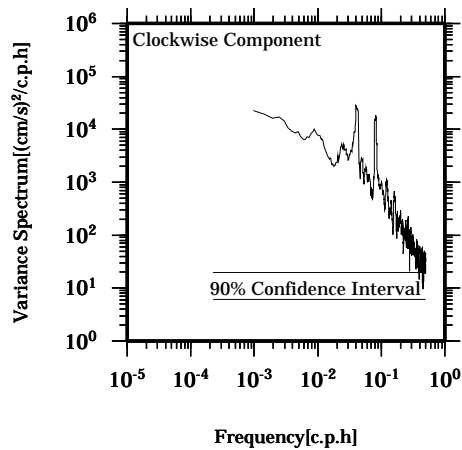
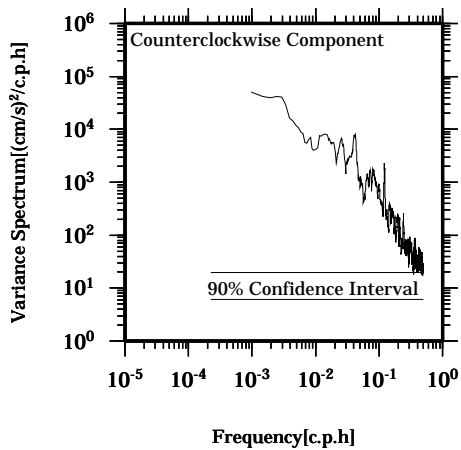
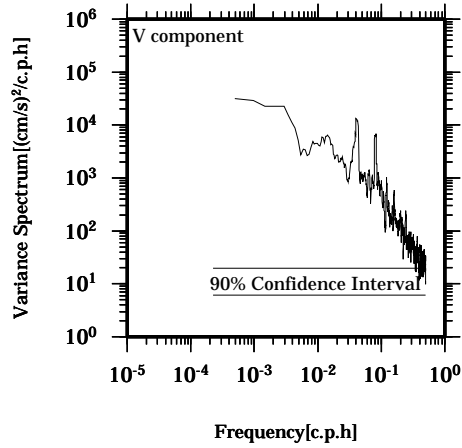
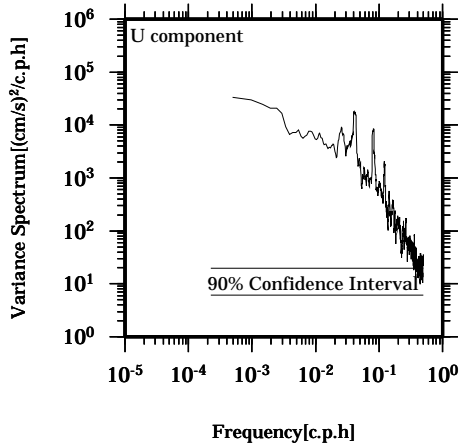


Lon: 121° 24.6445' E

Lat: 22° 38.8994' N

Station: W304

Depth : 30 M

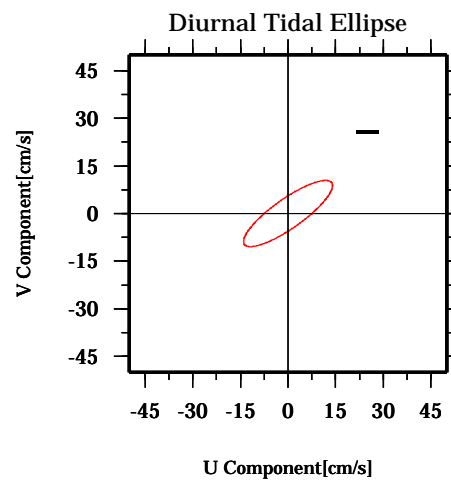
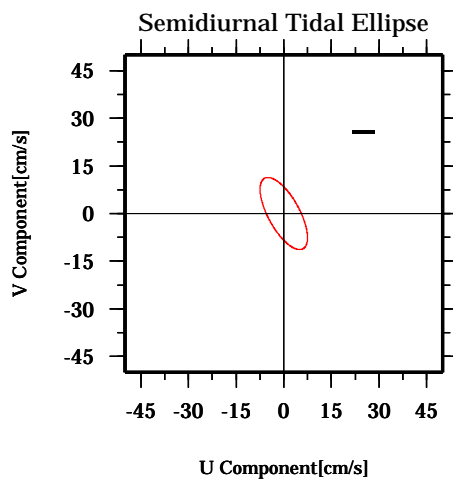
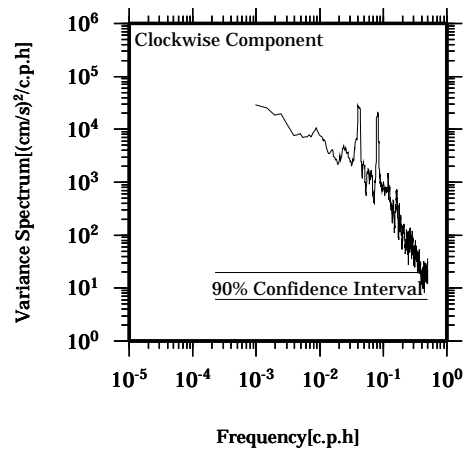
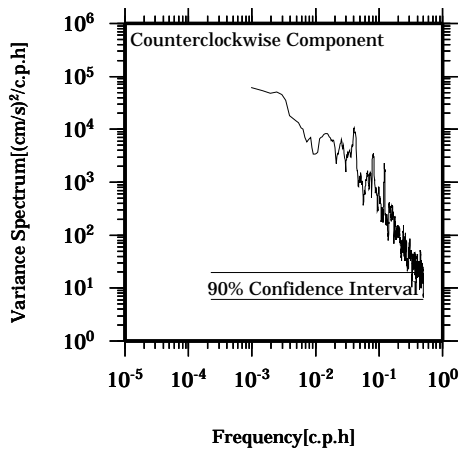
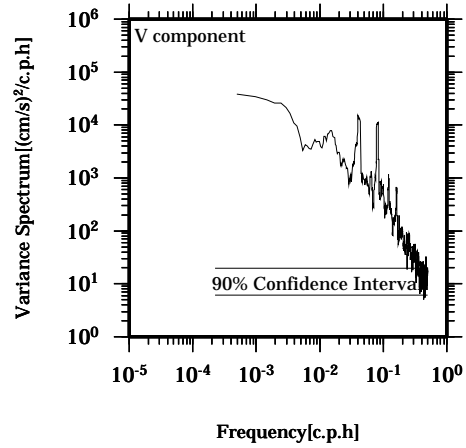
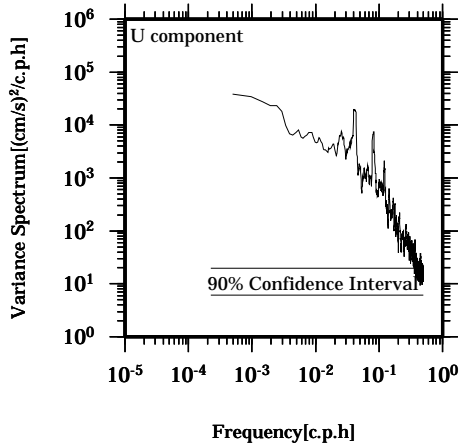


Lon: 121° 24.6445' E

Lat: 22° 38.8994' N

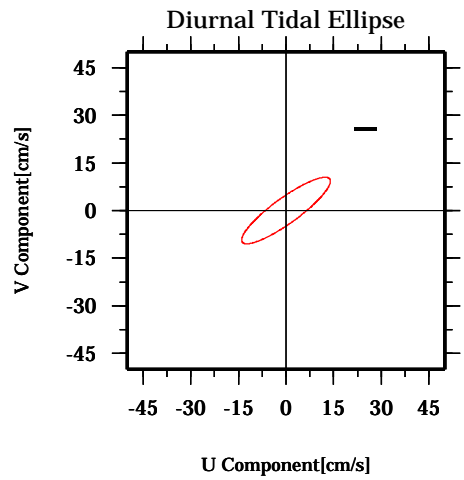
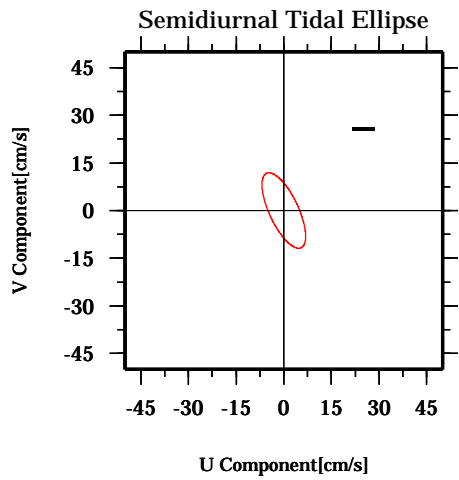
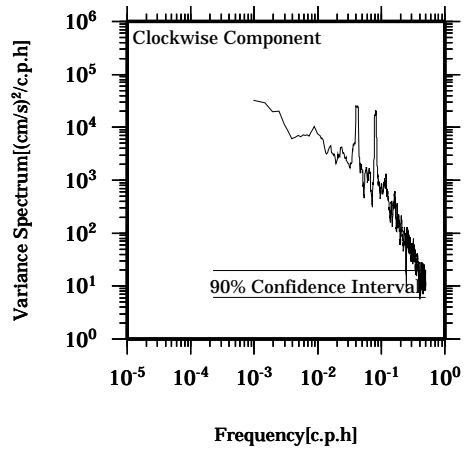
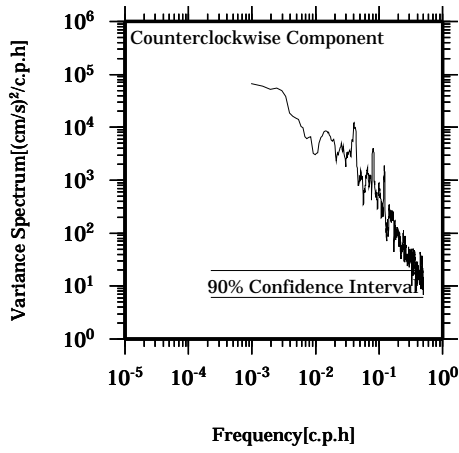
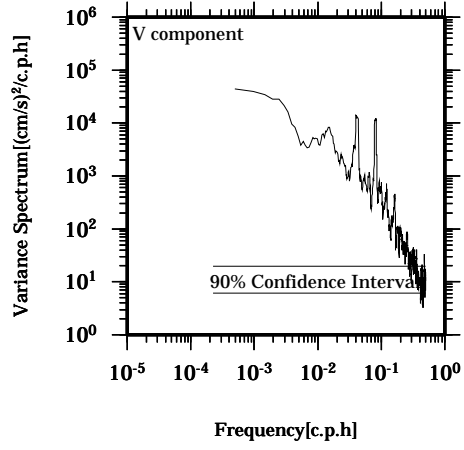
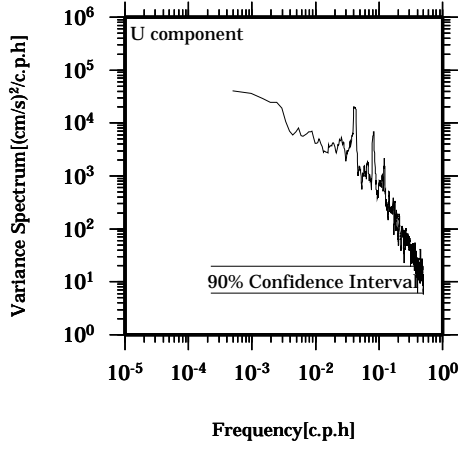
Station: W304

Depth : 34 M



Lon: 121° 24.6445' E
Lat: 22° 38.8994' N

Station: W304
Depth : 38 M

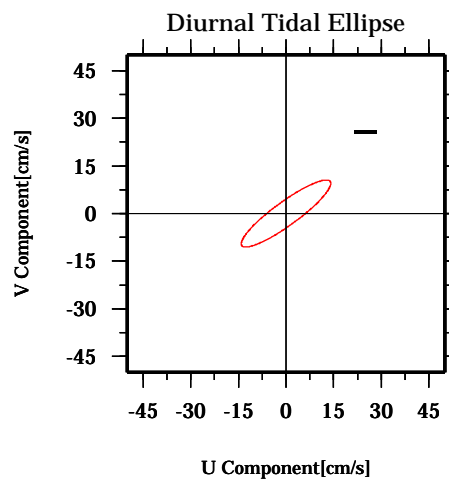
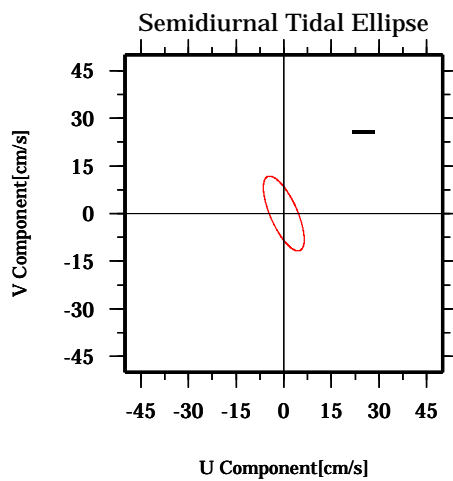
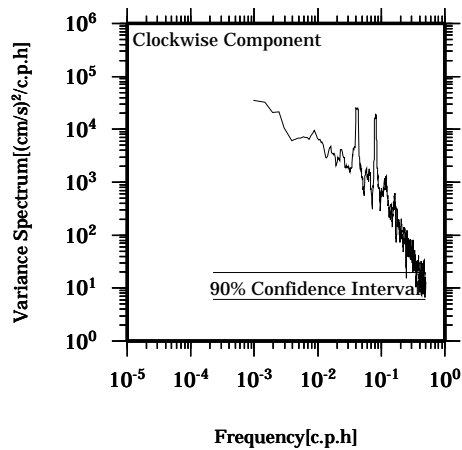
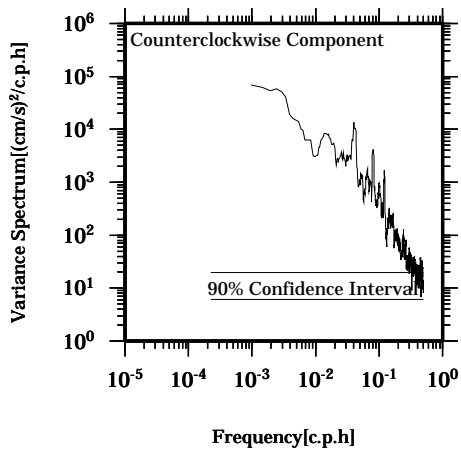
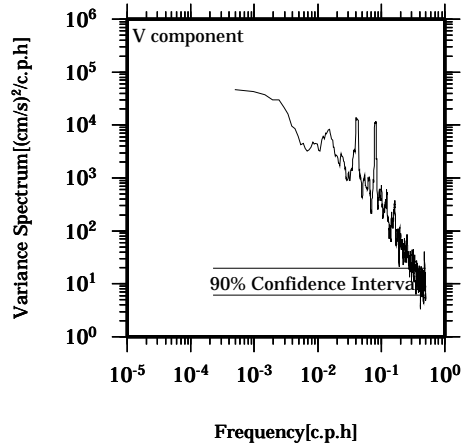
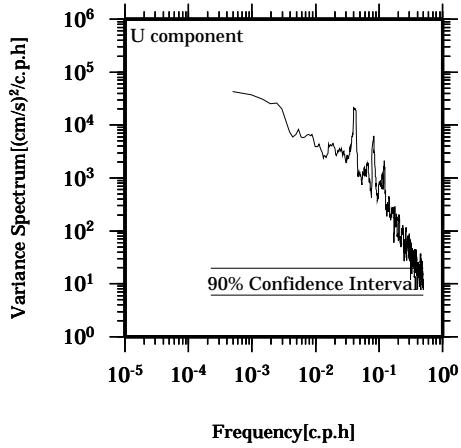


Lon: 121° 24.6445' E

Lat: 22° 38.8994' N

Station: W304

Depth : 42 M

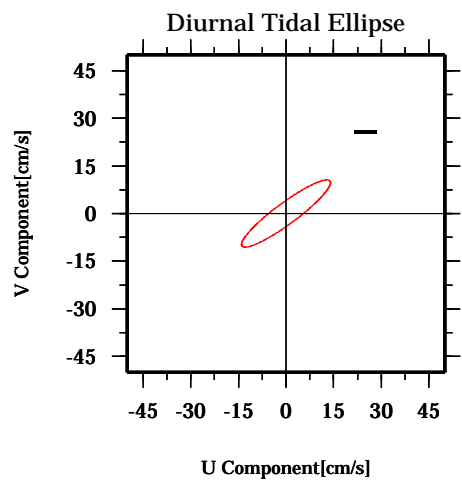
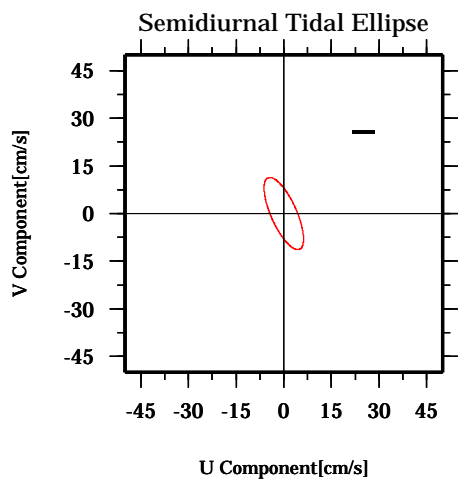
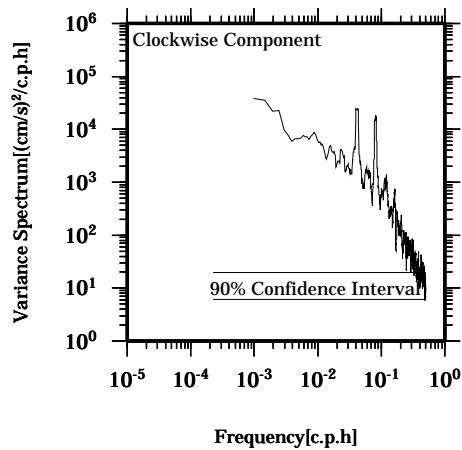
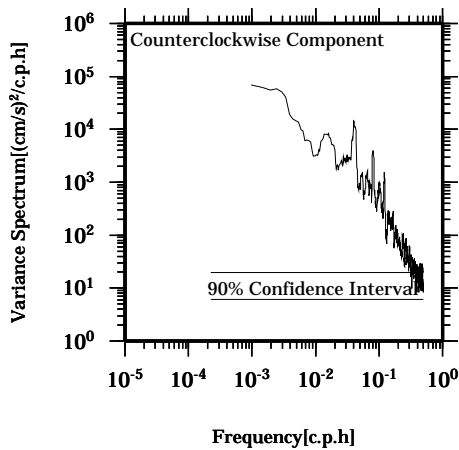
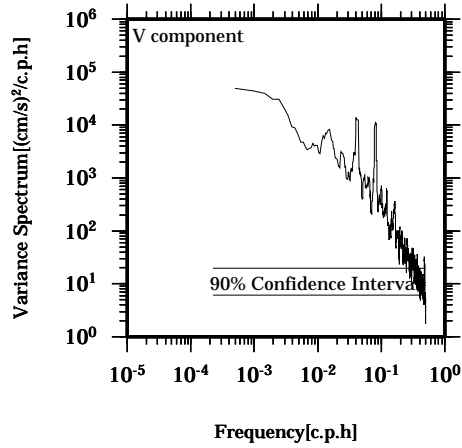
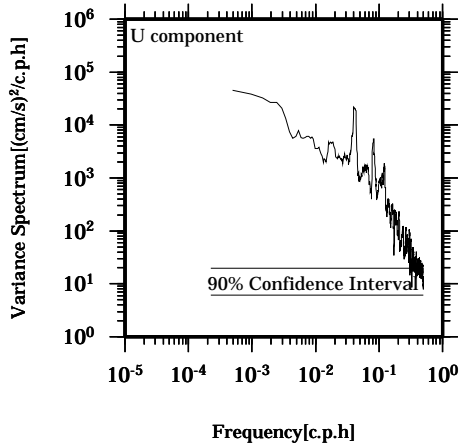


Lon: 121° 24.6445' E

Lat: 22° 38.8994' N

Station: W304

Depth : 46 M

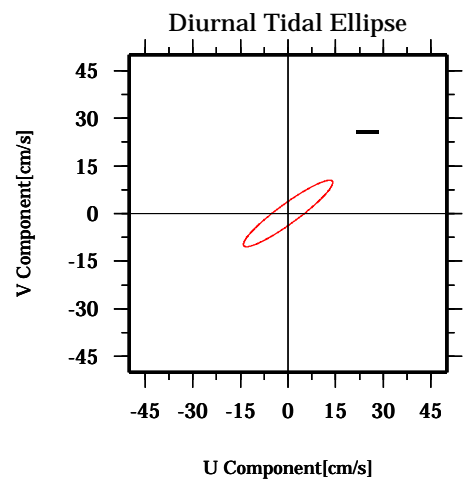
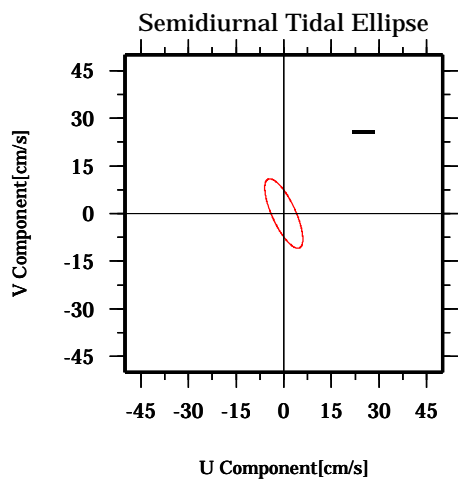
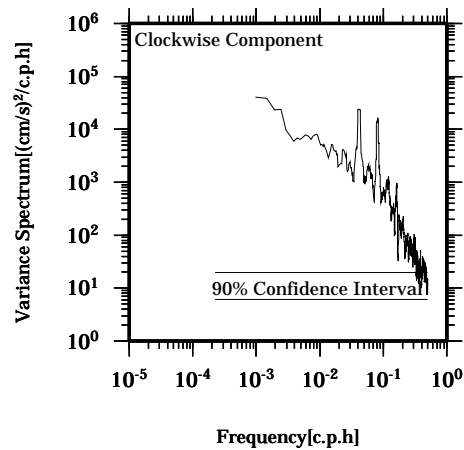
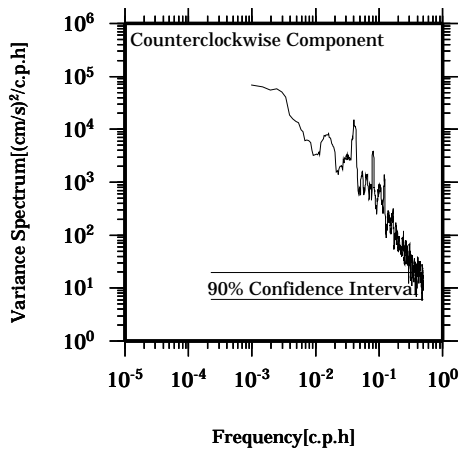
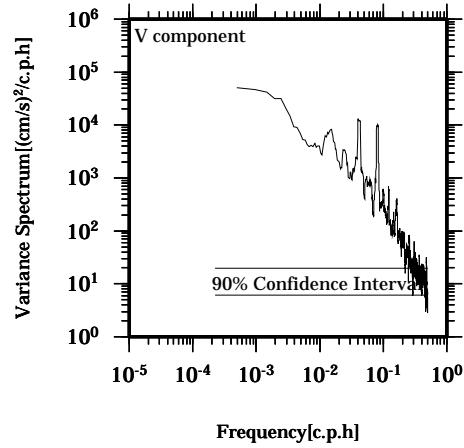
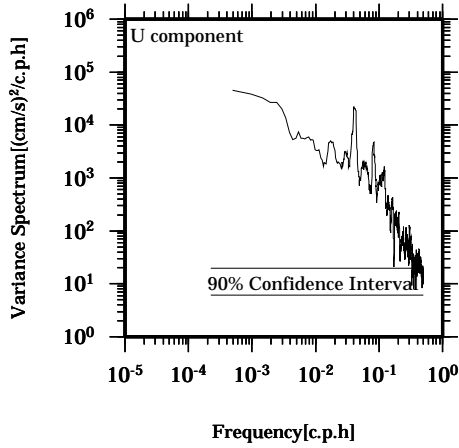


Lon: 121° 24.6445' E

Lat: 22° 38.8994' N

Station: W304

Depth : 50 M

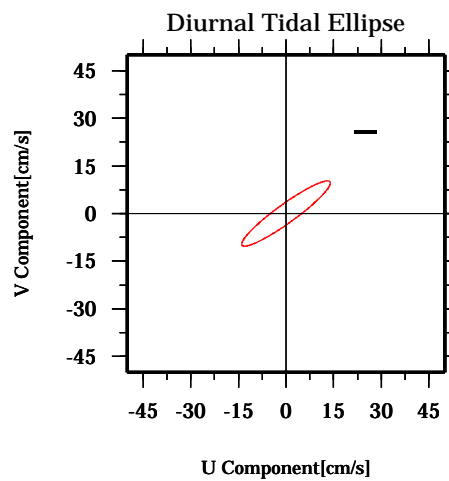
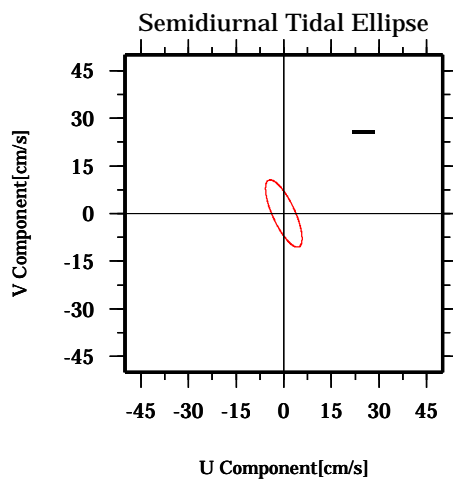
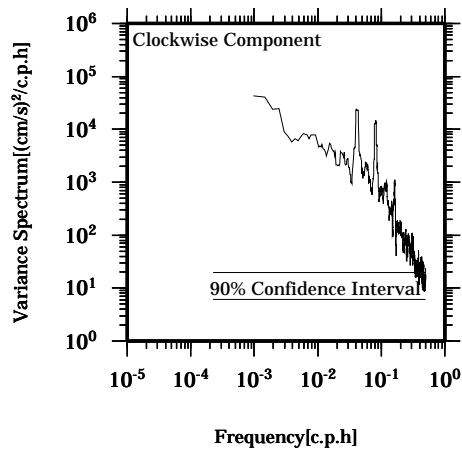
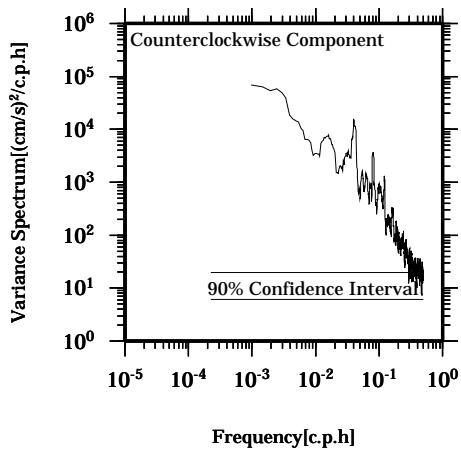
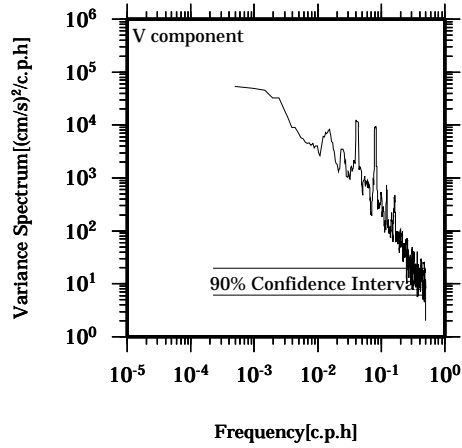
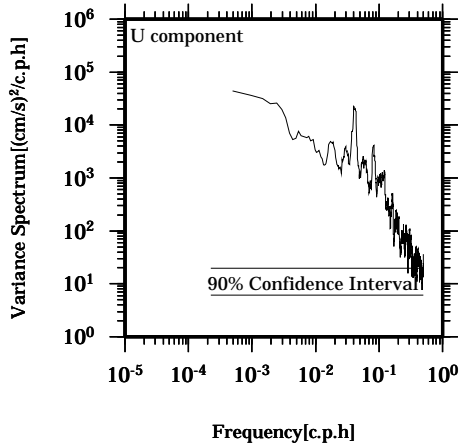


Lon: 121° 24.6445' E

Lat: 22° 38.8994' N

Station: W304

Depth : 54 M

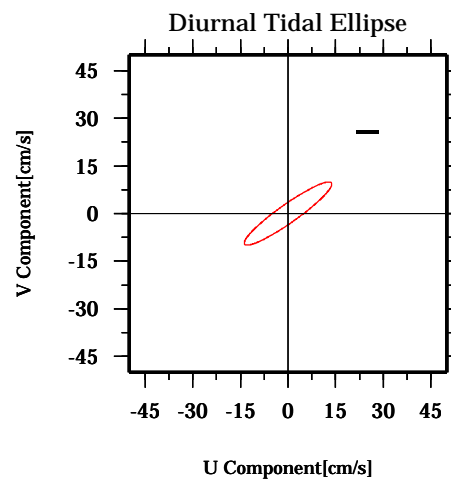
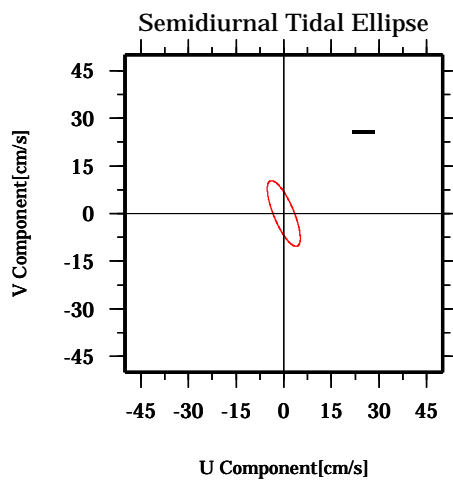
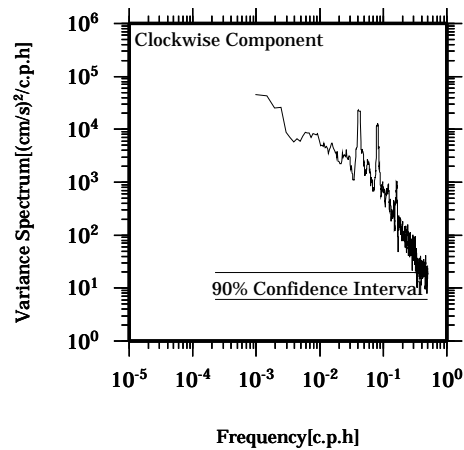
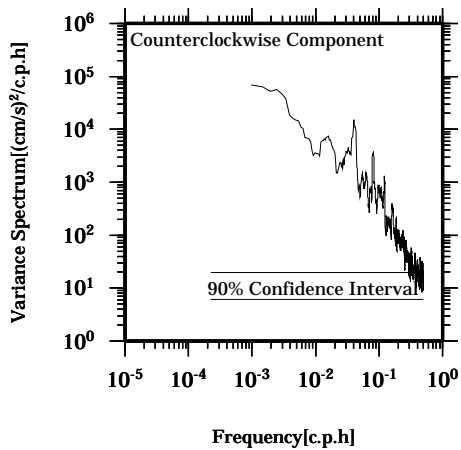
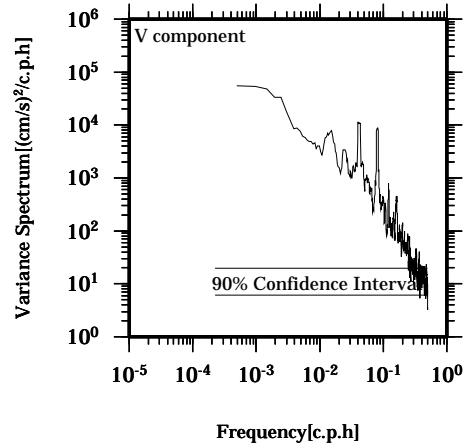
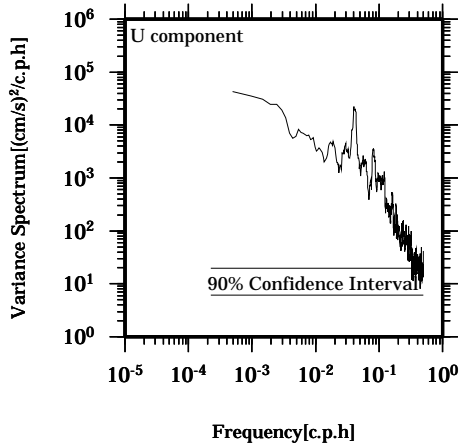


Lon: 121° 24.6445' E

Lat: 22° 38.8994' N

Station: W304

Depth : 58 M

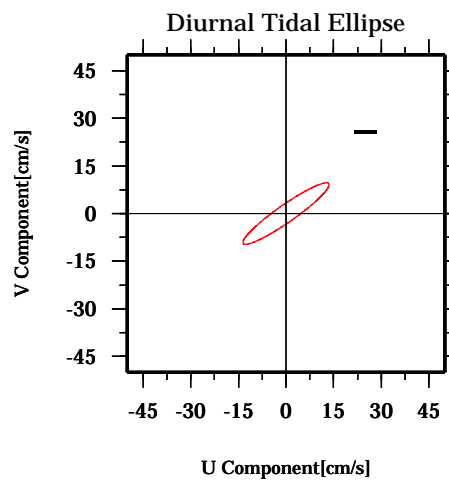
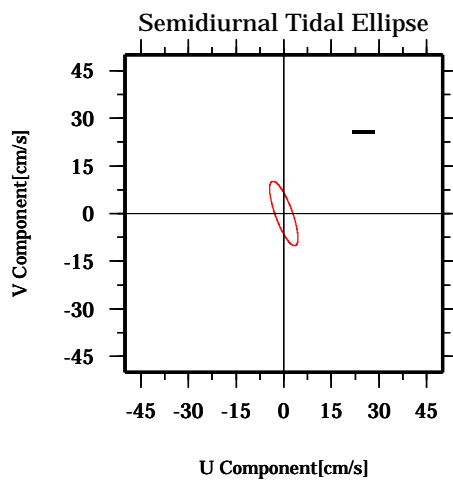
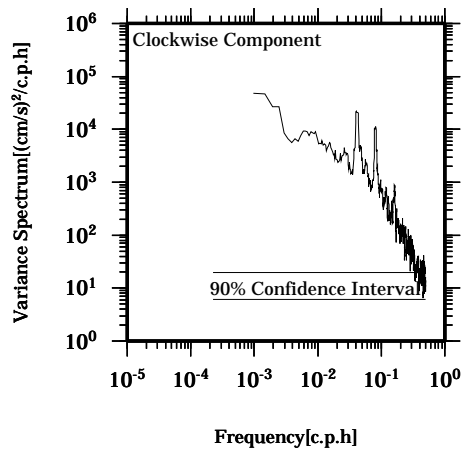
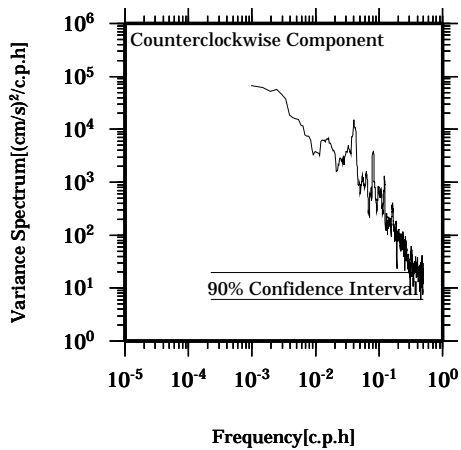
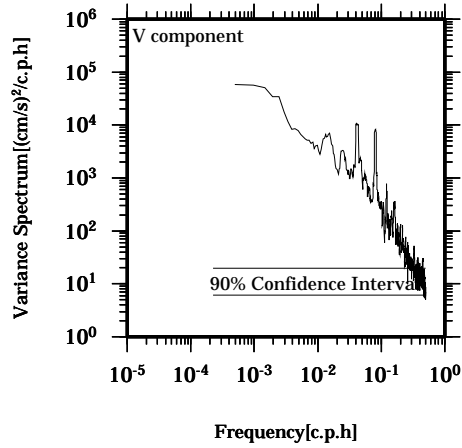
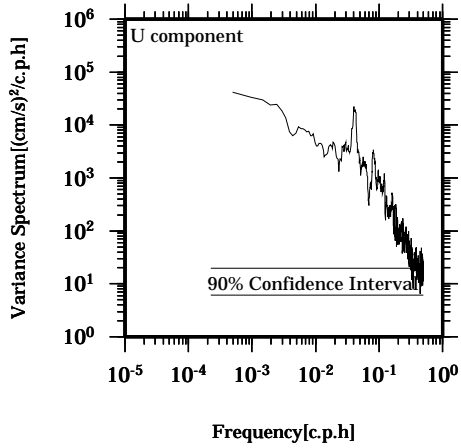


Lon: 121° 24.6445' E

Lat: 22° 38.8994' N

Station: W304

Depth : 62 M

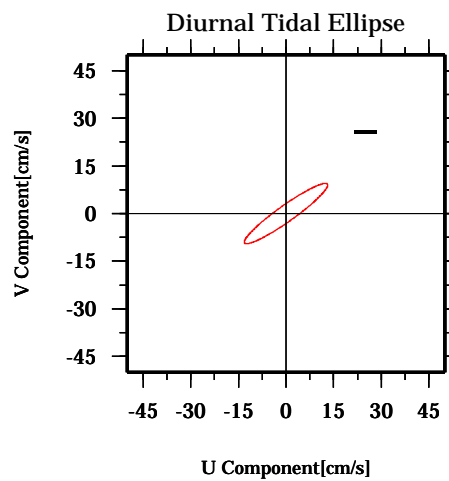
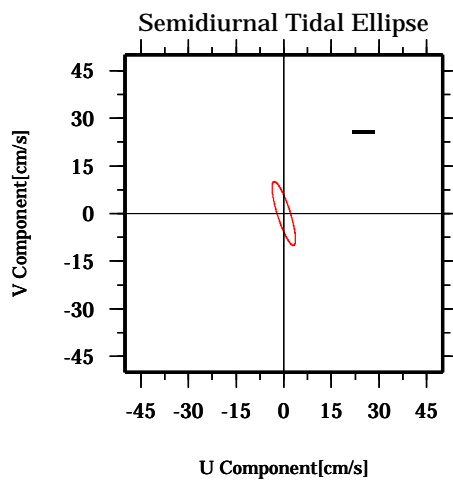
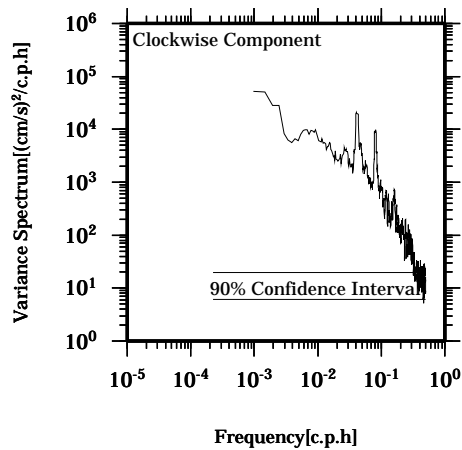
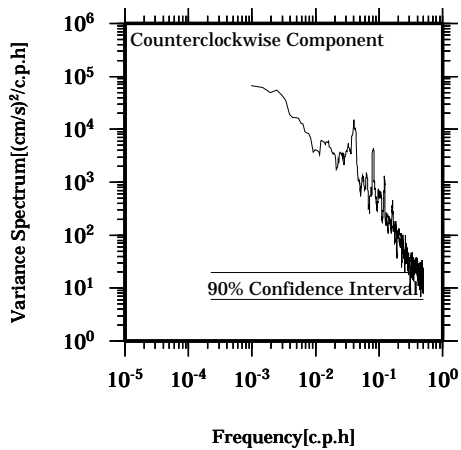
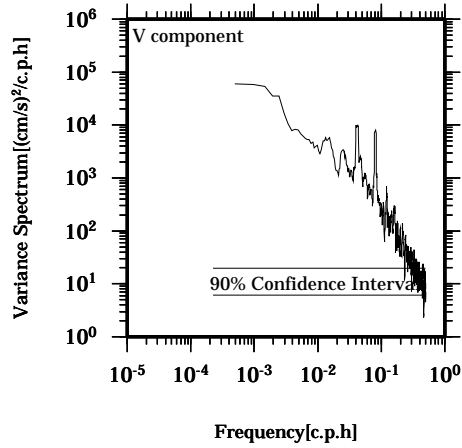
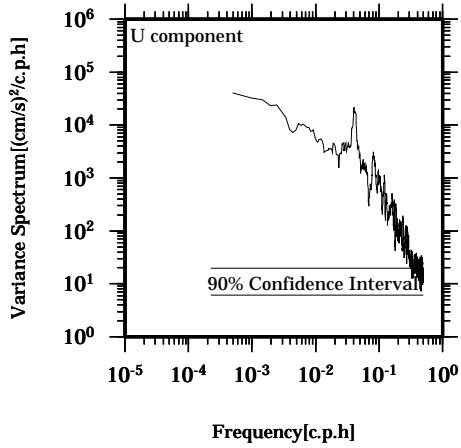


Lon: 121° 24.6445' E

Lat: 22° 38.8994' N

Station: W304

Depth : 66 M

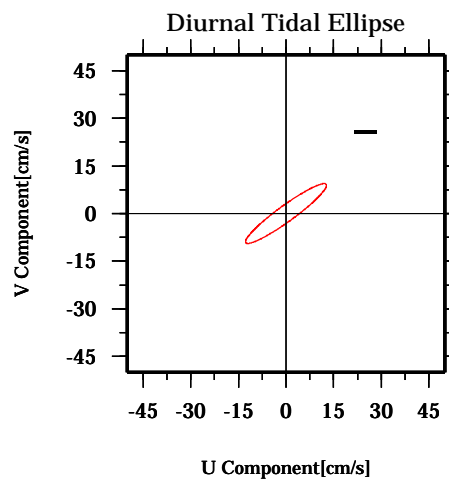
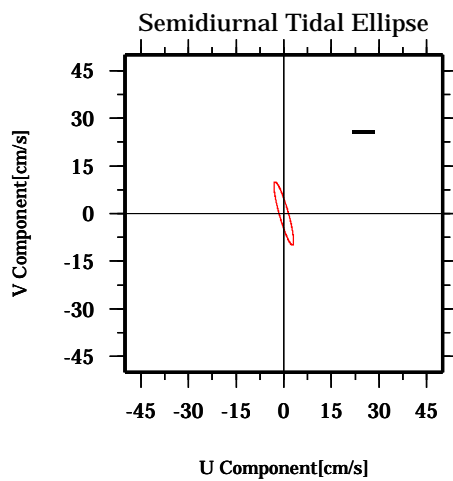
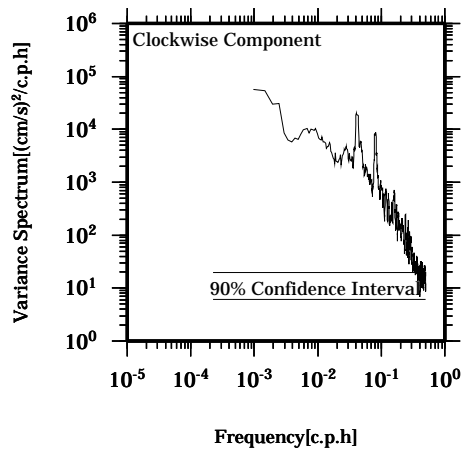
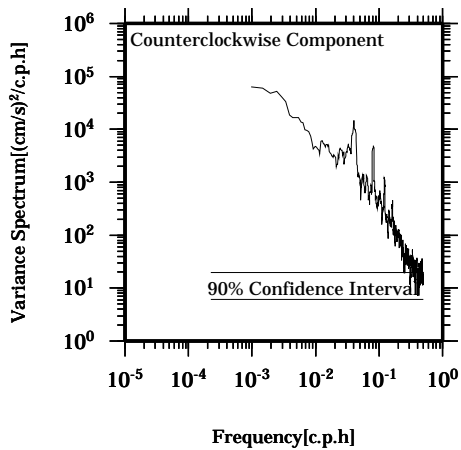
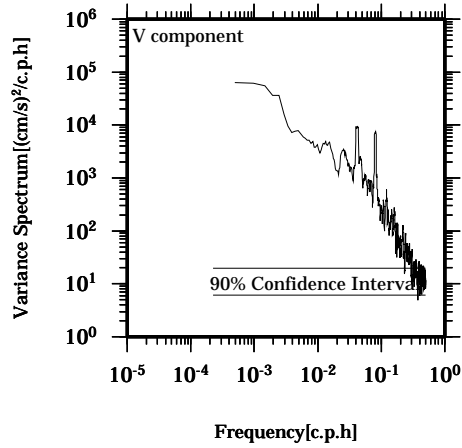
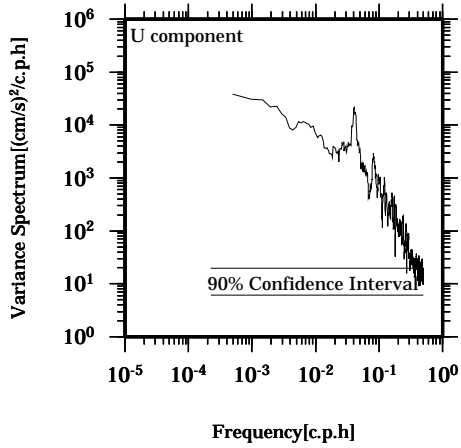


Lon: 121° 24.6445' E

Lat: 22° 38.8994' N

Station: W304

Depth : 70 M

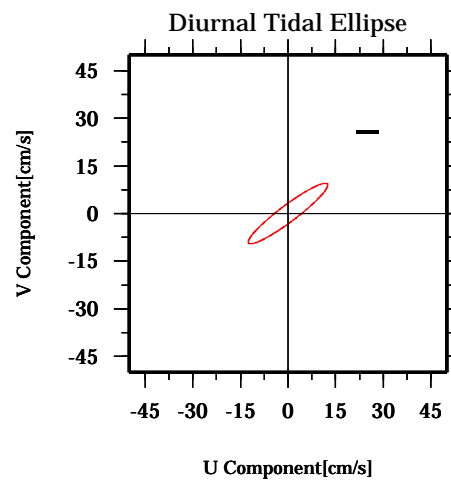
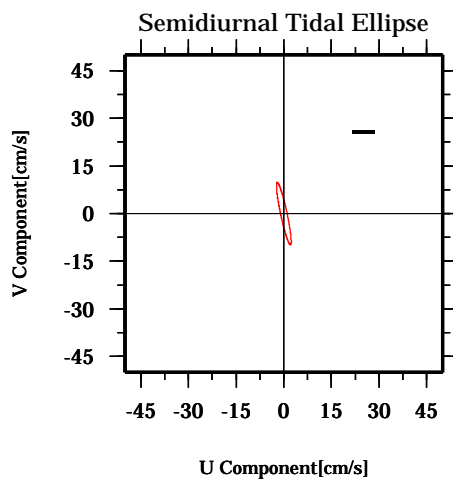
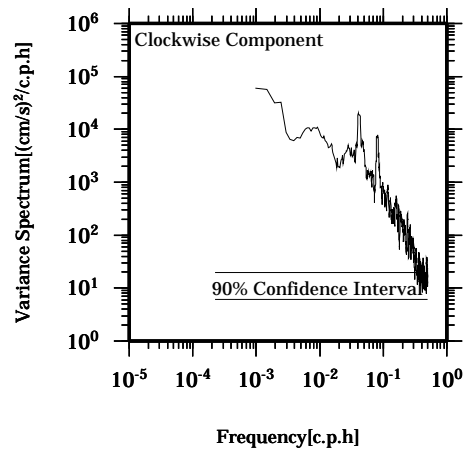
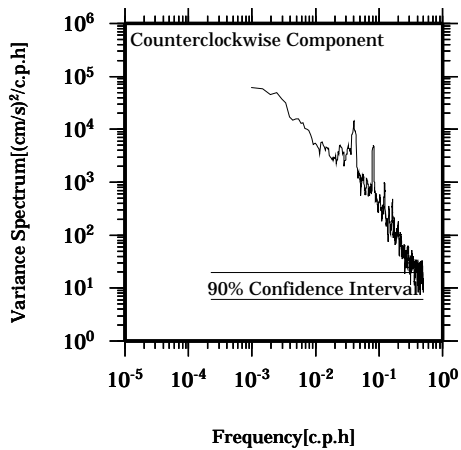
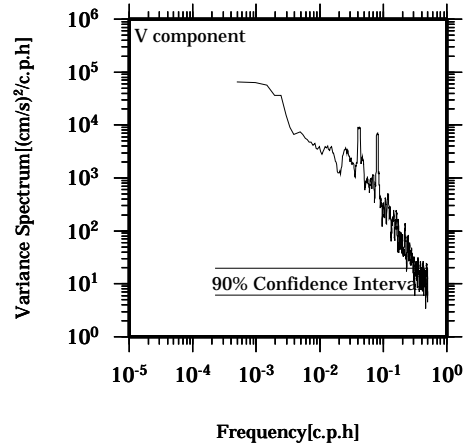
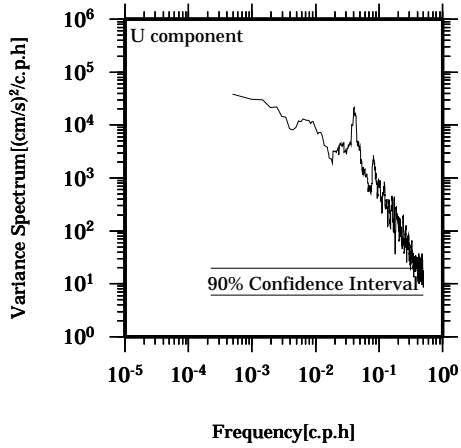


Lon: 121° 24.6445' E

Lat: 22° 38.8994' N

Station: W304

Depth : 74 M

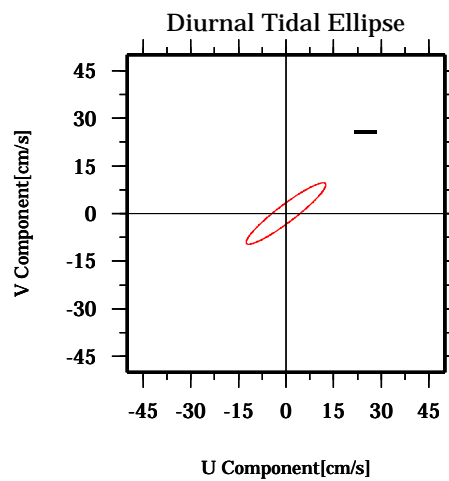
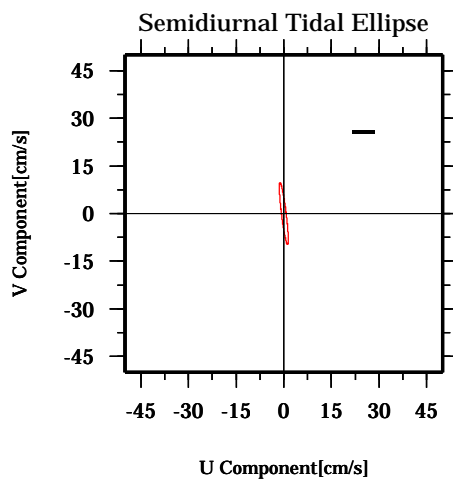
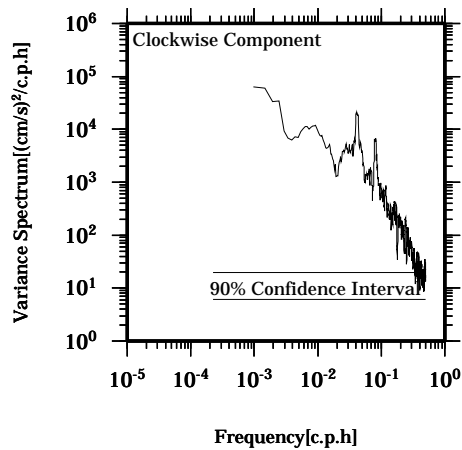
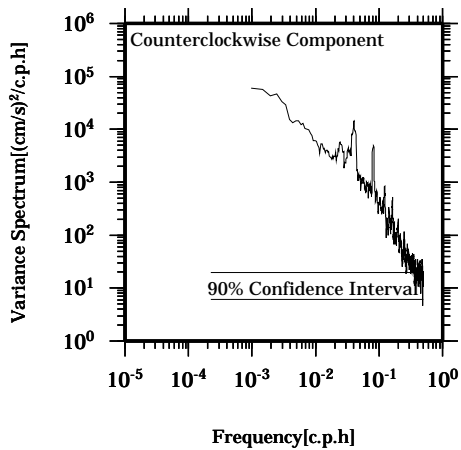
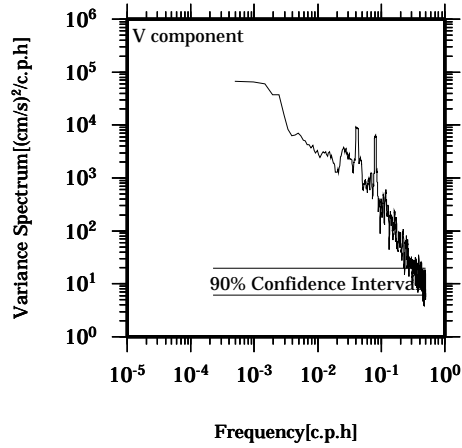
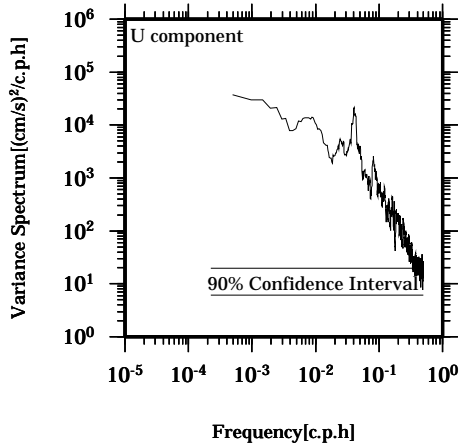


Lon: 121° 24.6445' E

Lat: 22° 38.8994' N

Station: W304

Depth : 78 M

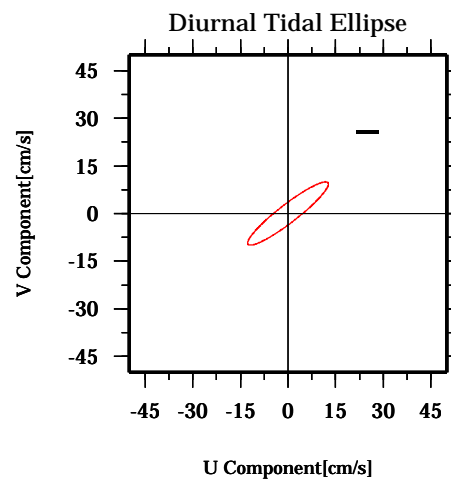
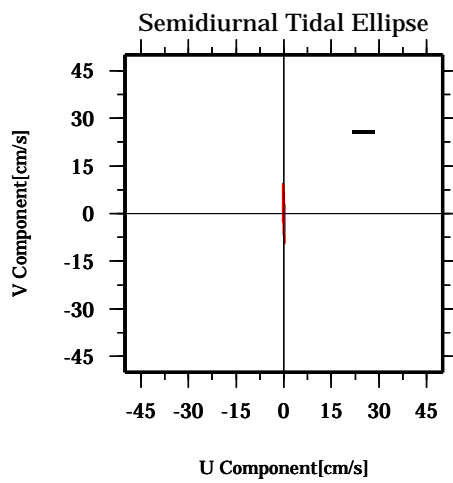
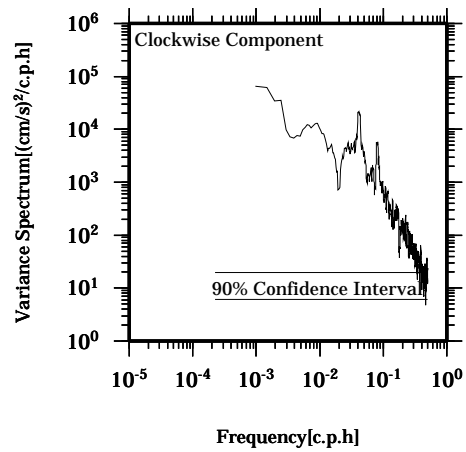
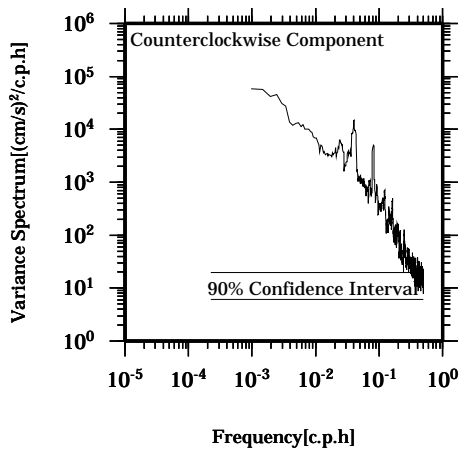
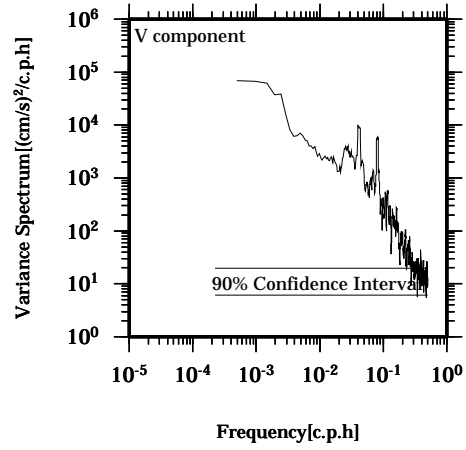
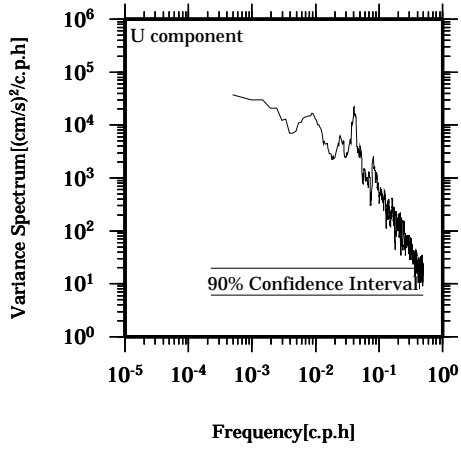


Lon: 121° 24.6445' E

Lat: 22° 38.8994' N

Station: W304

Depth : 82 M

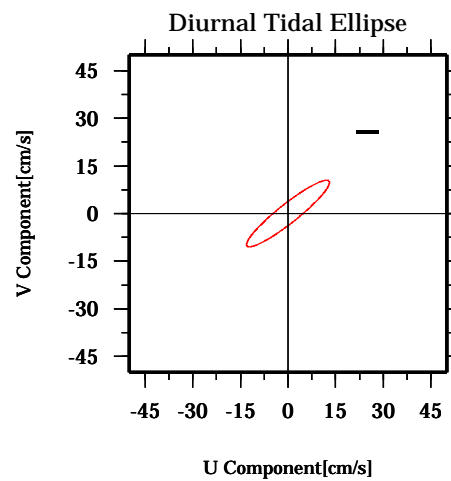
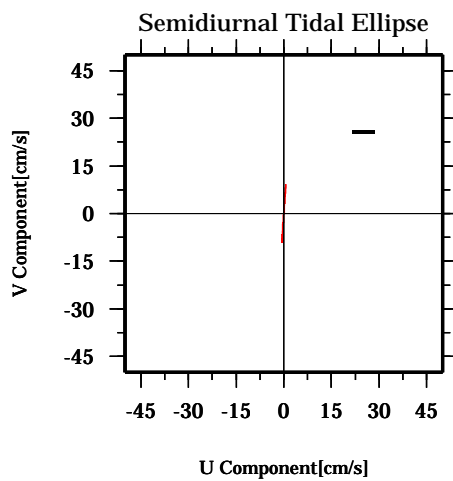
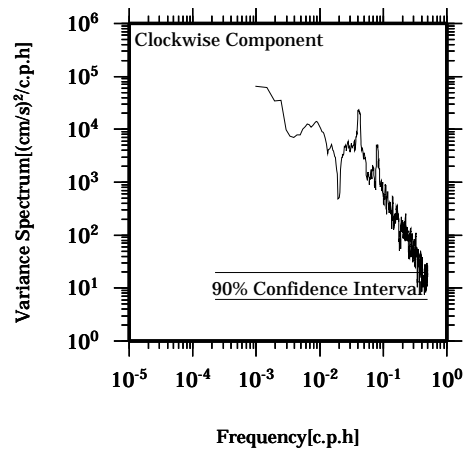
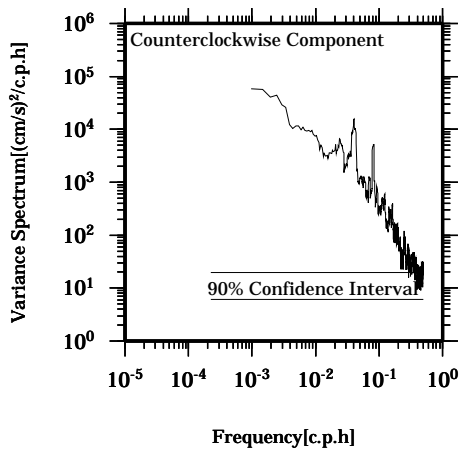
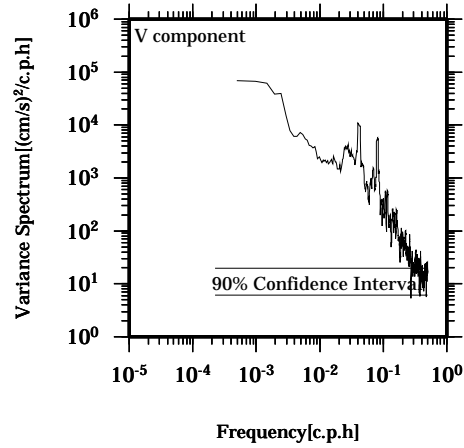
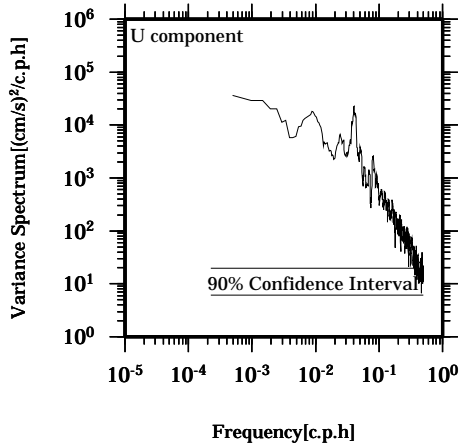


Lon: 121° 24.6445' E

Lat: 22° 38.8994' N

Station: W304

Depth : 86 M

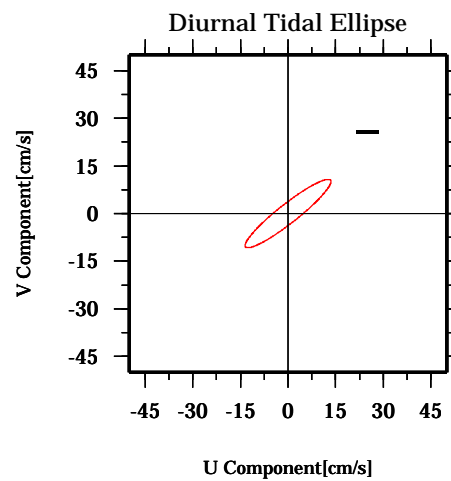
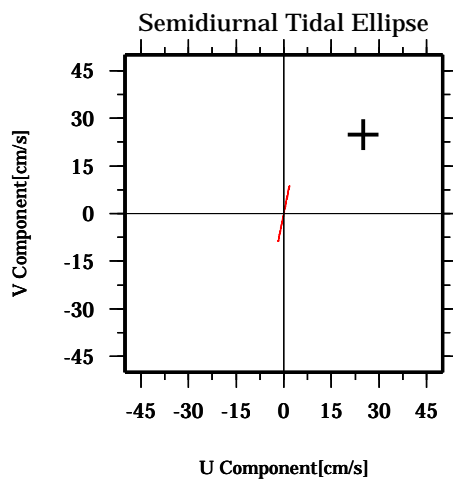
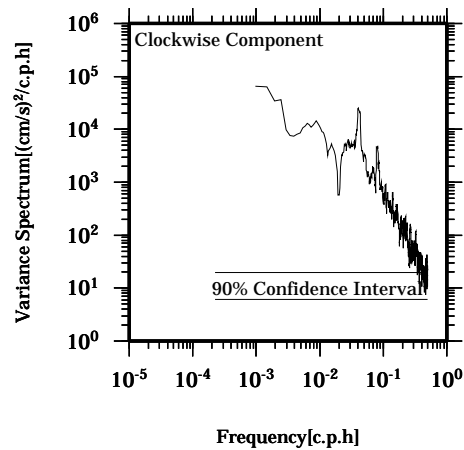
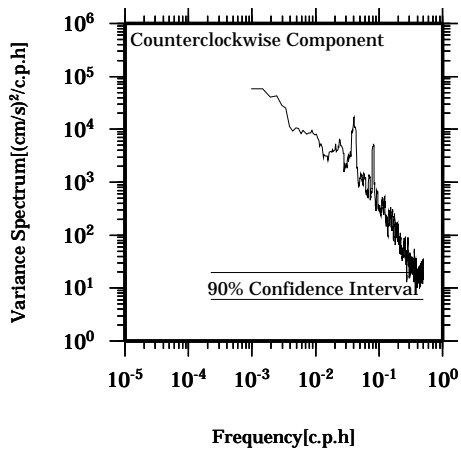
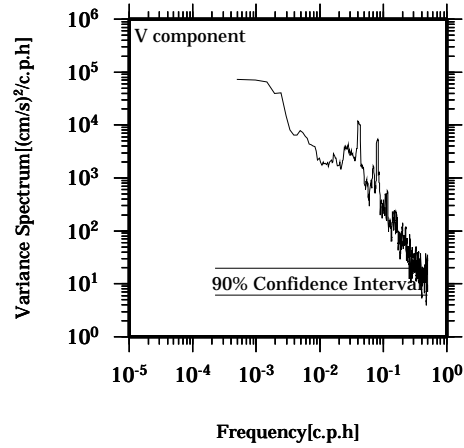
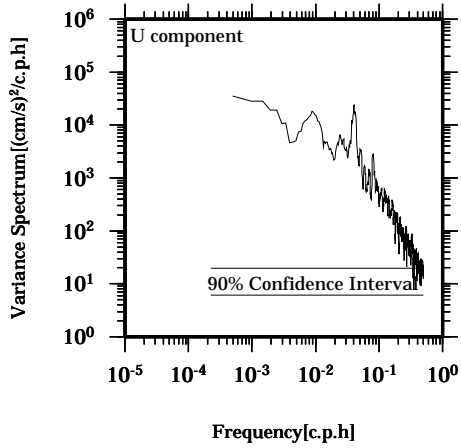


Lon: 121° 24.6445' E

Lat: 22° 38.8994' N

Station: W304

Depth : 90 M

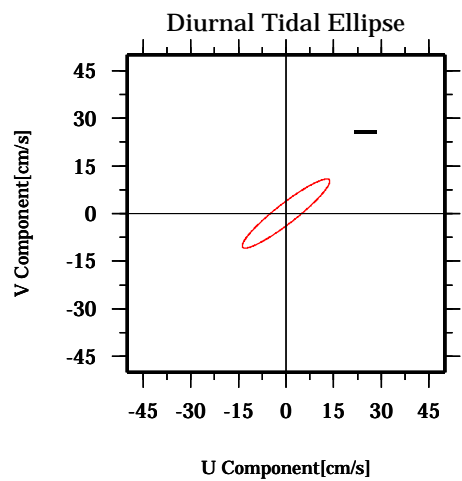
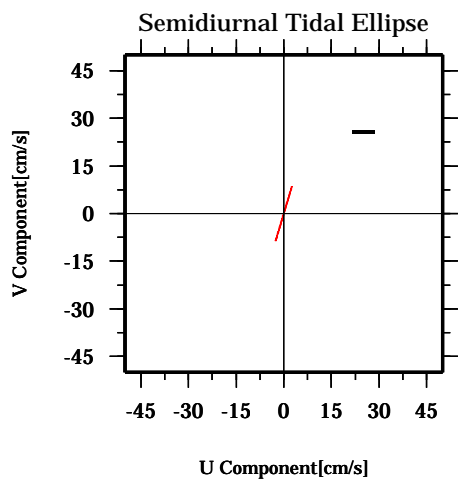
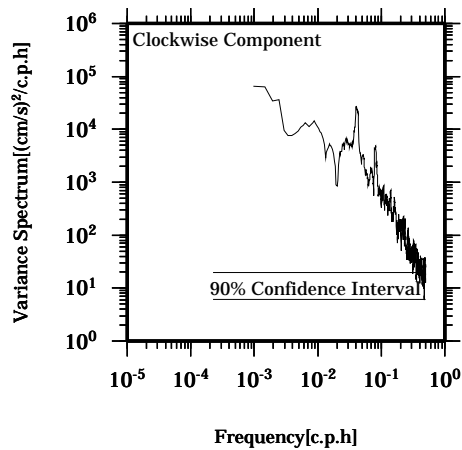
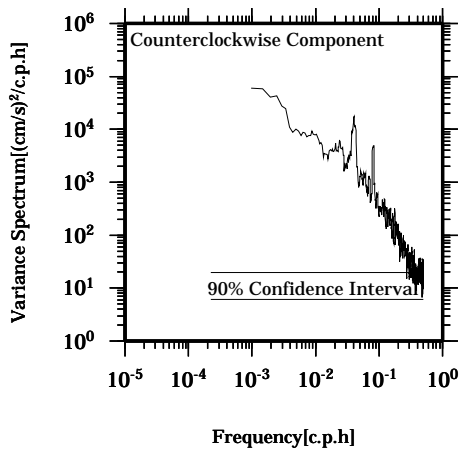
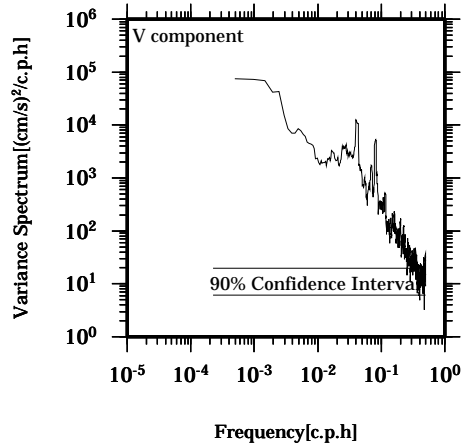
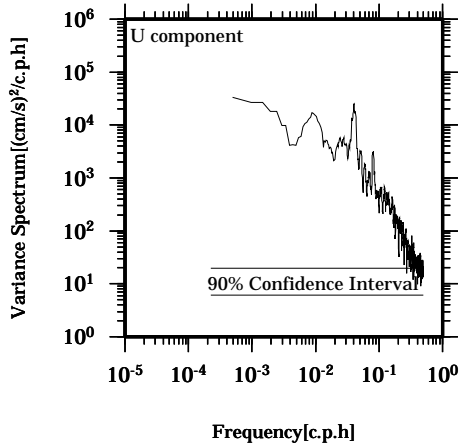


Lon: 121° 24.6445' E

Lat: 22° 38.8994' N

Station: W304

Depth : 94 M

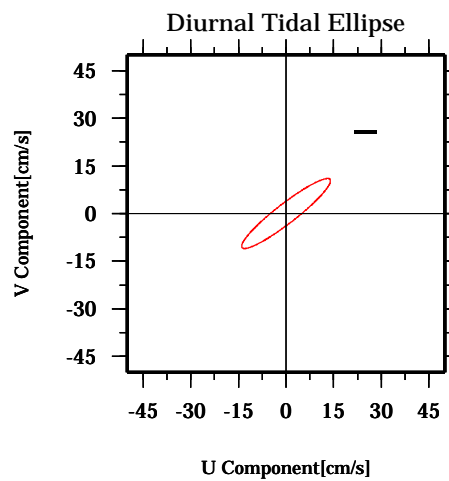
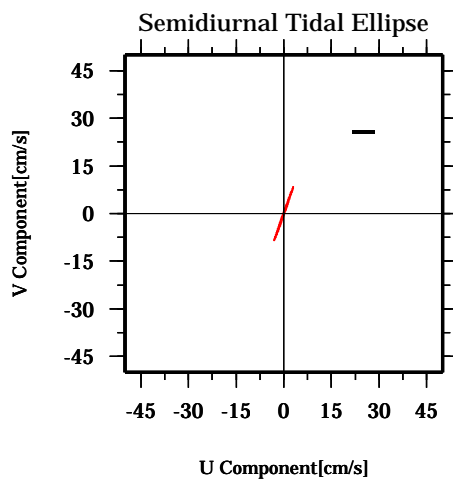
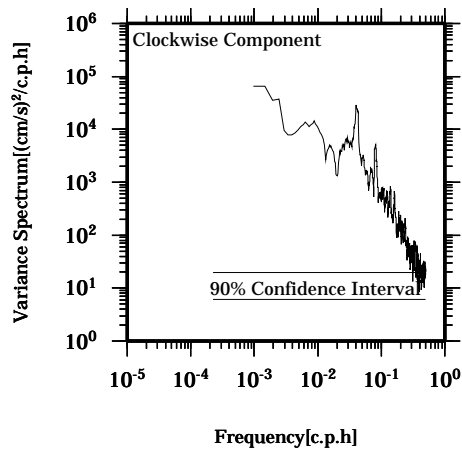
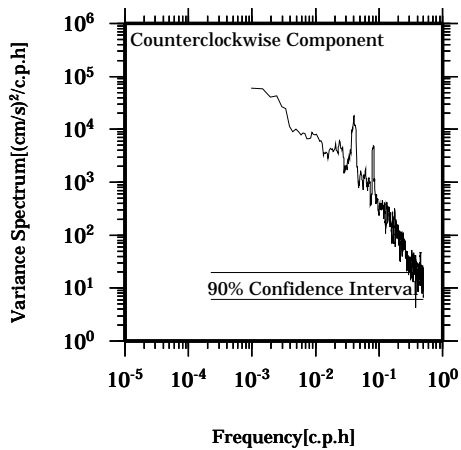
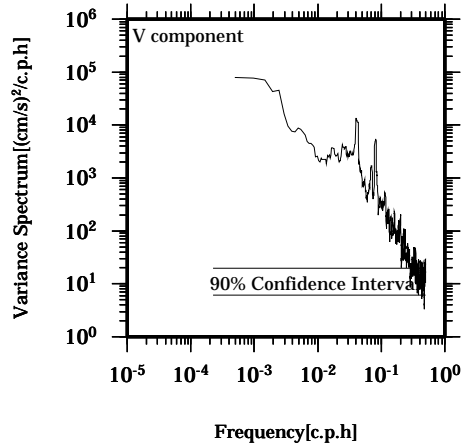
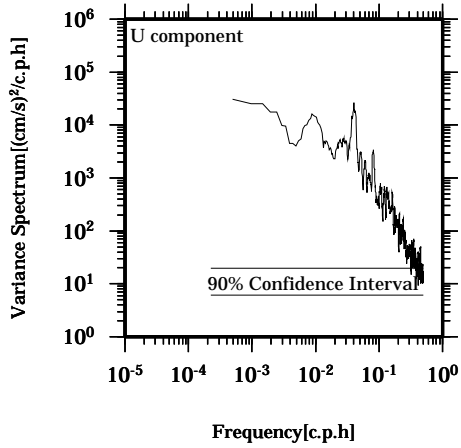


Lon: 121° 24.6445' E

Lat: 22° 38.8994' N

Station: W304

Depth : 98 M

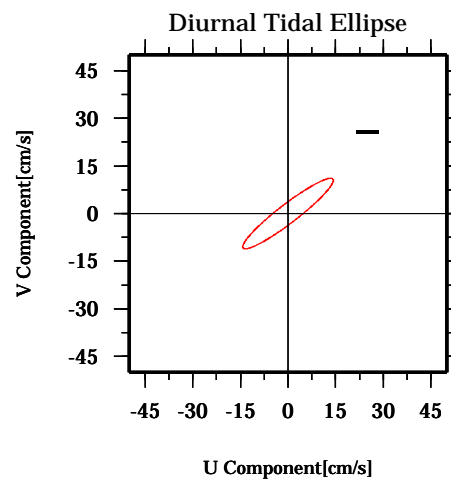
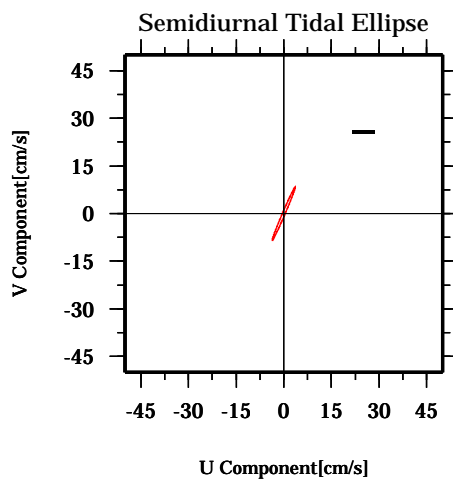
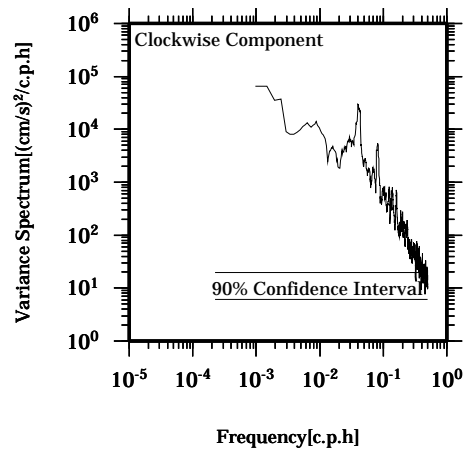
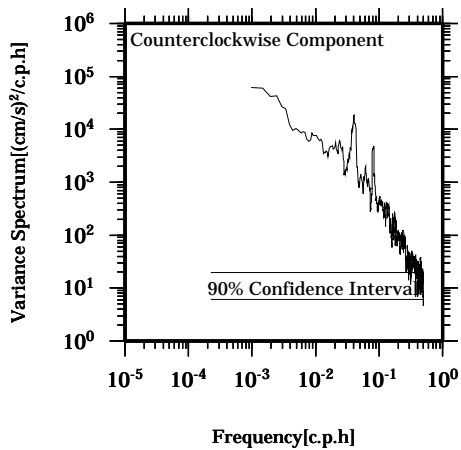
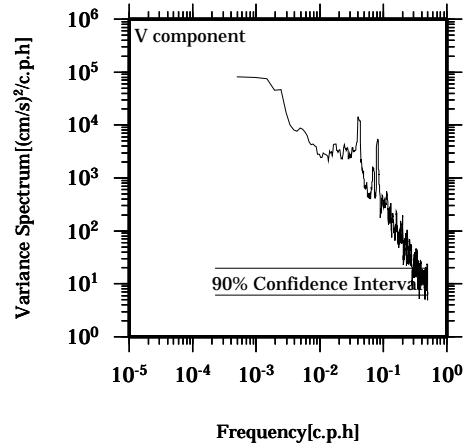
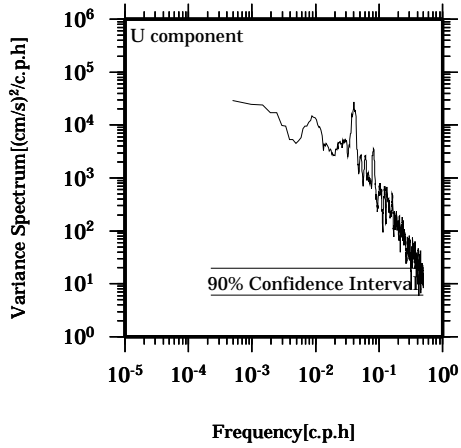


Lon: 121° 24.6445' E

Lat: 22° 38.8994' N

Station: W304

Depth : 102 M

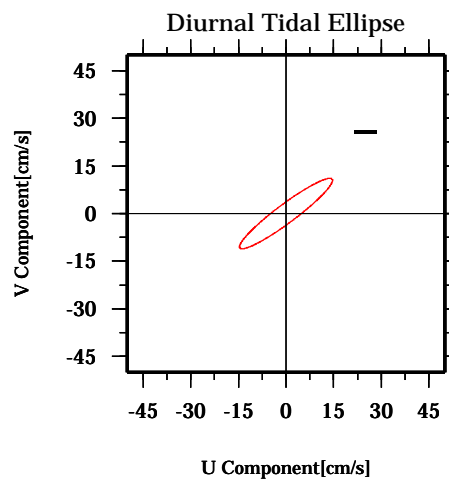
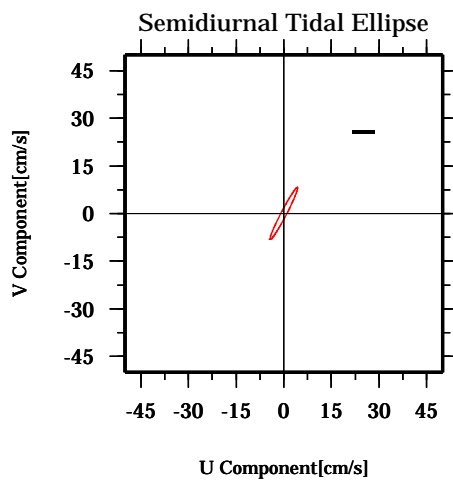
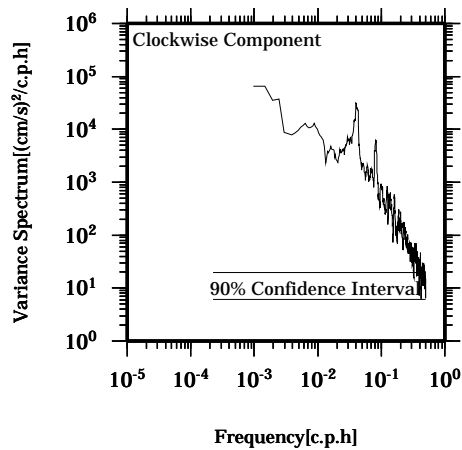
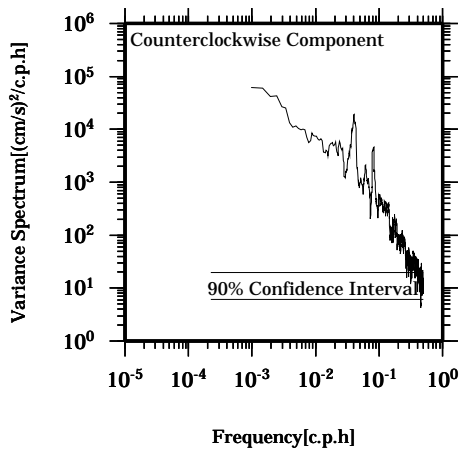
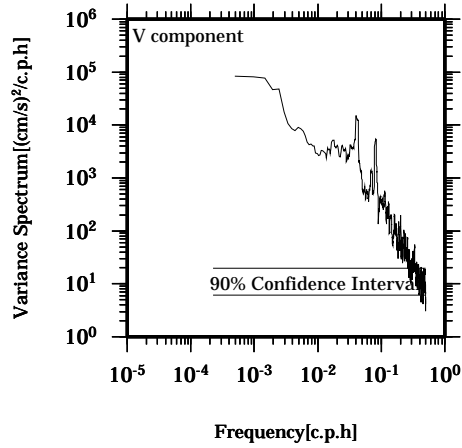
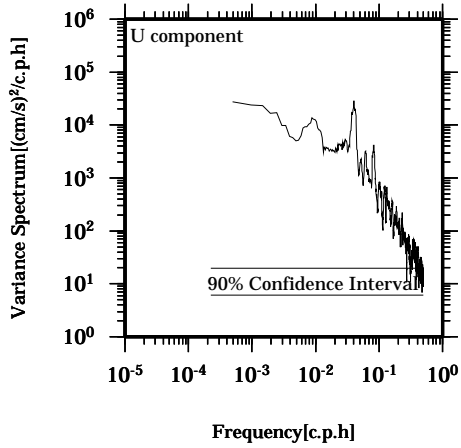


Lon: 121° 24.6445' E

Lat: 22° 38.8994' N

Station: W304

Depth : 106 M

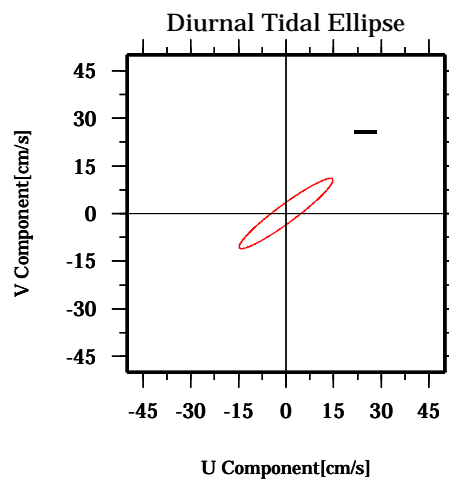
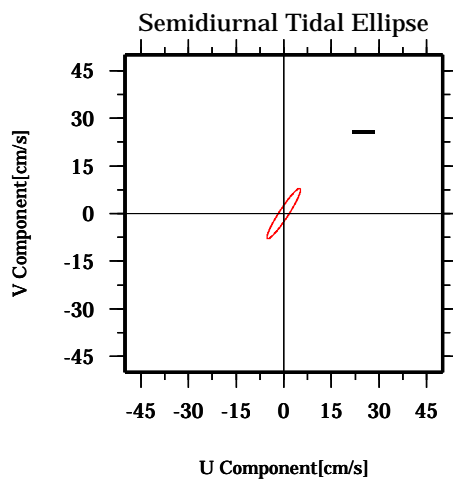
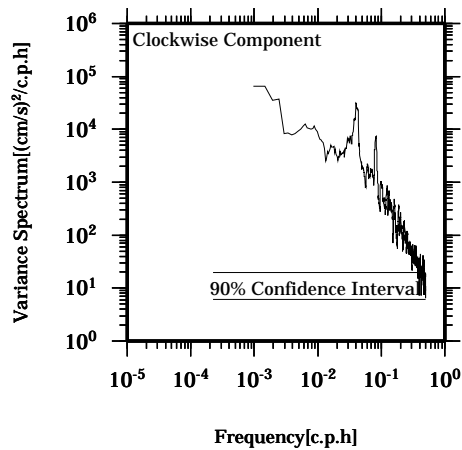
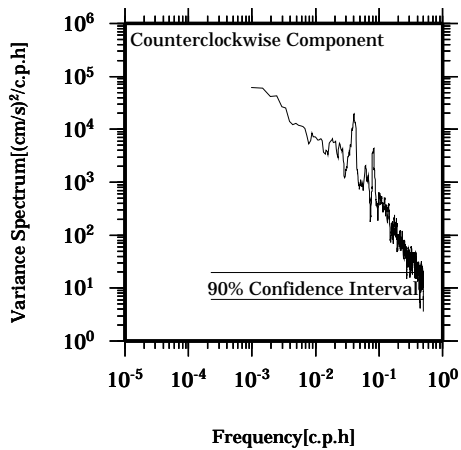
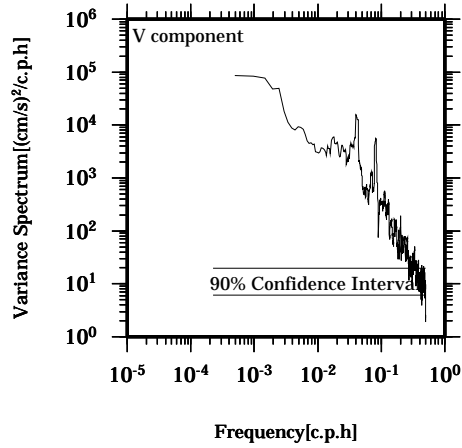
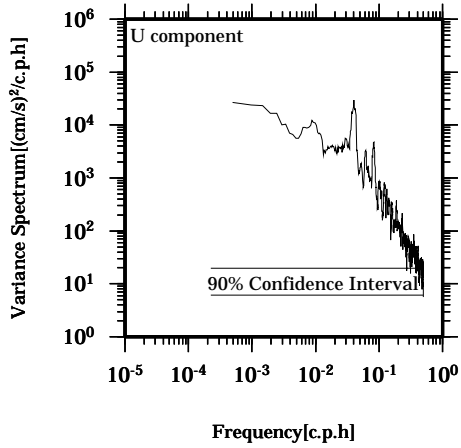


Lon: 121° 24.6445' E

Lat: 22° 38.8994' N

Station: W304

Depth : 110 M

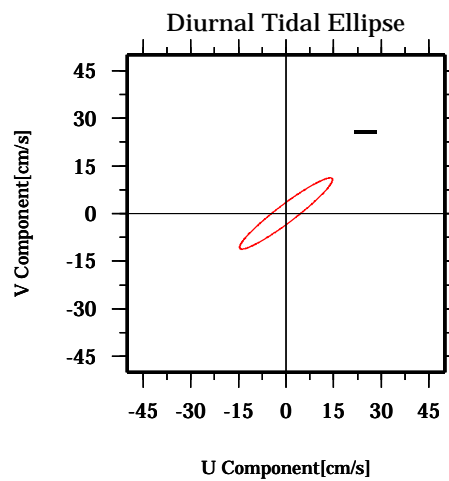
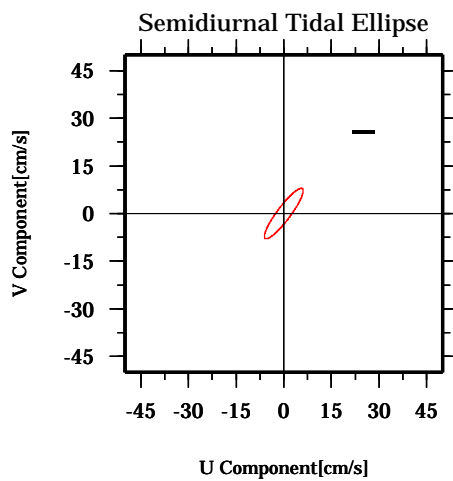
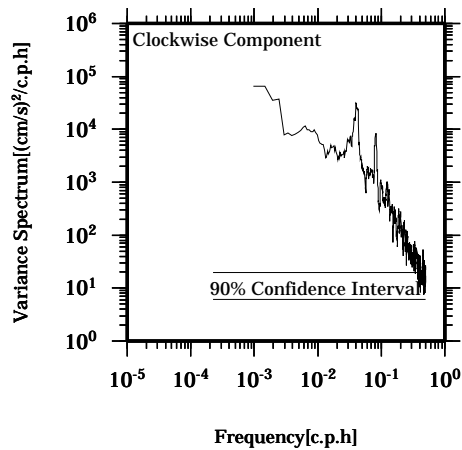
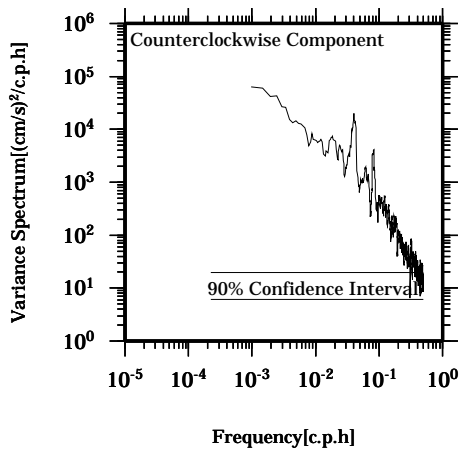
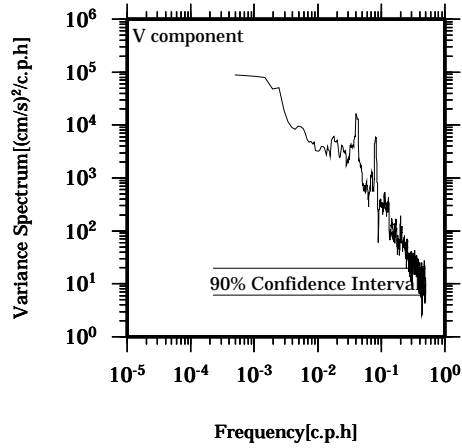
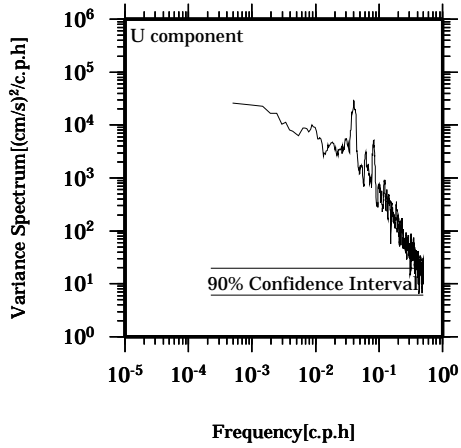


Lon: 121° 24.6445' E

Lat: 22° 38.8994' N

Station: W304

Depth : 114 M

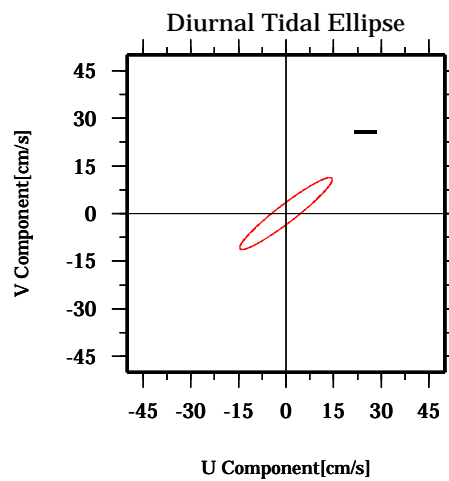
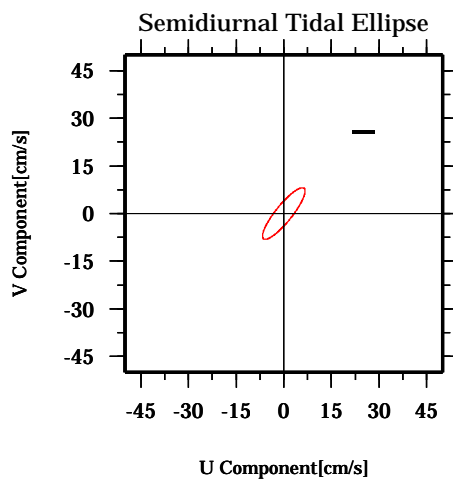
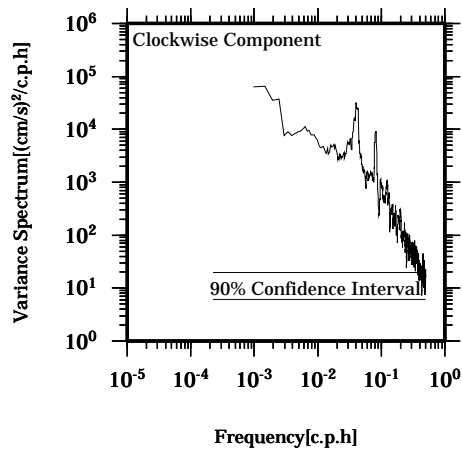
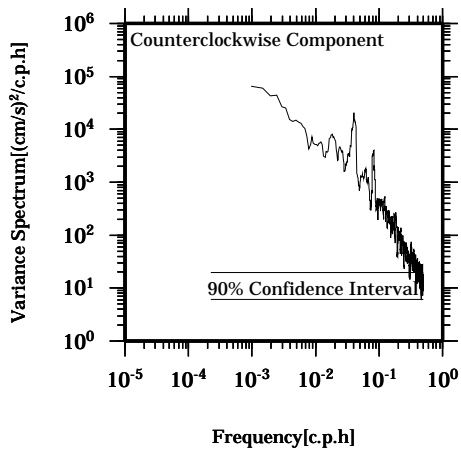
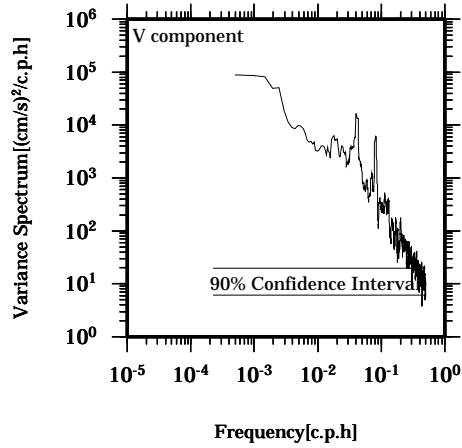
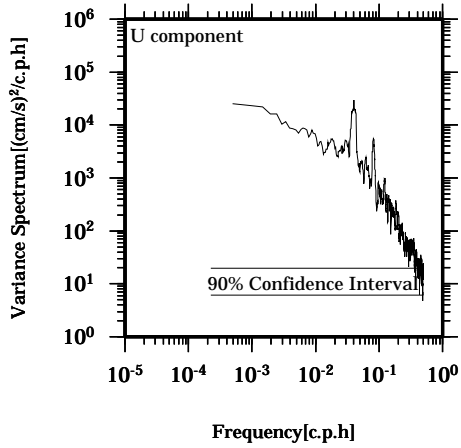


Lon: 121° 24.6445' E

Lat: 22° 38.8994' N

Station: W304

Depth : 118 M

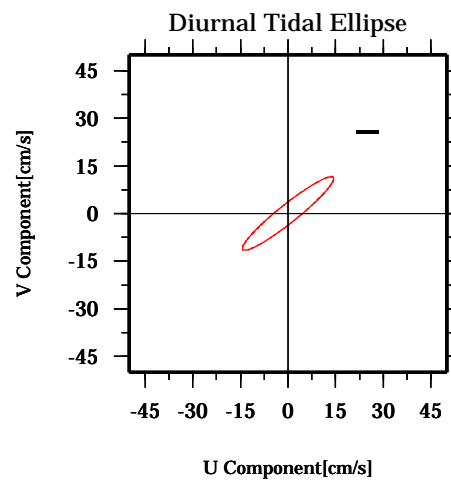
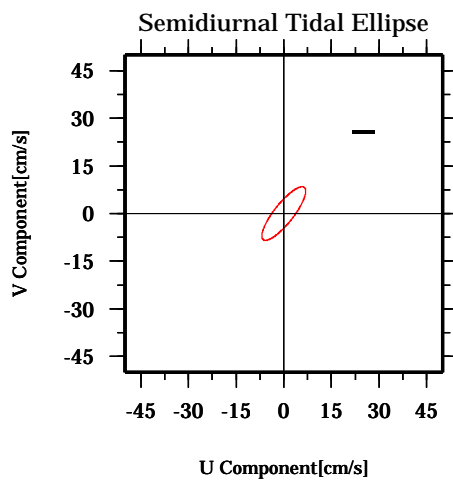
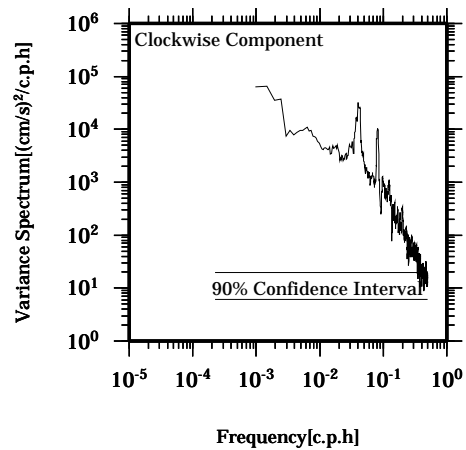
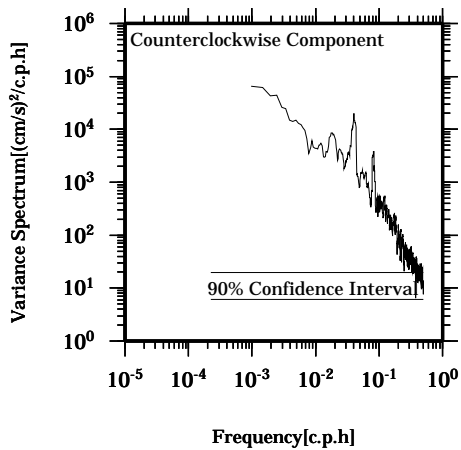
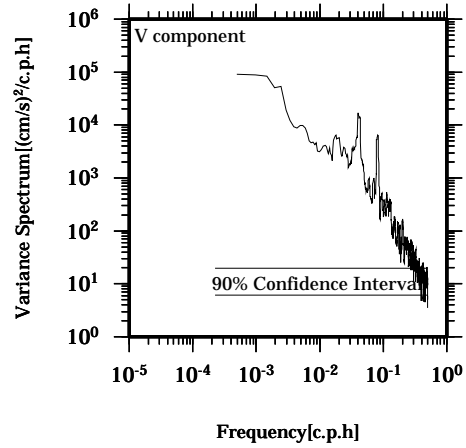
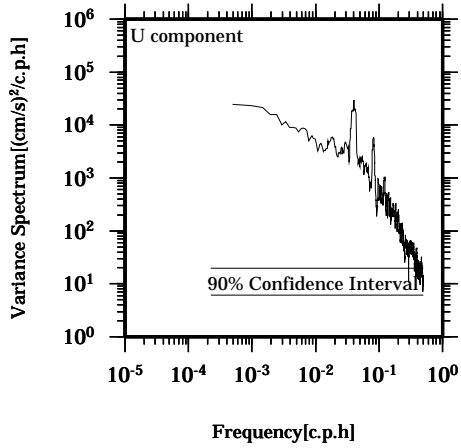


Lon: 121° 24.6445' E

Lat: 22° 38.8994' N

Station: W304

Depth : 122 M

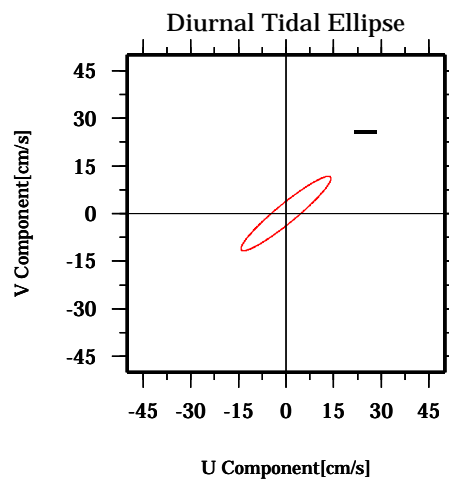
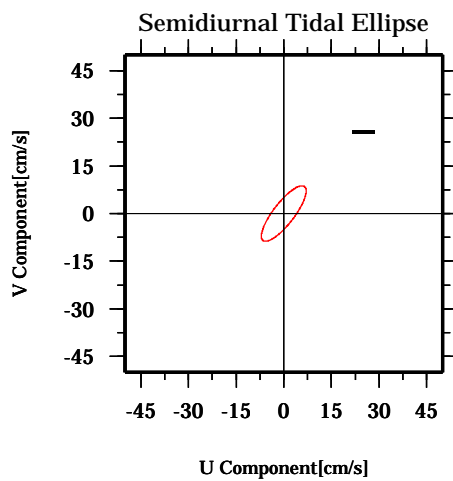
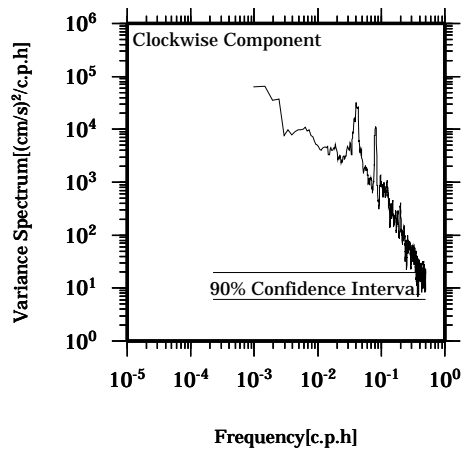
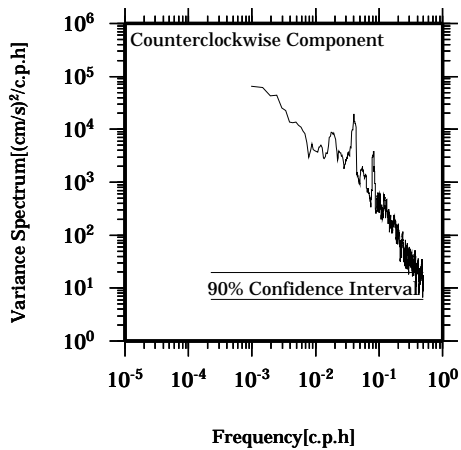
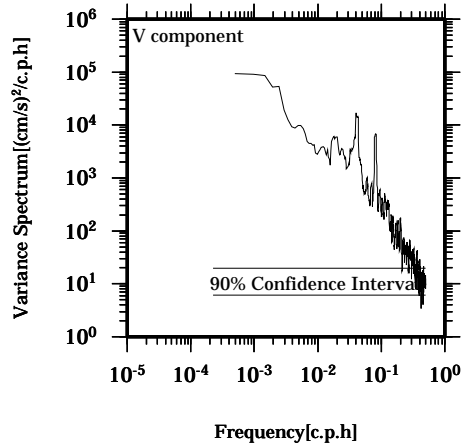
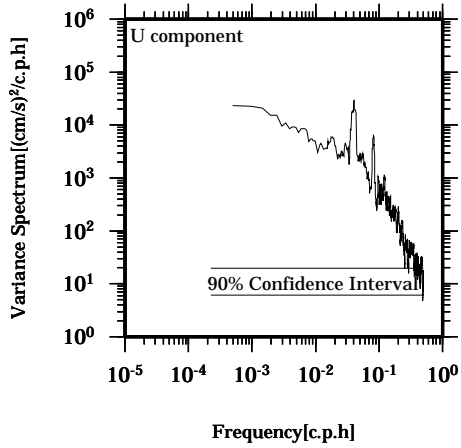


Lon: 121° 24.6445' E

Lat: 22° 38.8994' N

Station: W304

Depth : 126 M

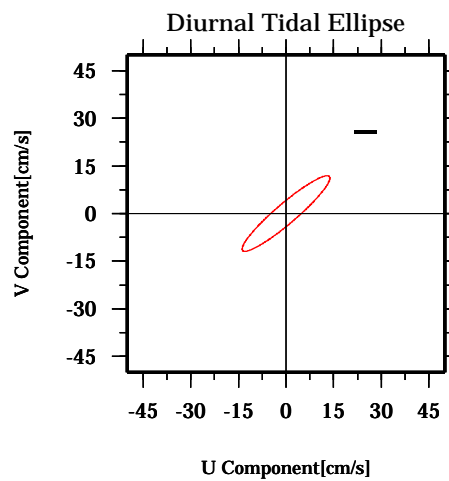
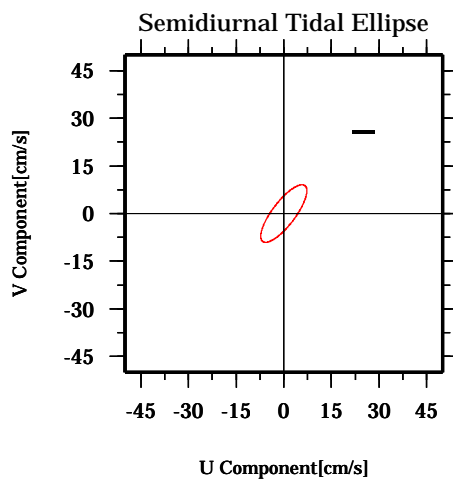
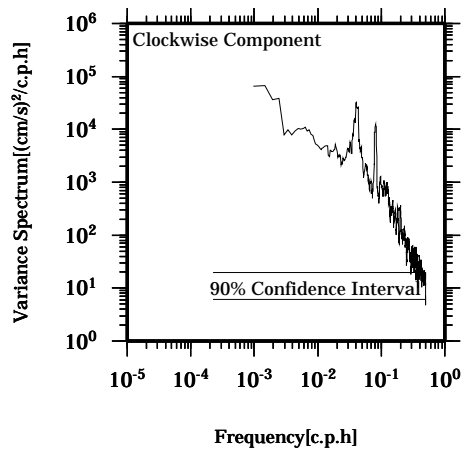
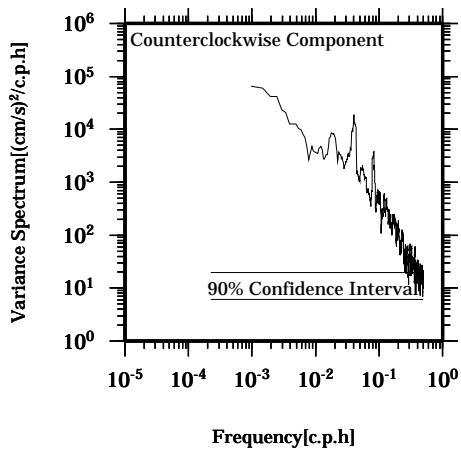
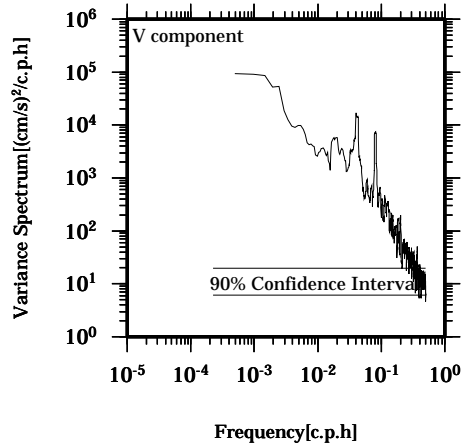
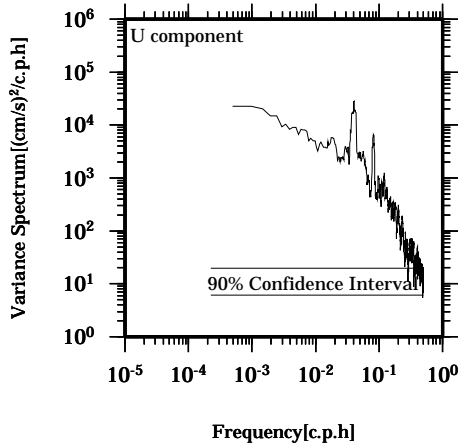


Lon: 121° 24.6445' E

Lat: 22° 38.8994' N

Station: W304

Depth : 130 M

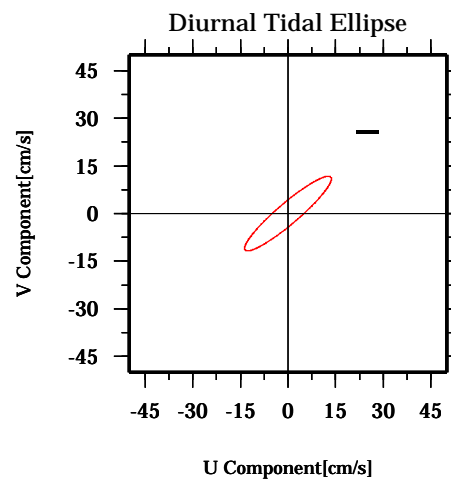
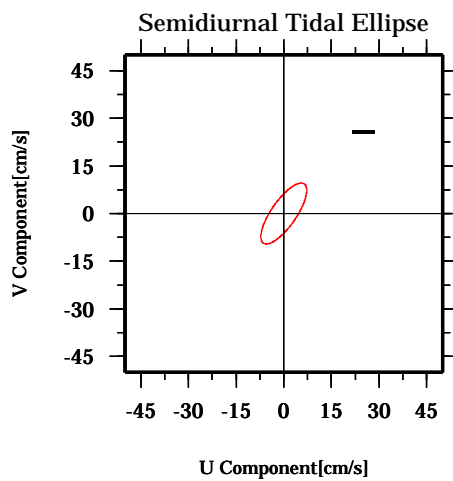
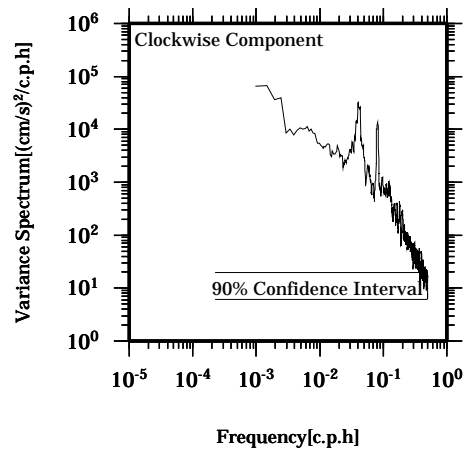
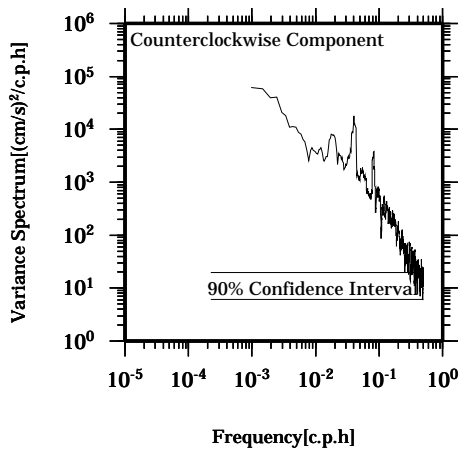
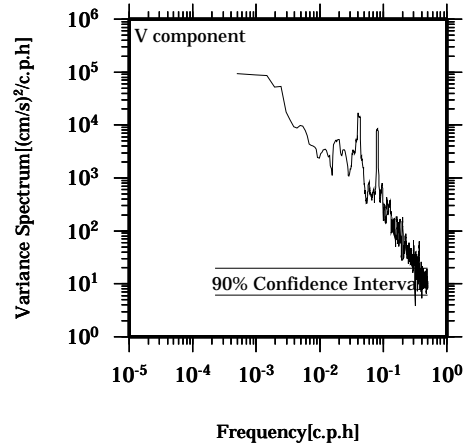
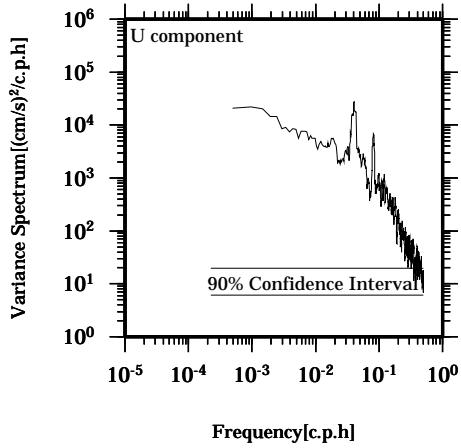


Lon: 121° 24.6445' E

Lat: 22° 38.8994' N

Station: W304

Depth : 134 M

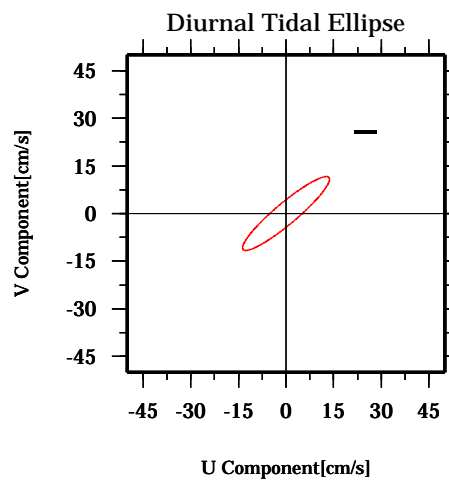
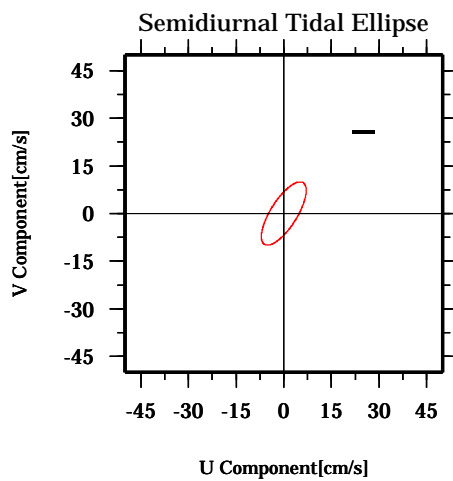
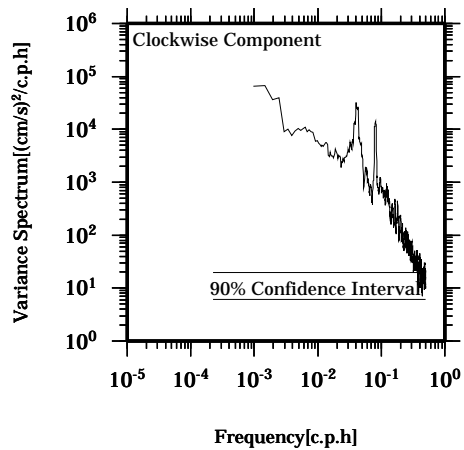
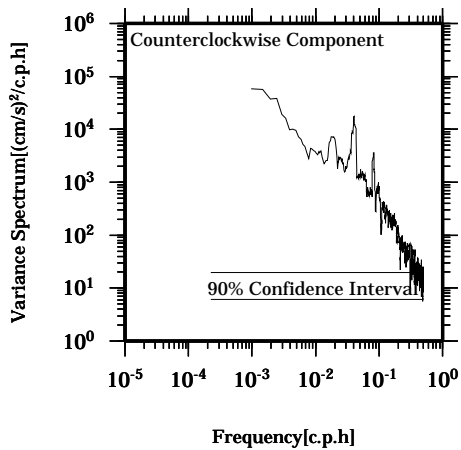
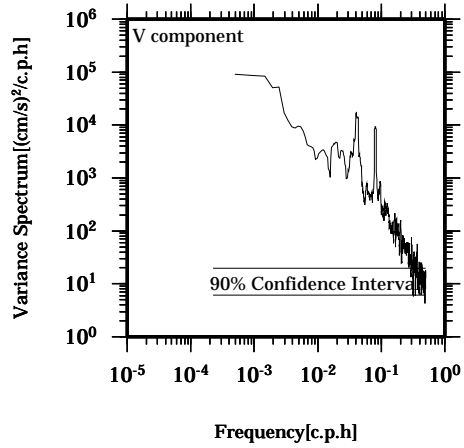
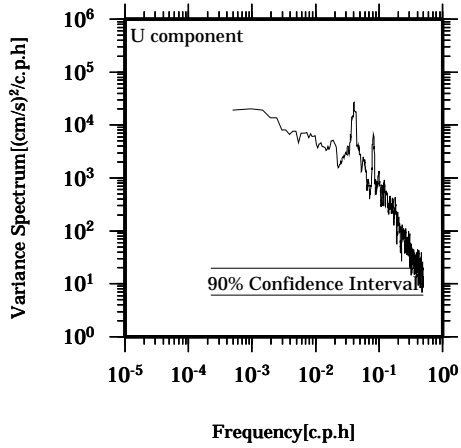


Lon: 121° 24.6445' E

Lat: 22° 38.8994' N

Station: W304

Depth : 138 M

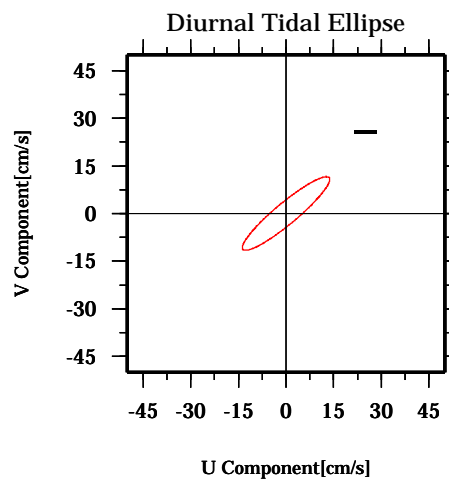
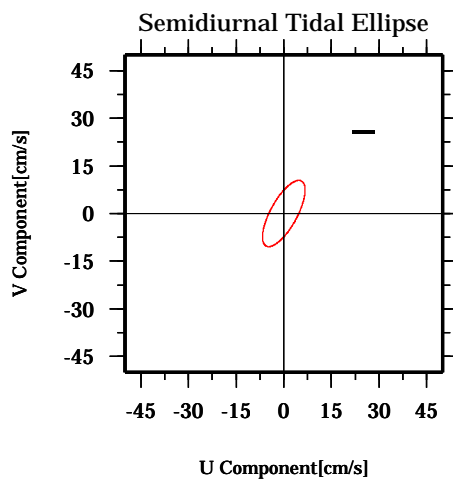
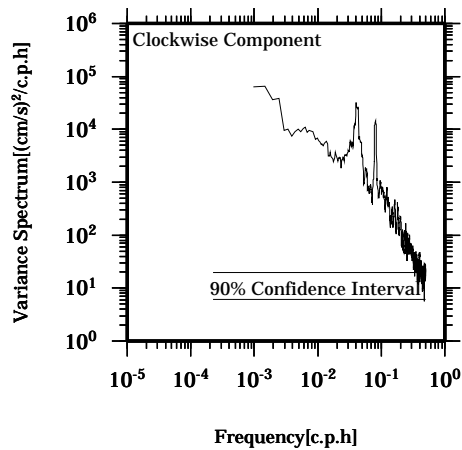
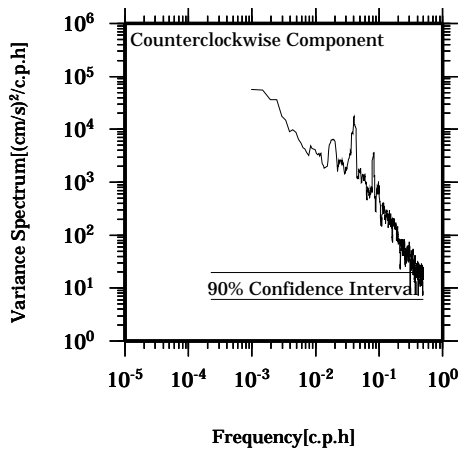
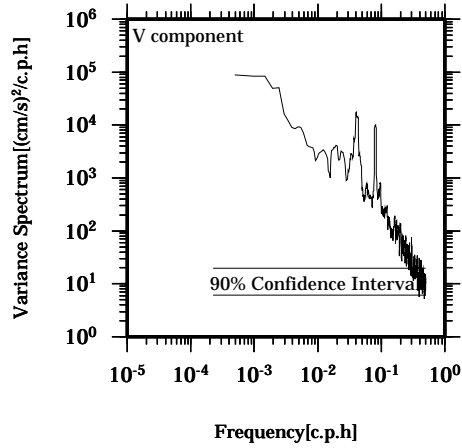
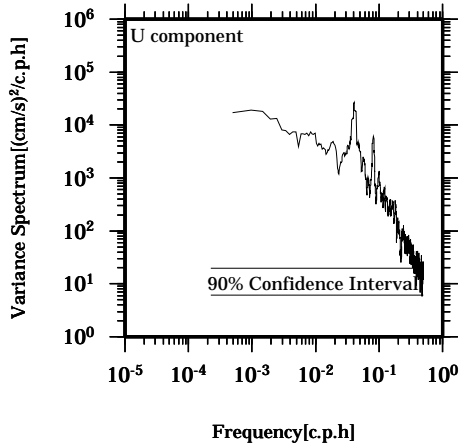


Lon: 121° 24.6445' E

Lat: 22° 38.8994' N

Station: W304

Depth : 142 M

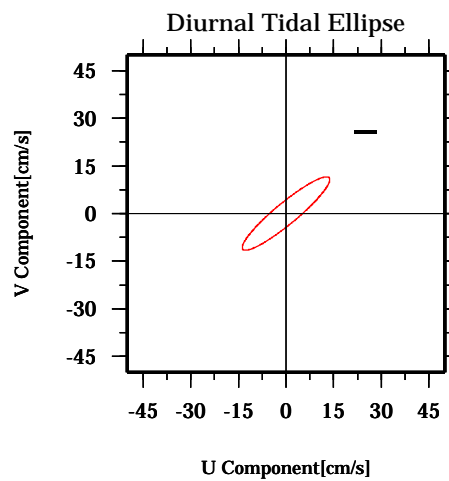
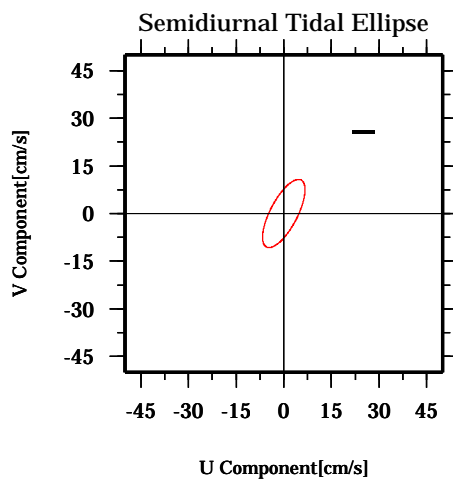
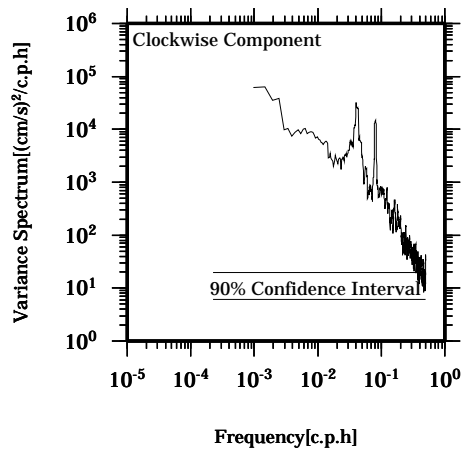
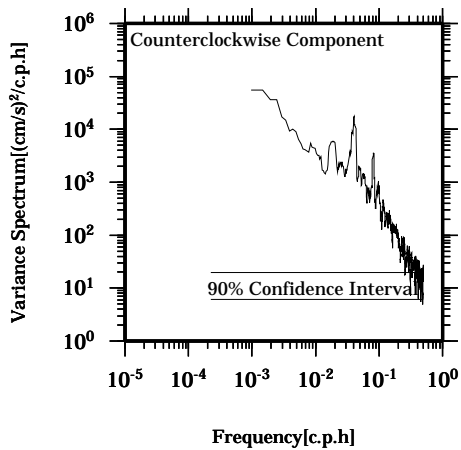
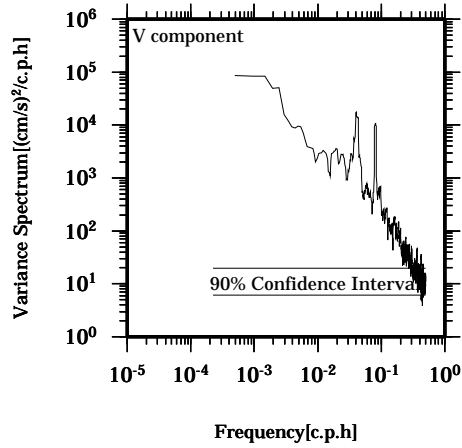
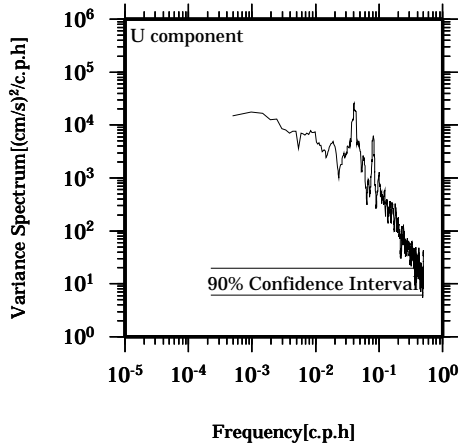


Lon: 121° 24.6445' E

Lat: 22° 38.8994' N

Station: W304

Depth : 146 M

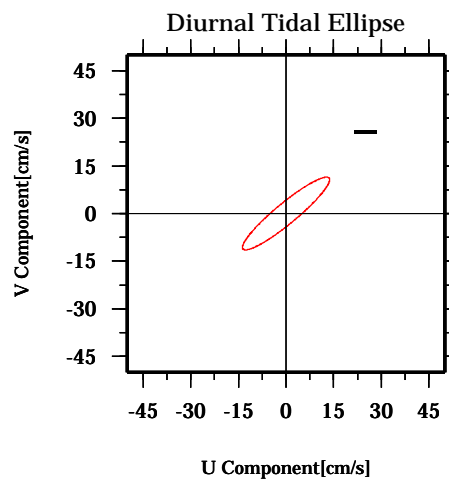
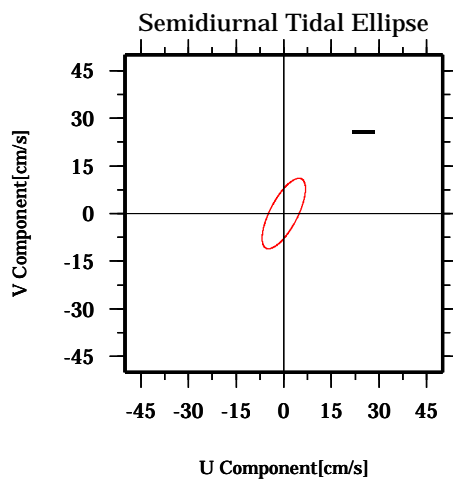
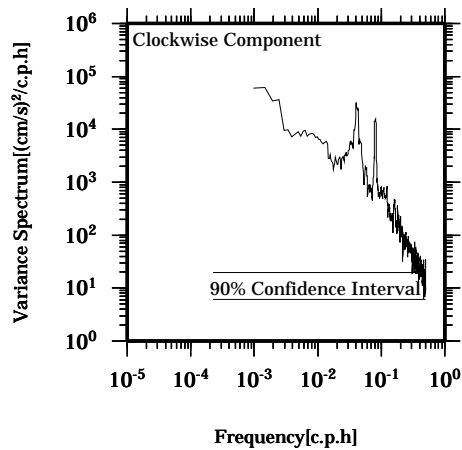
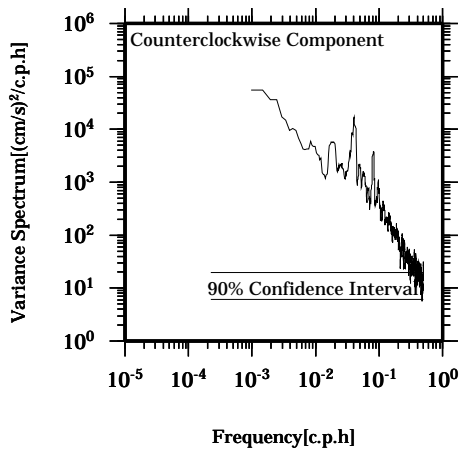
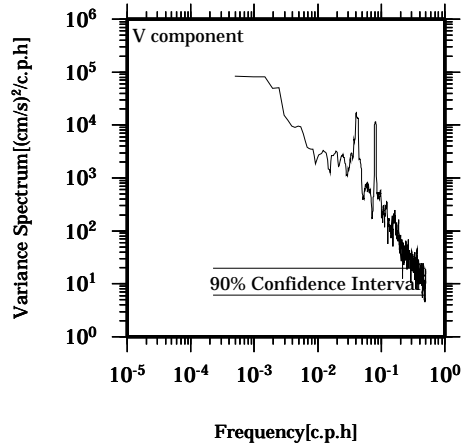
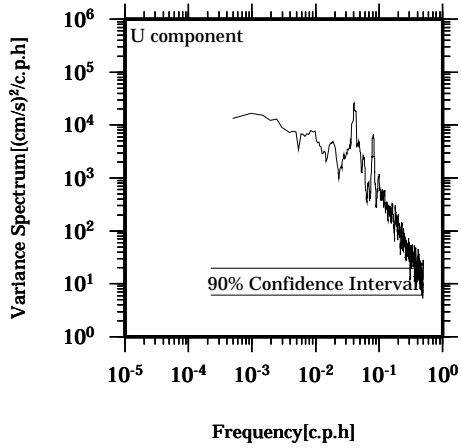


Lon: 121° 24.6445' E

Lat: 22° 38.8994' N

Station: W304

Depth : 150 M

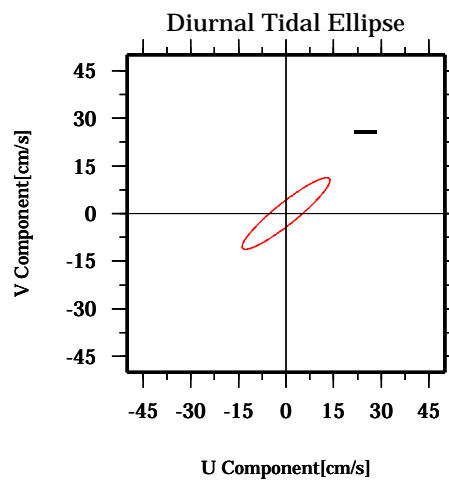
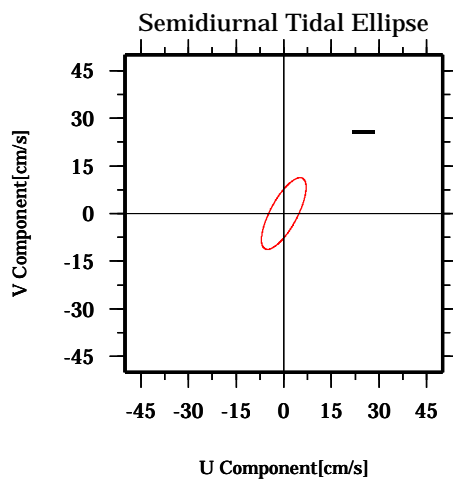
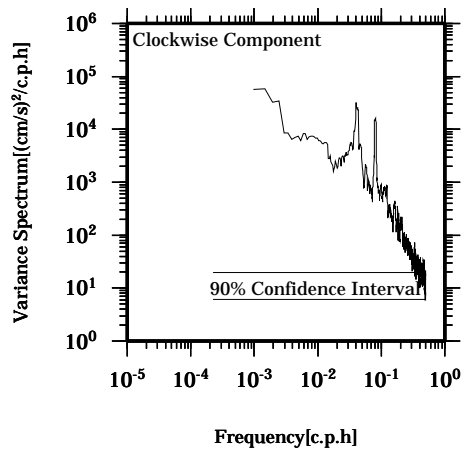
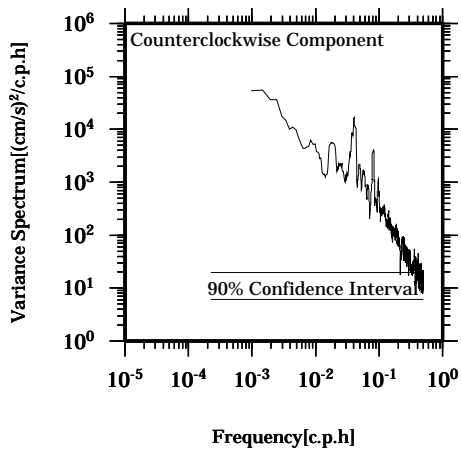
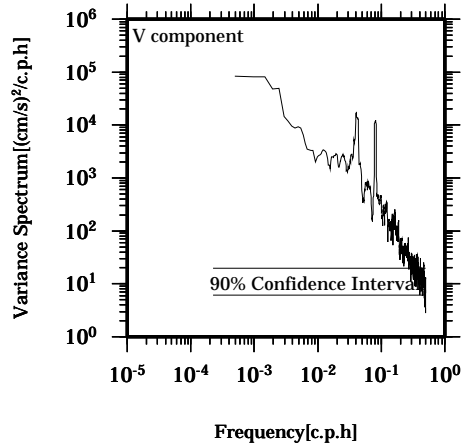
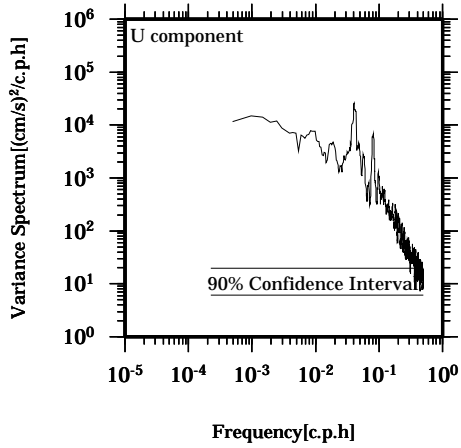


Lon: 121° 24.6445' E

Lat: 22° 38.8994' N

Station: W304

Depth : 154 M

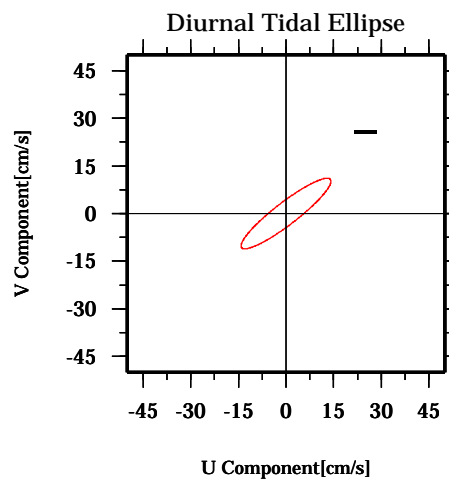
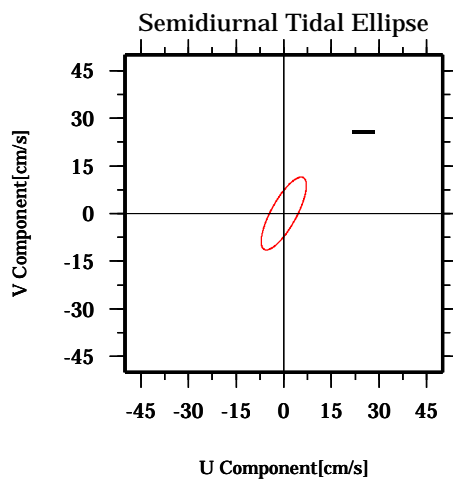
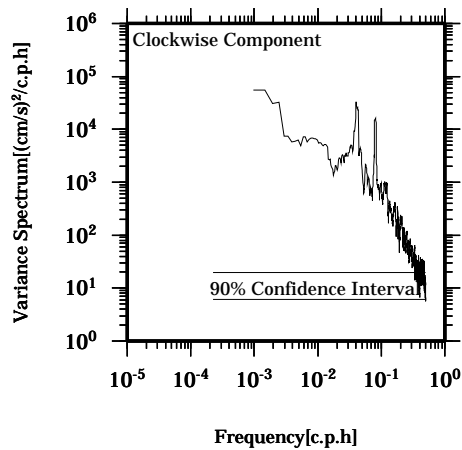
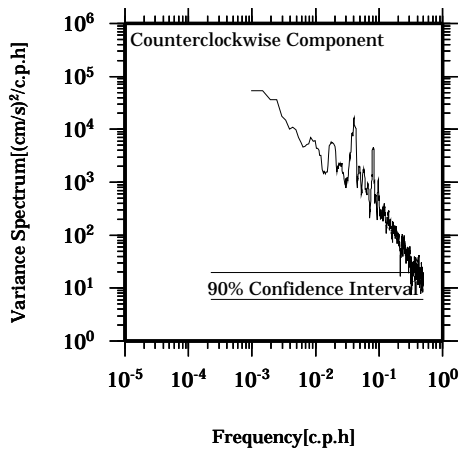
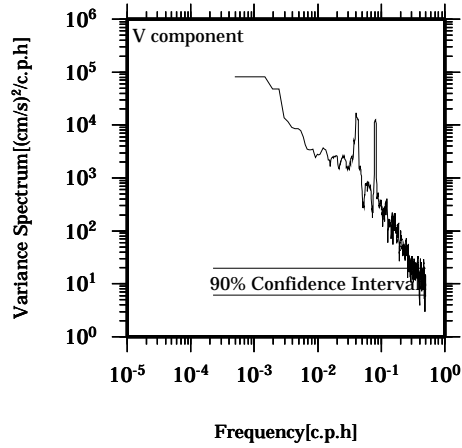
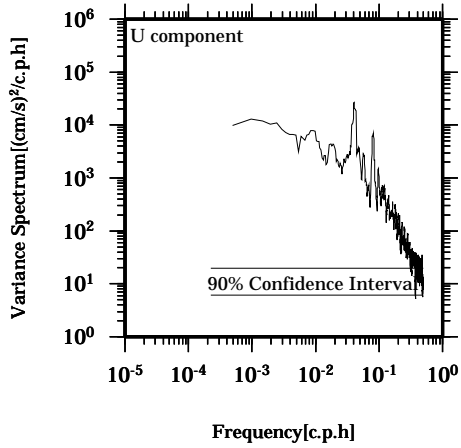


Lon: 121° 24.6445' E

Lat: 22° 38.8994' N

Station: W304

Depth : 158 M

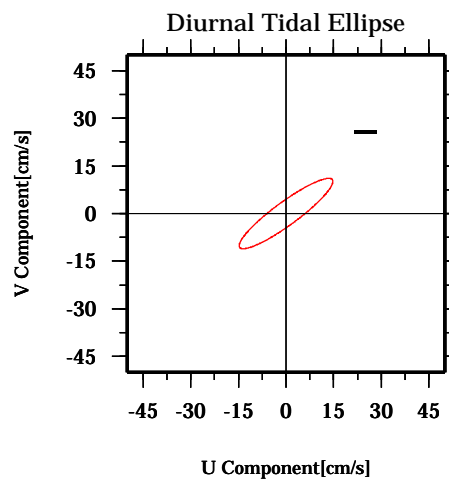
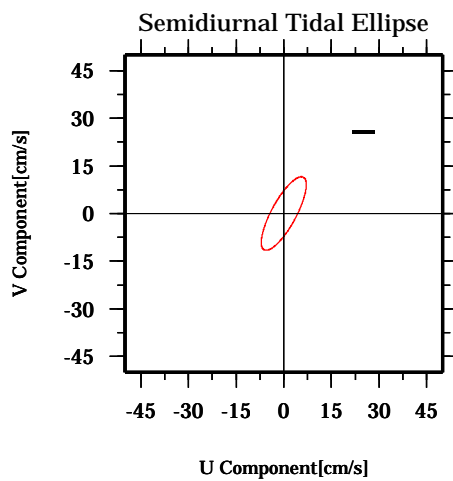
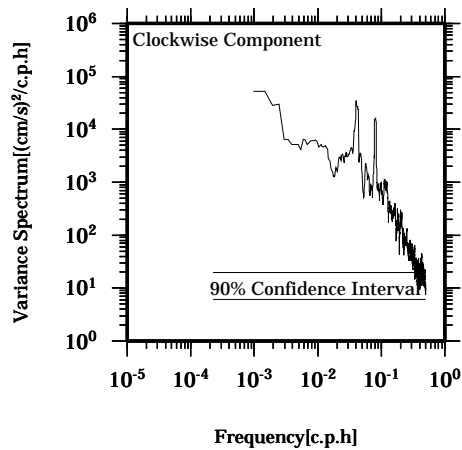
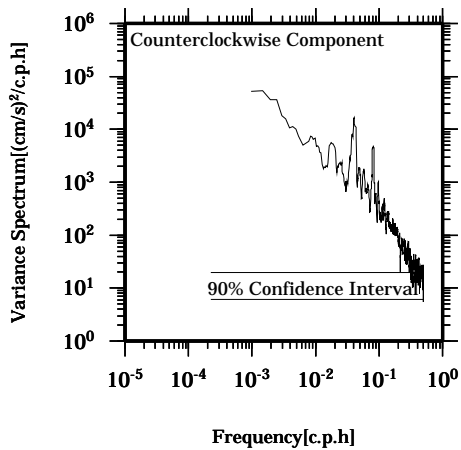
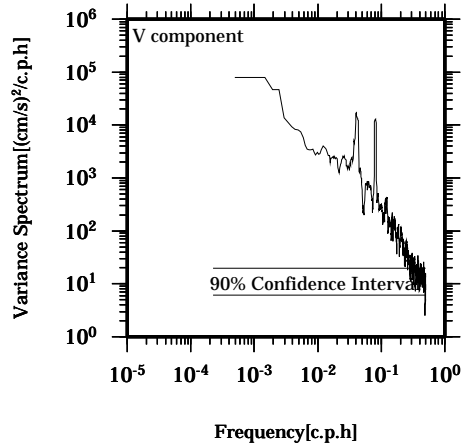
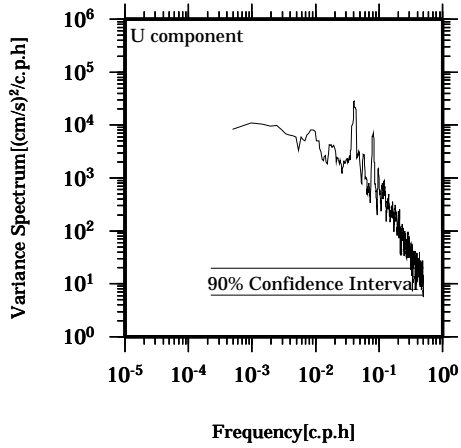


Lon: 121° 24.6445' E

Lat: 22° 38.8994' N

Station: W304

Depth : 162 M

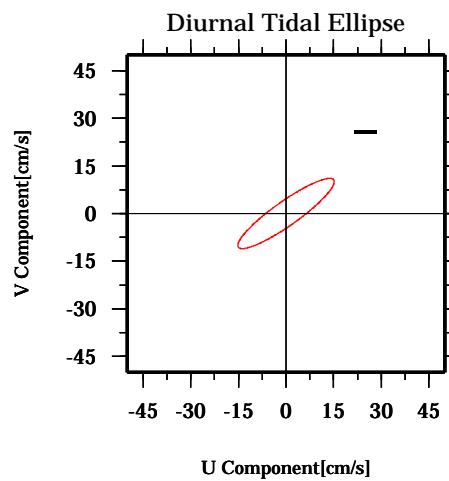
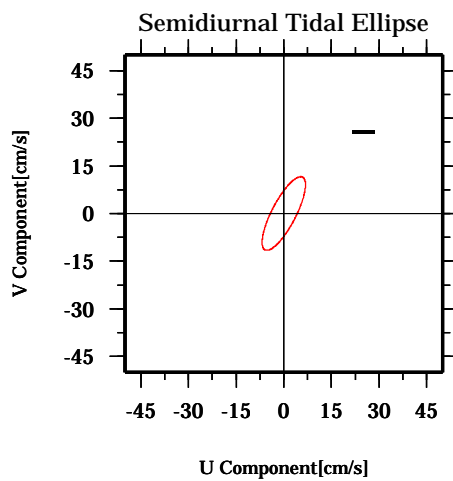
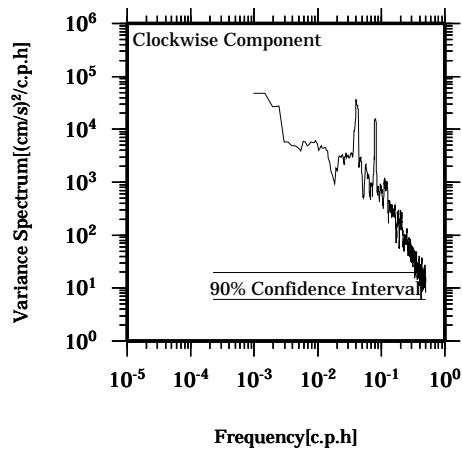
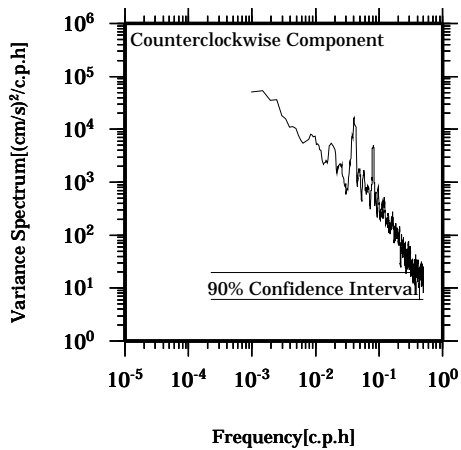
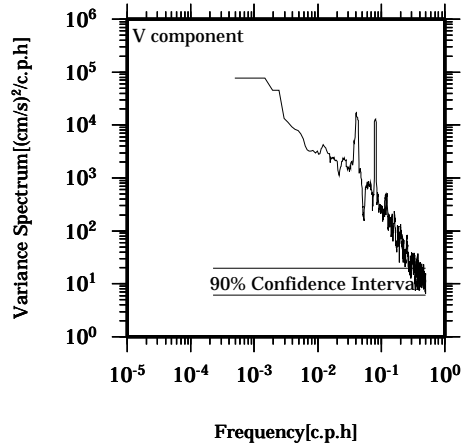
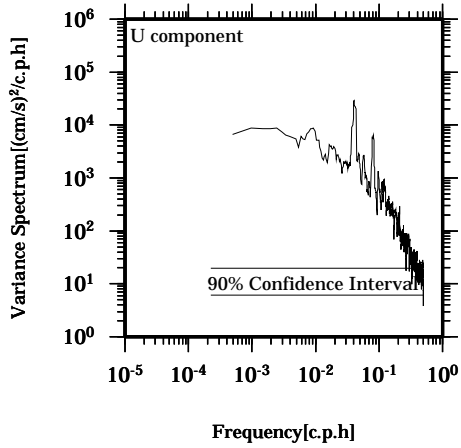


Lon: 121° 24.6445' E

Lat: 22° 38.8994' N

Station: W304

Depth : 166 M

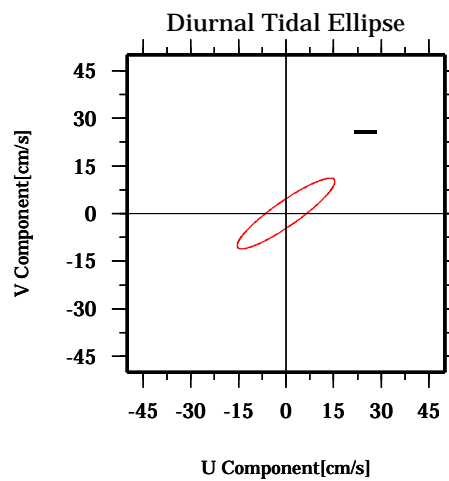
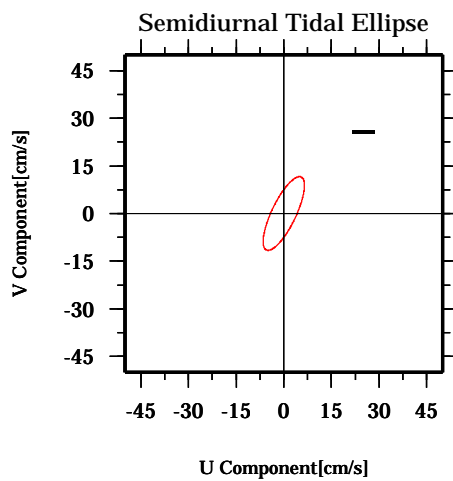
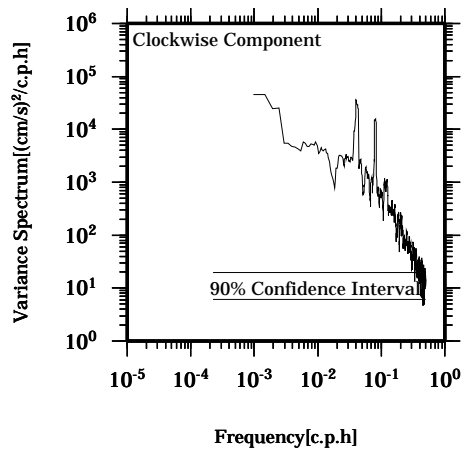
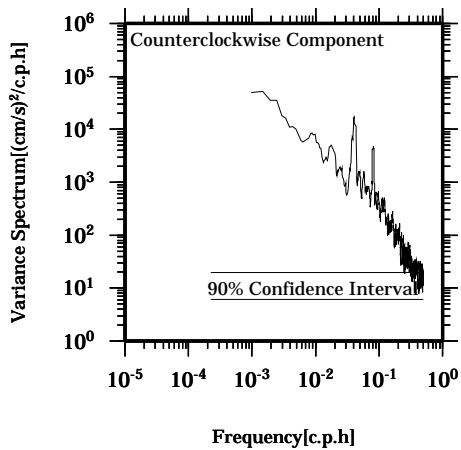
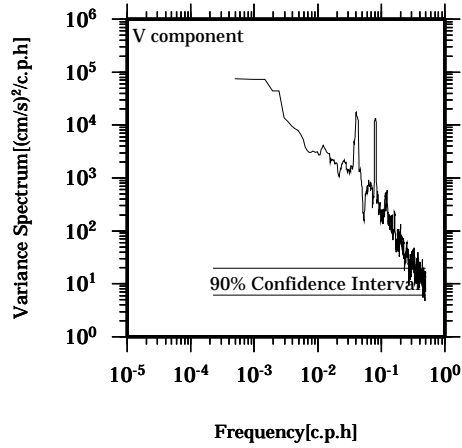
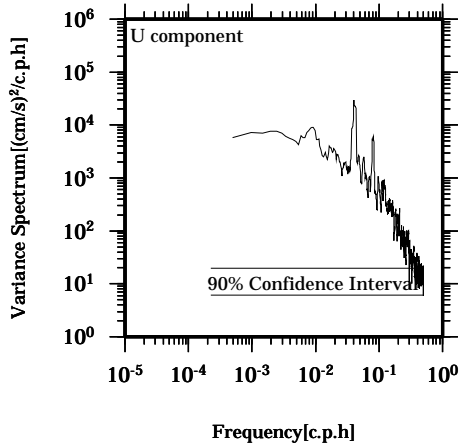


Lon: 121° 24.6445' E

Lat: 22° 38.8994' N

Station: W304

Depth : 170 M

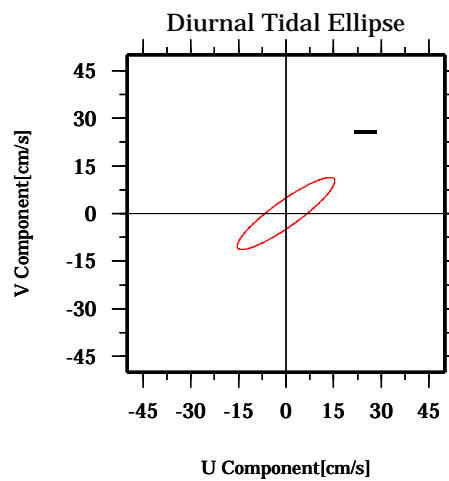
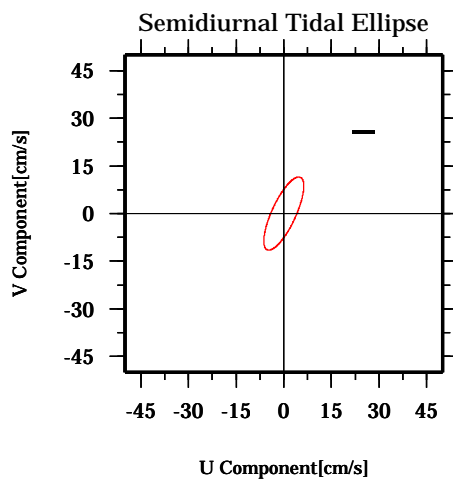
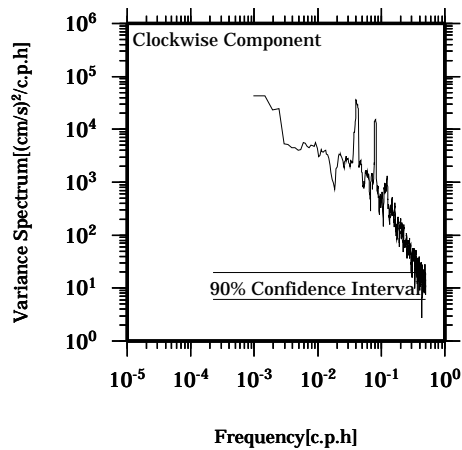
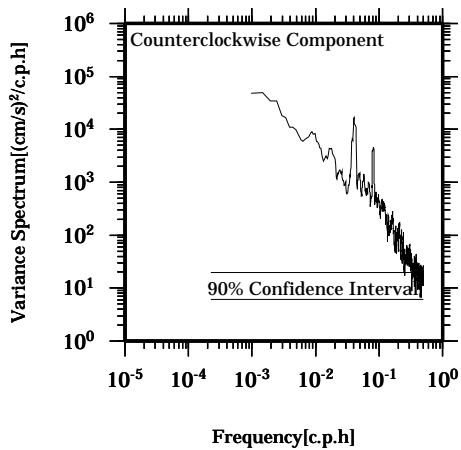
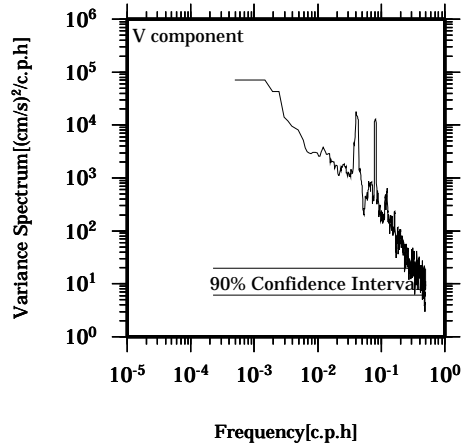
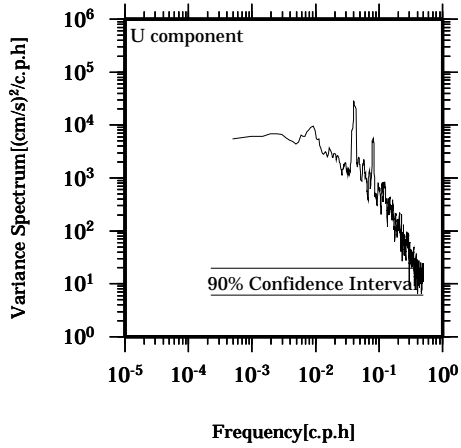


Lon: 121° 24.6445' E

Lat: 22° 38.8994' N

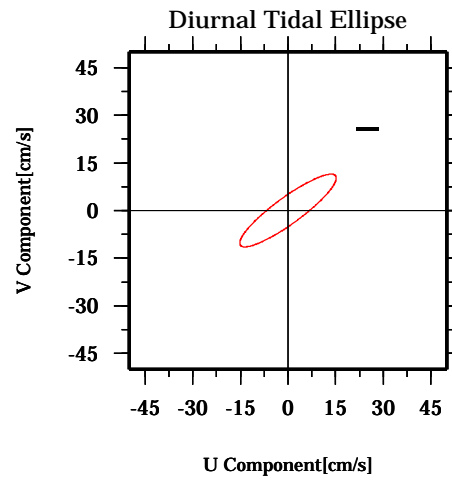
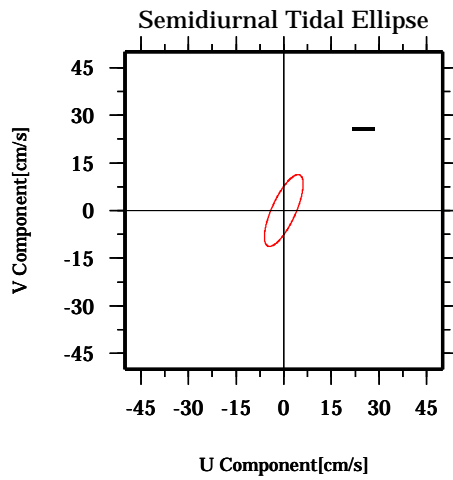
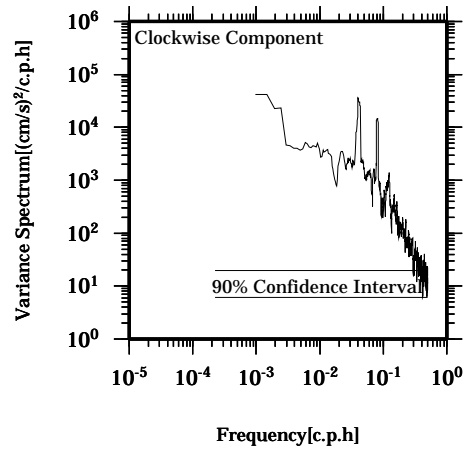
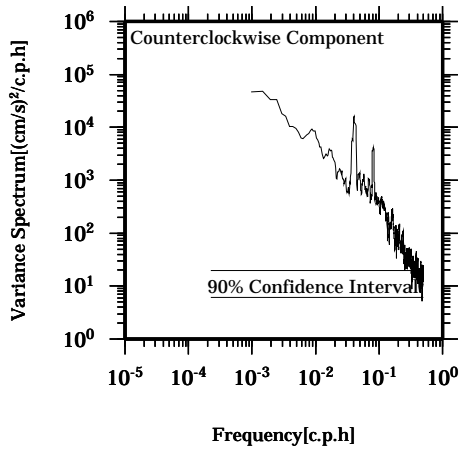
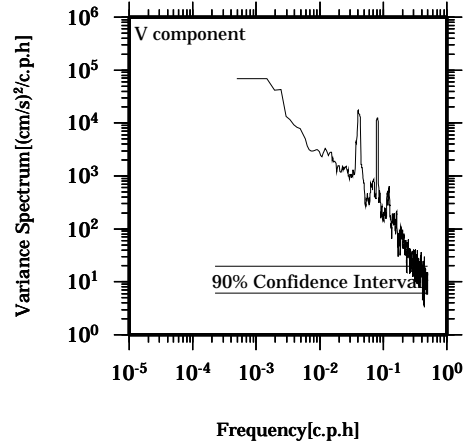
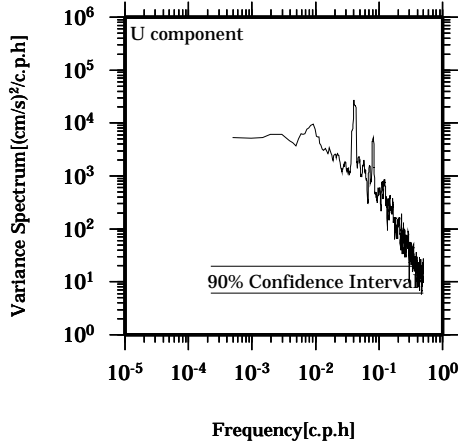
Station: W304

Depth : 174 M



Lon: 121° 24.6445' E
Lat: 22° 38.8994' N

Station: W304
Depth : 178 M

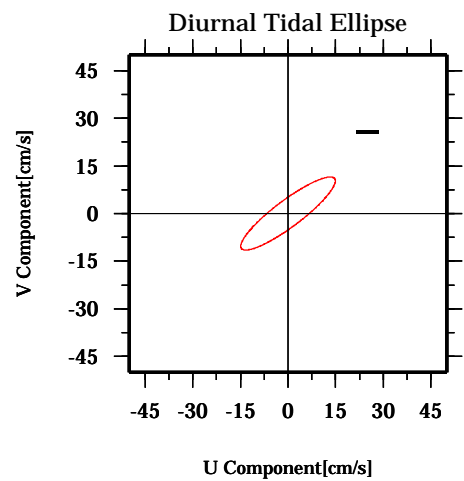
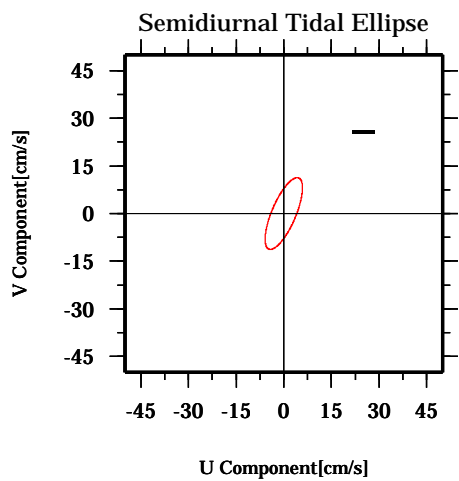
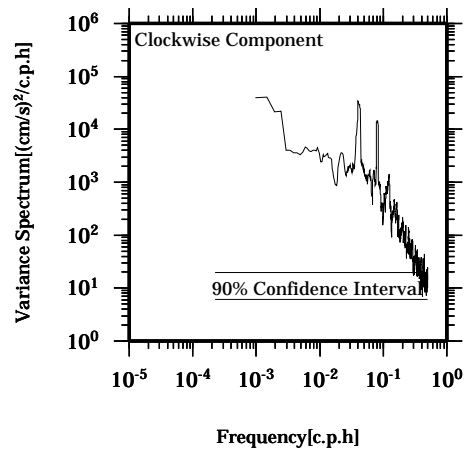
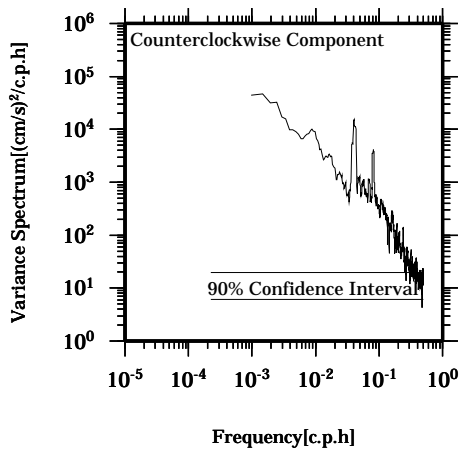
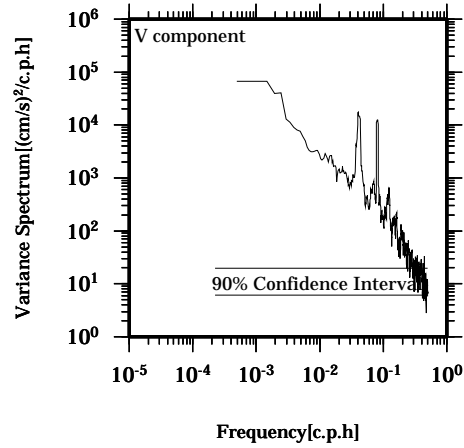
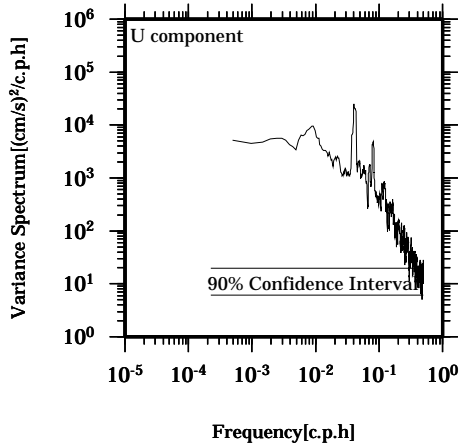


Lon: 121° 24.6445' E

Lat: 22° 38.8994' N

Station: W304

Depth : 182 M

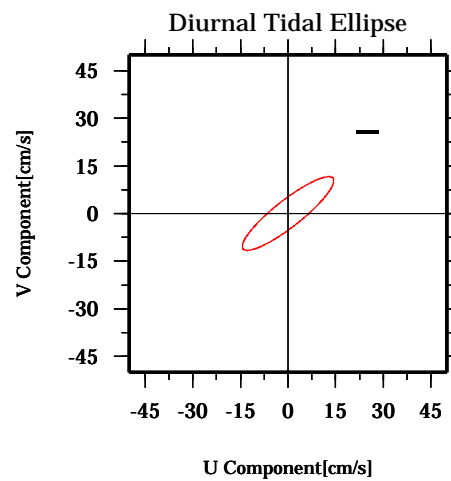
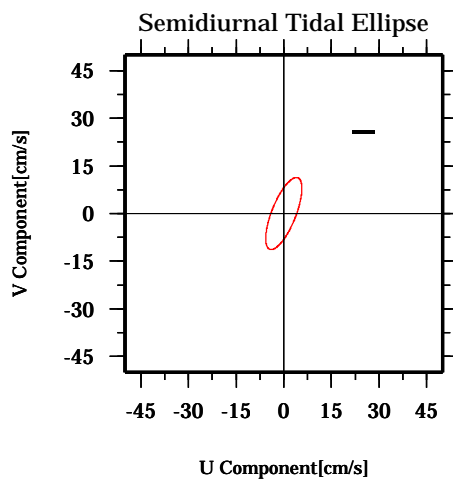
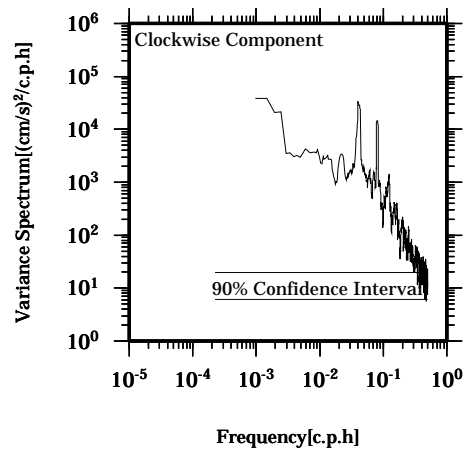
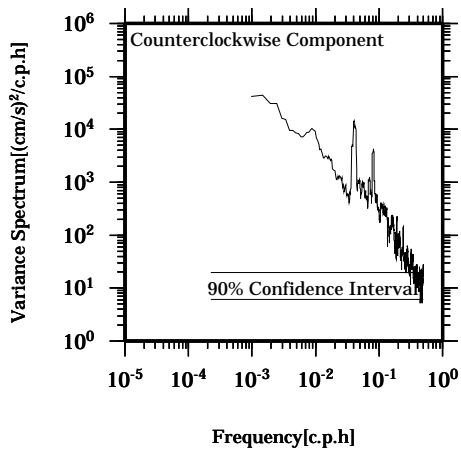
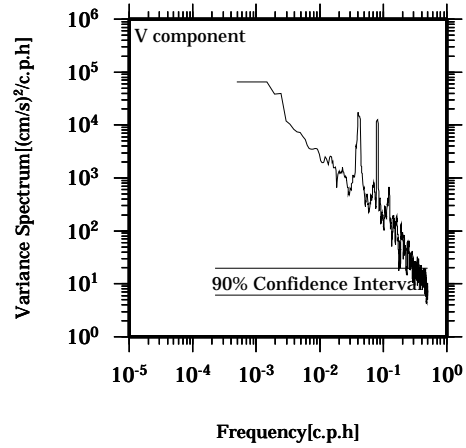
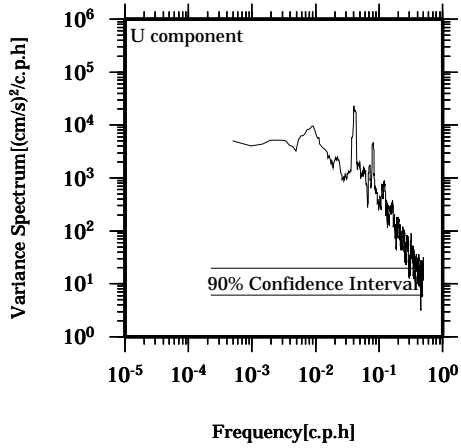


Lon: 121° 24.6445' E

Lat: 22° 38.8994' N

Station: W304

Depth : 186 M

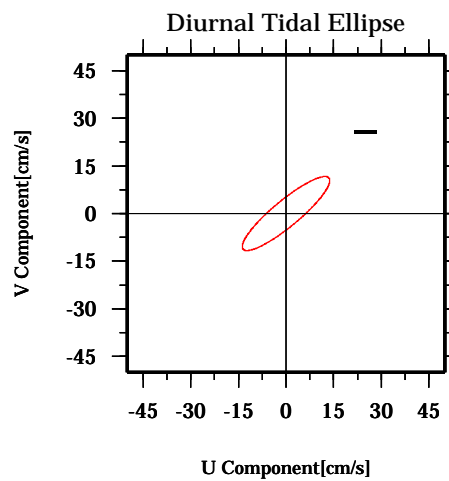
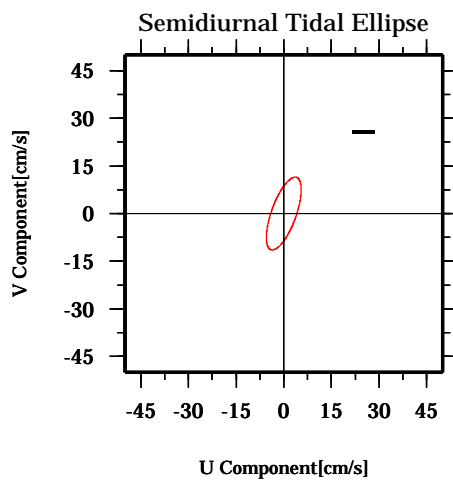
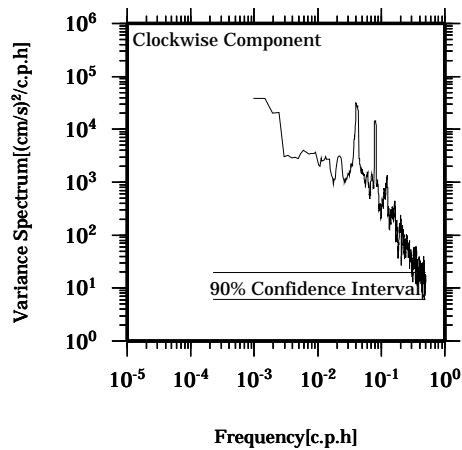
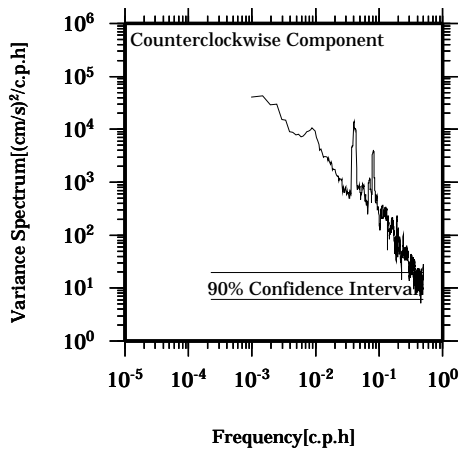
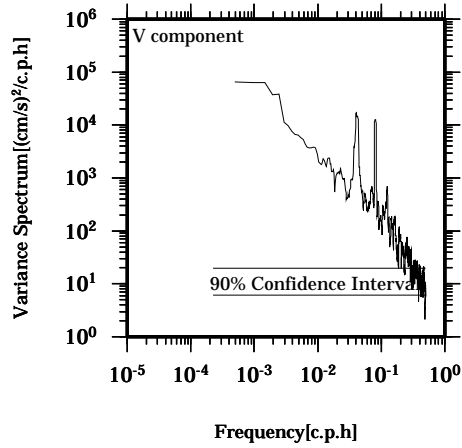
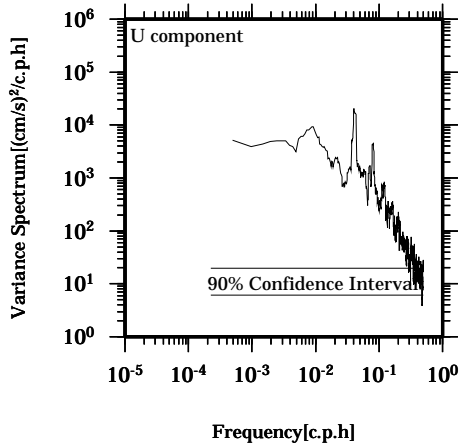


Lon: 121° 24.6445' E

Lat: 22° 38.8994' N

Station: W304

Depth : 190 M

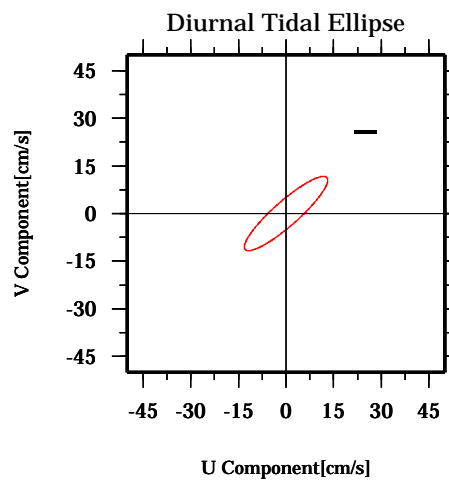
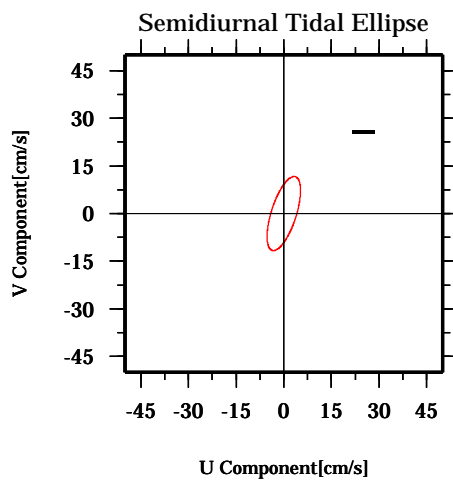
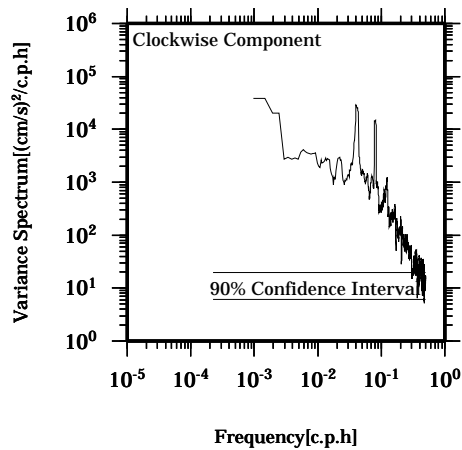
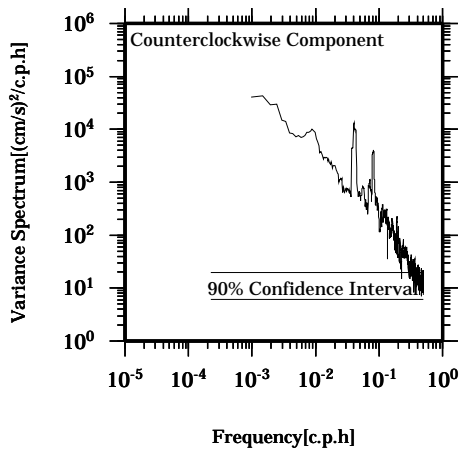
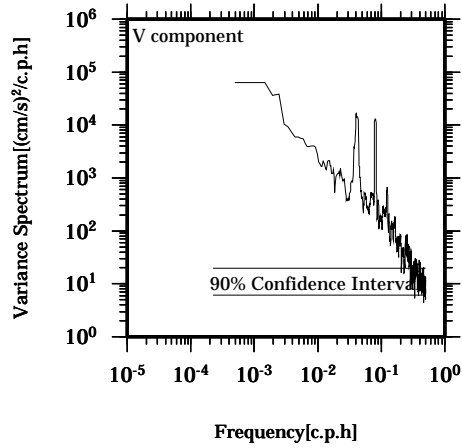
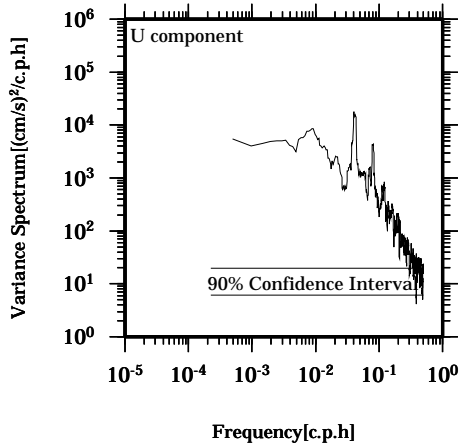


Lon: 121° 24.6445' E

Lat: 22° 38.8994' N

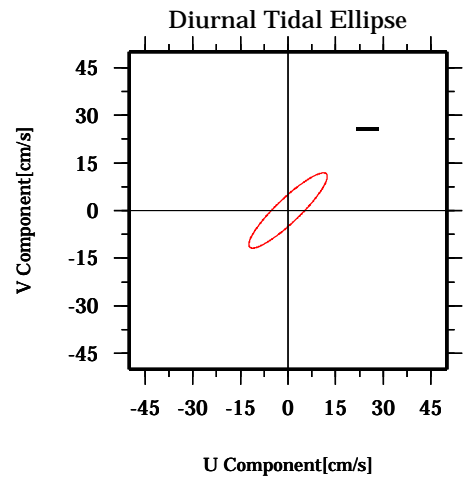
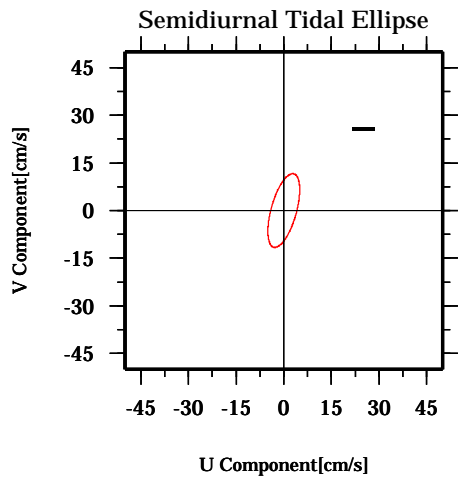
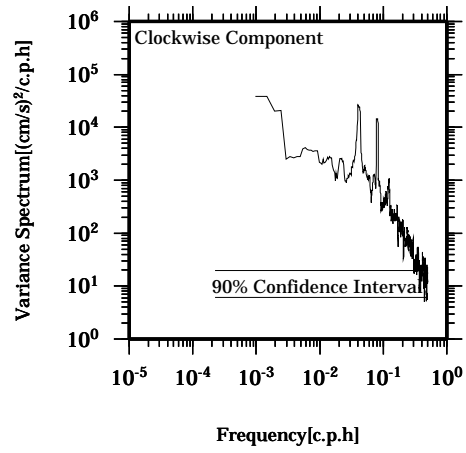
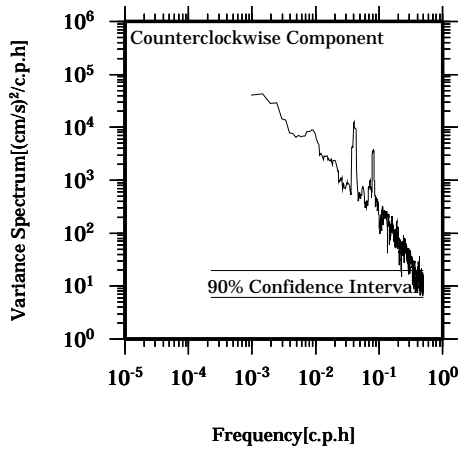
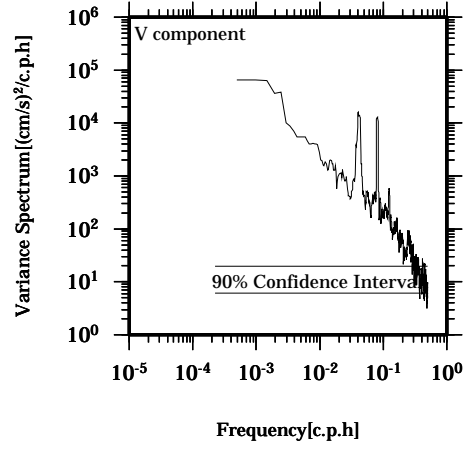
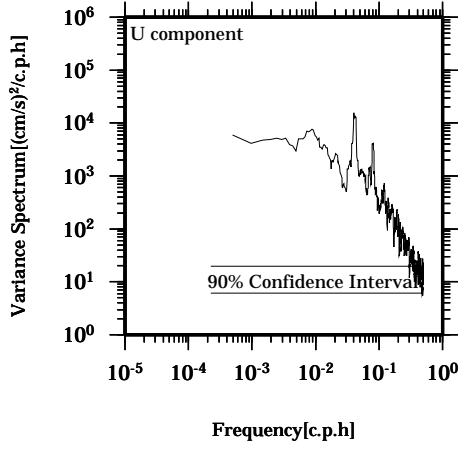
Station: W304

Depth : 194 M



Lon: 121° 24.6445' E
Lat: 22° 38.8994' N

Station: W304
Depth : 198 M

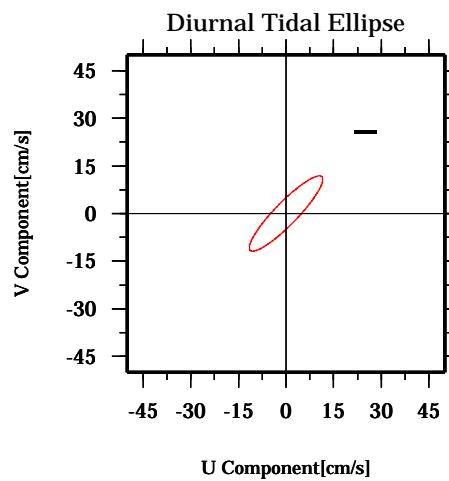
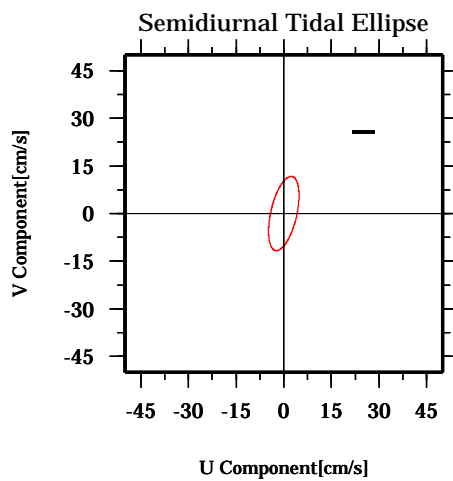
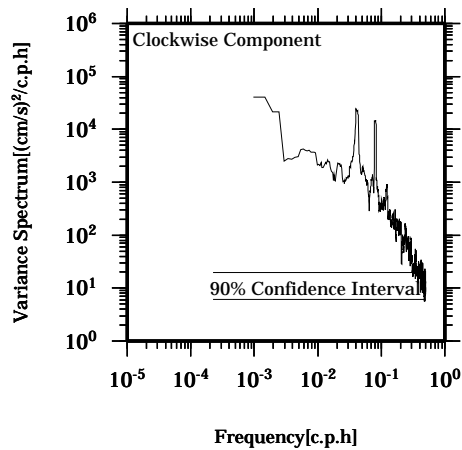
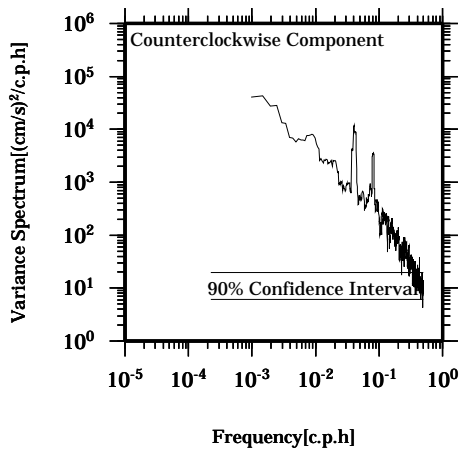
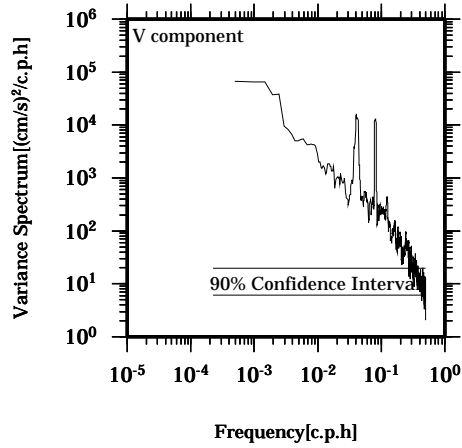
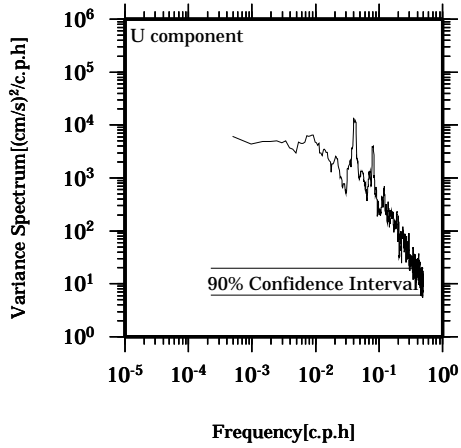


Lon: 121° 24.6445' E

Lat: 22° 38.8994' N

Station: W304

Depth : 202 M

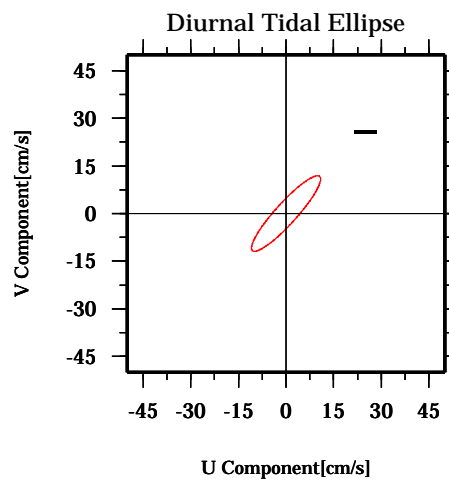
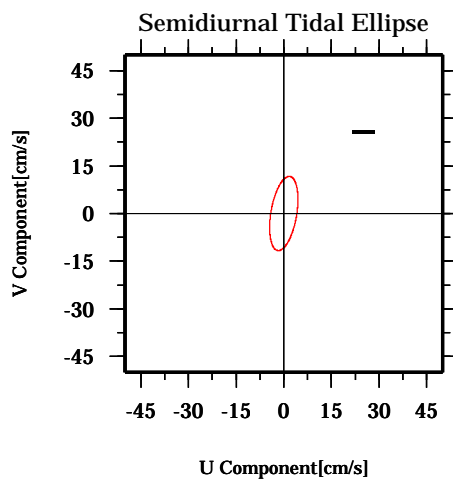
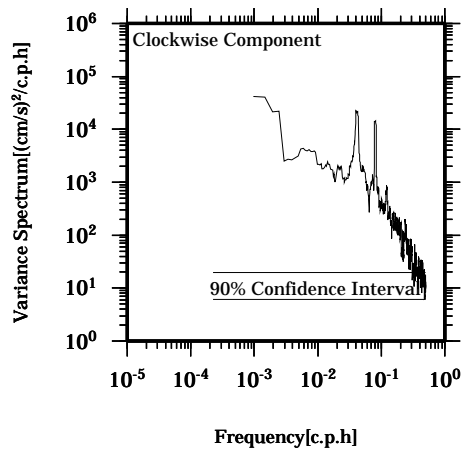
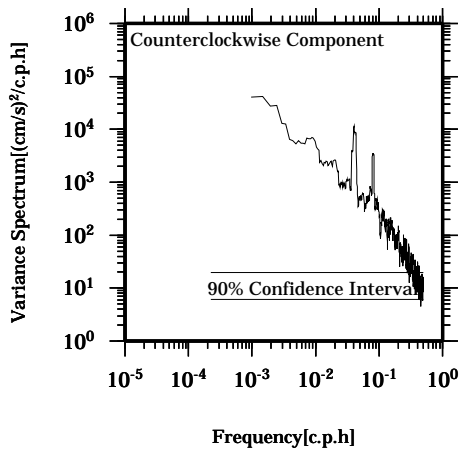
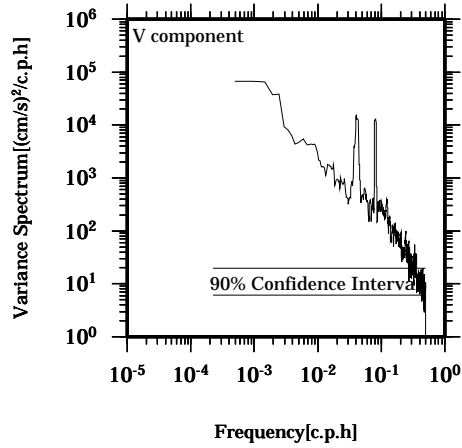
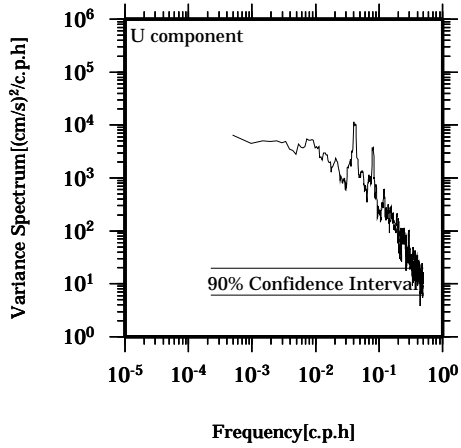


Lon: 121° 24.6445' E

Lat: 22° 38.8994' N

Station: W304

Depth : 206 M

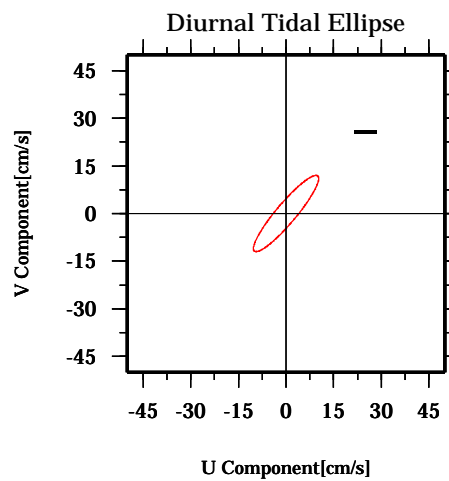
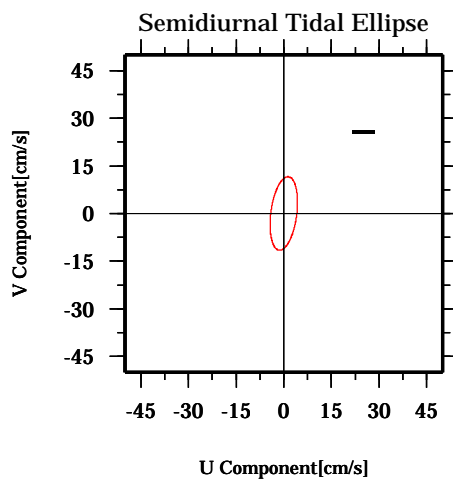
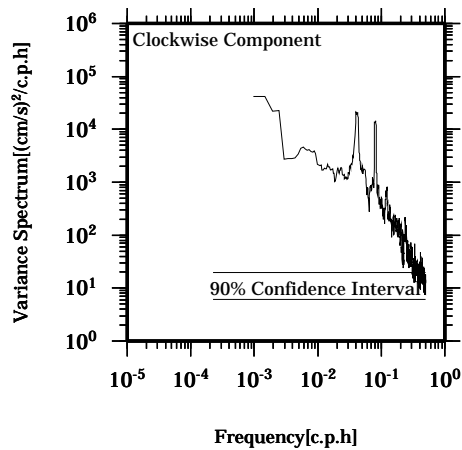
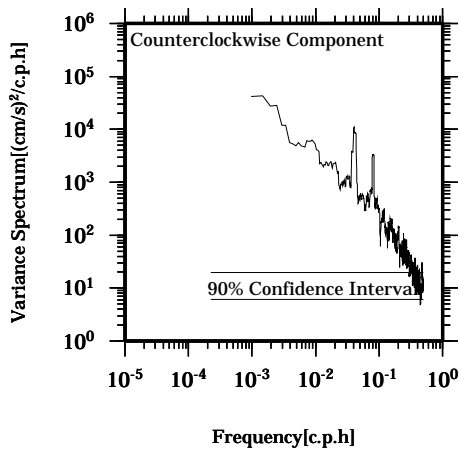
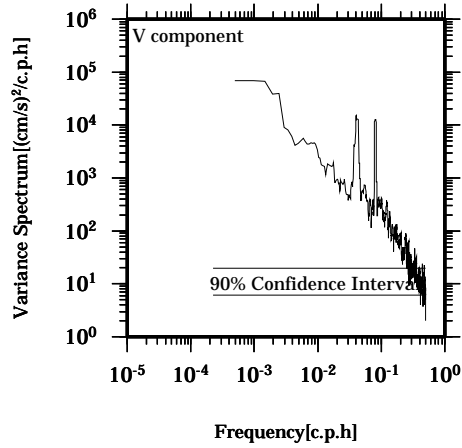
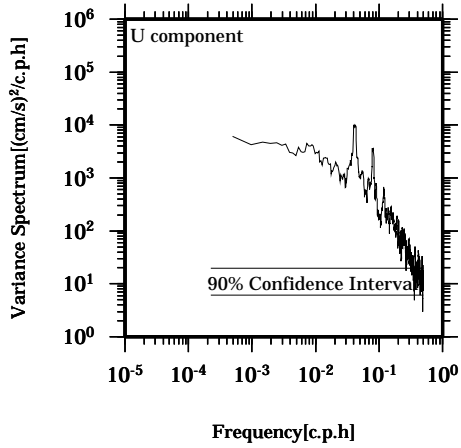


Lon: 121° 24.6445' E

Lat: 22° 38.8994' N

Station: W304

Depth : 210 M

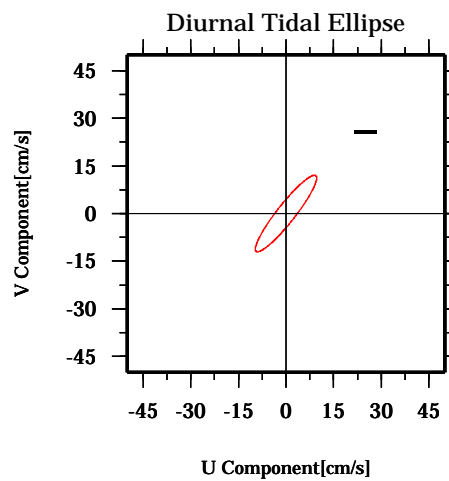
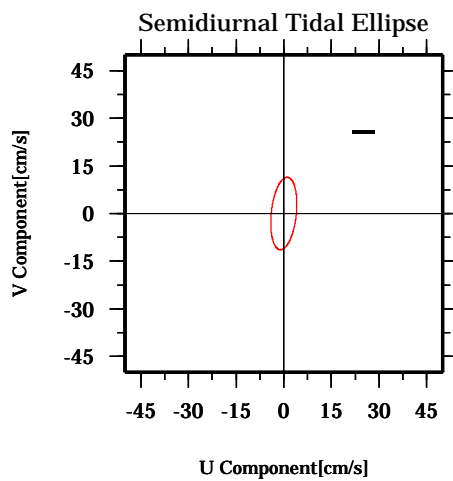
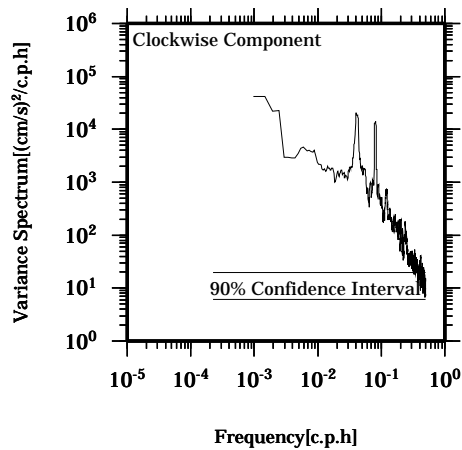
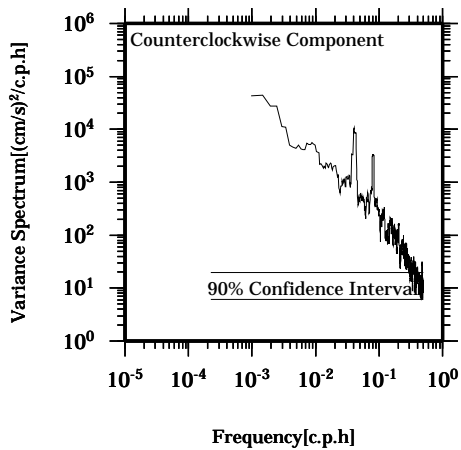
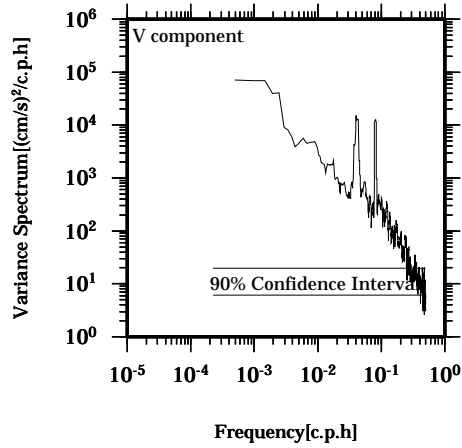
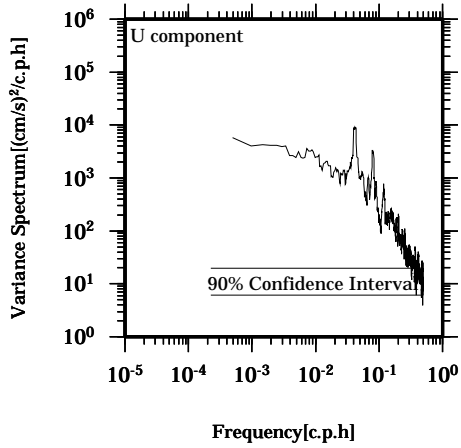


Lon: 121° 24.6445' E

Lat: 22° 38.8994' N

Station: W304

Depth : 214 M

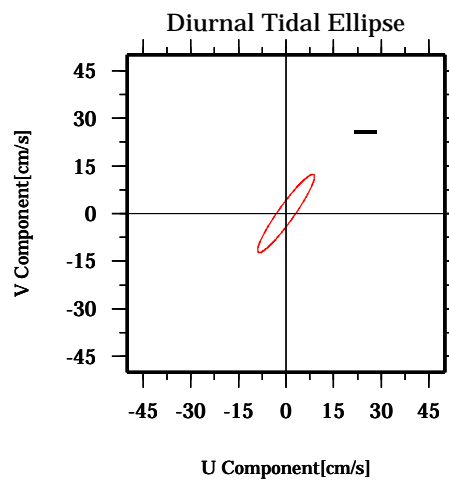
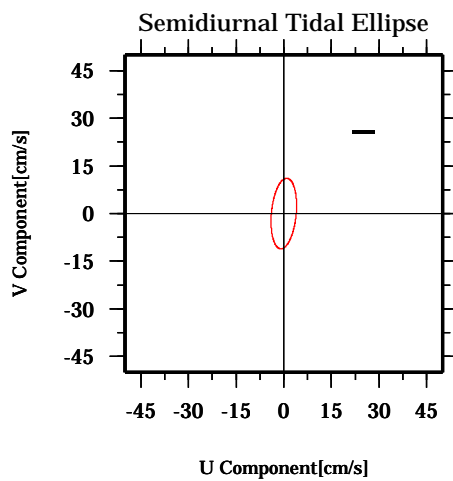
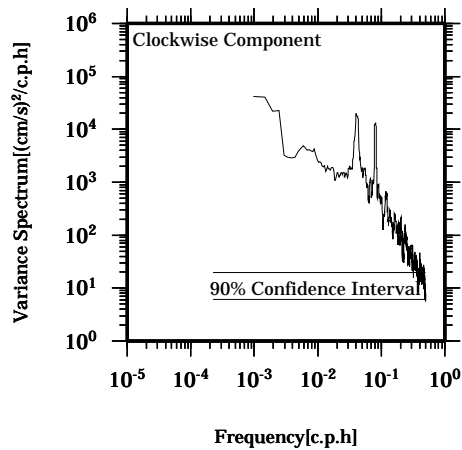
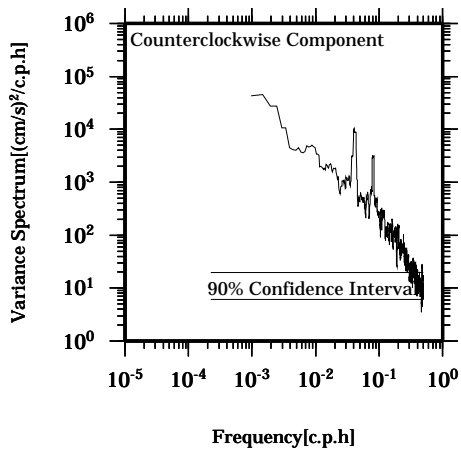
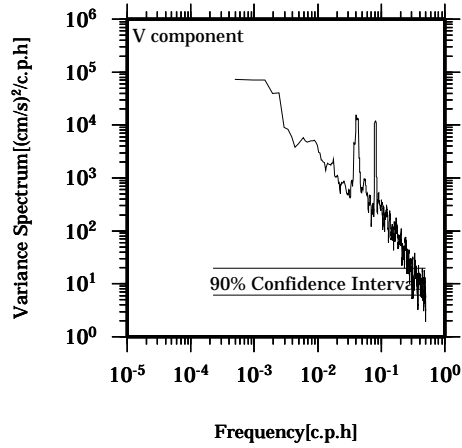
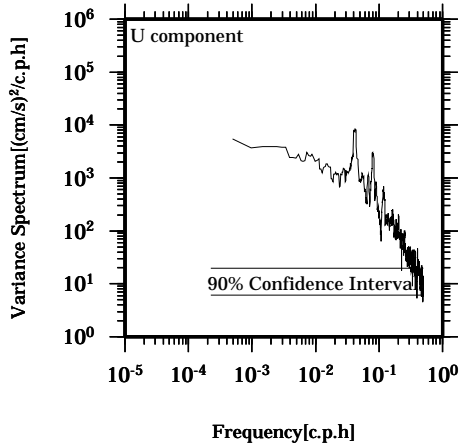


Lon: 121° 24.6445' E

Lat: 22° 38.8994' N

Station: W304

Depth : 218 M

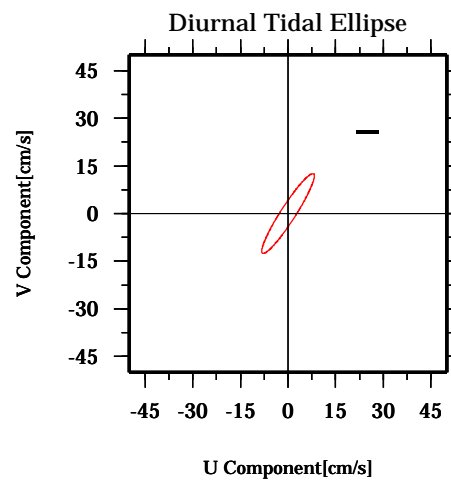
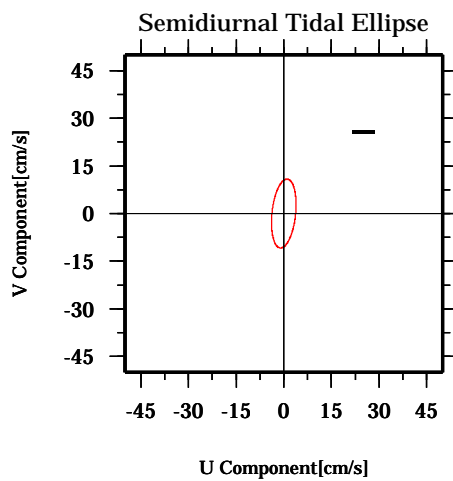
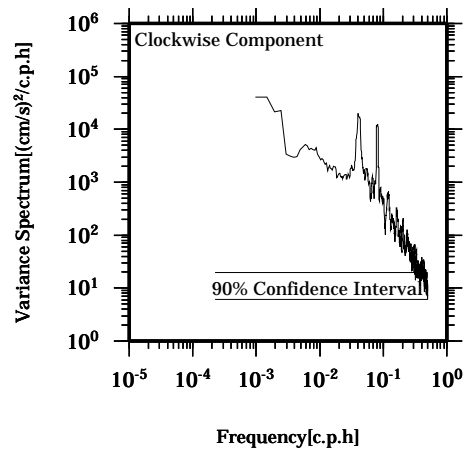
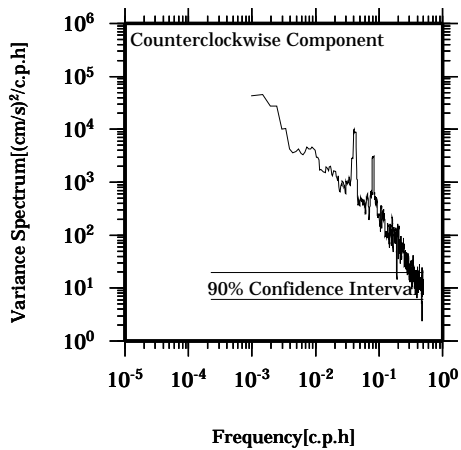
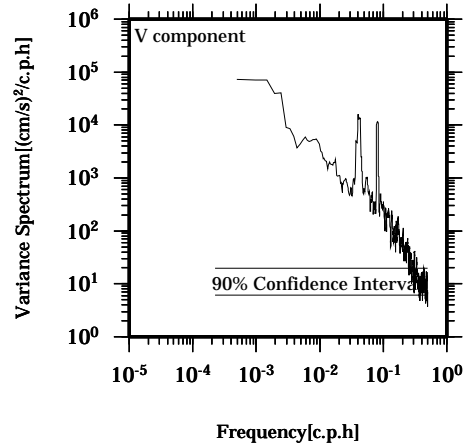
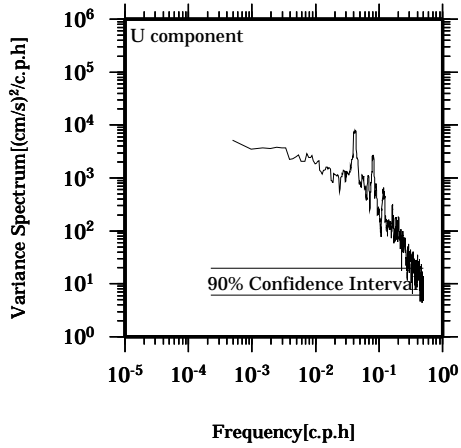


Lon: 121° 24.6445' E

Lat: 22° 38.8994' N

Station: W304

Depth : 222 M

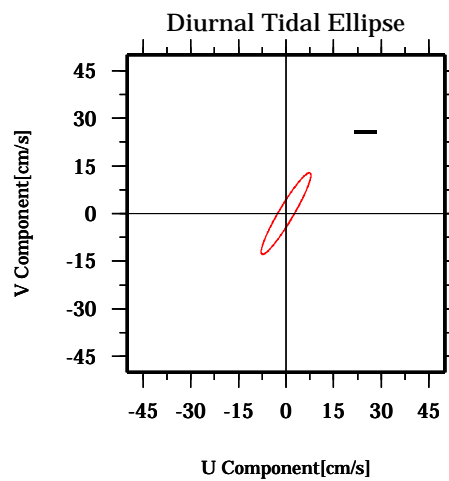
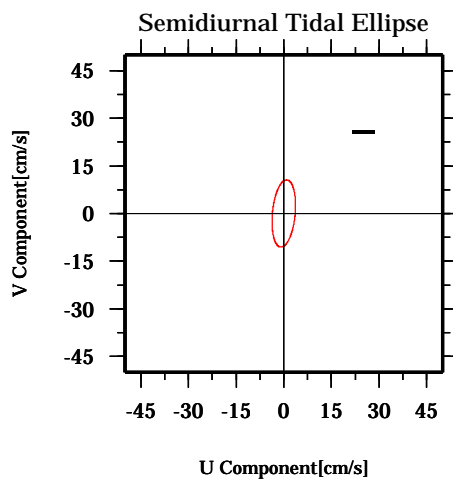
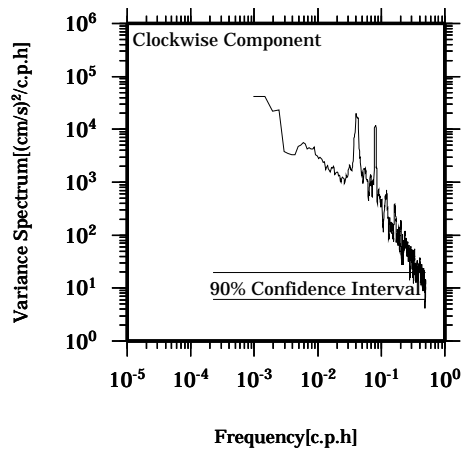
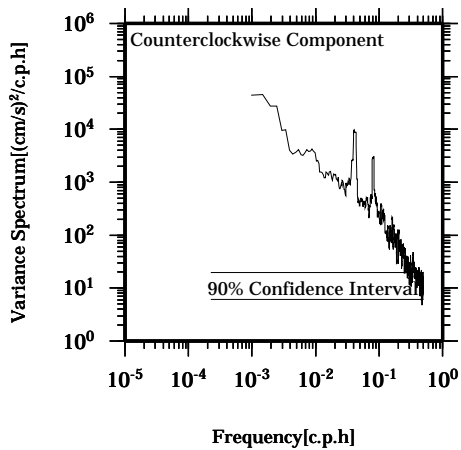
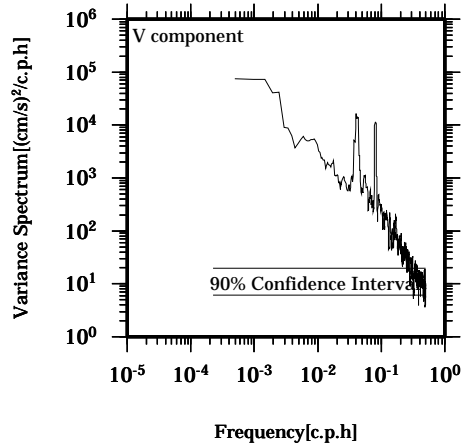
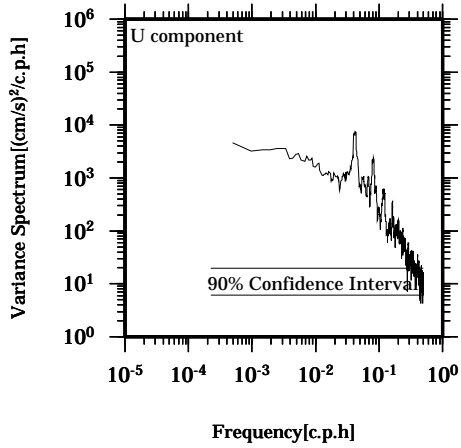


Lon: 121° 24.6445' E

Lat: 22° 38.8994' N

Station: W304

Depth : 226 M

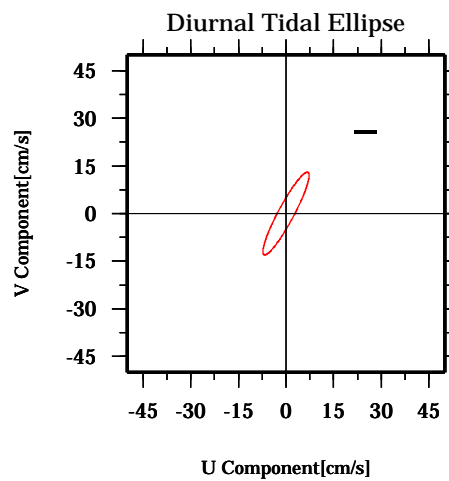
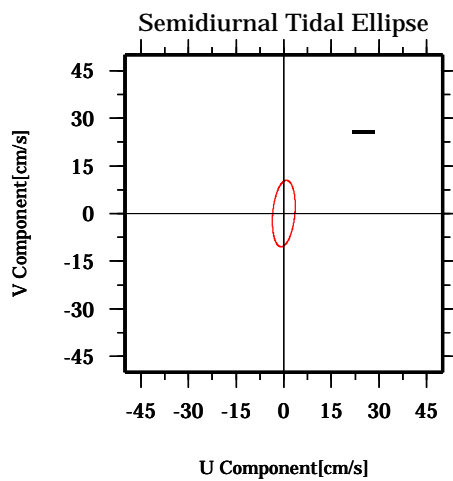
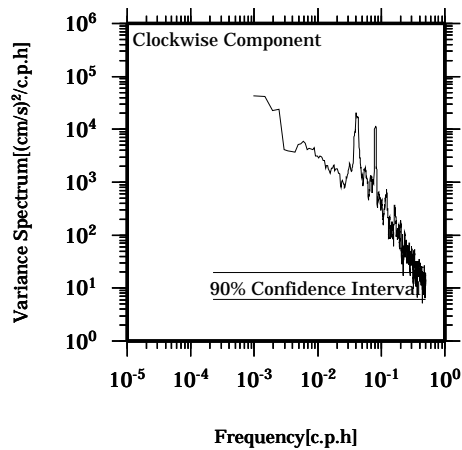
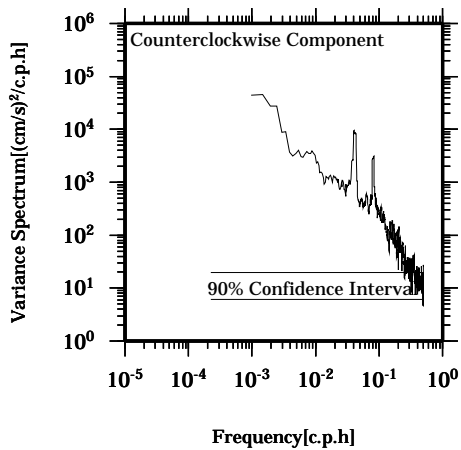
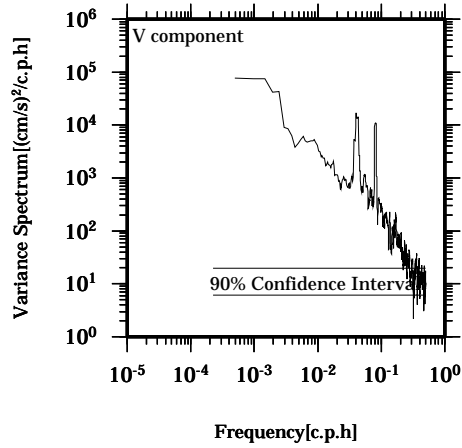
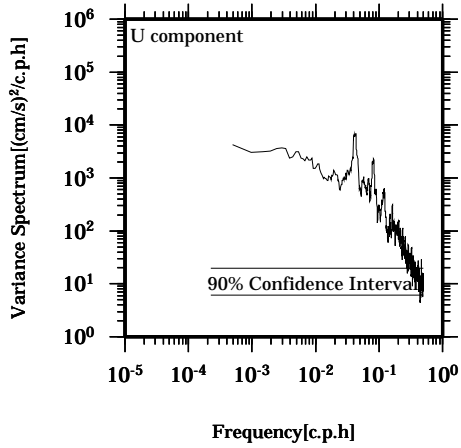


Lon: 121° 24.6445' E

Lat: 22° 38.8994' N

Station: W304

Depth : 230 M

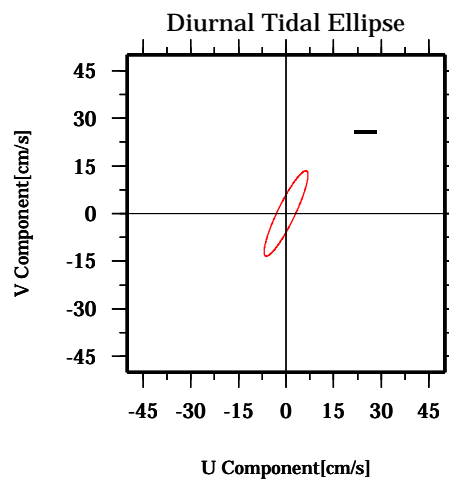
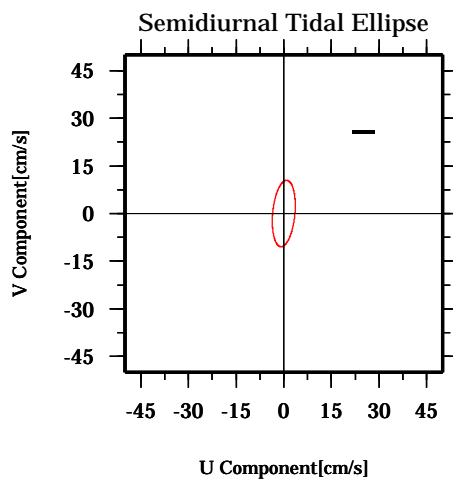
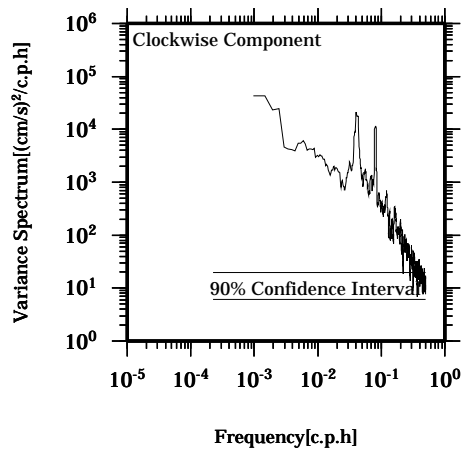
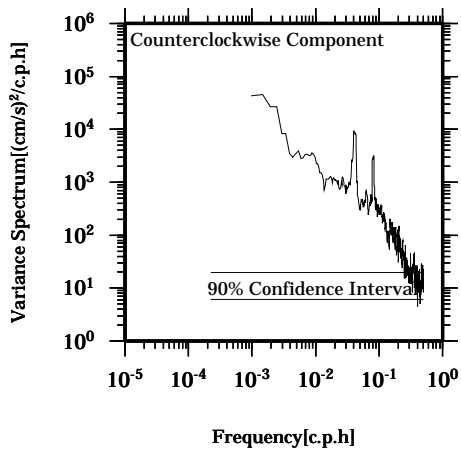
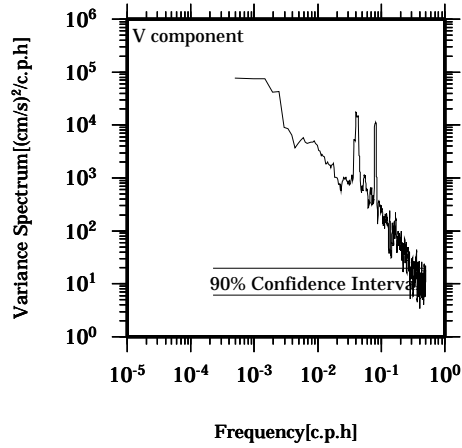
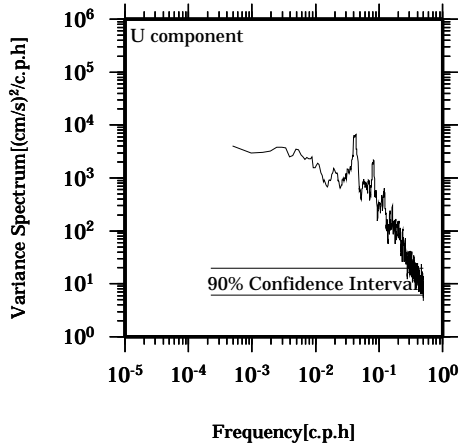


Lon: 121° 24.6445' E

Lat: 22° 38.8994' N

Station: W304

Depth : 234 M

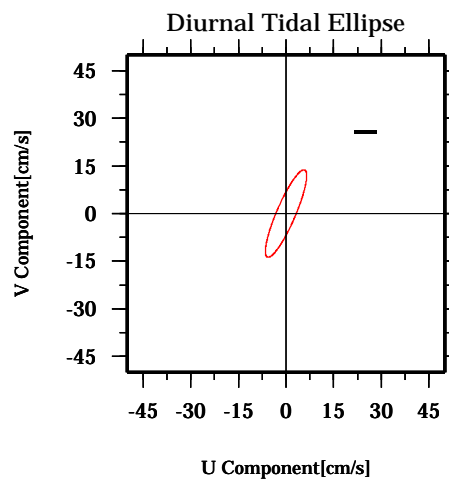
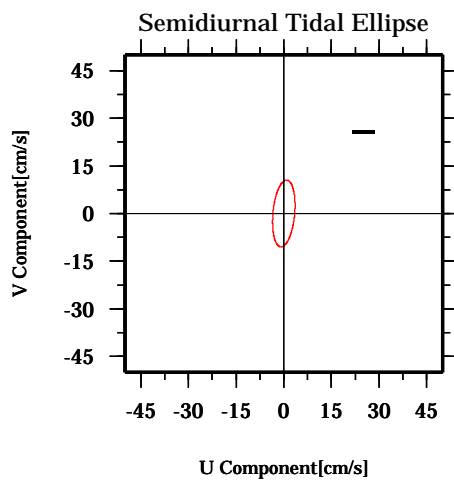
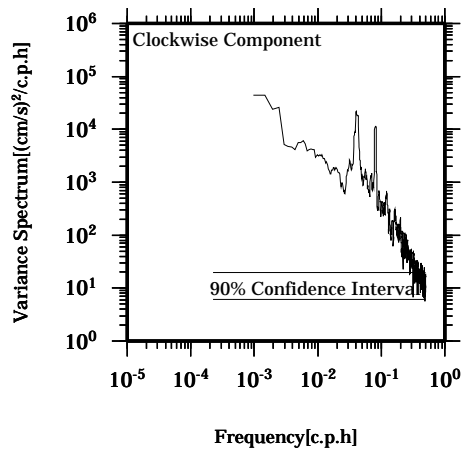
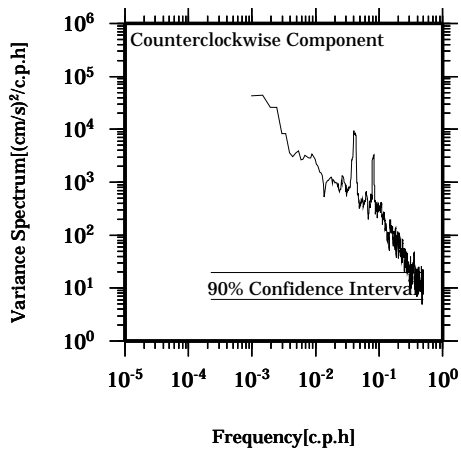
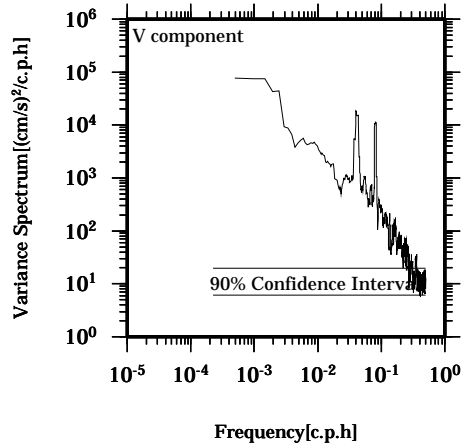
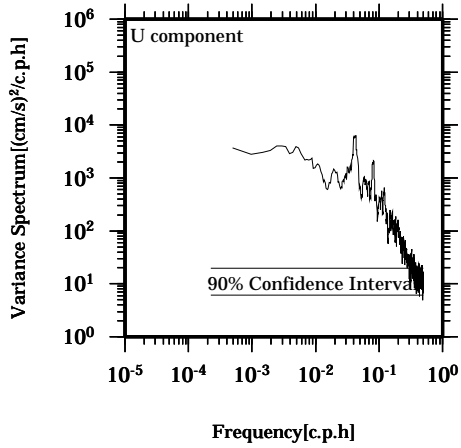


Lon: 121° 24.6445' E

Lat: 22° 38.8994' N

Station: W304

Depth : 238 M

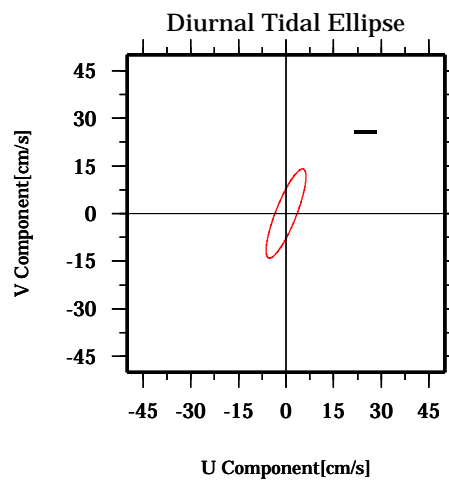
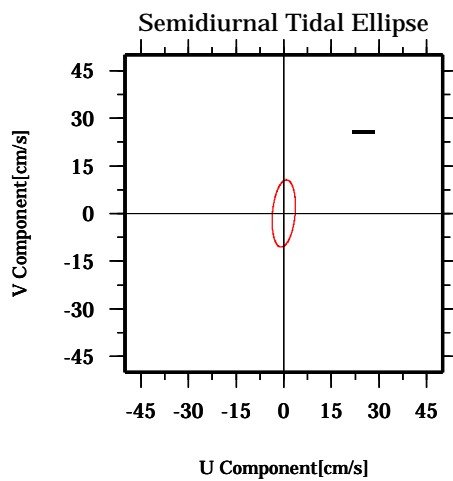
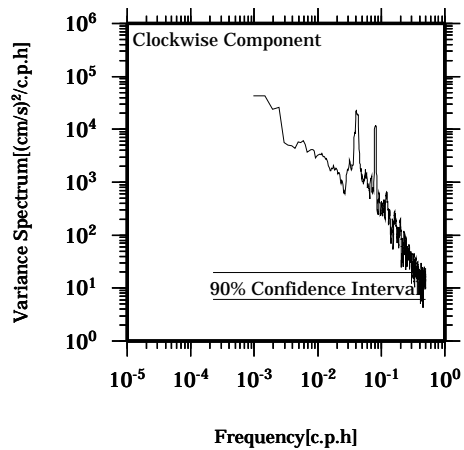
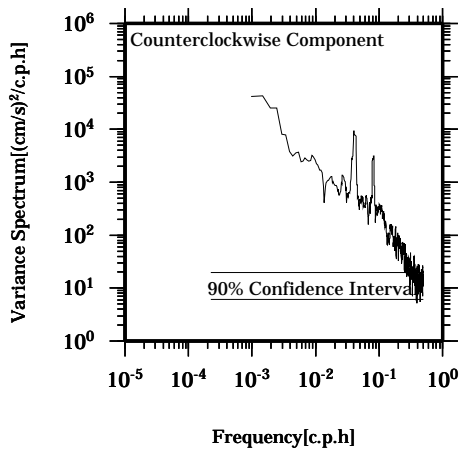
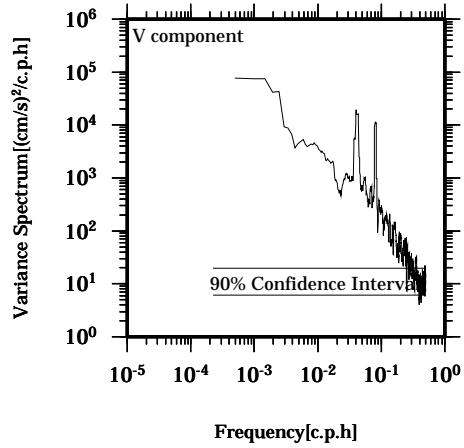
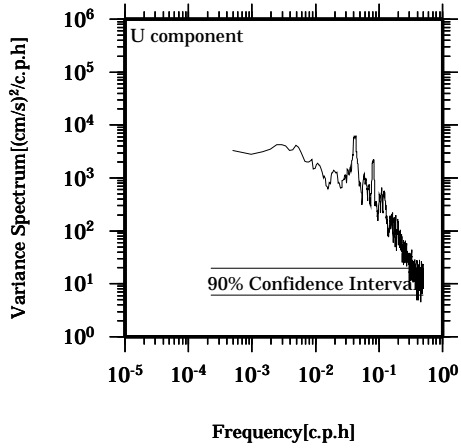


Lon: 121° 24.6445' E

Lat: 22° 38.8994' N

Station: W304

Depth : 242 M

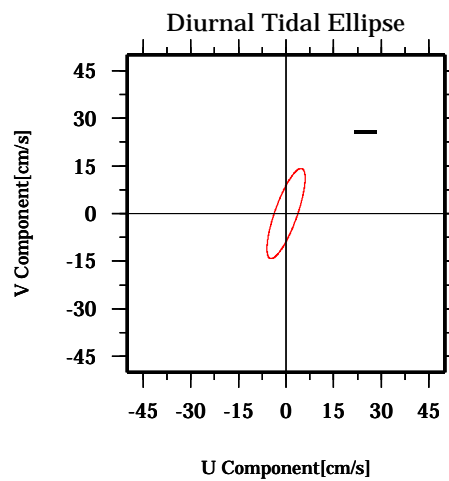
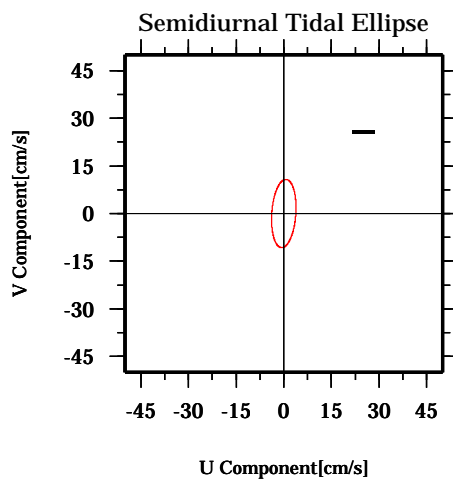
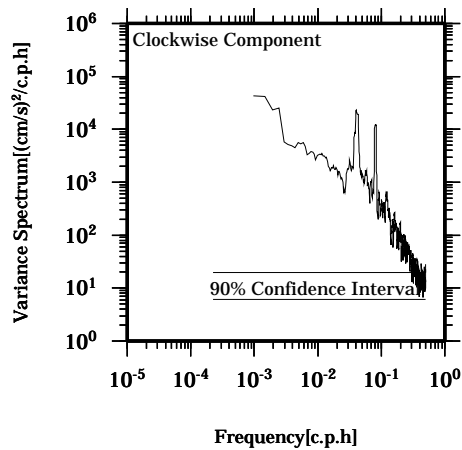
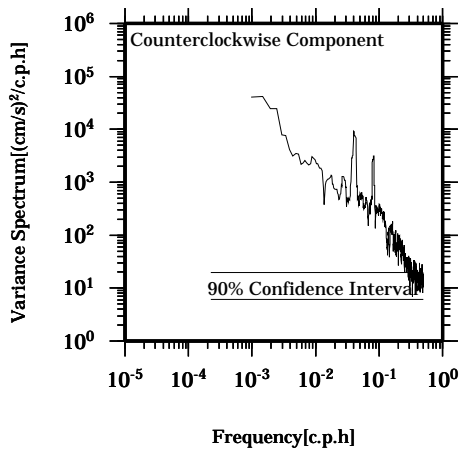
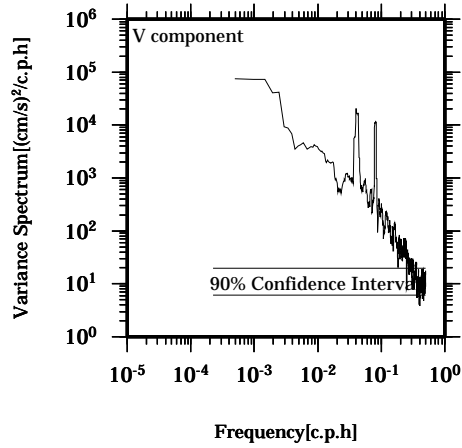
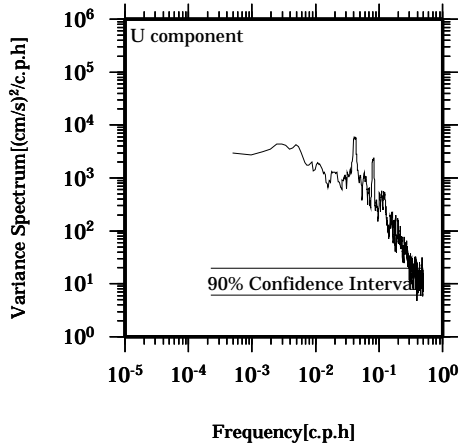


Lon: 121° 24.6445' E

Lat: 22° 38.8994' N

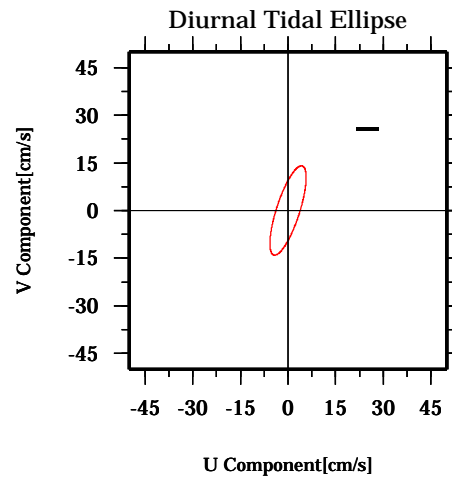
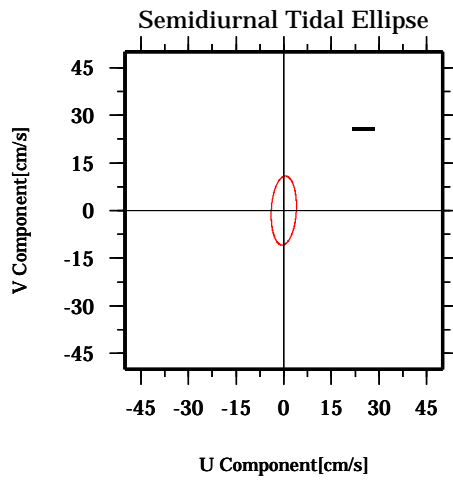
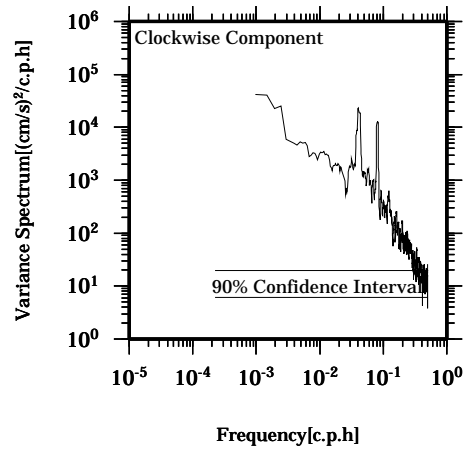
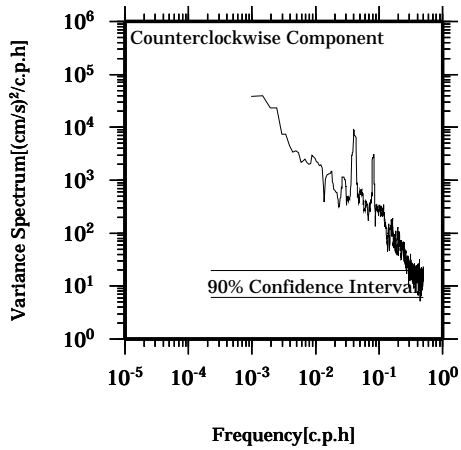
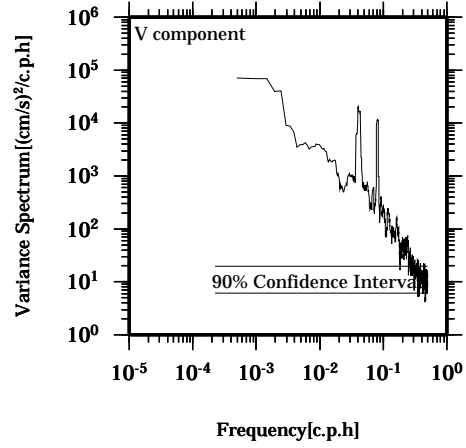
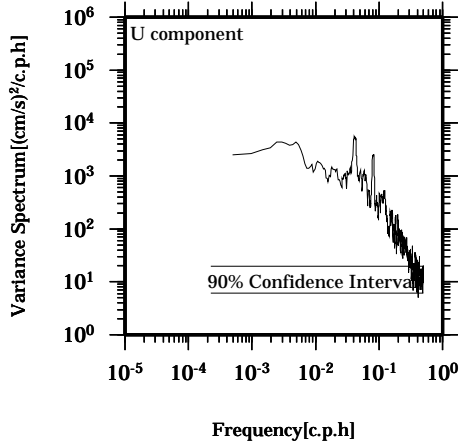
Station: W304

Depth : 246 M



Lon: 121° 24.6445' E
Lat: 22° 38.8994' N

Station: W304
Depth : 250 M

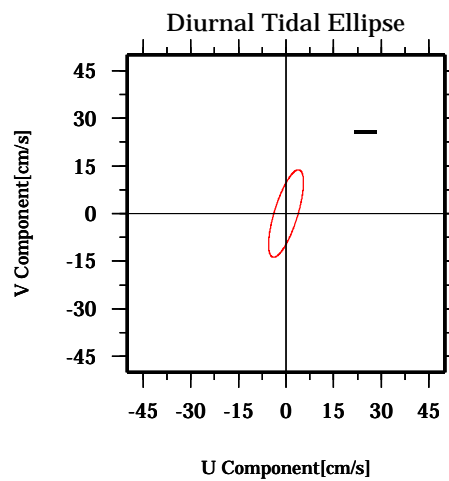
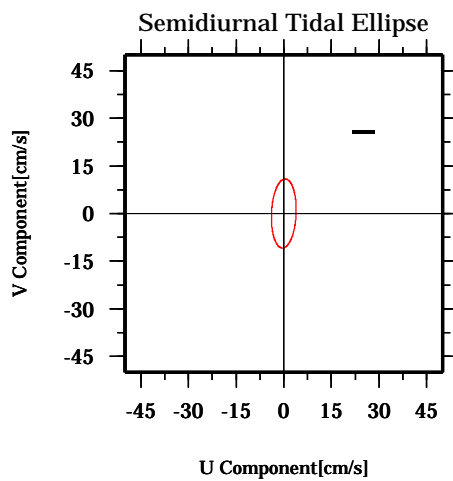
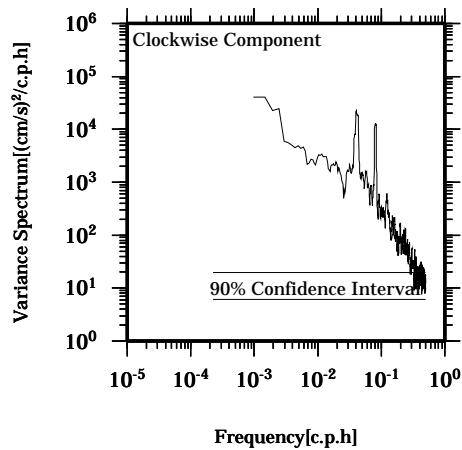
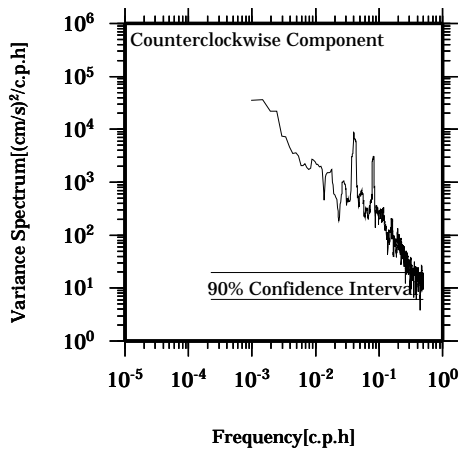
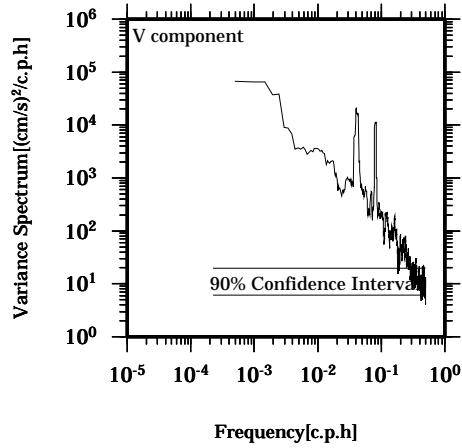
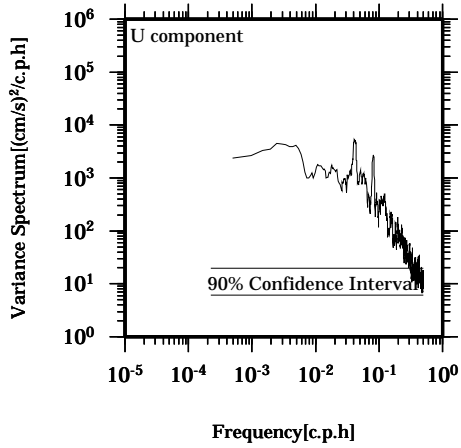


Lon: 121° 24.6445' E

Lat: 22° 38.8994' N

Station: W304

Depth : 254 M

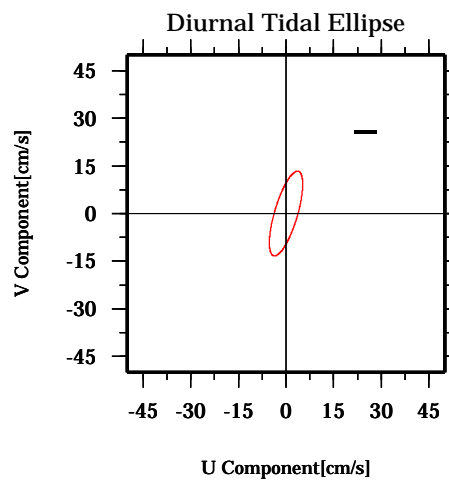
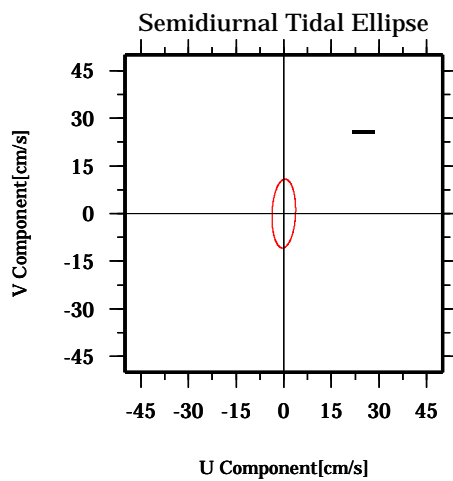
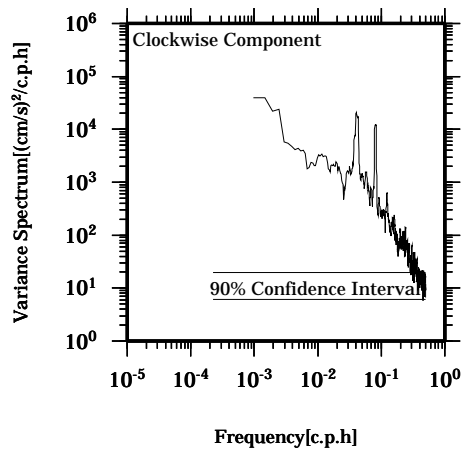
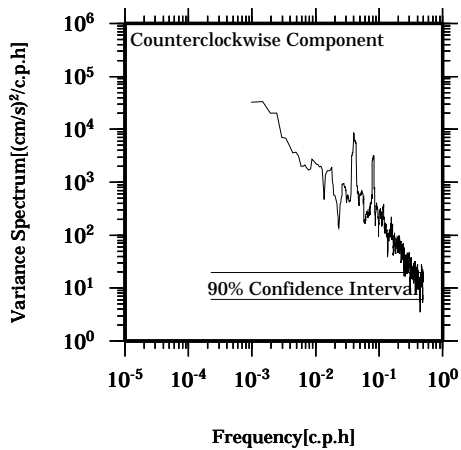
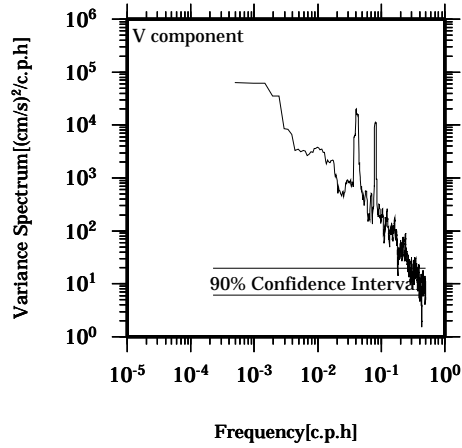
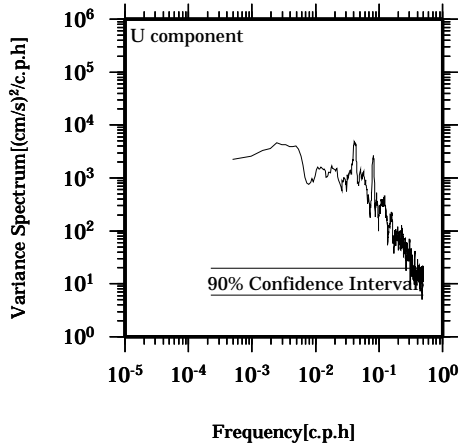


Lon: 121° 24.6445' E

Lat: 22° 38.8994' N

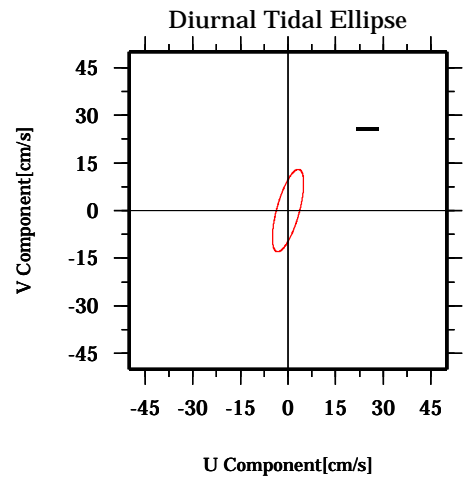
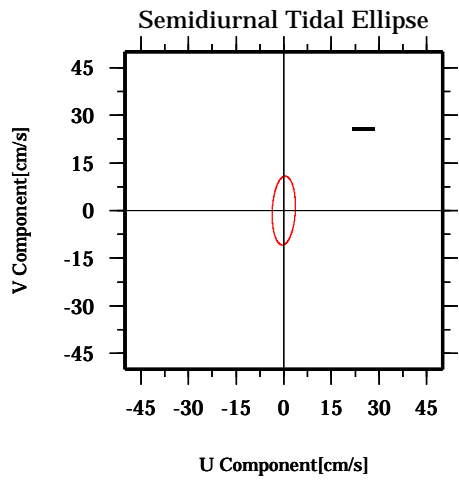
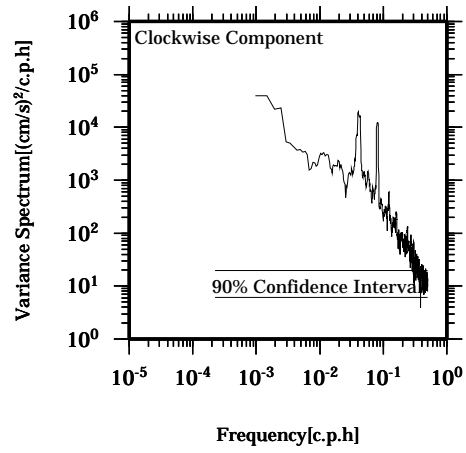
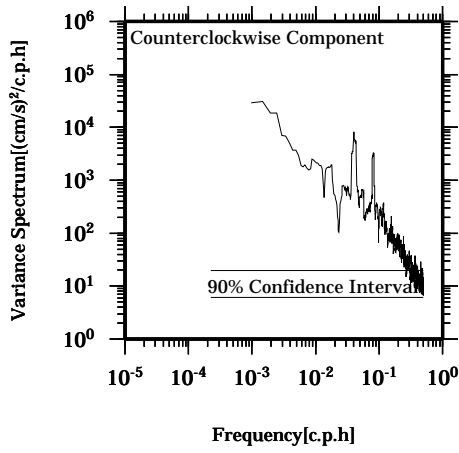
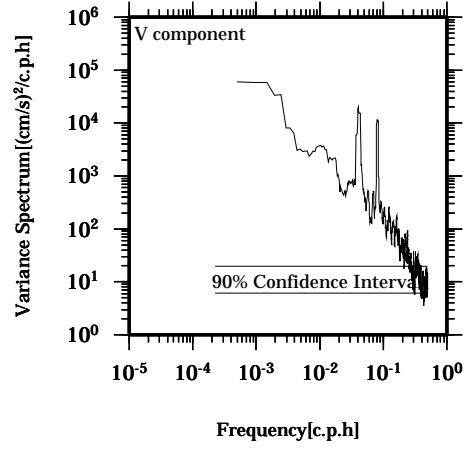
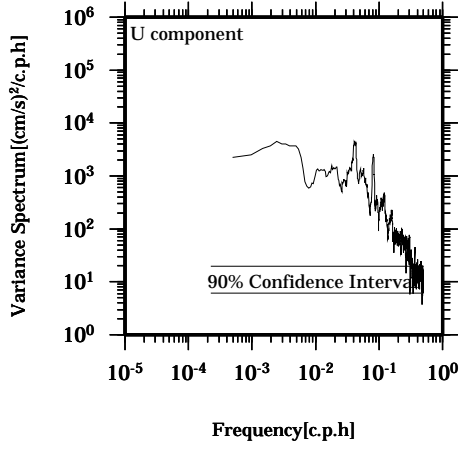
Station: W304

Depth : 258 M



Lon: 121° 24.6445' E
Lat: 22° 38.8994' N

Station: W304
Depth : 262 M

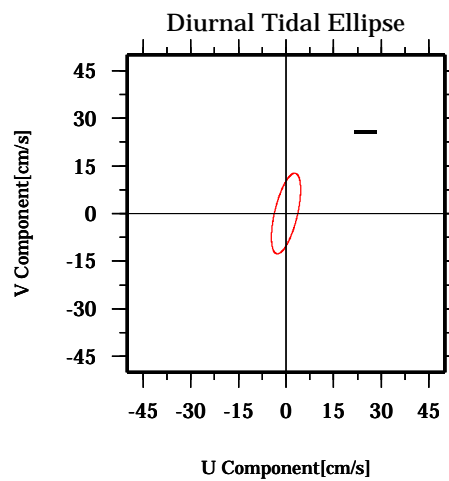
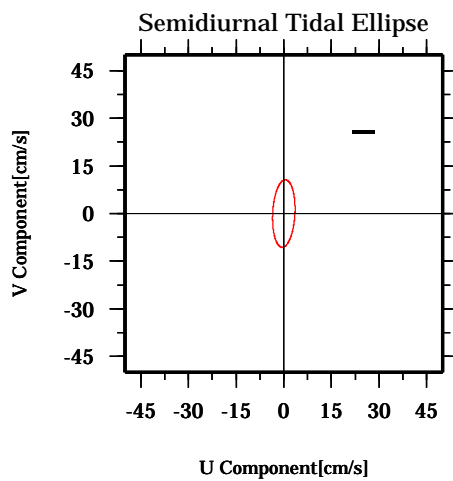
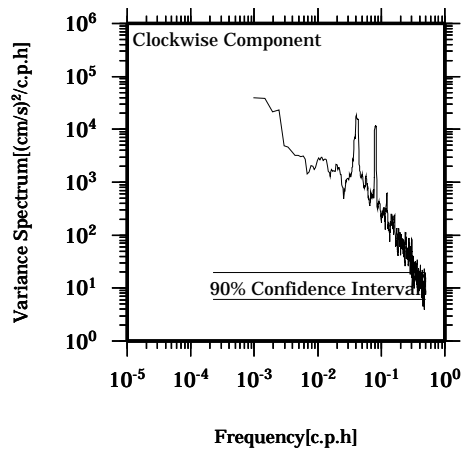
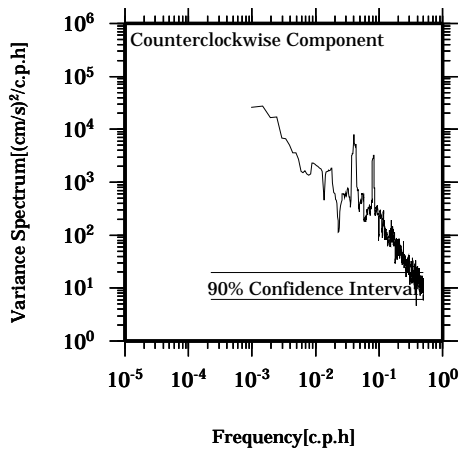
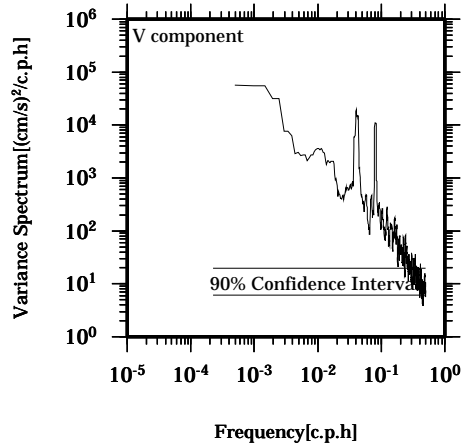
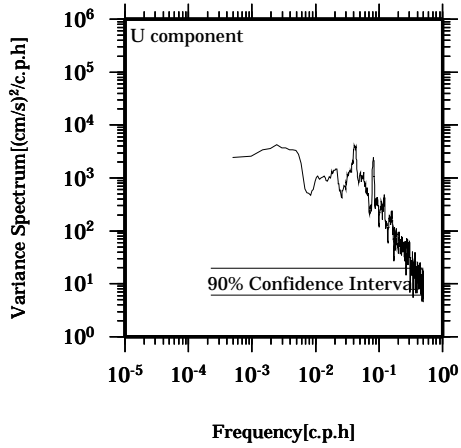


Lon: 121° 24.6445' E

Lat: 22° 38.8994' N

Station: W304

Depth : 266 M

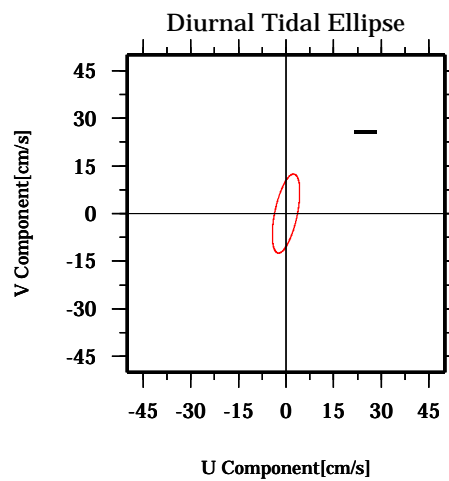
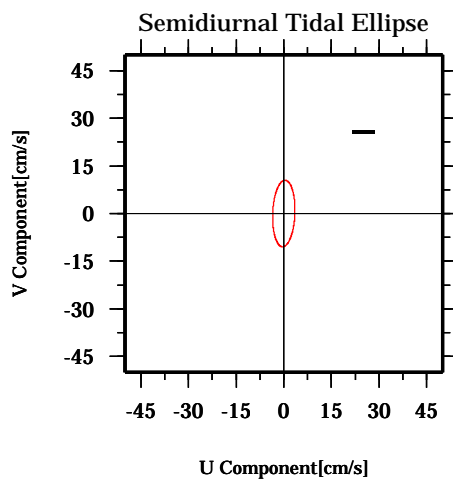
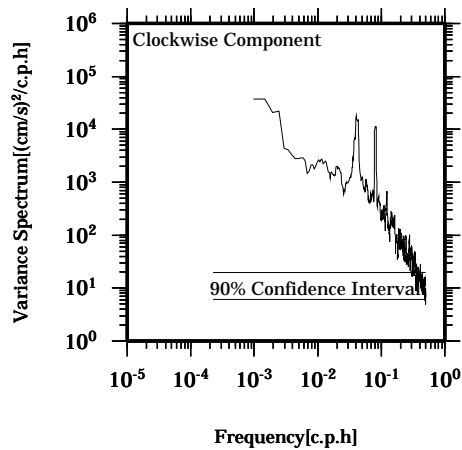
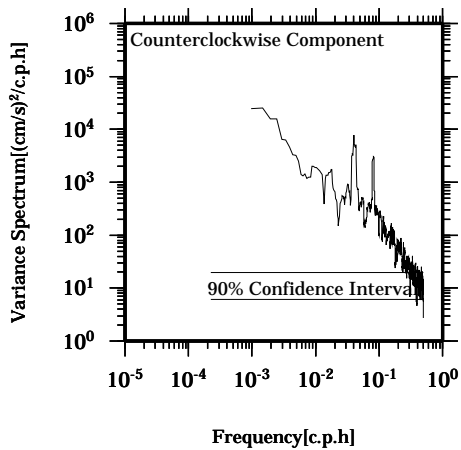
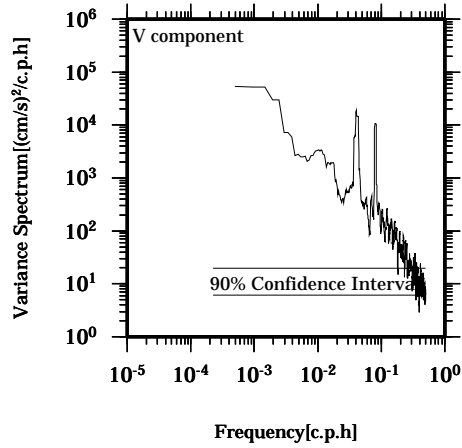
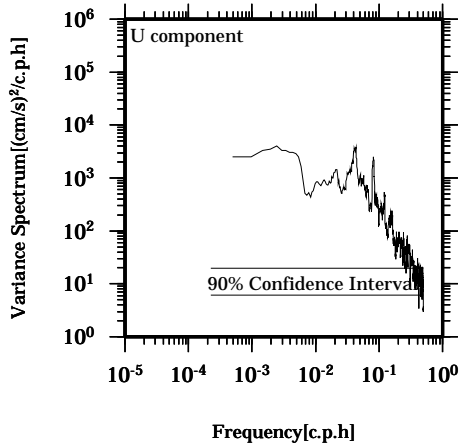


Lon: 121° 24.6445' E

Lat: 22° 38.8994' N

Station: W304

Depth : 270 M

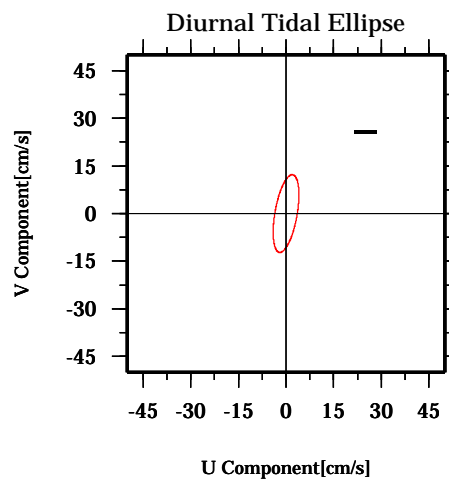
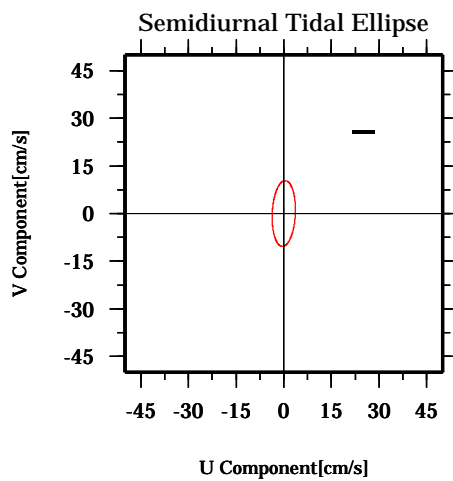
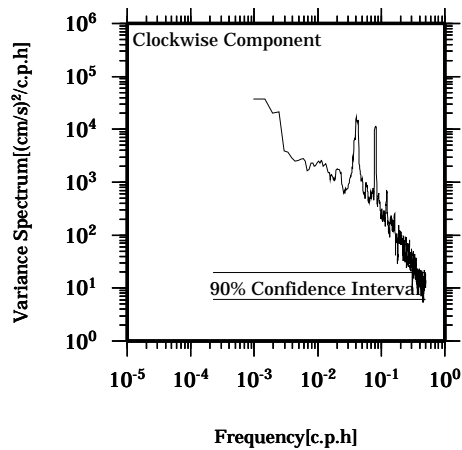
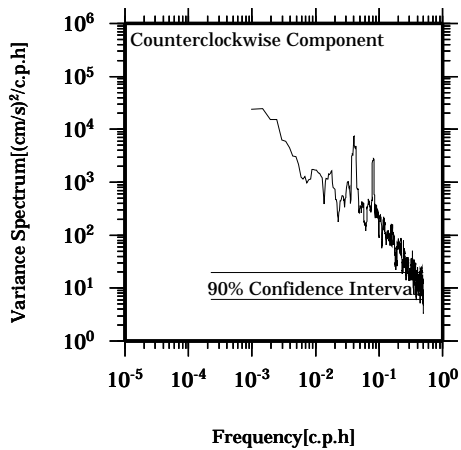
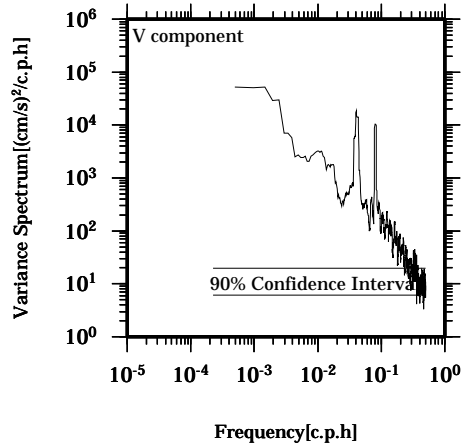
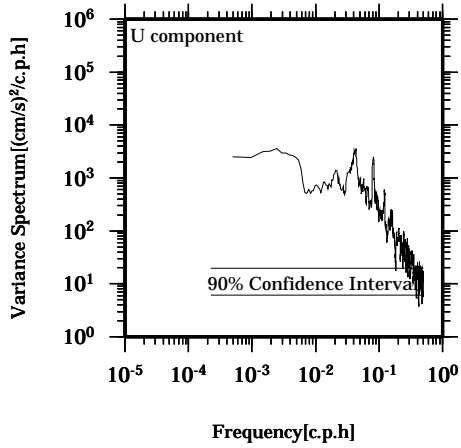


Lon: 121° 24.6445' E

Lat: 22° 38.8994' N

Station: W304

Depth : 274 M

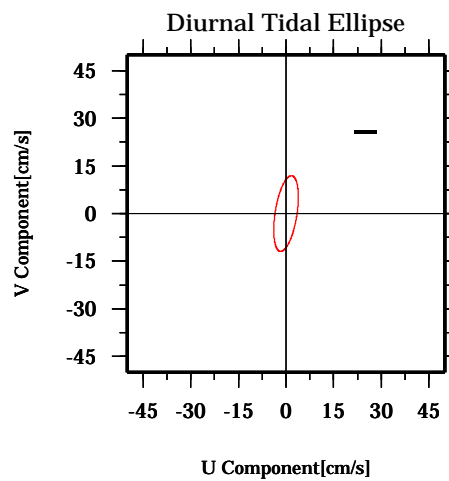
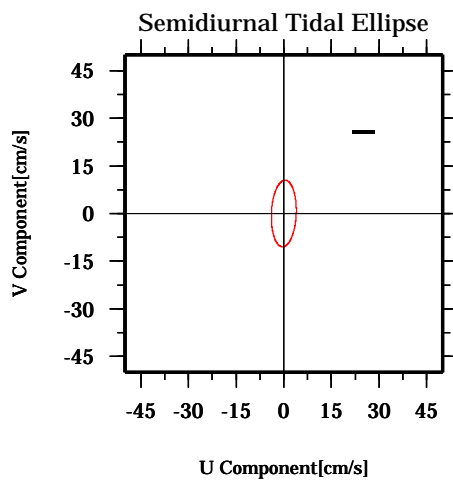
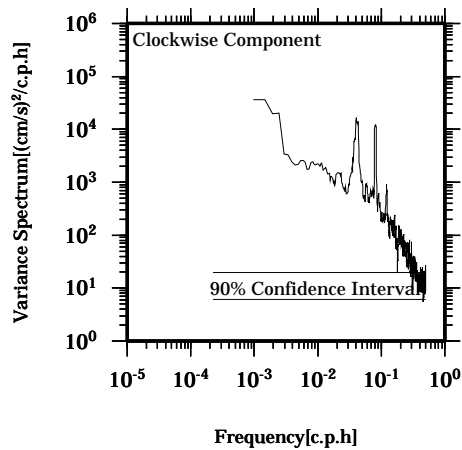
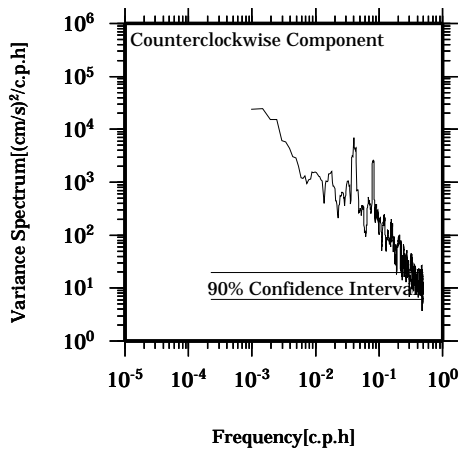
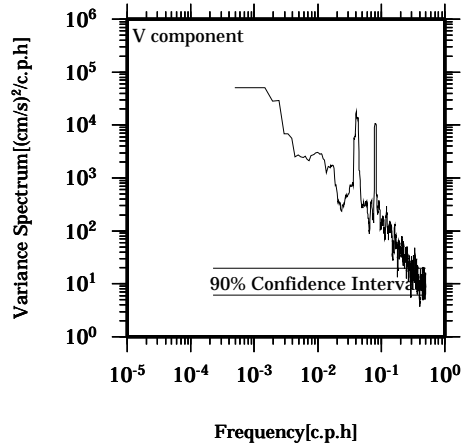
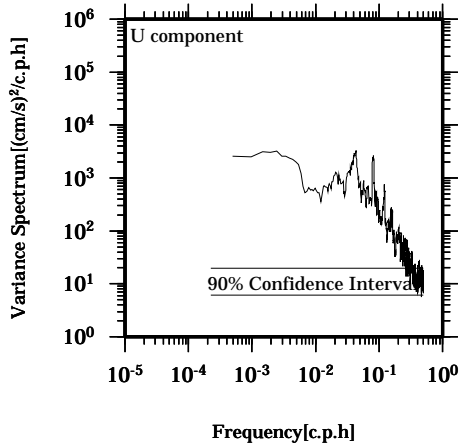


Lon: 121° 24.6445' E

Lat: 22° 38.8994' N

Station: W304

Depth : 278 M

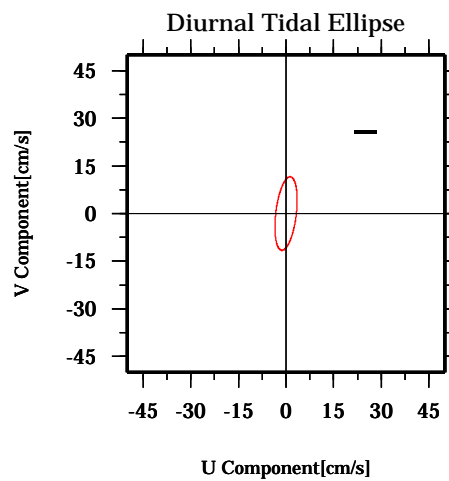
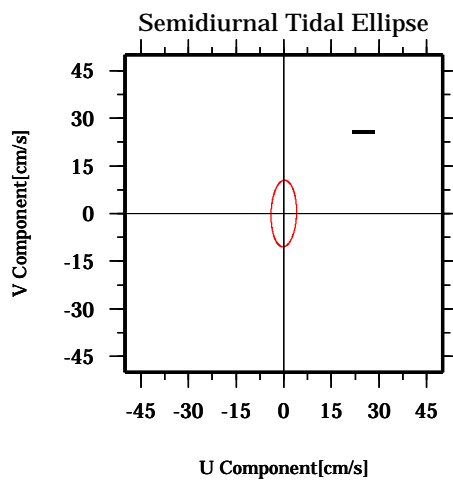
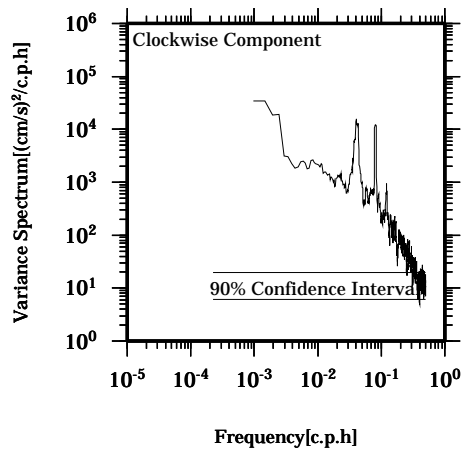
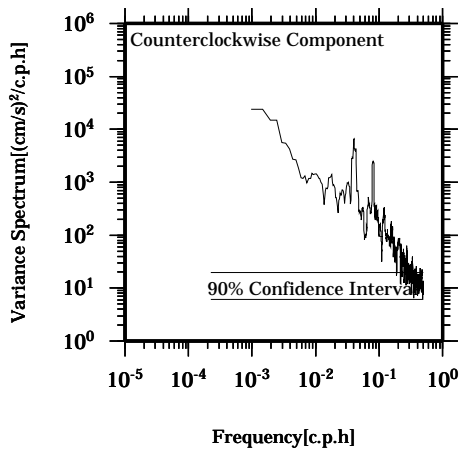
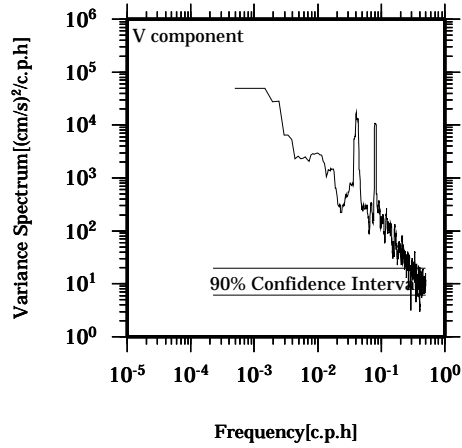
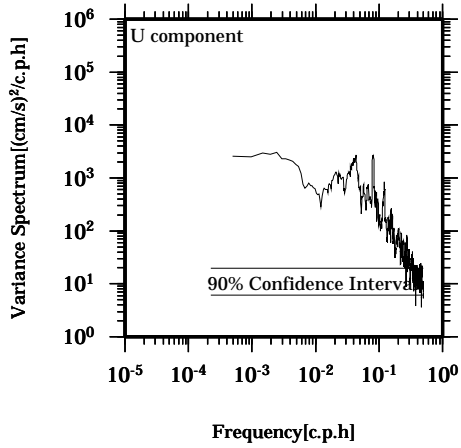


Lon: 121° 24.6445' E

Lat: 22° 38.8994' N

Station: W304

Depth : 282 M

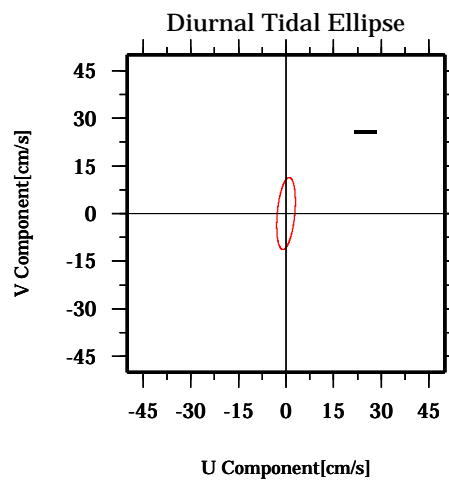
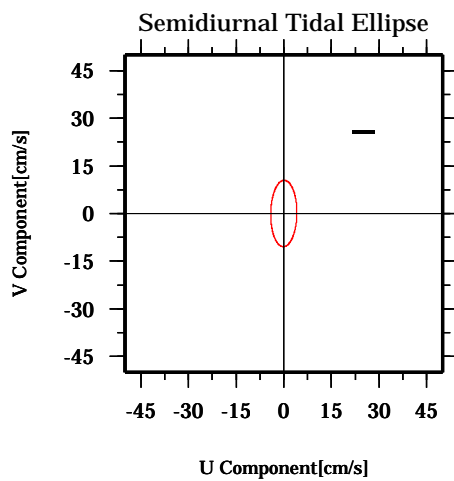
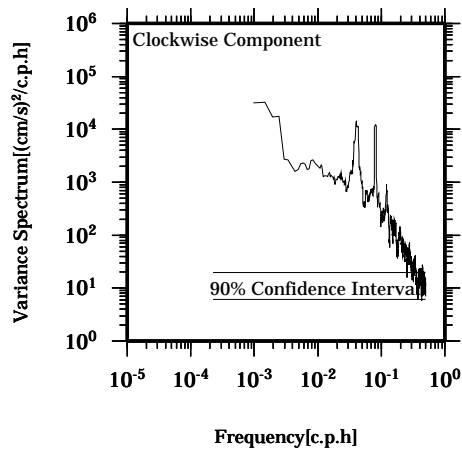
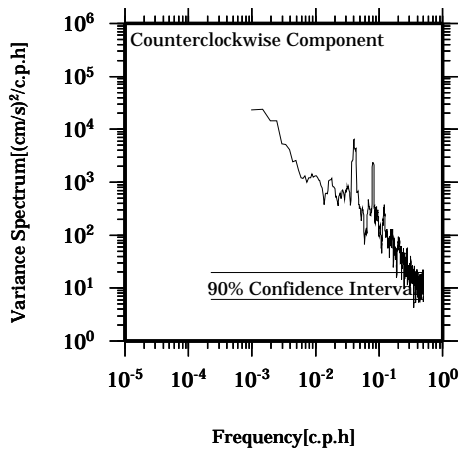
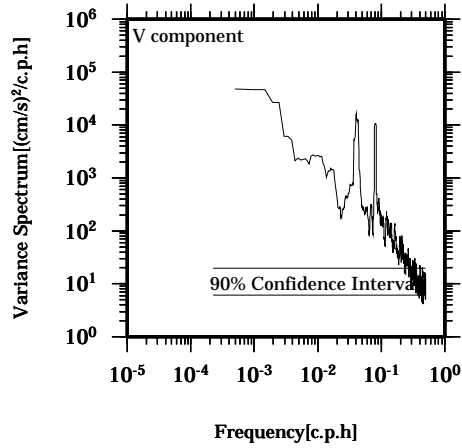
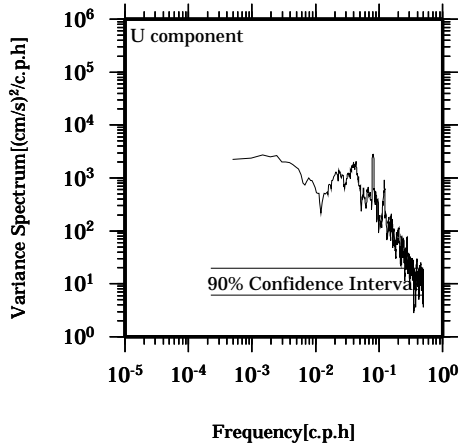


Lon: 121° 24.6445' E

Lat: 22° 38.8994' N

Station: W304

Depth : 286 M

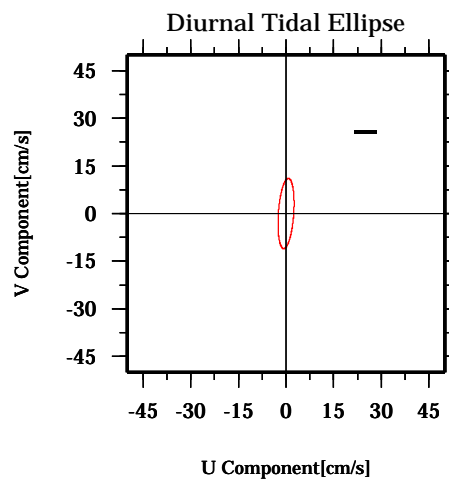
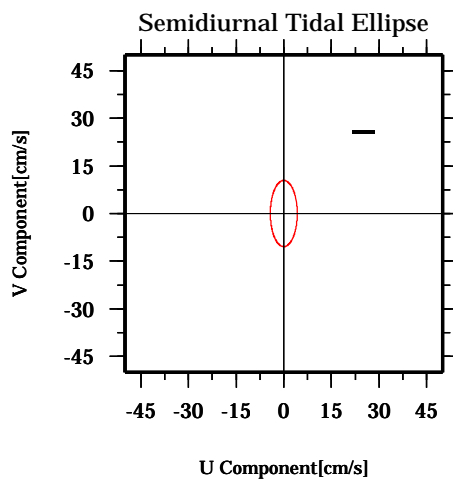
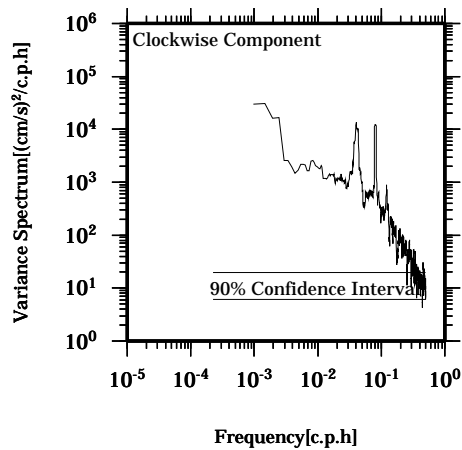
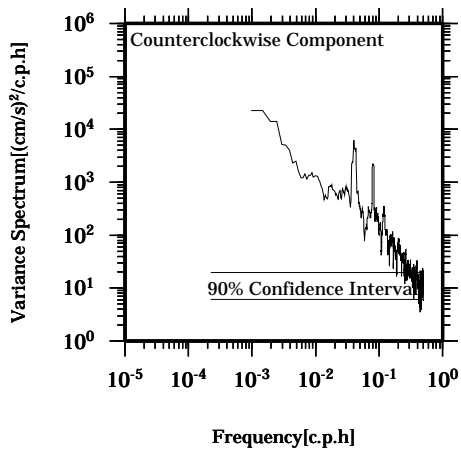
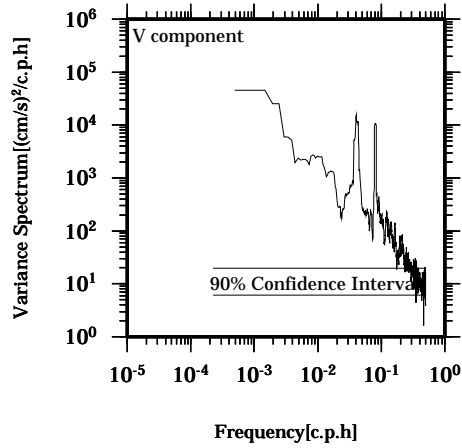
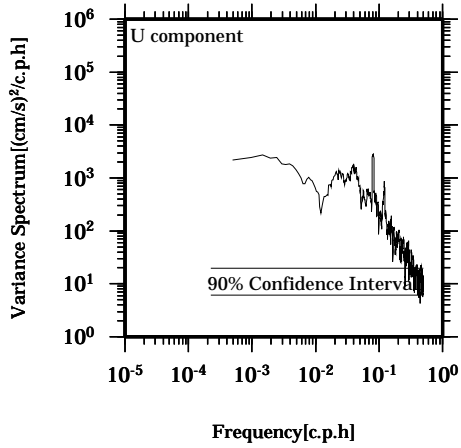


Lon: 121° 24.6445' E

Lat: 22° 38.8994' N

Station: W304

Depth : 290 M

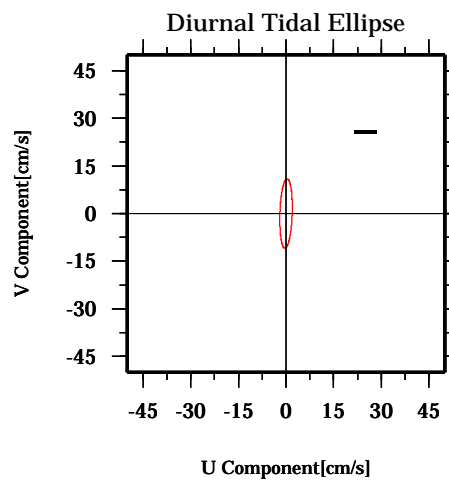
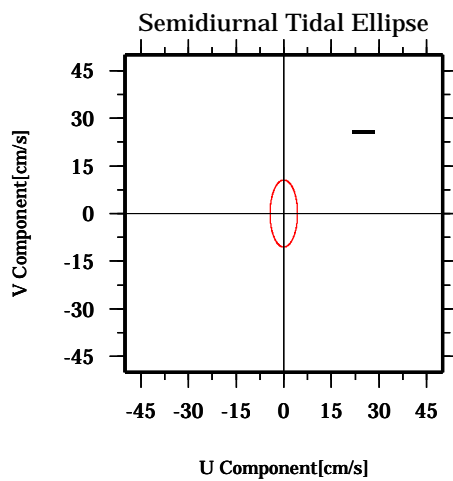
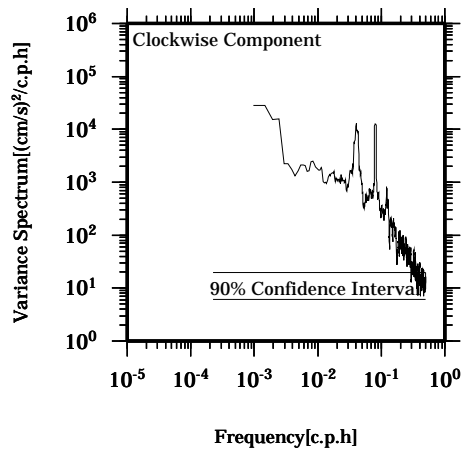
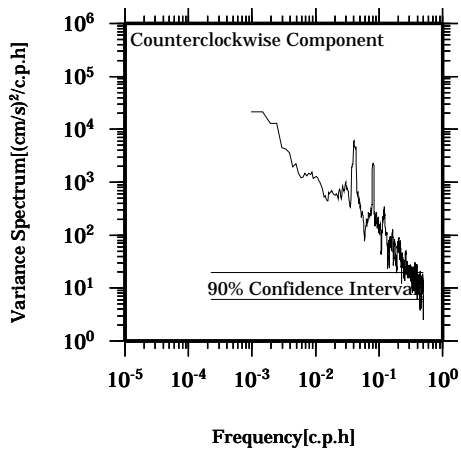
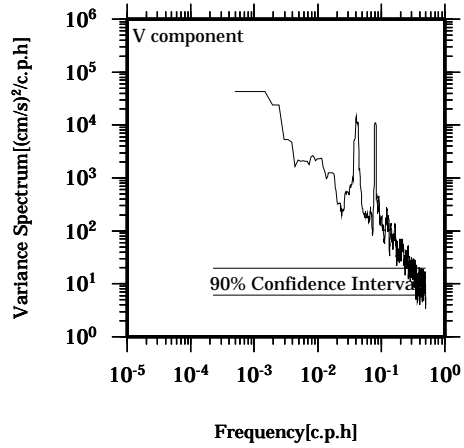
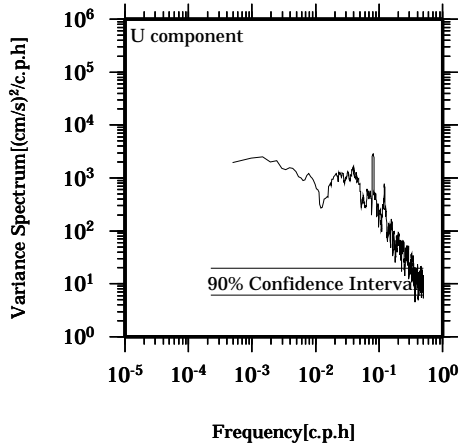


Lon: 121° 24.6445' E

Lat: 22° 38.8994' N

Station: W304

Depth : 294 M

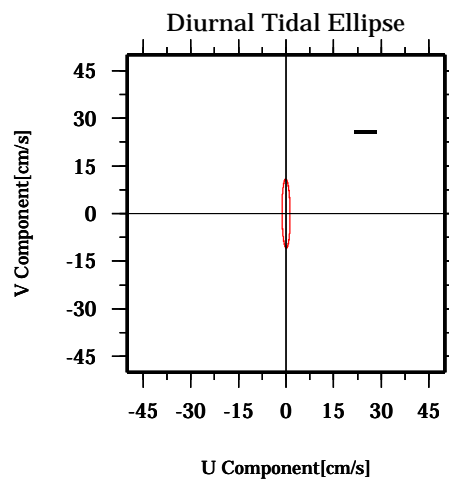
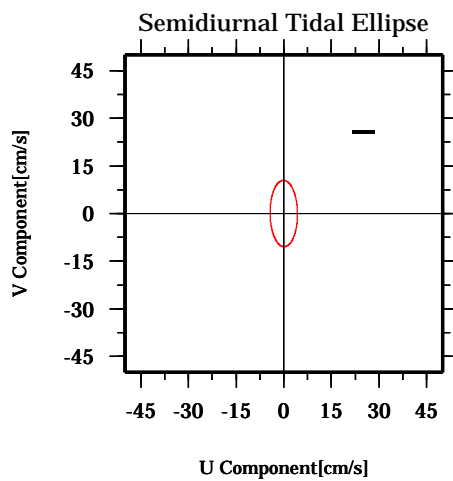
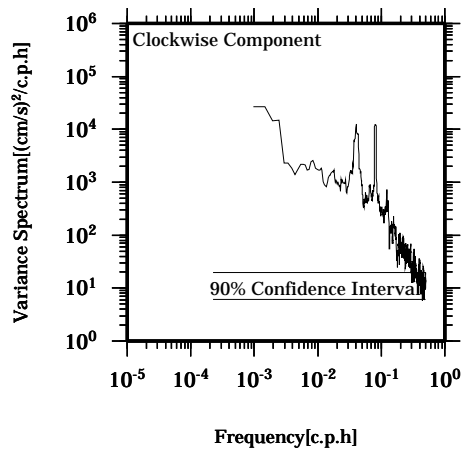
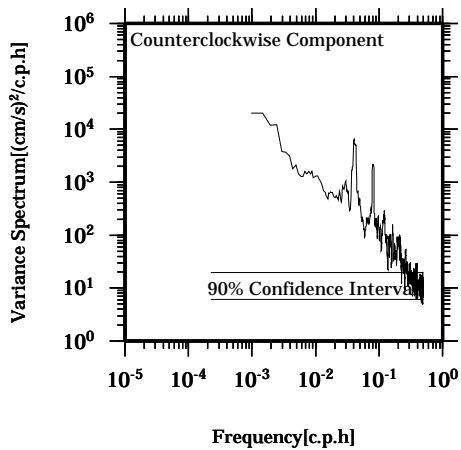
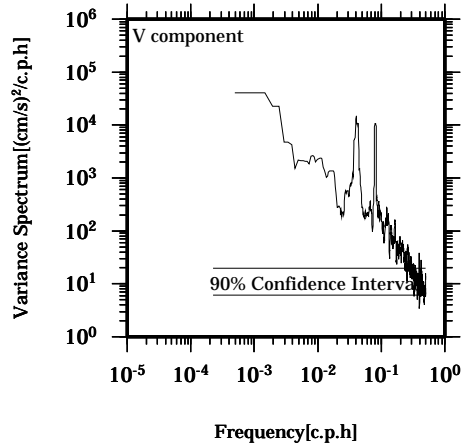
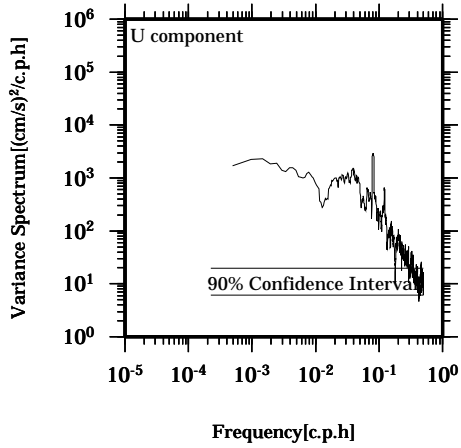


Lon: 121° 24.6445' E

Lat: 22° 38.8994' N

Station: W304

Depth : 298 M

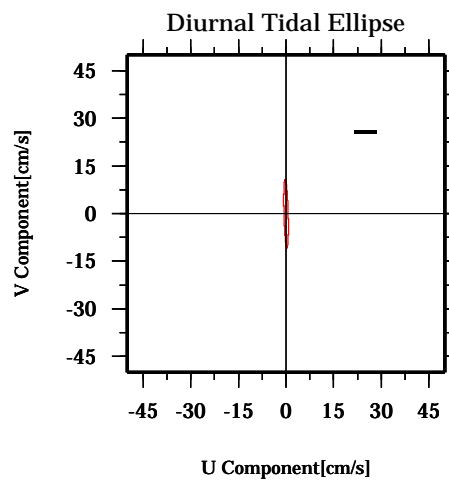
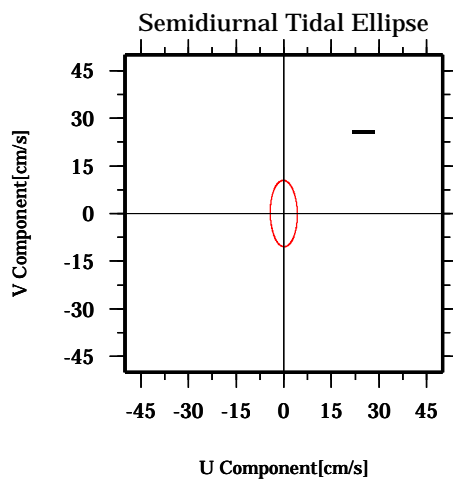
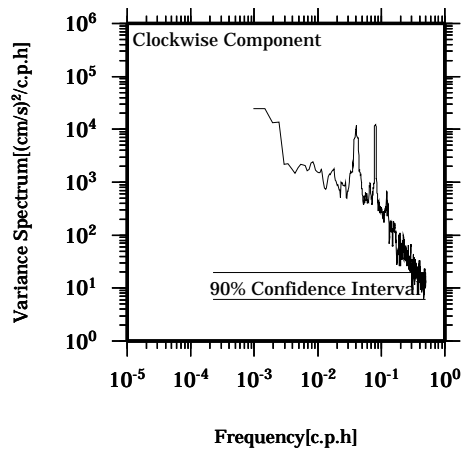
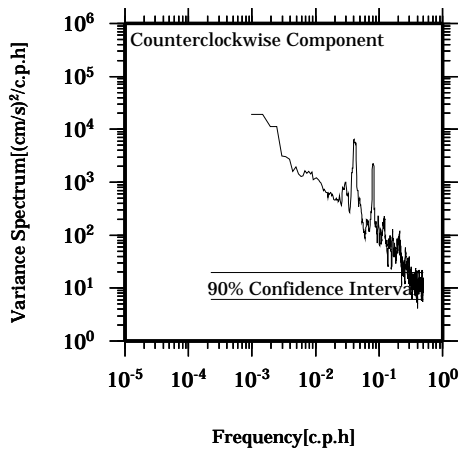
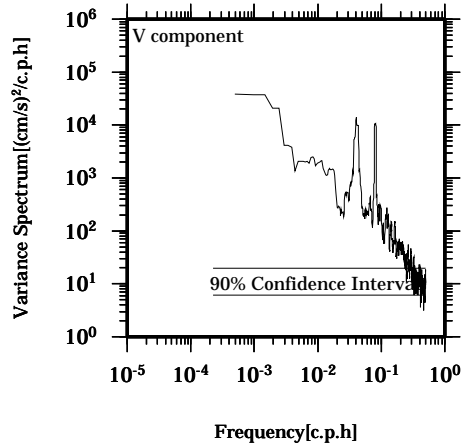
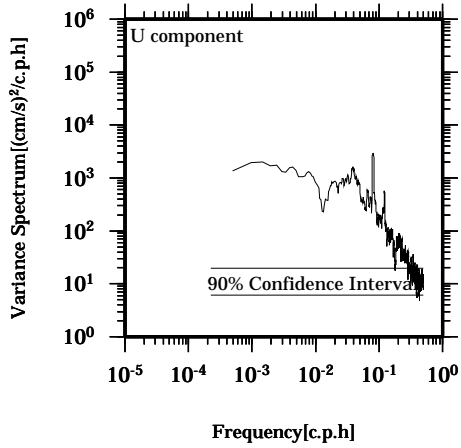


Lon: 121° 24.6445' E

Lat: 22° 38.8994' N

Station: W304

Depth : 302 M

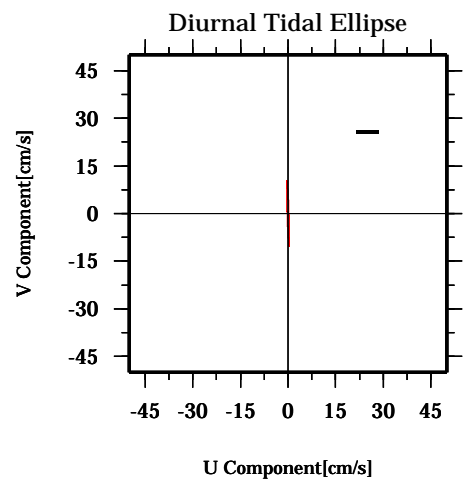
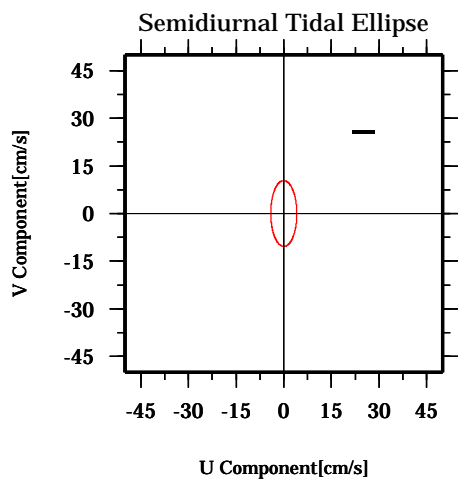
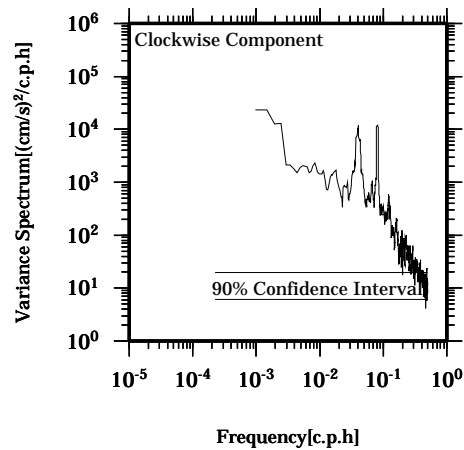
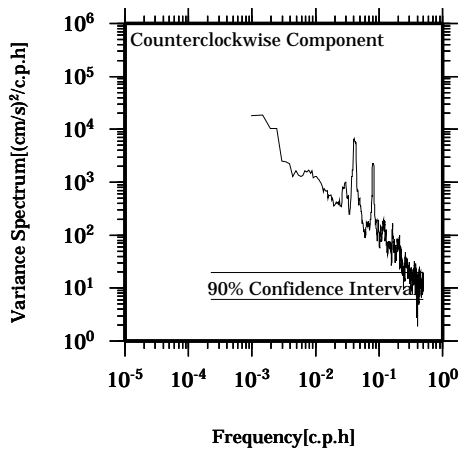
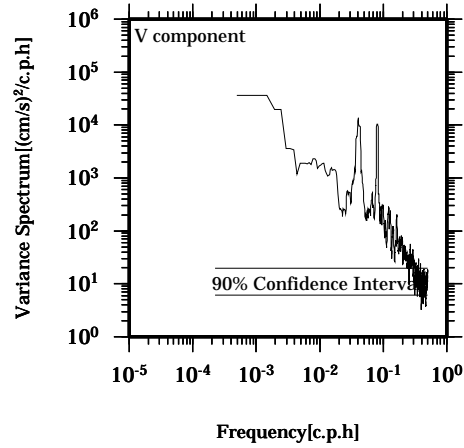
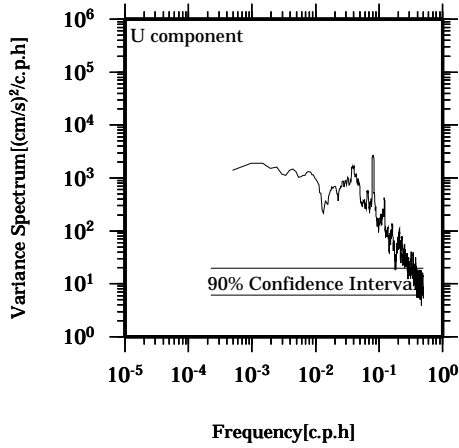


Lon: 121° 24.6445' E

Lat: 22° 38.8994' N

Station: W304

Depth : 306 M

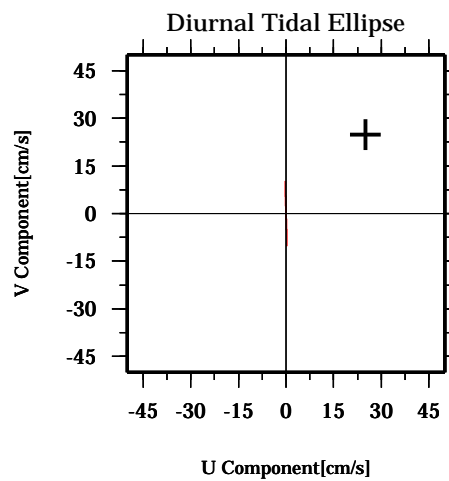
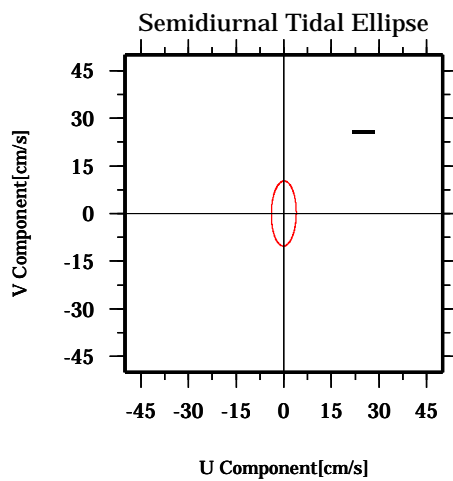
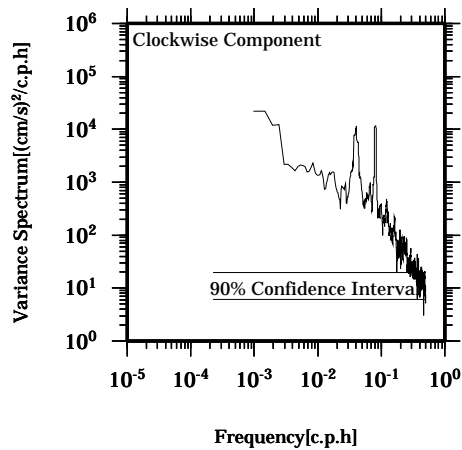
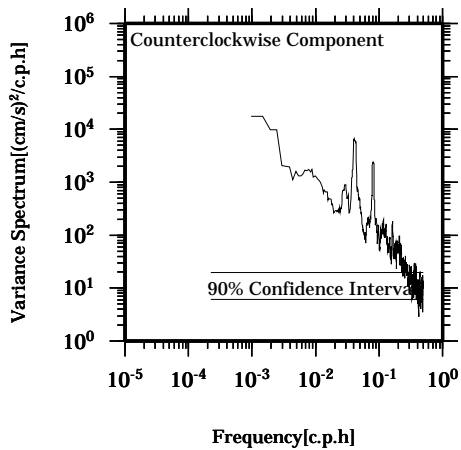
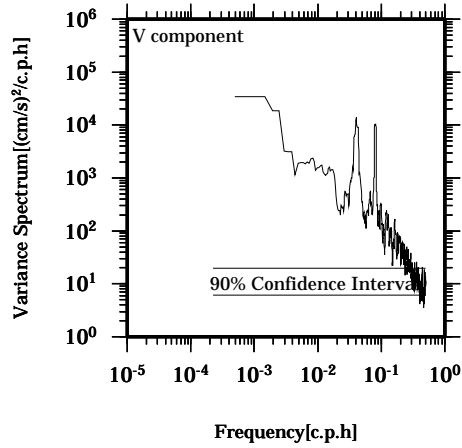
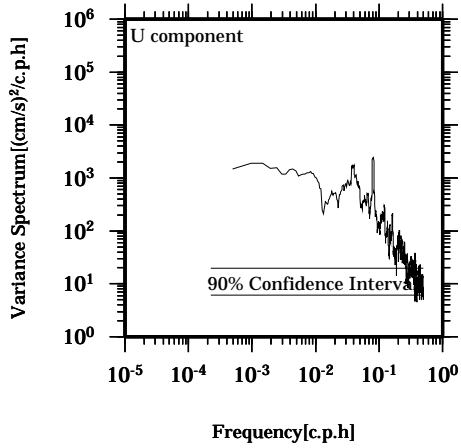


Lon: 121° 24.6445' E

Lat: 22° 38.8994' N

Station: W304

Depth : 310 M

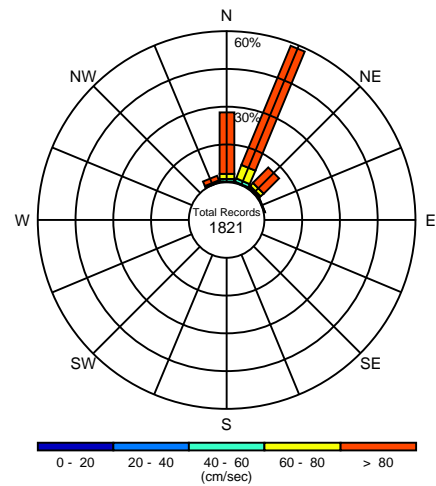
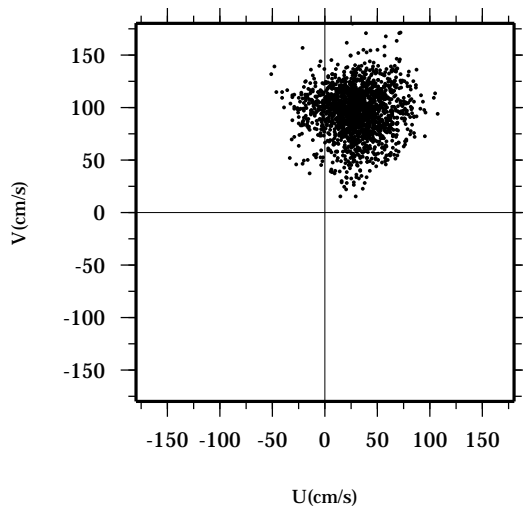
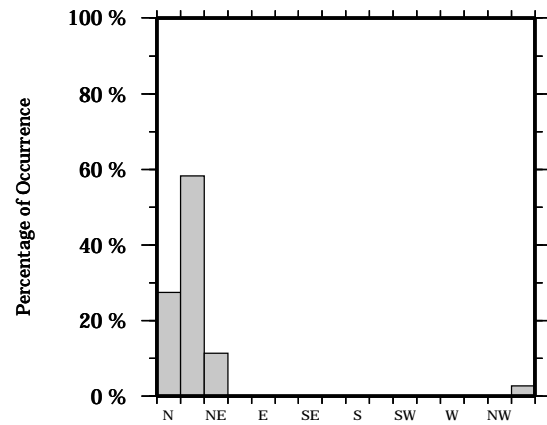
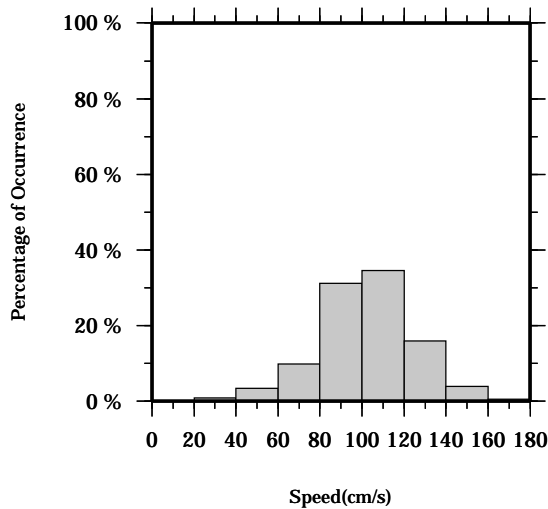


LON: 121° 24.6445' E

Station: W304

LAT: 22° 38.8994' N

Depth: 30 M



Joint probability distribution of current speed and it's direction

Speed	N	NNE	NE	ENE	E	ESE	SE	SSE	S	SSW	SW	WSW	W	WNW	NW	NNW	Total
0-20	0.0	0.0	0.0	0.0	0.0	0.0	0.0	0.0	0.0	0.0	0.0	0.0	0.0	0.0	0.0	0.0	0.0
20-40	0.1	0.3	0.3	0.1	0.0	0.0	0.0	0.0	0.0	0.0	0.0	0.0	0.0	0.0	0.0	0.1	0.8
40-60	1.0	1.3	0.7	0.1	0.0	0.0	0.0	0.0	0.0	0.0	0.0	0.0	0.0	0.0	0.0	0.2	3.3
60-80	2.1	5.7	1.6	0.0	0.0	0.0	0.0	0.0	0.0	0.0	0.0	0.0	0.0	0.0	0.0	0.3	9.8
80-100	8.5	18.6	3.1	0.0	0.0	0.0	0.0	0.0	0.0	0.0	0.0	0.0	0.0	0.0	0.0	0.9	31.1
100-120	11.5	18.9	3.2	0.0	0.0	0.0	0.0	0.0	0.0	0.0	0.0	0.0	0.0	0.0	0.0	0.9	34.5
120-140	3.8	10.0	1.9	0.0	0.0	0.0	0.0	0.0	0.0	0.0	0.0	0.0	0.0	0.0	0.0	0.2	15.9
140-160	0.3	2.9	0.5	0.0	0.0	0.0	0.0	0.0	0.0	0.0	0.0	0.0	0.0	0.0	0.0	0.1	3.9
160-180	0.1	0.4	0.0	0.0	0.0	0.0	0.0	0.0	0.0	0.0	0.0	0.0	0.0	0.0	0.0	0.0	0.5
180-200	0.1	0.2	0.0	0.0	0.0	0.0	0.0	0.0	0.0	0.0	0.0	0.0	0.0	0.0	0.0	0.0	0.2
Total	27.5	58.3	11.4	0.1	0.0	0.0	0.0	0.0	0.0	0.0	0.0	0.0	0.0	0.0	0.0	2.7	100.0

Mean U and V : 29.8 (cm/s), 95.1 (cm/s)

Standard deviation of U and V : 23.6 (cm/s), 22.5 (cm/s)

Maximun speed and it's direction : 198.1 (cm/s), 20.5 (deg.)

Mean speed and direction : 99.6 (cm/s), 17.4 (deg.)

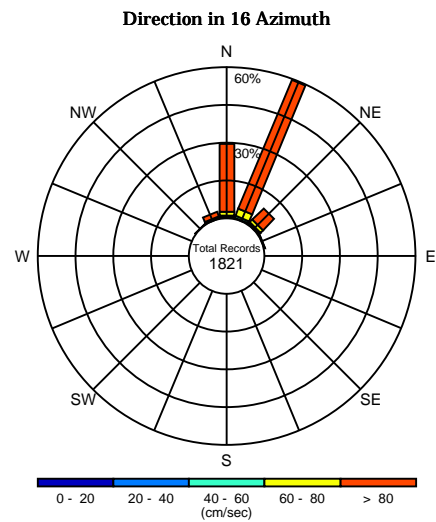
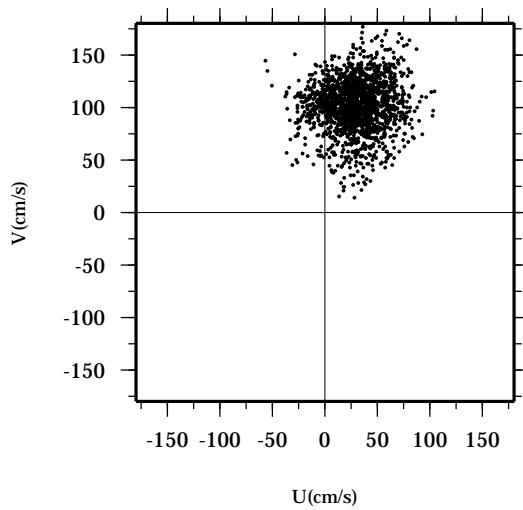
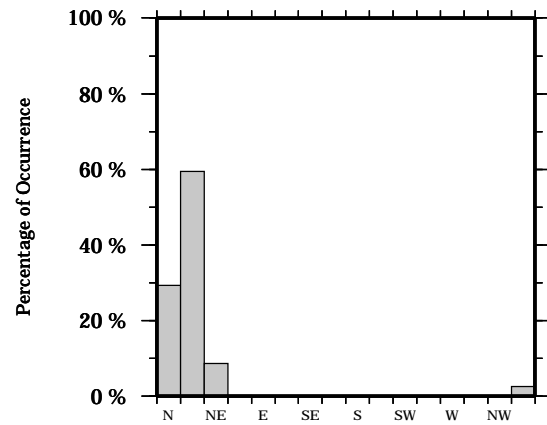
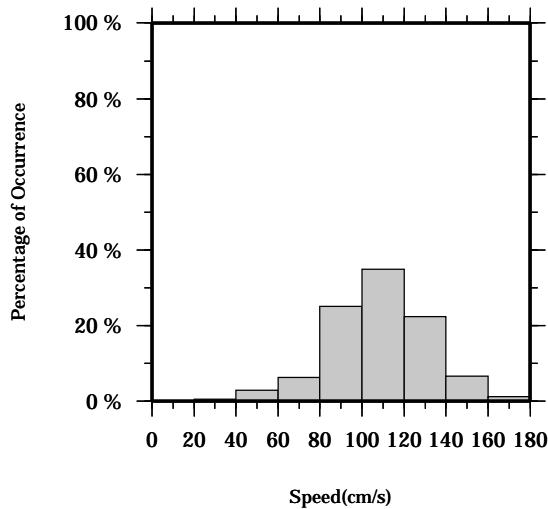
Speed scalar average : 102.4 (cm/s)

LON: 121° 24.6445' E

Station: W304

LAT: 22° 38.8994' N

Depth: 34 M



Joint probability distribution of current speed and it's direction

Speed	N	NNE	NE	ENE	E	ESE	SE	SSE	S	SSW	SW	WSW	W	WNW	NW	NNW	Total
0-20	0.0	0.0	0.0	0.0	0.0	0.0	0.0	0.0	0.0	0.0	0.0	0.0	0.0	0.0	0.0	0.0	0.0
20-40	0.1	0.2	0.3	0.1	0.0	0.0	0.0	0.0	0.0	0.0	0.0	0.0	0.0	0.0	0.0	0.0	0.5
40-60	0.9	0.9	0.7	0.1	0.0	0.0	0.0	0.0	0.0	0.0	0.0	0.0	0.0	0.0	0.1	0.3	2.8
60-80	1.4	3.0	1.4	0.0	0.0	0.0	0.0	0.0	0.0	0.0	0.0	0.0	0.0	0.0	0.0	0.4	6.3
80-100	8.0	14.5	1.8	0.0	0.0	0.0	0.0	0.0	0.0	0.0	0.0	0.0	0.0	0.0	0.0	0.7	25.0
100-120	11.0	20.2	2.6	0.0	0.0	0.0	0.0	0.0	0.0	0.0	0.0	0.0	0.0	0.0	0.0	0.9	34.8
120-140	6.6	14.1	1.4	0.0	0.0	0.0	0.0	0.0	0.0	0.0	0.0	0.0	0.0	0.0	0.0	0.2	22.4
140-160	1.2	5.0	0.4	0.0	0.0	0.0	0.0	0.0	0.0	0.0	0.0	0.0	0.0	0.0	0.0	0.1	6.6
160-180	0.1	1.2	0.0	0.0	0.0	0.0	0.0	0.0	0.0	0.0	0.0	0.0	0.0	0.0	0.0	0.0	1.3
180-200	0.1	0.3	0.0	0.0	0.0	0.0	0.0	0.0	0.0	0.0	0.0	0.0	0.0	0.0	0.0	0.0	0.4
Total	29.3	59.4	8.6	0.1	0.0	0.0	0.0	0.0	0.0	0.0	0.0	0.0	0.0	0.0	0.1	2.6	100.0

Mean U and V : 29.5 (cm/s), 101.7 (cm/s)

Standard deviation of U and V : 23.6 (cm/s), 24.0 (cm/s)

Maximun speed and it's direction : 196.9 (cm/s), 22.2 (deg.)

Mean speed and direction : 105.9 (cm/s), 16.2 (deg.)

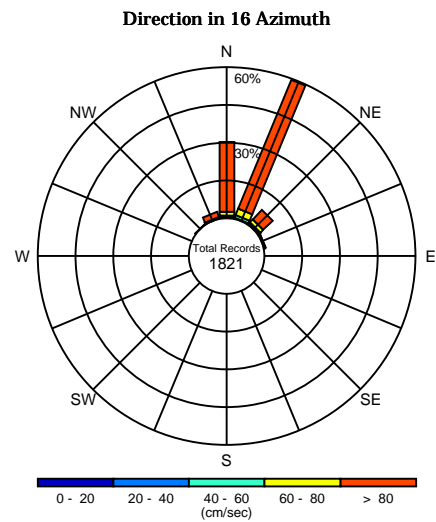
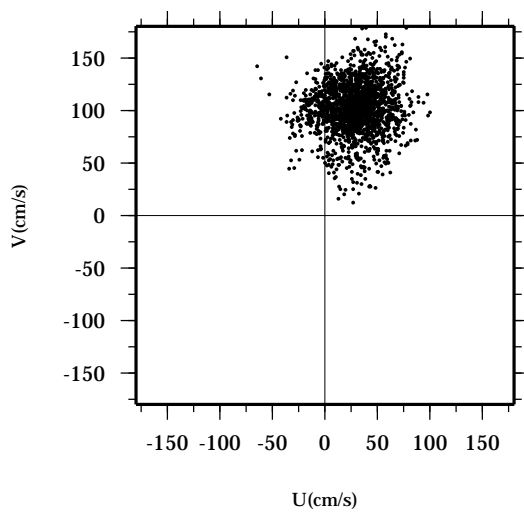
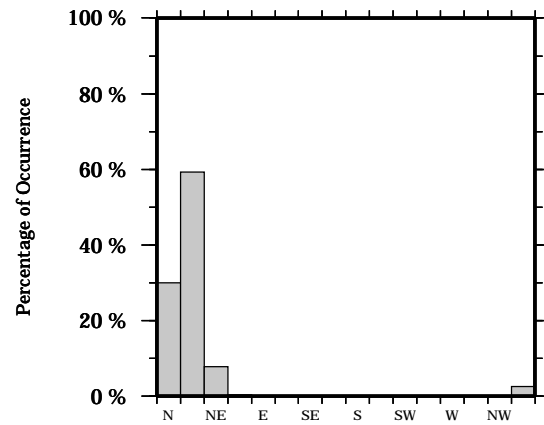
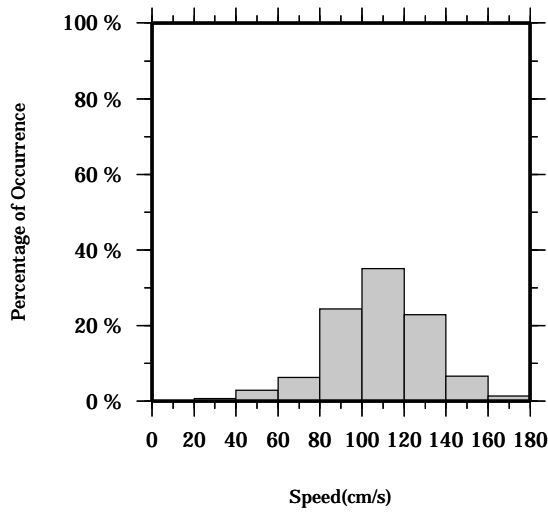
Speed scalar average : 108.5 (cm/s)

LON: 121° 24.6445' E

Station: W304

LAT: 22° 38.8994' N

Depth: 38 M



Joint probability distribution of current speed and it's direction

Speed	N	NNE	NE	ENE	E	ESE	SE	SSE	S	SSW	SW	WSW	W	WNW	NW	NNW	Total
0-20	0.0	0.0	0.0	0.0	0.0	0.0	0.0	0.0	0.0	0.0	0.0	0.0	0.0	0.0	0.0	0.0	0.0
20-40	0.1	0.2	0.2	0.1	0.0	0.0	0.0	0.0	0.0	0.0	0.0	0.0	0.0	0.0	0.0	0.0	0.6
40-60	0.8	1.0	0.7	0.2	0.0	0.0	0.0	0.0	0.0	0.0	0.0	0.0	0.0	0.0	0.1	0.1	2.9
60-80	1.6	2.8	1.5	0.1	0.0	0.0	0.0	0.0	0.0	0.0	0.0	0.0	0.0	0.0	0.0	0.3	6.3
80-100	7.6	13.9	1.5	0.0	0.0	0.0	0.0	0.0	0.0	0.0	0.0	0.0	0.0	0.0	0.0	1.3	24.3
100-120	11.5	20.3	2.5	0.0	0.0	0.0	0.0	0.0	0.0	0.0	0.0	0.0	0.0	0.0	0.0	0.5	34.9
120-140	7.1	14.3	1.0	0.0	0.0	0.0	0.0	0.0	0.0	0.0	0.0	0.0	0.0	0.0	0.0	0.2	22.7
140-160	1.2	5.1	0.2	0.0	0.0	0.0	0.0	0.0	0.0	0.0	0.0	0.0	0.0	0.0	0.0	0.2	6.6
160-180	0.1	1.3	0.0	0.0	0.0	0.0	0.0	0.0	0.0	0.0	0.0	0.0	0.0	0.0	0.0	0.0	1.4
180-200	0.1	0.2	0.0	0.0	0.0	0.0	0.0	0.0	0.0	0.0	0.0	0.0	0.0	0.0	0.0	0.0	0.3
Total	30.0	59.2	7.7	0.4	0.0	0.0	0.0	0.0	0.0	0.0	0.0	0.0	0.0	0.0	0.1	2.6	100.0

Mean U and V : 28.6 (cm/s), 102.1 (cm/s)

Standard deviation of U and V : 23.2 (cm/s), 24.0 (cm/s)

Maximun speed and it's direction : 194.3 (cm/s), 23.4 (deg.)

Mean speed and direction : 106.0 (cm/s), 15.7 (deg.)

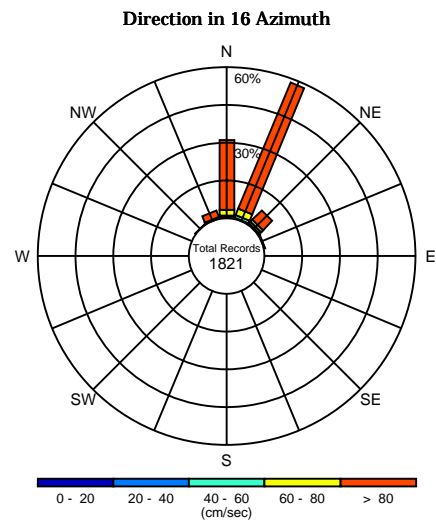
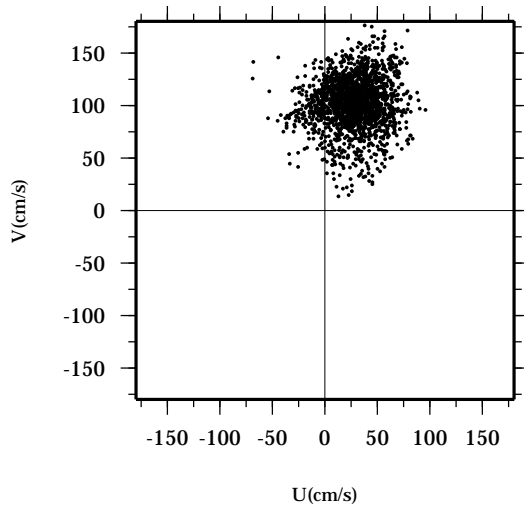
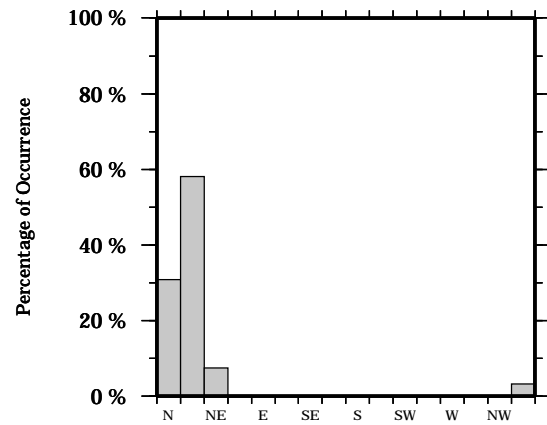
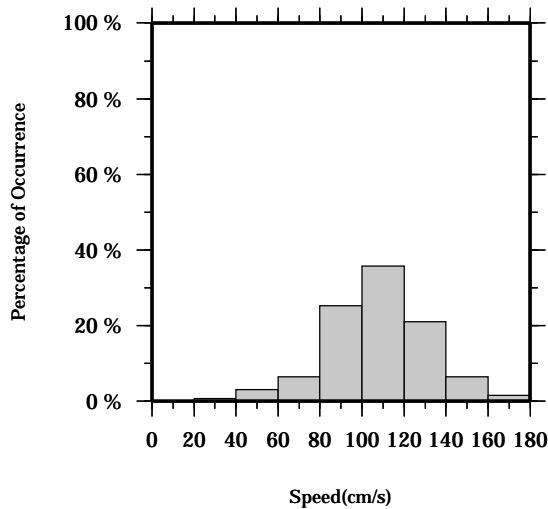
Speed scalar average : 108.6 (cm/s)

LON: 121° 24.6445' E

Station: W304

LAT: 22° 38.8994' N

Depth: 42 M



Joint probability distribution of current speed and it's direction

Speed	N	NNE	NE	ENE	E	ESE	SE	SSE	S	SSW	SW	WSW	W	WNW	NW	NNW	Total
0-20	0.0	0.0	0.1	0.0	0.0	0.0	0.0	0.0	0.0	0.0	0.0	0.0	0.0	0.0	0.0	0.0	0.1
20-40	0.1	0.2	0.3	0.1	0.0	0.0	0.0	0.0	0.0	0.0	0.0	0.0	0.0	0.0	0.0	0.0	0.6
40-60	0.9	1.0	0.8	0.1	0.0	0.0	0.0	0.0	0.0	0.0	0.0	0.0	0.0	0.0	0.1	0.1	3.0
60-80	2.2	2.7	1.2	0.0	0.0	0.0	0.0	0.0	0.0	0.0	0.0	0.0	0.0	0.0	0.0	0.3	6.4
80-100	7.5	13.8	1.8	0.0	0.0	0.0	0.0	0.0	0.0	0.0	0.0	0.0	0.0	0.0	0.0	2.0	25.2
100-120	11.9	20.7	2.6	0.0	0.0	0.0	0.0	0.0	0.0	0.0	0.0	0.0	0.0	0.0	0.0	0.5	35.7
120-140	6.6	13.5	0.8	0.0	0.0	0.0	0.0	0.0	0.0	0.0	0.0	0.0	0.0	0.0	0.0	0.2	21.0
140-160	1.6	4.7	0.1	0.0	0.0	0.0	0.0	0.0	0.0	0.0	0.0	0.0	0.0	0.0	0.0	0.2	6.5
160-180	0.1	1.4	0.0	0.0	0.0	0.0	0.0	0.0	0.0	0.0	0.0	0.0	0.0	0.0	0.0	0.0	1.5
180-200	0.0	0.1	0.0	0.0	0.0	0.0	0.0	0.0	0.0	0.0	0.0	0.0	0.0	0.0	0.0	0.0	0.1
Total	30.9	58.2	7.5	0.2	0.0	0.0	0.0	0.0	0.0	0.0	0.0	0.0	0.0	0.0	0.1	3.2	100.0

Mean U and V : 27.7 (cm/s), 101.4 (cm/s)

Standard deviation of U and V : 23.1 (cm/s), 24.0 (cm/s)

Maximun speed and it's direction : 188.4 (cm/s), 24.5 (deg.)

Mean speed and direction : 105.1 (cm/s), 15.3 (deg.)

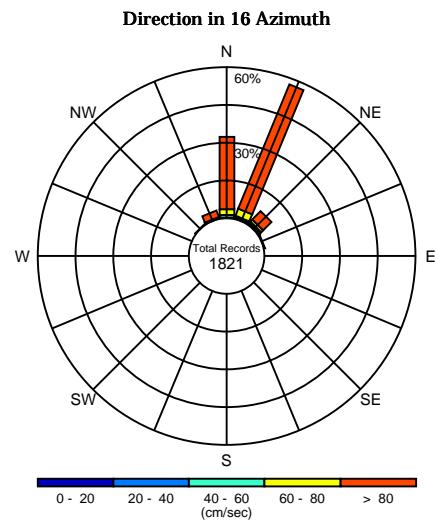
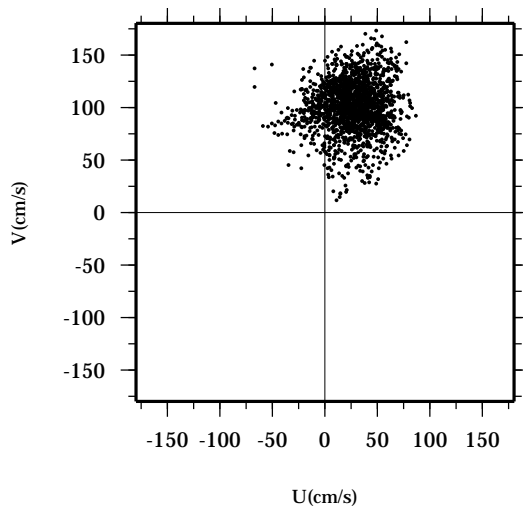
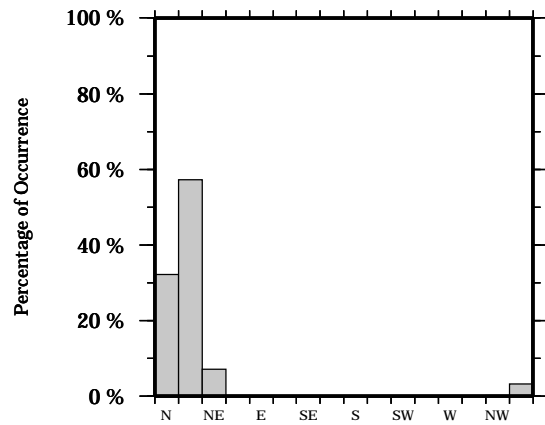
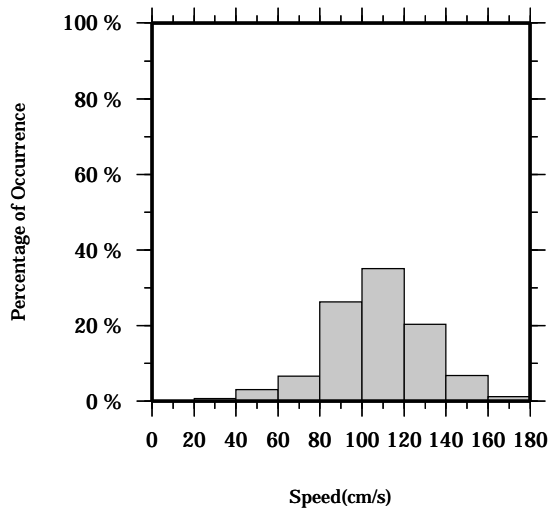
Speed scalar average : 107.7 (cm/s)

LON: 121° 24.6445' E

Station: W304

LAT: 22° 38.8994' N

Depth: 46 M



Joint probability distribution of current speed and it's direction

Speed	N	NNE	NE	ENE	E	ESE	SE	SSE	S	SSW	SW	WSW	W	WNW	NW	NNW	Total
0-20	0.0	0.0	0.1	0.0	0.0	0.0	0.0	0.0	0.0	0.0	0.0	0.0	0.0	0.0	0.0	0.0	0.1
20-40	0.1	0.3	0.3	0.0	0.0	0.0	0.0	0.0	0.0	0.0	0.0	0.0	0.0	0.0	0.0	0.0	0.7
40-60	1.2	0.7	0.9	0.1	0.0	0.0	0.0	0.0	0.0	0.0	0.0	0.0	0.0	0.0	0.1	0.1	3.0
60-80	2.2	3.0	1.0	0.0	0.0	0.0	0.0	0.0	0.0	0.0	0.0	0.0	0.0	0.0	0.0	0.4	6.6
80-100	8.3	13.9	1.9	0.0	0.0	0.0	0.0	0.0	0.0	0.0	0.0	0.0	0.0	0.0	0.0	2.1	26.3
100-120	11.8	20.6	2.1	0.0	0.0	0.0	0.0	0.0	0.0	0.0	0.0	0.0	0.0	0.0	0.1	0.4	35.0
120-140	6.8	12.8	0.7	0.0	0.0	0.0	0.0	0.0	0.0	0.0	0.0	0.0	0.0	0.0	0.0	0.1	20.3
140-160	1.8	4.8	0.0	0.0	0.0	0.0	0.0	0.0	0.0	0.0	0.0	0.0	0.0	0.0	0.0	0.1	6.7
160-180	0.1	1.2	0.0	0.0	0.0	0.0	0.0	0.0	0.0	0.0	0.0	0.0	0.0	0.0	0.0	0.0	1.2
180-200	0.0	0.0	0.0	0.0	0.0	0.0	0.0	0.0	0.0	0.0	0.0	0.0	0.0	0.0	0.0	0.0	0.0
Total	32.2	57.2	7.0	0.1	0.0	0.0	0.0	0.0	0.0	0.0	0.0	0.0	0.0	0.0	0.1	3.3	100.0

Mean U and V : 26.8 (cm/s), 100.7 (cm/s)

Standard deviation of U and V : 23.0 (cm/s), 24.0 (cm/s)

Maximun speed and it's direction : 179.5 (cm/s), 25.4 (deg.)

Mean speed and direction : 104.2 (cm/s), 14.9 (deg.)

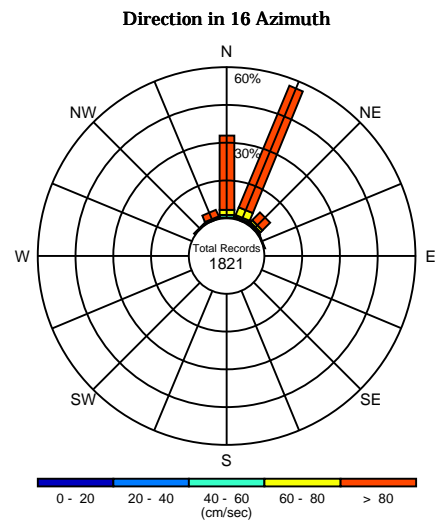
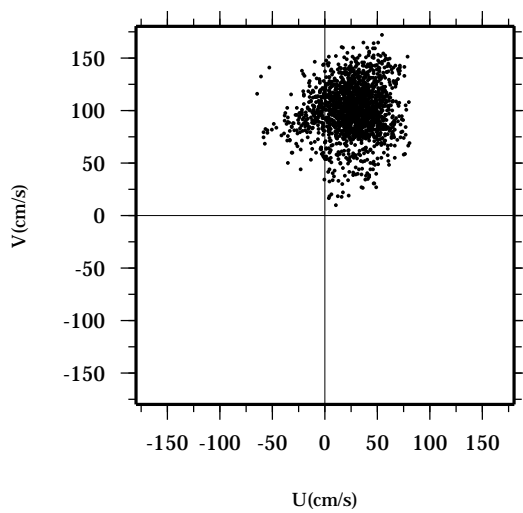
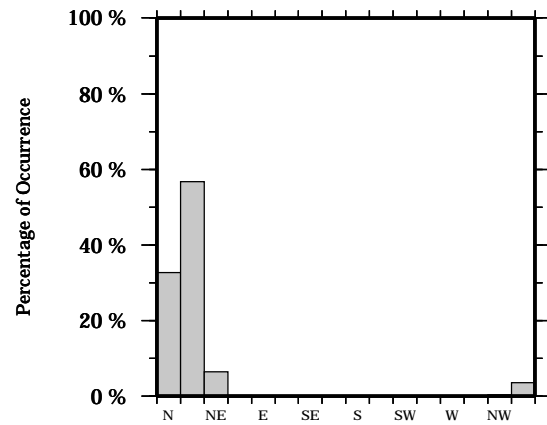
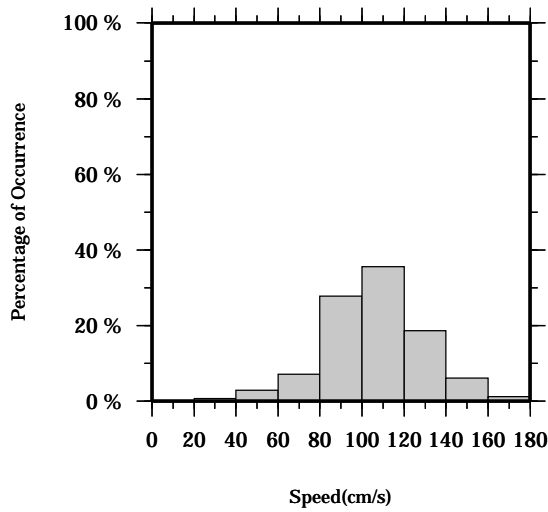
Speed scalar average : 106.8 (cm/s)

LON: 121° 24.6445' E

Station: W304

LAT: 22° 38.8994' N

Depth: 50 M



Joint probability distribution of current speed and it's direction

Speed	N	NNE	NE	ENE	E	ESE	SE	SSE	S	SSW	SW	WSW	W	WNW	NW	NNW	Total
0-20	0.0	0.1	0.1	0.0	0.0	0.0	0.0	0.0	0.0	0.0	0.0	0.0	0.0	0.0	0.0	0.0	0.2
20-40	0.1	0.3	0.2	0.0	0.0	0.0	0.0	0.0	0.0	0.0	0.0	0.0	0.0	0.0	0.0	0.0	0.7
40-60	0.9	0.9	0.8	0.2	0.0	0.0	0.0	0.0	0.0	0.0	0.0	0.0	0.0	0.0	0.0	0.1	2.9
60-80	2.1	3.2	1.0	0.0	0.0	0.0	0.0	0.0	0.0	0.0	0.0	0.0	0.0	0.0	0.1	0.6	7.0
80-100	9.6	13.7	2.0	0.0	0.0	0.0	0.0	0.0	0.0	0.0	0.0	0.0	0.0	0.0	0.3	2.1	27.7
100-120	11.6	21.2	2.2	0.0	0.0	0.0	0.0	0.0	0.0	0.0	0.0	0.0	0.0	0.0	0.0	0.5	35.6
120-140	6.4	11.9	0.2	0.0	0.0	0.0	0.0	0.0	0.0	0.0	0.0	0.0	0.0	0.0	0.0	0.1	18.6
140-160	1.6	4.4	0.0	0.0	0.0	0.0	0.0	0.0	0.0	0.0	0.0	0.0	0.0	0.0	0.0	0.1	6.2
160-180	0.2	1.0	0.0	0.0	0.0	0.0	0.0	0.0	0.0	0.0	0.0	0.0	0.0	0.0	0.0	0.0	1.2
180-200	0.0	0.0	0.0	0.0	0.0	0.0	0.0	0.0	0.0	0.0	0.0	0.0	0.0	0.0	0.0	0.0	0.0
Total	32.6	56.8	6.5	0.2	0.0	0.0	0.0	0.0	0.0	0.0	0.0	0.0	0.0	0.0	0.4	3.6	100.0

Mean U and V : 25.8 (cm/s), 100.0 (cm/s)

Standard deviation of U and V : 22.9 (cm/s), 23.9 (cm/s)

Maximun speed and it's direction : 179.8 (cm/s), 17.5 (deg.)

Mean speed and direction : 103.2 (cm/s), 14.5 (deg.)

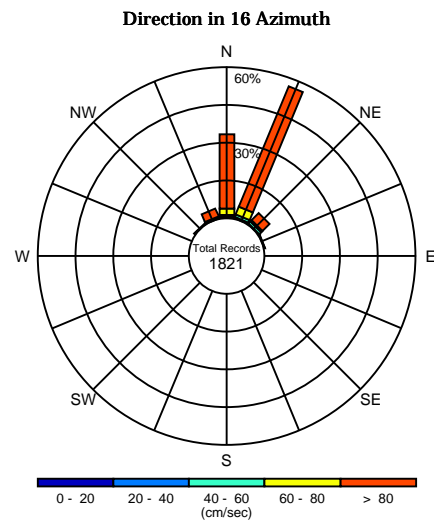
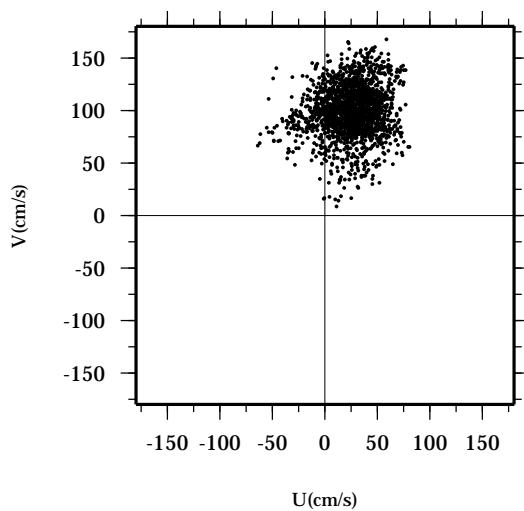
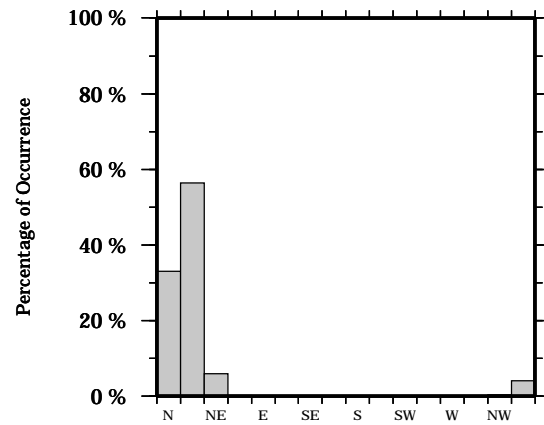
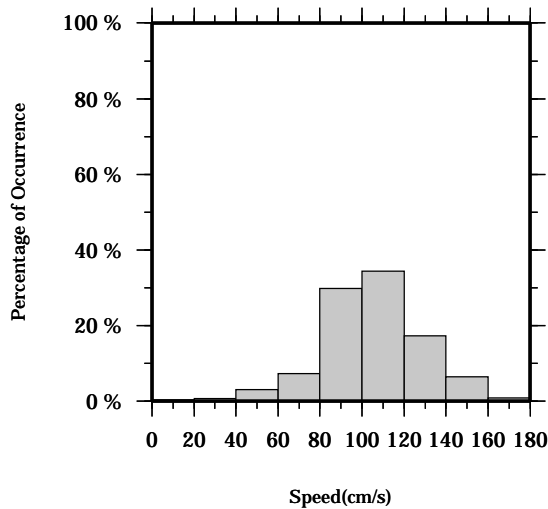
Speed scalar average : 105.9 (cm/s)

LON: 121° 24.6445' E

Station: W304

LAT: 22° 38.8994' N

Depth: 54 M



Joint probability distribution of current speed and it's direction

Speed	N	NNE	NE	ENE	E	ESE	SE	SSE	S	SSW	SW	WSW	W	WNW	NW	NNW	Total
0-20	0.1	0.1	0.1	0.0	0.0	0.0	0.0	0.0	0.0	0.0	0.0	0.0	0.0	0.0	0.0	0.0	0.3
20-40	0.2	0.3	0.1	0.1	0.0	0.0	0.0	0.0	0.0	0.0	0.0	0.0	0.0	0.0	0.0	0.0	0.6
40-60	0.9	1.1	0.9	0.1	0.0	0.0	0.0	0.0	0.0	0.0	0.0	0.0	0.0	0.0	0.0	0.1	3.1
60-80	2.6	3.3	0.8	0.0	0.0	0.0	0.0	0.0	0.0	0.0	0.0	0.0	0.0	0.0	0.0	0.6	7.3
80-100	10.0	14.7	2.3	0.0	0.0	0.0	0.0	0.0	0.0	0.0	0.0	0.0	0.0	0.0	0.0	0.3	29.9
100-120	11.9	20.3	1.6	0.0	0.0	0.0	0.0	0.0	0.0	0.0	0.0	0.0	0.0	0.0	0.0	0.6	34.4
120-140	5.7	11.1	0.2	0.0	0.0	0.0	0.0	0.0	0.0	0.0	0.0	0.0	0.0	0.0	0.0	0.2	17.2
140-160	1.5	4.9	0.0	0.0	0.0	0.0	0.0	0.0	0.0	0.0	0.0	0.0	0.0	0.0	0.0	0.1	6.5
160-180	0.2	0.6	0.0	0.0	0.0	0.0	0.0	0.0	0.0	0.0	0.0	0.0	0.0	0.0	0.0	0.0	0.8
180-200	0.0	0.0	0.0	0.0	0.0	0.0	0.0	0.0	0.0	0.0	0.0	0.0	0.0	0.0	0.0	0.0	0.0
Total	33.1	56.5	5.9	0.2	0.0	0.0	0.0	0.0	0.0	0.0	0.0	0.0	0.0	0.0	0.3	4.1	100.0

Mean U and V : 24.8 (cm/s), 99.2 (cm/s)

Standard deviation of U and V : 23.0 (cm/s), 23.9 (cm/s)

Maximun speed and it's direction : 177.1 (cm/s), 19.2 (deg.)

Mean speed and direction : 102.3 (cm/s), 14.1 (deg.)

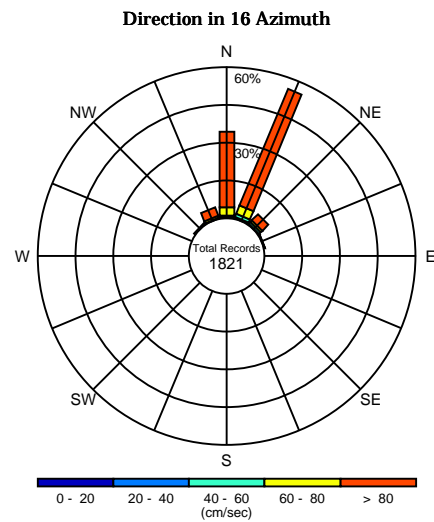
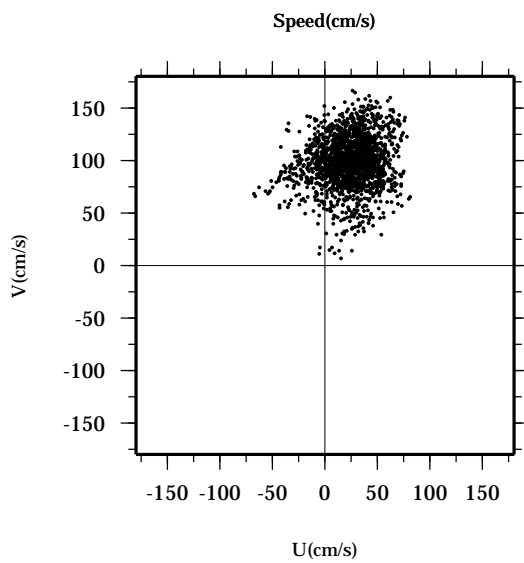
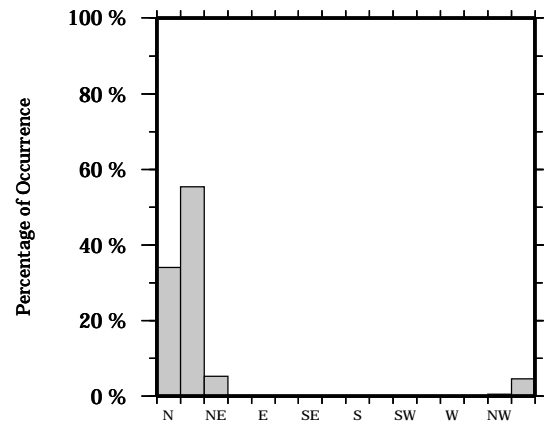
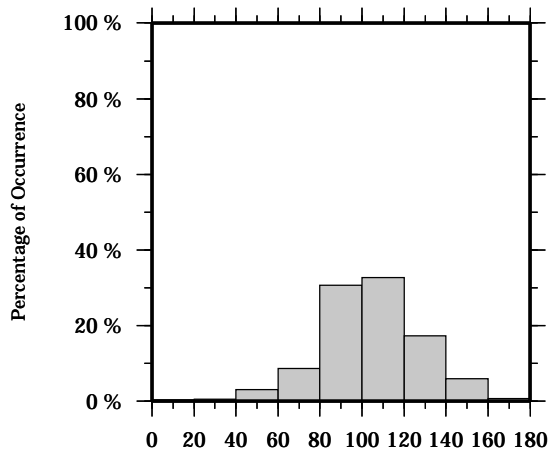
Speed scalar average : 104.9 (cm/s)

LON: 121° 24.6445' E

Station: W304

LAT: 22° 38.8994' N

Depth: 58 M



Joint probability distribution of current speed and it's direction

Speed	N	NNE	NE	ENE	E	ESE	SE	SSE	S	SSW	SW	WSW	W	WNW	NW	NNW	Total	
0-20	0.0	0.1	0.1	0.1	0.0	0.0	0.0	0.0	0.0	0.0	0.0	0.0	0.0	0.0	0.0	0.1	0.4	
20-40	0.1	0.4	0.0	0.1	0.0	0.0	0.0	0.0	0.0	0.0	0.0	0.0	0.0	0.0	0.0	0.0	0.5	
40-60	0.9	1.2	0.9	0.0	0.0	0.0	0.0	0.0	0.0	0.0	0.0	0.0	0.0	0.0	0.0	0.1	3.1	
60-80	3.2	3.6	0.9	0.1	0.0	0.0	0.0	0.0	0.0	0.0	0.0	0.0	0.0	0.0	0.1	0.8	8.7	
80-100	10.9	14.8	2.1	0.0	0.0	0.0	0.0	0.0	0.0	0.0	0.0	0.0	0.0	0.0	0.0	0.4	2.5	30.7
100-120	11.8	19.1	1.2	0.0	0.0	0.0	0.0	0.0	0.0	0.0	0.0	0.0	0.0	0.0	0.0	0.8	32.7	
120-140	6.0	10.9	0.1	0.0	0.0	0.0	0.0	0.0	0.0	0.0	0.0	0.0	0.0	0.0	0.0	0.2	17.2	
140-160	1.2	4.8	0.0	0.0	0.0	0.0	0.0	0.0	0.0	0.0	0.0	0.0	0.0	0.0	0.0	0.0	6.0	
160-180	0.1	0.5	0.0	0.0	0.0	0.0	0.0	0.0	0.0	0.0	0.0	0.0	0.0	0.0	0.0	0.0	0.7	
180-200	0.0	0.0	0.0	0.0	0.0	0.0	0.0	0.0	0.0	0.0	0.0	0.0	0.0	0.0	0.0	0.0	0.0	
Total	34.1	55.4	5.3	0.2	0.0	0.0	0.0	0.0	0.0	0.0	0.0	0.0	0.0	0.0	0.5	4.5	100.0	

Mean U and V : 23.9 (cm/s), 98.5 (cm/s)

Standard deviation of U and V : 23.1 (cm/s), 23.9 (cm/s)

Maximun speed and it's direction : 171.0 (cm/s), 21.2 (deg.)

Mean speed and direction : 101.4 (cm/s), 13.6 (deg.)

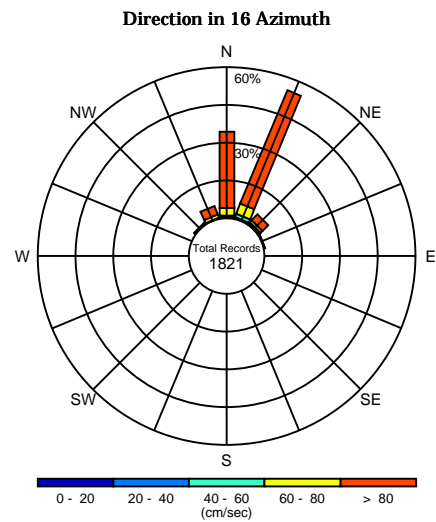
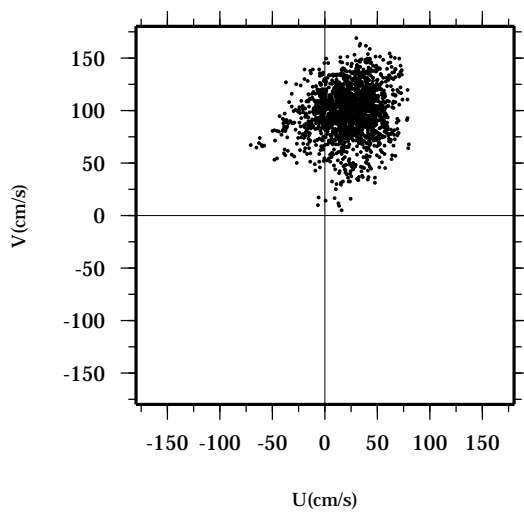
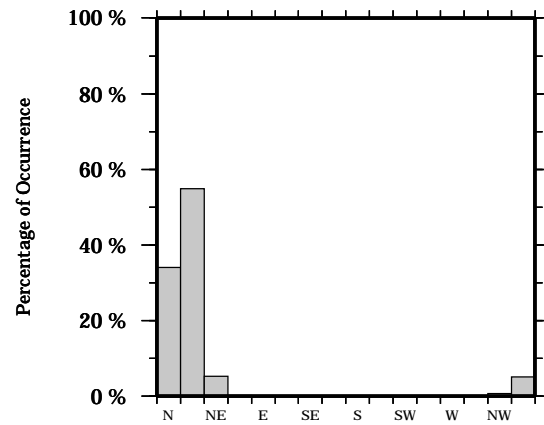
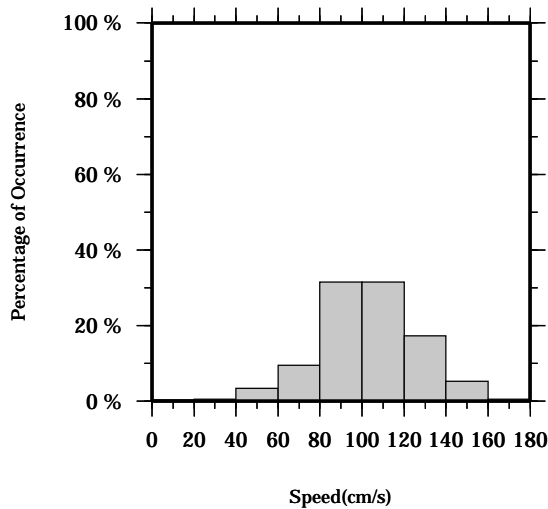
Speed scalar average : 104.1 (cm/s)

LON: 121° 24.6445' E

Station: W304

LAT: 22° 38.8994' N

Depth: 62 M



Joint probability distribution of current speed and it's direction

Speed	N	NNE	NE	ENE	E	ESE	SE	SSE	S	SSW	SW	WSW	W	WNW	NW	NNW	Total
0-20	0.1	0.1	0.1	0.1	0.0	0.0	0.0	0.0	0.0	0.0	0.0	0.0	0.0	0.0	0.1	0.1	0.4
20-40	0.1	0.3	0.1	0.1	0.0	0.0	0.0	0.0	0.0	0.0	0.0	0.0	0.0	0.0	0.0	0.0	0.5
40-60	0.9	1.6	0.7	0.1	0.0	0.0	0.0	0.0	0.0	0.0	0.0	0.0	0.0	0.0	0.0	0.2	3.4
60-80	2.9	4.3	0.9	0.0	0.0	0.0	0.0	0.0	0.0	0.0	0.0	0.0	0.0	0.0	0.1	1.3	9.6
80-100	11.6	15.0	1.9	0.0	0.0	0.0	0.0	0.0	0.0	0.0	0.0	0.0	0.0	0.0	0.4	2.4	31.5
100-120	12.0	17.4	1.2	0.0	0.0	0.0	0.0	0.0	0.0	0.0	0.0	0.0	0.0	0.0	0.0	1.0	31.6
120-140	5.7	11.3	0.2	0.0	0.0	0.0	0.0	0.0	0.0	0.0	0.0	0.0	0.0	0.0	0.0	0.1	17.4
140-160	0.8	4.4	0.0	0.0	0.0	0.0	0.0	0.0	0.0	0.0	0.0	0.0	0.0	0.0	0.0	0.0	5.2
160-180	0.1	0.5	0.0	0.0	0.0	0.0	0.0	0.0	0.0	0.0	0.0	0.0	0.0	0.0	0.0	0.0	0.5
180-200	0.0	0.0	0.0	0.0	0.0	0.0	0.0	0.0	0.0	0.0	0.0	0.0	0.0	0.0	0.0	0.0	0.0
Total	34.1	54.9	5.2	0.2	0.0	0.0	0.0	0.0	0.0	0.0	0.0	0.0	0.0	0.0	0.6	5.1	100.0

Mean U and V : 23.2 (cm/s), 97.7 (cm/s)

Standard deviation of U and V : 23.3 (cm/s), 23.8 (cm/s)

Maximun speed and it's direction : 171.0 (cm/s), 10.0 (deg.)

Mean speed and direction : 100.4 (cm/s), 13.3 (deg.)

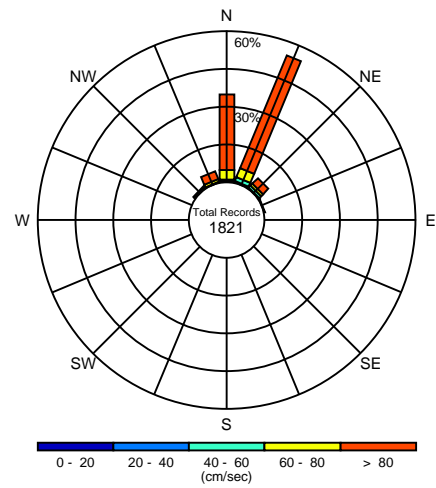
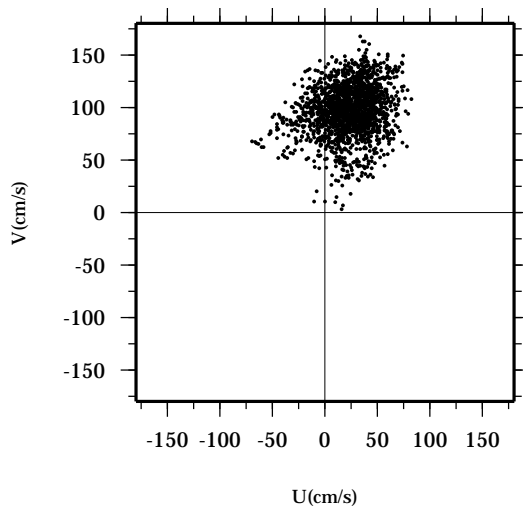
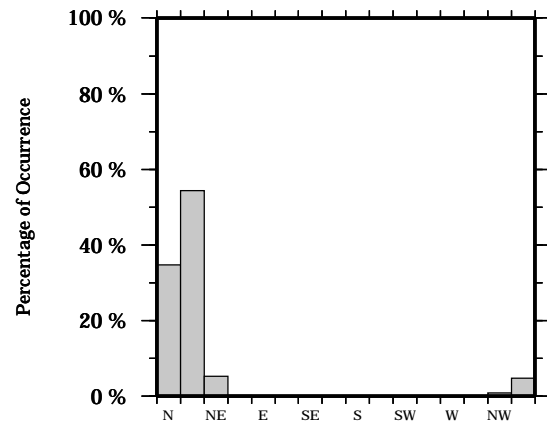
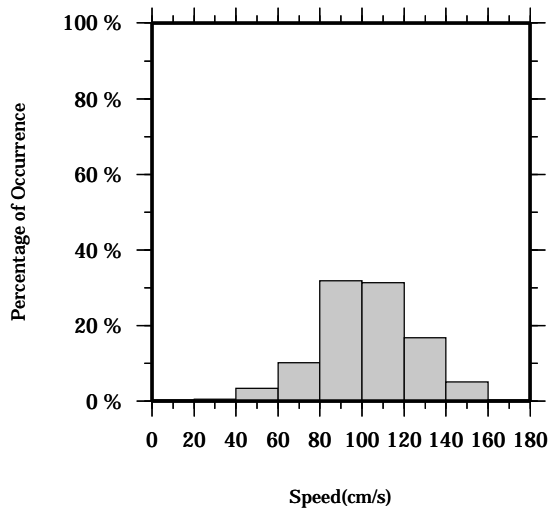
Speed scalar average : 103.1 (cm/s)

LON: 121° 24.6445' E

Station: W304

LAT: 22° 38.8994' N

Depth: 66 M



Joint probability distribution of current speed and it's direction

Speed	N	NNE	NE	ENE	E	ESE	SE	SSE	S	SSW	SW	WSW	W	WNW	NW	NNW	Total	
0-20	0.1	0.0	0.1	0.1	0.0	0.0	0.0	0.0	0.0	0.0	0.0	0.0	0.0	0.0	0.1	0.0	0.3	
20-40	0.1	0.3	0.1	0.0	0.0	0.0	0.0	0.0	0.0	0.0	0.0	0.0	0.0	0.0	0.0	0.1	0.5	
40-60	0.7	1.6	0.9	0.0	0.0	0.0	0.0	0.0	0.0	0.0	0.0	0.0	0.0	0.0	0.0	0.2	3.5	
60-80	3.8	3.8	1.3	0.0	0.0	0.0	0.0	0.0	0.0	0.0	0.0	0.0	0.0	0.0	0.3	1.0	10.2	
80-100	11.5	15.8	1.6	0.0	0.0	0.0	0.0	0.0	0.0	0.0	0.0	0.0	0.0	0.0	0.0	0.5	2.5	31.9
100-120	12.5	17.0	1.0	0.0	0.0	0.0	0.0	0.0	0.0	0.0	0.0	0.0	0.0	0.0	0.0	0.8	31.3	
120-140	5.3	11.1	0.3	0.0	0.0	0.0	0.0	0.0	0.0	0.0	0.0	0.0	0.0	0.0	0.0	0.1	16.7	
140-160	0.9	4.2	0.1	0.0	0.0	0.0	0.0	0.0	0.0	0.0	0.0	0.0	0.0	0.0	0.0	0.0	5.2	
160-180	0.0	0.4	0.0	0.0	0.0	0.0	0.0	0.0	0.0	0.0	0.0	0.0	0.0	0.0	0.0	0.0	0.4	
180-200	0.0	0.0	0.0	0.0	0.0	0.0	0.0	0.0	0.0	0.0	0.0	0.0	0.0	0.0	0.0	0.0	0.0	
Total	34.8	54.3	5.3	0.1	0.0	0.0	0.0	0.0	0.0	0.0	0.0	0.0	0.0	0.0	0.9	4.7	100.0	

Mean U and V : 22.6 (cm/s), 96.9 (cm/s)

Standard deviation of U and V : 23.4 (cm/s), 23.7 (cm/s)

Maximun speed and it's direction : 170.8 (cm/s), 11.3 (deg.)

Mean speed and direction : 99.5 (cm/s), 13.1 (deg.)

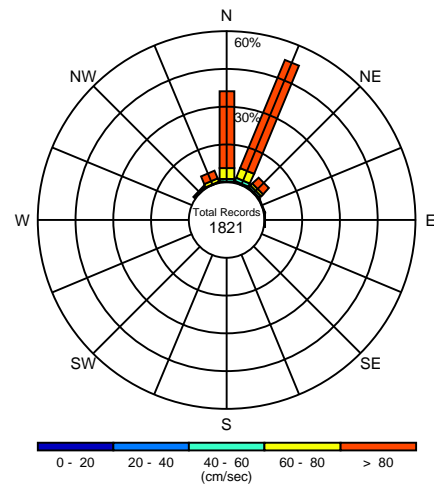
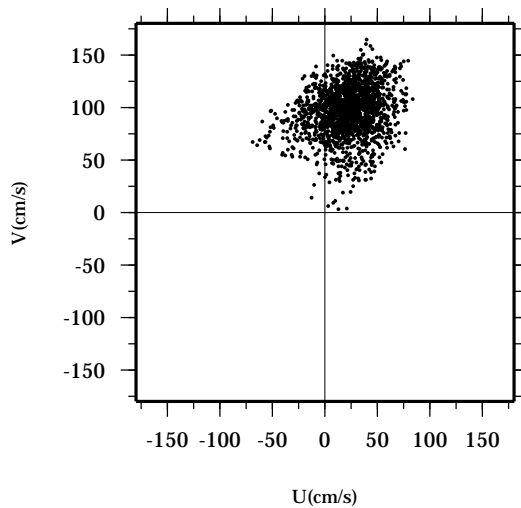
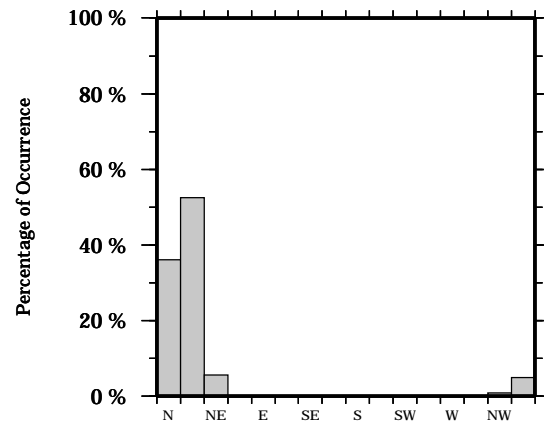
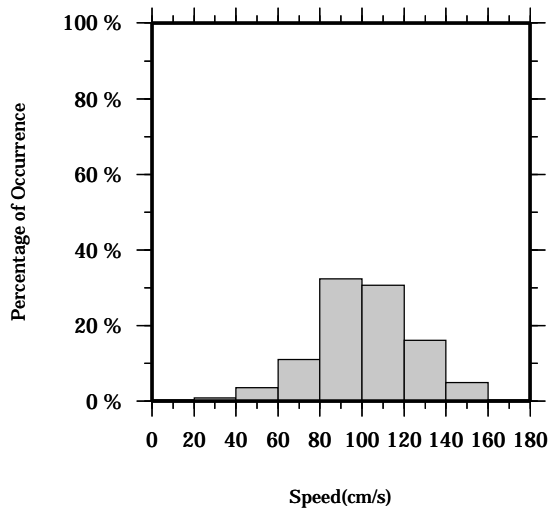
Speed scalar average : 102.3 (cm/s)

LON: 121° 24.6445' E

Station: W304

LAT: 22° 38.8994' N

Depth: 70 M



Joint probability distribution of current speed and it's direction

Speed	N	NNE	NE	ENE	E	ESE	SE	SSE	S	SSW	SW	WSW	W	WNW	NW	NNW	Total
0-20	0.0	0.1	0.1	0.1	0.0	0.0	0.0	0.0	0.0	0.0	0.0	0.0	0.0	0.0	0.1	0.0	0.3
20-40	0.2	0.3	0.2	0.0	0.1	0.0	0.0	0.0	0.0	0.0	0.0	0.0	0.0	0.0	0.0	0.1	0.8
40-60	1.0	1.4	1.0	0.0	0.0	0.0	0.0	0.0	0.0	0.0	0.0	0.0	0.0	0.0	0.0	0.2	3.6
60-80	4.4	4.1	1.1	0.0	0.0	0.0	0.0	0.0	0.0	0.0	0.0	0.0	0.0	0.0	0.2	1.3	11.0
80-100	13.0	14.7	1.8	0.0	0.0	0.0	0.0	0.0	0.0	0.0	0.0	0.0	0.0	0.0	0.6	2.3	32.3
100-120	12.0	16.7	0.9	0.0	0.0	0.0	0.0	0.0	0.0	0.0	0.0	0.0	0.0	0.0	0.1	1.0	30.7
120-140	4.7	10.7	0.7	0.0	0.0	0.0	0.0	0.0	0.0	0.0	0.0	0.0	0.0	0.0	0.0	0.0	16.0
140-160	0.8	4.2	0.0	0.0	0.0	0.0	0.0	0.0	0.0	0.0	0.0	0.0	0.0	0.0	0.0	0.0	4.9
160-180	0.0	0.3	0.0	0.0	0.0	0.0	0.0	0.0	0.0	0.0	0.0	0.0	0.0	0.0	0.0	0.0	0.3
180-200	0.0	0.0	0.0	0.0	0.0	0.0	0.0	0.0	0.0	0.0	0.0	0.0	0.0	0.0	0.0	0.0	0.0
Total	36.1	52.4	5.7	0.1	0.1	0.0	0.0	0.0	0.0	0.0	0.0	0.0	0.0	0.0	0.9	4.8	100.0

Mean U and V : 22.1 (cm/s), 96.2 (cm/s)

Standard deviation of U and V : 23.6 (cm/s), 23.7 (cm/s)

Maximun speed and it's direction : 169.1 (cm/s), 13.5 (deg.)

Mean speed and direction : 98.7 (cm/s), 13.0 (deg.)

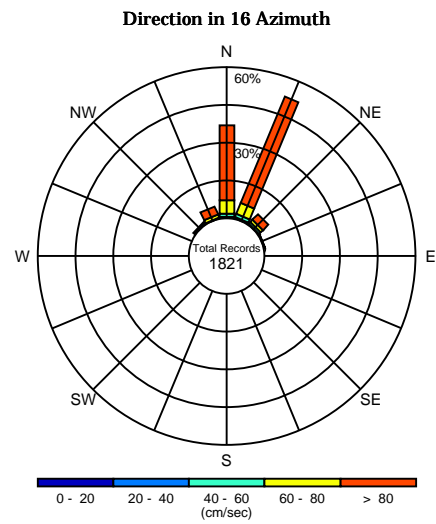
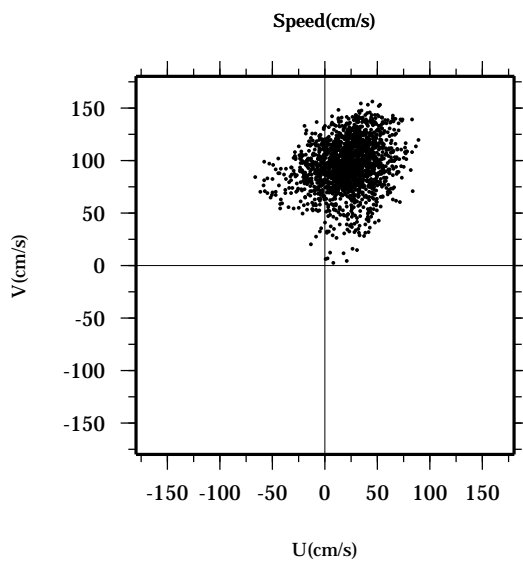
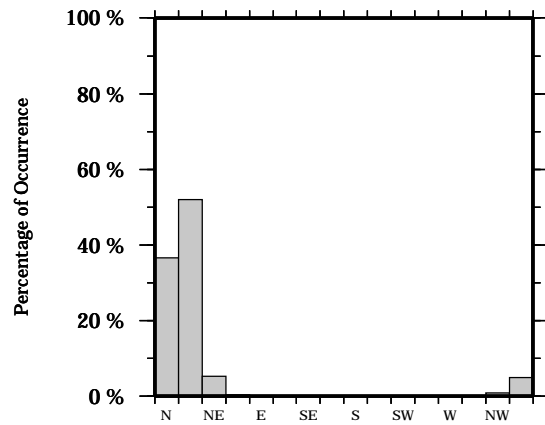
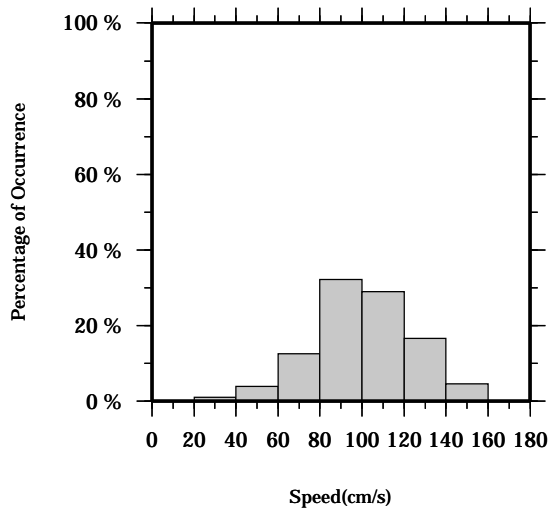
Speed scalar average : 101.5 (cm/s)

LON: 121° 24.6445' E

Station: W304

LAT: 22° 38.8994' N

Depth: 74 M



Joint probability distribution of current speed and it's direction

Speed	N	NNE	NE	ENE	E	ESE	SE	SSE	S	SSW	SW	WSW	W	WNW	NW	NNW	Total	
0-20	0.1	0.1	0.0	0.1	0.0	0.0	0.0	0.0	0.0	0.0	0.0	0.0	0.0	0.0	0.0	0.0	0.2	
20-40	0.3	0.3	0.1	0.2	0.0	0.0	0.0	0.0	0.0	0.0	0.0	0.0	0.0	0.0	0.1	0.1	1.0	
40-60	1.4	1.3	0.9	0.0	0.0	0.0	0.0	0.0	0.0	0.0	0.0	0.0	0.0	0.0	0.0	0.2	3.8	
60-80	5.3	4.7	1.3	0.0	0.0	0.0	0.0	0.0	0.0	0.0	0.0	0.0	0.0	0.0	0.2	1.2	12.6	
80-100	13.6	14.2	1.4	0.0	0.0	0.0	0.0	0.0	0.0	0.0	0.0	0.0	0.0	0.0	0.0	0.5	2.4	32.1
100-120	11.1	15.8	0.9	0.0	0.0	0.0	0.0	0.0	0.0	0.0	0.0	0.0	0.0	0.0	0.1	1.1	29.0	
120-140	4.4	11.5	0.6	0.0	0.0	0.0	0.0	0.0	0.0	0.0	0.0	0.0	0.0	0.0	0.0	0.0	16.5	
140-160	0.4	4.0	0.1	0.0	0.0	0.0	0.0	0.0	0.0	0.0	0.0	0.0	0.0	0.0	0.0	0.0	4.5	
160-180	0.0	0.2	0.0	0.0	0.0	0.0	0.0	0.0	0.0	0.0	0.0	0.0	0.0	0.0	0.0	0.0	0.2	
180-200	0.0	0.0	0.0	0.0	0.0	0.0	0.0	0.0	0.0	0.0	0.0	0.0	0.0	0.0	0.0	0.0	0.0	
Total	36.6	52.0	5.3	0.3	0.0	0.0	0.0	0.0	0.0	0.0	0.0	0.0	0.0	0.0	0.9	4.9	100.0	

Mean U and V : 21.7 (cm/s), 95.3 (cm/s)

Standard deviation of U and V : 23.6 (cm/s), 23.6 (cm/s)

Maximun speed and it's direction : 162.5 (cm/s), 16.0 (deg.)

Mean speed and direction : 97.8 (cm/s), 12.8 (deg.)

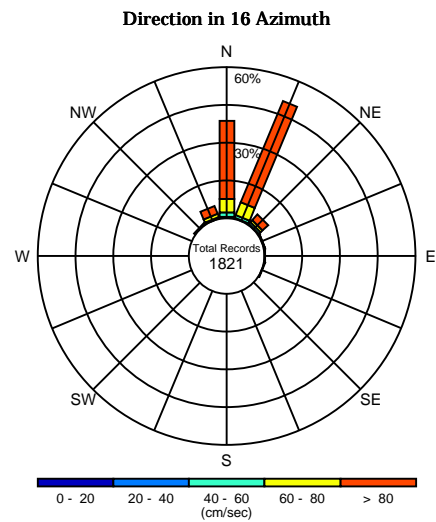
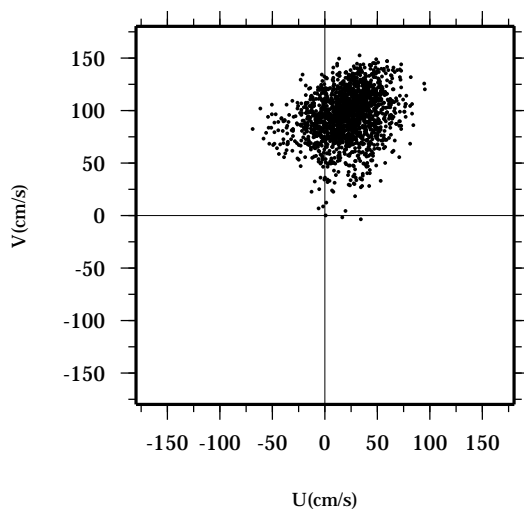
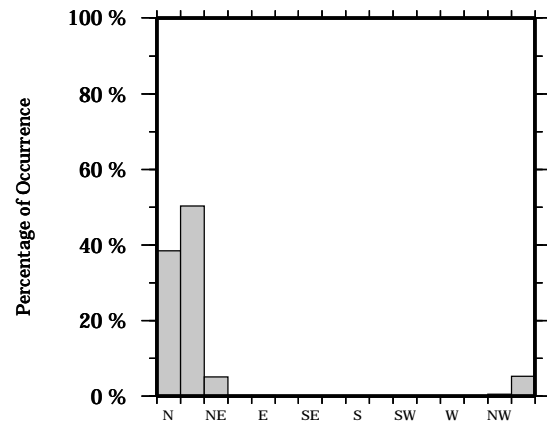
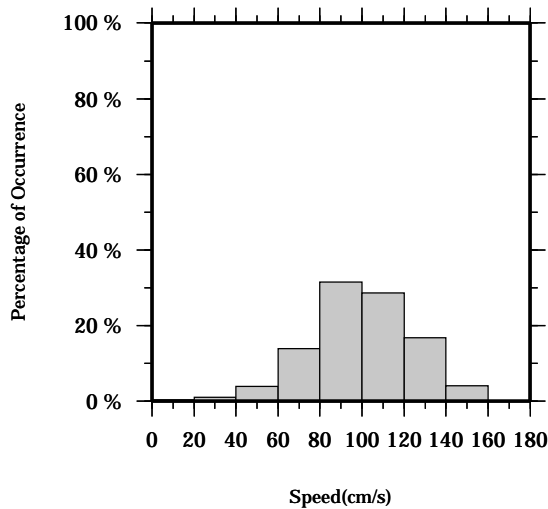
Speed scalar average : 100.5 (cm/s)

LON: 121° 24.6445' E

Station: W304

LAT: 22° 38.8994' N

Depth: 78 M



Joint probability distribution of current speed and it's direction

Speed	N	NNE	NE	ENE	E	ESE	SE	SSE	S	SSW	SW	WSW	W	WNW	NW	NNW	Total
0-20	0.1	0.0	0.0	0.1	0.1	0.1	0.0	0.0	0.0	0.0	0.0	0.0	0.0	0.0	0.1	0.1	0.3
20-40	0.3	0.2	0.1	0.1	0.1	0.0	0.0	0.0	0.0	0.0	0.0	0.0	0.0	0.0	0.0	0.2	0.9
40-60	1.7	1.0	0.9	0.1	0.0	0.0	0.0	0.0	0.0	0.0	0.0	0.0	0.0	0.0	0.0	0.2	3.9
60-80	5.5	5.5	1.1	0.1	0.0	0.0	0.0	0.0	0.0	0.0	0.0	0.0	0.0	0.0	0.2	1.5	13.8
80-100	14.9	12.7	1.3	0.0	0.0	0.0	0.0	0.0	0.0	0.0	0.0	0.0	0.0	0.0	0.3	2.4	31.5
100-120	10.8	15.9	1.0	0.0	0.0	0.0	0.0	0.0	0.0	0.0	0.0	0.0	0.0	0.0	0.1	0.9	28.6
120-140	4.9	11.3	0.7	0.0	0.0	0.0	0.0	0.0	0.0	0.0	0.0	0.0	0.0	0.0	0.0	0.0	16.8
140-160	0.3	3.6	0.1	0.0	0.0	0.0	0.0	0.0	0.0	0.0	0.0	0.0	0.0	0.0	0.0	0.0	4.0
160-180	0.0	0.1	0.0	0.0	0.0	0.0	0.0	0.0	0.0	0.0	0.0	0.0	0.0	0.0	0.0	0.0	0.1
180-200	0.0	0.0	0.0	0.0	0.0	0.0	0.0	0.0	0.0	0.0	0.0	0.0	0.0	0.0	0.0	0.0	0.0
Total	38.4	50.3	5.1	0.2	0.1	0.1	0.0	0.0	0.0	0.0	0.0	0.0	0.0	0.0	0.5	5.2	100.0

Mean U and V : 21.3 (cm/s), 94.5 (cm/s)

Standard deviation of U and V : 23.7 (cm/s), 23.5 (cm/s)

Maximun speed and it's direction : 161.2 (cm/s), 26.8 (deg.)

Mean speed and direction : 96.9 (cm/s), 12.7 (deg.)

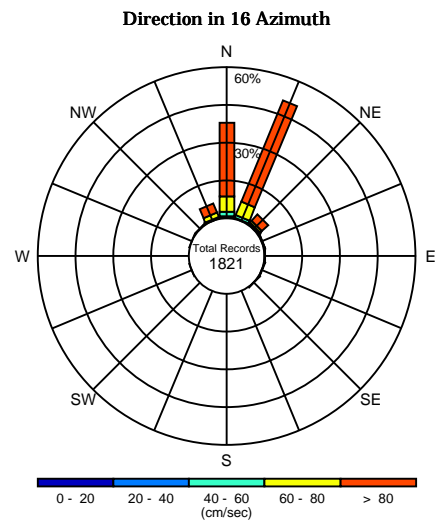
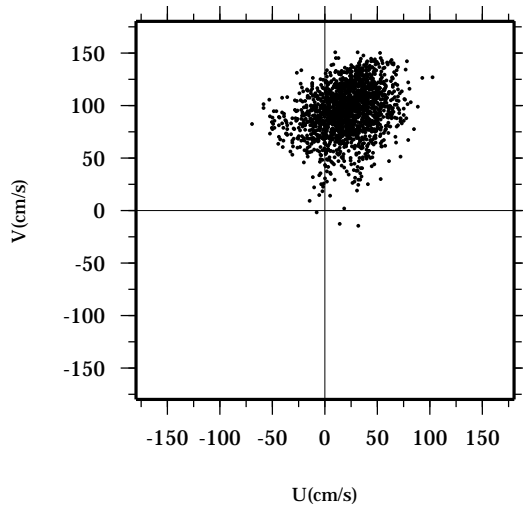
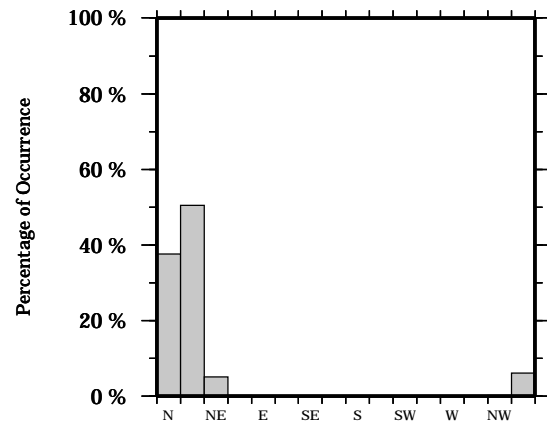
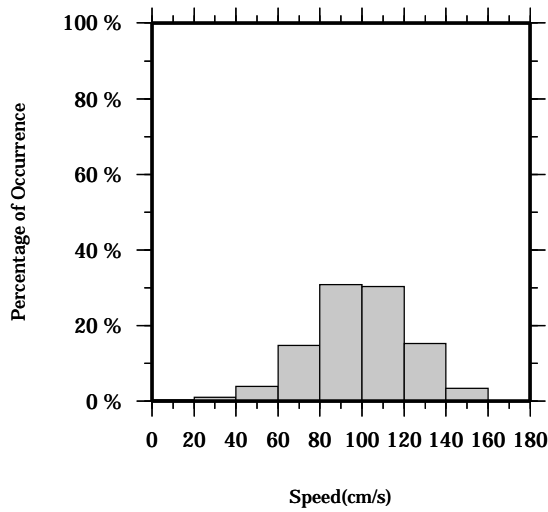
Speed scalar average : 99.7 (cm/s)

LON: 121° 24.6445' E

Station: W304

LAT: 22° 38.8994' N

Depth: 82 M



Joint probability distribution of current speed and it's direction

Speed	N	NNE	NE	ENE	E	ESE	SE	SSE	S	SSW	SW	WSW	W	WNW	NW	NNW	Total
0-20	0.1	0.1	0.0	0.0	0.1	0.0	0.1	0.0	0.0	0.0	0.0	0.1	0.0	0.1	0.0	0.1	0.4
20-40	0.5	0.1	0.2	0.1	0.0	0.1	0.0	0.0	0.0	0.0	0.0	0.0	0.0	0.0	0.0	0.1	1.0
40-60	1.7	1.2	0.7	0.1	0.0	0.0	0.0	0.0	0.0	0.0	0.0	0.0	0.0	0.0	0.0	0.4	4.0
60-80	6.2	5.7	1.0	0.1	0.0	0.0	0.0	0.0	0.0	0.0	0.0	0.0	0.0	0.0	0.1	1.7	14.7
80-100	13.7	12.9	1.3	0.0	0.0	0.0	0.0	0.0	0.0	0.0	0.0	0.0	0.0	0.0	0.1	2.9	30.8
100-120	10.8	17.1	1.5	0.0	0.0	0.0	0.0	0.0	0.0	0.0	0.0	0.0	0.0	0.0	0.1	0.9	30.3
120-140	4.4	10.4	0.4	0.0	0.0	0.0	0.0	0.0	0.0	0.0	0.0	0.0	0.0	0.0	0.0	0.1	15.3
140-160	0.2	3.1	0.1	0.0	0.0	0.0	0.0	0.0	0.0	0.0	0.0	0.0	0.0	0.0	0.0	0.0	3.5
160-180	0.0	0.1	0.1	0.0	0.0	0.0	0.0	0.0	0.0	0.0	0.0	0.0	0.0	0.0	0.0	0.0	0.1
180-200	0.0	0.0	0.0	0.0	0.0	0.0	0.0	0.0	0.0	0.0	0.0	0.0	0.0	0.0	0.0	0.0	0.0
Total	37.7	50.5	5.2	0.2	0.1	0.1	0.1	0.0	0.0	0.0	0.0	0.1	0.0	0.1	0.2	6.1	100.0

Mean U and V : 20.9 (cm/s), 93.7 (cm/s)

Standard deviation of U and V : 23.9 (cm/s), 23.4 (cm/s)

Maximun speed and it's direction : 163.0 (cm/s), 38.9 (deg.)

Mean speed and direction : 96.0 (cm/s), 12.6 (deg.)

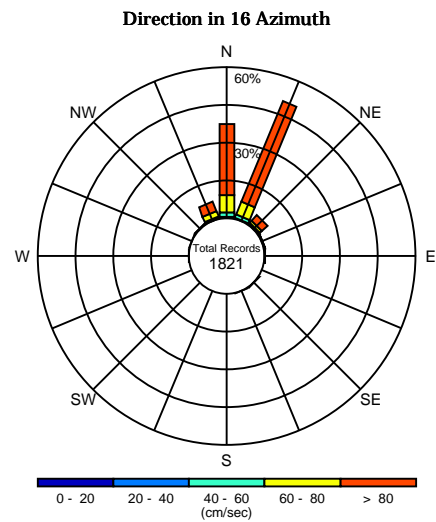
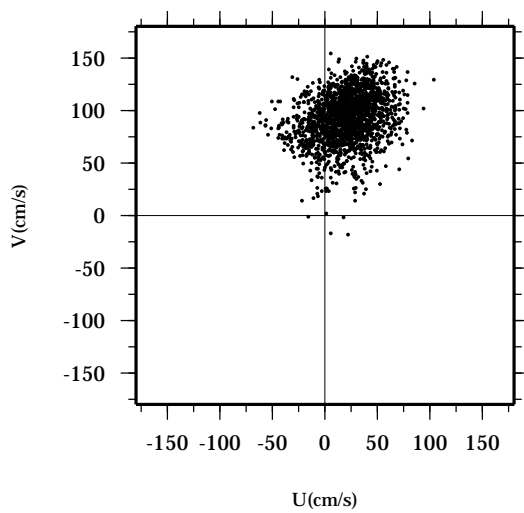
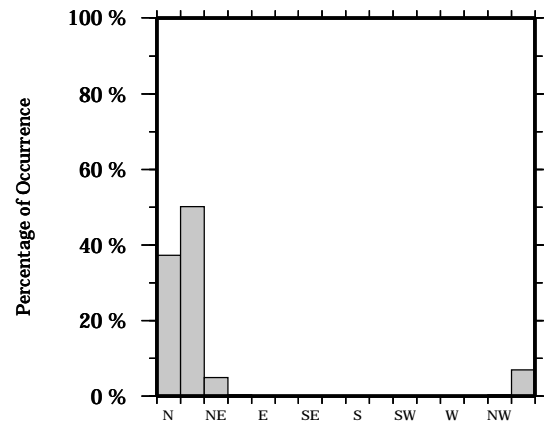
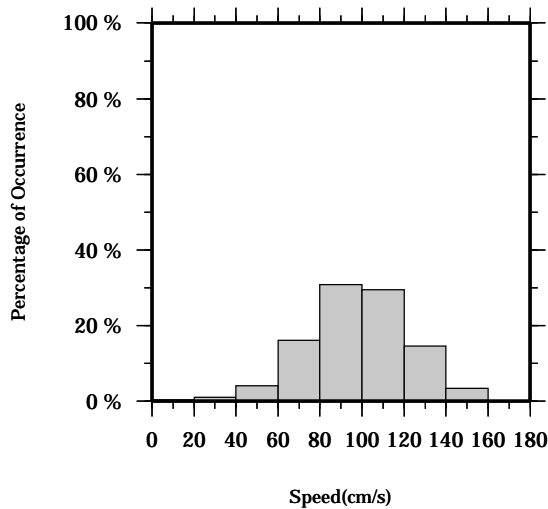
Speed scalar average : 98.8 (cm/s)

LON: 121° 24.6445' E

Station: W304

LAT: 22° 38.8994' N

Depth: 86 M



Joint probability distribution of current speed and it's direction

Speed	N	NNE	NE	ENE	E	ESE	SE	SSE	S	SSW	SW	WSW	W	WNW	NW	NNW	Total
0-20	0.0	0.1	0.0	0.0	0.1	0.0	0.0	0.1	0.0	0.0	0.0	0.0	0.1	0.0	0.1	0.1	0.3
20-40	0.4	0.1	0.2	0.1	0.0	0.0	0.1	0.0	0.0	0.0	0.0	0.0	0.0	0.1	0.0	0.2	1.1
40-60	1.6	1.4	0.5	0.1	0.0	0.0	0.0	0.0	0.0	0.0	0.0	0.0	0.0	0.0	0.0	0.3	4.1
60-80	7.0	5.5	1.1	0.1	0.0	0.0	0.0	0.0	0.0	0.0	0.0	0.0	0.0	0.0	0.0	2.4	16.1
80-100	12.7	14.0	1.1	0.1	0.0	0.0	0.0	0.0	0.0	0.0	0.0	0.0	0.0	0.0	0.1	3.0	30.9
100-120	11.1	16.0	1.4	0.0	0.0	0.0	0.0	0.0	0.0	0.0	0.0	0.0	0.0	0.0	0.2	0.8	29.5
120-140	4.0	10.0	0.4	0.0	0.0	0.0	0.0	0.0	0.0	0.0	0.0	0.0	0.0	0.0	0.0	0.1	14.6
140-160	0.3	3.0	0.1	0.0	0.0	0.0	0.0	0.0	0.0	0.0	0.0	0.0	0.0	0.0	0.0	0.0	3.4
160-180	0.0	0.0	0.1	0.0	0.0	0.0	0.0	0.0	0.0	0.0	0.0	0.0	0.0	0.0	0.0	0.0	0.1
180-200	0.0	0.0	0.0	0.0	0.0	0.0	0.0	0.0	0.0	0.0	0.0	0.0	0.0	0.0	0.0	0.0	0.0
Total	37.3	50.1	4.8	0.3	0.1	0.0	0.1	0.1	0.0	0.0	0.0	0.0	0.1	0.1	0.3	6.9	100.0

Mean U and V : 20.6 (cm/s), 92.8 (cm/s)

Standard deviation of U and V : 24.1 (cm/s), 23.5 (cm/s)

Maximun speed and it's direction : 165.6 (cm/s), 38.7 (deg.)

Mean speed and direction : 95.0 (cm/s), 12.5 (deg.)

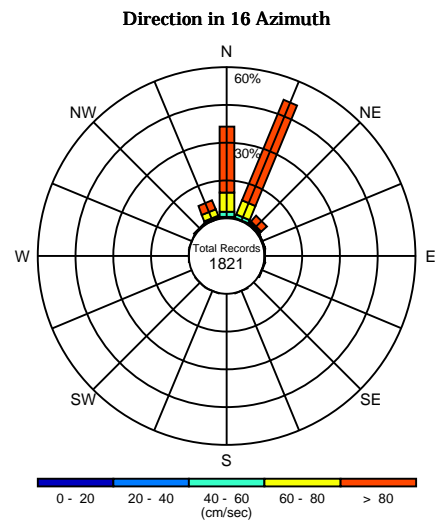
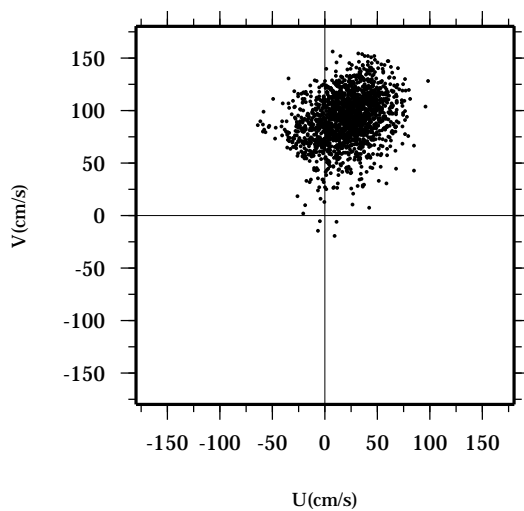
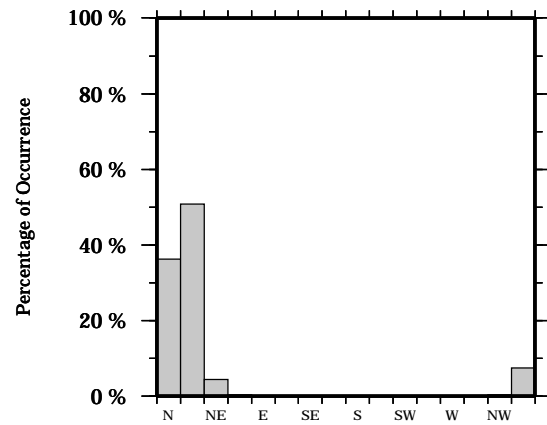
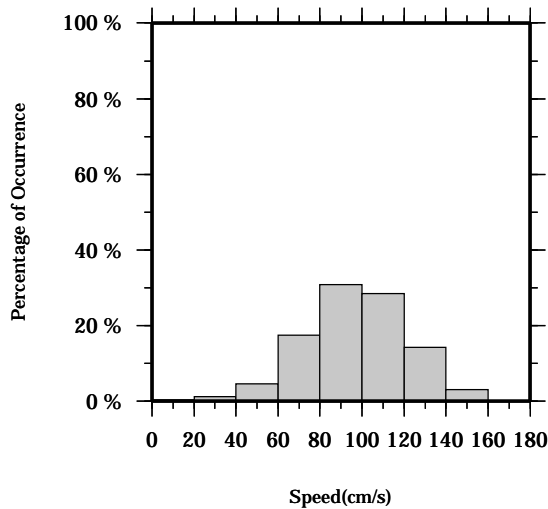
Speed scalar average : 97.9 (cm/s)

LON: 121° 24.6445' E

Station: W304

LAT: 22° 38.8994' N

Depth: 90 M



Joint probability distribution of current speed and it's direction

Speed	N	NNE	NE	ENE	E	ESE	SE	SSE	S	SSW	SW	WSW	W	WNW	NW	NNW	Total
0-20	0.1	0.0	0.0	0.0	0.0	0.1	0.0	0.0	0.0	0.1	0.1	0.0	0.0	0.0	0.0	0.1	0.3
20-40	0.4	0.2	0.1	0.1	0.0	0.0	0.0	0.1	0.0	0.0	0.0	0.0	0.1	0.1	0.1	0.3	1.3
40-60	1.9	1.4	0.5	0.0	0.1	0.0	0.0	0.0	0.0	0.0	0.0	0.0	0.0	0.0	0.0	0.7	4.6
60-80	7.6	6.0	0.8	0.1	0.0	0.0	0.0	0.0	0.0	0.0	0.0	0.0	0.0	0.0	0.0	2.9	17.4
80-100	11.8	15.1	1.0	0.1	0.0	0.0	0.0	0.0	0.0	0.0	0.0	0.0	0.0	0.0	0.2	2.6	30.8
100-120	10.5	15.5	1.4	0.0	0.0	0.0	0.0	0.0	0.0	0.0	0.0	0.0	0.0	0.0	0.2	0.8	28.4
120-140	3.6	9.9	0.5	0.0	0.0	0.0	0.0	0.0	0.0	0.0	0.0	0.0	0.0	0.0	0.0	0.2	14.2
140-160	0.4	2.7	0.1	0.0	0.0	0.0	0.0	0.0	0.0	0.0	0.0	0.0	0.0	0.0	0.0	0.0	3.1
160-180	0.0	0.0	0.1	0.0	0.0	0.0	0.0	0.0	0.0	0.0	0.0	0.0	0.0	0.0	0.0	0.0	0.1
180-200	0.0	0.0	0.0	0.0	0.0	0.0	0.0	0.0	0.0	0.0	0.0	0.0	0.0	0.0	0.0	0.0	0.0
Total	36.2	50.9	4.4	0.3	0.1	0.1	0.0	0.1	0.0	0.1	0.1	0.0	0.1	0.1	0.4	7.5	100.0

Mean U and V : 20.4 (cm/s), 91.8 (cm/s)

Standard deviation of U and V : 24.1 (cm/s), 23.8 (cm/s)

Maximun speed and it's direction : 161.2 (cm/s), 37.5 (deg.)

Mean speed and direction : 94.1 (cm/s), 12.5 (deg.)

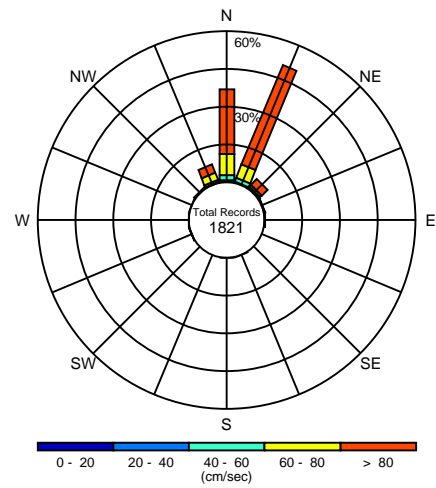
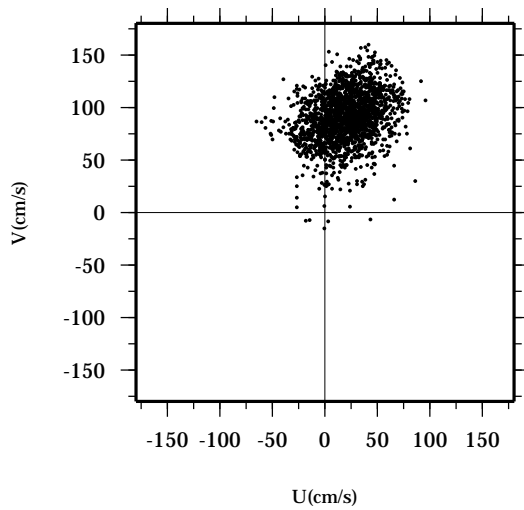
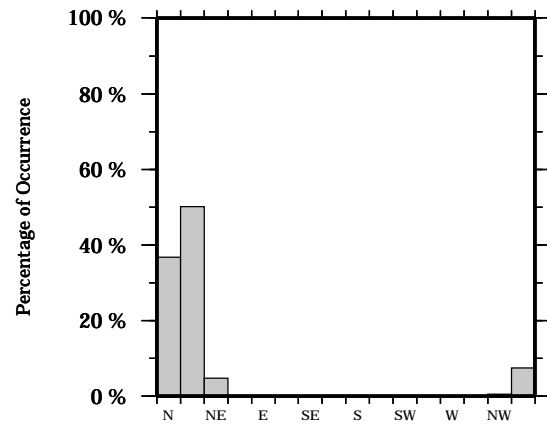
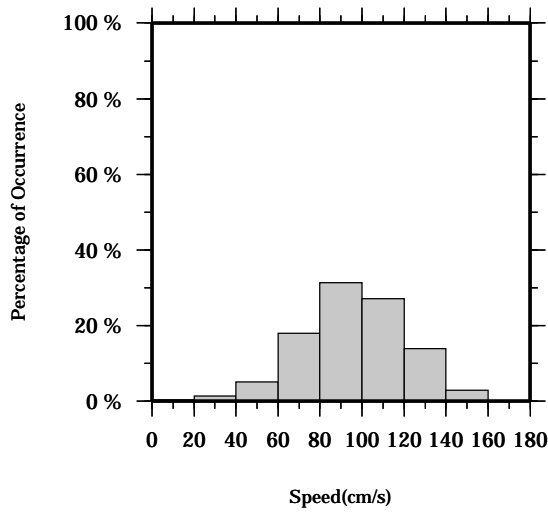
Speed scalar average : 97.0 (cm/s)

LON: 121° 24.6445' E

Station: W304

LAT: 22° 38.8994' N

Depth: 94 M



Joint probability distribution of current speed and it's direction

Speed	N	NNE	NE	ENE	E	ESE	SE	SSE	S	SSW	SW	WSW	W	WNW	NW	NNW	Total
0-20	0.1	0.0	0.0	0.0	0.0	0.0	0.0	0.1	0.1	0.0	0.0	0.1	0.0	0.0	0.0	0.0	0.3
20-40	0.6	0.3	0.1	0.1	0.0	0.0	0.0	0.0	0.0	0.0	0.0	0.1	0.1	0.1	0.1	0.1	1.4
40-60	1.9	1.5	0.5	0.0	0.1	0.0	0.0	0.0	0.0	0.0	0.0	0.0	0.0	0.0	0.1	1.0	5.1
60-80	8.3	5.7	0.9	0.0	0.1	0.0	0.0	0.0	0.0	0.0	0.0	0.0	0.0	0.0	0.0	3.0	18.0
80-100	11.6	15.7	1.4	0.1	0.0	0.0	0.0	0.0	0.0	0.0	0.0	0.0	0.0	0.0	0.2	2.3	31.3
100-120	10.2	14.8	1.0	0.0	0.0	0.0	0.0	0.0	0.0	0.0	0.0	0.0	0.0	0.0	0.1	0.9	27.1
120-140	3.5	9.6	0.7	0.0	0.0	0.0	0.0	0.0	0.0	0.0	0.0	0.0	0.0	0.0	0.0	0.2	13.9
140-160	0.4	2.4	0.1	0.0	0.0	0.0	0.0	0.0	0.0	0.0	0.0	0.0	0.0	0.0	0.0	0.0	2.9
160-180	0.0	0.2	0.0	0.0	0.0	0.0	0.0	0.0	0.0	0.0	0.0	0.0	0.0	0.0	0.0	0.0	0.2
180-200	0.0	0.0	0.0	0.0	0.0	0.0	0.0	0.0	0.0	0.0	0.0	0.0	0.0	0.0	0.0	0.0	0.0
Total	36.7	50.1	4.7	0.1	0.1	0.0	0.0	0.1	0.1	0.0	0.0	0.1	0.1	0.1	0.4	7.5	100.0

Mean U and V : 20.3 (cm/s), 90.9 (cm/s)

Standard deviation of U and V : 24.1 (cm/s), 24.1 (cm/s)

Maximun speed and it's direction : 164.6 (cm/s), 14.5 (deg.)

Mean speed and direction : 93.1 (cm/s), 12.6 (deg.)

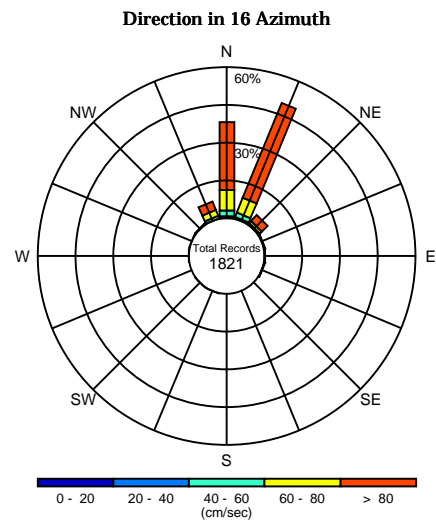
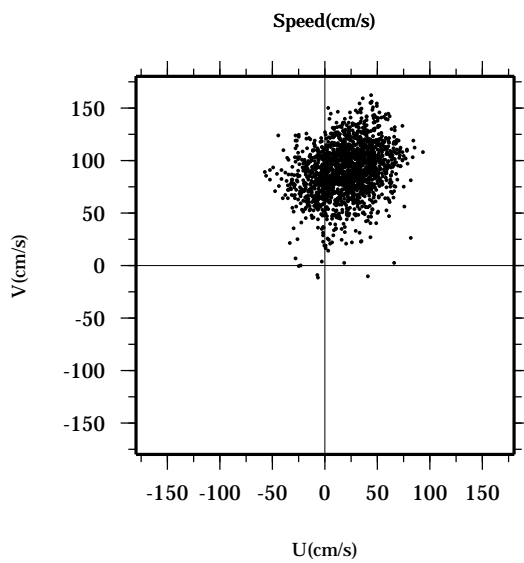
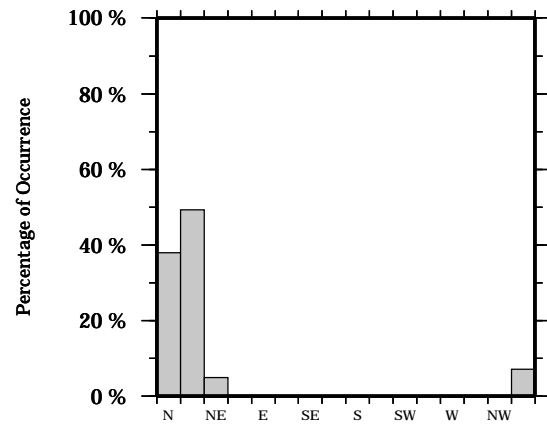
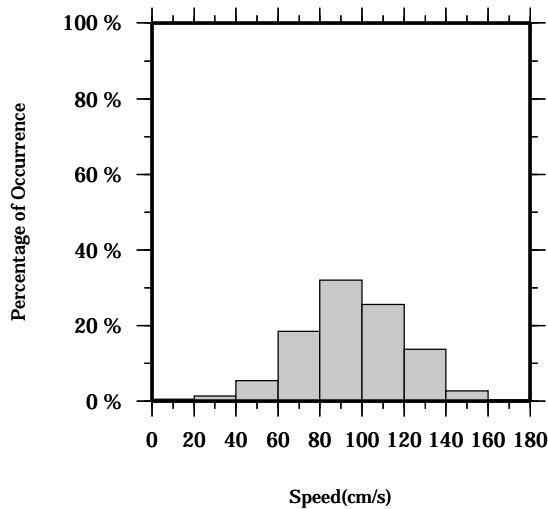
Speed scalar average : 96.1 (cm/s)

LON: 121° 24.6445' E

Station: W304

LAT: 22° 38.8994' N

Depth: 98 M



Joint probability distribution of current speed and it's direction

Speed	N	NNE	NE	ENE	E	ESE	SE	SSE	S	SSW	SW	WSW	W	WNW	NW	NNW	Total
0-20	0.2	0.1	0.0	0.0	0.1	0.0	0.0	0.0	0.0	0.1	0.1	0.0	0.0	0.0	0.1	0.0	0.4
20-40	0.5	0.5	0.1	0.0	0.0	0.0	0.0	0.0	0.0	0.0	0.0	0.0	0.1	0.1	0.1	0.0	1.4
40-60	2.1	1.8	0.3	0.2	0.0	0.1	0.0	0.0	0.0	0.0	0.0	0.0	0.0	0.0	0.1	0.9	5.4
60-80	8.3	6.4	1.2	0.0	0.1	0.0	0.0	0.0	0.0	0.0	0.0	0.0	0.0	0.0	0.0	2.5	18.5
80-100	12.5	15.7	1.4	0.1	0.0	0.0	0.0	0.0	0.0	0.0	0.0	0.0	0.0	0.0	0.1	2.4	32.0
100-120	10.2	13.3	1.1	0.0	0.0	0.0	0.0	0.0	0.0	0.0	0.0	0.0	0.0	0.0	0.0	0.9	25.5
120-140	3.7	9.1	0.6	0.0	0.0	0.0	0.0	0.0	0.0	0.0	0.0	0.0	0.0	0.0	0.0	0.3	13.7
140-160	0.4	2.1	0.2	0.0	0.0	0.0	0.0	0.0	0.0	0.0	0.0	0.0	0.0	0.0	0.0	0.0	2.7
160-180	0.0	0.3	0.0	0.0	0.0	0.0	0.0	0.0	0.0	0.0	0.0	0.0	0.0	0.0	0.0	0.0	0.3
180-200	0.0	0.0	0.0	0.0	0.0	0.0	0.0	0.0	0.0	0.0	0.0	0.0	0.0	0.0	0.0	0.0	0.0
Total	37.9	49.3	4.8	0.2	0.1	0.1	0.0	0.0	0.0	0.1	0.1	0.0	0.1	0.1	0.2	7.0	100.0

Mean U and V : 20.2 (cm/s), 89.9 (cm/s)

Standard deviation of U and V : 24.2 (cm/s), 24.3 (cm/s)

Maximun speed and it's direction : 167.7 (cm/s), 15.1 (deg.)

Mean speed and direction : 92.1 (cm/s), 12.7 (deg.)

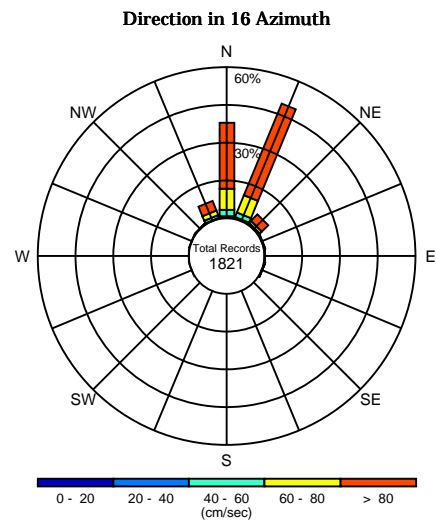
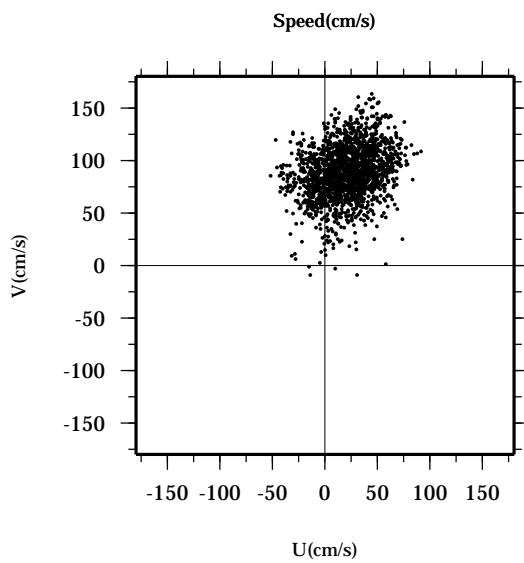
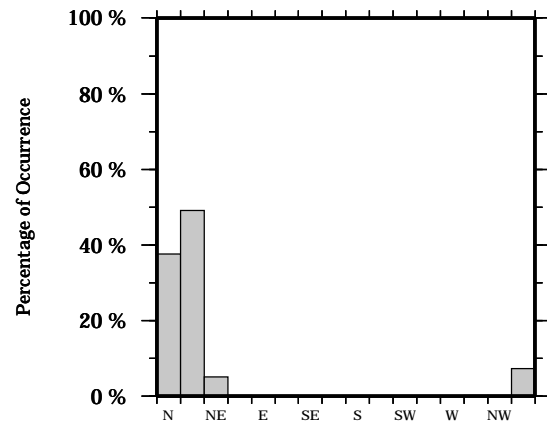
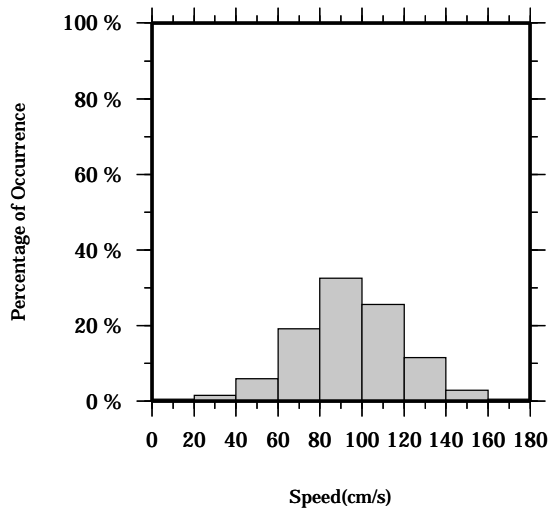
Speed scalar average : 95.1 (cm/s)

LON: 121° 24.6445' E

Station: W304

LAT: 22° 38.8994' N

Depth: 102 M



Joint probability distribution of current speed and it's direction

Speed	N	NNE	NE	ENE	E	ESE	SE	SSE	S	SSW	SW	WSW	W	WNW	NW	NNW	Total
0-20	0.1	0.1	0.0	0.0	0.0	0.1	0.0	0.0	0.0	0.0	0.0	0.1	0.1	0.1	0.0	0.1	0.4
20-40	0.6	0.5	0.1	0.1	0.0	0.1	0.0	0.0	0.0	0.0	0.0	0.0	0.0	0.2	0.1	0.1	1.6
40-60	2.5	1.9	0.3	0.1	0.1	0.0	0.0	0.0	0.0	0.0	0.0	0.0	0.0	0.0	0.1	1.1	6.0
60-80	8.4	7.4	1.2	0.1	0.0	0.0	0.0	0.0	0.0	0.0	0.0	0.0	0.0	0.0	0.1	2.1	19.2
80-100	13.0	15.5	1.3	0.0	0.0	0.0	0.0	0.0	0.0	0.0	0.0	0.0	0.0	0.0	0.0	2.6	32.5
100-120	9.7	13.3	1.3	0.0	0.0	0.0	0.0	0.0	0.0	0.0	0.0	0.0	0.0	0.0	0.0	1.2	25.5
120-140	2.9	7.6	0.7	0.0	0.0	0.0	0.0	0.0	0.0	0.0	0.0	0.0	0.0	0.0	0.0	0.2	11.5
140-160	0.4	2.4	0.1	0.0	0.0	0.0	0.0	0.0	0.0	0.0	0.0	0.0	0.0	0.0	0.0	0.0	2.9
160-180	0.1	0.4	0.0	0.0	0.0	0.0	0.0	0.0	0.0	0.0	0.0	0.0	0.0	0.0	0.0	0.0	0.4
180-200	0.0	0.0	0.0	0.0	0.0	0.0	0.0	0.0	0.0	0.0	0.0	0.0	0.0	0.0	0.0	0.0	0.0
Total	37.7	49.1	5.1	0.2	0.1	0.1	0.0	0.0	0.0	0.0	0.0	0.1	0.1	0.2	0.2	7.2	100.0

Mean U and V : 20.0 (cm/s), 88.8 (cm/s)

Standard deviation of U and V : 24.3 (cm/s), 24.6 (cm/s)

Maximun speed and it's direction : 168.9 (cm/s), 15.1 (deg.)

Mean speed and direction : 91.0 (cm/s), 12.7 (deg.)

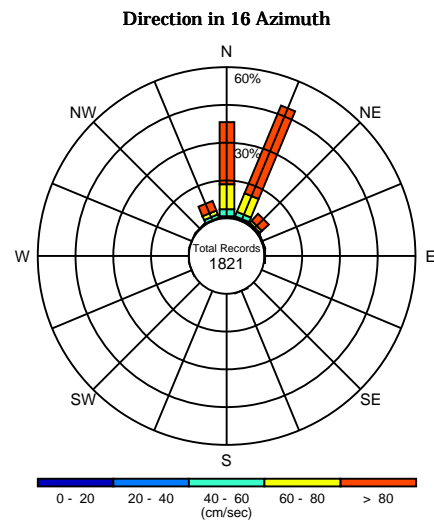
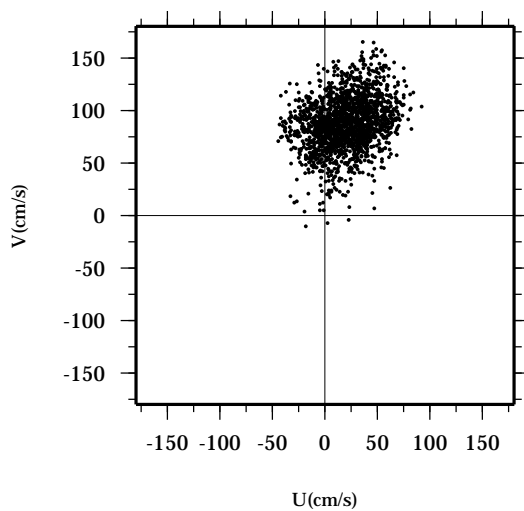
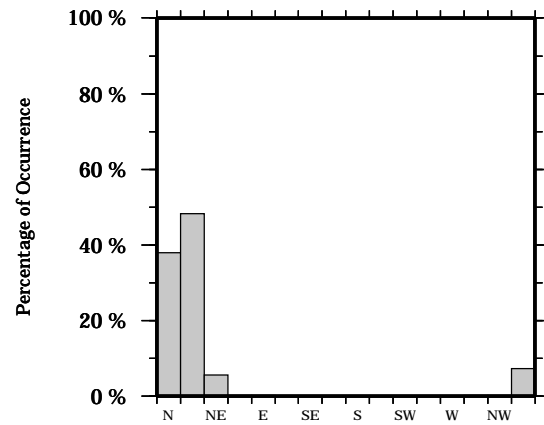
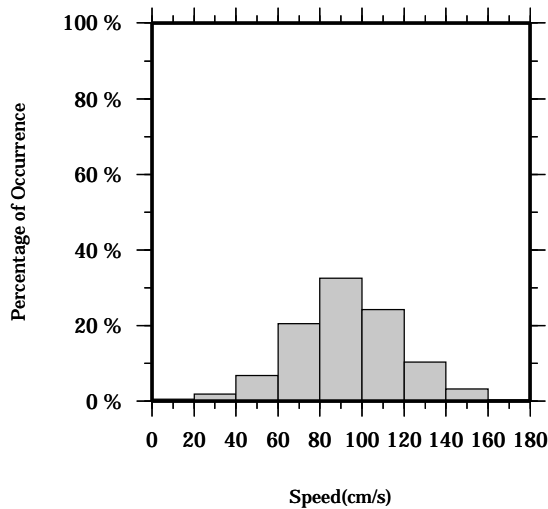
Speed scalar average : 94.0 (cm/s)

LON: 121° 24.6445' E

Station: W304

LAT: 22° 38.8994' N

Depth: 106 M



Joint probability distribution of current speed and it's direction

Speed	N	NNE	NE	ENE	E	ESE	SE	SSE	S	SSW	SW	WSW	W	WNW	NW	NNW	Total
0-20	0.2	0.1	0.0	0.0	0.0	0.0	0.0	0.1	0.0	0.0	0.0	0.0	0.1	0.0	0.1	0.1	0.5
20-40	0.5	0.7	0.2	0.1	0.1	0.0	0.0	0.0	0.0	0.0	0.0	0.1	0.0	0.2	0.1	0.0	1.9
40-60	2.7	2.0	0.4	0.1	0.1	0.0	0.0	0.0	0.0	0.0	0.0	0.0	0.0	0.0	0.1	1.4	6.7
60-80	9.8	7.9	1.1	0.1	0.0	0.0	0.0	0.0	0.0	0.0	0.0	0.0	0.0	0.0	0.0	1.6	20.4
80-100	13.0	14.7	1.5	0.0	0.0	0.0	0.0	0.0	0.0	0.0	0.0	0.0	0.0	0.0	0.0	3.2	32.5
100-120	8.6	13.0	1.7	0.0	0.0	0.0	0.0	0.0	0.0	0.0	0.0	0.0	0.0	0.0	0.0	0.8	24.2
120-140	2.6	7.0	0.5	0.0	0.0	0.0	0.0	0.0	0.0	0.0	0.0	0.0	0.0	0.0	0.0	0.2	10.3
140-160	0.5	2.5	0.1	0.0	0.0	0.0	0.0	0.0	0.0	0.0	0.0	0.0	0.0	0.0	0.0	0.0	3.2
160-180	0.0	0.4	0.0	0.0	0.0	0.0	0.0	0.0	0.0	0.0	0.0	0.0	0.0	0.0	0.0	0.0	0.4
180-200	0.0	0.0	0.0	0.0	0.0	0.0	0.0	0.0	0.0	0.0	0.0	0.0	0.0	0.0	0.0	0.0	0.0
Total	38.0	48.3	5.6	0.2	0.1	0.0	0.0	0.1	0.0	0.0	0.0	0.1	0.1	0.2	0.2	7.4	100.0

Mean U and V : 19.8 (cm/s), 87.6 (cm/s)

Standard deviation of U and V : 24.4 (cm/s), 24.8 (cm/s)

Maximun speed and it's direction : 170.4 (cm/s), 15.6 (deg.)

Mean speed and direction : 89.8 (cm/s), 12.8 (deg.)

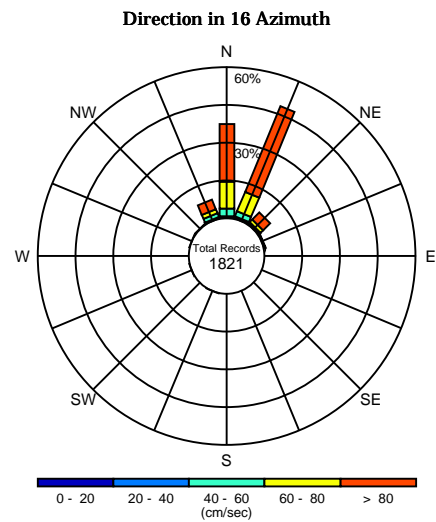
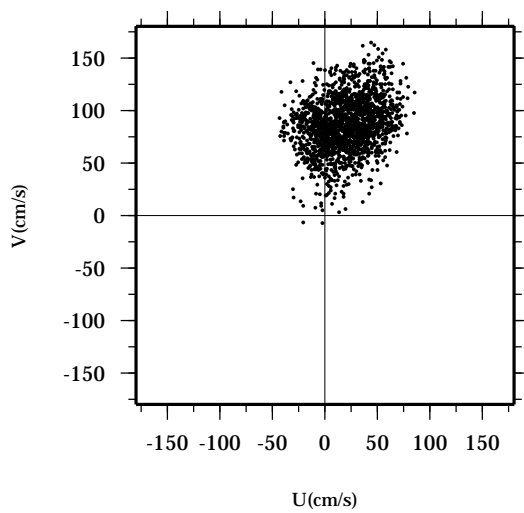
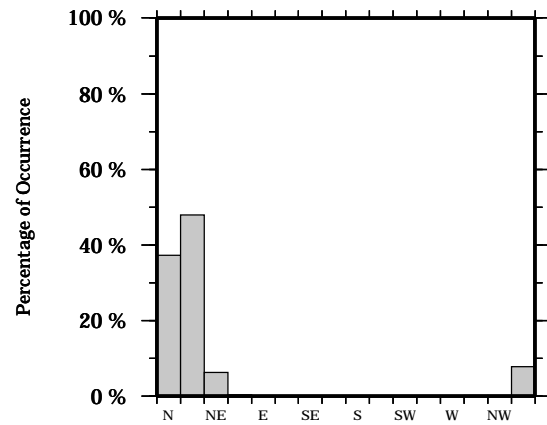
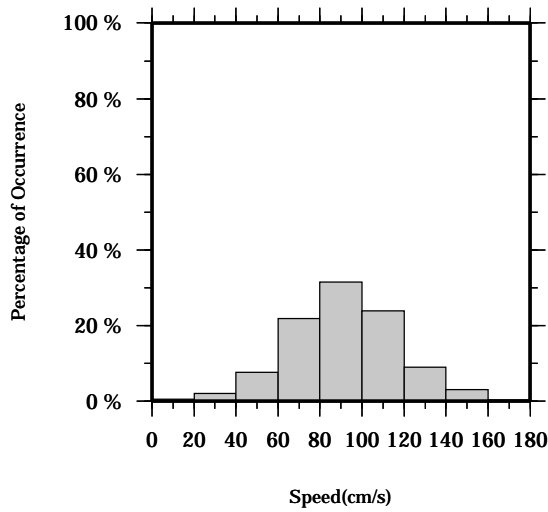
Speed scalar average : 92.8 (cm/s)

LON: 121° 24.6445' E

Station: W304

LAT: 22° 38.8994' N

Depth: 110 M



Joint probability distribution of current speed and it's direction

Speed	N	NNE	NE	ENE	E	ESE	SE	SSE	S	SSW	SW	WSW	W	WNW	NW	NNW	Total
0-20	0.1	0.1	0.0	0.1	0.0	0.0	0.0	0.0	0.0	0.1	0.0	0.0	0.0	0.0	0.1	0.2	0.5
20-40	0.7	0.5	0.3	0.1	0.0	0.0	0.0	0.0	0.0	0.0	0.0	0.1	0.0	0.2	0.1	0.3	2.1
40-60	3.0	2.3	0.6	0.1	0.0	0.0	0.0	0.0	0.0	0.0	0.0	0.0	0.0	0.0	0.0	1.6	7.6
60-80	10.5	8.3	1.3	0.1	0.0	0.0	0.0	0.0	0.0	0.0	0.0	0.0	0.0	0.0	0.0	1.7	21.9
80-100	12.4	14.2	1.7	0.0	0.0	0.0	0.0	0.0	0.0	0.0	0.0	0.0	0.0	0.0	0.0	3.3	31.6
100-120	7.4	13.9	1.9	0.0	0.0	0.0	0.0	0.0	0.0	0.0	0.0	0.0	0.0	0.0	0.0	0.6	23.8
120-140	2.7	5.7	0.4	0.0	0.0	0.0	0.0	0.0	0.0	0.0	0.0	0.0	0.0	0.0	0.0	0.2	9.0
140-160	0.4	2.6	0.1	0.0	0.0	0.0	0.0	0.0	0.0	0.0	0.0	0.0	0.0	0.0	0.0	0.0	3.1
160-180	0.0	0.4	0.0	0.0	0.0	0.0	0.0	0.0	0.0	0.0	0.0	0.0	0.0	0.0	0.0	0.0	0.4
180-200	0.0	0.0	0.0	0.0	0.0	0.0	0.0	0.0	0.0	0.0	0.0	0.0	0.0	0.0	0.0	0.0	0.0
Total	37.2	47.9	6.3	0.3	0.0	0.0	0.0	0.0	0.0	0.1	0.0	0.1	0.0	0.2	0.1	7.9	100.0

Mean U and V : 19.7 (cm/s), 86.3 (cm/s)

Standard deviation of U and V : 24.4 (cm/s), 25.0 (cm/s)

Maximun speed and it's direction : 170.0 (cm/s), 14.8 (deg.)

Mean speed and direction : 88.5 (cm/s), 12.9 (deg.)

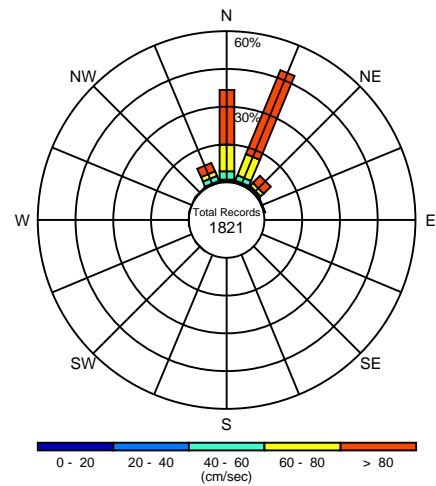
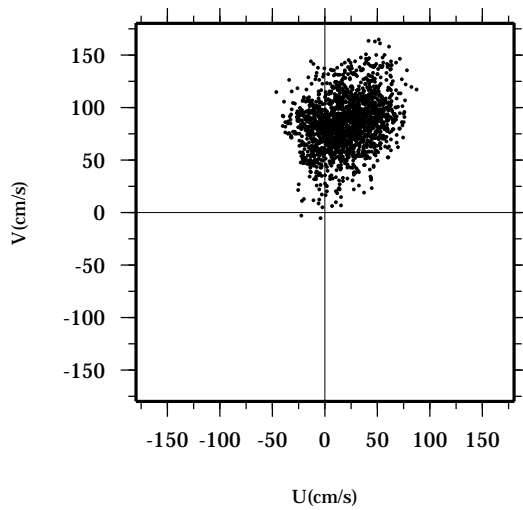
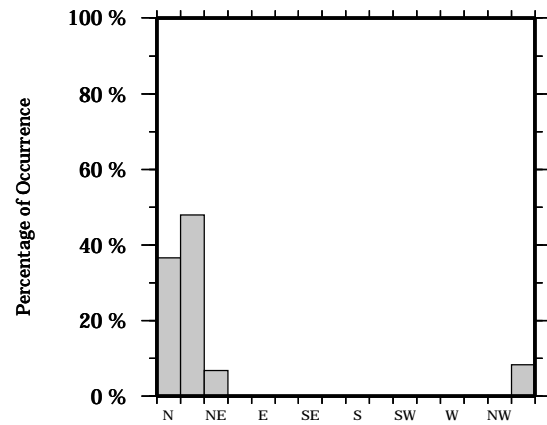
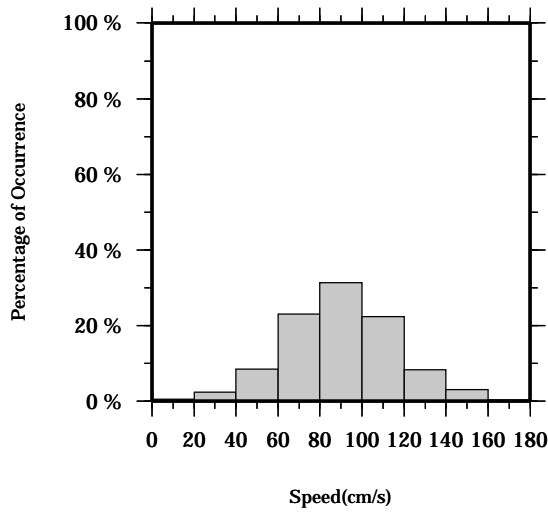
Speed scalar average : 91.6 (cm/s)

LON: 121° 24.6445' E

Station: W304

LAT: 22° 38.8994' N

Depth: 114 M



Joint probability distribution of current speed and it's direction

Speed	N	NNE	NE	ENE	E	ESE	SE	SSE	S	SSW	SW	WSW	W	WNW	NW	NNW	Total
0-20	0.1	0.0	0.1	0.1	0.0	0.0	0.0	0.0	0.0	0.0	0.1	0.0	0.0	0.0	0.1	0.1	0.5
20-40	0.8	0.7	0.2	0.0	0.0	0.0	0.0	0.0	0.0	0.0	0.0	0.0	0.1	0.1	0.1	0.4	2.3
40-60	3.2	2.3	0.8	0.1	0.0	0.0	0.0	0.0	0.0	0.0	0.0	0.0	0.0	0.0	0.0	2.0	8.5
60-80	10.4	9.1	1.6	0.0	0.0	0.0	0.0	0.0	0.0	0.0	0.0	0.0	0.0	0.0	0.0	1.9	23.1
80-100	12.6	13.6	2.1	0.0	0.0	0.0	0.0	0.0	0.0	0.0	0.0	0.0	0.0	0.0	0.0	3.1	31.4
100-120	6.3	14.2	1.4	0.0	0.0	0.0	0.0	0.0	0.0	0.0	0.0	0.0	0.0	0.0	0.0	0.5	22.4
120-140	2.7	5.1	0.4	0.0	0.0	0.0	0.0	0.0	0.0	0.0	0.0	0.0	0.0	0.0	0.0	0.2	8.3
140-160	0.4	2.6	0.1	0.0	0.0	0.0	0.0	0.0	0.0	0.0	0.0	0.0	0.0	0.0	0.0	0.0	3.1
160-180	0.0	0.4	0.0	0.0	0.0	0.0	0.0	0.0	0.0	0.0	0.0	0.0	0.0	0.0	0.0	0.0	0.4
180-200	0.0	0.0	0.0	0.0	0.0	0.0	0.0	0.0	0.0	0.0	0.0	0.0	0.0	0.0	0.0	0.0	0.0
Total	36.5	47.9	6.7	0.2	0.0	0.0	0.0	0.0	0.0	0.0	0.1	0.0	0.1	0.1	0.2	8.2	100.0

Mean U and V : 19.7 (cm/s), 85.0 (cm/s)

Standard deviation of U and V : 24.3 (cm/s), 25.0 (cm/s)

Maximun speed and it's direction : 172.0 (cm/s), 17.3 (deg.)

Mean speed and direction : 87.2 (cm/s), 13.0 (deg.)

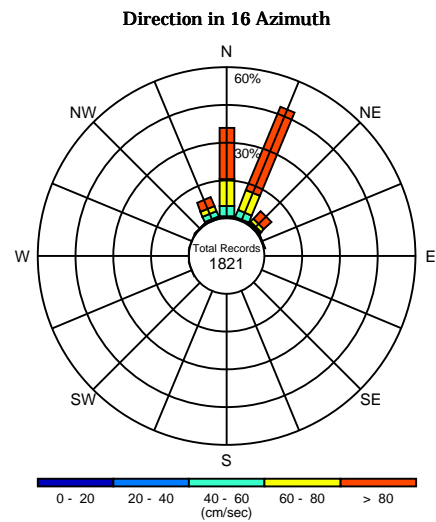
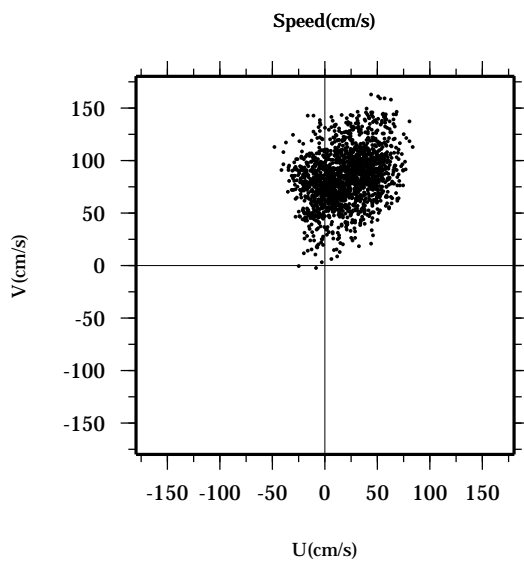
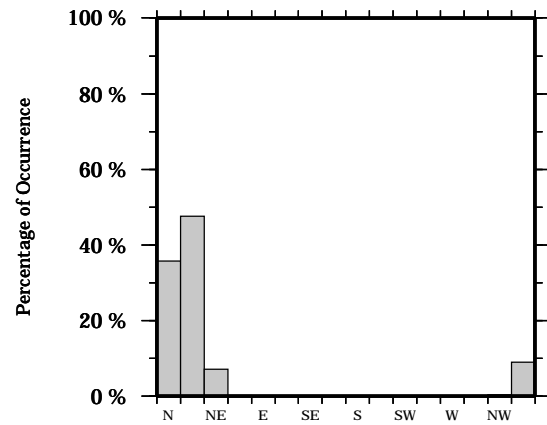
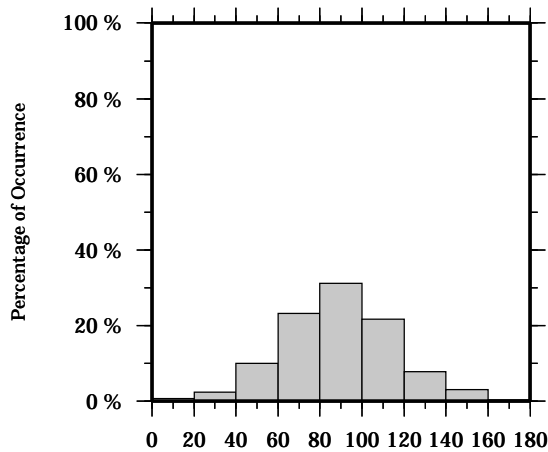
Speed scalar average : 90.3 (cm/s)

LON: 121° 24.6445' E

Station: W304

LAT: 22° 38.8994' N

Depth: 118 M



Joint probability distribution of current speed and it's direction

Speed	N	NNE	NE	ENE	E	ESE	SE	SSE	S	SSW	SW	WSW	W	WNW	NW	NNW	Total
0-20	0.1	0.1	0.2	0.0	0.0	0.0	0.0	0.0	0.0	0.0	0.0	0.1	0.0	0.0	0.1	0.2	0.7
20-40	0.7	0.5	0.3	0.1	0.0	0.0	0.0	0.0	0.0	0.0	0.0	0.0	0.1	0.1	0.2	0.5	2.3
40-60	4.0	3.0	0.7	0.1	0.0	0.0	0.0	0.0	0.0	0.0	0.0	0.0	0.0	0.0	0.0	2.3	10.0
60-80	10.8	8.5	1.6	0.0	0.0	0.0	0.0	0.0	0.0	0.0	0.0	0.0	0.0	0.0	0.0	2.2	23.2
80-100	11.9	13.9	2.3	0.0	0.0	0.0	0.0	0.0	0.0	0.0	0.0	0.0	0.0	0.0	0.0	2.9	31.1
100-120	5.3	14.2	1.6	0.0	0.0	0.0	0.0	0.0	0.0	0.0	0.0	0.0	0.0	0.0	0.0	0.6	21.7
120-140	2.7	4.6	0.3	0.0	0.0	0.0	0.0	0.0	0.0	0.0	0.0	0.0	0.0	0.0	0.0	0.2	7.7
140-160	0.4	2.6	0.1	0.0	0.0	0.0	0.0	0.0	0.0	0.0	0.0	0.0	0.0	0.0	0.0	0.0	3.0
160-180	0.0	0.3	0.0	0.0	0.0	0.0	0.0	0.0	0.0	0.0	0.0	0.0	0.0	0.0	0.0	0.0	0.3
180-200	0.0	0.0	0.0	0.0	0.0	0.0	0.0	0.0	0.0	0.0	0.0	0.0	0.0	0.0	0.0	0.0	0.0
Total	35.8	47.7	7.0	0.2	0.0	0.0	0.0	0.0	0.0	0.0	0.0	0.1	0.1	0.1	0.3	8.9	100.0

Mean U and V : 19.6 (cm/s), 83.5 (cm/s)

Standard deviation of U and V : 24.2 (cm/s), 25.1 (cm/s)

Maximun speed and it's direction : 169.8 (cm/s), 21.7 (deg.)

Mean speed and direction : 85.8 (cm/s), 13.2 (deg.)

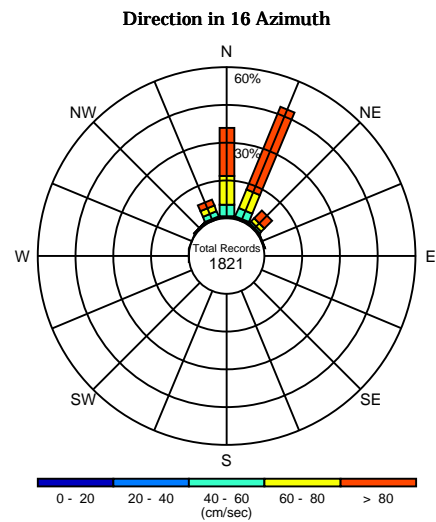
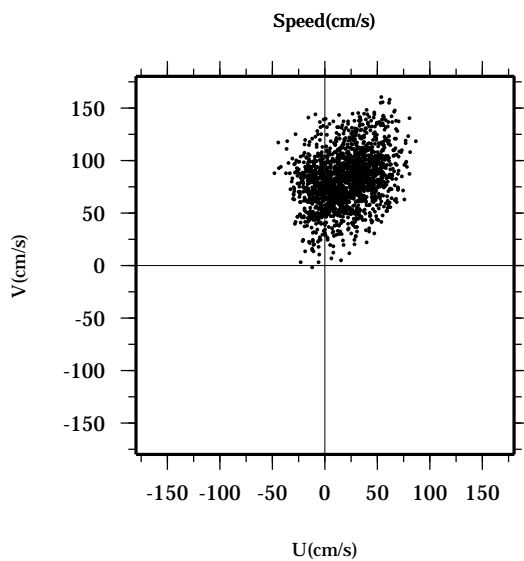
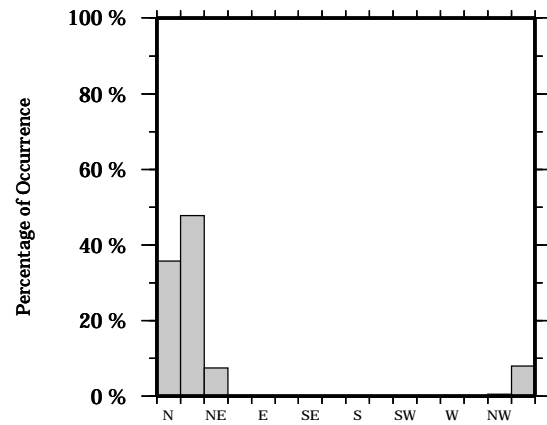
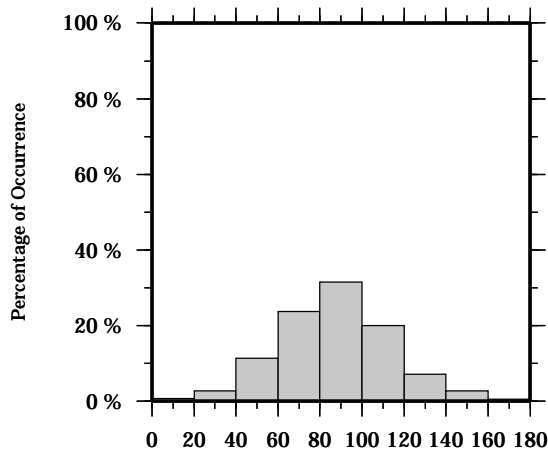
Speed scalar average : 88.9 (cm/s)

LON: 121° 24.6445' E

Station: W304

LAT: 22° 38.8994' N

Depth: 122 M



Joint probability distribution of current speed and it's direction

Speed	N	NNE	NE	ENE	E	ESE	SE	SSE	S	SSW	SW	WSW	W	WNW	NW	NNW	Total
0-20	0.0	0.2	0.1	0.1	0.0	0.0	0.0	0.0	0.0	0.0	0.0	0.0	0.1	0.1	0.1	0.1	0.6
20-40	0.8	0.6	0.3	0.1	0.0	0.0	0.0	0.0	0.0	0.0	0.0	0.0	0.1	0.0	0.3	0.6	2.7
40-60	4.5	3.6	0.9	0.1	0.0	0.0	0.0	0.0	0.0	0.0	0.0	0.0	0.0	0.0	0.1	2.1	11.3
60-80	11.3	8.0	1.9	0.0	0.0	0.0	0.0	0.0	0.0	0.0	0.0	0.0	0.0	0.0	0.0	2.5	23.7
80-100	12.3	14.7	2.6	0.0	0.0	0.0	0.0	0.0	0.0	0.0	0.0	0.0	0.0	0.0	0.0	1.9	31.5
100-120	4.7	13.3	1.3	0.0	0.0	0.0	0.0	0.0	0.0	0.0	0.0	0.0	0.0	0.0	0.0	0.7	20.0
120-140	2.0	4.6	0.4	0.0	0.0	0.0	0.0	0.0	0.0	0.0	0.0	0.0	0.0	0.0	0.0	0.2	7.1
140-160	0.2	2.4	0.1	0.0	0.0	0.0	0.0	0.0	0.0	0.0	0.0	0.0	0.0	0.0	0.0	0.0	2.6
160-180	0.0	0.4	0.0	0.0	0.0	0.0	0.0	0.0	0.0	0.0	0.0	0.0	0.0	0.0	0.0	0.0	0.4
180-200	0.0	0.0	0.0	0.0	0.0	0.0	0.0	0.0	0.0	0.0	0.0	0.0	0.0	0.0	0.0	0.0	0.0
Total	35.8	47.8	7.5	0.2	0.0	0.0	0.0	0.0	0.0	0.0	0.0	0.0	0.1	0.1	0.5	8.0	100.0

Mean U and V : 19.6 (cm/s), 82.0 (cm/s)

Standard deviation of U and V : 24.1 (cm/s), 25.2 (cm/s)

Maximun speed and it's direction : 169.4 (cm/s), 21.3 (deg.)

Mean speed and direction : 84.3 (cm/s), 13.4 (deg.)

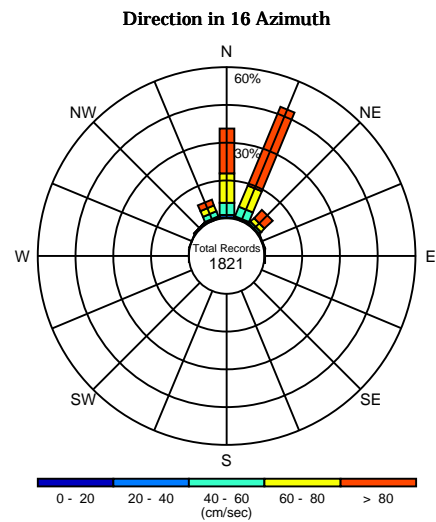
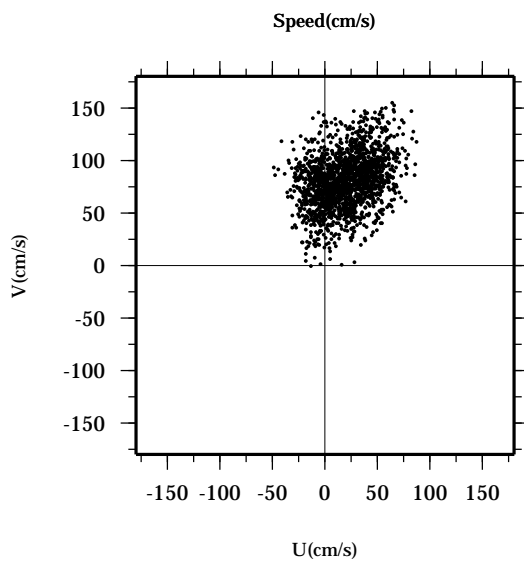
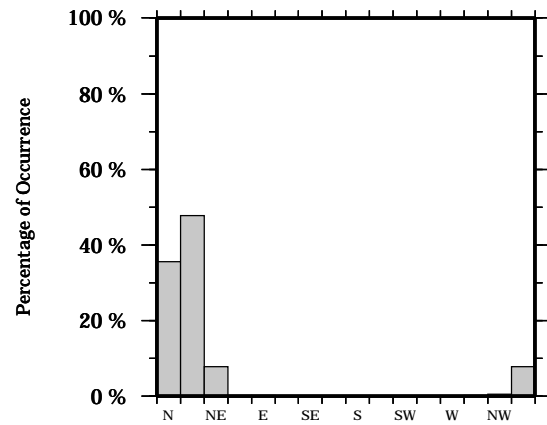
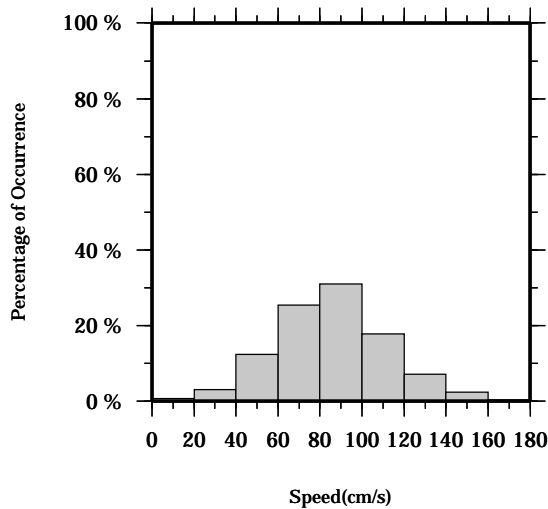
Speed scalar average : 87.4 (cm/s)

LON: 121° 24.6445' E

Station: W304

LAT: 22° 38.8994' N

Depth: 126 M



Joint probability distribution of current speed and it's direction

Speed	N	NNE	NE	ENE	E	ESE	SE	SSE	S	SSW	SW	WSW	W	WNW	NW	NNW	Total
0-20	0.1	0.1	0.1	0.0	0.1	0.0	0.0	0.0	0.0	0.0	0.0	0.0	0.1	0.1	0.1	0.1	0.6
20-40	1.0	0.6	0.2	0.1	0.1	0.0	0.0	0.0	0.0	0.0	0.0	0.0	0.0	0.1	0.3	0.8	3.1
40-60	4.8	4.1	1.0	0.2	0.0	0.0	0.0	0.0	0.0	0.0	0.0	0.0	0.0	0.0	0.2	2.1	12.3
60-80	11.8	9.1	1.9	0.0	0.0	0.0	0.0	0.0	0.0	0.0	0.0	0.0	0.0	0.0	0.0	2.6	25.3
80-100	11.3	15.5	2.5	0.0	0.0	0.0	0.0	0.0	0.0	0.0	0.0	0.0	0.0	0.0	0.0	1.8	31.0
100-120	4.6	11.3	1.4	0.0	0.0	0.0	0.0	0.0	0.0	0.0	0.0	0.0	0.0	0.0	0.0	0.4	17.7
120-140	1.7	4.8	0.6	0.0	0.0	0.0	0.0	0.0	0.0	0.0	0.0	0.0	0.0	0.0	0.0	0.1	7.2
140-160	0.2	2.1	0.1	0.0	0.0	0.0	0.0	0.0	0.0	0.0	0.0	0.0	0.0	0.0	0.0	0.0	2.4
160-180	0.0	0.3	0.0	0.0	0.0	0.0	0.0	0.0	0.0	0.0	0.0	0.0	0.0	0.0	0.0	0.0	0.3
180-200	0.0	0.0	0.0	0.0	0.0	0.0	0.0	0.0	0.0	0.0	0.0	0.0	0.0	0.0	0.0	0.0	0.0
Total	35.5	47.8	7.7	0.2	0.1	0.0	0.0	0.0	0.0	0.0	0.0	0.0	0.1	0.2	0.5	7.8	100.0

Mean U and V : 19.4 (cm/s), 80.5 (cm/s)

Standard deviation of U and V : 24.0 (cm/s), 25.1 (cm/s)

Maximun speed and it's direction : 168.0 (cm/s), 29.2 (deg.)

Mean speed and direction : 82.8 (cm/s), 13.5 (deg.)

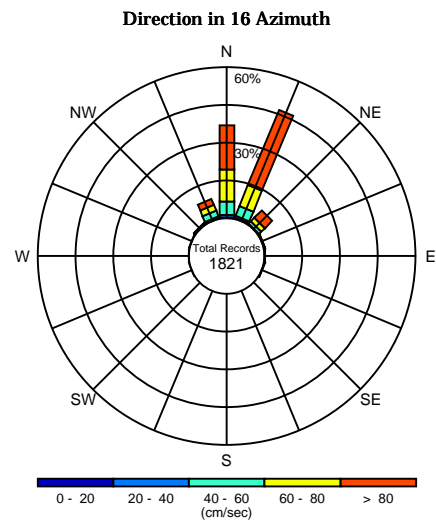
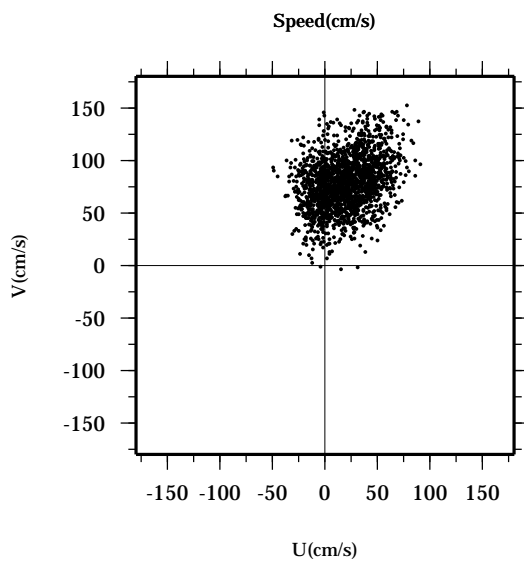
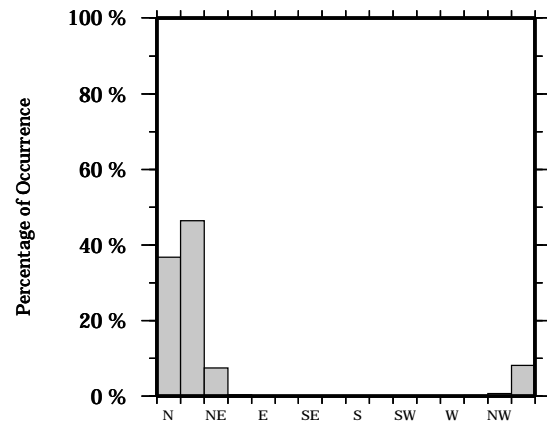
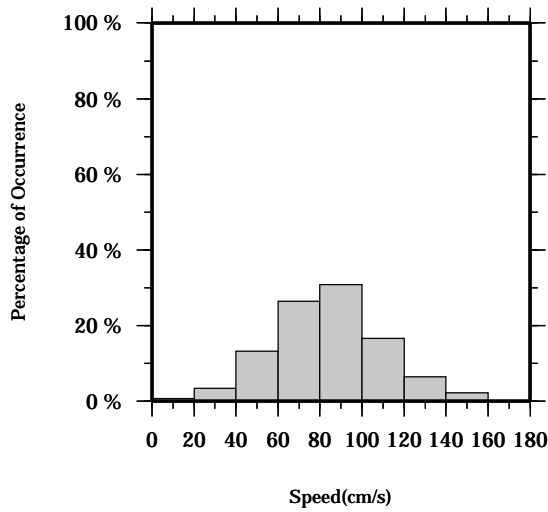
Speed scalar average : 85.8 (cm/s)

LON: 121° 24.6445' E

Station: W304

LAT: 22° 38.8994' N

Depth: 130 M



Joint probability distribution of current speed and it's direction

Speed	N	NNE	NE	ENE	E	ESE	SE	SSE	S	SSW	SW	WSW	W	WNW	NW	NNW	Total
0-20	0.1	0.2	0.0	0.0	0.0	0.1	0.0	0.0	0.0	0.0	0.0	0.1	0.1	0.1	0.1	0.0	0.7
20-40	1.2	0.8	0.2	0.1	0.1	0.0	0.0	0.0	0.0	0.0	0.0	0.0	0.0	0.1	0.3	0.8	3.3
40-60	5.2	4.1	1.2	0.2	0.0	0.0	0.0	0.0	0.0	0.0	0.0	0.0	0.0	0.0	0.2	2.3	13.1
60-80	12.9	9.0	2.1	0.1	0.0	0.0	0.0	0.0	0.0	0.0	0.0	0.0	0.0	0.0	0.0	2.5	26.5
80-100	11.5	15.3	2.1	0.0	0.0	0.0	0.0	0.0	0.0	0.0	0.0	0.0	0.0	0.0	0.0	1.9	30.9
100-120	4.5	10.4	1.3	0.0	0.0	0.0	0.0	0.0	0.0	0.0	0.0	0.0	0.0	0.0	0.0	0.4	16.6
120-140	1.3	4.5	0.5	0.0	0.0	0.0	0.0	0.0	0.0	0.0	0.0	0.0	0.0	0.0	0.0	0.1	6.5
140-160	0.2	2.0	0.1	0.0	0.0	0.0	0.0	0.0	0.0	0.0	0.0	0.0	0.0	0.0	0.0	0.0	2.3
160-180	0.0	0.2	0.0	0.0	0.0	0.0	0.0	0.0	0.0	0.0	0.0	0.0	0.0	0.0	0.0	0.0	0.2
180-200	0.0	0.0	0.0	0.0	0.0	0.0	0.0	0.0	0.0	0.0	0.0	0.0	0.0	0.0	0.0	0.0	0.0
Total	36.8	46.4	7.5	0.3	0.1	0.1	0.0	0.0	0.0	0.0	0.0	0.1	0.1	0.2	0.6	8.1	100.0

Mean U and V : 19.1 (cm/s), 78.9 (cm/s)

Standard deviation of U and V : 23.9 (cm/s), 24.9 (cm/s)

Maximun speed and it's direction : 170.8 (cm/s), 27.2 (deg.)

Mean speed and direction : 81.2 (cm/s), 13.6 (deg.)

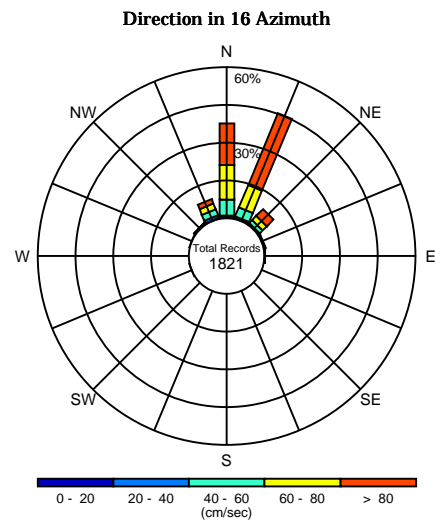
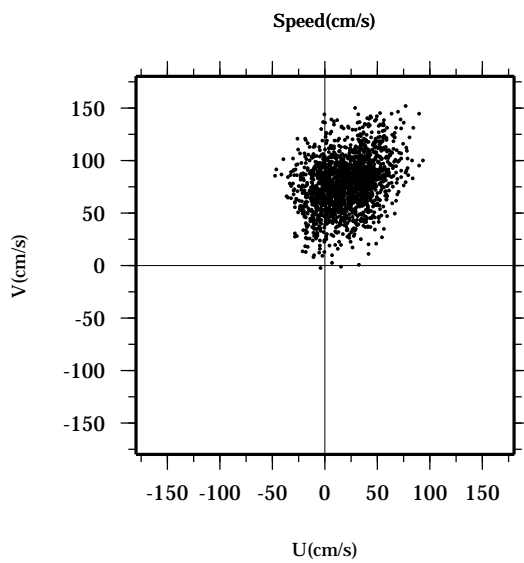
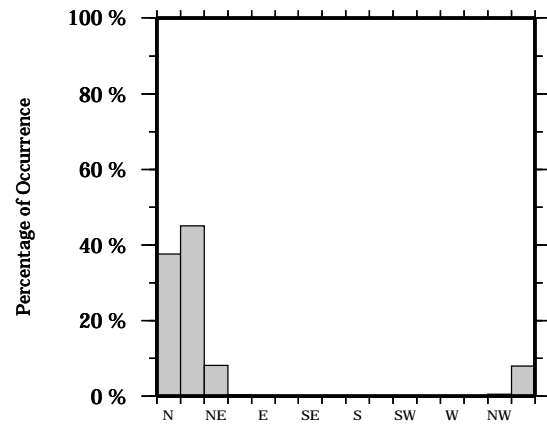
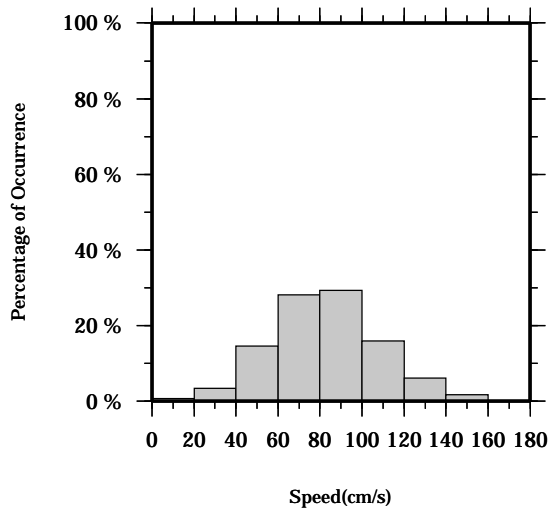
Speed scalar average : 84.3 (cm/s)

LON: 121° 24.6445' E

Station: W304

LAT: 22° 38.8994' N

Depth: 134 M



Joint probability distribution of current speed and it's direction

Speed	N	NNE	NE	ENE	E	ESE	SE	SSE	S	SSW	SW	WSW	W	WNW	NW	NNW	Total
0-20	0.1	0.1	0.1	0.1	0.1	0.0	0.0	0.0	0.0	0.0	0.0	0.1	0.0	0.0	0.1	0.2	0.7
20-40	0.8	0.7	0.3	0.1	0.1	0.0	0.0	0.0	0.0	0.0	0.0	0.0	0.0	0.1	0.4	1.1	3.5
40-60	6.5	3.8	1.7	0.2	0.0	0.0	0.0	0.0	0.0	0.0	0.0	0.0	0.0	0.0	0.1	2.4	14.6
60-80	13.7	9.7	2.3	0.1	0.0	0.0	0.0	0.0	0.0	0.0	0.0	0.0	0.0	0.0	0.0	2.4	28.1
80-100	11.3	14.5	1.9	0.0	0.0	0.0	0.0	0.0	0.0	0.0	0.0	0.0	0.0	0.0	0.0	1.5	29.3
100-120	4.0	10.4	1.2	0.0	0.0	0.0	0.0	0.0	0.0	0.0	0.0	0.0	0.0	0.0	0.0	0.3	15.9
120-140	1.2	4.2	0.7	0.0	0.0	0.0	0.0	0.0	0.0	0.0	0.0	0.0	0.0	0.0	0.0	0.1	6.2
140-160	0.1	1.5	0.0	0.0	0.0	0.0	0.0	0.0	0.0	0.0	0.0	0.0	0.0	0.0	0.0	0.0	1.6
160-180	0.0	0.2	0.0	0.0	0.0	0.0	0.0	0.0	0.0	0.0	0.0	0.0	0.0	0.0	0.0	0.0	0.2
180-200	0.0	0.0	0.0	0.0	0.0	0.0	0.0	0.0	0.0	0.0	0.0	0.0	0.0	0.0	0.0	0.0	0.0
Total	37.6	45.1	8.2	0.4	0.1	0.0	0.0	0.0	0.0	0.0	0.0	0.1	0.0	0.1	0.5	8.0	100.0

Mean U and V : 18.7 (cm/s), 77.3 (cm/s)

Standard deviation of U and V : 23.6 (cm/s), 24.7 (cm/s)

Maximun speed and it's direction : 169.9 (cm/s), 26.8 (deg.)

Mean speed and direction : 79.5 (cm/s), 13.6 (deg.)

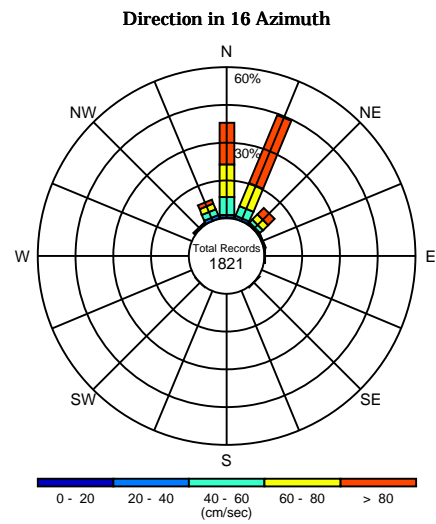
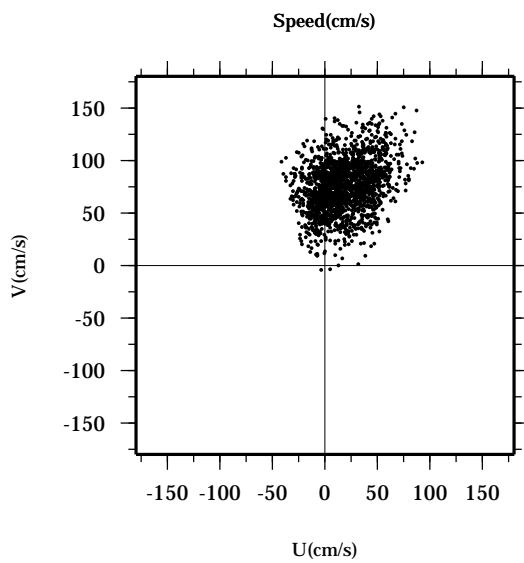
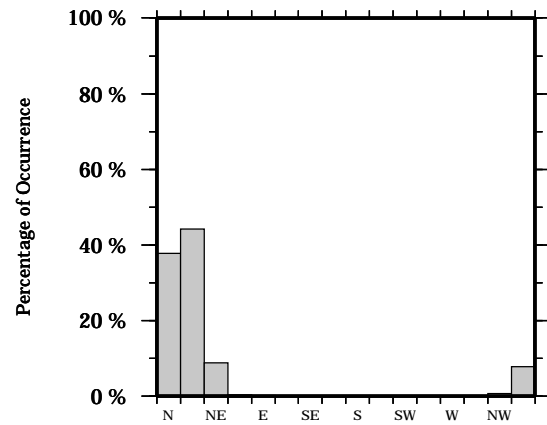
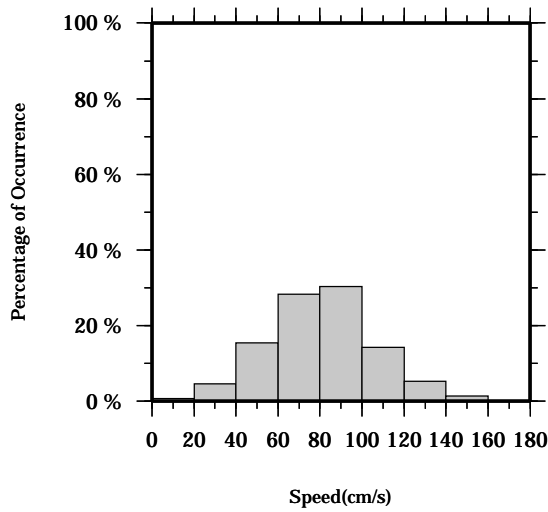
Speed scalar average : 82.6 (cm/s)

LON: 121° 24.6445' E

Station: W304

LAT: 22° 38.8994' N

Depth: 138 M



Joint probability distribution of current speed and it's direction

Speed	N	NNE	NE	ENE	E	ESE	SE	SSE	S	SSW	SW	WSW	W	WNW	NW	NNW	Total
0-20	0.1	0.0	0.1	0.1	0.1	0.0	0.1	0.0	0.0	0.0	0.1	0.0	0.0	0.0	0.3	0.0	0.7
20-40	1.2	0.9	0.7	0.1	0.1	0.0	0.0	0.0	0.0	0.0	0.0	0.0	0.0	0.0	0.4	1.2	4.5
40-60	6.9	4.2	1.5	0.2	0.0	0.0	0.0	0.0	0.0	0.0	0.0	0.0	0.0	0.0	0.0	2.6	15.4
60-80	13.1	9.9	2.9	0.1	0.0	0.0	0.0	0.0	0.0	0.0	0.0	0.0	0.0	0.0	0.0	2.3	28.2
80-100	11.7	15.4	1.8	0.0	0.0	0.0	0.0	0.0	0.0	0.0	0.0	0.0	0.0	0.0	0.0	1.4	30.3
100-120	3.7	8.7	1.4	0.0	0.0	0.0	0.0	0.0	0.0	0.0	0.0	0.0	0.0	0.0	0.0	0.4	14.2
120-140	1.0	3.7	0.5	0.0	0.0	0.0	0.0	0.0	0.0	0.0	0.0	0.0	0.0	0.0	0.0	0.0	5.2
140-160	0.1	1.2	0.1	0.0	0.0	0.0	0.0	0.0	0.0	0.0	0.0	0.0	0.0	0.0	0.0	0.0	1.3
160-180	0.0	0.1	0.0	0.0	0.0	0.0	0.0	0.0	0.0	0.0	0.0	0.0	0.0	0.0	0.0	0.0	0.1
180-200	0.0	0.0	0.0	0.0	0.0	0.0	0.0	0.0	0.0	0.0	0.0	0.0	0.0	0.0	0.0	0.0	0.0
Total	37.7	44.3	8.8	0.4	0.1	0.0	0.1	0.0	0.0	0.0	0.1	0.0	0.0	0.0	0.7	7.9	100.0

Mean U and V : 18.5 (cm/s), 75.6 (cm/s)

Standard deviation of U and V : 23.2 (cm/s), 24.4 (cm/s)

Maximun speed and it's direction : 171.1 (cm/s), 30.4 (deg.)

Mean speed and direction : 77.9 (cm/s), 13.7 (deg.)

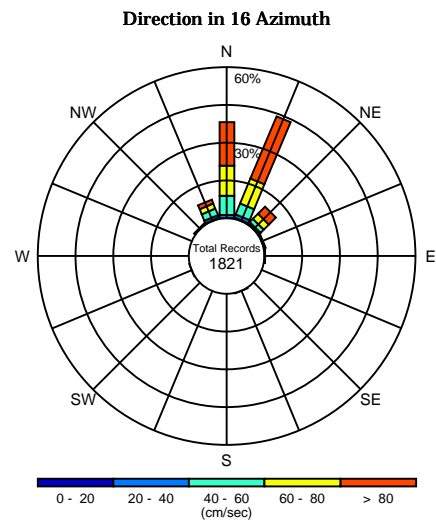
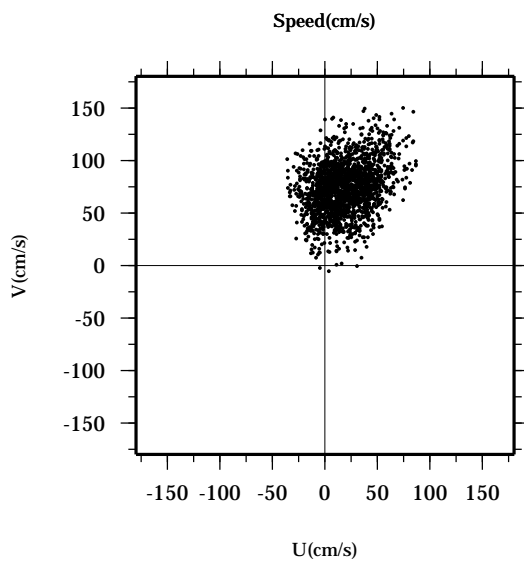
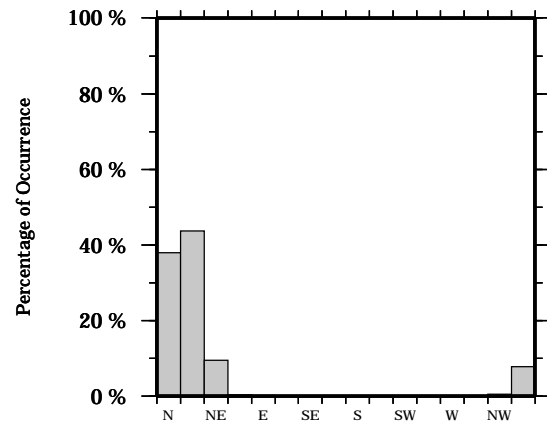
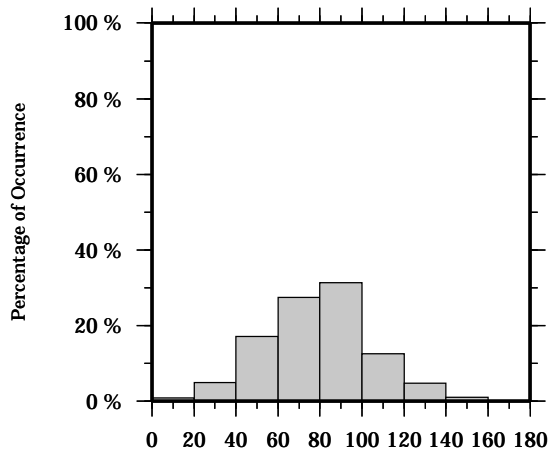
Speed scalar average : 80.9 (cm/s)

LON: 121° 24.6445' E

Station: W304

LAT: 22° 38.8994' N

Depth: 142 M



Joint probability distribution of current speed and it's direction

Speed	N	NNE	NE	ENE	E	ESE	SE	SSE	S	SSW	SW	WSW	W	WNW	NW	NNW	Total
0-20	0.0	0.1	0.1	0.0	0.1	0.0	0.0	0.1	0.0	0.0	0.0	0.1	0.0	0.0	0.2	0.2	0.9
20-40	1.3	1.3	0.7	0.2	0.1	0.0	0.0	0.0	0.0	0.0	0.0	0.0	0.0	0.0	0.3	1.2	4.9
40-60	7.6	4.8	1.9	0.2	0.0	0.0	0.0	0.0	0.0	0.0	0.0	0.0	0.0	0.0	0.0	2.7	17.1
60-80	12.0	10.6	2.9	0.0	0.0	0.0	0.0	0.0	0.0	0.0	0.0	0.0	0.0	0.0	0.0	2.1	27.5
80-100	12.9	14.9	2.2	0.0	0.0	0.0	0.0	0.0	0.0	0.0	0.0	0.0	0.0	0.0	0.0	1.3	31.2
100-120	3.3	7.6	1.3	0.0	0.0	0.0	0.0	0.0	0.0	0.0	0.0	0.0	0.0	0.0	0.0	0.3	12.5
120-140	0.9	3.3	0.5	0.0	0.0	0.0	0.0	0.0	0.0	0.0	0.0	0.0	0.0	0.0	0.0	0.0	4.7
140-160	0.1	0.9	0.1	0.0	0.0	0.0	0.0	0.0	0.0	0.0	0.0	0.0	0.0	0.0	0.0	0.0	1.0
160-180	0.0	0.1	0.0	0.0	0.0	0.0	0.0	0.0	0.0	0.0	0.0	0.0	0.0	0.0	0.0	0.0	0.1
180-200	0.0	0.0	0.0	0.0	0.0	0.0	0.0	0.0	0.0	0.0	0.0	0.0	0.0	0.0	0.0	0.0	0.0
Total	37.9	43.7	9.6	0.4	0.2	0.0	0.0	0.1	0.0	0.0	0.0	0.1	0.0	0.0	0.5	7.7	100.0

Mean U and V : 18.4 (cm/s), 74.1 (cm/s)

Standard deviation of U and V : 22.8 (cm/s), 24.2 (cm/s)

Maximun speed and it's direction : 168.6 (cm/s), 29.9 (deg.)

Mean speed and direction : 76.3 (cm/s), 13.9 (deg.)

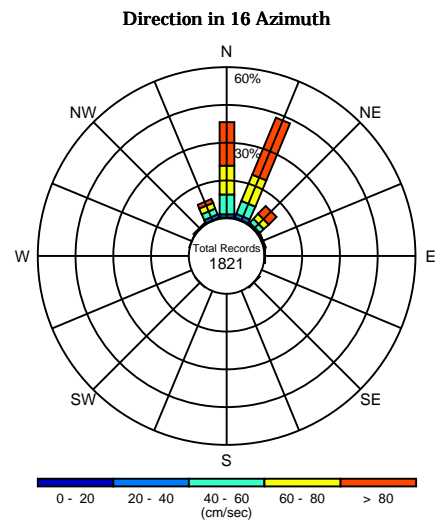
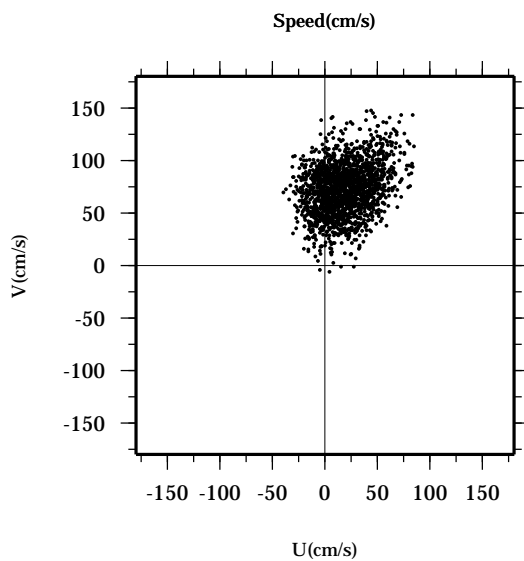
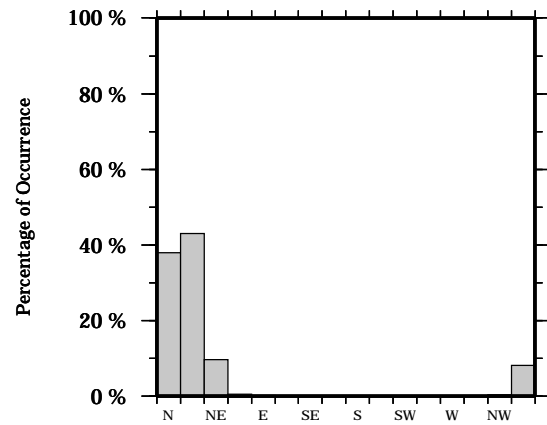
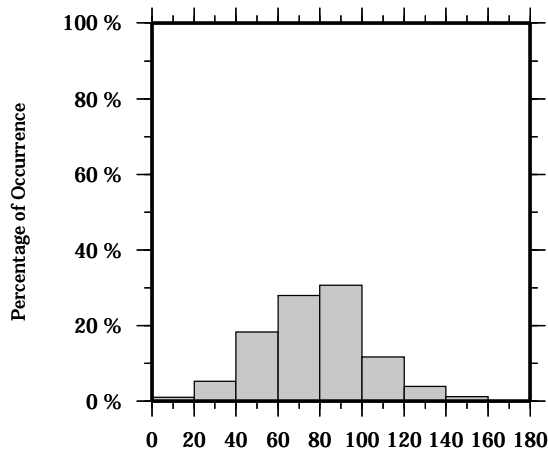
Speed scalar average : 79.3 (cm/s)

LON: 121° 24.6445' E

Station: W304

LAT: 22° 38.8994' N

Depth: 146 M



Joint probability distribution of current speed and it's direction

Speed	N	NNE	NE	ENE	E	ESE	SE	SSE	S	SSW	SW	WSW	W	WNW	NW	NNW	Total
0-20	0.1	0.3	0.0	0.1	0.1	0.0	0.1	0.0	0.0	0.0	0.1	0.0	0.0	0.1	0.1	0.2	0.9
20-40	1.2	1.4	0.7	0.4	0.1	0.0	0.0	0.0	0.0	0.0	0.0	0.0	0.0	0.0	0.2	1.3	5.2
40-60	7.9	5.5	2.2	0.1	0.0	0.0	0.0	0.0	0.0	0.0	0.0	0.0	0.0	0.0	0.1	2.6	18.3
60-80	11.6	11.5	2.6	0.1	0.0	0.0	0.0	0.0	0.0	0.0	0.0	0.0	0.0	0.0	0.0	2.3	28.0
80-100	13.3	13.7	2.3	0.0	0.0	0.0	0.0	0.0	0.0	0.0	0.0	0.0	0.0	0.0	0.0	1.4	30.6
100-120	3.0	7.1	1.4	0.0	0.0	0.0	0.0	0.0	0.0	0.0	0.0	0.0	0.0	0.0	0.0	0.3	11.7
120-140	0.8	2.5	0.5	0.0	0.0	0.0	0.0	0.0	0.0	0.0	0.0	0.0	0.0	0.0	0.0	0.0	3.8
140-160	0.1	1.0	0.1	0.0	0.0	0.0	0.0	0.0	0.0	0.0	0.0	0.0	0.0	0.0	0.0	0.0	1.2
160-180	0.0	0.1	0.0	0.0	0.0	0.0	0.0	0.0	0.0	0.0	0.0	0.0	0.0	0.0	0.0	0.0	0.1
180-200	0.0	0.0	0.0	0.0	0.0	0.0	0.0	0.0	0.0	0.0	0.0	0.0	0.0	0.0	0.0	0.0	0.0
Total	38.0	43.0	9.7	0.5	0.1	0.0	0.1	0.0	0.0	0.0	0.1	0.0	0.0	0.1	0.4	8.1	100.0

Mean U and V : 18.2 (cm/s), 72.4 (cm/s)

Standard deviation of U and V : 22.6 (cm/s), 24.0 (cm/s)

Maximun speed and it's direction : 165.6 (cm/s), 30.2 (deg.)

Mean speed and direction : 74.7 (cm/s), 14.1 (deg.)

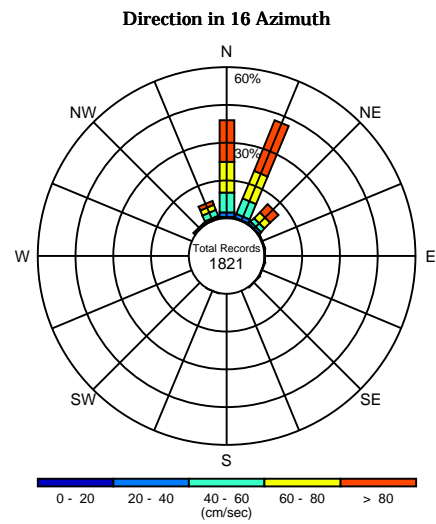
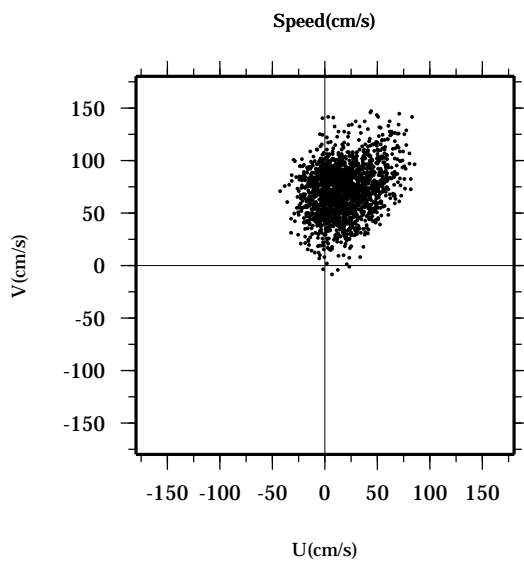
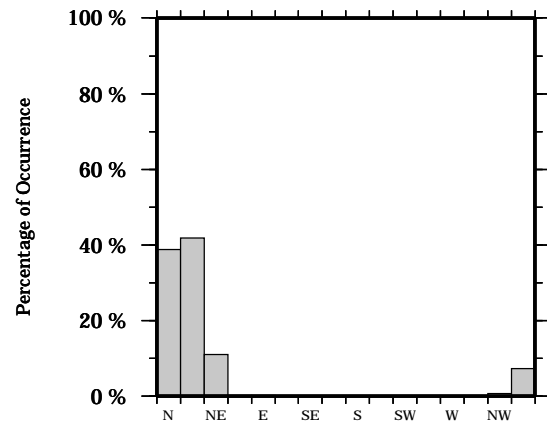
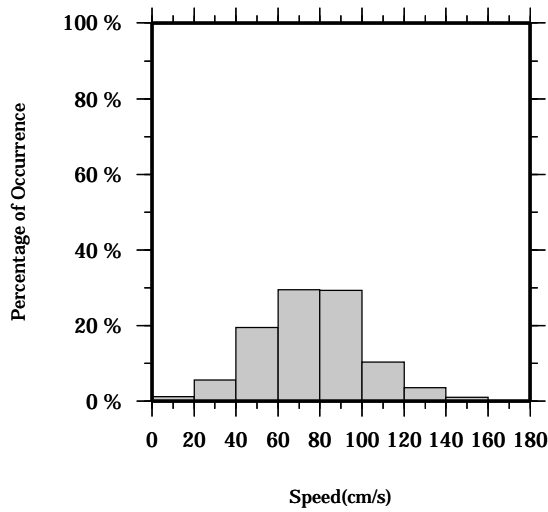
Speed scalar average : 77.6 (cm/s)

LON: 121° 24.6445' E

Station: W304

LAT: 22° 38.8994' N

Depth: 150 M



Joint probability distribution of current speed and it's direction

Speed	N	NNE	NE	ENE	E	ESE	SE	SSE	S	SSW	SW	WSW	W	WNW	NW	NNW	Total
0-20	0.3	0.3	0.1	0.1	0.0	0.1	0.1	0.0	0.0	0.1	0.0	0.0	0.0	0.0	0.2	0.2	1.3
20-40	1.8	1.4	1.0	0.1	0.1	0.0	0.0	0.0	0.0	0.0	0.0	0.0	0.0	0.0	0.4	0.7	5.5
40-60	8.0	6.6	2.0	0.1	0.0	0.0	0.0	0.0	0.0	0.0	0.0	0.0	0.0	0.0	0.2	2.7	19.5
60-80	12.1	11.9	3.3	0.0	0.0	0.0	0.0	0.0	0.0	0.0	0.0	0.0	0.0	0.0	0.0	2.0	29.4
80-100	13.1	12.2	2.5	0.0	0.0	0.0	0.0	0.0	0.0	0.0	0.0	0.0	0.0	0.0	0.0	1.5	29.2
100-120	2.6	6.1	1.5	0.0	0.0	0.0	0.0	0.0	0.0	0.0	0.0	0.0	0.0	0.0	0.0	0.2	10.4
120-140	0.7	2.3	0.5	0.0	0.0	0.0	0.0	0.0	0.0	0.0	0.0	0.0	0.0	0.0	0.0	0.0	3.5
140-160	0.1	0.9	0.0	0.0	0.0	0.0	0.0	0.0	0.0	0.0	0.0	0.0	0.0	0.0	0.0	0.0	1.0
160-180	0.0	0.1	0.0	0.0	0.0	0.0	0.0	0.0	0.0	0.0	0.0	0.0	0.0	0.0	0.0	0.0	0.1
180-200	0.0	0.0	0.0	0.0	0.0	0.0	0.0	0.0	0.0	0.0	0.0	0.0	0.0	0.0	0.0	0.0	0.0
Total	38.7	41.8	11.0	0.2	0.1	0.1	0.1	0.0	0.0	0.1	0.0	0.0	0.0	0.0	0.7	7.2	100.0

Mean U and V : 17.7 (cm/s), 70.8 (cm/s)

Standard deviation of U and V : 22.3 (cm/s), 23.8 (cm/s)

Maximun speed and it's direction : 163.8 (cm/s), 30.3 (deg.)

Mean speed and direction : 73.0 (cm/s), 14.0 (deg.)

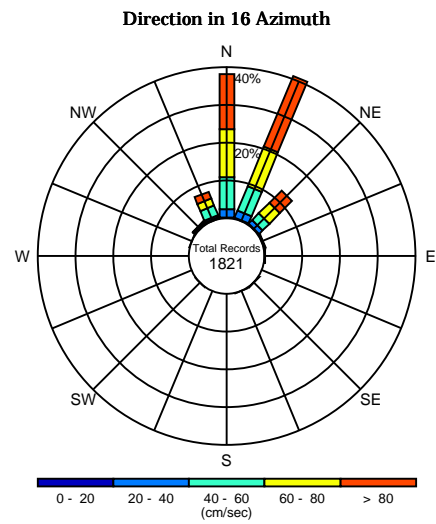
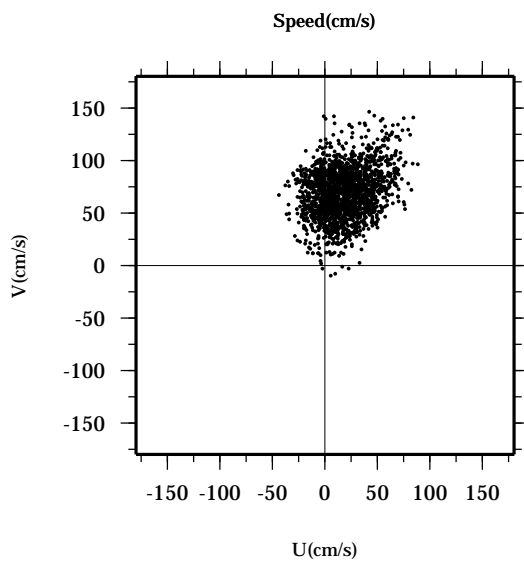
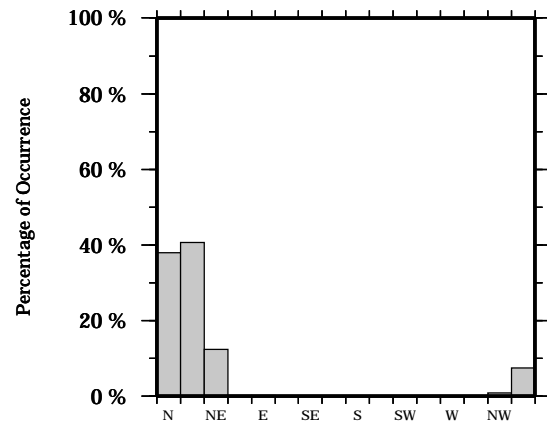
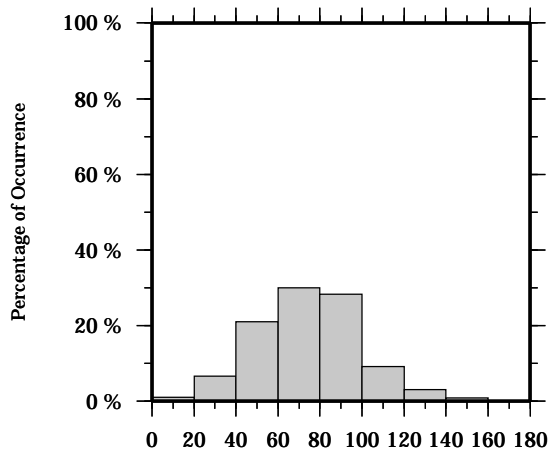
Speed scalar average : 76.0 (cm/s)

LON: 121° 24.6445' E

Station: W304

LAT: 22° 38.8994' N

Depth: 154 M



Joint probability distribution of current speed and it's direction

Speed	N	NNE	NE	ENE	E	ESE	SE	SSE	S	SSW	SW	WSW	W	WNW	NW	NNW	Total
0-20	0.1	0.2	0.1	0.1	0.1	0.0	0.1	0.1	0.0	0.0	0.1	0.0	0.0	0.1	0.2	0.2	1.1
20-40	2.1	2.0	1.3	0.1	0.1	0.0	0.0	0.0	0.0	0.0	0.0	0.0	0.0	0.0	0.4	0.6	6.6
40-60	8.5	7.0	2.5	0.1	0.0	0.0	0.0	0.0	0.0	0.0	0.0	0.0	0.0	0.0	0.1	2.8	21.0
60-80	12.6	11.3	4.0	0.0	0.0	0.0	0.0	0.0	0.0	0.0	0.0	0.0	0.0	0.0	0.1	2.0	30.0
80-100	12.0	12.0	2.4	0.0	0.0	0.0	0.0	0.0	0.0	0.0	0.0	0.0	0.0	0.0	0.0	1.9	28.3
100-120	2.0	5.3	1.8	0.0	0.0	0.0	0.0	0.0	0.0	0.0	0.0	0.0	0.0	0.0	0.0	0.0	9.1
120-140	0.4	2.1	0.4	0.0	0.0	0.0	0.0	0.0	0.0	0.0	0.0	0.0	0.0	0.0	0.0	0.0	3.0
140-160	0.1	0.8	0.0	0.0	0.0	0.0	0.0	0.0	0.0	0.0	0.0	0.0	0.0	0.0	0.0	0.0	0.9
160-180	0.0	0.1	0.0	0.0	0.0	0.0	0.0	0.0	0.0	0.0	0.0	0.0	0.0	0.0	0.0	0.0	0.1
180-200	0.0	0.0	0.0	0.0	0.0	0.0	0.0	0.0	0.0	0.0	0.0	0.0	0.0	0.0	0.0	0.0	0.0
Total	38.0	40.6	12.4	0.2	0.2	0.0	0.1	0.1	0.0	0.0	0.1	0.0	0.0	0.1	0.8	7.5	100.0

Mean U and V : 17.3 (cm/s), 69.2 (cm/s)

Standard deviation of U and V : 22.1 (cm/s), 23.6 (cm/s)

Maximun speed and it's direction : 163.8 (cm/s), 30.7 (deg.)

Mean speed and direction : 71.3 (cm/s), 14.0 (deg.)

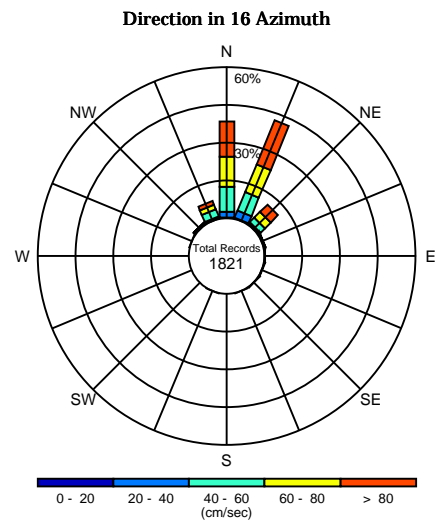
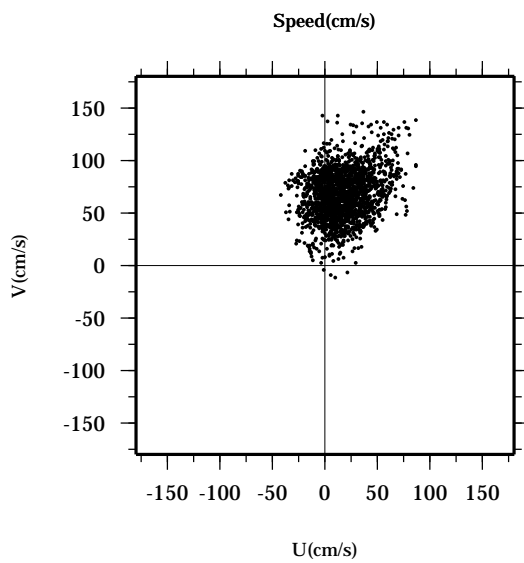
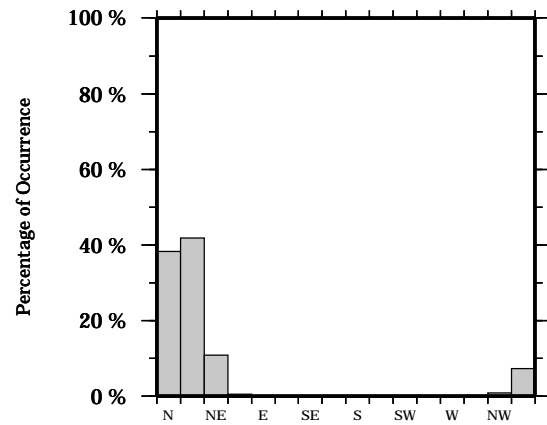
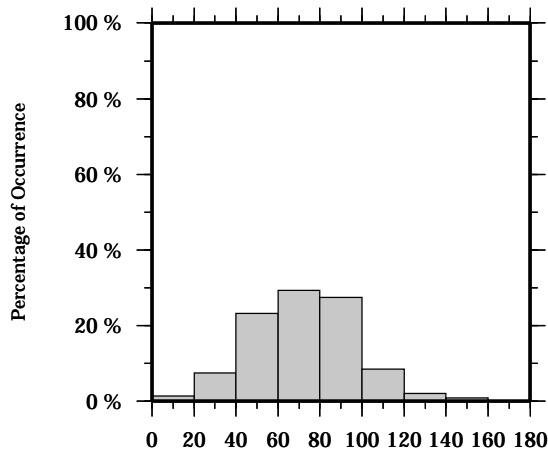
Speed scalar average : 74.3 (cm/s)

LON: 121° 24.6445' E

Station: W304

LAT: 22° 38.8994' N

Depth: 158 M



Joint probability distribution of current speed and it's direction

Speed	N	NNE	NE	ENE	E	ESE	SE	SSE	S	SSW	SW	WSW	W	WNW	NW	NNW	Total
0-20	0.1	0.2	0.1	0.2	0.0	0.0	0.1	0.1	0.0	0.1	0.0	0.0	0.0	0.2	0.2	0.2	1.3
20-40	2.4	3.0	0.8	0.2	0.1	0.1	0.0	0.0	0.0	0.0	0.0	0.0	0.0	0.0	0.5	0.4	7.5
40-60	9.7	7.9	2.5	0.0	0.0	0.0	0.0	0.0	0.0	0.0	0.0	0.0	0.0	0.0	0.1	3.0	23.1
60-80	12.0	12.0	3.2	0.0	0.0	0.0	0.0	0.0	0.0	0.0	0.0	0.0	0.0	0.0	0.1	2.0	29.3
80-100	11.9	11.2	2.5	0.1	0.0	0.0	0.0	0.0	0.0	0.0	0.0	0.0	0.0	0.0	0.0	1.7	27.4
100-120	1.9	5.2	1.4	0.0	0.0	0.0	0.0	0.0	0.0	0.0	0.0	0.0	0.0	0.0	0.0	0.0	8.5
120-140	0.2	1.6	0.2	0.0	0.0	0.0	0.0	0.0	0.0	0.0	0.0	0.0	0.0	0.0	0.0	0.0	2.0
140-160	0.1	0.8	0.0	0.0	0.0	0.0	0.0	0.0	0.0	0.0	0.0	0.0	0.0	0.0	0.0	0.0	0.9
160-180	0.0	0.1	0.0	0.0	0.0	0.0	0.0	0.0	0.0	0.0	0.0	0.0	0.0	0.0	0.0	0.0	0.1
180-200	0.0	0.0	0.0	0.0	0.0	0.0	0.0	0.0	0.0	0.0	0.0	0.0	0.0	0.0	0.0	0.0	0.0
Total	38.3	41.8	10.8	0.5	0.1	0.1	0.1	0.1	0.0	0.1	0.0	0.0	0.0	0.2	0.8	7.4	100.0

Mean U and V : 16.7 (cm/s), 67.6 (cm/s)

Standard deviation of U and V : 21.9 (cm/s), 23.5 (cm/s)

Maximun speed and it's direction : 162.9 (cm/s), 32.0 (deg.)

Mean speed and direction : 69.6 (cm/s), 13.9 (deg.)

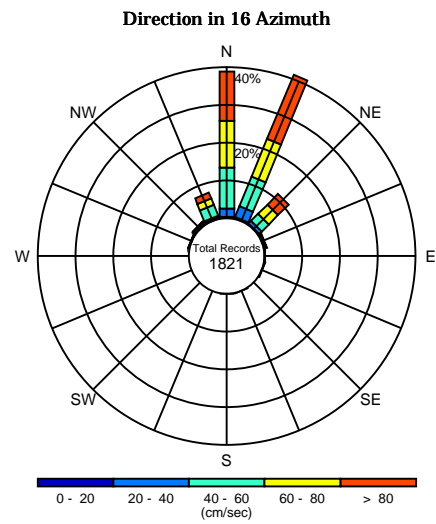
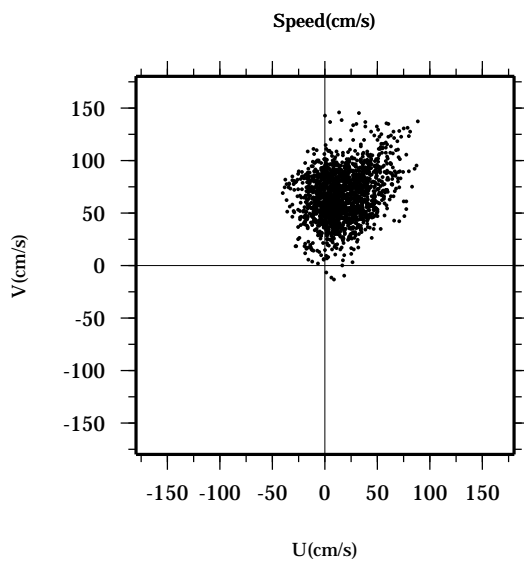
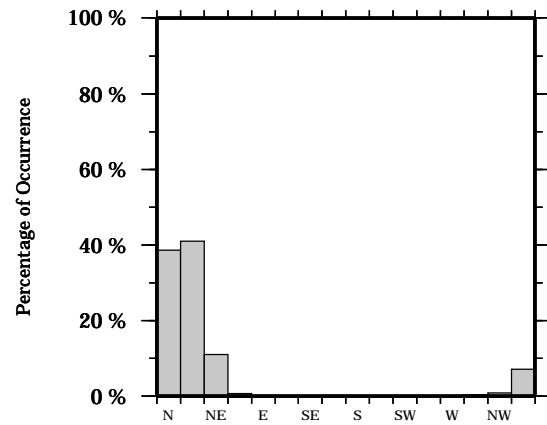
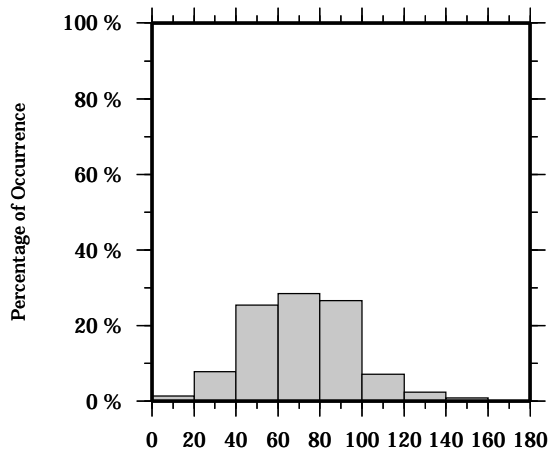
Speed scalar average : 72.6 (cm/s)

LON: 121° 24.6445' E

Station: W304

LAT: 22° 38.8994' N

Depth: 162 M



Joint probability distribution of current speed and it's direction

Speed	N	NNE	NE	ENE	E	ESE	SE	SSE	S	SSW	SW	WSW	W	WNW	NW	NNW	Total
0-20	0.2	0.3	0.1	0.1	0.1	0.0	0.0	0.1	0.1	0.0	0.0	0.0	0.0	0.2	0.2	0.3	1.4
20-40	2.3	3.1	1.0	0.3	0.1	0.1	0.0	0.0	0.0	0.0	0.0	0.0	0.0	0.2	0.5	0.4	7.9
40-60	10.8	8.5	2.7	0.1	0.0	0.0	0.0	0.0	0.0	0.0	0.0	0.0	0.0	0.0	0.1	3.2	25.3
60-80	12.2	10.9	3.4	0.1	0.0	0.0	0.0	0.0	0.0	0.0	0.0	0.0	0.0	0.0	0.1	1.8	28.4
80-100	11.4	11.1	2.4	0.1	0.0	0.0	0.0	0.0	0.0	0.0	0.0	0.0	0.0	0.0	0.0	1.6	26.6
100-120	1.3	4.7	1.2	0.0	0.0	0.0	0.0	0.0	0.0	0.0	0.0	0.0	0.0	0.0	0.0	0.0	7.1
120-140	0.3	1.8	0.3	0.0	0.0	0.0	0.0	0.0	0.0	0.0	0.0	0.0	0.0	0.0	0.0	0.0	2.4
140-160	0.1	0.7	0.0	0.0	0.0	0.0	0.0	0.0	0.0	0.0	0.0	0.0	0.0	0.0	0.0	0.0	0.8
160-180	0.0	0.1	0.0	0.0	0.0	0.0	0.0	0.0	0.0	0.0	0.0	0.0	0.0	0.0	0.0	0.0	0.1
180-200	0.0	0.0	0.0	0.0	0.0	0.0	0.0	0.0	0.0	0.0	0.0	0.0	0.0	0.0	0.0	0.0	0.0
Total	38.7	41.0	11.0	0.6	0.1	0.1	0.0	0.1	0.1	0.0	0.0	0.0	0.0	0.3	0.9	7.2	100.0

Mean U and V : 16.1 (cm/s), 66.1 (cm/s)

Standard deviation of U and V : 21.8 (cm/s), 23.4 (cm/s)

Maximun speed and it's direction : 163.1 (cm/s), 32.9 (deg.)

Mean speed and direction : 68.1 (cm/s), 13.7 (deg.)

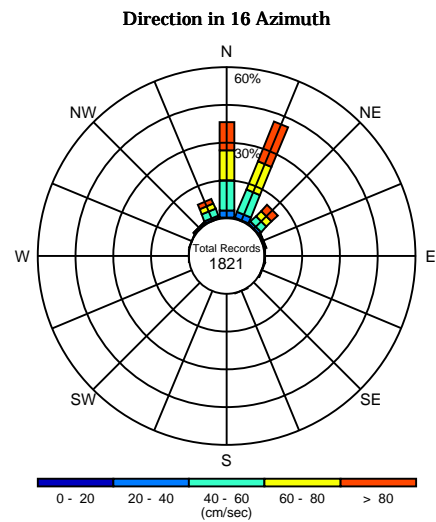
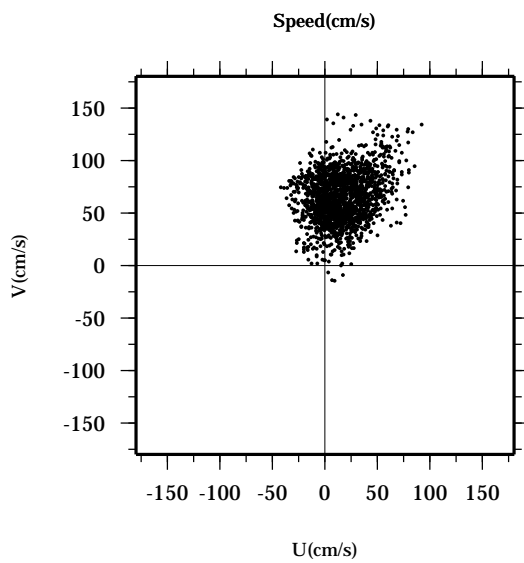
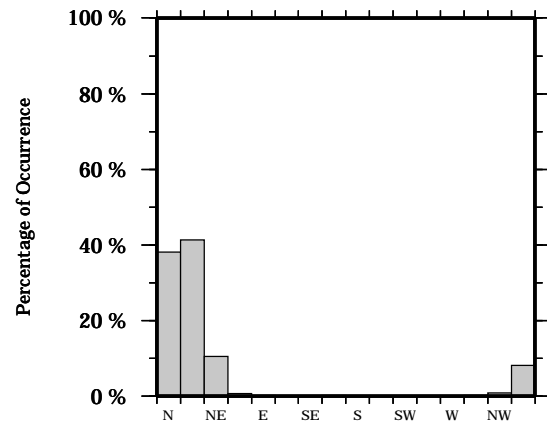
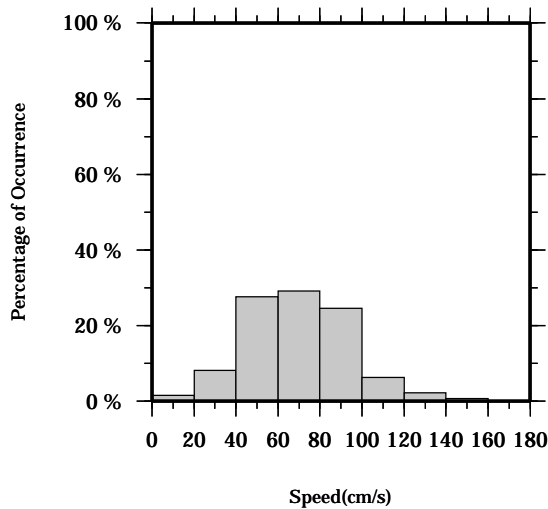
Speed scalar average : 71.1 (cm/s)

LON: 121° 24.6445' E

Station: W304

LAT: 22° 38.8994' N

Depth: 166 M



Joint probability distribution of current speed and it's direction

Speed	N	NNE	NE	ENE	E	ESE	SE	SSE	S	SSW	SW	WSW	W	WNW	NW	NNW	Total
0-20	0.2	0.3	0.1	0.1	0.1	0.1	0.0	0.2	0.0	0.0	0.0	0.0	0.1	0.1	0.2	0.2	1.5
20-40	2.8	2.4	1.1	0.2	0.1	0.0	0.0	0.0	0.0	0.0	0.0	0.0	0.0	0.1	0.6	0.8	8.1
40-60	11.9	9.5	3.1	0.1	0.0	0.0	0.0	0.0	0.0	0.0	0.0	0.0	0.0	0.0	0.1	3.0	27.7
60-80	11.8	12.1	2.9	0.1	0.0	0.0	0.0	0.0	0.0	0.0	0.0	0.0	0.0	0.0	0.0	2.3	29.0
80-100	9.8	10.9	2.0	0.1	0.0	0.0	0.0	0.0	0.0	0.0	0.0	0.0	0.0	0.0	0.0	1.8	24.5
100-120	1.3	4.0	0.9	0.0	0.0	0.0	0.0	0.0	0.0	0.0	0.0	0.0	0.0	0.0	0.0	0.1	6.2
120-140	0.2	1.6	0.3	0.0	0.0	0.0	0.0	0.0	0.0	0.0	0.0	0.0	0.0	0.0	0.0	0.0	2.2
140-160	0.1	0.5	0.1	0.0	0.0	0.0	0.0	0.0	0.0	0.0	0.0	0.0	0.0	0.0	0.0	0.0	0.7
160-180	0.0	0.0	0.1	0.0	0.0	0.0	0.0	0.0	0.0	0.0	0.0	0.0	0.0	0.0	0.0	0.0	0.1
180-200	0.0	0.0	0.0	0.0	0.0	0.0	0.0	0.0	0.0	0.0	0.0	0.0	0.0	0.0	0.0	0.0	0.0
Total	38.1	41.3	10.4	0.6	0.2	0.1	0.0	0.2	0.0	0.0	0.0	0.0	0.1	0.2	0.8	8.1	100.0

Mean U and V : 15.3 (cm/s), 64.8 (cm/s)

Standard deviation of U and V : 21.6 (cm/s), 23.1 (cm/s)

Maximun speed and it's direction : 162.3 (cm/s), 34.5 (deg.)

Mean speed and direction : 66.5 (cm/s), 13.3 (deg.)

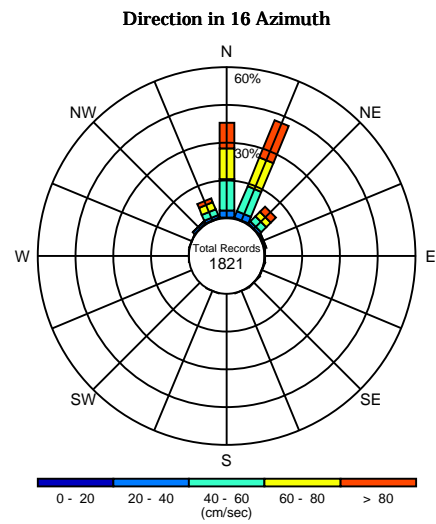
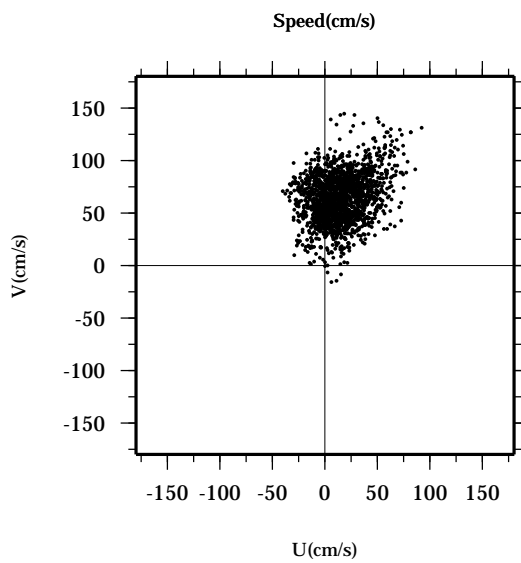
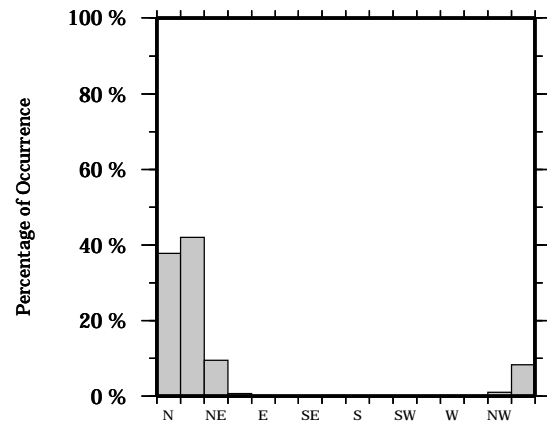
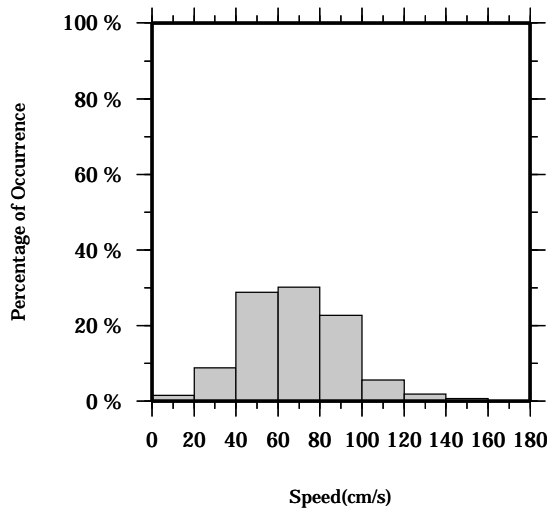
Speed scalar average : 69.6 (cm/s)

LON: 121° 24.6445' E

Station: W304

LAT: 22° 38.8994' N

Depth: 170 M



Joint probability distribution of current speed and it's direction

Speed	N	NNE	NE	ENE	E	ESE	SE	SSE	S	SSW	SW	WSW	W	WNW	NW	NNW	Total
0-20	0.2	0.2	0.1	0.1	0.2	0.1	0.1	0.1	0.0	0.1	0.0	0.0	0.1	0.1	0.1	0.2	1.5
20-40	2.8	2.6	1.1	0.1	0.1	0.0	0.0	0.0	0.0	0.0	0.0	0.0	0.0	0.1	0.9	1.1	8.7
40-60	12.5	10.7	2.8	0.2	0.0	0.0	0.0	0.0	0.0	0.0	0.0	0.0	0.0	0.0	0.1	2.5	28.8
60-80	12.0	12.4	2.6	0.2	0.0	0.0	0.0	0.0	0.0	0.0	0.0	0.0	0.0	0.0	0.0	3.0	30.2
80-100	8.5	10.9	1.8	0.1	0.0	0.0	0.0	0.0	0.0	0.0	0.0	0.0	0.0	0.0	0.0	1.4	22.6
100-120	1.4	3.2	0.9	0.0	0.0	0.0	0.0	0.0	0.0	0.0	0.0	0.0	0.0	0.0	0.0	0.1	5.5
120-140	0.2	1.5	0.2	0.0	0.0	0.0	0.0	0.0	0.0	0.0	0.0	0.0	0.0	0.0	0.0	0.0	1.9
140-160	0.2	0.5	0.0	0.0	0.0	0.0	0.0	0.0	0.0	0.0	0.0	0.0	0.0	0.0	0.0	0.0	0.7
160-180	0.0	0.0	0.1	0.0	0.0	0.0	0.0	0.0	0.0	0.0	0.0	0.0	0.0	0.0	0.0	0.0	0.1
180-200	0.0	0.0	0.0	0.0	0.0	0.0	0.0	0.0	0.0	0.0	0.0	0.0	0.0	0.0	0.0	0.0	0.0
Total	37.7	42.0	9.5	0.7	0.2	0.1	0.1	0.1	0.0	0.1	0.0	0.0	0.1	0.1	1.1	8.3	100.0

Mean U and V : 14.5 (cm/s), 63.5 (cm/s)

Standard deviation of U and V : 21.3 (cm/s), 22.9 (cm/s)

Maximun speed and it's direction : 160.3 (cm/s), 35.1 (deg.)

Mean speed and direction : 65.1 (cm/s), 12.8 (deg.)

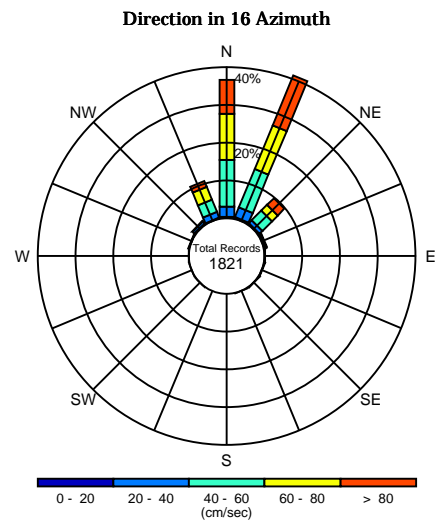
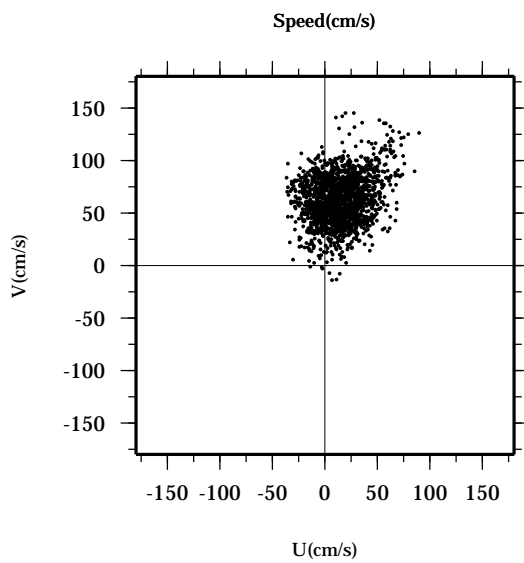
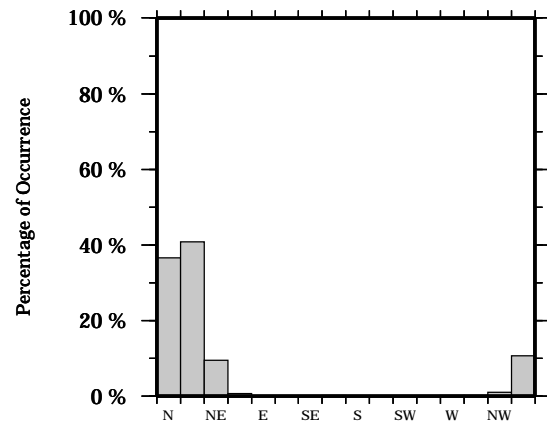
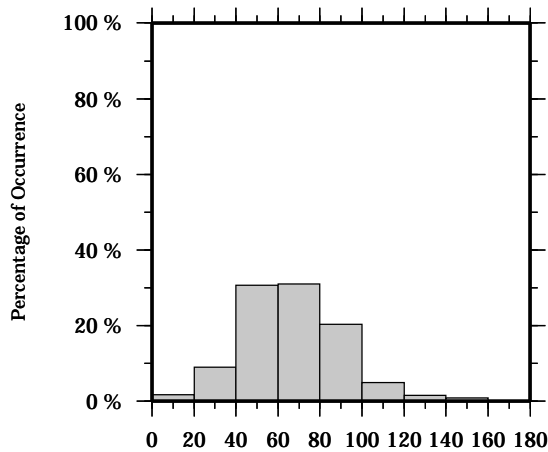
Speed scalar average : 68.2 (cm/s)

LON: 121° 24.6445' E

Station: W304

LAT: 22° 38.8994' N

Depth: 174 M



Joint probability distribution of current speed and it's direction

Speed	N	NNE	NE	ENE	E	ESE	SE	SSE	S	SSW	SW	WSW	W	WNW	NW	NNW	Total
0-20	0.3	0.2	0.2	0.2	0.1	0.1	0.1	0.1	0.0	0.0	0.1	0.1	0.1	0.1	0.2	0.1	1.8
20-40	2.7	2.8	1.0	0.1	0.0	0.0	0.0	0.0	0.0	0.0	0.0	0.0	0.1	0.0	0.7	1.7	9.0
40-60	12.3	11.0	3.6	0.2	0.0	0.0	0.0	0.0	0.0	0.0	0.0	0.0	0.0	0.1	0.2	3.3	30.7
60-80	12.2	12.5	2.2	0.3	0.0	0.0	0.0	0.0	0.0	0.0	0.0	0.0	0.0	0.0	0.0	3.7	30.9
80-100	7.6	9.7	1.4	0.0	0.0	0.0	0.0	0.0	0.0	0.0	0.0	0.0	0.0	0.0	0.0	1.6	20.3
100-120	1.1	2.8	0.9	0.0	0.0	0.0	0.0	0.0	0.0	0.0	0.0	0.0	0.0	0.0	0.0	0.1	4.9
120-140	0.1	1.3	0.2	0.0	0.0	0.0	0.0	0.0	0.0	0.0	0.0	0.0	0.0	0.0	0.0	0.0	1.6
140-160	0.2	0.5	0.1	0.0	0.0	0.0	0.0	0.0	0.0	0.0	0.0	0.0	0.0	0.0	0.0	0.0	0.8
160-180	0.0	0.0	0.0	0.0	0.0	0.0	0.0	0.0	0.0	0.0	0.0	0.0	0.0	0.0	0.0	0.0	0.0
180-200	0.0	0.0	0.0	0.0	0.0	0.0	0.0	0.0	0.0	0.0	0.0	0.0	0.0	0.0	0.0	0.0	0.0
Total	36.5	40.9	9.6	0.7	0.1	0.1	0.1	0.1	0.0	0.0	0.1	0.1	0.1	0.2	1.1	10.6	100.0

Mean U and V : 13.6 (cm/s), 62.3 (cm/s)

Standard deviation of U and V : 20.9 (cm/s), 22.5 (cm/s)

Maximun speed and it's direction : 154.8 (cm/s), 35.4 (deg.)

Mean speed and direction : 63.7 (cm/s), 12.3 (deg.)

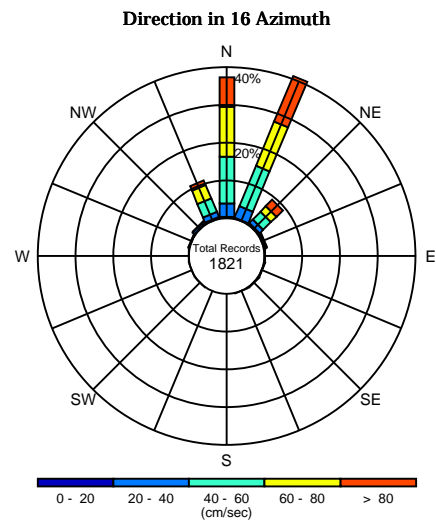
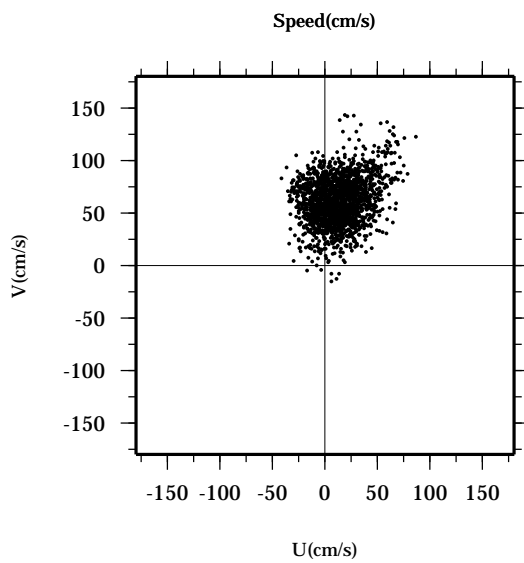
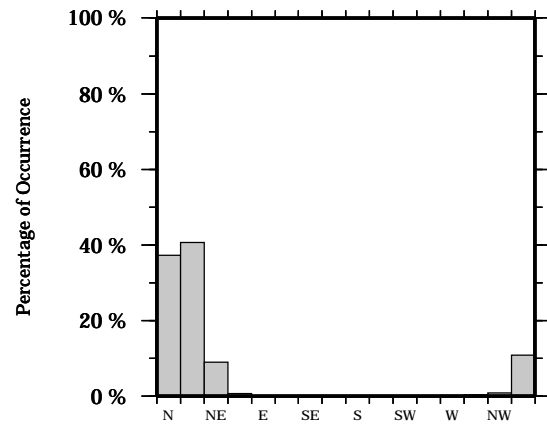
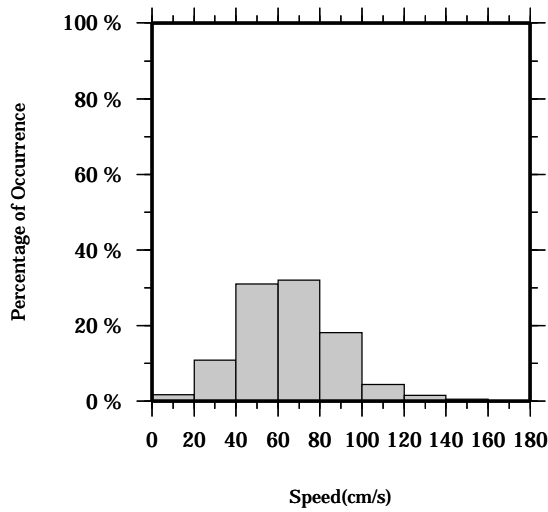
Speed scalar average : 66.8 (cm/s)

LON: 121° 24.6445' E

Station: W304

LAT: 22° 38.8994' N

Depth: 178 M



Joint probability distribution of current speed and it's direction

Speed	N	NNE	NE	ENE	E	ESE	SE	SSE	S	SSW	SW	WSW	W	WNW	NW	NNW	Total
0-20	0.2	0.1	0.3	0.1	0.1	0.1	0.1	0.1	0.0	0.0	0.1	0.1	0.1	0.1	0.1	0.3	1.6
20-40	3.7	3.3	1.4	0.2	0.0	0.0	0.0	0.0	0.0	0.0	0.0	0.0	0.1	0.1	0.6	1.4	10.8
40-60	12.4	11.5	2.9	0.2	0.0	0.0	0.0	0.0	0.0	0.0	0.0	0.0	0.0	0.1	0.2	3.8	31.0
60-80	13.2	12.7	2.1	0.2	0.0	0.0	0.0	0.0	0.0	0.0	0.0	0.0	0.0	0.0	0.0	3.8	32.0
80-100	6.9	8.6	1.3	0.0	0.0	0.0	0.0	0.0	0.0	0.0	0.0	0.0	0.0	0.0	0.0	1.3	18.1
100-120	0.5	2.9	0.9	0.0	0.0	0.0	0.0	0.0	0.0	0.0	0.0	0.0	0.0	0.0	0.0	0.1	4.4
120-140	0.2	1.2	0.1	0.0	0.0	0.0	0.0	0.0	0.0	0.0	0.0	0.0	0.0	0.0	0.0	0.0	1.5
140-160	0.2	0.3	0.1	0.0	0.0	0.0	0.0	0.0	0.0	0.0	0.0	0.0	0.0	0.0	0.0	0.0	0.5
160-180	0.0	0.0	0.0	0.0	0.0	0.0	0.0	0.0	0.0	0.0	0.0	0.0	0.0	0.0	0.0	0.0	0.0
180-200	0.0	0.0	0.0	0.0	0.0	0.0	0.0	0.0	0.0	0.0	0.0	0.0	0.0	0.0	0.0	0.0	0.0
Total	37.2	40.6	9.0	0.7	0.1	0.1	0.1	0.1	0.0	0.0	0.1	0.1	0.1	0.3	0.9	10.8	100.0

Mean U and V : 12.8 (cm/s), 61.0 (cm/s)

Standard deviation of U and V : 20.5 (cm/s), 22.2 (cm/s)

Maximun speed and it's direction : 149.6 (cm/s), 35.2 (deg.)

Mean speed and direction : 62.4 (cm/s), 11.8 (deg.)

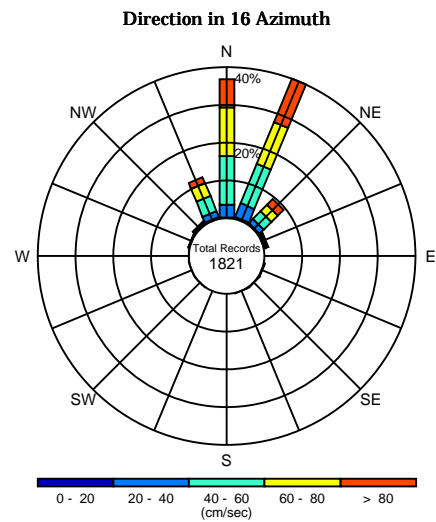
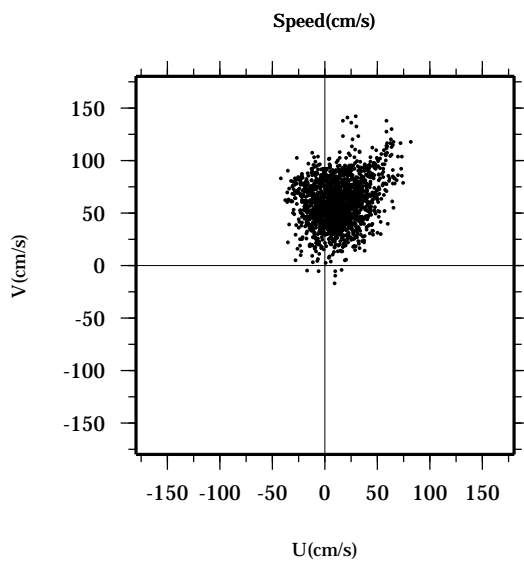
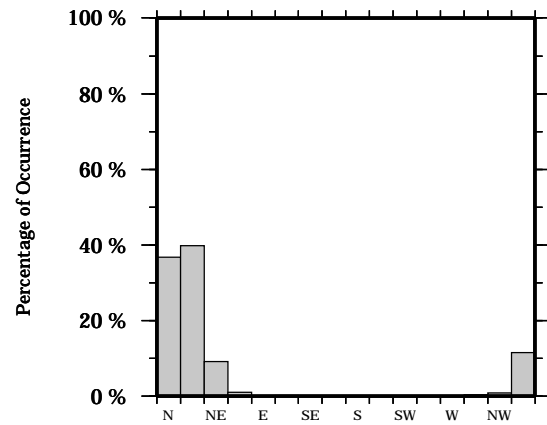
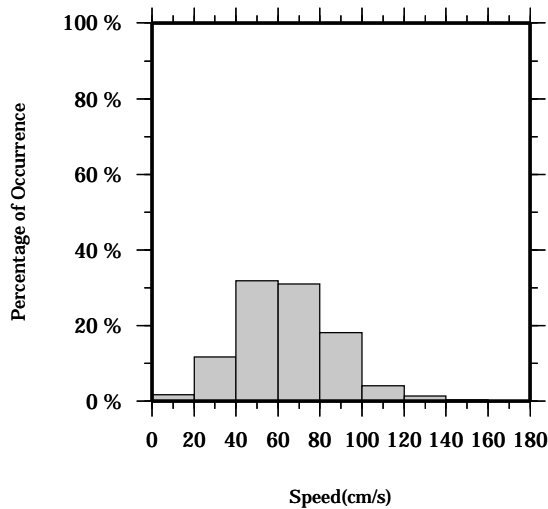
Speed scalar average : 65.4 (cm/s)

LON: 121° 24.6445' E

Station: W304

LAT: 22° 38.8994' N

Depth: 182 M



Joint probability distribution of current speed and it's direction

Speed	N	NNE	NE	ENE	E	ESE	SE	SSE	S	SSW	SW	WSW	W	WNW	NW	NNW	Total
0-20	0.2	0.3	0.2	0.1	0.0	0.1	0.1	0.1	0.0	0.0	0.1	0.1	0.0	0.1	0.2	0.3	1.6
20-40	3.3	3.9	1.6	0.4	0.0	0.0	0.0	0.0	0.0	0.0	0.0	0.0	0.1	0.2	0.5	1.7	11.8
40-60	12.9	11.3	2.9	0.3	0.0	0.0	0.0	0.0	0.0	0.0	0.0	0.0	0.0	0.1	0.2	4.3	31.9
60-80	12.9	11.9	2.3	0.1	0.0	0.0	0.0	0.0	0.0	0.0	0.0	0.0	0.0	0.0	0.0	3.7	30.9
80-100	6.8	8.5	1.3	0.0	0.0	0.0	0.0	0.0	0.0	0.0	0.0	0.0	0.0	0.0	0.0	1.5	18.1
100-120	0.5	2.7	0.8	0.0	0.0	0.0	0.0	0.0	0.0	0.0	0.0	0.0	0.0	0.0	0.0	0.1	4.1
120-140	0.2	1.1	0.1	0.0	0.0	0.0	0.0	0.0	0.0	0.0	0.0	0.0	0.0	0.0	0.0	0.0	1.4
140-160	0.1	0.2	0.1	0.0	0.0	0.0	0.0	0.0	0.0	0.0	0.0	0.0	0.0	0.0	0.0	0.0	0.3
160-180	0.0	0.0	0.0	0.0	0.0	0.0	0.0	0.0	0.0	0.0	0.0	0.0	0.0	0.0	0.0	0.0	0.0
180-200	0.0	0.0	0.0	0.0	0.0	0.0	0.0	0.0	0.0	0.0	0.0	0.0	0.0	0.0	0.0	0.0	0.0
Total	36.7	39.9	9.2	1.0	0.0	0.1	0.1	0.1	0.0	0.0	0.1	0.1	0.1	0.3	0.9	11.6	100.0

Mean U and V : 12.0 (cm/s), 60.0 (cm/s)

Standard deviation of U and V : 20.2 (cm/s), 21.9 (cm/s)

Maximun speed and it's direction : 149.3 (cm/s), 23.1 (deg.)

Mean speed and direction : 61.2 (cm/s), 11.3 (deg.)

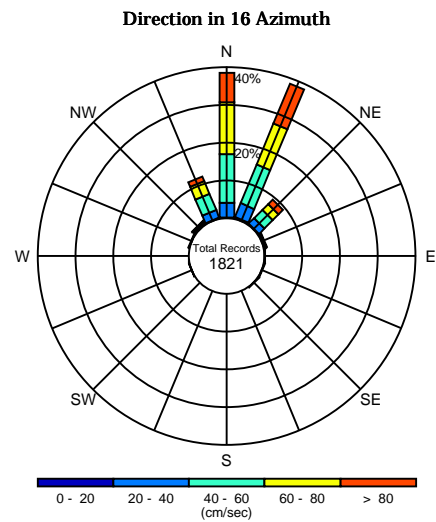
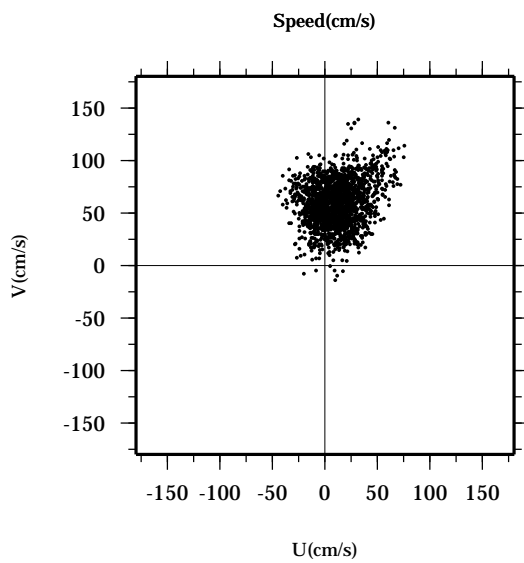
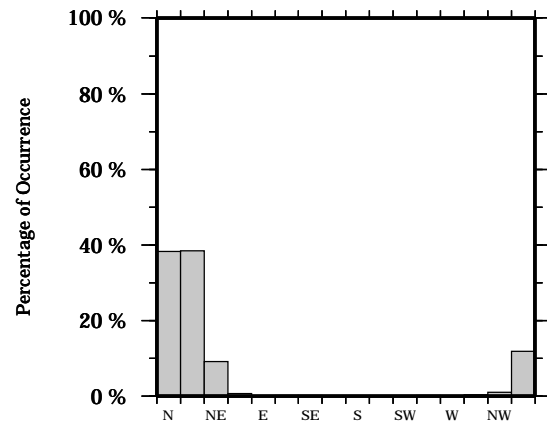
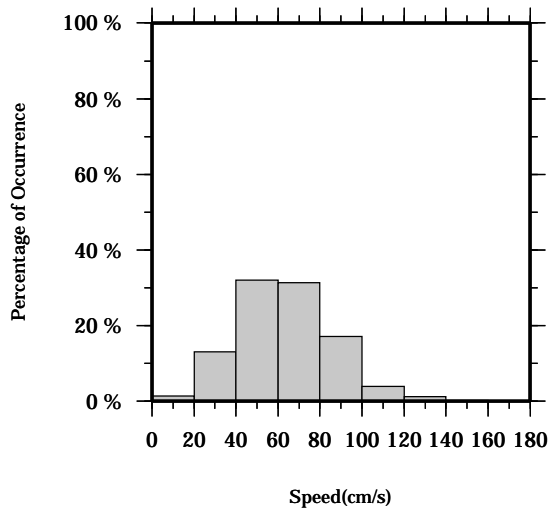
Speed scalar average : 64.2 (cm/s)

LON: 121° 24.6445' E

Station: W304

LAT: 22° 38.8994' N

Depth: 186 M



Joint probability distribution of current speed and it's direction

Speed	N	NNE	NE	ENE	E	ESE	SE	SSE	S	SSW	SW	WSW	W	WNW	NW	NNW	Total
0-20	0.2	0.3	0.1	0.1	0.1	0.1	0.1	0.0	0.0	0.0	0.0	0.1	0.0	0.1	0.2	0.2	1.3
20-40	3.8	4.0	2.1	0.4	0.0	0.0	0.0	0.0	0.0	0.0	0.0	0.1	0.0	0.2	0.5	2.1	13.1
40-60	13.0	11.0	3.1	0.2	0.0	0.0	0.0	0.0	0.0	0.0	0.0	0.0	0.0	0.0	0.2	4.6	32.1
60-80	13.6	11.8	2.1	0.0	0.0	0.0	0.0	0.0	0.0	0.0	0.0	0.0	0.0	0.0	0.2	3.7	31.4
80-100	7.1	7.6	1.0	0.0	0.0	0.0	0.0	0.0	0.0	0.0	0.0	0.0	0.0	0.0	0.0	1.2	17.0
100-120	0.5	2.7	0.6	0.0	0.0	0.0	0.0	0.0	0.0	0.0	0.0	0.0	0.0	0.0	0.0	0.1	3.8
120-140	0.2	0.9	0.1	0.0	0.0	0.0	0.0	0.0	0.0	0.0	0.0	0.0	0.0	0.0	0.0	0.0	1.2
140-160	0.0	0.2	0.0	0.0	0.0	0.0	0.0	0.0	0.0	0.0	0.0	0.0	0.0	0.0	0.0	0.0	0.2
160-180	0.0	0.0	0.0	0.0	0.0	0.0	0.0	0.0	0.0	0.0	0.0	0.0	0.0	0.0	0.0	0.0	0.0
180-200	0.0	0.0	0.0	0.0	0.0	0.0	0.0	0.0	0.0	0.0	0.0	0.0	0.0	0.0	0.0	0.0	0.0
Total	38.3	38.5	9.1	0.7	0.1	0.1	0.1	0.0	0.0	0.0	0.0	0.1	0.0	0.3	1.0	11.8	100.0

Mean U and V : 11.3 (cm/s), 59.0 (cm/s)

Standard deviation of U and V : 19.8 (cm/s), 21.5 (cm/s)

Maximun speed and it's direction : 148.3 (cm/s), 24.0 (deg.)

Mean speed and direction : 60.1 (cm/s), 10.8 (deg.)

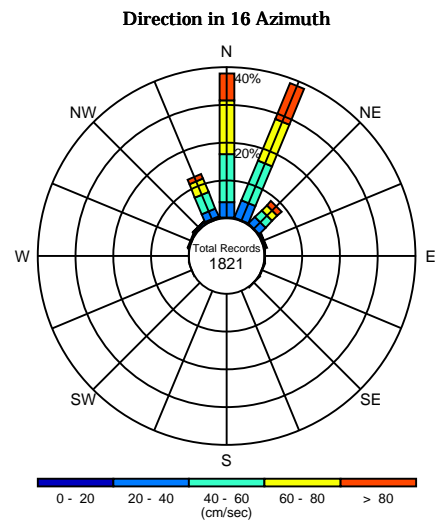
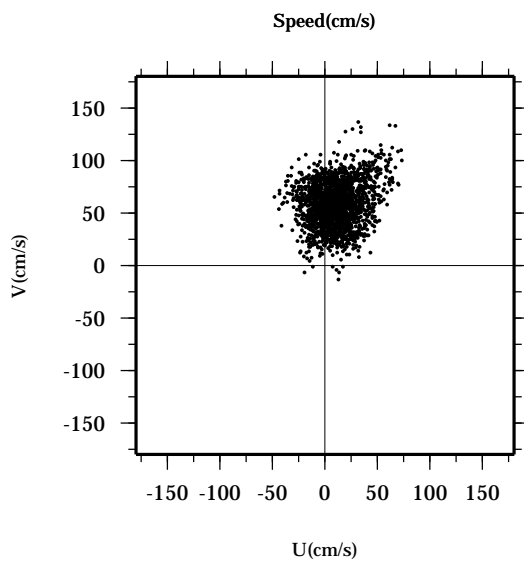
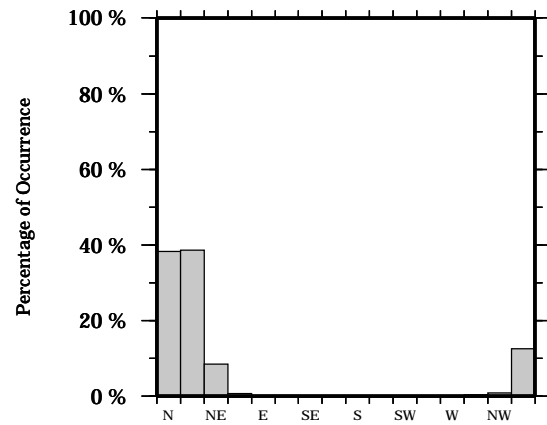
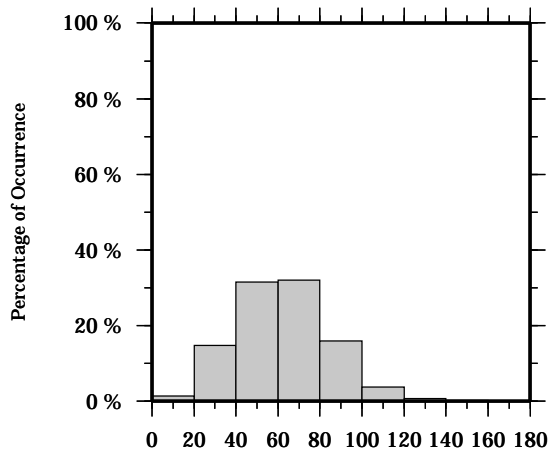
Speed scalar average : 63.1 (cm/s)

LON: 121° 24.6445' E

Station: W304

LAT: 22° 38.8994' N

Depth: 190 M



Joint probability distribution of current speed and it's direction

Speed	N	NNE	NE	ENE	E	ESE	SE	SSE	S	SSW	SW	WSW	W	WNW	NW	NNW	Total
0-20	0.2	0.2	0.1	0.1	0.1	0.1	0.1	0.0	0.0	0.0	0.0	0.0	0.1	0.2	0.0	0.4	1.4
20-40	4.0	4.8	2.4	0.4	0.0	0.0	0.0	0.0	0.0	0.0	0.0	0.1	0.0	0.2	0.5	2.4	14.7
40-60	12.8	11.4	2.5	0.1	0.0	0.0	0.0	0.0	0.0	0.0	0.0	0.0	0.0	0.0	0.1	4.7	31.6
60-80	14.1	12.0	1.9	0.0	0.0	0.0	0.0	0.0	0.0	0.0	0.0	0.0	0.0	0.0	0.1	3.8	32.0
80-100	6.7	7.0	0.9	0.0	0.0	0.0	0.0	0.0	0.0	0.0	0.0	0.0	0.0	0.0	0.1	1.2	15.9
100-120	0.4	2.6	0.6	0.0	0.0	0.0	0.0	0.0	0.0	0.0	0.0	0.0	0.0	0.0	0.0	0.1	3.7
120-140	0.1	0.5	0.1	0.0	0.0	0.0	0.0	0.0	0.0	0.0	0.0	0.0	0.0	0.0	0.0	0.0	0.6
140-160	0.0	0.2	0.0	0.0	0.0	0.0	0.0	0.0	0.0	0.0	0.0	0.0	0.0	0.0	0.0	0.0	0.2
160-180	0.0	0.0	0.0	0.0	0.0	0.0	0.0	0.0	0.0	0.0	0.0	0.0	0.0	0.0	0.0	0.0	0.0
180-200	0.0	0.0	0.0	0.0	0.0	0.0	0.0	0.0	0.0	0.0	0.0	0.0	0.0	0.0	0.0	0.0	0.0
Total	38.2	38.6	8.5	0.6	0.1	0.1	0.1	0.0	0.0	0.0	0.0	0.1	0.1	0.4	0.8	12.5	100.0

Mean U and V : 10.6 (cm/s), 57.9 (cm/s)

Standard deviation of U and V : 19.4 (cm/s), 21.3 (cm/s)

Maximun speed and it's direction : 148.8 (cm/s), 26.7 (deg.)

Mean speed and direction : 58.9 (cm/s), 10.4 (deg.)

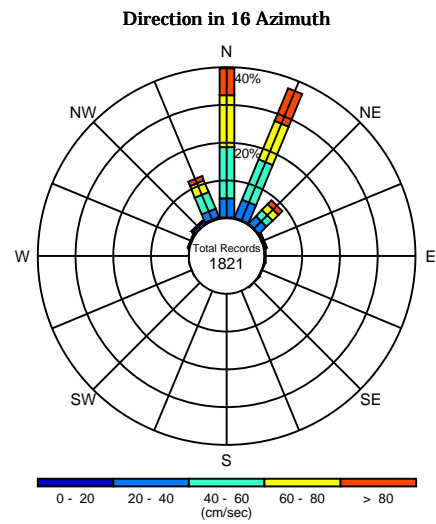
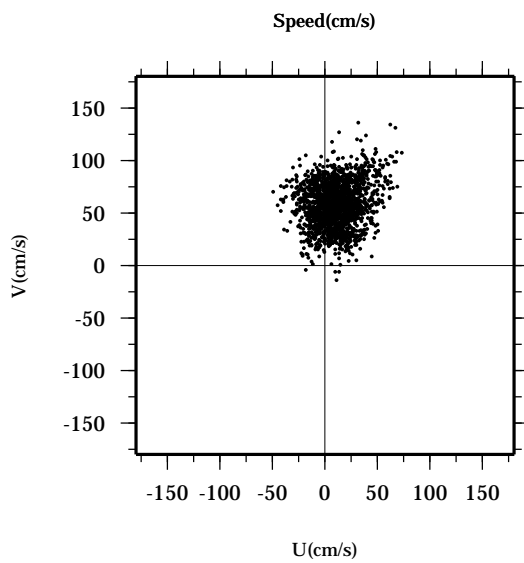
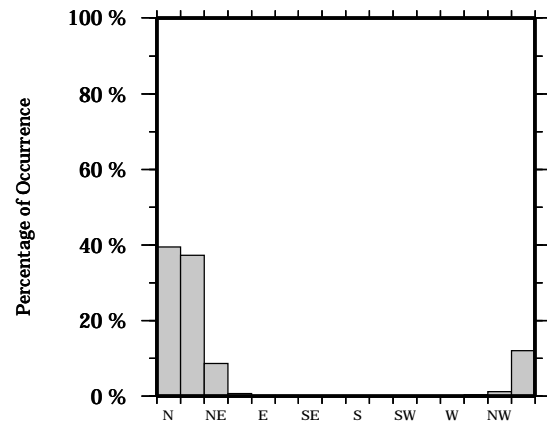
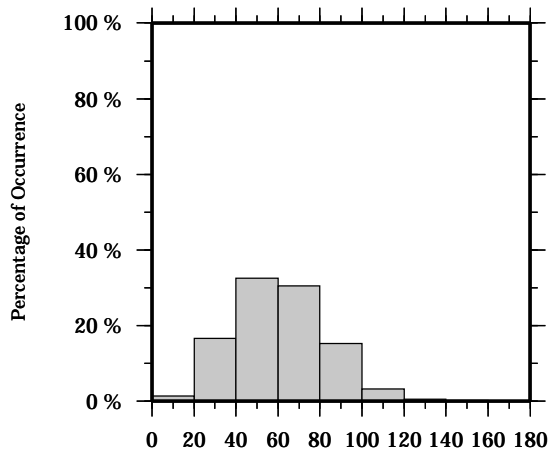
Speed scalar average : 61.9 (cm/s)

LON: 121° 24.6445' E

Station: W304

LAT: 22° 38.8994' N

Depth: 194 M



Joint probability distribution of current speed and it's direction

Speed	N	NNE	NE	ENE	E	ESE	SE	SSE	S	SSW	SW	WSW	W	WNW	NW	NNW	Total
0-20	0.2	0.1	0.1	0.1	0.1	0.1	0.1	0.0	0.0	0.0	0.0	0.1	0.1	0.2	0.1	0.3	1.3
20-40	5.0	5.2	2.7	0.3	0.1	0.0	0.0	0.0	0.0	0.0	0.0	0.0	0.0	0.2	0.7	2.4	16.6
40-60	13.5	11.5	2.4	0.2	0.1	0.0	0.0	0.0	0.0	0.0	0.0	0.0	0.0	0.0	0.2	4.7	32.5
60-80	13.8	11.0	2.1	0.1	0.0	0.0	0.0	0.0	0.0	0.0	0.0	0.0	0.0	0.0	0.2	3.4	30.5
80-100	6.5	6.4	1.0	0.0	0.0	0.0	0.0	0.0	0.0	0.0	0.0	0.0	0.0	0.0	0.1	1.2	15.2
100-120	0.4	2.4	0.3	0.0	0.0	0.0	0.0	0.0	0.0	0.0	0.0	0.0	0.0	0.0	0.0	0.1	3.2
120-140	0.1	0.4	0.1	0.0	0.0	0.0	0.0	0.0	0.0	0.0	0.0	0.0	0.0	0.0	0.0	0.0	0.5
140-160	0.0	0.1	0.0	0.0	0.0	0.0	0.0	0.0	0.0	0.0	0.0	0.0	0.0	0.0	0.0	0.0	0.1
160-180	0.0	0.0	0.0	0.0	0.0	0.0	0.0	0.0	0.0	0.0	0.0	0.0	0.0	0.0	0.0	0.0	0.0
180-200	0.0	0.0	0.0	0.0	0.0	0.0	0.0	0.0	0.0	0.0	0.0	0.0	0.0	0.0	0.0	0.0	0.0
Total	39.5	37.2	8.7	0.6	0.2	0.1	0.1	0.0	0.0	0.0	0.0	0.1	0.1	0.4	1.2	12.0	100.0

Mean U and V : 10.0 (cm/s), 56.9 (cm/s)

Standard deviation of U and V : 18.9 (cm/s), 21.1 (cm/s)

Maximun speed and it's direction : 147.3 (cm/s), 24.9 (deg.)

Mean speed and direction : 57.8 (cm/s), 10.0 (deg.)

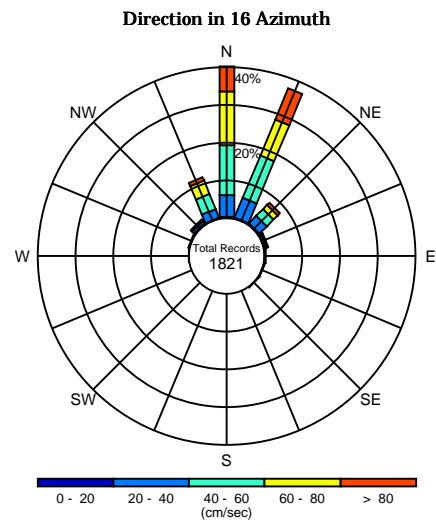
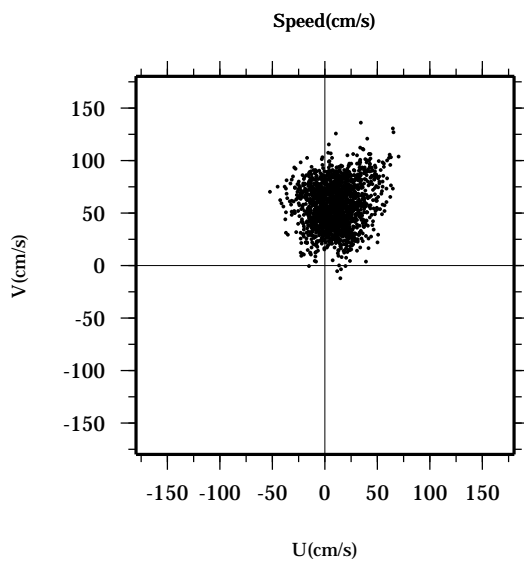
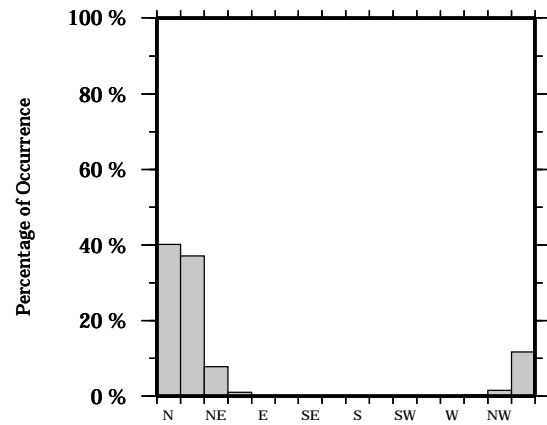
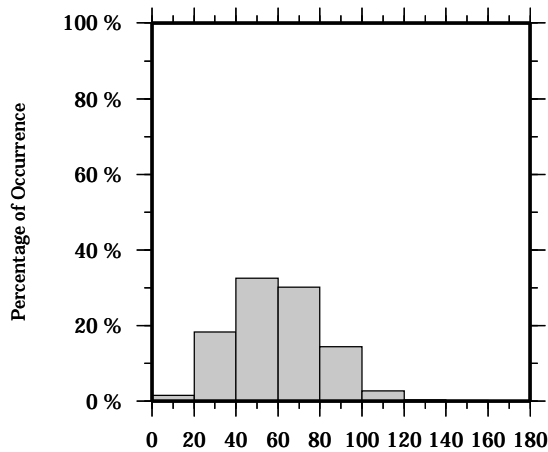
Speed scalar average : 60.7 (cm/s)

LON: 121° 24.6445' E

Station: W304

LAT: 22° 38.8994' N

Depth: 198 M



Joint probability distribution of current speed and it's direction

Speed	N	NNE	NE	ENE	E	ESE	SE	SSE	S	SSW	SW	WSW	W	WNW	NW	NNW	Total
0-20	0.3	0.1	0.2	0.1	0.1	0.1	0.1	0.0	0.0	0.0	0.0	0.0	0.1	0.1	0.3	0.1	1.5
20-40	5.8	5.8	2.8	0.5	0.1	0.0	0.0	0.0	0.0	0.0	0.0	0.0	0.0	0.2	0.7	2.5	18.3
40-60	13.2	12.1	2.4	0.3	0.0	0.0	0.0	0.0	0.0	0.0	0.0	0.0	0.0	0.0	0.2	4.2	32.5
60-80	14.2	10.3	1.6	0.0	0.0	0.0	0.0	0.0	0.0	0.0	0.0	0.0	0.0	0.0	0.2	3.8	30.1
80-100	6.3	6.4	0.7	0.0	0.0	0.0	0.0	0.0	0.0	0.0	0.0	0.0	0.0	0.0	0.1	1.0	14.4
100-120	0.4	2.2	0.1	0.0	0.0	0.0	0.0	0.0	0.0	0.0	0.0	0.0	0.0	0.0	0.0	0.1	2.7
120-140	0.1	0.2	0.1	0.0	0.0	0.0	0.0	0.0	0.0	0.0	0.0	0.0	0.0	0.0	0.0	0.0	0.3
140-160	0.0	0.1	0.0	0.0	0.0	0.0	0.0	0.0	0.0	0.0	0.0	0.0	0.0	0.0	0.0	0.0	0.1
160-180	0.0	0.0	0.0	0.0	0.0	0.0	0.0	0.0	0.0	0.0	0.0	0.0	0.0	0.0	0.0	0.0	0.0
180-200	0.0	0.0	0.0	0.0	0.0	0.0	0.0	0.0	0.0	0.0	0.0	0.0	0.0	0.0	0.0	0.0	0.0
Total	40.1	37.1	7.9	0.9	0.2	0.1	0.1	0.0	0.0	0.0	0.0	0.0	0.1	0.3	1.5	11.7	100.0

Mean U and V : 9.6 (cm/s), 55.9 (cm/s)

Standard deviation of U and V : 18.3 (cm/s), 21.1 (cm/s)

Maximun speed and it's direction : 145.1 (cm/s), 26.3 (deg.)

Mean speed and direction : 56.7 (cm/s), 9.8 (deg.)

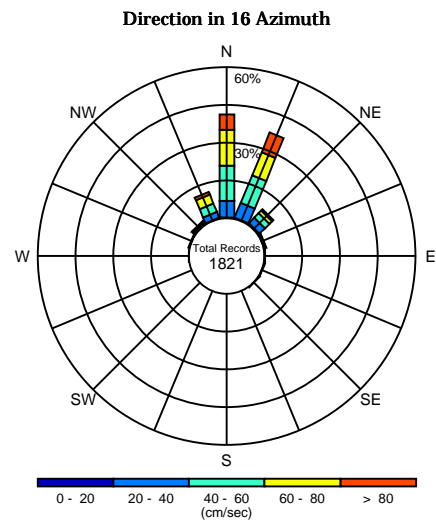
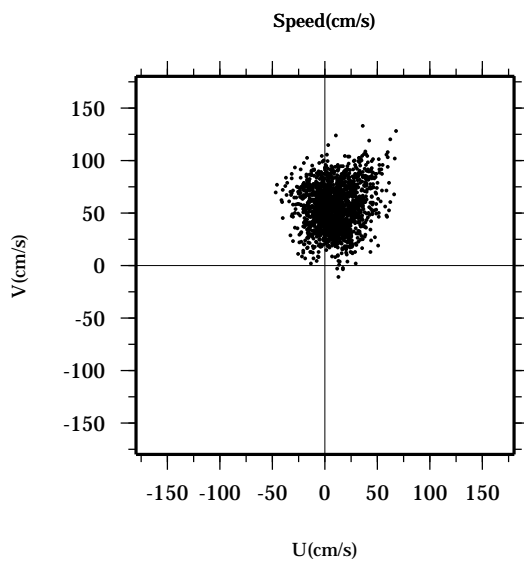
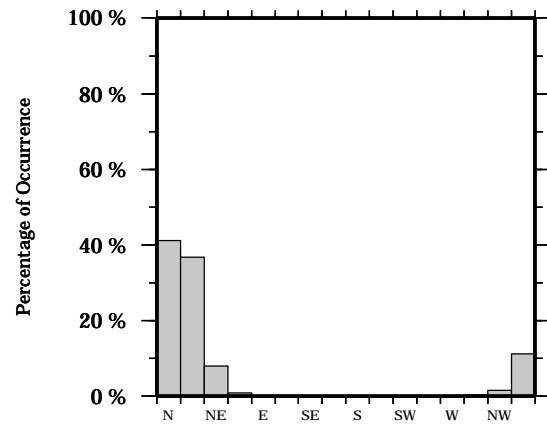
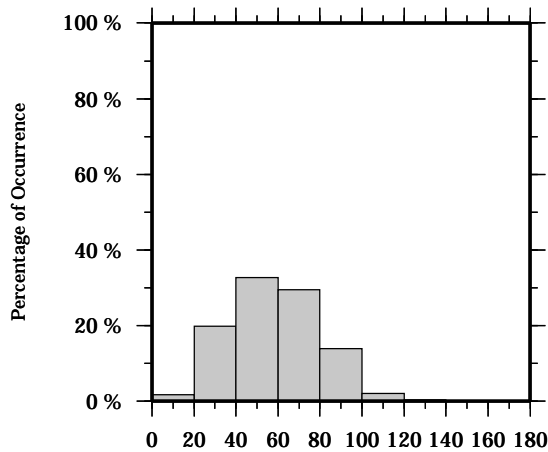
Speed scalar average : 59.6 (cm/s)

LON: 121° 24.6445' E

Station: W304

LAT: 22° 38.8994' N

Depth: 202 M



Joint probability distribution of current speed and it's direction

Speed	N	NNE	NE	ENE	E	ESE	SE	SSE	S	SSW	SW	WSW	W	WNW	NW	NNW	Total
0-20	0.2	0.1	0.3	0.1	0.1	0.1	0.1	0.0	0.0	0.0	0.0	0.0	0.1	0.2	0.3	0.2	1.7
20-40	6.5	6.5	3.0	0.4	0.1	0.0	0.0	0.0	0.0	0.0	0.0	0.0	0.0	0.2	0.7	2.4	19.8
40-60	14.0	11.8	2.6	0.2	0.0	0.0	0.0	0.0	0.0	0.0	0.0	0.0	0.0	0.0	0.3	3.7	32.7
60-80	14.3	9.9	1.4	0.0	0.0	0.0	0.0	0.0	0.0	0.0	0.0	0.0	0.0	0.0	0.1	3.8	29.5
80-100	5.7	6.4	0.7	0.0	0.0	0.0	0.0	0.0	0.0	0.0	0.0	0.0	0.0	0.0	0.1	1.0	13.8
100-120	0.3	1.7	0.0	0.0	0.0	0.0	0.0	0.0	0.0	0.0	0.0	0.0	0.0	0.0	0.0	0.0	2.0
120-140	0.1	0.3	0.0	0.0	0.0	0.0	0.0	0.0	0.0	0.0	0.0	0.0	0.0	0.0	0.0	0.0	0.4
140-160	0.0	0.1	0.0	0.0	0.0	0.0	0.0	0.0	0.0	0.0	0.0	0.0	0.0	0.0	0.0	0.0	0.1
160-180	0.0	0.0	0.0	0.0	0.0	0.0	0.0	0.0	0.0	0.0	0.0	0.0	0.0	0.0	0.0	0.0	0.0
180-200	0.0	0.0	0.0	0.0	0.0	0.0	0.0	0.0	0.0	0.0	0.0	0.0	0.0	0.0	0.0	0.0	0.0
Total	41.1	36.7	8.0	0.8	0.2	0.1	0.1	0.0	0.0	0.0	0.0	0.0	0.1	0.4	1.5	11.1	100.0

Mean U and V : 9.2 (cm/s), 54.9 (cm/s)

Standard deviation of U and V : 17.7 (cm/s), 21.2 (cm/s)

Maximun speed and it's direction : 144.4 (cm/s), 27.8 (deg.)

Mean speed and direction : 55.7 (cm/s), 9.5 (deg.)

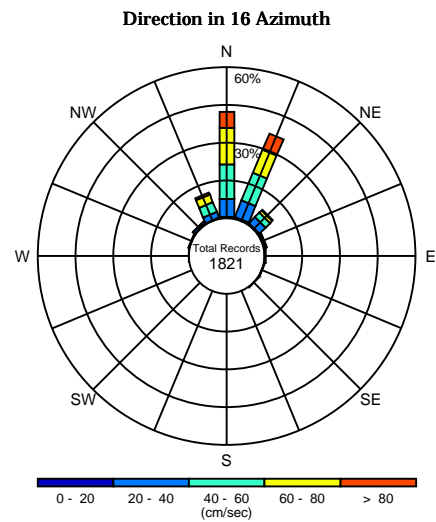
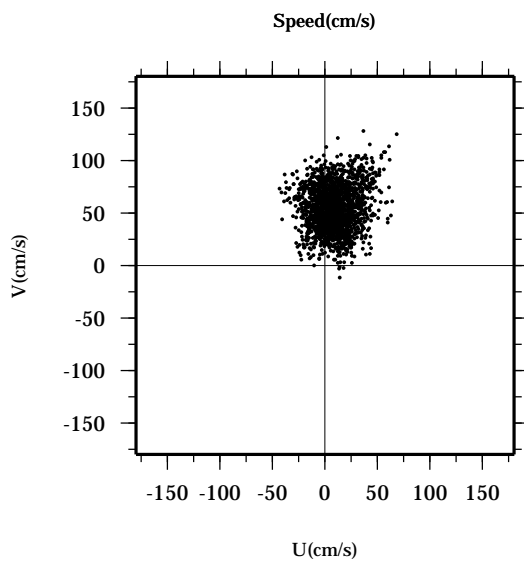
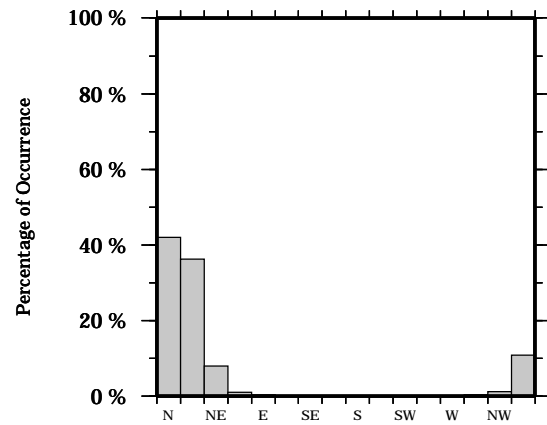
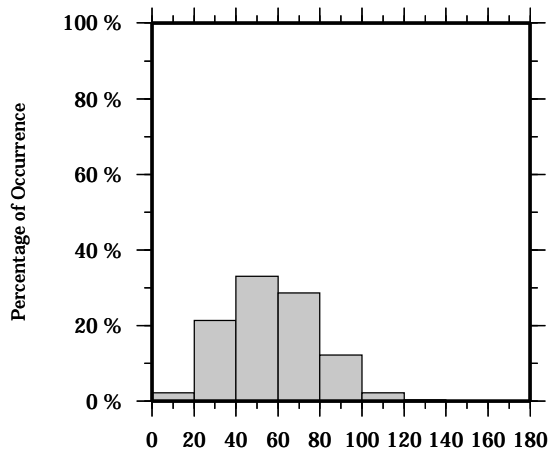
Speed scalar average : 58.4 (cm/s)

LON: 121° 24.6445' E

Station: W304

LAT: 22° 38.8994' N

Depth: 206 M



Joint probability distribution of current speed and it's direction

Speed	N	NNE	NE	ENE	E	ESE	SE	SSE	S	SSW	SW	WSW	W	WNW	NW	NNW	Total
0-20	0.3	0.5	0.3	0.2	0.2	0.1	0.1	0.0	0.0	0.0	0.0	0.0	0.1	0.1	0.2	0.3	2.3
20-40	7.1	7.0	3.3	0.4	0.1	0.0	0.0	0.0	0.0	0.0	0.0	0.0	0.0	0.2	0.8	2.3	21.4
40-60	13.9	12.0	2.6	0.3	0.0	0.0	0.0	0.0	0.0	0.0	0.0	0.0	0.0	0.0	0.2	4.2	33.1
60-80	14.3	9.7	1.3	0.0	0.0	0.0	0.0	0.0	0.0	0.0	0.0	0.0	0.0	0.0	0.0	3.2	28.6
80-100	5.9	5.0	0.4	0.0	0.0	0.0	0.0	0.0	0.0	0.0	0.0	0.0	0.0	0.0	0.0	0.9	12.2
100-120	0.4	1.8	0.0	0.0	0.0	0.0	0.0	0.0	0.0	0.0	0.0	0.0	0.0	0.0	0.0	0.0	2.1
120-140	0.1	0.3	0.0	0.0	0.0	0.0	0.0	0.0	0.0	0.0	0.0	0.0	0.0	0.0	0.0	0.0	0.3
140-160	0.0	0.1	0.0	0.0	0.0	0.0	0.0	0.0	0.0	0.0	0.0	0.0	0.0	0.0	0.0	0.0	0.1
160-180	0.0	0.0	0.0	0.0	0.0	0.0	0.0	0.0	0.0	0.0	0.0	0.0	0.0	0.0	0.0	0.0	0.0
180-200	0.0	0.0	0.0	0.0	0.0	0.0	0.0	0.0	0.0	0.0	0.0	0.0	0.0	0.0	0.0	0.0	0.0
Total	42.0	36.3	7.9	0.9	0.3	0.1	0.1	0.0	0.0	0.0	0.0	0.0	0.1	0.3	1.2	10.9	100.0

Mean U and V : 8.8 (cm/s), 53.8 (cm/s)

Standard deviation of U and V : 17.2 (cm/s), 21.2 (cm/s)

Maximun speed and it's direction : 142.6 (cm/s), 28.7 (deg.)

Mean speed and direction : 54.5 (cm/s), 9.3 (deg.)

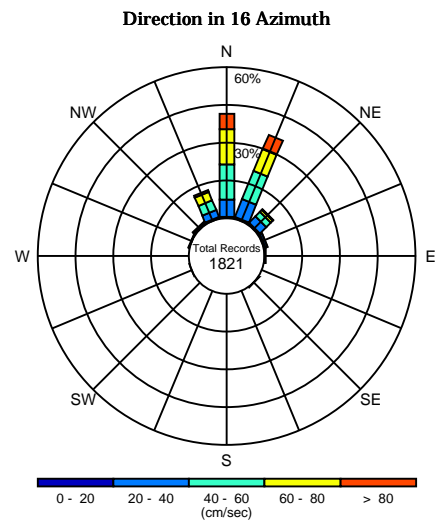
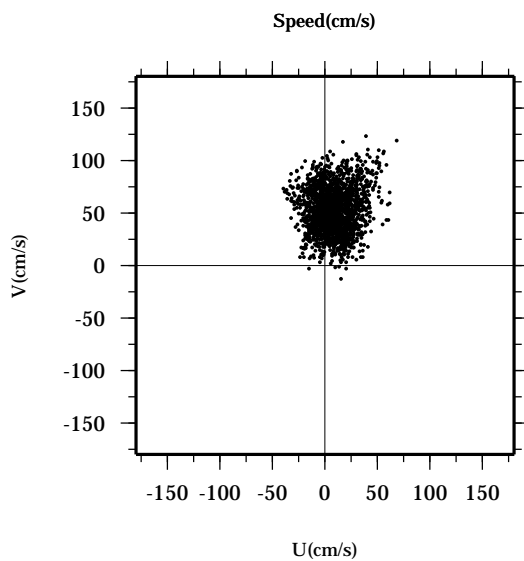
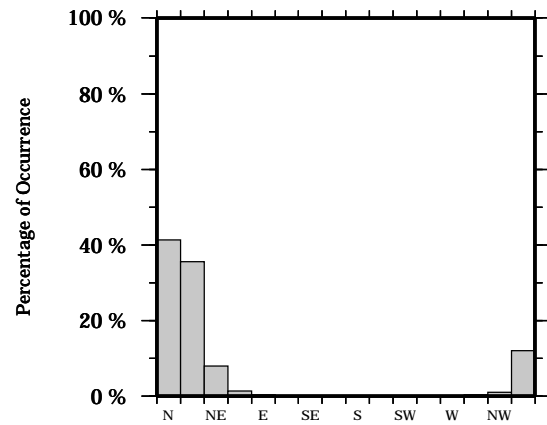
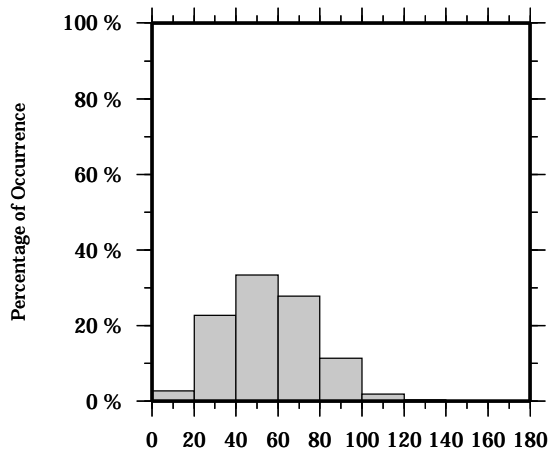
Speed scalar average : 57.2 (cm/s)

LON: 121° 24.6445' E

Station: W304

LAT: 22° 38.8994' N

Depth: 210 M



Joint probability distribution of current speed and it's direction

Speed	N	NNE	NE	ENE	E	ESE	SE	SSE	S	SSW	SW	WSW	W	WNW	NW	NNW	Total
0-20	0.4	0.4	0.5	0.3	0.1	0.0	0.1	0.0	0.0	0.0	0.0	0.1	0.0	0.2	0.2	0.4	2.6
20-40	6.7	7.7	3.5	0.9	0.2	0.0	0.0	0.0	0.0	0.0	0.0	0.0	0.0	0.2	0.7	3.0	22.7
40-60	14.2	12.0	2.6	0.1	0.0	0.0	0.0	0.0	0.0	0.0	0.0	0.0	0.0	0.0	0.2	4.2	33.3
60-80	14.0	9.3	0.9	0.0	0.0	0.0	0.0	0.0	0.0	0.0	0.0	0.0	0.0	0.0	0.0	3.6	27.8
80-100	5.5	4.5	0.4	0.0	0.0	0.0	0.0	0.0	0.0	0.0	0.0	0.0	0.0	0.0	0.0	0.9	11.3
100-120	0.5	1.4	0.0	0.0	0.0	0.0	0.0	0.0	0.0	0.0	0.0	0.0	0.0	0.0	0.0	0.0	1.9
120-140	0.0	0.3	0.0	0.0	0.0	0.0	0.0	0.0	0.0	0.0	0.0	0.0	0.0	0.0	0.0	0.0	0.3
140-160	0.0	0.0	0.0	0.0	0.0	0.0	0.0	0.0	0.0	0.0	0.0	0.0	0.0	0.0	0.0	0.0	0.0
160-180	0.0	0.0	0.0	0.0	0.0	0.0	0.0	0.0	0.0	0.0	0.0	0.0	0.0	0.0	0.0	0.0	0.0
180-200	0.0	0.0	0.0	0.0	0.0	0.0	0.0	0.0	0.0	0.0	0.0	0.0	0.0	0.0	0.0	0.0	0.0
Total	41.3	35.6	8.0	1.3	0.3	0.0	0.1	0.0	0.0	0.0	0.0	0.1	0.0	0.3	1.0	12.0	100.0

Mean U and V : 8.4 (cm/s), 52.6 (cm/s)

Standard deviation of U and V : 16.5 (cm/s), 21.4 (cm/s)

Maximun speed and it's direction : 137.1 (cm/s), 29.9 (deg.)

Mean speed and direction : 53.3 (cm/s), 9.1 (deg.)

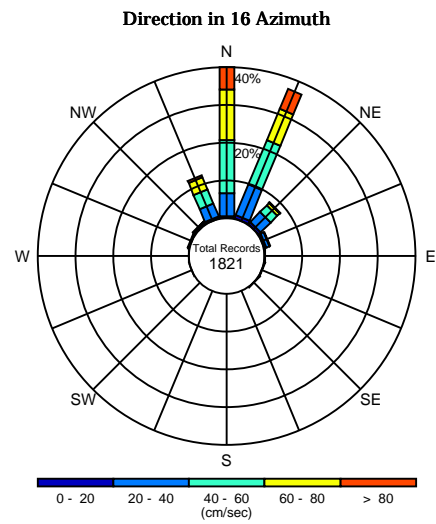
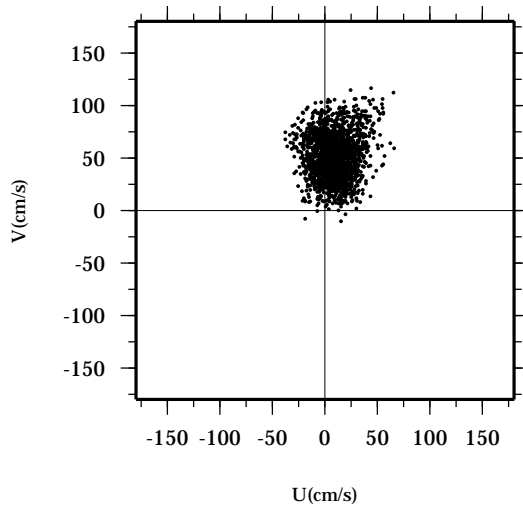
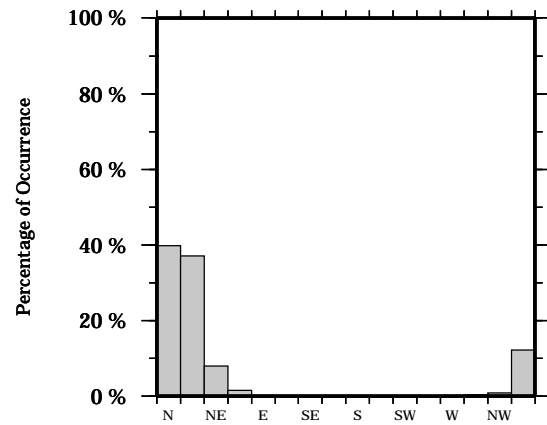
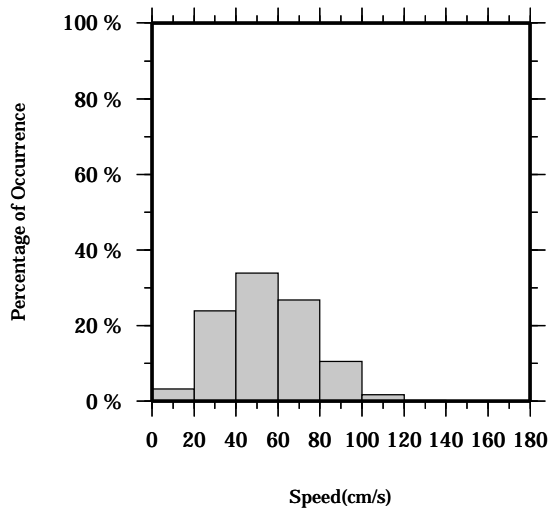
Speed scalar average : 55.9 (cm/s)

LON: 121° 24.6445' E

Station: W304

LAT: 22° 38.8994' N

Depth: 214 M



Joint probability distribution of current speed and it's direction

Speed	N	NNE	NE	ENE	E	ESE	SE	SSE	S	SSW	SW	WSW	W	WNW	NW	NNW	Total
0-20	0.4	0.8	0.7	0.4	0.1	0.1	0.1	0.0	0.0	0.0	0.0	0.0	0.1	0.2	0.1	0.5	3.2
20-40	6.2	8.7	3.7	0.9	0.1	0.0	0.0	0.0	0.0	0.0	0.0	0.1	0.0	0.2	0.5	3.6	23.9
40-60	14.1	12.8	2.6	0.2	0.0	0.0	0.0	0.0	0.0	0.0	0.0	0.0	0.0	0.0	0.2	4.1	33.9
60-80	13.4	8.9	0.9	0.0	0.0	0.0	0.0	0.0	0.0	0.0	0.0	0.0	0.0	0.0	0.0	3.5	26.7
80-100	5.4	4.3	0.2	0.0	0.0	0.0	0.0	0.0	0.0	0.0	0.0	0.0	0.0	0.0	0.0	0.5	10.4
100-120	0.4	1.3	0.0	0.0	0.0	0.0	0.0	0.0	0.0	0.0	0.0	0.0	0.0	0.0	0.0	0.0	1.8
120-140	0.0	0.1	0.0	0.0	0.0	0.0	0.0	0.0	0.0	0.0	0.0	0.0	0.0	0.0	0.0	0.0	0.1
140-160	0.0	0.0	0.0	0.0	0.0	0.0	0.0	0.0	0.0	0.0	0.0	0.0	0.0	0.0	0.0	0.0	0.0
160-180	0.0	0.0	0.0	0.0	0.0	0.0	0.0	0.0	0.0	0.0	0.0	0.0	0.0	0.0	0.0	0.0	0.0
180-200	0.0	0.0	0.0	0.0	0.0	0.0	0.0	0.0	0.0	0.0	0.0	0.0	0.0	0.0	0.0	0.0	0.0
Total	39.8	37.0	8.0	1.5	0.1	0.1	0.1	0.0	0.0	0.0	0.0	0.1	0.1	0.4	0.8	12.2	100.0

Mean U and V : 8.1 (cm/s), 51.5 (cm/s)

Standard deviation of U and V : 15.9 (cm/s), 21.5 (cm/s)

Maximun speed and it's direction : 129.2 (cm/s), 30.2 (deg.)

Mean speed and direction : 52.1 (cm/s), 9.0 (deg.)

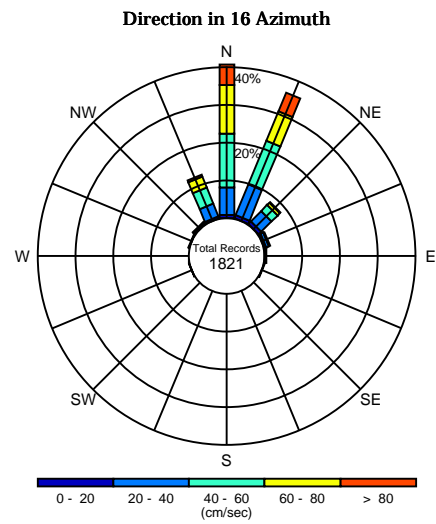
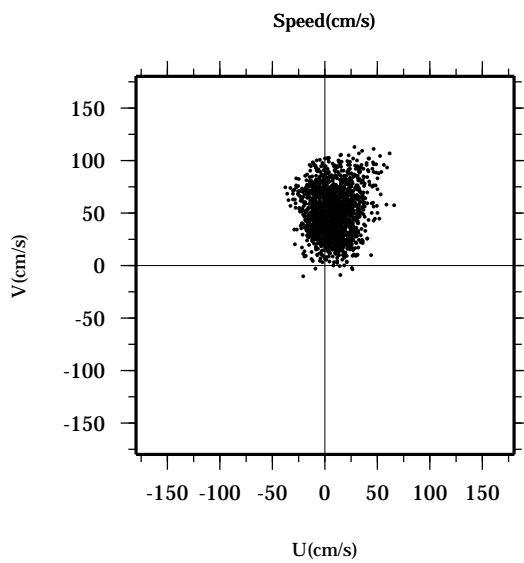
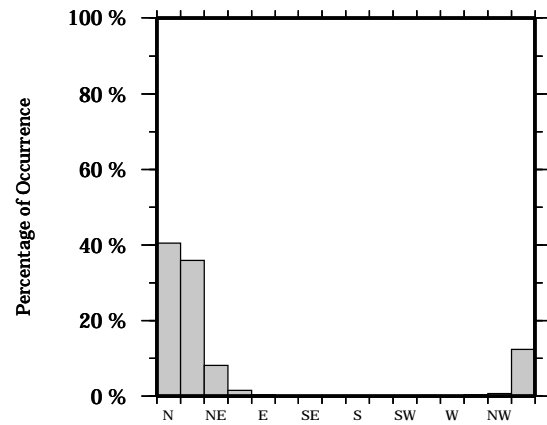
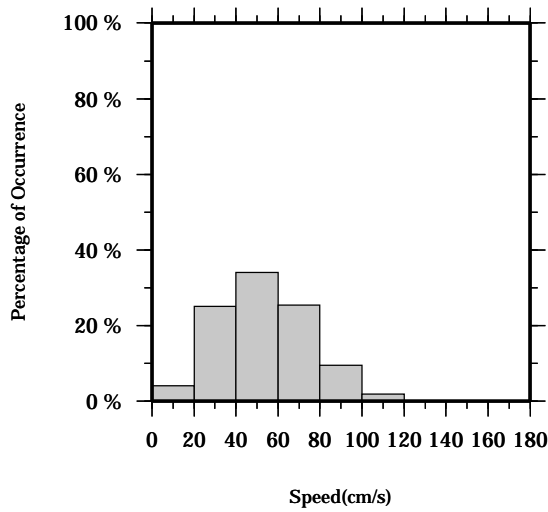
Speed scalar average : 54.7 (cm/s)

LON: 121° 24.6445' E

Station: W304

LAT: 22° 38.8994' N

Depth: 218 M



Joint probability distribution of current speed and it's direction

Speed	N	NNE	NE	ENE	E	ESE	SE	SSE	S	SSW	SW	WSW	W	WNW	NW	NNW	Total
0-20	0.8	0.8	0.9	0.4	0.2	0.1	0.0	0.0	0.0	0.0	0.0	0.1	0.0	0.1	0.3	0.5	4.1
20-40	7.2	8.8	3.8	0.9	0.2	0.0	0.0	0.0	0.0	0.0	0.0	0.1	0.0	0.2	0.3	3.6	25.0
40-60	14.2	12.5	2.4	0.3	0.0	0.0	0.0	0.0	0.0	0.0	0.0	0.0	0.0	0.0	0.1	4.6	34.1
60-80	13.0	8.6	0.8	0.0	0.0	0.0	0.0	0.0	0.0	0.0	0.0	0.0	0.0	0.0	0.0	3.2	25.5
80-100	4.8	4.0	0.2	0.0	0.0	0.0	0.0	0.0	0.0	0.0	0.0	0.0	0.0	0.0	0.0	0.4	9.4
100-120	0.5	1.3	0.0	0.0	0.0	0.0	0.0	0.0	0.0	0.0	0.0	0.0	0.0	0.0	0.0	0.0	1.8
120-140	0.0	0.1	0.0	0.0	0.0	0.0	0.0	0.0	0.0	0.0	0.0	0.0	0.0	0.0	0.0	0.0	0.1
140-160	0.0	0.0	0.0	0.0	0.0	0.0	0.0	0.0	0.0	0.0	0.0	0.0	0.0	0.0	0.0	0.0	0.0
160-180	0.0	0.0	0.0	0.0	0.0	0.0	0.0	0.0	0.0	0.0	0.0	0.0	0.0	0.0	0.0	0.0	0.0
180-200	0.0	0.0	0.0	0.0	0.0	0.0	0.0	0.0	0.0	0.0	0.0	0.0	0.0	0.0	0.0	0.0	0.0
Total	40.5	35.9	8.1	1.6	0.4	0.1	0.0	0.0	0.0	0.0	0.0	0.1	0.0	0.3	0.7	12.4	100.0

Mean U and V : 7.7 (cm/s), 50.5 (cm/s)

Standard deviation of U and V : 15.4 (cm/s), 21.7 (cm/s)

Maximun speed and it's direction : 123.2 (cm/s), 30.0 (deg.)

Mean speed and direction : 51.0 (cm/s), 8.7 (deg.)

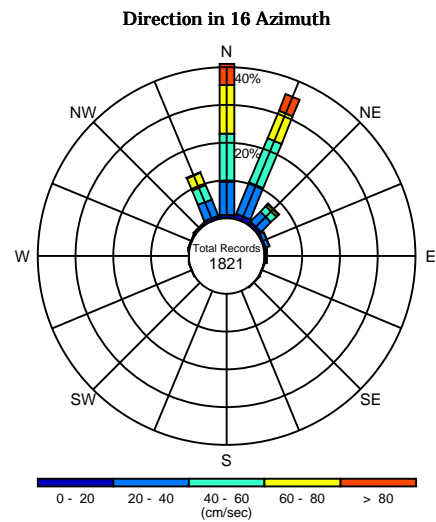
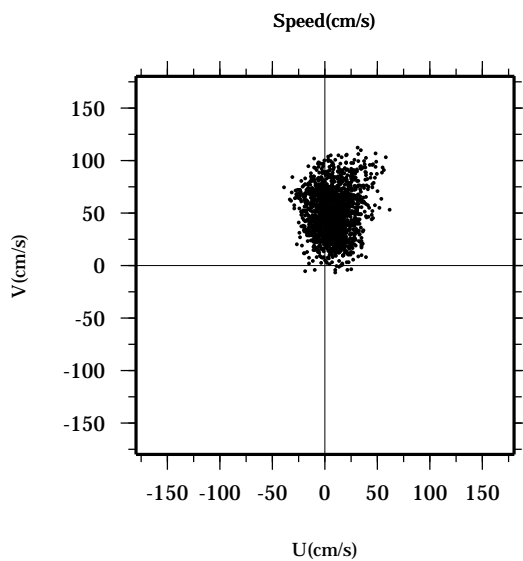
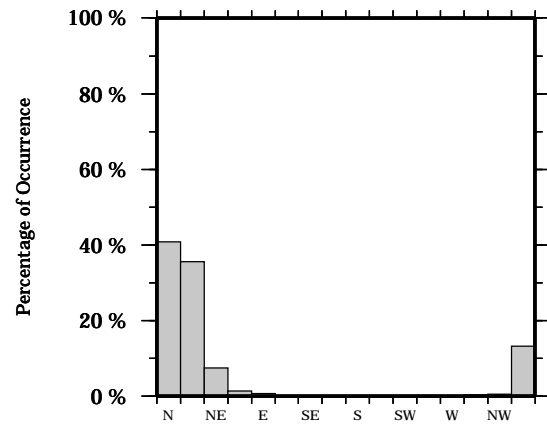
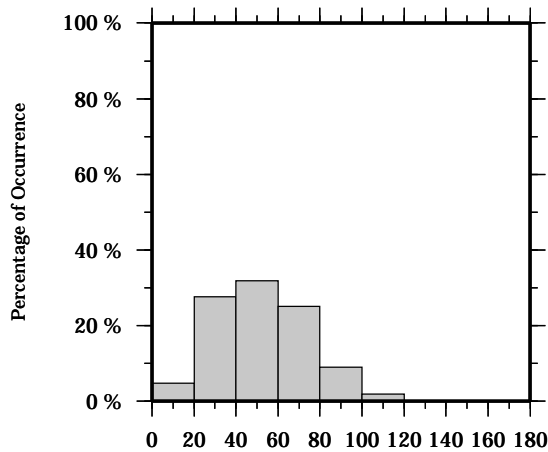
Speed scalar average : 53.5 (cm/s)

LON: 121° 24.6445' E

Station: W304

LAT: 22° 38.8994' N

Depth: 222 M



Joint probability distribution of current speed and it's direction

Speed	N	NNE	NE	ENE	E	ESE	SE	SSE	S	SSW	SW	WSW	W	WNW	NW	NNW	Total
0-20	0.8	1.2	0.8	0.3	0.3	0.1	0.1	0.0	0.0	0.0	0.0	0.1	0.1	0.2	0.2	0.7	4.7
20-40	8.7	8.9	3.7	1.0	0.3	0.0	0.0	0.0	0.0	0.0	0.0	0.0	0.0	0.1	0.3	4.6	27.7
40-60	12.7	12.8	2.1	0.1	0.0	0.0	0.0	0.0	0.0	0.0	0.0	0.0	0.0	0.0	0.0	4.1	31.8
60-80	13.0	7.8	0.7	0.0	0.0	0.0	0.0	0.0	0.0	0.0	0.0	0.0	0.0	0.0	0.0	3.5	25.0
80-100	5.1	3.6	0.2	0.0	0.0	0.0	0.0	0.0	0.0	0.0	0.0	0.0	0.0	0.0	0.0	0.2	9.0
100-120	0.5	1.3	0.0	0.0	0.0	0.0	0.0	0.0	0.0	0.0	0.0	0.0	0.0	0.0	0.0	0.0	1.8
120-140	0.0	0.0	0.0	0.0	0.0	0.0	0.0	0.0	0.0	0.0	0.0	0.0	0.0	0.0	0.0	0.0	0.0
140-160	0.0	0.0	0.0	0.0	0.0	0.0	0.0	0.0	0.0	0.0	0.0	0.0	0.0	0.0	0.0	0.0	0.0
160-180	0.0	0.0	0.0	0.0	0.0	0.0	0.0	0.0	0.0	0.0	0.0	0.0	0.0	0.0	0.0	0.0	0.0
180-200	0.0	0.0	0.0	0.0	0.0	0.0	0.0	0.0	0.0	0.0	0.0	0.0	0.0	0.0	0.0	0.0	0.0
Total	40.8	35.5	7.5	1.4	0.6	0.1	0.1	0.0	0.0	0.0	0.0	0.1	0.1	0.3	0.5	13.1	100.0

Mean U and V : 7.3 (cm/s), 49.4 (cm/s)

Standard deviation of U and V : 14.9 (cm/s), 21.8 (cm/s)

Maximun speed and it's direction : 118.0 (cm/s), 29.4 (deg.)

Mean speed and direction : 49.9 (cm/s), 8.5 (deg.)

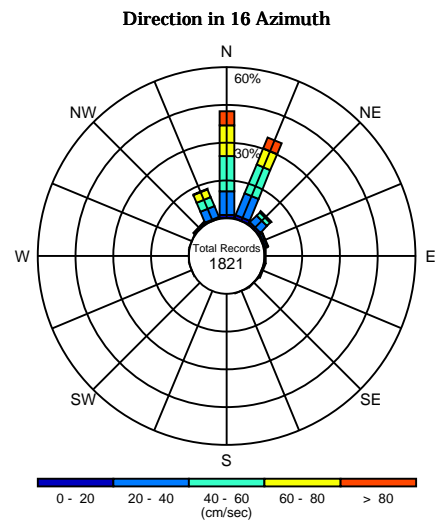
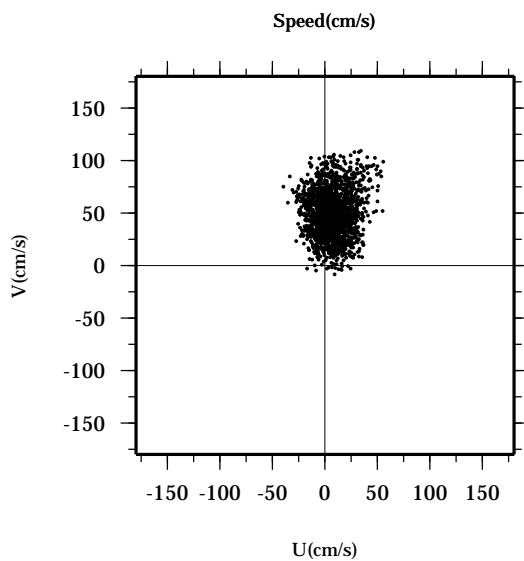
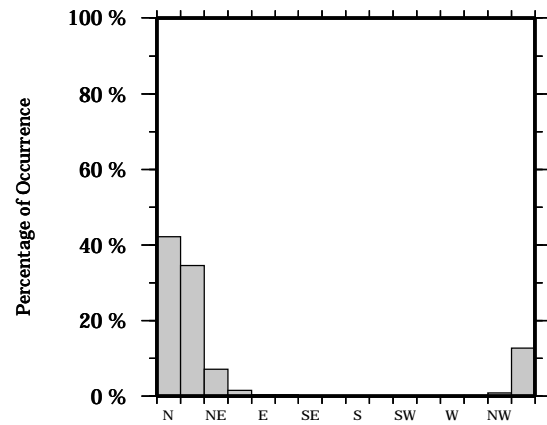
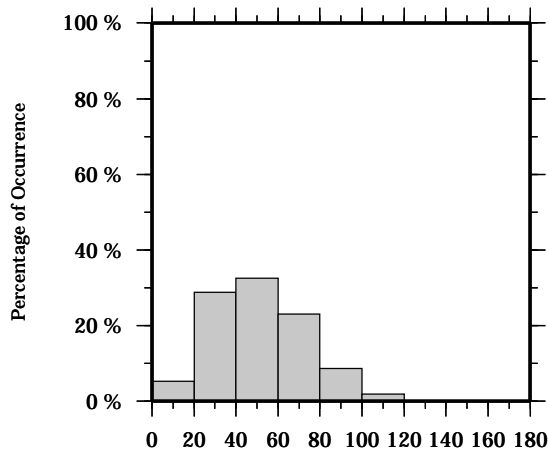
Speed scalar average : 52.3 (cm/s)

LON: 121° 24.6445' E

Station: W304

LAT: 22° 38.8994' N

Depth: 226 M



Joint probability distribution of current speed and it's direction

Speed	N	NNE	NE	ENE	E	ESE	SE	SSE	S	SSW	SW	WSW	W	WNW	NW	NNW	Total
0-20	1.0	1.2	0.8	0.3	0.2	0.3	0.1	0.1	0.0	0.0	0.0	0.1	0.2	0.1	0.3	0.5	5.2
20-40	9.4	9.3	3.8	1.0	0.1	0.0	0.0	0.0	0.0	0.0	0.0	0.0	0.0	0.0	0.5	4.5	28.7
40-60	13.9	12.4	1.9	0.2	0.0	0.0	0.0	0.0	0.0	0.0	0.0	0.0	0.0	0.0	0.0	4.0	32.5
60-80	12.4	7.0	0.5	0.0	0.0	0.0	0.0	0.0	0.0	0.0	0.0	0.0	0.0	0.0	0.0	3.2	23.1
80-100	4.8	3.4	0.1	0.0	0.0	0.0	0.0	0.0	0.0	0.0	0.0	0.0	0.0	0.0	0.0	0.4	8.7
100-120	0.6	1.3	0.0	0.0	0.0	0.0	0.0	0.0	0.0	0.0	0.0	0.0	0.0	0.0	0.0	0.0	1.9
120-140	0.0	0.0	0.0	0.0	0.0	0.0	0.0	0.0	0.0	0.0	0.0	0.0	0.0	0.0	0.0	0.0	0.0
140-160	0.0	0.0	0.0	0.0	0.0	0.0	0.0	0.0	0.0	0.0	0.0	0.0	0.0	0.0	0.0	0.0	0.0
160-180	0.0	0.0	0.0	0.0	0.0	0.0	0.0	0.0	0.0	0.0	0.0	0.0	0.0	0.0	0.0	0.0	0.0
180-200	0.0	0.0	0.0	0.0	0.0	0.0	0.0	0.0	0.0	0.0	0.0	0.0	0.0	0.0	0.0	0.0	0.0
Total	42.2	34.5	7.0	1.6	0.3	0.3	0.1	0.1	0.0	0.0	0.0	0.1	0.2	0.1	0.9	12.6	100.0

Mean U and V : 7.0 (cm/s), 48.4 (cm/s)

Standard deviation of U and V : 14.5 (cm/s), 21.9 (cm/s)

Maximun speed and it's direction : 114.1 (cm/s), 17.2 (deg.)

Mean speed and direction : 48.9 (cm/s), 8.2 (deg.)

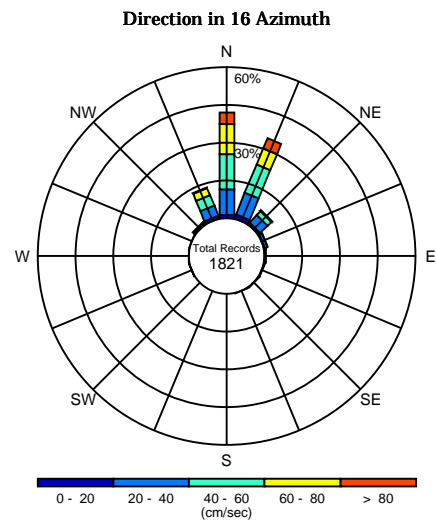
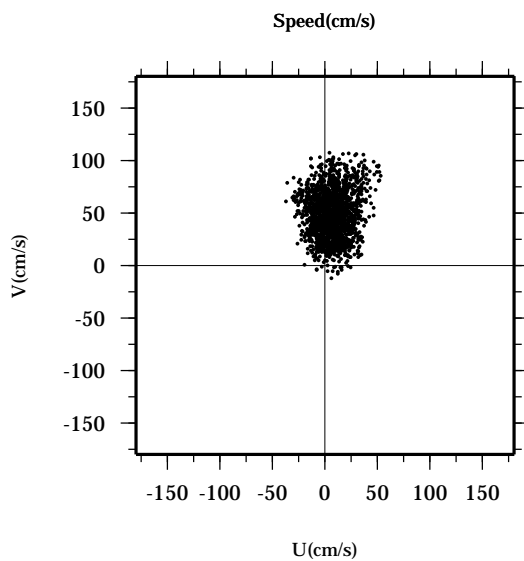
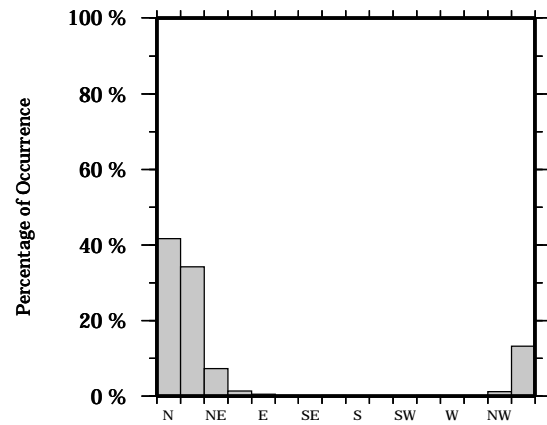
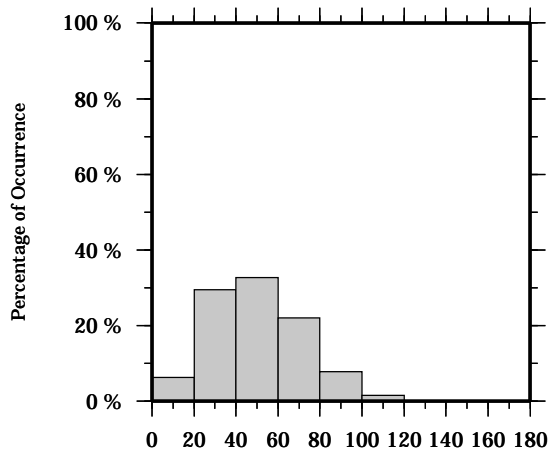
Speed scalar average : 51.2 (cm/s)

LON: 121° 24.6445' E

Station: W304

LAT: 22° 38.8994' N

Depth: 230 M



Joint probability distribution of current speed and it's direction

Speed	N	NNE	NE	ENE	E	ESE	SE	SSE	S	SSW	SW	WSW	W	WNW	NW	NNW	Total
0-20	1.2	1.6	0.7	0.2	0.3	0.2	0.1	0.1	0.0	0.0	0.0	0.2	0.1	0.1	0.5	1.0	6.3
20-40	10.0	9.1	4.2	1.1	0.2	0.0	0.0	0.0	0.0	0.0	0.0	0.0	0.0	0.0	0.7	4.3	29.5
40-60	14.2	12.1	2.0	0.1	0.0	0.0	0.0	0.0	0.0	0.0	0.0	0.0	0.0	0.0	0.0	4.3	32.7
60-80	11.8	6.9	0.3	0.0	0.0	0.0	0.0	0.0	0.0	0.0	0.0	0.0	0.0	0.0	0.0	3.1	22.1
80-100	3.9	3.6	0.1	0.0	0.0	0.0	0.0	0.0	0.0	0.0	0.0	0.0	0.0	0.0	0.0	0.3	7.9
100-120	0.6	1.0	0.0	0.0	0.0	0.0	0.0	0.0	0.0	0.0	0.0	0.0	0.0	0.0	0.0	0.0	1.6
120-140	0.0	0.0	0.0	0.0	0.0	0.0	0.0	0.0	0.0	0.0	0.0	0.0	0.0	0.0	0.0	0.0	0.0
140-160	0.0	0.0	0.0	0.0	0.0	0.0	0.0	0.0	0.0	0.0	0.0	0.0	0.0	0.0	0.0	0.0	0.0
160-180	0.0	0.0	0.0	0.0	0.0	0.0	0.0	0.0	0.0	0.0	0.0	0.0	0.0	0.0	0.0	0.0	0.0
180-200	0.0	0.0	0.0	0.0	0.0	0.0	0.0	0.0	0.0	0.0	0.0	0.0	0.0	0.0	0.0	0.0	0.0
Total	41.7	34.3	7.2	1.4	0.4	0.2	0.1	0.1	0.0	0.0	0.0	0.2	0.1	0.1	1.2	13.1	100.0

Mean U and V : 6.7 (cm/s), 47.3 (cm/s)

Standard deviation of U and V : 14.2 (cm/s), 22.0 (cm/s)

Maximun speed and it's direction : 111.8 (cm/s), 19.2 (deg.)

Mean speed and direction : 47.8 (cm/s), 8.1 (deg.)

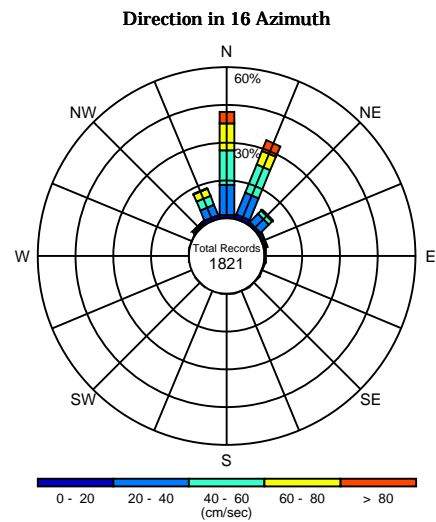
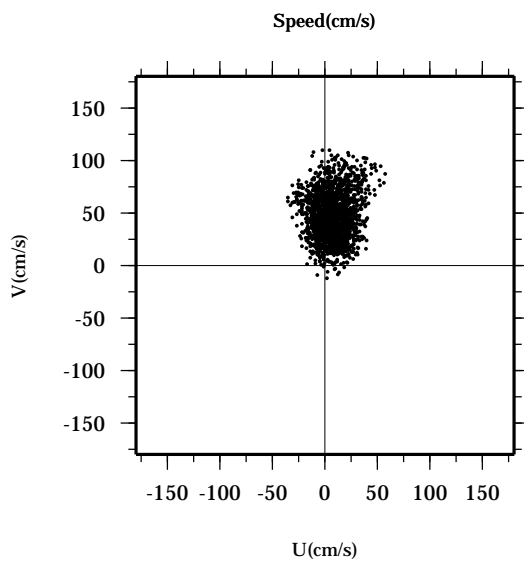
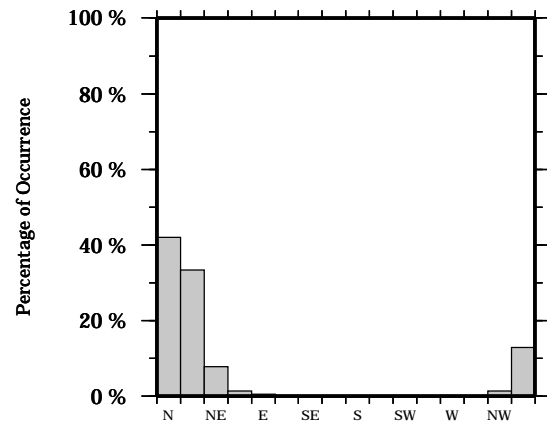
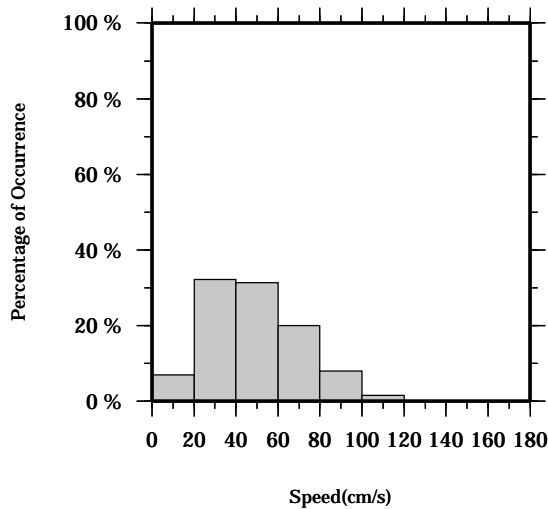
Speed scalar average : 50.1 (cm/s)

LON: 121° 24.6445' E

Station: W304

LAT: 22° 38.8994' N

Depth: 234 M



Joint probability distribution of current speed and it's direction

Speed	N	NNE	NE	ENE	E	ESE	SE	SSE	S	SSW	SW	WSW	W	WNW	NW	NNW	Total
0-20	1.3	1.6	0.8	0.3	0.3	0.2	0.1	0.1	0.1	0.0	0.1	0.0	0.2	0.2	0.5	1.4	7.0
20-40	11.9	9.4	4.8	0.9	0.1	0.0	0.0	0.0	0.0	0.0	0.0	0.0	0.0	0.0	0.8	4.2	32.1
40-60	13.6	11.9	1.9	0.1	0.0	0.0	0.0	0.0	0.0	0.0	0.0	0.0	0.0	0.0	0.1	3.8	31.4
60-80	10.8	5.8	0.2	0.0	0.0	0.0	0.0	0.0	0.0	0.0	0.0	0.0	0.0	0.0	0.0	3.2	20.0
80-100	3.8	3.7	0.2	0.0	0.0	0.0	0.0	0.0	0.0	0.0	0.0	0.0	0.0	0.0	0.0	0.2	8.0
100-120	0.7	0.9	0.0	0.0	0.0	0.0	0.0	0.0	0.0	0.0	0.0	0.0	0.0	0.0	0.0	0.0	1.5
120-140	0.0	0.0	0.0	0.0	0.0	0.0	0.0	0.0	0.0	0.0	0.0	0.0	0.0	0.0	0.0	0.0	0.0
140-160	0.0	0.0	0.0	0.0	0.0	0.0	0.0	0.0	0.0	0.0	0.0	0.0	0.0	0.0	0.0	0.0	0.0
160-180	0.0	0.0	0.0	0.0	0.0	0.0	0.0	0.0	0.0	0.0	0.0	0.0	0.0	0.0	0.0	0.0	0.0
180-200	0.0	0.0	0.0	0.0	0.0	0.0	0.0	0.0	0.0	0.0	0.0	0.0	0.0	0.0	0.0	0.0	0.0
Total	42.1	33.3	7.8	1.4	0.4	0.2	0.1	0.1	0.1	0.0	0.1	0.0	0.2	0.2	1.4	12.9	100.0

Mean U and V : 6.5 (cm/s), 46.3 (cm/s)

Standard deviation of U and V : 14.2 (cm/s), 22.0 (cm/s)

Maximun speed and it's direction : 109.7 (cm/s), 358.5 (deg.)

Mean speed and direction : 46.7 (cm/s), 8.0 (deg.)

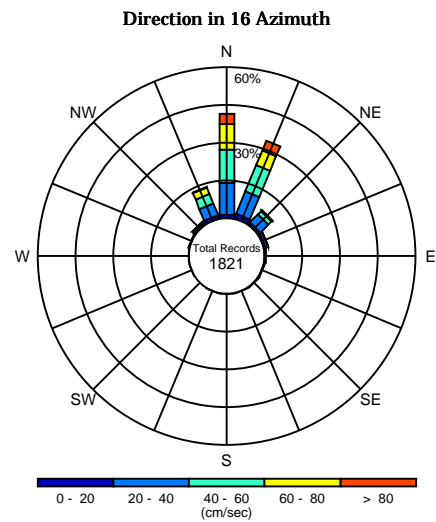
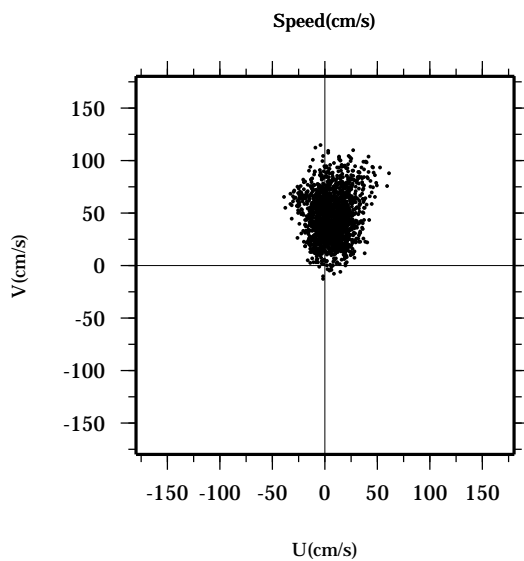
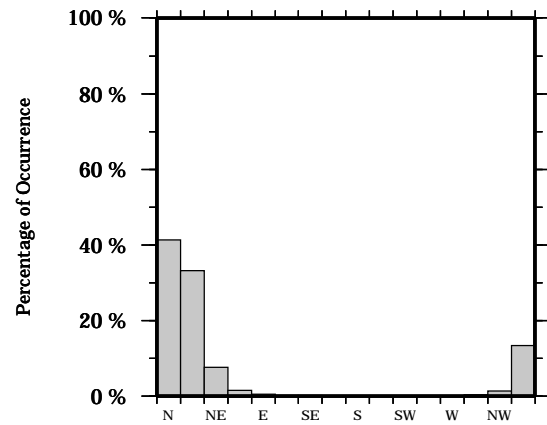
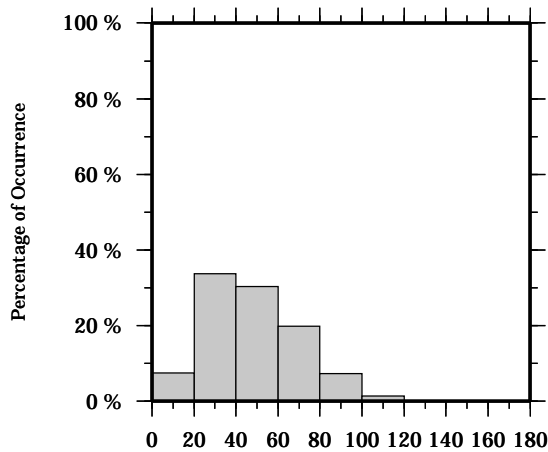
Speed scalar average : 49.0 (cm/s)

LON: 121° 24.6445' E

Station: W304

LAT: 22° 38.8994' N

Depth: 238 M



Joint probability distribution of current speed and it's direction

Speed	N	NNE	NE	ENE	E	ESE	SE	SSE	S	SSW	SW	WSW	W	WNW	NW	NNW	Total
0-20	1.3	1.7	0.8	0.4	0.4	0.1	0.2	0.1	0.1	0.1	0.0	0.1	0.1	0.4	0.7	1.3	7.5
20-40	12.6	9.8	4.5	1.0	0.1	0.0	0.0	0.0	0.0	0.0	0.0	0.0	0.0	0.0	0.7	5.1	33.7
40-60	13.2	11.1	1.8	0.2	0.0	0.0	0.0	0.0	0.0	0.0	0.0	0.0	0.0	0.0	0.1	3.9	30.3
60-80	10.2	6.3	0.3	0.0	0.0	0.0	0.0	0.0	0.0	0.0	0.0	0.0	0.0	0.0	0.1	3.0	19.8
80-100	3.5	3.6	0.1	0.0	0.0	0.0	0.0	0.0	0.0	0.0	0.0	0.0	0.0	0.0	0.0	0.2	7.4
100-120	0.6	0.7	0.1	0.0	0.0	0.0	0.0	0.0	0.0	0.0	0.0	0.0	0.0	0.0	0.0	0.0	1.4
120-140	0.0	0.0	0.0	0.0	0.0	0.0	0.0	0.0	0.0	0.0	0.0	0.0	0.0	0.0	0.0	0.0	0.0
140-160	0.0	0.0	0.0	0.0	0.0	0.0	0.0	0.0	0.0	0.0	0.0	0.0	0.0	0.0	0.0	0.0	0.0
160-180	0.0	0.0	0.0	0.0	0.0	0.0	0.0	0.0	0.0	0.0	0.0	0.0	0.0	0.0	0.0	0.0	0.0
180-200	0.0	0.0	0.0	0.0	0.0	0.0	0.0	0.0	0.0	0.0	0.0	0.0	0.0	0.0	0.0	0.0	0.0
Total	41.4	33.2	7.6	1.6	0.5	0.1	0.2	0.1	0.1	0.1	0.0	0.1	0.1	0.4	1.4	13.3	100.0

Mean U and V : 6.3 (cm/s), 45.2 (cm/s)

Standard deviation of U and V : 14.1 (cm/s), 22.1 (cm/s)

Maximun speed and it's direction : 114.5 (cm/s), 357.9 (deg.)

Mean speed and direction : 45.6 (cm/s), 7.9 (deg.)

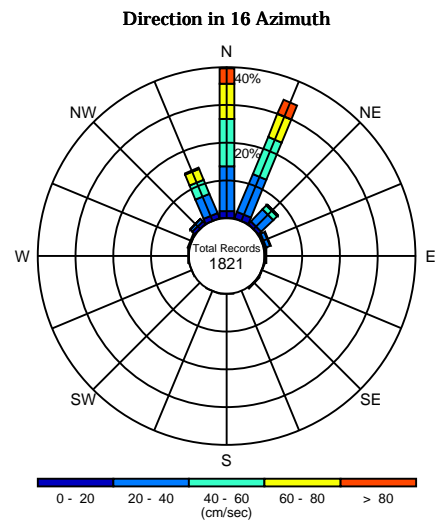
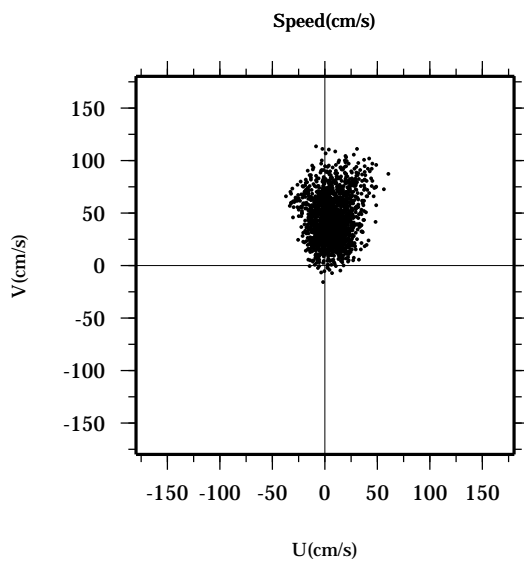
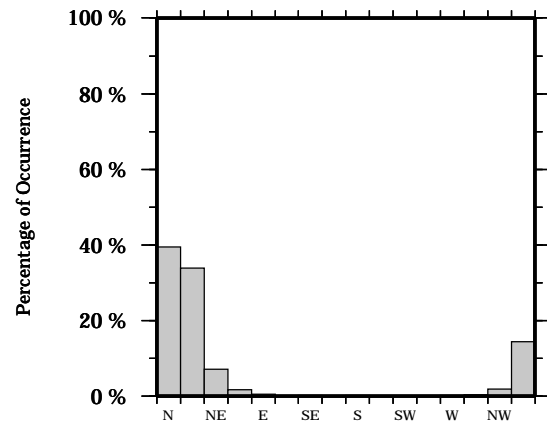
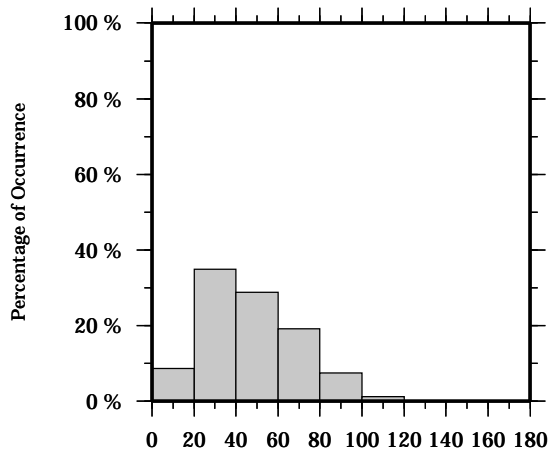
Speed scalar average : 48.0 (cm/s)

LON: 121° 24.6445' E

Station: W304

LAT: 22° 38.8994' N

Depth: 242 M



Joint probability distribution of current speed and it's direction

Speed	N	NNE	NE	ENE	E	ESE	SE	SSE	S	SSW	SW	WSW	W	WNW	NW	NNW	Total
0-20	1.8	1.8	0.9	0.5	0.3	0.1	0.2	0.0	0.1	0.1	0.0	0.1	0.2	0.4	0.9	1.3	8.7
20-40	11.9	10.8	4.4	1.0	0.2	0.0	0.0	0.0	0.0	0.0	0.0	0.0	0.0	0.0	0.9	5.7	34.8
40-60	12.5	10.7	1.4	0.2	0.0	0.0	0.0	0.0	0.0	0.0	0.0	0.0	0.0	0.0	0.1	4.0	28.8
60-80	9.3	6.4	0.2	0.0	0.0	0.0	0.0	0.0	0.0	0.0	0.0	0.0	0.0	0.0	0.0	3.1	19.1
80-100	3.5	3.6	0.1	0.0	0.0	0.0	0.0	0.0	0.0	0.0	0.0	0.0	0.0	0.0	0.0	0.3	7.5
100-120	0.5	0.6	0.1	0.0	0.0	0.0	0.0	0.0	0.0	0.0	0.0	0.0	0.0	0.0	0.0	0.0	1.2
120-140	0.0	0.0	0.0	0.0	0.0	0.0	0.0	0.0	0.0	0.0	0.0	0.0	0.0	0.0	0.0	0.0	0.0
140-160	0.0	0.0	0.0	0.0	0.0	0.0	0.0	0.0	0.0	0.0	0.0	0.0	0.0	0.0	0.0	0.0	0.0
160-180	0.0	0.0	0.0	0.0	0.0	0.0	0.0	0.0	0.0	0.0	0.0	0.0	0.0	0.0	0.0	0.0	0.0
180-200	0.0	0.0	0.0	0.0	0.0	0.0	0.0	0.0	0.0	0.0	0.0	0.0	0.0	0.0	0.0	0.0	0.0
Total	39.5	33.9	7.1	1.8	0.5	0.1	0.2	0.0	0.1	0.1	0.0	0.1	0.2	0.4	1.9	14.3	100.0

Mean U and V : 6.1 (cm/s), 44.1 (cm/s)

Standard deviation of U and V : 14.0 (cm/s), 22.0 (cm/s)

Maximun speed and it's direction : 114.9 (cm/s), 15.4 (deg.)

Mean speed and direction : 44.5 (cm/s), 7.8 (deg.)

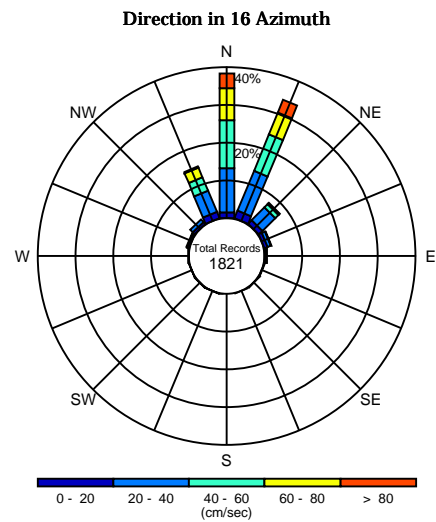
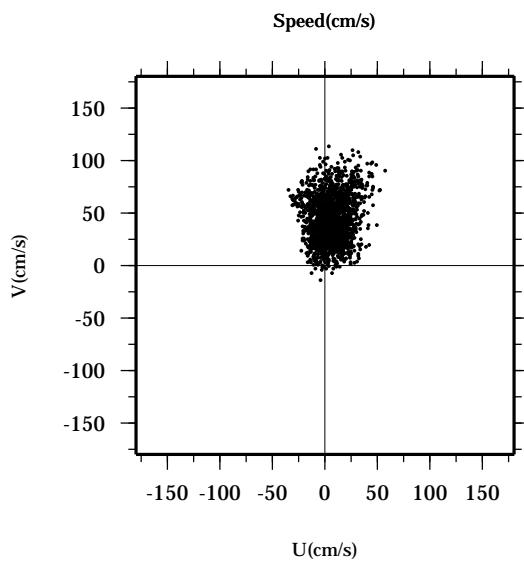
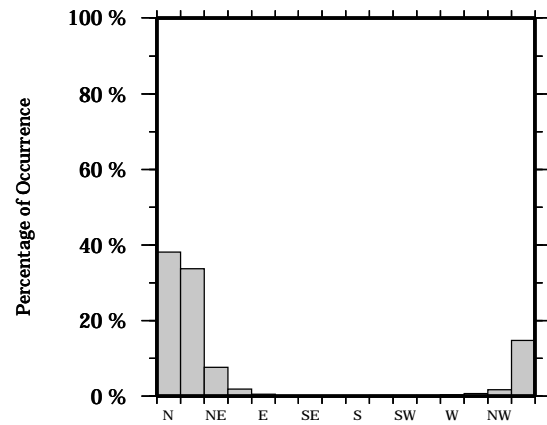
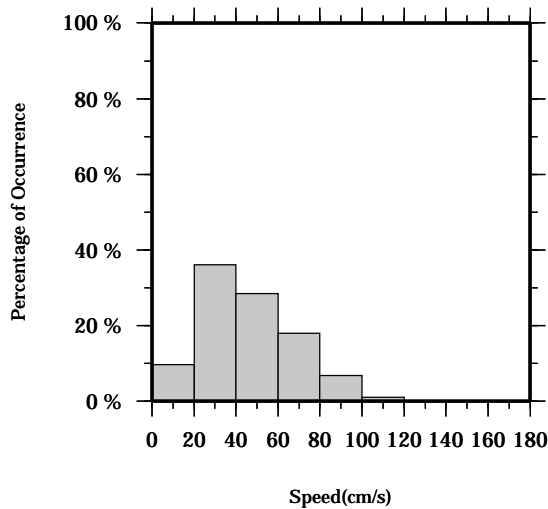
Speed scalar average : 46.8 (cm/s)

LON: 121° 24.6445' E

Station: W304

LAT: 22° 38.8994' N

Depth: 246 M



Joint probability distribution of current speed and it's direction

Speed	N	NNE	NE	ENE	E	ESE	SE	SSE	S	SSW	SW	WSW	W	WNW	NW	NNW	Total
0-20	1.4	2.0	1.3	0.8	0.3	0.1	0.1	0.1	0.0	0.1	0.1	0.1	0.3	0.6	0.7	1.8	9.7
20-40	11.6	11.4	4.8	1.0	0.2	0.0	0.0	0.0	0.0	0.0	0.0	0.0	0.0	0.1	0.9	6.0	36.1
40-60	12.8	10.4	1.2	0.2	0.0	0.0	0.0	0.0	0.0	0.0	0.0	0.0	0.0	0.0	0.0	3.9	28.5
60-80	8.5	6.3	0.3	0.0	0.0	0.0	0.0	0.0	0.0	0.0	0.0	0.0	0.0	0.0	0.0	2.8	17.9
80-100	3.3	2.9	0.1	0.0	0.0	0.0	0.0	0.0	0.0	0.0	0.0	0.0	0.0	0.0	0.0	0.3	6.7
100-120	0.4	0.7	0.0	0.0	0.0	0.0	0.0	0.0	0.0	0.0	0.0	0.0	0.0	0.0	0.0	0.0	1.1
120-140	0.0	0.0	0.0	0.0	0.0	0.0	0.0	0.0	0.0	0.0	0.0	0.0	0.0	0.0	0.0	0.0	0.0
140-160	0.0	0.0	0.0	0.0	0.0	0.0	0.0	0.0	0.0	0.0	0.0	0.0	0.0	0.0	0.0	0.0	0.0
160-180	0.0	0.0	0.0	0.0	0.0	0.0	0.0	0.0	0.0	0.0	0.0	0.0	0.0	0.0	0.0	0.0	0.0
180-200	0.0	0.0	0.0	0.0	0.0	0.0	0.0	0.0	0.0	0.0	0.0	0.0	0.0	0.0	0.0	0.0	0.0
Total	38.2	33.8	7.7	1.9	0.5	0.1	0.1	0.1	0.0	0.1	0.1	0.1	0.3	0.7	1.6	14.8	100.0

Mean U and V : 5.9 (cm/s), 42.9 (cm/s)

Standard deviation of U and V : 13.9 (cm/s), 22.0 (cm/s)

Maximun speed and it's direction : 113.2 (cm/s), 1.9 (deg.)

Mean speed and direction : 43.3 (cm/s), 7.8 (deg.)

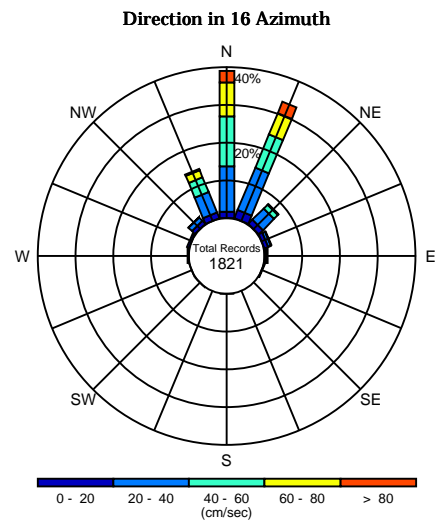
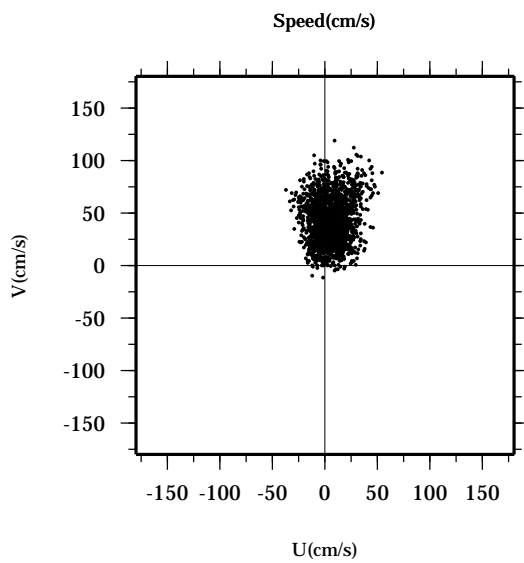
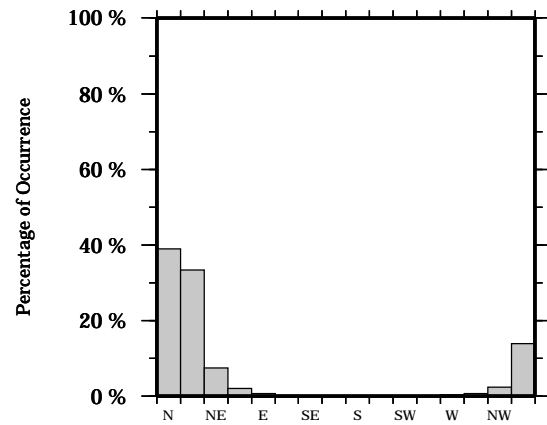
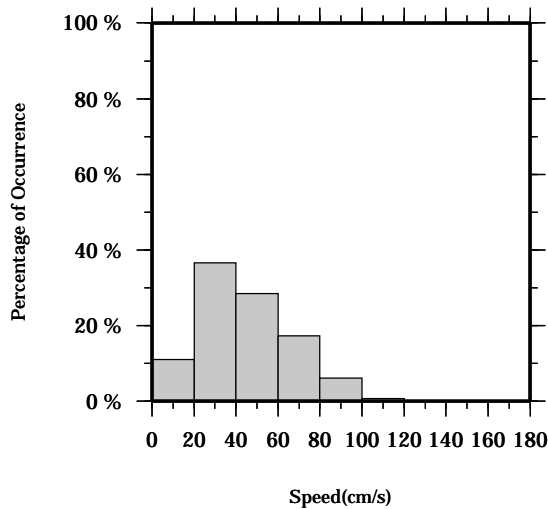
Speed scalar average : 45.7 (cm/s)

LON: 121° 24.6445' E

Station: W304

LAT: 22° 38.8994' N

Depth: 250 M



Joint probability distribution of current speed and it's direction

Speed	N	NNE	NE	ENE	E	ESE	SE	SSE	S	SSW	SW	WSW	W	WNW	NW	NNW	Total
0-20	1.6	2.3	1.5	0.9	0.4	0.2	0.0	0.0	0.1	0.0	0.1	0.1	0.3	0.7	1.2	1.6	10.9
20-40	12.0	12.2	4.2	0.9	0.3	0.0	0.0	0.0	0.0	0.0	0.0	0.0	0.0	0.0	1.2	5.8	36.5
40-60	13.2	9.4	1.4	0.2	0.0	0.0	0.0	0.0	0.0	0.0	0.0	0.0	0.0	0.0	0.1	4.2	28.5
60-80	9.0	6.1	0.2	0.0	0.0	0.0	0.0	0.0	0.0	0.0	0.0	0.0	0.0	0.0	0.0	2.0	17.3
80-100	3.0	2.7	0.1	0.0	0.0	0.0	0.0	0.0	0.0	0.0	0.0	0.0	0.0	0.0	0.0	0.3	6.0
100-120	0.1	0.6	0.0	0.0	0.0	0.0	0.0	0.0	0.0	0.0	0.0	0.0	0.0	0.0	0.0	0.0	0.7
120-140	0.0	0.0	0.0	0.0	0.0	0.0	0.0	0.0	0.0	0.0	0.0	0.0	0.0	0.0	0.0	0.0	0.0
140-160	0.0	0.0	0.0	0.0	0.0	0.0	0.0	0.0	0.0	0.0	0.0	0.0	0.0	0.0	0.0	0.0	0.0
160-180	0.0	0.0	0.0	0.0	0.0	0.0	0.0	0.0	0.0	0.0	0.0	0.0	0.0	0.0	0.0	0.0	0.0
180-200	0.0	0.0	0.0	0.0	0.0	0.0	0.0	0.0	0.0	0.0	0.0	0.0	0.0	0.0	0.0	0.0	0.0
Total	38.9	33.3	7.4	2.0	0.7	0.2	0.0	0.0	0.1	0.0	0.1	0.1	0.3	0.7	2.4	13.9	100.0

Mean U and V : 5.6 (cm/s), 41.8 (cm/s)

Standard deviation of U and V : 13.7 (cm/s), 21.7 (cm/s)

Maximun speed and it's direction : 119.0 (cm/s), 4.2 (deg.)

Mean speed and direction : 42.2 (cm/s), 7.6 (deg.)

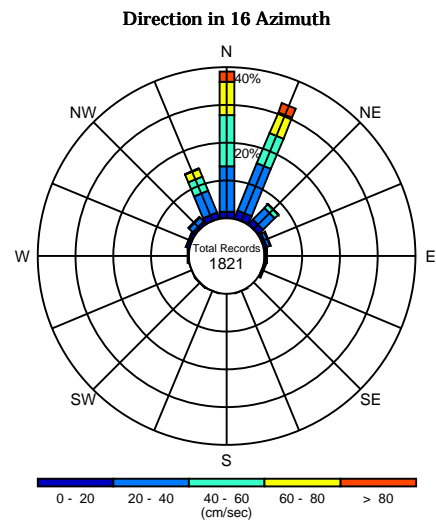
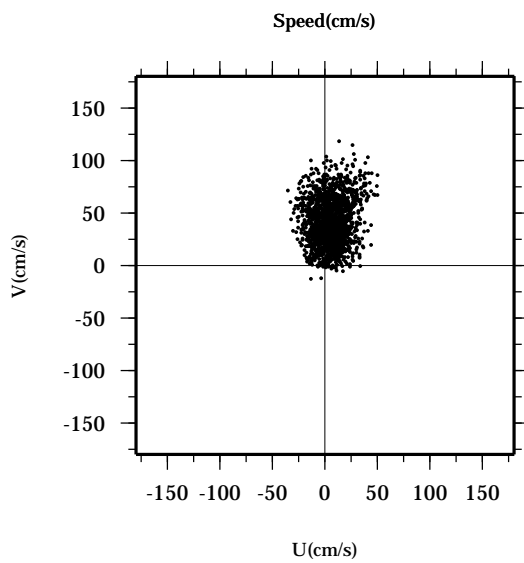
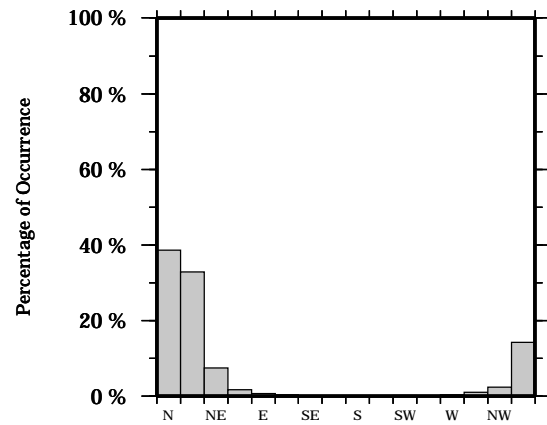
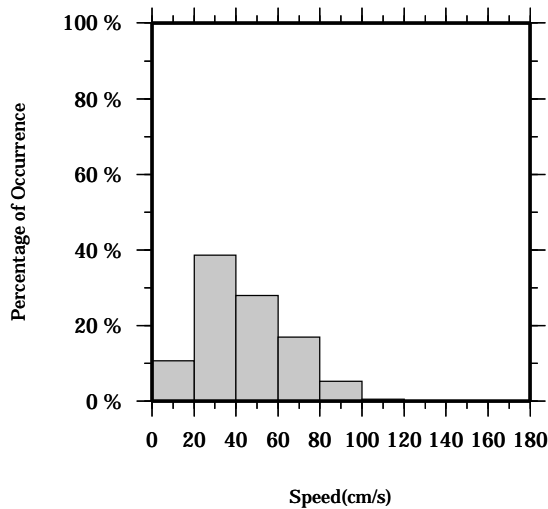
Speed scalar average : 44.6 (cm/s)

LON: 121° 24.6445' E

Station: W304

LAT: 22° 38.8994' N

Depth: 254 M



Joint probability distribution of current speed and it's direction

Speed	N	NNE	NE	ENE	E	ESE	SE	SSE	S	SSW	SW	WSW	W	WNW	NW	NNW	Total
0-20	1.6	2.2	1.6	0.7	0.4	0.4	0.0	0.1	0.0	0.1	0.1	0.1	0.3	0.9	0.8	1.5	10.7
20-40	12.0	13.4	4.3	0.9	0.3	0.0	0.0	0.0	0.0	0.0	0.0	0.0	0.0	0.1	1.4	6.3	38.7
40-60	13.5	8.8	1.3	0.2	0.0	0.0	0.0	0.0	0.0	0.0	0.0	0.0	0.0	0.0	0.2	4.0	28.0
60-80	8.9	5.9	0.0	0.0	0.0	0.0	0.0	0.0	0.0	0.0	0.0	0.0	0.0	0.0	0.0	2.1	16.9
80-100	2.4	2.4	0.2	0.0	0.0	0.0	0.0	0.0	0.0	0.0	0.0	0.0	0.0	0.0	0.0	0.3	5.2
100-120	0.2	0.3	0.0	0.0	0.0	0.0	0.0	0.0	0.0	0.0	0.0	0.0	0.0	0.0	0.0	0.0	0.5
120-140	0.0	0.0	0.0	0.0	0.0	0.0	0.0	0.0	0.0	0.0	0.0	0.0	0.0	0.0	0.0	0.0	0.0
140-160	0.0	0.0	0.0	0.0	0.0	0.0	0.0	0.0	0.0	0.0	0.0	0.0	0.0	0.0	0.0	0.0	0.0
160-180	0.0	0.0	0.0	0.0	0.0	0.0	0.0	0.0	0.0	0.0	0.0	0.0	0.0	0.0	0.0	0.0	0.0
180-200	0.0	0.0	0.0	0.0	0.0	0.0	0.0	0.0	0.0	0.0	0.0	0.0	0.0	0.0	0.0	0.0	0.0
Total	38.7	32.9	7.4	1.8	0.7	0.4	0.0	0.1	0.0	0.1	0.1	0.1	0.3	0.9	2.4	14.3	100.0

Mean U and V : 5.2 (cm/s), 40.8 (cm/s)

Standard deviation of U and V : 13.5 (cm/s), 21.3 (cm/s)

Maximun speed and it's direction : 119.0 (cm/s), 6.5 (deg.)

Mean speed and direction : 41.1 (cm/s), 7.3 (deg.)

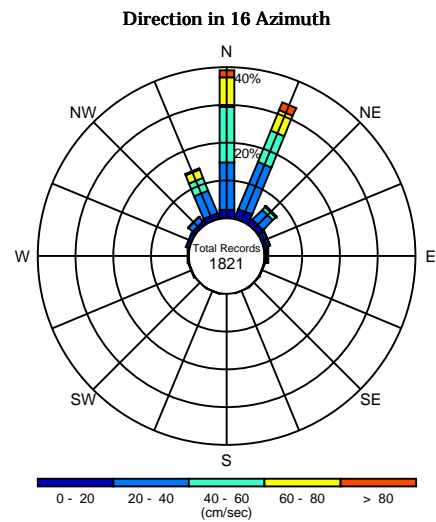
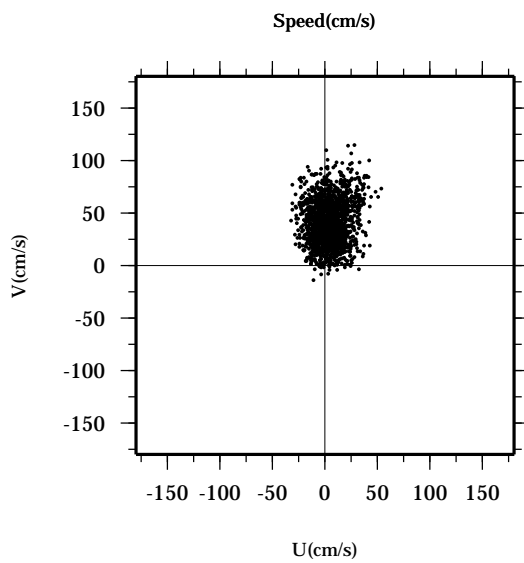
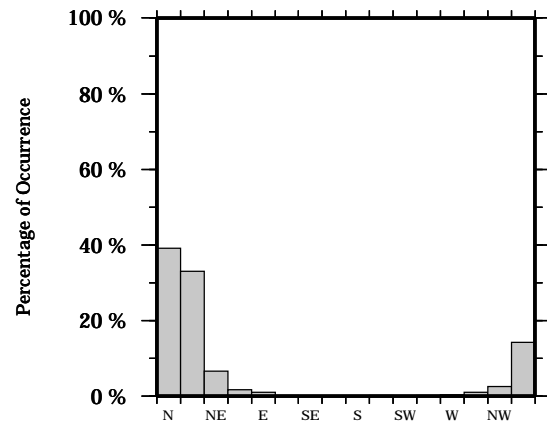
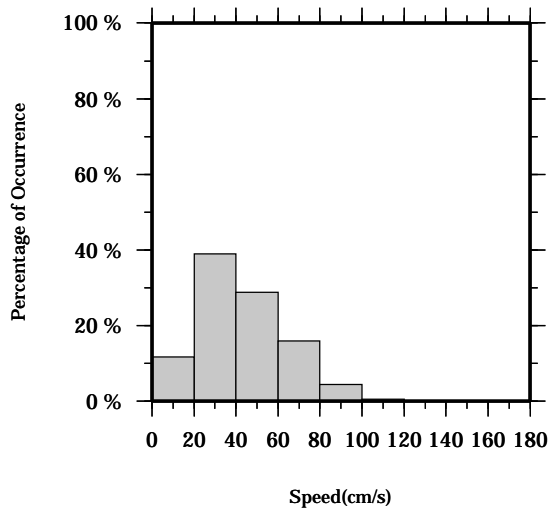
Speed scalar average : 43.6 (cm/s)

LON: 121° 24.6445' E

Station: W304

LAT: 22° 38.8994' N

Depth: 258 M



Joint probability distribution of current speed and it's direction

Speed	N	NNE	NE	ENE	E	ESE	SE	SSE	S	SSW	SW	WSW	W	WNW	NW	NNW	Total
0-20	2.2	2.6	1.5	0.8	0.5	0.1	0.1	0.1	0.0	0.1	0.1	0.2	0.3	0.9	0.9	1.3	11.6
20-40	12.5	13.5	3.7	0.8	0.4	0.0	0.0	0.0	0.0	0.0	0.0	0.0	0.0	0.0	1.5	6.4	38.9
40-60	14.7	9.0	1.1	0.1	0.0	0.0	0.0	0.0	0.0	0.0	0.0	0.0	0.0	0.0	0.2	3.8	28.8
60-80	7.8	5.8	0.1	0.0	0.0	0.0	0.0	0.0	0.0	0.0	0.0	0.0	0.0	0.0	0.0	2.3	15.9
80-100	1.8	2.0	0.2	0.0	0.0	0.0	0.0	0.0	0.0	0.0	0.0	0.0	0.0	0.0	0.0	0.4	4.3
100-120	0.2	0.3	0.0	0.0	0.0	0.0	0.0	0.0	0.0	0.0	0.0	0.0	0.0	0.0	0.0	0.0	0.4
120-140	0.0	0.0	0.0	0.0	0.0	0.0	0.0	0.0	0.0	0.0	0.0	0.0	0.0	0.0	0.0	0.0	0.0
140-160	0.0	0.0	0.0	0.0	0.0	0.0	0.0	0.0	0.0	0.0	0.0	0.0	0.0	0.0	0.0	0.0	0.0
160-180	0.0	0.0	0.0	0.0	0.0	0.0	0.0	0.0	0.0	0.0	0.0	0.0	0.0	0.0	0.0	0.0	0.0
180-200	0.0	0.0	0.0	0.0	0.0	0.0	0.0	0.0	0.0	0.0	0.0	0.0	0.0	0.0	0.0	0.0	0.0
Total	39.1	33.1	6.6	1.6	0.9	0.1	0.1	0.1	0.0	0.1	0.1	0.2	0.3	0.9	2.6	14.2	100.0

Mean U and V : 4.8 (cm/s), 39.8 (cm/s)

Standard deviation of U and V : 13.2 (cm/s), 20.9 (cm/s)

Maximun speed and it's direction : 117.9 (cm/s), 13.6 (deg.)

Mean speed and direction : 40.1 (cm/s), 6.9 (deg.)

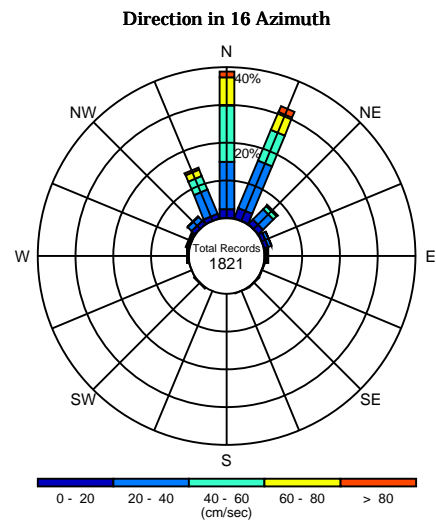
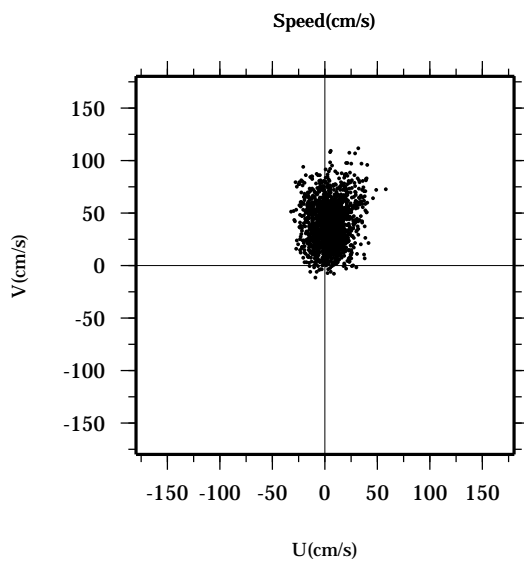
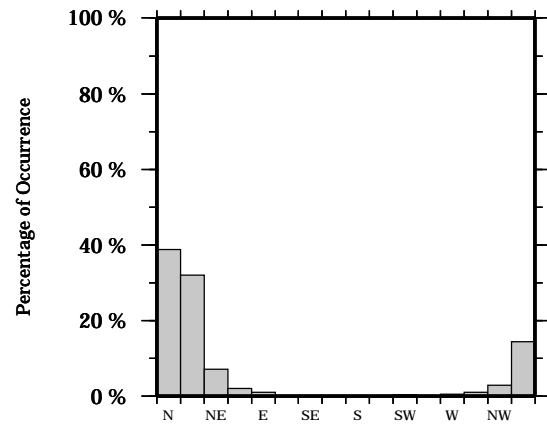
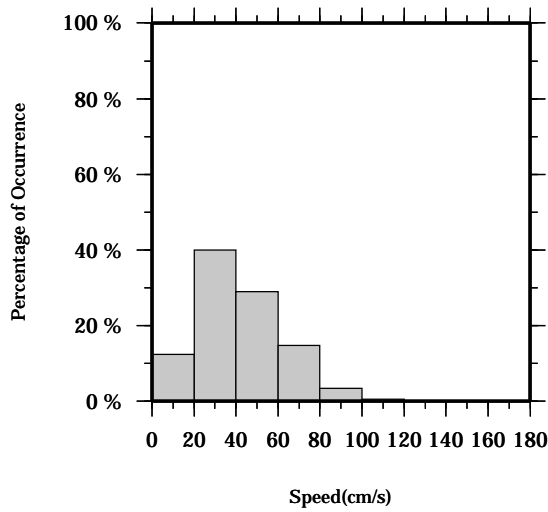
Speed scalar average : 42.5 (cm/s)

LON: 121° 24.6445' E

Station: W304

LAT: 22° 38.8994' N

Depth: 262 M



Joint probability distribution of current speed and it's direction

Speed	N	NNE	NE	ENE	E	ESE	SE	SSE	S	SSW	SW	WSW	W	WNW	NW	NNW	Total
0-20	2.3	2.8	1.6	1.0	0.5	0.1	0.1	0.1	0.0	0.0	0.3	0.1	0.5	0.6	1.2	1.3	12.4
20-40	12.6	13.7	3.8	0.9	0.4	0.0	0.0	0.0	0.0	0.0	0.0	0.0	0.0	0.3	1.4	6.9	40.0
40-60	14.9	8.7	1.3	0.1	0.0	0.0	0.0	0.0	0.0	0.0	0.0	0.0	0.0	0.0	0.2	4.0	29.0
60-80	7.5	5.2	0.3	0.0	0.0	0.0	0.0	0.0	0.0	0.0	0.0	0.0	0.0	0.0	0.0	1.8	14.7
80-100	1.4	1.4	0.1	0.0	0.0	0.0	0.0	0.0	0.0	0.0	0.0	0.0	0.0	0.0	0.0	0.5	3.5
100-120	0.1	0.3	0.0	0.0	0.0	0.0	0.0	0.0	0.0	0.0	0.0	0.0	0.0	0.0	0.0	0.0	0.4
120-140	0.0	0.0	0.0	0.0	0.0	0.0	0.0	0.0	0.0	0.0	0.0	0.0	0.0	0.0	0.0	0.0	0.0
140-160	0.0	0.0	0.0	0.0	0.0	0.0	0.0	0.0	0.0	0.0	0.0	0.0	0.0	0.0	0.0	0.0	0.0
160-180	0.0	0.0	0.0	0.0	0.0	0.0	0.0	0.0	0.0	0.0	0.0	0.0	0.0	0.0	0.0	0.0	0.0
180-200	0.0	0.0	0.0	0.0	0.0	0.0	0.0	0.0	0.0	0.0	0.0	0.0	0.0	0.0	0.0	0.0	0.0
Total	38.7	32.1	7.1	2.0	0.9	0.1	0.1	0.1	0.0	0.0	0.3	0.1	0.5	0.9	2.8	14.4	100.0

Mean U and V : 4.5 (cm/s), 38.9 (cm/s)

Standard deviation of U and V : 12.8 (cm/s), 20.5 (cm/s)

Maximun speed and it's direction : 115.9 (cm/s), 15.9 (deg.)

Mean speed and direction : 39.1 (cm/s), 6.5 (deg.)

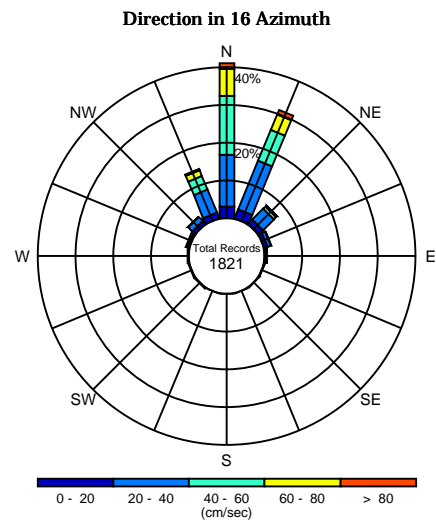
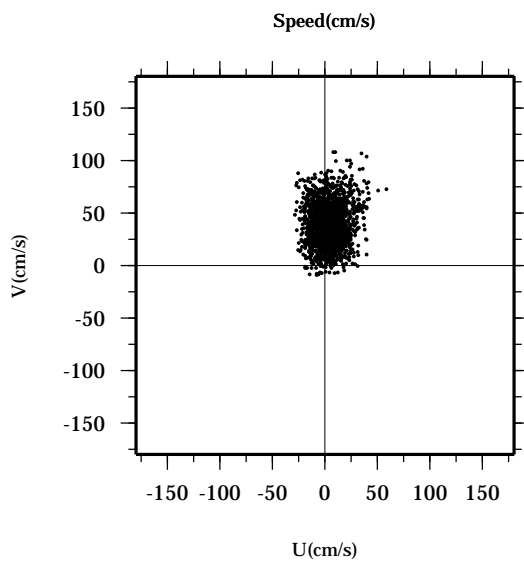
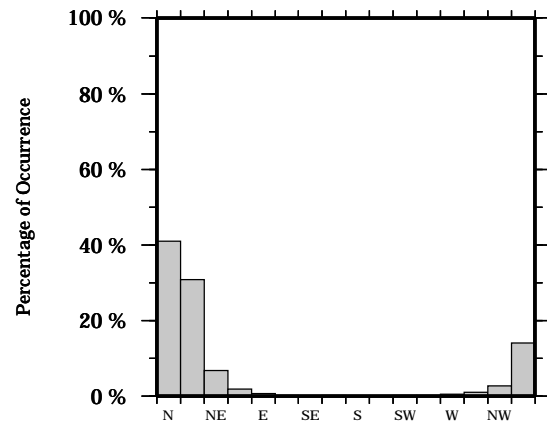
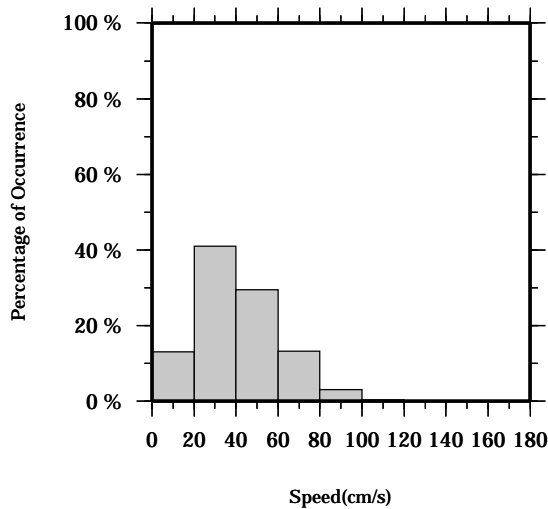
Speed scalar average : 41.5 (cm/s)

LON: 121° 24.6445' E

Station: W304

LAT: 22° 38.8994' N

Depth: 266 M



Joint probability distribution of current speed and it's direction

Speed	N	NNE	NE	ENE	E	ESE	SE	SSE	S	SSW	SW	WSW	W	WNW	NW	NNW	Total
0-20	3.0	2.5	1.5	0.9	0.4	0.2	0.1	0.1	0.1	0.1	0.2	0.2	0.4	0.7	1.0	1.6	13.0
20-40	13.7	13.8	4.0	0.9	0.2	0.0	0.0	0.0	0.0	0.0	0.0	0.0	0.0	0.3	1.5	6.5	40.9
40-60	15.7	8.8	0.9	0.2	0.0	0.0	0.0	0.0	0.0	0.0	0.0	0.0	0.0	0.0	0.1	4.0	29.5
60-80	7.0	4.4	0.2	0.0	0.0	0.0	0.0	0.0	0.0	0.0	0.0	0.0	0.0	0.0	0.0	1.6	13.2
80-100	1.5	1.1	0.1	0.0	0.0	0.0	0.0	0.0	0.0	0.0	0.0	0.0	0.0	0.0	0.0	0.4	3.1
100-120	0.1	0.2	0.0	0.0	0.0	0.0	0.0	0.0	0.0	0.0	0.0	0.0	0.0	0.0	0.0	0.0	0.3
120-140	0.0	0.0	0.0	0.0	0.0	0.0	0.0	0.0	0.0	0.0	0.0	0.0	0.0	0.0	0.0	0.0	0.0
140-160	0.0	0.0	0.0	0.0	0.0	0.0	0.0	0.0	0.0	0.0	0.0	0.0	0.0	0.0	0.0	0.0	0.0
160-180	0.0	0.0	0.0	0.0	0.0	0.0	0.0	0.0	0.0	0.0	0.0	0.0	0.0	0.0	0.0	0.0	0.0
180-200	0.0	0.0	0.0	0.0	0.0	0.0	0.0	0.0	0.0	0.0	0.0	0.0	0.0	0.0	0.0	0.0	0.0
Total	40.9	30.9	6.8	1.9	0.6	0.2	0.1	0.1	0.1	0.1	0.2	0.2	0.4	0.9	2.6	14.1	100.0

Mean U and V : 4.1 (cm/s), 38.0 (cm/s)

Standard deviation of U and V : 12.4 (cm/s), 20.0 (cm/s)

Maximun speed and it's direction : 112.1 (cm/s), 18.1 (deg.)

Mean speed and direction : 38.3 (cm/s), 6.2 (deg.)

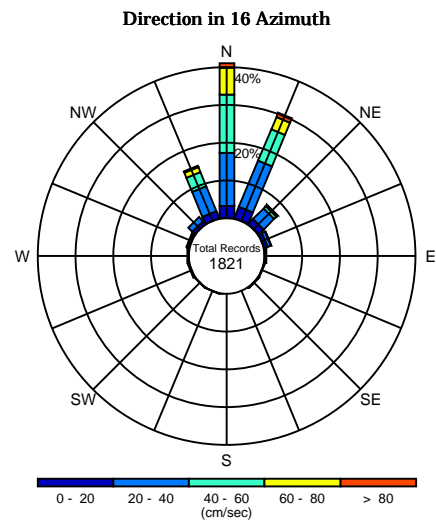
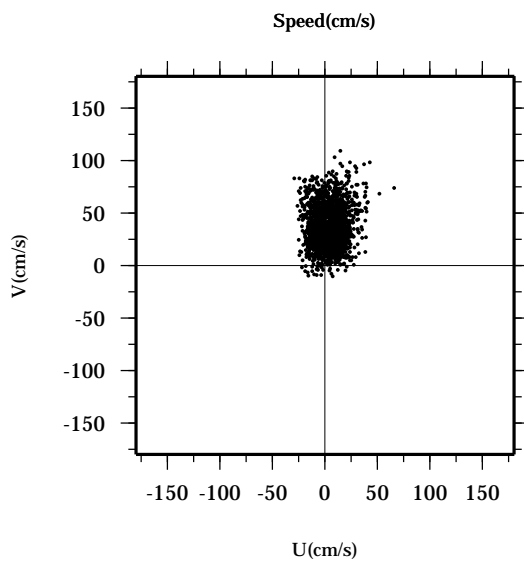
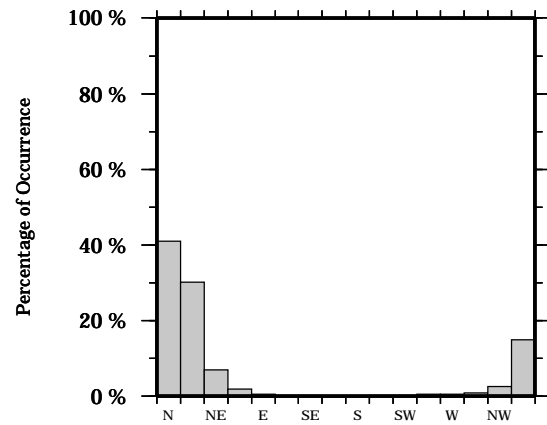
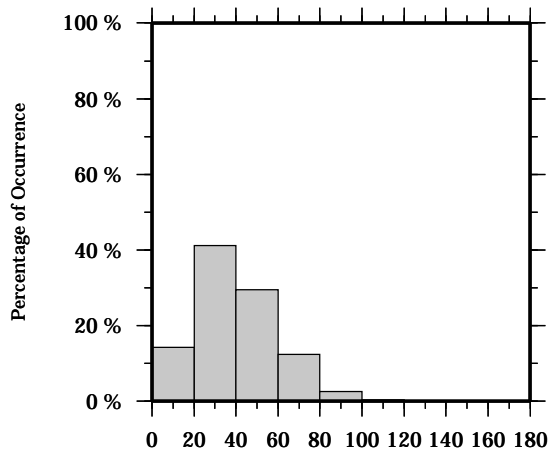
Speed scalar average : 40.6 (cm/s)

LON: 121° 24.6445' E

Station: W304

LAT: 22° 38.8994' N

Depth: 270 M



Joint probability distribution of current speed and it's direction

Speed	N	NNE	NE	ENE	E	ESE	SE	SSE	S	SSW	SW	WSW	W	WNW	NW	NNW	Total
0-20	3.2	3.2	1.8	0.9	0.3	0.2	0.2	0.0	0.0	0.1	0.2	0.4	0.4	0.5	0.9	2.0	14.3
20-40	14.0	13.2	4.0	0.9	0.1	0.0	0.0	0.0	0.0	0.0	0.0	0.0	0.1	0.3	1.5	7.1	41.1
40-60	15.4	9.1	0.8	0.1	0.0	0.0	0.0	0.0	0.0	0.0	0.0	0.0	0.0	0.0	0.0	4.1	29.4
60-80	7.1	3.5	0.3	0.0	0.0	0.0	0.0	0.0	0.0	0.0	0.0	0.0	0.0	0.0	0.0	1.5	12.4
80-100	1.2	1.0	0.1	0.0	0.0	0.0	0.0	0.0	0.0	0.0	0.0	0.0	0.0	0.0	0.0	0.3	2.5
100-120	0.1	0.2	0.0	0.0	0.0	0.0	0.0	0.0	0.0	0.0	0.0	0.0	0.0	0.0	0.0	0.0	0.3
120-140	0.0	0.0	0.0	0.0	0.0	0.0	0.0	0.0	0.0	0.0	0.0	0.0	0.0	0.0	0.0	0.0	0.0
140-160	0.0	0.0	0.0	0.0	0.0	0.0	0.0	0.0	0.0	0.0	0.0	0.0	0.0	0.0	0.0	0.0	0.0
160-180	0.0	0.0	0.0	0.0	0.0	0.0	0.0	0.0	0.0	0.0	0.0	0.0	0.0	0.0	0.0	0.0	0.0
180-200	0.0	0.0	0.0	0.0	0.0	0.0	0.0	0.0	0.0	0.0	0.0	0.0	0.0	0.0	0.0	0.0	0.0
Total	40.9	30.1	7.0	1.9	0.4	0.2	0.2	0.0	0.0	0.1	0.2	0.4	0.4	0.8	2.5	14.9	100.0

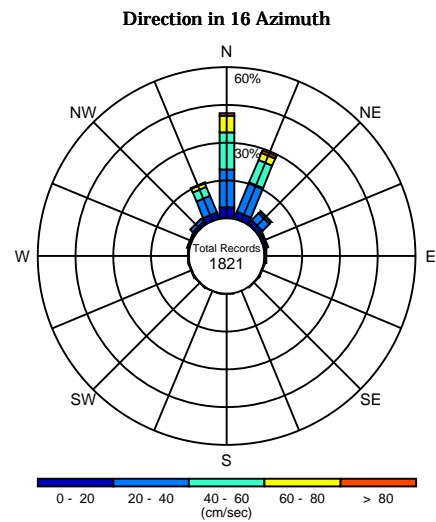
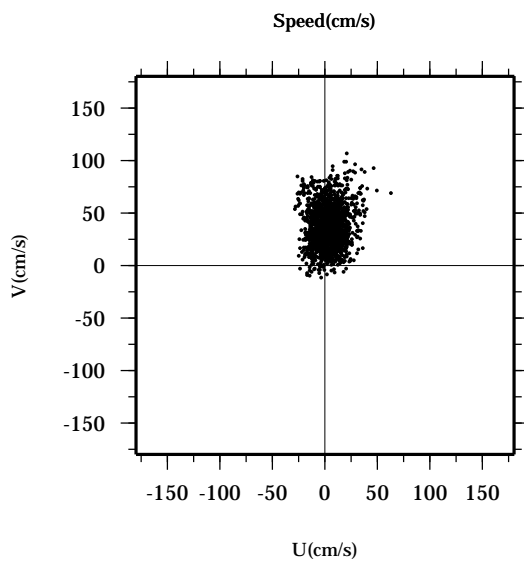
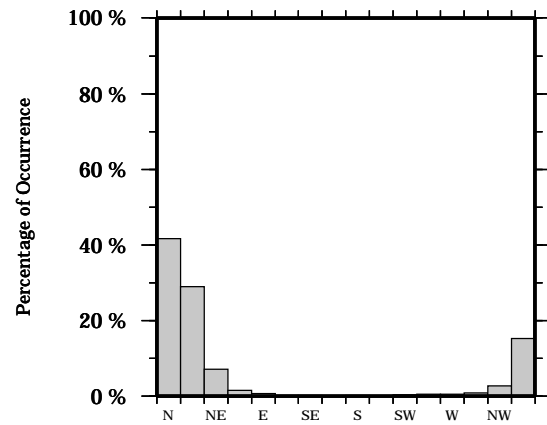
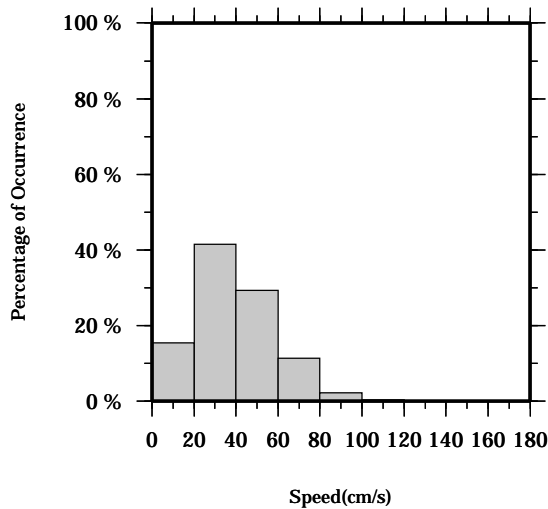
Mean U and V : 3.8 (cm/s), 37.2 (cm/s)
 Standard deviation of U and V : 12.2 (cm/s), 19.6 (cm/s)
 Maximun speed and it's direction : 110.0 (cm/s), 7.6 (deg.)
 Mean speed and direction : 37.4 (cm/s), 5.9 (deg.)
 Speed scalar average : 39.6 (cm/s)

LON: 121° 24.6445' E

Station: W304

LAT: 22° 38.8994' N

Depth: 274 M



Joint probability distribution of current speed and it's direction

Speed	N	NNE	NE	ENE	E	ESE	SE	SSE	S	SSW	SW	WSW	W	WNW	NW	NNW	Total
0-20	4.1	2.6	2.0	0.9	0.3	0.1	0.1	0.0	0.1	0.1	0.3	0.4	0.4	0.5	1.2	2.3	15.5
20-40	15.0	12.7	3.8	0.6	0.3	0.0	0.0	0.0	0.0	0.0	0.0	0.0	0.1	0.3	1.4	7.2	41.5
40-60	14.8	9.6	0.9	0.0	0.0	0.0	0.0	0.0	0.0	0.0	0.0	0.0	0.0	0.0	0.1	3.8	29.2
60-80	6.4	3.1	0.2	0.0	0.0	0.0	0.0	0.0	0.0	0.0	0.0	0.0	0.0	0.0	0.0	1.6	11.4
80-100	1.1	0.8	0.1	0.0	0.0	0.0	0.0	0.0	0.0	0.0	0.0	0.0	0.0	0.0	0.0	0.2	2.2
100-120	0.1	0.2	0.0	0.0	0.0	0.0	0.0	0.0	0.0	0.0	0.0	0.0	0.0	0.0	0.0	0.0	0.3
120-140	0.0	0.0	0.0	0.0	0.0	0.0	0.0	0.0	0.0	0.0	0.0	0.0	0.0	0.0	0.0	0.0	0.0
140-160	0.0	0.0	0.0	0.0	0.0	0.0	0.0	0.0	0.0	0.0	0.0	0.0	0.0	0.0	0.0	0.0	0.0
160-180	0.0	0.0	0.0	0.0	0.0	0.0	0.0	0.0	0.0	0.0	0.0	0.0	0.0	0.0	0.0	0.0	0.0
180-200	0.0	0.0	0.0	0.0	0.0	0.0	0.0	0.0	0.0	0.0	0.0	0.0	0.0	0.0	0.0	0.0	0.0
Total	41.6	29.0	7.0	1.5	0.6	0.1	0.1	0.0	0.1	0.1	0.3	0.4	0.4	0.9	2.6	15.2	100.0

Mean U and V : 3.6 (cm/s), 36.5 (cm/s)

Standard deviation of U and V : 11.9 (cm/s), 19.4 (cm/s)

Maximun speed and it's direction : 108.7 (cm/s), 10.9 (deg.)

Mean speed and direction : 36.7 (cm/s), 5.6 (deg.)

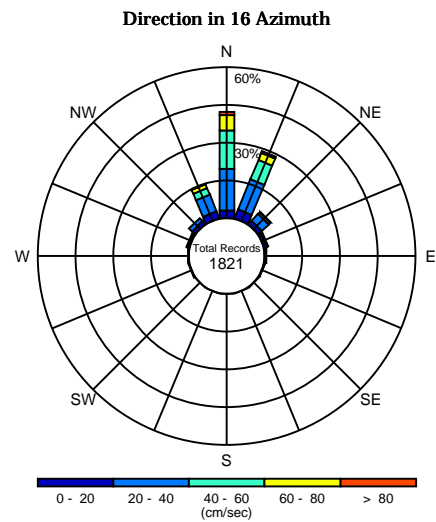
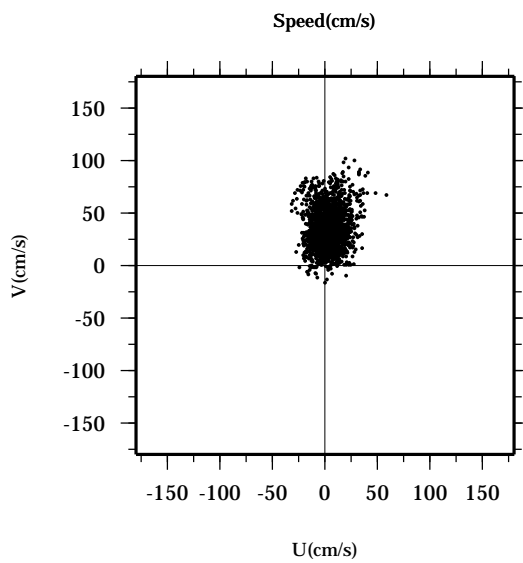
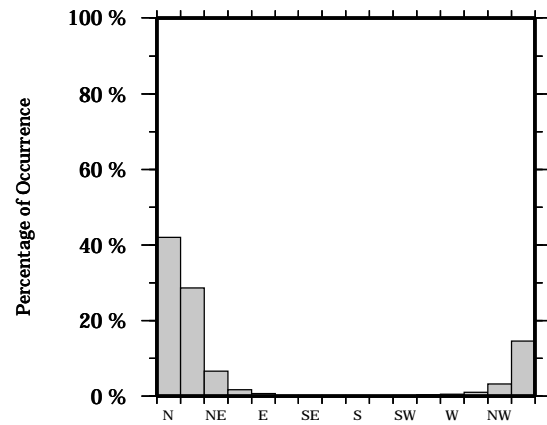
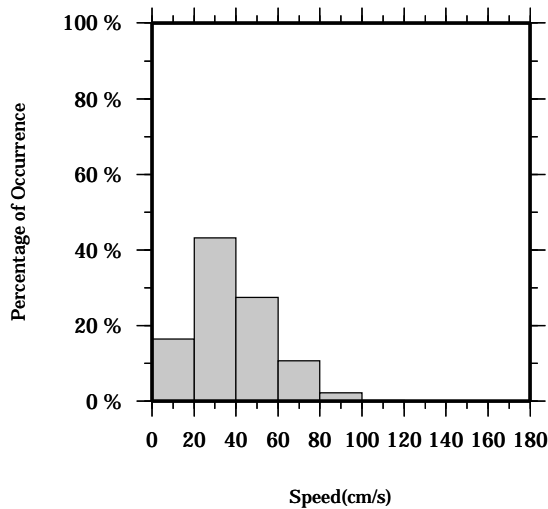
Speed scalar average : 38.9 (cm/s)

LON: 121° 24.6445' E

Station: W304

LAT: 22° 38.8994' N

Depth: 278 M



Joint probability distribution of current speed and it's direction

Speed	N	NNE	NE	ENE	E	ESE	SE	SSE	S	SSW	SW	WSW	W	WNW	NW	NNW	Total
0-20	3.0	3.7	1.8	1.0	0.4	0.1	0.1	0.1	0.1	0.1	0.1	0.3	0.4	0.8	1.6	2.8	16.4
20-40	16.4	12.9	3.7	0.7	0.3	0.1	0.0	0.0	0.0	0.0	0.0	0.0	0.1	0.3	1.6	7.1	43.1
40-60	15.3	8.3	1.0	0.0	0.0	0.0	0.0	0.0	0.0	0.0	0.0	0.0	0.0	0.0	0.0	2.9	27.5
60-80	6.3	2.9	0.1	0.0	0.0	0.0	0.0	0.0	0.0	0.0	0.0	0.0	0.0	0.0	0.0	1.5	10.7
80-100	1.0	0.7	0.1	0.0	0.0	0.0	0.0	0.0	0.0	0.0	0.0	0.0	0.0	0.0	0.0	0.3	2.1
100-120	0.1	0.1	0.0	0.0	0.0	0.0	0.0	0.0	0.0	0.0	0.0	0.0	0.0	0.0	0.0	0.0	0.1
120-140	0.0	0.0	0.0	0.0	0.0	0.0	0.0	0.0	0.0	0.0	0.0	0.0	0.0	0.0	0.0	0.0	0.0
140-160	0.0	0.0	0.0	0.0	0.0	0.0	0.0	0.0	0.0	0.0	0.0	0.0	0.0	0.0	0.0	0.0	0.0
160-180	0.0	0.0	0.0	0.0	0.0	0.0	0.0	0.0	0.0	0.0	0.0	0.0	0.0	0.0	0.0	0.0	0.0
180-200	0.0	0.0	0.0	0.0	0.0	0.0	0.0	0.0	0.0	0.0	0.0	0.0	0.0	0.0	0.0	0.0	0.0
Total	42.0	28.7	6.6	1.6	0.7	0.2	0.1	0.1	0.1	0.1	0.1	0.3	0.4	1.1	3.2	14.6	100.0

Mean U and V : 3.4 (cm/s), 35.6 (cm/s)

Standard deviation of U and V : 11.7 (cm/s), 19.2 (cm/s)

Maximun speed and it's direction : 103.5 (cm/s), 10.7 (deg.)

Mean speed and direction : 35.7 (cm/s), 5.4 (deg.)

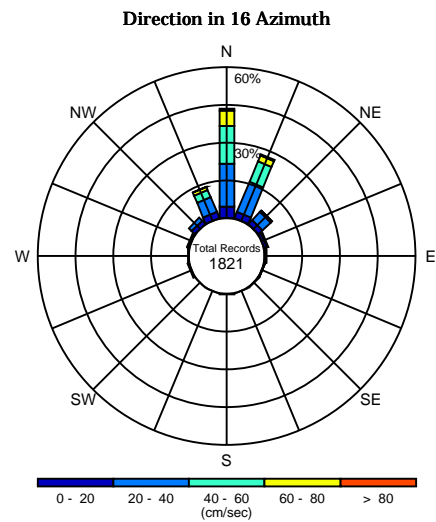
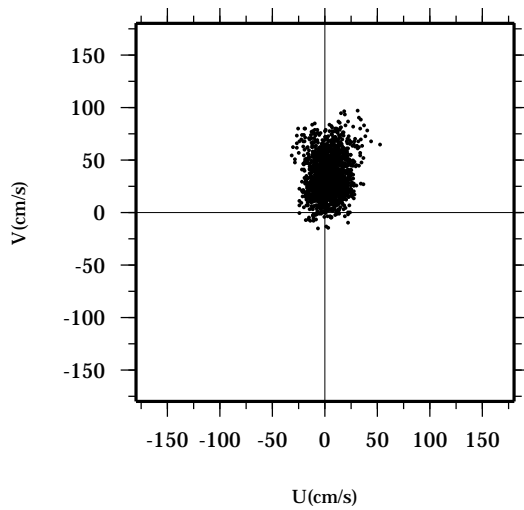
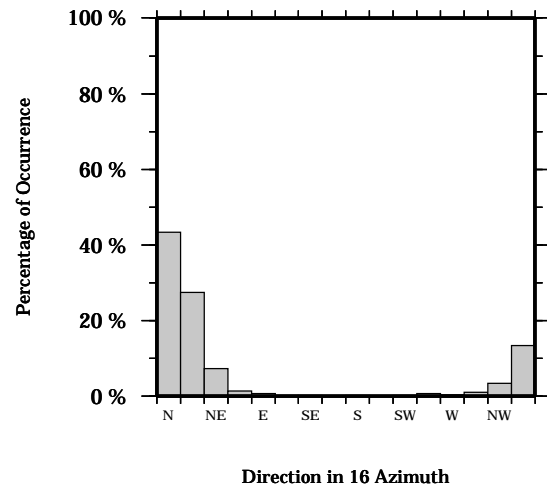
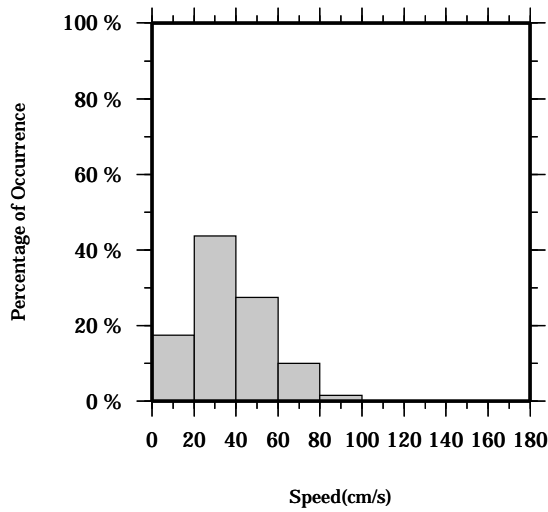
Speed scalar average : 38.0 (cm/s)

LON: 121° 24.6445' E

Station: W304

LAT: 22° 38.8994' N

Depth: 282 M



Joint probability distribution of current speed and it's direction

Speed	N	NNE	NE	ENE	E	ESE	SE	SSE	S	SSW	SW	WSW	W	WNW	NW	NNW	Total
0-20	4.5	2.5	2.1	1.0	0.5	0.1	0.2	0.1	0.2	0.1	0.1	0.7	0.3	0.8	1.8	2.5	17.4
20-40	17.0	13.0	4.6	0.4	0.2	0.1	0.0	0.0	0.0	0.0	0.0	0.0	0.1	0.3	1.6	6.4	43.7
40-60	14.9	8.7	0.5	0.0	0.0	0.0	0.0	0.0	0.0	0.0	0.0	0.0	0.0	0.0	0.0	3.2	27.3
60-80	6.1	2.6	0.1	0.0	0.0	0.0	0.0	0.0	0.0	0.0	0.0	0.0	0.0	0.0	0.0	1.2	10.0
80-100	0.8	0.5	0.1	0.0	0.0	0.0	0.0	0.0	0.0	0.0	0.0	0.0	0.0	0.0	0.0	0.2	1.5
100-120	0.0	0.1	0.0	0.0	0.0	0.0	0.0	0.0	0.0	0.0	0.0	0.0	0.0	0.0	0.0	0.0	0.1
120-140	0.0	0.0	0.0	0.0	0.0	0.0	0.0	0.0	0.0	0.0	0.0	0.0	0.0	0.0	0.0	0.0	0.0
140-160	0.0	0.0	0.0	0.0	0.0	0.0	0.0	0.0	0.0	0.0	0.0	0.0	0.0	0.0	0.0	0.0	0.0
160-180	0.0	0.0	0.0	0.0	0.0	0.0	0.0	0.0	0.0	0.0	0.0	0.0	0.0	0.0	0.0	0.0	0.0
180-200	0.0	0.0	0.0	0.0	0.0	0.0	0.0	0.0	0.0	0.0	0.0	0.0	0.0	0.0	0.0	0.0	0.0
Total	43.3	27.5	7.4	1.4	0.7	0.1	0.2	0.1	0.2	0.1	0.1	0.7	0.3	1.0	3.5	13.5	100.0

Mean U and V : 3.4 (cm/s), 34.6 (cm/s)

Standard deviation of U and V : 11.5 (cm/s), 18.9 (cm/s)

Maximun speed and it's direction : 101.4 (cm/s), 17.8 (deg.)

Mean speed and direction : 34.8 (cm/s), 5.5 (deg.)

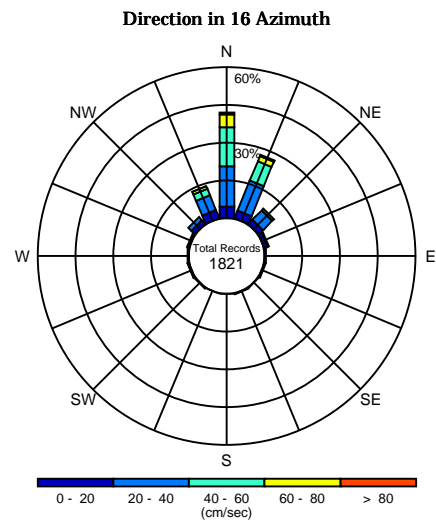
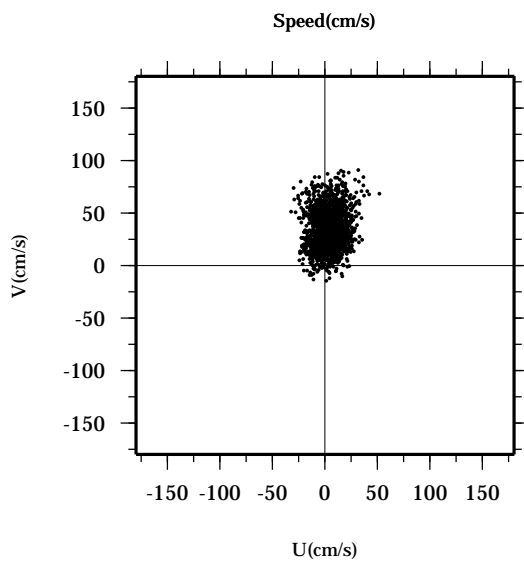
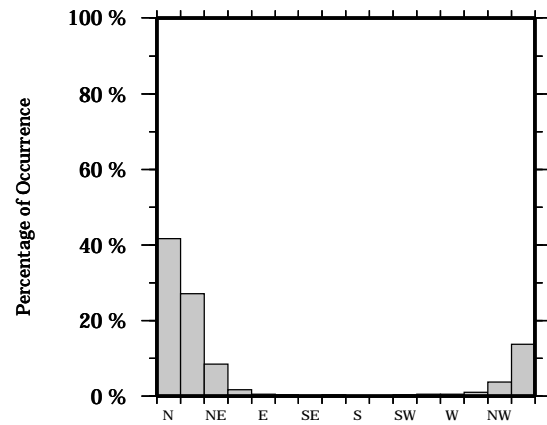
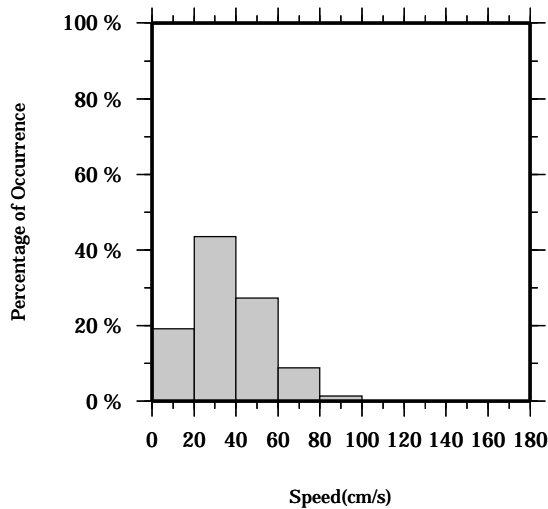
Speed scalar average : 37.1 (cm/s)

LON: 121° 24.6445' E

Station: W304

LAT: 22° 38.8994' N

Depth: 286 M



Joint probability distribution of current speed and it's direction

Speed	N	NNE	NE	ENE	E	ESE	SE	SSE	S	SSW	SW	WSW	W	WNW	NW	NNW	Total
0-20	4.3	3.1	2.3	1.3	0.3	0.3	0.1	0.3	0.1	0.1	0.3	0.5	0.4	0.4	2.0	3.4	19.2
20-40	16.1	12.9	5.3	0.4	0.2	0.0	0.0	0.0	0.0	0.0	0.0	0.1	0.1	0.5	1.8	6.3	43.5
40-60	15.4	8.2	0.8	0.0	0.0	0.0	0.0	0.0	0.0	0.0	0.0	0.0	0.0	0.0	0.0	2.8	27.2
60-80	5.2	2.4	0.0	0.0	0.0	0.0	0.0	0.0	0.0	0.0	0.0	0.0	0.0	0.0	0.0	1.2	8.8
80-100	0.7	0.5	0.1	0.0	0.0	0.0	0.0	0.0	0.0	0.0	0.0	0.0	0.0	0.0	0.0	0.1	1.3
100-120	0.0	0.0	0.0	0.0	0.0	0.0	0.0	0.0	0.0	0.0	0.0	0.0	0.0	0.0	0.0	0.0	0.0
120-140	0.0	0.0	0.0	0.0	0.0	0.0	0.0	0.0	0.0	0.0	0.0	0.0	0.0	0.0	0.0	0.0	0.0
140-160	0.0	0.0	0.0	0.0	0.0	0.0	0.0	0.0	0.0	0.0	0.0	0.0	0.0	0.0	0.0	0.0	0.0
160-180	0.0	0.0	0.0	0.0	0.0	0.0	0.0	0.0	0.0	0.0	0.0	0.0	0.0	0.0	0.0	0.0	0.0
180-200	0.0	0.0	0.0	0.0	0.0	0.0	0.0	0.0	0.0	0.0	0.0	0.0	0.0	0.0	0.0	0.0	0.0
Total	41.7	27.1	8.4	1.7	0.4	0.3	0.1	0.3	0.1	0.1	0.3	0.5	0.5	0.9	3.7	13.7	100.0

Mean U and V : 3.5 (cm/s), 33.7 (cm/s)

Standard deviation of U and V : 11.3 (cm/s), 18.5 (cm/s)

Maximun speed and it's direction : 96.3 (cm/s), 19.3 (deg.)

Mean speed and direction : 33.9 (cm/s), 5.9 (deg.)

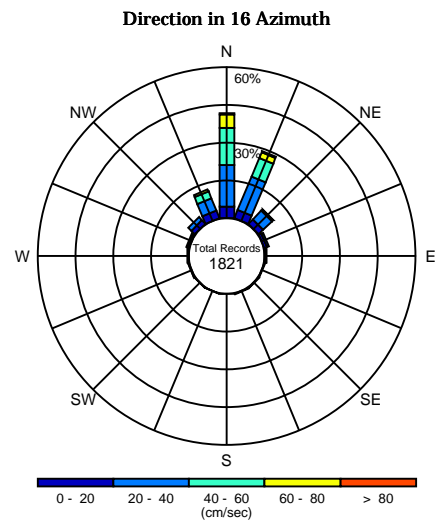
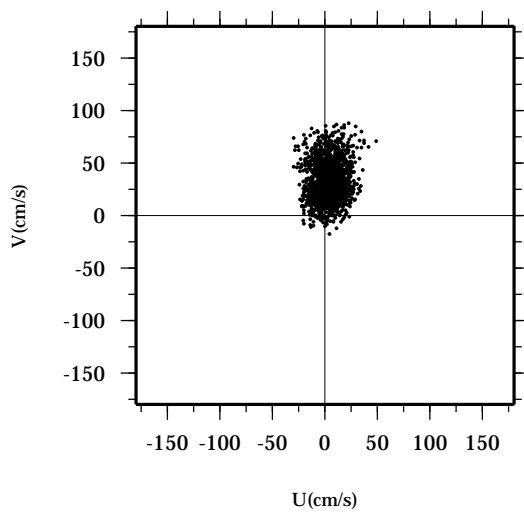
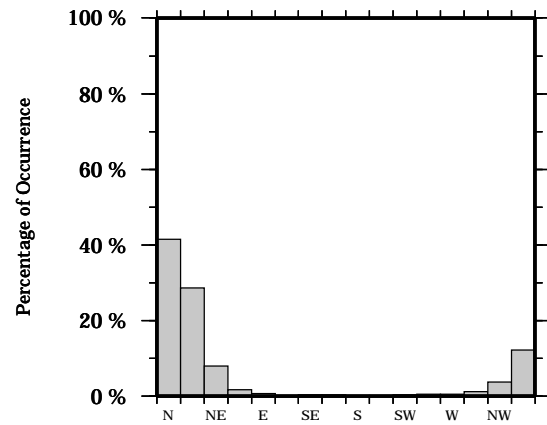
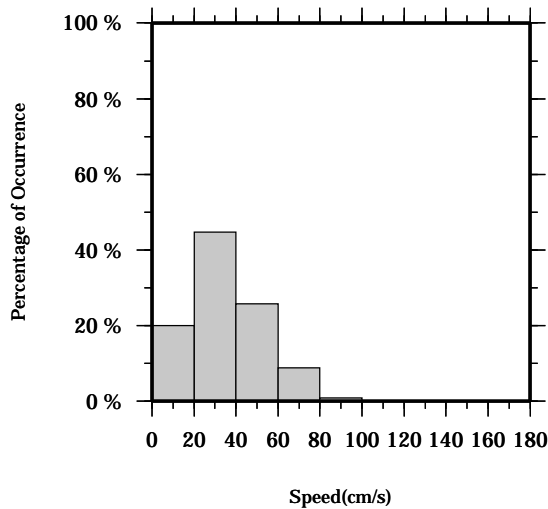
Speed scalar average : 36.2 (cm/s)

LON: 121° 24.6445' E

Station: W304

LAT: 22° 38.8994' N

Depth: 290 M



Joint probability distribution of current speed and it's direction

Speed	N	NNE	NE	ENE	E	ESE	SE	SSE	S	SSW	SW	WSW	W	WNW	NW	NNW	Total
0-20	4.5	3.4	2.4	1.0	0.6	0.2	0.3	0.3	0.2	0.1	0.3	0.4	0.5	0.6	2.0	3.2	19.9
20-40	16.6	14.4	5.0	0.7	0.1	0.0	0.0	0.0	0.0	0.0	0.0	0.1	0.1	0.7	1.8	5.3	44.6
40-60	14.5	8.0	0.5	0.0	0.0	0.0	0.0	0.0	0.0	0.0	0.0	0.0	0.0	0.0	0.0	2.9	25.8
60-80	5.4	2.5	0.0	0.0	0.0	0.0	0.0	0.0	0.0	0.0	0.0	0.0	0.0	0.0	0.0	0.8	8.7
80-100	0.4	0.4	0.1	0.0	0.0	0.0	0.0	0.0	0.0	0.0	0.0	0.0	0.0	0.0	0.0	0.0	0.9
100-120	0.0	0.0	0.0	0.0	0.0	0.0	0.0	0.0	0.0	0.0	0.0	0.0	0.0	0.0	0.0	0.0	0.0
120-140	0.0	0.0	0.0	0.0	0.0	0.0	0.0	0.0	0.0	0.0	0.0	0.0	0.0	0.0	0.0	0.0	0.0
140-160	0.0	0.0	0.0	0.0	0.0	0.0	0.0	0.0	0.0	0.0	0.0	0.0	0.0	0.0	0.0	0.0	0.0
160-180	0.0	0.0	0.0	0.0	0.0	0.0	0.0	0.0	0.0	0.0	0.0	0.0	0.0	0.0	0.0	0.0	0.0
180-200	0.0	0.0	0.0	0.0	0.0	0.0	0.0	0.0	0.0	0.0	0.0	0.0	0.0	0.0	0.0	0.0	0.0
Total	41.5	28.7	8.0	1.8	0.7	0.2	0.3	0.3	0.2	0.1	0.3	0.5	0.5	1.3	3.7	12.1	100.0

Mean U and V : 3.6 (cm/s), 32.8 (cm/s)

Standard deviation of U and V : 11.1 (cm/s), 18.3 (cm/s)

Maximun speed and it's direction : 90.4 (cm/s), 14.3 (deg.)

Mean speed and direction : 33.0 (cm/s), 6.3 (deg.)

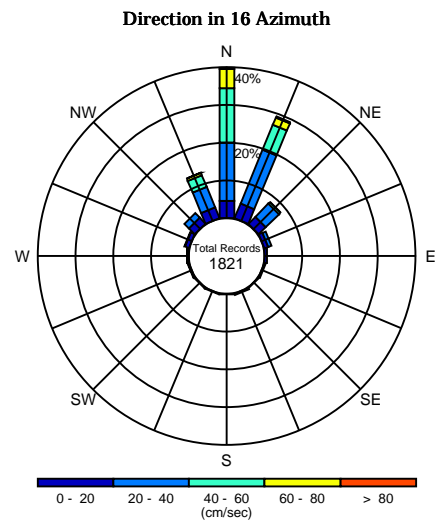
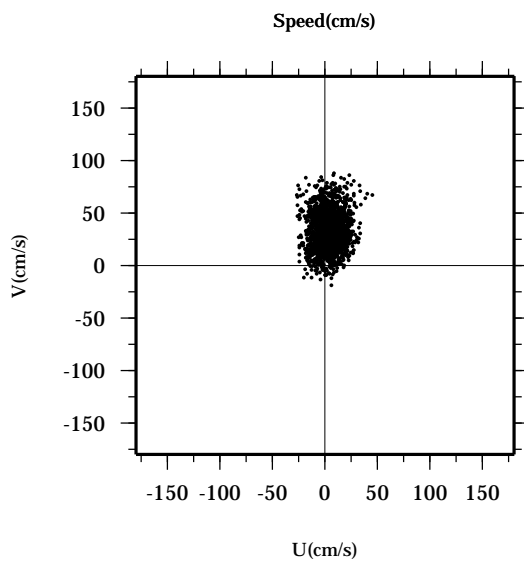
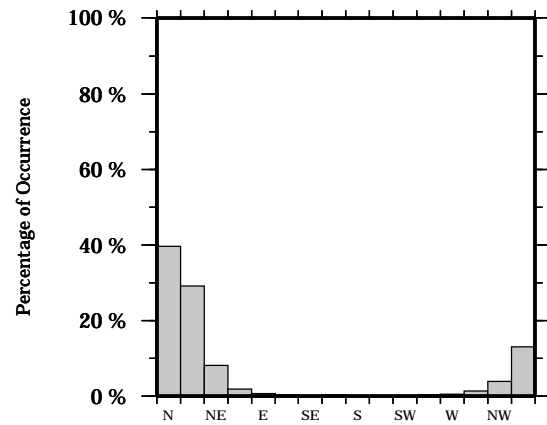
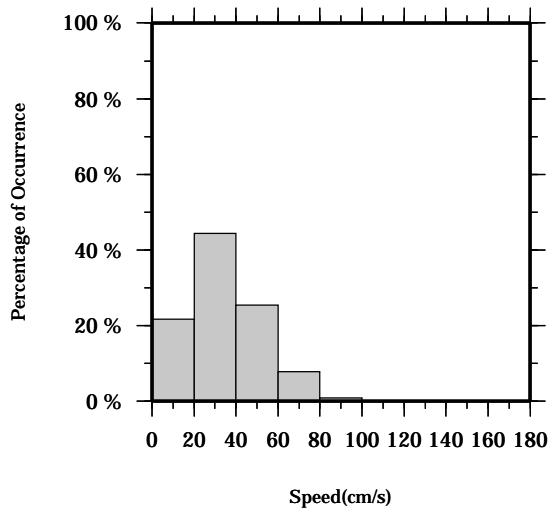
Speed scalar average : 35.4 (cm/s)

LON: 121° 24.6445' E

Station: W304

LAT: 22° 38.8994' N

Depth: 294 M



Joint probability distribution of current speed and it's direction

Speed	N	NNE	NE	ENE	E	ESE	SE	SSE	S	SSW	SW	WSW	W	WNW	NW	NNW	Total
0-20	4.6	4.2	2.6	1.0	0.7	0.3	0.1	0.4	0.2	0.2	0.2	0.3	0.5	1.2	2.2	3.0	21.7
20-40	15.4	15.3	5.0	0.8	0.0	0.0	0.0	0.0	0.0	0.0	0.0	0.1	0.1	0.1	1.7	5.8	44.3
40-60	14.4	7.2	0.5	0.0	0.0	0.0	0.0	0.0	0.0	0.0	0.0	0.0	0.0	0.0	0.0	3.3	25.4
60-80	5.0	2.0	0.0	0.0	0.0	0.0	0.0	0.0	0.0	0.0	0.0	0.0	0.0	0.0	0.0	0.7	7.7
80-100	0.3	0.3	0.1	0.0	0.0	0.0	0.0	0.0	0.0	0.0	0.0	0.0	0.0	0.0	0.0	0.1	0.8
100-120	0.0	0.0	0.0	0.0	0.0	0.0	0.0	0.0	0.0	0.0	0.0	0.0	0.0	0.0	0.0	0.0	0.0
120-140	0.0	0.0	0.0	0.0	0.0	0.0	0.0	0.0	0.0	0.0	0.0	0.0	0.0	0.0	0.0	0.0	0.0
140-160	0.0	0.0	0.0	0.0	0.0	0.0	0.0	0.0	0.0	0.0	0.0	0.0	0.0	0.0	0.0	0.0	0.0
160-180	0.0	0.0	0.0	0.0	0.0	0.0	0.0	0.0	0.0	0.0	0.0	0.0	0.0	0.0	0.0	0.0	0.0
180-200	0.0	0.0	0.0	0.0	0.0	0.0	0.0	0.0	0.0	0.0	0.0	0.0	0.0	0.0	0.0	0.0	0.0
Total	39.7	29.0	8.1	1.9	0.7	0.3	0.1	0.4	0.2	0.2	0.2	0.4	0.5	1.3	3.9	13.0	100.0

Mean U and V : 3.7 (cm/s), 31.9 (cm/s)

Standard deviation of U and V : 10.8 (cm/s), 18.0 (cm/s)

Maximun speed and it's direction : 88.8 (cm/s), 14.9 (deg.)

Mean speed and direction : 32.1 (cm/s), 6.7 (deg.)

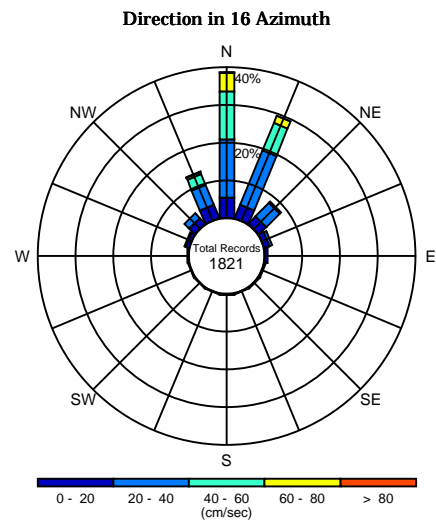
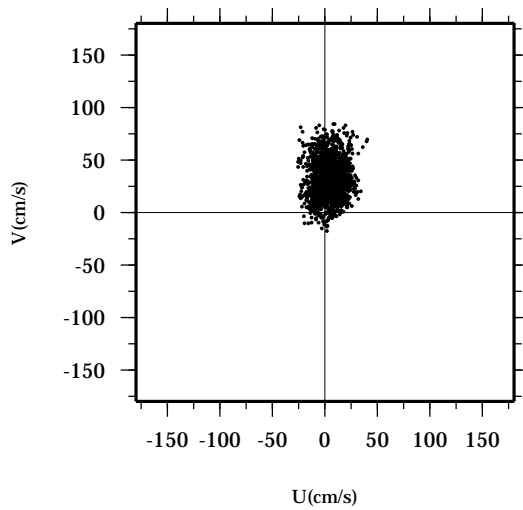
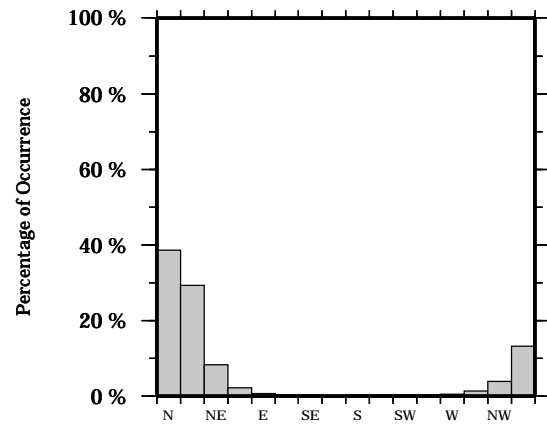
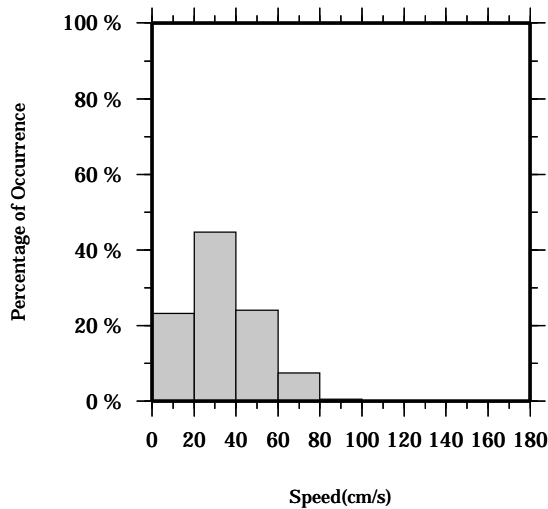
Speed scalar average : 34.5 (cm/s)

LON: 121° 24.6445' E

Station: W304

LAT: 22° 38.8994' N

Depth: 298 M



Joint probability distribution of current speed and it's direction

Speed	N	NNE	NE	ENE	E	ESE	SE	SSE	S	SSW	SW	WSW	W	WNW	NW	NNW	Total
0-20	5.3	3.8	2.7	1.3	0.7	0.3	0.3	0.2	0.4	0.3	0.3	0.2	0.4	1.0	2.1	3.8	23.2
20-40	15.4	15.5	5.1	0.9	0.0	0.0	0.0	0.0	0.0	0.0	0.0	0.1	0.1	0.3	1.7	5.7	44.8
40-60	12.7	7.9	0.5	0.0	0.0	0.0	0.0	0.0	0.0	0.0	0.0	0.0	0.0	0.0	0.0	3.0	24.1
60-80	4.9	1.9	0.0	0.0	0.0	0.0	0.0	0.0	0.0	0.0	0.0	0.0	0.0	0.0	0.0	0.7	7.5
80-100	0.2	0.2	0.0	0.0	0.0	0.0	0.0	0.0	0.0	0.0	0.0	0.0	0.0	0.0	0.0	0.1	0.4
100-120	0.0	0.0	0.0	0.0	0.0	0.0	0.0	0.0	0.0	0.0	0.0	0.0	0.0	0.0	0.0	0.0	0.0
120-140	0.0	0.0	0.0	0.0	0.0	0.0	0.0	0.0	0.0	0.0	0.0	0.0	0.0	0.0	0.0	0.0	0.0
140-160	0.0	0.0	0.0	0.0	0.0	0.0	0.0	0.0	0.0	0.0	0.0	0.0	0.0	0.0	0.0	0.0	0.0
160-180	0.0	0.0	0.0	0.0	0.0	0.0	0.0	0.0	0.0	0.0	0.0	0.0	0.0	0.0	0.0	0.0	0.0
180-200	0.0	0.0	0.0	0.0	0.0	0.0	0.0	0.0	0.0	0.0	0.0	0.0	0.0	0.0	0.0	0.0	0.0
Total	38.6	29.3	8.3	2.2	0.7	0.3	0.3	0.2	0.4	0.3	0.3	0.3	0.4	1.3	3.8	13.2	100.0

Mean U and V : 3.8 (cm/s), 30.9 (cm/s)

Standard deviation of U and V : 10.6 (cm/s), 17.8 (cm/s)

Maximun speed and it's direction : 85.3 (cm/s), 13.2 (deg.)

Mean speed and direction : 31.2 (cm/s), 7.0 (deg.)

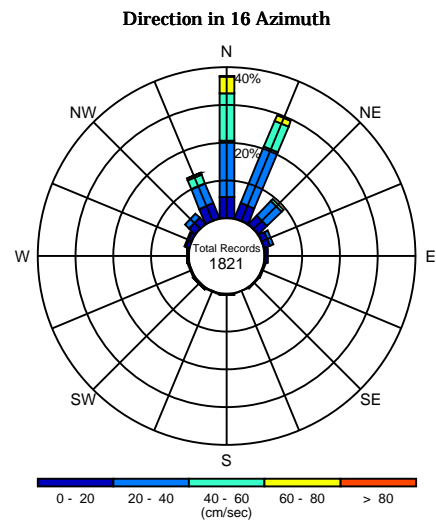
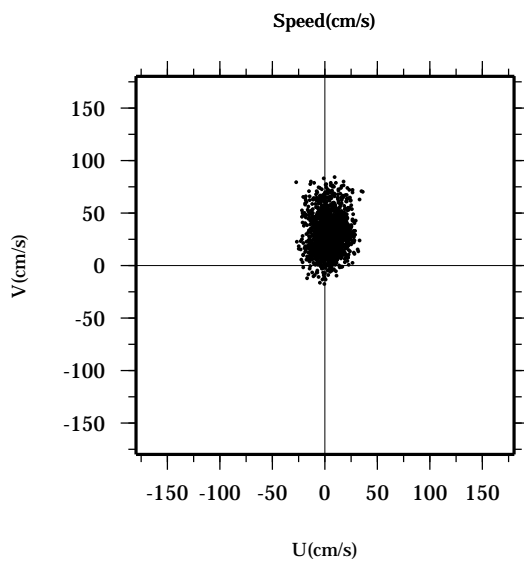
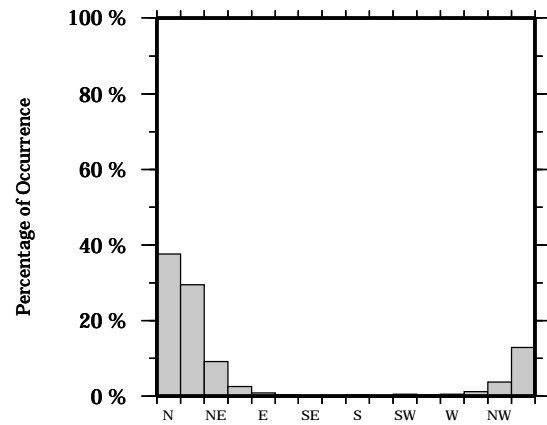
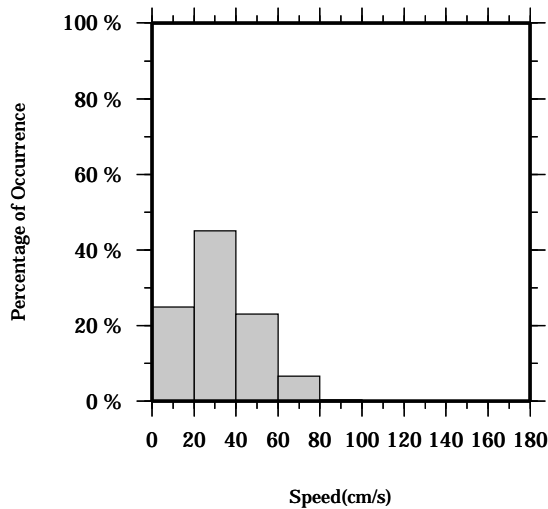
Speed scalar average : 33.5 (cm/s)

LON: 121° 24.6445' E

Station: W304

LAT: 22° 38.8994' N

Depth: 302 M



Joint probability distribution of current speed and it's direction

Speed	N	NNE	NE	ENE	E	ESE	SE	SSE	S	SSW	SW	WSW	W	WNW	NW	NNW	Total
0-20	5.5	4.3	3.1	1.5	0.7	0.3	0.2	0.1	0.4	0.2	0.4	0.4	0.4	1.0	2.3	4.2	24.9
20-40	14.9	16.1	5.4	1.0	0.1	0.0	0.0	0.0	0.0	0.0	0.1	0.0	0.1	0.3	1.5	5.6	45.1
40-60	12.5	7.4	0.7	0.0	0.0	0.0	0.0	0.0	0.0	0.0	0.0	0.0	0.0	0.0	0.0	2.5	23.1
60-80	4.4	1.7	0.0	0.0	0.0	0.0	0.0	0.0	0.0	0.0	0.0	0.0	0.0	0.0	0.0	0.5	6.6
80-100	0.2	0.1	0.0	0.0	0.0	0.0	0.0	0.0	0.0	0.0	0.0	0.0	0.0	0.0	0.0	0.1	0.3
100-120	0.0	0.0	0.0	0.0	0.0	0.0	0.0	0.0	0.0	0.0	0.0	0.0	0.0	0.0	0.0	0.0	0.0
120-140	0.0	0.0	0.0	0.0	0.0	0.0	0.0	0.0	0.0	0.0	0.0	0.0	0.0	0.0	0.0	0.0	0.0
140-160	0.0	0.0	0.0	0.0	0.0	0.0	0.0	0.0	0.0	0.0	0.0	0.0	0.0	0.0	0.0	0.0	0.0
160-180	0.0	0.0	0.0	0.0	0.0	0.0	0.0	0.0	0.0	0.0	0.0	0.0	0.0	0.0	0.0	0.0	0.0
180-200	0.0	0.0	0.0	0.0	0.0	0.0	0.0	0.0	0.0	0.0	0.0	0.0	0.0	0.0	0.0	0.0	0.0
Total	37.6	29.5	9.2	2.5	0.8	0.3	0.2	0.1	0.4	0.2	0.4	0.4	0.5	1.3	3.7	12.9	100.0

Mean U and V : 3.9 (cm/s), 29.9 (cm/s)

Standard deviation of U and V : 10.3 (cm/s), 17.5 (cm/s)

Maximun speed and it's direction : 84.3 (cm/s), 6.1 (deg.)

Mean speed and direction : 30.2 (cm/s), 7.4 (deg.)

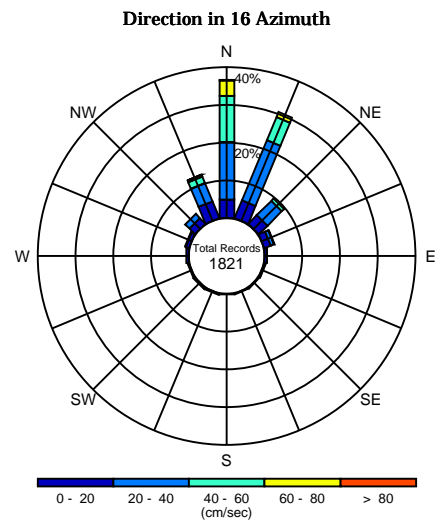
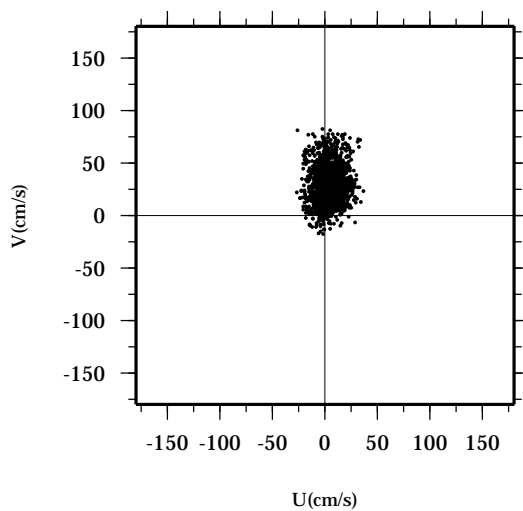
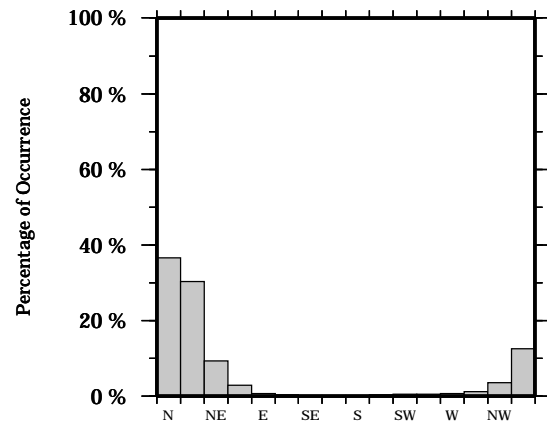
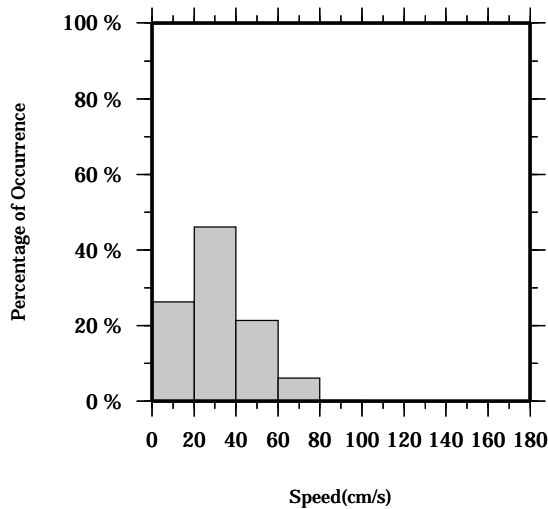
Speed scalar average : 32.5 (cm/s)

LON: 121° 24.6445' E

Station: W304

LAT: 22° 38.8994' N

Depth: 306 M



Joint probability distribution of current speed and it's direction

Speed	N	NNE	NE	ENE	E	ESE	SE	SSE	S	SSW	SW	WSW	W	WNW	NW	NNW	Total
0-20	4.8	5.1	3.2	1.8	0.5	0.2	0.2	0.2	0.2	0.4	0.5	0.4	0.7	1.0	2.1	4.8	26.3
20-40	15.3	17.2	5.4	1.0	0.1	0.1	0.0	0.0	0.0	0.0	0.0	0.0	0.0	0.2	1.5	5.3	46.1
40-60	12.2	6.6	0.8	0.1	0.0	0.0	0.0	0.0	0.0	0.0	0.0	0.0	0.0	0.0	0.0	1.8	21.4
60-80	4.1	1.4	0.0	0.0	0.0	0.0	0.0	0.0	0.0	0.0	0.0	0.0	0.0	0.0	0.0	0.6	6.1
80-100	0.1	0.0	0.0	0.0	0.0	0.0	0.0	0.0	0.0	0.0	0.0	0.0	0.0	0.0	0.0	0.1	0.2
100-120	0.0	0.0	0.0	0.0	0.0	0.0	0.0	0.0	0.0	0.0	0.0	0.0	0.0	0.0	0.0	0.0	0.0
120-140	0.0	0.0	0.0	0.0	0.0	0.0	0.0	0.0	0.0	0.0	0.0	0.0	0.0	0.0	0.0	0.0	0.0
140-160	0.0	0.0	0.0	0.0	0.0	0.0	0.0	0.0	0.0	0.0	0.0	0.0	0.0	0.0	0.0	0.0	0.0
160-180	0.0	0.0	0.0	0.0	0.0	0.0	0.0	0.0	0.0	0.0	0.0	0.0	0.0	0.0	0.0	0.0	0.0
180-200	0.0	0.0	0.0	0.0	0.0	0.0	0.0	0.0	0.0	0.0	0.0	0.0	0.0	0.0	0.0	0.0	0.0
Total	36.5	30.4	9.4	2.8	0.6	0.3	0.2	0.2	0.2	0.4	0.5	0.4	0.7	1.2	3.6	12.5	100.0

Mean U and V : 4.0 (cm/s), 28.8 (cm/s)

Standard deviation of U and V : 10.1 (cm/s), 17.3 (cm/s)

Maximun speed and it's direction : 85.1 (cm/s), 341.9 (deg.)

Mean speed and direction : 29.1 (cm/s), 7.8 (deg.)

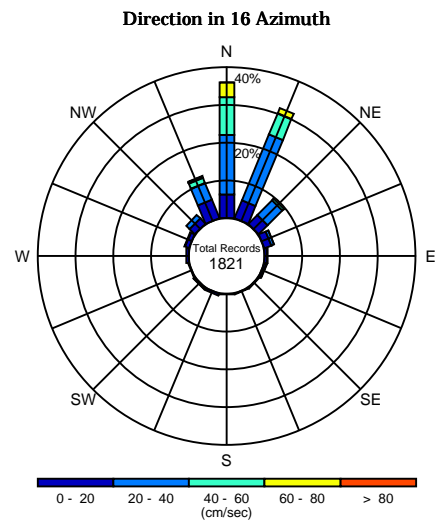
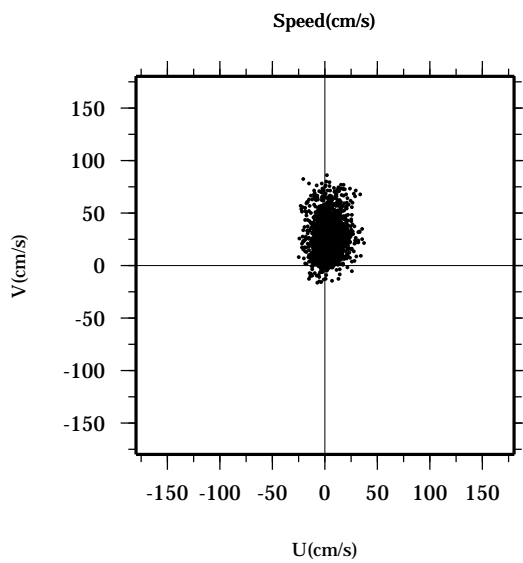
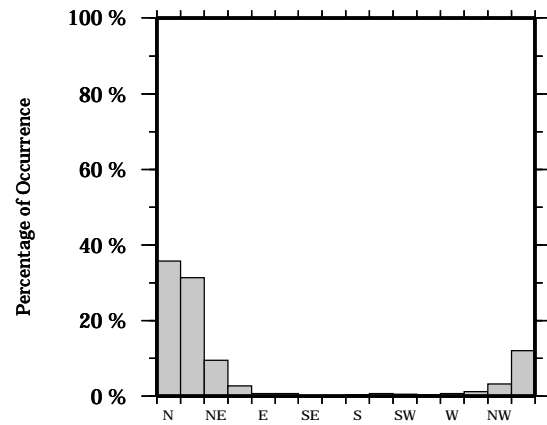
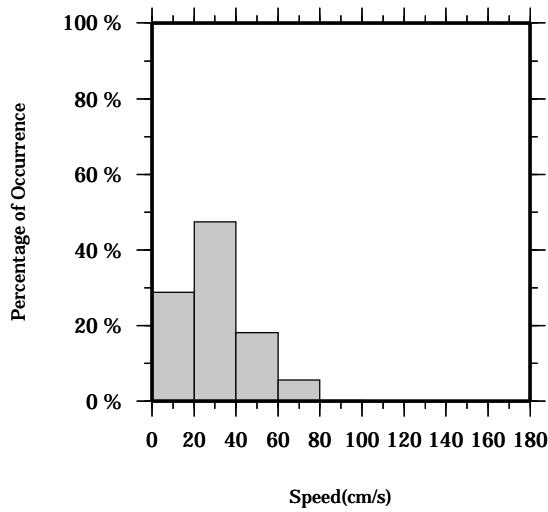
Speed scalar average : 31.4 (cm/s)

LON: 121° 24.6445' E

Station: W304

LAT: 22° 38.8994' N

Depth: 310 M



Joint probability distribution of current speed and it's direction

Speed	N	NNE	NE	ENE	E	ESE	SE	SSE	S	SSW	SW	WSW	W	WNW	NW	NNW	Total
0-20	6.3	5.1	3.3	1.9	0.5	0.5	0.2	0.2	0.3	0.6	0.5	0.3	0.7	1.2	2.0	5.2	28.8
20-40	15.7	18.9	5.5	0.8	0.2	0.1	0.0	0.0	0.0	0.0	0.1	0.0	0.0	0.1	1.3	4.8	47.4
40-60	9.9	5.9	0.6	0.1	0.0	0.0	0.0	0.0	0.0	0.0	0.0	0.0	0.0	0.0	0.0	1.5	18.1
60-80	3.8	1.4	0.0	0.0	0.0	0.0	0.0	0.0	0.0	0.0	0.0	0.0	0.0	0.0	0.0	0.4	5.7
80-100	0.1	0.0	0.0	0.0	0.0	0.0	0.0	0.0	0.0	0.0	0.0	0.0	0.0	0.0	0.0	0.1	0.1
100-120	0.0	0.0	0.0	0.0	0.0	0.0	0.0	0.0	0.0	0.0	0.0	0.0	0.0	0.0	0.0	0.0	0.0
120-140	0.0	0.0	0.0	0.0	0.0	0.0	0.0	0.0	0.0	0.0	0.0	0.0	0.0	0.0	0.0	0.0	0.0
140-160	0.0	0.0	0.0	0.0	0.0	0.0	0.0	0.0	0.0	0.0	0.0	0.0	0.0	0.0	0.0	0.0	0.0
160-180	0.0	0.0	0.0	0.0	0.0	0.0	0.0	0.0	0.0	0.0	0.0	0.0	0.0	0.0	0.0	0.0	0.0
180-200	0.0	0.0	0.0	0.0	0.0	0.0	0.0	0.0	0.0	0.0	0.0	0.0	0.0	0.0	0.0	0.0	0.0
Total	35.8	31.4	9.4	2.7	0.7	0.6	0.2	0.2	0.3	0.6	0.5	0.3	0.7	1.3	3.2	12.0	100.0

Mean U and V : 4.0 (cm/s), 27.6 (cm/s)

Standard deviation of U and V : 9.8 (cm/s), 17.1 (cm/s)

Maximun speed and it's direction : 85.7 (cm/s), 1.0 (deg.)

Mean speed and direction : 27.9 (cm/s), 8.2 (deg.)

Speed scalar average : 30.3 (cm/s)